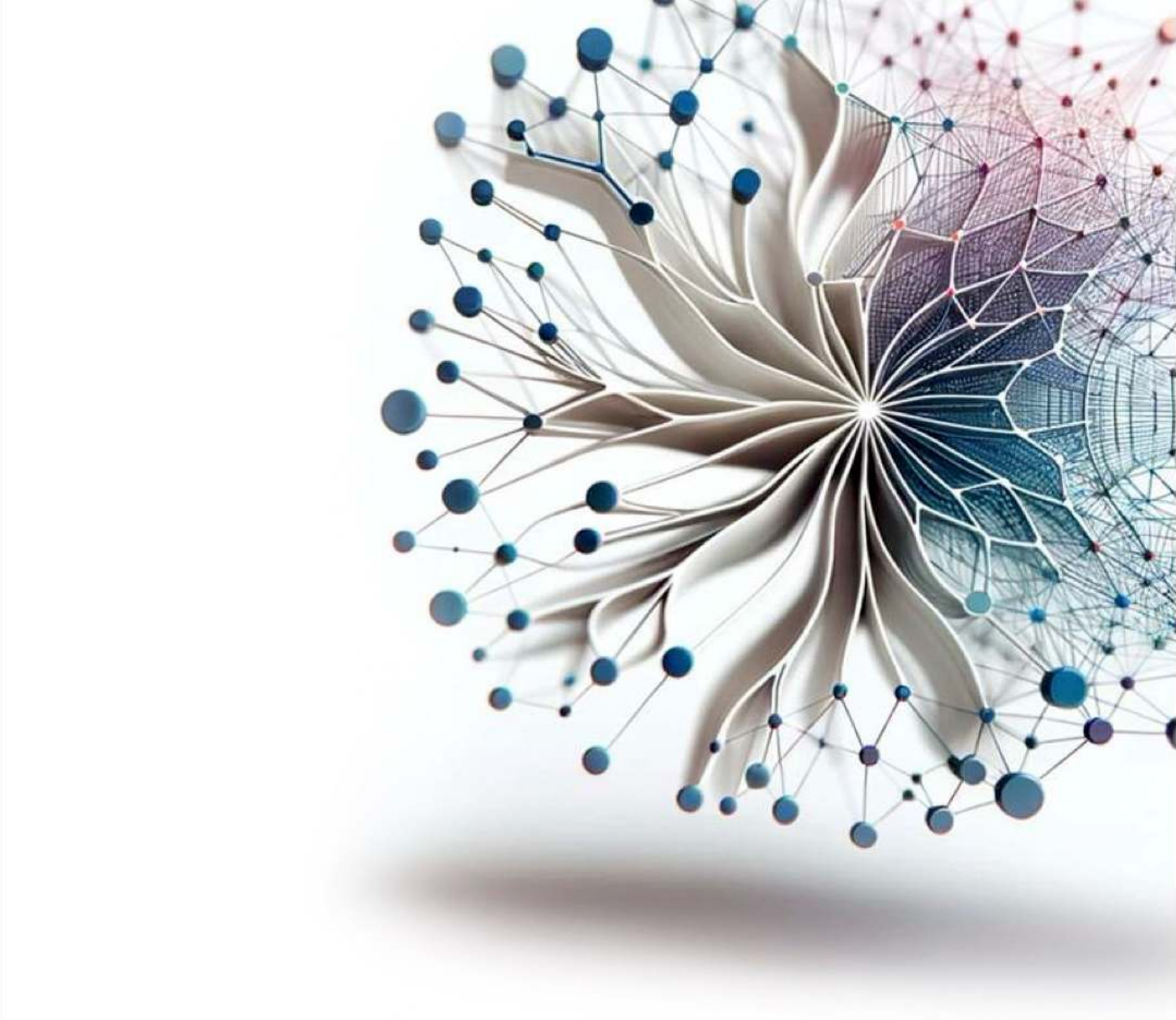

机器学习系统教程

AI 工程原理与实践

【著】Vijay Janapa Reddi
【译】Jimmy Song

https://jimmysong.io/book/ml-systems/

目录

序言 **1**

前言 1

作者序 1

译者序 2

关于本书 3

概述 3

学习目标 4

如何使用本书 6

透明与协作 8

版权与许可 8

加入社区 8

中文版介绍 8

系统基础 **9**

第 1 章：绪论 9

目标 9

人工智能工程革命 10

从人工智能愿景到机器学习实践 11

机器学习系统的定义 12

机器学习系统与传统软件的区别 14

苦涩教训：系统工程为何至关重要 15

AI 范式的历史演变 17

理解机器学习系统生命周期与部署 25

真实世界机器学习系统案例分析 28

ML 系统的核心工程挑战 30

AI 工程学科定义 33

ML 系统工程的五大支柱框架 34

如何使用本教材 37
第 2 章：机器学习系统 38
目标 38
部署范式框架 38
部署谱系 39
边缘 ML：降低延迟与隐私风险 46
移动 ML：个人化与离线智能 49
Tiny ML：超大规模的感知 52
混合架构：范式结合 56
跨部署范式的共享原则 59
比较分析与选择框架 61
部署选择决策框架 63
常见误区与陷阱 65
总结 66
第 3 章：深度学习基础 67
目标 67
深度学习系统工程基础 68
机器学习范式的演进 69
从生物到硅基 75
神经网络基础 81
学习过程 90
推理管道 105
深度学习与 AI 三角 119
常见误区与陷阱 120
总结 121
第 4 章：DNN 架构 123
目标 123
架构原则与工程权衡 123
多层感知机：密集模式处理 124
卷积神经网络：空间模式处理 130
循环神经网络：序列模式处理 137
注意力机制：动态模式处理 142
架构构件积木 152
系统级构件积木 156
架构选择框架 163

统一框架：归纳偏置 169
常见误区与陷阱 170
总结 171

设计原则 172

第 5 章：AI 工作流 172
目标 172
机器学习开发的系统化框架 173
理解机器学习生命周期 173
ML 与传统软件开发的对比 175
六大核心生命周期阶段 176
问题定义阶段 179
数据采集与准备阶段 180
模型开发与训练阶段 183
部署与集成阶段 187
监控与维护阶段 189
整合系统思维原则 192
常见误区与陷阱 194
总结 195

第 6 章：数据工程 196
目标 196
数据工程是一门系统性学科 197
四大支柱框架 198
数据级联与系统性基础的必要性 200
数据管道架构 204
战略性数据获取 211
数据摄取 220
系统化数据处理 226
数据标注 234
战略性存储架构 245
数据治理 257
常见误区与陷阱 263
总结 264

第 7 章：AI 框架 265
目标 265

框架抽象与必要性 266
历史发展脉络 267
基础概念 272
框架架构 311
框架生态系统 313
系统集成 315
主流框架平台分析 317
部署环境专用框架 321
框架性能的系统化评估 334
框架选择的常见误区 336
总结 337

第 8 章：AI 训练 338
目标 338
训练系统的演进与架构 339
训练系统 340
数学基础 345
流水线架构 364
流水线优化 376
分布式系统 393
性能优化 408
硬件加速 411
常见误区与陷阱 417
总结 418

性能工程 420

第 9 章：高效 AI 420
目标 420
高效性的必然性 421
系统效率的定义 421
AI 扩展规律（Scaling Laws） 422
效率框架 431
真实世界的效率策略 437
效率权衡与挑战 439
战略性权衡管理 441
高效 AI 的工程原则 442

社会与伦理影响 . . . 443
常见误区与陷阱 . . . 445
总结 . . . 447
第 10 章：模型优化 . . . 448
目标 . . . 448
模型优化基础 . . . 448
优化框架 . . . 449
部署场景 . . . 450
框架应用与导航 . . . 451
优化三维 . . . 453
结构化模型优化方法 . . . 454
量化与精度优化 . . . 477
架构效率技术 . . . 496
实施策略与评估 . . . 509
AutoML 与自动化优化策略 . . . 511
实现工具与软件框架 . . . 514
技术对比 . . . 518
常见误区与陷阱 . . . 519
总结 . . . 520
第 11 章：AI 加速 . . . 520
目标 . . . 520
AI 硬件加速基础 . . . 521
硬件专用化的演进 . . . 522
AI 计算原语 . . . 529
AI 存储系统 . . . 547
神经网络硬件映射基础 . . . 558
数据流优化策略 . . . 567
编译器支持 . . . 589
运行时支持 . . . 596
多芯片 AI 加速 . . . 599
异构 SoC AI 加速 . . . 611
常见误区与陷阱 . . . 614
总结 . . . 615
第 12 章：AI 基准测试 . . . 616
目标 . . . 616

机器学习基准框架 617
历史背景 618
机器学习基准 619
基准粒度 627
基准组件 631
训练与推理评估（Training vs. Inference Evaluation） 640
训练基准（Training Benchmarks） 641
推理基准 650
功耗测量技术 662
基准局限与最佳实践 666
模型与数据基准 671
生产环境评测 674
常见误区与陷阱 675
总结 676

稳健部署 678

第 13 章：机器学习运维 678
目标 678
机器学习运维简介 679
历史背景 680
技术债务与系统复杂性 683
开发基础设施与自动化 689
生产运维 695
角色与职责 709
系统设计与成熟度框架 721
案例分析 728
常见误区与陷阱 736
总结 737

第 14 章：设备端学习 738
目标 738
分布式学习范式转变 739
动因与价值 740
设计约束 744
模型自适应 749
数据高效 755

联邦学习 . . . 759
生产集成 . . . 766
生产部署的系统集成 . . . 770
持续的技术与运维挑战 . . . 771
常见误区与陷阱 . . . 778
总结 . . . 779

第 15 章：安全与隐私 . . . 780
目标 . . . 780
机器学习系统中的安全与隐私 . . . 780
基础概念与定义 . . . 781
从安全事件中学习 . . . 783
系统性威胁分析与风险评估 . . . 786
模型特有攻击向量 . . . 787
硬件层安全漏洞 . . . 794
当 ML 系统成为攻击工具 . . . 804
全面防御架构 . . . 807
实践落地路线图 . . . 822
常见误区与陷阱 . . . 823
总结 . . . 824

第 16 章：稳健 AI . . . 825
目标 . . . 825
稳健 AI 系统简介 . . . 826
真实世界的稳健性失败案例 . . . 828
稳健 AI 的统一框架 . . . 832
硬件故障 . . . 835
意图性输入操控 . . . 855
环境变化 . . . 858
稳健性评估工具 . . . 859
输入级攻击与模型稳健性 . . . 860
软件故障 . . . 886
故障注入工具与框架 . . . 891
常见误区与陷阱 . . . 901
总结 . . . 903

可信赖的系统 . . . 906

第 17 章：可信 AI 906
目标 906
可信 AI 简介 907
核心原则 909
原则在 ML 生命周期中的集成 910
不同部署环境下的负责任 AI 920
技术基础 928
社会技术动态 945
落地挑战 951
AI 安全与价值对齐 959
常见误区与陷阱 963
总结 964
第 18 章：可持续 AI 965
目标 965
可持续 AI：一门工程学科 966
AI 的可持续性危机 967
第一部分：环境影响与伦理基础 968
第二部分：测量与评估 971
硬件全生命周期环境评估 988
第三部分：实施与解决方案 994
嵌入式 AI 与电子垃圾 1004
政策与监管 1009
公众参与 1015
未来挑战 1020
常见误区与陷阱 1022
总结 1023
第 19 章：AI 向善 1024
章节目的 1024
极端约束下的可信 AI 1025
社会挑战与 AI 机遇 1026
真实部署范式 1027
可持续发展目标（SDG）框架 1030
资源约束与工程挑战 1031
设计模式框架 1037
设计模式实现 1038

受限学习的理论基础 1054
常见部署失败与社会技术陷阱 1056
总结 1059

机器学习系统的前沿 1061

第 20 章：通用人工智能系统 1061
目标 1061
从专用 AI 到通用智能 1062
AGI 定义：智能是一种系统问题 1063
复合 AI 系统框架 1065
复合智能的技术积木 1066
AGI 的替代架构 1071
复合系统的训练方法 1073
复合 AI 系统的生产部署 1078
关键技术障碍 1078
多智能体协作下的涌现智能 1082
通往 AGI 的工程路径 1084
对 ML 系统工程师的影响 1088
基于系统工程原则的 AGI 发展 1091
AGI 系统的核心设计原则 1091
AGI 的综合开发框架 1092
常见误区与陷阱 1095
总结 1098

第 21 章：总结 1099
章节目标 1099
机器学习系统工程的综合：从组件到智能 1099
ML 的系统工程六大原则 1100
三大关键领域的原则应用 1101
面向规模的性能工程 1102
生产现实的应对 1103
未来方向与新机遇 1104
你的未来之路：工程化智能 1105

动手实验 1107

入门指南 1107

为什么选择嵌入式 ML 作为 ML 系统教育载体? 1107
前置知识与准备 1108
实验类别 1108
实验平台兼容性 1109
核心数据模态 1110
入门流程 1110
硬件套件 1111
重点推荐平台 1111
系统要求与前置条件 1112
硬件平台概览 1112
平台对比 1113
平台选型指南 1114
硬件平台规格 1114
入门指南 1118
IDE 环境配置 1118
概述 1118
各平台软件安装 1119
开发工具配置 1121
环境验证 1122
常见环境问题与解决方案 1123
故障排查与支持 1123
实验准备就绪 1124
Arduino（微控制器平台）实验 1125
概览 1125
前置条件 1126
环境配置 1126
实验任务 1126
安装与配置 1126
概述 1126
硬件简介 1127
Arduino IDE 安装与配置 1128
安装 OpenMV IDE 1132
连接 Nicla Vision 到 Edge Impulse Studio 1139
Nicla Vision 扩展板（可选） 1140

总结 1147
参考资源 1147
图像分类 1147
概述 1147
计算机视觉简介 1149
图像分类项目目标 1149
数据采集 1149
使用 Edge Impulse Studio 训练模型 1153
数据集处理 1154
Impulse 设计 1155
模型训练 1162
模型测试 1163
部署模型 1165
图像分类（非官方）基准测试 1176
总结 1176
参考资源 1178
目标检测 1178
概述 1178
目标检测项目目标 1182
数据采集 1183
Edge Impulse Studio 1184
Impulse 设计 1188
模型设计、训练与测试 1190
部署模型 1193
总结 1198
参考资源 1198
关键词检测（KWS） 1198
概述 1198
语音助手是如何工作的? 1199
KWS 实践项目 1200
数据集 1201
创建 Impulse（预处理与模型定义） 1206
模型设计与训练 1209
测试 1211
部署与推理 1212

后处理 1213
总结 1216
参考资源 1216

运动分类与异常检测 1216
概述 1216
IMU 安装与测试 1217
案例分析：集装箱运输场景模拟 1219
数据采集 1221
Impulse 设计 1225
模型训练 1230
测试 1231
部署 1232
总结 1235
参考资源 1236

Seeed XIAO ESP32S3 微控制器实验 1238

概述 1238
前置条件 1238
环境搭建 1239
实验练习 1239

配置与准备 1239
概述 1239
在 Arduino IDE 上安装 XIAO ESP32S3 Sense 1245
BLINK 测试 1245
麦克风测试 1248
摄像头测试 1252
WiFi 测试 1253
IMU 传感器（LSM6DS3TR-C）测试 1257
OLED 显示屏（SSD1306）测试 1265
总结 1270
资源 1271
散热片注意事项 1271
散热片安装方法 1271

图像分类 1273
概述 1273

图像分类简介 1274
图像分类项目实践 1279
基于数据集的图像分类项目 1287
Edge Impulse Studio 训练模型 1287
模型部署 1294
总结 1301
参考资源 1302

目标检测 1302
概述 1302
项目目标 1305
数据采集 1306
Edge Impulse Studio 1308
Impulse 设计 1311
模型设计、训练与测试 1314
模型部署（Arduino IDE） 1317
模型部署（SenseCraft-Web-Toolkit） 1320
总结 1326
参考资源 1326

关键词唤醒（KWS） 1326
概述 1326
KWS 项目简介 1328
数据集 1330
使用 Edge Impulse Studio 训练模型 1341
测试 1347
部署与推理 1347
后处理 1354
总结 1355
参考资源 1358

运动分类与异常检测 1358
概述 1358
IMU 传感器安装 1359
TinyML 运动分类项目 1361
数据采集 1362
Studio 端数据采集 1367
数据预处理 1369

模型设计 1371
Impulse 设计 1371
特征生成 1372
训练 1373
测试 1373
部署 1374
推理（Inference） 1378
后处理（Post-Prossessing） 1383
总结 1384
参考资料 1386

Grove Vision 平台实验 1387

概述 1387
前置条件 1387
环境搭建与零代码应用 1388
实验练习 1388

环境搭建与零代码应用 1389
SenseCraft AI Studio 1390
体验 CV AI 模型 1394
图像分类项目实战 1400
总结 1407
资源 1409

图像分类 1410
简介 1410
总结 1434
资源 1436

树莓派实验 1437

概述 1437
前置条件 1437
环境准备 1438
实验任务 1438

配置与准备 1438
概述 1439
硬件简介 1440

安装操作系统 1441
远程访问 1445
增加 SWAP 内存 1448
安装摄像头 1450
远程访问桌面环境 1458
系统更新与软件安装 1459
不同型号的注意事项 1462

图像分类 1463
概述 1463
环境搭建 1464
使用 Mobilenet V2 进行推理 1469
图像分类项目实战 1480
Edge Impulse Studio 训练模型 1488
Impulse 设计 1490
实时图像分类 1499
总结 1505
参考资源 1506

目标检测 1506
概述 1506
预训练目标检测模型概览 1509
目标检测项目实战 1516
在 Edge Impulse Studio 训练 SSD MobileNet 模型 1523
在 Edge Impulse Studio 训练 FOMO 模型 1537
使用 Ultralytics 探索 YOLO 模型 1547
实时视频流目标检测 1561
总结 1564
参考资料 1565

小型语言模型（SLM） 1565
概述 1565
环境准备 1566
生成式 AI（GenAI） 1568
Ollama 1570
Ollama Python 库 1581
SLM 优化技术 1585
RAG 实现 1586

拓展应用 1587
总结 1587
参考资料 1588

视觉 - 语言模型（VLM） 1589
简介 1589
技术概览 1590
部署与安装 1593
输入处理 1601
生成输出 1601
解码生成文本 1601
生成结果后处理 1602
输出结果 1602
运行结果示例 1602
图片可视化 1603
目标检测结果分析 1603
Florence-2 支持的任务 1605
视觉定位（Visual Grounding） 1606
计算机视觉与视觉 - 语言任务探索 1607
延迟总结 1624
微调（Fine-Tuning） 1625
总结 1626
未来展望 1627
参考资源 1628

共享实验 1629

概览 1629
总结 1629

KWS 特征工程 1629
概述 1629
KWS 简介 1630
音频信号基础 1631
MFCC 概述 1633
Python 实践 1636
总结 1636
参考资料 1636

DSP 频谱特征 1637
概述 1637
特征提取回顾 1637
一个 TinyML 运动分类项目 1638
数据预处理 1638
时域统计特征 1645
频谱特征 1648
时频域特征 1651
总结 1658

附录 1659

术语表 1659
3 1659
A 1659
B 1662
C 1664
D 1668
E 1672
F 1674
G 1676
H 1678
I 1680
J 1681
K 1681
L 1681
M 1683
N 1688
O 1689
P 1690
Q 1693
R 1693
S 1695
T 1700
U 1703
V 1703
W 1704

X 1705
Z 1705

序言

本章介绍包含了作者序、译者序以及本书概述，帮助读者更好地理解本书的编写背景、翻译理念和核心内容。

前言

作者序

人工智能必将像计算机和互联网在 20 世纪彻底改变社会一样，深刻地重塑我们的世界。从能够生成文本和图像等创意内容的系统，到推动药物研发和科学研究突破的技术，AI 正在开启一个全新的时代，其影响力和变革性甚至有望超越以往。但我们如何让 AI 真正惠及每一个人？

AI 的巨大变革力也意味着我们每一个接触和使用它的人都肩负着同样巨大的责任。正如我们期望企业能够负责任地使用其影响力，学术界同样有义务开放知识，让 AI 的红利惠及所有人，而非少数群体。这一信念促使我编写了本书 —— 一本面向所有人、聚焦 AI 工程与系统的开源教材，旨在让 AI 教育更加包容和普惠，无论你来自何种背景。

我对内容创作、策划和编辑的热情，深受那些影响我学术和人生道路的经典教材启发。无论是通读全书还是只读关键章节，这些著作都深刻塑造了我的思维方式。我常常回想那些引领我前行的书籍：如图灵奖得主 David Patterson 和 John Hennessy 在计算机体系结构与系统设计领域的著作，以及 Yann LeCun、Geoffrey Hinton、Yoshua Bengio 等深度学习奠基人的开创性论文。希望本书也能在某种程度上激励学生们走出属于自己的独特道路。

我对 AI 的未来充满乐观。它有潜力解决全球性难题，释放人类尚未想象的创造力。但要实现这一目标，我们必须培养新一代 AI 工程师和实践者，让他们能够将创新的 AI 算法转化为可扩展、可靠、适用于真实世界的系统。本书正是为此而作，旨在为培养能够将今日愿景变为明日现实的 AI 工程师，系统整理所需的知识材料。

本书仍在持续完善中，但只要有哪怕一位读者从中受益，就足以激励我不断打磨和扩展内容。因此，我唯一的请求是：请为本书的 GitHub 仓库点个 Star。你的这一颗星 ⭐ 不仅代表你对本项目的支持，也能让全球越来越多的学习者、教育者和实践者看到 AI 教育普惠的重要性。这一小小的举动意义非凡，能放大 AI 教育开放的影响力。

我也是自己写作的学生，每一章的创作都让我收获新知。这要感谢无数为本书贡献力量的人：教授、学生、工程师和研究者们，他们提出建议、分享经验、指出错误、提出改进意见。每一次交流，无论是深入的批评还是简单的修正，都是协作式知识共创的宝贵一课。这些贡献不仅完善了内容，也让我更深刻地体会到知识如何在协作中成长。因此，这本书绝非我个人的成果，而是所有致力于知识共享与努力的人的集体结晶。

本书谨以此献给我深爱的父亲。他对教育的热忱、对知识的好奇、无私的分享和对品质的执着，时时激励我追求卓越。也将这份敬意献给所有教师和导师 —— 你们的辛勤付出和悉心指导每天都在改变着他人的人生。你们的无私让我学会坚持。

最后但同样重要的是，没有我亲爱的妻子和孩子们的坚定支持，这一切都无法实现。他们的爱、耐心和鼓励，是我追逐热爱、完成本书的坚实后盾。对此，我满怀感激。

—— Vijay Janapa Reddi 教授

译者序

随着技术范式的演进，越来越多的云原生工程师正面临向 AI 原生基础设施转型的挑战。AI 原生不仅仅是简单地在云原生架构上叠加 AI 能力，而是要求工程师具备更深层次的机器学习系统原理、算法与底层算力理解。这本书正好为有云原生背景的工程师补齐了 AI 原生所需的底层知识体系，无论是数据流、模型与硬件协同，还是系统级优化与部署，都能在本书中找到系统性解答。

机器学习系统作为一个跨学科领域，融合了算法、数据和计算基础设施的知识。理解这些复杂系统的设计与实现，需要扎实的理论基础和丰富的实践经验。本书通过系统性地介绍机器学习系统的各个组成部分，帮助读者建立起全面的知识体系。同时，本书也注重实践，通过大量的实例和代码示例，帮助读者更好地理解和掌握机器学习系统的原理与实践。

作为译者，我深知将这样一本技术性强且内容丰富的书籍翻译成中文的挑战与责任。在翻译过程中，我力求保持原文的准确性和专业性，同时也注重语言的流畅性和易读性，确保中文读者能够顺畅地理解书中的内容。在此，我向所有为本书付出辛勤努力的作者和读者表示衷心的感谢。

希望本书能够成为广大中文读者，成为在构建 AI 原生基础设施过程中的重要资源，助力大家在这一领域取得更大的成就。

—— Jimmy Song

关于本书

本文是对英文原版的介绍，中文版由 Jimmy Song 独立翻译，保留了图书的原意和结构，去掉了测验及交互式内容。

概述

本节将介绍本书的编写初衷、开发背景，以及读者在学习过程中可以获得哪些收获。

写作目的

本书旨在为教育者和学习者提供一套系统、实用的机器学习系统原理与工程实践资源。内容持续更新，融入最新洞见与高效教学策略，力求在快速变化的领域中始终保持前沿与实用性。欢迎大家常来查阅！

背景与发展

本书起源于学生、研究者和业界实践者的协作努力。我们在保持学术严谨性的同时，注重实际应用价值，并通过定期更新和精心策划，持续反映机器学习系统领域的最新进展。

读者预期

本教材采用循序渐进的教学设计，模拟 ML 系统工程师成长路径，分为五个阶段：

阶段一：理论 —— 通过“基础篇章”和“设计原则”构建概念根基，建立系统性思维模型。

阶段二：性能 —— 掌握“性能工程”，将理论转化为能在真实资源受限环境下高效运行的系统。

阶段三：实践 —— 深入“稳健部署”，学会让系统在开发环境之外也能可靠运行。

阶段四：伦理 —— 探索“可信系统”，确保你的系统对社会有益且可持续。

阶段五：前沿 —— 展望“ML 系统前沿”，理解新兴范式，为下一代挑战做好准备。

实验环节 安排在核心理论基础之后，帮助你在多种嵌入式平台上动手实践。全书穿插有 **小测验**，便于在关键节点自查理解。

教学理念：基础为先

机器学习系统本质上是复杂的工程挑战，但它们都由一系列基础模块构建而成，只有真正理解这些基石，才能进阶到更复杂的实现。这一教学理念与传统教育路径一致：学生需先掌握基础算法，才能学习分布式系统；先精通线性代数，才能深入机器学习理论。ML 系统同样有其不可或缺的基础组成部分，是后续学习的根基。

我们的课程强调以下核心能力：

- 模型与硬件的交互机制
- 数据在系统中的流动模式
- 计算模式的涌现与优化
- 单体系统内的优化原理

通过对这些基础的深入理解，学生将具备分析复杂场景（如分布式训练架构、多设备协同协议、新兴技术范式）的能力。

“基础为先”的方法论强调概念深度而非表面广度，帮助学生构建持久的知识体系，为未来职业生涯中的 ML 系统演进打下坚实基础。

学习目标

本节介绍本书的教学框架及具体学习目标。

关键学习成果

本书结构参考 布鲁姆认知目标分类（见下图），涵盖从基础知识到高级创新的六个层级：

1. **记忆**：回忆基本事实和概念。
2. **理解**：解释思想或过程。
3. **应用**：在新情境中运用知识。
4. **分析**：将信息分解为组成部分。
5. **评价**：基于标准做出判断。
6. **创造**：产出原创作品或解决方案。

学习目标

本书帮助读者在 ML 系统全生命周期内培养实战能力：

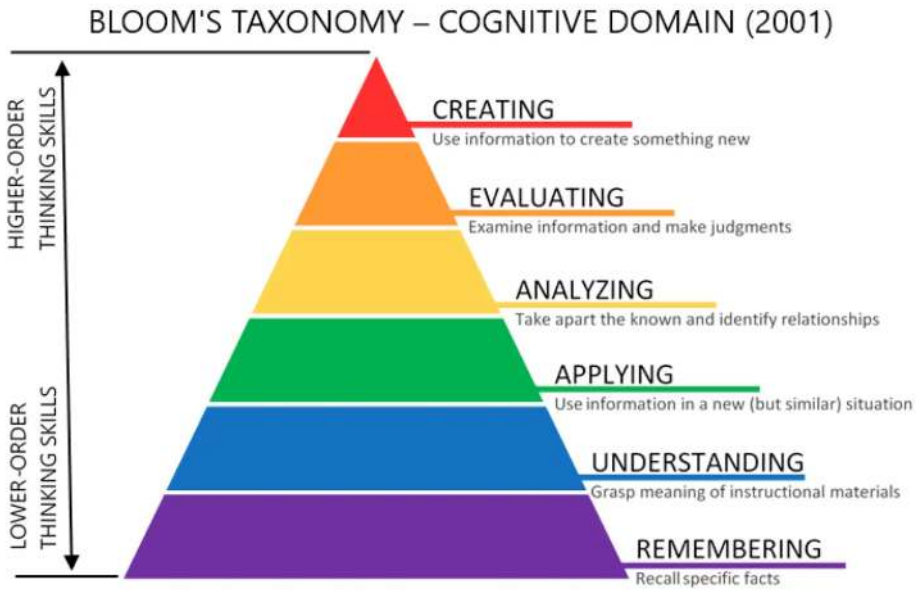

布鲁姆认知目标分类（2021 版）。

1. **系统思维**：理解 ML 系统与传统软件的区别，掌握软硬件协同原理。
2. **流程工程**：设计端到端 ML 流水线，从数据工程到部署与运维。
3. **性能优化**：系统性提升系统速度、体积与资源效率。
4. **生产部署**：应对可靠性、安全、隐私与可扩展性等实际挑战。
5. **负责任开发**：把握伦理影响，构建可持续、利于社会的 AI 系统。
6. **前瞻能力**：具备评估新兴技术与适应变革的判断力。
7. **动手实践**：在多样嵌入式平台和资源受限环境中积累实战经验。
8. **自主学习**：借助集成测评与交互工具，持续跟踪进步、深化理解。

AI 学习助手

全书配备 **SocratiQ** AI 学习助手，提升你的学习体验。SocratiQ 借鉴苏格拉底式教学法，结合互动测验、个性化辅导和实时反馈，帮助你巩固理解、建立知识关联。作为生成式 AI 技术的集成示例，SocratiQ 鼓励批判性思考和主动学习。

SocratiQ 仍在持续完善，欢迎反馈建议。详情请参阅 AI 学习助手页面。

如何使用本书

书籍结构

本书从 ML 系统的概念理解到实际构建与部署，分为以下部分：

核心内容：

1. **基础篇章** 夯实根基。理解 ML 系统与传统软件的差异，掌握软硬件栈，熟悉基本架构与数学基础。
2. **设计原则** 工程化全流程。学习端到端流水线设计，解决复杂数据工程难题，选择合适框架，组织大规模训练。
3. **性能工程** 面向真实约束优化。掌握模型优化、硬件加速与系统性性能分析，让系统更快、更小、更高效。
4. **稳健部署** 打造生产级系统。从单设备约束到系统级运维，掌握端上学习、安全隐私、鲁棒性与 ML 运维。
5. **可信系统** 负责任设计。探索 ML 系统的社会与环境影响，践行负责任 AI，创造造福社会的技术。
6. **ML 系统前沿** 面向未来。理解新兴范式，预判未来挑战，培养评估新技术的能力。

实践环节：

1. **实验练习** 学以致用。从微控制器到边缘计算平台，体验嵌入式 ML 的资源约束与优化挑战。

推荐阅读路径

- **初学者**：从“基础篇章”入手，建立概念体系，再进入“设计原则”并选择相关实验练习。
- **工程实践者**：重点阅读“设计原则”、“性能工程”和“稳健部署”，结合平台实验提升实战能力。
- **研究人员**：关注“性能工程”、“可信系统”与“ML 系统前沿”，并参考工具实验室的对比分析。
- **动手型学习者**：结合任意核心内容与 Arduino、Seeed、Grove Vision、树莓派等实验，获得全面实践体验。

针对不同背景的学生

本书欢迎来自计算机、工程、数学等多学科背景的学生。理解 ML 系统与既有知识的联系，有助于将理论转化为实践：

计算机专业学生：ML 系统是算法与数据结构在新领域的延伸。你可以将 ML 理解为自动根据数据模式自我优化的算法，而非固定指令。

你在系统设计、内存管理、并行处理和分布式系统方面的经验，可直接应用于 ML 部署。训练与推理阶段的时间和空间复杂度分析同样适用。

电子与计算机工程学生：ML 系统是信号处理与控制系统原理的自然进化。机器学习可视为从高维噪声信号中提取有意义模式的高级信号处理。

神经网络的卷积层本质上就是你学过的卷积操作。你对计算机系统结构和内存层级的理解，有助于优化大规模训练系统中的数据流动。

其他专业学生：可将 ML 系统类比为现代工厂流水线。正如工厂通过各环节协作将原材料变为成品，ML 系统通过各组件协作将原始数据转化为有用预测。

数学（线性代数、概率、微积分）是这条“流水线”的工具，但无需精通工具也能理解整体流程。大多数概念可通过具体案例理解，比如推荐系统就像图书管理员根据你的借阅历史推荐书籍。

关键能力是系统思维：理解数据管道、训练流程和部署基础设施如何协同，就像供应链、制造和分销在复杂运营中必须协调一样。

模块化设计

本书支持灵活学习，既可按章节独立阅读，也可遵循推荐路径。每章包含：

- **互动测验**，自测与巩固知识
- **实践练习**，理论与实现结合
- **实验体验**，平台化动手学习

我们倡导内容迭代开发 —— 有价值的见解会及时分享，而非等到“完美”才发布。你的反馈将帮助我们持续优化内容。

本书也借鉴并致敬领域专家的优秀成果，致力于打造知识共享、协作共进的学习生态。

透明与协作

本书起源于社区驱动项目，由哈佛大学 CS249r 学生、校内外同仁及 ML 系统社区共同推动。内容通过开放协作、反馈和现代编辑工具（包括规则脚本和生成式 AI 技术）不断完善。值得一提的是，正是我们研究的这些系统，也在帮助完善本书，展现了人机协作的魅力。当然，它们还远未能独立完成系统工程 —— 至少目前还不行。

作为主要作者、编辑与策划者，我（Vijay Janapa Reddi 教授）始终保持人工审核，确保教材内容准确、前沿且高质量。当然，任何人都难免有疏漏，欢迎大家反馈指正。协作模式对于保证质量、开放知识和全球共享至关重要。

版权与许可

本书为开源项目，通过 GitHub 协作开发。除非另有说明，内容采用 知识共享署名 - 非商业性使用 - 相同方式共享 4.0 国际许可协议（CC BY-NC-SA 4.0）授权。

贡献者对各自贡献保留著作权，可选择公有领域或与原项目相同的开源协议。详情请见 GitHub 仓库。

加入社区

本教材不仅是学习资源，更是协作与共学的邀请。欢迎参与 社区讨论，分享见解、解决难题，与全球学生、研究者和工程师共同成长。

无论你是初学者、工程实践者还是前沿研究者，你的参与都将丰富我们的学习社区。欢迎自我介绍、分享目标，让我们一起深入理解机器学习系统。

中文版介绍

中文版由 Jimmy Song 独立翻译，完整保留了图书的原意和结构，但去除了测验及交互式内容。中文版未在原书的 GitHub 仓库中，而是由 Jimmy Song 独立维护，并提供 PDF 版本下载。由于采用 Hugo 和标准 Markdown 格式撰写，与英文版的排版和格式略有不同，建议直接在线阅读以获得最佳体验。

系统基础

机器学习系统的基础构建是现代 AI 应用的基石。本章将深入探讨机器学习系统的核心组件、架构设计原则以及关键技术实现。从数据管道到模型部署，我们将学习如何构建高效、可扩展且可靠的 ML 系统。通过实际案例和最佳实践，您将掌握设计 ML 系统时需要考虑的关键因素，包括性能优化、资源管理、监控和维护等方面。无论是初学者还是有经验的开发者，本章都将为您提供构建强大 ML 系统的必要知识和技能。

第 1 章：绪论

目标

为什么我们必须掌握能够学习、适应并在大规模环境下运行的系统工程原理？

机器学习是自可编程计算机以来计算领域最重大的变革，使系统能够通过数据而非显式指令来决定行为。这一变革要求建立全新的工程基础，因为传统软件工程原则无法应对基于经验学习和适应的系统。无论是气候建模、医学诊断还是自动驾驶，每一个重大技术挑战都需要能够处理海量数据并在不确定性下可靠运行的系统。理解机器学习系统工程，决定了我们解决超越人类认知极限复杂问题的能力。这一学科为构建可扩展至数据中心和边缘设备的系统奠定了技术基础，是 21 世纪技术进步的基石。

> **学习目标**
>
> - 定义机器学习系统：由数据、算法和基础设施组成的集成计算系统
> - 通过故障模式分析，区分机器学习系统工程与传统软件工程
> - 解释“AI 三角”框架，分析数据、算法与计算基础设施的相互依赖
> - 追溯 AI 范式从符号系统到统计学习再到深度学习的历史演变
> - 评估 Sutton 的“苦涩教训”对现代机器学习系统工程优先级的影响
> - 比较机器学习系统中的隐性性能退化与传统软件故障模式
> - 分析机器学习系统生命周期阶段，并与传统软件开发进行对比

- 分类现实世界中机器学习系统面临的数据、模型、系统和伦理挑战
- 运用五大工程支柱框架分析机器学习系统架构及其相互关系

人工智能工程革命

当今工程实践正处于一个转折点，堪比历史上最具变革性的技术时期。工业革命确立了机械工程以管理物理力量，数字革命则规范了计算工程以应对算法复杂性。而今天，人工智能系统需要全新的工程范式，来管理具备学习行为、自主适应能力和超越传统软件工程方法论的运行规模的系统。

这一转变重新定义了工程系统的本质。传统确定性软件架构依赖显式编程指令，输入输出可预测。而机器学习系统则是概率性架构，其行为源于从训练数据中提取的统计模式。这种转变带来了机器学习系统工程的核心挑战：如何保障系统在“学习而非编程”基础上依然可靠，如何让系统在处理 PB 级 [1] 数据并服务数十亿用户时具备可扩展性，以及如何在实际数据分布与训练分布发生偏移时保持系统稳健性。

这些问题奠定了机器学习系统工程作为独立学科的理论与实践基础。本章将为理解这一领域的历史演变和工程原理提供概念基础，融合计算机科学、系统工程和统计学习理论视角，建立系统化分析智能系统的框架。

我们的探讨从人工智能作为研究目标与机器学习作为实现智能行为的计算方法之间的关系展开。随后明确机器学习系统的定义 —— 由数据、算法和基础设施组成的集成计算系统。通过历史分析，梳理 AI 范式从符号推理、统计学习到现代深度学习架构的演变，揭示每一次范式转变都需要新的工程解决方案。这一过程印证了 Sutton 的“苦涩教训”：通用计算方法最终超越手工知识表达，使系统工程成为 AI 进步的核心。

在此技术与历史基础上，我们正式定义这一学科。正如计算机工程从电气工程和计算机科学中独立出来一样，机器学习系统工程专注于在各类计算平台上构建可靠、高效、可扩展的机器学习系统。这一定义既涵盖了实际使用的术语，也明确了工程师们实际构建的技术范围。

在此基础上，我们引入贯穿全书的理论框架。AI 三角模型帮助理解数据、算法与计算基础设施的相互依赖。我们还将机器学习系统生命周期与传统软件开发流程进行对比，突出问题定义、数据处理、模型开发、验证、部署和持续维护等独特阶段。

1. **PB 级数据**：1PB 等于 1000TB，约 100 万 GB —— 足以存储 13.3 年高清影像或人类全部著作的 50 倍。现代 ML 系统常常处理 PB 级数据：Meta 每天为推荐系统处理超过 4PB 数据，Google 搜索索引包含数百 PB 网页内容。管理这一规模需要分布式存储系统（如 HDFS 或 S3）将数据分片至数千台服务器，采用并行处理框架（如 Apache Spark）协调集群计算，以及复杂的数据工程流水线以超过 100GB/s 速率校验、转换和服务数据。工程挑战不仅是存储容量，更在于带宽、容错和一致性，确保 PB 级数据可用于训练和推理。

这些理论框架通过典型部署场景得到验证，展示了不同应用领域对系统架构和工程权衡的多样化需求。从在网络边缘严格延迟约束下运行的自动驾驶，到通过云基础设施服务数十亿用户的推荐系统，这些案例说明部署环境如何塑造系统架构和工程决策。

最终，我们将识别机器学习系统工程作为必要且复杂学科的核心挑战：隐性性能退化需要专门监控，数据质量和分布偏移影响模型有效性，高风险应用中的模型稳健性与可解释性要求，超越传统分布式系统的基础设施可扩展性，以及伦理问题带来的新系统需求。这些挑战构成了全书五大工程支柱框架的基础，将机器学习系统工程划分为互相关联的子学科，支撑构建稳健、可扩展、负责任的人工智能系统。

本章为第一部分“系统基础”奠定理论基础，介绍后续所有机器学习系统工程分析的核心原理。这里提出的概念框架，将在后续章节不断深化和应用，最终形成一套可靠交付 AI 能力的系统工程方法论。

从人工智能愿景到机器学习实践

既然 AI 已在社会各领域产生深远影响，一个核心问题随之而来：我们如何真正实现这些智能能力？理解“人工智能”与“机器学习”的关系，是本书后续内容的关键。

人工智能（AI）是指让系统具备类似人类智能的能力：识别图像、理解语言、决策和解决问题。AI 是“做什么”，即智能机器能够学习、推理和适应的愿景。

机器学习（ML）则是实现智能行为的方法论和实践学科。ML 不是通过预设规则实现智能，而是通过数学方法自动从数据中发现模式，将 AI 的理论转化为实际系统。

以国际象棋系统为例，AI 目标始终如一：“让系统像人类一样下棋”。但实现路径不同：

- **符号 AI 方法（ML 出现前）**：程序员编码所有棋规和策略，如“控制中心”、“保护国王”，需要专家手工编写数千条规则，系统在新局面下容易失效。
- **机器学习方法**：让计算机分析数百万棋局，从数据中自动学习获胜策略。无需编码具体走法，系统通过统计分析游戏结果发现制胜模式。

这一转变说明了 ML 为何成为主流：数据驱动系统能适应程序员未预见的情况，而规则系统受限于原始编程。

机器学习系统中的目标识别类似于人类视觉学习，需要大量样本才能建立稳健识别能力。自然语言处理系统同样通过分析海量文本数据获得语言理解能力，体现了 ML 如何将 AI 的智能理解落地为工程实践。这些学习方法都建立在后续将系统化阐述的数学基础之上。

区分 AI 愿景与 ML 方法至关重要，因为现代 ML 的数据驱动方法要求系统能够在大规模

环境下收集、处理和学习数据。机器学习作为实现人工智能的实践路径，经历了长期研究和范式转变[2]，将 AI 理论变为实际系统，成为当今智能能力的算法基础。

> **核心定义**
>
> - **人工智能（AI）**：旨在让系统具备人类智能所需的能力，包括学习、推理和适应新环境。
> - **机器学习（ML）**：通过计算方法自动从数据中发现模式，而非遵循预设规则，实现 AI 目标的实践路径。

从规则驱动 AI 到数据驱动 ML，是计算史上最重要的转变之一。这一变革解释了机器学习系统工程为何成为独立学科：通往智能系统的路径，已转变为如何工程化构建能在大规模环境下高效学习的数据系统。

机器学习系统的定义

在探讨现代机器学习系统的演变之前，必须先明确“机器学习系统”究竟指什么。这一定义为后续历史演变和现实挑战提供了概念框架。

由于领域发展迅速且跨学科，机器学习系统并无统一定义。但基于现代 ML 依赖大规模数据驱动的共识，本教材采用如下系统视角：

> **机器学习系统**
>
> **机器学习系统** 是由三大核心组成部分构成的集成计算系统：(1) 数据，指导算法行为；(2) 学习算法，从数据中提取模式；(3) 计算基础设施，支持学习过程（即训练）和知识应用（即推理/服务）。三者协同，使系统能够基于学习到的模式进行预测、内容生成或行动决策。

如图 1 所示，任何机器学习系统的核心都是模型/算法、数据和计算基础设施三者构成的三角依赖。每个要素都影响其他要素的可能性。模型架构决定训练和推理的计算需求，以及有效学习所需的数据量和结构。数据的规模和复杂度影响所需的存储和处理基础设施，也决定可行的模型架构。基础设施能力则设定了模型规模和数据处理能力的实

2. **范式转变**：哲学家托马斯・库恩 1962 年提出，指科学方法的重大变革。AI 领域的关键范式转变是从符号推理（将人类知识编码为规则）到统计学习（从数据中发现模式）。这一转变带来系统层面的深远影响：规则系统依赖程序员手工编码每条新规则，数据驱动 ML 则依赖计算和数据基础设施 —— 性能提升靠增加 GPU 和训练数据，而非增加程序员。这一变革让系统工程成为关键：成功取决于构建能够收集海量数据、训练亿级参数模型并大规模服务推理的基础设施，而不是编码专家知识。

际上限，三者必须在同一框架下协同。

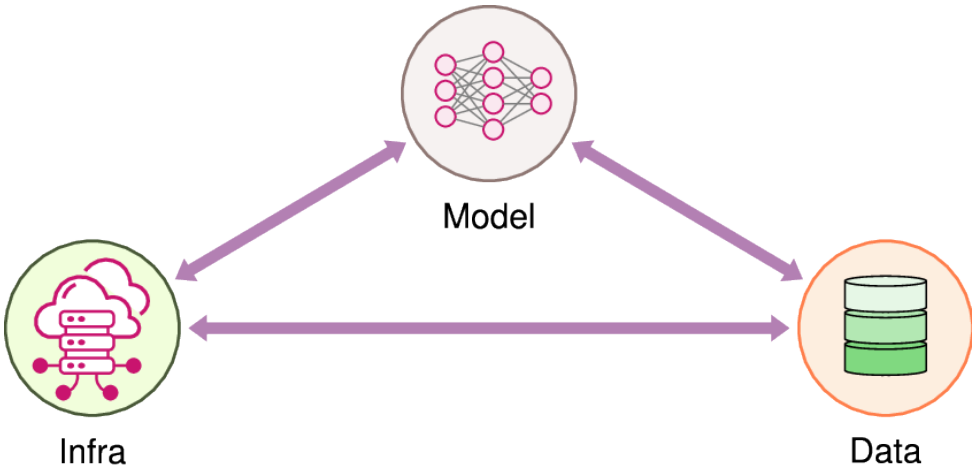

组件相互依赖：机器学习系统性能依赖于模型、数据和计算基础设施的协同作用；任何一方的限制都会制约整体能力。有效的系统设计需平衡三者依赖，以优化整体性能和可行性。

三大组件各自承担独立但互相关联的职责：

- **算法**：通过数学模型和方法，从数据中学习模式，实现预测或决策
- **数据**：涵盖数据收集、存储、处理、管理和服务的流程与基础设施，支持训练与推理
- **计算**：为模型训练、服务和大规模运行提供硬件与软件基础设施

如三角模型所示，任何单一要素都无法独立运行。算法需要数据和算力，大数据集必须依赖算法和基础设施才能发挥价值，基础设施也只有在有算法和数据时才有意义。

太空探索是理解三者关系的绝佳类比。算法开发者如同宇航员探索新领域，数据科学团队则像任务控制中心保障信息和资源流通，计算基础设施工程师则是火箭工程师设计和构建支撑系统。正如太空任务需要宇航员、任务控制和火箭系统的无缝协作，机器学习系统同样要求算法、数据和基础设施的精密配合。

这一依赖关系在 AI 历史上的突破时刻尤为明显。2012 年 AlexNet[3] 的突破，正是硬件与软件协同设计的典范。深度学习革命之所以成功，是因为算法创新（卷积神经网络）与硬件能力（并行 GPU 架构）完美结合。GPU 最初为游戏设计，却被用于 AI 计算，实现了对传统 CPU 的 10-100 倍加速。卷积操作本身高度并行，天然适合 GPU 的数千核心。这种协同设计，至今仍主导着 ML 系统开发。

3. **AlexNet**：由 Alex Krizhevsky、Ilya Sutskever 和 Geoffrey Hinton 开发的深度学习模型，在 2012 年 ImageNet 竞赛中以巨大优势获胜，将 top-5 错误率从 26.2% 降至 15.3%。这是“ImageNet 时刻”，证明深度学习能超越传统视觉方法，点燃了现代 AI 革命。AlexNet 展示了只要有足够数据（120 万张图片）、算力（两块 GPU 训练 6 天）和巧妙工程（dropout、数据增强），神经网络就能在复杂视觉任务上实现超越人类的表现。

在确立三大组件框架后，我们必须理解一个根本区别 —— 机器学习系统与传统软件系统的故障表现方式完全不同。

机器学习系统与传统软件的区别

AI 三角框架揭示了机器学习系统的组成：数据指导行为，算法提取模式，基础设施支撑学习和推理。但仅理解这些组件，还不足以把握机器学习系统工程与传统软件工程的本质区别。**关键在于系统的故障表现方式**。

传统软件具有显性故障模式。代码出错时，应用崩溃、错误信息弹出、监控系统报警，反馈及时便于定位和修复。系统要么正常运行，要么明显故障。而机器学习系统则完全不同：即使性能逐渐退化，系统仍能持续运行，传统错误检测机制却无法及时发现。算法继续执行，基础设施持续服务推理，但学习到的行为却越来越不准确或不适应环境。

以自动驾驶感知系统为例。传统汽车软件只有两种状态：发动机控制单元要么正确管理喷油，要么触发诊断警告，故障可通过标准监控手段直接发现。而 ML 感知系统则面临截然不同的挑战：由于季节变化 —— 光照、衣着、天气等训练数据未覆盖的新情况，系统识别行人的准确率可能从 95% 降至 85%。车辆仍在运行，大多数行人仍能被检测，但性能退化带来的安全风险只有通过系统性监控和全面评估才能发现。传统错误日志和报警机制在性能退化时毫无反应，系统却变得不再安全。

这种隐性退化贯穿 AI 三角的所有组件。数据分布随环境变化而漂移：用户行为演变、季节模式出现、新边界情况涌现。算法仍在基于过时模式做预测，无法感知训练分布与实际分布已不匹配。基础设施则持续大规模服务这些日益不准确的预测，问题被放大。推荐系统可能因用户偏好变化和训练数据陈旧，准确率半年内从 85% 降至 60%。系统仍在生成推荐，用户仍在收到结果，基础设施仍报告健康运行，但业务价值却在悄然流失。很多退化源于训练 - 服务偏差，即特征在训练和服务流程中计算方式不同，导致模型性能下降，虽然代码未变，但基础设施问题却表现为算法故障。

这种故障模式的根本差异，决定了机器学习系统工程必须采用全新实践。传统软件开发关注消除 bug 和确保确定性行为。机器学习系统工程则必须应对概率行为、数据分布演变和无代码变更下的性能退化。监控系统不仅要跟踪基础设施健康，还要监控模型性能、数据质量和预测分布。部署流程必须支持数据分布变化下的持续模型更新。**整个系统生命周期 —— 从数据收集、模型训练到推理服务 —— 都必须以隐性退化为前提进行设计。**

这种运行现实决定了，研究环境下开发的机器学习系统要想落地生产，必须采用专门的工程实践。机器学习系统独特的生命周期和监控需求，正是由这一故障特性决定的，也是机器学习系统工程成为独立学科的根本动力。

理解机器学习系统的故障模式后，一个重要问题随之而来：在 AI 三角的三大组件 —— 数据、算法和基础设施中，哪一项应成为推动 AI 进步的优先级？我们应该投入于更好的算法、更大的数据集，还是更强的计算基础设施？答案揭示了系统工程为何成为 AI 进步的核心。

苦涩教训：系统工程为何至关重要

AI 研究在最近七十年来的最大教训是：能够充分利用大规模计算资源的系统最终会胜出。这也是为什么系统工程，而不仅仅是算法创新，成为 AI 进步的瓶颈。

从符号 AI 到统计学习再到深度学习，每一次范式转变都提出了一个根本问题：我们应该优先发展更复杂的算法、更优质的数据集，还是更强大的基础设施？

历史给出了明确答案。几十年 AI 研究的最大突破，并非来自更好的人类知识编码或算法技巧，而是来自如何更有效地利用更强大的计算资源。强化学习先驱 Richard Sutton[4] 在 2019 年《苦涩教训》一文中，明确指出系统工程已成为 AI 成功的决定性因素。

Sutton 指出，强调人类专家知识和领域经验的方法虽然短期有效，但始终被能够利用大规模计算资源的通用方法超越。他写道：“70 年 AI 研究的最大教训是，通用方法结合计算最终会以巨大优势胜出。”

这一原则在 AI 突破中屡获验证。国际象棋领域，IBM 深蓝 1997 年击败卡斯帕罗夫，靠的不是编码棋艺，而是每秒评估数百万棋局的暴力搜索。围棋领域，DeepMind 的 AlphaGo 通过自我对弈学习，而非研究人类围棋智慧。计算机视觉领域，卷积神经网络直接从数据中学习特征，超越了几十年手工特征工程。语音识别领域，端到端深度学习系统超越了依赖人类语音学和语言学的传统方法。

“苦涩”的原因在于我们的直觉常常误导我们。我们本能认为编码人类专家知识才是通向人工智能的路径，但事实是，只要规模足够，依赖计算和数据学习的系统总能超越专家知识系统。这一规律贯穿符号 AI、统计学习和深度学习时代 —— 后续我们将详细梳理 AI 历史演变，验证这一一致性。

以 GPT-4 等现代语言模型或 DALL-E 等图像生成系统为例，它们的能力并非源于人类语言或艺术理论，而是通过通用神经网络在海量数据和巨量算力下训练而成。训练 GPT-3 约耗电 1287 兆瓦时，相当于 120 户美国家庭一年的用电量，或相当于一辆电动车环绕

4. **Richard Sutton**：强化学习领域的奠基人之一，通过“试错”方式让 AI 系统像人类一样学习，比如你学骑自行车靠练习而不是看说明书。Sutton 在阿尔伯塔大学合著了《Reinforcement Learning: An Introduction》教材，开发了 TD 学习、策略梯度等关键算法，推动了 AlphaGo 和现代机器人。他与 Andrew Barto 共同获得 2024 年 ACM 图灵奖（计算领域最高荣誉，被誉为“计算界诺贝尔奖”），表彰他们数十年对 AI 学习与适应的基础贡献。《苦涩教训》一文将 70 年 AI 历史浓缩为一个深刻洞见：通用方法结合大规模计算，始终远胜于人类专家知识编码。

地球约 160 圈（以特斯拉 Model 3 为例）；而服务模型给数百万用户，则需要持续消耗兆瓦级数据中心电力。工程挑战在于如何管理这一规模：收集和处理 PB 级训练数据，协调数千块 GPU（每块功耗 300-500 瓦）并行训练，毫秒级延迟服务模型，同时管理散热和电力约束[5]，并根据实际表现持续更新系统。

这些规模需求揭示了一个技术现实：现代 ML 系统的主要瓶颈不是算力，而是内存带宽[6] —— 即数据在存储与处理单元之间的传输速率。内存墙成为决定系统性能的关键。现代 ML 系统受限于内存，矩阵乘法运算仅能发挥理论峰值的 1-10%，因为处理器大部分时间都在等待数据而非计算。将 1GB 数据从 DRAM 移动，能耗约为一次 32 位乘法的 1000 倍，数据移动成为性能和能耗的主导因素。Amdahl 定律[7] 量化了这一限制：如果数据移动占 80% 执行时间，即使算力无限，最大加速也只有 5 倍。这一内存墙推动了所有现代架构创新，从内存计算、近数据处理到计算存储一体化专用加速器。这些系统级挑战正是本书将系统化探讨的核心工程问题。

Sutton 的苦涩教训帮助我们理解了本书的动机。**如果 AI 进步依赖于我们高效扩展计算的能力，那么构建、部署和维护这些计算系统的能力就成为 AI 从业者最重要的技能。**机器学习系统工程之所以重要，是因为现代系统的构建需要协调数千个 GPU、处理 PB 级的数据，并以毫秒级的延迟为数百万用户提供服务。这一挑战需要在分布式系统[8]、数据工程、硬件优化和运维等方面具备全新的工程能力。

这些系统级挑战的汇聚，说明现有学科无法满足现代 AI 需求。计算机科学推动 ML 算法发展，电气工程开发 AI 专用硬件，但两者都无法单独提供部署、优化和维护大规模 ML 系统所需的工程原理。这一空白催生了新的工程学科。要理解这一学科为何在当下出现、将如何发展，必须先回顾 AI 自身的历史演变，从早期符号系统到现代机器学习。

---

5. **热与功耗约束**：计算硬件因发热和功耗受限。现代 GPU 每块功耗 300-700W（相当于 3-7 台吹风机持续运行），产生大量热量需复杂冷却系统。一个拥有 1000 块 GPU 的 AI 训练集群仅计算就需 300-700 千瓦功率，冷却还需额外 30-50%，总计约 1 兆瓦，相当于 750 户家庭用电。数据中心受限于热密度：芯片太密集则无法冷却或成本过高。这些约束影响硬件设计（性能/功耗优化）、基础设施选择（液冷/风冷）和经济权衡（功耗成本可能超过硬件成本）。功耗与热管理解释了许多 ML 系统架构决策，从边缘部署到模型压缩。
6. **内存带宽**：数据在内存与处理器间的传输速率，单位 GB/s。现代 GPU 如 H100 带宽约 3TB/s，CPU 约 100-200GB/s。看似很大，但对 ML 负载来说仍是瓶颈：一个 70 亿参数的 Transformer 模型仅存储权重就需 140GB，在 3TB/s 下加载需 47ms。带宽约束解释了 ML 加速器为何专注于高带宽内存（HBM），而不仅仅是更快的计算单元。相比之下，算术操作很便宜：GPU 可在移动 1GB 数据的时间内完成数万亿次乘加运算，导致处理器更多时间在等待数据而非计算。
7. **Amdahl 定律**：计算机架构师 Gene Amdahl 于 1967 年提出，用于量化程序并行化后的理论加速。加速受限于串行部分：若 P 为可并行化比例，最大加速=1/(1-P)。例如，若程序 90% 可并行，最大加速为 10 倍，无论处理器数量多少。ML 系统中，这解释了为何内存带宽和数据移动常常成为主要瓶颈，而非算力。
8. **分布式系统**：组件在多台联网机器上运行并通过消息传递协调。现代 ML 训练就是分布式系统的复杂典范：GPT-3 训练需协调 1024 块 V100 GPU，分布于多个数据中心，各自处理不同数据批次并同步梯度。关键挑战包括容错（训练中机器故障如何处理）、网络瓶颈（all-reduce 操作可占总训练时间 40% 以上）、一致性（确保所有节点使用相同模型权重）。与传统分布式系统主要关注请求服务不同，ML 分布式系统需协调海量数据移动并保持数值精度，算法一致性和负载均衡远比传统系统复杂。

AI 范式的历史演变

我们通过苦涩教训确立的系统视角，并非一蹴而就，而是经过数十年 AI 研究，每一次范式转变都揭示了算法、数据与计算基础设施之间的新关系。梳理这一演变，有助于理解技术进步和方法论转变，为今天系统工程成为核心提供理论依据。

理解为何系统化 ML 转型发生在当下，需认识到过去十年三大因素的汇聚：

1. **海量数据集**：互联网时代带来了前所未有的数据量 —— 网页、社交媒体、传感器网络和数字交易。ImageNet（百万标注图片）、Common Crawl（数十亿网页）等公开数据集为学习复杂模式提供了原材料。
2. **算法突破**：深度学习在计算机视觉、自然语言处理等领域表现卓越。Transformer、注意力机制和迁移学习等技术，使模型能从数据中学习通用表达。
3. **硬件加速**：最初为游戏设计的 GPU，为机器学习计算带来 10-100 倍加速。云计算基础设施让算力无需巨额资本投入即可获得。

三者相互促进：更大数据集需要更强算力，更好算法推动数据集扩展，更快硬件让算法落地。这一汇聚让 AI 从学术探索变为生产技术，亟需系统化工程实践。

AI 发展历程如图 2 所示，突出关键里程碑：1957 年 Frank Rosenblatt 提出感知机 [9]，是最早的计算学习算法之一。1965 年计算机实验室拥有房间大小的主机 [10]，可运行证明数学定理或玩井字棋等简单程序。早期 AI 系统虽具突破性，但与今天能识别癌症或理解人类语言的机器学习系统有本质区别。时间轴展示了从 1966 年 MIT 的 ELIZA[11] 聊天机器人，到 1997 年 IBM 深蓝击败卡斯帕罗夫，再到 2020 年 OpenAI GPT-3 和 2023 年 GPT-4 的问世，AI 系统复杂度和能力的飞跃。

梳理这一时间轴，可见 AI 发展经历了多个阶段，每一阶段都在前人基础上吸取经验、解决限制，推动方法论和系统能力的跃迁。

9. **感知机**：1957 年提出的最早计算学习算法之一，足够简单以硬件实现，50 年代主机只能存储几千个权重，远不及现代手机。硬件限制促使早期 AI 研究聚焦于简单可解释模型。感知机仅能解决线性可分问题，这不仅是算法限制 —— 多层网络（可解决非线性问题）虽 60 年代已提出，但直到 80 年代内存变便宜、CPU 变快才可实际实现。算法突破与硬件落地之间的 20 年空档，预示了 AI 领域的规律：突破性算法常常等待硬件进步，解释了 ML 系统工程为何强调算法与基础设施协同设计。
10. **主机**：60-70 年代主导计算的房间大小计算机，通常价值数百万美元，需专用冷却。IBM System/360 主机 1964 年推出，重达 2 万磅，内存 8KB-1MB，约为现代智能手机的百万分之一，却代表了当时 AI 研究的顶尖算力。
11. **ELIZA**：MIT 的 Joseph Weizenbaum 于 1966 年开发，是最早能模拟人类对话的聊天机器人，通过模式匹配和替换实现。从系统角度看，ELIZA 运行于 256KB 主机，采用简单模式匹配 —— 无学习、无数据存储、无训练阶段。计算简单使其能在 60 年代硬件上实时交互，但也极易失效，推动了向数据驱动 ML 的转型。现代聊天机器人如 GPT-3 需 350GB 模型参数（未压缩）、约 460 万美元训练成本、GPU 服务器推理，能应对 ELIZA 无法处理的对话，体现了系统权衡：规则系统计算便宜但脆弱，ML 系统基础设施成本高但灵活。讽刺的是，Weizenbaum 因人们对其简单程序产生情感依赖而震惊，后来成为 AI 批评者。

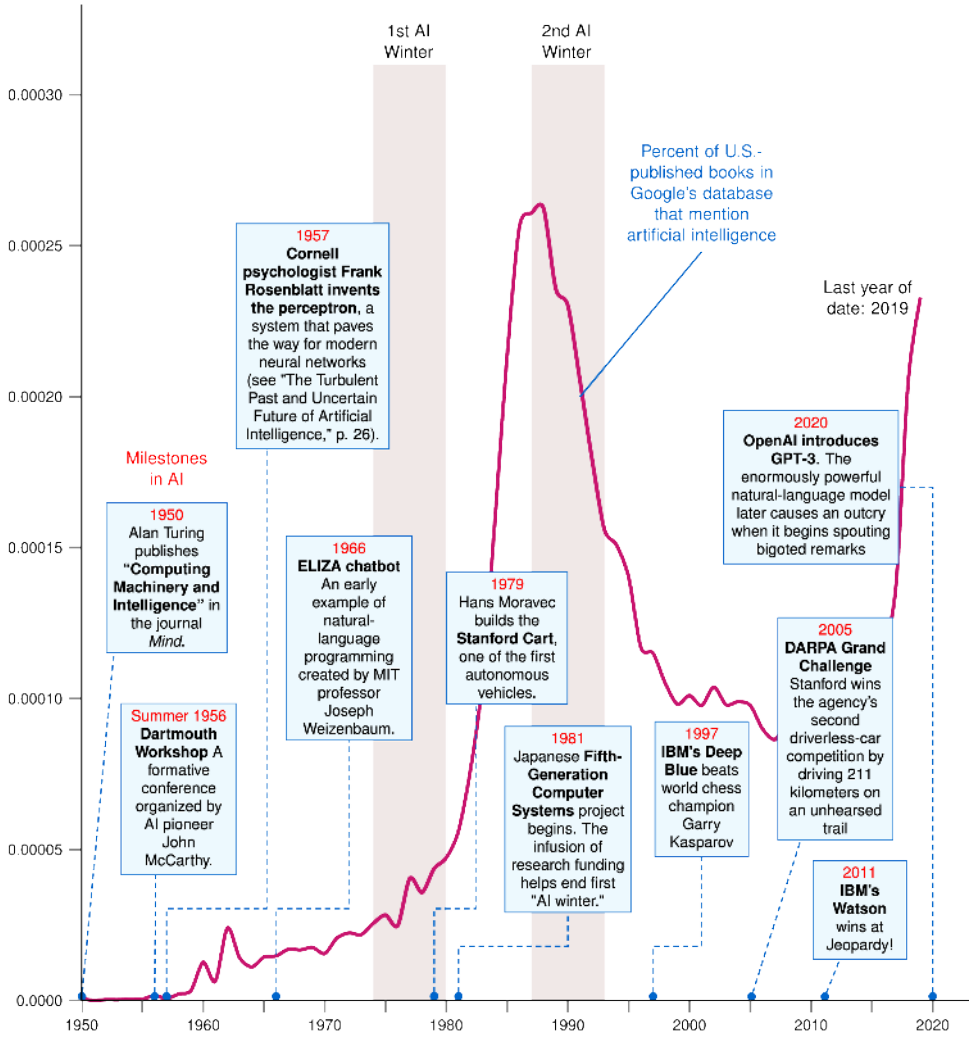

AI 发展时间轴：早期 AI 研究聚焦于符号推理和规则系统，现代 AI 则依赖神经网络等数据驱动方法实现日益复杂的任务。这一演变体现了从手工编码智能到学习智能的转变，里程碑包括感知机、深蓝和 GPT-3 等大模型。

符号智能时代

机器学习的故事始于 1956 年著名的达特茅斯会议[12]，John McCarthy、Marvin Minsky、Claude Shannon 等先驱首次提出“人工智能”这一术语。他们认为智能可以归结为符号操作。Daniel Bobrow 的 STUDENT 系统（1964 年）是这一时代的代表，通过自然语言理解解决代数文字题。

12. **达特茅斯会议（1956）**：AI 正式诞生的传奇性 8 周研讨会，由 John McCarthy、Marvin Minsky、Nathaniel Rochester 和 Claude Shannon 组织，首次专门讨论“人工智能”，McCarthy 为提案创造了该词。目标是让机器“模拟学习或智能的各个方面”。从系统角度看，参与者严重低估了资源需求 —— 他们认为 AI 可以运行在 1950 年代硬件（最大 64KB 内存，处理器仅千赫兹到低兆赫兹）。现实却需要高出 100 万倍的资源：现代语言模型用到 350GB 内存和 exaflops 级训练算力。这种对规模需求的百万倍误判，解释了早期符号 AI 为何失败：研究者只关注算法创新，忽略了基础设施约束。教训是：AI 进步既需算法创新，也需系统工程为其提供必要算力。

> **STUDENT（1964）**
>
> 问题："如果 Tom 获得的顾客数是他投放广告数的 20% 平方的两倍，而广告数为 45，Tom 获得的顾客数是多少?"
>
> STUDENT 的流程：
>
> 1. 解析文本
> 2. 转换为代数方程
> 3. 求解方程：$n = 2(0.2 \times 45)^2$
> 4. 得出答案：162 位顾客

早期 AI 如 STUDENT 有一个致命弱点：只能处理完全匹配预设规则和模式的输入。这种"脆弱性"[13] 导致系统在处理设计范围内的特定问题时看似智能，但遇到稍有变化或现实复杂性时就彻底崩溃。这一局限推动了向统计方法的演变，下一节将详细探讨。

专家系统时代

认识到符号 AI 的局限后，70 年代中期研究者意识到通用 AI 过于理想化，转而聚焦于在特定领域捕捉人类专家知识。斯坦福开发的 MYCIN 是首批大规模专家系统之一，用于诊断血液感染。

> **MYCIN（1976）**
>
> MYCIN 规则示例：IF 感染为原发性菌血症培养部位为无菌部位之一疑似入口为胃肠道 THEN 有 0.7 概率提示感染为类杆菌

MYCIN 在医学 AI 领域取得了重大进展，拥有 600 条专家规则用于血液感染诊断，但也暴露了现代 ML 依然存在的关键挑战。获取专家知识并转化为精确规则非常耗时且困难，医生往往无法明确解释自己的决策过程。MYCIN 在面对不确定或不完整信息时表现不佳，而人类医生能做出合理猜测。随着规则库扩展，维护和更新变得复杂，新规则常与旧规则冲突，而医学知识本身也在不断演变。知识获取、不确定性处理和系统维护至今仍是机器学习领域的核心问题，只是技术路径不同。

13. **AI 系统的脆弱性**：基于规则的系统在遇到超出预设场景的输入时会完全失效，无论这些输入与设计场景有多接近。与人类智能不同，人类能在陌生情况下做出合理猜测。系统层面看，脆弱性让实验室外的部署变得不可行 —— 每个新边界情况都需程序员介入，运维成本极高。语音识别系统遇到新口音会直接失败，而不是优雅退化，必须更新系统而无法持续运行。ML 的泛化能力让现实部署成为可能，挑战从显式规则编程转向数据收集和模型持续更新的基础设施建设。

统计学习时代

知识获取和系统维护的挑战促使研究者转向新方法。90 年代，AI 领域从手工编码规则转向统计学习。

三大因素促成了统计方法的崛起：首先，数字化革命带来了海量可用于训练算法的数据；其次，摩尔定律 [14] 带来了处理这些数据所需的算力；第三，研究者开发了如支持向量机和改进神经网络等新算法，可以从数据中学习模式而非依赖预设规则。

这种组合彻底改变了 AI 开发：机器不再直接编码人类知识，而是能自动从样本中发现模式，系统更稳健、更具适应性。

垃圾邮件过滤的发展就是典型例证。早期基于规则的系统依赖显式模式，表现出与符号 AI 系统相同的脆弱性，极易被绕过。统计系统则不同：如果“viagra”一词在 90% 的垃圾邮件中出现，而在普通邮件中仅 1%，我们就能用这一模式识别垃圾邮件。无需编写显式规则，统计系统能自动从数千封邮件样本中学习这些模式，适应新的垃圾邮件手法。其数学基础是贝叶斯定理，用于计算某词出现时邮件为垃圾的概率：$P(\text{spam}|\text{word}) = P(\text{word}|\text{spam}) \times P(\text{spam})/P(\text{word})$。对于多词邮件，假设词在类别（垃圾/非垃圾）条件下独立，将概率在整封邮件上组合，简化计算。

> **早期垃圾邮件检测系统**
>
> 规则系统（1980 年代）：IF contains(“viagra”) OR contains(“winner”) THEN spam
>
> 统计系统（1990 年代）：P(spam|word) = (该词在垃圾邮件中的频率) / (总频率)
>
> 结合朴素贝叶斯：P(spam|email) $\propto$ P(spam) $\times$ $\prod$ P(word|spam)

统计方法带来了三大核心理念，至今仍是 AI 发展的基础。第一，训练数据的质量和数量与算法本身同等重要，AI 只能学习样本中存在的模式。第二，必须有严格的评估方法衡量 AI 性能，催生了各种度量指标用于比较不同方法。第三，精度（预测正确率）与召回率（覆盖所有应检出的情况）之间存在权衡，设计者需根据应用需求做出取舍。这些挑战需要系统化方法：第 6 章：数据工程详述数据质量与漂移检测，第 12 章：AI 基准测试探讨评估指标及精度 - 召回权衡。垃圾邮件过滤可容忍部分垃圾邮件以避免误杀重

14. **摩尔定律**：Intel 联合创始人 Gordon Moore 于 1965 年提出，芯片上的晶体管数约每两年翻倍，成本则减半。摩尔定律让 ML 获得了 2000-2020 年间约 1000 倍的晶体管密度提升，使原本不可行的算法变得现实 —— 80 年代提出的神经网络直到 2010 年才真正可用。但摩尔定律放缓（晶体管翻倍现需 3-4 年）推动了专用加速器创新（TPU 比 GPU 快 15-30 倍）和算法高效化（量化、剪枝等技术可将算力需求降低 4-10 倍）。系统层面教训：当通用硬件进步放缓，专用硬件和高效算法变得至关重要。

要邮件，而医学诊断系统则宁可多报假警以确保不漏诊。

下表总结了 AI 方法的演进历程，突出各范式的关键优势和能力。由左至右可见重要趋势。在深入浅层和深度学习前，理解现有方法的权衡有助于把握后续发展脉络。

关键优势	**逻辑推理**	**领域专家知识**	**多领域适应性**	**模式识别能力**
最佳应用场景	明确规则问题	特定领域问题	各类结构化数据问题	复杂非结构化数据问题
数据处理方式	几乎无需数据	基于领域知识	需适量数据	大规模数据处理
适应性	固定规则	领域特定适应性	可适应多领域	高度适应多样任务
问题复杂度	简单逻辑型	复杂领域型	复杂结构化	极复杂非结构化

这一分析连接了早期方法与浅层、深度学习的最新进展，解释了不同方法在各时代为何流行，以及每种范式如何在继承前人经验的同时解决其局限。早期方法至今仍影响现代 AI 技术，尤其是在基础模型开发中。

统计学习带来的核心理念（数据质量、评估指标、精度 - 召回权衡）成为后续机器学习发展的基础。

浅层学习时代

在统计基础之上，2000 年代迎来了“浅层学习”时代。所谓“浅层”，指的是模型结构的层数：浅层学习通常只有一到两层处理单元，而深度学习则有多层层级结构。

这一时期，几种算法主导了机器学习领域，各自适用于不同问题：决策树 [15] 通过类似流程图的方式做出可解释决策；K 近邻算法通过查找历史相似样本进行预测，类似向经验丰富的邻居请教；线性与逻辑回归提供了简单、可解释的模型，适用于许多实际问

15. **决策树**：通过一系列是/否问题做出预测，类似流程图。80 年代流行，极具可解释性 —— 每一步决策都能追溯。系统层面，决策树对内存和算力需求极低：典型模型仅 1-10MB，而深度学习模型需 100MB-10GB，推理仅需单核 CPU 微秒级。适合资源受限场景，如嵌入式系统、移动设备或需实时决策的应用。医疗诊断、贷款审批等需可解释性场景仍广泛采用。

题；支持向量机[16]（SVM）则通过“核技巧”[17]在高维空间找到复杂类别边界。核技巧能将复杂模式映射到高维空间，实现线性可分。这些算法构成了实用机器学习的基础。

2005 年典型计算机视觉方案如下：

> **传统计算机视觉流程**
>
> 1. 手工特征提取
>   - SIFT（尺度不变特征变换）
>   - HOG（方向梯度直方图）
>   - Gabor 滤波器
> 2. 特征选择/工程
> 3. “浅层”学习模型（如 SVM）
> 4. 后处理

这一时代的混合方法结合了人工特征工程与统计学习。其数学基础扎实（可证明有效性），即使数据有限也能表现良好，计算高效，结果可靠且可复现。

Viola-Jones 算法[18]（2001 年）是典型代表，实现了实时人脸检测，采用简单矩形特征和级联分类器[19]，推动了数码相机人脸识别近十年。

16. **支持向量机（SVM）**：Vladimir Vapnik 于 90 年代开发的强大分类算法，能找到类别间最优边界。深度学习出现前，SVM 是许多分类问题的主流方法，赢得大量竞赛。系统层面，SVM 适合小数据集（数千样本，深度学习需百万），训练只需高端工作站，而深度学习需 GPU 集群。但 SVM 不适合超 10 万样本，训练复杂度 $O(n^2)$ 到 $O(n^3)$，限制了其在大规模数据上的应用。文本分类、生物信息等数据有限但精度要求高的场景仍在用。
17. **核技巧**：允许 SVM 等算法通过将数据映射到高维空间，找到复杂非线性模式。例如，二维空间中呈圆形分布的数据可投射到三维空间实现线性分割。系统层面，核技巧用内存换计算效率：预计算核矩阵需 $O(n^2)$ 内存，典型硬件下 SVM 仅能处理 10 万样本（100K×100K 矩阵，8 字节一项需 80GB 内存）。这也解释了深度学习为何更适合大数据 —— 神经网络内存需求随数据线性增长，而不是二次增长。
18. **Viola-Jones 算法**：突破性的计算机视觉算法，通过简单矩形模式（如比较眼区与脸颊亮度）分阶段决策，快速排除非人脸，仅对有希望的候选做深入计算。2001 年硬件上实现 24 帧实时检测，特征计算仅需<0.001ms，依赖积分图实现常数时间矩形求和。高效性让其嵌入消费级相机和手机，体现了算法 - 硬件协同设计的威力。级联方法将计算量降低 10-100 倍，早期阶段用 1% 算力排除 95% 输入，使 CPU 能实现现代 GPU 千倍算力下的实时视觉。
19. **级联分类器**：多阶段决策系统，每一阶段快速排除明显不符样本，将有希望的候选交给更复杂的后续阶段。类似机场安检多级筛查。系统层面，级联能节省 10-100 倍算力，昂贵计算只针对少数候选 —— 早期阶段用 1% 算力排除 95% 输入。这一模式在边缘 ML 系统中普遍应用：移动端人脸检测用小型网络（<1MB）处理大部分帧，遇到疑难情况才用大型网络（>10MB），实现毫瓦级持续检测。

深度学习时代

支持向量机通过数学变换找到复杂类别边界，而深度学习则借鉴大脑结构，采用多层简单计算单元（类神经元），每层将输入数据转化为更抽象的表达。第 3 章：深度学习基础将系统阐述神经网络数学原理，第 4 章：DNN 架构则深入探讨分层学习架构。

在图像处理领域，这种分层方法极为有效。第一层检测简单边缘和对比度，后续层组合成基本形状和纹理，更高层识别具体特征如胡须、耳朵，最终形成“猫”等概念。

与浅层学习需精心设计特征不同，深度学习网络能自动从原始数据中发现有用特征。分层学习从简单模式到复杂概念，定义了“深度”学习，在图像、语音、文本等复杂现实数据上表现卓越。

AlexNet（见图 3）在 2012 年 ImageNet[20] 竞赛中实现突破，算法创新与硬件能力完美结合。网络需两块 NVIDIA GTX 580 GPU（每块 3GB 内存，峰值 2.3 TFLOPS），但真正突破在于内存带宽利用。每块 GTX 580 带宽 192.4 GB/s，AlexNet 卷积操作理论需 288 GB/s 带宽，首次围绕内存带宽而非算力设计神经网络。6000 万参数需 240MB 存储，训练 120 万图片需复杂内存管理，跨 GPU 分割网络并协调梯度更新。训练耗时 1287 GPU 小时（6 天），top-5 错误率 15.3%，比第二名 26.2% 低 42%，证明了硬件 - 软件协同设计的威力。比 CPU 实现快 10-100 倍，将训练周期从数月缩短到数天，证明了专用硬件能解锁原本不可行的算法。

AlexNet 的成功不仅是技术突破，更是深度学习实用化的分水岭。这一成就既依赖算法创新，也依赖系统工程进步。框架基础设施如 Theano 能协调 GPU 并行、自动微分和复杂计算流程，否则算法洞见将因算力瓶颈而无法落地。

算法与系统双突破的模式定义了每一次 AI 重大进展。现代框架是将算法可能性变为现实的基础设施。自动微分（autograd）系统是现代深度学习最重要的创新之一，自动计算梯度，使复杂架构成为可能。理解这一框架中心视角（AI 能力源于算法与系统工程交汇）对构建稳健、可扩展的机器学习系统至关重要。AlexNet 的突破引发了深度学习研究和应用的爆发，至今仍在持续。支撑这一突破的基础设施需求，正是本书所探讨的算法与系统工程融合。

GPT-3 于 2020 年发布，拥有 1750 亿参数，参数存储约需 350GB（完整训练基础设施 800GB+），规模比 BERT-Large[21]（3.4 亿参数）提升 1000 倍。训练 GPT-3 需约 314

20. **ImageNet**：由斯坦福李飞飞团队 2009 年创建的大型视觉数据库，含 1400 万标注图片、21841 类别（完整版）。年度 ImageNet 挑战成为计算机视觉领域的奥运会，推动了图像识别的突破，直到神经网络几乎“解决”了竞赛。系统层面，ImageNet 约 150GB（2009 年）可单机存储，现代数据集如 LAION-5B（50 亿图文对，约 240TB）需分布式存储和并行数据加载。数据集规模增长 1000 倍，推动了分布式数据工程创新 —— 系统需跨数十存储节点分片数据，并协调并行加载以喂养数千 GPU 训练。

21. **BERT-Large**：Google 于 2018 年开发的基于 Transformer 的大型语言模型，参数 3.4 亿，是 GPT 时代前的大模

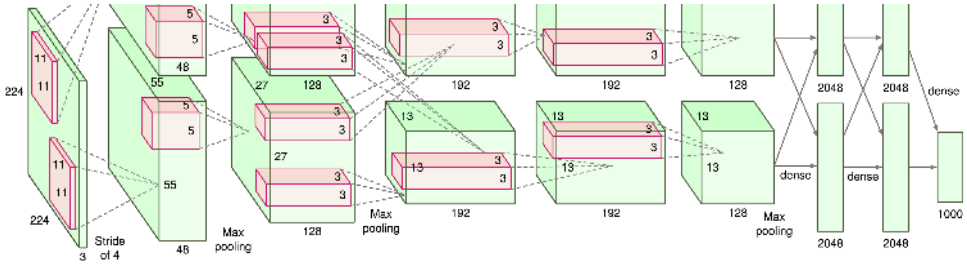

卷积神经网络架构：AlexNet 证明深度神经网络能自动学习有效特征，远超传统视觉方法。只要数据和算力充足，神经网络能在图像识别任务上取得惊人准确率。

ZettaFLOPS[22] 算力，1024 块 V100 GPU[23] 并行数周，训练成本约 460 万美元。模型文本处理带宽约 1.7GB/s，需专用基础设施以亚秒级延迟服务数百万用户。这些模型展现了只有在大规模下才出现的“涌现能力”：写出类人文本、复杂对话、图像生成、代码编写。能力源于算力和数据规模，而非显式编程。

一个关键洞见是：更大规模的神经网络和数据能解决更复杂的任务。这种规模带来了巨大的系统挑战[24]：高效训练大模型需数千 GPU 并行，模型存储和服务需数百 GB，训练数据量巨大。

2012 年深度学习革命建立在 1950 年代神经网络研究基础之上。故事始于 Frank Rosenblatt 的感知机（1957 年），展示了简单人工神经元能学习分类模式。虽仅能解决线性可分问题（Minsky 和 Papert1969 年《Perceptrons》所示），但引入了可训练神经网络的核心思想。80 年代带来重要突破：Rumelhart、Hinton 和 Williams 于 1986 年提出反向传播算法，系统化训练多层网络，Yann LeCun 将其应用于手写数字识别，设计了专用神经网络用于图像处理（LeCun 等 1989 年）[25]。

这些网络在 90-00 年代几乎停滞，不是理论错误，而是技术尚未成熟。领域缺乏三大要素：足够的数据训练复杂网络、足够算力处理数据，以及训练深层网络的技术创新。

型代表。BERT 能双向理解句子上下文，GPT-3 参数量则高出 500 倍，标志着真正大规模语言模型的到来。

22. **ZettaFLOPs**：每秒 10^21 次浮点运算的算力单位。训练 GPT-3 约需 3.14×10^23 FLOPS（约 314 ZettaFLOPS），单块 V100 GPU 理论需 355 年。如此庞大的算力需求说明现代 AI 训练必须用数千 GPU 并行分布式系统。

23. **V100 GPU**：NVIDIA 专为 AI 训练设计的数据中心 GPU，32GB 高带宽内存（HBM2），混合精度深度学习性能达 125 TFLOPS。每块 V100 约 8000-10000 美元（2020 年），GPT-3 训练用 1024 块，硬件成本约 800-1000 万美元，凸显前沿 AI 研究的基础设施投入。

24. **大规模训练挑战**：训练 GPT-3 约需 3640 千万亿次浮点运算日。云平台 GPU 小时单价 2-3 美元（2020 年），仅算力成本约 460 万美元（Lambda Labs 估算），不含数据预处理、实验和失败训练。经验法则：总项目成本通常为算力成本 3-5 倍，GPT-3 全流程约 1500-2000 万美元。现代基础模型可用 100TB+ 训练数据，需专用分布式训练技术协调数千加速器跨数据中心协作。

25. **卷积神经网络（CNN）**：专为图像处理设计的神经网络，灵感来自人类视觉系统。“卷积”指网络以小块扫描图像，类似人眼聚焦不同场景。系统层面，CNN 参数共享使模型规模比全连接网络小 10-100 倍 —— CNN 仅需 500 万参数，全连接网络则需 5 亿。大幅缩减让 CNN 可部署于移动设备：MobileNetV2 仅 14MB（350 万参数）即可实现 70% ImageNet 准确率，实现了设备端图像识别，而全连接网络需 GB 级存储和内存。

深度学习的潜力依赖于 AI 三角三要素的汇聚：足够数据、足够算力、算法突破。漫长的技术积累解释了 2012 年 ImageNet 突破是厚积薄发而非突然革命。这一演进确立了机器学习系统工程作为连接理论进步与实际落地的学科，在 AI 三角框架下运作。

这一演变揭示了关键洞见：AI 从符号推理到统计学习再到深度学习，应用目标愈发宏大和复杂。但这种增长带来了超越算法本身的挑战，必须工程化构建能大规模部署和持续运行的 AI 系统。理解现代 ML 系统的实际运行，需深入分析其生命周期特征和部署模式，这些特性与传统软件系统有本质区别。

理解机器学习系统生命周期与部署

梳理了 AI 从符号系统到统计学习再到深度学习的演变后，我们可以探讨现代 ML 系统的实际运行机制。理解 ML 生命周期和部署格局至关重要，因为它们决定了每一个工程决策。

ML 开发生命周期

ML 系统在开发和运维生命周期上与传统软件有本质区别。传统软件遵循可预测流程，开发者编写显式指令，系统确定性执行[26]。几十年成熟实践：版本控制精确记录代码历史，CI/CD 流水线[27]自动测试，静态分析工具衡量质量。成熟基础设施保障可靠开发，工程原则明确。

机器学习系统则完全不同。传统系统执行显式编程逻辑，ML 系统则通过训练从数据模式中获得行为。行为驱动从代码转向数据，带来传统软件工程无法解决的复杂性。数据驱动行为的转变需要专门的工作流，第 5 章：AI 工作流将详细阐述。

图 4 展示了 ML 系统如何以持续循环而非传统软件的线性流程运行。

在生产环境中，生命周期阶段会形成良性或恶性循环。高质量数据促进有效学习，稳健基础设施支持高效处理，优良系统设计反过来提升数据收集。反之，数据质量差会破坏学习，基础设施不足阻碍处理，系统局限又妨碍数据改进，问题互相放大。

26. **确定性执行**：传统软件在相同输入下总是产生相同输出，如计算器 2+2 永远等于 4。可预测性让测试变得简单——只需验证特定输入是否产生预期输出。ML 系统则是概率性的：同一模型可能因推理随机性或数据模式变化而输出不同结果。

27. **持续集成/持续部署（CI/CD）**：自动化系统持续测试代码变更并部署到生产环境。开发者提交代码后，CI/CD 流水线自动运行测试、检查错误，全部通过后自动上线。对传统软件非常可靠；对 ML 系统则更复杂，需同时验证数据质量、模型性能和预测分布，而不仅仅是代码正确性。

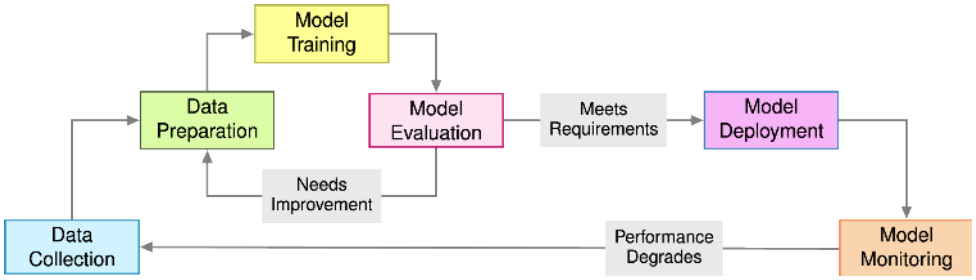

ML 系统生命周期：成功的机器学习系统以持续迭代为特征，需要反馈循环不断优化模型，解决数据收集、模型训练、评估和部署中的性能退化。与传统软件开发线性流程不同，ML 强调动态监控和适应，保障系统在变化环境下的可靠性和准确性。

部署环境谱系

管理机器学习系统的复杂性因部署环境而异，每种环境都有独特约束和机会，影响生命周期决策。

一端是云端 ML 系统，运行于大型数据中心[28]，如大语言模型和推荐引擎，处理 PB 级数据，服务数百万用户。算力几乎无限，但运维复杂且成本高昂。大规模系统架构详见第 2 章：ML 系统和第 11 章：AI 加速。

另一端是 TinyML 系统，运行于微控制器[29]和嵌入式设备，ML 任务受限于极低内存、算力和能耗。智能家居如 Alexa、Google Assistant 需用比 LED 灯还低的功耗识别语音，传感器需在电池供电下运行数月甚至数年。嵌入式 ML 部署技术详见第 9 章：高效 AI 和第 10 章：模型优化，嵌入式系统挑战详见第 14 章：设备端学习。

两端之间还有丰富的 ML 系统类型。边缘 ML 系统将计算靠近数据源，降低延迟[30]和带宽需求，同时管理本地算力。移动 ML 系统需在 4-12GB RAM、1.5-3GHz ARM 处理器、2-5 瓦功耗下实现复杂能力。比如手机运行先进图像分类模型，推理耗电 100-500mW，耗时 10-100ms，而云服务器可用 200 瓦，延迟低于 1ms。企业 ML 系统则在特定业务约束下运行，聚焦特定任务并集成现有基础设施。有些组织采用混合架构，将 ML 能力分布在多层以平衡各种需求。

28. **数据中心**：容纳数千台服务器的巨型设施，耗电 100-300 兆瓦，相当于小城市。Google 全球运营 20 多个数据中心，每个造价 10-20 亿美元。温度精确控制在 27°C，配备可持续数天的备用电源，保障全球数十亿用户的 AI 服务可靠运行。
29. **微控制器**：每片成本不足 1 美元的微型芯片，仅有几 KB 内存，约为智能手机的百万分之一。Arduino Uno 等流行芯片仅 32KB 存储、2KB RAM，却能运行简单 AI 模型，实现传感器数据分类、语音识别或运动模式检测，功耗低于电子表。
30. **延迟**：请求到响应的时间延迟。ML 系统中至关重要：自动驾驶需<10ms 延迟保障安全，语音助手需<100ms 实现自然对话。相比之下，数据传输到远程云服务器通常增加 50-100ms，这也是边缘计算成为实时 AI 应用必需的原因。

部署如何影响生命周期

上述部署谱系不仅仅是硬件配置的不同。每种环境都带来需求、约束和权衡，影响 ML 生命周期的每一阶段，从数据收集到持续运行和演化。

性能需求常常驱动架构决策。对延迟敏感的应用如自动驾驶或实时反欺诈，可能必须采用边缘或嵌入式架构，尽管资源受限。需要大规模训练算力的应用如大语言模型，则自然倾向于集中云架构。但性能只是复杂决策空间中的一个因素。

资源管理在不同架构下差异巨大，直接影响生命周期各阶段。云系统需优化规模化成本，平衡 GPU 集群、存储和网络带宽，影响训练策略（多久重训）、数据保留策略（保留哪些历史数据）、服务架构（如何分配推理负载）。边缘系统受限于固定资源，限制模型复杂度和更新频率。移动和嵌入式系统约束最严，每一字节内存和每一毫瓦功耗都至关重要，需激进模型压缩 [31] 和训练调度。

系统分布越广，运维复杂度越高，生命周期各阶段影响连锁放大。集中云架构有成熟部署工具和托管服务，边缘和混合系统则需应对分布式管理难题。数据收集需协调分布式传感器，连接状况各异；版本控制需跟踪数千边缘设备上的模型；评估需考虑硬件能力差异；部署需支持分阶段上线和回滚；监控需汇总地理分布系统的信号。生产 ML 系统的运维卓越、故障响应和调试方法详见第 13 章：机器学习运维。

数据因素带来竞争压力，重塑生命周期流程。隐私或数据主权法规可能推动采用边缘或嵌入式架构，数据本地化，改变数据收集和训练策略 —— 可能需采用联邦学习 [32]，模型在分布式数据上训练而无需集中。大规模训练数据需求则倾向于云端集中。数据速度和体量也影响架构选择：实时传感器数据需边缘处理以节省带宽，批量分析则适合云端周期性模型更新。

系统演化和维护需求需从设计初期考虑。云架构易于系统演化，模型更新和 A/B 测试 [33] 方便，但运维成本高。边缘和嵌入式系统更新难度大（需空中升级 [34]，带宽管理复杂），但运维成本低。ML 系统的持续循环 —— 数据收集、模型训练、性能评估、更新部署、

31. **模型压缩**：在保持准确率的前提下，缩减模型规模和算力需求的技术。常见方法包括量化（用 8 位整数替代 32 位浮点，模型缩小 4 倍）、剪枝（去除影响极小的连接，可达 90% 稀疏度）、知识蒸馏（用小模型模仿大模型）。这些技术可将 500MB 模型缩至 50MB，准确率仅损失 1-2%，使手机和嵌入式设备部署成为可能。
32. **联邦学习**：模型在分布式设备上学习，无需集中数据。例如手机键盘本地学习你的输入习惯，只上传模型更新（而非实际消息）到云端。Google 于 2016 年首创，支持隐私保护型 ML，让敏感数据留在设备本地，同时实现数百万用户的集体学习。
33. **A/B 测试**：对比两种系统版本，部分用户用 A 版，部分用 B 版，测量哪种效果更好。ML 系统中，可能新模型只给 5% 用户，95% 用旧模型，比较准确率或用户活跃度，逐步全量上线。渐进式上线能在问题影响所有用户前及时发现。
34. **空中升级（OTA）**：远程无线软件更新，如手机无需物理连接即可安装新应用。嵌入式设备或汽车上的 ML 系统，OTA 能批量部署新模型，无需人工干预。但如需通过蜂窝网络向车队推送 500MB 神经网络，需精细带宽管理和回滚机制。

行为监控 —— 在分布式架构下尤为挑战，模型更新和系统健康维护需跨多层精心协调。

这些权衡很少是简单二选一。现代 ML 系统常采用混合架构，按具体场景和约束平衡各因素。例如自动驾驶车辆实时感知和控制在边缘完成，数据上传云端用于模型优化，定期下载新模型。语音助手本地检测唤醒词以保护隐私和降低延迟，完整语音则上传云端做复杂自然语言处理。

关键洞见是：部署决策会影响整个系统生命周期。选择嵌入式设备部署不仅限制模型规模，还影响数据收集（可用传感器）、训练方法（是否用联邦学习）、评估指标（准确率、延迟、功耗）、部署机制（OTA 升级）、监控能力（可收集哪些遥测数据）。这些决策体现了 AI 三角框架的实际应用，一处约束会在系统各环节产生连锁效应。

理解 ML 系统在生命周期和部署谱系上的运行机制后，我们可以通过具体案例展示这些原则的实际应用。后续案例将说明不同部署选择如何在系统生命周期各阶段带来独特工程挑战和解决方案。

真实世界机器学习系统案例分析

确立了 AI 三角框架、生命周期阶段和部署谱系后，我们可以分析这些原则在真实系统中的实际运作。与其泛泛而谈多个系统，不如聚焦一个典型案例 —— 自动驾驶 —— 它涵盖了 ML 系统工程在三大组件、多个生命周期阶段和复杂部署约束下的全部挑战。

案例分析：自动驾驶

Waymo 是 Alphabet 旗下自动驾驶技术领军者，也是迄今最具雄心的机器学习系统应用之一。Waymo 源自 2009 年 Google 自动驾驶项目，代表了 ML 系统从嵌入式到云基础设施的全谱系应用。该案例展示了复杂 ML 系统在安全关键、现实环境中的落地，融合了实时决策与长期学习和适应。

数据挑战 Waymo 技术背后的数据生态极为庞大且动态。每辆车都是移动数据中心，传感器（激光雷达[35]、雷达[36]、高清摄像头）每小时生成约 1TB 数据。现实数据还辅以更大规模的仿真数据，Waymo 车辆已在仿真环境中行驶超 200 亿英里，真实道路超 2000 万英里。挑战不仅在于数据量，更在于异构性和实时处理需求。Waymo 需同时处理结构化（如 GPS 坐标）和非结构化数据（如摄像头图像）。数据管道从车载边缘处理延伸到云端大规模存储和处理系统。安全关键应用要求复杂的数据清洗和验证流程。将

35. **激光雷达（LiDAR）**：通过激光脉冲测距，生成高精度 3D 环境地图。旋转式激光雷达每秒可发射数百万激光脉冲，检测 200 米外物体，精度达厘米级。价格高（曾达 7.5 万美元，现已下降），在雨雾天气下易受干扰。
36. **雷达**：利用无线电波检测物体及其距离和速度。与激光雷达不同，雷达在雨、雾、黑暗中表现良好，是全天候自动驾驶必备。汽车雷达工作频率 77GHz，可检测 250 米外车辆并精确测量速度，保障高速安全。现代汽车常用多个雷达单元，单价 150-300 美元。

车辆环境转化为适合机器学习的特征，需复杂预处理，将原始传感器数据转化为能反映交通动态的有效特征。

算法挑战 Waymo 的 ML 技术栈是为自动驾驶多维挑战量身定制的算法集成。感知系统用专用神经网络处理视觉数据，实现目标检测和跟踪。预测模型需预测其他道路参与者行为，采用能理解时序模式的神经网络[37]。构建如此复杂的多模型系统需借鉴第 4 章：DNN 架构的架构模式和第 7 章：AI 框架的框架基础设施。Waymo 开发了如 VectorNet 等定制模型用于轨迹预测。规划与决策系统可能采用经验学习技术应对复杂交通场景。

基础设施挑战 Waymo 自动驾驶的计算基础设施体现了 ML 系统从边缘到云的全谱系部署难题。每辆车配备定制计算平台，能实时处理传感器数据并做决策，常用专用硬件如 GPU 或 TPU[38]。边缘计算与云基础设施结合，利用 Google 数据中心训练模型、运行大规模仿真和全车队学习。系统需专用硬件架构（详见第 11 章：AI 加速）和边缘 - 云协同策略（详见第 2 章：机器学习系统），以实现大规模实时处理。各层之间的连接至关重要，车辆需高带宽可靠通信以实时更新和数据上传。Waymo 基础设施需具备稳健性和容错能力，确保硬件故障或网络中断时依然安全运行。Waymo 运营规模带来数据管理、模型部署和分布式车队系统监控的巨大挑战。

未来影响 Waymo 影响远超技术进步，有望彻底变革交通、城市规划和日常生活。Waymo One 在亚利桑那州凤凰城推出商用自动驾驶网约车，是 AI 系统在安全关键应用中实际部署的重要里程碑。Waymo 的进展推动了传感器技术、边缘计算和 AI 安全等领域创新，影响远超汽车行业。但也带来了责任、伦理和 AI 与人类社会互动等重要问题。Waymo 持续扩展业务，探索卡车和末端配送等新场景，成为先进 ML 系统的试验田，推动持续学习、稳健感知和人机交互等领域进步。Waymo 案例既展示了 ML 系统变革行业的巨大潜力，也揭示了现实部署 AI 的复杂挑战。

部署场景对比

Waymo 展示了混合边缘 - 云 ML 系统的全部复杂性，其他部署场景则有不同约束。微软研究院的 FarmBeats 农业物联网项目，运行于资源极度受限的边缘环境，远程地区连接有限。FarmBeats 展示了 ML 系统工程如何适应约束：模型更简单，可在低功耗微控

37. **序列神经网络**：专为处理时序数据设计的神经网络架构，如根据行人过去动作预测其下一步。网络能“记住”先前输入，辅助当前决策。

38. **张量处理单元（TPU）**：Google 专为神经网络运算设计的 AI 加速芯片，得名于“张量”（深度学习中的多维数组）。2016 年首次公开，TPU 在 AI 任务上矩阵乘法速度比同期 GPU 快 15-30 倍，功耗更低。单个 TPU v4 pod 算力达 1.1 exaflops，相当于 1 万块高端 GPU，使大模型训练周期从数月缩短到数天。

制器上运行，创新连接方案（如电视空白频段），本地处理减少数据传输。挑战包括恶劣环境下传感器可靠性、有限人工监督下的数据质量验证，以及设备离线时模型更新。

而 AlphaFold 则是纯云端科学 ML，算力几乎无限但精度至上。AlphaFold 蛋白质结构预测需 128 个 TPUv3 核心训练数周，处理数亿蛋白序列。系统挑战与 Waymo 或 FarmBeats 截然不同：管理超大训练数据集（蛋白质数据库含 18 万结构）、协调专用硬件分布式训练、用实验数据验证预测。与 Waymo 的延迟约束或 FarmBeats 的功耗约束不同，AlphaFold 优先考虑算力吞吐以探索巨大搜索空间 —— 训练成本超 10 万美元，但实现了科学突破。

这三类系统 —— Waymo（混合，延迟关键）、FarmBeats（边缘，资源受限）、AlphaFold（云端，算力密集） —— 说明部署环境决定了每一个工程决策。三大组件框架适用于所有系统，但具体约束和优化重点差异巨大。理解部署多样性对 ML 系统工程师至关重要，同一算法洞见在不同场景下可能需要完全不同的系统实现。

有了具体案例，我们可以分析不同部署和生命周期阶段下出现的挑战。

ML 系统的核心工程挑战

Waymo 案例和对比部署场景揭示了 AI 三角框架如何在数据、算法和基础设施间产生相互依赖的挑战。我们已阐述 ML 系统与传统软件在故障模式和性能退化上的区别，下面具体分析由此带来的挑战类别。

数据挑战

ML 系统的基础是数据，管理数据带来一系列核心挑战，可能悄然导致系统性能退化。数据质量是首要问题：现实数据常常杂乱、不完整、不一致。Waymo 传感器需应对环境干扰（雨水遮挡摄像头、激光雷达反射）、传感器老化和多传感器不同采样率下的数据同步。与传统软件能通过输入校验发现异常不同，ML 系统必须处理现实观测中的模糊和不确定性。

规模也是关键维度。Waymo 每车每小时生成约 1TB 数据 —— 管理如此数据量需复杂的数据收集、存储、处理和高效训练访问基础设施。挑战不仅在于存储 PB 级数据，还需维护数据质量元数据、数据集版本控制和高效检索。系统规模扩展到数千辆车、多个城市后，数据管理难度呈指数级增长。

最严重的问题是数据漂移 [39]，即数据模式随时间逐渐变化，导致模型性能悄然下降。Waymo 模型会遇到训练数据未覆盖的新交通模式、道路结构、天气和驾驶行为。比如主要在凤凰城训练的模型，部署到纽约后可能因分布变化表现不佳：交通更密集、驾驶

39. **数据漂移**：输入数据统计特性随时间逐渐变化，若未监控和处理，模型性能会下降，需重训或更新模型。

风格更激进、道路布局不同。与传统软件规范恒定不同，ML 系统必须适应所建模世界的演变。

分布变化常常很隐蔽。季节变化影响传感器性能（太阳角度、降水模式），施工改变道路布局，城市扩张带来交通模式演变。每一次变化都可能悄然影响模型某一部分 —— 如冬季行人检测准确率下降，或新铺路面导致车道跟踪信心降低。检测这些变化需持续监控输入分布和模型在不同环境下的表现。

系统化管理数据挑战的方法，包括质量保障、版本控制、漂移检测和修复策略，详见第 6 章：数据工程。关键洞见是：ML 系统中的数据挑战是持续且动态的，需要持续工程关注，而非一次性解决。

模型挑战

构建和维护 ML 模型本身也带来一系列挑战。现代 ML 模型，尤其深度学习，极为复杂。以 GPT-3 为例，数百亿参数需通过训练优化 [40]。这种复杂性带来实际难题：模型训练和运行需巨大算力，难以在资源有限场景（如手机、物联网设备）部署。

高效训练模型本身就是巨大挑战。与传统编程写明指令不同，ML 模型通过样本学习。学习过程涉及架构和超参数选择：模型结构如何设计？训练多久？如何判断模型学到的是泛化模式而非死记训练数据？这些决策既需技术专长，也需大量试错。

现代实践越来越依赖迁移学习 —— 用已有模型作为新任务的起点。例如图像识别不必从零训练，可用在百万图片上预训练的模型微调到医学或农业领域。这大幅减少训练数据和算力需求，但也带来新挑战，如如何避免预训练模型的偏见迁移到新应用。迁移学习、分布式训练和偏见缓解等训练挑战需系统化方法，详见第 8 章：AI 训练，基础设施详见第 7 章：AI 框架。

尤其重要的是，确保模型在现实条件下表现良好。泛化差距，即训练表现与实际表现的差异，是机器学习的核心挑战。模型在训练数据上可达 99% 准确率，但上线后因分布差异仅有 75%。自动驾驶、医学诊断等关键应用，理解并缩小泛化差距是安全部署的前提。

系统挑战

让 ML 系统在现实世界可靠运行带来独特挑战。与遵循固定规则的传统软件不同，ML 系统需应对输入输出的不确定性和变化。通常既需训练系统（学习数据）又需服务系统（推理预测），两者需求和约束不同。

以语音识别为例，企业需有音频数据收集和存储基础设施，模型训练系统，以及实时处

40. **反向传播**：训练神经网络的核心算法，通过反向传播误差梯度，调整每一层参数以最小化预测误差。

理用户语音的服务系统。每个环节都需高效可靠，且要无缝协作。构建稳健数据管道的工程原则详见第 6 章：数据工程，生产环境运维实践详见第 13 章：机器学习运维。

这些系统还需持续监控和更新。如何判断系统是否正常？如何无中断地更新模型？如何处理错误或异常输入？当 ML 系统服务数百万用户时，运维挑战尤为复杂。

伦理挑战

ML 系统日益普及，其社会影响也愈发重要。公平性是主要关注点，ML 系统有时会无意中学会歧视某些群体，这往往源于训练数据中的偏见。例如招聘筛选系统若历史上某群体更易被录用，模型可能学会偏向该群体。检测和缓解偏见需对训练数据和模型行为做细致审计。

透明性和可解释性也很重要。现代 ML 模型，尤其深度学习，参数动辄数百万甚至数十亿，常被视为“黑箱” —— 只能观察输入输出，难以理解内部推理过程。就像收音机能播放声音但大多数人不懂其电子原理，这些模型通过复杂数学变换做出预测，难以解释。医疗、司法、金融等领域，ML 系统做出影响人生的决策，利益相关者理应获得决策解释。

隐私也是重大问题。ML 系统常需大量数据，但这些数据可能包含敏感信息。如何在保障数据需求和个人隐私间平衡？如何防止模型通过推理攻击[41] 泄露隐私？这些挑战不仅是技术问题，更是系统设计和部署的持续考量。公平与偏见检测详见第 17 章：可信 AI，隐私保护与推理攻击防御详见第 15 章：安全与隐私，稳健性保障详见第 16 章：稳健 AI。

挑战的相互作用

Waymo 案例说明，挑战在 AI 三角各环节间连锁放大。数据质量问题（传感器噪声、分布漂移）会降低模型性能。模型复杂度约束（延迟、功耗）迫使架构妥协，可能影响公平性（简单模型更易偏见）。系统级故障（OTA 升级失败）可能阻止部署能解决伦理问题的新模型。

这种相互依赖决定了 ML 系统工程必须整体思考，不能只优化单一环节。比如为提升准确率采用更大模型，会带来更多训练数据需求、更长训练时间、更高服务成本、更高延迟，若训练数据未精心筛选，还可能加剧偏见。成功应对这些权衡需理解一处决策如何影响全局。

挑战格局也解释了为何许多研究模型无法落地生产。学术 ML 常专注于提升基准数据集准确率，忽略推理延迟、训练成本、数据隐私或运维监控等实际约束。生产 ML 系统需

41. **推理攻击**：攻击者通过精心查询训练好的模型，试图从模型中提取训练数据的敏感信息，利用模型在训练过程中的记忆漏洞。

在准确率、部署可行性、运维成本、伦理和长期可维护性间平衡。这一研究与生产的落差，正是本书强调系统工程而非纯算法创新的原因。

这些跨越数据质量、模型复杂度、基础设施可扩展性和伦理的挑战，决定了 ML 系统与传统软件工程的本质区别。算法创新到系统集成的转变，以及独特的运维特性，共同催生了新的工程学科 —— 我们称之为 AI 工程。

AI 工程学科定义

梳理了历史演变、生命周期特征、实际应用和核心挑战后，我们可以正式定义解决系统级问题的学科。

> **AI 工程**
>
> **AI 工程** 是专注于在嵌入式设备到数据中心等各类计算平台上，构建可靠、高效、可扩展机器学习系统的工程学科。涵盖数据获取、模型开发、系统集成、部署和运维全生命周期，强调资源感知和系统级优化。

如前文所述，AI 已从符号推理、专家系统和规则方法转向以学习为主导。如今企业构建 AI，实质就是构建机器学习系统。Netflix 推荐引擎处理数十亿观影事件训练模型，服务数百万订阅用户。Waymo 自动驾驶实时运行数十个神经网络处理传感器数据。训练 GPT-4 需协调数千 GPU 跨数据中心，耗电数兆瓦。现代 AI 本质上就是机器学习：系统能力源于数据学习模式。

这一融合让“AI 工程”成为学科的自然名称，尽管本书聚焦于机器学习系统。该术语反映了当今 AI 的实际构建和部署方式。

AI 工程涵盖生产智能系统的完整生命周期。突破性算法需高效数据收集和处理、分布式计算、可靠服务（严格延迟要求）、基于实际表现的持续监控和更新。学科关注各层挑战：为专用硬件设计高效算法、优化每天处理 PB 级数据的数据管道、实现数千 GPU 分布式训练、部署服务数百万并发用户的模型、维护随数据分布变化而演化的系统。能效不再是附加约束，而是与准确率和延迟并列的首要指标。内存带宽物理极限、Dennard 缩放失效、数据移动能耗决定了从芯片设计到数据中心部署的每一个架构决策。

AI 工程作为独立学科的出现，类似于计算机工程在 60-70 年代的诞生[42]。随着计算系统复杂度提升，电气工程和计算机科学都无法单独解决可靠计算机的集成挑战，计算机工程应运而生。今天，AI 工程面临算法、基础设施和运维实践交汇的类似挑战。计算机科学推动 ML 算法进步，电气工程开发 AI 专用硬件，但两者都无法涵盖大规模生产 AI 系

42. 美国首个计算机工程学位项目于 1971 年在凯斯西储大学设立，标志着计算机工程作为独立学科的正式诞生。

统所需的系统集成、部署策略和运维实践。

AI 工程学科定义后，后续内容将系统阐述机器学习系统的构建与运维实践。全书用“机器学习系统工程”描述这一实践 —— 即设计、部署和维护现代 AI 所依赖的机器学习系统。两者本质一致：AI 工程是学科名称，机器学习系统工程是具体实践。

确立 AI 工程学科后，我们可以用系统化框架组织其实践，系统应对前述挑战。

ML 系统工程的五大支柱框架

前文探讨的挑战 —— 隐性性能退化、数据漂移、模型复杂度和伦理问题 —— 说明了 ML 系统工程为何成为独立学科。独特的故障模式要求专门方法：传统软件工程无法应对悄然退化的系统。这些挑战不能仅靠算法创新解决，需贯穿全生命周期的系统化工程实践。

本书将 ML 系统工程组织为五大互相关联的学科，直接应对已识别的挑战类别。如下图所示，这五大支柱是将研究原型转化为可规模化生产系统所需的核心工程能力。

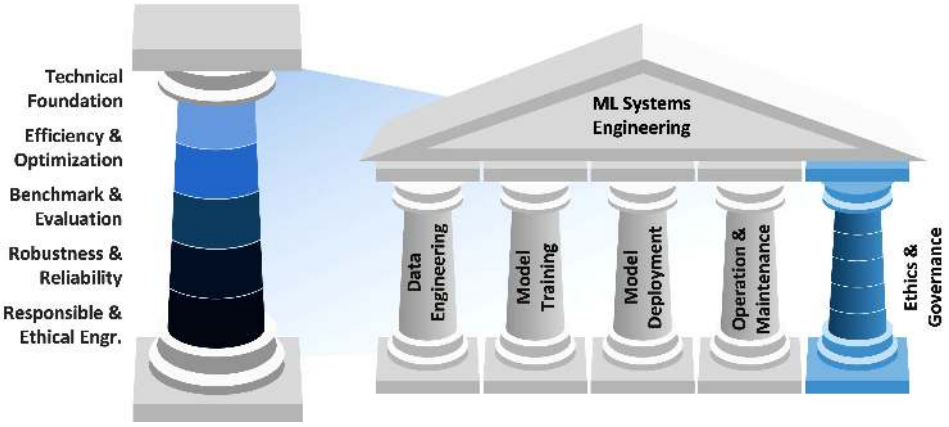

ML 系统生命周期：机器学习系统工程涵盖五大互相关联学科，系统应对大规模 AI 系统构建、部署和运维的现实挑战。每一支柱都是将研究原型转化为生产系统的关键工程能力。

五大工程学科

如图 5 所示，五大支柱框架直接源于 ML 系统区别于传统软件的系统挑战。每一支柱既解决特定挑战类别，又强调其相互依赖：

数据工程（详见第 6 章：数据工程）应对数据相关挑战：质量保障、规模管理、漂移检测和分布变化。涵盖构建稳健数据管道，确保质量、处理大规模、保障隐私，并为所有 ML 系统提供基础设施。以 Waymo 为例，需管理每车每小时 TB 级传感器数据，实时验证数据质量，检测不同城市和天气下的分布变化，维护数据谱系以便调试和合规。技术

包括数据版本控制、质量监控、漂移检测算法和隐私保护数据处理。

训练系统（详见第 8 章：AI 训练）解决模型复杂度和规模相关挑战。涵盖开发能管理大数据集和复杂模型的训练系统，优化分布式环境下算力利用。现代基础模型需协调数千 GPU，实现并行化、训练故障恢复、成本与模型质量平衡。章节探讨分布式训练架构、优化算法、大规模超参数调优和使大规模训练可行的框架。

部署基础设施（详见第 13 章：机器学习运维、第 14 章：设备端学习）应对训练 - 服务分离和运维复杂性。涵盖构建可规模化服务模型、优雅处理故障、适应生产环境变化的可靠部署基础设施。部署涵盖云端每秒百万请求到边缘设备的极低延迟和功耗约束。技术包括模型服务架构、边缘部署优化、A/B 测试框架和分阶段上线策略，既能快速迭代又能最小化风险。

运维与监控（详见第 13 章：机器学习运维、第 12 章：AI 基准测试）直接应对 ML 系统独有的隐性性能退化。涵盖创建监控和维护系统，保障持续性能、早期问题发现和安全生产更新。与传统软件监控只关注基础设施不同，ML 运维需四维监控：基础设施健康、模型性能、数据质量和业务影响。章节探讨指标设计、报警策略、故障响应流程、生产 ML 系统调试技术和持续评估方法，确保退化在影响用户前被发现。

伦理与治理（详见第 17 章：可信 AI、第 15 章：安全与隐私、第 18 章：可持续 AI）应对公平、透明、隐私和安全等伦理社会挑战。将负责任 AI 实践贯穿系统生命周期，而非事后补救。安全关键系统如自动驾驶需形式化验证、场景测试、偏见检测与缓解、隐私保护学习和可解释性方法，支持调试和认证。章节涵盖技术方法（差分隐私、公平性指标、可解释性技术）和组织实践（伦理审查、故障响应、利益相关者参与）。

组件、生命周期与学科的连接

五大支柱自然源于 AI 三角框架和生命周期阶段。每个 AI 三角组件对应特定支柱：数据工程覆盖数据全生命周期；训练系统和部署基础设施解决算法与基础设施在不同生命周期阶段的交互；运维贯穿所有组件，监控其协作；伦理与治理则贯穿所有环节，保障负责任实践。

已识别的挑战类别在各支柱中找到解决方案：数据挑战 → 数据工程，模型挑战 → 训练系统，系统挑战 → 部署基础设施与运维，伦理挑战 → 伦理与治理。正如 AI 三角框架所示，各支柱需协同而非孤立运行。

这一结构反映了 AI 从算法中心研究到系统中心工程的转变，关注点从“能否让算法工作”转向“能否构建可规模化部署、运维和维护的系统”。五大支柱是实现这一目标的工程能力。

ML 系统工程的未来趋势

五大支柱为 ML 系统工程提供了稳定框架，但领域仍在持续演进。理解当前趋势有助于预判未来系统中核心挑战和权衡的表现形式。

应用创新日益聚焦于具备自主行动能力的智能体系统，超越被动预测，能自主规划、推理和执行复杂任务。这类系统对决策框架和安全约束提出新要求。五大支柱不仅不会被替代，反而更为重要：能自主行动的系统需更严格的数据质量、更可靠的部署基础设施、更全面的监控和更强的伦理保障。

系统架构创新聚焦于可持续性和效率，模型规模扩大带来环境和经济压力。模型压缩、高效训练和专用硬件创新应运而生。未来架构需在更强模型与资源约束间平衡。效率创新主要影响训练系统和部署基础设施支柱，引入量化、剪枝、神经架构搜索等多目标优化新技术。

基础设施进步持续重塑部署可能性。专用 AI 加速器从数据中心到边缘设备全面涌现，异构计算格局使模型可动态分布于不同层级，模糊了云、边缘和嵌入式系统的界限。这些创新影响五大支柱的运作 —— 新硬件带来新算法，需新训练方法，也需新监控策略。

AI 技术民主化让 ML 系统更易于开发者和企业获取。云服务商提供预训练模型和自动化平台，降低 AI 部署门槛。这一趋势并未削弱系统工程的重要性，反而提升了对稳健可靠系统的需求。五大支柱在 ML 系统普及到非传统科技领域时变得更加关键。

这些趋势共同主题是：ML 系统能力更强、应用更广，但工程可靠性更复杂。五大支柱框架为应对这一格局提供了基础，各支柱内具体技术仍在不断进步。

系统知识的本质

机器学习系统工程在知识论上不同于纯理论计算机科学。算法、复杂性理论、形式化验证等领域通过数学证明和严密推导建立知识，而 ML 系统工程是一门实践学科，通过大规模系统的构建、部署和运维积累经验。这一特点在 MLOps 等主题尤为明显，理论较少，更多是生产经验总结的模式。这里的知识不是证明最优解存在，而是识别哪些方法在现实约束下可靠。

这种实践导向体现了 ML 系统工程作为系统学科的本质。与土木、电气、机械等工程类似，核心挑战在于管理复杂性和权衡，而非推导封闭解。你将学会权衡延迟与准确率，识别数据质量何时会破坏再复杂的模型，预判基础设施选择如何影响系统架构。系统思维通过具体场景、生产故障调试和设计模式积累。

学习的启示是：精通在于对模式的直觉、权衡空间的理解和组件交互的识别。阅读监控策略或部署架构时，目标不是死记配置，而是培养判断力，识别何种方法适合何种场

景。本书提供框架、原理和代表性案例，但真正的专业能力需在实际问题中应用、犯错、积累模式识别，最终成为经验丰富的系统工程师。

如何使用本教材

本书内容循序渐进，章节安排系统地构建在这些基础概念之上：

基础篇章：（第 2 章：ML 系统、第 3 章：深度学习入门、第 4 章：DNN 架构）聚焦于算法与架构基础，为理解系统层面的决策提供技术背景。这些章节首先回答“我们要构建什么?”，然后才是“我们如何可靠地构建它?”。

支柱篇章：按照五大工程支柱组织，每个支柱包含多个章节，从基础到进阶逐步展开。读者既可以线性阅读全部内容，也可根据自身需求聚焦于相关支柱，但理解各支柱间的相互依赖，有助于体会一个决策如何影响其他环节。

专题篇章：（第 19 章：AI 向善、第 18 章：可持续 AI、第 20 章：AGI 系统）则探讨 ML 系统工程在特定领域和新兴挑战中的应用，展示该框架在多样场景下的灵活性。

全书采用交叉引用体系，便于读者查找关联内容 —— 当某章节涉及其他章节已详细讨论的概念时，会有明确的跳转指引。这种互联结构反映了 AI 三角框架的现实：ML 系统工程需要理解数据、算法与基础设施的协同作用，而非孤立地研究各自部分。

如需了解本书的学习目标、适用读者、前置知识要求及如何最大化学习体验，请参阅关于本书 章节，其中还介绍了学习社区和更多资源。

本引言为后续内容奠定了概念基础。我们首先厘清了人工智能作为愿景与机器学习作为方法论的关系，明确了机器学习系统的定义：即我们所构建的人工制品 —— 由数据、算法和基础设施组成的一体化计算系统。通过“苦涩教训”与 AI 发展史，我们理解了为何系统工程成为 AI 进步的核心，以及基于学习的方法如何主导了该领域。这一背景让我们能够正式将 AI 工程定义为独立学科，借鉴计算机工程的成长路径，确立其作为跨越各类计算平台、专注于构建可靠、高效、可扩展机器学习系统的工程领域。

接下来的旅程将系统性地探索 AI 工程的每一支柱，既提供概念理解，也给出构建生产级 ML 系统的实用技术。我们在前文中提到的挑战 —— 性能隐性退化、数据漂移、模型复杂性、运维负担、伦理风险 —— 将在各章节反复出现，但此时会有基于真实经验和最佳实践的具体工程解决方案。

欢迎来到 AI 工程的世界。

第 2 章：机器学习系统

目标

机器学习系统所处的环境如何决定其系统本质？为何这些系统会在不同计算平台上广泛部署？

机器学习系统必须适应极为多样的计算环境，每种环境都带来独特的约束与机遇。云端部署可利用海量算力，但受限于网络延迟；移动设备贴近用户，却受制于严苛的功耗限制；嵌入式系统通过本地处理降低延迟，但模型复杂度受限；而极小型设备则实现大规模感知，但内存仅有数千字节。这些部署场景决定了系统架构、算法选择和性能权衡。理解环境特定的需求，是机器学习系统工程决策的基础。掌握这些知识，工程师才能选择合适的部署范式，设计兼顾性能、效率与实用性的系统架构，适配不同计算平台。

> **学习目标**
>
> - 解释物理约束（光速、功耗墙、内存墙）为何决定了多样化的 ML 部署范式
> - 区分云端 ML、边缘 ML、移动端 ML 和 TinyML 的资源特征、约束与最佳应用场景
> - 分析算力、延迟、隐私、能效等资源权衡，制定针对具体应用的部署策略
> - 运用系统化的部署决策框架，评估 ML 应用的隐私、延迟、算力与成本需求
> - 通过“训练 - 推理分离”“层级处理”“渐进式部署”“联邦学习”等模式，设计混合 ML 架构
> - 评估真实 ML 系统，识别其采用的部署范式及效果
> - 批判常见部署误区，避免 ML 系统架构设计中的错误决策
> - 总结通用设计原则，构建在不同部署环境下均能兼顾性能、效率与实用性的 ML 系统

部署范式框架

前文介绍了机器学习系统的三大核心组成：数据、算法与计算基础设施。虽然这一三元框架为理论奠定了基础，但从概念到实践的转变，关键在于部署环境。部署环境是决定系统设计的核心维度。本章将系统性分析计算环境如何塑造 ML 系统的架构决策，建立以部署为核心的系统工程理论基础。

当代机器学习应用因部署约束而呈现出极为丰富的架构多样性。以计算机视觉为例[43]：同一卷积神经网络在不同环境下部署，系统形态截然不同。云端医学影像可利用几乎无限的算力，采用集成方法[44]和复杂预处理；而移动端实时目标检测则需大幅简化架构以满足极低延迟要求。工厂自动化则更强调能效和确定性响应，牺牲模型复杂度。这些差异并非算法本身，而是环境约束塑造的架构选择。

本章将提出机器学习部署范式的系统分类法，分析从云数据中心到微控制器嵌入式系统的四大主流部署类别。每种范式都源于不同的运行需求：算力、功耗、延迟、隐私和网络连接假设。通过理论框架，为生产级 ML 系统的架构决策提供分析基础。

现代部署策略已超越传统的“中心化 - 分布式”二元对立。越来越多的应用采用混合架构，将计算任务在多个范式间分配，以优化整体性能。例如语音识别系统：唤醒词检测在超低功耗嵌入式芯片上实现，语音转文本在移动端处理以保障隐私和低延迟，语义理解则交由云端完成。这种多范式协作反映了工程现实：最优的 ML 系统往往需要架构异构性。

部署范式空间具有清晰的维度结构。云端 ML 追求极致算力，接受网络延迟；边缘计算则将推理靠近数据源，满足低延迟需求；移动端 ML 强调用户本地和离线能力；TinyML 则以极低能耗实现大规模分布式智能，但模型复杂度极低。

通过对这些部署范式的系统分析，本章将建立以系统工程为核心的 ML 架构设计方法论，帮助工程师在算法能力与实际约束间实现最佳平衡。最终将介绍混合架构的集成策略，以及适用于所有部署场景的核心设计原则。

图 1 展示了算力、延迟和部署约束如何形成这一部署谱系。第 7 章：AI 框架将探讨支撑各范式的软件工具，第 11 章：AI 加速 关注硬件加速，而本章聚焦于决定系统架构的根本部署权衡。下文将系统梳理各主流范式，并分析它们如何在现代 ML 系统中协同。

部署谱系

从云到嵌入式的部署谱系并非出于设计偏好，而是由计算系统的物理定律所决定。这些不可逾越的约束为工程师划定了硬性边界，推动了针对不同场景优化的专用部署范式的演化。

光速决定了实时应用的最低延迟。光在光纤中传播速度约为每秒 20 万公里，美东到美西的理论最小往返延迟为 40ms。加上路由、DNS 和处理开销，云服务总延迟通常为

43. **计算机视觉**：AI 领域，处理图像/视频信息。实时应用需处理 2-50MP 图像@30fps，算力和带宽需求极大，推动 GPU/视觉处理器发展。
44. **集成方法**：多模型融合提升准确率和健壮性。需同时训练/运行 5-100+ 模型，算力提升 10-50 倍，准确率提升 2-5%，云端部署更具性价比。

100-500ms。对于需要 10ms 内响应的安全关键应用（如自动驾驶紧急制动、工业机器人），云端部署物理上不可行。

功耗墙源于 Dennard 缩放失效（2005 年），晶体管微缩不再降低功率密度，芯片无法无限提速，否则功耗和热量将同步激增。数据中心 30-40% 电力用于制冷，移动设备需热降频防止损坏。这一约束推动了低功耗架构在移动和嵌入式领域的普及。

内存墙指处理器速度与内存带宽的差距日益扩大。算力可通过增加处理单元线性提升，但内存带宽仅随芯片面积平方根增长，导致数据传输成为瓶颈。大模型尤为突出，参数量远超内存带宽承载能力。

规模经济带来单位成本差异。云服务器可虚拟化支持数千用户，单用户成本低于$50。但需保障响应或隐私的应用无法共享资源，失去经济优势。嵌入式处理器单价$5-50，可部署到数十亿终端，云连接则成本高昂。

这些物理约束是永久性的，决定了计算格局。理解这些边界，有助于做出合理的 ML 系统架构决策。

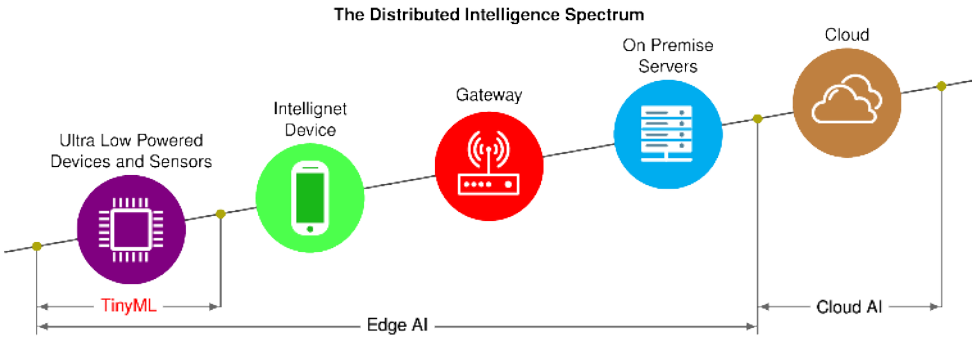

分布式智能谱系：机器学习系统设计需在算力、延迟与连接性间权衡，形成从云到 TinyML 的部署选项。该图展示了各选项如何平衡处理位置、设备能力与网络依赖。

如图 1 所示，部署谱系的存在源于物理与硬件约束，而非设计偏好。理解这些限制，有助于认识为何 ML 系统无法采用统一方案，必须覆盖从云到嵌入式的全谱系。

第 1 章：引言 建立了 ML 系统三要素（数据、算法、基础设施）的统一框架，各部署范式正是基于物理约束对三要素的不同优化。云端 ML 以丰富基础设施支撑复杂算法，移动端 ML 强调数据本地性，TinyML 则在极端资源下追求算法高效。

现代计算的最大瓶颈在于内存带宽与算力的扩展速率不同。算力可线性扩展，内存带宽仅随芯片面积平方根增长，导致处理器“饿死”在等待数据上。大模型尤甚，参数量远超带宽承载能力。

Dennard 缩放失效 [45] 进一步加剧了这一问题。2005 年前，晶体管微缩可提升频率且功

45. **Dennard 缩放**：1974 年 IBM Robert Dennard 提出，晶体管微缩可提升频率且功耗密度不变。2005 年后受物理

耗不变，之后功率密度不降反升，推动多核与专用加速器（GPU/TPU）发展。移动设备需热降频，数据中心需大规模制冷，功耗墙直接推动了低功耗架构和边缘部署的需求。

物理极限还带来不可逾越的延迟下限。光速决定美东西岸 80ms 往返，网络路由等再加 20-420ms，总延迟 100-500ms，纯云端部署无法满足实时需求。网络带宽受限于光纤物理和无线频谱。通信约束要求本地处理，驱动边缘部署。

热量也是限制因素。移动设备需降频防止过热，数据中心需大规模制冷，温度过高会降低可靠性、提升错误率、加速老化。热约束要求在不同场景下权衡算力与可持续运行。

这些约束推动了四大部署范式的演化。理解这些核心约束，是选择合适部署范式、设定合理性能预期的基础。

这些理论约束在硬件上有具体体现。表 1 展示了各范式代表性硬件平台，涵盖算力、功耗、成本等，直观反映了不同部署方式的实际影响。[46][47]

类别	示例设备	处理器	内存	存储	功耗	价格区间	典型模型/任务	量化阈值
云端 ML	NVIDIA DGX A100	8x NVIDIA A100 GPU（40/80GB）	1TB	15TB NVMe SSD	6.5kW	$20 万 +	大型语言模型、实时视频处理	>1000 TFLOPS 算力、>100GB/s 带宽、PUE 1.1-1.3、100-500ms 延迟

极限影响，行业转向多核与专用加速器。

46. **ML 硬件成本谱系**：从$10 ESP32-CAM 到$20 万 DGX A100，成本跨度 6 个数量级，算力也相应差异，适配不同经济场景和应用。

47. **PUE（电源使用效率）**：数据中心效率指标，总能耗/IT 设备能耗。PUE=1.0 为理论极限，1.1-1.3 为高效数据中心，Google 达 1.12，行业均值 1.8。

类别	示例设备	处理器	内存	存储	功耗	价格区间	典型模型/任务	量化阈值
	Google TPU v4 Pod	4096 颗 TPU v4	128TB+	网络存储	~1-2MW	按需计费	基础模型训练、大规模 ML 研究	同上
边缘 ML	NVIDIA Jetson AGX Orin	12 核 Arm A78AE+NVIDIA Ampere GPU	32GB LPDDR5	64GB eMMC	15-60W	$999	计算机视觉、机器人、自动化	1-100 TOPS 算力、<10W 功耗、<100ms 延迟
	Intel NUC 12 Pro	Intel Core i7-1260P+Iris Xe	32GB DDR4	1TB SSD	28W	$750	边缘 AI 服务器、工业自动化	同上
移动 ML	iPhone 15 Pro	A17 Pro（6 核 CPU+6 核 GPU）	8GB	128GB-1TB	3-5W	$999+	Face ID、计算摄影、语音识别	1-10 TOPS 算力、<2W 功耗、<50ms 响应

类别	示例设备	处理器	内存	存储	功耗	价格区间	典型模型/任务	量化阈值
TinyML	Arduino Nano 33 BLE Sense	Arm Cortex-M4 @64MHz	256KB	1MB Flash	0.02-0.04W	$35	手势识别、语音检测	<1 TOPS 算力、<1mW 功耗、微秒级响应
	ESP32-CAM	双核 @240MHz	520KB	4MB Flash	0.05-0.25W	$10	图像分类、运动检测	同上

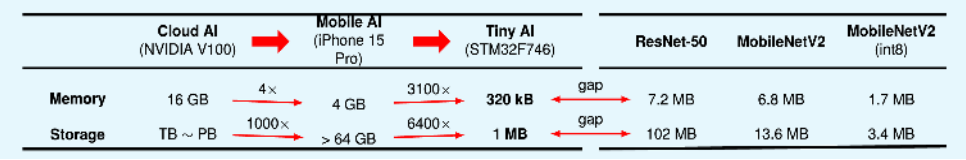

硬件谱系：ML 系统设计需在算力、功耗、成本间权衡，表中展示了云、边缘、移动、TinyML 各自适用的硬件平台及其量化指标，有助于决策部署范式。

在理解了部署谱系的物理与经济驱动后，本章将系统分析各个主要部署范式，首先是云端 ML，其他范式皆由此衍生。云端 ML 在追求算力的同时，接受网络带来的延迟约束，适合对计算能力要求极高、但可容忍延迟的任务，如复杂模型训练和推理。

云端机器学习利用集中式基础设施的可扩展性与算力，处理大规模数据、协作开发模型和进行高级分析。云数据中心采用分布式架构和专用资源，训练复杂模型，支持从推荐系统到自然语言处理等多种应用。接下来将详细探讨云端 ML 系统在大规模应用中的有效性。

> **云端 ML 定义**
>
> **云端机器学习（Cloud ML）**_是指在_集中式计算基础设施（如数据中心）上部署机器学习模型。这些系统的_功率范围在千瓦到兆瓦_之间，利用_专用计算系统_处理_大规模数据集_和训练_复杂模型_。云端 ML 提供_可扩展性_和_计算能

> 力_，适合需要大量资源和协作的任务。然而，它依赖于_稳定的网络连接_，并可能对实时应用引入_延迟_。

图 3 概述了云端 ML 的能力，后文将详细讨论。

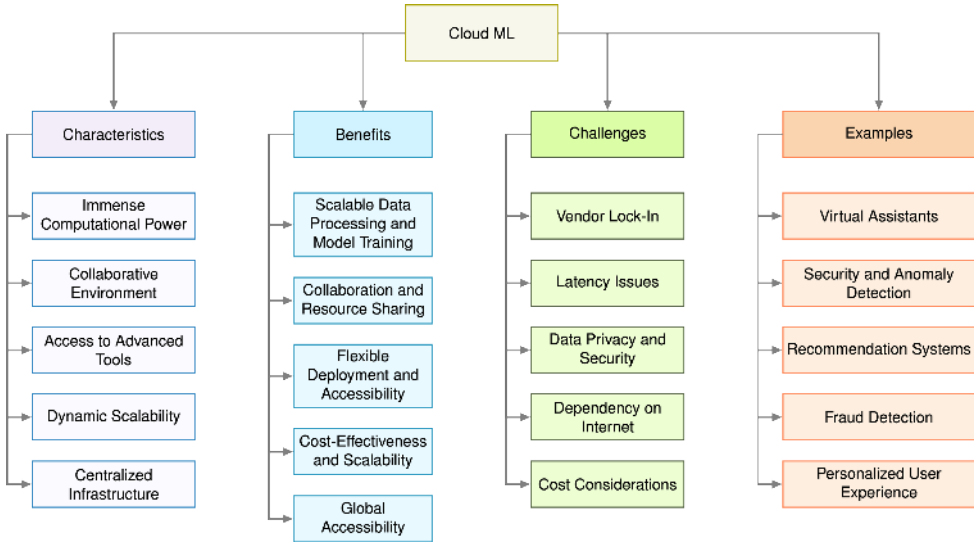

云端 ML 能力：云端机器学习系统通过集中计算基础设施和专用硬件，解决与规模、复杂性和资源管理相关的挑战。该图概述了在云端部署模型的关键考虑因素，包括处理大数据集和复杂计算所需的可靠基础设施和高效资源分配。

云基础设施和规模

要理解云端 ML 在部署谱系中的位置，首先需考虑其定义特征。云端 ML 的主要特征是其集中式基础设施，具备前所未有的规模。图 4 通过 Google Cloud TPU 的例子说明了这一点 [48]。如表 1 所示，云端系统如 NVIDIA DGX A100 和 Google TPU v4 Pod 相比移动设备具有 100-1000 倍的计算优势，具备>1000 TFLOPS 的计算能力和兆瓦级的功耗。云服务提供商提供的虚拟平台具备>100GB/s 的内存带宽，分布在全球的数据中心支持在资源受限设备上无法实现的计算负载。然而，这种集中化带来了关键的权衡：100-500ms 的网络往返延迟使得实时应用无法使用，而运营成本则随使用量线性增加。

云端基础设施带来了通过云 API 的卓越部署灵活性 [49]，使训练好的模型可以通过移动、Web 和 IoT 平台在全球范围内访问。多个团队可以无缝协作，同时访问项目并进行集成版本控制。按需计费的定价模式 [50] 消除了前期资本支出，而资源则可以根据需求弹性

48. **张量处理单元（TPU）**：Google 专为张量运算设计的 ASIC，2015 年首次用于内部推理。单个 TPU v4 Pod 包含 4096 个芯片，峰值性能达 1.1 exaflops，是全球最大的公开 ML 集群之一。
49. **ML API**：应用程序编程接口，通过将预训练模型提供为 Web 服务，使 AI 民主化。Google 的视觉 API 于 2016 年推出，两年内每月处理超过 10 亿张图像，使开发者无需 ML 专业知识即可添加 AI 功能。
50. **按需计费**：用户仅为实际使用的计算时间付费，如 GPU 小时或推理请求。训练一个模型的费用可能为$50-500，而购买等效硬件的费用则为$50,000-500,000。

扩展。

一个常见的误区是认为云端 ML 强大的计算资源使其对所有应用都具有普遍优势。云基础设施提供了卓越的计算能力和存储，但这一优势并不意味着对所有应用都是最优解。云端部署带来了显著的权衡，包括网络延迟（通常为 100-500ms 的往返）、传输敏感数据时的隐私问题、随使用量增加的持续运营成本，以及对网络连接的完全依赖。而边缘和嵌入式部署在需要实时响应（如自动驾驶需要<10ms 的决策时间）、严格的数据隐私（如处理病人数据的医疗设备）、可预测的成本（一次性硬件投资与持续的云费用相比）或在无网络环境下操作（如偏远地区的工业设备）时表现更佳。最佳的部署范式取决于具体应用的需求，而非单纯的计算能力。

云端 ML 的权衡与约束

云端 ML 的巨大优势伴随着固有的权衡，影响着部署决策。延迟是最重要的物理约束。网络往返延迟通常在 100-500ms 之间，使得云处理不适合需要<10ms 响应的实时应用，如自动驾驶和工业控制系统。除了基本的时间约束外，网络延迟导致的不可预测响应时间还使得跨地理分布的基础设施性能监控和调试变得复杂。

隐私和安全在采用云端部署时也是重大挑战。将敏感数据传输到远程数据中心带来了潜在的安全漏洞，并使得遵循法规变得复杂。处理受 GDPR[51] 或 HIPAA[52] 等法规约束的数据的组织，必须实施全面的安全措施，包括加密、严格的访问控制和持续监控，以满足严格的数据处理要求。

成本管理带来了运营复杂性，因为费用会随着使用量的增加而增加。以一个每天处理 100 万次推理请求、每次$0.001 的生产系统为例：年成本达到$365,000，而一次性购买边缘硬件的费用仅为$100,000。云端与边缘硬件的成本平衡点在 100,000-1,000,000 次请求之间，直接影响部署策略。不可预测的使用高峰进一步复杂化了预算编制，要求具备复杂的监控和成本管理框架。

网络依赖性是另一个关键约束。任何连接中断都会直接影响系统可用性，这在网络接入有限或不可靠的地方尤为成问题。此外，供应商锁定也使得在不同提供商之间转换时，工具和 API 的依赖性带来了可移植性和互操作性挑战。组织必须根据应用需求和风险承受能力，仔细权衡这些约束与云端带来的好处，并制定相应的弹性策略，详见第 16 章：稳健 AI。

51. **GDPR（通用数据保护条例）**：2018 年生效的欧洲隐私法，违反者最高可罚款 2000 万欧元或全球收入的 4%。迫使 ML 系统实施“被遗忘权”和数据处理透明度。
52. **HIPAA（健康保险可携带性和责任法案）**：美国医疗隐私法，要求严格的数据安全措施。处理医疗数据的 ML 系统必须实施加密、访问控制和审计跟踪，增加 30-50% 的开发成本。

大规模训练与推理

云端 ML 的计算优势在需要大规模计算的消费级应用中最为明显。虚拟助手如 Siri 和 Alexa，利用云端 ML 处理自然语言，能够同时处理海量并发交互，并通过不断接触多样的语言模式和用例进行自我优化。

Netflix 和 Amazon 的推荐引擎则展示了云端资源的另一种重要应用。这些系统使用协同过滤 [53] 等技术处理海量数据集，发掘用户偏好和行为模式。云计算资源使得随着用户数据的增长，系统能够持续更新和优化；Netflix 每天处理超过 1000 亿条数据点，以提供个性化内容推荐，直接提升用户参与度。

金融机构通过云端 ML 能力彻底改变了欺诈检测。通过实时分析海量交易数据，基于历史欺诈模式训练的 ML 算法能够检测异常和可疑行为，帮助实现主动欺诈预防，最大限度减少财务损失。

这些应用展示了云端 ML 如何将计算优势转化为大规模复杂处理任务的变革能力。除了这些旗舰应用，云端 ML 还广泛应用于社交媒体的个性化广告、电子邮件服务中的预测文本、电子商务中的产品推荐、搜索结果的增强以及网络安全威胁检测等日常在线体验中。

边缘 ML：降低延迟与隐私风险

云端 ML 的计算优势伴随着固有的权衡，限制了其在许多现实场景中的适用性。前文提到的 100-500ms 延迟和隐私问题，成为了需要即时响应或本地数据处理应用的障碍。边缘 ML 应运而生，旨在消除这些障碍，通过将计算移 closer to 数据源，降低延迟，同时满足本地数据主权的需求。

这一范式转变对于云端往返延迟不可接受的应用至关重要。需要毫秒级决策的自主系统和要求实时响应的工业物联网 [54] 应用，无法容忍网络延迟。同样，受限于严格数据隐私法规的应用，必须在本地处理信息，而不是将其传输到远程数据中心。边缘设备（网关和 IoT 集线器 [55]）在部署谱系中占据中间地带，在资源约束和性能需求之间取得平衡。

53. **协同过滤**：一种通过分析用户行为模式来预测用户偏好的推荐技术。Netflix 的算法贡献了 80% 的观看内容，每年为公司节省 10 亿美元的客户保留成本。
54. **工业物联网**：制造业每年产生超过 1 个艾克萨字节的数据，但由于连接性限制，分析的数据不足 1%。边缘 ML 使实时分析成为可能，仅预测性维护一项，到 2025 年预计将为制造业节省 6300 亿美元。
55. **IoT 集线器**：聚合来自多个传感器数据的中央连接点。在一个典型的智能建筑中，可能有 1 个集线器管理 100-1000 个 IoT 传感器，减少 90% 的云端流量，同时实现本地决策。

> **边缘 ML 定义**
>
> **边缘机器学习（Edge ML）**_是指在_网络边缘或附近_部署机器学习模型。这些系统的_功率范围在十瓦到几百瓦_之间，依赖于_本地化硬件_实现_实时处理。虽然移动设备也可以看作是一种边缘计算，但边缘 ML 通常指_专用的、固定的基础设施_，如网关、现场服务器或工业控制器，其计算能力介于个人移动设备和云数据中心之间。边缘 ML 通过本地处理数据，减少_延迟_并增强_隐私_，但其主要限制在于_相较于云基础设施的计算资源受限_。图 5 概述了边缘 ML 的关键维度，后文将详细探讨。

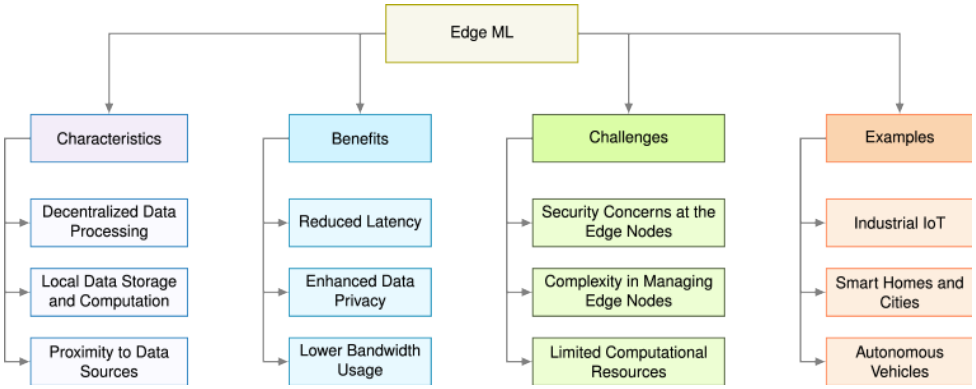

边缘 ML 维度：该图概述了边缘机器学习的关键考虑因素，对比了挑战与收益，并提供了代表性示例及特征。理解这些维度有助于在资源受限设备上设计和部署有效的 AI 解决方案。

边缘 ML 的应用涵盖可穿戴设备、工业传感器和智能家居电器等，这些设备在不依赖中央服务器的情况下处理数据[56]（图 6）。边缘设备在计算资源、功耗和成本上介于云系统和移动设备之间。25-100 GB/s 的内存带宽支持 100MB-1GB 参数的模型，通过优化技术（第 10 章：模型优化）实现比云端模型快 2-4 倍的推理速度。通过本地处理消除网络往返延迟，实现<100ms 的响应时间，同时节省大量带宽：本地处理 1000 个摄像头视频流可避免 1Gbps 的上行带宽费用，每年可为云端节省$10,000-100,000 的开支。

边缘 ML 的优势与部署挑战

边缘 ML 提供了可量化的好处，解决了云端的关键限制。延迟从云端的 100-500ms 降低到边缘的 1-50ms，使得需要实时响应的安全关键应用成为可能[57]。带宽节省同样显

56. **物联网设备增长**：2017 年连接设备为 84 亿，预计到 2030 年将达到 254 亿。每个设备每天产生 2.5 奎特字节的数据，边缘处理对于带宽管理至关重要。
57. **对延迟敏感的应用**：自动驾驶汽车的紧急制动决策需在<10ms 内完成，工业机器人则需<1ms 的精确控制。云端的 100-500ms 延迟使得边缘处理成为安全关键应用的必然选择。

著：一家零售商店如果有 50 个摄像头实时传输视频，带宽需求可从 100Mbps（每月 $1,000-2,000 的费用）降至不足 1Mbps，通过本地处理仅传输元数据，减少 99% 的带宽需求。隐私通过本地处理得到改善，消除了传输风险，简化了合规性。操作弹性确保系统在网络故障期间仍能正常运行，这对于制造、医疗和建筑管理等领域至关重要。

这些好处也带来了相应的局限性。有限的计算资源[58]显著限制了模型复杂度：边缘服务器的处理能力通常是云基础设施的 10-100 倍，限制可部署模型的参数量在百万级别，而非亿万级别。管理分布式网络的复杂性呈非线性增长。协调成千上万设备的版本控制和更新需要复杂的编排系统[59]。物理可接触性带来的安全挑战也更加严峻，部署在零售店或公共基础设施中的边缘设备面临篡改风险，需要基于硬件的保护机制。硬件异构性进一步增加了部署的复杂性，因为不同能力的多样化平台需要不同的优化策略。边缘服务器的初始部署成本为$500-2,000，虽然这些成本会被长期的运营节省所抵消，但在大规模部署时仍需考虑。

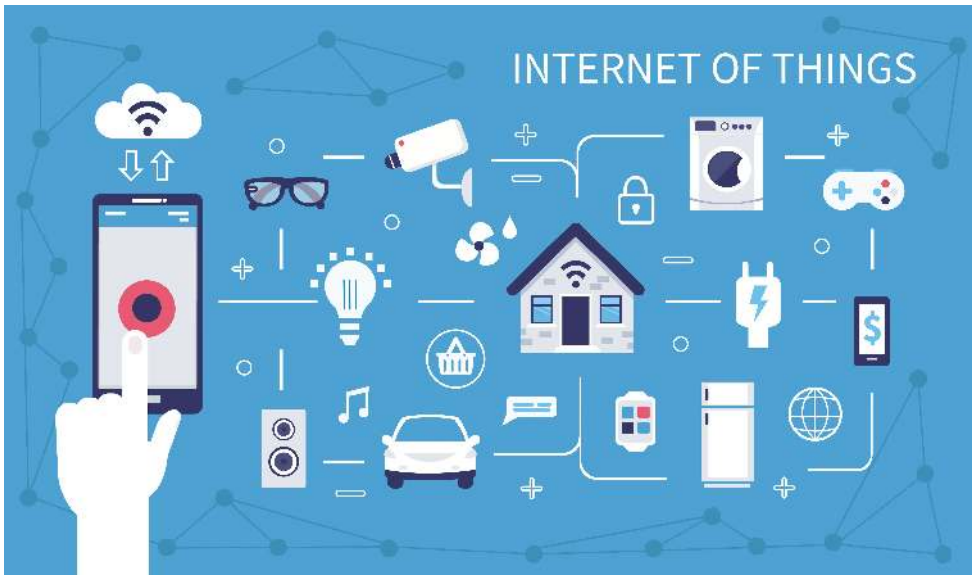

边缘设备部署：从可穿戴设备到家用电器的多样化 IoT 设备，通过本地执行推理来实现去中心化的机器学习，减少对云连接的依赖，提高响应速度。来源：Edge Impulse。

实时工业与物联网系统

在对延迟、数据隐私和操作弹性要求严格的场景中，边缘 ML 得到了广泛应用。自动驾驶汽车可能是最具挑战性的应用之一，其安全关键决策必须在毫秒级别内完成，基于无法传输到远程服务器的传感器数据。特斯拉的全自动驾驶系统就是一个例子，它的边缘

58. **边缘服务器的限制**：典型边缘服务器具有 1-8GB 内存和 2-32GB 存储，而云服务器则具有 128-1024GB 内存和 PB 级存储。处理能力相差 10-100 倍，需要专门的模型压缩技术。
59. **边缘网络协调**：对于 n 个边缘设备，潜在的通信路径数量为 n(n-1)/2。一个由 1,000 个设备组成的网络有 499,500 条可能的连接。Kubernetes K3s 等平台有助于管理这一复杂性。

硬件能够在<10ms 内处理来自八个摄像头的输入，做出驾驶决策，而这一延迟是云处理由于网络原因无法实现的。

智能零售环境则展示了边缘 ML 在带宽密集型、敏感隐私的应用中的实际优势。Amazon Go 商店通过数百个摄像头的实时视频流处理，跟踪顾客的移动和商品选择，实现无现金自助购物。这一基于边缘的方案同时解决了技术和隐私问题：数百个摄像头的高分辨率视频传输需要超过 200Mbps 的带宽，而本地处理确保顾客视频数据不离开商店，消除了隐私担忧和合规风险。

工业物联网 [60] 利用边缘 ML 实现对生产效率和工人安全有直接影响的应用。制造设施部署边缘 ML 系统进行实时质量控制，视觉系统以超过每分钟 60 个零件的速度检查焊接质量，并进行预测性维护 [61]，监控每个设施超过 10,000 个工业资产。这种方法在各制造行业实现了 25-35% 的计划外停机时间减少。

智能建筑利用边缘 ML 在网络故障期间优化能耗，同时保持操作连续性。配备边缘建筑管理系统的商业建筑，处理来自 5,000-10,000 个传感器的数据，监测温度、占用率、空气质量和能耗，边缘处理将云端传输需求减少 95%，同时实现亚秒级响应时间。医疗保健应用同样利用边缘 ML 进行病人监测和手术辅助，通过本地处理保持 HIPAA 合规，同时实现实时手术指导的<100ms 延迟。

移动 ML：个人化与离线智能

边缘 ML 解决了云端部署的延迟和隐私限制，但也带来了新的约束：对专用边缘基础设施的需求、持续的网络连接以及可观的前期硬件投资。数十亿个人计算设备（智能手机、平板电脑和可穿戴设备）的普及，使得将智能直接带入用户手中成为可能。移动 ML 正是这一趋势的产物，优先考虑用户的接近性、离线能力和个性化体验，同时在电池供电设备固有的严格功耗和热量限制下运行。

移动 ML 将机器学习直接集成到可携带设备中，如智能手机和平板电脑，为用户提供实时、个性化的功能。当用户隐私、离线操作和即时响应比计算复杂性更为重要时，这一范式表现尤为出色。移动 ML 支持语音识别 [62]、计算摄影 [63] 和健康监测等应用，同时通过设备内计算保护数据隐私。这些电池供电的设备必须在性能与能效、热管理之间取得平衡，适合频繁、短时的 AI 任务。

60. **工业 4.0**：将网络物理系统整合到制造中的第四次工业革命。预计将全球生产率提高 20-30%，成本降低 15-25%。
61. **预测性维护**：基于设备状态的 ML 驱动维护调度。减少计划外停机时间 35-45%，成本降低 20-25%。GE 通过预测性分析每年节省 15 亿美元。
62. **语音识别演变**：苹果的 Siri（2011 年）依赖云端处理，延迟为 200-500ms。到 2017 年，设备内处理将延迟降低到<50ms，同时提升了隐私保护。现代智能手机以每秒 20-30ms 的延迟处理 16kHz 音频。
63. **计算摄影**：通过多次曝光和 ML 算法增强图像质量。谷歌的夜视模式在 6 秒内捕捉 15 帧，通过 ML 对齐和合并。人像模式则利用深度估计 ML 模型实时创建专业级虚化效果。

移动 ML 定义

移动机器学习（Mobile ML）_使机器学习模型能够直接在_可携带的电池供电设备（如智能手机和平板电脑）上运行。其功率范围在_单瓦到十瓦_之间，利用_设备内计算_提供_个性化和响应迅速的应用_。该范式保护_隐私_并确保_离线功能_，但必须在_性能_与_电池寿命、存储限制_之间取得平衡。接下来将通过四个关键维度分析移动 ML，揭示该范式如何在能力与约束间取得平衡。图 7 概述了移动 ML 的能力。

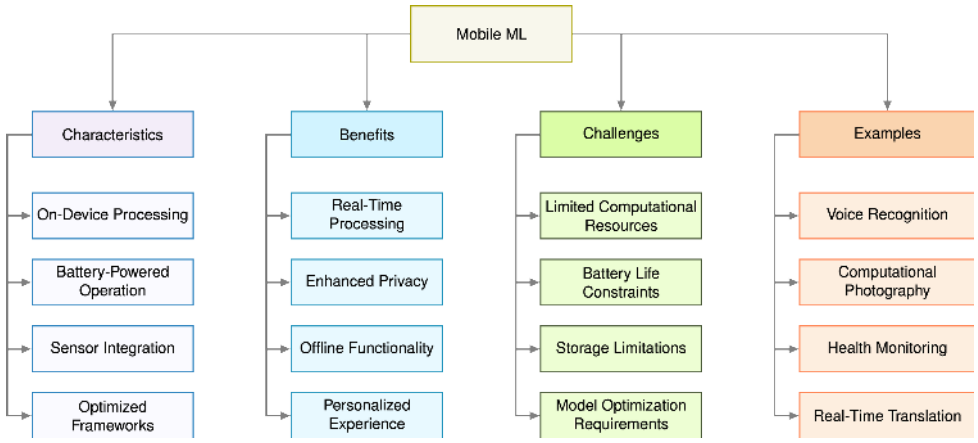

移动 ML 能力：移动机器学习系统通过设备内处理、专用硬件加速和优化框架，在性能与资源约束间取得平衡。该图概述了在移动设备上部署 ML 模型的关键考虑因素，包括计算效率、电池寿命和模型性能之间的权衡。

移动设备的约束介于边缘设备与云设备之间：8GB 内存、128GB-1TB 存储、通过神经处理单元[64]实现的 1-10 TOPS AI 计算，功耗为 3-5W。系统级芯片架构[65]将计算与内存集成，以最小化能耗。25-50 GB/s 的内存带宽将模型限制在 10-100MB 参数，需通过激进的优化（第 10 章：模型优化）来适应。电池限制（18-22Wh 容量）使得能量优化至关重要：1W 的持续 ML 处理将设备使用寿命从 24 小时缩短至 18 小时。专用框架（TensorFlow Lite[66]、Core ML[67]）提供硬件优化的推理，确保<50ms 的用户界面响应时间。

64. **神经处理单元（NPU）**：针对神经网络运算优化的专用处理器。苹果的神经引擎每秒执行 6000 亿次操作，Qualcomm 的 Hexagon NPU 在<1W 功耗下提供高达 75 TOPS 的性能。
65. **移动系统级芯片**：现代旗舰 SoC 将 CPU、GPU、NPU 和内存控制器集成在单个芯片上。苹果的 A17 Pro 在 3nm 工艺下集成了 190 亿个晶体管。
66. **TensorFlow Lite**：谷歌于 2017 年推出的移动 ML 框架，旨在运行<100MB、<100ms 推理时间的模型。现已应用于超过 40 亿台设备。
67. **Core ML**：苹果于 2017 年在 iOS 11 中推出的框架，针对设备内推理进行了优化。支持 1KB 到 1GB 的模型，并自动优化以适配苹果硅。

移动 ML 的优势与资源约束

移动 ML 在提供响应迅速、保护隐私的用户体验方面表现出色。实时处理实现了<10ms 的延迟，确保了面部检测在 60fps 下低于 5ms 的延迟，语音唤醒检测在 2-3ms 内响应。隐私通过设备内处理得到保障，所有数据均在本地处理，Face ID 的生物识别数据完全在硬件隔离的安全区内处理 [68]，键盘预测在用户数据上本地训练，健康监测在无复杂基础设施要求下保持 HIPAA 合规。离线功能消除了对网络的依赖：谷歌地图在本地分析数百万条道路段数据进行导航，翻译支持 40 多种语言对的实时翻译，模型大小为 35-45MB，准确率达到云端的 90%，音乐识别则在本地数据库中匹配。个性化深度前所未有，iOS 以 70-80% 的准确率预测用户下一个打开的应用，通知管理根据个人模式优化投递时机，摄像头系统则通过隐式反馈不断适应用户偏好。

这些优势是以显著的资源约束为代价的。旗舰手机为单个 ML 应用分配的内存仅为 100MB-1GB，占总内存的 0.5-5%，迫使模型保持在 100-500MB 以内，而云端则可部署 350GB 以上的模型。电池寿命 [69] 对用户影响明显：每小时处理 100 次推理，每次 0.1 焦耳，日常消耗 0.36% 的电池，叠加基线耗电；而视频处理以 30fps 运行则可能将电池寿命从 24 小时缩短至 6-8 小时。热降频则会不可预测地限制持续性能，A17 Pro 芯片峰值性能为 35 TOPS，但在长时间运行中仅能维持 10-15 TOPS，需采用自适应性能策略。开发复杂性在各平台间成倍增加，Core ML 和 TensorFlow Lite 需分别实现，设备异构性（尤其是 Android 从$100 的入门机型到$1,500 的旗舰机型）要求多种型号的模型。部署摩擦则带来更多挑战：应用商店审批流程需 1-7 天，无法像云端部署那样快速修复 bug。

个人助手与媒体处理

移动 ML 在多个应用领域取得了变革性成功，充分展示了设备内处理的独特优势。计算摄影或许是最显著的例子，它将智能手机相机转变为复杂的成像系统。现代旗舰手机的每张照片都经过多个 ML 处理流程：人像模式 [70] 利用深度估计和分割网络实现单反相机级别的虚化效果，夜景模式则通过 ML 对齐和合并 9-15 帧，降噪提升 10-20dB，谷歌 Pixel 更是对每张照片处理 10-15 个不同的 ML 模型，实现 HDR 合并、超分辨率和场景优化。

语音驱动的交互则展示了移动 ML 如何改变人机沟通。这些系统将超低功耗的唤醒词检

68. **移动端人脸检测**：苹果的 Face ID 使用安全区内的设备内处理生物识别数据，使得即使物理访问设备也几乎不可能提取数据。
69. **移动设备的限制**：旗舰手机通常具有 12-24GB 内存和 512GB-2TB 存储，而云服务器则具有 256-2048GB 内存和无限存储。移动处理器的峰值功耗为 15-25W，而服务器 CPU 为 200-400W。
70. **人像模式摄影**：利用双摄像头或 LiDAR 获取深度图，然后通过 ML 分割将主体与背景分离，实现实时的单反级景深效果。

测（消耗<1mW）与设备内语音识别（延迟<10ms）相结合，用于简单命令的处理。键盘预测演变为上下文感知的神经网络模型，短语预测准确率达到 60-70%，减少 30-40% 的输入工作量。实时相机翻译则以 15-30fps 的速度处理 100 多种语言，完全依赖设备内处理，实现即时视觉翻译。

通过可穿戴设备如苹果手表，健康监测从传感器数据中提取复杂信息，同时保持完全隐私。这些系统在活动检测中超过 95% 的准确率，并包括 FDA 批准的心房颤动检测，灵敏度超过 98%，在设备内处理极其敏感的健康数据，以维持 HIPAA 合规。无障碍功能通过持续的本地处理展现出变革性的社会影响：实时文本检测和识别、声音识别通过触觉反馈提醒听障用户环境提示、VoiceOver 生成视觉内容的自然语言描述。

增强现实框架利用移动 ML 实现 60fps 的实时环境理解。ARCore 和 ARKit 以厘米级精度追踪设备位置，同时映射 3D 环境，实现手部追踪（提取 21 个关节的 3D 姿势）和面部分析（50 多个关键点网格）以实现实时效果。这些应用要求持续的亚 16ms 帧时间，仅有设备内处理才能满足用户期望的无缝体验。

尽管移动 ML 展现了强大的能力，但一个常见的陷阱是试图直接将桌面训练的模型部署到移动或边缘设备，而不进行架构修改。强大的工作站上开发的模型在资源受限设备上往往会失败。以 ResNet-50 模型为例，它在推理时需要 4GB 内存（包括激活和批处理）和 40 亿次浮点运算，如果直接运行在 512MB RAM 和 1 GFLOP/s 处理器的设备上，将无法实现。除了简单的资源违规，针对桌面的优化模型可能使用移动硬件不支持的操作（专用数学运算）、假设浮点精度而嵌入式系统不具备，或需要与单样本推理不兼容的批处理。成功部署要求从一开始就进行架构感知设计，包括针对移动设备的专用架构技术、仅整数运算的微控制器，以及在降低计算量的同时保持准确性的优化策略。

Tiny ML：超大规模的感知

从云端到边缘再到移动的演进，展示了智能如何在计算平台上逐步分布，但每一步仍需相当的资源。即使是移动设备，凭借其复杂的处理器和数 GB 的内存，仍处于全球计算格局的相对特权地位，需求以瓦特计的功耗和数百美元的硬件投资。对于真正普及的智能（每个表面都有传感器、每台机器都有监控、每个物体都有智能），这些资源需求仍然过于高昂。Tiny ML 通过将智能推向其绝对极限，完成了这一部署谱系的构建，使用成本低于$10、功耗低于 1 毫瓦的设备。这一范式不仅在技术上实现了普遍感知的可行性，更在经济上使其在大规模应用中成为可能。

与移动 ML 需要数 GB 内存和多核处理器的复杂硬件不同，Tiny 机器学习在具有千字节 RAM 和单美元价格点的微控制器上运行。这一极端约束迫使我们在机器学习部署的思路上发生重大转变，优先考虑超低功耗和极小成本，而非计算复杂性。这一结果使得在其他任何规模下都不可能实现的新类型应用成为可能。

Tiny ML 将智能带入最小的设备中，从微控制器[71]到嵌入式传感器，在资源极为受限的环境中实现实时计算。这一范式在需要普遍感知、自主操作和极端能效的应用中表现出色。Tiny ML 系统支持预测性维护、环境监测和简单手势识别等应用，同时针对能效进行了优化[72]，通常在有限的电源如纽扣电池上运行数月或数年[73]。这些系统在偏远或断网环境中提供可行的解决方案，克服了电源、连接和维护访问的限制。

> **Tiny ML 定义**
>
> **Tiny 机器学习（Tiny ML）**_是指在_超受限设备（如微控制器和传感器）上执行机器学习模型。这些设备的功率范围在_毫瓦到亚瓦_之间，优先考虑_能效_和_紧凑性_。Tiny ML 实现了在资源受限环境中的_本地决策_，在需要_有限电源下的长期运行_的应用中表现出色。然而，由于计算资源极为有限，其应用范围也受到限制。

接下来将通过四个关键维度分析 Tiny ML，概述本章讨论的 Tiny ML 的关键特征。图 8 概述了 Tiny ML 的关键特征。

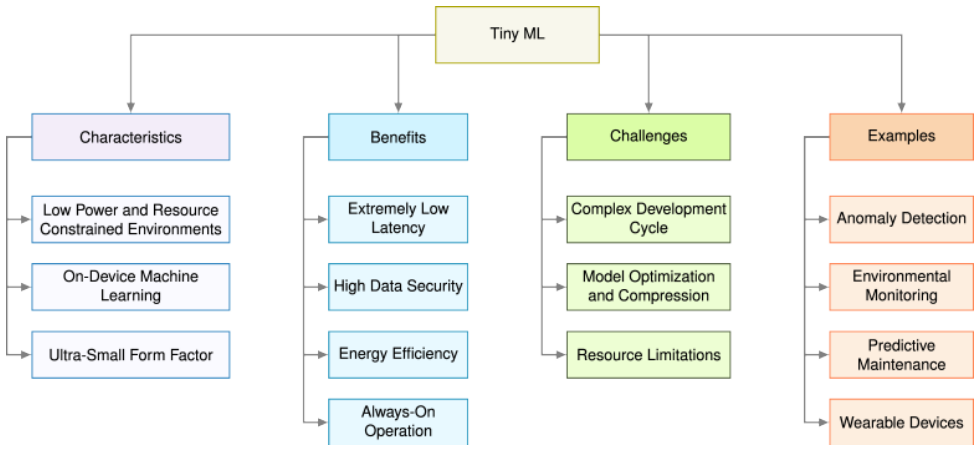

TinyML 系统特征：受限设备的设计需要关注效率，在模型复杂性、准确性和能耗之间进行权衡，同时实现嵌入式应用中的本地智能和实时响应。该图概述了 TinyML 的关键方面，包括资源限制的挑战、示例应用以及设备内机器学习的好处。

71. **微控制器**：集成 CPU、内存和外设的单芯片计算机，通常在 1-100MHz 下运行，具有 32KB-2MB 的 RAM。Arduino Uno 使用 ATmega328P，具有 32KB 的闪存和 2KB 的 RAM，而 ESP32 则提供 520KB 的 RAM 和 WiFi 功能，仍然比智能手机少数千倍。
72. **TinyML 中的能效**：超低功耗使其能够在偏远地区部署。现代 ARM Cortex-M0+ 微控制器在睡眠模式下消耗<1μW，活动时为 100-300μW/MHz。高效的 ML 推理可以在单个纽扣电池上运行数年。
73. **纽扣电池**：提供 200-250mAh、3V 的圆形小型电池（CR2032 为最常见）。当以 10-50mW 的平均功耗为 TinyML 设备供电时，这些电池可以使设备运行 1-5 年，实现“部署即忘”的物联网应用。

极端资源限制

TinyML 在硬件极限下运行：Arduino Nano 33 BLE Sense（256KB RAM、1MB Flash、0.02-0.04W、$35）和 ESP32-CAM（520KB RAM、4MB Flash、0.05-0.25W、$10）分别比云系统减少了 30,000-50,000 倍的内存和 160,000 倍的功耗（图 9）。这些约束实现了数月或数年的自主运行[74]，但要求专门的算法在<1 TOPS 算力和微秒级响应时间下提供可接受的性能。设备尺寸从手掌大小到 5x5mm 芯片不等[75]，使其能够在以前无法想象的环境中实现普遍感知。

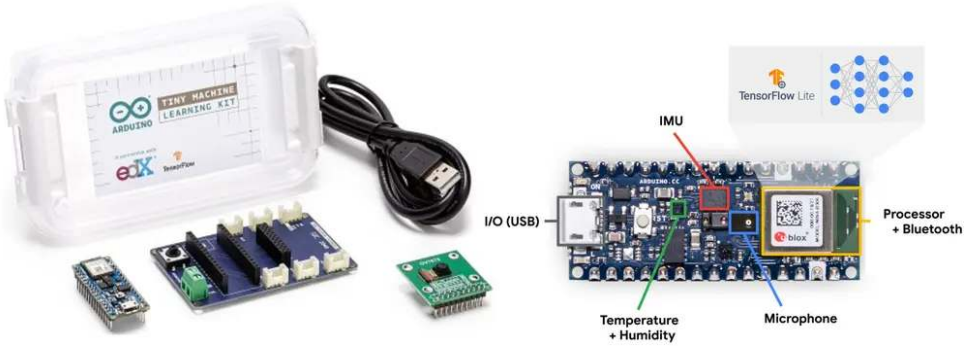

TinyML 系统规模：这些设备套件展示了 TinyML 实现的极端小型化，使机器学习能够在资源受限、功耗和内存有限的设备上部署。这种紧凑系统的出现，拓宽了 ML 在以前无法接触的边缘应用中的适用性，包括可穿戴传感器和嵌入式物联网设备。

TinyML 的优势与操作权衡

TinyML 在其他规模下无法实现的独特优势，使其在某些应用场景中具有变革性潜力。微秒级的延迟消除了所有传输开销，实现了 10-100µs 的响应时间，满足了对亚毫秒决策的应用需求：工业振动监测以 10kHz 的采样率处理，延迟低于 50µs；音频唤醒词检测分析 16kHz 音频流，延迟低于 100µs；精密制造系统以超过每分钟 1000 个零件的速度进行检测。对于大规模部署而言，TinyML 的经济优势同样显著：完整的 ESP32-CAM 系统仅需$8-12，使得 1000 个传感器的部署成本仅为$10,000，而蜂窝网络替代方案则需$500,000-1,000,000。农业监测在$5,000-30,000 之间即可覆盖 100 公顷，而基于摄像头的系统则需$100,000-200,000 以上；而 10 万个传感器的城市级网络，使用 TinyML 的成本为$1-2 百万，而边缘替代方案则需$50-100 百万。能量效率使得设备在纽扣电池上以 1-10mW 的功耗运行数年，支持如野生动物追踪、混凝土结构健康监测和无电力基础设施下的农业传感器等应用。通过太阳能、振动或热量等方式的能量收

74. **设备内训练的限制**：由于内存限制，微控制器很少支持完整的训练。相反，它们使用迁移学习进行最小的设备内调整或联邦学习聚合。
75. **TinyML 设备规模**：最小的 ML 设备仅为 5x5mm（Syntiant NDP 芯片）。谷歌的 Coral Dev Board Mini（40x48mm）则集成了 WiFi 和完整的 Linux 功能。

集，甚至可以实现设备的永久运行。由于数据始终保留在传感器内，隐私保护优于其他所有范式，提供了无法通过加密强度实现的数学保障。

这些能力的实现以巨大的权衡为代价。计算约束极大：微控制器提供的 RAM 为 256KB-2MB，而智能手机为 12-24GB（差距达 5,000-50,000 倍），迫使模型保持在 100-500KB，参数量在 10,000-100,000 之间，而移动设备为 1-10 百万参数。开发复杂性要求跨越神经网络优化、硬件级内存管理、嵌入式工具链和专用调试（使用示波器和 JTAG 调试器）等多个领域的专业知识，涵盖多种微控制器架构。模型准确性因极端压缩而下降，TinyML 模型通常仅实现云端模型准确性的 70-85%，而移动设备为 90-95%，这限制了其在对精度要求高的应用中的适用性。部署灵活性受限，设备通常运行单一固定模型，更新时需耗费大量电力进行固件刷新，且存在刷坏设备的风险。初始部署决策至关重要，因为设备的操作寿命可达数年。生态系统的碎片化[76]（微控制器供应商和 ML 框架之间）带来了巨大的开发开销和平台锁定挑战。

TinyML 在环境与健康监测中的应用

Tiny ML 在其独特优势得以发挥的领域取得了显著成功 —— 超低功耗、极小成本和数据隐私保护，使得其他范式下无法实现的应用成为可能。工业预测性维护展示了 TinyML 通过分布式智能改造传统基础设施的能力。制造设施部署数千个振动传感器，连续运行 5-10 年，仅需$15-50 的成本，相比传统有线传感器每点$500-2,000 的费用，部署成本从$5-20 百万降至$150,000-500,000，局部异常检测则可提前 7-14 天预警设备故障，实现计划外停机时间减少 25-45%。

唤醒词检测是 TinyML 最显著的消费级应用，数十亿设备以<1mW 的功耗实现持续监听。这些系统以 16kHz 音频流处理神经网络，参数量在 5,000-20,000 之间，压缩至 10-50KB，检测唤醒词的准确率超过 95%。亚马逊的 Echo 设备使用消耗<10mW 的专用 TinyML 芯片 AML05 进行检测，仅在唤醒词触发时激活主处理器，平均功耗降低 10-20 倍[77]。

精准农业利用 TinyML 的经济优势，在传统解决方案成本过高的情况下实现监测。监测 100 公顷土地大约需要 1,000 个监测点，TinyML 使其成本降至$15,000-30,000，而蜂窝连接的替代方案则需$100,000-200,000 以上。这些传感器在电池上可连续工作 3-5 年，同时进行时间模式的本地分析，仅传输可操作的见解，而非原始数据流。

野生动物保护则展示了 TinyML 在偏远环境监测中的变革潜力。研究人员部署太阳能供电的音频传感器，消耗 100-500mW，处理连续音频流以识别物种。通过本地分析，这

76. **TinyML 模型优化**：专用技术可大幅减少模型大小。典型的 50MB 智能手机模型可能优化到 250KB 用于微控制器部署，同时保留 95% 的准确性（详见第 10 章：模型优化）。
77. **TinyML 在健身追踪器中的应用**：苹果手表通过加速度计数据检测跌倒，并利用设备内 ML 自动拨打紧急服务。该算法实时分析运动模式，功耗<1mW。

些系统将卫星传输需求从每天 4.3GB 减少到 400KB，减少了 10,000 倍，使得大规模部署 100-1,000 个传感器成为经济上可行。医疗可穿戴设备实现 FDA 批准的心电监测，灵敏度在 95-98% 之间，每秒处理 250-500 个 ECG 样本，功耗低于 5mW。这一效率使得连续监测时间从传统实验室研究的数小时延长至数周，同时将诊断成本从$2,000-5,000 降至$100 以下。

混合架构：范式结合

对各个独立部署范式的分析 —— 从云端的强大计算能力到 Tiny ML 的超高能效 —— 揭示了工程权衡的谱系，每种范式在特定约束和用例下具有独特的优势和局限性。云端 ML 最大化算法复杂度，但带来了延迟和隐私的约束；边缘 ML 降低了延迟，但对计算资源的要求更为严格；移动 ML 优先考虑用户体验，但受到电池寿命和热管理的限制；Tiny ML 在极端能效下实现普遍智能，但模型复杂度受到严重限制。每种范式在其特定的约束和应用场景中都经过优化。

然而，实际生产系统很少仅限于单一范式，因为每种方法的局限性为互补集成创造了机会。一个同时使用 Tiny ML 进行唤醒词检测、移动 ML 进行本地语音识别、边缘 ML 进行上下文处理和云端 ML 进行复杂自然语言理解的语音助手，展示了更强大的处理能力。混合机器学习正式化了这种集成策略，创建统一的系统，利用每种范式的互补优势，同时减轻各自的局限。

> **混合 ML 定义**
>
> **混合机器学习（Hybrid ML）**_是指将多种 ML 范式（云端、边缘、移动和 Tiny ML）集成以形成统一的分布式系统。这些系统通过在计算层之间战略性地分配工作负载，利用互补的优势，同时减轻各自的局限，实现_可扩展性、适应性_和_隐私保护，这是单一范式无法实现的。

多层级集成模式

混合 ML 设计模式提供了有效集成范式的可重用架构解决方案。每种模式代表了一种战略性的方法，通过在计算层之间分配 ML 工作负载，针对延迟、隐私、资源效率和可扩展性的特定权衡进行优化。

本分析确定了五种基本模式，解决混合 ML 系统中的常见集成挑战。

训练 - 服务分离

最常见的混合模式之一是训练 - 服务分离，即模型在云端训练，但推理发生在边缘、移动或 Tiny 设备上。这一模式利用云端强大的计算资源进行训练，同时享受设备内推理带来的低延迟和隐私保护[78]。例如，智能家居设备通常在云端大数据集上训练模型，但在本地运行推理，以确保快速响应和保护用户隐私。实际上，这可能涉及在强大的 NVIDIA DGX A100 等系统上训练模型，利用其 8 个 A100 GPU 和 TB 级内存，然后将优化后的版本部署到边缘设备如 NVIDIA Jetson AGX Orin 上进行高效推理。类似地，移动设备上的计算摄影模型通常在强大的云基础设施上训练，但部署时需在手机硬件上高效运行。

层级处理

层级处理创建了一个多层级系统，数据和智能在 ML 堆栈的不同层级之间流动。这一模式有效结合了云端 ML 系统（如前文讨论的大规模训练基础设施）与多个边缘 ML 系统（如 NVIDIA Jetson 平台）的能力，平衡了中央处理能力与本地响应能力。在工业物联网应用中，微小传感器可能执行基本的异常检测，边缘设备则聚合和分析来自多个传感器的数据，而云系统则处理复杂的分析和模型更新。例如，ESP32-CAM 设备（来自 Tiny ML 示例）可能在传感器级别执行基本的图像分类，将数据传输到 Jetson AGX Orin 设备（来自边缘 ML 案例研究）进行更复杂的计算机视觉任务，最终连接云基础设施进行复杂分析和模型更新。

这种层级结构使得每个层级可以处理适合其能力的任务。Tiny ML 设备处理即时、简单的决策；边缘设备管理本地协调；云系统则处理复杂的分析和学习任务。智能城市的建设通常采用这一模式，街道传感器将数据传输到社区边缘处理器，后者再连接到城市级云分析。

渐进式部署

渐进式部署通过在计算层之间适应模型，创建分层智能架构，系统地压缩模型。一个模型可能最初是云端的大型版本，然后逐步优化为边缘服务器、移动设备，最后是 Tiny 传感器，具体技术详见第 10 章：模型优化。

亚马逊 Alexa 就是这一模式的典范：唤醒词检测在 TinyML 设备上使用<1KB 的模型，功耗<1mW，边缘处理则使用 1-10MB 的模型，功耗 1-10W，而复杂的自然语言理解则需要在云基础设施中使用 GB 级别的模型。这种分层方法将云端推理成本降低了 95%，

78. **训练 - 服务分离经济学**：训练大模型的成本可能在$1-10 百万之间（GPT-3：训练计算成本为$460 万），但高效部署后的推理成本则低于每次查询$0.01。这种高达 1,000,000 倍的成本差异，推动了训练在云端进行而推理在边缘进行的模式。

同时保持了用户体验。

然而，渐进式部署带来了操作复杂性：跨层级的模型版本控制、确保各版本间的一致性、管理连接中断期间的故障级联，以及在数百万设备上协调更新。生产团队必须在 TinyML 优化、边缘编排和云端扩展等多个领域保持专业知识。

联邦学习

联邦学习[79] 使得在保持隐私的前提下，从分布式数据中学习成为可能。谷歌的生产系统处理 60 亿个移动键盘，通过本地保留输入文本的方式训练改进模型。每轮训练涉及 100-10,000 个设备贡献模型更新，需要协调设备可用性、网络状况和计算异构性。

生产部署面临着重大挑战：训练轮次中设备掉线率高达 50-90%，网络带宽限制了更新频率，差分隐私机制则防止信息泄露。聚合服务器必须处理间歇性连接、不同设备能力，并确保尽管数据分布非独立同分布（non-IID），仍能实现模型收敛。这需要专门的监控基础设施，以跟踪分布式训练进度并在不访问原始数据的情况下进行故障排除。

协作学习

协作学习使得同层设备之间可以进行点对点学习，通常补充层级结构[80]。例如，自主驾驶车队可以直接在车辆之间共享道路状况或交通模式的学习，同时与云基础设施通信。这种横向协作使系统能够共享实时信息，并相互学习经验，而无需始终通过中央服务器路由。

生产系统案例研究

真实世界的实施将多种设计模式集成到连贯的解决方案中，而不是孤立地应用它们。生产 ML 系统形成了互联网络，每个范式在特定角色中发挥作用，同时与其他范式通信，遵循利用各自优势和解决局限的集成模式。

图 10 通过特定的连接类型展示了这些关键交互：“部署”路径显示了模型如何从云端训练到各种设备，“数据”和“结果”则显示了从传感器通过处理阶段到云端分析的信息流，“同步”演示了设备间的协调。注意数据通常是从传感器通过处理层向上流动到云端分析，而模型部署则是从云端训练向下流向各个推理点。交互并非严格的层级关系。移动设备可能同时与云服务和 Tiny 传感器直接通信，而边缘系统则可以协助移动设备进行复杂的处理任务。

79. **联邦学习架构**：协调数百万设备的学习，而无需集中数据。谷歌的联邦学习处理 60 亿个移动键盘，通过本地保留输入文本的方式训练改进模型。每轮训练涉及 100-10,000 个设备贡献模型更新。
80. **分层语音处理**：亚马逊 Alexa 使用三级系统：在设备上进行微小的唤醒词检测（<1KB 模型），边缘处理简单命令（1-10MB 模型），云处理复杂查询（GB+ 模型）。这将云端处理成本降低了 95%，同时保持了功能性。

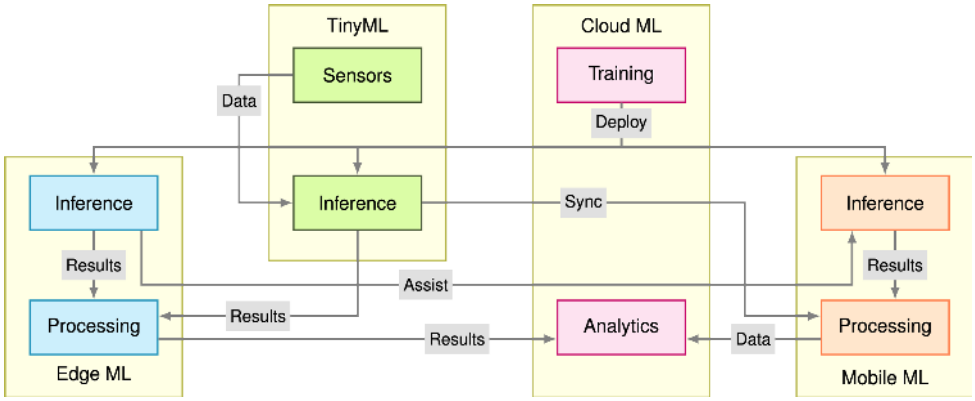

混合系统交互：数据从传感器向上流动，通过处理层到云端分析以获取见解，而训练好的模型则从云端向下部署，以便在边缘、移动和 Tiny ML 设备上推理。这些连接类型（部署、数据/结果、分析和同步）建立了一个分布式架构，其中每个范式为整体机器学习系统贡献独特的能力。

农业监测展示了层级数据流：土壤传感器执行本地异常检测，将结果传输到边缘处理器，后者汇总来自多个传感器的数据，然后将见解路由到云基础设施进行农场范围的分析，同时向农民的移动应用更新。信息沿着处理层向上流动，每个层级根据其计算资源增加分析复杂性。

健身追踪器则展示了 Tiny ML 与移动设备之间的网关模式：可穿戴设备使用针对微控制器优化的算法持续监测活动，将处理过的数据同步到智能手机，后者结合来自多个来源的指标，然后定期将更新传输到云基础设施进行长期分析。这使得尽管缺乏直接的网络连接，微小设备仍能参与大规模系统。

这些集成模式揭示了部署范式如何通过协调的数据流、模型部署和跨层级协助互为补充。工业系统将云端、边缘、移动和 Tiny ML 的能力组合成分布式架构，优化延迟、隐私、成本和操作要求。范式之间的交互往往比单个组件的能力更能决定系统的成功。

跨部署范式的共享原则

尽管存在差异，所有 ML 部署范式共享核心原则，使系统化理解和有效混合成为可能。图 11 展示了从云到微型设备的多样化实现如何在数据管道管理、资源管理和系统架构等核心挑战上趋同。这种趋同解释了为何技术能够在范式间有效转移，以及混合方法在实践中成功的原因。

最上层展示了贯穿各范式的 ML 系统实现。云端 ML 在数据中心进行大规模训练，边缘 ML 则侧重于本地推理，移动 ML 运行在个人设备上以服务用户，TinyML 则在极为受限的系统上执行。尽管表面上存在差异，这些实现却在底层展现出更深层次的共性。

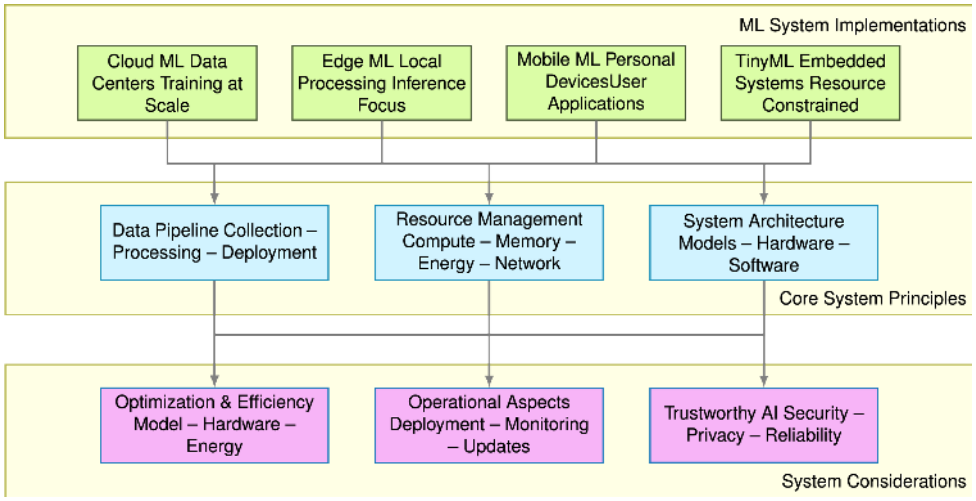

ML 系统的趋同：跨云、边缘、移动和 Tiny 等多种机器学习部署共享数据管道、资源管理和系统架构等基础原则，使混合解决方案和系统化设计方法成为可能。理解这些共享原则使从业者能够跨不同范式调整技术，构建尽管约束和优化目标各异但依然高效、连贯的 ML 工作流。

中间层则识别出团结所有范式的核心系统原则。数据管道管理（第 6 章：数据工程）负责从数据收集到部署的信息流，无论是在云数据中心处理 PB 级数据，还是在微控制器上处理 KB 级数据，都保持一致的模式。资源管理在各个规模上创造了平衡计算、内存、能源和网络容量等竞争需求的普遍挑战。系统架构原则则指导无论部署环境如何，模型、硬件和软件组件的集成。这些基础原则在各个规模上保持了一致性，即使实现方式相差数个数量级。

最底层则展示了这些原则在实际维度上的具体体现。各个规模的优化和效率策略（第 10 章：模型优化）形式各异：云端的 GPU 集群训练、边缘的模型压缩、移动的热管理和 TinyML 的数值精度，但都追求在可用资源内最大化性能。运营方面（第 13 章：机器学习运维）则以各自特有的方式解决部署、监控和更新问题，但面临的挑战在本质上是相似的。对可信 AI（第 17 章：可信 AI，第 16 章：稳健 AI）的安全、隐私和可靠性要求是普遍适用的，但实现技术必须适应每个部署环境。

这种三层结构解释了技术为何能够在各个规模间有效转移。云端训练的模型能够成功部署到边缘设备，因为训练和推理在不同约束下优化了相似的目标。移动优化的见解能够为云端效率策略提供参考，因为两者都管理着相同的基本资源权衡。TinyML 的创新推动了跨范式的进步，正因为其极端约束迫使其解决所有规模上普遍存在的核心问题。混合方法（训练 - 服务分离、层级处理、联邦学习）之所以有效，是因为其底层原则在各个范式间是一致的，使得尽管存在巨大的资源差异，集成依然能够无缝进行。

比较分析与选择框架

基于对共享原则的理解，跨部署范式的系统比较揭示了驱动部署决策的精确权衡，并突显了每种范式的优势应用场景，为从业者提供了进行明智架构选择的分析框架。

计算资源与部署位置之间的关系是 ML 系统中最重要的比较之一。随着我们从云端部署转向 Tiny 设备，计算能力、存储和能耗都显著下降。云端 ML 系统凭借其数据中心基础设施，几乎可以利用无限的资源，以 PB 级别的规模处理数据，以十亿级别的参数训练模型。边缘 ML 系统虽然受限，但仍通过边缘 GPU 和神经处理单元等专用硬件提供显著的计算能力。移动 ML 则在智能手机和平板电脑等设备上实现计算能力与能效的平衡。位于谱系最末端的 TinyML，在计算资源极为受限的情况下运行，内存通常仅有千字节级别，功耗则低于 1 毫瓦。

方面	**云端 ML**	**边缘 ML**	**移动 ML**	**Tiny ML**
性能				
处理位置	集中式云服务器(数据中心)	本地边缘设备(网关、服务器)	智能手机和平板电脑	超低功耗微控制器和嵌入式系统
延迟	高（100 ms-1000 ms+）	中等（10-100 ms）	低 - 中等（5-50 ms）	非常低（1-10 ms）
计算能力	非常高（多个 GPU/TPU）	高（边缘 GPU）	中等（移动 NPU/GPUs）	非常低(MCU/微型处理器)
存储容量	无限（PB 级以上）	大（TB 级）	中等（GB 级）	非常有限（KB-MB 级）
能耗	非常高（千瓦 - 兆瓦级）	高（数十瓦）	中等（1-10 瓦）	非常低（毫瓦级）
可扩展性	极佳（几乎无限）	良好(受限于边缘硬件)	中等（按设备扩展）	有限（固定硬件）

方面	云端 ML	边缘 ML	移动 ML	Tiny ML
操作				
数据隐私	中等（数据离开设备）	高(数据留在本地网络)	高（数据留在手机上）	非常高(数据从不离开传感器)
所需连接性	持续高带宽	间歇性	可选	无
离线能力	无	良好	优秀	完全
实时处理	依赖网络	良好	非常好	优秀
部署				
成本	高（每月$1000以上）	中等（$100 到 $1000）	低（$0-10）	非常低（$1-10）
硬件要求	云基础设施	边缘服务器/网关	现代智能手机	MCU/嵌入式系统
开发复杂性	高(需要云端专业知识)	中等 - 高（边缘 + 网络管理）	中等（移动 SDK）	高（嵌入式专业知识）
部署速度	快	中等	快	慢

表 2 量化了各范式在性能、操作和部署维度上的差异，清晰地揭示了延迟（云：100-1000ms → 边缘：10-100ms → 移动：5-50ms → Tiny：1-10ms）和隐私保障（TinyML 的完全本地处理提供最强保障）的梯度。

图 12 通过雷达图展示了性能和操作特征。图 a 对比了计算能力和可扩展性（云端 ML 的优势）与延迟和能量效率（TinyML 的优势），边缘和移动 ML 则处于中间位置。

开发复杂性与硬件能力呈反比：云端和 TinyML 需要深入的专业知识（分别是云基础设施和嵌入式系统），而移动和边缘则利用更易获取的 SDK 和工具。成本结构则呈现相反

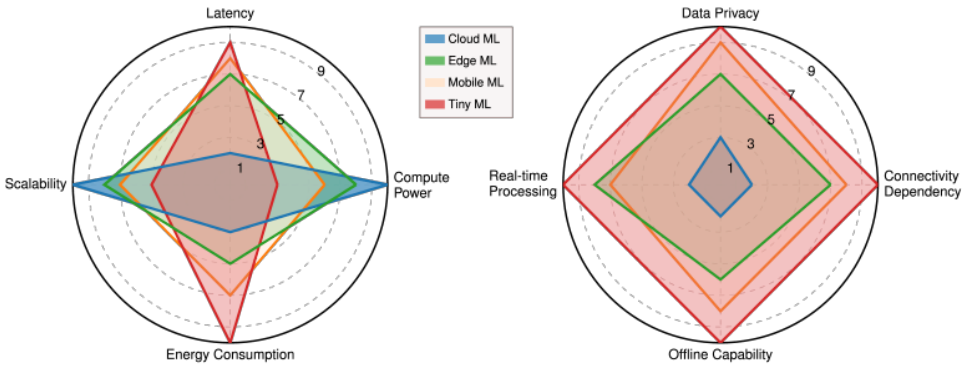

ML 系统权衡：雷达图量化了云、边缘、移动和 Tiny ML 范式在计算能力、延迟、能量消耗和可扩展性等方面的性能和操作特征。通过这些可视化，能够根据应用特定的约束和优先级，选择最合适的部署方案。

的趋势：云端带来持续的运营开支（每月$1000 以上），边缘需要适度的前期投资（$100 到$1000），移动利用现有设备（$0-10）以最小化基础设施开支，而 TinyML 则通过降低硬件和连接成本（$1-10）来实现最低成本，同时需要更高的开发投资。

理解这些权衡对于选择合适的部署策略至关重要，以使应用需求与范式能力相匹配。

选择部署范式时，一个关键的误区是仅仅根据模型准确性指标进行选择，而忽视了系统层面的约束。团队往往通过比较模型在孤立状态下的准确性来选择部署策略，忽略了决定实际可行性的关键系统需求。例如，一个在云端以 99% 准确率部署的模型，如果网络延迟超过反应时间要求，则无法用于自动驾驶紧急制动。同样，一个耗尽移动设备电池的边缘模型，尽管准确率更高，但也无法满足应用需求。成功的部署需要同时评估多个维度：延迟要求、功率预算、网络可靠性、数据隐私法规和总拥有成本。必须在模型开发之前确立这些约束，以避免在项目后期进行代价高昂的架构调整。

部署选择决策框架

选择合适的部署范式需要对应用约束进行系统评估，而非基于组织偏见或技术趋势。图 13 提供了一个分层决策框架，通过关键需求（隐私、延迟、计算需求和成本约束）逐步筛选选项。通过这一结构化方法，确保部署决策源于应用需求，扎根于前文建立的物理约束和定量比较。

仅仅依靠技术约束不足以做出全面的部署决策。组织因素同样在成功中起着关键作用，因为它们决定了团队是否具备实施和维护所选范式的能力。团队的专业知识必须与范式要求相匹配：云端 ML 需要分布式系统知识，边缘 ML 需要设备管理能力，移动 ML 需要平台特定的优化技能，而 TinyML 则需要嵌入式系统的专业知识。缺乏相应技能的组织，可能面临较长的开发周期和持续的维护挑战，从而削弱技术优势。监控和维护能力

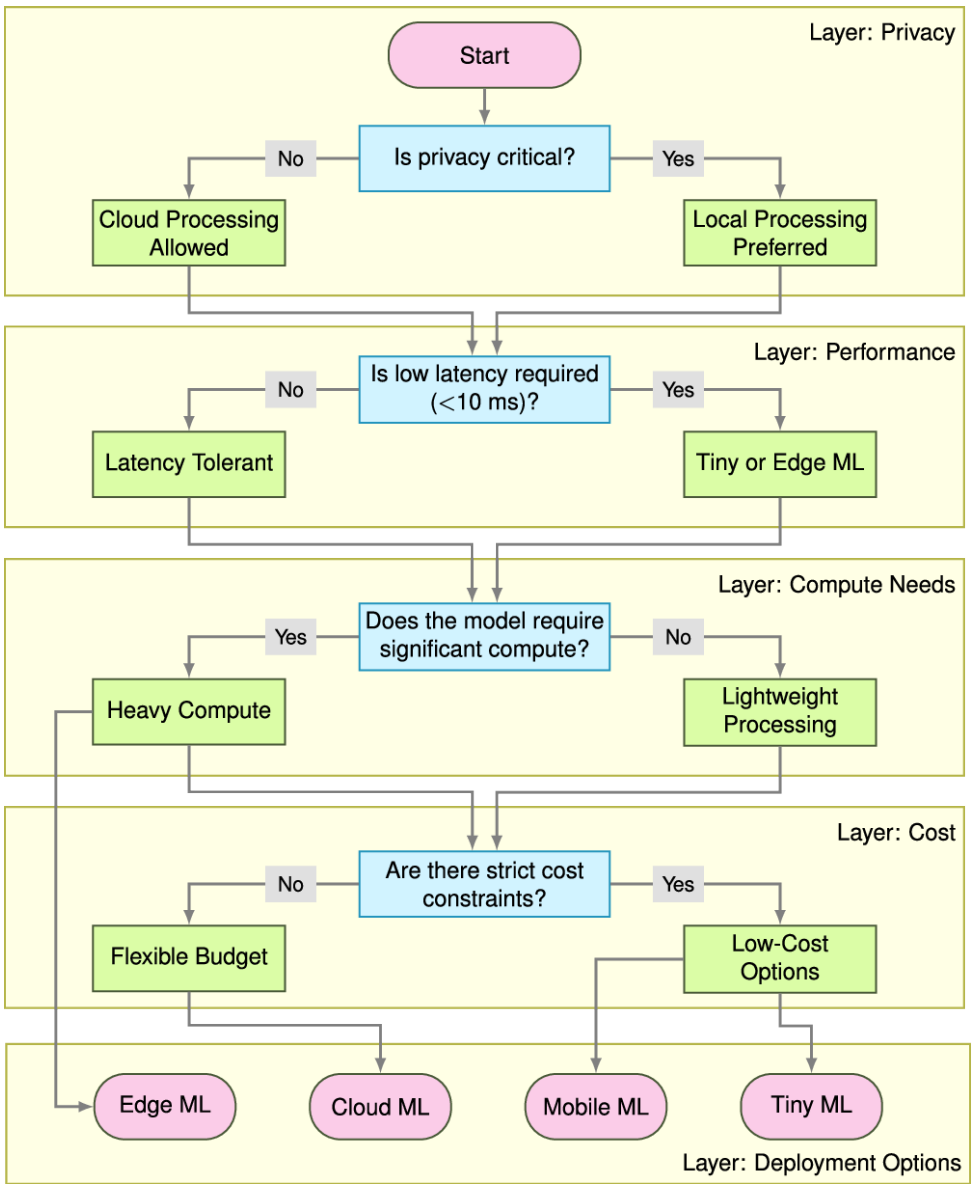

部署决策逻辑：该流程图通过系统评估隐私需求和处理约束，指导选择合适的机器学习部署范式，最终平衡性能、成本和数据安全。通过决策树的导航，帮助从业者确定云端、边缘、移动或 Tiny 机器学习最适合特定应用的方案。

同样决定了在大规模下的可行性：边缘部署需要分布式设备编排，而 TinyML 则需要专门的固件管理，许多组织可能缺乏这些能力。成本结构则通过其时间模式进一步复杂化决策：云端带来持续的运营开支，适合不可预测的工作负载；边缘需要适度的前期投资，后续成本较低；移动利用用户提供的设备，最小化基础设施开支；而 TinyML 则通过降低硬件和连接成本，同时需要较高的开发投资，来实现最低的整体成本。

成功的部署是在技术优化与组织能力之间取得平衡的结果。范式选择代表了系统工程的挑战，超越了单纯的技术需求，涵盖了团队技能、运营能力和经济约束。这些决策受到 AI 规模法则中探讨的基本缩放法则的制约，运营方面详见第 13 章：机器学习运维，基准测试方法见第 12 章：AI 基准测试。

常见误区与陷阱

理解部署范式需要识别常见的误区，以避免导致糟糕架构决策的错误思维。这些误区往往源于对机器学习系统设计核心权衡的过于简化的认识。

误区：“单一范式适用所有” - 最普遍的误区是认为一种部署方法可以解决所有 ML 问题。团队往往标准化使用云端、边缘或移动解决方案，而不考虑应用特定的约束。这一误区忽视了部署范式基础中讨论的物理约束。实时机器人技术无法忍受云端延迟，而复杂的语言模型则超出了 Tiny 设备的能力。有效的系统往往需要混合架构，战略性地利用多种范式。

误区：“边缘计算总是减少延迟” - 许多从业者认为边缘部署会自动提高响应速度。然而，边缘系统可能引入处理延迟、负载均衡开销和潜在的网络跳数，这些都可能超过直接云连接的延迟。设计不当的边缘部署，可能因本地计算能力不足而表现出比优化后的云服务更差的延迟。边缘的好处只有在本地处理时间加上减少的网络距离超过基础设施复杂性带来的成本时才会显现。

误区：“移动设备可以通过优化处理任何工作负载” - 这一误解低估了电池寿命和热管理带来的基本限制。团队往往认为模型压缩技术可以任意降低资源需求，同时保持性能。然而，移动设备面临硬性物理限制：电池容量随体积缩放，而计算需求则随模型复杂性增加。一些应用需要的计算资源是任何优化都无法在移动电源预算内实现的。

误区：“Tiny ML 只是更小的移动 ML” - 这一误区误解了资源受限范式之间的定性差异。Tiny ML 在极端约束下运行，迫使其采用与移动优化截然不同的算法方法。微控制器环境的内存限制以千字节而非兆字节计量，需要超出移动优化所采用的量化等专用技术。适合 Tiny ML 的应用本质上代表了一类与移动应用截然不同的计算问题。

误区：“成本优化等同于资源最小化” - 团队常常认为最小化计算资源就会自动降低成本。这一观点忽视了运营复杂性、开发时间和基础设施开销。云端部署可能消耗更多的

计算资源，但通过降低维护、自动扩展和共享基础设施的成本，提供更低的总拥有成本。最优的成本解决方案往往是在接受更高的单元资源消耗的前提下，换取简化的操作和更快的开发周期。

总结

本章分析了机器学习系统的多样化格局，揭示了部署上下文如何直接影响系统设计的各个方面。从云环境的庞大计算资源，到 Tiny 设备在极端约束下的运行，每种范式都展现了独特的机遇和挑战，直接影响架构决策、算法选择和性能权衡。从云端到边缘，再到移动和 Tiny ML 的谱系，反映了智能在计算基础设施上分布的重大演变。

从集中式云系统到分布式边缘和移动部署的演变，展示了资源约束如何推动创新，而不仅仅是限制能力。每种范式的出现，都是为了应对其前身的特定局限：云端 ML 利用集中式算力处理复杂任务，但必须应对延迟和隐私问题；边缘 ML 将计算移近数据源，降低延迟但引入中间资源约束；移动 ML 将这些能力扩展到个人设备，平衡用户体验与电池寿命；Tiny ML 则在极端能效下实现普遍智能，适用于以前无法接触的部署场景。这一演变展示了深思熟虑的系统设计如何将限制转化为专门优化的机遇。

> **关键要点**
>
> - 部署上下文对架构决策的影响大于算法偏好
> - 资源约束带来了创新的机遇，而非单纯的限制
> - 混合方法正成为 ML 系统设计的未来
> - 隐私和延迟的考量日益倾向于分布式智能这些范式反映了一个持续的转变，即系统被精细调整以满足特定的操作要求，超越了统一方案，朝着上下文感知的系统设计迈进。随着这些部署模型的成熟，混合架构应运而生，结合了它们的优势：云端训练配合边缘推理、移动设备间的联邦学习，以及优化整个谱系的层级处理。这一演变展示了部署上下文将如何继续推动系统架构、训练方法和优化技术的创新，创造出更复杂、更具上下文感知的机器学习系统。

然而，部署上下文只是系统设计的一个维度。运行在这些环境中的算法同样影响着资源需求、计算模式和优化策略。一个需要数 GB 内存和数十亿次浮点运算的神经网络，其部署方式与一个仅需千字节和整数比较的决策树截然不同。下一章（第 3 章：深度学习基础）将探讨神经网络的数学基础，揭示为何某些部署范式适合特定算法，以及算法选择如何贯穿整个系统栈。

第 3 章：深度学习基础

目标

为什么深度学习系统工程师需要深入理解神经网络的数学原理，而不能将其视为黑盒组件？

现代深度学习系统以神经网络为核心计算引擎，但要实现高效工程落地，必须理解其背后的数学机制。神经网络的数学原理决定了内存需求、计算复杂度和优化空间，直接影响系统设计决策。如果不了解梯度流动、激活函数和反向传播等核心概念，工程师将无法预测系统行为、诊断训练失败或优化资源分配。每一个数学运算都对应着具体的硬件需求：矩阵乘法需要每秒数 GB 的内存带宽，激活函数的选择决定了移动端处理器的兼容性。理解这些操作，能让神经网络从“黑盒”变为可预测、可工程化的系统。

学习目标

- 梳理 AI 范式从规则系统、经典机器学习到神经网络的演进，理解每一次转变背后的系统工程挑战
- 分析神经网络计算的数学基础，包括矩阵乘法、激活函数、梯度计算及其对硬件的影响
- 根据计算约束和任务需求，设计合适的神经网络结构（层次、激活函数、连接模式）
- 实现多层网络的前向传播，计算加权和并应用激活函数，将原始输入转化为分层特征
- 执行反向传播算法，计算梯度并更新权重，理解预测误差如何在网络中反向传递
- 比较训练与推理阶段的操作差异，分析不同部署场景下的资源需求与优化策略
- 评估损失函数与优化算法，解释其对训练动态、收敛行为和最终模型性能的影响
- 全面理解深度学习流水线，从数据预处理、神经计算到后处理，识别各环节的瓶颈与优化机会

深度学习系统工程基础

以识别照片中的猫为例，传统编程需要写出明确的规则：三角形耳朵、胡须、四条腿、毛发花纹，还要应对光照、角度、姿态、品种等无数变化。每一个边界情况都需要新增规则，决策树越来越复杂，遇到新情况仍然容易失败。这种“无法穷举所有复杂现实场景”的局限，推动了 AI 从规则系统到机器学习的演进。

深度学习正是这种演进的巅峰。它通过学习数百万张猫与非猫图片，自动发现区分特征，而不是手工编写规则。这种从“显式编程”到“自动学习”的转变，对系统工程提出了全新要求。

深度学习系统的工程挑战在于：它们不再像传统软件那样执行确定性算法，而是通过数学过程学习数据表示。工程师必须理解这些数学运算，才能设计、实现和维护高效的深度学习系统。

数学复杂性带来的工程影响极为重要。当生产系统性能下降时，传统调试方法往往无效。性能异常可能源于优化过程中的梯度不稳定[81]、激活计算的数值精度限制，或张量操作的内存访问模式[82]。没有数学基础，工程师无法区分实现缺陷与算法瓶颈，无法准确预估资源需求，也无法系统性地优化由底层数学操作引发的性能瓶颈。

> **深度学习定义**
>
> **深度学习** 是机器学习的一个子领域，利用 多层人工神经网络 自动学习数据的 分层表示。它能从大规模数据中提取 复杂模式，无需显式特征工程，广泛应用于 图像识别、自然语言处理、语音识别 等领域。深度学习的核心优势在于 直接从原始数据学习特征，适应多样数据结构，并能随数据量扩展而提升性能。

深度学习已成为现代 AI 的主流方法，突破了早期方法的局限。规则系统需要穷举决策路径，传统机器学习依赖专家设计特征，而神经网络能直接从原始数据中自动发现模式。这一能力让许多原本不可解的问题变得可行，但也带来了巨大的计算复杂性，要求系统架构重新设计。如图 1 所示，神经网络是机器学习和人工智能体系中的基础组成部分。

神经网络架构的转变不仅是算法进化，更要求系统设计方法的重构。神经网络通过大规模并行矩阵运算，与专用硬件架构高度契合。其学习过程涉及迭代优化，带来独特的内

81. **梯度不稳定**：在深层网络中，梯度可能爆炸（指数级变大）或消失（指数级变小）。梯度爆炸导致训练不稳定，损失值剧烈波动；梯度消失则让前层几乎无法学习。这些问题表现为系统层面的异常 —— 训练“卡住”或模型学习极慢，即使算力充足也无济于事。
82. **张量操作**：多维数组运算是神经网络的计算基础。张量是向量（1D）、矩阵（2D）的 n 维推广，例如彩色图片是 3D 张量（高 × 宽 × 通道）。现代神经网络常用 4D 及以上张量，代表批量多通道数据，对内存布局和并行硬件（如 GPU、TPU）提出了极高要求。

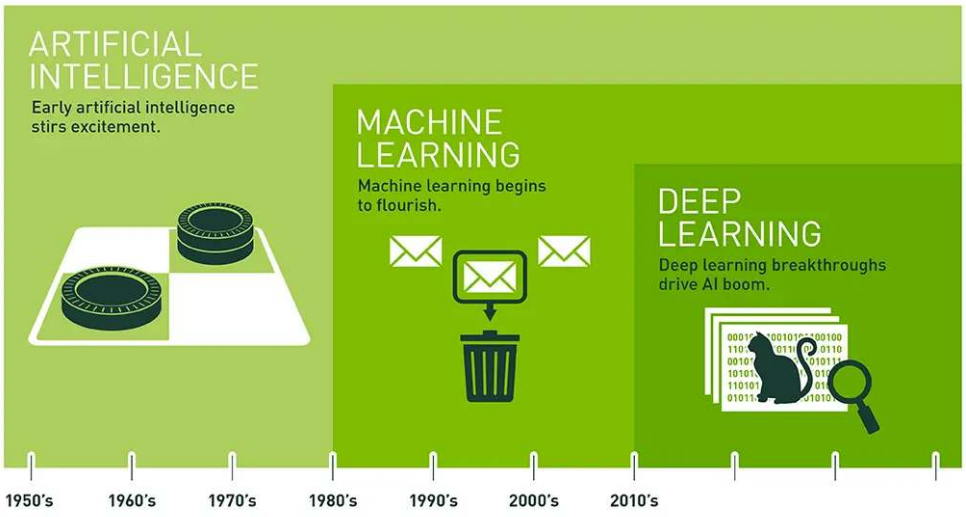

Since an early flush of optimism in the 1950s, smaller subsets of artificial intelligence – first machine learning, then deep learning, a subset of machine learning – have created ever larger disruptions.

AI 层级结构：神经网络是深度学习的核心，属于机器学习和人工智能的子集，通过建模大数据中的模式实现智能。

存访问和数值精度需求。推理与训练的计算特性差异巨大，各自需要不同的优化策略。

本章将建立工程师必备的神经网络数学素养。不再将其视为“黑盒”，而是剖析决定系统行为与性能的数学运算。我们将探讨生物神经机制如何启发人工神经元模型，分析单元如何组成复杂网络结构，以及这些网络如何通过数学优化获得知识。每个概念都直接关联实际工程：理解矩阵乘法揭示内存带宽需求，掌握梯度计算机制解释数值精度约束，洞悉优化动态指导资源分配。

我们将从 AI 方法如何从规则系统演进到自适应学习系统讲起，继而分析生物神经机制、人工神经元的数学框架，以及优化过程如何让系统从复杂数据中提取模式。全程聚焦每一数学原理的系统工程意义，为大规模深度学习系统的设计、实现与优化打下理论基础。

完成本章后，读者将不再把神经网络视为神秘算法，而能以工程视角理解其数学运作，为实际部署和优化提供科学依据。

机器学习范式的演进

要理解深度学习为何成为主流并需要专用计算基础设施，必须回顾 AI 方法的历史演变。从规则系统、经典机器学习到现代神经网络，每一步都是对前一代方法局限的回应和超越。

传统规则系统的局限

传统编程要求开发者明确规定输入如何转化为输出。例如经典游戏 Breakout[83]（见图 2），每个交互都需写明规则：球碰到砖块就消除砖块并反弹。对于物理规律清晰、状态有限的游戏，这种方法有效，但也暴露了规则系统的局限。

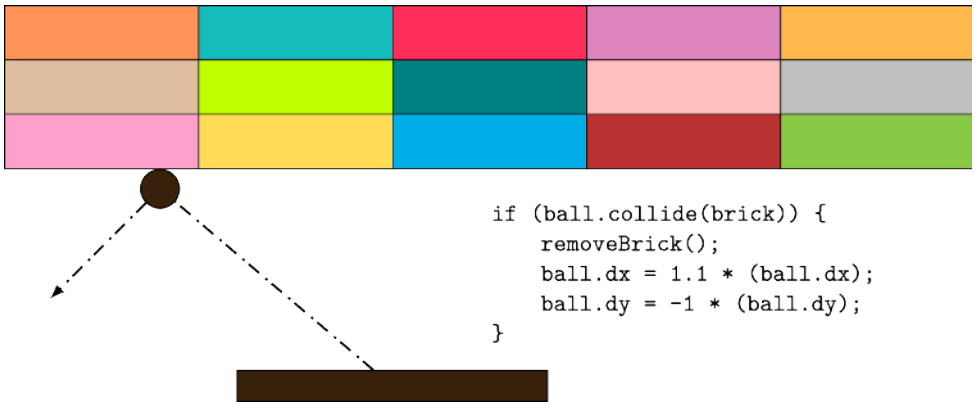

规则系统：传统编程依赖显式规则将输入映射为输出，难以适应复杂或不确定环境。与深度学习“从数据中学习”形成鲜明对比。

不仅是游戏，所有传统程序都遵循“规则 + 数据=输出”的范式（见下图）。早期 AI 研究曾尝试通过穷举规则来模拟智能行为。

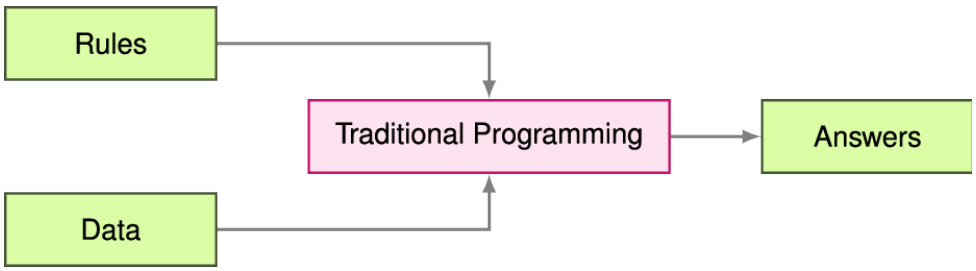

规则编程：传统程序通过显式规则处理数据，是早期 AI 的基础，但缺乏现代机器学习的自适应能力。

但面对现实复杂任务，规则系统的局限一览无遗。比如识别人类活动（见下图）：用速度区分“走路”与“跑步”看似简单，但实际中速度变化、动作切换、边界情况极多，每种情况都需新增规则，决策树极易失控。计算机视觉任务更甚：识别猫需要规则描述耳朵、胡须、身体形状，还要考虑视角、光照、遮挡、自然变异。早期系统只能在受控环境下有限成功。

为应对这些局限，20 世纪 70-80 年代的知识工程法（expert systems）试图系统化规则

83. **Breakout**：1976 年 Atari 经典街机游戏。2013 年，DeepMind 的 DQN 首次实现“仅凭像素和奖励信号”学会超越人类的 Breakout，无需任何规则编程，标志着深度强化学习的突破。

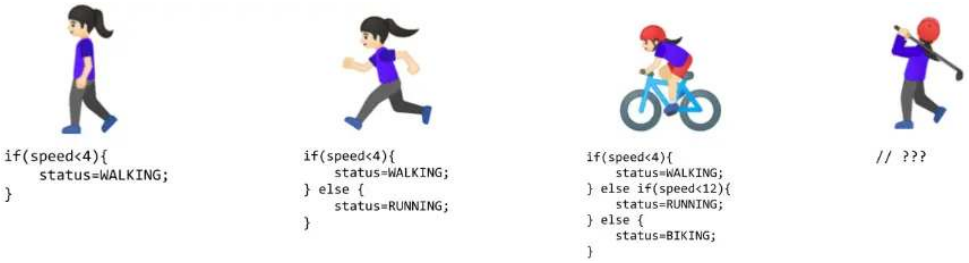

规则编程：传统程序依赖显式规则处理数据，难以应对复杂任务。

创建。专家系统[84]将领域知识编码为规则，在参数明确的特定领域有效，但在对象识别、语音理解、自然语言等任务上表现不佳。许多智能行为依赖难以显式表达的隐性知识，规则系统难以胜任。

经典机器学习

面对规则系统的扩展性瓶颈，研究者转向“从数据中学习”的方法。机器学习的核心思想是：不再为每种情况写规则，而是让程序自动发现数据中的模式。但这种方法仍高度依赖人工特征工程。

特征工程即将原始数据转化为揭示模式的表示。例如 HOG 特征[85]（见图 5），通过检测图像边缘、分块、统计梯度方向，将像素转化为形状描述符，增强了对光照和位置变化的稳健性。

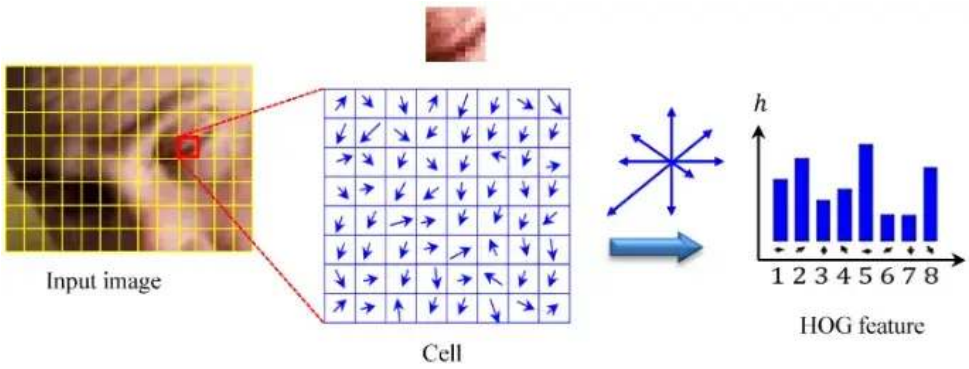

HOG 方法：通过检测图像边缘并统计梯度方向，将像素转化为对光照变化不敏感的形状描述符。

84. **专家系统**：20 世纪 70-90 年代流行的基于规则的 AI 程序，如 MYCIN（医学诊断）、XCON（计算机配置），曾取得巨大经济效益。但其依赖人工提取和编码规则，难以处理不确定性和常识推理，最终被数据驱动方法取代。
85. **HOG 特征**：2005 年 Dalal 和 Triggs 提出，成为深度学习前目标检测的黄金标准。通过 8×8 像素分块、9 方向直方图，捕捉形状信息，广泛应用于行人检测等领域。

SIFT[86]、Gabor 滤波器 [87] 等方法则捕捉不同视觉模式。SIFT 检测尺度和旋转不变的关键点，Gabor 滤波器模拟人类视觉皮层对纹理和频率的响应。这些方法都依赖专家知识设计。

这些工程努力推动了 2000 年代计算机视觉的发展，实现了人脸、行人、物体识别等应用。但每遇新问题都需重新设计特征，且人工特征可能遗漏关键模式。

深度学习：自动发现模式

神经网络带来了全新的编程范式 —— 不再依赖显式规则，而是直接从数据中学习。以计算机视觉为例，深度学习直接处理原始像素，无需人工指定哪些特征重要。

深度学习的本质是“数据驱动的规则发现”。传统编程需要“规则 + 数据=答案”，而机器学习则是“数据 + 答案=自动发现规则”（见图 6）。人类不再指定模式，而是提供样本和正确答案，让系统自动归纳规律。

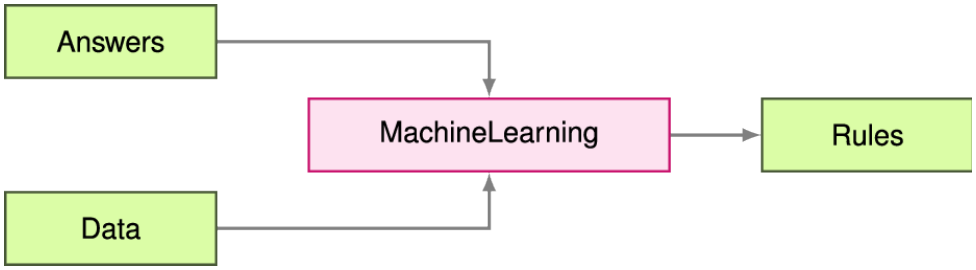

数据驱动的规则发现：深度学习模型直接从数据中学习模式，无需手工规则和特征提取。

深度网络通过分层学习，低层识别边缘，中层组合成形状，高层抽象为对象和概念。理论上，深层网络能用多项式级别的参数表达指数级复杂的函数，这就是“深度”的意义。分层组合性原理解释了深度学习为何有效：现实世界的复杂模式本身就具有层次结构。

这种分层结构带来巨大优势：传统方法性能很快达到瓶颈，而深度学习模型随着数据和算力的增加持续提升。图像识别准确率从 2012 年的 74% 提升到如今的 95% 以上 [88]。

神经网络性能遵循可预测的扩展规律，直接影响系统设计。正因如此，现代 AI 系统更倾向于更大模型和更长训练，内存带宽和存储容量成为主要瓶颈。相关数学公式和定量分析见第 8 章：AI 训练，实际实现见第 10 章：模型优化。

深度学习的成功不仅提升了性能，还改变了 AI 系统的构建方式。无需手工特征工程，

86. **SIFT**：1999 年 David Lowe 发明，能检测跨尺度、旋转、光照变化稳定的关键点，是 Google 街景、早期 AR 等应用的核心算法。
87. **Gabor 滤波器**：1971 年诺贝尔奖得主 Dennis Gabor 提出，能同时分析频率和方向，广泛用于指纹识别、织物检测等领域。
88. **ImageNet 竞赛进展**：2010 年传统方法错误率约 28%，2012 年 AlexNet（首个深度学习冠军）降至 15.3%，2015 年 ResNet 降至 3.6%，超越人类水平（5.1%）。深度学习彻底改变了计算机视觉格局。

但对数据、算力和专用硬件提出了新要求，推动了专用 AI 芯片的发展。

大量实验证据表明，深度学习在计算机视觉等领域的突破，正是得益于数据和算力的持续扩展。这一模式在语音识别、游戏等领域反复验证，确立了深度学习在 AI 中的主导地位。

但这种变革也带来了权衡：深度学习的计算需求重塑了系统架构。理解这些需求，为后续神经网络技术细节提供了背景。

计算基础设施需求

从传统编程到深度学习，不仅是问题求解方式的转变，更是计算系统需求的根本变革，影响了从云端到 Tiny ML 的所有 ML 系统设计。

传统程序执行顺序明确，内存访问规律，资源需求可预测。比如基于规则的图像处理，逐像素扫描，操作固定，资源消耗小且稳定，易于跨平台部署。

系统维度	**传统编程**	**特征工程 ML**	**深度学习**
计算模式	顺序、可预测	结构化并行	大规模矩阵并行
内存访问	小且规律	中等、批量	大且复杂的分层访问
数据流动	简单输入输出	结构化批处理	跨系统高强度数据流动
硬件需求	以 CPU 为主	CPU+ 向量单元	专用加速器
资源扩展性	固定	随数据线性增长	随复杂度指数增长

数据驱动方法引入了新的复杂性。特征提取算法需要更强计算和结构化数据流动。以 HOG 为例，需要多次遍历图像、计算梯度、构建直方图，资源需求虽提升但仍可控。

深度学习则在多个维度重塑系统需求（见表 1）。理解这些变化对全栈 ML 系统至关重要。

并行矩阵运算模式 计算范式的转变最直观地体现在并行矩阵运算上。传统程序顺序执行，深度学习则依赖大规模矩阵并行。这也是为何传统 CPU 难以高效执行神经网络计算。

并行计算带来新的瓶颈 —— 内存墙：算力可以通过增加处理单元扩展，但内存带宽扩展远不及算力[89]。现代加速器通过多级缓存和专用内存架构提升数据复用率，将数据尽量留在高速缓存中，极大提升性能。

内存层级挑战解释了为何 AI 加速器聚焦数据复用。高频权重留在本地缓存，减少主存访问。详细分析见第 11 章：AI 加速。

并行需求推动了从云端 GPU 到移动端专用芯片、Tiny ML 加速器的硬件创新。各类硬件架构及其权衡见第 11 章：AI 加速。

分层内存架构 内存需求的变化同样显著。传统程序内存占用小且固定，深度学习模型则需管理复杂的分层内存。内存带宽常成为性能瓶颈，尤其在资源受限系统中。

矩阵乘法是神经网络的核心操作，往往受限于内存带宽而非算力[90]。处理器算力远超内存供给速度，导致计算单元空闲等待数据。仅靠增加算力无法线性提升性能。

GPU 通过更高带宽和并行提升利用率，但本质瓶颈仍在数据流动。数据搬运能耗远超计算本身，这也是 AI 芯片聚焦“数据就近处理”的根本原因。

不同部署场景下，内存 - 计算权衡各异。云端可用更多内存和功耗追求吞吐，移动端则需极致优化。训练系统追求算力，推理系统强调能效。相关优化策略见第 10 章：模型优化，硬件架构见第 11 章：AI 加速。

分布式计算需求 深度学习改变了系统扩展方式和效率关注点。传统程序资源需求固定，性能可预测。深度学习模型复杂度提升带来资源指数级增长，系统效率成为核心问题。相关高效 AI 技术见第 9 章：高效 AI，包括降低计算需求的各种方法。

算法与硬件的结合至关重要。传统程序易于映射到标准架构，深度学习则需关注：

- 如何高效映射矩阵运算到硬件（见第 11 章：AI 加速）
- 如何最小化内存层级间数据流动
- 如何平衡算力与资源约束（见第 9 章：高效 AI）

89. **内存层级性能**：现代处理器有多级内存，速度差异巨大。L1 缓存 1-2 周期，L2 缓存 10-20 周期，主存 100+ 周期。带宽也差异明显：L1 可达 $_{1000GB/s,\ L2}$500GB/s，主存 CPU 仅~100GB/s，GPU 专用高带宽内存可达~1TB/s。神经网络加速器通过高缓存命中率（80%+）大幅提升效率。

90. **内存受限操作**：典型矩阵乘法，1GFLOPS 算力需 250-500GB/s 带宽，CPU 主存仅 50-100GB/s，高端 GPU 可达 1-2TB/s。CPU 神经网络效率仅 5-15%，GPU 可达 40-60%，关键在于带宽和数据复用。

- 如何算法与系统协同优化（见第 10 章：模型优化）

这些变化推动了从硬件到软件的全栈创新。专用加速器、新型内存架构、高级框架等，都是深度学习需求驱动的产物。

在梳理了从规则系统到神经网络的历史演进及其对计算基础设施的影响后，接下来我们将探讨这些系统的灵感源泉 —— 生物神经网络。

从生物到硅基

在理解了编程范式和计算基础设施的演进后，我们要问：神经网络究竟在计算什么？答案要从生物学说起。

我们刚刚讨论的高算力、分层内存、高带宽数据流动，其实都源自一个简单的灵感：生物神经元。大脑仅用 20 瓦功耗实现了极高效的信息处理。理解生物神经元如何解决信息处理问题，有助于我们把握人工神经系统的潜力与挑战。

本节将从生物神经元到人工神经元的三重转化展开：生物结构如何启发人工设计，神经原理如何转化为数学运算，这些运算又如何决定系统需求。理解这些转化，有助于明白为何即便是简化的神经计算，也需要现代 ML 系统的专用硬件。

生物神经处理原理

从系统工程视角，生物神经网络为我们提供了高并行、高效内存、自适应学习和极低能耗的范例。四大生物智能原理直接影响了人工神经网络设计：

自适应学习：大脑通过经验不断调整神经连接，正如机器学习通过数据改进模型。

并行处理：大脑各区域协同并行处理信息，启发了 AI 的分布式架构。

模式识别：生物系统善于从复杂、噪声数据中识别模式，成为计算机视觉、语音识别等 AI 应用的灵感来源。

能效极高：人脑仅用 20 瓦 [91]，而 GPT-3 训练消耗上千兆瓦时。能效差距推动了神经形态计算和 AI 专用芯片的研究。

这些生物原理催生了两类 AI 方法：一类直接模拟神经结构，另一类则抽象生物机制以适应硬件约束。

要理解这些原理如何落地，首先要分析神经计算的基本单元 —— 神经元。理解生物神经元的信息处理方式，有助于把握人工神经网络的数学基础。

91. **大脑能效**：人脑约有 860-1000 亿神经元，每秒执行 10^{13}-10^{16} 次操作，仅需 20 瓦。相比之下，GPT-3 训练耗电 1287 兆瓦时。这一巨大能效差距推动了神经形态计算和 AI 专用芯片的发展。

生物神经元结构

生物神经元是神经系统的基本功能单元。其结构如图 7 所示。

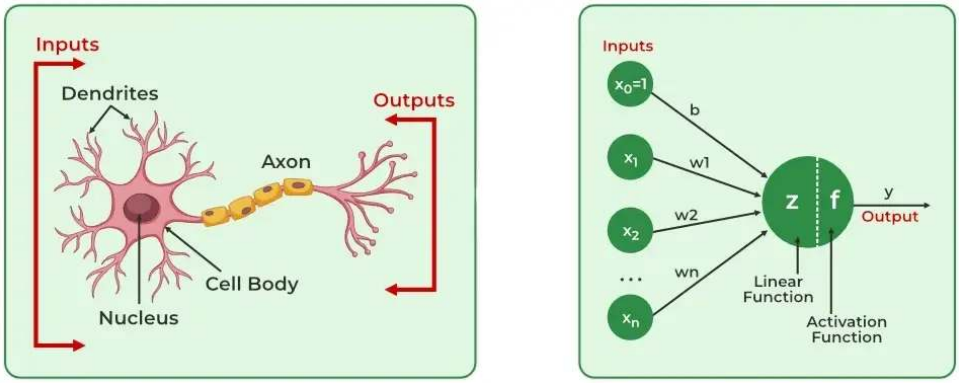

生物神经元映射：人工神经元抽象了生物神经元的关键功能，输入（树突）、加权（突触）、整合（胞体）、输出（轴突），为复杂神经网络的信息处理奠定基础。来源：geeksforgeeks。

生物神经元主要包括：胞体（soma，含细胞核）、树突（dendrites，接收信号）、突触（synapses，调节信号强度）、轴突（axon，输出信号）。突触是神经元之间的连接点[92]，其强度可变，是学习和记忆的基础。

神经元的工作机制：树突接收信号，突触调节信号强度，胞体整合加权信号，若超过阈值则由轴突输出。

生物神经元的每个组成部分在人工系统中都有对应，体现了学习、适应和高效的原则。表 2 总结了生物与人工神经元的映射关系。

生物神经元	**人工神经元**
细胞	神经元/节点
树突	输入
突触	权重
胞体	净输入

92. **突触**：希腊语“连接”，是神经元之间传递信号的接口。人脑约有 100 万亿突触，每个神经元有 1000-10000 个连接。突触强度可随经验改变，正如人工神经网络中的可调权重。

生物神经元	人工神经元
轴突	输出

理解这些对应关系，有助于把握人工神经网络如何简化并抽象生物智能。每个组件功能类似，但实现机制不同。

1. **细胞** ⟷ **神经元/节点**：人工神经元是基本计算单元，对应生物细胞。
2. **树突** ⟷ **输入**：树突接收信号，人工神经元的输入同理。
3. **突触** ⟷ **权重**：突触调节连接强度，人工神经元的权重可调，实现学习。
4. **胞体** ⟷ **净输入**：人工神经元加权求和，类似胞体整合信号。
5. **轴突** ⟷ **输出**：人工神经元输出传递到下一层，类似轴突传递信号。

这种映射说明了人工神经网络如何在保留核心计算原理的同时，简化和抽象生物过程。单个神经元只是起点，真正的威力来自于它们的系统性协作。

从系统工程角度看，这种生物到人工的转化解释了神经网络为何对计算资源要求极高。每一个简单的生物过程，在人工系统中都需大量并行的数学运算。

人工神经网络设计原则

从生物灵感到工程实现，人工神经网络既要借鉴大脑的分布式计算和高效能，又要适应数字系统的约束。大脑通过数十亿神经元的分布式并行，实现了复杂感知、决策和行为控制。单个神经元速度慢（约 200Hz），但整体架构极度并行，能实时处理复杂信息。

这种效率源于大脑的组织原则：每个神经元整合多路输入，超过阈值则输出，突触强度随经验调整，实现学习和适应。

人工系统要复制这种效率，必须权衡：大脑仅需 20 瓦，而同等规模的人工网络训练和推理需千瓦甚至兆瓦级功耗。能效差距推动了专用硬件、量化、结构创新等工程优化。

生物系统启示我们，人工神经网络应具备：

- 简单的多输入整合单元
- 可调连接强度
- 基于阈值的非线性激活
- 并行处理架构

- 通过连接强度变化实现学习

接下来要解决的问题是：如何将这些生物原则转化为计算机可执行的数学运算？

神经概念的数学转化

将生物原理转化为工程实现，关键在于用数学抽象神经计算。人工神经元简化为三步：加权输入（突触强度）、求和（信号整合）、激活函数（阈值输出）。

表 3 系统性展示了生物特征与计算实现的映射。

生物特征	**计算实现**
神经元放电	激活函数
突触强度	加权连接
信号整合	求和运算
分布式记忆	权重矩阵
并行处理	并发计算

这种数学抽象既保留了核心计算原理，又便于高效数字实现。加权、求和、激活操作分别对应突触强度、信号整合和阈值机制。

但这种抽象也带来计算代价。生物系统轻松完成的操作，在人工系统中需大量数学计算，尤其受限于内存带宽。

人工神经网络的“记忆”与生物系统截然不同。生物记忆分布在突触和神经模式中，人工网络则以权重和参数存储。硬件上，内存和计算分离，导致数据搬运成为主要瓶颈。

大脑的极致并行性也是人工实现的难点。生物网络通过数十亿神经元并行处理，人工系统则依赖 GPU、TPU 等专用硬件实现矩阵运算的并行。

硬件与软件需求

神经原理的计算转化，直接决定了系统架构需求。

表 4 展示了每个计算元素对系统的具体要求。

计算元素	系统需求
激活函数	快速非线性运算单元
权重操作	高带宽内存访问
并行计算	专用并行处理器
权重存储	大规模内存系统
学习算法	梯度计算硬件

存储架构是关键。生物系统内存与计算一体，人工系统则分离，需高容量存储和高带宽数据通路。数据搬运效率常成瓶颈。

学习过程本身也带来特殊需求。生物网络通过局部化学过程调整突触，人工网络则需全局协调权重更新，训练时还需存储梯度和中间结果。反向传播（无生物对应）进一步复杂化系统架构。模型安全和数据保护需求见第 16 章：稳健 AI。

能效是最大差异。人脑 20 瓦，人工网络需千瓦甚至兆瓦。能效差距推动了高效硬件和可持续 AI 研究，相关内容见第 18 章：可持续 AI。

这些需求直接决定了从硬件加速器到分布式训练系统的架构选择。理解其根源，有助于科学设计和优化 ML 系统。

神经网络计算的演进

深度学习领域的发展，正是硬件与算法协同进化的结果。20 世纪 50 年代的感知机 [93] 开创了人工神经网络，但受限于当时的主机算力和内存，难以扩展。

1980 年代反向传播算法 [94] 的提出是理论突破，但其计算需求远超当时硬件。即便小型网络训练也需数周，极大限制了应用。

“深度学习”一词在 2010 年代随算力和数据激增而流行。如图 8 所示，算力最初每 1.4 倍增长，2012 年后每 3.4 个月翻倍。2015-2022 年大模型算力增长更快，每 10 个月

93. **感知机**：1957 年 Frank Rosenblatt 发明，是首个能学习的人工神经网络。曾被媒体誉为“电子大脑的胚胎”，为现代神经网络奠定了基础。
94. **反向传播**：1986 年 Rumelhart、Hinton 和 Williams 提出，解决了多层网络的“归因问题”，直接催生了现代 AI 革命。类似算法 1974 年 Paul Werbos 已提出，但未引起关注。

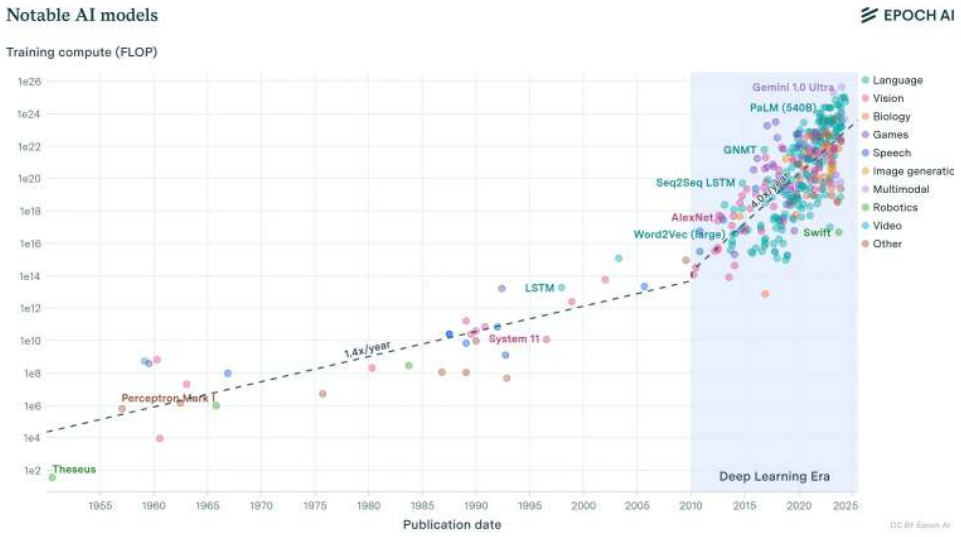

算力增长：1952-2010 年算力每 1.4 倍增长，2012-2022 年加速到 3.4 个月翻倍。2015 年后大模型算力每 10 个月翻倍，推动了深度学习的飞跃。来源：[epochai2023trends]。

翻倍。

三大因素驱动了这一演进：数据、算法、算力。三者形成正反馈循环（见图 9）：更强算力 → 处理更大数据 → 推动算法创新 → 反过来要求更强算力。

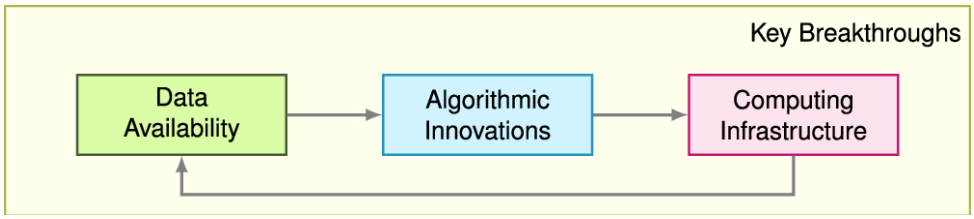

三大因素

数据革命带来了海量训练数据。互联网、数字设备、传感器网络等为神经网络提供了丰富原料。

算法创新让这些数据得以高效利用。网络初始化、学习率控制、正则化等技术提升了训练稳定性和泛化能力。研究者发现，模型性能与规模、算力、数据量呈可预测扩展关系，推动了更大架构的诞生。

算力基础设施也随之进化。GPU 带来了并行计算能力，TPU[95] 等专用芯片进一步提升性能。高带宽内存、快速互连解决了数据流动瓶颈。软件框架 [96]、分布式系统、部署工

95. **TPU**：Google 专为张量运算设计的 AI 芯片，2015 年内部部署，矩阵乘法速度远超同期 GPU 且能耗更低。现已通过云服务开放。
96. **深度学习框架**：TensorFlow、PyTorch 极大简化了神经网络开发。无需手写复杂微分代码，10-20 行即可定义完整网络。TensorFlow 偏重生产，PyTorch 主导研究。

具等同样关键。

数据、算法、算力三者的协同进化，奠定了现代深度学习的基础。理解这些计算操作如何驱动基础设施需求，是构建高效 ML 系统的前提。

神经网络基础

梳理了神经网络从生物灵感到现代系统的演进后，接下来聚焦“神经网络如何计算”。本节将建立 ML 系统工程所需的数学与结构基础。

我们将自底向上：单个神经元的加权求和 → 层的并行计算 → 完整网络的输入到输出。每个概念都兼顾数学原理与系统工程含义。请注意，每一个看似简单的操作 —— 点积、激活函数 —— 在大规模网络中都意味着巨大的内存和算力需求。

网络结构基础

神经网络的结构决定了信息如何流动。现代网络虽极为复杂，但都建立在少数关键组织原则之上，这些原则直接影响系统设计。

以手写数字识别（MNIST）为例，贯穿本节。该任务简单易懂，能完整展现神经网络的基本原理。

> **案例：MNIST 数字识别**
>
> **任务**：输入 28×28 像素灰度图，分类为 0-9 十个数字之一。
>
> **输入表示**：每张图 784 像素，归一化到 [0,1]，形成 $\mathbf{x} \in \mathbb{R}^{784}$。
>
> **输出表示**：网络输出 10 个值，代表对每个数字的置信度，最大者为预测结果。
>
> **为何选用**：MNIST 规模适中，结构直观，适合学习可扩展到更大问题的神经网络原理。
>
> **网络结构预览**：典型结构为 784 输入 →128 隐藏 →64 隐藏 →10 输出。后续概念均以此为例。

每个结构选择 —— 层数、宽度、连接方式 —— 都决定了计算模式，必须高效映射到硬件。

非线性激活函数　神经网络的基本单元是人工神经元（感知机），其数学运算是系统工程的核心。以 MNIST 为例，每个像素为输入，隐藏层神经元可学习检测特定模式（如竖线）。

感知机通过加权求和整合输入 $x_1, x_2, ..., x_n$（如 784 像素），每个输入乘以权重，形成中间输出 z：

$$z = \sum(x_i \cdot w_{ij})$$

再加上偏置 b，得到：

$$z = \sum(x_i \cdot w_{ij}) + b$$

这些操作在大规模网络中带来巨大的内存和算力需求，正如前文所述。

激活函数是关键的非线性变换，使网络能学习复杂模式。没有激活函数，多层网络等价于单层线性变换，表达能力极为有限。图 10 展示了常用的四种激活函数。

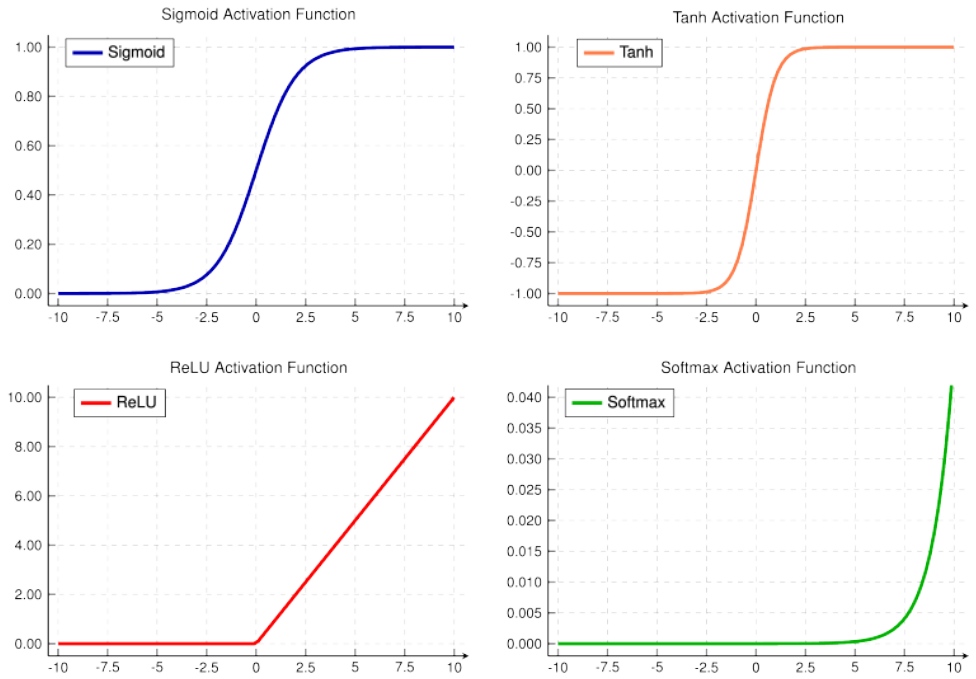

常用激活函数：神经网络依赖非线性激活函数逼近复杂关系。sigmoid 输出 (0,1)，tanh 输出 (-1,1)，ReLU 引入稀疏性，softmax 生成概率分布。

激活函数的选择影响学习效果和计算效率。常用函数包括：

Sigmoid

$$\sigma(x) = \frac{1}{1 + e^{-x}}$$

适合二分类，输出可解释为概率。缺点是大输入时梯度极小，易导致**梯度消失**[97]。

Sigmoid 输出非零中心，优化时权重更新方向单一，效率低。

97. **梯度消失**：梯度在多层网络中反复相乘，若每层导数<1，整体梯度指数级变小，导致前层几乎无法学习。详见第 8 章：AI 训练。

Tanh

$$\tanh(x) = \frac{e^x - e^{-x}}{e^x + e^{-x}}$$

输出 (-1,1)，零中心，收敛快于 sigmoid，但大输入时同样有梯度消失问题。常用于 RNN 等结构。

ReLU

$$\text{ReLU}(x) = \max(0, x)$$

优点：正区间梯度为 1，梯度流畅通；输出稀疏，易于解释和防止过拟合；计算极快。缺点是**死亡 ReLU 问题**，即神经元长期输出 0，无法恢复。

Softmax

$$\text{softmax}(z_i) = \frac{e^{z_i}}{\sum_{j=1}^{K} e^{z_j}}$$

将 K 维向量转为概率分布，常用于多分类输出层。可微分，便于反向传播。

> **系统视角：激活函数与硬件**
>
> **为何 ReLU 主导实践**：ReLU 不仅数学上避免梯度消失，硬件上也极高效。只需一次比较，而 sigmoid、tanh 需指数运算，耗时耗能。ReLU 适合所有平台，尤其是移动端。相关性能对比见第 8 章：AI 训练。

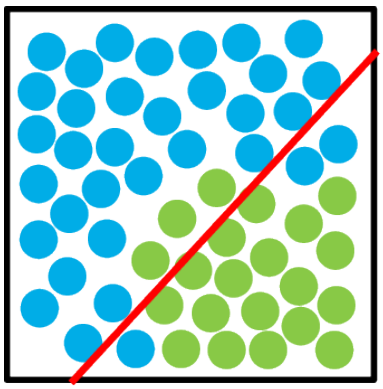

Neural Network without an Activation Function

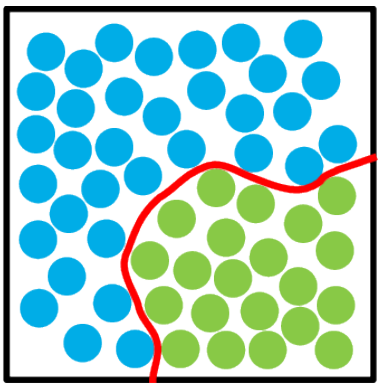

Neural Network with an Activation Function

非线性激活：神经网络通过非线性激活函数建模复杂关系，实现非线性决策边界。

最终输出为：

$$\hat{y} = \sigma\left(\sum(x_i \cdot w_{ij}) + b\right)$$

万能逼近定理 [98] 证明，带激活函数的神经网络可逼近任意连续函数，理论上极为强大。

层与连接 单个感知机只能建模简单决策，神经网络的威力在于多神经元并行组成层。每层神经元独立处理相同输入，但权重和偏置各异，能学习不同特征。

典型结构为：

1. **输入层**：接收原始特征
2. **隐藏层**：多级处理和变换
3. **输出层**：生成最终预测

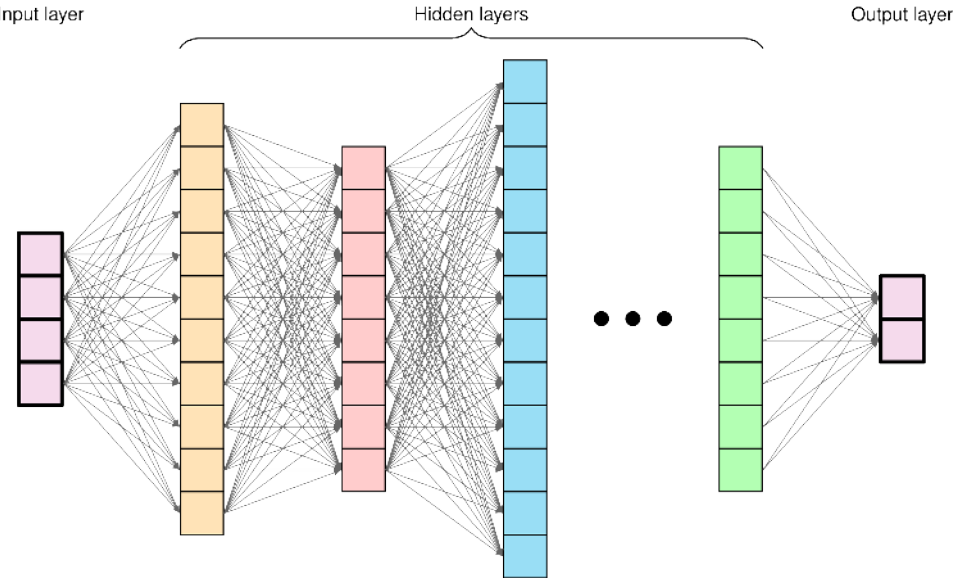

分层网络结构：深度神经网络通过多层逐步提取复杂特征，实现从原始输入到输出的映射。

数据在网络层间的流动 数据在网络中层层变换，早期层提取简单特征，深层组合为复杂模式，实现分层表征。

参数与连接

神经网络的可学习参数主要是权重和偏置，决定了信息流动和变换方式。本节分析参数的组织结构。

98. **万能逼近定理**：1989 年 Cybenko、1991 年 Hornik 证明，单隐藏层神经网络只要神经元足够多，可逼近任意连续函数。但实际所需神经元可能极多，且不保证可训练性，这推动了深度结构和更优训练算法的发展。

权重矩阵 权重决定输入对输出的影响。在大网络中，权重以矩阵形式高效组织。例如 n 输入、m 神经元的层，权重矩阵 $\mathbf{W} \in \mathbb{R}^{n \times m}$。

单神经元为 $z = \sum_{i=1}^{n} (x_i \cdot w_{ij}) + b$，多神经元可用矩阵运算：

$$\mathbf{z} = \mathbf{x}^T \mathbf{W} + \mathbf{b}$$

网络连接结构 最常见的是全连接层，每个神经元与前一层所有神经元相连。权重矩阵维度如：

- 第一、二层间：$\mathbf{W}^{(1)} \in \mathbb{R}^{n_1 \times n_2}$
- 第二、三层间：$\mathbf{W}^{(2)} \in \mathbb{R}^{n_2 \times n_3}$

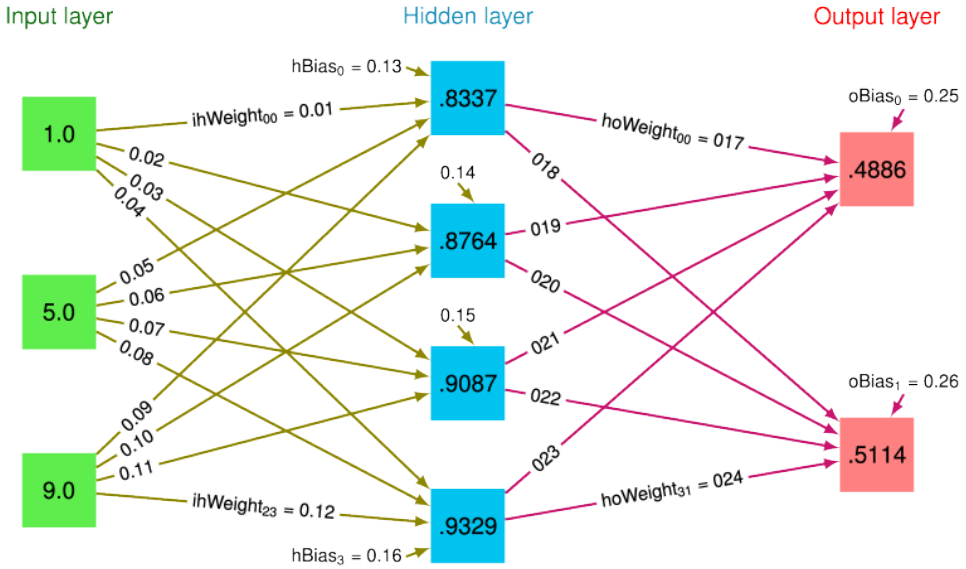

全连接层：多层感知机通过全连接实现任意输入输出关系，权重矩阵决定了学习能力。

偏置项 每个神经元在其所在层都配有一个偏置项。权重决定输入的重要性，而偏置则允许神经元调整其激活函数的阈值。这种平移能力对于学习至关重要，使网络能够拟合更复杂的模式。

对于包含 m 个神经元的层，偏置项组成一个向量 $\mathbf{b} \in \mathbb{R}^m$。计算该层输出时，偏置向量会加到加权输入的和上：

$$\mathbf{z} = \mathbf{x}^T \mathbf{W} + \mathbf{b}$$

偏置项 [99] 实质上让每个神经元拥有不同的“激活阈值”，提升了网络的表达能力。

99. **偏置项**：加到加权输入上的常数，使神经元的激活函数可以水平平移，从而建模不经过原点的模式。如果没有偏置，所有输入为零时神经元输出也只能为零，极大限制了表达能力。偏置通常只占总参数的 1-5%，但对模型灵活性至关重要，例如让数字分类器能根据训练数据中各数字的频率自动调整识别倾向。

权重与偏置的存储组织 神经网络中的权重和偏置有系统的组织方式。对于一个有 L 层的网络，我们需要维护：

- 每层 l 的权重矩阵 $\mathbf{W}^{(l)}$
- 每层 l 的偏置向量 $\mathbf{b}^{(l)}$
- 每层 l 的激活函数 $f^{(l)}$

完整的层计算公式为：

$$\mathbf{h}^{(l)} = f^{(l)}(\mathbf{z}^{(l)}) = f^{(l)}(\mathbf{h}^{(l-1)T}\mathbf{W}^{(l)} + \mathbf{b}^{(l)})$$

其中 $\mathbf{h}^{(l)}$ 表示该层经过激活函数后的输出。

在继续网络拓扑和训练内容前，请自查以下基础概念：

核心概念：

☐ **神经元计算**：你能否写出包含加权和、偏置和激活函数的神经元输出公式?

☐ **激活函数**：你能否解释 ReLU 为什么比 sigmoid 更高效，以及非线性为何不可或缺?

☐ **层结构**：你能否描述输入层、隐藏层、输出层的作用及其数据变换流程?

☐ **权重矩阵**：你是否理解 $\mathbf{W}^{(l)} \in \mathbb{R}^{n \times m}$ 如何连接 n 个神经元到 m 个神经元?

☐ **参数量计算**：给定网络结构（如 784→128→64→10），你能否算出总参数量（权重 + 偏置）?

系统层面影响：

☐ 你能否解释为什么神经网络的计算受限于内存带宽而不是算力?

☐ 你是否理解每个结构选择（层宽、深度、连接方式）如何直接影响内存和计算需求?

自测示例：对于 784→100→10 的数字识别网络，计算：(1) 每个权重矩阵的参数量，(2) 总参数量，(3) 单张图片推理时需存储的激活数。

如有不清楚，请回顾 第 3 章：深度学习基础神经网络基础、神经元与激活、权重与偏置。后续训练与优化内容将以此为基础。

网络拓扑描述了神经元如何组成层并连接成完整网络。理解这一点可以从 AI 历史上著名的 XOR 问题 [100] 入手。

100. **XOR 问题**：1969 年 Marvin Minsky 和 Seymour Papert 证明单层感知机无法学习异或（XOR）函数，导致 1970 年代“AI 寒冬”。XOR 需要非线性决策边界，线性模型无法实现，必须至少有一层隐藏层，这也奠定了多层神经网络的理论基础。

直观理解：XOR 问题

假设网络要学习 XOR 函数 —— 这是一个经典的非线性问题。输入 x_1 和 x_2 可为 0 或 1，XOR 在输入不同（异）时输出 1，相同（同）时输出 0。

网络结构：2 输入 → 2 隐藏神经元 → 1 输出

前向传播示例：输入 $(1, 0)$ 时：

- 隐藏神经元 1：$h_1 = \text{ReLU}(1 \cdot w_{11} + 0 \cdot w_{12} + b_1)$
- 隐藏神经元 2：$h_2 = \text{ReLU}(1 \cdot w_{21} + 0 \cdot w_{22} + b_2)$
- 输出：$y = \text{sigmoid}(h_1 \cdot w_{31} + h_2 \cdot w_{32} + b_3)$

这个简单网络说明了隐藏层如何让网络具备学习非线性模式的能力 —— 单层网络无法实现。XOR 案例奠定了三层结构的基础，但实际网络设计还需系统考虑约束和计算规模 [a]。手写数字识别（MNIST）[b] 展示了问题结构如何决定网络规模，而隐藏层配置则是关键设计决策。

a. **计算规模权衡**：网络规模需在准确率和计算成本间权衡。784→1000→1000→10 的 MNIST 网络约 180 万参数，需 7MB 内存；784→100→100→10 仅需 9 万参数和 350KB 内存。大网络准确率可达 99.5%，小网络 98.5%，但资源消耗相差 20 倍，移动端部署时每 MB 和每毫秒都极为宝贵。

b. **MNIST 数据集**：1998 年 Yann LeCun 等创建，含 7 万张手写数字图片（6 万训练，1 万测试），每张 28×28 像素。是计算机视觉的“Hello World”，错误率从 1998 年的 12% 降至现代深度学习的 0.23%。虽已“被攻克”，但因规模适中、易于实验，仍是教学首选。

前馈网络结构　将三层结构应用于 MNIST，可以看到数据特性和任务需求如何约束网络设计。如图 14 a) 所示，28×28 像素的手写数字图片需经过输入层、隐藏层和输出层，最终输出分类结果。

输入层宽度由数据格式直接决定。如图 14 b)，每个像素为一个输入特征，共需 784 个输入神经元（$28 \times 28 = 784$）。可以将其视为二维像素网格，也可以展平成 784 维向量。

输出层结构由任务决定。数字分类需 10 个输出神经元，对应 0-9 十个数字。每张图片输入后，网络输出 10 个值，最大者为预测结果。

输入和输出层固定，中间的隐藏层结构可灵活设计。隐藏层的层数和宽度是神经网络设计的关键。增加层数提升网络深度，可学习更抽象特征；增加宽度提升每层的特征容量。

这些基础结构选择对网络能力和计算需求影响巨大。每增加一层或一个神经元，参数量和计算量都会增加。但如果深度或宽度不足，网络又难以学习复杂模式。

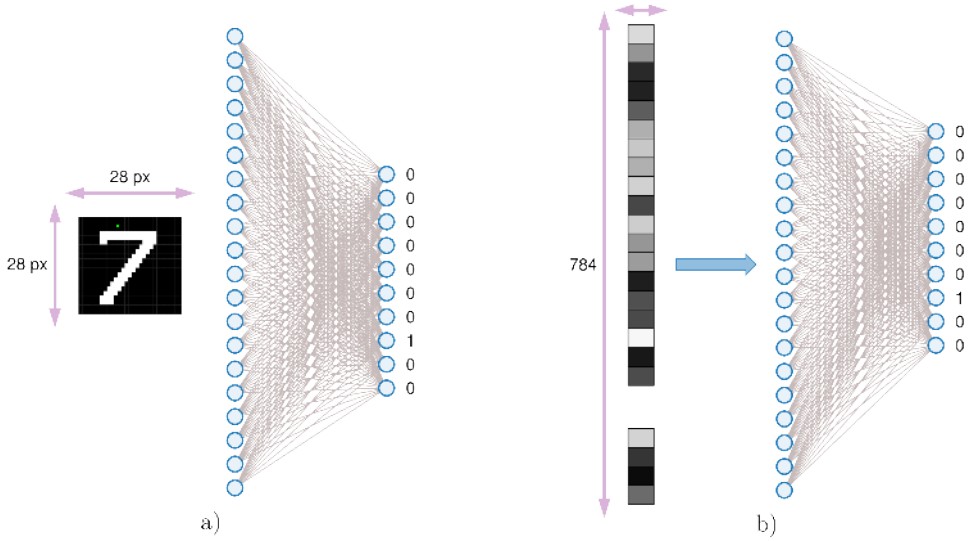

$\{}text{a)}$ MNIST 数字分类网络拓 topology，展示 $28\{}times 28$ 像素图片如何被处理。左侧为原始数字及尺寸，右侧为每个像素如何连接到隐藏层，最终输出 10 个分类结果。$\{}text{b)}$ MNIST 网络拓扑的另一种可视化，展示 2D 图像如何展平成 784 维向量，便于神经网络处理。

结构设计权衡：深度、宽度与性能 神经网络结构设计需权衡三点：层数（深度）、每层宽度、层间连接方式。每个选择都影响学习能力和计算资源消耗。

深度决定可达抽象层级：多层堆叠可逐步提取复杂特征。以 MNIST 为例，浅层检测边缘，中层组合为笔画，深层组合为完整数字。但层数增加会带来计算成本、训练难度（如梯度消失）和结构复杂性，并不总是收益递增。

每层宽度（神经元数）决定每层可并行处理的信息量。宽层能同时学习更多特征，但参数和计算量也随之增加。例如，隐藏层用于检测边缘特征，其宽度决定能同时检测多少种边缘模式。

拓扑设计中最重要的考量之一是总参数量。对于 $(n_1, n_2, ..., n_L)$ 结构，每对相邻层 l 和 $l+1$ 需 $n_l \times n_{l+1}$ 个权重参数，加 n_{l+1} 个偏置。这些参数需存储并在训练时更新，是实际部署的关键约束。

网络设计需在学习能力、计算效率和训练可行性间平衡。基础做法是全连接（每个神经元与下一层所有神经元相连），但这并非最优。全连接假设所有输入间都可能有关系，现实数据很少如此无结构。

以 MNIST 为例，28×28 图片有 784 像素，共有 306,936 个像素对（$\frac{784\times783}{2}$）。首层全连接 100 个神经元需 78,400 个权重，等于考察所有像素关系。实际上，邻近像素（形成数字边缘）关联更大，远端像素相关性弱。全连接层浪费参数和算力去学习本可结构化编码的无关关系。专用结构（见第 4 章：DNN 架构）通过限制连接，利用空间局部性、

时序性等领域特性，能用 10-100 倍更少的参数取得更好效果。

信息流动也是重要考量。基础结构是输入到输出的顺序流动，但有些网络设计引入跳连或残差连接，为信息提供更直接的通路，提升训练效率和复杂模式学习能力，类似大脑在识别时同时利用细节和整体印象。

这些设计决策对实际部署影响巨大，包括参数存储、训练和推理的计算成本、训练行为和收敛速度、泛化能力等。最优结构需结合具体问题、资源和数据特点综合权衡。

理解了网络结构 —— 神经元如何组成层、层如何堆叠成网络、结构选择如何影响资源需求 —— 我们可以进一步探讨核心问题：这些网络如何学习？结构提供了框架，学习过程则赋予其生命，通过调整权重实现准确预测。

> **系统视角：结构决定部署可行性**
>
> **从设计到上线**：每个结构决策 —— 层数、宽度、连接方式 —— 都直接决定内存和算力需求。100 万参数的网络仅存储权重就需约 4MB 内存，还未算推理时的激活。模型越深越宽，内存和算力需求呈二次增长。这种数学关系解释了为何同一结构无法在所有平台通用。系统工程启示：结构设计必须从一开始就考虑目标部署约束，事后压缩只能部分弥补结构 - 资源不匹配。

层间连接设计模式　神经网络可采用不同的层间连接模式，各有不同的学习和计算优势。理解这些模式有助于把握网络如何处理信息、学习数据表示。

密集连接是标准模式，每个神经元与下一层所有神经元相连。以 MNIST 为例，784 维输入层连接 100 个隐藏神经元需 78,400 个权重。全连接能学习任意输入输出关系，但参数量随层宽二次增长。

稀疏连接则有意限制连接数。不是所有神经元都与下一层所有神经元相连，而是只连接部分神经元。这受生物神经系统启发，生物神经元通常只与有限数量的其他神经元连接。以视觉任务为例，神经元可只连接邻近像素，反映视觉特征的局部性。

网络加深后，输入到输出的路径变长，学习变难。跳连通过在非相邻层间添加直连通路，提供信息流动的捷径，补充标准的逐层流动。以数字识别为例，跳连可让后层同时参考高层特征和原始像素。

这些连接模式对理论能力和实际实现影响巨大。密集连接最大化学习灵活性但效率低，稀疏连接可降低计算需求并提升结构化模式学习能力，跳连则有助于深层网络的信息流动。

模型规模与计算复杂度 神经网络中参数（权重和偏置）的组织决定了学习能力和计算需求。拓扑定义了结构，参数的初始化和组织则直接影响学习和性能。

参数量随网络宽度和深度增长。以 MNIST 为例，784 输入、两个 100 隐藏层、10 输出，首层需 78,400 权重和 100 偏置，第二层 10,000 权重和 100 偏置，输出层 1,000 权重和 10 偏置，总计 89,610 个参数，全部需存储并在训练时更新。

参数初始化对网络行为至关重要。若全部初始化为零，同层神经元行为完全一致，无法学习多样特征。实际中权重通常随机初始化，偏置多为小常数或零。初值过大或过小都会导致学习效果不佳。

参数分布影响信息在层间的流动。数字识别中，权重过小会导致重要输入难以传递到后层，过大则可能放大噪声。偏置帮助调整每个神经元的激活阈值，使网络能学习最优决策边界。

不同结构可能对参数组织有特殊约束。有的结构通过权重共享实现位置不变性，有的通过将部分权重设为零实现稀疏连接。

理解了网络结构、神经元和参数，我们可以进一步探讨：这些随机初始化的参数如何变得有用？答案就在于学习过程 —— 它将网络从随机状态转变为能做出准确预测的系统。

学习过程

神经网络通过在示例上训练来学习执行任务。这个过程将网络从初始状态（权重随机初始化）转变为训练状态（权重编码了训练数据的有意义模式）。理解这个过程对于深度学习模型的理论基础和实际实现至关重要。

监督学习与标签示例

在我们建立的架构基础上，神经网络训练的核心原理是通过带标签的示例进行监督学习。以 MNIST 数字识别任务为例：我们有 60,000 张训练图片，每张都是 28×28 像素的灰度图像，并配有正确的数字标签。网络必须通过预测和权重调整的迭代过程，学习这些图像与对应数字之间的关系。确保训练数据的质量和完整性对模型的成功至关重要，如 第 6 章：数据工程 中所述。

输入与输出之间的关系驱动了训练方法。训练过程是一个循环，每次迭代处理一部分训练示例，称为一个批次 [101]。对于每个批次，网络执行几个关键操作：

- 通过网络层的前向计算生成预测

101. **批处理**：同时处理多个示例，通常为 32-256 个样本。较大批次提供更稳定的梯度估计，并更好地利用并行硬件，但需要更多内存。最佳批次大小取决于可用的 GPU 内存和特定的模型架构。

- 使用损失函数评估预测准确性
- 根据预测误差计算权重调整
- 更新网络权重以改善未来预测

将这一迭代方法形式化，对于给定的输入图像 x 及其真实标签 y，网络计算其预测：

$$\hat{y} = f(x; \theta)$$

其中 f 表示神经网络函数，θ 表示所有可训练参数（权重和偏置）。网络的误差通过损失函数 L 来衡量：

$$\text{loss} = L(\hat{y}, y)$$

这种对预测质量的量化为学习提供了基础。误差测量驱动了通过“反向传播”调整网络参数的过程，稍后我们将详细研究。

在实际操作中，训练是针对多个示例的批量进行，而不是单个输入。以 MNIST 数据集为例，每次训练迭代可能同时处理 32、64 或 128 张图像。批量处理有两个目的：有效利用现代计算硬件的并行处理能力，并通过对多个示例的错误进行平均，提供更稳定的参数更新。

这种基于批量的方法带来了计算效率和训练稳定性的提升。训练周期持续进行，直到网络达到足够的准确率或达到预定的迭代次数。在此过程中，损失函数作为指导，其最小化表示网络性能的改善。建立适当的指标和评估协议对于评估训练效果至关重要，如第 12 章：AI 基准测试 中讨论。

前向传播计算

前向传播，如图 15 所示，是神经网络的核心计算过程，输入数据通过网络的层流动以生成预测。理解这一过程对于网络推理和训练都至关重要。我们以 MNIST 数字识别为例，检查前向传播的工作原理。

该过程始于输入层，每个像素的灰度值成为一个输入特征。对于 MNIST 而言，这意味着 784 个输入值 $(28 \times 28 = 784)$，每个值归一化在 0 和 1 之间。这些值随后通过隐藏层传播，每个神经元根据其学习到的权重组合其输入并应用非线性激活函数。

从计算的角度来看，MNIST 网络（784→128→64→10）的每次前向传播都需要大量的矩阵运算。仅第一层每个样本就要进行近 100,000 次的乘加运算。当批量处理多个样本时，这些运算量会成倍增加，因此需要仔细管理内存带宽和计算资源。专用硬件如 GPU 可以通过并行处理高效地执行这些操作。

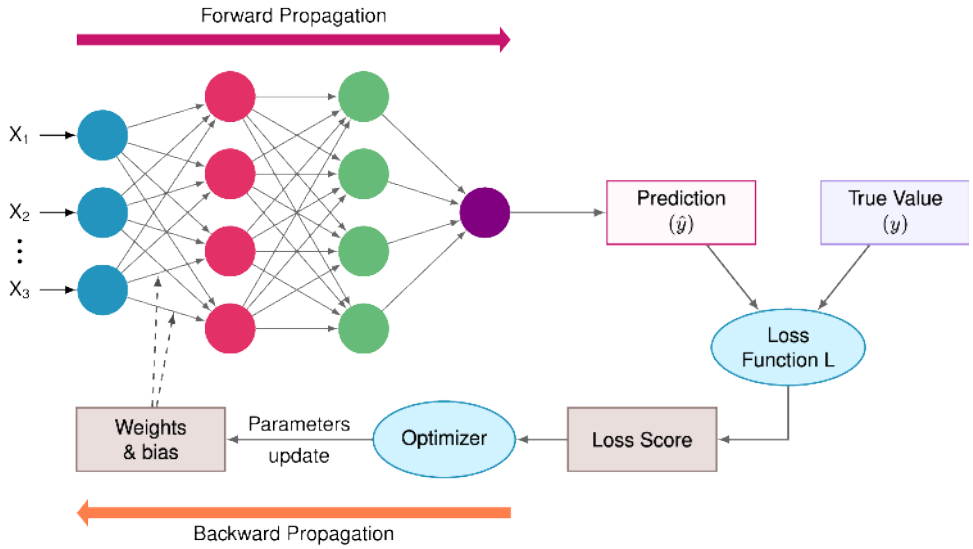

前向传播过程：神经网络通过在各层间依次应用加权和和激活函数，将输入数据转换为预测，从而实现复杂模式识别。这种分层计算形成了推理和训练过程中更新模型参数的基础。

单层处理 神经网络的前向计算是系统进行的，每层将输入转换为越来越抽象的表示。在我们的 MNIST 网络中，这一转换过程分为几个阶段。

在每一层，计算包括两个关键步骤：对输入的线性变换和非线性激活。线性变换应用我们之前看到的加权和操作，但现在使用跟踪我们所处层的符号：

$$\mathbf{Z}^{(l)} = \mathbf{W}^{(l)}\mathbf{A}^{(l-1)} + \mathbf{b}^{(l)}$$

这里，$\mathbf{W}^{(l)}$ 表示第 l 层的权重矩阵，$\mathbf{A}^{(l-1)}$ 包含来自上一层的激活值（应用激活函数后的输出），$\mathbf{b}^{(l)}$ 是偏置向量。上标 (l) 用于标记每个参数属于哪一层。

在这一线性变换之后，每层应用非线性激活函数 f：

$$\mathbf{A}^{(l)} = f(\mathbf{Z}^{(l)})$$

这一过程在每层重复，形成一系列变换：

输入 → 线性变换 → 激活 → 线性变换 → 激活 → … → 输出

在我们的 MNIST 示例中，像素值首先经过第一隐藏层的权重变换，将 784 维输入转换为中间表示。每一层进一步转换这一表示，最终产生一个 10 维的输出向量，表示网络对每个可能数字的置信度。

矩阵乘法表述 完整的前向传播过程可以表示为一系列函数的复合，每个函数表示一层的变换。形式化这一过程以 MNIST 为例。

对于一个有 L 层的网络，我们可以将整个前向计算表示为：

$$\mathbf{A}^{(L)} = f^{(L)}\Big(\mathbf{W}^{(L)} f^{(L-1)}\Big(\mathbf{W}^{(L-1)} \cdots \big(f^{(1)}(\mathbf{W}^{(1)}\mathbf{X} + \mathbf{b}^{(1)})\big) \cdots + \mathbf{b}^{(L-1)}\Big) + \mathbf{b}^{(L)}\Big)$$

虽然这个嵌套表达式捕捉了完整的过程，但我们通常是一步步计算：

1. 第一层：

$$\mathbf{Z}^{(1)} = \mathbf{W}^{(1)}\mathbf{X} + \mathbf{b}^{(1)}$$
$$\mathbf{A}^{(1)} = f^{(1)}(\mathbf{Z}^{(1)})$$

2. 隐藏层 $(l = 2, \ldots, L-1)$：

$$\mathbf{Z}^{(l)} = \mathbf{W}^{(l)}\mathbf{A}^{(l-1)} + \mathbf{b}^{(l)}$$
$$\mathbf{A}^{(l)} = f^{(l)}(\mathbf{Z}^{(l)})$$

3. 输出层：

$$\mathbf{Z}^{(L)} = \mathbf{W}^{(L)}\mathbf{A}^{(L-1)} + \mathbf{b}^{(L)}$$
$$\mathbf{A}^{(L)} = f^{(L)}(\mathbf{Z}^{(L)})$$

在我们的 MNIST 示例中，如果我们有一个批次的 B 张图像，这些操作的维度是：

- 输入 $\mathbf{X}$：$B \times 784$
- 第一层权重 $\mathbf{W}^{(1)}$：$n_1 \times 784$
- 隐藏层权重 $\mathbf{W}^{(l)}$：$n_l \times n_{l-1}$
- 输出层权重 $\mathbf{W}^{(L)}$：$n_{L-1} \times 10$

逐步计算顺序 理解这些数学运算如何转化为实际计算，需要检查批量 MNIST 图像的前向传播过程。这个过程说明了数据如何从原始像素值转换为数字预测。

考虑一个包含 32 张图像的批次如何通过我们的网络。每张图像首先作为 28×28 像素网格的像素值被展平成 784 维向量。对于整个批次，这给我们带来了一个大小为 32×784 的输入矩阵 $\mathbf{X}$，每行代表一张图像。这些值通常被归一化到 0 和 1 之间。

每层的变换过程如下：

- **输入层处理**：网络获取我们的输入矩阵 $\mathbf{X}$ (32×784)，并通过第一层的权重进行变换。如果我们的第一隐藏层有 128 个神经元，$\mathbf{W}^{(1)}$ 是一个 784×128 的矩阵。计算结果 $\mathbf{XW}^{(1)}$ 产生一个 32×128 的矩阵。
- **隐藏层变换**：该矩阵的每个元素随后加上相应的偏置并通过激活函数。例如，使用 ReLU 激活时，所有负值变为零，正值保持不变。这个非线性变换使网络能够学习复杂模式。
- **输出生成**：最后一层将其输入转换为一个 32×10 的矩阵，其中每行包含 10 个值，表示网络对每个可能数字的置信度。通常，这些分数通过 softmax 函数转换为概率：

$$P(\text{digit } j) = \frac{e^{z_j}}{\sum_{k=1}^{10} e^{z_k}}$$

对于批次中的每张图像，这将生成一个关于可能数字的概率分布。具有最高概率的数字即为网络的预测结果。

实现与优化注意事项 前向传播的实现需要仔细考虑几个影响计算效率和内存使用的实际方面。这些考虑在处理大批量数据或深度网络时尤为重要。

内存管理在前向传播中起着重要作用。每层的激活值必须存储以备在训练时反向传播使用。以我们的 MNIST 示例为例，批次大小为 32，如果我们有三层隐藏层，大小分别为 128、256 和 128，则激活存储需求为：

- 第一隐藏层：$32 \times 128 = 4,096$ 个值
- 第二隐藏层：$32 \times 256 = 8,192$ 个值
- 第三隐藏层：$32 \times 128 = 4,096$ 个值
- 输出层：$32 \times 10 = 320$ 个值

这使得每个批次在训练时总共需要 16,704 个值的内存。内存需求随着批次大小线性增长，对于较大网络来说，可能会变得相当可观。

批量处理引入了重要的权衡。较大的批次可以更有效地利用矩阵运算和硬件，但需要更多的内存。例如，将批次大小加倍到 64 将使激活的内存需求翻倍。这种批次大小、内存使用和计算效率之间的关系指导了实际中的批次大小选择。

计算组织也会影响性能。矩阵运算可以通过仔细的内存布局和专用库进行优化。激活函数的选择会影响网络的学习能力和计算效率，因为某些函数（如 ReLU）比其他函数（如 tanh 或 sigmoid）需要更少的计算。

神经网络的计算特性有利于并行处理架构。虽然传统的 CPU 可以执行这些操作，但设计用于并行计算的 GPU 可以在矩阵运算上实现显著的加速 —— 通常比传统方法快 10-100 倍。专用的 AI 加速器通过减少精度算术、专用内存架构和数据流优化等技术实现更好的效率。

能源消耗在不同硬件平台之间也有显著差异。CPU 提供灵活性但每次操作消耗更多能量。GPU 提供高吞吐量但功耗更高。专用的边缘加速器则优化了能量效率，以极少的功率实现相同的计算 —— 这对于移动和嵌入式部署至关重要。这种能量差异源于根本性的内存层次结构挑战，即数据传输主导了计算成本。

这些考虑为理解神经网络的系统需求奠定了基础，我们将在 第 4 章：DNN 架构 中更详细地探讨。

现在我们了解了神经网络如何通过前向传播处理输入以生成预测，接下来一个关键问题是：我们如何判断这些预测的好坏？答案在于损失函数，它为测量预测质量提供了数学框架。

损失函数

神经网络通过测量和最小化预测误差来学习。损失函数提供了量化这些误差的算法结构，作为指导学习过程的基本反馈机制。通过损失函数，我们可以将“做出良好预测”的抽象目标转化为具体的优化问题。

为了理解损失函数的作用，让我们继续以 MNIST 数字识别为例。当网络处理手写数字图像时，它输出十个数字，表示对每个可能数字（0-9）的置信度。损失函数衡量这些预测与真实答案之间的偏差。例如，如果一张图片显示的是“7”，网络应该对数字“7”表现出高置信度，对其他所有数字表现出低置信度。损失函数会惩罚网络的预测偏离这个目标的程度。

考虑一个具体的例子：如果网络看到一张“7”的图片，并输出置信度：

$$[0.1, 0.1, 0.1, 0.0, 0.0, 0.0, 0.2, 0.3, 0.1, 0.1]$$

对数字“7”的最高置信度（0.3）虽然较高，但整体置信度较低，表明网络对该预测不太确定。好的损失函数应该在这里产生较高的损失值，表明网络需要显著改进。相反，如果网络输出：

$$[0.0, 0.0, 0.0, 0.0, 0.0, 0.0, 0.0, 0.9, 0.0, 0.1]$$

损失函数应该产生较低的值，因为这个预测与理想情况更接近。这说明损失函数通过提供对预测质量的反馈，来引导网络的改进。

误差测量基础 损失函数衡量网络预测与正确答案之间的距离。这一差异以一个数字表示：损失越低，预测越准确；损失越高，网络越需要改进。在训练过程中，损失函数通过帮助网络调整权重以做出更好的预测，来引导网络的学习。例如，在手写数字识别中，损失会惩罚那些对正确数字罕见置信度的预测。

从数学上讲，损失函数 L 接受两个输入：网络的预测 $\hat{y}$ 和真实值 y。对于我们 MNIST 任务中的单个训练示例：

$$L(\hat{y}, y) = \text{measure of discrepancy between prediction and truth}$$

在使用数据批量进行训练时，我们通常计算批量中所有示例的平均损失：

$$L_{\text{batch}} = \frac{1}{B} \sum_{i=1}^{B} L(\hat{y}_i, y_i)$$

其中 B 是批量大小，$(\hat{y}_i, y_i)$ 表示第 i 个示例的预测和真实值。

损失函数的选择取决于任务类型。对于我们的 MNIST 分类问题，我们需要一个损失函数，能够：

1. 处理多类的概率分布
2. 提供有意义的学习梯度
3. 有效惩罚错误预测
4. 在批量处理时良好扩展

交叉熵与分类损失函数 对于 MNIST 数字识别这样的分类任务，“交叉熵”[102] 损失已成为标准选择。该损失函数特别适合比较预测的概率分布与真实类别标签。

对于单个数字图像，网络输出一个关于十个可能数字的概率分布。我们将真实标签表示为一个独热编码向量，正确数字位置为 1，其余位置为 0。例如，如果真实数字是“7”，标签为：

$$y = [0, 0, 0, 0, 0, 0, 0, 1, 0, 0]$$

该示例的交叉熵损失为：

$$L(\hat{y}, y) = -\sum_{j=1}^{10} y_j \log(\hat{y}_j)$$

102. **交叉熵损失**：由 Claude Shannon 于 1948 年提出，交叉熵衡量的是错误预测时的“惊讶”程度。如果一个模型对错误答案的信心是 99%，那么损失就会很高；而对错误答案的信心是 60% 时，损失就会低得多。这一数学特性促使模型既要准确又要校准（正确时自信，错误时不确定）。交叉熵与 softmax 输出完美结合，即使在预测严重错误时也能提供强梯度，因此非常适合分类任务。

其中 $\hat{y}_j$ 表示网络对数字 j 的预测概率。由于我们使用了独热编码，这可以简化为：

$$L(\hat{y}, y) = -\log(\hat{y}_c)$$

其中 c 是正确类别的索引。这意味着损失仅依赖于对正确数字的预测概率 —— 网络的惩罚取决于其对正确答案的信心。

例如，如果我们的网络对一张“7”的图片预测了以下概率：

```
Predicted: [0.1, 0.0, 0.0, 0.0, 0.0, 0.0, 0.0, 0.8, 0.0, 0.1]
True: [0, 0, 0, 0, 0, 0, 0, 1, 0, 0]
```

损失将为 $-\log(0.8)$，约为 0.223。如果网络对正确数字的预测为 0.9，损失将降至约 0.105。

批量损失计算方法 损失的实际计算涉及数值稳定性和批量处理的考虑。当处理批量数据时，我们计算批量中所有示例的平均损失。

对于大小为 B 的批次，交叉熵损失变为：

$$L_{\text{batch}} = -\frac{1}{B}\sum_{i=1}^{B}\sum_{j=1}^{10} y_{ij}\log(\hat{y}_{ij})$$

高效计算此损失需要仔细考虑数值精度。对非常小的概率取对数可能导致数值不稳定。例如，假设网络对正确类别的预测概率为 0.0001。直接计算 $\log(0.0001)$ 可能导致下溢或不精确值。

为了解决这个问题，我们通常对损失计算进行两个关键修改：

1. 添加一个小的 epsilon 以防止对零取对数：

$$L = -\log(\hat{y} + \epsilon)$$

2. 对数 - 和 - 指数技巧以提高数值稳定性：

$$\text{softmax}(z_i) = \frac{\exp\left(z_i - \max(z)\right)}{\sum_j \exp\left(z_j - \max(z)\right)}$$

对于批量大小为 32 的 MNIST 示例，这意味着：

- 处理 32 组 10 维概率
- 计算 32 个单独的损失值
- 平均这些值以产生最终的批量损失

对学习动态的影响 理解损失函数如何影响训练，有助于解释一些关键的实现决策。

在每次训练迭代中，损失值有多个作用：

1. 性能指标：量化当前网络准确性
2. 优化目标：其梯度引导权重更新
3. 收敛信号：其趋势指示训练进展

以我们的 MNIST 分类器为例，监控训练过程中的损失变化可以揭示网络的学习轨迹。典型模式可能显示：

- 最初损失较高（~ 2.3，相当于在 10 个类别中随机猜测）
- 早期迭代中快速下降
- 随着网络对预测的微调，逐渐改善
- 最终稳定在较低损失（~ 0.1，表明自信的正确预测）

损失函数相对于网络输出的梯度提供了驱动反向传播的初始误差信号。对于交叉熵损失，这些梯度具有特别简单的形式：预测概率与真实概率之间的差异。这一数学特性使得交叉熵损失特别适合分类任务，因为即使在预测严重错误时，它也能提供强梯度。

损失函数的选择还影响其他训练决策：

- 学习率选择（较大损失梯度可能需要较小的学习率）
- 批量大小（损失在批次间的平均影响梯度稳定性）
- 优化算法行为
- 收敛标准

一旦我们量化了网络的预测误差，接下来的关键步骤是确定如何调整网络的权重以减少这些误差。这引出了反向传播 —— 使神经网络能够从错误中学习的机制。

梯度计算与反向传播

反向传播，通常称为反向传播算法，是神经网络训练的算法基石，通过基于梯度的优化实现系统的权重调整。损失函数告诉我们预测有多么错误，而反向传播则精确地告诉我们该如何修正。

为了直观理解这一复杂过程，可以考虑“信贷分配”问题，类比于工厂的装配线。假设一辆车在多个工位上组装：工位 A 安装车架，工位 B 安装发动机，工位 C 安装车轮，工位 D 进行最后的总装。质量检查员在生产线末端发现一辆有缺陷的车，他们面临一个关键问题：哪个工位对问题的产生贡献最大，每个工位该如何调整其工艺？

解决方案是从缺陷处向后追溯。检查员首先检查最终装配（工位 D），确定其工作如何影响质量问题。工位 D 然后查看其接收到的来自工位 C 的部件，计算问题是出在轮子还是其自身的装配工作。这个反馈向后流动：工位 C 检查来自工位 B 的发动机，工位 B 检查来自工位 A 的车架。每个工位根据其工作对缺陷的贡献大小，接收到相应的“调整信号”。如果工位 B 的发动机安装是主要原因，它会收到强烈的调整信号，而其他正常工作的工位则收到较小或没有信号。

反向传播以系统化的方式解决了这个信贷分配问题。输出层（类似工位 D）获得了最直接的关于错误的信息。它计算出其输入（来自上一层的输出）如何导致错误，并将具体的调整信号向后传递给网络的每一层。每一层根据其对预测错误的贡献大小接收指导，并相应地调整其权重。这个过程确保每一层都能从错误中学习，责任最大的连接进行更大幅度的调整。

在神经网络中，每一层就像装配线上的一个工位，反向传播则确定了每个连接对最终预测错误的影响程度。这一系统化的从错误中学习的过程，构成了神经网络通过经验改进的基础。

本节将完整的优化框架呈现，从梯度计算到训练的实际实施。

反向传播算法步骤　当前向传播计算出预测值时，反向传播则确定如何调整网络的权重以改善这些预测。为了理解这个过程，考虑我们的 MNIST 示例，其中网络将“3”预测为“7”。反向传播提供了一种系统的方法，通过计算每个权重对错误的贡献，来调整整个网络的权重，使这种错误在将来不太可能发生。

该过程从网络输出开始，我们比较预测的数字概率与真实标签。这个误差然后向后流动通过网络，每层的权重根据它们对最终预测的贡献大小接收更新信号。计算遵循链式法则，将权重与最终误差之间复杂的关系分解为可管理的步骤。

反向传播的数学基础提供了训练神经网络的理论依据，但实际实施需要复杂的软件框架。现代框架如 PyTorch 和 TensorFlow 实现了自动微分系统，自动处理梯度计算，无需手动实现导数。这些框架的系统工程方面，包括计算图和优化策略，在 第 7 章：AI 框架 中有全面的介绍。

误差信号传播　梯度在神经网络中的流动路径与前向传播相反。从输出层的损失开始，梯度向后传播，计算每一层、最终每个权重对预测错误的影响。

以我们的 MNIST 示例为例，考虑当网络错误地将“7”分类为“3”时发生了什么。损失函数在输出层生成初始误差信号，基本上指示“7”的概率应增加，而“3”的概率应减少。这个误差信号然后通过网络层向后传播。

对于一个有 L 层的网络，梯度流动可以数学表达。在每一层 l，我们计算该层输出对最终损失的影响：

$$\frac{\partial L}{\partial \mathbf{A}^{(l)}} = \frac{\partial L}{\partial \mathbf{A}^{(l+1)}} \frac{\partial \mathbf{A}^{(l+1)}}{\partial \mathbf{A}^{(l)}}$$

这个计算反向传播通过许多层，每一层的梯度依赖于前一层计算的梯度。这个过程揭示了每一层的变换如何对最终预测错误做出贡献。例如，如果某些早期层的权重对错误分类有很大影响，它们将获得较大的梯度值，指示需要更大幅度的调整。

这个过程在深层网络中面临挑战。随着梯度通过许多层反向传播，它们可能会消失或爆炸。当梯度在许多层中反复相乘时，可能会变得指数级地很小，特别是使用 sigmoid 或 tanh 激活函数时。这会导致早期层学习非常缓慢或根本不学习（梯度消失）。相反，如果梯度值持续大于 1，它们可能会指数级增长，导致训练不稳定和破坏性的权重更新。

导数计算过程 梯度计算的实际过程涉及在每一层计算多个偏导数。对于每一层，我们需要确定权重、偏置和激活的变化如何影响最终损失。这些计算直接来自链式法则，但必须高效实现以便于实际训练神经网络。

在每一层 l，我们计算三个主要的梯度组成部分：

1. 权重梯度：

$$\frac{\partial L}{\partial \mathbf{W}^{(l)}} = \frac{\partial L}{\partial \mathbf{Z}^{(l)}} \mathbf{A}^{(l-1)^T}$$

2. 偏置梯度：

$$\frac{\partial L}{\partial \mathbf{b}^{(l)}} = \frac{\partial L}{\partial \mathbf{Z}^{(l)}}$$

3. 输入梯度（用于传播到上一层）：

$$\frac{\partial L}{\partial \mathbf{A}^{(l-1)}} = \mathbf{W}^{(l)^T} \frac{\partial L}{\partial \mathbf{Z}^{(l)}}$$

在我们的 MNIST 示例中，考虑最终层网络输出数字概率时，梯度计算将：

1. 从这些概率的误差开始
2. 计算权重调整将如何影响这些误差
3. 将这些梯度向后传播，以帮助调整早期层的权重

这些数学公式精确描述了梯度计算，但系统突破在于框架如何自动实现这些计算。考虑一个简单的操作，如矩阵乘法后接 ReLU 激活：

`output = torch.relu(input @ weight)`。数学梯度涉及计算 ReLU 的导数（对负输入为 0，对正输入为 1）并应用链式法则进行矩阵乘法。框架通过以下方式自动处理：

1. 在前向传播时将操作记录在计算图中
2. 存储必要的中间值（用于梯度计算的激活值）
3. 自动生成每个操作的反向传播函数
4. 优化整个图的内存使用和计算顺序

这种自动化将梯度计算从一个需要深厚数学专业知识的手动、易错过程，转变为一个可靠的系统能力，能够快速进行实验和部署。框架确保正确性，同时优化计算效率、内存使用和硬件利用率。

计算实现细节 反向传播的实际实现需要仔细考虑计算资源和内存管理。这些实现细节对训练效率和可扩展性有重大影响。

反向传播期间的内存需求主要来自两个方面。首先，我们需要存储前向传播的中间激活值，因为这些值在计算梯度时是必需的。以我们的 MNIST 网络为例，批次大小为 32，每层的激活值必须保持：

- 输入层：32×784 个值 (~100KB，使用 32 位数字)
- 隐藏层 1：32×512 个值 (~64KB)
- 隐藏层 2：32×256 个值 (~32KB)
- 输出层：32×10 个值 (~1.3KB)

其次，我们必须存储每个参数的梯度。在我们示例网络中，这需要几兆字节的内存。高级优化器如 Adam[103] 需要额外的内存来存储动量项，通常会使梯度存储需求翻倍。

反向传播期间的内存带宽需求随着模型大小和批次大小的增加而增加。每个训练步骤都需要加载所有参数、存储梯度和访问激活值 —— 这会产生大量的内存流量。对于像 MNIST 这样适中的网络，这种流量在典型内存系统的能力范围内是可以管理的。然而，随着模型的增大，内存带宽可能成为一个重要的瓶颈，最大的模型可能需要专门的高带宽内存系统来维持训练效率。

第二，梯度本身的存储也需要大量内存。对于每一层，我们必须存储与权重和偏置相似维度的梯度。以之前提到的隐藏层大小为 128、256 和 128 的网络为例，这意味着存储：

103. **Adam 优化器**：由 Diederik Kingma 和 Jimmy Ba 于 2014 年提出，Adam（自适应动量估计）结合了 AdaGrad 的自适应学习率和 RMSprop 的指数加权平均的优点。Adam 为每个参数维护单独的学习率，并根据梯度的一阶和二阶矩进行自我调整。它需要 2 倍的内存开销（为每个参数存储动量和速度），但通常比基本的 SGD 收敛更快。由于其在各种深度学习应用中的稳健性和对超参数调整的最小需求，Adam 成为大多数深度学习应用的默认优化器。

- 第一层梯度：784×128 个值
- 第二层梯度：128×256 个值
- 第三层梯度：256×128 个值
- 输出层梯度：128×10 个值

反向传播的计算模式遵循特定顺序：

1. 计算当前层的梯度
2. 更新存储的梯度
3. 将误差信号传播到上一层
4. 重复，直到到达输入层

对于批量处理，这些计算会同时在批量中的所有示例上执行，从而实现矩阵运算和并行处理能力的高效利用。

现代框架通过复杂的自动求导引擎处理这些计算。当你在 PyTorch 中调用 `loss.backward()` 时，框架自动管理内存分配、操作调度和梯度累积，跨计算图优化计算顺序和内存使用。这种自动化管理使得从事模型设计的人员能够专注于模型本身，而不是梯度计算实现的复杂细节。

权重更新与优化

训练神经网络需要系统地调整权重和偏置，通过迭代优化过程最小化预测误差。建立在我们生物到人工翻译的计算基础之上，本节探讨神经网络优化的核心机制，从基于梯度的参数更新到实际训练实施。

参数更新算法 优化过程通过梯度下降[104]来调整网络权重，这是一个系统的方法，通过计算每个权重对误差的贡献，并更新参数以减少损失，从而逐步改善网络的预测能力。

基本的更新规则将反向传播的梯度计算与参数调整结合起来：

$$\theta_{\text{new}} = \theta_{\text{old}} - \alpha \nabla_\theta L$$

其中 θ 表示任何网络参数（权重或偏置），α 是学习率，$\nabla_\theta L$ 是通过反向传播计算的梯度。

104. **梯度下降**：可以把梯度下降想象成在盲 fold 状态下寻找山谷的底部 —— 你感受到脚下的坡度并朝下坡的方向迈步。从数学上讲，梯度指向最陡的上升方向，因此我们朝相反的方向移动以最小化损失函数。这个名字源于拉丁语“gradus”（步），最早由 Cauchy 于 1847 年正式提出，用于求解方程组，尽管现代机器学习中的版本则是在很久之后发展起来的。

对于我们的 MNIST 示例，这意味着调整权重以改善数字分类的准确性。如果网络经常将“7”误判为“1”，梯度下降将调整权重以更好地区分这两个数字。学习率 α[105] 控制调整幅度 —— 过大会导致超出最优参数，过小则收敛缓慢。

尽管神经网络的损失函数是高度非凸的，具有多个局部最小值，但在实践中，梯度下降仍然能够可靠地找到有效的解决方案。其理论原因涉及彩票假说、隐式偏差 和过参数化的好处等概念，仍然是活跃的研究领域。对于实际的机器学习系统工程而言，关键的见解是：在适当的学习率、初始化和正则化下，梯度下降能够一致地将神经网络训练到高性能。

小批量梯度更新 神经网络通常在训练时同时处理多个示例，这种方法称为小批量梯度下降。我们不是在每个单独的图像后更新权重，而是计算一批示例的平均梯度，然后再进行更新。

对于大小为 B 的批次，损失梯度变为：

$$\nabla_\theta L_{\text{batch}} = \frac{1}{B}\sum_{i=1}^{B} \nabla_\theta L_i$$

在我们的 MNIST 训练中，典型批次大小为 32，这意味着：

1. 通过前向传播处理 32 张图像
2. 计算这 32 个预测的损失
3. 在所有 32 个示例中平均梯度
4. 使用这个平均梯度更新权重

> **系统视角：批量大小与硬件利用**
>
> **批量大小权衡**：较大批量通过使矩阵运算同时处理多个示例来提高硬件效率，但会增加内存需求。处理单个输入可最大限度减少延迟，但批量处理可以显著提高吞吐量，特别是在 GPU 上。考虑到内存和计算能力，选择合适的批量大小对实际应用至关重要。

迭代学习过程 完整的训练过程将前向传播、反向传播和权重更新结合成一个系统的训练循环。该循环重复进行，直到网络达到令人满意的性能或达到预定的迭代次数。

105. **学习率**：通常被认为是深度学习中最重要的超参数，学习率决定了优化过程中的步长。可以把它想象成汽车的油门 —— 加速过猛会错过目标，过慢则无法到达。典型值范围从 0.1 到 0.0001，选择合适的学习率对模型的训练速度和效果至关重要。

对整个训练数据集的单次遍历称为一个 epoch[106]。对于 MNIST 来说，60,000 张训练图像和批量大小为 32，每个 epoch 包含 1,875 次批量迭代。训练循环结构为：

1. 对于每个 epoch：
    - 打乱训练数据，以防学习到依赖顺序的模式
    - 对于每个批次：
        - 执行前向传播
        - 计算损失
        - 执行反向传播
        - 使用梯度下降更新权重
    - 评估网络性能

在训练过程中，我们监控几个关键指标：

- 训练损失：最近批次的平均损失
- 验证准确率：在保留的测试数据上的表现
- 学习进度：网络改善的速度

对于我们的数字识别任务，我们可能会观察到网络的准确率通过多个 epoch 的训练，从 10%（随机猜测）提高到 95% 以上。

收敛与稳定性考虑 神经网络训练的成功实施需要关注几个关键的实际方面，这些方面对学习效果有重大影响。这些考虑弥合了理论理解与实际实施之间的差距。

学习率选择可能是影响训练的最关键参数。对于我们的 MNIST 网络，学习率的选择对训练动态有着显著影响。过大的学习率（如 0.1）可能导致训练不稳定，损失在最优值附近振荡或爆炸；而过小的学习率（如 0.0001）则可能导致收敛过慢，需要更多的 epoch 才能达到良好的性能。适中的学习率（如 0.01）通常能在训练速度和稳定性之间提供良好的平衡，使网络能够稳步进展，同时保持学习的稳定性。

收敛监控在训练过程中提供了关键反馈。随着训练的进行，我们通常会观察到损失值稳定在某个特定值附近，表明网络正在接近局部最优。验证准确率也往往会达到平台期，表明网络已从数据中提取出大部分可学习的模式。训练和验证性能之间的差距提供了网

106. **Epoch**：源自希腊语“epoche”，意为“固定时间点”，表示对所有训练数据的完整周期。深度学习模型通常需要 10-200 个 epoch 才能收敛，具体取决于数据集的大小和复杂性。现代大型语言模型如 GPT-3 在庞大数据集（3000 亿个标记）上训练仅需 1 个 epoch，而较小的模型可能在有限数据上训练 100 个以上的 epoch。这个术语借用自天文学，标记测量天体位置的特定时刻 —— 恰如神经网络训练过程中的迭代精炼。

络是否过拟合或对新示例泛化良好的见解。生产环境中监控模型的操作方面，包括检测模型退化和性能漂移，在 第 13 章：机器学习运维 中有全面的覆盖。

资源需求在我们扩大神经网络训练规模时变得越来越重要。内存占用必须同时容纳模型参数和反向传播所需的中间计算。计算量与批量大小成线性关系，影响训练速度和硬件利用率。现代训练通常利用 GPU 加速，因此有效利用并行计算能力对于实际实施至关重要。

训练神经网络还面临着几个挑战。当网络过于专注于训练数据时，可能会出现过拟合，导致在新数据上的表现不佳。梯度不稳定可能表现为梯度消失或爆炸，使学习变得困难。批量大小、可用内存和计算资源之间的相互作用通常需要仔细平衡，以实现高效训练，同时在硬件限制内工作。

您现在已经涵盖了神经网络的完整训练周期 —— 从数学机制到系统实现，神经网络如何通过数据学习。接下来，我们将探讨推理和部署的中心问题，这些问题将所有这些原则结合在一起，形成一个完整的系统。

> **系统视角：训练与推理的区别**
>
> **推理阶段的简化**：与训练阶段需要的反向传播和权重更新不同，推理阶段仅需前向传播。每层只需执行一组操作，将输入转换为输出，无需为梯度计算跟踪中间值。这种结构简化意味着推理时每层执行的操作更少，内存需求也显著降低。
>
> **硬件需求差异**：训练通常在高内存 GPU 上进行，以处理大规模并行计算和高内存带宽需求，而推理则可以在更广泛的设备上高效运行，包括移动设备和边缘计算设备。这些设备优化了能耗和延迟，适应了推理阶段的计算特征。

推理管道

在详细探讨训练过程后，我们现在转向神经网络的操作阶段。神经网络有两个截然不同的目的：在训练中从数据中学习，以及在推理中进行预测。虽然我们已经探讨了网络如何通过前向传播、反向传播和权重更新来学习，但推理阶段的操作方式有所不同。在推理过程中，网络利用其学习到的参数将输入转换为输出，而无需学习机制。这一更简单的计算过程仍然需要仔细考虑数据如何流经网络，以及系统资源如何利用。理解预测阶段对于神经网络如何实际部署以解决现实世界问题至关重要，从图像分类到生成文本预测。

生产部署与预测管道

神经网络的操作部署集中在推理上 —— 使用训练好的模型对新数据进行预测的过程。与需要迭代参数更新和大量计算资源的训练不同，推理代表了在部署系统中提供价值的生产工作负载。理解这两个阶段之间的根本差异，对于设计高效的机器学习系统至关重要，因为每个阶段对硬件、内存和软件架构施加了不同的要求。本节将探讨推理的核心特征，首先系统地与训练进行比较，然后探讨将输入转换为预测的计算管道。

操作阶段差异 神经网络的操作分为两个截然不同的阶段，这两个阶段对计算需求和系统约束施加了显著不同的要求。训练需要前向和反向传播以计算梯度和更新权重，而推理仅涉及前向传播计算。这种架构简化意味着每层在推理过程中只执行一组操作，使用学习到的权重将输入转换为输出，而无需为梯度计算跟踪中间值，如图 16 所示。

这些计算差异直接体现在硬件需求和部署策略上。训练集群通常使用高内存 GPU[107]，并配有大量冷却设施。推理部署则优先考虑延迟和能效，涵盖各种平台：移动设备使用低功耗神经处理器（通常 2-4W），边缘服务器部署专用推理加速器 [108]，云服务则采用经过优化的推理实例，以降低数值精度来提高吞吐量 [109]。处理每日数百万请求的生产推理系统，需要复杂的基础设施，包括负载均衡、自动扩展和故障转移机制，这些在训练环境中通常不需要。

参数冻结是训练与推理阶段的另一个主要区别。在训练过程中，权重和偏置不断更新，以最小化损失函数。而在推理中，这些参数保持固定，作为从训练数据中学习到的静态变换。这种参数的冻结不仅简化了计算，还实现了训练时无法进行的优化，如权重量化或剪枝。

训练循环与推理过程在结构上有显著不同，影响了系统设计。训练在一个迭代循环中进行，反复处理多个批次的数据，经过多个 epoch 来细化网络的参数。而推理通常对每个输入只处理一次，在一次前向传播中生成预测。这种从迭代细化到单次预测的转变影响了我们为部署架构系统的方式。

这些结构差异导致训练和推理之间在内存和计算需求上有显著不同。训练需要大量内存来存储中间激活值以备反向传播、梯度更新和优化状态。而推理则消除了这些内存密集

107. **训练 GPU 要求**：现代训练 GPU 如 NVIDIA A100 或 H100 提供 80GB 高带宽内存，工作时消耗 300-700W。这种高内存容量可容纳大模型和训练批次，而功耗反映了对数百万参数进行梯度计算所需的密集并行计算。
108. **边缘 AI 加速器**：如 Google 的 Edge TPU 等专用处理器，优化推理效率，达到 4 TOPS/W（每瓦特四万亿次操作），比通用处理器在神经网络操作上高效 10-100 倍。这种效率使其能够部署在电池供电的设备上，如智能手机和物联网传感器。
109. **推理数值精度**：推理系统通常使用降低精度的算术运算 —— 16 位或 8 位数字代替 32 位 —— 以提高吞吐量同时保持准确性。这种精度降低利用了训练好的模型对数值近似的稳健性。使用 8 位整数的运算吞吐量相比 32 位浮点运算可提高 4 倍。

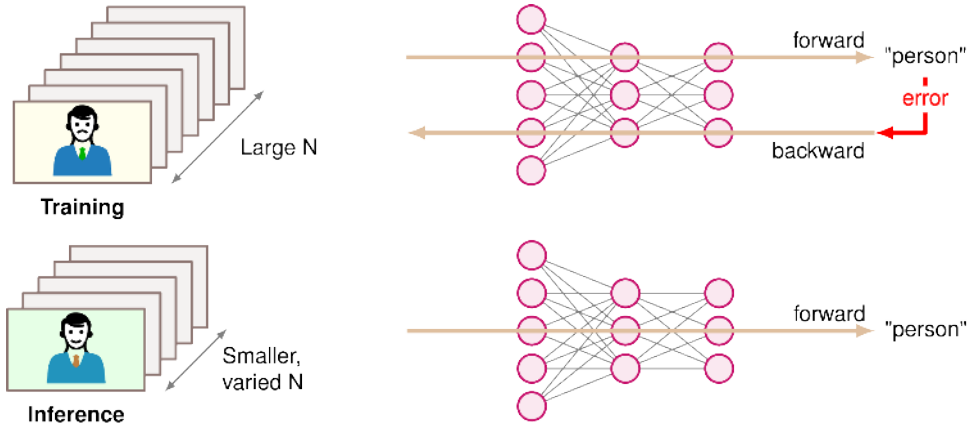

推理与训练流程：推理中，神经网络仅利用学习到的权重进行前向传播计算，简化了数据流动，降低了与训练相比的计算成本。这一简化过程实现了高效的训练模型实时预测能力。

型需求，仅需足够的内存来存储模型参数和计算一次前向传播。这种内存占用的减少，加上更简单的计算模式，使得推理能够高效地在更广泛的设备上运行，从强大的服务器到资源受限的边缘设备。

一般来说，训练阶段需要更多的计算资源和内存用于学习，而推理则简化为高效预测。表 5 总结了训练与推理的关键区别。

方面	**训练**	**推理**
计算流程	前向和反向传播，梯度计算	仅前向传播，直接从输入到输出
参数	持续更新的权重和偏置	固定的权重和偏置
处理模式	多次迭代遍历多个 epoch	通过网络的单次传递
内存需求	高 – 存储激活值、梯度、优化器状态	较低 – 仅存储模型参数和当前输入
计算需求	重 – 梯度更新、反向传播	较轻 – 仅矩阵乘法
硬件需求	用于高效训练的 GPU/专用硬件	可在更简单的设备上运行，包括移动/边缘设备

训练和推理之间的这种鲜明对比，突显了开发和部署环境之间的系统架构往往存在显著差异。

训练需要大量的计算资源和专用硬件，而推理则可以针对效率进行优化，并部署在更广泛的设备上。

训练和推理之间的不同架构优化。训练需要高精度算术和反向传播计算，推动了专用硬件的采用，具有灵活的计算单元。推理则允许各种效率优化和专用架构，利用简单的计算流程。这些差异解释了为何专用推理处理器相比通用训练硬件能实现更高的能效。

内存使用模式也截然不同：训练存储所有激活值以备反向传播（需要 2-3 倍的内存），而推理则在使用后立即丢弃激活值。

端到端预测工作流 神经网络在实际应用中的实现需要一个完整的处理管道，超出了网络本身的范围。这个管道，如图 17 所示，通过一系列不同的阶段将原始输入转换为有意义的输出，每个阶段对系统的操作都是至关重要的。理解这个完整的管道对于深度学习系统的设计和部署提供了关键的见解。

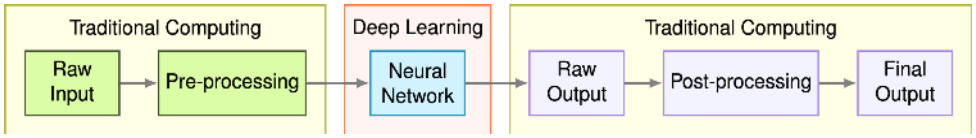

推理管道：机器学习系统通过一系列顺序阶段将原始输入转换为最终输出 —— 预处理、神经网络计算和后处理 —— 每个阶段对准确预测和部署都是至关重要的。这个管道强调了模型架构与实现真实世界应用所需的完整系统之间的区别。

从图中可以清楚地看到，深度学习系统作为混合架构运行，结合了常规计算操作和神经网络计算。神经网络组件专注于通过矩阵运算进行学习的变换，是更广泛计算框架中的一个元素。该框架包括输入数据的准备和网络输出的解释，这些过程主要依赖于传统计算方法。

考虑图 17 中数据的流动：

1. 原始输入以其原始形式到达，可能是图像、文本、传感器读数或其他数据类型
2. 预处理将这些输入转换为适合神经网络消费的格式
3. 神经网络执行其学习的变换
4. 原始输出从网络中产生，通常是数值形式
5. 后处理将这些输出转换为有意义的、可操作的结果

这一管道结构揭示了深度学习系统的几个关键特性。神经网络尽管计算复杂，但作为更大系统中的一个组件。性能瓶颈可能出现在管道的任何阶段，而不仅仅是在神经网络计算中。系统优化必须考虑整个管道，而不是仅仅关注神经网络的操作。

这种架构的混合特性对系统实施具有重要意义。虽然神经网络计算可能从专用硬件加速中受益，但预处理和后处理操作通常在常规处理器上执行。这种跨异构硬件资源的计算分布代表了系统设计中的一个基本考虑。

数据预处理和标准化

预处理阶段将原始输入转换为适合神经网络计算的格式。尽管在理论讨论中常被忽视，但这一阶段是将真实世界数据与神经网络操作连接起来的关键桥梁。考虑我们的 MNIST 数字识别示例：在手写数字图片可以被我们之前设计的神经网络处理之前，它必须经过几个变换。原始手写数字图片以不同的格式、大小和像素值范围到达。例如，在图 18 中，我们可以看到数字的大小各异，即使是同一个人写的数字 6 也大相径庭。

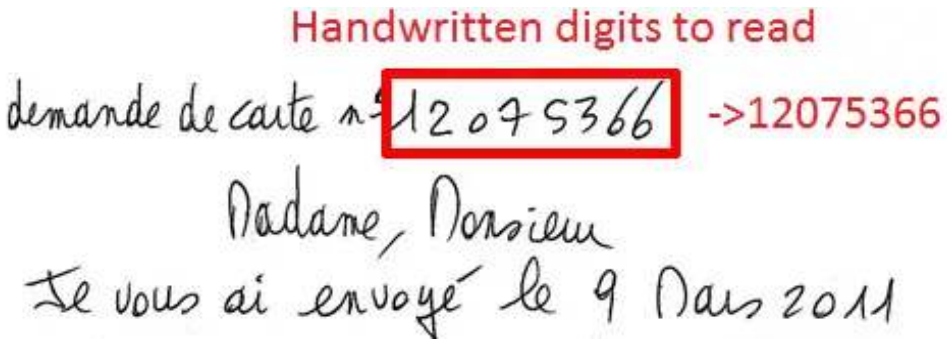

手写数字的变化性：真实世界数据在风格、大小和方向上表现出显著差异，这要求强大的预处理技术以确保可靠的机器学习性能。这些图片例证了即使是看似简单的输入，在有效处理之前也需要归一化和特征提取。来源：o. augereau。

预处理阶段通过常规计算操作标准化这些输入：

- 将图像缩放到所需的 28×28 像素尺寸，摄像头图像通常较大。
- 将像素值从 $[0, 255]$ 归一化到 $[0, 1]$，大多数摄像头生成彩色图像。
- 将 2D 图像数组展平为 784 维向量，为神经网络准备。
- 基本验证以确保数据完整性，确保网络正确预测。

与神经网络计算的区别在于，预处理依赖于传统计算操作，而非学习变换。这一区别对系统具有重要意义：预处理在常规 CPU 上运行，而非专用神经网络硬件，其性能特征遵循传统计算模式。

预处理的有效性直接影响系统性能。归一化不当会导致准确性降低，缩放不一致会引入

伪影，实施不力会造成瓶颈。理解这些影响有助于设计出在真实世界条件下表现良好的稳健深度学习系统。

前向传播计算管道

推理阶段是神经网络的操作状态，学习到的参数用于将输入转换为预测。与我们之前讨论的训练阶段不同，推理仅关注于使用固定参数的前向计算。

模型加载与设置 在处理任何输入之前，神经网络必须正确初始化以进行推理。此初始化阶段涉及将训练期间学习到的模型参数加载到内存中。对于我们的 MNIST 数字识别网络，这意味着加载每层的特定权重矩阵和偏置向量。我们架构的具体内存需求如下：

- 输入到第一隐藏层：
  - 权重矩阵：$784 \times 100 = 78,400$ 参数
  - 偏置向量：100 参数
- 第一到第二隐藏层：
  - 权重矩阵：$100 \times 100 = 10,000$ 参数
  - 偏置向量：100 参数
- 第二隐藏层到输出：
  - 权重矩阵：$100 \times 10 = 1,000$ 参数
  - 偏置向量：10 参数

该架构的完整参数需求在资源需求部分有详细说明。处理单张图像时，这意味着为以下内容分配空间：

- 第一隐藏层激活值：100 个
- 第二隐藏层激活值：100 个
- 输出层激活值：10 个

与训练时需要额外的内存来存储梯度、优化器状态和反向传播计算不同，推理阶段的内存分配相对简单。

实际推理部署中采用了多种内存优化技术，以减少资源需求，同时保持可接受的准确性。系统可能将多个请求组合在一起，以更好地利用硬件能力，同时满足响应时间要求。对于资源受限的部署，各种模型压缩方法帮助模型适应可用内存，同时保持功能。

推理前向传播执行 在推理过程中，数据通过网络的层传播，使用初始化的参数。尽管这一过程在结构上类似于训练时的前向传播，但在计算约束和优化方面有所不同。计算沿着从输入到输出的确定性路径进行，在每一层使用学习到的参数转换数据。

以我们的 MNIST 数字识别网络为例，考虑每层的精确计算。当网络处理一张预处理的 784 维数字图像时，依次进行以下变换：

1. 第一隐藏层计算：
   - 输入变换：784 个输入与 78,400 个权重通过矩阵乘法结合
   - 线性计算：$\mathbf{z}^{(1)} = \mathbf{x}\mathbf{W}^{(1)} + \mathbf{b}^{(1)}$
   - 激活：$\mathbf{a}^{(1)} = \text{ReLU}(\mathbf{z}^{(1)})$
   - 输出：100 维激活向量
2. 第二隐藏层计算：
   - 输入变换：100 个值与 10,000 个权重结合
   - 线性计算：$\mathbf{z}^{(2)} = \mathbf{a}^{(1)}\mathbf{W}^{(2)} + \mathbf{b}^{(2)}$
   - 激活：$\mathbf{a}^{(2)} = \text{ReLU}(\mathbf{z}^{(2)})$
   - 输出：100 维激活向量
3. 输出层计算：
   - 最终变换：100 个值与 1,000 个权重结合
   - 线性计算：$\mathbf{z}^{(3)} = \mathbf{a}^{(2)}\mathbf{W}^{(3)} + \mathbf{b}^{(3)}$
   - 激活：$\mathbf{a}^{(3)} = \text{softmax}(\mathbf{z}^{(3)})$
   - 输出：10 个概率值

表 6 展示了这些计算在操作时与训练时前向传播的主要区别：

特征	训练前向传播	推理前向传播
激活存储	保持完整的激活历史以备反向传播	仅保留当前层激活值
内存模式	在整个前向传播过程中保留中间状态	在层计算完成后释放内存

特征	训练前向传播	推理前向传播
计算流程	为梯度计算准备结构化	优化为直接生成输出
资源配置	较高的内存需求以支持训练操作	最小化内存占用以实现高效执行

这种简化的计算模式使得推理能够高效进行，同时保持网络的学习能力。内存需求的减少，加上更简单的计算模式，使得推理能够高效地在更广泛的设备上运行，从强大的服务器到资源受限的边缘设备。

内存和计算资源 神经网络在推理过程中与训练相比，消耗的计算资源有所不同。推理期间，资源利用主要集中在高效的前向传播计算和最小的内存开销上。检查 MNIST 数字识别网络的具体需求揭示了：

推理期间的内存需求可以精确量化：

1. 静态内存（模型参数）：
   - 第 1 层：78,400 权重 + 100 偏置
   - 第 2 层：10,000 权重 + 100 偏置
   - 第 3 层：1,000 权重 + 10 偏置
   - 总计：89,610 参数（约 358.44 KB，使用 32 位浮点精度 [110]）
2. 动态内存（激活值）：
   - 第 1 层输出：100 个值
   - 第 2 层输出：100 个值
   - 第 3 层输出：10 个值
   - 总计：210 个值（约 0.84 KB，使用 32 位浮点精度）

每次输入的计算需求遵循固定模式：

- 第一层：78,400 次乘加运算

110. **32 位浮点精度**：也称为“单精度”或 FP32，IEEE 754 标准使用 32 位表示实数：1 位表示符号，8 位表示指数，23 位表示尾数。虽然神经网络训练通常需要 FP32 精度以保持梯度稳定，但推理通常可以在降低精度的情况下进行，同时保持可接受的准确性。使用 8 位整数的运算吞吐量相比 32 位浮点运算可提高 4 倍。

- 第二层：10,000 次乘加运算
- 输出层：1,000 次乘加运算
- 总计：89,400 次乘加运算每次推理

这种资源配置与训练需求形成鲜明对比，后者需要额外的内存来存储梯度和计算反向传播的额外计算开销。推理计算的可预测性和简化的内存需求使其能够在各种设备上高效运行。

性能提升技术 推理计算的固定特性提供了在训练时无法获得的优化机会。一旦神经网络的参数被冻结，计算模式的可预测性就允许对内存使用和计算效率进行系统性的改进。

批量大小选择是推理优化中的一个关键权衡。在训练时，较大批量对于稳定梯度计算是必要的，但推理提供了更多灵活性。处理单个输入可以最小化延迟，非常适合需要即时响应的实时应用。然而，批量处理可以通过更好地利用并行计算能力显著提高吞吐量，特别是在 GPU 上。以我们的 MNIST 网络为例，考虑内存的影响：处理单个图像需要存储 210 个激活值，而处理 32 张图像的批次则需要 6,720 个激活值，但可以将图像处理速度提高最多 32 倍。

推理期间的内存管理可以比训练时高效得多。由于中间值仅在前向计算时需要，因此可以仔细管理和重用内存缓冲区。每层的激活值只需在下一层计算完成之前存在。这使得尽可能地进行就地操作成为可能，从而减少总内存占用。推理阶段的固定特性还允许进行精确的内存对齐和访问模式优化，以适应底层硬件架构。

特定硬件的优化在推理过程中尤为重要。在 CPU 上，计算可以组织为最大化缓存利用率，并利用并行处理能力，同时对多个数据元素应用相同的操作。GPU 部署则得益于优化的矩阵乘法例程和高效的内存传输模式。这些优化不仅仅是纯粹的计算效率，还可能对功耗和硬件利用率产生重大影响，这是现实世界部署中的关键因素。

推理的可预测性还使得减少数值精度等优化成为可能。虽然训练通常需要全浮点精度以保持稳定的学习，但推理往往可以在降低精度的情况下进行，同时保持可接受的准确性。对于我们的 MNIST 网络，这些优化可以显著减少内存占用，并相应地提高计算效率。

这些优化原则虽然通过我们简单的 MNIST 前馈网络进行说明，但更复杂的架构引入了额外的考虑和机会，包括针对空间数据处理、序列计算和基于注意力的计算模式的专门设计。有关这些架构变体及其优化的更多信息，请参见 第 4 章：DNN 架构、第 10 章：模型优化 和 第 9 章：高效 AI。

输出解释与决策

神经网络输出到可操作预测的转换，需要回归传统计算范式。正如预处理将真实世界数据桥接到神经计算，后处理则将神经输出桥接回常规计算系统。这完成了我们之前检查的混合计算管道，其中神经和传统计算操作协同工作，以解决现实世界问题。

后处理的复杂性超出了简单的数学变换。现实世界系统必须处理不确定性，验证输出，并与更大的计算系统集成。在我们的 MNIST 示例中，数字识别系统可能不仅需要最可能的数字，还需要置信度度量，以确定何时需要人工干预。这引入了额外的计算步骤：置信度阈值、次级预测检查和错误处理逻辑，所有这些都在传统计算框架中实现。

后处理的计算需求与神经网络推理有显著不同。推理受益于并行处理和专用硬件，而后处理通常在常规 CPU 上运行，遵循顺序逻辑模式。这种对传统计算范式的回归完成了深度学习系统的混合特性，神经网络计算与传统计算操作交替进行。

考虑 USPS 系统中一张邮件的完整处理流程，将进一步说明这些概念如何在实际部署中结合。我们将看到，从数据捕获到预处理，再到推理和后处理，直至最终排序决策，所有这些步骤如何协同工作，以实现高效、准确的邮件处理。

我们已经涵盖了神经网络的完整生命周期：从架构设计到训练动态，再到推理部署。每个概念 —— 神经元、层、前向传播、反向传播、损失函数、优化 —— 都是拼图的一部分。但这些部分如何在实践中结合？接下来的检查点将帮助您验证这些组件如何集成到完整系统中，之后我们将研究一个将所有这些原则应用于现实世界部署的历史案例研究。

在检查这些概念如何在现实世界部署中集成之前，请验证您对神经网络完整生命周期的理解：

各阶段的集成：

□ 你能否追踪架构决策（层大小、激活函数）如何影响训练动态和推理性能？

□ 你是否理解参数计数如何转化为训练和推理阶段的内存需求？

□ 你能否解释为什么同一网络在训练时需要 2-3 倍的内存，而推理时只需较少？

从训练到部署：

□ 你能否追踪完整的生命周期：架构设计 → 训练循环 → 训练模型 → 推理部署？

□ 你是否理解训练指标（损失、梯度）与部署指标（延迟、吞吐量）之间的区别？

□ 你能否解释何时需要人工干预（置信度阈值、验证、监控）？

推理与部署：

□ 你能否解释训练与推理之间的关键区别（计算流程、内存需求、参数更新）？

□ 你是否理解完整的推理管道：预处理 → 神经网络 → 后处理？

□ 你能否解释推理为何比训练更简单高效？

系统集成：

□ 你是否理解神经网络为何需要专用硬件（内存带宽限制、并行计算）？

□ 你能否解释为何机器学习系统将传统计算（预处理、后处理）与神经计算相结合？

□ 你是否理解批量大小、内存和吞吐量之间的权衡？

端到端流程：

□ 你能否追踪单个输入（如 MNIST 数字图像）通过完整系统的过程：原始输入 → 预处理 → 通过层的前向传播 → 输出概率 → 后处理 → 最终预测？

□ 你是否理解一次性发生的事情（加载训练好的权重）与每个输入都要发生的事情（前向传播）的区别？

自测：对于生产中部署的 MNIST 数字分类器（784→128→64→10）：（1）解释为何训练该模型需要 ~12GB GPU 内存，而推理仅需 ~400MB。（2）追踪单张数字图片从相机捕获、通过预处理、推理和后处理到最终预测的完整过程。（3）识别在每秒处理 100 张图像的实时系统中可能出现的瓶颈。（4）描述如何监控生产中的模型退化。

接下来的案例研究展示了这些概念如何在大规模生产系统中集成。注意架构选择、训练策略和部署约束如何结合在一起，形成一个完整的机器学习系统。

我们已经从第一性原理探讨了神经网络 —— 神经元如何计算、层如何转换数据、训练如何调整权重以及推理如何进行预测。这些概念可能看起来抽象，但它们在美国邮政署的手写数字识别系统中得到了首次大规模神经网络部署的具体体现。这个历史案例说明了我们所研究的数学原理如何转化为实际工程决策、系统权衡和现实世界性能约束。

神经网络的理论基础在实际应用中得到了具体体现，尤其是在解决大规模现实问题方面。美国邮政署的手写数字识别系统就是这种理论转化为实践的典范。早期的生产部署确立了许多至今仍然相关的原则：强大预处理管道的重要性、自动决策中置信度阈值的必要性，以及在各种现实世界条件下保持系统性能的挑战。尽管今天的系统部署了更复杂的架构，并在更强大的硬件上运行，但检查这个基础案例研究揭示了我们所研究的优化原则如何结合在一起，形成一个完整的生产系统 —— 这些经验教训适用于从 1990 年代的邮件分类到 2025 年的边缘 AI 部署。

邮件分类挑战

美国邮政署每天处理超过 1 亿件邮件，每件邮件都需要根据手写的邮政编码进行准确路由。20 世纪 90 年代初，人工操作是这一任务的主要方式，使其成为全球最大的人工数据录入操作之一。通过神经网络自动化这一过程，体现了神经网络实施的许多核心原则。

任务的复杂性显而易见：ZIP 代码识别系统必须处理在各种条件下捕获的手写数字图像——不同的书写风格、笔迹、纸张颜色和环境因素（图 19）。它必须在保持邮件处理速度的同时，以毫秒级的速度做出准确预测。识别错误可能导致重大延误和成本增加。因此，系统不仅需要高准确率，还需要可靠的预测置信度度量，以识别何时需要人工干预。

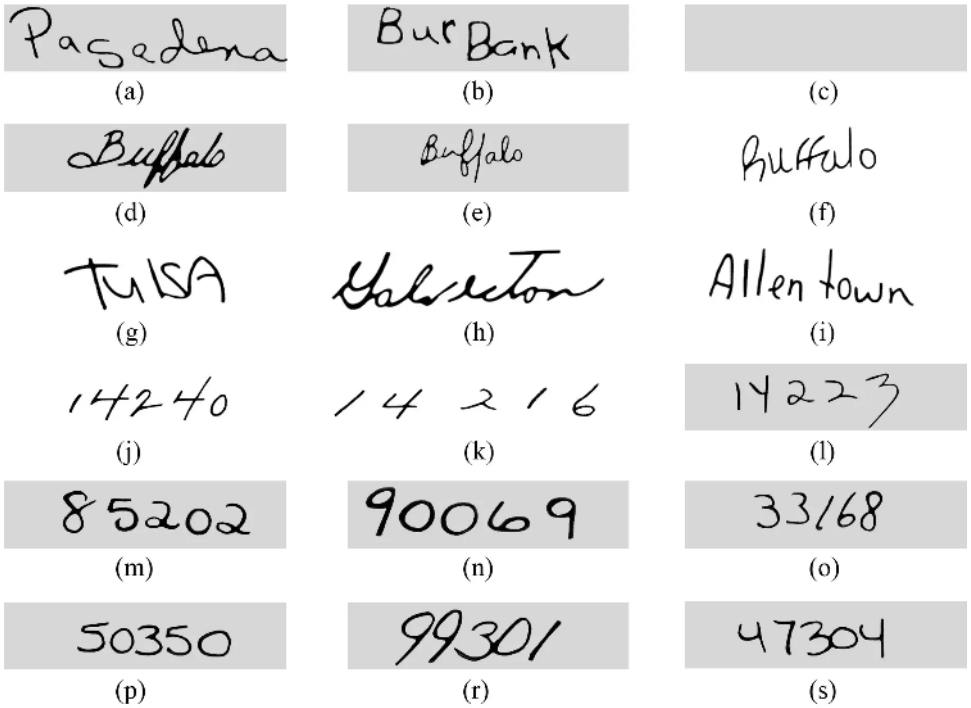

手写数字的变化性：真实世界的手写数字在笔画宽度、倾斜度和字符形成上存在显著差异，给自动识别系统（如 USPS 使用的系统）带来了挑战。这些例子展示了数字识别中即使是简单输入也需要强健的特征提取和模型泛化能力。

这一具有挑战性的环境对每个方面的要求都很高，从数据收集到部署。数据集必须足够大，以捕捉到手写数字的多样性，同时又要考虑到处理速度和系统资源的限制。

工程过程与设计决策

USPS 数字识别系统的开发需要在每个阶段仔细考虑，从数据收集到部署。这一过程说明了神经网络的理论原则如何转化为实际工程决策。

数据收集是第一个重大挑战。与受控实验室环境不同，邮政设施需要处理各种各样的邮件。训练数据集必须捕捉到这种多样性。手写数字来自不同年龄、教育背景和书写风格的人，仅仅是挑战的一部分。信封的颜色和纹理各异，图像在不同的光照条件和角度下捕获。这一广泛的数据收集工作，后来有助于创建我们在示例中使用的 MNIST 数据库。

网络架构设计需要平衡多个约束。虽然更深的网络可能实现更高的准确率，但也会增加处理时间和计算需求。处理 28×28 像素的单个数字图像必须在严格的时间限制内完成，同时在可用硬件上可靠运行。网络必须在各种条件下保持一致的准确性，从书写工整的数字到匆忙的潦草字。

训练网络则增加了额外的复杂性。系统需要在各种真实世界的手写风格中达到高准确率。仔细的预处理规范化了输入图像，以适应大小和方向的变化。数据增强技术增加了训练样本的多样性。团队在不同的人群中验证性能，并在实际操作条件下进行测试，以确保稳健的性能。

工程团队面临着设定置信度阈值的关键决策。过高的阈值会将过多的邮件分流给人工操作，失去自动化的意义；过低则会增加投递错误的风险。解决方案来自于对正确与错误预测的置信度分布的分析。这一分析建立了优化自动化率与错误率之间权衡的阈值，确保高效运行的同时保持可接受的准确性。

生产系统架构

跟踪一件邮件在 USPS 识别系统中的完整旅程，说明了我们所讨论的概念如何集成到一个完整的解决方案中。从物理邮件到分类信件的过程展示了传统计算、神经网络推理和物理机械之间的相互作用。

该过程始于邮件到达成像站。高速相机以超过每秒几件邮件的速度捕捉邮政编码区域的图像。图像采集过程必须适应信封颜色、书写风格和环境条件的变化。尽管操作速度快，但仍需保持一致的图像质量，因为运动模糊和适当的照明是重大的工程挑战。

预处理将这些原始相机图像转换为适合神经网络分析的格式。系统必须定位邮政编码区域，分割出单个数字，并标准化每个数字图像。该阶段采用传统的计算机视觉技术：图像阈值处理适应信封背景颜色，连通组件分析识别单个数字，大小标准化生成标准的 28×28 像素图像。速度至关重要；这些操作必须在毫秒内完成，以保持吞吐量。

神经网络随后处理每个标准化的数字图像。训练好的网络利用其 89,610 个参数（如前所述）执行前向传播以生成预测。每个数字通过两个 100 个神经元的隐藏层，最终生成十个输出值，表示数字的概率。推理过程虽然计算密集，但得益于我们在前面章节中讨论的优化。

后处理将这些神经网络输出转换为分类决策。系统对每个数字预测应用置信度阈值。完

整的邮政编码要求所有五个数字的置信度都很高，单个不确定的数字则将整个邮件标记为人工审核。当置信度达到阈值时，系统将排序指令发送给机械系统，物理地将邮件分配到相应的投递箱。

整个管道在严格的时间限制下运行。从图像捕获到分类决策，处理必须在邮件到达其排序点之前完成。系统在各个管道阶段同时保持多件邮件的处理，这需要在计算和机械系统之间进行仔细的同步。实时操作说明了我们在推理和后处理过程中讨论的优化在实际应用中的重要性。

性能结果与操作影响

基于神经网络的 ZIP 代码识别系统的实施，彻底改变了 USPS 的邮件处理操作。到 2000 年，国内多个设施已采用这项技术，每天处理数百万件邮件。这一现实世界的部署展示了神经网络系统在关键任务应用中的潜力和局限性。

性能指标揭示了有趣的模式，验证了许多基本原则。系统在对比清晰的数字（与训练数据相似）时，准确率最高。然而，性能受到多种现实世界因素的显著影响。光照条件影响预处理效果。异常的书写风格偶尔会使神经网络困惑。环境振动也可能影响图像质量。这些挑战导致对物理系统和神经网络管道的持续改进。

经济影响显著。在自动化之前，人工分类需要操作员以每秒处理一件邮件并读取和输入 ZIP 代码。神经网络系统以此速度的十倍处理邮件，同时降低了人工成本和错误率。然而，系统并没有完全消除人工操作；人工的角色转向处理不确定的案例和维护系统性能。这种结合了人工和人工智能的混合方法，成为其他自动化项目的模型。

该系统还揭示了在生产环境中部署神经网络的重要经验教训。训练数据的质量至关重要；网络在其训练集中表现良好的数字样式上表现最佳。定期的再训练有助于适应不断变化的书写风格。维护需要硬件专家和深度学习专家的配合，引入了新的操作考虑。这些见解影响了神经网络在其他工业应用中的后续部署。

研究人员发现，这一实施展示了理论原则如何转化为实际约束。神经网络的生物启发提供了数字识别的基础，但成功部署需要仔细考虑系统级因素：处理速度、错误处理、维护要求和与现有基础设施的集成。这些经验教训继续影响现代深度学习的部署，其中类似的规模、可靠性和集成挑战依然存在。

关键工程教训与设计原则

USPS ZIP 代码识别系统体现了从生物启发到神经网络实际部署的旅程。它展示了我们整个章节所探讨的神经计算基本原理 —— 从预处理到推理再到后处理 —— 如何结合在一起，以解决现实世界的问题。

该系统的开发表明，理解理论基础和实际考虑是至关重要的。虽然生物视觉系统可以轻松处理手写数字，但将这一能力转化为人工系统需要仔细考虑网络架构、训练过程和系统集成等多个方面。

这一早期大规模神经网络部署的成功，帮助确立了许多我们现在认为是标准的实践：训练数据的彻底性、置信度度量的必要性、预处理和后处理的角色，以及系统级优化的关键性。

USPS 系统所展示的原则 —— 强大的预处理、基于置信度的决策制定、以及人机混合工作流 —— 在现代部署中仍然是基础，尽管规模和复杂性发生了巨大的变化。从 USPS 部署约 100K 参数的网络，每秒处理 10 件图像，到 2025 年的边缘 AI 系统，部署 1-10M 参数的网络，每秒处理 30 帧实时视觉任务，面临着类似的准确性与计算约束的平衡，但在功率预算（毫瓦级 vs 瓦级）和延迟要求（毫秒级 vs 十毫秒级）上更为严格。理解这些数学操作使我们能够进行硬件 - 软件协同设计，预处理管道决定了对现实世界变化的稳健性，而置信度阈值则将需要人工判断的情况与自动处理的情况分开。这一历史案例研究因此提供了一个模板，用于推理现代机器学习系统在云端、边缘和微型设备上的部署。

深度学习与 AI 三角

我们在本章中探讨的神经网络概念，直接映射到支配所有深度学习系统的 AI 三角形框架上。这一联系阐明了为何深度学习需要对计算架构和系统设计原则进行如此根本的重新思考。

算法：我们所涵盖的数学基础 —— 前向传播、激活函数、反向传播和梯度下降 —— 定义了深度学习系统的算法核心。我们所做的架构选择（层深、神经元数量、连接模式）直接决定了计算复杂性、内存需求和训练动态。每个激活函数的选择，从 ReLU 的计算效率到 sigmoid 的饱和梯度，都是具有深远系统影响的算法决策。神经网络与经典方法的区别在于其分层特征学习，而这种差异正是源于这些算法构建块，但成功在很大程度上依赖于另外两个三角形组件。

数据：学习过程完全依赖于带标签的数据，以计算损失函数并通过反向传播引导权重更新。我们的 MNIST 示例展示了数据质量、分布和规模如何直接决定网络性能 —— 算法保持不变，但数据特性决定了学习是成功还是失败。从手动特征工程转向自动表示学习，并没有消除对数据的依赖，而是将挑战从设计特征转变为策划能够捕捉真实世界模式复杂性的 数据集。数据预处理、增强和验证策略成为算法设计决策，塑造整个学习过程。

基础设施：前向和反向传播所需的大量矩阵乘法运算揭示了专用硬件基础设施为何对深

度学习的成功至关重要。我们所探讨的内存带宽限制、偏爱 GPU 架构的并行计算模式，以及训练与推理之间不同的计算需求，均源于我们所研究的数学运算。CPU 到 GPU 再到专用 AI 加速器的演变，直接响应了神经网络算法中固有的计算模式。理解这些数学基础使工程师能够对硬件选择、内存层次结构设计和分布式训练策略做出明智的决策。

这三者之间的相互依赖关系通过我们章节的进展而显现：算法定义了哪些计算是必要的，数据决定了这些计算是否能够学习到有意义的模式，而基础设施则决定了系统是否能够高效地执行。神经网络的成功并不是因为单一组件的改善，而是这三个领域的进步相辅相成 —— 更复杂的算法、更大的数据集和专用硬件的结合产生了协同效应，彻底改变了人工智能。

这一 AI 三角形视角解释了为何深度学习工程需要超越传统软件开发的系统思维。单独优化任何一个组件而不考虑其他组件，都会导致次优结果：最优雅的算法在没有高质量数据时无效，最好的数据集在没有足够计算基础设施时无法使用，而最强大的硬件在没有有效学习数据的算法时毫无用处。

常见误区与陷阱

深度学习是一种从数据中学习的范式转变，区别于传统的显式编程，这也带来了许多关于何时、如何应用这些强大但复杂系统的误解。神经网络的数学基础和统计特性，常常导致人们对其能力、局限性及适用场景产生误判。

误区：神经网络是“黑箱”，无法理解或调试。

虽然神经网络不像传统算法那样具备显式的规则透明性，但有多种技术可以帮助我们理解和调试其行为。例如，激活可视化可以揭示神经元响应的模式，梯度分析展示输入如何影响输出，注意力机制突出哪些特征影响决策。层级相关性传播可以追踪决策路径，消融实验则识别关键组件。人们之所以觉得神经网络难以理解，往往是因为用传统编程思维去看待它，而忽略了统计和可视化分析方法。现代可解释性工具虽然与逐行代码调试不同，但同样能为网络行为提供洞察。

误区：深度学习无需领域知识和特征工程。

自动特征学习的承诺让人误以为深度学习可以脱离领域知识独立运行。实际上，成功的深度学习应用离不开丰富的领域经验：设计合适的网络结构（如空间数据用卷积层，序列数据用循环结构）、选择合理的训练目标、构建有代表性的数据集，并在具体场景下解读模型输出。USPS 数字识别系统之所以成功，正是因为融合了邮政领域关于邮件处理、数字书写习惯和业务约束的专业知识。领域知识指导数据增强策略、验证指标和部署要求，这些都决定了实际效果。

陷阱：用复杂的深度学习模型解决本可用简单方法处理的问题。

团队常常为本可用线性模型或决策树解决的任务部署复杂神经网络，结果带来不必要的复杂度、算力消耗和维护负担。数据量有限或关系本身是线性的情况下，线性回归模型训练只需毫秒，效果甚至优于需数小时训练的神经网络。在采用深度学习前，务必用简单模型建立基线。如果逻辑回归在分类任务上已达 95% 准确率，神经网络带来的微小提升往往难以抵消复杂度的增加。深度学习应当用于具有层次结构、非线性关系或高维交互的复杂问题。

陷阱：在不了解数据分布的情况下训练神经网络。

许多实践者把神经网络训练当作机械流程，只是把数据输入标准结构，忽略了决定成败的关键数据特性。若数据集不平衡，网络在少数类别上的表现会很差，除非通过重采样或损失加权处理。非平稳分布则需持续训练或自适应机制。异常值可能主导梯度更新，导致模型无法收敛。USPS 系统在达到生产级性能前，必须仔细分析数字频率分布、书写风格变化和图像质量。成功训练需要深入的数据探索、统计属性理解，以及全程的数据质量监控。

陷阱：认为科研级模型可以直接部署到生产系统，无需系统层面考虑。

许多团队把模型开发和系统部署割裂开来，导致科研原型在生产环境下频频失败。神经网络在干净数据集上表现优异，但一旦集成到实时数据流、遗留数据库或分布式服务架构中，可能就会失效。生产系统需要考虑延迟、内存、并发用户和容错机制，这些在科研环境中很少被关注。从科研代码到生产系统的转变，必须重视数据预处理流程、模型序列化格式、服务架构的可扩展性，以及性能监控系统。数据科学与系统工程团队应早期协作，使模型需求与运维约束保持一致。

总结

神经网络通过从数据中学习模式，取代了基于规则的编程方式，推动了计算方法的变革。本章以生物神经元到人工神经元的映射为基础，展示了这些系统如何实现复杂信息处理，并通过经验不断提升性能。

神经网络结构体现了分层处理，每一层都从原始数据中提取更抽象的模式。训练过程通过迭代优化调整连接权重，最小化预测误差；推理阶段则利用已学知识对新数据进行预测。学习与应用的分离，带来了不同的算力、内存和延迟需求，直接影响系统设计与部署策略。

本章以全连接结构为例，阐述了数学原理和系统影响。多层感知机具备通用函数逼近能力，只要神经元数量和权重足够，理论上可以学习任意连续函数。但这种数学上的通用

性也带来了算力成本。以 MNIST 为例，28×28 像素图像有 784 个输入值，若用 100 个神经元的全连接网络，第一层就需学习 61,400 个权重（784×100）。而实际上，邻近像素高度相关，远离像素很少交互。全连接结构在无关长距离关系上浪费了大量算力。

> **关键要点**
>
> - 神经网络用分层结构从数据中自动发现模式，取代了手工编码规则
> - 全连接网络具备通用逼近能力，但因对所有输入关系一视同仁，牺牲了算力效率
> - 训练与推理是两个独立的运行阶段，对算力和系统设计有不同要求
> - 完整处理流程需将传统计算与神经计算结合，贯穿预处理、推理和后处理各环节
> - 系统层面因素（如激活函数选择、批量大小配置、网络拓扑结构）直接决定云端、边缘和微型设备的部署可行性
> - 专用结构（CNN、RNN、Transformer）将问题结构编码进网络设计，比全连接网络高效得多

现实问题往往具备结构性，而通用全连接网络无法高效利用这些结构：图像有空间局部性，文本有序列依赖，图数据有关系模式，时序数据有时间动态。这种结构盲区带来三大问题：算力浪费（学习不存在的关系）、数据效率低（需更多样本才能学到本可结构化编码的模式）、可扩展性差（输入维度增加时参数数量爆炸）。

下一章（第 4 章：DNN 架构）将针对这些局限，介绍如何通过专用结构将问题特性直接编码进网络设计。卷积神经网络利用空间局部性，在视觉任务中通过受限连接和权重共享，实现参数数量减少 10-100 倍的高效表现。循环神经网络通过隐藏状态捕捉序列数据的时间依赖，但顺序处理带来并行化挑战。Transformer 则用注意力机制实现序列的并行处理，彻底革新了自然语言处理领域，同时也引入了新的内存扩展难题。

每种结构创新都带来系统工程上的权衡，直接建立在本章的基础之上。卷积层的内存访问模式与全连接层不同，循环网络的并行化约束也不同，注意力机制则带来新的算力瓶颈。底层数学操作仍是矩阵乘法和非线性激活，但组织方式决定了系统需求。

理解这些专用架构，是 ML 系统工程的自然进阶 —— 将本章掌握的前向传播、梯度下降和激活函数原理，应用到兼顾算力效率和问题结构的网络设计中。从生物启发到数学建模再到系统实现，我们将继续探索如何构建既能高效学习、又能适应真实计算系统约束的神经网络。

第 4 章：DNN 架构

目标

为什么神经网络的架构选择会影响系统设计决策，从而决定计算可行性、硬件需求和部署约束？

神经网络架构体现了工程上的抉择，直接决定了系统性能与部署的可行性。每一次架构选择都会在系统栈中产生连锁反应：内存带宽需求、计算复杂度模式、并行化机会以及硬件加速兼容性。理解这些架构层面的影响，有助于工程师在模型能力与系统约束之间做出明智权衡，提前预判计算瓶颈，并选择合适的硬件平台。架构决策决定了机器学习系统能否在有限的计算资源下满足性能要求。这种理解对于构建可扩展、能在多样环境中高效部署的 AI 系统至关重要。

学习目标

- 区分四大主流神经网络架构（MLP、CNN、RNN、Transformer）的计算特性与归纳偏置。
- 分析架构设计如何决定计算复杂度、内存需求和并行化机会。
- 评估架构模式对硬件利用率、内存带宽和部署约束的系统级影响。
- 运用架构选择框架，将数据特性与合适的神经网络设计匹配到具体应用。
- 通过复杂度分析，权衡不同架构方案的计算与内存取舍。
- 探究基础计算原语（矩阵乘法、卷积、注意力）如何映射到硬件加速机会。
- 批判常见的架构选择误区及其对系统性能和部署成功的影响。
- 综合归纳偏置框架，解释为何不同架构在不同数据类型和问题领域中表现优异。

架构原则与工程权衡

将神经计算系统性地组织为高效架构，是现代机器学习系统最具影响力的进展之一。本章在第 3 章：深度学习基础 所述神经计算数学基础之上，深入探讨支配操作（矩阵乘法、非线性激活、基于梯度的优化）如何通过架构设计被组织起来以解决复杂计算问题。这一架构视角搭建了数学理论与实际系统实现之间的桥梁，剖析了网络层级的设计选择如何决定系统整体的性能特征。

本章聚焦于机器学习系统设计中普遍存在的工程权衡。虽然数学理论（尤其是通用逼近定理）证明了神经网络具有极强的表达能力，但实际部署则要求通过合理的架构专门化来实现计算高效。这种张力体现在多个维度：理论上的通用性与计算可行性、表达完整性与内存效率、数学普适性与领域优化。通过架构创新解决这些张力，是机器学习系统进步的核心动力。

当通用数学框架在结构化数据上遇到实际部署挑战时，现代神经网络架构正是对这些具体计算难题的系统性回应。每种架构范式都蕴含着独特的归纳偏置（即对数据结构和关系的隐含假设），既能高效学习，又通过领域适配约束假设空间。这些架构创新，是将计算原语组织为在表达能力与计算效率之间取得最佳平衡的工程解法。

本章将系统性地梳理定义现代神经计算概念版图的四大架构家族。多层感知机（MLP）是通用逼近理论的典型实现，展示了密集连接如何实现通用模式识别，同时揭示了架构通用性带来的计算代价。卷积神经网络（CNN）引入了空间架构专门化范式，利用平移不变性和局部连接，在保持空间数据表达力的同时大幅提升效率。循环神经网络（RNN）将架构专门化扩展到时序领域，引入显式记忆机制，实现了前馈架构所不具备的序列处理能力。注意力机制与 Transformer 架构则代表了当前的进化前沿，用动态、内容依赖的计算取代了固定结构假设，在保持高效并行的同时实现了卓越能力。

这些架构模式的系统工程意义远超算法本身。每一次架构选择都会在实现栈的每一层产生独特的计算特征，决定内存访问模式、并行化策略、硬件利用特性，最终影响在资源约束下的系统可行性。理解这些架构影响，对于负责系统设计、资源分配和性能优化的工程师至关重要。

本章采用系统导向的分析框架，揭示架构抽象与具体实现需求之间的关系。对于每个架构家族，我们系统性地考察决定硬件资源需求的计算原语、实现高效算法的组织原则、影响系统可扩展性的内存层级影响，以及架构复杂度与计算开销之间的权衡。

这一分析方法在第 3 章：深度学习基础 所述神经网络基础之上，进一步探讨前向传播、反向传播和基于梯度的优化如何通过架构专门化被组织起来以利用问题结构。理解这些架构范式之间的进化关系及其独特的计算特性，有助于从业者在复杂部署场景下做出有原则的架构选择、资源规划和系统优化决策。

多层感知机：密集模式处理

多层感知机（MLP）是第 3 章：深度学习基础 中介绍的全连接架构，本节将其置于架构选择与系统权衡的视角下重新审视。MLP 体现了一种归纳偏置：**假设数据中不存在先验结构，任何输入都可能影响任何输出**。这种架构选择带来了最大灵活性，使所有输入关系都被视为等可能，因此 MLP 十分通用，但与专用架构相比计算开销更大。其理论

能力由通用逼近定理（UAT）[111] [Cybenko 1989；Hornik 1989]（见第 3 章：深度学习基础 脚注）确立。该定理指出，只要网络足够大且激活函数非线性，MLP 就能逼近任意紧致域上的连续函数。

> **多层感知机定义**
>
> **多层感知机（MLP）**是 全连接神经网络架构，每一层的每个神经元都与相邻层的所有神经元相连。MLP 体现了 无先验结构假设，将所有 输入 - 输出关系视为等可能。这种 密集连接模式 赋予了 极强的表达灵活性 和 通用逼近能力，使其能学习任意函数。但这种通用性也带来了 高参数量 和 计算密集，因此 MLP 更适用于无结构数据（如表格数据），即特征间关系未知的场景。

在实际应用中，UAT 解释了为何 MLP 能胜任多样任务，同时也揭示了理论能力与实际实现之间的差距。定理保证了 某种 MLP 能逼近任意函数，但并未说明所需网络规模或权重如何确定。在现实中，虽然 MLP 理论上能解决任意模式识别问题，但实现这一能力可能需要极大的网络规模或计算量。这种理论能力使 MLP 成为表格数据、推荐系统及输入关系未知问题的首选，而这些实际局限又推动了专用架构的发展，以利用数据结构提升计算效率，详见第 4 章：DNN 架构。

以 MNIST 手写数字识别为例 [112]，MLP 通过将 28×28 像素图像转化为数字分类，展现了其计算方式。

模式处理需求

深度学习模型常常面临这样的问题：任何输入特征都可能影响任何输出，且这些关系没有内在约束。例如金融市场分析，任何经济指标都可能影响市场结果；自然语言处理中，一个词的含义可能依赖于句中任意其他词。这些场景需要一种能学习所有输入特征间任意关系的架构模式。

密集模式处理正是为此而生。首先，它允许不受限制的特征交互，每个输出都可依赖任意输入组合。其次，它支持特征重要性的学习，由系统自动判断哪些连接重要，而非预设关系。最后，它具备自适应表达能力，能根据数据动态调整内部表示。

以 MNIST 数字识别为例，虽然人类可能关注数字的某些部位（如“6”的环、“8”的交叉），但对分类起决定作用的像素组合并不确定。带衬线的“7”可能与“2”有相似像

111. **通用逼近定理**：Cybenko（1989）和 Hornik（1989）分别独立证明，神经网络理论上可以学习任意函数。这一发现让神经网络在 1980 年代“AI 寒冬”后重获关注，并为现代深度学习奠定了数学基础。
112. **MNIST 数据集**：由 Yann LeCun、Corinna Cortes 和 Chris Burges 于 1998 年基于 NIST 手写数字数据库创建，包含 6 万张训练图片，被誉为机器学习领域的“果蝇”。尽管多种模型已实现 99.77% 的人类级准确率，MNIST 仍因其简洁性成为教学和架构实验的经典数据集。

素分布，而手写体的多样性意味着判别特征可能出现在图像任意位置。这种对特征关系的不确定性，要求采用每个像素都可能影响分类决策的密集处理方式。

这种无约束连接的需求，直接催生了 MLP 的数学基础。

算法结构

MLP 通过全节点连接实现了不受限制的特征交互。具体表现为一系列全连接层，每层神经元与相邻层所有神经元相连，即第 3 章：深度学习基础 中介绍的“密集”连接模式。

这一架构原则将密集连接模式转化为矩阵乘法操作 [113]，为 MLP 的计算可行性奠定了数学基础。如图 1 所示，每一层通过如下基本操作实现输入变换：

$$\mathbf{h}^{(l)} = f\left(\mathbf{W}^{(l)}\mathbf{h}^{(l-1)} + \mathbf{b}^{(l)}\right)$$

其中 $\mathbf{h}^{(l)}$ 表示第 l 层输出（激活向量），$\mathbf{W}^{(l)}$ 为第 l 层权重矩阵，$\mathbf{b}^{(l)}$ 为偏置向量，$f(\cdot)$ 为激活函数（如 ReLU，详见第 3 章：深度学习基础）。这种层级变换虽然概念简单，但其计算效率高度依赖于操作组织方式。

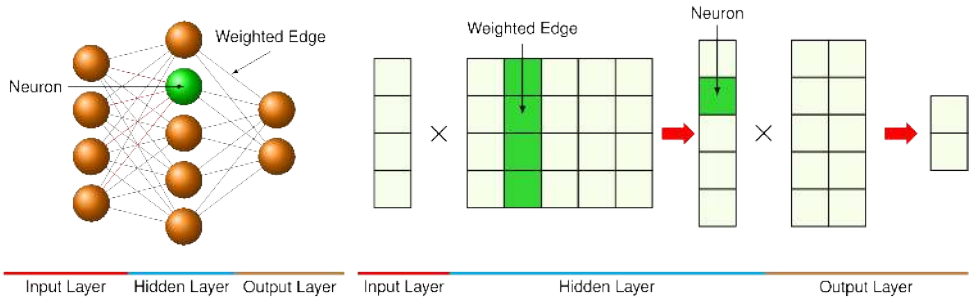

层级变换：多层感知机（MLP）通过顺序矩阵乘法和非线性激活实现密集连接，支持复杂特征交互和输入数据的层次化表达。每层将前一层输入向量变换为新的表示，作为下一层输入，具体见正文公式。来源：[Reagen 等 2017]

这些操作的维度揭示了密集模式处理的计算规模：

- 输入向量：$\mathbf{h}^{(0)} \in \mathbb{R}^{d_{\text{in}}}$（此处为行向量）代表所有输入特征
- 权重矩阵：$\mathbf{W}^{(l)} \in \mathbb{R}^{d_{\text{out}} \times d_{\text{in}}}$ 捕捉所有输入 - 输出关系
- 输出向量：$\mathbf{h}^{(l)} \in \mathbb{R}^{d_{\text{out}}}$ 产生变换后的表示

113. **GEMM（通用矩阵乘法）**：神经网络的核心操作，占据密集网络 80-95% 的计算时间。GEMM 执行 C = αAB + βC，几十年来不断优化。现代如 cuBLAS 能在优化良好的 GPU 上实现 80-95% 理论峰值性能，GEMM 优化对 ML 系统至关重要。

具体计算示例

假设用 3 个神经元的隐藏层处理 4 像素图像：

输入： $\mathbf{h}^{(0)} = [0.8, 0.2, 0.9, 0.1]$（4 个像素强度）

权重矩阵： $\mathbf{W}^{(1)} = \begin{bmatrix} 0.5 & -0.3 & 0.2 & 0.7 \\ 0.1 & 0.8 & -0.4 & 0.3 \\ -0.2 & 0.4 & 0.6 & -0.1 \end{bmatrix}$（3×4 矩阵）

计算：

$$\mathbf{z}^{(1)} = \mathbf{h}^{(0)T}\mathbf{W}^{(1)} = \begin{bmatrix} 0.5\times0.8 + (-0.3)\times0.2 + 0.2\times0.9 + 0.7\times0.1 \\ 0.1\times0.8 + 0.8\times0.2 + (-0.4)\times0.9 + 0.3\times0.1 \\ (-0.2)\times0.8 + 0.4\times0.2 + 0.6\times0.9 + (-0.1)\times0.1 \end{bmatrix}$$

$$= \begin{bmatrix} 0.65 \\ -0.17 \\ 0.47 \end{bmatrix}$$

ReLU 激活后： $\mathbf{h}^{(1)} = [0.65, 0, 0.47]$（负值归零）

每个隐藏神经元都用不同权重组合所有输入像素，体现了无约束特征交互。

MNIST 示例进一步说明了这些操作的实际规模：

- 每个 784 维输入（28×28 像素）与隐藏层每个神经元全连接
- 100 个神经元的隐藏层需 784×100 权重矩阵
- 每个权重代表一个输入像素与隐藏特征的可学习关系

这种算法结构满足了任意特征关系的需求，同时也带来了系统必须应对的特定计算模式。

架构特性 密集连接既带来了优势，也带来了权衡。它赋予了前述的通用逼近能力，但也引入了计算冗余。虽然理论上能用足够宽的网络逼近任意连续函数，但这种灵活性往往需要大量参数去学习相对简单的模式。密集连接确保每个输入特征都影响每个输出，表达力极强，但计算开销也最大。

因此，现代优化技术致力于在保留模型能力的同时降低计算需求。例如结构化剪枝可在几乎不损失精度的情况下去除 80-90% 的连接，量化则将参数精度从 32 位降至 8 位甚至更低。第 10 章：模型优化 将详细介绍这些压缩策略，而本节奠定的架构基础决定了哪些优化方法最适合密集连接模式，第 11 章：AI 加速 则探讨了硬件层面的实现。

计算映射

密集矩阵乘法的数学表达对应着系统必须处理的具体计算模式。这一映射过程，从数学抽象到计算现实，可通过代码清单 1 中的首个实现示例说明。

`mlp_layer_matrix` 函数直接反映了数学公式，采用高级矩阵操作（matmul）一行表达了核心计算，同时屏蔽了底层复杂性。这种实现风格是深度学习框架的典型特征，由优化库负责实际计算。

代码清单 1：该实现展示了神经网络如何通过矩阵操作在各层执行加权求和与激活函数，突出多层感知机的核心计算模式。

```
def mlp_layer_matrix(X, W, b):
    # X: 输入矩阵 (batch_size × num_inputs)
    # W: 权重矩阵 (num_inputs × num_outputs)
    # b: 偏置向量 (num_outputs)
    H = activation(matmul(X, W) + b)
    # 一行数学表达
    return H
```

要理解该架构对系统的影响，必须“揭开”高层框架调用的底层。优雅的一行矩阵乘法 `output = matmul(X, W)`，在硬件层面其实是多重嵌套循环，暴露了系统的真实计算需求。这种从逻辑模型到物理执行的转化，揭示了决定内存访问、并行化策略和硬件利用的关键模式。

第二个实现 `mlp_layer_compute`（见代码清单 2）则暴露了实际的计算模式：嵌套循环处理每个批次样本、每个输出神经元，累加所有输入的加权贡献。

代码清单 2：该实现逐步计算每个输出神经元，累加所有输入的加权贡献，详细揭示了神经网络单层处理数据的过程，强调了偏置和加权求和在输出生成中的作用。

```
def mlp_layer_compute(X, W, b):
    # 处理每个批次样本
    for batch in range(batch_size):
        # 计算每个输出神经元
        for out in range(num_outputs):
            # 以偏置初始化
            Z[batch, out] = b[out]
            # 累加加权输入
            for in_ in range(num_inputs):
                Z[batch, out] += X[batch, in_] * W[in_, out]

    H = activation(Z)
    return H
```

该实现逐步计算每个输出神经元，累加所有输入的加权贡献，详细揭示了神经网络单层处理数据的过程，强调了偏置和加权求和在输出生成中的作用。

以 MNIST 为例，每个输出神经元需 784 次乘加操作，至少 1,568 次内存访问（784 输入，784 权重）。实际实现通常通过 BLAS[114] 或 cuBLAS 优化，但这些模式决定了系统设计的关键。加速这些矩阵操作的硬件架构（如 GPU 张量核心 [115] 和专用 AI 加速器）将在第 11 章：AI 加速 详述。

系统影响

神经网络架构在系统层面表现出三大核心特性：内存需求、计算需求和数据流动。该分析框架有助于系统性地理解算法模式如何影响系统设计决策，揭示共性与架构特有优化。我们将在各架构家族分析中反复应用这一框架。这些系统层面的考量，直接建立在第 3 章：深度学习基础 所述神经网络计算模式、内存系统和系统扩展性基础之上。

内存需求 密集模式处理的内存需求主要来自权重、输入和中间结果的存储与访问。以 MNIST 为例，784 维输入层与 100 神经元的隐藏层全连接需 78,400 个权重参数。每次前向传播都要访问所有权重、输入和中间结果。全连接模式意味着访问没有局部性，每个输出都需要所有输入及其对应权重。

这种内存访问模式可通过数据组织和重用优化。现代处理器通过缓存层级实现数据重用，GPU 则采用高带宽内存架构以高效访问大规模参数矩阵。深度学习框架通过高性能矩阵操作（如前述分析）屏蔽了这些底层优化。

114. **BLAS（基础线性代数子程序）**：1970 年代开发的矢量和矩阵运算标准，成为科学计算的基石。现代如 Intel MKL、OpenBLAS 能在优化良好的任务上实现 80-95% 理论峰值性能，是神经网络高效运行的基础。
115. **张量核心**：现代 GPU 内专用的矩阵乘法单元，每时钟周期可对 4×4 矩阵执行混合精度运算。NVIDIA V100 张量核心可达 125 TFLOPS，而标准核心仅 15 TFLOPS，提升 8 倍，极大推动了大模型训练的可行性。

计算需求 核心计算是嵌套循环中的乘加操作。每个输出值需与输入数目等量的乘加。以 MNIST 为例，每个输出神经元需 784 次乘加，100 个神经元共需 78,400 次乘加。虽然单次操作简单，但其数量和组织方式对处理资源提出了特定要求。

这种计算结构使现代硬件能采用特定优化策略。密集矩阵乘法可在多个处理单元间并行，每个单元负责不同神经元。硬件加速器通过专用矩阵乘法单元提升效率，软件框架则自动将操作转化为优化的 BLAS 调用。CPU 和 GPU 均可通过合理分块提升缓存局部性，具体方式依赖各自架构优势。

数据流动 MLP 的全连接模式带来了大量数据流动需求。每次乘加操作需三类数据：输入值、权重值和累加和。以 MNIST 为例，计算单个输出值需搬运 784 个输入和 784 个权重。每个输出神经元都要重复这一过程，导致内存与计算单元间的数据传输压力极大。

可预测的数据流动模式使得数据分级和传输优化成为可能。不同架构采用不同机制应对：CPU 依赖预取和多级缓存，GPU 则采用高带宽内存和大规模线程隐藏延迟。软件框架通过内存管理减少冗余传输、提升数据重用。

MLP 计算需求分析揭示了一个关键洞见：密集连接虽有通用逼近能力，但当数据本身具备结构时会造成极大低效。这种架构假设与数据特性的不匹配，推动了能利用结构化模式提升计算效率的专用方法发展。

卷积神经网络：空间模式处理

MLP 的计算强度和参数需求在处理结构化数据时暴露出低效。正如第 4 章：DNN 架构所述的计算复杂度分析，这一低效推动了能利用数据结构的架构模式发展。

卷积神经网络（CNN）正是为此而生，体现了特定归纳偏置：假设空间局部性和平移不变性，即相邻像素相关，模式可出现在任意位置。这一架构假设带来了两大创新：参数共享使同一特征检测器可应用于不同空间位置，将参数量从百万级降至千级并提升泛化能力；局部连接则限制连接于空间邻域，反映了空间邻近性与特征相关性的洞见。

> **卷积神经网络定义**
>
> **卷积神经网络（CNN）**是 专为利用数据空间结构设计的神经网络架构，通过 局部连接 和 参数共享 实现。CNN 体现了两大归纳偏置：空间局部性（邻近元素相关）和 平移不变性（模式可出现在任意位置）。通过 可学习的卷积核 在空间维度滑动，CNN 相比全连接架构实现了 参数量级缩减，并能构建从低级到高级的

> 层次化特征表示。这使 CNN 在 计算机视觉、图像处理 等空间结构数据领域表现卓越。

这些架构创新体现了深度学习设计中的权衡：牺牲 MLP 的理论通用性，换取数据具备已知结构时的实际效率提升。MLP 将每个输入元素独立处理，CNN 则利用空间关系实现计算节省和视觉任务性能提升。

模式处理需求

空间模式处理适用于数据点间关系依赖于相对位置或邻近性的场景。例如处理自然图像时，像素与其邻居的关系对检测边缘、纹理和形状至关重要。这些局部模式再层层组合，形成更复杂的特征：边缘组成形状，形状组成物体，物体组成场景。

这种层次化空间模式处理广泛存在于各领域。计算机视觉中，局部像素模式形成边缘和纹理，进而组合为可识别物体。语音处理中，临近时间片的模式用于识别音素和单词。传感器网络分析物理邻近传感器的相关性以理解环境模式。医学影像依赖识别指示生物结构的组织模式。

以图像处理为例，若要检测猫，需识别空间模式：三角形耳朵、圆形脸部、毛发纹理。关键在于这些模式无论出现在图像何处都具有相同意义。猫无论在左上角还是右下角都是猫。这表明空间模式处理需具备两大能力：检测局部模式和无视位置识别模式[116]。图 2 展示了 CNN 通过层次特征提取实现了这一点，简单模式在浅层被检测，复杂模式在深层组合。

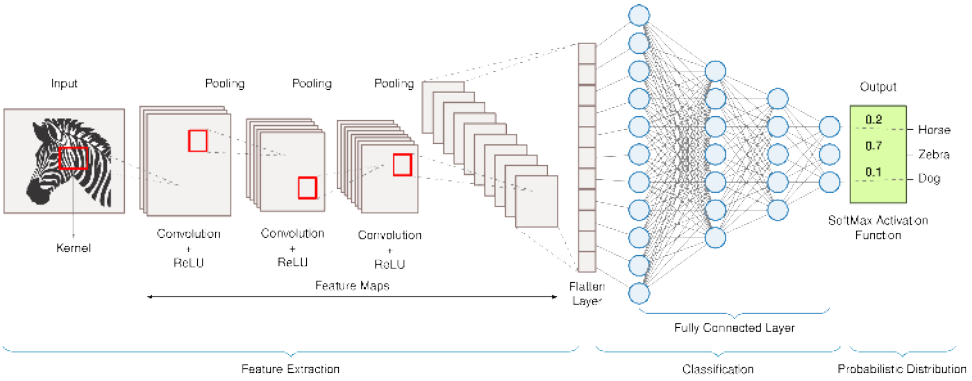

空间特征提取：卷积神经网络通过在输入上应用可学习滤波器，实现对图像中任意位置模式的识别，支持稳健的目标识别。滤波器检测局部特征，反复滑动实现平移不变性。

这引出了卷积神经网络（CNN）架构，由 Yann LeCun[117] 等人于 1989 年首创。CNN 通

116. **ImageNet 革命**：AlexNet 在 2012 年 ImageNet 挑战赛上的突破（top-5 错误率从 25.8% 降至 15.3%）引发深度学习复兴。ImageNet 的 1400 万标注图片和 2 万类别为训练深层 CNN 提供了规模，证明了“大数据 + 大算力 + 大模型”可实现超越人类的性能。

117. **Yann LeCun 与 CNN**：LeCun 1989 年的 LeNet 架构受 Hubel 和 Wiesel 猫视觉皮层“简单细胞 - 复杂细胞”发

过参数共享 [118]、局部连接和平移不变性 [119] 等创新实现上述目标。

算法结构

CNN 的核心操作可用如下数学表达：

$$\mathbf{H}_{i,j,k}^{(l)} = f\left(\sum_{di}\sum_{dj}\sum_{c}\mathbf{W}_{di,dj,c,k}^{(l)}\mathbf{H}_{i+di,j+dj,c}^{(l-1)} + \mathbf{b}_{k}^{(l)}\right)$$

该公式描述了 CNN 如何处理空间数据。$\mathbf{H}_{i,j,k}^{(l)}$ 是第 l 层空间位置 (i,j)、通道 k 的输出。三重求和遍历滤波器空间尺寸 (di,dj) 和输入通道 c。$\mathbf{W}_{di,dj,c,k}^{(l)}$ 为滤波器权重，捕捉局部空间模式。与 MLP 的全连接不同，CNN 只连接空间邻域。

进一步解释，(i,j) 为空间位置，k 为输出通道，c 为输入通道，(di,dj) 为局部感受野 [120]。与 MLP 的密集矩阵乘法不同，该操作：

- 只处理局部邻域（通常 3×3 或 5×5）
- 在空间位置间复用同一权重
- 保持输出的空间结构

以 MNIST 手写数字分类为例，28×28 灰度图像，每层卷积应用一组（如 3×3）滤波器滑动计算局部加权和。若用 32 个滤波器并填充保持尺寸，输出为 $28\times28\times32$，每个空间位置包含 32 个不同的局部特征。这与 MLP 先展平成 784 维向量再处理的方式形成鲜明对比。

这种算法结构直接满足了空间模式处理需求，形成了影响系统设计的独特计算模式。与 MLP 不同，卷积网络保留了空间局部性，利用了前述层次特征提取原理。这些特性驱动了 AI 加速器的架构优化，如数据重用、分块和并行滤波器计算等对性能至关重要。

> **数学背景**
>
> 群论为理解数据对称性和变换提供了数学基础。平移等变性意味着输入平移，输

现启发 [Hubel 1962]。LeNet-5 1998 年在 MNIST 上达 99.2% 准确率（实际为子集），并被银行用于大规模支票识别，是神经网络最早的大规模商业应用之一。

118. **参数共享**：CNN 在空间位置间复用同一滤波器权重，大幅减少参数量。处理 224×224 图像的 CNN，3×3 滤波器每通道仅 9 个参数，而等价 MLP 每神经元需 50,176 个参数，单神经元参数量缩减约 5,575 倍，使视觉任务成为可能。

119. **平移不变性**：CNN 能无视空间位置检测特征。猫耳无论在左上还是右下都能被识别。这一特性源于卷积的滑窗设计，对计算机视觉至关重要。

120. **感受野**：影响某输出神经元的输入区域。CNN 中，感受野随深度增长。即使每层用 3×3 滤波器，3 层后感受野可达 7×7。合理设计感受野对任务至关重要。

> 出特征图也相应平移 —— 这是 CNN 能无视位置识别模式的关键。群论为 CNN 有效性提供了理论基础[a]。平移等变性源于卷积对平移群的等变性：若 T_v 表示平移向量 v，卷积层 f 满足 $f(T_v x) = T_v f(x)$。这一等变性使 CNN 能学习在空间位置间泛化的特征。
>
> a. **神经网络中的群论**：描述 CNN 如何保持空间关系的数学框架。平移等变性意味着输入图像平移，输出特征图也平移，是计算机视觉成功的基础。

卷积的选择反映了架构设计中的归纳偏置[121]。通过限制连接于局部邻域并在空间位置间共享参数，CNN 编码了视觉数据结构的先验知识：重要特征具有局部性和平移不变性。这一架构约束缩小了网络需搜索的假设空间[122]，使其比全连接网络能更高效地从有限数据中学习。

CNN 自然实现了分层表示学习。浅层用小感受野检测边缘、纹理等低级特征，深层则组合这些特征为更复杂模式，感受野随之增大。这种层次化组织类似视觉皮层结构，使 CNN 能以组合方式表达复杂对象。数学上，堆叠卷积层形成树状依赖结构，深层神经元可“看到”指数级输入像素区域，实现高效的层次模式表达。

架构特性 参数共享通过在空间位置间复用滤波器，大幅降低了复杂度。它体现了有用特征（如边缘、纹理）可出现在图像任意位置的假设，使同一特征检测器在所有空间位置都有效。

CNN 的架构效率还可通过专用技术进一步优化。深度可分离卷积将标准卷积分解为深度卷积和逐点卷积，移动端部署可将计算量降低 8-9 倍。通道剪枝可按重要性指标去除整个特征图，FLOPs 可降 40-50%，精度损失小于 1%。这些优化策略建立在空间局部性原理之上，第 10 章：模型优化 将探讨硬件实现，第 11 章：AI 加速 详述现代处理器如何利用卷积的数据重用模式。

如图 3 所示，卷积操作通过滑动小滤波器窗口生成特征图[123]，捕捉局部结构并保持平移不变性。推荐 CNN Explainer 交互式项目，直观演示卷积网络构建过程。

121. **归纳偏置**：模型架构对数据结构的先验假设。CNN 假设空间局部性和平移不变性，大幅缩小可学习函数空间。约束反而提升了泛化能力，是架构设计的核心原则。
122. **假设空间**：模型在给定架构和参数下可表达的所有函数集合。MLP 在图像任务上假设空间更大，但 CNN 的受限空间包含了更优解，说明架构约束往往提升而非限制性能。近期工作已将这些原理扩展到旋转、反射等对称群，发展出群等变 CNN [Cohen 2016]。
123. **特征图**：卷积滤波器作用于输入后得到的输出，表示不同空间位置检测到的特征。64 个滤波器层产生 64 个特征图，分别突出边缘、纹理、形状等不同模式。深层特征图更抽象（检测对象、面部），浅层则检测边缘、颜色等。

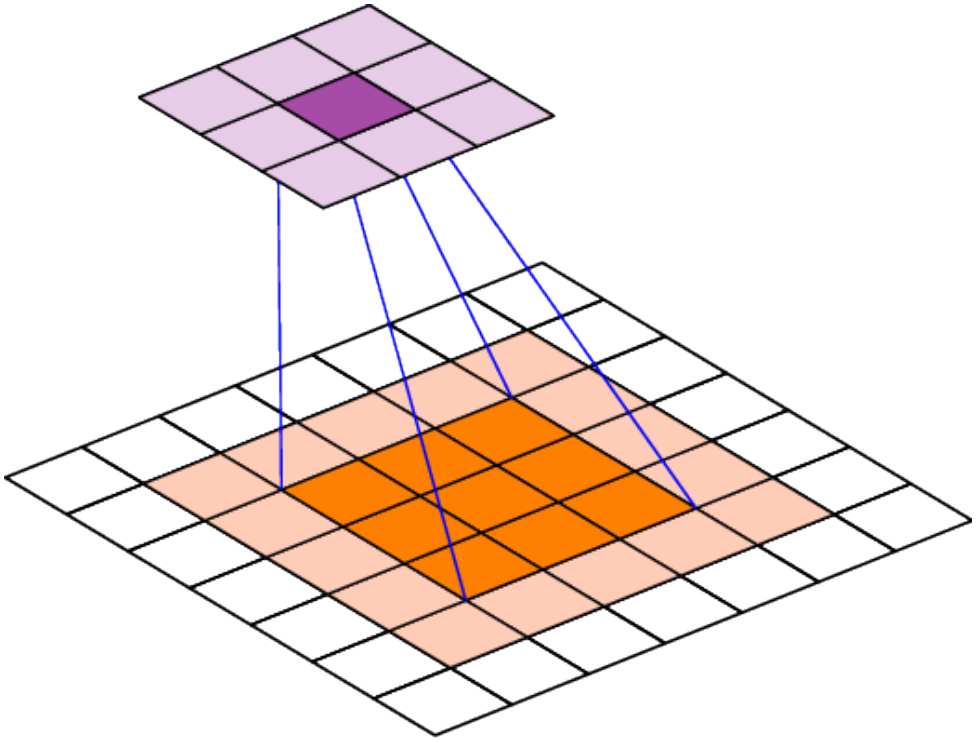

卷积操作通过滑动滤波器窗口对输入数据进行局部特征提取，实现对任意位置模式的识别。

计算映射

卷积操作产生了与 MLP 密集矩阵乘法不同的计算模式。从数学操作到实现细节的转化，揭示了独特的计算特性。

首个实现 `conv_layer_spatial`（见代码清单 3）采用高级卷积操作简洁表达计算。这是深度学习框架的典型做法，由优化库处理底层复杂性。

代码清单 3：该分层方法通过卷积操作结合核和偏置后激活，实现输入数据的特征提取。

```
def conv_layer_spatial(input, kernel, bias):
    output = convolution(input, kernel) + bias
    return activation(output)
```

逻辑模型与物理执行之间的桥梁对理解 CNN 系统需求至关重要。高层卷积操作看似简单滑窗，硬件却需协调复杂数据流动并利用空间局部性提升效率。

第二个实现 `conv_layer_compute`（见代码清单 4）揭示了实际计算模式：多重嵌套循环处理每个空间位置，对输入局部区域应用同一滤波器权重。七重嵌套循环暴露了卷积计算结构的本质及其优化机会。

代码清单 4：**嵌套循环**：卷积层通过多重嵌套循环处理批量图像、空间维度、输出通道、核窗口和输入特征，揭示了卷积操作的详细计算结构。

```
def conv_layer_compute(input, kernel, bias):
    # 循环 1: 处理每张批量图像
    for image in range(batch_size):

        # 循环 2&3: 遍历图像空间
        for y in range(height):
            for x in range(width):

                # 循环 4: 计算每个输出特征
                for out_channel in range(num_output_channels):
                    result = bias[out_channel]

                    # 循环 5&6: 遍历核窗口
                    for ky in range(kernel_height):
                        for kx in range(kernel_width):

                            # 循环 7: 处理每个输入特征
                            for in_channel in range(
                                num_input_channels
                            ):
                                # 从窗口位置取输入值
                                in_y = y + ky
                                in_x = x + kx
                                # 执行乘加操作
                                result += (
                                    input[
                                        image, in_y, in_x, in_channel
                                    ]
                                    * kernel[
                                        ky,
                                        kx,
                                        in_channel,
                                        out_channel,
                                    ]
                                )

                    # 存储该输出位置结果
                    output[image, y, x, out_channel] = result
```

七重嵌套循环揭示了计算的不同层面：

- 外层循环（1-3）管理位置：哪张图像、图像中哪个位置
- 中间循环（4）处理输出特征：计算不同的学习模式
- 内层循环（5-7）执行实际卷积：滑动核窗口

以 MNIST 示例，3×3 滤波器、32 个输出通道，每个输出位置每输入通道仅需 9 次乘加，

而 MLP 层需 784 次。该操作需在每个空间位置（28×28）和每个输出通道（32）重复。

虽然每个输出操作更少，但空间结构带来了不同的内存访问和计算模式，系统设计需应对这些新挑战和优化机会。

系统影响

卷积神经网络（CNN）在系统层面展现出与 MLP 密集连接截然不同的特征，涵盖内存、计算和数据流动三大分析维度。

内存需求 卷积层的内存需求主要集中在两个方面：滤波器权重和特征图。与 MLP 需要存储完整连接矩阵不同，CNN 只需存储小型、可复用的滤波器。例如，典型的 CNN 处理 224×224 的 ImageNet 图像时，若卷积层有 64 个 3×3 滤波器，仅需存储 576 个权重参数（$3 \times 3 \times 64$），远少于等效全连接层所需的数百万参数。系统还需为所有空间位置存储特征图，这带来了不同的内存压力。224×224 的输入配合 64 个输出通道，需要存储 320 万个激活值（224×224×64）。

这些内存访问模式为优化带来了机会，比如权重复用和特征图管理。处理器通过缓存滤波器权重以便在不同位置复用，同时流式处理特征图数据。框架则通过专用内存布局实现空间优化，提升滤波器复用和特征图访问的空间局部性。CPU 和 GPU 的实现方式各异：CPU 利用缓存层级常驻高频滤波器，GPU 则采用专为图像空间访问模式设计的内存架构。专用处理器的详细架构设计原则详见第 11 章：AI 加速。

计算需求 CNN 的核心计算是将小型滤波器反复应用于空间各位置。每个输出值都需在滤波器区域内执行局部乘加操作。以 ImageNet 为例，3×3 滤波器、64 个输出通道，计算单个空间位置需 576 次乘加（$3 \times 3 \times 64$），而整个 224×224 空间共需 50,176 个位置重复该操作。虽然单次计算量小于 MLP 层，但空间重复导致总计算量依然巨大。

这种计算模式带来了与 MLP 不同的优化机会。卷积操作的规律性和重复性使硬件能高效并行。现代处理器各有优化方式：CPU 利用 SIMD 指令 [124] 同时处理多个滤波器位置，GPU 则在空间位置和通道间并行。进一步降低计算需求的模型优化技术（如专用卷积优化和稀疏模式）详见第 10 章：模型优化。

数据流动 卷积的滑窗模式带来了独特的数据流动特征。与 MLP 每个权重每次前向传播只用一次不同，CNN 的滤波器权重会在空间滑动时被多次复用。例如处理 ImageNet

124. **SIMD（单指令多数据）**：CPU 指令可同时对多个数据元素执行相同操作。现代 x86 处理器支持 AVX-512，每条指令可完成 16 个单精度运算，相比标量代码提速 16 倍。SIMD 对于边缘部署的神经网络推理尤为重要。深度学习框架还通过专用卷积算法进一步优化，使计算更贴合硬件能力。

时，每个 3×3 滤波器权重会被复用 50,176 次（即 224×224 个空间位置）。这对系统提出了新挑战：需要在计算单元中流式传递输入特征，同时保持滤波器权重稳定。

可预测的空间访问模式使得数据流动优化成为可能。不同架构采用专用机制应对：CPU 将常用滤波器权重保留在缓存中，流式处理输入特征；GPU 则采用优化空间局部性的内存架构，并提供硬件级滑窗操作支持。深度学习框架通过组织计算，最大化滤波器权重复用，最小化特征图冗余访问。

循环神经网络：序列模式处理

卷积神经网络通过利用空间局部性提升了效率，但当模式依赖于时间顺序而非空间邻近时，其架构假设就失效了。CNN 善于通过共享特征检测器识别“是什么”，却无法捕捉“何时”发生及其跨时间的关系。这一局限在自然语言处理（词义依赖上下文）和时间序列分析（未来依赖历史）等领域尤为突出。

序列数据的挑战在于，模式可能跨越任意时间距离，固定大小的卷积核难以胜任。空间卷积假设邻近像素相关，而时间关系则不同，重要联系可能跨越数百甚至上千步，与邻近性无关。传统前馈架构（包括 CNN）独立处理每个输入，无法维持长距离的时序上下文。

循环神经网络（RNN）正是为了解决这一架构局限而提出的，其归纳偏置是：假设序列依赖，即信息顺序重要，过去影响现在。这一假设引入了“记忆”作为计算模型的一部分。RNN 不再孤立处理输入，而是维护一个内部状态，将前一时刻的信息传递到当前，使输出能结合历史上下文。这种架构带来了新的权衡：CNN 牺牲理论通用性换取空间效率，RNN 则引入了难以并行的计算依赖，以换取时序处理能力。

> **循环神经网络定义**
>
> **循环神经网络（RNN）**是 按时间顺序处理数据并在各时刻维护内部记忆状态的序列神经网络架构。RNN 体现了 时间归纳偏置，假设 顺序重要、过去影响现在。通过 递归连接 将隐藏状态反馈到网络，RNN 能 处理变长序列、建模长距离依赖。但这种顺序处理带来了 计算依赖，难以并行，并在训练时易受 梯度消失或爆炸问题影响。RNN 擅长 自然语言处理、时间序列分析 等时序结构任务。
>
> **覆盖说明**
>
> 本节聚焦 RNN 的核心贡献 —— 序列处理能力及其对现代注意力机制的启发。RNN 引入了记忆状态、时序依赖和顺序计算等关键概念，但当前实际应用更倾向于基于注意力的架构。我们重点讲解原理，不展开各类变体实现，后续章节将详细介绍已在生产系统中取代 RNN 的注意力机制和 Transformer（详见第 4 章：DNN

> 架构，并说明其与循环架构的关系。

模式处理需求

序列模式处理适用于当前输入的解释依赖于先前信息的场景。自然语言处理中，词义往往高度依赖前文；语音识别中，音素解释依赖于周围声音；金融预测则需理解历史数据模式。

序列处理的难点在于如何随时间维护和更新相关上下文。人类理解文本不会每遇到新词就重头开始，而是随着新信息不断演化对上下文的理解。时间序列数据也常常存在不同时间尺度的依赖，从短期到长期趋势。这要求架构既能随时间维护状态，又能根据新输入动态更新。

这些需求转化为具体的架构要求：系统需维护内部状态以捕捉时序上下文，能根据新输入更新状态，并学会哪些历史信息对当前预测最重要。与 MLP、CNN 处理定长输入不同，序列处理需支持变长序列且保持高效。这些需求最终催生了循环神经网络（RNN）架构。

算法结构

RNN 通过递归连接实现序列处理，与 MLP、CNN 最大的不同在于其内部状态的维护。RNN 不仅仅是输入到输出的映射，而是在每个时间步更新内部状态，实现信息随时间的传递。最早由 Elman（1990）提出，证明了 RNN 能识别时序数据结构。基础 RNN 容易遭遇梯度消失问题 [125]，难以学习长期依赖。

基础 RNN 的核心操作可用如下数学表达：

$$\mathbf{h}_t = f(\mathbf{W}_{hh}\mathbf{h}_{t-1} + \mathbf{W}_{xh}\mathbf{x}_t + \mathbf{b}_h)$$

其中 $\mathbf{h}_t$ 为 t 时刻的隐藏状态，$\mathbf{x}_t$ 为 t 时刻输入，$\mathbf{W}_{hh}$ 为递归权重，$\mathbf{W}_{xh}$ 为输入权重，详见图 4 中的展开结构。

以词序列处理为例，每个词可用 100 维向量（$\mathbf{x}_t$）表示，隐藏状态为 128 维（$\mathbf{h}_t$）。每个时间步，网络将当前输入与前一状态结合，更新对序列的理解，实现跨时间步的记忆机制。

这种递归结构通过连接维护内部状态，将信息随时间传递。RNN 不是独立处理所有输入，而是通过当前输入和前一隐藏状态的迭代更新，适合语言建模、语音识别、时间序列预测等任务。

125. **梯度消失问题**：反向传播时，梯度在 RNN 层间呈指数级缩小。当递归权重小于 1 时，梯度每步都被缩小，5-10 步后几乎消失，导致无法学习长期依赖。LSTM 和注意力机制正是为解决这一问题而生。

RNN 实现了递归算法，每步的函数调用依赖于上一步的结果。类似递归函数通过调用栈维护状态，RNN 则通过隐藏向量维护状态。数学公式 $\mathbf{h}_t = f(\mathbf{h}_{t-1}, \mathbf{x}_t)$ 与递归函数 `f(n) = g(f(n-1), input(n))` 完全对应。这也解释了 RNN 能处理任意长度序列：如同递归算法处理任意长列表，RNN 通过递归计算处理变长序列。

效率与优化 序列处理虽带来计算瓶颈，但在内存使用上极为高效。RNN 隐藏状态的内存开销与序列长度无关，适合处理超长序列。Transformer 需 $O(n^2)$ 内存（n 为序列长度），而 RNN 始终为常数，能在普通硬件上处理上千步序列。

对隐藏到隐藏连接的结构化剪枝可实现 10 倍加速且不损失序列建模能力。隐藏权重矩阵 W_{hh} 通常主导大隐藏状态下的参数量，但幅值剪枝显示 70-80% 的连接对时序依赖贡献极小。块结构剪枝既保证计算效率，又能大幅压缩模型。

序列操作会累积量化误差，因此需精心设计量化点和梯度缩放以保证低精度训练的稳定性。与前馈网络量化误差局部化不同，RNN 的误差会随时间传播，INT8 量化更具挑战。需采用逐步量化和隐藏状态精度控制，才能保证量化 RNN 部署的准确性。

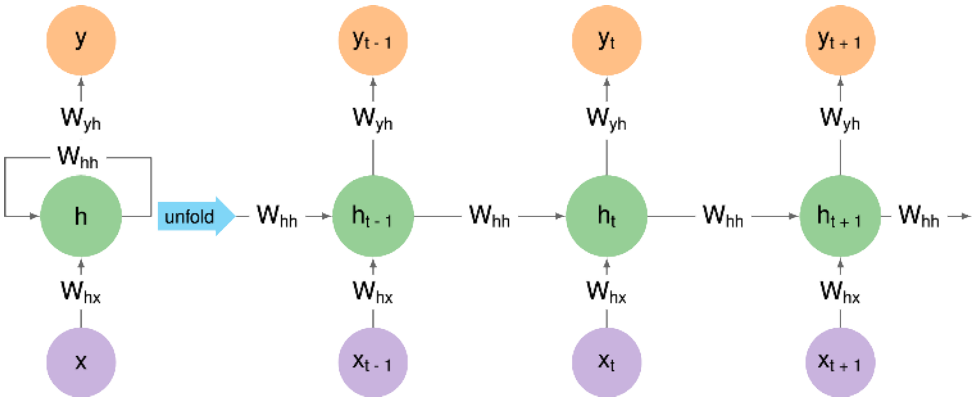

循环神经网络展开：RNN 通过维护隐藏状态，将前一时刻信息传递到当前，实现对序列数据的处理。展开结构清晰展现了递归权重建模的时序依赖，使网络能学习变长序列中的模式。

计算映射

RNN 的序列处理带来了与 MLP、CNN 完全不同的计算模式，丰富了第 4 章：DNN 架构中讨论的架构多样性。其实现方式将时序依赖转化为具体的计算需求。

如代码清单 5 所示，`rnn_layer_step` 函数用深度学习框架常见的高级矩阵操作实现单步计算，输入为当前输入 `x_t` 和前一隐藏状态 `h_prev`，以及两组权重矩阵：递归权重 `W_hh` 和输入权重 `W_xh`。通过矩阵乘法（`matmul`），将前一状态与当前输入融合，生成下一个隐藏状态。

代码清单 5：**RNN 层单步**：神经网络通过变换融合当前输入和历史状态，实现序列数据处理。

```
def rnn_layer_step(x_t, h_prev, W_hh, W_xh, b):
    # x_t: 当前时间步输入（batch_size × input_dim）
    # h_prev: 前一隐藏状态（batch_size × hidden_dim）
    # W_hh: 递归权重（hidden_dim × hidden_dim）
    # W_xh: 输入权重（input_dim × hidden_dim）
    h_t = activation(matmul(h_prev, W_hh) + matmul(x_t, W_xh) + b)
    return h_t
```

理解 RNN 的系统影响，需要考察数学抽象如何转化为硬件执行模式。简单的递归关系 `h_t = tanh(W_hh h_{t-1} + W_xh x_t + b)` 背后隐藏着独特的计算结构：时序依赖阻碍并行，内存访问模式与前馈网络不同，状态管理影响系统设计。

详细实现（见代码清单 6）揭示了数学抽象背后的计算现实。嵌套循环结构暴露了序列处理在系统优化中的局限与机会。

代码清单 6：**RNN 层单步**：神经网络通过变换融合当前输入和历史状态，实现序列数据处理。

```
def rnn_layer_compute(x_t, h_prev, W_hh, W_xh, b):
    # 初始化下一个隐藏状态
    h_t = np.zeros_like(h_prev)

    # 循环 1: 处理每个批次序列
    for batch in range(batch_size):
        # 循环 2: 递归贡献（h_prev × W_hh）
        for i in range(hidden_dim):
            for j in range(hidden_dim):
                h_t[batch, i] += h_prev[batch, j] * W_hh[j, i]

        # 循环 3: 输入贡献（x_t × W_xh）
        for i in range(hidden_dim):
            for j in range(input_dim):
                h_t[batch, i] += x_t[batch, j] * W_xh[j, i]

        # 循环 4: 加偏置并激活
        for i in range(hidden_dim):
            h_t[batch, i] = activation(h_t[batch, i] + b[i])

    return h_t
```

递归层计算：每个时间步通过融合历史状态和当前输入，递归计算隐藏状态。

以输入维度 100、隐藏状态 128 为例，每步需两次矩阵乘法：递归连接 128×128，输入

投影 100×128。每步可在批次内并行，但时间步间必须顺序处理，形成独特的计算模式。

系统影响

延续 MLP 的分析框架，RNN 在内存、计算和数据流动上展现出与密集和空间处理架构截然不同的模式。

内存需求 RNN 需存储两组权重（输入到隐藏、隐藏到隐藏）及隐藏状态。以输入 100 维、隐藏 128 维为例，输入投影需 12,800 个权重（100×128），递归连接需 16,384 个权重（128×128）。与 CNN 在空间位置复用权重不同，RNN 在时间步间复用权重。系统还需维护隐藏状态，这是内存使用和访问模式的关键。

这些内存访问模式与 MLP、CNN 完全不同。处理器通过缓存权重矩阵、流式处理时序元素优化序列模式。框架通过批处理序列、管理时步间隐藏状态进一步优化。CPU 和 GPU 策略各异：CPU 利用缓存层级复用权重，GPU 则采用专为序列操作设计的内存架构。序列处理的专用硬件优化（如内存分组、流水线架构）详见第 11 章：AI 加速。

计算需求 RNN 的核心计算是每个时间步反复应用权重矩阵。每步需两次矩阵乘法：输入权重和递归权重。以本例为例，单步需 12,800 次乘加（输入投影）和 16,384 次乘加（递归连接）。

与 MLP、CNN 最大不同在于：批次内可并行，时间步间因依赖关系无法并行。每步必须等前一步隐藏状态计算完毕才能开始。这种算法的顺序性与现代硬件的并行化需求形成张力。

处理器通过专用方法应对顺序约束。CPU 在时间步内流水线操作，保持时序顺序；GPU 通过批处理多个序列提升吞吐量。软件框架进一步通过序列打包、多步展开等技术提升并行利用率，同时尊重递归架构的顺序约束。

数据流动 RNN 的序列处理带来了与 MLP、CNN 完全不同的数据流动模式。MLP 每次前向传播权重只用一次，CNN 在空间位置复用权重，RNN 则在时间步间复用权重，同时需精细管理隐藏状态的数据流。

以 128 维隐藏状态为例，每步需加载前一隐藏状态（128 个值）、两组权重（共 29,184 个权重），并存储新隐藏状态（128 个值）。该模式在序列每个元素上重复。与 CNN 可基于空间模式预测和预取数据不同，RNN 的数据流动完全由时序依赖驱动。

不同架构通过专用机制应对序列数据流动：CPU 缓存权重、流式处理序列元素并管理

隐藏状态更新，GPU 则优化状态信息的存储和多序列并行处理。深度学习框架通过管理时步间数据传输和批处理进一步优化。

RNN 虽为序列处理奠定了基础，但其架构约束带来了瓶颈：时序依赖阻碍时间步并行，固定容量的隐藏状态限制长序列信息表达，且当重要关系跨越远距离时，时序邻近假设失效。这些局限推动了注意力机制的发展，后者通过动态、内容依赖的连接消除了顺序处理约束。下节将详细分析注意力机制如何解决 RNN 的每一项局限，同时带来新的计算挑战。正因如此，注意力机制成为现代 ML 系统的主流，并彻底重塑了序列模式处理的范式。

注意力机制：动态模式处理

RNN 成功引入了记忆以处理序列依赖，但其固定的顺序处理带来了局限。RNN 必须按时间顺序处理信息，难以捕捉远距离元素间的关系，也无法在序列位置间并行计算。更关键的是，RNN 假设时间邻近性等同于重要性 —— 即相邻词或时间步更相关。但现实中这一假设常常失效。

例如句子“猫坐在窗边俯瞰花园，正在睡觉。”中，“猫”和“睡觉”之间隔着多个词，但它们才是主谓核心。RNN 必须顺序处理所有中间元素，且其有限容量的隐藏状态可能丢失这一关键联系。这一局限暴露了需要一种能基于内容动态识别和加权关系的架构。

注意力机制正是为解决这一架构约束而生 [Bahdanau 2014]，通过引入基于输入内容自适应的动态连接模式。注意力机制不再按固定顺序和关系处理元素，而是计算所有元素对之间的相关性，并据此加权交互。这标志着从结构约束到数据驱动处理模式的转变。

> **注意力机制定义**
>
> **注意力机制** 是 动态神经网络组件，通过计算序列中所有元素对的 内容相关性，使网络能 有选择地关注与任务相关的信息，无论其在序列中的位置如何。通过查询 - 键 - 值交互，注意力机制计算 相关性分数，据此加权各元素对其他元素的影响。这种 数据驱动计算 使网络能捕捉 任意长距离依赖，突破卷积和递归架构的距离限制，成为现代序列处理的基础。

最初注意力机制作为递归架构的组件出现，但 Transformer 架构证明仅靠注意力即可完全取代顺序处理，开创了全新架构范式。

> **Transformer 定义**
>
> **Transformer** 是 完全基于注意力机制构建的神经网络架构，摒弃了递归和卷积

> 层，采用 纯注意力处理。Transformer 用 多头自注意力 捕捉关系，并通过 位置编码 保持序列顺序信息。这一架构在 语言建模、机器翻译 等领域实现了 最先进性能，并因能高效捕捉长距离依赖、支持大规模并行训练和推理，成为大模型的主流架构。

模式处理需求

动态模式处理适用于元素间关系由内容而非结构决定的场景。语言翻译即是典型例子：“the bank by the river”中“bank”需关注“river”，而“the bank approved the loan”则与“approved”“loan”相关。RNN 顺序处理、CNN 固定空间模式都无法动态判断哪些关系重要，需一种能自适应确定关系的架构。

这一需求在多领域普遍存在：蛋白质结构预测中，氨基酸间的相互作用取决于化学属性和空间结构；图分析中，节点关系由图结构和节点特征决定；文档分析中，不同部分的联系取决于语义内容而非物理邻近。

综合来看，动态处理要求架构具备三大能力：计算所有元素对的关系、根据内容加权这些关系，并用这些权重有选择地融合信息。与以往固定连接模式不同，动态处理要求计算图能随输入自适应调整。这些能力正是注意力机制的基础，也是 Transformer 架构的核心。图 5 展示了注意力机制实现的信息流动。

基础注意力机制

注意力机制实现了从固定架构连接到基于内容的动态交互的转变。本节将探讨注意力的数学基础，分析查询 - 键 - 值操作如何实现灵活的模式处理，并剖析其计算需求、内存访问和系统影响。

算法结构　注意力机制通过计算元素间的加权连接，实现了动态模式处理 [Bahdanau 2014]。其核心操作可用如下数学表达：

$$\text{Attention}(\mathbf{Q}, \mathbf{K}, \mathbf{V}) = \text{softmax}\left(\frac{\mathbf{Q}\mathbf{K}^T}{\sqrt{d_k}}\right)\mathbf{V}$$

这是缩放点积注意力。**Q**（查询）与 **K**（键）矩阵相乘得相似度分数，除以 $\sqrt{d_k}$（键维度）保证数值稳定，再用 softmax[126] 归一化得到注意力权重，最后加权 **V**（值）输出。这样每个位置都能根据内容相似度从所有相关位置获取信息。

126. **Softmax 函数**：将实数向量转为概率分布，所有值之和为 1。定义为 $\text{softmax}(x_i) = \frac{e^{x_i}}{\sum_j e^{x_j}}$，能放大输入间差异（大值概率更高），保证注意力权重有效。

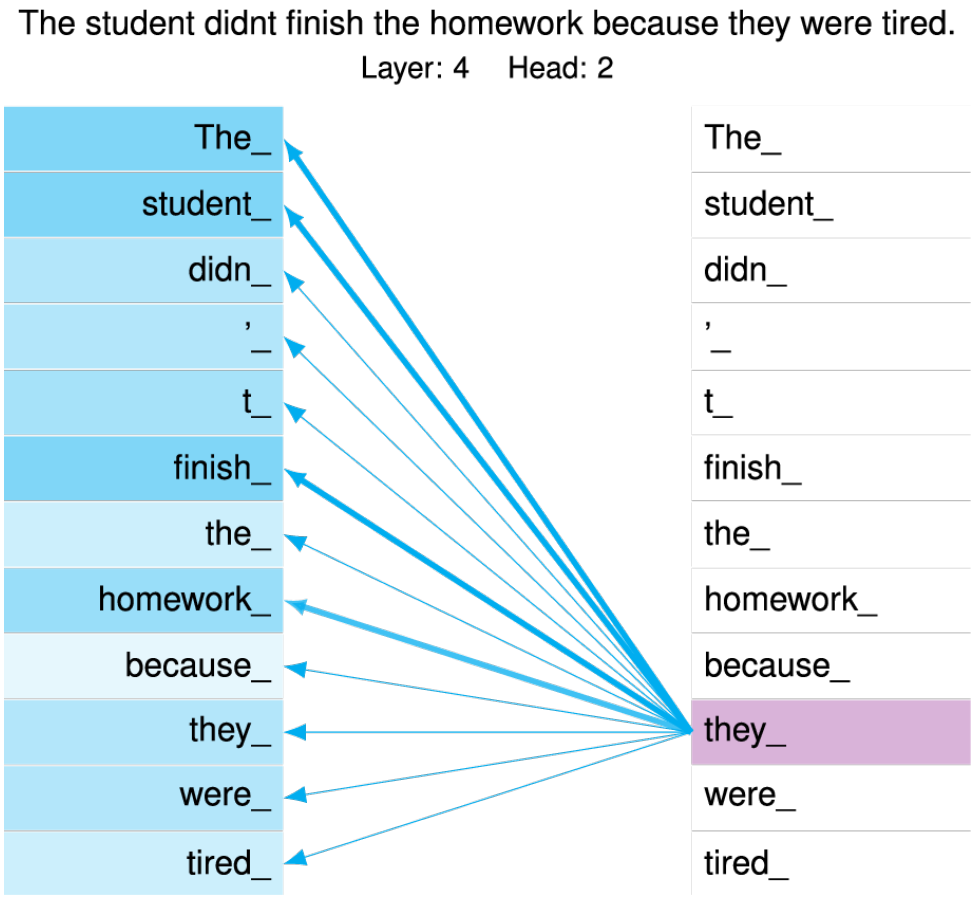

注意力权重：Transformer 的注意力机制动态评估子词间关系，对序列中更相关的连接赋予更高权重，使模型能聚焦关键信息。可视化的权重揭示了模型在处理语言时如何关注输入的不同部分。

在该公式中，**Q**（查询）、**K**（键）、**V**（值）[127] 均为输入的可学习投影。对于长度为 N、维度为 d 的序列，该操作生成 $N \times N$ 的注意力矩阵，决定每个位置如何关注其他所有位置。

注意力操作分为三步：首先为每个位置计算查询、键、值投影；然后通过查询 - 键交互生成 $N \times N$ 注意力矩阵（见图 6）；最后用注意力权重加权值向量，输出结果。

关键在于，与以往架构的固定权重矩阵不同（见图 7），注意力权重是针对每个输入动态计算的，使模型能根据内容自适应处理。

计算映射 注意力机制带来了与以往架构截然不同的计算模式。代码清单 7 展示了动态连接如何转化为具体计算需求。

127. **查询 - 键 - 值注意力**：灵感来自信息检索系统，查询用于检索键，返回值。在神经注意力中，查询和键计算相似度（如搜索引擎匹配查询与文档），值则包含实际信息，实现了灵活的内容检索。

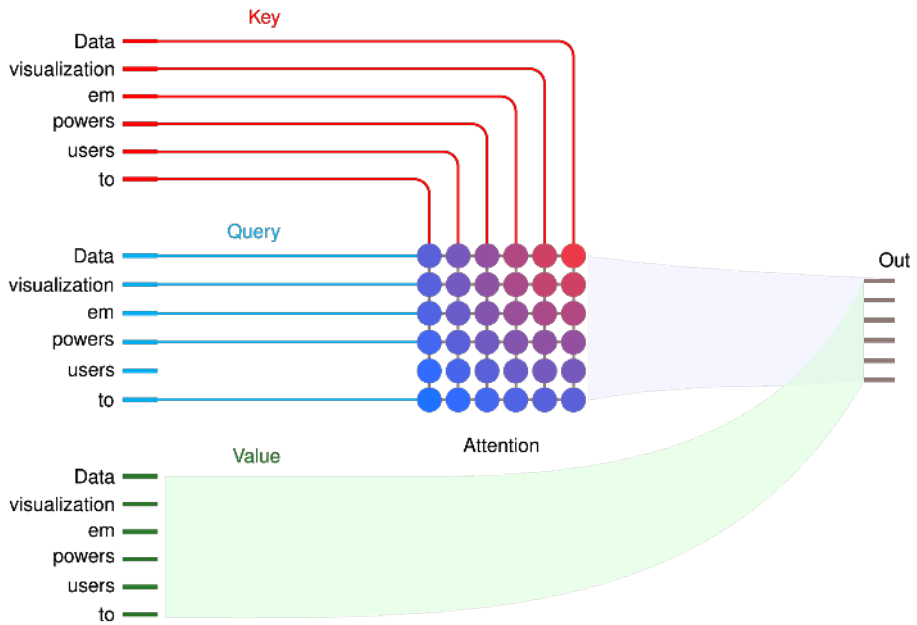

查询 - 键 - 值交互：Transformer 注意力机制通过计算查询、键、值间的关系，动态加权输入序列元素，使模型聚焦于相关信息。这些投影生成的注意力矩阵决定了每个值向量对最终输出的贡献，有效捕捉序列内的上下文依赖。

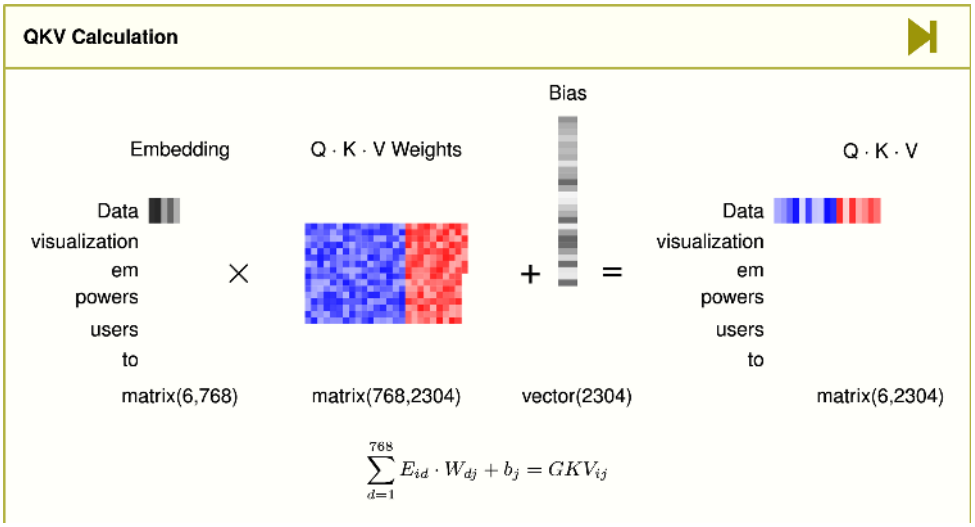

动态注意力权重：Transformer 模型根据查询、键、值向量间的关系动态计算注意力权重，使模型在每一步处理时都能聚焦输入序列的相关部分。这与固定权重架构形成对比，实现了对变长输入和复杂依赖的自适应模式处理。

Listing 7: **Attention Mechanism**: Transformer models compute attention through query-key-value interactions, enabling dynamic focus across input sequences for improved language understanding.

```
def attention_layer_matrix(Q, K, V):
    # Q, K, V: (batch_size × seq_len × d_model)
    scores = matmul(Q, K.transpose(-2, -1)) / sqrt(
        d_k
    )  # 计算注意力分数
    weights = softmax(scores)  # 归一化分数
    output = matmul(weights, V)  # 加权值
    return output


# 核心计算模式
def attention_layer_compute(Q, K, V):
    # 初始化输出
    scores = np.zeros((batch_size, seq_len, seq_len))
    outputs = np.zeros_like(V)

    # 循环 1: 处理每个批次序列
    for b in range(batch_size):
        # 循环 2: 每个查询位置计算注意力
        for i in range(seq_len):
            # 循环 3: 与每个键位置比较
            for j in range(seq_len):
                # 计算注意力分数
                for d in range(d_model):
                    scores[b, i, j] += Q[b, i, d] * K[b, j, d]
                scores[b, i, j] /= sqrt(d_k)

        # 对分数应用 softmax
        for i in range(seq_len):
            scores[b, i] = softmax(scores[b, i])

        # 循环 4: 用注意力权重加权值
        for i in range(seq_len):
            for j in range(seq_len):
                for d in range(d_model):
                    outputs[b, i, d] += scores[b, i, j] * V[b, j, d]

    return outputs
```

注意力机制：Transformer 通过查询 - 键 - 值交互计算注意力，实现输入序列间的动态聚焦，提升语言理解能力。

`attention_layer_compute` 的嵌套循环揭示了注意力的真实计算特征。第一层循环独立处理每个批次序列，第二、三层循环计算所有位置对的注意力分数，形成二次方的计算模式，使注意力既强大又计算密集。第四层循环用权重加权所有值，完成动态连接。

系统影响 注意力机制在系统层面展现出与以往架构完全不同的动态连接需求。

内存需求 注意力机制需存储注意力权重、查询 - 键 - 值投影和中间特征表示。对于长度为 N、维度为 d 的序列，每层需为每个批次存储 $N \times N$ 的注意力权重矩阵、三组 $d \times d$ 的投影矩阵，以及 $N \times d$ 的输入输出特征图。每次输入都需动态生成注意力权重，导致中间权重成为内存使用的重要因素。

计算需求 注意力机制的计算需求主要分两步：生成注意力权重并应用于值。每层需执行大量乘加操作。查询 - 键交互本身就需 $N \times N \times d$ 次乘加，加权值时同样如此。还需额外计算投影矩阵和 softmax。与以往架构不同，注意力的计算量随序列长度呈二次增长，且每次输入都需全新计算。

数据流动 数据流动在注意力机制中呈现独特挑战。每次操作需为每个位置投影并搬运查询、键、值向量，存取完整注意力权重矩阵，并在加权阶段协调值向量流动。这种数据流动模式使中间权重成为系统带宽的主要瓶颈。与 CNN 的可预测访问或 RNN 的顺序访问不同，注意力操作需频繁搬运动态计算的权重，跨越内存层级。

这些独特的内存、计算和数据流动特性对系统设计和优化提出了新要求，也为 Transformer 等更高级架构的发展奠定了基础。

Transformer：纯注意力架构

注意力机制虽引入了动态模式处理，但最初只是现有架构（尤其是序列到序列任务中的 RNN）的补充。这种混合方式仍受限于递归架构的根本瓶颈：顺序处理阻碍高效并行，长序列处理困难。突破性进展在于认识到仅靠注意力机制即可完全取代卷积和递归处理。

Transformer 架构由“Attention is All You Need”论文[128]（Vaswani 2017）提出，体现了革命性的归纳偏置：**不假设任何先验结构，而让模型基于内容动态学习所有元素对的关系**。这一假设是第 4 章：DNN 架构所述架构进化的终点，彻底摒弃结构约束，转向纯内容驱动的处理。Transformer 以自注意力为核心计算模式，放弃了 CNN 的参数高效和 RNN 的顺序一致性，换取了最大灵活性和并行性。

128. **“Attention is All You Need”**：2017 年 Google 研究员提出的论文，彻底摒弃递归，仅用注意力机制实现最先进性能。标题本身成为口号，5 年内基于 Transformer 的模型（GPT、BERT、ViT 等）在语言、视觉等领域取得突破 [Radford 2018；Devlin 2018；Dosovitskiy 2021]。该论文是深度学习历史性转折点，证明了 RNN/LSTM 的顺序处理已非必需，注意力机制可通过并行计算捕捉短/长距离依赖。基础注意力机制实现了基于内容的信息加权，Transformer 则将注意力应用于单一序列，使每个元素能关注包括自身在内的所有元素。

这标志着架构进化的终极阶段：MLP 全连接，CNN 局部连接，RNN 顺序连接，Transformer 则基于内容动态连接。每一步都用能力换取约束，Transformer 以第 4 章：DNN 架构 中分析的计算代价，换来了最大表达力。

算法结构 Transformer 的核心创新在于自注意力层。自注意力机制中，查询、键、值均来自同一输入序列，这与早期注意力机制（如解码器查询编码器）不同。自注意力使模型在编码每个位置时能衡量序列内其他位置的重要性。例如处理“The animal didn't cross the street because it was too wide.”时，自注意力能将“it”与“street”关联，捕捉传统顺序模型难以建模的长距离依赖。

自注意力机制的数学表达与基础注意力类似：

$$\text{SelfAttention}(\mathbf{X}) = \text{softmax}\left(\frac{\mathbf{X}\mathbf{W}_\mathbf{Q}(\mathbf{X}\mathbf{W}_\mathbf{K})^T}{\sqrt{d_k}}\right)\mathbf{X}\mathbf{W}_\mathbf{V}$$

其中 $\mathbf{X}$ 为输入序列，$\mathbf{W}_\mathbf{Q}$、$\mathbf{W}_\mathbf{K}$、$\mathbf{W}_\mathbf{V}$ 为查询、键、值的可学习权重矩阵。该公式突出自注意力所有分量均源自同一输入，实现了基于内容的动态处理。

在此基础上，Transformer 引入多头注意力，将自注意力机制并行化。每个“头”用独立的查询/键/值投影，能关注输入的不同方面，使模型能同时捕捉多种关系，提升表达能力。

多头注意力的数学表达为：

$$\text{MultiHead}(\mathbf{Q},\mathbf{K},\mathbf{V}) = \text{Concat}(\text{head}_1,\ldots,\text{head}_h)\mathbf{W}^O$$

每个头的计算为：

$$\text{head}_i = \text{Attention}(\mathbf{Q}\mathbf{W}_i^Q, \mathbf{K}\mathbf{W}_i^K, \mathbf{V}\mathbf{W}_i^V)$$

自注意力和多头注意力中的缩放因子 $\sqrt{d_k}$ 至关重要。它防止点积过大导致 softmax 梯度极小，保证训练稳定。对于 d_k 维的查询和键，其点积方差为 d_k，除以 $\sqrt{d_k}$ 后方差归一，便于优化 [129]。

从概念上看，注意力机制可视为一种内容寻址存储系统。类似哈希表通过键检索值，注意力通过查询与所有键的相似度检索加权值。点积相似度 `Q·K` 类似哈希函数，softmax 归一化实现概率检索。这解释了注意力为何适合灵活信息检索任务 —— 它是数据库查找的可微近似。

129. **注意力缩放**：若无 $\sqrt{d_k}$ 缩放，点积过大导致 softmax 饱和，梯度趋近于零，学习受阻。该数学洞见保证了大规模 Transformer 的稳定优化。

从信息论角度，注意力机制实现了不确定性下的信息最优聚合。注意力权重代表了当前处理步骤对输入各部分相关性的“不确定性”，softmax 实现了最大熵原则：在所有可能的注意力分布中，softmax 选择了在相似度约束下熵最大的分布 [Cover 2006]。

效率与优化 注意力机制存在高度冗余，许多头部学习到的模式非常相似。通过头部剪枝和低秩注意力分解，可在精细实现下将计算量减少 50-80%。对大型 Transformer 模型的分析发现，大多数注意力头只覆盖少数几种常见模式（位置、句法、语义），这表明显式的架构专门化有可能取代部分冗余的学习。

注意力操作对量化极为敏感，主要受 softmax 操作和注意力分数的二次数量影响。Q、K、V 投影需分别采用独立量化方案，并对 softmax 操作进行精细处理以保证量化稳定性。后训练 INT8 量化通常损失 2-3% 的精度，而 INT4 量化则需更复杂的量化感知训练方法。

序列长度的二次扩展带来了效率瓶颈。稀疏注意力模式（如局部窗口、跨步模式或可学习稀疏性）可将复杂度从 $O(n^2)$ 降至 $O(n \log n)$ 或 $O(n)$，同时保持大部分建模能力。线性注意力近似则以部分表达力换取线性扩展，使得在有限硬件上处理更长序列成为可能。

信息论视角解释了注意力为何能高效实现选择性处理。该机制自动平衡两大目标：聚焦最相关信息（最小化熵）与保持足够广度避免遗漏重要细节（最大化熵）。注意力模式正是这两者的最优权衡，解释了 Transformer 能高效处理长序列和复杂依赖的原因。

自注意力在输入序列上学习动态激活模式。与 CNN 固定滤波器或 RNN 固定递归模式不同，注意力机制能根据内容学习哪些元素应共同激活，形成自适应连接，每个输入都能改变网络的有效拓扑。最新研究表明，训练好的模型中的注意力头常常专门检测特定的语言或语义模式，说明该机制能自然发现数据中的可解释结构规律。

Transformer 架构将自注意力机制与前馈层、层归一化和残差连接等结构结合（见图 6），使其能并行处理输入序列，无需顺序计算即可捕捉复杂依赖。因此，Transformer 在自然语言处理、计算机视觉等领域展现了极高的有效性，推动了深度学习架构的跨领域变革。

计算映射 Transformer 的自注意力机制在基础注意力之上，带来了独特的计算模式。理解这些模式需考察 Transformer 中自注意力的典型实现（见代码清单 8）：

代码清单 8：**自注意力机制**：Transformer 通过查询 - 键 - 值交互计算注意力，实现输入序列间的动态聚焦，提升语言理解能力。

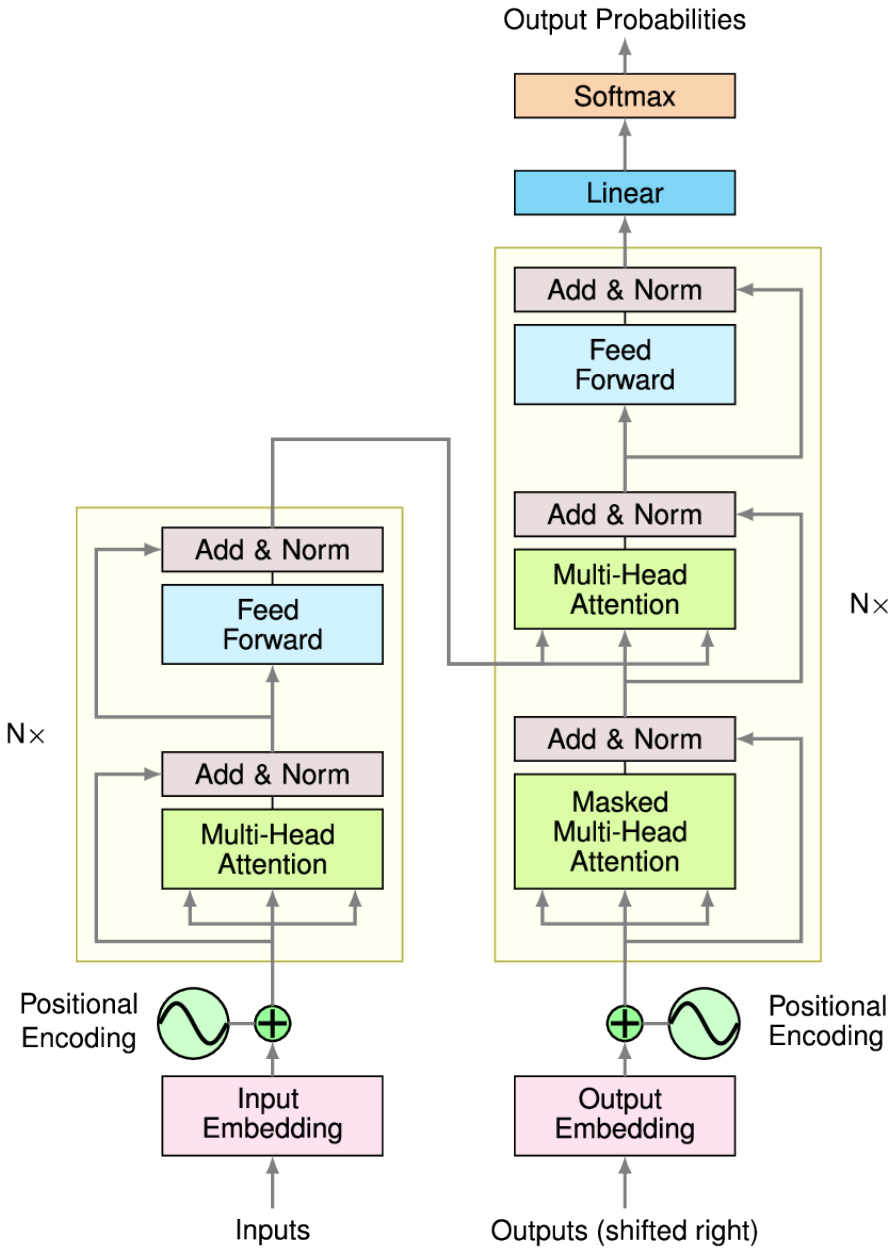

注意力头：神经网络通过查询 - 键 - 值交互计算注意力，实现子词间的动态聚焦，提升句子理解能力。

```python
def self_attention_layer(X, W_Q, W_K, W_V, d_k):
    # X: 输入张量 (batch_size × seq_len × d_model)
    # W_Q, W_K, W_V: 权重矩阵 (d_model × d_k)

    Q = matmul(X, W_Q)
    K = matmul(X, W_K)
    V = matmul(X, W_V)

    scores = matmul(Q, K.transpose(-2, -1)) / sqrt(d_k)
    attention_weights = softmax(scores, dim=-1)
    output = matmul(attention_weights, V)

    return output


def multi_head_attention(X, W_Q, W_K, W_V, W_O, num_heads, d_k):
    outputs = []
    for i in range(num_heads):
        head_output = self_attention_layer(
            X, W_Q[i], W_K[i], W_V[i], d_k
        )
        outputs.append(head_output)

    concat_output = torch.cat(outputs, dim=-1)
    final_output = matmul(concat_output, W_O)

    return final_output
```

自注意力机制：Transformer 通过查询 - 键 - 值交互计算注意力，实现输入序列间的动态聚焦，提升语言理解能力。

该实现揭示了基础注意力机制的关键计算特性，而 Transformer 的自注意力是其特定应用。首先，自注意力支持序列所有位置的并行处理，体现在 Q、K、V 的矩阵乘法可同时计算所有位置。与递归架构顺序处理输入不同，这种并行性使其在现代并行硬件上计算更高效。

其次，注意力分数计算会生成一个大小为（seq_len × seq_len）的矩阵，导致序列长度的二次复杂度。长序列处理时，这种二次关系成为主要计算瓶颈，推动了高效注意力机制的研究。

第三，多头注意力机制本质上是并行运行多个自注意力，每个头有独立的投影参数。虽然计算量随头数线性增长，但能捕捉输入中的多种关系，增强模型表达力。

第四，自注意力的核心计算由大规模矩阵乘法主导。对于长度为 N、嵌入维度为 d 的序列，主要操作涉及 $(N \times d)$、$(d \times d)$ 和 $(N \times N)$ 的矩阵。这些密集矩阵操作适合 GPU 等专用硬件加速，但也显著增加了模型的整体计算成本。

最后，自注意力会生成大量中间内存结果。注意力权重矩阵（$N \times N$）和每个头的中间

结果，对长序列尤其占用内存，这对内存受限设备部署提出挑战，需在实现中精细管理内存。

这些计算模式使 Transformer 的自注意力在架构上独具一格。并行计算特性使其适合现代并行硬件，但序列长度的二次复杂度限制了长序列处理能力。因此，优化技术（如稀疏注意力、低秩近似）成为研究热点，每种优化都需在效率与表达力间权衡，实际应用中需谨慎选择。

对四大架构家族的分析揭示了各自特性及其进化关系。与其孤立看待这些架构，不如深入理解它们之间的联系及共同基础。

架构构件积木

分析 MLP、CNN、RNN、Transformer 四大架构家族及其系统影响后，可以发现深度学习架构本质上是由基础构件积木组合而成。正如复杂的乐高结构由基础积木搭建，现代神经网络是在几十年研究中不断组合和迭代核心计算模式。每次架构创新都引入新积木，同时发现已有积木的新用法。

这些积木及其进化过程揭示了现代架构设计的本质。简单感知机演化为多层网络[Rumelhart 1986]，随后又衍生出空间和序列处理的专用模式。每次进步都保留了前代的有用元素，同时引入新的计算原语。Transformer 等当代架构正是对这些积木的精心组合。

这一进化既展现了神经网络的发展，也体现了核心计算模式的发现与完善，这些模式至今仍然重要。基于第 4 章：DNN 架构 的架构进化，每种新架构都带来了独特的计算需求和系统挑战。

表 1 总结了这一进化，突出每个深度学习时代的关键原语和系统关注点。该表展示了深度学习架构设计的主要转变及系统层面的变化，从早期 CPU 优化的密集矩阵运算，到利用 GPU 加速的卷积、需要复杂内存层级的序列操作，再到当前依赖灵活加速器和高带宽内存的注意力机制时代。

时代	主导架构	关键原语	系统关注点
早期神经网络	MLP	密集矩阵运算	CPU 优化
CNN 革命	CNN	卷积	GPU 加速

时代	主导架构	关键原语	系统关注点
序列建模	RNN	序列操作	内存层级
注意力时代	Transformer	注意力、动态计算	灵活加速器、高带宽内存

分析这些积木可以看到原语不断进化和组合，造就了越来越强大的神经网络架构。

从感知机到多层网络的进化

在第 4 章：DNN 架构中我们分析了 MLP 的密集模式处理，这里重点说明它如何奠定了深度学习的基础积木。感知机到 MLP 的进化带来了层叠堆叠、非线性变换和前馈计算模式等关键概念。

在输入与输出之间引入隐藏层，成为特征变换的模板，几乎所有现代架构都采用。即使在 Transformer 等复杂网络中，也能看到 MLP 风格的前馈层用于特征处理。通过多层非线性变换数据，已成为超越具体架构类型的范式。

最重要的是，MLP 的发展确立了反向传播算法 [130]，至今仍是神经网络优化的基石。这一关键贡献使深度架构成为可能，并影响了后续架构如何设计以保持梯度流动。

这些积木 —— 层叠特征变换、非线性激活、基于梯度的学习 —— 为后续专用架构奠定了基础。后续创新往往是对这些基础组件的新结构化，而非完全替代。

从密集到空间处理的进化

CNN 的发展是架构创新的典范，特别是将 MLP 的密集连接专门化为空间模式。保留层级处理的核心思想，CNN 引入了影响所有后续架构的积木。

首要创新是参数共享。与 MLP 每个连接独立权重不同，CNN 展示了参数可在输入不同部分复用。这不仅提升了效率，还引入了架构结构可编码数据先验的强大思想。

更具影响力的是 ResNet[131] 引入的跳跃连接。最初为训练极深 CNN 设计，跳跃连接已成为几乎所有现代架构的积木。它展示了网络中直接路径可帮助梯度流动和信息传播，这一思想现已成为 Transformer 的核心。

130. **反向传播算法**：链式法则自 17 世纪已知，但 Rumelhart、Hinton 和 Williams（1986）首次高效应用于多层网络训练。这一“误差传播学习”算法让深度网络成为现实，至今几乎未变，足见其重要性。
131. **ResNet 革命**：ResNet（2016）解决了“退化问题”，即更深网络反而性能更差。关键洞见：加入恒等捷径（$\mathcal{F}(\mathbf{x})+\mathbf{x}$）让网络学习残差映射而非全变换，使 1000 层网络训练成为可能，并赢得 2015 年 ImageNet。

CNN 还引入了批归一化（BatchNorm），通过归一化中间特征稳定优化。特征归一化理念起源于 CNN，后演化为层归一化，现已成为现代架构的关键组成。

这些创新如参数共享、跳跃连接、归一化，已超越空间处理领域，成为深度学习工具箱的基础积木。

序列处理的进化

CNN 专门化了 MLP 的空间模式，序列模型则让神经网络适应时序依赖。RNN 引入了状态维护与更新的概念，影响了网络如何处理序列信息。

LSTM[132] 和 GRU[133] 的发展为神经网络带来了复杂的门控机制。这些门控本身就是小型 MLP，展示了前馈计算可用于控制信息流动。这种用神经网络调节神经网络的信息流动，成为架构设计的常见模式。

序列模型最重要的贡献是自适应计算路径。与 MLP、CNN 固定模式不同，RNN 展示了网络可通过权重复用适应变长输入。这一洞见 —— 架构模式可适应输入结构 —— 为更灵活的架构奠定了基础。

序列模型还通过编码器 - 解码器架构推广了注意力机制。最初用于提升机器翻译，注意力机制展示了网络可动态聚焦于相关信息，这一积木后来成为 Transformer 的核心。

现代架构：综合与统一

现代架构，尤其是 Transformer，是对这些基础积木的高度综合。它们不是引入全新模式，而是通过战略性组合和优化现有组件创新。Transformer 架构正是典范：其核心是 MLP 风格的前馈网络在注意力层间处理特征。注意力机制本身继承了序列模型思想，同时摒弃递归连接，采用受 CNN 启发的位置编码。架构广泛使用跳跃连接（见图 7），源自 ResNet，层归一化则由 CNN 批归一化演化而来，稳定了优化。

这些积木的组合带来了超越单一组件的涌现能力。自注意力机制虽源自早期注意力，但实现了全新的动态模式处理。组件的排列 —— 注意力后接前馈层，配合跳跃连接和归一化 —— 已成为新架构的模板。

近期视觉和语言模型创新也遵循积木重组的模式。视觉 Transformer[134] 将 Transformer 架构应用于图像，保留其核心组件。大语言模型在扩展这些模式的同时引入了分组查询

132. **LSTM 起源**：Sepp Hochreiter 和 Jürgen Schmidhuber 于 1997 年发明 LSTM，解决了困扰 RNN 的“梯度消失问题”。门控机制灵感来自生物神经元选择性保留信息的能力，是序列建模的突破，推动了现代语言模型发展。
133. **门控循环单元（GRU）**：Cho 等（2014）提出的 LSTM 简化版，仅有 2 个门，参数量减少约 25%，性能相近。GRU 因计算高效、训练更易而流行，说明架构简化有时反而提升性能。
134. **视觉 Transformer（ViT）**：Google 2021 年突破性工作证明纯 Transformer 可在 ImageNet 上媲美 CNN，将图像块视为“词”。ViT 将 224×224 图像分为 16×16 块（196 个“token”），证明只要数据足够，注意力机制可替代卷积归纳偏置。

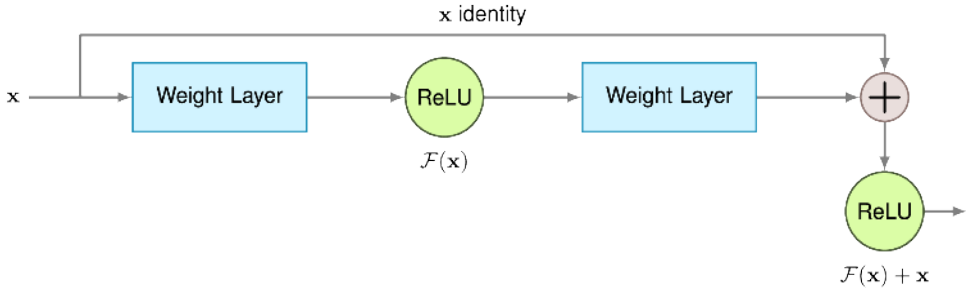

残差连接：跳跃连接将层输入与输出相加，使梯度能直接流过网络，缓解深层架构中的梯度消失问题。这样可训练更深的网络，ResNet 和现代 Transformer 均采用该机制提升优化和性能。

注意力、滑窗注意力等优化，但仍依赖于架构进化中确立的核心积木。这些现代创新体现了第 9 章：高效 AI 中的高效扩展原则，其实际实现和优化详见第 10 章：模型优化。

下表对不同神经网络架构的原语利用进行了比较，显示现代架构如何综合并创新于前人方法：

原语类型	**MLP**	**CNN**	**RNN**	**Transformer**
计算	矩阵乘法	卷积（矩阵乘法）	矩阵乘法 + 状态更新	矩阵乘法 + 注意力
内存访问	顺序	跨步	顺序 + 随机	随机（注意力）
数据流动	广播	滑窗	顺序	广播 + 收集

如表 2 所示，Transformer 既继承了前人架构的核心矩阵乘法操作，又通过注意力机制引入了更复杂的内存访问模式。其数据流动既有 MLP 的广播，也有更动态架构的收集操作。

Transformer 的原语综合，说明现代架构是在第 4 章：DNN 架构 确立的积木基础上创新，而非完全发明新计算范式。这一进化过程指导了未来架构的发展，也帮助系统设计者构建高效支持这些架构的系统。

系统级构件积木

分析不同深度学习架构，可将其系统需求归纳为支撑硬件和软件实现的原语。这些原语是不可再分的基本操作，正如复杂分子由原子构成，复杂神经网络由这些操作搭建。

核心计算原语

三大操作构成所有深度学习计算的基础：矩阵乘法、滑窗操作和动态计算。这些操作之所以是原语，是因为再分解就会丧失其本质计算属性和效率特征。

矩阵乘法是特征变换的基本形式。输入矩阵与权重矩阵相乘，计算加权组合，是神经网络的核心操作。例如 MNIST 网络中，784 维输入向量与 784×100 权重矩阵相乘。该模式无处不在：MLP 层直接用，CNN 将卷积重塑为矩阵乘法（如将 3×3 卷积转为矩阵操作，见图 8），Transformer 在注意力机制中大量使用。

计算构件积木 现代神经网络通过三种计算模式实现架构目标，这些模式解释了不同架构如何达成计算目标，也说明了为何某些硬件优化有效。

稀疏计算模式的详细分析，包括结构化与非结构化稀疏、硬件感知优化策略和算法 - 硬件协同设计原则，详见第 10 章：模型优化 和第 11 章：AI 加速。

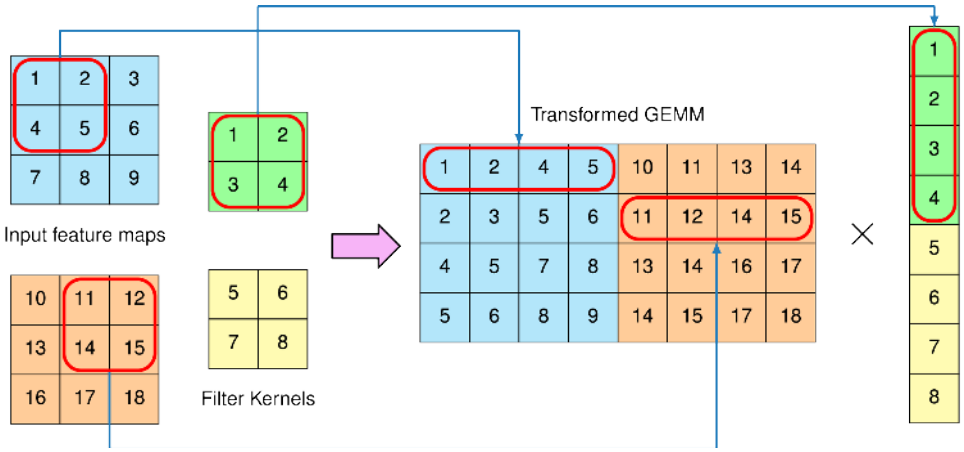

卷积转矩阵乘法：通过 im2col 技术将卷积层重塑为矩阵乘法，可用优化的 BLAS 库高效计算，并支持标准硬件上的并行处理。这一变换对加速 CNN 至关重要，是多平台卷积实现的基础。

im2col[135]（image to column）技术由 Intel 1990 年代提出，通过将重叠的图像块展开为矩阵列（见图 10），每个卷积窗口变为矩阵的一列，滤波器核排列为行。这样卷积操

135. **im2col（Image to Column）**：Intel 1990 年代开发的数据布局变换，将卷积操作转为矩阵乘法，通过展开图像块为矩阵列。该方法以内存消耗换取计算效率，使 CNN 能利用 GEMM 优化，在 CPU 上提速 5-10 倍。

作可转为标准 GEMM（通用矩阵乘法）。该变换以内存消耗（重叠窗口数据重复）换取计算效率，使 CNN 能利用 BLAS 优化，在 CPU 上提速 5-10 倍。现代系统中，这些矩阵乘法映射到专用硬件和软件实现。硬件加速器提供专用张量核心，可并行执行数千次乘加；NVIDIA A100 张量核心在混合精度（TF32）下可达 312 TFLOPS，FP32 下 156 TFLOPS。PyTorch、TensorFlow 等框架自动将高层操作映射到优化矩阵库（NVIDIA cuBLAS、Intel MKL），充分利用硬件能力。

滑窗操作通过对数据块重复应用同一操作，计算局部关系。CNN 处理 MNIST 图像时，3×3 卷积核在 28×28 输入上滑动，步长为 1 时需计算 26×26 个窗口。现代硬件加速器通过专用内存访问和数据缓冲优化数据重用。例如 Google TPU 用 128×128 的脉动阵列 [136]，数据有序流经处理单元，每个输入值可在多次计算中复用，无需反复访问内存。

动态计算，即操作本身依赖于输入数据，随着注意力机制的出现而突出，但本质上是实现自适应处理的能力。在 Transformer 注意力中，每个查询需动态计算与所有键的权重；长度为 512 的序列需实时计算 512 种权重模式。与固定模式不同，动态计算需运行时决策，带来实现挑战：硬件需支持灵活数据路由（现代 GPU 用动态调度），软件框架需高效处理数据依赖的执行路径（PyTorch 动态计算图、TensorFlow 动态控制流）。

这些原语在现代架构中以复杂方式组合。例如 Transformer 层处理 512 token 序列时，特征投影用矩阵乘法（512×512，张量核心实现），长序列注意力可用滑窗优化（专用内存访问），注意力权重需动态计算（512×512 个权重）。这些原语的交互决定了系统设计需求，从内存层级到计算调度。

上述积木解释了为何硬件有张量核心（为矩阵乘法）、为何软件框架按批次组织计算（为批量优化）。从计算原语到内存访问和数据流动，理解这些操作如何影响内存系统和数据传输机制至关重要。原语的实现和组合直接影响数据的存储、访问和流动方式。

内存访问原语

深度学习模型的效率高度依赖于内存访问和管理。内存访问常是现代 ML 系统的主要瓶颈，即使矩阵乘法单元每周期可执行数千次操作，若数据未及时到位也会空闲。例如从 DRAM 访问数据需数百周期，而片上计算仅需几周期。

三种内存访问模式主导深度学习架构：顺序访问、跨步访问和随机访问。每种模式对内存系统有不同要求，也带来不同优化机会。

顺序访问最简单也最高效。MLP 批量处理 MNIST 图像时，需顺序访问 784×100 权重矩阵和输入向量。该模式与现代内存系统高度匹配，DRAM 可用突发模式顺序读取（现代

136. **脉动阵列（Systolic Array）**：由处理单元组成的网络，数据有节奏地流经邻居，类似“心跳”式计算。1978 年 H.T. Kung 和 Charles Leiserson 发明，脉动阵列通过计算与数据流重叠实现高吞吐 —— Google TPU 每时钟周期可执行 65,536 次乘加。

GPU 可达 400 GB/s），硬件预取器能高效预测和获取数据。软件框架通过数据连续布局和缓存行对齐优化顺序访问。

跨步访问在 CNN 中尤为突出，每个输出位置需按固定间隔访问输入窗口。例如处理 MNIST 图像的 3×3 卷积，每个输出需访问 9 个输入，步长与输入宽度一致。虽然效率低于顺序访问，硬件可通过模式感知缓存和专用控制器优化。软件框架常通过数据布局重组将跨步模式转为顺序访问，如深度学习框架中的 im2col 转换。

随机访问对系统效率挑战最大。Transformer 处理 512 token 序列时，每次注意力操作都可能访问任意位置，形成不可预测的内存访问。随机访问易导致缓存未命中（每次访问可能延迟 100+ 周期），内存延迟不可控。系统通过大容量缓存（现代 GPU 有数 MB L2 缓存）和复杂预取策略应对，软件框架则用注意力模式剪枝减少随机访问。

这些内存访问模式决定了各架构的整体内存需求。表 3 比较了 MLP、CNN、RNN、Transformer 的内存复杂度。

架构	输入依赖	参数存储	激活存储	扩展行为
MLP	线性	O(N \{}times W)	O(B \{}times W)	可预测
CNN	常数	O(K \{}times C)	O(B \{}times H_{\{}text-t{img}} \{}times W_{\{}text-t{img}})	高效
RNN	线性	O(h^2)	O(B \{}times T \{}times h)	有挑战
Transformer	二次	O(N \{}times d)	O(B \{}times N^2)	问题突出

其中：

- N：输入或序列长度

- W：层宽
- B：批量大小
- K：卷积核大小
- C：通道数
- H_{img}：输入特征图高度（CNN）
- W_{img}：输入特征图宽度（CNN）
- h：隐藏状态大小（RNN）
- T：序列长度
- d：模型维度

表 3 揭示了不同架构下内存需求的扩展规律。例如 Transformer 激活存储的二次扩展，说明其在大规模任务下需极大内存和高效管理。相比之下，CNN 因参数共享和局部处理，内存扩展更友好。这些内存访问模式与后续表 4 中的计算扩展行为互补，完整展现了各架构的资源需求。内存复杂度分析指导了系统设计决策，如内存层级配置和优化策略开发。

数据重用机会在这些模式下尤为重要。CNN 中每个输入像素参与多个卷积窗口（3×3 滤波器时通常 9 次），高效数据重用对性能至关重要。现代 GPU 提供多级缓存（L1、L2、共享内存）以捕捉重用，软件技术如循环分块确保数据一旦加载即留在缓存。

工作集大小，即计算所需同时在内存中的数据量，在不同架构间差异巨大。MLP 层处理 MNIST 图像时仅需几百 KB（权重加激活），而 Transformer 处理长序列时仅注意力模式就需数 MB。这些差异直接影响硬件设计，如计算单元与片上内存的平衡，以及软件优化如激活检查点或注意力近似。

理解这些内存访问模式对架构演化至关重要。例如从 CNN 到 Transformer 的转变，推动了更大片上内存和更复杂缓存策略的发展，以应对更大工作集和更动态访问。未来架构仍将受内存访问特性影响，与计算需求同等重要。

数据流动原语

计算和内存访问模式决定了操作发生的位置，数据流动原语则决定了信息在系统中的流动方式。数据流动常常比计算本身消耗更多时间和能量，尤其是从片外内存搬运数据，能耗是浮点运算的 100-1000 倍。

深度学习架构中常见四种数据流动模式：广播、分散、收集和归约。图 9 展示了这些模式及其关系。广播操作将同一数据同时发送到多个目的地。矩阵乘法批量为 32 时，每

个权重需广播到不同输入并行处理。现代硬件通过专用互连支持广播，NVIDIA GPU 提供硬件多播（600 GB/s），TPU 用专用广播总线。软件框架通过重组计算（如矩阵分块）优化广播数据重用。

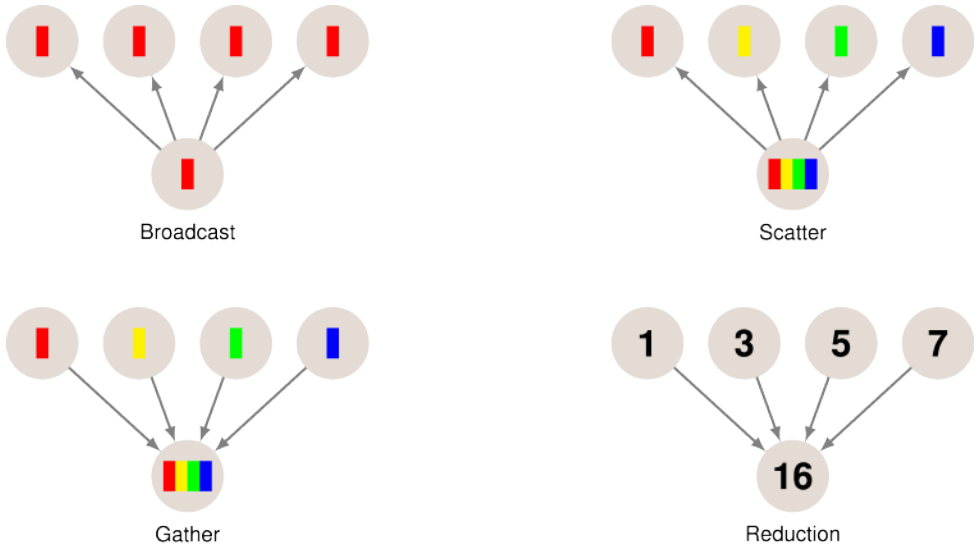

集体通信模式：深度学习训练和推理常需处理单元间数据交换，图示四种核心模式（广播、分散、收集、归约），决定了分布式系统内数据流动及整体性能。理解这些模式有助于优化数据流动，因通信成本常常主导现代机器学习任务的计算。

分散操作将不同元素分配到不同目的地。矩阵乘法并行化时，每个 GPU 核心分配一部分计算。并行化提升性能但也带来内存冲突和负载不均，效率可降 50% 以上。硬件提供灵活互连（如 NVIDIA NVLink 双向带宽 600 GB/s），软件框架用复杂任务分配算法保持高利用率。

收集操作从多个来源聚合数据。Transformer 注意力处理 512 长度序列时，每个查询需从 512 个键值对收集信息。这种不规则访问模式挑战极大，随机收集比顺序访问慢 10 倍。硬件通过高带宽互连和大缓存支持，软件框架用注意力模式剪枝减少收集开销。

归约操作通过求和等方式将多个值合并为单一结果。Transformer 计算注意力分数或 MLP 层输出时，归约效率至关重要。硬件实现树状归减网络（延迟从 $O(n)$ 降至 $O(\log n)$），软件框架用优化并行归约算法，接近理论峰值性能。

这些模式常常组合使用。例如 Transformer 注意力操作，序列长度 512、批量 32 时涉及：

- 广播查询向量（512×64 元素）
- 收集相关键值（$512 \times 512 \times 64$ 元素）
- 归约注意力分数（每序列 512×512 元素）

从 CNN 到 Transformer 的演化加重了收集和归约操作的依赖，推动了更灵活互连和更大片上内存的硬件创新。随着模型规模增长（部分已超 1000 亿参数 [137]），高效数据流动变得愈发关键，催生了近内存计算和复杂数据流优化。

系统设计影响

上述计算、内存访问和数据流动原语共同决定了深度学习系统的设计需求。它们对硬件设计、常见瓶颈和权衡的影响，是开发高效 ML 系统的关键。

原语对系统设计最显著的影响之一是推动专用硬件发展。深度学习中矩阵乘法和卷积的普遍性，催生了张量处理单元（TPU）[138] 和 GPU 张量核心，专为高效执行这些操作设计。

内存系统也因深度学习原语需求而深刻变革。需高效支持顺序和随机访问，推动了复杂内存层级的发展。高带宽内存（HBM）[139] 已成为 AI 加速器标配，满足注意力机制等操作的海量数据流动。片上内存层级日益复杂，多级缓存和 scratchpad[140] 支持不同网络层的多样工作集。

数据流动原语尤其影响互连和片上网络设计。为支持高效广播、收集和归约，AI 芯片开发了更灵活、更高带宽的互连。部分芯片已配备专用片上网络，加速神经网络常见的数据流动模式。

表 4 总结了这些原语的系统影响：

原语	硬件影响	软件优化	关键挑战
矩阵乘法	张量核心	批处理、GEMM 库	并行化、精度
滑窗	专用数据通路	数据布局优化	步长处理
动态计算	灵活路由	动态计算图执行	负载均衡

137. **参数扩展**：从 AlexNet 的 6200 万参数（2012）到 GPT-3 的 1750 亿参数（2020），8 年内增长 3000 倍。GPT-4 等现代模型参数量或超万亿，训练时需专用分布式计算基础设施，能耗达兆瓦级。
138. **张量处理单元（TPU）**：Google 为支持每日数十亿次搜索中的神经网络而开发。2015 年首次秘密部署，TPU 在推理时性能/功耗比 GPU 高 15-30 倍。TPU 的 128×128 脉动阵列每周期可执行 65,536 次乘加，彻底革新了 AI 硬件设计。专用单元可并行执行大量乘加，极大加速神经网络核心计算。
139. **高带宽内存（HBM）**：堆叠 DRAM 技术，带宽达 1+ TB/s，传统 GDDR6 仅 500 GB/s，由 AMD 和 Hynix 开发。HBM 支持现代 AI 工作负载的海量数据流动 —— GPT-3 每次前向需搬运 1.75 TB 参数。
140. **Scratchpad 内存**：程序员控制的片上内存，访问快且可预测，无需缓存管理。与缓存不同，scratchpad 需显式数据搬运，但能精确分配内存 —— 对神经网络加速器尤为关键，访问模式已知且需确定性性能。

原语	硬件影响	软件优化	关键挑战
顺序访问	DRAM 突发模式	连续分配	访问延迟
随机访问	大缓存	内存感知调度	缓存未命中
广播	专用互连	操作融合	带宽
收集/分散	高带宽内存	任务分配	负载均衡

尽管取得了诸多进步，深度学习模型仍面临多项瓶颈。内存带宽常是主要限制，尤其是大工作集或频繁随机访问的模型。数据流动（尤其片外内存与计算单元间）能耗极高。大规模模型分布式训练时，通信开销也会成为扩展瓶颈。

架构能耗分析 能耗模式因神经网络架构而异，影响数据中心部署和边缘计算。每种架构模式都有独特的能耗特性，指导部署和优化策略。

MLP 的密集矩阵运算算术强度[141]（每次数据搬运的计算量）极高，但绝对能耗也大。每次乘加约耗能 4.6pJ，而 DRAM 搬运 32 位数据需 640pJ。典型 MLP 推理时，70-80% 能耗用于数据搬运，优化内存带宽对能效至关重要。

卷积操作通过数据重用降低能耗，但效率随实现方式变化。基于 im2col 的卷积实现以内存换取简化，常使内存和能耗翻倍。直接卷积实现能效提升 3-5 倍，尤其在大核尺寸下。

RNN 的序列处理通过时间数据重用提升能效。隐藏状态的常数内存占用使缓存策略更激进，长序列 DRAM 访问能耗可降 80-90%。但顺序依赖限制并行，硬件利用率低，单次操作能耗更高。

Transformer 的注意力机制因二次扩展和复杂数据流动，每次操作能耗最高。自注意力每 FLOP 能耗是标准矩阵乘法的 2-3 倍，因内存访问不规则且需存储注意力矩阵。能耗随序列长度二次增长，长序列处理能耗极高，需架构优化。

系统设计者需在支持不同原语时权衡各自特性。例如，优化 MLP/CNN 的密集矩阵运算可能牺牲注意力机制所需的灵活性。支持 Transformer 的大工作集可能影响能效。

141. **算术强度**：浮点运算与内存访问的比值，单位 FLOPS/字节。高算术强度（>10 FLOPS/字节）利于硬件利用，低强度（<1 FLOPS/字节）则受限于内存。注意力机制通常算术强度低，故能效较差。

权衡需结合目标任务和部署场景。理解每种原语特性，指导硬件和软件优化，让设计者能据此做出系统架构和资源分配决策。

架构模式、计算原语和系统影响的分析，为解决实际挑战奠定了基础：工程师如何系统性地为具体问题选择合适架构？神经网络架构多样，各自优化不同数据模式和计算约束，需结构化方法选择架构。该过程不仅要考虑算法性能，还要兼顾第 2 章：机器学习系统 中的部署约束和第 13 章：机器学习运维 中的运维效率。

架构选择框架

从密集 MLP 到动态 Transformer 的架构探索，展示了每种设计都蕴含了对数据结构和计算模式的特定假设。MLP 假设任意特征关系，CNN 利用空间局部性，RNN 捕捉时序依赖，Transformer 建模复杂关系。实际问题中，工程师如何系统性地为具体场景选择合适架构?

架构多样性让实践者无所适从，各种架构都宣称在不同场景下优越。成功的架构选择需理解原理而非盲从潮流：将数据特性与架构优势匹配，评估计算约束与系统能力，平衡精度需求与部署现实。

系统性架构选择方法，正是基于前文分析的计算模式和系统影响。理解不同架构如何处理信息及其资源需求，工程师才能做出既符合问题需求又切合实际约束的决策。该框架融合了高效 AI 设计原则（见第 9 章：高效 AI）与 ML 运维中的实际部署考量（见第 13 章：机器学习运维）。

数据到架构映射

系统性架构选择的第一步，是理解不同数据类型如何与架构优势匹配。每种神经网络架构都是为特定数据模式而生：MLP 处理表格数据的任意关系，CNN 利用图像的空间局部性，RNN 捕捉序列的时序依赖，Transformer 建模任意元素间的复杂关系。

这种匹配并非偶然，而是计算权衡的结果。架构与数据特性匹配可利用结构提升效率，反之则需违背设计假设，导致性能低下或资源消耗过大。

下表系统性地将数据特性与合适架构进行匹配：

架构	数据类型	关键特性	典型应用
MLP	表格/结构化	• 无空间/时序 • 任意关系 • 密集连接	• 金融建模 • 医学测量 • 推荐系统
CNN	空间/网格型	• 局部模式 • 平移等变性 • 参数共享	• 图像识别 • 2D 传感器数据 • 信号处理
RNN	序列/时序	• 时序依赖 • 变长 • 跨时间记忆	• 时间序列预测 • 简单语言任务 • 语音识别
Transformer	复杂关系型	• 长距离依赖 • 注意力机制 • 动态关系	• 语言理解 • 机器翻译 • 复杂推理任务

数据特性指导初步架构选择，计算约束则决定最终可行性。理解各架构的扩展行为，有助于资源规划和部署决策。

计算复杂度考量

架构选择必须考虑决定部署可行性的计算与内存权衡。每种架构都有独特的扩展行为，随着问题规模增长会出现不同瓶颈。理解这些模式有助于资源规划，避免部署时因架构不匹配而付出高昂代价。

每种架构的计算特性反映了其设计哲学。MLP 等密集架构通过全连接提升表达力，CNN 等结构化架构通过参数共享和局部性提升效率，RNN 等序列架构以并行性换取内存效率，Transformer 等注意力架构则以内存换取计算灵活性。为完整起见，表 3 也从计算扩展和内存访问两方面分析这些架构，揭示不同优化机会和系统设计考量。

下表总结了各架构的关键计算特性：

架构	参数量	前向计算	内存	并行化
MLP	每层 O(d_{\{}tex-t{in}}\{}times d_{\{}tex-t{out}})	每层 O(d_{\{}tex-t{in}}\{}times d_{\{}tex-t{out}})	O(d^2) 权重 O(d\{}times b) 激活	极佳 — 矩阵并行
CNN	每层 O(k^2\{}times c_{\{}tex-t{in}}\{}times c_{\{}tex-t{out}})	O(H\{}times W\{}times k^2\{}times c_{\{}tex-t{in}}\{}times c_{\{}tex-t{out}})	O(H\{}times W\{}times c) 特征图 O(k^2\{}times c^2) 权重	良好 — 空间独立
RNN	总计 O(h^2 + h\{}times d)	O(T\{}times h^2)（T 个时步）	O(h) 隐藏状态（常数）	较差 — 顺序依赖
Transformer	O(d^2) 投影（多头） O(d^2\{}times h)	每层 O(n^2\{}times d + n\{}times d^2)	O(n^2) 注意力 O(n\{}times d) 激活	极佳（位置） — 受内存限制

可扩展性与生产部署考量 生产部署带来算法性能之外的约束，包括延迟、内存、能耗和容错需求。每种架构在实际部署中都有独特特性，决定了可行性。

MLP、CNN 可通过数据并行实现多设备扩展，批量大小合理时可近线性加速。RNN 因顺序依赖需流水线并行等专用技术。Transformer 在序列位置间并行性极佳，但注意力的二次内存扩展限制了批量和利用率。

MLP 延迟与层宽成正比，适合严格 SLA 的实时应用。CNN 延迟随实现和硬件变化，优化后可达亚毫秒级推理。RNN 延迟受序列长度影响，难用于交互式应用。Transformer 批处理吞吐高，但单次推理因注意力开销延迟较大。

内存需求在生产环境差异显著。MLP 内存固定，便于容量规划。CNN 特征图内存随输入分辨率变化，需动态管理。RNN 隐藏状态内存常数，但超长序列需无界内存。Transformer 内存随序列长度二次增长，生产中常成硬性限制。

容错与恢复特性也各异。MLP、CNN 计算无状态，易于检查点和恢复。RNN 需维护时序状态，分布式训练和故障恢复更复杂。Transformer 计算无状态但内存需求大，检查点体积成为大模型实际问题。

硬件映射效率在不同架构间差异很大。现代 MLP 在专用张量单元上可达峰值性能的 80-90%。CNN 视层配置和内存层级设计，效率 60-75%。RNN 因顺序和不规则内存访问，通常仅达 30-50%。Transformer 大批量时效率 70-85%，小批量时因注意力开销显著下降。

硬件映射与优化策略 不同架构需不同优化策略以高效映射到硬件。理解这些模式有助于系统性性能调优和硬件选择。

MLP 的密集矩阵操作天然适合张量处理单元和 GPU 张量核心。优化包括矩阵分块适配缓存层级、混合精度提升吞吐、操作融合减少内存流量。最佳分块尺寸依赖缓存层级，L1 通常 64x64，L2 256x256，张量核心在 Volta 架构下以 16x16 块达峰值。

CNN 需专用卷积算法和数据布局优化，与密集矩阵操作差异显著。im2col 转换将卷积转为矩阵乘法但内存翻倍。Winograd 算法将 3x3 卷积算术复杂度降至 2.25 倍，但数值稳定性需权衡。直接卷积用定制内核实现最佳内存效率，但需架构特定调优。

RNN 因时序依赖需不同优化。循环展开减少控制开销但增加内存。状态向量化支持多序列 SIMD 操作。波前并行利用时步独立性实现双向处理。

Transformer 因二次复杂度需专用注意力优化。FlashAttention 算法通过在线 softmax 和梯度重计算将内存降至 O(n)。稀疏注意力模式（局部、跨步、随机）在保持建模能力同时降低复杂度。多查询注意力在头间共享键值投影，内存带宽降 30-50%。

多层感知机是最直接的计算模式，成本由矩阵乘法主导。密集连接使 MLP 能建模任意关系，但参数量随层宽二次增长。每个神经元与前一层所有神经元相连，参数量巨大。计算由矩阵 - 向量乘积主导，现代硬件高度优化。矩阵操作天然并行，GPU 架构可独立计算每个输出神经元。针对密集层参数量的优化技术（如剪枝、低秩近似）详见第 10 章：模型优化。

卷积神经网络通过参数共享和空间局部性提升计算效率，但成本随空间尺寸和通道深度扩展。卷积操作的计算强度高度依赖核大小和特征图分辨率。空间位置参数共享大幅降低内存，相比等效 MLP，计算成本随分辨率线性、核大小二次增长。特征图内存主导使

用，高分辨率输入时尤为突出。空间独立性支持空间位置和通道并行处理，但内存带宽常成限制。

循环神经网络以内存效率换取并行性。顺序性带来计算瓶颈，但能以常数内存处理变长序列。隐藏到隐藏连接（h^2 项）主导大隐藏状态下参数量。顺序依赖阻碍时间步并行，RNN 天然比前馈慢。隐藏状态常数内存使 RNN 能效高，适合长序列，但计算速度受限。

Transformer 通过注意力机制实现最大灵活性，但付出高昂内存代价。序列长度二次扩展限制了可处理序列长度。参数量随模型维度扩展，与序列长度无关。长序列时注意力计算的 n^2 项主导，短序列时前馈层的 $n \times d^2$ 项主导。注意力矩阵是主要内存瓶颈，每个头需存储所有位置对的相似度，长序列时内存极高。并行性在序列位置和头间极佳，但二次内存常迫使批量减小，限制并行。

这些复杂度模式定义了各架构的最优应用领域。MLP 在参数效率不敏感时表现优异，CNN 适合中等分辨率空间数据，RNN 适合内存受限的超长序列，Transformer 在复杂关系任务中以高计算成本换取卓越性能。

架构比较总结

系统性分析揭示了各架构家族的独特计算特征，决定了其在不同部署场景下的适用性。下表对关键系统指标进行量化比较，帮助工程师在模型能力与计算约束间做出权衡。

指标	**MLP**	**CNN**	**RNN**	**Transformer**
参数量	O(N×M)	O(K^2×C×D)	O(H^2)	O(N×d^2)
FLOPs/样本	O(N×M)	O(K^2×H×W×C)	O(T×H^2)	O(N^2×d)
内存	O(B×M)	O(B×H×W×C)	O(B×T×H)	O(B×N^2)
(激活)				
并行性	高	高	低（顺序）	高
主要瓶颈	内存带宽	内存带宽	顺序依赖	内存（N^2）

该量化框架通过显式揭示扩展行为，系统性指导架构选择，决定计算可行性。MLP、CNN 并行性高，但模型规模扩展时受内存带宽限制。RNN 内存常数但牺牲并行性。Transformer 表达力最强，但内存二次扩展限制序列长度。理解这些权衡对架构与部署约束的匹配至关重要。

决策框架

高效架构选择需在数据特性、计算资源、性能需求和部署约束间权衡。数据模式提供初步指导，复杂度分析确定可行性，最终选择常需多轮权衡和系统性评估。

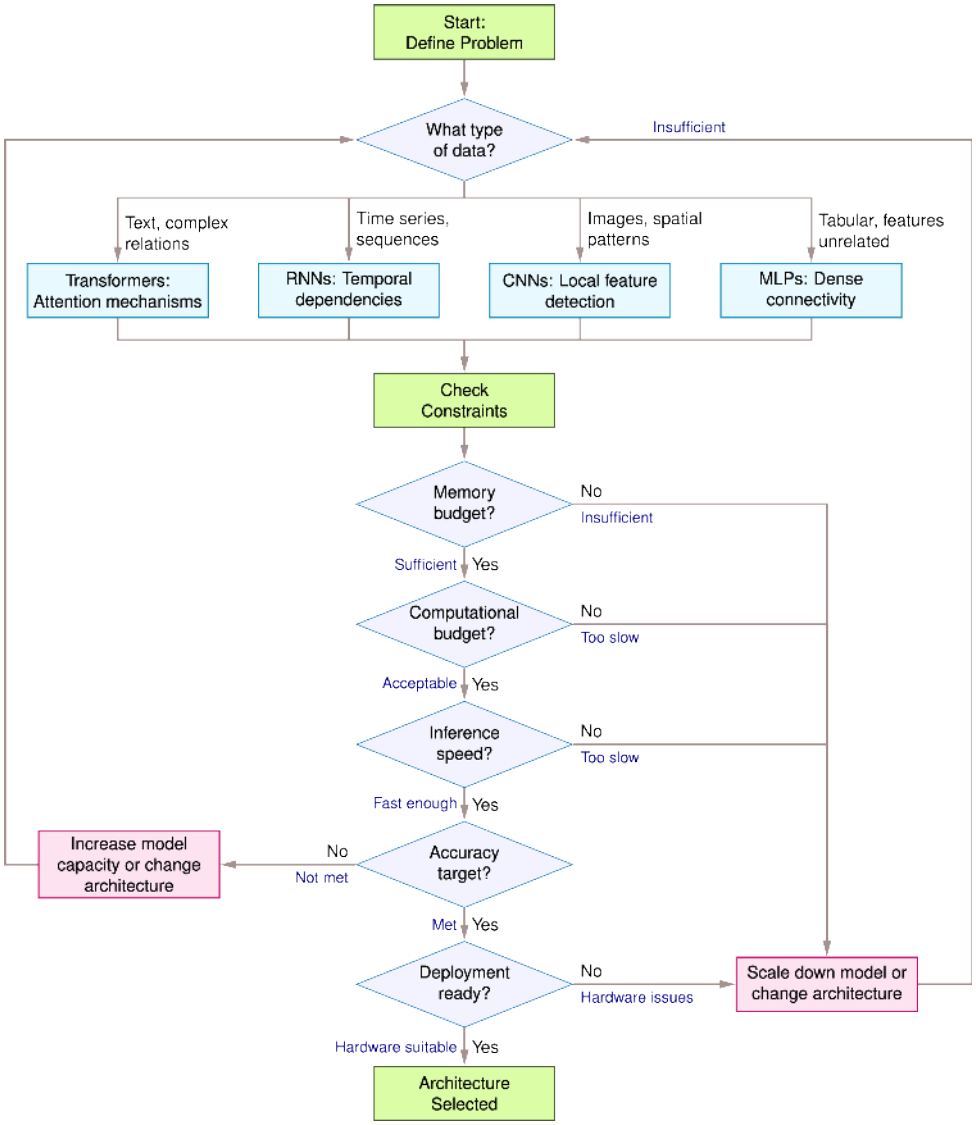

架构选择决策框架：基于数据特性和部署约束的神经网络架构选择系统流程图。流程从数据类型识别（文本/序列/图像/表格）选定初步架构（Transformers/RNNs/CNNs/MLPs），再迭代评估内存预算、计算成本、推理速度、精度目标和硬件兼容性。

图 12 提供了结构化的架构选择流程，确保全面考虑所有因素，避免因新颖或复杂而盲目选择。流程图指导系统性架构选择，先将数据特性与架构优势匹配，再验证实际约束。流程本质上是迭代的 —— 资源或性能不足时需回溯调整。

该框架分四步：一是数据分析，数据模式是最强信号。空间数据自然对应 CNN，序列数据对应 RNN。二是逐步约束验证，每次约束检查（内存、计算预算、推理速度）都是筛选，未通过需缩减架构或换方案。三是精度目标未达时的迭代权衡，需增加模型容量并回到约束验证。四是预期多轮迭代，实际项目常需多次循环，最终实现数据适配、计算可行和部署需求的最佳平衡。

系统性方法避免因新颖或复杂而盲目选择，确保架构既符合问题需求又适应系统能力。

统一框架：归纳偏置

从 MLP 到 Transformer 的架构多样性，实则共享统一理论框架：每种架构都蕴含特定归纳偏置，约束假设空间，引导学习找到适合不同数据类型和问题结构的解。

不同架构形成递减归纳偏置的层级。CNN 通过局部连接、参数共享和平移等变性体现最强归纳偏置，极大缩小参数空间但仅适用于具局部结构的空间数据。RNN 通过顺序处理和时序权重体现中等归纳偏置，隐藏状态机制假设过去影响现在，适合时序数据。

MLP 除层级处理外几乎无架构偏置，密集连接可建模任意关系，但需更多数据学习其他架构显式编码的结构。Transformer 通过学习注意力模式实现自适应归纳偏置，能根据数据动态调整归纳偏置，兼具灵活性和结构发现能力。

所有成功架构都实现了分层表示学习，但机制各异。CNN 通过感受野扩展构建空间层次（详见第 4 章：DNN 架构，RNN 通过隐藏状态演化构建时序层次，Transformer 通过多头注意力构建内容依赖层次。

这种层次化组织体现了一个原则：复杂模式可通过简单组件组合高效表达。深度学习的成功正源于发现了梯度优化能在合适架构归纳偏置下有效学习这些组合结构。

表示学习的理论洞见直接影响系统工程。层次表示需高效组合低级特征为高级抽象，驱动系统设计决策：

- 并行策略需尊重层次计算的依赖结构
- 硬件加速器需高效支持实现特征组合的矩阵操作
- 软件框架需提供高效层次计算抽象，适配多样架构
- 内存层级需与表示层次对齐，最小化数据流动成本

理解架构的归纳偏置，有助于解释其优势和系统需求，为架构选择和系统优化提供原则基础。

常见误区与陷阱

神经网络架构是为不同数据类型和问题领域设计的专用计算结构，这导致了架构选择和部署中的常见误区。架构模式丰富 —— 从密集网络到 Transformer —— 常让工程师因新颖或复杂而盲目选择，而非基于任务需求和计算约束。

误区： 更复杂的架构一定优于简单架构。

这一误解让团队盲目采用 transformer 基于模型或 elaborate architectures，而未理解其需求。虽然复杂架构如 transformers 在需要长距离依赖的任务中表现出色，但它们需要显著更多的计算资源和内存。对于许多问题，特别是那些数据有限或结构清晰的问题，简单架构如 MLP 或 CNN 可以以更低的计算开销实现相似的精度。架构选择应与问题复杂性相匹配，而不是默认选择最先进的选项。

陷阱： 模型选择时忽略架构的计算影响。

许多实践者仅凭论文精度指标选架构，未考虑计算需求。CNN 的空间局部性假设虽能提升图像任务精度，但需专用内存访问模式。RNN 的顺序依赖导致串行瓶颈，限制并行化机会。忽视这些因素，模型部署时常因无法满足延迟或超出内存而失败。

误区： 架构性能与硬件无关。

认为所有架构在不同硬件平台上表现一致。实际上，不同架构利用硬件特性各异：CNN 受益于张量核心，MLP 依赖高带宽内存，RNN 需高效顺序处理。GPU 上表现优异的模型在移动或嵌入式设备上可能性能低下。理解硬件与架构的匹配对部署策略至关重要。

陷阱： 混合架构模式而不理解其交互影响。

将不同架构组件（如在 CNN 加注意力层、RNN 用跳跃连接）混合，可能带来意外的计算瓶颈。每种模式有独特内存访问和计算特性，盲目组合可能抵消单一组件的性能优势或引发内存带宽冲突。成功的混合架构需系统分析各模式在系统层面的交互。

陷阱： 架构设计未考虑全流程硬件 - 软件协同。

许多架构决策只优化高端 GPU 性能，未考虑从开发到部署的完整系统生命周期。为大规模集群设计的架构在边缘部署时可能因内存、计算单元或并行能力不足而不适用。为推理延迟优化的架构可能牺牲开发效率，导致开发周期延长、计算成本增加。高效架构选择需分析整个系统栈，包括计算基础设施、模型编译与优化工具、目标硬件和运维约束。CNN 的深度与宽度、Transformer 的头部配置、激活函数选择等都会影响内存带宽

利用、缓存效率和数值精度，需整体权衡。

总结

神经网络架构是为不同数据类型和问题设计的专用计算结构。多层感知机处理表格数据通过密集连接，卷积网络利用空间局部性处理图像，循环网络处理序列信息。每种架构都蕴含了对数据结构和计算模式的特定假设。现代 transformer 架构通过注意力机制统一了这些理念，实现了基于相关性动态路由信息，而非固定连接模式。

尽管架构多样，底层计算原语在不同设计中反复出现。矩阵乘法是密集层、卷积和注意力机制的计算核心。内存访问模式在不同架构间差异显著，有的需滑窗局部处理，有的需全局信息聚合。注意力机制中的动态计算模式带来数据依赖的执行流，挑战传统优化方法。

> **核心要点**
>
> - 不同架构蕴含特定数据结构假设：MLP 适合表格，CNN 适合空间关系，RNN 适合序列，Transformer 适合灵活注意力
> - 共享计算原语包括矩阵操作、滑窗和动态路由，是多样架构的基础
> - 内存访问和数据流动需求在不同架构间差异巨大，直接影响系统性能和优化策略
> - 理解算法意图与系统实现的映射，有助于高效性能优化和硬件选择

本章确立的架构基础 —— 计算模式、内存访问特性和数据流动原语 —— 直接指导了后续章节的专用硬件设计和优化策略。理解 CNN 的空间局部性，推动了针对卷积优化的脉动阵列（见第 11 章：AI 加速）；认识 Transformer 的二次内存扩展，激发了 FlashAttention 和稀疏注意力等优化（见第 10 章：模型优化）。从架构理解到硬件设计再到算法优化，体现了 ML 系统工程的系统化方法。

随着架构日益动态和复杂，算法创新与系统优化的协同变得愈发关键，决定了实际部署中的性能提升。生产环境中部署和维护这些复杂架构的运维挑战详见第 13 章：机器学习运维，架构选择带来的能效等可持续 AI 发展问题详见第 18 章：可持续 AI。

设计原则

设计原则是构建高质量机器学习系统的灵魂。本章将系统性地介绍 ML 系统设计的核心原则，包括模块化设计、抽象层级、可扩展性原则以及容错机制。我们将探讨如何通过良好的架构设计来应对复杂性、确保系统可靠性，并实现高效的资源利用。通过分析实际案例和行业最佳实践，您将学习到如何在设计阶段就避免常见陷阱，为后续的开发、测试和部署奠定坚实基础。本章的内容适用于希望深入理解 ML 系统架构的设计师、架构师以及开发者。

第 5 章：AI 工作流

目标

是什么样的系统化框架指导着机器学习系统从开发到生产部署的工程实践?

生产级机器学习系统需要系统性思维和结构化框架。工作流将机器学习开发划分为标准化阶段：数据采集、模型开发、验证与部署。这些结构化流程用于管理数据质量与一致性，协调模型训练与实验，自动化优化管道，并在多环境中编排部署。系统化方法将实验直觉转化为工程纪律，为机器学习系统建立了思维框架。这一基础保障了系统开发的可复现性、质量标准的维护，以及全生命周期内的科学决策。

> **学习目标**
>
> - 对比机器学习生命周期与传统软件开发流程，指出至少三点根本性差异。
> - 分析机器学习生命周期的六大核心阶段（从问题定义到维护）及其反馈关系。
> - 运用系统思维追踪约束如何在多个生命周期阶段间传递影响。
> - 利用具体量化指标，评估模型性能与部署约束之间的权衡。
> - 设计兼顾实际部署环境与运维需求的数据采集策略。
> - 实现能捕获生产系统多尺度反馈环的监控框架。
> - 评估问题定义决策对后续模型开发与部署选择的影响。
> - 构建在资源受限环境下兼顾计算效率与性能需求的部署架构。

机器学习开发的系统化框架

在第一部分的基础（系统特性、部署环境、数学框架与架构模式）上，本章将视角从组件级分析提升到系统级工程。理论到实践的转变，需要一套系统化框架来规范生产级机器学习系统的开发。

本章引入机器学习工作流，作为系统化开发的主导方法论。传统软件工程遵循确定性的需求到实现路径，而机器学习系统开发则有本质不同。ML 系统通过迭代实验不断演进：模型从数据中提取模式，性能指标需统计验证，部署约束又反向影响早期开发阶段。这种以实证和数据为中心的方法，要求专门的工作流以适应不确定性、协调并行开发、建立持续改进机制。

本章提出的系统化框架，为理解后续设计原则奠定理论基础。工作流视角阐明了为何需要专门的数据工程管道（第 6 章）、软件框架如何支持迭代开发（第 7 章）、以及模型训练如何融入完整系统生命周期（第 8 章）。没有这一概念支撑，后续技术组件就会显得零散而非有机整体。

本章以糖尿病视网膜病变筛查系统为案例，展示工作流原则如何贯穿从实验室研究到临床部署。案例揭示了数据采集、架构设计、部署约束与运维需求之间的复杂相互作用，这些系统化模式不仅适用于医疗，更体现了可靠 ML 系统工程的普适规律。

理解机器学习生命周期

机器学习生命周期是一套结构化、迭代的流程，指导 ML 系统的开发、评估与持续改进。这一方法融合了系统化实验、评估与适应 [见 amershi2019software]，在吸收传统开发流程 [142] 的基础上，解决了数据驱动系统的独特挑战。

理解生命周期需采用系统思维 [143]，把握四大基本模式：约束传递（一个阶段的决策如何影响全局）、多尺度反馈环（系统如何跨时间尺度自适应）、涌现复杂性（系统整体行为与组件行为的差异）、资源优化（权衡带来的依赖关系）。这些模式贯穿糖尿病视网膜病变案例，为 ML 系统为何需要集成式工程方法提供分析框架。

142. **CRISP-DM（跨行业数据挖掘标准流程）**：1996 年由 IBM、SPSS、戴姆勒 - 克莱斯勒等联合提出，定义了六大阶段：业务理解、数据理解、数据准备、建模、评估、部署。虽然早于现代 ML，但其迭代、数据为中心的原则成为 MLOps 等后续框架的基础。

143. **系统思维**：关注系统各部分间关系及其随时间、环境变化的整体分析方法。由 MIT 的 Jay Forrester 在 20 世纪 50 年代提出，成为 ML 工程的关键，因为模型、数据、基础设施与运维高度耦合，产生复杂涌现行为。与传统软件可独立优化组件不同，ML 系统必须理解数据质量如何影响模型、模型复杂度如何影响部署、监控如何驱动系统演化。

> **机器学习生命周期定义**
>
> **机器学习（ML）生命周期** 是一套 结构化、迭代 的流程，定义了 ML 系统 开发、部署与优化 的 关键阶段。涵盖 问题定义、数据采集、模型训练、评估、部署、监控 等 相互关联 的步骤。生命周期强调 反馈环与持续改进，确保系统在 变化需求 与真实环境 下依然 健壮、可扩展、响应迅速。图 1 以两条并行管道可视化了完整生命周期：数据管道（绿色，上排）将原始输入转化为 ML 可用数据集，模型开发管道（蓝色，下排）则以这些数据集为基础，完成训练、评估、验证与部署。关键在于两者的交互 —— 曲线反馈箭头显示部署反馈如何驱动数据优化，形成 ML 独有的持续改进循环。

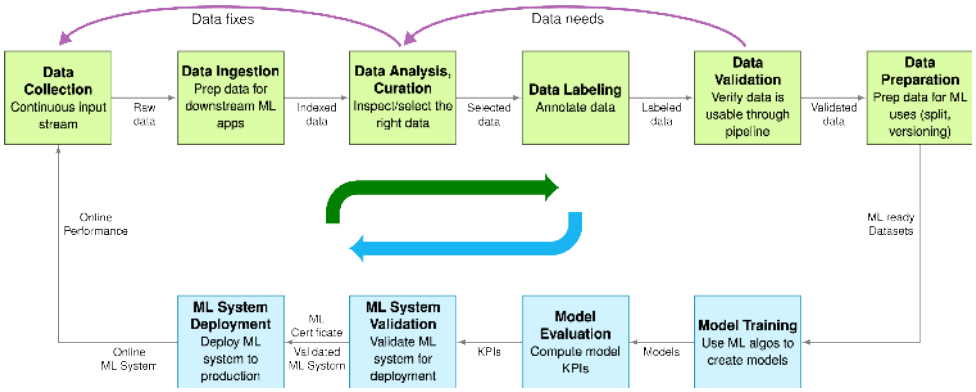

ML 生命周期阶段：粗体曲线反馈箭头突出机器学习开发的迭代本质，监控反馈持续驱动数据优化，评估结果促使模型改进，部署体验反过来影响数据采集策略。这些反馈环是 ML 生命周期的核心动力，与传统线性开发后期很少反向影响前期阶段形成鲜明对比。

这一工作流框架为后续技术章节提供了支撑。数据管道将在第 6 章：数据工程详细展开，聚焦如何保障数据质量与全生命周期管理。模型训练将在第 8 章：AI 训练深入探讨大规模高效训练。支持迭代开发的软件框架详见第 7 章：AI 框架。部署与运维则在第 13 章：ML 运维系统讲解。本章首先阐明这些环节如何互联，理解整体系统后，细节才有意义。

本章聚焦 ML 生命周期的概念阶段 —— 即开发流程的“是什么”和“为什么”。而生命周期的自动化、工具化与基础设施实现 —— 即“怎么做” —— 属于 MLOps 的范畴，详见第 13 章：机器学习运维。二者区分至关重要：生命周期提供理解 ML 开发阶段的系统框架，MLOps 则是大规模落地这些阶段的运维实践。理解生命周期基础，才能让 MLOps 工具与实践不再零散。

ML 与传统软件开发的对比

机器学习需要专门的生命周期方法，因为其开发方式与传统软件工程有本质区别。传统生命周期为线性阶段：需求、设计、实现、测试、部署 [144]。每阶段产出特定成果，作为下阶段输入。例如金融软件开发，需求阶段会详细列出交易处理、安全协议、合规要求，这些规范直接转化为系统行为，与 ML 系统的概率性本质（见 第 1 章：绪论）形成鲜明对比。

机器学习系统则完全不同。传统软件的确定性（行为由代码明确规定），与 ML 系统的概率性形成对照。例如金融反欺诈：传统系统用规则（如余额>交易额则允许），而 ML 反欺诈系统 [145] 则通过历史数据学习可疑模式。这种从“规则驱动”到“学习驱动”的转变，彻底改变了开发生命周期，也影响了系统可靠性与健壮性（详见 第 16 章：稳健 AI）。

这些本质差异带来了新的生命周期动态。ML 系统需通过持续反馈环不断优化，部署反馈反向影响早期开发。ML 系统本质上是动态的，需通过持续部署 [146] 适应数据分布和目标的变化。

这些差异在生命周期各维度上尤为明显，见下表 @tbl-sw-ml-cycles。这些差异反映了“数据为一等公民”的核心挑战，传统方法对此无能为力 [147]。

维度	传统软件生命周期	机器学习生命周期
问题定义	前期明确定义功能规范。	目标随探索逐步演化，强调性能驱动。
开发流程	线性推进功能实现。	数据、特征、模型的迭代实验。

144. **瀑布模型**：1970 年 Winston Royce 提出的线性开发方法，阶段依次推进（需求 → 设计 → 实现 → 测试 → 部署），每阶段需完成并审批后才能进入下一步。虽因缺乏灵活性受批评，但长期主导企业级开发，适合需求稳定的项目。其线性流程与 ML 的不确定性和实验需求截然不同。
145. **ML 反欺诈系统演进**：传统规则系统准确率 60-80%，误报率 10-40%；现代 ML 反欺诈准确率 85-95%，误报率 1-5%，但需持续再训练以应对欺诈者的快速适应。
146. **持续部署**：代码变更自动上线，Netflix、Etsy 等公司推动了每日多次部署。ML 持续部署需统计验证、A/B 测试与基于性能指标的回滚机制，远比传统软件复杂。
147. **数据版本管理难题**：代码变更是离散的，数据则可能渐变、突变或质量退化。Git 等传统工具难以管理大数据集，催生了 Git LFS、DVC 等专用工具。

维度	传统软件生命周期	机器学习生命周期
测试与验证	确定性、二元通过/失败标准。	统计验证，指标带有不确定性。
部署	行为静态，需手动更新才变化。	数据分布变化导致性能波动，需持续适应。
维护	主要修复 bug 或加新功能。	持续监控、数据管道更新、模型再训练、适应新分布。
反馈环	极少，后期很难反向影响前期。	频繁，部署与监控反馈常常优化早期阶段。

六大维度揭示了核心规律：ML 系统用概率优化取代确定性规范，用动态适应取代静态行为，用持续反馈取代孤立开发。这也解释了为何传统项目管理方法在 ML 项目中屡屡失效。

ML 的实验本质不同于传统测试。ML 实验本身就是开发核心，通过系统性假设检验（数据源、特征、模型结构、超参数）寻找最优解，是科学发现过程而非 QA 步骤。传统测试只验证代码是否符合规范，ML 实验则探索不确定空间，追求最优实证结果。

这些差异凸显了需要强大 ML 生命周期框架，以适应迭代开发、动态行为和数据驱动决策。理解这些区别后，才能深入探讨 ML 项目的生命周期各阶段及其独特挑战。

这一基础为后续各阶段的详细探讨奠定了前提。

六大核心生命周期阶段

AI 系统需要专门的开发流程。ML 生命周期的具体阶段为此提供了结构化框架，各阶段既承接前序基础，又为后续环节铺路。

从图 1 的细致管道视角，转向更高层次的抽象。图 2 将细节管道归纳为六大阶段，帮助我们把握 ML 系统开发的整体进程。此视角强调阶段性推进，但各阶段间依然通过反馈环紧密相连。

图 2 展示了 AI 系统开发的六大核心阶段：问题定义明确目标与约束，数据采集与准备涵盖完整数据管道，模型开发与训练聚焦模型创建，评估与验证保障质量，部署与集成

实现生产上线，监控与维护确保持续有效。各阶段通过反馈环循环，后期洞见常常反哺前期优化，体现了 ML 开发的实验性与数据驱动特征。

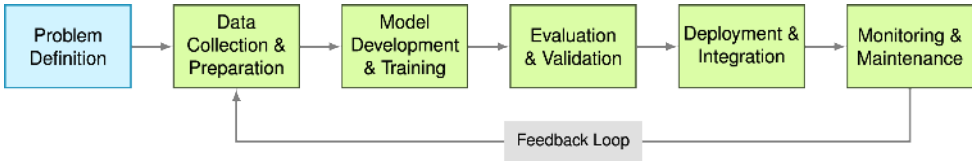

ML 系统生命周期：粗体反馈环（从监控回到数据采集）突出机器学习系统的迭代开发本质。整个周期涵盖问题定义、数据准备、模型构建、评估、部署与持续监控，反馈箭头说明后期洞见持续优化前期阶段，使系统能适应需求与数据分布变化。

生命周期始于问题定义与需求分析，团队需明确系统目标、设定可量化性能指标、识别关键约束。精准的问题定义确保目标与预期结果一致，为后续工作奠定基础。

随后，进入数据资源的组建阶段。数据采集与准备包括收集相关数据、清洗与预处理，为模型训练做好准备。此阶段涉及多样数据集的构建、高质量标注与预处理管道开发，详见 第 6 章：数据工程。

数据准备就绪后，进入模型开发与训练阶段。需选择合适算法、设计模型结构、用准备好的数据进行训练。成功依赖于技术选择与模型设计的不断迭代。高级训练方法与分布式训练详见 第 8 章：AI 训练，底层架构详见 第 4 章：DNN 架构。

模型训练完成后，需通过严格评估确保其满足性能要求。评估与验证阶段通过预设指标和多场景测试，确保模型在真实环境下的准确性、可靠性与健壮性。

验证通过后，模型通过部署与集成阶段进入生产系统。需解决系统兼容性、可扩展性与多种部署环境下的运维挑战，详见 第 2 章：机器学习系统。

最后，已部署系统需持续监控与维护，保障性能与适应环境变化。监控与维护阶段聚焦于实时性能追踪与系统更新，确保系统随数据、需求或外部环境变化而持续有效。

案例分析：糖尿病视网膜病变筛查系统

为便于理解，将以糖尿病视网膜病变（DR）筛查系统从研究到临床部署为案例。本章将贯穿此案例，展示生命周期各阶段如何在实际中相互作用。

注：本案例基于公开报道的 DR 系统部署经验（如 Google 项目），为教学目的适当改编与综合，旨在展示生命周期原则，而非还原具体项目细节。

从研究成功到临床落地 DR 筛查最初看似简单：开发 AI 系统分析视网膜图像，检测糖尿病视网膜病变，准确率媲美专家。实验室阶段模型表现优异，但从研究到临床的转变

揭示了 AI 生命周期的复杂性 —— 技术卓越需与运维、法规、部署约束深度融合。

医疗挑战的规模决定了 AI 筛查的必要性。全球 DR 患者超 1 亿，是可防盲的主要原因之一 [148]。图 3 展示了临床挑战：区分健康与早期病变视网膜（如暗红色出血点）。表面上是图像分类，实际却涉及全生命周期的复杂性。

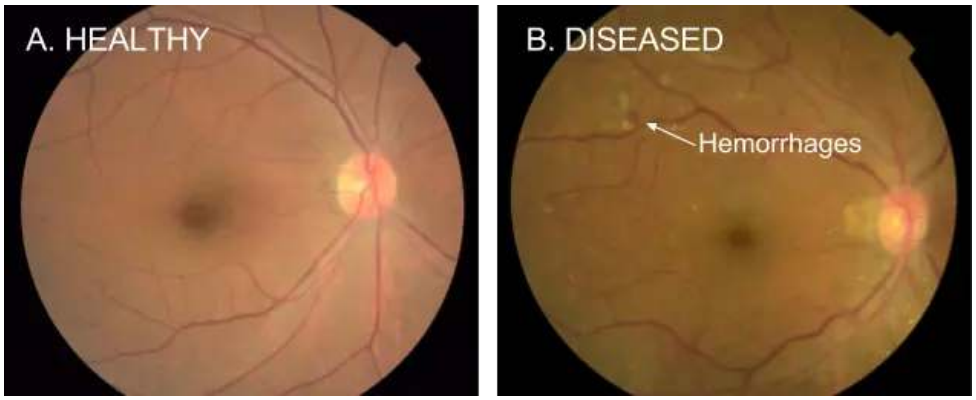

视网膜出血：糖尿病视网膜病变导致视网膜图像出现出血，是医学图像分析模型训练与评估的关键特征。这些图像是算法自动检测与分类疾病的输入，助力早期诊断与治疗。来源：Google。

系统工程启示 DR 系统开发贯穿生命周期各阶段的核心原则。数据质量难题催生分布式数据验证，农村诊所的基础设施约束推动边缘计算优化，临床流程集成凸显人机协作设计的重要性。可见，构建健壮 AI 系统不仅要模型准确，更需系统化工程应对真实部署复杂性。

这一完整案例反映了医疗 AI 部署的普遍规律。每个生命周期阶段的决策都会影响后续，反馈环驱动持续改进，系统涌现行为需整体性解决。医疗 AI 部署的难题 [149]，在大多数实际 ML 应用中普遍存在。

案例说明，AI 生命周期的集成性要求从一开始就采用系统思维。DR 案例表明，只有理解并设计好各阶段间的复杂互动，才能构建可持续的 AI 系统。

明确了框架与案例后，接下来逐一剖析各生命周期阶段，从问题定义开始。

148. **糖尿病视网膜病变全球影响**：全球约 9300-1.03 亿患者，22-35% 糖尿病人会发展为视网膜病变。发展中国家 90% 视力损失可通过早筛预防，但眼科医生极度短缺，印度农村每 10-12 万人仅 1 名，远低于 WHO 推荐的 1/2 万人 [见 who2019classification]。AI 筛查对数百万人意义重大 [见 rajkomar2019machine]。
149. **医疗 AI 部署现实**：75-80% 医疗 AI 项目未能临床落地，主要因集成、法规、流程等非算法问题。论文准确率 95%+，但实际部署常因数据漂移、设备差异、用户接受度等导致性能大幅下降 [见 kelly2019key]。

问题定义阶段

机器学习系统开发的首要挑战在于定义系统的学习目标。传统软件通过确定性规范直接映射行为，而 ML 系统则需通过数据学习在真实约束下优化表现[150]。如图 1 所示，这是 ML 生命周期的基础阶段。

以 DR 筛查为例，表面简单的医学图像任务，实际涉及多重相互关联目标的定义，影响后续每个生命周期阶段。

开发团队需平衡多重约束：诊断准确性（确保患者安全）、计算效率（适应农村诊所硬件）、工作流集成（促进临床采用）、法规遵从（满足医疗器械审批要求）、成本效益（实现可持续部署）。每个约束相互影响，形成复杂的优化问题，传统软件开发方法无能为力。多维的成功标准驱动数据采集策略、模型架构选择和部署基础设施决策。

约束的相互作用

问题定义的决策在 DR 系统中产生连锁反应。最初对诊断准确率的关注，逐步扩展到部署环境的约束与机遇。

例如，确保 90% 以上的糖尿病视网膜病变敏感性（防止漏诊导致失明）与 80% 以上的特异性（避免误诊导致的过度筛查）成为关键。这些指标需在不同患者群体、相机设备和图像质量条件下保持一致，尤其是在资源有限的农村诊所。

农村诊所的部署要求模型在计算能力有限、网络连接不稳定的设备上运行，并在临床工作流程时间内提供可靠结果。这些系统需由技术培训不足的医务人员操作。

医疗器械法规要求广泛的验证、审计追踪和性能监控能力，影响数据采集、模型开发和部署策略。

这些相互关联的要求表明，ML 系统的问题定义需理解系统运行的完整生态。及早识别这些约束，使团队能够在开发初期就做出关键架构决策，确保成功部署，而非在投入大量开发后才发现局限。

协作式问题定义过程

明确可行的问题定义需系统化工作流，连接技术、运维与用户需求。首先需识别系统核心目标：要执行的任务和需满足的约束。团队与利益相关者协作，收集领域知识、勾勒需求、预判真实部署中可能遇到的挑战。

150. **ML 与传统问题定义的区别**：传统软件问题由确定性规范定义（“如果输入 X，则输出 Y”），而 ML 问题通过示例和期望行为定义。这一转变导致 60-80% 的 ML 项目失败，许多失败发生在问题定义和需求分析阶段，而传统软件项目的失败率较低。挑战在于将业务目标转化为学习目标，这一需求源于 2000 年代数据驱动系统的兴起。

以 DR 项目为例，需与临床医生紧密合作，确定农村诊所的诊断需求。平衡模型复杂度与硬件限制、确保结果可解释性等关键决策，皆在此阶段形成。同时，需考虑法规要求，如患者隐私保护和医疗标准合规。协作过程确保问题定义在技术可行性与临床相关性间取得一致。

随规模调整的定义

随着 ML 系统的扩展，问题定义需适应新的运维挑战 [151]。最初仅针对少数诊所、设备一致的项目，扩展至设备多样、人员素质参差不齐、患者群体差异大的诊所时，原有问题定义需调整以适应这些变化。

扩展还带来了数据挑战。更大数据集可能包含更多边缘案例，暴露模型设计的弱点。部署到新地区时，成像设备和患者群体的差异需要进一步调整系统。问题定义若能从一开始就考虑到这些多样性，将确保系统在未来扩展时无需全面重设计。

在 DR 案例中，问题定义过程直接影响数据采集策略。对多样人群验证的要求驱动了对多样化训练数据的需求，而边缘部署的约束则影响数据预处理方法。法规合规需求决定了标注协议和质量保证标准。这些相互关联的要求表明，有效的问题定义能够预见后续生命周期阶段中将出现的约束，为集成系统开发奠定基础，而非孤立、顺序的优化。

在明确问题定义后，开发过程转向组建实现这些目标所需的数据资源。

数据采集与准备阶段

数据采集与准备是 ML 生命周期的第二个阶段（见图 1），原始数据在此阶段被收集、处理和准备好用于模型开发。此阶段面临独特挑战，超出单纯收集足够训练样本的范畴 [152]。这些挑战是 第 6 章：数据工程 的核心内容。对于像 DR 筛查这样的医疗 AI 系统，数据采集必须在统计严谨性与操作可行性之间取得平衡，同时满足最高的诊断准确性标准。

问题定义驱动了 DR 示例中的数据需求。多维的成功标准（不同人群的准确性、硬件效率、法规合规）要求数据采集策略超越典型的计算机视觉数据集。

151. **ML 系统扩展的复杂性**：与传统软件相比，ML 系统扩展的复杂性呈指数级增长，涉及数据异质性、模型漂移和基础设施需求。研究表明，ML 系统通常需要比传统应用多 5-10 倍的监控基础设施 [见 paleyes2022challenges]。当生产中模型数量超过 100 个时，手动流程难以维持，需专门的 MLOps 平台支持，这也是 ML 平台市场从 2019 年的 15 亿美元增长到 2023 年的 155 亿美元的原因之一 [见 kreuzberger2023machine]。

152. **机器学习中的 80/20 法则**：数据科学家通常将 60-80% 的时间花在数据采集、清洗和准备上，其余时间用于建模和分析。这个比例自 2016 年 CrowdFlower [见 crowdflower2016data] 提出以来，尽管自动化工具不断进步，但在各行业中仍然保持一致。“数据准备税”包括处理缺失值（90% 真实世界数据集存在）、解决不一致性（60% 数据字段受影响）、确保法律合规（EU 数据需 15 种以上不同的同意机制）。这也解释了成功的 ML 团队为何从一开始就大量投资数据工程能力。

例如，构建一个开发数据集可能需要收集 128,000 张视网膜底片，每张需经过 54 位专家中的 3-7 位进行审阅 [153]。这种专家共识方法解决了医疗诊断中固有的主观性问题，同时建立了经得起法规审查的真值标签。标注过程捕捉了微动脉瘤、出血和硬性渗出等临床相关特征，涵盖了疾病严重程度的各个阶段。

高分辨率视网膜扫描生成的文件大小从 10MB 到 120MB 不等，具体取决于分辨率和压缩率，带来了巨大的基础设施挑战。一个典型的诊所每天处理 50 名患者，每周生成的影像数据在 5GB 到 15GB 之间，迅速超过农村地区互联网连接的承载能力（通常限制在 2-10 Mbps 的上传速度）。这一数据量限制迫使架构决策倾向于边缘计算解决方案，而非基于云的处理。

实验室数据与真实数据的桥接

当此系统在泰国和印度的农村诊所部署时，真实数据与实验室精心策划的训练集差异巨大。

这些差异威胁到模型性能，暴露出对稳健预处理和质量保证系统的迫切需求。

数据量的限制驱动了基础架构的根本性决策，如 第 2 章：机器学习系统 中讨论的部署范式：边缘计算而非云端推理。地方预处理将带宽需求从每周 15GB 压缩至 750MB，但需要在地方设备上提供 10 倍的计算资源，这又反过来影响了模型优化策略和部署硬件要求，后者使用了像 NVIDIA Jetson 这样的专用边缘设备 [154]。

典型解决方案架构由数据采集限制决定：NVIDIA Jetson 边缘设备（视型号而定，2-32GB RAM，64-2048 CUDA 核心）用于本地推理，诊所聚合服务器（8 核 CPU，32GB RAM）用于数据管理，云端训练基础设施则使用 32-GPU 集群进行每周模型更新。这一分布式方案在覆盖 200 多个诊所的部署中，实现了低于 80 毫秒的推理延迟和 94% 的正常运行时间。

患者隐私法规要求采用联邦学习架构，使模型训练无需集中敏感患者数据。这一方法增加了数据采集工作流和模型训练基础设施的复杂性，但对获得法规批准和临床采用至关重要。

这些经验教训清晰地表明了约束传播的原则：数据采集阶段的生命周期决策在整个系统开发过程中创造了约束和机遇，影响从基础设施设计到模型架构的方方面面。

153. **医学数据标注成本**：专家医学标注费用极高：眼科医生收费$200-500/小时，因此 DR 数据集的标注成本超过 270 万美元。这是历史上最高的每样本标注成本之一，推动了对主动学习和合成数据生成的兴趣。

154. **NVIDIA Jetson**：一系列嵌入式计算板，专为 AI 边缘计算设计，具有功耗效率高的 GPU 加速（5-30 瓦特，桌面 GPU 为 250+ 瓦特）。自 2014 年首次发布以来，Jetson 模块使实时 AI 推理成为可能，应用于自主无人机、医疗设备和工业机器人等领域。流行型号包括 Jetson Nano（$99，472 GFLOPS）、Jetson AGX Xavier（$699，32 TOPS）和 Jetson AGX Orin（$1,699，275 TOPS），为边缘部署场景提供高性能 AI 解决方案。

分布式部署的数据基础设施

理解数据特征和部署约束如何驱动架构决策，在大规模应用中至关重要。每张视网膜图像都经历了复杂的旅程：在诊所相机上拍摄、地方存储和初步处理、质量验证、数据安全传输到中央系统、与训练数据集的集成。

不同的数据访问模式需要不同的存储解决方案。团队通常实施分层方法，平衡成本、性能和可用性：频繁访问的训练数据需要高速存储以便快速模型迭代，而历史数据集则可以容忍较慢的访问速度以换取成本效率。智能缓存系统根据使用模式优化数据访问，确保相关数据随时可用。

农村诊所面临的显著连接性限制，要求灵活的数据传输策略。实时传输适用于互联网可靠的诊所，而存储转发系统则支持在连接不稳定地区的操作。这种自适应方法确保无论当地基础设施如何，系统都能稳定运行。

基础设施设计必须预见从试点部署到数百个诊所的扩展。架构需兼顾不同的数据量、硬件配置和操作要求，同时保持数据一致性和系统可靠性。这一可扩展性基础在系统扩展到新地区时尤为重要。

大规模数据管理

从系统思维角度看，随着 ML 系统的扩展，数据采集挑战呈指数级增长。在 DR 示例中，从初始诊所扩展到更广泛的网络，带来了设备、工作流程和操作条件的显著变化。每个诊所实际上成为一个独立的数据节点 [155]，但系统需要确保所有位置的一致性能。遵循之前建立的协作协调模式，团队实施了专门的编排，利用共享工件库、版本化 API 和自动化测试管道，实现对大型诊所网络的高效管理。

随着系统向更多诊所扩展，数据量的增加也带来了更高分辨率成像设备的普及，生成更大、更详细的图像。这些进步加大了存储和处理基础设施的压力，要求进行优化以在不影响质量的前提下保持效率。患者人口统计、诊所工作流程和连接模式的差异进一步凸显了稳健设计的必要性，以优雅地处理这些变化。

扩展挑战突显了数据采集阶段决策如何在生命周期后续阶段产生涟漪效应，影响模型开发、部署和监控等各个环节。例如，数据采集时对更高分辨率数据的适应直接影响训练和推理的计算需求，强调了即使在早期阶段也需考虑生命周期整体。

155. **联邦学习架构**：联邦学习 [见 mcmahan2017communication]，2016 年由 Google 首次提出，用于移动键盘的训练，允许在分布式数据源上进行训练，而无需集中数据。医疗应用特别适合联邦学习，因为隐私法规要求：研究表明，联邦医疗模型在保持数据本地的同时，能达到集中模型 85-95% 的准确率。然而，联邦学习也带来了新的挑战：每次训练迭代的通信成本增加 100-1000 倍，且各站点之间的统计异质性可能导致模型收敛问题，这些都是集中训练所不面临的。

质量保证与验证

质量保证是数据采集过程的一个重要环节，确保数据满足后续阶段的要求。在 DR 示例中，采集时的自动检查会标记焦点不清或构图错误等问题，便于诊所工作人员及时处理。这些主动措施确保低质量数据不会在管道中传播。

验证系统在地方和中央两个层面上扩展了这些努力，不仅验证图像质量，还确保标注正确、患者信息关联准确、符合隐私法规。通过这些系统，确保数据的可靠性和稳健性，维护整个 ML 管道的完整性。

此阶段的数据采集经验直接影响模型开发方法。数据采集过程中发现的基础设施限制（带宽有限、多样化硬件、间歇性连接）对模型效率提出了要求，进而推动了架构决策。隐私约束下采用的分布式联邦学习方法影响了训练管道设计。不同诊所环境中观察到的质量差异则塑造了验证策略和稳健性要求。数据采集与模型开发之间的这种耦合，正是系统化生命周期规划胜过顺序阶段优化的典范。

图 4 描述了这些关键反馈环，使系统得以持续改进。数据采集奠定的基础在于约束与机遇的双重作用，既支持又限制了有效模型的技术路径 —— 这一动态关系在接下来的模型开发阶段愈加明显。

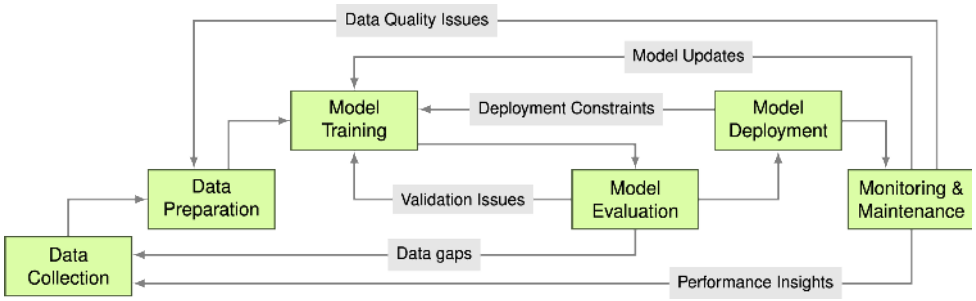

ML 生命周期依赖关系：数据采集、准备、模型训练、评估和监控之间的迭代反馈环，强调了每个阶段如何在持续过程中相互影响和推动后续阶段。有效的机器学习系统开发需要承认这些依赖关系，以便在数据、模型和监控之间进行精细的调整和优化。

模型开发与训练阶段

模型开发与训练（见图 1 的第三阶段）是机器学习系统的核心，但这一阶段面临的挑战远超算法选择和超参数调优 [156]。训练方法、基础设施需求和分布式训练策略在 第 8 章：

156. **超参数优化的复杂性**：现代深度学习模型通常有 10-100 个超参数（学习率、批量大小、架构选择），搜索空间超过 10^20 种组合。Google 的 AutoML 和 H2O 等 AutoML 平台需花费 $10,000-100,000 的计算成本来寻找复杂模型的最佳配置。随机搜索（2012 年）意外地优于网格搜索，而贝叶斯优化（2010 年代）和基于种群的训练（2017 年）则代表了当前的最优技术，尽管缩短了调优时间（10-100 倍），但仍需大量计算资源，这在传统软件开发中是不可想象的。

AI 训练 中有详细介绍。在医疗等高风险领域，每个设计决策都可能影响临床结果，因此将技术性能与操作约束相结合至关重要。

早期生命周期决策在模型开发中产生连锁反应。DR 示例中确立的性能要求（专家级准确性与边缘设备兼容性）带来了模型架构和训练策略的创新挑战。

通过对 ImageNet 的迁移学习 [157]，结合精心标注的 128,000 张图像数据集，开发者在 DR 项目中实现了 0.91-0.95 的 F 值 [158]，在受控环境下的表现可与眼科医生相媲美。这一结果验证了大规模预训练与特定领域微调相结合的方法 —— 利用 第 3 章：深度学习基础 中的梯度优化原理，调整 第 4 章：DNN 架构 中的预训练卷积架构，以适应医学影像分析。

但追求高准确率仅是挑战的开始。数据采集阶段洞察的边缘部署约束，带来了严格的效率要求：模型需在 98MB 内运行，推理延迟低于 50ms，操作时内存占用低于 400MB。最初的研究模型（一个 2.1GB 的集成模型 [159]，准确率 95.2%）在所有部署约束上均不合格，需经过系统优化，最终达到 96MB、准确率 94.8% 的模型，同时满足所有操作要求。

这些约束驱动了架构的创新，包括用于模型大小、推理加速和高效部署场景的优化技术 —— 在 第 4 章：DNN 架构 中平衡深度卷积网络的计算需求与 第 2 章：机器学习系统 中边缘设备的资源限制。

遵循迭代开发框架，模型开发过程需在准确性优化与效率优化之间反复迭代。每个架构决策（从卷积层数到激活函数的选择，见 第 3 章：深度学习基础 和 第 4 章：DNN 架构）都必须根据测试集指标和数据采集阶段确定的基础设施约束进行验证。这种多目标优化方法体现了约束传播的原则，即部署约束塑造开发决策。

性能与部署约束的平衡

DR 示例中的模型开发经历了临床效果与部署可行性之间的基本权衡，这也是现实 AI 系统的特征。

157. **迁移学习**：对在大数据集（如 ImageNet 的 1400 万张图像）上预训练的模型进行特定任务的调整，显著减少训练时间和数据需求。迁移学习由 Yann LeCun 团队在 1990 年代提出，并在 2014 年 ImageNet 比赛中普及，成为大多数实际计算机视觉应用的基础。通过迁移学习，实践者可以用数千而非数百万的训练样本实现专家级性能。

158. **F 值（F1 Score）**：精确率和召回率的调和平均值，计算公式为 $2 \times (\text{精确率} \times \text{召回率}) / (\text{精确率} + \text{召回率})$，提供了一个平衡两者的单一指标。值域为 0（最差）到 1（最佳）。F 值最早用于信息检索（1979），在 ML 评估中变得至关重要，因为单纯的准确率在数据不平衡时可能具有误导性 —— 一个对所有患者都预测“无疾病”的模型在一个只有 5% 患者实际患病的群体中可能达到 95% 的准确率，但其 F 值接近 0，显示其临床无用性。

159. **集成学习**：通过结合多个模型的预测，达到单个模型无法比拟的更好性能。常见方法有装袋（对不同数据子集训练多个模型）、提升（顺序训练模型以修正前一模型的错误）和堆叠（用元模型结合基础模型预测）。但集成模型在边缘部署场景中，由于推理速度和内存使用的权衡，往往不被采用。

医疗应用需要特定的性能指标[160]，与 第 3 章：深度学习基础 中介绍的标准分类指标有显著不同。DR 系统要求 >90% 的敏感性（防止漏诊导致失明）和 >80% 的特异性（避免误诊导致的过度筛查）。这些指标必须在不同患者群体和图像质量条件下保持一致。

单纯优化临床性能是不够的。数据采集阶段的边缘部署约束带来了额外要求：模型必须在资源有限的硬件上高效运行，同时保持与临床工作流兼容的实时推理速度。这就形成了一个多目标优化问题，模型容量（见 第 4 章：DNN 架构）与部署可行性（见 第 2 章：机器学习系统）之间存在着根本的矛盾。团队发现，最初的 2GB 模型（准确率 95.2%）可以通过量化、剪枝和知识蒸馏等系统优化技术，优化到 96MB，同时保持 94.8% 的准确率，满足所有部署要求。

选择使用轻量级模型的集成而非单一大模型，体现了模型开发决策如何在系统生命周期中传播。这一架构决策降低了单个模型的复杂性（便于边缘部署），但增加了推理管道的复杂性（影响部署和监控策略）。团队需为模型集成开发编排逻辑，并创建能够跟踪多个模型组件性能的监控系统。

这些模型开发经验强化了我们之前确立的生命周期集成原则。从选择 CNN 架构进行空间特征提取（见 第 4 章：DNN 架构），到配置训练超参数（见 第 3 章：深度学习基础），再到评估和验证策略，模型开发的每个环节都必须考虑后续部署和监控的需求。这表明，成功的模型开发需要预见后续生命周期阶段的约束，而非孤立优化模型，反映了我们的系统思维方法。

约束驱动的开发过程

现实约束贯穿模型开发的整个过程，从初步探索到最终优化，要求对实验采取系统化方法。

开发始于数据科学家与领域专家（如医学影像中的眼科医生）之间的合作，识别出与目标病症相关的特征。这一跨学科方法确保了模型架构能够捕捉临床相关特征，同时满足数据采集阶段识别的计算约束。

计算约束深刻影响实验方法。生产 ML 工作流的成本呈乘法级增长：10 个模型变体 × 5 个超参数搜索（学习率从 1e-4 到 1e-2，批量大小从 16 到 128，优化算法见 第 3 章：深度学习基础）× 3 种预处理方法（原始图像、直方图均衡、自适应滤波）= 150 次训练。以每次训练约 $500-2000 计算成本计算，迭代成本可达 $150K。这个经济现实推动了高

160. **医疗 AI 性能指标**：医疗 AI 需要不同于通用 ML 的指标：敏感性（真正率）和特异性（真负率）往往比整体准确率更重要。对于糖尿病视网膜病变筛查，>90% 的敏感性至关重要（漏诊会导致失明），而 >80% 的特异性则可防止不必要的转诊。医疗 AI 还需要考虑正预测值（PPV）和负预测值（NPV）等指标，这些指标会因不同人群的疾病流行率而异 —— 一个在实验室环境中准确率为 95% 的模型，在低流行率人群中可能 PPV 仅为 50%，尽管其技术性能很高，但在临床上却毫无用处。

效实验的创新：智能作业调度将空闲 GPU 时间减少 60%，中间结果缓存节省 30% 预处理时间，早停技术在 20% 完成时终止无望实验，自动化资源优化实现 2.3 倍成本效率。

机器学习模型开发具有涌现特性，使得结果具有不确定性，要求遵循科学方法原则：通过固定随机种子和环境版本控制变量，系统性消融研究 [161] 隔离组件贡献，混杂因素分析区分架构效应与优化效应，以及通过 A/B 测试 [162] 框架进行多次运行的统计显著性检验。这一方法对于区分真实性能提升与统计噪声至关重要。

在整个开发过程中，团队根据早期生命周期阶段确定的部署约束验证模型。每一项架构创新都必须同时评估其对准确性的提升以及与边缘设备限制和临床工作流要求的兼容性。这种双重验证方法确保开发工作与部署目标的一致性，而不是仅仅针对实验室条件进行优化。

从原型到生产级开发

随着 DR 示例等项目从原型演变为生产系统，团队在多个维度上遇到涌现复杂性：更大的数据集、更多的模型变体、并行实验和分布式训练基础设施。这些扩展挑战说明了适用于大规模 AI 系统开发的系统思维原则。

从单机训练到分布式系统的转变，引入了协调需求，需在训练速度提升与系统复杂性增加之间取得平衡。这导致实施容错机制和自动故障恢复系统。编排框架实现了基于组件的管道构建，具有可重用的阶段、自动资源扩展和跨分布式组件的监控。

随着实验生成工件 [163]（如模型检查点、训练日志和性能指标）的数量激增，系统化跟踪变得至关重要。没有结构化的组织，团队可能会在实验过程中丧失宝贵的知识积累。为此，团队实施了系统化的实验标识、自动化工件版本控制和基于性能特征与配置参数查询实验的搜索能力。

大规模模型开发需要在训练计算和支持基础设施之间分配资源。有效的实验管理虽然需要计算开销，但通过加速开发周期和改善模型质量，带来了可观的回报。

161. **消融研究**：通过系统性移除或修改单个组件，来理解其对整体性能贡献的实验。在 ML 中，消融研究可能移除特定层、更改激活函数或排除数据增强技术，以隔离其影响。得名于医学消融（外科切除组织），该方法在 2012 年 AlexNet 论文中首次用于验证每个架构选择，现已成为 ML 研究的标准。消融研究对于复杂模型尤为重要，因为组件间的相互作用使得难以确定哪些设计决策真正改善了性能。

162. **ML 中的 A/B 测试**：通过随机将用户分配到不同组，比较两个模型版本的统计方法，原用于网页优化（2000 年代），现已成为 ML 部署的关键，因为模型在生产中的表现可能与开发时不同。Netflix 每天与用户进行数百次并发实验，Uber 每周测试 100 多个 ML 模型改进 [见 uber2017michelangelo]。A/B 测试需要精心的统计设计，以避免混杂变量并确保可靠结论所需的样本量。

163. **ML 工件**：ML 开发过程中生成的所有数字输出：训练好的模型、数据集、预处理代码、超参数配置、训练日志、评估指标和文档。与传统软件工件（编译后的二进制文件、文档）不同，ML 工件是相互依赖的 —— 模型性能依赖于特定的数据版本、预处理步骤和超参数设置。管理 ML 工件需要专门的工具，如 MLflow、Neptune 或 Weights & Biases，跟踪工件之间的血缘关系，支持可复现性，并比较不同实验。一个典型的 ML 项目生成的工件数量是传统软件项目的 10-100 倍。

模型开发过程建立的能力和约束，直接影响到下一个生命周期阶段。针对边缘优化的集成架构虽然实现了诊所部署，但对服务基础设施提出了更高要求。法规验证要求则塑造了部署验证协议。这些相互关联的要求表明，开发决策为后续部署环节奠定了基础和限制。

模型开发的这些成就，最终为部署阶段带来了新挑战。尽管优化后的集成架构满足了边缘设备的约束，但仍需复杂的服务基础设施。支持快速迭代的分布式训练方法，要求在诊所部署中实现模型版本控制和同步。指导模型开发的法规验证要求，进一步影响部署验证和监控策略。这些相互关联性表明，成功的模型开发必须预见部署挑战，确保技术创新能够转化为交付价值的操作系统。

部署与集成阶段

在部署与集成阶段（见图 1 的第五阶段），训练好的模型被集成到生产系统和工作流中。部署需要解决系统兼容性、可扩展性和操作约束等实际挑战。成功的集成确保模型的预测在真实环境中是准确且可操作的，而资源限制和工作流中断则可能成为障碍。部署和维护的操作细节在 第 13 章：机器学习运维 中有详细说明。

在 DR 示例中，部署策略受限于前述多样环境。边缘部署实现了在网络连接不稳定的农村诊所对视网膜图像的本地处理，而自动化质量检查则能标记出低质量图像以便重新采集，确保预测的可靠性。这些措施表明，部署必须在技术复杂性与可用性、可扩展性之间架起桥梁，以适应临床环境。

技术与操作要求

部署要求源于模型的技术规范和预期环境的操作约束。在 DR 系统中，模型必须在计算资源有限、网络连接间歇的农村诊所中运行。它必须融入现有的临床工作流程，快速提供可解释的结果，以辅助医疗提供者的决策，而不造成工作流程中断。

这些要求影响了部署策略。尽管基于云的部署在技术上更简单，但由于许多诊所的连接不可靠，可能无法实施。因此，团队通常选择边缘部署，即模型在诊所硬件上本地运行。这一方法要求对模型进行优化，以满足特定硬件的约束：目标指标可能包括模型大小低于 98MB、推理延迟低于 50ms、边缘设备上内存使用低于 400MB。实现这些目标需要系统化应用优化技术，以减少模型大小和计算需求，同时平衡准确性权衡。

与现有系统的集成则面临额外挑战。ML 系统必须与医院信息系统（HIS）对接，以访问患者记录和存储结果。隐私法规要求在每个步骤都安全处理数据，影响部署决策。这些考虑确保系统在日常使用中符合临床和法律标准。

分阶段的部署与集成过程

DR 示例中的部署与集成工作流，突显了模型功能、基础设施与用户体验之间的复杂相互作用。该过程始于在模拟环境中进行全面测试，这些环境复制了目标诊所的技术约束和工作流程。通过这些模拟，团队能够及早识别潜在瓶颈和不兼容之处，从而在全面推广前优化部署策略。

一旦部署策略确定，团队通常会实施分阶段的推广。初始部署限制在少数试点网站，以便在真实条件下进行受控测试。这种方法提供了来自临床医生和技术人员的宝贵反馈，帮助识别模拟中未暴露的问题。

集成工作则专注于确保 ML 系统与现有工具的无缝交互。例如，DR 系统必须从 HIS 中提取患者信息，处理来自连接相机的视网膜图像，并以临床医生易于理解的格式返回结果。这些任务需要开发稳健的 API、实时数据处理管道和用户友好的界面，以满足医疗提供者的需求。

多站点部署挑战

在多个诊所部署 DR 系统，暴露了将 AI 系统扩展超出受控实验室环境的基本挑战。每个诊所都有其独特的约束：成像设备不同、网络可靠性差异、操作人员技能水平不同、工作流程模式各异。

从开发到部署的转变，暴露了显著的性能挑战。成像设备和操作人员专业知识的差异，导致数据质量不一致，模型可能难以处理。基础设施的限制可能迫使紧急模型优化，表明部署现实如何反过来影响开发过程中的决策，包括预处理策略、架构选择和验证方法。

团队发现，部署架构决策在整个系统中产生级联效应。边缘部署将延迟降至最低，以满足实时临床工作流程，但对模型复杂性施加了严格的限制。云部署则允许模型灵活性，但可能引入超过 200ms 的延迟，这在时间敏感的医疗应用中是不可接受的。

成功的部署不仅需要技术优化。临床医生的反馈常常表明，初始系统界面需要重大重新设计，以实现广泛采用。团队必须在技术复杂性与临床可用性之间取得平衡，认识到用户信任和熟练程度与算法性能同样重要。

在分布式部署中管理改进，需要复杂的协调机制。集中版本控制系统和自动化更新管道确保性能改进能够迅速传播到所有部署地点，同时尽量减少对临床操作的干扰。如图 2 所示，部署挑战产生了多个反馈路径，推动系统的持续改进。

确保临床级可靠性

在临床环境中，可靠性至关重要。DR 系统需要在各种条件下无缝运行，从高患者流量到次优成像设置。为确保稳健性，团队实施了故障安全机制，能够检测和处理常见问题，如数据不完整或质量差。机制包括自动图像质量检查和备用工作流程，以防系统遇到错误。

测试在确保可靠性中发挥核心作用。团队进行广泛的压力测试，以模拟高峰使用场景，验证系统在性能不下降的情况下处理高吞吐量的能力。关键组件的冗余设计将停机风险降到最低，所有与外部系统（如 HIS）的交互都经过严格测试，以确保兼容性和安全性。

此类系统的部署经验揭示了开发活动向运营活动的过渡。来自真实部署的反馈（如临床可用性问题、硬件性能问题）产生的洞见，指导最后一个生命周期阶段：持续监控与维护策略。分布式边缘部署架构带来了对系统级监控和协调更新的新要求。与医院信息系统的集成挑战，建立了在不干扰临床工作流程的情况下管理系统演变的协议。

成功的部署为有效的监控和维护奠定了基础，创建了操作基础设施和反馈机制，实现持续改进。部署经验表明，这一阶段不是终点，而是进入持续运营阶段的过渡，体现了我们的系统思维方法。

监控与维护阶段

一旦 AI 系统从部署过渡到生产运营，就进入了与传统软件系统截然不同的操作阶段。如图 1 所示，监控与维护形成了一个持续循环，保持系统可靠运行。传统应用在明确更新前行为保持静态，而 ML 系统则必须考虑数据分布的演变、使用模式的变化和模型性能的漂移。

监控与维护是确保已部署机器学习系统持续有效性和可靠性的关键过程。传统软件保持静态行为，而 ML 系统则必须应对数据分布的变化 [164]、使用模式的变化和操作需求的演变 [165]。监控提供了适应这些挑战所需的反馈，而维护则确保系统不断演变以满足新需求。这些操作实践构成了 第 13 章：机器学习运维 的基础。

正如图 2 所示，监控是系统改进的核心枢纽，生成三个关键反馈环：“性能洞察”反馈

164. **数据漂移检测**：数据漂移是指输入数据特征随时间变化的情况：用户行为变化、传感器校准漂移或人口统计变化。研究表明，50-80% 的生产 ML 模型在 12-18 个月内会经历某种形式的数据漂移，但只有 23% 的组织实现了自动化漂移检测。像 Kolmogorov-Smirnov 和 Population Stability Index 这样的统计测试可以检测漂移，但需要设置阈值并持续监测 100 多个特征。云服务提供商现在提供漂移检测服务（AWS SageMaker Model Monitor、Google AI Platform），但出于领域特定需求，仍需自定义实现。

165. **模型漂移现象**：ML 模型在没有代码更改的情况下会随时间退化 —— 这一现象在传统软件中是不存在的。研究表明，40-70% 的生产 ML 模型在 6-12 个月内会因数据漂移、概念漂移或基础设施漂移而出现可测量的性能下降。这一“无声失败”问题催生了专门的监控工具，如 Evidently AI（2020 年）和 Fiddler（2018 年），形成了 ML 基础设施中全新的类别，在传统软件工程中并不存在。

至数据采集以填补空白，“数据质量问题”触发数据准备的优化，“模型更新”则在性能漂移时启动再训练。在 DR 示例中，这些反馈环实现了系统的持续改进：识别出被代表性不足的人群（触发新数据采集）、检测到图像质量问题（改善预处理）、应对模型漂移（启动再训练）。

对于 DR 筛查系统，持续监控在不同诊所跟踪系统性能，检测患者人口统计或新成像技术的变化，这些变化可能影响准确性。主动维护计划则包括了对 3D 成像技术如 OCT 的支持，扩展系统诊断更多病症的能力。这体现了设计能够适应未来挑战的系统，同时保持对严格医疗法规和 第 17 章：可信 AI 中探讨的负责任 AI 原则的合规性。

动态系统的生产监控

监控与维护的要求源于技术需求和操作现实。在 DR 示例中，从技术角度看，监控需要持续跟踪模型性能、数据质量和系统资源使用情况。然而，操作约束为监控系统增加了复杂性：监控系统必须与临床工作流程对接，检测患者人口统计的变化，并为技术团队和医疗提供者提供可操作的洞察。

初始部署通常会突出系统未能满足真实世界需求的多个方面，例如在设备超过 5 年或图像分辨率低于 1024x1024 像素的诊所，准确率下降 15-25%。监控系统能够检测到特定亚群体的性能下降：如增殖性糖尿病视网膜病变患者（占筛查人群 2%）的准确率下降 18%，而严重白内障患者（占 65 岁以上老年患者 12%）的敏感性下降 22%。这些在实验室验证中不可见但在临床实践中至关重要的盲点，促使维护策略的调整，包括有针对性的数据采集（增加 15,000 张受白内障影响的图像）和架构改进（具有专门病理检测器的集成模型）。

这些要求显著影响系统设计。此类系统的关键特性要求具备实时监控能力，而非定期离线评估。团队通常会建立量化的性能阈值和明确的行动触发机制：P95 延迟超过基线的 2 倍会立即发出警报并在 5 分钟内响应，模型准确率下降超过 5% 会触发每日警报并自动启动再训练工作流，数据漂移的 PSI 分数超过 0.2 会启动每周警报并通知数据团队，资源利用率超过 80% 会激活自动扩展机制并监控成本。

监控系统的设计还需考虑到临床工作流程的特点，确保监控数据以清晰、可操作的方式呈现给临床和技术人员。

通过反馈环实现持续改进

DR 示例中的监控与维护工作流，揭示了自动化系统、人类专业知识和不断发展的医疗实践之间的复杂相互作用。该工作流始于定义完整的监控框架，建立关键绩效指标（KPI），并实施仪表板和警报系统。该框架必须平衡监控深度与系统性能、隐私考虑，收集足够的数据以检测问题，但又不至于给系统带来过大负担或侵犯患者隐私。

随着系统的成熟，维护变得越来越动态。由于新的医学知识或性能改进驱动的模型更新，需要仔细验证和控制发布。团队利用 A/B 测试框架在真实条件下评估更新，并实施回滚机制 [166]，以便在出现问题时迅速应对。与传统软件的持续集成和部署 [167] 不同，ML 系统必须考虑数据演变 [168]，这会影响模型行为，传统 CI/CD 管道并未针对这种情况进行设计。

监控与维护形成了一个迭代循环，而非离散阶段。监控所获洞见会指导维护活动，而维护工作往往又需要更新监控策略。团队开发工作流，实现从问题检测到解决的无缝过渡，涉及技术和临床领域的协作。

大规模分布式系统监控

如 DR 示例所示，从 5 个试点站点扩展到 200 多个诊所的部署，使监控和维护的复杂性呈指数级增长。每个新增诊所每周生成 2-5GB 的操作日志（包括推理时间、图像质量指标、错误率和使用模式），形成每周 400-1000GB 的系统级数据量，需自动化分析。每个诊所还引入了环境变量：15 种以上不同的相机型号（从 2 百万像素的移动设备到 1200 万像素的专业系统）、不同的操作人员技能水平（从训练有素的技术人员到社区卫生工作者）、以及不同的人口统计模式（城市与农村、年龄分布相差 20 岁以上）。

全球性能指标与特定站点行为的监控需求，要求复杂的基础设施。监控系统跟踪各阶段的指标，包括处理时间、错误率和资源利用率，维护完整的数据血缘追踪（源头到预测的审计追踪，确保合规性），将生产问题与特定训练实验关联，以便快速根因分析，并提供成本归属，追踪跨团队和项目的资源使用情况。

持续适应带来额外复杂性。真实世界的使用使系统面临不断扩展的场景范围。从这些场景中捕获洞见并驱动系统更新，要求高效的机制将新数据整合到训练管道中，并在不干扰临床工作流程的情况下部署改进模型。

166. **回滚机制**：当检测到问题时，自动将软件迅速恢复到先前稳定版本的系统，确保在部署期间服务的可靠性。在传统软件中，回滚通常需要 5-30 分钟，并恢复确定性行为，但 ML 的回滚则复杂得多，因为模型行为依赖于当前的数据分布。像 Uber 这样的公司维持着影子部署，使旧模型和新模型同时运行，从而在 60 秒内实现即时回滚，同时保持预测的一致性 [见 uber2017michelangelo]。ML 回滚需要仔细考虑数据兼容性和特征依赖性。

167. **机器学习的 CI/CD**：传统的持续集成是针对确定性构建设计的，代码变更会产生可预测的输出。而 ML 系统则违背了这一假设，因为模型行为依赖于训练数据、随机初始化和硬件差异。Google 的 TFX 等平台不得不重新定义 ML 的 CI/CD 原则，引入“模型验证”和“数据验证”等概念，这在传统软件中是没有的。

168. **生产中的数据演变**：与传统软件静态输入不同，ML 系统的输入是持续演变的：用户行为变化、市场条件变化、传感器数据漂移。Netflix 等公司报告称，推荐模型约 10-15% 的特征每月需要更新，而金融欺诈检测模型每季度则有 30-40% 的特征漂移。这种不断演变意味着 ML 系统需要“数据测试”管道，验证 200 多个统计特性的输入数据，这在传统软件中是简单的类型检查所无法比拟的。

预见和防止系统退化

仅靠被动维护不足以应对动态操作环境。主动策略变得至关重要，以便在问题影响临床操作之前预见和防止它们。

预测性维护模型根据操作数据中的模式识别潜在问题。持续学习管道使系统能够根据新数据进行再训练和适应，确保其在临床实践或患者人口统计变化时的相关性。这些能力需要仔细平衡，以确保安全性和可靠性，同时保持系统性能。

评估适应性和弹性的指标与准确性同样重要，反映系统随操作环境演变的能力。主动维护确保系统能够应对未来挑战，而不牺牲可靠性。

这些监控和维护经验使我们生命周期的旅程回归原点，展示了如图 1 所示的持续反馈环。生产洞察推动问题定义、数据质量、架构和基础设施规划的优化，形成 ML 系统与传统线性开发的根本区别。

这种持续反馈和改进循环，体现了系统思维方法的精髓，区别于传统软件开发。成功源于对各生命周期阶段的整体把握，而非对单一阶段的完美追求。

整合系统思维原则

在通过糖尿病视网膜病变案例研究每个 AI 生命周期阶段后，涌现出一些系统级模式，区分了成功的 AI 项目与那些在集成挑战中挣扎的项目。DR 示例表明，构建有效的机器学习系统不仅需要技术卓越，还需要理解技术决策如何创造相互依赖关系，这些关系会贯穿整个开发和部署过程。

我们的分析中涌现出四种基本的系统思维模式：约束传播、多尺度反馈、涌现复杂性和资源优化。这些模式为理解后续技术章节的相互关联奠定了分析框架，表明数据工程、框架、训练和运维的专门方法如何集成成系统，使得单一优化无法实现的整体效益得以实现。

决策如何在系统中传播

约束传播是 ML 开发中最关键的系统思维模式：早期决策会产生连锁效应，塑造后续的每个阶段。我们的 DR 示例清晰地阐明了这一模式：对 >90% 敏感性的法规要求，驱动了数据采集策略（需要专家共识标注），影响了模型架构选择（需要高容量网络），决定了部署约束（需要边缘优化），进而塑造了监控方法（需要分布式性能跟踪）。

这种传播是双向的，形成动态约束网络，而非线性依赖。当农村诊所部署暴露出带宽限制（平均 2-10 Mbps）时，团队必须重新设计数据预处理管道，以实现 95% 的压缩比，这又要求优化模型架构以适应压缩输入，进而影响训练策略以应对数据退化。理解这些

连锁关系，使团队能够做出适应系统约束的架构决策，而非与之对抗。

协调多时间尺度的反馈

ML 系统的成功在于协调跨越多个时间尺度的反馈环，每个环路服务于不同的系统优化目的。我们的 DR 部署实例体现了这一模式：以分钟为单位的快速反馈（实时质量检查、自动图像验证）、以日为单位的中频反馈（200 多个诊所的模型性能监控）、以周为单位的聚合反馈（准确性分析、漂移检测）、以月为单位的战略反馈（人口统计偏差评估、硬件性能审查）以及以季度为单位的架构评估和新区域的容量规划。

这些反馈环的时间结构反映了 ML 系统固有的动态特性。快速反馈使得操作问题能够迅速得到修正 —— 诊所的错误配置相机可以在几分钟内被检测和修正。较慢的反馈则支持战略适应 —— 识别出人口统计变化需要扩展训练数据，通常需要几个月的监测才能可靠地检测到。这种多尺度的方法防止了过度反应（对日常波动的过度反应）和反应迟缓（对重要趋势的反应不足）。

理解系统级行为

复杂系统表现出的涌现行为，在分析单个组件时是不可见的，但在系统规模扩大时变得显而易见。我们的 DR 部署揭示了这一模式：尽管单个诊所可能显示出稳定的 94% 准确率，但系统范围的分析却检测到特定人口群体的轻微性能下降 —— 这些在单一站点监测中不可见但对公平医疗服务至关重要的模式。

ML 系统中的涌现复杂性与传统软件不同。传统分布式系统通过确定性级联失败（服务器崩溃、网络分区），而 ML 系统则通过数据漂移、模型偏见放大和跨异构环境的细微性能下降表现出概率性退化。管理这种复杂性需要分析框架，能够检测分布式部署中的统计模式，提前采取主动干预措施，以防系统性问题的出现。

多维资源权衡

ML 系统中的资源优化涉及多维权衡，产生复杂的相互依赖关系，这在传统软件开发中是不存在的。我们的 DR 案例说明了这些权衡：将模型准确率从 94.8% 提高到 95.2% 需要将模型大小从 96MB 扩展到 180MB，这迫使部署从边缘设备（每个$200-600）转向更强大的硬件（每个$800-2000），在 200 多个诊所中乘以这一成本，单单为了 0.4% 的准确性提升，基础设施成本就增加了$160,000。

这些资源权衡表现出非线性关系，无法通过简单的优化方法解决。数据量的增加使训练时间呈平方级增长，但模型准确性的提升却递减。边缘部署将推理延迟减少 85%，但模型复杂性却被限制 90%。云部署则允许无限的模型复杂性，但可能引入超过 200ms 的延迟，违反临床工作流程要求。理解这些权衡关系，使团队能够做出战略性的架构决

策，而非试图孤立优化单个组件。

ML 系统的工程纪律

这四种系统思维模式 —— 约束传播、多尺度反馈、涌现复杂性和资源优化 —— 汇聚成对机器学习系统的工程方法，与传统软件开发截然不同。成功的 ML 系统不是通过对单个组件的独立优化，而是通过集成优化，考虑跨组件依赖、时间动态和资源约束的综合方法而成。

DR 案例研究表明，这种集成方法所产生的系统，比通过顺序优化单个阶段开发的系统更为健壮、适应性强且有效。当团队设计数据采集策略以适应部署约束，创建模型架构以符合操作现实，并实施监控系统以推动持续改进时，他们实现的性能水平是孤立优化方法无法达到的。这种系统化集成代表了将机器学习从实验技术转变为可靠系统工程实践的核心工程纪律。

常见误区与陷阱

机器学习开发引入了与传统软件工程不同的复杂性，但许多团队在不自觉中试图应用熟悉的开发模式，而未意识到这些差异。ML 的实验性质、数据质量的核心作用以及模型的概率行为，带来了传统方法无法应对的工作流挑战。

误区： ML 开发可以不加修改地遵循传统软件工程工作流。

这一误解导致团队将传统软件开发实践直接应用于机器学习项目。正如我们对比传统与 AI 生命周期所示，ML 系统通过数据变异、算法随机性和模型性能演变引入了根本的不确定性，传统的确定性方法无法处理。强行将 ML 项目纳入僵化的瀑布或标准敏捷方法，往往导致错过截止日期、模型验证不足和部署失败。成功的 ML 工作流需要专门的阶段来进行数据验证（见 第 6 章：数据工程）、实验跟踪（见 第 7 章：AI 框架）和迭代模型优化（见 第 8 章：AI 训练）。

陷阱： 将数据准备视为一次性预处理步骤。

许多从业者将数据采集和预处理视为工作流的初始阶段，一旦完成便不再变动。这种方法未能考虑到真实世界数据的动态特性，数据分布的变化、质量的波动和新数据源的不断出现，均需持续的数据验证、漂移监测和自适应预处理管道（见 第 6 章：数据工程）。将数据准备视为已完成的里程碑，往往会导致意外的模型退化，尤其是在部署系统遇到与训练条件不同的数据时，凸显了 第 16 章：稳健 AI 中探讨的稳健性挑战。

误区： 开发环境中的模型性能可以准确预测生产性能。

这一信念假设在开发阶段达到良好指标，就能确保成功部署。然而，开发环境通常使用

干净、精心策划的数据集和受控的计算资源，创造了与生产现实截然不同的条件。生产系统面临数据质量问题、延迟约束、资源限制和对抗性输入，而这些在开发阶段并不存在。表现优异的模型，可能因环境差异而在生产中失效，因此需要专门的工作阶段来弥合实验室与生产之间的差距，通过稳健的部署实践（见 第 13 章：机器学习运维 和 第 2 章：机器学习系统）来实现。

陷阱： 为加快开发进度而跳过系统验证阶段。

在快速交付的压力下，团队常常省略验证、测试和文档阶段。这种做法将验证视为额外负担，而非工程纪律的核心。验证不足会导致模型存在隐性偏见、泛化能力差或意外的失败模式，这些问题往往在生产中显现。事后修复这些问题的成本，远高于在开发阶段投入时间进行系统验证的成本。稳健的工作流将验证嵌入开发过程的各个环节，而非视其为最后的检查点，具体体现在 第 12 章：AI 基准测试 中的评估和验证原则。

总结

本章建立了 ML 生命周期作为机器学习系统工程的系统化框架，构建了数据、模型与部署基础设施在开发过程中的相互关联的思维导图。图 1 通过两条并行管道可视化了这一框架：数据管道通过采集、摄取、分析、标注、验证和准备，将原始输入转化为 ML 准备好的数据集；模型开发管道则以这些数据集为基础，完成训练、评估、验证和部署，形成生产系统。关键在于两者的交互：反馈箭头显示部署洞察如何触发数据优化，形成 ML 独有的持续改进循环。

理解这一框架，解释了为何机器学习系统需要与传统软件截然不同的专门方法。ML 工作流用迭代实验取代确定性规范，用动态适应取代静态行为，用持续反馈环取代孤立开发。这一系统化视角使我们认识到，成功不是来自于单一阶段的完美，而是来自于对数据质量如何影响模型性能、部署约束如何塑造训练策略、生产洞察如何优化开发迭代的全面理解。

> **关键要点**
>
> - ML 生命周期为理解后续技术章节的相互关联提供了支撑框架 —— 数据工程、框架、训练和运维各自解决这一完整系统中的特定环节
> - ML 开发的特征在于两条并行管道：数据处理（采集 → 准备）和模型开发（训练 → 部署），通过持续反馈环统一
> - ML 工作流通过迭代实验、数据驱动的适应和反馈机制实现持续系统改进，根本不同于传统软件的线性推进

- 系统思维模式 —— 约束传播、多尺度反馈、涌现复杂性和资源优化 —— 贯穿后续技术实现的各个方面，展示了专门的数据工程、框架、训练和运维方法如何集成成系统，实现单一优化无法达到的整体效益

本章奠定的工作流框架，为第二部分的技术章节提供了组织结构。数据工程（第 6 章：数据工程）扩展了我们探讨的数据管道阶段，解决如何保障数据质量与管理。框架（第 7 章：AI 框架）审视了支持这一迭代开发过程的软件工具。训练（第 8 章：AI 训练）详细讲解如何高效地进行大规模模型训练。运维（第 13 章：机器学习运维）探讨了系统如何通过图 1 中所示的反馈环，在生产中维持性能。每一章节在此完整工作流的基础上，深入探讨其特定技术，建立在此系统化视角之上。

第 6 章：数据工程

目标

为什么数据质量是决定机器学习系统能否在生产环境中成功的基础?

机器学习系统高度依赖数据质量：再强大的算法也无法弥补糟糕的数据，但优秀的数据工程却能让简单模型取得惊人的效果。与传统软件明确依赖代码逻辑不同，ML 系统的行为由数据模式决定，因此质量成为系统可信度的首要因素。理解数据工程原则，是构建能在多样化生产环境下稳定运行、长期保持性能、并能随数据规模和复杂度增长而扩展的 ML 系统的基础。

学习目标

- 运用“四大支柱”框架（质量、可靠性、可扩展性、治理），系统性评估数据工程决策。
- 计算 ML 系统的基础设施需求，包括存储容量、处理吞吐量和标注成本。
- 设计保持训练 - 服务一致性的数据管道，防止生产 ML 系统最常见的故障根源。
- 根据质量、成本、规模权衡，评估数据获取策略（现有数据集、网页抓取、众包、合成数据）。
- 架构适用于不同 ML 工作负载的数据存储系统（数据库、数据仓库、数据湖、特征库）。
- 实施数据治理实践，包括数据溯源、隐私保护和偏差缓解，贯穿数据全生命周期。

数据工程是一门系统性学科

上一章探讨的系统性方法论为机器学习开发奠定了流程基础，但每个阶段都离不开一个前提：坚实的数据基础设施。传统软件依靠代码定义计算逻辑，而机器学习则依赖数据塑造系统行为。这一范式转变使数据成为工程过程中的“一级公民”，需要像管理代码一样严谨地管理数据，这正是数据工程的使命。

工作流方法论提供了 ML 系统的组织框架，而数据工程则是实现这些方法论的技术底座。再先进的建模技术和严格的验证流程也无法弥补数据基础设施的缺陷，而良好的数据系统却能让传统方法获得显著性能提升。

本章将数据工程视为一门系统性工程学科，专注于设计、构建和维护将异构原始信息转化为可靠、高质量、适用于机器学习的数据集的基础设施。与传统软件系统的显式、确定性逻辑不同，ML 系统的行为特征源于底层数据模式，因此数据基础设施的质量成为系统效能的决定性因素。数据获取、处理、存储和治理的架构决策，直接影响 ML 系统能否在生产环境中达到预期性能。

> **数据工程定义**
>
> **数据工程**_是一门_系统性学科，致力于设计、构建和维护数据基础设施，将原始信息转化为可靠、可访问、适用于机器学习的数据集。涵盖_数据获取、处理、存储和治理_，确保系统具备_可扩展性、安全性_，并与技术需求和业务目标保持一致。数据工程关注_打造稳定基础_，通过原则性数据管理，支撑成功的机器学习系统。

数据工程决策的重要性在于，数据质量问题会在 ML 系统中层层传递。传统软件遇到异常输入时通常会显式报错，便于开发者及时修正。而 ML 系统则不同：数据质量缺陷会在处理流程中悄然积累，往往直到生产环境出现灾难性故障才被发现。单个标注错误看似微不足道，但系统性标注不一致会在整个特征空间腐蚀模型行为。生产环境中的数据分布缓慢漂移，也会逐步降低系统性能，最终不得不全面重训模型。

这些挑战要求超越临时修补和被动应对，采用系统性工程方法。有效的数据工程需要像设计工作流一样系统性分析基础设施需求。本章将围绕四大支柱（质量、可靠性、可扩展性、治理）构建数据工程决策的理论框架，为从数据获取到生产部署的技术选择提供系统性指导。我们将探讨这些原则如何贯穿数据全生命周期，阐明构建可适应、可扩展数据基础设施所需的系统性思维。

我们不孤立分析技术组件，而是关注工程决策的系统性关联，展示数据基础设施的内在互联性。这种整体分析视角，尤其重要于后续章节将要探讨的计算框架 —— 这些框架正

是依赖于精心设计的数据集。

四大支柱框架

构建高效 ML 系统，既要理解数据工程是什么，更要有一套结构化框架，指导数据基础设施的原则性决策。存储格式、数据摄取模式、处理架构、治理策略等选择，都需要系统性评估，而非临时拍板。该框架将数据工程归纳为四大支柱，确保系统具备功能性、稳健性、可扩展性和可信性。

四大基础支柱

每一个数据工程决策 —— 无论是存储格式选择还是管道设计 —— 都应以四大基础原则为评判标准。每个支柱通过系统性决策为系统成功贡献关键能力。

首先，数据质量是系统成功的基石。质量问题会在 ML 生命周期中层层放大，形成“数据级联”现象，即早期失误会在后续环节被放大。质量包括准确性、完整性、一致性和对目标任务的适用性。高质量数据是模型成功的前提，其数学基础可参考第 3 章：深度学习基础 和第 4 章：DNN 架构。

在质量基础之上，ML 系统需要一致、可预测的数据处理，能优雅应对故障。可靠性要求系统在组件故障、数据异常或负载突发时仍能持续运行。这包括在数据管道中实现全面的错误处理、监控和恢复机制。

可靠性保障了稳定运行，而可扩展性则应对增长挑战。ML 系统从原型到生产服务，数据量和处理需求会急剧增加。可扩展性要求系统能应对数据量、用户规模和计算需求的增长，而无需彻底重构。

最后，治理为前三者提供运行框架。数据治理确保系统在法律、伦理和业务约束下运行，保持透明和问责。这包括隐私保护、偏差缓解、合规性，以及明确的数据所有权和访问控制。

系统性思维下的支柱整合

理解每个支柱的独立意义只是第一步，真正高效的数据工程在于认识到它们是一个统一系统的互联方面，任何一处决策都会影响其他支柱。质量提升要兼顾可扩展性约束，可靠性需求影响治理实现，治理政策又会塑造质量指标。这种系统性视角贯穿本章，我们将探讨各技术主题如何支撑并平衡这些基础原则，同时系统性管理它们之间的张力。

如图 2 所示，行业调查显示数据科学家有 60-80% 的时间花在数据准备上 [169]。这反映

169. **数据质量现实**：“垃圾进，垃圾出”原则最早由 IBM 程序员 George Fuechsel 在 1960 年代提出，强调输入数据缺陷会导致无意义输出。该原则在现代 ML 系统中依然至关重要。

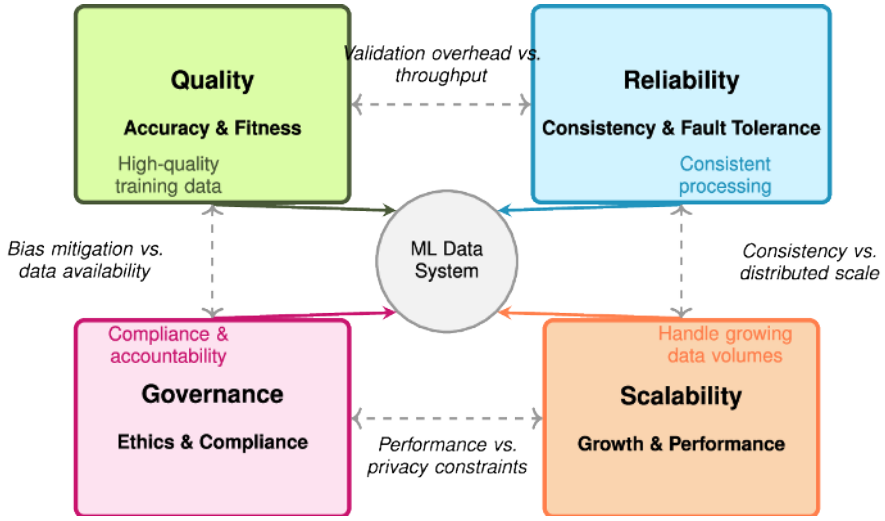

数据工程四大支柱：质量、可靠性、可扩展性、治理构成 ML 数据系统的基础框架。每个支柱提供关键能力（实线箭头），而支柱间的权衡（虚线）需谨慎平衡：验证开销影响吞吐量、一致性约束限制分布式扩展、隐私要求影响性能、偏差缓解可能减少可用训练数据。高效数据工程需系统性管理这些张力，而非孤立优化某一支柱。

了当前数据工程实践多为临时应对而非系统性方法。通过持续应用四大支柱框架，团队可减少数据准备时间，同时构建更可靠、可维护的系统。

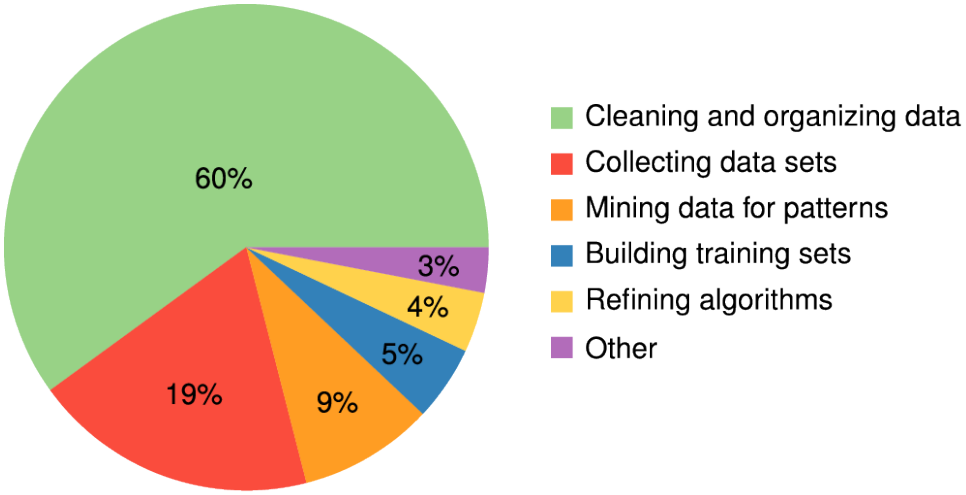

数据科学家时间分配：数据准备占据数据科学工作的大部分（高达 60%），凸显系统性数据工程实践对于防止模型故障和项目成功的重要性。优先关注数据质量和管道开发，比单纯追求高级算法更有回报。来源：多份行业报告。

框架在数据生命周期中的应用

四大支柱框架贯穿数据工程系统从问题定义到生产运维的全过程。我们首先明确问题定义和治理原则，这将影响后续所有技术决策。框架随后指导数据获取策略，质量和可靠

性要求决定数据来源和验证方式。处理和存储决策则受可扩展性和治理约束影响，运维实践确保四大支柱在系统生命周期内持续发挥作用。

该框架指导我们系统性地探索数据工程的各个组成部分。后续章节将详细分析数据获取、摄取、处理和存储，探讨支柱如何在具体技术决策中体现：如何在质量与规模间权衡数据获取技术，如何在治理约束下设计存储架构，如何在大规模处理下保持可靠性。

下表全面展示了各支柱在数据管道主要阶段的具体体现。该矩阵既可作为系统设计的规划工具，也可作为故障排查的参考。

阶段	质量	可靠性	可扩展性	治理
获取	代表性采样、偏差检测	多样化来源、冗余采集策略	网页抓取、合成数据生成	同意、匿名化、伦理采集
摄取	模式验证、数据剖析	死信队列、优雅降级	批处理与流处理、自动扩容管道	访问控制、审计日志、数据溯源
处理	一致性验证、训练 - 服务一致性	幂等变换、重试机制	分布式框架、横向扩展	溯源跟踪、隐私保护、偏差监控
存储	数据校验、时效监控	备份、复制、灾备	分层存储、分区、压缩优化	访问审计、加密、保留策略

为便于理解，我们将以关键词识别（KWS）系统为案例，贯穿全章，展示框架原则如何转化为工程决策。

数据级联与系统性基础的必要性

机器学习系统面临一种区别于传统软件工程的独特故障模式 —— “数据级联”[170]，即 Sambasivan 等人提出的现象：早期数据质量缺陷会在整个管道中放大，导致模型失效、项目终止甚至用户伤害。与传统软件遇到异常输入即报错不同，ML 系统会悄然退化，直到质量问题严重到必须重建系统。

170. **数据级联**：ML 系统特有的故障模式，早期数据质量缺陷在管道中放大，导致模型失效、项目终止甚至用户伤害。与传统软件遇到异常输入即报错不同，ML 系统会悄然退化，直到质量问题严重到必须重建系统。

数据级联往往源于团队在数据采集和处理前，未建立清晰的质量标准、可靠性要求和治理原则。这一根本性漏洞促使我们采用“四大支柱”框架：质量、可靠性、可扩展性、治理，为防止级联故障、构建稳健 ML 系统提供系统性基础。

图 3 展示了各阶段可能出现的数据隐患及其对后续流程的影响。数据采集阶段的失误尤为致命，如图所示，初始环节的疏漏会在模型评估和部署阶段（见第 8 章：AI 训练 和第 13 章：机器学习运维）暴露，可能导致高昂代价甚至推倒重来。因此，从一开始就投资数据工程技术，有助于及早发现错误，减轻级联效应。

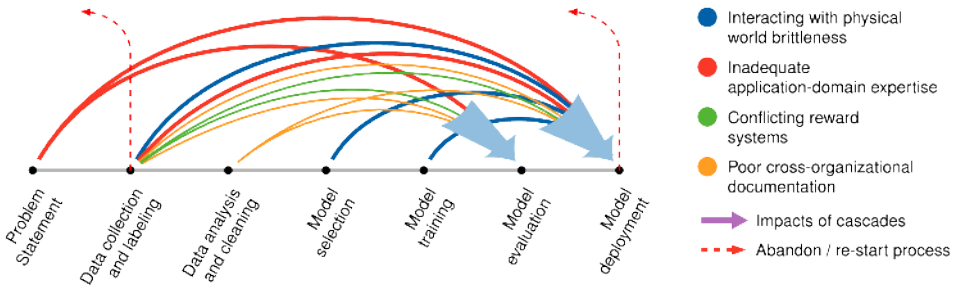

数据质量级联：机器学习流程早期引入的错误会在后续阶段放大，增加成本并可能导致错误预测或有害结果。认识到级联现象，促使我们主动投资数据工程和质量控制，以降低风险、确保系统可靠性。

早期确立治理原则

理解了质量问题如何在 ML 系统中级联，我们必须确立治理原则，确保数据工程系统在伦理、法律和业务约束下运行。这些原则不是事后补充，而是从一开始就要融入每一个技术决策。

治理原则的核心，是数据系统必须在全生命周期内保护用户隐私和安全。这意味着从系统设计初期就要实施访问控制、加密和数据最小化，而不是事后补丁。隐私要求直接影响数据采集方式、存储架构和处理方法。

除了隐私保护，数据工程系统还需主动识别和缓解数据采集、标注和处理中的偏差。这需要多样化采集策略、代表性抽样和全流程偏差检测。数据来源、标注方法和质量指标的技术选择都会影响系统公平性。数据中的隐性分层（如某些群体样本不足或模式不同），会导致模型在表面表现良好但在特定群体系统性失效，因此人口均衡和代表性必须从采集环节工程化。

治理还要求系统有清晰的数据来源、处理决策和质量标准文档。这包括数据溯源、处理日志和明确的数据质量责任归属。

最后，数据系统必须遵守相关法规，如 GDPR、CCPA 及行业规范。合规要求影响数据

保留策略、用户同意机制和跨境数据传输协议。

治理原则与质量、可靠性、可扩展性技术支柱密不可分。若系统侵犯隐私，则无法称为可靠；若质量指标助长不公平，则毫无意义。

问题定义的结构化方法

在治理基础上，我们需要系统性的问题定义方法。正如 Sculley 等人所强调，ML 系统的问题框架远超传统软件开发。无论是处理数百万用户交互的推荐系统、分析医学影像的视觉系统，还是处理多样文本的自然语言模型，每种系统都带来独特挑战，需在治理和技术框架下慎重考量。

明确目标，为项目从数据采集到部署运维提供统一方向。这些目标需兼顾技术性能与治理要求，形成可衡量的结果，包括准确率和公平性指标。

系统性问题定义确保治理原则和技术需求从一开始就融合，而非事后补救。为实现这一融合，采集前必须完成以下关键步骤：

1. 明确问题定义
2. 设定清晰目标
3. 建立成功基准
4. 理解终端用户参与/使用场景
5. 理解部署约束和限制
6. 执行数据采集
7. 迭代优化

框架在关键词识别案例中的应用

为展示系统性原则的实际运用，关键词识别（KWS）系统是理想案例，能将四大支柱框架应用于真实数据工程挑战。这类系统为智能手机、智能音箱等语音激活设备提供唤醒词检测，需在极低资源下实现高准确率。

如图 4 所示，KWS 系统作为轻量级、常驻前端，触发更复杂的语音处理。该系统体现了框架四大支柱的互联挑战（见第 6 章：数据工程：质量（多环境高准确率）、可靠性（电池供电下持续运行）、可扩展性（极限内存约束）、治理（隐私保护）。这些约束解释了为何许多 KWS 系统仅支持少数语言：为小语种收集高质量、代表性语音数据，因治理和扩展性挑战而成本高昂，说明四大支柱必须协同才能成功部署。

基于框架理解，我们可将问题定义方法应用于 KWS 案例，展示四大支柱如何指导工程

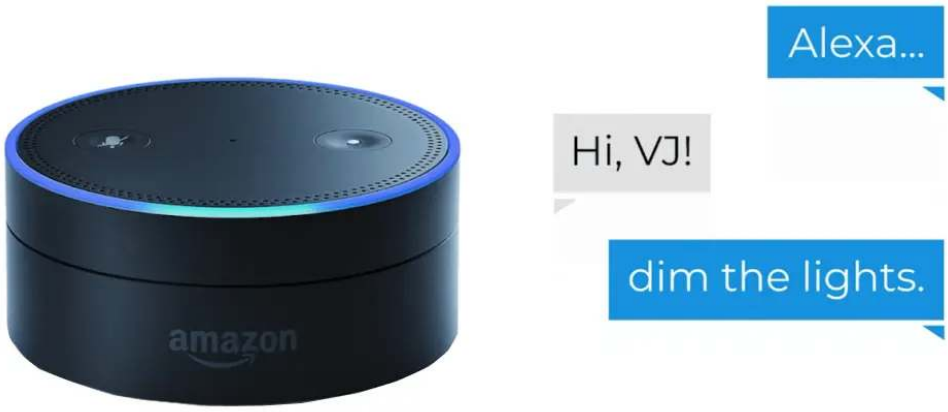

关键词识别系统：典型语音激活设备中的 KWS 技术部署，常驻监听系统检测唤醒词以启动后续处理。该示例展示 KWS 如何作为复杂语音接口的轻量前端。

决策：

1. **问题识别**：KWS 需在环境噪声和其他语音中检测特定关键词。核心问题是设计能在有限计算资源下高准确、低延迟、极少误报/漏报的系统。新 KWS 模型开发应明确目标关键词及应用场景和部署环境。
2. **目标设定**：KWS 系统目标需平衡多重需求。性能指标包括高准确率（关键词检测 98%）、低延迟（200 毫秒内响应）。资源约束要求极低功耗以延长嵌入式设备电池寿命，模型体积需适配设备内存。
3. **成功基准**：建立衡量 KWS 系统成功的指标。关键指标包括真阳性率（正确识别关键词占所有关键词）、假阳性率（将非关键词误识为关键词，包括静音、噪声、超词）。检测/错误权衡曲线在流式音频上评估 KWS，比较每小时误接受数（假阳性/总评估时长）与漏检率（漏检/总关键词），如@nayak2022improving 所示。运维指标包括响应时间（关键词到系统响应）和功耗（持续监听平均功率）。
4. **利益相关者参与与理解**：利益相关者包括设备制造商、软硬件开发者和终端用户。需理解各方需求和约束。制造商关注低功耗，开发者重集成易用性，用户则关注准确和响应速度。平衡这些需求，塑造系统架构决策。
5. **嵌入式系统约束理解**：嵌入式设备有自身挑战，影响 KWS 设计。内存限制要求模型极小（如 16KB，仅存权重，预处理代码也需适配）。处理能力有限（几百 MHz），需极致优化。功耗关键，多数设备电池供电，KWS 需实现持续监听下亚毫瓦功耗。环境多样性也带来复杂性，设备需适应从安静卧室到嘈杂工厂的部署场景。
6. **数据采集与分析**：KWS 系统的数据质量和多样性决定成败。数据集需涵盖人口多样性（不同口音、年龄、性别），确保广泛识别。关键词发音多样性需关注，采集发音细微差异。背景噪声多样性至关重要，需采集或增强不同环境噪声，训练模型适应真实场景。

7. **迭代反馈与优化**：原型 KWS 开发后，需确保系统随部署场景和用例变化持续符合定义目标。需在真实场景测试，收集反馈，发现某些用户或场景表现不佳，针对失败模式迭代优化数据集和模型。

基于问题定义，KWS 系统展示了多种数据采集策略如何贯穿项目生命周期。Google Speech Commands 等现有数据集为原型开发提供基础，包含精心标注的唤醒词语音样本。但这些数据集在口音、环境、语言多样性上常有缺口，需补充策略。

为弥补覆盖不足，网页抓取可从视频平台和语音数据库采集多样语音，捕捉自然发音和唤醒词变体。众包平台如 Amazon Mechanical Turk[171] 可针对特定人群和环境采集唤醒词，尤其适合小语种或特殊声学条件。

最后，合成数据生成通过语音合成和音频增强，补齐剩余缺口，创造无限唤醒词变体，涵盖多样环境、说话人特征和背景条件。综合策略让 KWS 系统在多样真实场景下表现稳健，体现系统性问题定义如何贯穿数据策略。

框架原则通过 KWS 案例确立后，接下来将探讨数据管道架构如何将抽象概念转化为实际操作。

数据管道架构

数据管道是四大支柱框架的系统性实现，将原始数据转化为适用于 ML 的格式，同时保持质量、可靠性、可扩展性和治理标准。管道不是简单线性流程，而是需协调多数据源、变换流程和存储系统的复杂系统，确保在不同负载下持续稳定。管道架构将抽象原则转化为具体工程决策，如验证策略、错误处理机制、吞吐优化和可观测性基础设施。

以 KWS 系统为例，管道需处理持续音频流，实现实时关键词检测低延迟，并确保隐私保护。管道需从开发环境处理样本音频扩展到生产环境处理数百万并发流，同时保持严格质量和治理标准。

如架构图所示，ML 数据管道包含多个层次：数据源、摄取、处理、标注、存储和 ML 训练（见图 5）。每层在数据准备流程中扮演特定角色，选择合适技术需理解四大支柱在各阶段的体现。我们不孤立优化各层，而是分析质量需求如何影响扩展约束，可靠性需求如何塑造治理实现，支柱如何共同决定系统效能。

管道设计受存储层级和 I/O 带宽限制，而非 CPU 能力。理解这些约束，才能构建高效系统应对现代 ML 负载。存储层级权衡（高延迟对象存储适合归档，低延迟内存适合实时服务）、带宽限制（机械盘 100-200MB/s，内存 50-200GB/s）影响每个管道决策。

171. **Mechanical Turk 起源**：得名于 18 世纪“自动下棋机”（实为真人藏身操作），亚马逊 MTurk（2005）开创了大规模人类参与 AI，反讽地颠覆了原始土耳其人的 AI 假象。

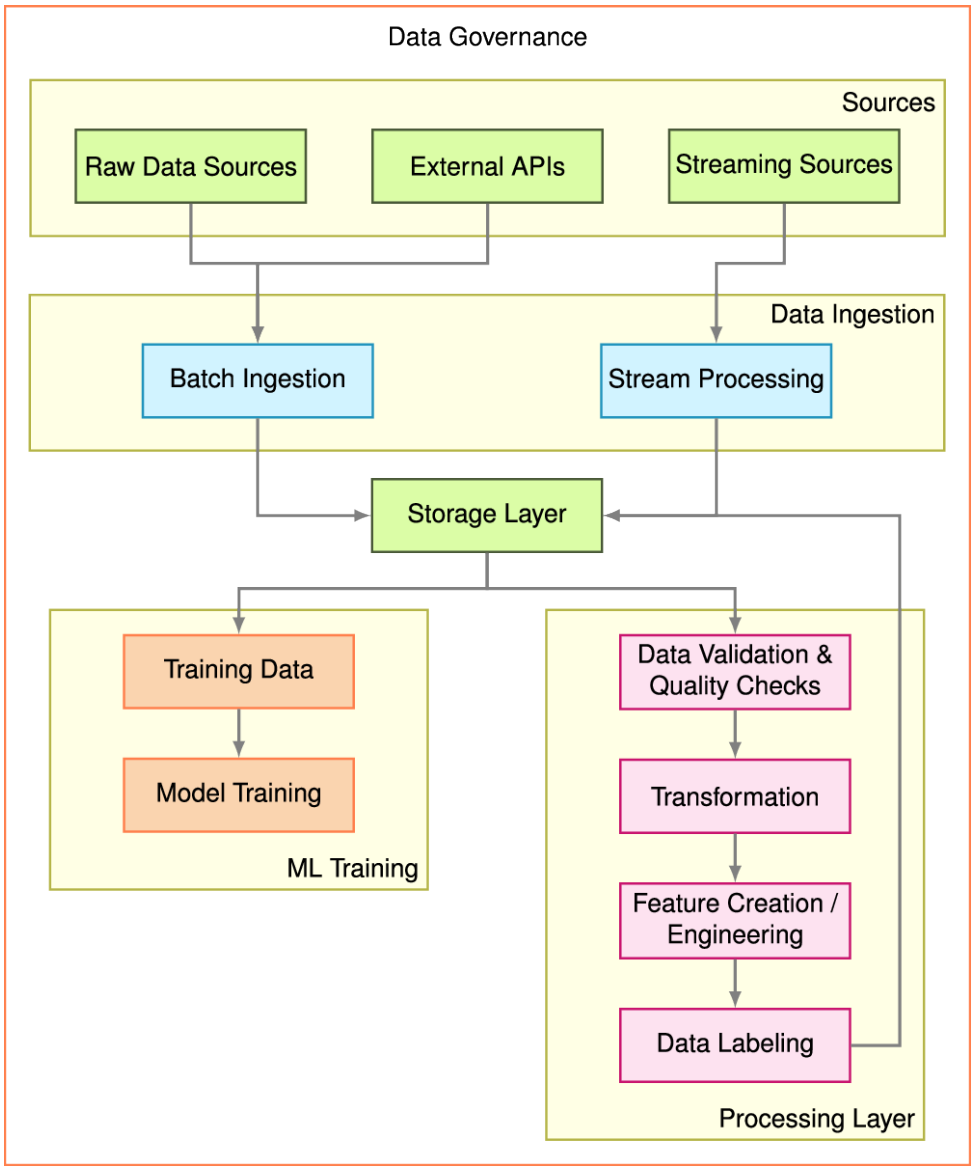

数据管道架构：模块化管道负责数据摄取、处理和交付，支持组件独立扩展和数据质量控制。各阶段（摄取、存储、准备）将原始数据转化为模型训练和验证所需格式，是可靠 ML 系统的基础。

在这些性能约束下，设计决策需与具体需求对齐。流式数据需考虑消息持久性（失败可重放）、顺序保证（事件序列）、地理分布。批处理需关注数据量与内存关系、处理复杂度、是否需分布式。单机工具适合 GB 级数据，TB 级需分布式集群。各层间的互动，通过四大支柱视角，决定系统效能并指导后续技术决策。

质量通过验证和监控

质量是可靠 ML 系统的基础，管道通过各阶段的系统性验证和监控来实现质量。生产经验表明，数据管道问题是 ML 失败的主要来源，研究显示 30-70% 的故障归因于此：模式变化导致下游处理失败、分布漂移降低模型准确性、数据损坏悄然引入错误。这些失败尤其隐蔽，往往不会导致明显的系统崩溃，而是缓慢降低模型性能，直到影响用户后才显现。因此，质量支柱要求主动监控和验证，及时发现问题，防止级联成灾。

理解这些指标在实践中的应用，需考察生产团队如何大规模实施监控。大多数组织采用基于严重程度的警报系统，不同类型的故障触发不同的响应机制。最关键的警报指示系统完全失效：管道停止处理超过 5 分钟，或主要数据源完全不可用。这种情况需要立即处理，因为它会阻止所有下游模型训练或服务。更微妙的降级模式则需要不同的检测策略。当吞吐量降至基线水平的 80% 以下，或错误率超过 5%，或质量指标偏离训练数据特征超过 2 个标准差时，系统会发出需要紧急但非立即处理的降级警报。这些渐进式故障往往比完全宕机更危险，因为它们可能在数小时或数天内持续存在，悄然破坏模型输入，降低预测质量。

以处理用户交互事件的推荐系统为例，其基线吞吐量为 50,000 条记录每秒，监控系统跟踪多个相互依赖的信号。瞬时吞吐量警报在处理能力低于 40,000 条记录每秒超过 10 分钟时触发，考虑到正常流量波动的同时，捕捉到真实的容量或处理问题。数据流中每个特征都有其质量档案：如 user_age 特征在记录中出现空值的比例从训练数据的不足 1% 骤增至 5% 以上，说明上游数据源可能出现故障。重复数据检测在采样数据上运行，监控同一事件是否多次出现 —— 这一模式可能表明重试逻辑出错或数据库查询意外重复返回相同记录。

这些监控维度在考虑端到端延迟时尤为重要。系统不仅需跟踪数据是否到达，还要跟踪从事件发生到特征可用于模型推理的整个过程耗时。当 95 百分位数 [172] 延迟超过 30 秒时，监控系统需要找出是哪一个管道阶段引入了延迟：摄取、变换、验证还是存储。

质量监控不仅限于简单的模式验证，还包括捕捉服务数据是否类似于训练数据的统计特性。生产系统会在 24 小时窗口内跟踪滚动统计数据。对于数值特征，如

172. **95 百分位数**：一种统计度量，指 95% 的值低于该阈值，常用于性能监控，以捕捉典型的最坏情况行为，同时排除异常值。对于延迟监控，95 百分位数比最大值提供更稳定的洞察（最大值可能是异常），同时揭示平均值隐藏的性能下降。

`transaction_amount` 或 `session_duration`，系统会持续计算均值和标准差，然后应用 Kolmogorov-Smirnov 检验 [173] 比较服务数据与训练数据的分布。

分类特征则需不同的统计方法。监控系统跟踪类别频率分布。当出现训练数据中从未出现的新类别，或现有类别的相对频率发生显著变化（如“移动设备”与“桌面”流量比例变化超过 20%），系统会标记潜在的数据质量问题或真实的分布变化。这种统计监控能捕捉到简单模式验证完全忽视的微妙问题：假设年龄值仍在 18-95 的有效范围内，但分布却从主要是 25-45 岁转变为 65 岁以上，说明数据源发生了变化，将导致模型性能受损。

管道级验证则包括多种策略协同工作。模式验证在数据进入管道时同步执行，立即拒绝格式错误的记录，防止其向下游传播。现代工具如 TensorFlow Data Validation (TFDV)[174] 能自动从训练数据推断模式，捕捉预期数据类型、值范围和存在要求。

这种同步验证必须简单快速，仅检查可在单条记录上微秒级评估的属性。更复杂的验证，如需要比较服务数据与训练数据分布，或跨多条记录汇总统计信息的验证，必须异步运行，以免阻塞摄取管道。统计验证系统通常对 1-10% 的服务流量进行抽样 —— 足以检测到有意义的变化，同时避免分析每条记录的计算开销。这些样本在滚动窗口中累积，通常为 1 小时、24 小时和 7 天，不同窗口揭示不同模式。每小时窗口可检测到数据源突然切换到特征不同的备份时的突发变化，而每周窗口则揭示用户群体或行为的渐进式漂移。

也许最隐蔽的验证挑战来自训练 - 服务偏差 [175]，即相同特征在训练和服务时的计算方式不同，导致模型悄然退化。这通常发生在训练管道使用一套库或逻辑进行批处理数据时，而服务系统则使用不同的实现实时计算特征。例如，推荐系统可能在训练时通过将用户档案与完整交易历史连接来计算“用户生命周期内的购买次数”，而服务系统却意外地使用了每周更新一次的缓存物化视图。

---

173. **Kolmogorov-Smirnov 检验**：一种非参数统计检验，通过测量两个数据集累积分布函数之间的最大距离，量化它们是否来自同一分布。在 ML 系统中，K-S 检验通过比较服务数据与训练基线，产生 p 值，p 值低于 0.05 表示统计上显著的分布变化，需进一步调查。当检验结果 p 值低于 0.05 时，表明服务数据与训练数据之间的差异显著 —— 这可能是由于用户行为变化，或上游系统修改了特征计算方式。

174. **TensorFlow Data Validation (TFDV)**：一款生产级的 ML 数据分析和验证库，能自动推断模式、检测异常和识别训练 - 服务偏差。TFDV 计算描述性统计、通过分布比较检测数据漂移，并生成可读性强的验证报告，集成于 TFX 管道中实现自动化数据质量监控。例如，对于包含用户人口统计信息的特征向量，推断出的模式可能指定 user_age 必须是介于 18 和 95 之间的 64 位整数且不能为空，user_country 必须是特定国家代码集合中的字符串，session_duration 必须是介于 0 和 7200 秒之间的浮点数但可以为空。在服务时，验证器检查每条传入记录是否符合这些规范，拒绝字段为空、超出范围或类型不匹配的记录，确保特征计算逻辑接收到的都是有效输入。

175. **训练 - 服务偏差**：相同特征在训练和服务时的计算方式不同，导致模型悄然退化的现象。发生在训练使用批处理而服务使用实时处理时，因不同库造成的细微差异累积，导致准确性显著下降却没有明显错误。

可靠性通过优雅降级

在质量监控发现问题后，可靠性确保系统在出现故障时仍能有效运行。管道面临着数据源暂时不可用、网络分区、上游模式变化或负载激增等持续挑战。可靠性支柱要求系统优雅处理这些故障，而不是陷入全面停机。这种弹性来自系统性故障分析、智能错误处理和自动恢复策略，即使在不利条件下也能维持服务连续性。

针对 ML 数据管道的系统性故障模式分析揭示了可预测的模式，需采取特定工程对策。数据损坏故障发生在上游系统引入细微格式变化、编码问题或字段值修改时，这些问题可能通过基本验证，但会破坏模型输入。例如，日期字段从“YYYY-MM-DD”格式切换为“MM/DD/YYYY”格式，可能不会触发模式验证，但会破坏任何基于日期的特征计算。模式演变 [176] 故障发生在源系统添加字段、重命名列或更改数据类型时，打破下游处理对特定字段名称或类型的预期。

建立在故障分析基础上的有效错误处理策略，确保问题被系统性地控制和恢复。对瞬时错误（如网络中断或临时服务故障）实施智能重试逻辑，需采用指数退避策略，避免对恢复中的服务造成过大压力。简单的线性重试（每秒重试一次）会对处于恢复中的服务造成洪水般的连接请求，可能阻碍其恢复。指数退避策略（先等待 1 秒，再等 2 秒，接着 4 秒，依此类推）则为服务恢复提供了喘息空间，同时保持了重试的持续性。许多 ML 系统采用死信队列 [177]，将多次重试仍失败的数据存储在单独位置，便于后续分析和潜在重处理，而不阻塞主管道。例如，处理金融交易的管道遇到格式错误数据时，可以将其路由到死信队列，而不是丢失关键记录或停止所有处理。

超越临时错误处理，级联故障预防需要电路断路器 [178] 模式和舱壁隔离，以防单个组件故障传播至整个系统。当特征计算服务失败时，断路器模式会在检测到重复故障后停止调用该服务，防止调用方因等待超时而导致自身失败。

自动化恢复工程实现了超越简单重试逻辑的复杂策略。渐进式超时增加防止在服务恢复时对其施加过大压力，同时保持对瞬时问题的快速恢复 —— 初始请求在 1 秒后超时，但在检测到服务降级后，超时延长至 5 秒，然后是 30 秒，给服务稳定的时间。多级后备系统在主要数据源失败时提供降级服务：在实时计算失败时提供稍微过时的缓存特征，或在确切计算超时的情况下使用近似特征。当无法计算过去 30 天的用户偏好时，推荐系统可能回退到使用过去 90 天的偏好，提供稍微不那么准确但仍然有用的推荐，而不

176. **模式演变**：数据结构随时间变化而管理变更的挑战，源系统添加字段、重命名列或修改数据类型。对 ML 系统至关重要，因为模型训练期望一致的特征模式，模式变化可能悄然破坏特征计算或引入训练 - 服务偏差。
177. **死信队列**：一种将消息存储在单独位置的机制，用于处理经过多次重试仍然失败的数据，便于后续分析和重处理，而不阻塞主管道。对于数据丢失不可接受的 ML 系统至关重要 —— 格式错误的训练样本可以修复和重处理，而推理请求失败可以调试以提高系统稳健性。
178. **电路断路器**：一种可靠性模式，监控服务故障并在达到阈值后自动停止调用故障服务，防止级联故障和系统过载。与电气电路断路器类似，具有三种状态：闭合（正常操作）、打开（阻止故障服务）和半开（测试服务是否恢复）。

是完全失败。全面的警报和升级程序确保在自动恢复失败时进行人工干预，并在故障发生时捕获足够的诊断信息，以便快速调试。

这些概念在处理金融市场数据的 ML 系统时变得具体。当实时数据源失败时，错误处理可能涉及切换到稍有延迟的数据源，同时向运维团队发出警报。死信队列捕获格式错误的价格更新以供调查，而不是静默丢弃。电路断路器防止系统在市场数据提供商恢复期间不堪重负。全面的错误管理确保下游过程获得可靠、高质量的数据用于训练和推理，即使在分布式系统不可避免的故障面前。

可扩展性模式

在质量和可靠性确保系统正确操作的同时，可扩展性则应对不同的挑战：系统如何随着数据量的增长而演变，以及 ML 系统如何从原型发展为生产服务。能够在 GB 级别有效运作的管道，在 TB 级别可能因缺乏分布式处理能力而崩溃。可扩展性涉及设计能够处理不断增长的数据量、用户基础和计算需求的系统，而无需完全重新设计。关键在于可扩展性约束在管道各阶段的不同表现，摄取、处理和存储需要不同的架构模式。

ML 系统通常遵循两种主要的摄取模式，每种模式在数据流动时机和处理方式上有所不同，反映出在成本、延迟和复杂性之间的不同权衡。当实时数据处理不是关键，且数据可以在预定时间间隔内处理时，批量摄取（Batch Ingestion）是一种有效的方法。比如，零售公司可以选择在夜间处理每日销售数据，通过批量摄取在第二天早上更新库存预测的 ML 模型。批处理通过在大数据量上摊销启动成本，利用可用或成本最低的资源进行高效计算。例如，处理一 TB 交易数据的作业可以使用 100 台机器运行 10 分钟，这比维持始终在线的基础设施更具资源效率。

与这种定期处理方式相对，流式摄取（Stream Ingestion）则是实时处理到达的数据。这一模式对于需要立即数据处理、数据快速失去价值的场景，以及需要对事件实时响应的系统至关重要。例如，金融机构可能会使用流式摄取进行实时欺诈检测，处理每一笔实时交易，立即标记可疑活动。然而，当下游系统无法跟上数据产生速度时，流处理必须处理背压问题[179] —— 当流量激增时，系统必须缓冲数据（需要内存）、抽样（丢失部分数据）或向生产者施压（可能导致失败）。数据新鲜度服务水平协议（SLA）[180] 正式规定了这些要求，指定数据生成和处理可用之间的最大可接受延迟。

认识到单一方法的局限性，许多现代 ML 系统采用混合方式，结合批处理和流处理以应

179. **背压**：流处理系统中的一种流量控制机制，当下游组件的处理能力超过时，上游生产者会收到减慢数据传输的信号。对于防止内存溢出和系统崩溃至关重要，背压可以通过缓冲、抽样或直接限制生产者实现 —— 每种方式在数据丢失和系统稳定性之间有不同的权衡。

180. **服务水平协议（SLA）**：正式合同，规定可测量的服务质量指标，如延迟（95 百分位响应时间小于 100 毫秒）、可用性（99.9% 正常运行时间）和吞吐量（处理 50,000 条记录/秒）。在 ML 系统中，SLA 通常包括数据新鲜度（特征在事件发生后 5 分钟内可用）、模型准确性（精确度超过 85%）和推理延迟（预测在 200 毫秒内返回）。

对不同数据速度和用例。这种灵活性使系统能够同时处理历史数据和实时数据流，提供数据全景。生产系统在选择模式时，必须权衡成本与延迟的关系：实时处理的成本可能是批处理的 10-100 倍。这种成本差异源于多个因素：流处理系统需要始终在线的基础设施，而不是可以根据工作负载启停的可调资源；为确保不丢失事件，流处理需维护冗余处理；低延迟网络和存储是满足毫秒级 SLA 的必要条件；流处理无法像批处理那样，通过在大数据量上摊销启动成本来实现规模经济。处理一 TB 训练数据在 10GB/s 网络吞吐量下需要 74 秒，接近训练周期本身的时间。这一分析揭示了高吞吐量存储（NVMe SSD 实现 5-7GB/s）和网络基础设施（25-100Gbps 互连）对 ML 工作负载的关键性，因为数据移动时间与计算时间相当。

可扩展性架构支持从开发到生产的全流程，同时在每个阶段保持高效，容量规划确保基础设施与工作负载需求相匹配。

治理通过可观测性实现

在通过质量、可靠性和可扩展性满足功能性需求后，我们转向治理支柱。治理支柱在管道中体现为全面的可观测性 —— 了解数据如何流经系统、如何转化以及谁可以访问。有效的治理需要追踪数据从源头到最终数据集的全流程，维护合规所需的审计追踪，并实施强制组织政策的访问控制。在关注系统功能的其他支柱之外，治理确保操作在法律、伦理和业务约束内进行，同时保持透明和问责。

数据溯源追踪每个数据集的完整来源：哪些原始数据源提供了数据、进行了什么转换、何时处理、执行了什么版本的处理代码。对于 ML 系统，溯源对于调试模型行为和确保可重复性至关重要。当模型预测错误时，工程师需要追溯管道：哪些训练数据导致了这个预测，这些数据的质量指标是什么，进行了什么转换，我们能否重现这个场景以便调查？现代溯源系统如 Apache Atlas、Amundsen 或商业产品，通过自动捕获管道流动的方式对管道进行仪器化。每个管道阶段都会用描述其来源的元数据注释数据，创建审计线索，以便于调试和合规。

审计追踪补充了溯源，通过记录谁在何时访问了数据来满足合规性框架的要求，如 GDPR 要求组织证明适当的数据处理，包括跟踪对个人信息的访问。ML 管道在数据访问点实施审计日志记录：当训练作业读取数据集时、服务系统检索特征时或工程师查询数据进行分析时。这些日志通常记录用户身份、时间戳、访问的数据和目的。例如，医疗保健 ML 系统的审计追踪通过显示只有授权人员访问患者数据、访问是出于合法医疗目的、数据未被保留超过允许时间，来证明合规性。生产系统中审计日志的规模可能相当可观 —— 高流量推荐系统可能每天生成数百万条审计事件 —— 这就需要高效的日志存储和查询基础设施。

访问控制在每个管道阶段强制执行关于谁可以读取、写入或转换数据的策略。ML 系统

通常实施基于属性的访问控制，考虑数据敏感性、用户角色和访问上下文。例如，数据科学家可能可以自由访问匿名化的训练数据，但需要批准才能访问包含个人信息的原始数据。生产服务系统可以读取特征数据但不能写入，防止意外损坏。访问控制与数据目录集成，后者维护关于数据敏感性、合规要求和使用限制的元数据，支持数据在流经管道时的自动化政策执行。

来源元数据的保留确保了调试和合规所需的可重复性。当六个月前训练的模型表现优于当前模型时，团队需要重现当时的训练环境：确切的数据版本、转换参数和代码版本。ML 系统通过全面的元数据捕获实现这一点：训练作业记录数据集校验和、转换参数值、可重复性随机种子和代码版本哈希。特征库维护历史特征值，支持训练条件的随时重建。对于我们的 KWS 系统，这意味着跟踪强制对齐生成标签的版本、应用的音频归一化参数、合成数据生成设置以及众包批次对训练数据的贡献。

这些治理机制的集成，将管道从不透明的数据转换器转变为可审计、可重复的系统，能够证明适当的数据处理。这一治理基础设施对于监管合规至关重要，同时也维护了对 ML 系统的信任，因为它们在日益影响用户生活的决策中发挥着重要作用。

在确立了通过验证和监控实现质量，通过优雅降级实现可靠性，通过适当模式实现可扩展性，以及通过可观测性实现治理的全面管道架构后，我们接下来要确定的，是这些精心设计的系统中实际流动的数据。

战略性数据获取

数据获取不仅仅是收集训练样本。这是一个战略性决策，决定了我们系统的能力和局限。我们选择的训练数据来源，直接影响质量基础、可靠性特征、可扩展性潜力和治理合规性。因此，数据来源的选择必须与既定的框架要求相一致。每种获取策略（现有数据集、网页抓取、众包、合成生成）在质量、成本、规模和伦理考虑上都有不同的权衡。关键在于，没有一种方法可以满足所有要求；成功的 ML 系统通常结合多种策略，平衡它们的互补优势与竞争约束。

回到我们的 KWS 系统，数据源决策对四大支柱的深远影响，在第 6 章：数据工程的综合案例中得到了充分体现。要实现 98% 的准确率，覆盖多样的声学环境（质量支柱），需要代表性数据，涵盖不同口音、年龄和录音条件。保持一致的检测能力，尽管设备差异（可靠性支柱），需要来自不同硬件的数据。支持数百万并发用户（可扩展性支柱），需要的数据量是人工收集无法经济提供的。保护始终监听系统的用户隐私（治理支柱），限制了采集方式，并要求仔细的匿名化。这些相互关联的要求展示了获取策略必须系统性评估，而非临时选择。

数据源评估与选择

在确立数据获取的战略重要性后，我们首先从质量驱动选择。当质量要求主导获取决策时，经过精心策划的数据集、专家众包和受控网页抓取之间的选择，取决于准确性目标、所需领域专业知识和模型开发的基准要求。质量支柱要求我们理解数据不仅仅是表面正确，还要准确反映部署环境，并充分覆盖可能导致失败的边缘情况。

Kaggle 和 UCI 机器学习库等平台，为 ML 从业者提供了现成的数据集，能迅速启动系统开发。这些现有数据集的主要优势在于成本效益，因为从零构建数据集需要大量时间和资源，尤其是生产级 ML 系统需要大量高质量训练数据时。基于此成本效益，许多数据集（如 ImageNet）已成为机器学习社区的标准基准，促进了不同模型和架构间的一致性能比较。对于 ML 系统开发者而言，这些数据集的即时可用性，使团队能够在数据采集和预处理上迅速开展实验和原型开发。

尽管有这些优势，ML 从业者仍需仔细考虑现有数据集的质量保证方面。例如，ImageNet 数据集在验证集上的标签错误率高达 3.4%。虽然流行数据集受益于社区的审查，帮助识别和纠正错误和偏见，但大多数数据集仍然是“无人管理的花园”，如果不加以处理，质量问题可能会严重影响下游系统性能。正如 Gebru 等人在其论文中强调的，仅仅提供数据集而不附带文档，可能导致误用和误解，潜在地放大数据中存在的偏见。

除了质量问题，现有数据集附带的支持文档也是极其宝贵的，但往往仅存在于广泛使用的数据集中。良好的文档提供了数据采集过程、变量定义的见解，有时甚至提供了基准模型性能。这些信息不仅有助于理解，还促进了研究的可重复性，这是科学诚信的基石；目前，机器学习系统的可重复性危机亟待改善。当其他研究人员可以访问相同数据时，他们可以验证发现、测试新假设或应用不同的方法，从而更快速地推动我们的工作。

数据质量问题在大数据场景下尤为突出，数据量和多样性加剧了质量隐患，因此需要在规模上实施系统化的质量验证方法。

即使有适当的文档，理解数据收集的上下文也是必要的。当使用流行数据集时，研究人员必须避免潜在的过拟合，这可能导致性能指标虚高。这些数据集有时并不能反映真实世界的数据，详见这篇文章。

在所有这些上下文问题中，数据集如何反映真实世界的部署条件，是 ML 系统的一个关键考虑因素。依赖标准数据集可能导致训练和生产环境之间出现令人担忧的脱节。这种不一致在多个 ML 系统都训练于相同数据集时尤为严重（见图 6），可能导致偏见和局限性在整个模型生态系统中传播。

对于我们的 KWS 系统而言，现有数据集如 Google 的 Speech Commands（见 Warden

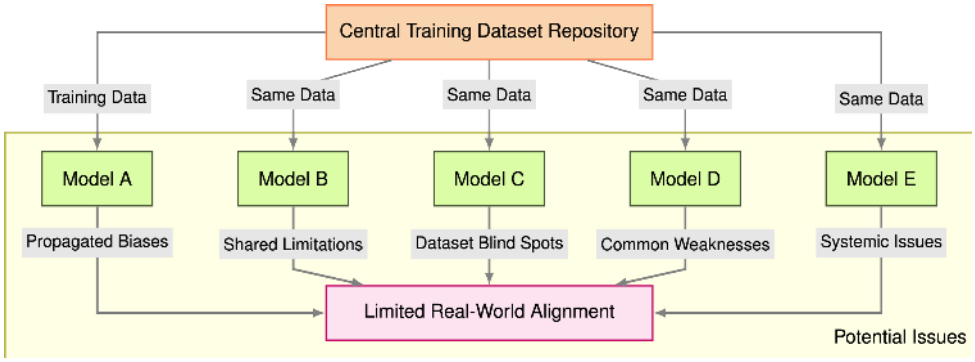

数据集趋同：共享数据集可能掩盖局限性，并在多个机器学习系统中传播偏见，导致对未见数据的过于乐观的性能评估和降低的泛化能力。对公共数据集的过度依赖，会在整个模型生态系统中产生共同的失败模式，从而阻碍稳健可靠的 AI 应用的发展。

2018）提供了重要的起点，快速原型开发和基准性能指标。然而，质量驱动的评估很快揭示了其局限性：口音多样性不足、录音环境过于单一、仅支持主要语言。基于质量的获取策略意识到了这些局限，并规划了补充方法，以展示基于框架的思维如何超越可用数据集的简单选择。

可扩展性与成本优化

当质量驱动方法在创建准确、精心策划的数据集方面表现出色时，它们面临着固有的规模限制。当规模需求占主导地位 —— 需要数百万或数十亿个样本，而人工策划无法经济提供时，网页抓取和合成生成提供了获取大规模数据集的途径。可扩展性支柱要求理解不同获取策略背后的经济模型：每个标注样本的成本、吞吐量限制以及这些限制如何随数据量变化而变化。在千级样本规模下有效的策略，在百万级样本规模下可能变得不可承受，而需要高启动成本的策略则可能在大规模下获得有利的摊销。

网页抓取是一种强大的数据获取方式，特别是在现有数据集不足的领域。通过自动化从网站提取数据，这一技术已成为现代 ML 系统开发的必备工具，使团队能够构建量身定制的数据集。当人工标注数据稀缺时，网页抓取展现出其独特价值。例如，计算机视觉系统的重大数据集如 ImageNet 和 OpenImages 就是通过系统化的网页抓取构建的，极大推动了计算机视觉领域的发展。

超越计算机视觉应用，网页抓取的影响远不止于图像识别。在自然语言处理领域，网页抓取的数据推动了越来越复杂的 ML 系统的发展。大型语言模型如 ChatGPT 和 Claude，依赖于从公共互联网和媒体抓取的大量文本数据，学习语言模式并生成响应。类似地，GitHub 的 Copilot 等专用 ML 系统，通过针对性地抓取代码库，展示了如何创建强大的领域特定助手。

在这些基础性发展之上，生产 ML 系统通常需要持续的数据采集，以维持相关性和性

能。网页抓取通过收集股票价格、天气模式或产品信息等结构化数据，促进了这一点。然而，这种持续采集对 ML 系统提出了独特挑战。数据一致性至关重要，因为网站结构或内容格式的变化可能会中断数据管道，影响模型性能。因此，适当的数据管理通过数据库或数据仓库，不仅用于存储，还用于维护数据质量和支持模型更新。

然而，除了强大的功能外，网页抓取也带来了多个挑战，ML 系统开发者必须仔细考虑。法律和伦理限制可能会限制数据收集，因为并非所有网站都允许抓取，违反这些限制可能会带来严重后果。使用抓取数据构建 ML 系统时，团队必须仔细记录数据来源，并确保遵守服务条款和版权法。处理用户生成内容时，隐私问题变得尤为重要，通常需要系统化的匿名化程序。

除了法律和伦理约束，技术限制也会影响网页抓取数据的可靠性。网站的速率限制可能会减慢数据收集，而网页内容的动态变化可能会引入不一致，影响模型训练。如图 7 所示，网页抓取可能会产生意外或无关的数据，例如，历史图像出现在当代图像搜索中，这些噪声数据可能会污染训练数据集，降低模型性能。这些问题突显了在基于网页抓取的数据构建的 ML 管道中，彻底的数据验证和清理过程的重要性。

数据源噪声：网页抓取为训练集引入无关或过时的数据，需系统性数据验证和清理，以维持模型性能，防止虚假相关。历史图像出现在当代搜索中，正是这一噪声的例证，强调了对网络数据集进行仔细过滤和质量控制的必要性。

众包则是另一种可扩展的方法，通过分布式人力计算加速数据集创建。像 Amazon Mechanical Turk 这样的平台，通过将标注任务分配给全球劳动力，极大地加速了数据准备阶段。众包的一个重要例子是 ImageNet 数据集，该数据集通过将图像标注任务分配给 Mechanical Turk 的贡献者而建立，推动了计算机视觉的革命。

在这一大规模标注工作基础上，数据集的可用性促进了深度学习的突破，包括 2012 年

展示大规模神经网络强大能力的 AlexNet 模型。ImageNet 的成功凸显了如何通过众包获取大规模、高质量的数据，推动机器学习系统达到前所未有的性能。众包的潜力还体现在超越传统标注任务的应用中。例如，导航应用 Waze 利用用户众包数据提供实时交通更新、路线建议和事件报告。这些多样化的应用展示了众包的主要优势：可扩展性。通过将微任务分发给大量受众，项目可以快速、经济地处理海量数据。这一可扩展性对于需要大量数据集以实现高性能的机器学习系统尤为重要。贡献者的多样性带来了广泛的视角、文化洞察和语言变体，丰富了数据集，提高了模型跨人群泛化的能力。

除了可扩展性，众包还具有灵活性。任务可以根据初步结果动态调整，允许数据收集的迭代改进。例如，谷歌的 reCAPTCHA 系统利用众包验证人类用户，同时为机器学习模型标注数据集。

超越人类生成数据，合成数据生成则是终极的可扩展解决方案，通过算法生成无限训练样本，而非人工收集。这一方法通过消除人力，改变了数据获取的经济学。如图 8 所示，合成数据与历史数据集结合，创建更大、更具多样性的训练集，弥补稀缺或偏见的真实数据不足，提升模型的泛化能力。这一方法在获取真实数据既不切实际又成本高昂的领域尤为宝贵。汽车行业已广泛采用合成数据来训练自动驾驶系统；物理碰撞测试数据获取有限，合成数据可以在虚拟环境中模拟各种驾驶场景，确保模型能够处理各种复杂情况。这种方法对于推动自动驾驶汽车的能力发展至关重要。

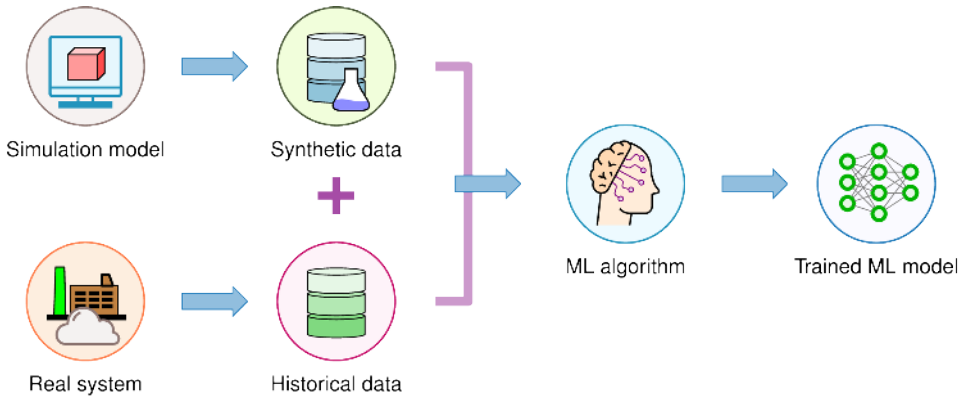

合成数据增强：将算法生成的数据与历史数据集结合，扩大训练集的规模与多样性，缓解真实世界数据稀缺或偏倚带来的限制，提升模型的泛化能力。在获取足够真实数据既不现实又不合乎伦理时，该方法可用于构建稳健的机器学习系统。

在此基础上，生成式建模技术的进步大幅提升了合成数据的质量。现代 AI 系统能生成与真实世界分布高度相似的数据，使其适用于从计算机视觉到自然语言处理的多种场景。例如，生成模型可用于为目标识别任务创建合成图像，产出与真实图像高度匹配且多样化的数据集。同样，合成数据也被用于模拟语音模式，增强语音识别系统的稳健性。

除质量提升外，合成数据在那些获取真实数据不切实际或成本高昂的领域尤为重要。汽

车行业已采用合成数据训练自动驾驶系统；物理上可实施的碰撞测试数量有限，无法获取足够的真实样本来教会 ML 系统如何避免事故。捕捉真实场景 —— 尤其是近乎事故或异常道路状况等罕见边缘案例 —— 本质上很困难。合成数据使研究者能够在受控的虚拟环境中模拟这些场景，确保模型在广泛条件下获得训练。这一方法对推进自动驾驶技术能力已被证明极为宝贵。

除了安全关键应用，合成数据在增强现有数据集方面也发挥着重要作用。通过引入数据集的变化，增强模型的稳健性，使其能够更好地适应不同的环境和说话人风格。在语音识别中，数据增强技术如 SpecAugment 通过引入噪声、偏移或音调变化，增强模型在不同环境和说话人风格下的泛化能力。这一原则同样适用于其他领域，合成数据可以填补代表性不足或边缘案例的空白。

基于我们的 KWS 系统，可扩展性支柱驱动了 2300 万训练样本的需求 —— 这一数据量是人工收集无法经济提供的。网页抓取补充了基础数据集，提供多样的语音样本。众包则针对性地收集了代表性不足的语言数据。合成数据生成通过语音合成和音频增强，填补了剩余的样本缺口，创造了无限的唤醒词变体。这一综合多源策略展示了可扩展性需求如何塑造获取决策，各种方法如何为整体数据生态系统贡献特定能力。

可靠性贯穿多样条件

除了质量和规模，可扩展性支柱还需解决一个关键问题：我们收集的数据能否使模型在部署环境的各种条件下都能可靠运行？如果训练数据在统计特性上与生产环境相去甚远，即使数据质量再高，也无法支撑可靠的生产系统。稳健模型的覆盖要求超越简单的样本量，涵盖地理多样性、人口统计代表性、时间变化和边缘案例等高风险场景。

理解覆盖要求需要分析潜在的失败模式。地理偏差发生在训练数据主要来自特定地区时，导致模型在其他地区表现不佳。对图像数据集的研究发现显著的地理偏斜，主要基于西方图像训练的图像识别系统在其他地区的图像上表现不佳。人口统计偏差则出现在训练数据未能代表全体用户时，可能导致歧视性结果。时间变化在现象变化时尤为重要 —— 仅基于历史数据训练的欺诈检测模型可能无法应对新出现的欺诈模式。边缘案例的收集尤其具有挑战性，但却至关重要，因为这些罕见场景往往是导致严重后果的高风险情境。

边缘案例收集的挑战在于自动驾驶汽车开发中尤为明显。正常驾驶条件下的数据采集相对简单，但近乎事故、异常行人行为或罕见天气条件等边缘案例的捕捉则困难重重。合成数据生成通过模拟这些罕见场景提供了解决方案，但验证合成样本是否准确代表真实边缘案例则需要仔细的工程设计。一些组织通过定向数据收集来应对，例如让测试驾驶员故意制造边缘案例，或通过工程师从事件报告中识别需要更好覆盖的场景。

如前所述，数据集趋同（见图 6）代表了另一种可靠性挑战。当多个系统在相同数据集

上训练时，它们会继承相同的盲点和偏见。整个模型生态系统可能在相同的边缘案例上失效，因为都训练于相同的覆盖缺口数据上。这种系统性风险促使多样化数据采集策略的实施，确保每个组织在公共基准之外收集补充数据，从而确保其模型发展出不同的优势和劣势，而不是共享的失败模式。

对于我们的 KWS 系统，可靠性体现在各种声学环境中唤醒词检测的一致性，包括安静的卧室、嘈杂的街道、不同口音和各个年龄段的说话人。数据源策略明确了这些多样性要求：网页抓取捕捉不同视频源的自然语音变化，众包针对代表性不足的人群和环境，合成数据则系统性地探索声学条件的参数空间。若没有这种针对性的数据源策略，系统可能在测试集上表现出色，但在生产部署中却表现不稳定。

治理与伦理采集

数据获取中的治理支柱涵盖法律合规、对数据贡献者的伦理对待、隐私保护，以及对数据来源和局限性的透明度。与关注系统能力的其他支柱不同，治理确保数据采集在适当的法律和伦理边界内进行。治理失败的后果超越系统性能，可能导致声誉受损、法律责任，以及对数据收集或使用不当的个人造成潜在伤害。

法律约束显著限制了在不同司法管辖区和领域的数据收集方法。并非所有网站都允许抓取，违反这些限制可能会带来严重后果，正如当前围绕大型语言模型训练数据的诉讼所示。版权法规定了公开内容用于训练的标准，而各司法管辖区标准不同。服务条款可能禁止将数据用于机器学习训练，即使技术上可以访问。隐私法规如欧洲的 GDPR 和加州的 CCPA 对个人数据收集提出了严格要求，需征得同意、支持删除请求，有时还需解释算法决策。医疗数据则需遵循美国 HIPAA 等额外法规，要求对患者信息采取特定保护措施。组织必须仔细遵循这些法律框架，记录数据来源，并确保在整个获取过程中遵守规定。

除了法律合规，伦理采集要求对人类贡献者的公平对待。我们之前审视的众包案例 —— OpenAI 将数据标注外包给肯尼亚工人，每小时支付低至 1.32 美元，审查创伤性内容 —— 突显了当经济压力压倒伦理考量时可能发生的治理失败。许多工人因接触令人不安的材料而遭受心理伤害，却得不到足够的心理健康支持。这一案例强调了在经济欠发达地区外包数据工作时可能出现的权力不平衡。缺乏公平补偿、对处理敏感内容的工人支持不足、工作条件不透明，都是影响人类福祉的治理失败，超越了系统性能。

针对这些问题，行业标准的伦理众包实践开始出现。公平补偿意味着支付至少当地最低工资，理想情况下与工人所在地区的类似工作水平相当。工人福祉要求为处理敏感内容的工人提供心理健康资源，限制其接触创伤材料的时间，确保合理的工作条件。透明度要求清晰沟通任务目的、贡献如何被使用以及工人权利。像人工智能合作伙伴关系这样的组织，已发布伦理众包的指导方针，建立可接受实践的基准。

在数据获取中，质量、可扩展性和可靠性支柱关注系统能力，而治理支柱则确保数据获取在适当的伦理和法律边界内进行。隐私保护是数据获取中的另一个关键治理问题，特别是当数据涉及未明确同意用于机器学习训练的个人时。处理敏感数据时，匿名化成为关键能力。从数据工程的系统设计角度看，匿名化不仅仅是合规要求，更是影响数据管道架构、存储策略和处理效率的核心设计约束。机器学习系统必须在整个生命周期内处理敏感数据：在收集、存储、转换、模型训练，甚至错误日志和调试输出中。一次隐私泄露可能会危及不仅仅是单个记录，而是整个数据集的安全，使其在未来开发中无法使用。

从业者已开发出一系列匿名化技术，以降低隐私风险。最简单的方法是掩码，通过更改或模糊处理敏感值，使其无法直接追溯到原始数据主体。例如，财务账户或信用卡号码中的数字可以用星号、固定虚拟字符或哈希值替换，以保护敏感信息在显示或记录时的安全。

在直接保护的基础上，概括则通过降低数据的精度或粒度，减少重新识别的可能性。例如，将确切的出生日期或地址替换为更广泛的类别，如年龄范围或邮政编码前缀。比如，用户的确切年龄 37 岁可以概括为 30-39 岁的年龄范围，而其确切地址可能被归类为城市级别的粒度。这一技术通过以聚合形式共享数据来降低重新识别风险，但需谨慎选择粒度 —— 过粗会丧失分析价值，过细则可能在某些条件下仍然允许重新识别。

与简单的标识符替换不同，伪匿名化则通过用人工标识符或“伪名”替换直接标识符（如姓名、社会安全号码、电子邮件地址），从而保护数据主体的身份。这些伪名不得泄露或易于追溯到原始数据主体，从而实现对同一个体记录的链接而不暴露其身份。

更正式的隐私保护方法是 k-匿名性，通过抑制或概括准标识符（即可能用于重新识别个体的属性，如邮政编码、年龄和性别），确保数据集中每条记录在至少 k-1 条其他记录中是不可区分的。例如，若 k=5，则每条记录必须与至少另外四条记录共享相同的准标识符组合，以防止攻击者仅通过查看这些属性就定位个体。这一方法提供了正式的隐私保证，但可能需要显著的数据扭曲，并且无法防范同质性或背景知识攻击。

在最复杂的隐私保护方法中，差分隐私通过向查询结果或数据集引入经过精心校准的噪声或随机数据扰动，确保任何单个个体数据的包含或排除对输出没有显著影响，从而隐藏其存在。引入噪声的过程由 ε 差分隐私中的 ε 参数控制，平衡数据效用和隐私保证。这一方法提供了强大的数学隐私保证，广泛应用于学术和工业界，但引入的噪声可能会影响数据准确性和模型性能，因此需要仔细调整参数以平衡隐私和实用性。

下表总结了每种匿名化方法的关键特征，帮助从业者根据特定隐私要求和数据效用需求选择合适的技术。

技术	数据效用	隐私级别	实现难度	最佳应用场景
掩码	高	低 - 中	简单	显示敏感数据
概括	中等	中等	中等	年龄范围、位置分组
伪匿名化	高	中等	中等	需要个体追踪
k-匿名性	低 - 中等	高	复杂	正式隐私保证
差分隐私	中等	非常高	复杂	统计保证

如比较表所示，有效的数据匿名化在隐私和效用之间取得平衡。掩码、概括、伪匿名化、k-匿名性和差分隐私等技术，针对重新识别风险的不同方面。通过仔细选择和组合这些方法，组织可以在尊重个人隐私权利和期望的同时，负责任地从敏感数据集中获取价值。

对于我们的 KWS 系统，治理约束贯穿始终。语音数据本质上包含生物特征信息，需进行隐私保护，这驱动了对匿名化、同意要求和数据保留政策的决策。多语言支持则提出了公平性问题 —— 系统是否仅服务于商业价值高的语言，还是也涵盖较小语言社区？公平的众包实践确保提供语音样本或标注的注释者获得适当补偿，并理解其贡献的用途。对数据来源和局限性的透明度，使用户能够理解系统能力和潜在偏见。这些治理考量不仅限制了获取方式，也塑造了哪些方法在伦理和法律上是可接受的。

综合获取策略

在审视了每个支柱如何塑造获取选择后，我们现在明白，现实世界的 ML 系统很少单独使用一种获取方法。相反，它们战略性地结合多种方法，以平衡竞争的支柱要求，认识到每种方法都为整体数据生态系统贡献了互补的优势。数据获取的艺术在于理解这些来源如何协同工作，创建同时满足质量、可扩展性、可靠性和治理约束的数据集。

我们的 KWS 系统就是这种综合方法的典范。Google 的 Speech Commands 数据集提供了经过质量保证的基础，支持快速原型开发和性能基准的建立。然而，对其质量驱动的评估很快揭示了其局限性：口音多样性不足、仅支持主要语言、录音环境过于单一。网页抓取通过从视频平台和语音数据库收集多样的语音样本，部分弥补了这些缺陷，捕捉了跨环境的自然语音变化。尽管网页抓取在规模上超越了人工收集，但其自动化过滤

仍需保持合理的质量。

众包则填补了现有数据集和网页抓取无法充分覆盖的特定领域：如代表性不足的口音、特定人群和环境。通过精心设计众包任务，明确指南和质量控制，系统在规模和质量之间达成了平衡，同时确保对贡献者的伦理对待。合成数据生成则通过系统性地探索参数空间，补充了长尾的稀有条件，解决了自然采集难以获得的样本。这一方法不仅提高了模型对各种声学条件的适应能力，也为模型性能的影响因素提供了控制实验的可能。

这些方法的综合运用，展示了我们的框架如何指导数据获取策略。质量要求推动了对策划数据集和专家审查的使用。可扩展性需求则促使了合成数据和网页抓取的应用。可靠性要求则确保了跨人口统计和环境的多样化采集。治理约束则塑造了对同意、匿名化和公平补偿政策的决策。这些获取策略的整合，体现了如何通过框架化思维，系统性地满足多重工程约束，确保数据的全面性、质量和合规性。

在详细探讨了数据获取策略后，我们接下来将分析数据摄取过程 —— 数据如何从外部来源流入我们的系统，并在此过程中保持质量、可靠性、可扩展性和治理标准。

数据摄取

数据摄取是数据进入 ML 系统的关键环节，将来自多种外部来源的数据转化为标准化的管道输入。这一边界层必须处理因多源获取策略而产生的异构性，同时保持我们既定的质量、可靠性、可扩展性和治理标准。从外部来源到受控管道环境的转变，给我们的四大支柱带来了不同的挑战。质量支柱要求在数据进入管道前进行验证，以防问题向下游传播。可靠性支柱要求在源头故障和数据异常情况下，仍能保持操作。可扩展性支柱则需要优化吞吐量，以应对不断增长的数据量和速度。治理支柱则在外部数据进入受信环境时，强制实施访问控制和审计追踪。摄取环节的精心工程设计，确保了问题数据无法进入管道，同时允许 ML 系统所需的数据流动。

批处理与流处理摄取模式

为系统性应对这些摄取挑战，ML 系统通常遵循两种主要模式，反映了数据流动时机和处理方式的不同。这两种模式各有特征和适用场景，塑造了系统在成本、延迟和复杂性之间的平衡。理解何时应用批处理或流处理摄取，或两者的组合，需分析工作负载特性与我们的框架要求之间的关系。

批量摄取（Batch Ingestion）是指在指定时间段内收集一组数据后再进行处理。这种方法适用于对实时数据处理要求不高、数据可以在预定时间间隔内处理的场景。例如，零售公司可以选择在夜间处理每日销售数据，通过批量摄取在第二天早上更新库存预测的 ML 模型。批处理通过在大数据量上摊销启动成本，利用可用或成本最低的资源进行高

效计算。例如，处理一 TB 交易数据的作业可以使用 100 台机器运行 10 分钟，这比维持始终在线的基础设施更具资源效率。

与这种定期处理方式相对，流式摄取（Stream Ingestion）则是实时处理到达的数据。这一模式对于需要立即数据处理、数据快速失去价值的场景，以及需要对事件实时响应的系统至关重要。例如，金融机构可能会使用流式摄取进行实时欺诈检测，处理每一笔实时交易，立即标记可疑活动。然而，当下游系统无法跟上数据产生速度时，流处理必须处理背压问题[181] —— 当流量激增时，系统必须缓冲数据（需要内存）、抽样（丢失部分数据）或向生产者施压（可能导致失败）。数据新鲜度服务水平协议（SLA）[182] 正式规定了这些要求，指定数据生成和处理可用之间的最大可接受延迟。

认识到单一方法的局限性，许多现代 ML 系统采用混合方式，结合批处理和流处理以应对不同数据速度和用例。这种灵活性允许系统同时处理历史数据和实时数据流，提供数据全景。生产系统在选择模式时，必须权衡成本与延迟的关系：实时处理的成本可能是批处理的 10-100 倍。这种成本差异源于多个因素：流处理系统需要始终在线的基础设施，而不是可以根据工作负载启停的可调资源；为确保不丢失事件，流处理需维护冗余处理；低延迟网络和存储是满足毫秒级 SLA 的必要条件；流处理无法像批处理那样，通过在大数据量上摊销启动成本来实现规模经济。处理一 TB 训练数据在 10GB/s 网络吞吐量下需要 74 秒，接近训练周期本身的时间。这一分析揭示了高吞吐量存储（NVMe SSD 实现 5-7GB/s）和网络基础设施（25-100Gbps 互连）对 ML 工作负载的关键性，因为数据移动时间与计算时间相当。

可扩展性架构支持从开发到生产的全流程，同时在每个阶段保持高效，容量规划确保基础设施与工作负载需求相匹配。

治理通过可观测性实现

在通过质量、可靠性和可扩展性满足功能性需求后，我们转向治理支柱。治理支柱在管道中体现为全面的可观测性 —— 了解数据如何流经系统、如何转化以及谁可以访问。有效的治理需要追踪数据从源头到最终数据集的全流程，维护合规所需的审计追踪，并实施强制组织政策的访问控制。在关注系统功能的其他支柱之外，治理确保操作在法律、伦理和业务约束内进行，同时保持透明和问责。

数据溯源追踪每个数据集的完整来源：哪些原始数据源提供了数据、进行了什么转换、

181. **背压**：流处理系统中的一种流量控制机制，当下游组件的处理能力超过时，上游生产者会收到减慢数据传输的信号。对于防止内存溢出和系统崩溃至关重要，背压可以通过缓冲、抽样或直接限制生产者实现 —— 每种方式在数据丢失和系统稳定性之间有不同的权衡。

182. **服务水平协议（SLA）**：正式合同，规定可测量的服务质量指标，如延迟（95 百分位响应时间小于 100 毫秒）、可用性（99.9% 正常运行时间）和吞吐量（处理 50,000 条记录/秒）。在 ML 系统中，SLA 通常包括数据新鲜度（特征在事件发生后 5 分钟内可用）、模型准确性（精确度超过 85%）和推理延迟（预测在 200 毫秒内返回）。

何时处理、执行了什么版本的处理代码。对于 ML 系统，溯源对于调试模型行为和确保可重复性至关重要。当模型预测错误时，工程师需要追溯管道：哪些训练数据导致了这个预测，这些数据的质量指标是什么，进行了什么转换，我们能否重现这个场景以便调查？现代溯源系统如 Apache Atlas、Amundsen 或商业产品，通过自动捕获管道流动的方式对管道进行仪器化。每个管道阶段都会用描述其来源的元数据注释数据，创建审计线索，以便于调试和合规。

审计追踪补充了溯源，通过记录谁在何时访问了数据来满足合规性框架的要求，如 GDPR 要求组织证明适当的数据处理，包括跟踪对个人信息的访问。ML 管道在数据访问点实施审计日志记录：当训练作业读取数据集时、服务系统检索特征时或工程师查询数据进行分析时。这些日志通常记录用户身份、时间戳、访问的数据和目的。例如，医疗保健 ML 系统的审计追踪通过显示只有授权人员访问患者数据、访问是出于合法医疗目的、数据未被保留超过允许时间，来证明合规性。生产系统中审计日志的规模可能相当可观 —— 高流量推荐系统可能每天生成数百万条审计事件 —— 这就需要高效的日志存储和查询基础设施。

访问控制在每个管道阶段强制执行关于谁可以读取、写入或转换数据的策略。ML 系统通常实施基于属性的访问控制，考虑数据敏感性、用户角色和访问上下文。例如，数据科学家可能可以自由访问匿名化的训练数据，但需要批准才能访问包含个人信息的原始数据。生产服务系统可以读取特征数据但不能写入，防止意外损坏。访问控制与数据目录集成，后者维护关于数据敏感性、合规要求和使用限制的元数据，支持数据在流经管道时的自动化政策执行。

来源元数据的保留确保了调试和合规所需的可重复性。当六个月前训练的模型表现优于当前模型时，团队需要重现当时的训练环境：确切的数据版本、转换参数和代码版本。ML 系统通过全面的元数据捕获实现这一点：训练作业记录数据集校验和、转换参数值、可重复性随机种子和代码版本哈希。特征库维护历史特征值，支持训练条件的随时重建。对于我们的 KWS 系统，这意味着跟踪强制对齐生成标签的版本、应用的音频归一化参数、合成数据生成设置以及众包批次对训练数据的贡献。

这些治理机制的集成，将管道从不透明的数据转换器转变为可审计、可重复的系统，能够证明适当的数据处理。这一治理基础设施对于监管合规至关重要，同时也维护了对 ML 系统的信任，因为它们在日益影响用户生活的决策中发挥着重要作用。

在确立了通过验证和监控实现质量，通过优雅降级实现可靠性，通过适当模式实现可扩展性，以及通过可观测性实现治理的全面管道架构后，我们接下来要确定的，是这些精心设计的系统中实际流动的数据。

ETL 与 ELT 比较

在选择摄取模式的同时，设计有效的数据摄取管道还需理解提取 - 转换 - 加载（ETL）[183] 和提取 - 加载 - 转换（ELT）[184] 方法之间的差异，如图 9 所示。这些范式决定了数据转换相对于加载阶段的时序，显著影响 ML 管道的灵活性和效率。ETL 与 ELT 的选择影响计算资源的消耗位置、数据可用于分析的速度，以及当需求变化时转换逻辑的演变难易程度。

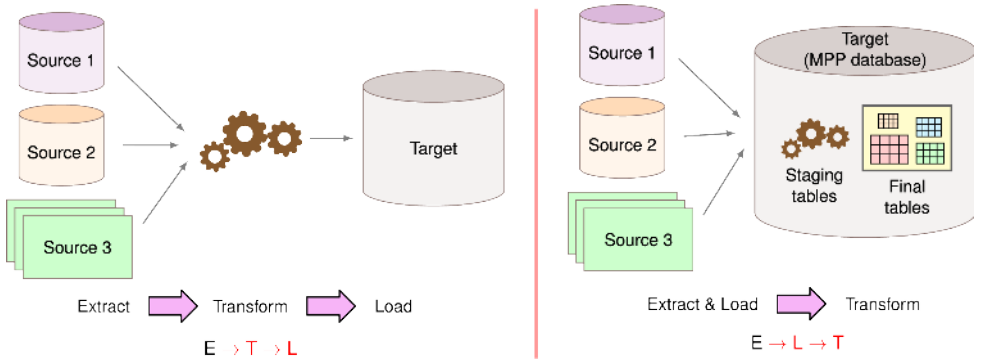

数据管道架构：ETL 管道在将数据加载到数据仓库之前进行转换，而 ELT 管道则先加载原始数据，再在仓库内进行转换，影响机器学习工作流的系统灵活性和资源分配。选择 ETL 或 ELT 取决于数据量、转换复杂性和目标数据存储系统的能力。

ETL 是一种成熟的范式，数据首先从源头提取，然后转换以匹配目标模式或模型，最后加载到数据仓库或其他存储中。这种方法通常会将数据存储为准备查询的格式，对于需要一致、预处理数据的 ML 系统来说，这可能是个优势。转换步骤在数据到达仓库之前的单独处理层中进行，使其在持久化之前能够验证和标准化。例如，预测客户流失的 ML 模型可能使用 ETL 将来自多个来源的客户互动数据标准化和汇总 —— 将不同的时间戳格式转换为 UTC，将文本编码标准化为 UTF-8，以及计算“过去 30 天总购买次数”等聚合特征 —— 然后加载为适合模型训练的格式。

ETL 的优势在于处理流程和模式稳定的场景。只有经过清洗、验证和转换的数据才会到达仓库，减少了存储需求，简化了下游查询。安全性和隐私合规可以在转换过程中执行，确保敏感数据在到达存储之前被掩码或加密。质量验证在加载之前进行，防止损坏

183. **提取 - 转换 - 加载（ETL）**：一种数据处理模式，原始数据从源头提取后，在单独的处理层中进行转换（清洗、聚合、验证），然后加载到数据仓库或其他存储中。例如，传统的 ETL 管道可能提取客户购买日志，在 Apache Spark 中通过去重和按日汇总进行转换，然后将汇总结果加载到数据仓库中。确保只有高质量数据到达存储，但当转换逻辑变化时需要重新处理所有数据。

184. **提取 - 加载 - 转换（ELT）**：一种数据处理模式，原始数据被提取后立即加载到可扩展存储中，然后在存储系统内使用其计算资源进行转换。例如，ELT 管道可能将原始点击流事件直接提取到数据湖（如 S3）中，然后在 Snowflake 或 BigQuery 等系统中使用 SQL 查询创建多个转换视图：分析用用户会话、模型用特征向量和仪表板用聚合指标。这种方法加快了数据可用速度，并且当转换逻辑错误被发现时，可以通过简单地重新运行转换查询来修正，而无需从源头重新摄取数据。

或无效数据进入仓库。对于具有稳定特征管道和明确数据质量要求的 ML 系统，ETL 提供了原始数据与训练数据之间的清晰分离。

然而，当模式或需求频繁变化时，ETL 的灵活性不足，这在快速发展的 ML 项目中很常见。当转换逻辑发生变化（如添加新特征、修改聚合或修正错误）时，所有源数据必须重新通过 ETL 管道处理以更新仓库。这一重新处理可能需要数小时或数天，减缓 ML 开发的迭代速度。转换层需要专用基础设施和专业知识，增加了数据管道的操作复杂性和成本。

这时，ELT 方法的优势便显现出来。ELT 通过先加载原始数据，再根据需要在目标系统内应用转换，逆转了这一过程。这种方法通常出现在现代数据湖或按读模式解析的环境中，当分析需求不断变化时，提供了更灵活的应对方式。原始源数据快速加载到可扩展存储中，转换则利用仓库的计算资源进行。现代云数据仓库如 BigQuery、Snowflake 和 Redshift 提供了强大的计算能力，能够在几分钟内对 TB 级数据执行复杂转换。

通过推迟转换，ELT 可以适应同一数据集的不同用途，这在 ML 项目的探索性数据分析阶段或同时开发多个具有不同数据需求的模型时尤为有用。当发现转换逻辑错误时，团队可以通过简单地重新运行转换查询来修正数据，而无需重新从源头摄取。这种灵活性加快了 ML 实验的速度，因为特征工程需求变化迅速。

然而，ELT 对存储系统和查询引擎的要求更高，后者必须处理大量未处理的信息。原始数据存储量大于转换后数据，增加了成本。当多次对同一原始数据执行转换时，查询性能可能会下降，因为每次转换都需在原始数据上执行，而不是读取预计算的结果。隐私和合规性在原始敏感数据保留于存储中而非摄取时被掩盖时变得更加复杂。

在实践中，许多 ML 系统采用混合方法，根据每个数据源或 ML 模型的具体需求，选择 ETL 或 ELT。例如，结构化数据可能使用 ETL，从关系数据库中提取时模式明确且稳定，而非结构化数据如文本或图像则可能使用 ELT，因其转换需求可能随着 ML 模型的优化而演变。高流量点击流数据可能使用 ELT，以实现快速加载和灵活转换，而敏感的财务数据则可能使用 ETL，以在持久化之前强制执行加密和掩码。

在 ETL/ELT 架构中实现流处理组件时，分布式系统原理变得至关重要。CAP 定理 [185] 从根本上限制了流系统设计的选择。Apache Kafka[186] 优先考虑一致性和分区容忍性，适用于可靠的事件排序，但在网络分区期间可能会出现可用性问题。Apache Pulsar 强调可用性和分区容忍性，提供更好的容错能力，但一致性保证有所放松。Amazon Kinesis

185. **CAP 定理**：分布式系统的基本原则，指出任何分布式数据系统至多可以保证以下三种属性中的两种：一致性（所有节点同时看到相同数据）、可用性（系统保持操作）、分区容忍性（系统在网络故障时继续运行）。对于不同工作负载优先级不同属性的 ML 系统，理解这些权衡至关重要。

186. **Apache Kafka**：一种分布式流处理平台，设计用于高吞吐量、低延迟的数据流，具有强大的持久性保证。提供有序、复制的日志，支持大规模的可靠事件处理，适用于需要实时数据摄取、特征服务和模型预测日志的 ML 系统。

通过精心配置在三者之间取得平衡，但需要理解这些权衡以便正确部署。

多源集成策略

无论采用 ETL 还是 ELT，在数据摄取中集成多样数据源都是 ML 系统面临的关键挑战。数据可能来自各种来源，包括数据库、API、文件系统和物联网设备。每个来源可能有其特定的数据格式、访问协议和更新频率。集成挑战不仅在于连接这些来源，还在于将它们不同特征的异构数据标准化为统一的管道，以便后续处理阶段可靠消费。

鉴于数据源的多样性，ML 工程师必须为每个数据源开发稳健的连接器或适配器，以有效集成这些来源。这些连接器处理数据提取的细节，包括身份验证、速率限制和错误处理。例如，在与 REST API 集成时，连接器将管理 API 密钥、遵循 API 文档或 HTTP 头中指定的速率限制，并正确处理 HTTP 状态码 —— 在瞬时错误（500、503）时重试，在身份验证失败（401、403）时中止，在被限制（429）时退避。设计良好的连接器将这些细节抽象，向下游处理提供一致接口，无论数据来自 API、数据库还是文件系统。

除了基本连接性，源集成还涉及在摄取点进行数据转换。这可能包括将 JSON[187] 或 XML 响应解析为结构化格式、将时间戳转换为标准时区和格式（通常为 UTC 和 ISO 8601），或系统化地执行基本数据清理操作，如修剪空格或标准化文本编码。目标是在数据进入 ML 管道时标准化数据格式，简化后续处理。这些转换不同于 ETL 或 ELT 中的业务逻辑转换 —— 它们解决技术格式变异，而非内容语义转换。

除了数据格式标准化，确保数据源的可靠性和可用性也至关重要。一些数据源可能会出现停机或数据质量不一致的情况。实施带有指数退避的重试机制，可以优雅地处理瞬时故障。当数据源出现故障时，系统可以自动切换到备用数据源、提供缓存数据或降级服务，而不是完全失败。例如，当实时市场数据源失败时，系统可以切换到稍有延迟的备用数据源，同时向运维团队发出警报。死信队列捕获格式错误的数据，以便后续调查，而不是静默丢弃。电路断路器防止系统在市场数据提供商恢复期间不堪重负。这种全面的错误管理确保下游过程获得可靠、高质量的数据，用于训练和推理，即使在分布式系统不可避免的故障面前。

案例研究：为 KWS 选择摄取模式

将这些摄取概念应用于我们的 KWS 系统，生产实现同时展示了流式和批量模式的协同，反映了我们在问题定义阶段确立的双重操作模式。摄取架构直接实现了我们四大支柱框架的要求：通过音频特征验证质量，通过一致的操作确保可靠性，通过处理数百万音频

187. **JavaScript 对象表示法（JSON）**：一种轻量级、基于文本的数据交换格式，使用人类可读的键值对和数组。由于其简单性和语言无关的解析能力，广泛应用于网络 API 和现代数据系统，但对于大规模 ML 数据集而言，存储效率不如二进制格式（如 Parquet）。

流实现可扩展性，以及通过源认证和追踪维护治理。

流式摄取模式处理来自活动设备的实时音频数据，需在 200 毫秒的延迟要求内检测唤醒词。这需要精心实现的发布 - 订阅机制，使用 Apache Kafka 等系统缓冲到来的音频数据，并在多个推理服务器之间实现并行处理。流式路径优先考虑我们的可靠性和可扩展性支柱：在设备负载和网络条件变化时，保持一致的低延迟操作，同时处理来自部署设备的数百万条并发音频流。

与此实时处理并行，批量摄取则处理模型训练和更新所需的数据。这包括我们在获取阶段确立的多样数据源：来自众包的唤醒词新录音、合成数据填补的覆盖缺口、以及提供真实检测和误报示例的验证用户交互。批处理通常遵循 ETL 模式，音频数据经过预处理 —— 归一化音量水平、极端噪声过滤和一致时长分割 —— 后存储为优化的训练格式。这一处理符合我们的质量支柱，确保训练数据经过一致转换，保留区分唤醒词和背景语音的声学特征。

整合这些多样数据源对 KWS 系统提出了独特挑战。实时音频流需在使用高峰期实施速率限制，以防系统过载。众包数据则需系统化验证，以确保录音质量符合我们在问题定义阶段确立的规范：信噪比足够、说话距离适中、标注正确。合成数据则需验证其对唤醒词变体的真实代表性，避免生成声学上不合理的样本，误导模型训练。

语音交互系统所需的复杂错误处理机制，在实时音频处理时尤为明显。死信队列存储识别失败的尝试，以便后续分析，帮助识别在数据收集、处理或模型推理中可能出现的模式性错误。例如，处理唤醒词“Alexa”时，系统需验证多个音频质量指标：信噪比是否高于我们在要求定义中设定的最低阈值、采样率是否与训练数据规范一致、录音时长是否在预期的 1 到 2 秒内、说话人距离指标是否表明该语音是针对设备而非偶然说出。无效样本将被路由到死信队列以供分析，而不是直接丢弃。这些失败往往揭示了需要在下一个模型迭代中关注的边缘案例。有效样本则在实时处理和后续训练数据更新中同时被利用，展示了生产系统如何通过精心的数据工程持续改进。

这一摄取架构完成了外部数据进入受控管道的边界层。随着可靠摄取的建立 —— 验证数据质量、优雅处理错误、应对大规模吞吐和维护治理控制 —— 我们接下来将系统性数据处理，转化摄取的原始数据为适合机器学习的特征，同时保持训练 - 服务一致性，这对生产系统至关重要。

系统化数据处理

在建立可靠的数据摄取后，我们进入管道中技术挑战最大的阶段：系统化数据处理。这里，一个基本要求 —— 在训练和服务中应用相同的转换 —— 成为约 70% 生产 ML 故障的根源。这一惊人统计数据凸显了训练 - 服务一致性作为所有处理决策中心组织原则的

重要性。

数据处理实现了我们在问题定义阶段设定的质量要求，将原始数据转化为适合机器学习的格式，同时保持可靠性和可扩展性标准。处理决策必须在提高模型准备度的同时，保持数据完整性，并在整个转换管道中遵循治理原则。每一个转换 —— 从归一化参数到分类编码，再到特征工程逻辑 —— 都必须在两个上下文中一致应用。考虑一个简单的例子：在训练中通过去除货币符号和转换为浮点数来归一化交易金额，但在服务中忘记应用相同的预处理。这种看似微不足道的不一致，可能导致模型准确率下降 20-40%，因为模型接收到的输入格式与训练时截然不同。正因如此，训练 - 服务一致性成为处理系统设计的核心组织原则。

对于我们的 KWS 系统，处理决策直接影响四大支柱，如我们在问题定义中所确立的那样。质量转换必须在保留声学特征的同时，消除不同录音条件带来的差异。可靠性要求在我们多源获取策略下，处理方式保持一致，尽管音频格式各异。可扩展性则要求高效算法，处理来自部署设备的数百万音频流。治理确保在处理过程中保护用户语音数据的隐私。

确保训练 - 服务一致性

我们从质量作为数据处理的基石开始。在这里，质量支柱体现为确保在训练期间应用的变换与在服务期间应用的变换完全一致。该一致性挑战不仅仅是运行相同的代码 —— 还要求将训练数据上计算得到的参数（归一化常数、编码字典、词汇映射等）进行持久化并在服务时重用。缺乏这类纪律性会导致模型在服务时接收到与训练时本质不同的输入，从而引起性能下降，这类问题通常表现微妙且难以调试。

数据清洗包括识别并修正数据集中的错误、不一致和不准确之处。原始数据常包含缺失值、重复项或异常值等问题，如果不加处理会显著影响模型性能。关键在于：清洗操作必须是确定性且可重现的 —— 对于相同输入，无论在训练还是服务中执行，清洗应产生相同输出。这一要求决定了哪些清洗技术可以安全地用于生产 ML 系统。

数据清洗可能包括基于确定性键删除重复记录、通过可一致应用的规则对缺失值进行插补或删除、以及系统性地修正格式不一致。例如在客户数据库中，姓名可能存在大小写或格式的不一致。数据清洗过程应对这些条目进行标准化，确保 “John Doe”、“john doe” 和 “DOE, John” 被视为同一实体。清洗规则 —— 如转换为首字母大写、重排为 “名 姓” 格式 —— 必须以在训练和服务中完全相同方式执行的代码形式捕获。如本章贯穿强调的，所有清洗操作在两种上下文中都必须一致应用，以维护系统可靠性。

异常值检测与处理是数据清洗的另一重要方面，但也带来一致性挑战。异常值有时代表罕见但有价值的事件，也可能来自测量错误或数据损坏。ML 从业者在决定如何处理异常值时必须谨慎权衡数据的性质与模型需求。简单的基于阈值的异常值移除（移除距离

均值超过 3 个标准差的值）在训练 - 服务一致性方面是安全的，前提是均值和标准差在训练时计算并在服务时重用。然而，更复杂的异常检测方法（考虑特征间关系或时间模式）需要细致工程，以确保在两端一致应用。

质量评估与数据清洗并行进行，为评估数据的可靠性和可用性提供系统化方法。该过程涉及检查数据质量的多个方面，包括准确性、完整性、一致性与时效性。在生产系统中，数据质量会以基本指标难以捕获的微妙方式退化：先前从不含空值的字段开始出现稀疏模式，数值分布偏离训练范围，或者出现训练期间未见过的类别值。

为应对这些微妙退化模式，生产级质量监控需要超越简单的缺失值计数。关键指标包括按特征的空值模式（突增暗示上游故障）、计数异常（例如 10 倍增长常指数据重复或管道错误）、值域违规（价格变为负数、年龄超出合理上限）以及数据源间连接失败率。统计漂移检测 [188] 对于监控均值、方差和分位数随时间的变化至关重要，以便在影响模型性能之前捕捉渐进式退化。例如，在电商推荐系统中，用户会话平均时长可能因站点改版在半年内从 8 分钟稳步上升到 12 分钟，但若突然跌至 3 分钟，则可能是数据采集出错。

为支持这些监控需求，质量评估工具涵盖从简单统计度量到复杂的基于机器学习的方法。数据剖析工具提供汇总统计和可视化，帮助识别潜在质量问题；而高级方法采用无监督学习算法在大规模数据集中检测异常或不一致。建立明确的质量指标和阈值，确保进入 ML 管道的数据满足可靠训练与推理的最低标准。关键是将相同的质量标准和验证逻辑在训练与服务中保持一致，防止质量问题造成训练 - 服务偏差。

变换（Transformation）技术将数据从原始形式转换为更适合分析和建模的格式，操作范围从简单的单位转换到复杂的数学变换。常见变换任务包括归一化与标准化，用于将数值特征缩放到统一范围或分布。例如在房价预测模型中，面积和房间数尺度相差很大，归一化这些特征能让它们对模型预测的贡献更均衡。维持训练 - 服务一致性要求在训练数据上计算得到的归一化参数（均值、标准差）被持久化并在服务时相同应用。这通常意味着将这些参数与模型工件一并持久化 —— 或存放在模型文件中，或保存在独立的参数文件里 —— 并在服务初始化时加载。

除了数值缩放外，变换还可能包括对分类变量的编码、对日期与时间数据的处理，或创建派生特征。例如独热编码（one-hot encoding）常用于将分类变量转换为多数机器学习算法可理解的格式。分类编码必须同时处理训练期间出现的类别与服务期间遇到的未知类别。稳健做法是在训练时计算类别词表（即训练中观察到的所有类别），并将其与模型一起持久化；在服务时对未知类别映射为特殊的 “unknown” 标记或使用默认值。

188. **数据漂移**：指生产数据的统计特性随时间发生变化，逐渐偏离训练数据分布，从而悄然降级模型性能。漂移可渐进（用户行为演变）或突发（系统变更），因此需要持续监控特征分布、均值、方差和分类频率，以在准确率下降前检测到问题。

缺乏这种纪律性，服务端遇到训练时未见过的类别会导致错误或性能下降。

特征工程（Feature Engineering）是使用领域知识创建可提升模型效果的新特征。该步骤更偏向艺术而非纯科学，需要对数据和问题有深刻理解。特征工程可能涉及组合现有特征、从复杂数据类型中提取信息，或基于领域洞见创造全新的特征。例如在零售推荐系统中，工程师可能构建反映客户购买“近期性 - 频率 - 货币价值（RFM）”的特征。

特征工程的重要性不可低估。良好设计的特征往往能显著提升模型性能，有时其影响甚至超过算法选择或超参数调优。然而，特征工程的创造性必须与生产系统的一致性需求权衡。每一个工程化特征在训练与服务中都必须以相同方式计算。这意味着应将特征工程逻辑实现为可在训练与服务端共享的库或模块，而不是分别重写。许多组织为确保跨环境的一致性而构建特征存储（feature store）。

将这些处理概念应用于我们的 KWS（关键词识别）系统时，摄取管道中的音频录音 —— 无论来自众包、合成生成还是真实捕获 —— 都需要精细的清洗以保证唤醒词检测的可靠性。原始音频通常存在我们在问题定义中已预见的缺陷：从安静卧室到嘈杂工厂的背景噪声、录音电平导致的信号截断、不同麦克风和说话人产生的音量差异，以及来自多样采集设备的不一致采样率。清洗管道必须在标准化这些差异的同时，保留能区分唤醒词与背景语音的声学特征 —— 这是直接影响我们达到 98% 精度目标的质量保持要求。

针对 KWS 的质量评估扩展了一般原则，采用音频特定的指标。除了检查空值或模式合规外，系统还跟踪背景噪声水平（信噪比需高于 20 dB）、音频清晰度评分（频谱分析）、以及说话速率一致性（唤醒词时长应在 500 – 800 毫秒范围内）。质量评估管道会自动标记那些背景噪声可能阻碍准确检测、唤醒词说得过快或不清晰导致模型无法区分，或存在截断/失真破坏音频信号的录音。自动化过滤确保仅高质量样本进入模型开发，避免图 3 中所示的“垃圾进，垃圾出”级联效应。

将音频数据转换为 KWS 可用形式涉及将原始波形转为适用于 ML 的表示，同时保持训练 - 服务一致性。如图 10 所示，变换管道将音频信号转换为标准化的特征表示 —— 通常为梅尔频率倒谱系数（MFCCs）[189] 或频谱图（spectrograms）[190] —— 这些表示强调与语音相关的特征，减少不同录音条件间的噪声和可变性。

这些音频特征变换需在训练与服务间一致实现，并将变换参数（如窗长、步长、滤波器

189. **梅尔频率倒谱系数（MFCCs）**：一种紧凑的音频表示，捕捉对语音识别至关重要的谱包络特性。MFCC 通过应用梅尔尺度滤波（强调人类更敏感的频率区间）随后做离散余弦变换，通常提取 13 – 39 个系数，编码音色特性，同时丢弃对音素识别无关的基音信息。

190. **频谱图（Spectrogram）**：通过短时傅里叶变换（STFT）对重叠窗口应用 FFT 得到的音频随时间的频率内容可视化。频谱图的横轴为时间，纵轴为频率，强度表示幅度，在 ML 中常被当作类似图像的输入，供卷积神经网络等模型处理。该变换在训练与服务中必须完全一致：若训练使用一种 FFT 窗口大小而服务端使用另一种，模型将接收到根本不同的输入，从而降级我们的准确率目标。特征工程侧重于提取能帮助区分唤醒词与背景语音的特征：频带能量分布、捕捉韵律的基频轮廓、以及区分有意唤醒词发音与偶然相似声音的时长模式。

参数等）与模型一并记录与部署，以确保端到端一致性和可复现性。

通过分布式处理实现可扩展性

在质量和可靠性得到保障后，我们面临的下一个挑战是规模。当数据集不断增大、ML 系统日益复杂时，数据处理的可扩展性成为瓶颈。回顾我们讨论过的数据处理阶段 —— 清洗、质量评估、转换和特征工程 —— 当这些操作需要处理 TB 级数据时，单机方案已无法胜任。原本适用于 GB 级内存数据的清洗技术，必须重新设计以适应分布式系统。

这些挑战在以下场景中尤为突出：质量评估需比数据到达速度更快地处理数据，特征工程操作需在转换单条记录前先对整个数据集计算统计量，以及当转换管道在大规模下成为瓶颈时。处理流程必须从开发阶段（笔记本上的 GB 级数据）平滑扩展到生产阶段（集群上的 TB 级数据），同时保持行为一致。

为解决扩展瓶颈，数据必须在多台计算资源间分区，这就引入了协调难题。分布式协调的根本限制在于网络往返延迟：本地操作以微秒级完成，而网络协调需毫秒级，存在 1000 倍的延迟差。这也解释了为何需要全局协调的操作（如在 100 台机器上计算归一化统计量）会成为瓶颈。每个分区可快速计算本地统计量，但合并结果时则需所有分区的信息。

在这个规模下，数据本地性变得至关重要。通过网络传输 1TB 训练数据（10GB/s）需 100 多秒，而本地 SSD 读取（5GB/s）只需 200 秒，这推动 ML 系统架构向“计算靠近数据”演进。当处理节点以 RAM 速度（50-200GB/s）访问本地数据，但网络带宽仅有 1-10GB/s 时，带宽失配成为根本瓶颈。地理分布进一步加剧挑战：跨数据中心协调需应对 50-200ms 的网络延迟、部分故障以及数据跨境的合规限制。理解哪些操作易于并行、哪些需高昂协调，是决定系统架构和性能的关键。

如果精心设计，单机处理可胜任相当大的工作负载。现代服务器配备 256GB 内存，可通过外存处理（out-of-core）流式处理 TB 级数据。Dask、Vaex 等库提供类似 pandas 的 API，自动流式并行计算。团队在投资分布式基础设施前，应充分挖掘单机优化潜力：采用高效数据格式（如 Parquet[191] 替代 CSV）、最小化内存分配、利用向量化操作和多核并行。单机处理的运维简单性 —— 无需网络协调、无部分故障、调试简单 —— 只要性能足够，优先选择。

当数据量或计算需求超出单机能力时，分布式处理框架成为必需，但并行加速的极限受 Amdahl 定律约束：

191. **Parquet**：一种面向分析型负载的列式存储格式，按列存储数据，便于只读取所需特征，并实现更优压缩。对 ML 系统尤为关键，因训练通常只需大数据集的部分列，相比行式格式（如 CSV）可减少 5-10 倍 I/O。

$$\text{Speedup} \leq \frac{1}{S + \frac{P}{N}}$$

其中 S 为不可并行的串行部分，P 为可并行部分，N 为处理器数量。这解释了为何 KWS 特征提取在 64 核下可获得近 64 倍加速（当 $S \approx 0$，即“尴尬并行”），但如全局归一化统计等需协调的操作，即使 64 核也只能获得 10 倍加速，因为串行聚合阶段成为瓶颈。理解这一关系，有助于架构决策：高串行比例的操作应在更少更快的核上运行，高并行度任务则应最大化分布式。

Apache Spark 提供了分布式计算框架，可自动在集群间并行转换、分区数据、调度任务并实现容错。Beam 提供统一 API，支持批处理和流处理，可在 Spark、Flink、Dataflow 等多种引擎上运行同一转换逻辑。TensorFlow 的 tf.data API 优化了 ML 训练的数据加载管道，支持分布式读取、预取和转换。选择哪种框架，取决于是批处理还是流处理、转换的并行性以及可用的执行环境。

另一个重要考量是预处理与实时计算的平衡。大量预处理可加速模型训练和推理，但也会带来存储需求增加和数据陈旧风险。生产系统常采用混合策略：对计算量大但变化慢的特征预处理，而对变化快的特征实时计算。具体平衡取决于存储成本、计算资源和新鲜度需求。计算代价高但变化慢（如用户人口统计、商品流行度）的特征适合预处理，变化快（如当前会话状态、实时库存）的特征则必须实时计算。

在我们的 KWS 系统中，可扩展性在多个阶段体现。开发阶段用单机处理样本数据，便于快速迭代。大规模训练时，数据集（2300 万样本）超出单机能力或需并行实验时，需分布式处理。音频文件间天然独立，转换无需协调，工人各自从分布式存储读取分配的音频，计算特征并写回，属于“尴尬并行”模式，可实现近线性扩展。生产部署则需在资源极度受限的边缘设备（如 16KB 内存）上实时处理，需精细优化和量化以适配设备能力。

数据转换溯源追踪

在数据处理的四大支柱中，治理确保问责和可复现性。治理支柱要求追踪每次转换的应用、执行时间、代码版本和参数。这一转换溯源是调试、合规（如法规要求可解释性）和发现转换 bug 后迭代改进的基础。没有全面溯源，团队无法复现训练数据、无法解释模型为何做出特定预测，也无法在修复处理 bug 后安全地重处理数据，避免不一致。

转换版本控制记录每个数据集由哪个处理代码版本生成。当转换逻辑变更（修 bug、加特征、提质）时，版本号递增。数据集打上生成时的转换版本标签，便于 bug 修复后定位需重处理的数据。这一版本控制不仅限于代码，还包括整个处理环境：库版本（不同 NumPy 版本可能导致数值差异）、运行配置（环境变量影响行为）、执行基础设施

（CPU 架构影响浮点精度）。

参数追踪则记录转换时用到的具体值。归一化需存储训练数据上计算的均值和标准差，分类编码需存储词汇表（所有出现过的类别），特征工程需存储用到的常数、阈值等。这些参数通常与模型工件一起序列化，确保服务端与训练端一致。现代 ML 框架如 TensorFlow、PyTorch 提供了将预处理参数与模型捆绑的机制，简化部署并确保一致性。

处理溯源用于可复现性，追踪从原始数据到最终特征的完整转换历史，包括读取了哪些原始文件、应用了哪些转换、参数为何、何时处理。Apache Atlas、Amundsen 等溯源系统可自动捕获这一流程。模型预测出错时，工程师可沿溯源链追查：哪些训练数据导致该行为、数据质量如何、应用了哪些转换、能否复现场景以便调查。

代码版本将处理结果与生成它的确切代码关联。当处理代码托管于 Git 等版本控制时，每个数据集应记录生成它的 commit hash。这样可重现当时的处理环境：检出对应代码、安装依赖、用相同参数运行。Docker 等容器技术可将整个处理环境（代码、依赖、系统库）封装为不可变镜像，数月或数年后仍可复现结果。

在我们的 KWS 系统中，转换治理追踪对模型行为有关键影响的音频处理参数。例如，音频归一化到标准音量时，需持久化参考音量；FFT 转换到频域时，需记录窗口大小、步长和窗函数类型（Hamming、Hanning 等）；计算 MFCC 时，需记录系数数量、频率范围、Mel 滤波器参数。这些参数的全面追踪带来多项关键能力：调试模型失败时可精确复现训练数据，验证服务端与训练端预处理一致，系统性研究预处理选择对模型准确率的影响。没有治理基础设施，团队只能依赖手工文档，难免过时或出错，最终导致训练 - 服务偏差，损害生产性能。

端到端处理管道设计

将清洗、评估、转换和特征工程各环节整合，处理管道将各步骤组合为一致、可复现的工作流。管道确保训练和推理阶段数据一致准备，降低数据泄漏风险，提高 ML 系统可靠性。管道设计决定了处理逻辑的迭代难易、数据增长时的扩展能力，以及系统维持训练 - 服务一致性的可靠性。

现代 ML 框架和工具通常提供构建和管理数据处理管道的能力。例如，Apache Beam、TensorFlow Transform 允许开发者定义可在训练和服务期间一致应用的数据处理步骤。数据处理框架的选择需与更广泛的 ML 框架生态系统（见第 7 章：AI 框架）匹配，框架特定的数据加载和预处理工具会显著影响开发效率和系统性能。

除了工具选择，有效的管道设计还需考虑模块化、可扩展性和版本控制。模块化管道便于单独更新和维护各处理步骤。每个转换阶段应实现为独立模块，输入输出清晰，便于

独立测试和替换，不影响其他阶段。管道的版本控制至关重要，确保数据处理的变更可追踪，并能与模型性能变化关联。当模型准确率下降时，版本控制有助于定位是否处理变更所致。

TensorFlow Extended 在图 10 中很好地展示了管道组件的模块化分解，显示了从初始数据摄取到最终模型部署的完整流程。图中展示了数据如何流经验证、转换、特征工程等阶段，最终进入模型训练。每个管道组件都可独立版本化、测试和扩展，同时保持整体系统一致性。

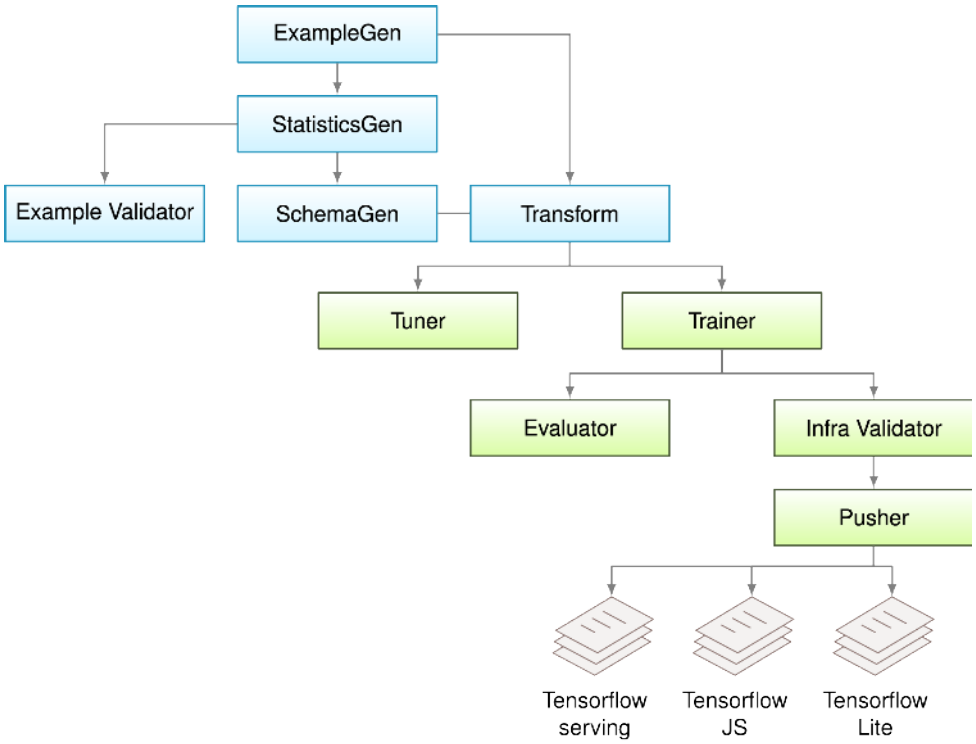

数据处理管道：TensorFlow Extended 实现的模块化端到端 ML 管道，突出从原始数据摄取到训练模型部署和服务的关键阶段。该分解支持各组件的独立开发、版本管理和扩展，提升 ML 系统的可维护性和可复现性。

在我们的 KWS 处理管道中，需同时支持训练的批处理和推理的实时处理，并确保两种模式间的一致性。管道设计保证训练数据上计算的归一化参数（如音量均值、频率响应曲线、时长统计）被存储，并在服务期间一致应用。这一架构决策体现了我们的可靠性支柱：用户期望无论设备生产时间或模型版本如何，唤醒词检测都能保持一致，这要求处理管道在训练迭代和部署环境间保持稳定行为。

高效的数据处理是 ML 系统成功的基石。通过以四大支柱为视角 —— 训练 - 服务一致性保障质量、幂等转换保障可靠性、分布式处理保障可扩展性、全面溯源保障治理 —— 精心清洗、转换和工程化数据，实践者可显著提升模型性能和系统可靠性。随着机器学习

领域不断发展，数据处理的技术和工具也在持续演进，使其成为值得深入研究和实践的前沿领域。在系统化处理建立后，下一步我们将探讨数据标注，这一环节将人工判断引入自动化管道，同时在质量、可靠性、可扩展性和治理维度保持同样的系统性要求。

数据标注

在建立系统化数据处理后，数据标注成为更广泛数据工程领域内一个特别复杂的系统挑战。随着训练数据集规模达到数百万甚至数十亿条，支持标注操作的基础设施对系统性能的影响愈发关键。标注代表了人机协作的系统工程，其中我们的四大支柱指导基础设施决策，方式与自动化管道阶段截然不同。质量支柱体现在通过共识机制和金标准验证确保标签准确性。可靠性支柱要求平台架构能够协调数千个并发标注者，确保数据不丢失、不损坏。可扩展性支柱推动 AI 辅助标注，以增强人类判断力而非取而代之。治理支柱则要求对参与标注的人工贡献者提供公平补偿、减轻偏见并确保其获得伦理对待，因为他们的劳动创造了支持 ML 系统的训练数据。

现代机器学习系统必须高效处理跨整个数据管道的标签创建、存储和管理。系统架构必须支持各种标注工作流，同时保持数据一致性、确保质量并有效管理计算资源。当处理大规模数据集或实时标注需求时，这些要求会相互叠加。系统性挑战不仅在于存储和管理标签，生产 ML 系统还需要强大的管道，将标注工作流与数据摄取、预处理和训练组件集成，同时保持高吞吐量并适应不断变化的需求。

标签类型及其系统需求

要构建有效的标注系统，首先必须了解不同类型标签如何影响系统架构和资源需求。考虑一个实际示例：构建一个智能城市系统，需要从视频流中检测和跟踪各种物体，如车辆、行人和交通标志。标签用于捕捉关键任务或概念的信息，每种标签类型都有不同的存储、计算和验证需求。

分类标签是最简单的形式，通过特定标签（或多标签分类中的标签）对图像进行分类，例如将图像标记为“汽车”或“行人”。尽管概念上简单，但对于处理数百万视频帧的生产系统来说，必须高效存储和检索这些标签。存储需求适中 —— 每个图像一个整数或字符串 —— 但检索模式很重要：训练通常随机抽样子集，而验证则需要顺序访问所有标签，因此驱动不同的索引策略。

边界框超越了简单的分类，通过识别物体位置来标识感兴趣物体的边界框。我们的系统现在不仅需要跟踪物体的存在，还需要跟踪它们在每帧中的位置。这种空间信息引入了新的存储和处理挑战，特别是在跨视频帧跟踪移动物体时。每个边界框需要存储四个坐标（x，y，宽度，高度）外加物体类别，使得存储需求相比分类增加了 5 倍以上。更重要的是，边界框注释需要像素级的精确定位，耗时是分类的 10-20 倍，这对标注吞吐量

和成本产生了重大影响。

分割图则通过逐像素分类物体，提供了最全面的信息，突出显示每个物体的不同颜色。例如，在我们的交通监控系统中，这可能意味着精确勾勒出每辆车、行人和路标。这些详细的注释显著增加了我们的存储和处理需求。对于 1920x1080 图像的分割掩码需要 200 万个标签（每个像素一个），而不是可能的 10 个边界框或单个分类标签。这种 100,000 倍的存储增加以及手动分割每幅图像所需的数小时，使得这种方法仅在需要像素级精度时才适用。

Label Type	Input Type	Output Type
Classication Label		Dog, Blanket, No cat
Bounding Box		
Segmentation Map		
Caption		A dog curls up on a spotted purple blanket.
Transcript		Once upon a time...

数据标注粒度：标注数据的细粒度程度对注释成本和潜在模型准确性影响。细粒度分割为训练提供了更丰富的信息，但相比粗粒度注释需要更多的标注工作和存储能力。

图 12 展示了这些常见标签类型及其日益复杂的特性。鉴于这些复杂性，标签格式的选择在很大程度上取决于我们的系统需求和资源限制。虽然简单的交通计数可能只需分类标签，但自动驾驶汽车则需要详细的分割图来做出精确的导航决策。领先的自动驾驶汽车公司通常维护混合系统，为同一数据存储多种标签类型，以便在不同应用间灵活使用。单个摄像头帧可能具有分类标签（场景类型：高速公路、城市、乡村）、边界框（用于障碍物检测的车辆和行人）和分割掩码（用于路径规划的路面），每种标签类型服务于不同的下游模型。

除了这些基本标签类型，生产系统还必须处理丰富的元数据，以维护数据质量和调试模型行为。Common Voice 数据集就在语音识别中体现了复杂的元数据管理：跟踪说话者人口统计信息以确保模型公平性、记录数据过滤的质量指标、验证标签可靠性的状态以及多语言支持的语言信息。如果我们的交通监控系统在雨天表现不佳，那么数据收集时的天气条件元数据将有助于识别和解决该问题。现代标注平台开发了复杂的元数据管理系统，能够高效地对这些元数据和主要标签进行索引和查询，使其能够在训练数据选择

和后期分析中进行过滤。

这些元数据需求表明，标签类型选择如何影响整个系统设计。一个为简单分类标签构建的系统，将需要对处理管道进行重大修改，以高效处理分割图。基础设施必须针对所选标签格式优化存储系统，为训练期间的读取实现高效数据检索模式，保持质量控制管道以进行验证，并管理标签更新的版本控制。当标签被更正或细化时，系统必须跟踪哪些模型版本使用了哪些标签版本，以便在标签质量改进与模型性能提升之间建立关联。

实现标签准确性和共识

在标注领域，质量面临独特挑战。质量支柱在这里的重点是确保标签的准确性，尽管许多标注任务固有的主观性和模糊性。即使有明确的指导方针和细致的系统设计，仍然不可避免会有一部分标签不正确。挑战不在于完全消除标注错误（这是一项不可能的任务），而在于系统地测量和管理错误率，使其保持在不降低模型性能的范围内。

正如图 13 所示，标注失败源于两种不同的原因，需要不同的工程响应。一些错误源于数据质量问题，即底层数据确实模糊不清或损坏 —— 就像模糊的青蛙图像，即使是专家注释者也无法确定物种。其他错误则需要深厚的领域专业知识，只有具备专业知识的专家才能确定正确标签，例如黑鹳的识别。这些不同的失败模式驱动了对注释者资格、任务路由和共识机制的架构决策。

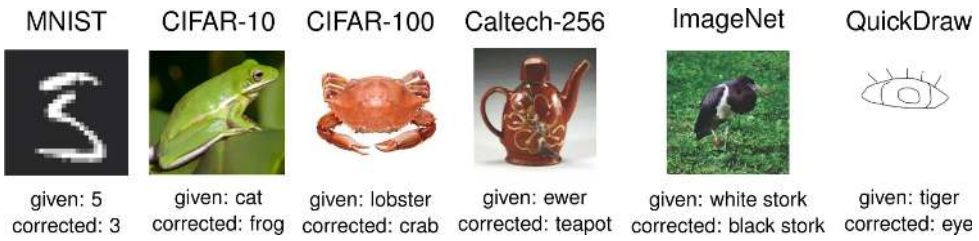

标注模糊性：模糊图像或稀有物种等主观或困难示例如何在数据标注过程中引入错误，突显出仔细质量控制和潜在专家注释的必要性。

鉴于这些根本的质量挑战，生产 ML 系统实施了多层次的质量控制。系统的质量检查通过对标注数据的随机抽样进行专家审查和统计方法，持续监控标注管道以标记潜在错误。基础设施必须高效处理这些检查，确保在数百万个示例中进行而不形成瓶颈。抽样策略通常验证 1-10% 的标签，以检测灵敏度与审查成本之间的平衡。风险较高的应用（如医疗诊断或自动驾驶汽车）可能对 100% 的标签进行多次独立审查，而较低风险的应用（如产品推荐）可能仅通过抽查验证 1%。

除了随机抽样方法外，对每个数据点收集多个标签（通常称为“共识标注”）有助于识别有争议或模糊的案例。专业标注公司为此过程开发了复杂的基础设施。例如，Labelbox 的共识工具跟踪注释者之间的一致性，并自动将有争议的案例路由给专家审

查。Scale AI 实施分级质量控制，由经验丰富的注释者验证新团队成员的工作。共识基础设施通常为每个示例收集 3-5 个标签，使用 Fleiss' kappa 等指标计算注释者之间的协议，该指标测量超出偶然一致性的协议。协议度低（kappa 值低于 0.4）的示例将被路由到专家审查，而不是通过非专家的多数投票强制达成一致。

共识方法反映了可扩展系统的基本经济权衡。专家审查的成本是众包标注的 10-50 倍，但通过非专家的多数投票在模糊示例上强制达成一致会产生系统性偏见标签。通过仅将真正模糊的案例路由给专家（通常通过低注释者间协议率识别的 5-15% 示例），系统在成本和质量之间取得平衡。这种分层方法使得在保证质量标准的同时，能够以经济的方式处理数百万个示例。

尽管技术基础设施提供了质量控制的基础，但成功的标注系统还必须考虑人因。当与注释者合作时，组织需要健全的培训和指导系统。这包括良好的文档，清楚标注正确内容的示例，边缘案例的视觉演示及处理方法，定期反馈机制，向注释者展示其在金标准示例上的准确性，以及校准会议，让注释者讨论模糊案例以达成共识。对于复杂或特定领域的任务，系统可能实施分级访问，基于注释者在类似示例上的表现将具有挑战性的案例路由给具有适当专业知识的注释者。

质量监控会生成大量数据，必须高效处理和跟踪。组织通常监控注释者间协议率（跟踪多个注释者是否对同一示例达成一致）、标签置信度分数（注释者对其标签的确定程度）、每次注释花费的时间（过快可能表示粗心，过慢可能表示困惑）、错误模式和类型（系统性偏见或误解）、注释者表现指标（在金标准示例上的准确性）和偏见指标（某些注释者人口统计信息是否系统性地标注不同）。这些指标必须在数百万个示例中高效计算和更新，通常需要专用分析管道，近实时处理标注数据以在大规模数据影响之前发现质量问题。

构建可靠的标注平台

从标签质量转向系统可靠性，我们考察平台架构如何支持一致的操作。质量关注标签准确性，而可靠性确保平台架构本身在规模上稳定运行。从数百到数百万个示例的标注扩展，同时保持质量，需要理解生产标注系统如何在多个架构组件之间分离关注点。根本挑战在于，标注代表了人机协作的工作流，系统性能不仅依赖于基础设施，还依赖于对人类注意力、专业知识和一致性的管理。

基础是一个持久的任务队列，持久存储标注任务，确保在系统重启或注释者断开连接时不会丢失工作。大多数生产系统为此使用消息队列，如 Apache Kafka 或 RabbitMQ，而非数据库，因为消息队列提供了自然的排序、并行消费和重放能力，而数据库则不易支持。每个任务携带超出待标注数据的元数据：任务类型（分类、边界框、分割）、所需专业知识水平、紧急程度以及准确标注所需的任何上下文 —— 可能是相关示例或相关

文档。

将任务路由到注释者的分配服务实现了比简单的轮询分配更复杂的匹配逻辑。医学影像标注系统将胸部 X 光片专门路由给具有放射科专业知识的注释者，这通过他们与金标准示例的专家标签一致性来衡量。但仅仅匹配专业知识还不够 —— 只查看胸部影像或仅关注特定病理的注释者可能会产生盲点，在熟悉的示例上表现良好，但在不太常见的案例上表现较差。因此，生产系统会限制分配，确保没有注释者的 30% 以上任务来自单一类别，从而保持广泛的接触面，防止过度专业化导致对不熟悉示例的质量下降。

当任务需要多个注释以确保质量时，共识引擎会确定何时收集到足够的标签以及如何汇总可能冲突的意见。简单的多数投票适用于大多数注释者自然达成一致的明确分类任务：识别图像中是否包含汽车，几乎不会产生分歧。但对于更主观的任务，如情感分析或识别细微的图像属性，注释者之间可能会产生合理的分歧。一种常见模式是为每个示例收集 3-5 个标签，计算注释者之间的协议（使用 Fleiss' kappa，超出偶然的协议），将协议度低（通常 kappa 值低于 0.4）的示例路由给专家审查，而不是强制对真正模糊的案例达成一致。

这种分层方法反映了塑造平台架构的基本经济权衡。专家审查的成本是众包标注的 10-50 倍，但通过非专家的多数投票在模糊示例上强制达成一致会产生系统性偏见标签 —— 偏向于更容易标注的模式，而这些模式可能并不反映对模型稳健性重要的复杂性。通过仅将真正模糊的案例路由给专家（通常通过低注释者间协议率识别的 5-15% 示例），系统在成本和质量之间取得平衡。平台必须高效实现这种路由逻辑，跟踪哪些示例需要专家审查，并确保它们被送到适当资格的注释者那里，而不会形成瓶颈。

保持大规模下的质量需要通过金标准注入进行持续测量。系统定期在任务流中插入已知正确标签的示例，而不透露哪些是金标准。这使得可以计算每个注释者的准确性，而不会出现霍桑效应（测量改变行为） —— 注释者无法在金标准示例上“更努力”，因为他们不知道哪些是金标准。持续低于 85% 准确率的注释者将获得额外的培训材料、更详细的指导，或在表现未改善时被移除。除了简单的准确性，系统还会从多个维度跟踪质量：对同一任务的同行注释者之间的协议（检测系统性分歧，表明对指导方针的误解）、每个任务的时间（过快可能表示粗心，过慢可能表示困惑）以及一致性（同一注释者在几天前看到的类似示例上是否可靠地应用标签）。

标注平台的可靠性构建

从标签质量转向系统可靠性，我们需要考察平台架构如何支持一致的操作。标签质量关注标签本身的准确性，而可靠性则确保标注平台在大规模下依然稳定运行。要将标注规模从几百扩展到数百万，同时保持高质量，必须理解生产级标注系统如何在多个架构组件间分离关注点。标注本质上是“人机协作”流程，系统性能不仅取决于技术基础设

施，还依赖于对人类注意力、专业能力和一致性的管理。

平台的基础是持久化任务队列，确保即使系统重启或标注者断线，任务也不会丢失。生产系统通常采用消息队列（如 Apache Kafka、RabbitMQ），而不是数据库，因为消息队列天然支持排序、并行消费和重放，数据库则难以高效实现这些能力。每个任务不仅包含待标注数据，还携带元数据：任务类型（分类、边界框、分割）、所需专业水平、紧急程度，以及准确标注所需的上下文（如相关示例或文档）。

任务分配服务负责将任务智能分配给标注者，远比简单的轮询分配复杂。例如医学影像标注系统，会将胸片专门分配给在金标准样本上与专家标签高度一致的标注者。但仅靠专业匹配还不够 —— 如果标注者只接触某一类别或某一病理，容易形成“盲区”，在熟悉样本上表现良好，但在不常见案例上表现较差。因此，生产系统会限制分配，确保任何标注者收到的单一类别任务不超过 30%，以保证广泛的样本覆盖，防止过度专业化导致质量下降。

当任务需要多重标注以确保质量时，共识引擎负责判断何时收集到足够标签，以及如何聚合可能冲突的意见。对于明确的分类任务，大多数标注者自然达成一致，简单的多数投票即可。但对于主观性强或细粒度属性的任务，标注者间可能出现合理分歧。常见做法是每个样本收集 3-5 个标签，计算标注者间一致性（如 Fleiss' kappa），对于一致性低（如 kappa < 0.4）的样本，系统会自动路由给专家审核，而不是强行让非专家达成一致。

这种分层方法反映了平台架构的经济权衡。专家审核每例成本是众包标注的 10-50 倍，但强行让非专家在模糊样本上达成一致会产生系统性偏见，标签更倾向于易标注的模式，未能反映模型稳健性所需的复杂性。通过仅将真正模糊的样本（通常占 5-15%，通过低一致性自动识别）路由给专家，系统在成本和质量之间取得平衡。平台必须高效实现这种路由逻辑，跟踪哪些样本需专家审核，并确保及时分配给合格标注者，避免形成瓶颈。

大规模下保持质量需要持续的金标准注入。系统会定期在任务流中插入已知正确标签的样本，但不告知标注者哪些是金标准。这样可以计算每个标注者的准确率，而不会因“霍桑效应”导致行为改变 —— 标注者无法在金标准样本上“刻意表现”。持续低于 85% 准确率的标注者会收到额外培训、详细指南，或在表现未改善时被移除。除了准确率，系统还会多维度跟踪质量：与同行标注者的一致性（检测对指导方针的误解）、每任务耗时（过快可能粗心，过慢可能困惑）、一致性（同一标注者对不同时间的类似样本是否稳定标注）。

这些系统在大规模下对性能要求极高。例如，每小时处理 1 万条标注的平台，既要满足低延迟分配，又要保证数据库写入能力。每条标注都立即写入 PostgreSQL 等持久数据

库，约需每秒 2-3 次写入，数据库可承受。但任务分发 —— 为 10 万并发标注者分配新任务 —— 要求亚秒级响应，数据库难以支撑高并发请求。因此，生产系统采用两层存储架构：Redis 缓存活跃任务，实现 <100ms 分配延迟，标注结果则每 100 条批量写入 PostgreSQL（每 30-60 秒），既保证持久性又避免数据库小写入压力。

系统的横向扩展依赖于精细的数据分区。任务按 task_id 分片，任务队列可独立扩展；标注者绩效指标按 annotator_id 分片，分配决策可快速查找；聚合标签按 example_id 分片，模型训练时高效检索。这种分区策略使系统能日处理数百万任务，支持 10 万 + 并发标注者，任务分配中位延迟 <50ms，证明“人机协作”系统在合理架构下可与自动化流水线媲美。

除了架构设计，理解标注经济学也揭示了为何 AI 辅助扩展变得必不可少。数据标注是 ML 系统最大的隐性成本之一，但项目规划时往往只关注算力和训练费用，忽视了标注成本。团队会精细优化 GPU 利用率、计算每小时训练成本，但每例标注成本（按条计价）常常被忽略，实际往往远超算力开销。全面的经济模型显示，随着 ML 系统成熟、数据需求扩展到百万甚至十亿级，AI 辅助扩展不只是有益，而是经济上的必然选择 —— 在后续 ML 运维章节（第 13 章：机器学习运维）会进一步分析生命周期成本的复合效应。

标注成本结构呈乘法模型，既包含直接标注成本，也包含质控和返工开销：

$$\text{总成本} = N \times \text{单例标注成本} \times (1 + R_{\text{专家审核}}) \times (1 + R_{\text{返工}})$$

其中 N 为样本数，单例标注成本 为每条标签基础费用，$R_{\text{专家审核}}$ 为需专家审核比例（通常 5-15%），$R_{\text{返工}}$ 为需返工比例（通常 10-30%）。例如，100 万条标签，每条 $0.10，10% 需专家审核（每条 $0.50），20% 需返工，总成本达 $138,000，而不是简单计算的 $100,000。相比之下，训练同样数据的 ResNet-50 算力成本仅 $50 —— 标注成本高出近 3000 倍，说明标注经济学主导系统总成本，却在规划阶段常被低估。

每条标签成本随任务复杂度和专业要求差异巨大。简单图片分类众包仅需 $0.01-0.05/条，专家审核则升至 $0.50-2.00。边界框标注简单场景 $0.05-0.20/框，复杂密集场景 $1.00-5.00。语义分割每图像 $5-50，医学影像专家标注每例 $50-200。计算机视觉系统如需千万级标签，单价从 $0.02 到 $0.05 的差异即带来 $300,000 的项目成本，往往超过全部基础设施预算，却常在标注启动后才被发现。

随着标注需求随着现代 ML 系统呈指数级增长，可扩展性变得至关重要。可扩展性支柱推动 AI 辅助标注作为增强人类标注的倍增器，而非替代者。仅靠人工标注无法跟上现代 ML 系统的数据需求，而完全自动化的标注又缺乏人类提供的细致判断。AI 辅助标注找到了二者之间的平衡点：利用自动化处理明确案例，加速标注，同时保留人类对模糊

或高风险决策的判断。正如图 13 所示，AI 辅助提供了几条扩展标注操作的路径，每条路径都需要仔细设计系统，以平衡速度、质量和资源使用。

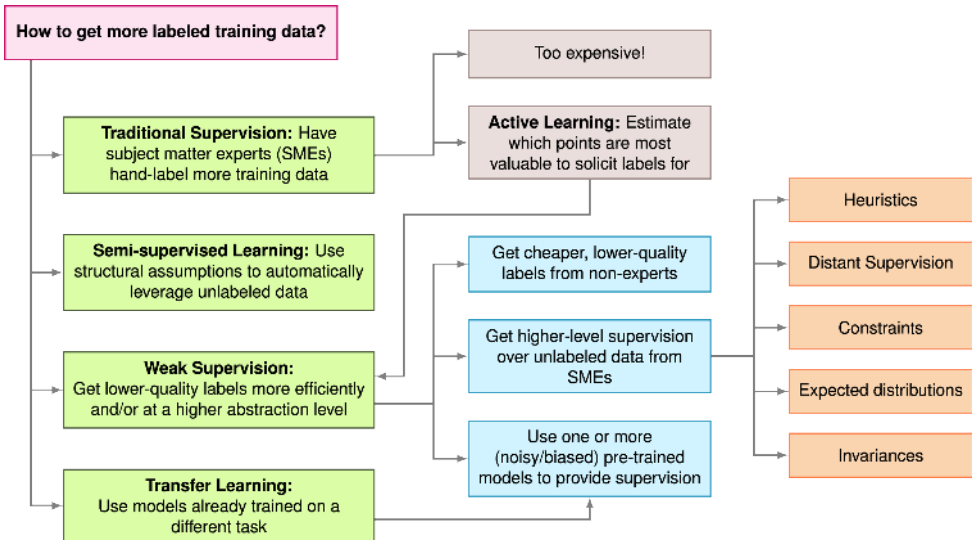

AI 增强标注：程序化标注、远程监督和主动学习通过提高吞吐量来扩展数据注释，可能会引入标注错误，因此需要仔细的系统设计来平衡标注速度、成本和模型质量。这些策略使机器学习系统克服了仅靠人工标注所带来的局限性，促进了数据匮乏环境中的部署。来源：斯坦福 AI 实验室。

现代 AI 辅助标注通常结合多种方法协同工作。预标注是指利用 AI 模型为数据集生成初步标签，随后由人工审核和修正。主要标注平台在这项技术上进行了大量投资。Snorkel AI 通过基于规则的启发式和弱监督信号，使用程序化标注自动生成初始标签。Scale AI 在特定领域（如自动驾驶）部署预训练模型，加速标注，人工则对车辆和行人等进行验证和修正。像 SuperAnnotate 这样的公司提供自动化预标注工具，可将计算机视觉任务的人工工作量减少 50-80%。这种通常采用半监督学习技术的方法，能够节省大量时间，尤其是对于极大数据集。

大型语言模型（LLM）的出现，如 ChatGPT，进一步改变了标注管道。LLM 除了可以进行简单分类外，还可以生成丰富的文本描述、根据示例创建标注指南，甚至解释其标签分配的推理。例如，内容审核系统使用 LLM 执行初步内容分类，并生成对政策违规行为的解释，供人工审核员验证。然而，集成 LLM 也带来了新的系统挑战，如推理成本（API 调用可能每个示例 $0.01-$1）、速率限制（云 API 通常限制在每分钟 100-10,000 个请求）和输出验证（LLM 偶尔会生成自信但错误的标签，需要系统验证）。许多组织采用分层方法：对例行案例使用较小的专用模型，对需要细致判断或稀有领域专业知识的复杂场景使用较大 LLM。

主动学习等方法通过智能优先标注哪些示例需要人工关注来补充这些方法。这些系统持续分析模型不确定性，以识别有价值的标注候选。与随机标注未标注数据的样本相比，

主动学习选择当前模型最不确定的示例或标签将最能提高模型性能的示例。因此，基础设施必须高效计算不确定性指标（通常是预测熵或集成模型之间的分歧）、维护按信息量排序的任务队列，并根据传入标签调整优先级策略。考虑一个医学影像系统：主动学习可能会识别出不寻常的病理进行专家审查，而通过预标注让专家仅需验证的常规案例则由系统处理。这种方法与随机抽样相比，可以减少 50-90% 的标注需求，但需要仔细工程设计，以防止反馈循环，即模型的不确定性偏向于标注哪些数据。

随着这些 AI 组件的相互作用，质量控制变得愈发重要。系统必须通过系统的指标监控 AI 和人工的表现。模型置信度校准很重要：如果 AI 说它有 95% 的信心，但实际上在该置信水平下的准确率只有 75%，那么预注释可能会误导人工审核。人机一致性率揭示了 AI 辅助是帮助还是阻碍：当人工经常覆盖 AI 建议时，预注释可能引入偏见，而不是加速工作。这些指标需要在整个标注管道中仔细仪表化，跟踪不仅仅是最终标签，而是人类和 AI 在每个阶段之间的交互。

在自动驾驶汽车等安全关键领域，这些系统在处理大量传感器数据流时，必须保持特别严格的标准。Waymo 的标注基础设施据报道每天处理数百万个传感器帧，使用 AI 预标注来标记常见物体（车辆、行人、交通标志），同时将不寻常的场景（施工区域、紧急车辆、异常道路条件）路由给人工专家。尽管如此大规模，系统仍需保持实时性能，采用分布式架构，预标注在 GPU 集群上运行，而人工审核则横向扩展到数千名注释者，负载均衡确保任一组件都不会成为瓶颈。

确保伦理和公平的标注

与之前各节将治理重点放在数据和流程上不同，标注治理则集中于人类福祉。此处的治理支柱解决人工贡献者的伦理对待、偏见减轻和公平补偿 —— 这些挑战与自动化管道阶段的治理截然不同，因为人类福祉直接相关。处理自动驾驶数据的公司往往在数据标注上外包给低收入国家，利用成本差异进行大规模标注，但这也带来了伦理和治理挑战。

例如，OpenAI 在开发 ChatGPT 时，将数据标注任务外包给肯尼亚工人，涉及对模型可能生成的有害或不当材料进行内容审核和标注。这些工人被要求审查和标注令人不安的内容，如血腥暴力和露骨材料，以训练 AI 识别和避免此类输出。尽管这种方法提高了 ChatGPT 的安全性和实用性，但也引发了对工作条件、任务性质和薪酬的重大伦理担忧。

许多贡献者的时薪低至 $1.32，需审查和标注高度创伤性的材料。这种工作的心理负担，加之低工资，令其公平性和透明性受到质疑。此事件突显了众包伦理实践中的关键缺口。工人，尤其是来自经济弱势地区的工人，未能获得足够的支持以应对任务的心理影响。缺乏心理健康资源和不充分的补偿，加上将数据标注任务外包给低收入地区时可能出现的权力失衡，均需引起重视。

不幸的是，ChatGPT 肯尼亚事件中暴露的问题并非 OpenAI 所独有。许多依赖众包进行数据标注的组织面临类似问题。随着机器学习系统变得愈加复杂，且对标注数据集的需求激增，业界亟需建立标准和最佳实践，以确保数据标注的伦理性。公平补偿应至少达到当地最低工资标准，理想情况下应与工人所在地区的同类工作薪酬相当 —— 不仅仅是法律规定的最低标准，而是对需要持续注意力的熟练工作的公平报酬。对于敏感内容审核，这通常意味着反映心理负担的额外薪酬，可能是基础工资的 2-3 倍。

工人福祉要求为处理敏感内容的工人提供心理健康资源。像 Scale AI 这样的组织实施了结构化支持，包括：限制接触创伤性内容（通过不同内容类型轮换注释者、限制每天处理令人不安材料的小时数）、提供免费心理咨询服务的渠道，以及在注释者遇到特别令人不安的内容时提供即时支持。这些措施虽然增加了运营成本，但对确保伦理操作至关重要。透明度要求清晰沟通任务目的、贡献将如何使用、工人可能遇到何种内容以及工人权利，包括跳过可能引起心理不适的任务。

除了工作条件，数据标注中的偏见也是一个关键治理问题。注释者在标注过程中会带入自身的文化、个人和职业偏见，这可能反映在数据集中。例如，@wang2019balanced 发现，主要由某一地理区域的注释者标注的图像数据集，在物体识别任务上表现出偏见，在其他区域的图像上表现不佳。这凸显了注释者池的多样性需求，注释者的群体特征多样性有助于抵消个体偏见，尽管无法消除。定期进行偏见审计，检查标签分布是否在注释者人口统计信息之间系统性地不同，监控是否存在系统性偏见的模式（某些区域的所有图像质量评分较低），并通过额外培训或指导方针的细化来解决识别出的偏见，确保标签支持公平的模型行为。

数据标注还面临数据隐私和伦理方面的挑战。领先的数据标注公司为应对这些挑战开发了专门的解决方案。例如，Scale AI 维护专门的团队和安全基础设施，以处理医疗和金融等敏感数据，提供符合 HIPAA 标准的标注平台和严格的数据访问控制。Appen 实施严格的数据访问控制和匿名化协议，确保注释者在不必要时无法看到个人身份信息。Labelbox 为具有严格安全要求的组织提供私有云部署，支持在组织边界内进行标注而无需数据外泄。这些保护隐私的技术与我们在未来章节中探讨的安全性考虑直接相关 [192]，后者将建立在此处的数据治理基础上，解决 ML 生命周期中敏感数据的全面保护策略。

除了隐私和工作条件，实时数据的动态特性也是数据标注治理的另一个限制。标注时准确的标签，可能会随着数据底层分布的变化而变得过时或无效。这一概念被称为概念漂移（concept drift），因此需要持续的标注工作和对现有标签的定期重新评估。治理框架必须考虑标签版本控制（跟踪标签何时由谁创建）、重新标注策略（当概念演变时系统地重新标注数据）和退休策略（识别何时应弃用旧标签而不是用于训练）。

192. 第 13 章深入探讨安全性和隐私，建立在此处的数据治理基础上，解决 ML 系统的全面保护策略。

最后，当前标注方法的局限性在处理边缘案例或稀有事件时变得明显。在许多实际应用中，通常是那些不寻常或稀有的实例最为关键（例如，医疗诊断中的罕见疾病，或自动驾驶中的不寻常道路条件）。然而，这些案例在大多数数据集中是欠代表的，可能在大规模标注工作中被忽视或错误标注。治理要求对稀有事件采取明确策略：针对代表性不足场景的定向收集活动、稀有案例的专家审查要求，以及系统跟踪以确保尽管频率较低但仍获得适当关注的稀有事件。

这一案例强调了考虑 AI 系统背后人力劳动的重要性。尽管众包提供了可扩展性和多样性，但也带来了无法忽视的伦理责任。在构建驱动 AI 创新的数据集时，组织必须优先考虑贡献者的福祉和公平对待。标注中的治理，归根结底是承认训练数据不仅仅是比特和字节，而是值得尊重、获得公平补偿和伦理对待的人类劳动的产物。

案例研究：KWS 系统中的自动化标注

在 KWS 案例研究中，数据标注阶段 —— 在系统化问题定义、多样化数据收集策略（涵盖质量和覆盖率要求）、摄取模式（处理批量和流式工作负载）以及处理管道（确保训练 - 服务一致性）等环节建立后 —— 我们现在面临一个独特的挑战：如何在不成比例增加人工标注成本的情况下，生成数百万条带标签的唤醒词样本。多语言口语词库（MSWC）展示了自动化标注如何通过其创新的方法来应对这一挑战，该数据集包含来自 50 种不同语言的 340,000 个关键词的 23.4 百万条一秒钟语音示例。

这种规模直接反映了我们框架支柱的实际应用。实现我们在不同环境中 98% 准确率的质量目标，需要数百万个训练示例，以涵盖我们在问题定义中识别的声学变化。可靠性要求在不同声学条件下的代表性 —— 不同的背景噪音、说话风格和录音环境。可扩展性则要求实现自动化，因为 2340 万个示例即使以每个标签 10 秒的速度标注，也需要约 2600 人年的努力，单靠人工标注在经济上不可行。治理要求透明的数据来源和语言多样性，确保语音激活技术服务于多语言的说话人，而不仅仅是最具商业价值市场的集中。

如图 15 所示，这一自动化系统始于配对的语音录音和相应的转录，这些数据来自 Common Voice 或多语言字幕内容平台。系统通过强制对齐 [193] 处理这些输入 —— 这是一种计算技术，通过同时分析音频和转录文本，识别连续语音中的精确单词边界。

在这些精确的时间标记基础上，提取系统生成干净的关键词样本，同时处理我们在问题定义中预见的工程挑战：背景噪声干扰单词边界、说话者意外拉伸或压缩单词超出目标时长 500-800 毫秒、以及较长单词超出一秒钟边界。MSWC 提供自动化质量评估，分析

193. **强制对齐**：一种自动语音处理技术，通过使用声学模型将音频与转录文本对齐，确定连续语音中单词的精确时间边界。系统通过动态规划计算最佳对齐路径，将音素序列与音频帧匹配，从而提取适合 KWS 训练的一秒钟单个关键词。工具如 Montreal Forced Aligner 以毫秒级精度映射书面单词与口语声音之间的时间关系，从而提取单个关键词。

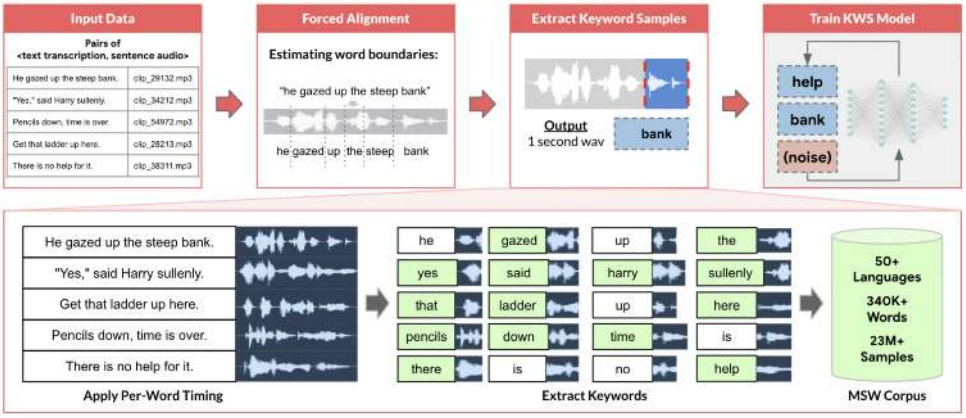

多语言数据准备：强制对齐和分割将配对的音频 - 文本数据转换为带标签的一秒钟片段，为跨 50 种语言的关键词检测模型训练创建大规模语料库。这一自动化过程通过高效利用现有语音资源（如 Common Voice 和多语言字幕内容）生成训练示例，从而实现 KWS 系统的可扩展开发。

音频特征以识别录音质量、语音清晰度或背景噪声等潜在问题 —— 在无需人工审核的情况下，维护 2300 万个样本的一致标准至关重要。

现代语音助手开发者通常在此自动化标注基础上进行构建。尽管自动化语料库可能不包含产品所需的特定唤醒词，但它们为 KWS 原型开发提供了起点，特别是在商业数据集不存在的欠服务语言中。生产系统通常会针对具有挑战性的案例（如不寻常的口音、稀有单词或困难的声学环境）叠加定向人工录制和验证，这需要在自动处理和人工专业知识之间优雅协调的基础设施。这展示了四大支柱的整合：通过定向人工验证确保质量，通过自动化一致性确保可靠性，通过强制对齐实现可扩展性，以及通过透明的数据来源和多语言覆盖实现治理。

强制对齐、提取和质量控制的精密协调，展示了深思熟虑的数据工程如何直接影响生产机器学习系统。当语音助手响应其唤醒词时，它依赖于这一标注基础设施，以及我们在本章中审视的收集策略、管道架构和处理转换。存储架构，接下来我们将讨论的内容，完成了这一图景，决定了这些经过精心标注的数据集如何在整个 ML 生命周期中组织、访问和维护，从而实现高效的训练迭代和可靠的规模服务。

战略性存储架构

在建立系统化处理管道，将原始数据转化为适合机器学习的格式后，我们必须设计存储架构，以支持整个 ML 生命周期，同时维持我们的四大支柱框架。存储决策决定了我们如何有效维护数据质量、确保在不同负载下的可靠访问、扩展以处理不断增长的数据量以及实施治理控制的复杂权衡，这些权衡从根本上塑造了 ML 系统的操作方式。

机器学习的存储需求与传统应用程序的事务性系统截然不同。ML 工作负载优先考虑高吞吐量的顺序读取、频繁写入和行级更新的低需求，以及对模式灵活性而非严格结构的需求。为电子商务或银行系统提供服务的数据库在每秒执行数百万次单独的产品查找时表现良好，但需要反复扫描整个产品目录的 ML 训练作业则需要完全不同的存储优化。一个为在线特征服务而优化的数据库，在需要对大规模数据集进行复杂查询时，往往会因为性能下降而无法满足需求。

本节将探讨如何将存储架构与 ML 工作负载特征相匹配，比较数据库、数据仓库和数据湖，然后探讨用于特征存储的专用 ML 基础设施，以及存储需求如何在 ML 生命周期中演变。

ML 存储系统架构选项

存储系统的选择是一个关键的架构决策，影响从开发到生产操作的 ML 生命周期的方方面面。数据库、数据仓库和数据湖之间的选择不仅决定了数据存放的位置，还决定了团队在开发过程中迭代的速度、模型访问训练数据的方式以及服务系统在生产中检索特征的方式。理解这些权衡需要检查基本存储特性和不同 ML 任务的特定访问模式。

关键的见解是，不同的 ML 工作负载根据其访问模式和延迟需求，具有根本不同的存储需求：

- **数据库（OLTP）**：在需要低延迟、随机访问单个记录的在线特征服务中表现出色。实时推送个性化推荐时，需要毫秒级查找特定用户特征（年龄、位置、偏好）的用户档案。
- **数据仓库（OLAP）**：针对结构化数据的模型训练进行了优化，在大型、干净的表上需要高吞吐量、顺序扫描。训练处理数百万交易及其数百个特征的欺诈检测模型，受益于只读取相关特征的列式存储。
- **数据湖**：处理探索性数据分析和非结构化数据（图像、音频、文本）的训练，灵活性和低成本存储大规模数据至关重要。计算机视觉系统需要将 TB 级原始图像与元数据、注释和中间处理结果一起存储，只有数据湖才能提供所需的模式灵活性和成本效益。

数据库在操作和事务性目的上表现出色，维护产品目录、用户档案或交易历史，提供强一致性保证和低延迟点查找。对于 ML 工作流，数据库在以下特定角色中表现良好：存储经常变化的特征元数据、管理实验跟踪（事务一致性很重要）或维护需要原子更新的模型注册表。处理结构化用户属性（如 user_id、age、country、preferences）的 PostgreSQL 数据库，为需要实时获取单个用户特征的服务系统提供毫秒级查找。然而，当 ML 训练需要在多个周期中反复扫描数百万条记录时，数据库就显得力不从心了。优化事务性查找的行式存储，在训练需要从每条记录中提取 20 列而不是 100 列时变得

低效。

数据仓库填补了这一分析空白，针对跨集成数据集的复杂查询进行了优化，这些数据集被转换为标准化模式。现代仓库如 Google BigQuery、Amazon Redshift 和 Snowflake 使用列式存储格式，使得在训练时可以高效读取特定特征，而无需加载整个记录 —— 当表包含数百列但训练只需其中一部分时，这一点尤为重要。这种列式组织在典型 ML 工作负载中提供了 5-10 倍的 I/O 减少。例如，对于一个具有 100 列的欺诈检测数据集，模型通常只使用 20 个特征 —— 列式存储只读取所需列，未压缩的 I/O 减少达到 80%。许多成功的 ML 系统从数据仓库提取训练数据，因为结构化环境简化了探索性分析和迭代开发。数据分析师可以快速计算汇总统计信息、识别特征之间的相关性并使用熟悉的 SQL 接口验证数据质量。

然而，数据仓库假设模式相对稳定，对于真正的非结构化数据（图像、音频、自由格式文本）或在实验性 ML 管道中常见的快速演变格式处理起来比较吃力。当计算机视觉团队希望将原始图像与提取的特征、来自不同标注供应商的多种注释格式、中间模型预测和嵌入向量存储在一起时，强制将所有这些内容放入严格的仓库模式中，会造成更多的摩擦而非价值。模式演变变得困难：向大型数据集添加新特征类型需要 ALTER TABLE 操作，这可能需要数小时，阻塞其他操作并减缓迭代速度。

数据湖则解决了这些局限性，原生存储结构化、半结构化和非结构化数据，在读取时再推迟模式定义 —— 这种模式被称为读取时模式（schema-on-read）。这种灵活性在 ML 开发早期阶段尤其有价值，此时团队需要尝试各种数据源，尚不确定哪些特征会证明有用。一个推荐系统可能在同一个数据湖中存储：以 JSON 格式记录的事务日志、JPEG 格式的产品图像、文本文件格式的用户评论、以 Parquet 格式存储的点击流数据，以及 NumPy 数组格式的模型嵌入。与其将这些异构类型强制放入一个共同的模式中，不如将它们保留为原生格式。应用程序仅在读取时施加模式，使得不同的消费者可以根据各自的分析需求以不同的方式解释相同的数据 —— 一个团队从事务日志中提取购买金额，而另一个团队分析时间模式。

这种灵活性带来了重大的治理挑战。如果没有严格的元数据管理和目录服务，数据湖将退化为“数据沼泽” —— 数据无序存放，相关数据变得几乎无法找到，从而破坏了最初采用数据湖的生产力优势。一个数据湖可能包含数千个数据集，分布在数百个目录中，名称如“userdata_v2_final”和“userdata_v2_final_ACTUALLY_FINAL”，只有最初的作者（他们已经离开公司）才明白它们之间的区别。成功的数据湖实施依赖于可搜索的元数据，关于数据血缘、质量指标、更新频率、所有权和访问模式的详细信息 —— 实质上是提供了类似仓库的可发现性，覆盖湖泊规模的数据。像 AWS Glue Data Catalog、Apache Atlas 或 Databricks Unity Catalog 这样的工具提供了这一元数据层，使团队能够在投入处理工作之前发现和理解数据。

表 3 总结了这些存储系统类型的基本权衡：

属性	传统数据库	数据仓库	数据湖
目的	操作和事务性	分析和报告	存储原始和多样数据以备后续处理
数据类型	结构化	结构化	结构化、半结构化和非结构化
规模	小到中等规模	中到大规模	大规模的多样数据
性能优化	针对事务性查询（OLTP）进行了优化	针对分析性查询（OLAP）进行了优化	针对可扩展存储和检索进行了优化
示例	MySQL、PostgreSQL、Oracle DB	Google BigQuery、Amazon Redshift、Microsoft Azure Synapse	Google Cloud Storage、AWS S3、Azure Data Lake Storage

选择合适的存储需要系统评估工作负载需求，而不是跟随技术趋势。当数据量保持在一个 TB 以下时，查询模式涉及频繁更新和复杂联接，延迟要求需要在 10 毫秒以内，强一致性是强制性要求时，数据库是最佳选择。为实时推荐服务的用户档案存储就是这种模式的典型例子：以千字节为单位的小型每用户记录，偏好更新时频繁读写，确保用户能够立即看到自己的更新，延迟要求低于 10 毫秒。当分析查询需要跨大数据集进行时，数据库就显得力不从心了，尤其是当查询复杂性增加时 —— 需要跨总计数 GB 而非 MB 的表进行聚合或联接，或者当分析工作负载开始影响事务系统性能时，通常会迁移到数据仓库。

数据仓库在数据量从一个 TB 扩展到 100 TB 之间表现出色，分析查询模式主导事务操作，批处理延迟在分钟到小时之间可接受，且主要工作负载为结构化数据和相对稳定的模式。当查询复杂性增加时 —— 需要跨总计数 GB 而非 MB 的表进行聚合或联接 —— 或者当分析工作负载开始影响事务系统性能时，通常会迁移到数据仓库。数据仓库在处理实时流式数据时显得不足，后者的延迟要求以秒为单位，或者当非结构化数据超过 20% 的工作负载时，由于仓库模式的刚性，会对异构数据造成过大的摩擦。

当数据量超过 100 TB 时，数据湖变得必不可少，模式灵活性对于数据源或实验性特征的快速演变至关重要，成本优化至关重要（在规模上通常比数据仓库便宜 10 倍），且多样的数据类型必须共存。大规模模型训练，特别是对于结合文本、图像、音频和结构化特征的多模态系统，需要数据湖的灵活性。考虑一个自动驾驶汽车系统：存储来自测试车辆的 TB 级别的摄像头图像和激光雷达点云、时间序列格式的车辆遥测数据、手动标注的物体和行为注释、用于稀有场景的自动生成的合成数据，以及用于与真实情况比较的模型预测。强制将这些多样化的内容放入仓库模式中，将需要大量的转换工作，并丢弃原生格式所保留的细微差别。然而，数据湖需要复杂的目录管理和元数据治理，以防止质量下降 —— 这一区别对于数据湖和数据沼泽之间的生产力差异至关重要。

表 4 概述了不同存储层的成本 - 性能权衡：

存储层	**成本 ($/TB/月)**	**顺序读取 吞吐量**	**随机读取 延迟**	**典型 ML 用例**
NVME SSD（本地）	$100-300	5-7 GB/s	10-100 µs	训练数据加载，主动特征服务
对象存储 (S3，GCS)	$20-25	100-500 MB/s（每个连接）	10-50 ms	数据湖原始存储,模型工件
数据仓库（BigQuery，Redshift）	$20-40	1-5 GB/s（列式扫描）	100-500 ms（查询启动）	训练数据查询，特征工程
内存缓存（Redis，Memcached）	$500-1000	20-50 GB/s	1-10 µs	在线特征服务，实时推理
归档存储（Glacier，Nearline）	$1-4	10-50 MB/s（检索后）	数小时（检索）	历史保留，合规性归档

正如表 4 所示，这些指标揭示了为何 ML 系统采用分层存储架构。考虑存储我们 KWS 训练数据集（736 GB）的经济性：对象存储每月费用为 $15-18，便于长期保留原始音频，而将工作数据保存在 NVMe 上以便于活动训练，每月费用为 $74-220，但提供 50

倍更快的数据加载速度。性能差异直接影响迭代速度 —— 以 5 GB/s 加载数据的训练，在 7360 秒内完成数据集加载，而以典型对象存储速度加载则需 7,360 秒，二者相差 50 倍，这决定了团队是能够每天多次迭代实验，还是必须等待数小时才能进行实验。

除了我们已经检查的基本存储能力外，ML 工作负载还引入了传统数据库和仓库无法处理的独特要求。理解这些特定于 ML 的需求及其性能影响，塑造了基础设施决策，这些决策贯穿整个开发生命周期，从实验性笔记本到处理数百万请求的生产服务系统。

现代 ML 模型包含数百万到数十亿的参数，需要高效的存储和检索模式，这与传统数据截然不同。GPT-3 的模型权重存储大约需要 700GB，采用 32 位浮点数 —— 这比许多组织的整个操作数据库还要大。这个轨迹显示了加速的规模：从 2012 年的 AlexNet 的 6000 万个参数到 2020 年的 GPT-3 的 1750 亿个参数，模型大小在八年内增长了约 2900 倍。存储系统必须高效处理这些密集的数值数组，以满足容量和访问速度的要求。在分布式训练期间，当多个工作节点需要协调访问模型检查点时，存储带宽变得至关重要。与典型文件顺序组织不同，模型权重受益于块对齐存储，使得跨参数组的并行读取成为可能。当 64 个 GPU 同时从共享存储读取不同的参数分片时，存储系统必须提供接近网络接口限制的总带宽 —— 通常为 25 千兆比特每秒或更高 —— 而不会引入同步瓶颈，导致昂贵的计算资源空转。

ML 开发的迭代特性引入了与传统软件截然不同的版本控制要求。虽然 Git 在跟踪代码更改（文本文件，增量修改）方面表现出色，但在大型二进制文件（即使是小的模型更改也会导致全新检查点）方面却无能为力。对 10 个 10GB 模型版本的天真存储将消耗 100GB，但大多数 ML 版本控制系统仅存储版本之间的增量，按模型实际更改的比例减少存储。像 DVC（数据版本控制）和 MLflow 这样的工具维护对模型工件的指针，而不是存储副本，从而实现高效版本控制，同时保留重现任何历史模型的能力。一个典型的 ML 项目在超参数调整过程中会生成数百个模型版本 —— 每次训练运行一个版本，因为工程师探索学习率、批量大小、架构和正则化策略。没有系统地捕获训练配置、准确性指标、训练数据版本与模型权重的对应关系，结果无法重现，尤其是当昨天的模型表现优于今天的模型时，团队无法确定是哪个配置导致了结果。这个可重现性挑战与数据治理中审查的治理要求直接相关，后者规定合规性通常要求证明特定模型预测是由哪些数据和过程产生的。

分布式训练生成大量中间数据，要求存储系统在大规模上处理并发读/写操作。当在 64 个 GPU 上训练 ResNet-50 时，每个处理单元处理其数据部分，要求存储系统在同步期间每几秒处理 64 次约 100MB 的中间结果写入。通过牺牲计算来优化内存的策略减少了内存需求，但增加了存储 I/O，因为中间值写入磁盘。存储系统必须提供低延迟访问，以支持高效同步 —— 如果工作节点在等待存储时花费的时间超过执行计算的时间，则分布式处理将适得其反。同步模式因并行策略而异：某些方法需要从所有工作节点收集结

果，其他方法则需要工作节点之间的顺序通信，混合策略则结合了这两种模式，并具有复杂的数据依赖性。

带宽层次结构从根本上限制了 ML 系统设计，造成了无法通过任何计算优化克服的瓶颈。尽管现代服务器提供 50 到 200 GB/s 的 RAM 带宽，但网络存储系统通常仅提供 1 到 10 GB/s，甚至高端 NVMe SSD 的顺序吞吐量也仅为 1 到 7 GB/s。当 GPU 可以比存储更快地处理数据时，昂贵的加速器在等待数据时可能会空转。以 ResNet-50 训练为例，模型包含 2500 万个参数，总计 100MB，处理 32 张图像的批量需 5MB 的输入数据，每次前向传播执行 40 亿次操作。每次操作移动 26 字节 —— 与传统计算工作负载相比，异常高，后者通常低于 1 字节/操作。当 GPU 理论上可以以每秒 10 GB 的速度处理计算时，存储却只能以每秒 1 GB 的速度提供数据，这 10 倍的带宽失配成为限制训练吞吐量的主要瓶颈。无论是通过更快的矩阵乘法内核、改进的内存访问模式还是更好的并行化，GPU 优化都无法克服这一根本的 I/O 限制。

理解这些定量关系，有助于做出明智的存储系统选择和数据管道优化的架构决策，这在分布式训练期间变得尤为重要，如 第 8 章：AI 训练 中所述。训练吞吐量方程揭示了关键的依赖关系：

$$\text{Training Throughput} = \min(\text{Compute Capacity}, \text{Data Supply Rate})$$

$$\text{Data Supply Rate} = \text{Storage Bandwidth} \times (1 - \text{Overhead})$$

当存储带宽成为限制因素时，团队必须通过更快的介质、并行化或缓存来提高存储性能，或通过压缩、量化或架构更改来减少数据移动需求。大语言模型的训练可能需要每小时处理数百 GB 的文本，而计算机视觉模型在大规模分布式集群上处理高分辨率图像时，可能需要超过 50 GB/s 的持续数据传输速率。这些要求解释了专门的 ML 存储系统的兴起，这些系统优化了数据加载管道：PyTorch DataLoader 通过多个工作进程并行化 I/O，TensorFlow tf.data API 通过预取和缓存进行优化，以及像 NVIDIA DALI（数据加载库）这样的框架，将数据增强卸载到 GPU 上，而不是从存储中加载预先增强的数据。

文件格式选择通过影响 I/O 量和解压缩开销，显著影响吞吐量和延迟。与基于行的格式（如 CSV 或 JSON）相比，列式存储格式（如 Parquet 或 ORC）对典型 ML 工作负载提供 5-10 倍的 I/O 减少。减少的原因有二：只读取所需列而非整个记录，以及列级压缩利用列内值模式。考虑一个具有 100 列的欺诈检测数据集，模型通常只使用 20 个特征 —— 列式格式只读取所需列，未压缩的 I/O 减少达到 80%。对于具有有限基数的分类特征，列压缩尤其有效：一个具有 200 个唯一值的国家代码列，在 1 亿条记录中通过字典

编码压缩 20 到 50 倍，而通过游程编码压缩排序列（仅存储值变化）也能获得显著压缩。两者结合可实现高达 20 到 100 倍的总 I/O 减少，直接转化为更快的训练迭代和更低的基础设施成本。

压缩算法选择涉及压缩比和解压缩速度之间的权衡。虽然 gzip 实现了 6 到 8 倍的更高压缩比，但 Snappy 仅实现了 2 到 3 倍的压缩，但以每秒 500 MB 的速度解压缩 —— 大约是 gzip 每秒 120 MB 的速度的 3 到 4 倍。对于训练而言，速度优势往往超过了空间节省。以 gzip 压缩的 100 GB 数据集训练需 17 分钟的解压缩时间，而 Snappy 仅需 5 分钟。当训练在 50 个周期中反复处理数据时，这种每个周期 12 分钟的差异累计起来就是 10 小时 —— 这可能是实验是在一夜之间完成还是需要等待多天才能得到结果的关键所在。选择的影响贯穿整个系统：更快的解压缩使得更高的批量大小成为可能（在解压缩后内存中容纳更多示例）、减少了缓冲需求（减少了需暂存的解压缩数据量）和更好的 GPU 利用率（等待数据时空闲时间更少）。

存储性能优化不仅限于格式和压缩，还包括数据布局策略。基于常用查询参数进行数据分区，显著提高检索效率。处理用户交互的推荐系统可能按日期和用户人口统计属性对数据进行分区，从而在训练最近的数据子集或特定用户群体时，无需扫描整个数据集。分区策略与分布式训练模式相互作用：范围分区按用户 ID 实现数据并行训练，每个工作节点处理一致的用户子集，而随机分区则确保工作节点看到多样化的数据分布。分区粒度很重要 —— 过少的分区限制并行性，而过多的分区则增加元数据开销，降低分区内顺序读取的效率。

ML 生命周期中的存储

随着 ML 系统从初始开发阶段推进到生产部署和持续维护，存储需求会发生重大变化。理解这些变化的需求，有助于设计支持整个生命周期的基础设施高效运行，而不是在系统扩展或需求变化时进行后期改造。同一数据集在探索性分析（随机抽样以进行可视化）、模型训练（顺序扫描多个周期）和生产服务（随机访问单个预测）中的访问方式可能截然不同，因此需要适应这些多样化模式的存储架构。

在开发阶段，存储系统必须支持探索性数据分析和迭代模型开发，此时灵活性和协作比原始性能更为重要。数据科学家同时处理各种数据集，尝试特征工程方法，并快速迭代模型设计以完善方法。关键挑战在于管理数据集版本，而不至于占用过多存储空间。天真地为每个实验复制整个数据集的方法会迅速耗尽存储空间 —— 在 100 GB 数据集上进行 10 次实验将需要 1 TB 的存储。像 DVC 这样的工具通过指针跟踪数据集版本，仅存储增量，从而实现高效实验。该系统维护从原始数据到转换后训练数据集的血缘关系，支持成功实验在数月后重新创建时的可复现性。

开发阶段的协作需要在数据可访问性和安全性之间取得平衡。数据科学家需要高效访问

数据集以进行实验，但组织同时必须保护敏感信息。许多团队实施分层访问控制，广泛提供合成或匿名数据集以便于实验，而访问包含敏感信息的生产数据则需要批准和审计跟踪。这在不必要地暴露敏感信息的情况下，加快了代表性数据的快速迭代。

训练阶段的需求则大幅转向吞吐量优化。现代深度学习训练需要反复处理大规模数据集，跨越几十或几百个周期，因此 I/O 效率对可接受的迭代速度至关重要。高性能存储系统必须提供足够的吞吐量，以同时向多个 GPU 或 TPU 加速器提供数据，而不会造成瓶颈。当在 8 个 GPU 上训练 ImageNet 的 ResNet-50 时，每个 GPU 每个周期处理约 4000 张图像，批量大小为 256 张图像。以每个周期 30 秒计算，这需要在所有 GPU 上以每秒 40,000 张图像的速度加载数据 —— 大约 500 MB/s 的解压缩图像数据。如果存储系统无法维持这一吞吐量，可能导致 GPU 空转，直接降低训练效率，增加基础设施成本。

预处理与实时计算之间的平衡在训练期间变得至关重要。大量预处理减少了训练时的计算需求，但增加了存储需求，并带来数据陈旧风险。计算机视觉的特征提取可能会将 150 KB 的图像转换为 5 KB 的 ResNet 特征 —— 实现 30 倍的存储减少，消除重复计算。然而，当特征提取逻辑更改时，预计算的特征会变得过时，需对整个数据集重新计算。生产系统通常实施混合方法：预计算昂贵且稳定的转换（如特征提取），而对快速变化的特征则在训练期间实时计算。这种平衡取决于每个特征的具体特性。

部署和服务阶段的需求则优先考虑低延迟随机访问，而非高吞吐量顺序扫描。实时推理要求存储解决方案能够在毫秒级时间内检索模型参数和相关特征。对于每秒服务 10,000 个请求、延迟预算为 10 毫秒的推荐系统，特征存储必须支持每秒 100,000 次随机读取。内存数据库如 Redis 或复杂的缓存策略成为满足这些延迟要求的关键。边缘部署场景则引入额外限制：嵌入式设备的存储容量有限、与中央数据存储的连接不稳定，以及在不干扰推理的情况下更新模型。许多边缘系统实施分层存储，频繁更新的模型在本地缓存，而不常变化的参考数据则定期从云存储中提取。

模型版本控制在部署期间变得至关重要。存储系统必须促进模型版本之间的平滑过渡，确保服务中断最小，同时允许快速回滚以防新版本表现不佳。阴影部署模式，即新旧模型并行运行以进行验证，要求存储系统能够高效地同时提供多个模型版本。A/B 测试框架则需要每个请求选择模型版本，要求快速加载模型，而无需同时在内存中维护数十个模型版本。

监控和维护阶段则引入长期存储考虑，重点在于调试、合规性和系统改进。捕获传入数据及其预测结果，支持持续分析以检测数据漂移、识别模型故障和维护监管合规性。对于边缘和移动部署，存储限制使数据收集变得复杂 —— 系统必须在收集足够的漂移检测数据和有限的设备存储及网络带宽之间取得平衡。受监管行业通常要求不可变存储以支持审计：医疗保健 ML 系统必须保留不仅仅是预测结果的完整数据来源，且需显示哪些训练数据和模型版本生成了每个诊断建议，可能长达数年或数十年。

热存储保留最近数据（过去一周），温存储保留中期数据（过去一个季度），冷归档存储则保留长期数据（过去几年），以满足合规性和深度分析的需要。这些层之间的过渡涉及访问延迟、存储成本和检索复杂性之间的权衡，系统必须在数据老化时自动管理。

特征存储：连接训练和服务

特征存储 [194] 已成为关键基础设施组件，解决了在训练和服务环境之间保持一致性，同时实现跨模型和团队的特征重用的独特挑战。传统 ML 架构在训练时和服务时往往以不同的方式计算特征，导致训练 - 服务偏差，悄然降低模型性能。

当检查典型的 ML 开发工作流时，特征存储解决的根本问题变得清晰。在模型开发期间，数据科学家在笔记本或脚本中编写特征工程逻辑，通常使用与生产服务系统不同的库和语言。训练可能使用 SQL 对历史数据进行聚合计算“用户的过去 30 天总购买量”等特征，而服务则使用微服务以增量方式更新缓存值来计算相同特征。这些实现应该产生相同的结果，但细微差异 —— 处理时区转换、处理缺失数据或四舍五入数值 —— 导致训练和服务特征出现偏差。对生产系统的研究发现，Uber 约有 30% 到 40% 的初始部署受到训练 - 服务偏差的影响，这促使他们开发了集成特征存储的 Michelangelo 平台。

特征存储提供特征定义的单一真实来源，确保整个 ML 生命周期各阶段的一致性。当数据科学家定义特征“user_purchase_count_30d”时，特征存储维护该特征的定义（SQL 查询、转换逻辑或计算图），并在提供历史特征值用于训练或实时值用于服务时一致地执行它。这种架构模式消除了一个类别的微妙错误，这些错误通常很难调试，因为模型成功训练但在生产中表现不佳，且没有明显错误。

除了确保一致性，特征存储还实现了跨模型和团队的特征重用，显著减少了重复工作。当多个团队构建需要类似特征的模型时 —— 如用于流失预测和追加销售模型的客户终生价值、用于推荐和个性化的用户人口统计特征、用于搜索排名和相关项目建议的产品属性 —— 特征存储防止每个团队重新实现略有不同的特征。集中式特征计算减少了开发时间和基础设施成本，同时提高了模型的一致性。一个计算用户嵌入向量的推荐系统，这些向量在数百个维度上表示偏好，聚合数月的交互历史进行计算。特征存储一次计算这些嵌入并将其提供给所有用户。

特征存储通常实现双重存储模式，以优化不同的访问模式。离线存储使用列式格式（如 Parquet）在对象存储上，针对训练期间的批量访问进行了优化，此时在训练时对数百万个示例进行顺序加载是常见的。在线存储使用键值系统（如 Redis），针对服务时的随机访问进行了优化，此时需要在毫秒内检索单个特征向量。存储之间的同步变得至关

194. **特征存储**：一种集中式基础设施组件，维护一致的特征定义，并为训练（批量，高吞吐量）和服务（在线，低延迟）环境提供统一访问。通过确保在 ML 生命周期各阶段跨越相同的特征计算逻辑，消除了训练 - 服务偏差，同时实现了跨模型和团队的特征重用。

重要：随着训练生成的新模型使用当前特征值，这些模型部署到生产时，期望在线存储提供一致的特征。特征存储通常实现定期批量更新，将新特征值从离线存储传播到在线存储，更新频率取决于特征的新鲜度要求。

时间旅行能力将复杂特征存储与简单缓存层区分开来。训练需要访问特定时间点的特征值，而不仅仅是当前值。考虑训练流失预测模型：对于在 1 月 15 日流失的用户，模型应使用 1 月 14 日计算的特征，而不是反映其流失状态的当前特征。时间点正确性确保训练数据与生产条件匹配，后者使用当前可用的特征来预测未来结果。实现时间旅行需要存储特征历史，而不仅仅是当前值，这大幅增加了存储需求，但使得在历史数据上进行正确训练成为可能。

特征存储性能特征直接影响训练吞吐量和服务延迟。对于训练，离线存储必须支持高吞吐量的批量读取，通常在训练开始时以每分钟加载数百万个特征向量。列式存储格式支持从包含数百个潜在列的宽特征表中高效读取特定特征。对于服务，在线存储必须支持每秒数千到数百万次读取，并具有单数字毫秒的延迟。这种双重模式优化反映了根本不同的访问模式：训练执行大规模顺序扫描，而服务执行小规模随机查找，要求针对每种模式优化的不同存储技术。

生产部署面临的额外挑战包括特征新鲜度和成本管理。实时特征需要立即更新，这对在线存储的容量和同步逻辑施加了压力。当用户将商品添加到购物车时，推荐系统希望在几秒钟内获得反映当前购物车内容的更新特征，而不是几小时。流式特征计算管道实时处理事件，持续更新在线存储，而不是通过定期批量作业。然而，流式处理引入了关于精确一次处理语义、处理迟到事件和管理每秒数百万次更新特征计算成本的复杂性。

特征存储在大规模下的成本管理变得重要。出于时间旅行能力而存储的全面特征历史会成倍增加存储需求：保留一年的每日特征快照需要 365 倍的存储，而不是仅保留当前值。生产系统实施保留策略，在时间上正确性和存储成本之间取得平衡，可能保留一年的每日快照、五年的每周快照，并在合规性要求的情况下清除旧历史。在线存储成本随着特征维度和实体数量的增加而增加：存储 100 万用户的 512 维嵌入向量，单精度（32 位浮点数）大约需要 200 GB，通常为可用性和低延迟访问而在多个区域复制，成本大幅增加。

特征存储迁移对于具有现有 ML 基础设施的组织来说是一项重大任务。遗留系统在众多库和管道中临时计算特征，使得集中化变得具有挑战性。成功的迁移通常是渐进的：从新特征开始进入特征存储，同时逐步迁移高价值的遗留特征，优先考虑那些在多个模型中使用或已知会导致训练 - 服务偏差问题的特征。保持抽象层，支持与特定特征存储实现无关的特征访问，防止与特定实现的紧密耦合，从而促进未来迁移，以应对需求变化或更好技术的出现。

现代特征存储实现包括开源项目如 Feast 和 Tecton，Databricks 特征存储和 AWS SageMaker 特征存储的商业产品，以及主要科技公司定制的解决方案。每种实现对支持的特征类型（结构化与非结构化）、支持的基础设施（云原生与本地）和与 ML 框架的集成进行了不同的权衡。特征存储作为关键 ML 基础设施的趋同，反映了特征工程占据 ML 开发工作的大部分，系统支持特征的基础设施为整个组织的 ML 投资组合提供了复利效益。

案例研究：KWS 系统的存储架构

完成我们对 KWS 案例研究的全面分析 —— 追踪系统从初始问题定义、数据收集策略、管道架构、处理转换到标注方法 —— 我们现在考察存储架构如何支持整个数据工程生命周期。这些存储决策直接反映并支持了早期阶段的选择。我们在 Framework Application Through Keyword Spotting Case Study 中建立的众包策略，决定了原始音频的数量和多样性要求。我们在 Systematic Data Processing 中设计的处理管道，定义了必须高效存储和检索的中间特征。我们在 Ensuring Training-Serving Consistency 中确定的质量指标，塑造了跟踪数据来源和质量分数所需的元数据存储需求。存储架构将这些线索结合在一起，使系统能够从开发到生产部署无缝运行。

典型的 KWS 存储架构实施了前面讨论的分层方法，每个层次服务于我们早期工程决策中出现的不同目的。来自各种来源的原始音频文件 —— 通过我们设计的活动、合成数据填补覆盖空白以及来自部署设备的真实捕获 —— 存储在使用云对象存储服务（如 S3 或 Google Cloud Storage）构建的数据湖中。这一选择反映了我们的可扩展性支柱：随着我们收集数百万个多样化示例以在各种环境中实现 98% 的准确率，音频文件的数量可能会增加到数百 GB 或 TB。数据湖的灵活模式适应不同的采样率、音频格式和录音条件，而无需对异构来源强加严格结构。对象存储提供的每 GB 低成本 —— 通常是数据库存储成本的十分之一 —— 使得在不产生过高费用的情况下，保留全面的数据历史以便于模型改进和调试成为可能。

数据湖存储全面的来源元数据，满足我们治理支柱的要求，这些元数据在早期管道阶段被证明是必不可少的。对于每个音频文件，系统维护来源类型（众包、合成或真实）、收集日期、在伦理上收集和同意的人口统计信息、由我们验证管道计算的质量评估分数，以及处理历史，显示已应用的转换。这些元数据使得在训练数据选择时能够过滤，并支持隐私法规和伦理 AI 实践所要求的合规性。

来自我们处理管道的处理特征（如声谱图、MFCC 和其他适合 ML 的表示）转移到一个结构化的数据仓库中，以优化训练访问。这满足了原始存储的不同性能需求：原始音频主要在处理管道执行转换时访问，而处理特征在训练周期中被反复读取，因为模型在数十次迭代中反复处理数据集。仓库使用列式格式（如 Parquet），使得在训练时高效加

载特定特征成为可能。对于像 MSWC 这样具有 2300 万个示例的数据集，列式存储使训练 I/O 减少了 5 到 10 倍，相比基于行的格式，直接影响模型开发过程中的迭代速度 —— 这可能是训练需要数小时还是数天的关键所在。

KWS 系统从实施我们审视过的架构模式的特征存储中获益匪浅。常用的音频表示可以一次计算并存储，以供不同实验或模型版本重用，避免重复计算。特征存储实现了双重架构：离线存储在对象存储上使用 Parquet 格式，针对训练数据提供高吞吐量的顺序读取，而在线存储则使用 Redis，针对低延迟推理进行优化，支持我们在问题定义中确定的 200 毫秒延迟要求。这一双重架构解决了训练的批量访问模式（顺序读取数百万个示例）与服务的随机访问模式（实时检索单个音频片段的特征）之间的根本矛盾。

在生产中，边缘设备的存储需求变得至关重要，因为我们的系统需要部署到资源受限的设备上。模型必须足够紧凑，以适应我们在问题定义中设定的 16 KB 内存限制，同时保持快速访问模型参数以实现实时唤醒词检测。边缘设备通常以量化模型的专用格式（如 TensorFlow Lite 的 FlatBuffers）存储，这些格式支持内存映射访问，而无需违反延迟要求的反序列化开销。缓存在多个层次上应用：频繁访问的模型层存储在 SRAM 中以实现最快访问，完整模型存储在闪存中以便于跨电源周期持久化，而基于云的模型更新则定期提取，以保持当前的唤醒词检测模式。这种多层次缓存确保设备即使在网络连接间歇的情况下，也能有效运行 —— 这是针对在农村地区（连接有限）到城市环境（网络拥堵）等不同网络环境中部署的消费设备的可靠性要求。

数据治理

我们所检查的存储架构 —— 数据湖、数据仓库、特征存储 —— 不仅仅是技术基础设施，而是治理执行机制，决定了谁可以访问数据、如何跟踪使用情况以及系统是否符合监管要求。我们在本章中所做的每一个架构决策，从数据获取策略到处理管道，再到存储设计，都带来了治理影响，这些影响在系统面临监管审计、隐私违规或伦理挑战时表现得尤为明显。数据治理从抽象政策转变为具体的工程实践：访问控制系统强制执行谁可以读取训练数据，审计基础设施跟踪每次数据访问以确保合规，保护隐私的技术保护个人信息，同时支持模型训练，血缘系统记录原始音频录音如何转变为生产模型。

我们的 KWS 系统体现了当复杂存储遇到敏感数据时，治理所面临的挑战。支持便捷语音激活的始终在线架构，带来了深远的隐私顾虑：设备持续处理用户家中的音频，特征存储维护跨越数百万用户的语音模式历史，边缘存储缓存源自全人群训练数据的声学模型。这些技术能力不仅实现了我们的质量、可靠性和可扩展性要求，同时也带来了围绕同意管理、数据最小化、访问审计和删除权利的治理义务，这些都需要同样复杂的工程解决方案。有效的治理通过在整个 ML 生命周期中系统实施隐私保护、安全控制、合规机制和问责基础设施，解决这些相互关联的挑战。

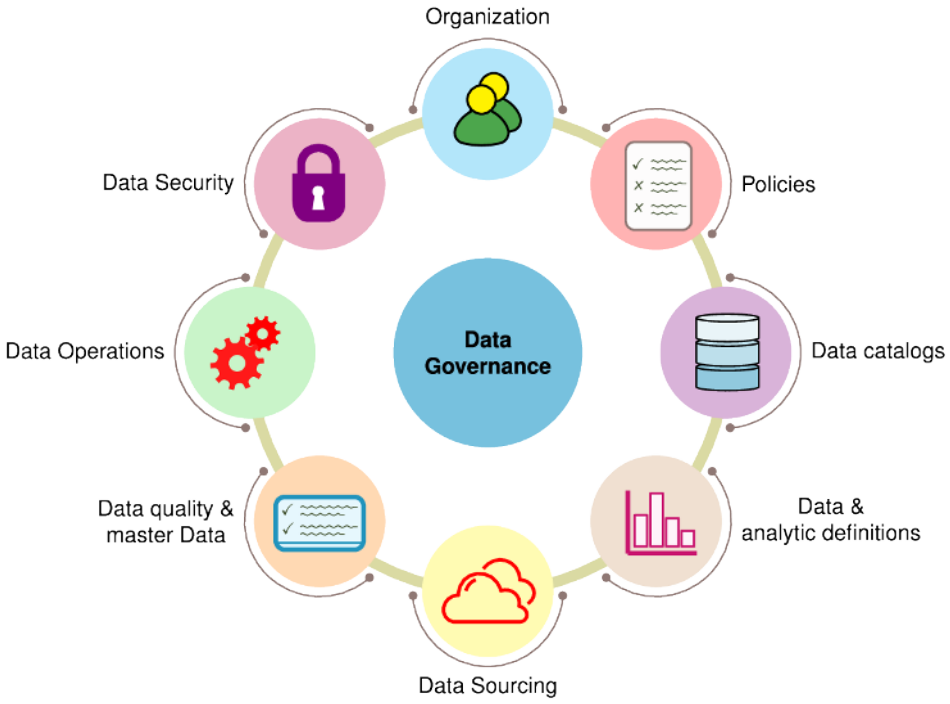

数据治理支柱：通过优先考虑隐私、公平、透明和问责，强大的数据治理在数据生命周期的各个阶段建立了伦理和可靠的机器学习系统。这些相互关联的支柱解决了 ML 工作流中的独特挑战，确保负责任的数据使用和可审计的决策过程。

安全性和访问控制架构

生产 ML 系统实施分层安全架构，其中治理要求转化为可执行的技术控制，适用于每个管道阶段。现代特征存储通过实施基于角色的访问控制（RBAC）很好地体现了这种集成 —— 将组织政策（数据科学家可以读取训练特征，服务系统可以读取在线特征，但都不能修改原始源数据）映射为防止未经授权访问的数据库权限。这些访问控制系统在我们检查的存储层之间操作：对象存储如 S3 强制执行存储桶策略，决定哪些服务可以读取训练数据，数据仓库实施列级安全，隐藏大多数查询中敏感字段如用户标识符，特征存储则维护单独的读/写路径，具有不同的权限要求。

我们的 KWS 系统需要特别复杂的访问控制，因为语音数据在组织和设备边界间流动。边缘设备本地存储量化模型和缓存音频特征，要求加密以防止提取 —— 语音助手的模型参数，尽管单独看起来不敏感，但可能导致竞争对手的逆向工程或泄露训练数据特征。特征存储维护单独的安全区域：生产区域，服务系统使用具有只读访问权限的服务凭据检索实时特征；训练区域，数据科学家使用单独凭据访问历史特征，这些凭据会被跟踪以便审计；运维区域，SRE 团队可以访问管道健康指标，而无需查看实际的语音数据。这种架构分离通过 Kubernetes 命名空间实现，云部署中具有单独的 IAM 角色，确保即使一个组件（如服务系统漏洞）被攻破，也不会暴露训练数据或授予对生产特征的写入访问。

访问控制系统与整个数据生命周期的加密集成。存储在数据湖中的训练数据使用服务器端加密，密钥通过专用密钥管理服务（AWS KMS、Google Cloud KMS）管理，这些服务强制执行分离：训练作业凭据可以解密当前训练数据，但无法解密已使用的历史版本，从而实现数据最小化。特征存储实施静态加密（使用平台管理的密钥加密存储）和传输中加密（所有管道组件与特征存储之间的通信均使用 TLS 1.3）。对于 KWS 边缘设备，从云训练系统向数百万个分布式设备传输的模型更新需要端到端加密和代码签名，以验证模型完整性，防止对抗性模型注入，可能会危及设备安全或用户隐私。

技术隐私保护方法

当访问控制决定谁可以使用数据时，隐私保护技术决定系统即使对授权用户也暴露什么信息。差分隐私（differential privacy），我们在 第 17 章：可信 AI 中深入探讨的内容，提供了单个训练示例不会通过模型行为泄露的正式数学保证。在生产中实施差分隐私需要仔细工程设计：在模型开发中添加经过校准的噪声、跟踪所有数据使用的隐私预算 —— 每个查询或训练运行消耗预算、强制执行系统范围内的总隐私损失限制，以及通过测试基础设施验证已部署模型满足隐私保证，通过对抗性攻击尝试提取训练数据。

KWS 系统面临特别严峻的隐私挑战，因为始终在线架构需要持续处理音频，同时最小化数据保留和暴露。生产系统通过架构选择实现隐私：设备端处理，唤醒词检测完全在本地运行，使用存储在边缘闪存中的模型，音频仅在检测到唤醒词时才会被传输；联邦学习方法，设备在本地音频上进行训练以改善唤醒词检测，但仅将聚合的模型更新发送回中央服务器，而不传输原始音频；以及自动删除策略，检测到的唤醒词音频仅在质量监控时短暂保留，然后被永久删除。这些不仅仅是政策声明，而是体现在存储系统设计中的工程要求 —— 数据湖实施生命周期策略，自动在 30 天后删除语音样本，除非经过额外同意被标记为长期研究使用，特征存储则实施生存时间（TTL）字段，导致用户语音模式过期并从在线服务存储中清除。

删除请求的处理复杂性，尤其是 GDPR 和类似法规要求的处理，进一步增加了系统的复杂性。当用户行使“被遗忘权”时，系统必须定位并删除不仅仅是源音频录音的所有派生特征，包括存储在特征存储中的模型嵌入、可能编码语音特征的模型嵌入，以及引用用户的审计日志 —— 同时保持审计完整性以确保合规。这需要系统的数据血缘跟踪，我们接下来将审视的内容，使系统能够识别通过分布式存储层和管道阶段派生的所有数据工件。

为合规性架构

合规性要求转变为系统架构约束，塑造管道设计、存储选择和操作程序。GDPR 的数据最小化原则要求限制收集和保留仅为声明目的所必需的数据 —— 对于 KWS 系统，这意味着仅在训练之外需要保留语音样本时，才需证明其合理性，记录在系统设计文档中，

并在期限届满后自动删除。访问权利要求系统检索与用户相关的所有数据 —— 实际上，是查询分布式存储系统（数据湖、数据仓库、特征存储）并合并结果，这一能力需要在所有存储层之间保持一致的用户标识符，以及支持用户级高效查询的索引，而不是全表扫描。

全球范围内运营的语音助手面临特别复杂的合规性环境，因为监管要求因管辖区而异，并且根据用户年龄、数据敏感性和处理地点的不同而有所不同。加利福尼亚州的 CCPA 授予类似于 GDPR 的删除权，但时间表和例外情况不同。针对儿童的语音数据会触发美国的 COPPA 要求，在收集 13 岁以下用户的数据之前，需获得可验证的父母同意 —— 当语音特征无法可靠地揭示年龄时，这需要额外的身份验证机制。欧洲对跨境数据传输的要求限制了将欧盟用户的语音数据存储在指定国家之外的服务器上的可能性，除非存在特定的保护措施，这推动了区域数据湖、特征存储复制策略和处理本地化的架构决策。

标准化文档框架如数据卡 (图 17) 将这些合规性要求转化为操作文档。数据卡不是与系统分开维护的法律文件，而是可执行规范：训练管道在处理之前检查输入数据集是否具有有效的数据卡，模型注册表要求所有训练数据都引用数据卡，服务系统则强制执行仅使用合规数据训练的模型才能部署到生产。对于我们的 KWS 训练管道，数据卡记录的不仅是 MSWC 数据集的特征，还包括同意基础（研究使用、商业部署）、地理限制（可以训练全球模型，不能在特定区域训练模型，需额外同意）和保留承诺（音频在特征提取后删除，特征保留用于模型迭代）。

构建数据血缘基础设施

数据血缘从合规文档转变为操作基础设施，推动治理能力贯穿 ML 生命周期。现代血缘系统如 Apache Atlas 和 DataHub[195] 与管道调度器（Airflow、Kubeflow）集成，自动捕获关系：当 Airflow DAG 从 S3 读取音频文件，将其转换为声谱图，并将特征写入仓库时，血缘系统记录每一步，创建一个图，追踪任何特征如何追溯到其源音频文件，并向前追溯到所有使用它训练的模型。当用户行使 GDPR 权利时，这一自动化跟踪对于删除请求至关重要 —— 当用户行使 GDPR 权利时，血缘图识别所有派生工件（提取的特征、计算的嵌入、训练的模型版本），这些工件必须被删除或重新训练。

生产 KWS 系统在我们本章审视的所有阶段实施血缘跟踪。源音频摄取创建血缘记录，将每个音频文件链接到其获取方式（众包平台、网络爬虫源、合成生成参数），以验证同意要求。处理管道执行扩展血缘图，音频变为 MFCC 特征、声谱图和嵌入 —— 每次转换都会添加节点，记录输出工件、代码版本、超参数和执行时间戳。训练作业创建特征

195. **数据血缘系统**：Apache Atlas（Hortonworks，现为 Apache，2015）和 DataHub（LinkedIn，2020）实现企业级的血缘跟踪。这些系统自动从管道执行日志捕获关于数据流的元数据，创建节点表示数据集（表、文件、特征集合）、边表示转换（SQL 查询、Python 脚本、模型训练作业）的图。GDPR 第 30 条要求详细记录数据处理活动，因此自动化血缘跟踪对于在监管审计期间证明合规性至关重要。

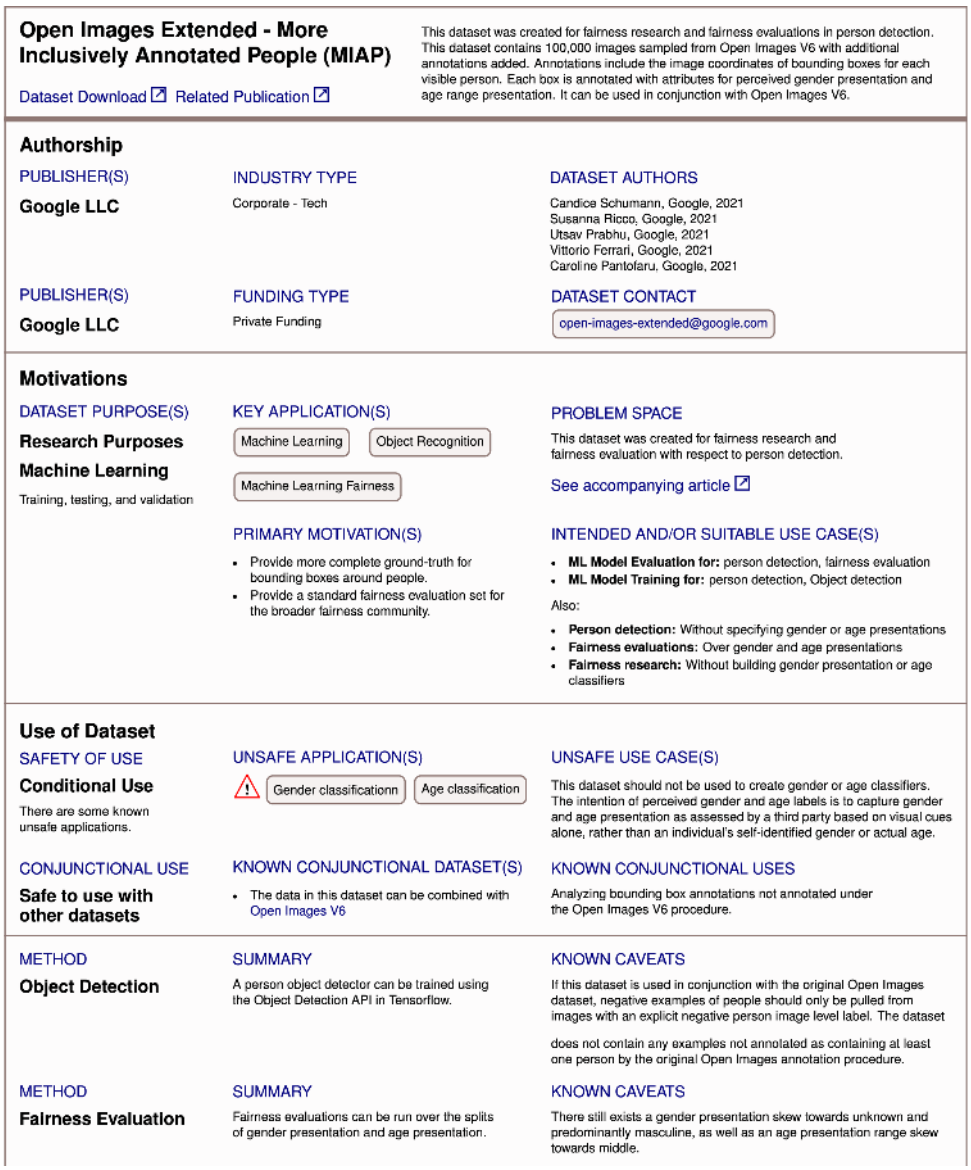

Open Images Extended - More Inclusively Annotated People (MIAP)

Dataset Download Related Publication

This dataset was created for fairness research and fairness evaluations in person detection. This dataset contains 100,000 images sampled from Open Images V6 with additional annotations added. Annotations include the image coordinates of bounding boxes for each visible person. Each box is annotated with attributes for perceived gender presentation and age range presentation. It can be used in conjunction with Open Images V6.

Authorship

PUBLISHER(S): **Google LLC**

INDUSTRY TYPE: Corporate - Tech

DATASET AUTHORS: Candice Schumann, Google, 2021; Susanna Ricco, Google, 2021; Utsav Prabhu, Google, 2021; Vittorio Ferrari, Google, 2021; Caroline Pantofaru, Google, 2021

PUBLISHER(S): **Google LLC**

FUNDING TYPE: Private Funding

DATASET CONTACT: open-images-extended@google.com

Motivations

DATASET PURPOSE(S): **Research Purposes**, **Machine Learning**, Training, testing, and validation

KEY APPLICATION(S): Machine Learning; Object Recognition; Machine Learning Fairness

PROBLEM SPACE: This dataset was created for fairness research and fairness evaluation with respect to person detection.

See accompanying article

PRIMARY MOTIVATION(S):

- Provide more complete ground-truth for bounding boxes around people.
- Provide a standard fairness evaluation set for the broader fairness community.

INTENDED AND/OR SUITABLE USE CASE(S):

- **ML Model Evaluation for:** person detection, fairness evaluation
- **ML Model Training for:** person detection, Object detection

Also:

- **Person detection:** Without specifying gender or age presentations
- **Fairness evaluations:** Over gender and age presentations
- **Fairness research:** Without building gender presentation or age classifiers

Use of Dataset

SAFETY OF USE: **Conditional Use**, There are some known unsafe applications.

UNSAFE APPLICATION(S): Gender classificationn; Age classification

UNSAFE USE CASE(S): This dataset should not be used to create gender or age classifiers. The intention of perceived gender and age labels is to capture gender and age presentation as assessed by a third party based on visual cues alone, rather than an individual's self-identified gender or actual age.

CONJUNCTIONAL USE: **Safe to use with other datasets**

KNOWN CONJUNCTIONAL DATASET(S):

- The data in this dataset can be combined with Open Images V6

KNOWN CONJUNCTIONAL USES: Analyzing bounding box annotations not annotated under the Open Images V6 procedure.

METHOD: **Object Detection**

SUMMARY: A person object detector can be trained using the Object Detection API in Tensorflow.

KNOWN CAVEATS: If this dataset is used in conjunction with the original Open Images dataset, negative examples of people should only be pulled from images with an explicit negative person image level label. The dataset does not contain any examples not annotated as containing at least one person by the original Open Images annotation procedure.

METHOD: **Fairness Evaluation**

SUMMARY: Fairness evaluations can be run over the splits of gender presentation and age presentation.

KNOWN CAVEATS: There still exists a gender presentation skew towards unknown and predominantly masculine, as well as an age presentation range skew towards middle.

数据治理文档：数据卡标准化关键数据集信息，确保符合 GDPR 和 HIPAA 等法律法规的透明度和问责制。通过提供数据集特征、预期用途和潜在风险的结构化概述，数据卡促进负责任的 AI 实践，并支持数据主体权利。

集合到模型工件的血缘边，记录哪些数据版本训练了哪些模型版本。当语音助手设备下载模型更新时，血缘跟踪记录该部署，以便在训练数据后发现质量或合规性问题时进行追溯。

血缘的操作价值超出了合规性，还包括调试和可复现性。当 KWS 对特定口音的准确性下降时，血缘系统使得追踪受影响的预测回到已部署的模型，识别出训练数据对该口音的代表性不足。当研究团队希望重现六个月前的实验时，血缘图捕获生成该结果所需的确切数据版本、代码提交和超参数。特征存储本地集成血缘：每个特征都包括关于源数据、转换逻辑和计算时间的元数据，使得查询“哪些模型依赖于用户位置数据”成为可能，以指导数据源更改时的影响分析。

审计基础设施和问责制

当血缘跟踪数据存在及其转换方式时，审计系统则记录谁何时访问了数据，创建合规性所需的问责路径。生产 ML 系统生成大量审计事件 —— 每次训练数据访问、特征存储查询和模型预测都可能生成审计事件，对于大规模系统，这些事件迅速累积到每天数十亿条。如此大规模需要专用基础设施：不可变的追加-only 存储（通常使用云原生服务如 AWS CloudTrail 或 Google Cloud Audit Logs），防止篡改历史记录，高效索引（通常是 Elasticsearch 或类似系统），使得能够在不进行全表扫描的情况下查询特定用户或数据集的访问，以及自动化分析，检测潜在安全漏洞或政策违规的异常模式。

KWS 系统实施多层审计架构，平衡粒度、性能和成本。边缘设备在本地记录关键事件 —— 唤醒词检测、模型更新、隐私设置更改 —— 日志定期上传到集中存储以便于合规性保留。特征存储记录每个查询及其请求元数据：哪个服务请求了特征、访问了哪些用户 ID、检索了哪些特征，从而能够进行安全调查时的分析，如“谁访问了这个特定用户的语音模式”。训练基础设施记录数据集访问，记录哪些作业在何时读取了哪些数据分区，实现了证明已删除用户数据不再出现在新模型版本中的问责。

血缘和审计系统的集成，提供了全面的治理可观察性。当监管机构审计语音助手提供商时，血缘图展示用户音频如何转变为模型，审计日志证明谁访问了这些音频，从而提供了证明合规所需的透明度。当安全团队调查可疑的数据外泄时，审计日志识别可疑的访问模式，而血缘图揭示了被破坏的凭据可以接触到哪些数据。机器学习团队在调试模型质量问题时，血缘追踪特定训练数据的问题，审计日志确认没有未经授权的修改发生。这一操作治理基础设施，贯穿于我们在本章中审视的数据工程实践，转变为可执行的技术控制，维护信任，确保 ML 系统在复杂性和影响力上有效扩展。

随着机器学习系统越来越多地嵌入高风险应用（医疗诊断、财务决策、自动驾驶汽车）中，施加于治理基础设施的工程严谨性，将决定不仅仅是合规性，还有公众信任和系统

问责。区块链启发的防篡改日志[196]和通过基础设施即代码实现的自动化政策执行等新兴方法，有望增强治理控制的可靠性和可审计性，尽管它们也引入了自身的复杂性和成本权衡，组织必须根据其特定需求仔细评估。

常见误区与陷阱

数据工程是每个 ML 系统的基础，但它仍然是被低估的 ML 开发方面之一。管理数据管道、确保质量和维护治理的复杂性，导致了许多可能导致成本高昂的错误，这些错误可能会破坏即使是最复杂的模型。

误区：更多数据总是能带来更好的模型性能。

这一普遍信念驱使团队收集海量数据集，而不考虑数据质量或相关性。虽然在适当的策划下，更多的数据确实可以改善性能，但原始数量往往会引入噪声、不一致和无关的示例，从而降低模型性能。相比之下，经过适当标注和代表性覆盖的小型高质量数据集，通常会优于数据质量存在问题的大型数据集。海量数据集的计算和存储成本也会带来实际限制，限制实验和部署选项。有效的数据工程优先考虑数据质量和代表性，而非单纯的数量。

陷阱：将数据标注视为简单的机械任务，可以在没有监督的情况下外包。

组织通常将数据标注视为低技能工作，可以由外部团队或众包平台快速完成。这种方法忽视了可靠标签所需的领域专业知识、一致性要求和质量控制。糟糕的标注指南、培训不足的工人和质量验证不充分，导致标签噪声，根本限制了模型性能。在这些标签错误影响模型训练后再进行纠正的成本，远远超过了对适当标注基础设施和监督的投资。

误区：数据工程是一项一次性设置的工作，可以在模型开发开始之前完成。

这种误解将数据管道视为静态基础设施，而不是需要持续维护和适应的动态系统。现实世界的数据源会随着时间推移而变化，出现模式演变、质量下降和分布变化。部署在生产中的模型会遇到新的数据模式，要求管道更新和质量检查。将数据工程视为完成的基础设施，而不是持续的工程实践，往往会导致系统故障，因为它们无法适应不断变化的需求。

误区：训练和测试数据的划分足以确保模型的泛化能力。

尽管适当的训练/测试 划分可以防止对训练数据的过拟合，但并不能保证在真实世界中的表现。生产数据可能因时间、地域或人口统计变化，与开发数据集存在显著差异。在

196. **区块链用于机器学习治理**：不可变的分布式账本为机器学习模型决策和数据来源提供防篡改的审计跟踪。Ocean Protocol（2017）和类似项目使用区块链跟踪数据使用权，并提供透明的数据市场。尽管在医疗等高风险应用中前景广阔，但区块链的能源成本（工作量证明共识）、吞吐量限制（每秒数千次交易）和复杂性，限制了其在机器学习中的广泛应用。大多数生产系统使用集中式追加-only 日志，结合加密完整性检查，作为务实的折中方案。

经过精心策划的测试集上获得 95% 准确率的模型，在部署到新地区或新时间段时，可能会发生灾难性失败。稳健的评估需要理解数据收集偏差、实施持续监测，并保持代表实际部署条件的验证集，以反映实际部署条件。

陷阱： 构建数据管道时不考虑故障模式和恢复机制。

数据管道通常仅针对一切顺利的情况进行设计，而忽视了数据源可能失败、格式可能变化和质量可能下降的现实。当生产系统崩溃或无声无息地产生错误结果时，团队才发现这些问题。一个处理金融交易的管道，如果没有对格式错误的数据进行适当的错误处理，可能会丢失关键记录或重复交易。稳健的数据工程需要明确处理故障，包括数据验证、检查点、回滚能力和异常检测机制，以便在下游系统受到影响之前发现问题。

总结

数据工程作为基础设施，将原始信息转化为机器学习系统的基础，决定了模型性能、系统可靠性、伦理合规性和长期可维护性。本章揭示了数据管道每个阶段所需的细致工程决策，这些决策从数据获取策略到处理管道，再到存储设计，贯穿于整个 ML 生命周期。看似简单的“准备数据”任务，实际上包含了数据质量与获取成本、实时处理与批量效率、存储灵活性与查询性能、隐私保护与数据实用性之间的复杂权衡。

数据系统的技术架构展示了工程决策如何在管道中累积，形成强大、可扩展的基础或脆弱、维护成本高的技术负担。数据获取策略必须应对自然界中几乎不存在完美数据集的现实，采用复杂的方法，从众包和合成生成到仔细策划和主动学习。存储架构决策贯穿整个 ML 生命周期，影响训练迭代速度、服务延迟、特征一致性和操作成本。流式数据处理和实时特征存储的出现，反映了对 ML 系统能够持续适应变化环境的需求，同时保持一致性和可靠性。

关键要点

- 四大支柱 —— 质量、可靠性、可扩展性和治理 —— 形成了一个相互关联的框架，优化一个支柱会与其他支柱产生权衡，因此需要系统地平衡，而不是孤立优化。
- 训练 - 服务一致性是数据工程面临的最关键挑战，当训练和服务环境之间的转换逻辑不同时，会导致大约 70% 的生产 ML 失败。
- 数据标注成本通常超过模型训练成本的 1,000-3,000 倍，但在项目规划中却很少受到重视。理解完整的经济模型（基础成本 × 审查开销 × 返工倍数）对现实预算编制至关重要。
- 有效的数据获取需要战略性地结合多种方法 —— 现有数据集用于质量基准，网

络爬虫用于规模，众包用于覆盖，合成生成用于边缘案例 —— 而不是依赖单一方法。

- 存储架构决策贯穿整个 ML 生命周期，影响训练迭代速度、服务延迟、特征一致性和操作成本。分层存储策略在性能要求和经济限制之间取得平衡。
- 数据治理不仅仅是合规性问题，还能实现技术能力：血缘跟踪实现调试和可复现性，访问控制实现隐私保护架构，偏见监测实现系统演变过程中的公平性改善。健全的数据治理实践的集成，确保 ML 系统在复杂性和影响力上有效扩展时，仍然可靠、合规和透明。数据卡、血缘跟踪和自动化监控创建了所需的可观察性，以便在数据漂移、隐私违规和质量下降影响模型行为之前，及时发现并加以修正。这些工程基础设施为 第 8 章：AI 训练 中的分布式训练策略、第 10 章：模型优化 中的模型优化技术以及 第 13 章：机器学习运维 中的 MLOps 实践奠定了可靠的数据基础设施先决条件，成为有效扩展 ML 系统的基础。

第 7 章：AI 框架

目标

为什么机器学习框架是决定生产级 AI 系统可扩展性、开发速度和架构灵活性的关键抽象层？

机器学习框架作为理论与实践的桥梁，将抽象的数学思想转化为高效可执行的代码，并为硬件加速、分布式计算和模型部署提供标准化接口。如果没有框架，每个 ML 项目都需重复实现诸如自动微分、并行计算等核心操作，大规模开发将变得极其低效且成本高昂。框架的抽象层带来了两大能力：一是通过预优化实现加速开发，二是实现硬件的可移植性（支持 CPU、GPU 及专用加速器）。框架选择是系统工程中最重要的决策之一，直接影响架构约束、性能表现和部署灵活性，贯穿整个开发生命周期。

学习目标

- 梳理 ML 框架从数值计算库到深度学习平台再到专用部署工具的演进历程
- 解析现代框架中计算图、自动微分和张量操作的架构与实现
- 通过对比静态与动态执行模型，分析其在开发灵活性、调试能力和生产优化上的权衡
- 探讨主流框架的设计哲学（如研究优先、生产优先、函数式编程）及其对系统架构的影响

- 通过系统评估模型需求、硬件约束和部署场景，制定框架选择标准
- 在多种框架下实现等价的机器学习操作，展示抽象层的差异
- 针对云、边缘、移动和微控制器等场景，设计框架选型策略
- 批判常见的框架选型误区，评估其对系统性能与可维护性的影响

框架抽象与必要性

将底层计算原语转化为机器学习系统，是现代计算机科学最具挑战性的工程之一。本章在上一章数据管道基础上，深入探讨支撑高效 ML 算法实现的软件基础设施。虽然机器学习的数学基础（线性代数、优化算法、梯度计算）已非常成熟，但在生产系统中高效落地，必须依赖软件抽象，将理论与实际工程约束相结合。

现代 ML 算法的计算复杂度凸显了抽象层的必要性。训练一个主流语言模型，需在分布式硬件上协调数十亿次浮点运算，涉及内存层级、通信协议和数值精度管理。每个算法环节（如前向传播、反向传播）都需拆解为可映射到异构处理单元的基本操作，同时保证数值稳定性和可复现性。若仅依赖底层原语实现，绝大多数组织都难以承担大规模 ML 的开发成本。

具体实现难度一目了然：手动实现一个三层 MLP 的反向传播，需数百行复杂的微积分与矩阵运算代码，而现代框架只需一句 `loss.backward()`。框架不仅让机器学习变得“简单”，更让现代深度学习成为可能 —— 它们管理了梯度计算、硬件优化和分布式执行的复杂性。

机器学习框架是连接高层算法描述与底层计算实现的核心软件基础设施。它们解决了 ML 计算的抽象难题：在保证算法表达力的同时，实现跨硬件的高效计算。通过标准化的计算图、自动微分引擎和优化算子库，框架让研究者和工程师专注于算法创新，而无需关心底层实现细节。这一抽象层极大加速了 ML 的科研突破和工业落地。

> **框架定义**
>
> **机器学习框架（ML Framework）** 是一种 软件平台，为设计、训练和部署机器学习模型提供 工具与抽象。它连接 用户应用 与 基础设施，通过计算图和算子实现 算法表达力，通过工作流编排覆盖 ML 生命周期，通过调度与编译器实现 硬件优化，支持分布式与边缘系统的 可扩展性，并具备高度 可扩展性 和 可扩展性。ML 框架通过标准化开发与部署流程，成为现代机器学习系统的基础。

机器学习框架的演进轨迹，反映了 AI 领域从实验研究到工业规模部署的成熟过程。早

期框架主要关注数学运算的高效表达，着重优化线性代数原语和梯度计算。现代平台则涵盖了完整的 ML 开发生命周期，集成了数据预处理、分布式训练、模型版本管理和生产部署等功能。这种架构演进体现了业界对可持续 ML 系统的工程化需求 —— 不仅要算法高效，还要兼顾可扩展性、可靠性、可维护性和可复现性。

框架架构设计的每一个决策，都会深刻影响基于其构建的 ML 系统的特性和能力。计算图表示、内存管理、并行策略和硬件抽象层的选择，直接决定了系统性能、可扩展性和部署灵活性。这些架构约束会贯穿开发的每个阶段，从原型到生产优化，决定了算法创新的实际落地边界。

本章将机器学习框架视为软件工程产物和现代 AI 系统的使能器，系统分析其架构原理、设计权衡及在 ML 基础设施生态中的作用。通过框架演进、架构模式和实现策略的深入剖析，帮助读者建立科学的框架选型能力，并在生产级 ML 系统设计与实现中高效利用这些抽象。

历史发展脉络

要理解现代框架为何具备如此强大的能力，需回顾它们如何从简单数学库演变为今日的平台。ML 框架的演进，正是 AI 与计算能力发展的缩影，主要受三大因素驱动：模型复杂度提升、数据集规模扩大、硬件架构多样化。

这些驱动力塑造了框架发展的不同阶段，既反映了技术进步，也体现了 AI 社区需求的变化。本节将梳理框架从早期数值计算库到现代深度学习平台的演变过程。这一历程承接了 第 1 章：绪论 的 AI 发展历史背景，展示了软件基础设施如何让 ML 理论突破变为现实。

框架发展时间线

ML 框架的发展，建立在数十年计算库的基础之上。从 BLAS、LAPACK 等底层构件，到 TensorFlow、PyTorch、JAX 等现代框架，这一历程是不断提升抽象层级、让 ML 更易用更强大的过程。

通过梳理这些基础技术的关系，可以清晰看到 ML 发展脉络。参考图 1，可追溯数值计算库如何为现代 ML 奠定基础。BLAS、LAPACK 的数学底座，催生了更易用的 NumPy、SciPy，最终成就了深度学习框架。

这一进步过程，展示了框架如何通过渐进式创新，基于前人的基础不断提升计算可达性。

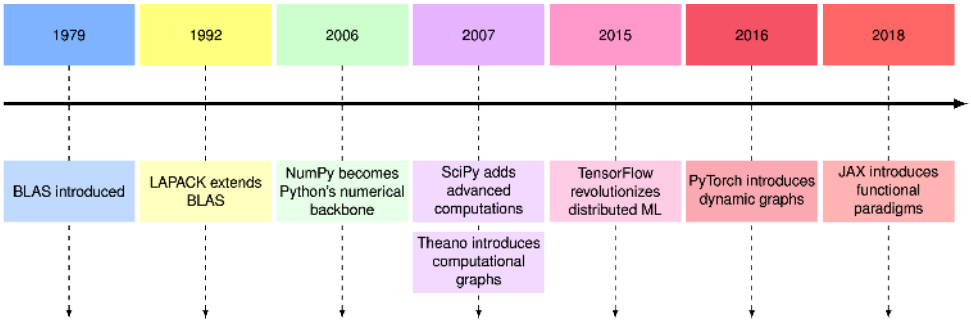

计算库演进：现代机器学习框架建立在数十年数值计算进步之上，从 BLAS、LAPACK 的底层例程，到 numpy、scipy 的高层抽象，再到 TensorFlow、PyTorch 等深度学习平台。这一演进体现了开发者生产力和 ML 系统可达性的持续提升。

数学计算基础设施

现代 ML 框架的基础，始于矩阵运算这一核心计算层。机器学习的主要计算是矩阵 - 矩阵和矩阵 - 向量乘法，因为神经网络通过线性变换[197]处理多维数据。1979 年开发的基础线性代数子程序（BLAS）[198]，为 ML 提供了关键的矩阵运算底座。这些底层操作的组合与执行，支撑了神经网络和其他 ML 模型的复杂计算。

在 BLAS 基础上，1992 年推出了线性代数包（LAPACK）[199]，扩展了矩阵分解、特征值问题和线性系统求解等高级运算。这种由基础矩阵运算逐层构建复杂操作的模式，成为 ML 框架的典型特征。

优化的线性代数运算，为更高层抽象奠定了基础。2006 年推出的 NumPy，在 Numeric 和 Numarray 基础上，成为 Python 数值计算的主力包。NumPy 引入了多维数组对象和基础数学函数，高效对接 BLAS、LAPACK 运算，让开发者能用高层数组操作，享受底层优化性能。

随后 SciPy 在 2008 年稳定发布，进一步扩展了 NumPy 的优化、线性代数和信号处理等专用函数。这种从基础矩阵运算到数值计算的分层架构，为后续 ML 框架奠定了蓝图。

早期机器学习平台发展

下一个阶段，是从通用数值计算到领域专用 ML 工具的跃迁。数值库向专用 ML 框架转变，标志着抽象层级的提升。虽然底层计算仍是矩阵运算，但框架开始将这些操作封装为更高层的 ML 原语。1993 年新西兰怀卡托大学推出 Weka [Witten 2002]，是最早的

197. **线性变换**：数学操作，保持向量加法和标量乘法，神经网络中通常以矩阵乘法实现。每层通过学习的权重矩阵进行线性变换，再加非线性激活（如 ReLU、sigmoid），让网络能从简单数学构件学习复杂模式。
198. **BLAS（基础线性代数子程序）**：最初由阿贡国家实验室开发，成为线性代数运算的事实标准，分为一级（向量 - 向量）、二级（矩阵 - 向量）、三级（矩阵 - 矩阵）操作，至今仍是所有现代 ML 框架的底层支撑。
199. **LAPACK（线性代数包）**：继承 LINPACK 和 EISPACK，采用块算法显著提升了缓存效率和并行执行能力，成为数据规模从 MB 到 TB 时代的关键创新。

ML 框架之一，将矩阵运算抽象为数据挖掘任务，但受限于 Java 实现和小规模计算。

2007 年出现的 Scikit-learn，在 NumPy、SciPy 基础上实现了 ML 算法的高层抽象。比如，原本需要一系列矩阵乘法和梯度计算的逻辑回归模型，在框架中只需调用 `fit()` 方法。隐藏复杂矩阵运算、提供简洁 API 的抽象模式，成为现代 ML 框架的标志。

蒙特利尔大学开发的 Theano[200]，2007 年问世，带来了两大革命性概念：计算图[201] 和 GPU 加速 [Al 2016]。计算图将数学运算表示为有向图，节点是矩阵操作，数据在节点间流动。这种图式表达让自动微分和矩阵运算优化成为可能，更重要的是能自动将运算分配到 GPU，大幅加速矩阵计算。

另一条发展线是 2002 年 NYU 推出的 Torch7（PyTorch 的 Lua 前身），采用即时执行（eager execution[202]），为神经网络实现提供了灵活接口。

Torch 的设计哲学 —— 兼顾开发体验与高性能，影响了后来的 PyTorch。其架构展示了如何在高层抽象与底层矩阵运算间取得平衡，为深度学习复杂性提升奠定了关键思想。

深度学习平台创新

深度学习的兴起带来了前所未有的计算需求，暴露了既有框架的局限。深度学习革命要求框架在矩阵运算处理上做出重大变革，主要原因有三：计算规模巨大、梯度计算复杂、分布式处理需求强烈。传统框架难以应对训练深度神经网络所需的数十亿次矩阵运算。

这一计算挑战，催生了学术界的创新，彻底改变了框架发展。蒙特利尔大学的 Theano，2007 年发布，奠定了现代框架的核心概念 [Bergstra 2010]。它引入了计算图、自动微分和 GPU 加速，展示了如何组织和优化复杂神经网络计算。

2013 年 UC Berkeley 推出的 Caffe，通过卷积操作的专用实现推动了计算机视觉任务的发展。卷积本质上是特定模式的矩阵乘法，Caffe 针对视觉网络优化了这些操作，证明了专用矩阵运算能极大提升特定架构的性能。

工业界的突破来自 Google 的 TensorFlow[203]，2015 年发布，将矩阵运算视为分布式计算问题 [Dean 2012]。它将所有计算（从单次矩阵乘法到整个神经网络）表示为静态计

200. **Theano**：以古希腊数学家 Theano 命名，开创了 Python 中符号数学表达的先河，是所有现代深度学习框架的奠基者。
201. **计算图**：1964 年 Wengert 在自动微分文献中首次形式化提出，成为现代 ML 框架的核心，支持大规模前向与反向微分。
202. **即时执行**：操作调用即刻执行，类似标准 Python，Torch 2002 年首创，优先考虑开发者体验和调试便利，成为 PyTorch、TensorFlow 2.x 的默认模式。
203. **TensorFlow**：以张量在计算图中流动命名，开源了 Google 内部 DistBelief 系统，让研究者瞬间获得原本只有大公司才有的基础设施。

算图 [204]，可在多设备间拆分。这一模式让模型规模突破极限，通过集群和专用硬件分布矩阵运算。静态图虽然限制了灵活性，但能通过算子融合 [205] 和内存规划 [206] 等技术，极大优化矩阵运算。

深度学习框架生态持续多元化，不同组织针对特定计算挑战推出新架构。微软的 CNTK 2016 年进入市场，专注语音识别和自然语言处理 [Seide 2016]，强调分布式系统的可扩展性和序列模型的高效计算。

同时，Facebook 的 PyTorch[207] 也在 2016 年发布，采用动态计算图，可在运行时修改 [Paszke 2019]。动态图虽然牺牲部分优化机会，但极大简化了调试和模型分析，成为研究者的首选。PyTorch 的成功证明，动态可变的计算结构对科研同样重要。

亚马逊的 MXNet 则聚焦内存效率和多硬件可扩展性，采用静态与动态图混合模式，兼顾开发灵活性和底层矩阵运算优化。

随着深度学习应用多样化，专用和高层抽象工具不断涌现。Keras 2015 年发布，提供统一接口，可运行于多种底层框架之上 [Chollet 2015]，强调用户体验与底层计算能力的结合。

Google 的 JAX[208] 2018 年推出，将函数式编程引入深度学习计算，带来全新模型开发模式 [JAX 2018]。FastAI 基于 PyTorch，封装常用深度学习模式，让高级技术更易用 [Howard 2020]。这些高层框架证明，抽象不仅能简化开发，还能保留底层性能优势。

硬件驱动的框架架构演进

框架的演进与计算硬件进步密不可分，软件能力与硬件创新形成动态互动。硬件发展极大改变了框架对矩阵运算的实现与优化方式。2007 年 NVIDIA 推出 CUDA 平台 [^fn-cuda]，让 GPU 能用于通用计算 [Nickolls 2008]，对框架设计产生了革命性影响。GPU 擅长并行矩阵运算，能将深度学习计算速度提升数十倍。CPU 通常顺序处理矩阵元素，而 GPU 可同时处理数千个元素，框架必须优化计算调度以充分利用 GPU。

现代 GPU 架构在 ML 工作负载下展现出量化效率优势。NVIDIA A100 GPU 在 FP16 精度下可达 312 TFLOPS 张量运算，内存带宽 1.6 TB/s，而典型 CPU 仅 1-2 TFLOPS、带宽

204. **静态计算图**：预定义的计算结构，模型架构在执行前全部指定，支持全局优化和高效内存规划。TensorFlow 1.x 首创，牺牲运行时灵活性换取极致性能，适合生产部署。
205. **算子融合**：将多个操作（如矩阵乘法、加偏置、激活）合并为单一 GPU 内核，减少内存带宽需求 10 倍以上，消除中间内存分配。对复杂深度学习模型尤为关键。
206. **内存规划**：框架在执行前分析计算图，确定最优内存分配策略，实现原地操作和内存复用，训练时峰值内存可降 40-60%。
207. **PyTorch**：受 NYU 原始 Torch 框架启发，将“定义即运行”语义带入 Python，让研究者能在执行时修改模型，调试如同普通 Python 程序，极大加速了科研进展。
208. **JAX**：意为“Just After eXecution”，结合 NumPy API 与函数式变换（jit、grad、vmap、pmap），让研究者用简洁代码自动扩展到 TPU、GPU 集群，同时兼容 NumPy。

50-100 GB/s。框架需设计计算图，最大化 GPU 利用率，确保足够的计算强度（FLOPS/字节）以饱和带宽。

内存带宽优化在 GPU 加速场景尤为关键。内存带宽与计算比（字节/FLOP）决定操作是计算瓶颈还是内存瓶颈。大尺寸矩阵乘法（N×N，N>1024）计算强度高，能充分利用 GPU；而逐元素操作如激活函数常受内存瓶颈影响，性能仅为峰值的 10-20%。框架通过算子融合，将多个内存瓶颈操作合并为单一内核，减少内存传输。

专用硬件加速器的出现进一步推动了框架设计革新。Google 的 TPU[209]，2016 年部署，专为张量运算设计，是深度学习计算的核心。TPU 采用脉动阵列 [210] 架构，极大提升了矩阵乘法和卷积效率。框架如 TensorFlow 针对 TPU 开发了专用编译策略，将高层操作直接映射为 TPU 指令，跳过传统 CPU 优化。

TPU 架构在能效上有显著优势。TPU v4 芯片 BF16 计算达 275 TFLOPS，内存带宽 1.2 TB/s，功耗 200W，能效 1.375 TFLOPS/W，比同代 GPU 在大矩阵运算上高 3-5 倍。但 TPU 仅对稠密矩阵运算优化，稀疏计算或复杂控制流效率较低。框架需设计计算图，最大化稠密矩阵操作，减少芯片内外数据移动。

移动硬件加速器如 Apple Neural Engine (2017) 和高通 NPU，为框架设计带来新约束与机遇。这些设备强调能效而非计算速度，框架需开发量化和算子融合新策略。移动框架如 TensorFlow Lite（现更名为 LiteRT）和 PyTorch Mobile，需在模型精度与能耗间权衡，推动了矩阵运算调度与执行创新。

移动加速器凸显混合精度计算对能效的关键作用。Apple A17 Pro 芯片的 Neural Engine INT8 性能 35 TOPS，功耗约 5W，能效 7.2 TOPS/W，比同芯片 FP32 计算高 10-15 倍。框架需自动混合精度策略，按操作选择最优精度，兼顾能耗与精度。

稀疏计算框架解决了移动硬件的内存带宽瓶颈。结构化稀疏网络可减少 50-90% 内存流量，直接提升能效（内存访问能耗是算术操作的 10-100 倍）。如 Neural Magic 的 SparseML 自动生成稀疏模型，兼顾精度与硬件稀疏支持。高通 NPU SDK 支持 2:4 结构稀疏算子，每 4 个权重有 2 个为零，速度提升 1.5-2 倍，精度损失极小。

定制 ASIC[211] 的出现进一步丰富了硬件生态。Graphcore、Cerebras、SambaNova 等公司开发了各具特色的矩阵计算架构，框架需采用更灵活的中间表示 [212]，实现针对目

209. **TPU（张量处理单元）**：Google 第一代 TPU（v1）在神经网络任务上性能/功耗比同代 GPU、CPU 高 15-30 倍，证明了专用架构在 ML 计算上的巨大优势。
210. **脉动阵列**：1978 年由 H.T. Kung（CMU）和 Charles Leiserson（MIT）发明的并行计算架构，数据在处理单元网格中有节奏地流动，每个单元执行简单操作，极适合神经网络的矩阵运算。
211. **ASIC（专用集成电路）**：为特定任务定制的芯片，区别于通用 CPU。ML 领域如 Google TPU、Tesla FSD 芯片，牺牲灵活性换取 10-100 倍效率，但开发周期需 2-4 年，成本数百万美元。
212. **中间表示（IR）**：框架内部格式，介于高层用户代码与硬件机器码之间，支持优化与跨平台部署。现代 ML 框架如 TensorFlow XLA、PyTorch TorchScript，能将同一模型编译到 CPU、GPU、TPU、移动设备。

标硬件的优化，同时保持高层接口一致。

可重构硬件的出现又带来新复杂性与机遇。FPGA（现场可编程门阵列）让框架能针对特定矩阵运算模式生成优化电路。框架需开发 JIT 编译策略，按模型需求生成最优硬件配置。

硬件驱动的框架演进，要求框架设计不断适应新计算能力。梳理了从数值库到硬件创新驱动的平台演变后，接下来将深入理解现代框架管理计算复杂性的核心概念 —— 计算图、执行模型和系统架构，这些是所有框架能力的基础。

基础概念

现代机器学习框架通过四大层次集成运作：基础层、数据处理层、开发者接口层、执行与抽象层。各层协同，为模型开发与部署提供结构化、高效的基础，如图 2 所示。

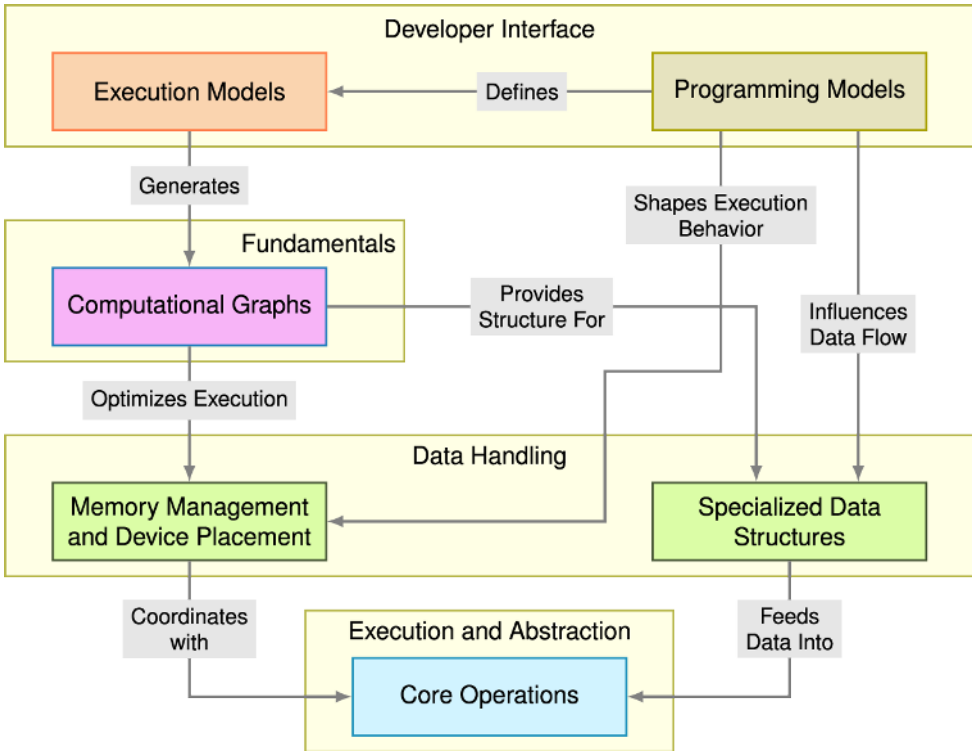

框架层次互动：现代 ML 框架将功能分为基础、数据处理、开发者接口和执行抽象四层，协同简化模型构建与部署。分层架构实现模块化，让开发者专注于 ML 工作流的特定环节，无需管理底层基础设施。

基础层通过计算图建立框架结构。计算图采用有向无环图（DAG），支持自动微分与优化。通过组织操作与数据依赖，计算图让框架能分布任务、在多种硬件平台高效执行。

数据处理层管理 ML 工作流所需的数值数据与参数。核心数据结构如张量，支持高维数

组、优化内存与设备分配。内存管理与数据移动策略，确保在硬件资源有限或多样化环境下高效执行。

开发者接口层为用户提供工具与抽象。编程模型分为命令式与符号式，命令式灵活易调试，符号式则优先性能与部署效率。执行模型决定计算是即时（eager）还是预优化静态图。

最底层的执行与抽象层，将高层表示转化为高效硬件可执行操作。涵盖从基础线性代数到复杂神经网络层的核心算子，针对多种硬件平台优化。还包括动态资源分配与内存管理机制，保障训练与推理的可扩展性能。

四层通过精心设计的接口与依赖协作，形成兼顾易用性与性能的整体系统。理解这些层次的关联，是高效利用 ML 框架的关键。每层在实验、优化、部署中都扮演着独立又互补的角色。掌握这些概念，能科学决策资源利用、扩展策略及框架适用性。

我们从计算图开始，因为它是所有框架能力的结构基础。该抽象为自动微分、优化和硬件加速提供数学表示，是现代框架区别于简单数值库的核心。

计算图

计算图是框架将直观模型描述转化为高效硬件执行的核心抽象。它组织数学操作及其依赖，实现自动优化、并行化和硬件专用化。

计算图基础 计算图作为 ML 框架的关键抽象，解决了深度学习模型日益复杂带来的执行难题。随着模型规模和复杂度提升，跨硬件高效执行成为必需。计算图将高层模型描述转化为底层硬件执行，以有向无环图（DAG）[213] 表示 ML 模型，节点为操作，边为数据流。DAG 抽象支持自动微分和跨硬件优化。

例如，节点可表示矩阵乘法，输入为两个矩阵（或张量），输出为一个矩阵（或张量）。如图 3 所示，DAG 计算 $z = x \times y$，各变量为数值。

实际 ML 模型远比此例复杂。见图 4，计算图结构涉及卷积、激活、池化、归一化等层的互联，执行前可优化。图中还展示了系统级交互，如内存管理和设备分配，静态图模式支持完整的预执行分析与资源分配。

层与张量 现代 ML 框架通过层与张量两大抽象实现神经网络计算。层是执行卷积、池化、全连接等操作的计算单元，每层有权重、偏置等内部状态，训练时不断更新。数据在层间流动，以张量形式存在，张量是不可变的数学对象，承载和传递数值。

213. **有向无环图（DAG）**：ML 框架中，DAG 表示计算，节点为操作（如矩阵乘法、激活函数），边为数据依赖。与通用计算机科学 DAG 不同，ML 计算图专为自动微分优化，支持反向遍历高效计算梯度。

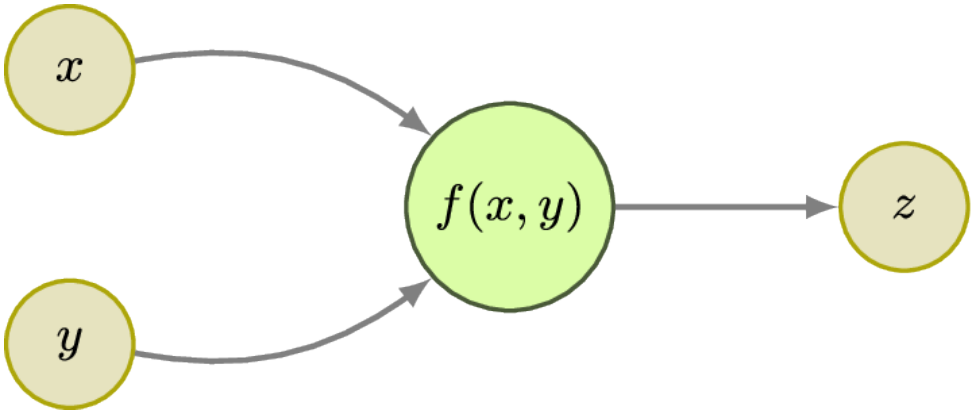

计算图：有向无环图将 ML 模型表示为一系列互联操作，实现高效计算与自动微分。此例为 $z = x \{}times y$，节点定义操作，边指定数据流。

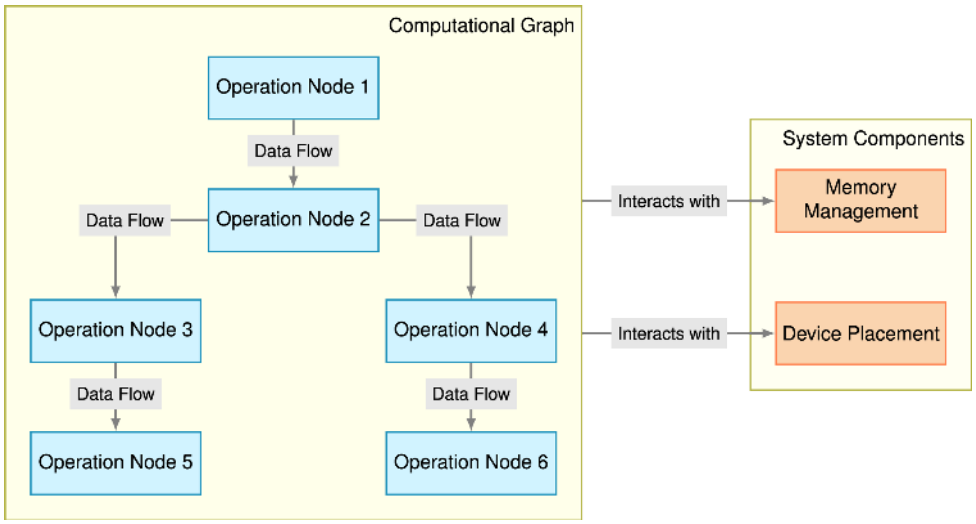

计算图：该图将计算表示为有向无环图，节点为变量，边为操作。以此表达，系统能高效自动微分，是通过梯度优化训练 ML 模型的基础，并能在执行前优化资源分配。

层与张量的关系，类似传统编程中的操作与数据。层定义如何将输入张量转为输出张量，类似函数的输入输出。但层还需在训练中维护和更新参数。例如卷积层不仅定义卷积操作，还学习并存储最优卷积核。

框架自动化图构建极大提升了开发体验。开发者只需写 `tf.keras.layers.Conv2D`，框架自动构建卷积操作、参数管理和数据流的图节点，无需关心底层实现。

神经网络构建 计算图的威力远不止于基础层操作。激活函数是引入非线性的关键，成为图中的节点。ReLU、sigmoid、tanh 等函数对层输出张量进行变换，框架提供优化实现，开发者可自由试验不同非线性，无需关心底层细节。

现代框架进一步模块化，提供预配置的完整模型架构（如 ResNet、MobileNet），开发

者可定制层结构，利用预训练权重实现迁移学习。

系统层面影响 基于前述计算图抽象，框架能在执行前分析和优化整个计算。显式的数据依赖表示支持自动微分和梯度优化。

更重要的是，图结构带来执行灵活性。相同模型定义可在不同硬件平台高效运行，框架自动处理操作映射、内存优化和并行执行。图结构还支持模型序列化，便于模型保存、共享和跨环境部署。

这些系统优势，使计算图远超简单的可视化工具。神经网络结构图仅用于架构展示，而计算图是底层数学操作和数据依赖的精确表示，是将直观模型设计转化为高效执行的关键。理解这一表示，能洞察框架如何将高层模型描述转化为硬件优化实现，让现代深度学习成为可能。

需区分计算图与神经网络结构图（如 MLP 节点与层），后者仅用于架构可视化，前者则是实现和训练网络所需的底层数学与数据依赖表示。

计算图的表达能力对框架设计和性能有深远影响。从系统角度看，计算图带来自动微分、数据依赖分析、并行潜力和硬件优化等关键能力。但计算图的威力，取决于其执行方式 —— 这也是静态与动态图执行模型的根本区别。

预定义计算结构 静态计算图（TensorFlow 早期版本首创）采用“先定义后执行”模式。开发者需在执行前完整指定计算图结构。这一架构选择对系统性能和开发流程影响深远，后文将详细分析。

静态计算图将操作定义与执行彻底分离。定义阶段，所有数学操作、变量和数据流连接都显式声明并加入图结构。此时仅构建计算的完整规格，不做实际计算。框架内部生成所有操作及依赖的表示，待后续执行。

预定义结构带来强大系统优化能力。框架可分析完整结构，发现算子融合机会，消除冗余中间结果，内存流量可降 3-10 倍。内存需求可提前精确计算和优化，分配策略高效。静态图支持如 XLA[^fn-xla]（加速线性代数）等编译框架，进行激进优化。图重写可消除大量冗余操作，硬件专用内核生成带来显著加速。这种抽象虽优雅，但对可表达计算有根本约束：静态图以牺牲控制流和动态计算灵活性换取性能。一旦验证，计算可多次高效复用，行为和性能高度可控。

下图展示了静态图的两阶段流程：先构建和优化完整计算图，再在执行阶段让数据流经图结构产生结果。这种分离让框架能在执行前充分分析和优化整个计算。

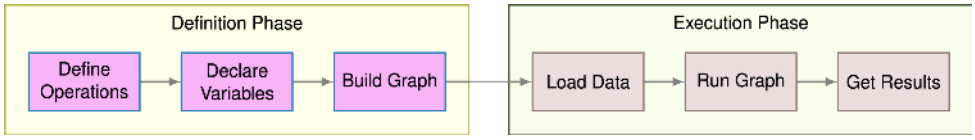

静态计算图：ML 框架先将计算定义为操作图，实现全局优化如算子融合和高效资源分配，数据流动前完成图构建与优化。两阶段流程分离定义与执行，提升性能与可预测性。

运行时自适应计算结构 动态计算图（PyTorch 推广）采用“定义即运行”模式。图结构在执行时构建，模型定义和调试更灵活。与静态图预分配内存不同，动态图在操作执行时分配内存，长时间任务易出现内存碎片。动态图以牺牲效率换取控制流表达灵活性，限制了编译器优化空间。无法在执行前分析完整计算，难以实现静态图的算子融合和图重写优化。

如图 6 所示，每步操作定义、执行、完成后再定义下一步。与静态图需预定义所有操作形成鲜明对比。操作定义即刻执行，结果可用于后续操作或调试。如此循环，直至所有操作完成。

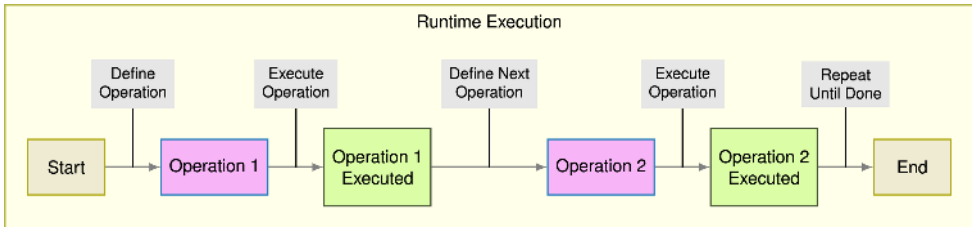

动态图执行：ML 框架在运行时顺序定义并执行操作，支持灵活模型构建和即时中间结果评估。与静态图需完整预定义不同，动态图便于调试和自适应计算。

动态图在需条件执行或动态控制流场景（如变长序列处理、复杂分支逻辑）表现优异。开发阶段可即时反馈，便于发现和修复计算流程问题。与命令式编程模式天然契合，开发者可在运行时检查和修改计算。研究开发阶段，动态图极大提升迭代速度和调试体验。

框架架构权衡 静态与动态计算图的架构差异，对 ML 系统设计和执行有多重影响。涵盖内存管理、设备利用、执行优化和调试等方面，决定系统效率和可扩展性。重点分析内存管理和设备分配，优化技术详见 第 8 章：AI 训练，便于后续深入理解优化与容错等复杂主题。

内存管理 计算图执行时需内存管理。静态图因结构预定义，可在执行前精确规划内存，框架能提前计算需求、优化分配、通过内存复用降低开销。结构化分配保证性能稳定，尤其适合资源受限环境（如移动、Tiny ML）。大模型需高效处理内存带宽（小模型

100GB/s，大语言模型数十亿参数超 1TB/s），内存规划对吞吐至关重要。

动态图则在操作执行时动态分配内存，灵活应对控制流和变长输入，但易导致内存开销高和碎片化。开发阶段，动态图便于快速迭代和调试，生产部署则需额外优化。内存带宽利用率低于 50% 时，碎片和访问模式不佳会显著影响性能。

设备分配 设备分配即将操作分派到 CPU、GPU、TPU 等硬件资源。静态图可在执行前详细分析，框架能将计算密集型操作映射到最优设备，最小化通信开销。适合专用硬件优化，性能提升显著。

动态图则在运行时分配设备，可自适应硬件状态或负载变化。但因缺乏完整图结构，难以充分优化设备利用，大规模或分布式场景易出现效率瓶颈。

更广泛影响 静态与动态图的权衡远超内存和设备。见表 1，架构影响优化潜力、调试能力、可扩展性和部署复杂度。更广泛影响详见 第 8 章：AI 训练（训练流程）和 第 11 章：AI 加速（系统优化）。

混合方案旨在开发阶段提供动态图灵活性，生产环境实现静态图性能优化。选型需结合项目需求，权衡开发速度、生产性能和系统复杂度。

方面	静态图	动态图
内存管理	精确分配规划，优化内存使用	灵活但分配效率较低
优化潜力	可全局优化计算图	仅能局部优化，受限于运行时
硬件利用	可生成高度优化的硬件专用代码	可能牺牲硬件专用优化
开发体验	需提前规划，调试难度大	调试更便捷，迭代速度快
调试流程	框架专用工具，堆栈追踪不连贯	标准 Python 调试（pdb、print、inspect）
错误报告	执行时错误与定义脱节	堆栈追踪直指具体代码行

方面	静态图	动态图
科研速度	迭代慢，需先定义后运行	快速原型和模型实验
运行时灵活性	计算结构固定	可自适应运行时条件
生产性能	大规模下性能更优	图构建有额外开销
与遗留代码集成	定义与执行分离较多	与命令式代码自然集成
内存开销	规划分配，开销低	动态分配，开销高
部署复杂度	结构固定，部署简单	需额外运行时支持

表 1：**图计算模式**：静态图预定义全部计算，便于优化；动态图运行时构建，灵活应对变长输入和控制流。两者影响执行效率和开发调试体验。

基于图的梯度计算实现 计算图不仅是执行计划，更是实现反向自动微分的核心数据结构。理解这一点，能洞察框架如何高效计算复杂神经网络的梯度。

前向传播时，框架构建计算图，每个节点代表操作，存储结果及梯度计算所需信息。该图不仅是可视化工具，而是实际内存中的数据结构。调用 `loss.backward()` 时，框架按图的逆拓扑顺序反向遍历，系统应用链式法则。

关键在于图结构编码了链式法则所需的全部依赖关系。图中每条边代表偏导数，反向遍历自动按链式法则组合偏导。前向构建计算历史，反向遍历即为累积梯度的图遍历算法。

这一设计让自动微分能扩展到百万参数网络，复杂度与操作数线性相关，而非变量数指数增长。图结构保证每次梯度计算只执行一次，共享子计算通过依赖跟踪自动处理。

自动微分

ML 框架需解决核心计算难题：高效、准确地计算复杂数学操作链的导数。这一能力让神经网络能通过梯度调整数百万参数，提升模型性能 [Baydin 2018]。

代码清单 1 展示了这一挑战的简单计算。

代码清单 1：**自动微分**：高效计算复杂函数梯度，是优化神经网络参数的关键。

```
def f(x):
    a = x * x  # 平方
    b = sin(x)  # 正弦
    return a * b  # 乘积
```

自动微分将函数分解为基本操作，逐步计算导数。以本例为例，AD 分三步：

1. 计算 `a = x * x`（平方）
2. 计算 `b = sin(x)`（正弦）
3. 计算最终乘积 `a * b`

每步 AD 都有基本导数规则：

- 平方：`d(x²)/dx = 2x`
- 正弦：`d(sin(x))/dx = cos(x)`
- 乘积：`d(uv)/dx = u(dv/dx) + v(du/dx)`

AD 跟踪操作组合，系统应用链式法则，精确计算整个计算的导数。PyTorch、TensorFlow 等框架实现后，能自动计算任意神经网络结构的梯度，是后续 第 8 章：AI 训练 训练算法和优化技术的基础。理解 AD 如何分解和跟踪计算，是后续深入其数学原理、系统架构和性能优化的前提。

前向与反向模式微分 自动微分有两大实现方式，各自效率、内存和适用场景不同。本节分析前向模式和反向模式 AD 的数学基础、实现结构、性能特性及在 ML 框架中的集成模式。

前向模式 前向模式 AD 在原始计算同时计算导数，跟踪输入变化如何影响输出。承接 第 7 章：AI 框架的基础，前向模式类似手工求导，直观易懂。

见代码清单 2，展示前向模式工作原理。

代码清单 2：**前向模式自动微分**：在函数计算同时用乘积法则计算导数，展示输入变化如何影响输出。

```
def f(x):  # 同时计算值和导数
    # 步骤 1: x -> x²
    a = x * x  # 值: x²
    da = 2 * x  # 导数: 2x

    # 步骤 2: x -> sin(x)
```

```
    b = sin(x)  # 值：sin(x)
    db = cos(x)  # 导数：cos(x)

    # 步骤 3：乘积法则
    result = a * b  # 值：x² * sin(x)
    dresult = a * db + b * da  # 导数：x²*cos(x) + sin(x)*2x

    return result, dresult
```

前向模式通过“对偶数”同时跟踪数值和导数。代码清单 3 展示 x = 2.0 时的数值计算：

代码清单 3：**前向模式**：同时计算值和导数，展示如何跟踪结果及变化率。

```
x = 2.0  # 初始值
dx = 1.0  # 跟踪对 x 的导数

# 步骤 1：x²
a = 4.0  # (2.0)²
da = 4.0  # 2 * 2.0

# 步骤 2：sin(x)
b = 0.909  # sin(2.0)
db = -0.416  # cos(2.0)

# 最终结果
result = 3.637  # 4.0 * 0.909
dresult = 2.805  # 4.0 * (-0.416) + 0.909 * 4.0
```

实现结构 前向模式 AD 结构化计算，始终同时跟踪值和导数。见代码清单 4，每步操作都显式跟踪中间结果。

代码清单 4：**前向模式 AD 结构**：每步同时跟踪值和导数，突出前向模式自动微分的计算结构。

```
def f(x):
    a = x * x
    b = sin(x)
    return a * b
```

框架执行前向模式时，每步都携带数值和导数信息。见代码清单 5：

代码清单 5：**对偶跟踪**：每步同时跟踪值和导数，展示前向模式自动微分的实际工作方式。

```
# 概念上，每步跟踪（值，导数）
x = (2.0, 1.0)  # 输入值及其导数
a = (4.0, 4.0)  # x² 及其导数 2x
b = (0.909, -0.416)  # sin(x) 及其导数 cos(x)
result = (3.637, 2.805)  # 最终值和导数
```

前向传播导数信息由框架自动完成：1. 每个值都带导数信息 2. 每个操作都能处理值和导数 3. 信息随计算前向传播

这一模式与计算流程天然一致，适合单输入多输出场景，导数信息与数值同步前进。

性能特性 前向模式 AD 性能有独特模式，框架会据此选用不同 AD 策略。

前向模式每步都计算一次导数。单输入变量时，计算量约为原运算两倍。复杂度与操作数线性相关，适合简单计算。

但神经网络层如矩阵乘法，若需对所有权重求导，前向模式需对每个参数重复计算，可能成千上万次。前向模式效率取决于需导数的输入变量数。

前向模式内存需求较低，只需存储原值、单个导数和临时结果，复杂度不随计算复杂度增长。适合嵌入式、实时和内存带宽受限场景。

计算量随输入变量增长，内存消耗恒定，决定了框架选型权衡。前向模式适合少输入多输出场景，简单实现和资源可控性优于多次计算。

应用场景 前向模式 AD 虽非训练神经网络的主力，但在现代 ML 框架中有重要作用。其优势在于分析输入微小变化对网络行为的影响。数据科学家需分析模型为何做出某些预测，可能需研究单像素或特征变化对输出影响，见代码清单 6。

代码清单 6：**敏感性分析**：输入图像微小变化通过前向模式 AD 影响神经网络预测，便于调试和提升稳健性。

```
def analyze_image_sensitivity(model, image):
    # 前向模式跟踪单像素变化
    layer1 = relu(W1 @ image + b1)
    layer2 = relu(W2 @ layer1 + b2)
    predictions = softmax(W3 @ layer2 + b3)
    return predictions
```

每层操作，前向模式同时跟踪值和导数，便于分析输入扰动如何影响最终预测。

神经网络解释也是重要应用。研究者生成显著性图或归因分数时，需计算每个输入对输出的影响，见代码清单 7。

代码清单 7：**前向模式 AD**：高效计算特征重要性，跟踪输入扰动对网络输出的影响。

```
def compute_feature_importance(model, input_features):
    # 跟踪每个输入特征对输出的影响
    hidden = tanh(W1 @ input_features + b1)
    logits = W2 @ hidden + b2
    # 前向模式高效计算 d(logits)/d(input)
    return logits
```

理解这些应用，解释了为何 ML 框架保留前向模式能力。反向模式主导模型训练，前向模式则为特定分析任务提供优雅解决方案。

反向模式 反向模式自动微分是现代神经网络训练的计算核心。训练时，输出为标量（损失函数），需对数百万参数（权重）求导，反向模式对此极为高效。

代码清单 8 展示了反向模式结构。

代码清单 8：反向模式自动微分基础示例

```
def f(x):
    a = x * x  # 第一步：平方
    b = sin(x)  # 第二步：正弦
    c = a * b  # 第三步：乘积
    return c
```

在此函数中，x 通过两条路径影响最终结果 c：一条是平方（$a = x^2$），一条是正弦（$b = \sin(x)$）。求导时需同时考虑两条路径。

先做前向计算，见代码清单 9。

代码清单 9：**前向传播**：计算中间值，贡献最终输出。

```
x = 2.0            # 输入值
a = 4.0            # x * x = 2.0 * 2.0 = 4.0
b = 0.909          # sin(2.0) ≈ 0.909
c = 3.637          # a * b = 4.0 * 0.909 ≈ 3.637
```

接着反向传播，见代码清单 10，梯度从输出开始计算。

代码清单 10：**反向传播**：通过多条路径计算梯度，更新模型参数。此说明直接告知读者反向传播用于参数更新，是 ML 模型训练的核心。

```
#| eval: false
dc/dc = 1.0    # 输出对自身的导数为 1

# 乘法 c = a * b 的反向
dc/da = b      # ∂(a*b)/∂a = b = 0.909
dc/db = a      # ∂(a*b)/∂b = a = 4.0

# x 的两条路径贡献
# 路径 1: x -> x² -> c    贡献: 2x * dc/da
# 路径 2: x -> sin(x) -> c 贡献: cos(x) * dc/db
dc/dx = (2 * x * dc/da) + (cos(x) * dc/db)
      = (2 * 2.0 * 0.909) + (cos(2.0) * 4.0)
      = 3.636 + (-0.416 * 4.0)
      = 2.805
```

反向模式的优势在于，新增依赖路径时，前向模式需多次计算，反向模式只需一次反向遍历。神经网络中，每个权重都可能通过多条路径影响损失，反向模式能高效处理。

实现结构　反向模式在机器学习框架中的实现，需精心设计计算与内存管理。前向模式只需扩展每步计算，反向模式需记录前向过程以支持反向遍历。现代框架通过计算图和自动梯度累积 [214] 实现。

扩展前例为小型神经网络，见代码清单 11。

代码清单 11：**反向模式**：神经网络通过反向遍历层计算梯度。

```
def simple_network(x, w1, w2):
    # 前向传播
    hidden = x * w1  # 第一层乘法
    activated = max(0, hidden)  # ReLU 激活
    output = activated * w2  # 第二层乘法
    return output  # 最终输出（未加损失）
```

前向传播时，框架不仅计算数值，还构建操作图并跟踪中间结果，见代码清单 12。

代码清单 12：**前向传播**：通过线性和非线性变换计算中间状态，生成最终输出。训练流程：将数据集分为训练、验证和测试集，确保模型稳健性和无偏评估。

214. **梯度累积**：多批次计算并累加梯度，统一更新参数，模拟大批次训练而不增加内存消耗。适合大模型训练，单设备批次可小至 1。

```
x = 1.0
w1 = 2.0
w2 = 3.0

hidden = 2.0  # x * w1 = 1.0 * 2.0
activated = 2.0  # max(0, 2.0) = 2.0
output = 6.0  # activated * w2 = 2.0 * 3.0
```

代码清单 13 展示反向传播梯度计算步骤。

代码清单 13：**反向传播**：计算神经网络权重梯度，突出梯度如何反向传播更新参数。

```
d_output = 1.0  # 输出的导数

d_w2 = activated  # d_output * d(output)/d_w2
# = 1.0 * 2.0 = 2.0
d_activated = w2  # d_output * d(output)/d_activated
# = 1.0 * 3.0 = 3.0

# ReLU 梯度：输入 > 0 时为 1，否则为 0
d_hidden = d_activated * (1 if hidden > 0 else 0)
# 3.0 * 1 = 3.0

d_w1 = x * d_hidden  # 1.0 * 3.0 = 3.0
d_x = w1 * d_hidden  # 2.0 * 3.0 = 6.0
```

本例说明实现要点：1. 框架需跟踪操作依赖 2. 中间值需为反向传播保留 3. 梯度按前向计算的逆拓扑顺序计算 4. 每步操作需有前向与反向实现

内存管理策略　反向模式实现的关键挑战之一是内存管理。与前向模式可随计算丢弃中间值不同，反向模式需保留前向结果以支持反向梯度计算。

代码清单 14 扩展神经网络例子，突出反向传播需保留中间激活。

代码清单 14：**反向模式内存管理**：训练时需存储中间值以支持反向传播梯度计算。

```
def deep_network(x, w1, w2, w3):
    # 前向传播 - 必须存储中间结果
    hidden1 = x * w1
    activated1 = max(0, hidden1)  # 反向需用
    hidden2 = activated1 * w2
    activated2 = max(0, hidden2)  # 反向需用
    output = activated2 * w3
    return output
```

每个反向传播需用的中间值都要保留，直到反向遍历完成。网络越深，内存需求线性增长。典型深度网络处理一批图像时，激活存储可达数 GB。

框架采用多种策略优化内存。代码清单 15 展示一种方法。

代码清单 15：**内存管理策略**：训练涉及多层变换，需优化内存。检查点机制允许中间值在训练过程中释放，降低内存使用，同时通过说明：代码强调深度学习系统在内存管理与模型复杂度间的权衡。

```
def training_step(model, input_batch):
    # 策略 1：检查点机制
    with checkpoint_scope():
        hidden1 = activation(layer1(input_batch))
        # 框架可在此释放部分内存
        hidden2 = activation(layer2(hidden1))
        # 更精细的内存管理
        output = layer3(hidden2)

    # 策略 2：梯度累积
    loss = compute_loss(output)
    # 反向传播时优化内存
    loss.backward()
```

现代框架自动平衡内存与计算速度。部分内存密集操作可在反向传播时重算中间值，而非全部存储。大规模训练场景下，内存与计算的权衡尤为重要。

优化技术　在机器学习框架中，反向模式自动微分采用了多种关键优化技术，以提升训练效率。对于大规模神经网络而言，这些优化对于突破计算和内存瓶颈至关重要。

现代框架实现了梯度检查点技术[215]，通过在计算与内存之间做权衡，显著降低内存消耗。下方代码清单 16 展示了网络的简化前向过程。

代码清单 16：**前向传播**：神经网络通过多层变换处理输入，最终输出结果，体现了深度学习架构的层次性。

```
def deep_network(input_tensor):
    # 典型深度网络计算流程
    layer1 = large_dense_layer(input_tensor)
    activation1 = relu(layer1)
    layer2 = large_dense_layer(activation1)
    activation2 = relu(layer2)
    # ... 更多层
```

215. **梯度检查点（Gradient Checkpointing）**：一种内存优化技术，通过只保存部分中间激活值，其余在反向传播时重算，从而用更多计算时间换取更低内存消耗。对于深层网络，内存可降 50-90%，训练时间仅增加 20-33%。

```
    output = final_layer(activation_n)
    return output
```

框架并非保存所有中间激活值，而是选择性地在反向传播时重算部分值。代码清单 17 展示了框架如何实现内存节省，通常只保存每隔几层的激活。

代码清单 17：**检查点机制**：通过选择性保存中间激活值，降低前向过程的内存消耗。框架在存储与计算效率之间做平衡，优化模型训练。

```
# 检查点机制的概念表示
checkpoint1 = save_for_backward(activation1)
# 其他激活可在反向时重算
checkpoint2 = save_for_backward(activation4)
# 框架在存储与重算之间权衡
```

另一项关键优化是算子融合 [216]。框架将常见的连续数学操作合并为单一运算，如矩阵乘法后接偏置加法，可融合为一个操作，减少内存传输并提升硬件利用率。

反向传播本身也可通过重排序计算以最大化硬件效率。例如卷积层的梯度计算，框架会实现专用的反向操作，充分利用现代硬件能力，而非直接翻译数学定义。

这些优化协同作用，使得大规模神经网络训练变得可行。没有这些技术，许多现代架构的训练成本将高得难以承受，无论是内存还是计算时间。

框架中的自动微分实现 将自动微分集成到机器学习框架，需要在灵活性、性能和易用性之间做系统性权衡。PyTorch、TensorFlow 等现代框架通过高级 API 暴露自动微分能力，底层则实现了复杂的机制。

框架通过多种接口向用户呈现自动微分。PyTorch 的典型用法见代码清单 18。

代码清单 18：**自动微分接口**：PyTorch 在神经网络执行时自动跟踪操作，实现高效反向传播。训练过程需精细管理梯度和模型参数，自动微分对性能至关重要。

```
# PyTorch 风格自动微分
def neural_network(x):
    # 框架自动跟踪操作
    layer1 = nn.Linear(784, 256)
    layer2 = nn.Linear(256, 10)

    # 每步操作自动跟踪
```

216. **算子融合（Operation Fusion）**：编译器优化，将多步连续操作合并为单一内核，降低内存带宽和延迟。例如，将矩阵乘法、加偏置和 ReLU 激活融合，可消除中间内存分配，在现代 GPU 上实现 2-3 倍加速。

```
    hidden = torch.relu(layer1(x))
    output = layer2(hidden)
    return output


# 训练循环展示自动微分集成
for batch_x, batch_y in data_loader:
    optimizer.zero_grad()  # 清除旧梯度
    output = neural_network(batch_x)
    loss = loss_function(output, batch_y)

    # 框架自动处理所有微分机制
    loss.backward()  # 自动反向传播
    optimizer.step()  # 参数更新
```

表面上代码很简洁，实际上框架需：

1. 跟踪前向过程所有操作
2. 构建并维护计算图
3. 管理中间值内存
4. 高效调度梯度计算
5. 与硬件加速器对接

这种集成远不止基础训练。框架还需支持高阶梯度（如二阶导数）和混合精度训练。代码清单 19 展示了二阶梯度的计算。

代码清单 19：**高阶梯度**：二阶梯度揭示参数变化对一阶梯度的影响，是高级优化技术的基础。

```
# 计算高阶梯度
with torch.set_grad_enabled(True):
    # 一阶梯度
    output = model(input)
    grad_output = torch.autograd.grad(output, model.parameters())

    # 二阶梯度
    grad2_output = torch.autograd.grad(
        grad_output, model.parameters()
    )
```

系统工程突破　自动微分的数学基础早已确立，但在 ML 框架中的工程实现是重大的系统工程突破。理解这一点，有助于认识自动微分为何推动了深度学习革命。

在自动化系统出现前，梯度计算需手动推导并编码每个操作的梯度。即使是简单的全连

接层，也要分别写前向和反向函数，跟踪中间值，确保几十步操作的数学正确。架构复杂后，如卷积、注意力机制或自定义操作，手工实现极易出错且耗时巨大。

自动微分的突破不在于数学创新，而在于软件工程。现代框架需处理内存管理、操作调度、数值稳定性和跨硬件优化，同时保证数学正确性。比如一次矩阵乘法，梯度计算因输入需求、张量形状、硬件能力和内存约束而异，自动微分系统能自动处理这些差异，让研究者专注于模型架构而非梯度实现。

更重要的是，自动微分系统让架构创新成为可能。像 Transformer 这样的现代架构，涉及数百个复杂依赖操作。手工推导和调试这些组件的梯度，需数月时间。自动微分系统能高效、正确地计算所有梯度，让新架构快速试验和迭代。

系统视角解释了深度学习为何在框架成熟后加速发展：不是数学变了，而是软件工程让数学得以大规模应用。前述计算图提供了基础设施，自动微分系统则赋予了智能，能高效遍历计算图。

梯度计算中的内存管理 自动微分的内存需求，源于一个基本要求：反向传播时，必须记住前向过程发生了什么。这个看似简单的要求，给 ML 框架带来了有趣挑战。传统程序可随用即弃中间结果，AD 系统则需完整保留计算历史。

代码清单 20 展示了神经网络前向过程的内存需求。

代码清单 20：**前向传播**：神经网络顺序计算并存储中间结果，为反向传播准确计算梯度做准备。

```
def neural_network(x):
    # 每步操作都需保留结果
    a = layer1(x)  # 反向需用
    b = relu(a)  # 需保留 relu 输入
    c = layer2(b)  # 反向需用
    return c
```

每次网络处理数据，操作不仅产生输出，还带来内存负担。layer1 的乘法需记住输入，反向时计算梯度要用。即使简单的 relu，也需跟踪哪些输入为负，才能正确反向传播。网络越深，内存需求越大，见代码清单 21。

代码清单 21：**内存累积**：深度神经网络每层都需保留反向传播所需信息，网络越深，内存需求越大。

```
# 更深的网络，内存需求逐层累积
hidden1 = large_matrix_multiply(input, weights1)
activated1 = relu(hidden1)
hidden2 = large_matrix_multiply(activated1, weights2)
activated2 = relu(hidden2)
output = large_matrix_multiply(activated2, weights3)
```

现代框架自动管理这些内存。它们跟踪每个中间值的生命周期，确保梯度计算所需时仍在内存中。训练大模型时，内存管理与数值计算同样重要。框架会在中间值不再需要时及时释放内存，保证内存使用虽大但尽量高效。

生产系统集成挑战 自动微分集成到 ML 框架，带来重要的系统层面考量，影响框架设计和训练性能。大规模神经网络训练时，这些考量尤为突出。

代码清单 22 展示了典型训练循环的系统交互。

代码清单 22：**训练流程**：ML 工作流将数据集分为训练、验证和测试集，确保模型开发的稳健性和无偏评估。

```
def train_epoch(model, data_loader):
    for batch_x, batch_y in data_loader:
        # 数据在 CPU 与加速器间移动
        batch_x = batch_x.to(device)
        batch_y = batch_y.to(device)

        # 前向传播构建计算图
        outputs = model(batch_x)
        loss = criterion(outputs, batch_y)

        # 反向传播计算梯度
        loss.backward()
        optimizer.step()
        optimizer.zero_grad()
```

这个简单循环背后，隐藏着复杂的系统交互。AD 系统需与内存分配器、设备管理器、操作调度器和优化器协同。每次梯度计算都可能触发设备间数据移动、内存分配和加速器内核调度。

代码清单 23 展示了现代硬件加速器上的 AD 操作调度。

代码清单 23：**并行计算**：神经网络中的操作可并行执行，需同步结果以高效组合。Via The code

```
def parallel_network(x):
    # 这些操作可并行执行
    branch1 = conv_layer1(x)
    branch2 = conv_layer2(x)

    # 合并前需同步
    combined = branch1 + branch2
    return final_layer(combined)
```

AD 系统不仅需跟踪梯度计算依赖，还要优化硬件利用率。它需判断哪些梯度计算可并行，哪些需等待。依赖跟踪贯穿前向和反向过程，形成复杂的调度问题。

现代框架在保证用户接口简洁的同时，自动处理这些系统层面问题。底层会做复杂的操作调度、内存分配和数据移动决策，同时确保通过计算图正确计算梯度。

这些系统层面的考量，体现了现代框架自动化处理的工程复杂性，让开发者能专注于模型设计而非底层实现细节。

框架特定的微分策略 虽然自动微分原理在各框架间一致，但具体实现方式差异很大，直接影响科研工作流和开发体验。理解这些差异，有助于开发者选型并解释实际性能表现。

PyTorch 的动态图自动微分系统 PyTorch 通过动态 tape 机制实现自动微分，在执行时构建计算图。这种方式直接支持前述动态图的科研工作流和调试能力。

代码清单 24 展示了 PyTorch 的梯度跟踪，前向执行时自动构建 tape。

代码清单 24：**PyTorch Autograd 实现**：前向过程动态构建 tape，支持透明梯度计算和即时调试。

```
import torch

# PyTorch 在执行时构建计算图
x = torch.tensor(2.0, requires_grad=True)
y = torch.tensor(3.0, requires_grad=True)

# 每步操作加入动态 tape
z = x * y  # 创建 MulBackward 节点
w = z + x  # 创建 AddBackward 节点
loss = w**2  # 创建 PowBackward 节点

# 计算图在前向结束后才存在
print(f"Computation graph: {loss.grad_fn}")
# 输出：<PowBackward0 object>

```

```
# 反向传播遍历动态构建的图
loss.backward()
print(f"dx/dloss = {x.grad}")  # 可即时获取梯度
print(f"dy/dloss = {y.grad}")
```

PyTorch 的动态机制对科研工作流有多重优势。无需预定义计算图，支持自然的 Python 控制流（如条件、循环）。反向传播后梯度立即可用，便于交互式调试和实验。

动态 tape 机制也天然支持变长计算。代码清单 25 展示了 PyTorch 如何适应运行时决定的计算图。

代码清单 25：动态长度计算：PyTorch 的 autograd 能自然处理变长计算模式，支持根据输入特性自适应模型结构。

```
def dynamic_model(x, condition):
    # 计算图结构随运行时条件变化
    hidden = torch.relu(torch.mm(x, weights1))

    if condition > 0.5:  # 运行时决定图结构
        # 更复杂的计算路径
        hidden = torch.relu(torch.mm(hidden, weights2))
        hidden = torch.relu(torch.mm(hidden, weights3))

    output = torch.mm(hidden, final_weights)
    return output


# 不同调用生成不同计算图
result1 = dynamic_model(input_data, 0.3)  # 较短图
result2 = dynamic_model(input_data, 0.7)  # 较长图

# 两者都能正确反向传播
```

这种灵活性带来一定的内存和计算开销。PyTorch 必须在反向传播完成前保留整个计算图，且梯度计算无法利用全局优化。

TensorFlow 的静态图优化 TensorFlow 传统自动微分采用静态图分析，实现激进优化。虽然 TensorFlow 2.x 默认即时执行，理解静态图有助于把握灵活性与优化的权衡。

代码清单 26 展示了 TensorFlow 静态图微分，分离了图构建与执行。

```
import tensorflow.compat.v1 as tf

tf.disable_v2_behavior()

```

```
# 图定义阶段 - 不实际计算
x = tf.placeholder(tf.float32, shape=())
y = tf.placeholder(tf.float32, shape=())

# 符号式定义计算
z = x * y
w = z + x
loss = w**2

# 图构建时符号化梯度计算
gradients = tf.gradients(loss, [x, y])

# 执行阶段 - 实际计算
with tf.Session() as sess:
    # 同一图可高效多次执行
    for step in range(1000):
        grad_vals, loss_val = sess.run(
            [gradients, loss], feed_dict={x: 2.0, y: 3.0}
        )
        # 编译内核优化执行
```

静态图方式支持强大的优化，动态系统无法实现。TensorFlow 可分析完整梯度计算图，应用算子融合、内存布局优化和并行调度。大模型可提升 2-3 倍性能。

静态图也便于高效重复执行。编译后同一图可多批次处理，生产环境下极为高效。

但该方式调试复杂，灵活性有限。TensorFlow 现代版本通过 eager 执行和 `tf.function` 编译兼顾两者。

JAX 的函数式微分 JAX 采用函数式编程和程序变换实现自动微分，体现了其函数式哲学，详见后续框架对比章节。

代码清单 27 展示了 JAX 的变换式微分。

代码清单 27：**JAX 函数式微分**：程序变换支持前向和反向微分，数学透明且易组合。

```
import jax
import jax.numpy as jnp


# 纯函数定义
def compute_loss(params, x, y):
    z = x * params["w1"] + y * params["w2"]
    return z**2


# JAX 变换函数而非跟踪操作
grad_fn = jax.grad(compute_loss)  # 返回梯度函数
value_and_grad_fn = jax.value_and_grad(compute_loss)
```

```

# 多种微分模式
forward_grad_fn = jax.jacfwd(compute_loss)  # 前向模式
reverse_grad_fn = jax.jacrev(compute_loss)  # 反向模式

# 变换可自然组合
batched_grad_fn = jax.vmap(grad_fn)  # 向量化梯度
jit_grad_fn = jax.jit(grad_fn)  # 编译梯度

# 不可变参数执行
params = {"w1": 2.0, "w2": 3.0}
gradients = grad_fn(params, 1.0, 2.0)
print(f"Gradients: {gradients}")
```

JAX 的函数式方法有独特优势。相同函数可变换为不同微分模式、执行模式和优化策略。前向、反向微分同样易用，可按问题特性选最优。

变换式方法支持强大的组合模式。代码清单 28 展示了多重变换的组合。

```
# 组合多重变换
def model_step(params, batch_x, batch_y):
    predictions = model_forward(params, batch_x)
    return compute_loss(predictions, batch_y)


# 通过组合构建复杂训练函数
batch_grad_fn = jax.vmap(jax.grad(model_step), in_axes=(None, 0, 0))
compiled_batch_grad_fn = jax.jit(batch_grad_fn)
parallel_batch_grad_fn = jax.pmap(compiled_batch_grad_fn)

# 结果：向量化、编译、并行化的梯度函数
# 仅通过函数变换实现
```

函数式方法要求不可变数据结构和纯函数，但支持数学推理和程序变换，状态式系统难以实现。

科研生产力与创新加速 这些实现差异直接影响科研效率和开发流程。PyTorch 的动态机制加速实验和调试，但生产部署需优化。TensorFlow 静态图性能优异，但开发流程更结构化。JAX 的函数式变换支持强大数学抽象，但需函数式编程习惯。

理解这些权衡，有助于研究者按需求选型，并解释开发与部署过程中的性能表现。动态灵活性、静态优化和函数式变换的选择，取决于项目优先级：快速实验、生产性能或数学优雅。

自动微分系统设计原则 自动微分系统将导数的数学概念转化为高效实现。通过前向和反向模式分析，框架在数学精度与计算效率间做平衡，支撑现代神经网络训练。

AD 系统的实现揭示了 ML 框架的关键设计模式。代码清单 29 展示了其中一种模式。

代码清单 29：**AD 机制**：框架跟踪操作，实现高效反向传播。示例强调跟踪中间计算对有效梯度计算的重要性，是 ML 系统自动微分的核心。

```
def computation(x, w):
    # 框架跟踪操作
    hidden = x * w  # 反向需存储
    output = relu(hidden)  # 跟踪激活模式
    return output
```

这一简单计算体现了几个基本概念：

1. 跟踪操作以便求导
2. 管理中间值内存
3. 系统协调高效执行

如代码清单 30 所示，现代框架在简洁接口背后抽象了这些复杂性，同时保证高性能。

代码清单 30：**最简 API**：通过跟踪前向计算和高效梯度计算，简化自动微分，助力模型优化。

```
loss = model(input)  # 前向跟踪计算
loss.backward()  # 高效反向模式 AD
optimizer.step()  # 利用已计算的梯度
```

自动微分系统的高效性，源于对多重需求的精细平衡。既要保留足够计算历史以保证梯度准确，又要控制内存消耗；既要高效调度操作，又要保证正确性；既要灵活，又要优化性能。

理解这些系统，对框架开发者和实践者都至关重要。开发者需实现高效 AD 以支撑现代深度学习，实践者则需理解 AD 的能力与约束，指导模型设计与训练。

自动微分为基于梯度的学习提供了计算基础，其实际实现高度依赖框架对数据的组织与操作方式。接下来将讨论支撑高效计算和内存管理的数据结构，这些结构不仅要支持 AD，还要为多样化硬件平台提供高效访问模式。

框架架构的未来方向 自动微分系统为神经网络训练提供了计算基础，但并非孤立运行。它们需要高效的数据表示和操作方式。接下来将讨论 ML 框架用于组织和处理信息的数据结构。

回顾前述数值处理示例（代码清单 31）。

代码清单 31：**层级变换**：神经网络通过顺序操作处理输入，权重和激活函数共同影响最终预测。数值在神经网络计算中流动，突出权重乘法和激活函数的作用。Via Data Flow: The code

```
def neural_network(x):
    hidden = w1 * x  # x 的具体类型?
    activated = relu(hidden)  # hidden 如何存储?
    output = w2 * activated  # 乘法类型?
    return output
```

这些操作看似简单，实则引发重要问题。框架如何表示这些值？如何组织数据以高效计算和自动微分？如何结构化数据以充分利用现代硬件？

下一节将探讨框架如何通过专用数据结构（尤其是张量）回答这些问题，这些结构是现代 ML 计算的基础构件。

数据结构

机器学习框架通过专用数据结构扩展计算图，将高层计算与实际实现连接起来。这些结构有两个核心作用：一是作为 ML 模型数值数据的容器，二是管理数据在不同内存空间和设备间的存储与移动。

计算图定义了操作的逻辑流程，数据结构则决定了操作如何在内存中访问和处理数据。既要为模型计算组织数值，又要处理内存管理和设备分配的复杂性，框架才能将数学运算高效映射到多样化计算平台。

ML 框架的有效性高度依赖底层数据组织。理论可用数学公式表达，但实际实现需精心设计数据组织、存储和操作方式。现代模型训练和推理需处理海量数据，高效的数据访问和内存利用对多硬件平台至关重要。

框架的数据结构需在三方面表现优异。首先是高性能，支持快速数据访问和高效内存利用，优化缓存布局和内存层级间的数据传输。其次是灵活性，适应多种模型架构和训练方式，支持不同数据类型和精度。第三是为开发者提供清晰直观的接口，底层自动处理复杂的内存管理和设备分配。

这些数据结构是数学与工程的桥梁。ML 运算如矩阵乘法、卷积、激活函数，决定了数

据组织的基本要求。结构需保证数值精度和稳定性，同时支持常见操作和自动梯度计算，还要应对现实计算约束，如有限内存带宽、硬件能力差异和分布式需求。

数据结构设计的优劣，直接影响框架能力。设计不当会导致内存浪费，限制模型规模和批次能力，或成为性能瓶颈，甚至让编程易错。设计合理则能自动优化内存和计算、支持硬件扩展、并为开发者提供高效接口，助力新技术快速落地。

通过具体数据结构分析，可见框架如何通过设计和优化应对这些挑战。这对 ML 系统开发者至关重要，无论是新模型开发、现有模型优化，还是框架能力扩展。分析从张量抽象开始，这是现代 ML 框架的基础构件，随后探讨参数管理、数据集处理和执行控制等专用结构。

张量 ML 框架以张量为核心处理和存储数值数据。神经网络的每一步计算，从输入数据处理到模型权重更新，都是在张量上进行。训练批次、卷积网络的激活图、反向传播的参数梯度，均以张量形式存在。统一的张量表示，让框架能实现一致的数据操作接口，并针对不同硬件架构优化运算。

张量结构与维度 张量是将标量、向量、矩阵推广到更高维度的数学对象。维度形成自然层级：标量是零维张量，向量是一维，矩阵是二维。更高维张量通过嵌套结构扩展，如图 7 所示，三维张量可视为矩阵堆叠。因此，向量和矩阵是张量的特殊情况（1D、2D）。

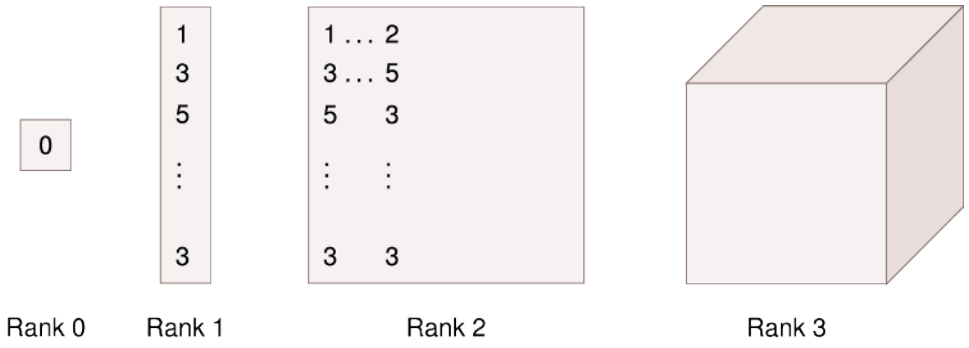

张量结构与维度

三维张量：高阶张量通过嵌套结构扩展标量、向量和矩阵的概念。图中三维张量为矩阵堆叠，能表达复杂多维数据关系。高于二维的张量是图像处理、自然语言处理等领域表达多维数据的基础。

在 ML 框架中，张量不仅有数学定义，还需满足现代系统的实际需求。数学张量是多维数组，具备变换属性，机器学习则要求高效计算。框架需在数学精度与计算性能间做权衡。

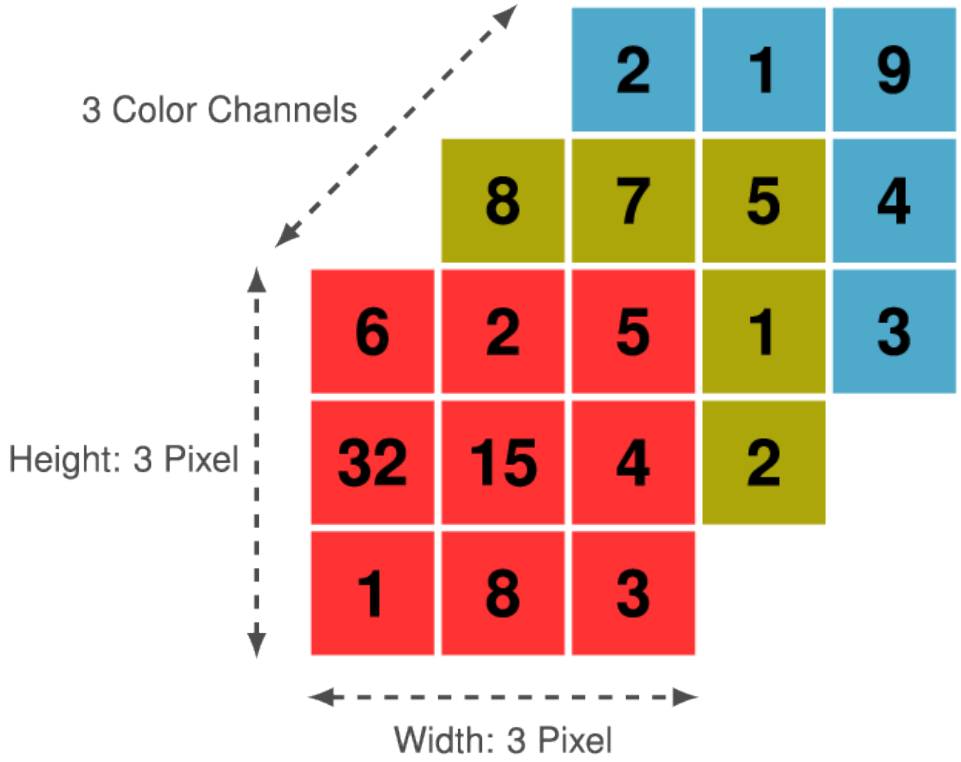

多维数据表示：图像天然映射为张量，维度分别表示高、宽和通道，形成三维数组；多张图片堆叠则形成四维张量，便于批量处理和高效计算。

框架张量结合了数值数据数组和计算元数据。维度结构（shape）从简单向量、矩阵到高维数组，能表达如图像批次、序列模型等复杂数据。维度信息对操作校验和优化至关重要，如矩阵乘法需 shape 元数据验证兼容性并决定最优计算路径。

内存布局是张量设计的难点。张量抽象为多维数据，但物理内存是线性的。stride 模式解决了多维索引与线性地址的映射问题。stride 影响张量操作的内存访问模式和性能。图 5 用 2×3 张量展示了行主序和列主序布局及 stride 计算。

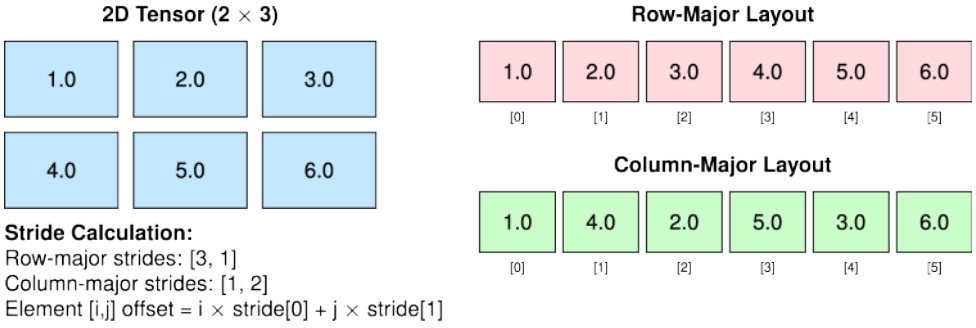

张量内存布局：2×3 张量可按行主序（C 风格）或列主序（Fortran 风格）存储。stride 定义每维移动时需跳过的元素数，便于框架计算 tensor[i,j] 的地址：base_address + i×stride[0] + j×stride[1]。布局选择显著影响缓存性能和计算效率。

理解这些内存布局模式对框架性能优化至关重要。行主序（NumPy、PyTorch）按行存储，行操作缓存友好；列主序（部分 BLAS 库）按列存储，优化列操作。stride 编码了布局信息：2×3 张量行主序，下一行需跳过 3 个元素（stride[0]=3），下一列跳过 1 个（stride[1]=1）。

stride 与硬件内存层级对齐，可最大化缓存效率和带宽利用，最优布局能实现理论带宽的 80-90%（现代 GPU 通常 100-500GB/s），而不佳布局仅能利用 20-30%。

类型系统与精度 张量实现通过类型系统控制数值精度和内存消耗。ML 标准为 32 位浮点（float32），兼顾精度与效率。现代框架支持多种数值类型：整数用于索引和嵌入，16 位浮点适合移动端高效部署，8 位整数用于专用硬件快速推理。

数值类型影响模型行为和计算效率。训练通常需 float32 保证梯度稳定，推理可用低精度（int8、甚至 int4），降低内存和提升速度。混合精度训练则用 float32 累加关键值，大部分计算用低精度，兼顾性能和精度。

不同类型间转换需谨慎管理。不同类型张量操作需显式转换规则，保证数值正确。转换有计算成本，也可能损失精度。框架提供类型转换能力，但需开发者保证跨操作的数值精度。

设备与内存管理 异构计算的兴起，改变了 ML 框架对张量操作的管理。现代框架需在 CPU、GPU、TPU 等多种加速器间无缝运行，每种设备计算能力和内存特性不同。张量需高效在设备间移动，保证计算一致性。

设备分配直接影响计算性能和内存利用。张量在设备间移动有延迟和带宽成本。多设备张量副本可加速计算，但增加总内存消耗，需精细管理副本一致性。框架需实现复杂的内存管理系统，跟踪张量位置，协调数据移动，权衡这些因素。

内存管理系统动态跟踪设备内存，优化数据传输。当操作需不同设备上的张量时，框架要么移动数据，要么调整计算分布。决策过程与计算图执行和操作调度深度集成。设备内存压力、数据传输成本和计算负载都影响分配。现代系统需优化 PCIe Gen4（CPU-GPU 通信 32GB/s）、NVLink（GPU-GPU 600GB/s）、网络互联（跨节点 10-100Gbps）等带宽。

设备分配与内存管理不仅是数据移动。框架需预判未来计算需求，高效预取数据，管理多设备碎片化，处理内存超载。需内存管理系统与操作调度器紧密协作，尤其在多设备并行或分布式训练场景。高效预取策略可通过计算与数据移动重叠，隐藏延迟，即使单次传输仅达峰值带宽的 10-20%，也能保持持续吞吐。

领域专用数据组织 张量虽是 ML 框架的基础，但并非唯一结构。框架还依赖一系列专用数据结构，满足数据处理、参数管理和执行协调等需求，保障从原始数据到硬件优化执行的全流程高效顺畅。

数据集结构 数据集结构负责将原始输入数据转化为适合 ML 计算的格式。它们将多样数据源与模型所需张量抽象自动连接，实现数据读取、解析和预处理自动化。

数据集结构需高效利用内存，应对远超内存容量的输入数据。例如训练大规模图像数据集时，结构需从磁盘加载图片，解码为张量格式，实时做归一化和增强。框架实现数据流、缓存和洗牌机制，保证预处理批次稳定供给，无瓶颈。

数据集结构设计直接影响训练性能。设计不当会造成 GPU 或加速器数据吞吐瓶颈。优化结构可利用 CPU 多核、磁盘 IO 和内存传输并行，满载加速器。现代训练管道需实现 1-10GB/s 数据加载速率，匹配 GPU 计算能力，需优化存储 IO 和预处理流程。框架通过并行加载、批次预取和高效数据格式（如优化格式可将加载开销从 80% 降至 10% 以下）实现。

分布式训练场景下，数据集结构还需协调节点间数据分配，保证每个 worker 处理不同数据子集，洗牌等操作一致，避免重复计算，支持多设备多机扩展。

参数结构 参数结构存储 ML 模型的数值参数，包括神经网络层的权重、偏置，以及批归一化统计量、优化器状态等辅助数据。与数据集不同，参数在训练和推理全程持久存在。

参数结构需兼顾高效存储与快速访问。例如卷积神经网络需为滤波器、全连接层和归一化层分配参数，各自有独特形状和内存对齐需求。框架将参数组织为紧凑结构，最小化内存消耗，支持高效读写。

分布式训练时，参数结构需高效管理多设备内存 [Li 2014]。框架可在 GPU 间复制参数并在 CPU 保持主副本，实现一致性和低延迟梯度更新。参数结构常用内存共享技术减少重复，如梯度和优化器状态原地存储节省内存。参数同步通信成本巨大，如 7B 参数模型在 8 GPU 间同步需传输约 28GB 梯度（FP32），25Gbps 网络下需 9 秒以上，故框架实现梯度压缩和高效通信（如 ring all-reduce）。

参数结构还需适应多种精度需求。训练多用 32 位浮点，推理和大规模训练则用 16 位甚至 8 位。框架实现类型转换和混合精度管理，兼顾优化和数值准确性。

执行结构 执行结构协调计算在硬件上的执行，保证操作高效且符合设备约束。它们与计算图紧密协作，决定数据流动和中间结果内存分配。

执行结构主要负责内存管理。训练或推理时，中间计算如激活图或梯度会消耗大量内存。执行结构动态分配和释放内存缓冲，避免碎片化，最大化硬件利用。例如深度网络可复用激活图内存，降低整体内存占用。

执行结构还负责操作调度，保证计算顺序和硬件利用最优。在 GPU 上，可重叠计算与数据传输，隐藏延迟提升吞吐。多设备运行时，需同步依赖计算，保证一致性无延迟。

分布式训练更复杂，执行结构需管理多节点数据和计算，包括计算图分区、梯度同步和数据重分配。高效执行结构能最小化通信开销，实现硬件线性扩展。图 10 展示了分布式训练如何在加速器网格上多维并行，提升吞吐。

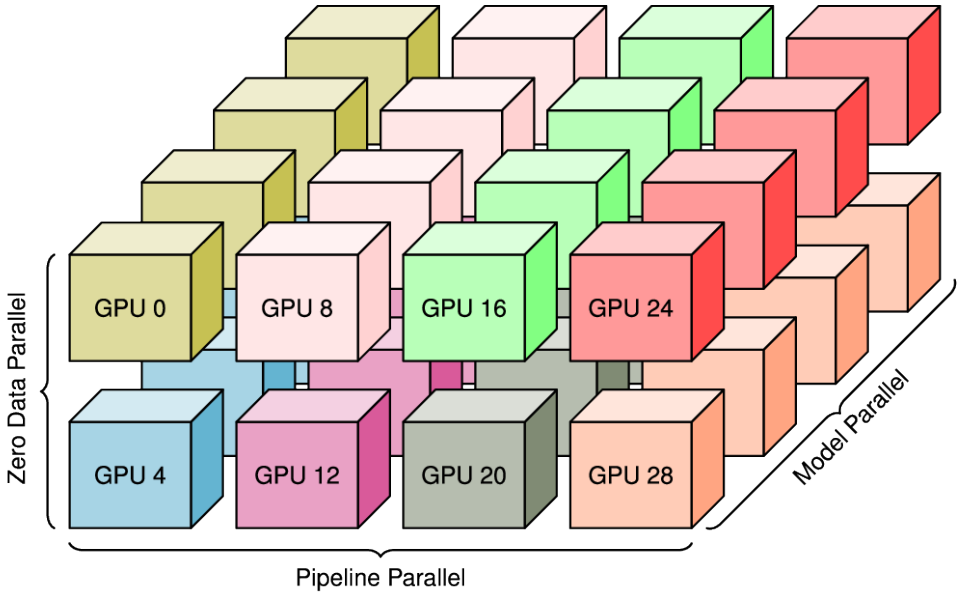

三维并行：分布式训练通过数据、流水线和模型层多维分区，实现加速器网格上的并行执行。该方法通过计算与通信重叠，最小化通信开销，最大化硬件利用。

编程与执行模型

开发者“编写”代码的方式（编程模型）与框架“执行”代码的方式（执行模型）密切相关。理解这一关系，有助于把握不同框架的设计权衡，以及这些决策如何影响开发体验和系统性能。统一视角揭示了编程范式如何直接映射到执行策略，形成框架特性，影响调试流程和生产优化。

ML 框架主要有三种编程与执行范式：命令式编程配合即时执行、符号式编程配合图执行，以及混合 JIT 编译。三者在开发灵活性与系统优化能力间各有侧重。

声明式模型定义与优化执行 符号式编程涉及先构建抽象计算表达，再执行。该范式直接对应图执行，框架在执行前构建完整计算图。符号式编程与图执行的紧密结合，带来

强大优化机会，但要求开发者以完整计算流程为思维方式。

符号式编程中，变量和操作以符号表示，表达式直到显式执行才被计算，框架可在运行前分析和优化计算图。

代码清单 32 展示了符号式编程示例。

代码清单 32：**符号计算**：符号表达式先构建不立即计算，便于优化后再执行。

```
# 构建表达式但不立即计算
weights = tf.Variable(tf.random.normal([784, 10]))
input = tf.placeholder(tf.float32, [None, 784])
output = tf.matmul(input, weights)

# 独立的执行阶段
with tf.Session() as sess:
    sess.run(tf.global_variables_initializer())
    result = sess.run(output, feed_dict={input: data})
```

该方式让框架能对整个计算做全局优化，适合部署场景。静态图可序列化、跨环境执行，提升可移植性。预定义图也便于高效并行执行。但调试较难，错误多在执行时暴露，动态修改图结构也较繁琐。

交互式开发与即时执行 命令式编程采用传统方式，操作遇到即执行。该范式直接对应即时执行，操作在调用时立即计算。命令式编程与即时执行的结合，形成动态计算图，灵活性高但优化空间有限。

此范式下，计算随代码执行，类似大多数通用编程语言。代码清单 33 展示了即时执行示例。

代码清单 33：**命令式执行**：每步操作在代码运行时立即计算，动态计算图逐步推进。

```
# 每步表达式立即计算
weights = torch.randn(784, 10)
input = torch.randn(32, 784)
output = input @ weights  # Computation occurs now
```

即时执行模式直观，符合常见编程习惯，易用性高。错误可在执行时立即发现和修复，调试简单。动态图可随时调整，适合变结构任务，如强化学习或序列建模。但运行时动态构建图有计算开销，框架难以全局优化。

即时执行适合研究、交互开发和快速原型。数据科学家和研究者能快速迭代，立即看到

结果。许多现代 ML 框架（如 TensorFlow 2.x 和 PyTorch）默认采用即时执行，因其对开发者友好。

性能与开发效率权衡 符号式与命令式编程模型的选择，显著影响框架对系统特性如内存管理和优化策略的处理。

性能考量 符号式编程让框架能预先分析完整计算图，实现高效内存分配，如中间结果复用。全局视角支持高级优化，如算子融合、自动微分和硬件专用内核选择，生产环境性能极佳。

命令式编程则需运行时决策内存和优化，操作即刻执行，无法全局分析。虽牺牲部分性能，但开发灵活性和即时反馈更强。编程模型选择还影响开发体验，尤其是模型开发和调试。

开发与调试 符号式编程要求开发者以完整计算图思考，调试需额外步骤，如 TensorFlow 1.x 需用 session 和 feed_dict 检查中间结果，开发流程较慢。

命令式编程调试更直接，操作即刻执行，开发者可随时检查张量值和形状，便于实验和问题定位，适合快速原型和迭代开发。

权衡管理 项目需求决定编程模型选择。符号式适合性能和优化要求高的生产部署，命令式则适合科研和开发灵活性需求。

运行时编译的自适应优化 现代框架认识到编程范式选择不必二选一。混合方案通过 JIT 编译结合两者优势，开发者可用命令式风格编写，框架自动将高频代码路径编译为优化静态图，生产部署性能更优。

JIT 编译是编程与执行模型的现代融合。开发者用自然命令式代码开发和调试，框架可自动将关键路径转为优化静态图，兼顾开发体验和执行性能。

典型混合方案如 TensorFlow 的 `tf.function` 装饰器，将命令式 Python 函数编译为优化图执行；PyTorch 的 `torch.jit.script` 可将动态模型编译为静态图；JAX 的 `jit` 变换自动实现图编译和优化。

这些混合方案表明现代框架已超越传统符号式与命令式分野，编程模型与执行模型可解耦，实现开发效率与系统性能兼得。

执行模型技术实现 明确三大编程 - 执行范式后，可分析其实现特性和性能影响。每种范式在内存管理、优化能力和开发流程上有特定权衡，直接影响系统性能和开发效率。

即时执行 即时执行是最直接、最易理解的执行范式。操作在代码调用时立即执行，类似传统命令式编程语言，开发者熟悉。

代码清单 34 展示了即时执行，操作即刻计算。

代码清单 34：**即时执行**：操作在代码调用时立即计算，开发体验更直观灵活。

```
import tensorflow as tf

x = tf.constant([[1.0, 2.0], [3.0, 4.0]])
y = tf.constant([[1, 2], [3, 4]])
z = tf.matmul(x, y)
print(z)
```

在这段代码中，每行顺序执行。创建张量 `x` 和 `y` 时，它们立即在内存中实例化。矩阵乘法 `tf.matmul(x, y)` 立刻计算，结果存入 `z`。打印 `z` 时，立即看到计算结果。

即时执行提供多重优势。反馈及时，便于开发者轻松检查中间值，调试直观。代码结构灵活，计算图可随执行变化，适合动态任务。

但即时执行也有权衡。操作即刻执行，框架难以全局优化，复杂模型或大数据集性能不如优化范式。

即时执行特别适合科研、交互开发和快速原型。数据科学家和研究者能快速试验，立即见效。许多现代 ML 框架（如 TensorFlow 2.x 和 PyTorch）默认采用即时执行，因其开发者友好。

图执行 图执行（静态图执行）采用不同方式。开发者先定义完整计算图，再分步执行。

代码清单 35 展示了 TensorFlow 1.x 风格的图执行。

代码清单 35：**图执行**：先定义计算图，再用 session 执行，突出 TensorFlow 1.x 的定义与执行分离。

```
import tensorflow.compat.v1 as tf

tf.disable_eager_execution()

# 定义计算图
x = tf.placeholder(tf.float32, shape=(2, 2))
```

```
y = tf.placeholder(tf.float32, shape=(2, 2))
z = tf.matmul(x, y)

# 执行计算图
with tf.Session() as sess:
    result = sess.run(
        z,
        feed_dict={x: [[1.0, 2.0], [3.0, 4.0]], y: [[1, 2], [3, 4]]},
    )
    print(result)
```

在这段代码中，我们先定义计算结构。`placeholder` 操作创建输入数据的计算图节点，`tf.matmul` 创建表示矩阵乘法的节点。定义阶段不实际计算。

计算在创建会话并调用 `sess.run()` 时执行。这时提供实际输入数据，框架拥有完整图，可在执行前优化。

图执行的优势在于，框架可预见全部计算，进行全局优化，复杂模型性能更优。定义后，图可轻松保存并跨环境部署，适合高效重复执行。

但图执行也有权衡。开发者需以图构建为思维方式，调试较难，错误多在执行时暴露，动态计算实现复杂。

图执行适合生产环境，性能和部署一致性要求高，常用于大规模分布式训练和高吞吐推理场景。

动态代码生成与优化 JIT 编译是即时执行与图执行的折中。该范式结合即时执行的灵活性与图优化的性能。

代码清单 36 展示了 PyTorch 的 JIT 编译用法。

代码清单 36：**PyTorch JIT 编译**：编译脚本函数以高效复用，展示即时编译如何在 ML 工作流中兼顾灵活性与性能。

```
import torch


@torch.jit.script
def compute(x, y):
    return torch.matmul(x, y)


x = torch.randn(2, 2)
y = torch.randn(2, 2)

# 首次调用编译函数
```

```
result = compute(x, y)
print(result)

# 后续调用用优化版本
result = compute(x, y)
print(result)
```

在这段代码中，我们定义了一个 `compute` 函数，并用 `@torch.jit.script` 装饰。这个装饰器告诉 PyTorch 用 JIT 编译器编译这个函数。首次调用 `compute` 时，PyTorch 分析这个函数，进行优化并生成高效的机器代码。这个编译过程在函数执行前完成，故称“即时编译”。

后续对 `compute` 的调用将使用优化版本，特别是对于复杂操作或重复调用，性能提升显著。

JIT 编译兼顾开发灵活性和运行性能。开发者可用自然命令式代码，关键部分自动优化。

这种方法的优势在于，它保持了即时执行的即时反馈和直观调试，同时为计算密集型的关键部分提供了性能提升。JIT 编译还可以根据实际使用的特定数据类型和形状来调整优化，可能比静态图编译出更高效的代码。

然而，JIT 编译也有其局限性。首次执行编译的开销可能导致初次调用变慢。一些复杂的 Python 结构可能无法被 JIT 编译，需要开发者了解哪些代码可以被有效优化。

JIT 编译在需要开发灵活性和性能的场景中非常有用，尤其是在研究快速迭代和生产大规模训练时。许多现代 ML 框架都集成了 JIT 编译，以提供开发者友好的同时又能实现性能优化，如表 2 所示。该平衡体现在学习曲线和运行时行为，既有即时反馈又有性能提升。表格突出 JIT 编译如何弥合命令式编程的易用性与图执行的性能，尤其在内存使用和优化范围上。

方面	**即时执行**	**图执行**	**JIT 编译**
方式	操作遇到即计算	先构建完整计算计划再执行	运行时分析代码，生成优化版本
内存使用	计算过程中保留所有中间结果	全局规划数据流优化内存	根据实际执行模式自适应内存使用
优化范围	仅限局部操作模式	全局优化整个计算链	结合运行时分析和定向优化

方面	即时执行	图执行	JIT 编译
调试方式	计算任意点可检查值	需在图中设置监控点	初始运行原始行为，后续优化
速度与灵活性	灵活性优先于速度	性能优先于灵活性	平衡灵活性与性能

分布式执行 随着机器学习模型规模和复杂度不断提升，单设备训练已难以满足需求。大模型需要巨大的计算能力和内存，而海量数据集则要求高效的多机处理。为应对这些挑战，现代 AI 框架内置了分布式执行支持，可将计算任务分散到多块 GPU、TPU 或分布式集群上。通过抽象并行执行的复杂性，这些框架让开发者能够高效扩展机器学习工作负载，同时保持易用性。

分布式执行的核心策略有两种：数据并行 [217] 和模型并行 [218]。数据并行让多台设备在不同数据子集上训练同一个模型副本，实现更快收敛且不增加单设备内存需求。模型并行则将模型结构拆分到多台设备上，使超大模型能够突破单设备内存限制。模型并行有多种变体，详见后续 第 8 章：AI 训练 章节。无论哪种方式，这两类分布式策略都是高效训练现代机器学习模型的基础。随着模型规模扩展到 第 9 章：高效 AI 所述的级别，分布式执行的实现也需依赖 第 11 章：AI 加速 介绍的硬件加速技术。

数据并行 数据并行是分布式训练中最常用的方法，可让机器学习模型在多台设备间高效扩展。每个计算设备保存一份相同的模型副本，但处理独立的训练数据子集，如图 11 所示。每轮训练后，各设备计算的梯度会同步，统一更新模型参数，保证所有副本一致。这样，模型可并行学习更大数据集，而单设备内存需求不变。

数据并行将训练数据分配到多台设备，模型副本一致，实现大数据集的高效加速。AI 框架内置了数据分发、梯度同步和性能优化机制。PyTorch 的 `DistributedDataParallel (DDP)` 自动管理多 GPU/节点训练，TensorFlow 提供 `tf.distribute.MirroredStrategy` 实现多 GPU 梯度同步，JAX 的 `pmap()` 可在多加速器间并行执行并优化通信。框架自动处理梯度聚合，超大模型同步梯度时需 10-100Gbps 网络带宽。例如，1750 亿参数模型在 1024 GPU 间同步梯度（FP32）每步需通信约 700GB，需高效算法实现近线性扩展。

217. **数据并行**：分布式训练策略，将同一模型副本分布到多台设备上，并行处理不同数据子集，最后同步梯度。可实现近线性加速，但要求模型能装入单设备内存，适合处理数十亿样本的数据集。
218. **模型并行**：用于超大模型训练，将模型结构拆分到多台处理器上。适用于如 GPT-3（1750 亿参数）等超出 GPU 内存限制的模型，但需优化分区间通信以降低开销。

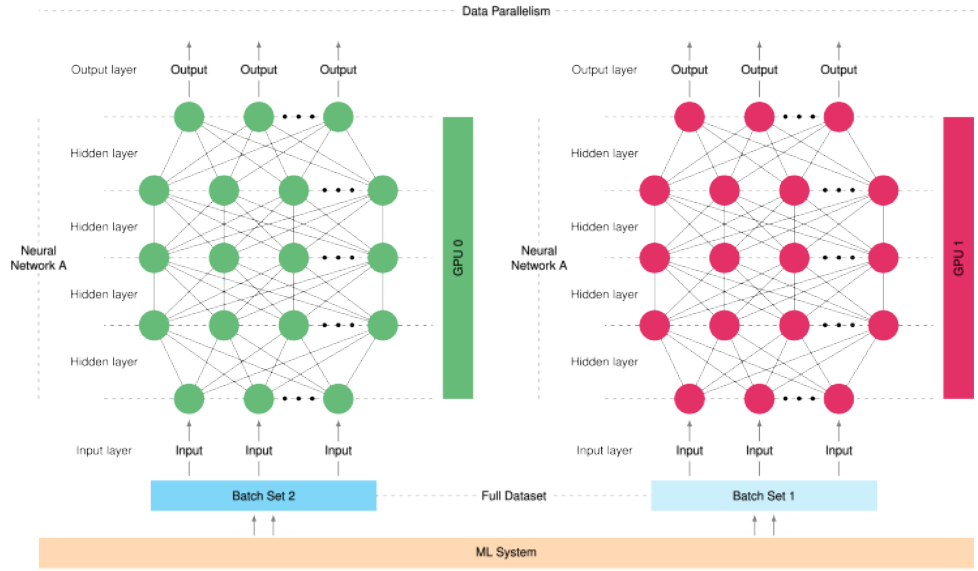

数据并行

这些框架自动处理同步与通信，让分布式训练对研究者和工程师都易于使用，无需手动管理底层并行细节。实现方式虽有差异，但目标一致：让多设备高效训练，无需用户手动并行化。

模型并行 数据并行适用于大多数 ML 任务，但部分模型过大，无法装入单设备内存。模型并行通过将模型结构拆分到多台设备上，解决这一限制。与数据并行每台设备保存完整模型不同，模型并行将层、张量或特定操作分配到不同硬件，如下图所示（图 12）。这样可训练超大模型，突破单设备内存瓶颈。

模型并行通过将模型不同部分分配到多台设备，解决内存瓶颈，支持超大模型训练。AI 框架提供结构化 API 简化模型并行，屏蔽分区和通信复杂性。PyTorch 支持流水线并行（`torch.distributed.pipeline.sync`），让不同 GPU 处理模型的连续层，保证高效执行流。TensorFlow 的 `TPUStrategy` 可自动将大模型分配到 TPU 核心，优化高带宽互联。DeepSpeed、Megatron-LM 等框架扩展 PyTorch，实现高级模型分片技术，如张量并行，将模型权重拆分到多设备，降低内存开销。张量并行通常需 100-400GB/s 设备间带宽，流水线并行则因激活传输频率低，带宽需求仅 10-50Gbps。

模型并行有多种变体，适合不同架构和硬件。具体权衡和应用详见 第 8 章：AI 训练，图 7 展示了并行策略对比。无论采用哪种方式，AI 框架都需高效管理分区、调度计算和优化通信，确保超大模型可扩展训练。

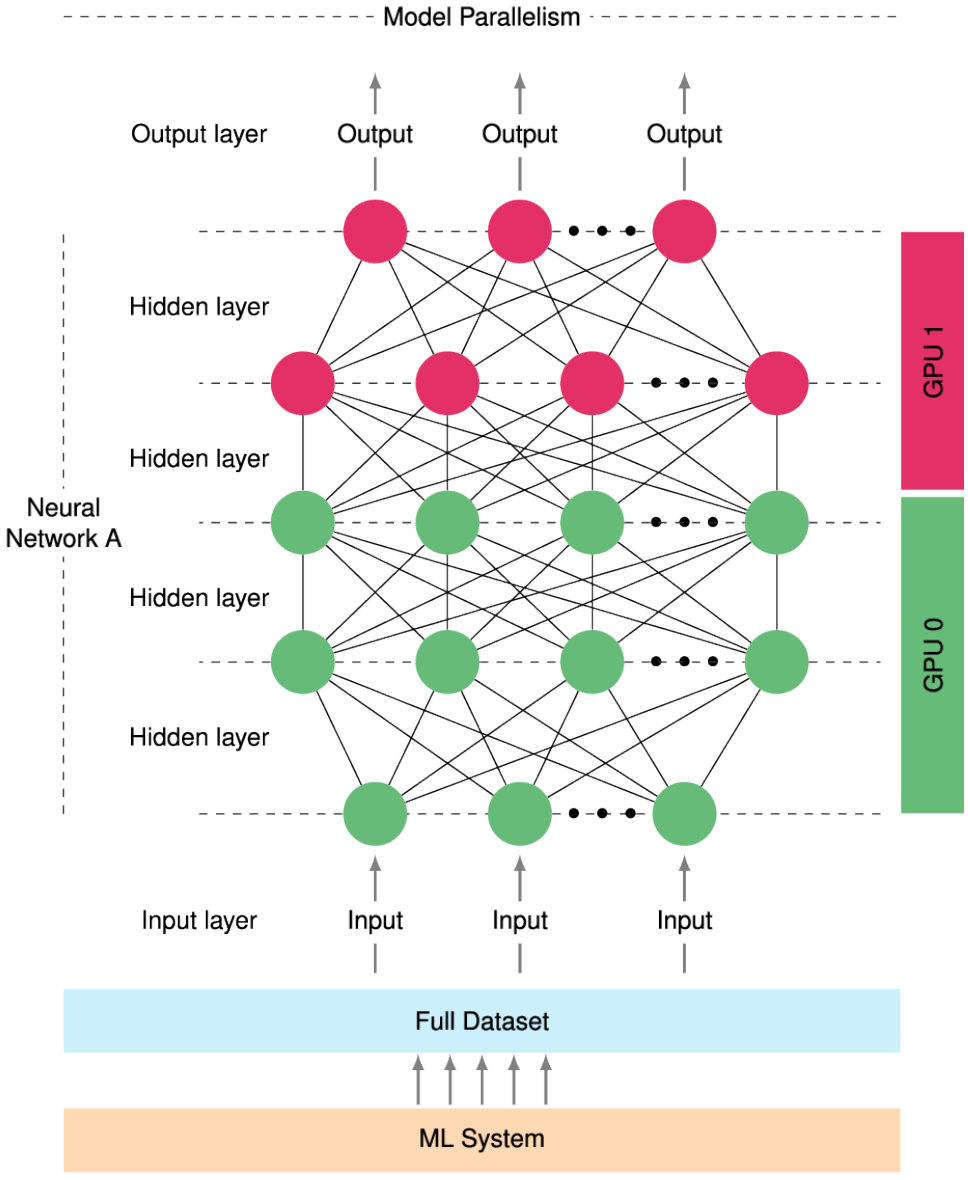
Model Parallelism
Output layer
Output
Output
Output
Hidden layer
Hidden layer
Hidden layer
Hidden layer
Neural Network A
GPU 1
GPU 0
Input layer
Input
Input
Input
Full Dataset
ML System

模型并行示意图

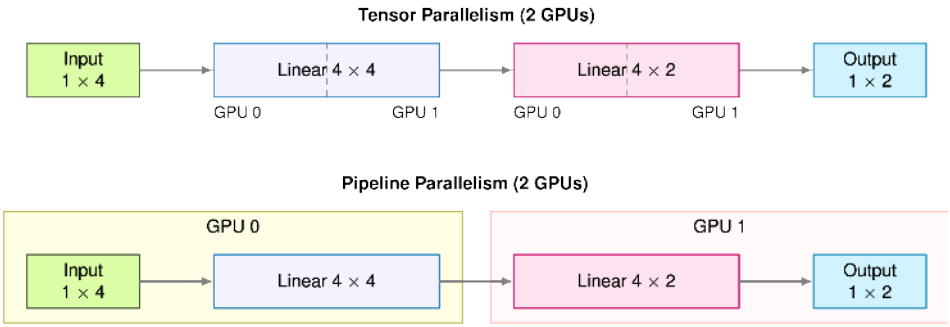

并行策略对比：张量并行将单层参数分片到多设备，降低单设备内存需求；流水线并行将连续层分配到不同设备，通过计算与通信重叠提升吞吐。图中对比了两种方式，张量并行在设备间复制参数，流水线并行则分割计算图。

核心操作体系

机器学习框架采用三层操作体系，将高层模型描述转化为高效硬件计算。图 8 展示了硬件抽象操作管理计算平台复杂性，基础数值操作实现数学计算，系统级操作协调资源与执行。

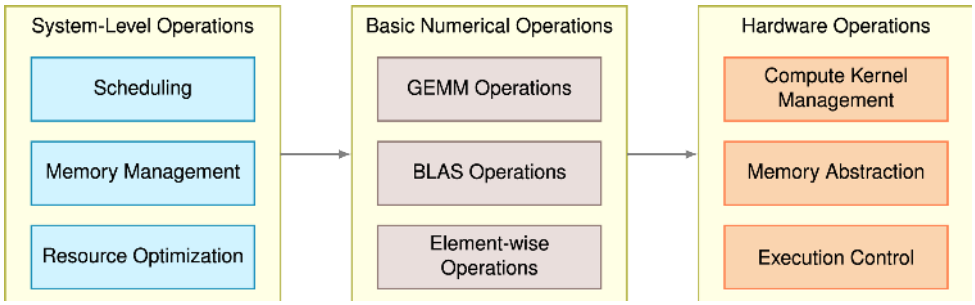

框架操作层级：ML 框架通过分层操作（调度、内存管理、资源优化）抽象硬件复杂性，实现数学模型在多样计算平台上的高效执行。该层级结构将高层模型描述转化为实际实现，协调资源与计算。

硬件抽象操作 硬件抽象操作是底层基础，屏蔽平台细节，保证高效计算。该层负责计算内核管理、内存系统抽象和多平台执行控制。

计算内核管理 计算内核管理负责为不同硬件架构选择和调度最优数学操作实现。需维护多种核心操作实现和复杂调度逻辑。例如，矩阵乘法可用现代 CPU 的 AVX-512 指令、NVIDIA GPU 的 cuBLAS，或 AI 加速器专用指令。内核管理器需根据输入规模、数据布局和硬件能力选择实现，并处理无专用实现时的回退路径。

内存系统抽象 内存系统抽象管理数据在复杂内存层级中的流动。需处理多种内存类型（注册、锁定、统一）及其访问模式。数据布局常需在硬件偏好格式间转换，如行主序与列主序、交错与平面图像格式。内存系统还需管理对齐要求（CPU 通常 4 字节，部分加速器 128 字节），并处理多执行单元访问同一数据时的缓存一致性。

执行控制 执行控制操作协调多执行单元和内存空间的计算。包括管理执行队列、事件依赖和异步操作。现代硬件支持多执行流并行，如 GPU 独立流或 CPU 线程池。执行控制器需管理这些流、同步点和依赖顺序，并提供硬件故障的错误处理和恢复机制。

基础数值操作 在硬件抽象层之上，框架实现基础数值操作，兼顾数学精度与计算效率。通用矩阵乘法（GEMM）是 ML 计算的主力，遵循 C = αAB + βC，其中 A、B、C 为矩阵，α、β 为缩放因子。

GEMM 实现需多种优化技术，如分块提升缓存效率（将矩阵分为适合缓存的小块）、循环展开提升指令并行度、针对不同矩阵形状和稀疏模式的专用实现。例如，全连接层用常规稠密 GEMM，卷积层则用专用 GEMM 变体，利用输入局部性。

除 GEMM 外，框架还需高效实现 BLAS 操作，如向量加法（AXPY）、矩阵 - 向量乘法（GEMV）、各类归减操作。AXPY 通常受内存带宽限制，GEMV 需平衡内存访问与计算效率。

元素级操作也是关键，包括基础算术（加、乘）和超越函数（指数、对数、三角函数）。虽然概念简单，但可通过向量化和算子融合显著优化。例如，多步元素级操作可融合为单一内核，降低内存带宽需求。激活函数和归一化层常处理大量数据，效率至关重要。

现代框架还需支持多种数值精度。训练多用 32 位浮点保证稳定性，推理可用 16 位甚至 8 位低精度。框架需在多种格式下高效实现，同时保证精度。

系统级操作 系统级操作在计算图和硬件抽象基础上，管理整体计算流程和资源利用，包括操作调度、内存管理和资源优化。

操作调度利用前述计算图结构，决定执行顺序。静态图可提前分析全部依赖，动态图则需运行时处理。调度器还需支持条件操作和循环等动态控制流。

内存管理实现复杂的资源分配和释放策略。不同数据类型需不同管理方式。模型参数需全程持久，可能需专用内存类型。中间结果生命周期由操作图限定，如激活值仅反向传播时需用。内存管理器用引用计数自动清理、内存池减少分配开销、工作区管理临时缓冲。还需处理长时间训练中的内存碎片。

资源优化整合调度和内存决策，最大化系统性能。关键优化如梯度检查点，部分中间结果丢弃并在反向时重算，用计算换内存。优化器还需管理并发执行流，平衡负载并保证依赖。多实现操作时，需根据运行时条件选择最优算法，如根据矩阵形状和系统负载选择乘法策略。

这些操作层级基于 第 7 章：AI 框架 介绍的计算图，实现高效执行并屏蔽实现复杂性。层级间互动决定系统性能，也为后续 第 10 章：模型优化 和 第 11 章：AI 加速 的高级优化技术奠定基础。

在梳理了框架核心能力后，接下来将探讨这些能力如何通过开发接口和架构设计，转化为实际开发体验。框架架构决定了底层计算如何通过 API 和抽象层暴露给开发者，实现易用性与性能的平衡。

框架架构

基础概念提供了计算能力，实际框架使用则依赖架构接口将这些能力高效暴露给开发者。框架架构将前述能力（计算图、执行模型、优化操作）组织为结构化层级，服务于不同开发流程。理解这些架构选择，有助于开发者高效利用框架并按需选型。

API 与抽象层

ML 框架的 API 层是开发者与框架能力的主要接口。该层需在易用性、灵活性和高性能之间做平衡。

现代框架 API 实现多层抽象以满足不同需求。底层 API 直接暴露张量操作和计算图构建，支持自定义复杂计算，如代码清单 37 所示。

代码清单 37：**手动张量操作**：用 PyTorch 底层 API 实现自定义计算，展示复杂变换的灵活性。

```
import torch

# 手动张量操作
x = torch.randn(2, 3)
w = torch.randn(3, 4)
b = torch.randn(4)
y = torch.matmul(x, w) + b

# 手动梯度计算
y.backward(torch.ones_like(y))
```

在此基础上，框架提供更高层 API，将常见模式封装为可复用组件。神经网络层即为典

型，如卷积、全连接层等高层抽象，开发者无需手动操作张量，见代码清单 38。

代码清单 38：**中层抽象**：用层级组件构建神经网络，高层模型建立在基础张量操作之上，实现高效开发。

```
import torch.nn as nn


class SimpleNet(nn.Module):
    def __init__(self):
        super().__init__()
        self.conv = nn.Conv2d(3, 64, kernel_size=3)
        self.fc = nn.Linear(64, 10)

    def forward(self, x):
        x = self.conv(x)
        x = torch.relu(x)
        x = self.fc(x)
        return x
```

最高层则实现完整工作流自动化。代码清单 39 展示了 Keras 的高层模型定义，自动化训练流程。

代码清单 39：**高层模型定义**：用 Keras 定义卷积神经网络，层级堆叠实现特征提取和分类。训练流程：自动化训练，编译模型、指定优化器和损失函数，批量训练。

```
from tensorflow import keras

model = keras.Sequential(
    [
        keras.layers.Conv2D(
            64, 3, activation="relu", input_shape=(32, 32, 3)
        ),
        keras.layers.Flatten(),
        keras.layers.Dense(10),
    ]
)

# 自动化训练流程
model.compile(
    optimizer="adam", loss="sparse_categorical_crossentropy"
)
model.fit(train_data, train_labels, epochs=10)
```

API 层级体现了框架设计的基本权衡。底层 API 灵活度高但需专业知识，高层 API 提升开发效率但限制实现选择。框架需在不同抽象层间提供清晰路径，支持开发者按需

混用。

这些 API 层级是开发者与框架能力的接口，但只是完整开发体验的一部分。完整体验还依赖于围绕核心框架的工具、库和资源生态，覆盖整个机器学习生命周期。

框架生态系统

ML 框架将核心能力组织为多个组件，协同提供完整开发与部署环境。这些组件形成抽象层级，使框架既适合高层模型开发，也能高效底层执行。理解组件间互动，有助于开发者选型和高效使用，尤其是在支持完整 ML 生命周期（从数据预处理 第 6 章：数据工程 到训练 第 8 章：AI 训练 再到部署 第 13 章：机器学习运维）。这种生态系统模式将 第 3 章：深度学习基础 的理论基础与 第 2 章：机器学习系统 的生产需求连接起来。

核心库

每个 ML 框架的核心是基础库，构成所有其他组件的基础。这些库实现了张量操作等基本构件，是数值计算的主力。为性能优化，常用底层语言和硬件专用优化，实现如矩阵乘法等神经网络核心运算。

这些计算原语支持更高级能力。核心库实现自动微分，能高效计算复杂函数的梯度，是神经网络优化的基础。实现涉及复杂的图操作和符号计算，屏蔽了梯度计算的底层复杂性。

在此基础上，核心库还提供预实现的神经网络层，如多种网络层类型。开发者可直接复用这些组件，专注于高层模型设计，无需重复底层实现。优化算法也常内置，进一步简化开发流程。

这些能力集成形成了完整开发环境。代码清单 40 展示了实际应用场景。

代码清单 40：**训练流程**：ML 工作流将数据集分为训练、验证和测试集，确保模型开发稳健性和无偏评估。

```
import torch
import torch.nn as nn

# 创建简单神经网络
model = nn.Sequential(nn.Linear(10, 20), nn.ReLU(), nn.Linear(20, 1))

# 定义损失函数和优化器
loss_fn = nn.MSELoss()
optimizer = torch.optim.Adam(model.parameters(), lr=0.01)

# 前向、损失计算与反向传播
```

```
x = torch.randn(32, 10)
y = torch.randn(32, 1)
y_pred = model(x)
loss = loss_fn(y_pred, y)
loss.backward()
optimizer.step()
```

该示例展示了核心库如何为模型创建、损失计算和优化提供高层抽象，底层细节自动处理。组件无缝集成，体现了核心库作为框架生态基础的作用。

扩展与插件

核心库提供基础功能，现代 ML 框架的强大在于可扩展性。扩展和插件拓展了框架能力，满足专业需求并吸收最新研究进展。领域专用库如计算机视觉、自然语言处理，提供预训练模型、专用数据增强和任务层。

性能优化也是扩展的重要方向。硬件加速插件让框架利用 GPU、TPU 等专用硬件，极大提升计算速度，并支持不同硬件后端的无缝切换，是现代 ML 工作流可扩展性和灵活性的关键。

随着模型和数据规模增长，分布式计算扩展也变得重要。这些工具支持多设备、多机训练，自动处理数据并行、模型并行和节点间同步，是大规模 ML 问题的必备。

为支持研发过程，框架还集成了可视化和实验追踪扩展。可视化工具实时展示训练过程和模型行为，支持交互式调试。实验追踪扩展帮助管理复杂的研究流程，系统记录和对比不同模型配置和超参数。

集成开发与调试环境

除了核心框架和扩展，开发工具生态进一步提升了框架的实用性和普及度。交互式开发环境如 Jupyter notebook 已成为 ML 工作流标配，支持快速原型开发和代码、文档、输出一体化。许多框架为这些环境提供专用扩展，提升开发体验。

ML 系统的复杂性需要专用开发支持。调试和性能分析工具解决了模型开发的独特挑战。专用调试器可检查训练和推理过程中的模型内部状态，性能分析工具识别执行瓶颈，指导优化。这些工具对高效可靠的 ML 系统开发至关重要。

项目复杂度提升后，版本控制集成变得重要。支持模型权重、超参数和训练数据的版本管理，有助于迭代开发和协作，保证可复现性。

最后，部署工具简化了从开发到生产的过渡。包括模型压缩、格式转换和与服务基础设施集成，帮助模型从实验环境顺利进入实际应用。

系统集成

从开发环境到生产部署，ML 框架需应对系统集成挑战。系统集成关注 ML 框架在实际环境中的落地，涵盖与更广泛软件和硬件生态的集成难题和考量。

硬件集成

高效硬件集成对优化 ML 模型性能至关重要。现代框架需适应从高性能 GPU 集群到资源受限边缘设备的多样计算环境。

首先是加速计算平台。GPU 加速方面，TensorFlow 和 PyTorch 支持 NVIDIA CUDA 平台，实现训练和推理的显著加速。TensorFlow 对 Google TPU 也有原生支持，进一步提升特定任务性能。

分布式计算场景下，框架需高效管理多设备和多节点，通过高级协调抽象实现。数据并行需模型副本间 all-reduce 通信，框架实现 ring all-reduce 算法，通信复杂度 O(N)，高带宽互联（如 InfiniBand 100-400Gbps）可达理论带宽的 85-95%。模型并行需分区间点对点通信，前后向同步，带宽不足时通信开销可达总训练时间的 20-40%。大规模训练必然遇到故障：Google 报告 TPU pod 训练每几小时就有内存、硬件或网络故障。现代框架通过弹性训练和检查点机制应对，支持动态集群扩展和定期保存模型状态。Horovod[219] 和 DeepSpeed 等框架抽象了分布式训练复杂性，优化通信模式，保证高带宽利用率。

边缘部署方面，框架提供轻量化版本，优化移动和物联网设备。TensorFlow Lite、PyTorch Mobile 提供模型压缩和优化工具，保证在资源有限、功耗受限设备上的高效执行。

框架基础设施依赖

ML 框架集成到现有软件栈面临独特挑战和机遇。数据处理管道接口是关键，框架常与 Apache Spark、Beam 等大数据工具对接，实现数据流与训练环境的无缝连接。

容器技术如 Docker 已成为 ML 工作流标配，保证开发与生产环境一致性。Kubernetes 是 ML 工作负载编排的主流选择，支持复杂部署的可扩展性和可管理性。

框架还需与数据库、消息队列和 Web 服务等企业系统集成。例如 TensorFlow Serving 提供高性能推理服务，易于嵌入微服务架构。

219. **Horovod**：Uber 分布式深度学习框架，统一 API 支持 TensorFlow、Keras、PyTorch、MXNet，ring-allreduce 算法在高速互联上可达理论带宽 85-95%。

生产环境集成要求

ML 模型生产部署需多方面考量。模型服务策略需兼顾性能、可扩展性和资源效率，涵盖批量预测和实时推理。

生产扩展常用横向扩展推理服务器、预测缓存和多版本负载均衡。TensorFlow Serving、TorchServe 提供内建扩展解决方案。

监控和日志对生产 ML 系统至关重要，包括性能指标、概念漂移检测和输入输出审计。Prometheus、Grafana 常与 ML 服务系统集成，提供全面监控。

端到端 ML 流程管理

端到端 ML 管道管理需协调数据准备、模型训练、部署和监控各环节。MLOps 实践将 DevOps 原则引入 ML 工作流。

CI/CD 已被适配到 ML 流程，实现模型测试、验证和自动部署。Jenkins、GitLab CI 可扩展为 ML 专用流水线，构建健壮的自动化流程。

自动化模型重训练和更新也是关键，需系统自动用新数据重训、评估并无缝更新生产模型。Kubeflow 等框架可自动化这些流程。图 9 展示了 DAG（有向无环图）任务编排，自动化数据处理和训练。

ML 资产版本控制（数据、模型结构、超参数）对可复现和协作至关重要。DVC、MLflow 等工具专为 ML 版本管理设计。

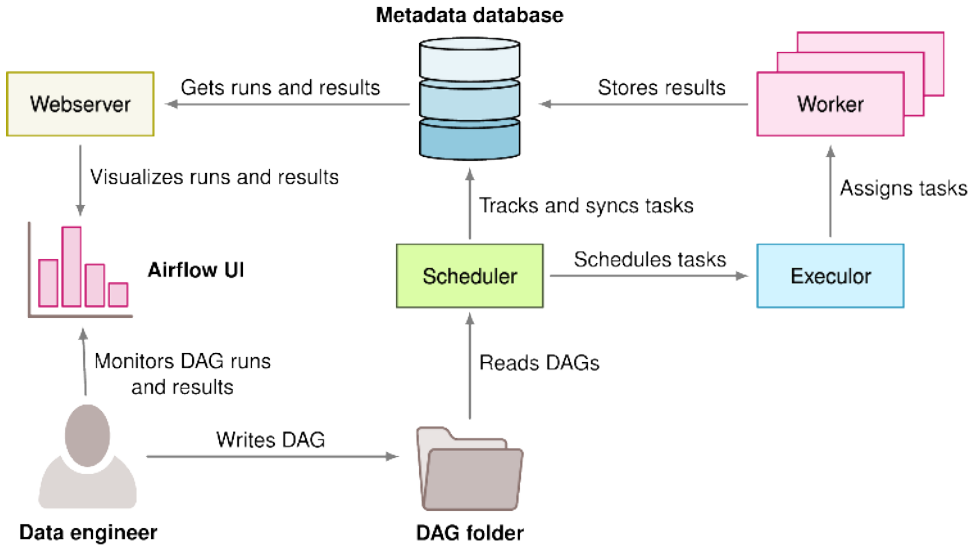

工作流编排：数据工程和机器学习管道通过 Airflow 等工具实现自动任务调度、分布式执行和结果监控，支持可复用、可扩展的模型训练与部署。DAG 定义流程，便于复杂操作序列高效管理，适合 CI/CD 系统集成。

主流框架平台分析

在梳理了核心概念、架构和生态组件后，接下来分析这些原则在实际框架中的落地。ML 框架架构复杂，业界涌现多种框架，但只有少数成为标准。本节分析主流框架，探讨其设计哲学如何转化为实际开发工具。

TensorFlow 生态系统

TensorFlow 由 Google Brain 团队开发，2015 年 11 月 9 日开源，采用数据流图实现数值计算，广泛用于各类 ML 应用。

TensorFlow 体现了面向生产的设计哲学。作为训练与推理框架，内置了从模型创建、训练到部署的全流程功能，如图 16 所示。随着发展，TensorFlow 生态已扩展为多种“变体”，支持不同平台 ML 应用。

1. TensorFlow Core：主包，开发者主要使用，支持模型定义、训练和部署，内含高层 API tf.keras。
2. TensorFlow Lite：面向移动、嵌入和边缘设备的轻量部署，支持模型压缩和预训练模型优化。
3. TensorFlow Lite Micro：面向微控制器，极低资源需求，无需操作系统或动态内存，仅用数 KB 内存。
4. TensorFlow.js：JavaScript 库，支持浏览器和 Node.js 端训练与部署，支持模型格式转换。
5. TensorFlow Edge Devices (Coral)：Google 边缘硬件平台，支持 Edge TPU 加速。
6. TensorFlow Federated (TFF)：支持分布式数据的联邦学习，无需数据集中化即可训练模型。
7. TensorFlow Graphics：支持 3D 形状和点云等图形任务的深度学习库。
8. TensorFlow Hub：可复用模型组件库，支持迁移学习和模型组合。
9. TensorFlow Serving：生产环境推理和部署框架，支持模型版本管理和动态更新。
10. TensorFlow Extended (TFX)：生产级 ML 流程平台，涵盖数据验证、预处理、训练、验证和服务。

生产级部署 实际生产系统证明框架选择直接影响系统性能。优化常带来 4-10 倍延迟降低和 2-5 倍成本节省，包括量化、算子融合和硬件加速。

但这些优化需大量工程投入，定制算子实现、验证和性能调优通常需 4-12 周。框架选

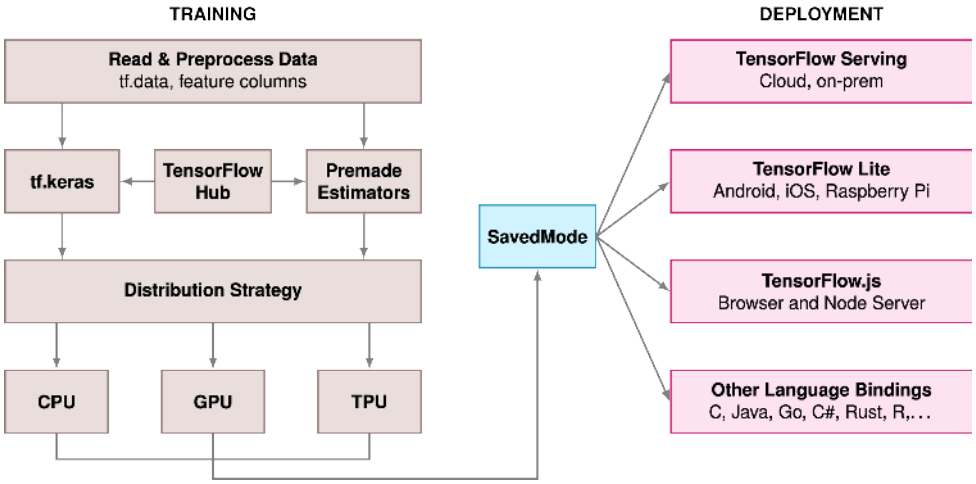

TensorFlow 2.0 架构：图示 TensorFlow 的模块化设计，分离即时执行与图构建，提升灵活性和调试易用性。核心 API 提供基础能力，Keras 为高层接口，简化模型构建与训练，支持多平台和硬件加速。

择是系统工程决策，远超 API 偏好，影响整个优化和部署流程。

详细生产部署案例、优化技术和量化权衡见 第 13 章：机器学习运维，系统性分析运维约束和部署策略。

PyTorch

与 TensorFlow 的生产优先不同，PyTorch 由 Facebook AI Research 开发，在学术界和研究领域广受欢迎。其设计哲学强调易用性、灵活性和动态计算，契合科研和实验的迭代需求。

PyTorch 的研究优先体现在动态图系统。与 TensorFlow 静态图不同，PyTorch 在执行时动态构建计算图（define-by-run），模型设计直观，调试方便，支持标准 Python 控制流。动态图支持变长输入和复杂结构，执行和检查即时。

PyTorch 与其他框架共享基础抽象，如张量为核心数据结构，CUDA 集成支持 GPU 加速。autograd 系统自动跟踪操作，实现梯度优化。

JAX

JAX 由 Google Research 开发，定位于高性能数值计算和前沿 ML 研究。与 TensorFlow 静态图和 PyTorch 动态执行不同，JAX 核心是函数式编程和变换组合。

JAX 兼容 NumPy，自动微分和即时编译，科学 Python 开发者易于上手，且具备强大优化能力。JAX 可微分原生 Python/NumPy 函数，支持循环、分支和递归，向量化和 JIT 编译能力突出。

JAX 编译策略比 TensorFlow 更依赖 XLA，优化 Python 代码到多种硬件。函数式编程采用纯函数和不可变数据，代码可预测且易于优化。JAX 的变换（grad、vmap、pmap）支持自动微分、向量化和并行，功能强大，区别于命令式框架。

平台性能量化分析

表 3 对 TensorFlow、PyTorch、JAX 三大框架做简要对比。三者虽目标相似，但设计哲学和技术实现有本质差异。

方面	TensorFlow	PyTorch	JAX
图类型	静态（1.x），动态（2.x）	动态	函数式变换
编程模型	命令式（2.x），符号式（1.x）	命令式	函数式
核心数据结构	张量（可变）	张量（可变）	数组（不可变）
执行模式	即时（2.x 默认）、图执行	即时	即时编译
自动微分	反向模式	反向模式	前向与反向模式
硬件加速	CPU、GPU、TPU	CPU、GPU	CPU、GPU、TPU
编译优化	XLA：3-10 倍加速	TorchScript：2 倍	XLA：3-10 倍加速
内存效率	GPU 利用率 85%	GPU 利用率 82%	GPU 利用率 91%
分布式扩展性	1024 GPU 效率 92%	效率 88%	1024 GPU 效率 95%

这些架构差异体现在编程范式和 API 设计。下例展示同一简单神经网络（10 输入到 1 输出线性层）在三大框架下的实现，揭示设计哲学。

框架对比：Hello World

下方展示同一简单神经网络在主流框架下的语法差异：

```python
# PyTorch - 动态、Python 风格
import torch.nn as nn

class SimpleNet(nn.Module):
    def __init__(self):
        super().__init__()
        self.fc = nn.Linear(10, 1)

    def forward(self, x):
        return self.fc(x)

# TensorFlow/Keras - 高层 API
import tensorflow as tf

model = tf.keras.Sequential(
    [tf.keras.layers.Dense(1, input_shape=(10,))]
)

# JAX - 函数式
import jax.numpy as jnp
from jax import random

def simple_net(params, x):
    return jnp.dot(x, params["w"]) + params["b"]

key = random.PRNGKey(0)
params = {
    "w": random.normal(key, (10, 1)),
    "b": random.normal(key, (1,)),
}
```

PyTorch 采用面向对象设计，显式继承 `nn.Module`，结构与执行分离，动态图支持灵活控制流和调试。

TensorFlow/Keras 用声明式编程，层级组合，`Sequential` API 自动管理连接、权重初始化和前向流程，兼容即时执行和生产优化。

JAX 强调函数式和不可变数据[220]，参数显式传递，模型函数无状态[221]，支持自动向量

220. **不可变数据结构**：创建后不可修改，任何操作都生成新副本，保证原数据不变，防止误改并支持安全并行处理。
221. **无状态函数**：同样输入总是同样输出，不依赖或修改外部状态，便于优化和并行。

化[222]、即时编译[223]和自动微分，函数纯粹[224]，便于数学推理和安全变换。

框架设计哲学

ML 框架不仅有技术规格，更体现了设计哲学，反映开发者优先级和应用场景。理解这些哲学，有助于开发者按需选型，影响开发效率和系统性能。

研究优先：PyTorch PyTorch 体现了研究优先哲学，重视开发体验和实验灵活性，优先即时执行、原生 Python 控制流和计算细节暴露，便于快速原型和调试，学术界采用广泛。

可扩展与生产优化：TensorFlow TensorFlow 优先生产部署和可扩展性，体现 Google 大规模 ML 系统经验。强调静态图优化（XLA 编译），通过算子融合和硬件专用代码提升性能。内置生产工具（Serving、TFX），支持分布式部署和服务。高层抽象如 Keras 优先可靠性，API 演进注重兼容和稳定。

数学变换与可组合性：JAX JAX 采用函数式哲学，强调数学纯粹和程序变换。不可变数组和纯函数支持自动向量化（vmap）、并行（pmap）、微分（grad），无隐藏状态。JAX 提供通用变换，分离计算与执行策略，兼容 NumPy，函数式约束带来强大优化能力。

框架哲学与项目需求匹配 哲学差异决定实际选型。探索性研究团队适合 PyTorch，生产部署和扩展优先可选 TensorFlow，算法开发和数学推理可选 JAX。

理解哲学有助于预判框架能力和未来演进。PyTorch 将持续优化开发体验，TensorFlow 注重生产工具和扩展，JAX 专注程序变换和数学优化。

框架哲学选择影响项目开发路径，从代码结构到调试到部署。团队按优先级和工作方式选型，通常比单纯技术规格更能保证长期成功。

部署环境专用框架

除主流框架哲学外，ML 框架已针对不同计算环境深度定制。随着应用扩展到边缘、移动和微控制器，专用框架需求愈发突出。

222. **自动向量化**：将单点操作转为数组或批量操作，充分利用 SIMD 并行能力，显著提升效率。
223. **即时编译（JIT）**：运行时将高层代码转为优化机器码，针对实际数据和硬件做性能优化。
224. **纯函数**：无副作用，同样输入总是同样输出，便于数学推理和安全变换。

这种多样化源于部署异构性。框架专用化即针对特定环境优化性能、效率和功能。不同平台资源、功耗和场景差异巨大，专用化至关重要。

专用化带来碎片化挑战，业界通过标准化应对。ONNX[225] 成为主流模型格式，实现框架间互操作。

标准化满足实际工作流需求。ONNX 提供框架无关的模型结构和参数描述，支持多硬件运行时，无需手动转换或重实现。

实际应用中，ONNX 支持重要生产流程。例如，研究团队用 PyTorch 动态图训练模型，导出 ONNX 后用 TensorFlow Serving 部署。也可转为 ONNX 在边缘设备用 ONNX Runtime 执行。图 11 展示了互操作性，随着生态扩展愈发重要。组织常需在不同阶段利用各框架优势。

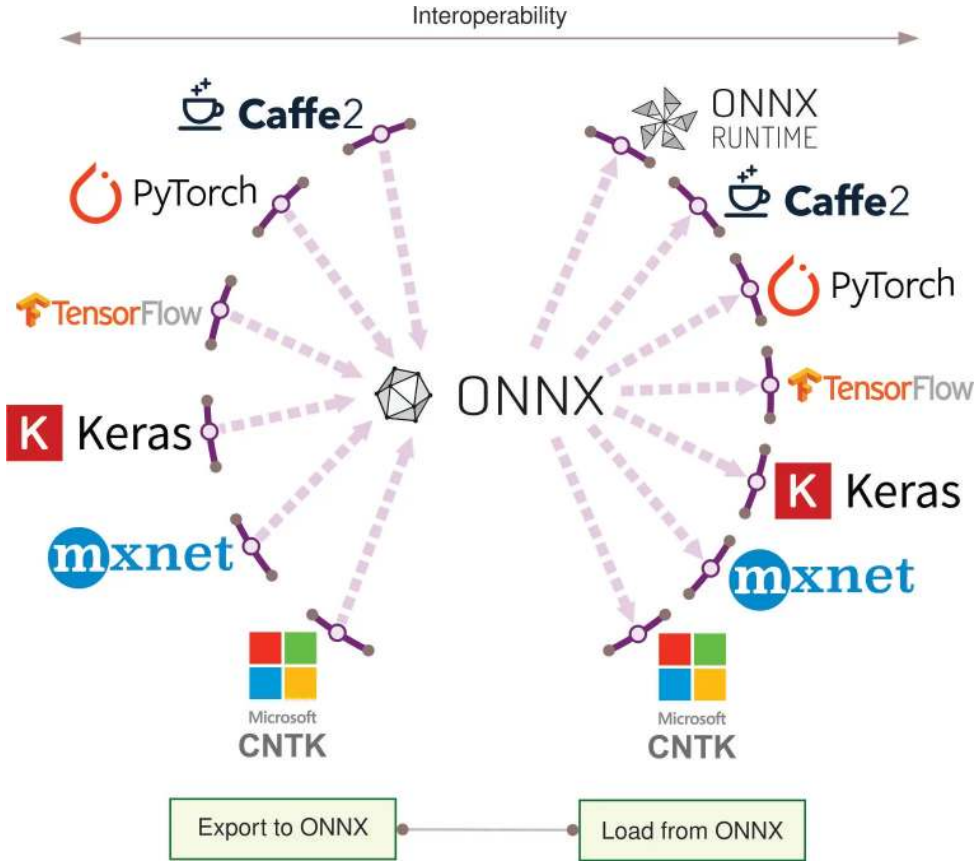

框架互操作性：ONNX 格式实现模型在不同框架间的可移植性，研究者可在 PyTorch 训练、TensorFlow 部署，无需重写代码。标准化简化 ML 工作流，支持 ONNX Runtime 在多硬件平台运行。

多样化的部署目标决定了机器学习框架在不同环境下的专用化策略。机器学习的部署环

225. **ONNX（开放神经网络交换格式）**：业界标准模型表示，支持框架间互操作。微软、Facebook、AWS 等支持，可将 PyTorch 训练模型部署到 TensorFlow Serving 或用 TensorRT 优化，解决框架碎片化问题。

境深刻影响了框架的设计与演进。云端机器学习环境依赖高性能服务器，拥有丰富的计算资源，适合复杂的运算任务。边缘侧机器学习则运行在计算能力中等的设备上，通常以实时处理为优先。移动端机器学习需适应智能手机和平板等设备的性能差异和能耗约束。TinyML 则面向极度受限的微控制器等设备，这类硬件资源极为有限。

这些环境约束推动了各自独特的架构决策。每种环境都带来独特挑战，直接影响框架的设计取舍。云端框架强调可扩展性与分布式计算；边缘框架聚焦低延迟推理与对多样硬件的适配；移动端框架注重能效与对设备特性的集成；TinyML 框架则极致优化资源以适应极端受限的环境。

本节将系统梳理主流机器学习框架如何针对上述环境进行适配，剖析其应对各类挑战的技术手段与设计选择，突出不同领域框架专用化的权衡与优化。

分布式计算平台优化

云端环境拥有最丰富的计算资源，使得框架可以优先考虑可扩展性和复杂优化，而不必过度受限于资源。云端机器学习框架是一类高度复杂的软件基础设施，专为利用云环境的海量算力而设计。它们主要在三个方面实现专用化：分布式计算架构、大规模数据与模型管理、以及与云原生服务的深度集成。

首先，分布式计算是云端 ML 框架的核心专长。这类框架实现了先进的任务划分与多机/多 GPU 协同机制，支持在大规模数据集上训练超大模型。例如，TensorFlow 和 PyTorch 作为云端主流框架，都具备强大的分布式训练能力。TensorFlow 1.x 采用静态计算图，天然适合分布式执行；PyTorch 则以动态图为特色，支持更灵活的分布式训练策略。

其次，云端框架针对超大规模数据和模型进行了优化。它们的数据结构设计充分考虑了单机难以承载的规模。例如，TensorFlow 和 PyTorch 均以可变 Tensor 作为核心数据结构，便于高效地对大数据集进行原地操作。JAX 作为新兴框架，则采用不可变数组，结合函数式编程理念，在分布式场景下带来新的优化空间。

第三，云端框架与云原生服务的集成能力极强。它们支持自动资源扩展、无缝访问云存储、集成云端监控与日志系统等。例如，TensorFlow 2.x 和 PyTorch 默认采用动态图执行模式，便于与云服务集成和调试。JAX 的 JIT 编译则能针对特定硬件自动优化计算流程，提升云端性能。

硬件加速是云端 ML 框架的重要特性。主流框架均支持 CPU 和 GPU，TensorFlow 与 JAX 还原生支持 Google TPU。NVIDIA TensorRT 是专为 GPU 推理优化的工具，具备层融合、精度校准、内核自动调优等高级功能，可极大提升 NVIDIA GPU 上的推理吞吐量。这些硬件加速选项让云端框架能充分发挥多样算力资源的优势。

34 **TensorRT**：NVIDIA 推出的推理优化库，专为深度学习应用最大化吞吐量、最小化延迟而设计。通过层融合、精度校准和内核自动调优等技术，实现 2-5 倍推理加速，是 NVIDIA 硬件生产部署的关键工具。

自动微分能力在云端尤为重要，因为大规模模型参数众多，训练复杂。TensorFlow 和 PyTorch 主要采用反向模式自动微分，JAX 同时支持正向与反向微分，在某些大规模优化场景下更具优势。

这些专用化能力让云端 ML 框架能够充分利用云基础设施的可扩展性和算力，但也带来了部署和运维的复杂性，通常需要专业知识才能发挥其全部潜力。云端框架的可扩展性和集成能力，使其非常适合大规模科研项目、企业级 ML 应用及需要海量算力的场景。

本地处理与低延迟优化

从资源充裕的云端转向边缘部署，框架设计面临全新约束。边缘 ML 框架专为边缘计算环境设计，强调靠近数据源、低延迟和有限算力。典型代表有 TensorFlow Lite 和 Edge Impulse。这类框架主要应对三大挑战：实时推理优化、异构硬件适配、资源受限下的高效运行。这些挑战与第 9 章“高效 AI”中的技术密切相关，也需要第 11 章“AI 加速”所述的硬件加速策略。

实时推理优化是边缘 ML 框架的核心特性。不同框架采用不同的执行模式和计算图类型。例如，TensorFlow Lite 采用静态计算图以优化推理性能，而 PyTorch Mobile 则保留动态图能力，提升模型结构灵活性但牺牲部分性能。静态与动态图的选择，体现了边缘框架在优化潜力与模型灵灵活性之间的权衡。

异构硬件适配对边缘部署至关重要。边缘 ML 框架在继承云端硬件加速能力的基础上，更关注边缘专用硬件。例如，TensorFlow Lite 支持移动 GPU 和 Edge TPU 加速，ARM Compute Library 针对 ARM 处理器深度优化。这通常涉及自定义算子实现和底层硬件专用优化。

资源受限下的高效运行也是边缘框架专用化的重要方面。许多边缘框架采用量化张量作为主要数据结构，用低精度（如 8 位整型）代替 32 位浮点数，显著降低内存和计算需求。这些量化技术及剪枝、知识蒸馏等优化方法将在第 10 章“模型优化”详细介绍。自动微分能力在边缘框架中通常被简化或移除，以减小模型体积、提升推理速度。

边缘 ML 框架还常集成模型版本管理与在线更新功能，便于无中断部署新模型。有些框架支持有限的端侧学习，使模型能在本地数据上自适应，同时保护数据隐私。相关技术将在 第 14 章“端侧学习”和第 15 章“安全与隐私”中深入探讨。

边缘 ML 框架的这些专用化能力，使其能在资源受限环境下实现高性能推理，拓展了 AI 在弱云连接或强实时需求场景下的应用空间。但要高效利用这些框架，需充分考虑目标

硬件规格和应用需求，在模型精度与资源利用之间取得平衡。

资源受限设备优化

移动端环境在边缘计算基础上引入了更多约束，尤其是能效和用户体验。移动 ML 框架专为智能手机和平板等设备上的模型部署与推理设计，代表有 TensorFlow Lite 和 Apple Core ML。这类框架主要应对计算资源有限、功耗受限和硬件多样性等挑战，专注于端上推理优化、能效提升和与移动硬件/传感器的集成。

移动 ML 框架的端上推理优化，通常需在计算图类型和执行模式间权衡。例如，TensorFlow Lite 采用静态计算图以提升推理性能，而 PyTorch Mobile 保持动态图灵活性但牺牲部分效率。静态与动态图的选择，直接影响模型在多变移动环境下的适应性与优化空间。

移动端框架在数据结构上也高度优化，追求内存与计算效率。与云端框架常用的可变 Tensor 不同，移动端更倾向于专用数据结构，如量化张量（8 位整型等），以适应设备 RAM 和算力的限制。

能效是移动端框架设计的核心考量。与云端常用的动态图执行不同，移动端多采用基于计算图的执行模式以节省能耗。例如，Apple Core ML 采用编译模型方式，将 ML 模型转为 iOS 设备可高效执行的格式，兼顾性能与能耗。

移动 ML 框架还需深度集成移动专用硬件与传感器。它们在继承云端加速能力的基础上，重点支持移动 GPU、NPU 等专用处理器。例如，TensorFlow Lite 可调用手机 GPU/神经网络单元加速，Qualcomm Neural Processing SDK 则专为 Snapdragon SoC 的 AI 加速器优化。这类硬件专用优化通常涉及自定义算子和底层适配。

自动微分能力在移动端通常被极大简化或移除，以减小模型体积、提升推理速度。模型训练和更新多在云端完成，移动端仅负责高效推理。

移动 ML 框架还常集成模型热更新与版本管理，便于在不更新 App 的情况下部署新模型。有些框架支持有限的端上学习，使模型能根据用户行为或环境变化自适应，同时保护隐私。相关技术将在第 14 章“端侧学习”与第 15 章“安全与隐私”详细介绍。

移动 ML 框架的专用化能力，使复杂 ML 模型能在资源受限的移动设备上高效运行，拓展了 AI 在移动场景下的应用空间（如实时图像/语音识别、个性化体验等）。但要高效利用这些框架，需充分考虑目标设备能力、用户体验和隐私等多重因素，在模型性能与资源利用之间取得最佳平衡。

微控制器与嵌入式系统实现

在资源受限的极端场景下，TinyML 框架推动了极限计算的边界。TinyML 框架专为微控制器和低功耗嵌入式系统上的模型部署而设计，应对极低算力、内存和能耗的挑战。其专用化主要体现在极致模型压缩、极端受限环境下的优化，以及对微控制器架构的深度集成。

TinyML 框架在模型压缩上将量化技术推向极致。移动端常用 8 位量化，TinyML 则进一步采用 4 位、2 位甚至 1 位（二值化）参数表示。例如，TensorFlow Lite Micro 就是此类极致压缩的代表，能将模型压缩到仅几 KB 内存。

TinyML 框架的执行模型高度专用化。与云端/移动端的动态图或 JIT 编译不同，TinyML 几乎只采用静态、极致优化的计算图。JAX 等框架的 JIT 编译在 TinyML 场景下因内存受限难以实现，通常采用预编译（AOT）生成针对设备的高效代码。

内存管理在 TinyML 框架中极为严苛。边缘/移动端尚可动态分配内存，TinyML 框架如 uTensor 则多采用静态内存分配，避免运行时开销和碎片。这要求在编译期精确规划内存布局，与云端的灵活管理形成鲜明对比。

硬件集成方面，TinyML 框架高度适配微控制器指令集。与云端通用 GPU、移动端 NPU 支持不同，TinyML 框架常针对特定微控制器优化。例如，ARM CMSIS-NN 提供 Cortex-M 系列专用神经网络内核，常被集成进 TinyML 框架。

自动微分在 TinyML 框架中基本缺失，几乎只关注推理，所有训练与模型更新均在设备外完成，极端受限的算力难以支持端上学习。

TinyML 框架还极度重视功耗管理，集成了如占空比控制、超低功耗唤醒等特性，使得“永远在线”传感应用能在纽扣电池上运行数年。

TinyML 框架的极致专用化，使得 AI 能在以往难以企及的场景落地，如智能尘埃传感器、植入式医疗设备等。但这种专用化也带来模型复杂度和精度的显著牺牲，需在 ML 能力与硬件极限之间谨慎权衡。

性能与资源优化平台

除部署场景专用化外，现代机器学习框架越来越多地将“高效”作为一等设计原则。高效导向型框架将计算效率、内存优化和能耗作为核心约束，而非事后优化。这类框架应对 AI 在资源受限环境下实际部署的需求，算法设计从一开始就受限于资源约束。

传统框架常将效率优化视为开发后的附加步骤，而高效导向型框架则将量化、剪枝、压缩等优化手段深度集成进开发流程，使开发者能在训练和部署阶段同步考虑资源约束。这种“效率优先”理念，使得许多传统框架难以落地的场景成为可能。

随着 AI 应用向资源受限场景扩展，生产系统对模型提出了更高的效率要求：推理延迟需低于 10ms、内存占用需适配 GPU 容量、能耗需延长电池寿命、计算成本需降低云端开销。这些约束与科研环境有本质区别，对框架提出了全新要求。

模型体积与计算量缩减技术 高效导向型框架在计算图设计上天然支持压缩感知。与传统框架仅对算子逐步优化不同，这类框架在整个计算流程中都优化压缩表示，从数据结构到执行引擎全链路支持。

神经网络压缩需框架支持专用数据类型与操作。量化感知训练要求框架能在训练时模拟低精度运算，同时保持全精度梯度以保证优化稳定性。Intel Neural Compressor 就是典型代表，能将 INT8 量化无缝集成进 PyTorch 和 TensorFlow 流程，通过插入“伪量化”操作，让模型在训练阶段适应量化约束，最大限度保留精度。

结构化剪枝需框架高效支持稀疏张量操作，包括专用存储格式（如压缩稀疏行）、稀疏矩阵高效运算和运行时稀疏调度。Apache TVM 展现了先进的稀疏张量编译能力，能为不同硬件自动生成高效稀疏运算代码。

知识蒸馏流程也是高效框架的重要能力。这类框架需支持教师 - 学生模型的协同训练，管理多模型并行带来的计算开销，并提供自定义蒸馏损失的 API。Hugging Face Optimum 就集成了完整的蒸馏流程，自动配置多种模型架构的教师 - 学生训练，极大简化了高效优化的工程难度。

硬件 - 框架协同性能调优 高效导向型框架强调软硬件协同优化，将框架架构与硬件能力深度耦合。相比通用硬件加速，这类框架在算法设计阶段就考虑硬件约束，针对目标硬件定制优化策略。

混合精度训练框架是软硬件协同的典型。NVIDIA PyTorch 的 AMP 能自动识别可用 FP16 运算的算子，同时对关键路径保持 FP32 精度，兼顾训练速度（在现代 GPU 上可提升 1.5-2 倍）与数值稳定性。这需要框架调度与硬件能力的深度集成。

稀疏计算框架进一步利用硬件稀疏性支持。例如，NVIDIA A100 GPU 集成了专用稀疏矩阵乘单元，支持 2:4 结构化稀疏（50% 零元素特定模式），几乎无性能损失。Neural Magic SparseML 等框架可自动训练符合硬件稀疏模式的模型，实现显著加速且无精度损失。

编译型框架则代表了最高级别的软硬件协同。Apache TVM、MLIR 提供领域专用语言，能表达硬件专用优化。它们自动分析计算图，为特定硬件生成最优内核，充分利用内存层次、指令集和并行能力，性能常超越手工优化。

生产部署性能需求 高效导向型框架通过系统化资源管理和性能优化，解决生产部署中的实际挑战。生产环境对推理延迟、内存占用和能耗有严格约束，与科研环境大相径庭。

推理优化框架如 NVIDIA TensorRT、ONNX Runtime 提供完整生产部署工具链。TensorRT 采用层融合、精度校准、内存优化等激进手段，推理速度可提升 3-7 倍，且精度损失可控。

内存优化是生产部署的关键。DeepSpeed、FairScale 等框架通过高级内存管理技术，使超大模型能在标准 GPU 上训练和推理。DeepSpeed ZeRO 优化器将优化器状态、梯度和参数分布到多设备，内存占用比传统并行方式降低 4-8 倍，使百亿参数模型在常规硬件上可训练。

能耗感知框架日益重要。功耗直接影响云端部署成本和移动端续航。NVIDIA Triton Inference Server 支持能耗感知调度，可动态调整推理批量和频率，兼顾能耗与吞吐。

系统化性能评估方法 高效导向型框架的评估需多维度指标，兼顾精度、性能与资源消耗。传统 ML 评估侧重精度，高效评估则需关注计算效率（FLOPS、推理加速）、内存效率（峰值占用、带宽利用）、能效（功耗、单次推理能耗）、部署效率（模型体积、部署复杂度）等。

定量对比需标准化基准。MLPerf Inference 提供了跨框架、跨硬件的标准推理性能基准，涵盖延迟、吞吐、能耗等多维度，便于直接对比框架效率。

性能分析工具如 NVIDIA Nsight Systems、Intel VTune 能深入剖析框架执行瓶颈，识别内存带宽、计算瓶颈和优化空间。这些工具与高效框架集成，为开发者提供可操作的性能提升建议。

高效导向型框架的演进，标志着 ML 系统设计范式的转变 —— 从一开始就以资源约束为核心，推动 AI 在资源受限环境下的实际落地，同时保留现代 ML 框架的灵活性与表达力。

系统化框架选择流程

选择合适的机器学习框架需系统评估技术需求与运维约束。决策过程涵盖多个相互关联因素：技术能力（支持的操作、执行模型、硬件目标）、运维要求（部署约束、性能需求、可扩展性）和组织因素（团队经验、开发时间表、维护资源）。

框架选择遵循结构化方法，考虑三个主要维度：模型需求确定框架需支持的操作和架构，软件依赖定义操作系统和运行时要求，硬件约束建立内存和处理能力限制。这些技术考量需与实际因素平衡，如团队经验、学习曲线、社区支持和长期维护承诺。

决策过程还需考虑 第 2 章：机器学习系统 中概述的更广泛系统架构原则，并与 第 13 章：机器学习运维 中详细的部署模式保持一致。不同部署场景往往偏好不同框架架构：云训练需高吞吐和分布式能力，边缘推理优先考虑低延迟和最小资源使用，移动部署在性能与电池约束间平衡，嵌入式系统则优化内存占用和实时执行。

以 TensorFlow 生态为例，展示框架选择中权衡的广度：TensorFlow、TensorFlow Lite 和 TensorFlow Lite Micro。虽然以 TensorFlow 为案例，选择方法同样适用于 PyTorch、ONNX、JAX 等框架。

表 4 概述 TensorFlow 各变体间的主要差异。每种变体在计算能力和资源需求间存在明显权衡，体现在支持的操作、二进制大小和集成要求上。

	TensorFlow	**TensorFlow Lite**	**TensorFlow Lite for Microcontrollers**
训练	是	否	否
推理	是(但边缘设备上低效)	是（且高效）	是（且更高效）
操作数量	~1400	~130	~50
量化工具支持	否	是	是

工程师在选择框架时主要分析三个方面：

1. 模型需求确定框架需支持的操作和架构
2. 软件依赖定义操作系统和运行时要求
3. 硬件约束建立内存和处理能力限制

这种系统化分析帮助工程师选择与特定部署需求和组织环境相符的框架。以 TensorFlow 变体为例，探讨每个选择维度如何影响框架选择和系统能力。

模型需求

模型架构能力在 TensorFlow 各变体间差异显著，功能与效率间存在明显权衡。表 4 从训练能力、推理效率、操作支持和量化特性四个维度量化了这些差异。

> **静态图与动态图的权衡**
>
> 图构建方式是框架间的关键区别。静态图（TensorFlow 1.x）需在执行前定义完整计算，类似编译后运行程序；动态图（PyTorch、TensorFlow 2.x 即时模式）则在执行时构建计算图，类似解释型语言。这影响调试难易（动态图支持标准 Python 调试）、优化机会（静态图可更激进优化）和部署复杂性（静态图简化部署但需前期设计）。TensorFlow 支持约 1400 种操作，支持训练和推理。但如表 4 所示，其推理能力在边缘设备上低效。TensorFlow Lite 将操作数量减少至约 130 种，同时提升推理效率。它取消了训练支持，但增加了原生量化工具。TensorFlow Lite Micro 进一步将操作集缩减至约 50 种，通过这些限制实现更高推理效率。与 TensorFlow Lite 类似，它也包含原生量化支持，但移除了训练能力。

操作集的逐步缩减，使得在资源受限设备上部署成为可能。TensorFlow Lite 和 TensorFlow Lite Micro 的原生量化功能，提供了在完整 TensorFlow 框架中缺失的优化能力。这些优化技术在选择特定部署场景的框架时，需与 第 6 章：数据工程 中讨论的数据管道需求一并考虑。

软件依赖

表 5 揭示了区分 TensorFlow 各变体的三个关键软件因素：操作系统要求、内存管理能力和加速器支持。这些差异反映了每个变体针对特定部署环境的优化。

	TensorFlow	**TensorFlow Lite**	**TensorFlow Lite for Microcontrollers**
需要操作系统	是	是	否
模型内存映射	否	是	是
加速器委派	是	是	否

操作系统依赖是变体间的根本区别。TensorFlow 和 TensorFlow Lite 需要操作系统，而 TensorFlow Lite Micro 无需操作系统即可运行。这使得 TensorFlow Lite Micro 能够减少内存开销和启动时间，但仍可与 FreeRTOS、Zephyr 和 Mbed OS 等实时操作系统集成。

内存管理能力也是变体间的区别。TensorFlow Lite 和 TensorFlow Lite Micro 支持模型内存映射，允许直接从闪存访问模型，无需加载到 RAM 中。TensorFlow 不支持此功能，反映其在内存资源丰富环境中的设计初衷。内存映射在向资源受限设备部署时变得愈发重要。

加速器委派能力进一步区分了变体。TensorFlow 和 TensorFlow Lite 都支持委派给加速器，优化计算分配。TensorFlow Lite Micro 则不支持此功能，考虑到嵌入式系统中专用加速器的有限可用性。这一设计选择保持了框架的最小占用，同时与典型嵌入式硬件配置相匹配。

硬件约束

表 6 概述了 TensorFlow 各变体在硬件优化上的差异：随着目标设备资源限制加剧，二进制大小和内存占用逐渐降低，支持从服务器到微控制器的多种部署。

	TensorFlow	**TensorFlow Lite**	**TensorFlow Lite for Microcontrollers**
基础二进制大小	~3-5 MB（因平台和构建配置而异）	100 KB	~10 KB
基础内存占用	~5+ MB（最低运行时开销）	300 KB	20 KB
优化架构	X86、TPU、GPU	Arm Cortex A、x86	Arm Cortex M、DSP、MCU

如表 6 所示，二进制大小在各变体间大幅减少：从 TensorFlow 的 3+ MB 降至 TensorFlow Lite 的 100 KB，再到 TensorFlow Lite Micro 的 10 KB，反映了特性减少和优化。

内存占用也呈现类似的减少模式。TensorFlow 基础内存需求约 5 MB，TensorFlow Lite 为 300 KB，而 TensorFlow Lite Micro 进一步降至 20 KB，适应高度受限设备。

处理器架构支持与每个变体的目标部署环境一致。TensorFlow 支持 x86 处理器及 TPU、GPU 等加速器，满足数据中心高性能计算需求，如 第 11 章：AI 加速 所述。

TensorFlow Lite 针对移动和边缘处理器，支持 Arm Cortex-A 和 x86 架构。TensorFlow Lite Micro 专注于微控制器部署，支持 Arm Cortex-M 核心、DSP 和各种 MCU（如 STM32、NXP Kinetis 和 Microchip AVR）。硬件加速策略和架构见 第 11 章：AI 加速。

生产就绪评估因素

嵌入式系统框架选择超出技术规格，还需考虑模型架构、硬件要求和软件依赖的综合因素。额外因素影响开发效率、维护需求和部署成功率。框架迁移面临重大挑战，包括向后兼容性中断、版本间自定义算子迁移和生产停机风险。迁移问题详见 第 13 章：机器学习运维，包括迁移计划、测试程序和回滚策略。这些因素需系统评估，确保框架选择最优。

性能优化 嵌入式系统中的性能不仅包括计算速度，还包括多个指标。框架评估需量化各效率维度的权衡：

推理延迟决定系统响应和实时处理能力。移动应用典型目标为图像分类 10-50ms，关键词识别 1-5ms，工业控制应用需亚毫秒级响应。TensorFlow Lite 在移动 CPU 上对比 TensorFlow 推理延迟降低 2-5 倍，TensorRT 等专用框架在 NVIDIA 硬件上可达 10-20 倍加速。

内存利用影响静态存储需求和运行时效率。框架内存开销差异大：TensorFlow 基础需 5+ MB，TensorFlow Lite 约 300KB，TensorFlow Lite Micro 约 20KB。模型内存占用同样遵循此模式：如 TensorFlow 中的 MobileNetV2 模型约 14MB，TensorFlow Lite 量化后仅 3.4MB，减少 4 倍以上，精度保持 95% 以上。

功耗直接影响电池寿命和散热管理。量化后的 INT8 推理较 FP32 运算节能 4-8 倍。Apple Neural Engine 对 INT8 运算的 TOPS/W 效率可达 7.2，相比之下，CPU 上 FP32 计算仅为 0.1-0.5 TOPS/W。稀疏计算在框架支持结构化稀疏时可提供额外 2-3 倍的能量节省。

以 FLOPS 衡量的计算效率提供标准化性能对比。现代移动框架在高端智能手机处理器上可达 10-50 GFLOPS，Google Edge TPU 在 2W 功率预算内提供 4 TOPS（INT8）。优化技术如算子融合可将 FLOPS 利用率从 10-20% 提升至 60-80%。

部署可扩展性 可扩展性需求涵盖技术能力和运维考量。框架支持需覆盖部署规模和场景：

设备扩展实现从微控制器到更强大嵌入式处理器的一致部署。操作扩展支持从开发原型到生产部署的过渡。版本管理便于跨设备模型更新和维护。框架需在这些扩展维度保持一致的性能特征。

TensorFlow 生态系统展示了框架设计如何平衡不同部署场景的竞争需求。通过该案例（分析模型需求、软件依赖和硬件约束及运维因素），探讨如何评估任何框架生态。

开发支持与长期可持续性评估

框架选择不仅仅是技术能力的对比，更关乎其生态系统对长期可持续性和开发效率的影响。一个框架所依托的社区和生态，直接决定了其演进速度、支持质量以及集成能力。理解这些生态动态，有助于预测框架的可持续性和项目全生命周期的开发生产力。

开发者资源与知识共享网络 社区活跃度影响着开发和部署的诸多实际环节。活跃的社区意味着更快的 bug 修复、更完善的文档和更广泛的硬件支持。社区规模和参与度（如 GitHub 活动、Stack Overflow 问题量、会议活跃度）是衡量框架生命力和前景的重要指标。

PyTorch 的学术社区推动了研究型特性的快速创新，带来了丰富的新架构和实验技术的支持。其社区氛围促成了优质的教育资源、可复现性工具和前沿特性的开发。但在生产工具方面，PyTorch 早期相对滞后，近年来通过 PyTorch Lightning、TorchServe 等项目逐步补齐了运维短板。

TensorFlow 的企业社区则更注重生产级工具和可扩展部署方案，形成了完善的服务基础设施、监控工具和企业集成能力。其生态包括 TensorFlow Extended (TFX) 生产流水线、TensorBoard 可视化、TensorFlow Model Analysis 等专业工具。

JAX 的函数式编程社区专注于数学严谨性和程序变换能力，形成了强大的研究工具和优雅的数学抽象，但对不熟悉函数式编程的开发者有一定学习门槛。

支撑性基础设施与第三方兼容性 框架的实际价值往往取决于其生态工具，而非核心能力本身。这些工具决定了开发效率、调试体验和部署灵活性。

Hugging Face 已成为 NLP 领域事实标准，提供统一 API，兼容 PyTorch、TensorFlow、JAX 后端。高质量预训练模型和微调工具极大加速了项目开发。TensorFlow Hub、PyTorch Hub 提供官方模型仓库，但第三方集合往往涵盖更广泛的新架构。

PyTorch Lightning 抽象了 PyTorch 训练流程的样板代码，兼顾研究灵活性和结构化训练，弥补了 PyTorch 在训练工作流上的不足。Weights & Biases、MLflow 等工具支持多框架实验追踪，实现统一的工作流管理。TensorBoard 已发展为跨框架可视化工具，但与 TensorFlow 集成最为紧密。

TensorFlow Serving、TorchServe 提供生产级模型服务，但功能和运维特性差异明显。ONNX Runtime 作为框架无关的推理方案，提升了部署灵活性，但可能牺牲部分框架特

定优化。云服务（如 AWS SageMaker、Google AI Platform、Azure ML）通常对主流框架有原生集成，也支持容器化部署兼容其他框架。

框架专用优化工具可带来显著性能提升，但也可能造成供应商锁定。TensorFlow 的 XLA 编译器、PyTorch 的 TorchScript 提供原生优化路径，Apache TVM 等工具则支持跨框架优化。选择专用还是通用优化工具，直接影响性能与部署灵活性的平衡。

长期技术投资考量 长期框架决策需关注生态演进和可持续性。框架流行度可能因技术创新、社区活力或公司战略变化而快速转移。组织应从贡献者多样性（避免单一公司依赖）、资金稳定性、路线图透明度和兼容性承诺等多维度评估生态健康。

生态视角还影响团队招聘与能力建设。框架选择决定了可用人才池、培训成本和知识传承能力。团队需考虑所选框架是否契合本地人才、教育体系和行业招聘趋势。

与现有组织工具和流程的集成能力也是关键生态考量。框架与 CI/CD、部署流水线、监控系统、安全工具的兼容性，直接影响运维成本。有些框架与特定云平台或企业软件栈集成更自然，带来运维优势或供应商依赖。

深度生态集成可提升开发效率，但团队也需关注迁移路径和跨框架兼容性。采用 ONNX 等标准化模型格式、保持数据管道框架无关、记录框架特定定制，有助于未来平滑迁移。

生态视角提醒我们，选择框架不仅是选一个软件库，更是加入一个社区、承诺于一个不断演进的技术生态。理解这些更广泛的影响，有助于团队做出长期可持续且具备竞争力的框架决策。

框架性能的系统化评估

系统化评估框架效率需多维度指标，全面反映准确率、性能与资源消耗的权衡。传统机器学习评估侧重准确率，但生产部署更需关注计算效率、内存利用、能耗和运维约束。

框架效率评估主要涵盖四大维度，反映实际部署需求。计算效率衡量框架对硬件资源的利用率（如 FLOPS 利用率、内核效率、并行化能力）；内存效率关注峰值内存占用和带宽利用，决定资源受限设备的适用性；能效评估功耗特性，移动和绿色计算场景尤为关键；部署效率则关注模型体积、初始化时间和集成复杂度等运维特性。

多维量化性能分析

标准化对比需在典型工作负载和硬件配置下，量化各主流框架的效率。下表以 ResNet-50 在代表性硬件（服务器端 NVIDIA A100 GPU，移动端 ARM Cortex-A78）上

的推理为例，系统对比主流框架在各效率维度的表现。所有测试均保证准确率在基线 1% 以内，硬件利用率为典型操作下的理论峰值百分比。

框架	推理延迟 (ms)	内存占用 (MB)	能耗 (mJ/次)	模型体积压缩	硬件利用率 (%)
TensorFlow	45	2,100	850	无	35
TensorFlow Lite	12	180	120	4 倍（量化）	65
TensorFlow Lite Micro	8	32	45	8 倍（剪枝 + 量化）	75
PyTorch	52	1,800	920	无	32
PyTorch Mobile	18	220	180	3 倍（量化）	58
ONNX Runtime	15	340	210	2 倍（优化）	72
TensorRT	3	450	65	2 倍（精度优化）	88
Apache TVM	6	280	95	3 倍（编译优化）	82

标准化基准测试方法

系统化评估需采用标准化基准测试，覆盖多样部署场景。评测方法包括典型模型（如视觉任务 ResNet-50、语言任务 BERT-Base、移动端 MobileNetV2）、标准数据集（ImageNet、GLUE）和统一硬件（服务器端 NVIDIA A100、移动端 ARM Cortex-A78）。

性能分析通过工具测量框架开销、内核效率和资源利用模式。内存分析包括峰值分配、带宽利用和垃圾回收开销。能耗通过硬件级监控（如 NVIDIA-SMI、移动端专用功耗仪）测量推理和训练过程的实际能耗。

准确率保持验证确保效率优化不会显著损失模型质量。量化训练需验证 INT8 模型准确率下降小于 1%；剪枝需验证稀疏模型在压缩比下保持目标精度；知识蒸馏需确认压缩模型能力不低于教师模型。

真实运维性能考量

框架效率评估还需关注实际部署中的运维约束。延迟分析包括冷启动（初始化时间）、热身（性能稳定过程）和稳态推理速度。内存分析涵盖静态需求（框架二进制体积、模型存储）和动态模式（峰值分配、碎片化、回收效率）。

可扩展性评估关注生产负载下的表现，如并发请求处理、批量推理效率、多模型实例资源共享。集成测试验证框架与生产基础设施（容器部署、服务网格、监控系统、可观测性工具）的兼容性。

可靠性评估关注长时间运行下的稳定性、错误处理和恢复机制。性能一致性分析则关注执行时间波动、内存使用稳定性和高负载下的热特性。

结构化框架选型流程

系统化框架选型需结构化评估，平衡效率指标、运维需求和组织约束。决策流程包括技术能力（操作支持、硬件加速、优化特性）、运维需求（部署灵活性、监控集成、维护成本）和组织因素（团队经验、开发效率、生态兼容性）。

效率需求需明确准确率与性能的权衡、资源约束（内存、功耗、延迟）和关键优化特性（量化、剪枝、硬件加速）。这些需求指导评估优先级，排除无法满足基本约束的选项。

风险评估关注框架成熟度、生态稳定性和迁移复杂度。供应商依赖评估包括治理结构、许可协议和长期支持承诺。迁移成本分析需估算采纳新框架的开发投入、团队培训和基础设施改造。

系统化效率评估为部署决策提供量化依据，同时兼顾生产运维的实际需求。该方法帮助团队在满足特定效率目标的同时，保持未来部署场景的灵活性和可扩展性。

框架选择的常见误区

机器学习框架是复杂软件生态，抽象了大量计算复杂性，同时为开发者做出关键架构决策。可用框架种类繁多（各有不同设计哲学和优化策略），常导致对其可互换性和选择

标准的误解。理解这些常见误区，有助于从容应对框架选择。

误区：相同模型在所有框架中性能相当。

这一误解导致团队仅根据 API 便利性或熟悉度选择框架，而忽视性能影响。不同框架对操作的实现有不同优化策略、内存管理方法和硬件利用模式。PyTorch 中高效的模型在 TensorFlow 中可能表现不佳，反之亦然。即使是相同的模型架构，框架开销、自动微分实现和张量操作调度的差异，也可能导致显著的性能差异。框架选择需基于实际工作负载基准测试，而非假设性能等同。

误区：流行框架都能满足所有需求。

许多开发者基于社区规模、教程可得性或行业采纳度选择框架，而未分析自身技术需求。流行框架往往针对通用用例，而非特定部署场景。优化用于大规模云训练的框架，可能不适合移动部署；而专注研究的框架，可能缺乏生产部署能力。有效的框架选择需将技术能力与具体需求匹配，而非追随流行趋势。

误区：框架抽象能隐藏所有系统级复杂性。

这一观点认为框架自动处理所有性能优化和硬件利用，无需开发者理解。尽管框架提供便利抽象，但要实现最佳性能，仍需理解其底层计算模型、内存管理策略和硬件映射方法。将框架视为黑箱的开发者，常会遇到意想不到的性能瓶颈、内存问题或部署失败。有效利用框架，需理解其提供的抽象及其底层实现影响。

误区：通过框架特定模型格式和 API 锁定供应商。

团队常在不考虑互操作性需求的情况下，围绕单一框架构建整个开发工作流。框架特定的模型格式、自定义算子和专有优化技术，造成迁移、部署或跨工具协作的复杂性。这种锁定在部署需求变化、性能需求演变或框架开发方向偏离项目目标时，尤为成问题。保持模型可移植性，需关注标准化格式，避免无法跨平台转换的框架特定特性。在实施负责任的 AI 实践时，考虑模型审计、公平性测试和偏见缓解等跨部署环境的灵活性，显得尤为重要。

总结

机器学习框架是将数学概念转化为实际计算工具的软件抽象，构建和部署 AI 系统。这些框架将复杂操作（如自动微分、分布式训练和硬件加速）封装在友好的接口后面，使高效开发成为可能，适用于各种应用领域。从基础数值库到现代框架的演变，展示了软件基础设施如何塑造机器学习开发的可及性和能力。

这一演变带来了具有不同优化策略的多样生态。现代框架体现了不同的设计哲学，反映了机器学习开发中的不同优先级。研究型框架优先考虑灵活性和快速实验，支持对新颖

架构和算法的快速迭代。面向生产的框架则强调可扩展性、可靠性和大规模系统的部署效率。专用框架针对特定部署环境，从云端大规模分布式系统到资源受限的边缘设备，优化不同的性能和效率需求。

> **关键要点**
>
> - 框架抽象复杂计算操作（如自动微分和分布式训练），提供开发者友好的接口
> - 不同框架体现不同设计哲学：研究灵活性、生产可扩展性、部署效率
> - 针对计算环境的专用框架变体，支持云、边缘、移动和微控制器等多种部署，优化特定性能需求
> - 理解框架能力和局限性，有助于做出明智的架构决策，实施 第 10 章：模型优化 中的模型优化技术、第 11 章：AI 加速 中的硬件加速策略和第 13 章：机器学习运维 中的部署模式

第 8 章：AI 训练

目标

为什么现代机器学习问题需要全新的分布式计算与系统架构方法？

机器学习训练带来的计算需求远超单机能力，必须依赖分布式系统在多台设备甚至跨数据中心协同计算。训练任务具有独特特征：海量数据集无法装入内存，拥有数十亿参数的模型需要同步更新，且迭代算法要求分布式资源持续同步。这些规模带来了内存管理、通信效率、容错与资源调度等系统工程难题，传统系统架构难以胜任。随着模型复杂度呈指数级增长，理解分布式训练系统成为实际机器学习应用的必备基础。大规模训练的系统工程原则直接影响部署架构、成本结构与行业解决方案的可行性。

> **学习目标**
>
> - 阐释神经网络中的数学操作（矩阵乘法、激活函数、反向传播）如何转化为具体的计算与内存系统需求
> - 分析训练流水线中的性能瓶颈，包括数据加载、内存带宽限制和计算利用率模式
> - 设计高效集成数据预处理、前/后向传播与参数更新的训练流水线架构
> - 应用单机优化技术（如混合精度训练、梯度累积、激活检查点）以最大化资源

利用率

- 比较分布式训练策略（数据并行、模型并行、流水线并行），并根据模型特性与硬件约束选择合适方案
- 评估训练任务的专用硬件平台（GPU、TPU、FPGA、ASIC），并针对特定架构优化代码
- 在训练框架中实现优化算法（SGD、Adam、AdamW），理解其内存与计算影响
- 批判性分析常见训练系统设计决策，避免性能陷阱与扩展瓶颈

训练系统的演进与架构

训练是机器学习系统中计算最密集的阶段，理论设计在此通过工程优化转化为现实。继第 2 章：机器学习系统 提出的系统设计方法、第 6 章：数据工程 的数据流水线架构、第 7 章：AI 框架 的计算框架之后，本章将探讨算法理论、数据处理与硬件架构如何在智能系统的迭代优化中融合。

训练阶段对系统工程提出极高要求：模型参数量级达数十亿，需 TB 级内存，训练数据集动辄 PB 级，梯度优化算法要求成千上万处理单元同步计算。这些规模带来了内存层级管理、节点间通信效率、资源分配等系统工程难题，使训练基础设施与通用计算架构截然不同。

前述章节的设计方法为训练阶段提供了架构基础：模块化系统架构（见第 2 章：机器学习系统）支持分布式训练编排，工程化数据流水线（见第 6 章：数据工程）保证训练样本持续流入，计算框架（见第 7 章：AI 框架）提供算法抽象。训练系统的集成，是理论设计与性能工程约束的交汇点，也为第三部分的优化技术奠定了基础。

本章将系统性地阐述可扩展训练基础设施的工程原理。我们将剖析参数模型的数学操作如何转化为具体计算需求，分析训练流水线中的性能瓶颈（如内存带宽、计算吞吐），并设计高效且具容错能力的系统架构。通过单节点优化、分布式训练方法和专用硬件利用模式的探讨，建立构建从实验原型到生产级部署的训练基础设施所需的系统工程视角。

灯塔案例：GPT-2 训练

本章以 **GPT-2（15 亿参数）训练**为贯穿实例，将抽象概念落地到具体实践。GPT-2 是理想的教学样本，因为它：

- **覆盖规模全谱**：足够大需严肃优化，但又不至于需要超大基础设施
- **架构文档详实**：48 层 Transformer，1280 隐藏维度，20 个注意力头

- **训练挑战齐全**：内存压力、计算密集、数据流水线复杂
- **代表现代 ML 系统**：Transformer 架构主导当代机器学习

Transformer 架构简述：

GPT-2 采用 Transformer（详见第 4 章：DNN 架构），通过自注意力机制处理文本。理解这些关键计算模式，有助于把握本章训练实例的背景：

- **自注意力**：通过矩阵操作（Query × Key^T）计算序列中所有词的关系，生成加权注意力分数
- **多头注意力**：并行计算多个“头”（GPT-2 为 20），学习不同的关系模式
- **Transformer 层**：堆叠注意力与前馈网络（GPT-2 为 48 层），实现分层特征学习
- **核心计算模式**：大规模矩阵乘法（注意力分数、前馈网络），极适合 GPU 并行

这种对矩阵乘法和序列依赖的高度依赖，带来了本章要探讨的训练系统挑战：激活内存需求巨大、分布式训练通信瓶颈，以及混合精度优化的机会。

GPT-2 关键参数：

- **参数量**：15.42 亿（1,558,214,656）
- **训练数据**：OpenWebText（约 40GB 文本，90 亿 token）
- **批量配置**：通常 8-32 块 GPU 上总 batch size 为 512
- **内存占用**：参数约 3GB（FP16），激活约 18GB（batch_size=32）
- **训练时长**：32 块 V100 GPU 约需 2 周

精度格式说明：本章多次提及 **FP32**（32 位）与 **FP16**（16 位）浮点格式。FP16 可将内存需求减半，并在支持 Tensor Core 的 GPU 上加速 2-3 倍。**混合精度训练**将 FP16 用于大部分操作，FP32 用于数值稳定，兼顾速度与精度。

🔄 **GPT-2 实例标记**将出现在关键位置，用于用具体数据、性能权衡和实现决策，阐释本章各系统工程概念。

训练系统

现代机器学习模型的开发依赖于专门的计算框架，管理复杂的迭代优化过程。这些系统与传统计算基础设施不同，需精细编排数据处理、梯度计算、参数更新与分布式协同，常常跨越数千台设备。理解训练系统的本质及其与通用计算的区别，是后续架构决策与

优化策略的基础。

> **训练系统定义**
>
> **机器学习训练系统** 指的是专门管理和执行机器学习模型_迭代优化_的计算框架。这些系统涵盖了负责处理训练数据、计算梯度、更新模型参数、协调分布式计算的软件与硬件栈。训练系统可在单加速器到_分布式集群_等多种规模运行，集成了_数据管理_、计算调度、_内存优化_和_性能监控_等组件，是通过数据经验训练系统性开发和完善机器学习模型的基础设施。

设计高效的训练架构，需认识到机器学习训练系统是一类独特的计算工作负载，对软硬件基础设施有特殊需求。当你在 PyTorch 或 TensorFlow 中执行训练命令时，系统需高效编排大数据集上的重复计算，同时管理超出通用计算架构能力的数据流与内存需求。

训练任务有三大特征区别于传统计算：极端的计算密集（大模型反复梯度计算）、巨大的内存压力（需同时存储参数、激活、优化器状态）、以及复杂的数据依赖（分布式资源同步参数更新）。单次大模型训练需约 10^{23} 次浮点运算【Brown 等 2020】，内存占用可达 TB 级，需数千设备协同 —— 这些需求远超通用系统设计初衷。

理解现代训练系统为何演化至今日架构，需回顾计算系统如何逐步适应日益严苛的工作负载。训练聚焦于迭代优化，推理系统（本书多处详述）则追求低延迟预测服务，两者是互补但本质不同的计算范式。从通用计算到专用训练系统的架构演进，揭示了现代训练基础设施的系统工程原则。与传统高性能计算（HPC）不同，训练系统有独特的设计与实现特征。

机器学习训练的计算架构演进

计算系统架构经历了多个世代，每一代都在前人基础上针对新兴应用需求做出专门优化（见下图）。这一演进与第 7 章：AI 框架 中 ML 框架与软件栈的发展并行，二者共同推动了计算资源的高效利用。硬件对应用需求的适应，塑造了现代机器学习系统。

电子计算始于主机时代。ENIAC[^fn-eniac]（1945）验证了大规模电子计算的可行性，IBM System/360[226]（1964）则引入了标准指令集与内存层级的架构原则。这些基本概念为后续所有计算系统奠定了基础。[^fn-eniac]: **ENIAC（电子数值积分计算机）**：1946 年宾夕法尼亚大学完成，重 30 吨，功耗 15 万瓦，运算速度每秒 5000 次。其 17468 只真空管需频繁维护，但电子计算速度比机械计算快 1000 倍。

在此基础上，高性能计算（HPC）系统【Thornton 1965】专为科学计算优化。CDC

226. **IBM System/360**：1964 年推出，投资 50 亿美元（折合今日约 400 亿美元），首创跨型号兼容的指令集架构，成为现代计算的基础，推动了软件可移植性和云计算发展。

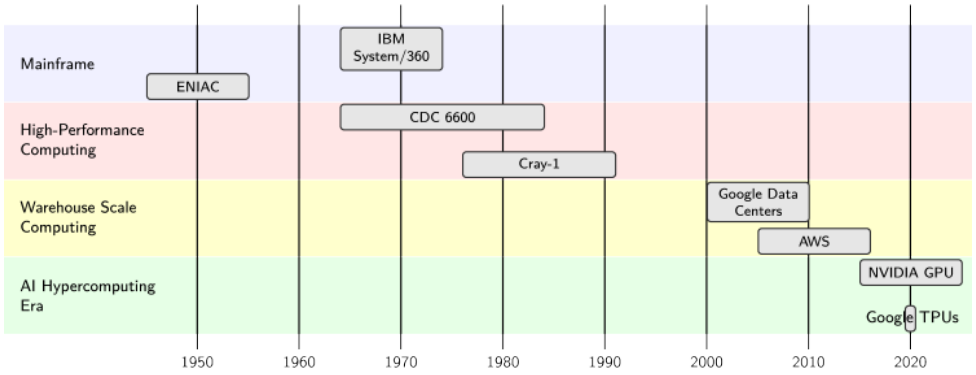

计算系统演进：硬件不断适应机器学习工作负载的增长需求，从集中式主机到专用架构（如 GPU、AI 超算），优化并行处理与大数据集。这一进化推动了模型训练与推理的加速。

6600[227] 及后续如 CM-5[228] 聚焦于密集矩阵运算与浮点计算。

HPC 系统针对科学工作负载，采用高带宽内存、矢量处理单元和专用互连优化集体通信。科学计算强调数值精度与稳定性，处理器和内存系统适合规律、可预测的访问模式，互连支持紧密同步的并行执行。

互联网规模处理需求推动了仓库级计算（WSC）的兴起。谷歌数据中心 [229] 引入了适合互联网数据处理的新优化。WSC 与 HPC 不同，前者处理松耦合、数据访问不规律的任务。

WSC 系统为高吞吐独立任务优化，具备强容错与恢复机制。存储与内存系统适应稀疏数据结构，资源管理支持多应用共享基础设施，与 HPC 的专用执行模式形成对比。

但 HPC 与 WSC 都无法满足机器学习训练的独特需求。每一代系统仅部分适配 AI 训练：

- **HPC**：适合密集、紧耦合的浮点计算，奠定了高带宽互连与并行数值计算基础，但侧重规律访问模式，不适应神经网络训练的动态内存需求。
- **WSC**：适合稀疏、松耦合的数据处理，展示了生产级 AI 系统所需的容错与大规模特性，但强调独立并行任务，与分布式训练中所需的同步梯度更新相悖。
- **AI 训练**：既需密集 FP16/FP32 计算（如 HPC），又需海量数据规模（如 WSC），同时增加了迭代、同步的梯度更新复杂性。这些独特需求推动了当今专用 AI 超算系统的发展。

227. **CDC 6600**：Seymour Cray 设计，1964 年发布，采用 10 个外设处理器实现并行，性能达 3 MFLOPS，售价 800 万美元（今约 6500 万），开启了超级计算机时代。
228. **Connection Machine CM-5**：1991 年发布，最多 16384 处理器，采用 fat-tree 网络，峰值 100 GFLOPS，售价千万美元，虽科学计算表现优异，但最终被商品集群取代。
229. **谷歌数据中心**：1998 年起用 PC 集群，2003 年已管理 10 万台服务器。2020 年谷歌运营 20 余个数据中心，年耗电 12TWh，PUE 低至 1.10，创新冷却技术全球领先。

AlexNet[230] 的成功，证明了现有系统难以高效应对上述需求。神经网络训练对内存管理与设备间通信提出了全新挑战。

这推动了 2015 年起的 AI 超算时代。NVIDIA GPU[231] 与谷歌 TPU[232] 专为神经网络优化，突破了传统架构。新系统采用并行处理、内存访问与设备通信的新方法，兼顾科学计算精度与 WSC 规模，并专门支持神经网络的迭代优化。专用加速器的设计原则、架构细节与优化策略详见第 11 章：AI 加速，本章聚焦训练系统编排与流水线优化。

这一架构演进说明了传统计算系统为何难以胜任神经网络训练。正如表 1 所示，HPC 奠定了并行数值计算基础，WSC 实现了大规模分布式处理，但都无法完全适应模型训练的计算模式。现代神经网络集密集参数更新、复杂内存访问与分布式协同于一体，催生了全新架构。

理解这些特征及其演进，有助于把握现代 AI 训练系统为何需要专用硬件与优化设计。这一历史背景为后续深入探讨训练系统架构奠定了基础。

时代	主要负载	内存模式	处理模型	系统关注点
主机	顺序批处理	简单内存层级	单指令流	通用计算
HPC	科学仿真	规律数组访问	同步并行	数值精度、集体操作
仓库级	互联网服务	稀疏、不规律访问	独立并行任务	吞吐量、容错
AI 超算	神经网络训练	参数密集、混合访问	混合并行、分布式	训练优化、模型规模

230. **AlexNet**：2012 年 ImageNet 冠军，15.3% 错误率（次名 26.2%），用两块 GTX 580 GPU 训练 5-6 天，GPU 加速神经网络训练 10-50 倍，开启深度学习革命。
231. **NVIDIA AI GPU**：2012 年 GTX 580（1.58 TFLOPS）到 2023 年 H100（989 TFLOPS 稀疏 AI，312 TFLOPS 密集），十年 AI 性能提升 300 倍。H100 售价 2.5-4 万美元，使超大模型训练成为可能，专用芯片对 AI 进步至关重要。
232. **谷歌 TPU**：2015 年内部部署，TPU v4（2021）单芯片 275 TFLOPS（bfloat16），32GB 内存，TPU pod 可扩展至 1 exaFLOP。谷歌数十亿美元定制芯片投资，使如 PaLM（540B 参数）等模型训练成本大幅下降。

训练系统在 ML 开发生命周期中的角色

训练系统通过专用计算框架实现。现代机器学习模型开发依赖于高效的训练与优化系统。这些系统结合软硬件组件，需高效处理海量数据，同时保证数值精度与计算稳定性。尽管实现多样、演化迅速，训练系统有一套共同的特征与需求，区别于传统计算基础设施。

这些系统是开发预测模型的核心基础设施。它们执行模型参数的数学优化，将输入数据转化为用于模式识别、语言理解、决策自动化等任务的计算表示。训练过程通过系统性遍历数据集，最小化损失函数，实现模型性能最优。

训练系统作为机器学习流水线的核心组成部分，承接第 1 章：绪论 的基础概念。它们与预处理框架对接，标准化与转换原始数据，并与部署架构连接，实现模型服务。训练系统的计算效率与可靠性，直接影响从实验到生产的开发周期。这一端到端视角，将训练优化与更广泛的 AI 系统生命周期（见第 13 章：机器学习运维）紧密关联。

随着架构进步，训练系统的操作范围不断扩展。Transformer 架构 [^fn-transformers] 与大模型的兴起，对训练系统提出了新要求。当前实现需高效处理 PB 级数据，编排多加速器分布式训练，并优化数十亿参数模型的内存利用。数据并行 [233]、模型并行 [234] 与设备间通信的管理，是现代训练架构的技术难点。这些分布式系统复杂性，推动了专用 AI 工作流管理工具（见第 5 章：AI 工作流）的发展，自动化大规模训练编排。

训练系统还影响机器学习开发的运维考量。系统设计需兼顾计算吞吐、能耗、硬件兼容性与模型复杂度扩展性。本章聚焦训练系统的计算与架构，能效与可持续性见第 18 章：可持续 AI。这些因素决定了不同规模与应用场景下机器学习实现的技术可行性与运维可行性。

训练基础设施的系统设计原则

训练实现需要系统工程视角。模型训练不仅是数学优化问题，更是软硬件、内存与数据流协同的系统过程。

训练流程包括数据预处理、前后向传播、参数更新等环节，均对系统资源有特定需求。数据预处理依赖存储与 I/O 子系统，保证计算硬件持续输入。数据质量与可靠性至关重要 —— 数据验证、损坏检测、特征工程、模式约束与流水线可靠性策略详见第 6 章：数据工程。本章关注数据流动、转换吞吐与训练期间的资源交付效率。

233. **数据并行扩展性**：线性扩展通常在 64-128 块 GPU 时受通信瓶颈限制。BERT-Large 在 128 块 GPU 上可达 60-80 倍加速（效率 45-65%），GPT-3 需 1024 块 GPU 但效率仅 45%。AllReduce 通信成本随设备数 O(n) 增长，需高带宽互连如 InfiniBand。

234. **模型并行内存扩展性**：支持超大模型训练。GPT-3（175B 参数）FP16 权重需 350GB（FP32 需 700GB），远超单 GPU 最大 80GB。模型并行效率仅 20-60%，因分区间顺序依赖与通信开销。

随着模型复杂度提升，硬件加速器（GPU、专用 ML 处理器）成为主流。它们可并行处理数学运算，极大加速矩阵密集型计算。加速器与 CPU 协同完成梯度计算与参数更新，支持分层表示的训练（理论见第 4 章：DNN 架构）。这些阶段的性能取决于系统对内存带宽、通信延迟等瓶颈的管理。

这些流程环节揭示了系统架构对训练效率的直接影响。现代加速器常受内存带宽限制，数据在内存层级间的移动比计算本身更慢且耗能高。分布式环境下，设备间同步引入额外延迟，互连（如 NVLink、InfiniBand）性能尤为关键。

训练优化需系统性方法，如计算与数据加载重叠、混合精度训练、高效内存分配等，针对训练性能的三大瓶颈。低层优化与高层模型压缩（见第 10 章：模型优化）结合，形成训练效率的整体方案。

系统思维还影响架构设计。系统约束常常引导新模型结构与训练方法的开发。软硬件协同设计原则（见第 11 章：AI 加速）说明，理解系统能力可激发全新架构创新。例如，内存限制推动高效神经网络结构研究，分布式通信开销影响优化算法设计。这些适应性变革，体现了系统约束如何塑造机器学习方法的演进。

例如，大型 Transformer 模型 [^fn-transformer-training] 训练需将数据与参数分布到多设备，带来同步与通信挑战。NVIDIA NCCL 等通信库支持高效梯度共享，是分布式训练优化的基础。分布式训练性能评测方法见第 12 章：AI 基准测试。这些案例说明，系统层面的考量决定了现代训练流程的可行性与效率。

数学基础

上述系统视角说明，理解训练核心的数学操作至关重要。这些操作不是抽象概念，而是决定系统设计的具体计算。神经网络数学的计算特性，直接决定硬件需求、内存架构与并行约束。系统架构师选择 GPU、设计内存层级或分布式策略，都是对这些数学需求的响应。

专用训练系统正是为高效执行这些操作而设计。理解这些数学基础，能解释为何现代加速器以矩阵乘法单元为核心、为何激活存储成为瓶颈、为何某些操作难以并行。AI 超算与 HPC 的区别，正源于各自需执行的数学操作不同。

训练系统需反复执行三类操作：前向传播（矩阵乘法、激活函数）、反向传播（梯度计算）、参数更新（优化器算法）。每类操作有独特的计算模式与系统需求，决定了训练架构的实现。

这些操作的计算特性，直接影响前述系统设计决策。矩阵乘法主导前后向传播，占训练时间 60-90%，这也是 GPU Tensor Core 等专用单元成为训练硬件核心的原因。激活存

储带来的内存压力，随 batch size 与网络深度线性增长，推动了内存层级与梯度检查点等优化。前向、梯度与参数更新的迭代依赖，限制了分布式并行策略。理解这些数学操作及其系统影响，是把握现代训练系统效率的基础。

神经网络计算

神经网络训练由反复的矩阵运算与非线性变换组成。虽然概念简单，但正是这些操作带来了现代训练基础设施的系统挑战。Rumelhart 提出反向传播，BLAS 等高效矩阵库奠定了现代训练架构的基础。

神经网络中的数学操作 神经网络前向传播的核心是矩阵乘法与激活函数。以第 l 层为例：

$$A^{(l)} = f\left(W^{(l)}A^{(l-1)} + b^{(l)}\right)$$

其中：

- $A^{(l-1)}$：前一层激活（或输入）
- $W^{(l)}$：第 l 层权重矩阵
- $b^{(l)}$：第 l 层偏置
- $f(\cdot)$：逐元素激活函数（如 ReLU、sigmoid）

矩阵运算 理解这些操作如何转化为系统需求，需分析神经网络的计算模式，核心在于多种矩阵运算。正是这些模式的演进，推动了算法与硬件的创新。

稠密矩阵乘法 矩阵乘法的主导地位，推动了算法与硬件的持续优化。从 Strassen 算法 [235]（将 $O(n^3)$ 降至 $O(n^{2.81})$）到 cuBLAS 等硬件加速库，持续突破计算极限。

系统层面，现代实现采用分块矩阵并行，支持多处理单元。随着模型规模扩大，矩阵乘法对内存资源需求激增，需同时保留权重与激活。硬件设计也随之优化，兼顾计算与内存。

以 GPT-2 单层注意力为例，batch_size=32，序列长度 1024，隐藏维 1280：

Query/Key/Value 投影（3 次矩阵乘法）：

235. **Strassen 算法**：1969 年提出，将矩阵乘法从 O(n³) 降至 O(n^2.807)。实际应用需矩阵大于 500×500，现代库如 Intel MKL 会根据规模自动切换算法，理论创新需工程实现配合。

$\text{FLOPS} = 3 \times (\text{batch} \times \text{seq} \times \text{hidden} \times \text{hidden}) = 3 \times (32 \times 1024 \times 1280 \times 1280) = 1610\text{亿} FLOPS$

注意力分数计算（Q × K^T）：

$\text{FLOPS} = \text{batch} \times \text{heads} \times \text{seq} \times \text{seq} \times \text{hidden/heads} = 32 \times 20 \times 1024 \times 1024 \times 64 = 429\text{亿} FLOPS$

计算规模

- 单层注意力前向约 2040 亿 FLOPS
- GPT-2 共 48 层：单步训练约 9.8 万亿 FLOPS
- 5 万步训练总计约 490 PetaFLOPS

系统含义：V100 GPU（FP16 峰值 125 TFLOPS，FP32 为 28 TFLOPS），仅注意力计算每步需 79 秒（理论极限）。实际训练步耗时 180-220ms，需 8-32 块 GPU 协同。

除矩阵 - 矩阵外，矩阵 - 向量乘法在归一化等结构中也很常见。虽然计算量小，但并行度有限，影响硬件利用率，尤其在处理序列输入或计算层统计时。

批量操作 为克服矩阵 - 向量的并行瓶颈，引入批量处理，将多个输入合并为矩阵 - 矩阵操作，提升硬件利用率，但内存需求也随之增加。现代实现需在 batch size 与内存间权衡，推动了内存管理与调度优化。

像 Google TPU 这样的硬件加速器体现了这种演进，通过专用的矩阵单元和内存层级结构，适配多样化的矩阵乘法模式。这些硬件优化使得像 GPT-3 这样的大规模模型能够高效训练，核心在于对不同矩阵运算的高效处理。

上述矩阵运算直接决定了现代训练硬件的架构。GPU 之所以主导训练领域，原因如下：

- **大规模并行性**：矩阵乘法的每个元素计算彼此独立，非常适合 GPU 数千个核心并行处理（如 NVIDIA A100 拥有 6,912 个 CUDA 核心）
- **专用硬件单元**：Tensor Core 针对主流矩阵运算设计，能加速 10-20 倍
- **内存带宽优化**：分块矩阵计算模式充分利用了 GPU 的多级内存体系（L1/L2 缓存 → 共享内存 → 全局内存）

后文在 GPT-2 案例中会解释为何 V100 GPU 在混合精度下能实现 2.4 倍加速（2018 年线），这种加速正是 Tensor Core 执行我们分析过的矩阵乘法带来的。理解矩阵运算的特性，是理解诸如混合精度训练等流水线优化为何能带来巨大收益的前提。

在 [深度学习基础章节]（见 sec-dl-primer）中，我们已经介绍了激活函数（sigmoid、tanh、ReLU、softmax）为神经网络引入了非线性，使其能够学习复杂模式。我们分析了它们的数学特性：sigmoid 的 $(0, 1)$ 有界输出，tanh 的零中心 $(-1, 1)$ 范围，ReLU 的梯度流优势，以及 softmax 的概率分布。回顾 [激活函数图]（见 fig-activation-functions），可以看到每种函数对输入的变换方式不同，对梯度和学习动态有着不同影响。

虽然激活函数是逐元素操作，在总计算时间中只占 5-10%，但其实现特性对训练系统性能影响显著。对于 ML 系统工程师来说，关注的重点不是激活函数的数学原理（这已是基础），而是如何在大规模系统中高效实现它们。例如，为什么 ReLU 在 CPU 上训练速度比 sigmoid 快 3 倍，而在 GPU 上表现又不同？硬件加速器如何优化这些操作？不同激活函数在反向传播时会带来怎样的内存访问模式？

本节将从系统视角分析激活函数，探讨其计算成本、硬件实现策略和性能权衡，帮助理解实际训练效率背后的工程逻辑。掌握这些约束，有助于在为特定硬件环境设计训练系统时做出明智的架构决策。

激活函数基准测试 激活函数不仅影响神经网络的数学性质，也直接决定系统层面的性能。激活函数的选择会通过三个主要因素影响训练时间、模型可扩展性和硬件效率：计算成本、梯度行为和内存占用。

在 Apple M2 单线程 CPU 上对常见激活函数进行基准测试，结果如图 2 所示。数据表明，Tanh 和 ReLU 在 CPU 架构上比 Sigmoid 更高效，适合实时应用和大规模系统。

回顾 第 3 章：深度学习基础，每种激活函数在梯度、稀疏性和计算复杂度上各有特点。那么，这些数学特性如何转化为硬件约束和系统性能？下文将逐一分析每种函数的实现特性，重点关注软件与硬件的权衡，这些因素决定了实际训练效率：

Sigmoid Sigmoid 的平滑 $(0, 1)$ 有界输出适合概率解释，但其梯度消失和非零中心输出带来优化难题。从系统角度看，指数函数的计算是主要瓶颈。在软件中，exp() 运算非常昂贵且低效 [236]，尤其是在深层网络或大数据集上，每次前向传播都要计算数百万次 sigmoid。

硬件上则采用不同优化方式。现代 GPU、TPU 等加速器通常避免直接计算指数函数，而是用查找表（LUT）或分段线性近似，兼顾精度和速度。即便如此，sigmoid 仍比

236. **Sigmoid 计算成本**：sigmoid 需要计算指数函数。在 CPU 上，`exp()` 需 10-20 个时钟周期，而基本算术只需 1 个周期。GPU 实现通常用 32 项查找表加线性插值，将成本降至 3-4 个周期，但仍比 ReLU 慢 3 倍。深层网络每次前向传播需大量 sigmoid 运算，这种开销会被放大。

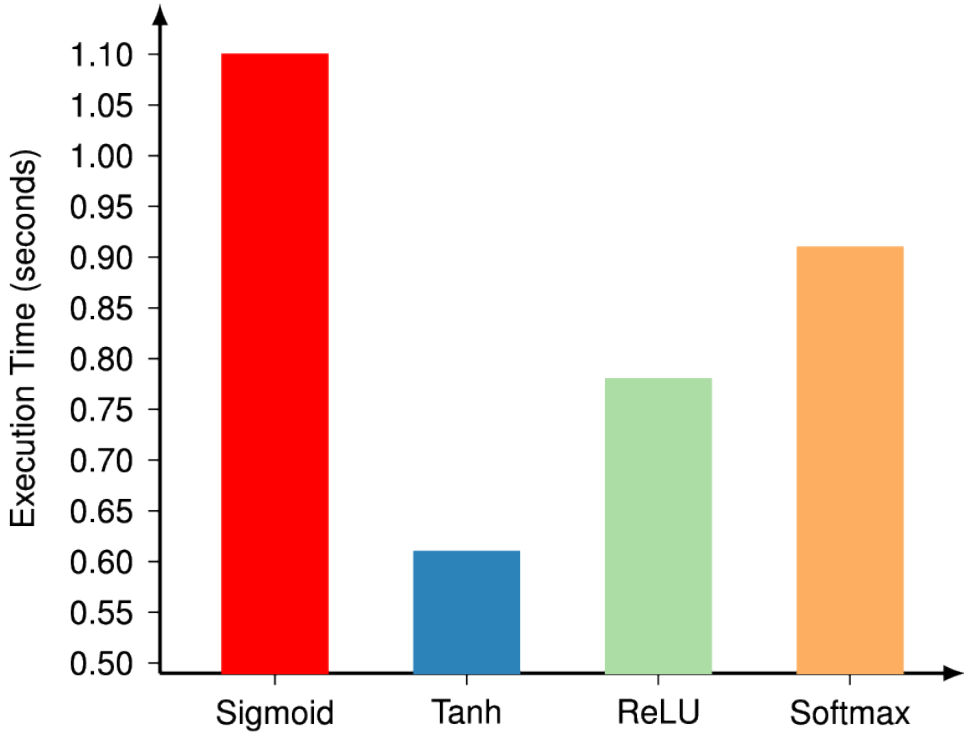

激活函数性能：在 CPU 上，不同激活函数的执行时间差异显著，tanh 和 relu 明显快于 sigmoid。这些差异会影响系统层面的训练时间和实时推理能力，因此在性能敏感场景下应优先考虑高效的激活函数。

ReLU 等简单函数更消耗资源，因为需要多次内存查找和插值计算，即使在高度并行的架构上也是如此。

Tanh Tanh 虽然输出为 $(-1, 1)$ 零中心，有助于梯度平衡，但其计算本质与 sigmoid 类似，同样依赖指数运算，带来类似的性能瓶颈。在软件中，这种计算开销会拖慢训练，尤其是在大数据集或深层模型下。

硬件实现上，tanh 通常利用其与 sigmoid 的数学关系（本质上是缩放和平移的 sigmoid）进行优化。现代硬件常用混合方案：主流输入区间用查找表，边界用分段近似。这种方式在保证精度的同时提升了效率，但 tanh 依然比 ReLU 更消耗资源。尽管如此，tanh 仍常用于 RNN 和 LSTM[^fn-rnns-lstms]，因其梯度平衡特性。

ReLU ReLU 是激活函数设计的一个转折点。其数学形式 $\max(0, x)$ 极为简单，既避免了梯度消失，又带来稀疏性，但也有“神经元死亡”问题。这种简洁性对系统性能影响巨大。在软件中，ReLU 只需一次比较操作，远快于 sigmoid 或 tanh 的指数运算。

硬件实现上，ReLU 的优势更加明显。其 $\max(0, x)$ 只需一次比较和条件赋值，电路复杂

度极低[237]。现代 GPU、TPU 可用简单的多路选择器（只需判断符号位）实现 ReLU，极易并行处理。硬件高效性加上稀疏性，不仅减少了计算时间，还降低了内存带宽需求。

Softmax Softmax 与上述逐元素函数不同。它将 logits 转为概率分布，需要全局归一化，带来独特的计算挑战。其计算需对每个输入做指数运算并归一化，输出空间越大，计算越复杂。在 NLP 等任务中，词表可达数十万，softmax 的计算和内存需求极高。每次计算都需保留全部输入，因每个输出概率都依赖整个输入向量。

硬件层面，softmax 的难点在于无法像其他激活函数那样独立处理每个值。与 ReLU 的简单阈值或 sigmoid 的逐值计算不同，softmax 需访问全部输入做归一化。在现代 Transformer 架构 [^fn-transformer-attention] 中，softmax 常用于注意力机制，一次需处理上千个值。为应对这种需求，硬件实现常用近似算法或简化版 softmax，尤其是在大词表或注意力机制场景下。

下表总结了常用激活函数的系统权衡，突出其对系统性能的影响。

Sigmoid	**平滑梯度；输出有界 (0,1)。**	**梯度消失;输出非零中心。**	**指数运算增加开销;在现代加速器上深层网络扩展性有限。**
Tanh	输出零中心 (-1,1)；梯度更平衡。	大输入时仍有梯度消失。	比 ReLU 更耗资源；RNN/LSTM 常用，CNN/Transformer 较少。
ReLU	计算高效;避免梯度消失;引入稀疏性。	神经元死亡；输出无界。	简单操作极易硬件优化;稀疏激活降低内存和计算需求。

237. **ReLU 硬件效率**：ReLU 只需 1 条指令（max(0,x)），而 sigmoid 需 10+ 步（含指数运算）。在 NVIDIA GPU 上，ReLU 可达峰值算力的 95%，而 sigmoid 仅 30-40%。ReLU 的稀疏性（通常 50% 为零）还能带来稀疏矩阵优化、内存带宽降低和梯度压缩等额外收益。

Sigmoid	**平滑梯度；输出有界 (0,1)。**	**梯度消失;输出非零中心。**	**指数运算增加开销;在现代加速器上深层网络扩展性有限。**
Softmax	logits 转为概率分布，和为 1。	大输出空间下计算昂贵。	大词表下开销极高；NLP 需分层或采样 softmax 才能扩展。

激活函数的选择需在计算效率与数学特性（如梯度消失、激活稀疏性）之间权衡。数据表明，设计神经网络时既要考虑理论，也要关注实际性能。对于大规模或实时应用，ReLU 通常是最佳选择；而需要概率输出（如分类任务）时，softmax 虽然计算开销大但不可或缺。最终，理想的激活函数取决于具体任务、网络结构和硬件环境。

除了上述经典激活函数，GPT-2 采用了高斯误差线性单元（GELU），定义如下：

$$\text{GELU}(x) = x \cdot \Phi(x) = x \cdot \frac{1}{2}\left[1 + \text{erf}\left(\frac{x}{\sqrt{2}}\right)\right]$$

其中 $\Phi(x)$ 为标准正态分布的累积分布函数。

GPT-2 为何选用 GELU?

- 梯度比 ReLU 更平滑，缓解神经元死亡问题
- 具有随机正则化效果：类似 dropout，概率性地丢弃输入
- 在语言建模任务上表现更优

系统性能权衡

- 计算成本：约为 ReLU 的 3-4 倍（需计算 erf）
- 内存：与 ReLU 相同（逐元素操作）
- 训练时间影响：GPT-2 的 48 层网络，GELU 使前向传播时间增加约 5-8%
- 性价比高：模型质量提升（困惑度降低）足以抵消计算开销

快速近似：现代框架（PyTorch、TensorFlow）采用高效近似实现 GELU：

```
# 实际工程中常用的 GELU 快速近似
GELU(x) ≈ 0.5 * x * (1 + tanh(sqrt(2/π) * (x + 0.044715 * x³)))
```

这种近似将计算成本降至约 ReLU 的 1.5 倍，同时保留 GELU 的优点，体现了生产系统在数学特性与实现效率间的平衡。

- **低算术强度**：逐元素操作每次内存访问只做极少计算（ReLU：每次加载只做 1 次运算）
- **并行收益有限**：操作本身极快，瓶颈反而在内存传输
- **带宽受限**：现代 GPU 的计算吞吐量比内存带宽高 10-100 倍

这解释了为何激活函数的选择对性能影响有限 —— ReLU 与 sigmoid 虽计算复杂度差异巨大，但实际只快 2-3 倍，因为两者都受限于内存带宽。前向传播必须精细管理激活存储，避免内存带宽成为训练吞吐量瓶颈。

优化算法在神经网络训练中至关重要，负责引导模型参数的调整以最小化损失函数，使神经网络能够从数据中学习。优化算法大致分为两类：经典方法（理论基础）和高级方法（提升性能与效率）。

这些算法需在高维复杂的损失函数表面上搜索最优解。由于损失表面往往存在大量局部极小值、鞍点和陡峭梯度，优化算法需具备跳出局部最优、保证收敛的能力。本节主要介绍训练阶段常用的优化算法，关于量化、剪枝、知识蒸馏等高级优化技术，详见第 10 章：模型优化。

优化算法的选择和设计对系统层面有重要影响，如计算效率、内存需求、对大数据集/大模型的可扩展性。系统化的超参数优化方法（如网格搜索、贝叶斯优化、AutoML 等）详见 [AI 工作流章节]（见 sec-ai-workflow）。深入理解这些算法，有助于在准确率、速度和资源消耗之间做出权衡。

基于梯度的优化方法 现代神经网络训练主要依赖梯度下降及其变种。不同方法对训练数据的处理方式不同，带来不同的系统层面影响。

梯度下降 梯度下降是神经网络训练的数学基础，通过迭代调整参数以最小化损失函数。基本算法为：

$$\theta_{t+1} = \theta_t - \alpha \nabla L(\theta_t)$$

梯度下降在训练系统中的有效性引发了优化理论的深层问题。在凸优化中，梯度下降能保证找到全局最优，但神经网络的损失面包含指数级的局部极小值。尽管如此，梯度下降仍能找到泛化能力强的解，说明优化过程本身对解空间有隐式偏好。现代超参数化网络（参数多于样本）反而泛化更好，这挑战了传统优化直觉。

在训练系统中，这一数学操作对应如下计算流程：

1. 计算前向传播激活值
2. 计算损失
3. 通过反向传播计算梯度
4. 用梯度更新参数

梯度下降的计算需求随模型和数据集规模线性增长。假设神经网络有 M 个参数，训练集有 N 个样本。计算梯度需在前向传播时存储中间激活，供反向传播使用。这些激活的内存消耗与网络深度和样本数成正比。

传统梯度下降每次迭代需处理整个数据集。若训练集有 100 万样本，每次更新需评估并存储每个样本的结果，内存需求极高：

$$\text{所需内存} = N \times (\text{激活内存} + \text{梯度内存})$$

这种内存需求往往超出现代硬件的承载能力。例如，ResNet-50 处理 ImageNet 级别数据集时，若用全量梯度下降，单块 GPU 就需数百 GB 内存。每次更新都需遍历全量数据，导致迭代速度极慢，模型学习效率低下。

随机梯度下降　这些系统约束推动了更高效的优化方法发展。关键洞见是：精确梯度计算虽理论上理想，但实际学习并不需要。于是，工程上采用了牺牲梯度精度换取系统效率的方法。

系统瓶颈促使更高效的优化方法诞生。SGD[238] 是优化策略的重大转变。它不再对全量数据集计算梯度，而是用单个样本估算梯度：

$$\theta_{t+1} = \theta_t - \alpha \nabla L(\theta_t; x_i, y_i)$$

238. **随机梯度下降**：1951 年 Robbins 和 Monro 首次提出用于统计优化，1958 年 Rosenblatt 将其应用于感知机。直到 1980 年代，随着网络规模扩大，全批量梯度下降变得不可行，SGD 才在工程中普及。如今常用的“mini-batch SGD”（每批 32-512 个样本）是单样本和全批量之间的折中，便于 GPU 并行。SGD 的噪声有助于跳出局部极小值，获得更优解。

其中 (x_i, y_i) 为单个训练样本。这极大降低了内存需求，因为每次只需存储一个样本的激活和梯度。

但单样本处理也带来新挑战。现代加速器依赖大规模并行，单样本更新无法充分利用硬件资源，导致大部分计算单元闲置，硬件利用率低。频繁的参数更新也增加了内存带宽压力，因为每次都需读写权重，无法像大批量那样摊销这些操作。

小批量处理 小批量梯度下降（mini-batch）是全批量和随机方法之间的工程折中。它对小批量样本计算梯度，便于并行，适合现代 GPU 架构 [见 dean2012large]。

$$\theta_{t+1} = \theta_t - \alpha \frac{1}{B} \sum_{i=1}^{B} \nabla L(\theta_t; x_i, y_i)$$

小批量处理与现代硬件高度契合。例如，GPU 拥有数千核心，mini-batch 允许这些核心同时计算多个样本的梯度，提高硬件利用率。批量大小 B 成为关键系统参数，影响计算效率和内存需求。

批量大小与系统性能的关系有明确规律，体现了硬件 - 软件权衡。内存需求随批量线性增长，但具体开销因模型结构而异：

$$\begin{aligned} \text{所需内存} = B \times (&\text{激活内存} \\ &+ \text{梯度内存} \\ &+ \text{参数内存}) \end{aligned}$$

以 ResNet-50 为例，batch=32 时，激活约需 8GB，梯度 4GB，参数 200MB；batch=64 时，激活和梯度分别翻倍。高端训练 GPU 通常配备 40-80GB HBM，批量过大很快耗尽内存。

大批量提升了并行度和内存访问效率。GPU 利用率随批量提升而提高：batch=256 以上通常可达 90%+，而 batch=16-32 仅 60-70%，因并行度不足无法饱和硬件。

这揭示了训练系统的核心主题：内存约束与计算效率的权衡。系统需选择既能充分利用硬件、又能装下的最大批量。若内存不足，可用梯度累积（gradient accumulation），即多次前向/反向传播后再更新参数，实现等效大批量。

自适应与动量优化器 高级优化算法引入动量、自适应学习率等机制，加速收敛，提升效率。

动量法 动量法通过累积历史梯度，引入速度向量，更新公式如下：

$$v_{t+1} = \beta v_t + \nabla L(\theta_t)$$
$$\theta_{t+1} = \theta_t - \alpha v_{t+1}$$

其中 β 为动量系数，常取 0.9-0.99。系统上，动量法需为每个参数维护速度向量，内存需求翻倍。

自适应学习率方法 RMSprop 通过为每个参数维护梯度平方的滑动平均，实现自适应学习率：

$$s_t = \gamma s_{t-1} + (1-\gamma)\big(\nabla L(\theta_t)\big)^2$$
$$\theta_{t+1} = \theta_t - \alpha \frac{\nabla L(\theta_t)}{\sqrt{s_t + \epsilon}}$$

每个参数需存储 s_t，内存开销与动量法相当。RMSprop 的逐元素操作也比基础梯度下降多出额外计算。

Adam 优化器 Adam 结合了动量和 RMSprop 的思想，为每个参数维护两组滑动平均：

$$m_t = \beta_1 m_{t-1} + (1-\beta_1)\nabla L(\theta_t)$$
$$v_t = \beta_2 v_{t-1} + (1-\beta_2)\big(\nabla L(\theta_t)\big)^2$$
$$\theta_{t+1} = \theta_t - \alpha \frac{m_t}{\sqrt{v_t + \epsilon}}$$

Adam 的系统开销比前述方法更大。每个参数需存储 m_t 和 v_t 两个向量，内存需求为参数量的三倍。以 1 亿参数、32 位浮点为例，优化器状态需约 800MB。

优化算法的系统影响 无论是经典还是高级优化方法，实际实现都需充分考虑系统资源和硬件能力。理解这些影响，有助于算法选择和系统设计。

优化器权衡 不同优化算法的计算和内存访问模式直接影响训练效率。内存需求从基础梯度下降到高级方法逐步增加：

$$\text{SGD 内存} = \text{参数大小}$$
$$\text{动量法内存} = 2 \times \text{参数大小}$$
$$\text{Adam 内存} = 3 \times \text{参数大小}$$

这些内存开销需与收敛速度权衡。Adam 虽然迭代次数少，但每步的内存和计算开销可能影响内存受限系统的训练速度。

GPT-2 训练采用 Adam 优化器，超参数如下：

- $\beta_1 = 0.9$（动量衰减）
- $\beta_2 = 0.999$（二阶矩衰减）
- 学习率：前 500 步从 0 线性升至 2.5e-4，后续余弦退火
- 权重衰减：0.01
- 梯度裁剪：全局范数裁剪为 1.0

内存开销计算

GPT-2 有 15 亿参数，FP32（4 字节）：

- 参数：1.5B × 4 = 6.0 GB
- 梯度：1.5B × 4 = 6.0 GB
- Adam 一阶矩（m）：1.5B × 4 = 6.0 GB
- Adam 二阶矩（v）：1.5B × 4 = 6.0 GB
- 优化器总状态：24 GB

这解释了为何 GPT-2 训练需 32GB+ V100 GPU，且未计激活内存。

系统决策受优化器影响

1. 混合精度训练（FP16 参数，FP32 优化器状态）可降至约 15GB
2. 梯度累积（将大批量拆分为多个小批量，累积多次后再更新，可在内存受限下实现大批量
3. 优化器状态分片（如 ZeRO-2）可在分布式训练中将 Adam 状态分散到多块 GPU

收敛权衡：Adam 的内存开销是值得的。GPT-2 用 Adam 约 5 万步收敛，而 SGD+Momentum 需 15 万步以上，节省了数周训练时间。

优化器在训练框架中的高效实现，依赖于内存带宽管理、操作融合和数值精度优化等系统级策略。这些因素共同决定了优化器在不同硬件架构上的计算效率、内存利用率和可扩展性。

内存带宽是优化器实现的主要瓶颈。现代框架通过操作融合（operation fusion）减少内存访问，将多步操作合并为单一内核。例如，Adam 若分步执行，每步都需访问参数：

$$\text{分步带宽} = 5 \times \text{参数大小}$$

而融合后只需：

$$\text{融合带宽} = 2 \times \text{参数大小}$$

如 cuDNN 等 GPU 加速库已广泛采用此类优化。

内存访问模式也影响缓存利用率。顺序访问参数和优化器状态可最大化缓存命中率和带宽利用。这在 GPU、TPU 等硬件上尤为重要，优化内存布局可显著提升性能。

数值精度也是重要权衡。实验证明，优化器状态用 16 位浮点（FP16）也能保持稳定。32 位降至 16 位可大幅节省内存，如 Adam：

$$\text{Adam-FP16 内存} = \frac{3}{2} \times \text{参数大小}$$

混合精度训练 [239] 可在保证精度的同时，显著降低内存和计算开销。

上述实现细节决定了优化算法在深度学习系统中的实际性能，强调了根据硬件架构调整内存、计算和数值策略的重要性。

优化器权衡 优化算法的演进体现了算法效率与系统性能的结合。优化器不仅影响模型收敛，也直接决定内存、计算和硬件利用率。

下表对比了主流优化器的系统资源消耗。SGD 内存开销最小，仅需存储参数和当前梯度，但收敛慢、硬件利用率低。动量法需存储速度向量，内存翻倍，收敛更快，且顺序访问便于缓存优化。

RMSprop 需存储梯度平方，计算更复杂。Adam 结合动量和自适应，需存储两组状态，内存为 SGD 的三倍，计算也最多，但并行度高，硬件利用率最佳。

239. **混合精度训练**：NVIDIA 于 2018 年提出，前/反向用 FP16，损失缩放用 FP32，可节省 2 倍内存、提升 1.6 倍速度，且不损失精度。

属性	SGD	动量法	RMSprop	Adam
内存开销	无	速度向量	梯度平方	速度向量和梯度平方
内存成本				
访问模式	顺序	顺序	随机	随机
每参数操作数	2	3	4	5
硬件效率	低	中	高	最高
收敛速度	最慢	中	快	最快

表 3：**优化器内存占用对比**：不同优化算法因需存储梯度、速度、平方等中间变量，内存消耗各异。理解这些权衡对资源受限部署和大规模训练至关重要。选择优化器需在收敛速度、内存和计算资源间平衡。

动量法需为每个参数存储速度向量，内存翻倍，收敛更快，且顺序访问便于缓存优化。RMSprop 需存储梯度平方，计算更复杂。Adam 需存储两组状态，内存为 SGD 的三倍，计算最多，但并行度高，硬件利用率最佳。

训练系统设计需根据硬件架构权衡这些因素。GPU 擅长并行自适应方法，内存受限系统则可选简单优化器。优化器不仅影响训练动态，还决定最大模型规模、可用批量、硬件利用率和总训练时长。除优化器外，学习率调度（如余弦退火、线性预热、周期性调整）也影响收敛和最终性能，大批量训练需特别调整，详见分布式训练章节。

现代训练框架不断演进，采用优化器状态分片、混合精度存储、操作融合等技术，平衡这些需求。理解系统影响，有助于根据硬件和训练需求选择合适的优化策略。

框架优化器接口 SGD、动量、Adam 等优化算法的数学公式奠定了参数优化的理论基础，框架则通过标准化接口将这些算法抽象为实用的训练循环。理解 PyTorch 等框架的优化器 API，有助于理解复杂数学操作如何通过简洁接口实现。

框架优化器接口遵循一致模式，将梯度计算与参数更新分离。这种分离使算法可系统化应用于各种模型和训练场景。

优化器实现了四步训练循环，将数学操作封装在简洁 API 内。如下例展示了 Adam 优化器在标准训练循环中的用法：

```
import torch
import torch.nn as nn
import torch.optim as optim

# 初始化 Adam 优化器
optimizer = optim.Adam(
    model.parameters(), lr=0.001, betas=(0.9, 0.999)
)
loss_function = nn.CrossEntropyLoss()

# 标准训练循环，包含四步优化流程
for epoch in range(num_epochs):
    for batch_idx, (data, targets) in enumerate(dataloader):
        # 步骤 1：清除上一步累积的梯度
        optimizer.zero_grad()

        # 步骤 2：前向传播，计算预测
        predictions = model(data)
        loss = loss_function(predictions, targets)

        # 步骤 3：反向传播，自动微分计算梯度
        loss.backward()

        # 步骤 4：参数更新，应用 Adam 算法
        optimizer.step()
```

`optimizer.zero_grad()` 解决了一个关键实现细节：梯度在多次 backward() 调用间会累积，需每批次显式清零。这一机制便于实现梯度累积，但标准训练循环需注意管理。

`optimizer.step()` 封装了所有数学更新。对于 Adam，这一步自动实现了动量估算、梯度平方跟踪、偏差校正和参数更新。下例展示了优化器内部的数学操作：

```
# Adam 优化器 step() 内部的数学操作
# 这些计算由框架自动完成

# Adam 超参数（通常 β□=0.9, β□=0.999, ε=1e-8）
beta_1, beta_2, epsilon = 0.9, 0.999, 1e-8
learning_rate = 0.001

# 针对每个参数张量：
for param in model.parameters():
    if param.grad is not None:
        grad = param.grad.data  # 当前梯度

        # 步骤 1：更新一阶矩（动量）
        # m_t = β□ * m_{t-1} + (1-β□) * ∇L(θ□)
```

```
        momentum_buffer = (
            beta_1 * momentum_buffer + (1 - beta_1) * grad
        )

        # 步骤 2：更新二阶矩（梯度平方）
        # v_t = β₂ * v_{t-1} + (1-β₂) * (∇L(θ₂))²
        variance_buffer = beta_2 * variance_buffer + (
            1 - beta_2
        ) * grad.pow(2)

        # 步骤 3：偏差校正
        momentum_corrected = momentum_buffer / (
            1 - beta_1**step_count
        )
        variance_corrected = variance_buffer / (
            1 - beta_2**step_count
        )

        # 步骤 4：参数更新
        # θ_{t+1} = θ₂ - α * m_t / (√v_t + ε)
        param.data -= (
            learning_rate
            * momentum_corrected
            / (variance_corrected.sqrt() + epsilon)
        )
```

框架还自动管理优化器状态的内存分配，透明地处理 2-3 倍的内存开销，并优化内存访问模式以适配底层硬件。

学习率调度集成 框架将学习率调度与优化器接口集成，便于训练过程中动态调整学习率。这体现了框架通过模块化设计组合多种优化技术的能力。

学习率调度器可按预设策略（如余弦退火、指数衰减、分段下降）调整学习率。如下例展示了如何将余弦退火与 Adam 结合：

```
import torch
import torch.optim as optim
import torch.optim.lr_scheduler as lr_scheduler
import math

# 初始化优化器
optimizer = optim.Adam(
    model.parameters(), lr=0.001, weight_decay=1e-4
)

# 配置余弦退火调度器
scheduler = lr_scheduler.CosineAnnealingLR(
    optimizer,
    T_max=100,  # 一个周期 100 轮
```

```
    eta_min=1e-6,  # 最小学习率
)

# 集成学习率调度的训练循环
for epoch in range(num_epochs):
    # 监控当前学习率
    current_lr = optimizer.param_groups[0]["lr"]
    print(f"Epoch {epoch}: Learning Rate = {current_lr:.6f}")

    # 标准训练循环
    for batch_idx, (data, targets) in enumerate(dataloader):
        optimizer.zero_grad()
        predictions = model(data)
        loss = loss_function(predictions, targets)
        loss.backward()
        optimizer.step()

    # 每轮结束后更新学习率
    scheduler.step()
```

这种组合模式允许用户无需修改底层算法，即可将基础优化器（SGD、Adam）与调度策略（如余弦退火、线性预热）灵活组合。框架自动协调各组件，保证数学性质不变。

优化器接口体现了框架在数学严谨性与实用性之间的平衡。底层算法实现了精确的数学公式，API 设计则让用户专注于模型结构和训练动态，而无需关心优化器实现细节。

反向传播机制

反向传播算法[240] 通过在神经网络的计算图中逆向传播，系统性地计算梯度。前文已介绍了反向传播的数学原理，实际在训练系统中实现该算法，则需精细管理内存、计算和数据流。

反向传播算法原理 神经网络通过反向传播算法调整参数以减少误差。该算法通过在网络计算图中逆向传播，计算每个参数对误差的贡献。

在前向传播阶段，每一层会进行计算并生成激活值，这些激活值必须为后续反向传播阶段保存：

$$z^{(l)} = W^{(l)} a^{(l-1)} + b^{(l)}$$

$$a^{(l)} = f(z^{(l)})$$

其中 $z^{(l)}$ 是第 l 层的预激活值，$a^{(l)}$ 是激活值。中间值的存储需求随网络深度和批量大小线性增长。

240. **反向传播算法**：该算法曾多次被独立发现，1986 年由 Rumelhart、Hinton 和 Williams 推广（类似思想在 Werbos 1974 年已出现）。这一突破使得深度网络训练成为可能，梯度计算效率从朴素 O(n²) 降至 O(n)。现代实现需高度关注内存管理，例如 ResNet-50 每张图片仅激活存储就需 1.2GB。

反向传播阶段则通过链式法则，从输出层逆向计算梯度：

$$\frac{\partial L}{\partial z^{(l)}} = \frac{\partial L}{\partial a^{(l)}} \odot f'(z^{(l)})$$
$$\frac{\partial L}{\partial W^{(l)}} = \frac{\partial L}{\partial z^{(l)}} \left(a^{(l-1)}\right)^T$$

对于每层参数 W_i，计算 $\frac{\partial L}{\partial W_i}$ 即衡量参数调整对损失 L 的影响。链式法则为这些计算提供了系统化的组织方式：

$$\frac{\partial L_{full}}{\partial L_i} = \frac{\partial A_i}{\partial L_i}\frac{\partial L_{i+1}}{\partial A_i}\cdots\frac{\partial A_n}{\partial L_n}\frac{\partial L_{full}}{\partial A_n}$$

这一公式揭示了训练系统的关键需求。早期层的梯度计算依赖后续层的信息，导致数据存储和访问模式具有特殊性。每次梯度计算都需访问前向传播阶段保存的激活值，训练系统必须高效管理这些内存访问和计算模式。这些模式直接影响如 SGD 或 Adam 等优化算法的效率。现代训练系统通常采用自动微分 [241] 自动处理这些计算，但底层的系统需求并未改变。

激活内存需求 训练系统必须保存前向传播的中间值（激活），以便反向传播计算梯度。这一需求进一步加重了优化算法的内存压力。每层 l 都需存储：

- 前向传播输入激活
- 层操作后的输出激活
- 待优化的层参数
- 用于参数更新的梯度

以一批训练样本通过网络为例，前向传播需保存：

$$z^{(l)} = W^{(l)}a^{(l-1)} + b^{(l)}$$
$$a^{(l)} = f(z^{(l)})$$

$z^{(l)}$ 和 $a^{(l)}$ 都需缓存以供反向传播。这导致内存需求呈乘法增长：每层的内存需求乘以批量大小，优化器的内存开销（见前文）也作用于每个参数。

总内存需求受以下因素影响：

- 网络深度（层数）

241. **自动微分**：与符号或数值微分不同，自动微分在运行时构建计算图并系统性地应用链式法则。PyTorch 采用“define-by-run”动态计算图，TensorFlow v1 用静态图。这使得 RNN、Transformer 等结构可动态变化，但也要求整个前向计算图在反向传播时完整保留，内存管理尤为关键。

- 层宽度（每层参数量）
- 批量大小（每次处理样本数）
- 优化器状态（如 Adam 需额外内存）

这带来复杂的权衡。更大批量提升计算效率和梯度估计质量，但激活存储需求也随之增加。高级优化器如 Adam 收敛更快，但每参数需更多内存。

以 GPT-2 为例，batch_size=32，seq_len=1024，hidden_dim=1280，48 层：

每层激活内存

- 注意力激活：`batch × seq × hidden × 4`（Q、K、V、输出）= 32 × 1024 × 1280 × 4 × 2 字节（FP16）= 335 MB
- FFN 激活：`batch × seq × (hidden × 4)`（中间扩展）= 32 × 1024 × 5120 × 2 字节 = 335 MB
- 层归一化状态：极小（每层约 10 MB）
- 每层合计：约 680 MB

全模型激活内存

- 48 层 × 680 MB = **32.6 GB**（仅激活）
- 参数（FP16）：3 GB
- 梯度：3 GB
- 优化器状态（Adam，FP32）：12 GB
- 训练峰值内存：**约 51 GB**

远超单块 V100 的 32GB 容量。

系统解决方案

1. 梯度检查点：反向传播时重算激活，激活内存降至 25%（约 8 GB），但计算量增加 33%
2. 激活 CPU 卸载：部分激活存储于 CPU 内存，反向传播时再传回
3. 混合精度：激活用 FP16（如上），若用 FP32 则需 65 GB
4. 降低批量：每 GPU batch_size=16，梯度累积两步，等效 batch_size=32

训练配置：GPT-2 实现通常采用梯度检查点 + 每 GPU batch_size=16，轻松适配 32GB V100，训练效率不受影响。

训练系统需在内存消耗与计算效率间权衡。每次前向传播都会生成一组激活，需为反向传播保存。对于 L 层网络，处理 B 个样本需存储：

$$\text{每批内存} = B \times \sum_{l=1}^{L} (s_l + a_l)$$

其中 s_l 为中间计算（如 $z(l)$）大小，a_l 为第 l 层激活输出。

该内存需求与优化器内存（见前文）叠加。训练系统总内存消耗包括激活和优化器状态：

$$\text{总内存} = \text{每批内存} + \text{优化器内存}$$

为应对高内存需求，训练系统采用多种策略。梯度检查点是一种基础方法，反向传播时有选择地重算部分中间值而非全部存储。虽然计算量增加，但可大幅降低内存消耗，使深层网络或大批量训练在受限硬件上成为可能。

这些内存管理策略的效率高度依赖底层硬件架构。GPU 计算吞吐量高但内存带宽有限，瓶颈与 CPU 系统不同。即使存储空间充足，GPU 的内存带宽限制也可能成为主要性能瓶颈。

硬件约束直接影响现代训练系统中反向传播的实现。为应对这些限制，卷积等操作常采用分块或分片计算梯度，适应内存带宽。动态内存管理则跟踪中间值的生命周期，计算图中一旦张量不再需要即释放内存。

数学基础的系统影响

我们分析的数学操作 —— 前向传播、梯度计算、参数更新 —— 定义了训练系统的计算任务。理解这些操作的数学原理是基础，但实际系统实现需将抽象转化为有序的计算流程。这一转化带来资源协调、时序和数据流动等系统挑战。

高效训练需将数学操作与数据加载、预处理、硬件加速和监控系统协调。主导前后向传播的矩阵乘法需与数据传输调度重叠，避免 GPU 空闲。前向传播的激活存储影响批量选择和内存分配。反向传播的顺序依赖限制并行度，影响分布式训练架构。系统层面的这些考量将数学操作转化为具体的计算流水线。

流水线架构

上述数学操作定义了训练系统的计算内容，而流水线架构则决定如何在有限内存和带宽的真实硬件上高效编排这些计算。训练流水线为数学操作、数据流动、系统资源和运维监控提供组织框架。架构视角不仅优化单个操作，更关注整个训练过程的协同。

如 图 3 所示，训练流水线包含三大组件：数据流水线（数据获取与预处理）、训练循环（模型更新）、评估流水线（性能评估）。三者协同工作，数据批次从数据流水线流向训练循环，评估指标则为训练过程提供反馈。

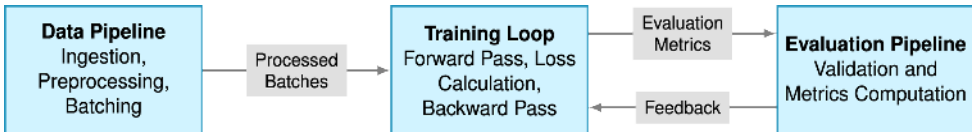

流水线架构：机器学习系统通过数据、训练和评估流水线组织训练，实现模型迭代优化和性能评估。数据在各组件间顺序流动，评估指标为训练过程优化和结果可复现提供反馈。

架构总览

数学操作如何落地为实际系统？训练流水线围绕数据流水线、训练循环和评估流水线三大组件组织。三者共同处理原始数据、训练模型、评估性能，确保训练高效且有效。

模块化组织提升资源利用率，分工明确。数据流水线负责原始数据获取和格式转换，处理后数据传递给训练循环，模型进行核心计算。评估流水线则定期用验证集评估模型性能。模块化结构保证各阶段高效运行，整体流程顺畅。

数据流水线 理解各组件角色，首先看数据流水线，负责数据获取、预处理和批量分组。原始数据通常从本地存储加载，训练时动态转换以避免冗余、提升多样性。例如，图像数据常需归一化、尺寸调整和增强，以提升模型稳健性。这些操作实时进行，减少存储开销，适应任务需求 [见 lecun1998efficient]。处理后数据按批次打包，交由训练循环。

训练循环 训练循环是流水线的计算核心，模型在此学习数据。如图 4 所示，流程包括前向传播、损失计算和参数更新（单 GPU）：

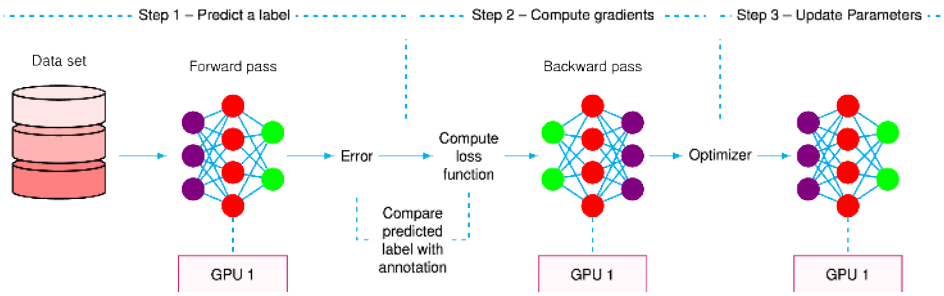

GPU 加速训练：现代深度学习依赖 GPU 并行矩阵运算，大幅加速前后向传播和参数更新。单 GPU 工作流通过损失函数计算梯度并迭代优化参数，提升模型预测准确率。

每次训练循环包含关键步骤：

1. **步骤 1 – 前向传播**：一批数据送入 GPU，通过神经网络生成预测。模型通过矩阵乘法和激活函数将输入转化为输出。
2. **步骤 2 – 计算梯度**：预测值与真实标签比对，通过损失函数计算误差。误差信号通过反向传播，应用链式法则计算各层参数梯度，指示如何调整以减小损失。
3. **步骤 3 – 更新参数**：梯度传递给优化器，更新模型参数以最小化损失。不同优化算法（如 SGD、Adam）影响参数调整方式，进而影响收敛速度和稳定性。

该流程在多个批次和轮次中反复执行，模型逐步优化预测能力。

评估流水线 流水线架构的最后一环是评估流水线，为训练过程定期提供性能反馈。用独立验证集对模型预测进行比对，计算准确率、损失等指标，监控训练进展，及时发现过拟合或欠拟合。评估通常在每轮结束时进行，确保训练目标达成。

组件集成 分析完各组件后，可理解其协同机制。数据流水线、训练循环和评估流水线紧密集成，保证流程高效。数据准备常与计算重叠，如预处理下一批数据时，当前批次正在训练。评估流水线与训练同步运行，及时反馈，指导模型或训练策略调整。集成优化资源利用，减少系统空闲，训练流程无缝衔接。

数据流水线

下面详细分析各组件，首先是数据流水线。数据流水线负责在训练过程中将数据从存储传输到计算设备。类似高速公路将车辆从社区送往市中心，数据流水线将训练数据分阶段送达计算资源。

本节聚焦于数据流动和预处理的系统层面优化，数据工程（如数据质量、特征工程、模式校验、数据集版本管理）详见 [数据工程章节]（见 sec-data-engineering）。两者结合，既保证训练数据质量，也提升数据交付效率。本章重点讨论数据工程已准备好数据集后，如何优化数据流水线的吞吐量、内存和协同。

CPU 上的数据流水线是原始数据存储与 GPU 计算的桥梁。如图 5 所示，流水线分为三大区域：存储、CPU 预处理和 GPU 训练。各区在模型训练中各司其职。

存储区保存原始数据，常见格式如图像文件（视觉任务）或文本文件（NLP）。CPU 预处理区则对原始数据进行多阶段转换。例如，图像识别模型的预处理包括：

1. 格式转换：读取图像文件并标准化格式
2. 处理：如尺寸调整、归一化、数据增强

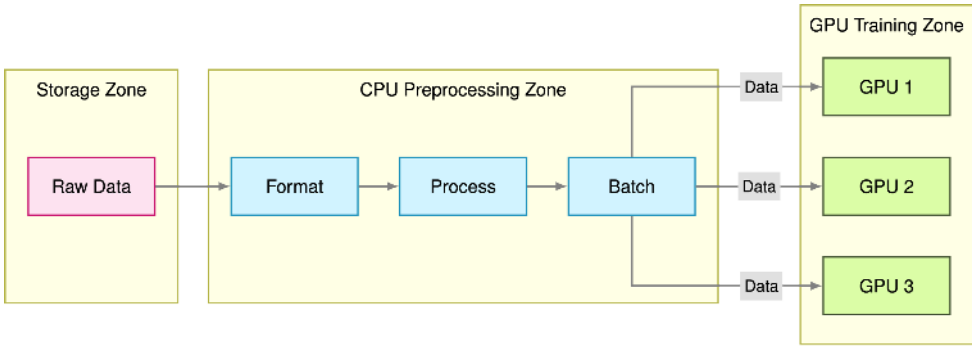

数据流水线架构：现代机器学习系统通过流水线高效将数据从存储送至 GPU 并行处理，加速模型训练和推理。图示典型流水线，包含格式化、预处理、批量分组和多 GPU 分发等阶段。

3. 批量分组：将处理好的样本组织为批次，便于 GPU 计算

最后一环是多 GPU 接收预处理批次进行训练。此架构保证每块 GPU 都有稳定数据供应，最大化计算效率，减少空闲。流水线效率直接影响训练性能，任何数据准备瓶颈都会导致昂贵的 GPU 资源闲置。

核心组件 机器学习系统性能主要受存储访问速度限制，决定训练数据获取速率。数据工程实践（如格式选择 Parquet、TFRecord、Arrow，分区策略、数据本地化优化）直接影响存储性能。本节分析训练时数据访问模式和吞吐约束的系统层面影响。

$$T_{\text{storage}} = \min(B_{\text{disk}}, B_{\text{network}})$$

其中 B_{disk} 为磁盘带宽（数据读取速率），B_{network} 为网络带宽（分布式存储的数据传输速率），单位均为字节/秒。

实际训练时的吞吐量低于理论最大值，原因在于非顺序访问模式。有效吞吐量可表示为：

$$T_{\text{effective}} = T_{\text{storage}} \times F_{\text{access}}$$

F_{access} 为访问模式因子。典型训练场景下，F_{access} 约为 0.1，即有效吞吐仅为理论值的 10%。这是因为存储系统更适合顺序访问，而训练常用随机访问。

理论与实际吞吐的关系对系统设计和训练优化至关重要。理解这些约束，有助于合理设计数据流水线和训练方法。

预处理 数据可用后，预处理将原始输入转为适合模型训练的格式。传统实现为 ETL 或 ELT 流水线[242]，对训练系统性能影响极大。预处理吞吐量可表示为：

$$T_{\text{preprocessing}} = \frac{N_{\text{workers}}}{t_{\text{transform}}}$$

该公式包含两大因素：

- N_{workers}：并行处理线程数
- $t_{\text{transform}}$：每次转换所需时间

现代训练架构采用多线程并行预处理，保证预处理速度与消耗速率匹配。并行处理是高效利用处理器的关键。

预处理最后一步是将数据传输至计算设备（通常为 GPU）。整体训练吞吐受三因素约束：

$$T_{\text{training}} = \min(T_{\text{preprocessing}}, B_{\text{GPU_transfer}}, B_{\text{GPU_compute}})$$

其中：

- $B_{\text{GPU_transfer}}$：GPU 内存带宽
- $B_{\text{GPU_compute}}$：GPU 计算吞吐

该关系揭示了训练系统设计的核心原则：系统性能受最慢环节限制。无论是预处理速度、数据传输还是计算能力，瓶颈决定了训练吞吐。理解这些关系，有助于设计均衡的流水线，使预处理能力与计算资源匹配，优化资源利用。

以 GPT-2 语言模型训练为例，需专门优化文本处理的数据流水线。

流水线阶段

1. 原始文本存储（存储区）
   - OpenWebText 数据集：约 40GB 原始文本
   - NVMe SSD 存储：顺序读带宽 3.5 GB/s
   - 随机访问不同文档：有效带宽约 0.35 GB/s（F_access ≈ 0.1）
2. 分词（CPU 预处理区）

242. **ETL 与 ELT 在机器学习中的应用**：传统数据仓库采用 ETL（抽取、转换、加载），在强大服务器上做昂贵转换。现代 ML 系统更倾向 ELT（抽取、加载、转换），先加载原始数据，训练时按需转换。这使得数据增强（如旋转、加噪声）可从同一数据源生成几乎无限训练样本，传统 ETL 固定转换无法实现。更广泛的数据流水线设计（如数据质量校验、特征工程、模式约束）详见第 6 章：数据工程。

- BPE（字节对编码）分词器（词表 50,257）将文本转为 token ID
- BPE 将词分为子词单元（如 “unbreakable” → [“un”, “break”, “able”]）
- 处理速率：每核约 50 万 token/秒
- batch_size=32，seq_len=1024：每批需 32K token
- 单核：32K ÷ 50 万 = 64ms/批
- 瓶颈：GPU 前向仅需 80ms

3. 批量与填充（CPU）
   - 序列填充至统一长度（1024 token）
   - 打包为张量：[32, 1024] int64 = 每批 256KB
   - 时间极短：<5ms
4. GPU 传输（PCIe）
   - PCIe Gen3 x16：理论 15.75 GB/s
   - 256KB ÷ 15.75 GB/s = 0.016ms（可忽略）

瓶颈分析

- 分词：64ms
- GPU 计算：80ms
- 传输：<1ms

系统基本均衡（分词 ≈ GPU 计算），但更快 GPU（如 A100，计算仅 45ms）时分词成为瓶颈。

优化措施

- 多线程数据加载：8 个 CPU worker 并行分词 → 64ms ÷ 8 = 8ms
- 预取：GPU 处理当前批次时预处理下一批
- 效果：GPU 利用率 >95%，8×V100 训练吞吐 380 样本/秒

关键洞察：文本分词为 CPU 限制（而图像预处理为 I/O 限制）。语言模型训练需不同于视觉模型的数据流水线优化。

系统影响 数据流水线架构与计算资源的关系直接决定机器学习训练系统性能。该关系可用基础吞吐公式表示：

$$T_{\text{system}} = \min(T_{\text{pipeline}}, T_{\text{compute}})$$

其中 T_{system} 为系统总吞吐，受流水线吞吐（T_{pipeline}）和计算速度（T_{compute}）共同约束。

以图像分类系统为例，可用两项关键指标分析性能。GPU 处理速率（R_{GPU}）为每秒可处理图片数，受模型复杂度和硬件能力影响。流水线交付速率（R_{pipeline}）为每秒可交付预处理图片数。

系统实际训练速度由两者较低者决定。若 $R_{\text{pipeline}} < R_{\text{GPU}}$，GPU 利用率仅为：

$$\text{GPU 利用率} = \frac{R_{\text{pipeline}}}{R_{\text{GPU}}} \times 100\%$$

举例：ResNet-50 在现代 GPU 上每秒可处理 1000 张图片，但数据流水线仅能交付 200 张，则 GPU 利用率仅 20%，80% 时间处于空闲，训练效率大幅下降。即使 GPU 更强，流水线吞吐仍是性能瓶颈。因此，系统设计需均衡流水线与计算能力，才能实现最佳训练性能。

数据流动 机器学习系统需在多级内存层次[243]中管理复杂数据流，协调流水线操作。内存带宽约束与流水线执行的协同直接影响训练性能。最大数据传输速率受限于：

$$T_{\text{memory}} = \min(B_{\text{storage}}, B_{\text{system}}, B_{\text{accelerator}})$$

各层带宽差异巨大：

- 存储（B_{storage}）：NVMe 存储设备 1-2 GB/s
- 系统（B_{system}）：主内存 50-100 GB/s
- 加速器（$B_{\text{accelerator}}$）：GPU 内存 900 GB/s 以上

数量级差异带来独特性能特征，需精细管理。每次训练迭代总耗时由多项流水线操作组成：

$$t_{\text{iteration}} = \max(t_{\text{fetch}}, t_{\text{process}}, t_{\text{transfer}})$$

243. **机器学习中的内存层次**：与传统 CPU 程序关注缓存局部性不同，ML 训练涉及存储（TB 级数据集）、系统内存（GB 级模型）、GPU 内存（GB 级激活）间的大规模数据流。存储（1-2 GB/s）与 GPU 内存（900+ GB/s）带宽相差 1000 倍，系统需采用复杂预取和缓存策略。传统缓存优化（空间/时间局部性）不如高效批量数据传输重要。

公式包含三部分：存储读取时间（t_{fetch}）、预处理时间（t_{process}）、加速器传输时间（t_{transfer}）。

现代训练架构通过操作重叠优化性能。当前批次预处理时，系统同时从存储预取下一批，并将已处理批次传输至加速器。

这种协同需精细管理系统资源，尤其是内存缓冲区和处理单元。内存层次需兼顾带宽差异，保证数据流连续。合理流水线设计通过缓冲区大小和内存分配策略，最大化资源利用、最小化空闲。各环节协同，才能在带宽约束下高效训练。

实践架构 ImageNet 数据集是理解现代机器学习系统数据流水线需求的典型案例。分析视觉模型在大规模图像数据集上的系统性能特征。

实际系统存储性能遵循理论与实际吞吐的关系：

$$T_{\text{practical}} = 0.5 \times B_{\text{theoretical}}$$

举例：NVMe 存储理论带宽 3GB/s，实际持续读约 1.5GB/s。但训练数据随机访问进一步降低有效带宽 90%。系统设计需通过合理缓冲区应对带宽损失。

系统总内存需求随批量大小线性增长：

$$Mrequired = (Bprefetch + Bprocessing + Btransfer) \times Sbatch$$

其中 B_{prefetch} 为预取内存，$B_{\text{processing}}$ 为预处理内存，B_{transfer} 为加速器传输内存，S_{batch} 为批量大小。

预处理操作带来额外计算需求。常见如图像尺寸调整、增强、归一化，消耗 CPU 资源。预处理需满足基本时间约束：

$$t_{\text{preprocessing}} < t_{\text{GPU_compute}}$$

若预处理时间超过 GPU 计算时间，则加速器利用率下降。预处理与计算时间的关系决定了训练系统设计的效率上限。

前向传播

数据流水线准备好批次后，训练循环开始处理数据。前向传播实现了 第 8 章：AI 训练描述的数学操作，输入数据通过模型生成预测。系统实现需解决多项关键挑战。

计算操作 前向传播需高效执行 第 8 章：AI 训练的计算模式，优化神经网络的特定操作。以矩阵乘法为基础，系统需高效执行每层 $N \times M \times B$ 浮点运算。例如，典型层 512×1024，批量 64，单层就需 3300 万次运算。

现代神经网络不仅仅是矩阵运算，还包含特殊计算模式。卷积网络 [^fn-convolution] 需在输入张量上系统性地滑动卷积核。例如，输入张量 $64 \times 224 \times 224 \times 3$，用 7×7 卷积核，每位置需 147 次乘加，64 个滤波器在 218×218 空间维度上操作，计算量极大。

Transformer 架构引入注意力机制 [^fn-attention-mechanisms]，需计算序列间相似度。这类操作结合矩阵乘法与 softmax 归一化，需高效广播和归约，序列长度变化大，对硬件加速器提出更高要求。

网络中逐元素操作也很重要。激活函数如 ReLU、sigmoid 独立变换每个值，虽然计算简单，但常受内存带宽限制而非算力限制。批归一化也类似，需跨批次统计和归一化，带来同步点。

现代硬件加速器（如 GPU）通过大规模并行优化这些计算。要实现峰值性能，需关注硬件架构。GPU 以固定大小线程块（如 NVIDIA 的 warp）处理数据，矩阵维度与硬件对齐时效率最高。例如，NVIDIA GPU 通常在 32×32 对齐时性能最佳。

如 cuDNN 等库为各类操作提供优化实现。系统会根据输入维度、硬件能力和内存约束动态选择算法，平衡计算效率与内存消耗，常需实测确定最优配置。

硬件利用模式强化了前文的效率原则。批量从 32 降至 16 时，GPU 利用率下降，因 warp 未完全占用。大批量提升利用率但加重内存压力，体现了硬件 - 软件权衡贯穿训练系统设计各层。

内存管理 内存管理是训练系统的核心挑战，尤其在前向传播阶段需保存中间激活以供反向传播。总内存随网络深度和批量线性增长：

$$\text{总内存} \sim B \times \sum_{l=1}^{L} A_l$$

B 为批量，L 为层数，A_l 为第 l 层激活大小。实际中远比公式复杂。

以 ResNet-50（主流图像分类模型）为例，处理 224×224 图片，批量 32。首层卷积输出 $112 \times 112 \times 64$ 激活，单精度浮点（4 字节）需约 98 MB。全网络 50 层，前向激活约 8GB，梯度 4GB，参数 200MB，总计 12.2GB，单批次就占高端 A100 GPU 40GB 的 30% 以上。

内存扩展模式揭示了关键硬件利用权衡。批量翻倍至 64，激活内存升至 16GB，梯度 8GB，总计 24.2GB，接近硬件极限。GPT-3（175B 参数）等大模型仅参数就需 700GB（FP32），FP16 也要 350GB，必须分布式存储。

现代 GPU 通常配备 40-80GB 内存，需同时容纳激活、参数、梯度和优化器状态。为此，系统采用多种内存管理策略：

激活检查点通过有选择地丢弃和重算激活，换取内存效率。只保存关键层的激活，反向传播时重算，内存可降 50% 以上，但计算时间增加 20-30%。

混合精度训练则通过用半精度（FP16）存储激活，内存直接减半。现代硬件对低精度有专门支持，通常能保持算力不变。

批量与内存的关系决定了训练策略的实际权衡。开发初期可用大批量小网络，扩展到深层或受限硬件时需减小批量。

在最新模型中，内存管理尤为关键。Transformer 等架构仅激活就需数十 GB，必须采用高级内存管理或分布式训练。理解这些约束和策略，是高效设计和部署机器学习系统的基础。

反向传播

前向传播完成预测和损失计算后，反向传播实现了 第 8 章：AI 训练的算法。该阶段计算密集，需链式法则逆向传播梯度，系统实现涉及计算与内存的复杂协同。

计算操作　反向传播按 第 8 章：AI 训练描述，逆序处理各层参数梯度。梯度计算需矩阵运算，将保存的激活与梯度信号结合，内存需求是前向计算的两倍。

主计算负载为 $\frac{\partial L}{\partial W^{(l)}} = \delta^{(l)} \cdot \left(a^{(l-1)}\right)^T$，即梯度信号与转置激活相乘。以 1000 输入、100 输出的层为例，单层就需数百万次浮点运算。

内存操作　反向传播需在内存与计算单元间大量数据流动。每层计算梯度时，需先从内存加载激活，再读取梯度信号，最后将计算结果写回内存。

以卷积层处理 64 张图片为例，每张 224×224 像素、3 通道。激活图需 0.38 GB，存储 64 份输入。梯度信号扩展至 8.1 GB（64 个滤波器），权重梯度也需 0.037 GB。

反向传播需在多级内存系统中协调数据流动。每次计算都需前向激活，导致内存层级间频繁数据转移，影响训练性能。

这些计算在内存层次间平衡速度与容量。计算梯度时，需从 HBM 或系统内存取激活，传至 SRAM 计算，再写回大容量存储。每次梯度计算都触发这一序列，内存访问模式成

为反向传播性能关键。多级内存切换带来的延迟在整个反向传播链中累积。

工程实践 以 ResNet-50 在 ImageNet 上训练、批量 64 为例。首层卷积用 64 个 7×7 滤波器处理 224×224 RGB 图片。反向传播时，单层需：

$$\text{每张图片内存} = 224 \times 224 \times 64 \times 4 \text{ 字节}$$

总内存乘以批量 64，单层梯度存储约 3.2 GB。加上激活、权重更新和中间计算，单层就接近 GPU 内存极限。

网络更深层，滤波器更多，资源需求更大。中间层如 256 个滤波器，内存和计算量翻倍。反向传播需在资源管理和高效计算间权衡。每层计算需等后续层梯度信号，形成严格的顺序依赖。

这种依赖要求 GPU 在反向传播期间维持大规模工作集。梯度逆向流动时，每层在计算阶段需临时占用峰值内存，直到完成梯度计算并传递给前一层，内存才能释放。

参数更新与优化器

训练循环的最后一步是参数更新，这是机器学习系统的核心操作。反向传播计算出梯度后，系统需分配和管理参数及其梯度的内存，并执行更新计算。优化器的选择不仅决定数学更新规则，也直接影响训练所需系统资源。

下面的代码展示了机器学习框架中的参数更新过程。

```
loss.backward()  # 计算梯度
optimizer.step()  # 更新参数
```

优化器内存需求 优化器选择不仅是算法决策，更是内存消耗和系统资源分配的主因。高级优化器如 Adam 虽加速收敛，但内存消耗是 SGD 的 2-3 倍，需存储历史梯度信息。在内存受限环境下，优化器状态甚至超过模型参数内存。

最基础的梯度下降算法（见前文）体现了参数更新的核心内存和计算模式。系统层面，每次参数更新需：

1. 从内存读取当前参数值
2. 访问已计算的梯度
3. 执行乘法和减法运算

4. 将新参数值写回内存

梯度下降只需存储参数和梯度，内存开销较低。高级优化器则需额外内存和计算，直接影响系统设计。例如，Adam 为每参数维护两组向量：一阶矩（梯度滑动平均）和二阶矩（梯度平方滑动平均），内存消耗翻三倍，但收敛更快，是典型的内存效率与训练速度权衡。以 10 万参数、每梯度 4 字节为例：

- 梯度下降：10 万 × 4 字节 = 400,000 字节 = 0.4 MB
- Adam：3 × 10 万 × 4 字节 = 1,200,000 字节 = 1.2 MB

对于十亿参数模型，模型本身（不含优化器状态和梯度）就已占据大量 GPU 内存。为解决这一问题，GaLoRE 作者提出通过压缩优化器状态和梯度，并在压缩空间中计算更新，如图 6 所示，大幅降低内存占用。

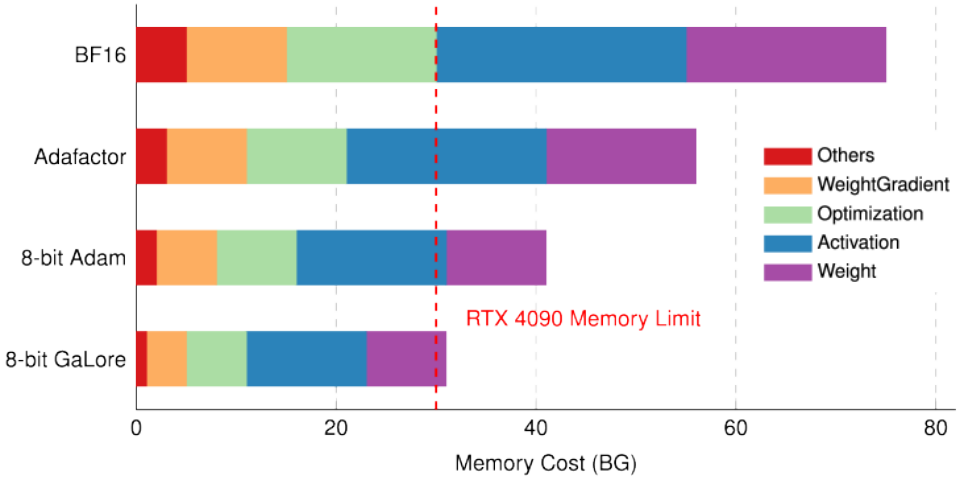

内存占用分解：大语言模型需大量内存，优化器状态和梯度常超过模型权重。图中量化了 llama-7B 的内存消耗，压缩技术可显著降低优化器数据存储需求。

参数更新的计算成本也取决于优化器复杂度。梯度下降每次仅需简单乘减，高级优化器如 Adam 还需计算梯度和平方的滑动平均，增加每参数更新的计算负载。

这些计算在现代 GPU、TPU 上的效率取决于优化器操作的并行性。Adam 的矩阵操作易于加速器并行，但部分复杂优化器操作并行性差，可能导致硬件利用率下降。

优化器选择直接影响系统内存和计算负载。高级优化器常以更高内存和计算复杂度换取更快收敛，是 ML 系统设计和资源分配的重要考量。

批量大小与参数更新 批量大小（Batch Size）是机器学习系统中的关键超参数，对参数更新过程、内存消耗和硬件效率有着重要影响。它决定了每次迭代中模型在参数更新前处理的训练样本数量。

较大的批量通常能带来更准确的梯度估计，有助于更快收敛和更稳定的参数更新，但也会线性增加内存需求：

$$\text{批量内存} = \text{批量大小} \times \text{单个训练样本大小}$$

内存消耗的增加直接影响参数更新过程，因为每次迭代可用于计算梯度的数据量取决于批量大小。

结合前文的效率模式，较大批量能提升硬件利用率，尤其是在针对并行处理优化的 GPU 和 TPU 上。这有助于更高效的参数更新和更快的训练速度，前提是硬件内存足够。

如前所述，这种计算效率是以更高内存消耗为代价的。内存受限的系统必须降低批量大小，这种权衡贯穿训练系统架构的各个层面。

批量大小还与优化过程的多个方面相互作用。例如，它影响参数更新的频率：大批量意味着更新频率降低但每次更新影响更大。批量大小还会影响自适应优化算法的行为，不同批量下可能需要调整算法参数。在分布式训练场景中，批量大小决定了数据并行度，影响梯度计算和参数更新在设备间的分布方式。

确定最优批量大小需在硬件约束下平衡上述因素，通常需要多次实验，找到既能提升学习效率又能充分利用硬件、保证参数更新有效性的最佳点。

流水线优化

即使流水线架构设计合理，若无针对性优化，实际性能也难以达到理论极限。硬件标称性能与实际训练吞吐常有 50-70% 的差距：标称 300 TFLOPS 的 GPU，训练时实际仅 90-150 TFLOPS；分布式系统理论 1000 TFLOPS，实际有效吞吐不到 500 TFLOPS。这种效率缺口源于系统性瓶颈，需通过优化技术加以解决。

下表为常见优化技术与对应瓶颈的映射，便于系统性提升性能：

表 4：**优化技术路线图**：每类主要瓶颈都有针对性解决方案。通过与性能分析结果匹配，指导系统性优化。

数据流延迟	**预取与流水线重叠**
计算吞吐限制	混合精度训练
内存容量约束	梯度累积与激活检查点

训练流水线性能受三大瓶颈限制（见表 4）：数据流延迟、计算吞吐限制和内存容量约束。数据流延迟指训练批次从存储、预处理到计算单元的流动速度不足，导致加速器空闲。计算吞吐限制则是数学运算未能充分发挥硬件性能，可能因并行度不足、精度选择或内核效率低下。内存容量约束则限制了可训练的模型规模和批量大小，直接影响模型复杂度和训练效率。不同规模的系统（如 100GB 与 1GB 模型）面临的具体约束不同，但识别和解决瓶颈的原则是一致的。

这些瓶颈常常相互影响。例如，数据加载慢则 GPU 空闲；计算效率低则内存带宽未充分利用；内存受限则只能用小批量，降低 GPU 效率。优化的关键在于识别当前主要瓶颈，并选择针对性技术解决，同时避免引入新的瓶颈。

系统化优化框架

前述流水线架构为针对性优化创造了条件。高效优化需遵循系统化方法论，适用于各种系统规模和模型架构。三阶段框架是所有优化工作的基础：性能分析定位瓶颈，针对性选择技术，组合多种方案实现协同优化。

分析阶段用 PyTorch Profiler、TensorFlow Profiler、NVIDIA Nsight Systems 等工具，量化训练迭代各环节耗时。与前文介绍的分析方法一致 —— 系统性量化瓶颈主导因素。例如，分析结果显示数据加载占 40%，计算占 35%，内存操作占 25%，则优化重点应放在数据加载。

选择阶段将优化技术与瓶颈对应。每种技术针对特定约束：预取解决数据流延迟，混合精度兼顾计算吞吐与内存约束，梯度累积则专注于内存限制。选择需结合硬件、模型结构和训练配置，理解技术的适用性和效果。

组合阶段则将多种技术协同应用，实现叠加效益。预取与混合精度可互补 —— 前者优化数据流，后者提升计算与内存效率，可同时应用。但部分组合会冲突：如激进预取加重内存压力，可能与内存受限配置矛盾。成功组合需理解技术间的相互作用和依赖。

这一系统化框架 —— 分析、选择、组合 —— 将三大核心优化技术应用于主要瓶颈。预取与流水线重叠针对数据流延迟，通过数据与计算协同提升效率。混合精度训练通过低精度运算同时优化计算吞吐和内存。梯度累积与检查点则通过计算换内存，解决内存约束。这些技术可灵活组合，协同提升训练性能。

生产环境优化决策框架

系统化框架确立了方法论，生产环境则引入更多运维约束。生产决策框架在系统化基础上，结合实际部署的性能、复杂度、监控和可靠性等因素，指导优化技术的选择。

生产优化需在性能提升与实现复杂度、运维监控和系统可靠性间权衡。四大因素指导技术选择：性能提升潜力（预期加速或节省内存）、实现复杂度（开发与调试难度）、运维开销（监控与维护需求）、系统可靠性（容错与可复现性影响）。

高收益、低复杂度的优化（如数据预取）应优先实施，风险低且见效快。复杂优化如梯度检查点需权衡开发、调试和维护成本。后文将以生产视角分析各优化技术，提供优先级、监控和运维建议，帮助工程师在实际部署环境中做出明智决策。

数据预取与流水线重叠

以预取和流水线重叠为例，系统化框架如何落地。这类技术针对数据流延迟瓶颈，通过数据与计算协同提升效率。分析发现计算单元因等待数据而空闲时，预取和重叠最有效。

训练机器学习模型涉及大量数据在存储、内存和计算单元间流动。数据流水线包括：磁盘到 CPU 内存、CPU 到 GPU 内存、GPU 处理。标准实现中，各环节顺序执行，如图 7 所示，导致计算效率低下。

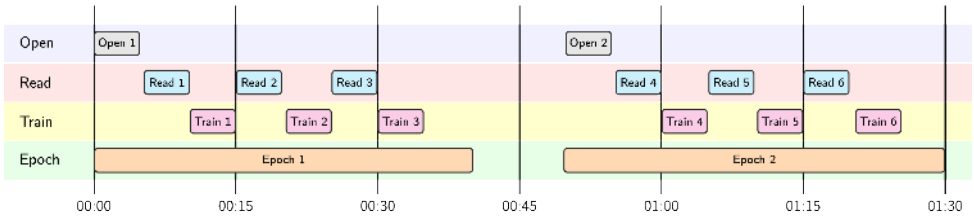

顺序数据传输：标准数据获取流水线依次完成磁盘到 CPU、CPU 到 GPU、GPU 处理，形成瓶颈，限制模型训练的计算吞吐。串行流程阻碍了数据与计算的重叠，资源利用率低。

预取通过提前加载数据，保证计算时数据已准备好。当前批次训练时，系统并行加载和准备后续批次，保持数据供应（参考 Abadi 等，2015）。

流水线重叠则在预取基础上，让多个流水线阶段并行执行。系统在处理当前批次的同时，预处理下一批数据，并开始加载再下一批，实现数据流持续不断，如图 8 所示。

这些优化在大规模数据集、预处理复杂、多 GPU 或高延迟存储场景下尤为有效。下节将分析现代训练系统中这些技术的具体实现机制。

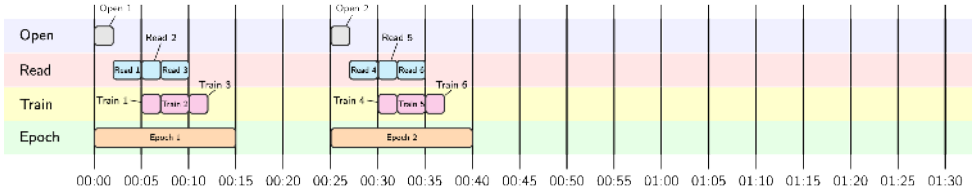

img

预取机制 预取与流水线重叠通过让数据处理和计算各阶段并行，而非串行，优化训练流水线。这些技术通过解决数据传输和预处理瓶颈，最大化资源利用率。

如前所述，训练数据需经历三阶段：存储读取、格式转换、模型训练。未优化流水线各阶段顺序执行，GPU 在数据获取和预处理期间处于空闲，效率低下。

预取通过异步加载数据，消除等待。数据加载器作为独立线程或进程，在模型计算时准备下一批数据，确保 GPU 随时有数据可用。

流水线重叠则让三阶段同时进行。GPU 处理当前批次时，CPU 预处理下一批，存储区加载再下一批，实现各环节持续运转。

现代机器学习框架已内置这些机制。PyTorch 的 `DataLoader` 类即为典型实现，示例见代码清单 2。

代码清单 2：**流水线优化**：高效的数据批处理与预取可持续保持 GPU 利用率。

```
loader = DataLoader(
    dataset, batch_size=32, num_workers=4, prefetch_factor=2
)
```

`num_workers` 和 `prefetch_factor` 参数控制并行处理和数据缓冲。多个 worker 并行加载和预处理数据，`prefetch_factor` 决定提前准备的批次数。

缓冲区管理对流水线效率至关重要。预取缓冲区大小需合理调优，过小则 GPU 等待数据，过大则占用过多内存，影响模型参数或批量大小。

实现依赖 CPU-GPU 协同。CPU 负责数据准备，GPU 负责计算，结合存储 I/O，形成高效流水线，最大化硬件资源利用。

这些优化在存储访问慢、预处理复杂或数据集庞大的场景下效果显著。不同训练任务可根据数据和计算特性灵活应用。

预取优势 预取与流水线重叠显著提升训练流水线效率，解决数据处理和计算的关键瓶颈。下表对比了优化前后的效果：

方面	传统流水线	预取与重叠优化后
GPU 利用率	经常空闲	几乎持续满载
训练时间	串行操作导致时间延长	并行处理显著缩短
资源利用	通常不充分	硬件资源最大化
可扩展性	受最慢环节限制	可适应多种瓶颈

表 5：**流水线优化**：预取与重叠通过并行数据加载和计算，最大化硬件利用率、缩短训练时间，突破串行流水线的瓶颈。资源利用和可扩展性提升，适应不同硬件和任务需求。

最大优势在于 GPU 利用率提升。传统流水线中，GPU 常因等待数据而空闲，尤其在数据增强或预处理复杂时更明显。异步数据加载和流水线重叠确保 GPU 始终有数据可处理，消除无谓延迟。

另一个重要优势是训练时间缩短。预取与重叠让流水线各阶段并行，GPU 处理当前批次时，数据加载器已准备下一批，数据流持续不断。并行性显著降低迭代延迟，尤其在大规模数据集场景下。

这些技术高度可扩展，能根据硬件配置灵活调整。预取缓冲和重叠机制可针对存储、网络或计算瓶颈优化，最大化资源利用，适用于大规模机器学习任务。

总体而言，预取与重叠直接解决训练流水线常见低效问题。优化数据流和计算，不仅提升硬件效率，也能在更短时间内训练更复杂模型。

数据流水线优化应用场景　预取与流水线重叠可广泛应用于各类机器学习任务，提升流水线效率。尤其在数据处理和预处理计算量大、数据集规模庞大的场景下效果显著。

计算机视觉是主要应用场景之一，数据集常为高分辨率图片，预处理复杂。分类、检测、分割等任务需尺寸调整、归一化、数据增强，预处理耗时显著。预取与重叠可让这些操作与计算并行，保证 GPU 持续工作。

例如，典型图片分类流水线包括随机裁剪（10ms）、色彩扰动（15ms）、归一化（5ms），无预取则每步延迟 30ms。预取可在前一批计算时完成这些操作。

NLP 任务同样受益，尤其在处理大规模文本语料时。文本预处理包括分词、序列填充、

子词编码等。BERT 训练流水线每批需处理数千句子，预取可让文本处理与模型训练并行。重叠优化数据传输和计算，尤其适用于 BERT、GPT 等高算力需求的 Transformer 模型。

分布式训练系统（多 GPU 或节点）也是关键应用场景。分布式环境下，网络延迟和数据传输常成瓶颈。预取确保数据提前准备，重叠则让各节点预处理与中心计算并行，降低同步延迟。

此外，预取与重叠在云端或远程存储场景尤为重要。云平台训练需跨网络或分布式存储获取数据，延迟更高。应用预取与重叠可显著降低延迟，保证训练流程顺畅。

这些案例说明预取与重叠能优化各类机器学习流水线，提升数据与计算流动效率，加快训练进程。

流水线优化实现挑战 预取与重叠虽能优化训练流水线，但实际实现也有诸多挑战和权衡。理解这些限制，有助于在真实工程中高效应用。

主要挑战之一是内存消耗增加。预取与重叠需维护预取数据缓冲区，额外占用内存。大数据集或高分辨率输入时，内存需求显著，尤其在 GPU 内存有限时。缓冲区过大易导致 OOM 错误，需调整批量或参数，影响整体效率。

例如，预取因子为 2，批量为 256 张高分辨率图片（1024×1024），缓冲区可能需额外 2GB GPU 内存。视觉模型本身参数和激活已占大量内存，预取压力更大。

参数调优也是难点。PyTorch 的 `num_workers`、`prefetch_factor` 等参数需针对硬件和任务优化。线程数增加可提升吞吐，但过多会导致 CPU 资源争用或性能下降。最佳配置常需多次实测。一般建议线程数等于 CPU 核心数，但如 16 核处理大图片，全部用于数据加载可能影响其他操作，反而拖慢流水线。

调试也更复杂。异步数据加载、多线程或多进程易引发竞态、死锁或同步问题。流水线执行不再线性，错误难以定位。开发者需投入更多监控、日志和调试工具，保证流水线可靠运行。

部分场景下预取与重叠收益有限。例如，存储或网络带宽远高于计算速度时，优化效果不明显，反而增加内存和实现复杂度。

最后，流水线各环节需精细协同。设计不当易导致某一阶段成为瓶颈，抵消优化效果。如数据加载过慢，GPU 仍会等待，重叠优势无法发挥。

尽管如此，预取与重叠仍是优化训练流水线的核心工具。理解并管理其权衡，能高效实现更流畅的机器学习流程。

混合精度训练

预取优化数据流，混合精度训练则通过合理使用低精度运算，同时保证数值稳定性，兼顾计算吞吐和内存约束。分析发现训练受 GPU 内存或算力限制时，混合精度最有效。

混合精度训练在模型训练中结合不同数值精度，提升计算效率。常用 FP32、FP16 和 bfloat16 格式，既能降低内存消耗，又能加速计算，同时保持模型精度 [见 micikevicius2017mixed；wang_bfloat16_2019]。

FP32 网络每参数需 4 字节，FP16/bfloat16 仅需 2 字节。10 亿参数模型，内存从 4GB 降至 2GB。内存节省可用于更大批量或更深模型。

各数值格式的精度和范围决定其适用场景。FP32 范围约 $\pm 1.18 \times 10^{-38}$ 到 $\pm 3.4 \times 10^{38}$，精度 7 位。FP16 范围 $\pm 6.10 \times 10^{-5}$ 到 $\pm 65,504$，精度 3-4 位。bfloat16（Google Brain 推出）与 FP32 动态范围相同，但精度仅 3-4 位，适合深度学习训练，能更好处理大/小梯度。

混合精度训练分三阶段，如图 9 所示。前向传播时，输入数据转为低精度（FP16/bfloat16），矩阵乘法和激活函数均用低精度。反向传播计算梯度也用低精度，但结果存储在 FP32 主权重。参数更新阶段，优化器用 FP32 更新主权重，更新后再转为低精度用于下次前向。

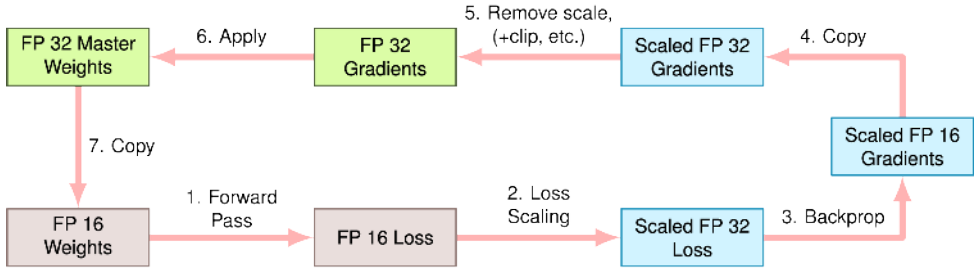

混合精度训练：低精度格式（FP16、bfloat16）在前后向传播中降低内存带宽和计算需求，主权重用 FP32 累积低精度梯度，兼顾性能与精度。

现代硬件专为低精度运算优化。NVIDIA GPU 配备 Tensor Core，专为 FP16/bfloat16 加速（参考 Jia 等，2018）。Google TPU 原生支持 bfloat16，专为机器学习设计。低精度运算吞吐通常比 FP32 高一个数量级，混合精度训练在现代硬件上尤为高效。

FP16 运算 混合精度训练的大部分操作（如矩阵乘法、激活函数）用 FP16 执行。低精度计算速度快、内存消耗低，Tensor Core 原生支持 FP16，速度提升显著。

FP32 累积 FP16 虽高效，但精度有限，关键操作如梯度更新易数值不稳定。为此，混合精度训练在权重更新和梯度累积等关键步骤保留 FP32，避免梯度下溢或溢出，保证模型收敛。

损失缩放 FP16 动态范围有限[244]，梯度易因过小而丢失。损失缩放通过在反向传播前将损失乘以较大因子（如 2^{10}），保证梯度在 FP16 可表示范围内。

PyTorch、TensorFlow 等框架已内置混合精度支持。PyTorch 的 `torch.cuda.amp` 自动选择 FP16/FP32 运算并应用损失缩放，简化实现。

FP16 运算、FP32 累积和损失缩放三者结合，实现高效混合精度训练，显著降低内存和计算开销，同时保证训练精度和稳定性。后文将探讨其实际优势及对现代机器学习流程的影响。

混合精度优势 混合精度训练为现代机器学习流程带来多重优势。降低内存和计算负载，使得更大模型、更大批量、更快训练成为可能，同时保证模型精度和收敛性。

混合精度训练显著降低内存消耗。FP16 运算仅需 FP32 一半内存，激活、权重和梯度存储需求均减半。例如，1B 参数的 Transformer，FP32 权重需 4GB，FP16 仅 2GB。内存节省可用于更大批量，提升梯度估计稳定性和收敛速度。每次操作内存消耗降低，能在同一硬件上训练更深更复杂模型，突破原有内存限制。

混合精度训练还能加速计算。现代 GPU（如配备 Tensor Core）专为 FP16 优化，单周期可处理更多运算，训练速度提升明显。结合前文矩阵乘法模式，FP16 运算在主流操作上可达 FP32 的 2-3 倍加速。大规模模型（如 Transformer、CNN）尤为明显。

混合精度训练还提升了硬件利用率，更好匹配现代加速器设计。传统 FP32 工作流常因并行度不足未能充分利用 GPU 吞吐，FP16 运算负载更轻，能同时执行更多操作，硬件利用率更高。

此外，混合精度训练适合分布式和云端系统。分布式训练时，模型在多 GPU 或节点间同步，内存和带宽成关键瓶颈。混合精度通过减少设备间张量大小，不仅加快通信，还降低整体资源消耗。云端环境下，资源分配和成本优化尤为重要。

总体而言，混合精度训练不仅提升性能，更优化了资源利用，使得先进模型训练更高效，成为现代机器学习的核心技术。

GPT-2 训练高度依赖混合精度（FP16）以适配 GPU 内存约束。

244. **FP16 动态范围**：IEEE 754 半精度（FP16）仅 5 位指数，范围 ±65,504（FP32 为 $\pm 3.4 \times 10^{3}$□）。更关键的是 FP16 最小正数为 6×10^{-8}，而深度网络梯度常低于 10^{-10}，导致梯度下溢变零，训练停滞，因此需损失缩放。梯度计算后再反向缩放，恢复原始梯度幅度。这样 FP16 可高效使用而不损失数值稳定性。

内存节省

FP32 基线：

- 参数：1.5B × 4 字节 = 6.0 GB
- 激活（batch=32）：约 65 GB
- 梯度：6.0 GB
- 总计：约 77 GB（超出单 GPU）

FP16 混合精度：

- 参数（FP16）：1.5B × 2 字节 = 3.0 GB
- 激活（FP16）：约 32.6 GB
- 梯度（FP16）：3.0 GB
- 优化器状态（FP32 主权重）：12.0 GB（Adam m, v）
- 总计：约 51 GB（仍紧张，但可优化）

混合精度 + 梯度检查点：

- 激活降至约 8 GB（反向传播重算）
- 总计：约 26 GB，轻松适配 32GB V100

计算加速

NVIDIA V100（Tensor Core）：

- FP32 吞吐：约 90 样本/秒
- FP16 吞吐：约 220 样本/秒
- 加速比：2.4×

关键实现细节

1. 损失缩放：初始 scale=2^15，溢出时动态降低。注意力层梯度范围 10^-6 到 10^3，损失缩放防止下溢。
2. FP32 主权重：优化器用 FP32 更新，防止权重停滞。小学习率 × FP16 梯度易四舍五入为零，FP32 累积保留微小更新。
3. 选择性 FP32 运算：
   - LayerNorm：FP32 计算（方差需高精度）

- Softmax：FP32 计算（指数需全范围）
- 其他均用 FP16

训练成本影响

- FP32:32 块 V100，2 周约 $50,000
- FP16:32 块 V100，1.2 周约 $28,000
- 节省：$22,000 + 6 天加速

质量影响：极小。GPT-2 困惑度与 FP32 基线仅差 0.5%，在噪声范围内。

混合精度训练已成为机器学习流程的必备技术，尤其在算力和内存优化至关重要的领域和场景。其加速训练和扩展模型能力，使其广泛适用于各类任务和架构。

最典型应用是大规模模型训练。NLP 中如 BERT（345M 参数）、GPT-3（175B 参数）、Transformer 架构，均体现了前文计算模式。混合精度训练支持更大批量、更深模型，加快收敛、提升精度。

计算机视觉任务如分类、检测、分割，常需处理高分辨率图片和复杂卷积操作。通过混合精度训练，这些工作负载可更高效执行，使得 ResNet、EfficientNet、视觉 Transformer 等先进架构在实际资源限制下也能训练。

强化学习（RL）同样高度依赖混合精度。RL 涉及高维状态空间，训练和仿真算力需求大。混合精度降低这些过程的开销，使研究者能专注于更大环境和更复杂策略网络。

分布式训练系统也从中受益。在多 GPU 或节点的训练中，内存和带宽常成为限制扩展的关键因素。混合精度通过减少设备间交换的张量大小，加快了设备间的通信，同时降低了整体资源需求。这在云端环境中尤为有效，因为云资源的分配和成本效率至关重要。

混合精度训练也广泛应用于语音处理、生成建模、科学仿真等领域。这些模型常需大数据和参数，传统 FP32 难以承载。通过优化内存和利用 Tensor Core 加速，能更快、更低成本训练先进模型。

混合精度训练的多领域适应性，凸显其在现代机器学习中的重要性。无论是大规模 NLP、计算密集视觉架构，还是分布式训练环境，混合精度都能突破算力和内存瓶颈，推动技术边界。

混合精度训练局限　混合精度训练虽有显著内存和算力优势，但也带来多项挑战和权衡，需谨慎管理。

主要挑战在于 FP16 精度有限。FP16 运算虽快、内存低，但动态范围（$\pm 65,504$）有限，梯度计算易数值不稳定。小于 6×10^{-5} 的梯度难以准确表示，易下溢。损失缩放虽能缓解，但实现和调优增加复杂度。

另一个权衡是收敛风险。多数任务在混合精度下表现良好，但部分模型或数据需更高精度才能稳定收敛。例如，长序列 RNN 易在 FP16 下累积数值误差，需梯度裁剪和精度管理。部分操作需选择性关闭 FP16，增加训练流程复杂度。

调试和监控也更难。FP16 工作流中，梯度或激活出现 NaN（非数值）更常见，难以定位。深层网络梯度爆炸在 FP16 下表现为无穷大，FP32 下则更易发现。PyTorch 和 TensorFlow 提供混合精度调试工具，但自定义实现仍有盲区。

硬件依赖也是挑战。混合精度训练高度依赖支持 FP16 运算的 GPU（如 Tensor Core），部分硬件不支持，限制技术适用范围。

部分场景下混合精度收益有限。参数量较小（<1000 万）或模型算力需求低，FP16 加速不明显，反而增加实现复杂度。

尽管如此，混合精度训练仍是大规模机器学习任务的高效优化技术。理解并管理其权衡，能最大化收益，保证训练高效可靠。

梯度累积与检查点

混合精度优化内存后，梯度累积与激活检查点则通过计算换内存，专注解决内存约束，适用于分析发现训练受限于可用内存而非算力的场景，使更大模型或批量在受限硬件上可训练。

训练大模型时，激活（中间层输出）、梯度（参数更新）、参数（权重和偏置）三者在前后向传播期间需大量内存。GPU 内存限制常导致批量或模型规模受限。

梯度累积与激活检查点正是为优化内存而设计，使得更大更复杂模型可在有限硬件上训练，成为现代深度学习不可或缺的工具。何时应用这些技术，需结合具体训练场景的内存使用和性能瓶颈分析。

梯度累积与检查点机制　两者原理不同，但目标一致：通过调整前后向计算方式优化训练内存。

梯度累积　梯度累积通过将一个有效大批量拆分为多个“小批量”（micro-batch），如图 10 所示。每次前后向传播只处理一个 micro-batch，计算出的梯度累加到缓冲区，不立即更新参数。重复多次后，所有 micro-batch 的梯度累积完毕，再统一更新参数。

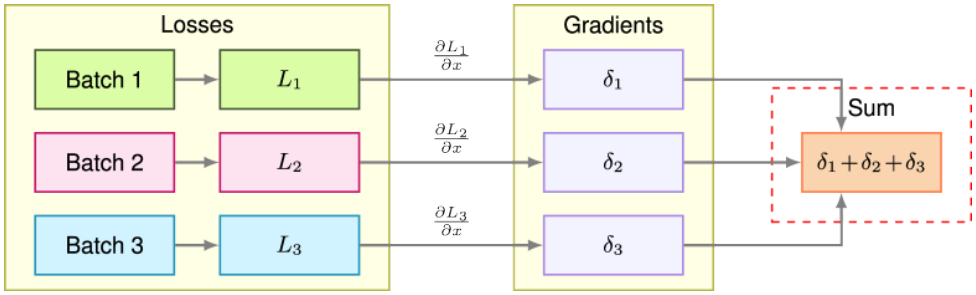

梯度累积：通过多次 micro-batch 累积梯度，模拟大批量训练而不增加每步内存需求。适用于内存受限时训练大模型或大数据集，提升训练稳定性和泛化能力。

关键步骤：

1. 对 micro-batch 执行前向传播
2. 反向传播计算梯度
3. 梯度累加到缓冲区，不更新参数
4. 重复 1-3，直到所有 micro-batch 完成
5. 用累积梯度统一更新参数

激活检查点 激活检查点通过丢弃和选择性重算激活，降低反向传播内存。标准训练中，前向激活全部存储，供反向传播用，深层网络内存消耗极大。

检查点只保留部分激活，反向传播时按需重算丢弃的激活，图 11 所示。这样用计算换内存，训练时间增加，但能在有限内存下训练更深模型。图示说明通过只存储关键激活，反向传播时再重算，显著节省内存。

实现流程：

1. 将模型分段
2. 前向只保留分段边界激活
3. 反向需梯度时重算中间激活

PyTorch 提供如 `torch.utils.checkpoint` 等工具简化实现。检查点对 Transformer、深层卷积网络等大模型尤为有效，激活内存常超出 GPU 容量。

梯度累积与检查点协同，可训练更大更复杂模型。梯度累积解决批量相关内存，检查点优化中间激活，两者结合扩展了可训练模型的范围。

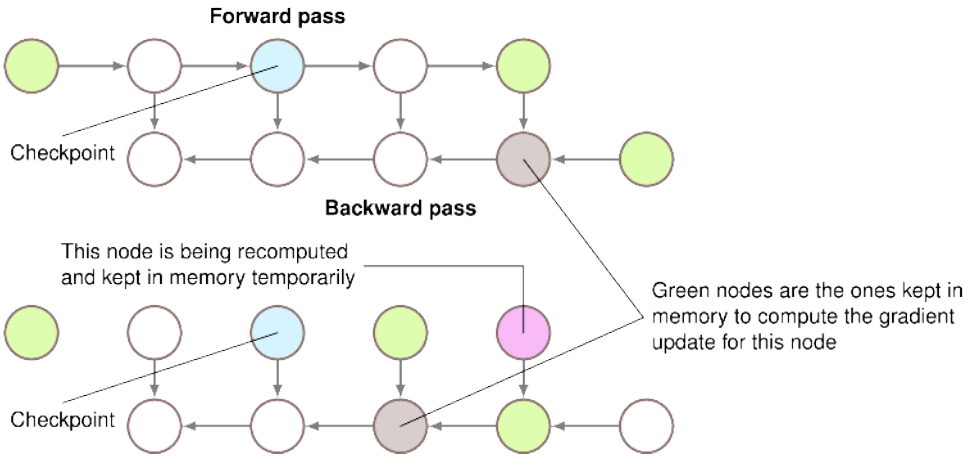

激活检查点：通过反向传播时重算激活，降低内存消耗，使更深网络可训练。只存储部分激活，按需重算，内存峰值显著降低，代价是训练时间增加。

内存与计算优势 梯度累积[245]与激活检查点[246]为大规模模型训练的内存瓶颈提供了有效解决方案。通过优化内存使用，这些技术使复杂架构得以在有限硬件上开发和部署。

梯度累积最大优势是可在不增加内存的前提下模拟大批量训练。大批量能提升梯度估计稳定性和收敛速度，梯度累积让小批量也能获得这些好处，适用于高分辨率数据（如大图片、3D 数据），单批即超内存时尤为有效。

激活检查点则显著降低前向激活内存，使更深模型可训练。丢弃并重算激活，释放内存，可用于更大模型、更多层或更高分辨率数据。Transformer、密集卷积网络等高级架构尤需此技术。

两者提升了机器学习流程的可扩展性。云端或边缘设备等资源受限环境，能高效训练，无需昂贵硬件升级。研究者可探索更大更复杂架构，推动技术边界。

此外，这些技术还能降低开发成本。优化内存后，硬件需求下降，整体开发成本降低，尤其适合初创公司、学术机构或共享资源项目。

梯度累积与激活检查点兼具技术和实践优势，为大规模模型训练提供更灵活、可扩展、低成本的解决方案。

GPT-2 训练配置即高度依赖梯度累积。

内存约束

245. **梯度累积影响**：单 GPU 可用 32-64 mini-batch 实现有效批量 2048+，Transformer 训练必备。BERT-Large 用有效批量 256（累积 8 步），性能达全批量 99.5%，内存降 8 倍，计算开销仅 10-15%。
246. **激活检查点权衡**：内存降 50-90%，计算增加 15-30%。GPT-3 在 V100 上用检查点，模型规模从 1.3B 提升到 3.7B，内存约束下提升 2.8 倍，尽管训练时间增加，仍是大模型训练必备。

- V100 32GB GPU + 激活检查点：可容纳 batch_size=16（见激活内存示例）
- 期望有效批量：512（Transformer 收敛最佳）
- 问题：512 ÷ 16 = 需 32 GPU 才能实现

梯度累积解决方案

无需 32 GPU，只需 8 GPU + 梯度累积：

配置：

- 每 GPU micro-batch：16
- 累积步数：4
- 每 GPU 有效批量：16 × 4 = 64
- 全局有效批量：8 GPU × 64 = **512** ✓

训练循环：

```
optimizer.zero_grad()
for step in range(4):  # 累积步数
    micro_batch = next(dataloader)  # 16 个样本
    loss = model(micro_batch) / 4  # 损失缩放
    loss.backward()  # 累积梯度
# 此时梯度代表 64 个样本
all_reduce(gradients)  # 8 GPU 同步
optimizer.step()  # 用有效批量 512 更新参数
```

性能影响

无累积（朴素方案）：

- 32 GPU × batch_size=16 = 512 有效批量
- 梯度同步：32 GPU，通信开销大
- 成本：$16/小时 × 32 GPU = $512/小时

有累积（GPT-2 实际方案）：

- 8 GPU × (16 × 4 累积) = 512 有效批量
- 梯度同步：每 4 步同步，仅 8 GPU
- 成本：$16/小时 × 8 GPU = $128/小时
- 节省：$384/小时，降 75%

权衡分析

- 计算开销：每次更新需 4× 前向，整体慢约 8%（流水线可部分重叠）
- 内存开销：梯度累积缓冲可忽略（梯度本就需存储）
- 通信优势：同步频率降 4×，通信时间降 75%
- 成本优势：2 周训练 8 GPU = $21.5K，32 GPU = $86K

收敛质量

- 有效批量 512（累积）：困惑度 18.3
- 真批量 512（无累积）：困惑度 18.2
- 差异：0.5%（噪声范围内）

原理说明：梯度累积与大批量数学等价，因梯度可加：

$$\nabla L_{\text{batch}} = \frac{1}{N}\sum_{i=1}^{N}\nabla L(x_i) = \frac{1}{4}\sum_{j=1}^{4}\left[\frac{1}{16}\sum_{k=1}^{16}\nabla L(x_{jk})\right]$$

关键洞察：对内存受限模型如 GPT-2，梯度累积 + 少量 GPU 比小批量多 GPU 更高效。

梯度累积与激活检查点在硬件内存受限场景下尤为重要。大模型训练、高分辨率数据、资源受限环境均需此技术。

梯度累积常用于需大批量稳定收敛的模型，如 GPT、BERT、Transformer[247]，大批量能提升梯度估计，但易超 GPU 内存。累积可用小批量实现大批量，适合语言建模、序列到序列、图像分类等任务。

激活检查点则使深层网络可训练。视觉领域如 ResNet-152、EfficientNet、DenseNet，激活内存极大，检查点可显著降低。NLP 中如 GPT-3、T5，数百层、数十亿参数，激活常超单 GPU，检查点必不可少。GAN 等生成模型，生成器和判别器同时训练，检查点可管理双网络内存。

资源受限环境（如边缘设备、云平台）也需此技术，升级硬件成本高，梯度累积与检查点可用现有硬件高效训练。

科研和实验同样离不开这两项技术。可原型测试更大更复杂模型，探索新架构，推动学术和创新。

梯度累积与激活检查点解决了大规模模型在内存受限环境下的核心挑战，已成为 NLP、视觉、生成建模、边缘计算等领域的必备工具。

247. **Transformer 批量扩展**：研究表明 Transformer 最优批量为 256-4096 token，多数硬件需梯度累积。GPT-2 训练批量从 32 提升到 512，困惑度提升 0.3-0.5，说明大批量对语言模型收敛至关重要。

内存 - 计算权衡挑战 梯度累积与激活检查点虽能优化训练内存，但实现时也有多项挑战和权衡，需精细管理。

激活检查点的主要权衡是计算开销增加。通过丢弃和重算激活节省内存，但反向传播需多次重算前向，训练时间增加。例如，Transformer 12 层，检查点每 4 层，反向传播时中间激活需重算 3 次。开销取决于分段方式和每段计算量，需在内存节省与训练时间间平衡。

梯度累积虽能模拟大批量，但参数更新频率降低。梯度需多次累积后才更新，收敛速度可能受影响，尤其对批量敏感模型。累积需合理调整学习率，如累积 4 步模拟批量 128，学习率需乘以 4，保证有效学习率不变。有效批量增大，学习率需同比调整，保证训练稳定。

调试和监控也更复杂。激活检查点重算时易出错，难以定位。梯度累积需确保每次有效批量后正确累积和清零，处理不当易出 bug。

实现复杂度也提升。PyTorch 等框架虽有工具，但高效应用仍需理解原理。激活检查点需合理分段，避免重算过多或内存节省有限。分段不当易性能低下或计算开销过大。

部分场景下技术收益有限。如激活检查点重算开销过高，内存节省不足，反而拖慢训练。模型或数据无需大批量时，梯度累积的复杂度也不值得。

尽管这些挑战，梯度累积与激活检查点仍是大模型内存优化的核心技术。合理管理权衡，针对具体任务灵活应用，能最大化效率和效果。

优化技术对比

如表 6 总结，各技术在实现复杂度、硬件需求、计算速度和内存影响上各有不同。选择合适优化策略需结合具体场景、硬件资源和训练瓶颈。

方面	预取与重叠	混合精度训练	梯度累积与检查点
主要目标	降低数据传输延迟，提升 GPU 利用率	降低内存消耗与计算负载	解决反向传播与参数更新时的内存瓶颈
关键机制	异步数据加载与并行处理	FP16/FP32 运算结合	模拟大批量与选择性激活存储

方面	预取与重叠	混合精度训练	梯度累积与检查点
内存影响	预取缓冲区增加内存消耗	FP16 降低内存消耗	降低激活与梯度内存消耗
计算速度	通过减少空闲提升速度	FP16 加速计算	检查点重算可能降低速度
可扩展性	大数据集下高度可扩展	支持更大模型训练	允许在有限硬件上训练更深模型
硬件需求	需高速存储与多核 CPU	需支持 FP16 的 GPU（如 Tensor Core）	标准硬件即可
实现复杂度	中等（需调优预取参数）	低到中等（框架支持）	中等（需合理分段与累积）
主要优势	缩短训练时间，提升硬件利用率	更快训练、更大模型、更低内存消耗	支持更大批量和更深模型
主要挑战	缓冲区调优、内存消耗增加	数值不稳定、需损失缩放	计算开销增加、参数更新变慢
理想场景	大数据集、复杂预处理	大规模模型，尤其 NLP 与视觉	深层网络、内存受限环境

表 6：**优化策略对比**：预取、混合精度、梯度累积分别针对 AI 训练流水线的数据传输、内存消耗和反向传播瓶颈，提升计算效率、支持更大模型。选择策略需在实现复杂度与速度、资源利用间权衡，结合硬件和任务特性。

三大技术虽为机器学习核心优化策略，但更广泛的优化还包括分布式训练等。单机优化终有极限：内存容量限制模型规模，算力限制训练速度，数据集规模超出单机存储。

单机优化的系统化分析方法同样适用于判断何时需分布式扩展。当分析发现单机技术无法解决瓶颈时，多机扩展成为必然选择。

多机扩展基础

从单机到分布式训练，是优化策略和系统复杂度的质变。单机优化关注资源利用（如预取、混合精度、梯度累积），分布式训练则需全新框架和工程方法。

多机训练需求 三大信号表明分布式训练已非可选而是必需。第一，内存耗尽：即使用梯度检查点和混合精度，模型参数、优化器状态和激活存储仍超单设备容量。Transformer 模型在当前 40-80GB GPU 上，约 10-20 亿参数即达极限。第二，训练时间不可接受：单机训练需数周或数月，迭代速度太慢。GPT-3 若用单块 V100，需约 355 年，分布式训练成为唯一选择。第三，数据集规模超单机存储：如视觉或语言建模任务，训练数据达数 TB，单机无法承载。

分布式训练复杂度权衡 分布式训练带来三大复杂度：通信开销、容错需求和算法调整。通信开销源于梯度同步，每步需在所有设备间聚合梯度。模型参数 N，设备数 D，每步需传输约 $2N(D-1)/D$ 字节。普通网络（10-100Gbps）下，1B 参数模型通信常超计算时间。容错需求随集群规模指数级提升：100 节点，单节点可靠性 99.9%，平均每几小时就有故障，需检查点和恢复机制。算法层面，分布式训练改变优化动态 —— 数据并行导致大批量，需学习率缩放和预热，单机训练无需考虑。

单机到分布式转变 单机优化方法同样适用于分布式环境，但需重要调整。分析需覆盖设备间通信和同步开销，除计算和内存外，还要关注通信模式。NVIDIA Nsight Systems、PyTorch 分布式分析工具可判断训练是通信瓶颈还是计算瓶颈，指导并行策略选择。解决方案从单机技术扩展到数据并行（分配训练样本）、模型并行（分配参数）、流水线并行（分配层），以及多种混合策略。原则一致 —— 定位瓶颈、选择技术、组合方案 —— 但实现复杂度大幅提升。

分布式系统

在单机优化的基础上，分布式训练将系统化优化框架扩展到多台机器。当单机优化手段已用尽 —— 如预取消除了数据加载瓶颈、混合精度最大化了内存效率、梯度累积达到实际极限时 —— 分布式方法为模型扩展提供了新的能力。

从单机到分布式训练的演进遵循“先局部优化，再横向扩展”的自然路径。这一过程确保每个节点都能高效运行，同时引入多机训练所需的协调机制。随着模型复杂度和数据集规模的提升，单台设备的计算、内存和存储能力往往难以满足需求，特别是在自然语言处理、计算机视觉和科学计算等领域。分布式训练 [248] 通过将工作负载分散到多台机

248. **分布式训练**：Google 的 DistBelief（2012）首次实现了大规模分布式神经网络训练，使得数十亿参数的模型能

器上协同训练单一模型，有效应对了这一挑战。

这种多机协作依赖一致性协议和同步原语，确保参数更新在各节点间保持一致。基础的屏障同步适用于研究场景，而生产环境则需关注容错、检查点和恢复机制，这些将在后续运维章节详细介绍。

从单设备到分布式训练的路径包含多个复杂度阶段，每一层都建立在前一层的挑战之上。单 GPU 训练只需本地内存管理和简单的前向/反向传播，奠定了基本的计算模式。扩展到单节点多 GPU 时，需应对高带宽通信（如 NVLink[249] 或 PCIe，配合 NCCL[250] 优化），但容错和调度仍保持单机的简洁。

而跨节点的分布式训练则带来更高复杂度：网络通信开销、容错需求和集群编排等问题层出不穷。每提升一个扩展层级，通信瓶颈、同步开销和故障概率都会加剧。因此，实践中应优先优化单 GPU 性能，确保每一级资源都被高效利用。

> **分布式训练的工程复杂性**
>
> 尽管 PyTorch（FSDP）、DeepSpeed 等框架极大简化了分布式训练，但高效实现仍是工程难题。生产部署需精心配置网络（如 InfiniBand）、基础设施管理（如 Kubernetes、Slurm），并排查复杂的同步阻塞或通信瓶颈等非本地问题。对于大多数团队而言，采用云端托管服务往往比自建分布式基础设施更为实际。

分布式训练过程通常将数据集划分为不重叠子集，分配给不同 GPU，各自独立完成前向和反向传播。每个 GPU 计算出本地梯度后，通过同步与聚合，统一更新模型参数，确保所有设备的学习进度一致。图 12 展示了这一流程：输入数据被分割、分配到多 GPU 并行计算，最后同步更新模型。

这种协作带来了分布式训练系统必须解决的若干关键挑战。系统需协调多机计算、分配任务、管理通信并保持全程同步。理解这些基本需求，有助于深入分析分布式训练的主流方法：数据并行（按数据划分）、模型并行（按模型划分）、流水线并行（两者结合）及多策略混合。

在上千台机器上并行训练。这一突破推动了 Horovod（2017）和 PyTorch DistributedDataParallel 等现代框架的诞生，让分布式训练成为全球研究者的标准工具。

249. **NVLink**：NVIDIA 专有的高速互连技术，支持高达 600 GB/s 的双向带宽，比 PCIe Gen4 快约 10 倍。对于多 GPU 训练至关重要，可实现梯度同步和张量交换的极高效率。

250. **NCCL（NVIDIA 集体通信库）**：为多 GPU 和多节点通信优化的集体操作库（如 AllReduce、Broadcast 等）。可根据硬件拓扑自动选择最优通信模式，是分布式训练性能的关键。

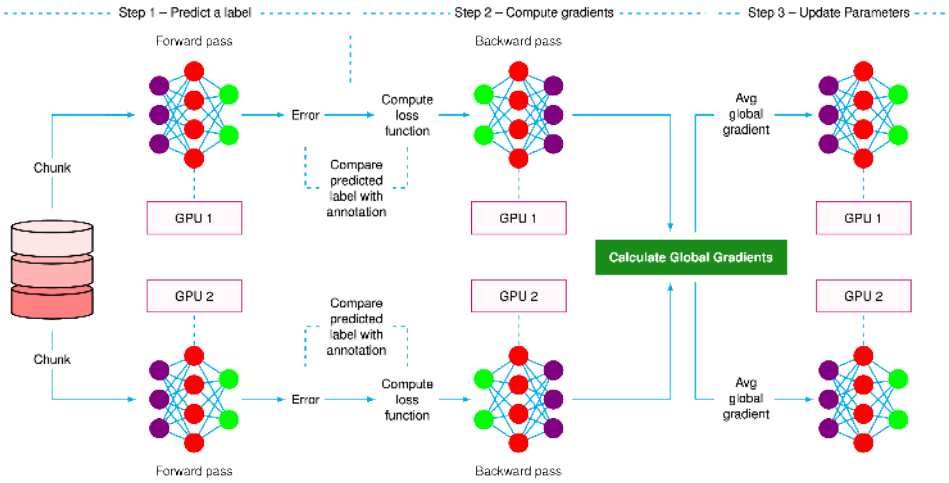

数据并行训练：分布式机器学习通过将数据集划分到多块 GPU 上，实现梯度的并行计算与聚合，从而加速训练并保持模型一致性。

分布式训练效率指标

在探讨具体并行策略前，首先要理解影响分布式训练效率的定量指标。这些指标为扩展策略、硬件选择和优化方法的决策提供基础。

通信开销是分布式训练的主要瓶颈。在数据并行系统中，AllReduce 操作通常占总训练时间的 10-40%，且规模越大开销越高。例如，BERT-Large 在 128 块 GPU 上通信开销占比达 35%，GPT-3 级别模型在 1,024 块 GPU 上则高达 55%。通信时间对 ring-AllReduce 算法为 O(n)，对树型归约为 O(log n)，因此大规模部署时互连选择至关重要。

高效分布式训练对带宽的需求极高，尤其是 Transformer 模型。每节点需 100-400 GB/s 的总带宽。BERT-Base 每轮需在 64 块 GPU 间同步 8GB 参数，要求 200 GB/s 持续带宽以保证 <50ms 的同步延迟。175B 参数的语言模型需 700 GB/s 总带宽才能维持 80% 的并行效率，必须依赖 InfiniBand HDR 或同级互连。

同步频率在通信效率与收敛速度间权衡。梯度累积可降低同步频率，但会增加内存消耗并可能影响收敛。每 4 步同步一次可减少 60% 通信开销，但梯度存储内存需求提升 3 倍。异步方法则完全消除同步开销，但会引入梯度陈旧，导致大学习率下收敛下降 15-30%。

扩展效率随 GPU 数量呈规律变化。2-32 块 GPU 处于线性扩展区，通信开销小，可达 85-95% 并行效率。64-256 块 GPU 进入通信受限区，效率降至 60-80%。512 块以上则协调开销主导，效率仅 40-60%。

硬件选择对扩展特性影响极大。NVIDIA DGX 系统配 NVLink 可达 600 GB/s，单节点 8

块 GPU 下并行效率 90%。多节点需 InfiniBand 网络，EDR（100 Gbps）适合 64 节点内高效训练，HDR（200 Gbps）可扩展至 256+ 节点并保持 >70% 效率。

这些效率指标直接影响并行策略选择。数据并行适合线性扩展区，但大规模时受通信限制。模型并行可突破内存瓶颈，但引入顺序依赖。流水线并行减少设备空闲，但管理复杂。理解这些权衡，有助于为具体任务选择合适策略。

数据并行 基于上述效率特性，数据并行是最直接的分布式方法，尤其适用于通信开销可控的线性扩展区。该方法将数据集划分为子集，分配给多设备，每台设备训练完整模型副本。例如，100 万张图片用 4 块 GPU 训练，每块处理 25 万张，模型结构完全一致。

当数据量大、模型规模适中时，数据并行尤为高效，因为每台设备需存储完整模型。该方法广泛应用于图像分类、自然语言处理等场景，数据样本间无依赖。例如训练 ResNet 模型时，各 GPU 可独立处理图片，互不影响。

数据并行的有效性源于随机梯度下降（SGD）的数学性质。不同小批量上计算的梯度可直接平均，等价于单设备训练。这一性质基于期望的线性性：

设参数为 ，数据集为 D，单样本损失为 $L(,x_i)$。标准 SGD 的小批量梯度为：

$$g = \frac{1}{B}\sum_{i=1}^{B}\nabla L(,x_i)$$

数据并行下，N 台设备各自计算本地小批量 B_k 的梯度：

$$g_k = \frac{1}{|B_k|}\sum_{x_i\in B_k}\nabla L(,x_i)$$

全局更新为本地梯度平均：

$$g_{\text{global}} = \frac{1}{N}\sum_{k=1}^{N} g_k$$

等价于在合并小批量 $B_{\text{total}} = \bigcup_{k=1}^{N} B_k$ 上计算：

$$g_{\text{global}} = \frac{1}{|B_{\text{total}}|}\sum_{x_i\in B_{\text{total}}}\nabla L(,x_i)$$

这说明数据并行能保持 SGD 的统计特性。其本质是将不同数据子集分配到各设备，独立计算本地梯度，再平均近似全局梯度。

该方法类似于梯度累积：单设备多次前向累积梯度再更新参数。两者都利用梯度的可加性高效处理大批量。

> **生产环境中的数据并行**
>
> 实际生产中，数据并行涉及多项工程考量：
>
> - **通信效率**：AllReduce 同步梯度是扩展瓶颈。生产系统用 NCCL 等库，采用 ring 或 tree 通信模式优化
> - **容错机制**：大规模训练节点故障需检查点/重启策略，常用分层检查点（本地 + 分布式存储）
> - **动态扩缩容**：云环境需弹性扩缩，需保证梯度同步一致性
> - **成本优化**：需平衡不同实例类型、抢占式实例的 GPU 小时成本与训练时长
> - **网络带宽需求**：大模型需精心设计网络拓扑，梯度通信可占训练时间 10-50%
>
> 生产团队通常会基准测试通信模式和扩展效率，确定最优配置后再部署大规模训练作业。

数据并行实现流程　数据并行的实现可分为若干关键步骤，见下图（图 13）：

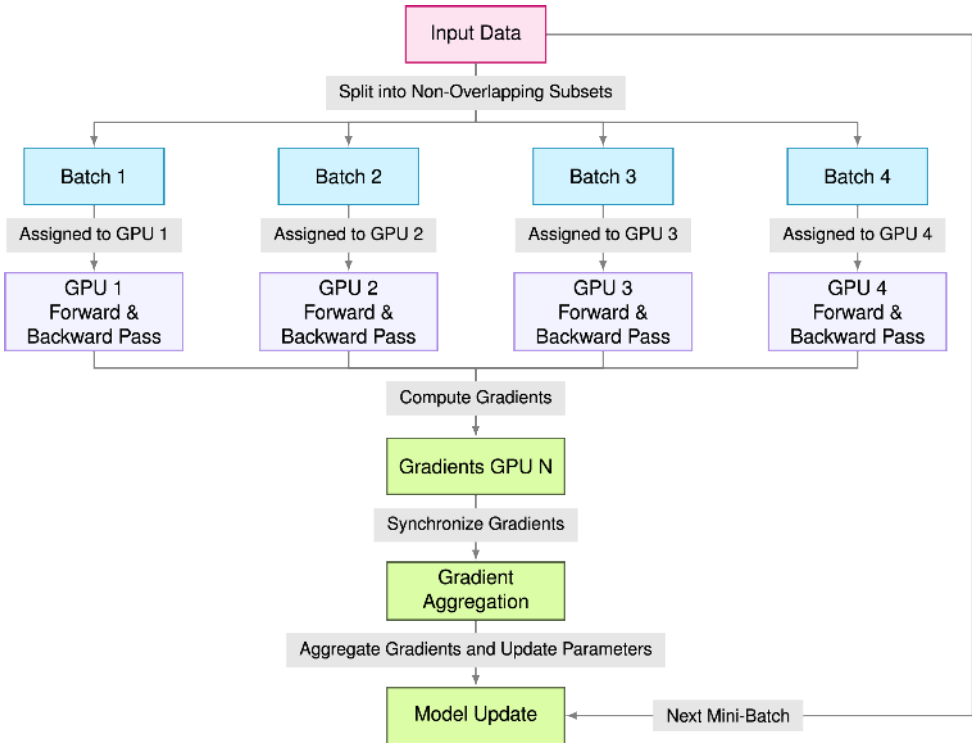

数据并行：分布式训练在多设备间复制模型，各自处理数据子集，聚合梯度后统一更新参数，加速训练。与模型并行（模型本身分割）形成对比。

数据集划分 首先将数据集划分为不重叠子集，确保每设备处理独立数据，避免冗余。例如 10 万样本用 4 块 GPU，每块分配 2.5 万。PyTorch 的 DistributedSampler 可自动实现高效分发、预取和缓存。

设备前向传播 数据分发后，各设备独立执行前向传播，计算预测和损失。例如 ResNet-50，每块 GPU 独立完成卷积、激活和损失计算。前向阶段计算密集，适合 V100、TPU 等硬件加速。

反向传播与梯度计算 前向后，各设备基于本地数据计算损失对参数的梯度。PyTorch、TensorFlow 等框架通过自动微分系统自动完成。例如 5,000 万参数的模型，每设备仅基于本地数据计算全部参数的梯度。

梯度同步 为保持全局一致性，需同步各设备计算的梯度。这是分布式系统的核心难题：既要全局一致，又要通信高效。ring all-reduce 算法通过将设备组织成环，每次只与相邻设备通信，通信复杂度 O(n)，但有顺序依赖，限制并行度。

例如 8 块 GPU 同步 100MB 模型梯度，ring all-reduce 只需 7 步通信，而全连接同步需 56 步。环形拓扑的瓶颈在于最慢链路决定整体速度，网络分区会导致训练停滞。树型归约可降为 O(log n) 延迟，但根节点带宽压力大。现代系统常用分层拓扑，节点内用高速互连，节点间用低带宽连接，优化整体效率。

参数更新 梯度聚合后，各设备独立用优化器（如 SGD、Adam）更新参数。PyTorch 的 DistributedDataParallel（DDP）等框架实现了去中心化更新，所有设备同步后参数完全一致。

例如 8 块 GPU 训练 ResNet，各自基于本地数据计算梯度，经 ring all-reduce 平均后，每块 GPU 用相同的全局梯度独立更新参数（如 SGD 学习率 0.1，更新为 `weights = weights - 0.1 * gradients`）。这样既保证了数学等价性，又实现了分布式计算。

上述流程在每个 batch 上循环执行。现代框架已自动化这一过程，开发者只需关注模型结构和超参数，无需手动处理分布式细节。

数据并行优势 数据并行因其诸多优势成为分布式训练的主流：

- **线性扩展能力**：大数据集可线性加速。例如 ImageNet（120 万张图片）单 GPU 需数周，8 GPU 只需数天。语言建模等超大数据集尤为受益。

- **硬件利用率高**：通过异步数据加载、梯度计算与通信重叠，GPU 利用率常超 85%。如一批次计算梯度时，下一批数据已加载。
- **实现简单**：现代框架极大简化了分布式训练，PyTorch 只需几行代码即可切换到数据并行。
- **架构通用性强**：无论是 ResNet、BERT 还是图神经网络，数据并行原则均适用。
- **训练时间大幅缩短**：合理实现下，数据并行可实现近线性加速。例如单 GPU 100 小时，8 GPU 约 13 小时。

但要充分发挥这些优势，仍需精心设计系统，解决若干挑战。

以下为实际扩展效率示例：

单 GPU 基线

- batch size: 16（梯度检查点，32GB 显存）
- 每步耗时：1.8 秒
- 吞吐量：约 9 样本/秒
- 50K 步训练时长：**25 小时**

8 GPU 单节点 NVLink

- 每 GPU batch: 16，总 batch: 128
- 梯度同步：3GB @ 600 GB/s（NVLink）= 5ms
- 计算：180ms/步，通信：5ms/步，总计 185ms/步
- 加速比：1.8s ÷ 0.185s = 9.7×（略超 8×）
- 并行效率：9.7 ÷ 8 = 121%

> 超线性加速因大 batch 提高了 GPU 利用率（72%→89%），小规模下常见。

训练时长：25 小时 ÷ 9.7 = **2.6 小时**

32 GPU（4 节点 InfiniBand）

- 每 GPU batch: 16，总 batch: 512
- 节点内通信：5ms（NVLink），节点间通信：3GB @ 12.5 GB/s（InfiniBand）= 240ms
- 计算：180ms（42%），通信：245ms（58%），总计 425ms/步
- 加速比：1.8s ÷ 0.425s = 4.2×，训练时长 5.9 小时

- 并行效率：4.2 ÷ 32 = 13%

> 通信成为瓶颈。

更优方案：8 GPU + 梯度累积

- 8 GPU × batch 16 × 4 累积 = 512 有效 batch
- 通信开销：5ms ÷ (4 × 180ms) = 0.7%
- 训练时长：3.8 小时
- 成本：$128/小时 × 3.8 小时 = $486，对比 32 GPU 的 $3,021
- 节省：$2,535（84%），仅多 1 小时

关键结论

1. NVLink 单节点扩展效率高（97%）
2. 跨节点通信效率骤降（13%）
3. 梯度累积优于盲目扩展
4. GPT-2 最优点：8 GPU + 梯度累积，而非直接扩展到 32+

OpenAI GPT-2 论文报告用 32 块 V100、4 节点训练，采用了优化通信（如梯度累积 + 流水线并行），而非纯数据并行。

尽管数据并行高效，但也带来一系列挑战：

- **通信开销**：梯度同步常需每步传输数 GB 数据。即便有 NVLink（300 GB/s）、InfiniBand（200 Gb/s），大模型下开销依然巨大。NCCL 的 ring-allreduce 算法[251] 可降低通信负担，但随模型和设备数增长，通信成本仍然上升。
- **扩展性限制**：8 GPU 可达 7× 加速（87.5%），64 GPU 通常仅 45-50×（70-78%），因同步成本递增。扩展效率=加速比/设备数，理论 100%，实际随规模下降。
- **内存瓶颈**：如 175B 参数 Transformer，单 FP32 参数需 350GB，含优化器状态和激活后单卡常超 1TB，无法用纯数据并行。
- **负载不均**：异构集群（如 A100+V100）快卡需等待慢卡，利用率下降 20-30%，需负载均衡。

251. **AllReduce 算法**：集体通信原语，所有进程贡献数据并获得相同的聚合结果（如求和）。朴素实现需 $O(n^2)$ 消息，ring-allreduce（源自 1980s 高性能计算）降为 O(n)，适合现代大规模分布式训练。

- **容错与可靠性**：大规模下节点故障频发（如 100 GPU 每周多次故障），需高效检查点策略。频繁检查点提升容错但增加存储和训练延迟，生产常每 100-1000 步保存一次。
- **实现复杂度**：现代框架虽已抽象大部分细节，但要实现健壮的分布式系统仍需深厚工程能力，如节点故障时的降级、网络分区下的同步、自动恢复等。

尽管如此，数据并行仍是分布式训练的核心技术，且有多种优化手段。监控分布式系统需专用工具，后续章节将详细介绍生产监控与容错策略。模型并行则为超大模型训练提供了另一种扩展路径。

模型并行

数据并行适合扩展数据处理能力，但当模型本身超出单卡内存时，需采用模型并行。模型并行将神经网络划分到多台设备上，每台只负责部分参数 [^shazeer_mixture_of_experts_2017]。

实现方式包括：按层划分（如设备 1 计算 1-4 层，设备 2 计算 5-8 层）、按通道划分（如设备 1 处理前 512 通道，设备 2 处理后 512 通道）、Transformer 的注意力头分割等。

该方法使超大模型训练成为可能。例如 GPT-3（175B 参数）依赖模型并行，超高分辨率 Vision Transformer 也需此法。Mixture-of-Expert 架构则将条件计算路径分布到多台设备。

训练时，前向传播按模型分段顺序流经各设备，反向传播则逆序传递梯度。参数更新时，各设备仅更新本地参数。这样既能突破单卡内存限制，又保证训练数学等价性。

模型并行实现流程　模型并行将神经网络分布到多台设备，每台计算不同部分。流程如下（见图 14）：

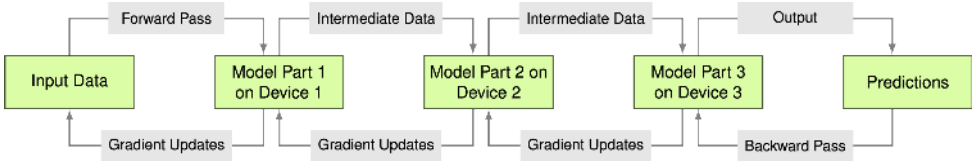

模型分割：将神经网络分布到多设备，使超大模型训练成为可能。需精细协调数据流和梯度计算，保证训练效率。

模型分割　首先将模型划分为更小的片段。例如深度网络可将前半层放在 GPU1，后半层放在 GPU2。也可在单层内分割，如 Transformer 的矩阵乘法跨设备分担。

前向传播 前向传播时，数据依次流经各分区。例如 GPU1 处理前几层后，将输出传给 GPU2 继续处理。高效的设备间通信至关重要 [^deepspeed_training_system_2021]。

反向传播与梯度计算 反向传播时，梯度按模型分区逆序传递。每台设备计算本地参数的梯度，并将必要的梯度信息传递给前一设备。例如两设备分割注意力机制时，第二台先计算最终层梯度，再将注意力输出的梯度传给第一台，第一台据此更新本地参数。

参数更新 每台设备用优化器（如 Adam、AdaFactor）独立更新本地参数，无需全局同步，通信开销低于数据并行。

迭代过程 如其他训练策略，模型并行每个 batch 重复上述流程，直至收敛。

并行变体 模型并行有多种分割方式，适应不同模型结构和计算需求：

按层分割 按层分割将不同层分配到不同设备。例如 24 层 Transformer 用 4 台设备，每台负责 6 层（见图 15）。

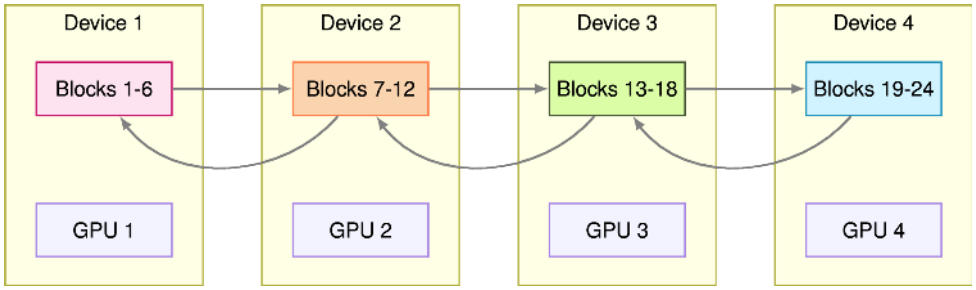

层级模型并行：将 Transformer 分布到多 GPU，每台负责连续若干层，实现并行加速。

流水线并行 流水线并行在按层分割基础上引入微批处理，减少设备空闲（见图 16）。每台设备可同时处理不同微批次，前向时激活依次传递，反向时梯度逆序传递。

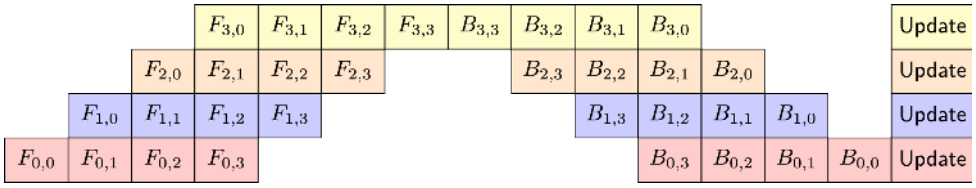

流水线并行：微批处理将模型层分布到多设备，实现前向和反向的并行流水线，提升资源利用率。

按算子分割 算子级并行将单层内部操作分割到多设备。例如 Transformer 的 64 个注意力头，设备 1 处理 1-32 头，设备 2 处理 33-64 头。前馈层的矩阵乘法也可按中间维度分割，降低单卡内存峰值。

小结 不同分割方式适应不同模型和资源，合理选择可突破单卡限制，支撑更大规模训练。

模型并行优势 模型并行的主要优势在于：

- **内存扩展**：如 175B 参数 Transformer，单 FP32 参数需 700GB，含激活和优化器状态后远超单卡。模型并行可将内存需求分摊到多台设备。
- **设备利用率高**：每台设备只需存储和计算部分模型，可用更大 batch 或更复杂层，提升稳定性和收敛性。
- **架构灵活**：适用于顺序模型、注意力模型、卷积网络等多种结构。
- **可与其他并行策略结合**：如与数据并行、流水线并行混合，实现模型和数据的双重扩展。

但要高效实现，需精心设计分割策略，解决负载均衡、通信等挑战。

模型并行局限 模型并行的主要挑战包括：

- **负载均衡难**：不同层计算量差异大，易导致部分设备成为瓶颈，降低整体效率。
- **数据依赖重**：前向需传递大体积激活，反向需传递梯度，通信延迟高。
- **实现与调试复杂**：分割、数据流、同步需精细协调，错误难以定位。
- **流水线气泡**：有 m 个阶段的流水线，前 m-1 步效率低，8 个阶段的流水线初期有 7 步空闲，利用率下降约 (m-1)/b。
- **部分架构不适用**：如高度耦合的模型，分割后通信开销过大，反而不如数据并行。

尽管如此，模型并行仍是超大模型训练不可或缺的技术。通过优化通信协议、合理分割和现代框架支持，可大幅缓解上述问题。

混合并行

当模型和数据都超出单一并行策略能力时，混合并行结合模型并行和数据并行[^narayanan_pipeline_parallelism_2021]。如 175B 参数模型需模型并行，3000 亿 token 数据集需数据并行。

混合并行同时解决内存和计算瓶颈。模型按层或算子分割到多台设备，数据集再在设备组间分割，实现双重扩展。

混合并行实现流程 混合并行通过模型分割和数据划分的结合，实现资源的高效利用：

模型与数据分割 模型通过层级或算子级分割到多台设备，数据集则在设备组间分割。例如 Transformer 的注意力层分布到 4 台 GPU，每组处理不同的 1000 条样本。

前向传播 输入数据流经分布式模型，各设备处理本地模型片段和数据子集。设备间需高效通信以传递中间输出。

反向传播与梯度计算 反向传播时，数据并行组需聚合梯度，模型并行组则本地计算并逆序传递梯度。两者结合保证全局一致性。

参数更新 同步后，各设备用优化器更新本地参数。数据并行组需保持参数一致，模型并行组只更新本地片段。高效通信是关键。

迭代过程 混合并行与其他策略类似，循环执行上述流程，兼顾大模型和大数据集的训练需求。

并行变体 混合并行有多种实现方式，适应不同模型、数据和硬件：

分层混合并行 先用模型并行分割模型，再用数据并行扩展数据。例如 8 台设备，4 台分模型，4 台做数据并行。适合超大模型。

层内混合并行 在单层内部同时用模型和数据并行。例如 Transformer 的注意力机制跨设备分割，同时每台处理不同数据 batch。适合单层计算极重的模型。

层间混合并行 不同层采用不同并行策略，如前层用模型并行，后层用数据并行。可动态分配资源，适应不同层的需求。

混合并行优势 混合并行解决了现代 AI 训练的核心难题：

- **模型与数据双重扩展**：支持超大模型和超大数据集的训练。
- **硬件利用率高**：所有设备始终处于活跃状态，提升吞吐。

- **灵活性强**：可针对不同模型结构和硬件定制最优策略。
- **通信瓶颈低**：合理分配通信负载，提升整体效率。
- **支撑前沿 AI 研究**：为大模型和大数据集的训练提供基础。

混合并行局限 混合并行也带来新的复杂性：

- **通信开销高**：模型和数据并行都需大量通信，若不优化会抵消并行收益。
- **实现复杂**：需精通两种并行技术及底层硬件，策略设计和调优难度大。
- **负载均衡难**：设备异构或模型层计算量差异大时，易出现资源浪费。
- **内存瓶颈仍在**：大模型和大 batch 叠加，内存压力依然突出。
- **容错与调试难**：分布式系统故障频发，调试和监控难度高。

尽管如此，混合并行已成为训练超大规模模型的必备技术。通过优化通信协议、智能分割和健壮的容错机制，可充分发挥其潜力。

并行策略对比

下表（表 7）总结了数据并行、模型并行、流水线并行和混合并行的特性，便于选择最适合的训练方案：

方面	数据并行	模型并行	流水线并行	混合并行
核心关注点	数据集分布到多设备，每台完整模型	模型分布到多设备，每台只负责部分模型	模型分阶段分布，微批并行流水线	多策略结合，兼顾模型和数据扩展
单设备内存需求	高（每台存完整模型）	低（模型分割）	低 - 中（分阶段）	中（模型和数据均分割）
通信开销	中 - 高（梯度同步）	高（中间激活和梯度通信）	中（阶段间激活传递）	极高（模型和数据均需同步）
可扩展性	适合大数据集、中等模型	适合超大模型、小数据集	适合深层模型	适合超大模型和超大数据集

方面	数据并行	模型并行	流水线并行	混合并行
实现复杂度	低 - 中（工具支持好）	中 - 高（需精细分割与协调）	中 - 高（需流水线调度与微批管理）	高（多策略集成，系统复杂）
典型应用场景	大数据集、模型可单卡训练	超大模型、单卡无法容纳	深层模型、可容忍微批延迟	大规模系统下的超大模型与数据集训练

表 7：**并行训练策略对比**：数据、模型、流水线和混合并行各自针对不同扩展难题，通过不同的数据和参数分割方式优化内存、通信和可扩展性。理解这些权衡有助于为具体模型和基础设施选择最优方案。

图 17 为分布式训练策略选择的通用流程图。该图基于模型规模、数据集规模和扩展约束，指导并行策略选择。实际部署时还需考虑硬件异构、带宽、负载均衡等复杂因素。此图仅为基础参考，实际应结合具体需求灵活调整。

框架集成

理论基础为分布式训练提供了数学支撑，现代框架则将这些原理抽象为易用 API，使工程实践变得高效。

数据并行框架 API 前述的数据并行机制（梯度平均、AllReduce 通信、参数同步）已被框架高度抽象。PyTorch 提供两种主要方式：

`torch.nn.DataParallel` 是最简单的方案，自动在单节点多 GPU 复制模型并同步梯度，代码改动极小。但其采用参数服务器模式，扩展到 4-8 GPU 后通信瓶颈明显。

```
# 简单数据并行，框架自动同步梯度
model = torch.nn.DataParallel(model)
# 训练循环无需改动，框架自动：
# 1. 切分 batch
# 2. 复制模型
# 3. 收集并平均梯度
# 4. 广播参数
```

生产级训练推荐用 `torch.distributed`，实现高效 AllReduce 通信，支持线性扩展。

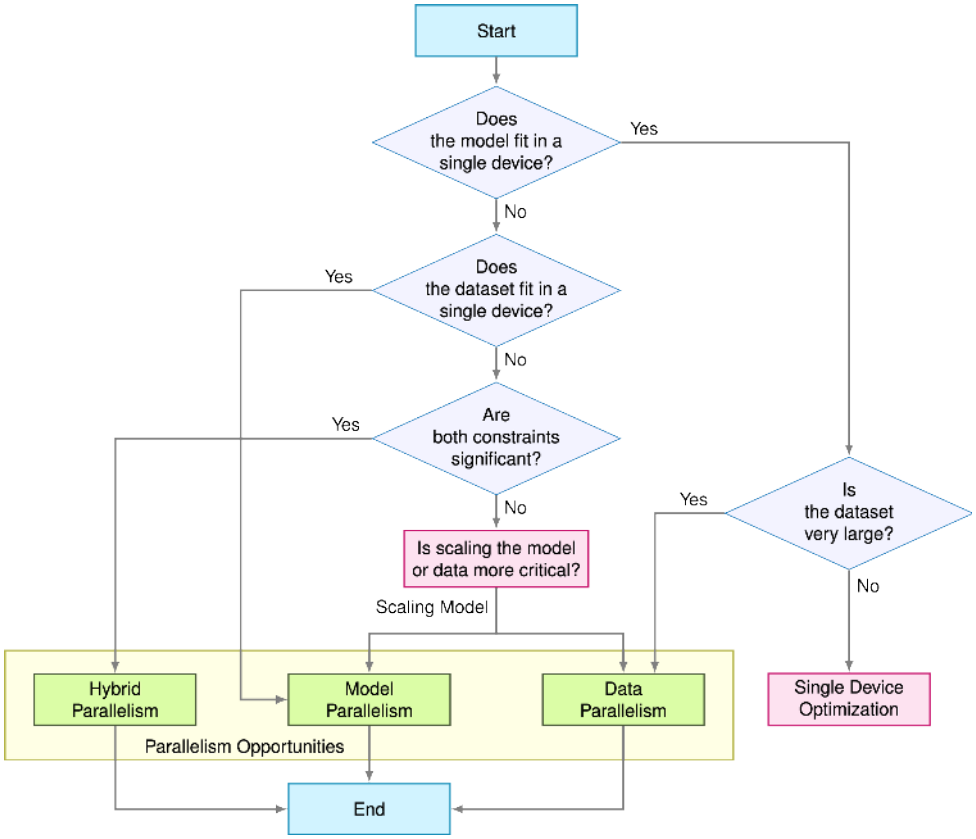

并行策略选择：分布式训练系统根据模型、数据规模和扩展约束选择数据、模型或混合并行。流程图为决策提供结构化参考，实际部署需结合硬件和负载等因素灵活调整。

```
# 生产级分布式训练，显式控制通信
import torch.distributed as dist

dist.init_process_group(backend="nccl")  # NCCL 用于 GPU 通信
model = torch.nn.parallel.DistributedDataParallel(model)
# 框架自动用高效 AllReduce 替代参数服务器
```

`DistributedDataParallel` 自动实现高效 ring AllReduce，将 O(n) 通信复杂度转化为高效代码，实际可达 90%+ 并行效率。框架自动处理设备分配、梯度分桶和计算 - 通信重叠。

模型并行框架支持 模型并行需更显式的设备管理。PyTorch 支持手动设备分配和 `torch.distributed.pipeline` API（流水线并行）。

```
# 手动模型并行，显式设备分配
class ModelParallelNet(nn.Module):
    def __init__(self):
        super().__init__()
```

```
        self.layers_gpu0 = nn.Sequential(...).to("cuda:0")
        self.layers_gpu1 = nn.Sequential(...).to("cuda:1")

    def forward(self, x):
        x = self.layers_gpu0(x.to("cuda:0"))
        x = self.layers_gpu1(
            x.to("cuda:1")
        )  # 跨 GPU 数据传递
        return x
```

这种方式暴露了模型并行的顺序依赖和通信开销，需开发者精细管理张量跨设备传递。框架自动处理反向传播的梯度流，但频繁跨设备传输会影响性能。

通信原语 现代框架提供高层通信 API，封装底层 NCCL 操作，兼顾易用性和性能：

```
# 框架集体通信操作
dist.all_reduce(tensor)  # 所有设备梯度平均
dist.broadcast(tensor, src=0)  # 主节点参数广播
dist.all_gather(
    tensor_list, tensor
)  # 收集所有设备张量
```

这些 API 直接映射到高效的 NCCL 集体通信，实现理论上的高性能分布式训练。

框架抽象让开发者专注于模型和训练逻辑，而复杂的分布式优化由框架自动完成。这种分工 —— 理论由框架实现，模型设计由开发者掌控 —— 体现了现代机器学习系统的高效与易用性。

性能优化

在理解了训练流水线优化与分布式训练方法的基础上，高效的机器学习模型训练依赖于识别并解决影响性能与可扩展性的关键因素。本节将系统梳理一系列优化技术，旨在提升训练系统的整体效率。通过针对性地消除瓶颈、优化软硬件协同与采用可扩展的训练策略，这些方法帮助工程师充分利用资源、缩短训练时间。

瓶颈分析

高效优化训练系统的前提，是系统性地识别和解决性能瓶颈。瓶颈可能出现在计算、内存、数据处理等多个层面，直接影响训练过程的效率与可扩展性。

计算瓶颈会显著影响训练效率。常见情形包括 GPU 或 TPU 等计算资源利用率不足，原因可能是负载不均或并行策略不合理。例如，若某设备比其他设备更快完成任务，则会

因等待慢设备而空闲，降低整体吞吐。

内存瓶颈在大模型训练中尤为突出。内存不足会导致频繁的数据在设备与慢速存储间交换，极大拖慢训练进度。有时，前向和反向传播中间激活的存储需求会超出现有容量，系统不得不采用如梯度检查点等技术，以牺牲部分计算效率换取内存节省。

数据处理瓶颈则会严重限制计算资源的利用率。训练系统通常需要持续不断地为计算设备提供数据，若数据加载与预处理未优化，GPU 可能因等待新 batch 而空闲。这在大数据集存储于网络文件系统或远程存储时尤为常见。正如图 18 所示，性能分析可揭示 GPU 因数据加载缓慢而利用率低下，凸显高效输入流水线的重要性。

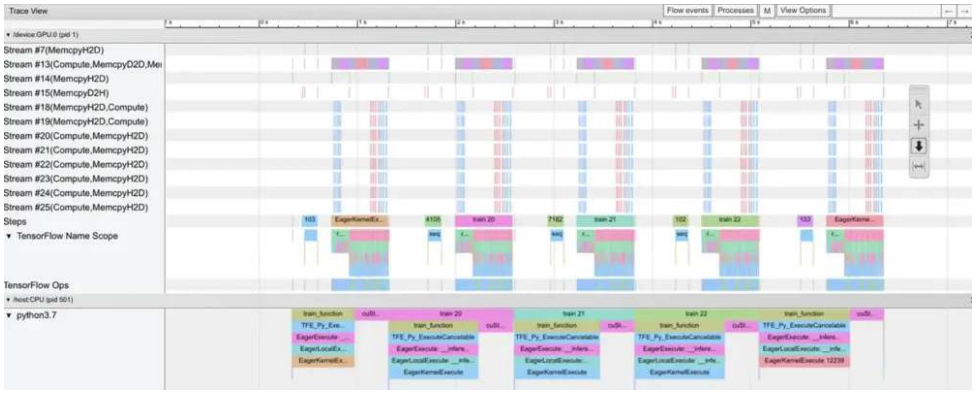

GPU 利用率不足：性能分析显示数据加载成为瓶颈，导致训练时 GPU 无法充分利用，整体训练时间增加。GPU 活动的间隙表明设备频繁等待输入数据，需优化数据流水线以最大化计算吞吐。

识别这些瓶颈通常需借助性能分析工具。主流框架如 PyTorch 的 `torch.profiler`、TensorFlow 的 `tf.data` 分析工具等，可详细揭示训练过程中时间与资源的分布。通过定位具体延迟环节，工程师可有针对性地设计优化方案。

系统级优化技术

在定位训练系统瓶颈后，下一步是实施系统级优化。这些优化主要针对底层硬件、数据流与资源分配，以提升整体性能与可扩展性。

首要技术是训练工作负载的性能分析 [252]。性能分析收集训练期间的计算时长、内存使用、通信开销等详细指标，帮助发现资源利用不均或某阶段耗时过长等问题。NVIDIA Nsight Systems、TensorFlow Profiler 等工具可提供可操作的洞察，指导开发者调整训练配置。

252. **训练性能分析工具**：NVIDIA Nsight Systems 可发现数据加载在未优化流水线中占用 20-40% 训练时间，TensorFlow Profiler 可揭示 GPU 利用率（理想值 >90%）。Intel VTune 显示，内存带宽常常比算力更限制性能 —— 典型深度学习任务仅能发挥 30-50% 峰值 FLOPS，主因是内存瓶颈。

充分利用硬件特性也是系统级优化的关键。现代加速器如 GPU、TPU 拥有专用能力，合理利用可显著提升性能。例如混合精度训练（FP16、bfloat16）可大幅降低内存占用、提升吞吐且不损失精度。NVIDIA GPU 的张量核心专为矩阵运算加速，极大优化前向与反向传播。

数据流水线优化同样重要。确保数据高效加载、预处理并及时送达训练设备，可消除因数据延迟导致的瓶颈。常用方法包括缓存常用数据、预取 batch 以重叠计算与加载、采用高效存储格式（如 TFRecord、RecordIO）等，保证数据流畅供应。

软件级优化技术

除系统级调整外，软件级优化聚焦于提升训练算法及其在框架中的实现效率。

融合算子（fused kernels）是一项高效的软件优化。传统实现中，矩阵乘法、激活函数、梯度计算等操作分步执行。融合算子将多步操作合并为单一高效内核，减少多次调用开销并提升缓存利用率。PyTorch、TensorFlow 等框架会自动融合常见操作，开发者也可用 cuBLAS、cuDNN 等库手动优化自定义算子。

动态图执行也是重要的软件优化手段。支持动态图的框架（如 PyTorch）可在每次训练迭代时动态构建计算图，便于针对具体输入做细粒度优化。动态图还便于处理变长序列（如 NLP 任务），提升效率。

梯度累积则是应对内存瓶颈的有效策略。其原理是多次小 batch 计算梯度，累积后再统一更新参数，相当于增大 batch size 而无需额外内存，适合大数据集或大模型训练。

扩展策略

扩展技术旨在通过优化训练配置与资源分配，使系统能处理更大数据集和模型。

常见扩展方法是 batch size 扩展。增大 batch size 可减少训练所需的同步步数，因为同样数据量下更新次数减少。这与推理服务中的动态 batch 策略不同，后者关注变长请求的吞吐而非训练收敛。但大 batch 可能带来收敛变慢或泛化能力下降等问题。可通过学习率缩放与 warmup 调度 [253] 等技术缓解，确保大 batch 下训练稳定高效。

层冻结（layer freezing）也是高效扩展手段，尤其在迁移学习中。模型底层常捕获通用特征，无需频繁更新。冻结底层，仅训练高层，可节省内存与算力，将资源集中于关键部分微调。

分布式训练虽是扩展的一个方向，但单设备的计算效率决定了整体性能。前述优化与并

253. **学习率调度**：对训练稳定性和收敛至关重要。余弦退火（2016 年提出）、线性 warmup（BERT 2018）已成标准，能提升 2-5% 准确率。大 batch 训练需线性缩放法则：学习率随 batch 比例线性放大（batch 512→LR 0.1，batch 4096→LR 0.8），该经验由 Facebook、Google 团队大量实验总结得出。

行策略只有在高吞吐硬件架构上才能发挥最大效能。这也促使我们关注专用硬件平台，它们为所有训练场景下的数学运算提供加速。

硬件加速

上述优化技术都受限于底层硬件架构。专用机器学习硬件的演进，是应对现代训练系统算力需求的重要进展。GPU、TPU、FPGA、ASIC 等各有不同的设计理念与工程权衡，分别针对训练过程的不同环节进行优化。这些专用处理器极大改变了机器学习系统的可扩展性与效率，使模型复杂度和训练速度不断突破。硬件的演进正是建立在 第 2 章：机器学习系统 所述 ML 系统设计原则之上。下文将简要梳理各类硬件的架构原理、性能特性与实际应用，突出它们在塑造机器学习训练能力上的关键作用。

GPU

机器学习训练系统需要强大算力以高效处理大数据集、执行梯度计算和参数更新。GPU 以高度并行的架构和对密集线性代数的极致优化，成为满足这些需求的核心技术（见图 19）[Dally 2021]。

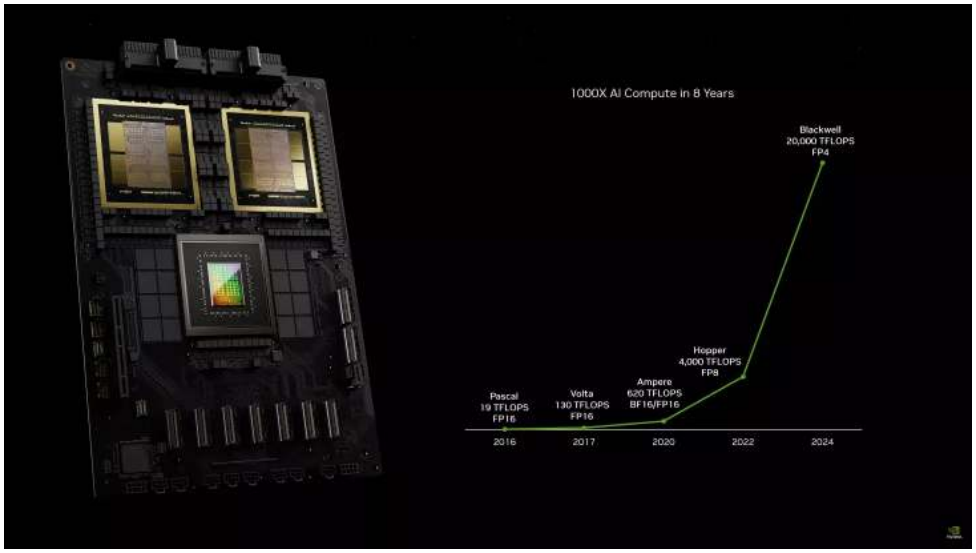

GPU 加速趋势：新一代 GPU 持续提升 FLOPS，推动更大更复杂模型的训练，并带来 NLP 等领域的突破。从 Pascal 到 Blackwell 的演进，凸显专用硬件在应对现代 AI 算力需求中的关键作用。

从训练流水线架构看，GPU 解决了多个关键瓶颈。其海量核心可并行处理成千上万次矩阵乘法，加速前向与反向传播。当数据吞吐限制 GPU 利用率时，预取与缓存机制可保持数据流畅供应。这些优化（前文已述）是释放 GPU 潜力的关键 [Patterson 2021]。

在分布式训练中，GPU 支持数据并行、模型并行等扩展策略。NVIDIA 生态（如

NCCL[254]）为多 GPU 通信提供高效参数同步，解决大规模训练常见的同步难题。例如 GPT-3[255] 训练就依赖 GPU 与分布式框架，将计算任务拆分到上千台设备，同时解决内存与算力扩展问题。

硬件特性进一步提升 GPU 性能。例如 NVIDIA 张量核心 [256] 专为混合精度训练优化，既降低内存占用又保证数值稳定性，直接缓解大模型训练的内存瓶颈。结合融合算子等软件优化，GPU 在单机与多机场景下均能实现显著加速。

OpenAI 用 NVIDIA 硬件训练大语言模型是 GPU 作用的典型案例。GPT-3（175B 参数）训练需数千块 V100 GPU 分布式协作。GPU 优化框架、高级通信协议与硬件特性结合，使 OpenAI 能高效完成如此大规模训练。如此大规模训练的隐私与安全问题将在 第 15 章：安全与隐私 章节探讨。

GPU 虽然强大，但也有挑战。要高效利用 GPU，需关注负载均衡与设备间通信。训练系统还需考虑成本，因为 GPU 资源密集且需优化数据中心支撑。不过，NVLink、CUDA-X 等创新正持续缓解这些问题。

GPU 以其通用性、可扩展性和与高级软件框架的深度集成，成为现代机器学习训练系统不可或缺的基础。其架构原理也影响了推理部署策略（详见 第 11 章：AI 加速），并行化理念贯穿训练与生产。通过解决计算、内存与分布式瓶颈，GPU 为大规模训练流水线奠定了基础。

硬件选择对 GPT-2 训练成本与周期影响巨大，以下为实际性能对比：

训练吞吐量（样本/秒）

GPU 代际	FP32	FP16（混合精度）	显存	价格/小时
V100 (2017)	90	220	32GB	$3.06
A100 (2020)	180	450	80GB	$4.10

254. **NVIDIA NCCL（集体通信库）**：为多 GPU 通信优化，NCCL 在现代互连上可达理论带宽的 90-95%。DGX 系统配 NVLink，8 卡间可达 600 GB/s —— 比 PCIe 快 50 倍，使高效分布式训练成为可能。其 AllReduce 算法将通信复杂度从 $O(n^2)$ 降至 $O(n)$。

255. **GPT-3 训练规模**：使用 1 万块 NVIDIA V100 GPU，训练 3-4 个月，耗电约 1,287 MWh（相当于 120 户美国家庭一年的用电）。训练成本估算为 400-1200 万美元（视基础设施与能源价格而定），显示专用硬件与分布式系统如何支撑前所未有的训练规模，同时也凸显资源消耗之巨。

256. **张量核心**：自 Volta 架构（2017）起引入，混合精度训练下可实现 4 倍加速（单周期完成 4x4 矩阵运算）。H100 第四代张量核心 FP16 运算达 989 TFLOPS，比传统 CUDA 核心快约 6 倍，使同等硬件下可训练更大模型。

GPU 代际	FP32	FP16（混合精度）	显存	价格/小时
H100 (2022)	320	820	80GB	$8.00

50K 步训练时长（8 卡）

- V100:14 天，约 $10,252
- A100:7 天，约 $6,877
- H100:3.5 天，约 $6,720

注：云端价格随供应商变化较大。

硬件驱动的关键权衡

1. 显存容量决定 batch 大小：V100 32GB 限制 batch_size=16，A100 80GB 可用 batch_size=32，收敛更快
2. 张量核心代际：H100 第四代 FP16 运算比 V100 快 3.7 倍
3. NVLink 带宽：H100 900 GB/s（V100 为 300 GB/s），梯度同步时间降 65%

为何 H100 虽贵但更优

- 总成本更低（训练快 4 倍）
- 更快释放 GPU 资源
- 能耗更低（3.5 天 vs 14 天）

硬件选择经验法则：如 GPT-2 这类需数天/周训练的模型，越新 GPU 吞吐越高，尽管单价高但总拥有成本更优。短时实验（<1 小时）则老卡性价比更高。

TPU 及其他定制加速器专为大规模机器学习训练设计。与通用 GPU 不同，TPU 针对深度学习常见的矩阵乘法、卷积等模式做了极致优化 [jouppi2017tpu]，通过高吞吐、专用内存与框架深度集成，极大缓解训练瓶颈。

下图展示了 TPU 架构的演进。第一代 TPU（2015）用于推理加速，后续版本聚焦大规模分布式训练、内存优化与能效提升，最终发展为 Trillium 架构。专用加速器不断突破 AI 性能与效率极限。

框架通过专用 AI 加速器（如 TPU）可大幅提升训练效率，但需关注内存布局、数据流编排与计算效率等硬件感知优化。

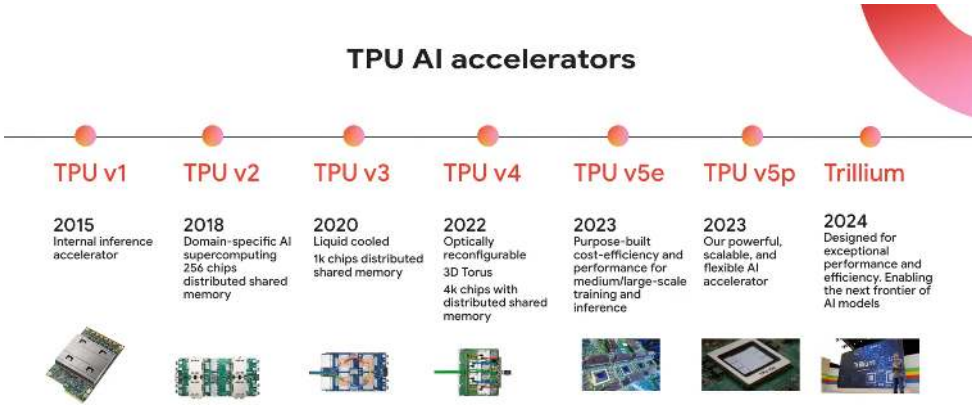

TPU 演进：各代张量处理器针对深度学习优化，从推理加速到大规模分布式训练，最终发展为 Trillium 架构。专用加速器通过优化内存、提升吞吐、深度集成框架，满足现代 AI 的算力需求。

Google 设计 TPU 的核心目标是：在大规模下加速机器学习任务，同时降低能耗与基础设施成本。TPU 架构适合批量处理，尤其适合分布式训练系统，将大数据集分配到多设备。其核心特性是脉动阵列架构[257]，通过数据流网络高效完成矩阵乘法，极大减少数据移动延迟与能耗，适合 Transformer 等大模型训练。

从训练流水线优化看，TPU 与 TensorFlow 生态深度集成，TPU runtime 与 `tf.data` API 支持高效预处理、缓存与 batch 送入。TPU 支持 pod 级集群，便于大规模并行。TPU pod 可结合数据并行与模型并行，兼顾内存与算力扩展。

TPU 在 BERT、T5 等大模型训练中作用突出。例如 Google 用 TPU 训练 BERT，既满足大模型内存需求，又优化了分布式同步。通过模型分片与通信优化，显著缩短训练时间。

除 TPU 外，AWS Trainium、Intel Gaudi 等定制芯片也在机器学习领域崭露头角。这些设备与 TPU 性能相当，适配多样化云与本地环境。例如 AWS Trainium 深度集成 AWS 生态，可配合 SageMaker 无缝扩展训练流水线。

TPU 与定制加速器虽在吞吐与能效上表现优异，但其专用性也带来局限。专用硬件与部署灵活性间的权衡，在边缘部署等场景尤为突出（详见 第 14 章：设备端学习）。TPU 与 Google 生态深度绑定，其他框架用户难以接入；TPU pod 的高昂成本也让小团队望而却步。尽管如此，专用加速器带来的性能提升，使其在大规模训练任务中极具吸引力。

TPU 与定制加速器解决了大数据集处理与分布式训练优化等关键难题。其独特架构与生态集成，使其成为组织扩展训练工作流的有力工具。随着模型与数据集持续增长，这些加速器将在 AI 训练未来中扮演更核心角色。

257. **脉动阵列架构**：1978 年卡内基梅隆提出，擅长矩阵运算，通过处理单元网格流式传递数据。Google TPU v4 bfloat16 运算达 275 TFLOPS，典型功耗约 200W，能效约 1.38 TFLOPS/W，比同级 GPU 高 2-3 倍。

FPGA

现场可编程门阵列（FPGA）是一类可针对特定机器学习任务灵活定制架构的硬件。与固定架构的 GPU、TPU 不同，FPGA 可动态重构，具备独特的灵活性。适合需要定制优化、低延迟处理或新算法实验的场景。

微软早在图 21 所示的 Project Brainwave 项目中就探索了 FPGA 的应用。该项目用 FPGA 加速 Azure 云中的机器学习任务，主要用于低延迟推理（非训练），兼顾高吞吐。适合实时预测场景，如搜索引擎、翻译服务。微软将 FPGA 集成到数据中心网络[258]，显著提升性能并降低能耗。

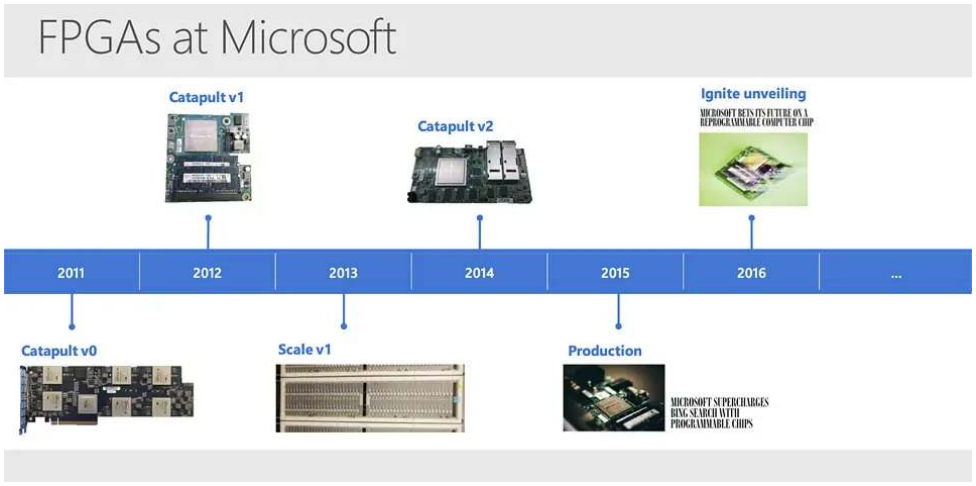

FPGA 推理演进：微软持续开发 FPGA 加速云服务推理，从 Catapult 到 Brainwave，逐步实现低延迟高吞吐，适合搜索、翻译等实时应用。

从训练角度看，FPGA 的可重构性可实现针对模型需求的定制数据流架构。虽然 FPGA 更常用于推理，但在训练中也可用于数据预处理、增强等环节，释放 GPU 专注核心训练。FPGA 还可高效实现稀疏矩阵乘法，适合推荐系统、图模型等传统加速器不擅长的场景。

在分布式训练中，FPGA 可精细控制通信模式，优化设备间通信与内存访问，降低参数同步延迟。例如可定制 all-reduce 算法，实现比通用硬件更低的梯度聚合延迟。

FPGA 的挑战在于编程门槛高，需掌握 Verilog、VHDL 等硬件描述语言。Xilinx Vitis AI、Intel OpenVINO 等工具虽简化了开发，但学习曲线仍高于 GPU、TPU 生态。

微软的 FPGA 实践展示了其与现有 ML 工作流的无缝集成。FPGA 在训练加速中的角色虽不同于推理优化，但两者互补。Azure 的混合加速方案正是结合 FPGA、GPU、CPU

258. **微软 FPGA 部署**：Project Catapult 2016 年已在微软数据中心全网部署 FPGA（一台服务器一块 FPGA，超百万块）。10 亿美元投资使 Bing 搜索延迟降 50%，Azure ML 推理提速 2 倍，能耗降 10-15%，通过专用加速优化特定算法。

各自优势，打造高效平衡的系统。

FPGA 适合需要定制、低延迟或新型优化的训练系统。尽管编程复杂，但工具进步与实际案例（如 Brainwave）显示其在 AI 硬件生态中的地位日益提升。

ASIC

专用集成电路（ASIC）为特定任务设计，放弃通用性以换取极致效率与性能。Cerebras Wafer-Scale Engine (WSE) 是 ML 训练领域最具创新性的 ASIC 之一（见 图 22），其独特架构专为解决大模型训练的计算与内存瓶颈。

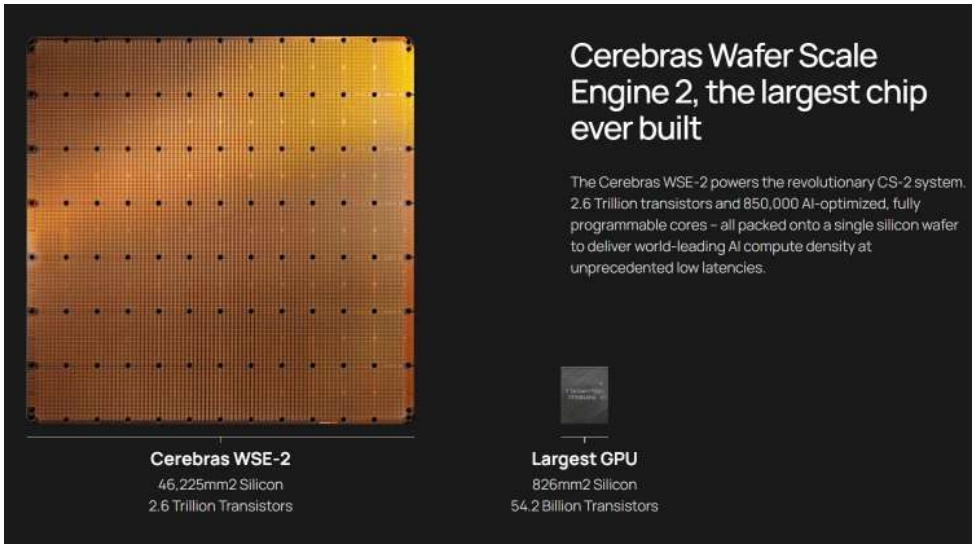

晶圆级集成：这块 300mm 硅片集成 2.6 万亿晶体管，将整个 AI 训练系统封装于单芯片，突破分布式训练常见的内存带宽瓶颈。超大规模集成极大减少数据传输，加速大模型训练。

Cerebras WSE 不同于传统芯片，其为一整块晶圆级处理器，未切割成小芯片。单芯片集成 2.6 万亿晶体管、85 万核心 [259]，核心间通过高带宽低延迟互连，消除 GPU、TPU 间通信瓶颈。

WSE 针对 ML 训练的关键瓶颈做了如下优化：

1. **数据移动**：传统分布式系统大量时间耗于设备间数据传输，WSE 将所有计算与内存集中于单晶圆，极大降低通信开销。
2. **内存带宽**：WSE 集成 40GB 高速片上内存，紧邻处理核心，数据访问几乎无延迟，解决 GPU 访问外部内存的瓶颈。

259. **WSE-2 规格**：2021 年发布，21cm×21cm 晶圆集成 2.6 万亿晶体管、85 万核心、40GB 片上内存。大语言模型训练速度比 GPU 集群快 15-20 倍，功耗 15kW（相当于 16-20 块 V100 GPU，但通信开销大幅降低）。

3. **可扩展性**：传统分布式系统需复杂软件管理多设备，WSE 将所有资源整合于一芯片，极适合大语言模型等需极致并行的架构。

Cerebras 在 NLP 领域的应用尤为突出。用户用 WSE 训练 Transformer 等模型，凭借极致并行与内存带宽，训练时间远低于 GPU 系统。如此强大的训练能力带来的能耗、可及性与社会影响将在 第 17 章：可信 AI 探讨。

WSE 也有局限。其单芯片设计适合密集矩阵计算等特定场景，不如 GPU、FPGA 通用。高昂成本也让小团队难以采用。

Cerebras 专注于最大规模模型，正契合扩展技术与混合并行等趋势。其独特设计解决了内存与通信瓶颈，是下一代 AI 工作负载的先锋方案。

Cerebras WSE 展示了 ASIC 如何突破 ML 训练的极限。通过优化计算与数据流，WSE 预示着 AI 专用硬件高度集成、极致优化的未来。

常见误区与陷阱

训练是机器学习系统开发中计算最密集的阶段，涉及复杂的优化算法、分布式计算与资源管理。现代训练任务的规模与复杂性，导致关于性能优化、资源利用与系统设计的诸多误区。

误区： 模型越大性能越好

这一观点促使团队盲目扩展模型规模，却忽视了模型容量与数据量的匹配关系。大模型虽能拟合更复杂模式，但需指数级增长的数据与算力。超出阈值后，模型易过拟合、性能提升有限、计算成本难以承受。高效训练应根据数据与算力合理匹配模型容量，而非一味追求大。

陷阱： 分布式训练必然加速开发

许多工程师以为增加设备就能线性缩短训练时间，忽略了通信与同步开销。分布式训练带来协调复杂性、梯度聚合瓶颈与收敛问题，小模型或小数据集反而单机更快。要获得实际加速，需分析模型规模、batch 需求与通信模式。

误区： 小模型的学习率调度可直接用于大规模训练

这一误解认为超参数（尤其学习率）可随模型或数据线性扩展。大规模训练因梯度噪声、batch 效应、收敛特性变化，常需不同优化策略。小规模实验的调度方案在分布式场景下常导致不稳定或收敛变差。大规模训练需针对分布式环境调整超参数。

陷阱： 忽视训练可复现性与实验追踪

为追求速度，团队常随意设置随机种子、未记录超参数或缺乏版本管理，导致结果无法复现、实验难以对比、训练失败难以排查。分布式训练更易因设备配置、数据加载顺序、软件版本等细微差异导致结果波动。系统化的实验追踪与可复现性是必备工程规范。

陷阱： 低估分布式训练系统的基础设施复杂性与故障模式

许多团队将分布式训练视为简单扩展，未充分规划大规模下的基础设施挑战。分布式系统易出现节点故障、网络分区、负载不均导致内存压力、同步死锁等问题，可能导致训练运行数小时/天后整体失败。异构集群中慢节点成瓶颈，网络拓扑与带宽限制使通信成本主导计算。高效分布式训练需健全的检查点与恢复机制、负载均衡、健康监控与故障应对策略，还要考虑云端弹性资源、抢占实例中断与分布式环境下的软件一致性。

总结

训练是机器学习系统的算力核心，算法、内存管理与分布式架构在此交汇，将数据转化为智能模型。本章展示了，看似简单的参数迭代优化，实则需精细工程设计以应对现代 ML 工作负载的规模与复杂性。前向与反向传播的每一步，都是矩阵运算、内存分配与梯度计算的协同，需要在硬件约束与性能需求间精细平衡。

从单机到分布式的演进，说明了计算瓶颈驱动架构创新，而非简单限制能力。数据并行通过分发样本实现多设备扩展，模型并行则通过参数分割突破内存瓶颈。梯度累积、混合精度、流水线并行等高级技术，展示了训练系统如何同时优化内存、算力与收敛稳定性。多种策略的协同，要求工程师既懂算法又懂硬件，才能实现最优资源利用。

这种协同设计原则 —— 算法、软件框架与硬件架构共同演进 —— 塑造了现代训练基础设施。矩阵运算模式推动了 GPU 张量核心的发展，框架通过混合精度 API 暴露硬件能力，反过来又促进了 FP16 训练等算法创新，进一步影响下一代硬件设计。理解算力需求与系统能力的反馈循环，有助于做出最优架构决策，充分释放现代训练系统潜力。

本章探讨的训练优化，为后续模型级效率与部署策略奠定了基础。这些系统工程原则自然而然延伸到生产推理系统，训练优化的工程洞察也将贯穿整个机器学习系统生命周期。

> **核心要点**
>
> - 训练效率取决于从数据加载到梯度计算与参数更新的全流程优化
> - 分布式训练需在通信开销与计算并行间权衡，才能实现扩展收益

- 梯度检查点、混合精度等内存管理技术是大模型训练的关键
- 成功的训练系统需算法、框架与硬件协同设计

这些原则与技术为理解模型优化、硬件加速与部署策略如何基于训练基础设施构建完整机器学习系统提供了基础。随着模型规模与复杂度持续增长，这些训练技术对于让先进 AI 能力在多样化应用场景和计算环境中落地变得愈发关键。

性能工程

性能是机器学习系统成功的关键。本章深入探讨 ML 系统的性能优化策略，包括硬件加速技术、模型量化与压缩、并行计算以及在不同部署环境下的性能调优。我们将学习如何识别性能瓶颈、实施有效的优化措施，并平衡性能与资源消耗。通过理论分析和实际案例，您将掌握构建高性能 ML 系统的核心技能，适用于需要在资源受限环境下部署 AI 应用的工程师和开发者。

第 9 章：高效 AI

目标

在追求机器学习系统高效性的过程中，哪些关键权衡影响工程决策？为何工程师必须在多重目标之间寻求平衡？

机器学习系统的高效性要求在算法复杂度、计算资源和数据利用等多个维度之间进行权衡。提升某一维度的性能，往往会导致其他方面的性能下降，这种工程张力需要系统性的方法来应对。理解这些相互依赖的关系，有助于工程师在时间、能耗和成本等实际约束下，设计出性能最优的系统。

> **学习目标**
>
> - 分析扩展规律（Scaling Law）之间的关系，制定计算预算、模型规模和数据需求的最优资源分配策略
> - 比较并权衡云端、边缘、移动端与 TinyML 等不同部署场景下的算法、计算与数据效率
> - 使用吞吐量、延迟、能耗和资源利用率等指标评估机器学习系统的效率
> - 应用剪枝、量化、知识蒸馏等模型压缩技术，在资源受限条件下优化模型性能
> - 针对不同部署需求和运行约束，设计具备场景感知的高效优化策略
> - 批判性分析基于扩展的方案，识别其失效点并提出以效率为导向的替代方案
> - 评估效率选择对机器学习系统环境影响与可及性的意义

高效性的必然性

随着模型从简单的统计方法演进到复杂且资源密集的架构，机器学习的高效性已从“事后考虑”转变为一门基础学科。理论能力与实际部署之间的鸿沟不断扩大，效率约束已成为系统可行性与可扩展性的决定性因素。

以大规模语言模型为例。GPT-3 的训练成本高达 460 万美元（Lambda Labs 估算），能耗达 1,287 兆瓦时。其推理阶段的内存需求超过 700GB（半精度也需 350GB），使其在资源受限环境下难以部署。这些约束揭示了模型表达能力与系统可用性之间的张力，亟需严谨的分析与优化策略。

效率研究不仅仅是资源优化，更关乎学习系统设计的理论基础。工程师必须理解算法复杂度、计算架构与数据利用策略如何相互作用，决定系统的可行性。这些相互依赖关系形成了多目标优化问题，提升某一维度往往会牺牲其他方面的性能。

本章为第三部分“性能工程”课程中的效率分析奠定框架。这里的效率原则将贯穿于第 10 章：模型优化（模型优化）、第 11 章：AI 加速（硬件加速）和 第 12 章：AI 基准测试（效率度量）等章节，指导量化、剪枝等算法优化、硬件加速策略以及效率改进的验证方法。

系统效率的定义

以智能手机上的照片搜索应用为例，工程师面临三重压力：模型需足够小以适配内存（算法挑战），推理速度要快且不能耗电过多（计算挑战），还要能在有限的用户照片数据下学习（数据挑战）。高效 AI 的本质，就是在这些相互关联的权衡中找到最佳平衡点。

应对这些效率挑战，需要在决定系统可行性的三大维度上进行协同优化。

> **机器学习系统效率定义**
>
> **机器学习系统效率** 指在 算法效率、计算效率 和 数据效率 三个维度上对系统进行优化，目标是在保证或提升系统性能的前提下，最小化 计算、内存和能耗。高效性确保机器学习系统具备 可扩展性、成本效益和可持续性，适应从 云数据中心 到 边缘设备 的多样化部署场景。实现系统效率需要在各维度间权衡，如在 模型复杂度 与 硬件约束、数据依赖 与 泛化能力 之间取得平衡。理解这些相互作用，是设计高性能、实用系统的前提。分析三大效率维度的实际互动，有助于理解扩展规律如何揭示这些约束。

效率的相互依赖

三大效率维度深度耦合，构成复杂的优化空间。算法效率通过更优的算法和架构降低计算需求，但可能增加开发复杂度或对硬件提出特殊要求。计算效率通过优化实现和专用处理器提升硬件利用率，但可能限制模型表达能力或要求特定算法。数据效率则通过改进训练流程和数据利用，减少样本需求，但可能需要更复杂的算法或更多计算资源。

以智能手机照片搜索为例，系统需适配 2GB 内存（计算约束）、在有限训练数据下达到可接受精度（数据约束）、并在 50ms 内完成搜索（算法约束）。单独优化任一维度都难以满足需求：

算法效率 关注模型架构。采用 5,000 万参数的紧凑视觉 - 语言模型替代 10 亿参数大模型，内存需求从 4GB 降至 200MB，推理时间从 2 秒降至 100 毫秒，但精度从 92% 降至 85%，需权衡精度损失是否可接受。

计算效率 关注硬件利用。优化后的模型可在手机处理器上高效运行，每小时仅消耗 10% 电量。8 位量化等技术进一步降低计算量，批处理 [260] 可同时处理多条查询。但这些优化需算法配合以支持低精度运算。

数据效率 关注模型学习方式。无需数百万标注样本，系统可利用预训练基础模型，仅用数千条用户数据进行适配。通过用户交互实现持续学习，无需显式标注。这要求更复杂的算法和对计算资源的精细管理。

多维协同优化带来“涌现效应”：更小的模型（算法效率）支持端侧推理（计算效率），进而实现本地化学习（数据效率），无需上传隐私图片，提升性能与隐私保护。这种集成能力，是低效方案无法实现的。

这种相互依赖在云、边缘等所有部署场景均有体现。如图 1 所示，理解这些关系，是深入分析扩展规律前的基础。

理解效率维度的互动后，我们可以进一步探讨为何单纯扩展规模无法满足实际效率需求。扩展规律为理解这些限制提供了定量框架。

AI 扩展规律（Scaling Laws）

机器学习系统发展呈现出一致模式：通过增加模型参数、训练数据和计算资源，通常能提升性能。这一经验规律推动了 NLP、CV、语音识别等领域的进步 —— 更大模型、更多数据，带来更优结果。

260. **批处理**：同时处理多个示例，通常为 32-256 个样本。较大批次提供更稳定的梯度估计，并更好地利用并行硬件，但需要更多内存。最佳批次大小取决于可用的 GPU 内存和特定的模型架构。

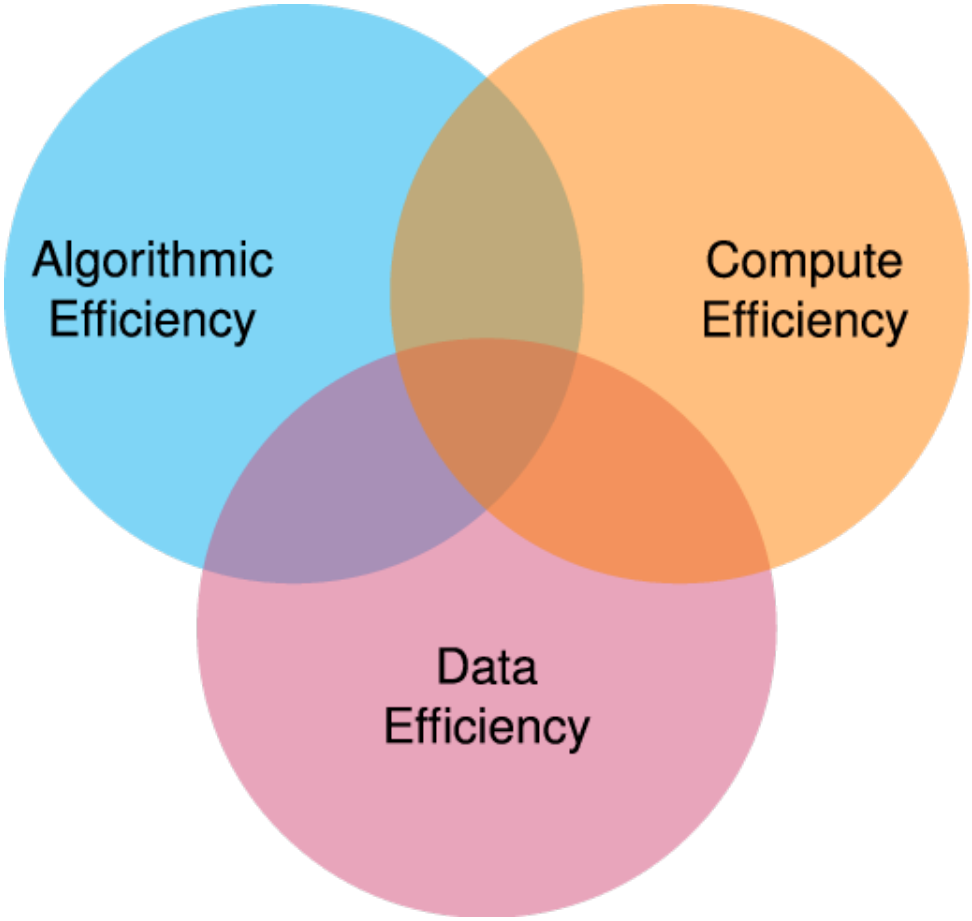

效率的相互依赖：算法、计算与数据三大效率维度相互重叠、影响，优化某一维度往往需权衡对其他维度的影响，决定系统整体性能与资源利用。

扩展规律可视为 Sutton“苦涩教训”[第 1 章：绪论] 的定量表达：机器学习性能主要依赖于大规模通用方法。幂律关系揭示了为何扩大计算规模能带来更优模型。

但这种扩展也带来效率与可持续性的挑战。计算需求呈指数级增长，数据需求不断攀升，扩展成本何时大于性能收益？研究者提出了扩展规律[261]，定量描述模型性能与训练资源的关系，揭示了效率优化在系统复杂度提升中的重要性。

本节介绍扩展规律，分析其在不同维度的表现及对系统设计的启示，说明为何多维效率优化是基础性需求。

扩展规律的实证证据

过去十年 AI 能力的飞跃，正是扩展轨迹的体现。GPT-1（2018）有 1.17 亿参数，仅能完成简单补全；GPT-2（2019）扩展到 15 亿参数，实现连贯段落生成；GPT-3（2020）

261. **扩展规律**：OpenAI 发现的经验关系，语言模型性能与模型规模（N）、数据规模（D）、计算预算（C）呈幂律关系。可在昂贵训练前预测性能与最优资源分配。

达 1750 亿参数，展现跨领域文本生成能力。每次扩展都带来能力跃升，但成本呈指数增长。

这一模式不限于语言模型。CV 领域，神经网络规模翻倍，若训练数据同步扩展，准确率也稳定提升。AlexNet（2012）有 6,000 万参数，VGG-16（2014）达 1.38 亿，现代视觉 Transformer 超过 6 亿。每代模型准确率提升，但计算与数据需求同步增长。

扩展假说认为：更大模型具备更强的数据拟合与泛化能力。但这种扩展也带来资源瓶颈。GPT-3 训练需约 314 万亿亿（314 后 21 个零）次浮点运算，相当于高端游戏 PC 连续运行 350 年，成本与能耗极高。

这些资源需求说明理解扩展规律对效率至关重要。图 2 展示了 SOTA 模型训练计算量的爆炸式增长，远超摩尔定律的硬件提升速度。

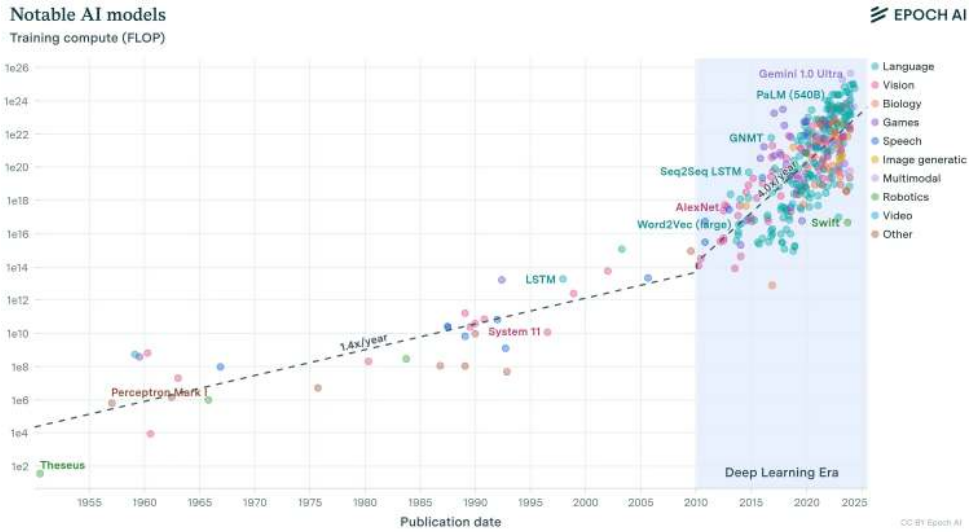

模型训练计算趋势：深度学习时代，模型训练计算量增长速度不断加快。

扩展规律为权衡提供了定量框架。它揭示了性能随资源增加呈幂律提升，但收益递减[262]。最优资源分配需协调模型规模、数据量与计算预算，而非单独扩展某一维度。

> **补充：Transformer 的计算特性**
>
> 参考 第 4 章：DNN 架构，Transformer 通过自注意力机制处理序列，计算量随序列长度呈二次增长。FLOPs（浮点运算次数）衡量总计算量，Token 表示训练时处理的最小文本单元。

262. **收益递减**：经济学原理，投入增加带来的产出提升逐步减小。ML 中，计算从 1 小时增至 2 小时，准确率提升 5%；从 100 小时增至 200 小时，提升仅 0.5%。

计算最优资源分配

大语言模型（LLM）实证研究发现：在固定计算预算下，存在模型规模与数据量的最优配比，可最小化训练损失。

图 3 展示了三种视角。左图为“等 FLOP 曲线”，每条曲线对应固定浮点运算量，曲线谷底即为每种预算下的最优模型规模。中、右图揭示了最优参数量与 token 数随计算预算的可预测扩展规律，说明高效利用资源需模型与数据协同扩展。

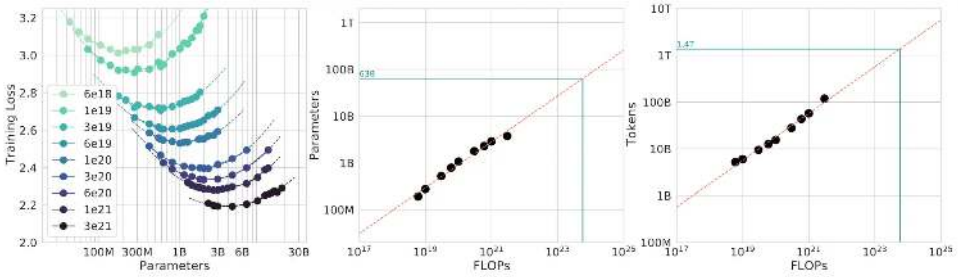

最优计算分配：在固定计算预算下，语言模型性能取决于模型规模与训练数据的平衡。左图为参数量与损失的关系，谷底为每种 FLOP 下的效率极值。中、右图量化了最优参数量与 token 数随计算扩展的规律，说明需协同扩展模型与数据。

Kaplan 等人证明，Transformer 语言模型的性能可通过参数量、训练 token 数与总计算预算三者的协同扩展实现持续提升，无需架构或任务特定调整。

图 4 展示了 10^3 到 10^9 参数规模模型的测试损失曲线。两点启示：一是大模型具备更高样本效率，用更少 token 达到目标性能；二是计算资源增加时，最优模型规模同步增长，损失随高效分配而可预测下降。

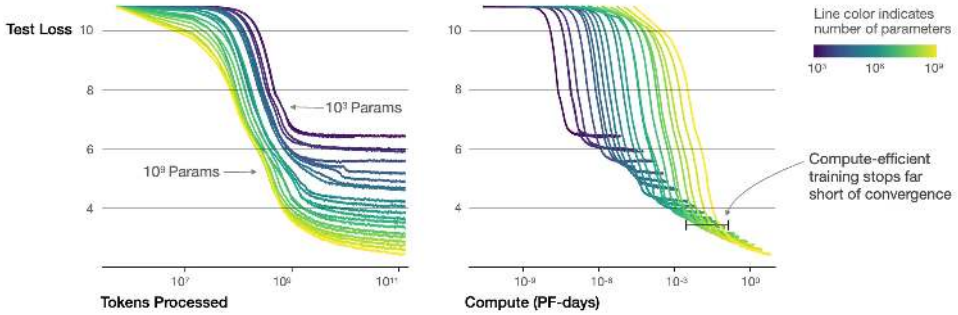

扩展规律与计算最优性：大模型在训练数据和计算资源同步扩展下，性能持续提升，但收益递减，需合理分配资源。不同参数规模与 token 数的损失曲线收敛，说明最优模型规模与训练时长取决于可用计算预算。

理论上，最优计算分配遵循 $D \propto N^{0.74}$，即数据量 D 与模型规模 N 应按 0.74 次方协同扩展。

但实际分布式训练会遇到通信开销等问题，100 节点以上通信损耗可达 20-40%，实际收益低于理论预测。

数学基础与运行区间

扩展规律可用幂律表达，尽管对大多数工程师而言，理解其直观意义比精确公式更重要。

一般形式为：

$$\mathcal{L}(N) = AN^{-\alpha} + B$$

其中损失 $\mathcal{L}$ 随资源 N 增加呈幂律下降，α 为扩展指数，A、B 为任务相关常数。α 越大，扩展带来的效率提升越明显。

资源约束下的扩展区间 实际应用中，扩展规律对应三种资源分配区间：

- **计算受限区间**：计算资源有限，数据充足。适合小模型长时间训练，最大化计算利用率。常见于学术、初创等资源有限场景。
- **数据受限区间**：计算资源充足，数据有限。适合大模型短时训练，充分挖掘有限数据的信息量。常见于医疗、专有数据等领域。
- **最优区间（Chinchilla 前沿）**：计算与数据按扩展规律协同分配，性能效率最大化。DeepMind 的 Chinchilla 模型即通过最优分配超越更大模型。

识别区间有助于避免常见低效，如数据不足却扩展模型、计算资源浪费等。

扩展规律揭示了不同资源维度下的性能提升路径。两类重要区间：**数据驱动区间**（随数据量变化）与 **时间区间**（ML 生命周期内的计算分配）。

数据受限扩展区间 泛化误差与数据量的关系呈三阶段，如图 6。样本极少时，泛化误差高；数据增加后，误差随幂律下降，收益最大；最终趋于饱和，新增数据提升有限。

这一模式在其他资源维度同样适用。进入幂律区间，资源投入回报最稳定；但需达到最小阈值，且避免过早饱和。

时间扩展区间 除数据区间外，还可从 ML 生命周期的时间分配角度分析。最新研究发现三类 **时间扩展区间**：

- **预训练扩展**：传统扩展规律关注点，模型、数据、计算同步扩展，能力提升显著。

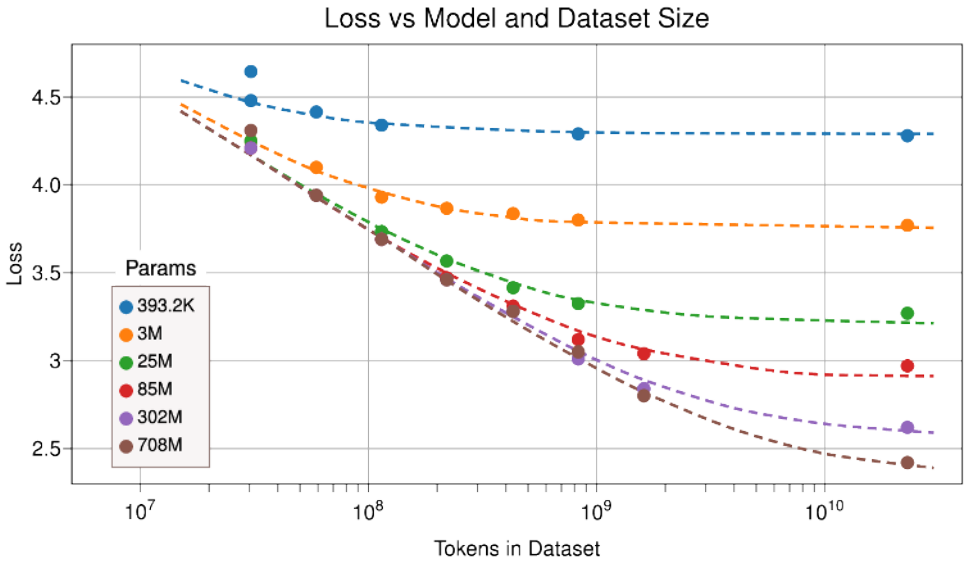

损失 vs 模型与数据规模：提前终止的测试损失随数据与模型规模可预测变化，强调在固定计算预算下平衡扩展的重要性。

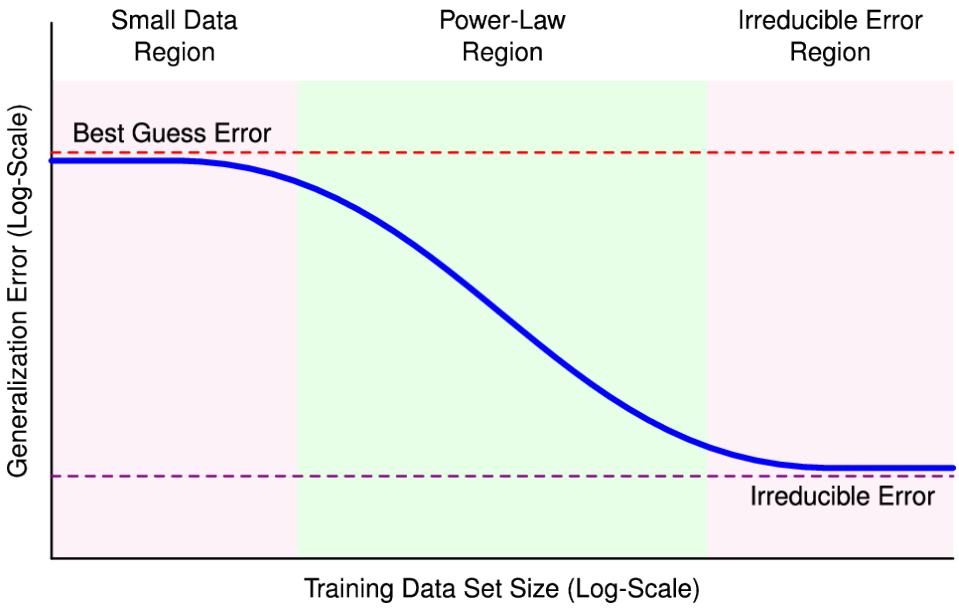

数据扩展区间：数据量与泛化误差的关系呈三阶段。初期数据增加带来幂律下降，最终趋于不可再降的误差下限。

- **后训练扩展**：通过微调、提示工程等方式，在已有模型基础上提升性能，资源需求适中。
- **推理时扩展**：推理阶段动态分配计算，如集成预测、链式思维等，无需修改模型参数。

图 7 展示了三类时间区间的计算资源分配特征。预训练资源消耗最大，后训练针对性提升，推理时可灵活调整。

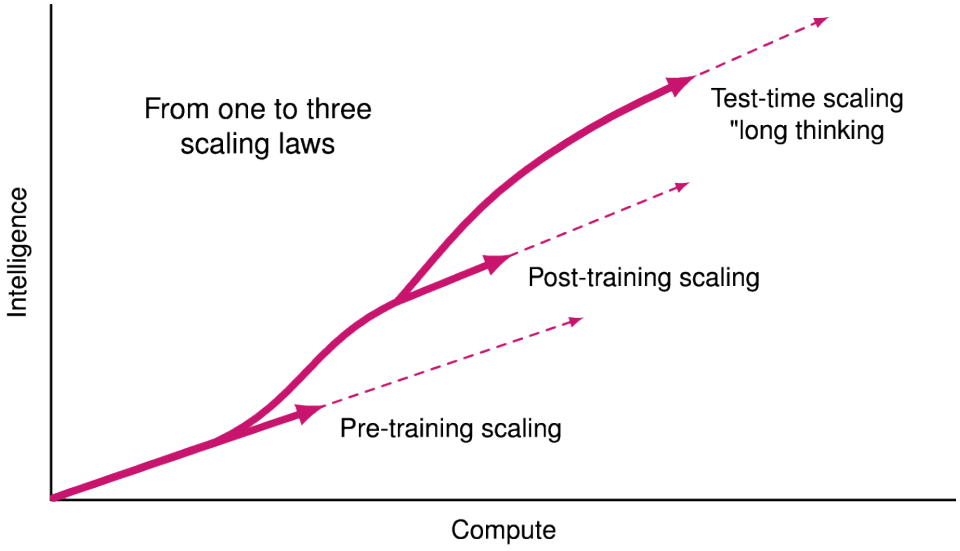

时间扩展区间：不同时间区间对应不同的性能提升与计算投入。预训练带来广泛能力，后训练实现定制化提升，推理时扩展支持按需分配计算资源。

数据与时间区间为系统设计提供多样化路径。资源受限场景下，后训练与推理时扩展往往比全量重训练更实用；数据高效技术则可在幂律区间内用更小数据集实现高效系统。

系统设计中的实践应用

扩展规律为系统设计与资源规划提供有力工具。幂律趋势表明，在合理区间内，模型性能主要取决于规模而非架构创新。但收益递减现象也说明，后续提升需投入更多资源，回报却逐步降低。

OpenAI GPT-3 的开发即为典型案例。团队基于早期实验的扩展规律，推算出最优数据集规模与参数量，沿计算最优前沿扩展至 1750 亿参数、约 3000 亿 token，无需大规模架构搜索即可预测性能与资源需求。这一方法论为大规模系统规划提供了范例。

扩展规律的实际作用包括：资源预算时评估不同分配方案的回报；在固定预算下，利用经验曲线确定模型扩展、数据扩展或训练时长的最优策略。

系统设计者还可利用扩展趋势判断何时架构创新带来的提升大于单纯扩展，避免无效的

架构搜索。当模型家族具备良好扩展性时，扩展现有架构往往优于转向复杂但未经验证的新设计。

在资源受限的边缘与嵌入式场景，理解模型缩减带来的性能变化，有助于选择在约束下仍能满足需求的小型模型。通过量化规模 - 性能权衡，扩展规律指明了何时单纯扩展变得低效，提示采用压缩、知识迁移、稀疏化、硬件感知等高效方法。

扩展规律还具备诊断功能。当资源投入增加但性能停滞，往往说明某一维度已饱和（如数据不足或计算利用率低）。这种诊断能力使扩展规律既具预测性，也具指导性，便于系统性发现与解决瓶颈。

可持续性与成本影响

扩展规律揭示了性能提升路径，也暴露了资源需求的急剧增长。模型扩展带来训练与部署成本的非线性上升，效率与性能提升之间的张力日益突出。

大模型训练需大规模分布式基础设施[263]，动辄数千张加速卡，消耗数百万千瓦时电力。分布式训练还带来通信、同步与扩展效率等复杂问题（详见 第 8 章：AI 训练）。能耗增长已超越摩尔定律，长期可持续性面临挑战。

大模型还需大规模、高质量、多样化数据集。数据采集、清洗与标注消耗大量资源。尤其在 NLP 领域，高质量数据趋于饱和，单纯扩展数据难以持续提升性能，数据效率成为扩展的必要补充。

财务与环境影响进一步加剧。大模型训练成本高达数百万美元，碳足迹[264] 引发关注。高昂成本限制了先进 AI 的可及性，加剧了技术鸿沟。效率壁垒带来的公平性问题，与 第 19 章：AI 向善 的可及性目标直接相关。ML 系统环境可持续性（碳足迹测量、绿色计算等）详见 第 18 章：可持续 AI。

这些权衡说明，扩展规律虽为性能提升提供框架，但并非无限制的增长路径。每一次性能提升都需权衡资源投入。当系统接近实际扩展极限时，重心应从单纯扩展转向高效扩展 —— 在性能、成本、能耗与环境影响间取得平衡。

扩展规律的失效条件

扩展规律在特定区间内高度稳定，但存在内在极限。系统扩展到一定规模后，规律假设的平滑、可预测增长将失效，暴露出效率瓶颈，需更精细的系统设计。

263. **分布式基础设施**：将 ML 任务分布到多台机器，OpenAI GPT-4 训练可能用数千张 A100 GPU 通过 InfiniBand 互联，需精细调度避免通信瓶颈。
264. **碳排放**：GPT-3 训练约产生 502 吨 CO⌧，相当于 123 辆汽油车一年的排放。现代 ML 实践日益重视碳追踪，常用 CodeCarbon、ML CO2 Impact 等工具。

扩展规律成立的前提是模型、数据、计算预算协同扩展。单独扩展某一维度，常导致低效。例如，模型扩展但数据不变会过拟合，计算扩展但模型未调整则资源利用低下。

大模型需精细的训练调度与学习率调整。若因提前终止、批量不匹配或并行低效导致计算分配不足，即使硬件投入巨大，模型也难以发挥潜力。

扩展规律假设有足够训练数据。但现实中，高质量标注数据有限。模型消耗完可用数据后，新增数据带来信息量极小，甚至出现记忆而非泛化。

模型扩展还需更高的内存带宽[265]、互联能力与 I/O 吞吐。即使有专用加速器，硬件瓶颈日益突出。分布式万亿参数模型需精细的数据并行、通信与容错管理。

极端规模下，模型可能接近训练分布的可学习极限。基准性能虽继续提升，但未必反映真实泛化或理解能力，模型易受对抗样本影响，输出可信度下降。

表 1 总结了扩展失效的主要类型、根本原因与典型场景，为预判低效与优化资源分配提供参考。

扩展维度	失效类型	根本原因	典型场景
模型规模	过拟合	模型容量超出数据规模	小数据集上用十亿参数模型
数据量	收益递减	新信息或多样性饱和	文本数据扩展超出有效阈值
计算预算	资源利用低下	训练步数不足或利用率低	大模型训练时间过短
扩展失衡	低效	模型/数据/计算扩展不协调	只扩展模型未扩展数据或时间
全维度	语义饱和	领域内可学习模式耗尽	全面扩展后性能无提升

表 1：**扩展失效类型**：模型、数据、计算资源扩展失衡导致特定失效模式，如过拟合、

265. **内存带宽**：数据读写速率，NVIDIA H100 达 3.35 TB/s，普通 DDR5 仅 51 GB/s，差距达 65 倍，决定大模型参数处理能力。

收益递减等，影响系统性能与效率。表中归纳了失效类型、根本原因与典型场景，指导更有效的系统设计与资源分配。

这些失效点说明，扩展规律仅在特定条件下成立，规模越大越难维持。随着 ML 系统演进，识别扩展失效的边界与原因，推动开发不依赖单纯扩展的高效策略。

效率与扩展的融合

扩展规律暴露的数据饱和、基础设施瓶颈与收益递减，说明单靠扩展无法实现可持续 AI。必须转向多维协同优化：**算法效率** 降低计算强度，**计算效率** 最大化硬件利用，**数据效率** 在高质量数据稀缺时提升信息提取能力。三者协同，为实现性能、可及性与环境友好提供系统性路径。

理解扩展规律揭示的约束后，下一节将详细介绍三大效率维度如何协同，实现可持续、可及的机器学习系统。

效率框架

扩展规律揭示的约束（持续进步需系统性效率优化）催生了三大互补效率维度。每一维度针对特定瓶颈：算法效率应对计算强度，计算效率解决硬件利用，数据效率突破数据饱和。

三者协同，构成系统性解决方案。针对算法、硬件与数据的优化，能实现单纯扩展无法企及的高性能、可及、可持续 AI。

多维效率协同

最优性能需多维协同优化。单一资源（参数、数据、计算）无法无限扩展。现代技术已实现 10-100 倍算法效率提升、5-50 倍硬件利用提升、10-1000 倍数据需求降低。

如图 8 所示，三大效率维度相互促进。算法创新带来更优硬件利用，硬件进步反过来支持新算法。数据高效方法降低计算需求，计算高效方法支持大数据训练。理解这些协同，是构建实用 ML 系统的关键。

不同部署场景优先级各异。云端重视可扩展性与吞吐，边缘设备受限于内存与功耗，移动端需兼顾性能与续航，TinyML 则追求极致资源效率。理解场景特性，有助于决策优先优化哪些维度及权衡取舍。

实现算法效率

算法效率通过优化模型架构与训练流程，实现单位计算的最大性能。现代技术已实现 10-100 倍计算需求降低，且精度不降反升，是 AI 实用化的最直接路径。

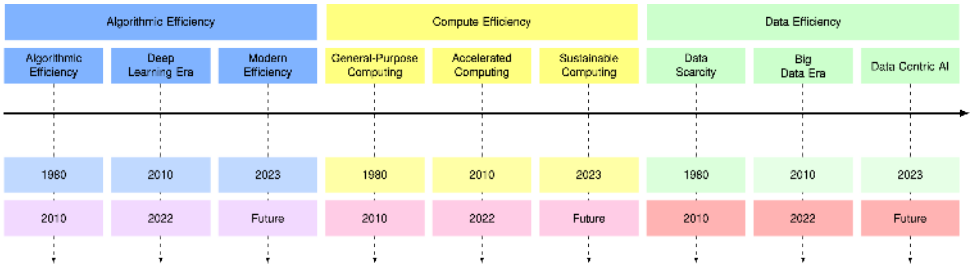

历史效率趋势：算法、计算与数据效率各自推动 AI 能力提升，速度不同且收益递减。理解历史趋势有助于制定数据受限环境下的扩展策略。

核心发现是：大多数神经网络严重过参数化。Lottery Ticket 假说表明，网络中仅 10-20%（视架构与任务而定）参数即可独立训练达到原始精度。这一发现将压缩转化为有理论基础的方法：大模型用于初始化，寻找高效子网络。

模型压缩基础 现代算法效率主要有三类方法：

模型压缩：系统性移除冗余参数。剪枝技术可实现 2-4 倍推理加速，精度损失仅 1-3%。如 ResNet-50 剪至原参数 20%，ImageNet 精度仍达 99%。具体算法详见 第 10 章：模型优化。

精度优化：量化将高精度浮点映射为低精度表示。神经网络对精度降低具备稳健性，INT8 量化可实现 4 倍内存压缩、2-4 倍推理加速，精度保持 98-99%。方法涵盖后量化与量化感知训练，详见 第 10 章：模型优化。

知识迁移：大模型向小模型蒸馏能力。知识蒸馏[266] 可减少 40-60% 参数，保留 95-97% 性能，兼顾计算与数据效率。算法、损失函数与流程详见 第 10 章：模型优化。

硬件 - 算法协同设计 算法优化需结合硬件特性，才能实现实际加速。优化方法需针对目标硬件（内存带宽、计算能力、精度支持）定制。例如，INT8 量化在支持张量核的 V100 GPU 上可加速 2.3 倍，但在无专用指令硬件上提升有限。

需判断任务是内存瓶颈还是计算瓶颈，针对性优化。算子融合减少内存访问，精度降低利用专用单元。第 10 章：模型优化 详述算法优化，第 11 章：AI 加速 介绍硬件协同设计。

266. **知识蒸馏**：大“教师”模型将知识迁移给小“学生”模型，学生通过拟合教师输出概率学习。DistilBERT 以 40% 参数、60% 推理时长，达 BERT 97% 性能。

高效架构创新 现代高效性需为资源约束设计架构。MobileNet[267]、EfficientNet[268]、SqueezeNet[269] 等模型证明，结构创新可实现高性能与紧凑规模兼得。

不同场景权衡不同。云端优先吞吐，可容忍高内存，适合并行友好结构。边缘优先延迟与内存，需最小化访问。移动端关注能耗，需能效最优架构。

参数高效适配 参数高效微调 [270] 方法体现三维协同。仅更新 <1% 参数，性能媲美全量微调，兼顾算法、计算与数据效率。

实际影响巨大：GPT-3 全量微调需 700GB 显存，LoRA 仅需 10GB，且只需数百样本即可高效适配。

如图 9 所示，2012-2019 年间，训练 AlexNet 级别模型的计算需求下降约 44 倍，效率提升速度超过摩尔定律 [271]。

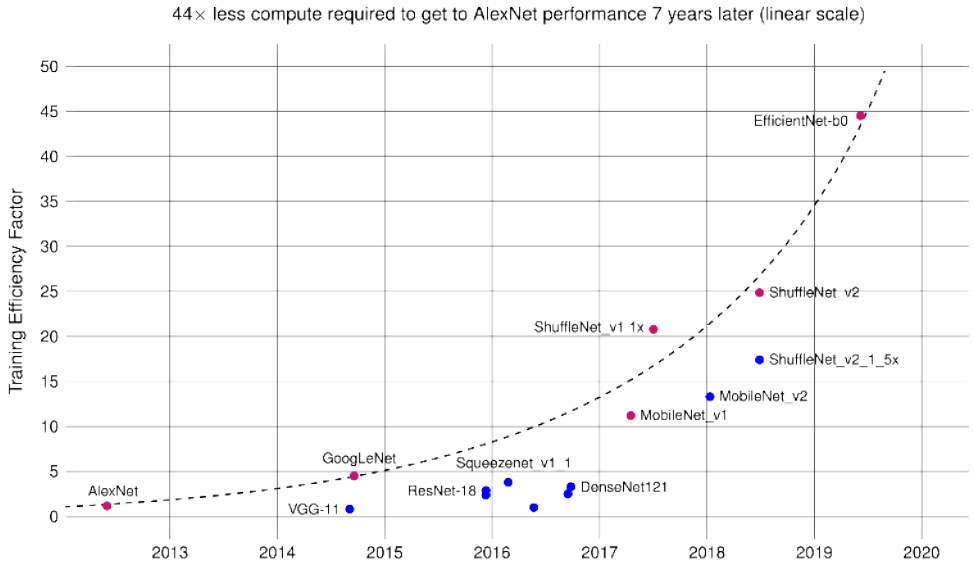

算法效率进步：2012-2019 年神经网络训练计算需求下降 44 倍，算法进步推动 AI 可持续发展。

算法效率的演进 —— 从压缩到硬件协同、参数高效适配 —— 已成为 ML 进步的核心。未来，算法效率仍将是高性能、可扩展、可持续系统设计的关键。

267. **MobileNet**：采用深度可分离卷积，参数量仅 4.2M（VGG-16 为 1.38 亿），适合 <100MB 内存的手机部署。
268. **EfficientNet**：以更优参数效率达 SOTA，B7 版参数 6600 万，ImageNet top-1 精度 84.3%，优于 ResNet-152（6000 万参数，77% 精度）。
269. **SqueezeNet**：仅 125 万参数，达 AlexNet 精度（60M），证明结构创新可极大压缩模型。
270. **参数高效微调**：如 LoRA、Adapter，仅更新 <1% 参数，性能接近全量微调。大模型适配内存从数百 GB 降至数 MB。
271. **摩尔定律**：晶体管密度每 18-24 个月翻倍。AI 算法效率 7 年提升 44 倍，远超摩尔定律。

计算效率

计算效率关注硬件与计算资源的高效利用，涵盖能耗降低、速度优化与硬件能力发挥，实现可扩展、可持续的系统性能。本章侧重效率原则与权衡，硬件加速（GPU、TPU、内存系统、定制芯片等）详见 第 11 章：AI 加速。

从 CPU 到 AI 加速器 计算效率的演进解释了为何专用硬件成为必需。早期 ML 依赖 CPU，适合顺序处理与复杂决策，但并行度有限（4-16 核），难以高效执行矩阵运算。模型训练需数天甚至数周，数据集稍大即达硬件极限。

深度学习（如 AlexNet、ResNet[272]）突破 CPU 束缚，开启计算爆炸。OpenAI 分析显示，2012-2018 年 AI 训练计算量增长 30 万倍，每 3.4 个月翻倍，远超摩尔定律。

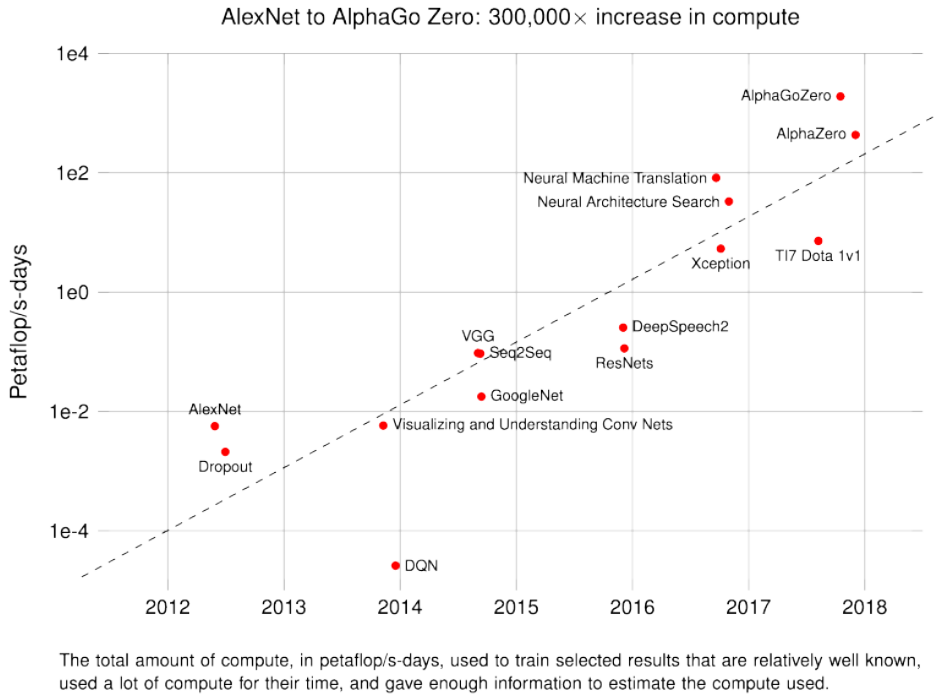

AI 训练计算增长：2012-2019 年 AI 训练计算需求增长 30 万倍，推动专用硬件发展。

GPU 的大规模并行能力成为主流。现代高端 GPU（如 NVIDIA H100）拥有 1.6 万 CUDA 核。Google TPU 等专用加速器进一步通过定制数据类型与操作优化神经网络计算效率。

可持续计算与能耗意识 系统规模扩展，计算效率与可持续性紧密相关。SOTA 大模型训练需巨量计算资源，数据中心能耗激增。图 11 显示，2010-2030 年数据中心用电量预计大幅上升，最坏情形下 2030 年超 8000 太瓦时。

272. **ResNet**：He 等人提出的残差网络，支持 152 层超深结构，2015 年 ImageNet 冠军，首次超越人类水平。

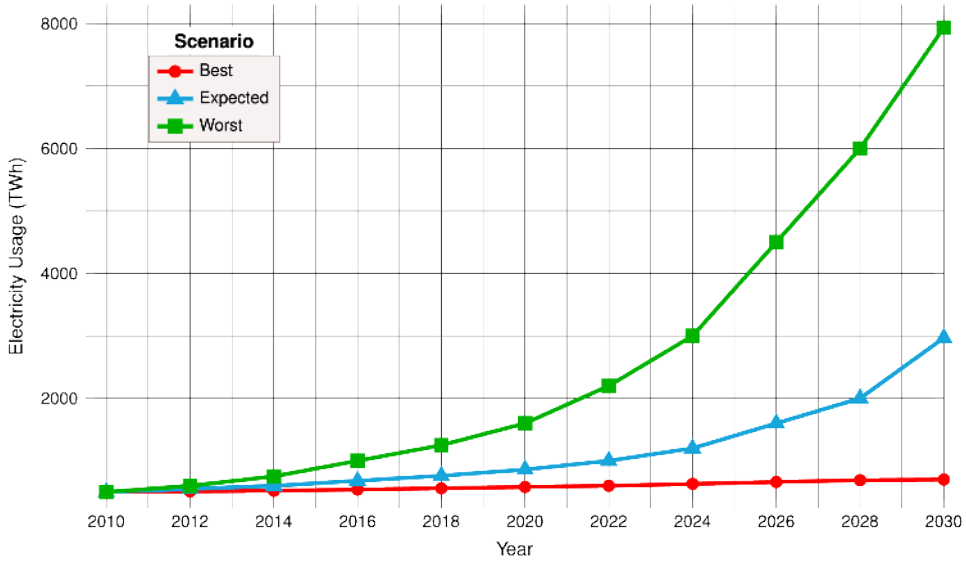

数据中心能耗预测：2010-2030 年数据中心用电量大幅增长，强调 AI 系统能效优化的紧迫性。

效率提升未必带来总能耗下降，存在 Jevons 悖论。汽车油耗降低，反而鼓励更多驾驶，总油耗上升。AI 亦然，模型效率提升 10 倍，若使用量增 100 倍，总能耗反升。

应对之道包括能耗感知调度、动态精度调整（如混合精度训练）、分布式系统（模型并行 [273]、数据并行 [274]）等。

边缘场景下，计算效率关注实时与低能耗。硬件感知优化、轻量推理引擎、自适应架构等创新，实现毫瓦级功耗下的高效推理。

生产部署模式　实际生产系统通过多技术协同，常实现 5-10 倍效率提升，性能损失低于 5%。

- 移动端通过量化、剪枝、蒸馏，模型缩小 4-7 倍，延迟降 3-5 倍，支持中端设备实时推理。
- 自动驾驶系统通过硬件感知架构与混合精度，满足 <10ms 延迟与多路传感器处理。
- 云端推理通过动态批处理、量化、蒸馏，成本降 70-80%，服务能力提升 4-5 倍。
- 边缘 IoT 通过极致压缩与占空比优化，实现月级续航，功耗仅毫瓦级。

这些提升源于系统性、多技术协同优化，而非单一方法。具体流程详见 第 10 章：模型优化。

273. **模型并行**：模型分布到多处理器，解决单卡内存不足。GPT-3 需 350GB 显存，A100 仅 40GB，需 8-16 卡并行。
274. **数据并行**：多处理器运行同一模型，处理不同数据批次。GPT-3 训练用数千 GPU 并行处理文本。

计算效率与算法、数据效率互补。紧凑模型降低计算需求，高效数据管道提升硬件利用。计算效率的演进（从 CPU 到专用加速器、再到可持续计算）始终是可扩展、可及、环境友好 ML 系统的核心。

数据效率

数据效率关注如何在有限数据条件下高效训练机器学习模型。随着数据采集、存储和处理成本的上升，以及高质量数据资源的有限，数据效率已成为机器学习系统工程的核心维度。

小数据高效学习 早期机器学习阶段，数据效率并非关注重点，因为数据集规模较小且易于管理。主要挑战在于如何获得足够的标注数据以支撑模型训练。研究者常用 UCI 机器学习数据集库[275]，并通过主成分分析（PCA）[276] 等特征选择与降维技术，最大化有限数据的价值。

深度学习兴起后，数据角色发生转变。AlexNet、GPT-3 等模型证明，大规模数据集能显著提升模型性能，开启了“大数据”时代。但这种依赖也带来低效：数据采集与标注成本高昂，监督学习对海量标注数据的需求日益突出。

为提升数据效率，研究者提出了多种技术。迁移学习[277] 允许用大数据集预训练的模型在小数据集上微调，显著减少任务所需数据量。数据增强[278] 通过对已有样本变换扩充数据集。主动学习[279] 则优先标注最具信息量的数据点。

随着系统规模持续扩大，大数据集的低效日益突出。数据中心化 AI[280] 成为新范式，强调数据质量优先于数量。该方法聚焦于数据预处理、冗余去除与标注效率提升。研究表明，精细筛选与过滤可用更少数据实现同等甚至更优性能。

多种技术助力这一转变。自监督学习[281] 让模型从无标注数据中学习有效表示，降低对昂贵人工标注的依赖。主动学习策略优先标注最有价值样本，课程学习[282] 则让模型先

275. **UCI 机器学习数据集库**：加州大学欧文分校 1987 年建立，全球最常用的机器学习数据集资源之一，收录 600+ 数据集，被数千篇论文引用。
276. **主成分分析（PCA）**：1901 年 Karl Pearson 提出，识别数据中最重要的变化方向，常用于降维，能在保留 90%+ 方差的同时大幅降低计算复杂度。
277. **迁移学习**：先在大数据集上预训练模型，再针对具体任务微调。例如，ImageNet 预训练模型在新视觉任务上仅需 <1000 个标注样本即可达高精度，而从零训练需百万级样本。
278. **数据增强**：通过旋转、裁剪、加噪声等方式扩充数据集。可提升模型 5-15% 性能，缓解过拟合，尤其适用于标注稀缺场景。
279. **主动学习**：迭代选择最具信息量的样本进行标注，最大化学习效率。相比随机采样，能用 50-90% 更少标注数据达标。
280. **数据中心化 AI**：由 Andrew Ng 于 2021 年提出，从“模型中心”转向“数据中心”，系统性提升数据质量，往往带来比架构优化更大的性能提升。
281. **自监督学习**：模型通过自身结构生成标签，如 BERT 预测被遮蔽词。可利用数十亿无标注样本进行训练。
282. **课程学习**：模拟人类教育，先学简单再学复杂样本。可提升 25-50% 收敛速度和最终性能。

学简单样本再逐步提升难度，提升学习效率。

数据效率在基础模型 [283] 中尤为关键。随着模型规模和能力提升，尤其在语言任务中，高质量训练数据趋于枯竭（见下图）。这推动了数据处理与筛选技术的创新。

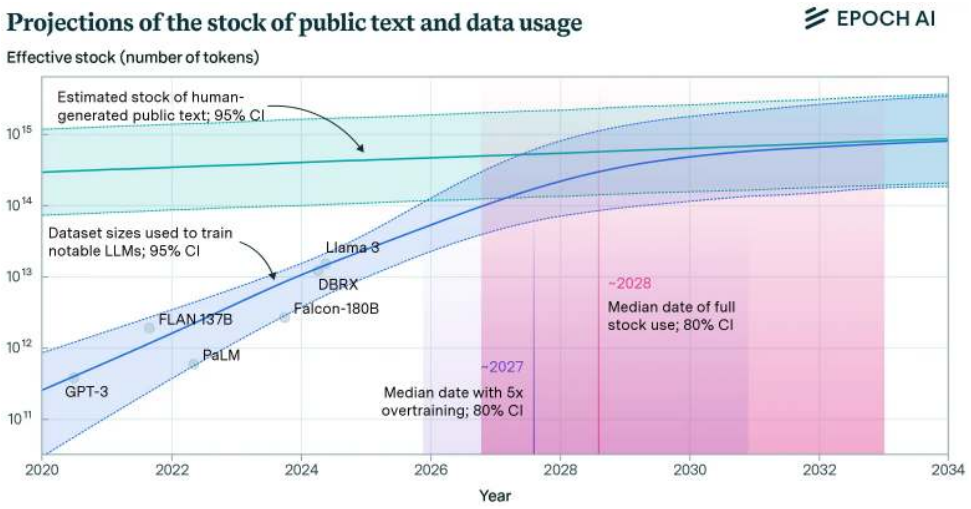

数据集增长：基础模型训练数据集规模不断扩大，反映人类文本总量的增长。随着规模提升，数据稀缺问题日益突出。来源：Villalobos, Ho, Sevilla, Besiroglu, Heim, Hobbhahn, 2024。

数据质量对性能的影响在不同规模部署中均有体现。TinyML[284] 应用如 Wake Vision，性能高度依赖数据精细筛选。大规模语言模型研究也表明，智能过滤与选择策略能显著提升下游任务表现。第 12 章：AI 基准测试 章节详细介绍了数据质量改进的评测方法。

现代数据效率代表了数据利用方式的根本转变。聚焦质量而非数量，发展精细的数据选择与处理技术，推动模型训练与部署向更可持续、高效方向发展。数据效率是系统可扩展性的基础，也影响模型与计算效率。高质量小数据集可缩短训练时间、降低计算需求，并提升泛化能力。这些原则也与 第 15 章：安全与隐私 探讨的隐私保护技术互补，最小化数据需求有助于提升效率与用户隐私。

真实世界的效率策略

在分别探讨三大效率维度及其相互作用后，下面分析这些维度在不同部署场景下的具体表现。机器学习系统的效率，源于对算法、计算与数据效率在特定环境下关系的深入理解。

283. **基础模型**：大规模通用 AI 模型，可适配多任务。由斯坦福 HAI 于 2021 年提出，包括 GPT-3、BERT、DALL-E 等。
284. **TinyML**：在 <1KB-1MB 内存、<1mW 功耗的微控制器和边缘设备上运行 ML。支持 IoT、可穿戴、传感器等传统 ML 难以部署场景。

场景驱动的效率需求

不同部署环境下，效率优化的优先级和权衡差异巨大。正如开篇案例所示，从资源充足的云端到极度受限的边缘设备，约束条件各异。下表总结了这些约束如何转化为效率优化重点。

部署场景	主要约束	效率优化重点	典型应用
云端	大规模成本、能耗	吞吐量、可扩展性、运维效率	大语言模型 API、推荐引擎、视频处理
边缘	延迟、本地算力、网络连接	实时性能、能效	自动驾驶、工业自动化、智能摄像头
移动端	电池续航、内存、散热	能效、模型体积、响应速度	语音助手、照片增强、增强现实
TinyML	极端功耗/内存约束	超低功耗、极小模型	IoT 传感器、可穿戴、环境监测

表 2：**不同部署场景的效率优化重点**。每种环境对算法、计算、数据优化策略的权衡不同。云端重视可扩展性，边缘关注实时与能效，移动端兼顾性能与续航，TinyML 追求极致资源效率。

理解这些场景特性，有助于设计者决策优先优化哪些效率维度，以及如何应对不可避免的权衡。

可扩展性与可持续性

系统效率是环境可持续性的驱动力。高效系统可在大规模部署下最小化环境足迹，形成正向反馈，如下图所示。

高效系统天然具备可扩展性。通过轻量模型、精细数据集与优化计算利用，系统可广泛部署。高效系统规模化后，进一步降低总能耗与计算浪费。可持续性强化了效率需求，二者形成正向循环，增强系统整体影响力。

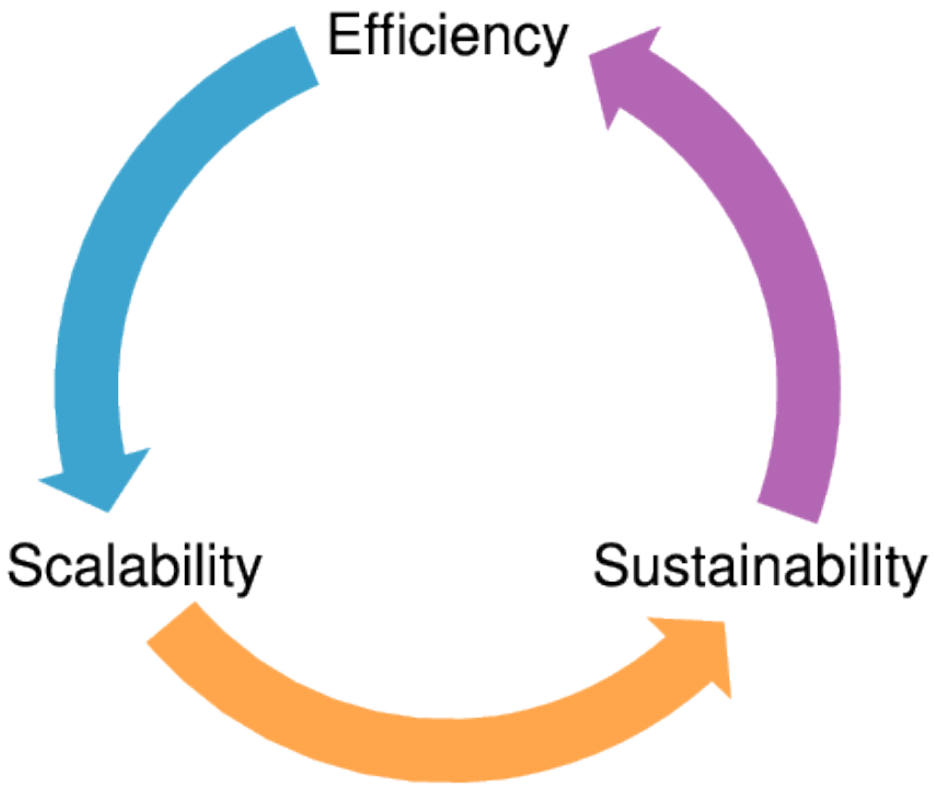

效率与可持续性的反馈回路：高效 ML 系统具备更强可扩展性，反过来推动可持续设计与效率提升，形成长期正向循环。

效率权衡与挑战

三大效率维度在理想条件下可协同提升，但现实系统常面临提升一维度导致另一维度下降的情况。资源约束使效率成为必需，也带来艰难抉择：缩小模型可能牺牲精度，优化实时性能可能提升能耗，精简数据集可能影响泛化。

权衡的根本来源

这些张力在 ML 系统中表现多样。理解其根源，有助于应对设计挑战。每一效率维度都会影响其他维度，形成动态互动，塑造系统性能。

算法效率 vs. 计算需求　算法效率强调紧凑模型，降低计算与内存需求，使资源受限设备可部署。但模型过度简化会降低复杂任务的精度。为弥补精度损失，训练或部署时可能需额外计算资源，反而加重计算压力。

计算效率 vs. 实时需求　计算效率追求训练与推理资源最小化，降低能耗、处理时延与内存占用。但在自动驾驶、增强现实等需实时响应场景下，计算效率难以兼顾。如下图

所示，实时系统需高性能硬件以降低延迟，往往与能效目标或成本约束冲突。

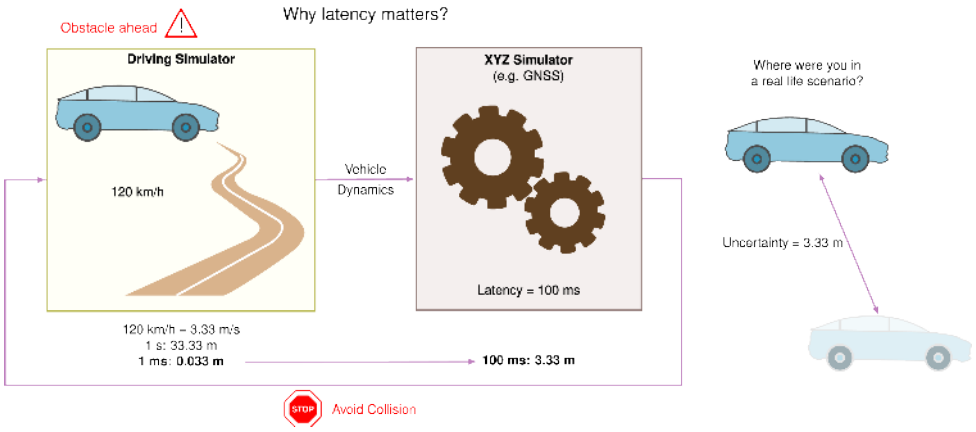

实时系统约束：自动驾驶需在计算效率与低延迟间权衡。提升算力降低延迟会增加能耗与成本，牺牲延迟则影响安全。

数据效率 vs. 泛化能力 数据效率追求用更少数据训练模型，提升训练速度、降低资源消耗，理想情况下还能增强算法与计算效率。但数据集过小会降低多样性，影响模型泛化。为弥补泛化不足，可能需更复杂模型或更多计算资源，形成数据效率与系统目标的张力。

实践中的权衡模式

效率权衡在具体场景中尤为突出。复杂模型（百万/十亿参数）可捕捉细致模式，提升精度，但需大量算力与内存。云端推荐系统可用复杂模型提升推荐质量，但能耗与运维成本随之上升。智能手机、自动驾驶等受限设备需紧凑模型，往往需更复杂的数据预处理或训练流程以弥补容量不足。

能效与实时性常相互制约。自动驾驶、增强现实等实时系统需高性能硬件处理大规模数据，但这通常提升能耗。自动驾驶需实时处理摄像头、激光雷达、雷达等多路数据，需专用加速器，能耗显著。在电池供电或能量有限的边缘场景，这一权衡更为关键。

大数据集带来多样性与覆盖，降低过拟合风险，但训练计算与内存需求巨大。TinyML 等资源受限场景下，IoT 设备需模型具备良好泛化，但采集大数据集不现实。此时常用精细筛选或合成数据，降低计算压力，但也可能遗漏关键边界情况。

这些权衡并非学术问题，而是实际系统设计中必须面对的现实。

战略性权衡管理

ML 系统设计中的权衡需有策略地应对。实现平衡需根据部署环境的具体目标与约束做出艰难决策。设计者可采用多种策略，满足不同场景的独特需求。

环境驱动的效率优先级

效率目标并非一成不变。应用或部署场景的具体需求决定了优先优化的维度。根据场景优先排序，是有效管理权衡的第一步。

移动端 ML 部署，电池续航是首要约束，计算效率优先。需最小化能耗，优先采用轻量模型，即使牺牲部分精度或需额外数据预处理。

云端 ML 系统，扩展性与吞吐量最重要。需处理大规模数据、服务海量用户。虽计算资源充足，但能效与运维成本同样关键。算法效率确保系统可扩展且不压垮基础设施。

边缘 ML 系统优先级不同。自动驾驶、实时监控等需低延迟，实时性能与计算效率优先，哪怕能耗上升。但硬件受限，仍需精细管理能耗与算力。

TinyML 部署受极端硬件与能耗约束，算法与数据效率优先。模型需极度紧凑，能在微控制器上运行，训练依赖小而精的数据集。

推理时动态资源分配

系统可通过推理时动态分配资源提升适应性。即便在同一部署场景下，资源需求也会波动。推理时调整计算投入，可根据需求灵活优化性能。

如云端视频分析系统，常规流用轻量模型保证吞吐，关键事件时动态切换复杂模型提升精度。移动语音助手常用轻量模型处理日常指令，遇复杂请求时临时激活高算力模型。

推理时动态计算也带来新挑战。需精细监控与控制机制，且存在收益递减 —— 计算投入超阈值后性能提升有限。动态分配还可能带来 AI 可及性差异，需关注公平性。尽管如此，推理时动态计算是提升系统适应性的有力策略。

端到端协同设计与自动化优化

高效 ML 系统很少靠单点优化实现。需端到端协同视角，模型架构、硬件平台、数据管道一体化设计。

协同设计在资源受限环境尤为重要。模型需与硬件能力精准匹配 —— 8 位模型需硬件支持高效整数运算，剪枝模型需稀疏张量操作。边缘加速器常针对卷积等特定操作优化，影响模型架构选择。硬件架构细节详见 第 11 章：AI 加速。

自动化与优化工具有助于管理权衡复杂性。自动化机器学习（AutoML）[285] 可系统探索模型架构与超参数。基于 第 5 章：AI 工作流 的 ML 流程，AutoML 工具自动化许多传统需人工调优的效率优化决策。

神经架构搜索（NAS）[286] 更进一步，自动设计适配特定硬件或场景的模型架构，在性能与计算需求间寻优。

数据效率同样受益于自动化。自动化数据集筛选、增强与主动学习工具可在不降性能前提下缩小训练集，优先高价值样本，加速训练、降低计算开销。

权衡的度量与监控

除技术自动化外，还需系统性评估。效率优化需结构化评估权衡，超越纯技术指标。系统从研究走向生产，成功标准需涵盖算法性能、经济可行性与运维可持续性。

效率提升的成本体现在工程投入（研发、实验、集成）与低效系统的运维开销。收益则多维度 —— 除直接降本外，高效系统常带来新能力，如资源受限环境下的实时处理或边缘部署。

评估框架需配合持续监控机制。生产环境下 ML 系统动态变化，需持续监控效率指标。模型演化、数据分布变化、基础设施升级，均可能导致效率退化。实时监控便于快速发现效率回退，历史分析揭示长期趋势，判断效率提升是否可持续。

高效 AI 的工程原则

高效 ML 系统设计需整体视角。真正的效率源于全流程权衡，从数据采集到部署，系统各环节协同优化，转变系统设计范式。

全流程协同优化

效率不是单点优化，而是全流程统一考量。数据采集、模型训练、硬件部署、推理各环节共同决定系统效率。任一环节决策都会影响整体性能、资源利用与可扩展性。

数据采集与预处理是起点。第 6 章：数据工程 详述数据管道设计如何影响全系统。小而精的数据集可降低训练计算成本、简化模型设计，但数据多样性不足会影响泛化，需补偿措施。

模型训练同样关键。架构选择、优化技术与超参数需兼顾部署硬件约束。云端模型可优

285. **AutoML**：自动化搜索模型架构、超参数与数据预处理。Google AutoML 在 ImageNet 上达 84.3% 精度，超人类专家（78.5%），开发周期从数月缩至数小时。
286. **神经架构搜索（NAS）**：自动发现最优神经网络结构。EfficientNet-B7 由 NAS 发现，37M 参数达 84.3% 精度，优于手工设计的 ResNeXt-101（84M 参数，80.9% 精度）。

先精度与扩展性，边缘模型则需兼顾体积与能效。

部署与推理需精准匹配硬件。GPU 擅长并行矩阵运算，TPU 优化特定神经网络，微控制器则能效极高。手机语音识别可用 NPU 卷积单元实现毫秒级低功耗推理，自动驾驶 FPGA 可微秒级处理多路传感器。

端到端视角确保权衡在全流程解决，而非将低效转嫁至其他环节。系统思维在资源受限部署尤为关键。

生命周期与环境差异

效率需求随生命周期与部署环境变化 —— 从研究原型到生产系统，从高性能云端到受限边缘。

研究阶段常以模型性能为主，效率次之。原型训练可用充足算力，探索大模型与超参数。生产系统则需优先效率，常用剪枝、量化、重训练等优化。生产还需持续监控效率指标与运维框架。

云端系统处理大规模任务，资源相对充足，但能效与运维成本同样关键。第 2 章：机器学习系统 介绍了可扩展、高效云端架构设计原则。边缘与移动系统则受限于效率框架，需优先效率而非极致性能。

如推荐系统需频繁重训练，依赖数据效率与主动标注、采样策略。医疗设备等嵌入式模型则需长期稳定、极少更新。第 16 章：稳健 AI 探讨了关键应用中的可靠性需求如何影响效率优化。

社会与伦理影响

ML 效率不仅是技术挑战，更关乎 AI 系统的目标与影响。高效系统设计需兼顾实际权衡与复杂伦理、哲学考量。第 17 章：可信 AI 提供了系统性的伦理分析框架。

公平与可及性

效率可降低成本、提升可扩展性、扩大可及性。但实现效率所需资源（先进硬件、精细数据集、SOTA 优化技术）常集中于资金雄厚机构，导致效率红利分配不均。

如 GPT-4、Gemini Ultra 等 SOTA 模型训练成本高达数千万美元。OECD.AI 研究显示，全球 90% AI 算力集中于 5 国。高校常因硬件不足难以复现 SOTA，抑制了弱势领域创新。TinyML、Mobile ML 等能效算力为普惠 AI 提供新路径，低成本、低功耗设备让无高端基础设施的组织也能构建有影响力系统。

数据效率对数据稀缺场景尤为关键，但其实现同样分布不均。低资源语言 NLP 因缺乏

训练数据，性能差距大。Masakhane 等项目通过开源数据集推动非洲语言 NLP，但全球推广仍需投入。普惠数据效率需开放预训练模型与数据集。Hugging Face、Meta No Language Left Behind 等项目致力于全球开放 SOTA NLP 模型，降低数据稀缺地区门槛。

算法效率通过低成本、低资源设备实现先进能力，推动 ML 普惠。AI 诊断工具在手机端普及，TinyML 支持无电地区环境监测。

如 TensorFlow Lite、PyTorch Mobile 支持在普通设备部署轻量模型，扩展了资源受限场景的可及性。MobileNet、EfficientNet 等开源高效模型为弱势组织部署 SOTA 方案提供了基础。

创新与效率的平衡

效率追求常与创新探索形成张力。资源集中机构可承担高成本探索，弱势机构则需聚焦效率提升。

效率常偏好成熟技术，如剪枝、量化、蒸馏等多为对现有架构的精细优化，而非全新方法。早期神经网络研究虽资源消耗大、效果有限，但坚持探索最终推动了现代 AI 的突破。

前沿研究需大量资源。GPT-4、PaLM 等大模型本身并不高效，训练消耗巨大，但推动了新能力的诞生，进而催生更高效的小模型。

这种资源密集型创新带来参与门槛问题。资金雄厚机构可探索新前沿，弱势机构则受限于效率优先。

效率导向设计常需严格约束，如模型体积、延迟等。约束虽能激发创新，但也可能限制探索空间。然而，效率驱动也能正向促进创新 —— 约束促使工程师在有限资源下最大化性能。NAS、注意力机制等技术正是在效率与性能权衡中诞生。

组织与研究者需判断何时优先效率，何时拥抱探索风险。实际部署系统需严格效率，前沿实验室则可专注突破。创新与效率并非对立，高效系统为规模化应用奠定基础，资源密集型探索推动能力边界。

优化的极限

公平、创新与效率的张力，源于优化的收益递减。优化是高效 ML 系统的核心，但并非无限。系统越精细，后续提升所需投入越大，收益越小。

无免费午餐（NFL）定理 [287] 揭示了优化的内在极限。NFL 定理指出，任何优化算法在

287. **无免费午餐（NFL）定理**：Wolpert 和 Macready（1997）证明，所有优化算法在所有问题上的平均表现相同。

所有问题上的平均表现都相同，意味着优化方法需针对具体问题定制。

如模型压缩初期可大幅降低内存与计算，精度损失小。但进一步压缩后，性能维护难度激增，需硬件定制或重训练，复杂度与成本上升。成本不仅体现在资金，还包括时间、专业能力、反复测试，以及稳健性与泛化能力的权衡。

NFL 定理提醒我们，优化无万能解，需在效率追求与实际可行性间平衡。过度优化易导致资源浪费与适应性下降，后续维护复杂。识别“足够好”的临界点，确保资源投入高效。

同理，训练集优化初期可节省资源，但过度缩减会损失多样性，影响泛化。硬件极限优化虽可提升延迟等指标，但可靠性与工程成本可能得不偿失。

理解优化极限，有助于在效率、实用性与可持续性间取得平衡，避免过度优化，聚焦高回报领域。

摩尔定律案例 摩尔定律及其背后的经济曲线，是优化极限的经典案例。摩尔定律预言计算能力指数级增长，但其成功依赖于经济平衡。集成度与成本的关系，形象反映了 ML 优化的收益递减。

下图展示了集成电路中每个元件的相对制造成本随集成度提升的变化。初期，集成度提升带来成本大幅下降与性能提升。

但随着集成度继续提升，曲线开始上升。元件密度过高带来散热、信号干扰等可靠性问题，需更复杂制造工艺，成本上升。U 型曲线揭示了优化的本质：初期提升收益大，后续每一增量都需更高成本。

这一动态与 ML 优化如出一辙。深度模型压缩初期可大幅节省资源，后续提升则需更复杂技术，成本递增。

同理，数据效率初期可提升计算效率，过度缩减则损失多样性，需合成数据或复杂增强，工程投入上升。

摩尔定律曲线提醒我们，优化非无限，成本收益需结合场景权衡。ML 工程师如同半导体工程师，需识别收益递减点，避免过度优化导致资源浪费与系统僵化。

常见误区与陷阱

AI 系统效率涉及多目标权衡，常常方向相悖。扩展规律的数学优雅易让人误信优化路径可预测，而多样化部署需求又易导致效率策略的误区。

ML 中不存在通用最优优化方法，需针对具体领域定制。

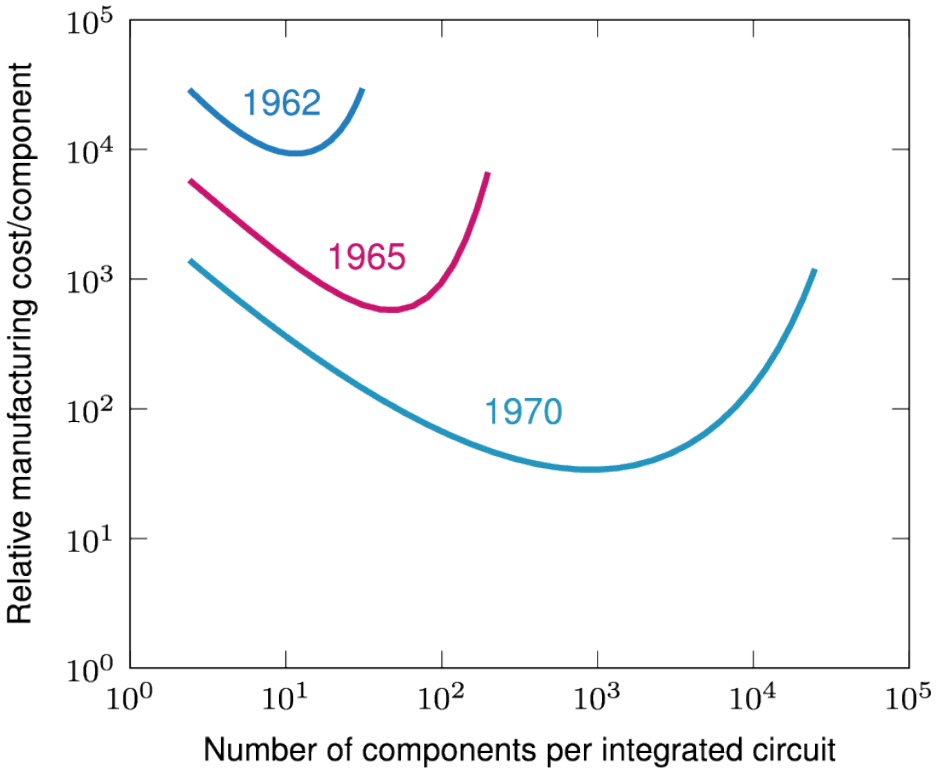

摩尔定律经济学：初期集成度提升带来成本下降与性能提升，但收益递减最终限制了进一步优化。这一曲线与 ML 优化的收益递减高度相似。

误区：效率优化总能提升所有指标。

这一误区导致团队盲目应用效率技术，忽视权衡与副作用。计算效率提升可能损失精度，内存效率提升可能增加延迟，模型缩小常需更复杂训练。单一维度的效率提升常带来其他维度的代价。有效优化需明确关键指标，接受部分性能必然被牺牲。

陷阱：假设扩展规律可线性预测所有规模下的效率需求。

团队常基于扩展规律外推效率需求，忽视规律失效点。扩展规律适用于中等规模，极端规模下架构、基础设施等新瓶颈频现。超出验证区间的外推易导致资源估算失误与部署失败。成功的效率规划需理解扩展规律的适用范围与局限。

误区：边缘部署的效率需求只是云端的缩小版。

这一观点忽视了边缘环境的独特约束，如实时性、能耗、散热、网络波动等。云端优化策略在边缘常常失效。边缘效率需优先可预测性能、能效与稳健性。

陷阱：只关注算法效率，忽视系统级效率。

许多工程师只优化 FLOPs、参数量等算法复杂度，忽视实际系统性能。真实效率受内存访问、数据流、硬件利用、软件栈等多因素影响。参数更少的模型可能因内存访问不规

则或硬件映射差而表现更差。全面优化需以系统实际性能为准，而非仅看理论复杂度。

总结

效率已成为 ML 系统设计的核心原则，从单纯性能优化转向全面资源管理。本章揭示了扩展规律如何为模型性能与计算资源关系提供实证基础，将效率确立为可及性、可持续性与创新的战略优势。算法、计算、数据效率的相互依赖，构成复杂权衡，需全流程系统性优化。

高效系统设计的实践挑战，强调了场景感知决策的重要性。云端系统依赖资源扩展性，边缘部署需实时与能效，TinyML 则追求极致资源利用。多样化需求推动了端到端协同、自动化优化与基于约束的优先级排序。扩展规律的失效与创新 - 效率张力，说明最优系统设计需兼顾技术权衡与公平、可持续等更广泛目标。

> **要点回顾**
>
> - 效率是普惠 AI 能力的战略使能器，适用于多样化部署场景
> - 扩展规律为资源分配提供预测框架，其极限激发架构创新
> - 算法、计算、数据效率的权衡相互关联、依赖场景，需系统性优化
> - 自动化工具与端到端协同可将效率约束转化为系统协同机会

在确立三大效率支柱与扩展规律的定量基础后，后续章节将介绍各维度的具体工程技术。第 10 章：模型优化 聚焦算法效率，系统讲解模型复杂度压缩的系统方法，包括量化、剪枝、知识蒸馏等。第 11 章：AI 加速 探讨计算效率，涵盖专用硬件与优化软件实现如何提升单位算力性能，包括 GPU 优化、AI 加速器架构与系统级优化。第 12 章：AI 基准测试 介绍效率度量方法，涵盖性能评估框架、能耗测量与对比分析。

从原理到技术再到度量，体现了实现高效 ML 系统所需的系统工程方法。每一章节都建立在本章基础之上，形成应对复杂权衡的性能工程工具箱。

这些效率原则为 第 10 章：模型优化 等章节的具体优化技术奠定基础，后续将详细介绍量化、剪枝、知识蒸馏等实现效率目标的算法。随着 ML 系统复杂度与影响力持续提升，高效设计原则将始终是构建高性能、可持续、可及、负责任 AI 系统的核心。

第 10 章：模型优化

目标

为什么研究型优化的模型与实际部署约束之间的错配，会在机器学习系统中带来关键的工程挑战?

机器学习研究往往将“精度”置于首位，产出的模型虽然性能卓越，却难以部署到最需要它们的地方：如资源受限的移动设备、成本敏感的云环境或对延迟极为苛刻的边缘场景。模型优化正是连接理论能力与实际落地的桥梁，它将高算力消耗的研究模型转化为高效系统，在保证性能的同时满足内存、能耗、延迟和成本等多重约束。缺乏系统化的优化技术，先进的 AI 能力只能困于实验室。理解优化原理，能让工程师将复杂模型普惠到各种应用场景 —— 从移动端运行的百亿参数大模型，到嵌入式传感器的极致部署。

> **学习目标**
>
> - 对比剪枝、量化、知识蒸馏、神经架构搜索等模型优化技术的原理与应用场景
> - 评估不同数值精度对模型精度、能耗与硬件兼容性的权衡
> - 运用三维优化框架（模型结构、数值精度、架构效率）为特定硬件设计部署方案
> - 分析硬件感知设计原则如何影响模型结构决策与不同平台的计算效率
> - 实践稀疏性利用与动态计算技术，在保证精度的前提下提升推理性能
> - 设计集成多种优化技术的流水线，实现资源约束下的部署目标
> - 评估自动化优化方法及其在超越人工调优、发现新型优化策略中的作用

模型优化基础

成功部署机器学习系统，必须解决模型复杂度与计算可行性之间的矛盾。当前机器学习研究不断产出更强大的模型，但其资源需求往往远超实际部署环境的能力。这正是将理论进步转化为可用系统的经典工程难题，直接影响 AI 应用的可及性与可扩展性。

这种资源鸿沟极为显著且多维。最前沿的语言模型，单是全精度参数存储就需数百 GB 内存，而目标平台如手机通常仅有几 GB 可用内存。这种差距不仅体现在内存，还包括算力、能耗、延迟等多方面。异构部署环境的多样性，使每种场景都提出了独特的性能约束。

生产级机器学习系统面临多目标优化难题：实时应用要求极低延迟，移动端需极致能效，嵌入式系统受限于热设计，云服务则追求大规模下的成本效益。这些约束共同构成了一个复杂的多目标优化问题，必须用系统化方法在各项性能维度上取得平衡。

> **模型优化定义**
>
> **模型优化** 指的是系统性地对机器学习模型进行变换，使其在目标部署环境下高效运行，同时保持可接受的 精度 和 功能性。该领域涵盖了在计算复杂度、内存占用、推理延迟、能效等多目标之间的权衡。常用方法包括通过参数裁剪消除冗余、通过数值精度优化降低存储和计算需求，以及通过算法和架构改进提升计算效率。模型优化让复杂的 AI 能力能在 多样化计算环境（从高性能云到资源受限的边缘设备）中落地，极大拓展了机器学习系统的实际应用范围。模型优化已从零散技巧发展为融合算法创新与硬件感知设计的系统工程学科，要求深入理解模型结构、数值精度、计算模式与硬件特性的相互作用。通过理论与实证结合，模型优化成为有据可循的工程实践。

本章将围绕三大维度 —— 结构高效（模型表示）、数值高效（精度优化）、架构高效（硬件实现） —— 建立系统的理论与实践框架。我们将剖析量化如何实现内存压缩与推理加速，剪枝如何在保精度的前提下消除参数冗余，知识蒸馏如何将复杂模型能力迁移到高效结构。最终目标不仅仅是提升单一性能指标，而是让复杂 AI 能力在各种计算环境和应用领域都能高效落地。

优化框架

优化过程贯穿三大维度，连接了软件算法与硬件执行，如下图所示。理解这些维度及其关系，是掌握本章所有技术的基础。

本章将以工程视角，逐层讲解量化（训练后量化与感知量化）、剪枝（基于幅值、结构化、动态剪枝）、蒸馏（温度缩放、特征迁移）等具体算法，并探讨它们如何协同作用，以及其效果如何受目标硬件特性影响。该框架为系统性优化决策提供指导，确保模型变换既满足部署约束，又保留核心能力。

本章将前述高效性理念转化为可操作的工程实践，通过系统性应用优化原理，让工程师掌握量化、剪枝、蒸馏等核心工具，实现复杂模型在多样计算环境下的高效部署。优化框架有效弥合了理论模型能力与实际部署需求之间的鸿沟，使机器学习系统在真实场景中兼具性能与效率。

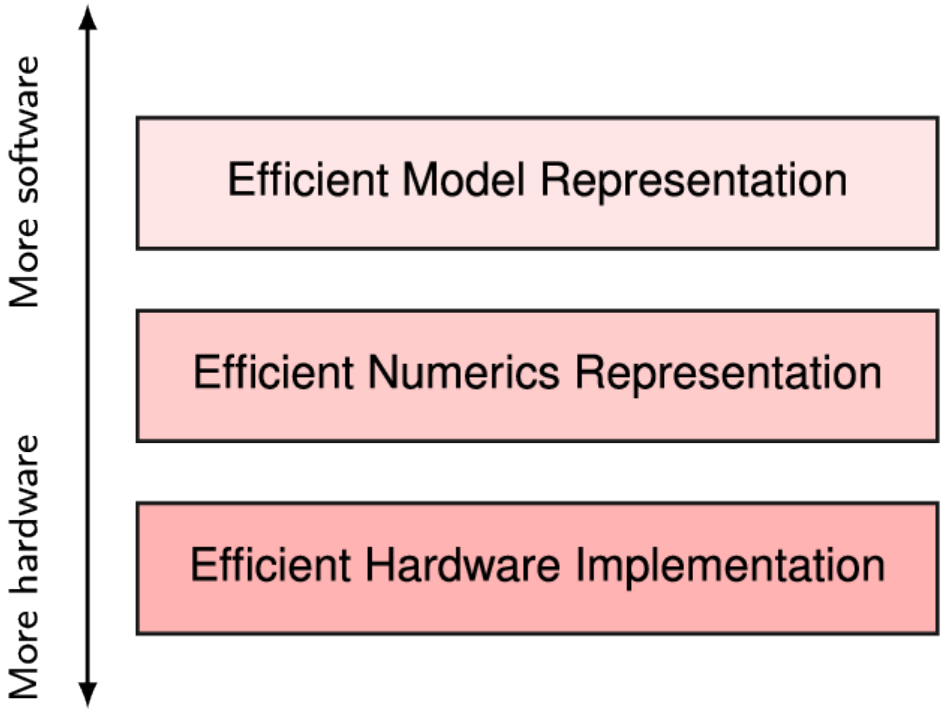

优化栈：模型优化分为三层（高效模型表示、高效数值表示、高效硬件实现），每层分别针对系统性能与资源利用的不同方面。通过这些层次，可以在模型精度、计算成本和内存占用之间进行结构化权衡，满足不同部署环境的需求。

部署场景

机器学习模型总是作为更大系统的一部分运行，面临复杂的约束、依赖与权衡。模型优化绝非纯粹的算法问题，而是系统级挑战，需兼顾计算效率、可扩展性、部署可行性与整体系统性能。可参考第 13 章：机器学习运维的运维原则，理解模型优化的系统视角、优化动因、关键约束与有效策略的本质。

实际部署

现代机器学习模型在基准数据集上精度惊人，但让其在真实场景中可用却极具挑战。无论云端、手机还是微控制器，机器学习系统都受限于计算、内存、延迟和能耗，这些约束极大影响训练与推理。研究环境下表现优异的模型，集成到实际系统后往往难以落地。

此外，现实可行性不仅仅是精度，还包括训练、存储、执行等多方面的效率。[288]

不同部署场景对效率的要求各异。云端大规模 ML 需优化模型以缩短训练时间、降低算

288. **微控制器约束**：Arduino Uno 仅有 2KB SRAM 和 32KB 闪存。ARM Cortex-M4 通常配备 256KB 闪存、64KB RAM，主频最高 168MHz，而现代 GPU 主频 3000+ MHz、内存 16-80GB，资源差距高达 1 万倍以上。

力和能耗成本。边缘 ML[289] 则要求模型在极有限的算力下运行，需极致压缩内存和计算复杂度。移动端还需兼顾电池寿命与实时响应，而 Tiny ML[290] 则追求极致能效，模型需适配超低功耗设备的极小内存和算力。

优化还助力可持续与普惠 AI，具体可参考第 18 章：可持续 AI。随着 AI 规模化，降低模型能耗有助于减缓大规模训练与推理的环境影响。优化后的模型还能拓展 AI 的应用边界，支持低资源环境下的医疗、野外自主系统等场景。

权衡平衡

精度与效率的矛盾是所有优化决策的核心。提升模型容量通常能增强预测性能，但也会带来更高的计算成本，导致推理变慢、资源消耗增加。这种提升还会带来内存占用 [291]、推理延迟、能耗、训练效率等多方面的挑战。随着模型部署到多样硬件平台，如何平衡精度与效率成为模型优化的关键。

这种矛盾在不同部署场景下表现各异。训练阶段算力需求随模型规模线性增长，推理阶段则需严格控制延迟与能耗，尤其在实时应用中。

框架应用与导航

本节提供将优化技术应用于实际问题的指导，说明系统约束如何映射到优化维度，并给出技术选择的导航策略。

约束映射

理解系统约束与优化维度的映射，有助于在面对部署难题时快速定位最相关的优化方向。内存带宽受限时，应优先考虑模型结构与数值精度优化；延迟瓶颈则需关注模型结构与架构效率。

下表总结了不同系统约束与三大优化维度的对应关系。

289. **边缘 ML**：指 ML 推理在本地设备（如手机、IoT 传感器、自动驾驶车辆）而非云端完成。可将 100-500ms 的云端延迟降至本地 <10ms，但模型规模受限于 10-500MB，而云端模型可达数 GB。
290. **Tiny ML**：超低功耗 ML 系统，功耗低于 1mW，内存小于 1MB。适用于助听器、智能传感器、可穿戴设备等“永远在线”场景。模型规模通常为 10-100KB，相比云端模型缩小 1 万倍。
291. **内存带宽**：现代 GPU（如 H100 SXM5）带宽达 3.0 TB/s，而高端移动 SoC 仅 25-50 GB/s。大语言模型训练需显存为模型体积的 1-2 倍（16GB 模型需 32GB+ 显存），形成“内存墙”瓶颈。

系统约束	模型结构	数值精度	架构效率
计算成本	×	✓	✓
内存与存储	✓	✓	×
延迟与吞吐	✓	×	✓
能效	×	✓	✓
可扩展性	✓	×	✓

这种系统化映射，继承了第 9 章：高效 AI 中提出的高效性原则。此处聚焦于模型级优化，通过具体技术实现这些原则。虽然每种约束主要对应某一优化维度，但实际关系并非一一对应，许多技术会同时影响多个约束。以三维结构梳理优化技术，有助于更有效地分析权衡，选择最契合部署需求的优化方案。

技术导航

本章涵盖了模型结构、数值精度、架构效率三大维度的优化技术工具箱。但并非所有技术都适用于每个问题，技术种类繁多也容易让人无从下手。以下导航建议可帮助你根据实际约束和目标快速定位切入点。

如上表所示，内存或模型体积受限时，应优先考虑模型结构和数值精度优化（如参数裁剪、低比特量化）；推理延迟受限时，则应关注模型结构和架构效率（如减少计算量、提升硬件利用率）；训练或推理成本受限时，优先考虑数值精度和架构效率（如混合精度、算子融合）；若精度损失不可接受，则需采用训练感知型优化（如感知量化、剪枝后微调），而非简单的训练后处理。

生产系统通常遵循成熟模式：快速部署时采用训练后量化等方法，几小时内实现 4-8 倍压缩，精度损失 1-2%；生产级优化则多步组合（先裁剪参数，再微调恢复精度，最后量化），可达 8-15 倍压缩，精度损失 <1%，周期数周；极端约束（如 <1MB TinyML）则需从架构设计阶段引入自动化搜索与超低精度，周期数月。

模型优化本质是系统工程问题，效果高度依赖目标硬件：同样的量化技术，在专用加速器上可达 4 倍加速，在通用处理器上仅 1.5 倍。不同模型结构和任务对优化的容忍度也不同，如视觉模型通常比语言模型更易压缩。优化需反复测量、迭代调整，而非“一步

到位”。若系统瓶颈在数据预处理或网络 IO，模型优化收益有限，因此优化前务必进行系统级性能分析（详见后续“策略与实施”章节）。

本章内容支持非线性阅读。工程师可聚焦数值精度部分的训练后技术，快速提升现有模型效率；研究者和进阶读者需深入理解数学原理与集成方法；初学者可按章节递进，从基础到进阶，逐步掌握优化全貌。

优化三维

每个优化维度都值得深入探讨。如图所示，模型结构优化决定“做什么计算”，数值精度优化决定“如何计算”，架构效率优化则确保“计算能高效运行在目标硬件上”。

模型结构

第一维“模型结构优化”聚焦于消除神经网络中的冗余。大模型往往包含大量对性能贡献有限的参数，导致内存和计算成本大幅增加。结构优化通过剪枝、知识蒸馏、自动架构搜索等方法，去除无用部分，兼顾效率与精度。这些优化主要作用于算法层面，确保模型既有效又可控。

数值精度

结构优化决定“做什么”，精度优化则决定“怎么做”。本节关注权重、激活、算术运算的数值表示与处理方式。量化技术将高精度权重和激活映射为低比特表示，使模型能高效运行在 GPU、TPU、AI 专用芯片等硬件上（详见第 11 章：AI 加速）。混合精度训练 [292] 则在训练过程中动态调整精度，实现效率与精度的平衡。

合理的数值精度优化能大幅降低计算成本，同时保持可接受的精度，让复杂模型在资源受限环境下可用。

架构效率

第三维“架构效率”关注训练与推理阶段的高效计算。即使模型结构设计合理，若执行效率低下，整体性能仍然受限。许多模型的计算图存在冗余，导致算子调度与执行效率低。稀疏性 [293] 是提升架构效率的关键技术，通过利用零值参数减少计算量。

架构效率还包括稀疏权重与激活的利用、大型算子分解 [294]、基于输入复杂度的动态计

292. **混合精度训练**：前向用 FP16，反向梯度用 FP32，训练速度提升 1.5-2 倍，显存减半。NVIDIA AMP 可在 V100 上保持 FP32 精度，速度提升约 1.6 倍，A100 上可达 2.2 倍。
293. **稀疏性**：模型中零值参数的比例。90% 稀疏模型仅有 10% 非零权重，内存和计算量可降至 1/10（需专用硬件）。现代 Transformer 推理阶段激活稀疏度可达 80-95%。
294. **矩阵分解**：将大权重矩阵（如 4096×4096）分解为更小的矩阵（4096×256 × 256×4096），参数量从 1600 万降至 200 万（8 倍压缩）。SVD 低秩近似可保持 95%+ 精度，在移动端实现 3-5 倍加速。

算等。

这些方法提升了不同硬件平台上的执行效率，降低延迟与能耗。相关理念也适用于训练，如梯度检查点、低秩适配[295]等技术可降低训练内存和计算需求。

三维优化框架

三维框架的交互性体现在技术协同上。剪枝主要作用于结构，但也影响架构效率（减少推理计算）；量化聚焦数值精度，同时影响内存和执行效率。理解这些相互作用，有助于实现最优的优化组合。

这种交互性意味着，优化选择受系统约束驱动。数据中心与移动端、嵌入式系统的约束完全不同。计算成本、内存、延迟、能效等因素共同决定最适合的优化方案。资源极度受限时需激进剪枝与量化，延迟敏感场景则需算子融合[296]与硬件感知调度。

如上表所示，约束与优化策略之间存在多对多关系，许多技术会同时影响多个约束。

接下来将系统梳理每一维度，首先从模型结构优化（即通过调整神经网络结构和参数消除冗余）展开。

结构化模型优化方法

模型结构优化通过调整神经网络结构和参数，在保证精度的前提下提升效率。现代模型往往为追求精度而牺牲效率，参数冗余导致成本高、推理慢。结构优化的目标有二：一是消除冗余（利用过参数化，模型可用更少参数实现相近性能），二是通过梯度检查点[297]、并行计算[298]等技术为高效硬件执行重构计算。

优化的难点在于权衡多重约束[299]。过度压缩会导致精度大幅下降，优化不足则模型过大、过慢，难以部署。选择合适技术需理解模型体积、计算复杂度、泛化性能之间的权衡。

三大核心技术应对这一挑战：剪枝消除低影响参数，知识蒸馏迁移能力到小模型，NAS自动化设计满足特定约束。三者可组合使用，协同提升优化效果。

295. **LoRA（低秩适配）**：微调时冻结预训练权重，仅添加小型可训练矩阵，将可训练参数从 175B 降至约 120 万，训练内存和计算量降至 1/3，性能基本不变。
296. **算子融合**：图级优化，将多个操作合并为单一内核，内存带宽降低 30-50%。如 ResNet-50 中 Conv+BN+ReLU 融合在 V100 上加速 1.8 倍，BERT Transformer 块通过注意力融合延迟降低 25%。
297. **梯度检查点**：内存优化技术，通过反向传播时重算中间激活，换取内存节省。可使 Transformer 模型显存降低 20-50%，支持更大 batch 或模型。
298. **ML 并行计算**：高端数据中心 GPU 拥有 5000-10000+ 核心，CPU 仅 8-64 核。NVIDIA H100 张量性能 989 TFLOPS，Intel Xeon 3175-X 仅约 1.5 TFLOPS（双精度），ML 任务并行度高，GPU 性能密度高 650 倍。
299. **帕累托前沿**：优化中提升一项指标（如速度）必然牺牲另一项（如精度）。如 EfficientNet 系列在准确率-FLOPS 权衡上表现最优，B0（77.1%/390M FLOPs）到 B7（84.4%/37B FLOPs），规模越大收益递减。

剪枝

内存墙成为系统性能瓶颈：模型越大，内存带宽越成限制。剪枝正面应对这一约束，通过参数裁剪降低内存需求。最前沿模型常含数百万乃至数十亿参数，其中许多对预测贡献极小。大模型虽提升表达力和泛化，但也带来内存、计算、可扩展性等多重低效，影响云、边缘、移动等多场景的训练与部署。

保持精度所需的参数远少于模型总参数。许多权重对决策影响极小，可在不损失性能的前提下移除，实现效率提升。这种冗余源于现代神经网络的过参数化，训练时有助于优化，但部署时为压缩提供了空间。模型压缩可参考第 3 章：深度学习基础，过参数化为压缩创造了理论基础。剪枝正是系统性移除冗余参数、保留精度的优化技术。

> **剪枝定义**
>
> **剪枝** 是一种 模型优化技术，通过移除神经网络中 不必要的参数，在保持 预测性能 的前提下，减少 模型体积与计算成本，提升 存储、推理与部署效率。剪枝让模型在无需重构架构的情况下变得更小、更快、更高效，直接应对机器学习系统的内存、计算、可扩展性约束，是多硬件平台部署的关键技术。

主流框架已内置剪枝 API，如 PyTorch 的 `torch.nn.utils.prune`，TensorFlow 的 Model Optimization Toolkit[300] 提供 `tfmot.sparsity.keras.prune_low_magnitude()` 等函数，将复杂算法转化为易用接口，极大降低了优化门槛。

剪枝示例 剪枝的核心思想是识别对预测影响最小的权重并移除，保持精度的同时提升稀疏性。最直观的方法是基于权重幅值，绝对值小的权重通常对输出影响小，可优先裁剪。

下例展示了对 3×3 权重矩阵的幅值剪枝，简单阈值即可实现稀疏化。

```python
import torch
import torch.nn.utils.prune as prune

# 原始稠密权重矩阵
weights = torch.tensor(
    [[0.8, 0.1, -0.7], [0.05, -0.9, 0.03], [-0.6, 0.02, 0.4]]
)

# 幅值剪枝：移除绝对值 < 0.1 的权重
threshold = 0.1
```

300. **TensorFlow 模型优化**：官方 Toolkit 支持量化（模型体积缩小 4 倍）、剪枝（稀疏度最高 90%）、聚类等技术。YouTube、Gmail、Google Photos 等在全球 40 亿设备上部署模型均采用该工具。

```
mask = torch.abs(weights) >= threshold
pruned_weights = weights * mask

print("Original:", weights)
print("Pruned:", pruned_weights)

# 结果：9 个权重仅保留 4 个（稀疏度 44%）
```

该例体现了剪枝的本质：在保证性能的前提下最小化参数量。我们将非零参数从 9 降至 4（$k = 4$），幅值最小的权重（0.1、0.05、0.03、0.02）被移除，较大权重（0.8、-0.9、-0.7、-0.6、0.4）被保留。

将这一思路扩展到完整神经网络时，需同时考虑裁剪比例（稀疏度）与选择标准。下图展示了在更大权重矩阵上的应用。

如图所示，剪枝通过移除小幅值权重，将稠密矩阵转化为稀疏表示，显式实现了 ℓ_0-范数约束。

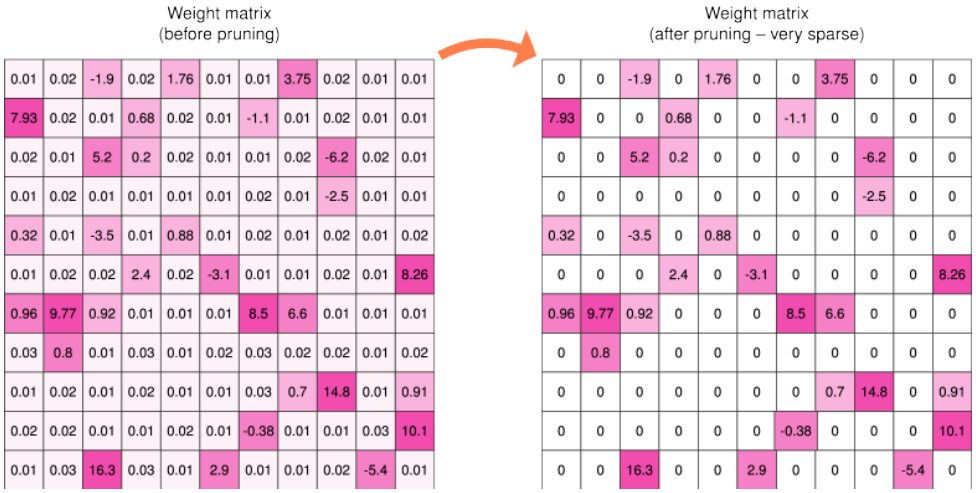

稀疏矩阵转化：剪枝移除小幅值权重（右图白色/零值），保留大幅值权重（彩色），形成稀疏矩阵，降低内存和计算量，同时保持模型精度。

数学表述 剪枝的目标可简述为：在最小化预测误差的前提下，找到非零权重最少（体积最小）的模型。该目标可形式化为如下优化问题：

$$\min_{\hat{W}} \mathcal{L}(\hat{W}) \quad \text{subject to} \quad \|\hat{W}\|_0 \leq k$$

其中 $\mathcal{L}(\hat{W})$ 为剪枝后模型的损失函数，$\hat{W}$ 为剪枝后参数，$\|\hat{W}\|_0$ 表示 L0-范数（非零参数个数），k 为参数预算。

L0-范数直接衡量模型体积，决定内存和计算成本。但 L0-范数最小化是 NP-hard 问题，实际算法多用幅值、梯度、二阶敏感度等启发式近似。

在上例中，$\|\hat{W}\|_0$ 从 9 降至 4（$k=4$），幅值阈值即为选择标准。L1/L2 范数虽能鼓励权重变小，但不能保证严格为零，需显式阈值化才能真正减少内存和计算。

为提升可行性，实际方法常将硬约束转为软正则项：

$$\min_W \mathcal{L}(W) + \lambda \|W\|_1$$

λ 控制稀疏度，L1-范数鼓励权重变小但不强制为零。也有迭代启发式方法，每轮移除最小幅值参数并微调恢复精度。

剪枝结构　剪枝可针对神经网络的不同结构，主要包括神经元、通道、层，每种方式对架构和性能影响各异。

- **神经元剪枝**：移除整个神经元及其相关权重和偏置，常用于全连接层，减少层宽。
- **通道剪枝**（或滤波器剪枝）：常用于卷积网络，移除整个通道或滤波器，减少特征图深度，适合对计算效率要求高的图像任务。
- **层剪枝**：移除整个层，显著减少网络深度，但需谨慎平衡模型容量。

下图展示了通道剪枝与层剪枝的区别。通道剪枝需调整后续层的输入通道数，层剪枝则需重连剩余层。无论哪种方式，微调都是恢复性能的关键。

非结构化剪枝　非结构化剪枝移除单个权重，保持网络结构不变。训练过程中部分连接变得冗余，移除这些弱连接可降低内存需求，精度影响有限。

数学上，非结构化剪枝通过对权重矩阵 $W \in \mathbb{R}^{m\times n}$ 应用二值掩码 $M \in \{0,1\}^{m\times n}$，得到稀疏权重矩阵：

$$\hat{W} = M \odot W$$

$\odot$ 为 Hadamard 乘积。掩码 M 通常基于幅值阈值生成，移除幅值最小的 s 部分权重。阈值 τ 满足：

$$M_{i,j} = \begin{cases} 1, & \text{if } |W_{i,j}| > \tau \\ 0, & \text{otherwise} \end{cases}$$

τ 保证仅保留最大 $(1-s)$ 部分权重。

非结构化剪枝的优势在于内存效率，适合嵌入式、移动端等内存受限场景。但在主流硬件（GPU/TPU）上，稀疏矩阵难以充分利用加速器，需专用稀疏计算内核。因此，非结构化剪枝主要提升存储效率，对推理加速有限。

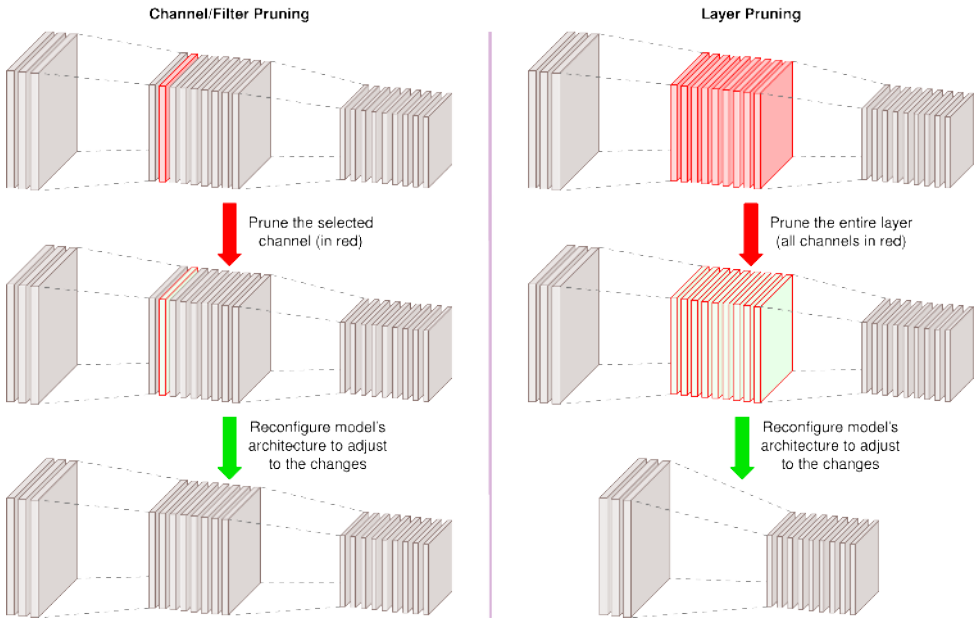

剪枝策略：通道剪枝调整层内滤波器尺寸，层剪枝则移除整个层并重连网络。两者均可降低模型体积和计算成本，但需微调以恢复因容量减少带来的性能损失。

结构化剪枝 结构化剪枝[301]移除整个神经元、滤波器、通道或层，生成更小的稠密模型，适合硬件加速。与非结构化剪枝相比，结构化剪枝直接减少网络规模，推理加速效果更明显。

结构化剪枝的核心在于识别对预测贡献小的结构单元。常用方法包括：

- **幅值剪枝**：按权重范数（L1/L2）移除权重较小的神经元/滤波器，简单高效。
- **激活剪枝**：统计神经元/滤波器在数据集上的平均激活值，低激活单元可移除，需额外数据分析。
- **梯度剪枝**：利用训练过程中的梯度信息，移除对损失影响小的单元，通常在训练阶段应用。

下图对比了非结构化与结构化剪枝。左侧为非结构化剪枝（随机移除连接，形成稀疏矩阵），需专用内核。中间和右侧为结构化剪枝（移除神经元/滤波器，结构更规整），适合硬件加速。

不同方法在计算复杂度和效果上各有权衡。幅值剪枝简单高效，但不考虑数据分布；激活剪枝更数据驱动，但需额外计算；梯度剪枝利用训练动态，适合大模型但实现复杂。具体选择需结合部署环境和性能需求。

301. **结构化剪枝**：ResNet-34 滤波器剪枝可将 FLOPs 降低 50%，CIFAR-10 精度仅降 1%。MobileNetV2 通道剪枝参数减少 73%，精度保留 96.5%，ARM 端推理加速 3.2 倍。

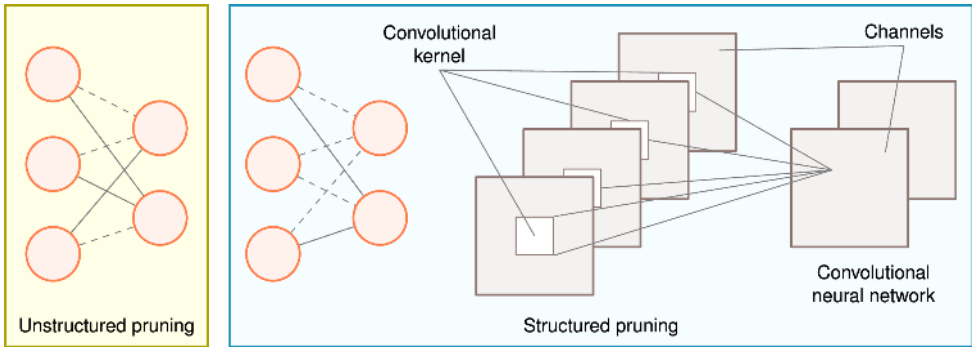

剪枝策略对比：非结构化剪枝移除单个权重，需专用硬件；结构化剪枝移除神经元/滤波器，结构规整，适合主流硬件加速。图中对比了两种方式对权重矩阵和网络结构的影响。

动态剪枝 传统剪枝（无论结构化还是非结构化）多为静态剪枝，即训练后或训练中定期移除参数，假设参数重要性固定。但实际中，参数重要性可能随输入或训练动态变化。动态剪枝则根据输入或训练过程实时调整剪枝决策。

动态剪枝可通过运行时稀疏性实现，如激活条件剪枝：对特定输入，动态关闭激活值低的神经元/通道，实现输入相关的稀疏模式，推理时按需分配计算资源，提升效率。

如卷积网络处理不同复杂度图片，简单图片许多滤波器激活值极低，动态剪枝可临时跳过这些计算，提升效率且不损失精度。该方法特别适合延迟敏感场景，与第 12 章：AI 基准测试中的性能测量策略相关。

另一类动态剪枝在训练阶段逐步引入稀疏性，如渐进幅值剪枝，先用稠密网络训练，逐步提升剪枝比例，每轮微调恢复精度。与静态剪枝不同，动态剪枝允许网络在后期恢复部分被剪参数，提升灵活性。

动态剪枝优点在于可适应不同工作负载，兼顾效率与精度，避免过度剪枝。但实现复杂度高，需实时决策，适合边缘计算、自适应 AI 系统（详见第 14 章：设备端学习），对生产部署和监控提出更高要求（见第 13 章：机器学习运维）。

剪枝权衡 不同剪枝技术在内存效率、计算效率、精度保持、硬件兼容性、实现复杂度等方面各有权衡。具体选择需结合系统约束和部署环境，参考第 13 章：机器学习运维的运维实践。

非结构化剪枝适合模型压缩、内存受限场景，但对推理加速有限。结构化剪枝直接减少 FLOPs，适合实时推理、移动/边缘 AI、高效训练，但对精度影响更大，需微调恢复。动态剪枝则在效率与精度间动态平衡，但实现复杂度高。

下表总结了三类剪枝方式的结构差异及对模型和执行的影响。

方面	非结构化剪枝	结构化剪枝	动态剪枝
移除内容	单个权重	整个神经元、通道、滤波器或层	运行时动态调整
模型结构	稀疏权重矩阵，结构不变	架构被修改，剪枝层完全移除	结构可动态变化
内存影响	通过移除非零权重降低存储	通过移除结构单元降低存储	取决于实时剪枝
计算影响	需专用稀疏计算，否则加速有限	直接减少 FLOPs，加速推理	动态平衡精度与效率
硬件兼容性	需专用稀疏计算支持	适合主流深度学习硬件	需自适应推理引擎
需微调?	剪枝后常需微调恢复精度	结构变化大，更需微调	动态调整，微调需求低
典型场景	云端模型压缩、内存优化	实时推理、移动/边缘 AI、高效训练	自适应 AI、实时系统

剪枝策略 除上述三大类，剪枝流程也影响效率与精度。常见有迭代剪枝与一次性剪枝，各有优劣。

迭代剪枝 迭代剪枝采用多轮“剪枝 - 微调”循环，每轮移除少量结构单元，微调恢复性能。这样可避免精度骤降，让网络逐步适应复杂度降低。

如图所示，假设需从卷积网络中剪除 6 个通道，迭代剪枝每轮移除 2 个，分三轮完成。每轮后微调恢复精度。第一轮剪枝后精度从 0.995 降至 0.971，微调后恢复至 0.992。三轮后最终精度为 0.991，仅比原始模型低 0.4%，通道数减少 27%。分步调整让网络在压缩的同时保持性能。

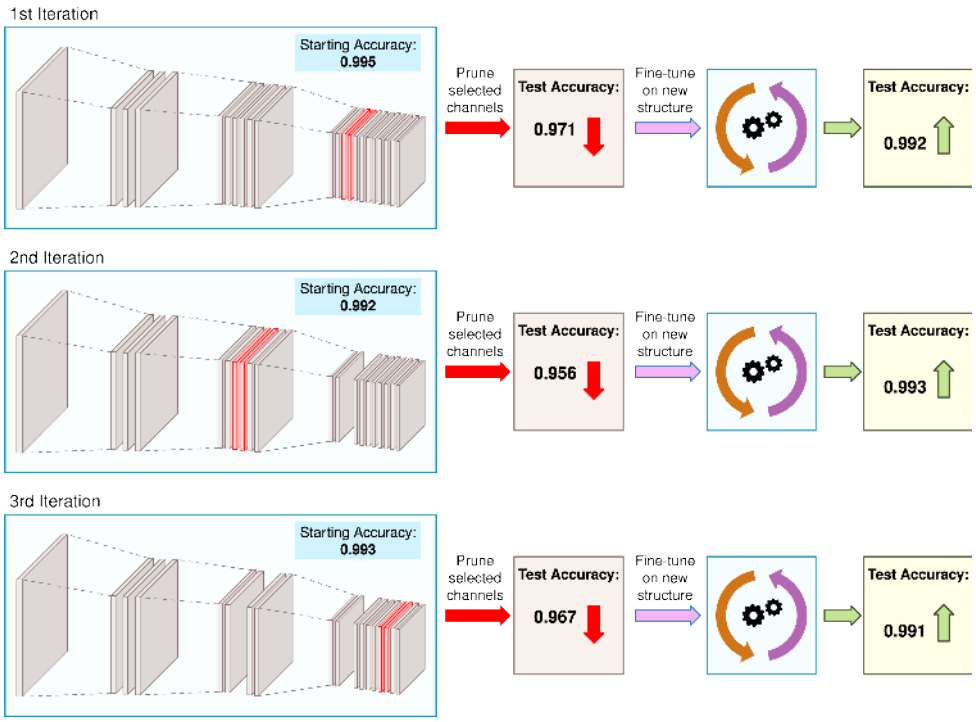

迭代剪枝性能：逐步移除通道并微调，能在减少模型体积的同时保持高精度；图中展示了 0.4% 的精度下降与 27% 的通道数减少，体现了分步调整的优势。

一次性剪枝　一次性剪枝则在单步移除多个结构单元，随后进行长时间微调。该方法压缩速度快，但精度损失大，网络难以适应剧烈结构变化。

如图所示，同样移除 6 个通道，一次性剪枝直接全部移除，精度从 0.995 降至 0.914，微调后仅恢复到 0.943，精度下降 5%。与迭代剪枝相比，性能损失更大。

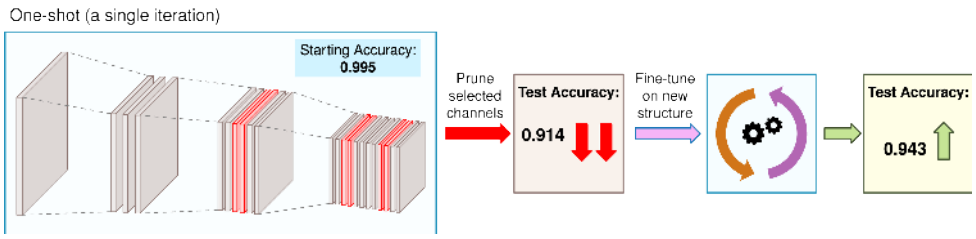

一次性剪枝影响：一次性移除大量结构，精度骤降，微调后恢复有限。与迭代剪枝相比，性能损失更大。

剪枝策略选择需综合考虑参数压缩目标、计算资源、性能需求、开发周期、目标平台等因素。高压缩目标建议迭代剪枝，资源有限或对精度要求不高可用一次性剪枝。生产环境多采用迭代剪枝以最大限度保留性能。

彩票假说 剪枝不仅仅是压缩模型，最新研究发现，剪枝还能揭示原始大模型中本就存在的高效子网络，这就是“彩票假说”[302]（Lottery Ticket Hypothesis，LTH）。

LTH 通过迭代剪枝发现：大模型训练收敛后，移除幅值最小权重，剩余权重重置为原始值而非重新随机化，重复多轮，最终得到的“中奖子网”可单独训练，精度与全模型相当甚至更优。

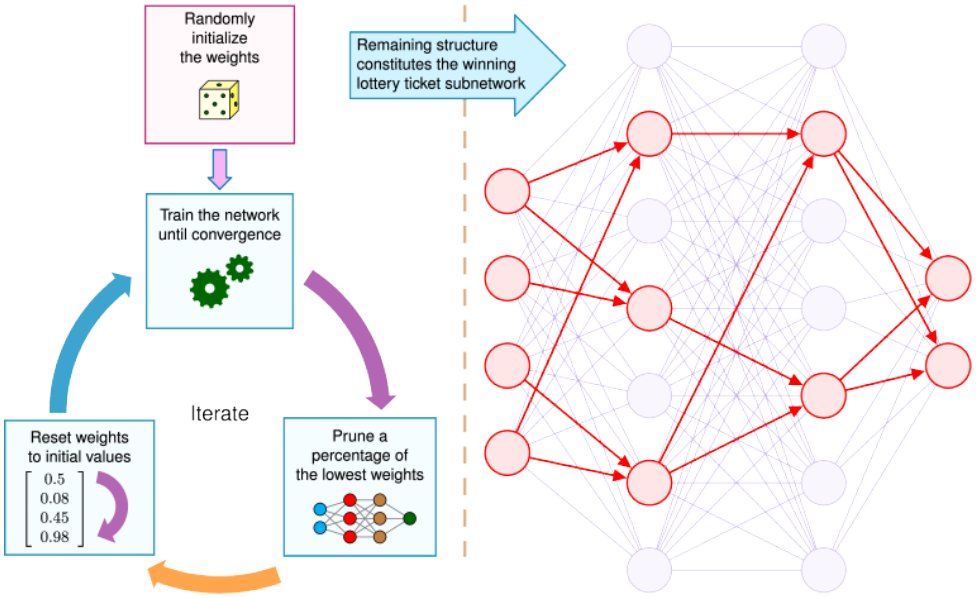

中奖子网发现：迭代剪枝与权重重置可在大模型中发现高效子网，单独训练即可达到甚至超过全模型精度，说明大模型中大量参数本就冗余。

LTH 的意义在于：未来或许无需先训练大模型再剪枝，而是直接训练高效子网，彻底改变模型训练范式。LTH 也强调了初始化的重要性，中奖子网只有在原始初始化下才能保留性能。该理论进一步证明了迭代剪枝优于一次性剪枝。

但实际应用 LTH 仍需大量剪枝 - 重训练循环，计算成本高。当前研究正探索能否在训练早期直接识别中奖子网，若能实现，将彻底重塑模型训练与优化流程。

虽然 LTH 主要是理论突破，实际部署仍依赖主流框架的结构化与非结构化剪枝工具。

剪枝实践 许多主流机器学习框架都内置了结构化和非结构化剪枝工具，支持剪枝后模型的微调，并针对云端、边缘和移动端部署进行优化。

如 PyTorch、TensorFlow 和 ONNX 等机器学习框架，均提供专用的剪枝工具，帮助开发者高效实现剪枝，并确保与目标硬件的兼容性。

302. **彩票假说**：ResNet-18 剪枝后仅保留 10-20% 参数，CIFAR-10 精度 93.2%（全模型 94.1%）；BERT-base 剪枝后参数减少 90%，性能保留 97%，收敛速度提升 5-8 倍。

在 PyTorch 中，剪枝功能通过 `torch.nn.utils.prune` 模块实现，支持对单层或整个模型进行基于权重幅值的剪枝。用户可以通过设置阈值，将幅值最小的一部分权重置零（非结构化剪枝），或直接移除整个神经元或卷积核（结构化剪枝）。PyTorch 还允许自定义剪枝策略，例如基于激活值或梯度的剪枝。剪枝完成后，通常需要对模型进行微调，以恢复精度，然后导出用于推理。

TensorFlow 通过 Model Optimization Toolkit（TF-MOT）提供剪枝支持。该工具包将剪枝过程直接集成到训练流程中，通过稀疏性正则化动态选择待移除的参数。TensorFlow 剪枝 API 支持全局和分层剪枝，通常在训练阶段应用，使模型从一开始就学习稀疏结构，而非训练后再剪枝。TF-MOT 还支持将剪枝后的模型导出为 TFLite 格式，便于在移动和边缘设备上部署。

ONNX[303] 作为开放的模型表示标准，本身不直接实现剪枝，但支持从 PyTorch、TensorFlow 等框架导出的剪枝模型。ONNX 设计为硬件无关，便于将剪枝后的模型进一步优化为适配 TensorRT[304]、OpenVINO、EdgeTPU 等推理引擎。这些推理引擎可进一步利用结构化和动态剪枝，在专用硬件加速器上提升执行效率。

尽管框架层面对剪枝的支持日益完善，实际应用时仍需充分考虑硬件兼容性和软件优化。标准 CPU 和 GPU 通常不直接加速稀疏矩阵运算，因此非结构化剪枝虽能降低内存占用，但对计算速度提升有限。相比之下，结构化剪枝更易被推理引擎支持，能直接减少推理时的计算量。动态剪枝若与推理引擎深度集成，可根据负载和硬件约束自适应优化执行，特别适用于自适应 AI 应用场景。

在实际工程中，剪枝策略的选择需权衡内存效率、计算性能、精度保持和实现复杂度等多方面因素。这些权衡决定了剪枝方法在真实机器学习工作流中的应用方式，并影响部署方案的资源和系统需求。

为帮助决策，@tbl-pruning-tradeoffs（注：请替换为标准表格引用）总结了各类剪枝方法在效率与易用性方面的主要对比，便于开发者根据实际需求选择合适的剪枝策略。

这些权衡强调了剪枝方法需与实际部署需求紧密结合。PyTorch、TensorFlow、ONNX 等框架为开发者提供了丰富的实现手段，但剪枝效果最终取决于底层硬件和具体应用场景。

303. **ONNX 部署**：ONNX Runtime 在 CPU 平台上相较 TensorFlow 提速 1.3-2.9 倍，相较 PyTorch 提速 1.1-1.7 倍。ResNet-50 推理延迟从 7.2ms 降至 2.8ms，BERT-Base 从 45ms 降至 23ms，得益于 ONNX Runtime 的图融合与内存池优化。

304. **TensorRT 优化**：NVIDIA TensorRT 推理速度最高可达 CPU 基线的 40 倍，V100 GPU 上常见优化提升为 5-8 倍。ResNet-50 INT8 推理仅需 1.2ms（FP32 为 4.8ms），BERT-Large 从 10.4ms 降至 2.1ms。层融合减少 80% 的 kernel 启动次数，内存带宽降低 50%。

指标	非结构化剪枝	结构化剪枝	动态剪枝
内存效率	↑↑ 高	↑ 中等	↑ 中等
计算效率	→ 中性	↑↑ 高	↑ 高
精度保持	↑ 中等	↓↓ 低	↑↑ 高
硬件兼容性	↓ 低	↑↑ 高	→ 中性
实现复杂度	→ 中性	↑ 中等	↓↓ 高

例如，结构化剪枝因其对主流推理引擎的良好兼容性，常用于移动和边缘端应用；而动态剪枝则更适合需要实时调整稀疏度的自适应 AI 工作负载。非结构化剪枝虽能极大降低内存占用，但若无专用稀疏计算内核，难以获得显著的计算加速。

理解这些权衡对于实际部署剪枝模型至关重要。许多知名模型已成功集成剪枝以优化性能。例如，MobileNet 作为轻量级卷积神经网络，通过剪枝降低推理延迟且保持精度。BERT[305] 这类主流 NLP 模型，通过剪枝注意力头和中间层，衍生出 DistilBERT[306]、TinyBERT 等高效版本，在大幅减少计算量的同时保留了大部分性能。在计算机视觉领域，EfficientNet[307] 通过剪枝冗余卷积核，优化了在资源受限环境下的部署表现。

知识蒸馏

想象一位世界级教授（教师模型），博览群书、理解深刻；而一位聪明的学生（学生模型）需要快速掌握知识。教授不仅给出标准答案（硬标签），还会详细解释每个选项的优劣及其内在联系（软标签）。学生通过这种丰富的指导，比单靠课本学得更好。这正是知识蒸馏的本质。

知识蒸馏通过让小型学生模型在训练时借助大型教师模型的指导，学习教师输出的概率分布（软标签），而非仅依赖正确/错误的硬标签。教师模型输出的概率分布比真实标签更丰富。例如，图像分类中，真实标签可能是“狗”（one-hot：[0, 1, 0, 0, ...]），而教师

305. **BERT 压缩**：BERT-Base（1.1 亿参数）可压缩至 6700 万参数（减少 39%），GLUE 分数仅下降 1.2%。剪枝可移除 192 个注意力头中的 144 个，几乎不影响性能，层剪枝将 12 层降至 6 层，仍保持 97.8% 的表现。
306. **DistilBERT**：以 40% 更少参数（6600 万 vs 1.1 亿）和 60% 更快推理速度，达到 BERT-Base 97% 的性能。SQuAD v1.1 上 DistilBERT F1 为 86.9，BERT 为 88.5，内存从 1.35GB 降至 0.54GB，延迟从 85ms 降至 34ms。
307. **EfficientNet 剪枝**：EfficientNet-B0 结构化剪枝 70% 后，ImageNet 精度仍有 75.8%（原始为 77.1%），在移动端加速 2.8 倍。通道剪枝将 FLOPs 从 3.9 亿降至 1.4 亿，Pixel 4 上推理低于 20ms。

模型输出可能为 [0.02, 0.85, 0.08, 0.05, ...]，表明“狗”最可能，但“狼”“狐狸”也有一定相似性。这种类别间的相似性信息有助于学生模型学习特征关系，是硬标签无法传递的。

知识蒸馏与剪枝不同。剪枝是在已有模型上移除参数，而蒸馏则是用教师模型指导训练一个独立的小模型。学生模型优化目标是拟合教师的软预测分布（类别概率分布），而不仅仅是拟合标签。

下图（图 8）展示了蒸馏流程。教师模型通过带温度参数 T 的 softmax 生成概率分布，学生模型同时利用软目标和真实标签进行训练。

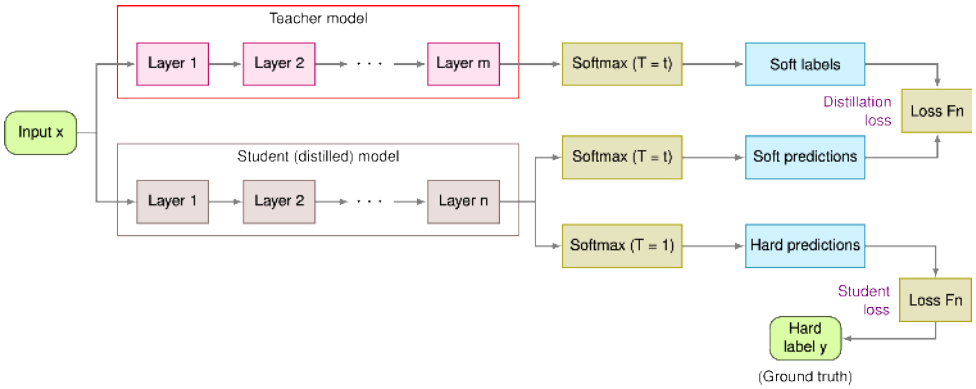

知识蒸馏：学生模型通过学习教师模型生成的软概率分布，获得超越硬标签的信息，从而以更少参数达到接近教师的性能，充分利用教师的泛化能力和类别间关系。

学生模型训练包含两个损失项：

- **蒸馏损失**：通常基于 Kullback-Leibler (KL) 散度[308]，最小化学生与教师软标签分布的差异。
- **学生损失**：标准交叉熵损失，确保学生模型能正确分类硬标签。

两者结合，使学生模型既能吸收教师的结构化知识，又能获得数据集的标签监督。这样，小模型也能接近大模型的精度，是模型压缩和高效部署的关键技术。

知识蒸馏让小模型达到常规训练难以企及的精度，尤其适用于实时推理、云到端模型压缩、低功耗 AI 等场景。

蒸馏理论 知识蒸馏的理论基础在于，训练良好的教师模型蕴含了远超正确类别标签的信息。传统监督学习仅最小化预测与真实标签的交叉熵损失[309]，只提供每类的硬决策

308. **Kullback-Leibler (KL) 散度**：衡量概率分布差异的信息论指标。知识蒸馏中，KL 散度典型值为 0.1-2.0 nats，若大于 3.0 说明教师 - 学生匹配较差，需调整温度或模型结构。
309. **交叉熵损失**：分类任务常用损失函数，衡量预测分布与真实分布的差异。二分类时范围 0-∞（越低越好），大于 2.3 表示性能较差（低于随机猜测）。计算公式为 -log(预测的真实类别概率)。

边界，忽略了模型对类别间关系的理解。

知识蒸馏通过教师模型输出的软概率分布，传递了更多信息。学生模型不仅要拟合正确标签，还要拟合教师对所有类别的概率分布。为此，引入温度缩放 softmax，使概率分布更平滑，便于学生学习。

蒸馏数学原理 温度机制的数学表达如下，设 z_i 为第 i 类的 logits，标准 softmax 计算概率为：

$$p_i = \frac{\exp(z_i)}{\sum_j \exp(z_j)}$$

知识蒸馏中引入温度参数[310] T，softmax 变为：

$$p_i(T) = \frac{\exp(z_i/T)}{\sum_j \exp(z_j/T)}$$

温度越高，概率分布越平滑，揭示模型对不同类别的不确定性。

学生模型的损失函数通常为：

$$\mathcal{L}_{\text{distill}} = (1-\alpha)\mathcal{L}_{\text{CE}}(y_s, y) + \alpha T^2 \sum_i p_i^T \log p_{i,s}^T$$

其中：

- $\mathcal{L}_{\text{CE}}(y_s, y)$ 为学生预测与真实标签的交叉熵损失；
- 第二项为教师与学生软预测分布的 KL 散度；
- T^2 保证高温度下梯度合适；
- α 控制两项损失的权重。

通过同时学习硬标签和教师软输出，学生模型能继承教师的泛化能力，即使参数更少，也能区分相似类别。

蒸馏直观理解 通过结合硬标签和软输出，学生模型不仅学会了正确答案，还能理解类别间的相对关系。举例来说，图像分类任务中，硬标签只告诉模型“猫”是正确答案，“狗”“狐狸”都错；而教师模型的软输出会显示“猫”最可能，“狗”也有一定概率，“狐狸”则很低。如下图（图 9）所示，软目标分布反映了模型对不同类别的相对信心。

教师模型的这种细腻信号，帮助学生模型建立更合理的决策边界，提升对真实世界模糊数据的稳健性。

310. **温度参数**：控制知识蒸馏中概率分布的平滑度。T=1 为标准 softmax，T=3-5 常用于蒸馏（揭示类别关系），T=20+ 时分布趋于均匀。最佳温度：CIFAR-10 用 T=3，ImageNet 用 T=4，BERT 等语言模型用 T=6。

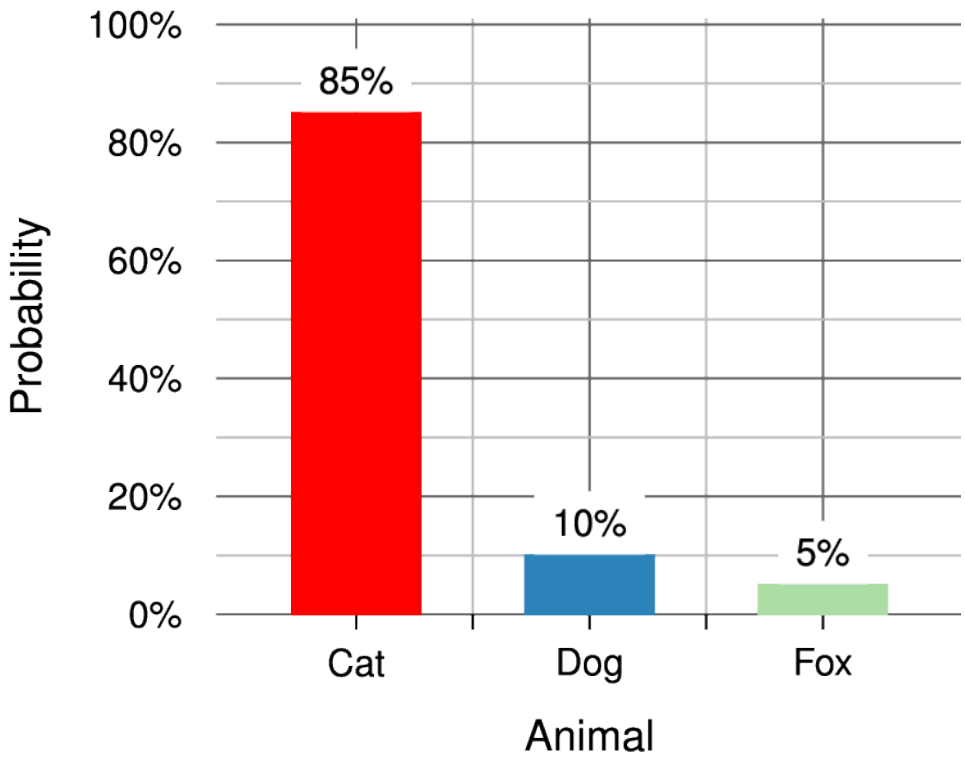

软目标分布：相对置信度揭示了输入属于各类别的可能性，模型可表达不确定性，输出更细腻。

当训练数据有限或噪声较大时，蒸馏尤为有效。大模型在大数据集上训练，已具备良好泛化能力，学生模型通过蒸馏继承这些能力，相当于间接获得了更丰富的训练信号。

知识蒸馏还具有正则化作用。软目标将概率分布在多个类别上，防止学生模型过拟合硬标签，提高泛化能力，降低对抗样本敏感性。尤其是小模型更易过拟合，蒸馏能显著提升其泛化性能。

此外，蒸馏有助于将大模型压缩为小型高效版本，支持 第 18 章：可持续 AI 的绿色部署目标。直接训练小模型往往精度较低，而借助教师模型，学生模型能达到更高精度，非常适合边缘计算、移动端等资源受限场景（详见 第 14 章：设备端学习）。

效率提升　知识蒸馏在内存效率、计算效率和部署灵活性三方面均有显著优势。与剪枝不同，蒸馏从头训练紧凑模型，借助教师指导获得常规训练难以达到的精度，支持 第 12 章：AI 基准测试 的结构化评测。

内存与模型压缩　蒸馏的核心优势在于，小模型能保留大部分预测能力，显著降低内存占用。这对移动端、嵌入式 AI 等资源受限环境尤为重要，模型体积直接影响存储和加载速度。

如 NLP 领域的 DistilBERT、CV 领域的 MobileNet 蒸馏版，均能以一半参数保留 97% 的大模型精度，优于激进剪枝带来的性能损失。

蒸馏还能将教师模型的稳健性和泛化能力传递给学生。大模型通常在大数据集上训练，泛化能力强，学生模型继承后更不易过拟合，适应多样化部署环境。对于小数据场景，蒸馏尤为有效。

计算与推理加速 学生模型通过紧凑结构近似教师知识，推理所需 FLOPs 更少，执行更快。与非结构化剪枝不同，蒸馏后模型仍为稠密结构，兼容主流 AI 加速器（GPU、TPU、边缘芯片）。

实际部署中，这意味着：

- 推理延迟降低，适合实时 AI 应用（如语音识别、推荐系统、自动驾驶感知等）；
- 能耗更低，适合移动和 IoT 场景；
- 云端推理吞吐量提升，支持大规模 AI 服务以更低算力维持模型质量。

例如，NLP 领域的 Transformer 模型常用蒸馏技术，将推理延迟降低 2-4 倍，便于大规模在线服务。

部署与系统考量 知识蒸馏也适用于多任务学习场景。一个大型教师模型可指导多个学生模型，分别适配不同任务或语言，无需从头训练。CV 领域中，教师模型可为人脸识别、医学影像、自动驾驶等专用学生模型蒸馏知识。

蒸馏后的学生模型还可结合剪枝、量化、图优化等进一步加速，确保在多种硬件环境下高效推理，尤其适合边缘和移动端部署。

但蒸馏也有局限性。其效果依赖教师模型质量，若教师训练不充分，可能传递错误偏差。蒸馏需额外训练阶段，增加训练成本。设计合适的学生模型结构也有挑战，过小的学生模型难以完全吸收教师知识。

权衡分析 与剪枝相比，知识蒸馏更能保持精度，但训练复杂度更高（需训练师生两套模型）。剪枝则直接带来计算效率提升，尤其是结构化剪枝。实际工程中，常将剪枝与蒸馏结合，如 DistilBERT、MobileBERT 先剪枝再蒸馏，取得最佳权衡。下表总结了两者的主要权衡。

指标	知识蒸馏	剪枝
精度保持	高 —— 学生从教师学习，泛化能力强	变化大——过度剪枝易损失精度
训练成本	高——需训练教师和学生	低 —— 仅需微调
推理速度	高 —— 生成稠密、优化模型	取决于剪枝类型——结构化高效，非结构化需专用支持
硬件兼容性	高 —— 兼容主流加速器	有限——稀疏模型需专用执行
实现难度	复杂——需设计师生训练流程	简单——训练后直接应用

知识蒸馏是 ML 系统优化的重要技术，常与剪枝、量化等结合用于生产部署。理解蒸馏与其他优化手段的协同关系，是构建高效多阶段优化流水线的关键。

结构化近似

基于近似的压缩技术通过重构模型参数表示，降低复杂度同时保持表达能力，是对剪枝和蒸馏的有力补充。

与剪枝直接移除参数、蒸馏迁移知识不同，结构化近似方法通过分解大规模权重矩阵或张量为低维组件，实现高效存储与计算。这类方法基于高维表示可用低秩结构良好近似的观察，显著减少参数数量且性能损失有限。常见方法包括：

- **低秩矩阵分解（LRMF）**：将权重矩阵分解为低秩矩阵乘积，降低存储和计算复杂度。
- **张量分解**：将高维张量分解为低秩组件，适用于多路交互的神经网络结构。

这些方法在边缘 ML、Tiny ML 等资源受限场景下尤为有效。低秩分解和张量分解通过减少运算量，加速模型训练与推理。下文将详细介绍低秩矩阵分解与张量分解的数学基础、应用及权衡。

低秩分解 许多机器学习模型的权重矩阵存在大量冗余，导致计算、存储和部署效率低下。前文介绍的剪枝和蒸馏，分别通过移除参数和知识迁移来压缩模型，但并未改变参数结构。低秩矩阵分解（LRMF）则通过将大矩阵近似为低秩乘积，从结构上实现紧凑表达，无需显式移除或迁移信息。

这种结构化压缩在边缘计算、云推理、硬件加速等场景下尤为重要。通过低秩近似，模型在保持大部分信息的同时，显著减少参数存储和计算量，是优化机器学习架构的有力工具。

训练数学原理 LRMF 是线性代数和机器学习中的经典技术，用于将高维矩阵分解为低维矩阵乘积，从而实现更紧凑的参数表示，降低内存和计算复杂度，同时保留重要结构信息。其数学表达为：

给定 $A \in \mathbb{R}^{m \times n}$，LRMF 寻找 $U \in \mathbb{R}^{m \times k}$、$V \in \mathbb{R}^{k \times n}$，使得：

$$A \approx UV$$

其中 k 为近似秩，远小于 m, n。常用奇异值分解（SVD）实现：

$$A = U \Sigma V^T$$

Σ 为奇异值对角阵，U, V 为正交矩阵。保留前 k 个奇异值即可得到低秩近似。

下图（图 10）展示了低秩分解带来的参数量减少。原始矩阵 M 可近似为 L_k 与 R_k^T 的乘积。以全连接层为例，原本需存储 $m \times n$ 参数，分解后仅需 $m \times k + k \times n$，只要 $k < n/2$，总参数量更少，计算复杂度为 $O(mkn)$。

LRMF 广泛用于提升机器学习模型效率，尤其适合全连接层和卷积层。通过分解，模型推理速度、存储效率和硬件适应性均有提升。

全连接层权重矩阵大，最适合分解。原本需存储 $m \times n$，分解后仅需 $m \times k + k \times n$，极大降低存储和计算量，适合云到端 ML 流水线。

卷积层也可通过分解卷积核为可分离结构（如深度可分离卷积）实现高效计算，与现代 AI 加速器的硬件优化高度契合。

在推荐系统等协同过滤场景，LRMF 可分解用户 - 物品交互矩阵，提取用户偏好和物品属性的潜在因子，实现高效推荐。

分解效率与挑战 分解后，参数量从 $O(mn)$ 降至 $O(mk + kn)$，但推理需额外一次矩阵乘法，可能增加延迟。实际工程中需权衡存储与实时推理速度。

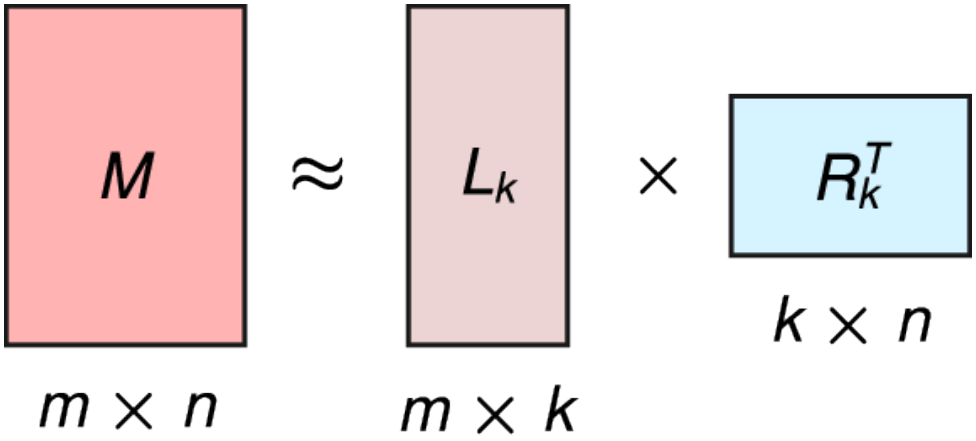

低秩分解：将矩阵分解为低秩近似，显著减少存储和计算参数。原矩阵 a 可表达为两个小矩阵 u 和 v 的乘积，参数量从 $m \{}times n$ 降至 $m \{}times k + k \{}times n$，$k$ 为秩。来源：The Clever Machine.

秩 k 的选择是 LRMF 的关键。k 越小压缩越强但信息损失大，k 越大保留信息多但压缩有限。实际常用交叉验证或启发式方法确定最优秩。

实际数据常含噪声或缺失值，影响分解质量。可通过 L_2 正则等方法提升稳健性，确保分解在不同系统架构下表现稳定。

低秩分解为模型压缩提供了高效路径，尤其适合边缘计算等资源受限场景。尽管面临秩选择和计算开销等挑战，LRMF 仍是 ML 系统设计与部署的重要优化工具。

张量分解　现代神经网络常用多维张量而非二维矩阵，如卷积层、注意力机制、嵌入层等。此时，标准矩阵分解难以高效表达多路交互，需采用更通用的张量分解技术。

张量分解（TD）将低秩分解原理推广到高阶张量，能将大规模多维数组表达为低秩因子之和（见 图 11）。张量在 ML 系统中广泛用于权重、激活、输入特征等表示，直接存储和计算代价高昂，需高效分解。

张量分解常用方法包括：

- **CP 分解**：将张量表示为若干秩一张量之和。对 $\mathcal{A} \in \mathbb{R}^{m \times n \times p}$，有

$$\mathcal{A} \approx \sum_{r=1}^{k} u_r \otimes v_r \otimes w_r$$

  其中 u_r, v_r, w_r 为因子向量，k 为秩。
- **Tucker 分解**：引入核心张量 $\mathcal{G}$ 和因子矩阵 U, V, W，有

$$\mathcal{A} \approx \mathcal{G} \times_1 U \times_2 V \times_3 W$$

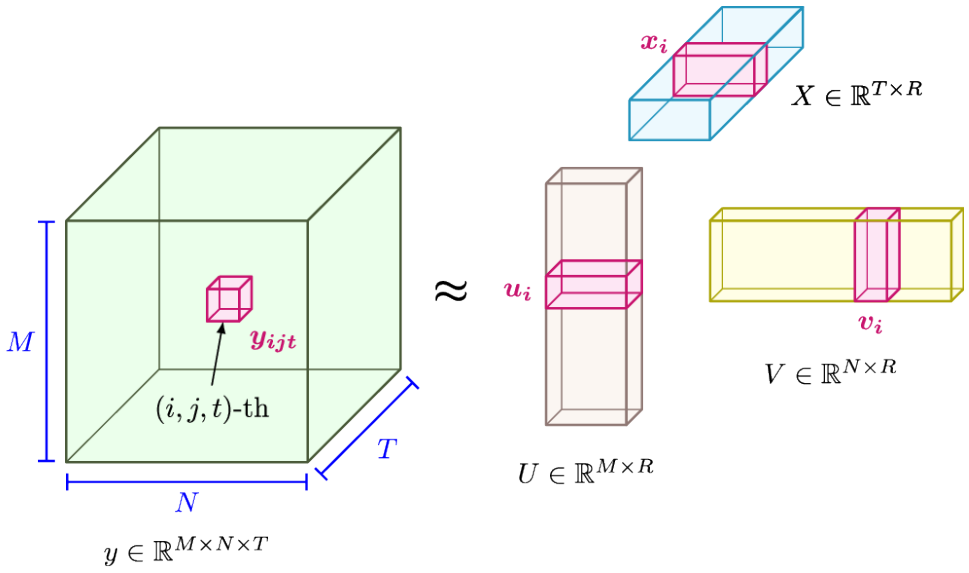

张量分解：多维张量通过分解为低秩组件，实现高效存储与计算，广泛应用于 CNN、Transformer 等现代模型。

$\times_i$ 表示第 i 维张量 - 矩阵乘法。

- **Tensor-Train (TT) 分解**：将高阶张量分解为一系列低秩张量核，极大降低存储和计算复杂度。

这些分解方法在 ML 系统中用于降低参数冗余，同时保持表达能力。下节将介绍其在模型结构中的应用及计算权衡。

张量分解应用 张量分解广泛用于提升 ML 系统的效率和可扩展性。通过分解高维张量为低秩表示，既降低了内存和计算需求，又保留了模型表达能力。典型应用包括：

- **CNN**：分解卷积核，减少推理运算量，适合边缘和移动端部署。
- **NLP**：分解嵌入层和注意力机制，降低存储和推理成本。
- **硬件加速**：分解优化数据流和并行计算，提升 AI 芯片利用率。

但张量分解也带来秩选择、分解计算开销等权衡，需结合实际场景合理应用。

TD 权衡与挑战 张量分解虽能大幅提升效率，但需权衡分解秩、计算复杂度和数值稳定性。

- **秩选择**：秩过小信息损失大，过大压缩有限。不同分解方法对秩的定义不同，需结合实际调优。
- **分解计算开销**：分解本身需迭代优化，推理时需重构张量，可能增加延迟。

- **数值稳定性**：高相关结构或分解方法不当易导致数值不稳定，可通过正则化等手段缓解。

尽管如此，张量分解在内存和计算受限场景下仍是极具价值的优化工具。自适应分解、自动秩选择、硬件感知分解等新方法不断提升其实用性。下节将总结低秩分解与张量分解的核心洞见。

LRMF 与 TD 对比　低秩分解和张量分解均通过低秩近似降低模型复杂度，但应用场景、计算权衡和结构假设各异。下表对比两者主要特性：

特性	**低秩矩阵分解（LRMF）**	**张量分解**
适用数据结构	二维矩阵	多维张量
压缩机制	分解为两个或多个低秩矩阵	分解为多个低秩张量组件
常用方法	SVD、ALS	CP、Tucker、TT
计算复杂度	较低，秩为 k 时约 O(mnk)	更高，需迭代优化和张量收缩
存储压缩	O(mn) \{}to O(mk + kn)	压缩更强，但存储结构更复杂
推理开销	需额外一次矩阵乘法	需额外张量操作，可能增加推理延迟
主要应用	全连接层、嵌入、推荐系统	卷积核、注意力机制、多模态学习
实现复杂度	易于实现，常用直接分解	更复杂，需迭代优化和秩选择

两者可结合应用于同一模型，不同结构采用不同分解方式，实现整体最优压缩。

神经架构搜索（NAS）

剪枝、蒸馏等方法依赖人工经验确定最优结构，需大量试错。神经架构搜索（NAS）通过自动化探索大规模结构空间，系统性地发现兼顾精度、计算、内存和延迟的最优架构。

图 12 展示了 NAS 流程。NAS[311] 包括三阶段：定义搜索空间（结构组件与约束）、应用搜索策略（强化学习、进化算法、梯度法等）探索候选架构，并评估其性能，确保满足精度与效率目标。NAS 能自动发现超越人工设计的新型高效结构，大幅减少专家工作量。

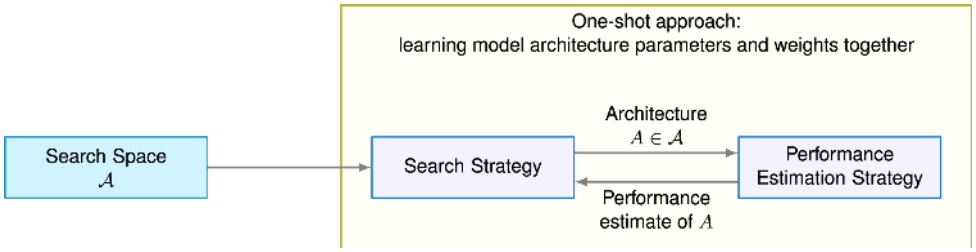

神经架构搜索流程：自动化 NAS 技术通过迭代优化模型结构与权重，联合提升性能与效率，突破人工设计的局限，发现适配特定硬件的新型高效架构。

NAS 搜索策略多样，包括强化学习（RL）、进化算法、梯度法等。RL 将结构选择建模为序列决策，精度为奖励信号；进化算法通过变异和交叉进化架构族群；梯度法则将结构参数连续化，极大降低搜索成本。

模型效率编码 NAS 包含三大阶段：定义搜索空间、探索候选架构、评估性能。搜索空间决定可修改的结构组件与约束，搜索策略指导探索，评估过程确保架构满足多目标需求（精度、效率、硬件适配）。

1. 搜索空间定义：确定可修改的层类型、卷积方式、激活函数、硬件优化等，平衡创新性与可计算性。
2. 搜索策略：采用 RL、进化、梯度等方法，结合历史表现选择最优架构。
3. 评估标准：综合精度、FLOPs、内存、延迟、能耗等多维指标，确保架构适配部署需求。

NAS 实现了结构设计与优化一体化，自动发现兼具高精度与高效率的架构。

311. **硬件感知 NAS**：MnasNet 在 315M FLOPs 下实现 78.1% ImageNet 精度，优于 MobileNetV2 的 72.0%（300M FLOPs）。EfficientNet-B0 以 390M FLOPs 达到 77.1% 精度，精度/FLOP 比 ResNet-50 高 23%，移动端推理快 4.9 倍。

搜索空间定义 NAS 首先需确定可探索的结构空间。空间过小限制创新，过大则计算不可承受。典型搜索空间以模块化组件为基础，包括层类型（标准卷积、深度可分离卷积、注意力、残差块等）、网络深度与宽度、激活函数（ReLU、Swish、GELU 等）、核大小、感受野、跳连等。部分 NAS 还集成硬件感知优化，确保架构适配目标硬件（GPU、TPU、移动 CPU）。

合理的搜索空间既能激发创新，又能控制计算成本。

搜索空间探索 确定空间后，NAS 需高效探索不同架构。搜索策略需平衡探索（尝试新结构）与利用（优化已有结构）。

主流方法包括：

- **强化学习**：将结构选择建模为决策过程，精度为奖励，逐步生成更优架构。计算成本高。
- **进化算法**：维护架构族群，通过变异、选择、交叉进化，适合并行计算。
- **梯度法**：将结构参数连续化，权重与结构参数联合优化，极大降低搜索成本。

搜索策略直接影响 NAS 的可行性。早期 RL-NAS 需数周 GPU 计算，梯度法如 DARTS 将成本降至 1-4 天。

候选架构评估 每个候选架构需基于多维指标评估。除精度外，NAS 还需优化效率约束，确保模型可部署。主要评估指标包括计算复杂度（FLOPs）、内存、推理延迟、能耗 [312]。如 FBNet[313] 通过延迟约束优化移动端推理。

集成这些约束，NAS 能系统性发现兼顾精度、效率、硬件适配的架构。

NAS 优化问题 NAS 可建模为双层优化问题：外层搜索结构，内层训练权重。形式化为：

$$\alpha^* = \arg\min_{\alpha \in \mathcal{A}} \mathcal{L}_{\text{val}}(w^*(\alpha), \alpha) \quad \text{约束} \quad C(\alpha) \leq C_{\text{max}}$$

其中 $w^*(\alpha)$ 为结构 α 的最优权重，需最小化训练损失。

312. **NAS 评估指标**：多目标优化综合考虑精度（top-1/top-5）、延迟（ms）、内存（MB）、能耗（mJ）。Pareto 最优架构效率提升 15-40%。
313. **FBNet**：ImageNet 精度 74.9%，FLOPs 375M，三星 S8 延迟 23ms，比 MobileNetV2 快 15%。延迟感知搜索基于设备实际性能测量。

搜索空间即便仅 10 个选项/层、20 层，也有 10^{20} 种结构，穷举不可行。高效 NAS 需合理空间、搜索策略和加速评估。

搜索空间设计 空间设计需结合领域知识，聚焦高潜力区域，兼顾灵活性。

基于 Cell 的空间：仅搜索可复用的计算单元（cell），如卷积 cell，极大降低空间规模。EfficientNet 即采用此法。

硬件感知空间：将延迟等部署约束纳入目标，直接优化实际硬件延迟（如 MobileNetV3 用延迟预测模型）。

搜索策略 不同策略在效率、多样性和最优性间权衡，见下表：

策略	搜索效率	适用场景	主要挑战
强化学习	400-1000 GPU 天	新领域、无约束搜索	计算成本高
进化算法	200-500 GPU 天	有并行基础设施	需大族群
梯度法（DARTS）	1-4 GPU 天	计算预算有限	可能收敛于次优

NAS 实践 硬件感知 NAS 直接优化实际部署指标。MnasNet 搜索目标为：

$$\text{Reward}(\alpha) = \text{Accuracy}(\alpha) \times \left(\frac{L(\alpha)}{L_{\text{target}}} \right)^{\beta}$$

$L(\alpha)$ 为实际延迟，L_{target} 为目标延迟，β 控制权衡。MnasNet 发现变扩展比的倒残差结构优于人工设计。

何时使用 NAS NAS 适用于新硬件平台、超大规模部署（亿级推理）、多配置架构族等场景。标准部署或预算有限时，优先采用现有 NAS 架构（如 EfficientNet、MobileNetV3、MnasNet）。

架构示例 NAS 已成功设计出多款高效架构，如 EfficientNet（复合缩放）、MobileNetV3（倒残差+SE）、FBNet（移动端延迟优化）、NAS-BERT（高效

Transformer）、ViT 等。它们均通过自动化权衡结构优化、计算与内存效率、硬件适配，取得超越人工设计的表现。

模型结构优化可带来巨大提升。例如，通过结构化剪枝和蒸馏，BERT-Base 从 440MB 压缩至 110MB，参数减少 75%，精度仅下降 0.8%。但移动端推理仍达不到 50ms 目标，实际为 120ms。

分析发现，虽然参数减少 75%，但每次矩阵乘法仍用 FP32，每参数 4 字节，移动端内存带宽远低于服务器 GPU，成为瓶颈。结构已优化，数值表示未变，需进一步降低精度。

这说明，结构优化仅是效率提升的第一步。数值精度优化（如 FP32→INT8）可将内存流量降 4 倍，利用专用整数单元，推理速度提升 4-8 倍。结构与数值优化协同，才能实现端到端效率提升。

如剪枝后 BERT 110MB，进一步量化为 INT8 后仅 28MB，推理延迟降至 45ms，最终达标。量化补齐了结构优化的最后一环。

量化与精度优化

模型结构优化决定“做什么计算”，而计算效率高度依赖数值精度 —— 优化框架的第二维。

数值精度决定权重与激活的表示方式，直接影响内存使用、计算效率和功耗。许多最先进的模型使用高精度浮点格式如 FP32（32 位浮点），虽然提供了数值稳定性和高精度，但也增加了存储需求、内存带宽使用和功耗。现代 AI 加速器包括专用硬件支持低精度计算，使得 FP16 和 INT8 操作的吞吐量远高于 FP32。降低精度会引入量化误差，可能降低精度，具体影响取决于模型架构、数据集特性和硬件支持。

精度优化技术主要分为三类：

- **后训练量化**：在模型训练完成后，快速将模型权重和激活值转换为低精度表示，便于快速部署。
- **量化感知训练**：在训练过程中模拟低精度推理，调整模型权重以适应量化带来的误差，适用于对精度要求较高的生产环境。
- **极端量化**：如二值化（Binarization）和三值化（Ternarization），将权重和激活值压缩为极少数离散值，适合资源极其受限的环境。

本节将探讨不同精度格式的权衡、硬件与软件协同设计的考量，以及在最大化效率增益的同时，最小化精度下降的方法。

精度与能耗

高效数值表示可大幅降低存储、计算延迟和能耗，尤其适合移动 AI、嵌入式系统和云推理。精度水平可针对特定硬件能力调优，最大化 GPU、TPU、NPU 和边缘 AI 芯片的吞吐量。

能耗成本 不同数值精度的能耗差异显著。如下图（图 13）所示，32 位浮点加法约需 0.9 pJ，16 位仅 0.4 pJ，32 位整数加法 0.1 pJ，8 位仅 0.03 pJ。大规模模型累计可节省大量能耗，助力 第 18 章：可持续 AI。量化带来的能效提升，也有助于 第 15 章：安全与隐私 的安全防护。

	Operation	Energy_pJ
1	Integer ADD (8b)	0.03
2	Integer ADD (16b)	0.05
3	Integer ADD (32b)	0.10
4	Integer MULT (8b)	0.20
5	Integer MULT (32b)	3.10
6	8 KB SRAM Read (32b)	5.00
7	32 KB SRAM Read (32b)	10.00
8	1 MB SRAM Read (32b)	50.00

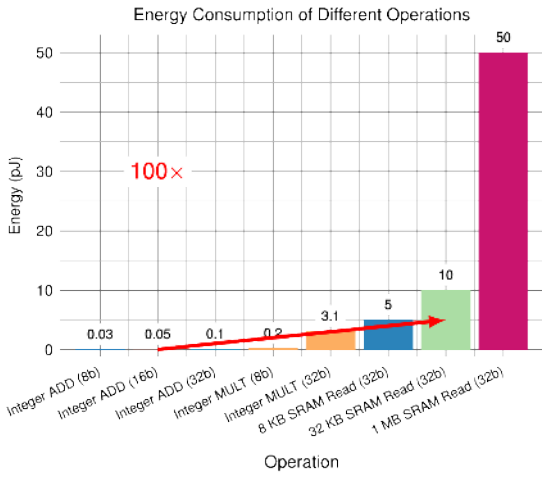

能耗成本：降低精度可显著降低计算能耗。ML 系统通过将浮点运算从 32 位降至 16 位甚至更低，实现大幅节能。来源：IEEE spectrum.

更重要的是，降低精度还能极大减少内存能耗。低精度表示降低了存储和带宽需求，减少了高能耗的内存访问，尤其是 DRAM（1.3 – 2.6 nJ）远高于缓存（如 L1 8KB 仅 10 pJ）。数据流动的能耗常远超计算本身，优化精度可显著降低整体系统功耗，尤其适合硬件加速和边缘设备。

性能提升 下图（图 14）通过堆叠柱状图和双轴展示了量化对推理时间和模型体积的影响。每组左侧柱体表示从 FP32 到 INT8 后推理时间的提升，右侧柱体则展示模型体积的缩减。结果显示，量化模型推理速度最高可提升 $4\times$，存储需求也降低 $4\times$，非常适合资源受限环境部署。

但降低数值精度也带来权衡。低精度格式可能引入数值不稳定和量化噪声，影响模型精度。有些架构（如大型 Transformer NLP 模型）对量化较为稳健，而部分模型则可能精度下降明显。因此，选择合适的数值精度需在精度约束、硬件支持和效率提升之间权衡。

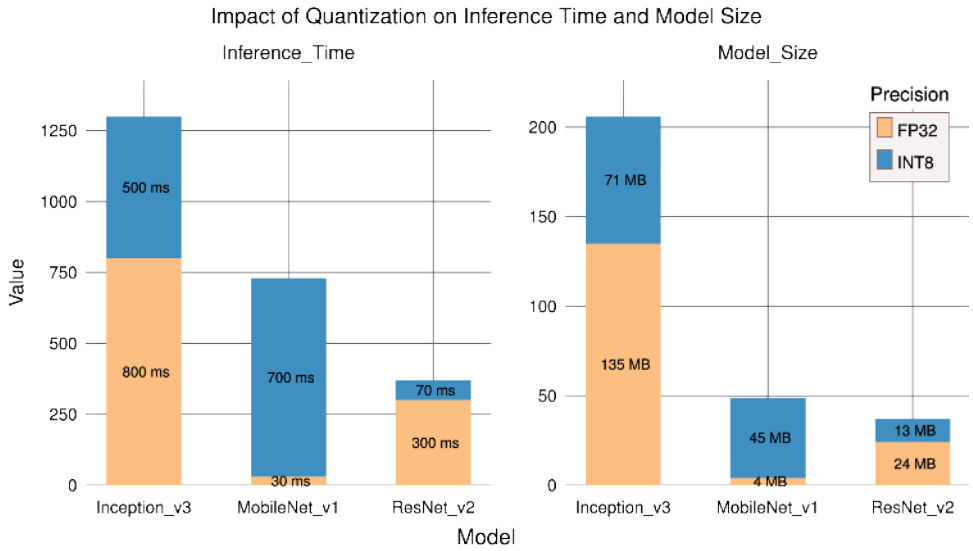

量化影响：从 FP32 转为 INT8 可将推理时间缩短至原来的 1/4，同时模型体积也缩小 4 倍，大幅提升模型在资源受限环境下的部署效率。

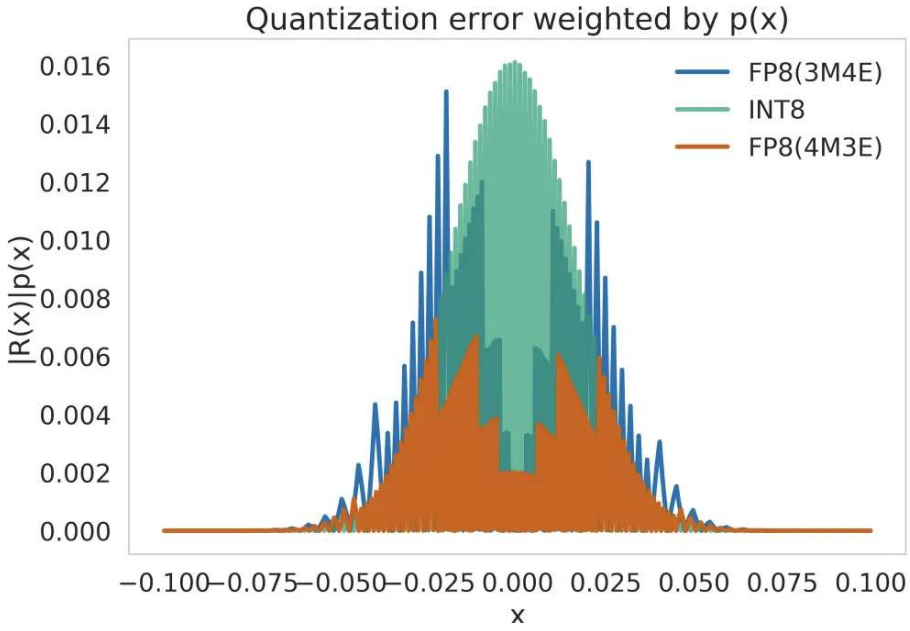

量化误差随 p(x) 加权分布。

图 15 展示了不同数值格式（FP8 各变体与 INT8）下，量化误差随概率分布加权的情况。误差分布揭示了不同格式在数值区间内引入的量化噪声差异，这直接影响模型的精度与稳定性。

数值编码与存储

机器学习系统中的数值数据表示不仅仅是精度问题，还涉及编码格式和存储机制，这些都对计算效率有重要影响。数值编码决定了浮点和整数在内存中的存储方式及硬件处理方式，直接影响 ML 工作负载的性能。随着模型规模和复杂度提升，优化数值编码对于高效利用专用硬件变得愈发重要。

浮点数表示广泛采用 IEEE 754 标准，通过符号位、指数位和尾数位组合编码。常见的 FP32（单精度）、FP64（双精度）精度高但资源消耗大。为提升效率，业界引入了低精度格式如 FP16、bfloat16、FP8 等，既降低存储需求，又能满足 ML 计算的动态范围。bfloat16 与 FP16 不同，保留了与 FP32 相同的 8 位指数，牺牲部分尾数精度，因而在训练中能更好地保持数值稳定性，适合大规模梯度更新。

整数表示（如 INT8、INT4）进一步简化存储和计算，省去了指数和尾数编码，常用于推理阶段的量化模型。权重和激活被离散化为整数，便于硬件加速和降低功耗，尤其适合边缘和移动设备。极端情况下，二值化和三值化仅用 1-2 位表示，极大压缩模型体积和能耗，但需配合专用训练或结构调整以减缓精度损失。

新兴数值格式力图在效率与精度间取得更好平衡。例如 TF32（NVIDIA Ampere GPU 专用）缩减了 FP32 的尾数位，保留指数宽度，实现更快计算且精度损失极小。FP8 作为 AI 加速器的新宠，进一步降低精度但结构上更适合 ML 负载。其他如 Posit、Flexpoint、BF16ALT 等格式也在探索数值稳定性和硬件适配性。

数值编码效率还受数据在内存中的存储与访问方式影响。AI 加速器通过优化内存层级、专用硬件（如张量核、矩阵乘法单元、向量处理引擎）提升低精度计算性能。数据对齐、内存分块、压缩等技术确保低精度计算带来实际性能提升。

随着 ML 系统演进，数值编码与存储策略将持续适应大模型和多样化硬件需求。新一代 AI 精度格式的不断发展，凸显了数值表示与硬件协同设计的重要性，确保模型在降低计算成本的同时实现最优性能。

数值格式对比

下表（表 7）对比了机器学习常用的数值精度格式，涵盖存储效率、计算速度和能耗等权衡。FP8、TF32 等新格式专为 AI 加速器优化。

精度格式	位宽	存储压缩（相对 FP32）	计算速度（相对 FP32）	功耗	典型应用场景
FP32（单精度浮点）	32 位	基线（1×）	基线（1×）	高	通用训练与推理
FP16（半精度浮点）	16 位	2× 更小	FP16 优化硬件上快 2×	低	加速训练、推理（NVIDIA Tensor Cores、TPU）
bfloat16（脑型浮点）	16 位	2× 更小	与 FP16 类似，动态范围更大	低	TPU 训练、Trans-former 等模型
TF32（TensorFloat-32）	19 位	近似 FP16 大小	NVIDIA Ampere GPU 上快至 8×	低	NVIDIA GPU 训练
FP8（8 位浮点）	8 位	4× 更小	某些场景下比 INT8 更快	显著更低	高效训练/推理（H100、AI 加速器）
INT8（8 位整数）	8 位	4× 更小	比 FP32 快 4 – 8×	显著更低	量化推理（边缘 AI、移动 AI、NPU）

精度格式	位宽	存储压缩（相对 FP32）	计算速度（相对 FP32）	功耗	典型应用场景
INT4（4 位整数）	4 位	8× 更小	依赖硬件	极低	超低功耗 AI、实验性量化
二值/三值（1/2 位）	1 – 2 位	16 – 32× 更小	高度依赖硬件	最低	极致高效（Bina-ry/Ternary 神经网络）

FP16、bfloat16 在保持精度的同时提升效率。许多 AI 加速器（如 NVIDIA Tensor Cores、TPU）专门支持 FP16，矩阵运算速度提升 2 倍。bfloat16 保留 FP32 的 8 位指数，尾数仅 7 位，动态范围（约 10^{-38} 到 10^{38}）与 FP32 相当但精度略低。FP16 指数仅 5 位，动态范围（约 10^{-5} 到 10^{5}）大幅收窄，更适合推理。bfloat16 能更好应对训练中的极值，FP16 则易下溢/上溢，适合推理或需精心缩放的训练。下图（图 16）直观展示了位宽分配对精度与数值范围的影响。[314]

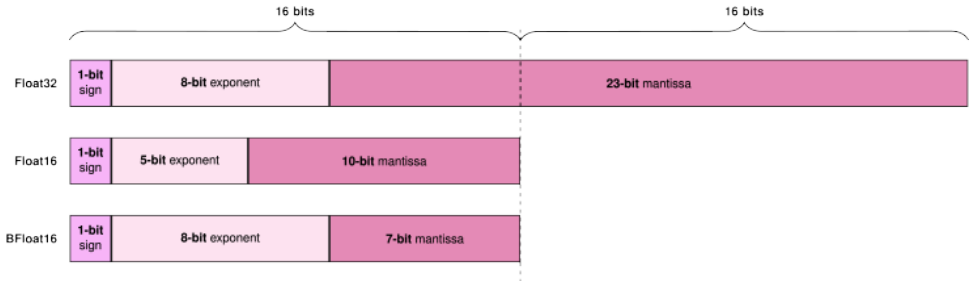

浮点精度权衡：低精度格式如 FP16、bfloat16 以牺牲数值范围换取计算效率和存储节省。bfloat16 保留 FP32 指数，适合训练；FP16 指数较小，适合推理或需精心缩放的场景。

INT8 精度在推理场景下提升更为显著。许多量化模型采用 INT8 推理，存储降 4 倍，计算加速 4 – 8 倍，广泛应用于移动和嵌入式 AI。

314. 浮点格式的动态范围由指数位宽和偏置决定。FP32、bfloat16 均为 8 位指数，偏置 127，指数范围 $[-126, 127]$，数值范围约 10^{-38} 到 10^{38}。FP16 指数 5 位，偏置 15，指数范围 $[-14, 15]$，数值范围约 10^{-5} 到 10^{5}。FP16 动态范围更窄，训练易数值不稳定，bfloat16 保持 FP32 的宽广范围，更适合深度网络训练。

二值/三值网络是量化的极致，权重和激活仅取 1 位或 2 位，极大节省存储和能耗，但若无专用结构，精度损失较大。

精度降低的权衡

降低数值精度可带来显著效率提升，包括内存占用、功耗和吞吐量，但也会引入数值误差和量化噪声，影响模型精度。影响程度取决于模型结构、数据集和具体精度格式。

不同模型对量化的容忍度不同。大规模 CNN、Transformer 等架构即便采用 bfloat16 或 INT8 也能保持高精度；而小模型或对数值精度要求高的任务则更易受影响。网络不同层对精度降低的敏感度也不同，如 BN、注意力机制等更易受影响。因此，混合精度训练（不同层用不同精度）可在保证精度的同时提升效率。

硬件支持也是关键。GPU、TPU、NPU 等 AI 加速器内置低精度运算单元，能高效执行 FP16、bfloat16、INT8 甚至 FP8 运算，提升速度和能效。通用 CPU 通常缺乏专用低精度指令，量化收益有限。新格式如 TF32、FP8 则为非极端量化硬件提供了更优折中。

此外，低精度运算可降低功耗，减少内存访问和简化计算，尤其适合移动和边缘 AI。极端低精度（如 INT4、二值/三值）可进一步降低功耗和存储，但需专用结构以弥补精度损失。

为减缓精度下降，可采用多种量化策略。最终，选择何种精度需在效率与精度之间权衡，结合模型结构、应用需求和硬件支持。通过软硬件协同优化，可在保持性能的同时最大化效率。

精度降低策略

降低数值精度是提升模型效率的重要手段。通过减少权重和激活的位宽，模型可降低内存占用、提升吞吐量、降低功耗。但简单量化易引入误差，导致精度下降。为此，业界发展出多种精度优化策略，实现效率与精度的平衡。

量化可在模型生命周期的不同阶段应用。后训练量化（PTQ）在训练后降低精度，适合快速推理优化。量化感知训练（QAT）在训练中模拟量化，提升低精度下的精度。混合精度训练则结合硬件支持，动态分配不同运算精度，实现高效推理。

下图（图 17）将量化技术按实现复杂度、资源需求和应用场景分为三层，便于理解和选择。

后训练量化（PTQ） 量化是突破内存瓶颈、降低带宽的核心算法。主流 ML 框架（TensorFlow Lite、ONNX Runtime、PyTorch）均内置标准化 PTQ API，便于高效落地。

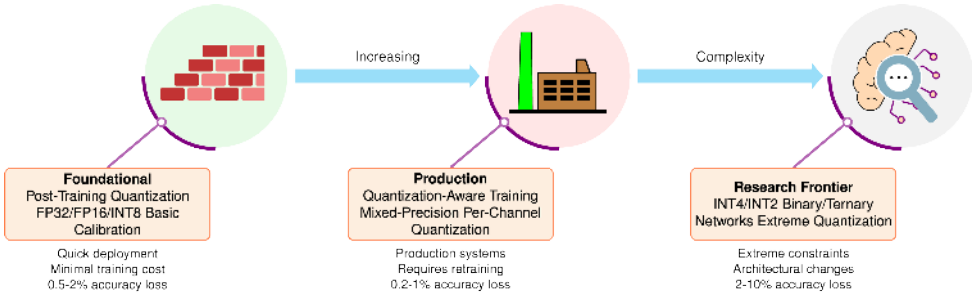

量化复杂度路线图：量化技术分为三层，从适合快速部署的基础方法到极端资源受限场景的前沿方法，复杂度、资源需求和精度权衡逐步提升。

PTQ 在训练后将权重和激活从高精度（FP32）转换为低精度（INT8/FP16），无需重新训练。这样可显著减小模型体积、加速推理、降低能耗，适合移动、边缘和云推理等资源受限场景。

PTQ 最大优势是计算成本低 —— 无需重训练或访问训练数据。但降低精度会引入量化误差，尤其对高精度需求任务影响较大。

PTQ 工作原理 PTQ 将训练好的模型权重和激活从高精度浮点（如 FP32）转换为低精度（如 INT8/FP16），减少模型内存占用、加速推理、降低功耗。但低精度格式数值范围更小，量化会引入舍入误差，影响精度。

核心机制是缩放并映射高精度值到低精度区间。常用的均匀量化（uniform quantization）用统一缩放因子将浮点值映射为整数。公式如下：

$$q = \text{round}\left(\frac{x}{s}\right)$$

其中：

- q 为量化后的整数，
- x 为原始浮点值，
- s 为缩放因子，将浮点区间映射到整数区间。

代码示例（FP32→INT8 均匀量化）：

```
import torch

# 原始 FP32 权重
weights_fp32 = torch.tensor(
    [0.127, -0.084, 0.392, -0.203], dtype=torch.float32
)
print(f"Original FP32: {weights_fp32}")
print(f"Memory per weight: 32 bits")
```

```
9
10 # 步骤 1：计算缩放因子
11 max_val = weights_fp32.abs().max()
12 scale = max_val / 127  # INT8 最大正值为 127
13
14 # 步骤 2：量化 q = round(x/s)
15 weights_int8 = torch.round(weights_fp32 / scale).to(torch.int8)
16 print(f"Quantized INT8: {weights_int8}")
17 print(f"Memory per weight: 8 bits (reduced from 32)")
18
19 # 步骤 3：反量化验证
20 weights_dequantized = weights_int8.float() * scale
21 print(f"Dequantized: {weights_dequantized}")
22 print(
23     f"Quantization error: "
24     f"{(weights_fp32 - weights_dequantized).abs().mean():.6f}"
25 )
```

该示例展示了每个权重从 32 位压缩到 8 位，且量化误差极小。

如 INT8 量化中，模型浮点值（如 $[-r, r]$）被映射到整数区间 $[-128, 127]$。缩放因子确保信息尽量保留。量化后推理用整数运算，效率远高于浮点，但因舍入和近似，精度略有下降。

除均匀量化外，非均匀量化可为高密度区间分配更高精度，适合权重分布集中场景，但实现更复杂，常用于对精度极为敏感的模型。

PTQ 对 CV 模型（如 CNN）效果尤佳，NLP Transformer、语音识别等对数值微小变化敏感的模型则需更精细的量化策略。

校准（Calibration） PTQ 的关键步骤是校准，即选择最优的裁剪区间 $[\alpha, \beta]$。校准通过代表性数据集估算权重和激活的分布，确定量化区间，最大限度减少信息损失。

下图（图 18）展示了 PTQ 流程：以预训练模型为起点，使用校准数据集估算分布，确定裁剪区间，量化生成高效模型。

常见校准方法

- **最大值法（Max）**：取校准期间的最大绝对值为裁剪区间，简单但易受异常值影响。如图 19 所示，激活分布有长尾，最大值法可能导致区间过大。
- **熵法（Entropy）**：最小化原始浮点分布与量化分布的信息损失（如 KL 散度），TensorRT 默认采用，适合保持分布特征。
- **分位数法（Percentile）**：按绝对值分布设定区间，如 99% 校准裁剪掉最大 1% 的值，避免异常值影响。

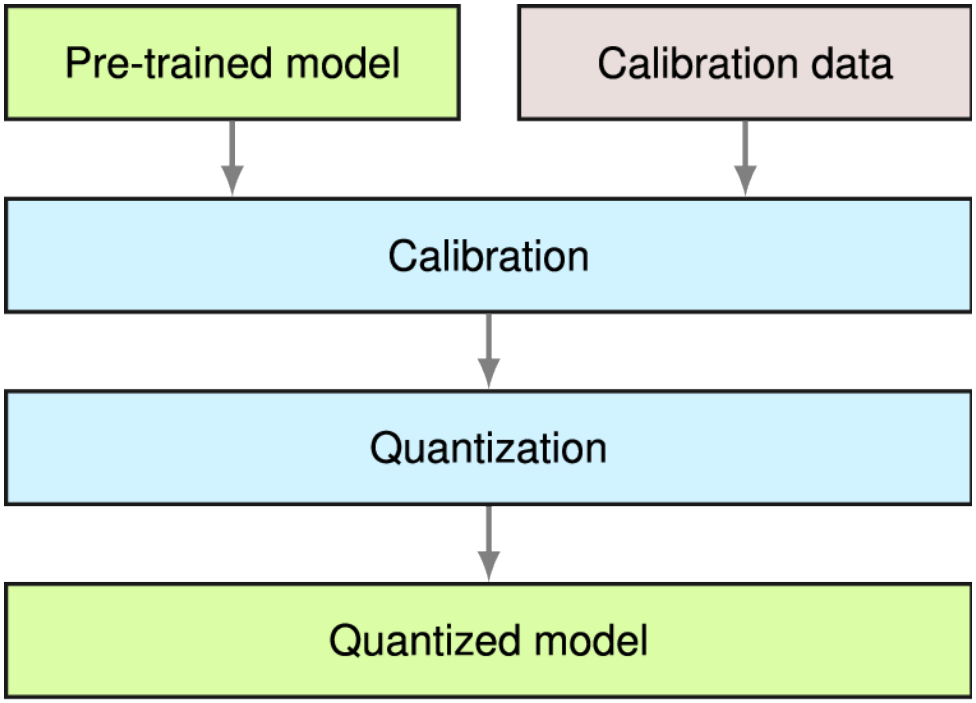

后训练量化：用代表性数据集校准权重和激活的量化区间，最大限度减少信息损失，生成适合资源受限设备部署的高效低精度模型。

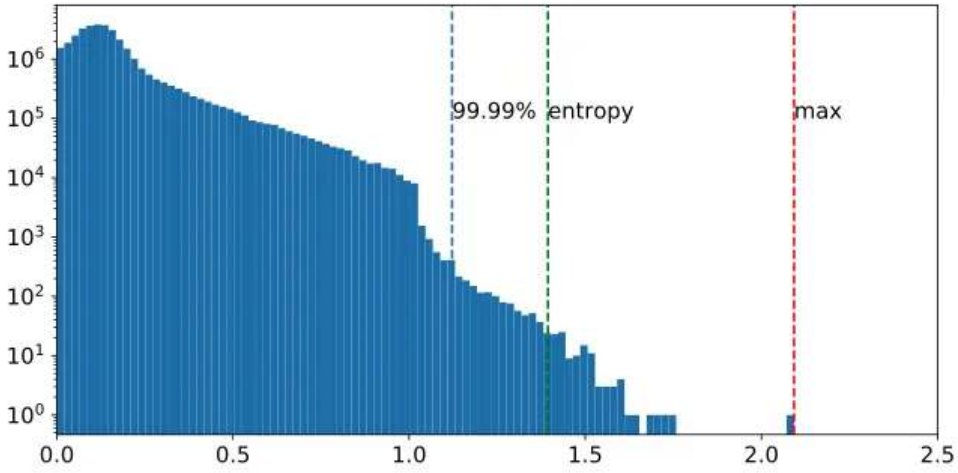

激活分布：ResNet50 层激活呈长尾分布，少量极大值影响量化区间选择，需合理校准以提升精度。

校准质量直接影响量化模型性能。校准区间分为：

- **对称校准**：区间以零为中心，正负区间等比例缩放，适合分布居中数据。
- **非对称校准**：区间不对称，正负区间缩放不同，适合分布偏移数据。

合理选择校准方法和区间，是兼顾精度与效率的关键。

校准区间 PTQ 的难点在于如何选择合适的裁剪区间 $[\alpha, \beta]$。如 图 20 所示，主要有对称和非对称两种策略。

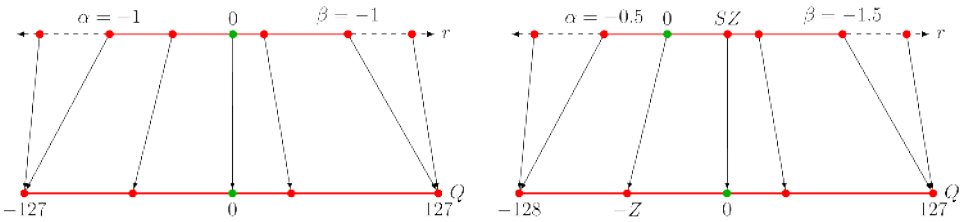

校准区间选择：对称校准以零为中心，非对称校准根据数据分布自适应，合理选择可最小化量化误差。

左图为对称校准，区间 $[-1, 1]$ 映射到 $[-127, 127]$，实现实现简单但对偏移分布不友好。右图为非对称校准，区间 $[-0.5, 1.5]$，零点偏移，适合分布偏移场景，但实现更复杂。

- 对称校准适合权重分布居中模型，计算和硬件实现简单。
- 非对称校准适合分布偏移模型，能更好利用量化区间，但需额外计算。

主流框架（如 TensorRT、PyTorch）均支持两种模式，建议结合实际分布选择。

量化粒度 确定裁剪区间后，还需优化量化粒度以提升精度。以 CNN 为例，不同卷积核的输入激活区间差异大，需分别量化以减少精度损失。

如 图 21 所示，不同卷积核（Filter 1 与 Filter 3）区间差异明显，需细粒度量化。

常见粒度包括：

- **层级量化（Layerwise）**：全层共用区间，简单但精度损失大。
- **分组量化（Groupwise）**：按组共享区间，适合分布差异大的层，精度提升但计算开销增加。
- **通道量化（Channelwise）**：每个卷积核独立区间，精度最佳，主流实践采用。
- **子通道量化（Sub-channelwise）**：每个卷积核再细分，精度极高但计算开销大，仅用于极端场景。

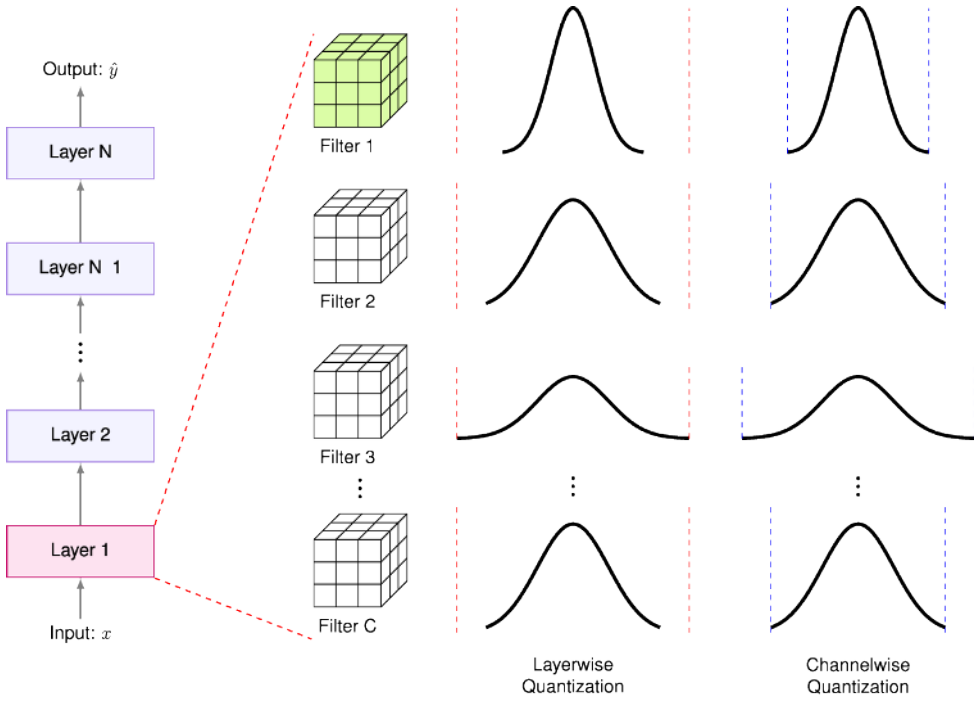

量化区间差异：不同卷积核激活区间差异大，需按通道量化以提升精度。

通道量化在精度与效率间取得最佳平衡，已成为主流。

权重量化与激活量化 权重量化将高精度权重（如 Float32）转换为低精度（如 INT8），如 图 22 所示，极大降低模型体积和推理资源消耗。

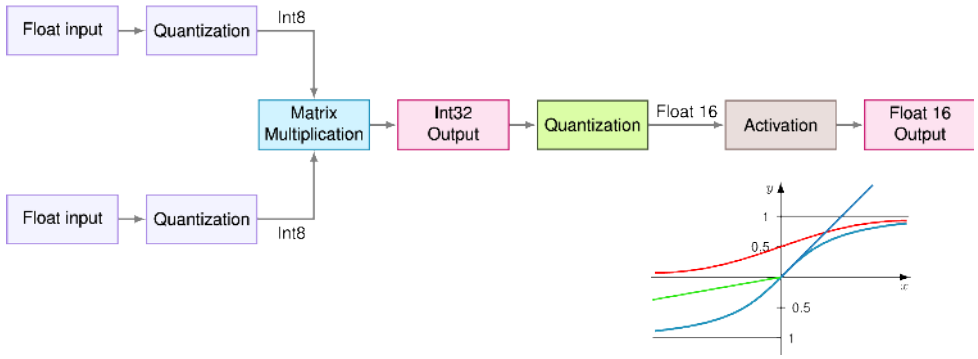

权重与激活量化：将权重和激活从 float32 降为 INT8，显著降低模型体积和推理成本，但需权衡精度。来源：HarvardX.

激活量化则在推理时对中间输出进行量化，进一步加速低精度硬件推理。近年来，激活感知权重量化（AWQ）等新方法通过关注激活分布，仅保护极少数关键权重，提升大模型压缩与加速效果（参考 Ji Lin 等，2023）。

静态与动态量化 确定量化区间类型和粒度后，还需决定量化区间的计算时机。主要有静态量化和动态量化两种。

- **静态量化**：量化区间在推理前预先计算，推理时无需额外计算，效率高但精度略低。常用校准输入估算区间。
- **动态量化**：推理时实时计算区间，能针对每个输入自适应，精度更高但计算开销大，适合对精度极为敏感的场景。

下表（表 8）总结了 PTQ、QAT 和动态量化的特点及权衡，便于选择合适的量化策略。

方面	后训练量化（PTQ）	量化感知训练（QAT）	动态量化
优点			
简单易用	✓	×	×
精度保持	×	✓	✓
自适应性	×	×	✓
性能优化	×	✓	视情况而定
缺点			
精度下降	✓	×	视情况而定
计算开销	×	✓	✓
实现复杂度	×	✓	✓
权衡			
速度 vs 精度	✓	×	×
精度 vs 成本	×	✓	×

方面	后训练量化（PTQ）	量化感知训练（QAT）	动态量化
自适应 vs 开销	×	×	✓

PTQ 的主要优点在于其低计算成本，因为它不需要重新训练模型。这使得 PTQ 成为训练完成后快速部署模型的一个有吸引力的选择，特别是在重新训练计算开销大或不可行的情况下。由于 PTQ 仅修改权重和激活的数值表示，因此可以广泛应用于各种预训练模型，而无需对模型架构进行修改。

PTQ 还通过降低模型参数的位宽，显著节省内存和存储。例如，将模型从 FP32 转换为 INT8 可以实现 $4\times$ 的存储大小减小，使其能够在资源受限的设备上部署更大规模的模型，如移动电话、边缘 AI 硬件和嵌入式系统。这种内存占用的减少也降低了通过网络传输模型时的带宽需求。

在计算效率方面，PTQ 允许使用整数算术进行推理，而整数运算在许多硬件平台上本质上比浮点运算快。TPU 和神经处理单元（NPU）等 AI 加速器针对低精度计算进行了优化，从而在执行量化模型时实现更高的吞吐量和更低的功耗。这使得 PTQ 特别适用于需要实时推理的应用场景，如自动驾驶系统中的物体检测或移动设备上的语音识别。

PTQ 挑战与局限 尽管 PTQ 具有诸多优点，但由于浮点值到离散低精度表示的映射过程中的舍入效应，它引入了量化误差。虽然有些模型对这些变化具有稳健性，但其他模型可能会经历显著的精度下降，特别是在依赖于数值精度较高的任务中。

这种精度损失的程度取决于模型架构和任务领域。用于图像分类的 CNN 对 PTQ 通常具有较好的容忍度，即使在激进的 INT8 量化下也能保持接近原始的精度。而在 NLP 和语音识别中使用的基于 Transformer 的模型则往往更为敏感，因为这些架构依赖于注意力机制中数值关系的精确性。

为了减轻精度损失，通常采用 KL 散度缩放或按通道量化等校准技术来微调缩放因子，尽量减少信息损失。一些框架（包括 TensorFlow Lite 和 PyTorch）提供了带有内置校准方法的自动量化工具，以提高精度保留。

另一个 PTQ 的局限是并非所有硬件都支持高效的整数运算。虽然 GPU、TPU 和专用的边缘 AI 芯片通常包括对 INT8 推理的专门支持，但通用 CPU 可能缺乏低精度执行的优化指令，从而导致量化性能提升有限。

PTQ 通常不适用于训练过程。由于 PTQ 是在训练后应用量化的，因此需要进一步微调

或适应的模型可能更适合采用其他方法，如量化感知训练（QAT），以确保在学习过程中充分考虑精度约束。

后训练量化仍然是提高推理效率的最实用和广泛使用的技术之一。它通过显著降低计算和存储需求，提供了在资源受限环境中部署机器学习模型的可行方案。然而，PTQ 的成功依赖于模型架构、任务敏感性和硬件兼容性。在精度下降不可接受的场合，可能需要采用量化感知训练等替代策略。

后训练量化为更高级的量化方法奠定了基础。量化感知训练（QAT）通过在训练过程中直接整合量化约束，模拟低精度算术运算，使模型适应量化效应，尤其适用于对数值精度要求较高的模型，如用于 NLP 和语音识别的变换器。图 23 说明了 QAT 过程：对预训练模型应用量化，然后进行微调以适应低精度约束。

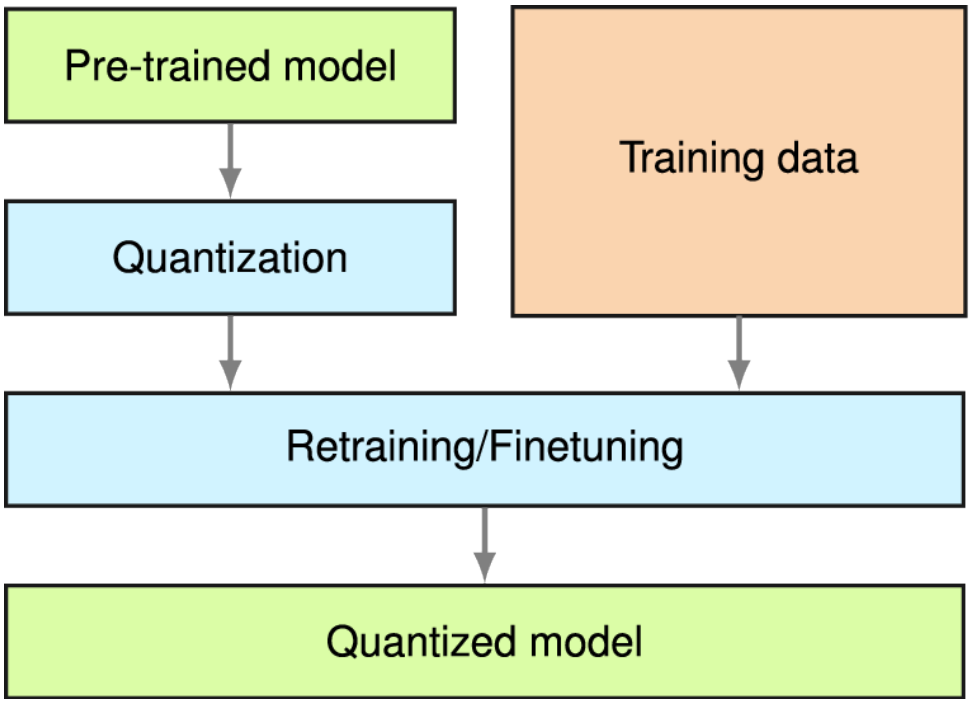

量化感知训练：通过对预训练模型进行低精度算术模拟训练，使权重适应量化约束，减少部署时因数值精度降低而导致的精度损失，从而实现资源受限设备上的高效推理。该过程使模型在量化后保持更高的准确性，尤其是在对量化敏感的应用中。

在许多情况下，QAT 还可以基于 PTQ 进行，如图 24 所示。首先应用 PTQ 生成初始量化模型，然后以该量化模型为基础进行 QAT 微调，帮助模型更好地适应低精度约束。这种结合 PTQ 和 QAT 的混合方法，兼顾了效率和精度，减少了单独采用后训练量化时通常会出现的精度下降。

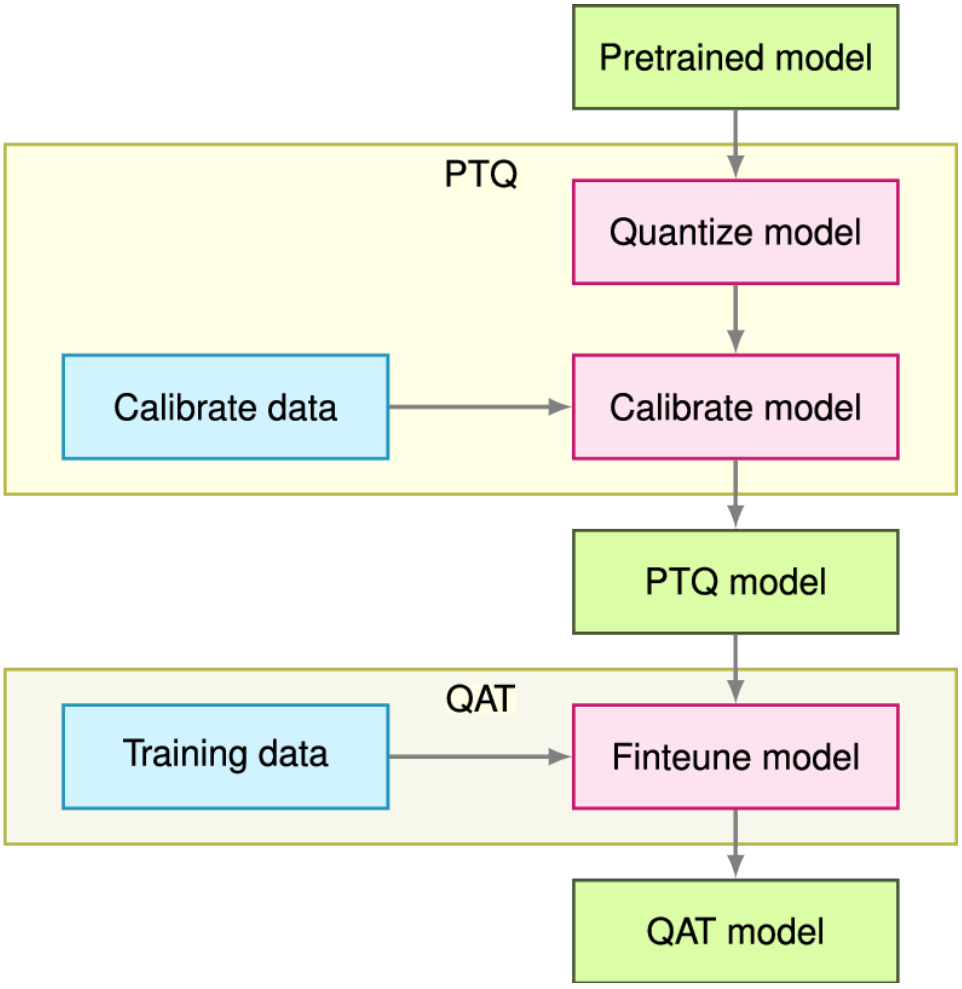

混合量化方法：后训练量化（PTQ）生成初始量化模型，为量化感知训练（QAT）提供热启动，加速收敛，减轻与随机初始化网络量化相关的精度损失。该两阶段过程利用 PTQ 的高效性，同时通过训练数据微调模型，以优化低精度约束下的性能。

训练数学 在前向传播过程中，权重和激活被量化和反量化，以模拟降低精度的效果。通常表示为：

$$q = \text{round}\left(\frac{x}{s}\right) \times s$$

其中 q 表示模拟的量化值，x 表示全精度的权重或激活，s 是将浮点值映射到低精度整数的缩放因子。

尽管前向传播使用了量化值，但反向传播中的梯度计算仍然是全精度的。这是通过直通估计器（STE）实现的，该估计器通过将量化操作的导数视为一来近似量化函数的梯度。这样可以防止由于量化操作的不可微性而阻碍梯度传播，从而实现有效的模型训练。

直通估计器（STE）：用于非光滑函数（如量化函数）的梯度近似技术。将量化操作的梯度视为 1，使得反向传播能够通过量化层。尽管在理论上存在局限性，但在实践中对训练二值神经网络和量化感知训练至关重要。

在训练过程中整合量化效应，使模型学习到最佳的权重和激活分布，从而最小化数值精度损失的影响。这样训练出的模型在部署时使用真实的低精度算术（如 INT8 推理）时，能显著高于后期量化的模型。

QAT 优势 QAT 的主要优点是其在低精度推理条件下保持模型精度的能力。通过在训练中整合量化，模型能够补偿精度损失，减少舍入误差和数值不稳定的影响。这对于在 NLP、语音识别和高分辨率计算机视觉中常用的对量化敏感的模型尤为重要。

另一个主要好处是，QAT 允许在硬件加速器上进行低精度推理，而不会显著降低精度。TPU、NPU 和专用边缘设备等 AI 处理器包括整数运算的专用硬件，使得 INT8 模型相比 FP32 模型具有更快的推理速度和更低的能耗。考虑到量化效应的训练确保了最终模型能够充分利用这些硬件优化。

QAT 挑战与权衡 尽管 QAT 具有诸多优点，但在训练过程中会增加额外的计算开销。每次前向传播都进行量化模拟，相比全精度方法，训练速度会变慢。这一过程也增加了训练调度的复杂性，使得 QAT 在大规模模型上的应用变得不够实际，因为额外的训练时间可能是不可接受的。

QAT 还引入了额外的超参数和设计考虑，例如选择合适的量化方案和缩放因子。与训练后量化（PTQ）不同，QAT 需要仔细调整训练动态，以确保模型适应低精度约束。

下表（表 9）总结了 QAT 与 PTQ 的主要权衡：

方面	量化感知训练（QAT）	后训练量化（PTQ）
精度保留	最小化量化带来的精度损失	可能会出现精度下降
推理效率	针对低精度硬件（如 TPU 上的 INT8）优化	优化但可能需要校准
训练复杂度	需要在量化约束下重新训练	无需重新训练
训练时间	由于前向传播中模拟量化而变慢	较快，因为量化是事后处理的

方面	量化感知训练（QAT）	后训练量化（PTQ）
部署准备	最适合对量化误差敏感的模型	快速优化模型以进行推理

将量化整合到训练过程中的主要好处是，它比后训练量化更有效地保持模型精度，尤其是在低精度推理条件下。通过在训练中考虑量化效应，模型能够适应低精度算术运算，从而减少量化误差。尽管 QAT 在低精度下实现更高的精度，但它需要额外的训练时间和计算资源。在实践中，通常采用从 PTQ 开始的混合方法，对于对精度要求较高的模型再应用 QAT，以在效率和性能之间取得最佳平衡。

极端量化

超越 INT8 和 INT4 的极端量化技术使用 1 位（二值化）或 2 位（三值化）表示法，实现内存使用和计算需求的剧减。二值化将权重和激活限制为两个值（通常是 -1 和 +1，或 0 和 1），大幅减少模型大小，并在专用硬件（如二值神经网络）上加速推理。然而，这种限制严重限制了模型的表达能力，往往会降低在图像识别或自然语言处理等任务上的精度。

三值化通过允许三个值（-1、0、+1）扩展了二值化，提供了额外的灵活性，略微提高了精度。零值的引入使得稀疏性更强，同时保持了更多的表达能力。这两种技术都需要像直通估计器（STE）这样的梯度近似方法来处理训练过程中不可微的量化操作，QAT 的结合有助于减轻精度损失。

挑战与局限 尽管能够为嵌入式系统和移动设备实现超低功耗的机器学习，二值化和三值化仍面临着重大挑战。保持性能在如此极端的量化下变得困难，需要专用硬件高效处理二进制或三元操作。传统处理器缺乏对这些计算的优化，迫使开发定制硬件加速器。

精度损失仍然是一个关键问题。这些方法适用于对精度要求不高的任务，或者可以通过 QAT 弥补精度限制的场景。尽管面临挑战，但在保持可接受精度的同时大幅减少模型大小的能力，使它们在边缘 AI 和资源受限环境中具有吸引力。未来专用硬件和训练技术的进步，可能会增强它们在高效、可扩展 AI 中的作用。

多技术优化策略

在探讨了量化技术（PTQ、QAT、二值化和三值化）、剪枝方法和知识蒸馏后，我们现在研究如何系统地结合这些互补方法，以实现更优的优化结果。通过综合不同的优化维

度，集成策略利用了各种技术之间的协同作用，最大限度地提高效率提升，同时保持模型精度。

每种优化技术针对模型效率的不同方面：量化降低数值精度，剪枝消除冗余参数，知识蒸馏将能力转移到紧凑架构，神经架构搜索（NAS）优化结构设计。这些技术具有互补特性，使其能够实现强大的组合效果。

剪枝和量化的协同效应在于，剪枝减少了参数数量，而量化降低了精度，从而产生了乘法压缩效果。先进行剪枝可以减少参数集，从而使后续的量化更有效，并减少寻找最佳量化策略的搜索空间。这种顺序方法可以实现超过单独使用任何一种技术的压缩比。

知识蒸馏与量化的有效集成，通过减轻激进量化带来的精度损失，增强了模型的稳健性。该方法通过训练学生模型匹配教师模型的行为，而不仅仅是最小化任务损失，特别适用于极端量化场景，在这些场景中，直接量化可能导致不可接受的精度下降。

神经架构搜索使得协同设计成为可能，专门针对量化约束优化模型结构，识别在低精度操作下保持精度的架构。这种共设计方法生成的模型，天生就适合后续的量化和剪枝优化，提高了这两种技术的有效性。

如图 25 所示，剪枝、量化和奇异值分解（SVD）等不同压缩策略在模型大小和精度损失之间表现出不同的权衡。剪枝与量化结合（红色圆圈）相比于单独量化（黄色方块）也提供了合理的平衡。相比之下，SVD（绿色菱形）则需要更大的模型尺寸才能维持精度，说明不同技术对压缩效果的影响。

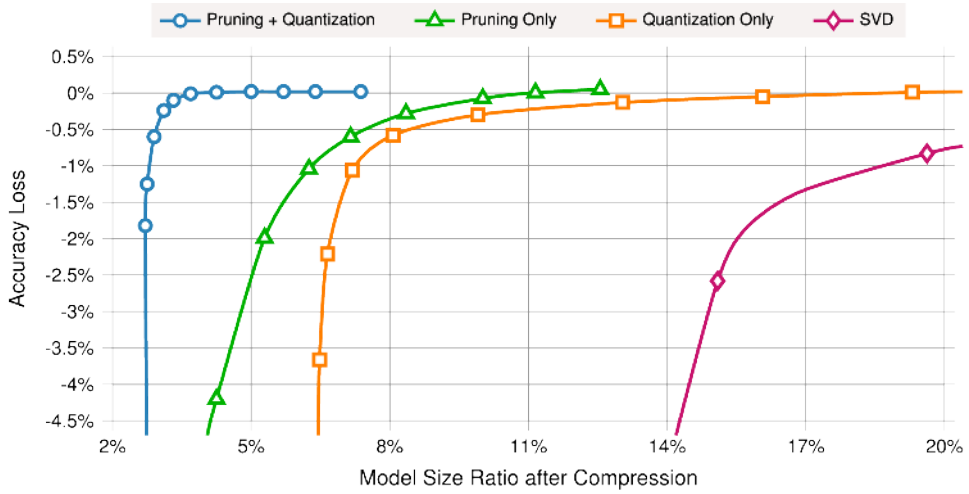

压缩权衡：剪枝与量化的结合相比于单独量化或奇异值分解（SVD），在精度损失最小的情况下实现了更高的压缩比，展示了通过数值精度优化技术对模型大小和性能的影响。

量化不同于剪枝、知识蒸馏和 NAS，因为它专注于降低权重和激活的数值精度。尽管单独的量化可以提供显著的计算效益，但当与剪枝、蒸馏和 NAS 等互补技术结合时，其

有效性可以得到增强。这些方法针对模型效率的不同方面协同工作，创造出更紧凑、更快、能效更高的模型，从而在受限环境中实现更好的性能。

我们的优化之旅仍在继续。我们通过结构化剪枝和知识蒸馏将 BERT-Base 从 440MB 剪至 110MB，然后量化为 INT8，将模型缩减至 28MB，推理延迟从移动硬件上的 120ms 降至 45ms。这些优化使一个不可用的模型接近于可部署状态。然而，分析发现了一个令人困惑的低效：理论 FLOP 计数表明推理应在 25ms 内完成，但实际执行却需要 45ms。剩余的 20ms 消失到哪里去了？

详细分析揭示了答案。尽管量化降低了精度，但模型仍然计算了不必要的零值。结构化剪枝移除了整个注意力头，但剩余的稀疏权重矩阵仍以密集格式存储，浪费了内存带宽和计算资源。层归一化操作按顺序运行，尽管它们本质上是可以并行的。模型对所有输入的处理方式相同，即使简单输入也可以在浅层提前退出。GPU 有 40% 的执行时间处于空闲状态，等待内存传输而不是执行操作。

这些观察结果揭示了模型表示和数值精度优化虽然必要，但仍然不够。表示技术决定了执行哪些计算，精度技术决定了单个操作如何执行。但没有解决计算如何组织和调度以最大化硬件利用率。这是架构效率优化的领域，也是我们框架的第三个维度。

架构效率技术转变了执行模式。通过专用内核利用稀疏性消除对修剪权重的计算。操作融合将顺序操作（层归一化、注意力、前馈）合并为单个 GPU 内核，减少 40% 的内存流量。动态计算使简单输入在经过 6 层后就可以退出，而不必处理所有 12 层。硬件感知调度并行化操作，以保持 GPU 高利用率。将这些技术应用于我们优化后的 BERT 模型，将推理时间从 45ms 降至 22ms，最终实现 25ms 的理论目标，使部署真正可行。

这一进展说明了为什么所有三个优化维度必须协同工作。模型表示提供结构效率（更少的参数），数值精度提供计算效率（低精度算术），架构效率提供执行效率（优化调度和硬件利用）。只有在系统地解决所有维度时，复合效应（440MB/120ms → 28MB/22ms，内存减少 16 倍，延迟改善 5.5 倍）才能实现。

架构效率技术

架构效率优化确保计算在目标硬件上高效执行，通过将模型操作与处理器能力和内存层次结构对齐。与表示优化（决定执行哪些计算）和精度优化（决定数值保真度）不同，架构效率关注操作的调度方式、内存访问方式以及工作负载如何适应输入特征和硬件约束。

这一优化维度对于资源受限场景尤为重要（参见第 14 章：设备端学习），因为剪枝和量化带来的理论 FLOP 减少可能在没有架构修改的情况下无法转化为实际的速度提升。以密集格式存储的稀疏权重矩阵浪费了内存带宽。尽管它们本质上是可以并行的，顺序执

行的操作却未能充分利用 GPU 核心。固定的计算图对简单和复杂输入的处理方式相同，浪费了不必要的计算资源。

本节探讨四种互补的架构效率方法：硬件感知设计原则在模型开发过程中主动整合部署约束，稀疏性利用技术加速修剪模型的计算，动态计算策略根据输入复杂性调整工作负载，以及操作融合方法通过组合操作减少内存流量。这些技术将算法优化转化为实际的性能提升。

硬件感知设计

硬件感知设计将目标平台的约束（如内存带宽、处理能力、并行能力和能量预算）直接纳入模型架构决策中。这种方法确保计算模式、内存访问和操作类型与硬件能力相匹配，从而最大化效率，适应各种部署平台。

高效设计原则 为了实现硬件效率，机器学习模型的设计需要在保证强大预测性能的同时，构建考虑计算成本、内存使用、推理延迟和功耗的架构。与训练后优化不同，硬件感知模型设计在一开始就主动整合硬件考虑因素。这确保了模型在各种硬件环境中都是计算高效的，并且可部署性强。

在这一主动方法中，充分利用特定硬件平台（如 GPU、TPU、移动或边缘设备）的优势，最大化并行性，优化内存层次结构，并通过硬件优化操作最小化延迟。表 10 总结的硬件感知模型设计原则，针对计算和系统约束的核心方面。

原则	目标	示例网络
缩放优化	调整模型深度、宽度和分辨率，以平衡效率和硬件约束。	EfficientNet、RegNet
计算减少	最小化冗余操作以降低计算成本，利用硬件特定的优化（如在移动芯片上使用深度可分离卷积）。	MobileNet、ResNeXt

原则	目标	示例网络
内存优化	通过减少激活和参数存储需求，确保高效的内存使用，利用硬件特定的内存层次结构（如 GPU 中的本地和全局内存）。	DenseNet、SqueezeNet
硬件感知设计	针对特定硬件约束（如低功耗、并行性、高吞吐量）优化架构。	针对 TPU 优化的模型、MobileNet

@tbl-hardware-efficient-design 中的原则协同作用：缩放优化使模型适应可用资源，计算减少通过深度可分离卷积等技术消除冗余操作，内存优化使访问模式与硬件层次结构对齐，硬件感知设计确保架构决策与平台能力匹配。综合运用这些原则，可以在保持准确性的同时，实现高效的模型。

缩放优化 模型架构的缩放涉及在深度、宽度和输入分辨率之间取得平衡，以优化与目标硬件的契合度。模型的每个组成部分，无论是深度、宽度还是输入分辨率，都会影响其资源消耗。在硬件感知设计中，这些维度不仅要针对精度进行优化，还要考虑到内存使用、处理能力和能量消耗，特别是在模型部署在特定硬件（如 GPU、TPU 或边缘设备）上时。

从硬件感知的角度来看，不同硬件平台（如 GPU、TPU 或边缘设备）与缩放维度的交互是重要的考虑因素。例如，尽管更深的模型能够捕捉更复杂的特征，但过大的深度会导致推理延迟增加、训练时间延长和内存消耗增加，这在资源受限的平台上尤其成问题。类似地，增加模型的宽度以处理更多的并行信息可能对具有高并行性的 GPU 和 TPU 有利，但也会增加内存使用的管理难度。输入分辨率的提高可以为图像分类等任务提供更精细的细节，但其计算成本呈指数级增长，可能会超出边缘设备的硬件内存或导致功耗效率降低。

从数学上讲，卷积模型的总 FLOP 数可以近似为：

$$\text{FLOPs} \propto d \cdot w^2 \cdot r^2,$$

其中 d 是深度，w 是宽度，r 是输入分辨率。在不考虑硬件限制的情况下，盲目增加这三个维度可能导致性能不佳，特别是在计算能力或内存带宽有限的设备上。

因此，高效的模型缩放需要平衡地管理这些参数，确保模型在硬件能力范围内运行，同时实现最佳性能。这就是复合缩放（compound scaling）发挥作用的地方。复合缩放并不是独立地调整深度、宽度和分辨率，而是通过相对于基准模型应用固定比例因子 (α, β, γ) 来平衡所有三个维度：

$$d = \alpha^{\phi} d_0, \quad w = \beta^{\phi} w_0, \quad r = \gamma^{\phi} r_0$$

这里，ϕ 是缩放系数，α、β 和 γ 是根据硬件约束和经验数据确定的缩放因子。这种方法确保模型在增长时优化硬件资源的使用，使其在提高精度的同时保持高效。

例如，采用复合缩放的 EfficientNet 通过合理平衡深度、宽度和分辨率，展示了在计算效率和高性能之间的良好平衡。复合缩放在保持精度的同时降低了计算成本，是硬件感知模型设计中的一个关键考虑因素。这一方法对于在 GPU 或 TPU 上部署模型时尤为有效，因为可以充分利用其并行处理能力，但同时也需要谨慎管理内存和功耗。

计算减少 现代架构利用因式分解计算将复杂操作分解为更简单的组件，从而减少计算开销，同时保持表示能力。标准卷积在所有空间位置和通道上均匀应用滤波器，这在资源受限的硬件上形成了计算瓶颈。因式分解技术通过重构操作来解决这一低效问题，最小化冗余计算。

深度可分离卷积（depthwise separable convolutions）是 MobileNet 中提出的典型例子，它将标准卷积分解为两个阶段：深度卷积（对每个输入通道独立应用滤波器）和逐点卷积（1×1 卷积在通道间混合输出）。标准卷积在输入大小为 $h \times w$、输入通道数为 C_{in}、输出通道数为 C_{out}、卷积核大小为 k 时的计算复杂度为：

$$\mathcal{O}(hwC_{\text{in}}C_{\text{out}}k^2)$$

深度可分离卷积将其减少为：

$$\mathcal{O}(hwC_{\text{in}}k^2) + \mathcal{O}(hwC_{\text{in}}C_{\text{out}})$$

通过消除通道混合操作中的 k^2 因子，实现 5×-10× 的 FLOP 减少。这直接转化为移动和边缘设备上内存带宽需求的降低和推理延迟的改善。

其他互补的因式分解技术也扩展了这些好处。分组卷积（ResNeXt）将特征图划分为独立的组，分别处理后再合并，保持精度的同时减少冗余操作。瓶颈层（ResNet）在计算密集型操作之前，通过 1×1 卷积减少特征维度，将计算集中在最有价值的地方。结合稀疏性和硬件感知调度，这些技术最大化了在 GPU、TPU 和专用边缘处理器上的加速器利用率。

内存优化 内存优化[315]主要解决在资源受限设备上，激活值、特征图和参数的内存需求超出硬件容量时带来的性能瓶颈。现代模型架构采用多种高效策略，既降低存储需求，又保证性能表现，从而确保在 GPU、TPU 和边缘 AI 平台上的可计算性与能效。

特征复用是 DenseNet 等架构采用的高效内存优化技术。传统卷积网络每层都会计算新的特征图，导致内存占用线性增长。而 DenseNet 通过复用前面各层的特征图，并有选择地进行变换，显著减少了需存储的特征图总数，从而降低内存需求且不损失精度。对于 L 层网络，每层产生 k 个新特征图，标准卷积网络需存储的特征图总数为：

$$\mathcal{O}(Lk)$$

DenseNet 通过特征复用，减少了需存储的特征图数量，提升了参数效率，降低了内存占用，非常适合内存受限的硬件环境。

激活检查点（activation checkpointing）[316]是训练阶段常用的另一种内存优化技术。标准反向传播需存储所有前向激活值，导致大模型训练时内存压力极大。激活检查点技术只保存部分激活值，其他激活在反向传播时动态重算，从而大幅降低内存消耗。

若需存储 A_{total} 个激活，标准反向传播需全部保存：

$$\mathcal{O}(A_{\text{total}})$$

采用激活检查点后，仅需保存一部分，其余动态重算，内存需求降为：

$$\mathcal{O}\left(\sqrt{A_{\text{total}}}\right)$$

特征复用和激活检查点能显著降低峰值内存消耗，尤其适合在有限显存下训练大模型。

参数量减少也是内存优化的重要手段，尤其针对大卷积核模型。例如 SqueezeNet 采用 1×1 卷积先降维，再用标准卷积，极大减少参数量且不损失表达能力。标准卷积层参数量为：

$$\mathcal{O}(C_{\text{in}} C_{\text{out}} k^2)$$

通过 1×1 卷积先降维，SqueezeNet[317]将参数量降至 AlexNet 的 1/50，性能相当。该方法对边缘设备尤为重要。

315. **内存优化**：DenseNet-121 通过特征复用将激活内存消耗降至 ResNet-50 的一半，仅需 7.9MB（ResNet-50 为 15.3MB），适用于 ImageNet。MobileNetV3 采用深度可分离卷积，在 2GB 移动设备上实现 73% 内存节省。
316. **激活检查点**：通过仅保存部分激活值、其余在反向传播时重算，实现内存与计算的权衡。可使大规模 Transformer 训练内存降低 20-50%，训练时间仅增加 15-20%。GPT-3 等大模型训练离不开该技术。
317. **SqueezeNet**：DeepScale/Berkeley 提出的 fire 模块（squeeze+expand）结构，实现了 AlexNet 级别精度（ImageNet top-1 57.5%），参数量仅 1.25M（AlexNet 为 60M），模型体积从 240MB 降至 0.5MB，适合手机和嵌入式部署。

特征复用、激活检查点和参数量减少是硬件感知模型设计的核心，使模型能适配现代加速器的内存限制，并通过减少内存访问降低功耗。TPU、GPU 等专用加速器通过多级缓存和高带宽内存高效处理稀疏或低内存模型，实现更快推理且开销极小。

自适应计算方法

动态计算让模型可根据输入复杂度自适应分配计算资源，优于传统固定结构模型。传统模型对所有输入一视同仁，简单样本也全流程处理，浪费算力且能耗高。动态计算则可对简单输入跳过部分层或操作，对复杂输入则深入处理。

这种自适应方式优化了计算效率、降低能耗、缩短延迟，同时保持预测性能。对于移动、嵌入式、自动驾驶等对实时性和能效要求极高的场景，动态计算尤为关键。

动态方案 动态方案允许模型在输入简单时有选择地减少计算，既节省资源又保持精度。以下介绍的早退架构等方法，展示了如何高效实现自适应计算。

早退架构（Early Exit） 早退架构允许模型在网络中间层即可输出预测，无需每次都完整前向推理。该方法特别适合实时和能效推理场景，可根据输入复杂度选择性地提前终止计算。

早退架构的核心机制是在网络中嵌入多个出口点。对于简单输入，模型在中间层即可高置信度分类，提前退出，减少不必要的计算；复杂输入则继续深入处理，确保精度。

典型代表是 BranchyNet[318]，在网络多处设置出口点。每个输入在中间层预测时，若置信度超过阈值则直接输出，否则继续后续计算。这样可在不影响复杂样本精度的前提下，大幅降低平均推理时间。

多出口视觉 Transformer 也是早退思想在 Transformer 架构上的扩展。通过在不同层插入轻量分类器，输入若能提前高置信度分类则直接输出，复杂样本则继续处理。该技术显著降低推理延迟，同时保证复杂样本的稳健性。

早退模型对移动端、边缘加速器等资源受限设备尤为有利。通过动态调整计算量，降低功耗和延迟，非常适合实时决策场景。

在 GPU、TPU 等硬件加速器上，早退架构还可通过并行评估不同出口路径进一步提升吞吐量。如下图（图 26）所示，每个 Transformer 层后都可接分类器和早退机制，根据置信度或延迟 - 精度权衡（LTE）动态决定是否提前退出，实现计算资源的动态分配。

318. **BranchyNet**：率先提出多分支早退结构，在 CIFAR-10 上实现 2-5 倍加速，精度损失小于 1%。简单输入平均推理时间降至 20-40%，复杂输入仍走全流程，适合移动端实时处理。

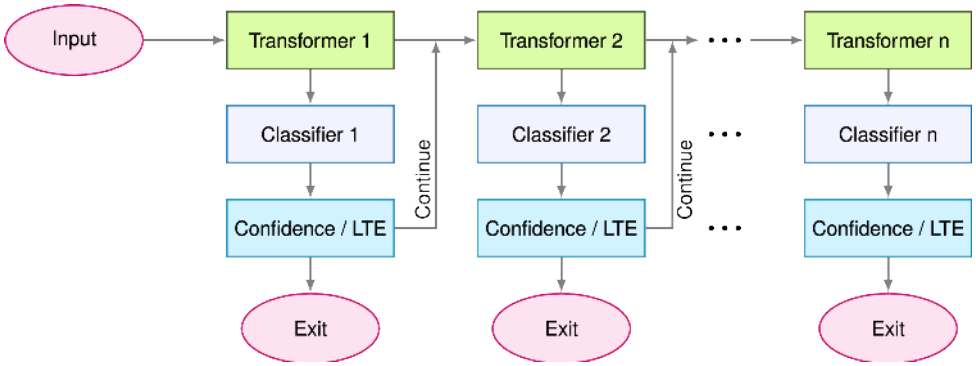

早退架构：Transformer 层通过逐层分类和置信度判断实现动态推理，简单输入可提前终止，降低延迟和功耗，适合资源受限设备。不同出口路径可并行评估，提升加速器吞吐率。

条件计算（Conditional Computation） 条件计算指神经网络可根据输入动态决定激活哪些部分，从而减少不必要的计算。与早退架构只在置信度达标时提前退出不同，条件计算通过门控或动态路由机制，按需激活或跳过部分层、单元或路径，让模型将算力集中在最需要的地方。

如 SkipNet 采用门控机制，在输入简单时跳过部分 CNN 层。门控由轻量分类器预测是否跳过，复杂输入则全流程处理，兼顾速度与精度。

动态路由网络（如 Capsule Network）则通过路由机制动态选择信息流路径，复杂输入走更深路径，简单输入走浅层，显著减少运算量。

这些策略在实际应用中极具价值。例如自动驾驶场景，输入复杂度变化大，简单场景可走轻量路径，复杂场景则充分利用模型能力。条件计算确保系统能根据实时输入复杂度自适应分配算力，提升速度与能效。

基于门控的计算（Gate-Based Computation） 门控条件计算通过学习得到的门控机制，动态控制网络哪些部分被激活。与静态结构不同，门控机制可在推理时根据输入复杂度自适应激活子网络或层。

门控通常用二值或连续门控函数实现，轻量控制模块（如路由器）预测每层或路径是否执行。以 Dynamic Filter Network（DFN）为例，输入依赖性地选择卷积核，避免对所有输入一视同仁地应用全部滤波器。

Mixture of Experts（MoE）架构也是典型代表。门控网络为每个输入选择一小部分专家子网络参与计算，大幅提升模型容量而不增加推理成本。Google Switch Transformer 就是将专家机制引入 Transformer 的代表。

如上图（图 27），Switch Transformer 用路由器为每个 token 选择专家，极大提升参数

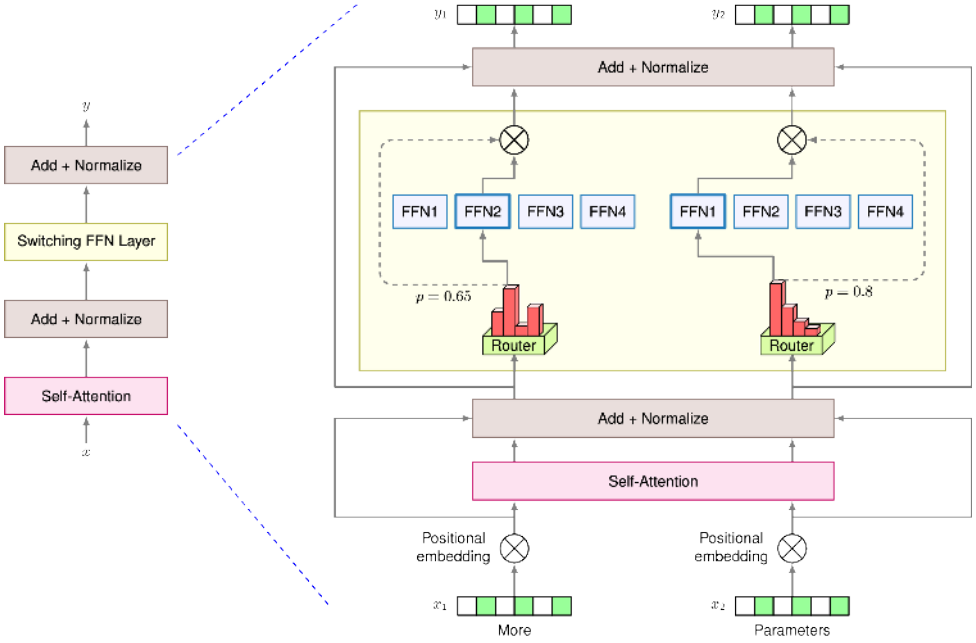

条件计算：Switch Transformer 通过门控动态路由，将 token 分配给不同专家子网络，实现并行处理，降低单输入计算负载。门控网络为每个 token 选择最优专家，提升模型容量且推理成本不随参数线性增长。

规模但推理成本基本不变。

门控条件计算在多任务和迁移学习场景尤为有效，可实现任务间的自适应专业化。缺点是架构复杂度提升，门控和路由本身也有一定开销，部署到 GPU、TPU、边缘设备时需优化调度和批处理。

自适应推理（Adaptive Inference） 自适应推理指模型可在推理过程中根据输入复杂度动态调整计算深度和资源分配。与早退或层跳过不同，自适应推理可连续调节计算量，无需固定阈值。

如 Fast Neural Networks（FNNs）可根据实时复杂度估计动态激活部分层，简单输入只用浅层，复杂输入逐步加深。动态层缩放（dynamic layer scaling）则根据不确定性逐步增加计算深度，适合细粒度分类任务。

自适应推理特别适合对延迟敏感、资源动态变化的场景，如自动驾驶中简单车道检测只需少量计算，复杂多目标跟踪则需更多算力。GPU、TPU 等加速器可通过动态分配工作负载，最大化吞吐量并降低能耗。

实现挑战 动态计算虽带来灵活性和效率，但也引入了训练、推理效率、硬件执行、泛化和评估等多方面挑战。

训练与优化难点 动态计算需额外的控制机制（如门控网络、置信度估计、专家选择），这些决策多为离散型，难以用标准反向传播优化，常需强化学习或连续近似，增加训练成本且收敛慢。

不同输入走不同路径，导致梯度更新不一致，训练不稳定。门控阈值等超参数选择也更复杂，需精细调优以平衡精度与效率。

开销与延迟波动 动态计算虽减少了部分运算，但决策本身也有开销，尤其在资源受限环境下影响更大。更大的挑战是推理延迟的不确定性，部分输入推理极快，部分则较慢，难以满足严格实时性要求。

硬件执行低效 GPU、TPU 等现代加速器最擅长大批量、统一并行计算。动态计算引入条件分支，导致部分处理单元空闲，降低硬件利用率。内存访问模式也变得不规则，增加延迟。需专门的调度和编译优化，增加部署复杂度。

泛化与稳健性 动态计算可能导致部分输入分配的计算资源不足，出现偏置。门控设计不当还可能导致对训练路径过拟合，泛化能力下降。动态模型也更易受对抗攻击，攻击者可操控门控机制，迫使模型走错误路径。

评估与基准难题 主流 ML 基准假设固定计算预算，难以评估动态模型的真实效率。推理路径依赖输入，导致可复现性差，标准 FLOPs、延迟等指标难以反映动态架构的真实权衡。需新的评测方法。

尽管如此，动态计算仍是提升 ML 系统效率的前沿方向。未来需更稳健的训练技术、硬件感知执行策略和更完善的评测框架，才能充分释放其潜力。

稀疏性利用

稀疏性指张量（如权重矩阵、激活张量）中大量元素为零或近零。形式化定义为，对于 $T \in \mathbb{R}^{m \times n}$，稀疏度 S 为：

$$S = \frac{\|\mathbf{1}_{\{T_{ij}=0\}}\|_0}{m \times n}$$

其中 $\mathbf{1}_{\{T_{ij}=0\}}$ 为指示函数，$\|\cdot\|_0$ 为 L0 范数。

实际中常用近零阈值 ϵ：

$$S_\epsilon = \frac{\|\mathbf{1}_{\{|T_{ij}|<\epsilon\}}\|_0}{m \times n}$$

稀疏性可自然产生（如正则化），也可通过剪枝等方法强制实现。高效利用稀疏性可大幅提升计算效率、节省内存和降低功耗，尤其适合移动、嵌入式和边缘设备。

稀疏类型 神经网络稀疏性分为非结构化稀疏和结构化稀疏。

非结构化稀疏是指单个权重被置零，无固定模式，常通过剪枝实现。灵活性高，但硬件利用率低，需专用优化。

结构化稀疏则按滤波器、神经元、通道等整体移除，便于 GPU、TPU 等硬件高效加速，适合对计算资源有严格要求的场景。

稀疏利用方法 高效利用稀疏性需专用技术和硬件支持。剪枝通过移除不重要权重（非结构化）或滤波器/通道/层（结构化）引入稀疏。结构化剪枝更易被硬件加速。

稀疏矩阵运算可跳过零元素，显著减少乘法次数。例如，稠密 4×4 矩阵与向量相乘需 16 次乘法，稀疏实现仅需 6 次：

$$\begin{bmatrix} 2 & 0 & 0 & 1 \\ 0 & 3 & 0 & 0 \\ 4 & 0 & 5 & 0 \\ 0 & 0 & 0 & 6 \end{bmatrix} \begin{bmatrix} x_1 \\ x_2 \\ x_3 \\ x_4 \end{bmatrix} = \begin{bmatrix} 2x_1 + x_4 \\ 3x_2 \\ 4x_1 + 5x_3 \\ 6x_4 \end{bmatrix}$$

低秩近似也是稀疏利用的重要方法。通过将大矩阵分解为更小的低秩矩阵（如 SVD），既保留主要信息，又大幅减少参数和计算量。推荐系统、NLP 等领域广泛采用。

此外，稀疏感知训练（如稀疏梯度下降）可在训练阶段直接学习稀疏表示，进一步提升效率。

稀疏硬件支持 理论上稀疏性可降低计算和内存，但实际加速需硬件/软件协同。CPU 对稀疏矩阵支持有限，GPU、TPU、FPGA 等加速器则需结构化稀疏才能高效利用。专用加速器需能高效处理稀疏数据，才能将理论压缩转化为实际加速。

如 MegaBlocks 将稀疏专家模型训练转化为块稀疏操作，开发了高效的 GPU 内核，提升了硬件利用率。

结构化稀疏模式 常见稀疏格式有块稀疏和 N:M 稀疏。块稀疏将大矩阵分为稠密子块，仅存储非零块，便于高效运算和存储。N:M 稀疏则在每 M 个元素中仅保留 N 个非零，其余为零，便于硬件优化。如下图（图 28、29）所示，NVIDIA cuSPARSE 支持块稀疏，A100 GPU 支持 2:4 稀疏。

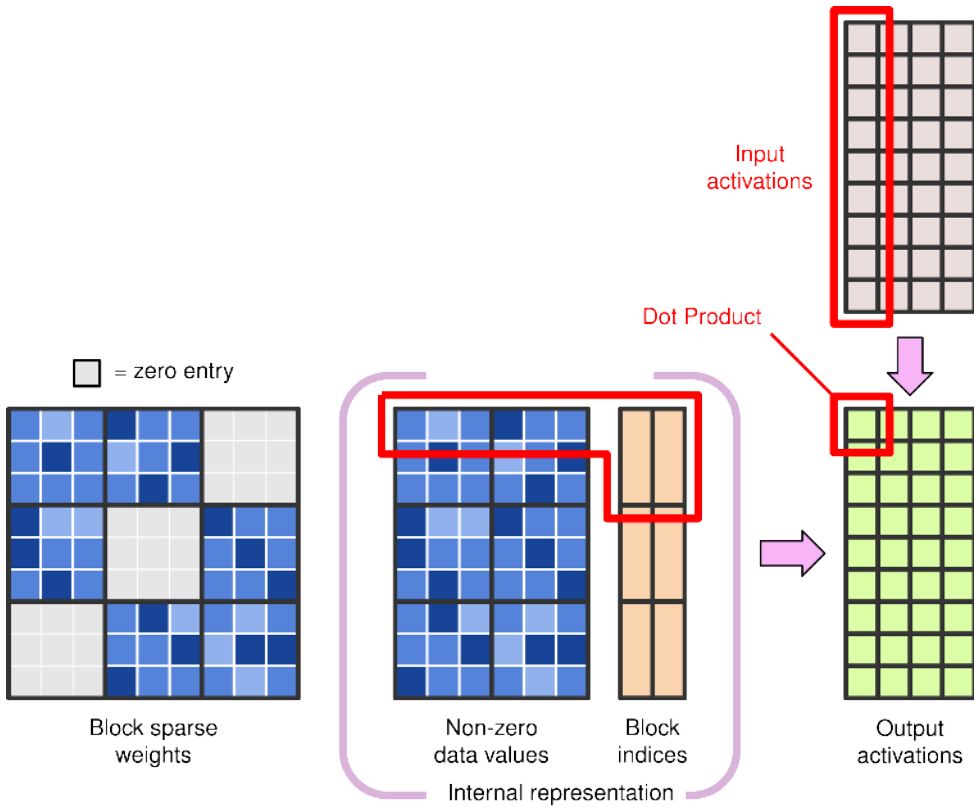

块稀疏表示：NVIDIA cuSPARSE 通过块索引高效存储块稀疏矩阵，既便于加速矩阵运算，又兼容稠密操作。来源：NVIDIA.

N:M 稀疏则在每组 M 个元素中仅 N 个非零，便于硬件高效加速。如下图所示，2:4 稀疏在矩阵乘法中大幅提升效率。

GPU 与稀疏运算 GPU 擅长大规模并行计算，现代架构（如 NVIDIA Ampere）内置 Sparse Tensor Core，可自动跳过稀疏矩阵中的零元素，结构化剪枝效果尤佳。充分利用稀疏性可将矩阵乘法加速 2 倍以上，降低推理延迟和功耗。

但要充分发挥 GPU 稀疏加速能力，需稀疏结构与硬件架构匹配，结构化稀疏更易优化。

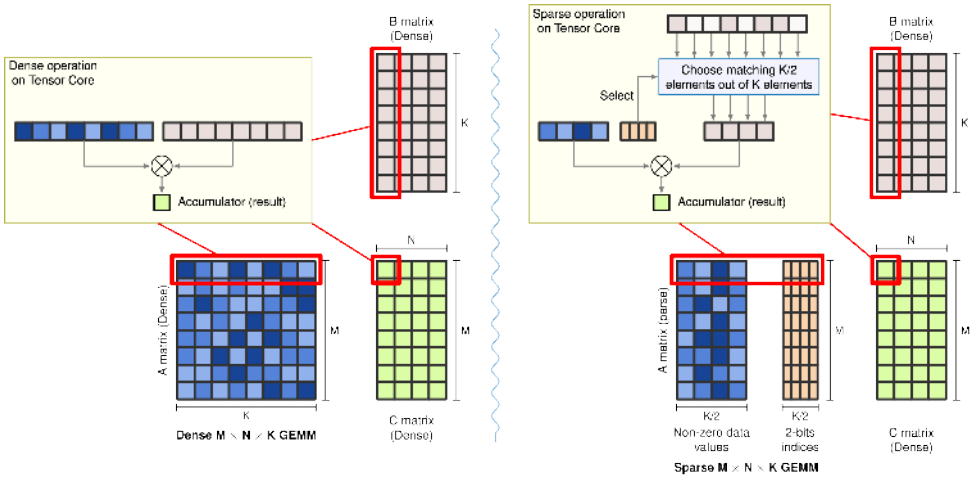

稀疏矩阵乘法：块稀疏通过仅存储非零元素和结构化索引，实现高效 GPU 加速，降低内存和计算开销，适合大模型。

TPU 与稀疏优化 TPU 专为高效张量计算设计，内置稀疏权重支持，适合大规模 Transformer（如 BERT、GPT）。TPU 通过减少零元素计算负载，实现更快推理和更高能效。其高吞吐、低延迟的矩阵乘法单元可直接处理稀疏矩阵，适合剪枝和低秩近似模型。

FPGA 与稀疏计算 FPGA 可高度定制，适合需要精细控制的稀疏运算。可针对特定应用优化数据通路和内存管理，实现低延迟、高性能的稀疏矩阵运算，适合非结构化剪枝或自定义稀疏模式。

内存与能耗优化 稀疏网络可减少内存带宽压力，硬件加速器（详见第 11 章：AI 加速）通过跳过零值优化内存访问，提升能效。GPU、TPU 通过高带宽内存和稀疏感知访问模式，进一步降低能耗。

稀疏操作减少计算和内存访问，直接带来能耗降低[319]，尤其适合边缘和低功耗场景（详见第 14 章：设备端学习）。

未来：硬件与稀疏网络 未来硬件将更深度集成稀疏感知训练与优化算法，进一步降低计算和内存成本。类脑计算等新兴领域也为高效稀疏网络提供新思路。硬件与算法协同创新，将推动高效、可扩展 AI 在实时和低功耗场景的落地，助力第 18 章：可持续 AI。

319. **稀疏能耗节省**：BERT 90% 稀疏度在 V100 上训练能耗降 2.3 倍，推理能耗降 4.1 倍。A100 上 2:4 结构化稀疏节能 1.6 倍，精度保持 99%。TPU、GPU 等加速器已针对稀疏优化，稀疏网络更快且更节能。

挑战与局限 稀疏性虽能大幅降低计算和内存，但实际落地仍有诸多挑战。下表（表 11）总结了稀疏优化的主要难点。

挑战	描述	影响
非结构化稀疏优化	稀疏模式不规则，硬件难以高效利用稀疏性。	硬件加速有限，计算节省效果打折。
算法复杂度	剪枝和稀疏矩阵运算需复杂算法，尤其大模型更明显。	算法开销高，难以大规模应用。
硬件支持	加速器多针对结构化稀疏优化，非结构化稀疏难以高效利用。	硬件利用率低，性能提升有限。
精度权衡	过度稀疏会损失模型精度，需精细平衡。	性能下降风险，需大量调优和验证。
能效问题	稀疏存储和管理开销可能抵消计算节省带来的能耗优势。	若管理开销过大，能耗未必降低。
适用性有限	并非所有模型/任务都适合稀疏，部分领域需稠密表达。	并非所有模型/硬件都能从稀疏中获益。

非结构化稀疏的最大难点在于硬件利用率低。剪枝后权重分布不规则，GPU、TPU 等加速器难以高效跳过零元素，理论加速难以落地。结构化稀疏则更易被硬件优化。

算法复杂度也是一大挑战。非结构化剪枝需复杂的权重重要性评估，稀疏矩阵运算也需专用算法，尤其大模型下开销更大。

硬件支持有限，尤其是非结构化稀疏。即便硬件支持稀疏操作，稀疏存储和管理的额外开销也可能抵消节能优势。

稀疏性与精度间需精细权衡，过度稀疏易导致欠拟合。部分任务（如图像分割、强化学

习）对稀疏性收益有限。

组合优化 稀疏性与剪枝、量化、高效模型设计等其他优化手段结合，能进一步提升效率。

稀疏与剪枝 剪枝后模型通常变稀疏，但稀疏模式（结构化/非结构化）决定了硬件优化效果。结构化剪枝（如滤波器/层剪枝）更易被硬件加速，非结构化剪枝则难以充分利用。

稀疏与量化 稀疏与量化结合可极大降低内存和计算，但非结构化稀疏加剧低精度权重处理难度。GPU、TPU 在低精度下可进一步加速稀疏矩阵运算，CPU 则难以兼顾。

稀疏与模型设计 高效模型设计（如深度可分离卷积、低秩近似、动态计算）本身已优化结构，稀疏性可进一步提升效率。但需硬件支持，否则难以发挥稀疏优势。

稀疏与优化挑战 多技术协同需精细管理精度权衡。GPU、TPU 等加速器对结构化稀疏优化良好，但对非结构化稀疏或稀疏 - 量化组合支持有限。需结合硬件能力，合理选择技术组合，平衡精度、计算、内存和硬件效率。

实施策略与评估

本节聚焦于系统性落地方法。单一技术往往难以独立奏效，生产系统需多技术协同优化，平衡多重约束。高效部署需结构化的系统分析、优化效果评估和多技术集成。

本节将指导如何从理论走向实践，聚焦三个关键问题：优化应聚焦何处？如何衡量优化效果？如何多技术协同避免冲突和收益递减？

分析与机会挖掘

优化的基础是系统分析，识别算力消耗和优化潜力最大的环节。首先需判断模型优化是否真的能提升系统性能，因为在生产环境中，模型计算往往只占总开销的一部分。

现代 ML 模型资源消耗高度异构，部分层、操作或数据路径占用大部分内存、算力或延迟。理解这些模式有助于优化聚焦，最大化收益且最小化精度损失。

高效分析需先建立全方位基线，包括静态内存（参数、缓冲区）、动态内存分配、算力（FLOPS、实际执行时间）、能耗（尤其边缘/电池场景）和延迟（端到端响应、关键路径）。如用 PyTorch Profiler 分析 ViT 部署，发现注意力层占 65% FLOPs（适合结构化

剪枝）、LayerNorm 占 8% 延迟但仅 2% FLOPs（内存瓶颈）、分类头占 1% 计算但 15% 参数内存。优化建议：优先对注意力层做幅值剪枝（高 FLOP 减少），分类头量化为 INT8（大内存节省，精度影响小），LayerNorm 融合优化（缓解内存带宽瓶颈）。

更进一步，需分析模型对不同类型修改的敏感性。并非所有参数对精度贡献相同，结构化敏感性分析可指导哪些部分可激进优化，哪些需保守处理。分层敏感性分析可揭示哪些组件对精度最关键，指导剪枝、量化等策略选择。

优化效果评估

优化需严谨的多维度评测框架，不能只看精度。需同时衡量精度保持、算力提升、内存减少、延迟改善和能耗节省等目标，平衡多目标、结构化决策。

评测框架应在优化前建立全面基线，包括精度（分类准确率、校准性、公平性、稳健性）、效率（FLOPS、内存带宽）、实际执行时间、峰值内存和能耗等。

如将 ResNet-50 从 FP32 量化为 INT8，基线为 Top-1 精度 76.1%、V100 延迟 4.2ms、模型 98MB、单次推理能耗 0.31J。量化后 Top-1 精度 75.8%（降 0.3%）、延迟 1.3ms（加速 3.2 倍）、模型 25MB（减小 3.9 倍）、能耗 0.08J（节能 3.9 倍）。进一步分析发现，细粒度类别精度下降 0.1%-1.2%，校准误差从 2.1% 升至 3.4%，GPU 上加速 3.2 倍，CPU 上仅 1.8 倍，说明收益依赖硬件。

有了全面基线后，需系统跟踪优化影响。多技术协同时，需理解不同方法的交互，顺序应用可能带来复合收益，也可能出现收益递减或冲突。

多技术集成策略

最大化优化收益需跨三维框架集成多种技术。模型表示（剪枝）减少参数，数值精度（量化）降低单次运算成本，架构效率（操作融合、动态计算）减少执行开销。三者协同，带来乘法级收益。

应用顺序至关重要。例如将 BERT-Base 部署到移动端，第一步结构化剪枝去除 30% 注意力头和 40% FFN 维度，参数降 75%，精度从 76.2% 降至 75.1%；第二步知识蒸馏恢复至 75.9%；第三步量化感知训练（INT8）再降 4 倍内存，最终精度 75.6%。整体内存降 16 倍（440MB→28MB），移动 CPU 推理加速 12 倍，最终精度损失仅 0.6%（若先量化再剪枝则损失 2.1%）。

该案例说明顺序的重要性：先剪枝可将重要权重集中，后续量化更有效。若先量化再剪枝，重要性排序受精度影响，最终精度更低。高效集成需理解依赖关系，合理设计应用顺序，最大化复合收益。现代 AutoML 方法也在利用三维框架自动发现最优组合。

AutoML 与自动化优化策略

随着机器学习模型日益复杂，实际部署时需在精度、效率和硬件约束等多重因素间权衡。前文已介绍了剪枝、量化、神经架构搜索等多种优化技术，各自针对模型效率的不同方面。然而，如何高效应用这些优化，往往需要大量人工经验、领域知识和反复试验。

自动化机器学习（AutoML）旨在简化这一过程，借助机器学习算法自动搜索最优模型配置，继承自第 8 章：AI 训练的训练方法论。AutoML 框架通过自动优化架构、超参数、模型压缩策略等关键参数，减少人工干预。系统性探索庞大的模型设计空间，AutoML 能在保持精度的同时提升效率，常常发现人工调优难以覆盖的新颖方案。

AutoML 并非取代专家，而是为模型优化提供结构化、可扩展的自动化工具。如 图 30 所示，AutoML 与传统流程的最大区别在于其自动化了预处理、训练和评估等环节。开发者只需设定高层目标（如延迟、内存、精度约束），AutoML 系统便能自动探索满足这些约束的最优配置，助力第 16 章：稳健 AI 中的高稳健性部署策略。

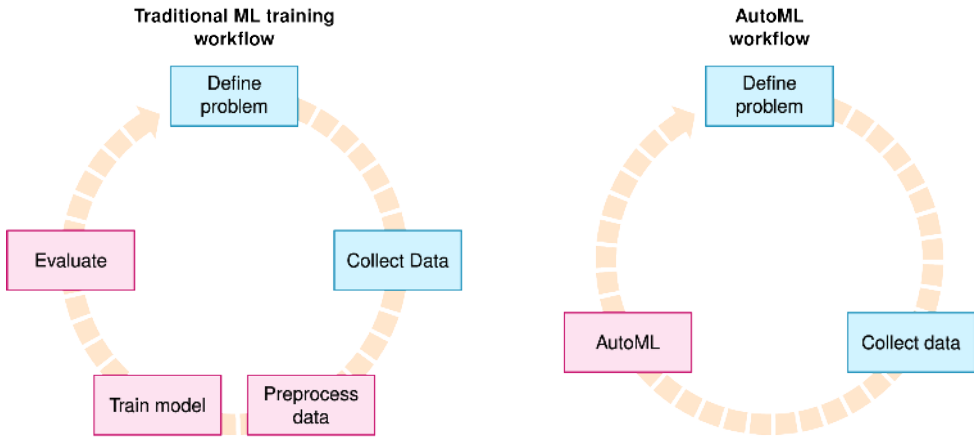

AutoML 工作流：自动化机器学习（AutoML）通过结构化自动化数据预处理、模型选择和超参数调优，简化了模型开发流程。与传统需大量人工干预的流程相比，AutoML 让开发者只需设定高层目标和约束，系统即可高效探索设计空间，发现最优模型配置。

本节将系统介绍 AutoML 的核心优化维度、主流方法论及其挑战与局限，揭示 AutoML 如何作为集成框架统一前述多种优化策略。

AutoML 优化维度

AutoML 旨在多维度优化机器学习模型，兼顾效率、精度与可部署性。与传统方法只关注单一技术（如量化或剪枝）不同，AutoML 采用整体视角，联合考虑多种因素，系统性搜索最优模型配置，实现理论与实际部署的平衡。

AutoML 的首要优化目标之一是神经网络架构搜索（NAS）。高效架构设计需在层结构、

连接模式、计算成本间权衡。NAS 通过结构化探索不同网络结构，评估效率，自动选出最优设计。MobileNetV3、EfficientNet 等高效架构即由 NAS 自动发现，超越了人工设计。

除架构设计外，AutoML 还聚焦超参数优化[320]，如学习率、批量大小[321]、权重衰减、激活函数等，这些参数对模型性能影响极大。

AutoML 框架采用贝叶斯优化[322]、进化算法、自适应启发式等结构化搜索策略，远优于人工试错。

AutoML 还自动化模型压缩，如剪枝、量化等，降低模型内存和计算需求，适合资源受限硬件。AutoML 框架自动选择剪枝阈值、稀疏模式、量化位宽，优化模型速度与能效，尤其适合边缘 AI 场景。

最后，AutoML 关注部署感知优化，确保最终模型适配实际硬件。不同平台对内存带宽、计算吞吐、能效等有不同约束，AutoML 框架集成硬件感知优化，自动调整计算负载、内存访问和执行策略。

多维度优化让 AutoML 成为统一的模型效率提升平台，既保证理论最优，也确保实际部署可行，适配多样化应用和硬件。

优化策略

AutoML 系统通过系统性探索不同配置，自动寻找架构、超参数和压缩策略的最优组合。与依赖专家经验的人工调优不同，AutoML 利用算法搜索高维设计空间，兼顾精度、效率和部署约束。

NAS 是 AutoML 的基础，通过强化学习、进化算法、梯度优化等自动化架构设计。系统性评估候选架构，发现超越人工设计的结构。超参数优化（HPO）则用贝叶斯优化、自适应启发式等方法高效调优训练参数，远快于网格搜索。

模型压缩优化自动选择剪枝、量化策略，结合部署需求权衡模型体积、延迟和精度，便于在第 14 章：设备端学习等场景高效部署。数据处理策略如自动特征选择、自适应增强、数据集均衡等进一步提升稳健性（见第 16 章：稳健 AI），且无额外计算负担。

元学习（Meta-learning）是 AutoML 的新进展，通过迁移历史优化经验，加速新任务的搜索。AutoML 系统可智能探索空间，降低训练和评估成本，加快新任务适应。

320. **超参数优化**：仅学习率搜索即可提升模型精度 5-15%。4 个超参数各 10 个取值的网格搜索需 1 万次训练，贝叶斯优化可降至 100-200 次，节省数周计算。
321. **批量大小影响**：大批量（512-2048）可提升吞吐量 2-4 倍，但需梯度累积以适应内存。线性缩放法则：学习率随批量线性放大，使 ImageNet 训练可在 1 小时内完成（批量 8192）。
322. **贝叶斯优化**：用概率模型指导超参数搜索，建模目标函数不确定性。比随机搜索少 10-50 倍评估次数。GPyOpt、Optuna 等框架支持多目标贝叶斯优化，适合神经网络。

许多现代 AutoML 框架已实现端到端自动化，将架构搜索、超参数调优、模型压缩集成到单一流水线。Google AutoML、Amazon SageMaker Autopilot、Microsoft Azure AutoML 等平台提供全自动工作流，极大简化模型优化流程。

这些策略的集成让 AutoML 成为可扩展、高效的模型优化方案，减少人工试验，加速开发，发现人工难以覆盖的新型架构和配置，支持第 12 章：AI 基准测试的结构化评测。

AutoML 优化挑战

AutoML 虽为模型优化提供了强大框架，但也带来一系列挑战与权衡。其效果受限于计算资源、数据集特性和具体应用约束。

最大挑战之一是计算成本。搜索最优架构、超参数和压缩策略需评估大量候选模型，每个都需训练和验证。NAS 等方法尤其昂贵，常需数千 GPU 小时。早停、权重共享、代理模型等可降低成本，但对算力有限的团队仍是主要瓶颈。

另一个挑战是搜索策略偏置，可能影响最终模型选择。AutoML 的优化过程受启发式和目标函数引导，若搜索空间设计不当，可能遗漏更优结构或参数。训练数据的偏差也可能在 AutoML 流程中被放大，影响最终模型。

泛化与可迁移性也是难题。AutoML 生成的模型针对特定数据和部署条件优化，迁移到新任务或环境时性能可能下降。与人工设计模型可凭经验选取泛化性强的结构不同，AutoML 依赖于受限空间内的经验评估，稳健性存疑。

可解释性也是重要考量。许多 AutoML 生成的架构和配置虽高效，但缺乏透明度，难以理解其为何有效，给调试和定制带来困难。部分 AutoML 技术的“黑箱”特性限制了人类对优化过程的洞察。

此外，自动化与可控性间也需权衡。AutoML 虽减少了人工干预，但也屏蔽了许多决策细节，专家难以针对特定应用微调。部分场景下，领域知识对模型优化至关重要，完全自动化未必能覆盖所有约束。

尽管如此，AutoML 仍在不断进化，研究聚焦于降低计算成本、提升泛化性和增强可解释性。随着这些改进，AutoML 有望在高效模型开发中扮演更重要角色，让 AI 系统更易用、更高效。

本章介绍的优化技术 —— 涵盖模型表示、数值精度、架构效率和自动化选择 —— 构成了高效 ML 系统的完整工具箱。但实际落地还需强大的软件基础设施，将优化研究与生产部署通过易用 API、高效实现和无缝集成连接起来。

实现工具与软件框架

理解剪枝、量化、高效数值等优化技术的理论很重要，但实际应用高度依赖于健全的软件支持。没有完善的框架和工具，这些优化方法难以落地。手动实现量化需修改模型定义、插入量化操作，剪枝需直接操作权重张量，模型规模一大实现难度激增。

现代 ML 框架提供高级 API 和自动化工作流，极大简化了优化技术的应用。框架解决了关键难题：内置常用优化模块、辅助超参数调优（如剪枝计划、量化位宽）、通过自动评估管理精度 - 压缩权衡，并通过设备特定代码生成确保硬件兼容。

这些软件基础设施将理论优化方法转化为可直接应用于生产的工具（见第 13 章：机器学习运维）。生产优化还需考虑模型版本管理、优化对数据流水线的影响、开发与部署环境间的优化工件管理、优化失败时的回滚机制等。这些能力让高效模型大规模落地成为可能，打通了学术与工业的鸿沟。

模型优化 API 与工具

TensorFlow、PyTorch、MXNet 等主流框架均提供丰富的优化 API，使开发者无需从零实现复杂算法即可应用优化技术（见第 7 章：AI 框架）。这些内置优化提升了模型效率，并确保最佳实践。

TensorFlow Model Optimization Toolkit 支持量化、剪枝、聚类。QAT 可将浮点模型系统性转换为低精度（INT8），权重和激活均可量化，适配多种架构。剪枝算法可按不同粒度（单权重到整层）引入稀疏性，便于针对需求定制。权重聚类则通过聚合相似权重实现压缩，兼顾功能和效率。

PyTorch 也内置了量化和剪枝模块。`torch.quantization` 提供模型低精度转换工具，支持后训练量化和量化感知训练，如下例所示：

```
import torch
from torch.quantization import QuantStub, DeQuantStub, prepare_qat

# 定义支持量化的模型
class QuantizedModel(torch.nn.Module):
    def __init__(self):
        super().__init__()
        self.quant = QuantStub()
        self.conv = torch.nn.Conv2d(3, 64, 3)
        self.dequant = DeQuantStub()

    def forward(self, x):
        x = self.quant(x)
        x = self.conv(x)
        return self.dequant(x)
```

```
16
17 # 准备量化感知训练
18 model = QuantizedModel()
19 model.qconfig = torch.quantization.get_default_qat_qconfig()
20 model_prepared = prepare_qat(model)
```

剪枝方面，PyTorch 的 `torch.nn.utils.prune` 支持非结构化和结构化剪枝，示例如下：

```
1 import torch.nn.utils.prune as prune
2
3 # 非结构化剪枝
4 module = torch.nn.Linear(10, 10)
5 prune.l1_unstructured(module, name="weight", amount=0.3)
6 # 剪除 30% 权重
7
8 # 结构化剪枝
9 prune.ln_structured(module, name="weight", amount=0.5, n=2, dim=0)
```

内置优化 API 的优势在于极大降低了实现复杂度，开发者可直接调用标准化接口，无需自行实现复杂算法，且适用于多种架构，保证了结果的可靠性和可复现性。

这些框架也是学术前沿与工程实践的桥梁。新优化技术一经研究社区提出，框架维护者便会集成到 API 中，让开发者无需自行实现即可用上最新方法。

内置 API 还便于快速实验和对比不同优化策略，帮助开发者高效探索最优配置，兼顾性能与资源约束。

随着模型优化技术不断演进，主流框架也在持续扩展内置支持，进一步降低高效模型部署门槛，推动高质量优化方法的标准化和普及。

硬件专用优化库

现代 ML 框架中的硬件优化库（详见第 7 章：AI 框架）支持在不同硬件平台高效部署优化模型。这些库与训练和部署流水线深度集成，为模型表示、数值精度、架构效率等多维优化提供硬件级加速。

如 TensorRT、XLA[323]、OpenVINO 等库为剪枝等模型表示优化提供稀疏感知加速，支持高效稀疏计算。TensorRT 针对结构化稀疏（如 2:4 剪枝）优化，TPU 通过 XLA 支持稀疏矩阵，FPGA 可用 Vitis AI 实现自定义稀疏执行。

知识蒸馏也可结合硬件感知优化，助力小模型高效推理。TensorRT、OpenVINO、

323. **XLA（加速线性代数）**：Google 的领域专用编译器，通过操作融合和内存优化，使 ResNet-50 推理加速 1.15-1.4 倍，BERT-Large 训练加速 1.2-1.7 倍。HBM 流量减少 25-40%，TPU 能耗降低 15-30%。

SNPE 等库可对蒸馏模型做低功耗优化，常与量化、结构重组结合，满足硬件约束。NAS 发现的新架构可用 TVM[324]、TIMM 等编译器针对多硬件后端调优。

数值精度优化方面，这些库广泛支持 PTQ、QAT。TensorRT、TensorFlow Lite 在模型转换时实现 INT8/INT4 量化，利用专用硬件加速移动 SoC、边缘 AI 芯片。NVIDIA TensorRT 支持基于校准数据集的量化。

更细粒度的通道/分组量化在 SNPE、OpenVINO 等框架中支持。PyTorch、ONNX Runtime 支持动态量化，适应不同硬件条件。极端量化（如二值/三值）可用 CMSIS-NN 等库在 ARM Cortex-M 微控器高效执行。

架构效率技术与硬件执行框架深度集成。TensorFlow XLA、TVM 通过操作融合和内核重排提升 GPU、TPU、边缘设备效率。

稀疏感知执行已广泛支持多平台。NVIDIA GPU 利用稀疏张量核加速结构化稀疏模型，TPU 实现硬件级稀疏矩阵优化，FPGA 可用 Vitis AI 实现自定义稀疏计算。

硬件优化库与 ML 框架的深度集成，使开发者能高效实现剪枝、量化、NAS、动态计算、稀疏感知执行，并确保最优适配目标硬件，助力第 13 章：机器学习运维的部署策略。多维优化能力是高效部署 ML 模型的关键。

优化过程可视化

模型优化技术会改变结构和数值表示，但其影响难以直观理解。专用可视化工具帮助开发者洞察剪枝、量化等优化对模型行为的影响，如稀疏模式、量化误差分布、激活变化等。

量化效果可视化 量化降低数值精度，引入舍入误差，影响模型精度。可视化工具可直观展示误差分布，帮助诊断和缓解精度下降。

常用方法有量化误差直方图，显示权重和激活的误差分布，揭示误差是否呈高斯分布或有异常层。TensorFlow Quantization Debugger、PyTorch FX Graph Mode Quantization 等工具支持误差分析和方法对比。

激活可视化可检测低精度下的溢出问题。ONNX Runtime、NVIDIA TensorRT Inspector 等工具支持激活前后着色，便于发现饱和和截断问题，及时调整校准策略。如下图（图 31）为 AlexNet 卷积核的权重着色图。

此外，跟踪量化误差随训练过程的变化也很重要。QAT 期间监控均方量化误差

324. **TVM（Tensor 虚拟机）**：Apache TVM 自动调优使 ARM CPU 推理加速 1.2-2.8 倍，移动 GPU 加速 1.5-3.2 倍。图级优化使边缘设备推理延迟降 40-60%，得益于操作调度和内存规划。

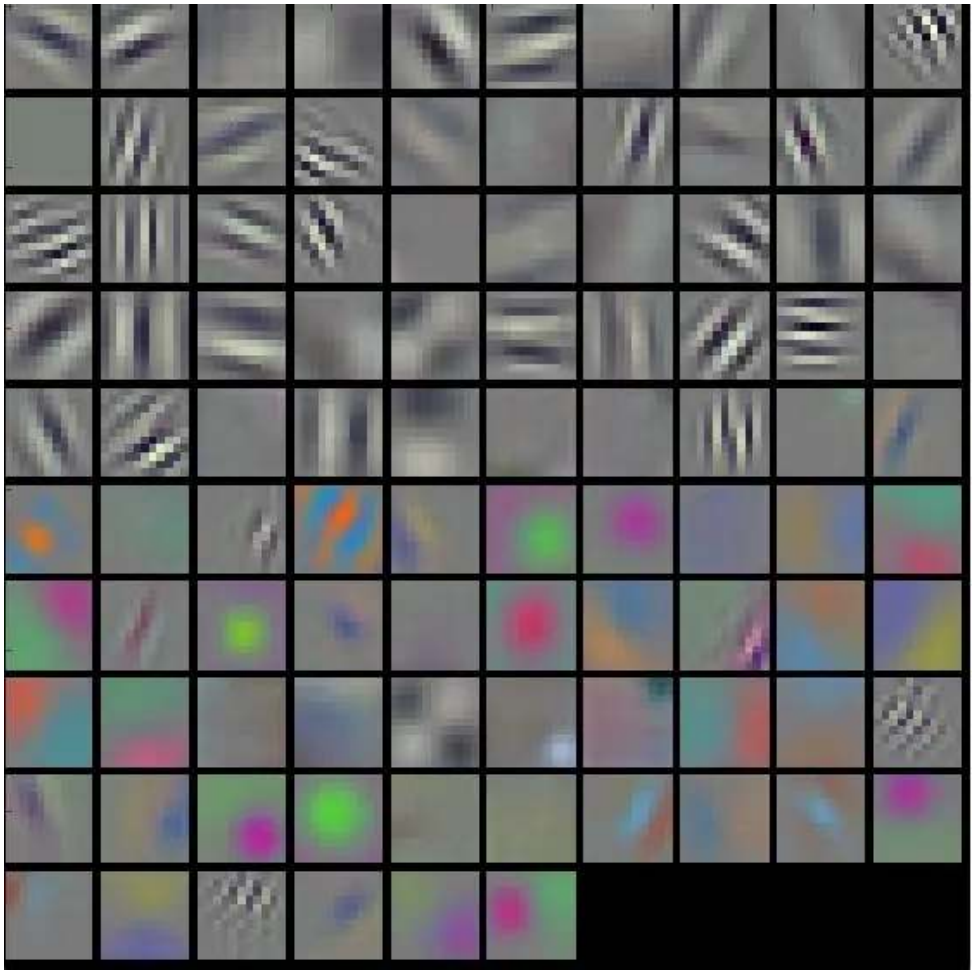

卷积核权重可视化：颜色映射揭示了卷积核学习到的特征模式，有助于分析模型关注的边缘、纹理或形状等特征，也便于诊断死核或饱和核等问题，对模型校准和优化至关重要。

（MSQE）有助于发现数值精度影响学习的关键点。TensorBoard、PyTorch 量化调试 API 支持实时跟踪，及时发现训练不稳定。

集成这些可视化工具，有助于早期发现和修正问题，确保优化模型兼顾精度与效率。可视化为理解稀疏、量化、架构优化对模型的影响提供了实证依据，指导高效模型压缩与部署。

稀疏模式可视化 稀疏可视化工具通过映射被剪除权重和稀疏分布，帮助分析剪枝对不同层的影响。TensorBoard（TensorFlow）、Netron（ONNX）等工具支持层级和权重级稀疏可视化。

常见方法有稀疏热力图，用颜色深浅表示各层被剪除权重比例，深色表示高稀疏度，如图 32 所示。该方法让剪枝过程更透明，便于优化策略调整。

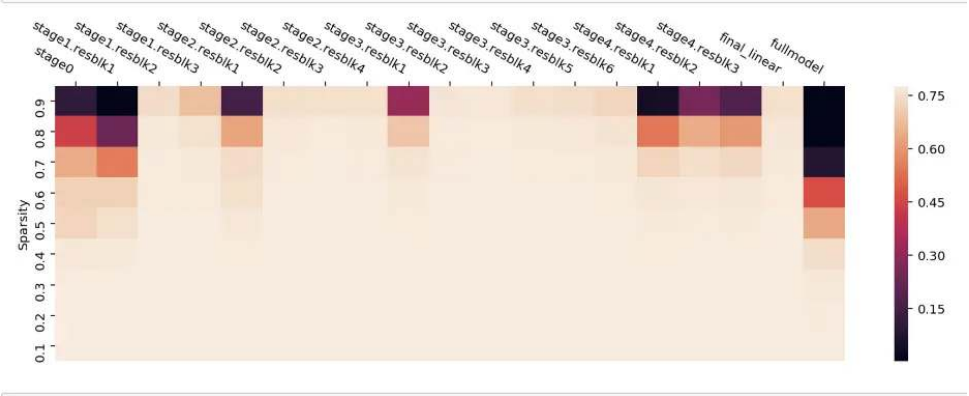

稀疏分布：剪枝后的神经网络各层稀疏度不同，深色表示高稀疏，便于分析和优化稀疏策略。

趋势图可跟踪多轮剪枝的稀疏度变化，揭示全局稀疏度的演化过程。TensorFlow Model Optimization Toolkit、SparseML 等工具支持逐层稀疏度跟踪，便于精细调优。

DeepSparse、PyTorch 剪枝工具等也支持生成上述可视化，帮助分析剪枝对模型各部分的影响。可视化让稀疏数据更直观，助力高效优化。

技术对比

深入探讨三大优化方法后，系统对比有助于理解各自的效率 - 精度权衡，指导实际部署选择。

技术	主要目标	精度影响	训练成本	硬件依赖	最佳应用场景
剪枝	降低 FLOPs/体积	中等	低（微调）	高（需稀疏硬件）	延迟敏感应用
量化	降低体积/延迟	低	低（PTQ）/高（QAT）	高（需 INT8 支持）	边缘/移动端部署
蒸馏	降低体积	低 - 中等	高（需重训练）	低	需高质量小模型的场景

理解这些权衡有助于系统性选择技术（见表 12）。剪枝适合有稀疏计算硬件、需极致

FLOP 降低的场景；量化适配性最强，适合多样化部署；蒸馏虽训练成本高，但能稳定产出高质量压缩模型，适合对精度要求极高的场景。

这些技术可协同应用，常见顺序为：先剪枝降参数，再量化优化数值表示，最后通过蒸馏微调恢复精度。顺序应用可实现 10-50 倍压缩，精度损失极小，适配多种部署需求。

常见误区与陷阱

模型优化是 ML 系统中最复杂的领域之一，多技术协同才能兼顾效率与精度。剪枝、量化、蒸馏等技术的复杂依赖关系，易导致误用和次优结果，影响部署成败。

误区： 可独立应用多种优化技术，无需考虑相互影响。

这种误解导致团队同时应用多种优化，未考虑其交互。剪枝与激进量化叠加可能导致精度损失超标，蒸馏若以重度剪枝模型为教师，可能将次优行为传递给学生。不同优化方法间可能相互干扰，需系统性协调。

陷阱： 只关注理论指标，忽视实际部署性能。

许多团队只关注参数量、FLOPs、模型体积等理论指标，未测量实际部署性能。参数少的模型可能缓存局部性差、内存访问不规律，硬件利用率低，理论收益难以落地。量化虽减小模型体积，但在部分硬件上因格式转换反而增加推理延迟。优化需以实际部署指标为准。

误区： 激进量化不会显著影响模型性能。

这种观点导致团队盲目追求极端量化。多数模型可容忍中等量化，但极端量化易导致精度崩溃、数值不稳定或训练发散。不同架构和任务对量化敏感度不同，需具体分析，不能一概而论。部分操作如注意力、归一化层需高精度。

陷阱： 只用训练后优化，忽视训练感知方法。

为简化流程，团队常在训练后应用优化，但这通常不如训练感知方法（如 QAT、渐进剪枝、蒸馏集成）效果好。训练后优化虽方便，但结果往往不理想，难以满足部署需求。

陷阱： 只关注模型本身，忽视系统级性能瓶颈。

许多优化只关注模型复杂度，未分析系统整体。模型再高效，若数据预处理、I/O、网络通信占主导，整体延迟难降。内存带宽、缓存未命中、批处理低效等也会抵消模型优化收益。单模型推理优化可能错失批处理、并行、流水线等系统级机会。高效优化需系统分析，确保模型级提升能转化为系统级收益。这一系统视角与第 13 章：机器学习运维的运维原则直接相关，确保优化有助于整体可靠性和可维护性。

总结

模型优化是理论 ML 进步与实际部署之间的桥梁。实际部署需面对算力、内存、能效等多重约束，需精细工程。全章展示了精度与效率的核心张力，驱动了多维度优化技术的繁荣。现代优化不仅仅是减小模型体积或复杂度，更是系统性重组模型结构、数值精度和计算模式，在保留核心能力的同时极大提升效率。

本章提出的优化框架，展示了如何系统性地细化模型设计以适配部署约束。从 440MB 的 BERT-Base 到 28MB 的可部署版本，正是剪枝（结构压缩）、蒸馏（精度保持）、量化（极致压缩）协同的结果。硬件感知设计原则确保优化策略与底层计算架构对齐，最大化实际收益。

> **要点总结**
>
> - 模型优化需跨结构、精度、架构效率多维协同，BERT 通过剪枝、蒸馏、量化实现 16 倍压缩
> - 硬件感知优化让模型特性与计算架构深度适配，最大化实际性能
> - 自动化优化（AutoML）可发现超越人工的技术组合
> - 优化需兼顾精度与部署约束，DistilBERT 以 40% 参数保留 97% 性能
> - 没有万能方案，最优策略取决于具体部署、硬件和应用需求

AutoML 框架的出现标志着优化策略自动发现的范式转变。自动化方法基于训练方法论，指向自优化系统的前沿。系统性探索优化空间，常能发现超越人工的新型技术组合，实现更优的效率 - 精度权衡。随着模型规模和部署场景日益多样，掌握这些优化技术将成为连接研究精度与生产效率的关键能力。

第 11 章：AI 加速

目标

为什么专用硬件加速不仅是机器学习落地的利器，更是计算系统设计范式的根本性转变？

实际的机器学习系统高度依赖硬件加速。没有专用处理器，计算需求在经济和物理层面都难以承受。通用 CPU 执行神经网络操作仅能达到 100 GFLOPS[325]，而现代训练任务

325. **GFLOPS（十亿次浮点运算每秒）**：衡量计算吞吐量的指标，1 GFLOPS 代表每秒 10 亿次浮点运算。TOPS（万亿

需要每秒数万亿次运算，传统扩展方式已无法弥合性能鸿沟。硬件加速让原本不可行的计算变为现实，催生全新应用类别。工程师若想在现代 AI 系统中获得 100-1000× 的性能提升，实现实时推理、大规模训练和边缘部署的经济可行性，必须理解加速原理。

> **学习目标**
>
> - 梳理硬件加速从浮点协处理器到现代 AI 加速器的演进，理解其背后的架构原则
> - 分类 AI 计算原语（向量操作、矩阵乘法、脉动阵列），分析其在主流加速器中的实现方式
> - 评估 AI 加速器的存储层次结构设计，结合带宽与能耗指标预测性能瓶颈
> - 针对神经网络层，设计映射到专用硬件架构的数据流与资源利用策略
> - 应用编译器优化技术（图优化、算子融合、内存规划），将高层 ML 模型转化为高效硬件执行计划
> - 比较多芯片扩展方案（chiplet、多 GPU、分布式系统），评估其对不同 AI 工作负载的适用性
> - 批判性分析硬件加速常见误区，识别加速器选型与部署中的潜在陷阱

AI 硬件加速基础

现代机器学习系统对通用处理器架构提出了巨大挑战。前一章介绍的软件优化（如精度压缩、结构剪枝、执行优化）虽能提升算法效率，但始终受限于底层计算平台。CPU 执行典型机器学习任务时利用率仅 5-10%，原因在于其顺序处理模型与神经网络高度并行、数据密集的特性严重不匹配。

这种性能鸿沟推动了计算机体系结构领域向领域专用硬件加速的转型。硬件加速补足了软件优化的局限，通过架构重塑而非算法改造来突破效率瓶颈。机器学习算法与专用计算架构的协同演进，使得 AI 从高性能计算机上的实验研究走向数据中心与边缘设备的普及部署。

机器学习硬件加速位于计算机系统工程、体系结构与应用机器学习的交汇点。对于生产系统开发者而言，选择 GPU、TPU、类脑芯片等加速器，直接决定系统性能、能效和实现复杂度。自然语言处理、计算机视觉、自动驾驶等领域的实际部署，普遍实现了比通用方案高 2-3 个数量级的性能提升。

次运算每秒）常用于 AI 加速器的整数运算能力。

本章系统梳理机器学习硬件加速的原理与方法。首先回顾领域专用计算架构的历史演进，揭示从浮点协处理器到 GPU 的设计模式如何影响当代 AI 加速策略。随后，分析机器学习工作负载的计算原语（如矩阵乘法、向量操作、非线性激活），并剖析专用硬件通过脉动阵列、张量核心等创新机制优化这些操作。

存储层次结构设计对加速效果至关重要，因为数据搬运的能耗通常比计算高两个数量级以上。本章将探讨从片上 SRAM 缓存到高带宽内存接口的架构设计原则，以及如何最小化高能耗数据流。还将介绍编译器优化与运行时系统支持，分析理论硬件能力如何转化为实际系统性能。

最后，针对单芯片无法满足的算力需求，介绍多芯片扩展方法，包括 chiplet、多 GPU、分布式系统等，并分析其在并行性与通信开销间的权衡。通过对 NVIDIA GPU、Google TPU、类脑计算平台等系统的深入剖析，建立 AI 加速在不同场景下高效部署的理论基础与实践指南。

硬件专用化的演进

计算架构遵循着一个反复出现的模式：当计算负载复杂度提升，通用处理器效率下降，便催生专用硬件加速器。对更高计算效率、更低能耗和领域优化的需求推动了这一转变。机器学习加速正是这一演进的最新阶段，继承了浮点运算、图形处理、数字信号处理等领域的专用化路径。

这一历史进程有助于理解现代 ML 加速器（如带张量核心的 GPU、Google TPU[326]、Apple 神经引擎）如何从既有架构原则中演化而来。这些技术支撑了实时翻译、图像识别、个性化推荐等广泛应用。其背后的架构策略，源自数十年硬件专用化的研究与实践。

硬件专用化通过为高频操作设计专用电路，极大提升性能与效率。但这也带来灵活性、硅片面积利用率、编程复杂度等权衡。随着计算需求持续演进，专用加速器需在这些因素间取得平衡，实现持续的效率提升。

硬件专用化的历史为理解现代机器学习加速器提供了视角。早期浮点与图形加速器的设计原则，已成为 AI 专用硬件的基础。回顾这些趋势，有助于分析当代 AI 加速方案，并预判专用计算的未来发展。

326. **TPU 起源**：Google 于 2013 年秘密研发 TPU，因 CPU 无法满足神经网络的计算需求。TPUv1 于 2015 年投入使用，推理能效比同期 GPU 高 15-30×，彻底改变了业界对 AI 硬件的认知，证明了领域专用架构在神经网络任务上的巨大优势。

专用计算

专用计算架构的兴起，源于通用处理器的局限。早期计算系统依赖 CPU 顺序执行所有任务，难以高效应对多样化、复杂化的负载。尤其是浮点运算，成为 CPU 的性能瓶颈，催生了专用硬件架构。

最早的专用硬件之一是 1980 年推出的 Intel 8087 数学协处理器 [327]。该浮点单元（FPU）将密集运算从主 CPU 剥离，大幅提升了科学与工程计算性能。8087 的效率提升高达 100 倍，确立了“专用硬件可为特定任务带来数量级性能提升”的体系结构原则。

浮点协处理器 [328] 的成功推动了其集成进主流处理器。1989 年的 Intel 486DX 首次内置 FPU，省去了外部协处理器。这一集成提升了处理效率，也形成了体系结构的演进模式：专用功能成熟后，逐步成为通用处理器的标配。

早期浮点加速确立了影响至今的原则：

1. 通过负载分析识别计算瓶颈
2. 为高频操作开发专用电路
3. 构建高效的软硬件接口
4. 将成熟专用功能集成进通用处理器

这一从专用到集成的演进，塑造了现代计算架构。随着计算负载超越算术运算，这些原则被应用到图形处理、信号处理、机器学习加速等新领域。每个领域都催生了针对自身需求的专用架构，专用化成为提升复杂负载性能与效率的核心路径。

专用硬件的演进呈现出一致轨迹：架构创新为新兴计算瓶颈提供解决方案，随后被主流平台吸收。正如图 1 所示，每个计算时代都诞生了针对主流负载的加速器。这些发展推动了架构效率进步，也为现代机器学习系统奠定了基础。实时翻译、个性化推荐、端侧推理等能力，正是建立在浮点、图形、信号处理等领域的架构创新之上。

并行计算与图形处理

浮点加速确立的原则，为应对新计算挑战提供了蓝本。随着应用多样化，新的计算模式超越了通用处理器的能力。专用计算在多个领域扩展，各自为硬件加速策略贡献了独特见解。

327. **Intel 8087 影响**：8087 协处理器售价高达数百美元（约合今日 2,100-2,400 美元），但彻底改变了科学计算。CAD 工作站的复杂计算由数小时缩短至数分钟，催生了协处理器市场，并确立了“为特定领域性能溢价”的经济模式。
328. **协处理器**：为主 CPU 设计的专用处理器，专攻其不擅长的任务。8087 是首个成功案例，随后有图形协处理器（GPU）、网络处理器。现代“加速器”本质上是进化版协处理器，随着其在目标负载上超越 CPU，术语也随之演变。AI 加速器正沿袭这一路径。

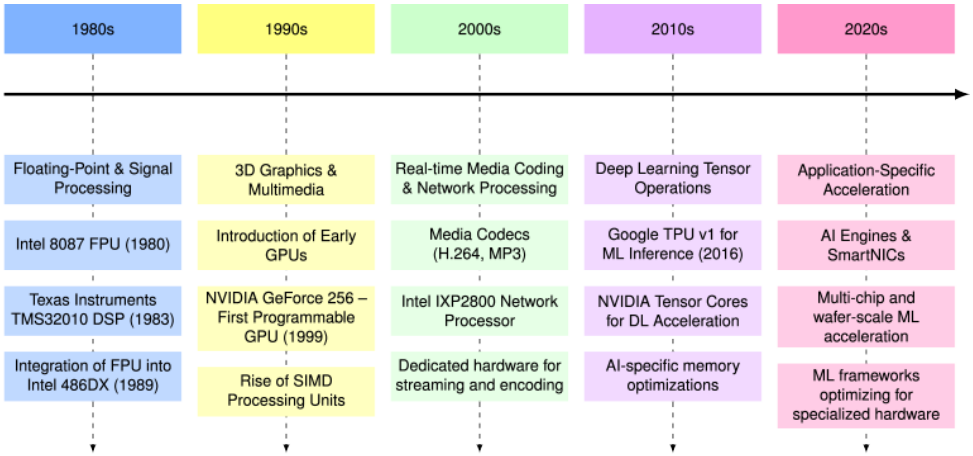

硬件专用化演进轨迹：计算架构不断集成专用加速器以应对新兴性能瓶颈和负载需求，从浮点单元到图形处理器，最终发展为机器学习加速器。这一演进体现了通过针对性硬件设计提升效率、推动复杂应用发展的策略。

90 年代，图形处理成为硬件专用化的主驱动力。早期图形加速器专注于位图传输、多边形填充等操作。1999 年 NVIDIA GeForce 256 引入可编程图形流水线，标志着专用计算的重大进步。GPU 通过并行架构高效处理数据并行负载，3D 渲染任务如纹理映射、顶点变换实现了 50-100× 加速。2004 年高端 GPU 已能每秒处理超亿多边形。

同时，数字信号处理器（DSP）通过专用乘加单元、环形缓冲等架构优化，实现了低功耗实时信号处理。1983 年的 TI TMS32010 展示了领域专用指令集对信号处理性能的巨大提升。

网络处理器则发展出多核、专用数据包处理单元、复杂内存管理等架构，以实现线速分组处理。Intel IXP2800 证明了多层次硬件专用化可应对复杂需求。

这些领域的专用化有如下共性：

1. 识别领域特定计算模式
2. 设计专用处理单元与存储层次结构
3. 构建领域专用编程模型
4. 向更灵活架构演进

这一时期的专用化扩展，证明了硬件加速可服务多样化需求。GPU 在 3D 图形并行化上的成功，促成了其在深度神经网络训练中的应用，AlexNet[329]（2012）即运行于消费级

329. **AlexNet GPU 革命**：AlexNet 的突破不仅在算法，更在于 GPU 训练速度比 CPU 快 10 倍。团队将 8 层网络分布在两块 NVIDIA GTX 580（各 512 核），训练时间由数周缩短至数天。此举引发“深度学习淘金热”，NVIDIA 数据中心 GPU 销售由 2 亿美元飙升至 2024 年的 470 亿美元。现代 GPU（如 H100）已集成 16,896 个流处理器，展现了自 AlexNet 以来并行能力的巨大跃升。

NVIDIA GPU。DSP 的低功耗创新推动了语音助手、可穿戴设备等端侧推理。上述领域为 ML 硬件设计提供了借鉴，也确立了加速器可在云端与嵌入式场景广泛部署的原则。

领域专用架构的兴起

领域专用架构（DSA）[330] 的出现，标志着计算系统设计范式的转变。其驱动力有二：一是传统工艺缩放定律失效，二是专用负载对算力的极致需求。摩尔定律 [331]（18-24 个月晶体管密度翻倍）与 Dennard 缩放 [332]（频率提升不增加功耗）双双失效，通用计算遭遇性能与能效瓶颈。Hennessy 与 Patterson 在 2017 年图灵奖演讲中指出，领域专用化将成为新一代体系结构的核心。

过去，处理器性能提升依赖工艺缩放与频率提升。随着功率密度受限、工艺微缩成本激增，架构师转向领域专用化：为特定应用优化硅资源，以牺牲灵活性换取效率。

领域专用架构通过以下原则实现高性能与能效：

1. **定制数据通路**：针对目标应用优化处理路径，直接硬件实现常用操作。例如 AI 加速器的矩阵乘法单元采用脉动阵列 —— 网格状处理单元，数据在邻近单元间有节奏地流动，专为神经网络设计。
2. **专用存储层次结构**：围绕领域访问模式与数据复用优化内存系统，包括定制缓存、预取逻辑、专用内存控制器。
3. **减少指令开销**：实现领域专用指令集，将常用操作序列编码为单指令，降低解码与调度复杂度，提升性能与能效。
4. **直接硬件实现**：为高频操作设计专用电路，无需软件干预，消除指令处理开销，最大化吞吐。

这些原则在智能手机中有直观体现。现代手机可在几瓦功耗下解码 4K/60fps 视频，依赖专用硬件编解码器（如 H.264/AVC、H.265/HEVC），效率比软件解码高 100 – 1000×。

专用化趋势持续加速，基因组学、区块链等新领域也涌现出定制加速器。基因组加速器

330. **领域专用架构（DSA）**：为特定应用领域优化的计算架构。与追求灵活性的 CPU 不同，DSA 牺牲可编程性换取极致效率。Google TPU 在神经网络任务上能效比 GPU 高 15-30×，视频编解码器则比软件解码快 100-1000×。2018 年图灵奖正是对这一趋势的肯定。

331. **摩尔定律**：Intel 联合创始人 Gordon Moore 1965 年提出，晶体管密度每 18-24 个月翻倍。50 年来推动了从智能手机到超级计算机的进步。但 2005 年后物理极限导致增速放缓，3nm 芯片开发成本高达 200 亿美元（1999 年仅 300 万），产业被迫转向专用架构。

332. **Dennard 缩放**：1974 年 Robert Dennard 提出，随着晶体管缩小，功率密度保持不变，可提升频率而不增功耗。2005 年前 CPU 频率可达 3+ GHz。量子效应与漏电流终结了 Dennard 缩放，体系结构转向效率优先，多核成为主流。

优化序列比对与变异检测，大幅缩短 DNA 分析时间。区块链 ASIC[333] 针对加密哈希极致优化，比 CPU 能效高 10 万倍，但算法一变即报废（如 2022 年以太坊转 PoS，50 亿美元 ASIC 失效）。这些案例说明领域专用架构已成为应对现代计算复杂性与多样性的根本变革。

机器学习硬件专用化

机器学习具备独特的计算特性，推动了专用硬件架构的发展。与传统负载的非规则内存访问、指令流多样不同，神经网络以密集矩阵乘法、规律数据流、低精度容忍为特征。这些特性使专用硬件优化成为可能，带来远超通用计算的加速效果。

> **ML 加速器定义**
>
> **机器学习加速器** 是专为高效执行神经网络主导计算模式而设计的专用硬件。其优化对象为 矩阵乘法、张量操作 和 可预测数据流，能效比通用处理器高 100-1000×。ML 加速器覆盖从毫瓦级边缘设备到千瓦级数据中心，统一特征为：并行处理阵列、专用存储层次结构、低精度算术支持。

机器学习的计算需求暴露了传统处理器的局限。CPU 在神经网络负载下利用率仅 5-10%，算力约 100 GFLOPS[334]，功耗却高达数百瓦。其根本原因在于架构错配：CPU 优化单线程与非规则内存，神经网络则需大规模并行与可预测数据流。内存带宽 [335] 成为瓶颈：单层神经网络需访问数 GB 参数，远超为 KB 级工作集设计的 CPU 缓存层次 [336]。

数据搬运的能耗主导加速器设计。DRAM 访问约需 640pJ，乘加仅 3.7pJ，能耗比达 173×（具体视工艺与设计而定），因此最小化数据流成为首要优化目标。这也解释了 GPU 到定制神经网络加速器的演进。GPU 通过大规模并行实现 15,000+ GFLOPS，但受限于图形架构。TPU 等定制加速器通过脉动阵列等机制，将利用率提升至 85% 以上，最大化数据复用、最小化搬运。

训练与推理的计算特性差异显著，影响加速器设计。训练需高精度（FP32/FP16）、双向数据流（反向传播）、大容量内存。推理可用低精度（INT8/INT4）、仅前向计算、优

333. **专用集成电路（ASIC）**：为单一应用定制的芯片，通过剔除无用功能实现极致效率。比特币挖矿 ASIC 比 CPU 能效高 10 万倍，但灵活性极差，算法一变即淘汰。2022 年以太坊转 PoS，50 亿美元 ASIC 报废。
334. **GFLOPS（十亿次浮点运算每秒）**：衡量计算吞吐量的指标，1 GFLOPS 代表每秒 10 亿次浮点运算。TOPS（万亿次运算每秒）常用于 AI 加速器的整数运算能力。
335. **内存带宽**：处理器与内存间的数据传输速率，单位 GB/s 或 TB/s。AI 负载常受带宽限制。NVIDIA H100 提供 3.35 TB/s（约为 DDR5-4800 的 40×），因神经网络需持续访问权重，带宽成为主要瓶颈。
336. **缓存层次结构**：L1、L2、L3 多级缓存，容量递增、延迟递增。CPU 优化 32-64KB L1 缓存（<1ns），神经网络需 GB 级权重，频繁访问 DRAM（100ns），缓存命中率由 90% 降至 <10%。

先延迟。数据中心训练加速器（如 NVIDIA H100、TPUv4）追求极致吞吐，功耗高达 700W，以天为单位缩短模型开发周期，带来数百万美元的运营成本节省。边缘部署则需极致能效，采用存算一体、动态电压调节、类脑架构等技术，实现毫瓦级持续运行。

应用场景决定架构选型。数据中心训练追求极致吞吐，边缘设备需能效与实时性，移动端平衡性能与续航，车载系统优先确定性响应。由此催生了丰富的专用加速器生态，各自针对特定场景与需求优化。

专用加速器的成功证明，没有单一架构能高效覆盖所有 ML 负载。2030 年预计将有 1560 亿台边缘设备，需能效与实时性优化架构；云端训练则持续突破算力极限。这一多样性驱动了专用架构的持续创新。

硬件专用化的演进揭示了一个系统原则：新计算模式出现并成熟后，硬件专用化随之而来，实现性能与能效最优。机器学习加速正是这一原则的典型体现。与追求灵活性的通用处理器不同，专用加速器针对明确负载优化执行，平衡性能、能效与软件集成。

下表总结了硬件专用化的关键里程碑，展示了各时代如何针对主流负载定制架构。这些加速器虽最初为特定领域设计，但其架构策略已成为现代系统的通用基石。理解这一历史，有助于分析专用化如何持续推动机器学习在多样环境下的高效执行。

时代	计算模式	架构示例	特征
1980s	浮点与信号处理	FPU、DSP	单一功能引擎、精简指令集、协处理器接口
1990s	3D 图形与多媒体	GPU、SIMD 单元	大量同构计算单元、规律数据模式、宽内存接口
2000s	实时媒体编解码	媒体编解码器、网络处理器	固定功能流水线、高吞吐处理、能效优化
2010s	深度学习张量运算	TPU、GPU 张量核心	矩阵乘法单元、大规模并行、内存带宽优化

时代	计算模式	架构示例	特征
2020s	应用专用加速	ML 引擎、智能网卡、领域加速器	负载定制数据通路、专用存储层次、应用优化设计

这一历史进程揭示了反复出现的模式：每一波硬件专用化都源于计算瓶颈（如图形渲染、媒体编码、神经网络推理）。2020 年代的不同之处在于专用化的普及性：AI 加速器已成为 YouTube 推荐、自动驾驶目标检测等应用的基础。与早期加速器不同，现代 AI 硬件需与动态软件框架深度集成，并支持云到边的全场景扩展。表格不仅总结了历史，也指明了未来高定制、高影响力计算平台的发展方向。

AI 加速的转型带来了超越硬件设计的挑战。机器学习加速器需与 TensorFlow、PyTorch、JAX 等主流框架无缝协作，确保跨硬件平台一致部署。编译器与运行时支持变得关键，图级优化、算子融合、内存调度等高级技术决定了专用加速器的实际效能。

可扩展性进一步增加了复杂度。AI 加速器需覆盖从高吞吐数据中心到资源受限的边缘与移动设备，需针对不同场景优化性能与能效。异构计算[337] 环境下，专用单元需与 CPU、GPU 协同，要求高度的互操作性。

AI 加速器代表着系统级的变革，要求软硬件深度耦合。这一变革体现在三类计算原语上，决定了加速器设计的核心特征。理解这些原语，有助于把握 100-1000× 性能提升背后的架构与优化策略。

从浮点协处理器到 AI 加速器的演进，始终遵循“计算瓶颈驱动专用硬件”的规律。Intel 8087 针对占科学计算 80% 时间的浮点运算，现代 AI 负载则更极端 —— 矩阵乘法与卷积占神经网络 95% 以上计算。这种高度集中为专用化带来前所未有的机会，解释了 AI 加速器为何能比通用处理器快 100-1000×。

几十年硬件演进确立的原则 —— 识别主导操作、定制数据通路、优化内存访问 —— 如今指导着 AI 加速器设计。但神经网络的极端并行性、可预测数据流、低精度容忍等新特性，又催生了全新的架构方法。理解这些计算原语，有助于把握现代加速器如何将第 10 章：模型优化的理论效率转化为实际性能。这些软硬件协同优化，正是从第 2 章：机器学习系统到云端推理系统落地的关键。

在深入分析这些计算原语前，需理解支撑其高效执行的架构组织。现代 AI 加速器通过

337. **异构计算**：将不同类型处理器（CPU、GPU、TPU、FPGA）组合优化多样负载。现代数据中心常用 x86 CPU 控制、GPU 训练、TPU 推理。编程需 OpenCL、CUDA 等框架协调多架构执行，可实现 10-100× 效率提升。

三大子系统协同，实现数量级性能提升。

处理基底由大量处理单元阵列组成，每个单元内含针对特定操作优化的计算单元：张量核心负责矩阵乘法，向量单元处理逐元素操作，特殊功能单元计算激活函数。这些单元以网格拓扑组织，实现大规模并行，充分挖掘神经网络的数据级并行性。

存储层次结构同样关键。高带宽内存为众多处理单元提供数据吞吐，多级缓存（L2、L1、scratchpad）最小化数据搬运能耗。AI 加速器的设计原则是：数据搬运能耗远高于计算，必须通过数据复用、就近存储等策略优化。

主机接口则实现加速器与系统的协同，通用 CPU 负责控制流与系统管理，加速器专注于神经网络的密集并行运算。这种分工体现了系统级专用化。

下图展示了现代 AI 加速器的架构组织，说明了专用计算单元、分层存储与主机接口如何协同优化 AI 负载。

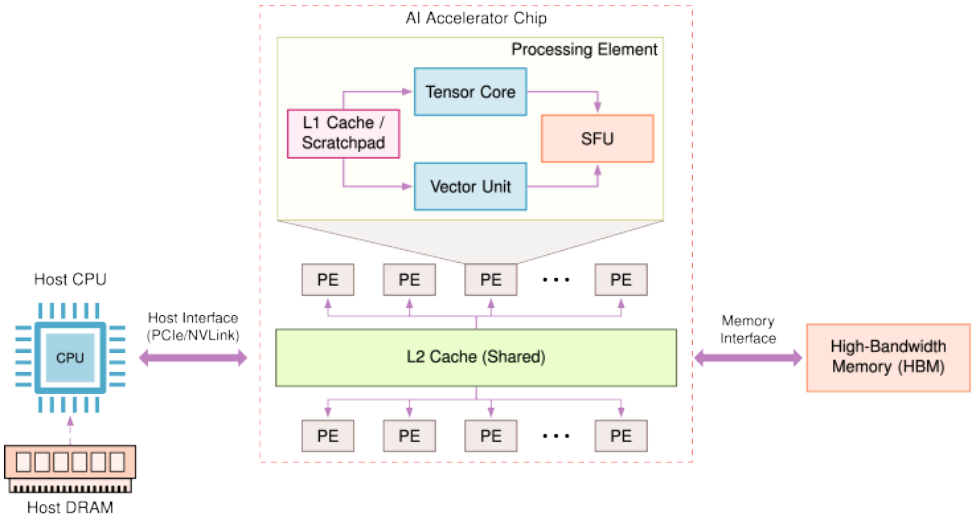

现代 AI 加速器结构剖析：AI 加速器集成张量核心、向量单元、特殊功能单元等专用处理单元，并配备从高带宽内存到本地缓存的分层存储系统。该架构最大化数据复用与并行执行，最小化高能耗数据搬运，实现比通用处理器高 100-1000× 的性能提升。

AI 计算原语

理解 AI 专用硬件演进，需剖析驱动这一变革的计算模式。从通用 CPU 的 100 GFLOPS 到专用加速器的 100,000+ GFLOPS，正是对主导机器学习负载的计算模式进行架构优化的结果。这些模式，即“计算原语”，在各类神经网络架构中反复出现，无论应用领域或模型规模如何。

现代神经网络基于少数核心计算模式构建。无论是全连接、卷积还是注意力层，底层操作本质都是输入与权重的乘加累加。正是这种重复的乘加过程主导了神经网络的执行，

定义了 AI 负载的算术基础。其规律性与高频性催生了 AI 计算原语：硬件级抽象，专为高效执行这些核心运算而设计。

神经网络具备高度结构化、数据并行的计算特性，极适合架构专用化。基于第 11 章：AI 加速介绍的并行化原则，这些模式强调可预测的数据复用与固定操作序列。AI 计算原语将这些模式提炼为可复用的架构单元，支撑高吞吐、低能耗的执行。

如下代码（示例 1）展示了框架层面的 dense 层定义：

示例 1：**Dense 层定义**：通过高层 API 定义 dense 层，体现神经网络对输入张量的并行变换。

```
dense = Dense(512)(input_tensor)
```

该高层调用在数学上展开如示例 2：

示例 2：**层计算**：神经网络每层输出由加权输入求和与激活函数变换组成。

```
output = matmul(input_weights) + bias
output = activation(output)
```

在处理器层面，计算归结为嵌套循环，依次乘加输入与权重、累加结果、应用非线性函数，如示例 3：

示例 3：**嵌套循环**：通过顺序矩阵乘加与偏置累加，再经激活函数得到最终输出。

```
for n in range(batch_size):
    for m in range(output_size):
        sum = bias[m]
        for k in range(input_size):
            sum += input[n, k] * weights[k, m]
        output[n, m] = activation(sum)
```

这一转化揭示了四大计算特性：数据级并行（可同时执行）、结构化矩阵运算（定义负载）、可预测数据流（驱动存储优化）、高频非线性变换（催生专用功能单元）。

AI 计算原语的设计遵循三大标准：一是高频使用，值得专用硬件资源；二是专用实现能带来显著性能或能效提升；三是跨神经网络架构代际保持稳定。向量操作、矩阵操作、特殊功能单元正是现代 ML 加速器的基础原语，共同支撑高效、可扩展的神经网络执行。

向量操作

向量操作通过同时处理多个数据元素，实现硬件加速的第一层级。这种并行性存在于神经元、层乃至整个网络，是高效神经网络执行的基础。框架层代码最终转化为硬件指令，凸显向量处理在神经加速器中的关键作用。

高层框架操作 机器学习框架通过高层抽象屏蔽硬件复杂性。这些抽象逐步分解为底层操作，暴露硬件加速机会。如下示例 4 展示了线性层的执行流程：

示例 4：**线性层**：神经网络通过线性映射将输入数据变换到高维空间，实现复杂特征提取。

```
layer = nn.Linear(256, 512)  # 256 输入，512 输出
output = layer(input_tensor)  # 批量处理输入
```

该抽象在数学上如示例 5：

示例 5：**全连接层**：每个输出为所有输入加权求和加偏置，再经激活函数变换。线性变换是神经网络复杂结构的基础。

```
Z = matmul(weights, input) + bias  # 每个输出依赖所有输入
output = activation(Z)  # 对每个结果变换
```

处理器执行时进一步分解为嵌套乘加操作，如示例 6：

示例 6：**线性层计算**：每个输出神经元由所有输入特征加权求和，再经激活函数。理解此过程有助于把握神经网络的基本构建块。

```
for batch in range(32):            # 批量处理 32 个样本
    for out_neuron in range(512):  # 计算每个输出神经元
        sum = 0.0
        for in_feature in range(256): # 每个输出依赖所有输入
            sum += input[batch, in_feature] * weights[out_neuron, in_feature]
        output[batch, out_neuron] = activation(sum + bias[out_neuron])
```

顺序标量执行 传统标量处理器顺序执行上述操作，逐个处理数据。以 32 批量为例，输出计算需 400 万次乘加，每次需加载输入与权重、相乘、累加。面对神经网络的海量同构操作，顺序执行极其低效。

现代处理器通过向量处理彻底改变了这一模式。

并行向量执行 向量处理单元可同时处理多个数据元素。如下 RISC-V[338] 汇编展示了现代向量处理能力：

```
vsetvli t0, a0, e32   # 每次处理 8 个元素
loop_batch:
    loop_neuron:
        vxor.vv v0, v0, v0    # 清空 8 个累加器
        loop_feature:
            vle32.v v1, (in_ptr)    # 一次加载 8 个输入
            vle32.v v2, (wt_ptr)    # 一次加载 8 个权重
            vfmacc.vv v0, v1, v2    # 8 路乘加
            add in_ptr, in_ptr, 32  # 下 8 个输入
            add wt_ptr, wt_ptr, 32  # 下 8 个权重
            bnez feature_cnt, loop_feature
```

该实现每次并行处理 8 个数据，显著减少计算时间与能耗。向量加载指令一次传输 8 个值，最大化带宽利用。向量乘加指令并行处理 8 对数据，总指令数由 400 万降至约 50 万。

为便于理解向量指令与深度学习模式的映射，下表（表 2）介绍了常见向量操作及其在神经网络中的应用，如归约、gather、scatter、掩码操作等。这些操作广泛用于池化、嵌入查找、注意力机制等层。

向量操作	描述	神经网络应用
归约	跨向量元素聚合（如求和、最大值）	池化层、注意力分数计算
Gather	加载多个非连续内存元素	嵌入查找、稀疏操作
Scatter	写入多个非连续内存位置	嵌入梯度更新
掩码操作	有选择地处理向量元素	注意力掩码、填充处理
向量 - 标量广播	标量作用于所有向量元素	偏置加法、缩放操作

338. **RISC-V 与 AI**：RISC-V（2010，伯克利）因可自由定制，正成为 AI 加速器新宠。SiFive、Google 等已推出带 AI 扩展的 RISC-V 芯片。与专有架构不同，RISC-V 允许硬件设计者无授权费添加 ML 指令，有望打破 x86/ARM 垄断。

向量处理不仅减少指令数量，还提升带宽利用与能效。多值并行加载提升内存带宽利用，控制逻辑复用提升能效。这些优势在深层神经网络中成倍放大，每次前向传播需执行数十亿次操作。

向量处理历史 向量操作自 70-80 年代起就是高性能计算的核心。Cray-1[339] 等早期超级计算机通过专用向量单元，实现了对大规模数据的高效并行处理。其 64 元素向量寄存器与流水线单元，奠定了现代 AI 加速器“专用硬件流水线并行处理”的架构模板。

这些理念在机器学习中重现。神经网络的结构极适合向量化执行，向量加法、乘法、归约等操作成为主导。虽然现代 AI 加速器的规模与专用化程度远超前人，但底层架构原则一脉相承。向量处理在神经网络加速中的复兴，凸显了其高效计算的价值。

向量操作为神经网络加速奠定了基础，实现了独立数据元素的高效并行处理。其擅长逐元素变换（如激活函数），但神经网络还需跨多维度的结构化运算 —— 即矩阵操作。下节将介绍矩阵操作这一架构原语。

矩阵操作

矩阵操作是神经网络的计算主力，通过结构化权重、激活与梯度，实现高维数据的变换。与向量操作的独立处理不同，矩阵操作可跨多维度协同计算，是硬件加速的核心驱动力。

神经网络中的矩阵操作 神经网络计算可分解为层次化的矩阵操作。如下示例 8，线性层通过矩阵变换实现输入到输出的映射：

示例 8：**矩阵操作**：神经网络通过矩阵乘法与偏置，实现输出预测。训练需管理输入批量与激活函数，优化模型性能。

```
layer = nn.Linear(256, 512)  # 层将 256 维输入变换为 512 维输出
output = layer(input_batch)  # 批量处理 32 个样本

# 框架内部：核心操作
Z = matmul(weights, input)  # 矩阵：将 [256 x 32] 输入变为 [512 x 32] 输出
Z = Z + bias  # 向量：对每个输出加偏置
output = relu(Z)  # 向量：对每个元素激活
```

339. **Cray-1 向量遗产**：Cray-1（1975）售价 880 万美元（2024 年约 4,000-4,500 万），每秒 1.6 亿次浮点运算，比同代快 1000 倍。其向量架构成为现代 AI 加速器的蓝本。

该计算展示了矩阵操作的规模。每个输出神经元（共 512 个）需处理所有输入特征（256 个），每批次 32 个样本。权重矩阵包含 $256 \times 512 = 131,072$ 参数，凸显高效矩阵乘法对性能的决定性作用。

神经网络在多种架构模式下广泛应用矩阵操作。

神经网络中的矩阵计算类型 矩阵操作在现代神经网络架构中反复出现，如下代码。卷积操作通过 im2col 技术 [340] 转化为矩阵乘法，便于在硬件上高效执行。

```
hidden = matmul(weights, inputs)

# weights: [out_dim x in_dim], inputs: [in_dim x batch]

# 结果为每个输出聚合所有输入

# 注意力机制 - 多次矩阵操作

Q = matmul(Wq, inputs)

# 输入投影到查询空间 [query_dim x batch]

K = matmul(Wk, inputs)

# 输入投影到键空间 [key_dim x batch]

attention = matmul(Q, K.T)

# 所有查询与所有键对比 [query_dim x key_dim]

# 卷积 - 预处理后矩阵乘法

patches = im2col(input)

# 将 [H x W x C] 图像转为 patch 矩阵

output = matmul(kernel, patches)

# 所有 patch 同时应用卷积核
```

这种普遍的矩阵乘法模式，直接影响硬件设计。高效矩阵操作的需求推动了专用硬件架构的发展。下节将分析现代 AI 加速器如何实现矩阵操作，聚焦其架构特性与性能优化。

矩阵操作的硬件加速 矩阵操作的计算需求推动了专用硬件优化。现代处理器实现了超越向量处理能力的专用矩阵单元。如下示例 10：

340. **Im2col（图像转列）**：将卷积操作转为矩阵乘法的预处理，将图像块展开为列向量。3×3 卷积在 224×224 图像上生成约 5 万列，便于高效 GEMM，但内存占用提升 9×。现代 ML 加速器的卷积本质上是矩阵运算。

示例 10：**矩阵单元操作**：硬件加速系统中高效块级矩阵乘加，展示专用单元如何简化 AI/ML 关键计算。

```
mload mr1, (weight_ptr)     # 加载如 16x16 权重块
mload mr2, (input_ptr)      # 加载对应输入块
matmul.mm mr3, mr1, mr2     # 整块乘加
mstore (output_ptr), mr3    # 存储输出块
```

该矩阵单元可一次处理 16×16 块（256 次乘加），远超向量处理的 8 次。矩阵操作与向量操作互补，实现了多对多的结构化变换。二者的协同决定了神经网络执行的效率。

矩阵操作通过多维并行处理，为神经网络提供了算力（见表 3）。其支撑注意力、卷积等变换，但性能依赖高效数据处理。向量操作则擅长一对一变换，如激活、归一化。二者的区分凸显了数据流模式在神经加速器设计中的重要性。

操作类型	**最适用场景**	**示例**	**关键特性**
		层变换	
矩阵操作	多对多变换	注意力计算、卷积、激活函数	每个输出依赖多个输入
向量操作	一对一变换	层归一化、元素级梯度	每个输出仅依赖对应输入

矩阵计算的历史基础 矩阵运算长期以来一直是计算数学的基石，广泛应用于数值模拟、图形处理等领域。矩阵乘法和变换的结构化特性，使其自早期计算架构起就成为加速优化的重点。20 世纪 80、90 年代，专用数字信号处理器（DSP）和图形处理单元（GPU）针对矩阵计算进行了深度优化，极大提升了图像处理、科学计算和 3D 渲染等负载的效率。

随着机器学习的普及，高效矩阵计算的重要性进一步凸显。神经网络本质上依赖矩阵乘法和张量操作，这推动了超越传统向量处理的专用硬件架构的发展。现代张量处理单元（TPU）和 AI 加速器大规模实现矩阵乘法，其架构原则与早期科学计算和图形负载一脉相承。矩阵中心化架构的复兴，彰显了经典数值计算与当代 AI 加速之间的深层联系。

然而，虽然矩阵运算为神经网络提供了计算主干，但它只是加速挑战的一部分。神经网

络还高度依赖非线性变换，这些变换无法仅通过线性代数高效表达。

特殊功能单元（SFU）

向量和矩阵操作高效处理神经网络中的线性变换，但非线性函数则带来了独特的计算挑战，需要专用硬件方案。特殊功能单元（SFU）为这些关键运算提供硬件加速，补齐了高效神经网络执行所需的基础处理原语。

非线性函数 非线性函数是机器学习的核心，使神经网络能够建模复杂关系。下例（示例 11）展示了典型的神经网络层序列。

示例 11：**非线性变换**：神经网络通过线性变换与非线性激活的组合处理输入数据，捕捉复杂模式，增强模型表达力与学习能力。

```
layer = nn.Sequential(
    nn.Linear(256, 512), nn.ReLU(), nn.BatchNorm1d(512)
)
output = layer(input_tensor)
```

该序列引入了多重非线性变换，远超简单矩阵操作。下例（示例 12）展示了框架如何将这些操作分解为数学组件。

示例 12：**非线性变换**：神经网络通过线性与非线性操作，将输入数据转化为可供学习的特征。机器学习模型借助这些变换高效捕捉数据中的复杂模式。

```
Z = matmul(weights, input) + bias  # 线性变换
H = max(0, Z)  # ReLU 激活
mean = reduce_mean(H, axis=0)  # BatchNorm 均值
var = reduce_mean((H - mean) ** 2)  # 方差计算
output = gamma * (H - mean) / sqrt(var + eps) + beta
# 归一化
```

这些操作在传统处理器上的实现复杂度极高。看似简单的数学运算，实际需大量指令序列。例如 BatchNorm 的平方根计算需多次数值迭代，Softmax 等操作中的指数函数需级数展开或查表。即便是简单的 ReLU 激活，也会引入分支逻辑，影响指令流水线（见示例 13）。

示例 13：**ReLU 与 BatchNorm 操作**：神经网络处理输入数据时涉及条件操作，可能导致流水线停顿，归一化还需多次遍历数据，凸显传统实现的效率瓶颈。来源：IEEE Spectrum

```
for batch in range(32):
    for feature in range(512):
        # ReLU：需分支预测，可能流水线停顿
        z = matmul_output[batch, feature]
        h = max(0.0, z)    # 条件操作

        # BatchNorm：多次遍历数据
        mean_sum[feature] += h    # 第一次遍历求均值
        var_sum[feature] += h * h # 第二次遍历求方差

        temp[batch, feature] = h  # 需额外内存存储

# 归一化需复杂算术

for feature in range(512):
    mean = mean_sum[feature] / batch_size
    var = (var_sum[feature] / batch_size) - mean * mean

    # 平方根计算：多次迭代
    scale = gamma[feature] / sqrt(var + eps)  # 迭代近似
    shift = beta[feature] - mean * scale

    # 最终输出需再次遍历
    for batch in range(32):
        output[batch, feature] = temp[batch, feature] *
                                 scale + shift
```

这些操作带来如下主要低效点：

1. 多次遍历数据，增加内存带宽需求
2. 复杂算术，需大量指令周期
3. 条件操作，可能导致流水线停顿
4. 中间结果需额外内存存储
5. 向量单元利用率低

具体而言，BatchNorm 需多次遍历数据：一次求均值，一次求方差，最后输出变换。每次都需通过存储层次加载和存储数据。数学表达式简单的操作，实际需大量指令。平方根通常需 10-20 次数值迭代（如牛顿法）才能达到精度。ReLU 的 max 操作需分支指令，可能导致流水线停顿。实现还需临时存储中间值，增加内存占用和带宽消耗。向量单元虽擅长规则运算，但指数、平方根等常需标量操作，难以充分利用向量能力。

硬件加速 SFU 通过专用硬件实现，解决上述低效问题。现代 ML 加速器集成了专用电路，将复杂操作转化为单周期或固定延迟运算。加速器可一次加载向量数据，直接应用非线性函数，无需多次遍历和复杂指令序列（见示例 14）。

示例 14：**硬件加速**：单周期非线性操作使 ML 加速器高效向量处理，专用硬件极大降低计算延迟。

```
vld.v v1, (input_ptr)    # 加载向量
vrelu.v v2, v1           # 单周期 ReLU
vsigm.v v3, v1           # 固定延迟 sigmoid
vtanh.v v4, v1           # 硬件 tanh
vrsqrt.v v5, v1          # 快速倒数平方根
```

每个 SFU 通过专用电路实现特定函数。例如，ReLU 单元用专用逻辑完成比较与选择，消除分支开销。平方根用硬件牛顿法等算法，固定迭代次数，保证延迟。指数、对数等常用查表 + 硬件插值（Costa 等，2019）。通过这些定制指令，SFU 消除了多次遍历、复杂算术序列，保持高效。下表（表 4）展示了常见硬件实现及典型延迟。

功能单元	**操作**	**实现策略**	**典型延迟**
激活单元	ReLU、sigmoid、tanh	分段近似电路	1-2 cycles
统计单元	均值、方差	并行归约树	log(N) cycles
指数单元	exp、log	查表 + 硬件插值	2-4 cycles
根/幂单元	sqrt、rsqrt	固定迭代牛顿法	4-8 cycles

SFU 的历史 高效非线性函数计算的需求，数十年来一直影响着计算机体系结构。早期处理器就集成了对对数、三角等复杂函数的硬件支持，以加速科学计算和信号处理。70-80 年代，浮点协处理器专门处理复杂数学运算。90 年代，Intel SSE、ARM NEON 等指令集扩展为多媒体和信号处理提供了向量化数学变换的专用硬件。

机器学习负载重新激发了对专用功能单元的强烈需求。激活函数、归一化层、指数变换等成为神经网络计算的基础。现代 AI 加速器不再依赖软件近似，而是为这些操作实现了高速、固定延迟的 SFU，重现了科学计算领域的历史趋势。SFU 的回归，体现了硬件演进的周期性 —— 领域需求推动经典架构理念在新计算范式下的重塑。

向量、矩阵与特殊功能单元的结合，为现代 AI 加速器提供了计算基础。但这些原语的高效利用，关键在于数据流动与访问模式。下文将探讨支撑神经网络高效执行的数据流

架构、存储层次与优化策略。

计算单元与执行模型

前述向量、矩阵与特殊功能单元，是 AI 加速器的基础计算原语。现代 AI 处理器将这些原语封装为不同的执行单元，如 SIMD 单元、张量核心、处理单元（PE），决定了计算结构与用户可见的性能特征。理解这种组织，有助于开发者把握 AI 加速器的理论能力与实际表现。

从原语到执行单元的映射 从计算原语到执行单元的演进，体现了 AI 加速器日益复杂与专用化的结构层次：

- 向量操作 → SIMD/SIMT 单元，实现独立数据元素的并行处理
- 矩阵操作 → 张量核心、脉动阵列，实现结构化矩阵乘法
- 特殊函数 → 集成于处理单元的专用硬件

每个执行单元将这些计算原语与专用存储、控制机制结合，优化性能与能效。这种结构化封装，使硬件厂商既能提供标准化编程接口，又能在底层实现多样化架构以适应不同负载需求。执行单元的选择直接影响系统效率，包括数据局部性、计算密度与负载适应性。后续章节将分析这些执行单元如何在 AI 加速器中协同工作，最大化不同机器学习任务的性能。

SIMD 到 SIMT 架构的演进 单指令多数据（SIMD）[341] 执行模式，将同一操作并行应用于多个数据元素，极大减少指令开销、提升数据吞吐。该模式广泛用于加速数据并行性强的负载，如神经网络。ARM SVE（Scalable Vector Extension）是现代 SIMD 高效实现的代表，见示例 15。

```
ptrue p0.s              # 创建向量长度谓词
ld1w z0.s, p0/z, [x0]   # 加载输入向量
fmul z1.s, z0.s, z0.s   # 元素乘法
fadd z2.s, z1.s, z0.s   # 元素加法
st1w z2.s, p0, [x1]     # 存储结果
```

处理器架构不断扩展 SIMD 能力以满足增长的计算需求。Intel AMX（2021）、ARM SVE2（Stephens 等，2017）等架构提供灵活的 SIMD 执行，便于软件跨硬件扩展。

341. **SIMD 演进**：SIMD 源自 Flynn 1966 年的科学计算分类，神经网络让其从 HPC 小众概念变为主流。现代 CPU 拥有 512 位 SIMD 单元（AVX-512），AI 推动了 SIMT（单指令多线程）发展，数千线程并行 —— GPU 架构现可同时调度 65,536+ 线程，传统 SIMD 难以企及。

为突破 SIMD 局限，SIMT 允许多个独立线程并行执行，每个线程有独立程序计数器和架构状态。该模式天然适合矩阵计算，每个线程处理不同任务片段，同时共享指令流。在 NVIDIA GPU 架构中，每个流多处理器（SM）[^fn-streaming-multiprocessor] 可协调数千线程并行，极大提升神经网络计算效率（见示例 16）。线程被组织为 warp[^fn-warp]，是 SIMT 的基本执行单元。

示例 16：**SIMT 执行**：每个线程并行处理唯一输出元素，展示 SIMT 如何高效实现 GPU 上的矩阵乘法。

```
__global__ void matrix_multiply(float* C, float* A, float*
                                B, int N) {
    // 每个线程处理一个输出元素
    int row = blockIdx.y * blockDim.y + threadIdx.y;
    int col = blockIdx.x * blockDim.x + threadIdx.x;

    float sum = 0.0f;
    for (int k = 0; k < N; k++) {
        // warp 内线程并行执行
        sum += A[row * N + k] * B[k * N + col];
    }
    C[row * N + col] = sum;
}
```

SIMT 让神经网络计算可高效扩展至数千线程，并支持分支执行。AMD RDNA、Intel Xe 等架构也采用类似模型，SIMT 已成为 AI 加速的基础机制。

张量核心 SIMD/SIMT 单元高效执行向量操作，但神经网络高度依赖矩阵计算，需要专用单元实现结构化多维处理。矩阵操作的能耗经济性推动了这一专用化：标量处理每次需多次 DRAM 访问（640pJ），张量核心则将能耗分摊到整个矩阵块。张量处理单元通过专用硬件块，实现整块矩阵乘加，将能耗重心从内存搬运（173×）转为计算（3.7pJ），极大提升效率。

张量核心[342]（如 NVIDIA Ampere GPU）是典型代表。它们通过专用指令暴露矩阵计算能力，如 NVIDIA A100 的张量核心操作（示例 17）。

```
Tensor Core Operation (NVIDIA A100):
mma.sync.aligned.m16n16k16.f16.f16
  {d0,d1,d2,d3},     // 目标寄存器
  {a0,a1,a2,a3},     // 源矩阵 A
```

342. **张量核心突破**：NVIDIA 在 V100（2017）引入张量核心，加速神经网络常见的 4×4 矩阵操作。A100 第三代张量核心 FP16 算力达 312 TFLOPS，比传统 CUDA 核心快 20×。这一创新让 GPT-3 等模型训练成为可能，彻底改变了 AI 研究规模。

```
    {b0,b1,b2,b3},     // 源矩阵 B
    {c0,c1,c2,c3}      // 累加器
```

单条张量核心指令可处理整个矩阵块，并将中间结果保存在本地寄存器，效率远超标量或向量实现。这种结构化方法让硬件实现高吞吐，同时简化了软件层的循环展开与数据管理。

张量处理单元架构因设计目标而异。NVIDIA Ampere 优化通用深度学习加速，Google TPUv4 采用大规模脉动阵列，追求训练吞吐，Apple M1 神经引擎[343] 集成小型矩阵处理器，适配移动端推理，Intel Sapphire Rapids 引入 AMX tile，面向数据中心高性能。

AI 硬件专用化带来了深度学习负载的巨大性能提升。下图（图 3）展示了 NVIDIA GPU AI 加速器性能的演进，从通用浮点单元到高度优化的张量核心。

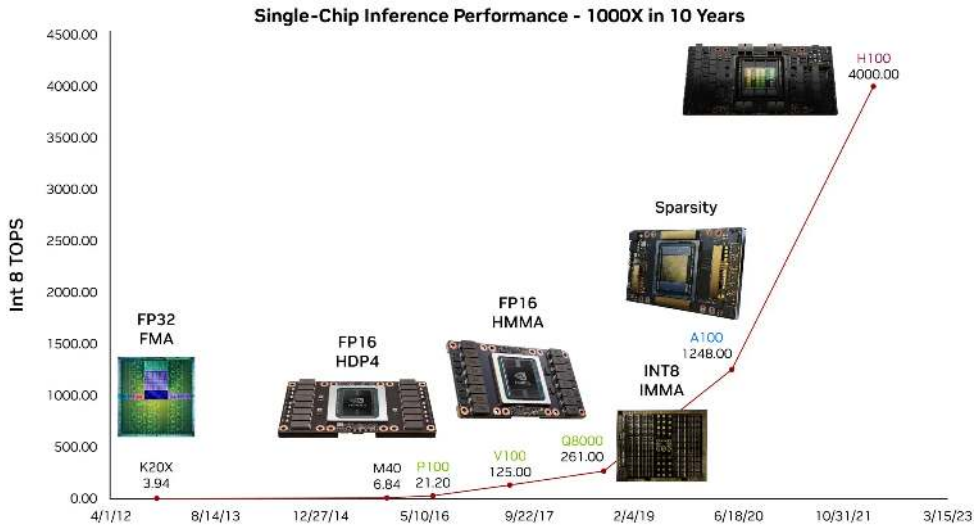

GPU 性能扩展：NVIDIA GPU 十年间 INT8 TOPS 提升 10 倍，得益于从浮点到张量核心的架构创新。这一趋势反映了硬件对深度学习负载的专用化，以及高效推理能力的需求。

处理单元（PE） 最高层次的执行单元组织，将多个张量核心与本地存储集成为处理单元（PE）。PE 是许多 AI 加速器的基本构建块，集成了向量单元（逐元素操作）、张量核心（矩阵计算）、特殊功能单元（非线性变换）及专用内存资源，优化数据局部性与搬运效率。

PE 在 AI 硬件中平衡了计算密度与内存访问效率。其设计因架构而异，以支持多样负载与可扩展性。Graphcore IPU 将计算分布在 1,472 个 tile，每个 tile 内含独立 PE，优化

343. **Apple 神经引擎战略**：Apple 于 2017 年 9 月 A11 芯片首次集成神经引擎，实现端侧 ML 推理低功耗。M1 的 16 核神经引擎达 11 TOPS，整芯片 TDP 仅 20W，支持实时文本识别、语音处理等，无需云端。该“硬件隐私”理念推动业界重视边缘 AI。

细粒度并行。Cerebras CS-2 集成 85 万个 PE，支持稀疏计算。Tesla D1 处理器将 PE 与大容量本地内存结合，优化自动驾驶实时吞吐与延迟。

PE 为大规模 AI 加速提供了结构基础，其效率不仅取决于算力，还受互连与存储层次设计影响。下文将探讨这些架构选择如何影响不同 AI 负载的性能。

张量处理单元通过硬件加速矩阵计算，实现了 AI 负载的高效能。随着架构对结构化稀疏性、负载定制优化的支持，PE 的作用持续演进。但其效能不仅取决于算力，还依赖于与存储层次、数据流机制的协同，后续章节将详细分析。

脉动阵列 张量核心将矩阵操作封装为结构化单元，脉动阵列则以连续数据流与操作数复用为优化目标。脉动架构的根本动因在于能效约束 —— 通过架构设计最小化内存访问惩罚。脉动阵列将处理单元按网格排列，数据在单元间有节奏地流动，每个操作数在传播过程中参与多次计算，极大提升本地复用，减少外部内存访问。一份权重可在阵列内参与数十次运算，将能耗重心从内存搬运转为计算。

脉动阵列概念由 Kung 和 Leiserson[344] 提出，正式用于高效矩阵运算的并行架构。与通用执行单元不同，脉动阵列利用空间与时间局部性，复用传播中的操作数。Google TPU 是典型代表。TPUv4 的 128×128 脉动阵列通过流水线方式处理矩阵运算，如图 4 所示。

脉动阵列通过同步数据流，实现高效并行。其结构包括：

1. **控制单元**：协调阵列时序与数据分发，保持全局同步
2. **数据流**：输入矩阵 A 横向、B 纵向流经阵列
3. **处理单元网格**：每个单元对流经数据执行乘加，累加部分结果
4. **输出收集**：边界聚合累加和，形成完整矩阵元素

同步数据流确保 A[i,k] 与 B[k,j] 在正确时刻相遇，执行 $C[i,j] = \sum A[i,k] \times B[k,j]$。操作数在多个单元间复用，极大减少内存带宽需求。

以 2×2 矩阵 A、B 为例，首周期 A[0,0]=2 横向、B[0,0]=1 纵向进入 PE(0,0)，计算 2×1=2。下周期 A[0,0]=2 进入 PE(0,1) 与 B[0,1]=3 相遇，计算 2×3=6。A[0,1]=4 同时进入 PE(0,0) 参与下次运算。如此协调的数据流，使操作数在多个计算中复用，消除冗余内存访问，体现了脉动阵列的能效本质。

每个处理单元每周期执行一次乘加：

344. **脉动阵列复兴**：H.T. Kung 与 Charles Leiserson 1979 年在 CMU 提出脉动阵列用于 VLSI 信号处理，因编程复杂一度沉寂。Google 2016 年 TPU 复活该架构，TPUv1 的 256×256 脉动阵列 8 位整数算力达 92 TOPS，功耗仅 40W，脉动阵列成为当今主流 AI 架构。

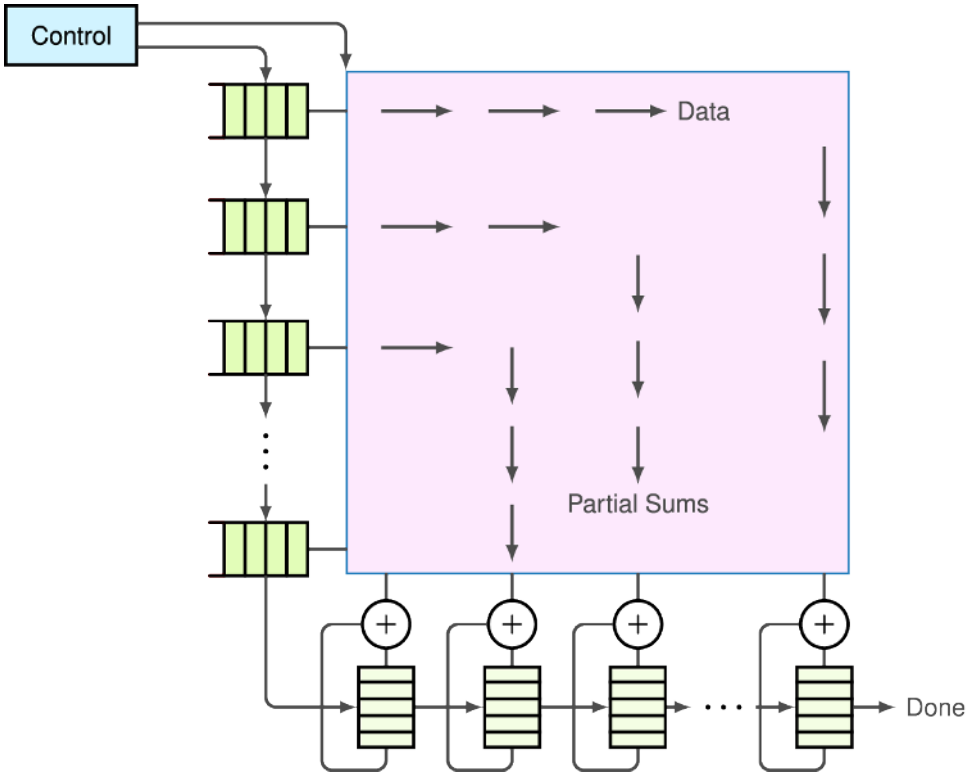

脉动阵列数据流：阵列内处理单元通过流水线方式执行矩阵运算，最大化操作数复用，最小化内存访问。空间与时间局部性使并行计算高效，Google TPUv4 的乘加单元即为典型。

1. 从上方接收输入激活
2. 从左侧接收权重
3. 相乘并累加到本地和
4. 将激活向下、权重向右传递

这种结构化模型最小化全局内存与处理单元间的数据流，提高效率与可扩展性。脉动阵列以流式方式运行，特别适合深度学习训练与推理等高吞吐负载。

图 4 展示了一种常见实现，实际设计因用途而异。TPU 等训练架构采用大阵列追求吞吐，边缘推理则以小阵列优化能效。

核心原则始终一致：数据有序流经处理单元，输入横纵交错，累加部分和。但如第 11 章：AI 加速 所述，实际效能最终受限于内存带宽。

128×128 脉动阵列每周期可执行 16,384 次运算，需持续供给新激活与权重，从片外内存经片上缓冲送至阵列边缘。TPU 片上带宽达 1,200 GB/s，利用率极高，但处理大模型时，带宽仍成瓶颈。

回顾第 10 章：模型优化，量化通过将 FP32 权重转为 INT8，直接缓解带宽瓶颈，内存流量降 4 倍，使脉动阵列利用率提升。结构化剪枝则移除权重矩阵整行/列，减少数据流与计算。这些算法优化正因其直击内存瓶颈，才在实践中极具价值。

AI 加速中的数值精度 AI 加速器的效率不仅取决于算力，还受数值表示精度影响。数值格式的选择决定了精度、吞吐与能耗的平衡，影响 SIMD/SIMT、张量核心、脉动阵列等单元的设计与应用。

精度权衡 数值精度是现代 AI 加速器的关键设计参数。高精度带来稳定性与准确性，但功耗、带宽、吞吐成本高。寻找最优精度点已成为硬件架构的核心挑战。

早期深度学习模型主要用单精度浮点（FP32）训练与推理，虽稳定但效率低。随着模型增大，硬件逐步支持半精度（FP16）、bfloat16（BF16），在保证精度的同时降低内存与提升吞吐。近年，整数格式（INT8、INT4）在推理中崛起，极大提升能效，且精度损失可控。

高精度向低精度转变，深度嵌入硬件执行模型。如第 11 章：AI 加速所述，SIMD/SIMT 单元支持多精度，张量核心用低精度加速，脉动阵列过低精度提升复用、缓解带宽。

但深度学习模型并非总能用低比特表示。为此，现代加速器实现了混合精度计算，不同阶段采用不同格式。这些选择对模型公平性与可靠性有重要影响。例如，矩阵乘法用 FP16/BF16，累加用 FP32 防止精度损失。推理引擎用 INT8 算术，关键激活则保留高精度。

混合精度计算 现代 AI 加速器日益支持混合精度，不同阶段用不同数值格式。训练常用 FP16/BF16 乘法，累加用 FP32 保精度。推理则用 INT8/INT4，兼顾效率与精度。

这一趋势在硬件演进中尤为明显。早期如 NVIDIA Volta 仅支持 FP16，Turing、Ampere 扩展至 BF16、INT8、INT4。Ampere GPU 引入 TF32 兼顾 FP32/FP16，并广泛支持 BF16、INT8、INT4。见表 5。

架构	年份	张量核心支持精度	CUDA 核心支持精度
Volta	2017	FP16	FP64, FP32, FP16

架构	年份	张量核心支持精度	CUDA 核心支持精度
Turing	2018	FP16, INT8	FP64, FP32, FP16, INT8
Ampere	2020	FP64, TF32, bfloat16, FP16, INT8, INT4	FP64, FP32, FP16, bfloat16, INT8

表 5 显示新架构支持更多数值格式，反映了 AI 负载对灵活性的需求。未来加速器将持续扩展自适应精度，优化效率与精度平衡。

硬件数值格式影响深远。低精度减少执行单元与内存间数据量，降低带宽与存储需求。张量核心、脉动阵列可并行处理更多低精度元素，提升 FLOPS 吞吐。整数计算（如 INT8）能耗远低于浮点，推理场景尤为明显。

随着 AI 模型规模扩展，架构正向更高效数值格式演进。未来将引入自适应精度，按负载动态调整，进一步优化性能与能效。

架构集成 计算原语如何组织为执行单元，决定了 AI 加速器的效率。SIMD、张量核心、脉动阵列虽为基础构件，但其在芯片级的集成方式因架构而异。执行单元类型、精度支持、互连方式，决定了硬件能否高效扩展深度学习负载。

现代 AI 处理器因应用场景而权衡设计。NVIDIA A100 集成大量 FP16 张量核心，主攻训练；Google TPUv4 优先高吞吐 BF16 矩阵乘法；Intel Sapphire Rapids 集成 INT8 张量核心，优化推理；Apple M1 面向移动端，采用小型 FP16 PE。上述设计反映了精度与执行单元组织的灵活性，见表 6。

处理器	SIMD 宽度	张量核心规模	处理单元数	主力负载
NVIDIA A100	1024 位	FP16	108 SMs	训练、高性能计算

处理器	SIMD 宽度	张量核心规模	处理单元数	主力负载
Google TPUv4	128 宽	BF16	2 核/芯片	训练
Intel Sapphire	512 位 AVX	INT8/BF16	56 核	推理
Apple M1	128 位 NEON	FP16	8 NPU 核心	移动端推理

表 6 展示了不同架构为优化深度学习负载而配置的执行单元。训练加速器优先高吞吐浮点张量操作，推理处理器聚焦低精度整数，移动端则兼顾精度与能效。

性价比分析

架构规格定义了计算潜力，但实际部署需权衡不同加速器的性价比。单纯算力指标并不全面 —— 现代 AI 加速的根本瓶颈是数据搬运效率。

前文已述，内存访问能耗远超计算，驱动了专用硬件革命。GPU 高带宽可达 40-60% 利用率，TPU 脉动阵列因极致数据复用可达 85%。

下表（表 7）给出主流加速器的性价比数据，但经济分析还需考虑利用率与能耗，这决定了实际性能。

加速器	标价（美元）	峰值 FLOPS (FP16)	内存带宽	性价比 ($/TFLOP)
NVIDIA V100	~$9,000 (2017-19)	125 TFLOPS	900 GB/s	$72/TFLOP
NVIDIA A100	$15,000	312 TFLOPS (FP16)	1,935 GB/s	$48/TFLOP
NVIDIA H100	$25,000-30,000	756 TFLOPS (TF32)	3,350 GB/s	$33/TFLOP

加速器	标价（美元）	峰值 FLOPS (FP16)	内存带宽	性价比 ($/TFLOP)
Google TPUv4	~$8,000*	275 TFLOPS (BF16)	1,200 GB/s	$29/TFLOP
Intel H100	$12,000	200 TFLOPS (INT8)	800 GB/s	$60/TFLOP

例如，初创公司训练大模型可选 8 块 V100（$72K，1,000 TFLOPS）或 4 块 A100（$60K，1,248 TFLOPS）。但性能分析显示，Transformer 训练算术强度仅 0.5-2 FLOPS/字节，二者都受内存带宽限制。A100 的 1,935 GB/s 带宽比 V100 的 900 GB/s 高 2.15 倍，实际性能提升 115%，远超峰值 FLOPS 的 25%。再加上硬件成本低 17%、能效高 30%（每有效 TFLOP 400W vs 300W），A100 配置在多年部署中经济性更优。

这解释了新加速器虽单价更高却被快速采用。H100 的 $33/TFLOP 比 V100 优 54%，更重要的是 3,350 GB/s 带宽带来每美元 3.7 倍内存吞吐 —— 这才是 Transformer 性能的决定性指标。云端部署更复杂，厂商通常按小时计费（$2-4/h），购置与租用的盈亏点取决于利用率与能耗（3 年周期内占总成本 60-70%）。

框架选择也极大影响经济性 —— 硬件 - 框架优化详见第 7 章：AI 框架，性能评估方法见第 12 章：AI 基准测试。

执行单元决定加速器算力，但其效能根本受限于数据搬运与存储层次。高效利用算力需高效内存系统，最小化数据传输、优化局部性。理解这些约束，才能明白为何内存架构与计算设计同等重要。

AI 存储系统

前述 SIMD、张量核心、脉动阵列等执行单元，虽可实现 100-1000 TFLOPS 的神经网络算力，但若存储系统无法及时供数，理论能力难以落地。这一根本约束被称为 AI 内存墙，是现实加速器性能的主导瓶颈。

与传统负载不同，ML 模型需频繁访问大量参数、激活与中间结果，对内存带宽提出极高要求 —— 这与第 6 章：数据工程中的数据管理策略密切相关。现代 AI 硬件通过分层存储、高效数据搬运与压缩等手段，提升执行效率与加速能力。

本节将从四个视角剖析存储系统设计。首先量化算力与带宽的扩展差距，揭示 AI 内存

墙为何成为主导瓶颈。其次分析存储层次如何平衡速度、容量与能效，从片上 SRAM 到片外 DRAM 的分层结构。第三，剖析主机与加速器间的通信模式，揭示影响端到端性能的传输瓶颈。最后，分析不同神经网络架构（MLP、CNN、Transformer）对存储的压力模式，为硬件设计与优化提供依据。

理解 AI 内存墙

AI 内存墙是现代加速器性能的根本瓶颈 —— 算力与带宽的扩展差距，使加速器难以发挥理论能力。虽然计算单元可通过向量、矩阵等原语每秒执行数百万次运算，但其完全依赖存储系统持续供给权重、激活与中间结果。

量化算力 - 内存性能差距 该约束的严重性可通过扩展趋势体现。过去 20 年，峰值算力每两年提升 3.0×，而 DRAM 带宽仅提升 1.6×。这一差距导致加速器虽有强大算力，却因数据供给不足而无法利用。现代硬件如 NVIDIA H100，算力 989 TFLOPS，带宽仅 3.35 TB/s，需每字节 295 次运算才能满载，远超神经网络常见的 1-10 次。

内存墙体现在三大约束：一是能耗差异 —— DRAM 访问 640pJ，计算仅 3.7pJ，能耗惩罚高达 173×，实际常受功耗而非算力限制；二是带宽限制 —— 即便 TB/s 级带宽，也难以持续供给数千并行单元，典型负载下 50-70% 时间处于空闲；三是延迟层次 —— 片外访问需数百周期，流水线停顿影响全局。

如图 5 所示，“AI 内存墙”持续扩大，使带宽而非算力成为 AI 加速的主约束。

除性能外，内存访问还带来巨大能耗。片外 DRAM 取数远高于算术运算。ML 模型参数大、访问频繁、数据流动不均，进一步加剧瓶颈。能耗差异驱动架构选择 —— Google TPU 通过脉动阵列与大容量片上存储，将能效提升 30-83×。这些设计说明，能耗约束往往决定实际部署可行性。

ML 负载的内存访问模式 ML 负载因数据量大，对存储系统提出极高要求。与传统算力主导型应用不同，ML 负载以高数据搬运为特征。加速器效率不仅取决于算力，还取决于能否持续供数，避免等待与延迟。

神经网络执行涉及多种数据，每类数据访问模式各异：

- **模型参数（权重与偏置）**：大规模模型常含百万至十亿参数，高效存取权重是维持吞吐的关键。
- **中间激活**：训练与推理均需暂存每层输出，深层网络激活占用显著内存。
- **梯度（训练时）**：反向传播需存取每个参数的梯度，进一步增加计算单元与存储间的数据流。

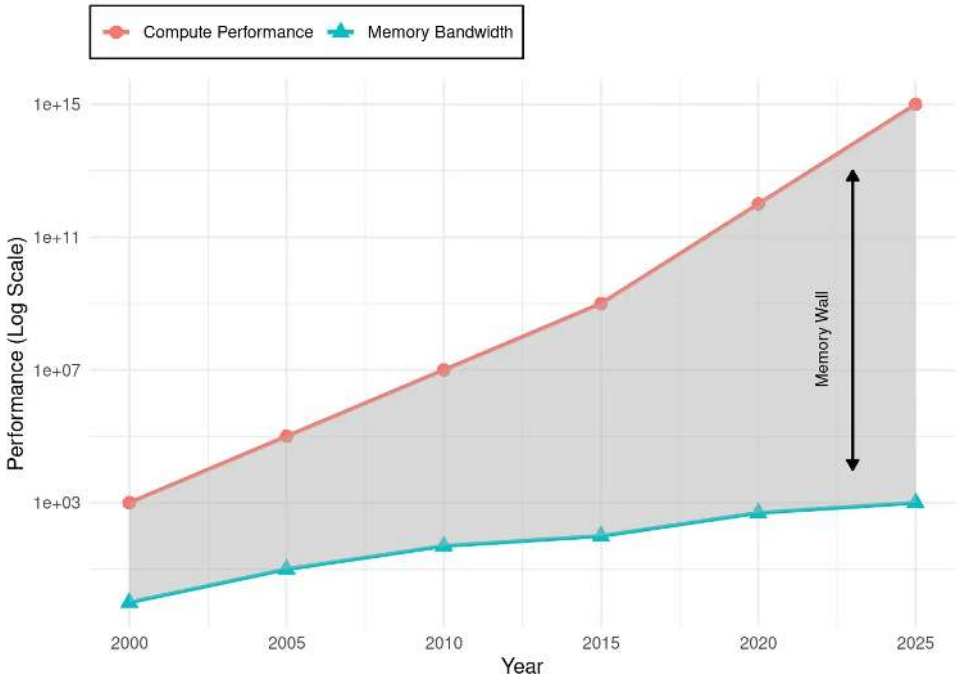

img

随着模型规模与复杂度提升，带宽与容量的提升变得至关重要。虽然专用计算单元加速了矩阵乘法等操作，但整体性能取决于能否持续高效地为处理单元供数。大规模 NLP、CV 应用常含百万至十亿参数，需最小化因数据搬运不畅导致的延迟与停顿。

可通过比较数据传输与计算所需时间来量化挑战。内存传输时间为

$$T_{\text{mem}} = \frac{M_{\text{total}}}{B_{\text{mem}}},$$

其中 M_{total} 为总数据量，B_{mem} 为带宽。计算时间为

$$T_{\text{compute}} = \frac{\text{FLOPs}}{P_{\text{peak}}},$$

即浮点运算数除以峰值算力 P_{peak}。若 $T_{\text{mem}} > T_{\text{compute}}$，系统即为内存受限，处理单元大部分时间在等待数据。此失衡凸显了存储优化与高效数据流策略的必要性。

图 6 展示了模型规模与硬件带宽的扩展趋势，直观体现了“AI 内存墙”。图中红点为 AI 模型参数规模（如 2012 年 AlexNet ~62.3M，2023 年 Gemini 1 规模达万亿），蓝点为硬件带宽（NVIDIA GPU ~100-200 GB/s，TPU ~2-3 TB/s）。红线陡增，蓝线缓升，二者间阴影区即“AI 内存墙”，模型扩展远超带宽增长，需更复杂的存储管理与模型优化以维持效率。

非规则内存访问 与传统负载的结构化、可预测访问不同，ML 模型常表现出高度非规则的内存行为。其原因包括批量大小、层类型、稀疏性等。标准缓存与存储层次难以优

化，导致延迟增加、带宽利用低下。

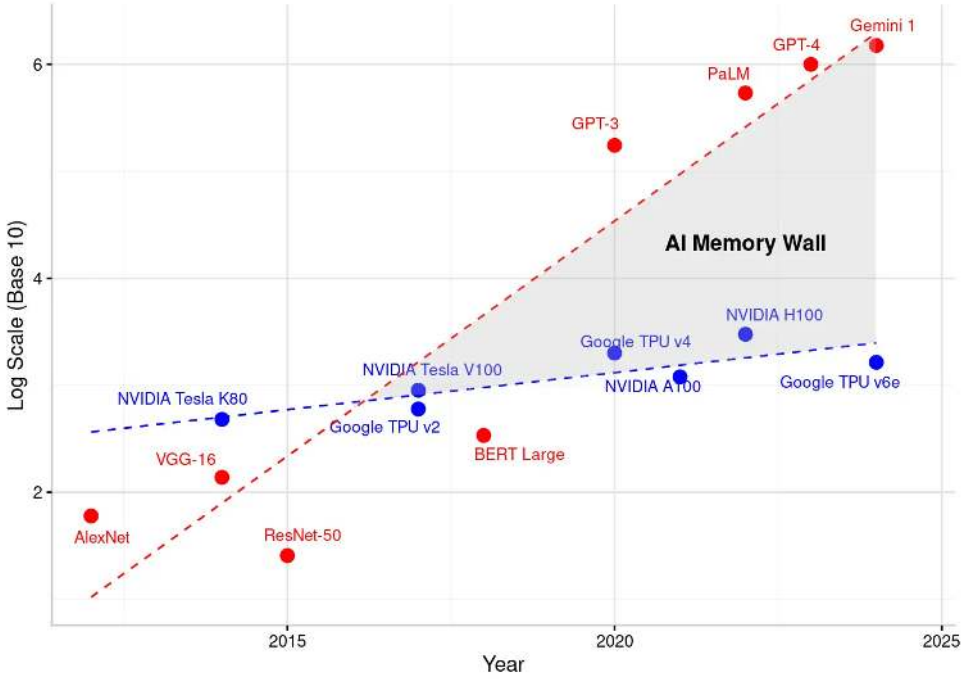

AI 内存墙：图中强调了模型规模与硬件带宽的扩展差距，说明模型复杂化带来的性能挑战。

对比传统与 ML 负载的内存访问模式（见表 8），可见传统负载（如科学计算、数据库）常有良好局部性，易于缓存与预取。ML 负载则因稀疏性、注意力机制等，访问高度动态，难以用传统优化策略提升效率。

批量大小与执行顺序是非规则性的主要来源。小批量降低缓存复用，频繁访问片外内存；大批量虽提升复用，但对带宽需求更高，易造成层次拥堵。需在模型结构与硬件资源间权衡。

特性	传统计算负载	机器学习负载
访问模式	规律、可预测（如顺序读取、结构化模式）	非规律、动态（如稀疏、注意力机制）
缓存局部性	时间/空间局部性强	大模型常局部性差
数据复用	结构化循环，复用频繁	依层类型稀疏/动态复用

特性	传统计算负载	机器学习负载
数据依赖	依赖明确，便于预取	依网络结构变化大
负载示例	科学计算（矩阵分解、物理仿真）	神经网络（CNN、Transformer、稀疏模型）
内存瓶颈	DRAM 延迟、缓存未命中	片外带宽、内存碎片
能耗影响	中等，算术主导	高，数据搬运主导

不同神经网络层的内存行为也各异。卷积层因空间局部性，权重核小，易缓存；全连接层需频繁访问大权重矩阵，访问更随机，难以缓存。Transformer 的注意力机制需访问大规模键值对，序列长度与注意力跨度动态变化，传统预取策略难以奏效，延迟不可预测。

稀疏性 [345] 也是非规则访问的重要来源。现代模型常用剪枝、激活稀疏、结构稀疏等技术，虽降低计算量，但导致内存访问分散，标准硬件难以高效处理。动态计算路径（如专家混合、动态推理）进一步加剧不确定性，活跃神经元或组件每次推理都不同，极难优化预取与缓存。

这些非规则性带来显著后果。ML 负载缓存效率低，激活与权重难以按序访问，片外流量增加，执行变慢且能耗升高。访问模式不规则还导致内存碎片，数据分配与回收低效。最终，ML 加速器常因内存瓶颈无法充分利用算力。

存储层次结构

为应对 ML 加速的存储挑战，硬件设计者实现了复杂的分层存储结构，平衡速度、容量与能效。理解这一层次结构，是分析不同 ML 架构如何利用存储资源的基础。与通用计算的不可预测访问不同，ML 负载有结构化复用模式，可通过多级存储优化。

最高层为大容量但慢速的长期存储，最低层为高速寄存器与缓存，确保计算单元低延迟访问。中间层如 scratchpad、高带宽内存（HBM）、片外 DRAM，则在性能与容量间权衡。

345. **神经网络稀疏性**：神经网络中大部分权重或激活为零，可优化计算与存储。自然稀疏如 ReLU 激活零化 50-90% 值，人工稀疏如剪枝可去除 90-99% 权重且精度损失极小。稀疏网络可缩小/加速 10-100×，但需专用硬件（如 NVIDIA A100 的 2:4 稀疏）或软件优化，否则标准硬件对零乘法无效。

下表（表 9）总结了现代 AI 加速器各存储层的关键特性。每层的延迟、带宽、容量直接影响权重、激活、中间结果的分配策略。

存储层级	延迟	带宽	容量	深度学习应用示例
寄存器	~1 cycle	最高	少量	存储即用操作数
L1/L2 缓存（SRAM）	~1-10 ns	高	KB-MB	缓存常用激活、小权重块
Scratchpad	~5-20 ns	高	MB	显式管理中间计算
高带宽内存（HBM）	~100 ns	极高	GB	存储大模型参数、激活，需高速访问
片外 DRAM（DDR/GDDR）	50-150 ns	中等	GB-TB	存储无法片上存储的全部权重
闪存（SSD/NVMe）	100µs-1ms	低	TB	存储预训练模型、检查点，需加载到更快存储后执行

片上存储 每层存储在 AI 加速中各司其职，速度、容量、可访问性各异。寄存器最快，但容量极小，仅适合即用操作数。缓存作为中间缓冲，存储常用激活、权重、中间值，延迟低但容量有限，难以容纳完整特征图或大权重张量。Scratchpad 提供更大容量，允许软件显式管理，适合卷积等需多次复用的场景，减少片外访问，提升效率。

片外存储 片上容量不足时，高带宽内存（HBM）为大模型参数与激活提供高速访问。HBM 通过堆叠多层芯片与宽总线，实现高带宽、低延迟，适合存储需频繁访问的模型

层。但其成本与功耗高，主要用于高性能加速器，边缘设备较少采用。

模型超出片上与 HBM 容量时，需依赖片外 DRAM（DDR、GDDR、LPDDR）。DRAM 容量大但延迟高，频繁访问会成为瓶颈。需通过模型结构优化，仅在必要时加载权重与激活，最小化长延迟影响。

最高层为闪存/SSD，存储大模型、数据集、检查点。容量大但速度慢，需先加载到更快存储后才能高效执行。

存储层次结构平衡了速度、容量与能效，但多级搬运带来延迟与带宽瓶颈。数据在层级间传输需付出延迟，带宽有限制，容量不足时需频繁搬运。最终，内存带宽成为现实加速器性能的决定性因素。

带宽与架构权衡

基于第 11 章：AI 加速的分析，本节量化不同带宽特性如何影响各类部署场景的系统性能。

现代加速器带宽 - 容量权衡各异：NVIDIA H100 GPU 提供 3.35 TB/s HBM3 带宽与 80GB 容量，适合多样负载。Google TPUv4 带宽 1.2 TB/s，片上存储 128MB，主攻张量能效。H100 的 3:1 带宽优势适合大模型，TPU 低带宽因高复用适合推理。

不同神经网络操作带宽利用率各异：Transformer 注意力机制仅达峰值带宽 20-40%，卷积因空间局部性可达 60-85%，全连接层批量大于 128 时可达 90%。

片上存储访问能耗 5-10pJ，片外 DRAM 需 640pJ，能耗差 65-125$\times$。AI 加速器通过权重驻留、输入驻留、输出驻留三大策略最小化 DRAM 访问。

带宽扩展路径因架构而异：

- **GPU 扩展**：带宽随通道线性提升，A100 900GB/s → H100 3,350GB/s，支持更大模型
- **TPU 扩展**：脉动阵列优化带宽，900GB/s，功耗比 GPU 低 35%
- **移动端扩展**：Apple M3 神经引擎带宽 400GB/s，功耗 <5W，依赖电压调节

HBM 成本 $8-15/GB，DDR5 仅 $0.05/GB$，成本差$160-300\times$。高带宽加速器需 40-80GB HBM，制造成本增 $320-1,200。边缘加速器带宽仅 50-200GB/s，以实现 <$100 成本目标，兼顾推理性能。

这些带宽特性直接影响部署决策：云端训练优先带宽，边缘推理优化带宽能效，移动端平衡带宽与成本。硬件优化虽关键，系统级软硬件协同优化详见第 9 章：高效 AI。这些优化在第 2 章：机器学习系统、第 13 章：机器学习运维等场景的落地，决定了实际效果。

主机 - 加速器通信

机器学习加速器，如 GPU 和 TPU，通过并行执行实现高吞吐。然而，它们的效率从根本上受到主机（CPU）与加速器内存之间数据流动的限制。与完全在 CPU 内存系统中运行的通用负载不同，AI 工作负载需要在 CPU 主内存和加速器之间频繁传输数据，这会引入延迟、消耗带宽并影响整体性能。

主机 - 加速器数据流遵循一个结构化的顺序，如图 7 所示。在计算开始之前，数据从 CPU 内存复制到加速器的内存中。然后，CPU 发出执行指令，加速器并行处理数据。计算完成后，结果存储在加速器内存中并传回 CPU。每一步都可能引入低效，必须通过高效的内存管理和互连技术来优化性能。

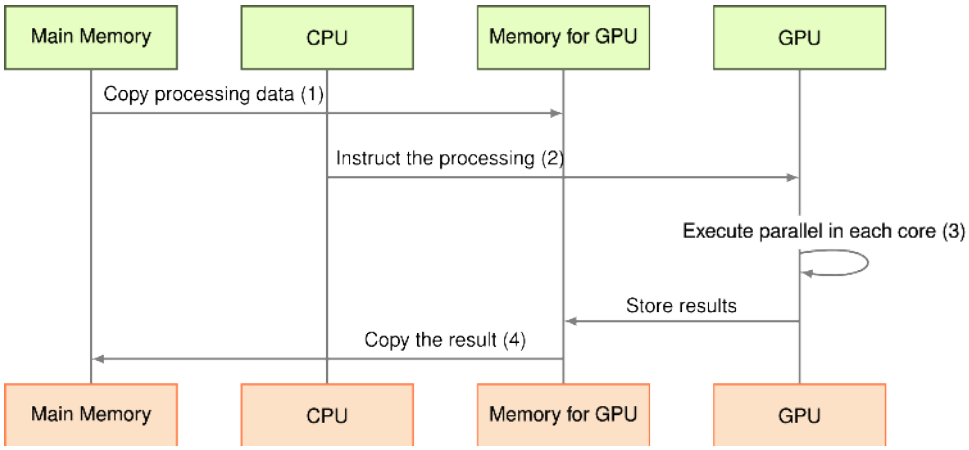

主机 - 加速器数据传输：AI 工作负载需要在 CPU 和加速器之间频繁传输数据；该图详细描述了复制输入数据、执行计算和传输结果的顺序步骤，每个步骤都可能成为性能瓶颈。理解这一数据传输顺序对于优化 AI 系统性能和最小化延迟至关重要。

主机 - 加速器数据流动中的关键挑战包括延迟、带宽限制和同步开销。通过高效的内存管理和互连技术优化数据传输，对于最大化加速器的利用率至关重要。

数据传输模式 ML 加速器的效率不仅取决于算力，还依赖于数据的持续供给。即使是高性能 GPU 和 TPU，如果数据搬运不畅，也会导致资源闲置。主机与加速器内存属于不同域，需通过 PCIe、NVLink 或专有互连进行显式传输。数据流动低效会造成执行停顿，因此优化数据搬运至关重要。

图 7 展示了这一结构化流程。第 (1) 步，数据从 CPU 内存复制到加速器内存，因为 GPU 无法高速直接访问主机内存。通常由直接内存访问（DMA）[346] 引擎完成，无需占用

346. **直接内存访问（DMA）**：硬件机制，允许设备在无 CPU 干预下与内存直接交换数据。1981 年 IBM PC 首次引入，DMA 引擎让 CPU 可专注其他任务，数据在系统内存与加速器间自由流动。现代 GPU 拥有多路 DMA 引擎，PCIe 4.0 可达 32 GB/s，NVLink 可达 900 GB/s。异步搬运能力对 AI 负载尤为关键，可与计算重叠，提升系统利用率。

CPU 周期。第 (2) 步，CPU 通过 CUDA、ROCm 或 OpenCL 等 API 发起执行命令。第 (3) 步，加速器并行执行任务，若数据未及时到位则可能停顿。最后第 (4) 步，计算结果再复制回 CPU 内存，供后续处理。

延迟与带宽限制对 AI 负载影响极大。PCIe 峰值带宽 32 GB/s（PCIe 4.0），远低于加速器内部高带宽内存（可超 1 TB/s）。大规模数据搬运在深度学习任务中尤为突出。同步开销也会导致计算需等待数据搬运完成。高效调度与搬运与计算重叠，是缓解这些低效的关键。

数据搬运机制 主机（CPU）与加速器（GPU、TPU 或其他 AI 硬件）间的数据流动，依赖于两者间的互连技术。互连类型决定了搬运带宽、通信延迟与整体执行效率。常见机制包括 PCIe、NVLink、DMA 及统一内存架构。每种机制在优化上述四步数据流动中都发挥着关键作用。

PCIe 接口 大多数加速器通过 PCIe 与 CPU 通信，这是业界标准的数据搬运互连。PCIe 4.0 带宽最高 32 GB/s，PCIe 5.0 可达 64 GB/s，但仍远低于加速器内部 HBM 带宽，因此对大规模 AI 负载来说 PCIe 是瓶颈。

PCIe 还因包交换与内存映射 I/O 模型引入延迟。频繁的小规模搬运效率低，批量搬运可降低开销。计算命令也通过 PCIe 下发，进一步增加延迟，需通过调度优化加以缓解。

NVLink 接口 为突破 PCIe 带宽限制，NVIDIA 推出专有高速互连 NVLink，显著提升 GPU 间及部分 CPU-GPU 间带宽。NVLink 为点对点直连，避免 PCIe 总线争用，提升 AI 负载效率。

主机 - 加速器搬运时，NVLink 可在第 (1) 步以高于 PCIe 的速度将输入数据从主内存传至 GPU，NVLink 4.0 带宽最高达 600 GB/s，极大缓解数据搬运瓶颈，降低延迟。多 GPU 配置下，NVLink 支持加速器间直接数据交换，无需主内存中转，优化了第 (3) 步的计算过程。

但 NVLink 并非通用标准，仅适用于 NVIDIA 硬件，限制了其在非 NVLink GPU 系统中的应用。

DMA 数据搬运 传统内存搬运需 CPU 发起 load/store 指令，消耗处理周期。DMA 可异步搬运，无需 CPU 干预。

搬运过程中，CPU 发起 DMA 请求，数据在后台复制到加速器内存。结果回传主内存也可异步完成。这样计算与搬运可重叠，减少空闲时间，提升加速器利用率。

DMA 是实现异步搬运的关键，可让数据流与计算并行进行。AI 负载可在前一批数据计算时，流式搬运下一批数据，减少等待与资源闲置。

统一内存 PCIe、NVLink、DMA 优化了显式搬运，但部分 AI 负载需更灵活的内存模型，消除手动数据复制。统一内存提供主机与加速器共享的单一内存空间，系统自动搬运所需数据。

统一内存下，数据无需显式复制，计算需用到主机内存区域时，系统自动迁移到加速器，透明完成第 (1) 步。结果被 CPU 访问时，第 (4) 步也自动完成，无需手动管理。

统一内存简化了开发，但带来性能权衡。按需迁移可能导致不可预测的延迟，尤其是大数据集频繁搬运时。统一内存通过页迁移实现，细粒度访问可能触发过度搬运，降低效率。

对需精细内存控制的 AI 负载，显式搬运（PCIe、NVLink、DMA）通常性能更优。但对开发便利性优先的场景，统一内存是便捷选择。

数据搬运开销 主机 - 加速器数据流动带来额外开销，影响 AI 负载执行。与纳秒级片上内存访问不同，主机 - 加速器搬运需跨系统互连，增加延迟、带宽限制与同步等待。

互连延迟影响搬运速度，PCIe 作为主流互连因包交换与内存映射 I/O 开销显著，频繁小搬运效率低。NVLink 等更快互连可降低延迟、提升带宽，但受限于硬件生态。

同步等待也会加剧低效。同步搬运需等数据流动完成后再执行，保证一致性但增加空闲。异步搬运可让计算与搬运重叠，减少停顿，但需精细协调避免执行错位。

这些因素 —— 互连延迟、带宽限制、同步开销 —— 共同决定了 AI 负载效率。优化技术虽可缓解，但理解这些基础机制是提升性能的前提。

模型内存压力

机器学习模型的内存访问模式直接影响加速器性能。数据在主机与加速器间的搬运频率、缓存机制效率等，决定了整体执行效率。多层感知机（MLP）、卷积神经网络（CNN）、Transformer 等模型参数量大，内存需求各异，需针对性优化。理解这些差异，有助于解释不同硬件架构在不同负载下的效率表现。

多层感知机（MLP） MLP（全连接网络）是最简单的神经架构之一。每层为密集矩阵乘法，每个神经元都与前一层所有神经元相连，导致权重带宽需求极高，每个输入激活都参与大量计算。

MLP 依赖大规模密集权重矩阵，常超出片上内存容量，需频繁访问片外内存。加速器无法高速直接访问主机内存，需通过 PCIe 或 NVLink 显式搬运，带来延迟与带宽消耗，影响执行效率。

尽管带宽需求高，MLP 的内存访问模式规律、可预测，便于预取与流式搬运优化。专用 AI 加速器通过将权重矩阵预存于高速 SRAM 缓存，并用 DMA 引擎实现搬运与计算重叠，减少执行停顿。这些优化让加速器即使处理大参数集也能保持高吞吐。

卷积神经网络（CNN） CNN 广泛用于图像处理与计算机视觉。与 MLP 的密集矩阵乘法不同，CNN 用小型卷积核在输入特征图上滑动，结构局部化，数据复用度高，同一输入像素可参与多次卷积。

CNN 加速器受益于片上内存优化，卷积核权重复用度高，可存于本地 SRAM，减少片外访问。但激活图因体积大，需精细管理。主内存访问（如 PCIe）带来延迟与带宽瓶颈，CNN 加速器采用分块（tiling）技术，将特征图划分为适合片上缓冲的小块，减少外部搬运，提升效率。

CNN 负载比 MLP 更节省内存，但中间激活管理仍具挑战。加速器用分层缓存与 DMA 优化数据流，确保计算不因主机 - 加速器搬运低效而停顿。这些优化帮助 CNN 加速器通过减少片外带宽依赖，维持高吞吐。

Transformer 网络 Transformers 已成为自然语言处理（NLP）的主流架构，逐渐应用于视觉、语音等领域。与 CNN 的局部计算不同，Transformers 采用全局注意力机制，输入序列每个 token 可与所有其他 token 交互，导致内存访问模式极不规律且带宽需求极高，需频繁搬运大规模键值矩阵。

Transformer 参数量巨大，常超出片上内存容量，需频繁主机 - 加速器搬运，尤其依赖 PCIe 时延迟开销显著。统一内存架构可动态处理部分搬运，但按需迁移带来不可预测延迟。Transformer 负载以内存为主瓶颈，优化需依赖高带宽内存、张量分块与内存分区。

此外，注意力缓存机制与专用张量布局可减少冗余搬运，提升执行效率。传统互连带宽有限，NVLink 架构在大规模 Transformer 训练中优势明显，带宽高、延迟低。DMA 异步搬运可让计算与数据流重叠，减少停顿。

ML 加速器的架构启示

MLP、CNN、Transformer 的多样内存需求，凸显了针对负载定制存储架构的必要性。下表（表 10）对比了不同模型的内存访问模式。

模型类型	权重规模	激活复用	内存访问模式	主要瓶颈
MLP（全连接）	大且密集	低	规律、顺序（流式）	带宽（片外）
CNN	小且复用	高	空间局部性	特征图搬运
Transformer	巨大且稀疏	低	非规律、高带宽	内存容量 + 互连带宽

每种模型类型都带来独特挑战，直接影响加速器设计。MLP 需高速流式访问密集权重，带宽是性能关键，尤其是主机到加速器权重搬运。CNN 因激活复用高、访问结构化，可用片上缓存与分块策略减少片外搬运。Transformer 则对带宽与容量要求极高，注意力机制需频繁访问大规模键值矩阵，互连流量大，内存压力高。

为应对这些挑战，现代 AI 加速器集成多层次存储结构，平衡速度、容量与能效。片上 SRAM 缓存与 scratchpad 存储常用数据，高带宽外部存储为大模型扩展提供支持。高效互连（如 NVLink）可缓解主机 - 加速器搬运瓶颈，尤其在 Transformer 负载下，内存流动约束常主导执行时间。

随着 ML 负载复杂度提升，内存效率与算力同等重要。分析显示，DRAM 访问能耗高达 173×，是根本瓶颈；合理分层存储可提升有效带宽 10-100×；不同神经网络架构带来不同内存压力模式。这些约束 —— 从带宽限制到通信开销 —— 决定了理论算力能否转化为实际性能。理解内存系统如何限制加速器效能后，接下来将探讨映射策略如何系统性地应对这些挑战。

神经网络硬件映射基础

上一节分析的存储系统挑战 —— 带宽限制、分层访问成本、模型特定压力模式 —— 直接决定了神经网络在加速器上的执行效率。即使脉动阵列拥有 1,200 GB/s 片上带宽和复杂存储层次，若映射策略未考虑内存访问模式，性能提升也无从谈起。如第 11 章：AI 加速所述，极高的内存访问能耗要求映射策略优先考虑数据复用与局部性。这一现实驱动了系统化映射方法，需协调计算分配、内存分布与数据流动，充分发挥硬件能力，规避存储瓶颈。

高效执行机器学习模型需结构化的计算映射，确保资源充分利用、性能瓶颈最小化。分布式训练场景下尤为关键，详见第 8 章：AI 训练。与通用处理器依赖动态任务调度不

同，AI 加速器采用结构化执行模型，通过精细分配计算任务至处理单元，最大化吞吐。该过程即“映射”，决定了计算如何分布于硬件资源，影响执行速度、内存访问与整体效率。

> **AI 加速器中的映射定义**
>
> **AI 加速器中的映射** 指将机器学习计算任务分配到硬件处理单元，以优化执行效率。该过程包括 空间分配（将计算分布到处理单元）、时间调度（按序安排操作以保持负载均衡）、内存感知执行（战略性分配数据以最小化访问延迟）。高效映射确保资源高利用率、减少内存停顿、提升能效，是 AI 加速的核心。映射机器学习模型到 AI 加速器面临多重挑战，既有硬件约束，也有模型架构多样性。现代加速器的分层存储系统要求映射策略精细管理数据访问时机与位置，最小化延迟与能耗，同时保证计算单元持续工作。映射不当会导致算力闲置、数据搬运过度、执行时间增加，最终降低整体效率。

可用工厂类比：将神经网络映射到加速器如同规划大型工厂的装配流程。你有数千名工人（处理单元）和复杂任务（计算），需决定谁做什么（计算分配）、零件存放何处（内存分配）、操作顺序如何安排（数据流）。细微调整会带来巨大产出差异。工厂布局不合理会导致工人闲置、材料搬运过远，神经网络映射不当同样会造成算力闲置与存储瓶颈。

映射包括三大核心方面：

- **计算分配**：系统性地将操作（如矩阵乘法、卷积）分配到处理单元，最大化并行、减少空闲。
- **内存分配**：精细确定模型参数、激活、中间结果在存储层次中的位置，优化访问效率。
- **数据流与执行调度**：结构化数据在计算单元间的流动，减少带宽瓶颈，保证连续执行。

高效映射策略可最小化片外访问、最大化算力利用、优化数据流动。

> **编译器的作用**
>
> 开发者很少手动完成复杂映射。专用**编译器**（如 NVIDIA NVCC、Google XLA）会将高层模型自动探索映射空间，生成针对目标硬件的最优执行计划。编译器是将模型计算图转化为高效硬件数据流的关键软件层，平衡计算分配、内存分配与执

> 行调度三大方面。编译器支持详见第 11 章：AI 加速。下文将探讨影响执行效率的关键映射选择，并为优化策略奠定基础。

计算分配

现代 AI 加速器通过数千至百万级处理单元实现大规模并行，但仅有算力远不够，计算任务如何分配决定了整体效率。

分配不当会导致部分处理单元闲置、部分过载，资源浪费、内存流量增加、性能下降。计算分配即将操作战略性地映射到硬件资源，维持高吞吐、减少停顿、优化执行效率。

计算分配定义 AI 加速器含数千至百万级处理单元，计算分配是大规模问题。现代 GPU（如 NVIDIA H100）拥有 16,000+ 流处理器和 500+ 张量核心，专为矩阵运算加速。TPU 用脉动阵列连接数千 MAC 单元，Cerebras CS-2 单芯片集成 85 万核，极致并行。架构中，哪怕微小分配低效都会导致显著性能损失，算力闲置或数据搬运过度会在系统中成倍放大。

计算分配确保所有处理单元都高效参与执行。需合理分布负载，避免部分单元闲置、部分过载。分配还需最小化不必要的数据流动，过度搬运会引入延迟与能耗，降低系统性能。

神经网络计算因模型架构而异，分配策略也需适应。例如 CNN 分配时关注将图像区域划分给不同处理单元，最大化并行。256×256 图像可分块映射到数千 GPU 核心，卷积操作同步进行。Transformer 需适应自注意力机制，每个 token 与所有其他 token 交互，计算模式不规则且内存密集。图神经网络（GNN）更复杂，计算依赖稀疏动态图结构，需自适应负载分布。

计算分配直接影响资源利用率、执行速度与能效，是 AI 加速的关键。合理分配可将延迟降低数倍，分配不当则会让大量算力闲置。下节将探讨高效计算分配的必要性及映射策略失衡的后果。

计算分配的重要性 计算分配虽由硬件驱动，但其重要性本质上受神经网络负载结构影响。不同模型类型计算模式各异，直接决定了映射到加速器的效率。分配不当会导致负载失衡、内存访问低效、系统性能显著下降。

结构化计算模式（如 CNN）分配较简单。CNN 用滤波器处理局部区域，计算可均匀分布到处理单元，操作高度可并行，空间分块后各自独立，适合加速器的规则数据流，分配决策复杂度低。

但不规则计算模式（如 Transformer、GNN）分配难度大。Transformer 依赖自注意力，每个 token 与所有其他 token 交互，计算需求不均。与 CNN 不同，部分处理单元工作量远高于其他，易导致负载失衡，部分单元闲置、部分过载。

GNN 更复杂，计算依赖稀疏动态图结构，节点与边连接度变化大，部分区域计算量远高于其他，负载均衡难度极高。分配不当会让部分算力闲置，部分过载，执行效率低下。

分配失衡会导致负载不均、数据搬运过度、执行停顿与瓶颈。计算分布不均会让处理单元闲置，硬件利用率低，吞吐下降。分配低效会增加内存流量，频繁搬运数据，延迟高、能耗大。操作等待数据依赖时，流水线停顿，整体性能下降。

计算分配确保模型按自身结构高效执行。合理分配可降低执行时间、内存开销与能耗，分配不当则会导致流水线停顿与资源浪费。下节将探讨高效分配需考虑的关键因素，确保分配既高效又适应不同模型架构。

高效计算分配　计算分配需在硬件约束与负载特性间权衡。高效分配策略需兼顾并行性、内存访问与负载变化，确保处理单元充分利用。分配不当会导致执行失衡、数据搬运增加、性能下降，因此设计分配策略时需重点考虑如下因素。

表 11 总结了计算分配面临的关键挑战。高效映射策略需均衡负载分布、最小化数据搬运、优化处理单元间通信。

挑战	对执行的影响	分配需重点考虑
负载失衡	部分处理单元提前完成，部分过载，算力闲置	均匀分布操作，防止停顿，确保处理单元高利用率
不规则计算模式	Transformer、GNN 等模型计算需求不均，静态分配难度大	用自适应分配策略，按负载特性动态调整执行
数据搬运过度	频繁内存搬运增加延迟与能耗	让常用数据靠近计算单元，减少片外访问
互连带宽有限	分配不当易造成拥堵，处理单元间数据流慢	优化空间与时间分配，降低通信开销

挑战	对执行的影响	分配需重点考虑
模型特定执行需求	CNN、Transformer、GNN 执行模式各异，单一策略难奏效	针对模型结构定制分配策略

上述挑战凸显了计算分配的核心权衡：最大化并行性、最小化内存开销。CNN 优先结构化分块，提升数据复用；Transformer 分配需均衡注意力层负载；GNN 分配需动态适应稀疏计算。

除模型特定需求外，高效分配还需具备可扩展性。模型规模与复杂度提升时，分配策略需动态调整，不能依赖静态执行模式。未来 AI 加速器将集成运行时感知调度机制，分配按实时负载优化，而非预设计划。

高效计算分配需兼顾硬件能力与模型特性。下节将探讨分配与内存分配、数据流动的协同，确保 AI 加速器始终高效运行。

内存分配

高效内存分配是 AI 加速高性能的基础。随着模型复杂度提升，加速器需管理海量数据流动 —— 加载参数、存储激活、中间梯度。数据在存储层次中的分布直接影响执行效率、能耗与系统吞吐。

内存分配定义 计算分配决定操作执行位置，内存分配则决定数据存储位置与访问方式。所有 AI 加速器都依赖分层存储系统，从片上缓存、scratchpad 到 HBM、DRAM。分配不当会导致频繁片外访问，带宽争用加剧，执行变慢。AI 加速器算力达 TFLOPS/PFLOPS，内存访问低效会造成严重瓶颈。

内存分配的首要目标是将常用数据尽可能靠近处理单元，降低延迟与能耗。不同架构实现了针对 AI 负载的分层存储。GPU 混合使用全局内存、共享内存与寄存器，需精细分块优化局部性。TPU 用片上 SRAM scratchpad，激活与权重需高效预加载，维持脉动阵列流水线。晶圆级处理器（如 Cerebras）集成数十万核，需复杂内存分区，避免互连流量过大。无论架构如何，内存分配效率决定了吞吐、能效与可扩展性。

内存分配通过数据存储与访问模式直接影响 AI 加速效率。与通用计算依赖缓存与动态分配不同，AI 加速器需显式数据布局，维持高吞吐、避免停顿。脉动阵列（见图 4）尤为明显，处理单元间数据流需精确时序。TPU 脉动阵列权重需预加载到片上

scratchpad，与输入激活同步流经阵列，维持流水线。分配不当会导致延迟、能耗高、瓶颈严重，算力难以发挥。

不同负载的内存挑战 神经网络架构内存需求各异，分配策略需适应。CNN 依赖结构化、局部化数据访问，分配不当会导致重复加载、缓存低效。Transformer 需频繁访问大参数与中间激活，对带宽极为敏感。GNN 更复杂，稀疏动态结构导致访问模式不可预测，易造成内存资源低效。分配不当主要带来三大后果：

1. **内存延迟增加**：常用数据未存于合适位置，需高延迟访问，执行变慢。
2. **能耗提升**：片外访问能耗远高于片上，规模化下效率低下。
3. **算力吞吐下降**：数据未及时到位，处理单元闲置，整体性能下降。

随着模型规模与复杂度提升，可扩展、高效的内存分配愈发重要。内存限制决定了可部署模型规模，影响可行性与性能。

挑战	对执行的影响	分配需重点考虑
高内存延迟	数据访问慢，执行延迟、吞吐下降	常用数据优先存于高速存储
片上存储有限	本地内存小，数据难以靠近算力	高效分配存储，最大化数据可用性，避免超限
片外带宽需求高	频繁外部访问延迟高、能耗大	精细管理搬运时机与方式，减少不必要的数据流动
不规则访问模式	部分模型访问不可预测，内存利用低效	数据布局需适应访问模式，减少冗余搬运
模型特定内存需求	不同模型需定制分配策略，优化性能	按负载结构与执行特性定制分配决策

表 12 总结了 AI 加速器内存分配需应对的关键挑战。高效分配策略通过精细管理数据位置与流动，缓解延迟、带宽与不规则访问带来的瓶颈。确保常用数据存储在快速访问位置，减少不必要的内存搬运，是维持性能与能效的关键。

每项挑战都需精细内存管理，兼顾执行效率与硬件约束。结构化模型可用规则布局优化访问，Transformer、图模型则需自适应分配应对复杂需求。分配还需具备可扩展性，模型规模增长时，分配策略需动态调整，不能依赖静态方案。确保常用数据随时可用，避免内存容量过载，是保持高效的关键。

组合复杂性

高效执行机器学习模型需兼顾分配与分配。分配涵盖计算与数据的空间分布，分配则涉及资源的时间分配。两者相互影响，每项决策都带来性能、能效与可扩展性的权衡。@tbl-combinatorial-complexity 总结了 AI 加速器中计算分配与资源分配的基本权衡。分配影响并行性、内存访问与通信开销，分配决定资源时间分布，影响执行效率。两者协同塑造整体性能，需精细平衡，避免同步、内存拥堵或算力闲置等瓶颈。优化这些权衡是确保 AI 加速器高效运行的关键。

每个维度都需在分配与分配间权衡。例如，空间分布计算可提升吞吐，但若数据分配不当，带宽瓶颈会限制性能。细粒度分配提升灵活性，但若分配策略不优，会带来同步开销。

维度	**分配需考虑**	**分配需考虑**
计算粒度	细粒度分配提升并行性，但同步开销大	粗粒度分配降低同步，但灵活性受限
空间 vs 时间映射	空间分配提升并行，但易资源争用、内存拥堵	时间分配平衡资源共享，但吞吐可能下降
内存与数据局部性	数据靠近算力可降延迟，但整体容量受限	多级分配提升容量，但访问成本高
通信与同步	算力集中可降通信延迟，但易争用	分配同步机制可缓解停顿，但带来额外开销
数据流与执行顺序	静态分配简化执行，但适应性差	动态分配提升适应性，但调度复杂度高

AI 加速器架构对计算执行位置与资源分配时间均有限制，选择高效映射策略需分配与

分配协同。理解这些权衡如何影响执行效率，是优化加速器性能的基础。

配置空间探索 AI 加速器效率不仅取决于算力，还取决于神经网络计算如何映射到硬件资源。映射定义了计算分配、数据存储与流动、执行调度，直接影响算力利用率、内存带宽与能耗。

将机器学习模型映射到硬件，涉及庞大复杂的设计空间。与传统负载不同，模型执行涉及计算、数据流动、并行性、调度等多重因素，每项都带来约束与权衡。加速器分层存储结构进一步加剧复杂性，带宽、延迟、数据复用均有限制。高效映射策略需精细平衡各目标，最大化效率。

设计空间核心包括数据分配、计算调度、数据流动时序。数据分配指数据在片上缓冲、缓存、片外 DRAM 等层次的分布，管理得当可优化延迟与能耗。分配不当会导致频繁高成本访问，合理分配则让常用数据留在高速存储。计算调度决定操作顺序，影响并行性与内存访问，有些顺序优化并行但引入同步开销，有些提升局部性但吞吐下降。数据流动时序同样关键，层级间搬运带来延迟与能耗，优化策略需最大化复用、搬运与计算重叠。

这些因素共同构成庞大的组合设计空间，映射决策微调即可带来性能与能效巨大差异。映射不当会导致算力闲置、数据搬运过度、负载失衡，形成瓶颈。合理映射则可最大化吞吐与资源利用，充分发挥硬件能力。

因映射决策高度关联，不存在单一最优解 —— 不同负载与硬件需不同策略。下节将分析设计空间结构及不同映射选择如何影响机器学习负载执行。

将机器学习计算映射到专用硬件需平衡多重约束，包括算力效率、内存带宽、执行调度。挑战在于映射决策空间巨大，计算分配、执行顺序、数据流动管理，每项都带来高维搜索空间，微小变化即可显著影响性能。

与传统负载执行模式可预测不同，机器学习模型结构多样，需灵活映射以适应数据复用、并行机会与内存约束。搜索空间组合爆炸，穷举不可行。理解复杂性，主要有三大来源：

计算与执行顺序排列 机器学习负载常用嵌套循环，遍历多维计算。例如矩阵乘法内核可遍历批量（N）、输入特征（C）、输出特征（K）等。循环顺序对数据局部性、复用与效率影响极大。

d 个循环的排列方式为阶乘增长：

$$\mathcal{O} = d!$$

增长极快。典型卷积层有 7 个循环维度，排列方式为：

$$7! = 5,040 \text{ 种执行顺序。}$$

若考虑多级存储，搜索空间扩展为：

$$(d!)^l$$

其中 l 为存储层级数。空间爆炸，优化执行顺序至关重要，顺序不当会导致内存流量激增，优化后可提升缓存利用。

处理单元并行化 现代 AI 加速器用数千处理单元提升并行性，但并行化哪些计算并非易事。过度并行化会带来同步开销与带宽压力，过少则算力闲置。

并行分配方式为二项式系数：

$$\mathcal{P} = \frac{d!}{(d-k)!}$$

d 为循环数，k 为并行维度。六维计算选三维并行，有：

$$\frac{6!}{(6-3)!} = 120$$

单层即可有数百种并行策略，影响同步、内存争用与效率。多层、多模型组合后复杂度更高。

内存分配与数据流动 加速器分层存储结构带来额外约束，数据需高效分布于寄存器、缓存、共享内存、片外 DRAM。分配影响延迟、带宽与能耗，频繁慢速访问形成瓶颈，优化分配可减少高成本搬运。

分配方式为指数增长：

$$\mathcal{M} = n^{d \times l}$$

其中：

- n = 每层分配选择数
- d = 计算维度数
- l = 存储层级数

如：

- $d = 5$
- $l = 3$

- $n = 4$

则分配方式为：

$$4^{5\times3} = 4^{15} = 1,073,741,824$$

单层即可有十亿种分配方式，手动优化不可行。

映射搜索空间 综合计算顺序、并行化、内存分配复杂性，总映射空间为：

$$\mathcal{S} = \left(n^d \times d! \times \frac{d!}{(d-k)!}\right)^l$$

其中：

- n^d 表示内存分配选择
- $d!$ 表示计算顺序选择
- $\frac{d!}{(d-k)!}$ 表示并行化可能性
- l 为存储层级数

该公式展示了搜索空间的指数增长，穷举仅适用于最简单场景。

数据流优化策略

映射策略决定了计算在加速器架构中的执行位置与数据存储位置，但并未规定数据在执行过程中如何流动。脉动阵列可用本地存储权重处理矩阵乘法，但权重、输入、输出在阵列中的流动顺序，决定了内存带宽消耗与能效。数据流模式 —— 即优化策略 —— 是将抽象映射决策转化为具体执行计划的关键实现维度。

权重驻留、输入驻留、输出驻留等策略直接影响加速器是算力受限还是内存受限。理解这些权衡至关重要，因为编译器与运行时系统需根据计算特性与存储层次能力（见第 11 章：AI 加速）选择合适的数据流模式。

高效映射机器学习计算到硬件，因配置空间庞大而极具挑战。模型复杂度提升，映射可能性指数增长。单层即可有数千种循环顺序、数百种并行策略、指数级内存分配方式，穷举不可行。

为解决这一难题，AI 加速器采用结构化映射策略，系统性平衡算力效率、数据局部性与并行执行。非穷举评估所有配置，而是结合启发式、分析与机器学习方法，高效找到高性能映射。

高效映射的关键在于理解并应用一系列核心技术，优化数据流动、内存访问与计算。下节将系统梳理这些映射策略的基础技术。

映射策略的基础技术

为应对映射决策复杂性，需用一系列优化执行的数据流、内存访问与计算效率的基础技术。这些技术为高性能映射策略提供结构化基础，最大化硬件性能、最小化瓶颈。

关键技术包括数据流动策略，决定计算过程中数据驻留位置，减少冗余搬运，如权重驻留、输出驻留、输入驻留。内存感知张量布局也至关重要，通过行主序、通道主序等数据组织方式优化访问模式与缓存效率。

其他策略包括算子融合，合并多步操作为单步计算，减少冗余内存写入。分块（tiling）将大规模计算划分为适合缓存的小块，提升缓存效率、降低带宽需求。最后，算力与通信平衡，管理并行执行与内存访问的权衡，实现高吞吐。

这些基础技术是高性能执行的核心，为启发式与模型驱动优化方法奠定基础。下节将探讨这些策略如何适应不同 AI 模型类型。

数据流动模式 计算映射决定操作发生的时间与位置，但其成效高度依赖于数据在存储层次间的流动效率。与传统负载结构化、可预测的访问不同，机器学习负载因频繁权重、激活、中间值搬运，访问模式极不规律。

即使计算单元映射高效，数据流动策略不当也会严重拖慢性能，导致频繁内存停顿、算力闲置。数据供给速度达不到需求时，算力闲置，延迟、流量与能耗增加。

以典型矩阵乘法为例（见示例 18），说明数据流动低效的影响。

示例 18：**矩阵乘法**：数据流动瓶颈会导致算力闲置，凸显高效数据流在优化机器学习模型性能中的重要性。

```
## 矩阵乘法

## weights: [512 x 256] - 模型参数

## input:   [256 x 32]  - 激活批量

## Z:       [512 x 32]  - 输出激活

## 计算每个输出元素 Z[i,j]

for i in range(512):
    for j in range(32):
        for k in range(256):
            Z[i, j] += weights[i, k] * input[k, j]
```

该计算揭示了三大数据流挑战。第一，内存访问次数极多。每个输出 $Z[i, j]$ 需从权重矩

阵取一整行、从输入矩阵取一整列。权重矩阵有 512 行，输入矩阵有 32 列，导致重复访问，带宽压力极大。

第二，权重复用。相同权重用于多个输入，理想映射应最大化权重局部性，避免重复搬运。复用不当会浪费带宽。

第三，中间结果累加。每个 $Z[i,j]$ 需累加 256 个权重 - 输入对，部分和需存取，若存储低效，频繁访问进一步加剧带宽压力。

SIMD、SIMT 并行模型可并行取值，但数据流动仍是瓶颈。问题不在于取数速度，而在于搬运频率与数据在存储层次中的位置。

数据搬运成本比计算高 100-1000×，加速器最重要目标是最小化内存访问。数据流策略即为最大化数据复用的架构模式。关键问题是：哪些数据最值得本地驻留？这正是第 11 章：AI 加速分析的 AI 内存墙挑战，极高能耗惩罚主导系统性能。

为应对这些约束，加速器实现了数据流策略，决定哪些数据固定驻留、哪些动态流动。权重驻留将模型参数本地化，输入驻留保持激活数据，输出驻留保存中间结果。每种策略在内存访问模式上权衡不同，以最大化数据复用、最小化高能耗搬运，解决 AI 加速的主瓶颈。

权重驻留（Weight Stationary） 权重驻留策略将权重固定在本地存储，输入激活和部分和则以流式方式动态传递。该方法在 CNN 和矩阵乘法等场景下尤为高效，因为同一组权重会被多次复用。通过让权重保持不动，显著减少了重复的内存读取，有效缓解带宽瓶颈并提升能效。

权重驻留的核心优势在于最大化权重复用，显著降低对外部存储的访问频率。由于权重参数常在多次计算中共享，固定在本地存储可消除不必要的数据搬运，降低整体计算能耗。对于权重占据主要内存开销的架构（如脉动阵列、定制 ML 加速器），该策略尤为有效。

下方代码（示例 19）展示了权重驻留矩阵乘法的简化实现。

示例 19：**权重驻留矩阵乘法**：权重驻留矩阵乘法将权重固定在本地存储，输入激活流式传递，最大化权重复用，降低能耗。

```
## 权重驻留矩阵乘法

## - 权重固定在本地存储

## - 输入激活流式传递

```

```
## - 部分和累加得到最终输出

for weight_block in weights:  # 加载权重并固定
    load_to_local(weight_block)  # 固定在本地存储
    for input_block in inputs:  # 动态流式输入
        for output_block in outputs:  # 计算结果
            output_block += compute(weight_block, input_block)
            # 跨输入复用权重
```

权重驻留执行时，权重仅需加载一次并固定在本地存储，输入则动态流动，减少了重复的内存访问。部分和也在本地高效累加，避免了不必要的数据搬运，确保系统高吞吐与能效。

权重固定后，内存带宽需求大幅降低，无需每次计算都重新加载权重。系统可高效复用已存权重，提升执行吞吐，适合权重复用度高的负载，如 CNN 和矩阵乘法。

但该策略虽减少了权重相关流量，却带来输入和输出搬运的权衡。输入需动态流动，效率取决于激活能否及时送达计算单元，避免停顿。部分和作为中间结果，也需高效累加，避免过度内存流量。实际性能提升受限于片上存储容量，若权重矩阵过大，固定本地存储会成为瓶颈。

权重驻留适合权重复用度高、带宽受限的场景，常用于 CNN、脉动阵列和矩阵乘法内核。对于输入或输出复用更关键的模型，可考虑输出驻留或输入驻留等其他数据流策略。

输出驻留（Output Stationary） 输出驻留策略将部分和（中间结果）固定在本地存储，权重和输入激活则动态流动。该方法在全连接层、脉动阵列等需多次累加的操作中尤为高效。通过让部分和驻留，显著减少了中间结果的重复写入，降低带宽消耗并提升能效。

输出驻留的核心优势在于优化累加效率，确保每个输出元素在写入内存前都能高效计算。与权重驻留优先权重复用不同，输出驻留专注于减少中间结果频繁写入带来的带宽开销，适合累加主导的负载，如全连接层和 Transformer 的矩阵乘法。

下方代码（示例 20）展示了输出驻留矩阵乘法的简化实现。

示例 20：**输出驻留执行**：部分和本地累加，减少内存写入，提升矩阵乘法效率，适合 Transformer 等模型。

```
## - 部分和固定在本地存储

## - 权重和输入激活动态流动

```

```
## - 最终输出仅写入一次

for output_block in outputs:  # 固定部分和
    accumulator = 0  # 初始化累加缓冲
    for weight_block, input_block in zip(weights, inputs):
        accumulator += compute(weight_block, input_block)
        # 累加部分和
    store_output(accumulator)  # 仅写入一次
```

输出驻留执行遵循如下原则：

- 部分和在本地存储中保持不动，整个计算过程均可访问。
- 权重和输入动态流动，确保中间结果始终本地可用。
- 最终输出仅写入一次，避免多次中间写入。

本地累加部分和可消除多余内存写入，提升系统效率。脉动阵列等结构化累加架构天然适合输出驻留，减少同步开销。

但输出驻留虽减少写入流量，却带来权重和输入搬运的权衡。权重和激活需动态流动，效率取决于数据能否及时送达系统，避免停顿。并行实现时，需精细同步部分和的更新，尤其是多个处理单元共同累加同一输出时。

输出驻留适合累加主导、需减少中间写入的负载，常用于全连接层、注意力机制和脉动阵列。对于输入复用更关键的模型，可考虑输入驻留等其他数据流策略。

输入驻留（Input Stationary） 输入驻留策略将输入激活固定在本地存储，权重和部分和则动态流动。该方法适合批量处理、Transformer 和序列模型等输入复用度高的场景。通过让激活驻留，显著减少了重复输入读取，提升数据局部性，降低内存流量。

输入驻留的核心优势在于最大化输入复用，显著降低激活访问频率。许多模型（如 NLP、推荐系统）会多次处理同一输入数据，固定输入可消除不必要的数据搬运，降低能耗。批量处理场景下，单批激活可参与多次权重变换，输入驻留尤为高效。

下方代码（示例 21）展示了输入驻留矩阵乘法的简化实现。

示例 21：**输入驻留**：输入激活固定，权重动态流动，最大化内存复用，降低能耗。

```
## - 输入激活固定在本地存储

## - 权重动态流动

## - 部分和累加后写出

for input_block in inputs:  # 固定输入激活
```

```
    load_to_local(input_block)  # 固定在本地存储
    for weight_block in weights:  # 动态流式权重
        for output_block in outputs:  # 计算结果
            output_block += compute(weight_block, input_block)
            # 跨权重复用输入
```

输入驻留执行遵循如下原则：

- 输入激活加载到本地存储，计算期间保持不动。
- 权重动态流动，高效应用于多个输入。
- 部分和累加后写出，优化带宽利用。

输入驻留可显著减少输入数据的重复访问，降低外部带宽需求。Transformer 架构中，每个 token 在多个注意力头和层中复用，输入驻留尤为高效。批量处理场景下，激活本地驻留提升数据局部性，适合全连接层和矩阵乘法。

但输入驻留虽减少激活流量，却带来权重和输出搬运的权衡。权重需动态流动，效率取决于能否及时送达计算单元，避免停顿。部分和需高效累加后写出，可能需额外缓冲机制。

输入驻留适合输入复用度高、输入带宽受限的负载，常用于 Transformer、循环网络和批量处理。对于输出累加更关键的模型，可考虑输出驻留等其他数据流策略。

高效张量布局 高效执行机器学习负载不仅依赖数据流动策略，还需优化数据在内存中的存储与访问方式。张量布局，即多维数据在内存中的排列方式，直接影响内存访问效率、缓存性能与计算吞吐。布局选择不当会导致频繁内存停顿、缓存低效与数据搬运成本增加。

在 AI 加速器中，张量布局优化尤为重要，因为数据访问模式常受底层硬件架构影响。合理布局可确保内存访问与硬件友好，最小化高成本内存操作。

开发者有时可手动指定张量布局，但实际多由 ML 框架（如 TensorFlow、PyTorch、JAX）、编译器或加速器运行时自动决定。底层优化工具如 cuDNN（NVIDIA GPU）、XLA（TPU）、MLIR（定制加速器）会动态调整张量布局以优化性能。高层框架通常自动应用布局变换，但自定义内核或底层库（如 CUDA、Metal、OpenCL）开发者可直接控制张量格式。

例如，PyTorch 用户可用 tensor.permute() 或 tensor.contiguous() 手动调整布局，确保高效内存访问。TensorFlow 多由 XLA 编译器内部优化，针对硬件选择 NHWC（行主序）或 NCHW（通道主序）。硬件感知 ML 库如 cuDNN（GPU）、OneDNN（CPU）会强

制特定布局以最大化缓存局部性和 SIMD 效率。最终，张量布局多由编译器和运行时系统自动决定，确保数据存储方式最适合底层硬件。

行主序布局（Row-Major） 行主序布局指多维张量在内存中的存储方式，按行依次排列，每行所有元素连续存储，下一行紧随其后。该格式广泛用于通用 CPU 和部分 ML 框架，因其顺序访问模式天然适合缓存优化。

以 3×3 像素、3 通道（RGB）图片为例，张量形状为 (3, 3, 3)，内存存储如下：

$$I(0,0,0), I(0,0,1), I(0,0,2), I(0,1,0), I(0,1,1),$$
$$I(0,1,2), I(0,2,0), I(0,2,1), I(0,2,2), \ldots$$

每行数据连续存储，所有像素值顺序排列，便于 CPU 和缓存层次顺序预取。行主序适合逐行处理，如激活函数、算术变换等，内存读取高效，缓存利用最大化。

在 CPU 负载下，行主序布局优势明显，批归一化、矩阵乘法、逐元素算术等操作常顺序处理行数据。现代 CPU 预取机制可提前加载下一行数据，降低延迟，提升吞吐。

但行主序在跨通道访问时效率较低。例如卷积层需跨通道处理像素，通道值在行主序下交错分布，卷积操作需跨内存跳跃，难以实现向量化与合并访问，GPU/TPU 等加速器对此不友好。

尽管如此，行主序仍是 CPU ML 框架主流格式。TensorFlow 在 CPU 默认 NHWC（行主序），优化缓存局部性。GPU 负载则常动态调整为更高效的通道主序布局。

通道主序布局（Channel-Major） 通道主序布局将同一通道的所有值连续存储，依次排列各通道。该格式适合 GPU、TPU 等 AI 加速器，因其向量化与合并访问能力强，极大提升计算效率。

以同样的 3×3、3 通道图片为例，通道主序内存结构如下：

$$I(0,0,0), I(1,0,0), I(2,0,0), I(0,1,0), I(1,1,0), I(2,1,0), \ldots,$$
$$I(0,0,1), I(1,0,1), I(2,0,1), \ldots, I(0,0,2), I(1,0,2), I(2,0,2), \ldots$$

所有红色通道值先存储，接着绿色、蓝色。该布局便于加速器高效加载整通道数据，适合卷积与 SIMD 并行。

通道主序在卷积操作中优势明显。卷积核需跨通道处理像素，通道主序可一次加载整通道，减少分散内存读取，降低延迟，提升吞吐，优化矩阵乘法等核心操作。

GPU/TPU 依赖内存合并访问 [^fn-memory-coalescing]，即连续线程访问连续地址，通道主序天然适配并行计算。NVIDIA GPU 中，每个 warp 线程处理同一通道不同元素，内存访问高效，避免跨步访问带来的性能损失。

但通道主序在 CPU 上效率较低，因其顺序访问优化不佳，逐行操作缓存局部性差。因此 ML 框架（如 TensorFlow、PyTorch）在 CPU 默认 NHWC（行主序），GPU 则优先 NCHW（通道主序），各自优化硬件优势。

现代框架和编译器常根据执行环境动态调整张量布局。例如 TensorFlow、PyTorch 会自动在 CPU、GPU、TPU 间切换 NHWC[^fn-nhwc-nchw] 与 NCHW，确保内存布局与执行路径最优。

行主序与通道主序对比 行主序（NHWC）与通道主序（NCHW）各有适用场景，效率取决于硬件架构、内存访问模式与计算需求。布局选择直接影响缓存利用、带宽效率与处理吞吐。下表（表 14）总结了两种布局在性能权衡与硬件兼容性上的差异。

特性	**行主序（NHWC）**	**通道主序（NCHW）**
内存存储顺序	像素逐行存储，通道交错	同一通道所有值先存储
最佳适用场景	CPU、逐元素操作	GPU、TPU、卷积操作
缓存效率	顺序行访问局部性高	通道合并访问优化
卷积性能	需跨步访问（GPU 效率低）	GPU 卷积核高效
内存读取	适合逐行顺序处理	优化 SIMD 并行通道处理
框架默认	CPU 默认（如 TensorFlow NHWC）	GPU 默认（如 cuDNN 优先 NCHW）

布局选择多由框架和编译器自动决定，依据硬件和操作类型动态调整。CPU 优先 NHWC，优化顺序访问；GPU 优先 NCHW，减少 ML 计算的内存读取开销。

实际应用中，TensorFlow XLA、PyTorch TorchScript 等编译器会自动布局变换，确保模型在不同处理单元下实现最高吞吐，无需开发者手动指定。

算子融合（Kernel Fusion） AI 加速优化的核心技术之一是减少操作间中间数据搬运。算子融合通过将多个独立计算合并为统一操作，显著提升内存效率与执行性能。下文先分析中间写入带来的内存瓶颈，再探讨融合技术如何消除低效。

中间内存写入 优化内存访问是 AI 加速的根本挑战。尽管 AI 模型算力高，性能常受限于内存带宽与中间写入，而非算术运算。每次操作产生中间结果需写入内存、后续再读出，数据搬运开销导致执行停顿。

结合第 10 章：模型优化的软件优化与第 11 章：AI 加速的带宽约束，算子融合是软件与硬件加速的关键桥梁。许多 AI 负载存在多余中间写入，增加带宽消耗，降低效率。

下方代码（示例 22）展示了朴素执行模型，每步操作为独立内核，每个中间结果都需写入内存、后续再读出。

示例 22：**朴素执行**：每步操作都将中间结果写入内存，后续再处理，带宽消耗高，效率低。

```
import torch

## 输入张量

X = torch.randn(1024, 1024).cuda()

## 逐步执行（朴素方式）

X1 = torch.relu(X)  # 中间张量写入内存

# 后续操作

X2 = torch.batch_norm(X1)  # 再次写入中间张量
Y = 2.0 * X2 + 1.0  # 最终结果
```

每步操作都生成中间张量，需写入内存、后续再读出。大张量下，数据搬运开销常超过计算本身（Shazeer 等，2018）。下表（表 15）展示了朴素执行的内存开销。实际只需最终结果 Y，但多余中间张量导致内存流量和占用激增，形成性能瓶颈，内存优化对 AI 加速器至关重要。

张量	**1024x1024 张量大小（MB）**
X	4 MB

张量	1024x1024 张量大小（MB）
X'	4 MB
X”	4 MB
Y	4 MB
总内存	16 MB

实际只需最终结果 Y，但多余三份中间张量占用额外内存，未贡献实际输出。过度内存占用限制可扩展性，浪费带宽，尤其在 AI 加速器中，减少数据搬运是关键。

融合优化内存效率 算子融合是减少中间写入、降低内存占用和带宽消耗的关键优化技术。

融合将多步计算合并为单一优化操作，无需存储和加载中间张量。传统实现每层或逐元素操作独立执行，每步都需写入内存，融合则让数据在高速寄存器或本地存储间直接流动。

常见 ML 序列如 ReLU 激活、BatchNorm、缩放等，朴素实现每步都生成中间张量：

$$X' = \text{ReLU}(X) X'' = \text{BatchNorm}(X') Y = \alpha \cdot X'' + \beta$$

融合后，所有操作合并为单步，无需多余中间张量：

$$Y = \alpha \cdot \text{BatchNorm}\big(\text{ReLU}(X)\big) + \beta$$

下表（表 16）量化了融合对内存效率的提升。中间结果仅在寄存器或本地存储中流动，无需写入主内存，极大减少内存流量。GPU、TPU 等并行架构尤为受益，减少内存访问可直接提升吞吐。与朴素模型相比，融合消除了中间张量存储，显著降低总内存占用，提升效率。

执行模型	存储中间张量	总内存占用（MB）
朴素执行	X', X”	16 MB
融合执行	无	4 MB

融合将总内存占用由 16 MB 降至 4 MB，消除冗余写入，提升执行效率。

性能优势与约束 融合带来多项优势，提升内存效率与计算吞吐。减少内存访问后，中间值可留在寄存器，无需反复写入和读取，显著降低流量。GPU、TPU 等高带宽受限架构尤为受益，减少内存操作可提升算力利用。

但并非所有操作都可融合。逐元素操作（如 ReLU、BatchNorm、算术变换）最适合融合，因其仅依赖单一输入元素。矩阵乘法、卷积等复杂依赖操作则难以直接融合，需多输入元素计算单一输出，无法合并为单一内核。

融合还需考虑寄存器压力。多步融合需所有临时值留在寄存器，虽消除冗余写入，但增加寄存器需求。若融合内核超出每线程可用寄存器，系统需将多余值溢出到共享内存，增加延迟，可能抵消融合优势。GPU 并行度受限于寄存器数量，融合过度会降低并行度，收益递减。

不同加速器和编译器融合策略各异。NVIDIA GPU 优先 warp 级并行，逐元素融合简单。TPU 优先脉动阵列矩阵运算，适合矩阵融合。XLA（TensorFlow）、TorchScript（PyTorch）、TensorRT（NVIDIA）、MLIR 等编译器会自动检测融合机会，用启发式方法平衡内存节省与执行效率。

融合并非总是最优。部分框架允许开发者选择性关闭融合，便于调试或频繁模型修改。融合决策需权衡内存效率、寄存器使用与硬件约束，确保实际性能提升。

高效分块（Tiling）策略 现代 AI 加速器算力虽高，性能常受限于内存带宽而非算力本身。数据供给不足时，执行停顿，算力闲置，硬件利用低下。

分块（tiling）通过将计算重构为更小、适合内存的子问题，缓解带宽瓶颈。与一次处理整个矩阵或张量不同，分块将计算划分为适合本地存储（如缓存、共享内存、寄存器）的块。这样可提升数据复用，减少内存读取，提升整体效率。

以矩阵乘法为例，朴素实现（见示例 23）会多次重复读取同一数据，带宽消耗高，效率低。

示例 23：未分块的朴素矩阵乘法

```
for i in range(N):
    for j in range(N):
        for k in range(N):
            C[i, j] += A[i, k] * B[k, j]  # 重复读取
            # A[i, k] 和 B[k, j]
```

每次迭代都需从内存加载 A、B 元素，数据搬运频繁，带宽压力大。矩阵规模越大，内存瓶颈越严重，性能受限。

分块可将矩阵分为适合本地存储的小块，提升复用效率，仅在必要时写回主内存。该技术在 AI 加速器中尤为关键，内存访问主导执行时间。将大矩阵分块后（见图 8），可在硬件上高效复用本地数据，提升计算效率。后续章节将系统介绍分块原理、不同策略及关键权衡。

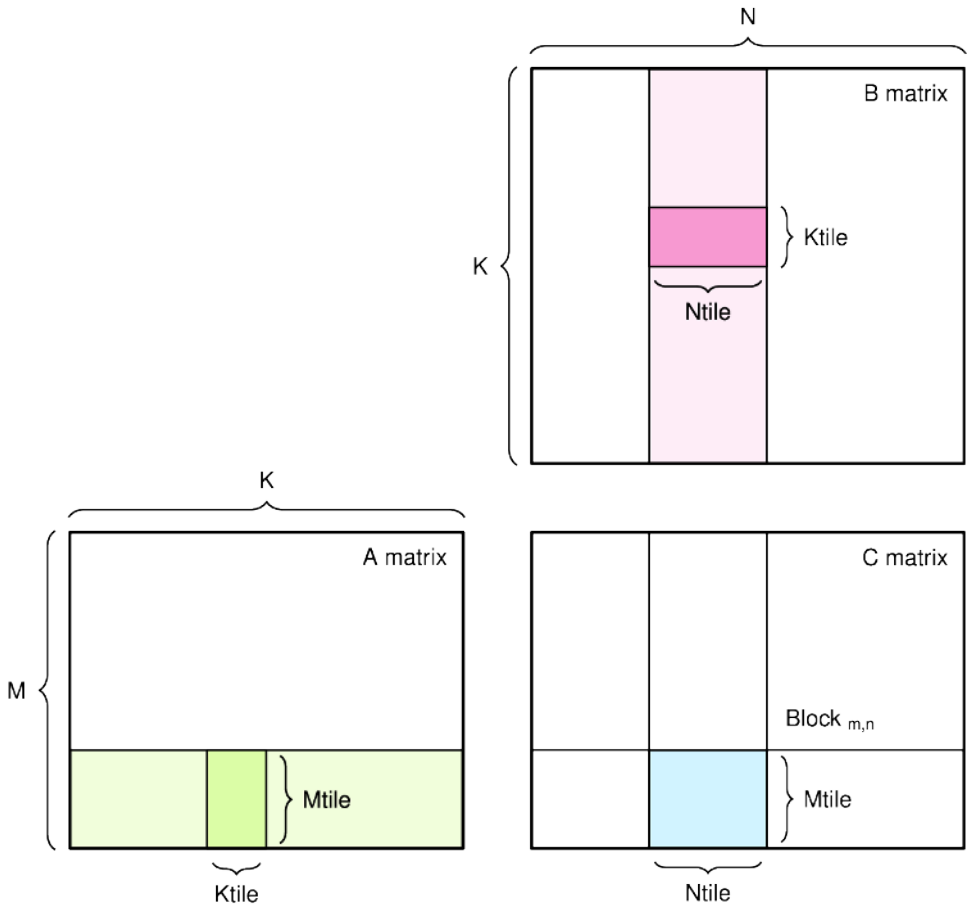

矩阵分块：将大矩阵分为小块优化数据复用，减少计算过程中的内存访问开销。该技术提升 AI 加速器 性能，通过在快速内存中高效加载和处理数据，最小化从较慢主内存的传输。

分块原理 分块基于一个简单而强大的原理：与其一次处理整个数据结构，不如将计算划分为适合可用快速内存的小块。通过围绕这些块构建执行，最大化数据复用，减少冗余内存访问，提高整体效率。

以矩阵乘法为例，该操作通过两个输入矩阵 A 和 B 计算输出矩阵 C：

$$C = A \times B$$

其中每个元素 $C[i, j]$ 通过以下公式计算：

$$C[i, j] = \sum_{k} A[i, k] \times B[k, j]$$

朴素实现直接按公式执行（见示例 24）。

示例 24：**朴素矩阵乘法**：该代码直接实现矩阵乘法，展示输出矩阵中每个元素如何通过输入矩阵中对应元素的乘积求和计算得出。

```
for i in range(N):
    for j in range(N):
        for k in range(N):
            C[i, j] += A[i, k] * B[k, j]  # 重复读取
            # A[i, k] 和 B[k, j]
```

乍一看，该方法似乎正确 —— 它计算了期望的结果，并遵循数学定义。然而，问题在于内存访问方式。每当最内层循环运行时，它就从内存中获取一个矩阵和一个矩阵的元素，执行乘法，并更新一个矩阵的元素。由于矩阵很大，处理器经常需要重新加载相同的值，即使它们在先前的计算中刚刚被使用过。

这种不必要的数据搬运是昂贵的。从主内存（DRAM）获取值的速度比访问片上缓存或寄存器中的值慢数百倍。如果相同的值必须多次重新加载而不是存储在快速内存中，执行速度会显著下降。

分块的性能优势 与其一次计算一个元素并不断移动数据，不如分块一次处理子矩阵（块），在快速内存中保留常用值。其思想是将矩阵划分为适合处理器缓存或共享内存的小块，确保一旦加载块，就可以在处理多个计算后再转到下一个块。

下方代码（示例 25）展示了分块的矩阵乘法实现，通过处理数据块来优化内存使用，提升计算效率。

示例 25：**分块矩阵乘法**：该方法将矩阵划分为较小的块，以优化内存使用，通过在处理器缓存中复用数据，避免不必要的内存传输，从而提高计算效率。

```
TILE_SIZE = 32  # 根据硬件限制选择块大小

for i in range(0, N, TILE_SIZE):
    for j in range(0, N, TILE_SIZE):
        for k in range(0, N, TILE_SIZE):
            # 计算子矩阵
            # C[i:i+TILE_SIZE, j:j+TILE_SIZE]
            for ii in range(i, i + TILE_SIZE):
                for jj in range(j, j + TILE_SIZE):
                    for kk in range(k, k + TILE_SIZE):
                        C[ii, jj] += A[ii, kk] * B[kk, jj]
```

这种重构显著提升性能，主要有以下三方面原因：

1. **更好的内存复用**：与其反复从慢速内存中获取元素 A 和 B，不如一次加载一小块数据到快速内存中，进行多次计算后再转到下一个块。这样可最大限度减少冗余内存访问。
2. **降低内存带宽使用**：由于每个块被多次使用，内存流量减少。大多数所需数据在 L1/L2 缓存或共享内存中可用，减少了对 DRAM 的访问。
3. **提高计算效率**：处理器无需等待数据，能更多地进行有用计算。在 GPU、TPU 等架构中，数千个并行处理单元同时工作，分块确保数据以结构化方式被读取和处理，避免不必要的停顿。

该技术在 AI 加速器中尤为有效，因为机器学习负载通常涉及大规模矩阵乘法和张量变换。若不分块，这些负载很快会受到内存带宽的限制，导致性能瓶颈。

分块方法　尽管分块的基本原理是将大计算划分为较小的子问题以提高内存复用，但根据计算结构和硬件限制，应用分块有不同的方法。主要有空间分块和时间分块两种策略。它们优化计算和内存访问的不同方面，实际应用中常结合使用以达到最佳性能。

空间分块　空间分块通过将数据结构划分为适合处理器快速内存的小块，减少冗余内存访问。该方法确保每个块在转向下一个块之前被完全处理，广泛用于矩阵乘法、卷积和 Transformer 模型的注意力机制等操作中。

空间分块如示例 26 所示，计算按输入矩阵的块顺序进行。

示例 26：**空间分块**：通过顺序处理矩阵块，减少冗余内存访问。

```
TILE_SIZE = 32  # 根据可用快速内存选择块大小

for i in range(0, N, TILE_SIZE):
    for j in range(0, N, TILE_SIZE):
        for k in range(0, N, TILE_SIZE):
            # 一次处理一个子矩阵（块）
            for ii in range(i, i + TILE_SIZE):
                for jj in range(j, j + TILE_SIZE):
                    for kk in range(k, k + TILE_SIZE):
                        C[ii, jj] += A[ii, kk] * B[kk, jj]
```

在该实现中，每个 A 和 B 的块在处理前加载到缓存或共享内存中，确保相同数据无需反复从慢速内存中获取。块被充分利用后再转向下一个，最大限度减少冗余内存访问。由于数据以结构化、局部化方式访问，缓存效率显著提高。

空间分块在处理大张量时尤为有效，避免过度数据在内存层次间传输。该技术在 AI 加速器中广泛应用于机器学习负载，涉及大规模张量操作时，通过精确内存管理实现高性能。

时间分块 时间分块则通过重组计算过程来提高数据复用。许多机器学习负载涉及重复访问相同数据的操作。未使用时间分块时，可能导致冗余内存获取，降低效率。时间分块通过确保频繁使用的数据在快速内存中停留更长时间，减少不必要的内存访问。

卷积操作就是时间分块受益的经典例子，卷积核需在多个输入区域应用。未使用时间分块时，卷积核可能需多次从内存加载。使用时间分块后，计算被重组，以便在多个输入间复用相同的数据块，减少冗余内存获取，提高整体效率。

下方代码（示例 27）展示了矩阵乘法中时间分块的简化示例。

示例 27：**时间分块**：通过在多个矩阵乘法间缓存权重，减少冗余内存访问。

```
for i in range(0, N, TILE_SIZE):
    for j in range(0, N, TILE_SIZE):
        for k in range(0, N, TILE_SIZE):
            # 计算前加载块到快速内存
            A_tile = A[i:i+TILE_SIZE, k:k+TILE_SIZE]
            B_tile = B[k:k+TILE_SIZE, j:j+TILE_SIZE]

            for ii in range(TILE_SIZE):
                for jj in range(TILE_SIZE):
                    for kk in range(TILE_SIZE):
                        C[i+ii, j+jj] += A_tile[ii, kk] *
                                         B_tile[kk, jj]
```

时间分块通过确保加载到快速内存的数据被多次使用，减少数据加载次数，从而提高性能。在该实现中，矩阵 A 和 B 的小块在计算前显式加载到临时存储，减少内存获取开销。该重构使计算能够处理整个块后再转向下一个，降低数据加载频率。

该技术在卷积、循环神经网络（RNN）和 Transformer 自注意力机制等需重复使用某些值的负载中尤为有效。通过应用时间分块，AI 加速器可显著降低内存停顿，提高执行吞吐。

分块挑战与权衡 尽管分块通过优化内存复用和减少冗余内存访问显著提升性能，但也带来了一些挑战和权衡。选择合适的块大小至关重要，直接影响计算效率和内存带宽使用。若块大小过小，分块收益降低；若块大小过大，可能超出可用快速内存，导致缓存冲突和性能下降。

负载均衡是另一个关键问题。在 GPU、TPU 等架构中，计算在数千个处理单元间并行执行。若块分配不均，部分单元可能空闲而其他单元过载，导致计算资源利用率低下。有效的块调度确保并行执行均衡高效。

数据搬运开销也是重要考虑因素。尽管分块减少了慢速内存访问次数，但在不同内存层次间传输块仍需成本。尤其在层次化内存系统中，从缓存访问数据远快于从 DRAM 访问。高效的内存预取和调度策略可最小化延迟，确保数据按需可用。

除空间和时间分块外，混合方法结合两者策略，以实现最佳性能。混合分块根据工作负载特定约束动态调整块大小或重排计算。某些 AI 加速器对矩阵乘法采用空间分块，而对卷积层的权重复用则采用时间分块。

除分块外，还有其他方法可优化内存使用和计算效率，如寄存器分块、双缓冲和分层分块等。AI 编译器和运行时系统（如 TensorFlow XLA、TVM、MLIR）会根据硬件约束自动选择分块策略，实现精细化性能优化，无需手动干预。

下表（表 17）对比了空间、时间和混合分块方法，突出各自的优缺点。

方面	**空间分块（数据分块）**	**时间分块（循环阻塞）**	**混合分块**
主要目标	通过让数据在快速内存中停留更长时间来减少内存访问	增加跨循环迭代的数据复用	根据工作负载约束动态适应

方面	空间分块（数据分块）	时间分块（循环阻塞）	混合分块
优化重点	将数据结构划分为更小的、适合内存的块	重新排序计算以最大化复用，避免冗余访问	平衡空间和时间复用策略
内存使用	提高缓存局部性，减少 DRAM 访问	保持频繁使用的数据在快速内存中，减少换出	在确保高复用的同时最小化数据搬运
常见用例	矩阵乘法、CNN、自注意力机制	卷积、循环神经网络（RNN）、迭代计算	具有层次化内存、混合工作负载的 AI 加速器
性能提升	降低内存带宽需求，改善缓存利用率	降低内存获取延迟，改善数据局部性	在多种硬件类型上实现最大化效率
挑战	需要仔细选择块大小，低复用工作负载效率低下	可能增加寄存器压力，需要重构循环	动态调整块大小和执行顺序的复杂性
最佳场景	数据较大且需分块以高效处理	多次访问相同数据的迭代计算	空间分块和时间分块都很重要的场景

随着机器学习模型规模和复杂性不断增长，分块仍然是提升硬件效率的关键工具，确保 AI 加速器充分发挥潜力。尽管手动分块策略能带来显著收益，但现代编译器和硬件感知优化技术通过自动选择最有效的分块策略，进一步提升性能。

将映射策略应用于神经网络

尽管这些基础映射技术适用性广，但其有效性因神经网络架构的计算结构、数据访问模式和并行化机会而异。每种架构对数据流动、内存层次和计算调度施加不同约束，需量身定制映射策略以优化性能。

系统化的映射方法可有效应对将计算分配给 AI 加速器时出现的组合爆炸。不同模型并

非各自独立优化，而是可应用相同的基本原理，只是其优先级根据工作负载特征而变化。目标是系统地选择和应用映射策略，以最大化不同机器学习模型的执行效率。

这些原理适用于三种典型 AI 工作负载，分别具有不同的计算需求。CNN 受益于空间数据复用，使权重驻留执行和分块技术尤为有效。Transformer 则本质上受制于内存，依赖于高效的 KV 缓存管理、融合注意力机制和高度并行的执行来减轻内存流量。MLP 涉及大量矩阵乘法操作，需采用结构化分块、优化权重布局和内存感知执行来提升整体性能。

尽管它们各不相同，但这些模型遵循一套共同的映射原理，优化策略的优先级有所不同。下表为不同优化策略与 CNN、Transformer 和 MLP 的适用性提供了结构化映射。该表可作为选择不同机器学习工作负载映射策略的路线图。

优化技术	**CNNs**	**Transformers**	**MLPs**	**原理**
数据流策略	权重驻留	激活驻留	权重驻留	CNN 在空间位置复用滤波器；Transformer 复用激活（KV 缓存）；MLP 在批次间复用权重。
内存感知张量布局	NCHW（通道主序）	NHWC（行主序）	NHWC	CNN 卷积效率优先通道主序；Transformer 和 MLP 优先行主序以快速访问内存。

优化技术	CNNs	Transformers	MLPs	原理
算子融合	卷积 + 激活	融合注意力	GEMM 融合	CNN 优化卷积 + 激活融合；Transformer 融合注意力机制；MLP 利用融合的矩阵乘法。
内存效率分块	空间分块	时间分块	块状分块	CNN 在空间维度分块;Transformer 通过循环阻塞提升序列内存效率;MLP 对大矩阵乘法采用块状分块。

该表强调了每种机器学习模型受益于不同优化技术的组合，强化了针对工作负载计算和内存特征量身定制执行策略的重要性。

接下来，我们将探讨这些优化如何应用于每种网络类型，解释 CNN、Transformer 和 MLP 如何利用特定映射策略提升执行效率和硬件利用率。

卷积神经网络 CNN 的特征在于其结构化的空间计算，其中小滤波器（或核）反复应用于输入特征图。这种结构化的权重复用使得权重驻留执行成为 CNN 最有效的策略。通过在快速内存中保持滤波器权重，同时流式传递激活，确保权重无需反复从较慢的外部内存加载，从而显著降低内存带宽需求。由于每个权重在多个空间位置上应用，权重驻留执行最大化了算术强度，最小化了冗余内存传输。

内存感知张量布局在 CNN 执行中也起着关键作用。卷积操作受益于通道主序内存格式，通常表示为 NCHW（批次、通道、高度、宽度）。该布局与卷积的访问模式一致，能够在 GPU 和 TPU 等加速器上实现高效的内存合并。通过以优化缓存局部性的格式存储数据，加速器可以高效地获取连续的内存块，降低延迟，提高吞吐量。

算子融合是 CNN 优化的另一个重要方面。在典型的机器学习管道中，卷积操作后通常跟随激活函数如 ReLU 和批归一化。通过将这些操作视为单独的计算步骤，融合它们可以减少中间内存写入，提高执行效率。这一优化通过将中间值保留在寄存器中，而不是写入内存并在后续步骤中重新获取，最小化了内存带宽压力。

鉴于输入图像和特征图的大小，分块是确保计算适应快速内存层次结构的必要手段。空间分块，即按较小子区域处理输入特征图，能够高效利用片上缓存，同时避免过多的片外内存传输。该技术确保输入激活、权重和中间输出在高速缓存或共享内存中尽可能长时间地保持，从而减少内存停顿，提高整体性能。

这些优化确保 CNN 通过最大化权重复用、优化内存访问模式、减少冗余内存写入和结构化计算以适应快速内存限制，充分利用可用计算资源。

Transformer 架构 与依赖结构化空间计算的 CNN 不同，Transformers 处理可变长度序列，并高度依赖注意力机制。Transformers 的主要计算瓶颈是内存带宽，因为注意力机制需要频繁访问存储的键值对。鉴于这种访问模式，激活驻留执行是最有效的策略。通过在快速内存中保持键值激活，同时动态流式传递查询向量，最大化激活复用，最小化冗余内存获取。这一方法对于减少带宽开销至关重要，尤其是在自然语言处理等长序列任务中。

张量布局优化对于 Transformers 同样重要。与 CNN 受益于通道主序布局不同，Transformers 需要高效访问激活序列，因此更倾向于使用行主序格式（NHWC）。该布局确保激活在内存中连续访问，减少缓存未命中，提高矩阵乘法的内存合并效率。

算子融合在优化 Transformer 执行中发挥关键作用。在自注意力机制中，查询 - 键点积、softmax 归一化和加权求和等多个计算步骤可以融合为单一操作。融合注意力内核通过在单次执行步骤中计算注意力分数和执行加权求和，消除中间内存写入。这一优化显著减少了内存流量，特别是在大批量和长序列的情况下。

由于序列处理的特点，分块需适应性调整以提高内存效率。与对 CNN 有效的空间分块不同，Transformers 更益于时间分块，即结构化计算以高效处理序列块。该方法确保激活以可管理的块加载到快速内存中，减少过多的内存传输。时间分块对长序列模型尤为有效，因为此时键值激活的内存占用显著增加。通过将序列分块为较小的片段，改善了内存局部性，提高了缓存利用率，降低了带宽压力。

这些优化共同解决了 Transformer 模型中的主要瓶颈，通过优先激活复用、优化内存布局以适应高效批量计算、融合注意力操作以减少中间内存写入，以及采用适合序列处理的分块技术。

多层感知机 MLP 主要由全连接层组成，其中大量权重和激活矩阵相乘以生成输出表示。鉴于这种结构，权重驻留执行是 MLP 最有效的策略。与 CNN 类似，MLP 通过在流式传递激活的同时保持权重在本地存储中，避免频繁重新加载权重，从而减少冗余内存访问。

MLP 的首选内存布局与 Transformer 相同，行主序（NHWC）格式的矩阵乘法效率更高。由于激活矩阵是批量处理的，该布局确保输入激活高效访问，避免内存碎片。通过将张量存储与计算友好的内存访问模式对齐，改善了缓存利用率，降低了内存停顿。

算子融合主要应用于 MLP 的通用矩阵乘法（GEMM）[347] 操作。由于密集层后通常跟随激活函数和偏置加法，将这些操作融合为单一计算步骤可减少内存流量。GEMM 融合确保激活、权重和偏置在单个优化内核中处理，避免不必要的内存写入和重新加载。

为了进一步提高内存效率，MLP 采用块状分块策略，即将大矩阵乘法划分为适合加速器共享内存的小块。这种方法确保矩阵的频繁访问部分在整个计算过程中保持在快速内存中，减少对外部内存的访问。通过以平衡内存利用率和高效并行执行的方式构建计算，块状分块最大限度地减少带宽限制，提升吞吐量。

这些优化确保 MLP 通过围绕权重复用构建执行、优化密集矩阵操作的内存布局、通过算子融合减少冗余内存写入，以及采用块状分块策略最大化片上内存利用率，实现高计算效率。

混合映射策略

尽管通用映射策略提供了结构化优化框架，但实际架构通常涉及多样的计算需求，单一固定方法难以有效解决。混合映射策略使 AI 加速器能够动态地对模型内的特定层或组件应用不同的优化，确保每个计算都以最高效率执行。

机器学习模型通常由多种类型的层组成，每种层具有不同的内存访问模式、数据复用特性和并行化机会。通过针对这些特定属性量身定制映射策略，混合方法在计算效率、内存带宽利用率和数据搬运开销方面实现更高的性能。

层级特定映射 混合映射策略在卷积与全连接操作（如密集层或注意力机制）结合的模型中尤为有效。这些操作具有不同的特性，需要不同的映射策略以实现最佳性能。

在卷积神经网络中，混合策略常用于优化性能。具体而言，卷积层应用权重驻留执行，确保滤波器在动态流式传递激活时保持在本地存储。对于全连接层，则利用输出驻留执

347. **通用矩阵乘法（GEMM）**：基础操作 $C = \alpha AB + \beta C$，支撑大多数神经网络计算。GEMM 占用深度网络训练 90-95% 的计算时间，且是大多数 AI 硬件优化的目标。优化过的 GEMM 库如 cuBLAS（NVIDIA）、oneDNN（Intel）和 CLBlast 通过寄存器分块、向量化和分层分块等技术实现 80-95% 的理论峰值性能。现代 AI 加速器本质上是专门化的 GEMM 引擎，额外支持激活函数和数据搬运。

行，在矩阵乘法过程中减少冗余内存写入。此外，还集成了算子融合，将激活函数、批归一化和逐元素操作合并为单一计算步骤，从而降低中间内存流量。这些方法共同提升了计算效率和内存利用率，增强了网络整体性能。

Transformer 通过优化内存使用和计算效率的多种策略提升性能。在自注意力层中，采用激活驻留映射以最大化存储的键值对复用，减少内存获取。在前馈层中，则应用权重驻留映射，确保大权重矩阵在计算中高效复用。此外，这些模型还结合了融合注意力内核，将 softmax 和加权求和合并为单一计算步骤，显著提升执行速度。

对于多层感知机，混合映射策略通过一系列技术优化性能，提升内存效率和计算吞吐。具体而言，采用权重驻留执行以最大化权重在激活间的复用，减少冗余内存访问。同时，对大矩阵乘法采用块状分块策略，提升缓存局部性，将计算划分为适合快速内存的子块。此外，还应用了通用矩阵乘法融合，减少内存停顿，通过合并连续的矩阵乘法操作和后续的功能变换，提升执行效率。这些优化措施展示了如何通过量身定制的映射策略，系统地平衡多层感知机架构中的内存约束和计算需求。

混合映射策略在视觉 Transformer 中广泛应用，融合了卷积与自注意力操作。Patch embedding 层采用类似卷积的权重驻留映射，自注意力层则需激活驻留以高效复用键值缓存。MLP 部分则结合矩阵乘法融合和分块，实现高效密集矩阵运算。该分层优化框架有效平衡了内存局部性与计算效率，使视觉 Transformer 在 AI 加速器 上表现尤为优异。

混合映射策略的硬件实现

许多现代 AI 加速器采用混合映射策略，通过针对不同神经网络层的计算特点，灵活选择最优的映射方式以提升执行效率。例如，Google TPU 在卷积层采用权重驻留映射，而在 Transformer 的注意力层则采用激活驻留映射，确保关键数据始终保留在高速存储器中。NVIDIA GPU 则通过融合内核与混合内存布局，在同一模型中灵活应用多种映射策略，最大化性能表现。Graphcore IPU 能够根据每一层的需求动态选择执行策略，优化内存访问，从而提升整体计算效率。

这些实际案例说明，混合映射策略能够有效弥合不同类型机器学习计算的差异，使每一层都能以最高效的方式运行。但要让这些技术真正落地，硬件必须具备可编程的内存层级、高效互连和专用执行流水线等架构特性，才能充分发挥混合映射的优势。

混合映射为深度学习执行提供了灵活高效的方案，使 AI 加速器能够适应现代架构多样化的计算需求。通过为每一层选择最优映射方式，混合策略有助于缓解内存带宽瓶颈、提升数据局部性并最大化并行度。

不过，混合映射策略本质上仍属于静态设计时优化。在实际 AI 工作负载中，输入规模、

内存争用或硬件资源可用性等执行条件会动态变化。机器学习编译器和运行时系统通过引入动态调度、内存优化和自动调优机制，将这些映射技术扩展为可适应的执行方案。这样，混合策略不再只是预设的执行选项，而是能够根据实际环境自适应调整的机制，使深度学习任务在不同加速器和部署场景下都能高效运行。下一节将介绍机器学习编译器和运行时如何通过即时调度、内存感知执行和负载均衡，实现这些自适应优化。

编译器支持

机器学习加速的性能不仅取决于硬件能力，更依赖于模型如何高效地转化为可执行操作。内核融合、分块、内存调度和数据移动等优化技术对于提升效率至关重要，但这些优化必须在执行前系统性地应用，确保与硬件约束和计算需求相匹配。

这一过程正体现了第 11 章：AI 加速 中提出的软硬件协同设计原则：机器学习编译器在高层模型表达与底层硬件执行之间架起桥梁。编译器通过重构计算、选择高效执行内核、最大化硬件利用率来优化模型。与传统编译器主要针对通用计算不同，ML 工作负载需要专门面向张量计算和并行执行的优化方法。

面向 ML 工作负载的编译器设计差异

机器学习工作负载带来了传统编译器难以应对的独特挑战。与传统软件主要是顺序或多线程流程不同，机器学习模型以计算图形式表达大规模张量操作。这些图结构需要专门的优化，传统编译器难以高效处理。

下表（@tbl-ml-vs-traditional-compilers）对比了传统编译器与机器学习编译器的核心差异。传统编译器通过指令调度、循环展开和寄存器分配优化线性程序执行，而 ML 编译器则聚焦于计算图的优化，提升张量操作效率。这一差异至关重要，因为 ML 编译器必须引入领域特定的变换，如内核融合、内存感知调度和硬件加速执行计划，才能在 GPU、TPU 等专用加速器上实现高性能。

这种对比说明，机器学习模型需要完全不同的编译思路。ML 编译器不仅要优化指令级执行，更要对整个计算图进行变换，应用张量感知的内存优化，并在数千个并行处理单元间调度操作。传统编译器技术已无法满足现代深度学习的需求。

方面	**传统编译器**	**机器学习编译器**
输入表达	线性程序代码（C、Python）	计算图（ML 模型）

方面	传统编译器	机器学习编译器
执行模型	顺序或多线程执行	大规模并行张量执行
优化重点	指令调度、循环展开、寄存器分配	图变换、内核融合、内存感知执行
内存管理	堆栈与堆内存分配	张量布局变换、分块、内存感知调度
目标硬件	CPU（通用执行）	GPU、TPU 及定制加速器
编译输出	针对 CPU 的机器码	针对硬件的执行计划（内核、内存调度）

ML 编译流程

现代框架定义的机器学习模型，最初以高层计算图形式描述张量操作。但这些表达并不能直接在 GPU、TPU 或定制 AI 芯片上高效执行。为实现高效运行，模型必须经过编译流程，转化为针对目标硬件优化的执行计划。

机器学习编译流程包含多个关键阶段，每一阶段都负责应用特定优化，确保内存开销最小、并行度最大、计算资源利用最优。主要阶段包括：

1. **图优化**：重构计算图，消除低效结构。
2. **内核选择**：将每个操作映射到硬件优化实现。
3. **内存规划**：优化张量布局和内存访问，降低带宽消耗。
4. **计算调度**：将任务分配到并行处理单元，最大化硬件利用率。
5. **代码生成**：将优化后的执行计划转化为硬件指令。

每一阶段都系统性地应用前述理论优化，如内核融合、分块、数据移动和计算分配，确保最终执行计划充分体现这些优化。

理解这一流程，有助于认识机器学习加速不仅依赖硬件进步，更离不开编译器驱动的软件优化。

图优化

AI 加速器提供专用硬件加速计算，但原始模型表达并未针对加速器优化。机器学习框架以高层计算图定义模型，节点代表操作（如卷积、矩阵乘法、激活），边则描述数据依赖。如果直接执行这些图，往往存在冗余操作、低效内存访问和次优执行序列，导致硬件无法充分发挥性能。

例如，Transformer 模型中的自注意力机制会在多个头部重复访问同一组键值对。如果编译器未优化，模型可能多次加载同一数据，造成大量内存流量。又如 CNN 中，卷积后分别执行批归一化和激活函数，若作为独立操作，会产生不必要的中间内存写入，增加带宽消耗。图优化阶段正是通过重构计算图，消除冗余操作、提升数据局部性。

编译器在此阶段以硬件无关的方式优化高层结构，为后续硬件特定优化打下基础。

计算图优化技术 图优化通过一系列结构化技术提升执行效率。核心方法包括内核融合，将连续操作合并，减少内存写入和内核启动次数，尤其在卷积神经网络中，融合卷积、批归一化和激活函数能显著加速处理。计算重排序则调整操作顺序，提升数据局部性和并行度。例如在 Transformer 中，重排序可复用缓存的键值对，避免重复加载，降低延迟。

冗余计算消除同样重要，识别并移除重复或无用操作，尤其在残差连接模型中，能避免重复计算公共子表达式。内存感知数据流调整则通过优化张量布局和数据移动，提升整体性能。例如将矩阵乘法分块以适配 TPU 的结构化阵列，确保硬件资源充分利用。这些方法不仅减少不必要计算，还使数据存储和移动更贴合加速器特点，实现多样化 AI 工作负载的高效执行。综合应用后，模型能以最小开销、最优算存平衡准备加速执行。

AI 编译器中的实现 现代 AI 编译器通过自动模式识别和结构化重写规则实现图优化，无需人工干预即可系统性提升计算图效率。例如 Google TensorFlow 的 XLA（加速线性代数）在 TPU 和 GPU 上应用融合与布局优化，简化执行流程。TVM（张量虚拟机）不仅优化张量布局和计算结构，还能针对嵌入式 Tiny ML 设备的严苛内存约束调整执行策略。

NVIDIA TensorRT 专注于通过融合操作和优化调度，减少 GPU 内核启动开销，提升大规模卷积网络推理延迟。MLIR（多层中间表示）则支持多阶段变换，优化执行顺序和内存访问，便于模型从 CPU 迁移到加速器。所有这些编译器都在保持模型数学正确性的前提下，重写计算图，为后续硬件特定优化奠定基础。

图优化的重要性 图优化是 AI 加速器高效运行的关键。没有这一阶段，即使最先进的硬件也会因模型执行方式低效而被严重浪费，出现内存阻塞、冗余计算和低效数据移

动。编译器通过系统性重构计算图，安排操作以高效执行，提前消除瓶颈，减少内存移动、保持张量在高速存储中，并优化并行度，避免不必要的串行化，提升硬件利用率。例如，未优化的 Transformer 在边缘设备上可能因数据访问模式不佳而频繁内存阻塞，而通过有效图重构，则能大幅降低带宽消耗和延迟，实现实时推理。

完成图优化后，下一步是内核选择，编译器将每个操作映射到最优硬件实现，确保结构化执行计划转化为底层高效指令。

内核选择

此阶段，编译器将计算图中的抽象操作转化为针对目标加速器的优化底层函数。内核是针对特定硬件架构高效运行的计算操作实现。大多数加速器（GPU、TPU、定制 AI 芯片）为同一操作提供多种内核实现，分别适用于不同执行场景。为每个操作选择最合适的内核，是提升计算吞吐量、减少内存阻塞、充分利用专用处理单元的关键。

内核选择是在图优化基础上进行的，确保结构化执行计划能映射到最优实现。图优化消除模型层面的低效，内核选择则保证每个操作都用最优硬件例程执行。选择不当会抵消前期优化，带来额外计算开销或内存瓶颈。

以 Transformer 为例，自注意力中的矩阵乘法可根据硬件采用不同策略：在 CPU 上用通用矩阵乘法例程，利用向量化提升效率；在 GPU 上则选用张量核加速的混合精度实现；在 TPU 上则映射到结构化阵列，最大化数据复用、减少外部内存访问。推理场景下，整数算术内核（INT8）常优于浮点，实现低功耗高效计算。

编译器通常不从零生成内核，而是从厂商优化库中选择高性能实现。例如 NVIDIA 的 cuDNN、cuBLAS，Intel 的 oneDNN，Arm 的 ACL，CPU 的 Eigen、BLIS 等。这些库为不同架构提供高度调优的内核，编译器只需选择最优即可。

AI 编译器中的实现 AI 编译器通过启发式、性能分析和成本模型选择最优内核，确保每次计算都能最大化吞吐量、最小化内存瓶颈。

规则选择法根据硬件能力预设启发式规则。例如 TensorFlow 的 XLA 在启用混合精度时自动选择 NVIDIA GPU 的张量核优化内核，无需复杂分析即可快速决策。

性能分析法则通过实际基准测试不同内核，选取表现最佳者。TVM 的 AutoTVM 就是通过实测不同内核性能，针对实际工作负载调优执行策略，确保每次操作都用最优实现。

成本模型法则通过预测不同内核的执行时间和内存消耗，选择最优方案。MLIR 就采用此法，评估分块和内存访问策略，确保内核选择能兼顾执行成本和性能。

许多 AI 编译器还支持精度感知内核选择，根据 FP32、FP16、BF16、INT8 等数值格式优

化内核。训练场景优先高精度，推理则倾向低精度以提升速度和降低功耗。例如 NVIDIA GPU 的 TensorRT 可根据模型精度动态选择 FP16 或 INT8 内核，兼顾精度与性能。

部分编译器还支持自适应内核调优，根据系统负载和资源动态调整执行策略。TVM 的 AutoTVM 能跨不同工作负载测量内核性能并动态优化，TensorRT 可根据批量大小、内存约束和 GPU 负载实时调整内核选择，Google TPU 编译器也会根据云资源和环境优化内核选择。

内核选择的重要性 AI 加速的效率不仅取决于计算结构，还取决于具体执行方式。即使计算图设计得再好，若选用的内核无法充分利用硬件，性能也会大打折扣。

合理的内核选择让模型能用最优算法执行，确保内存访问高效、专用加速特性（如张量核、结构化阵列）充分发挥。选择不当会导致计算资源闲置、内存传输过多、功耗增加，严重影响加速器性能。

例如，Transformer 在 GPU 上若未用张量核内核，矩阵乘法性能仅为理论值的一小部分；反之，若 FP32 模型强行用 INT8 内核，则可能数值不稳定、精度下降。这些选择既关乎性能，也关乎数值正确性。

完成内核选择后，编译流程进入执行调度和内存管理阶段，决定内核如何启动、数据如何在内存层级间流动。内核选择决定“做什么”，调度和内存管理则决定“何时、如何做”，确保 AI 加速器高效运行。

内存规划

内存规划阶段确保数据分配和访问方式能最大限度降低带宽消耗、减少延迟、提升缓存效率。即使执行计划再优化，若内存管理不当，模型性能也会严重受损。

机器学习工作负载通常对内存需求极高，需频繁在不同内存层级间移动大张量。编译器必须合理安排张量存储、访问和中间结果处理，防止内存成为瓶颈。

内存规划聚焦于优化张量布局、访问模式和缓冲区复用，避免执行时出现阻塞和争用。此阶段，张量按硬件访问模式高效排布，减少格式转换；内存访问结构化，降低缓存未命中和阻塞，减少带宽消耗；缓冲区复用则通过智能管理中间结果，减少冗余分配。综合这些策略，数据能高效存放和访问，提升 AI 工作负载的计算性能和能效。

AI 编译器中的实现 内存规划极为复杂，AI 模型需在多层内存层级间平衡可用性、复用和访问效率。AI 编译器采用多种关键策略高效管理内存，防止不必要的数据移动。

第一步是张量布局优化，编译器根据硬件偏好自动调整张量在内存中的排列方式，提升局部性、避免格式转换。例如 NVIDIA GPU 常用行主序（NHWC），TPU 则偏好通道主序

（NCHW），编译器会自动转换布局，确保访问模式最优。

其次是缓冲区分配与复用，编译器通过分析计算图，识别中间张量复用机会，避免每次都新分配内存，减少内存占用。深度学习任务会生成大量临时张量（如激活、梯度），若不复用，很快就会耗尽片上内存。

第三是最小化不同内存层级间的数据移动。AI 加速器通常有高速片上内存（如缓存、SRAM）和大容量但较慢的外部 DRAM。若张量频繁在这些层级间移动，模型会受限于内存带宽，降低计算效率。编译器通过分块，将大计算拆分为适合本地内存的小块，减少昂贵的外部内存访问。

内存规划的重要性 没有高效内存规划，即使计算图和内核选择再优化，也无法实现高性能。过多的内存传输、低效布局和冗余分配都会成为瓶颈，阻碍加速器发挥最大吞吐量。

例如，CNN 在 GPU 上理论上计算效率很高，但若特征图布局不兼容（如用行主序而需转为通道主序），频繁格式转换会带来巨大开销。Transformer 在边缘设备上若内存规划不当，难以满足实时推理需求，频繁外部内存访问会导致延迟和功耗飙升。

通过合理张量布局、优化访问模式和减少数据移动，内存规划保障 AI 加速器高效运行，带来实际性能提升。

计算调度

完成图优化、内核选择和内存规划后，编译流程进入计算调度阶段。此阶段决定每项计算何时、何地执行，确保任务高效分配到处理单元，避免阻塞和资源争用。

AI 加速器依靠大规模并行实现高性能，但若调度策略不当，计算单元可能闲置、内存带宽未充分利用、执行效率下降。计算调度负责让所有处理单元保持活跃，正确管理依赖关系，优化任务分配。

调度阶段系统性管理并行执行、同步和资源分配。任务分解将大计算拆分为可高效分配的小任务；执行顺序优化则决定最优启动顺序，最大化硬件性能、减少阻塞；资源分配与同步确保计算核心、内存带宽和共享缓存高效利用，避免争用。通过这些协调策略，计算调度实现硬件利用最大化、内存访问延迟最小化、执行流程高效流畅。

AI 编译器中的实现 计算调度高度依赖底层硬件架构，不同加速器有独特的执行模型，编译器需针对性优化调度。

最基础的是任务分解，编译器将大计算图拆分为可并行执行的小单元。在 GPU 上，通常将矩阵乘法和卷积映射到数千个 CUDA 核心；TPU 上则分配到结构化阵列；CPU 上

则分解为适合 SIMD 的向量化块。目标是高效分配任务，确保每个核心始终活跃。

调度还需优化执行顺序，减少依赖、提升吞吐量。许多 AI 模型包含可独立计算的操作（如批处理管道中的不同批次），也有严格依赖的操作（如 RNN 的循环层）。编译器分析这些依赖，尽量重排执行，减少空闲、提升并行效率。例如 Transformer 中，调度可优先预加载注意力矩阵，确保数据及时可用。

资源分配与同步同样关键，编译器决定计算核心如何共享内存、协调执行。现代加速器支持计算与数据传输重叠，编译器通过流式调度，让多个内核并行启动，精细管理同步，防止阻塞。TensorRT 和 XLA 就采用流式执行，多个内核并行启动，同步管理避免执行停滞。

计算调度的重要性 调度不当，即使模型优化得再好，也会因计算资源闲置、内存瓶颈和执行低效而性能受损。错误调度会让计算单元等待数据或同步事件，造成昂贵资源浪费。

例如，CNN 在 GPU 上即使内核和内存布局都优化，若调度不当，内核启动间隙会让计算单元闲置，吞吐量下降。Transformer 在 TPU 上矩阵乘法虽高效，但若注意力层未与内存传输重叠调度，性能同样受限。

高效调度是并行工作负载编排的核心，确保处理单元充分利用，防止空闲。通过计算与数据移动重叠，调度机制有效隐藏内存延迟，防止数据获取阻塞。精准解决执行依赖，减少等待，提升计算与数据传输并发。调度与数据管理的系统集成，不仅提升性能，也体现了现代加速器设计的严谨工程原则。

代码生成 与前述阶段需 AI 特定优化不同，代码生成遵循传统编译器的基本原则，包括指令选择、寄存器分配和最终优化，确保充分利用硬件特性（如向量化、预取、指令重排）。

对于 CPU 和 GPU，AI 编译器通常生成机器码或优化汇编指令；TPU、FPGA[348] 等则输出优化字节码或执行图，由硬件运行时解释。

至此，编译流程完成：高层模型已转化为针对目标硬件的优化可执行格式。图变换、内核选择、内存感知执行和并行调度的结合，确保 AI 加速器以最高效率、最小内存开销和最优吞吐量运行工作负载。

348. **现场可编程门阵列（FPGA）**：可在出厂后编程实现定制数字电路的芯片。与固定功能 ASIC 不同，FPGA 灵活适配不同算法，对特定 ML 任务能效比 CPU 高 10-100 倍，且可随算法变化调整。

编译 - 运行时支持

编译器在 AI 加速中扮演基础角色，将高层机器学习模型转化为针对专用硬件约束的优化执行计划。前文已介绍图优化重构计算、内核选择映射高效实现、内存规划优化数据布局、计算调度保障并行执行。每一阶段都至关重要，使 AI 模型充分利用现代加速器，实现高吞吐、低内存开销和高效执行流水线。

但仅靠编译并不能保证实际 AI 工作负载的高效执行。编译器基于已知模型结构和硬件能力进行静态优化，而 AI 执行环境往往动态且不可预测。批量大小变化、硬件资源多任务共享、加速器需适应实时性能约束，此时静态执行计划已无法满足，运行时管理成为保障模型高效执行的关键。

从静态编译到自适应执行的转变，正是 AI 运行时的价值所在。运行时提供动态内存分配、实时内核选择、任务调度和多芯片协调，使 AI 模型能根据实际执行条件自适应调整，持续保持高效。下一节将介绍 AI 运行时如何扩展编译器能力，使模型在多样化、可扩展部署场景下高效运行。

运行时支持

编译器在模型执行前进行优化，但实际部署环境充满动态和不可预测因素，单靠静态编译难以应对。AI 工作负载运行于多样化环境，批量大小、硬件资源、内存争用和延迟约束等因素要求实时自适应。预编译的执行计划若基于固定假设，实际运行时可能变得低效。

为解决这一问题，AI 运行时提供动态执行管理层，将编译时优化与实时决策结合。与传统编译程序执行固定指令序列不同，AI 工作负载需动态控制内存分配、内核执行和资源调度。运行时持续监控执行状态，实时调整，确保模型充分利用硬件、保持高效和性能保障。

AI 运行时主要管理三大执行关键点：

1. **内核执行管理**：根据系统状态动态选择和分发计算内核，确保任务以最小延迟执行。
2. **内存自适应与分配**：AI 工作负载常处理大张量，内存需求变化大，运行时需动态分配，防止瓶颈和多余数据移动。
3. **执行扩展**：运行时负责多加速器任务分配，支持多芯片、多节点或云环境下的大规模执行。

通过动态管理这些执行环节，AI 运行时补充编译器优化，确保模型在多变环境下持续高效。下一节将介绍 AI 运行时与传统软件运行时的区别，说明为何机器学习工作负载需

要完全不同的执行策略。

ML 系统运行时架构差异

传统软件运行时主要管理通用程序执行，处理 CPU 上的顺序和多线程任务，负责内存分配、任务调度和指令级优化。而 AI 运行时则专为机器学习工作负载设计，需支持大规模并行计算、张量操作和动态内存管理。

下表（表 19）对比了传统与 AI 运行时的核心差异。最大区别在于执行流程：传统运行时按函数调用和线程预设控制路径执行，AI 运行时则需调度计算图，管理张量操作依赖、并行内核执行和高效内存访问。

方面	传统运行时	AI 运行时
执行模型	顺序或多线程执行	大规模并行张量执行
任务调度	CPU 线程管理	加速器内核分发
内存管理	静态分配（堆栈/堆）	动态张量分配、缓冲区复用
优化重点	低延迟指令执行	最小化内存阻塞、最大化并行度
自适应性	基本静态执行计划	可根据批量和硬件动态调整
目标硬件	CPU（通用执行）	GPU、TPU 及定制加速器

内存管理也是重要区别。传统运行时处理小规模、频繁分配，优化缓存和低延迟访问；AI 运行时则需动态分配、复用和优化大张量，确保内存访问模式适合加速器。内存管理不善会导致性能瓶颈，尤其是外部内存传输和缓存利用低效。

AI 运行时天生强调自适应。传统运行时多采用静态执行计划，AI 工作负载则常在云加速器或多租户硬件上运行，环境高度变化。运行时需持续调整批量、重新分配计算资源、实时调度，保证高吞吐和低延迟。

这些差异说明，AI 运行时必须采用完全不同的执行策略。它不仅管理 CPU 进程，更要

协调大规模张量执行、多设备协作和实时任务自适应，确保机器学习模型在多变环境下高效运行。

动态内核执行

动态内核执行是将机器学习模型映射到硬件并优化运行时执行的过程。静态编译虽能打好基础，但高效执行机器学习任务需实时适应内存、数据规模和计算负载等变化。运行时作为中介，持续调整执行策略，兼顾硬件约束和工作负载特点。

模型映射到硬件时，矩阵乘法、卷积、激活等操作需分配到最合适的处理单元。映射不是固定的，需根据输入数据、内存可用性和系统负载实时调整。动态内核执行让运行时能实时决策内核选择、执行顺序和内存管理，确保任务始终高效。

例如，AI 加速器执行图像分类 DNN 时，若高分辨率图片批量超出预期，静态计划可能导致缓存抖动或频繁外部内存访问。动态运行时可即时调整分块策略，将张量操作拆分为适合片上高速存储的小块，防止内存阻塞，优化缓存利用。

Transformer NLP 模型推理时，输入文本序列长度可能变化。静态计划若只针对固定长度，处理短序列时资源利用不足，长序列时内存压力过大。动态内核执行可根据实际序列长度选择不同内核实现，动态分配内存和调整执行策略，保持高效。

计算与内存移动重叠是缓解性能瓶颈的关键。AI 工作负载常因内存瓶颈而延迟，运行时通过异步执行和双缓冲等技术，确保计算无需等待内存传输。例如大模型中，图像数据可预取，计算同时处理上一批数据，保持数据流畅，避免流水线阻塞。

CNN 在 GPU 上执行卷积层时，若需调度多个卷积内核，静态调度可能因层大小和计算需求差异导致资源利用低下。动态调度可在计算单元部分占用时优先调度小内核，提升硬件利用率。NVIDIA TensorRT 运行时会动态融合小内核为大执行单元，优化延迟敏感推理任务。

动态内核执行确保机器学习模型高效运行，通过实时调整执行策略，优化训练和推理性能，适应多种硬件平台。

运行时内核选择

编译器可根据模型和硬件静态选择内核，但 AI 运行时常需在执行时覆盖这些决策。实际可用内存、硬件利用率和任务优先级等实时因素，可能与编译假设大相径庭。运行时动态选择和切换内核，能适应这些变化，确保模型持续高效。

例如，Transformer 语言模型执行时，大量时间用于矩阵乘法。AI 运行时需根据系统状态选择最优执行方式。若在具备 Tensor Core 的 GPU 上，运行时可从标准 FP32 内核切

换到 FP16 内核，充分利用硬件加速。若 FP16 精度不足，运行时可采用混合精度，仅在需要高精度时用 FP32。

内存约束也影响内核选择。带宽有限时，运行时可调整执行策略，重排操作或改变分块方式，使计算能在缓存内完成，减少对慢速主存的依赖。例如大矩阵乘法可拆分为小块，确保计算在 GPU 片上内存内完成，降低延迟。

批量大小同样影响内核选择。混合小批量和大批量任务时，运行时可为小批量选用低延迟内核，大批量则用高吞吐内核，确保模型在不同场景下都能高效运行，无需手动调优。

内核调度与利用率

运行时选定内核后，下一步是高效调度，最大化并行度和资源利用。与传统任务调度只管理 CPU 线程不同，AI 运行时需协调大量任务在 GPU 核心、张量处理单元或定制加速器间并行。高效调度确保计算资源充分利用，防止瓶颈、提升吞吐量。

例如，图像识别模型中的卷积层可分配到多个处理单元，不同滤波器并行运行，确保硬件充分利用，加速执行。批归一化和激活函数也需高效调度，避免阻塞流水线、降低吞吐量。

高效内核调度还需结合实时内存管理。运行时确保中间数据（如深度网络特征图）提前预载入缓存，防止因等待数据加载而延迟，保证执行连续。

这些技术让 AI 运行时实现资源利用最大化和高效并行计算，尤其适用于需多加速器扩展的高性能机器学习模型。

编译器和运行时系统优化了单加速器内的执行 —— 管理计算映射、内存层级和内核调度。虽然单芯片优化已能带来显著性能提升，但现代 AI 工作负载已远超单加速器能力。训练 GPT-3 需单台 H100 连续运行 10 年，消耗 314 百万亿次浮点运算。全球实时推理服务需求也远超单加速器吞吐量。这些需求源于第 9 章：高效 AI 中的扩展定律，推动从单芯片优化向分布式加速转型。

多芯片 AI 加速

从单芯片到多芯片架构的转变，不仅仅是简单复制 —— 它要求重新思考如何在处理器间分配计算、数据如何在芯片间流动，以及系统如何在大规模下保持一致性。单芯片优化侧重于在固定资源内最大化利用率，而多芯片系统则必须在计算分布、通信开销、内存一致性和同步复杂性之间取得平衡。这些挑战从根本上改变了优化格局，要求超越单个加速器开发的新抽象和技术。

现代 AI 工作负载日益需要超出单芯片加速器能力的计算资源。本节将探讨 AI 系统如何从单处理器扩展到多芯片架构，分析不同扩展方法背后的动机及其对系统设计的影响。这些扩展考虑因素对于第 8 章：AI 训练中讨论的分布式训练策略，以及第 13 章：机器学习运维中讨论的操作挑战至关重要。分布式加速的安全隐患，尤其是模型保护和数据隐私方面，将在第 15 章：安全与隐私中探讨。通过理解这一进程，我们可以更好地认识到 AI 硬件栈中每个组件（从计算单元到内存系统）如何适应大规模机器学习工作负载。

AI 系统的扩展遵循自然进程，从通过芯片组架构在单一封装内集成，扩展到服务器内的多 GPU 配置，再到分布式加速器组，最后实现晶圆级集成。每种方法在计算密度、通信开销和系统复杂性之间存在独特权衡。例如，芯片组架构在封装内维持高速互连，而分布式系统则牺牲通信延迟以获得大规模并行。

理解这些扩展策略至关重要。首先，它揭示了不同硬件架构如何应对 AI 工作负载日益增长的计算需求。其次，它揭示了超越单芯片执行时出现的基本挑战，例如管理芯片间通信和协调分布式计算。最后，它为后续讨论如何映射策略、编译技术和运行时系统演变以支持高效大规模执行奠定基础。

这一进程始于芯片组架构，芯片组架构是多芯片扩展中最紧密集成的形式。

基于芯片组的架构

芯片组架构通过将大型设计划分为多个较小的模块化芯片，在单一封装内实现扩展，如图 9 所示。

现代 AI 加速器，如 AMD 的 Instinct MI300，通过集成多个计算芯片和内存芯片，并通过高速芯片间互连链接，实现了这一点。这种模块化设计使制造商能够绕过单片芯片的制造限制，同时仍实现高密度计算。

然而，即使在单一封装内，扩展也并非没有挑战。随着更多芯片的集成，芯片间通信延迟、内存一致性 [349] 和热管理成为关键因素。与传统的多芯片系统不同，基于芯片组的设计必须在多个芯片之间平衡延迟敏感的工作负载，而不会引入过多的瓶颈。

多 GPU 系统

超越芯片组设计，AI 工作负载经常需要多个独立的 GPU 协同工作。在多 GPU 系统中，每个加速器都有自己专用的内存和计算资源，但它们必须高效地共享数据和同步执行。

一个常见的例子是 NVIDIA DGX 系统，它集成了通过 NVLink 或 PCIe 连接的多个 GPU。

349. **内存一致性**：确保系统中所有处理器在多个核心/芯片访问相同数据时看到相同的一致的共享内存视图。传统的缓存一致性协议如 MESI 为多核 CPU 添加 10-50 纳秒的延迟。对于具有数千个核心的 ML 硬件，大多数采用显式内存管理，程序员手动控制数据放置和同步。

这种架构使工作负载能够在 GPU 之间拆分，通常使用数据并行（每个 GPU 处理不同的数据批次）或模型并行（不同的 GPU 处理神经网络的不同部分）。这些并行化策略在第 8 章：AI 训练中有深入探讨。

如图 9 所示，NVSwitch 互连使得 GPU 之间能够进行高速通信，减少分布式训练中的瓶颈。然而，GPU 数量的增加带来了基本的分布式协调挑战，这些挑战成为主导性能的制约因素。以 GPT-3 规模模型为例，其训练过程中，梯度同步需要频繁在 GPU 之间进行，而这会产生巨大的通信开销。尽管 NVSwitch 提供了 600 GB/s 的双向带宽，但当 8 个 H100 GPU 同时交换梯度时，这一带宽就会成为瓶颈，造成 4.8 TB/s 的聚合需求，超出可用带宽。协调的复杂性也呈指数级增长 —— 两个 GPU 只需一个通信通道，而八个 GPU 则需要 28 条互连路径，容错要求还需要冗余通信模式。此外，内存一致性协议进一步增加了协调的复杂性，因为不同 GPU 可能在不同时间观察到权重更新，这需要复杂的同步原语来处理，可能导致每个训练步骤增加 10-50 微秒的延迟，这看似微小的延迟在百万次迭代的训练中会累积成数小时的训练时间。

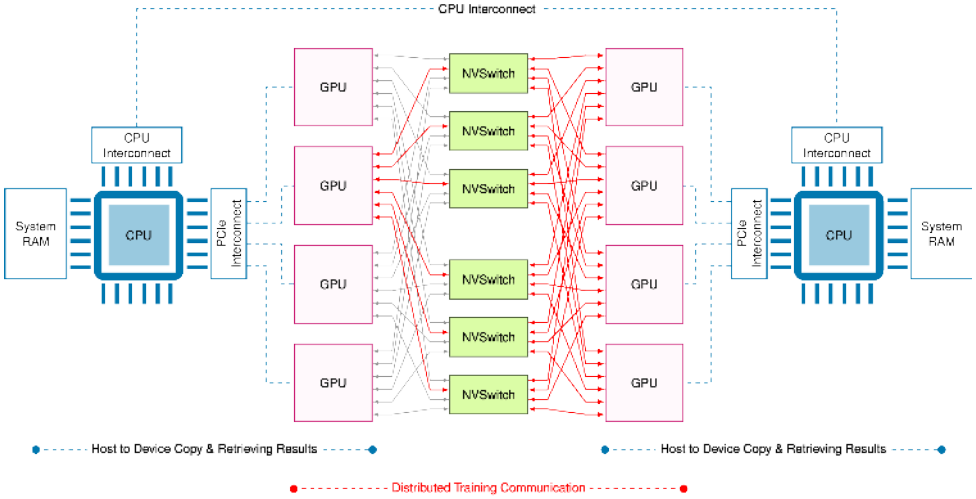

多 GPU 扩展：NVSwitch 互连实现 GPU 之间的高速、低延迟通信，克服 PCIe 在大规模模型分布式训练中的瓶颈。GPU 数量的增加带来了内存一致性维护和工作负载调度的挑战。

通信开销与阿姆达尔定律分析 分布式 AI 训练的根本限制在于阿姆达尔定律，该定律量化了通信开销如何限制并行加速，而不管可用的计算能力有多强大。对于分布式神经网络训练而言，梯度同步中的通信开销造成了一个顺序瓶颈，即使有无限的并行能力，速度提升也会受到限制。

分布式训练的最大加速比受阿姆达尔定律限制：

$$\text{Speedup} = \frac{1}{(1 - P) + \frac{P}{N}}$$

其中 P 是可并行化工作的比例，N 是处理器数量。然而，对于 AI 训练而言，通信开销引入了额外的顺序时间：

$$\text{Speedup}_{\text{AI}} = \frac{1}{(1-P) + \frac{P}{N} + \frac{C}{N}}$$

其中 C 表示通信开销比例。

以 1000 个 H100 GPU 训练 1750 亿参数的模型为例：

- **每次迭代的计算时间**：100 毫秒的前向/反向传播
- **通信时间**：在 1000 个 GPU 之间进行 1750 亿参数（700 GB，FP32）的 AllReduce 操作
- **可用带宽**：每条 NVSwitch 链路 600 GB/s
- **通信开销**：$\frac{700\text{GB}}{600\text{GB/s}} \times \log_2(1000) \approx 11.6\text{ms}$

即使只有 5% 的训练需要通信（P = 0.95），最大加速比也为：

$$\text{Speedup} = \frac{1}{0.05 + \frac{0.95}{1000} + \frac{0.116}{100}} \approx 8.3\text{x}$$

这表明，对于大规模模型训练，增加超过 ~100 个 GPU 的收益递减。

通信需求随着模型大小和参数数量的增加而超线性扩展。现代 Transformer 模型在每次训练步骤中都需要跨所有参数进行梯度同步：

- **GPT-3（175 亿参数）**：每步需交换 700 GB 的梯度
- **GPT-4（估计 1.8 万亿参数）**：每步需 ~7 TB 的梯度交换
- **未来 10 万亿参数模型**：每步需 ~40 TB 的梯度交换

即使使用先进的互连技术如 NVLink 4.0（1.8 TB/s），对 10 万亿参数模型的梯度同步也需 22 秒以上，且需算法创新如梯度压缩或异步更新才能使分布式训练成为可能。

多 GPU 系统还面临内存带宽竞争的瓶颈。当 8 个 H100 GPU 同时访问 HBM 进行梯度计算时，每个 GPU 的有效内存带宽从 3.35 TB/s 降至约 2.1 TB/s，下降幅度达 37%。这一内存性能下降与通信开销叠加，进一步限制了可扩展性。

理解阿姆达尔定律有助于指导优化策略：

1. **梯度压缩**：通过稀疏化和量化将通信量减少 10-100 倍
2. **流水线并行**：通过隐藏梯度同步延迟来重叠通信与计算
3. **模型并行**：在设备间划分模型以减少梯度同步需求

4. **异步更新**：放宽一致性要求以消除同步障碍

这些技术通过改变阿姆达尔公式中 P 和 C 的有效值，改善扩展性，但往往以算法复杂性为代价。

TPU Pods

随着模型和数据集的不断扩大，训练和推理工作负载必须超越单服务器配置。这一扩展需求催生了复杂的分布式系统，将多个加速器通过网络连接起来。Google 的 TPU Pods 就是应对这一挑战的开创性尝试，数百个 TPU 互联形成一个统一系统。

TPU Pods 的架构设计与传统多 GPU 系统有根本区别。传统多 GPU 配置通常依赖 NVLink 或 PCIe 连接单机内的多个 GPU，而 TPU Pods 则采用高速光纤链路，在数据中心级别互连加速器。这种设计实现了 2D 环形拓扑，有效减少了随着工作负载在节点间扩展而产生的通信瓶颈。

这种架构在性能扩展能力上表现出色。如图 11 所示，在运行 ResNet-50 时，TPU Pod 的性能在从四分之一 Pod 扩展到完整 Pod 配置时几乎线性提升。在与 16 TPU 基线相比时，扩展到 1024 个芯片时速度提升达到惊人的 33.0 倍。尤其在较大配置中，这种扩展效率尤为显著，从 128 扩展到 1024 个芯片时，性能仍能保持强劲增长。

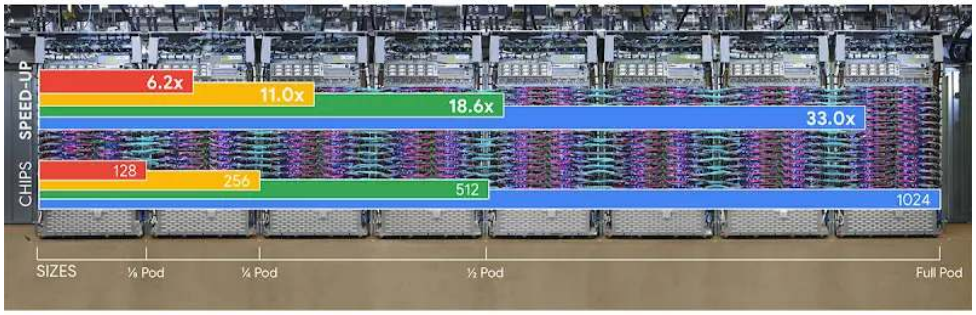

Cloud TPU v3 Pod performance scaling on ResNet-50 across a range of slice sizes relative to a 16-TPU-chip baseline [1,3]

TPU Pods 扩展效率：在 ResNet-50 上，TPU Pods 的性能随着芯片数量的增加而接近线性提升，从 16 个芯片扩展到 1024 个芯片时速度提升达到 33.0 倍。这一高效扩展得益于 2D 环形互连和高速光纤链路，减少了随着工作负载在多个加速器间扩展而产生的通信瓶颈。

然而，将 AI 工作负载分布在整个数据中心内会引入与单节点系统截然不同的分布式协调挑战。尽管 2D 环形互连提供了高切带宽，但在训练大规模 Transformer 模型时，跨所有 1024 个 TPU 进行 AllReduce 操作时会出现通信瓶颈。每个参数梯度必须通过环网的多个跳转才能到达目的地，最坏情况下的通信需要 32 次跳转才能在远端 TPU 之间完成，这会造成延迟惩罚，并随着模型规模的扩大而加剧。

分布式内存架构则使协调复杂性加倍 —— 与具有共享主机内存的多 GPU 系统不同，每个 TPU 节点都有独立的内存空间，迫使程序员显式处理数据调度和同步协议。网络分区容忍度在此变得至关重要，因为光纤链路故障可能将 Pod 分割成不相连的部分，需复杂的一致性算法来维持训练一致性。

此外，协调的能耗成本也呈指数级增长：通过 Pod 的光纤互连移动数据的能耗是片上通信的 1000 倍，使得分布式训练变成计算并行与通信效率之间的微妙平衡，整体训练吞吐量由 AllReduce 带宽而非计算能力决定。

晶圆级 AI

在 AI 扩展的最前沿，晶圆级 [350] 集成代表了一种范式转变 —— 放弃传统的多芯片架构，转而采用单一、巨大的 AI 处理器。此方法不再将计算划分到离散芯片上，而是将整个硅晶圆视为统一的计算结构，消除芯片间通信的低效。

如图 12 所示，Cerebras 的晶圆级引擎（WSE）处理器打破了 CPU、GPU 和 TPU 的历史性晶体管扩展趋势。这些架构的晶体管数量稳步增加，呈指数级增长，而 WSE 则引入了一种全新的扩展范式，将万亿级晶体管集成到单个晶圆上 —— 远超最先进的 GPU 和 TPU。通过 WSE-3，这一轨迹得以延续，将晶圆级 AI 推向前所未有的高度。

晶圆级 AI 的根本优势在于其超快的芯片内通信。与芯片组、GPU 或 TPU Pods 不同，晶圆级 AI 无需跨设备物理边界传输数据，允许其在庞大的计算阵列中实现近乎瞬时的数据传输。这一架构大幅降低了通信延迟，释放出传统多芯片系统无法企及的性能。

然而，实现这一集成水平需要巨大的工程挑战。热耗散、容错和制造良率成为制造此规模处理器的主要制约因素。这些可持续性挑战，包括能源消耗和资源利用，将在第 18 章：可持续 AI 中讨论。与动态重路由工作负载以应对故障的 TPU 系统不同，晶圆级 AI 必须内置冗余机制，以容忍硅片内的局部缺陷。成功应对这些挑战对于实现晶圆级计算的全部潜力至关重要，标志着 AI 加速的下一个前沿。

AI 系统扩展轨迹

表 20 概述了 AI 加速的渐进式扩展，从单芯片处理器到日益复杂的架构，如基于芯片组的设计、多 GPU 系统、TPU Pods 和晶圆级 AI。每一步演变都带来了与数据移动、内存访问、互连效率和工作负载分配相关的新挑战。芯片组实现封装内的模块化扩展，但引入延迟和内存一致性问题。多 GPU 系统依赖高速互连如 NVLink，但面临同步和通信瓶

350. **晶圆级集成**：将整个 300 毫米硅晶圆作为单个处理器使用，而不是切割成单独的芯片。Cerebras 的 WSE-3 包含 4 万亿个晶体管，拥有 850,000 个核心，是最大 GPU 的 125 倍以上。制造挑战包括 100% 的良率要求（通过冗余核心解决）和冷却 23 千瓦的功率。此方法消除了芯片间的通信延迟，但每片晶圆成本高达 200-300 万美元，而相当于 GPU 集群的成本仅为 4 万美元。

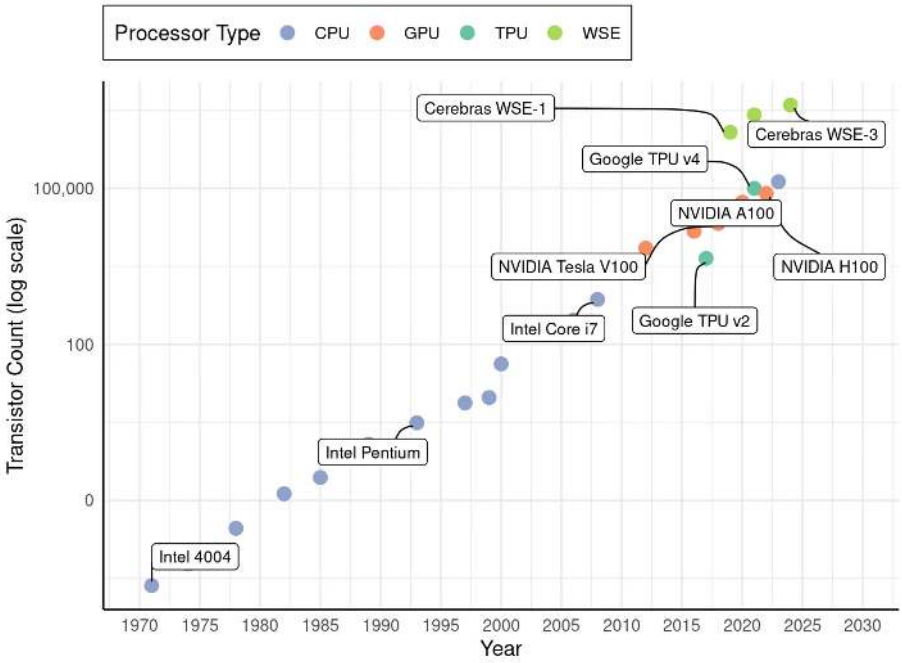

晶圆级集成：晶圆级 AI 处理器将万亿级晶体管集成到单个晶圆上，通过超快的芯片内通信，超越传统多芯片架构，实现前所未有的性能水平。

颈。TPU Pods 通过跨集群分配工作负载进一步推动可扩展性，但必须应对互连拥塞和工作负载划分问题。最极端的情况是，晶圆级 AI 将整个晶圆集成到单个计算单元中，带来了热管理和容错的独特挑战。

扩展方法	关键特征	挑战
芯片组	封装内的模块化扩展	芯片间延迟、内存一致性
多 GPU	外部 GPU 互连（NVLink）	同步开销、通信瓶颈
TPU Pods	分布式加速器集群	互连拥塞、工作负载划分
晶圆级 AI	整个晶圆作为单个处理器	热耗散、容错

计算和内存扩展变化

随着 AI 系统从单芯片加速器扩展到多芯片架构，计算和内存中的基本挑战不断演变。在单个加速器中，执行主要针对局部性进行优化 —— 确保计算有效映射到可用处理单

元，同时最小化内存访问延迟。然而，随着 AI 系统超越单个芯片，这些优化的范围大幅扩大。计算现在必须分布在多个加速器上，内存访问模式受到互连带宽和通信开销的限制。

多芯片执行映射 在单芯片 AI 加速器中，计算位置仅涉及将工作负载映射到处理单元、向量单元和张量核心，映射策略旨在最大化数据局部性，确保计算访问附近内存，从而减少昂贵的数据移动。

而在多芯片执行中，计算位置必须考虑几个关键因素。工作负载需要在多个加速器之间进行分区，这需要明确协调执行顺序和依赖关系。这一划分至关重要，因为跨芯片通信固有的延迟与单芯片系统中受益于共享片上内存的情况截然不同。因此，计算调度必须考虑互连，以有效管理这些延迟。此外，实现加速器间的负载平衡至关重要；任务分配不均可能导致某些加速器未被充分利用，而其他加速器则满负荷运转，最终妨碍整体系统性能。

例如，在多 GPU 训练中，计算映射必须确保每个 GPU 拥有均衡的工作负载，同时尽量减少昂贵的跨 GPU 通信。同样，在 TPU Pods 中，映射策略必须与环形互连拓扑相一致，确保计算位置能最大限度减少远程数据传输。

因此，单芯片系统中的计算位置优化是局部优化问题，而多芯片架构中的计算位置优化则成为全球优化挑战，执行效率依赖于最小化芯片间通信和任务分配的平衡。

分布式访问内存分配 单芯片 AI 加速器中的内存分配策略旨在通过使用片上缓存、SRAM 和 HBM 来最小化外部内存访问。通过分块、数据重用和内核融合等技术，确保计算高效利用快速本地内存。

而在多芯片 AI 系统中，每个加速器管理自己的本地内存，这就需要在设备间显式分配模型参数、激活值和中间数据。与单芯片执行中数据一次性提取和重用不同，多芯片设置需要有意识地制定策略，以尽量减少冗余数据传输，因为数据必须在加速器之间进行通信。此外，当重叠数据被多个加速器处理时，共享数据的同步可能会引入显著的开销，必须谨慎管理，以确保高效执行。

例如，在多 GPU 深度学习中，跨 GPU 的梯度同步是一项内存密集型操作，必须优化以避免网络拥塞。在晶圆级 AI 中，内存分配还必须考虑容错和冗余机制，以确保有缺陷区域不会影响整体系统性能。

因此，单芯片加速器中的内存分配侧重于本地缓存效率，而多芯片架构中的内存分配则必须在加速器之间进行显式协调，以平衡内存带宽、最小化冗余传输和减少同步开销。

数据移动限制 在单芯片 AI 加速器中，数据移动优化主要集中在最小化片上内存访问延迟。通过权重定常、输入定常和分块等技术，确保常用数据靠近执行单元，减少外部内存流量。

而在多芯片架构中，数据移动不仅是芯片内问题，更是系统范围内的瓶颈。扩展引入了几个关键挑战，其中最重要的是芯片间带宽限制；通信链路如 PCIe、NVLink 和 TPU 互连的速度远低于片上内存访问速度。此外，当加速器共享模型参数或中间计算结果时，随之而来的数据同步开销（包括延迟和争用）可能显著阻碍执行。因此，优化集体通信对于需要频繁数据交换的工作负载至关重要，例如在深度学习训练中，最小化同步梯度时的延迟是实现高效系统性能的关键。

例如，在 TPU Pods 中，脉动式执行模型确保数据以结构化方式移动，减少不必要的芯片外传输。在多 GPU 推理中，异步数据获取和计算与通信重叠等技术有助于减轻芯片间延迟。

因此，单芯片系统中数据移动优化侧重于缓存局部性和分块，而多芯片架构中，主要挑战是减少芯片间通信开销，以实现高效。

编译器和运行时适应 随着 AI 加速超越单芯片，编译器和运行时必须适应在多个加速器之间管理计算位置、内存组织和执行调度。尽管 AI 加速的基本原理保持不变，但其实现需要针对分布式执行的新策略。

扩展 AI 执行时，计算位置是主要挑战。在单芯片加速器中，工作负载映射到处理单元、向量单元和张量核心，强调最小化片上数据移动和最大化并行执行。然而，在多芯片系统中，计算必须分层划分，工作负载不仅在核心间分配，还要在多个加速器间分配。编译器通过实现互连感知调度来处理此问题，优化工作负载位置以最小化昂贵的芯片间通信。

内存管理在扩展时也发生变化，随着规模的扩大，内存管理必须在多个加速器间进行明确协调。在单芯片系统中，局部缓存、HBM 重用和高效分块策略确保常用数据靠近计算单元。然而，在多芯片系统中，每个加速器都有独立的内存，需显式进行内存分区和协调。编译器优化分布式执行的内存布局，运行时则引入数据预取和缓存机制，以减少芯片间内存访问开销。

超越计算和内存，数据移动在规模扩展中成为主要瓶颈。在单芯片加速器中，数据高效缓存和最小化 DRAM 访问确保数据重复利用。然而，在多芯片系统中，通信感知执行变得至关重要，要求编译器生成重叠计算与数据传输的执行计划。运行时处理芯片间同步，确保工作负载在等待远程加速器数据时不会停滞。

最后，调度需扩展至全局协调。在单芯片 AI 执行中，调度主要关注并行性和最大化计

算占用率。然而，在多芯片系统中，调度必须平衡加速器间的工作负载分配，同时考虑互连带宽和同步延迟。运行时通过实现自适应调度策略来管理这种复杂性，动态调整执行计划以适应系统状态和网络拥塞。

表 21 总结了这些关键适应，强调编译器和运行时如何扩展能力，以高效支持多芯片 AI 执行。

因此，尽管 AI 加速的基本原理保持不变，但编译器和运行时必须扩展功能，以便在分布式系统中高效运行。下一节将探讨映射策略如何演变，以进一步优化多芯片 AI 执行。

方面	**单芯片 AI 加速器**	**多芯片 AI 系统及编译器/运行时适应方式**
计算位置	处理单元、张量核心、向量单元本地映射	分层映射、互连感知调度
内存管理	缓存、HBM 重用、本地分块	分布式分配、预取、缓存
数据移动	片上重用、最小化 DRAM 访问	通信感知执行、重叠传输
执行调度	并行性、计算占用最大化	全局调度、互连感知平衡

执行模型适应

随着 AI 加速器规模超越单芯片，执行模型必须演变以应对分布式计算、内存分区和芯片间通信带来的复杂性。在单芯片加速器中，执行针对本地处理单元进行优化，调度策略平衡并行性、局部性和数据重用。然而，在多芯片 AI 系统中，执行必须在多个加速器间协调，引入新的工作负载调度、内存一致性和互连感知执行挑战。

本节探讨 AI 加速规模扩展带来的执行模型变化，重点关注多芯片系统中的调度、内存协调和运行时管理。

跨加速器调度 在单芯片 AI 加速器中，执行调度主要旨在优化处理器内部的并行性。这涉及通过增强数据局部性和资源利用率的技术，确保工作负载有效映射到张量核心、向量单元和特殊功能单元。例如，静态调度使用预先确定的执行顺序，经过优化以提高

局部性和重用，而动态调度则实时适应工作负载需求的变化。此外，流水线执行将计算分为多个阶段，通过保持操作的连续流动，最大化硬件利用率。

而在多芯片架构中，调度必须解决跨芯片依赖带来的额外挑战。此类系统中的工作负载分配涉及将任务分布到各个加速器，确保每个加速器获得最佳工作量，同时最小化因过度通信而产生的开销。互连感知调度对于协调执行时序与芯片间带宽限制至关重要，从而防止性能停滞。隐藏延迟技术同样关键，它们使计算与通信重叠，减少等待时间。

例如，在多 GPU 推理场景中，执行调度允许数据在计算时并行预取，从而减轻内存阻塞。同样，TPU Pods 利用脉动阵列模型，将执行调度与数据流紧密结合，确保每个 TPU 核心在需要时能及时获得数据。因此，单芯片执行调度主要关注内部并行性最大化，而多芯片系统则需要一种更全面的方法，明确管理通信开销并协调加速器间的工作负载分配。

跨加速器协调 在单芯片 AI 加速器中，内存协调通过复杂的本地缓存策略来管理，确保常用数据靠近执行单元。采用分块、内核融合和数据重用等技术，减少对较慢内存层级的依赖，从而提高性能和降低延迟。

而在多芯片架构中，分布式内存协调挑战需要更为精细的管理。每个加速器都有独立的内存，必须通过显式的内存分区来组织，以尽量减少跨芯片数据访问。此外，确保共享数据的一致性和同步也是维持计算正确性的关键。高效的通信机制必须实施，以在限制同步延迟开销的同时调度数据传输。

例如，在分布式深度学习训练中，跨多个 GPU 的模型参数同步采用 all-reduce 方法，聚合梯度时减少通信延迟。在晶圆级 AI 中，内存协调还必须考虑容错和冗余机制，确保有缺陷区域不会影响整体系统性能。因此，单芯片系统中的内存协调主要关注缓存优化，而多芯片架构则需管理分布式内存访问、同步和通信，以实现高效执行。

跨加速器执行管理 单芯片 AI 加速器中的执行由 AI 运行时管理，处理工作负载调度、内存分配和硬件执行。这些运行时在内核级别优化执行，确保计算在可用资源内高效执行。

而在多芯片 AI 系统中，运行时必须纳入分布式执行的策略。确保计算和内存访问在多个加速器间无缝协调，充分利用硬件资源，最小化数据传输瓶颈。

这些系统需要强大的跨芯片工作负载同步机制。依赖关系的精确管理和加速器间的及时协调对于防止因芯片间通信延迟而导致的执行停滞至关重要。这种同步对于维持计算流畅性尤为关键，尤其是在延迟可能显著影响整体性能的环境中。

最后，自适应执行模型在当代多芯片架构中发挥着关键作用。这些模型根据当前硬件可用性和通信约束动态调整执行计划，确保系统能够实时响应变化条件，优化性能。综合这些策略，为管理分布式 AI 执行的复杂性提供了一个强大的框架。

例如，在 Google TPU Pods 中，TPU 运行时负责跨多个 TPU 核心调度计算，确保工作负载以最小通信瓶颈的方式执行。在多 GPU 框架（如 PyTorch 和 TensorFlow）中，运行时执行必须在 GPU 之间同步操作，确保数据高效传输的同时保持执行顺序。

因此，单芯片运行时专注于优化单一处理器内的执行，而多芯片运行时则必须处理系统范围的执行，平衡计算、内存和互连性能。

计算位置适应 随着 AI 系统超越单芯片执行，计算位置必须适应以考虑跨加速器的工作负载分配和互连效率。在单芯片加速器中，编译器通过将工作负载映射到张量核心、向量单元和处理单元来优化位置，确保最大化并行性同时最小化片上数据移动。然而，在多芯片系统中，位置策略必须解决芯片间带宽限制、同步延迟和跨多个加速器的分层工作负载划分。

下表（表 22）突出显示了这些适应。为减少昂贵的跨芯片通信，编译器现在实施互连感知的工作负载分区策略，根据通信成本战略性地分配计算。例如，在多 GPU 训练中，编译器优化位置以最小化 NVLink 或 PCIe 流量，而 TPU Pods 则利用环形互连拓扑来增强数据交换。

方面	**单芯片 AI 加速器**	**多芯片 AI 系统及编译器/运行时适应方式**
计算位置	处理单元、张量核心、向量单元本地映射	分层映射、互连感知调度
工作负载分配	优化于单一芯片内	跨加速器分区，最小化芯片间通信
同步	在本地执行单元内管理	运行时动态平衡工作负载，调整执行计划

运行时通过动态管理执行任务，实时调整任务分配，平衡多加速器间的负载。与假定硬件拓扑固定的静态编译不同，AI 运行时会持续监控系统状态，按需迁移任务，防止瓶颈。这保证了即使在负载波动或硬件资源变化的环境下，也能高效执行。

因此，大规模计算分配是在本地执行优化的基础上，进一步引入了芯片间协调、通信感知执行和动态负载均衡等新挑战 —— 这些挑战也要求存储层次结构适应多芯片架构下的高效执行。

多芯片 AI 系统的复杂性应对

AI 硬件从单芯片加速器发展到多芯片系统乃至晶圆级集成，凸显了高效执行大规模机器学习任务的复杂性不断提升。AI 系统扩展带来了计算分配、内存管理和数据流动的新挑战。虽然加速的基本原则不变，但具体实现必须适应分布式执行、互连带宽限制和同步开销等约束。

多芯片 AI 架构是应对现代机器学习模型算力需求的重要进步。通过将任务分布到多个加速器，这类系统提升了性能、内存容量和可扩展性。但要真正发挥这些优势，必须精细考虑计算如何映射到硬件、内存如何分区与访问，以及分布式系统下如何调度执行。

本文仅概述了多芯片 AI 加速的核心概念与挑战，实际还有更多值得深入探讨。随着 AI 模型规模和复杂度持续增长，新的架构创新、映射策略和运行时优化将不断涌现以支撑高效执行。这些新趋势和未来方向正在快速演进。AI 硬件与软件的持续发展也反映了计算领域的更广泛趋势 —— 专业化和领域专用架构正成为应对新兴负载独特需求的关键。

理解多芯片 AI 加速的原理与权衡，有助于机器学习工程师和系统设计者做出更优的模型部署与优化决策。无论是在 TPU Pod 上训练大语言模型，还是在多 GPU 系统上部署计算机视觉应用，能否高效地将计算映射到硬件，将始终是释放 AI 最大潜力的关键。

异构 SoC AI 加速

前文讨论的多芯片架构主要聚焦于数据中心场景下的算力极限，通常功耗预算高达数千瓦，冷却系统支持机架级部署。然而，硬件加速的基本原则 —— 专用计算单元、存储层次优化和任务映射策略 —— 在移动和边缘环境下必须彻底适应。智能手机仅有 2-5 瓦功耗预算，自动驾驶要求确定性实时响应，物联网传感器需数年电池续航。这些约束催生了异构系统级芯片（SoC）架构，在单芯片内协调多种专用处理器，同时满足与数据中心截然不同的功耗、热管理和延迟要求。

移动 AI 的兴起彻底改变了我们对 AI 加速的认知，从同质化的数据中心架构转向异构 SoC 设计，协调多种专用处理器。现代智能手机、汽车系统和物联网设备集成了 CPU 核心、GPU 着色器、数字信号处理器（DSP）和专用神经处理单元（NPU），需要复杂的调度与协作，在严格的功耗和热约束下实现最优性能。

移动 SoC 架构演进

高通 Snapdragon AI 引擎是移动 AI 异构计算的典范，协调 Kryo CPU、Adreno GPU、Hexagon DSP 和专用 NPU[351]，共享统一内存层次。Snapdragon 8 Gen 3 通过智能任务分配实现 73 TOPS 性能 —— 计算机视觉内核在 GPU 并行着色器上运行，音频处理用 DSP 专用算术单元，Transformer 注意力机制则由 NPU 优化矩阵引擎加速。此类协作需毫秒级调度，既满足实时约束，又兼顾热管理和续航优化。

高通强调多处理器专用化，Apple 则通过软硬件深度协同实现更复杂的异构执行。M2 芯片的 16 核神经引擎（15.8 TOPS）与 10 核 GPU、8 核 CPU 通过统一内存架构协作，消除数据复制开销。神经引擎专用矩阵乘法单元处理 Transformer 层，GPU 的 Metal Performance Shaders 加速卷积，CPU 负责控制流和动态层选择。如此细粒度协作，实现了实时语言翻译和端侧图像生成，响应时间可控在毫秒级。

除高通和 Apple 的垂直集成方案外，ARM 的 IP 授权模式为 SoC 设计者提供了定制处理器组合的灵活路径。Mali-G78 GPU 可与 Ethos-N78 NPU 配合，实现通用与 AI 加速的平衡；Cortex-M55 微控制器集成 Ethos-U55 微型 NPU，适用于超低功耗边缘应用。模块化灵活性让汽车 SoC 可优先确定性实时处理，智能手机 SoC 则优化交互性能与电池效率。

动态任务分配策略

异构 SoC 拥有多种专用处理器，关键挑战在于如何智能分配神经网络操作，最大化性能，同时兼顾功耗和延迟约束。

现代神经网络需根据操作特性和系统状态智能划分到异构处理器。卷积层数据访问规律，适合 GPU 着色器并行执行；全连接层稀疏性高，可能在大缓存的通用 CPU 上更高效。Transformer 的注意力机制在序列较长时适合 NPU 矩阵引擎，序列较短时则因 NPU 启动开销，CPU 执行更优。

异构 SoC 不仅静态映射操作到处理器，还需根据多重约束动态选择：

- **功耗预算**：电池模式下，系统可将计算分配到低功耗 DSP，而非高性能 GPU
- **热状态**：接近热阈值时，任务从高功耗 NPU 迁移到更高效的 CPU
- **延迟需求**：汽车安全关键应用优先确定性 CPU 执行，而非可能更快但延迟波动的 NPU

351. **神经处理单元（NPU）**：专为神经网络推理设计的处理器，区别于通用 GPU。Apple 于 2017 年 A11 芯片首次引入消费级 NPU，单芯片实现 6000 亿次运算/秒，功耗不足 1 瓦。现代 NPU（如 Apple M3 Neural Engine）可达 18 TOPS，支持实时图像处理、语音识别和计算摄影。NPU 擅长低功耗、固定功能 AI 任务，但灵活性不及 GPU，难以支持多样化 ML 研究。

- **并发负载干扰**：多 AI 应用需在处理器间负载均衡，保障服务质量

共享内存架构下，多处理器同时访问 LPDDR，需复杂仲裁。Snapdragon 8 Gen 3 的内存控制器实现优先级调度，摄像头处理优先于后台 AI，确保实时视频处理，后台神经网络则根据可用带宽自适应调整执行模式。大模型推理等内存密集型任务，参数流式加载需跨处理器精细协调。

功耗与热管理

移动 AI 需在严格功耗和热约束下保持高性能，异构处理器间需复杂协作。

异构 SoC 通过多处理器协同 DVFS（动态电压频率调整）优化功耗 - 性能曲线。某处理器为满足延迟需求提升频率，系统可降低其他处理器电压以维持总功耗。AI 负载下计算阶段可能快速切换处理器，系统需预测负载变化，提前调整工作点，避免频率/电压震荡导致效率下降。

DVFS 无法单独维持功耗时，移动 SoC 通过智能任务迁移实现热降频，而非简单降低频率。NPU 在神经网络高负载下接近热极限时，运行时可将部分层迁移到 GPU 或 CPU，保持吞吐。此策略在热事件期间维持性能，但需复杂的负载特征分析，预测不同处理器的执行时间和功耗。

除实时功耗与热管理外，移动 AI 系统还需根据电池状态和充电情况调整计算策略。低电量时，系统可切换到高效近似模型，将任务从高功耗 NPU 迁移到节能 DSP，或降低推理频率以保持响应。充电时则可启用高性能模型，提升处理频率，增强用户体验。

汽车异构 AI 系统

汽车应用结合了移动端的能效需求与严格的实时和功能安全要求，需完全不同的架构设计。

汽车 SoC 必须保障安全关键功能的确定性推理延迟，同时支持高级驾驶辅助系统（ADAS）。Snapdragon Ride 平台在安全域内协调多 AI 加速器 —— 冗余处理单元保障功能安全，高性能加速器负责感知、规划和控制。架构需实现安全与便利功能的时间隔离，通过硬件分区和定时调度实现。

安全需求更复杂，现代汽车集成多 AI SoC，分别处理视觉、雷达和中央决策。分布式系统需在微秒级精度下保持多传感器时序一致，需专用 SoC 间通信协议和分布式同步机制。

车载传感器之外，车联网（V2X）进一步提升异构处理复杂度，AI 算法需协调本地传感器与外部车辆/基础设施信息。5G 模块、AI 加速器和控制系统需在毫秒级时限内协同处理，同时保障功能安全。

软件栈挑战

异构 SoC 架构复杂，带来编程模型、内存管理和运行时优化等多方面的软件开发挑战。

编程异构 SoC 需框架抽象处理器差异，同时暴露性能关键优化机会。OpenCL、Vulkan 支持跨处理器执行，但要实现最优性能仍需针对处理器定制优化，增加了可移植开发的复杂度。现代 ML 框架如 TensorFlow Lite、PyTorch Mobile 实现自动处理器选择，但开发者仍需理解异构执行模式才能获得最佳效果。

异构 SoC 的共享内存架构进一步加剧编程难度，需复杂内存管理，兼顾处理器缓存行为、访问模式和一致性要求。CPU 缓存可能干扰 GPU 内存访问，NPU 的 DMA 操作需与 CPU 缓存同步，保障数据一致性。

为应对手动优化的复杂性，先进异构 SoC 实现了基于机器学习的运行时优化，通过学习执行模式提升处理器选择、热管理和功耗优化。这些系统收集负载特征、处理器利用率和功耗数据，建立模型预测新负载的最优执行策略。

异构 AI 加速代表了计算的未来，没有单一处理器架构能高效覆盖现代 AI 应用的多样计算模式。理解这些协同挑战，是开发高效移动 AI 系统的基础，确保在边缘部署场景下兼顾高性能、低功耗、热管理和实时性。

但异构系统的复杂性也带来了误解和低效设计的风险。以下常见误区和陷阱，提醒大家在加速器选型和部署时需谨慎权衡。

常见误区与陷阱

硬件加速涉及专用架构、软件栈和负载特性的复杂交互，极易因误解而导致低效部署。AI 加速器的高性能数据常掩盖了实际应用中的约束和权衡，影响不同场景下的真实效果。

误区：更专用的硬件总能比通用方案性能更好。

这一观点假定专用加速器在所有 AI 负载下都能自动优于通用处理器。实际上，只有当负载与架构假设和优化目标高度匹配时，专用硬件才能发挥极致性能。对于内存访问不规律、小批量或动态计算图的模型，灵活的通用处理器反而可能优于为密集、规则计算设计的专用加速器。数据搬运、格式转换和同步的开销可能抵消专用计算的优势。硬件选型需根据负载特性匹配架构优势，而非盲目追求专用化。

陷阱：选型时忽略内存带宽限制。

许多实践者只关注算力指标，忽略了常常主导实际性能的内存带宽瓶颈。AI 加速器算力再强，若内存带宽不足，硬件利用率会极低。计算强度与内存访问需求的比例决定了加

速器能否发挥理论性能。忽视这一点会导致高价硬件部署却无法实现预期性能，因为负载受限于内存而非算力。

误区：增加加速器数量，性能线性提升。

这一误解让团队期望通过增加加速器获得成比例的性能提升。多加速器系统引入通信开销、同步成本和负载均衡挑战，扩展效率常被严重限制。小模型并行度不足，无法充分利用多加速器；大模型则受限于设备间通信带宽。分布式训练和推理还面临梯度聚合、模型分区和协调开销，扩展关系远非线性。

陷阱：只做厂商专用优化，忽略长期可移植性和灵活性。

许多组织为追求极致性能，深度绑定特定硬件厂商，忽略了系统灵活性和未来迁移的影响。深度集成厂商专用库、自定义内核和专有优化工具会造成锁定，升级硬件、切换厂商或多厂商部署时极为困难。虽然专用优化能带来显著性能提升，但需兼顾系统可移植性和适应未来硬件变化的能力。保持一定的硬件抽象层，既能保留战略灵活性，又能获得大部分性能收益。

总结

硬件加速已成为推动机器学习从学术探索到实际应用的关键力量，彻底重塑了计算系统和算法设计。通用处理器到专用 AI 加速器的演进，不只是渐进提升，更是向领域专用计算范式的根本转变，软硬件协同优化特定计算模式。CPU、GPU、TPU、NPU 乃至晶圆级系统的发展历程，说明理解负载特性如何驱动架构创新，通过针对性专用化实现数量级性能提升。

AI 加速的技术挑战贯穿计算栈各层，从底层存储层次优化到高层编译器变换和运行时编排。内存带宽限制是根本瓶颈，需用分块、算子融合和层次化调度等复杂技术突破。将神经网络计算映射到硬件，涉及不同数据流模式、内存分配策略和执行调度方法的复杂权衡，需在计算效率与资源利用间取得平衡。

在这些基础概念之上，多芯片和分布式加速系统的出现又带来了通信开销、内存一致性和任务划分等新复杂性，需系统级优化。

> **核心要点**
>
> - 专用 AI 加速器通过针对张量操作和数据流模式优化的领域专用架构实现性能提升
> - 存储层次管理常是 AI 加速的主瓶颈，需复杂的数据搬运优化策略
> - 软硬件协同设计通过算法特性与架构能力的深度匹配，实现数量级性能提升

- 多芯片扩展带来分布式计算挑战，需新的通信、同步和资源管理方法

本文确立的硬件加速原理，为理解基准测试方法如何评估加速器性能，以及部署策略如何兼顾硬件约束和能力奠定了基础。随着 AI 模型持续扩展，能否高效利用专用硬件将成为实际系统部署的关键，影响能效、成本优化、实时推理和大规模训练的可行性。

第 12 章：AI 基准测试

目标

为什么系统化测量是机器学习系统工程进步的基础？标准化基准测试又如何推动这一新兴领域的科学发展？

工程学科的进步离不开测量与比较，基准测试已成为机器学习系统开发的核心环节。没有系统化的评测框架，优化效果缺乏科学依据，硬件投资缺乏数据支撑，系统改进也无法验证或复现。基准测试将主观印象转化为客观数据，使工程师能够区分真正的进步与实现细节带来的假象。由于 ML 系统涉及算法、硬件与数据的复杂交互，性能难以凭直觉预测，测量纪律尤为重要。标准化基准为不同研究团队建立了共享基线，推动可复现的累积性进步，并为工程决策提供实证基础。掌握基准测试原理，能够驱动系统性评估与持续改进，确立机器学习系统工程的科学属性。

学习目标

- 分析传统计算基准到现代 ML 评测框架的演变，解释基准作弊的教训如何影响当前 ML 基准设计
- 区分 ML 基准的三大维度（算法、系统、数据），评估各自对系统评测的贡献
- 比较训练与推理基准方法，识别各阶段适用的指标与评测协议
- 应用 MLPerf 标准评测硬件与软件方案，解读结果指导系统优化
- 设计统计严谨的实验方案，考虑 ML 系统的变异性，包括样本量与置信区间报告
- 批判性分析现有基准结果，识别常见谬误与陷阱，区分基准性能与真实部署效果
- 实施生产监控，将基准测试原则延伸到运维环境，包括 A/B 测试与持续模型验证

- 综合评估准确率、延迟、能耗、公平性等多维性能权衡，针对特定场景优化 ML 系统

机器学习基准框架

系统性评估机器学习系统，是性能工程领域的核心方法论挑战。前几章已建立了全面的优化框架，尤其是硬件加速策略（详见第 11 章：AI 加速），而这些优化的有效性，必须通过超越传统计算基准的严谨测量方法来验证。

工程师在评估 AI 硬件方案时常遇到这样的难题：厂商可能在精心挑选的基准上展示出色性能，但在实际生产负载下却无法复现。没有全面的评测框架，难以区分真正的进步与实现细节带来的假象。这正说明了系统化测量为何是机器学习系统工程进步的基石。

本章将基准测试作为一门实证学科，系统梳理机器学习系统在多样化场景下的性能评估方法。基准测试为工程决策提供了方法论基础，使从业者能够系统比较不同方案、验证优化策略，并确保研究与生产环境下的性能声明可复现。

机器学习基准面临独特挑战，区别于传统系统评测。ML 算法的概率性带来固有的性能波动，传统确定性基准难以刻画。ML 系统性能受数据特性、模型结构、计算资源等多因素影响，形成多维评测空间，需要专门的测量方法。

现代 ML 系统要求评测框架能兼顾多重、甚至相互冲突的性能目标。除了计算效率，还需考察预测准确率、收敛特性、能耗、公平性与稳健性等维度。这一多目标评测范式，要求基准方法能刻画权衡关系，指导系统设计决策。

本领域已发展出覆盖三大核心维度的综合评测方法：

> **机器学习基准测试**
>
> **机器学习基准测试** 是对 计算性能、算法效果与数据质量 的系统性评估。它衡量系统能力、模型准确率与收敛性、数据可扩展性与代表性，以优化各类工作负载下的系统表现。ML 基准使工程师和研究者能够 量化权衡、提升部署效率、确保研究与生产的可复现性。

本章将系统梳理机器学习基准方法，首先回顾计算评测框架的历史演变及其如何适应概率性系统的特殊需求。我们将分析如 MLPerf 等标准化评测框架，如何为多样硬件架构与实现方案建立可比基线。随后，探讨训练与推理评测的本质区别，解析各自所需的专用指标与方法。

讨论还将延伸到资源受限的移动与边缘部署场景，分析其独特的测量挑战。最后，探讨

如何将基准测试原则延伸到生产监控，实现从实验室到运维环境的动态评测。通过本章，读者将理解如何用严谨测量验证前述章节的优化与加速成果，并为后续部署策略（见第四部分）奠定实证基础。

历史背景

从简单性能指标到全面 ML 基准的演变，经历了三次关键方法论转变，每一步都针对前一代评测范式的失败，总结出直接指导当前方法的经验。

性能基准

早期基准作弊现象暴露后，评测从合成操作转向代表性工作负载。主机时代的 Whetstone（1964）和 LINPACK（1979）只测算单一操作，厂商可针对性优化，难以反映实际性能。SPEC CPU（1989）首创用真实应用负载，确保评测贴合实际部署。MLPerf 采用 ResNet-50、BERT 等真实模型，正是吸取了这一教训，避免只在理想化测试下优化。

随着应用场景多样化，基准从单一指标转向多目标评测。图形基准兼顾画质与速度，移动基准同时考察续航。正如第 9 章：高效 AI 所述，现代 ML 评测需平衡准确率、延迟、能耗等多维目标。

分布式计算兴起后，基准从组件级转向系统级。单一部件优化无法预测整体性能，ML 训练不仅依赖加速器算力（见第 11 章：AI 加速），还受数据管道、梯度同步、存储吞吐等影响。MLPerf 评测完整流程，强调性能源自组件协同。

这些经验最终汇聚于 MLPerf（2018），融合了代表性负载、多目标评测与系统集成测量，并针对 ML 特有挑战做出创新。

能耗基准

多目标评测范式自然扩展到能效，尤其在移动与大规模计算场景下。移动设备强调续航，数据中心则关注能耗成本。SPEC Power[352]、Green500[353]、ENERGY STAR[354] 等基准，使能效成为与性能并列的核心指标。

尽管进步显著，能耗基准仍面临多样负载与系统配置的挑战。MLPerf Power 等新方法，专为 ML 负载能耗测量设计，回应 AI 计算能效日益重要的趋势。

352. **SPEC Power**：2007 年推出，专为服务器能效设计，测量 10%~100% 负载下的性能/瓦。现代服务器能效提升 3~4 倍。
353. **Green500**：2007 年起，按 FLOPS/瓦排名超算，最高已达 60 GFLOPS/瓦，较 2000 年代初提升百倍。
354. **ENERGY STAR**：1992 年 EPA 推出，累计减少 40 亿吨温室气体排放，为用户节省 4500 亿美元。认证设备能耗比普通型号低 30~65%。

能耗评测不仅限于硬件功耗，算法优化同样关键。剪枝可使 BERT 模型参数减少 10 倍，推理加速 4~8 倍，能耗降低 8~12 倍。量化（如 INT8）通常带来 4 倍推理加速与能耗降低，准确率损失极小。知识蒸馏与 MobileNet 等高效架构，使移动与边缘 AI 成为可能。

能效基准需同时评估硬件功耗与算法效率，如稀疏化带来的 FLOP 降低、压缩减少的内存访问、量化的计算能耗优势。算法优化往往比硬件提升更显著，是现代 AI 能效评测不可或缺的一环。

随着 AI 与边缘计算发展，能耗基准将驱动软硬件协同创新，直接关联第 18 章：可持续 AI 的绿色设计理念。

行业专用基准

计算多样化催生了面向特定领域的专用基准，弥补通用指标的不足。专用基准主要关注三类特性：

- **部署约束**决定核心指标。数据中心追求吞吐与高功耗，移动 AI 受限于 2~5W，IoT 仅有毫瓦级。指标优先级直接受第 9 章：高效 AI 影响。
- **应用需求**带来功能与合规要求。医疗 AI 需可解释性，金融系统要求微秒级延迟与审计，自动驾驶需安全认证（ASIL-D）。这些需求与第 17 章：可信 AI 的责任原则紧密相关。
- **运行环境**决定实际可用性。自动驾驶需耐受极端温度与传感器失效，数据中心需应对网络分区，工业 IoT 要求多年免维护。硬件能力只有在真实环境下验证才有意义。

ML 是专用基准转型的典型代表。传统 CPU/GPU 基准难以评估 ML 负载的计算、带宽与数据流复杂交互。MLPerf 针对三类场景：Training（数据中心多节点）、Inference（服务器到边缘）、Tiny（微控制器），系统性覆盖了部署、应用与环境三大需求。

专用基准的优势在于能捕捉通用基准忽略的特殊需求，驱动软硬件有针对性的优化，确保改进真正转化为实际部署价值，而非仅在实验室条件下“刷分”。

这一从通用到能效再到专用的历史演进，为理解现代 ML 基准挑战奠定了基础。代表性负载、多目标评测、系统集成三大经验，直接塑造了今天的 AI 评测方法。

机器学习基准

历史演进的终点是机器学习基准，其复杂性超越以往所有计算领域。与确定性负载不同，ML 系统因概率性带来固有不确定性。CPU 基准同输入必得同结果，ML 模型则因数据、初始化、操作顺序等多因素波动。正因如此，三维评测框架成为必然选择。

基于前述框架与优化技术，ML 基准不仅要评估计算效率，更要考察算法、硬件与数据

的复杂耦合。早期 ML 基准只关注算法性能，随着应用规模与算力需求激增，系统性能与硬件效率成为焦点，数据质量则成为第三维。

AI 基准与传统性能指标的最大不同，是准确率成为与速度、能耗并列的核心维度。模型的概率性决定了同一系统面对不同数据可能表现迥异，准确率成为性能评估的决定性因素。这使得基准设计更为复杂：不仅要测算效率，还要权衡准确率、泛化能力与资源约束。

能效成为三维框架的交叉主题：算法选择影响计算复杂度与功耗，硬件决定能效权衡，数据特性影响训练能耗。这一多维评测方式，已远超早期只关注单一指标的基准。

基准复杂性的演变，正反映了业界对 ML 成功要素的认识转变。算法创新曾是进步的唯一衡量标准，实际部署暴露了硬件效率的重要性，现实失败又凸显了数据质量对可靠性与公平性的决定作用。理解三维交互，已成为准确评估 ML 系统、指导开发与衡量技术进步的必备基础。

ML 测量挑战

ML 系统的独特特性，带来了传统基准无法遇到的测量挑战。与给定输入必然产生相同输出的确定性算法不同，ML 系统因多种因素（如算法随机性、硬件状态、系统负载、环境变化等）导致性能波动。这种波动性要求采用严谨的统计方法，区分真实的性能提升与测量噪声。

为应对这种波动，基准测试需多次实验，使用不同随机种子。每个基准测试运行 5-10 次，并报告标准差或 95% 置信区间等统计指标，量化结果稳定性，帮助从业者识别真实的性能提升。

近期研究表明，统计严谨性不足可能导致误导性结论。许多强化学习论文报告的改进，实际上都在统计噪声范围内；而 GAN 比较常常缺乏适当的实验方案，不同随机种子下排名不一致。这些发现强调了建立全面测量方案的必要性，以应对 ML 的概率特性。

代表性负载选择对基准有效性至关重要。合成微基准往往无法捕捉真实 ML 负载的复杂性，如数据移动、内存分配与动态批处理等性能模式。全面基准需使用反映实际部署模式的工作负载，如语言模型中的可变序列长度、混合精度训练方案，以及包含预处理开销的真实数据加载模式。

统计显著性与实际显著性的区别，需要谨慎解读。小幅性能提升可能在数百次试验中达到统计显著，但如果在测量噪声范围内，或成本超过收益，则在实际操作中可能无关紧要。

解决这一问题需通过优先选择代表性负载而非合成测试的基准设计。有效的系统评估依

赖于端到端应用基准，如 MLPerf，涵盖数据预处理并反映真实部署模式。当开发自定义评估框架时，分析生产负载有助于识别有意义评估所需的代表性数据分布、批量大小与计算模式。

当前基准范式常因仅测量狭隘任务性能，而忽视决定真实系统有效性的特征。大多数现有基准评估监督学习在静态数据集上的表现，主要测试模式识别能力，而非生产部署所需的适应性与稳健性。为弥补这些不足，全面系统评估必须同时测量学习效率、持续学习能力与分布外泛化能力，以及传统指标。

算法基准

算法基准专注于我们框架的第一维度：测量模型的性能、准确性与效率。尽管硬件系统与训练数据质量确实会影响结果，但算法基准刻意孤立模型能力，以清晰理解准确性、计算复杂度与泛化能力之间的权衡。

AI 算法面临着多重性能目标的复杂平衡挑战，包括准确性、速度、资源效率与泛化能力。随着机器学习应用涵盖计算机视觉、自然语言处理、语音识别与强化学习等多个领域，评估这些相互竞争的目标需要针对每个领域独特挑战的标准化方法。算法基准，如 ImageNet[355]，建立了这些评估框架，为不同机器学习方法的比较提供了一致的基础。

> **机器学习算法基准**
>
> **ML 算法基准** 是对机器学习模型在 标准化任务 上的评估，使用 预定义数据集和指标。这些基准测量 准确性、效率和泛化能力，确保不同模型之间的 客观比较。算法基准提供 性能基线，使模型复杂性与计算成本之间的权衡得以系统评估，推动技术进步，识别现有方法的局限性。

图 1 中的图表展示了在 ImageNet 大规模视觉识别挑战赛 (ILSVRC) 分类任务上，错误率随时间的降低。从 2010 年和 2011 年的基线模型开始，2012 年 AlexNet[356] 的出现将错误率从 25.8% 降至 16.4%。随后，ZFNet、VGGNet、GoogleNet 和 ResNet[357] 等模型延续了这一趋势，至 2015 年 ResNet 达到 3.57% 的错误率。这一进展凸显了算法基

355. **ImageNet**：由斯坦福大学的 Fei-Fei Li 于 2007 年创建，包含 1400 万张图像，跨越 2 万个类别，其中 120 万张图像用于年度分类挑战（ILSVRC）。ImageNet 的影响深远：2012 年 AlexNet 以 15.3% 的 top-5 错误率取得突破性进展，而传统方法为 25.8%，成为计算机视觉领域的里程碑。

356. **AlexNet**：由多伦多大学的 Alex Krizhevsky、Ilya Sutskever 和 Geoffrey Hinton 开发的 8 层神经网络，彻底改变了计算机视觉领域。使用两块 GTX 580 GPU 训练的 6000 万个参数，使 AlexNet 的神经网络设计创新成为现代 AI 的标准技术。

357. **ResNet**：微软的残差网络，由 Kaiming He 等人于 2015 年提出，利用跳跃连接解决了梯度消失问题，使得 152 层以上的网络成为可能。ResNet-50 成为迁移学习的标准，而 ResNet-152 以 3.57% 的 top-5 错误率在 ImageNet 上实现超人类表现，超过了 5% 的人类错误率估计。

准如何衡量当前能力并推动 AI 性能提升。

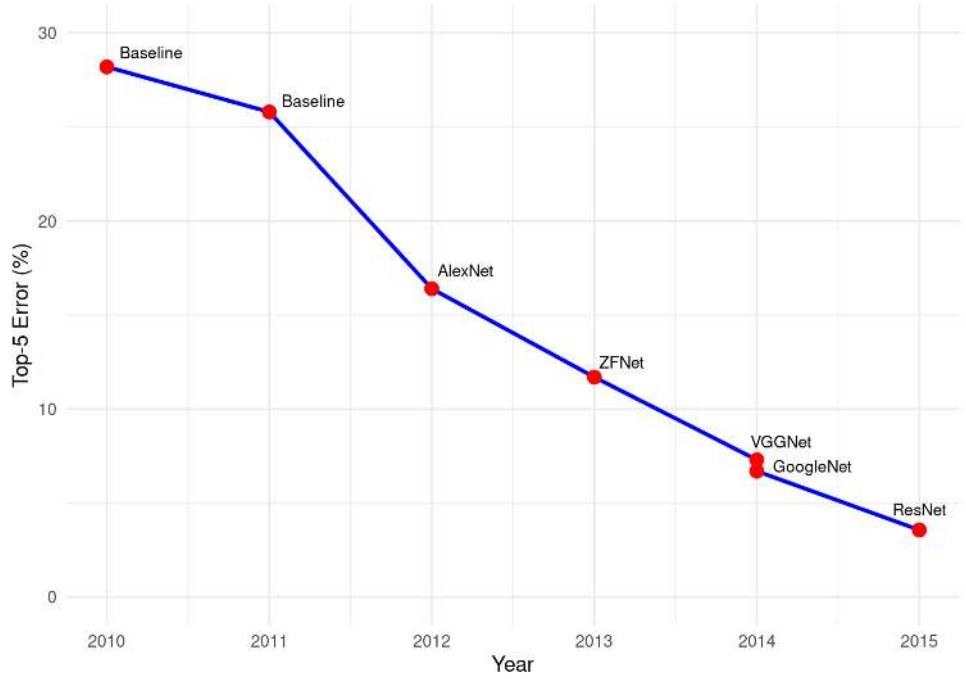

ImageNet 挑战进展：神经网络将错误率从 25.8% 降至 3.57%，凸显了架构进步对分类准确性的影响。

系统基准

转向我们框架的第二维度，关注不同计算系统执行机器学习工作负载的效率。系统基准测量支撑算法能力的计算基础，系统性地检验硬件架构、内存系统与互连如何影响整体性能。理解这些硬件限制与能力，对于优化算法与系统的交互至关重要。

AI 计算对计算资源的需求，远超传统计算负载。底层硬件基础设施，包括通用 CPU、图形处理单元（GPU）、张量处理单元（TPU）[358] 和专用集成电路（ASIC）[359]，决定了 AI 解决方案的速度、效率与可扩展性。系统基准建立了评估硬件在 AI 工作负载下性能的标准化方法，测量计算吞吐量、内存带宽、能效与扩展特性等指标。

这些系统基准在 AI 生态系统中发挥着两个关键作用。首先，通过提供跨系统配置的性能比较数据，使开发者与组织能够在选择 AI 应用硬件平台时做出明智决策。评估因素包括训练速度、推理延迟、能效与性价比。其次，硬件制造商依赖这些基准量化代际间

358. **张量处理单元 (TPU)**：谷歌专为神经网络工作负载设计的定制 ASIC，首次秘密部署于 2015 年，2016 年公布。第一代 TPU 在推理时的性能/瓦特比同时期 GPU 高出 15-30 倍，而 TPU v4 节点提供 1.1 exaFLOPS 的 BF16 计算能力（完整节点配置），展示了专用 AI 硬件的强大能力。

359. **专用集成电路 (ASIC)**：为特定计算任务设计的定制芯片，相较于通用处理器提供更优越的性能与能效。AI ASIC 如谷歌 TPU、特斯拉 FSD 芯片与比特币挖矿 ASIC 在其目标应用中可实现 100-1000 倍于 CPU 的效率，但缺乏对其他工作负载的灵活性。

的性能提升，指导专用 AI 加速器的开发，推动计算能力的进步。

> **机器学习系统基准**
>
> **ML 系统基准** 是对用于执行 AI 工作负载的 计算基础设施 的评估，测量在标准化条件下的 性能、能效与可扩展性。这些基准测量 吞吐量、延迟、功耗与资源利用率，确保不同系统配置之间的 客观比较。系统基准提供 性能与能效权衡 的洞察，指导 基础设施选择、能效优化 和 可持续计算架构的进步。

然而，有效的基准解读需要深入理解目标硬件固有的性能特征。关键在于理解特定 AI 工作负载是受限于计算还是内存的性能瓶颈。计算强度（以 FLOPS[360] 每字节数据计算）决定性能极限。以 NVIDIA A100 GPU 为例，其张量性能为 312 TFLOPS，内存带宽为 1.6 TB/s，计算强度阈值为 195 FLOPS/字节。前文第 11 章：AI 加速 中建立的硬件特性基础，帮助解读系统基准结果。

以某些 AI 模型操作中的密集矩阵乘法为例，其计算强度通常超过 200 FLOPS/字节，能够接近 A100 的计算吞吐量峰值。例如，ResNet-50 在大批量（256 以上）下的前向传播，计算强度约为 300 FLOPS/字节，达到了峰值张量性能的 85-90%（约 280 TFLOPS 实际达到 vs 312 TFLOPS 理论值）。相反，某些轻量级操作（如激活函数）则可能因计算强度低于 10 FLOPS/字节而受限于内存带宽。例如，批量大小为 1 的 BERT 推理，其计算强度仅为 8 FLOPS/字节，性能限制在 12.8 TFLOPS（1.6 TB/s × 8 FLOPS/字节），仅为峰值计算能力的 4%。

这种定量分析在屋顶线模型 [361] 中得到了形式化，为特定工作负载的算法设计与硬件选择提供了系统指导。理解这些定量关系，使工程师能够准确预测性能瓶颈，优化模型架构与部署策略。例如，将变换器推理的批量大小从 1 增加到 32，可以将操作从受限于内存（8 FLOPS/字节）转变为受限于计算（150 FLOPS/字节），GPU 利用率从 4% 提升至 65%。

系统基准在不同规模（从单芯片到大规模分布式系统）与 AI 工作负载（包括训练与推理任务）上评估性能。这一评估方法确保基准准确反映真实部署场景，提供指导硬件选择与系统架构设计的洞察。图 2 展示了 ImageNet 分类错误率与 2010 年至 2014 年 GPU 采用率之间的相关性，说明了硬件能力与算法进步如何共同推动计算机视觉性能提升。

360. **FLOPS**：每秒浮点运算次数，衡量计算性能的指标，表示处理器每秒能执行多少次浮点计算。现代 AI 加速器的 FLOPS 评级很高：NVIDIA A100 提供 312 TFLOPS（万亿次浮点运算）张量操作能力，而高端 CPU 则在 1-10 TFLOPS 之间。FLOPS 测量有助于比较硬件能力，确定 ML 工作负载中的计算瓶颈。

361. **屋顶线模型**：加州大学伯克利分校开发的可视化性能模型，将计算强度（FLOPS/字节）与性能（FLOPS/秒）绘制在二维平面上，以识别算法是受限于计算还是内存。模型的“屋顶线”表示理论峰值性能限制，平坦部分表示受限于内存带宽，斜坡部分则显示计算能力限制。该模型有助于优化算法与硬件选择，揭示性能瓶颈。

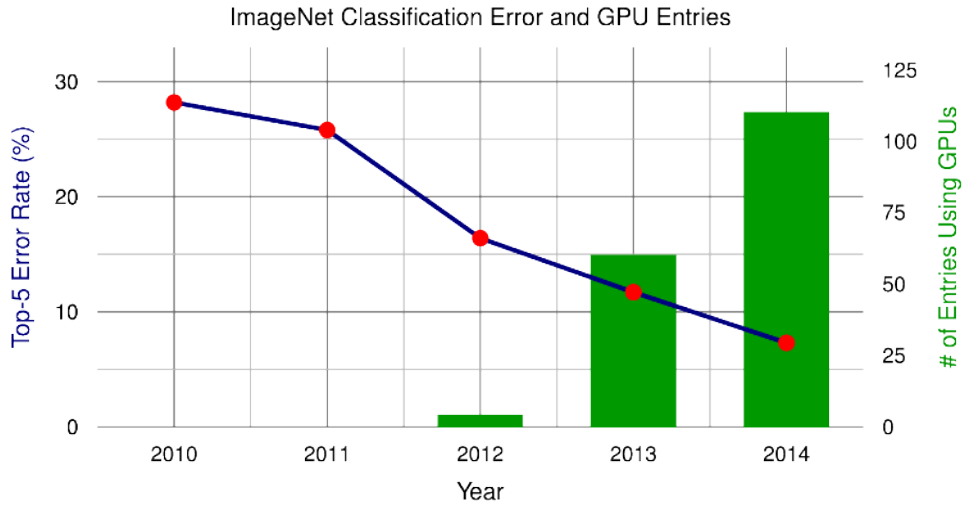

ImageNet 基准：GPU 技术的进步，自 2012 年以来推动了 ImageNet 分类准确率的提高，展示了硬件与算法进步的相互作用。

上述 ImageNet 示例，表明硬件进步如何实现算法突破，但有效的系统基准需理解工作负载特征与硬件利用之间的微妙关系。由于计算模式、内存层次结构与系统架构之间的复杂相互作用，现代 AI 系统很少能达到理论峰值性能。理论性能与实际性能之间的差距，影响着有意义的系统基准设计。

理解现实硬件利用模式，对可操作的基准设计至关重要。不同 AI 工作负载与硬件架构的交互方式各异，导致利用率因模型架构、批量大小与精度选择而异。以 ResNet-50 训练为例，批量大小为 64 时 GPU 利用率为 85%，而批量大小为 1 时仅为 15%（You et al. 2019），原因在于并行性不足。内存带宽利用率在参数密集型变换器模型中为 20%，而在以激活为主的卷积网络中可达 90%，直接影响不同精度水平下的可实现性能。

能效考虑为系统基准增加了一个关键维度。不同计算平台的性能/瓦特差异可达三个数量级，使得能效成为生产部署中的关键基准维度。利用率显著影响能效：未充分利用的 GPU 在提供微薄性能的同时消耗大量电力，造成显著的能效损失，影响运营成本与环境影响。

分布式系统性能引入了额外的复杂性，系统基准必须捕捉这些复杂性。传统屋顶线模型可扩展至多 GPU 和多节点场景，但分布式训练引入的通信瓶颈往往主导性能。节点间带宽限制、NUMA 拓扑效应与网络拥塞，造成单节点基准无法揭示的性能变化。

生产环境中的分布式系统面临的挑战，要求基准测试方法针对真实部署场景进行专门设计。多节点训练中的网络分区，影响梯度同步与模型一致性，需评估在部分连接下的容错能力。时钟同步对于跨地理分布节点的准确性能测量至关重要，时间戳漂移可能使基准结果失效。

扩展性效率测量揭示了生产 ML 工作负载中的关键分布式系统瓶颈。大多数模型的线性扩展效率在 64-128 节点后显著下降，通信开销增大：ResNet-50 训练在 32 节点时可达 90% 扩展效率，但在 128 节点时仅为 60%。传统参数服务器架构中，梯度聚合延迟随集群规模的平方增长，而全归约通信模式在高带宽互连下表现更佳。

跨分布式节点的基准完成共识机制，引入了单节点评估所不存在的协调挑战。基准完成的确定需在收敛标准、节点故障处理与状态一致性等方面达成分布式协议，确保所有参与节点的一致状态。在多个管理域或云提供商之间的基准测试中，拜占庭容错变得必要。

网络拓扑效应显著影响生产环境中分布式训练性能。InfiniBand 互连以 200 Gbps 每链路的速度和微秒级延迟，支持通信密集型工作负载的近线性扩展。而基于 Ethernet 的集群，尽管链路速度为 100 Gbps，却因延迟高出 10-100 倍而限制了梯度密集型模型的扩展效率。节点内的 NUMA 拓扑造成的内存带宽争用，影响局部梯度计算与网络通信的顺序。

生产分布式系统中的动态资源分配，要求基准框架考虑资源异构性与时间变化。具有不同内存容量、CPU 速度与网络带宽的云实例，可能造成负载不均，降低整体训练性能。抢占实例的可用性波动，要求容错基准测试，测量节点故障恢复时间与资源扩展响应能力。

这些分布式系统的考虑，突显了理想化单节点基准与生产部署现实之间的差距。因此，有效的分布式 ML 基准必须评估通信模式、容错能力、资源异构性与协调开销，以指导真实世界的系统设计决策。

这些硬件利用率的洞察，直接为基准设计原则提供了依据。有效的系统基准必须在现实的利用场景中评估性能，而非仅关注理论峰值能力。这一方法确保基准结果可转化为实际部署指导，使工程师能够做出明智的硬件选择、系统配置与优化策略决策。

从计算基础设施评估的转变，自然引出全面 ML 系统基准的第三个同样关键的维度：数据质量评估。

数据基准

我们框架的第三维度，系统性地检查数据质量、代表性与偏见对机器学习评估的影响。数据基准评估数据集特性如何影响模型性能，并揭示算法或系统指标无法显现的关键局限性。数据质量约束往往决定了真实世界的部署成功，独立于算法复杂性或硬件能力。

数据质量、规模与多样性直接影响机器学习系统的性能，决定算法学习与泛化新情境的有效性。为应对这一依赖性，数据基准建立了标准化数据集与评估方法，确保不同方法的比较一致性。这些框架评估数据质量的关键方面，包括领域覆盖、潜在偏见，以及对

真实世界输入数据变化的稳健性。创建可靠基准所需的数据工程实践详见第 6 章：数据工程，而基准设计中的公平性考虑则与第 17 章：可信 AI 中更广泛的责任 AI 原则相关联。

> **机器学习数据基准**
>
> **ML 数据基准** 是对机器学习中 数据集和数据质量 的评估，测量 覆盖范围、偏见和稳健性。这些基准在不同 AI 方法之间确保 客观比较，提供对数据可靠性的洞察，指导 数据集选择、偏见缓解 和 数据驱动 AI 系统的改进。

数据基准在理解 AI 系统在多样数据条件下的行为中发挥着重要作用。通过系统评估，它们帮助识别常见的失败模式，揭示数据覆盖的关键缺口，以及可能显著影响模型行为的潜在偏见。通过提供数据评估的共同框架，这些基准使 AI 社区能够系统性地提高数据质量，并在生产环境中部署系统之前解决潜在问题。这种对数据质量的主动评估，随着 AI 系统在不同领域承担更复杂和重要的任务而变得愈发重要。

社区驱动的标准化

基于我们三维框架，面临的关键挑战是如何在性能、能效和特定领域应用的基准中建立行业标准。早期计算基准主要测量简单指标，如处理器速度和内存带宽，而现代基准则需评估系统性能的复杂方面，从复杂的功耗曲线到高度专业化的应用能力。这一范围和复杂性的演变，要求计算机领域，尤其是机器学习等快速发展的领域，建立全面的验证和共识。

任何基准的持久影响，关键在于其被更广泛研究社区接受的程度。没有广泛的社区参与而开发的基准，往往因缺乏关键指标而难以获得实质性认可。成功的基准通常是在学术机构、行业合作伙伴和领域专家的共同参与下开发的。这种包容性的方法确保基准评估对推动该领域发展的关键能力，同时平衡理论与实践的考虑。

相反，经过广泛合作而开发的基准，因其权威性而推动广泛采用，而那些被视为推动特定企业利益的基准，则面临怀疑和有限的接受度。ImageNet 的成功便是一个典范，通过研讨会和挑战赛的持续社区参与，建立了长期的生命力和影响力。这种社区驱动的发展，为正式标准化奠定了基础，IEEE 和 ISO 等组织将这些基准转化为官方标准。

标准化过程为基准的正式化和采用提供了关键基础设施。IEEE 工作组 将社区开发的基准方法转化为正式的行业标准，建立测量和报告的精确规范。IEEE 2416-2019 系统功耗建模标准就是这一过程的典范，规范了通过社区共识发展起来的最佳实践。同样，ISO/IEC 技术委员会 制定国际标准，确保全球研究和工业界的一致评估。这些组织在社区驱动的创新与正式标准化之间架起了桥梁，提供了可靠比较不同机构和地理区域结果

的框架。

成功的社区基准建立了明确的治理结构，以管理其演变。通过严格的版本控制系统和详细的变更文档，基准在纳入新进展的同时保持向后兼容性。这一治理结构包括提议、审查和实施变更的正式流程，确保基准在保持稳定性的同时保持相关性。现代基准越来越强调可复现性要求，纳入自动化验证系统和标准化评估环境。

开放获取加速了基准的采用，确保了一致的实施。提供开源参考实现、全面文档、验证套件和容器化评估环境的项目，降低了准入门槛。这一标准化使研究团队能够使用统一的方法和指标评估解决方案。若没有这种协调一致的实施框架，组织可能会对基准的解释不一致，从而损害结果的可复现性和跨研究的有意义比较。

最成功的基准在学术严谨性与行业实用性之间取得了微妙平衡。学术界的参与确保了理论的合理性和全面的评估方法，而行业的参与则使基准扎根于实际约束和应用中。这一平衡在机器学习基准中尤为重要，因为理论进展必须转化为实际部署系统的改进。本章将贯穿这一评估方法原则，指导训练与推理基准的设计。

社区共识确保基准的持久相关性，而碎片化则阻碍科学进步。通过协作开发和透明运作，基准演变为衡量进步的权威标准。最成功的基准在能效和特定领域应用中共享这一社区发展与治理的基础，证明了集体智慧和共同目标在快速发展的领域中产生持久影响的能力。

基准粒度

上述三维框架和测量基础，为基准测试提供了概念结构。然而，实施这些原则需要选择适当的评估细节层次，从单个张量操作到完整的 ML 应用。正如第 10 章：模型优化中的优化技术在不同粒度上操作，基准也必须调整其评估范围，以匹配特定的优化目标。这一分层视角使从业者能够在微观层面上隔离性能瓶颈，或在宏观层面上评估系统整体行为。

系统级基准提供了一种结构化、系统化的方法，评估 ML 系统在各个维度的性能。鉴于 ML 系统的复杂性，我们可以通过不同粒度层次剖析其性能，全面了解系统的效率，识别潜在瓶颈，并确定改进领域。为此，各种基准应运而生，并持续发展。

图 3 显示了 ML 系统不同粒度层次。在应用层面，端到端基准评估整体系统性能，考虑数据预处理、模型训练和推理等因素。而在模型层面，基准则专注于评估特定模型的效率和准确性，包括模型对新数据的泛化能力及其在训练和推理过程中的计算效率。基准测试还可以扩展到硬件和软件基础设施，检查 GPU 或 TPU 等单个组件的性能。

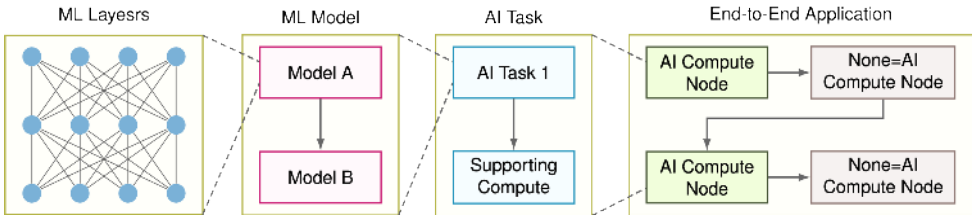

基准粒度：ML 系统性能评估发生在多个层次，从端到端的应用指标到单个模型和硬件组件的效率，使有针对性的优化和瓶颈识别成为可能。这一分层方法使从业者能够系统地分析系统性能，并根据特定组件的限制优先考虑改进。

微基准

微基准是评估机器学习过程中特定组件或操作的专用工具。这些基准孤立出单个任务，以提供对特定系统元素（从神经网络层到优化技术，再到激活函数）的计算需求的详细洞察。例如，微基准可能测量深度学习模型中卷积层的执行时间，或评估准备训练数据的数据预处理操作的速度。

微基准的一个关键领域是张量操作[362]，它们是深度学习的计算核心。NVIDIA 的 cuDNN[363] 库提供了测量不同硬件配置下卷积和矩阵乘法等基本计算的基准。这些测量帮助开发者理解其硬件如何处理主导 ML 工作负载的核心数学运算。

微基准还单独检查激活函数和神经网络层。这包括在受控条件下测量各种激活函数（如 ReLU、Sigmoid[364] 和 Tanh[365]）的性能，以及评估在处理标准化输入时，各种神经网络组件（如 LSTM[366] 单元或变换器块）的计算效率。

DeepBench 是最早展示全面微基准价值的工具之一。它评估了不同硬件平台上这些基本操作的性能，为开发者优化深度学习实现提供了详细数据。通过孤立和测量单个操作，DeepBench 实现了对硬件平台的精确比较和潜在性能瓶颈的识别。

362. **张量操作**：神经网络的多维数组计算，包括矩阵乘法（GEMM）、卷积和逐元素操作。现代 AI 加速器优化了这些原语：NVIDIA 的 Tensor Cores 对于混合精度矩阵乘法（BF16）可实现 312 TFLOPS，而传统 FP32 计算仅为 15-20 TFLOPS，加速比约为 15-20 倍。

363. **cuDNN**：CUDA 深度神经网络库，NVIDIA 的 GPU 加速深度神经网络原语库。自 2014 年发布以来，cuDNN 提供了卷积、池化、归一化和激活层的高度优化实现，性能比简单实现提高了 10 倍，成为 GPU 加速深度学习的事实标准。

364. **Sigmoid 函数**：一种数学激活函数 S(x) = 1/(1+e^(-x))，将任何实数映射到 0 和 1 之间的值，历史上在早期神经网络中重要。尽管由于指数运算而计算开销较大，并且存在梯度消失问题，但 Sigmoid 函数仍然在二元分类输出层和 LSTM 单元的门控中保持相关性。

365. **Tanh 函数**：双曲正切激活函数 tanh(x) = (e^x - e^(-x))/(e^x + e^(-x))，将输入映射到 -1 和 1 之间的值，与 Sigmoid 不同的是其输出是零中心的。尽管计算开销大且仍然会出现梯度消失，但 Tanh 通常在隐藏层中表现优于 Sigmoid，因为其梯度更强且输出范围对称。

366. **LSTM（长短期记忆网络）**：1997 年由 Hochreiter 和 Schmidhuber 提出的递归神经网络架构，旨在解决传统 RNN 中的梯度消失问题。LSTM 通过门控（遗忘门、输入门、输出门）控制信息流，使其能够学习数百个时间步长的依赖关系，成为序列建模的关键技术，直到变换器的出现。

宏基准

宏基准则评估完整的机器学习模型。这一从组件级到模型级的转变，提供了架构选择与组件交互如何影响整体模型行为的洞察。例如，尽管微基准可能显示单个卷积层的最佳性能，但宏基准则揭示了这些层在完整卷积神经网络中的协同工作方式。

宏基准测量模型级别上才会显现的多维性能指标。这些指标包括预测准确性（模型对新数据的泛化能力）、不同批量大小和序列长度下的内存消耗模式、在不同计算负载下的吞吐量，以及在不同硬件配置下的延迟。理解这些指标有助于开发者做出有关模型架构、优化策略和部署配置的明智决策。

完整模型的评估在标准化条件下进行，使用既定数据集和任务。例如，计算机视觉模型可能在 ImageNet 上进行评估，测量计算效率和预测准确性。自然语言处理模型可能在翻译任务上进行评估，检查它们在不同语言对之间的质量与速度平衡。

多个行业标准基准使得跨平台的一致性模型评估成为可能。MLPerf Inference 提供了适应不同计算环境的全面测试套件。MLPerf Mobile 专注于移动设备的限制，MLPerf Tiny 则针对微控制器部署。对于嵌入式系统，EEMBC 的 MLMark 强调性能与能效的结合。AI-Benchmark 套件专注于移动平台，评估从图像识别到人脸解析等多种任务的模型。

端到端基准

端到端基准提供超越 ML 模型本身的全面评估。这些基准不仅关注机器学习模型的计算效率或准确性，还涵盖整个 AI 系统的全流程。这包括初始的 ETL（提取 - 转换 - 加载）或 ELT（提取 - 加载 - 转换）数据处理、核心模型性能、结果后处理，以及存储和网络系统等关键基础设施组件。

数据处理是所有 AI 系统的基础，将原始数据转化为适合模型训练或推理的格式。在 ETL 管道中，数据经历从源系统提取、通过清洗和特征工程转换，到加载为模型准备格式的全过程。这些预处理步骤的效率、可扩展性和准确性，对整体系统性能有着重要影响。端到端基准必须评估这些管道在标准化数据集上的表现，以确保数据准备不会成为瓶颈。

后处理阶段同样重要。它涉及对模型原始输出的解释，将分数转换为有意义的类别、根据预定义任务过滤结果或与其他系统集成。例如，计算机视觉系统可能需要对检测边界进行后处理，应用置信度阈值，并格式化结果以供下游应用使用。在实际部署中，这一阶段对提供可操作的洞察至关重要。

除了核心 AI 操作，基础设施组件对整体性能和用户体验的影响也很大。存储解决方案，无论是基于云的、本地的还是混合的，都可能显著影响数据检索和存储时间，尤其是在处理大规模 AI 数据集时。网络交互对于分布式系统至关重要，如果未优化，可能成为

性能瓶颈。端到端基准必须在规定的环境条件下评估这些组件，以确保对整个系统的可复现测量。

迄今为止，还没有公开的端到端基准能够完全考虑数据存储、网络和计算性能。尽管 MLPerf Training 和 Inference 接近于端到端评估，但它们主要关注模型性能，而非真实世界的部署场景。然而，它们为评估 AI 系统能力提供了有价值的基线指标。

鉴于端到端基准的特定性，组织通常通过对生产部署进行仪表化，内部执行这些评估。这使得工程师能够根据现实工作负载制定结果解释指南，但由于信息的敏感性和特异性，这些基准很少在公开场合出现。

粒度权衡与选择标准

如表 1 所示，AI 系统生命周期的不同阶段会出现不同的挑战。每种基准方法提供独特的洞察：微基准帮助工程师优化 GPU 内核实现或数据加载操作等特定组件，宏基准指导模型架构决策和算法选择，而端到端基准则揭示生产环境中系统级的瓶颈。

组件	**微基准**	**宏基准**	**端到端基准**
关注点	单个操作	完整模型	整个系统管道
范围	张量操作、层、激活	模型架构、训练、推理	ETL、模型、基础设施
示例	cuDNN 上的卷积层性能	ImageNet 上的 ResNet-50	生产推荐系统
优点	精确的瓶颈识别、组件优化	模型架构比较、标准化评估	现实性能评估、系统范围洞察
挑战	可能忽略交互效应	基础设施洞察有限	难以标准化、通常是专有的
典型用途	硬件选择、操作优化	模型选择、研究比较	生产系统评估

图 4 展示了基准粒度在诊断能力与现实代表性之间的权衡。这一关系说明了为何全面的

ML 系统评估需要多种基准类型：微基准为孤立组件提供精确的优化指导，而端到端基准则捕捉生产系统中出现的复杂交互。最佳基准策略结合所有三个层次的洞察，以平衡详细的组件分析与现实的系统级评估。

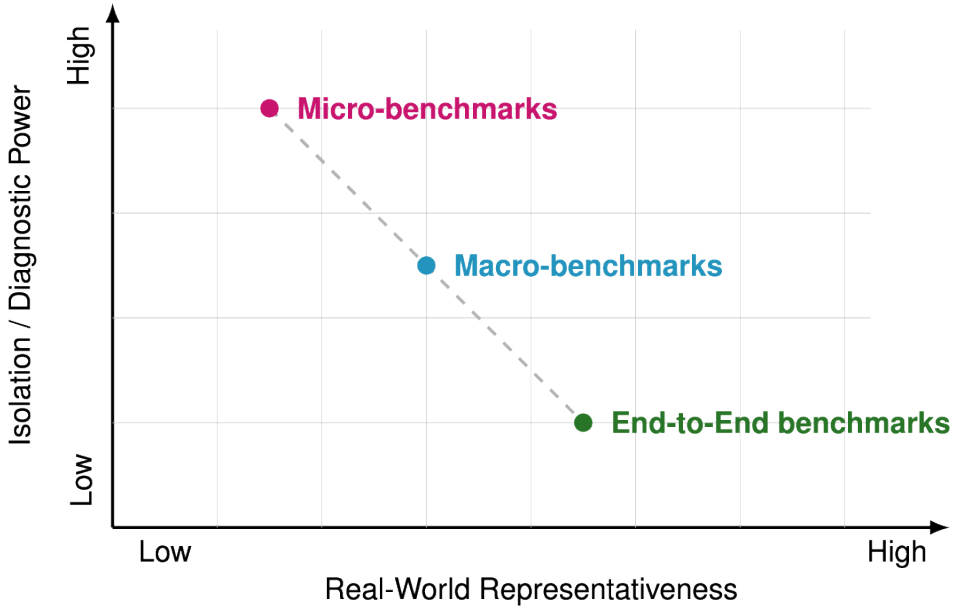

基准粒度权衡：基准粒度在隔离/诊断能力与现实代表性之间的核心权衡。微基准提供高诊断精度但现实相关性有限，端到端基准则捕捉现实系统行为但组件级洞察不够精确。有效的 ML 系统评估需要战略性地结合所有三个层次的评估。

组件交互常常会产生意想不到的行为。例如，尽管微基准可能显示单个卷积层的优秀性能，宏基准可能证明完整模型的强大准确性，但端到端评估可能揭示数据预处理在高负载时段造成的意外瓶颈。这些系统级洞察在组件孤立测试时常被忽视。

确立基准粒度后，理解评估哪个层次符合特定优化目标，接下来我们将审视构成任何粒度层次基准实施的具体组件。

基准组件

基于我们建立的框架，接下来我们将审视构成任何基准实施的实际组件。这些组件为跨越所有三维同时测量性能提供了具体结构。无论是评估模型准确性（算法维度）、测量推理延迟（系统维度），还是评估数据集质量（数据维度），基准都共享共同的结构要素，以确保系统化和可复现的评估。

前面确立的粒度水平，直接影响这些组件的具体实现。测量张量操作的微基准需要合成输入，以孤立特定计算模式，精确表征单个内核的性能，如第 11 章：AI 加速中所述。评估完整模型的宏基准，则需要像 ImageNet 这样捕捉真实任务复杂性的代表性数据

集，以便在架构之间进行标准化比较。端到端基准则需纳入反映真实世界数据特征的数据集，包括分布变化、噪声和边缘情况，这些在策划的评估集中是缺失的。同样，不同粒度下的评估指标侧重点不同：微基准强调 FLOPS 和内存带宽利用率，宏基准则在准确性和推理速度之间寻求平衡，而端到端基准则优先考虑系统在负载下的可靠性和操作效率。理解这种系统化的变化，确保组件选择与评估目标一致，而非在不同基准粒度上应用统一的方法。

确立基准粒度如何影响评估范围（从孤立张量操作的微基准到完整系统的端到端评估）后，接下来我们将审视这些概念层次如何转化为具体的基准实施。上述抽象讨论的组件，必须通过对任务、数据集、模型和指标的具体选择进行实例化。这一实施过程遵循系统化工作流，确保无论选择何种粒度水平，评估都具有可复现性和意义。

AI 基准提供了这一结构化框架，用于系统评估人工智能系统。尽管单个基准在具体重点和粒度上差异显著，但它们共享共同的实施组件，使得不同方法之间的评估和比较得以持续进行。

图 5 展示了这一结构化工作流，展示了任务定义、数据集选择、模型选择和评估指标等基本组件如何相互关联，形成完整的评估管道。每个组件都建立在前一个组件的基础上，形成从问题规范到部署评估的系统化进程。

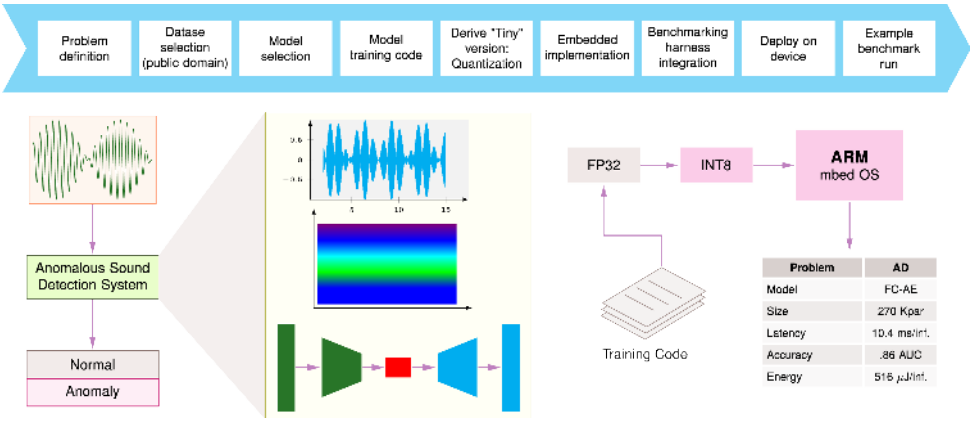

基准工作流：AI 基准通过结构化管道标准化评估，促进不同模型和系统之间的可复现性能比较。该工作流通过定义任务、选择数据集、训练模型和严格评估结果，系统评估 AI 能力。

有效的基准设计必须考虑前几章建立的优化技术。量化和剪枝会影响模型的准确性 - 效率权衡，基准需同时测量加速和准确性保持。硬件加速技术则影响算术强度和内存带宽利用率，需进行屋顶线模型分析以正确解读结果。理解这些优化基础，确保基准选择能够验证所声称的改进，而非测量人为的场景。

问题定义

如图 5 所示，基准实施始于对机器学习任务及其评估标准的正式定义。在机器学习中，任务代表 AI 系统必须解决的明确定义的问题。以处理音频信号以识别异常的音频异常检测系统为例，图 5 中的工业监控应用展示了如何将正式任务规范转化为实际实施。

任何基准任务的正式定义，包含计算问题及其评估框架。尽管具体任务因领域而异，但主要 AI 研究领域已出现了公认的类别。自然语言处理任务包括机器翻译、问答和文本分类。计算机视觉则采用标准化任务，如目标检测、图像分割和人脸识别。

每个基准任务规范必须定义三个基本要素。输入规范确定系统处理的数据类型。在图 5 中，这包括音频波形数据。输出规范描述系统响应的要求，如正常与异常模式的二元分类。性能规范则建立准确性、处理速度和资源利用率的定量要求。

任务设计直接影响基准有效评估 AI 系统的能力。音频异常检测的示例清晰地说明了这一关系，其具体要求包括：处理连续信号数据、适应不同噪声条件、在严格时间限制内操作。这些实际约束为评估模型性能创建了详细框架，确保评估反映真实世界的操作需求。

基准的实施过程系统地遵循这一基础任务定义。每个后续阶段，从数据集选择到部署，均直接基于这些初始规范构建，确保评估在不同方法和实施之间保持一致，同时满足定义的要求。

标准化数据集

在前一阶段的任务定义基础上，标准化数据集提供了训练和评估模型的基本依据。这些经过精心策划的集合，确保所有模型在相同条件下接受测试，使不同方法和架构之间的直接比较成为可能。图 5 通过音频异常检测示例，展示了波形数据作为评估检测性能的标准化输入。

在计算机视觉领域，ImageNet、COCO 和 CIFAR-10[367] 等数据集，作为参考标准。自然语言处理则使用 SQuAD[368]、GLUE[369] 和 WikiText 等集合，履行类似功能。这些数据集涵盖了各种复杂性和边缘情况，以全面评估机器学习系统。

367. **CIFAR-10**：一个包含 6 万张 32×32 彩色图像的 数据集，跨越 10 个类别（飞机、汽车、鸟、猫、鹿、狗、青蛙、马、船、卡车），由多伦多大学的 Alex Krizhevsky 和 Geoffrey Hinton 于 2009 年收集。尽管图像尺寸较小，CIFAR-10 却成为深度学习架构比较的基础数据集，错误率从传统方法的 18.5% 降至 2.6%，实现了重大突破。

368. **SQuAD**：斯坦福问答数据集，2016 年推出，包含 10 万个以上的问题 - 答案对，基于维基百科文章。SQuAD 成为阅读理解评估的金标准，人类在该数据集上的表现为 87.4% F1 分数，领先的 AI 系统在 2018 年超过 90%，标志着机器首次在该基准上超过人类表现。

369. **GLUE**：通用语言理解评估，包含九个英语句子理解任务，如情感分析、文本蕴含和相似性。2018 年推出的 GLUE 提供了标准化评估，人类基线为 87.1%，但在 2019 年被 BERT 的 80.5% 超越，随之而来的 SuperGLUE 基准更具挑战性。

标准化数据集的战略选择，如图 5 早期工作流所示，塑造了所有后续实施步骤，并最终决定基准的有效性。在音频异常检测的示例中，数据集必须同时包含正常操作的代表性波形样本和各种异常情况的全面示例。相关示例包括 ToyADMOS 用于工业制造异常，Google Speech Commands 用于一般声音识别。无论选择何种具体数据集，数据量必须足够用于模型训练和验证，同时包含反映部署条件的真实世界信号特征和噪声模式。

基准数据集的选择直接影响实验结果和模型评估。有效的数据集必须平衡两个关键要求：准确反映现实世界挑战，同时具有足够的复杂性以有意义地区分模型性能。尽管研究中常使用简化数据集如 ToyADMOS[370]，但这些受控环境虽然对方法论发展有价值，却可能无法完全捕捉真实世界部署的复杂性。

模型选择

在数据集规范之后，基准过程系统地推进到模型架构的选择与实施。这一关键阶段建立了性能基线，并确定了特定任务的最佳建模方法。选择过程直接基于第 4 章：DNN 架构中建立的架构基础，并必须考虑第 7 章：AI 框架中讨论的框架特定考虑因素。图 5 通过模型选择阶段和后续训练代码开发，展示了这一进程。

基线模型作为评估新方法的参考点，涵盖从基本实现（如线性回归和逻辑回归）到在相似领域取得成功的高级架构。基线选择关键在于部署框架 —— PyTorch 实现可能因框架特定的优化和操作实现，与 TensorFlow 实现表现出不同的性能。在自然语言处理应用中，像 BERT[371] 这样的高级语言模型，已成为比较分析的标准基准。变换器的架构细节及其性能特征在第 4 章：DNN 架构中得到了全面介绍。

基线模型的正确选择，需对架构与基准要求进行仔细评估。这一选择过程直接影响训练代码的开发，而训练实现是基准可复现性的基石。训练实施必须详细记录模型管道的各个方面，从数据预处理到训练过程，确保模型行为在研究团队之间的精确复制。

在模型架构选择后，模型开发主要有两个优化路径：训练优化和推理优化。在训练优化过程中，重点是达到目标准确性指标，同时在计算约束内操作。训练实施必须在规定条件下持续达到性能阈值。

与此同时，推理优化路径则解决部署相关问题，特别是从开发到生产环境的关键过渡。例如，通过数值优化技术进行精度降低，从高精度表示逐步过渡到低精度表示，以提高部署效率。这一过程需要仔细校准，以在降低资源需求的同时保持模型准确性。基准必

370. **ToyADMOS**：NTT Communications 于 2019 年开发的机器操作声音异常检测数据集，包含玩具车和玩具传送带操作的音频录音。该数据集包括每种机器类型 1000 多个正常样本和 300 多个异常样本，旨在标准化声学异常检测研究，提供可复现的实验条件。

371. **BERT**：变换器的双向编码器表示，由谷歌于 2018 年推出，通过在大规模文本语料库上进行掩码语言建模预训练，彻底改变了自然语言处理。BERT-Large 包含 3.4 亿个参数，在 11 项 NLP 任务上取得了最先进的结果，为现代语言模型（如 GPT 和 ChatGPT）奠定了基础。

须详细说明量化方法和验证程序，以确认性能保持。

这两条优化路径与现实约束的交集，形成了整体部署策略。全面基准因此必须同时规定训练和推理场景的要求，确保模型在开发到部署的整个过程中保持一致的性能。这一开发与生产指标之间的关键联系，自然引出评估标准的建立。

优化过程必须平衡四个关键目标：模型准确性、计算速度、内存利用率和能效。遵循我们三维基准框架，这一复杂的优化格局，要求 robust 的评估指标，有效量化算法、系统和数据维度的性能。在模型从开发过渡到部署时，这些指标作为指导优化决策和验证性能提升的关键工具。

评估指标

在模型选择确立的优化框架基础上，评估指标提供了评估机器学习模型性能所需的定量标准。这些指标建立了比较不同方法的客观标准，使研究人员和从业者能够评估解决方案的有效性。适当指标的选择是基准设计的关键方面，因为它们必须与任务目标对齐，同时提供对模型在训练和部署场景中行为的有意义的洞察。重要的是，指标计算在不同框架之间可能有所不同 —— 第 8 章：AI 训练 中的训练方法论述了不同框架如何处理损失计算和梯度累积，从而影响报告的指标。

特定任务的指标量化模型在其预期功能上的表现。例如，分类任务使用准确率（整体正确预测）、精确率（正类预测准确率）、召回率（正类检测率）和 F1 分数（精确率 - 召回率调和均值）等指标。回归问题则利用均方误差（MSE）和平均绝对误差（MAE）等误差测量，评估预测准确性。特定领域的应用往往需要专业化指标 —— 例如，机器翻译使用 BLEU 分数 [372] 评估机器生成翻译与人工参考翻译之间的语义和句法相似性。

然而，随着模型从研究过渡到生产部署，实施指标同样重要。模型大小（以参数或内存占用衡量）直接影响在不同硬件平台上的部署可行性。处理延迟（通常以每次推理的毫秒数衡量）决定模型是否满足实时要求。能耗（以每次推理的瓦特或焦耳衡量）则指示操作效率。这些实际考虑反映了对平衡准确性与计算效率的解决方案日益增长的需求。生产环境中维护这些指标的挑战，详见部署策略（见第 13 章：机器学习运维）。

因此，适当指标的选择需要仔细考虑任务需求和部署约束。单一指标很少能捕捉现实场景中性能的所有相关方面。例如，在异常检测系统中，如果模型产生频繁的误报，即使准确率很高也未必表示良好的性能。同样，快速但准确率低的模型也无法提供实际价值。

图 5 展示了这种多指标评估方法。异常检测系统在多个维度上报告性能：模型大小

372. **BLEU 分数**：双语评估替代方案，由 IBM 于 2002 年提出，通过比较机器翻译与人工参考翻译之间的 n-gram 重叠，衡量机器翻译质量。BLEU 分数范围为 0-100，分数超过 30 被认为有用，超过 50 为好，超过 60 为高质量。到 2016 年，谷歌翻译在主要语言对上的 BLEU 分数已超过 40。

（270K 参数）、处理速度（10.4 毫秒/推理）和检测准确率（0.86 AUC[373]）。这些指标的组合确保模型满足现实部署场景中的技术和操作要求。

基准测试工具（Benchmark Harness）

虽然评估指标为测量提供了框架，但基准测试工具（harness）则实现了在受控条件下评估模型性能的系统化基础设施。该关键组件通过管理输入如何传递给被测系统，以及如何收集测量数据，确保测试可复现，将理论指标转化为可量化的实际测量。

工具的设计应与预期部署场景和使用模式相匹配。对于服务器部署，工具会实现模拟真实流量的请求模式，通常采用泊松分布（Poisson distribution）[374] 生成输入，以模拟随机但统计规律一致的服务器负载。工具还需管理并发请求和不同负载强度，以评估系统在多种运行条件下的表现。

对于嵌入式和移动应用，工具需生成反映实际部署条件的输入模式。例如，移动视觉应用可能需要顺序注入图像，自动驾驶系统则需同步多传感器流。如此精确的输入生成与时序控制，确保系统体验到真实的操作模式，揭示实际设备部署中会出现的性能特征。

工具还需支持不同的吞吐量模型。批处理场景需评估系统在大批量并行输入下的性能，而实时应用则需对顺序处理进行精确时序控制。图 5 在嵌入式实现阶段展示了这一点，工具需支持每次推理的时间和能耗的精确测量。

为保证可复现性，工具需在不同评估轮次中保持一致的测试条件。这包括控制可能影响性能测量的环境因素，如后台进程、热状态和电源状态。工具还需提供收集和记录性能指标的机制，且不能对被测系统产生显著影响。

系统规格（System Specifications）

与控制测试执行的基准工具相辅相成，系统规格是机器学习基准的基础组成部分，直接影响模型性能、训练时间和实验可复现性。这些规格涵盖完整的计算环境，确保基准结果能够被准确地解读、比较和复现。

硬件规格通常包括：

1. 处理器类型与主频（如 CPU 型号、时钟频率）
2. GPU 或 TPU，包括型号、内存容量，以及分布式训练时的数量

373. **AUC（曲线下面积，Area Under the Curve）**：二分类任务常用的性能指标，衡量受试者工作特征曲线（ROC 曲线）下的面积，反映真正例率与假正例率之间的权衡。AUC 取值范围为 0 到 1，0.5 表示随机猜测，0.7-0.8 为可接受，0.8-0.9 为优秀，0.9 以上则代表极佳的区分能力。

374. **泊松分布**：一种描述独立事件以恒定平均速率发生频率的数学模型，以法国数学家西蒙·泊松命名（1837 年）。在服务器负载中，泊松分布可准确建模每秒 10-1000 次请求的到达，k 次请求在 t 时间内的概率为 $P(k) = (\lambda t)^k \cdot e^{-\lambda t} / k!$。

3. 内存容量与类型（如 RAM 大小、DDR4）
4. 存储类型与容量（如 SSD、HDD）
5. 网络配置（如分布式计算相关）

软件规格一般包括：

1. 操作系统及版本
2. 编程语言及版本
3. 机器学习框架与库（如 TensorFlow、PyTorch）及其版本
4. 编译器信息与优化参数
5. 基准过程中使用的自定义软件或脚本
6. 环境管理工具及配置（如 Docker 容器[375]、虚拟环境）

对这些规格的精确记录对于实验有效性和可复现性至关重要。详细文档使其他研究者能够高保真地复现实验环境，为解读性能指标提供关键背景，并有助于理解不同模型和任务的资源需求与扩展特性。

在许多情况下，基准可能包含多种硬件配置下的结果，以全面展示模型在不同计算环境下的表现。这种方式尤其有价值，因为它突出了模型复杂度、计算资源与性能之间的权衡。

随着领域发展，硬件和软件规格越来越多地纳入能耗指标和计算效率指标，如 FLOPS/瓦和训练总能耗。这反映了对大规模机器学习模型环境影响的关注，并推动更可持续的 AI 实践。详尽的规格文档因此兼具可复现性、公平比较和推动技术与环境进步的多重作用。

运行规则（Run Rules）

除了技术基础设施外，运行规则为基准结果的可靠复现建立了程序性框架，补充了系统规格定义的技术环境。这些准则对于验证研究结论、继承前人工作和推动机器学习进步至关重要。AI 基准可复现性的核心在于对受控随机性的管理，即对权重初始化、数据洗牌等随机过程的系统化处理，确保结果的一致性和可验证性。

超参数的全面记录是可复现性的关键组成部分。超参数是控制模型学习过程的配置项，如学习率、批量大小等，必须详细记录以便复现。即便是微小的超参数调整也可能显著

375. **Docker**：一种将应用及其依赖打包为轻量级、可移植容器的容器化平台，确保在不同环境下的一致执行。自 2013 年以来广泛应用于 ML 基准，消除了“只在我电脑上能跑”的问题，MLPerf 等基准套件也分发官方 Docker 镜像以保证结果可复现。

影响模型性能，因此其精确记录至关重要。基准还要求保存和共享训练与评估数据集。若因隐私或许可限制无法直接共享数据，基准需详细说明数据预处理和选择标准，使研究者能够构建可比数据集或理解原始实验数据的特性。

代码溯源与可用性也是可复现性准则的重要方面。现代基准通常要求研究者将实现代码发布到版本控制仓库，涵盖模型实现及数据预处理、训练、评估的完整脚本。高级基准还常提供容器化环境，封装所有依赖与配置。实验日志需详尽，包括系统记录训练指标、模型检查点及所有实验调整的文档。

这些可复现性准则具有多重重要作用：提升透明度、支持严格的同行评审、加速 AI 研究的科学进步。遵循这些协议，研究社区能够有效验证结果、迭代成功方法并识别方法学局限。在快速演进的机器学习领域，这些健全的可复现性实践构成了可靠、持续进步的基础。

结果解读（Result Interpretation）

在运行规则的基础上，结果解读准则为理解和分析基准结果提供了必要框架。这些准则帮助研究者和从业者从基准结果中得出有意义的结论，确保不同模型或方法之间的比较公平且具参考价值。理解性能差异的统计显著性是关键。基准通常规定统计检验和置信区间的报告协议，使从业者能够区分有意义的改进与随机因素导致的波动。

然而，结果解读需结合实际应用和场景。1% 的准确率提升对于医疗诊断或金融系统可能至关重要，而其他应用可能更看重推理速度或模型效率。理解这些场景特定需求对于有意义地解读基准结果至关重要。用户还需认识到基准的固有限制，因为没有任何评估框架能涵盖所有用例。常见限制包括数据集偏见、任务特性和评估指标的约束。

现代基准常常需要对多维性能指标进行综合分析。例如，某模型准确率更高但计算资源消耗大，解读准则可帮助从业者根据自身约束权衡利弊。准则还关注基准过拟合问题，即模型可能过度针对特定基准任务优化，牺牲了真实场景下的泛化能力。为降低风险，准则通常建议在相关但不同的任务上评估模型性能，并考虑实际部署场景。

这些全面的解读框架确保基准实现其本意：提供标准化性能测量，同时支持对模型能力的细致理解。这种平衡方法有助于在研究和实际应用中做出基于证据的决策。

基准示例（Example Benchmark）

为说明这些组件如何协同工作，一个完整的基准测试通过在受控条件下整合多个组件，评估系统性能并产生可复现的测量。图 5 通过音频异常检测系统展示了这种集成，说明了如何在涵盖问题定义、数据集、模型选择、评估标准和标准化运行规则的框架下，系统测量和报告性能指标。

该基准测量了多个关键性能维度。计算资源方面，系统报告模型大小为 27 万参数，每次推理需 10.4 毫秒。任务效果方面，异常检测准确率为 0.86 AUC（曲线下面积）。操作效率方面，每次推理能耗为 516 微焦耳。

这些指标的重要性因部署场景而异。对于电池供电设备，每次推理能耗至关重要，而对持续供电系统则影响较小。模型大小约束在云端资源充足与嵌入式设备内存有限之间差异显著。处理速度要求取决于系统是否需实时运行或可批量处理。

基准揭示了机器学习系统中性能指标间的固有权衡。例如，将模型大小从 27 万参数减少，可能提升处理速度和能效，但会降低 0.86 AUC 的检测准确率。图 5 展示了这些互相关联的指标如何共同影响部署阶段的系统整体性能。

最终，这些测量是否构成“合格”基准，取决于目标应用的具体需求。基准框架提供了一致评估的结构和方法，而验收标准则需与部署约束和性能要求相匹配。

压缩基准（Compression Benchmarks）

随着机器学习模型规模和复杂度不断增长，神经网络压缩已成为资源受限环境部署的关键优化技术。压缩基准方法评估剪枝、量化、知识蒸馏和架构优化等技术的有效性，专门测量模型体积缩减、准确率保持和计算效率提升之间的核心权衡。

模型压缩基准同时评估多个维度。首要维度是体积缩减指标，包括参数数量、内存占用和存储需求（压缩文件大小）。高效压缩在保持准确率的同时实现显著缩减：MobileNetV2 以 340 万参数实现约 72% 的 ImageNet top-1 准确率，而 ResNet-50 需 2560 万参数实现 76%，参数 - 准确率效率提升 7.5 倍。

除基础体积指标外，稀疏性评估框架区分结构化与非结构化剪枝效率。结构化剪枝移除整个神经元或滤波器，速度提升稳定但压缩比通常较低（2-4 倍）；非结构化剪枝移除单个权重，压缩比可达 10-100 倍，但需专用稀疏计算支持才能实现加速。基准协议需明确硬件平台和软件实现，以确保稀疏加速测量有意义。

配合稀疏技术，量化基准协议评估多种数据类型的精度降低技术。INT8 量化通常带来 4 倍内存缩减和 2-4 倍推理加速，同时保持 99% 以上的准确率。混合精度方法通过对不同层采用不同精度实现最优效率：关键层保留 FP16 精度，计算密集层采用 INT8 或 INT4，实现细粒度效率优化。

另一个关键维度是知识迁移有效性指标，衡量不同模型体积间的性能关系。成功的知识迁移可在模型体积缩减 5-10 倍的同时，保持 90-95% 的大模型准确率。紧凑模型可通过此方法实现高性能、低参数量和更快推理，展示在不显著损失能力的前提下实现高效的潜力。

最后，优化模型的加速因子测量揭示了不同硬件平台下的实际收益。稀疏模型在 CPU 上可实现 2-5 倍加速，低精度模型在移动处理器上可达 2-8 倍，效率架构在专用边缘加速器上可达 5-20 倍。这些硬件特定测量确保效率基准反映真实部署场景。

面向效率的基准弥补了传统评估框架的关键空白。当前如 MLPerf 等基准主要关注稠密、未优化模型，而实际生产部署中优化模型已成常态。未来基准框架应专设效率模型分组，专门评估优化架构、低精度推理和紧凑模型，以准确反映真实部署实践，引导效率研究产生实际影响。

移动与边缘基准（Mobile and Edge Benchmarks）

移动 SoC 集成了异构处理器（CPU、GPU、DSP、NPU），需专门基准捕捉工作负载分布的复杂性，并考虑热约束和电池限制。高效的处理器协同可实现 3-5 倍性能提升，但持续负载会触发热降频。例如，骁龙 8 Gen 3 峰值 35 TOPS，持续负载降至 20 TOPS。电池影响差异巨大：计算摄影消耗 2-5W，后台 AI 仅需 5-50mW 即可保证续航。

移动基准还需评估 5G/WiFi 边缘 - 云协同，URLLC[376] 场景要求关键应用延迟低于 1ms。汽车部署需增加 ASIL 验证、多传感器融合和 -40°C 至 +85°C 环境测试。这些独特需求要求基准框架全面评估热约束下的持续性能、不同使用模式下的电池效率和依赖连接的行为，远超孤立峰值测量。

训练与推理评估（Training vs. Inference Evaluation）

基准组件和粒度层次在 ML 系统的两个主要运行阶段 —— 训练与推理 —— 中的应用各不相同。两者虽都通过神经网络处理数据，但目标不同，导致基准需求也不同。第 8 章：AI 训练 关注大数据集上的迭代优化，而第 13 章：机器学习运维 则强调持续、低延迟服务。这些差异影响指标选择、资源分配和扩展行为。

训练涉及双向计算（前向与反向），而推理仅执行固定参数的前向计算。ResNet-50 训练需 8GB GPU 内存（用于梯度和优化器状态），而仅推理时仅需 0.5GB。GPT-3 训练用 1024 块 A100 GPU 持续数月，推理则需单模型支持数千并发请求，响应时间需达毫秒级。

训练优先考虑吞吐量和收敛速度，以单位时间处理样本数和训练完成时间衡量。BERT-Large 训练在批量 512 时表现最佳，收敛需 32 小时；BERT 推理则需将延迟优化至每次查询低于 10ms，批量 1-4。训练可牺牲延迟换取吞吐（如每秒处理 1 万样本），推理则牺牲吞吐以保证延迟一致性。

训练可利用大规模计算资源进行批处理，接受更长完成时间以提升资源效率。多节点训

376. **URLLC**：5G 服务类别，要求关键任务应用的可靠性达 99.999%，延迟低于 1ms。

练在批量 4096-32768 时可达 90% 计算利用率。推理需对单次请求做出快速响应，批量受限于 1-16，导致 GPU 利用率仅 15-40%，但能满足严格延迟要求。

训练需同时访问参数、梯度、优化器状态和激活，内存开销为推理的 3-4 倍。混合精度训练（FP16/FP32）可将内存占用减半且保持收敛，推理则可用 INT8 量化实现 4 倍内存缩减且准确率损失极小。

训练期间采用梯度压缩、混合精度和渐进剪枝，可实现 1.8 倍加速且准确率仅损失 0.1%。推理优化则用后训练量化（4 倍加速）、知识蒸馏（模型体积缩减 5-10 倍）、神经架构搜索，实现 4 倍推理加速且准确率仅下降 0.5%。

训练能耗分摊到模型生命周期内，按每个模型总能耗计。GPT-3 训练耗电约 1287 兆瓦时。推理能耗则按每次查询累积，直接影响运营效率：变换器推理每次消耗 0.01-0.1 瓦时，亿级查询服务下能效优化至关重要。

这一对比框架指导基准设计，突出各阶段最重要的指标，以及评估方法如何针对阶段特性调整。训练基准强调收敛时间和扩展效率，推理基准则关注延迟一致性和多场景下的资源效率。

训练基准（Training Benchmarks）

基于三维基准框架，训练基准专注于评估模型训练过程中的效率、可扩展性和资源需求。它们使从业者能够评估模型架构、数据加载机制、硬件配置和分布式训练策略等设计选择，如何影响系统维度下的性能。随着机器学习系统规模不断扩大，参数量达数十亿、数据量达数 TB、分布式计算环境成为常态，训练基准尤为重要。

例如，大规模模型如 OpenAI 的 GPT-3[377]，拥有 1750 亿参数，训练数据达 45TB，凸显了现代训练的巨大计算需求。训练基准为底层系统提供系统性评估，确保软硬件配置能高效应对前所未有的需求。

> **ML 训练基准**
>
> **ML 训练基准** 专注于 训练阶段，测量模型开发过程中的 收敛时间、扩展效率 和 资源利用率。这些基准评估 收敛特性、分布式训练性能 和 不同软硬件配置下的 计算成本。训练基准有助于识别 数据加载、梯度计算 和 参数同步 的瓶颈，确保 训练基础设施能高效应对大规模模型开发需求。

377. **GPT-3**：OpenAI 于 2020 年发布的语言模型，拥有 1750 亿参数，训练数据 3000 亿 token，使用 1 万块 NVIDIA V100 GPU 训练数月，成本约 460 万美元（Lambda Labs 估算）。GPT-3 展现了少样本学习、上下文推理等新能力，确立了“规模定律”范式，即更大模型在多任务上持续优于小模型。

除了计算需求外，训练过程中的高效数据存储与传输同样关键。例如，目标检测模型需处理数千张图片，但通常无法将整个数据集加载到内存，因此依赖 ML 框架的数据加载器。成功训练依赖于数据的及时高效传递，因此需对数据管道、预处理速度和存储读取时间等工具进行基准测试，理解其对训练性能的影响。

除数据管道效率外，硬件选择也是训练系统的关键因素，直接影响训练时间。训练基准评估训练阶段 CPU、GPU、内存和网络的利用率，指导系统优化。理解资源使用情况至关重要：GPU 是否被充分利用？是否存在不必要的内存开销？基准可揭示资源利用中的瓶颈或低效，带来成本节约和性能提升。

在许多情况下，单一硬件加速器（如单块 GPU）难以满足大规模模型训练的计算需求。ML 模型常在多 GPU 或 TPU 的数据中心训练，分布式计算实现节点间并行。训练基准评估系统在多节点下的扩展效率、数据分片管理和节点故障处理能力。

为说明这些基准原则，本节将持续引用 MLPerf Training。MLPerf 在第 12 章：AI 基准测试中已介绍，是本节分析训练基准的标准化框架。

训练基准的意义

从系统角度看，训练机器学习模型是计算密集型过程，需要精细优化资源。训练基准是评估系统效率、识别瓶颈和确保 ML 系统可扩展的关键工具。它们为测量硬件加速器、内存、存储和网络等系统组件对训练性能的影响，提供了标准化方法。

因此，训练基准使研究者和工程师能够推动技术前沿、优化配置、提升扩展性并系统性地降低资源消耗。如图 6 所示，MLPerf Training 基准的历代性能提升持续超越摩尔定律，证明了“可测量即可改进”。利用标准化基准趋势，我们能严谨展示 ML 计算的快速演进。

训练基准的重要性 随着 ML 模型复杂度提升，训练对算力、内存和数据存储的需求日益增长。衡量和比较训练效率的能力，对系统能否高效应对大规模负载至关重要。训练基准为跨硬件平台、软件框架和优化技术的性能评估，提供了结构化方法论。

训练 ML 模型的主要挑战之一，是计算资源的高效分配。训练如 GPT-3 这样的大规模语言模型，参数量达 1750 亿，需处理 TB 级数据，对现代计算基础设施造成巨大压力。没有标准化基准，难以判断系统是否充分利用资源，或是否因数据加载慢、加速器利用不足、内存开销过大等低效因素而受限。

训练基准通过测量系统吞吐量、收敛时间和硬件利用率等关键指标，帮助发现这些低效。回顾第 11 章：AI 加速，GPU 混合精度操作可达 15700 GFLOPS，TPU 专用张量操作每秒 27.5 万次。训练基准可测量这些理论能力在实际训练中的加速效果。它们帮助

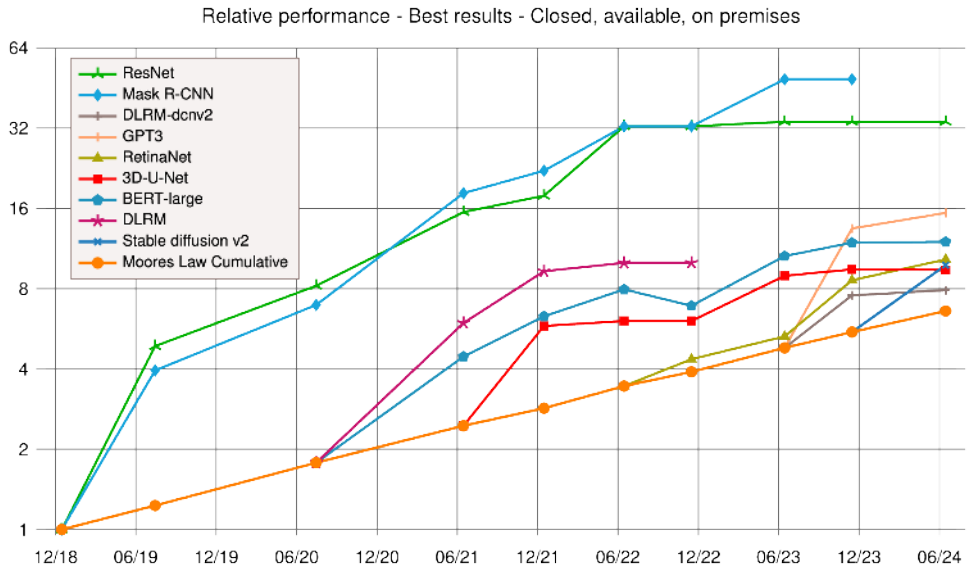

MLPerf 训练进展：标准化基准揭示机器学习训练性能持续超越摩尔定律，表明系统级优化带来了巨大收益。这些趋势强调了聚焦测量与迭代改进如何驱动 ML 训练效率与可扩展性的快速进步。

从业者分析加速器是否被有效利用，或是否因硬件限制（如内存带宽瓶颈）而降低整体性能。例如，TF32 精度系统可能吞吐量更高，但若引入数值不稳定导致收敛迭代次数增加，整体训练时间反而更长。基准通过揭示这些因素，支持更高效训练流程的设计，最大化硬件潜力并最小化不必要计算。

硬件与软件优化 机器学习训练的性能高度依赖于硬件与软件选择。训练基准通过测量不同架构（如 GPU、TPU 及新兴 AI 加速器）处理计算负载的能力，指导系统设计者选择最优配置。基准还评估深度学习框架（如 TensorFlow、PyTorch）在不同硬件下的优化效果。

例如，MLPerf Training 基准套件广泛用于比较不同加速器架构在图像分类、自然语言处理和推荐系统等任务上的表现。通过在多种硬件配置下运行标准化基准，工程师可判断某些加速器是否更适合特定训练负载。这对大规模数据中心和云计算环境尤为有价值，选择合适的软硬件组合可带来显著性能提升和成本节约。

除了硬件选择，训练基准还指导软件优化。机器学习框架实现了多种底层优化，包括混合精度训练 [378]、高效数据加载和分布式训练策略，这些都能显著影响系统性能。基准有助于量化这些优化的影响，确保训练系统配置达到最大效率。

378. **混合精度训练**：一种同时使用 16 位（FP16）和 32 位（FP32）浮点表示的训练技术，在保持模型准确率的同时加速训练。NVIDIA 于 2017 年推出，现代 GPU 的 Tensor Core 可实现 1.5-2 倍加速，同时内存占用减少约 40%，支持更大批量和更快收敛。

可扩展性与效率 随着机器学习工作负载的不断增长，分布式计算环境下的高效扩展已成为关键问题。许多现代深度学习模型需要在多块 GPU 或 TPU 上训练，只有高效的并行化策略才能确保增加计算资源带来实际的性能提升。训练基准通过评估系统吞吐量、内存效率和整体训练时间，来衡量系统在增加计算资源时的扩展能力。

高效扩展并非理所当然。理论上，增加 GPU 或 TPU 数量应当缩短训练时间，但通信开销、数据同步延迟和内存瓶颈等问题常常限制了扩展效率。训练基准通过量化性能随硬件资源增加的变化，帮助发现这些挑战。理想情况下，系统应展现近线性扩展，即 GPU 数量翻倍，训练时间近乎减半。但现实中的各种低效因素往往阻碍了完美扩展，基准测试为系统设计优化提供了必要的洞察。

训练效率的另一个关键因素是“收敛时间”（time-to-accuracy），即模型达到目标准确率所需的时间。该指标连接了算法和系统两个维度，将模型收敛特性与计算效率结合起来。借助训练基准，系统设计者可以评估基础设施是否能够高效处理大规模负载，同时保证训练的稳定性和准确性。

成本与能耗因素 近年来，大规模模型训练的计算成本急剧上升，使得成本效率成为不可忽视的考量。训练如 GPT-3 这样的模型，可能需要数百万美元的云计算资源，因此必须在不同软硬件配置下评估训练的性价比。训练基准通过分析计算开销、云计费模型和能耗，量化每次训练的成本。

除了财务成本，能效也日益重要。大规模训练消耗大量电力，带来显著的碳排放。基准测试通过测量每单位训练进展的能耗，帮助组织识别更可持续的 AI 发展路径。

例如，MLPerf 包含能耗基准组件，跟踪训练期间各类硬件加速器的功耗。这样，研究者不仅可以比较不同计算平台的性能，还能评估其环境影响。将能效指标纳入基准研究，有助于组织设计兼顾算力与可持续发展的 AI 系统。

公平的 ML 系统比较 训练基准的核心作用之一，是为 ML 系统建立标准化的比较框架。当前硬件架构、深度学习框架和优化技术多种多样，确保公平、可复现的比较至关重要。

标准化基准提供统一的评估方法，使研究者和工程师能够在相同条件下比较不同训练系统的表现。MLPerf Training 基准通过为图像分类、语言建模、推荐系统等任务定义严格的评测标准，实现了厂商中立的对比。这确保了性能结果的科学性，不会因数据预处理、超参数调整或实现细节的差异而失真。

这种标准化方法解决了机器学习研究中的可复现性问题，提供了明确的评估流程。结果可以在不同计算环境下稳定复现，帮助研究者在选择硬件、软件和训练方法时做出明智

决策，推动 AI 系统开发的系统性进步。

训练指标

评估机器学习训练性能，需要一套超越传统算法指标的科学度量。从系统角度看，训练基准关注模型在达到预定准确率门槛时的效率与效果。吞吐量、可扩展性和能效等指标，只有在模型成功收敛的前提下才有意义。否则，单纯优化速度或资源利用，反而可能导致误导性结论。

如 MLPerf Training 等训练基准，为不同任务设定了具体的准确率目标，确保性能测量公平且可复现。训练速度快但达不到准确率要求的系统，不被视为有效基准结果；反之，准确率高但耗时或资源过多的系统，也难以实际应用。有效的基准测试需在速度、效率与收敛准确率之间取得平衡。

时间与吞吐量 衡量训练效率的首要指标之一，是达到预定准确率门槛所需的时间。训练时间 T_{train} 表示模型收敛到可接受性能水平所用的总时长，反映了系统的整体计算效率。其形式化定义为：

$$T_{\text{train}} = \arg\min_{t} \left\{ \text{accuracy}(t) \geq \text{target accuracy} \right\}$$

该指标确保基准关注系统达成有意义结果的速度与效果。

吞吐量则常以每秒处理的训练样本数衡量，公式为：

$$\text{Throughput} = \frac{N_{\text{samples}}}{T_{\text{train}}}$$

其中 N_{samples} 为训练期间处理的总样本数。但吞吐量本身并不能保证结果有意义 —— 模型可能处理样本很快，却无法达到目标准确率。

例如，MLPerf Training 中，ResNet-50 的基准要求在 ImageNet 上达到 75.9% top-1 准确率。某系统即使每秒处理 1 万张图片，但未达标也不算有效；而另一个系统即使吞吐量较低，只要高效收敛则更优。这说明吞吐量必须结合收敛时间一起评估，而不能单独作为性能指标。

可扩展性与并行性 随着模型规模增长，训练工作负载往往需要在多处理器或加速器上分布式计算。可扩展性衡量在增加计算资源时，训练性能提升的效果。理想系统应展现近线性扩展，即 GPU 或 TPU 数量翻倍，训练时间也近乎减半。但现实中，通信开销、内存带宽和并行策略低效等因素常常限制了扩展性。

如 GPT-3 训练，OpenAI 使用约 1 万块 NVIDIA V100 GPU 进行分布式训练。谷歌的 4096 节点 TPU v4 集群也面临类似挑战，节点间的网络通信开销成为扩展瓶颈。MLPerf 等基准量化了多 GPU 扩展效率，帮助定位分布式训练中的低效环节。

训练并行分为数据并行[379]、模型并行[380]和流水线并行，每种方式都有独特挑战。数据并行最常见，将训练数据分片分配到不同计算节点，效率取决于同步机制和梯度通信开销。模型并行则将神经网络结构本身分布到不同处理器，需要高效协调。基准测试评估系统在采用这些并行策略时，是否能保证准确率收敛不受影响。

资源利用率 训练效率不仅取决于速度和扩展性，还取决于硬件资源的利用率。计算利用率衡量 GPU、TPU 等处理单元在训练期间的活跃程度。利用率低可能表明数据传输、内存访问或调度存在瓶颈。

例如，BERT 在 TPU 集群训练时，研究者发现输入管道低效限制了整体吞吐。尽管 TPU 算力强大，但数据从存储读取过慢，导致利用率不高。通过资源利用率分析，工程师优化了输入管道（如 TFRecord、数据预取），显著提升了性能。

内存带宽同样关键，深度学习模型训练需频繁访问大量数据。若内存带宽成为瓶颈，单纯提升算力也无法加快训练。基准测试需评估模型对内存的利用效率，确保存储、主存与处理单元间的数据传输不会成为性能瓶颈。

I/O 性能在处理大数据集时也极为重要，尤其是数据无法全部加载到内存时。基准测试需评估数据加载管道的效率，包括预处理、缓存和存储读取速度。数据加载低效会极大拖慢训练进度，无论算力多强都无济于事。

能效与成本 大规模模型训练需大量计算资源，带来显著能耗和财务成本。能效指标量化训练工作负载的功耗，帮助识别既高效又节能的系统。可持续发展趋势推动了能耗基准的普及，如 MLPerf Training 就测量每次训练的能耗。

GPT-3 训练估算消耗 1287 兆瓦时电力，相当于 100 户美国家庭一年的用电量。如果某系统能以更少迭代达到同样准确率，就能直接降低能耗。能效基准有助于推动硬件和训练策略的节能优化，同时保持准确率目标。

成本考量不仅包括电费，还包括硬件采购、云计算和基础设施维护。训练基准通过测量训练时间与资源消耗的关系，帮助评估不同软硬件配置的性价比。组织可据此在性能与预算之间做出平衡。

379. **数据并行**：最常见的分布式训练策略，每块 GPU 处理不同子批次，随后通过 all-reduce 等方式同步梯度。现代实现可在数百块 GPU 上近线性扩展，但 1000+ GPU 时通信开销成为主要瓶颈。
380. **模型并行**：将神经网络不同部分分布到不同 GPU 上，适用于单卡内存无法容纳的大模型。GPT-3 的 1750 亿参数需跨多节点模型并行，即使高内存 GPU 也只能容纳约 400 亿参数（混合精度）。

容错与稳健性 训练任务常常持续数天甚至数周，容错能力至关重要。健壮的系统必须能应对硬件故障、网络中断、内存错误等意外情况，且不影响准确率收敛。

在大规模云训练中，节点故障很常见。若分布式集群中某 GPU 节点失效，训练需能不中断地继续，且模型不被破坏。MLPerf Training 评估了如检查点（checkpoint）等容错策略，确保故障发生时无需重头开始。

可复现性与标准化 基准结果只有在不同运行、硬件和软件环境下可复现，才有意义。训练结果的波动可能由随机过程、硬件差异和软件优化引起。确保可复现性需标准化评估流程，控制模型初始化的随机性，并保证数据集处理一致。

MLPerf Training 对可复现性有严格要求，确保准确率在多次训练中保持稳定。例如，NVIDIA 提交 MLPerf 基准时，需证明其 ResNet-50 ImageNet 训练时间在不同 GPU 上一致。这样才能确保基准测量的是系统真实性能，而非随机噪声。

训练性能评估

评估机器学习训练系统的性能，远不止测量模型训练速度。全面的基准方法需从多个维度考察系统行为。具体指标取决于评估目标，无论是优化速度、提升资源效率、降低能耗，还是保证稳健性与可复现性。

下表（表 2）概述了系统级训练性能常用的核心类别与指标，为理解不同负载和配置下的训练系统行为提供了框架。

类别	关键指标	基准应用示例
训练时间与吞吐量	收敛时间（秒/分钟/小时）；吞吐量（样本/秒）	比较不同 GPU 架构的训练速度
可扩展性与并行性	扩展效率（理想加速比的百分比）；通信开销（延迟、带宽）	分析大模型的分布式训练性能
资源利用率	计算利用率（GPU/TPU 使用率%）；内存带宽（GB/s）；I/O 效率（数据加载速度）	优化数据管道提升 GPU 利用率

类别	关键指标	基准应用示例
能效与成本	每次训练能耗（MWh、kWh）；每瓦性能（TOPS/W）	评估节能训练策略
容错与稳健性	检查点开销（每次保存耗时）；恢复成功率（%）	评估云训练系统的故障恢复能力
可复现性与标准化	多次运行方差（准确率/训练时间差异%）；框架一致性（TensorFlow vs. PyTorch vs. JAX）	确保跨硬件基准结果一致

训练时间与吞吐量通常是评估系统性能的首要指标。收敛时间（time-to-accuracy）是模型达到指定准确率所需的时长，是实用且广泛采用的基准。吞吐量（如每秒样本数）反映了训练期间数据处理的效率。例如，比较 ResNet-50 在 NVIDIA A100 与 V100 GPU 上的训练，A100 通常吞吐量更高、收敛更快。但需确保吞吐提升不以收敛质量为代价，尤其在采用 TF32 等低精度加速时。

随着模型规模增长，可扩展性成为关键性能维度。高效利用多 GPU 或 TPU 对于训练 GPT-3、T5 等大模型至关重要。此时，扩展效率与通信开销是核心指标。系统在 64 块 GPU 内可线性扩展，但超过该规模后，同步与通信成本会导致性能提升趋缓。监控互连带宽和梯度聚合延迟的基准工具，可揭示分布式训练的瓶颈。

资源利用率补充了上述指标，关注系统对计算与内存资源的利用效率。GPU 利用率、内存带宽和数据加载效率等指标，有助于定位性能瓶颈。例如，BERT 预训练任务若 GPU 利用率不高，可能是数据管道性能不足。通过输入文件分片、数据预取等优化，常可解决这些低效。

除了性能，能效与成本也日益重要。大规模训练消耗大量电力，带来环境与财务压力。每次训练能耗、每瓦性能（如 TOPS/W）等指标，有助于评估不同硬件和系统配置的可持续性。例如，两个系统在相同时间内达到同样准确率，能耗更低者更适合长期部署。

容错与稳健性关注系统在非理想条件下的表现，这在实际部署中极为常见。训练任务常遇到硬件故障、抢占或网络不稳定。检查点开销和恢复成功率等指标，反映了训练系统的弹性。实际中，定期保存检查点会带来 5-10% 的吞吐损失，系统需在容错与性能间权衡。

最后，可复现性与标准化确保基准结果的一致性、可解释性和可迁移性。即使是软件库、初始化种子或浮点行为的微小差异，也会影响训练结果。比较 PyTorch（自动混合精度）与 TensorFlow（XLA）的同一模型，可能收敛速度或最终准确率不同。可靠的基准需严格控制这些变量，并多次运行以评估统计方差。

这些维度共同构成了训练性能的全景视角，帮助研究者、工程师和系统设计者超越简单对比，深入理解 ML 系统在真实条件下的行为。正如前文统计严谨性框架所述，准确测量这些维度需系统化方法，区分真实性能差异与统计噪声，考虑如 GPU Boost 时钟[381]和热降频[382]等对测量影响巨大的因素。

训练基准常见误区 尽管有完善的基准方法，实际评估中仍常见一些误区和错误做法，导致结论失真。理解这些陷阱有助于正确解读基准结果。

过度关注吞吐量 常见误区是认为吞吐量越高训练性能越好。实际上，可以通过降低数值精度、减少同步甚至跳过部分计算来人为提升吞吐，但这些优化未必能加快收敛。

例如，TF32 精度系统吞吐量高于 FP32，但若数值不稳定导致收敛迭代次数增加，整体训练时间反而更长。正确做法是将吞吐量与收敛时间结合评估，确保速度优化不以收敛效率为代价。

只看单节点性能 只在单节点上评测训练性能，忽略分布式扩展，容易得出误导性结论。单卡 GPU 吞吐量虽高，但在 Google 4096 节点 TPU v4 等大集群中，通信与同步开销会大幅削弱效率。

例如，单节点优化的内存策略未必适用于多节点环境。GPT-3 等大模型需高效的梯度同步，全面评估扩展性至关重要。Google 的 4096 节点 TPU 集群经验表明，梯度同步在大规模下成为主导瓶颈。

忽略故障与干扰 许多基准假设理想训练环境，不考虑硬件故障、内存损坏、网络不稳定或其他进程干扰。但实际训练常遇到意外故障和干扰，需要检查点、恢复机制和资源管理。

381. **GPU Boost 时钟**：NVIDIA 的动态频率调节技术，在热和功耗条件允许时自动提升 GPU 主频。冷却条件好时可提升 10-30% 性能，持续负载下则下降，导致基准波动。例如 RTX 4090 基础频率 2230MHz，冷却时可升至 2520MHz。

382. **热降频**：当温度超过安全阈值（GPU 通常为 83-90°C，CPU 为 100-105°C）时自动降低主频的保护机制。持续 AI 负载下热降频可导致 20-50% 性能损失，因此热管理对基准一致性至关重要。现代芯片每几毫米就有温度传感器，实时监控温度。

只优化理想场景但缺乏容错和干扰处理的系统，在受控条件下表现优异，但频繁故障、恢复低效和资源争用会使其难以大规模部署。有效基准应考虑检查点开销、故障恢复效率和进程干扰影响，而非假设完美执行。

线性扩展假设 分布式训练常被假定为增加 GPU/TPU 数量即可线性加速。实际上，通信瓶颈、内存争用和同步开销会导致边际收益递减。

例如，1000 块 GPU 并不一定比 10 块快 100 倍。到一定规模，梯度通信成本成为限制因素，抵消了并行带来的好处。正确的基准应评估扩展效率，而非假设理想线性提升。

忽略可复现性 许多基准结果未验证在不同硬件和软件环境下的可复现性。即使是浮点运算、内存布局或优化策略的微小差异，也会引入训练时间和准确率的统计差异。

例如，TensorFlow（XLA 优化）与 PyTorch（自动混合精度）同一模型的收敛特性可能不同。科学基准需跨多框架评估，确保软件特定优化不会扭曲性能对比。

训练基准总结 训练基准为 ML 系统性能提供了宝贵洞察，但解读时需充分考虑现实约束。高吞吐量若以收敛效率为代价，并不等于更快训练。扩展效率也需综合考察计算与通信开销。

避免常见误区，采用结构化评估方法，能帮助 ML 从业者深入理解如何优化训练流程、设计高效 AI 系统、构建可扩展的 ML 基础设施。随着模型复杂度提升，基准方法也需不断演进，反映现实挑战，确保基准在指导 AI 系统开发时始终具有实际意义和可操作性。

推理基准

作为训练基准的补充，推理基准聚焦于模型部署和服务阶段的效率、延迟与资源需求评估。与训练阶段侧重于大规模数据集上的计算优化不同，推理阶段要求高效地进行实时或批量预测。推理基准帮助评估模型架构、硬件配置、精度优化和运行时优化等因素对推理性能的影响。

随着深度学习模型复杂度和规模的指数级增长，高效推理成为越来越重要的挑战，尤其是在自动驾驶、医疗诊断、对话式 AI 等对实时性要求极高的场景。例如，大型语言模型的推理需在保证低延迟的同时处理数十亿参数。推理基准为底层软硬件栈提供系统性评估，确保模型能在云、边缘等多种环境下高效部署。

> **ML 推理基准**
>
> **ML 推理基准** 是用于评估机器学习系统 推理阶段 的 性能、效率 和 可扩展性 的标准化工具。这些基准测量 系统级指标，如 延迟、吞吐量、能耗 和 内存占用。通过结构化评估框架，推理基准实现了跨 硬件平台、软件运行时 和 部署配置 的公平对比，帮助识别瓶颈，优化推理流程，确保计算资源高效利用，适用于实时和大规模 ML 应用。

与通常在数据中心进行的训练不同，推理需适应多样化的部署场景，包括移动设备、IoT 系统和嵌入式处理器。高效推理依赖于数据管道、模型优化和硬件加速等多因素协同。基准测试帮助评估这些优化措施对实际部署性能的提升效果。

在这些优化需求基础上，硬件选择对推理效率的影响日益突出。训练阶段常用 GPU、TPU，而推理负载则常需专用加速器，如 NPU（神经网络处理器）[383]、FPGA[384] 和 Google Edge TPU[385] 等。推理基准评估这些硬件的利用率和性能，帮助从业者为不同部署需求选择合适配置。

推理负载在云、边缘、移动和 tinyML 系统间的扩展带来更多复杂性。如图 7 所示，不同系统的能耗差异巨大，从微瓦到兆瓦级。推理基准评估延迟、成本与能效之间的权衡，帮助组织做出明智的部署决策。

与训练基准类似，以下章节将持续引用 MLPerf Inference 作为推理基准原则的实例。MLPerf 的推理基准为从云到边缘设备的多场景部署提供了标准化评估。

推理基准动机

机器学习模型推理部署面临的挑战，与训练阶段截然不同。训练侧重于大规模计算与数据处理，而推理则需在多变的实际环境中高效生成预测。推理基准评估这些部署特定的性能挑战，识别模型从开发到生产服务转变过程中的瓶颈。

推理基准帮助回答有关模型部署的关键问题：模型在实际条件下生成预测的速度有多快？推理速度与准确率之间的权衡是什么？推理系统能否在保持低延迟的同时处理不断增长的请求？通过评估这些因素，基准指导硬件与软件的优化，以提升整体效率。

383. **神经网络处理器（NPU）**：专为 AI 工作负载设计的处理器，架构针对神经网络操作优化。现代智能手机 NPU 性能可达 1-15 TOPS，推理同等任务时功耗比 GPU 低 100-1000 倍。
384. **现场可编程门阵列（FPGA）**：可在出厂后编程实现定制数字电路的芯片。与固定功能 ASIC 不同，FPGA 灵活适配不同算法，对特定 ML 任务能效比 CPU 高 10-100 倍，且可随算法变化调整。
385. **Edge TPU**：谷歌为边缘设备设计的超低功耗 AI 加速器，功耗仅 2W，性能达 4 TOPS。Edge TPU 针对 TensorFlow Lite 优化，单价约 25 美元，使大规模分布式 AI 部署成为可能。

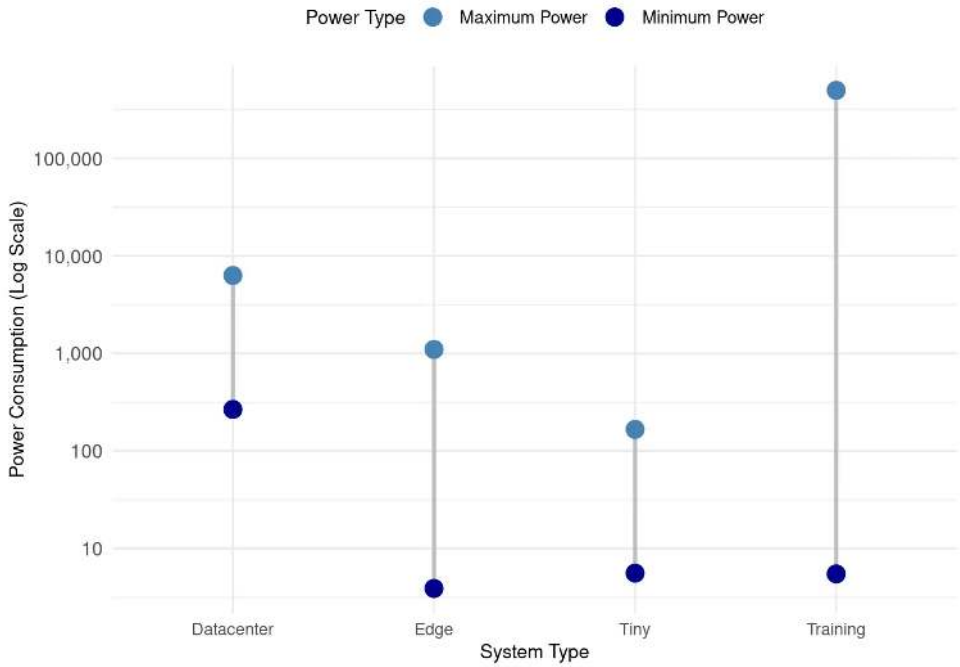

能耗差异：该图强调了不同系统类型间能耗的巨大差异，从微瓦到兆瓦，突显了推理基准中延迟、成本与能效的权衡。

推理基准的重要性 推理在 AI 应用中至关重要，直接影响可用性和成本。与通常离线进行的训练不同，推理需实时或近实时操作，因此延迟成为首要考虑因素。处理相机数据的自动驾驶汽车必须在毫秒内做出反应，而生成响应的语音助手则需给用户即时反馈。

不同应用对推理的要求各异。有些工作负载需要单实例推理，即尽可能快地处理每个输入，适用于机器人、增强现实和对话式 AI 等实时系统。另一些工作负载，如大规模推荐系统或搜索引擎，则需同时处理大量查询，优先考虑吞吐量而非单个查询的延迟。基准使工程师能够评估这两种场景，确保模型针对预期用例进行了优化。

推理与训练的另一个不同之处在于，推理工作负载通常在生产环境中持续运行，因此即使是微小的低效也会随着时间推移而累积。与一次性训练任务不同，云端推理系统可能每天处理数百万个查询，智能手机上的模型则需在长时间使用中管理电池消耗。基准提供了一种结构化的方法来测量推理在这些实际约束下的效率，帮助开发者在模型优化、硬件选择和部署策略上做出明智决策。

推理指标

评估推理系统性能的指标，与训练阶段截然不同。推理基准侧重于延迟、效率和实际部署环境中的资源利用率。这些指标确保机器学习模型能够在从云数据中心到移动和边缘设备的不同环境中良好运行。

与强调吞吐量和收敛时间的训练基准不同，推理基准评估经过训练的模型在处理输入和生成预测时的效率。以下部分将描述推理基准中最重要的指标，解释其相关性以及如何用于比较不同系统。

延迟与尾部延迟 延迟是推理的关键性能指标，尤其是在对实时性要求极高的应用中，延迟直接影响用户体验或系统安全。延迟是指推理系统处理输入并生成预测所需的时间。虽然系统的平均延迟有参考价值，但在高负载情况下，偶发的延迟峰值可能严重影响可靠性。

因此，基准测试通常会测量尾部延迟 [^fn-tail-latency]，反映系统中的最坏情况延迟。这些通常以第 95 百分位（p95）或第 99 百分位（p99）延迟报告，表示 95% 或 99% 的推理在给定时间内完成。对于自动驾驶或实时交易等应用，保持低尾部延迟至关重要，以避免不可预测的延迟导致灾难性后果。

尾部延迟与大规模用户体验的关系在生产系统中尤为关键。即使是小幅度的 P99 延迟恶化，在百万级用户中也会产生成倍的影响：如果 1% 的请求延迟增加 10 倍（例如，从 100 毫秒增加到 1000 毫秒），将影响每百万请求中的 10,000 名用户，可能导致超时错误、用户体验不佳和客户流失。搜索引擎和推荐系统对此尤为敏感：Google 发现额外 500 毫秒的延迟会减少 20% 的搜索流量，而亚马逊则发现 100 毫秒的延迟增加会使销售下降 1%。

因此，生产系统的服务水平目标（SLO）侧重于尾部延迟，而非平均延迟，以确保一致的用户体验。典型的生产 SLO 规定交互服务的 P95 < 100 毫秒，P99 < 500 毫秒，意识到偶尔的慢响应对用户满意度的影响是巨大的。像 Netflix 和 Uber 这样的大型系统则优化 P99.9 延迟，以应对影响服务可靠性的流量峰值和基础设施变化。

吞吐量与批处理效率 吞吐量是衡量推理系统每秒处理请求数量的指标，通常以每秒查询数（QPS）或每秒帧数（FPS）表示（视觉任务）。有些推理系统采用单实例处理模式，即每个输入独立处理；而另一些则采用批量推理，利用硬件优化同时处理多个输入，从而显著提高效率。

例如，处理数百万查询的云端服务受益于批量推理，将大量输入一起处理，以最大化计算效率。相比之下，机器人技术、交互式 AI 和增强现实等应用则需要低延迟的单实例推理，系统必须对每个新输入立即做出响应。

基准测试必须同时考虑单实例和批量吞吐量，以全面了解不同部署场景下的推理性能。

精度与准确率权衡 优化推理性能通常涉及降低数值精度，这可以显著加快计算速度，同时减少内存和能耗。然而，低精度计算可能导致准确率下降，因此必须基准测试速度

与预测质量之间的权衡。

推理基准评估模型在不同数值设置下的表现，如 FP32[386]、FP16[387] 和 INT8[388]。许多现代 AI 加速器支持混合精度推理，允许系统根据工作负载动态调整数值表示。模型压缩技术 [389] 进一步提高了效率，但对模型准确率的影响因任务和数据集而异。基准测试帮助确定这些优化在部署中的可行性，确保效率提升不会以不可接受的准确率损失为代价。

内存占用与模型大小 除了计算优化，内存占用也是推理系统的关键考量，特别是在资源有限的设备上。高效推理不仅依赖于速度，还依赖于内存使用情况。与训练不同，推理通常要求模型在严格的内存限制内运行。总模型大小决定了部署所需的存储空间，而 RAM 使用则反映了执行过程中的工作内存需求。有些模型在数据处理单元间传输数据时需要大带宽，这在硬件容量不足时可能成为瓶颈。

推理基准评估这些因素，确保模型能在各种设备上有效部署。高准确率但超出内存限制的模型，可能在现实中难以应用。为此，通常采用各种压缩技术来减小模型体积，同时保持准确率。基准测试帮助评估这些优化是否在内存效率和预测性能之间取得了合理平衡。

冷启动与模型加载时间 在优化内存需求后，冷启动性能对确保推理系统在部署时快速响应至关重要。在许多部署场景中，模型并非始终保留在内存中，而是根据需要按需加载。这可能会引入显著的延迟，特别是在无服务器 AI 环境中 [390]，资源根据传入请求动态分配。冷启动性能衡量系统从闲置到主动执行的过渡速度，确保推理可在没有过长等待时间的情况下进行。

模型加载时间是指将训练好的模型加载到内存中以便处理输入所需的时间。在某些情况下，特别是在资源受限的设备上，模型可能需要频繁重新加载，以释放内存供其他应用使用。首次推理请求所需的时间也是一个重要考量，因为它反映了用户与 AI 服务交互时的总延迟。基准测试帮助量化这些延迟，确保推理系统能够满足实际的响应速度要求。

386. **FP32**：32 位浮点格式，提供约 7 位小数的高数值精度。作为研究和训练的标准格式，FP32 操作消耗最大内存和计算资源，但能确保数值稳定性。现代 GPU 在 FP32 下可达到 15-20 TFLOPS，作为精度比较的基准。
387. **FP16**：16 位浮点格式，与 FP32 相比内存使用量减半，同时保持合理的数值精度。现代 AI 加速器广泛支持 FP16，在大多数深度学习模型中，FP16 可实现 2-4 倍于 FP32 的速度提升，且准确率损失较小，成为推理和混合精度训练的首选格式。
388. **INT8**：8 位整数格式，提供最大内存和计算效率，仅需 FP32 存储的 25%。通过后训练精度降低为 INT8 可实现 4 倍内存缩减和 2-4 倍于专用硬件的加速，但需仔细校准以最小化准确率下降，通常保持原始模型性能的 95-99%。
389. **模型压缩**：通过降低数值精度、结构优化、知识迁移和张量分解等技术，减少模型大小和计算需求。可实现 10-100 倍的体积缩减，同时保持 90-99% 的原始准确率。
390. **无服务器 AI**：一种云计算范式，将 ML 模型作为函数部署，自动扩展以处理传入请求，用户仅为实际推理时间付费。流行的平台如 AWS Lambda、Google Cloud Functions 和 Azure Functions 支持无服务器 AI，但大型模型的冷启动延迟可能为 1-10 秒，影响用户体验。

动态工作负载扩展 冷启动延迟解决了初始响应能力，而可扩展性则确保推理系统能够处理波动的工作负载和并发需求。推理工作负载必须根据不同的使用模式有效扩展。在云 AI 服务中，这意味着高效处理数百万个并发用户，而在移动或嵌入式设备上，则涉及管理多个 AI 模型的同时运行，而不至于过载系统。

可扩展性衡量分配更多计算资源时，推理性能提升的效果。在某些情况下，增加更多 GPU 或 TPU 会显著提高吞吐量，但在其他情况下，内存带宽限制或网络延迟等瓶颈可能会限制扩展效率。基准测试还评估系统在实际部署中平衡多个并发模型的能力，不同 AI 驱动特性可能需要同时运行而不互相干扰。

对于云端 AI，基准评估系统在波动需求下的处理效率，确保推理服务器能够动态分配资源而不影响延迟。在移动和嵌入式 AI 中，高效的多模型执行对于同时运行多个 AI 驱动特性至关重要，而不会降低系统性能。

能源消耗与效率 由于推理工作负载在生产中持续运行，功耗和能源效率成为关键考量。这在移动和边缘设备上尤为重要，因为电池寿命和热限制限制了可用的计算资源。即使在大规模云环境中，电力效率也直接影响运营成本和可持续发展目标。

单次推理所需的能量通常以每次推理的焦耳数来衡量，反映系统在最小化功耗的同时处理输入的效率。在云推理中，效率通常以每瓦查询数（QPS/W）表示，以量化系统在性能和能量消耗之间的平衡。对于移动 AI 应用，优化推理功耗可以延长电池寿命，使模型能够在资源受限的设备上高效运行。降低能耗还在于使大规模 AI 系统更具环境可持续性，确保计算进步与节能部署策略相一致。通过在性能与功耗之间取得平衡，节能推理系统使 AI 能够在从数据中心到边缘设备的多种应用中可持续扩展。

推理性能评估

评估推理性能是理解机器学习系统如何满足实际应用需求的关键步骤。与通常离线进行的训练不同，推理系统必须在各种部署场景中高效处理输入并生成预测。延迟、吞吐量、内存使用和能量效率等指标提供了结构化的方法来衡量系统性能并识别改进领域。

下表（表 3）总结了评估推理系统时使用的关键指标，突显了它们在不同上下文中的相关性。虽然每个指标提供了独特的见解，但全面评估推理基准时必须综合考虑这些指标之间的权衡，包括速度与准确率、吞吐量与功耗之间的权衡，以实现有效的系统设计。

类别	关键指标	基准应用示例
延迟与尾部延迟	平均延迟（毫秒/请求）；尾部延迟（p95、p99、p99.9）	评估安全关键型 AI 的实时性能
吞吐量与效率	每秒查询数（QPS）；每秒帧数（FPS）；批量吞吐量	比较大规模云推理系统
数值精度影响	准确率下降（FP32 与 INT8 比较）；降低精度带来的加速效果	在优化推理中平衡准确率与效率
内存占用	模型大小（MB/GB）；RAM 使用（MB）；内存带宽利用率	评估边缘和移动部署的可行性
冷启动与加载时间	模型加载时间（秒）；首次推理延迟（秒）	评估无服务器 AI 的响应能力
可扩展性	负载下的效率；多模型服务性能	测量动态高需求系统的稳健性
功率与能量效率	每次推理的功耗（瓦特）；每瓦性能（QPS/W）	优化移动和可持续 AI 的能耗

推理系统考量 推理系统面临的独特挑战，取决于其部署方式和环境。实时应用如自动驾驶汽车或语音助手要求低延迟，以确保及时响应；而大规模云部署则侧重于最大化吞吐量，以处理数百万个查询。边缘设备则受限于内存和电力，效率至关重要。

评估推理性能时，理解指标之间的权衡至关重要。例如，优化高吞吐量可能会增加延迟，使系统不适合实时应用；而降低数值精度提高能效和速度，但可能导致轻微的准确率下降。全面的评估必须平衡这些权衡，以符合预期应用。

部署环境在确定评估优先级方面也起着重要作用。云端系统通常优先考虑可扩展性和对动态工作负载的适应能力，而移动和边缘系统则需特别关注内存使用和能量效率。这些不同的优先级意味着基准测试必须针对系统的实际使用场景量身定制，而不是依赖于一

刀切的评估。

最终，评估推理性能需要一种整体方法。关注单一指标（如延迟或能量效率）只能提供不完整的视图。相反，所有相关维度必须一起考虑，以确保系统在功能、资源和性能目标之间实现平衡。

上下文相关指标 不同的部署场景对指标的优先级要求截然不同，因为操作约束和成功标准差异很大。理解这些优先级使工程师能够有效地集中基准测试工作，并在适当的决策框架内解读结果。下表（表 4）说明了在五种主要部署上下文中，性能优先级如何转变，揭示了操作约束与优化目标之间的系统关系。

部署上下文	主要优先级	次要优先级	第三优先级	关键设计约束
实时应用	延迟（p95 < 50ms）	可靠性（99.9%）	内存占用	用户体验要求系统即时响应
云规模服务	吞吐量（QPS）	成本效率	平均延迟	商业可行性要求大规模处理能力
边缘/移动设备	功耗	内存占用	延迟	电池寿命和资源限制主导设计
训练工作负载	训练时间	GPU 利用率	内存效率	研究速度要求更快的实验周转时间
科学/医疗	准确率	可靠性	可解释性	正确性不能以性能为代价

表 4 中所示的层级反映了操作约束如何驱动性能优化策略。实时应用是对延迟敏感的场景，系统响应的及时性直接影响用户体验。自动驾驶车辆的感知系统必须在严格的时间限制内处理传感器数据，因此 p95 延迟比峰值吞吐量更为重要。表中还将可靠性列为次要优先级，因为自动驾驶系统的故障可能带来安全隐患，必须优先确保系统稳定。

相比之下，云规模服务则优先考虑吞吐量，以应对数百万的并发用户，同时接受较高的平均延迟以换取每次查询的成本效率。由吞吐量到成本效率再到延迟的转变，反映了云服务提供商必须优化每台服务器的收入，同时维持可接受的用户体验。注意，同一指标（延迟）在实时应用中是主要优先级，而在云服务中则是第三优先级，这表明了性能评估的上下文相关性。

边缘和移动部署面临截然不同的约束，电池寿命和热管理成为设计决策的关键。提升吞吐量 50% 但功耗增加 30% 的智能手机 AI 助手，实际上是退步，因为电池寿命的缩短直接影响用户满意度。训练工作负载则呈现出另一个独特的优化格局，研究生产力依赖于实验周转时间，因此 GPU 利用率和内存带宽对更大模型的探索至关重要。

科学和医疗应用则将准确率和可靠性视为不可妥协的要求，性能优化服务于这些主要目标，而不是替代它们。一个在 10 毫秒内达到 99.2% 准确率的医疗诊断系统，比一个在 5 毫秒内达到 98.8% 准确率的系统更具价值，表明了上下文特定优先级如何指导有意义的性能评估。

这种优先级框架从根本上影响了基准解读和优化策略。对于云部署而言，实现 2 倍吞吐量提升具有重要价值，但对于电池供电的边缘设备而言，降低 20% 功耗带来的 20% 电池寿命延长更具实际意义。

推理基准常见误区 即使有明确定义的指标，推理系统的基准评估也可能面临挑战。评估过程中的失误往往导致误导性结论。以下是分析推理性能时应注意的常见误区。

过度强调平均延迟 虽然平均延迟提供了响应时间的基线测量，但它无法捕捉系统在峰值负载下的表现。在实际场景中，尾部延迟（如 p95、p99）对系统可靠性影响重大。比如，一个对话式 AI 系统如果偶尔出现延迟峰值超过可接受阈值，就可能无法及时响应。

因此，生产系统的服务水平目标（SLO）侧重于尾部延迟，而非平均延迟，以确保一致的用户体验。典型的生产 SLO 规定交互服务的 P95 < 100 毫秒，P99 < 500 毫秒，意识到偶尔的慢响应对用户满意度的影响是巨大的。像 Netflix 和 Uber 这样的大型系统则优化 P99.9 延迟，以应对影响服务可靠性的流量峰值和基础设施变化。

忽视内存与能耗约束 如果一个模型在推理时表现出色，但其内存或功耗需求过高，则可能不适合移动或边缘部署。例如，针对云环境设计的推理系统，可能无法在电池供电的设备上高效运行。正确的基准测试必须考虑内存占用和能耗，以确保在各种部署环境中的实用性。

忽视冷启动性能 在无服务器环境中，模型按需加载时，冷启动延迟是关键因素。忽视模型初始化和处理首个请求所需时间，可能导致对响应能力的不切实际期望。评估模型加载时间和首次推理延迟，确保系统设计能满足实际响应要求。

单一指标评估 推理系统的基准测试通常涉及平衡多个竞争指标。例如，最大化批量吞吐量可能会导致延迟增加，而激进的精度降低可能会降低准确率。单独关注某一指标，而不考虑其对其他指标的影响，可能导致评估不完整或误导。

数值精度优化尤其体现了这一挑战。单个加速器的基准测试可能显示 INT8 操作的 TOPS（每秒万亿次操作）比 FP32 高出 4 倍，形成引人注目的性能叙述。

然而，当这些加速器在完整训练系统中部署时，由于收敛时间延长、精度转换开销和混合精度协调复杂性，芯片级的优势往往会消失。“4 倍更快” 的微基准可能转化为更慢的端到端训练，说明了为何孤立的硬件指标无法替代全面的系统评估。平衡的方法（如 FP16 混合精度）尽管 TOPS 测量值较低，但通常能提供更优的系统级性能。全面的基准测试必须考虑这些跨指标的相互作用和系统级复杂性。

线性扩展假设 推理性能并不总是随着资源的增加而成比例地扩展。内存带宽、热限制或通信开销等瓶颈，可能限制增加更多 GPU 或 TPU 带来的收益。如第 11 章所述，这些扩展限制源于硬件的基本约束和互连架构。假设线性扩展行为的基准测试，可能会高估系统性能，特别是在分布式部署中。

忽视应用需求 通用基准结果可能未能考虑应用的特定需求。例如，针对云推理优化的基准，可能与边缘设备无关，后者更关注能量和内存的限制。量身定制的基准测试确保结果具有实际意义和可操作性。

统计显著性与噪声 区分有意义的性能提升与测量噪声，需要适当的统计分析。遵循前文建立的评估方法原则，MLPerf 通过要求多次基准测试和报告基于百分位的指标，而非单次测量，来解决测量变异性。例如，MLPerf Inference 报告 99 百分位延迟以及平均性能，捕捉典型行为和最坏情况，而单次测量可能遗漏这些信息。这种方法认识到系统性能因 GPU 热降频、内存分配模式和后台进程等因素而自然波动。

推理基准总结 推理基准是理解系统性能的关键工具，但其效用依赖于全面和整体的评估。延迟、吞吐量、内存使用和能量效率等指标提供了宝贵的见解，但其重要性因应用和部署上下文而异。应全面考虑这些指标之间的权衡，以确保系统在功能、资源和性能目标之间实现平衡。

避免常见误区，平衡多个指标，能帮助从业者设计可靠、高效且适合实际部署的推理系统。基准测试的最终目的是指导系统改进，以符合预期应用的需求。

MLPerf 推理基准

MLPerf 推理基准由 MLCommons[391] 开发，提供了一个标准化框架，用于评估机器学习推理在各种部署环境中的性能。最初，MLPerf 仅包含一个推理基准，但随着机器学习系统应用的多样化，单一基准已无法满足需求。云端 AI 服务和资源受限的嵌入式设备等不同推理场景，均需量身定制的评估。由此，衍生出一系列 MLPerf 推理基准，旨在针对特定部署场景评估性能。

MLPerf 推理 MLPerf 推理 是基础基准，最初用于评估大规模推理系统。它主要关注数据中心和云端的推理工作负载，这些场景对高吞吐量、低延迟和资源利用效率要求极高。基准评估多个深度学习模型的性能，包括图像分类、目标检测、自然语言处理和推荐系统。该版本的 MLPerf 仍然是比较 AI 加速器、GPU、TPU 和 CPU 在高性能计算环境中表现的金标准。

主要科技公司定期参考 MLPerf 结果来做出硬件采购决策。例如，在评估推荐系统基础设施硬件时，MLPerf 在 DLRM[392]（深度学习推荐模型）工作负载上的基准得分，直接影响不同加速器代际之间的选择。基准结果始终显示，较新 GPU 架构在推荐推理上的吞吐量比上一代高出 2-3 倍，通常足以证明在大规模生产部署中使用新硬件的额外成本。这表明了标准化基准如何直接影响行业内数百万美元的基础设施决策。

> **全面基准测试的成本**
>
> 尽管基准测试对 ML 系统开发至关重要，但其高昂的成本限制了参与者的范围。提交 MLPerf 基准测试可能需要大量工程工作和数十万美元的硬件及云计算资源。一次全面的 MLPerf 训练提交，涉及数月的工程时间用于优化、调试和验证多个硬件配置，计算成本可能超过 $100,000，涵盖多个工作负载和系统规模。
>
> 这一成本壁垒解释了为何 MLPerf 提交主要由大型科技公司和硬件供应商主导，而较小的组织则依赖于已发布的结果，而非进行全面的自我评估。这一现象进一步推动了内部轻量级基准测试实践的需求，使组织能够在不进行全规模标准化基

391. **MLCommons**：一个非营利组织，成立于 2018 年（最初为 MLPerf），旨在制定机器学习基准标准。由包括 Google、NVIDIA、Intel 和 Facebook 在内的 40 多家行业领导者管理，MLCommons 已建立起云到边缘部署 AI 性能测量的事实标准。

392. **DLRM（深度学习推荐模型）**：Facebook 于 2019 年发布的个性化推荐神经网络架构，将分类特征通过嵌入表与连续特征通过多层感知机相结合。DLRM 模型可能包含 100+ 亿参数，嵌入表可能占用数 TB 内存，因此需要针对稀疏矩阵操作进行专门的硬件优化，以满足推荐系统工作负载的需求。

> 准测试的情况下，做出明智的决策。

MLPerf Mobile MLPerf Mobile 将 MLPerf 的评估框架扩展到智能手机和其他移动设备。与云推理不同，移动推理在功耗和内存方面受到严格限制，因此模型必须优化以实现高效而不牺牲响应能力。该基准测量实时 AI 任务的延迟和响应能力，如基于相机的场景检测、语音识别和增强现实应用。MLPerf Mobile 已成为评估旗舰智能手机和移动 AI 芯片 AI 性能的行业标准，帮助开发者优化模型以适应设备端 AI 工作负载。

MLPerf Client MLPerf Client 专注于消费级计算设备（如笔记本电脑、台式机和工作站）的推理性能。该基准针对直接在个人设备上运行的本地 AI 工作负载，无需依赖云推理。实时视频编辑、语音转文本和 AI 增强生产力应用等任务，均属于此类。与基于云的基准不同，MLPerf Client 评估 AI 工作负载与通用硬件（如 CPU、独立 GPU 和集成 NPU）的交互，适用于消费和企业 AI 应用。

MLPerf Tiny MLPerf Tiny 专为嵌入式和超低功耗 AI 系统（如 IoT 设备、可穿戴设备和微控制器）设计。与其他 MLPerf 基准评估强大加速器上的性能不同，MLPerf Tiny 评估在计算、内存和电力资源有限的设备上的推理。该基准对智能传感器、AI 驱动的自动化和实时工业监控等应用至关重要，这些场景要求模型在极少的处理能力硬件上高效运行。MLPerf Tiny 在边缘 AI 发展中发挥着关键作用，帮助开发者优化模型以适应受限环境。

发展与未来方向 MLPerf 推理基准的演变，反映了 AI 部署场景的多样性。从云端、移动、桌面到嵌入式环境，不同的约束和需求使得量身定制的基准评估变得必要。

MLPerf 是理解：

- 不同部署环境中推理性能的变化。
- 不同 AI 应用中最相关的性能指标。
- 基于实际使用约束优化模型和硬件选择的关键工具。

认识到量身定制的推理基准的必要性，加深了我们对 AI 部署挑战的理解，突显了基准测试在开发高效、可扩展和实用的机器学习系统中的重要性。

推理阶段的能效考量贯穿于推理基准方法中，反映出功耗对推理和训练两个阶段的不同影响。训练阶段的能耗成本在模型生命周期中摊销，而推理阶段的能耗成本则是按查询累积，直接影响操作效率。以下对功率测量技术的分析，支持了每个基准测试阶段所涵盖的能量指标。

功耗测量技术

能效基准测试需要针对不同 ML 部署环境的多样化功耗量级，采用专门的测量技术。在训练与推理章节已确立能耗考量的基础上，这些技术为验证 第 10 章：模型优化 的优化主张和 第 11 章：AI 加速 的硬件效率提升，提供了系统化的量化手段。

性能基准有助于优化速度和准确率，但往往忽略了能效，而能效已成为实际部署中的关键因素。第 9 章：高效 AI 中提出的能效原则 —— 平衡计算复杂度、内存访问模式和硬件利用率 —— 需要通过标准化能耗基准进行定量验证。只有这样，才能判断 第 10 章：模型优化 的架构优化和 第 11 章：AI 加速 的硬件感知设计，是否真正带来了实际的能耗节省。

然而，机器学习系统的功耗测量面临独特挑战。ML 模型在不同部署环境下的能耗需求差异极大，跨度达数个数量级，如下表 5 所示。这一从微瓦级 TinyML 设备到千瓦级数据中心机架的巨大区间，凸显了制定统一能效基准方法的根本难题。

类别	设备类型	功耗
Tiny	神经决策处理器（NDP）	150 µW
Tiny	M7 微控制器	25 mW
Mobile	树莓派 4	3.5 W
Mobile	智能手机	4 W
Edge	智能摄像头	10-15 W
Edge	边缘服务器	65-95 W
Cloud	ML 服务器节点	300-500 W
Cloud	ML 服务器机架	4-10 kW

如此巨大的功耗跨度（超过四个数量级），为测量与基准测试带来了重大挑战。因此，制定统一方法时必须充分考虑每个量级的独特特性。例如，准确测量 TinyML 设备的微瓦级功耗，需要与监控千瓦级服务器机架完全不同的仪器和技术。任何全面的基准框架

都必须兼容这些极端不同的量级，同时确保在多样硬件配置下测量的一致性、公平性和可复现性。

功耗测量边界

为应对这些测量挑战，图 8 展示了从 TinyML 设备到数据中心推理节点的不同系统规模下的功耗测量边界。每种场景都用绿色标示了能耗计量的系统边界，明确哪些组件被纳入能耗统计。红色虚线框外的部分则被排除在测量之外。

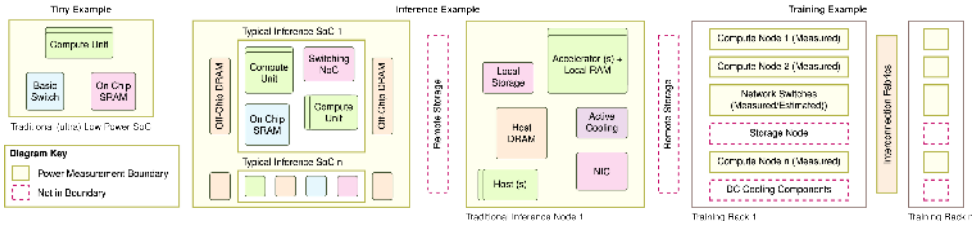

功耗测量边界：MLPerf 定义了从单芯片设备到完整数据中心节点的功耗测量系统边界，使能效在多样硬件平台间可公平比较。边界决定了哪些组件的能耗被计入报告指标，直接影响性能结果的解读。

系统级功耗测量比单独测量组件更具全局视角。虽然组件级指标（如加速器或处理器功耗）对性能调优有价值，但真实 ML 负载涉及计算单元、内存系统和基础设施的复杂协同。例如，Google TensorFlow Mobile 工作负载分析显示，数据移动占总推理能耗的 57.3%，说明内存绑定操作常常主导系统能耗。

共享基础设施带来额外挑战。在数据中心，冷却和供电等资源被多个负载共享，难以将能耗精确归因于特定 ML 任务。仅冷却就可占总设施能耗的 20-30%，成为能效评估的重要因素。即使在边缘，内存和 I/O 也常服务于 ML 与非 ML 功能，进一步模糊了测量边界。

共享基础设施的复杂性还因现代系统采用动态功耗管理技术而加剧。动态电压与频率调节（DVFS）根据负载自动调整处理器电压和主频，在低计算强度时显著降低功耗。先进的 DVFS 方案通过片上切换稳压器可实现 30-50% 的能耗浮动，同一模型在不同负载和并发下功耗差异巨大。这不仅影响计算组件，也影响冷却等基础设施，因为处理器活动减少会降低发热，进而减少冷却需求。即使是边缘设备也需基本的热管理。

计算效率与功耗权衡

计算性能与能效之间的权衡，是现代 ML 系统设计中最重要的议题之一。系统追求更高性能时，往往因半导体物理极限和供电瓶颈，导致能效收益递减。主频提升尤为明显：主频提升 20%，性能仅提升约 5%，但功耗却可能增加 50%，反映了电压、频率与功耗

的三次方关系。

在能耗受限的场景（如电池供电的边缘和移动应用）中，优化性能 - 能耗权衡是实际可用性的前提。模型优化技术为在不显著损失准确率的前提下提升能效提供了可行路径。数值精度优化可在准确率损失 1-2% 的情况下，实现 3-4 倍的推理速度和能效提升。

这些优化策略涉及准确率、计算性能和能效三维的协同。先进优化方法可对这一权衡空间进行精细调控。模型优化与压缩同样需在准确率损失与效率提升间权衡。最佳操作点高度依赖于部署需求：移动应用优先考虑能效以延长电池寿命，云服务则可为更高准确率牺牲能耗，依赖规模经济和专用冷却。

随着基准方法不断演进，能效指标正成为 AI 系统评估与优化的核心。MLPerf Power 等标准化功耗测量协议，为跨平台能效比较提供了统一框架。未来可持续 AI 基准的进步，将推动系统在性能、能耗与环境影响间实现系统性平衡，确保 ML 系统高效运行、减少不必要能耗，并支持更广泛的可持续发展目标。

标准化功耗测量

虽然 SPEC Power 等通用计算系统的功耗测量方法已存在多年，但 ML 工作负载的独特性要求专门的测量方法。ML 系统的功耗模式具有明显阶段性，计算密集与数据移动、预处理交替出现，不同模型和任务的功耗曲线差异极大。大语言模型与计算机视觉推理的功耗特征完全不同。

直接功耗测量需关注采样频率和测量窗口。例如，某些神经网络架构在复杂计算时会产生短暂的功耗尖峰，需高于 1KHz 的高频采样才能准确捕捉；而 CNN 推理则功耗更平稳，可用较低采样率。测量时长还需覆盖 ML 特有的“热身期”，如初始推理阶段因缓存和流水线初始化而能耗更高。

ML 工作负载的内存访问模式对功耗测量影响极大。传统计算基准主要关注处理器功耗，而 ML 系统常有大量能耗用于内存层级间数据搬运。例如，推荐模型 DLRM 的能耗主要消耗在内存访问而非计算。测量方法需能同时捕捉计算与内存子系统的功耗。

加速器相关因素进一步增加了测量复杂性。许多 ML 系统采用 GPU、TPU、NPU 等专用硬件，这些加速器常有独立的功耗管理机制，可与主处理器独立运行。准确测量需同步捕捉所有相关计算单元的功耗，尤其在异构系统中，不同计算资源会根据负载或功耗约束动态切换。

ML 工作负载的规模和分布也影响测量方法。分布式训练需同时计入本地计算功耗和节点间梯度同步的能耗。边缘 ML 部署则需同时考虑主动推理功耗和模型更新、数据预处理的能耗。

批量大小与吞吐量也带来复杂性。与传统计算不同，ML 系统常通过批处理提升效率，但批量大小与功耗的关系并非线性。大批量提升计算效率的同时，也会增加内存压力和峰值功耗。测量方法需覆盖不同批量下的功耗，才能全面反映效率。

系统空闲状态在 ML 工作负载中尤需关注，尤其在边缘场景下，系统常常间歇性运行，数据到达时才激活推理，其余时间处于低功耗状态。例如唤醒词检测 TinyML 系统，实际处理音频的时间占比极低，空闲功耗成为整体能效的关键。

温度效应对 ML 系统功耗测量影响显著。持续 ML 负载会导致温度升高，触发热降频，改变功耗模式。边缘设备尤为如此，热约束可能限制持续性能。测量方法需考虑温度变化及其对功耗的影响，尤其在长时间基准测试中。

MLPerf Power 案例分析

MLPerf Power 是机器学习系统能效测量的标准方法。该全面基准框架可准确评估多样 ML 部署的功耗。在数据中心层面，测量大规模 AI 工作负载的能耗，能效优化直接影响运营成本。在边缘计算场景，评估如智能手机、笔记本等消费设备的能效，电池寿命约束至关重要。在 Tiny 推理场景，评估超低功耗 AI 系统（如 IoT 传感器、微控制器）的能耗，适用于极端功耗预算下的 AI 部署。

MLPerf Power 方法学应用了前述标准化评估原则，适配从通用 CPU 到专用 AI 加速器的多种硬件架构，确保跨平台比较的科学性和测量一致性。

该基准已累计数千份由业界机构提交的可复现测量结果，展示了最新硬件能力和全行业对能效 AI 技术的关注。图 9 展示了 MLPerf 各版本下，不同系统规模的能效提升趋势。

MLPerf Power 方法学可适配从通用 CPU 到专用 AI 加速器的多种硬件架构，同时保持统一的测量标准，确保跨平台比较的科学性和公正性。

对 MLPerf 各版本和不同规模的 ML 部署，业界机构均提交了可复现的最新硬件测量结果，以量化全行业对能效 AI 技术优化的重视。图 9 展示了从 Tiny 到数据中心系统的能效趋势。

这些趋势揭示了两个重要现象：一是传统 ML 负载在所有三种规模下的能效提升趋于平台期；二是生成式 AI 应用的能效提升极为显著。这一分化表明，常规 ML 任务的优化已接近极限，而生成式 AI 领域则在快速创新。这也凸显了行业面临的双重挑战：一方面需突破能效平台期，另一方面需确保生成式 AI 的可持续扩展。

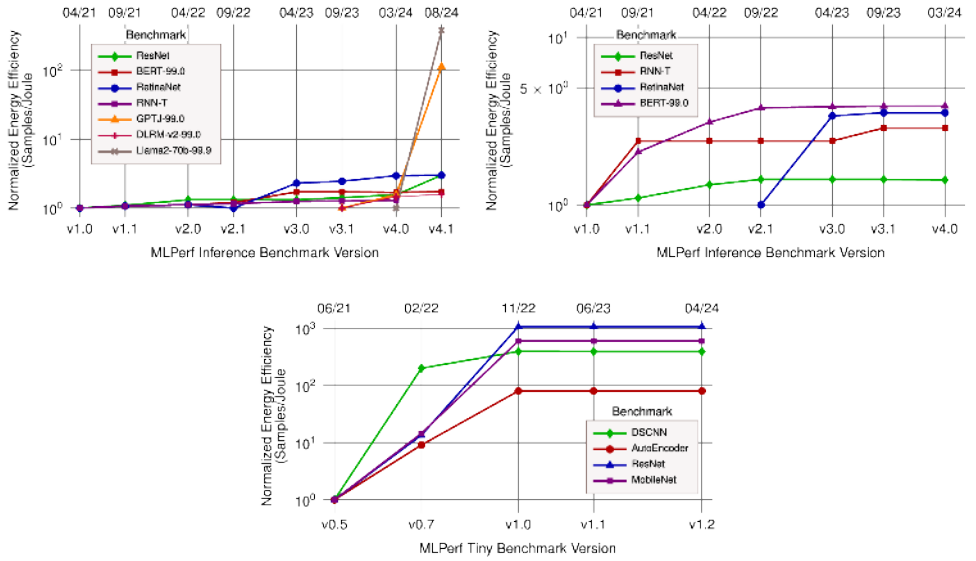

能效提升趋势：MLPerf 推理基准各版本在数据中心、边缘和 Tiny 等多系统规模下，持续提升能效（样本/瓦），反映了 AI 工作负载软硬件优化的进步。标准化测量协议使能效提升在不同 AI 系统和部署场景间可公平比较，推动了可持续 AI 技术的行业进步。

基准局限与最佳实践

有效的基准测试需理解其固有限制，并通过改进设计和解读实践加以规避。成功的从业者不会因基准局限而放弃测量，而是主动识别挑战并调整方法。以下从四个关联类别分析基准挑战，并给出改进建议。

统计与方法学问题

可靠基准的基础在于严谨的统计方法。若忽视以下三点，基准的科学性将大打折扣。

- **问题覆盖不全** 是最根本的限制。许多基准虽便于对比，但无法覆盖真实应用的复杂性。例如，常用的图像分类数据集（如 CIFAR-10）图像种类有限，模型在这些数据集上表现优异，却难以应对现实中光照、视角、物体组合更复杂的场景。基准任务与现实复杂度的鸿沟，意味着高分不能保证实际部署成功。
- **统计不显著** 源于样本或实验次数过少。例如，OCR 系统若只在小数据集上测试，难以反映其在大规模、噪声文本下的表现。若缺乏足够的实验和多样输入分布，基准结果可能误导或无法反映系统可靠性。许多基准分数未报告置信区间，掩盖了测量差异是改进还是噪声。
- **可复现性** 是持续挑战。基准结果常因硬件配置、软件版本、依赖变化而波动。编译器、数值精度、库升级等微小差异，都会导致不同环境下测量不一致。MLPerf 通过参考实现、标准化测试环境和严格提交规范缓解了这一问题，但在多样硬件平台间实现真正一致仍极具挑战。优化库、框架版本、编译参数的组合空间极大，微小变化

即可导致结果不同。

实验室到部署的性能鸿沟

除了统计严谨性，基准还需与实际部署目标对齐。**与现实目标不符** 是常见问题。基准常强调速度、准确率、吞吐量等指标，但实际部署需多目标权衡，包括能效、成本、稳健性等。某模型在基准上准确率领先，但若能耗过高或硬件成本过大，实际部署时反而不可行。又如，基准优化平均性能，实际生产却需关注尾部延迟。现实部署的多目标约束远超基准单一指标的优化。

系统设计挑战

物理和架构因素带来额外变异性，需通过多样部署上下文的对比方法加以应对。

环境条件 AI 基准测试中的环境条件，指实验的物理和操作环境。这些条件常被忽视，但对结果和可复现性影响极大。物理环境包括温度、湿度、空气质量和海拔等，都会影响硬件性能。例如，高温可能导致处理器热降频，降低计算速度，影响基准结果。海拔变化影响冷却效率和硬盘性能。

操作环境则包括系统运行时的后台进程、网络状况和电源稳定性。其他程序或服务会竞争计算资源，改变模型性能。为保证基准结果的有效性和可复现性，应尽量记录和控制这些环境条件，如在恒温环境下实验、监控并报告环境参数、标准化系统状态、记录后台进程等。

在无法完全控制环境变量的场景（如分布式或云基准），需详细报告环境信息，便于他人解释和复现实验。随着 ML 模型在多样环境中部署，理解环境对性能的影响愈发重要，这不仅提升基准准确性，也有助于开发能适应多变环境的稳健模型。

硬件彩票 基准测试中一个常被忽视的关键问题是“硬件彩票”[393]（Hooker 2021）。ML 模型的成功不仅取决于架构和数据，还取决于其与底层硬件的适配。有些模型表现优异，仅因其计算模式适合 GPU/TPU 的并行特性，而其他潜力架构因不适配主流硬件而被忽略。

这种硬件适配性带来微妙但重要的基准偏差。某模型在特定 GPU 上效率极高，但在 CPU 或定制加速器上表现平平。例如，图 10 比较了多硬件模型在不同平台的表现。多硬件模型在 CPU `uint8` 和 GPU 上与 MobileNetV3 Large min 相当，但在 EdgeTPU 和

393. **硬件彩票**：指算法进步很大程度上受限于是否与现有硬件兼容。例如，Transformer 架构因矩阵乘法与 GPU 完美匹配而大获成功，而图神经网络等架构因难以高效映射到 GPU 而被低估。这意味着部分“突破性”算法只是硬件友好，而非本质优越。

DSP 上则大幅超越 MobileNetV3 Large。这说明多硬件模型在专用硬件环境下的效率优势。

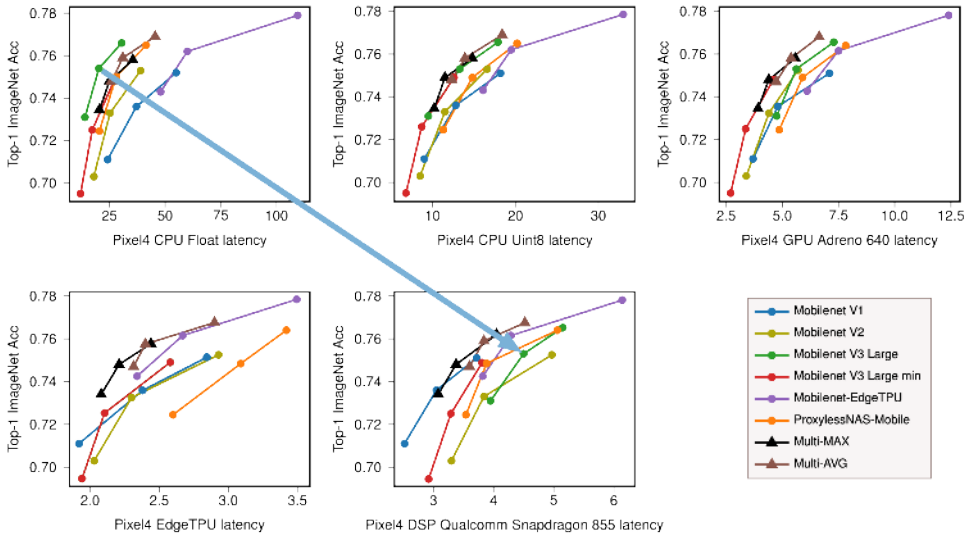

硬件相关准确率：模型在不同硬件平台上的表现差异巨大，说明架构效率不仅取决于设计，还受硬件兼容性影响。多硬件模型在 CPU 和 GPU 上与 MobileNetV3 Large 相当，但在 EdgeTPU 和 DSP 上大幅领先，凸显了硬件感知优化对专用计算环境的重要性。

若不在多样硬件配置下全面基准，行业将倾向于“赢得硬件彩票”的架构，而非本质优越的模型。这种偏差会影响研究方向、资金分配和下一代 AI 系统设计，甚至可能因不适配主流硬件而抑制创新。

组织与战略问题

竞争压力和研究激励会系统性地影响基准的使用和解读。需通过治理机制和社区标准维护基准的公正性。

基准工程 硬件彩票是硬件趋势的副产品，而基准工程则是有意为之，即模型或系统被专门优化以在特定基准上取得高分。这会导致误导性性能声明，结果难以泛化到真实环境。

基准工程表现为开发者针对基准测试精细调参、预处理或架构调整，而非提升实际性能。例如，目标检测模型可针对基准场景优化，实际部署时却难以应对复杂环境。语言模型可针对基准数据集调优，但在口语、代码混用等真实输入下表现不佳。

高分压力常源于竞争、市场和学术认可。基准常被用于排名，激励开发者专门为其优化。这虽能推动技术进步，但也可能导致过度针对基准的优化，牺牲泛化能力。这正是

古德哈特定律[394]的体现。

偏见与过度优化 为保持基准的有效性和公平性，可采取多种策略。**透明性**是维护基准公正的关键。基准提交应详细记录所有优化，区分通用改进与针对基准的调优。应同时报告基准和实际部署结果，全面反映系统能力。

多样化与动态演进也是重要手段。应避免依赖单一静态基准，鼓励跨多个、持续更新的基准评估，反映现实复杂性，减少模型过拟合单一测试集的风险，推动通用改进。

标准化与第三方验证也有助于减少偏见。通过行业标准和独立第三方审核，提升基准结果的可靠性和公信力。第三方验证确保结果可在不同环境下复现，防止无意的基准作弊。

应用场景测试也不可或缺。基准虽能控制变量，但实际部署测试才是最终标准。AI 模型应在实际环境下评估，如自动驾驶模型需在多种天气和城市环境下测试，而非仅依赖受控基准数据集。

硬件公平性也需关注。基准应在多种硬件配置下测试，避免性能仅因平台兼容性而突出，减少硬件彩票风险，获得更均衡的系统效率评价。

基准演进 基准的最大挑战之一是其永远不会静止。AI 系统演进，基准也需同步更新。今天的“好性能”明天可能已无关紧要。基准虽能衡量进步，但若不及时更新，反而会导致过度优化过时指标，阻碍实际进步。

AI 基准史正体现了这一点。早期模型基准侧重图像分类和目标检测，因深度学习最早在这些任务上取得突破。随着 AI 扩展到 NLP、推荐系统和生成式 AI，早期基准已无法反映领域挑战。新基准不断涌现，评估语言理解和生成式 AI。

基准演进不仅体现在新任务的加入，还包括评测维度的扩展。传统 AI 基准强调准确率和吞吐量，现代应用则需多维评估：公平性、稳健性、可扩展性和能效。图 11 展示了科学应用的复杂性，性能需求跨度达数个数量级。例如，大型强子对撞机传感器需以 10^{14} 字节/秒（约 100 TB/s）和纳秒级延迟处理数据，而移动应用仅需 10^{4} 字节/秒和更长计算窗口。这要求专门基准，如边缘 AI 需 MLPerf，科学应用需“Fast ML for Science”基准。

基准演进还需在稳定性与适应性间权衡。一方面，基准需保持足够长的稳定期，便于长期对比；若变动过快，难以追踪进步。另一方面，若不及时更新，模型只会针对过时任

394. **古德哈特定律**：1975 年由英国经济学家 Charles Goodhart 提出，“一旦某项指标成为目标，它就不再是好的指标”。在 ML 基准中，这揭示了用基准作为系统质量代理与将其作为优化目标之间的根本张力。基准一旦成为优化对象，其作为系统有效性代理的价值就会下降。

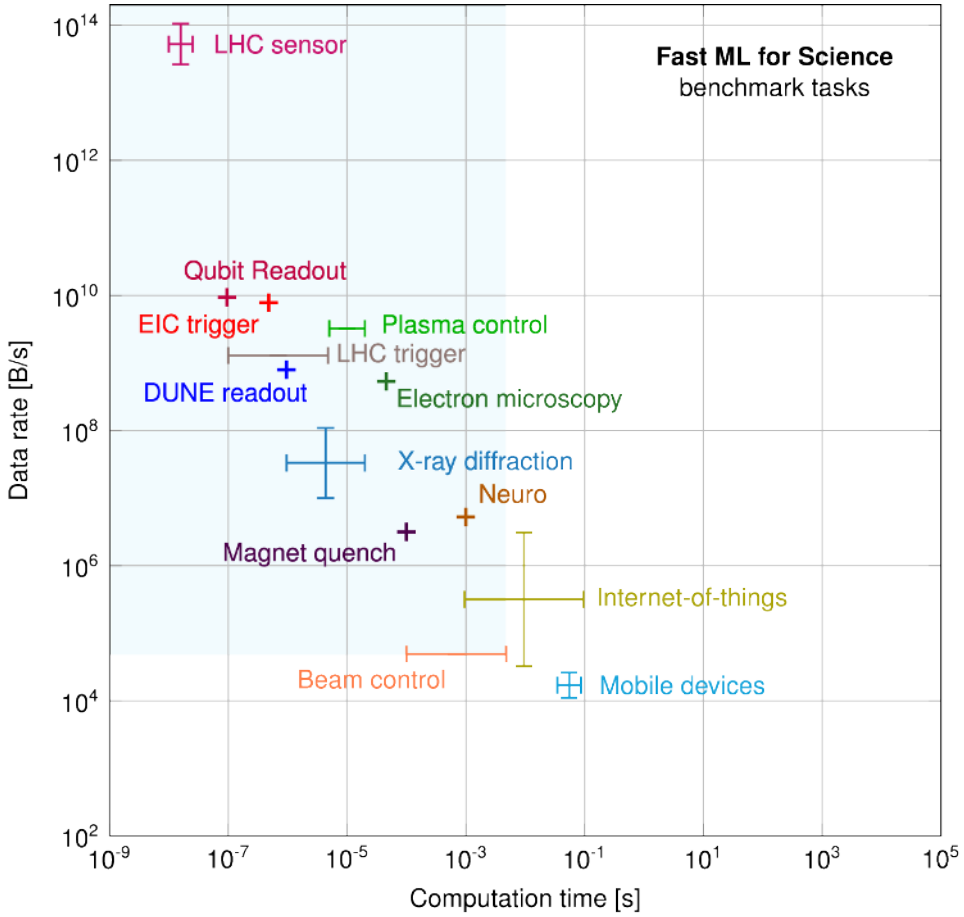

性能需求谱：科学应用与边缘设备对计算资源的需求差异巨大，数据速率和延迟要求跨度数个数量级。传统仅关注准确率的基准已远远不够，需专门的评测指标和如 MLPerf 这样的基准，才能优化多样部署场景下的 AI 系统。

务优化，阻碍领域发展。如何平衡基准的持久性与适应性，是 AI 社区的持续挑战。

尽管困难重重，基准演进对确保 AI 进步的现实意义至关重要。若不更新，基准将脱离实际需求，研究者和工程师只会为人工测试集优化，而非解决实际问题。随着 AI 不断进入新领域，基准测试也必须同步演进，确保评估始终相关、公平，并与实际部署场景对齐。

MLPerf 作为行业标准

MLPerf 在提升基准测试方面发挥了关键作用，减少了偏见、提升了泛化性，并确保基准随 AI 进步不断演化。其核心贡献之一是标准化基准环境。通过参考实现、明确定义的规则和可复现的测试环境，MLPerf 保证了不同软硬件平台下结果的一致性，减少了基准结果的波动。

MLPerf 还针对多样部署场景，推出了与三维框架对应的多类推理基准，包括 MLPerf Inference、MLPerf Mobile、MLPerf Client 和 MLPerf Tiny，确保在不同部署约束下，

仍能保持系统性评估原则。

MLPerf 不断引入新任务，如生成式 AI 和能效计算，确保基准始终与前沿挑战同步，防止基准过时或过拟合旧指标。

通过强调公平、透明和适应性，MLPerf 使基准测试成为指导 AI 研究和部署的有力工具。其不断演进的基准体系，力求捕捉现实世界 AI 性能的复杂性，推动更可靠、高效和有影响力的 AI 系统发展。

模型与数据基准

三维基准框架除系统外，还包括模型和数据。虽然系统基准是重点，但全面 AI 评估需理解算法和数据质量如何补充系统测量。AI 性能不仅取决于系统效率，模型和数据同样关键。模型基准评估算法性能，数据基准确保训练集高质量、公平且具代表性。理解这些方面至关重要，因为 AI 系统不仅是计算管道，更深受模型和数据的影响。

模型基准

模型基准衡量不同 ML 算法在特定任务上的表现。历史上，基准几乎只关注准确率，但随着模型复杂度提升，公平性、稳健性、效率和泛化能力同样重要。

ML 发展很大程度上受基准数据集推动。MNIST 推动了手写数字识别，ImageNet 引发了图像分类的深度学习革命。COCO 推动了目标检测，GPT-3 的训练语料则进一步拓展了模型能力边界。

但模型基准在大模型时代面临新挑战。除了传统的 Sim2Real 问题（模型在现实场景下失效），还出现了类似但不同于传统基准工程的新型“基准适应”现象。传统系统评测中，开发者会专门优化代码以在 SPEC、TPC 等基准上刷分（见前文“基准工程”）。而在 LLM 时代，这一现象通过数据而非代码发生：基准数据集可能被大模型训练时无意收录，导致模型在测试时表现优异，实则是记忆而非能力。例如，若某基准测试在网络上广泛讨论，LLM 训练时可能已见过类似样本，测试高分并非理解而是记忆。这对模型评估提出了根本挑战，高分未必代表真实能力。关键区别在于机制：系统基准工程是显式代码优化，LLM 基准适应则是数据暴露，质疑了现有评估方法的有效性。

这些挑战不限于 LLM。传统 ML 系统仍面临过拟合与偏见问题。Gender Shades 项目发现，商用人脸识别模型在深色肤色人群上表现显著更差，凸显了公平性评估的重要性。这些发现说明，仅关注总体准确率的基准已远远不够。

未来，模型基准需彻底转型，发展能多维度评估模型行为（泛化、稳健性、公平性、效率等）的新框架。关键挑战包括：如何让基准随模型进步而演化、如何区分真实能力与人工高分、如何建立基准文档和透明度标准。只有解决这些问题，基准结果才能反映模

型真实能力，而非训练或评估流程的偶然产物。

数据基准

AI 发展长期以模型为中心，强调架构创新和优化技术。但现代 AI 发展表明，数据质量往往比模型设计更决定性能上限。这一认识推动了数据基准成为确保 AI 模型学习于高质量、多样且无偏数据集的关键领域。

这代表了从模型中心到数据中心的根本转变，如图 12 所示。传统范式强调模型架构、算法和计算效率，数据集被视为固定资源。数据中心范式则系统性提升数据集质量（标注、丰富性、去偏），模型和系统配置保持不变。研究表明，系统性提升数据集质量，往往比模型优化带来更大性能提升，挑战了以往对架构创新的过度依赖。

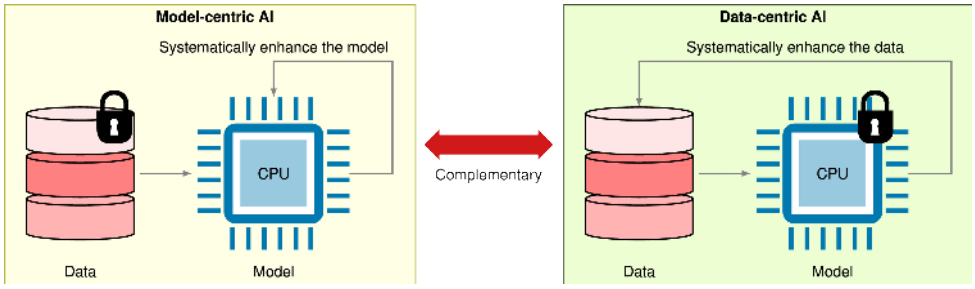

开发范式：模型中心 AI 以架构创新为主，数据集固定；数据中心 AI 则系统性提升数据集质量（标注、多样性、去偏），模型架构保持一致。现代研究表明，战略性提升数据集往往比单纯优化模型复杂度带来更大提升。

数据质量优先的理念，反映了“好数据胜于好模型”的根本转变。DataPerf、DataComp 等项目系统性评估数据集改进对模型性能的影响。例如，DataComp（Nishigaki 2024）发现，精心筛选的 30% 数据子集训练出的模型，效果优于全量数据，挑战了“数据越多越好”的传统观念（Northcutt, Athalye, and Mueller 2021）。

数据基准面临的重大挑战是数据集饱和。当模型在 ImageNet 等基准上接近完美准确率时，需区分性能提升是 AI 能力进步，还是对测试集的过度优化。图 13 展示了过去十年 AI 系统在多个应用上超越人类的趋势。

这一饱和现象带来根本性方法学问题（Kiela et al. 2021）。MNIST 就是典型案例：部分测试图片几乎无法辨认，但在 1994 年数据集创建时被赋予了特定标签。模型能正确预测这些标签，表面上超越人类，实则可能只是记忆了数据集特征，而非真正具备数字识别能力。

这些挑战已经超越了单一领域的范畴。“Are we done with ImageNet?”这一发人深省的问题，凸显了静态基准测试的局限性。针对固定数据集优化的模型，往往难以应对分布漂移 —— 即训练数据收集后出现的真实世界变化。为此，业界推动了动态基准测试方

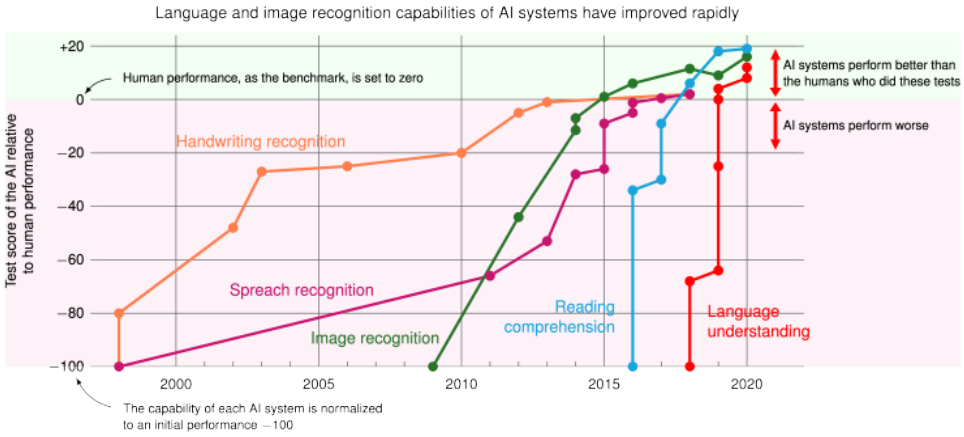

数据集饱和：AI 系统在基准数据集上超越人类，说明后续提升未必反映智能进步，而可能只是对固定测试集的优化。这一趋势凸显了动态、具挑战性数据集的必要性，以真实评估 AI 能力，推动超越简单模式识别的进步。

法的发展，例如 Dynabench，会根据模型表现持续演化测试数据，以保持基准的现实相关性。

当前的数据基准测试工作涵盖了多个关键维度。标签质量评估始终是核心关注点，DataPerf 的调试挑战对此进行了深入探索。MSWC 等语音识别数据集则关注数据集中的偏见与代表性问题。针对分布外泛化，RxRx 和 WILDS 等基准提供了专门的评测。多样化的努力反映出业界日益认识到：推动 AI 能力进步不仅需要更好的模型和系统，更需要从根本上改进数据质量评估和基准设计方法。

系统 - 模型 - 数据的整体评测

AI 基准测试传统上将系统、模型和数据作为独立实体进行评估。然而，现实中的 AI 性能来源于三者的协同作用。再快的系统也无法弥补模型训练不足的问题，而再强大的模型也受限于其学习的数据质量。这种相互依赖性要求我们采用整体化的基准测试方法，将三大维度纳入统一评估框架。

如图 14 所示，未来的基准测试应建立在系统效率、模型性能和数据质量三者协同评测的基础上。这样，研究者才能发现仅靠单一维度分析时无法察觉的优化空间。例如，结合硬件感知优化的高效 AI 模型与精心策划的数据集协同设计，能够在提升性能的同时降低计算成本。

随着 AI 持续演进，基准测试方法也必须与时俱进。从系统、模型和数据三重视角评估 AI 性能，才能推动准确率、效率、公平性和稳健性等多维改进。这种整体视角对于打造既强大又实用、可扩展且可信赖的 AI 至关重要。

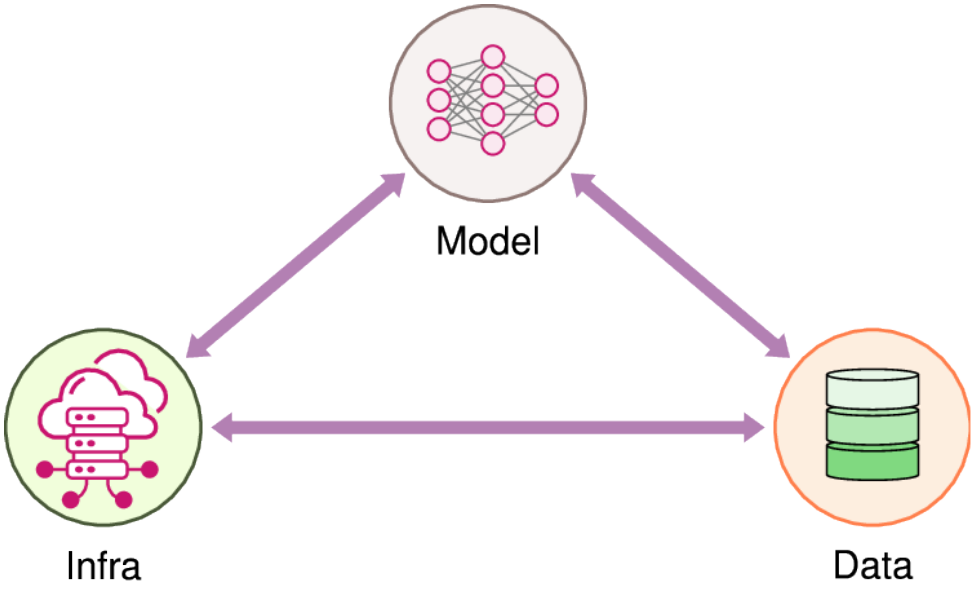

AI 系统的相互依赖性：突出基础设施、模型与数据在整体 AI 系统性能中的关键协同作用，强调优化需整体考量而非单点突破。该图说明，单一组件的提升无法完全弥补其他环节的短板，必须采用协同设计策略以实现高效且有效的 AI。

生产环境评测

前文介绍的基准测试方法（从微观到端到端、从训练到推理评测）主要聚焦于受控条件下的系统性能。而 第 13 章：机器学习运维 中的部署策略则揭示，生产环境带来了截然不同的挑战，需要专门的评测方法。生产级机器学习系统必须应对动态负载、多变数据质量、基础设施故障和并发用户需求，同时保持性能和可靠性。这要求我们将基准测试框架从单点性能测量扩展到对系统在压力、异常和长期运行下的行为进行评估。

静默故障检测是生产基准测试中极为关键、但在研究评测框架中常被忽略的维度。机器学习模型可能在无明显错误信号的情况下性能退化，输出看似合理但实际错误，难以被传统监控发现。生产基准测试需建立基线性能分布，并通过统计过程控制方法检测微妙的准确率下降。A/B 测试框架可在相同流量下对比新旧模型版本，不仅关注平均性能，还要衡量性能方差和尾部表现。

持续的数据质量监控应对生产数据流的动态变化，这些变化可能带来分布漂移、对抗样本或数据损坏。生产基准测试需评估模型在现实数据质量波动下的稳健性，包括特征缺失、数值越界和输入格式变化。监控系统需跟踪特征分布随时间的漂移，测量训练与生产数据的统计距离，预测何时需要重新训练。数据验证流水线则基准测试预处理的稳健性，确保模型能优雅应对数据质量问题，避免静默故障。

负载测试与容量规划评估系统在不同流量模式下的表现，反映真实用户行为。生产级 ML 系统需应对请求高峰、并发会话和持续高吞吐压力，同时满足延迟要求。基准测试

协议需模拟现实负载模式，包括昼夜流量波动、突发流量事件和自然增长场景。容量规划基准测试则衡量系统利用率逼近极限时的性能退化，便于提前做扩容决策。

运维韧性基准测试评估系统在基础设施故障、网络分区和资源受限时的表现。生产系统需在部分故障下保持服务可用，资源不足时平滑降级，并能快速恢复。混沌工程方法通过有计划地引入故障（如杀死推理服务、增加网络延迟、限制计算资源）来观测系统的降级和恢复特性。

生产环境下的多目标优化要求基准测试框架同时平衡准确率、延迟、成本和资源利用率。生产系统需兼顾用户体验指标（如转化率、活跃度）和传统 ML 指标。成本效率基准测试关注单次预测的计算成本、模型存储费用和系统运维开销。服务级目标（SLO）定义多维性能的可接受区间，便于系统性评估生产健康状况。

持续模型验证通过自动化基准测试流水线，定期在留出数据集和合成测试用例上评估模型表现。影子部署技术可在不影响用户体验的前提下，将新模型与生产系统并行运行，对比输出。冠军 - 挑战者框架则通过受控灰度发布，系统性评估模型改进带来的正负影响。

因此，生产基准测试需要端到端的评估框架，远超模型准确率，涵盖系统可靠性、运维效率和用户体验优化。唯有如此，ML 系统才能在动态生产环境中持续创造价值，并具备关键业务所需的稳健性。

常见误区与陷阱

本章介绍的基准测试方法与框架（从三维评测体系到训练与推理的具体指标）为系统性评估提供了有力工具。但这些工具的有效性，极大依赖于避免常见的误区和方法论错误，否则会严重损害基准测试的有效性。标准化基准虽然便于公平对比，但也容易让人对其普适性产生虚假信心。

误区：基准测试成绩可直接代表真实应用表现。

这种误解导致团队仅凭基准排名选择模型和系统，忽略了实际部署环境的差异。基准测试通常采用精心策划的数据集、标准化评测协议和最优配置，这些条件很难与真实环境完全一致。生产系统面临数据质量、分布漂移、延迟约束和资源限制等问题，这些在基准场景下并未体现。即便某模型在基准测试中表现优异，实际部署时也可能因环境差异而彻底失效。有效的系统选型应结合部署场景的专属评测，而非仅依赖标准化指标。

陷阱：只关注基准指标，忽视系统整体需求。

许多实践者过度追求基准分数提升，却未理解这些优化对系统整体行为的影响。某些提升单一指标的技术，可能损害稳健性、校准性、公平性或能效。过度拟合基准评测协

议，容易导致模型只在特定测试条件下表现良好，难以泛化到复杂多变的实际场景。这种狭隘优化正是 第 12 章：AI 基准测试 中提到的古德哈特定律（Goodhart's Law）[395] 的典型体现，往往让系统在受控环境下表现优异，却难以应对真实世界的复杂性与不可预测性。

误区：单一指标足以全面反映系统性能。

这种观点认为只需关注一个核心指标即可评估系统。现代 AI 系统需要在准确率、延迟、吞吐量、能耗、公平性和稳健性等多维度进行评测。只优化准确率，可能导致推理延迟不可接受；只关注吞吐量，又可能牺牲结果质量。不同利益相关方关注的指标各异，部署环境的约束也千差万别，单一指标难以全面反映系统表现。科学评测需采用多维度框架，揭示各项性能指标间的权衡。

陷阱：沿用已过时的基准，忽视新挑战和需求。

团队常常在基准失去挑战性或不再反映现实需求后，仍继续沿用。随着模型能力提升，部分基准已趋于饱和，难以区分不同方案。同时，应用需求、部署环境和公平性标准的变化，也可能让原有基准变得无关紧要甚至误导。基准数据集还可能随时间积累隐藏偏见或质量问题。有效的基准测试需定期评估评测框架是否仍能为当前挑战和场景提供有意义的洞见。

陷阱：用学术基准评测生产系统，忽略运维约束。

许多团队用为学术对比设计的基准评测生产系统，忽视了研究与运维环境的根本差异。学术基准通常假定计算资源无限、数据质量最优、部署条件理想，而这些在生产环境中极为罕见。生产系统需应对并发负载、输入质量波动、网络延迟、内存限制和系统故障，这些都会显著影响实际性能。此外，生产系统还需同时优化成本效率、可用性和用户体验等多目标，单一学术指标难以覆盖。有效的生产评测应结合运维指标，如高负载下的持续吞吐、故障恢复时间、资源利用效率，以及包括数据预处理和后处理在内的端到端延迟。

总结

本章将基准测试确立为验证第 II、III 部分各类性能优化策略的核心度量学科。通过构建系统、模型、数据三维一体的综合评测框架，我们展示了如何将高效 AI 设计（第 9 章：高效 AI）、模型优化（第 10 章：模型优化）、硬件加速（第 11 章：AI 加速）等理论创新转化为可量化的工程进步。从历史计算基准到专用 ML 评测方法的演进，揭示了现代 AI

395. **古德哈特定律**：1975 年由英国经济学家 Charles Goodhart 提出，“一旦某项指标成为目标，它就不再是好的指标”。在 ML 基准中，这揭示了用基准作为系统质量代理与将其作为优化目标之间的根本张力。基准一旦成为优化对象，其作为系统有效性代理的价值就会下降。

系统为何需要多维度评测框架，以真实反映实际部署的复杂性。

现代基准测试框架的技术复杂性，直接影响创新方向和资源分配决策。MLPerf 等系统基准通过标准化工作负载和指标，推动硬件优化和基础设施发展，实现跨架构公平对比。模型基准则通过定义有挑战性的任务和评测协议，推动算法创新，揭示局限并引导研究重点。数据基准则暴露代表性、偏见和质量等关键问题，直接影响模型的公平性和泛化能力。三大基准维度的整合，构建了能真实反映现实 AI 部署挑战的综合评测体系。

> **要点回顾**
>
> - 有效的基准测试需在系统、模型、数据三维度进行多维评测，才能反映真实部署挑战
> - MLPerf 等标准化基准推动硬件创新，实现跨架构与实现的公平对比
> - 基准设计选择直接影响整个 AI 生态的研究重点和资源分配
> - 未来基准测试需不断演进，关注 AI 安全、公平性与环境影响等新挑战

本章奠定的基准测试基础，为第 IV 部分“稳健部署”中的运维策略提供了度量支撑。性能测量到生产部署的转变，要求基准验证超越实验室条件。虽然本章聚焦于受控环境下的系统性评测，第 IV 部分将进一步探讨动态负载、数据分布演化和运维约束等现实复杂性。在 第 13 章：机器学习运维 中，我们将基准测试原则扩展到生产环境，介绍如何通过持续监控检测静默故障、跟踪模型性能退化，并在动态负载下验证系统行为。生产监控中的 A/B 测试和冠军 - 挑战者方法，正是建立在训练与推理基准测试的对比评测原则之上。

第 15 章：安全与隐私 中的隐私与安全挑战，同样需要超越性能的专用基准测试方法。对抗稳健性基准评测模型抵御攻击的能力，隐私保护计算框架则需权衡效用与隐私保障。第 16 章：稳健 AI 的稳健性要求，则需评测模型在分布漂移、数据损坏和极端场景下的表现，这些传统基准往往忽略。

随着 AI 系统在关键领域影响力日益提升，今天建立的基准测试框架，将决定我们能否有效衡量和优化那些远超传统性能指标的社会影响。第 17 章：可信 AI 的责任原则与 第 18 章：可持续 AI 的可持续性考量，正成为综合系统评测中必须纳入的新维度，与效率和准确率并重。

稳健部署

稳健部署是 ML 系统从原型到生产的桥梁。本章深入探讨将机器学习模型安全、可靠地部署到生产环境的关键策略，包括运维自动化、监控告警、故障恢复、安全防护以及隐私保护。我们将学习如何构建弹性系统，确保在真实世界环境中稳定运行，并应对各种意外情况。通过实际部署案例和最佳实践，您将掌握构建生产级 ML 系统的核心技能，适用于负责 AI 系统运维的工程师和 DevOps 团队。

第 13 章：机器学习运维

目标

为什么在开发环境中表现完美的机器学习原型，往往在生产环境部署时却出现灾难性失败？

从原型模型到可靠生产系统的转变，带来了重大的工程挑战。研究模型通常在干净的数据集上训练，而生产环境则面临数据分布变化、用户行为演化和系统故障等问题。与执行确定性逻辑的传统软件不同，机器学习系统表现为概率性行为，随着真实世界条件偏离训练假设，其性能会悄然下降而不发出警报。这种不稳定性要求运维实践能够在影响用户前检测性能退化，自动根据数据变化重训练模型，并在预测不确定性下保持系统可靠性。成功的关键在于建立连接实验验证与生产可靠性的工程学科，使组织能够部署在整个生命周期内持续有效的模型。

> **学习目标**
>
> - 区分传统软件故障与 ML 系统“静默失效”，解释 MLOps 作为独立工程学科的缘由
> - 分析 ML 系统中的技术债务模式（边界侵蚀、修正级联、数据依赖），并提出系统性工程解决方案
> - 设计应对 ML 特有挑战（如模型验证、数据版本管理、自动重训练）的 CI/CD 流水线
> - 评估生产 ML 系统的监控策略，涵盖传统系统指标及数据漂移、预测置信度等 ML 特有指标
> - 实现适用于云服务、边缘设备、联邦学习等多样环境的部署模式

- 评估组织成熟度，推荐支持高效 MLOps 实践所需的角色结构
- 通过分析不同行业（如医疗、嵌入式系统）对 MLOps 框架的适配，比较其差异
- 构建确保模型可复现、可审计、合规的治理框架，满足受监管环境需求

机器学习运维简介

传统软件出现故障时会有明显报错和堆栈信息；机器学习系统则常常“静默失效”。正如第 1 章：绪论所述，静默失效问题是 ML 系统的核心特征：随着数据分布变化、用户行为演化、模型假设过时，性能逐步下降却无任何警报。MLOps 正是为让这些静默失效变得可见、可控而诞生的工程学科。它为数据驱动系统在不断变化的现实世界中，提供了所需的监控、自动化与治理，确保生产环境下的可靠性。

机器学习系统不仅需要算法创新，更需要系统化的工程实践以实现可靠的生产部署。第 14 章：设备端学习探讨了资源受限下的分布式学习，第 16 章：稳健 AI 建立了容错方法论，第 15 章：安全与隐私的安全框架则是生产部署的基础。机器学习运维（MLOps）[396] 将这些能力整合为统一的生产架构，解决了将实验成果转化为可持续系统性能的难题，将自适应学习、安全协议和鲁棒机制集成进复杂的生产生态。

MLOps（第 13 章：机器学习运维）系统性地融合了机器学习方法论、数据科学实践和软件工程原则，实现了自动化、端到端的生命周期管理。这一运维范式桥接了实验验证与生产部署，确保经过验证的模型在适应现实环境变化的同时，持续保持性能。

以网约车需求预测系统为例。实验环境下，模型可能展现出优异的准确率和延迟表现，但生产部署后，数据流质量波动、时序模式季节性变化、预测服务需满足高可用性和实时响应等新挑战。MLOps 提供了解决这些复杂运维问题的框架。

作为一门工程学科，MLOps 建立了标准化协议、工具和工作流，促进模型从实验到生产的平滑过渡。它通过规范接口和职责分工，打破了数据科学、ML 工程、系统运维等传统孤岛，实现了适用于机器学习的持续集成与部署（CI/CD），支持模型的迭代优化、验证与部署，同时保障系统稳定性和可靠性。

在这些运维基础之上，成熟的 MLOps 方法论通过自动化与监控框架，彻底改变了组织管理 ML 系统的方式。它支持新数据到来时的持续重训练、对比实验架构与生产基线、通过分级发布策略安全上线实验模型，以及实时性能评估，确保运维连续性。这种灵活性保证了模型持续相关性和系统可靠性。

396. **MLOps 的兴起**：早在 2015 年，Google 的 D. Sculley 等人在《Hidden Technical Debt in Machine Learning Systems》一文中就指出了机器学习运维的挑战，但“MLOps”一词大约在 2018 年才被正式提出。Netflix、Uber、Airbnb 等公司在解决“最后一公里”问题时推动了该领域发展 —— 据行业调查和经验，约 90% 的 ML 模型因运维难题无法进入生产。

除了效率提升，MLOps 还涵盖了治理与问责机制，随着系统规模扩大，这些机制变得至关重要。MLOps 标准化了模型版本、数据血缘和配置参数的追踪，建立了可复现、可审计的工件链路。这在受监管领域尤为重要，模型可解释性和操作溯源成为合规要求。

这种方法论的实际价值体现在组织成果上。证据显示，采用成熟 MLOps 方法的组织在部署可靠性、上市周期和系统可维护性方面均有显著提升 [397]。该学科框架使 ML 系统能够可持续扩展，同时保持实验阶段验证的性能，确保生产与实验结果一致。

机器学习运维方法论为将理论创新转化为可持续生产能力提供了路径。本章将建立连接实验验证与生产可靠性的工程基础，重点关注集中式云计算环境下的监控与管理能力，适用于大规模 ML 系统的成熟运维实践。

第 10 章：模型优化和第 9 章：高效 AI 奠定了优化基础，本章则将这些技术扩展到需要持续维护与监控的生产场景。第 12 章：AI 基准测试中的实证评测方法为生产性能评估提供了方法论基础，而系统可靠性模式成为运维可用性的关键。MLOps 将这些技术基础整合为统一的运维工作流，系统性解决从模型开发到可持续生产部署的根本挑战。

本章将梳理 MLOps 的理论基础与现实动因，追溯其从 DevOps 演化而来的学科发展，并总结现代 ML 系统架构中 MLOps 的主要挑战与成熟实践。

历史背景

理解 DevOps 到 MLOps 的演变，有助于厘清为何传统运维实践需针对 ML 系统进行适配。下文将梳理这一历史发展，揭示促使 MLOps 独立成学科的具体挑战。

MLOps 源自 DevOps，后者将软件开发（Dev）与 IT 运维（Ops）结合，缩短开发周期，实现高质量软件的持续交付。两者都强调自动化、协作和迭代改进。但 DevOps 主要解决软件部署与运维管理难题，MLOps 则应对数据驱动组件带来的机器学习工作流复杂性。理解这一演变，有助于把握现代 ML 系统的动因与结构。

DevOps

DevOps 一词由 Patrick Debois 于 2009 年提出，他在比利时根特举办了首届 DevOpsDays 大会。DevOps 扩展了 敏捷运动的原则，将 IT 运维纳入开发团队的协作与快速迭代。

这一创新解决了传统软件流程中开发与运维团队各自为政、效率低下、目标错位的核心问题。DevOps 倡导共同责任、基础设施即代码 [398] 和自动化，优化了部署流程。

397. **MLOps 商业影响**：成熟 MLOps 实践可将模型上线周期从数月缩短至数周，显著减少调试时间，提高模型可靠性。与临时方案相比，成熟 MLOps 团队模型从试点到生产的成功率更高。
398. **基础设施即代码**：该理念源于“雪花服务器”之痛 —— 每台服务器手工配置、不可复现。Luke Kanies 2005 年

为支持这些原则，Jenkins[399]、Docker、Kubernetes[400][401] 等工具成为实现持续集成与持续交付（CI/CD）的基础。

通过自动化与反馈循环，DevOps 促进了协作，缩短了发布周期，提高了软件可靠性。这一成功为 ML 领域扩展类似原则奠定了文化与技术基础。

MLOps

尽管 DevOps 在传统软件部署中取得巨大成功，机器学习系统却带来了新的挑战，需进一步适配。MLOps 在 DevOps 基础上，专门应对 ML 系统开发与部署的独特需求。DevOps 关注确定性软件的集成与交付，MLOps 则需管理非确定性、数据依赖的工作流，涵盖数据采集、预处理、模型训练、评估、部署与持续监控（见下图）。

> **MLOps 定义**
>
> **机器学习运维（MLOps）**是一门_工程学科_，管理机器学习系统从_数据与模型开发_到_部署_、监控、生产维护_的_全生命周期。MLOps 解决_数据与模型版本管理_、持续重训练、不确定性下的行为_等 ML 特有挑战，强调_协作工作流、基础设施自动化_与_治理，确保系统在整个生命周期内_可靠_、可扩展、可审计。

机器学习部署若无系统化工程实践，运维复杂性和业务风险极高。以某零售公司为例，其推荐模型上线初期销售提升 15%，但因数据漂移未被监控，六个月后模型准确率下降，销售反降 5%。问题因只监控系统可用性而非模型性能，直到季度分析才被发现，损失约千万美元。这类案例在早期 ML 部署中屡见不鲜，说明 MLOps 强调持续监控与自动重训练，不仅是工程最佳实践，更是依赖 ML 系统企业的业务必需。

这一适配源于 ML 运维中反复出现的独特挑战。数据漂移 [402]（输入分布随时间变化导致模型准确率下降）需持续监控与自动重训练。

此外，可复现性 [403] 也是一大难题。ML 工作流缺乏标准化机制追踪代码、数据集、配置

创建 Puppet，正是为解决管理数百台定制服务器的噩梦。

399. **Jenkins 起源**：最初名为“Hudson”，由 Sun Microsystems 的 Kohsuke Kawaguchi 于 2004 年开发，用于自动化测试。2011 年因商标纠纷更名为 Jenkins，灵感来自 P.G. Wodehouse 小说中的忠诚管家。

400. **Kubernetes 起源**：Kubernetes 意为“舵手”，源自 Google 内部管理数十亿容器的 Borg 系统。2014 年 Google 开源 Kubernetes，认为其竞争优势不在于编排系统本身，而在于如何用它实现全球服务。

401. **容器化与编排**：Docker 容器将应用及其依赖打包为标准化、可移植单元，实现跨环境一致运行，隔离软件与基础设施差异。Kubernetes 则在大规模集群中自动编排容器，实现部署、负载均衡、扩缩容与故障恢复。二者共同支撑现代 MLOps 的可复现、自动化部署，确保模型及其服务环境在开发、测试、生产间一致。

402. **数据漂移发现**：2000 年代初，垃圾邮件检测研究者首次正式提出该概念，发现垃圾邮件模式变化极快，模型数周即失效。由此认识到 ML 系统面临与传统软件不同的挑战：环境会主动适应并“对抗”模型。

403. **ML 可复现性危机**：Collberg 和 Proebsting 2016 年研究发现，即使作者协助，只有 54% 的计算机系统论文可复现。ML 领域更甚，尽管 Papers with Code 等项目和顶会代码提交要求已改善现状。

与环境，导致实验难以复现。复杂模型的不可解释性，推动了提升模型透明度和可解释性的工具需求，尤其在受监管领域。

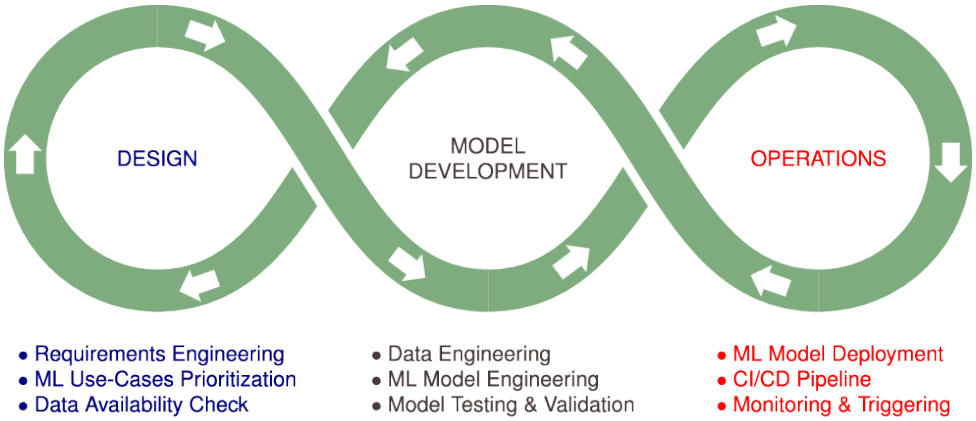

MLOps 生命周期：MLOps 扩展 DevOps 原则，管理机器学习系统独有挑战，包括数据版本管理、模型重训练与持续监控。该图展示了涵盖数据工程、模型开发与可靠部署的迭代工作流，保障生产环境下的持续性能。

除此之外，组织还面临更多运维复杂性。模型上线后的性能监控难以发现静默失效或用户行为变化。模型重训练与部署的人工操作增加了实验与迭代的摩擦。ML 基础设施配置与维护复杂且易错，亟需模块化、可复用的优化平台。这些挑战共同促成了以自动化、协作和生命周期管理为核心的 MLOps 实践。

为应对这些挑战，业界开发了专门适配 ML 生命周期的工具与工作流。MLOps 在 DevOps 基础上，协调更广泛的利益相关者，并引入数据版本管理 [404]、模型版本管理、模型监控等超越传统 DevOps 的实践。详见下表：

方面	**DevOps**	**MLOps**
目标	优化软件开发与运维流程	优化机器学习模型全生命周期管理
方法论	软件开发的持续集成与持续交付（CI/CD）	类似 CI/CD，但聚焦于机器学习工作流

404. **DVC 创始故事**：Dmitry Petrov 因为训练数据被悄悄更新，导致实验难以复现，2017 年开发了 DVC，为数据科学带来类似 Git 的版本管理，解决了 ML 最大的未解难题。

方面	DevOps	MLOps
主要工具	版本控制（Git）、CI/CD 工具（Jenkins、Travis CI）、配置管理（Ansible、Puppet）	数据版本管理工具、模型训练与部署工具、ML 专用 CI/CD 流水线
关注重点	代码集成、测试、发布管理、自动化、基础设施即代码	数据管理、模型版本管理、实验追踪、模型部署、ML 工作流可扩展性
典型成果	更快更可靠的软件发布、开发与运维协作提升	高效管理与部署 ML 模型、数据科学家与工程师协作提升

明确这些基础差异后，需进一步理解促使 MLOps 复杂化的独特运维挑战，才能深入探讨应对这些挑战的基础设施与实践。

技术债务与系统复杂性

尽管 DevOps 提供了自动化与协作原则，机器学习系统却带来了独特的复杂性，需通过工程手段加以管理。传统软件中，代码出错会立即暴露；ML 系统则可能因数据变化、模型交互、需求演化而悄然退化。第 14 章：设备端学习中的联邦学习系统面临独特的协调挑战，第 16 章：稳健 AI 中的鲁棒系统需精细监控分布漂移，但所有部署场景都需在运维效率与安全需求间权衡。理解这些被统称为技术债务的运维挑战，是后续工程解决方案的基础。

随着 ML 系统成熟与扩展，技术债务逐渐累积：即开发阶段权宜之计带来的长期维护成本。该比喻最早由 1990 年代的软件工程提出 [405]，将实现上的捷径比作金融债务：短期加速开发，但需持续“付息”维护，增加系统性风险。

这些运维挑战表现为 ML 系统演化过程中的多种模式。下文将聚焦于代表性技术债务模式，阐释 MLOps 提供的工程解决思路。每种挑战均源于 ML 工作流的独特特性：依赖数据而非确定性逻辑、统计性而非精确行为、通过数据流而非显式接口形成隐式依赖。

405. **技术债务起源**：Ward Cunningham 1992 年提出该词，将仓促决策比作金融债务：“适度的债务能加快开发，只要及时重写还清。”他后来反思该比喻被滥用为糟糕代码的借口，而非权衡工具。

ML 系统复杂性：典型机器学习系统的大部分工程工作集中在模型外围（数据收集、特征工程、系统配置），而非模型本身。这一分布凸显了运维挑战及技术债务的潜在风险。

下述技术债务模式说明了为何传统 DevOps 实践需针对 ML 系统扩展，为后续基础设施方案提供动因。

从系统视角出发，以下将梳理 ML 系统独有的技术债务主要类别（见下图）。每节将突出常见成因、案例与工程解决方案。部分债务在早期开发阶段难以避免，但理解其成因与影响，有助于通过架构规范与工具选择，设计出健壮、易维护的 ML 系统。

边界侵蚀

传统软件通过模块化与抽象，明确组件边界，实现变更隔离与行为可预测。ML 系统则常常模糊这些边界。数据管道、特征工程、模型训练与下游消费之间，往往形成紧耦合、接口不清的组件。

边界侵蚀导致即便是微小变更，也可能在系统中产生级联效应。比如对预处理步骤或特征变换的微调，可能意外影响下游模型表现，打破其他组件的假设。缺乏封装增加了缠结风险，局部修改需全局理解与协调。

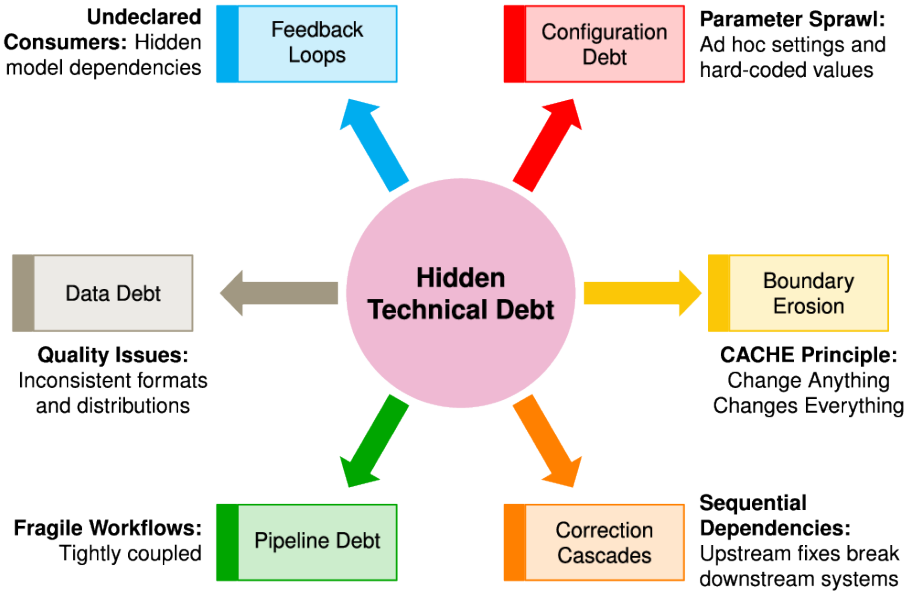

ML 技术债务分类：ML 系统因数据依赖、模型交互与需求演化，积累了独特的技术债务。该图以辐射状展示了主要债务模式：边界侵蚀削弱模块化，修正级联导致依赖传播，反馈回路带来隐性耦合，数据、配置与流水线债务反映工件与工作流管理不善。理解这些模式有助于系统性预防与治理技术债务。

典型表现为 CACHE（Change Anything Changes Everything）现象。缺乏强边界时，调整特征编码、模型超参或数据选择标准，都会以不可预测方式影响下游。这抑制了迭代速度，增加了测试与验证难度。例如，数值特征分箱策略的微调，可能导致已调优模型性能下降，进而触发重训练与下游评估变更。

为缓解边界侵蚀，团队应优先采用支持模块化与封装的架构实践。设计明确接口的组件，有助于隔离故障、简化变更、降低系统性回归风险。例如，将数据采集、特征工程、建模逻辑分层，实现独立验证、监控与维护。

边界侵蚀在早期开发中常被忽视，但随着系统扩展或适应性需求增加，维护负担会急剧上升。采用成熟的软件工程实践，如主动设计抽象、限制依赖、系统化测试与接口文档，可有效预防与治理该问题。

该挑战源于 ML 系统以统计性而非逻辑性保障为主，传统软件工程边界难以强制。理解边界侵蚀频发的根本原因，需对 ML 工作流与传统开发的差异有深入认识。

边界侵蚀违背了软件工程的最小知识原则（Law of Demeter）与最少知识原则。传统软件通过显式接口与信息隐藏实现模块化，ML 系统则通过数据流形成隐式耦合，绕过了这些边界。

CACHE 现象实质上是里氏替换原则（Liskov Substitution Principle）的失效，组件变更破坏了依赖方的行为契约。与传统软件的编译期保障不同，ML 系统的统计行为导致

了本质不同的耦合模式。

难点在于如何将传统模块化理念与 ML 工作流的高度互联特性结合，设计出既松耦合又能适应数据驱动行为的系统。

修正级联

ML 系统在演化过程中，常因性能问题、新需求或环境变化而反复调整。理想情况下，这些变更应局部化、模块化。但在 ML 系统中，微小调整往往引发修正级联，即依赖修复在工作流中前后传播。

下图可视化了修正级联在 ML 系统开发中的传播路径。理解其结构有助于团队预判并缓解影响。

图中展示了修正级联如何贯穿 ML 生命周期各阶段，从问题定义、数据采集到模型开发与部署。每条弧线代表一次修正，颜色区分不稳定来源，包括领域知识不足、接口脆弱、激励错配、文档缺失。红色箭头为级联修正，虚线箭头表示全系统重启（极端但有时必要的措施）。

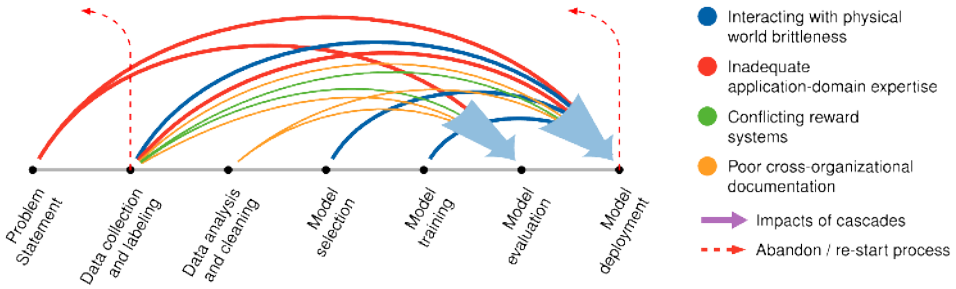

修正级联：ML 系统的迭代优化常引发依赖修复，从初始调整扩散至数据、模型、部署各阶段。彩色弧线代表不同不稳定源的修正，红色箭头与虚线表示级联升级，甚至需全系统重启。

常见成因之一是顺序模型开发：为加速新任务，复用或微调已有模型。虽提高效率，却引入难以解耦的隐性依赖。早期模型的假设成为后续模型的隐性约束，降低灵活性，增加下游修正成本。

例如，团队为新产品微调客户流失预测模型，原模型嵌入了特定产品行为或特征编码，新场景下不再适用。性能问题出现后，团队尝试修补模型，最终发现根本原因在上游特征选择或标签标准。

为避免修正级联，需权衡复用与重构。小型静态数据集可适当微调，大型或快速演化数据集则建议从头训练以提升可控性。微调资源消耗低，适合受限场景，但后期修改基础

组件代价极高。

因此，适时引入新模型架构，虽资源消耗大，却有助于减少下游级联效应和技术债务。但在某些场景下，顺序建模仍有意义，需在效率、灵活性与长期可维护性间权衡。

修正级联之所以在 ML 系统中屡见不鲜，根源在于其隐性反馈回路破坏了软件工程的模块化原则。当模型 A 的输出影响模型 B 的训练数据时，形成了隐式依赖，传统依赖分析工具难以发现。

从系统理论看，修正级联是紧耦合组件的表现，其传播呈幂律分布，微小初始变更可引发系统级大规模调整，类似复杂系统中的蝴蝶效应。

理解这些理论基础，有助于工程师认识到，防止修正级联不仅需更好工具，更需架构决策，确保即使有学习组件也能保持系统松耦合。难点在于如何在数据驱动、高度互联的工作流中，设计出可维护的 ML 系统。

接口与依赖挑战

与传统软件通过显式 API 交互不同，ML 系统常通过数据流与共享输出形成隐式依赖。两种典型模式如下：

未声明消费者：模型输出常被下游组件消费，却无正式追踪或接口契约。模型演化时，这些隐性依赖可能悄然失效。例如，信用评分模型输出被资格引擎消费，影响未来申请人池和训练数据，形成反馈回路，长期偏置模型行为。

数据依赖债务：ML 流水线积累了不稳定、利用率低的数据依赖，难以追踪或验证。特征工程脚本、数据关联、标签标准缺乏依赖分析工具，数据源结构或分布变化时，下游模型可能意外失效。

工程解决方案：需采用系统化方法，包括模型输出的严格访问控制、带文档的接口契约、数据版本与血缘追踪系统、预测使用模式的全面监控。后续 MLOps 基础设施章节将给出具体实现。

系统演化挑战

ML 系统成熟后，面临与传统软件根本不同的演化挑战：

反馈回路：模型通过生成数据影响自身未来行为。推荐系统即典型案例：推荐内容影响用户点击，点击数据又成为训练集，可能形成自强化偏差。该回路破坏了数据独立性假设，掩盖性能退化。

流水线与配置债务：ML 工作流常演化为“流水线丛林”，脚本与配置碎片化。缺乏模块化接口，团队更倾向于复制流水线而非重构，导致处理不一致与维护负担。

早期权宜之计：快速原型开发鼓励将业务逻辑嵌入训练代码、配置变更无文档。创新阶段虽必要，但系统扩展后成为负担。

工程解决方案：需采用分群监控检测回路、模块化流水线设计与编排工具、将配置作为一等公民进行版本管理与校验。

技术债务现实案例

技术债务并非理论问题，已深刻影响了真实 ML 系统的发展轨迹。以下案例说明隐性依赖与假设错配如何悄然积累，最终成为重大负担：

YouTube：反馈回路债务 YouTube 推荐引擎因推动极端内容屡遭批评[406]。根本原因在于反馈回路：推荐影响用户行为，行为又成为训练数据，长期导致内容放大。为缓解该问题，YouTube 进行了架构重构，包括分群评估、延迟标注、明确区分参与度与排序逻辑。

Zillow：修正级联失败 Zillow 的房价估值模型（Zestimate）在 iBuying 业务中遭遇严重修正级联[407]。初始估值误差影响购房决策，后续修正引发系统性不稳定，需数据重验、模型重构，最终全系统回滚。2021 年公司关闭 iBuying，核心原因即模型不可预测与数据反馈效应。

Tesla：未声明消费者债务 早期 Tesla Autopilot 的驾驶决策模型输出被多个子系统复用，缺乏明确边界。OTA 升级有时会悄然改变多个子系统（如车道居中、制动）行为，难以预测。这正是未声明消费者债务与缺乏接口治理的风险。

Facebook：配置债务 Facebook News Feed 算法多次迭代，快速实验导致配置管理混乱，影响内容排序却无清晰文档。算法行为变更难以追踪，配置错配带来意外后果，凸显了将配置视为一等公民的重要性。

这些案例说明技术债务在 ML 系统中的普遍性，传统 DevOps 实践需系统性扩展。后续基础设施与生产运维章节将给出具体工程解决方案：特征库解决数据依赖债务，版本管理实现可复现配置，监控框架检测反馈回路，模块化流水线架构防止技术债务积累。理解这些运维挑战，是后续 MLOps 工具与实践的基础。

406. **YouTube 推荐影响**：推荐系统驱动平台 70% 的观看时长（每日 10 亿小时+），2016 年算法调整后平均会话时长提升 50%，但无意中放大了阴谋内容。修复反馈回路耗时两年多，需新评估框架。
407. **Zillow iBuying 失败**：2021 年三季度 Zillow 因 ML 模型失效等多重因素亏损 8.81 亿美元，Zestimate 算法平均高估房价 5-7%。公司裁员 2000+，关闭 Zillow Offers，计提 5.69 亿美元存货减值。

开发基础设施与自动化

在上述运维挑战基础上，本节将探讨支撑前述能力的基础设施与开发组件，如何应对系统性挑战。这些基础组件需支持边缘设备的联邦学习协调（第 14 章：设备端学习）、具备隐私保障的安全模型服务（第 15 章：安全与隐私）、对分布漂移的鲁棒监控（第 16 章：稳健 AI）。如图所示，这些组件形成分层架构，将多样需求整合为统一运维框架。理解其交互，有助于设计兼顾边缘高效、安全合规、容错与可持续运维的系统。

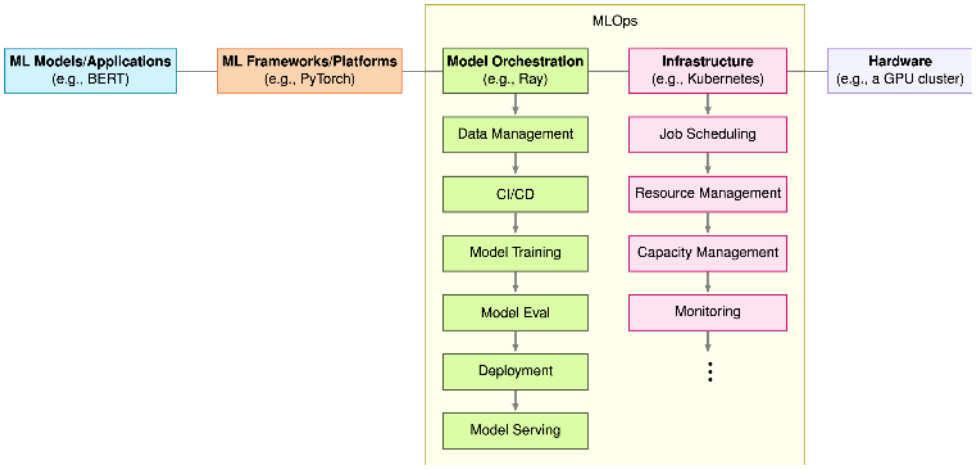

MLOps 堆栈分层：模块化架构组织了机器学习系统组件，从模型开发、编排到基础设施，促进自动化、可复现与可扩展部署。每层在下层基础上构建，支持跨团队协作，覆盖 ML 生命周期从实验到生产维护。

数据基础设施与准备

可靠的 ML 系统依赖结构化、可扩展、可复用的数据处理。从数据采集到预测，每一步都需保证质量、一致性与可追溯性。生产环境下，数据基础设施不仅支撑初始开发，还需支持持续重训练、审计与服务，要求对数据全生命周期的转化与版本管理进行系统化管理。

数据管理　基于第 6 章：数据工程的数据工程基础，数据采集、预处理与特征变换被正式纳入系统化运维流程。在 MLOps 中，这些任务扩展为可复用、自动化的工作流，确保数据可靠、可追溯与高效。数据管理不仅限于初始准备，还涵盖 ML 系统全生命周期的数据工件管理。

核心基础是数据集版本管理，支持通过快照追踪数据演化，实现模型开发可复现（详见第 13 章：机器学习运维实现细节）。如 DVC 等工具可将大规模数据集与 Git 代码库协同版本管理，保证数据血缘与实验可复现。

在此基础上，监督学习流水线需高效的标注工作流。Label Studio 等工具支持团队化标注，集成审计与版本历史，适用于生产环境下标注规范多次迭代的场景。

此外，生产环境需安全、可扩展、协作的数据存储。Amazon S3、Google Cloud Storage 等云对象存储具备高耐久性与细粒度权限控制，适合管理原始与处理后数据工件，常作为下游分析、模型开发与部署的基础。

在此存储基础上，MLOps 团队构建自动化数据流水线，将原始数据转化为分析或推理就绪格式。流水线包括数据采集、模式校验、去重、变换与加载。Apache Airflow、Prefect、dbt 等编排工具常用于定义与管理这些工作流。流水线代码化后，支持版本管理、模块化与 CI/CD 集成。

随着自动化流水线在组织内扩展，特征管理成为现代数据基础设施的关键。Uber Michelangelo 团队 2017 年首次提出“特征库”概念，发现特征工程在数百个 ML 模型间重复。其解决方案成为 Feast、Tecton 等平台的模板。

特征库集中管理特征，支持跨模型、跨团队复用（详见第 13 章：机器学习运维）。

以工业预测性维护为例，传感器数据流与历史维护日志通过 Airflow 定时流水线关联，生成滑动均值等特征，存入特征库，供重训练与低延迟推理。该流水线版本化、监控，并与模型注册表集成，实现从数据到预测的全链路可追溯。

这种全面数据管理不仅保障数据质量，更为模型可复现、可审计与大规模部署奠定运维基础。缺乏健全数据管理，下游训练、评估与服务流程的完整性难以保障，特征库因此成为基础设施核心。

特征库 特征库[408]为数据工程与机器学习之间提供抽象层，核心目的是在训练与推理工作流间，实现特征一致、可靠访问。传统流水线中，特征工程逻辑常被重复实现，或在不同环境中分叉，导致训练 - 服务偏差[409]、数据泄漏与模型漂移风险。

为解决这些问题，特征库集中管理离线（批量）与在线（实时）特征访问。训练时，特征在批量环境中计算并存储，推理时对新数据应用相同变换逻辑，确保模型在两种环境下消费一致特征，提升一致性与可靠性。

除训练 - 服务一致性外，特征库还支持版本管理、元数据管理与跨团队特征复用。例如，反欺诈与信用评分模型可共享交易特征，集中管理、校验与共享，降低工程负担，促进用例对齐。

408. **特征库规模**：Uber Michelangelo 特征库每秒服务 1000 万 + 特征，P99 延迟低于 10ms，存储 200+ PB 特征数据。Airbnb 特征库支撑 1000+ ML 模型，自动特征校验防止 85% 训练 - 服务偏差。
409. **训练 - 服务偏差影响**：研究显示，训练 - 服务偏差导致生产模型准确率下降 5-15%。Google 修复偏差后广告点击预测准确率提升 8%，带来数百万美元收益。

特征库可与数据流水线、模型注册表集成，实现血缘追踪与可追溯性。特征更新或废弃时，自动识别依赖模型并重训练，提升运维成熟度，支持审计、调试与合规。

版本管理与血缘 版本管理是 ML 系统可复现与可追溯的基础。与传统软件不同，ML 模型依赖多种变化工件：训练数据、特征工程逻辑、模型参数与配置。MLOps 实践要求对所有流水线组件进行版本追踪。

数据版本管理支持对数据集进行快照，与特定模型运行关联，包括原始数据与处理后工件。通过模型检查点与训练数据的直接映射，团队可审计决策、复现实验、排查回归。

模型版本管理则将训练好的模型作为不可变工件注册，附带训练参数、评估指标、环境说明等元数据。注册表提供结构化接口，支持模型发布、回滚与血缘可视化，追踪从原始数据到预测的全依赖图。

数据与模型版本管理共同构成 ML 系统的血缘层，支持内省、实验与治理。当生产模型表现异常时，血缘工具帮助团队回答：

- 输入分布是否与训练数据一致?
- 特征定义是否变更?
- 模型版本与服务基础设施是否一致?

将版本管理与血缘提升为系统设计一等公民，MLOps 使团队能够构建可靠、可审计、可演化的 ML 工作流。

持续流水线与自动化

自动化使 ML 系统能随新数据、目标变化与运维约束持续演化。与将开发与部署视为孤立阶段不同，自动化流水线将数据预处理、训练、评估与发布集成为同步工作流，支撑可扩展实验与模型更新的可复现性与可靠性。

CI/CD 流水线 传统软件依赖持续集成与持续交付（CI/CD）流水线，确保代码变更可高效测试、验证与部署。ML 系统则需适配数据依赖、模型训练与工件版本管理等复杂性。ML CI/CD 流水线为模型从开发到生产提供可复现、可扩展、自动化的结构化机制。

典型 ML CI/CD 流水线包括：检出代码、预处理数据、训练候选模型、验证性能、打包模型、部署到服务环境。部分流水线还支持基于数据漂移或性能退化的自动重训练触发。通过代码化这些步骤，CI/CD 流水线 [410] 减少人工干预、强制质量检查、支持模型

410. **ML 系统幂等性**：即多次操作结果一致，对可靠 MLOps 流水线至关重要。与传统软件部署幂等性不同，ML 训练因数据洗牌、权重初始化、硬件差异引入随机性。生产 MLOps 通过固定随机种子、确定性数据排序、环境一致性实现幂等性，否则流水线重跑难以调试。

持续改进。

实现 ML CI/CD 的工具包括通用编排器（Jenkins、CircleCI、GitHub Actions[411]）与领域专用平台（Kubeflow[412]、Metaflow、Prefect）。

下图展示了典型 ML CI/CD 流水线。流程从数据集与特征库开始，数据采集与校验后转化为训练数据。重训练触发（定时或性能阈值）自动启动流程。训练与超参调优后，模型在预设标准下评估。通过后，注册到模型库，附带元数据、性能指标与血缘信息。最后，模型部署到生产系统，形成闭环，实现模型持续交付。

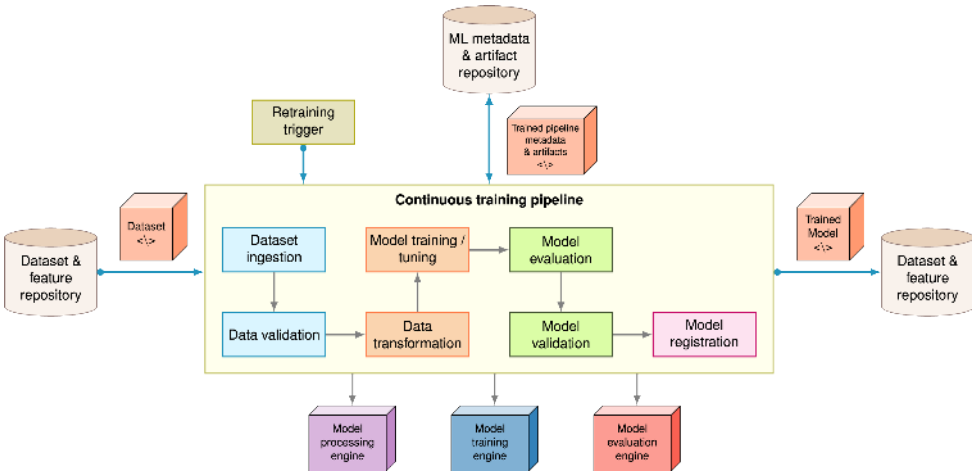

ML CI/CD 流水线：自动化工作流集成版本控制、测试与部署，实现模型持续交付。该流水线强调数据与模型校验、自动重训练触发、模型注册与元数据治理。来源：HarvardX。

以图像分类模型为例，数据科学家提交代码到 GitHub，Jenkins 流水线自动拉取最新数据、预处理并训练模型。MLflow 记录实验指标与模型工件。通过自动评估后，模型容器化并用 Kubernetes 部署到预发布环境。若验证通过，流水线采用金丝雀发布等策略逐步切流，监控关键指标，异常时自动回滚。

CI/CD 流水线通过自动化，成为可扩展、可复现、安全部署 ML 模型的核心。它将 ML 工作流各阶段统一到持续自动化下，支持更快迭代、更高可复现性与更强生产弹性。成熟 MLOps 环境下，CI/CD 是基础能力，将临时实验转化为结构化、可靠的开发流程。

训练流水线 模型训练是 ML 生命周期的核心阶段，算法通过数据学习模式。第 8 章：AI 训练介绍了分布式训练，本节关注如何通过系统化流水线实现训练工作流的运维化。

411. **GitHub Actions for ML**：最新开发者调查显示，60%+ ML 团队使用 GitHub Actions 进行 CI/CD，典型 ML 流水线运行 15-45 分钟（传统软件仅 2-5 分钟）。Netflix 每周通过 GitHub Actions 执行 1 万 + ML 流水线，首轮成功率 95%。

412. **Kubeflow 生产实践**：Google 内部 Kubeflow 每月运行 50 万 + ML 任务，横跨 50+ 集群，自动资源扩展将训练成本降低 40%。Spotify 用 Kubeflow 编排 1000+ 并发训练任务，具备容错能力。

MLOps 语境下，训练被纳入可复现、可扩展、自动化的流水线，支持持续实验与可靠生产部署。

现代 ML 框架如 TensorFlow、PyTorch、Keras 提供模块化组件，便于原型开发与迭代。第 7 章：AI 框架的选择原则对生产训练流水线尤为重要。这些库集成高阶神经网络组件与训练算法，嵌入 MLOps 流水线后，成为可扩展、可追踪、可重训练的训练基础。

可复现性是 MLOps 的核心目标。训练脚本与配置用 Git 版本管理，托管于 GitHub。Jupyter 等交互式环境将数据采集、特征工程、训练与评估逻辑统一，便于本地实验与生产重训练复用。

自动化进一步提升训练效率与标准化。MLOps 工作流集成超参调优、神经架构搜索、自动特征选择等技术，通过 CI/CD 编排自动完成数据预处理、训练、评估、注册与部署。例如，Jenkins 流水线在新数据到来时自动重训练，模型通过基线评估后自动上线。

云基础设施进一步扩展了训练能力，连接第 5 章：AI 工作流的编排模式，支持分布式训练。云服务商提供按需 GPU/TPU 资源 [413]，团队可自建或使用托管服务（如 Vertex AI Fine Tuning）。但硬件可用性、区域限制与成本仍需权衡。

以 PyTorch + fastai 开发图像分类模型为例，notebook 训练模型、计算指标、调优参数，脚本版本化后纳入定时重训练流水线，自动触发、评估与上线。

通过标准化工作流、版本化环境与自动编排，MLOps 使模型训练从临时实验转变为健壮、可复现、可扩展的系统，加速开发，确保生产标准。

模型验证 模型上线前需严格评估，确保满足性能、鲁棒性与可靠性标准。MLOps 将评估流程系统化，支持上线前评测、上线后监控与自动回归测试。

评估从留出测试集开始，测试集与生产数据同分布，仅用于泛化能力评估。常用指标包括准确率、AUC、精确率、召回率、F1 分数。这些指标需长期追踪，及时发现如数据漂移等导致的性能下降（见下图）。

除静态评估外，MLOps 鼓励通过金丝雀发布等策略模拟生产环境，降低风险。即新模型仅部署给少量用户或请求，实时监控性能指标，如电商平台将新推荐模型分流 5% 流量，观测点击率、延迟、准确率，表现稳定后再全量上线。

云 ML 平台支持实验日志、请求回放、合成测试用例等能力，便于对比评估与溯源。Weights and Biases 等工具自动记录训练工件、超参配置与实验指标，集成流水线提升透明度与可追溯性。

413. **云 ML 训练经济学**：GPT-3 训练在 AWS 估算成本约 460 万美元（Lambda Labs），官方未披露，微调一般 100-1 万美元。Google TPU v4 pod 训练成本较 GPU 集群低 2-5 倍，部分组织用抢占式训练节省 60-80% 成本。

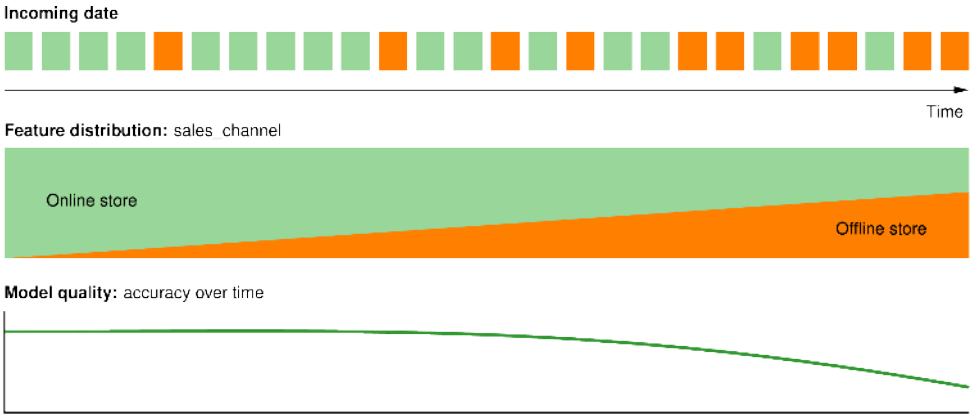

数据漂移影响：模型性能随时间下降，源于生产数据分布与训练集偏离。MLOps 工程师通过纵向监控关键指标，及时检测漂移，触发重训练或数据管道调整，维持准确率。

尽管自动化是 MLOps 评估核心，人工审核仍不可或缺。自动测试难以发现罕见子群体泛化差、用户行为变化等问题。高风险或受监管场景需定量与定性结合，人工审核尤为关键。

多阶段评估流程将离线测试与在线监控结合，确保模型不仅满足技术指标，还能在动态真实环境下表现可控、负责任。这些评估实践降低上线风险，保障 ML 系统长期可靠性，完善生产部署所需的开发基础设施。

基础设施集成小结

本节探讨的基础设施与开发组件，为可靠 ML 运维奠定了基础。这些系统将临时实验转化为支持可复现、协作与持续改进的结构化工作流。

数据基础设施通过特征库实现跨项目特征复用，版本管理追踪数据血缘与演化，校验框架保障全流程数据质量。第 6 章：数据工程的基础能力被扩展到生产场景，支撑多团队、多模型共享数据资产。

持续流水线通过适配 ML 工作流的 CI/CD 系统自动化 ML 生命周期。与传统软件 CI/CD 仅关注代码不同，ML 流水线集成数据校验、特征变换、模型训练与评估。训练流水线专门管理高计算量的模型开发，协调资源分配、超参优化与实验追踪。自动化工作流支持团队快速迭代，保障可复现性与质量。

模型验证通过系统化评估，将开发与生产衔接。验证策略结合留出集基准测试与生产环境金丝雀发布，支持上线前后多阶段风险控制。模型需在静态测试集与动态真实环境下均表现可靠。

这些基础设施组件通过系统化工程能力，直接应对前述运维挑战：

- 特征库与数据版本管理解决数据依赖债务，确保训练与服务特征一致、可追踪

- CI/CD 流水线与模型注册表防止修正级联，通过受控部署与回滚机制保障稳定
- 自动化工作流与血缘追踪消除未声明消费者风险，实现显式依赖管理
- 模块化流水线架构避免流水线债务，通过可复用、接口清晰的组件提升维护性

但模型上线仅是生产之旅的起点。基础设施保障了模型开发可靠性，生产运维则需应对数据漂移、系统故障、需求演化等动态挑战，确保在不间断服务下持续维护系统性能。

生产运维

在前文基础设施的支撑下，生产运维将经过验证的模型转化为能够在真实环境下持续保持性能的可靠服务。生产运维需应对前述章节提出的多样化需求：如在分布式边缘设备上管理模型更新且无法集中可见（详见第 14 章：设备端学习），在推理和模型更新期间保障运行时安全（详见第 15 章：安全与隐私），以及检测对抗攻击或分布漂移导致的性能退化（详见第 16 章：稳健 AI）。本运维层通过监控、治理和部署策略，将这些专业能力可靠地集成于大规模系统中。

本节将探讨部署模式、服务基础设施、监控系统和治理框架，如何将经过验证的模型转化为可大规模稳定运行的生产服务。

生产运维带来的挑战远超模型开发本身。上线系统需应对负载波动、在多变环境下保持一致延迟、优雅恢复故障，并在数据分布演化时无中断地适应。这些需求要求专门的基础设施、监控能力和运维实践，与前文开发工作流形成互补。

模型部署与服务

模型训练与验证完成后，需集成进生产环境以大规模提供预测服务。该过程涉及模型及其依赖的打包、版本管理，并以满足性能、可靠性和治理要求的方式部署。部署将静态工件转化为实时系统组件，服务则确保模型可访问、可靠且高效响应推理请求。两者共同实现模型开发与实际业务影响的桥梁。

模型部署　团队需正确打包、测试并追踪 ML 模型，才能可靠地部署到生产环境。MLOps 引入了主动版本管理、部署、监控和可持续更新的框架与流程。

常见做法是利用容器化技术 [414] 对模型进行打包。这种方式确保了跨环境的可移植性，使部署过程一致且可预测。

414. **容器化与编排**：Docker 容器将应用及其依赖打包为标准化、可移植单元，实现跨环境一致运行，隔离软件与基础设施差异。Kubernetes 则在大规模集群中自动编排容器，实现部署、负载均衡、扩缩容与故障恢复。二者共同支撑现代 MLOps 的可复现、自动化部署，确保模型及其服务环境在开发、测试、生产间一致。

生产部署需要能处理模型打包、版本管理和与服务基础设施集成的框架。MLflow 及模型注册表等工具管理这些部署工件，而专用服务框架（详见推理服务小节）则负责运行时优化与扩展。

在全量上线前，团队会将更新模型部署到预发布或 QA 环境 [415]，进行严格性能测试。

团队常用影子部署、金丝雀测试 [416]、蓝绿部署 [417] 等技术，逐步验证新模型。正如评估框架所述，这些受控部署策略可在生产环境下安全验证模型。健全的回滚机制对于应对突发问题至关重要，可将系统恢复到上一个稳定模型版本，确保服务最小中断。

当金丝雀部署在部分流量下暴露问题（如 5% 流量无异常，30% 时出现问题），团队需系统化调试。有效诊断需关联多种信号：如第 12 章：AI 基准测试的性能指标、数据分布分析检测漂移、特征重要性变化解释性能下降。团队维护调试工具包，包括 A/B 测试 [418] 分析框架、特征归因工具、数据切片分析器，定位性能下降的子群体。

与 CI/CD 流水线集成进一步自动化了部署与回滚流程，实现高效迭代。

模型注册表（如 Vertex AI 模型注册表）作为集中仓库，存储和管理训练好的模型。注册表不仅便于版本对比，还常集成基础模型（如 LLAMA），支持开源、专有或混合模型。模型从注册表部署到推理端点时，自动完成资源分配、权重下载与托管。

推理端点通常通过 REST API 暴露模型，支持实时预测。根据性能需求，可配置 GPU 加速等资源以满足延迟和吞吐目标。部分云服务还支持无服务器 [419] 或批量推理，省去持久端点，提升成本效率与可扩展性。

为保障血缘与可审计性，团队用 MLflow[420] 等工具追踪模型工件，包括脚本、权重、日志与指标。

通过这些工具与实践，团队可弹性部署 ML 模型，实现版本平滑切换、生产稳定性和多场景性能优化。

415. **TensorFlow Serving 起源**：源自 Google 内部为 Gmail 垃圾邮件检测、YouTube 推荐等产品每天处理数十亿预测的服务系统。2016 年开源，旨在解决 ML 模型生产化成为 AI 普及瓶颈的问题。
416. **金丝雀部署历史**：得名于矿工用金丝雀探测有毒气体，鸟死即撤离。Netflix 2011 年率先用于软件，ML 场景下尤为关键，因模型失效往往隐蔽且影响巨大。
417. **蓝绿部署**：零停机部署策略，维护两套生产环境，一套（蓝）服务流量，另一套（绿）更新。验证通过后瞬间切换。ML 系统中，回滚耗时 <10 秒（传统重训练需数小时）。Spotify 用蓝绿部署为 4 亿 + 用户推荐模型，模型更新期间 99.95% 可用性。
418. **ML 的 A/B 测试**：通过流量分流对比模型性能。Netflix 每年对推荐算法运行 1000+ A/B 测试，Uber 每天在数百万行程上测试定价模型，优化用户体验与收入。回滚决策需权衡性能下降与业务影响：如新功能上线可容忍 2% 准确率下降，但安全场景则不可接受。
419. **ML 的无服务器计算**：基础设施按需自动扩展，冷启动亚秒级。AWS Lambda 可并发处理 1 万 + 推理请求，Google Cloud Functions 支持 32GB 模型，仅按实际计算计费。AWS SageMaker Inference 即支持此类配置。
420. **MLflow 诞生**：Databricks 团队因客户实验追踪困难而开发。数据科学家常用表格记录模型结果，难以复现实验，促成了 MLflow 的“模型注册表”理念。

推理服务 模型部署后，最后一步是让下游应用或终端用户可访问。服务基础设施连接训练模型与真实系统，实现预测的可靠高效交付。大规模场景下，如社交平台、电商服务，推理系统每天需处理数万亿次请求。第 12 章：AI 基准测试中的测量框架成为验证性能和建立生产基线的关键。满足如此需求需在延迟、可扩展性和鲁棒性间精心设计。

为应对这些挑战，业界涌现了生产级服务框架。TensorFlow Serving[421]、NVIDIA Triton Inference Server[422]、KServe[423] 等工具，标准化了模型部署、版本管理与扩展，屏蔽底层复杂性，让团队聚焦系统行为、集成与性能目标。

模型服务架构通常分为三类：

1. 在线服务：为推荐、反欺诈等交互系统提供低延迟实时预测。
2. 离线服务：异步批量处理大数据，常用于报表或重训练。
3. 近在线（半同步）服务：在延迟与吞吐间平衡，适用于聊天机器人、半交互分析等场景。

不同模式对可用性、响应性和吞吐有不同约束。第 9 章：高效 AI 中的高效技术对大规模服务尤为关键。服务系统需满足 SLA[424] 和 SLO[425]，即对延迟、错误率、可用性等性能边界的量化要求。实现这些目标需在请求调度、批处理、资源分配等方面优化。

常用服务系统设计策略包括：

1. **请求调度与批处理**：聚合推理请求提升吞吐与硬件利用率。Clipper 通过缓存与批处理降低在线预测延迟。
2. **模型实例选择与路由**：根据负载或约束动态分配请求。INFaaS 优化准确率 - 延迟权衡。
3. **负载均衡**：均匀分配流量，防止瓶颈。MArk 展示了高效负载均衡技术。
4. **自动扩容**：根据需求动态调整实例数。INFaaS、MArk 均集成自动扩容。
5. **模型编排**：管理多模型或流水线并行执行与资源分配。AlpaServe 支持大模型与复杂场景。

421. **TensorFlow Serving**：Google 生产级 ML 服务系统，轻量模型单机每秒处理 10 万 + 查询，延迟 <10ms。最初为 YouTube 推荐系统构建，日处理 10 亿小时视频观看。
422. **NVIDIA Triton Inference Server**：单张 A100 GPU 上 BERT 模型每秒可达 4 万次推理，动态批处理将延迟降至传统方案的 1/10。支持 100 种模型并发执行。
423. **KServe（原 KFServing）**：Kubernetes 原生服务框架，30 秒内可自动扩容至千副本。Bloomberg 用其同时服务 1 万 + 模型，SLA 达 99.9%。
424. **SLA（服务级协议）**：生产 ML 系统关键服务通常要求 99.9% 可用性（年宕机 <8.77 小时），每低 0.1% 罚款 10-25%。Google Cloud AI Platform 承诺 99.95% 可用性，30 秒内自动故障转移。
425. **SLO（服务级目标）**：实际 ML 服务 SLO 常设 P95 延迟 <100ms，P99 <500ms，错误率 <0.1%。Netflix 推荐系统 P99 延迟 <150ms，服务 2 亿 + 用户，月处理 30 亿小时内容。

6. **执行时间预测**：Clockwork 通过预测单次推理延迟，高效调度硬件资源。

复杂推理场景下，模型编排协调多阶段或分布式组件执行。AlpaServe 通过资源协调高效服务大模型。执行时间预测则帮助系统预判单次请求延迟，Clockwork 用于降低尾部延迟、提升高负载调度效率。

这些系统虽实现各异，但共同体现了可扩展、响应式 ML 即服务基础设施的关键技术。下表总结了这些策略及代表系统。

技术	**描述**	**代表系统**
请求调度与批处理	聚合推理请求提升吞吐、降低开销	Clipper
实例选择与路由	动态分配请求至不同模型或实例	INFaaS
负载均衡	均匀分配流量，防止瓶颈	MArk
自动扩容	动态调整实例数以匹配负载	INFaaS, MArk
模型编排	管理多模型或流水线的执行与资源分配	AlpaServe
执行时间预测	预测延迟以优化请求调度	Clockwork

这些策略共同构成了健壮模型服务系统的基础。有效集成后，ML 应用可在满足性能目标的同时，保持系统级效率与可扩展性。

边缘 AI 部署模式 边缘 AI 是一种全新部署架构，推理在数据源附近而非集中云端完成。该范式应对了实际环境中的延迟、带宽、隐私和连接性等关键约束。业界预计到 2025 年，75% 的 ML 推理将在边缘完成，边缘部署模式已成为 MLOps 工程师的必备知识。

边缘部署带来与传统云中心 MLOps 完全不同的运维挑战。边缘设备资源有限，需采用量化、剪枝、知识蒸馏等模型优化技术，将模型压缩到 1MB 以下，同时保持可接受准

确率。边缘设备功耗通常为 10mW（物联网传感器）到 45W（车载系统），需功耗感知推理调度与热管理。安全关键应用需确定性推理时序，如防碰撞系统需 10ms 内完成，交互机器人需 <100ms。

边缘 AI 系统运维架构通常采用分层部署，将智能分布于多级。传感器级处理用微控制器（1-100mW）完成数据过滤与特征提取；边缘网关用应用处理器（1-10W）进行中间推理；云端负责模型分发、聚合学习与复杂推理（需 GPU 级算力）。该层级结构实现系统级优化：高计算操作上移，延迟敏感决策本地完成。

最受限的边缘 AI 场景为 TinyML，目标是微控制器推理，内存 <1MB，功耗毫瓦级。需用 TensorFlow Lite Micro、CMSIS-NN 等专用推理引擎，消除动态内存分配，极致压缩计算。模型结构需与硬件协同设计，优先深度可分卷积、二值神经网络、90%+ 稀疏剪枝等。

移动 AI 运维将边缘部署扩展到手机、平板等中等算力设备，需严格功耗控制。移动部署利用 NPU、GPU 计算着色器、专用指令集，实现 5-50ms 推理延迟、功耗 <500mW。需动态频率调节、热节流与后台推理调度，平衡性能、电池与体验。

边缘系统关键运维能力包括 OTA（空中）模型更新，适用于无法物理接触的设备。OTA 流水线需实现安全、可验证的模型分发，防止恶意注入，确保签名与回滚。边缘设备需差分压缩，仅传递参数变更，节省带宽。更新调度需考虑连接性、供电与业务关键性，防止服务中断。

生产级边缘 AI 实现实时约束管理，系统化分析截止时间与资源分配。最坏执行时间（WCET）分析确保推理在极端条件下也能及时完成（如热节流、内存争用、中断）。资源预留机制保障安全关键推理带宽，非关键任务则尽力执行。优雅降级策略在资源受限时降低模型复杂度、推理频率或特征完整性，维持核心功能。

边缘 - 云协同模式实现推理负载在多层间自适应分配。自适应卸载策略根据负载、网络与延迟动态路由推理请求。边缘网关特征缓存减少重复计算，通过失效策略保持数据新鲜。联邦学习协调让边缘设备参与模型改进，无需上传原始数据，兼顾隐私与全局学习。

边缘 AI 运维复杂性要求适配资源受限环境的监控与调试。轻量遥测系统采集推理延迟、功耗、准确率等关键指标，最小化设备负担。远程调试能力通过安全通道诊断系统，兼顾隐私与可见性。健康监控跟踪设备温度、电池、连接质量，预测维护需求，防止灾难性故障。

资源约束分析是边缘 AI 成功部署的基础，系统建模算力、功耗、内存与准确率的权衡。功耗预算框架定义可持续工作负载，内存优化层级指导模型压缩，从参数减少到结构简化、架构变更。

边缘 AI 部署是 MLOps 面向现实物理约束与分布式复杂性的前沿。成功不仅需模型优化与嵌入式技术，更需系统化分布式管理、安全与可靠性工程，确保系统在多样环境下持续可用。

资源管理与性能监控

ML 系统的运维稳定性取决于底层基础设施的鲁棒性。计算、存储与网络资源需按需配置与扩展，支撑训练、部署与实时推理。除资源配置外，有效可观测性实践确保系统行为在环境变化时可监控、可解释、可响应。

基础设施管理 可扩展、弹性的基础设施是 ML 系统生产化的前提。模型从实验到生产，MLOps 团队需保障底层算力支持持续集成、大规模训练、自动部署与实时推理。这要求将基础设施视为动态、可编程、可版本化的系统，而非静态硬件。

为此，团队采用基础设施即代码（IaC）理念，将基础设施配置转化为代码。与手工配置服务器、网络、存储不同（易错且难复现），IaC 用文本文件描述所需资源状态，纳入版本控制、评审与自动执行。就像开发者用代码定义应用行为，基础设施工程师用代码定义计算环境。这样可追踪变更、预部署测试、可靠复现完整环境。

Terraform、AWS CloudFormation、Ansible 等工具支持 IaC，将基础设施定义与应用代码协同版本管理。MLOps 场景下，Terraform 广泛用于跨 AWS、GCP、Azure 等云平台资源管理。

基础设施管理贯穿 ML 系统全生命周期。训练阶段用 IaC 脚本分配 GPU/TPU、配置分布式存储、部署容器集群，确保数据科学家与工程师获得可复现的算力环境。配置代码化后，便于审计、复用、集成 CI/CD，保障环境一致性。

容器化是 ML 工作负载可移植与一致的关键。Docker 等工具将模型及依赖封装为隔离单元，Kubernetes 等编排系统管理集群容器，实现快速部署、资源分配与扩展，适应动态负载。

为应对负载波动（如超参调优高峰、预测流量激增），团队依赖云弹性与自动扩容 [426]。云平台支持按需资源分配与横向扩展，自动扩容机制根据使用指标自动调整算力，实现性能与成本最优。

MLOps 基础设施不限于云，许多部署需兼容本地、云与边缘，满足延迟、隐私、合规等需求。健全的管理策略需支持多目标部署与一致配置。

426. **ML 自动扩容实践**：Kubernetes ML 服务 60 秒内可从 1 扩展到 1000+ 副本。Uber ML 平台每日自动扩容 2000+ 模型，智能分配资源、冷启动优化，基础设施成本降 35-50%，可用性达 99.95%。

例如，团队用 Terraform 在 GCP 部署 Kubernetes 集群，托管容器化 TensorFlow 模型，通过 HTTP API 提供预测。用户需求增长时，Kubernetes 自动扩容。CI/CD 流水线根据重训练周期更新模型容器，监控工具追踪集群性能、延迟与资源利用。所有基础设施组件（网络、算力配额等）均代码化管理，确保可复现与可审计。

采用 IaC、云原生编排与自动扩容，MLOps 团队可按需配置与维护生产级 ML 资源，支撑可靠训练、部署与服务。

但这些基础能力仅解决资源配置与管理，ML 系统运维还需应对超越传统 Web 服务扩展模式的资源优化难题。MLOps 资源管理是多维优化问题，需在算力成本、模型准确率、推理延迟与训练吞吐间权衡。

ML 工作负载与无状态 Web 应用资源消耗模式不同。训练阶段资源需求突发，从零到数千 GPU，验证期又降至极低，形成利用率与时效性的矛盾。推理负载则资源消耗平稳，延迟要求严格，需应对流量波动。

优化难度在于训练频率、模型复杂度与服务成本的相互影响。有效资源管理需系统建模全流程，而非孤立优化单一组件，需考虑数据流水线吞吐、重训练计划与服务容量规划。

硬件感知资源优化成为连接基础设施效率与模型性能的关键运维学科。生产 MLOps 团队需设定利用率目标：批量训练 GPU 利用率应持续超 80%，推理服务需超 60%，否则难以经济可持续。内存带宽利用率同样重要，低效数据管道会导致训练吞吐下降 30-50%。

运维资源分配还需涵盖混合负载下的功耗预算。生产部署通常将 60-70% 功耗分配给训练，30-40% 给推理，按业务优先级动态调整。推荐系统高峰期推理功耗上升，研究环境则优先训练。热管理成为运维约束，需按冷却能力与节流阈值调度高负载，避免 SLA 违约。

模型与基础设施监控 监控是 MLOps 的核心功能，使团队能持续掌控生产环境下的 ML 系统。一旦模型上线，便暴露于真实输入、数据分布演化与用户行为变化。缺乏持续监控，难以及时发现性能退化、数据质量或系统故障。

有效监控涵盖模型行为与基础设施性能。模型侧，团队追踪准确率、精确率、召回率、混淆矩阵等指标，通过实时或采样预测评估长期稳定性与漂移。

生产 ML 系统面临模型漂移[427]（详见第 13 章：机器学习运维），主要有两类：

427. **模型漂移检测**：生产系统通常在 24 小时内准确率下降 >5% 或一周 >10% 时报警。Spotify 等先进系统用统计检验 2-4 小时内检测漂移，85% 事故在影响用户前捕获。

- 概念漂移[428]：特征与目标间关系变化。如新冠疫情期间，消费行为剧变，许多推荐模型失效。
- 数据漂移：输入分布本身变化。如自动驾驶遇到季节、光照、路况变化，影响模型输入。

此外，还有更隐蔽的长期缓慢退化，难以被标准阈值检测。与突发分布变化不同，部分模型每日微小变化，数月累计退化严重。例如电商推荐系统每日准确率降 0.05%，一年累计达 15%，但月度漂移告警未触发。季节性模式加剧复杂性：夏季训练模型秋季表现良好，冬季遇到未见场景灾难性失效。检测此类退化需多时域基线、滑动窗口对比、季节性性能档案。团队常在季度业务复盘才发现，凸显多时域监控的重要性。

基础设施监控则追踪 CPU/GPU 利用率、内存/磁盘消耗、网络延迟、服务可用性等指标，保障系统在负载变化下高效响应。硬件感知监控进一步采集 GPU 内存带宽、单位功耗算力、热包络等关键指标。

生产系统需追踪硬件效率指标，直接影响运维成本与模型性能。GPU 利用率需区分计算瓶颈与内存瓶颈，90% 利用率可能代表完全不同的效率。内存带宽监控可发现数据加载低效，表现为高 GPU 利用率但吞吐低。功耗效率（每瓦算力）用于优化混合负载调度，兼顾成本与环保。

热监控集成进运维调度，防止高负载下热节流导致性能不可预测下降。现代 MLOps 监控面板集成热裕度指标，指导负载分布，防止因热降频违约。Prometheus[429]、Grafana、Elastic 等工具广泛用于采集、聚合与可视化运维指标，支持实时与历史视图。

主动告警机制在异常或阈值违规时通知团队[430]。如准确率持续下降触发漂移告警，促使重训练。基础设施告警则监控内存饱和、网络性能下降，提前干预防止故障扩散。

健全监控让团队在问题升级前发现并干预，保障高可用性与 ML 系统可靠性。缺乏监控，模型可能静默退化，系统高负载下失效，破坏 ML 流水线整体效能。

监控系统自身也需弹性设计，防止运维盲区。如 Prometheus 宕机或 Grafana 不可用，团队在关键期可能“失明”。生产级 MLOps 实现冗余监控通路：主监控失效时激活二级采集器，本地日志在中心系统失效时保留，心跳检测监控系统自身故障。部分组织用交

428. **新冠对 ML 的影响**：2020 年 3 月封锁后，电商推荐系统准确率数周内下降 15-40%。亚马逊重训练 1000+ 模型，Netflix 观看时长增 25%，打破容量规划模型。
429. **Prometheus 扩展性**：单实例每秒可采集 100 万 + 样本，部分部署监控 10 万 + 机器。DigitalOcean Prometheus 存储 2 年 + 指标，4 万 + 时序，95% 查询 <100ms。
430. **生产告警阈值**：GPU 内存 >90%、CPU >85% 持续 5 分钟，P99 延迟 >2 倍正常 10 分钟，错误率 >1% 持续 60 秒即告警。硬件感知告警还包括推理 GPU 利用率 <60%（资源浪费）、内存带宽 <40%（数据瓶颈）、功耗 >110% 预算（热风险）、热节流事件（立即影响）。高频交易公司微秒级告警，批处理系统则用小时窗口。

叉监控，独立基础设施监控监控系统本身，确保观测失效时通过 PagerDuty 或直通告警渠道立即响应。多层防御防止模型与监控系统同时失效而无人知晓。

分布式部署下监控弹性复杂度大幅提升。多区域 ML 系统需协调一致性，超越简单冗余。此时监控成为分布式协调问题，需共识机制保证系统状态一致。传统中心化监控假设单一真相，分布式 ML 系统需协调跨数据中心的观测。

分布式监控挑战体现在三方面：基于共识的告警防止网络分区误报，协调断路器状态 [431] 保障故障一致性，分布式指标聚合需保持时序一致。协调开销随节点数二次增长，需在观测粒度与系统复杂度间权衡。

为此，团队常用分层监控架构，区域监控通过最终一致性上报全局协调器，无需每个指标强一致，兼顾扩展性与计算成本。

“https://www.youtube.com/watch?v=hq_XyP9y0xg&list=PLk-DaE6sCZn6GMoA0wbpJLi3t34Gd8l0aK&index=7”“模型监控”“MIT 6.S191”

模型治理与团队协作

成功的 MLOps 实施需健全的治理框架与高效的跨团队协作。本节探讨实现负责任、高效 ML 运维所需的政策、实践与组织结构。我们将分析保障透明与问责的模型治理原则、连接技术与业务团队的跨职能协作策略，以及对齐预期、促进决策的利益相关者沟通方法。

模型治理 随着 ML 系统日益嵌入决策流程，治理成为 MLOps 的关键支柱。治理涵盖确保模型透明、公平、合规的政策、实践与工具。缺乏治理，模型可能输出有偏或不透明决策，带来法律、声誉与社会风险。伦理与偏见缓解技术为治理框架实施奠定基础。

治理始于模型开发阶段，团队采用提升透明度与可解释性的技术。例如 SHAP[432]、LIME 等方法通过识别输入特征影响力，提供模型预测的事后解释。这些可解释性技术补充了生产环境下保护模型完整性与数据隐私的安全措施，使审计员、开发者与非技术利益相关者更好理解模型行为。

除可解释性外，公平性是治理核心。偏见检测工具分析模型在不同人群（如年龄、性别、种族）上的输出，识别性能差异。例如贷款审批模型不得系统性歧视特定群体。MLOps 团队在上线前用代表性数据集审计公平性、鲁棒性与整体行为。

431. **断路器模式**：自动故障检测机制，错误率超阈值（如 10 秒内 50%）即“断开”，流量绕过故障服务。灵感源自电路断路器，防止 ML 模型失效拖垮下游。Netflix Hystrix 日处理 200 亿请求，典型恢复 30-60 秒。
432. **SHAP 生产应用**：SHAP 解释每次预测增加 10-500ms 延迟，复杂模型代价高，但 40% 企业 ML 团队已在生产用 SHAP。微软报告 SHAP 分析帮助识别招聘模型潜在偏见，避免 200 万美元法律风险。

治理还延伸到上线后。正如前述监控章节，团队需追踪概念漂移，特征与标签统计关系变化会破坏公平或准确性，尤其当变化影响特定子群体。通过日志与用户反馈，团队可识别反复失败模式、异常输出或新出现的群体差异。

支持全生命周期治理的平台与工具包将治理功能集成进 MLOps 堆栈。例如 Watson OpenScale 内置可解释性、偏见检测与监控模块。治理政策可编码进自动化流水线，确保开发、评估、生产各阶段一致执行检查。

治理聚焦三大目标：透明（模型可解释、可审计）、公平（用户群体待遇均等）、合规（符合法律与组织政策）。将治理实践贯穿 MLOps 生命周期，使 ML 从技术工件转变为可信赖的系统，服务于社会与组织目标。

跨职能协作 ML 系统由多学科团队开发与维护，包括数据科学家、ML 工程师、软件开发、基础设施专家、产品经理与合规官。不同角色专业领域各异，高效沟通与协作对齐目标、提升效率与系统可靠性至关重要。MLOps 通过引入共享工具、流程与工件，促进 ML 生命周期各环节的透明与协作。

协作始于实验、模型版本与元数据的一致追踪。MLflow 等工具为实验日志、参数、评估指标与模型注册提供结构化环境，注册表成为全员共享的参考点，便于复现与交接。与 GitHub、GitLab 等版本控制集成，进一步将代码变更与模型更新、流水线触发关联。

除追踪基础设施外，团队还需支持探索性协作平台。Weights & Biases 允许数据科学家可视化实验指标、对比训练、共享洞见。实时面板与实验时间线促进模型改进、超参调优、数据集优化等决策。协作环境让结果可解释、可复现，减少开发摩擦。

协作还依赖数据语义与用法的共识。通过词汇表、数据字典、模式参考与血缘文档，确保所有利益相关者一致理解特征、标签与统计。这在大型组织尤为重要，数据流水线常跨团队独立演化。

例如，异常检测模型的数据科学家用 Weights & Biases 记录实验结果、可视化趋势，与团队共享以指导特征工程。模型达标后注册进 MLflow，附带元数据与训练血缘，ML 工程师可无歧义部署。

集成协作工具、标准文档与透明实验追踪，MLOps 消除传统 ML 工作流的沟通壁垒，加速迭代、提升系统可靠性。但高效 MLOps 不仅限于内部团队，还需解决技术团队与业务利益相关者的沟通挑战。

利益相关者沟通 高效 MLOps 不仅是技术实现，还需解决将复杂 ML 现实转化为业务语言的战略沟通难题。与确定性软件不同，ML 系统表现为概率性性能、数据依赖与退

化模式，利益相关者常难以直观理解。沟通鸿沟即使技术执行无误，也可能导致项目失败。

最常见的沟通挑战是过于简化的改进请求。产品经理常提出“让模型更准”之类指令，未理解性能权衡。高效 MLOps 沟通将请求转化为具体选项与成本：如准确率从 85% 提升到 87%，需多收集 4 倍数据、3 周时间，推理延迟从 50ms 增至 120ms。明确约束后，ML 工程师将模糊请求转化为可决策的业务选项。

同样，将技术指标转化为业务影响需一致框架，将模型性能与运营结果关联。5% 准确率提升看似微小，但若能将每日 1000 次误报降至 800 次客户投诉，则具备业务价值。基础设施变更影响用户体验时，如 P99 延迟从 200ms 升至 500ms，可能导致 15% 用户流失，利益相关者可据此权衡技术与业务优先级。

事故沟通是另一关键运维挑战。模型退化或需回滚时，维护信任需明确分类故障类型。临时波动属正常，数据漂移需计划维护，系统故障则需立即回滚。定期性能报告可预防利益相关者对模型可靠性的担忧，建立可接受运维边界的共识。

资源申请需将技术需求转化为业务价值。如“申请 8 张 A100 GPU 训练模型”，应表述为“将实验周期从 2 周缩短到 3 天，实现 4 倍功能迭代速度”。时间预估需反映实际开发比例：数据准备占 60%，模型开发 25%，部署监控 15%。沟通这些比例有助于利益相关者理解训练仅占总交付周期一小部分。

以金融反欺诈团队为例，利益相关者要求提升准确率，团队用结构化方案回应：检测率从 92% 提升到 94%，需集成外部数据、训练延长两周、基础设施成本增 30%，但可年减少 200 万美元欺诈损失，减少 5 万客户误报。此沟通方式将技术能力与业务结果关联，助力决策。

通过规范沟通，MLOps 工程师维护 ML 投资的组织支持，建立系统能力与运维要求的现实预期。沟通能力与技术能力同等重要，是生产环境下 ML 运维持续成功的保障。

在基础设施与生产运维框架建立后，接下来需探讨有效实施这些实践所需的组织结构。

一个常见的纠正级联源是顺序模型开发：为新任务重用或微调现有模型以加速开发。尽管此策略通常有效，但可能引入难以消除的隐性依赖。早期模型中固有的假设成为后续模型的隐含约束，限制灵活性并增加下游纠正的成本。

设想一个团队将客户流失预测模型微调至新产品的场景。原模型可能嵌入特定产品的行为或特征编码，而这些在新环境中并不适用。随着性能问题的出现，团队可能尝试修补模型，却发现真正的问题在于更上游的环节，可能是原始特征选择或标注标准。

为避免或减少纠正级联的影响，团队需在重用与重设计间做出谨慎权衡。几个因素影响这一决策。对于小型静态数据集，微调可能合适。对于大型或快速演变的数据集，从头

开始重训练则提供更大控制与适应性。微调所需计算资源较少，适合受限环境。然而，后期修改基础组件的成本可能因级联效应而大幅上升。

因此，引入新的模型架构时应谨慎，即使这需要更多资源，也应避免后续的纠正级联效应。这种方法有助于减轻下游问题的放大效应，降低技术债务。然而，仍然存在需要顺序构建模型的场景，因此在 ML 开发过程中需在效率、灵活性和长期可维护性之间取得平衡。

要理解为何纠正级联现象在 ML 系统中屡见不鲜，即使遵循最佳实践，亦需探讨驱动这一现象的潜在机制。纠正级联模式源于违反软件工程中系统模块化原则的隐性反馈循环。当模型 A 的输出影响模型 B 的训练数据时，就会产生这种隐性依赖，破坏模块化设计。这些依赖关系尤其隐蔽，因为它们通过数据流而非显式代码接口运作，传统依赖分析工具难以察觉。

从系统理论角度看，纠正级联是紧耦合组件之间的实例。级联传播遵循幂律分布，即小的初始变化可能引发不成比例的系统范围内的重大调整。这一现象类似于复杂系统中的蝴蝶效应，即微小的扰动通过非线性互动被放大。

理解这些理论基础有助于工程师认识到，防止纠正级联不仅需要更好的工具，还需要在架构设计上保持系统模块化，即便在存在学习组件的情况下。挑战在于设计 ML 系统，使其在数据驱动工作流固有的相互关联性面前，仍能保持松耦合。

债务模式	**主要成因**	**关键症状**	**缓解策略**
边界侵蚀	紧耦合组件、接口不清晰	变更引发不可预测级联，违反缓存原则	强制模块化接口，设计时考虑封装性
纠正级联	顺序模型依赖、继承假设	上游修复导致下游系统故障，修复成本上升	重用与重设计的权衡，明确版本管理
未声明的消费者	非正式输出共享、未追踪的依赖	模型更新导致的静默故障，隐性反馈循环	严格访问控制、正式接口契约、使用监控
数据依赖债务	不稳定或未充分利用的数据输入	数据变化导致模型失效，特征管道脆弱	数据版本管理、血缘追踪、留一法分析

债务模式	主要成因	关键症状	缓解策略
反馈循环	模型输出影响未来训练数据	自我强化行为、隐性性能退化	基于队列的监控、金丝雀部署、架构隔离
流水线债务	随意的工作流、缺乏标准接口	脆弱的执行、逻辑重复、维护负担	模块化设计、工作流编排工具、共享库
配置债务	设置分散、版本控制不善	结果不可复现、静默失败、调优不透明	版本控制、验证、结构化格式、自动化
初期债务	快速原型化时的权宜之计、代码与逻辑紧耦合	随系统扩展而缺乏灵活性、团队协作困难	灵活的基础架构、主动债务追踪、计划重构

隐性技术债务管理

上述案例揭示了隐性技术债务在大规模系统中的影响，也提供了有价值的管理思路。隐性债务管理不仅仅是被动修复，更需要对系统设计、团队工作流和工具选择采取主动和前瞻性的方法。以下章节将对表 3 中识别的每种债务模式提供系统解决方案。

一个基本原则是将数据和配置视为系统架构的组成部分，而非边缘产物。如图 2 所示，ML 系统的主要部分在于模型代码之外，包括特征工程、配置、监控和服务基础设施。当这些环节的变更未经过系统化追踪或验证时，往往会滋生技术债务。接下来的基础设施和开发章节将通过特征库、数据版本系统和持续流水线框架，解决数据和配置复杂性管理的问题。

对数据转换、标注规范和训练配置进行版本控制，使团队能够重现过去的结果、定位回归问题，并理解设计选择随时间的影响。支持此类操作的工具有 DVC（数据版本控制）、Hydra（配置管理）和 MLflow（实验追踪），确保系统在演变过程中可追溯。

另一个关键策略是通过模块化接口实现封装。紧耦合系统中变更引发的级联故障，凸显了明确组件边界的必要性。没有明确定义的 API 或契约，一个模块的变更可能会对其他模块产生不可预测的影响。相比之下，围绕松耦合组件设计的系统，每个模块都有明确定义的职责和有限的外部假设，对变更具有更强的韧性。

封装还支持依赖关系的透明性，减少未声明消费者静默重用输出或内部表示的可能性。这在易受反馈影响的系统中尤为重要，隐性依赖可能导致随时间推移的行为漂移。通过

经过审计和文档化的接口公开输出，便于推理其用法及模型演变时的下游影响。

可观测性和监控进一步增强了系统对隐性债务的防御能力。静态验证虽然可以在开发阶段捕获错误，但许多形式的 ML 债务仅在部署后，尤其是在动态环境中显现出来。监控分布变化、特征使用模式和特定人群的性能指标，有助于及早发现退化，防止影响用户或传播至未来训练数据。生产运维章节详细介绍了这些监控系统、治理框架和部署策略，包括金丝雀部署和渐进式发布，这些都是在允许系统演变的同时限制风险的关键工具。

团队还应建立制度化实践，定期暴露和解决技术债务。债务审查、流水线审计和模式验证冲刺，都是团队在快速迭代中抽身评估系统整体健康的机会。这些审查为重构、清理未使用特征、整合冗余逻辑和重新确立可能随时间推移而模糊的边界提供了空间。角色与职责章节将探讨数据工程师、ML 工程师和其他专业人员如何协作，在组织内实施这些实践。

最后，技术债务管理必须与维护性文化的更广泛承诺相一致。这意味着在短期速度与长期系统完整性之间进行权衡，特别是当系统达到成熟阶段或被纳入关键工作流时。还意味着要认识到何时产生战略性债务，即为促进探索而故意承担的债务，并确保在其根深蒂固之前对其进行追踪和重新审视。

在所有情况下，隐性技术债务管理的目标不是消除复杂性，而是设计出能够在不变得脆弱的情况下容纳复杂性的系统。通过架构设计、精心选择工具和愿意重构，ML 从业者可以构建出即使在规模和演变过程中仍然灵活可靠的系统。运维系统设计章节提供了评估组织成熟度和设计系统的框架，系统性解决这些债务模式，而案例研究则展示了这些原则在现实世界中的应用。

总结

机器学习系统中的技术债务无处不在，且与传统软件工程中遇到的债务截然不同。尽管财务债务的隐喻强调了速度与长期成本之间的权衡，但这一类比未能充分捕捉 ML 系统的复杂性。在机器学习中，债务不仅源于代码捷径，还来自于纠缠的数据依赖、难以理解的反馈循环、脆弱的流水线和配置的泛滥。与可以明确定量的财务债务不同，ML 技术债务在很大程度上是隐性的，只有当系统规模扩大、演变或故障时才会显现出来。

本章概述了几种特定于 ML 的技术债务形式，根源于系统生命周期的不同方面。边界侵蚀破坏了模块化，使系统难以推理。纠正级联则说明了局部修复如何在紧耦合的工作流中引发连锁反应。未声明的消费者和反馈循环引入了隐性依赖，挑战可追溯性和重现性。数据和配置债务反映了输入和参数管理不善的脆弱性，而流水线和变更适应债务则暴露了架构灵活性不足的风险。早期债务提醒我们，即使在探索阶段，也应关注未来的可扩展性。

这些债务类型的共同点在于对系统级管理和工程方法的需求。ML 系统不仅仅是代码；它们是数据、模型、基础设施和团队的不断演变的生态系统，可以通过严格的工程实践有效管理。管理技术债务需要架构设计、强大的工具和重视可维护性的文化，以及工程判断力：识别何时产生战略性债务，并确保在其根深蒂固之前对其进行追踪和处理。

随着机器学习在生产系统中日益发挥核心作用，工程团队可以通过本章详细介绍的系统实践、基础设施组件和组织结构，成功应对这些挑战。理解和解决隐性技术债务不仅可以提高可靠性和可扩展性，还可以使团队能够更快地迭代、更有效地协作，并通过经过验证的工程方法论持续推动系统的长期演变。

然而，实施这些系统实践和基础设施组件不仅仅需要技术解决方案。它还需要具有不同专业知识的专业人员的协调贡献，确保他们有效地协同工作。

角色与职责

前文探讨的运维框架、基础设施组件与治理实践，均依赖于具备多元技术与组织专长的专业人士协同贡献。与传统软件工程工作流不同，机器学习因其对动态数据、迭代实验和概率性模型行为的依赖，带来了额外复杂性。因此，单一角色无法独立管理完整的机器学习生命周期。下图（图 8）概览了各角色之间的关系。

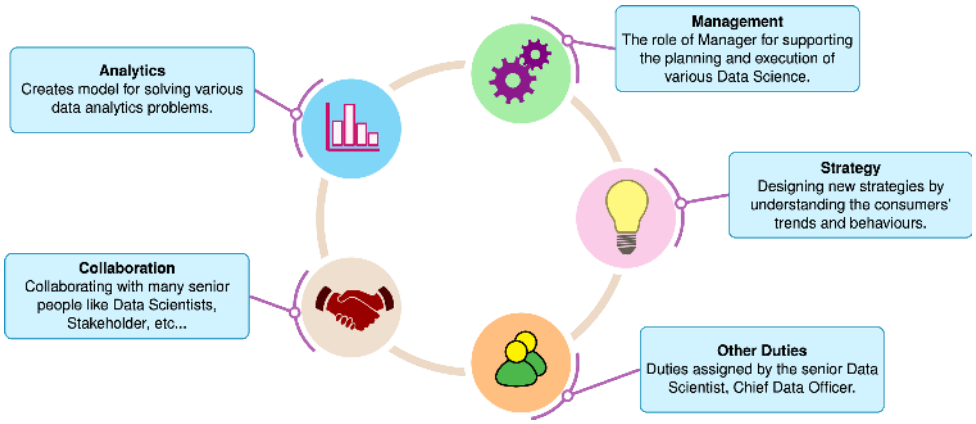

AI 开发策略：以模型为中心与以数据为中心代表了提升 AI 系统性能的两种互补路径；模型中心侧重架构创新，数据中心则关注提升数据质量与代表性。高效 AI 系统往往需在模型与数据两方面协同投入，才能取得最佳效果。

遵循 MLOps 的原则，这些专业角色围绕共同目标协作：在生产环境中交付可靠、可扩展、可维护的机器学习系统。从设计健壮的数据流水线，到在真实系统中部署与监控模型，高效协作依赖于 MLOps 在数据工程、统计建模、软件开发、基础设施管理与项目协调等领域的学科协同。

角色分工

下表（表 4）介绍了 MLOps 相关的关键角色及其主要职责。理解这些角色不仅有助于明确支撑生产级 ML 系统所需的技能范围，也有助于梳理推动大规模机器学习运维成功的协作流程与交接点。

角色	主要关注点	核心职责摘要	MLOps 生命周期环节
数据工程师	数据准备与基础设施	构建与维护流水线，保障数据质量、结构与血缘	数据采集、转换
数据科学家	模型开发与实验	任务建模，模型构建与评估，基于反馈与误差分析迭代	建模与评估
ML 工程师	生产集成与可扩展性	模型生产化，服务逻辑实现，性能与重训练管理	部署与推理
DevOps 工程师	基础设施编排与自动化	管理算力基础设施，CI/CD 实现，系统与工作流监控	训练、部署、监控
项目经理	协调与交付把控	目标对齐，进度与里程碑管理，跨团队协作推动	规划与集成
负责任 AI 负责人	伦理、公平与治理	偏见与公平监控，透明与合规标准执行	评估与治理
安全与隐私工程师	系统防护与数据完整性	数据与模型安全，隐私控制，系统弹性保障	数据处理与合规

数据工程师 数据工程师负责构建和维护支撑机器学习系统的数据基础设施。其核心任务是确保数据能够被可靠采集、处理，并以适合分析、特征提取、模型训练与推理的格式提供。在 MLOps 体系中，数据工程师通过建设前文提到的**数据基础设施**（如特征库、数据版本系统、校验框架），为端到端 ML 生命周期提供可扩展、可复现的数据流水线。

数据工程师的核心职责之一是数据采集：从事务数据库、Web 应用、日志流、传感器等多源提取数据，汇总到如 Amazon S3、Google Cloud Storage 等云对象存储，作为原始与处理后数据集的可扩展、持久仓库。采集流程常用 Apache Airflow、Prefect、dbt 等调度与编排工具实现。

数据采集后，需将数据转化为结构化、可分析格式。此过程包括缺失/异常值处理、不一致性修复、异构数据源关联、下游任务所需特征计算等。数据工程师通过模块化、版本化、容错与可复用的流水线实现这些转换。结构化输出常加载到 Snowflake、Redshift、BigQuery 等云数仓，或存入特征库供 ML 应用使用。

除数据流水线外，数据工程师还需配置与优化支撑数据密集型工作流的基础设施，包括分布式存储、算力集群、元数据目录（记录数据模式、血缘、权限）。为保障可复现与治理，需实现数据集版本管理、历史快照、数据保留与审计策略。

例如，在制造业场景下，数据工程师可用 Airflow 构建流水线，采集工厂 PLC（可编程逻辑控制器）[433] 的时序传感器数据。

原始数据经清洗、与产品元数据关联、聚合为滑动均值等统计特征，最终存入 Snowflake 数仓，供下游建模与推理使用。

通过设计与维护健壮的数据基础设施，数据工程师保障高质量数据的高效、持续交付，为 ML 系统的可复现性、可扩展性与运维稳定性奠定基础。

实际中，清洗与转换流水线可用如下 Airflow DAG 实现（简化示例）：

```
# Airflow DAG：制造业数据每日 ETL

from airflow import DAG
from airflow.operators.python import PythonOperator
from datetime import datetime

def extract_data():
    import pandas as pd
    df = pd.read_csv("/data/raw/plc_logs.csv")
    df.to_parquet("/data/staged/sensor_data.parquet")

def transform_data():
```

433. **可编程逻辑控制器（PLC）**：工业计算机，用于控制制造流程、机器与装配线。PLC 每秒处理数千传感器输入，微秒级时序精度，是全球 800 亿美元自动化制造系统的核心。

```
    import pandas as pd
    df = pd.read_parquet("/data/staged/sensor_data.parquet")
    df["rolling_avg"] = df["temperature"].rolling(window=10).mean()
    df.to_parquet("/data/processed/features.parquet")

with DAG(
    dag_id="manufacturing_etl_pipeline",
    schedule_interval="@daily",
    start_date=datetime(2023, 1, 1),
    catchup=False,
) as dag:
    extract = PythonOperator(
        task_id="extract", python_callable=extract_data
    )
    transform = PythonOperator(
        task_id="transform", python_callable=transform_data
    )
    extract >> transform
```

数据科学家 数据科学家负责设计、开发与评估机器学习模型。其核心在于将业务或运维问题转化为可学习任务，选择合适算法，并通过统计与计算方法优化模型性能。在 MLOps 生命周期中，数据科学家处于探索分析与模型开发的交汇点，直接贡献预测与决策能力。

流程通常从与利益相关者协作定义问题、确定成功标准开始，包括将任务形式化为分类、回归、预测等 ML 问题，并选定准确率、精确率、召回率、AUC、F1 等评估指标，为模型对比与迭代提供客观依据。

数据科学家通过探索性数据分析（EDA）评估数据质量、发现模式与关系，指导特征选择与工程。此阶段常用统计摘要、可视化、假设检验等方法，确保数据适合建模。基于分析结果，与数据工程师协作构建或选择特征，确保开发与部署环境一致。

模型开发阶段，数据科学家选择合适算法与架构，利用 TensorFlow、PyTorch、scikit-learn 等库实现与训练模型。通过超参调优、正则化、交叉验证等方法，在验证集上优化性能并防止过拟合。实验追踪工具如 MLflow、Weights & Biases 用于记录配置、评估结果与模型工件。

候选模型达标后，需在留出集上验证，并通过误差分析识别失效模式、异常点或潜在偏见，推动数据处理、特征工程或模型优化的迭代。

数据科学家还参与上线后监控与重训练，分析数据漂移、解释模型性能变化，并结合新数据维护预测准确率。与 ML 工程师协作，制定重训练策略，评估模型更新对业务指标的影响。

如零售预测场景，数据科学家可用 TensorFlow 构建序列模型，基于历史销售、产品属

性、季节性等特征预测需求。模型用 RMSE 评估，超参调优后交由 ML 工程师部署，上线后持续监控与重训练。

下例为基于 TensorFlow 的序列模型（简化）：

```
# TensorFlow 序列模型：需求预测
import tensorflow as tf
from tensorflow.keras import layers, models

model = models.Sequential(
    [
        layers.Input(shape=(30, 5)),  # 30 时序步，5 特征
        layers.LSTM(64),
        layers.Dense(1),
    ]
)
model.compile(optimizer="adam", loss="mse", metrics=["mae"])
model.fit(X_train, y_train, validation_split=0.2, epochs=10)
model.save("models/demand_forecast_v1")
```

ML 工程师 ML 工程师负责将实验模型转化为可集成、可扩展的生产系统。作为数据科学与软件工程的桥梁，ML 工程师确保研究环境下开发的模型能在生产基础设施中部署、监控与维护，实现从原型到运维的闭环。

其核心职责是将训练好的模型封装为模块化、可维护组件，常需重构代码、实现模型接口、构建 API（如 Flask、FastAPI）暴露预测服务。为保证可移植与环境一致，模型及依赖通常用 Docker 容器化，并由 Kubernetes 等编排系统管理。

ML 工程师还负责集成模型进**持续流水线**，实现前文生产运维章节的**部署与服务**基础设施。这些流水线自动化重训练、测试与部署，确保新模型上线前通过性能基线验证。金丝雀测试、A/B 测试、分阶段发布等策略降低回归风险，必要时可回滚至已验证版本。

运维效率也是重点，ML 工程师应用量化、剪枝、批量服务等优化技术，满足延迟、吞吐与成本约束。多模型系统中，可能需实现动态模型选择或并发服务。这些优化与算力资源配置（如 GPU）紧密相关。

上线后，ML 工程师负责监控模型行为，配置遥测系统[434]，追踪延迟、失败率、资源使用，并为预测流水线加日志与告警。

与数据科学家、DevOps 工程师协作，响应系统行为变化，触发重训练，确保模型持续满足服务级目标。

434. **ML 遥测**：自动采集 ML 系统的运维数据，包括模型性能、基础设施利用率、预测准确率。生产 ML 系统每日生成 10GB-1TB 遥测数据，实现实时漂移检测与性能优化。

如金融反欺诈应用，ML 工程师用 TensorFlow Serving 打包模型，配置 REST API 集成交易流水线，Jenkins CI/CD 自动更新，Prometheus + Grafana 监控，回滚逻辑保障性能退化时可恢复。该生产基础设施保障模型在真实负载下持续可靠运行。

下例为用 FastAPI 封装 TensorFlow 模型的 REST 服务（简化）：

```
# FastAPI 服务：实时需求预测
from fastapi import FastAPI, Request
import tensorflow as tf
import numpy as np

app = FastAPI()
model = tf.keras.models.load_model("models/demand_forecast_v1")

@app.post("/predict")
async def predict(request: Request):
    data = await request.json()
    input_array = np.array(data["input"]).reshape(1, 30, 5)
    prediction = model.predict(input_array)
    return {"prediction": float(prediction[0][0])}
```

DevOps 工程师 DevOps 工程师负责配置、管理与自动化支撑 ML 系统开发、部署与监控的基础设施。其职责在 MLOps 体系下扩展到数据与模型驱动工作流，凭借云计算、自动化流水线与基础设施即代码（IaC）专长，实现可扩展、可靠的 ML 运维。

核心任务包括用 Terraform、AWS CloudFormation、Ansible 等 IaC 工具配置算力、存储、GPU/TPU 等资源。基础设施通常用 Docker 容器化，Kubernetes 编排，实现分布式环境下的部署、扩展与监控。

DevOps 工程师设计并实现适配 ML 工作流的 CI/CD 流水线，自动化模型重训练、测试与部署。Jenkins、GitHub Actions、GitLab CI 触发模型流程，MLflow、Kubeflow 支持实验追踪、模型注册与工件版本管理。流水线代码化减少人工、提升复现性、加速迭代。

监控同样关键，DevOps 工程师配置遥测系统采集模型与基础设施性能指标。Prometheus、Grafana、ELK[435]（Elasticsearch、Logstash、Kibana）等工具用于仪表盘、阈值与告警。

为保障合规与运维规范，DevOps 工程师还需实现基础设施配置版本管理、部署工件自动校验、模型更新审计。与 ML 工程师、数据科学家协作，实现可复现、可审计的模型部署，满足组织与监管要求。

435. **ELK 堆栈**：Elasticsearch（搜索/分析引擎）、Logstash（数据处理）、Kibana（可视化）。可日处理 TB 级日志，毫秒级检索。Netflix 用于分析每日 10 亿 + 事件，实时识别异常。

如金融应用，DevOps 工程师用 Terraform 配置 AWS 上的 Kubernetes 集群，支持训练与推理。基础设施代码与应用仓库协同版本管理，Jenkins 自动部署 MLflow 注册模型，Prometheus + Grafana 实时监控 API 延迟、资源使用与容器健康。

通过抽象与自动化 ML 工作流底层基础设施，DevOps 工程师实现可扩展实验、健壮部署与持续监控，保障 ML 系统在生产约束下可靠运行，最小人工干预、最大运维效率。下例为用 Terraform 配置 GCP GPU 虚拟机（简化）：

```
# Terraform 配置：GCP GPU 实例
resource "google_compute_instance" "ml_node" {
  name         = "ml-gpu-node"
  machine_type = "n1-standard-8"
  zone         = "us-central1-a"

  boot_disk {
    initialize_params {
      image = "debian-cloud/debian-11"
    }
  }

  guest_accelerator {
    type  = "nvidia-tesla-t4"
    count = 1
  }

  metadata_startup_script = <<-EOF
    sudo apt-get update
    sudo apt-get install -y docker.io
    sudo docker run --gpus all -p 8501:8501 tensorflow/serving
  EOF

  tags = ["ml-serving"]
}
```

项目经理　项目经理在 ML 系统交付中负责协调活动、资源与进度。虽不直接开发模型或写代码，但项目经理对齐跨学科团队、跟踪目标进展、保障 MLOps 项目按时按范围完成至关重要。其工作促进数据科学家、工程师、产品与基础设施团队协作，将业务目标转化为可执行技术方案。

项目初期，项目经理与组织利益相关者定义目标、成功指标与约束，包括明确 ML 系统的业务目标、关键交付物、时间预估与性能基线。这些定义为资源分配、任务规划与风险评估奠定基础。

项目启动后，项目经理需制定并维护详细执行计划，涵盖数据采集、模型开发、基础设施配置、部署与监控等阶段。识别并管理任务依赖，保障各角色顺利交接，里程碑与检

查点用于评估进展并动态调整计划。

执行过程中，项目经理促进团队协作，组织会议、跟踪交付、解决阻碍、必要时升级问题。维护文档、进度报告与状态更新，提升组织可见性，确保所有利益相关者及时了解项目进展。沟通是核心，减少误解、明确技术与业务预期。

除进度与协调外，项目经理还需管理预算与资源，如评估云成本、协调算力资源、分配人员。通过兼顾技术与组织视角，项目经理帮助技术执行与战略目标对齐。

如客户流失预测项目，项目经理协调数据工程师定义数据需求，数据科学家原型与评估模型，ML 工程师打包与部署，DevOps 工程师配置基础设施与监控。项目经理跟踪数据流水线、基线模型、预发布部署、上线监控等阶段，动态调整计划应对挑战。

通过跨角色协作与复杂性管理，项目经理保障 MLOps 团队交付技术健壮且与组织目标一致的系统。其贡献使 ML 运维不仅可行，还可复用、可问责、高效。下例为项目里程碑 JSON 结构（简化）：

```
{
    "project": "Churn Prediction",
    "milestones": [
        {
            "name": "Data Pipeline Ready",
            "due": "2025-05-01",
            "status": "Complete"
        },
        {
            "name": "Model Baseline",
            "due": "2025-05-10",
            "status": "In Progress"
        },
        {
            "name": "Staging Deployment",
            "due": "2025-05-15",
            "status": "Pending"
        },
        {
            "name": "Production Launch",
            "due": "2025-05-25",
            "status": "Pending"
        }
    ],
    "risks": [
        {
            "issue": "Delayed cloud quota",
            "mitigation": "Request early from infra team"
        }
    ]
}
```

负责任 AI 负责人 负责任 AI 负责人确保 ML 系统在透明、公平、可问责、合规的伦理与法规标准下运行。随着 ML 深入医疗、金融、教育等社会影响领域，系统治理需求日益突出。该角色反映了技术性能之外，ML 系统还需对社会价值负责的共识。

模型开发阶段，负责任 AI 负责人推动可解释性与透明性实践，与数据科学家、ML 工程师协作，评估特征贡献、群体影响，结构化文档模型行为。事后解释方法（如归因技术）常与该角色协作审查，支持下游问责。

公平性评估是另一核心职责。与利益相关者定义公平标准，审计模型输出在不同人群间的表现差异，指导重加权、重标注、约束优化等干预措施。此类评估常集成进模型验证流水线，确保上线前系统性执行。

上线后，负责任 AI 负责人监控漂移、偏见放大与异常行为，主导模型卡、数据集说明书等文档，提升透明与可复现性。受监管行业需与法务、合规团队协作，满足审计要求，确保模型持续符合法规。

如招聘推荐系统，负责任 AI 负责人可主导性别、种族间输出对比审计，指导团队调整训练流水线，减少差异同时保持准确率，并确保决策理由可供技术与非技术利益相关者审查。

下例为用 Aequitas 审计模型群体公平性的代码（简化）：

```
# Aequitas 公平性审计：性别差异
from aequitas.group import Group
from aequitas.bias import Bias

g = Group().get_crosstabs(df)
b = Bias().get_disparity_predefined_groups(
    g,
    original_df=df,
    ref_groups_dict={"gender": "male"},
    alpha=0.05,
    mask_significant=True,
)
print(
    b[
        [
            "attribute_name",
            "attribute_value",
            "disparity",
            "statistical_parity",
        ]
    ]
)
```

安全与隐私工程师 安全与隐私工程师负责防护 ML 系统免受对抗威胁与隐私风险。随着 ML 系统依赖敏感数据并部署于高风险场景，安全与隐私成为系统可靠性的核心。该角色兼具传统安全工程与 ML 特有威胁模型专长，保障系统抗攻击、符合法规。

数据层面，安全与隐私工程师推动访问控制、加密、训练与推理数据安全处理。与数据工程师协作，应用数据匿名化、安全聚合、差分隐私等技术，尤其在处理个人或专有数据时，降低泄露风险同时保留训练效用。

建模阶段，建议采用提升对抗鲁棒性的技术，如检测训练时投毒攻击、缓解模型反演/成员推断风险、评估对抗样本易感性。协助设计兼顾性能与安全的模型架构与训练策略。

部署阶段，实施模型保护措施，包括端点加固、API 限流、访问日志。对外暴露模型时，部署异常访问检测，防范参数/数据提取攻击。

如医疗诊断系统，安全与隐私工程师可在训练中应用差分隐私，推理接口严格访问控制，验证解释不会泄露敏感信息，并监控上线后潜在滥用。

下例为用 TensorFlow Privacy 实现差分隐私训练（简化）：

```
# TensorFlow Privacy 差分隐私训练
import tensorflow as tf
from tensorflow_privacy.privacy.optimizers.dp_optimizer_keras import (
    DPKerasAdamOptimizer,
)

model = tf.keras.Sequential(
    [
        tf.keras.layers.Dense(
            64, activation="relu", input_shape=(100,)
        ),
        tf.keras.layers.Dense(10, activation="softmax"),
    ]
)
optimizer = DPKerasAdamOptimizer(
    l2_norm_clip=1.0,
    noise_multiplier=1.1,
    num_microbatches=256,
    learning_rate=0.001,
)
model.compile(
    optimizer=optimizer,
    loss="categorical_crossentropy",
    metrics=["accuracy"],
)
model.fit(train_data, train_labels, epochs=10, batch_size=256)
```

角色协作与交接

尽管 MLOps 各角色分工明确，ML 系统的成功部署与运维依赖于跨职能无缝协作。ML 工作流本质上高度互依，数据采集、模型开发、系统集成与运维监控间存在关键交接点。理解这些交汇对设计高效、韧性的流程至关重要。

最早且最关键的交接点在数据工程师与数据科学家之间。前者构建与维护数据采集、转换流水线，后者依赖这些流水线获取结构化、文档化数据用于分析与建模。此阶段若模式变更未文档化、特征定义不一致，易导致下游模型质量或可复现性问题。

模型开发完成后，交接给 ML 工程师需将研究工件转化为生产组件。ML 工程师需理解模型假设与需求，实现合适接口、优化运行性能、集成进应用生态。此环节常需多轮迭代，尤其是实验环境模型需适配生产延迟、吞吐、资源约束时。

模型部署阶段，DevOps 工程师负责基础设施配置、CI/CD 流水线管理与监控系统集成。与 ML 工程师协作，保障模型部署自动化、可复现、可观测。与数据科学家协作，定义告警与阈值，指导性能监控与重训练决策。

项目经理则在这些技术领域间提供组织粘合剂，确保交接点预判、角色定义清晰、依赖主动管理。通过文档化假设、跟踪里程碑、促进团队沟通，减少摩擦，实现敏捷且可问责的迭代。

如实时推荐系统，数据工程师维护数据采集与特征库，数据科学家用历史点击流迭代模型架构，ML 工程师将模型部署为容器化微服务[436]，DevOps 工程师监控推理延迟与可用性。

各角色贡献于不同系统层，但整体功能依赖生命周期各阶段的可靠交接。这些角色互动说明 MLOps 并非离散任务集合，而是持续协作过程（见图 9）。设计清晰交接、共享工具、明确定义接口，是保障 ML 系统可演化、可扩展、可靠运行的关键。

角色演化与专业化

随着 ML 系统成熟、组织规模化采纳 MLOps，角色结构与专业化也在演变。早期环境下，个人常身兼多职，如数据科学家兼做数据流水线或模型部署。系统复杂度提升、团队扩展后，职责趋于细分，催生新角色与更结构化的组织模式。

新趋势之一是组建专门的 ML 平台团队，聚焦构建支撑多项目的共享基础设施与工具，将数据版本、模型训练编排、CI/CD 集成等通用工作流抽象为可复用组件或内部平台，减少重复劳动，加速开发。

436. **ML 微服务**：每个 ML 模型作为独立、松耦合服务运行，拥有独立数据库与部署生命周期。Netflix 运营 700+ 微服务，其中 100+ 用于推荐，支持独立扩展与快速实验。

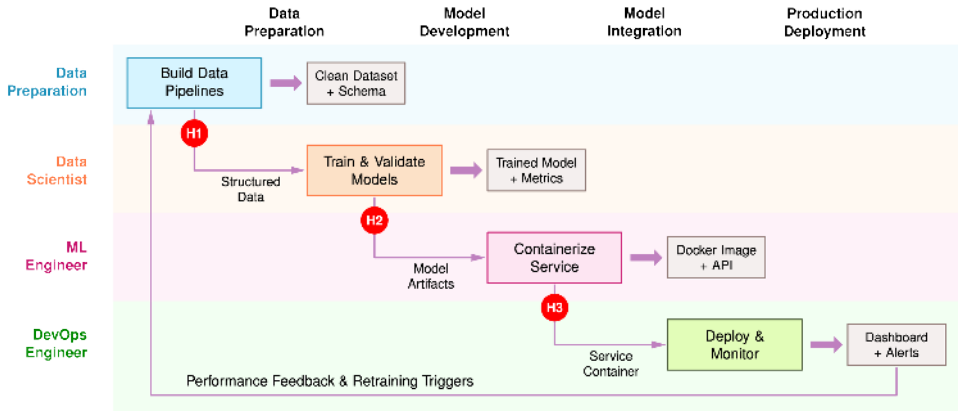

MLOps 角色交接工作流：ML 工作流需系统化角色交接，每个角色产出特定工件，成为下游输入。关键交接点（H1-H3）是需要清晰接口、共识与文档化需求的协作时刻。反馈回路基于生产性能数据实现持续改进。

同时，出现了跨界混合角色，如全栈 ML 工程师兼具建模、软件工程与基础设施能力，独立负责模型端到端部署。ML 赋能岗位（如 MLOps 工程师、应用 ML 专家）专注于推广最佳实践、集成工具、规模化工作流，适合团队多样、ML 成熟度不一的组织。

MLOps 团队结构还受组织规模、行业、合规要求影响。小型组织/初创团队多为精干跨职能，协作紧密、流程灵活。大型企业则正式化角色，引入治理框架，管理合规、数据安全与模型风险。高监管行业（金融、医疗、国防）需专门角色负责验证、审计、文档，满足外部报告义务。

如表 5 所示，角色边界并非刚性。高效 MLOps 依赖共享理解、文档与工具，促进跨团队沟通与协作。鼓励跨学科流动性，如数据科学家理解部署流程、DevOps 工程师解读模型监控指标，提升组织敏捷性与韧性。

角色	关键交集	演化模式与专业化方向
数据工程师	与数据科学家定义特征与流水线	向实时数据系统、特征库平台扩展
数据科学家	依赖数据工程师清洗输入，协作 ML 工程师	扩展至模型验证、可解释性、伦理考量
ML 工程师	接收数据科学家模型，协作 DevOps 部署监控	向平台工程、全栈 ML 角色转型

角色	关键交集	演化模式与专业化方向
DevOps 工程师	支持 ML 工程师基础设施、CI/CD、可观测性	向 MLOps 平台、集成治理与安全工具演化
项目经理	跨所有角色协调、进度与沟通	随系统扩展专注于 ML 产品管理
负责任 AI 负责人	与数据科学家、PM 协作评估公平合规	系统受监管或公众关注时角色凸显
安全与隐私工程师	与 DevOps、ML 工程师协作保障数据与模型接口安全	随隐私法规（如 GDPR、HIPAA）应用于 ML 工作流而正式化

随着机器学习日益成为现代软件系统核心，角色将持续适应新工具、方法与架构。认识到职责的动态性，有助于团队高效分配资源、设计可适应工作流、促进协作，实现生产级 ML 的持续成功。

上述专业角色与跨职能协作模式并非孤立演化，而是与 ML 系统的技术与组织成熟度协同发展。理解角色、基础设施与运维实践的共演，为设计可持续的 MLOps 实施方案提供了关键背景。

系统设计与成熟度框架

在前文基础设施组件、生产运维和组织角色的基础上，本节将探讨这些要素如何集成为有机的运维系统。机器学习系统并非孤立运行，其有效性不仅取决于底层模型的质量，更依赖于支撑其运行的组织与技术流程的成熟度。本节将分析运维成熟度如何塑造系统架构，并提供设计 MLOps 实施方案的框架，以应对本章开头提出的运维挑战。运维成熟度指的是 ML 工作流的自动化、可复现、可监控程度，以及与更广泛工程和治理实践的对齐程度。早期项目可能依赖临时脚本和手工操作，而生产级系统则需要有意识的架构选择，以支持长期的可持续性、可靠性和适应性。本节将分析不同成熟度水平如何影响系统架构、基础设施设计和组织结构，为理解更广泛的 MLOps 生态提供视角。

运维成熟度

机器学习的运维成熟度，指的是一个组织能否以可重复、可扩展的方式可靠开发、部署和管理 ML 系统。与单个模型或算法的成熟度不同，运维成熟度反映的是系统能力：团队或组织如何将基础设施、自动化、监控、治理和协作集成进 ML 生命周期。

低成熟度环境通常依赖手工工作流、松散耦合的组件和临时实验。虽然适合早期研究或低风险应用，但这类系统往往脆弱、难以复现，对数据或代码变更极为敏感。随着 ML 系统规模化部署，这些局限很快成为持续性能、信任和问责的障碍。

相反，高成熟度环境实现了模块化、版本化和自动化的工作流，使模型能够在受控、可观测的环境下开发、验证和部署。数据血缘在各环节得到保留，模型行为持续被监控和评估，基础设施以代码方式配置和管理。这些实践降低了运维摩擦，加快了迭代速度，并支持生产环境下的稳健决策。

运维成熟度不仅仅是工具采用的问题。虽然 CI/CD 流水线、模型注册表和可观测性平台等技术很重要，但成熟度的核心在于系统集成与协作：数据工程师、数据科学家和运维团队如何通过共享接口、标准化工作流和自动化交接协同工作。正是这种集成，使成熟的 ML 系统区别于一堆松散连接的工件。

成熟度分级

虽然运维成熟度是连续体，但区分几个主要阶段有助于理解 ML 系统如何从研究原型演进为生产级基础设施。这些阶段不是严格分类，而是反映组织逐步采纳支持可靠性、可扩展性和可观测性的实践。

最低成熟度阶段，ML 工作流为临时拼凑：实验手工运行，模型在本地机器训练，部署靠手写脚本或人工干预。数据流水线可能脆弱或无文档，难以追溯上线模型的生成过程。此类环境适合原型开发，但不适合持续维护或团队协作。

随着成熟度提升，工作流变得更结构化、可复现。团队开始采用版本控制、自动化训练流水线和集中模型存储。引入监控和测试框架，重训练流程更系统化。此阶段系统可支持有限规模和迭代，但仍高度依赖人工协调。

最高成熟度阶段，ML 系统与基础设施即代码、持续交付流水线和自动化监控深度集成。数据血缘、特征复用和模型验证被编码进开发流程。治理贯穿系统全流程，实现可追溯、可审计和策略强制。这些环境支持大规模部署、快速实验和对数据及系统变化的自适应。

下表（表 6）总结了这一演进过程，强调架构内聚与生命周期集成，而非工具选择，为可扩展、可维护的学习系统设计提供指导。

成熟度水平	系统特征	典型结果
临时拼凑	手工数据处理、本地训练、无版本控制、责任不清	工作流脆弱，难以复现或调试
可复现	自动化训练流水线、基础 CI/CD、集中模型存储、部分监控	可复现性提升，扩展性有限
可扩展	全自动化工作流、集成可观测性、基础设施即代码、治理机制	高可靠性、快速迭代、生产级 ML

这些成熟度分级为评估 ML 运维提供了系统视角，关注系统对完整 ML 生命周期的支持程度，而非具体工具。理解这一演进，有助于识别设计瓶颈，优先投资于长期可持续性的能力建设。

系统设计影响

随着机器学习运维成熟度提升，底层系统架构也随之演化。运维成熟度不仅是组织问题，更直接影响 ML 系统的结构、部署与维护方式。每一成熟度阶段都对模块化、自动化、监控和容错提出新要求，从技术和流程两方面塑造设计空间。

低成熟度环境下，ML 系统常由单体脚本和紧耦合组件构成。数据处理逻辑直接嵌入模型代码，配置管理随意。这类架构虽便于快速实验，但缺乏可维护性、版本控制和安全迭代所需的关注点分离。结果是团队频繁遇到回归、静默失效和环境间性能不一致。

成熟度提升后，开始出现模块化抽象。特征工程与模型逻辑解耦，流水线声明式定义，系统边界通过 API 和编排框架强制。这样支持可复现性，便于多团队/多应用协作开发。基础设施通过配置文件可编程，模型工件通过标准化部署阶段推进。架构规范让系统即使在需求变化或数据分布变动时也能可预测演化。

高成熟度下，ML 系统具备生产级软件常见特性：无状态服务、契约驱动接口、环境隔离、可观测执行。特征库、模型注册表、基础设施即代码等模式成为基础。系统行为不再依赖静态假设，而是实时监控并按需自适应，支持反馈驱动开发和数据、模型、基础设施的协同演化。

每种情况下，运维成熟度都是架构驱动力：决定如何管理复杂性、吸收变化，以及系统

在服务可用性威胁下如何扩展（见图 10）。忽视这些约束的设计，理想条件下或许可行，但在延迟、漂移、故障或合规审计等现实压力下易失效。理解成熟度与设计的关系，是构建长期可靠 ML 系统的基础。

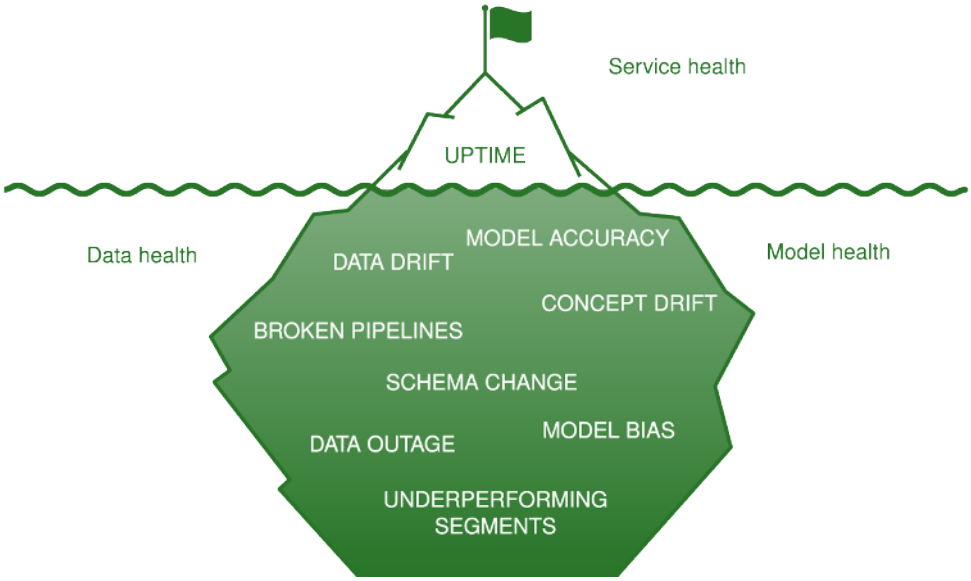

ML 服务可用性依赖栈：健壮的 ML 服务可用性依赖于对从基础设施到模型性能的多层组件的监控，反映出现代软件系统的复杂性。运维成熟度要求对整个栈进行观测，主动应对潜在故障，保障在多变条件下的服务水平。

设计模式与反模式

构建和维护 ML 系统的团队结构，对运维结果有重大影响。随着系统复杂度和规模提升，组织模式需反映数据、建模、基础设施和治理的相互依赖。虽然没有唯一理想结构，但某些模式能持续支撑运维成熟度，而另一些则会阻碍。

成熟环境下，组织设计强调清晰的责任归属、跨职能协作和角色间接口规范。例如，平台团队负责共享基础设施、工具和 CI/CD 流水线，领域团队专注模型开发和业务对齐。关注点分离促进复用、标准化和并行开发。团队间接口（如特征定义、数据模式、部署目标）明确定义并版本化，减少摩擦和歧义。

一种有效模式是组建集中式 MLOps 团队，为多个模型开发组提供共享服务。该团队维护模型训练、验证、部署和监控工具，作为内部平台提供者。这种结构提升一致性，减少重复劳动，加快新项目落地。也有组织采用联邦模式，将 MLOps 工程师嵌入产品团队，同时保留中心架构指导系统集成。

反模式常见于责任分散或对齐不清。常见失败如“工具优先” —— 团队先上工具再定义流程和角色，导致流水线脆弱、交接不清、重复劳动。另一个反模式是孤岛实验，数据科学家与生产工程师隔离，模型难以部署、监控或重训练。

组织漂移也是隐性挑战。团队扩展后，未文档化的工作流和非正式约定固化，协调成本上升，透明度下降。若缺乏系统设计和流程复盘，即使原本有效的结构也会积累技术和组织债务。

最终，组织成熟度需与系统复杂性协同演化。团队需建立沟通模式、角色定义和问责结构，强化模块化、自动化和可观测性原则。ML 运维卓越不仅是技术能力，更是跨人机边界的系统性思维产物。

上述组织模式需技术架构支撑，以应对 ML 系统独有的可靠性挑战。MLOps 继承了分布式系统的许多可靠性难题，并因学习组件而更复杂。传统可靠性模式需适配 ML 系统的概率性和动态行为。

断路器模式需考虑模型特有失效，如预测准确率下降与服务可用性失效的阈值不同。舱壁模式在隔离实验模型与生产流量时尤为关键，需资源分区防止单一模型资源耗尽影响其他模型。拜占庭容错问题在 MLOps 环境下表现为模型输出“看似合理但实际错误”，而非显性故障。

传统共识算法关注节点正确性一致，ML 系统则需在真值延迟或不可用时对模型正确性达成共识。这需要概率性协议，结合分布式学习技术，在不确定性下聚合模型决策，同时应对漂移或对抗输入。这些可靠性模式为区分健壮与脆弱 MLOps 实现的运维实践奠定理论基础。

MLOps 的情境化

ML 系统的运维成熟度不是抽象理想，而是在具体的物理、组织和监管约束下实现的。前文已阐述成熟 MLOps 的最佳实践（如 CI/CD、监控、基础设施配置、治理），但现实中很少有无约束的理想环境。每个 ML 系统都在特定情境下运行，这决定了 MLOps 工作流的实现、优先级和适配方式。

系统约束可能来自模型部署的物理环境，如算力、内存或功耗限制。这在边缘和嵌入式系统中尤为常见，模型需在严格延迟和资源约束下运行。连接性限制（如网络间歇或带宽受限）进一步复杂化模型更新、监控和遥测采集。在高保障领域（医疗、金融、工业控制），治理、可追溯性和安全性优先于吞吐或延迟。这些因素不仅影响系统性能，还决定了 MLOps 流水线的设计与维护方式。

例如，标准的重训练与部署 CI/CD 流水线在无法直接访问模型主机的环境下不可行。此时需采用 OTA（空中）更新等替代机制，兼顾可靠性、回滚和异构设备兼容性。同样，假设能完全观测运行时行为的监控实践，需用间接信号、粗粒度遥测或设备端异常检测重新设计。即便是采集训练数据，也可能受隐私、存储或法律限制。

这些适配不是对成熟度的偏离，而是受约束下的成熟表现。优秀的 ML 系统会考虑其运

行环境的现实，并据此调整运维实践。这正是 MLOps 的系统思维：在应用通用原则的同时，针对具体性进行设计。

后续章节将深入探讨这些情境因素，包括设备端学习、隐私保护、安全与鲁棒性、可持续性等。每一项不仅是技术挑战，更是重塑大规模 ML 工程实践的系统约束。理解情境下的 MLOps 是构建现实世界可用、可信、有效 ML 系统的基础。

未来运维展望

如本章所示，ML 系统的部署与维护远不止模型层面的技术正确性，更需要架构一致性、组织协同和运维成熟度。从临时实验到可扩展、可审计系统的演进，反映了更广泛的转变：机器学习已不再局限于研究环境，而是生产基础设施的核心组成。

理解 ML 系统的成熟度，有助于明确将面临的挑战及所需投入。早期系统受益于流程规范和模块化抽象；成熟系统则需自动化、治理和弹性。每一阶段的设计选择都会影响实验速度、模型稳健性和需求演化的集成能力 —— 无论是技术、组织还是合规层面。

这种系统化的 MLOps 视角也为本书后续章节奠定基础。后续关于边缘计算（第 14 章：设备端学习）、对抗鲁棒性（第 16 章：稳健 AI）、隐私保护部署（第 15 章：安全与隐私）的专题，都需要对本章奠定的 MLOps 基础原则进行适配。这些主题不仅仅是模型性能的延伸，更是运维成熟度直接决定可行性、安全性和长期价值的领域。

因此，运维成熟度不是 ML 系统生命周期的终点，而是构建生产级、负责任、可自适应系统的基石。接下来的章节将探讨在特定领域约束下如何打造此类系统，进一步拓展大规模 ML 工程的内涵。

企业级 ML 系统

在最高运维成熟度下，部分组织已实现所谓的 AI 工厂，即专为大规模 AI 生命周期管理而设计的专用计算基础设施。这是前述可扩展成熟度的逻辑延伸，将全自动化工作流、集成可观测性和基础设施即代码原则应用于智能制造，而非传统软件交付。

AI 工厂的出现源于组织需优化的不仅是单个模型部署，而是支持多模型并发、多样推理模式和持续高负载的完整 AI 生产流水线。驱动这一演进的算力需求包括训练后扩展（如针对特定应用的微调推理阶段算力远超初始训练）和测试时扩展（如高级 AI 应用的迭代推理消耗远超传统模式）。与为通用计算设计的数据中心不同，这些系统专为 AI 工作负载架构，强调推理性能、能效和大规模数据转智能能力。

AI 工厂的运维挑战进一步扩展了本章讨论的原则。它们需在异构负载间实现复杂资源分配，系统级可观测性需关联多模型性能，容错机制需应对 AI 系统间的级联故障。这些系统不仅仅是传统 MLOps 部署的放大版，而是管理 AI 基础设施的全新范式，随着 AI

成为组织战略与价值创造核心，或将影响整个领域的演进。

投资与回报

尽管 MLOps 的运维收益显著，实现成熟 MLOps 需在基础设施、工具和专业人才上投入大量资源。理解成本与预期回报，有助于组织做出明智的 MLOps 采纳与成熟度提升决策。

构建成熟 MLOps 平台通常是企业级部署的多年、数百万美元投资。需投入特征库、模型注册表、编排平台、监控系统等专用基础设施，并组建涵盖数据工程、ML、DevOps 的平台团队，这些岗位在市场上薪资极高。全面 MLOps 基础设施的初始投入，按规模和复杂度每年约 50 万至 500 万美元。

但考虑到成熟 MLOps 带来的运维改进，投资回报极具吸引力。成熟 MLOps 实践可将模型部署周期从数月缩短到数天或数周，大幅加快 ML 产品和功能的上市速度。生产模型失效率从临时环境的约 80% 降至成熟 MLOps 的 20% 以下，减少昂贵的调试周期，提高系统可靠性。更重要的是，成熟平台支持同时管理数百乃至上千模型，形成规模经济，充分证明基础设施投资的合理性。

ROI 还体现在运维开销降低和团队生产力提升。自动重训练流水线消除模型更新的人工操作，标准化部署流程减少每次上线所需的专门知识。特征复用防止重复开发，系统化监控减少性能诊断时间。组织普遍报告，全面 MLOps 平台实施后数据科学团队生产力提升 30-50%，团队可专注于模型开发而非运维琐事。

> **投资时间线与考量**
>
> **第 1 年**：基础建设，完成基础 CI/CD、监控和容器化（投资 100-200 万美元）
>
> - 重点通过基础自动化预防最昂贵的故障
> - 预期回报：失效率降低，调试周期缩短
>
> **第 2-3 年**：平台成熟，集成自动重训练、高级监控、特征库（追加投资 200-300 万美元）
>
> - 支持数十模型并发扩展
> - 预期回报：生产力大幅提升，部署速度加快
>
> **第 3 年及以后**：针对领域需求优化与专精（年维护 50-100 万美元）

- 平台支持数百模型，边际运维成本极低
- 预期回报：规模经济，ML 能力带来竞争优势

MLOps 的战略价值远超运维效率，是实现组织级能力的基础设施。成熟平台支持快速实验、受控 A/B 测试和实时自适应，带来的竞争优势远超初始投资。组织应将 MLOps 视为持续创新的基础设施，而非单纯的运维必需品。

在建立了从运维挑战到基础设施、生产运维、组织角色、成熟度模型的理论框架后，接下来将通过案例分析展示这些原则如何在实际中落地，既体现 MLOps 概念的普适性，也展现其领域适配性。

案例分析

本章探讨的运维设计原则、技术债务模式与成熟度框架，在真实系统中得到了实践验证。以下案例明确展示了前文识别的运维挑战（如数据依赖债务、反馈循环）如何在生产系统中出现，以及基础设施组件、监控策略和跨职能角色如何协同应对。

我们选取了两个代表性案例，分别对应不同部署场景，需在保持自动化流水线、跨职能协作和持续监控等核心原则的同时，针对领域需求对标准 MLOps 实践进行适配。Oura Ring 案例展示了流水线债务和配置管理在资源受限边缘环境下的挑战，传统 MLOps 基础设施需为嵌入式系统做出调整。ClinAIOps 案例则展现了反馈循环和治理需求如何驱动医疗领域的专用运维框架，人机协作和合规要求重塑了标准 MLOps 实践。

通过这些案例，我们追踪了理论框架与实际实现的具体联系。每个案例都展示了组织如何应对本章开头讨论的运维挑战，并落地中段详述的基础设施与生产运维。案例还说明了角色专业化和运维成熟度如何直接影响系统设计选择和长期可持续性。

Oura Ring 案例

Oura Ring 是消费级可穿戴设备中嵌入式 ML 运维实践的典型代表，需在严格资源约束下实现高精度健康洞察。本案例展示了系统化数据采集、模型开发与部署实践如何支撑嵌入式 ML 系统。我们将分析开发背景与动因、数据采集与预处理挑战、模型开发方法，以及资源受限环境下的部署考量。

背景与动因 Oura Ring 是一款消费级可穿戴设备，通过嵌入式传感与计算监测睡眠、活动和生理恢复。设备通过测量运动、心率、体温等信号，估算睡眠阶段并为用户提供个性化反馈。与传统云端系统不同，Oura Ring 的大部分数据处理与推理在设备本地完成，是嵌入式 ML 生产实践的典型案例。

开发团队的核心目标是提升设备对睡眠阶段的分类准确率，使其预测更接近多导睡眠监测（PSG）[437] 这一临床金标准。初步评估显示，Oura Ring 预测与 PSG 标签的相关性为 62%，而专家人工评分间相关性为 82-83%。这一差距既显示了模型的潜力，也暴露了局限，促使团队重新评估数据采集、预处理和模型开发流程。该案例凸显了嵌入式系统下健全 MLOps 实践的重要性。

数据采集与预处理 为突破初始模型的性能瓶颈，Oura 团队聚焦于构建以临床标准为基础的多样化高质量数据集。他们设计了一项涵盖亚洲、欧洲、北美三大洲 106 名参与者的大型睡眠研究，涵盖年龄、性别、生活方式等广泛人口特征。每位参与者佩戴 Oura Ring 并同步接受 PSG 检查，获得高保真标签数据，将可穿戴传感数据与临床验证注释对齐。

该研究共采集 440 晚、3400 小时的同步记录，既覆盖了生理多样性，也捕捉了环境和行为因素的变化，对模型泛化至真实用户群至关重要。

为管理如此大规模数据集的复杂性，团队实现了自动化数据流水线，完成采集、清洗与预处理。包括心率、运动、体温等生理信号的提取与校验，均通过结构化工作流完成。借助 Edge Impulse 平台 [438]，整合多源原始输入，解决时序对齐，结构化数据以供下游建模。这些工作流解决了前文提到的数据依赖债务问题。通过健全的版本管理与血缘追踪，团队避免了嵌入式 ML 系统常见的不稳定数据依赖。流水线自动化也缓解了流水线债务，确保数据处理在系统扩展到不同硬件和用户群时依然可维护。

模型开发与评估

有了高质量、临床标注数据集，Oura 团队进入模型开发与评估阶段，目标是在保证推理效率和可解释性的前提下提升预测准确率。团队未采用服务器级复杂架构，而是选择能在戒指有限内存和算力下运行的模型。

探索了两种模型配置：一是仅用加速度计数据，极致轻量，适合低能耗、低延迟推理；二是引入心率变异性和体温等生理输入，捕捉自主神经活动和昼夜节律，更好反映睡眠阶段变化。

团队采用五折交叉验证 [439]，以 PSG 注释为基准评估模型。通过超参调优和特征优化，

437. **多导睡眠监测（PSG）**：通过同时记录脑电、眼动、肌电、心律、呼吸和血氧等多参数进行睡眠研究。1936 年由 Alrick Hertzman 首创，后由哈佛和芝加哥大学等完善。现代睡眠中心每年在美国开展 280 万次 PSG 检查，每次费用 1000-3000 美元，需 6-8 小时监测。

438. **Edge Impulse 平台**：2019 年由 Jan Jongboom 和 Zach Shelby（前 ARM 高管）创立的边缘设备 ML 开发平台，支持数据采集、模型训练与部署，自动模型压缩可达 100 倍，70,000+ 开发者、80+ 硬件目标。

439. **五折交叉验证**：将数据分为 5 份，轮流用 4 份训练、1 份测试，循环 5 次，平均结果。源自 1930 年代统计重抽样，k 折交叉验证（k=5/10）已成 ML 评估标准，能有效降低过拟合偏差。

增强模型相关性提升至 79%，较基线显著进步，接近临床标准。

性能提升不仅源于架构创新，更得益于 MLOps 方法论下的数据采集、可复现训练流水线和规范评估实践。对超参和特征配置的系统管理，有效避免了配置债务。通过结构化文档和参数版本控制，团队避免了嵌入式 ML 部署常见的配置碎片化。数据科学家（设计模型）、ML 工程师（嵌入式优化）、DevOps 工程师（部署流水线）紧密协作，体现了前文讨论的角色专业化。

部署与迭代

模型验证后，Oura 团队将训练好的模型部署到戒指的嵌入式硬件。部署需严格适配内存、算力和功耗约束。轻量模型（仅加速度计输入）特别适合本地实时推理，低延迟、低能耗。复杂模型（含心率变异性、体温）则按需部署于资源允许场景，提升预测精度。

为实现可靠、可扩展部署，团队开发了模块化工具链，将训练模型转为嵌入式可执行的优化格式，包括量化、剪枝等模型压缩技术，既减小体积又保留精度。模型与预处理逻辑打包，通过 OTA（空中）[440] 机制分发，保障设备一致性。

部署流水线内置观测能力，支持上线后性能监控。

这一阶段体现了嵌入式系统下的 MLOps 关键实践：资源感知模型打包、OTA 部署基础设施和持续性能监控。强调为适应和迭代而设计系统，确保 ML 模型在真实环境下持续准确可靠。

关键运维洞见

Oura Ring 案例展示了前文运维挑战在边缘环境下的具体表现，以及系统化工程实践如何应对。团队通过模块化分层架构、组件间清晰接口，避免了“流水线丛林”问题，并通过标准化部署模式实现准确率与效率的运行时权衡。准确率从 62% 提升至临床级，依赖于数据采集协议、模型架构和部署目标的系统化配置管理，结构化版本控制保障了实验可复现，防止了嵌入式 ML 常见的配置碎片化。大规模 PSG 睡眠研究建立了稳定、可验证的数据基础，高质量标注和标准化采集协议避免了可穿戴设备常见的不稳定依赖。成功源于数据工程师、ML 研究员、嵌入式开发和运维人员的协同，体现了管理复杂 ML 系统所需的组织成熟度。

该案例说明了 MLOps 原则如何在领域约束下适配，同时保持工程严谨性。而当 ML 系统进入临床应用，运维复杂性进一步提升，需要应对合规、患者安全和临床决策等新挑战。

440. **OTA 更新**：无线远程软件部署技术，90 年代起用于移动网络，现为 IoT/边缘设备关键能力。特斯拉每次 OTA 可推送 2GB+ 更新，手机厂商每月为数十亿设备推送安全补丁。ML 模型 OTA 可用差分压缩将更新包缩小 80-95%。

ClinAIOps 案例

在 Oura Ring 展示嵌入式 MLOps 的基础上，医疗领域 ML 系统的部署既是重大机遇，也是超越资源约束的独特挑战。传统 MLOps 框架虽为模型开发、部署和监控提供了结构化实践，但在需要大量人工监督、领域特定评估和伦理治理的场景下往往力有未逮。医疗健康监测，尤其是连续治疗监测（CTM）[441]，正是 MLOps 必须进化以适应真实临床集成需求的领域。

CTM 利用可穿戴设备实时采集患者生理和行为数据。

但仅仅部署 ML 模型远不足以实现这些价值。AI 系统必须集成进临床工作流，符合监管要求，并设计为增强而非取代人工决策。传统 MLOps 侧重自动化流水线，难以应对医疗领域的患者安全、医生判断和伦理约束。医疗 AI 的隐私与安全问题（数据保护、合规、安全计算）将在第 15 章：安全与隐私详细讨论。

本案例介绍 ClinAIOps 框架，专为临床环境下 AI 运维而设计。Oura Ring 展示了 MLOps 如何适配资源约束，ClinAIOps 则展示了如何进化以应对监管和以人为本的需求。与传统 MLOps 不同，ClinAIOps 将前文提到的**反馈循环**挑战作为系统架构的一部分设计，而非技术债务。其在患者、医生和 AI 系统间的结构化协调，是生产运维章节治理与协作组件的实际落地。ClinAIOps 还体现了**运维成熟度**在专业领域的演化 —— 不仅需技术复杂度，还需领域适配，既保持 MLOps 原则，又满足监管和伦理约束。

要理解 ClinAIOps 为何是传统 MLOps 的必要进化，需先分析标准运维实践在临床环境下的不足：

- MLOps 主要关注模型生命周期（训练、部署、监控），而医疗需协调患者、医生、护理团队等多元人群。
- 传统 MLOps 强调自动化和系统可靠性，临床决策则依赖个性化、可解释和共担责任。
- 医疗 AI 的伦理、监管和安全影响，需超越技术监控的治理框架。
- 临床验证不仅需性能指标，还需安全性、有效性和与护理标准的一致性证据。
- 健康数据高度敏感，系统必须符合法规，传统 MLOps 框架难以完全覆盖。

因此，ClinAIOps 提供了另一种选择：在技术严谨与临床实用、运维可靠与伦理责任间平衡的 ML 医疗集成框架。下文将介绍 ClinAIOps 框架及其反馈循环，并通过高血压管理实例，展示 AI 如何有效集成进日常临床实践。

441. **连续治疗监测（CTM）**：通过可穿戴传感器实时采集生理和行为数据，实现个性化治疗调整。2022 年医疗可穿戴设备渗透率达 36.4%，2023 年全球市场规模 338.5 亿美元。CTM 应用于糖尿病自动胰岛素剂量、房颤抗凝剂调整、老年人早期运动干预等，实现从被动反应到主动个性化护理的转变。

反馈循环 ClinAIOps 框架的核心是三重反馈循环，实现 ML 在临床实践中的安全、高效、自适应集成。如图 11 所示，这些循环协调患者、医生和 AI 系统的输入，支持数据驱动决策，同时保障人工问责和临床监督。

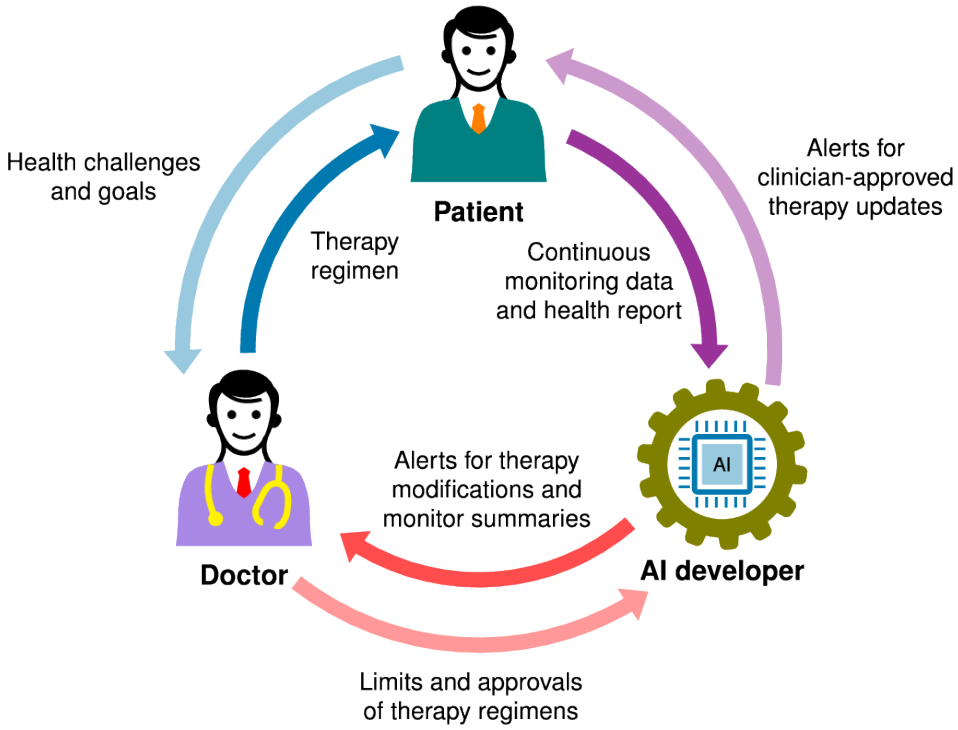

ClinAIOps 反馈循环：该循环框架协调患者、医生和 AI 系统间的数据流，支持 AI 模型基于真实世界表现和临床反馈持续改进，实现医疗应用中的信任与问责。

在该模型中，患者居于中心：贡献真实生理数据、报告结果，是优化护理的主要受益者。医生负责数据解读、临床判断和治疗调整。AI 系统持续分析信号，提供可操作洞见，并通过反馈不断优化推荐。

每个反馈循环各有分工又相互关联：

- 患者-AI 循环采集并解读实时生理数据，生成个性化治疗建议。
- 医生-AI 循环确保 AI 推荐经专业审核和修正。
- 患者 - 医生 循环支持共决策，协助设定目标和解读趋势。

三环协同实现自适应个性化护理，既校准 AI 行为以适应患者需求，又保持医生对治疗决策的控制，并通过真实反馈持续优化模型。将 AI 融入结构化互动，而非孤立工具，ClinAIOps 为医疗 AI 负责任集成提供了蓝图。

患者-AI 循环 患者-AI 循环通过可穿戴设备持续采集生理数据，实现个性化、及时的治疗优化。患者佩戴智能手表、皮肤贴片或专用生物传感器，在真实环境下被动采集健康信号。例如，糖尿病患者佩戴连续血糖监测仪，心血管患者用 ECG 可穿戴设备监测心律。

AI 系统结合患者电子病历中的诊断、化验、用药和人口学信息，实时分析数据流，生成个性化治疗建议，如调整剂量、改变用药时间或标记异常趋势。

为兼顾响应性与安全性，建议分级：在医生设定安全阈值内的微调可由患者直接执行，提升自我管理、减轻临床负担；重大调整则需医生审核。此结构既保障人工监督，又实现高频数据驱动的治疗自适应。

如自动胰岛素剂量调整，患者-AI 循环实现了感知与治疗间的闭环反馈，使动态、情境感知的护理成为可能。

医生-AI 循环 医生-AI 循环为 AI 辅助治疗决策引入关键的人为监督。AI 系统生成治疗建议，并附带简明、可解释的患者数据摘要，包括趋势、传感器指标和电子病历上下文。

如 AI 推荐降压药剂量下调，医生结合患者整体情况审核建议，可采纳、修改或拒绝，反馈反哺模型持续优化，更贴合临床实践。

医生还定义 AI 可自主建议的操作边界，仅低风险调整自动化，重大决策需人工批准。此举保障临床问责、患者安全和对 AI 流程的信任。

医生-AI 循环体现了人机协作的混合护理模式，AI 增强而非取代人工，提升算法输出的高效审核与集成。

患者 - 医生循环 患者 - 医生循环提升了临床互动质量，将重点从基础数据采集转向高阶解读与共决策。AI 负责数据聚合与趋势分析，医生可专注于与患者的深度交流：解读模式、结合生活方式设定个性化健康目标。

如糖尿病管理，医生可用 AI 汇总数据指导饮食和运动建议，针对具体血糖趋势个性化调整。随访频率可根据患者进展动态调整，确保护理响应性和效率。

该循环将医生定位为教练和顾问，通过患者偏好、生活方式和临床判断解读数据，强化治疗联盟，促进共识和长期健康。

高血压案例 以高血压管理为例，ClinAIOps 框架集成可穿戴感知、AI 推荐和医生监督，形成闭环反馈系统。可穿戴设备（PPG、ECG 传感器）实时采集心血管数据，结合行为数据和用药记录，实现自适应治疗。

以下小节将详细说明三重循环在高血压场景下的具体实现。

数据采集 ClinAIOps 高血压管理以连续、多模态生理监测为核心。腕带设备集成 PPG[442]、ECG 传感器，非侵入式估算血压，并通过加速度计捕捉活动模式，便于将血压波动与运动关联。

补充输入包括用药日志、人口学属性和电子病历。多源数据流形成丰富、时序对齐的数据集，既反映生理状态，也捕捉行为因素。

集成真实世界传感数据与纵向临床信息，为个性化、高情境感知模型开发奠定基础。

AI 模型 ClinAIOps 高血压管理的 AI 组件设计为本地或近端运行，支持近实时分析与决策。模型输入包括血压估算、昼夜节律、活动水平和用药模式，输出个性化治疗建议。

模型推断最优剂量和用药时间，微调建议可直接推送患者，重大调整则需医生审核。

模型通过反馈机制持续优化，将医生决策和患者结果纳入后续训练，逐步提升预测准确率和临床实用性。目标是实现随患者生理和行为演化的自适应血压管理。

患者-AI 循环 患者-AI 循环通过可穿戴或移动应用将 AI 建议直接推送患者。微调建议在安全范围内，患者可自主执行，实现有限自主的治疗自管理。

重大调整则交由医生审核，保障医疗问责和合规。该循环提升患者参与度和依从性，实现每日个性化反馈，闭合监测与干预的循环，同时保留患者在治疗中的主动性。

医生-AI 循环 医生-AI 循环保障医疗监督，医生接收结构化血压趋势、依从性可视化和上下文数据，支持高效审核 AI 建议。

医生对每次剂量调整建议进行评估，可采纳、修改或拒绝，并定义 AI 可自主操作的边界。系统检测到高风险趋势（如持续低血压或高血压危象）时，自动告警医生介入。

该循环体现了问责、安全和人机共治原则，确保 AI 作为辅助工具而非自主代理。

患者 - 医生循环 如图 12 所示，患者 - 医生循环强调协作、情境和连续性。医生不再将随访局限于数据采集或用药核查，而是与患者共同解读趋势，聚焦饮食、运动、睡眠、压力等可调因素，实现更全面的血压管理。

442. **光电容积描记（PPG）**：通过检测微血管组织光吸收变化测量血容量。1936 年 Alrick Hertzman 首创，后成为脉搏血氧仪基础。现代智能手表用绿光 LED 采集心率，Apple Watch 每月采集数十亿次 PPG 数据。

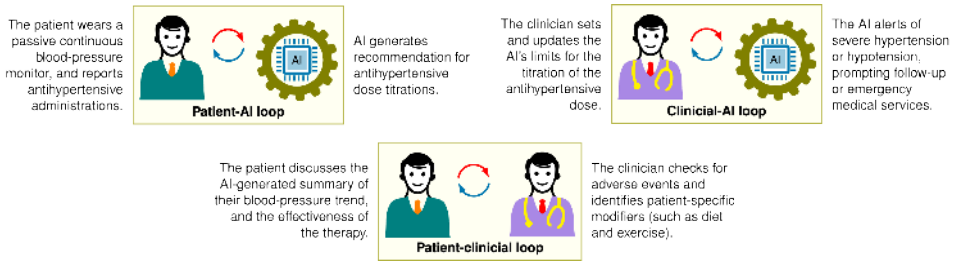

患者 - 医生互动：连续监测数据为患者与医生的协作讨论提供依据，将重点从数据采集转向可操作洞见，促进生活方式调整和健康管理。该循环强调患者参与和情境理解，推动个性化护理超越传统随访。

连续数据支持按需灵活安排随访，稳定患者可减少就诊，波动患者则及时干预，提升资源效率和护理质量。

通过将常规监测和剂量调整交由 AI 辅助，医生可专注于个性化指导和干预，强化患者关系，实现共决策和长期健康。

MLOps 与 ClinAIOps 对比 高血压案例说明了传统 MLOps 在医疗等高风险领域的局限。MLOps 擅长管理模型技术生命周期（训练、部署、监控），但缺乏协调人工决策、管理临床工作流和保障伦理问责的机制。

ClinAIOps 则超越技术基础设施，支持复杂社会技术系统。模型不再是最终决策者，而是嵌入医生、患者和利益相关者共决策的更大体系。

传统 MLOps 在临床场景下的不足包括：

- **数据与反馈**：传统流水线依赖预采集数据，ClinAIOps 支持持续采集和临床反馈。
- **信任与可解释性**：MLOps 缺乏用户透明机制，ClinAIOps 保持医生监督，确保建议可执行、可信。
- **行为与动机因素**：MLOps 关注模型输出，ClinAIOps 强调患者辅导、依从性和个性化参与。
- **安全与责任**：MLOps 忽视医疗风险，ClinAIOps 保留人工问责，设定自主决策边界。
- **工作流集成**：传统系统易成孤岛，ClinAIOps 对齐各方激励，保障临床落地。

如表 7 所示，关键区别在于 ClinAIOps 如何将技术系统与人工监督、伦理原则和护理流程集成。ClinAIOps 增强而非取代医生，保持其在治疗决策中的核心地位。

	传统 MLOps	**ClinAIOps**
关注点	ML 模型开发与部署	协调人机决策
利益相关者	数据科学家、IT 工程师	患者、医生、AI 开发者
反馈循环	模型重训练、监控	患者-AI、医生-AI、患者 - 医生
目标	运维 ML 部署	优化患者健康结果
流程	自动化流水线与基础设施	集成临床工作流与监督
数据考量	构建训练数据集	隐私、伦理、健康信息保护
模型验证	性能指标测试	推荐的临床评估
实施方式	注重技术集成	对齐人类利益相关者

成功在医疗等复杂领域部署 AI，不仅需开发和运维高性能模型，更需与临床工作流、人工专长和患者需求对齐。技术性能不足以支撑落地，必须兼顾伦理监督、利益相关者协作和动态适应。

ClinAIOps 框架正面应对前文讨论的运维挑战，将反馈循环作为系统特性而非技术债务设计，三重循环创造了有益的反馈机制，在保障安全的前提下提升护理质量。AI 推荐与临床决策的结构化接口消除了隐性依赖，医生对 AI 输出保持明确控制，防止模型更新意外影响下游系统。AI 负责监控和建议，人工负责诊断和治疗，防止系统边界逐步侵蚀。框架强调合规、伦理和临床验证，系统化配置管理，避免医疗 AI 的治理债务。ClinAIOps 将 AI 融入协作型临床生态，将运维挑战转化为系统设计机遇，使 AI 成为提升健康结果的社会技术系统组成部分，同时保持生产级 ML 工程的严谨性。

常见误区与陷阱

ML 运维带来独特复杂性，区别于传统软件部署，许多团队低估了这些差异，试图直接套用传统实践。ML 系统的概率性、本质依赖数据质量和持续维护需求，带来了需专门方法和工具的运维挑战。

误区：MLOps 只是将传统 DevOps 应用于 ML 模型。

这种误解导致团队将传统软件部署实践直接套用到 ML 系统，忽视其独特性。传统软件行为确定、输入输出清晰，ML 系统则概率性强、数据依赖重、易漂移。标准 CI/CD 难以覆盖数据校验、模型性能监控或重训练触发。特征库、模型注册表、漂移检测等需专用基础设施。高效 MLOps 需针对 ML 的随机性和数据依赖性设计专门实践。

陷阱：将模型部署视为一次性事件，而非持续过程。

许多团队将模型部署视为 ML 生命周期的终点，类似软件发布。这忽视了模型随数据漂移、用户行为和业务需求变化而退化的现实。生产模型需持续监控、评估和重训练或替换。缺乏运维支持，模型会变得不可靠，结果越来越差。成功的 MLOps 将部署视为模型运维生命周期的起点。

误区：自动重训练无需人工监督即可保障最优性能。

这种观点认为自动流水线可独立完成所有模型维护。自动化对可扩展 MLOps 至关重要，但无法应对所有生产场景。自动重训练可能放大新数据中的偏见，难以发现微妙质量问题，或在不合适时机触发更新。复杂故障、合规和业务逻辑变更需人工判断和干预。高效 MLOps 平衡自动化与人工检查和干预能力。

陷阱：只关注技术基础设施，忽视组织与流程对齐。

组织常在 MLOps 工具和平台上重金投入，却忽视所需的文化和流程变革。MLOps 需数据科学家、工程师和业务方密切协作，背景、优先级和沟通风格各异。若无清晰角色、责任和沟通协议，再先进的技术基础设施也难以带来运维收益。成功的 MLOps 实施需组织转型，对齐激励、建立共享指标和跨职能协作流程。

总结

机器学习运维为本书各章节探讨的专业能力提供了系统集成的生产级框架。前文已明确关键运维需求：第 14 章：设备端学习展示了极限约束下的联邦学习与边缘适配，第 15 章：安全与隐私发展了隐私保护与安全模型服务，第 16 章：稳健 AI 提出了不可预测环境下的容错机制。本章揭示了 MLOps 如何通过系统化工程实践（数据流水线自动化、模型版本管理、基础设施编排、持续监控）将边缘学习、安全控制和鲁棒机制有机集成，实现大规模可靠协作。ML 系统工程从孤立技术方案到集成运维框架的演进，体现了其作为生产环境持续价值交付学科的成熟。

ML 系统的运维挑战横跨技术、组织和领域，需多方利益相关者和系统组件的复杂协同。数据漂移检测与模型重训练流水线需持续运行，保障系统在现实变化的性能。基础设施自动化实现多环境可复现部署，版本控制系统追踪代码、数据与模型工件的复杂关系。

监控框架需同时捕捉传统系统指标和 ML 特有指标（如预测置信度、特征分布变化、公平性指标）。这些运维能力的集成，形成健壮的反馈循环，使系统在变化中自适应，同时保持可靠性和性能保障。

> **核心要点**
>
> - MLOps 提供了集成边缘学习（第 14 章：设备端学习）、安全（第 15 章：安全与隐私）、鲁棒性（第 16 章：稳健 AI）等专业能力的系统化生产框架
> - 反馈循环、数据依赖等技术债务模式需通过特征库、版本系统和监控框架系统性工程解决
> - 基础设施组件直接应对运维挑战：CI/CD 流水线防止修正级联，模型注册表支持受控回滚，编排工具管理分布式部署
> - 生产运维需同时应对联邦边缘更新、隐私保障和对抗退化，通过统一监控与治理实现
> - ClinAIOps 等领域框架将运维挑战转化为设计机遇，说明 MLOps 如何在保持工程严谨性的同时适配专业需求

本章提出的 MLOps 框架，是本书第四部分各项专业能力的集大成。边缘学习（第 14 章：设备端学习）需 MLOps 支持分布式模型更新，安全机制（第 15 章：安全与隐私）依赖 MLOps 基础设施实现安全部署与隐私训练，鲁棒策略（第 16 章：稳健 AI）需 MLOps 监控检测分布漂移并触发应对。ML 系统从实验原型到生产服务的成熟，MLOps 是让这些专业能力可靠协作的工程学科。MLOps 实践发展出的运维卓越原则，确保 AI 系统在大规模现实挑战下依然可信、可维护、有效，将机器学习的承诺转化为持续的生产价值。

第 14 章：设备端学习

目标

为什么设备端学习代表了自训练与推理分离以来机器学习系统最根本的架构变革？这一能力为何对智能系统的未来至关重要？

设备端学习打破了机器学习架构数十年来的核心假设：模型训练与运行环境的分离。它让系统能够在真实世界中持续自适应，而不是仅仅部署静态的预训练模型。这种从集中式训练到分布式自适应学习的转变，使系统从被动的推理引擎进化为能够个性化、保护隐私、并在离线环境中自主提升的智能体。随着 AI 系统从受控的数据中心走向不可预

测的现实环境，预训练模型已无法预见所有场景或部署条件，这场架构革命变得不可或缺。理解设备端学习的原理，能帮助工程师设计突破静态模型局限、在用户交互现场持续进化的自适应智能系统。

> **学习目标**
>
> - 通过对比计算分布、数据本地性与协调机制，区分设备端学习与集中式训练方法
> - 明确设备端学习的核心动因（个性化、时延、隐私、基础设施效率），并评估其适用场景与替代方案
> - 分析训练相较于推理带来的资源放大效应，量化内存（3-5×）、计算（2-3×）、能耗等对系统设计的影响
> - 比较权重冻结、残差更新、稀疏更新等自适应策略在资源消耗、表达能力和设备适配性上的差异
> - 探索在本地数据有限条件下的数据高效学习技术，包括小样本学习、经验回放、数据压缩等方法
> - 应用联邦学习协议，在异构设备群体中实现隐私保护的模型协同更新，并管理通信效率与收敛性挑战
> - 设计集成热管理、内存层级优化和功耗预算的设备端学习系统，保障用户体验
> - 实践部署策略，解决 MLOps 集成难题，包括设备感知流水线、分布式监控与异构更新协调

分布式学习范式转变

在第 13 章：机器学习运维中，运维框架为大规模机器学习系统提供了集中式编排、监控和部署基础。这些框架假设云端资源充足、网络可靠、系统行为可预测。然而，随着机器学习系统逐步走向边缘设备，这些基本假设开始失效。

例如，智能手机学习用户输入、智能家居设备适应家庭习惯、自动驾驶车辆根据本地路况自我更新，这些场景都暴露了传统集中式训练方法的不足。智能手机遇到独特的语言模式，智能家居需适应季节和家庭变化，自动驾驶车辆面临本地化的道路与天气条件。

这些场景体现了设备端学习：模型必须在运行设备上直接训练和自适应[443]。这使机器学习从集中式学科转变为分布式生态，学习在数以百万计的异构设备上发生，每台设备

443. **A11 Bionic 突破**：苹果 A11 Bionic（2017）是首款具备设备端训练能力的移动芯片，算力达 0.6 TOPS（前代 A10 为 0.2 TOPS，提升 3 倍），集成 43 亿晶体管和双核神经引擎，首次实现移动端梯度计算。谷歌 Pixel Visual Core 也通过 8 个定制图像处理单元实现了类似能力，专为机器学习优化。

都面临独特的约束与本地环境。

设备端学习带来了机器学习系统设计的根本张力。云端架构依赖丰富资源和可控环境，边缘设备则受限于内存、算力、能耗和网络等极端约束。这些技术挑战同时也是设备端学习的最大优势：本地化数据处理实现个性化、数据不出设备保护隐私、无需依赖中心化基础设施实现自主运行。

本章将系统梳理理论基础与工程方法，帮助工程师在极端资源约束下实现有效学习。基于第 9 章：高效 AI 的效率原则和第 13 章：机器学习运维的运维框架，深入探讨适用于极端约束环境的算法、架构设计与系统级原则。挑战不仅仅是优化训练算法，更是对整个机器学习流水线的重新构想。

> **设备端学习定义**
>
> **设备端学习** 指在部署硬件设备上本地自适应或训练机器学习模型，无需持续依赖中心服务器。它通过现场采集的用户数据，实现个性化、隐私保护和自主运行。设备端学习系统必须在计算、内存、能耗和数据可用性等严苛约束下运行，需采用专门的模型优化、训练高效和数据表达方法。随着技术成熟，设备端学习正融合联邦协作、终身自适应和安全执行，推动智能边缘计算的前沿。

这种范式转变不仅是技术优化，更挑战了机器学习系统开发、部署与维护的既有假设。模型不再遵循可预测的版本迭代，而是持续分化和自适应。性能评估从中心化监控转向分布式异构评测。隐私保护从合规要求上升为核心架构驱动因素。

理解这些系统性影响，需要同时把握设备端学习的动因与技术挑战，为在网络边缘实现高效学习奠定理论与实践基础。

动因与价值

传统机器学习系统依赖集中式训练流水线，模型在云端利用大规模数据和强大算力训练，随后下发到客户端仅用于推理。这种训练与部署分离的架构虽适用于多数场景，但在本地数据动态、隐私或高度个性化的现代应用中已显局限。

设备端学习打破了这一模式，使系统能在本地直接训练或自适应，无需持续云端连接。这不仅是技术进步，更反映了对响应性、个性化和隐私保护的现实需求。

以智能手机键盘为例，为了个性化预测，系统需用本地输入数据对紧凑语言模型进行梯度更新。即使是极简模型，单次梯度更新也需 50-100 MB 内存（用于激活和优化器状态）。现代手机通常为后台应用（如键盘）分配 200-300 MB 内存（视操作系统和设备而异）。这意味着一次训练就消耗了 25% 的可用内存，凸显了设备端学习的核心工程挑

战：如何在极端资源下实现有效个性化。这一现实推动了专门适配极端约束的技术发展。

设备端学习的优势

理解设备端学习的驱动力，需剖析传统集中式方法的局限。集中式系统将训练与推理严格分离，训练在云端完成，模型下发后仅做静态推理。

这种模式虽高效，但在数据个性化、行为动态或网络不稳定场景下，局限性日益突出。设备端学习通过本地数据自适应，成为构建可信 AI 系统的基石，为隐私、个性化和鲁棒性提供了强大支撑。本章将系统讲解如何实现这些可信、可自适应系统。

设备端学习的四大核心动因如下：

- **个性化**：本地自适应能捕捉用户独特行为、环境和偏好，解决单一全局模型难以覆盖的多样性问题。
- **时延与可用性**：边缘场景下，云端连接可能不稳定或受限，本地学习可在离线或低延迟场景下自主提升模型。
- **隐私**：许多应用涉及敏感数据（如生物、输入、定位、健康），本地学习可避免数据外泄，助力合规（如 GDPR[444]、HIPAA）。
- **基础设施效率**：集中式训练需庞大后端收集和处理用户数据，分布式学习可降低通信和后端压力，提升可扩展性。

替代方案与决策标准

设备端学习工程复杂，投入大，未必总是最佳选择。团队应评估是否有更简单的替代方案能满足需求，避免不必要的复杂性。

常见替代方案包括：

- **基于特征的个性化**：本地存储用户偏好、历史等特征，输入静态模型实现个性化，无需更新模型权重。例如新闻推荐系统通过本地特征与全局模型结合实现个性化。
- **云端微调 + 隐私保护**：通过差分隐私 [445] 等技术，云端批量处理用户数据，实现个性化且兼顾隐私，通常精度更高且资源消耗更低。
- **用户特定查找表**：全局模型结合本地查找表，既保证个性化又极低资源消耗。

444. **GDPR 对机器学习的影响**：2018 年 GDPR 生效后，未经同意的个人数据集中训练被禁止。“被遗忘权”要求模型能“遗忘”特定用户，传统训练难以实现。这推动了隐私保护型机器学习技术的投资。
445. **差分隐私**：通过添加噪声实现可量化隐私保护。联邦学习中，DP 确保聚合后无法推断单个用户数据。参数 ε 控制隐私 - 效用权衡，ε 越小隐私越强但精度下降。实际部署常用 ε=1-8，噪声会提升通信开销 2-10×、精度下降 1-5%。

只有在确有隐私、网络、时延或性能等硬性需求时，才应采用设备端学习。

对于有严格时延需求的应用（如摄像头 33ms、语音 500ms、AR/VR 20ms、控制系统 10ms），云端方案因网络延迟（通常 50-200ms）而不可行，此时设备端学习成为唯一选择。

知识迁移是设备端学习可行的理论基础。预训练模型可将已有表征迁移到新任务或领域，实现高效适应。如下图所示，知识迁移可跨任务（如不同棋类、乐器）或跨领域（如骑自行车到骑滑板车），使设备端学习能用极少本地数据快速适应新场景。

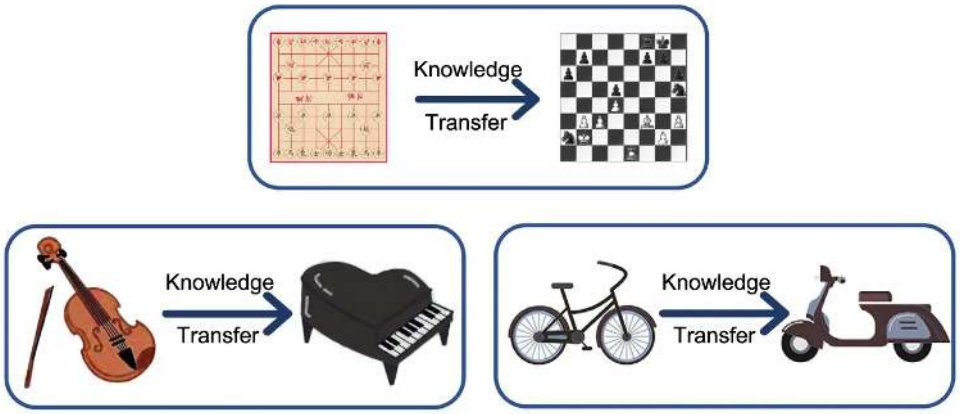

知识迁移：预训练模型通过迁移已有表征，加速新任务学习。例如在不同棋类或乐器间迁移技能，或从骑自行车到骑滑板车。迁移学习让设备端模型无需从零开始，即使新任务输入或目标不同，也能高效适应。

这种由迁移学习驱动的范式，使设备端应用成为现实。无论是个性化输入法、手势识别还是环境自适应，设备端学习都让系统持续高效、贴合用户。

真实应用领域

基于上述动因，设备端学习已在多领域落地，包括消费电子、医疗、工业和嵌入式系统，均体现了个性化、时延、隐私和效率的工程约束。

移动输入预测是最成熟的设备端学习应用。智能手机键盘通过本地自适应，持续优化预测和纠错。以 Gboard 为例，采用联邦学习在保证数据本地化的前提下提升全局模型。

如下图所示，不同预测策略（如下一词预测、智能补全）展示了本地自适应如何实时提升用户体验。

可穿戴与健康监测设备同样受益于本地学习，且面临更严格的合规要求。个体生理基线差异巨大，静态模型难以适应。设备端学习可持续优化活动识别、压力检测、睡眠分级等模型，同时满足数据本地化法规。

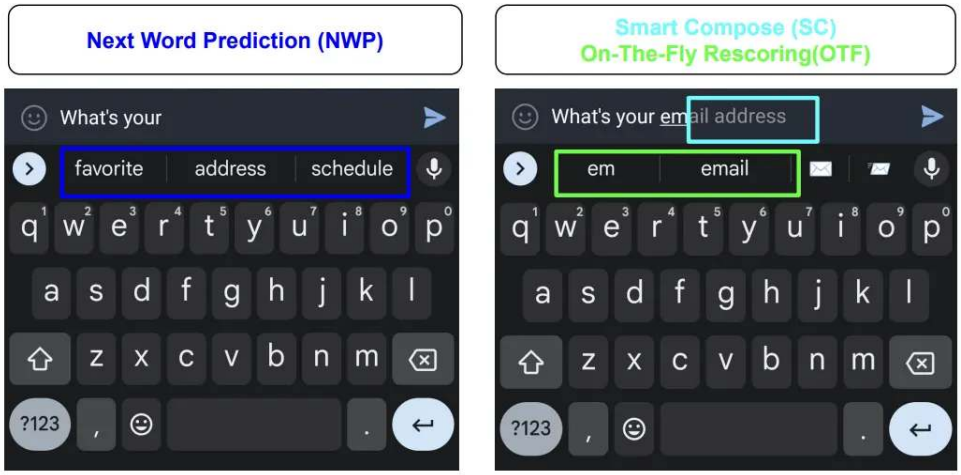

设备端预测策略：Gboard 结合下一词预测与智能补全，实时本地自适应用户输入，提升个性化与隐私。这些技术无需数据上传，即可优化移动输入体验。

语音交互技术则面临独特的声学挑战。唤醒词检测[446]和语音助手需在嘈杂环境下快速准确响应，设备端训练可自适应用户声音和环境，降低误触发和漏检，满足严格的时延要求。

工业 IoT 与远程监控系统则在极端资源和网络受限环境下，依赖设备端学习实现异常检测、阈值自适应和季节趋势调整，无需持续云端通信，保障系统自主与可靠。

最严苛的应用出现在嵌入式视觉系统（如机器人、AR/VR、智能摄像头），需在 33ms 内处理帧、20ms 内响应动作、10ms 内完成安全控制。设备端自适应让模型能应对新环境、光照和运动模式，满足极限时延要求。

这些应用共同揭示：部署环境的多样性和场景特定需求，决定了设备端学习的工程约束。后续章节将系统分析这些约束、适应技术与联邦协同机制。

架构权衡：集中式 vs. 去中心化训练

上述应用展示了设备端学习的实际价值。理解其与传统架构的根本差异，有助于把握训练生命周期的全新范式。

传统机器学习系统采用集中式学习范式：云端大规模训练，模型静态下发，周期性离线更新。该模式依赖数据可收集、网络可靠、全局模型可服务所有用户。

而设备端学习则是去中心化的，每台设备本地维护模型并用本地数据异步自适应，数据不出设备，训练环境异构且动态。设备间硬件、系统、网络、功耗等差异巨大，管理复

446. **唤醒词检测**：始终监听的关键词检测（如“嘿 Siri”、“OK Google”、“Alexa”），需持续运行且功耗极低（约 1mW，比完整语音识别低 1000 倍）。模型极小（约 100KB），专为亚 100ms 时延和极低误触发率设计，现代系统准确率达 95% 以上，设备端个性化对适应用户声音和环境至关重要。

杂度远超传统分布式系统。

设备离线率高（20-40%），部分设备长时间断网，重连时需状态对齐，更新需多阶段验证（签名、功能测试、遥测），回滚需处理部分部署等复杂场景。

尽管挑战巨大，去中心化带来了深度个性化、离线鲁棒和基础设施减负等优势。如何实现设备间的有效协同（如周期同步、联邦聚合、混合方案），成为系统设计的关键。

集中式到去中心化不仅是部署架构的转变，更重塑了模型架构、训练算法、数据管理和系统验证的设计空间。设备端学习引入了本地异步更新、硬件异构、分布式验证等全新挑战。

设备端学习的三阶段演进为：云端集中训练、本地自适应、联邦协同。如下图所示，数据流、计算分布和协调机制在各阶段逐步复杂，但能力也随之增强。

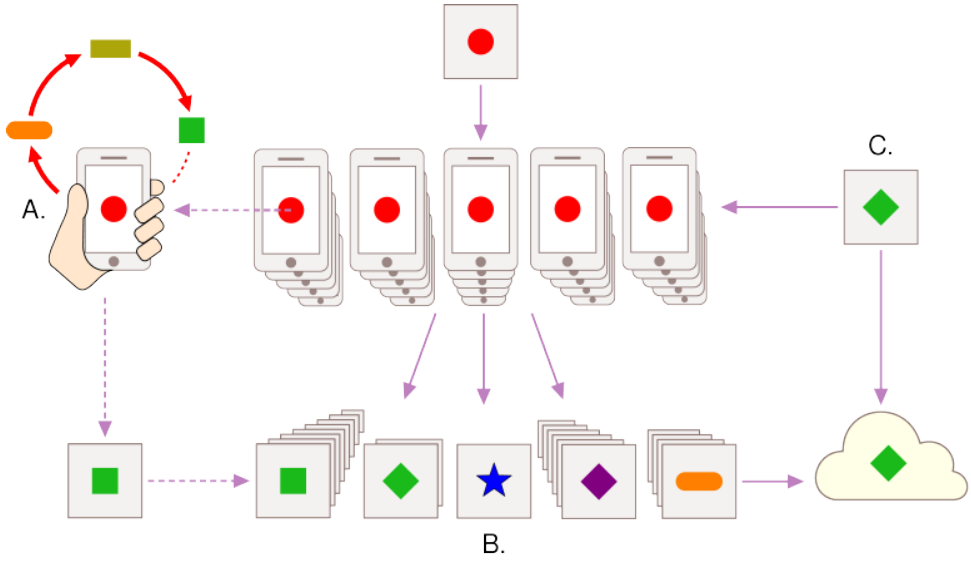

从云端集中训练（A 区）到本地自适应（B 区）再到联邦协同（C 区），机器学习架构经历了根本转变。每一阶段都带来不同的操作特性，从全局统一到本地个性化再到分布式协同。

设计约束

第三部分已建立机器学习系统的效率原则。第 9 章：高效 AI 提出了算法、计算和数据三大效率维度，并通过缩放定律揭示了极限。第 10 章：模型优化介绍了量化、剪枝、蒸馏等压缩技术。第 11 章：AI 加速分析了从微控制器到移动加速器的边缘硬件能力。这些章节主要聚焦推理任务。

设备端学习在同样的效率约束下运行，但训练放大了每一项约束：内存需求提升 3-5×，计算成本提升 2-3×。模型压缩技术从“优化”变为“前提”，否则训练根本无法在边缘

设备上实现。

设备端学习的三大约束维度为：模型压缩（算法效率扩展）、稀疏/非均匀数据（数据效率扩展）、极限算力（计算效率扩展）。三者相互作用，决定了可行的系统设计空间。

边缘设备训练放大效应量化

从推理到训练，复杂度呈乘法级放大。下表量化了训练如何放大第 9-11 章中的每项约束。

约束维度	推理（第三部分）	训练放大效应	设计影响
内存占用	模型权重 + 单激活图	权重 + 完整激活缓存 + 梯度 + 优化器状态	提升 3-5 倍，需极致压缩
计算操作	仅前向传播	前向 + 反向 + 权重更新	提升 2-3 倍，限制模型复杂度
内存带宽	顺序权重读取	梯度双向数据流	提升 5-10 倍，带宽成瓶颈
每样本能耗	单次推理操作	多次梯度步骤收敛	提升 10-50 倍，需机会性调度
数据需求	预采集、清洗数据集	稀疏、噪声、本地流式数据	需高效采样方法
硬件利用率	优化前向传播	反向传播访问模式不同	推理加速器未必适合训练

如下图所示，资源受限 IoT 设备采用离线预训练 + 在线自适应两阶段流程。部署时根据本地数据、算力、内存约束，选择性更新层和通道，实现高效自适应。

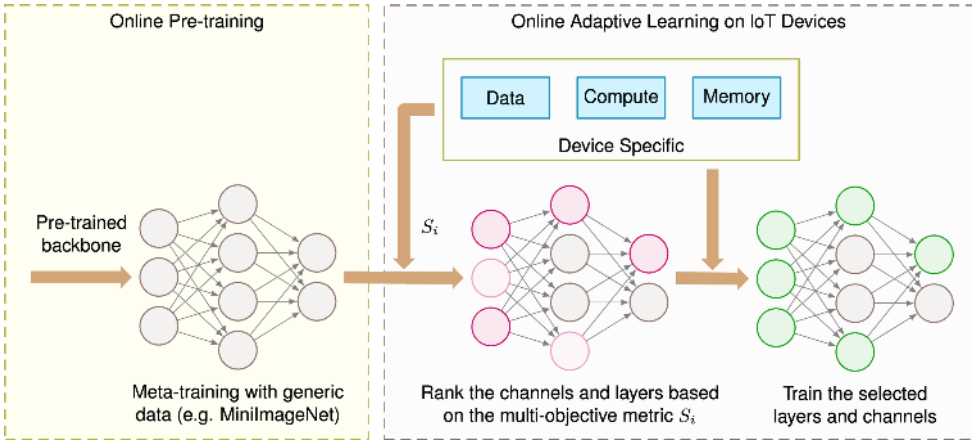

资源受限设备采用两阶段学习：离线预训练初始化权重，部署后根据本地数据、算力和内存约束，选择性更新层，实现持续自适应。该方法在边缘环境下平衡了性能与资源。

模型约束

模型结构、规模和计算需求决定了部署可行性。边缘模型需极致压缩，训练时对内存和能耗的要求更高。例如 MobileNetV2 标准版需 14MB 存储，适合智能手机，但远超 Arduino Nano 33 BLE Sense（256KB SRAM，1MB Flash）等微控制器。即使单层卷积网络，训练时的激活和梯度缓存也可能超出嵌入式设备内存。

训练过程的内存膨胀尤为突出。标准反向传播需缓存每层激活，10 层卷积网络处理 64×64 图像，内存需求可达 1-2MB，远超大多数嵌入式系统 SRAM。

能耗和热管理同样是关键约束。智能手表等设备，持续训练会迅速耗尽电池或触发降频。实际部署常采用极简模型（如 MLPerf Tiny），仅 100-200KB，通过部分梯度更新实现自适应。

模型架构需从设计之初就面向设备端学习。MobileNet、SqueezeNet、EfficientNet 等专为资源受限环境设计，采用深度可分离卷积[447]、瓶颈层、量化等技术，极大降低内存和算力需求。

模型架构的灵活性（如 MobileNetV2 的宽度/分辨率可调）对适配不同设备尤为重要。

数据约束

设备端数据量小、分布异质、标签稀缺、质量不一。运动手环每天仅采集数百样本，远低于云端训练需求。数据非独立同分布（non-IID）[448]，如语音助手面临口音、语言、

447. **深度可分离卷积**：将标准卷积分解为逐通道卷积和 1×1 卷积。以 3×3 卷积、512 输入/输出通道为例，标准卷积需 240 万参数，深度可分离仅需 1.38 万，参数量减少 174 倍，计算量同样大幅下降。
448. **非独立同分布（Non-IID）**：设备端数据常常非独立同分布，如每台手机的键盘数据因用户语言、风格、纠错需求差异巨大，个性化训练必不可少，但收敛更难。

命令多样性，键盘需适应不同用户输入习惯。

标签稀缺、噪声和隐私等问题，使传统监督学习难以直接应用，需发展弱监督或无监督方法。

计算约束

第 11 章：AI 加速分析了边缘硬件从微控制器到移动 AI 加速器的能力。训练与推理的计算特性完全不同：反向传播需更高内存带宽、写操作和优化器状态管理，推理加速器未必适合训练。

极端受限设备（如 STM32F4、ESP32）仅有数百 KB SRAM，无浮点单元，只能用整数算法和极简模型（如 SGD[449]、k-means），与现代深度学习大相径庭。

移动级硬件（如高通 Snapdragon、苹果神经引擎 [450]、谷歌 Tensor SoC[451]）算力提升，但与云端仍有数量级差距。即使能训练轻量模型，也需严格控制时长和能耗，避免影响用户体验。

训练时的内存带宽、能耗和热管理成为瓶颈。摄像头需 33ms 内处理一帧，语音助手需 500ms 内响应，AR/VR 需 20ms 内动作响应，安全控制需 10ms 内决策。训练必须与推理共存，且不影响主业务延迟。

边缘硬件集成挑战

设备端学习需在功耗、热管理和内存层级等物理约束下运行，这些约束决定了算法和系统设计的可行空间。

能耗与热管理　移动设备通常将 ML 持续功耗限制在 2-3W，峰值可达 5-10W，但仅能持续 10-30 秒，随后降频。训练能耗随模型规模和复杂度超线性增长，需智能调度（如充电时训练、低功耗核心计算、热感知轮转）。

内存层级优化　设备内存层级差异巨大，iPhone 15 Pro 系统内存 8GB，实际可用 2-4GB，安卓低端机仅 1-2GB，IoT 嵌入式仅 64MB-1GB，微控制器仅 256KB-2MB。训练时内存膨胀尤为突出，MobileNetV2 推理仅需 14MB，训练时膨胀至 50-70MB，需极致量化、剪枝、蒸馏等复合压缩。

449. **随机梯度下降（SGD）**：神经网络基础优化算法，按小批量或单样本更新参数，仅需存储当前参数和梯度，适合内存极小的微控制器。
450. **苹果神经引擎演进**：A17 Pro（2023）集成 16 核神经引擎，峰值 35 TOPS，相当于 GTX 1080 Ti，专为 8/16 位矩阵运算优化，支持高效设备端训练。
451. **谷歌 Tensor SoC 架构**：Pixel 6 起集成定制 Edge TPU，专为 TensorFlow Lite 优化，8 位整数运算高效，适合联邦学习场景。

缓存优化、mini-batch 设计、梯度累积等技术成为关键。内存带宽瓶颈尤为突出，需梯度检查点[452]、混合精度等方法权衡计算与内存。

移动 AI 加速器优化 不同平台的加速器能力差异极大，决定了可行的模型复杂度和学习范式。苹果神经引擎适合定点推理，Qualcomm Hexagon DSP 支持混合精度训练，谷歌 Tensor TPU 紧密集成联邦学习。NPU 能效远超 CPU（1-5 TOPS/W vs 0.1-0.2 TOPS/W），是设备端训练可行的关键。

未来设备端训练加速器需支持动态精度、梯度累积、专用内存层级等新特性，实现高效本地自适应。

资源管理系统性策略

上述三大约束直接驱动三大解决思路：模型自适应（应对资源放大）、数据高效（应对信息稀缺）、联邦协同（应对分布式挑战）。三者协同，构建可在极端约束下持续进化的系统。

约束类别	关键挑战	解决思路
资源放大	• 训练内存放大（3-10×） • 内存/功耗极限	**模型自适应** • 高效参数更新 • 选择性微调 • 低秩适配
信息稀缺	• 本地数据有限 • 非独立同分布 • 隐私限制	**数据高效** • 小样本学习 • 元学习 • 迁移学习
协同挑战	• 设备异构 • 间歇连接 • 分布式验证	**联邦协同** • 隐私聚合 • 稳健通信 • 异步参与

后续章节将系统讲解每一解决支柱，结合第 10 章：模型优化和第 13 章：机器学习运维的原理，构建可在边缘环境下高效自适应的系统。

452. **梯度检查点**：通过反向传播时重算中间激活，换取内存节省（可降 50-80%），代价是计算量提升 20-30%。对内存更紧张的设备端训练尤为重要。

模型自适应

前文所述的计算与内存约束为模型训练带来了巨大挑战，但如果系统性地分析，也能找到清晰的解决路径。模型自适应是设备端学习系统工程的第一支柱：通过缩小参数更新范围，使训练在边缘设备约束下可行，同时保持足够的模型表达能力，实现有意义的个性化。

工程挑战的核心在于平衡自适应表达能力与资源消耗。在一端，更新全部参数最灵活，但超出边缘设备能力；另一端，完全不自适应则资源消耗最小，但无法捕捉用户特征。高效的设备端学习系统需在两者之间找到平衡点，依据三大工程标准选择自适应策略：

首先，可用内存、算力和能耗决定了可行的自适应方法。例如，1MB RAM 的手表与 8GB 的智能手机需采用完全不同的策略。其次，用户特异性变化的程度决定了自适应复杂度需求。简单偏好学习只需更新偏置，复杂领域迁移则需更高级方法。第三，自适应技术需与现有推理流水线、联邦协调协议和运维监控体系（见第 13 章：机器学习运维）集成。

这种系统视角指导了技术选择：从最轻量的偏置更新，到更具表达力但资源消耗更高的方法，每种技术都代表了工程权衡空间中的一个点，而非孤立算法。

基于第 10 章：模型优化的压缩技术，设备端学习将压缩从一次性优化转变为持续约束。核心思想是：设备端无需、也无法全量重训练模型，而是应战略性地利用预训练表征，仅自适应最小必要参数，实现“全局保留有效，局部灵活适应”。

本节系统梳理三类互补的自适应策略，分别针对不同设备约束和应用需求。权重冻结适用于极端内存受限场景，仅更新偏置或末层，使微控制器等极限设备也能实现自适应。结构化更新通过低秩和残差适配，在表达力与计算效率间取得平衡，适合需要更复杂自适应但资源有限的场景。稀疏更新则根据梯度重要性或层关键性，选择性地只更新最有影响力的参数，将学习能力集中于关键部分，其余权重保持冻结。

这些方法既继承了经典架构原则，又针对边缘部署的独特挑战进行了优化。每种技术都在准确率与效率的基本权衡空间中占据一席之地，使其能在从极限微控制器到高性能移动处理器的全硬件谱系上实际部署。

权重冻结

实现设备端学习最直接的方法，就是大幅减少需更新的参数数量。最常用且高效的策略是冻结绝大多数参数，仅自适应极少数关键参数。偏置更新（bias-only adaptation）是其中最典型的方法：所有权重保持不变，仅更新每层的偏置项（通常是线性或卷积层后的标量偏移）。这种约束带来显著好处：可训练参数减少 100-1000 倍，反向传播内存

管理简化，且在数据稀疏或噪声大时有助于防止过拟合。

以标准神经网络层为例：

$$y = Wx + b$$

其中 $W \in \mathbb{R}^{m \times n}$ 为权重矩阵，$b \in \mathbb{R}^m$ 为偏置向量，$x \in \mathbb{R}^n$ 为输入。全量训练时，W 和 b 都需计算梯度。而偏置更新约束为：

$$\frac{\partial \mathcal{L}}{\partial W} = 0, \quad \frac{\partial \mathcal{L}}{\partial b} \neq 0$$

即仅更新偏置：

$$b \leftarrow b - \eta \frac{\partial \mathcal{L}}{\partial b}$$

这样可大幅减少梯度和优化器状态的存储，使训练在内存受限条件下成为可能。对于无浮点单元的嵌入式设备，这一简化尤为关键。

下方代码（示例 1）展示了如何在 PyTorch 中实现偏置更新。

示例 1：**偏置更新**：冻结除偏置外的所有参数，极大降低内存消耗，使设备端学习可行。

```
# 冻结所有参数
for name, param in model.named_parameters():
    param.requires_grad = False

# 仅为偏置参数开启梯度
for name, param in model.named_parameters():
    if "bias" in name:
        param.requires_grad = True
```

TinyTL 框架就是该思路的代表，专为微控制器等极限内存平台设计。TinyTL 不更新卷积权重和 BN 统计量，仅训练偏置和部分轻量残差组件。这样，反向传播时无需为冻结层缓存激活，极大降低了内存需求。

下图展示了标准训练与 TinyTL 设备端自适应的架构差异。TinyTL 通过冻结卷积层，仅更新卷积后插入的偏置模块，实现了极低的内存占用。冻结的卷积层作为固定特征提取器，仅有可训练的偏置参与自适应。无需存储完整激活图，参数更新量极小，使得在极限内存下也能实现训练。

由于主干模型保持不变，TinyTL 假设预训练特征足够表达下游任务。偏置项可实现细微但有意义的行为调整，适合个性化任务。若领域差异较大，可选用小型残差适配器提升表达力，同时保持低内存和能耗。

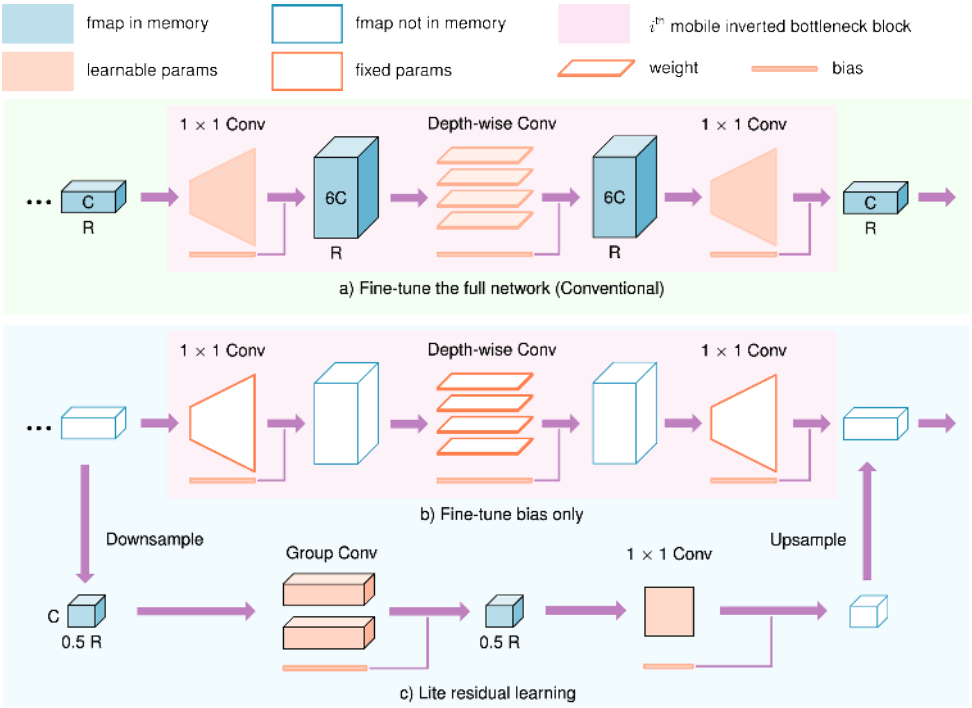

TinyTL 通过冻结卷积权重和 BN，仅更新偏置和轻量残差，有效降低反向传播内存消耗，使深度神经网络能在 SRAM 受限的边缘设备上部署和自适应，无需全量参数更新。

这些设计让 TinyTL 训练内存降低 10 倍。例如，MobileNetV2 用 TinyTL 适配时，更新参数从 300 万降至 5 万 [453]。结合量化后，几百 KB 内存即可本地自适应，真正实现极限环境下的设备端学习。

结构化参数更新

权重冻结虽高效，但表达力有限，难以适应复杂场景。此时，残差和低秩技术可在保持计算可控的前提下提升自适应能力，成为效率与表达力的中间方案。

这些方法通过在冻结模型中插入可训练模块（如残差适配器或低秩分解），在主干不变的前提下提升模型对新数据的响应能力。模块通常很小，计算开销低，适合资源受限环境下的本地自适应。

基于适配器的自适应 常见做法是在预训练模型层间插入小型残差瓶颈层（adapter）。假设隐藏表示 h，残差适配器变换为：

$$h' = h + A(h)$$

453. **TinyTL 内存突破**：TinyTL 将 MobileNetV2 参数从 3.4M 降至 5 万，FP32 下权重仅 200KB，激活缓存 400KB，1MB 内存即可运行。实际部署在 STM32H7 上，精度达全量微调的 85%，内存降 15 倍，更新耗时从 8 分钟降至 30 秒。

其中 $A(\cdot)$ 通常为两层线性变换加非线性：

$$A(h) = W_2\,\sigma(W_1 h)$$

$W_1 \in \mathbb{R}^{r\times d}$，$W_2 \in \mathbb{R}^{d\times r}$，$r \ll d$，瓶颈结构保证参数量极小。

适配器作为可学习扰动，主干冻结，内存开销极低，但能灵活调整模型输出。

低秩技术 另一高效策略是将权重更新约束为低秩结构。即不直接更新 W，而是近似为：

$$\Delta W \approx UV^\top$$

$U \in \mathbb{R}^{m\times r}$，$V \in \mathbb{R}^{n\times r}$，$r \ll \min(m,n)$，参数量从 mn 降至 $r(m+n)$。

数学直觉上，任何矩阵都可用奇异值分解为若干秩一矩阵之和。低秩（如 $r=4$ 到 16）可捕捉主要变化，极大压缩参数。例如，768×768 的 transformer 层全量微调需 589,824 参数，秩 4 仅需 6,144，压缩 96%，适应质量仍可达 85-90%。

适应时新权重为：

$$W_{\text{adapted}} = W_{\text{frozen}} + UV^\top$$

该方法在 LoRA（Low-Rank Adaptation）[454] 中广泛应用，尤其适合大模型设备端部署。

以 7B 参数大模型为例，LoRA 秩 16 时仅需 100MB 可训练参数（原模型 0.7%），适合 6-8GB 内存手机本地适应。全量模型更新需 14GB 下载，LoRA 仅需 10-50MB，联邦同步 30 秒内完成，极大降低通信和能耗。

不同设备可用不同 LoRA 配置：高端机用秩 32，主流机用秩 16，低端机用秩 8，2GB 内存即可运行。下方代码（示例 2）为低秩适配器实现。

示例 2：**低秩适配器**：通过低秩矩阵近似权重更新，极大减少参数量，实现高效设备端自适应。

```
class Adapter(nn.Module):
    def __init__(self, dim, bottleneck_dim):
        super().__init__()
        self.down = nn.Linear(dim, bottleneck_dim)
        self.up = nn.Linear(bottleneck_dim, dim)
        self.activation = nn.ReLU()

```

454. **LoRA（低秩适配）**：微软 2021 年提出，通过学习低秩分解矩阵而非全量权重，实现高效微调。参数量可降 100-10000 倍，适应质量保持 90-95%。已成大语言模型参数高效微调标准。

```
    def forward(self, x):
        return x + self.up(self.activation(self.down(x)))
```

适配器插入大模型后，仅需训练适配器参数。

边缘个性化 适配器适合全局模型下发到多设备后，针对本地分布自适应。例如手机摄像头因光照、用户偏好、镜头畸变等差异，冻结主干，仅用少量残差模块即可个性化。语音系统中，适配器可降低个性化识别的词错误率，无需重训练声学模型，且易于回滚或切换用户版本。

性能与资源权衡 残差和低秩更新在表达力与效率间取得平衡。比偏置更新更灵活，但训练和推理时内存与计算开销略高。需系统支持动态图和参数注入，部分推理引擎需适配。

现代手机/平板可承载残差适配，适合需中等自适应能力的移动场景。

稀疏更新

从偏置更新、低秩适配到更复杂技术，稀疏更新是模型自适应的最高级形态。它动态识别对当前任务/用户最有价值的参数，仅更新这些关键子集，最大化表达力同时保持边缘部署的高效性。

即使采用上述方法，训练仍对资源有较高要求。稀疏更新通过只更新与任务最相关的参数子集（而非全网络或新模块），实现极致高效。核心思想是：深度模型各层对新任务贡献不均，若能选出最关键的极小参数子集，仅训练这些即可在低资源下实现有效个性化。

稀疏更新设计 设神经网络参数为 $\theta = \{\theta_1, \theta_2, \ldots, \theta_L\}$，标准微调为：

$$\theta_i \leftarrow \theta_i - \eta \frac{\partial \mathcal{L}}{\partial \theta_i}, \quad i = 1, \ldots, L$$

稀疏更新则选取子集 $\mathcal{S} \subset \{1, \ldots, L\}$，仅对 $\mathcal{S}$ 内参数更新：

$$\theta_i \leftarrow \begin{cases} \theta_i - \eta \frac{\partial \mathcal{L}}{\partial \theta_i}, & i \in \mathcal{S} \\ \theta_i, & \text{否则} \end{cases}$$

关键在于如何在内存和算力约束下选出最优 $\mathcal{S}$。

层选择 常用方法为贡献分析：逐层解冻，微调并评估验证集提升，按单位内存提升排序，选出 $\mathcal{S}$。如 TinyTrain 方法，离线元训练时记录各层对新任务的敏感度，部署时动态选择可更新层。

选择性层更新实现 可结合 profiling 逻辑，按贡献分数或硬件特性选择层，见下方代码（示例 3）。

示例 3：**选择性层更新**：仅微调指定层，其余冻结，优化资源利用，实现有针对性的模型提升。

```
# 假设模型有 ['conv1', 'conv2', 'fc'] 三层
# 仅更新 conv2 和 fc
for name, param in model.named_parameters():
    if "conv2" in name or "fc" in name:
        param.requires_grad = True
    else:
        param.requires_grad = False
```

TinyTrain 个性化 如 AR 眼镜实时识别，环境变化需自适应，但训练只能在空闲或充电时进行。TinyTrain 通过离线元训练，学习哪些参数最重要，部署时仅更新最相关层，实现快速、节能、内存友好的自适应。

策略权衡 稀疏更新需权衡贡献分析开销（多在离线完成）、自适应稳定性（参数太少易欠拟合）、硬件特性（部分层虽贡献大但更新代价高）。需综合统计效用与运行效率，动态调整。

尽管有权衡，稀疏更新为从微控制器到手机的多样部署场景提供了强大适应能力。

策略对比 三类自适应策略各有表达力、资源效率和实现复杂度的权衡。偏置更新最轻量，适合极限设备和小幅校准；残差适配适合中等资源和个性化需求；稀疏更新表达力最强，适合需大幅自适应的动态场景，但实现复杂度高。下表总结了主要特性：

技术	可训练参数	内存开销	表达力	适用场景	系统需求
偏置更新	仅偏置项	极低	低	简单个性化、低方差	极限内存/算力

技术	可训练参数	内存开销	表达力	适用场景	系统需求
残差适配器	适配器模块	中等	中 - 高	移动端用户个性化	支持运行时注入的移动 SoC
稀疏层更新	选择性参数子集	可变	高（任务自适应）	实时自适应、领域迁移	需 profiling 或元训练

数据高效

在通过模型技术实现资源高效自适应后，设备端学习系统工程的第二支柱是：在极度受限的数据下最大化学习信号。这一转变要求系统从传统的数据富集环境，适应边缘部署的信息稀缺现实。

工程挑战的核心在于：数据采集成本与自适应质量的权衡。边缘设备面临的采集约束，重塑了学习系统的设计。需系统性分析四个维度：

1. 每个数据点都伴随用户摩擦、能耗、存储和隐私风险。语音助手需平衡提升潜力与电池消耗、用户隐私。
2. 采集能力有限，需在广覆盖与深样本间权衡。如键盘可采集大量浅层输入或少量深度交互，策略不同。
3. 部分应用需极快的小样本学习（如应急响应），部分可随时间积累（如用户偏好），时间维度决定架构选择。
4. 数据高效技术需与第 14 章：设备端学习的模型自适应、联邦协调和第 13 章：机器学习运维的运维体系集成。

这些约束构成了系统性权衡空间，不同数据高效方法适配不同组合。实际系统常组合多种方法，协同应对数据稀缺挑战。

本节梳理四类互补的数据高效策略：小样本学习（few-shot）、流式更新（streaming）、经验回放（experience replay）、数据压缩（data compression），分别应对不同数据稀缺场景。

小样本学习与数据流式

传统机器学习需大规模标注数据，设备端学习常仅有少量本地样本，且多为弱标注。小样本学习适用于仅有极少标注或弱标注样本的新任务/用户场景。此时全量微调易过拟合，常用偏置更新、适配器或原型分类等方法，既用足有限数据，又避免记忆化。

设 $D = \{(x_i, y_i)\}_{i=1}^{K}$ 为 K-shot 本地样本，目标是在如下约束下更新参数 θ：

- 梯度步数极少：$T \ll 100$
- 更新参数极小：$\|\theta_{\text{updated}}\| \ll \|\theta\|$
- 保持原任务知识，防止灾难性遗忘

关键词唤醒（KWS）是典型的小样本设备端应用，如“Hey Siri”[455]、“OK Google”。主干编码器用大规模数据中心化训练，输出分类器可用极少本地样本（如 5-10 条录音）本地微调，仅更新输出层或偏置，主干冻结，既保护泛化又降低内存。

这种方法不仅高效，还符合隐私设计原则。仅更新输出层，内存和计算开销极低，适合手机甚至微控制器。

除静态小样本外，许多设备端场景需流式自适应（streaming），即模型随数据到达持续更新。设 $\{x_t\}_{t=1}^{\infty}$ 为数据流，模型每接收新输入即更新：

$$\theta_{t+1} = \theta_t - \eta_t \nabla \mathcal{L}(x_t; \theta_t)$$

流式自适应对噪声和漂移敏感，常结合学习率衰减、元初始化或门控机制提升稳定性。

如可穿戴健康设备，初始用通用分类器，后续用少量标注片段自适应用户运动模式。智能助手则用持续语音输入微调用户画像，局部反馈（如纠正、重复、下游任务成功）可作为隐式信号。

小样本与流式自适应体现了从传统训练到实时高效学习的转变，为后续记忆与回放策略奠定基础。

经验回放

经验回放（experience replay）通过维护代表性样本缓冲区，解决连续学习中的灾难性遗忘问题。最早用于强化学习，在设备端学习中尤为重要，因数据流稀疏且易过拟合。

设备端回放需极小容量（几十到几百样本），且不能影响用户体验。缓冲区常存压缩特征或摘要，更新需机会性（如空闲或充电时）。设 $\mathcal{M}$ 为固定容量缓冲区，时刻 t 接收新

455. **“Hey Siri”技术现实**：需 100ms 内检测，持续监听功耗 <1mW，192KB 模型，0.5 TOPS，误触发率 <0.001%，准确率 >95%，16kHz 音频 200ms 窗口，提取 Mel 频率特征。

样本 (x_t, y_t) 并加入 $\mathcal{M}$，回放时采样 k 个样本做梯度更新：

$$\theta_{t+1} = \theta_t - \eta \nabla_\theta \left[\frac{1}{k} \sum_{i=1}^{k} \mathcal{L}(x_i, y_i; \theta_t) \right]$$

实际实现常用环形缓冲区，仅存特征向量，见下方代码（示例 4）。

示例 4：**回放缓冲区**：环形存储机制，适合极限内存环境，支持高效采样与回放。

```python
# 回放缓冲区实现
class ReplayBuffer:
    def __init__(self, capacity):
        self.capacity = capacity
        self.buffer = []
        self.index = 0

    def store(self, feature_vec, label):
        if len(self.buffer) < self.capacity:
            self.buffer.append((feature_vec, label))
        else:
            self.buffer[self.index] = (feature_vec, label)
        self.index = (self.index + 1) % self.capacity

    def sample(self, k):
        return random.sample(self.buffer, min(k, len(self.buffer)))
```

TinyML 应用 [456] 如手势识别，设备每天仅观测少量事件，通过存储代表性特征，周期性微调分类边界。关键词唤醒也可回放历史嵌入，无需上传音频。

回放虽提升了稳定性，但存储原始输入可能违反隐私或超出存储预算，尤其在视觉/音频应用。存特征向量可降内存，但梯度丰富度下降。频繁写入闪存还需考虑寿命。需综合设计内存策略、回放频率和特征选择，尤其在持续部署场景下。

数据压缩

许多设备端场景下，原始训练数据过大、噪声多或冗余，需用压缩表示（如嵌入、编码）降低存储和计算开销。

压缩表示有两大目标：一是降低存储占用，便于维护更长历史或回放缓冲区；二是将原始输入投影到结构化特征空间，便于高效自适应。

常见做法是用预训练特征提取器编码数据，丢弃原始高维输入。例如图像 x_i 经 CNN 得到嵌入 $z_i = f(x_i)$，通常 64-512 维，适合轻量下游适应。

456. **TinyML 市场现实**：2023 年市场规模 24 亿美元，2030 年预计达 233 亿。每年出货 1000 亿微控制器，<1% 支持设备端学习。典型 TinyML 部署功耗 <1mW，内存 <256KB，单芯片成本 <1 美元，应用包括预测性维护、健康监测、智慧农业等。

训练时仅需对压缩样本 (z_i, y_i) 用轻量解码器 $g(z_i;\theta)$ 做梯度更新：

$$\theta_{t+1} = \theta_t - \eta \nabla_\theta \mathcal{L}\big(g(z_i;\theta), y_i\big)$$

更高级方法可用稀疏字典，将数据分解为 $X \approx DC$，仅更新少量字典原子或系数，极小开销下实现自适应。

压缩表示在隐私场景尤为有用，编码后可丢弃原始数据。压缩还可作为正则化，缓解小样本过拟合。

实际应用如关键词唤醒，常用 Mel 频率倒谱系数（MFCC）[457]，将 16kHz 音频窗口从 640 字节降至 50 字节，仍保留语音可辨性。低功耗视觉系统也常用 CNN 嵌入做小样本学习。

数据高效策略对比

本节介绍的小样本学习、经验回放、压缩表示等方法，分别适用于数据稀缺或流式场景。它们各有假设和约束，效果取决于内存、数据可用性、任务结构和隐私需求。

小样本适合有少量高质量标注、需快速个性化的场景，依赖预训练表征与本地任务的契合度。经验回放适合持续自适应、非平稳环境，需一定内存和周期性计算，可能有隐私和存储寿命问题。压缩表示适合极限内存和隐私场景，支持更长经验保留和高效微调，但信息损失和编码泛化需关注。下表总结主要权衡：

技术	数据需求	内存/计算开销	适用场景
小样本适应	少量标注（K-shot）	低	个性化、快速本地微调
经验回放	流式数据	中（缓冲区 + 更新）	非平稳数据、漂移下的稳定性
压缩表示	无标注或编码数据	低 - 中	内存极限、隐私敏感

实际系统常组合多种方法，如关键词唤醒系统用压缩音频特征、少量支持集微调、回放历史嵌入持续优化。

457. **MFCC（Mel 频率倒谱系数）**：模拟人耳听觉的音频特征，16kHz 音频 20ms 窗口可降至 12-13 维，极大压缩数据量，1980 年代起广泛用于语音识别。设备端常用压缩特征而非原始波形，便于本地学习和存储。

这些策略共同体现了设备端学习的核心挑战：在数据、算力和内存持续受限下，实现可靠的模型提升。

联邦学习

前文介绍的各类设备端技术 —— 从仅偏置更新到复杂适配器模块 —— 极大提升了个性化能力，但在大规模部署时暴露出根本性局限：每台设备虽能高效适应本地环境，但这些孤立的提升无法惠及整个设备群体。关于模型鲁棒性、自适应策略和失效模式的宝贵经验被困在单台设备上，无法形成类似集中式训练的集体智能。

这一局限在既需个性化又需群体学习的场景尤为突出。模型自适应和数据高效技术让单台设备能在资源约束下高效学习，但也暴露出分布式部署下的协调难题：本地学习与大规模协同的矛盾。

以语音助手为例，部署在千万家庭，每台设备本地适应用户的发音、口音和词汇。A 设备学会了 “data” 读作 /⊠de⊠t⊠/，B 设备学会 /⊠dæt⊠/。C 设备频繁遇到 “machine learning”（技术家庭），D 设备则从未见过（非技术家庭）。六个月后：

- 每台设备只擅长自家用户的模式
- 罕见词汇在部分设备学会，在其他设备被遗忘
- 本地偏差不断累积，缺乏全局校正
- 某台设备的发现无法惠及其他设备

单台设备学习虽强大，但孤立运行时面临根本性局限：每台设备只见到全体数据分布的一小部分，泛化能力受限；设备能力差异大，学习进度不均衡；本地发现无法共享，整体智能下降；缺乏协调，模型易因本地偏差而逐渐劣化或分化。

联邦学习正是为解决分布式协同约束而生。它实现了隐私保护下的协作，让设备在不共享原始数据的前提下贡献集体智能。联邦学习不是本地学习与集中学习的对立面，而是大规模设备端系统的自然演进。它将数据本地化的 “约束” 转化为隐私优势，让系统既能利用群体数据提升模型，又能保障个体信息安全。

这里的隐私需求直接关联到生产环境下的安全与隐私原则。联邦学习代表了设备端系统规模化部署时的必然演进。

> **联邦学习定义**
>
> **联邦学习** 是一种 去中心化机器学习方法，在分布式设备群体上进行训练，每台设备使用 本地私有数据。设备不上传原始数据，而是仅共享 模型更新（如梯度、

> 权重变化），服务器聚合后提升全局模型。该方法 保护数据隐私，同时实现 跨环境的集体智能。随着技术成熟，联邦学习融合了 隐私增强技术、通信高效协议和个性化策略，成为可扩展、注重隐私的机器学习系统基础。

为更好理解联邦学习的作用，可与其他学习范式对比。下图展示了离线学习、设备端学习和联邦学习的区别。传统离线学习将所有数据集中处理，模型在云端训练后下发到设备，不再适应。设备端学习允许本地自适应，但各设备孤立，无法共享经验。联邦学习则在本地训练的同时实现全局协调，既保留数据隐私，又能通过聚合提升全局模型。

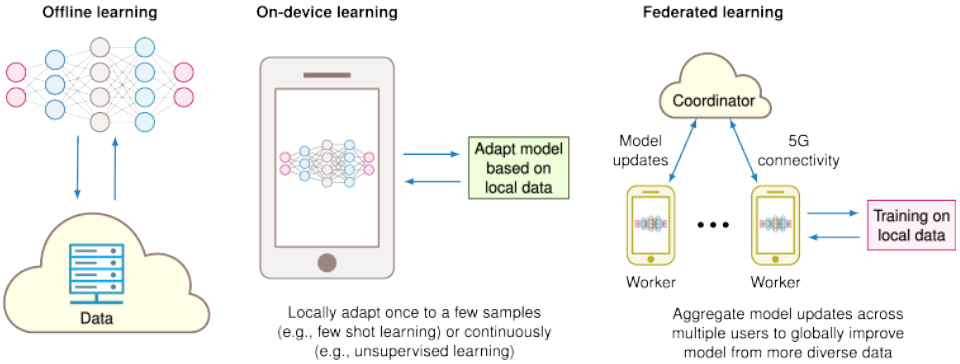

联邦学习通过协调分布式设备的本地训练，在数据隐私与模型集体提升间取得平衡。与离线学习的集中式方法或设备端学习的孤立适应不同，联邦学习通过聚合本地更新实现个性化与全局知识共享。

本节将系统梳理联邦学习在移动和嵌入式系统中的原理与实践，涵盖典型协议、系统影响、设备参与约束、通信高效机制和个性化策略，重点关注如何通过联邦方法扩展设备端学习，实现跨异构硬件平台的分布式模型训练。

隐私保护的协同学习

联邦学习（FL）是一种去中心化的机器学习范式，在不上传原始数据的前提下，在设备群体上训练模型。与传统集中式训练需汇总所有数据不同，联邦学习将训练过程本身分布到各设备。每台设备基于本地数据计算更新，通过聚合协议（通常由中心服务器协调）贡献全局模型。这种架构与移动、边缘和嵌入式系统的需求高度契合，能在隐私、通信和系统异构性等约束下实现模型提升。

如前文所述，从 Gboard 键盘个性化、可穿戴健康监测到语音接口，联邦学习弥合了模型提升与系统约束之间的鸿沟。它兼顾了个性化、隐私和连接性，同时通过分布式训练应对资源约束。但这也带来了客户端异质性、通信效率和非独立同分布等新挑战，需专门协议和协调机制。

接下来将系统梳理联邦学习的关键技术与权衡，涵盖设备协同的核心协议、调度、通信

效率和个性化策略。

学习协议

联邦学习协议定义了设备协同训练共享模型的规则与机制，决定了本地更新的计算、聚合与通信方式，以及设备的参与流程。协议选择直接影响系统性能、通信开销和模型收敛。

本节将梳理联邦学习协议的核心组成，包括本地训练、聚合方法和通信策略，并讨论不同方案的权衡及其对设备端系统的影响。

本地训练 本地训练指设备基于本地数据计算模型更新，是联邦学习的核心。流程包括：

1. **模型初始化**：设备下载最新全局模型参数。
2. **本地数据采样**：设备采样本地数据，数据常为非独立同分布。
3. **本地训练**：设备在本地数据上迭代训练，更新模型参数。
4. **模型更新**：本地训练后，设备计算模型更新（如参数差分），准备上传服务器。
5. **通信**：设备通过安全通道上传模型更新，保护用户隐私。
6. **模型聚合**：服务器聚合多台设备的更新，生成新全局模型，再下发给设备。

该过程反复进行，设备周期性下载全局模型并本地训练。更新频率可根据系统约束、设备可用性和通信成本调整。

联邦聚合协议 联邦学习的核心是协调机制，让每台仅有少量本地数据的设备协同训练共享模型。典型流程为：客户端本地训练后上传模型更新，服务器聚合后下发新模型，循环往复。该流程无需集中数据，适合数据私有、带宽受限、设备参与不稳定的移动和边缘环境。

最常用的基线算法是联邦平均（FedAvg）[458]。FedAvg 中，每台设备用本地数据做多步 SGD，然后上传权重，服务器按数据量加权平均，更新全局模型。

形式化地，设 $\mathcal{D}_k$ 为客户端 k 的本地数据，θ_k^t 为第 t 轮的本地模型参数。每台设备本地

458. **联邦平均（FedAvg）**：谷歌 2017 年提出，创新点在于平均权重而非梯度。每个客户端本地做多步 SGD（通常 1-20 步），再上传权重，通信量比分布式 SGD 降低 10-100 倍。FedAvg 支撑了 Gboard 等大规模生产系统，能在数十亿设备上运行。

训练 E 步，得 θ_k^{t+1}。服务器聚合为：

$$\theta^{t+1} = \sum_{k=1}^{K} \frac{n_k}{n} \theta_k^{t+1}$$

其中 $n_k = |\mathcal{D}_k|$，$n = \sum_k n_k$，K 为本轮活跃设备数。

下图展示了 FedAvg 的核心流程：

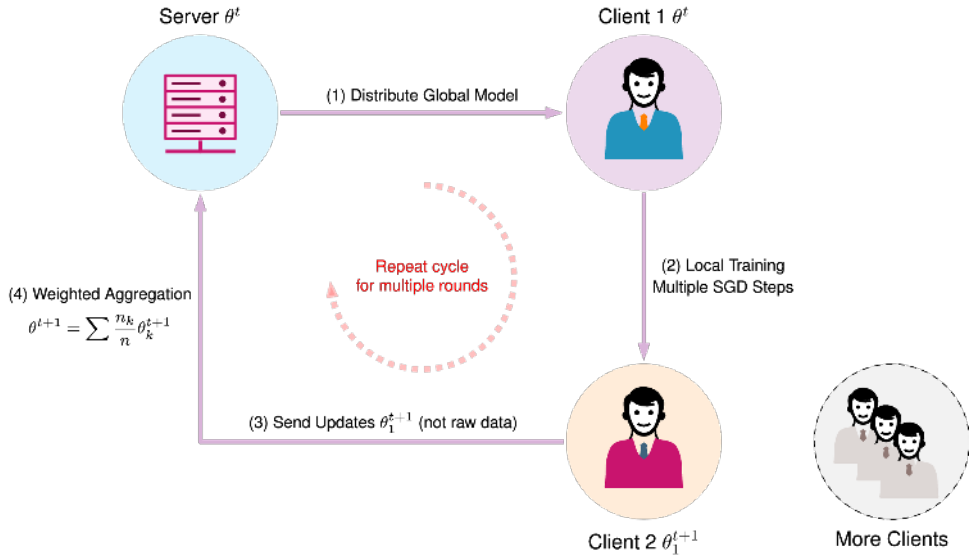

联邦平均循环：四步协调协议实现分布式训练与数据隐私保护。(1) 服务器下发全局模型，(2) 客户端本地训练，(3) 客户端上传权重，(4) 服务器加权平均生成新全局模型。

该结构带来多项设计权衡。局部步数 E 决定了计算与通信的平衡：E 越大通信频率越低，但本地分布差异大时易发散。参与设备选择影响收敛与公平性。实际部署中，设备可用性和硬件能力差异大，需健壮的调度与容错机制。

客户端调度 联邦学习假设客户端（设备）周期性参与训练，但现实中设备可用性极不稳定。设备可能关机、断电、无网络或正被用户使用，无法随时参与。

系统需设定参与资格，如需插电、Wi-Fi、空闲，避免影响用户体验或耗尽电池。设备硬件、数据和网络条件也差异巨大，随机选取可能导致数据分布覆盖差、收敛不稳定。

参与偏差尤为突出：最活跃 10% 设备可贡献 50% 训练轮，最底层 50% 设备可能从未参与，模型易偏向高端设备用户，忽略资源受限用户的需求。

为此，系统需平衡调度效率与客户端多样性。常用分层采样、配额采样、历史参与追踪等方法，优先调度代表性不足的设备。异步缓冲、陈旧度感知和公平机制防止活跃设备主导训练。

调度策略直接影响系统性能，包括收敛速度、泛化能力、能耗和用户体验。调度不仅是后勤问题，更是联邦学习系统设计的核心。

带宽感知的更新压缩 通信成本是联邦学习的主要瓶颈。每轮上传完整模型权重或梯度会耗尽带宽和电量，尤其在移动或嵌入式设备上 [459]。

主要压缩方法有三类：模型压缩、选择性更新、架构分区。

模型压缩通过量化 [460]、稀疏化、子采样等方式减少上传量。可只传 8 位量化梯度，或仅传最大梯度元素 [461]。

选择性更新只上传部分参数，如仅更新输出层或适配器，主干冻结，既降通信又防止过拟合。

模型分区将模型分为全局共享和本地私有部分，客户端仅同步共享部分，私有部分本地训练，兼顾个性化与隐私。

所有方法都在联邦聚合协议下运行。标准聚合为数据加权平均，保证数据量大的设备影响力更大，兼顾部分参与和数据异构。

但通信高效更新也有权衡：压缩会损失梯度信息，选择性更新降低模型容量，分区架构协调更复杂。需在带宽、隐私和收敛间权衡，具体取决于客户端能力和多样性。

联邦个性化 通信与压缩提升了可扩展性，但全局模型难以适应用户差异。实际部署中，设备数据分布异质，单一全局模型难以兼顾所有用户，需个性化联邦学习。

设 θ_k 为客户端 k 的模型参数，θ_{global} 为全局模型。传统 FL 优化全局目标：

$$\min_{\theta} \sum_{k=1}^{K} w_k \mathcal{L}_k(\theta)$$

但实际 $\mathcal{L}_k$ 常因数据异构而差异巨大。

个性化目标允许每台设备维护自适应参数 θ_k，优化如下：

$$\min_{\theta_1,\ldots,\theta_K} \sum_{k=1}^{K} \left(\mathcal{L}_k(\theta_k) + \lambda \cdot \mathcal{R}(\theta_k, \theta_{\text{global}}) \right)$$

459. **无线通信现实**：移动设备上传带宽远低于下载（LTE 上传 5-10 Mbps，下载 50+ Mbps），上传 50MB 模型需 100mAh 电量（约 2-3% 电池），耗时 40-80 秒。低功耗设备（如 LoRaWAN）带宽更低，需极致压缩。
460. **梯度量化**：将 FP32 梯度转为低精度（INT8、INT4、1 位），如 signSGD 仅传符号，压缩 32 倍。误差补偿法累积量化误差，保证收敛。实际部署可降通信 8-16 倍，精度损失 <1%。
461. **梯度稀疏化**：仅传最大梯度（如前 1-10%），大幅降通信。梯度累积法本地存储未传递梯度，待足够大时再上传。可达 10-100 倍压缩，收敛质量基本不变。

$\mathcal{R}$ 为偏离全局模型的正则项，λ 控制强度。这样本地模型可适当偏离全局，兼顾个性化与协同。

实际案例如健康监测设备，个体运动模式差异大，全局模型仅能粗略分类，个性化微调输出层或低秩适配器可显著提升罕见类别准确率。

常见个性化策略有本地微调（下载全局模型后用本地数据做少量梯度步）、个性化层（主干共享，头部本地训练）、聚类联邦（按数据相似性分组训练）、元学习（如 MAML，训练能快速适应新任务的初始化）。下表总结了主要权衡：

策略	个性化机制	计算开销	隐私保护	适应速度
本地微调	聚合后本地梯度下降	低 - 中	高（无数据共享）	快（少量步）
个性化层	主干共享 + 用户专属头部	中	高	快（小头部训练）
聚类 FL	按数据相似性分组训练	中 - 高	中（需分组元数据）	中
元学习	跨任务/设备训练快速适应	高（元目标）	高	极快（小样本）

实际部署常用混合策略，如在个性化头部上本地微调，以兼顾鲁棒性和效率。

联邦隐私 联邦学习虽以隐私为初衷（数据不出本地），但模型更新（如梯度、权重变化）也可能泄露隐私，如模型反演、成员推断等攻击可部分还原本地数据。

为此，现代联邦系统常用安全聚合协议（加密聚合，服务器仅见总和，不见单个设备）、差分隐私 [462]（在更新中注入噪声，数学上限制信息泄露）等防护措施。虽提升隐私，但也带来系统复杂度和模型效用、通信、鲁棒性的权衡。更深入的安全原理需专章讨论。

462. **差分隐私**：通过添加噪声实现可量化隐私保护。联邦学习中，DP 确保聚合后无法推断单个用户数据。参数 ε 控制隐私 - 效用权衡，ε 越小隐私越强但精度下降。实际部署常用 ε=1-8，噪声会提升通信开销 2-10×、精度下降 1-5%。

大规模设备编排

联邦学习将机器学习转变为大规模分布式系统挑战，远超传统算法范畴。需协调数千/百万异构设备，面对拜占庭故障、网络分区和通信效率等前所未有的难题。这些挑战与数据中心分布式训练完全不同，后者有高带宽和可靠基础设施。

网络与带宽优化 通信瓶颈是联邦学习可扩展性的首要约束。理解量化的传输需求，有助于模型架构、压缩和调度策略的设计。

联邦通信层级揭示了极端带宽约束。全模型同步每轮需 10-500MB，远超移动网络上传带宽（5-50 Mbps）。梯度压缩（量化、稀疏、选择性传输）可降 10-100 倍，实际部署需 100-1000 倍压缩，将 100MB 模型降至 100KB-1MB，移动设备可在合理时间内上传，且不耗尽流量。通信频率需在模型新鲜度与带宽消耗间权衡。

网络基础设施直接影响参与率和系统可行性。4G 上传 5-50 Mbps，8MB 更新需 1.3-13 秒。实际网络差异极大，农村 1 Mbps，城市 5G 可达 100+ Mbps，需自适应通信策略，兼顾低端与高端设备。

通信需求与参与率呈临界效应：更新超 10MB 时参与率 <10%，低于 1MB 时可达 40-60%。高参与率带来更好统计多样性和全局模型质量。

高阶压缩技术如梯度量化（FP32→INT8/二进制）、稀疏化（仅传最大梯度）、Top-k 选择和误差累积等，成为实际部署的必需。

异步设备同步 联邦学习处于分布式系统与机器学习的交汇点，继承了两者的挑战，并因移动、异构和不可靠性而更复杂。

需应对拜占庭容错：设备故障频繁，恶意更新可破坏全局模型，需鲁棒聚合协议（如拜占庭平均），但计算开销大。共识机制需协调百万不可靠节点，传统 Raft/Paxos 不适用。

网络分区尤为棘手，设备可能长时间离线，异步协调协议需平衡陈旧度与新鲜度。

容错与恢复策略包括：全局模型快照（便于回滚）、部分更新处理（防止部分设备掉线影响全局）、状态对齐（设备重连时高效同步）、动态负载均衡（应对参与模式变化）。

异步协调带来收敛新挑战。传统同步训练假设所有节点完成每轮，联邦系统需优雅处理慢节点和掉线。FedAsync[463] 等方法支持异步聚合，服务器随时接收更新，陈旧度加权防止过时更新影响全局。

463. **异步联邦学习（FedAsync）**：无需等待慢设备，服务器随时用新到的客户端更新，陈旧度加权。可提升 2-5 倍收敛速度，精度损失 1-3%。

百万设备异构管理 实际联邦部署在硬件、网络、数据分布和可用性等多维度极度异构。旗舰手机 35 TOPS，IoT 微控仅 0.03 TOPS，内存差异 100-10000 倍，能耗和网络差异更大。

自适应协调协议通过分层参与策略优化资源利用。高端设备可做复杂本地训练，低端设备仅做轻量更新或数据聚合，形成自然的计算层级。

规模挑战还体现在协调开销。传统共识算法仅适合几十节点，联邦学习需百万级，需分层协调架构（如区域聚合服务器），利用边缘计算基础设施优化梯度聚合。

现代系统用分层采样兼顾统计代表性与效率，考虑设备能力、地理、时间等多维度，动态调整参与策略。

生产集成

前文建立的理论基础 —— 模型自适应、数据高效、联邦协同 —— 为设备端学习系统提供了构建模块。但将这些技术落地为生产系统，需解决跨越所有约束维度的集成挑战。

实际部署的系统复杂度远超单项技术之和。模型自适应、数据高效和联邦协同需无缝协作，而非各自为政。不同学习策略的计算和内存特性需整体协调，训练、推理和通信需合理调度，避免影响用户体验和系统稳定性。与中心化系统不同，设备端学习需分布式验证和故障检测，跨异构设备群体运行。

理论到实践的转变需系统性工程方法，平衡多重约束，保障系统可靠性。成功的设备端学习部署依赖整体系统设计，而非单点算法突破。后续章节将系统梳理生产系统如何通过设计模式、运维实践和监控策略，实现可扩展、可靠的设备端学习部署。

MLOps 集成挑战

将设备端学习集成到现有 MLOps 流水线，需扩展第 13 章：机器学习运维的运维框架，支持分布式训练、异构设备和隐私保护协同。标准 MLOps 假设中心化数据、可控部署和统一监控，不适用于边缘学习，需新方法管理技术债和运维卓越。

部署流水线变革 传统 MLOps 部署流水线（见第 13 章）为标准 CI/CD：训练、验证、上线单一模型到统一基础设施。设备端学习需设备感知的部署流水线，不同设备层级分发不同自适应策略：微控器用偏置更新，中端手机用 LoRA 适配器，高端设备用选择性层更新。部署产物从静态模型文件变为自适应策略、初始权重和设备特定优化配置的集合。

这要求流水线扩展设备能力检测、策略选择和分层部署编排，同时保持传统 MLOps 的可靠性。

版本管理也更复杂。中心化系统仅需单一模型版本，设备端学习需多维版本追踪：预训练主干为基础版本，各设备按策略本地适应，形成设备特定检查点，联邦聚合轮次形成聚合 epoch。成功部署需分层版本管理，主干慢速演进，本地适应持续发生，形成分层版本空间。

监控系统演进 第 13 章：机器学习运维的监控聚合自中心化推理服务器。设备端学习监控需在完全不同的约束下运行，重塑系统观测、度量和响应模型行为的方式。

隐私保护遥测是首要变化。需用联邦分析，仅上传聚合统计或差分隐私摘要，不能像中心化系统那样记录单条预测或训练样本。设备仅报告分布摘要（如均值准确率、置信直方图），所有统计需差分隐私保证，安全聚合协议防止服务器还原单设备数据。

漂移检测也更难，无标签时只能用本地信号。可用置信度校准、输入分布监控、任务反馈代理、影子基线对比等方法，检测模型退化。

异构性能追踪是第三大挑战：全局均值掩盖了关键失败，需按设备能力、地区、时间等多维度分段监控，发现性能差距、区域偏差、版本滞后和参与不均等问题。

持续训练编排 传统持续训练在中心化基础设施上定期重训，设备端学习则是数百万设备独立训练，无需全局同步，需全新协调策略。

异步协调是首要变化。仅 20-40% 设备每轮可用，系统需容忍慢设备，防止其阻塞全局进度。设备常用不同主干版本，聚合协议需优雅处理版本偏差。设备重连时需高效对齐本地适应与全局模型。

资源感知调度保障训练不影响用户体验。仅在空闲、充电、Wi-Fi 时训练，温度超限暂停，电池消耗受控，网络受限时压缩更新。

无全局可见性的收敛评估是最后挑战。需用联邦评估、更新幅度追踪、参与多样性和时序一致性等间接信号判断收敛。

验证策略适配 第 13 章：机器学习运维的验证假设有中心化测试集和评估基础设施。设备端学习需分布式验证，兼顾隐私和资源约束。

影子模型评估是主力机制：设备同时运行基线影子模型（冻结主干）、本地适应模型和最新聚合模型，对比预测，发现适应退化时自动回滚。

置信度质量门控在无标签时用置信度作为质量代理，置信度下降提示分布漂移或模型退化，低于基线时暂停适应。

联邦 A/B 测试支持新策略或架构的分布式实验，随机分组，隐私聚合，比较适应成功率、收敛速度和最终性能，逐步推广。

这些变革需新工具和基础设施，系统性扩展传统 MLOps。CI/CD、监控、A/B 测试和响应流程为设备端学习运维提供基础，联邦协议协调分布式训练，监控体系弥补分布式适应的可观测性缺口。

成功的设备端学习部署需在继承 MLOps 方法论的基础上，适应分布式、异构环境的独特挑战，确保运维可靠性与边缘智能的落地。

生物启发的学习效率

设备端学习的约束与生物智能系统的根本挑战高度一致，提供了高效学习设计的理论启示。理解这些联系，有助于在资源受限下实现原理性优化。

向生物神经高效学习 人脑仅用约 20 瓦功耗即可持续学习，正是设备端学习的效率目标 [464]。这种高效源于多项架构原则，直接启发边缘学习设计。

大脑的能效特性为设备端系统设定了多维优化目标：20W 总功耗，10W 用于主动学习和记忆巩固，等同于移动设备充电时可持续分配的能耗。稀疏分布式表征仅 1-2% 神经元激活，极大降低了计算和存储需求。学习效率体现在小样本学习和持续适应，避免灾难性遗忘。分层处理实现多尺度信息复用。

生物学习的稀疏性、事件驱动和持续适应等特性，正是设备端学习所需的关键机制。

无监督数据利用策略 移动设备持续采集丰富传感器流，极适合自监督学习：摄像头视觉流、加速度计时序、GPS 空间、触控行为等，为无标签表征学习提供了海量数据。

如摄像头 30fps，每天 260 万帧，适合对比学习。加速度计 100Hz，每天 860 万点，适合时序表征。GPS 轨迹和触控行为可做空间和行为嵌入，无需人工标注。

对比学习可用时序相关性，连续帧为正样本，增强变换为负样本。音频流可用掩码预测做自监督，运动数据可做时序结构学习。

生物启发还体现在持续学习与遗忘防控。大脑通过突触巩固和回放机制实现新旧知识共存。设备端可用弹性权重巩固、经验回放和渐进架构等机制，防止灾难性遗忘。

464. **大脑能效**：人脑 20W 功耗（相当于一只 LED 灯泡），每秒处理 10^15 次操作，比当前 AI 加速器高效 5 万倍。86 亿神经元仅 1-2% 同时激活，10^14 突触实现大规模并行，重要计算用更高精度。现代边缘 AI 也追求稀疏激活、自适应精度和事件驱动处理。

持续适应与遗忘防控 实际部署需持续适应环境、用户和任务变化，面临稳定 - 可塑性权衡：既要保持已有知识，又要快速学习新模式。

边缘设备持续学习面临灾难性遗忘（新知识覆盖旧知识）、任务干扰（多目标竞争有限容量）、分布漂移（部署环境与训练环境差异）、资源约束（内存不足无法存历史数据）。

元学习方法（如 MAML）通过学习“学习算法”而非具体任务，实现小样本快速适应，正适合设备端个性化。小样本学习让模型仅用少量用户数据即可个性化，同时保持预训练的通用能力。

理论上，最优设备端学习系统应结合稀疏表征、自监督预训练和元学习。实际设计中，稀疏架构降内存和算力，自监督目标用足无标签数据，元学习提升个性化效率。

关键原则是最小化适应开销。全量微调通常不可行，应优先用偏置优化、残差适配器和轻量头部等局部更新，兼顾个性化与稳定性。

轻量适应的可行性高度依赖离线预训练的强度。预训练模型应具备可迁移的通用表征，减轻本地适应负担，提升数据稀缺环境下的收敛稳定性。

即便适应轻量，也需机会性调度，确保系统响应性和用户体验。本地更新应在设备空闲、充电和网络良好时进行，避免影响主业务。

本地训练产物需严格数据安全，回放缓冲、支持集、适应日志和更新元数据均需防止未授权访问。轻量加密或硬件安全存储可在不增加资源负担的前提下提升安全性。

然而，安全措施并不能保证模型鲁棒性。模型适应时需监控适应动态，轻量验证（置信评分、漂移检测、影子模型评估）可及早发现发散，及时触发回滚机制。

鲁棒回滚依赖可信模型检查点。每次部署都应保留已知良好的基线版本，适应退化时能快速恢复，尤其在安全和合规领域尤为重要。

在分布式或联邦学习场景下，通信效率是首要设计约束。需用量化梯度、稀疏参数和选择性模型传输等压缩技术，实现大规模异构设备的可扩展协同。

当个性化时，系统应优先本地化适应，限制更新范围（如头部或适配器），防止灾难性遗忘，降低内存和加速适应。

全生命周期内，隐私和合规需内建于适应流程。用户同意、数据最小化、保留期限和删除权等机制应成为模型设计的核心，而非事后补救。大规模合规需设备端学习流程本身就符合可审计自治原则。

下图总结了设计实用、可扩展、鲁棒设备端 ML 系统的关键决策点。

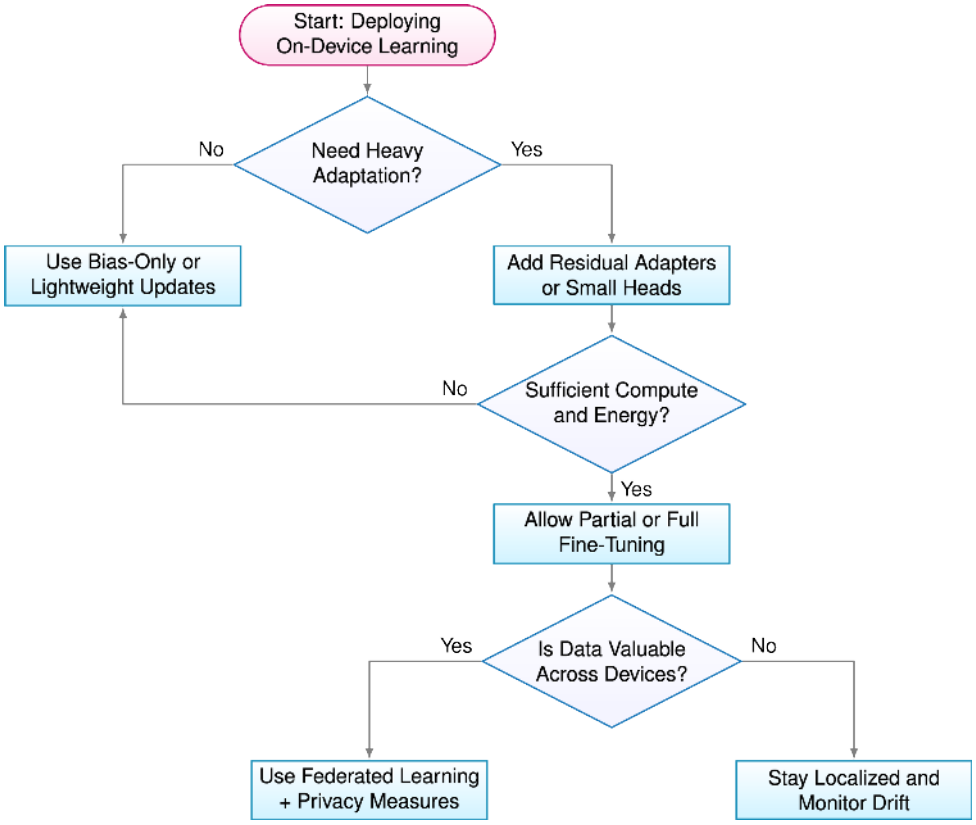

本流程图梳理了设备端 ML 系统开发的关键决策点，涵盖数据管理、模型选择和隐私考量。将隐私与合规（如用户同意、数据最小化）内建于设计流程，确保设备端智能的可审计性和可扩展性。

生产部署的系统集成

实际设备端学习系统通过系统性集成三大解决支柱，而非依赖单一技术。集成需精细的系统工程，管理各技术间的交互、冲突和整体性能优化。

以 5000 万台异构设备上的语音助手为例，系统架构分三层协同应对多样约束：

- **模型自适应层**：按设备能力分层部署。高端机（20%）用 LoRA 秩 32 适配器，支持高维参数更新；中端机（60%）用秩 16，兼顾表达力与内存；低端机（20%）仅用偏置更新，1GB 内存即可个性化。
- **数据高效层**：全体设备自适应缓冲区大小（低端 10MB，高端 100MB），小样本学习解决冷启动，流式更新适应用户语音风格变化。
- **联邦协同层**：设备按连接和电量机会性参与联邦训练，LoRA 适配器每次仅 50MB 更新，远低于全模型 14GB，隐私聚合协议保障个体语音不出本地，同时提升全局模型对口音和语言的泛化能力。

高效集成需遵循以下工程原则：

1. **分层能力匹配**：高能力设备用复杂技术，低端设备保证基本功能，绝不假设能力均衡。
2. **优雅降级**：单一组件失效时系统仍能运行，如连接差时本地适应不受影响，低电量时自动切换极简模式。
3. **冲突解决**：模型自适应与数据高效可能冲突（如内存与缓冲区），需系统性资源分配和优先级管理。
4. **性能验证**：集成后会出现单项技术未见的新行为，需全设备组合和网络条件下全面测试。

这种集成方法将设备端学习从技术集合转变为可在现实约束下实现鲁棒个性化的系统能力。

持续的技术与运维挑战

前文探讨的模型自适应、数据高效与联邦协同等解决方案，虽解决了设备端学习的诸多根本约束，但在实际部署中也暴露出一系列持续性挑战。这些挑战代表了设备端学习研究的前沿，揭示了前述技术的极限及其带来的新运维复杂性。理解这些挑战，有助于评估设备端学习的适用场景，以及何时应采用替代方案。

与传统中心化系统（训练环境可控、硬件统一、数据集规范）不同，边缘系统需应对设备异构、数据碎片化及缺乏中心化验证基础设施等问题。这些因素带来了新的系统级权衡，考验着自适应策略、数据高效方法和协同机制的边界。

设备与数据异构管理

联邦与设备端 ML 系统需在极其多样的设备生态中运行，从智能手机、可穿戴设备到 IoT 传感器和微控制器，硬件能力、软件栈、网络连接和电源状况均高度异构。与云端可标准化环境不同，边缘部署面临系统配置和约束的广泛分布，极大增加了算法设计、资源调度和模型部署的复杂性。

硬件层面，设备在内存容量、处理器架构（如 ARM Cortex-M 与 A 系列）[465]、指令集支持（如 SIMD、浮点单元）及 AI 加速器有无等方面差异巨大。有的设备具备强大 NPU 可运行小型训练循环，有的仅有低频 CPU 和极小 RAM。这直接影响模型规模、训练算法选择和更新频率。

465. **ARM Cortex 架构谱系**：ARM Cortex 系列能力跨度达 6 个数量级。Cortex-M0+（IoT 传感器）48MHz、32KB RAM、无浮点，功耗约 10μW。Cortex-M7（嵌入式）400MHz、1MB RAM、单精度 FPU，功耗约 100mW。Cortex-A78（智能手机）3GHz、多核、NEON SIMD、分支预测，功耗 1-5W。联邦学习需动态适配算法：M0+ 上量化推理，M7 上轻量训练，A78 上全反向传播。

软件异构性进一步加剧挑战。设备可能运行不同版本的操作系统、驱动和运行库。有的支持 TensorFlow Lite[466] Micro 或 ONNX Runtime Mobile 等优化 ML 运行时，有的则依赖定制推理栈或受限 API。这些差异可能导致行为不一致，尤其在模型编译或浮点精度不同的平台间。

网络连接和在线时长也高度不均。有的设备仅偶尔联网、偶尔充电，带宽受限；有的则持续供电、网络稳定，但仍需优先保证用户体验。这些差异使得协同学习和更新调度更为复杂。

系统碎片化还影响可复现性和测试。如此广泛的执行环境，难以保证模型行为一致或可靠调试故障，监控、验证和回滚机制变得更重要，但也更难统一实现。

以移动键盘联邦学习为例，高端手机有 8GB RAM、AI 加速器、持续 Wi-Fi，低端机仅 2GB RAM、无加速器、移动数据断续。这些差异决定了训练时长、模型更新频率，甚至能否训练。系统需动态调整训练计划、模型格式和压缩策略，确保用户公平受益，同时尊重设备极限。

非独立同分布（Non-IID）数据分布挑战

中心化机器学习可聚合、打乱和清洗数据，近似独立同分布（IID），这是许多算法的基础假设。设备端与联邦学习则根本违背这一假设，需算法能应对高度碎片化和非 IID 的本地数据。

这种碎片化带来级联挑战。不同设备上计算的梯度可能冲突，导致收敛变慢或训练不稳定。本地更新易过拟合个体特征，聚合后全局性能下降。客户端数据多样性也使评估复杂，无单一测试集能代表真实部署分布。

需用个性化层、重要性加权、自适应聚合等技术部分缓解，但最优方案依赖具体应用和数据碎片特性。正如第 14 章：设备端学习所述，统计异质性是设备端学习区别于传统中心化方法的核心挑战之一。

分布式系统可观测性

第 13 章：机器学习运维中的监控与可观测性框架，在分布式边缘环境下需彻底重构。传统中心化监控依赖统一数据收集和实时可见性，设备端学习则常处于断网、数据不可集中、隐私受限的环境。MLOps 的漂移检测和性能监控理念虽可借鉴，但需适配分布式、隐私保护的设备端系统。

466. **TensorFlow Lite**：谷歌移动/嵌入式 ML 推理框架，针对 ARM 优化，量化/剪枝可降模型体积 75%，推理速度提升 3 倍。支持 16/8 位量化，专用内核适配移动 CPU/GPU。TFLite Micro 面向 <1MB 内存的微控器，实现 Arduino 等平台 ML。

与中心化系统可持续用验证集评估不同，设备端学习的可见性和可观测性发生根本转变。模型一旦部署，常在多样且断网环境中运行，内部更新可能无人监控，确保自适应有益且安全极具挑战。

核心难点在于缺乏中心化验证数据。传统流程用清洗数据集训练和评估，设备端则仅能用本地输入自适应，这些数据极少有标签且难系统收集。更新质量和方向（提升泛化还是引入漂移）难以评估，且不能影响用户体验或违反隐私。

模型漂移风险在流式场景尤为突出，持续自适应可能导致性能缓慢劣化。如语音识别模型若过度适应背景噪声，最终可能只适应短暂声学条件，主任务准确率下降。若无法观测参数或输出的演化，这类退化常难以察觉。

缓解方法包括设备端验证与更新门控。可将自适应步骤与轻量性能检测交替 —— 用代理目标或自监督信号近似模型置信度。例如关键词唤醒系统可跟踪近期置信度，若持续低于阈值则暂停更新。也可用影子评估，设备同时维护多个模型版本，实时对比适应模型与基线在新数据上的表现。

另一策略是定期快照与回滚，适应前保存模型状态，若后续性能下降（如下游指标或用户反馈），可回退到已知良好状态。健康监测设备已采用此法，但在内存受限环境下会带来存储和计算开销。

部分场景下，联邦验证可部分解决。设备可上传匿名模型更新或摘要，服务器聚合后识别全局漂移或失效模式。虽保留部分隐私，但增加通信开销，且难捕捉罕见或个体化失效。

总之，设备端学习的更新监控与验证需重新思考传统评估实践。系统需依赖隐式信号、运行时反馈和保守自适应策略保障鲁棒性。缺乏全局可观测性不仅是技术限制，更是本地自适应与全局可靠性对齐的系统性难题。

动态环境下的性能评估 第 12 章：AI 基准测试建立了系统化的 ML 性能测量方法：推理延迟、吞吐、能效、准确率等。这些基准适用于静态推理任务。设备端学习需扩展这些指标，衡量自适应质量和训练效率。

除推理指标外，自适应系统需专门的训练指标，衡量边缘约束下的学习效率。自适应效率衡量每消耗 100 个训练样本带来的准确率提升（如 2%），直接反映个性化速度和数据需求。内存约束收敛性评估在指定 RAM（如 512KB）下的验证损失，便于跨设备对比。每步能耗（毫焦/步）对电池设备尤为关键，移动设备通常为 500-1000mW 持续 ML，1.8-3.6 焦/小时适应，超出即影响续航。自适应时延则衡量从接收新数据到性能提升的实际时间，考虑机会性调度（如仅空闲/充电时训练）。

评估本地自适应是否优于全局模型，需用个性化增益指标。每用户性能增量衡量适应模型对比全局基线在用户持出集上的提升，通常需超 2% 才值得投入。个性化 - 隐私权衡则衡量每单位本地数据暴露带来的准确率提升，帮助评估适应收益是否大于隐私成本。灾难性遗忘率衡量适应后原任务性能下降，通常要求低于 5%。

联邦学习场景下，需用联邦协调成本指标。通信效率衡量每字节传输带来的准确率提升，现代系统通过量化/稀疏化可降 10-100 倍通信，精度损失 <5%。慢设备影响量化因慢设备导致的收敛延迟，异步聚合可降 30-50%。聚合质量则衡量不同参与率下的全局模型性能，通常需每轮 10-20% 设备参与才能稳定收敛。

这些训练指标与推理指标互补，形成自适应系统的完整性能画像。实际基准需双维度评测：推理快但适应慢，或适应快但最终精度差，均难满足实际需求。推理与训练基准的结合，实现了设备端学习系统全生命周期的整体评估。

资源管理

设备端学习引入了传统推理部署中不存在的资源竞争。许多边缘设备仅为高效推理设计，极少考虑训练负载。本地自适应需与其他系统进程和前台应用争夺算力、内存带宽、能耗和热预算。

最直接的约束是算力可用性。训练需额外的前向/反向传播，即便仅更新少量参数（如偏置或头部），反向传播仍需遍历相关层，指令数和内存流量大增。共享算力（如移动 SoC、嵌入式 CPU）下，训练会拖慢交互任务、降低帧率或影响传感器处理。

能耗问题更突出。适应常需多样本持续计算，电池设备易快速耗电。如微控器单次适应可耗数毫焦 [467]，对能量采集系统尤为敏感，需严格调度，仅在空闲/能量充足时训练。

内存方面，训练峰值远高于推理，需缓存中间激活 [468]、梯度和优化器状态。

这些资源需求还需兼顾服务质量（QoS）。用户期望设备响应可靠，不能因后台训练而卡顿。任何可感知的退化（如唤醒词丢音、可穿戴延迟）都会损害信任。许多系统采用机会性学习策略，前台活跃时暂停适应，仅在负载低时恢复。

部分部署还受网络基础设施成本约束，如需将部分训练任务卸载到网关或云端，带来带宽和通信权衡。混合模型需权衡本地与远程更新的时机和调度。

总之，设备端学习的成本不仅是 FLOPs 或内存，更是系统负载、用户体验、能耗和基础

467. **微控器能耗现实**：典型微控器训练时 10mW，1 小时耗 3.6 焦，1000mAh 电池 2.8 小时耗尽。能量采集系统仅能持续 10-100mW（室内光伏），无法持续训练。实际部署常用占空比：每小时训练 10 秒，总耗约 1 焦，仅能支持 100-1000 步，需极高效算法和能量预算。

468. **激活缓存**：反向传播需存前向激活，内存可达权重 3-5 倍。梯度检查点等技术可降 80% 内存，代价是计算提升 30%。对内存极限设备尤为关键，否则适应不可行。

设施的复杂博弈。需算法、运行时和硬件协同设计，确保适应在实际约束下高效、无感、可持续。

系统失效识别与防控

理解设备端学习的潜在失效模式，有助于避免代价高昂的部署错误。结合联邦学习研究和自适应系统已知风险，需重点关注以下失效类别：

最根本的风险是无约束适应漂移，持续学习导致模型逐步偏离预期。例如键盘预测系统若学习所有输入（含纠错），可能将错别字学为建议，预测质量逐步下降。健康监测应用中，用户基线的渐变也可能被学为“正常”，导致异常漏检。漂移常缓慢且局部，缺乏监控难以察觉。

除单设备漂移外，联邦学习还面临群体参与偏差放大。电力/网络好的设备更常参与，模型逐步偏向高端用户，低资源用户体验下降，形成反馈环，数字鸿沟加剧，公平性和伦理风险突出。

这些系统性偏差与数据质量问题交互，易形成自动纠错反馈环，尤其在文本应用中。系统无法区分真实输入与纠错，专业术语被误学为错误，导致专业场景建议失效。此问题与漂移叠加，模型既适应个体习惯，也可能学到自身错误。

这些失效模式的相互作用，凸显了系统性安全机制的重要性。需设定适应范围、分层采样、数据过滤和影子基线评估等措施，防止无约束漂移、参与偏差和数据污染。尽管生产事故鲜有公开，研究界已将这些模式视为亟需系统性缓解的关键领域。

生产部署风险评估

在合规、可审计和需监管的领域（如医疗、金融、安全），设备端学习带来的挑战远超技术可行性，核心矛盾在于系统自治与可控性的平衡。

传统 ML 流水线所有更新均中心化管理、版本化和验证，数据、检查点和评估指标可复现，支持追溯。设备端学习则失去这一可见性，每台设备参数独立演化，受本地数据流影响，开发者和运维者无法观测。

这种自治带来验证缺口。无法访问输入数据或更新轨迹，难以确认模型仍符合原始规范或性能保证。对需认证的行业尤为致命，设备自适应后可能超出合规边界，触发违规而无外部信号。

缺乏中心化监管也使回滚和恢复复杂。若模型更新导致性能下降，尤其在离线或无遥测系统中，失效难以及时发现，内部状态可能已远离任何已知检查点，诊断和恢复远比静态部署复杂。需保守更新阈值、回滚缓存或双模型架构等安全机制。

此外，设备端学习引入新安全漏洞。模型适应依赖本地、可能不可信的数据流，攻击者可篡改存储数据（如回放缓冲）或注入有毒样本，导致性能下降或引入漏洞。所有本地适应数据（如特征嵌入、小样本）都需防止未授权访问，避免信息泄露。

在去中心化环境下，模型完整性尤难维护。自治更新若无外部可见性，模型可能漂移至不安全或有偏状态。GDPR 等法规的“被遗忘权”也带来挑战：若用户数据通过适应影响模型，追踪和逆转影响极为复杂。

自适应模型的安全与完整性，尤其在边缘场景下，是重要的开放难题。需专门的分布式 ML 安全框架系统性应对。

隐私法规与设备端学习也有复杂交互。虽本地适应可减少敏感数据传输，但仍需在设备上存储和处理个人信息（如传感器轨迹、行为日志）。需严格安全框架和合规设计，可能涉及数据保留、用户同意和可审计性等要求。系统需在不影响适应效果的前提下，满足加密存储、保留期限和用户重置等合规要求。

最后，边缘学习的兴起带来责任与问责的新问题。模型自治适应后，谁对其行为负责？如适应模型误诊健康、误解语音命令，根因可能在本地数据漂移、初始化不佳或防护不足。若无标准化失效捕获与分析机制，责任难以界定，合规更难通过。

应对这些风险需新工具、协议和设计实践，支持可审计自治 —— 系统能本地适应，同时满足可追溯、可复现和用户保护等外部要求。随着设备端学习普及，这些挑战将成为系统架构和治理的核心议题。

工程挑战综述

设计设备端 ML 系统需在技术与实践约束间权衡。局部适应带来个性化、隐私和响应性，但也引入硬件异构、数据碎片、可观测性和合规等多重挑战。

系统异构性使部署和优化复杂化，算力、内存和运行环境差异大。非 IID 数据分布挑战学习稳定性和泛化，尤其在无全局上下文的本地训练中。缺乏中心化监控使更新验证和性能回归难以发现，训练活动常与核心功能争夺能耗和算力。部署后学习还带来模型治理难题，包括可审计性、回滚和隐私保障。

这些挑战相互作用，影响不同自适应策略的可行性。下表总结了主要挑战及其对边缘 ML 系统的影响。

挑战	根本原因	系统级影响
系统异构	硬件、软件、工具链多样	限制可移植性，需平台特定调优
非 IID 与数据碎片化	本地化、用户特异性数据分布	降低泛化能力，漂移风险提升
可观测性与反馈有限	无中心化测试或日志	更新验证与调试困难
资源竞争与调度	内存、算力、电池等资源竞争	需动态调度与预算感知学习
部署与合规风险	部署后持续学习	版本管理、审计与回滚复杂

稳健 AI 系统基础

上述运维挑战与失效模式揭示了超越部署的系统可靠性风险。当模型在数百万异构设备上自治适应时，出现了中心化训练从未遇到的三类威胁：

首先，中心化系统的失效局部且可观测（见第 13 章：机器学习运维），设备端学习则可能让局部失效在设备群体间悄然传播。如一台设备适应出错，若被联邦聚合，可能污染全局模型。硬件故障在中心化基础设施下易被发现，边缘设备则可能悄然损坏梯度，缺乏检测。

其次，联邦协同机制虽实现协作，也带来新攻击面。恶意客户端可注入有毒梯度[469]，破坏全局模型。模型反演攻击可从聚合更新中提取隐私。分布式特性让攻击更易执行（攻破客户端）且更难检测（无中心化验证）。

第三，设备端系统需在无标签验证数据下应对分布漂移和环境变化。模型可能自信地漂移至失效模式，适应本地偏差或短暂异常。设备间非 IID 数据分布意味着局部漂移难以触发全局警报，导致静默退化。

这些可靠性威胁需系统性方法保障设备端学习的鲁棒性，包括自治适应、防御恶意攻击

469. **联邦学习拜占庭容错**：分布式系统属性，允许部分节点恶意或故障时系统仍能正确运行（拜占庭将军问题）。联邦学习中，Krum 或修剪均值等算法可容忍 f 个恶意节点，需 $n \geq 3f + 1$。鲁棒聚合方法通信成本提升 2-5 倍，计算开销增 3-10 倍，但能防止有毒梯度攻击。

和环境不确定性。第 16 章：稳健 AI 将系统梳理这些挑战，建立容错 AI 系统原则，包括拜占庭鲁棒聚合、对抗训练和漂移检测，这些技术已成为生产级设备端学习系统的必备组件。

这些鲁棒机制的隐私保护属性（如安全聚合、差分隐私）直接关联第 15 章：安全与隐私，为大规模自学习系统的用户信任和合规提供加密基础。

常见误区与陷阱

设备端学习与云端训练环境根本不同，资源极限和隐私要求挑战了传统 ML 假设。局部适应和隐私保护的吸引力，易掩盖其技术局限和实现难题，决定了设备端学习是否优于更简单方案。

误区：设备端学习能实现与云端训练同等的自适应能力。

这一误解让团队期望本地学习能达到云端大算力下的模型提升。实际上，设备端受限于内存、算力和能耗，适应能力受限。本地数据集小、偏、非代表性，难以实现云端同等泛化。高效设备端学习需接受这些限制，设计在实际约束下有意义提升的自适应策略，而非试图复制云端能力，需效率优先和精细优化。

陷阱：以为联邦学习自动保护隐私，无需额外防护。

许多实践者认为数据留在本地就足够隐私保护，忽视了模型更新可泄露的信息。梯度和参数更新可通过推断攻击泄露本地数据，设备参与模式、更新频率和收敛行为也可暴露用户敏感信息。真正的隐私保护需差分隐私、加密聚合和安全通信协议，而非仅靠数据本地化。

误区：资源受限适应总能带来更好的个性化模型。

认为任何本地适应都有益，忽视了本地数据质量和数量。数据不足、噪声大或偏差严重时，设备端学习反而可能劣化模型。小样本信号不足，适应本地噪声会损害泛化。高效系统需检测本地适应是否有益，数据不足时回退到通用模型。

陷阱：忽视不同设备类型和能力的异构挑战。

团队常假设硬件能力均衡，实际部署设备能力差异极大。高端手机适用的算法在 IoT 设备上可能彻底失效[470]，异构不仅影响单设备性能，也影响联邦协调，慢设备可拖慢全局。需自适应算法和鲁棒协调机制，工程实践需能优雅应对不确定性和失效。

470. **系统异构现实**：边缘设备能力跨度 6 个数量级 —— 32KB RAM 微控器到 16GB 智能手机。算力从 48MHz ARM Cortex-M0+（~10 MIPS）到 3GHz A 系列（~10 万 MIPS），功耗 10μW 到 5W。联邦学习算法需动态适配：低端设备用量化推理，按能力选择参与，分层聚合应对 1 万倍性能差异。

陷阱：低估了分布式边缘系统学习编排的复杂性。

团队常只关注单设备优化，忽视跨千/百万设备的系统级协调。边缘系统需应对断续连接、功耗状态、时区和设备可用性等复杂调度与同步。设备分组、联邦轮次协调、模型版本管理和不可靠设备的部分参与，需远超简单聚合服务器的基础设施。实际部署还涉及多方利益、安全和运维流程，需强大的编排框架应对设备流失、网络分区和运维中断。

总结

设备端学习代表了机器学习从静态中心化训练向动态本地自适应的根本转变。该范式让系统能个性化体验、保护隐私、减少网络依赖，并快速响应本地变化。成功依赖于优化原则、硬件约束理解和良好运维实践。云端到边缘的转变需克服极限算力、内存和能耗约束，彻底重塑模型设计与适应方式。

实现实用设备端学习的技术策略涵盖系统设计多维度。自适应技术从偏置更新到选择性参数调优，权衡表达力与资源效率。数据高效在本地样本有限时尤为关键，推动小样本学习[471]、流式适应和记忆回放机制[472]等创新。

> **要点回顾**
>
> - 设备端学习让机器学习从静态部署转向动态本地自适应，实现个性化与隐私保护
> - 资源约束驱动专用技术：偏置更新、适配器模块、稀疏参数更新、压缩数据表示
> - 联邦学习协调异构设备分布式训练，兼顾隐私与非 IID 数据分布
> - 成功需算法与硬件协同设计，平衡适应能力与内存、能耗、算力等约束

实际应用既展现了设备端学习的潜力，也暴露了挑战：从适应用户语音的关键词唤醒到无需上传数据的推荐引擎，随着 ML 向移动、嵌入式、可穿戴扩展，能在本地高效学习、可靠运行成为下一代智能系统的核心能力。

设备端学习的分布式特性带来了超越单设备的全新风险。其强大能力 —— 本地数据学习、模式适应、设备协同 —— 也带来了新的攻击面和隐私风险。自适应系统不仅要正确

471. **小样本学习**：仅用极少（1-10 个）标注样本学习新概念的 ML 范式。受人类学习启发，结合预训练表征和元学习，能用 5 个样本/类达 80-90% 准确率。对难以收集大数据的设备端场景至关重要。
472. **灾难性遗忘**：神经网络学习新任务时，旧知识易被新梯度覆盖遗忘。设备端持续适应尤为突出。解决方案包括弹性权重巩固（EWC）、梯度记忆（GEM）、回放缓冲等。资源受限设备需在存储旧样本和混合训练的内存/算力间权衡。

运行，还需保护用户隐私、防御对抗攻击。第 15 章：安全与隐私系统梳理了如何防护隐私泄露和对抗攻击，第 16 章：稳健 AI 进一步扩展到硬件故障和软件失效的系统级鲁棒性，第 13 章：机器学习运维则为这些复杂自适应系统的生产部署和运维提供了全面框架。

第 15 章：安全与隐私

目标

为什么隐私与安全决定了机器学习系统能否广泛应用并获得社会信任?

机器学习系统为了高效运行，需要前所未有地访问个人数据、机构知识和行为模式，这在实用性与保护之间形成了张力，直接影响社会接受度。与传统软件仅临时处理数据不同，ML 系统会从敏感信息中学习，并将模式固化到持久模型中，这可能无意间泄露隐私细节。这种能力带来了系统性风险，不仅威胁个人隐私，还可能损害机构信任、竞争优势甚至民主治理。机器学习在医疗、金融、教育和公共服务等关键领域的成功部署，完全依赖于建立健全的安全与隐私基础，既能促进有益应用，又能防止有害暴露。缺乏这些保护，即使最强大的系统也会因法律、伦理和实际顾虑而被弃用。理解隐私与安全原则，能帮助工程师设计兼具技术卓越与社会认可的系统。

> **学习目标**
>
> - 通过形式化定义和威胁模型，区分机器学习系统中的安全与隐私问题
> - 分析历史安全事件，提炼适用于 ML 系统漏洞的原则
> - 按照既定分类法，梳理模型、数据和硬件各层面的机器学习威胁
> - 针对具体场景，评估差分隐私、联邦学习、合成数据生成等隐私保护技术
> - 设计集成数据保护、模型安全与硬件信任机制的分层防御架构
> - 实现 ML 系统的基础安全控制，包括访问管理、加密与输入校验
> - 通过定量成本效益分析，权衡安全措施与系统性能
> - 应用三阶段安全路线图，结合组织威胁模型与风险容忍度优先部署防御措施

机器学习系统中的安全与隐私

从集中式训练架构向分布式、自适应机器学习系统的转变，彻底改变了现代 ML 基础设施的威胁格局与安全需求。正如第 14 章：设备端学习所述，现代 ML 系统越来越多地运行在异构计算环境中，涵盖边缘设备、联邦网络和混合云。这种架构演进带来了自适

应智能的新能力，但也引入了传统网络安全框架难以覆盖的新攻击面和隐私漏洞。

机器学习系统的安全特性与传统软件应用有本质区别。传统软件仅临时、确定性地处理数据，而 ML 系统则将训练数据中的模式提取并固化到模型参数中。这种知识表达方式带来了独特的风险：敏感信息可能被模型无意记忆，并通过输出或系统化探测被泄露。无论是医疗系统泄露患者信息，还是专有模型被逆向推理，这些风险都威胁个人隐私与机构知识产权。

如第 2 章：机器学习系统所述，ML 系统的架构复杂性通过多层攻击面加剧了安全挑战。现代 ML 部署包括数据采集管道、分布式训练基础设施、模型服务系统和持续监控框架，每一层都带来独特漏洞，而隐私问题贯穿整个计算栈。分布式部署、边缘节点自适应和联邦协调协议进一步扩大了攻击面，也使全面安全实施更加复杂。

应对这些挑战，需要在 ML 系统全生命周期内系统性地整合安全与隐私考量。本章将奠定工程化 ML 系统实现计算有效性与可信运行的基础，介绍安全原则在 ML 场景下的应用，识别学习系统特有的威胁模型，并提出涵盖数据保护、模型安全与硬件安全的综合防御策略。

我们将通过四个互相关联的框架展开：首先区分 ML 语境下的安全与隐私，其次通过历史安全事件为现代威胁评估提供证据，再分析学习过程本身带来的新型漏洞，最后提出跨越加密数据保护、对抗鲁棒模型设计与硬件安全机制的分层防御架构。全章强调可落地的实现指导，帮助实践者开发既满足技术性能又符合社会信任标准的系统。

基础概念与定义

安全与隐私是 ML 系统设计的核心，但常被混淆。两者都旨在保护系统与数据，但方式、威胁模型和技术响应各异。区分二者，有助于指导健壮与负责任的基础设施设计。

安全的定义

机器学习中的安全，聚焦于防御对抗性行为，包括保护模型参数、训练管道、部署基础设施和数据访问路径，防止被操控或滥用。

> **安全定义**
>
> **安全** 在机器学习系统中指 保护数据、模型与基础设施 免受 未授权访问、操控或破坏。涵盖 防御机制的设计与实现，防止 数据投毒、模型窃取、对抗性操控 及 系统级漏洞。安全机制确保 ML 服务在 开发、部署与运维环境 下的 完整性、机密性与可用性。

示例：部署在公共交通基础设施的人脸识别系统，可能被对抗性输入攻击，导致误识别或系统失效。这属于运行时安全漏洞，威胁准确性与可用性。

隐私的定义

安全应对对抗性威胁，隐私则关注限制敏感信息在 ML 系统中的暴露与滥用，包括保护训练数据、推理输入与模型输出，防止即使在无攻击下也泄露个人或专有信息。

> **隐私定义**
>
> **隐私** 在机器学习系统中指 保护敏感信息 免于 未授权披露、推断或滥用。涵盖 方法设计与实现，降低 个人、专有或受监管数据 暴露风险，同时保障 ML 系统有效运行。隐私机制帮助在 开发、部署与运维环境 下维护 机密性与数据使用控制。

示例：基于医疗转录训练的语言模型，可能无意记忆患者对话片段，若用户通过公开聊天机器人触发该内容，即使无攻击者介入，也属于隐私失效。

安全与隐私的区别

两者虽有交集（如加密存储兼顾安全与隐私），但目标、威胁模型与缓解策略不同。下表总结了 ML 系统中二者的区别。

方面	安全	隐私
主要目标	防止未授权访问或破坏	限制敏感信息暴露
威胁模型	对抗性攻击者（外部或内部）	诚实但好奇的观察者或被动泄露
典型关注点	模型窃取、投毒、规避攻击	数据泄露、再识别、记忆化
攻击示例	对抗性输入导致误分类	模型反演泄露训练数据
代表性防御	访问控制、对抗训练	差分隐私、联邦学习
法规相关性	强调于网络安全标准	数据保护法核心（如 GDPR）

安全与隐私的交互与权衡

安全与隐私密切相关但不可互换。安全系统通过限制未授权访问有助于隐私保护，隐私设计（如最小化数据保留）也能缩小攻击面。但二者有时也存在张力，如差分隐私[473]降低记忆风险但可能影响模型效用，加密提升安全却可能影响透明度与审计性，增加隐私合规难度。ML 系统设计需整体权衡这些取舍，尤其在医疗、金融等敏感领域，必须同时防范滥用（安全）与过度暴露（隐私）。理解二者边界，是构建高性能、可信赖、合规系统的基础。

从安全事件中学习

在建立安全与隐私的概念基础后，接下来通过标志性安全事件，观察这些原则如何在真实系统中体现。这些历史案例为抽象概念提供了具体例证，揭示了系统性风险（供应链攻击、隔离不足、端点武器化）在现代 ML 部署中的映射。

从各类计算系统的知名安全事件中可汲取宝贵经验。理解这些模式如何应用于现代 ML 部署（云、边缘、嵌入式），有助于提升安全性。这些事件表明，系统设计中的薄弱环节可能导致广泛甚至物理层面的后果。尽管本节案例未必直接涉及 ML，但其安全教训对 ML 应用同样适用。

供应链攻击：Stuxnet

2010 年，安全研究人员发现了高度复杂的计算机蠕虫 Stuxnet[474]，专门针对伊朗纳坦兹核设施的工业控制系统。Stuxnet 利用微软 Windows 的四个“零日”漏洞[475]，可在联网与隔离系统间隐蔽传播。

Stuxnet 不同于传统窃密或间谍软件，其目标是通过破坏离心机，干扰铀浓缩过程。尽管目标设施为物理隔离（air-gapped）[476]，但蠕虫仍通过感染的 USB 设备[477]渗透，证明物理隔离并非绝对安全。

蠕虫专门攻击可编程逻辑控制器（PLCs），即自动化电机等工业设备的计算机。通过利

473. **差分隐私起源**：Cynthia Dwork 于 2006 年在微软提出“差分隐私”一词，源于她对“匿名化神话”的反思（即仅去除姓名无法保障隐私）。她的突破性见解是隐私应可数学证明，而非仅凭直觉，这一框架现已保护了从 Apple 到 Google 数十亿用户的数据。

474. **Stuxnet 发现**：Stuxnet 首次由白俄罗斯杀毒公司 VirusBokNok 发现，起因是客户电脑异常崩溃。原本看似普通的恶意软件调查，最终揭示了首个旨在物理破坏的网络武器。

475. **零日漏洞术语**：最早源自盗版圈，指软件发布“零天”后即被破解。安全领域则指防御方在漏洞被利用前“零天”可修补，代表攻防竞速的极致。

476. **物理隔离系统**：最早用于 1960 年代军用网络。尽管看似牢不可破，研究显示 90% 的隔离系统可被供应链、U 盘或隐蔽信道（声波、电磁、热）攻破。

477. **USB 攻击**：自 1996 年 USB 普及后，成为跨越物理隔离的主要攻击向量。2008 年“奥运行动”据称通过感染 U 盘渗透安全设施，60% 机构仍易受 USB 攻击。

用 Windows 系统和西门子 Step7 软件漏洞，Stuxnet 实现了高度定向的物理破坏。这一事件首次证明了数字恶意软件可跨越虚实边界，操控工业基础设施。

Stuxnet 的教训对现代 ML 系统极具参考价值。训练管道与模型仓库面临与 Stuxnet 类似的供应链风险：恶意依赖包（PyPI/conda）、投毒数据集（HuggingFace、Kaggle）、后门模型权重（模型仓库木马）、篡改硬件驱动（NVIDIA CUDA、AI 芯片固件后门）。

ML 具体攻击场景：攻击者上传带后门的图像分类模型到主流仓库，该模型在正常数据上表现良好，但对特定图案误判。自动化部署后，数千辆自动驾驶汽车受影响，直到被发现。

防御此类供应链攻击需端到端措施：（1）加密签名所有模型、数据集与依赖；（2）溯源追踪，记录所有训练数据、代码与基础设施；（3）完整性校验，自动扫描模型后门、依赖漏洞与数据投毒；（4）隔离训练，将敏感模型训练在受控环境。下图展示了供应链攻击在工业与 ML 系统中的共性。

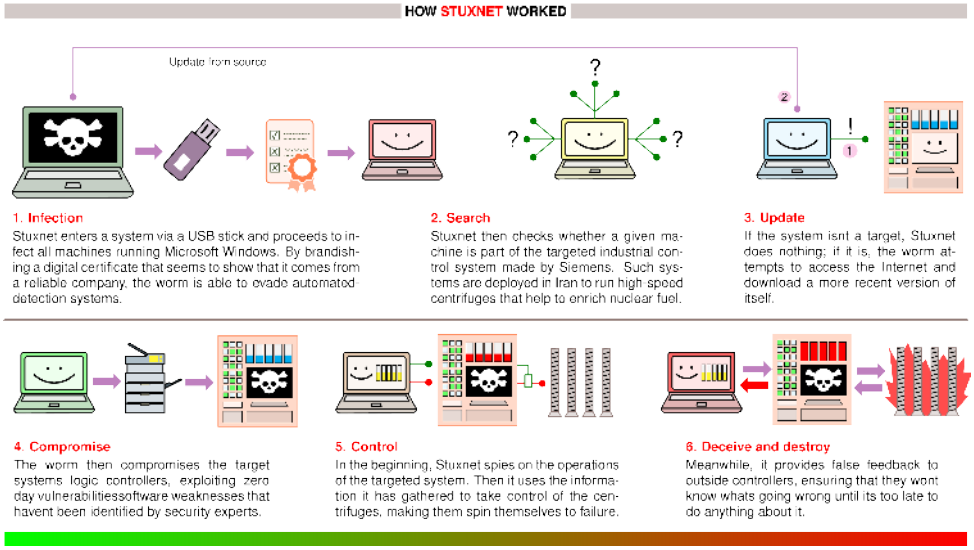

Stuxnet：通过利用 Windows 与西门子软件漏洞攻击 PLC，展示了供应链攻击如何让数字恶意软件造成物理破坏。现代 ML 系统同样面临投毒数据、恶意依赖与模型权重篡改等风险。

隔离不足：Jeep Cherokee 黑客事件

2015 年 Jeep Cherokee 黑客事件揭示了日常产品互联带来的新型漏洞。安全研究员通过远程网络攻击，公开演示了 Jeep Cherokee 车辆的关键安全漏洞。研究员利用车辆 Uconnect 娱乐系统的漏洞（该系统通过蜂窝网络联网），远程控制了发动机、变速箱和刹车，无需物理接触。

这一事件让汽车行业警醒，现代车辆的互联性带来了前所未有的安全风险。传统上隔离

的汽车控制系统（如转向、刹车）因对外接口暴露而变得脆弱。远程操控安全关键功能，引发了乘客安全、监管和行业最佳实践的广泛关注。

该事件导致 140 万辆汽车召回[478]，促使制造商将网络安全纳入设计。美国国家公路交通安全管理局（NHTSA）[479] 发布了汽车网络安全指南，要求安全开发与应急响应。

Jeep 事件对 ML 系统安全有重要启示。互联 ML 系统必须严格隔离外部接口与安全关键组件。架构缺陷（外部接口可达安全功能）正是现代 ML 部署中推理 API 连接物理执行器的风险根源。

现代 ML 攻击面同样因隔离不足而暴露：如自动驾驶车辆中，娱乐系统 ML API（语音识别、导航）被攻破后可影响感知模型，进而操控转向与刹车；智能家居中，语音助手唤醒模型被利用后可绕过门锁与摄像头；工业 IoT 中，边缘推理端点被攻破后可操控制造系统执行器；医疗设备中，诊断模型被攻击后影响治疗建议与药物输送。

具体攻击场景：智能家居语音助手通过云端 NLP 模型处理指令。攻击者利用语音处理 API 漏洞注入恶意命令，因网络分段不足，语音系统可访问门锁人脸识别模型，实现物理入侵。

有效防御需全面隔离架构：（1）网络分段，防火墙与 VPN 隔离推理与执行网络；（2）API 认证，所有 ML API 调用需加密认证、限流与异常检测；（3）权限分离，推理模型运行于最小权限沙箱；（4）故障安全，执行逻辑异常或失联时默认安全（如门锁关闭、马达停止）；（5）监控，实时日志与异常 API 调用告警。

端点武器化：Mirai 僵尸网络

Jeep 事件展示了定向攻击，Mirai 僵尸网络则揭示了大规模武器化的风险。2016 年，Mirai 僵尸网络[480] 成为史上最具破坏力的分布式拒绝服务（DDoS）[481] 攻击之一。Mirai 感染了数十万台联网设备（摄像头、DVR 等），这些设备多以出厂默认密码部署，极易被攻陷并编入攻击网络。

Mirai 用于攻击主要互联网基础设施，导致美国等地多项在线服务中断。事件表明，若设计时忽视安全，消费级与工业设备可被大规模武器化。

Mirai 的教训对 ML 部署同样适用。边缘 ML 设备若认证薄弱，将被大规模武器化。现代

478. **汽车网络安全召回**：Jeep 事件引发了史上首次汽车网络安全召回。此后全球 1500 万辆车因网络安全召回，厂商损失约 24 亿美元，推动了新法规出台。
479. **NHTSA 网络安全指南**：NHTSA 于 2016 年 Jeep 事件后首次发布网络安全指南。现要求 99% 新车（含 100+ 车载计算机）必须内建网络安全。
480. **Mirai 规模**：高峰期 Mirai 控制 60 万台 IoT 设备，曾对 OVH 发起 1.2 Tbps 攻击，首次实现 Tb 级 DDoS。研究发现 5% 热门仓库含恶意模型。
481. **DDoS 攻击**：分布式拒绝服务攻击始于 1999 年，现可达 3.47 Tbps，足以瘫痪整个互联网基础设施，平均每次损失 230 万美元。

ML 边缘设备（智能摄像头、语音助手、无人机、工业传感器）面临同样模式，但因具备 AI 能力与敏感数据，后果更严重。

与传统 IoT 仅提供算力不同，ML 设备被攻陷后可：（1）数据外泄，如摄像头泄露人脸库、语音助手窃取对话、健康监测器盗取生物特征；（2）模型武器化，如无人机协同攻击、交通摄像头误报操控交通系统；（3）AI 侦查，如识别高价值目标、情感分析等。

具体场景：攻击者攻陷 5 万台默认密码的智能摄像头（运行目标检测模型），不仅可泄露人脸库，还可协同监控目标、注入虚假警报、利用算力训练对抗样本。

全面防御需零信任边缘安全：（1）安全制造，消除默认密码，硬件安全模块（HSM）实现唯一密钥，安全启动与加密校验；（2）通信加密，所有 ML API 通信强制 TLS 1.3+，证书钉扎与双向认证；（3）行为监控，异常推理、流量与算力实时检测；（4）自动响应，远程一键隔离或禁用被攻陷设备；（5）安全更新，固件升级需加密签名，自动补丁与回滚。

系统性威胁分析与风险评估

历史事件表明，供应链漏洞导致持续渗透，隔离不足引发权限提升，端点武器化带来大规模攻击。这些模式在 ML 部署中直接映射：训练管道与模型仓库继承供应链风险，外部接口需严格隔离，边缘 ML 设备可被武器化。

这些事件揭示的安全模式在 ML 系统中被进一步放大。Stuxnet 需复杂恶意代码操控工业控制器，而 ML 系统可通过看似正常的数据投毒嵌入后门。ML 系统因数据驱动与自主决策，既更易受隐蔽攻击，也更危险。理解这些历史模式，有助于识别 ML 场景下的攻击向量，并针对学习系统的统计特性设计专门防御。

ML 系统引入了超越传统计算的新攻击面：训练数据可被操控嵌入后门，输入扰动可利用决策边界，API 查询可提取模型知识。这些 ML 特有威胁需结合统计学习基础与传统基础设施加固，形成专门防御体系。

威胁优先级框架

面对众多潜在威胁，需有优先级框架合理分配防御资源。并非所有威胁概率与影响相同。基于可能性与影响的优先级矩阵，有助于聚焦关键风险。

示例分类：

- **高概率/高影响**：联邦学习中数据投毒，易于实施且可严重破坏模型。
- **高概率/中等影响**：公开 API 的模型提取，常见且技术门槛低，主要影响竞争优势。

- **低概率/高影响**：云端模型的硬件侧信道攻击，需高水平攻击者但可泄露全部参数与数据。
- **中概率/中等影响**：敏感数据模型的成员推断攻击，需一定技术但主要威胁个人隐私。

本章将据此优先顺序展开，从最常见的模型窃取、数据投毒、对抗攻击讲起，再分析硬件与基础设施漏洞。理解优先级，有助于以最小投入获得最大安全收益。

模型特有攻击向量

ML 系统面临覆盖全生命周期的威胁：训练时操控、推理时规避。主要分为三类：模型机密性威胁（模型窃取）、训练完整性威胁（数据投毒[482]）、推理鲁棒性威胁（对抗样本[483]）。每类针对不同漏洞，需不同防御策略。

理解不同攻击在 ML 生命周期中的发生阶段，有助于防御优先级与攻击者动机分析。下图展示了主要攻击向量在 ML 流水线中的映射。

- **数据采集阶段**：攻击者可在联邦学习、众包等不受控场景注入恶意样本或篡改标签。
- **训练阶段**：面临后门插入、标签操控等攻击，攻击者可嵌入仅特定触发条件下激活的隐蔽行为。
- **部署阶段**：模型窃取攻击多在此阶段发生，API、文件下载或移动端逆向均可泄露知识产权。
- **推理阶段**：对抗攻击在运行时发生，攻击者构造输入欺骗模型，肉眼难以察觉。

生命周期视角揭示了不同威胁需分阶段防御：数据校验保护采集，安全训练环境保护训练，访问控制与 API 设计保护部署，输入校验保护推理。理解攻击与生命周期的对应，有助于在正确层级部署防御。

ML 模型本身有时也可被用作攻击组件。预训练模型（尤其是大型生成或判别网络）可被用于自动化对抗样本生成、钓鱼内容合成、协议规避等。开源或公开模型可被微调用于恶意目的，包括冒充、监控或逆向安全系统。

模型窃取

模型机密性威胁指攻击者获取训练模型的参数、结构或输出行为，可能导致经济损失、竞争对手复制功能、甚至泄露模型权重中的敏感信息。

此类威胁存在于公开 API、云服务、本地推理引擎、共享模型仓库等多种部署场景，常

482. **数据投毒攻击**：2012 年首次形式化提出，研究表明仅投毒 0.1% 训练数据即可使模型准确率下降 10-50%，是高效攻击向量。
483. **对抗样本**：Szegedy 等人首次发现，99% 以上深度学习模型可被肉眼不可见的微小扰动欺骗（像素变化 <0.01%）。

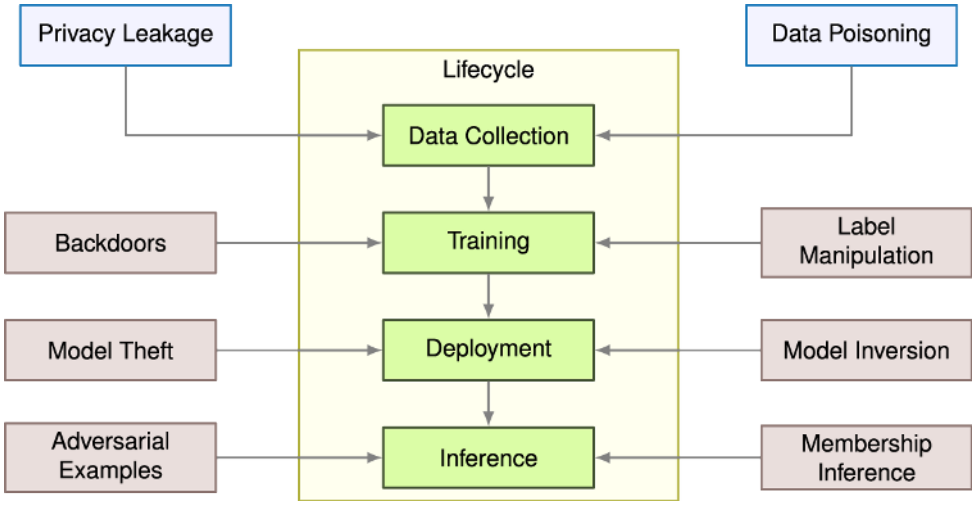

ML 生命周期威胁：模型窃取、数据投毒与对抗攻击分别针对 ML 生命周期的不同阶段（从数据采集到部署与推理），在每一步都形成独特漏洞。理解生命周期位置，有助于制定有针对性的防御策略。

因接口暴露、序列化格式不安全 [484]、访问控制不足而被提取。

高调法律案件凸显了模型的战略与经济价值。例如，前 Google 工程师 Anthony Levandowski 被指控窃取 Waymo 自动驾驶核心设计，并创办竞争公司。此类案例说明内部威胁可绕过技术防护，获取敏感知识产权。

模型窃取后果不仅限于经济损失，还可能被用于敏感信息提取、算法复制或进一步攻击。研究表明，通过系统化 API 查询可低成本近似重建大型语言模型的部分能力，尽管完整复制仍具挑战。例如，竞争对手若获得电商平台推荐模型，不仅可洞悉用户行为，还可开展模型反演攻击 [485]，推断训练数据细节。

模型反演攻击中，攻击者通过合法接口（如公开 API）查询模型，分析输出置信度，优化输入以重建训练集特征。例如，安全门禁的人脸识别模型可被操控泄露员工照片统计特征。Netflix Prize 数据集 [486] 的再识别研究也证明了匿名化的局限。

模型窃取分为两类：提取模型内部属性（参数、结构）与复制外部行为。不同模型架构的脆弱点详见第 4 章：DNN 架构。两类窃取均威胁 ML 系统安全与价值，详见下节。

下图展示了两种攻击路径：精确窃取获取模型权重与结构，近似窃取则通过输入输出行为训练替代模型。前者威胁知识产权与训练投资，后者则可实现行为复制，助力对抗攻

484. **模型序列化**：ONNX（2017）、TensorFlow SavedModel（2016）、PyTorch .pth 等格式，若不安全可泄露权重并导致任意代码执行，影响 80% 以上部署系统。
485. **模型反演攻击**：2015 年首次在人脸识别系统上演示，仅凭置信分数即可重建可辨识的人脸，证明“黑盒”API 并非隐私保护的充分条件。
486. **Netflix 再识别**：2008 年，研究者通过 IMDb 公开评分与 Netflix“匿名”数据集关联，仅用 8 条评分及日期即可识别 99% 用户，Netflix 因此取消第二次竞赛，凸显简单匿名化的无效性。

击或模型反演。

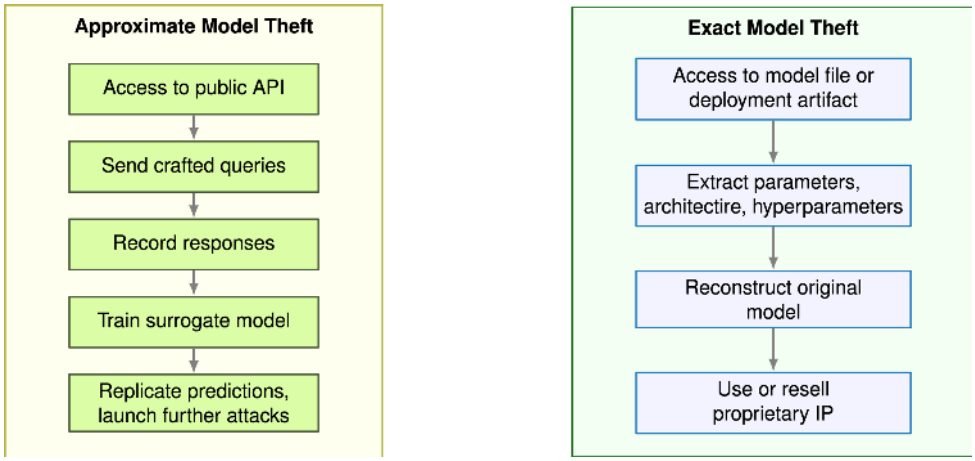

模型窃取策略：攻击者可针对模型内部参数或外部行为进行窃取。直接窃取提取权重和结构，近似窃取则通过输入输出训练替代模型，即使无法访问内部组件也可实现高保真复制。

精确模型窃取 精确窃取指攻击者提取模型的内部结构与参数，常针对通过 API、嵌入式推理引擎或可下载文件暴露的模型。利用访问控制薄弱、序列化不安全或接口未加固，攻击者可直接复制模型资产。

攻击目标主要有三类：一是模型权重（如神经网络参数），可直接复现模型功能；二是超参数（如学习率、批量大小、正则化），可复现高质量结果；三是架构结构（层次、激活函数、连接模式），可通过侧信道 [487]、逆向或行为分析重建。

架构泄露不仅威胁知识产权，还让竞争对手洞悉关键设计。

防御需加固模型序列化、限制运行时 API 访问、加密与混淆部署管道，结合访问控制、加密与混淆技术，降低被提取风险。

近似模型窃取 近似窃取指攻击者不直接访问参数或结构，而是通过输入输出行为复制模型决策能力。常见于 API 服务或用户端应用，攻击者通过大量查询与响应训练替代模型（模型蒸馏 [488] 或 knockoff），无需内部知识即可实现高保真复制。

攻击者评估复制效果主要有两种方式：一是性能指标（准确率、精度、召回等）对齐，二是预测一致性（同输入下输出一致，包括错误）。在 NLP 等场景，攻击者可复制情感分析模型，获得竞争洞察或绕过专有系统。

487. **ML 侧信道攻击**：2018 年首次在神经网络上演示，推理时的功耗模式可泄露模型信息，将传统密码学侧信道攻击扩展到 ML 领域，威胁边缘 AI 设备。
488. **模型蒸馏**：本为模型压缩的知识迁移技术，攻击者可用原始训练数据 1% 的查询实现 95%+ 精度的窃取。

开放 API 或用户端部署难以彻底防御近似窃取。限流、自动化提取检测、输出水印等可缓解风险，但需兼顾可用性与性能。

一项针对 OpenAI 语言模型的近似窃取研究（@carlini2024stealing）表明，仅凭公开 API 可重建输出投影矩阵，通过精心设计的查询，恢复隐藏维度与权重矩阵（可达仿射变换精度）。

该攻击虽未重建完整模型，但已泄露内部架构参数，为更深层次提取奠定基础。实验证明，API 返回 top-k logit 等特性若不严格控制，将成为重大泄漏通道。

尺寸（维度提取）	尺寸（维度提取）	查询次数	权重矩阵 RMSE	成本（美元）
OpenAI ada	1024 ✓	< 2 ^6$	5 \{}cdot 10^{-4}	$1 / 4 || **OpenAI babbage** | 2048 ✓ | < 4 ^6

如表所示，权重提取的 RMSE 可低至 10^{-4}，大规模高保真复制已具备经济可行性。系统设计需警惕 API 细节泄漏带来的风险。

案例：特斯拉知识产权窃取 2018 年，特斯拉起诉自动驾驶初创公司 Zoox，指控前员工窃取自动驾驶相关机密数据与模型。诉状称，数名员工离职前转移了 10GB+ 机密文件，包括机器学习模型与源代码。

其中关键图像识别模型被窃取，Zoox 可借此绕过多年研发，获得竞争优势。除经济损失外，模型被盗还可能引发模型反演等安全风险。

涉事员工否认不当行为，案件最终庭外和解。该事件表明，模型窃取不仅限于 API 或公开接口，内部威胁、供应链与开发基础设施同样危险。

数据投毒

数据投毒关注训练完整性，通过操控训练数据影响模型行为。攻击者注入看似正常但实际有害的数据，诱导模型产生偏差或后门。

数据投毒是安全威胁，因为攻击者有意操控训练数据，嵌入漏洞或颠覆模型。尤其在联邦学习、众包标注、在线爬取等外部数据场景，攻击者可无需直接访问训练管道即可

投毒。

攻击模型多样，白盒攻击者了解架构与训练流程，可精准操控；黑盒或有限访问攻击者则利用开放数据通道或间接注入。投毒可发生在采集、预处理、标注、存储等各环节，攻击面广泛。不同部署场景下，数据投毒威胁优先级详见第 15 章：安全与隐私。

投毒攻击通常分三步：注入恶意数据、模型训练嵌入攻击行为、部署后利用异常行为。数学上，数据投毒可视为双层优化问题，攻击者选择 D_p 使模型在验证集 D_{test} 上损失最大化：

$$\max_{D_p} \mathcal{L}(f_{D \cup D_p}, D_{\text{test}})$$

针对性攻击则聚焦特定输入 x_t 与目标标签 y_t：

$$\max_{D_p} \mathcal{L}(f_{D \cup D_p}, x_t, y_t)$$

例如，交通标志分类模型，攻击者注入少量被错误标注的停车标志，诱导模型将停车标志误判为限速标志。即使整体性能良好，特定场景下却存在可预测漏洞。

数据投毒按目标与影响范围分类：可用性攻击通过噪声或标签翻转降低整体准确率；定向攻击仅影响特定输入或类别；后门攻击 [489] 嵌入隐蔽触发器，仅特定条件下激活；子群体攻击针对特定特征群体，尤为危险于公平敏感场景。

现实案例：研究者通过注入拼写错误与语法错误的合成有害评论，成功降低了 Google Perspective API[490] 检测有害内容的能力 [491]。

防御需覆盖数据采集、存储、标注与训练全流程。措施包括输入校验、数据集完整性验证、异常检测与鲁棒训练算法（如异常样本降权或过滤）。需结合主动治理、自动监控与鲁棒学习，保障模型完整性。

对抗攻击

推理鲁棒性威胁关注部署阶段，攻击者通过输入扰动诱导模型错误预测。与训练期数据投毒不同，对抗攻击在推理时利用模型决策边界的脆弱性。

489. **后门攻击**：2017 年首次提出，99%+ 成功率且不影响正常准确率，触发器可微小至单像素。BadNets 攻击影响 100% 测试模型。
490. **Perspective API**：2017 年上线，日处理 5 亿 + 评论，广泛用于内容审核。即使参数量巨大，仍难抵御定向投毒。
491. **Perspective 漏洞**：投毒后模型漏报率大幅提升，攻击者可利用反馈回路长期规避内容审核。

对抗样本是典型威胁，攻击者构造微小扰动即可大幅改变模型输出，肉眼难以察觉。详见第 16 章：稳健 AI。研究表明，99%+ 图像分类模型可被扰动欺骗，物理世界中仅 2% 面积的贴纸即可让自动驾驶车辆 80%+ 误判。

对抗攻击无需访问训练数据或模型内部，仅需实时交互，需在推理端部署输入校验、异常检测等防御。训练期鲁棒性方法（如对抗训练）可作为补充，详见第 16 章：稳健 AI、第 8 章：AI 训练。

攻击者知识水平决定攻击类型：白盒（完全知晓架构与参数）、灰盒（部分信息）、黑盒（仅能查询）。下表总结了不同知识水平下的模型访问、数据访问、攻击方式与典型场景。

攻击者知识水平	模型访问	训练数据访问	攻击示例	典型场景
白盒	完全访问架构与参数	完全访问	利用梯度生成对抗样本	内部威胁、开源模型复用
灰盒	部分访问（如仅架构）	有限或无访问	基于替代模型近似攻击	已知模型族，未知微调
黑盒	无内部访问，仅查询响应	无访问	查询训练替代模型与迁移攻击	公开 API、模型即服务部署

典型案例：研究者在停车标志上贴微小黑白贴纸（见下图），对人类无影响，但 ML 模型误判为限速标志，准确率降至 15%。现实中可能导致自动驾驶车辆危险操作。

该案例直观展示了对抗样本如何利用 ML 模型的模式识别机制。即使极小变化也可导致严重误判，开发者必须部署鲁棒防御。

下表总结了各类威胁的生命周期阶段、攻击向量与影响，便于针对性防御。

对抗贴纸：几乎不可见的贴纸可让 ML 模型将停车标志误判为限速标志，准确率降至 15%。凸显 ML 系统对对抗攻击的脆弱性。来源：@eykholt2018robust。

威胁类型	生命周期阶段	攻击向量	影响示例
模型窃取	部署	API 访问、内部泄漏	知识产权被盗、模型反演、行为复制
数据投毒	训练	标签翻转、后门	定向误判、整体准确率下降
对抗攻击	推理	输入扰动	实时误判、安全失效

合适的防御措施需结合威胁类型、攻击向量与生命周期阶段。下图为常见威胁与防御策略的简化决策流，实际部署需结合分层防御框架灵活组合。

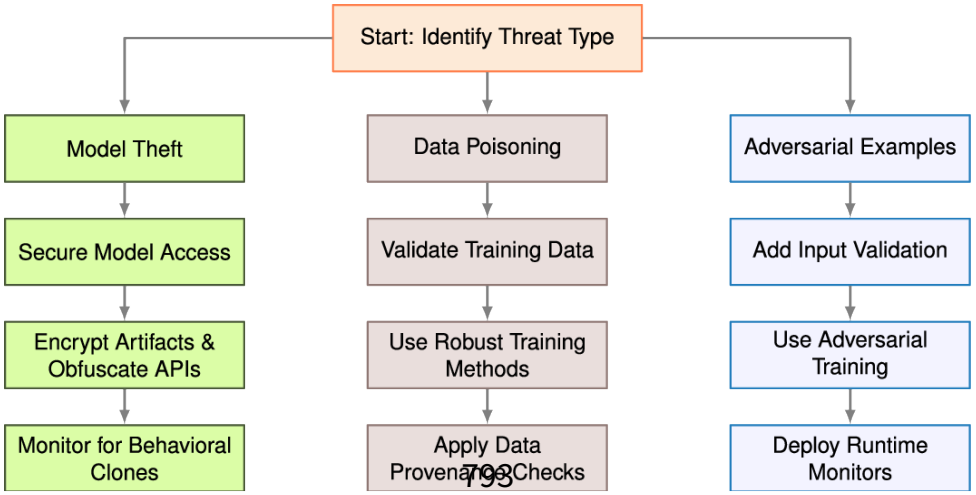

威胁缓解流程：该图将常见 ML 威胁与防御策略对应，便于根据攻击向量与生命周期阶段选择合适措施。实践者可据此将威胁模型与实际缓解技术对齐，如安全模型访问与数据净化等。

作负载的物理基础设施。

硬件层安全漏洞

随着机器学习系统从研究原型走向大规模实际部署，其安全性越来越依赖于所运行的硬件平台。无论是在数据中心、边缘设备还是嵌入式系统中，机器学习应用都依赖于由处理器、加速器、内存和通信接口组成的分层硬件栈。这些硬件组件虽然为高效计算提供了基础，但也带来了超越传统软件漏洞的独特安全风险。

与通用软件系统不同，机器学习工作流常常在性能受限环境下处理高价值模型和敏感数据，这不仅吸引了软件攻击者，也使硬件层攻击成为高价值目标。硬件漏洞可能导致模型被窃取、用户数据泄露、系统可靠性受损，甚至让攻击者操控推理结果。由于硬件运行在软件栈之下，这类攻击往往能绕过常规安全机制，且难以被发现。

理解硬件安全威胁，需要关注计算底层如何实现机器学习操作。在硬件层面，CPU 的算术逻辑单元、寄存器和缓存负责执行模型推理和训练指令。内存层级决定了模型访问参数和中间结果的速度。硬件与软件的接口（如固件和引导加载程序）为系统运行建立了初始信任根。计算的物理属性 —— 包括功耗、时序特性和电磁辐射 —— 会产生可被攻击者利用的可观测信号，从而提取敏感信息。

硬件威胁贯穿系统全生命周期。处理器架构设计缺陷（如 Meltdown 和 Spectre）会破坏安全保障。物理篡改可直接操控组件和数据流。侧信道攻击则利用功耗、时序、电磁等非预期信息泄漏。供应链攻击则在制造和分发环节引入恶意组件或篡改。所有这些威胁共同构成了 ML 系统必须应对的关键攻击面。对于关注实际部署的读者，核心经验在于供应链验证、物理访问控制和硬件信任锚点，而第 15 章：安全与隐私中的防御策略，无需深厚架构知识也可直接落地。

下表总结了主要硬件安全威胁类别，描述了其来源、手段及对 ML 系统设计和部署的影响。

威胁类型	描述	与 ML 硬件安全的关联
硬件缺陷	硬件设计中的内在缺陷，可能破坏系统完整性。	硬件漏洞的根源。
物理攻击	通过物理接触或操控直接攻击硬件。	最基础且直接的威胁模型。

威胁类型	描述	与 ML 硬件安全的关联
故障注入攻击	通过诱发硬件故障导致系统出错，进而引发崩溃。	系统性操控导致失效。
侧信道攻击	利用硬件运行泄漏的信息提取敏感数据。	通过环境观测进行间接攻击。
泄漏接口	接口无意中暴露数据导致的漏洞。	通信通道导致数据暴露。
假冒硬件	使用未经授权的硬件组件，可能存在安全缺陷。	复合型脆弱性问题。
供应链风险	硬件全生命周期引入的风险，从生产到部署。	累积且多维度的安全挑战。

硬件缺陷

首类硬件威胁源于设计漏洞。硬件同样无法避免设计缺陷或 bug 的普遍问题。攻击者可利用这些漏洞访问、操控或提取敏感数据，破坏用户和服务所依赖的机密性与完整性。最著名的例子是 Meltdown 和 Spectre[492] —— 这两大漏洞让恶意程序能够绕过内存隔离，读取其他应用和操作系统的数据。

这些攻击利用了投机执行 [493]，即 CPU 为提升性能会在安全检查完成前乱序执行指令。虽然提升了速度，却无意中通过微架构侧信道（如缓存）暴露了敏感数据。这类攻击的技术复杂性说明，即使硬件经过严格验证，漏洞依然难以根除。

后续研究发现，这些并非孤立事件。Foreshadow、ZombieLoad、RIDL 等变种针对不同微架构单元（如安全区、CPU 内部缓冲区），说明投机执行缺陷是系统性硬件风险。这意味着，虽然最早在通用 CPU 上被发现，其影响已扩展到 ML 加速器和专用硬件。ML 系统常用异构计算平台（CPU、GPU、TPU、FPGA、定制加速器），这些组件处理着个人信息、医疗记录、专有模型等敏感数据，任一环节的漏洞都可能导致数据泄露。

492. **Meltdown/Spectre 影响**：2018 年 1 月披露，几乎影响自 1995 年以来所有处理器（数十亿设备）。披露后所有主流操作系统紧急打补丁，部分工作负载性能下降 5-30%，促使处理器安全架构彻底反思。
493. **投机执行**：1995 年 Intel Pentium Pro 首次引入，可提升 10-25% 性能。但也带来了 20 多年的攻击窗口，投机操作通过缓存时序泄漏数据，影响依赖类似优化的 ML 加速器。

例如，运行人脸识别模型的智能摄像头若硬件缓存隔离不当，攻击者可利用该漏洞提取中间计算、模型参数或用户数据。云端推理服务同样存在多租户间数据泄漏风险。

在医疗等隐私敏感领域，这类漏洞尤为严重。一次泄露可能违反 HIPAA 医疗隐私法 [494]，带来重大法律和伦理后果。GDPR[495] 等全球法规也要求组织采取技术措施保护数据，否则最高可罚全球营收 4%。

这些案例说明，硬件安全不仅仅是防止物理篡改，更需架构级防护以防止硬件本身的数据泄漏。随着新漏洞不断出现，持续的缓解措施必不可少，尤其在计算和内存密集型 ML 工作负载中，常需在性能与安全间权衡。机密计算、可信执行环境（TEE）等架构性防御值得关注，但要实现真正的硬件安全，需从设计到部署全流程关注。

物理攻击

除设计缺陷外，第二类威胁是直接物理操控。物理篡改指未经授权直接操控计算硬件，破坏 ML 系统完整性。这类攻击尤为危险，因为它绕过了传统软件安全防线，直接针对 ML 依赖的物理组件。ML 系统尤其易受此类攻击，因为其依赖硬件传感器、加速器和存储，在现实环境中处理大量数据并输出可靠结果。

加密、认证、访问控制等软件安全措施可防远程攻击，但对拥有物理访问权限的攻击者几乎无效。物理篡改可从插入恶意 U 盘到芯片制造阶段嵌入硬件木马，尤其在边缘或暴露环境下的 ML 系统更易被直接干预。

例如，环境监测或基础设施巡检用的 ML 无人机，其导航依赖于处理 GPS、摄像头和惯性测量单元数据的模型。若攻击者获得物理访问权，可更换或篡改导航模块，植入后门改变飞行行为或篡改数据采集。这不仅破坏系统可靠性，还可能被用于监控或走私。

这类威胁不限于移动系统。依赖 ML 处理人脸或指纹的生物识别门禁系统同样脆弱。攻击者可更换传感器，植入能窃取个人身份数据的组件，导致数据泄露和后续冒充攻击。

攻击者还可针对内部硬件子系统，如自动驾驶车辆的摄像头、激光雷达、雷达等传感器。恶意分子可物理错位或遮挡传感器，降低模型感知能力，带来安全隐患。

硬件木马风险同样严重。芯片制造或组装阶段植入的恶意电路，可能在特定输入或状态下激活，破坏计算、泄露输出或降低性能，极难在部署后诊断。

内存子系统也是攻击目标。攻击者若能物理访问边缘设备或嵌入式 ML 加速器，可操控内存芯片提取加密模型参数或训练数据。电压操控、电磁干扰等故障注入技术还可破坏

494. **HIPAA 违规**：自 2003 年实施以来，HIPAA 已罚款超 1.3 亿美元，单笔最高 1600 万。2015 年 Anthem 事件泄露 7880 万患者数据，凸显 ML 系统医疗数据泄露的巨大风险。
495. **GDPR**：2018 年欧盟实施，违规最高罚款全球营收 4%（2000 万欧元起）。至今已罚款超 45 亿欧元，2021 年亚马逊被罚 7.46 亿欧元，推动了隐私保护 ML 技术的投资。

模型权重或推理计算。

数据中心和云环境同样存在物理访问威胁。攻击者可安装硬件植入（如键盘记录器、数据拦截器），窃取管理凭据或监控数据流，实现持久后门。

综上，物理攻击威胁 ML 系统在各类环境下的安全与可靠性。防御需结合硬件级保护、篡改检测和供应链完整性校验。否则，即使软件防御再完善，也可能被物理漏洞攻破。

故障注入攻击

在物理篡改基础上，故障注入是更高级的硬件攻击。故障注入通过有意扰乱硬件运行，诱发计算错误。这类攻击可破坏 ML 模型的完整性，导致输出错误、可靠性下降或敏感信息泄露。对于 ML 系统，故障注入不仅影响推理，还可能被用于逆向工程或绕过安全协议。

攻击者通过精确时序的物理或电气干扰（如低电压、功率脉冲、时钟毛刺、电磁脉冲、温度变化甚至激光照射）干扰硬件执行，诱发位翻转、指令跳过或内存损坏，从而操控模型行为或提取敏感信息。

在 ML 系统中，故障注入可降低模型准确率、强制错误分类、触发拒绝服务，甚至泄露模型参数。例如，攻击者可对嵌入式 ML 模型注入故障，使其在自动导航或医疗诊断等安全关键场景下误判。更高级的攻击可针对内存或控制逻辑窃取模型权重或架构细节。

实验已证实此类攻击的可行性。@breier2018deeplaser 研究中，研究者用激光故障注入攻击微控制器上的深度神经网络，通过加热特定晶体管（见下图），强制硬件跳过 ReLU 激活函数。

下图展示了汇编代码片段实现 ReLU 激活的过程。正常情况下，代码比较累加器最高位（MSB）是否为零，若为负则跳过赋值。故障注入抑制了分支，导致处理器总是执行“else”分支，无论输入为何，神经元输出都被强制为零。

故障注入还可与侧信道分析结合，攻击者先观测功耗或时序推断模型结构，再精准定位层或操作（如激活函数、决策层）进行最大化破坏。

嵌入式与边缘 ML 系统尤为脆弱，因其缺乏物理加固，资源受限难以部署运行时防御。无防篡改封装或安全硬件区，攻击者可直接访问总线和内存，精准操控故障。许多嵌入式模型为轻量化设计，冗余和纠错能力有限，难以抵御故障注入。

防御需多层次措施：物理保护（防篡改外壳、设计混淆）、异常检测（监控传感器输入或模型输出）、纠错内存与安全固件、模型水印等。受限于成本和功耗，嵌入式场景难以部署加密硬件或冗余。实现故障注入鲁棒性需跨越电气、固件、软件和系统架构多层协同，否则 ML 系统在野外部署时仍将暴露于低成本高效攻击。

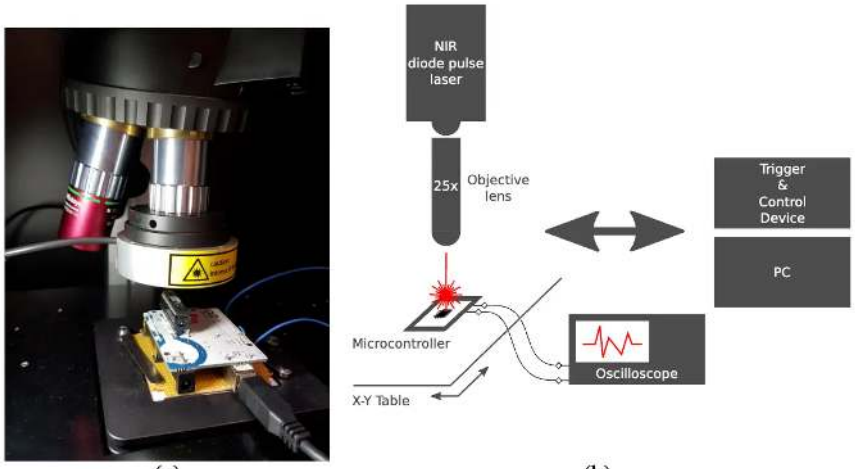

(a) (b)

激光故障注入：聚焦激光脉冲诱发微控制器内存位翻转，使攻击者可操控模型执行，破坏系统完整性。该技术用于模拟硬件错误，揭示嵌入式 ML 系统的脆弱性，推动容错设计。

```
1         ldi r1, 0       ;load 0 to r1
2         cp r1, r15      ;compare MSB of Accum to r1
3         brge else       ;jump to else if 0 >= Accum
4         movw r10, r15   ;HiddenLayerOutput[i] = Accum
5         movw r12, r17   ;HiddenLayerOutput[i] = Accum
6         jmp end         ;jump after the else statement
7  else:  clr r10         ;HiddenLayerOutput[i]= 0
8         clr r11         ;HiddenLayerOutput[i]= 0
9         clr r12         ;HiddenLayerOutput[i]= 0
10        clr r13         ;HiddenLayerOutput[i]= 0
11 end:   ...             ;continue the execution
```

故障注入攻击：操控汇编代码绕过安全检查，无论输入为何都将神经元输出强制为零，展示了 ML 系统的硬件脆弱性。

侧信道攻击

与直接故障注入不同，侧信道攻击是一类利用计算系统物理实现无意泄漏的信息进行攻击的安全威胁。不同于针对软件或网络漏洞的直接攻击，侧信道攻击利用硬件特性（如功耗、电磁辐射、时序行为）提取敏感信息。

侧信道攻击的核心在于设备运行时会通过可观测物理信号泄漏信息。这些泄漏可能来自设备消耗的电力、发射的电磁场、计算所需时间，甚至声学噪声。攻击者通过精确测量和分析这些信号，可推断系统内部状态或恢复机密数据。

虽然这类技术常见于密码学领域，但对 ML 系统同样适用。部署在加速器、嵌入式或边缘设备上的 ML 模型常处理敏感数据。即使算法或加密本身安全，物理执行过程也可能泄漏可被利用的侧信道信号。

最广为研究的例子是高级加密标准（AES）[496] 实现。尽管 AES 数学上安全，实际计算过程却会泄漏可测信号。

以密码认证过程的功耗分析为例。假设设备需验证 5 字节密码（如 `0x61, 0x52, 0x77, 0x6A, 0x73`），认证时每字节依次通过串口输入，功耗模式反映了系统处理输入的过程。

下图展示了输入正确密码时设备的行为。红色波形为串口数据流，标记每个字节的接收，蓝色曲线为设备功耗。输入完整正确密码时，功耗曲线在五字节内保持稳定，为后续对比提供基线。

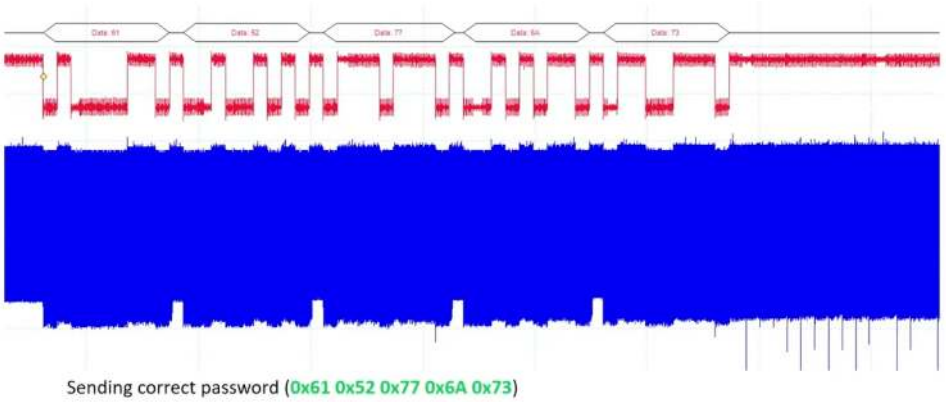

功耗基线：输入正确密码时，设备认证过程功耗稳定，为后续对比提供基线。来源：colin o’ flynn。

输入错误密码时，功耗分析如图所示。前三字节正确（ `0x61, 0x52, 0x77`），功耗与

496. **AES**：2001 年 NIST 采纳为美国政府加密标准，取代使用 24 年的 DES。尽管 AES-128 有 2^{128} 种密钥，物理实现仍易受侧信道攻击，几分钟即可提取密钥。差分功耗分析（DPA）、差分电磁分析（DEMA）、相关功耗分析（CPA）等技术可利用这些信号恢复密钥。

正确密码一致。第四字节（ `0x42` ）错误，设备停止认证，蓝色功耗线突变，表明进入错误状态。

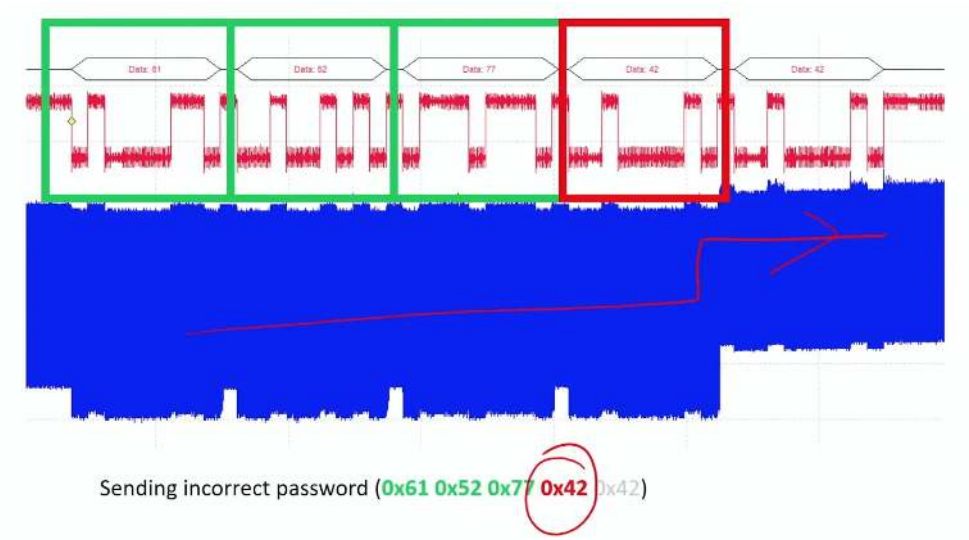

侧信道攻击脆弱性：功耗模式揭示认证过程中的密钥信息，正确字节功耗一致，错误时突变。攻击者可通过分析功耗推断密码。来源：Colin O’ Flynn。

下图为完全错误密码（ `0x30, 0x30, 0x30, 0x30, 0x30` ）的情况。设备在首字节后即检测到不符，提前终止，蓝色功耗线在首字节后急剧上升。

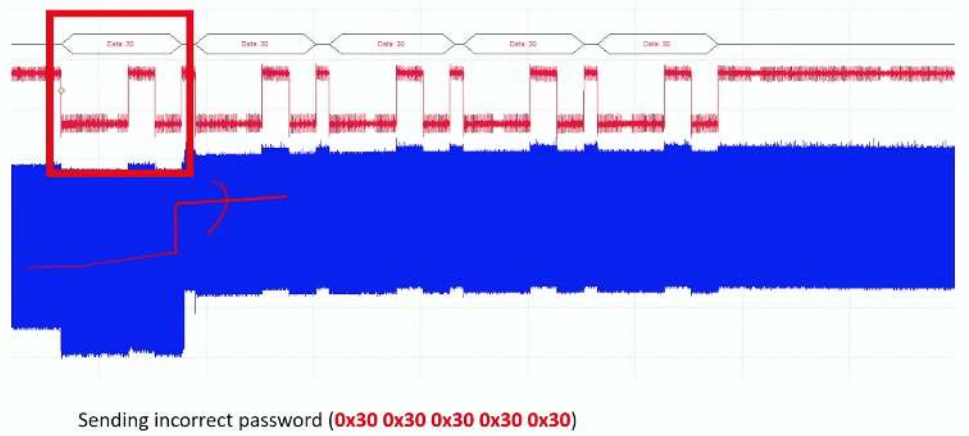

功耗突变：蓝线在首字节后急剧上升，表明认证立即失败，显示错误密码被快速检测。来源：Colin O’ Flynn。

这些例子说明，攻击者可利用功耗差异缩小搜索空间，最终通过暴力分析恢复机密数据。系统性测量功耗并与不同输入关联，敏感信息本应隐藏却被提取。

这类漏洞不限于加密应用。ML 应用同样面临风险。例如，本地语音识别系统处理指令时，时序或功耗信号可能泄漏正在处理的命令。即使是微弱的声学或电磁辐射，也可能

暴露操作模式，被攻击者推断用户行为。

历史上，侧信道攻击曾攻破最安全的加密系统。1960 年代，英国 MI5 曾通过监听埃及大使馆密码机的机械声，极大降低了破译难度。说明侧信道漏洞根植于计算的物理本质。

如今，键盘窃听、加密硬件功耗分析、ML 加速器电压攻击等技术不断演进。时序、电磁、热辐射等侧信道持续为攻击者提供间接观测通道。

部署在专用加速器或嵌入式平台的 ML 系统风险尤高。攻击者可利用侧信道推断模型结构、窃取参数或重建训练数据。随着 ML 在云、边缘、嵌入式环境普及，侧信道漏洞对系统安全构成重大挑战。

理解侧信道攻击的持久性和演化，对构建鲁棒 ML 系统至关重要。只要有信号，就有被利用的可能，系统设计者需通过硬件屏蔽、算法防御和运维保障多管齐下应对。

泄漏接口

侧信道攻击利用无意物理信号，泄漏接口则是通信通道暴露带来的另一类漏洞。接口是系统通信、诊断和升级的关键，但若无意中暴露敏感信息或接受未验证输入，就会成为攻击入口。许多泄漏接口在设计时被忽视，却为攻击者提供了强大入口，可提取数据、操控功能或注入恶意代码。

泄漏接口指任何暴露超出预期信息的访问点，常因认证薄弱、缺乏加密或隔离不足。消费、医疗、工业系统中均有大量案例。

如许多 WiFi 婴儿监控器被发现暴露未加密远程访问端口[497]，攻击者可窃听家庭音视频。又如心脏起搏器[498]的无线漏洞，若被利用可操控心脏功能，危及生命安全。

智能灯泡案例显示，生产设备上保留的调试端口[499]泄漏了未加密 WiFi 凭据，攻击者无需绕过常规安全机制即可入侵家庭网络。

这些模式对 ML 部署同样适用。即使案例未直接针对 ML，架构模式高度相关。假设智能家居安全系统用 ML 检测用户行为并自动响应，若维护或调试接口缺乏认证或未加密，网络内攻击者即可未授权访问，暴露用户行为、破坏模型完整性或禁用安全功能。

ML 系统的泄漏接口还可能暴露训练数据、模型参数或中间输出，攻击者可据此构造对抗样本、窃取模型或逆向系统行为。更严重的是，接口还可能被用于篡改固件，植入恶

497. **IoT 设备漏洞**：研究显示 70-80% IoT 设备存在严重安全缺陷，婴儿监控器尤甚。Rapid7 发现主流品牌暴露未加密视频流，影响全球数百万家庭。
498. **医疗设备安全**：FDA 报告称 53% 医疗设备有已知漏洞，起搏器和胰岛素泵风险最高。平均每台设备含 6.2 个漏洞，部分已存在十余年，影响 24 亿台设备。
499. **调试端口漏洞**：JTAG（1990）、SWD（2006）等硬件调试接口开发必需，但常被留在生产设备上。研究估计 60-70% 嵌入式设备出厂时调试端口未加固，成为攻击后门。

意代码，导致设备失效或被编入僵尸网络。

防御需技术与组织协同。技术上需强认证、加密通信、运行时异常检测，组织上需接口清单、访问控制和持续审计。零信任架构（默认不信任任何接口）可进一步降低暴露面。

对于 ML 系统设计者，接口安全应与算法和数据同等重要。无论云、边缘还是嵌入式，接口不安全将危及系统整体可信。

假冒硬件

除合法硬件漏洞外，供应链本身也带来重大威胁。ML 系统依赖硬件的可靠性与安全性，但在全球化硬件生态下，假冒或克隆硬件已成为系统完整性的严重威胁。假冒组件指未经授权仿制的正品部件，外观和功能高度相似。复杂采购和制造流程使假冒硬件易于混入 ML 系统。

一次采购失误即可将假冒硬件引入关键系统。例如，安全门禁的人脸识别系统若无意中使用假冒处理器，可能无法正确处理生物特征，或被植入后门绕过认证。

假冒硬件风险多重。可靠性上，假冒件常因制造劣质而易损坏、性能不可预测或高负载下失效。安全上，假冒件可能含隐藏后门或恶意电路，为攻击者提供隐蔽通道。数据中心若安装克隆路由器，可能静默拦截模型预测或用户数据，形成系统性漏洞。

法律和合规风险进一步加剧问题。组织若无意集成假冒件，可能因违反安全、隐私或网络安全法规 [500] 而受罚。医疗、金融等行业尤为严格，需全栈合规。医疗机构需证明全栈 HIPAA 合规，处理欧盟数据则需满足 GDPR 的供应链完整性要求。

经济压力常促使采购低价供应商，增加假冒件混入概率。假冒件设计高度仿真，检测需专业设备或取证分析，预防远比事后补救更可行。

在自动驾驶、工业自动化、医疗诊断等高可靠低延迟场景，硬件失效不仅导致停机，还可能带来安全风险。随着 ML 向高价值场景扩展，假冒硬件风险日益突出。组织必须将硬件可信性视为核心设计要求，与算法准确性和数据安全同等重要，确保 ML 系统在现实世界中可靠安全运行。

供应链风险

假冒硬件只是更广泛系统性挑战的一部分。ML 系统由跨越设计、制造、组装、分销、集成的复杂供应链构建，每一环节都可能被篡改、替换或假冒，部署方往往难以察觉。

恶意分子可多种方式利用这些漏洞。代工厂可能无意采购翻新电子垃圾冒充新品，分销

500. **网络安全法规**：全球网络安全合规年成本超 1500 亿美元，SOC 2、ISO 27001、PCI DSS 等框架规范 ML 系统。金融业还需遵守 SOX，医疗需 HIPAA，多重法规环境复杂。

商可能故意混入克隆件，制造厂内部人员可能植入难以检测的硬件木马。高级假冒件尤为隐蔽，翻新或重新包装部件可通过外观检查，却隐藏劣质或恶意内部结构。

识别此类篡改需微观分析、X 光筛查、功能测试，但成本高昂，大规模采购难以实现。结果是许多组织在未完全验证组件真实性和安全性的情况下部署系统。

风险不限于单一设备。ML 系统常集成 CPU、GPU、内存、专用加速器等异构硬件，全球采购，任一环节被攻破都可危及全局。云数据中心、联邦边缘网络等多租户环境下，硬件隔离尤为关键。

2018 年 Bloomberg 报道称中国国家行为体在 Supermicro 主板植入间谍芯片，引发行业关注。尽管报道存争议，事件凸显了硬件供应链难以彻查的现实。企业常依赖复杂、黑箱的制造和分销网络，易受隐蔽篡改影响。对单一制造商或地区的依赖（如半导体行业对 TSMC）进一步集中风险。美国 CHIPS 与科学法案 等政策推动本土化生产，加强供应链韧性。

ML 系统安全需从默认信任转向零信任供应链实践，包括供应商筛查、组件溯源、篡改防护和持续行为监控。容错架构可检测并隔离故障，提供额外防线。

归根结底，供应链风险必须作为 ML 系统设计的一级关注点。模型和数据管道的可信赖性，取决于底层硬件的可信。若硬件基础不安全，再先进的模型也难免被攻破。

案例分析：Supermicro 风波

供应链风险的抽象性在一场高调争议中变得具体。2018 年，Bloomberg Businessweek 报道称中国国家行为体秘密在 Supermicro 服务器主板植入微型监控芯片，受影响服务器部署于 30 多家大公司，包括 Apple 和 Amazon。芯片据称仅米粒大小，可为攻击者提供后门访问。

报道引发科技行业广泛关注，质疑全球供应链安全及国家级硬件操控可能性。但被点名公司公开否认，称内部调查未发现植入证据。专家和政府机构也持怀疑态度，指出报道缺乏可验证技术证据。

尽管如此，事件对行业和政策影响深远。无论报道细节是否属实，供应链难以彻查和保障的现实被广泛关注。地缘政治、制造外包和现代硬件生态的复杂性，使得保障硬件完整性愈发困难。

Supermicro 案例说明：一旦产品进入全球供应链，确保每个组件未被篡改几乎不可能。对 ML 系统尤为如此，其依赖全球多供应商的加速器、内存和处理单元。

为应对风险，业界和政府已加大供应链安全投入。美国 CHIPS 与科学法案即为一例，推动半导体本土制造以提升透明度、降低外部依赖。但这些举措并不能彻底消除风险，

仍需技术防护（如组件验证、运行时监控、容错设计）配合。

Supermicro 风波为 ML 社区敲响警钟。即便与知名供应商合作，硬件安全也不能掉以轻心。确保 ML 系统完整性需全流程严格把控，从设计、制造到部署和运维。该案例强化了将供应链安全作为可信 ML 系统设计基础的必要性。

当 ML 系统成为攻击工具

前述威胁 —— 模型窃取、数据投毒、对抗攻击、硬件漏洞 —— 均以 ML 系统为攻击目标。但完整威胁模型还需考虑反向情形：机器学习作为攻击放大器。ML 的强大能力不仅服务于正向应用，也能增强对抗操作，使 ML 从被动目标转为主动武器。

ML 系统常被视为需保护的资产，但也可作为发起攻击的工具。在对抗环境下，提升生产力、自动感知、辅助决策的模型可被用于执行或放大攻击。这种双用途特性，要求在系统级威胁建模中重新审视 ML 的角色。

攻击性 ML 应用指模型被用于推进攻击者目标，此时模型本身不是被攻击对象，而是攻击推进的机制。包括侦查、推断、规避、冒充或自动化漏洞利用等。

这类攻击并非假设，现实中攻击者已将 ML 集成进工具链，从垃圾邮件规避到模型驱动恶意软件生成。其共同点在于利用学习系统自动提取、操控或生成信息，破坏目标组件的机密性、完整性或可用性。

下表总结了典型攻击性 ML 用例，列出常用模型类型、利用的系统脆弱点及 ML 带来的优势。

攻击用例	**ML 模型类型**	**目标系统脆弱点**	**ML 优势**
钓鱼与社工攻击	大型语言模型（LLM）	人类感知与通信系统	个性化、上下文感知的信息生成
侦查与指纹识别	监督分类器、聚类模型	系统配置、网络行为	可扩展、自动化的系统行为画像
漏洞利用生成	代码生成模型、微调 Transformer	软件漏洞、不安全代码模式	自动发现候选漏洞

攻击用例	ML 模型类型	目标系统脆弱点	ML 优势
数据提取（推断攻击）	分类模型、反演模型	通过模型输出泄露隐私	有限或黑盒访问下的推断能力
检测系统规避	对抗输入生成器	部署 ML 系统的检测边界	构造最小扰动输入以绕过过滤
硬件层攻击	深度学习模型	物理侧信道（如功耗、时序、电磁）	直接从原始信号学习泄漏模式

尽管实现方式各异，这些攻击的共同基础是：攻击者用可学习模型替代静态漏洞利用，能近似或适应目标脆弱行为。这提升了灵活性，减少人工操作，提高对抗变化或部分隐藏防御的鲁棒性。

这类威胁的显著特点是可扩展性。正如计算机视觉或语言建模的准确率随数据、模型和算力提升而提升，攻击性 ML 模型的效果也随之增强。训练在更大钓鱼语料或功耗轨迹上的模型，能更好泛化、规避检测或减少攻击输入。开源模型和 ML 平台的普及进一步降低了高影响攻击的门槛。

这造成了攻防不对称。防御受限于部署、延迟和合规，攻击者却可低成本扩展训练。预训练模型和公共平台进一步降低了开发高效攻击的门槛。

理解攻击性 ML 能力对防御至关重要。安全行业早已认识到“知己知彼”原则，渗透测试 [501]、红队演练 [502] 和威胁建模均基于此。

在 ML 领域，这一原则尤为重要，因为 ML 同时放大攻防能力。模式识别、自动化、可扩展性等 ML 优势同样提升了攻击能力。理解 ML 如何被武器化，有助于预判攻击向量、设计更强防御和检测机制。

因此，全面的 ML 系统安全不仅要关注自身脆弱性，还要考虑 ML 如何被用于攻击其他组件（软件、数据、硬件）。理解 ML 系统的攻击潜力，是设计鲁棒、可信、前瞻性防御的基础。

501. **渗透测试**：授权模拟攻击以评估系统安全，1960 年代军用计算机系统首次正式化。2022 年全球渗透测试市场达 17 亿美元，89% 组织每年渗透测试以提前发现漏洞。
502. **红队演练**：专业团队模拟真实攻击者测试防御，起源于 1960 年代军事演习。与渗透测试不同，红队涵盖社工、物理入侵、高级持续威胁，演练周期可达数周或数月，体现“知己知彼”原则。

案例分析：深度学习辅助侧信道攻击（SCA）

为具体说明攻击性 ML 能力，以下以深度学习辅助侧信道攻击（SCAAML 框架）为例。该框架由 Google 研究者开发，实现了上述攻击流程。

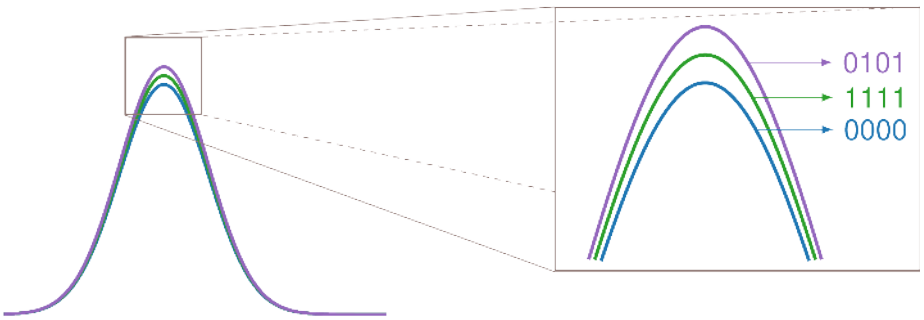

功耗轨迹：加密计算在特定操作期间会暴露细微、数据相关的功耗变化，反映内部状态。

如上图所示，加密计算的功耗随数据变化而变化，虽微弱但可测，反映算法在特定时刻的内部状态。

传统侧信道攻击依赖专家统计分析，而神经网络可学习信号形状与具体数据值的关联，自动解码信号。模型以功耗轨迹及对应中间值（如 S-box 输出）为标签训练，逐步学会将轨迹模式与密钥相关行为关联，将密钥恢复转化为分类问题，仅凭轨迹形状推断密钥字节。

@scaaml_2019 研究中，研究者用卷积神经网络从 STM32F415 微控制器上 TinyAES 实现的功耗轨迹中提取 AES 密钥。模型训练目标为直接从原始功耗轨迹预测 AES 算法中间值（如首轮 S-box 输出），仅需少量轨迹即可恢复完整 128 位密钥。

实验用 ChipWhisperer 采集 STM32F 目标板功耗（见下图），该板在执行 AES 时允许高精度功耗监测，说明即便廉价低功耗嵌入式设备也会通过侧信道泄漏信息，现代 ML 模型可加以利用。

后续研究引入长程模型，利用更广泛的时序依赖，在噪声和不同步条件下提升性能。深度学习模型作为攻击性密码分析工具的潜力日益凸显，尤其在安全硬件分析领域。

其影响远超学术兴趣。随着深度学习模型规模扩展，其在侧信道场景下的应用将进一步降低硬件攻击的成本、技能门槛和轨迹需求，对嵌入式 ML、加密模块和可信执行环境的安全部署构成日益严峻挑战。

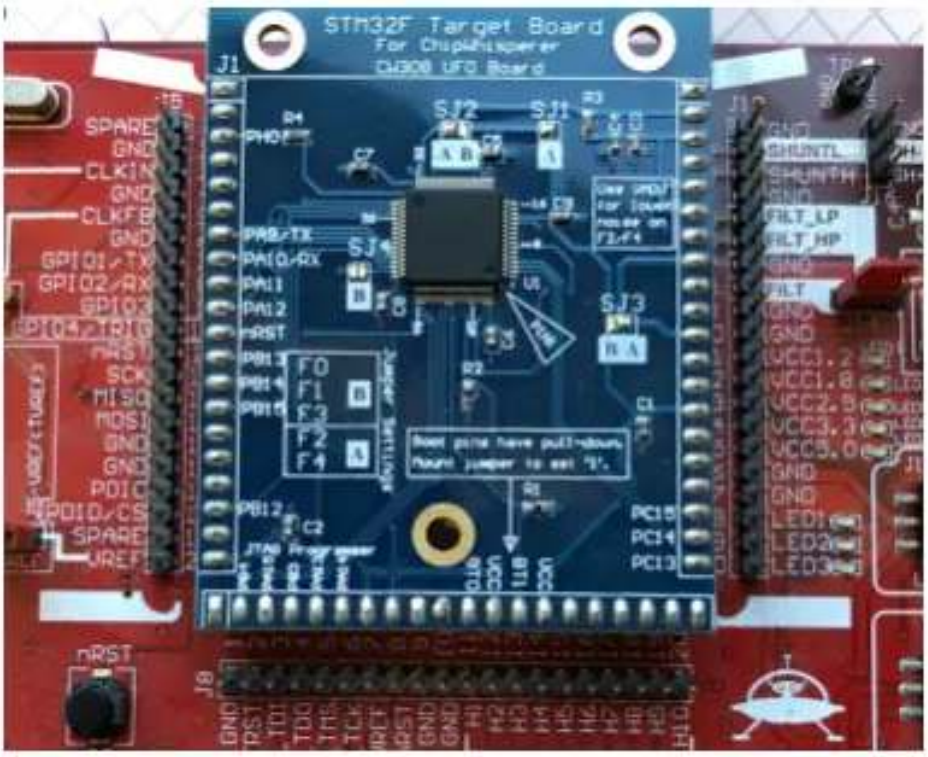

STM32F415 目标板：可监控微控制器执行 AES 时的功耗，凸显 ML 模型可利用的侧信道漏洞。

全面防御架构

在分析了针对 ML 系统的威胁以及 ML 技术本身带来的新型攻击后，本节将系统性介绍如何构建全面的防御策略。要设计安全且具备隐私保护能力的机器学习系统，不能只关注单点威胁，而需要在多个系统层面集成分层防御机制，实现整体韧性。

本节将依次介绍四大防御层级：数据层（如差分隐私、安全计算，保护训练过程中的敏感信息）、模型层（如对抗训练、安全部署，保护模型本身）、运行时层（如输入校验、输出监控，保障推理安全）、硬件层（如可信执行环境，提供所有防护的信任根）。最后，结合实际部署场景，给出防御选择与落地的实用框架。

分层防御原则

分层防御（defense-in-depth）是安全架构的核心原则，即通过多重独立防御机制协同应对多样化威胁。在机器学习系统中，由于数据依赖、模型暴露和推理模式带来的独特攻击面，这一原则尤为重要。与传统软件主要面临代码漏洞不同，ML 系统更易受到输入操控、数据泄露、模型提取和运行时滥用等威胁，这些威胁又因数据、模型行为与基础设施的紧密耦合而被放大。

分层防御强调，没有任何单一机制能应对所有威胁。安全性来源于多层互补防护的协同：数据层（差分隐私、联邦学习）、模型层（鲁棒性与安全部署）、运行时层（输入校验、输出监控）、硬件层（可信执行环境、安全启动）。每一层既增强整体韧性，也能弥补其他层的潜在短板。

本节将以结构化框架，逐层讲解 ML 系统的分层防御，从数据保护到基础设施加固。该框架既承接了第 6 章：数据工程的数据保护实践，也与第 13 章：机器学习运维的运维安全措施相衔接。通过多层集成，组织可构建既可靠又能抵御对抗压力的生产级 ML 系统。

下图（图 13）直观展示了分层防御堆栈：从硬件安全到运行时防护、模型控制，再到数据隐私，每一层都建立在下层信任之上，形成端到端的安全部署策略。

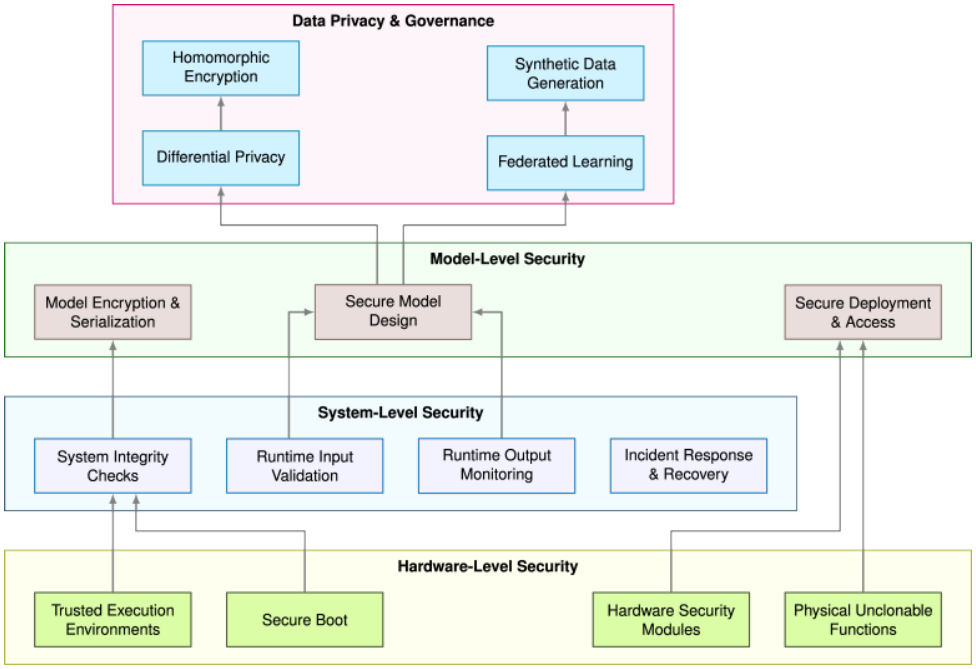

分层防御堆栈：机器学习系统需要多层次安全策略，从硬件基础到数据隐私，层层构建信任。该架构在数据、模型、运行时和基础设施各层集成防护，确保生产环境下的鲁棒部署。

数据隐私保护技术

在防御堆栈的最高层，首先要关注数据隐私。保护数据主体隐私是可信 AI 的基础。与传统系统常对数据做脱敏或匿名化不同，ML 工作流通常依赖原始高保真数据以获得有效模型。这种实用性与隐私的张力，催生了多种旨在最小化数据暴露、同时保障学习性能的技术。

差分隐私 差分隐私（DP）是目前最广泛采用的隐私保障框架之一。DP 以严格的数学定义量化隐私损失，确保单个个体数据的加入或移除对模型输出影响极小且可证明。

传统隐私方法多依赖去标识化（如移除姓名、地址等）或统计披露控制，但这些手段难以抵御利用辅助信息、统计相关性或模型输出进行再识别的高级攻击。差分隐私则聚焦于算法行为，而非数据内容，核心思想是：无论攻击者拥有多少外部信息，都只能获得有限的个体信息。

直观理解：假设你想统计一组人的平均工资，但没人愿意透露真实工资。差分隐私的做法是让每个人在上报前加上已知分布的随机噪声，最终平均后噪声会相互抵消，得到接近真实的均值，但单个数据点因噪声而无法被还原。这就是“只学群体，不泄个体”的本质。

数学上，差分隐私通过比较相邻数据集（仅一条记录不同）上的算法输出分布，要求无论是否包含某个个体，输出概率分布都近似一致。常用定义如下：

$$\Pr[\mathcal{A}(D) \in S] \leq e^{\epsilon} \Pr[\mathcal{A}(D') \in S]$$

其中 ϵ 为隐私预算，越小隐私越强但噪声越大。实际应用中，$\epsilon = 0.1$（强隐私）、$\epsilon = 1.0$（中等）、$\epsilon = 10$（弱隐私但高效用）。e^{ϵ} 限定了输出分布的最大变化，确保单个个体的影响被严格约束。

DP 通常通过在模型更新或查询响应中加入校准噪声（如拉普拉斯、高斯机制）实现。训练时常用差分隐私随机梯度下降（DP-SGD）[503]，在每步梯度计算中注入噪声，防止模型记忆个体数据。

差分隐私带来理论保障，但也引入了隐私与效用的权衡[504]，即噪声越大隐私越强但模型准确率下降。

实际部署需权衡计算开销、隐私预算管理与实现难点，详见下表（表 7）。DP 常用于敏感数据训练或返回聚合统计时，兼顾隐私与性能。

联邦学习 差分隐私通过算法保障隐私，联邦学习（FL）则通过重构学习流程降低隐私风险。FL 直接应对第 14 章：设备端学习中的隐私挑战，即模型需适应本地数据但不暴露用户信息。FL 将训练分布到各客户端，数据不出本地，仅上传参数增量：

503. **DP-SGD 行业应用**：Apple 2016 年率先大规模部署差分隐私，保护 10 亿 + 用户数据（如 emoji、Safari 崩溃、输入建议），在实用性（ε=4-16）与隐私间平衡体验。
504. **隐私 - 效用权衡**：Dwork 和 McSherry 证明，完美隐私（无限噪声）无效用，完美效用（无噪声）无隐私，隐私预算（privacy budget）由此诞生 —— 每次查询都在“消耗”隐私。

$$\theta_{t+1} \leftarrow \sum_{k=1}^{K} \frac{n_k}{n} \cdot \theta_t^{(k)}$$

其中 $\theta_t^{(k)}$ 为第 k 个客户端的模型更新，n_k 为其样本数，n 为总样本数。全局模型通过加权聚合学习分布式数据，无需集中原始数据。FL 虽减少原始数据暴露，但梯度仍可能泄漏信息，因此常结合 DP、安全聚合和硬件保护。

> **实际案例：Google Gboard 联邦学习**
>
> Google Gboard 键盘通过联邦学习提升下词预测，覆盖 10 亿 + Android 设备，无需收集用户输入数据。流程如下：
>
> 1. 本地训练：每台设备用用户最近输入（100-1000 词）本地微调模型
> 2. 安全聚合：设备上传加密的模型更新（非原始文本）到 Google 服务器
> 3. 全局更新：服务器聚合数千份更新，生成改进后的全局模型
> 4. 分发：新模型随应用更新推送回设备
>
> **隐私特性**：个人输入数据永不离开设备，Google 服务器也无法解密单独更新，只能看到聚合结果。系统结合 FL、差分隐私（$\varepsilon \approx 6$）和安全聚合协议。
>
> **性能**：FL 达到集中式训练 92% 的准确率，且无需收集原始数据。通信优化（梯度压缩、选择性参与）将带宽降至每日每台设备约 100KB。
>
> **权衡**：FL 需 10-100 倍于集中式训练的通信轮次，准确率下降 2-5%。但对隐私敏感场景，这一成本远低于不训练的代价。

如需在加密数据上计算，可用同态加密（HE）和安全多方计算（SMPC）实现加密推理或训练。HE 运算开销大，需结合第 9 章：高效 AI 的模型压缩、架构优化和硬件加速。HE 支持密文推理：

$$\text{Enc}(f(x)) = f(\text{Enc}(x))$$

适用于云端敏感数据推理。SMPC[505] 将计算分散到多方，任何一方都无法获知完整输入或输出，适合医院、银行等跨机构联合训练 [506]。

505. **SMPC 性能**：安全多方计算比明文操作慢 1000-10000 倍，简单神经网络推理需数小时，仅适合小模型和离线场景。
506. **安全多方计算（SMPC）**：1982 年 Andrew Yao 首次提出，现已应用于医院联合训练医疗 AI，准确率达 99%+，且严格合规。

合成数据生成 除加密方法外，合成数据生成[507]是更实用且日益流行的隐私保护手段。其核心思想是：用生成模型（如 GAN、VAE、扩散模型）学习原始数据分布，再采样生成新样本。只要生成模型未记忆个体，合成数据既保留统计特性，又不含真实身份信息。

流程一般分三步：分布学习（用 G_θ 拟合 $p(x)$）、合成采样（$D_{\text{synthetic}} = \{G_\theta(z_i)\}$，$z_i \sim \mathcal{N}(0, I)$）、统计验证（确保合成数据既拟合原分布又无个体泄漏）。如医院用 GAN 训练 1 万条患者记录，生成 5 万条合成患者，既保留临床相关性，又无真实患者信息。若在 GAN 训练中引入差分隐私（$\epsilon = 1.0$），可防止模型记忆个体，代价是统计保真度下降 5%。

合成数据虽直观，但也有局限：生成模型可能丢失稀有模式，且高级攻击者可通过模型反演或成员推断提取原始信息。隐私保障高度依赖模型结构、训练流程和超参数，需结合差分隐私等机制。

综上，现代隐私保护已从“数据隔离”转向“学习过程内嵌隐私机制”。实际系统常多法并用，如在联邦学习中引入差分隐私，或对关键推理阶段用同态加密，实现兼顾效用与隐私。

方法对比 不同隐私保护技术在保障强度、计算开销、成熟度和适用场景上各有差异。下表（表 7）总结了主要方法的对比，便于在实际系统设计中权衡取舍。

技术	隐私保障	计算开销	部署成熟度	典型场景	权衡
差分隐私	严格（ε-DP）	中高	生产可用	敏感/合规数据训练	准确率下降，需精细调参 ε/噪声平衡效用与保护
联邦学习	结构性	中等	生产可用	跨设备/机构协作学习	梯度泄漏风险，需安全聚合与编排基础设施

507. **合成数据增长**：2019-2023 年市场从 1.1 亿美元增至 11 亿，Uber 等用合成出行数据保护隐私，部分数据集保真度达 95%+。

技术	隐私保障	计算开销	部署成熟度	典型场景	权衡
同态加密	强（加密级）	高	实验阶段	不可信云环境推理	高延迟/内存，适合定制推理场景
安全多方计算	强（分布式）	极高	实验阶段	多方联合训练	通信开销大，难以扩展到多参与方或深模型
合成数据	弱（单独使用）	低 - 中	新兴	数据共享、基准测试	若无 DP 或审计，可能泄漏敏感模式

案例：GPT-3 数据提取攻击

2020 年，研究者通过精心设计的提示词，系统性地从 OpenAI GPT-3 模型中提取训练数据原文，首次实证大模型可泄漏敏感训练数据。

攻击方法包括：提示工程触发记忆片段、续写攻击（用部分名言/姓名引出完整信息）、统计分析识别模型记忆、与公开数据交叉验证。60 万次尝试中，成功提取 1.6 万条独特训练数据，包括邮箱、电话、书籍原文、应被过滤的隐私数据等。

该研究挑战了“训练后即遗忘”的假设，证明大模型可作为无意的数据库，存储并检索训练数据。模型规模越大（175B 参数），记忆能力越强，隐私风险越高。即使去重后，模型仍会记忆敏感信息，凸显效用与隐私的张力。防止记忆的技术（如差分隐私、数据过滤）会降低模型质量，带来实际权衡。

行业迅速响应：大模型训练普遍引入差分隐私（$\varepsilon \leqslant 8$）、强化 PII 过滤、定期审计记忆、研究机器遗忘、制定数据权利与透明度法规。现代组织常用 DP 训练、自动化 PII 检测、定期攻击审计、法律合规等措施应对。

安全模型设计

从数据层转向模型层，安全性需在设计阶段即纳入考量。许多漏洞可通过架构选择、防御性训练和内嵌鲁棒机制提前规避。安全设计可降低模型被攻击面、限制信息泄漏、支

持可验证的所有权保护。

一类重要策略是“内生鲁棒”模型，如置信度校准或拒判机制，遇到高不确定性输入时拒绝预测，防止对抗样本或异常输入导致高置信误判。输出平滑、正则化等也可降低决策边界锐度，提升对抗鲁棒性。

部分场景可选用更简单或压缩架构，既减少敏感数据记忆，也增加逆向难度。嵌入式/端侧模型更易加固，因其内存和算力需求低，侧信道泄漏和运行时操控风险小。

模型水印[508]也是设计阶段的重要手段，可在参数或输出行为中嵌入可验证签名，如特定输入触发隐藏响应，或参数空间微扰，既不影响准确率又可法庭举证。

如嵌入式语音唤醒系统（如“Hey Alexa”），可用轻量 CNN 加置信校准避免误唤醒，低于阈值拒绝激活。为保护知识产权，可训练模型对特定隐藏音频触发唯一标签，便于后续验证。高风险场景（医疗、自动驾驶、金融）可优先选用可解释模型（决策树、规则、稀疏网络），便于审计和信任。

模型设计需在准确率、鲁棒性、透明度和复杂度间权衡。系统视角下，早期设计决策对长期安全价值最大，决定了模型能学什么、如何应对不确定性、能否溯源和解释。

安全模型部署

安全设计是基础，保护还需延伸到模型打包与部署。模型易受窃取、滥用和未授权操控，需在设计与部署全流程纳入安全考量。模型的脆弱性不仅取决于训练和架构，还与序列化、打包、部署和推理访问方式密切相关。随着模型被嵌入边缘设备、通过 API 服务或多租户平台部署，安全实践尤为关键。

本节涵盖三大环节：模型设计、安全打包与序列化、部署与访问控制。相关性能优化见第 10 章：模型优化，需兼顾安全属性。

设计上，架构选择可减少对抗操控和未授权使用，如置信校准、拒判机制、简化/压缩架构、参数水印等。训练完成后，模型打包需加密、混淆或安全容器封装，密钥仅在可信环境运行时可用。可用量化感知加密、完整性校验等防篡改措施。

部署环境需强访问控制，确保仅授权用户/服务可访问推理端点。认证协议（如

508. **模型水印**：2017 年提出，类似数字图片水印。现代水印可嵌入 <0.01% 参数，准确率 99%+，为数十亿美元 AI 资产提供知识产权举证。

OAuth[509]、mTLS[510]、API Key[511]）结合基于角色的访问控制（RBAC[512]），按角色和场景限制访问。例如 OpenAI API 需 OPENAI_API_KEY 认证。

API Key 应从环境变量读取，避免硬编码泄漏。生产环境还应有 SHA-256 校验、限流、输入校验、日志审计等措施。

安全部署模式与第 5 章：AI 工作流开发流程自然集成，运行时监控（见本章后文）进一步保障运维安全。

运行时系统监控

即使设计与部署安全，ML 系统在运行时仍面临威胁。攻击者可构造输入绕过校验、利用模型行为或攻击系统基础设施。

生产 ML 系统部署环境多样（云、边缘、嵌入式），每种架构带来不同监控挑战。防御需超越静态保护，涵盖实时监控、威胁检测和事件响应。本节介绍运行时防御，承接第 13 章：机器学习运维的 MLOps 实践。

运行时监控包括输入校验、输出监控和系统完整性检查三大类。

输入校验 输入校验是运行时第一道防线，确保输入数据格式、统计特性或语义约束合规，防止对抗样本或异常输入导致模型误判或系统异常。

校验手段从低层（如尺寸、类型、取值范围）到语义过滤（如检测图片是否为人脸、音频是否含语音）。如人脸识别系统可校验图片分辨率、通道数、轻量人脸检测等，防止空白图、文本截图或对抗样本。语音助手可要求音频时长、采样率、语音活动检测（SAD[513]）等，过滤无效或异常输入。

生成式系统（如 DALL·E、Stable Diffusion、Sora）常用提示词过滤，检测敏感词、品牌、违规医疗术语等。也可用分布校验（如色彩直方图）检测输入是否偏离训练分布。

校验可用启发式规则或小模型实现，作为推理前防火墙，降低对抗风险、提升系统稳定性和信任度。

509. **OAuth 协议**：2006 年提出，现覆盖 30 亿 + 用户（Google、Facebook、微软），OAuth 2.0（2012）支持安全 API 访问，年处理数万亿次 ML API 认证。
510. **双向 TLS（mTLS）**：1999 年引入，客户端和服务端互认证，通信安全性 99.9%+，但延迟增加 15-30ms，适合高安全 ML API。
511. **API Key**：2005 年 Google Maps API 普及，现为 ML 服务标配。10-15% GitHub 仓库曾泄漏 API Key，价值数百万美元。
512. **RBAC**：NIST 1990 年代提出，现为政府系统强制标准。RBAC 降低 90%+ 安全管理开销，现代 ML 平台支持数千角色细粒度权限。
513. **SAD**：自 1990 年代用于语音接口，现代神经 SAD 准确率 95%+，延迟 <10ms，推理前实时过滤。

输出监控 即使输入合规，模型输出仍可能异常。输出监控通过实时分析预测，检测异常行为，如置信度、熵、类别分布等，发现对抗输入或分布漂移。

重点关注预测置信度，如分类模型对罕见类别高置信输出，可能是对抗攻击或分布漂移。监控输出熵可发现模型在模糊场景下过度自信。

内容审核系统可比对模型输出与辅助信号或安全基线，发现偏差时触发人工审核或切换保守模型。时序模型（如反欺诈）可监控预测序列，发现异常波动。

生成模型（如文本到图像）需后置分类器检测违规内容（暴力、裸露、品牌滥用等），可对输出做模糊、拒绝等处理。部分系统还检查内部表示（如注意力图[514]）预测潜在风险。

但仅靠提示词过滤难以防御隐式对抗提示（如 Adversarial Nibbler 项目），需结合输出分析。下图（图 14）展示了看似无害的提示也可触发不安全生成，强调输出监控作为第二道防线的重要性。

对抗提示规避：隐式对抗提示可绕过内容过滤，触发不安全生成，凸显仅靠预生成校验的局限，需后置内容分析。

语言生成领域，输出监控用于检测毒性、幻觉、离群响应，如客服机器人监控关键词、语气、语义一致性，发现异常可重写、切换模板或中止响应。

有效监控结合规则与学习型检测器，实时告警并接入响应流程。与对抗训练等模型级防御不同，输出监控侧重于遏制和补救，是安全运营的重要一环。

如 LLM Guard、ShieldGemma 等框架，将安全分类器与输出监控集成到推理栈，支持大规模、合规的生成式模型部署。

完整性检查 输入/输出监控关注模型行为，系统完整性检查则保障模型文件、运行环境和服务基础设施未被篡改。

常用机制为加密哈希校验（如 SHA-256[515]），模型加载前比对签名，防止未授权修改。

514. **注意力图**：2015 年随 Transformer 引入，揭示输入 token 对输出影响，助于检测偏见或操控。
515. **SHA-256**：2001 年 NSA 设计，20 年无实用碰撞，现为文件完整性校验金标准。

访问控制与审计日志补充加密校验，限制模型文件访问，监控异常访问。云环境可用容器/虚拟机隔离 [516]，但需防配置失误或供应链漏洞。

如医疗 ML 部署 [517]，完整性检查包括模型哈希、依赖包白名单、推理环境签名，确保合规（如 HIPAA[518]、GDPR），并为审计留痕。

部分系统还实现运行时内存校验，如检测参数异常变动，或内存映射权重未被篡改。随安全区和可信运行时普及，这类检查日益可行。

完整性检查与输入/输出监控结合，为 ML 系统提供多层保障，防范绕过模型接口的底层攻击。

响应与回滚 检测到安全事件、异常或性能下降时，需快速响应与恢复，既要遏制影响，也要恢复完整性并总结经验。

第一步是设定触发阈值（如输入异常率、置信度骤降、签名校验失败），一旦越界即自动或半自动响应。

常见策略有模型回滚（恢复到已验证版本）、模型隔离（移出负载均衡或影子部署）、流量限速（阻断异常 IP），以遏制攻击并保障服务连续。

后续可进行取证分析（如输入日志、参数差异、内存快照），合规场景需通知用户或审计。恢复通常需安全重训练或补丁，过程需签名、可信流水线和数据验证。事后复盘总结根因、完善监控和防御策略。

硬件安全基础

软件层防御（输入校验、输出监控、完整性检查）虽重要，但最终依赖于底层硬件和固件的可信。若操作系统被攻破、设备被物理访问或处理器有漏洞，软件防御可被绕过。因此，需引入硬件级安全机制，作为所有高层防护的信任根。

硬件安全机制为 ML 系统提供信任锚点，尤其在边缘、嵌入式和不可信云环境中。硬件加速平台（GPU、TPU、专用加速器）常集成安全区、可信执行环境（TEE）、硬件加密单元等特性。边缘部署场景（见第 14 章：设备端学习）则面临独特挑战。

这些机制在合规场景尤为关键，如医疗 ML 需实现 HIPAA“适当技术保障”，GDPR 要求“隐私设计”，均需硬件层支持。

516. **容器/VM 隔离**：Docker（2013）等容器 CPU 开销 0-5%，I/O 2-10%；VM 隔离更强但开销 10-15%。ML 服务 80-90% 用容器，敏感模型偏好 VM。
517. **医疗 ML 合规**：FDA 2016 年起批准 500+ AI 医疗设备，需 21 CFR Part 820 质量体系，部分审批耗时 2-5 年、成本 5000 万美元。
518. **HIPAA ML 要求**：1996 年起，影响 6 亿 + 患者记录，ML 系统需数据加密、访问日志、云服务协议，违规最高罚 150 万美元/次。

可将硬件安全机制类比为堡垒防御体系：

机制	堡垒类比与功能
安全启动	类似守门人，开机时验证每一环节的合法性，防止恶意代码加载。
可信执行环境	类似堡垒深处的密室，隔离敏感操作，防止外部窥探。
硬件安全模块	类似专用金库，专门存储和使用加密密钥，防篡改。
物理不可克隆函数	类似芯片指纹，利用制造微差生成唯一身份，无法复制。

四大机制协同防护：安全启动建立信任根，TEE 提供运行时隔离，HSM 负责加密操作，PUF 实现唯一认证。下文将逐一详解。

硬件 - 软件协同设计 现代 ML 系统需全栈安全权衡，类似性能优化中的算力 - 内存 - 能耗分析。硬件安全机制带来可量化开销，如 ARM TrustZone 切换延迟 0.6-2.0μs，安全模式下加密运算功耗高 15-30%，Intel SGX 切换延迟 15-30μs。TEE 内存限制约束模型规模，如量化 ResNet-18（47MB）可运行，ResNet-50（176MB）需分片。加密操作如 AES-256 每次推理增加 0.1-0.5ms，HE 开销高达 100-100,000 倍，仅适合小模型或离线场景。

可信执行环境（TEE） TEE[519] 是处理器内硬件隔离区，保护敏感计算和数据，即使操作系统被攻破也能保障安全。其核心机制包括隔离执行、安全存储、完整性保护和内部加密。

ML 场景下，TEE 用于保护模型参数、推理输入、输出，防止被恶意软件提取。典型如 Apple Secure Enclave，隔离加密和生物识别，保障 Face ID 等敏感操作。

TEE 广泛用于电信（5G 控制面）、金融（移动支付）、医疗（可穿戴推理）、汽车（ADAS

519. **TEE 概念起源**：2000 年代 ARM TrustZone，受军事“分区信息”启发，硬件强制隔离安全/非安全世界，成现代 TEE 模板。

安全模块）等高安全行业。ML 系统中，TEE 可保护推理/训练过程、输入隐私、模型参数和更新真实性，分布式场景下支持加密通信。

主流平台有 ARM TrustZone（95% ARM 处理器集成）、Intel SGX（云/桌面）、高通 SEE、Apple Secure Enclave。SGX 受限于 128MB 保护内存，ResNet-50 权重即占 77%，大模型需分片或优化。

下图（图 15）展示了 SoC 集成安全区架构，隔离处理器、AES 引擎、TRNG、PKA、I^2C 接口，物理隔离主处理器和内存，保障密钥和模型安全。

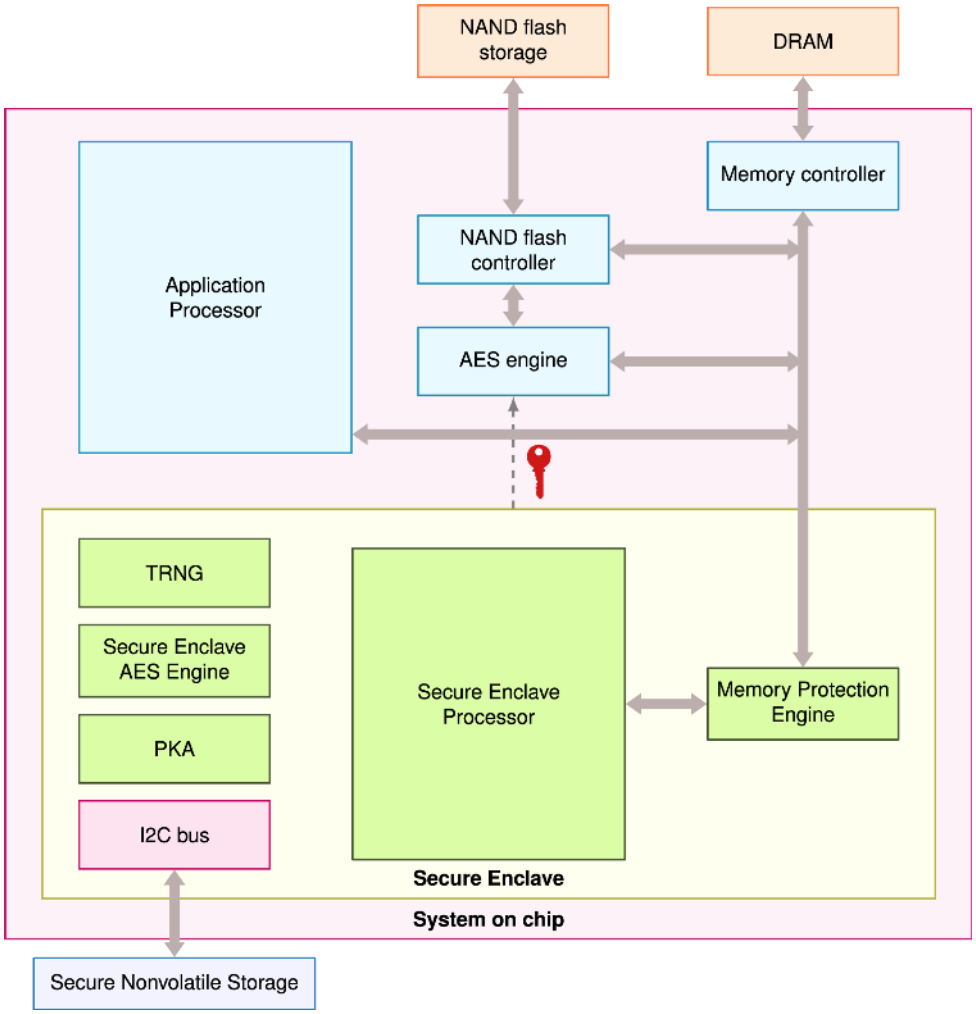

安全区架构：硬件隔离区将敏感数据和加密操作封装于专用处理器和内存，即使主处理器被攻破也能保护关键资产。来源：Apple。

如 Apple Face ID，所有人脸识别均在安全区内完成，生物模板仅存于安全区内存，输入数据本地处理，外部无法访问，即使系统被攻破也无法泄漏。

TEE 的挑战包括硬件成本、开发复杂度、性能开销（如加密、切换）、能耗、可扩展性和合规认证。一般仅在高威胁场景采用。

安全启动 安全启动确保设备仅加载经加密签名、授权的软件。启动时逐级校验引导程序、内核、操作系统签名，任何环节失败即中止启动，防止恶意代码执行，建立信任链。

ML 系统（尤其嵌入式/边缘）中，安全启动防止恶意软件在 ML 运行前加载，避免模型权重被截获、训练数据被篡改或推理结果被劫持。

安全启动常与 TEE 协同，形成完整可信执行栈。下图（图 16）展示了嵌入式系统分层启动流程，逐级校验固件、操作系统和 TEE，保障 ML 工作负载前的完整性。

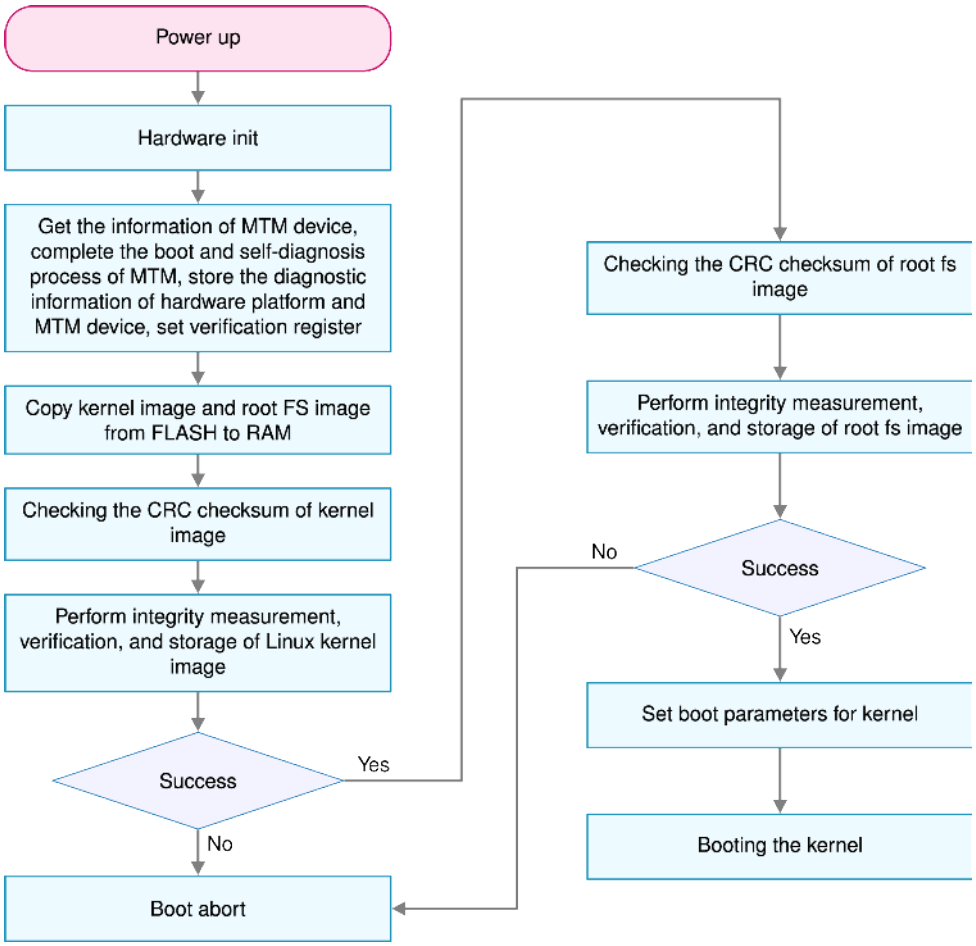

安全启动流程：嵌入式系统分层校验固件和软件完整性，建立信任根，防止运行前攻击，保障模型数据和部署安全。

如 Apple Face ID，安全启动在 Secure Enclave 内启动，固件签名校验失败即中止。所有系统组件（内核、应用）均用加密签名校验，Face ID 模型仅在安全区内运行，所有人脸数据本地处理，外部无法访问。软件更新也需签名，确保全生命周期信任链。

安全启动的挑战包括密钥管理、签名延迟、组件签名一致性、第三方软件集成复杂度等。部分系统为安全锁定用户权限，开源 bootloader（如 u-boot、coreboot）支持安全启动和可扩展性。DICE、IEEE 802.1AR 等标准正推动设备身份和跨厂商信任。

硬件安全模块（HSM） HSM[520] 是专用防篡改设备，负责加密运算和密钥管理，广泛用于金融、国防、云基础设施，ML 场景下用于密钥保护、模型签名、合规加密等。

HSM 提供隔离环境，专用于密钥生成、签名、加解密，具备防物理攻击和侧信道能力。ML 系统中，HSM 常用于保护训练/推理数据加密密钥、模型签名密钥、固件更新校验等。

HSM 的挑战包括高成本、体积、性能延迟（如密钥交换、签名）、功耗、集成复杂度、可扩展性和合规认证 [521][522]。大规模部署需安全密钥分发、身份绑定和信任管理。

物理不可克隆函数（PUF） PUF[523] 利用芯片制造微差生成唯一密钥和身份，无需外部存储，难以复制或预测。适用于嵌入式和分布式 ML 系统的轻量认证和密钥派生。

PUF 通过挑战 - 响应机制生成唯一输出，可用于设备密钥派生、认证、模型水印等。如智能无人机用 PUF 派生密钥加密模型，泄漏后无法在其他设备复用。PUF 还可用于分布式认证，云端下发挑战，设备用 PUF 响应，验证唯一性。

PUF 输出受环境影响，需纠错和辅助数据管理。大规模挑战 - 响应管理、建模攻击防护、制造成本等也是设计难点。

下图（图 17）展示了 PUF 内部机制，输入挑战，输出由芯片物理结构决定的唯一响应。常见有光学 PUF（光斑）、电子 PUF（时序差）、SRAM PUF（上电状态）。

PUF 适合嵌入式 ML 系统，支持轻量加密、降低密钥管理负担、建立分布式信任锚。与安全启动、TEE、HSM 协同，构建全生命周期分层防御。

机制对比 硬件安全机制为 ML 系统建立信任基础。TEE 提供推理/数据隔离，安全启动保障上电完整性，HSM 管理密钥和签名，PUF 绑定设备身份。下表（表 9）对比了各机制的功能、典型用例和权衡。

520. **HSM 性能**：企业级 HSM 每秒可执行 1 万 + 次 RSA-2048 运算，单价 2-10 万美元。GPU 软件加密虽快但无防篡改和合规保障。
521. **HSM 认证**：FIPS 140-2/CC 认证需 1-2 年、50-200 万美元，银行、政府、医疗等强制要求 3 级以上 HSM。
522. **FIPS 140-2**：2001 年发布，4 级安全标准，4 级 HSM 可在 -40°C~85°C 下防物理攻击，密钥秒级自毁，适合最高安全 ML 应用。
523. **PUF 市场**：2025 年预计达 3.2 亿美元，Intel、Xilinx、Synopsis 等主流芯片厂商已集成，广泛用于智能卡、汽车、边缘 ML 设备。

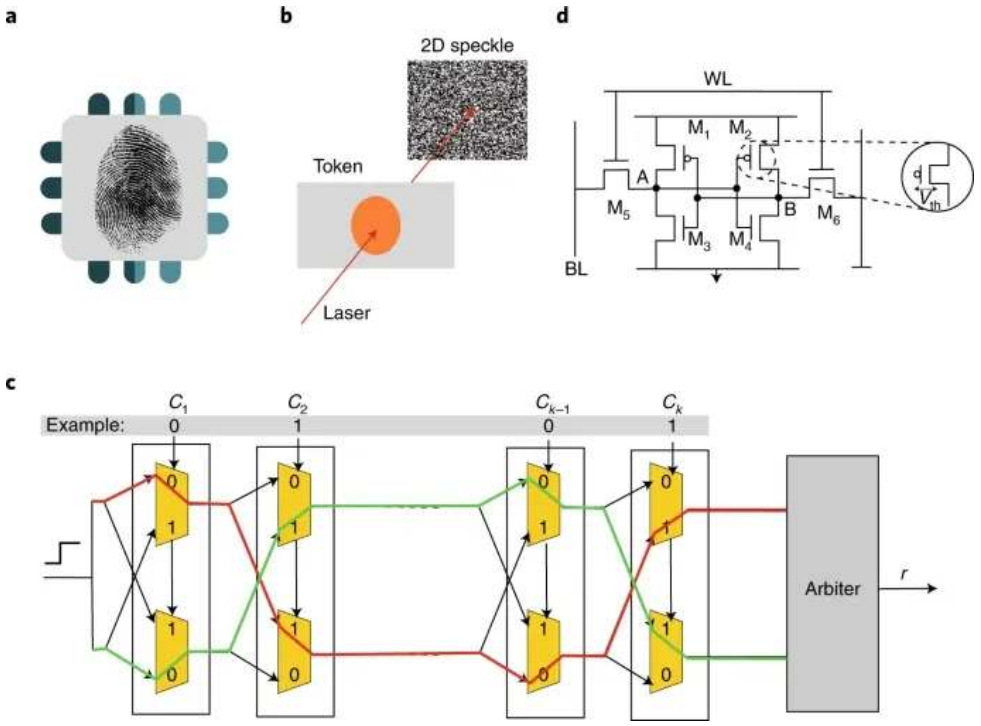

物理不可克隆函数：PUF 利用制造微差生成唯一指纹，实现设备认证和密钥派生，无需存储密钥。

机制	主要功能	ML 典型用例	权衡
可信执行环境（TEE）	隔离运行时安全计算	敏感输入/输出的安全推理、端侧隐私保护	复杂度高、内存受限、性能开销、需可信代码开发
安全启动	启动流程和固件校验	嵌入式设备仅加载签名模型和固件	密钥管理复杂、厂商锁定、启动延迟
硬件安全模块（HSM）	安全密钥生成和存储、加密运算	模型签名、训练加密、固件校验	成本高、集成难、I/O 受限、需基础设施级部署
物理不可克隆函数（PUF）	硬件绑定身份和密钥派生	模型绑定、设备认证、嵌入式知识产权保护	环境敏感、建模攻击、需纠错和校准

这些硬件原语共同构成 ML 系统在对抗环境下的分层防御基础，尤其适用于自动驾驶、医疗、联邦学习、关键基础设施等需可验证信任的场景。

实践落地路线图

本章介绍的安全与隐私技术体系庞大，对于刚开始构建 ML 安全体系的组织来说，全面一次性落地并不现实。分阶段推进有助于系统性提升安全性，同时兼顾复杂度与成本。下述路线图按从基础到高级的顺序，给出构建健壮 ML 安全体系的实用步骤。

阶段一：基础安全控制

首先应部署基础安全控制措施，这些措施以最小复杂度带来最大风险降低，为后续高级防御打下信任基础。

- **访问控制与认证**：为所有 ML 系统组件（训练数据、模型仓库、推理 API）实施基于角色的访问控制（RBAC）。管理员访问需多因素认证，服务间通信用短时令牌。坚持最小权限原则，确保用户和服务仅拥有必要权限。
- **数据保护**：所有静态数据用 AES-256 加密，所有传输数据强制 TLS 1.3，包括训练集、模型文件和推理通信。全面记录数据访问和模型操作日志，便于事后调查和合规审计。
- **输入校验与基础监控**：为所有 ML API 部署输入校验，拒绝异常请求，限流防止滥用，建立基础监控以发现异常推理模式。此举可防御基础对抗输入并提升系统可观测性。
- **安全开发实践**：ML 流水线应采用安全编码规范，包括依赖管理与漏洞扫描、模型序列化完整性校验、自动化安全测试集成到部署流程。

阶段二：隐私控制与模型保护

在基础控制之上，聚焦敏感数据保护与模型防盗防篡改，满足隐私法规与知识产权保护需求。

- **隐私保护技术**：非敏感场景用数据匿名化，需严格隐私保障时用差分隐私。协作学习场景部署联邦学习，数据本地化提升隐私。
- **模型安全**：模型文件加密存储，API 设计限制信息泄漏，监控模型提取行为。实施模型版本管理与完整性校验，防止未授权修改。
- **安全训练基础设施**：训练环境隔离，数据管道安全校验与溯源，模型注册表加访问控制与审计。
- **合规集成**：按 GDPR、HIPAA 等法规要求，落地数据主体权利管理、隐私影响评估、数据处理活动文档化等措施。

阶段三：高级威胁防御

面向高风险场景，部署对抗高级攻击者的防御措施。这些措施需更高专业能力和资源，但可防御最前沿攻击。

- **对抗鲁棒性**：对抗训练提升模型抗规避攻击能力，安全关键场景用可认证防御，持续测试新型对抗技术。
- **高级运行时监控**：部署 ML 专用异常检测系统，识别数据投毒、模型退化等复杂攻击。行为分析建立正常基线，偏离时自动告警。
- **硬件级安全**：最高安全需求场景用可信执行环境（TEE）保护推理，边缘设备用安全启动，密钥管理用硬件安全模块（HSM）。
- **事件响应与恢复**：建立 ML 专用应急响应流程，包括模型回滚、污染数据隔离、ML 攻击取证等。

实施注意事项

成功落地需在安全提升与运维能力间平衡。每一阶段应完整落地并稳定后再进入下一级。可根据自身威胁模型调整顺序：医疗优先隐私合规，金融优先数据保护，自动驾驶可直接推进对抗鲁棒性。

资源分配应考虑高级阶段的技术复杂度和运维开销。第一阶段多为通用 IT 安全能力，第三阶段需 ML 安全专家或外部咨询。建议在实施前投入培训和人才引进。

定期安全评估验证防御效果，指导阶段推进。评估应包括 ML 专用渗透测试、红队演练和合规审计。

常见误区与陷阱

在梳理防御与攻击能力后，需警惕常见安全误区，这些误区会削弱 ML 系统的安全性。ML 安全与隐私挑战远超传统网络安全，涉及数据、模型、推理等多维复杂攻击。现代 ML 流水线的复杂性、概率性和数据敏感性，使得对保护策略的误解和失误频发。

误区：“安全即隐蔽”足以保护机器学习模型。

这种过时思路认为隐藏模型结构、参数或实现细节即可保障安全。现代攻击往往无需系统细节，通过黑盒输入输出探测即可实现模型提取、对抗攻击等。有效的 ML 安全应遵循“即使攻击者全知也能防御”的原则，依赖健壮防御而非保密。

陷阱：“差分隐私自动等于隐私”，忽视实现细节。

许多实践者将差分隐私视为万能隐私方案，忽略参数选择和实现细节。隐私预算配置不

当可能既无保护又损失效用。实现漏洞如浮点精度、噪声生成、预算耗尽等都可破坏隐私保障。实际系统需严选参数、验证实现、持续监控，确保理论保障落地。

误区：“联邦学习天生隐私安全，无需额外措施。”

认为数据本地化即可保障隐私。实际上，梯度和模型更新仍可泄漏本地数据，攻击者可重建样本、推断成员、提取敏感属性。联邦场景需结合安全聚合、差分隐私和安全通信协议，不能仅靠数据不出本地。

陷阱：“安全是单点功能，而非系统属性。”

有些组织将安全视为单点加固，忽视系统级威胁和组件间攻击面。碎片化防御难以应对跨组件、跨生命周期的复杂攻击。ML 安全需全局威胁建模，覆盖数据采集、模型部署、运维全流程，参考第 15 章：安全与隐私的威胁优先级原则，将安全融入每一环节。

陷阱：“低估分布式 ML 系统的攻击面扩展。”

只关注单点安全，忽视分布式架构带来的新型攻击面。多数据中心分布式训练易遭中间人攻击、证书伪造、未授权参与。边缘部署端点增多，需安全更新、监控和响应。多云模型服务引入依赖链攻击，任一组件被攻破都可影响全局。编排、负载均衡、模型注册、监控等基础设施均为潜在入口。分布式 ML 安全需全链路威胁建模，涵盖通信安全、端点加固、跨域身份管理和策略协同。

总结

本章系统梳理了机器学习系统的安全与隐私威胁及其分层防御策略。安全与隐私是 ML 系统生产部署的核心要求。随着 ML 系统处理敏感数据、跨平台运行并面临复杂威胁，安全体系需覆盖全技术栈。现代 ML 系统面临数据投毒、模型提取、对抗样本、硬件漏洞等多维攻击，威胁系统完整性与用户信任。

有效防御需分层协同，从数据隐私（差分隐私、联邦学习）到模型鲁棒性（对抗训练、输入校验）、硬件信任（TEE、安全启动）、运行时监控等，形成多层韧性体系，抵御多点协同攻击。

> **核心要点**
>
> - 安全与隐私应从架构设计阶段融入 ML 系统，而非事后补丁
> - ML 系统面临三大威胁：模型机密性（窃取）、训练完整性（投毒）、推理鲁棒性（对抗攻击）
> - 历史安全模式（供应链、隔离不足、端点武器化）在 ML 场景被放大

- 有效防御需覆盖数据隐私、模型安全、运行时监控、硬件信任锚点
- 不同行业防御重点不同：医疗优先合规，自动驾驶优先鲁棒，金融优先防盗
- 主要隐私保护技术有差分隐私、联邦学习、同态加密、合成数据，各有权衡
- 硬件安全机制（TEE、安全启动、HSM、PUF）为软件防护提供信任基础
- 安全必然带来算力、准确率和实现复杂度的权衡，需结合实际场景平衡
- 本章奠定的安全与隐私基础，是第 16 章：稳健 AI 全面鲁棒性框架的基石。监控、分层防御等机制将支撑后续对分布漂移、不确定性和系统退化的鲁棒 AI 探索。

第 16 章：稳健 AI

目标

我们如何为真实世界部署开发具备容错性和高韧性的机器学习系统?

现实中的机器学习系统需要在多变的运行环境下实现容错执行。这些系统面临诸多削弱其能力的挑战，包括硬件异常、对抗性攻击，以及与训练假设偏离的不可预测数据分布。这些脆弱性要求 AI 系统在设计和部署阶段始终将稳健性与可信性置于核心。构建具备弹性的机器学习系统，意味着它们能在动态和不确定的环境中安全、有效地运行。理解稳健性原理，有助于工程师设计能抵御硬件故障、对抗恶意攻击并适应分布变化的系统。这一能力使得 ML 系统能够应用于安全关键场景，如自动驾驶、医疗诊断等对可靠性要求极高的领域。

学习目标

- 能将影响 ML 系统的硬件故障分为瞬时、永久和间歇三类，并理解各自特征
- 分析位翻转、内存错误和组件失效如何在神经网络计算中传播并降低模型性能
- 比较硬件故障检测机制，包括 BIST、自检码和冗余投票系统
- 设计结合硬件级保护与软件监控的 ML 部署容错策略
- 评估神经网络对抗攻击的多种方式，包括基于梯度、优化和迁移的攻击技术
- 通过异常检测、数据清洗和稳健训练方法，实现对数据投毒攻击的防御

- 利用监控和统计漂移检测方法，评估分布变化对模型准确率的影响
- 将稳健性原则贯穿于 ML 全流程，从数据采集到模型部署与监控

稳健 AI 系统简介

传统软件出错时，通常表现为明显的故障：服务器崩溃、应用报错、用户收到清晰的失败提示。而机器学习系统出错时，往往是“静默失效”。自动驾驶汽车的感知系统不会崩溃，而是把卡车识别成天空；需求预测模型不会报错，而是开始给出极不准确的预测；医疗诊断系统不会停机，而是悄悄地给出错误分类，甚至危及生命。这种“静默失效”让 AI 系统的稳健性成为独特且关键的挑战。工程师不仅要防范代码 bug，更要面对现实世界与训练数据不符的复杂性。

随着 ML 系统在云、边缘、嵌入式等多样场景下部署，这种静默失效的风险被进一步放大。系统复杂度提升、应用于安全关键场景[524]，都要求设计和实现必须以稳健和容错为核心，保障系统完整性。

在 第 14 章：设备端学习 中，我们讨论了适应性部署所面临的挑战；在 第 15 章：安全与隐私 中，我们探讨了安全漏洞。现在，我们将目光投向全面的系统可靠性。ML 系统在多种领域中运行，面临着硬件和软件故障、恶意输入（如对抗性攻击和数据投毒）以及环境变化等系统性故障，这些故障可能导致从经济损失到危及生命的严重后果。

为应对这些风险，研究人员和工程师必须开发出先进的故障检测、隔离和恢复技术，超越单纯的安全防护措施。虽然 第 15 章：安全与隐私 已经阐述了如何防范故意攻击，但确保可靠运行还需要解决可能影响系统行为的全方位潜在故障，包括故意和非故意的因素。

这一容错需求奠定了我们对稳健 AI 的定义基础：

> **稳健 AI 的定义**
>
> **韧性人工智能（Resilient AI）**是指 AI 系统在面对 内部和外部系统错误、恶意输入以及数据或环境变化 时，能够保持 性能和可靠性 的能力。韧性 AI 系统被设计为具备 容错性，能够有效应对 操作环境中的变化和错误。实现韧性 AI 涉及 故障检测、缓解和恢复 的策略，同时在 AI 开发生命周期中优先考虑 韧性。

本章通过我们统一的三类框架，审视稳健性所面临的挑战，基于 第 14 章：设备端学习 中提出的适应性部署挑战，以及 第 15 章：安全与隐私 中检查的安全漏洞。我们系统的

524. **安全关键应用**：系统失效可能导致人员伤亡、重大财产损失或环境破坏的场景，如核电站、飞机控制系统、医疗设备等。这些领域的 ML 部署需满足最高可靠性标准。

方法确保在操作部署前实现全面的系统可靠性。

在叙事弧中的定位： 第 14 章：设备端学习 确立了资源受限环境下的适应性部署挑战，第 15 章：安全与隐私 则解决了这些适应性带来的安全漏洞，而本章则确保了针对所有故障模式（包括故意攻击、无意故障和自然变化）的系统级可靠性。这一全面的可靠性框架，对于 第 13 章：机器学习运维 中详细描述的操作工作流至关重要。

第一类是系统性硬件故障，这在计算系统中带来了重大挑战（见 第 2 章：机器学习系统）。无论是瞬时故障[525]、永久故障，还是间歇性故障，这些故障都可能破坏计算过程，降低系统性能。其影响范围从暂时性故障到组件完全失效，要求采用稳健的检测和缓解策略以维持可靠的操作。这种以硬件为中心的视角，超越了其他章节对算法优化的讨论，关注物理层面的脆弱性。

第二类是恶意操控，我们从工程的角度审视对抗性稳健性，而非 第 15 章：安全与隐私 中以安全为先的做法。尽管该章节讨论了认证、访问控制和隐私保护，但我们关注的是在攻击下如何维持模型性能。对抗性攻击、数据投毒尝试和提示注入漏洞等都可能导致模型错误分类输入或生成不可靠输出，因此需要专门的防御机制，这些机制不同于传统的安全措施。

与这些故意威胁相辅相成的是环境变化，这构成了我们第三类稳健性挑战。不同于 第 13 章：机器学习运维 中讨论的操作监控，我们考察的是模型在数据分布随时间自然变化时如何维持准确性。算法、库和框架中的错误、设计缺陷和实现错误可能在系统中传播，形成超越单个组件故障的系统性脆弱性[526]。这种系统层面的稳健性视角，涵盖了从数据摄取到推理的整个 ML 流程。

实现稳健性的具体方法，因部署环境和系统限制而异。尽管 第 9 章：高效 AI 确立了优化原则，但大规模云计算环境通常通过冗余和复杂的错误检测机制来强调容错性。而边缘设备（见 第 14 章：设备端学习）则必须在严格的计算、内存和能源限制内解决稳健性挑战，因此需要针对资源受限环境的专门加固策略。这些限制要求仔细的优化和针对性的加固策略[527]。

尽管存在这些上下文差异，稳健 ML 系统的基本特征包括容错性、错误恢复力和持续性能。通过理解和解决这些多方面的挑战，工程师可以开发出能够在真实世界环境中有效运行的可靠 ML 系统。

525. **瞬时故障与永久故障**：瞬时故障是指由宇宙射线或电磁干扰等因素引起的短暂干扰（持续时间从微秒到秒不等），而永久故障则是指造成持久性损害、需要更换组件的故障。现代系统中，瞬时故障的发生频率是永久故障的 1000×。
526. **系统性脆弱性**：影响整个系统架构而非单个组件的弱点。与孤立的错误不同，这些错误可能在多个层面上级联，导致成千上万的互联服务同时受到影响。
527. **加固策略**：通过冗余、输入验证和安全失效机制等技术，提高系统对故障和攻击的韧性。由于资源限制，边缘系统通常仅对关键组件进行选择性加固。

与 第 18 章：可持续 AI 中建立的可持续性原则相对，稳健 AI 系统不可避免地需要比基本实现更多的计算资源。错误修正机制消耗额外的 12-25% 内存带宽，冗余处理使能耗增加 2-3×，而持续监控则增加 5-15% 的计算开销。这些稳健性措施还会产生额外的热量，加剧热管理挑战，限制部署密度，并需要增强冷却基础设施。理解这些可持续性权衡，使工程师能够在最大限度降低环境影响的同时，做出关于稳健性投资价值的明智决策。

本章系统地审视了这些多维稳健性挑战，探讨了硬件、算法和环境领域的检测和缓解技术。在边缘系统的部署策略（见 第 14 章：设备端学习）和资源效率原则（见 第 18 章：可持续 AI）的基础上，我们制定了全面的方法，解决所有计算环境中的容错需求，同时考虑能源和热量限制。这里提供的稳健性挑战系统检查，为构建在真实世界部署中保持性能和安全的可靠 AI 系统奠定了基础，使稳健性从事后考虑变为生产机器学习系统的核心设计原则。

真实世界的稳健性失败案例

要理解机器学习系统稳健性的重要性，必须检查故障在实际中的表现。真实世界的案例研究揭示了云端、边缘和嵌入式环境中硬件和软件故障的后果。这些例子突显了容错设计、严格测试和稳健系统架构在确保多样化部署场景中可靠运行的关键需求。

云基础设施故障

2017 年 2 月，亚马逊网络服务（AWS）因例行维护中的人为错误，经历了 一次重大故障。一名工程师不小心输入了错误的命令，导致美国东部地区多个服务器关闭。这次持续了 4 小时的故障中断了 150 多个 AWS 服务，初步估计影响了约 54% 的互联网流量，给受影响的企业造成了约 1.5 亿美元的损失。在故障期间，亚马逊的 AI 助手 Alexa（全球超过 4000 万台设备使用）完全无法响应。通常在 200-500 毫秒内处理的语音识别请求，完全失败，展示了基础设施故障对 ML 服务的连锁影响。此事件强调了人为错误对云端 ML 系统的影响，以及稳健的维护协议和安全机制的重要性 [528]。

在另一起案例中，Facebook 在其分布式查询基础设施中遇到了静默数据损坏（SDC）问题 [529]。如图 2 所示，SDC 是指在计算或数据传输过程中未被检测到的错误，这些错误在系统层中静默传播。Facebook 的系统处理类似 SQL 的查询，并支持一种旨在减少数据存储占用的压缩应用。当未使用时，文件会被压缩，并在读取请求时解压。解压前会进行大小检查以确保文件有效。然而，意外故障偶尔会返回有效文件的零大小，导致

528. **安全机制**：故障发生时自动切换到安全状态的系统。例如，防止故障蔓延的断路器和在组件失效时保持核心功能的优雅降级机制。
529. **静默数据损坏（SDC）**：在计算或数据传输过程中，硬件或软件错误导致数据损坏而未触发错误检测机制。研究表明，SDC 在大规模系统中影响每 1000-10000 次计算中的 1 次，是一个主要的可靠性问题。

解压失败和输出数据库中缺失条目。该问题偶尔出现，某些计算返回正确的文件大小，使其诊断特别困难。

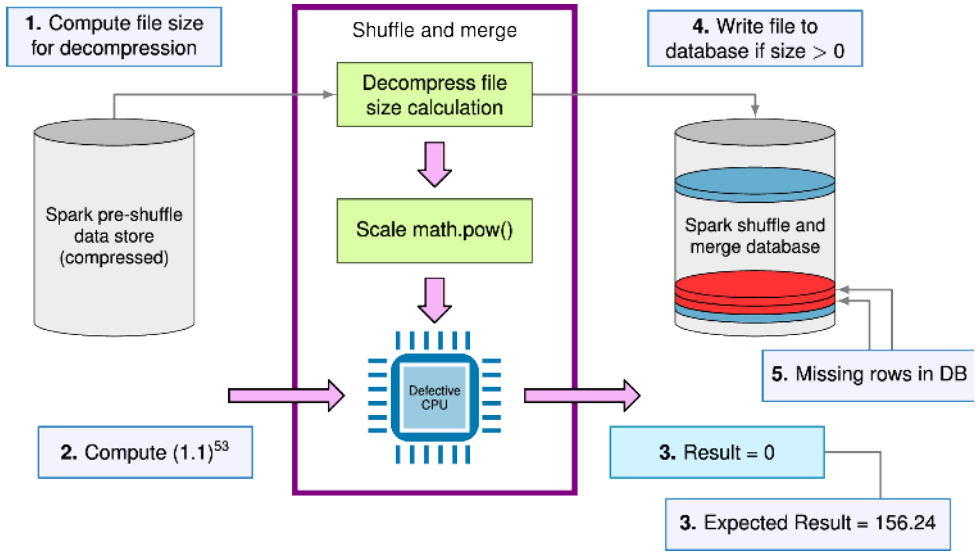

静默数据损坏：意外故障可能返回不正确的文件大小，导致解压时数据丢失，并在分布式查询系统中传播错误，尽管表面上操作正常。Facebook 的这个例子强调了未被检测错误的挑战、静默数据损坏，以及在大规模数据处理管道中稳健错误检测机制的重要性。

此案例展示了静默数据损坏如何在应用程序堆栈的多个层中传播，导致大规模分布式系统中的数据丢失和应用失败。如果不加以解决，这类错误可能会降低 ML 系统的性能，特别是影响训练过程（见第 8 章：AI 训练）。例如，由于 SDC 导致的训练数据损坏或数据管道不一致，可能会损害模型的准确性和可靠性。其他大型公司报告的类似问题进一步证实了此类问题的普遍性。如图 2 所示，Google DeepMind 和 Google Research 的首席科学家 Jeff Dean 在 2024 年 MLSys 大会的主题演讲中强调了 AI 超级计算机中的这些问题。

边缘设备的脆弱性

从集中式云环境转向分布式边缘部署，以自动驾驶车辆为例，突显了故障如何在边缘计算领域严重影响 ML 系统的情况[530]。这些车辆依赖机器学习进行感知、决策和控制，因此特别容易受到硬件和软件故障的影响。

2016 年 5 月，一起致命事故发生在一辆特斯拉 Model S 上，当时该车处于自动驾驶模式[531]，与一辆白色半挂车相撞。该系统依赖计算机视觉和机器学习算法，未能在明亮

530. **边缘计算**：在数据源附近处理数据，而不是在集中式云服务器中，从而将延迟从 ~100 毫秒降低到 <10 毫秒。这对于自动驾驶至关重要，因为毫秒级的延迟可能意味着避免碰撞与灾难性故障之间的区别。
531. **自动驾驶仪**：特斯拉的驾驶辅助系统，提供转向、制动和加速等半自动化功能，但仍需驾驶员主动监控。

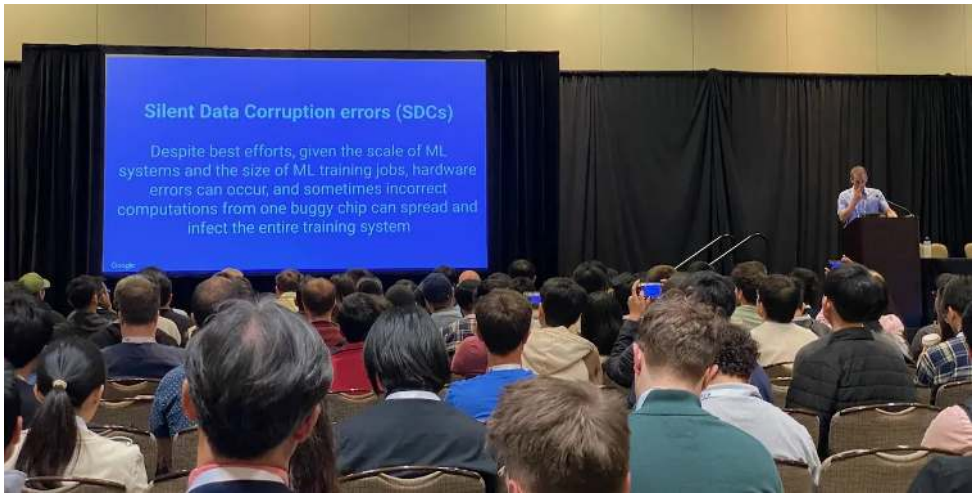

静默数据损坏：现代 AI 系统，特别是那些进行大规模数据处理的系统（如 Spark），容易受到静默数据损坏（SDC）的影响。这些微妙的错误在数据传输和存储过程中累积。SDC 在 Shuffle 和 Merge 数据库中的表现，突显了受损数据块（红色）与健康数据（蓝色/灰色）之间的对比，强调了在分布式系统中检测这些错误的挑战。来源：Jeff Dean 在 2024 年 MLSys 大会主题演讲（Google）。

自动驾驶感知失败：该事故突显了在自动化系统中，依赖机器学习进行感知所带来的重大安全风险。未能正确分类物体可能导致灾难性后果。该事件强调了在自动驾驶车辆设计中，稳健的验证、冗余和安全失效机制的必要性，以减轻不完美 AI 模型的影响。来源：BBC 新闻。

的天空背景下识别出拖车，导致高速碰撞。司机在事发时 reportedly 分心，未能及时干预，如图 3 所示。此事件引发了人们对基于 AI 的感知系统可靠性的严重担忧，并强调了自动驾驶车辆中稳健安全失效机制的必要性。

2018 年 3 月，另一类似事件发生，当时一辆优步自驾测试车辆在亚利桑那州坦佩市 撞上 并导致一名行人死亡。事故原因是车辆的物体识别软件存在缺陷，未能将行人识别为需要避让的障碍物。

嵌入式系统的限制

嵌入式系统 [532] 的应用超越了边缘计算，进入资源受限且通常是安全关键的环境。随着 AI 能力越来越多地集成到这些系统中，故障的复杂性和后果显著增加。

一个例子来自太空探索。1999 年，NASA 的火星极地着陆者任务因其着陆检测系统中的软件错误而经历了 灾难性故障。着陆者的软件错误地将着陆腿展开时产生的振动误判为成功着陆，导致引擎过早关闭，造成坠毁。此事件展示了严格的软件验证和稳健系统设计的重要性，尤其是对于那些无法恢复的远程任务。随着 AI 在航天系统中变得愈发重要，确保其稳健性和可靠性对于任务成功至关重要。

着陆检测失败：火星极地着陆者任务中，传感器错误读数导致引擎过早关闭，展示了对嵌入式系统稳健失效模式和严格验证的迫切需求，尤其是对于那些在不可接触环境中操作的系统。此事件强调了软件错误可能导致安全关键应用中灾难性后果的严重性，并凸显了在复杂系统中可靠集成 AI 的日益重要性。来源：Slashgear。

532. **嵌入式系统**：为特定控制功能而设计的计算机系统，通常具有实时约束。从具有千字节内存的 8 位微控制器，到复杂的系统级芯片，范围不一，通常在没有人工干预的情况下运行多年。

嵌入式系统故障的后果不仅限于太空探索，还扩展到商业航空。2015 年，一架波音 787 梦幻客机因其发电机控制单元中的软件错误，在飞行中经历了完全的电力关闭。此故障强调了安全关键系统 [533] 满足严格可靠性要求的重要性。故障发生在所有四个发电机控制单元在连续供电 248 天后同时启动的情况下，导致它们同时进入安全失效模式，禁用所有交流电力。

> “如果四个主发电机控制单元（与发动机安装的发电机相关联）同时通电，在连续供电 248 天后，所有四个 GCU 将同时进入安全失效模式，导致无论飞行阶段如何，所有交流电力的丧失。” — 联邦航空管理局指令（2015）

随着 AI 在航空领域的应用日益增多，包括自主飞行控制和预测性维护等任务，嵌入式系统的稳健性直接影响乘客安全。

当我们考虑植入式医疗设备时，风险变得更高。例如，智能 心脏起搏器 如果因软件或硬件故障而发生故障或异常行为，可能会危及患者生命。随着 AI 系统在此类应用中承担感知、决策和控制等角色，新来源的脆弱性随之出现，包括与数据相关的错误、模型不确定性 [534] 和在极端边缘情况下的不可预测行为。某些 AI 模型的不透明特性使故障诊断和恢复变得更加复杂。

这些真实世界的故障场景凸显了系统性稳健性评估和缓解的必要性。每一个故障 —— 无论是影响数百万次语音交互的 AWS 中断、导致致命车祸的自动驾驶车辆感知错误，还是导致任务失败的航天器软件错误 —— 都揭示了可以为稳健系统设计提供信息的共同模式。

在这些具体的系统故障案例基础上，我们现在建立一个统一的框架，以系统的方式理解和解决稳健性挑战。

稳健 AI 的统一框架

尽管上述故障的原因和背景各不相同，但它们在某些特征上是相似的。这些事件无论是 AWS 的语音助手停摆、自动驾驶车辆的感知失败，还是航天器的软件错误，都揭示了可以为系统稳健性提供信息的模式。

533. **ASIL（汽车安全完整性等级）**：在 ISO 26262 中定义的安全标准，根据风险等级将汽车系统分类，从 ASIL A（最低）到 ASIL D（最高）。安全关键的汽车 ML 系统，如自动驾驶，必须满足 ASIL C 或 D 要求，需具备 99.999% 的可靠性和全面的容错机制，包括冗余传感器、安全失效行为和严格的验证协议。
534. **模型不确定性**：机器学习模型无法捕捉数据生成过程的全部复杂性。

基于先前概念

在建立我们的稳健性框架之前，我们将这些挑战与早期章节中的基础概念联系起来。硬件加速架构（见 第 11 章：AI 加速）阐明了 GPU 内存层次结构、互连结构和专用计算单元如何创建复杂的故障传播路径，稳健性系统必须解决这些问题。第 15 章：安全与隐私 中的安全框架介绍的威胁建模原则，直接影响我们对对抗性攻击和防御策略的理解。来自 第 13 章：机器学习运维 的操作监控系统提供了检测和响应生产环境中稳健性威胁的基础设施。

这些早期概念在稳健 AI 系统中交汇：GPU 内存错误可能会破坏模型权重，对抗性输入可能会利用学习到的脆弱性，而操作监控必须检测硬件、算法和环境维度的异常。这些在 第 9 章：高效 AI 中涵盖的效率优化，成为在可接受性能预算内实施冗余和错误修正机制的关键限制。

从 ML 性能到系统可靠性

为了系统地理解这些故障模式，我们必须弥合 ML 系统性能概念（见于早期章节）与稳健部署所需的可靠性工程原则之间的差距。在传统的 ML 开发中（见 第 2 章：机器学习系统），我们关注模型准确性、推理延迟和吞吐量等指标。然而，真实世界的部署增加了一个维度：执行我们模型的基础计算平台的可靠性。

考虑硬件可靠性如何直接影响 ML 性能：关键神经网络权重的单个位翻转，可能导致 ResNet-50 在 ImageNet 上的分类准确率从 76.0%（前 1 名）降至 11%；而训练过程中内存子系统的故障，则可能导致梯度更新损坏，模型无法收敛。现代变压器模型（如具有 1750 亿参数的 GPT-3）在每次推理中执行 10^15 次浮点运算，单次前向传播中就可能出现超过一百万次的硬件故障。GPU 内存系统的带宽高达 900 GB/s（如 V100 HBM2），以 10^-17 的基本错误率处理每秒 10^11 位数据，这意味着每小时操作中可能出现多个故障。

这种硬件可靠性与 ML 性能之间的联系，要求我们采用可靠性工程的概念 [535]，包括描述故障发生方式的故障模型、在影响结果之前识别问题的错误检测机制，以及恢复系统操作的恢复策略。这些可靠性概念补充了 第 9 章：高效 AI 中涵盖的性能优化技术，确保优化后的系统在真实世界条件下仍能正确运行。

在此概念桥梁的基础上，我们建立了一个统一的框架，以理解 ML 系统各个维度的稳健性挑战。该框架为理解来自硬件、对抗性输入或软件缺陷的不同类型故障提供了概念基础，这些故障具有共同特征，可以通过系统的方法加以解决。

535. **可靠性工程**：一种工程学科，旨在确保系统在规定时间内无故障地执行其预定功能。最初起源于航空航天和核工业，如今在安全关键应用的 AI 系统中变得至关重要。

稳健 AI 的三大支柱

稳健 AI 系统必须应对三类主要挑战，这些挑战可能会危及系统的可靠性和性能。图 5 展示了这一三支柱框架，说明了系统级故障、输入级攻击和环境变化如何分别代表对 ML 系统稳健性的不同但相互关联的威胁：

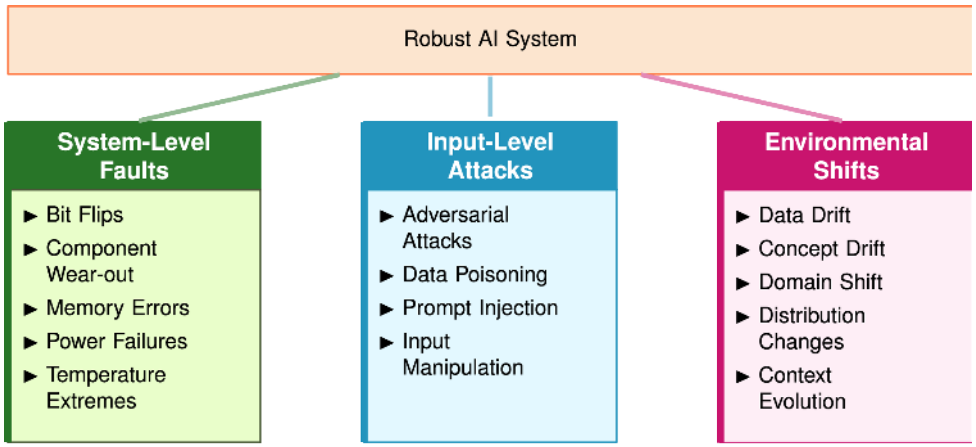

三支柱框架：AI 系统为确保在真实世界部署中可靠运行，必须解决的三大类稳健性挑战。一个稳健的 AI 系统建立在有效处理这三类挑战的基础上。

系统级故障包括所有源自基础计算基础设施的故障。这些故障包括来自宇宙辐射的瞬时硬件错误、组件的永久性退化，以及间歇性故障。系统级故障影响执行 ML 计算的物理基础，可能会破坏计算、内存访问模式或组件之间的通信。

输入级攻击是指通过精心构造的输入或训练数据操纵模型行为的故意尝试。对抗性攻击通过向输入添加不可察觉的扰动来利用模型的脆弱性，而数据投毒则破坏训练过程本身。这些威胁针对信息处理管道，颠覆模型学习到的表示和决策边界。

环境变化则代表了真实世界条件的自然演变，这些变化可能会随着时间的推移而降低模型性能。分布变化、概念漂移和操作上下文的变化，挑战着模型训练的核心假设。与故意攻击不同，这些变化反映了部署环境的动态特性以及静态训练范式的固有限制。

共同的稳健性原则

这三类挑战源于不同的因素，但具有几个关键特征，这些特征为我们构建韧性系统的方法提供了指导：

检测和监控是任何稳健性策略的基础。硬件监控系统通常以 1-10 Hz 的频率采样，检测温度异常（±5°C）、电压波动（±5%）和超过 10^-12 错误/比特/小时的内存错误率。对抗性输入检测利用统计测试，p 值阈值为 0.01-0.05，检测率达到 85-95%，假阳性率低于 2%。分布监控使用 MMD 测试，每次评估处理 1000-10000 个样本，检测到的偏移

量在 95% 置信区间内的 Cohen's d > 0.3。

在此检测能力的基础上，优雅降级确保系统即使在压力下也能维持核心功能。稳健系统应表现出可预测的性能下降，而不是灾难性故障，从而保留关键能力。ECC 内存系统以 99.9% 的成功率从单比特错误中恢复，同时增加 12.5% 的带宽开销。将模型从 FP32 量化为 INT8 可将内存需求减少 75%，推理时间缩短 2-4×，以牺牲 1-3% 准确率换取在资源受限情况下的持续运行。集成备份系统在主模型失效时仍能维持 85-90% 的峰值性能，切换延迟低于 10 毫秒。

自适应响应使系统能够根据检测到的威胁或变化的条件调整其行为。适应可能涉及激活错误修正机制、应用输入预处理技术或动态调整模型参数。关键原则是，稳健性不是静态的，而是需要持续调整以保持有效性。

这些原则超越了故障恢复，涵盖了贯穿于 ML 系统设计中的全面性能适应策略。检测策略为监控系统奠定基础，优雅降级指导组件失效时的备份机制，自适应响应则使系统能够随环境变化而演变。

跨 ML 流程的集成

要实现稳健性，不能仅依靠对单个组件应用孤立的技术。相反，它需要在整个 ML 流程中进行系统集成，从数据收集到部署和监控。这种集成方法认识到，单个组件的脆弱性可能会危及整个系统，无论其他地方实施了何种保护措施。

在建立了这一统一基础后，接下来我们将系统地检查每个支柱，提供必要的概念基础，以理解用于稳健性评估和改进的专门工具和框架。

硬件故障

在建立了统一框架后，我们现在详细检查每个支柱，首先是系统级故障。硬件故障代表了稳健性挑战的基础层，因为所有 ML 计算最终都是在可能以各种方式发生故障的物理硬件上执行的。

硬件故障对 ML 系统的影响

要理解硬件可靠性对机器学习工作负载特别重要的原因，需要考察几个关键因素。与传统应用相比，ML 系统在多个方面放大了硬件故障的影响：

- **计算密集型**：现代 ML 工作负载每秒执行数百万次操作，造成许多机会让故障破坏结果
- **长时间运行的训练**：训练任务可能持续数天或数周，增加了遇到硬件故障的概率

- **参数敏感性**：模型权重的微小损坏可能导致输出预测的重大变化
- **分布式依赖性**：大规模训练依赖于多个处理器之间的协调，单点故障可能会中断整个工作流

基于这些特定于 ML 的考虑，硬件故障主要分为三类，依据其时间特征和持续性，每类对 ML 系统可靠性提出了不同的挑战。

为了说明硬件故障对神经网络的直接影响，考虑权重矩阵中的单个位翻转。如果由于影响 IEEE 754 浮点表示法中符号位的瞬时故障，ResNet-50 模型中的一个关键权重从 `0.5` 翻转为 `-0.5`，则会改变特征图的符号，导致后续层出现错误级联。研究表明，针对关键层的单个有针对性的比特翻转，可以使 ImageNet 的准确率从 76% 降至不足 10% 。这表明，硬件可靠性直接影响模型性能，而不仅仅是基础设施稳定性。与传统软件中单个比特错误可能导致崩溃或计算错误不同，在神经网络中，它可能悄悄地破坏决定系统行为的学习表示。

瞬时故障是由宇宙射线或电磁干扰等外部因素引起的短暂干扰。这些非重复性事件（如内存中的比特翻转）会导致错误计算，但不会造成永久性硬件损坏。对于 ML 系统，瞬时故障可能会在训练过程中破坏梯度更新，或在推理过程中改变模型权重，从而导致暂时但可能显著的性能下降。

永久故障则是指由物理缺陷或组件磨损引起的不可逆损害，例如卡住故障或设备故障，需要更换硬件。这些故障对于长时间运行的 ML 训练任务尤其成问题，因为硬件故障可能导致数天或数周的计算损失，并需要从最近的检查点重新启动整个任务。

间歇性故障由于不稳定的条件（如松动的连接或老化的组件）而时有时无，诊断和重现起来特别具有挑战性。这些故障可能导致 ML 系统出现非确定性行为，从而导致不一致的结果，损害模型的验证和可重复性。

理解这一故障分类法，为设计容错 ML 系统奠定了基础，使其能够在不同的操作环境中检测、缓解和恢复硬件故障。由于现代 AI 工作负载的计算密集型、分布式特性和长时间运行的特点，硬件故障对 ML 系统的影响超出了传统计算应用的范畴。

瞬时故障

我们从最常见的类别开始详细检查瞬时故障，这类故障在硬件中以各种形式表现，每种形式都有其独特的特征和原因。这些故障是短暂的，不会对硬件组件造成永久性损害。

瞬时故障特性 瞬时故障的特征是持续时间短且非永久性。它们不会持续存在，也不会对硬件产生持久影响。然而，如果处理不当，它们仍然可能导致错误计算、数据损坏或

系统错误行为。一个经典的例子如图 6 所示，其中内存中的单个位意外改变状态，可能会改变关键数据或计算。

这些表现形式包括几类不同的故障。常见的瞬时故障类型包括由宇宙射线和电离辐射引起的单事件干扰（SEUs）[536]、电源不稳定引起的电压波动、来自外部电磁场的电磁干扰（EMI）[537]、静电放电（ESD）引起的突发电压、由于信号耦合不当而产生的串扰[538]、多路输出同时切换引起的地弹跳、信号时序约束违反引起的时序违规，以及组合逻辑中的软错误。理解这些故障类型，有助于设计稳健的硬件系统，以减轻其影响，确保可靠运行。

故障分析和性能影响 现代 ML 系统需要精确了解故障率及其对性能的影响，以便做出明智的工程决策。瞬时故障的定量分析揭示了显著的模式，为稳健系统设计提供了信息。

先进的半导体工艺显示出显著更高的软错误率。与 65 nm 节点相比，现代 7 nm 节点的软错误率大约高出 1000×，这是由于节点电容和电荷收集效率降低。对于基于尖端工艺制造的 ML 加速器，这转化为大约每 10^14 次操作 1 次的基本错误率，因此需要系统的错误检测和修正策略。

这些理论故障率转化为实际的可靠性指标，这些指标因部署环境和工作负载特征而异。典型的 AI 加速器在不同部署环境下表现出显著不同的平均故障间隔时间（MTBF）[539]值：

- **云 AI 加速器**（Tesla V100、A100）：在受控数据中心条件下，MTBF 为 50000-100000 小时
- **边缘 AI 处理器**（NVIDIA Jetson、Intel Movidius）：在不受控制的环境中，MTBF 为 20000-40000 小时
- **移动 AI 芯片**（Apple Neural Engine、Qualcomm Hexagon）：在热量和电源限制下，MTBF 为 30000-60000 小时

536. **单事件干扰（SEUs）**：由宇宙射线或 α 粒子引起的辐射诱导的内存或逻辑中的比特翻转。现代 DRAM 的错误率约为每 10^17 次访问 1 次，海平面每个千兆比特大约每月发生 1 次。对于处理大数据集的 AI 系统，1 TB 的模型检查点在一次读取操作中预计会经历 80 次比特翻转，因此错误检测对于可靠的 ML 训练至关重要。
537. **电磁干扰（EMI）**：由外部电磁源引起的干扰，可能会干扰电子电路。常见来源包括手机、WiFi 和附近的开关电源，因此在敏感系统中需要仔细屏蔽。
538. **串扰**：由于寄生电容和电感引起的相邻导体之间的信号耦合。随着电路密度的增加，这个问题变得越来越严重，可能导致时序违规和数据损坏。
539. **平均故障间隔时间（MTBF）**：一种可靠性指标，测量系统故障之间的平均运行时间。由美国军方在 1960 年代首次正式化（MIL-HDBK-217，1965），基于 1950 年代的可靠性理论，MTBF 计算假设在有用寿命期间故障呈指数分布。对于 AI 系统，MTBF 分析指导检查点频率 —— 一个具有 50000 小时 MTBF 的系统应每 1-2 小时进行一次检查点，以最小化恢复开销，同时保持故障容忍带来的性能影响低于 1%。

这些 MTBF 值在分布式训练场景中显著增加。具有 50000 小时 MTBF 的 1000 个加速器集群，预计每 50 小时就会发生一次故障，因此需要稳健的检查点和恢复机制。

除了了解故障率，系统设计者还必须考虑保护成本。硬件容错机制引入了可测量的性能和能量损失，这些损失必须在系统设计中加以考虑。表 1 定量分析了不同保护机制的权衡：

保护机制	性能 开销	能量开销	面积开销
单比特 ECC	2-5%	3-7%	12-15%
双比特 ECC	5-12%	8-15%	25-30%
三重冗余	200-300%	200-300%	200-300%
检查点/重启	10-25%	15-30%	5-10%

这些开销对内存带宽利用率的影响尤为显著，而内存带宽是 ML 工作负载的关键限制。ECC 内存 [540] 由于额外的存储需求（每 64 个数据比特 8 个 ECC 比特），有效带宽减少 12.5%。错误检测的内存清理操作根据清理频率和内存配置，额外消耗 5-15% 的可用带宽。

这些带宽开销直接影响性能。对于典型的以内存带宽为限制的变压器训练工作负载，这些带宽减少直接导致训练时间成比例增加。一个需要 900 GB/s 内存带宽的模型，使用 ECC 保护后实际带宽仅为 787 GB/s，训练时间大约延长 14%。

内存层次结构和带宽影响 内存子系统被认为是现代 ML 系统中最容易出现故障的组件，其容错机制对带宽利用率和整体系统性能都有显著影响。要理解内存层次结构的稳健性，需分析不同内存技术之间的相互作用、它们的错误特性以及保护机制的带宽影响。

这种复杂性源于内存技术的多样特性，这些技术表现出不同的故障模式和保护需求。表 2 显示了 ECC 保护如何影响不同技术下的内存带宽：

540. **错误更正码（ECC）内存**：通过冗余信息自动检测和更正比特错误的内存技术。ECC 内存在每 64 位用户数据中添加 8 位错误更正数据，使其能够进行单比特错误更正和双比特错误检测。对于内存错误可能损坏模型权重的 AI 系统至关重要 —— 关键参数的单比特翻转可能导致准确率下降 10-50%，具体取决于受影响的层。

- **DRAM**：基本错误率为每 10^17 比特 1 次，主要是单比特软错误。需要基于刷新错误检测和更正。
- **HBM（高带宽内存）**：由于 3D 堆叠效应和热密度，错误率高出 10×。需要高级 ECC 以确保可靠操作。
- **SRAM（缓存）**：软错误率较低（每 10^19 比特 1 次），但对电压变化和工艺变化的脆弱性较高。
- **NVM（非易失性内存）**：新兴技术如 3D XPoint 具有独特的错误模式，需要专门的保护方案[541]。
- **GDDR**：针对带宽而非可靠性优化，通常比标准 DRAM 高 2-3× 的错误率。

内存技术和保护机制的选择，直接影响 ML 工作负载的可用带宽：

内存技术	基础带宽 (GB/s)	ECC 开销 (%)	有效带宽 (GB/s)
DDR4-3200	51.2	12.5%	44.8
HBM2	900	12.5%	787
HBM3	1,600	12.5%	1,400
GDDR6X	760	通常无	760

现代内存系统通过内存清理实现持续的后台错误检测，定期读取和重写内存位置，以检测和更正累积的软错误。这种后台活动消耗内存带宽，并与 ML 工作负载产生干扰：

- **清理速率**：典型的 24 小时全内存扫描消耗 2-5% 的总带宽
- **优先级仲裁**：ML 内存请求必须与清理操作竞争，增加 10-15% 的延迟变化
- **热影响**：清理操作使内存功耗增加 3-8%，影响热设计和冷却需求

先进的 ML 系统实施分层保护方案，在内存层次结构中平衡性能和可靠性：

1. **L1/L2 缓存**：奇偶校验保护，具有即时检测和重放能力

541. **非易失性内存（NVM）技术**：存储级内存，介于 DRAM 和传统存储之间，包括英特尔的 3D XPoint（Optane）和新兴的电阻式 RAM 技术。2017 年商业化，NVM 提供比 SSD 快 1000× 的访问速度，同时保持数据持久性，使新的 ML 系统架构成为可能，模型可以跨电源周期保持在内存中。

2. **L3 缓存**：单比特 ECC，带错误日志记录和逐步缓存行退役
3. **主内存**：双比特 ECC，带高级综合分析和预测性故障检测
4. **持久存储**：使用分布式冗余的里德 - 所罗门编码，跨多个设备实现

现代 AI 加速器将内存保护与计算管道设计相结合，以最小化性能影响：

- **错误检测流水线**：内存 ECC 检查与算术操作重叠，以隐藏保护延迟
- **自适应保护级别**：根据工作负载重要性和错误率监控动态调整保护强度
- **带宽分配策略**：服务质量机制，优先保证关键 ML 内存流量，而非背景保护操作

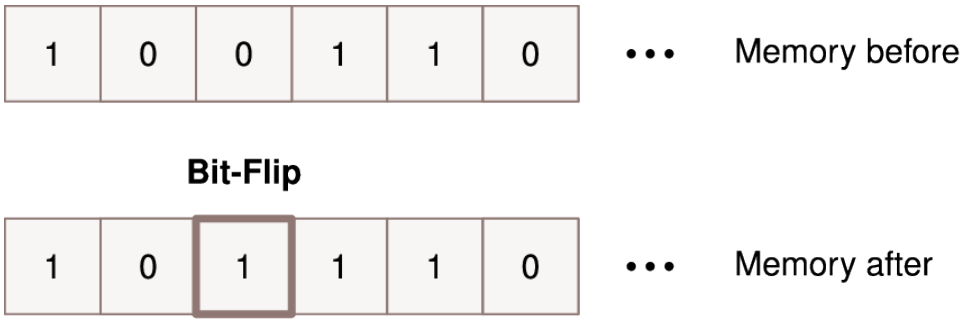

比特翻转错误：瞬时故障可以改变内存中的单个位，破坏数据或程序指令，可能导致系统故障。这些单比特错误例证了硬件如何受到宇宙射线或电磁干扰等瞬时故障的影响。

瞬时故障的起源 外部环境因素是上述瞬时故障类型的主要来源。如图 7 所示，宇宙射线 —— 来自外太空的高能粒子 —— 撞击内存单元或晶体管等敏感硬件区域，诱发电荷干扰，改变存储或传输的数据。来自附近设备的电磁干扰（EMI）会产生电压尖峰或故障，暂时干扰正常操作。静电放电（ESD）事件会产生影响敏感电子元件的瞬时电压浪涌。

除了这些外部环境因素，电源和信号完整性问题构成了瞬时故障的另一个主要类别，这些问题影响硬件系统（见 第 11 章：AI 加速）。由于电源噪声或不稳定引起的电压波动，可能导致逻辑电路在其规定的电压范围之外工作，从而导致错误计算。地弹跳是由于多个输出同时切换引起的，导致地参考电压的瞬时变化，可能影响信号完整性。串扰是由于相邻导体之间的信号耦合引起的，可能会诱发噪声，暂时破坏数据或控制信号，影响训练过程（见第 8 章：AI 训练）。

时序和逻辑脆弱性为瞬时故障提供了额外的传播途径。时序违规发生在信号由于工艺变化、温度变化或电压波动未能满足建立或保持时间要求时。这些违规可能导致顺序元件中错误的数据捕获。组合逻辑中的软错误即使在不涉及内存的情况下也可能影响电路输出，特别是在深逻辑路径中，噪声裕度降低。

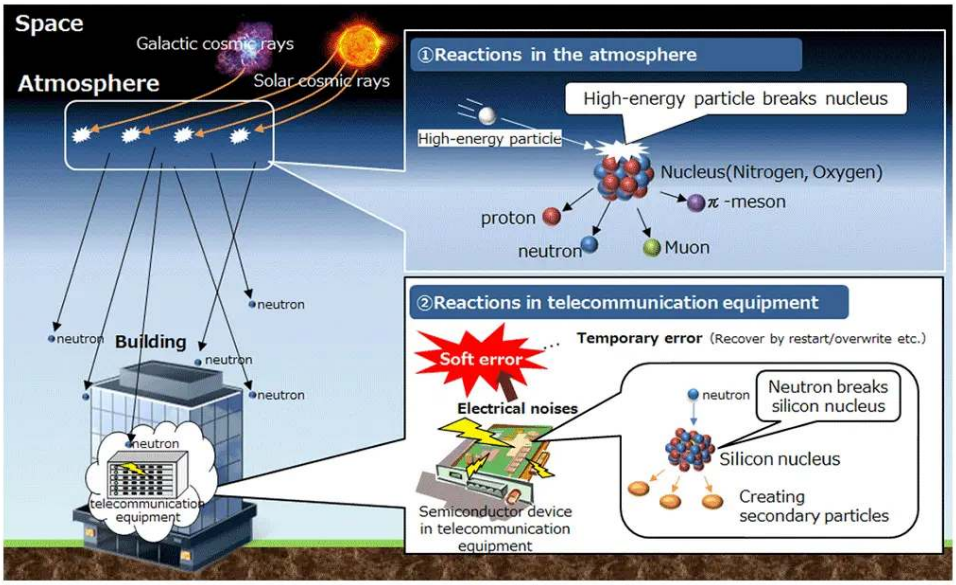

瞬时故障机制：宇宙射线和电磁干扰通过改变内存单元和晶体管中的电荷，诱发比特翻转，从而可能破坏数据并导致系统错误。理解这些故障源对于构建能够容忍不可预测硬件行为的稳健 AI 系统至关重要。

瞬时故障传播 基于这些根本原因，瞬时故障可能通过不同机制表现，具体取决于受影响的硬件组件。在 DRAM 或 SRAM 等内存设备中，瞬时故障通常表现为比特翻转，即单个比特值从 0 改变为 1 或反之。这可能会破坏存储的数据或指令。在逻辑电路中，瞬时故障可能导致电压尖峰或故障通过组合逻辑传播，导致错误的输出或控制信号。广泛用于 ML 工作负载的图形处理单元（GPU）[542] 的故障率显著高于传统 CPU，研究表明，GPU 的错误率比 CPU 高 10-1000×，这归因于其并行架构、更高的晶体管密度和激进的电压/频率调整。这种差异使得在训练和推理操作中，GPU 加速的 AI 系统特别容易受到瞬时故障的影响。瞬时故障还可能影响通信通道，导致数据传输过程中的比特错误或数据包丢失。在分布式 AI 训练系统中，网络分区 [543] 以可测量的频率发生 —— 对大规模集群的研究表明，1-10% 的节点每天会受到分区事件的影响，具体取决于分区类型和检测机制，恢复时间从几秒到几小时不等。

542. **GPU 故障特征**：图形处理器的错误率显著高于 CPU，因为它们有成千上万个简单核心以更高的频率运行，并进行激进的电源优化。NVIDIA 的 V100 包含 5120 个 CUDA 核心，而服务器 CPU 仅有 24-48 个核心，故障点数量相差 100×。此外，GPU 内存（HBM2）在 V100 中以高达 1.6 TB/s 的带宽运行，几乎没有错误更正，这使得 AI 训练特别容易受到静默数据损坏的影响。

543. **网络分区**：分布式系统中临时失去通信的节点组，违反网络连通性假设。1978 年 Lamport 首次系统研究，分区影响大规模 ML 训练，数千个节点必须同步梯度。现代解决方案包括梯度压缩、异步更新和拜占庭容错协议，尽管 10-30% 的节点发生故障，仍能维持训练进度。这些网络中断可能导致训练任务失败、参数同步问题和数据不一致，要求稳健的分布式协调协议以维持系统可靠性。

瞬时故障对 ML 的影响 瞬时故障的一个常见例子是在主内存中的比特翻转。如果重要的数据结构或关键指令存储在受影响的内存位置，可能导致错误计算或程序错误行为。例如，如果存储循环计数器的内存发生比特翻转，可能导致循环无限执行或过早终止。控制寄存器或标志位的瞬时故障可能会改变程序执行的流程，导致意外跳转或错误的分支决策。在通信系统中，瞬时故障可能会破坏传输的数据包，导致重传或数据丢失。

这些一般影响在 ML 系统中尤为明显，因为瞬时故障在训练阶段可能产生重大影响。ML 训练涉及迭代计算和基于大数据集对模型参数的更新。如果模型权重或梯度的存储内发生瞬时故障，可能导致错误更新，妨碍训练过程的收敛和准确性。例如，神经网络权重矩阵中的比特翻转可能导致模型学习错误的模式或关联，从而导致性能下降。在数据管道中的瞬时故障，例如训练样本或标签的损坏，也可能引入噪声，影响学习模型的质量。

如图 8 所示，来自 Google 生产环境的一个真实案例，显示 SDC 异常如何导致梯度范数的显著偏差，梯度范数是更新模型参数幅度的度量。这种偏差可能干扰优化过程，导致收敛速度变慢或无法达到最优解。

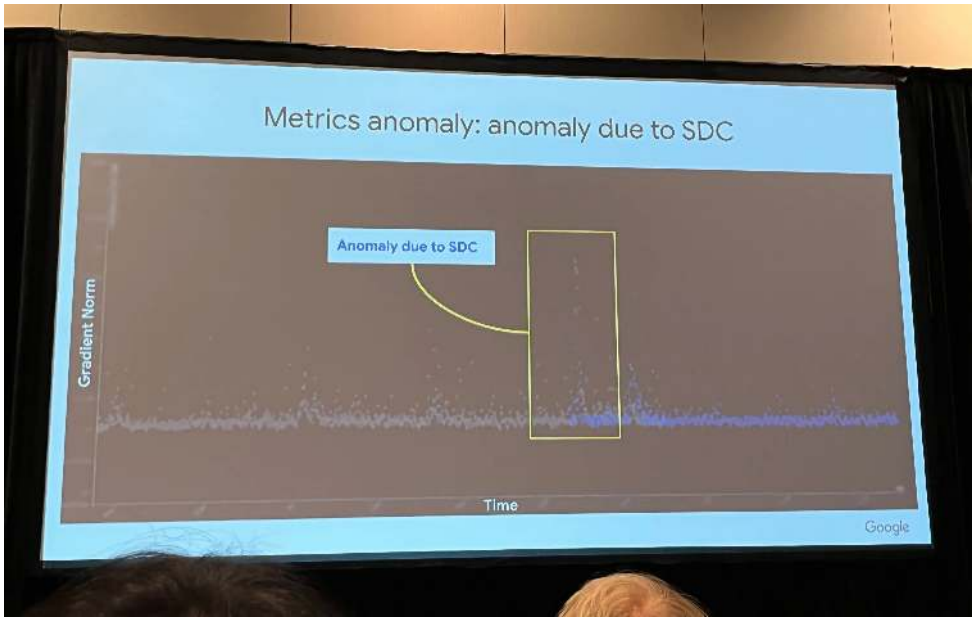

梯度范数偏差：瞬时硬件故障（如单数据损坏）通过导致模型训练过程中梯度范数的突然变化，干扰优化，可能导致收敛问题或模型不准确。来自 Google 生产环境的真实数据表明，SDC 异常在梯度范数随时间变化的可见峰值中显现，指示预期参数更新过程的干扰。来源：jeff dean，mlsys 2024 主题演讲（Google）。

在推理阶段，瞬时故障可能会影响 ML 预测的可靠性和可信度。如果在存储训练模型参数的内存中，或在推理结果计算过程中发生瞬时故障，可能导致不正确或不一致的预测。例如，神经网络激活值中的比特翻转可能会改变最终的分类或回归输出。在安全关

键应用中[544]，这些故障可能导致严重后果，导致不正确的决策或行动，可能危及安全或导致系统故障。

在资源受限环境（如 TinyML）中，这些脆弱性尤为明显，因为有限的计算和内存资源加剧了它们的影响。一个突出的例子是二值神经网络（BNNs），它们以单比特精度表示网络权重，以实现计算效率和更快的推理时间。尽管这种二进制表示对资源受限系统有利，但也使得 BNNs 对比特翻转错误特别脆弱。例如，先前的研究表明，对于像 MNIST 分类这样简单任务的双隐层 BNN 架构，在模型权重中以 10% 的概率插入随机比特翻转错误后，测试准确率从 98% 下降到 70%。为了解决这些脆弱性，正在探索诸如翻转感知训练和新兴的随机计算等技术，以增强其容错性。

永久故障

从短暂干扰转向持久性问题，永久故障是指对受影响组件造成不可逆损害的硬件缺陷。这些故障的特征在于其持久性，需通过修复或更换故障硬件来恢复正常系统功能。

永久性故障特性 永久性故障会导致硬件组件持续且不可逆的失效。受影响的组件在修复或更换之前将一直无法正常工作。这类故障具有一致性和可复现性，也就是说，每次使用该组件时都会出现相同的故障行为。它们可能影响处理器、内存模块、存储设备或互连线路，最终导致系统崩溃、数据损坏，甚至系统完全失效。

为了说明永久性故障的严重影响，这里有一个著名案例：Intel FDIV bug（奔腾除法错误），于 1994 年被发现。该缺陷影响了部分 Intel 奔腾处理器的浮点除法（FDIV）单元，导致特定除法运算结果错误，进而引发计算不准确。

FDIV bug 的根源在于除法单元使用的查找表[545]出现了错误。在极少数情况下，处理器会读取到错误的值，导致结果精度略低于预期。例如，图 9 展示了在存在 FDIV 故障的奔腾处理器上计算 4195835/3145727 的结果。三角区域标记了发生错误计算的位置。理想情况下，所有正确值应四舍五入为 1.3338，但故障结果显示为 1.3337，说明第五位出现了误差。

虽然该错误很小，但在大量运算中会累积，影响对精度要求极高的应用，如科学仿真、金融计算和计算机辅助设计。最终，该 bug 导致这些领域的结果不准确，凸显了永久性故障可能带来的严重后果。

FDIV bug 为 ML 系统敲响了警钟。在此类系统中，硬件组件的永久性故障可能导致计算结果错误，影响模型的准确性和可靠性。例如，如果 ML 系统依赖于存在类似 FDIV bug

544. **安全关键应用**：系统失效可能导致人员伤亡、重大财产损失或环境破坏的场景，如核电站、飞机控制系统、医疗设备等。这些领域的 ML 部署需满足最高可靠性标准。
545. **查找表**：一种用更简单的数组索引操作替代运行时计算的数据结构。

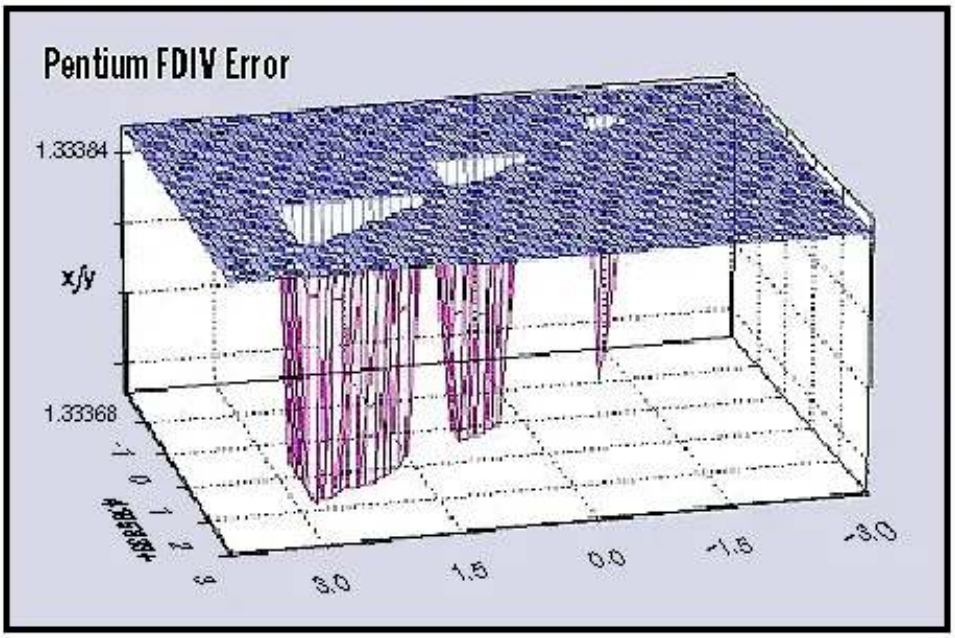

FDIV 错误区域：三角区域表示奔腾处理器的除法单元在计算 4195835/3145727 时产生错误结果的位置；理想情况下，所有值应四舍五入为 1.3338，但该 bug 导致第五位出现微小误差。来源：byte magazine。

的处理器浮点单元，训练或推理过程中就可能持续出现错误。这些错误会在模型中传播，导致预测不准确或学习结果偏差。

在 第 19 章：AI 向善 探讨的安全敏感应用 [546] 中，这一点尤为关键，因为计算错误的后果可能极其严重。ML 从业者必须意识到这些风险，并采用包括硬件冗余、错误检测与纠正、稳健算法设计等容错技术加以缓解。彻底的硬件验证和测试有助于在永久性故障影响系统性能和可靠性之前发现并解决问题。

永久性故障的成因 永久性故障主要来源于两类：制造缺陷和老化失效。

第一类，制造缺陷，是在芯片制造过程中引入的瑕疵，包括蚀刻不当、掺杂错误或污染。这些缺陷可能导致组件完全或部分失效。另一类，老化失效，则是由于长期使用和运行压力导致的。电迁移 [547]、氧化层击穿 [548] 和热应力 [549] 等现象会逐步削弱组件的完整性，最终导致永久性失效。

546. **安全关键应用**：系统失效可能导致人员伤亡、重大财产损失或环境破坏的场景，如核电站、飞机控制系统、医疗设备等。这些领域的 ML 部署需满足最高可靠性标准。
547. **电迁移**：在电场作用下，导体中金属原子的迁移现象。
548. **氧化层击穿**：晶体管中氧化层因电场过强而失效。
549. **热应力**：反复经历高低温循环导致的老化。现代 AI 加速器在高负载下常常出现热降频，处理器为防止过热会降低主频，导致 20-60% 的性能下降。这种降频直接影响 ML 训练时长和推理吞吐量，因此热管理对于生产环境下 AI 系统性能一致性至关重要。

永久性故障的传播 永久性故障的表现机制多样，取决于其性质和位置。常见的一种是“卡住故障”（stuck-at fault），即信号或内存单元永久性地固定为 0 或 1，无论输入如何，如图 10 所示。这类故障可发生在逻辑门、内存单元或互连线路中，通常导致计算错误或持续性数据损坏。

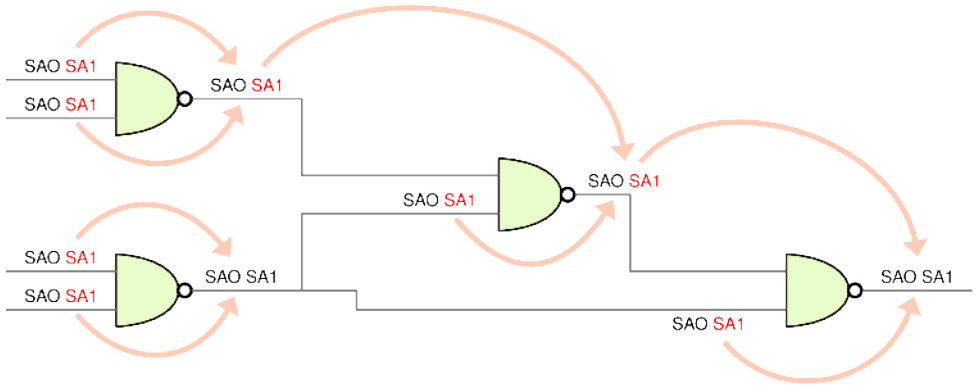

卡住故障模型：数字电路可能出现永久性故障，使信号线无论输入如何都固定为逻辑 0 或 1；本图为卡住 0 的简化示意，信号持续为低电平，可能导致计算错误或系统失效。

其他机制还包括器件失效，即由于制造缺陷或老化，晶体管或内存单元等硬件组件完全失效。桥接故障是指两个或多个信号线意外连通，可能引发短路或难以定位的逻辑错误。

更隐蔽的情况如延迟故障，即信号传播时间超过允许的时序约束。逻辑值可能正确，但时序违规仍会导致错误行为。类似地，互连故障包括断路（连接断开）、高阻路径（阻碍电流流动）和电容增加（信号过渡失真），都可能严重降低电路性能和可靠性。

内存子系统尤其容易受到永久性故障影响。转换故障会导致内存单元无法成功改变状态，耦合故障则因相邻单元间的干扰导致非预期状态变化。邻域模式敏感故障表现为内存单元的状态被附近单元的数据错误影响，反映了电路布局与逻辑行为的复杂交互。

永久性故障还可能发生在电源网络或时钟分配系统等关键基础设施组件中。这些子系统的失效会影响整个电路的功能，引入时序错误，或导致大范围的运行不稳定。

综上所述，这些机制展示了永久性故障破坏计算系统行为的多样且复杂的方式。对于对正确性和一致性要求极高的 ML 应用，理解这些故障模式对于开发韧性硬件和软件解决方案至关重要。

永久性故障对 ML 的影响 永久性故障可能严重破坏计算系统的行为和可靠性。例如，处理器算术逻辑单元（ALU）的卡住故障会导致持续的计算错误，进而引发程序异常或崩溃。内存模块中的此类故障可能导致数据损坏，存储设备则可能出现坏块甚至数据全部丢失。互连故障可能干扰数据传输，导致系统卡死或数据损坏。

对于 ML 系统，这些故障在训练和推理阶段都带来重大风险。与瞬时故障类似（见前文相关章节），永久性故障在训练期间会造成梯度计算错误和参数损坏，但其影响会持续，直到硬件更换，因此需要更全面的恢复策略。与仅暂时干扰训练的瞬时故障不同，存储中的永久性故障可能损坏整个训练数据集或已保存模型，影响长期一致性和可靠性。

在推理阶段，故障可能导致预测结果失真或运行时失败。例如，存储模型权重的硬件出现错误，可能导致使用过时或损坏的模型；处理器故障则可能产生错误输出。

缓解永久性故障需要综合性的容错设计，将硬件冗余和错误更正码与如检查点和重启机制 [550] 等软件方法结合。

定期监控、测试和维护有助于在关键错误发生前发现并更换故障组件。

间歇性故障

间歇性故障是指系统中偶发且不可预测的硬件故障。图 11 展示了一个例子，材料中的裂纹会导致电路电阻增加。这类故障由于时隐时现，难以检测和诊断，难以复现和定位根本原因。根据其发生频率和位置，间歇性故障可能导致系统不稳定、数据损坏和性能下降。

间歇性故障特性 间歇性故障的特点是行为零散且不可预测。它们发生不规律，持续时间短暂，并且没有固定的出现模式。与永久性故障不同，间歇性故障并不会在每次使用受影响组件时都出现，这使得它们极难检测和复现。这类故障可能影响多种硬件部件，包括处理器、内存模块、存储设备和互连线路，进而导致瞬态错误、系统行为异常或数据损坏。

间歇性故障对系统可靠性的影响可能非常显著。例如，处理器控制逻辑中的间歇性故障可能扰乱正常的执行路径，导致程序流程异常或系统无故挂起。在内存模块中，这类故障会不规律地改变存储值，产生难以追踪的错误。受影响的存储设备可能出现偶发的读写错误或数据丢失，而通信通道中的间歇性故障则会导致数据损坏、丢包或连接不稳定。随着时间推移，这些故障会累积，降低系统性能和可靠性。

间歇性故障成因 间歇性故障的成因多样，既有物理老化，也有环境影响。常见原因之一是电子元件的老化和疲劳。硬件在长期运行、热循环和机械应力下，可能出现裂纹、断裂或疲劳，进而引发间歇性故障。例如，球栅阵列（BGA）或倒装芯片封装中的焊点会随时间退化，导致间歇性开路或短路。

制造缺陷和工艺波动也可能引入边缘组件，这些组件在大多数情况下表现正常，但在压

550. **检查点与重启机制**：定期保存程序状态，以便在故障后从最近的状态恢复运行。

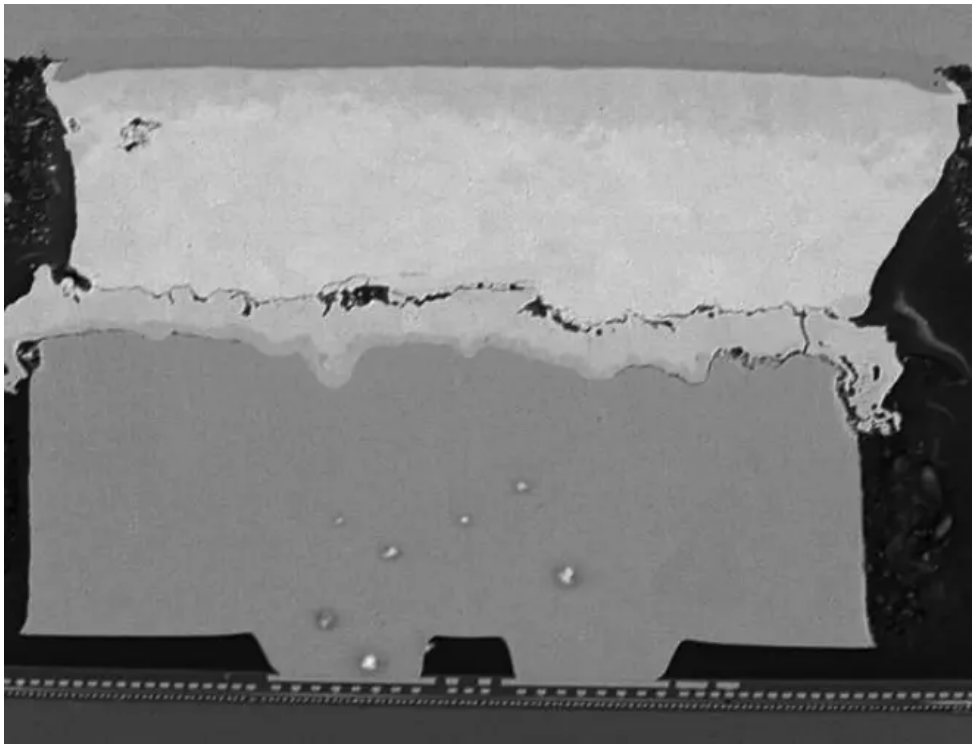

间歇性故障机制：铜凸点与封装焊料之间的裂纹导致电阻增加，是间歇性故障的常见来源，会干扰信号传输，可能引发不可预测的系统行为。这类微观材料缺陷突显了硬件对潜在失效的脆弱性，这些失效在测试时难以检测，但在实际运行中可能暴露。

力或极端条件下会间歇性失效。例如，图 12 展示了 DRAM 芯片中由残留物引发的间歇性故障，导致偶发性失效。

环境因素如热循环、湿度、机械振动或静电放电会加剧这些弱点，诱发原本不会出现的故障。松动或退化的物理连接（如连接器或 PCB 板上的焊点）也是间歇性故障的常见来源，尤其是在经常移动或温度变化较大的系统中。

间歇性故障传播机制 间歇性故障可通过多种物理和逻辑机制表现出来，具体取决于其根本原因。其中一种机制是间歇性开路或短路，即物理不连续或部分连接导致信号路径行为不可预测。这类故障可能短暂干扰信号完整性，产生毛刺或意外的逻辑跳变。

另一常见机制是间歇性延迟故障，即由于时序边缘条件导致信号传播时间波动，进而引发同步问题和计算错误。在存储单元或寄存器中，间歇性故障可能表现为瞬时位翻转或软错误，造成难以检测或复现的数据损坏。由于这些故障往往依赖于特定的热、电压或负载条件，因此诊断难度更高。

间歇性故障对机器学习的影响 间歇性故障对 ML 系统构成重大挑战，破坏计算一致性和模型可靠性。在训练阶段，处理单元或内存中的间歇性故障会导致梯度、权重更新或

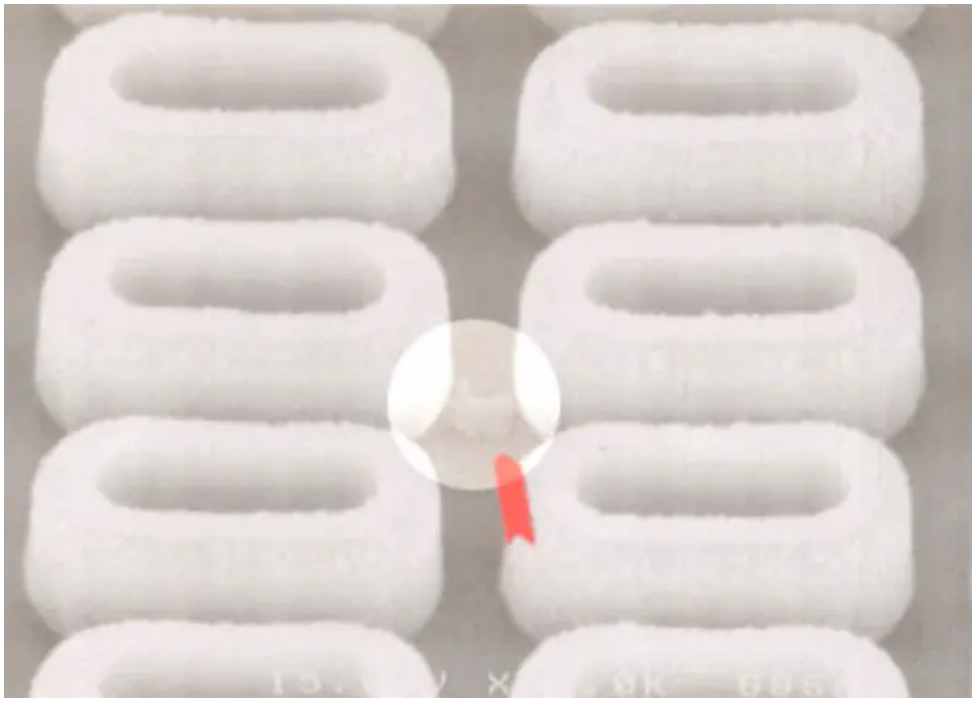

DRAM 残留故障：DRAM 芯片中的间歇性失效通常源于微观残留物积累，造成电连接不可靠。物理缺陷会引发偶发性错误，凸显了容错系统设计和硬件测试的重要性。

损失值的偶发性计算错误。这些错误虽不持续，但可能在多次迭代中累积，导致收敛不稳定或模型效果下降。存储中的间歇性故障还可能损坏输入数据或模型检查点，进一步影响训练流程。

在推理阶段，间歇性故障可能导致预测结果不一致或错误。处理错误或内存损坏会扭曲模型的激活、输出或中间表示，尤其是当故障影响模型参数或输入数据时。数据管道中的间歇性故障（如传感器或存储系统不可靠）会引入微妙的输入错误，降低模型稳健性和输出准确性。在自动驾驶、医疗诊断等高风险场景下，这些不一致可能导致危险决策或操作失败。

缓解 ML 系统中间歇性故障影响需要多层次手段。硬件层面可通过稳健设计、环境控制和高质量元件降低故障风险，冗余和错误检测机制有助于识别和恢复瞬时故障。

软件层面可采用运行时监控、异常检测和自适应控制等技术提升稳健性，并结合 第 7 章：AI 框架 和 第 13 章：机器学习运维 中介绍的框架能力和部署策略。数据校验、异常值检测、模型集成和运行时模型自适应等容错方法可集成到 ML 流水线中，提升系统在偶发错误下的可靠性。

设计能够优雅应对间歇性故障的 ML 系统，有助于保持其准确性、一致性和可靠性。这需要主动的故障检测、定期系统监控和持续维护，确保问题早发现、早修复。通过在架构和运维流程中嵌入稳健性（详见 第 13 章：机器学习运维），ML 系统即使在易受偶发

硬件故障影响的环境下也能保持稳健。

有效的容错不仅仅是检测，还包括在不同系统条件下的自适应性能管理。全面的资源管理策略（如负载均衡、故障条件下的动态扩缩容）详见 第 13 章：机器学习运维。对于资源受限场景，可采用动态量化、选择性剪枝等自适应模型复杂度降低技术，相关内容见 第 10 章：模型优化 和 第 9 章：高效 AI。

硬件故障检测与缓解

故障检测技术（包括硬件级和软件级方法）及有效的缓解策略可提升 ML 系统的稳健性。稳健 ML 系统设计要点、案例分析和容错 ML 研究为构建可靠系统提供了参考。

稳健的故障缓解需要全栈协同适应。虽然本节聚焦于故障检测和基础恢复机制，但全面的性能自适应策略需通过动态资源管理（第 13 章：机器学习运维）、容错分布式训练（第 8 章：AI 训练）和在资源受限下保持性能的自适应模型优化（第 10 章：模型优化、第 9 章：高效 AI）实现。这些策略确保 ML 系统不仅能检测和恢复故障，还能通过智能资源分配和模型复杂度调整维持最优性能。面向更高稳健性的未来架构范式详见 第 20 章：通用人工智能系统。

硬件故障检测方法 故障检测技术用于识别和定位 ML 系统中的硬件故障，基于 第 12 章：AI 基准测试 的性能测量原理。这些技术大致分为硬件级和软件级两类，各有独特优势。

硬件级检测 硬件级故障检测在系统物理层实现，目标是识别底层硬件部件的故障。常见方法包括以下几类。

内建自测试（BIST）机制 BIST 是检测硬件故障的强大手段。它通过在系统中集成额外电路，实现自测试和故障检测。BIST 可应用于处理器、内存模块、ASIC 等多种部件。例如，处理器可通过扫描链（scan chains）[551] 实现 BIST，扫描链为测试提供对内部寄存器和逻辑的访问。

BIST 过程中，预设测试模式作用于处理器内部电路，响应与期望值比对，若有差异即表明存在故障。例如，Intel Xeon 处理器在启动时通过 BIST 检测 CPU 核心、缓存等关键部件。

错误检测码 错误检测码广泛用于检测数据存储和传输中的错误。通过为原始数据增加冗余位，实现比特错误检测。例如，奇偶校验是一种简单的错误检测码，如图 13 所

551. **扫描链（Scan Chains）**：处理器内部专用路径，用于测试时访问寄存器和逻辑。

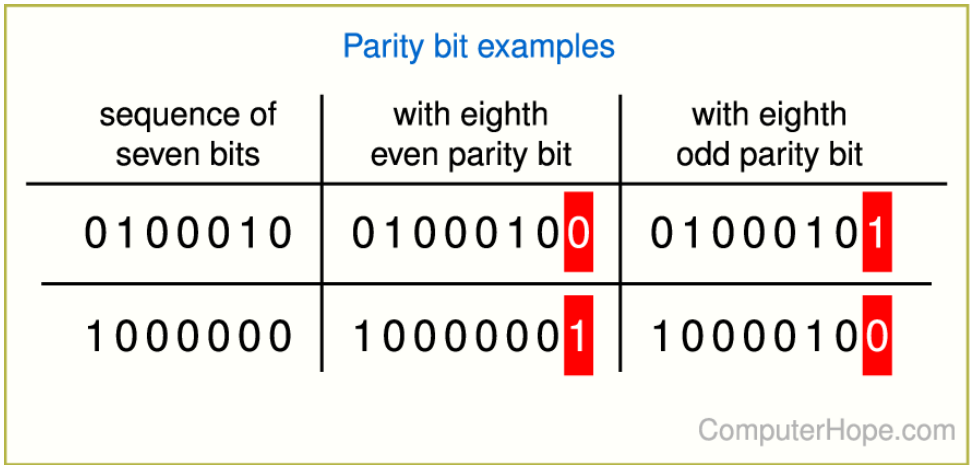

奇偶校验位错误检测：该图展示了一种简单的错误检测方案，通过增加一个奇偶校验位，确保数据序列中 1 的总数为偶数或奇数。第二组数据中有一位被翻转，触发奇偶校验，指示传输或存储过程中的数据损坏事件。来源：computer hope。

示 [552]。单比特奇偶校验方案为每个数据字添加一位，使 1 的数量为偶数（偶校验）或奇数（奇校验）。

读取数据时，校验奇偶性，若与期望不符则检测到错误。更高级的错误检测码如循环冗余校验（CRC）[553]，基于数据计算校验和并附加到消息末尾。

硬件冗余与投票机制 硬件冗余通过复制关键部件并比对输出，实现故障检测和屏蔽。投票机制如双模冗余（DMR）[554] 或三模冗余（TMR）[555]，通过多实例比对输出，识别并屏蔽故障行为。

DMR/TMR 系统中，两个或三个相同部件（如处理器或传感器）并行计算，输出送入投票电路，取多数值为最终输出。若某实例因故障输出错误，投票机制可屏蔽错误，保证正确性。TMR 常用于航空航天等高可靠性场景。例如，波音 777 飞控系统采用 TMR 保证飞控功能的可用性和正确性。

特斯拉自动驾驶计算机则采用 DMR 架构，保障感知、决策和控制等关键功能的安全可靠，如图 14 所示。两套独立硬件单元（冗余计算机）并行处理传感器数据、执行算法、生成控制指令。

552. **奇偶校验（Parity Checks）**：通过增加一位，统计数据字中 1 的总数，实现基本错误检测。
553. **循环冗余校验（CRC）**：由 W. Wesley Peterson 于 1961 年提出的错误检测算法，广泛应用于数字通信和存储。CRC 通过多项式校验和检测 99.9% 以上的传输错误，计算开销极低。对于 ML 数据管道，CRC-32 常用于分布式训练系统中验证梯度更新，防止数据损坏影响模型性能。接收端重新计算校验和并比对，检测错误。ECC 内存模块则采用更高级的检测和纠错码，能检测并修正单比特或多比特内存错误。
554. **双模冗余（DMR）**：将计算过程复制两份，通过比对识别和纠正错误的容错方法。
555. **三模冗余（TMR）**：三份计算并比对，多数投票确定结果的容错方法。

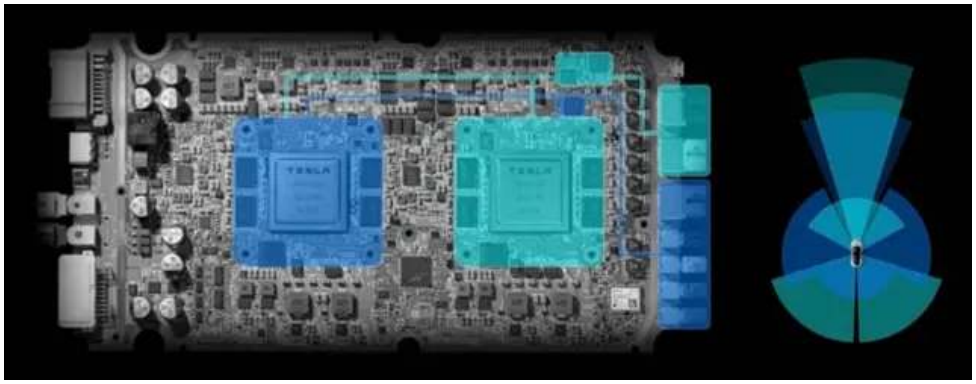

双模冗余：特斯拉全自动驾驶计算机采用 DMR 架构，将关键计算在两颗独立 SoC 上并行执行，屏蔽硬件故障，保障持续运行。若一颗 SoC 故障，另一颗可独立维持感知和控制等安全功能。

两套冗余单元的输出持续比对，若一致则认为均正常，控制指令下发至执行机构。若输出不一致，系统判定某单元可能故障，并采取措施保障安全。

特斯拉 DMR 架构为自动驾驶系统提供了额外的安全和容错层。通过两套独立单元并行计算，系统可检测并缓解单元故障，防止单点失效，确保关键功能持续运行。

系统还可通过诊断算法、与其他传感器或子系统比对、分析输出一致性等方式定位故障单元。一旦识别出故障单元，系统可隔离并仅用正常单元输出继续运行。

特斯拉还采用 DMR 以外的冗余机制，如冗余电源、转向和制动系统，以及多样化传感器套件[556]（摄像头、雷达、超声波等），多层容错共同提升自动驾驶系统的安全性和可靠性。

DMR 可检测和一定程度屏蔽故障，但若两单元同时故障或比对机制失效，系统可能无法识别故障。因此，特斯拉 SDC 结合 DMR 与多种冗余机制，实现高容错。

DMR 在特斯拉自动驾驶计算机中的应用，凸显了高可靠性场景下硬件冗余的重要性。通过冗余计算单元和输出比对，系统可检测并缓解故障，提升自动驾驶功能的整体安全性和可靠性。

另一种硬件冗余方式是热备（hot spares）[557]，如 Google 数据中心在 ML 训练中应对 SDC。与 DMR/TMR 并行冗余不同，热备通过备用硬件单元在检测到故障时无缝接管计算，实现容错。图 15 展示了 Google 的做法：正常训练时，多台同步训练 worker 并行处理数据，若某 worker 出现 SDC，SDC 检查器自动识别并将训练迁移至热备机，同时

556. **传感器融合（Sensor Fusion）**：集成多种传感器数据，获得比单一传感器更准确可靠的感知。最早应用于 1980 年代军事领域，融合摄像头（可见光）、激光雷达（深度）、雷达（抗恶劣天气）、超声波（短距离）等。特斯拉方案同时处理 8 个摄像头、12 个超声波和前向雷达，每小时生成 40GB 传感器数据，实现稳健的自动驾驶决策。
557. **热备（Hot Spares）**：系统冗余设计中的备用部件，随时准备在主部件故障时无缝接管，保障系统不中断运行。

将故障机送修。该冗余机制保障 ML 训练连续性和可靠性，最大限度减少停机和数据损坏。

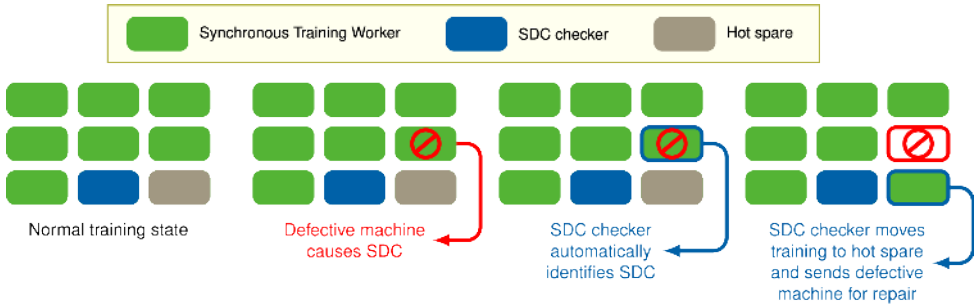

热备冗余：Google 数据中心通过热备核心保障 ML 训练在硬件故障下不中断，故障机器自动切换至备用资源。与 DMR/TMR 并行冗余不同，热备提供被动容错，最大限度减少训练中断和数据损坏。来源：jeff dean，mlsys 2024 keynote（Google）。

看门狗定时器 看门狗定时器是监控关键任务或进程执行的硬件部件，常用于检测和恢复因软件或硬件故障导致系统无响应或死循环的情况。在嵌入式系统中，看门狗定时器可监控主控循环，如图 16 所示。软件定期复位看门狗，表示系统正常运行。若在规定时间内未复位，看门狗判定系统故障，触发预设恢复动作（如重启或切换备份部件）。看门狗广泛应用于汽车电子、工业控制等安全关键场景，确保及时检测和恢复故障。

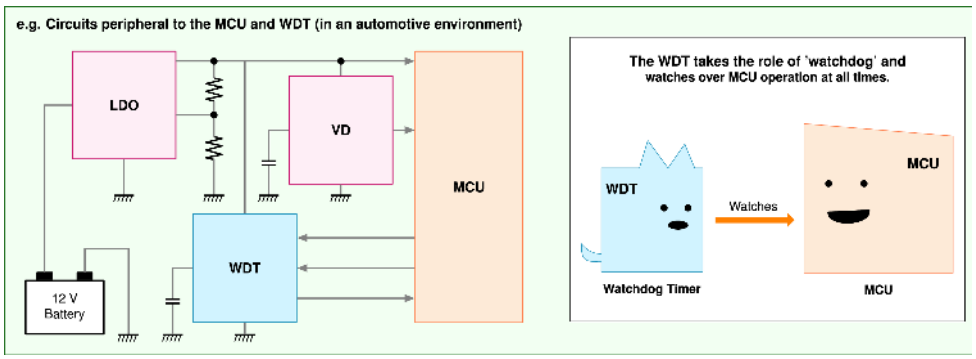

看门狗定时器原理：嵌入式系统通过定期复位看门狗定时器检测和恢复软件或硬件故障，若超时未复位则触发系统重启或恢复，保障持续运行。

软件级检测 软件级故障检测依赖于算法和监控机制，可在操作系统、中间件或应用层实现。

运行时监控与异常检测 运行时监控通过持续观察系统及其组件的行为，检测异常、错误或意外行为，扩展了 第 13 章：机器学习运维 中的运维监控实践。例如，自动驾驶汽车中的 ML 图像分类系统可实现运行时监控，跟踪模型性能和行为。

异常检测算法可应用于模型预测或中间层激活，如统计异常检测或基于 ML 的方法（如 One-Class SVM、自动编码器）。图 17 展示了异常检测示例。若监控系统检测到显著偏离预期模式（如准确率骤降或分布外样本），可发出警报，提示模型或数据管道可能存在故障，实现早期干预和故障缓解。

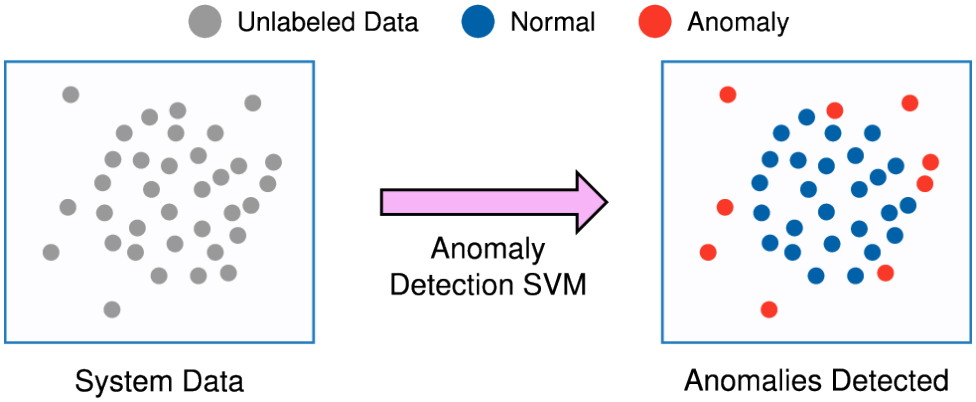

SVM 异常检测：支持向量机通过将日志数据映射到高维空间并定义边界，识别系统行为偏离正常模式的异常点，实现故障检测。无监督异常检测在缺乏标注故障数据时尤为有用，可从未标注运行数据中学习模式。

一致性校验与数据验证 一致性校验和数据验证确保 ML 系统各阶段数据的完整性和正确性，帮助检测数据损坏、不一致或错误。例如，在分布式 ML 系统中，多节点协作训练模型时，可通过一致性校验验证共享参数的完整性。每个节点可在训练前后计算参数的校验和或哈希值，如图 17 所示，通过比对校验和检测不一致或数据损坏。输入数据和模型输出也可进行范围校验，确保在合理区间。例如，自动驾驶感知系统检测到物体尺寸或速度异常，可能提示传感器或算法故障。

心跳与超时机制 心跳和超时机制常用于分布式系统，检测组件存活性和响应性，与硬件中的看门狗定时器类似。例如，分布式 ML 系统中，多节点协作完成数据预处理、训练或推理任务，可通过心跳机制监控各节点健康状态。每节点定期向协调器或其他节点发送心跳，表明自身状态。若某节点在规定超时时间内未发送心跳（如图 18 所示），则视为故障，可重新分配任务或启动故障转移。大规模分布式训练集群中，网络分区每天影响 1-10% 节点，心跳系统需区分节点故障与网络异常，避免误触发故障转移。超时机制还可检测和处理卡死或无响应组件，如数据加载过程超时，系统可采取纠正措施。

软件实现容错（SIFT）技术 SIFT 技术在软件层引入冗余和故障检测机制，提升系统可靠性和容错性。例如，N 版本编程是一种 SIFT 技术，由不同团队独立开发多个等价软件组件，可应用于 ML 系统中的模型推理引擎。多版本推理引擎并行执行，比对输出

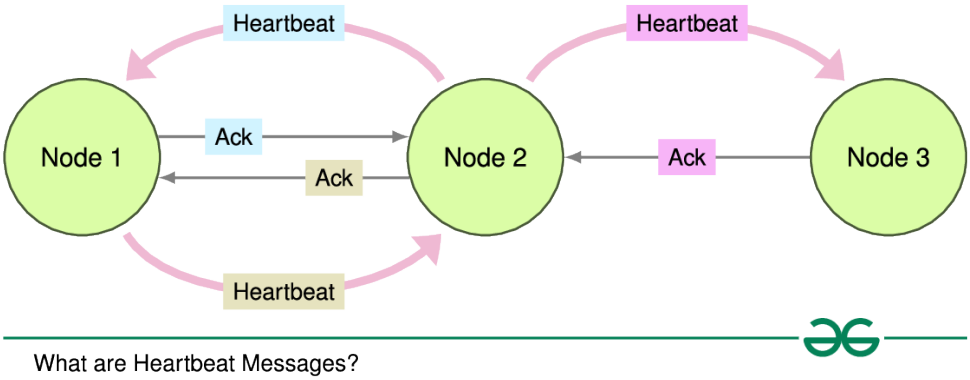

心跳与超时：分布式系统通过周期性心跳消息检测节点故障，超时未响应即判定故障，触发任务重分配或故障转移。该机制类似硬件看门狗，保障系统稳健性和持续运行。

一致性，多数输出为正确结果，若有分歧则触发错误处理。另一例是基于软件的纠错码（如 Reed-Solomon 码），用于数据存储或传输的错误检测和纠正，如图 19 所示。通过为数据增加冗余，实现一定范围内的错误检测和修正，增强系统容错能力。

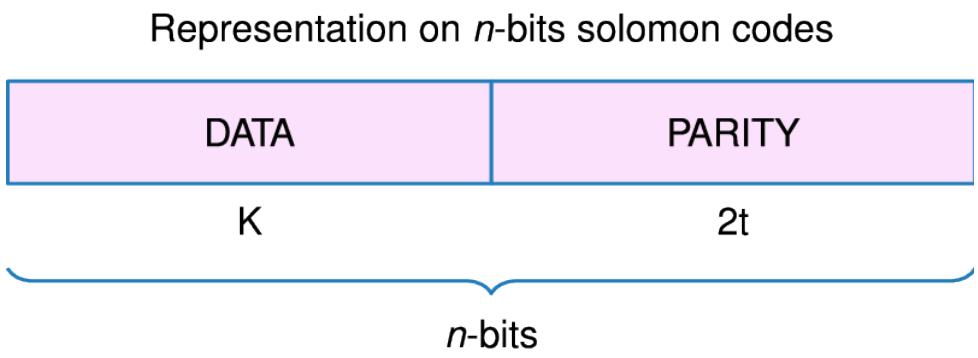

心跳监控：分布式系统通过冗余节点连接和周期性心跳消息检测并隔离故障组件，保障硬件故障下的持续运行。该机制允许节点识别无响应同伴并重新路由通信，实现容错。

硬件故障小结

表 3 对比分析了瞬态、永久和间歇性故障，列出了区分这三类故障的主要特征或维度。下表总结了相关维度，并进一步探讨了三类故障的细微差别。

硬件故障只是系统脆弱性的一个维度，实际中很少单独发生。我们讨论的物理失效常常与 AI 系统的算法组件弱点相互作用。例如，攻击者可通过精心设计的输入，利用硬件故障暴露的模型漏洞 —— 这正是下一节输入级攻击的关注重点。

维度	瞬态故障	永久故障	间歇性故障
持续时间	短暂、临时	持续存在，需修复或更换	零散出现，间歇性消失
持久性	故障条件消失后即消失	持续存在，直至修复	不规则复现，非持续存在
成因	外部因素（如电磁干扰、宇宙射线）	硬件缺陷、物理损坏、老化	硬件条件不稳定、连接松动、部件老化
表现	位翻转、毛刺、临时数据损坏	卡死、部件损坏、设备完全失效	偶发位翻转、信号异常、零散故障
对 ML 影响	引入临时计算误差或噪声	持续性错误或失效，影响可靠性	零散且不可预测的错误，难以诊断和缓解
检测方法	错误检测码、与期望值比对	内建自测试、错误检测码、一致性校验	异常监控、错误模式分析与相关性分析
缓解措施	纠错码、冗余、检查点与重启	硬件修复或更换、部件冗余、故障转移机制	稳健设计、环境控制、运行时监控、容错技术

意图性输入操控

输入级攻击代表了一种不同于无意硬件故障的威胁模型。与随机位翻转和组件故障不同，这些攻击涉及故意操控数据以破坏系统行为。这些复杂的攻击通过精心设计的输入或损坏的训练数据操控 ML 模型行为。这些攻击载体可以放大硬件故障的影响，例如，当攻击者专门设计输入以触发故障的边缘情况时。

对抗性攻击

概念基础 对抗性攻击的核心思想出奇简单：对输入添加微小的、经过精确计算的变化，以愚弄模型，同时对人类保持隐形。想象一下，在一张猫的照片上调整几个像素，

这些变化微妙到你无法看出，但模型却以 99% 的置信度将其分类为烤面包机。这种违反直觉的脆弱性源于神经网络处理信息的方式与人类的不同。

为了通过类比理解其潜在机制，可以考虑一个通过寻找尖耳朵来识别猫的人。对这个人来说，对一张狗的照片进行对抗性攻击，就像在狗的垂耳上几乎看不见的地方仔细画上小尖耳朵。因为这个人的算法过于依赖尖耳朵这个特征，他们自信地将狗错误分类为猫。这就是对抗性攻击的工作原理：它们找到模型依赖的特定特征（通常是表面的），并加以利用，即使这些变化对人类观察者来说毫无意义。

ML 模型学习统计模式，而不是语义理解。它们在高维空间中操作，在那里决策边界可能出奇脆弱。在这个空间中，微小的移动（在输入域中不可察觉）可以越过这些边界并触发错误分类。

技术机制 对抗性攻击利用 ML 模型对微小输入扰动的敏感性，这些扰动对人类是不可察觉的，但会导致模型输出的剧烈变化。这些攻击揭示了模型学习决策边界和从训练数据中泛化的脆弱性。其数学基础依赖于模型的梯度信息，以识别最有效的扰动方向。

快速梯度符号法（FGSM）是最早和最有影响力的对抗性攻击技术之一。FGSM 通过在损失函数的梯度方向上添加小扰动来生成对抗样本，有效地将输入“推向”错误分类的边界。例如，对于 ImageNet 分类器，使用 ε = 8/255（几乎不可察觉的扰动）的 FGSM 攻击可以将准确率从 76% 降至 10% 以下，证明了深度网络对小输入修改的脆弱性。

投影梯度下降（PGD）攻击通过迭代地施加小扰动并投影回允许的扰动空间，扩展了 FGSM。使用 40 次迭代和步长 α = 2/255 的 PGD 攻击在未防御模型上几乎达到 100% 的攻击成功率，将 CIFAR-10 的准确率从 95% 降至 5% 以下。这些攻击被认为是最强的一级对抗攻击，并作为评估防御机制的基准。

物理世界攻击对部署的 AI 系统构成特别挑战。研究表明，对抗性示例可以在打印、拍照或屏幕显示时保持其攻击有效性。停止标志攻击在交通标志上放置物理补丁时达到 87% 的错误分类率，导致自动驾驶车辆将“停止”标志误解为“限速 45”的标志，可能导致灾难性后果。实验室研究表明，对抗性示例在不同光照条件（2,000-10,000 lux）、视角（±30 度）和相机距离（2-15 米）下保持有效。

数据中毒攻击

数据中毒攻击通过向训练数据集中注入恶意样本，导致模型学习错误的关联或在特定输入上表现出特定行为，从而针对训练阶段。这些攻击在训练数据来自不可信来源或通过众包收集的场景中尤为令人担忧。

标签翻转攻击修改训练样本的标签，以引入错误的关联。研究表明，在 CIFAR-10 中仅

翻转 3% 的标签，就会将目标类别的准确率从 92% 降至 11%，而整体模型准确率仅下降 2-4%，这使得检测变得困难。对于 ImageNet，损坏 0.5% 的标签（6,500 张图像）会导致特定类别的目标错误分类率超过 90%，同时保持 94% 的干净准确率。

后门攻击向训练样本中注入特定触发模式，当测试输入中存在触发器时，导致模型表现出攻击者控制的行为。研究表明，在仅 1% 的训练数据中插入后门触发器，在带有触发器的测试输入上实现 99.5% 的攻击成功率。模型在干净输入上的表现正常，但在包含后门触发器的输入上会持续错误分类，而干净准确率通常下降不到 1%。

基于梯度的中毒攻击伪装成良性样本，但导致训练期间的梯度更新朝向攻击者目标移动。这些攻击需要精确的优化，但可能造成毁灭性后果：在 CIFAR-10 中中毒 50 张精心制作的图像（占训练数据的 0.1%）使目标错误分类率超过 70%。其计算成本很高，生成最佳中毒样本需要 15-20× 的训练时间，但通过视觉检查无法检测到攻击。

检测与缓解策略

稳健的 AI 系统针对输入级攻击采用多种防御机制，遵循我们统一框架中建立的检测、优雅降级和自适应响应原则。

输入清洗通过预处理技术去除或减少对抗性扰动，防止其到达模型。将 JPEG 压缩质量因子设置为 75% 可消除 60-80% 的对抗性示例，同时仅降低 1-2% 的干净准确率。使用高斯滤波器（$\sigma = 0.5$）的图像去噪可以阻止 45% 的 FGSM 攻击，但需要仔细调整以避免降低合法输入的质量。随机旋转（±15°）和缩放（0.9-1.1×）等几何变换提供 30-50% 的防御效果，且对干净准确率的损失很小。

对抗性训练将对抗性示例纳入训练过程，教会模型在存在对抗性扰动的情况下保持正确预测。在 CIFAR-10 上进行 PGD 对抗性训练可使 $\varepsilon = 8/255$ 攻击的稳健准确率达到 87%，而未防御模型的稳健准确率为 0%。尽管干净准确率从 95% 降至 84%，但训练时间由于每个时期都要生成对抗性示例而增加 6-10×，需要专用硬件加速以实现实际应用。

认证防御提供了在指定扰动范围内对模型稳健性的数学保证。随机平滑对 ImageNet 的 $\ell 2$ 扰动实现 67% 的认证准确率（$\sigma = 0.5$），而干净准确率为 76%。对于 54% 的测试输入，认证半径增加到 $\varepsilon = 1.0$，提供可证明的稳健性保证。然而，由于需要进行蒙特卡罗采样（通常每个预测 1,000 个样本），推理时间增加了 100-1000×。

集成方法利用多个模型或检测机制来识别和过滤对抗性输入。经过独立训练的 5 个模型的集成，使用预测熵阈值（$\tau = 1.5$）对对抗性示例的检测率达到 94%，在干净数据上的误报率低于 2%。计算开销与集成大小成线性比例，5 模型集成需要 $5\times$ 的推理时间和内存，实时部署具有挑战性。

虽然输入级攻击代表了故意破坏模型行为的尝试，但 AI 系统还必须应对其操作环境中

自然变化的挑战，这些变化可能同样具有破坏性。

环境变化

稳健 AI 的第三个支柱解决了自然演变的现实条件，这些条件可能随着时间的推移而降低模型性能。与输入级攻击的故意操控或硬件故障的随机性不同，环境变化反映了在动态环境中部署静态模型所固有的挑战，在这些环境中，数据分布、用户行为和操作上下文不断演变。这些变化可能与其他脆弱性类型协同作用。例如，经历分布变化的模型可能更容易受到对抗性攻击，而硬件错误在不同环境条件下可能表现不同。

分布变化与概念漂移

直观理解 考虑一个在现代医院的 X 光图像上训练的医疗诊断模型。当部署在配备较旧设备的乡村诊所时，模型的准确率骤降，这并不是因为基础的医疗条件发生了变化，而是因为图像特征不同。这就是分布变化的典型例子：模型所遇到的世界与其学习的世界不同。

分布变化是环境演变的自然结果。用户偏好季节性变化，语言随着新俚语的出现而演变，经济模式也随着市场条件的变化而变化。与需要恶意意图的对抗性攻击不同，这些变化是由现实世界系统的动态特性自然产生的。

技术类别 协变量变化是指输入分布变化，而输入与输出之间的关系保持不变。以自主车辆感知模型为例，在白天图像（亮度 1,000-100,000 lux）上训练的模型在夜间条件（0.1-10 lux）下部署时，准确率下降 15-30%，尽管物体识别任务没有变化。天气条件引入的协变量变化也很明显：雨天物体检测的平均精度（mAP）下降 12%，雪天下降 18%，雾天下降 25%，而与晴朗天气相比。

概念漂移是指输入与输出之间的基本关系随时间变化。信用卡欺诈检测系统的相关性在 6 个月内衰减率为 0.2-0.4，要求模型每 90-120 天重新训练一次，以保持超过 85% 的精度。电子商务推荐系统由于季节性偏好变化和用户行为模式演变，在 3-6 个月内准确率下降 15-20%。

标签变化是指输出类别的分布发生变化，但输入输出关系不变。新冠疫情导致医疗影像领域的标签发生剧烈变化：肺炎发生率在某些医院系统中从 12% 增加到 35%，需要重新校准诊断阈值。农业监测中的季节性标签变化显示，作物病害发生率在生长季节之间变化 40-60%，需要自适应决策边界以准确预测产量。

监控与适应策略

有效应对环境变化需要持续监控部署条件和自适应机制，以维持模型性能。

统计距离度量通过测量训练数据和部署数据分布之间的差异，定量评估分布变化的程度。使用 RBF 核的最大均值差异（MMD）（$\gamma = 1.0$）对 Cohen's $d > 0.5$ 的变化提供 0.85 的检测灵敏度，处理 10,000 个样本仅需 150 毫秒。Kolmogorov-Smirnov 检验对单变量变化的检测率达到 95%（样本数超过 1,000），但对高维数据的扩展性较差。人口稳定性指数（PSI）在 0.1-0.25 的阈值指示显著变化，需对模型进行调查。

在线学习使模型能够在保持对先前学习模式的性能的同时，持续适应新数据。随机梯度下降（SGD）在学习率 $\eta = 0.001$-0.01 下对概念漂移适应的收敛性在 100-500 个样本内实现。内存开销通常需要 2-5 MB，以维持足够的历史上下文，而计算开销在实时适应中增加 15-25% 的推理延迟。弹性权重巩固通过正则化系数 $\lambda = 400$-$40,000$ 防止灾难性遗忘。

模型集成与选择维持多个针对不同环境条件优化的模型，根据检测到的环境特征动态选择最合适的模型。由 3-7 个模型组成的集成系统在分布变化下的准确率比单一模型高出 8-15%，选择开销为每个预测 2-5 毫秒。基于近期表现的动态加权（滑动窗口 500-2,000 个样本）提供了对逐渐漂移的最佳适应。

联邦学习使分布在多个部署环境中的模型能够在保护隐私的同时进行分布式适应。具有 50-1,000 个参与者的 FL 系统在 10-50 次通信轮次内收敛，每次轮次需要 10-100 MB 的参数传输，具体取决于模型大小。每轮的本地训练通常需要 5-20 个周期，当带宽低于 1 Mbps 时，通信成本占主导地位。差分隐私（$\varepsilon = 1.0$-8.0）添加噪声，但在大多数应用中保持超过 90% 的模型实用性。

稳健性评估工具

在研究了稳健 AI 的三大支柱 —— 硬件故障、输入级攻击和环境变化 —— 之后，学生们现在具备了理解专门用于稳健性评估和改进的工具和框架的概念基础。这些工具在所有三类威胁中实施检测、优雅降级和自适应响应原则。

硬件故障注入工具如 PyTorchFI 和 TensorFI 使得系统地测试 ML 模型对前面描述的瞬态、永久和间歇性故障的稳健性成为可能。对抗性攻击库实现了 FGSM、PGD 和认证防御技术，用于评估输入级稳健性。分布监测框架提供了统计距离度量和漂移检测能力，这对于环境变化管理至关重要。

现代稳健性工具可以直接与流行的 ML 框架（PyTorch、TensorFlow、Keras）集成，使稳健性评估无缝融入 第 13 章：机器学习运维 中建立的开发工作流程。有关这些工具及其实际应用的全面审查见于 第 16 章：稳健 AI，提供了构建稳健 AI 系统的详细实施指南。

输入级攻击与模型稳健性

虽然硬件故障代表了对基础计算基础设施的无意干扰，但模型稳健性问题则扩展到针对 AI 系统决策过程的故意攻击以及操作环境的自然变化。从硬件可靠性到模型稳健性的转变，反映了保护计算的物理基底与防御定义模型行为的学习表示和决策边界之间的转变。

这种转变需要改变视角。硬件故障通常表现为计算、内存或通信错误，这些错误以可预测的方式通过系统传播，受到底层计算图的指导。相比之下，模型稳健性挑战则利用或暴露了模型对其问题域理解的核心局限性。对抗性攻击精心制作输入以触发错误分类，数据中毒攻击则破坏训练过程本身，而分布变化则揭示了模型在超出训练假设的部署时的脆弱性。

根据 第 16 章：稳健 AI 中的三类威胁框架，不同类型的挑战需要互补的防御策略。硬件故障缓解通常依赖于冗余、错误检测码和优雅降级，而模型稳健性则需要对抗性训练、输入清洗、领域适应和持续监控模型行为等技术。

理解这种双重视角的重要性在于，现实世界的 AI 系统面临复合威胁，其中硬件故障和模型脆弱性可能以复杂方式相互作用。损坏模型权重的硬件故障可能会产生新的对抗性脆弱性，而对抗性攻击可能会触发类似硬件故障的错误条件。我们在 第 16 章：稳健 AI 中提出的统一框架，为系统地解决这些相互关联的挑战提供了概念基础。

对抗性攻击

对抗性攻击揭示了现代机器学习系统中的违反直觉的脆弱性。这些攻击利用神经网络学习和表示信息的核心特性，揭示了模型对精心制作的、对人类观察者不可察觉的输入修改的极端敏感性。这些攻击通常涉及向输入数据添加微小的、经过精确设计的扰动，可能导致模型错误分类，如图 20 所示。

理解脆弱性 要理解这些攻击为何如此有效，就需要检查它们暴露的神经网络架构的核心局限性。对抗性示例的存在揭示了人类感知与机器感知之间的根本差异 [558]。

这种脆弱性源于神经网络学习的几个特性 [559]。高维输入空间 [560] 为攻击者同时利用多个

558. **人类与机器感知的差异**：人类视觉强调物体不变性和语义理解，而机器视觉则从训练数据中学习统计模式，形成脆弱的决策边界，容易受到不可察觉的扰动的攻击。2013 年，Szegedy et al. 首次提出了这一差异，揭示了微小扰动如何在不改变语义内容的情况下，显著改变模型预测。

559. **神经网络学习机制**：神经网络从数据中学习模式的基本过程，包括基于梯度的优化、决策边界的形成和高维特征表示。这些核心概念在 第 3 章：深度学习基础 中有全面介绍。

560. **对抗性设置中的维度诅咒**：在高维空间中（例如，224×224×3 = 150,528 维用于 ImageNet 图像），微小的扰动会显著累积。以 ε=0.01 为例，总扰动幅度可达 $\sqrt{150{,}528} \times 0.01 \approx 3.88$，足以在保持对人类的不可察觉性的同时，改变模型预测。非线性决策边界造成复杂的分离，使模型对精确的输入修改敏感。

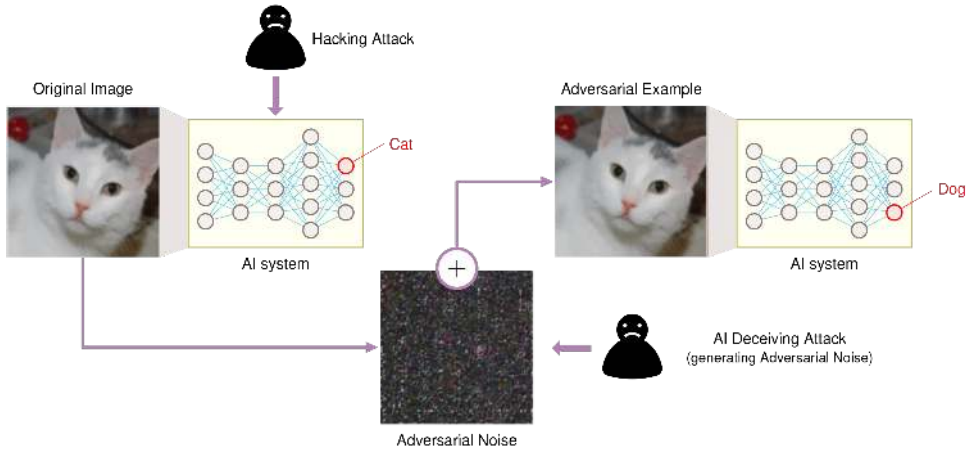

对抗性扰动：对输入添加微小、经过精确计算的噪声可以导致神经网络错误分类图像，尽管对人类来说这些扰动在视觉上是不可区分的。这种脆弱性突显了许多机器学习模型稳健性不足的原因，并推动了对抗性训练和防御机制的研究。来源：goodfellow et al.，2014。

维度提供了可能。

理解对抗性示例存在的深层原因，对于开发有效的防御措施至关重要。这种脆弱性反映了神经网络在高维空间中处理和表示信息的核心特性，而不仅仅是软件错误或训练工件。解释神经网络[561]天生容易受到对抗性扰动影响的理论基础，详见 第 3 章：深度学习基础.

攻击类别与机制 对抗性攻击可以根据其扰动生成方法和攻击者可用信息的不同，分为几类。每种类别利用模型脆弱性的不同方面，需采取不同的防御措施。

基于梯度的攻击 最直接和广泛研究的类别是基于梯度的攻击，它利用神经网络训练的一个核心方面：用于训练模型的相同梯度信息可以被用作攻击模型的武器。这些攻击通过利用模型自身的学习机制，反向运行训练过程，揭示了对抗性示例生成的直接方法。

概念基础

基于梯度的攻击的关键见解在于，神经网络计算梯度是为了了解输入变化如何影响输出。在训练过程中，梯度指导权重更新以最小化预测错误。对于攻击而言，这些相同的梯度揭示了哪些输入修改将最大化预测错误 —— 本质上是反向运行训练过程。

为了说明这一概念，考虑一个在照片中正确识别猫的图像分类模型。相对于输入图像的梯度显示了模型预测对每个像素变化的敏感性。攻击者可以利用这个梯度信息，确定最

561. **神经网络理论基础**：神经网络处理信息、学习表示和在高维空间中进行预测的数学和算法原理。完整的理论内容见 第 3 章：深度学习基础.

有效的修改特定像素的方法，从而改变模型的预测，例如，可能导致模型将猫错误分类为狗，同时保持对人类观察者的不可察觉性。

快速梯度符号法（FGSM）

快速梯度符号法 [562] 是基于梯度的攻击中最具代表性和危险性的攻击之一。FGSM 采取了一个概念上简单的方法，即朝着最迅速增加模型预测错误的方向移动。

其基本数学公式直观地捕捉了这一过程：

$$x_{\text{adv}} = x + \epsilon \cdot \text{sign}\big(\nabla_x J(\theta, x, y)\big)$$

其中各成分表示：

- x: 原始输入（如猫的图像）
- x_{adv}: 将愚弄模型的对抗性示例
- $\nabla_x J(\theta, x, y)$: 表示对每个输入特征的损失函数变化的梯度，指示哪些输入修改最有效地增加模型预测错误
- $\text{sign}(\cdot)$: 仅提取变化方向，忽略幅度差异
- ϵ: 控制扰动强度（通常为归一化输入的 0.01-0.3）
- $J(\theta, x, y)$: 测量预测错误的损失函数

梯度 $\nabla_x J(\theta, x, y)$ 量化了损失函数相对于每个输入特征的变化，指示哪些输入修改最有效地增加模型预测错误。函数 $\text{sign}(\cdot)$ 提取了最陡上升的方向，而扰动幅度 ϵ 控制施加于每个输入维度的修改强度。

该方法通过朝着最迅速增加损失的方向迈出一步，生成对抗性示例，如图 21 所示。

在此基础上，投影梯度下降（PGD）攻击通过迭代施加梯度更新步骤，扩展了 FGSM，生成更精细和强大的对抗性示例。PGD 在原始输入周围的约束范数球内投影每次扰动步骤，从而确保对抗性示例保持在指定的失真限制内。这使得 PGD 成为更强的白盒攻击和评估模型稳健性的基准。

基于雅可比的显著性图攻击（JSMA）是另一种基于梯度的方法，它识别最有影响力的输入特征并对其施加扰动以创建对抗性示例。通过构建基于模型输出相对于输入的雅可比矩阵的显著性图，JSMA 有选择地改变少量最可能影响目标类别的输入维度。这使得 JSMA 比 FGSM 或 PGD 更加精确和有针对性，通常需要更少的扰动就能愚弄模型。

562. **快速梯度符号法（FGSM）**：由 Goodfellow et al. 于 2014 年提出的第一个实用对抗性攻击方法。通过沿梯度符号的方向移动，单步生成对抗性示例，计算高效但通常效果不如迭代方法。

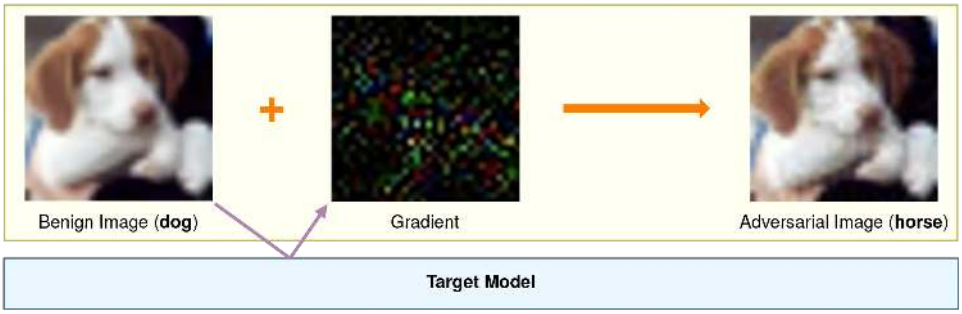

对抗性扰动：基于梯度的攻击通过添加小幅度扰动（由 $\{}epsilon$ 控制），最大化损失函数 $j(\{}theta, x, y)$，导致模型错误分类。这些扰动对人类不可察觉，利用了模型的脆弱性，使输入 x 越过决策边界。

基于梯度的攻击在攻击者完全了解目标模型（如模型架构和梯度）的白盒环境中尤其有效。它们的效率和相对简单性使其成为研究中攻击和评估模型稳健性的常用工具。

基于优化的攻击 虽然基于梯度的方法提供了速度和简单性，但基于优化的攻击将对抗性示例的生成形式化为更复杂的优化问题。Carlini 和 Wagner（C&W）攻击就是这一类别中的一个突出例子。它找到可以导致错误分类的最小扰动，同时保持与原始输入的感知相似性。C&W 攻击采用迭代优化过程，最小化扰动的同时最大化模型的预测错误。它使用自定义损失函数和置信度项，以生成更有把握的错误分类。

C&W 攻击尤其难以检测，因为扰动通常对人类不可察觉，并且往往可以绕过许多现有的防御。根据所需的对抗性扰动特性，攻击可以在各种范数约束（如 L2、L∞）下进行表述。

扩展这一优化框架，弹性网攻击（EAD）结合了弹性网正则化（L1 和 L2 惩罚的组合），以生成具有稀疏扰动的对抗性示例。这可以导致对输入的最小和局部化的变化，从而更难以识别和过滤。EAD 在需要对扰动的幅度和空间范围进行约束的设置中尤其有用。

这些攻击比基于梯度的方法计算上更为密集，但提供了对对抗性示例属性的更精细控制，通常需要在 第 10 章：模型优化 中详细介绍的专用优化技术。它们通常用于对隐蔽性和精确度要求较高的高风险领域。

基于迁移的攻击 基于迁移的攻击则利用了对抗性示例的可迁移性[563]。可迁移性是指为一个 ML 模型生成的对抗性示例，往往也能愚弄其他模型，即使它们具有不同的架构或在不同的数据集上训练。这使得攻击者能够使用代理模型生成对抗性示例，然后将其转移到目标模型上，而无需直接访问其参数或梯度。

563. **可迁移性**：2015 年发现的一个惊人特性，即对抗性示例通常可以在不同的神经网络之间迁移。成功率通常在 30-70% 之间，使得在没有直接模型访问的情况下，进行实际的黑盒攻击成为可能。

基于迁移的攻击特别适用于实际威胁场景，例如攻击商业 ML API，在这些场景中，攻击者可以观察输入和输出，但无法访问内部计算。攻击成功通常取决于模型之间的相似性、训练数据的一致性以及使用的正则化技术等因素。可以使用输入多样性（随机调整大小、裁剪）和优化过程中的动量等技术来提高可迁移性。

物理世界攻击 物理世界攻击将对抗性示例带入现实场景。这些攻击涉及创建物理对象或操控，使其在被传感器或相机捕捉时能够欺骗 ML 模型。对抗性补丁就是一个例子，它们是小型、精心设计的图案，可以放置在物体上，以愚弄物体检测或分类模型。这些补丁被设计成能够在不同的光照条件、视角和距离下工作，从而在现实环境中具有稳健性。

当附加在真实物体上时，例如停止标志或衣物，对抗性补丁可以导致模型错误分类或未能准确检测物体。值得注意的是，这些攻击的有效性在打印出来并通过相机镜头观察后仍然存在，弥合了对抗性机器学习中数字和物理之间的鸿沟。

对抗性物体（如 3D 打印的雕塑或修改过的交通标志）也可以被制作出来，以在物理环境中欺骗 ML 系统。例如，一种 3D 海龟对象即使从不同角度观察，也被图像分类器始终错误地分类为步枪。这些攻击突显了在物理空间中部署的 AI 系统面临的风险，例如自动驾驶车辆、无人机和监视系统，并提出了负责任的 AI 部署的关键考虑，详见 第 17 章：可信 AI.

物理世界攻击的研究还包括开发通用对抗性扰动的努力，即可以欺骗多种输入和模型的扰动。这些威胁对 AI 系统的安全性、稳健性和泛化能力提出了严峻挑战。

总结 表 4 简要概述了不同类别的对抗性攻击，包括基于梯度的攻击（FGSM、PGD、JSMA）、基于优化的攻击（C&W、EAD）、基于迁移的攻击和物理世界攻击（对抗性补丁和物体）。每种攻击都有简要描述，突出了其关键特征和机制。

对抗性攻击的机制揭示了 ML 模型的决策边界、输入数据和攻击者目标之间的复杂相互作用。通过精心操控输入数据，攻击者可以利用模型的敏感性和盲点，导致错误的预测。对抗性攻击的成功凸显了对 ML 模型稳健性和泛化能力的深入理解的必要性。

攻击类别	攻击名称	描述
基于梯度的攻击	快速梯度符号法（FGSM）投影梯度下降（PGD）雅可比显著性图攻击（JSMA）	通过在梯度方向添加小噪声来扰动输入数据，以最大化预测错误。通过迭代应用梯度更新步骤来扩展FGSM，以获得更精细的对抗性示例。识别最有影响力的输入特征并对其施加扰动以创建对抗性示例。
基于优化的攻击	Carlini 和 Wagner（C&W）攻击 弹性网攻击（EAD）	找到导致错误分类的最小扰动，同时保持感知相似性。结合弹性网正则化生成具有稀疏扰动的对抗性示例。
基于迁移的攻击	基于可迁移性的攻击	利用对抗性示例在不同模型之间的可迁移性，实现黑盒攻击。
物理世界攻击	对抗性补丁 对抗性物体	小型、精心设计的补丁，放置在物体上以愚弄物体检测或分类模型。制作的物理对象（如 3D 打印的雕塑、修改过的交通标志），在物理环境中欺骗 ML 系统。

防御对抗性攻击需要 第 16 章：稳健 AI 中详细介绍的多方面防御策略，包括对抗性训练、防御性蒸馏、输入预处理和集成方法。

随着对抗性机器学习的发展，研究人员探索新的攻击机制并开发更复杂的防御措施。攻击者和防御者之间的军备竞赛推动了确保 ML 系统抵御对抗性威胁的不断创新和警惕。理解攻击机制对于开发稳健可靠的 ML 模型，抵御不断演变的对抗性示例至关重要。

对 ML 的影响 对抗性攻击对 ML 系统的影响远超简单的错误分类，如图 22 所示。这些脆弱性在部署领域造成系统性风险。

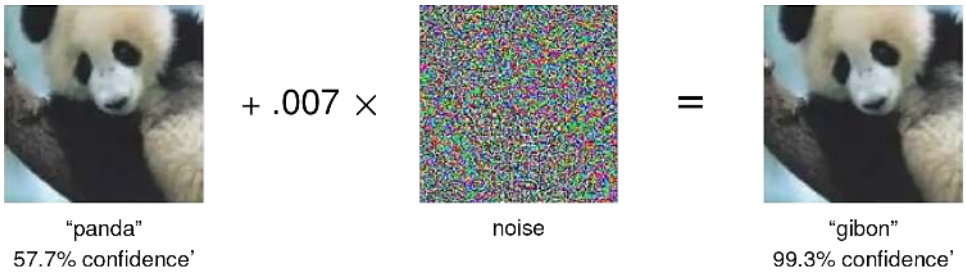

对抗性扰动：对图像添加微小、经过精确计算的噪声可以导致训练好的深度神经网络（googlenet）错误分类，尽管对人类来说，扰动后的图像在视觉上是不可区分的。这种脆弱性突显了许多机器学习模型稳健性不足的原因，并推动了对抗性训练和防御机制的研究。来源：goodfellow et al.，2014。

对抗性攻击影响的一个显著例子是 2017 年的研究。研究人员在停车标志上实验性地粘贴了小黑白贴纸。这些贴纸在视觉上并未遮挡标志或影响其可读性。然而，当这些贴纸修改的停车标志的图像被输入到标准的交通标志分类 ML 模型中时，结果令人震惊。模型错误地将停车标志分类为限速标志的概率超过 85%。

这一实验揭示了简单的对抗性贴纸如何欺骗 ML 系统，导致其错误解读关键交通标志的惊人潜力。这种攻击在现实世界中的影响是重大的，特别是在自动驾驶汽车的背景下。如果在实际道路上部署，这些对抗性贴纸可能导致自动驾驶汽车将停车标志误解为限速标志，从而导致危险情况，如图 23 所示。研究人员警告说，这可能导致车辆在路口未能停车或意外加速，危及公共安全。

微软的 Tay 聊天机器人则提供了一个对抗性用户如何利用部署 AI 系统中稳健性缺失的明显例子。在发布后的 24 小时内，协调用户操纵 Tay 的学习机制，生成不当和攻击性的内容。该系统缺乏内容过滤、用户输入验证和行为监控等保护措施，未能抵御对抗性攻击。这一事件凸显了对部署的 AI 系统，特别是那些从用户交互中学习的系统，进行全面输入验证、内容过滤系统和持续行为监控的关键必要性。

这一示范说明了对抗性示例如何利用 ML 模型模式识别中的基本脆弱性。攻击的简单性 —— 对人类不可察觉的轻微输入修改导致预测的剧烈变化 —— 揭示了深层次的架构限制，而非表面错误。

除了性能下降，对抗性脆弱性还会导致级联的系统风险。在医疗领域，针对医疗影像的攻击可能导致误诊。在金融系统中，交易算法可能被操纵，导致经济损失。这些脆弱性通过暴露模型对肤浅模式而非稳健概念理解的依赖，根本上破坏了模型的可信度。

防御对抗性攻击通常需要额外的计算资源，并可能影响整体系统性能。对抗性训练等技

对抗性扰动：对输入数据进行微小、可物理实现的修改可以导致机器学习模型做出错误预测，即使对人类来说是不可察觉的。该示例显示，停车标志上的小贴纸如何导致交通标志分类器将其错误识别为 45 mph 的限速标志，错误分类率超过 85%。这突显了 ML 系统对对抗性攻击的脆弱性。

术，通过在对抗性示例上训练模型以提高稳健性，可能显著增加训练时间和计算需求。运行时检测和缓解机制（如输入预处理或预测一致性检查）会引入延迟，影响 ML 系统的实时性能。

对抗性脆弱性的存在还使 ML 系统的部署和维护变得复杂。系统设计者和操作员必须考虑对抗性攻击的可能性，并纳入适当的防御和监控机制。模型的定期更新和重新训练变得必要，以适应新的对抗性技术，并维持系统的安全性和性能。

数据中毒

数据中毒对机器学习系统的完整性和可靠性构成了严峻挑战。攻击者通过在训练流程中引入精心设计的恶意数据，可以在难以通过常规验证程序发现的情况下，悄然操控模型行为。

与对抗性攻击的关键区别在于攻击的时机和目标。对抗性攻击发生在模型训练之后（对测试输入加噪声），而数据中毒则发生在训练之前（污染训练数据本身）。这就像是在考试时欺骗已经学好的学生，和在学生学习过程中灌输错误信息的区别。两者都可能导致错误答案，但利用的是不同阶段的脆弱性：

- 对抗性攻击针对已部署模型，影响推理阶段，可通过监控输出检测
- 数据中毒则针对训练数据，影响学习过程，更难检测，因为模型“诚实地”学到了错误模式

与推理阶段的对抗样本不同，中毒攻击利用系统的上游环节，如数据采集、标注或导入。随着 ML 系统在自动化和高风险环境中的广泛部署，理解中毒如何发生及其在系统

中的传播机制，对于制定有效防御至关重要。

数据中毒特性 数据中毒[564]是一种通过有意篡改训练数据以破坏机器学习模型性能或行为的攻击，如下文所述并在图 24 中展示。攻击者可能会篡改已有训练样本、引入恶意样本，或干扰数据采集流程，最终导致模型学习到有偏、错误或可被利用的模式。

数据中毒示例：图像 - 文本不匹配是常见的数据中毒攻击，通过操控训练数据使模型错误分类输入。这些对抗性样本会破坏模型完整性，并在实际应用中引入脆弱性

数据中毒通常分为三个阶段。注入阶段，攻击者将中毒样本混入训练集，这些样本可能是修改过的现有数据，也可能是专门设计的新实例，表面看似正常，实则有意影响模型行为。攻击者可能针对特定类别、插入恶意触发器，或设计离群点以扭曲决策边界。

训练阶段，模型将中毒数据纳入学习，形成虚假或误导性模式。这些关联可能导致模型偏向错误分类、引入后门或漏洞。由于中毒数据在统计上与正常数据相似，常规训练和评估流程往往难以察觉污染过程。

最后，在部署阶段，攻击者利用被破坏的模型实现恶意目的，比如触发特定行为（如输入隐藏模式时误分类），或利用模型性能下降。实际系统中，这类攻击往往难以追溯到训练数据，尤其是系统只在边缘场景或对抗条件下表现异常时。

在医疗等高风险领域，即便训练数据的微小干扰也可能导致危险的误诊或 AI 系统信任危机。

文献中主要识别出四类中毒攻击。可用性攻击通过大规模污染训练数据（如系统性标签翻转，将 $y = 1$ 改为 $y = 0$），大幅降低整体模型性能，使其在广泛输入下失效。

相比之下，定向中毒攻击只针对特定类别或实例，攻击者只需修改少量数据，就能让特定输入被误分类，而整体准确率基本不变。这种隐蔽性使定向攻击极难检测。

后门中毒[565]在训练数据中植入隐藏触发器，模型学会将特定模式与指定输出关联。推

564. **数据中毒**：2012 年 Biggio 等人首次正式提出的攻击方法，攻击者通过向训练数据注入恶意样本来破坏模型行为。与针对推理阶段的对抗样本不同，中毒攻击针对学习过程本身，因此更难检测和防御。
565. **后门攻击**：Gu 等人于 2017 年提出，通过在训练数据中植入隐藏触发器，使模型在推理时遇到特定模式即激活恶意行为。攻击成功率可超 99%，且对干净输入的准确率影响极小，极具危险性。

理时只要出现触发器，模型就会被操控输出预设结果。即使触发模式对人类不可察觉，这类攻击依然高效。

子群体中毒则针对数据中的特定子集（如某一人群或特征簇），对其进行可用性式破坏，而不影响整体性能。这类攻击在公平性敏感场景下尤为隐蔽且危险。

这些中毒策略的共同点是隐蔽性强。被操控样本通常与正常数据难以区分，难以通过人工检查或常规数据验证发现。操控方式可能是数值微调、标签细微不一致或嵌入视觉模式，均旨在融入数据分布同时影响模型行为。

攻击者既可能是有权限的数据工程师、标注员等内部人员，也可能是利用数据采集流程漏洞的外部攻击者。在众包或开放数据采集场景下，攻击者只需向共享数据集注入恶意样本或影响用户生成内容即可。

关键在于，中毒攻击往往针对 ML 流水线的早期环节（如采集、预处理），这些环节监管有限。如果数据来自未经验证的来源或缺乏强校验，攻击者可悄然注入统计上正常的中毒数据。缺乏完整性校验、异常检测或数据溯源机制会进一步加剧风险。

这些攻击的目标是破坏学习过程本身。被中毒数据训练出的模型可能学到虚假关联、对错误信号过拟合，或对特定条件极易被利用。无论结果是模型性能下降还是被植入后门，系统的可信性和安全性都将严重受损。

数据中毒攻击方式　数据中毒可通过多种机制实现，取决于攻击者对系统和数据流程的了解与访问权限。

最直接的方法是篡改训练数据标签。攻击者选取部分训练样本，将 $y = 1$ 改为 $y = 0$，或在多分类任务中重新分配类别。如图 25 所示，即便小规模的标签不一致也会导致分布漂移和学习中断。

另一种方式是修改训练样本的输入特征而不改变标签，如对图像像素级微调、结构化数据的细微扰动，或嵌入作为后门攻击触发器的固定模式。这些修改通常通过优化技术设计，既最大化对模型的影响，又最小化可检测性。

更复杂的攻击会生成全新的恶意训练样本。这些合成样本可通过对抗方法、生成模型或数据合成工具创建，目的是精心设计输入，纳入训练集后扭曲模型决策边界。这类输入表面自然合法，实则为模型埋下漏洞。

还有攻击者专注于数据采集和预处理流程的薄弱环节。如果训练数据来自网页爬取、社交媒体或不可信用户提交，恶意样本可在上游注入，经过不充分的清洗或验证后以“可信”形式进入模型。自动化流水线中，人工审核有限或缺失时尤为危险。

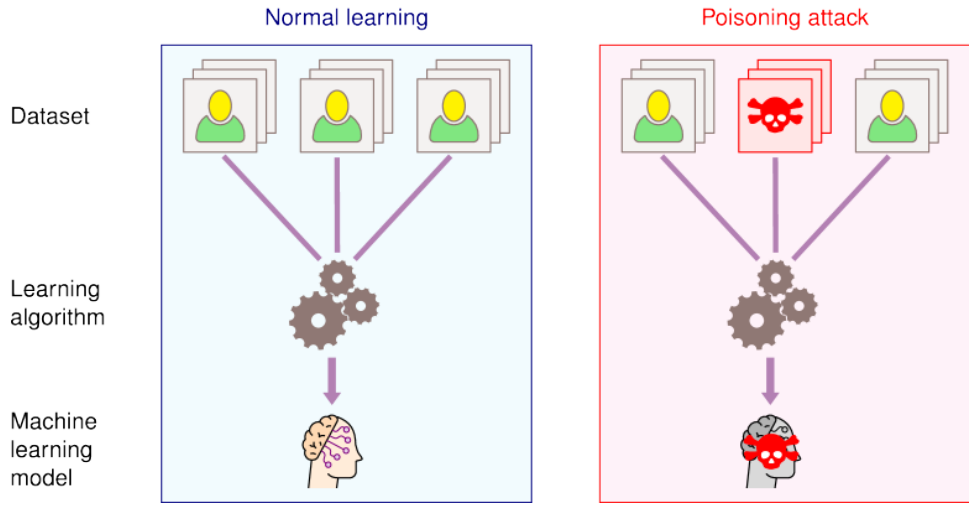

数据中毒影响：对训练数据标签的微小扰动可引发显著的分布漂移，导致模型不准确和性能下降。这说明即使攻击者对训练数据的控制有限，也能破坏模型学习，凸显数据驱动方法对恶意操控的脆弱性。

在物理部署系统中，攻击者甚至可在数据源头操控数据，例如通过微调路标上的视觉标记，使自动驾驶汽车在训练时学到错误分类。这种环境级中毒模糊了对抗攻击与数据中毒的界限，但本质上都是破坏训练数据。

在线学习系统则是另一类独特的攻击面。这类系统持续适应新数据流，极易被渐进式中毒。攻击者可逐步引入恶意样本，使模型行为缓慢但持续地偏移。如图 26 所示。

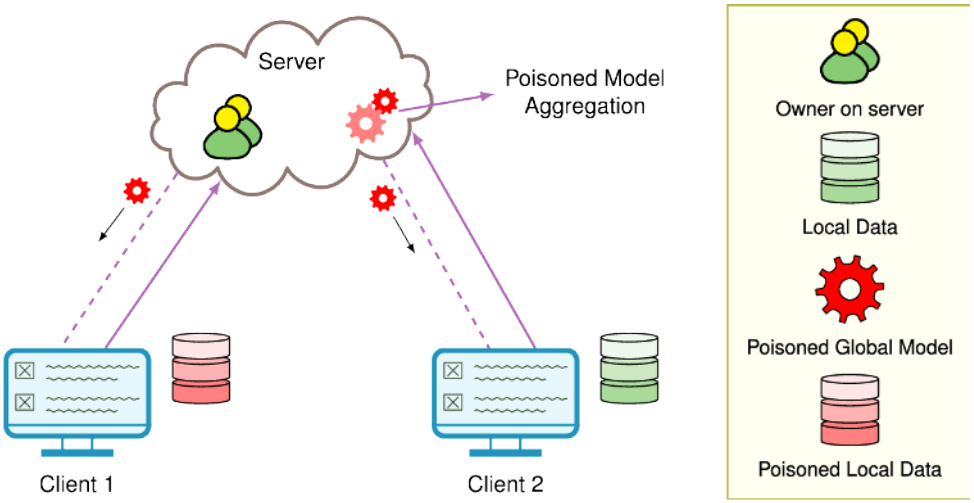

数据中毒攻击：对训练数据的对抗性操控引入微妙扰动，破坏模型完整性；渐进式中毒在在线学习系统中逐步改变模型行为，难以检测。该攻击面区别于对抗样本，因为它针对训练阶段而非推理阶段。

内部协作则进一步增加复杂性。拥有合法训练数据访问权限的恶意标注员、研究员或数

据供应商，可设计更隐蔽、针对性更强的中毒策略。这些内部人员可能了解模型架构或训练流程，能更有效地实施中毒。

防御这些多样化机制需多管齐下：安全的数据采集协议、异常检测、健壮的预处理流程和严格的访问控制。验证机制不仅要能检测离群点，还要能识别巧妙伪装在统计常模内的中毒样本。

数据中毒对 ML 的影响　数据中毒的影响远不止准确率下降。一般而言，中毒数据集会导致模型被污染，但具体后果取决于攻击向量和攻击者目标。

常见结果是整体性能下降。大规模标签翻转或引入噪声特征后，模型难以识别有效模式，准确率、召回率或精度下降。在医疗诊断、欺诈检测等关键应用中，即便小幅性能损失也可能带来严重后果。

定向中毒则带来另一种风险。这类攻击不破坏模型整体性能，而是导致特定输入被误分类。例如，恶意软件检测器可被设计为忽略某一特征，从而让特定攻击绕过安全防护。人脸识别模型也可能被操控为只对某个人识别失效，其余正常。

部分中毒攻击通过后门或木马植入隐藏漏洞。这类模型在评估时表现正常，但遇到特定触发器时会恶意响应。攻击者可按需“激活”漏洞，绕过系统防护且不触发警报。

偏见是数据中毒的另一隐蔽影响。攻击者若针对特定人群或特征组中毒，可导致模型输出偏向或歧视。这类攻击威胁公平性，放大社会不公，且若整体指标仍高则极难诊断。

归根结底，数据中毒破坏了系统的可信性。即使模型在基准评测中表现良好，只要训练数据被污染，就不能视为可靠。在自动化系统、金融建模和公共政策等领域，这种信任的丧失影响深远。

案例分析：用中毒保护艺术作品　有趣的是，数据中毒并非总是恶意的。研究者已开始探索其作为防御工具的应用，尤其是在保护创作者作品不被生成式 AI 滥用方面。

芝加哥大学团队开发的 Nightshade 就是一个典型案例，帮助艺术家防止作品被爬取用于训练图像生成模型。Nightshade 允许艺术家在发布前对图片施加微妙扰动，这些变化对人类不可见，却会严重破坏将其纳入训练的生成模型。

当 Stable Diffusion 仅用 300 张中毒图片训练后，模型开始输出奇怪结果，如输入“car”时生成奶牛，输入“dog”时生成猫状生物。如图 27 所示，毒化样本能极大扭曲模型的概念关联。

Nightshade 的强大之处在于中毒概念的级联效应。生成模型依赖类别间的语义关系，被毒化的“car”会影响“truck”“bus”“train”等相关概念，导致广泛的幻觉输出。

中毒攻击：通过渐进引入恶意样本，在在线学习过程中逐步改变模型行为。连续数据流可被悄然操控，难以及时检测。

但如同所有强大工具，Nightshade 也带来风险。用于保护艺术内容的技术同样可被滥用以破坏合法训练流程，凸显现代机器学习安全的“双用途困境”[566]。

分布变化

分布变化是实际部署 ML 系统中最常见且最具挑战性的稳健性问题之一。与对抗性攻击或数据中毒不同，分布变化多为环境自然演变所致，是系统可靠性的核心难题。本节将分析分布变化的类型、发生机制、对 ML 系统的影响及检测与缓解的实用方法。

分布变化特性 分布变化指 ML 模型在部署时遇到的数据分布与训练时不同，挑战了 第 8 章：AI 训练 和 第 4 章：DNN 架构 中建立的泛化能力，如图 28 所示。这种分布变化往往不是恶意攻击，而是现实环境自然演变的结果。其本质是数据的统计特性、模式或假设在训练与推理阶段发生变化，导致模型性能意外下降。

分布变化通常有以下几种形式：

- **协变量变化**：输入分布 $P(x)$ 变化，标签条件分布 $P(y \mid x)$ 不变。
- **标签变化**：标签分布 $P(y)$ 变化，$P(x \mid y)$ 不变。
- **概念漂移**：输入与输出关系 $P(y \mid x)$ 随时间演变。

这些定义有助于理解实际中常见的分布变化案例。

最常见的原因之一是领域不匹配，即模型部署在与训练数据不同的领域。例如，基于影评训练的情感分析模型在推特上表现不佳，因为语言、语气和结构不同，模型学到的特

566. **双用途困境**：在 AI 领域，指具有正负两面潜力的技术如何防止被滥用的挑战。

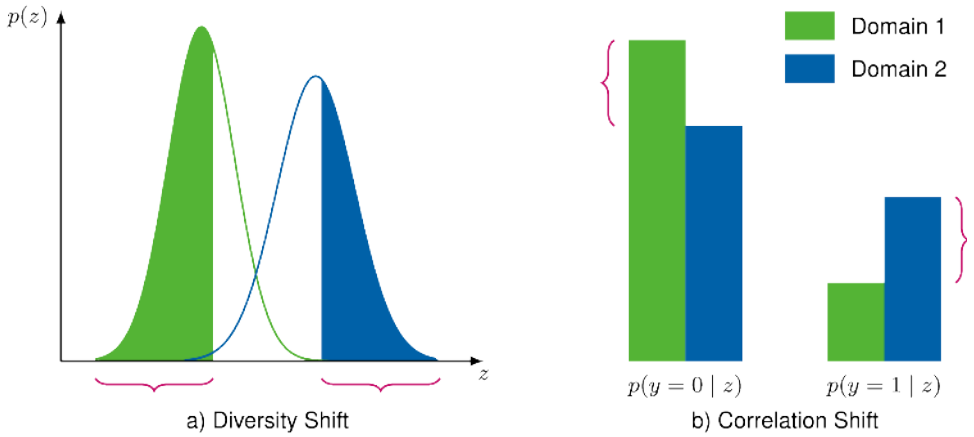

分布变化：训练与部署数据之间的微小不一致（如虚假特征 _z_ 的分布差异）可显著破坏模型性能，即使真实标签 _y_ 未变。该图强调了数据中毒攻击如何利用分布差异诱发模型错误，也凸显了 ML 系统对微妙数据操控的脆弱性。

征难以泛化。

另一大来源是时间漂移，输入分布随时间逐渐或突然变化。生产环境中，数据因新趋势、季节效应或用户行为变化而变化。例如，欺诈检测系统中的欺诈模式会随着攻击者策略演变。缺乏持续监控或再训练，模型会变得陈旧失效。如图 29 所示。

情境变化则源于部署环境与训练条件的外部差异，如光照、传感器差异或用户行为。例如，在实验室受控光照下训练的视觉模型，在户外或动态环境中表现会下降。

训练数据代表性不足也是一个关键因素。如果训练集未能覆盖生产环境的全部变异性，模型泛化能力会很差。例如，人脸识别模型若主要在某一人群上训练，部署后对其他人群预测会偏差或不准确。这种变化反映了训练数据多样性或结构的缺失。

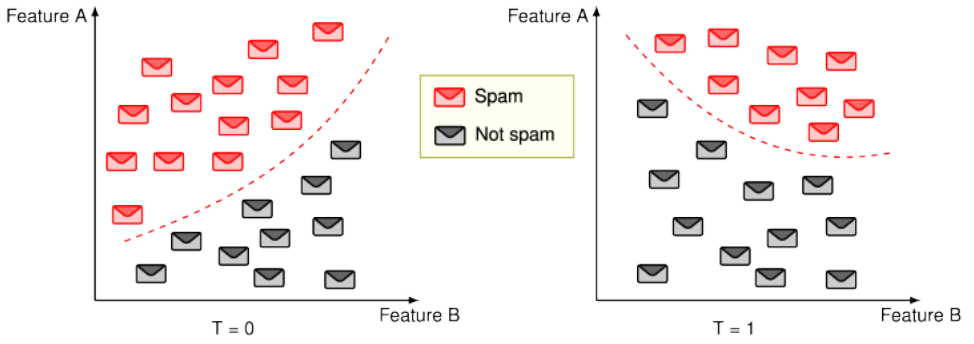

时间漂移：数据分布随时间变化会降低模型性能，除非系统通过持续监控和再训练进行适应。概念漂移表现为输入模式变化（如欺诈手法演变或季节性趋势），要求模型学习新关系以在动态环境中保持准确性。

分布变化会极大降低 ML 模型在生产环境中的性能和可靠性。构建稳健系统不仅要理解

这些变化，还要主动检测和应对。

特斯拉 Autopilot 系统展示了现实部署中的分布变化如何挑战先进 ML 系统。视觉系统主要在高速公路数据上训练，遇到施工区、特殊路况和天气变化时性能下降，难以处理训练数据未覆盖的边缘场景，如施工障碍、特殊车道标记和临时交通模式。这凸显了多样化训练数据采集和稳健分布变化处理在安全关键应用中的重要性。

分布变化机制 分布变化源于多种自然和系统驱动机制。理解这些机制有助于检测、诊断和设计缓解策略。

常见机制之一是数据源变化。推理时数据来自与训练时不同的传感器、API、平台或硬件，即使分辨率、格式或噪声的微小差异也会引入显著变化。例如，语音识别模型在不同麦克风类型上的表现可能差异很大。

时间演化指底层数据随时间变化。推荐系统中用户偏好变化，金融领域市场条件变化。这些变化可能缓慢连续，也可能突然剧烈。缺乏时间感知或持续评估，模型常常在毫无预警的情况下失效。图 30 通过犬种的选择性育种展示了时间演化的影响。早期犬种体型瘦长，现代则更为健壮，头型和肌肉结构明显不同。这类似于 ML 应用中数据分布随时间演变，初始训练数据与后续数据可能差异巨大。正如进化压力塑造生物特征，用户行为、市场力量或环境变化会改变 ML 系统中的数据分布。若不定期再训练或适应，模型在新分布下会表现不佳甚至失效。

品种进化：多代选择性育种导致表型特征显著变化，类似于 ML 系统中数据分布随时间变化。应对这些时间漂移需模型再训练或适应，否则初始训练数据将不再代表当前输入分布。

领域特异性变化则指模型在一个环境训练后应用于另一个环境。例如，医疗诊断模型在不同医院部署时，由于设备、人口或流程差异，表现会下降。这类变化通常需领域泛化或微调等适应策略。

选择偏差则源于训练数据未能准确反映目标人群，可能由采样策略、数据访问限制或标注选择导致。结果是模型对特定群体过拟合，泛化能力差。需通过合理采集和持续验证解决。

反馈回路是一种更隐蔽的机制。在某些系统中，模型预测会影响用户行为，进而影响未来输入。例如，动态定价模型会改变购买模式，进而扭曲未来训练数据分布。这些回路会强化狭窄模式，使模型行为难以预测。

最后，攻击者可通过引入分布外样本或精心设计输入，故意诱发分布变化，利用模型决策边界的薄弱点。这些输入远离训练分布，可能导致模型输出异常或不安全。

这些机制常常相互作用，使实际分布变化的检测和缓解极为复杂。从系统角度看，这要求持续监控、日志和反馈流水线 —— 而这些功能在早期或静态 ML 部署中常常缺失。

分布变化对 ML 的影响 分布变化几乎影响 ML 系统性能的所有维度，包括预测准确率、延迟、用户信任和系统可维护性。

最直接的后果是预测性能下降。推理时数据与训练数据不同，模型可能系统性地产生不准确或不一致的预测。在高风险应用（如欺诈检测、自动驾驶、临床决策支持）中，这种准确率下降尤为危险。

另一个严重影响是可靠性和信任度下降。分布变化后，用户可能注意到系统行为不一致或异常。例如，推荐系统可能开始推送无关甚至冒犯性内容。即使整体准确率尚可，用户信任的丧失也会削弱系统价值。

分布变化还会放大模型偏见。若训练数据中某些群体或片段代表性不足，模型在这些群体上的失败率会更高。分布变化下，这些失败会更加突出，导致歧视性结果或公平性问题。

医疗领域的 ML 模型常因分布变化而在不同医院部署时性能下降。例如，基于某医院 CT 扫描仪数据训练的诊断模型，在不同厂家或协议下的图像上准确率下降。这说明即使是采集流程和设备的微小差异，也会造成显著分布变化，影响模型性能甚至患者安全。

不确定性和运维风险也随之增加。生产环境中，模型决策常直接驱动业务或自动化操作。分布变化下，这些决策变得不可预测、难以验证，增加了级联故障或错误决策的风险。

从系统维护角度看，分布变化会复杂化再训练和部署流程。缺乏健全的漂移检测和性能监控，变化常常在性能严重下降后才被发现。一旦检测到，需再训练，涉及数据采集、标注、模型回滚和验证等挑战。这会增加 CI/CD 流程的摩擦，显著降低迭代效率。

分布变化还会增加对抗性攻击风险。攻击者可利用模型在陌生数据上的校准失效，通过微小扰动将输入推离训练分布，导致系统性失败。系统存在反馈回路或自动决策流水线时尤为危险。

从系统角度看，分布变化不仅是建模问题，更是核心运维挑战。需要端到端的系统支持，包括数据日志、漂移检测、自动告警、模型版本管理和定期再训练。ML 系统必须能够检测生产环境性能下降，诊断是否由分布变化引起，并触发相应缓解措施，如人工审核、回退策略、再训练流水线或分阶段部署。

在成熟的 ML 系统中，应对分布变化已成为基础设施、可观测性和自动化问题，而不仅仅是建模技巧。忽视分布变化，系统将在动态现实环境中悄然失效 —— 而这正是 ML 系统最应发挥价值的地方。

下表总结了常见分布变化类型、对模型性能的影响及系统级应对措施。

分布变化类型	**原因或示例**	**对模型的影响**	**系统级应对措施**
协变量变化	输入特征变化（如传感器校准漂移）	标签不变但模型错误分类新输入	监控输入分布，基于新特征再训练
标签变化	标签分布变化（如使用场景中新类别频率变化）	预测概率偏斜	跟踪标签先验，重加权或校准输出
概念漂移	输入输出关系演变（如欺诈手法变化）	性能随时间下降	频繁再训练，采用持续/在线学习
领域不匹配	训练用影评，部署于推特	词汇或风格不同导致泛化差	领域适应或微调
情境变化	新部署环境（如光照、用户行为）	性能随环境变化	采集情境数据，监控条件准确率
选择偏差	训练时代表性不足	对未见群体预测有偏	验证数据集平衡，扩充训练数据

分布变化类型	原因或示例	对模型的影响	系统级应对措施
反馈回路	模型输出影响未来输入（如推荐系统）	强化漂移，模式不可预测	监控反馈效应，考虑反事实日志
对抗性变化	攻击者引入分布外输入或扰动	模型易受定向失败攻击	稳健训练，检测分布外输入

分布变化的系统影响

输入攻击检测与防御

在理解模型脆弱性的理论基础上，下面我们将探讨实际的防御策略。

对抗性攻击防御 在明确了对抗性攻击的机制和影响后，我们进一步分析其检测与防御方法。

检测技术 检测对抗性样本是防御对抗性攻击的第一道防线。已有多种技术用于识别和标记可能为对抗性的可疑输入。

统计方法是一种通过分析输入数据分布属性来检测对抗性样本的方式。这类方法将输入数据分布与参考分布（如训练数据分布或已知良性分布）进行比较。常用技术包括 Kolmogorov-Smirnov 检验[567] 和 Anderson-Darling 检验，可衡量分布间的差异，标记显著偏离预期分布的输入。

除了分布分析，输入变换方法也是一种检测策略。特征压缩（feature squeezing）[568] 通过降维或离散化减少输入空间复杂度，消除对抗性样本常依赖的微小扰动。

模型不确定性估计则提供了另一种检测范式，通过量化预测置信度来识别异常。对抗性样本常利用模型决策边界的不确定区域，因此高不确定性的输入可被标记为可疑。常见的不确定性估计方法各有精度与计算开销的权衡。

567. **Kolmogorov-Smirnov 检验**：Kolmogorov（1933）和 Smirnov（1939）提出的非参数统计检验，用于比较概率分布。在对抗性检测中，K-S 检验将输入特征分布与训练数据比对，p 值 <0.05 表示可能存在对抗性操控。计算效率高（O(n log n)），但仅适用于单变量分布，高维输入（如图像）需降维处理。

568. **特征压缩**：通过降低精度（如 8 位量化为 4 位）或空间分辨率（如中值滤波）减少输入复杂度。Xu 等人在 2017 年提出，利用对抗性扰动通常需高精度的特点。将色阶从 256 降至 16 可消除 70-90% 的对抗性样本，同时保持 95%+ 的干净准确率，适合实时部署。原始与压缩输入预测不一致时，提示可能存在对抗性操控。

贝叶斯神经网络（Bayesian neural networks）[569] 通过将权重视为概率分布，利用近似推断同时捕获数据内在（aleatoric）和模型（epistemic）不确定性，提供最为严谨的不确定性估计。集成方法（详见 第 16 章：稳健 AI）通过多个独立模型的预测方差估算不确定性，二者均具备稳健性但计算开销较大。

Dropout[570] 最初为防止过拟合而设计，通过训练时随机失活部分神经元，促使网络避免对单一神经元的过度依赖、提升泛化能力。该机制可在推理时通过蒙特卡洛 Dropout 多次前向传播近似不确定性分布。尽管这种方法不如专为不确定性设计的贝叶斯方法精确，但结合轻量集成或贝叶斯近似可在效率与质量间取得平衡，适合实际部署。

防御策略 检测到对抗性样本后，可采用多种防御策略缓解其影响、提升模型稳健性。

对抗性训练通过将对抗性样本加入训练集并重新训练模型，使其在训练阶段就学会正确分类对抗性输入，从而提升稳健性。如下代码清单 1 展示了核心实现模式。

对抗性训练虽能提升稳健性，但会带来显著的计算开销，需在生产系统中合理管理。

每步训练需生成对抗性样本，训练时间增加 3-10 倍。动态生成对抗性样本需额外的前向和反向传播，显著增加计算需求。存储干净与对抗性样本及攻击生成时的梯度，内存需求增加 2-3 倍。若采用 PGD 等迭代攻击，需专用基础设施以高效生成对抗性样本。

稳健模型通常需牺牲 2-8% 的干净准确率以换取更强的对抗性稳健性，这是稳健优化目标的基本权衡。若集成方法或不确定性估计与对抗性训练结合，推理时间也会增加。为提升梯度稳定性，模型结构常需加宽或增加归一化层，模型体积也会增大。

在平衡稳健性与性能目标时，超参数调优变得更复杂。验证流程需用多种攻击方法评估干净与对抗性性能，确保稳健性全面。部署基础设施需支持对抗性训练的额外计算需求，包括 GPU 内存和对抗性样本缓存。

清单 1：**对抗性训练实现**：使用 FGSM 在训练时生成对抗性样本，将干净与扰动数据混合，提升模型对基于梯度攻击的稳健性。

```
def adversarial_training_step(model, data, labels, epsilon=0.1):
    # 使用 FGSM 生成对抗性样本
    data.requires_grad_(True)
    outputs = model(data)
    loss = F.cross_entropy(outputs, labels)

```

569. **贝叶斯神经网络**：将权重视为概率分布、引入概率推断的高级神经网络架构。需理解 第 3 章：深度学习基础 中的神经网络基础。
570. **Dropout 机制**：训练时随机失活神经元的正则化技术，防止过拟合、提升泛化能力。详见 第 3 章：深度学习基础。

```
    model.zero_grad()
    loss.backward()

    # 创建对抗性扰动并与干净数据混合
    adv_data = data + epsilon * data.grad.sign()
    adv_data = torch.clamp(adv_data, 0, 1)

    mixed_data = torch.cat([data, adv_data])
    mixed_labels = torch.cat([labels, labels])

    return F.cross_entropy(model(mixed_data), mixed_labels)
```

上述实现通过对输入数据计算梯度（第 2190 行）、取符号提取扰动方向（第 2196 行），并将生成的对抗性样本与干净数据混合（第 2199-2200 行），实现动态生成。torch.clamp() 保证像素值有效，最终拼接将批量大小加倍。该方法需精细调整扰动预算，训练时间通常为标准训练的 2-3 倍（Shafahi 等，2019）。

生产部署模式、MLOps 流水线集成与稳健 ML 系统监控策略详见 第 13 章：机器学习运维，大规模分布式稳健性协调与容错见 第 8 章：AI 训练。

防御性蒸馏通过训练第二个模型（学生模型）模仿原始模型（教师模型）行为。学生模型在教师模型输出的软标签上训练，对小扰动不敏感。推理时使用学生模型可降低对抗性扰动影响，因为其泛化能力更强，对对抗性噪声不敏感。

输入预处理与变换技术尝试在输入进入模型前去除或减弱对抗性扰动，包括图像去噪、JPEG 压缩、随机缩放、填充或随机变换等。通过降低对抗性扰动影响，这些预处理步骤有助于提升模型稳健性。

集成方法通过组合多个模型提升预测稳健性。不同架构、训练数据或超参数的多模型集成可降低对抗性攻击影响。能愚弄单一模型的对抗性样本未必能愚弄集成系统，从而提升整体可靠性。通过为每个模型采用不同预处理或特征表示等多样化技术，还可进一步增强稳健性。

评估与测试 需全面评估和测试对抗性防御技术的有效性，衡量 ML 模型的稳健性。

对抗性稳健性指标量化模型对对抗性攻击的抵抗力，包括模型在对抗性样本上的准确率、愚弄模型所需的平均扰动量，或不同攻击强度下的性能。通过对比不同模型或防御技术的这些指标，可评估和比较其稳健性水平。

标准化的对抗性攻击基准和数据集为评估和比较 ML 模型稳健性提供了统一标准。这些基准包括预生成的对抗性样本数据集及攻击生成工具。常用基准有 MNIST-C、CIFAR-10-C 和 ImageNet-C，均包含原始数据的损坏或扰动版本。

通过采用本节介绍的检测技术和防御策略，实践者可开发更稳健的系统。对抗性稳健性仍是持续研究领域，需要多层次防御机制和定期测试以应对不断演变的威胁。

数据中毒防御 数据中毒攻击旨在破坏 ML 模型训练所用数据，主要针对 第 6 章：数据工程 中的数据采集与预处理环节，削弱其完整性。如图 31 所示，这些攻击可操控或污染训练数据，使模型学习错误模式，部署后产生错误预测或不良行为。鉴于训练数据对 ML 系统性能的基础性作用，检测和缓解数据中毒对维护模型可信性和可靠性至关重要。

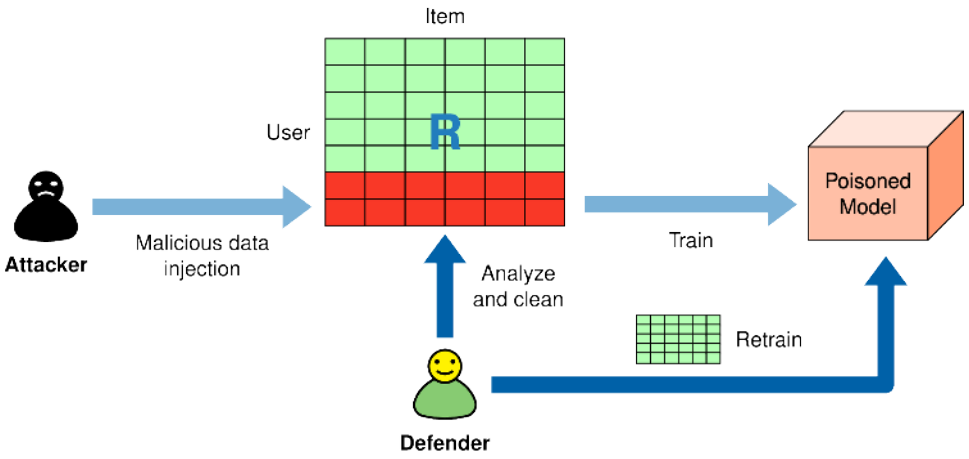

数据中毒攻击：攻击者向训练集注入恶意数据，操控模型行为，可能导致部署时误分类或性能下降。该攻击凸显了 ML 系统对数据完整性受损的脆弱性，以及健全数据验证技术的必要性。

异常检测技术 统计离群点检测方法识别与大多数数据显著偏离的数据点，假设中毒实例往往为统计离群点。常用技术包括 Z-score 方法、Tukey 方法 或 马氏距离，用于衡量每个数据点与数据集中心的偏离程度。超出阈值的数据点被标记为潜在离群点，视为可疑中毒数据。

基于聚类的方法根据特征将相似数据点分组，假设中毒实例可能形成独立簇或远离正常数据簇。通过 K-means、DBSCAN 或 层次聚类 等算法，可识别异常簇或不属于任何簇的数据点，将其视为潜在中毒数据。

自编码器（autoencoders）[571] 是通过压缩表示重构输入数据的神经网络，如图 32 所示。可用于异常检测，通过学习数据的正常模式，识别偏离这些模式的实例。训练时用干净数据训练自编码器，推理时计算每个数据点的重构误差。重构误差高的数据点被视为异常和潜在中毒，因为它们不符合已学的正常模式。

571. **自编码器**：专为学习高效数据表示而设计的神经网络架构，通过压缩编码重构输入数据。需理解 第 3 章：深度学习基础 的神经网络基础。

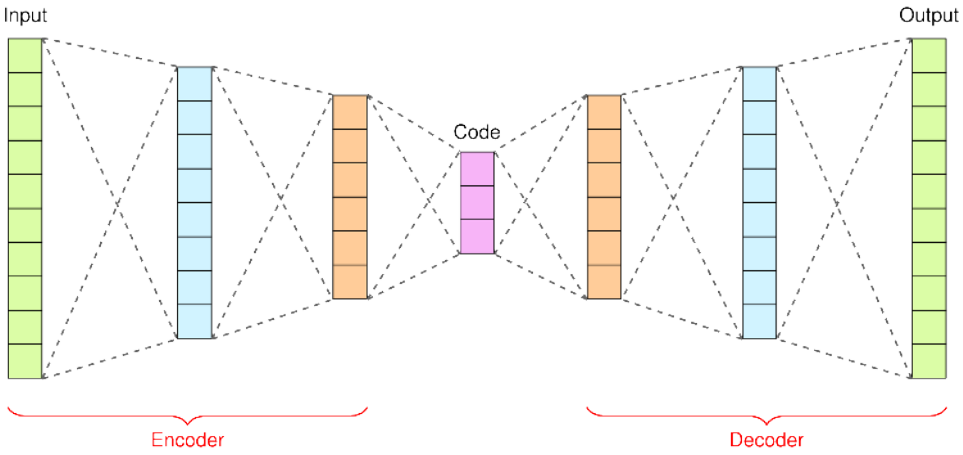

自编码器架构：自编码器通过最小化重构误差学习压缩数据表示，能通过识别高重构损失的输入实现异常检测。训练时学习高效编码与解码，对潜在中毒攻击的偏离高度敏感。

数据清洗与预处理 通过清洗数据可避免数据中毒，包括识别并移除或修正噪声、不完整或不一致的数据点。可采用数据去重、缺失值填补和离群点移除等技术提升训练数据质量。通过剔除或过滤可疑或异常数据点，可降低中毒实例的影响。

数据验证包括核查训练数据的完整性和一致性，如数据类型一致性、范围校验和字段间依赖。通过定义和执行数据验证规则，可识别并标记异常或不一致的数据点，提示可能存在数据中毒，便于进一步调查。

数据溯源与谱系追踪记录数据来源、变换和在 ML 流水线中的流转。通过记录数据源、预处理步骤及所有修改，实践者可追溯异常或可疑模式的来源，有助于定位中毒点并推动调查和缓解。

稳健训练 可通过稳健优化技术调整训练目标，最小化离群点或中毒实例的影响。可采用对极值不敏感的稳健损失函数，如 Huber 损失或改进版 Huber 损失[572]。正则化技术[573]（如 L1/L2 正则化）也可通过约束模型复杂度、防止过拟合，降低对中毒数据的敏感性。

稳健损失函数设计为对离群点或噪声数据点不敏感，如改进版 Huber 损失、Tukey 损失和截断均值损失。这些损失函数在训练时降低异常实例的权重或忽略其贡献，减少其对模型学习过程的影响。稳健目标函数如极小极大（minimax）[574] 或分布稳健目标，旨在优化模型在最坏情况下或对抗扰动下的表现。

572. **Huber 损失**：一种用于稳健回归的损失函数，对数据中的异常值不如平方误差敏感。
573. **正则化**：神经网络中通过在损失函数中加入惩罚项防止过拟合的方法。
574. **极小极大**：博弈论和决策理论中的决策策略，试图最小化最大可能损失。

数据增强通过对现有数据施加随机变换或扰动（如图 33），生成更多训练样本，提升数据集多样性和稳健性。通过引入受控变化，模型对中毒实例中的特定模式或伪影不敏感。随机抽样或自助聚合等随机化技术也可通过在不同数据子集上训练多个模型并集成预测，降低中毒数据影响。

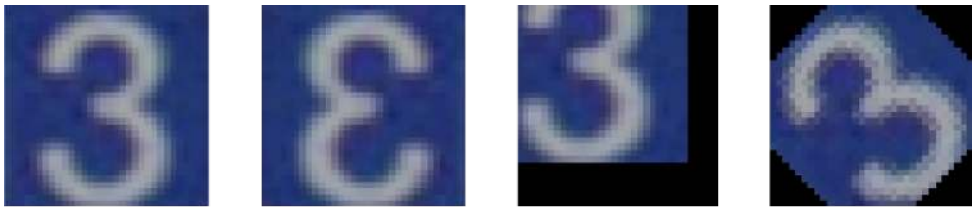

数据增强技术：如水平翻转、旋转和裁剪等变换扩展训练集，提高模型对输入变化的稳健性，减少过拟合。这些技术无需额外标注数据即可生成新样本，有效提升数据集多样性和泛化能力。

安全数据采集 采用最佳数据采集与管理实践可降低数据中毒风险，包括建立明确的数据采集协议、验证数据源的真实性和可靠性、定期进行数据质量评估。从可信供应商采购数据并遵循安全数据处理流程，可减少中毒数据进入训练流程的可能性。

健全的数据治理与访问控制机制对防止训练数据被未授权修改或篡改至关重要。包括明确数据访问角色与职责、基于最小权限原则 [575] 实施访问控制策略、监控和记录数据访问活动。通过限制访问和维护审计日志，可及时发现和调查潜在的数据中毒行为。

检测和缓解数据中毒攻击需结合异常检测、数据清洗、稳健训练和安全数据采集等多种手段。数据中毒仍是活跃研究领域，需要主动和自适应的数据安全策略。

分布变化自适应 分布变化为已部署 ML 系统带来持续挑战，需要系统化的检测与缓解方法。本节聚焦于识别分布变化的实用技术，以及在变化发生时维持系统性能的策略，涵盖统计检测方法、自适应算法和生产系统实现要点。

检测与缓解 分布变化指 ML 模型在部署时遇到的数据分布与训练时不同。这种变化会显著影响模型性能和泛化能力，导致次优或错误预测。检测和缓解分布变化对确保 ML 系统在实际场景下的稳健性和可靠性至关重要。

检测技术 可用统计检验比较训练与测试数据分布，识别显著差异。如下清单 2 展示了生产环境中监控分布变化的实用实现：

575. **最小权限原则**：安全理念，用户仅被授予完成工作所需的最低访问权限。

清单 2：**分布变化检测**：结合 Kolmogorov-Smirnov 检验和领域分类器，监控生产环境中数据分布变化的核心统计方法。

```python
from scipy.stats import ks_2samp
from sklearn.ensemble import RandomForestClassifier
from sklearn.metrics import roc_auc_score


def detect_distribution_shift(
    reference_data, new_data, threshold=0.05
):
    """使用统计检验检测分布变化"""

    # 针对每个特征进行 Kolmogorov-Smirnov 检验
    ks_pvalues = []
    for feature_idx in range(new_data.shape[1]):
        _, p_value = ks_2samp(
            reference_data[:, feature_idx], new_data[:, feature_idx]
        )
        ks_pvalues.append(p_value)

    # 领域分类器检测整体分布差异
    X_combined = np.vstack([reference_data, new_data])
    y_labels = np.concatenate(
        [np.zeros(len(reference_data)), np.ones(len(new_data))]
    )

    clf = RandomForestClassifier(n_estimators=50, random_state=42)
    clf.fit(X_combined, y_labels)
    domain_auc = roc_auc_score(
        y_labels, clf.predict_proba(X_combined)[:, 1]
    )

    return {
        "ks_shift_detected": any(p < threshold for p in ks_pvalues),
        "domain_shift_detected": domain_auc > 0.8,
        "severity_score": domain_auc,
    }
```

如 Kolmogorov-Smirnov 检验、Anderson-Darling 检验等技术可衡量两分布间的差异，定量评估分布变化。将这些检验应用于输入特征或模型预测，可检测训练与测试分布间的统计显著差异。

散度度量用于量化两个概率分布的差异。常用的有 Kullback-Leibler (KL) 散度 和 Jensen-Shannon (JS) 散度。通过计算训练与测试数据分布的散度，可评估分布变化的程度。高散度值表明分布差异显著，提示存在分布变化。

不确定性量化技术（如贝叶斯神经网络[576]或集成方法[577]）可估算模型预测的不确定性。当模型应用于不同分布的数据时，预测不确定性可能升高。通过监控不确定性水平，若测试样本的不确定性持续超过阈值，说明模型已超出训练分布。

此外，领域分类器可训练区分不同领域或分布。通过训练分类器区分训练与测试域，若分类器区分准确率高，说明底层分布差异显著，其性能可作为分布变化的度量。

缓解技术 迁移学习通过迁移一个领域的知识提升另一个领域的表现，如图 34 所示。利用预训练模型或迁移已学特征，可缓解分布变化影响。预训练模型可在目标域少量标注数据上微调，适应新分布。迁移学习在源域与目标域特征相似或目标域标注数据稀缺时尤为有效。

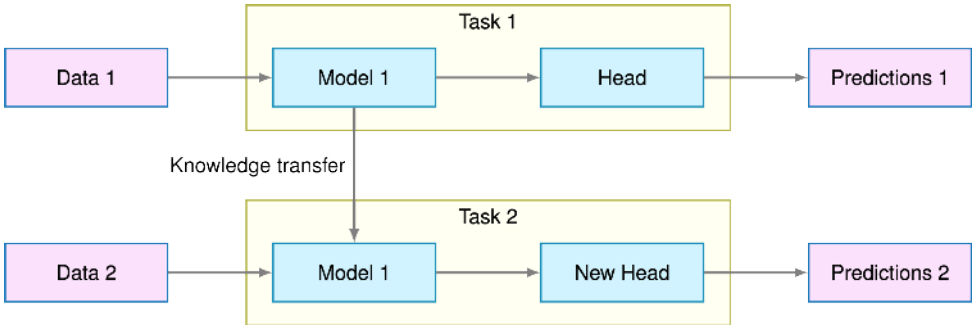

知识迁移：在大数据集上预训练使模型学习可泛化特征，随后可针对特定目标任务用有限标注数据微调。该方法通过利用已有知识缓解数据稀缺，加速新领域学习。

持续学习（continual/lifelong learning）使 ML 模型能在保留既有知识的同时，持续适应新数据分布。弹性权重巩固（EWC，Kirkpatrick 等，2017）、梯度回忆（GEM，Lopez-Paz 和 Ranzato，2017）等技术可随时间适应数据分布变化，平衡模型的可塑性（学习新数据能力）与稳定性（保留旧知识能力）。通过增量更新和缓解灾难性遗忘，持续学习有助于模型应对分布变化。

数据增强技术（如前述方法）通过对训练数据施加变换或扰动，提升多样性和对分布变化的稳健性。引入旋转、平移、缩放或加噪等变化，帮助模型学习不变特征，更好泛化到未见分布。训练和推理阶段均可采用数据增强，提升模型应对分布变化的能力。

集成方法（详见 第 16 章：稳健 AI）同样可提升对分布变化的稳健性。面对分布变化，集成系统可利用各模型优势，做出更准确、稳定的预测。

定期用目标分布的新数据更新模型对缓解分布变化至关重要。随着数据分布演变，模型应在最新数据上再训练或微调，以适应变化模式，结合 第 14 章：设备端学习 中的持续

576. **贝叶斯神经网络**：在权重上引入概率分布的神经网络，可量化预测不确定性，提升决策稳健性。
577. **集成方法**：通过组合多个模型提升预测准确性的机器学习方法。

学习方法。监控模型性能和数据特征有助于判断何时需更新。保持模型最新，可确保其在分布变化下仍具相关性和准确性。

采用对分布变化不敏感的稳健指标评估模型，可更可靠地衡量性能。如精确率 - 召回率曲线下的面积（AUPRC）或 F1 分数[578]，对类别不平衡更稳健，能更好反映不同分布下的模型表现。采用与目标域期望结果一致的领域特定评估指标，可更有意义地衡量模型有效性。

分布变化的检测与缓解是持续过程，需要不断监控、适应和改进。通过本节介绍的检测与缓解技术，实践者可主动应对实际部署中的分布变化。

面向稳健性的自监督学习 自监督学习（SSL）方法通过从数据结构中学习，而非死记硬背输入输出映射，为构建更稳健的 AI 系统提供了新路径。与依赖标注样本的监督学习不同，SSL 通过解决前置任务，要求模型理解数据的底层模式和关系，从而自动发现有效表征。

自监督方法有望解决导致神经网络脆弱性的若干核心问题。SSL 能从环境规律和数据结构中学习表征，捕捉在不同条件下依然稳定的不变特征。对比学习等技术鼓励模型在不同视角下提取一致特征，从而提升对变换和扰动的稳健性。掩码语言建模及视觉领域的类似技术则通过上下文预测，促使模型发展出更具泛化能力的内部表征，而非仅依赖表面模式。

自监督表征在迁移能力上往往优于监督学习表征，说明其更能抓住数据结构的本质。基于数据结构而非标签学习，天然更具稳健性，因为它依赖于跨领域、跨条件都存在的稳定模式。SSL 能利用大量无标注数据，通过暴露于更广泛的自然变异，提升模型泛化能力。这种对多样无标注数据的接触，有助于模型形成对实际部署中常见分布漂移更具韧性的表征。

在稳健系统设计中，可通过多种策略引入自监督学习。例如，先用自监督目标进行预训练，再针对具体任务微调，可为模型打下更易迁移的稳健基础。多任务方法将自监督与监督目标结合训练，兼顾表征学习与任务表现。用 SSL 学得的表征作为后续稳健微调的基础，往往能用更少标注样本实现稳健性。

尽管前景广阔，面向稳健性的自监督学习仍是活跃研究领域，存在重要局限。当前 SSL 方法在攻击者了解前置任务时，仍可能受到对抗性攻击。SSL 提升稳健性的理论机制尚未完全明晰。自监督预训练的计算开销较大，需权衡资源约束。

这一方向预示着稳健 AI 研发范式的演进，未来可能不再仅依赖防御性技术，而是通过本质上更可靠的学习方法提升系统稳健性。

578. **F1 分数**：综合精确率（正确正例预测）和召回率（实际正例识别比例）的模型准确性指标，为二者的调和平均数。

我们前文探讨的三大支柱 —— 硬件故障、输入级攻击和环境变化 —— 各自针对 AI 系统的不同层面，但它们都运行于复杂的软件基础设施之上，而这些基础设施本身也存在独特的脆弱性。

软件故障

前述稳健性挑战 —— 硬件故障、输入级攻击和环境变化 —— 各自影响系统的不同层级。硬件故障破坏物理计算，对抗攻击利用算法边界，环境变化挑战模型泛化。而软件故障则引入第四维度：现代 AI 部署所依赖的复杂软件生态中的 bug 和实现错误，会放大前三类威胁的影响。

这一类别与前两类不同。硬件故障多源于物理现象，模型稳健性问题则源于学习算法的内在局限，而软件故障则是系统设计和实现中的人为错误。这些故障可能影响 AI 流水线的任意环节，从数据预处理、模型训练到推理和结果解释，往往表现隐蔽，难以第一时间察觉。

AI 系统中的软件故障尤为棘手，因为它们可能与其他稳健性威胁相互作用并放大。例如，数据预处理中的 bug 可能制造分布漂移，暴露模型脆弱性。数值计算实现错误可能表现得与硬件故障类似，但缺乏硬件级错误检测机制。分布式训练中的竞态条件可能导致模型损坏，其表现与对抗攻击下的表征破坏类似。

这些相互作用源于现代 AI 软件栈的高度复杂性 —— 涵盖框架、库、运行时、分布式系统和部署基础设施 —— 为故障的产生和传播提供了众多机会。理解并缓解这些软件层面的威胁，是构建真正稳健、能在生产环境可靠运行的 AI 系统的关键。

机器学习系统依赖于远超模型本身的复杂软件基础设施。这些系统构建于 第 7 章：AI 框架 详述的框架、库和运行环境之上，支撑模型训练、评估和部署。与所有大型软件系统一样，支撑 ML 工作流的组件也易受故障影响 —— 即由缺陷、bug 或设计疏漏导致的非预期行为，带来超出 第 13 章：机器学习运维 标准实践范围的运维挑战。这些故障可出现在 ML 流水线的各个阶段，若未及时发现和修复，可能导致性能下降、安全受损，甚至结果失效。本节将探讨 ML 系统中软件故障的本质、成因与后果，以及检测与缓解策略。

软件故障特性

理解软件故障对 ML 系统的影响，需分析其独特特性。ML 框架中的软件故障来源广泛，包括编程错误、架构不匹配和版本不兼容等。这些故障具有若干重要特性，影响其产生和传播方式。

首先，软件故障类型多样。从语法和逻辑错误，到更复杂的内存泄漏、并发 bug 或集成

逻辑失效，类型繁多，增加了定位和修复的难度，且常以隐蔽方式暴露。

其次，软件故障易跨系统边界传播。底层模块（如张量分配或预处理函数）中的错误，可能级联影响模型训练、推理或评估。由于 ML 框架常由多个互联组件组成，流水线某一环节的故障可能导致看似无关模块的失效。

部分故障具有间歇性，仅在高负载、特定硬件配置或极端输入下出现。这类瞬态故障极难复现和诊断，常规测试难以覆盖。

更令人担忧的是，软件故障可能与 ML 模型本身产生微妙交互。例如，数据变换脚本中的 bug 可能引入系统性噪声或分布漂移，导致模型输出偏差或不准确。类似地，服务基础设施中的故障可能导致训练和推理时行为不一致，破坏部署一致性。

软件故障的后果涉及系统多方面属性。它们可能通过引入延迟或低效内存使用损害性能，通过限制并行度降低可扩展性，或通过暴露系统于异常行为或恶意利用而削弱可靠性和安全性。

此外，软件故障的表现常受外部依赖影响，如硬件平台、操作系统或第三方库。版本不匹配或硬件特有行为可能导致仅在特定运行时条件下出现的隐蔽 bug。

全面理解这些特性，是发展 ML 软件工程稳健实践的基础，也为后续检测与缓解策略奠定了理论基础。

软件故障传播机制

上述特性说明，ML 框架中的软件故障可通过多种机制产生，反映出现代 ML 流水线和分层工具架构的复杂性。这些机制对应实际中常见的软件失效类型。

一类突出问题是资源管理失误，尤其是内存管理。内存分配不当（如未释放缓冲区或文件句柄）会导致内存泄漏，最终资源耗尽。深度学习应用中，大型张量和 GPU 内存分配尤为常见。如图 35 所示，内存使用低效或未释放 GPU 资源，会导致训练中断或运行性能严重下降。

```
RuntimeError: CUDA out of memory. Tried to allocate 200.00 MiB (GPU 0; 15.78 GiB total
capacity; 14.56 GiB already allocated; 38.44 MiB free; 14.80 GiB reserved in total by
PyTorch) If reserved memory is >> allocated memory try setting max_split_size_mb to avoid
fragmentation. See documentation for Memory Management and PYTORCH_CUDA_ALLOC_CONF
```

GPU 资源管理：内存使用低效或未释放 GPU 资源，会导致训练过程中的内存溢出错误和性能下降。

除资源管理外，并发与同步错误也是常见故障机制。在分布式或多线程环境下，进程间

协调不当会引发竞态条件、死锁或状态不一致。这些问题常与 异步操作（如非阻塞 I/O 或并行数据加载）使用不当有关。同步 bug 会破坏训练状态一致性，或导致模型检查点不可靠。

兼容性问题常因软件环境变化而产生，延续了 第 7 章：AI 框架 中的框架兼容性问题。例如，升级第三方库但未验证下游影响，可能引入行为变化或破坏现有功能。训练与推理环境在硬件、操作系统或依赖版本上的差异，会加剧这些问题。ML 实验的可复现性往往取决于对这些环境不一致的管理。

数值不稳定相关故障在 ML 系统中也很常见，尤其是在优化过程中。浮点精度处理不当、除零、下溢/上溢等问题，会导致梯度计算和收敛过程不稳定。详见 相关资源，多层计算中的舍入误差积累会扭曲参数或延迟收敛。

异常处理虽常被忽视，却对 ML 流水线稳定性至关重要。异常管理不当或过于宽泛，可能导致系统在非关键错误下静默失败或崩溃。模糊的错误信息和糟糕的日志记录会阻碍诊断，延长修复时间。

这些故障机制虽来源各异，但都可能严重损害 ML 系统。理解其成因，是制定有效系统级防护措施的基础。

软件故障对 ML 的影响

软件故障的产生机制决定了其对 ML 系统的影响。其后果可能极为严重，不仅影响模型输出的正确性，还会波及 ML 系统在生产环境中的可用性和可靠性。

最直观的影响是性能下降，常由内存泄漏、资源调度低效或线程争用引起。这些问题会随时间累积，导致延迟增加、吞吐量下降，甚至系统崩溃。如相关研究所述，组件间性能回退的积累会严重限制大规模 ML 系统的运行能力。

除性能外，故障还可能导致预测不准确。例如，预处理错误或特征编码不一致会悄然改变模型输入分布，输出偏差或不可靠。这类故障尤为隐蔽，虽未触发明显故障，却会破坏下游决策。长时间训练或深层架构中，舍入误差和精度损失会进一步放大不准确性。

可靠性也会因软件故障受损。系统可能意外崩溃、无法从错误中恢复，或多次运行结果不一致。间歇性故障尤为棘手，既破坏用户信任，又难以用常规调试手段定位。在分布式环境下，检查点或模型序列化故障会导致训练中断或数据丢失，降低长时训练流水线的韧性。

安全漏洞常因被忽视的软件故障而产生。缓冲区溢出、校验不当或输入未加防护，可能被攻击者利用，篡改模型行为、窃取数据或发起拒绝服务攻击。如相关研究所述，这类漏洞在 ML 系统集成于关键基础设施或处理敏感数据时，风险尤为严重。

最后，故障的存在会增加开发和运维难度。调试耗时，尤其是故障行为不确定或依赖外部配置时。频繁的软件更新或库补丁可能引入回归，需反复测试。工程开销增加会拖慢迭代、抑制实验、分散模型开发资源。

综上，这些影响凸显了在 ML 中系统化软件工程实践的重要性 —— 需预见、检测并缓解由软件故障引入的多样失效模式。

软件故障检测与预防

鉴于软件故障对 ML 系统的重大影响，需在开发、测试、部署和监控各阶段采取一体化策略，结合 第 13 章：机器学习运维 的运维最佳实践。有效的缓解框架应将主动检测方法与稳健设计模式和运维防护结合起来。

下表 6 总结了这些技术，并按阶段和目标分类，便于梳理各策略在 ML 生命周期中的应用场景。该表为后文详细说明提供了高层参考。

类别	技术手段	目标	应用阶段
测试与验证	单元测试、集成测试、回归测试	验证正确性，发现回归	开发阶段
静态分析与 Lint	静态分析器、代码风格检查、代码评审	检测语法错误、不安全操作、强制最佳实践	集成前
运行时监控与日志	指标收集、错误日志、性能分析	观察系统行为，检测异常	训练与部署阶段
容错设计	异常处理、模块化架构、检查点	最小化故障影响，支持恢复	设计与实现阶段
更新管理	依赖审计、测试分阶段、版本追踪	防止回归和兼容性问题	系统升级或部署前
环境隔离	容器化（如 Docker、Kubernetes）、虚拟环境	保证可复现性，避免环境相关 bug	开发、测试、部署

类别	技术手段	目标	应用阶段
CI/CD 与自动化	自动化测试流水线、监控钩子、部署门禁	强制质量保证，早期捕获故障	持续开发全周期

第一道防线是系统化测试。单元测试验证组件在正常和边界条件下的行为，集成测试确保模块间交互正确，回归测试检测代码变更引入的错误。持续测试对快速演进的 ML 环境至关重要，流水线频繁变更，微小修改也可能带来系统级影响。如图 36 所示，自动回归测试有助于长期保持功能正确性。

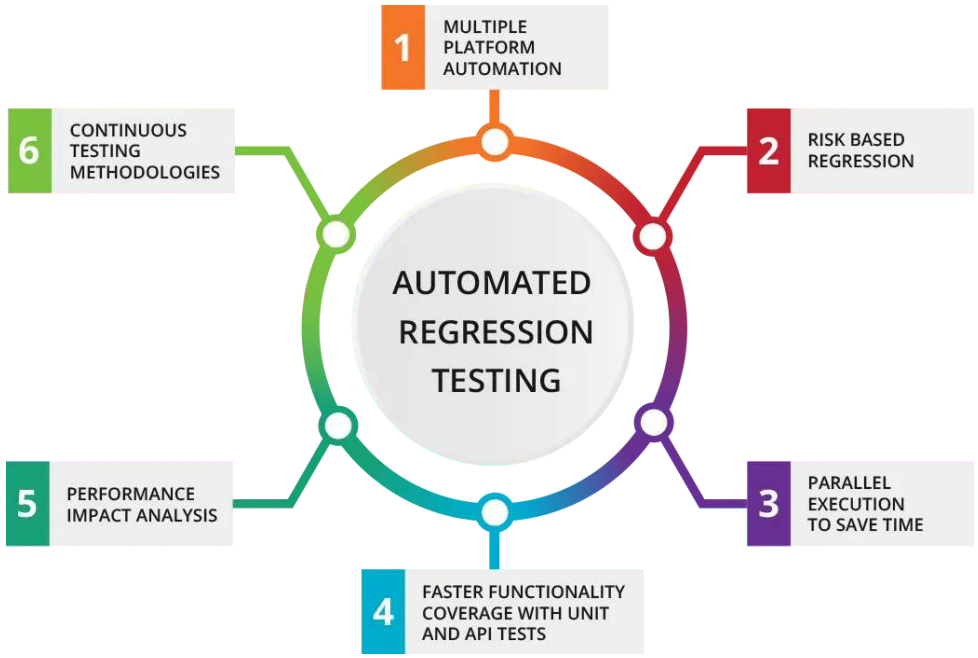

回归测试自动化：自动回归测试验证新代码变更未引入意外错误，保障 ML 系统在开发全周期的可靠性。持续执行这些测试对快速演进的 ML 系统尤为关键，即使微小修改也可能产生广泛影响。

静态代码分析工具在编译期补充动态测试，识别变量误用、不安全操作或语言规范违例。结合代码评审和风格强制，静态分析可减少可避免的编程错误。

运行时监控对观察实际条件下的系统行为至关重要。日志框架应捕获内存使用、输入输出轨迹和异常事件等关键信号。监控工具可跟踪模型吞吐、延迟和故障率，及早预警软件故障。性能分析（详见 微软资源）有助于定位瓶颈和架构低效，提示更深层次问题。

稳健系统设计进一步提升容错能力。结构化异常处理和断言检查可防止小错误级联为系统性故障。冗余计算、备用模型和故障转移机制提升组件失效下的可用性。模块化架构

封装状态、隔离副作用，便于诊断和局部化故障。检查点技术（如相关文献所述）支持训练中断恢复，避免数据丢失。

保持 ML 软件更新也是关键策略。定期应用更新和安全补丁可修复已知 bug 和漏洞。但更新需通过测试分阶段环境验证，避免引入回归。查阅 发布说明 和变更日志，确保团队了解新版本的行为变化。

容器化技术如 Docker 和 Kubernetes 使团队能定义可复现的运行环境，缓解兼容性问题。通过隔离系统依赖，容器防止开发、测试和生产中的系统级差异引入故障。

最后，围绕持续集成与持续部署（CI/CD）构建的自动化流水线，为故障感知开发提供基础设施。可将测试、验证和监控直接嵌入 CI/CD 流程。如图 37 所示，这类流水线降低了回归未被发现的风险，确保只有经过测试的代码进入生产环境。

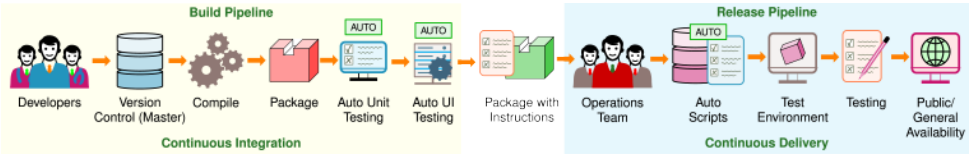

CI/CD 流水线：自动化 CI/CD 流水线通过将测试和验证集成到交付流程中，强制故障感知开发，降低回归风险，确保只有经过测试的代码进入生产。容器化技术（如 Docker、Kubernetes）进一步通过在各阶段提供可复现运行环境提升可靠性。

这些实践共同构成了 ML 系统软件故障管理的完整方法。系统化采用后，可降低系统失效概率，提升长期可维护性，并增强对模型性能和可复现性的信任。

故障注入工具与框架

鉴于构建稳健 AI 系统的重要性，近年来研究者和工程师们开发了多种工具和框架，基于 第 7 章：AI 框架 中的软件基础设施，旨在理解硬件故障如何表现和传播，从而影响 ML 系统。这些工具和框架在评估 ML 系统对硬件故障的稳健性方面发挥着关键作用，通过模拟各种故障场景及其对系统性能的影响，帮助设计者识别潜在脆弱性并制定有效的缓解策略，最终构建出更稳健、更可靠的 ML 系统，确保其在故障发生时依然安全运行，支持 第 13 章：机器学习运维 中详述的部署策略。本节将概述文献中广泛使用的故障模型 [579] 以及为评估这些故障对 ML 系统影响而开发的工具和框架。

579. **故障模型**：描述硬件故障如何表现和传播的形式化规范。包括固定故障模型（位元永久为 0 或 1）、单比特翻转模型（暂时性位元反转）和拜占庭模型（任意恶意行为）等。对设计现实的故障注入实验至关重要。

故障与错误模型

如前所述，硬件故障可能以多种方式表现，包括瞬态、永久和间歇性故障。除了研究故障类型外，故障的表现方式同样重要。例如，故障是在内存单元中发生，还是在功能单元的计算过程中？故障影响单个比特，还是多个比特？故障是否会一直传播并影响应用（导致错误），还是会很快被掩盖而被视为良性？所有这些细节都会影响故障模型的定义，而故障模型在模拟和测量故障发生时系统的反应中起着重要作用。

研究硬件故障对 ML 系统影响时，理解故障模型和错误模型的概念至关重要。故障模型描述硬件故障在系统中的表现方式，而错误模型则表示故障是如何传播并影响系统行为的。

故障模型通常通过几个关键属性进行分类。首先，它们可以根据持续时间来定义：瞬态故障是暂时的，快速消失；永久故障是持续的；而间歇性故障则是偶尔发生的，难以识别或预测。另一个维度是故障位置，故障可能发生在硬件组件的不同位置，如内存单元、功能单元或互连线路。故障还可以根据其粒度进行特征化 —— 有些故障仅影响单个比特（例如，比特翻转），而其他故障则可能同时影响多个比特，如突发错误。

错误模型则描述故障传播到系统行为的影响。这些模型帮助研究人员理解硬件级干扰是如何表现为系统行为的，例如在 ML 模型中通过损坏的权重或计算错误的激活值。这些模型可以在各个抽象层次上运行，从低级硬件错误到 ML 框架中的高级逻辑错误。

选择合适的故障或错误模型对于稳健性评估至关重要。例如，旨在研究单比特瞬态故障的系统，对于永久性多比特故障的影响则无能为力，因为其设计和假设完全基于不同的故障模型。

有趣的是，无论抽象层次如何，某些故障行为模式是一致的。例如，研究表明，无论是在硬件级别还是软件级别，单比特故障造成的干扰都大于多比特故障。然而，诸如错误掩盖之类的现象，可能仅在较低的抽象层次上可观察到。如图 38 所示，这种掩盖现象可能导致故障在传播到更高层次之前就被过滤掉，因此仅依赖软件的错误检测工具可能完全无法察觉这些影响。

为了解决这些差异，开发了 Fidelity 等工具，以跨抽象层对故障模型进行对齐。通过将软件观察到的故障行为映射到相应的硬件级模式（Cheng et al. 2016），Fidelity 提供了一种更准确的手段，在软件层面模拟硬件故障。虽然较低级别的工具捕捉了故障在硬件系统中真实传播的情况，但它们通常速度较慢且更复杂。软件级工具（如在 PyTorch 或 TensorFlow 中实现的工具）则更快且更易于大规模稳健性测试，尽管精度较低。

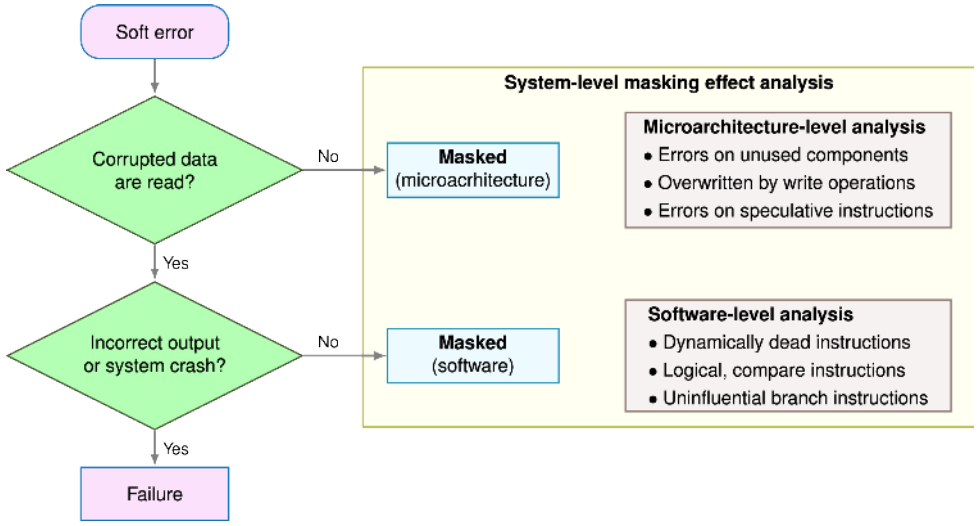

错误掩盖：微架构冗余可以在故障传播到可观察的系统错误之前吸收单比特故障，突显出硬件级和软件级故障模型之间的差异。该图详细说明了故障掩盖在微架构组件内的发生方式，表明基于软件的错误检测工具可能低估系统对瞬态错误的真实弹性。

硬件级故障注入

硬件级故障注入方法允许研究人员直接在物理系统中引入故障，并观察其对 ML 模型的影响。这些方法对于验证软件级故障注入工具中的假设，以及研究现实世界中的硬件故障如何影响系统行为至关重要。尽管大多数 ML 稳健性研究中使用的错误注入工具是基于软件的，但由于其速度和可扩展性，硬件级方法仍然是研究硬件故障影响的最准确手段。

如图 39 所示，硬件故障可以在深度神经网络（DNN）处理流水线的各个环节出现。这些故障可能影响控制单元、片上内存（SRAM）、片外内存（DRAM）、处理单元和累加器，导致结果错误。在正常情况下，DNN 可能正确识别红灯，但由于硬件老化、电迁移、软错误、工艺变化和制造缺陷等现象引起的硬件故障，可能导致 DNN 错误地将信号分类为绿灯，从而在实际应用中可能导致灾难性后果。

这些方法使研究人员能够观察系统在真实故障条件下的行为。本节将详细描述软件和硬件两种错误注入工具。

硬件注入方法　两种最常见的硬件级故障注入方法是基于 FPGA 的故障注入和辐射或束流测试。

基于 FPGA 的故障注入。现场可编程门阵列（FPGA）[580] 是可重构的集成电路，可以被

580. **现场可编程门阵列（FPGAs）**：可重构硬件设备，包含数百万个逻辑块，可被编程实现自定义数字电路。最早由 Xilinx 于 1985 年开发，FPGA 在软件灵活性和硬件性能之间架起了桥梁，使快速原型设计和专用加速器成为可能。

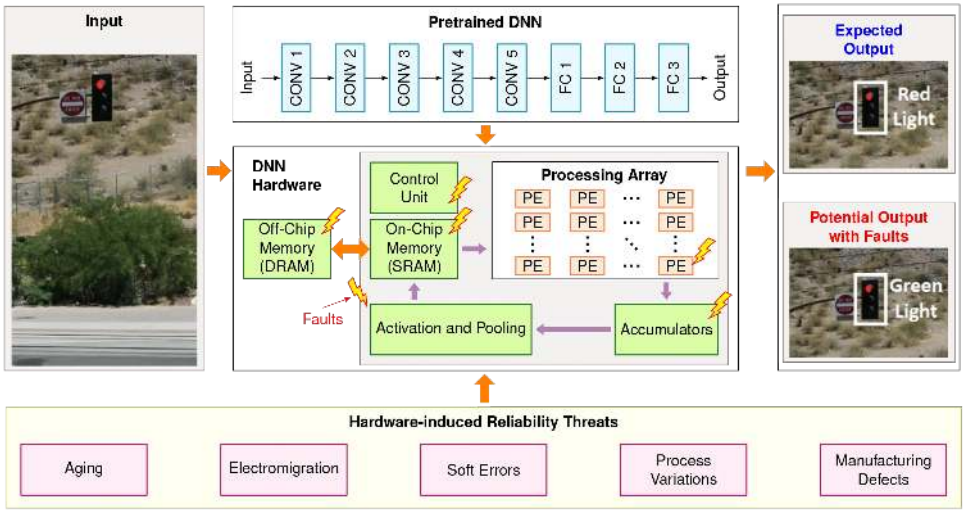

硬件故障：该图示例了硬件引起的错误可能在 DNN 处理流水线中的发生位置，突显了故障可能导致误分类的潜在故障点，如控制单元和内存模块。

编程实现各种硬件设计。在故障注入的背景下，FPGA 提供了高精度和高准确性，研究人员可以针对硬件中的特定比特或比特集进行故障注入。通过修改 FPGA 配置，可以在执行 ML 模型的特定位置和时间引入故障。基于 FPGA 的故障注入允许对故障模型进行精细控制，使研究人员能够研究不同类型故障（如单比特翻转或多比特错误）的影响。这种控制能力使基于 FPGA 的故障注入成为理解 ML 系统对硬件故障的韧性的重要工具。

尽管基于 FPGA 的方法允许精确、可控的故障注入，但其他方法旨在复制自然环境中存在的故障条件。

辐射或束流测试。辐射或束流测试将运行 ML 模型的硬件暴露于高能粒子（如质子或中子）辐射下。如图 40 所示，专用测试设施可以控制辐射暴露，以诱发比特翻转和其他硬件级故障。这种方法被广泛认为是测量粒子撞击导致的错误率的最准确方法之一。束流测试提供了高度真实的故障场景，模拟了辐射丰富环境中的条件，对于验证用于太空任务或粒子物理实验的系统特别有价值。然而，尽管束流测试提供了卓越的真实性，但其缺乏 FPGA 基于注入的精确定位能力 —— 粒子束无法高精度地瞄准特定硬件比特或组件。尽管存在这些局限性及其显著的操作复杂性和成本，束流测试仍然是一个受信赖的行业实践，用于严格评估硬件在真实辐射效应下的可靠性。

硬件注入局限性 尽管硬件级故障注入方法具有高准确性，但由于其高成本和复杂性，限制了其广泛应用。

首先，成本是一个主要障碍。FPGA 和束流测试 [581] 方法都需要专用硬件和设施，这些

581. **束流测试**：一种通过控制粒子辐射暴露硬件来评估其对软错误的抵抗力的测试方法。广泛应用于航空航天、医疗

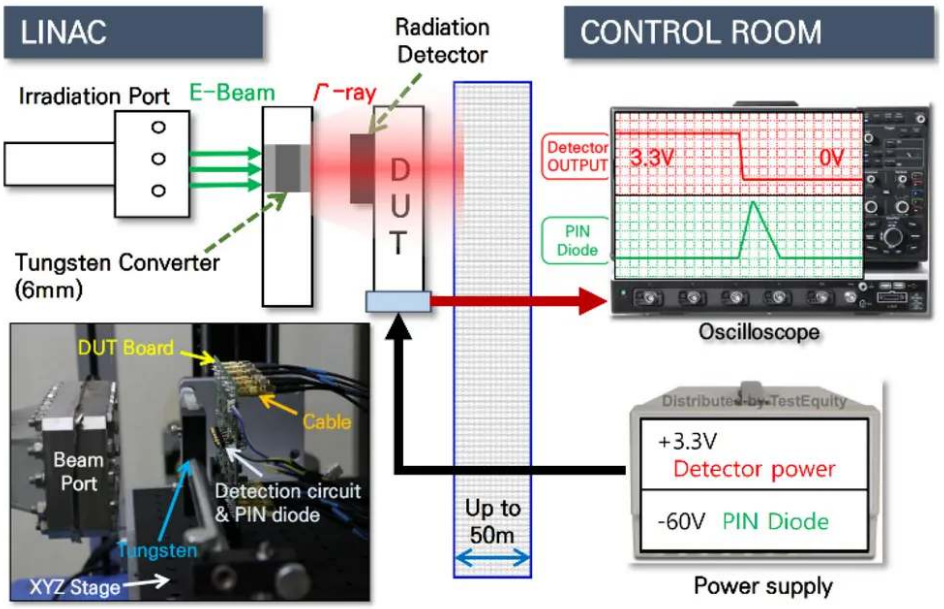

辐射测试设置：束流测试设施通过将半导体组件暴露于高能粒子辐射下，诱发硬件故障，模拟太空或粒子物理实验中遇到的极端条件。这种控制的故障注入方法为评估硬件在极端条件下的可靠性和错误率提供了宝贵数据，尽管其缺乏基于 FPGA 的故障注入的精确定位能力。

硬件和设施的建立和维护成本较高。这使得资金或基础设施有限的研究小组难以承受。

其次，这些方法在可扩展性方面面临挑战。在硬件上直接注入故障并收集数据的过程耗时较长，限制了在合理时间内可以进行的实验数量。这在分析大型 ML 系统或在许多故障场景中进行统计评估时尤其具有限制性。

第三，灵活性有限。当需要针对各种故障和错误类型进行建模时，硬件级方法可能不如基于软件的替代方案那样灵活。为了适应新的故障模型，改变实验设置往往需要耗时的硬件重新配置。

尽管存在这些局限性，硬件级故障注入仍然是验证软件工具准确性和研究系统在真实故障条件下行为的重要手段。通过将硬件级方法的高保真度与软件级工具的可扩展性和灵活性相结合，研究人员可以更全面地了解 ML 系统对硬件故障的韧性，并制定有效的缓解策略。

基于软件的故障注入

随着 TensorFlow、PyTorch 和 Keras 等机器学习框架成为开发和部署 ML 模型的主流平台，基于软件的故障注入工具作为一种灵活且可扩展的方法，迅速发展起来，用于评

设备和高可靠性计算等领域。

估这些系统对硬件故障的稳健性。与直接作用于物理系统的硬件级方法不同，基于软件的方法通过修改模型的底层计算图、张量值或中间计算，来模拟硬件故障的影响。

这些工具因其直接与 ML 开发流水线集成、无需专用硬件、并且能够快速、经济高效地进行大规模故障注入实验而变得越来越受欢迎。通过在软件层面模拟硬件级故障（包括权重、激活值或梯度中的比特翻转），这些工具能够高效测试故障容忍机制，并提供有关模型脆弱性的宝贵见解。

本节其余部分将探讨基于软件的故障注入方法的优缺点，介绍主要的工具类别（包括通用和特定领域的工具），并讨论它们如何有助于构建具有韧性的 ML 系统。

软件注入权衡 基于软件的故障注入工具提供了若干优势，使其在研究 ML 系统的韧性时颇具吸引力。

主要优点之一是速度。这些工具完全在软件栈内操作，避免了修改物理硬件或配置专用测试环境所带来的开销。这种高效性使研究人员能够在显著更短的时间内进行大量故障注入实验。快速模拟各种故障的能力，特别适用于对大规模 ML 模型进行压力测试或进行需要数千次注入的统计分析。

这些工具还具有高度的灵活性。基于软件的故障注入器可以轻松适配多种故障类型。研究者可以模拟单比特翻转、多比特损坏，甚至更复杂的突发错误或部分张量损坏等行为。软件工具允许在 ML 流水线的不同阶段（训练、推理或梯度计算）注入故障，实现对不同系统组件或层的精准定位。

这些工具的可及性也很高，仅需标准的 ML 开发环境即可使用。与硬件方法不同，软件工具无需昂贵的实验设备、定制电路或辐照测试场地。这种易用性让故障注入研究惠及更多机构和开发者，包括学术界、初创公司或资源有限的团队。

但这些优势也带来权衡。最主要的问题是准确性。由于软件工具在更高抽象层模拟故障，可能无法完全捕捉底层硬件交互对故障传播的影响。例如，在 ML 框架中模拟的比特翻转，可能忽略了硬件层的数据缓冲、缓存或操作方式，导致结论过于简化。

与此密切相关的是保真度问题。虽然可以近似真实故障行为，但软件工具在掩蔽、时序或数据流动等细微交互上，可能与真实硬件行为存在偏差。这类仿真结果高度依赖底层错误模型的假设，需与真实硬件测量结果对照验证。

尽管存在这些局限，基于软件的故障注入工具在 ML 稳健性研究中仍不可或缺。其速度、灵活性和可及性使研究者能广泛评估并推动容错 ML 架构的发展。后续章节将介绍该领域的主要工具及其应用场景。

软件注入的局限性 虽然基于软件的故障注入工具在速度、灵活性和可及性方面具有显著优势，但也存在一定局限。这些约束会影响故障注入实验的准确性和真实性，尤其是在评估 ML 系统对真实硬件故障稳健性时。

首要问题是准确性。软件工具在更高抽象层运行，可能无法捕捉硬件故障产生的全部效应。底层硬件交互（如时序误差、电压波动、架构副作用）在高层仿真中可能完全被忽略。因此，完全依赖软件模型的故障注入研究，可能低估或高估系统对某些故障类型的真实脆弱性。

保真度问题同样突出。虽然软件方法常被设计为模拟特定故障行为，但其对真实硬件条件的还原程度各异。例如，模拟神经网络权重的单比特翻转，未必能真实反映该比特错误在内存层级或芯片计算单元中的传播方式。工具抽象层级越高，仿真行为与物理故障下的实际表现偏差越大。

由于软件工具易于修改，反而可能无意中偏离真实的故障假设。如果选用的故障模型过于简化，或未基于真实硬件数据，仿真结果就会失真。正如后文关于软硬件间隙的讨论，Fidelity 等工具试图通过对齐软件模型与已知硬件故障特性来解决这些问题。

尽管如此，软件故障注入仍是 ML 稳健性研究的重要组成部分。合理使用，尤其结合硬件验证时，这些工具为探索大规模设计空间、识别脆弱组件和制定缓解策略提供了高效可扩展的手段。随着故障建模技术不断进步，将硬件感知洞见融入软件工具，是提升其真实性和影响力的关键。

软件注入工具类别 近年来，针对多种 ML 框架和应用场景，开发了大量基于软件的故障注入工具。这些工具在抽象层级、目标平台和可模拟故障类型上各不相同。许多工具可与 PyTorch、TensorFlow 等主流 ML 库集成，便于研究者和工程师直接在现有生态中使用。

最早且有影响力的工具之一是 Ares，最初为 Keras 框架设计。在 DNN 日益流行的早期，Ares 是首批系统性探索硬件故障对 DNN 影响的工具之一。它支持注入单比特翻转，并评估权重和激活值的比特错误率（BER）。重要的是，Ares 曾与实际硅实现的 DNN 加速器对比验证，证明其对硬件级故障建模的相关性。随着领域发展，Ares 也扩展支持 PyTorch，便于分析现代 ML 环境下的故障行为。

在此基础上，PyTorchFI 作为专为 PyTorch 设计的故障注入库被提出。由 Nvidia Research 合作开发，PyTorchFI 支持对模型权重、激活和梯度等关键组件注入故障。其原生 GPU 加速支持，使其特别适合高效评估大模型。如图 41 所示，即使简单的比特级故障也可能导致严重的视觉和分类错误，包括图像中出现“幽灵”物体，这在自动驾驶等领域可能带来安全隐患。

故障注入影响：比特级硬件故障可在机器学习模型中诱发幽灵物体和误分类，可能导致自动驾驶等安全关键应用中的严重错误；左图为正确分类，右图为通过 pytorchfi 注入单比特翻转后出现的误报检测。

PyTorchFI 的模块化和易用性促使其被多个后续项目采用。例如，Intel xColabs 开发的 PyTorchALFI 扩展了 PyTorchFI 的能力，用于汽车应用的系统级安全评估。Meta 的 Dr. DNA 则引入了更简洁的 Python 风格 API，简化了故障注入流程。GoldenEye 进一步支持了 AdaptivFloat、BlockFloat 等新型数值类型（如 bfloat16），用于研究非传统数值格式在硬件比特错误下的容错性。

对于 TensorFlow 生态，TensorFI 提供了类似的解决方案。与 PyTorchFI 类似，TensorFI 支持在 TensorFlow 计算图中注入多种故障模型。其广泛适用性是一大优势 —— 不仅可用于 DNN，还能评估多种 ML 模型。BinFi 等扩展则通过聚焦模型中最关键的比特位，加速了故障注入过程。这种优先级排序有助于在缩短仿真时间的同时，捕捉最具代表性的错误模式。

在更低的软件栈层级，NVBitFI 提供了直接在 GPU 汇编代码中注入故障的平台无关工具。由 Nvidia 开发，NVBitFI 可对任意 GPU 加速应用（不仅限于 ML 工作负载）进行故障注入。这使其成为研究指令级稳健性的强大工具，能捕捉错误在底层的复杂传播。NVBitFI 是 PyTorchFI、TensorFI 等高层工具的重要补充，提供了对 GPU 行为的细粒度控制，并支持更广泛的应用类型。

这些工具共同构成了丰富的故障注入能力谱系。有的与高层 ML 框架紧密集成，便于上手；有的则支持更低层次的高保真建模。研究者可根据抽象层级、性能需求和目标应用选择合适工具，获得更具指导性的 ML 稳健性洞见。下一节将聚焦这些工具在自动驾驶、机器人等安全关键系统中的领域应用。

面向 ML 的专用注入工具 为应对特定应用领域的独特挑战，研究者开发了针对不同 ML 系统的专用故障注入工具。在自动驾驶、机器人等高风险环境中，领域专用工具对

评估硬件故障下的系统安全和可靠性至关重要。本节介绍了三类工具：面向自动驾驶的 DriveFI 和 PyTorchALFI，以及面向无人机的 MAVFI。每种工具都能向感知、控制、传感等关键组件注入故障，帮助研究者洞察硬件错误在实际 ML 流水线中的传播机制。

DriveFI 是专为自动驾驶系统开发的故障注入工具。它支持在感知和控制流水线中注入硬件故障，便于研究这些故障对系统行为和安全性的影响。DriveFI 能与 Nvidia DriveAV、百度 Apollo 等行业标准平台集成，提供真实的测试环境。通过这种集成，DriveFI 让实践者能在故障条件下评估自动驾驶架构的端到端稳健性。

PyTorchALFI 则扩展了 PyTorchFI 的能力，专为自动驾驶领域设计。由 Intel xColabs 开发，PyTorchALFI 增强了底层注入框架的领域特性，包括支持对多模态传感器数据[582]（如摄像头、激光雷达输入）注入故障。这有助于深入分析自动驾驶感知系统对底层硬件故障的响应，进一步完善对系统脆弱性和失效模式的理解。

MAVFI 是专为机器人（尤其是无人机）设计的领域专用故障注入框架。基于 ROS（机器人操作系统）构建，MAVFI 提供了模块化、可扩展的平台，可向无人机的各子系统（如传感器、执行器、飞控算法）注入故障。通过评估注入故障对飞行稳定性和任务成功率的影响，MAVFI 为开发和验证容错无人机架构提供了实用手段。

这些工具展示了领域故障注入研究的不断进步。通过对故障注入位置和方式的精细控制，领域专用工具能提供通用框架难以获得的可操作洞见。它们的开发极大提升了 ML 社区设计和评估稳健系统的能力，尤其是在可靠性、安全性和实时性要求极高的场景。

弥合软硬件间隙

虽然基于软件的故障注入工具在速度、灵活性和可及性方面有诸多优势，但它们并不总能捕捉硬件故障对系统全部影响。这主要源于抽象层级的差异：软件工具在更高层运行，可能忽略底层硬件交互或细致的错误传播机制，而这些对 ML 系统行为有关键影响。

如相关研究所述，硬件故障可能呈现复杂的空间分布模式，纯软件模型难以复现。研究者总结了四类典型故障传播模式：single point（单点），即特征图中单个值被破坏；same row（同行），即特征图中部分或整行被破坏；bullet wake（弹道尾迹），即多个特征图中同一位置被影响；shatter glass（碎玻璃），即同行与弹道尾迹的复杂组合。这些模式如图 42 所示，凸显了简单注入策略的局限，也强调了评估 ML 稳健性时硬件感知建模的必要性。

为弥合这一抽象鸿沟，研究者开发了专门工具，将底层硬件错误行为映射到软件可见效应。Fidelity 就是其中之一，通过研究硬件级故障如何传播并在高层软件中显现，搭建

582. **多模态传感器数据**：同时采集自多种传感器（如摄像头、激光雷达、雷达）的信息，为环境感知提供互补视角。对自动系统的稳健感知至关重要。

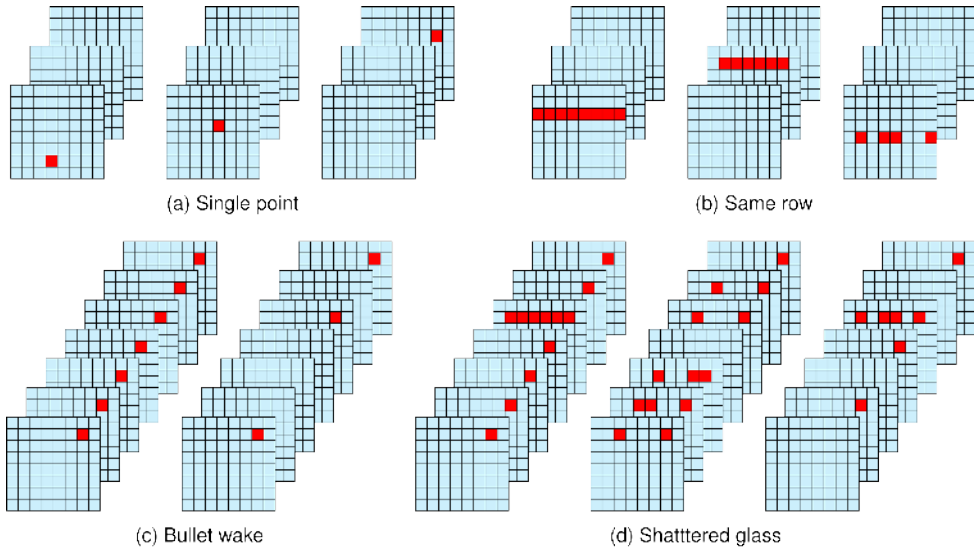

硬件故障模式：DNN 在硬件故障下表现出不同的错误分布，按其在特征图和层间的空间分布分类。single point、same row、bullet wake、shatter glass 等模式代表局部与广泛破坏，影响模型预测，凸显了容错系统设计的必要性。

了软硬件间的桥梁。下一节将详细介绍 Fidelity。

仿真保真度挑战 Fidelity 旨在在软件故障注入实验中更准确地建模硬件故障，其核心目标是通过模拟故障在计算栈中的传播，弥合硬件故障行为与 ML 系统高层效应之间的差距。

Fidelity 的核心洞见是，并非所有故障都需在硬件层逐一建模才能获得有意义的结果。它关注故障在软件可见状态下的表现，并识别等价关系，从而用代表性建模覆盖整个故障类别。具体方法包括：

首先，研究故障传播路径，理解硬件故障如何穿越架构寄存器、内存层级、数值运算等多层，最终改变软件中的值。Fidelity 捕捉这些路径，确保软件注入的故障能真实反映实际系统中的表现。

其次，工具识别故障等价性，即将导致相似软件可见结果的硬件故障归为一类。通过关注代表性样本而非穷举所有比特翻转，Fidelity 能在不牺牲准确性的前提下提升仿真效率。

最后，Fidelity 采用分层建模方法，从硬件故障起点到其在 ML 模型权重、激活或预测中的效应，逐层捕捉系统行为。这保证了硬件故障影响在 ML 系统中的真实仿真。

通过这些技术，Fidelity 让研究者能高效灵活地运行与真实硬件系统行为高度一致的故障注入实验。这在安全关键场景尤为宝贵，因其对硬件故障的准确理解至关重要。

硬件行为建模 在软件故障注入工具中准确反映硬件故障行为，对提升 ML 系统的可靠性和稳健性至关重要。当硬件故障有细微但重要影响时，只有高保真建模才能发现。

准确反映硬件行为有多重意义。首先，提升准确性。能真实还原硬件故障传播和表现的软件工具，能为故障对模型行为的影响提供更可靠的洞见。这对设计和验证容错架构、确保缓解策略基于真实系统行为至关重要。

其次，提升可复现性。忠实捕捉硬件效应后，故障注入结果可在不同系统和环境间可靠复现，这是严谨科学研究的基石。研究者能更好地对比结果、验证发现、确保一致性。

第三，提升效率。聚焦最具代表性和影响力的故障场景，无需穷举所有比特翻转，能节省计算资源，同时获得全面洞见。

最后，理解硬件故障在软件层的表现，是设计有效缓解策略的前提。研究者若能掌握特定硬件问题对 ML 系统各组件的影响，就能有针对性地加固 —— 如只重训练特定层、有选择地冗余、或提升瓶颈组件的架构稳健性。

Fidelity 等工具正是这一努力的核心。通过建立低层硬件行为与高层软件效应的映射，Fidelity 让研究者能高效、可扩展地开展与真实系统行为一致的故障注入实验。

随着 ML 系统规模不断扩大、部署于越来越多的安全关键场景，这类硬件感知建模将愈发重要。相关领域的持续研究正致力于进一步完善软硬件故障模型的映射，开发兼具效率与真实性的稳健性评估工具。这些进步将为社区提供更强大、可靠的方法，理解并防御硬件故障对 ML 系统的影响。

常见误区与陷阱

稳健性威胁的复杂性和相互关联性，常导致人们对有效防御策略产生误解，特别是认为稳健性技术提供了普遍保护，而没有权衡其局限性。

误区： 对抗稳健性可以通过防御技术实现，而无需权衡。

这一误解使团队相信，对抗性训练或输入预处理等稳健性技术提供了完全的保护，而没有成本。对抗性防御通常会带来显著的权衡，包括降低干净准确性、增加计算开销或对新攻击方法的脆弱性。许多看似对特定攻击有效的防御技术，在面对更强大或自适应的对手时会失效。攻击与防御之间的军备竞赛意味着，稳健性不是一个已解决的问题，而是一个持续的工程挑战，需要不断适应和评估不断演变的威胁。

陷阱： 仅针对已知攻击方法测试稳健性，而不是进行全面的威胁建模。

许多从业者通过针对一些标准对抗攻击进行测试来评估模型稳健性，而没有考虑潜在威胁的全谱。这种方法在模型在有限的测试用例中表现良好时提供了虚假的信心，但在面

对新颖攻击载体时却会灾难性失败。现实世界的威胁不仅包括复杂的对抗样本，还包括硬件故障、数据损坏、分布漂移和软件漏洞，这些可能与学术攻击场景大相径庭。全面的稳健性评估需要系统的威胁建模，考虑整个攻击面，而不是仅仅关注一小部分已知漏洞。

误区：通过收集更多样本的训练数据，可以解决分布漂移问题。

这一信念假设数据集的多样性可以确保对部署中遇到的分布漂移的稳健性。虽然多样化的训练数据确实有帮助，但它无法预见动态现实世界环境中发生的所有可能的分布变化。训练数据集与部署条件相比，始终是有限的。一些分布漂移是不可预测的，源于用户行为的变化、数据源的演变或外部环境因素。有效的稳健性需要自适应系统，具备监测、检测和响应能力，而不仅仅依赖于全面的训练数据。

陷阱：假设针对一种威胁类别设计的稳健性技术可以保护所有故障模式。

团队往往对特定威胁开发的稳健性技术进行应用，而不理解其在其他故障模式下的局限性。针对基于梯度的攻击设计的对抗性训练，可能无法提高对硬件故障或数据中毒的稳健性。同样，处理良性分布漂移的技术，可能无法应对旨在利用模型弱点的对抗性分布漂移。每种威胁类别都需要专门的防御，有效的稳健性需要分层保护策略，针对潜在故障的全谱，而不是假设跨领域的有效性。

误区：不同的故障模式是独立的，可以单独解决。

这一假设忽视了不同故障类型之间复杂的相互作用，这可能导致复合脆弱性，超过单个威胁的总和。现实世界的故障往往涉及级联效应，其中一个漏洞启用或放大其他漏洞。考虑以下复合场景：

硬件 - 对抗交互：模型权重中的比特翻转，可能无意中产生对抗性脆弱性，而这种脆弱性在原始模型中并不存在。攻击者发现这些损坏后，可以制作针对性对抗样本，利用特定的权重扰动，攻击成功率达到 95%，而未损坏模型仅为 20%。相反，旨在提高稳健性的对抗性训练，因增加了 2-3× 的模型复杂度，而提高了因内存和计算需求增加而发生硬件故障的概率。

环境 - 软件级联：逐渐的分布漂移可能因监测软件中的错误而未被检测到，这些错误导致未能记录异常样本。随着漂移在 3-6 个月内的进展，模型准确性下降 40%，但故障监测系统却报告正常。当问题被发现时，数据漂移和检测延迟的复合效应，导致需要完全重新训练模型，而非增量适应，恢复成本增加 10×。

攻击 - 分布利用：攻击者观察到已部署系统中的自然分布漂移，并制作中毒攻击，加速特定方向的漂移。通过注入仅 0.1% 的中毒样本，攻击者可以导致性能下降速度提高 5×，同时躲避针对纯对抗或纯漂移场景校准的检测系统。

三重威胁场景：考虑一个自动驾驶汽车场景，宇宙射线引起的比特翻转损坏感知模型权重，对抗性路标利用这些损坏，季节性天气变化导致分布漂移。组合后，在特定条件下，停车标志的误分类率高达 85%，而单一威胁仅导致 15-20% 的准确性下降。

这些复合场景表明，稳健 AI 系统必须通过全面的失效模式分析、跨领域测试（评估组合脆弱性）和考虑级联故障的防御策略，来应对威胁之间的相互作用，而不是孤立地处理每个威胁。

总结

本章将稳健 AI 确立为在现实世界环境中可靠运行的机器学习系统的核心要求。通过对云端、边缘和嵌入式部署中具体故障的检查，展示了稳健性挑战的多维特性，以及对检测、缓解和恢复的系统化方法的需求。

所提出的统一框架，将稳健性挑战组织为三个相互关联的支柱，这些支柱具有共同的原则，但需要专门化的方法。系统级故障涉及所有 ML 计算的物理基础可靠性，从瞬态宇宙射线效应到永久性硬件退化。输入级攻击则包括通过对抗样本和数据中毒技术，故意操纵模型行为的尝试。环境变化则代表了部署条件的自然演变，这些变化通过分布漂移和概念变化，挑战静态模型假设。

在这三大支柱中，稳健 AI 系统实施了共同的检测和监测原则，以便在威胁影响系统行为之前识别它们；优雅降级原则，以便在压力下维持核心功能；以及自适应响应原则，以便根据检测到的条件调整系统行为。这些原则在不同支柱中的体现各异，但为构建全面的稳健性解决方案提供了统一的基础。

稳健 AI 的实际实现需要贯穿整个 ML 流水线的集成，从数据收集到部署和监测。硬件容错机制必须与对抗性防御和漂移检测系统协调，以提供全面的保护。这一稳健性基础，为第 13 章中详细介绍的操作框架，提供了必要的可靠性保障。在没有本章所开发的全面可靠性机制的情况下，下一章中描述的操作工作流程将缺乏生产部署所需的基本弹性。

表 7 提供了一个实用参考，将三大故障类别映射到其主要检测和缓解策略，为工程师提供了一个系统化框架，以便在稳健 AI 三大支柱中实施全面的稳健性解决方案：

故障类别	**检测方法**	**缓解策略**
系统级	ECC 内存	冗余（TMR/DMR）

故障类别	检测方法	缓解策略
故障	BIST（自检）看门狗计时器 电压/温度监测	检查点 硬件冗余 纠错码
输入级	输入净化	对抗性训练
攻击	异常检测 统计测试 行为分析	防御性蒸馏 输入预处理 模型集成
环境	统计监测（MMD、PSI）	持续学习
漂移	分布比较 性能下降跟踪 概念漂移检测	模型重训练 自适应阈值 集成方法

> **关键要点**
>
> - 稳健 AI 系统必须应对三大相互关联的威胁类别：系统级故障、输入级攻击和环境变化
> - 检测、优雅降级和自适应响应的共同原则适用于所有威胁类型，但需要专门化的实现
> - 硬件可靠性直接影响 ML 性能，单比特错误可能导致模型准确性下降 10-50%
> - 现实世界的稳健性需要贯穿整个 ML 流水线的集成，而非孤立的保护机制
> - 现代 AI 部署需要系统化的稳健性评估和缓解方法

在这些稳健性基础之上，后续章节将探讨可信 AI 系统的其他重要方面。隐私和安全性考虑（第 15 章：安全与隐私）为稳健部署基础设施增加了额外的操作要求，需要专门的技术来保护敏感数据，同时保持系统可靠性。本章所制定的威胁检测和响应原则，为隐私保护和安全 AI 系统设计提供了基础性模式，构建了跨多种环境和应用的可信 AI 部署的综合框架。

构建稳健 AI 系统需要在整个开发过程中嵌入稳健性考虑，从初始设计到部署和维护，通过第 12 章：AI 基准测试中详细说明的系统评估方法进行验证，并与第 17 章：可信 AI 中的负责任 AI 原则保持一致。自动驾驶、医疗设备和基础设施系统等关键应用，要求

采取主动方法，预见失效模式并实施广泛的保护措施。这一挑战不仅涉及单个组件，还包括系统级交互，要求全面的方法，以确保在现实世界部署中，在多样和不断变化的条件下可靠运行，同时考虑第 18 章：可持续 AI 中涵盖的稳健系统设计的可持续性影响。

可信赖的系统

可信赖性是 AI 系统赢得用户信任的基石。本章系统性地探讨构建可信赖 ML 系统的原则，包括负责任 AI 的伦理考量、系统安全性、隐私保护以及可持续性设计。我们将学习如何识别和缓解偏见、确保模型公平性、实施安全防护措施，并评估系统对环境和社会的影响。通过深入案例分析和最佳实践指南，您将了解如何在设计和部署 ML 系统时融入信任元素，适用于关注 AI 伦理和社会影响的开发者、政策制定者和研究人员。

第 17 章：可信 AI

目标

为什么负责任的 AI 实践已从可选的伦理考量，演变为决定系统可靠性、合规性和商业可行性的强制性工程要求？

现实环境中的机器学习系统面临远超算法准确性的严苛可靠性要求。偏见预测会引发法律责任，不透明的决策阻碍监管批准，不可问责的系统难以通过审计，不可解释的输出削弱用户信任。这些运营现实将负责任的 AI 从哲学理想转变为决定系统能否在生产环境中部署、维护和扩展的具体工程约束。负责任的 AI 实践为构建满足监管要求、通过第三方审计、维护用户信心并能在多样化人群和场景下可靠运行的系统，提供了系统化方法论。现代 ML 工程师必须将偏见检测、可解释性机制、问责框架和监督系统作为核心架构组件集成。将负责任的 AI 视为一门工程学科，有助于构建既具备技术性能又能在日益受监管的部署环境中实现可持续运营的系统。

> **学习目标**
>
> - 将公平性、透明性、可问责性、隐私和安全性定义为可度量的工程要求，约束系统架构、数据处理和部署决策
> - 使用 Fairlearn 等工具实现偏见检测，识别模型在不同群体间的性能差异，并评估包括人口统计平等和机会均等在内的公平性指标
> - 应用差分隐私、联邦学习和机器遗忘等隐私保护方法，在保障数据安全的同时保持模型效用
> - 利用 SHAP、LIME、GradCAM 等后验解释技术为模型预测生成解释，并评估其在不同模型架构下的计算成本与可靠性

- 分析部署环境（云、边缘、移动、TinyML）如何带来架构约束，限制可实现的负责任 AI 保护措施
- 评估负责任 AI 原则间的权衡，理解数学不可能定理何时阻止所有公平性标准的同时最优化
- 设计将负责任 AI 原则转化为运营实践的组织结构和治理流程，包括角色定义、升级路径和问责机制
- 评估负责任 AI 技术的计算开销与公平性影响，理解资源需求如何成为不同组织实施伦理 AI 的障碍

可信 AI 简介

2019 年，亚马逊因发现其招聘算法系统性地歧视女性候选人而废弃了该系统。尽管该系统在技术上看似先进，但它学习到的“成功候选人”主要是男性，反映了历史性性别偏见而非基于能力的标准。该模型在统计上最优，却在伦理上灾难，说明技术正确性与社会危害可能并存。

这一事件揭示了可信 AI 的核心挑战：系统可以在算法上无懈可击，却在现实中延续不公，优化目标的同时违背价值观，满足性能基准却辜负社会。问题不仅限于个体偏见，还涉及透明性、问责性、隐私和安全等影响数十亿人的系统性议题。

机器学习系统工程学科正是为解决技术卓越与社会影响深度交汇的关键节点而发展。前文 第 3 章：深度学习基础、第 8 章：AI 训练、第 2 章：机器学习系统 等章节为具备强大能力和广泛影响力的系统奠定了计算基础。然而，随着这些系统在医疗诊断、司法决策、招聘筛选和金融服务等领域扮演日益重要角色，仅靠技术性能指标已难以为继。现代机器学习系统面临的根本挑战在于：它们可能在统计上最优，却产生与公平、透明和社会正义相悖的结果。

本章开启第五部分“可信系统”，将分析框架从技术正确性扩展到系统是否值得社会信任和接受的规范性问题。与“稳健 AI”关注对抗攻击和硬件故障等系统完整性威胁不同，负责任 AI 关注的是系统在正常运行时能否产出符合人类价值和集体福祉的结果。

这一学科将抽象伦理原则转化为具体工程约束和设计要求。正如安全协议需要特定架构决策和监控基础设施，负责任 AI 也要求通过可量化的技术机制和可验证的系统属性来实现公平、透明和问责。这标志着工程方法论的扩展，将规范性要求作为一等设计考量，而非将哲学理念简单套用到工程实践。

软件工程为这种学科演进提供了先例。早期计算系统关注功能正确性，即程序能否输出正确结果。随着系统复杂度和社会融合度提升，业界发展出可靠性工程、安全保障和可维护性分析等方法。现代负责任 AI 实践正是类似的学科成熟，将系统化工程方法扩展

到算法决策的社会与伦理维度。

这种扩展反映了当代机器学习部署的前所未有的规模。这些系统如今主导着信贷分配、医疗诊断、教育评估和刑事司法等影响数十亿人的决策。与传统软件故障表现为崩溃或数据损坏不同，负责任 AI 失效可能导致系统性歧视、损害民主制度、削弱公众对技术的信心。该领域要求系统不仅技术过硬，还需具备伦理问责和社会责任。

> **负责任 AI 定义**
>
> **负责任 AI** 是一门_系统化工程学科_，将_伦理原则转化为机器学习系统的具体设计要求和可度量系统属性_。它涵盖_公平性_（确保不同群体结果公正）、透明性（让系统决策可理解）、问责性（明确结果责任归属）、隐私（保护敏感信息）和_安全性_（防止伤害）。负责任 AI 将这些原则视为_一等工程约束_，指导架构决策、数据处理和运营流程，确保系统在实现技术目标的同时，赢得_社会信任与接受_。

负责任 AI 作为一门系统工程学科，包含四个相互关联的维度。本章将探讨伦理原则如何转化为可度量的系统要求，分析检测和缓解有害算法行为的技术方法，解释为何负责任 AI 超越单一系统，涉及更广泛的社会技术动态，并讨论在组织和监管环境下的实际落地挑战。

学习者需同时具备技术能力和情境理解力。你将学习如何实现偏见检测算法和隐私保护机制，同时理解为何技术方案需要组织治理结构和利益相关方参与流程。内容涵盖提升系统可解释性和问责性的技术方法，并探讨算法无法彻底解决的价值冲突。

本章将建立一套分析框架，帮助工程师同时兼顾即时功能需求与长期社会考量。该框架将负责任 AI 视为现代人工智能开发中不可或缺的工程原则，而非对既有系统的补充约束。

> **章节导航**
>
> 负责任 AI 涉及四个互补视角，缺一不可：
>
> **1. 原则与基础**：定义负责任 AI 系统应达成的目标。将公平、透明、问责、隐私和安全作为工程要求，分析这些原则在云、边缘、移动和 TinyML 部署中的不同表现及理想与现实的张力。
>
> **2. 技术实现**：介绍实现负责任 AI 的具体技术，包括偏见与漂移检测、隐私保护、对抗防御和可解释性验证等，将抽象原则转化为可度量的系统行为。

> **3. 社会技术动态**：说明为何仅有技术正确性远远不够。探讨系统与环境的反馈回路、人机协作挑战、利益相关者价值冲突、可争议性机制和组织治理结构。负责任 AI 存在于算法、组织与社会的交汇处。
>
> **4. 实践现实**：分析原则如何落地，包括组织障碍、数据质量约束、目标冲突、可扩展性挑战和评估缺口。以 AI 安全和价值对齐为自主系统的终章。
>
> 本章内容全面，因为负责任 AI 涉及工程、伦理、政策和组织设计。可按需查阅各节，但要认识到，负责任 AI 的有效落地需整合四个视角。单靠技术无法解决价值冲突，伦理原则若无技术实现则流于理想，单点干预若无组织支持也难以持续。

这些原则和实践为构建既能满足当前需求、又能促进长期社会福祉的 AI 系统奠定基础。将公平、透明、问责、隐私和安全作为工程要求而非事后补丁，工程师才能发展出确保 ML 系统造福社会、最小化风险的技术能力和组织方法。这种系统化方法将抽象伦理原则转化为贯穿机器学习全生命周期的具体设计约束。

核心原则

负责任 AI 指有意识地坚持伦理原则、促进社会福祉的机器学习系统开发与部署。这些原则不仅是政策理想，更是对系统设计、实现和治理的具体约束。

公平性要求机器学习系统不得基于受保护属性 [583]（如种族、性别、社会经济地位等）歧视个人或群体。该原则既包括统计指标，也涵盖更广泛的公平、正义和结构性偏见问题。公平性的数学定义详见第 17 章：可信 AI。

实现负责任 AI 的计算资源需求带来了超越单一系统设计的公平性考量，包括访问门槛和环境正义等问题，详见后文部署约束与落地障碍。

可解释性关注利益相关方能否理解模型如何产生输出，既包括单个决策的解释（事后解释 [584]），也包括整体行为模式。不同神经网络架构（见第 4 章：DNN 架构）的可解释性差异巨大，越深的网络越难解释。可解释性对错误分析、合规和用户信任至关重要。

透明性指公开 AI 系统的构建、训练、验证和部署过程，包括数据来源、设计假设、系统局限和性能特征。可解释性关注输出，透明性则涵盖系统全生命周期。

问责性指通过可追溯、文档化、审计和补救机制，确保个人或组织对 AI 系统结果负责。

583. **受保护属性**：法律禁止歧视的特征，通常包括种族、性别、年龄、宗教、残疾和性取向。具体范围因国家而异：欧盟 GDPR 涵盖 9 类，美国民权法案涵盖 5 类。在 ML 系统中，这些属性因与结果的历史相关性常反映过去歧视而需特殊处理。

584. **事后解释**：模型训练后用于解释决策的可解释性方法。LIME 通过扰动输入特征并训练线性模型近似复杂模型的局部行为，类似“如果我稍微改变这个特征会怎样?”SHAP 为每个特征分配重要性分数，总和等于预测与平均预测的差值。从工程角度看，LIME 每次解释需 1000+ 次模型评估，SHAP 需 50-1000 倍常规推理算力，实时系统成本高昂。

问责性确保 AI 失效不是抽象故障，而是有现实影响的后果。

价值对齐 [585] 要求 AI 系统追求与人类意图和伦理规范一致的目标，既涉及奖励设计和约束规范等技术挑战，也涉及价值观代表性等更广泛问题。

人类监督强调在自动决策中保留人类判断，包括运行时“人在环中” [586] 和组织结构保障 AI 使用符合社会价值与现实复杂性。

隐私和鲁棒性等原则需专门技术实现，贯穿系统设计的安全与可靠性考量。

原则在 ML 生命周期中的集成

负责任机器学习以公平、透明、问责、隐私和安全等原则为基础，定义 AI 系统的伦理与可预测行为。这些原则不是抽象理想或事后补丁，而是需转化为具体约束，指导模型训练、评估、部署和维护。

落地这些原则需理解每一项对系统行为的具体要求。公平性关注模型对不同群体的待遇及历史偏见响应；可解释性确保开发者、审计员和用户能理解模型决策；隐私规范数据收集与使用；问责性定义责任分配、跟踪和执行；安全性要求模型在不确定环境下也能可靠运行。

原则	数据采集	模型训练	评估	部署	监控
公平性	代表性采样	偏见感知算法	群体级指标	阈值调整	子群体性能
可解释性	文档标准	可解释架构	行为分析	用户可见解释	解释质量日志
透明性	数据源追踪	训练文档	性能报告	模型卡	变更追踪
隐私	同意机制	隐私保护方法	隐私影响评估	安全部署	访问审计日志

585. **价值对齐**：AI 安全领域的挑战，由 Stuart Russell（2015）和 Nick Bostrom（2014）首次正式提出。问题在于如何让 AI 优化人类复杂、多变且常常冲突的价值观。典型失败案例包括 Facebook 2016 年“年度回顾”功能让经历丧失的用户痛苦回忆，以及 YouTube 推荐算法为“提升参与度”而推送极端内容。

586. **人在环中（HITL）**：人类主动参与模型训练或决策的设计模式，而非完全自动化。典型如内容审核（大型平台雇佣数千审核员）、医疗诊断（放射科医生复核 AI 标记的影像）、自动驾驶（安全员随时介入）。研究表明，HITL 系统可显著降低错误率，但也带来人机协作与信任新挑战。

原则	数据采集	模型训练	评估	部署	监控
问责性	治理框架	决策日志	审计追踪	覆盖机制	事件追踪
鲁棒性	质量保证	鲁棒训练方法	压力测试	故障处理	性能监控

这些原则协同定义了机器学习系统的负责任行为，不是孤立特性，而是跨生命周期的系统级约束。表 1 展示了公平性、可解释性、透明性、隐私、问责和鲁棒性等关键原则如何映射到数据采集、模型训练、评估、部署和监控等主要开发阶段。有些原则（如公平性、隐私）从数据阶段开始，另一些（如鲁棒性、问责）在部署和监督中最为关键。可解释性虽常在评估和用户交互中强调，也支持模型调试和设计时验证。这种全流程映射强化了负责任 AI 是多阶段架构承诺，而非事后补救。

资源需求与公平性影响

实现负责任 AI 原则需消耗大量计算资源，不同技术和部署场景下差异显著。这些资源需求带来多层次的公平性考量，超越单一组织，涉及社会和环境正义。资源有限的组织难以全面实施负责任 AI 保护，导致伦理保障的可及性差异。先进 AI 系统日益依赖专用硬件和高速网络，系统性地将农村、发展中地区和资源受限用户排除在外。

环境正义问题进一步加剧了访问壁垒。差分隐私模型训练需额外 15-30% 计算，实时公平监控增加 10-20ms 延迟和持续 CPU 占用，SHAP 解释需 50-1000 倍常规推理算力。这些计算需求直接转化为基础设施压力：为 1000 万用户提供负责任 AI 功能的高并发系统，所需数据中心容量远超无约束模型。

这些基础设施的地理分布带来系统性不平等。AI 工作负载数据中心集中在电价低、监管宽松的地区，这些地区往往与低收入社区重叠，承受更多污染、热量和电网压力，却常常缺乏访问 AI 服务所需的高速网络。这形成了“计算公平性”反馈回路，工程师在系统设计时必须考虑基础设施选址对系统性能和社区福祉的影响。具体技术的性能特征详见第 17 章：可信 AI。

透明性与可解释性

本节详细探讨具体原则。机器学习系统常因不可解释性受到批评，许多模型如“黑箱”般难以让用户、开发者和监管者理解或审查。这种不透明性严重阻碍信任，尤其在刑事

司法、医疗、金融等高风险领域。例如，美国 COMPAS 算法被发现存在种族偏见[587]，但系统的专有性质和可解释性工具的缺乏，阻碍了问题调查和修正。

可解释性是理解模型如何做出预测的能力，包括_局部解释_[588]（单个预测）和_全局解释_[589]（整体行为）。透明性则涵盖系统设计和运行的公开，包括数据来源、特征工程[590]、模型架构、训练流程、评估协议和已知局限，还包括用例、系统边界和治理结构的文档化。

可解释性和透明性的重要性超越技术考量，已成为法律义务。例如，欧盟 GDPR 要求个人有权获得自动决策的“有意义信息”[591]。类似法规在全球兴起，强化了将可解释性和透明性作为架构要求的必要性。

实现这些原则需预判不同利益相关方的需求，相关价值冲突详见第 17 章：可信 AI。设计可解释性和透明性需决定何时何地向系统各阶段暴露关键信息。

这些原则也支撑系统的长期可靠性。模型重训练或更新时，可解释性和可追溯性机制有助于发现异常、定位根因和支持治理。将透明性和可解释性嵌入系统结构和运行流程，是赢得信任、监督和契合社会期望的基础。

机器学习中的公平性

机器学习中的公平性极具挑战性。如第 17 章：可信 AI 所述，公平性要求自动系统不得对受保护群体造成不成比例的不利影响。由于系统训练于历史数据，极易复制和放大数据中固有的系统性偏见[592]。若设计不当，ML 系统可能无意中强化社会不公。

医疗领域有一著名案例。美国医院用于分配护理资源的算法，系统性低估黑人患者需求。模型以医疗支出为健康状况代理变量，但因历史性医疗支出差异，黑人患者支出较低，模型据此推断其病情较轻，实际却常需更多护理。该案例说明，看似中立的代理变

587. **COMPAS 算法争议**：2016 年 ProPublica 调查发现，COMPAS（罪犯管理画像系统）将黑人被告错误标记为未来犯罪分子的概率几乎是白人的两倍（45% vs 24%），而白人被告被错误标记为低风险的概率也更高（48% vs 28%）。该算法被多个州用于量刑决策，尽管存在已证实的差异。

588. **局部解释**：解释单个预测的可解释性方法，显示哪些输入特征驱动了具体决策。例如，“该贷款被拒因债务收入比（65%）超阈值（40%）且信用分（580）偏低。”实现通常依赖特征归因算法，需在推理时增加 20-200ms 延迟，并需 UI 展示结果。

589. **全局解释**：描述模型整体行为的方法，如“该模型主要依赖信用分（40%）、收入（25%）、还款历史（20%）做贷款决策。”技术包括特征重要性排序、决策树代理模型和偏依赖图。全局解释有助于开发者调试和审计员评估公平性。

590. **特征工程**：将原始数据转化为机器学习可用输入变量的过程，如类别变量数值化、交互项构造、归一化等。不当特征工程会嵌入偏见，如用邮编做特征可能因居住隔离间接歧视。

591. **GDPR 第 22 条**：即“解释权”，影响约 5 亿欧盟公民，并推动全球类似立法。自 2018 年实施至 2024 年，监管机构已累计罚款超 45 亿欧元，算法决策合规成为重点。全球 120 多国已制定以 GDPR 为蓝本的隐私法。

592. **系统性偏见**：嵌入社会系统和机构的偏见，导致不同群体结果不平等。在 ML 中，表现为历史数据反映过去歧视。例如，若历史晋升数据男性占优，模型可能学会偏向男性。研究表明，若无干预，ML 系统会因优化历史数据模式而放大既有偏见。

量选择若未考虑历史不公，易导致歧视性结果。

面对偏见风险，工程师需形式化方法评估公平性。业界已提出一系列数学标准，量化模型在敏感属性群体间的表现。

在介绍正式定义前，先思考根本问题：什么是公平？应一视同仁，还是考虑不同基础条件？应追求结果平等、机会平等还是待遇平等？这些问题对应不同数学标准，各自反映公平性的不同侧面。

下文用概率符号介绍正式定义（人口统计平等、机会均等、均等机会），这些指标贯穿 ML 公平性文献并影响监管框架。重点理解直觉：每个指标衡量什么、为何重要，数学证明可后读。每条定义后有实际案例，便于理解。若不熟悉概率符号，可先读文字描述，后回头看公式。

人口统计平等 要求获得正向预测的概率与群体无关。形式化为：

$$P\big(h(x) = 1 \mid S = a\big) = P\big(h(x) = 1 \mid S = b\big)$$

即模型对敏感属性 S 的不同子群体，赋予正向结果（如贷款批准、治疗推荐）的概率相等。

在医疗案例中，人口统计平等要求黑人和白人患者被推荐护理的比例相同，无论实际健康状况如何。表面上看似公平，但忽略了实际需求差异，可能矫枉过正。

这一局限促使更细致的公平标准出现。

机会均等 要求模型预测在给定真实标签下与群体无关，具体为真阳性率和假阳性率在各群体间相等：

$$P\big(h(x) = 1 \mid S = a, Y = y\big) = P\big(h(x) = 1 \mid S = b, Y = y\big), \quad \text{for } y \in \{0, 1\}.$$

即对每个真实结果 $Y = y$，模型在 $S = a$ 和 $S = b$ 间应有相同预测分布，确保错误（漏判和误判）均匀分布。

在医疗案例中，机会均等确保实际健康状况相同的患者（真实标签 Y 相同），无论种族，都有相同被推荐护理的概率。原算法未满足此标准，导致黑人患者真阳性率低于白人。

更宽松的标准只关注正向结果。

均等机会 是机会均等的放宽版，仅关注真阳性率。要求在应获正向结果者中，各群体获得正向结果的概率相等：

$$P\big(h(x)=1 \mid S=a, Y=1\big) = P\big(h(x)=1 \mid S=b, Y=1\big).$$

即对 $Y=1$ 的个体，模型在各群体间一视同仁。

在医疗案例中，该标准确保真正需要护理的黑人和白人患者被模型识别的概率相等。美国医院算法因以医疗支出为代理变量，导致黑人患者即使病重也难以获得护理，未满足均等机会。

> **案例：公平性指标计算**
>
> 假设某贷款模型在 200 名申请人（A、B 两组各 100 人）上评估，后续观察实际还款结果：
>
> **A 组（100 人）：**
>
> - 模型批准：70 人（40 人实际还款，30 人违约）
> - 模型拒绝：30 人（5 人本可还款，25 人本会违约）
>
> **B 组（100 人）：**
>
> - 模型批准：40 人（30 人实际还款，10 人违约）
> - 模型拒绝：60 人（20 人本可还款，40 人本会违约）
>
> **人口统计平等：**
>
> $$P(h(x)=1 \mid S=A) = \frac{70}{100} = 0.70$$
> $$P(h(x)=1 \mid S=B) = \frac{40}{100} = 0.40$$
>
> **差异：** $0.70 - 0.40 = 0.30$（30 个百分点差距）
>
> 模型批准 A 组比例远高于 B 组，未满足人口统计平等。
>
> **均等机会（真阳性率）：**
>
> 对实际会还款者（Y=1）：
>
> $$P(h(x)=1 \mid S=A, Y=1) = \frac{40}{40+5} = \frac{40}{45} \approx 0.89$$
> $$P(h(x)=1 \mid S=B, Y=1) = \frac{30}{30+20} = \frac{30}{50} = 0.60$$

> **差异：** $0.89 - 0.60 = 0.29$（真阳性率差 29 个百分点）
>
> 模型未满足均等机会：A 组合格者获批率 89%，B 组仅 60%。
>
> **机会均等（真阳性率 + 假阳性率）：**
>
> 已算出 TPR，现算假阳性率（实际不会还款 Y=0）：
>
> $$P(h(x) = 1 \mid S = A, Y = 0) = \frac{30}{30 + 25} = \frac{30}{55} \approx 0.55$$
> $$P(h(x) = 1 \mid S = B, Y = 0) = \frac{10}{10 + 40} = \frac{10}{50} = 0.20$$
>
> 模型假阳性率也不等：A 组违约者获批 55%，B 组仅 20%。说明模型对 A 组更“宽容”。
>
> **结论：** 该模型三项公平性标准均未达标。优化一项不等于满足其他，甚至可能冲突，下文详述。

这些公平性标准揭示了算法公平性的张力。

> **进阶话题：不可能定理**
>
> 下述不可能定理为公平性理论前沿。重点理解：多项公平性标准无法同时满足，比数学证明更重要。核心观点：公平性本质上是需利益相关方协商的价值决策，而非单一技术最优问题。对大多数工程师而言，理解这一点已足够。

认识到这些张力，实际系统必须将公平性作为全流程约束，贯穿数据采集、目标选择、模型阈值和反馈机制。例如，排序模型与分类模型即使用同一数据，也会导致不同群体访问模式。

公平性指标有助于形式化目标，但常局限于预设人口类别，难以覆盖现实中的交叉身份。原则性公平性需兼顾多维群体，确保模型在未明确定义的子群体间也表现一致。最新研究强调对多样群体的预测可靠性，强化了公平性是系统级要求而非局部调整。这一扩展视角要求架构、评估和监控策略支持更细致、情境敏感的模型行为评估。

公平性考量还延伸到负责任 AI 技术的计算资源和基础设施。环境正义等更广泛公平性问题出现于高能耗 AI 基础设施集中于弱势社区时 [593]。

负责任 AI 技术的高计算强度造成数字鸿沟，公平、透明、可问责的 AI 系统的可及性取

593. **数据中心环境正义**：研究显示，美国主要云计算设施中有相当比例距离低收入或少数族裔社区 10 英里以内。这些地区承受更多备用发电机污染、冷却系统热量和电网压力，却常常缺乏访问 AI 服务所需的高速网络，形成“计算公平性”鸿沟。

决于经济资源。公平性约束、差分隐私和可解释性工具通常比无约束模型多消耗 15-40% 计算资源。结果是，只有资源充足的组织才能负担真正的负责任 AI，资源有限的部署则可能牺牲伦理保障以换取效率，形成“负责任 AI 特权”，加剧不平等。这些资源约束带来民主化挑战，影响弱势群体的数字权益。

这些考量指向根本结论：公平性是数据工程、建模、评估和决策政策交互作用的系统属性，无法靠单一模型或事后补救解决。负责任 ML 设计需将公平性作为基础约束，贯穿架构、流程和治理。其他原则同理：公平性需群体级指标和差异化阈值；可解释性需运行时算力预算（梯度法 10-50ms，SHAP 50-1000 倍开销）；隐私涵盖数据治理、同意机制和生命周期管理；问责性需模型注册、审计日志和人工覆盖机制。

这些原则在开发全流程中相互作用并产生张力。隐私保护可能降低可解释性；公平性约束可能与个性化冲突；鲁棒监控增加计算成本。表 1 展示了各原则在数据采集、训练、评估、部署和监控阶段的体现，强化了负责任 AI 是架构承诺而非事后补救。但原则落地的可行性高度依赖部署环境：云、边缘、移动和 TinyML 各有不同约束，决定了可实现的负责任 AI 功能。

隐私与数据治理

隐私与数据治理的挑战远超第 15 章：安全与隐私中的威胁建模视角，并与前述公平性和透明性原则形成根本张力。安全导向的隐私关注“如何防止未授权访问”，负责任隐私则问“是否应采集这些数据，如何最小化全生命周期暴露”。这带来内在冲突：公平性监控需采集敏感数据，可解释性方法可能泄露训练样本，全面透明性可能侵犯个人隐私。负责任 AI 必须通过权衡设计，平衡保护、问责和效用。

ML 系统常依赖大量个人数据训练和个性化功能，这带来用户隐私、数据保护和伦理责任。数据质量与治理（见第 6 章：数据工程）直接影响负责任 AI 的可实现性。负责任设计将隐私视为核心约束，贯穿系统全生命周期。

支持隐私的核心挑战在于数据效用与个人保护的权衡。高分辨率数据提升模型准确性和适应性，但也加大敏感信息泄露风险，尤其在数据聚合或与外部数据关联时。例如，基于对话或医疗记录训练的模型，已被证明可记忆并泄露训练细节。

隐私挑战还涉及看似无害的数据。可穿戴设备采集的生理和行为信号（如心率、位置）单独看似无害，合并后却可拼出详细用户画像。用户对数据处理、保留和传输的可见性和控制权有限，风险进一步加剧。

应对这些挑战需将隐私作为系统原则，落实到数据治理，包括采集内容、条件、同意和透明度。基础数据工程实践（见第 6 章：数据工程）为治理要求提供技术基础。治理需关注标注、访问控制、日志和合规，约束数据流动并记录责任。

下图展示了数据管道早期的隐私关键节点，标明同意、加密和差分隐私等核心保护措施的应用点。实际实现更复杂，但该流程图有助于识别隐私风险和设计防护措施。

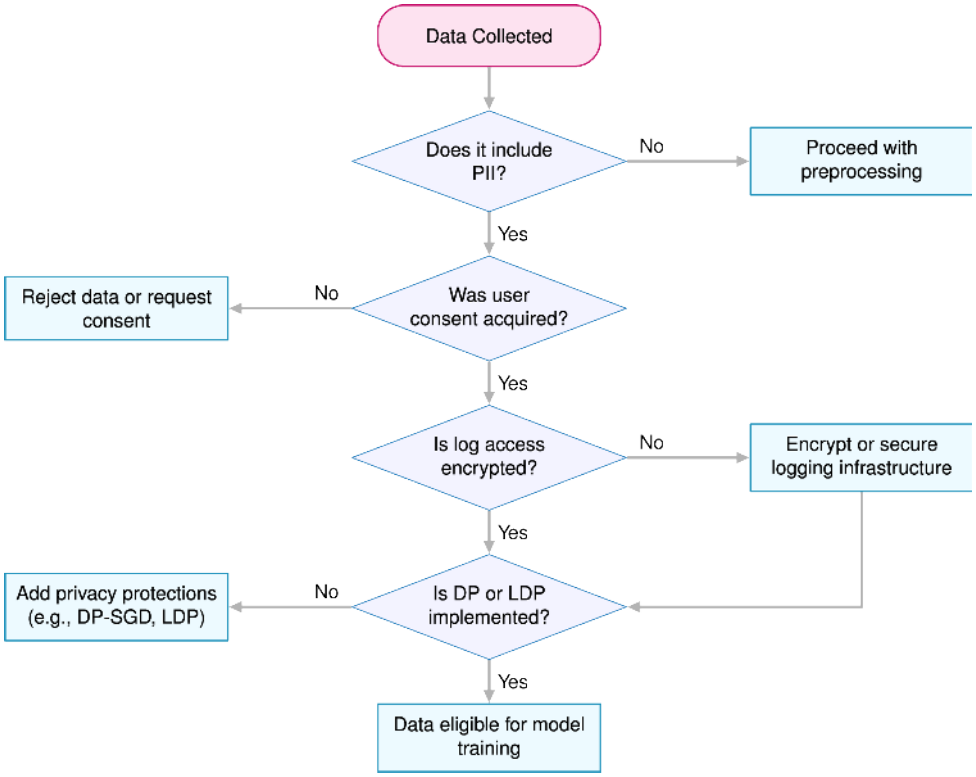

隐私感知数据流：负责任的数据治理需在 ML 管道各环节主动防护，包括同意采集、加密和差分隐私机制，降低风险并确保问责。该图结构化呈现关键节点，便于设计者识别漏洞并在采集、处理、存储阶段实施控制。

治理薄弱的后果已屡见不鲜。基于不透明或偏见数据训练的系统可能延续结构性不公或无意泄露敏感属性。COMPAS 案例中，数据来源和用途不透明阻碍了评估和补救。临床应用中，数据集常因缺失值或人口偏斜影响性能和隐私。若无数据质量和文档标准，这些漏洞将成为系统性风险。

隐私不是孤立算法或数据处理者的责任，而是系统结构属性。包括同意采集、数据保留、模型设计和可审计性在内的决策，共同决定 ML 管道的隐私态势。这要求在训练、推理和运行各阶段预判风险。成员推断攻击[594]等威胁凸显了在模型架构和接口层面嵌入隐私保护的必要性。

法律框架日益强化这一理解。GDPR、CCPA[595]、APPI 等法规对数据最小化、目的限定、

594. **成员推断攻击**：通过分析模型对特定数据的反应，判断该数据是否用于训练。Shokri 等 2017 年首次提出，因模型对训练数据更自信。若能判断某人医疗记录是否参与训练，即泄露了敏感健康信息。

595. **加州消费者隐私法案（CCPA）**：美国加州的综合性隐私法，补充了 GDPR。赋予居民知情、删除、拒绝出售和反歧视权利。对 ML 系统，CCPA 要求数据处理文档、用户同意机制和技术能力以履行删除请求，包括从已训练模型中移除数据影响的复杂挑战。

用户同意和删除权提出具体要求，将伦理期望转化为可执行设计约束，强化了将隐私作为系统开发核心原则的必要性。

综上，ML 中的隐私是系统级承诺，需技术与组织协作，确保数据使用契合用户期望、法律要求和社会规范。负责任设计应从架构、接口和模型全流程集成隐私，而非将其视为功能与隐私的权衡。

安全与鲁棒性是负责任 AI 的另一关键维度。

安全与鲁棒性

安全与鲁棒性（见第 16 章：稳健 AI）不仅是应对硬件故障、对抗攻击和分布漂移的技术属性，也是负责任 AI 的原则。技术鲁棒性确保系统能抵御攻击，负责任鲁棒性则要求系统即使在技术上正常，也能符合人类期望和价值。模型可能对位翻转和对抗扰动鲁棒，却在边界场景下不可控失效，或目标与用户福祉不符。

ML 安全指模型在正常和异常条件下都能可预测运行，鲁棒性则关注模型在输入、环境或配置变化下的稳定性。两者是安全关键领域负责任部署的基础。

实现安全与鲁棒性需预判系统可能遇到的各种情况，设计能在训练分布外也可靠的行为。这不仅包括输入变化，还包括模型对异常相关性、罕见事件和恶意攻击的响应。例如，自动驾驶系统的失效揭示了目标检测局限和自动化依赖可能导致的危害，即使模型在测试条件下表现良好。

典型失效模式是对抗输入[596]：对人类无害但能误导模型的精细扰动。这类漏洞不限于图像分类，已在音频、文本和结构化数据等多模态中发现，暴露了高维空间下学习表示的脆弱性。应对需专门的对抗防御和鲁棒性技术，强调鲁棒性是全局系统属性。

相关挑战还有分布漂移：训练数据与部署环境不可避免的不匹配。季节性、人口变化、传感器老化或环境变化都可能导致模型可靠性下降。应对需系统化检测和适应机制。分布漂移下的失效可能影响下游决策，带来超越准确率的安全风险。在医疗、金融、交通等领域，这些风险不是假设，而是现实后果。

负责任 ML 设计将鲁棒性视为系统性要求，需超越单一模型性能，设计能预判不确定性、暴露局限和支持降级行为的系统。包括置信度阈值、拒绝决策和人类监督等机制，确保系统优雅降级而非无声失效。

这些模型级考量还需扩展到架构和组织层面。模型监控、失效检测和更新治理等决策，均影响系统能否应对变化。负责任设计要求将鲁棒性作为系统整体行为的约束。

596. **对抗输入**：通过微小扰动误导 ML 模型的恶意输入。Szegedy 等 2013 年首次提出，揭示了深度神经网络的根本漏洞，对自动驾驶、医疗等安全关键应用影响重大。

系统级安全与鲁棒性引出问责与治理问题。

问责与治理

ML 问责性指能识别、归因和应对自动决策后果的能力，超越失效诊断，确保系统行为责任明确、可补救、伦理标准可监督。若无此机制，即使善意系统也可能造成重大伤害且无追责，损害信任和合法性。

与传统软件责任归属明确不同，ML 问责性是分布式的。模型输出受数据采集、目标设定、管道设计、接口行为和反馈机制等多方影响，涉及技术、法律和组织多方。例如，招聘平台若产生偏见，责任不仅在模型开发者，还包括数据提供者、界面设计者和部署机构。负责任设计需明确映射和治理这些关系。

治理不足会阻碍机构识别和纠正有害行为。Google Flu Trends 因模型假设和更新策略不透明，外部难以评估，最终被弃用。

法律框架日益强化问责设计。伊利诺伊州 AI 视频面试法案、欧盟 AI 法案等要求高风险应用的透明、同意、文档和监督。这些政策将问责嵌入系统结果和运营流程。内部改革如公平性审计和广告系统使用限制，说明监管压力可推动治理结构变革。

问责设计需全流程可追溯，包括数据溯源、模型版本、人工覆盖和日志留存。模型卡 [597] 和数据表 [598] 等工具标准化了系统行为文档化。但问责不仅是文档，还需反馈、争议和补救机制。

组织内部，治理结构如伦理审查、跨部门审计和模型风险委员会，有助于预判影响和应对新问题。这些结构需基础设施支持，如允许用户争议和开发者修正的系统，尤其在高风险领域。

架构决策同样重要。界面可设计为暴露不确定性、允许升级或暂停自动操作。日志和监控管道需检测伦理漂移，如子群体性能下降或反馈回路。分布式系统难以统一可观测性，需通过安全协议、更新约束或可信组件嵌入问责。

治理不等于集权，而是责任分布透明、可操作、可持续。技术团队、法律专家、用户和管理者都需有工具和信息评估系统行为并及时干预。随着 ML 系统日益复杂和基础设施化，问责性必须成为架构和流程的基础考量，而非事后补丁。

尽管有治理机制，问责仍面临区分合理与伪相关决策的挑战，需关注数据质量、特征选择和持续监控，确保自动决策反映公正而非历史偏见。

597. **模型卡**：Google 2018 年提出的 ML 模型标准化文档，类似食品营养标签，包含用途、群体性能、局限和伦理考量。Google、Facebook、IBM 等已广泛采用，便于开发者理解和审计员评估。
598. **数据表**：微软和华盛顿大学 2018 年提出的数据集标准化文档，仿照电子元件数据表，记录数据集创建、组成、用途和偏见。ImageNet、CIFAR-10 等主流数据集已采用，帮助评估适用性和风险。

上述原则和技术为负责任 AI 奠定了概念和技术基础，但实际落地高度依赖部署架构。云端可支持复杂 SHAP 解释和实时公平监控，TinyML 设备则需静态可解释和编译时隐私保障。边缘部署便于本地隐私保护，但限制全局公平评估。这些架构约束不是细节，而是决定不同用户和应用可获得哪些负责任 AI 保护的根本因素。

不同部署环境下的负责任 AI

由于计算、连接性和治理等约束条件不同，负责任 AI 原则在各类部署环境中的体现也各不相同。云端系统支持全面监控和复杂的可解释性方法，但数据聚合带来隐私风险。边缘和移动端部署则强化了数据本地性，但限制了部署后的可观测性。TinyML 系统受限最严重，只能依赖静态验证，无法在运行时调整。理解这些部署特定的权衡，有助于工程师在架构约束下最大化负责任 AI 的保护能力。

这些架构差异不仅影响技术可行性，还决定了责任在系统各组件间的分配方式。资源可用性、延迟约束、用户界面设计以及连接性的有无，都影响负责任 AI 原则能否在不同部署场景下得到一致执行。第 2 章：机器学习系统中讨论的部署策略和系统架构，为理解如何在多样环境下实现负责任 AI 奠定了基础。

除了技术约束外，算力资源的地理和经济分布也为负责任 AI 部署带来了更多公平性问题。高性能 AI 系统通常需要靠近大型数据中心或高速网络，这导致服务质量差异与既有社会经济不平等高度相关。农村、发展中地区和经济弱势区域，常因网络延迟、带宽受限和远离算力基础设施而体验到更差的 AI 服务质量[599]。这种基础设施鸿沟意味着，实时可解释性、持续公平监控和隐私保护计算等负责任 AI 原则，在这些场景下实际上难以落地。

理解部署如何塑造公平性、可解释性、安全、隐私和问责的实际环境，对于设计在真实世界中稳健、对齐且可持续的机器学习系统至关重要。

系统可解释性

首先详细探讨可解释性原则，其在机器学习系统中的可行性极大受部署环境影响。虽然模型架构和解释方法很重要，但系统级约束（如算力、延迟、界面设计和数据可访问性）才决定了某环境下能否支持可解释性。这些约束在云平台、移动设备、边缘系统和深度嵌入式部署间差异巨大，影响了解释的形式和时机。

在高资源环境（如云端），可用 SHAP、LIME 等技术生成详细的事后解释，即使需要多次前向推理或采样。这些方法在对延迟敏感或资源受限场景下往往难以落地，解释必须

599. **数字基础设施鸿沟**：美国联邦通信委员会估算，39% 的农村居民无法接入高速宽带，而城市仅为 2%。对于需实时响应的 AI 服务，欠发达地区用户会多出 200-500 毫秒延迟，使交互式可解释性和实时偏见监控难以实现。这种基础设施差距导致最易受算法伤害的群体反而最难获得伦理 AI 保护，形成“需求与可及性反比”的局面。

轻量且快速。移动或嵌入式系统更适合基于显著性图[600]或输入梯度的方法，通常只需一次反向传播。TinyML 部署下，运行时解释几乎不可行，开发阶段的静态检查成为保障可解释性的唯一机会。模型压缩和优化常与可解释性需求冲突，简化模型未必更易解释。

延迟和交互性也影响解释的呈现方式。实时系统（如无人机、自动化工业控制）运行期间无法展示或计算解释，主要策略是记录内部信号或置信度供事后分析。相反，异步交互系统（如金融风控、医疗诊断）可在决策后提供更深入的延迟解释。

受众需求也影响设计选择。终端用户通常需要简洁、直观、具备情境意义的解释。例如，移动健康应用会用“睡眠时心率升高”而非抽象模型细节。开发者、审计员和监管者则需归因图、概念激活或决策轨迹等内部解释，便于调试、验证或合规审查，这些需通过开发接口或模型开发流程暴露。

可解释性还贯穿系统全生命周期。开发阶段用于诊断、特征审计和概念验证；部署后则转向运行时行为监控、用户沟通和失败案例分析。TinyML 等无法运行时解释的系统，设计时验证尤为重要，需在模型构建阶段预防下游可解释性失效。

将可解释性作为系统设计约束，意味着从一开始就为可解释性留出资源，并与延迟预算、能耗约束和界面限制等其他部署需求平衡。负责任的系统设计不仅追求预测性能，还要确保利益相关方能在部署环境的实际限制下理解和评估模型行为。

公平性也面临类似的部署特定挑战。

公平性约束

公平性虽可形式化定义，但其落地受部署约束影响，与可解释性面临的挑战类似甚至更复杂。数据可见性、模型个性化、算力、监控和再训练基础设施的差异，决定了公平性在不同系统架构下的评估、执行和持续保障方式。

关键因素之一是数据可见性。云端等中心化环境下，开发者通常能获取带人口属性的大型数据集，可用群体级公平性指标、偏见感知训练和事后审计。去中心化部署（如联邦学习[601]客户端、移动应用）因隐私或数据碎片化，难以获得全局统计。端上学习面临独特挑战，单设备难以了解全局人口分布，公平性干预需在训练或数据集策划阶段嵌入，部署后难以评估。

600. **显著性图**：高效的解释方法，突出输入区域（如图像像素、文本单词）对模型预测的影响。实现方式为计算输出对输入特征的梯度，利用标准反向传播（与训练同一机制）。工程优势：只需一次反向传播（约 10 毫秒开销），而 LIME/SHAP 需数百次前向推理。但梯度结果可能噪声大，易突出输入伪影，生产环境需预处理和平滑。

601. **联邦学习**：一种分布式机器学习方法，模型在多个设备/服务器上训练，无需集中数据。2016 年 Google 首创，用于提升 Gboard 输入预测且数据留在本地。现被 Apple（Siri）、医院（医疗研究）等采用。虽保护隐私，但因无法观测全局人口分布，公平性评估更难。

个性化和自适应机制也影响公平性权衡。全局模型可追求群体间平等，端上自适应模型（如健康监测、推荐引擎）则更关注个体公平，确保相似用户待遇一致。但缺乏清晰相似性度量或代表性数据时，难以实现。基于本地行为再训练的个性化系统，若边缘用户数据稀疏或噪声大，易加剧既有差异。

实时和资源受限环境进一步限制公平性保障。嵌入式、可穿戴或实时控制平台通常无法运行时监控公平性或动态调整阈值，需通过保守设计（如平衡训练目标、静态评估子群体性能）在部署前预防。例如，低功耗可穿戴语音识别系统需在设计时确保不同口音下的鲁棒性，因部署后无法再校准。

决策阈值和系统策略也影响实际公平性。即使模型在各群体间表现相近，统一阈值若分数分布不同，仍会导致不平等。例如，移动贷款审批系统若不考虑群体特定阈值，可能系统性低批某一群体。此类决策需提前推理、论证并嵌入系统策略。

长期公平性还受反馈动态影响。基于用户行为再训练的系统（如排序、推荐、自动决策管道）若反馈回路管理不善，易放大历史偏见。例如，招聘平台若偏好特定院校，基于历史结果再训练会加剧不平等。需治理机制贯穿训练、部署监控、数据日志和影响评估。

公平性如同其他负责任 AI 原则，不局限于模型参数或训练脚本，而是全生命周期决策（数据采集、模型设计、策略阈值、再训练、用户反馈）共同作用的系统属性。尤其在受限或去中心化部署下，将公平性作为系统级约束，需预判权衡点，并在架构、决策规则和生命周期管理中提前嵌入公平目标。

公平性面临的部署挑战同样体现在隐私架构上，中心化与分布式约束间也存在类似张力。

隐私架构

机器学习系统中的隐私问题延续了公平性的模式：不仅仅是保护单条记录，更取决于数据的采集、存储、传输和系统行为集成方式。这些决策与部署架构紧密相关。系统级隐私约束因模型托管于云端、本地还是用户控制环境而异，各自面临不同的风险最小化与功能保障挑战。

架构上的关键区别在于数据处理的中心化与去中心化。云端系统通常聚合大规模数据，便于高容量建模和监控，但也加大了泄露和监控风险，需强加密、访问控制和可审计性。去中心化部署（如移动应用、联邦学习、TinyML）数据留在本地，降低中心风险但限制全局可观测性，开发者难以获取监控或合规所需的人口或行为统计，隐私保护需在开发阶段嵌入。

个性化行为的系统隐私挑战尤为突出。智能键盘、健身追踪、语音助手等应用持续处理

敏感信号（如位置、输入、健康指标），即使原始数据被丢弃，训练后的模型也可能保留可被推理恢复的用户特征。架构中若有持久内存和频繁交互，长期隐私需在模型生命周期内深度集成保护机制。

连接性假设也影响隐私设计。云端系统可集中执行加密协议和远程删除策略，但可能带来延迟、能耗或传输风险。边缘系统多为离线或间歇连接，隐私保障依赖特征最小化、本地数据保留和编译时混淆。TinyML 设备通常无持久存储或更新通道，隐私只能在固件和模型二进制中静态实现，部署后无法调整。

隐私风险还涉及服务和监控层。若模型允许日志或主动学习更新，日志基础设施若无隐私保护，可能无意泄露敏感信息。例如，成员推断攻击可通过分析模型输出判断用户数据是否参与训练。防御需将隐私保护延伸到接口设计、速率限制和访问控制。

隐私不仅取决于技术机制，还取决于用户体验。模型即使形式上满足隐私定义，若数据采集不透明或缺乏解释，仍会违背用户期望。界面设计至关重要：系统需清晰告知采集何种数据、用途及用户如何退出或撤回同意。隐私敏感应用若未契合用户规范，即使技术合规也会失信。

因此，架构决策影响数据全生命周期的隐私，从采集、预处理到推理和监控。隐私设计不仅要选安全算法，还需基于部署约束、用户需求和法律义务做原则性权衡。高资源环境可集中执行政策工具，受限环境则需在模型和系统行为中静态嵌入隐私，通常无法动态监督。

隐私不是部署后的附加功能，而是需与部署环境架构现实协同规划、实现和验证的系统级属性。

与隐私关注数据保护相辅相成，安全与鲁棒性架构确保即使隐私机制无法防范所有风险，系统输出也能在压力下保持可靠、对齐人类期望。

安全与鲁棒性

机器学习系统的安全与鲁棒性实现高度依赖部署架构。动态不可预测环境（如自动驾驶、医疗机器人、智能基础设施）需实时管理不确定性，防范高影响失效。嵌入式控制器或端上 ML 系统则需在资源受限、可观测性有限和恢复机会稀缺下稳定运行。无论何种场景，安全与鲁棒性都是系统级属性，既依赖模型质量，也取决于部署中如何检测、遏制和管理失效。

常见挑战之一是分布漂移：部署条件与训练时不同。即使输入特征（如光照、传感器噪声、环境变化）略有变化，若未建模或监控不确定性，性能也会大幅下降。缺乏运行时监控或回退机制的架构，性能劣化常常直到失效才被发现。面向真实世界变异性的系统，必须能识别输入超出预期分布，并据此校准或推迟决策。

对抗鲁棒性带来额外架构考量。安全敏感决策系统（如反欺诈、内容审核、生物识别）易受对抗输入攻击，需模型级防御（如对抗训练、输入过滤）和部署级策略（如 API[602] 访问控制、速率限制、输入冗余校验）。这些防护常带来延迟和复杂性权衡，需与实时性能需求平衡。

对延迟敏感的部署进一步限制鲁棒性策略。自动导航、实时监控或控制系统需在严格时限内决策，重型鲁棒机制难以落地，回退动作需提前定义。此类系统常用置信度阈值、拒绝预测 [603] 或规则覆盖降低风险。例如，送货机器人仅在行人检测置信度足够高时前进，否则暂停或交由人工。此类控制策略虽常在模型外实现，但必须与系统安全逻辑紧密集成。

TinyML 部署约束更严。运行于微控制器，无操作系统、无连接，无法依赖运行时监控或远程更新。安全与鲁棒性只能通过保守设计、充分预部署测试和本身简单可预测的模型静态实现。部署后，系统需在传感器老化、电源波动、环境变化下无外部干预地可靠运行。

所有部署场景下，监控和升级机制对长期鲁棒性至关重要。云端或高资源环境可用不确定性估计、分布变化检测或人在环反馈检测失效并触发恢复。受限环境下，这些机制需简化或预计算，但原则不变：鲁棒性不是一次性达成，而需持续识别和应对新风险。

安全与鲁棒性必须视为系统涌现属性，取决于输入感知与校验、输出执行、失效识别和纠正措施的触发。鲁棒系统不是零错误，而是能可见、可控、安全地失效。安全关键应用中，这种设计不是可选，而是基础要求。

这些安全与鲁棒性考量引出治理与问责问题，也需适应部署约束。

治理结构

机器学习系统的问责性需通过具体架构选择、界面设计和运营流程实现。治理结构通过明确责任归属、条件和机制，使责任可操作。治理结构深受部署架构影响。问责的可追溯、可审计和可执行程度，在中心化、移动、边缘和嵌入式环境间差异巨大，各自面临系统监督和完整性维护的独特挑战。

中心化系统（如云平台）通常有完善的日志、版本控制和实时监控基础设施。模型注册、遥测 [604] 仪表盘和结构化事件管道，便于团队将预测追溯到具体模型、数据输入或

602. **ML API 安全**：面向外部请求的 ML 系统需 API 保护。关键防御包括速率限制（每用户 100-1000 次/秒）、输入校验（类型、范围、格式）和认证令牌。ML API 独有攻击如模型窃取（重复查询盗取模型）和对抗输入。Google Cloud AI、AWS SageMaker 等生产系统采用多层 API 安全，包括请求限流、输入净化和异常检测。

603. **ML 拒绝预测**：当置信度低于阈值时，模型拒绝输出预测而非强行给出结果。对安全关键系统尤为重要，拒绝预测可将错误率降低 40-70%，但覆盖率下降（10-30% 输入被拒绝）。实现方式包括置信度阈值、预测区间或集成分歧。自动驾驶遇到模糊场景会交还人工，医疗 AI 对不确定病例交由专家。

604. **ML 系统遥测**：对部署 ML 系统的模型性能和运行指标实时监控。现代遥测平台（如 MLflow、云监控）捕获预测

配置状态。

边缘部署则将智能分布到可能独立于中心基础设施的设备。嵌入式模型（如车辆、工厂、家庭）需本地机制检测异常、触发告警和升级。例如，工业传感器置信度下降时可本地报警并启动预设升级流程。设计此类自治需提前规划：工程师需决定采集哪些信号、如何本地存储、连接中断或延迟时如何重新分配责任。

移动部署（如个人理财、数字健康工具）处于用户界面与后端系统交汇处。出错时，问题可能源于本地模型、远程服务或用户交互设计。此类治理需考虑这种模糊性。有效问责需清晰文档、可访问的申诉路径和机制，让用户能理解、解释和质疑自动决策。理解和申诉结果的能力需嵌入界面和服务架构。

TinyML 部署治理最受限。设备可能无连接、无持久存储、无运行时可配置性，动态监督或干预机会极少。此时，问责需通过加密固件签名、固定审计链和预部署文档静态嵌入。有时治理只能在制造或配置阶段执行，部署后无法修正。这些约束使治理结构设计与早期架构决策密不可分。

界面也在问责中扮演重要角色。能展示解释、暴露不确定性或允许用户查询决策历史的系统，使开发者、审计员或用户能理解发生了什么及原因。相反，黑箱 API、未文档化阈值或闭环决策系统阻碍监督。有效治理需信息流契合技术、监管和用户需求，使失效模式可观测、可补救。

治理还需适应领域风险和机构规范。高风险应用（如医疗、司法）常有法定影响评估和审计链。低风险领域更多依赖内部实践，受客户期望、声誉或技术惯例影响。无论何种场景，治理都应视为系统级设计属性，而非外部政策叠加。它通过代码结构、部署管道、数据流和决策接口实现。

要在多样部署环境下持续问责，需不仅为成功做规划，更要为失效做准备，包括异常检测、角色分配、记录维护和补救流程。这些流程需嵌入基础设施：日志可追溯、接口可执行、架构约束下仍具韧性。

负责任 AI 治理还需考虑算力基础设施选择对环境和分布的影响。部署 AI 系统的组织不仅对算法结果负责，也对资源利用模式对环境正义和公平接入的系统性影响负责，详见资源需求与公平性影响部分。

设计权衡

不同部署场景下的治理挑战揭示了一个根本事实：部署环境带来根本约束，决定了负责任 AI 实现中的权衡。机器学习系统不是在理想孤岛中运行，而是在有限资源、严格延

延迟（1-100 毫秒）、准确率、资源利用和错误率。对检测模型漂移和失效至关重要，通常准确率下降超 5% 或延迟超 200 毫秒会触发告警。但数百模型服务多样用户时，失效路径易被掩盖，问责归因更难。

迟、用户行为变化和监管复杂性下权衡目标。

云端系统因算力和存储充足，常能支持全面监控、公平性审计、可解释性服务和隐私保护工具。但这些优势通常伴随数据中心化，带来监控、泄露和治理复杂性风险。相反，端上系统（如移动、边缘、TinyML）数据本地性和用户控制更强，但部署后可见性、公平性监控和模型适应性受限。

目标间的张力常在架构层面显现。例如，需实时响应的系统（如可穿戴手势识别、自动刹车）无法在推理时计算复杂解释，设计者需选择预计算简化输出、异步分析还是放弃运行时可解释性。

个性化与公平性也常冲突。基于本地数据自适应的系统，往往缺乏评估群体间差异所需的全局视角。要确保个性化预测不导致系统性排斥，需在架构上平衡用户级适应与群体级公平和可审计性。

隐私与鲁棒性目标也可能冲突。鲁棒系统常需记录罕见事件或异常用户以提升可靠性，但记录这些数据可能违背隐私目标或违反数据最小化法律。在敏感行为需本地或加密保存的场景，鲁棒性必须在模型架构和训练阶段提前设计，事后优化不可行。

负责任 AI 的算力需求带来的张力超越技术优化，涉及环境正义和公平接入。能效部署常需简化模型，减少公平监控能力，在环境可持续性与伦理保障间权衡。例如，联邦学习中实现差分隐私会使单设备能耗增加 25-40%，对电池受限设备而言，隐私保护可能因能耗成本而不可及 [605]。

这些例子说明了更广泛的系统级挑战。负责任 AI 原则不能孤立考虑，彼此交互，优化一项常常约束另一项。合适的平衡取决于部署架构、利益相关方优先级、领域风险、错误后果，以及算力资源需求对环境和公平的影响。

负责任机器学习设计的区别不在于消除权衡，而在于能否清晰、审慎地权衡。设计决策需透明，充分理解部署环境的限制及其对系统行为的影响。

为总结这些洞见，表 2 对比了云、移动、边缘和 TinyML 系统下负责任 AI 原则的架构张力。每种环境在可解释性、公平性、隐私、安全和问责等方面因算力、连接性、数据访问和治理可行性而有不同约束。

如表 2 所示，没有哪种部署场景能在所有原则上占优，各有取舍。云端支持复杂解释（SHAP、LIME）和中心化公平监控，但数据聚合带来隐私风险。边缘和移动部署数据本地性强，但限制了部署后可观测性和全局公平评估。TinyML 受限最严重，只能静态验

605. **能耗 - 隐私权衡**：斯坦福和 MIT 研究表明，差分隐私和安全多方计算等隐私保护技术会使算力能耗增加 20-60%。联邦学习场景下，移动设备电池消耗加快 15-30%。对老旧设备、续航有限或电费敏感用户，这些能耗要求会让其无法享受隐私保护 AI 服务，形成“隐私依赖经济资源”的系统。

证和编译时隐私保障，无法运行时调整。这些约束不仅是技术限制，还决定了不同用户和应用能获得哪些负责任 AI 功能，导致只有资源充足的部署才能负担全面保障。理解这些部署约束，为后续负责任 AI 技术方法的实际落地提供了必要背景。

原则	云端 ML	边缘 ML	移动端 ML	TinyML
可解释性	支持复杂模型和 SHAP、采样等方法	需轻量、低延迟方法如显著性图	需为用户输出可解释结果，深度分析常转云端	极度受限，仅支持静态或编译时解释
公平性	大数据集便于检测和缓解偏见	本地偏见难检测，但可端上调整	高度个性化使群体公平追踪复杂	数据极少，难以分析和缓解偏见
隐私	数据中心化易泄露，但可用强加密和差分隐私	端上敏感数据需本地保护	与用户身份紧密耦合，需同意机制和本地处理	数据分布式降低中心风险，但匿名化难度大
安全性	易受黑客和大规模攻击	需关注现实交互的可靠性	用户监督下运行，仍需优雅降级	需分布式安全机制保障自治
问责性	企业政策和审计便于追溯和监督	供应链碎片化使问责复杂	需清晰的用户披露和反馈通道	需跨长链条硬件追溯
治理	易于外部监管（如 GDPR、CCPA）	需开发者和集成商自我治理	平台政策与开发者选择平衡	依赖内置协议和加密保障

技术基础

负责任的机器学习需要将伦理原则转化为具体系统行为的技术方法。这些方法应对实际挑战：检测偏见、保护隐私、保障鲁棒性、提升可解释性。其成效取决于这些技术在数据质量、算力资源和部署需求等真实系统约束下的表现。

理解这些方法为何必要，首先要认识到机器学习系统如何产生问题行为。模型从训练数据中学习模式，包括历史偏见和不公平关联。例如，若招聘算法训练于有偏历史数据，就会复制歧视性模式，将某些人口特征与“成功”错误关联。

这是因为机器学习模型学到的是相关性而非因果关系。它们识别的统计模式可能反映不公的社会结构，而非有意义的因果联系。这种系统性偏见使历史上占优群体在模型中受益。

解决这些问题不能仅靠训练后的简单修正。传统机器学习只优化准确率，与公平目标存在张力。有效方案必须将公平性直接融入学习过程，而非作为次要考量。

每种技术路径都涉及准确率、算力开销和实现复杂度的权衡。这些方法并非通用，需根据系统需求和约束选择。所用框架决定了哪些负责任 AI 技术能实际落地。

本节将探讨负责任 AI 原则的实用技术方案。每种方法在系统中有特定作用，并带来相应的需求和性能影响。这些工具协同构建可信的机器学习系统。

负责任 AI 的技术路径可分为三类互补方法：检测方法用于发现系统问题行为，为偏见、漂移和性能问题提供预警；缓解技术通过算法干预和鲁棒性增强主动防止有害结果；验证方法为利益相关方理解和解释系统行为提供机制。

负责任 AI 技术的计算开销

实现负责任 AI 原则会带来可量化的计算成本，系统设计时必须考虑。理解这些性能影响，有助于工程师根据算力资源和质量要求，理性决策采用哪些技术。表 3 系统比较了不同负责任 AI 技术带来的计算开销。

技术	准确率影响	训练开销	推理成本	内存开销
差分隐私	-2% ~ -5%	+15% ~ +30%	极小	+10% ~ +20%
(DP-SGD)				

技术	准确率影响	训练开销	推理成本	内存开销
公平性感知训练	-1% ~ -3%	+5% ~ +15%	极小	+5% ~ +10%
(重加权/约束)				
SHAP 解释	N/A	N/A	+50% ~ +200%	+20% ~ +100%
对抗训练	+2% ~ +5%	+100% ~ +300%	极小	+50% ~ +100%
联邦学习	-5% ~ -15%	+200% ~ +500%	极小	+100% ~ +300%

表 3 的性能数据为主流基准和生产系统的典型区间 [606]。实际开销因模型架构、数据集规模和实现质量差异很大。例如，SHAP 在线性模型上仅增加约 10ms，但在深度集成模型上可超 1000ms。对抗训练的开销取决于攻击强度：PGD-7 约增 150%，PGD-50 约增 300%。联邦学习的开销主要受通信轮次和客户端异构性影响。

这些计算成本带来显著的公平性考量，详见多处章节。资源有限的组织可能无法实施负责任 AI 技术，导致伦理保护的可及性差异，这一主题在部署、落地和组织障碍中反复出现。

检测方法是所有负责任 AI 干预的基础。

偏见与风险检测方法

检测方法为识别机器学习系统问题行为提供基础能力，是偏见、漂移和性能退化的预警系统，防止问题造成重大损害。

偏见检测与缓解 将公平性落地到实际系统，不能只靠原则目标或理论指标，必须有系统感知的方法，贯穿机器学习全生命周期检测、度量和缓解偏见。实用偏见检测可用

606. **测量上下文**：基准假设：8x A100 GPU（训练）、T4 GPU/8 核 CPU（推理）、标准模型（ResNet-50、BERT-Base、XGBoost）、常用数据集（ImageNet、GLUE、UCI Adult/COMPAS）。数据为生产优化实现，非科研原型。开销随架构、数据集和实现质量变化很大。

Fairlearn[607] 等工具实现：

示例 1：**Fairlearn 偏见检测**：系统性评估贷款审批模型在不同群体间的表现，揭示审批率和假阳性率的潜在差异，提示需干预的歧视模式。

```python
from fairlearn.metrics import MetricFrame
from sklearn.metrics import accuracy_score, precision_score

# 贷款审批模型在不同群体的评估
mf = MetricFrame(
    metrics={
        "approval_rate": accuracy_score,
        "precision": precision_score,
        "false_positive_rate": lambda y_true, y_pred: (
            (y_pred == 1) & (y_true == 0)
        ).sum()
        / (y_true == 0).sum(),
    },
    y_true=loan_approvals_actual,
    y_pred=loan_approvals_predicted,
    sensitive_features=applicant_demographics["ethnicity"],
)

# 展示各族群审批表现差异
print("各族群贷款审批表现：")
print(mf.by_group)
# 输出示例：Asian: 94% 审批，White: 91%，Hispanic: 73%，Black: 68%
```

实际落地常受数据可访问性和系统监控能力限制。许多真实环境（尤其移动、联邦、嵌入式系统）在推理时无法获得性别、年龄、种族等敏感属性，难以追踪或审计模型在不同群体间的表现。第 6 章：数据工程中讨论的数据采集和标注策略对全生命周期公平性评估至关重要。在此类场景，公平性干预需前置到数据策划或训练阶段，部署后难以再校准。即使数据可用，若持续再训练管道未监控公平性，用户反馈也可能加剧既有差异。例如，端上推荐模型若无法检测用户交互或输出中的人口失衡，可能放大原有偏见。

下图展示了公平性约束与部署选择的张力。在二元贷款审批系统中，A（蓝）B（红）两子群体需不同阈值才能实现相等真阳性率。统一阈值会导致结果不均，B 群体受损。通过分群调整阈值可提升公平性，但需模型服务栈支持条件逻辑、推理时可访问敏感属性，并有治理框架解释和证明差异化处理。

公平性干预可在管道不同环节实施，但各自带来系统级影响。预处理方法通过采样、重

607. **Fairlearn**：微软开源的 Python 工具包，用于测量和缓解机器学习系统中的偏见。工程上，它提供 API 计算人口统计平等、机会均等等公平性指标，并有算法调整模型预测或重训练以满足公平约束。实现方式为用 fairlearn 包装 scikit-learn 模型，应用公平性后处理或约束训练。典型开销为训练时间增加 10-30%，推理监控增加 5-15% 延迟。

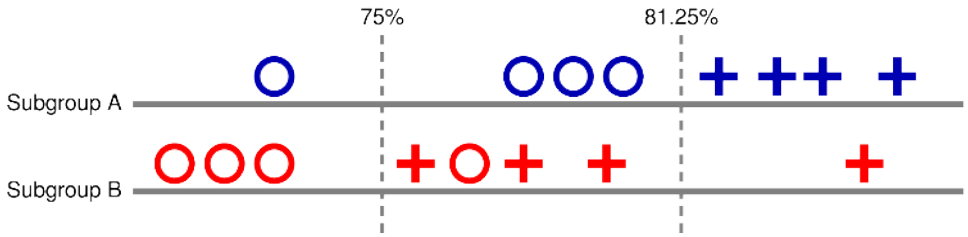

阈值依赖的公平性：为不同子群体设置不同分类阈值可实现相等真阳性率，但增加模型服务复杂度，并需推理时访问敏感属性。实现公平需细致考量子群体表现，单一阈值可能导致不均，凸显准确率与公平结果的张力。

加权或增强平衡训练数据，需访问原始特征和群体标签，常依赖特征库或数据湖保留数据溯源。适合中心化训练和高质量标注数据的系统。处理中方法将公平约束直接嵌入优化目标，需训练基础设施支持自定义损失或约束求解器，训练周期更长或需额外正则化验证。第 8 章：AI 训练详述了公平性训练的基础。

后处理方法（如分群阈值、分数调整）需推理系统能基于敏感属性或外部策略规则做条件处理。这要求模型服务、访问控制和日志管道协同，确保差异化处理可审计、符合法规。模型服务架构详见第 2 章：机器学习系统。任何后处理策略都需验证不会损害用户体验、模型稳定性或违反属性使用法规。

可扩展的公平性保障常需更高级策略，如多重校准（multicalibration）[608]，确保模型在大量交叉子群体间均校准。

大规模多重校准需动态生成子群体分区、计算分组校准误差，并将公平性审计集成到自动监控系统。这通常只在云端大规模部署、成熟可观测性和指标管道下可行。嵌入式或 TinyML 等受限环境，遥测有限且模型逻辑固定，只能在设计时验证公平性。

跨部署环境，维护公平性需全生命周期机制。模型更新、反馈回路和界面设计都会影响公平性随时间的演化。若再训练管道无公平性检查、日志系统无法追踪子群体结果，或用户反馈引入训练分布未覆盖的微妙偏见，公平性模型会退化。监控系统需能暴露公平性回退，再训练协议需能访问带子群体标签的验证数据，可能需数据治理和伦理审查。实现这些监控需生产级 MLOps 基础设施，联邦公平性评估则需隐私保护技术。

公平性不是一次性优化，也不是模型孤立属性。它源于数据采集、特征工程、模型设计、阈值、反馈和系统监控等协同决策。将公平性嵌入机器学习系统需架构前瞻、运营规范和贯穿训练、服务、用户界面的工具链。

偏见检测的社会技术影响远超技术测量。当公平性指标发现差异，组织需如第 17 章：

608. **多重校准**：高级公平性技术，确保模型在大量交叉人口子群体间均校准。Úrsula Hébert-Johnson 等 2018 年提出，解决了全局校准但子群体失效的问题。需比简单阈值调优高 10-100 倍算力，可支持数千重叠群体，是服务多样人群的大平台必备。

可信 AI 所述，协调多方利益、法规合规和价值权衡，这些无法仅靠技术手段解决。

实时公平性监控架构 生产系统中落地负责任 AI 原则，需将公平监控、可解释性和隐私控制直接集成到模型服务架构。下图为参考架构，展示负责任 AI 组件如何与现有 ML 基础设施集成。

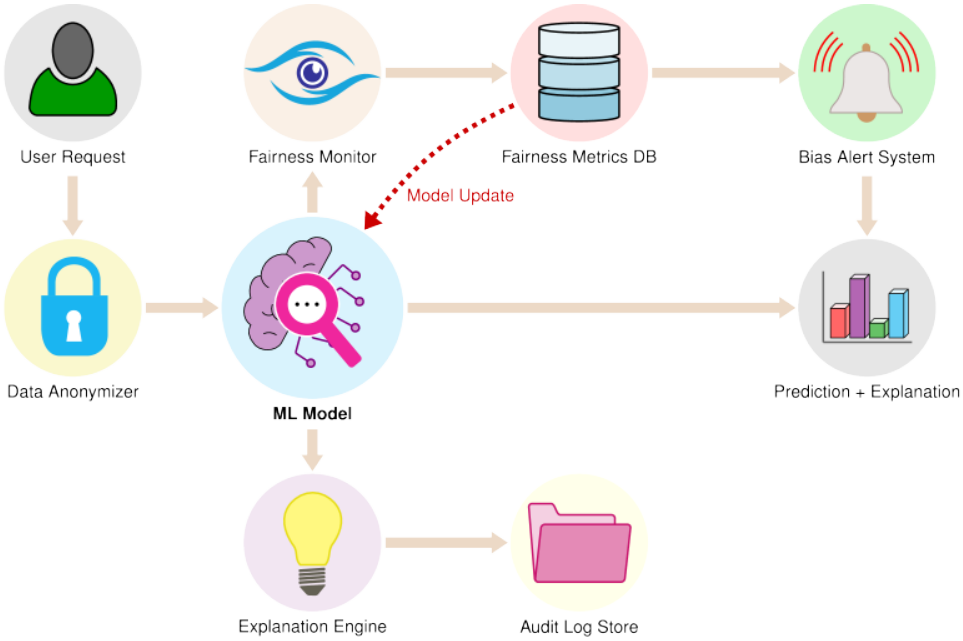

生产级负责任 AI 架构：实时公平监控需集成组件，对每次推理请求执行数据匿名化、偏见检测和解释生成，同时保留审计链并在公平阈值被突破时触发告警。虚线为基于检测到的偏见模式的模型更新反馈回路。

该架构通过多组件协作，实现大规模负责任 AI：

数据匿名化层在模型推理前执行隐私保护变换，如 k-匿名 [609] 或差分隐私噪声注入。每请求增加 2-5ms 延迟，内存开销 15-25%，但提供正式隐私保障。

实时公平监控跟踪每次预测的人口统计平等和机会均等指标，维护各保护群体的滚动统计。系统对超阈值差异（如审批率差异超 5%）报警。监控增加 10-20ms 延迟，需 100-500MB 额外内存。

解释引擎为模型决策（尤其需用户申诉的负面结果）生成 SHAP 或 LIME 解释。快速近似法将解释延迟从 200-500ms（全 SHAP）降至 20-50ms（流式 SHAP），保真度 90%。内存增加 50-100%，用于梯度计算和特征重要性缓存。

609. **k-匿名**：隐私技术，确保数据集中每个体在识别属性上与至少 k-1 个体不可区分。ML 系统中通过泛化或抑制字段（如年龄段替代具体年龄、地区替代具体位置）实现。工程上需预处理管道识别准标识符、实现泛化层级并验证匿名约束，通常数据效用下降 10-30%，但能防止重识别攻击。

> **实现深度剖析**
>
> 下例演示生产级实时偏见检测的公平监控实现。重点理解：(1) 公平性指标如何集成到服务基础设施，(2) 实现如何权衡性能，(3) 阈值超限时如何触发告警。具体实现细节可在构建类似系统时参考。

示例 2 展示了将这些组件集成到实时监控系统的生产实现：

```python
import asyncio
from dataclasses import dataclass
from typing import Dict, List, Optional
import numpy as np
from sklearn.metrics import confusion_matrix


@dataclass
class FairnessMetrics:
    demographic_parity_diff: float
    equalized_odds_diff: float
    equality_opportunity_diff: float
    group_counts: Dict[str, int]


class RealTimeFairnessMonitor:
    def __init__(
        self, window_size: int = 1000, alert_threshold: float = 0.05
    ):
        self.window_size = window_size
        self.alert_threshold = alert_threshold
        self.predictions_buffer = []
        self.demographics_buffer = []
        # For actual outcomes when available
        self.labels_buffer = []

    async def process_prediction(
        self,
        prediction: int,
        demographics: Dict[str, str],
        actual_label: Optional[int] = None,
    ) -> FairnessMetrics:
        """处理单次预测并更新公平性指标"""

        # 存入滚动窗口缓冲区
        self.predictions_buffer.append(prediction)
        self.demographics_buffer.append(demographics)
        if actual_label is not None:
            self.labels_buffer.append(actual_label)

        # 保持窗口大小
        if len(self.predictions_buffer) > self.window_size:
```

```
            self.predictions_buffer.pop(0)
            self.demographics_buffer.pop(0)
            if self.labels_buffer:
                self.labels_buffer.pop(0)

        # 计算公平性指标
        metrics = self._compute_fairness_metrics()

        # 检查偏见告警
        if (
            metrics.demographic_parity_diff > self.alert_threshold
            or metrics.equalized_odds_diff > self.alert_threshold
        ):
            await self._trigger_bias_alert(metrics)

        return metrics

    def _compute_fairness_metrics(self) -> FairnessMetrics:
        """计算各群体间的人口统计平等和机会均等"""
        if len(self.predictions_buffer) < 100:  # 最小样本量
            return FairnessMetrics(0.0, 0.0, 0.0, {})

        # 按保护属性分组预测
        groups = {}
        for i, demo in enumerate(self.demographics_buffer):
            group = demo.get("ethnicity", "unknown")
            if group not in groups:
                groups[group] = {"predictions": [], "labels": []}
            groups[group]["predictions"].append(
                self.predictions_buffer[i]
            )
            if i < len(self.labels_buffer):
                groups[group]["labels"].append(self.labels_buffer[i])

        # 计算人口统计平等（审批率）
        approval_rates = {}
        for group, data in groups.items():
            if len(data["predictions"]) > 0:
                approval_rates[group] = np.mean(data["predictions"])

        demo_parity_diff = (
            max(approval_rates.values())
            - min(approval_rates.values())
            if len(approval_rates) > 1
            else 0.0
        )

        # 计算机会均等（真阳性率/假阳性率差异），需标签可用
        eq_odds_diff = 0.0
        eq_opp_diff = 0.0

        if self.labels_buffer and len(groups) > 1:
            tpr_by_group = {}
            fpr_by_group = {}

```

```
            for group, data in groups.items():
                if (
                    len(data["labels"]) > 10
                ):  # 最小可靠指标样本量
                    tn, fp, fn, tp = confusion_matrix(
                        data["labels"], data["predictions"]
                    ).ravel()
                    tpr_by_group[group] = (
                        tp / (tp + fn) if (tp + fn) > 0 else 0
                    )
                    fpr_by_group[group] = (
                        fp / (fp + tn) if (fp + tn) > 0 else 0
                    )

            if len(tpr_by_group) > 1:
                eq_odds_diff = max(
                    abs(tpr_by_group[g1] - tpr_by_group[g2])
                    for g1 in tpr_by_group
                    for g2 in tpr_by_group
                )
                eq_opp_diff = max(tpr_by_group.values()) - min(
                    tpr_by_group.values()
                )

        group_counts = {
            group: len(data["predictions"])
            for group, data in groups.items()
        }

        return FairnessMetrics(
            demographic_parity_diff=demo_parity_diff,
            equalized_odds_diff=eq_odds_diff,
            equality_opportunity_diff=eq_opp_diff,
            group_counts=group_counts,
        )

    async def _trigger_bias_alert(self, metrics: FairnessMetrics):
        """当偏见超阈值时触发告警"""
        alert_message = (
          f"偏见告警：人口统计平等差异："
          f"{metrics.demographic_parity_diff:.3f}, "
        )
        alert_message += (
          f"机会均等差异："
          f"{metrics.equalized_odds_diff:.3f}"
        )

        # 记录到审计系统
        print(f"[审计] {alert_message}")

        # 可触发其他动作：
        # - 发送告警到监控面板
        # - 暂时启用人工审核
        # - 触发模型再训练管道
        # - 调整决策阈值
```

该生产实现展示了负责任 AI 原则如何转化为具体系统架构及可量化性能影响。公平监控每请求增加 10-20ms 延迟，需 100-500MB 额外内存，解释引擎增加 20-50ms 响应和 50-100% 内存。这些开销需与可靠性和合规性权衡。

检测能力需与主动防护的缓解技术结合。

风险缓解技术

缓解技术通过系统设计和运行主动干预，防止有害结果并降低对用户和社会的风险。这包括保护敏感数据的隐私方法、保障系统可靠性的对抗防御，以及支持数据治理和用户权利的机器遗忘 [610] 等。

隐私保护 隐私是负责任机器学习的基础原则，影响数据采集、模型行为和用户交互。隐私约束不仅受伦理和法律义务影响，还取决于系统架构和部署场景。隐私保护技术旨在防止数据泄露、限制记忆、保障用户同意、退出和数据删除权，尤其在个性化或敏感信息学习系统中。

现代大规模神经网络已知会记忆训练样本，包括姓名、位置或私密通信片段。这在智能助手、可穿戴设备、医疗平台等隐私敏感应用中风险极大，训练数据可能包含受保护或受监管内容。例如，语音助手适应用户语音时，可能无意中保留特定短语，后续可被特定查询提取。

这一风险不限于语言模型。训练于图像数据集的扩散模型也能再现训练集实例，如下图所示。这说明许多现代模型架构能内化并再现训练数据，且难以检测和控制。

模型还易受成员推断攻击，攻击者试图判断某数据是否参与训练。这类攻击利用模型对见过与未见输入的微妙行为差异。在医疗、法律等高风险应用中，仅仅知道某人记录被用于训练就可能违反隐私期望或法规。

为缓解这些漏洞，业界发展了多种隐私保护技术。最广泛采用的是差分隐私 [611]，它能正式保证单条数据的加入或移除对模型输出影响有界。差分隐私随机梯度下降（DP-SGD）通过裁剪梯度并注入噪声实现。正确实现后，模型不会记忆单条数据，降低推断攻击风险。

610. **机器遗忘**：无需全量重训即可移除特定训练数据影响的能力。Cao 和 Yang 2015 年首次提出，解决 GDPR“被遗忘权”等隐私法规。现代方法如 SISA（分片、隔离、切片、聚合）训练可将遗忘时间从小时降至分钟，但准确率较全量重训低 2-5%。

611. **差分隐私**：系统级隐私方法，通过在训练算法中添加精确校准的噪声，防止从模型中恢复单条数据。DP-SGD 实现为裁剪梯度限制个体影响，再加高斯噪声更新权重。工程上需修改训练循环，增加 15-30% 训练时间，准确率下降 2-5%。隐私保障用“隐私预算”（epsilon）量化隐私 - 效用权衡。

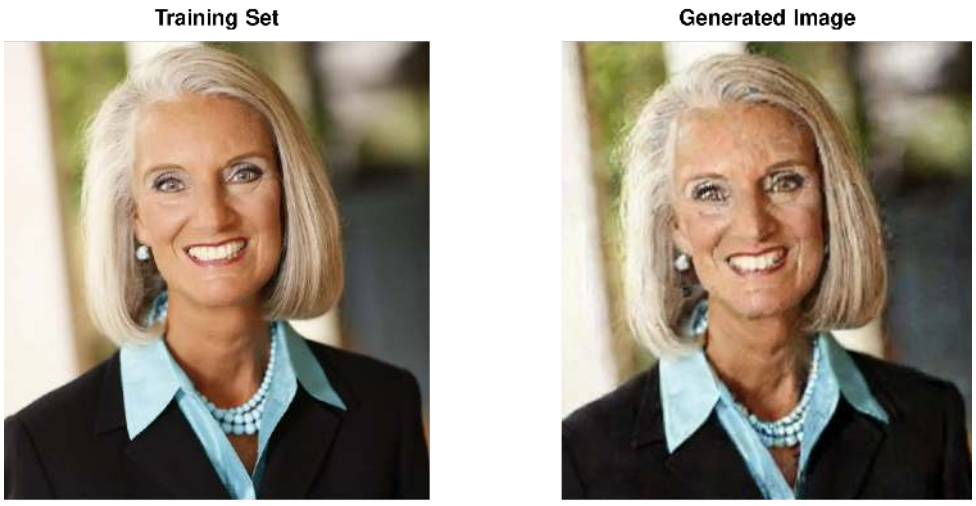

扩散模型记忆：图像扩散模型可再现训练样本，说明记忆风险不限于语言模型，是现代神经架构的普遍漏洞。即使无显式指令，模型也会记忆，敏感数据集尤需警惕。

但差分隐私带来系统级权衡。训练噪声会降低模型准确率、增加迭代次数、需更大数据集维持性能。移动、边缘、嵌入式等资源受限场景尤为突出，内存、算力、能耗预算紧张。此时需结合轻量隐私技术（如特征混淆、本地差分隐私）与架构策略（如限制采集、缩短保留、边缘严格访问控制）。

隐私保障还依赖模型外基础设施。数据采集界面需支持知情同意和透明度。日志系统应避免保留敏感输入，支持访问控制、过期策略和可审计性。模型服务基础设施需防止输出泄露内部行为或重构私密数据。这些机制需 ML 工程、安全和治理协同。

隐私需贯穿全生命周期。再训练管道需考虑已删除或撤回数据，尤其在有删除权法规下。监控基础设施应避免日志或仪表盘中记录个人信息。隐私感知遥测、可信执行环境、用户级审计链日益普及，尤其在法律监管严格的应用中。

架构决策也因部署场景而异。云端可集中执行差分隐私、加密和访问控制，配合遥测和再训练。边缘和 TinyML 则需在模型本身静态实现隐私约束，通常无运行时配置或反馈通道。此时需编译时静态分析、保守设计和嵌入式隐私保障，部署前完成验证。

隐私不是模型孤立属性，而是管道各环节设计决策的系统级产物。负责任的隐私保护需技术防护、界面控制、基础设施政策和法规合规协同，贯穿部署系统全生命周期。

隐私保护技术带来复杂的社会技术张力。差分隐私机制可能降低模型准确率，且对弱势群体影响更大，导致隐私与公平目标冲突。这些挑战需持续利益相关方参与，详见第 17 章：可信 AI，组织需在数据控制、个性化和合规间权衡。

用户权利和数据治理的动态性使隐私挑战更复杂。

机器遗忘 隐私保护不止于训练阶段。现实系统中，用户需有权撤回同意或请求删除数据，即使模型已训练和部署。支持这一需求带来核心技术挑战：如何让模型“遗忘”特定数据影响，而无需全量重训？这在算力、存储、连接受限的边缘、移动、嵌入式部署中尤为难以实现。

传统数据删除假设可访问全量训练集，删除目标记录后重训模型。下图对比了传统重训与新兴机器遗忘方法。重训需用修改后的数据集重建模型，遗忘则试图在不重训的情况下移除特定数据影响。

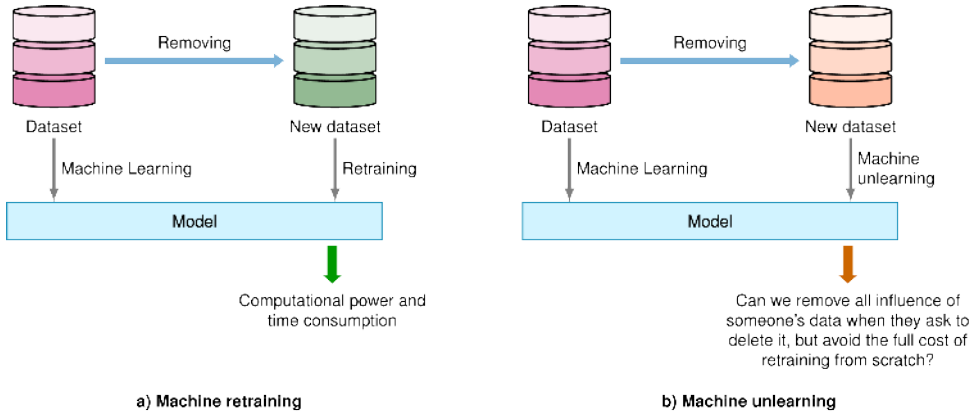

模型更新策略：重训需从头构建模型，机器遗忘则在不完全重建的前提下移除特定数据影响，对资源受限部署尤为重要。此法可最小化计算成本，实现训练后隐私删除。

在延迟、算力或隐私约束紧张的系统中，这一区别尤为重要。现实中，许多已部署 ML 系统因安全、合规或成本原因不保留原始训练数据。此时全量重训不可行，且操作中断大，尤其需可验证、可追溯的数据删除。

机器遗忘旨在无需全量重训即可移除单条数据对已训练模型的影响。当前方法通过调整内部参数、修改梯度路径或隔离/剪枝模型组件，近似实现删除数据未参与训练时的预测。这些技术尚在成熟中，常需简化模型架构、额外元数据或牺牲准确率和稳定性。还带来验证难题：如何证明删除已生效，尤其在模型内部状态不可解释时。

法规进一步推动机器遗忘。GDPR、CCPA、加拿大、日本等法规均规定“被遗忘权”，包括用于模型训练的数据。这些法规要求不仅防止未授权访问，还要主动撤销，让用户能要求其信息不再影响系统行为。生成模型复现个人或版权内容的事件，凸显将遗忘机制集成到负责任系统设计的紧迫性。

系统视角下，机器遗忘带来非平凡的架构和运维需求。系统需能追踪数据谱系，包括哪些数据贡献了某模型版本，常需结构化元数据和训练管道监控。还需支持用户删除流程，包括认证、提交和状态反馈。验证可能需维护模型版本库，并能确认更新后模型无残留影响。这些操作需覆盖数据存储、训练编排、模型部署和审计基础设施，并能应对

失败或回滚。

资源受限部署中挑战更大。TinyML 设备通常无持久存储、无连接、模型高度压缩，部署后无法响应删除请求。此时机器遗忘只能在开发阶段通过静态数据最小化和保守泛化实现。即使云端可重训，遗忘仍需应对分布式训练、服务副本和模型快照同步难题。

尽管挑战重重，机器遗忘正成为负责任系统设计的关键。随着 ML 系统日益嵌入、个性化和自适应，撤销训练影响能力对维护用户信任和符合法规至关重要。关键是，遗忘不能事后补丁，需在架构和政策设计阶段考虑，支持谱系追踪、重训编排和部署回滚。

机器遗忘代表隐私观念的转变 —— 从保护采集数据到控制数据影响系统行为的时长。这一生命周期视角带来模型设计、基础设施和合规新挑战，也为更可控、透明和自适应的 ML 系统奠定基础。

负责任 AI 系统还需在恶劣条件下保持可靠，包括应对恶意攻击。

对抗鲁棒性 对抗鲁棒性在第 16 章：稳健 AI 和第 15 章：安全与隐私中作为防御攻击的核心，也为负责任 AI 部署奠定基础。它不仅防范恶意攻击，还保障模型在自然变异、边界场景和分布外输入下可靠。对抗脆弱性暴露了模型学习表示的根本脆弱性，即使非对抗场景也影响可信度。

深度神经网络等模型已知对微小、精心设计的扰动极为敏感，可显著改变预测。这一漏洞通过对抗样本概念首次形式化，揭示了训练数据表现与真实世界变异下行为的鸿沟。模型在干净输入上表现良好，但对仅有微小变化的输入（人类难以察觉）却可能完全失效。

这不仅是理论问题。对抗样本已被用于操纵内容审核、广告拦截检测、语音识别等真实系统。在自动驾驶、医疗诊断等安全关键领域，即使极少数失效也会带来高后果，损害信任或暴露攻击面。

下图展示了肉眼难辨的扰动导致高置信度误判，说明微小变化可带来巨大危害。

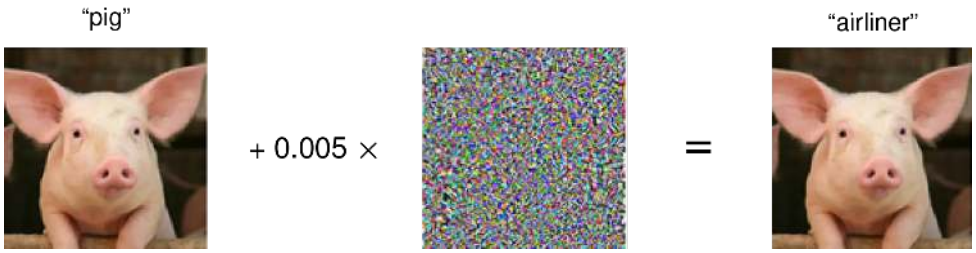

对抗扰动：微小、精心设计的噪声可让 ML 模型高置信度误判，即使人类无法察觉。图示为对猪的微扰导致错误分类，凸显深度学习系统对对抗攻击的脆弱性。来源：微软。

本质上，对抗脆弱性源于模型假设与部署条件的不匹配。许多训练流程假设数据干净、独立同分布，而实际部署需应对不确定性、噪声、领域漂移和对抗篡改。鲁棒性不仅是抗攻击，还包括在退化或不可预测条件下保持一致行为。

提升鲁棒性从训练阶段开始。对抗训练是最常用技术之一，通过扰动样本增强训练，帮助模型学习更稳定的决策边界，但通常增加训练时间并降低干净数据准确率。大规模实现需数据预处理、模型检查点和能处理扰动输入的验证协议。

架构改进也可提升鲁棒性。限制 Lipschitz 常数、正则化梯度敏感性或约束表示平滑性等技术可让预测更稳定。这些设计需兼容模型表达需求和训练框架。例如，平滑模型适合输入精度有限或需严格阈值的嵌入式系统。

推理时，系统可实现不确定性感知决策。模型在置信度低时拒绝预测，或将不确定输入路由到回退机制（如规则组件或人在环）。这需部署基础设施支持回退逻辑、用户升级流程或可配置拒绝策略。例如，移动诊断应用若置信度低于阈值则返回“不确定”，而非给出潜在有害预测。

监控基础设施对部署后鲁棒性维护至关重要。分布漂移检测、异常跟踪和行为漂移分析可发现鲁棒性随时间退化。实现需持久记录模型输入、预测和上下文元数据，并有安全通道触发再训练或升级。这些工具自身也有系统开销，需与遥测、告警和模型版本管理集成。

除经验防御外，形式化方法可提供更强保障。认证防御（如随机平滑）能概率性保证模型输出在有界输入区间内稳定。这类方法需每次推理多次前向传播，计算量大，适合高保障、资源充足场景。集成到生产流程还需兼容模型服务和概率验证工具。

更简单的防御如输入预处理，通过去噪、压缩或归一化滤除对抗噪声。这些变换需足够轻量以实时执行，尤其在边缘部署下，且要能保留任务相关特征。集成建模也是一法，通过多模型集成提升鲁棒性，但增加推理复杂度、内存占用和运维难度。

系统约束（如延迟、内存、能耗、模型更新频率）强烈影响可行的鲁棒性策略。对抗训练增加模型体积和训练时长，挑战 CI/CD 流程并提升再训练成本。认证防御需算力和推理时间冗余。监控需日志、数据保留和访问控制。端上和 TinyML 部署通常无法运行时检查或动态更新。此时鲁棒性需静态验证并编译时嵌入。

对抗鲁棒性不是模型孤立属性，而是训练、架构、推理逻辑、日志和回退路径协同的系统级产物。模型单独看似鲁棒，若部署系统缺监控或接口防护，仍会失效。反之，部分鲁棒模型若嵌入能检测不确定性、限制暴露和支持恢复的架构，也能提升系统可靠性。

鲁棒性如同隐私和公平，需嵌入模型及其周边系统。负责任 ML 设计需预判模型在真实压力下的失效方式，并构建能检测、恢复和安全失效的基础设施。

验证方法让利益相关方能理解和审计系统行为。

验证方法

验证方法为利益相关方理解、审计和解释系统行为提供机制，帮助评估自动决策是否契合伦理和运营要求。这些技术支持透明性、合规和用户信任。

可解释性与可解释性 随着 ML 系统进入高影响领域，理解和解释模型预测变得至关重要。可解释性和可解释性指让模型行为对人类利益相关方（开发者、专家、审计员、监管者、终端用户）可理解的技术和设计机制。两者常混用，严格区分时，interpetability 指模型本身的透明性（如决策树、线性分类器），explainability 指为复杂或黑箱模型生成事后解释的技术。

可解释性在系统验证、错误分析、用户信任、合规和事故调查中居核心地位。医疗、金融、自动决策等高风险领域，解释有助于判断模型是否基于合理原因决策，还是依赖伪相关。比如解释工具可揭示诊断模型过度依赖图像伪影而非医学特征，否则难以发现。许多行业法规已要求 AI 系统提供“有意义信息”，强化了系统化解释支持的必要性。

可解释性方法可按操作时机和与模型结构关系分类。事后方法在训练后应用，将模型视为黑箱，无需访问内部权重，通过模型行为推断影响模式或特征贡献。常见方法有特征归因（输入梯度、集成梯度[612]、GradCAM[613]）、LIME、SHAP 等。

这些方法广泛用于图像和表格领域，解释可渲染为显著性图或特征排序。以 SHAP 归因为例，假设用随机森林预测贷款审批（approve=1, deny=0），特征有 income、debt_ratio、credit_score。某申请人被拒，收入 $45,000，债务比 0.55，信用分 620，模型预测拒绝概率 0.72。SHAP 基于合作博弈论的 Shapley 值，度量每个特征将预测从基线（全体平均 P(approve)=0.50）推向个体预测的贡献。

SHAP 框架通过评估所有特征子集，计算每个特征贡献。基线 0.50，加 income（略低于均值）降 0.05，加 debt_ratio（高）再降 0.25，加 credit_score（低）再降 0.12，最终 0.50-0.05-0.25-0.12=0.08，即 P(deny)=0.72。可见高债务比贡献最大（-0.25），其次信用分（-0.12），收入影响最小（-0.05）。这类解释具备可操作性：若债务比降至 40% 以下，决策可能翻转。

但这种严谨性带来高昂计算成本。3 特征需 2^3=8 次子集评估，20 特征需 2^2⊠ ≈ 百万次，解释 50-1000 倍于梯度法。树模型 SHAP 可降为多项式，深度模型需采样近似

612. **集成梯度**：通过从基线到实际输入的路径积分梯度，计算特征重要性。Google Sundararajan 等 2017 年提出，满足敏感性和实现不变性等数学公理。计算成本为基础梯度的 50-200 倍，但对深度网络归因更可靠。
613. **GradCAM**：用梯度高亮 CNN 预测中重要图像区域的可视化技术。2017 年 Georgia Tech 等提出，适用于任意 CNN 架构，无需结构修改。广泛用于医学影像和自动驾驶，10-50ms 可生成，适合实时应用。

（KernelSHAP、DeepSHAP）。SHAP 理论上满足局部准确性、缺失性、一致性等优良性质，但高开销使其在高吞吐系统中难以实时解释，需近似或缓存。

另一类事后方法是反事实解释，描述若输入变化模型输出如何改变，适用于信贷、招聘等决策场景。例如，反事实解释可指出若申请人收入更高或债务更低就能获批。生成反事实需领域约束和真实数据流形，集成到实时系统有挑战。

第三类是基于概念的解释，试图将模型特征与人类可解释概念对齐。例如，CNN 分类室内场景时，激活“灯”、“床”、“书架”等滤波器。这类方法适合专家需语义解释的领域，但需概念标注数据或辅助模型，增加基础设施依赖。

事后方法虽灵活广泛，但有局限。因其为事后近似，可能生成合理但误导的解释。效果依赖模型平滑性、输入结构和解释方法保真度。最适合探索分析、调试或用户摘要，不宜作为内部逻辑的最终解释。

相对地，固有可解释模型天生透明，如决策树、规则列表、单调线性模型、KNN。这些模型直接暴露推理结构，便于利益相关方追踪预测路径。在司法预测、医疗分诊等受监管领域，固有可解释模型常被优先选用，哪怕牺牲部分准确率。但这类模型难以扩展到高维或非结构化数据，复杂任务下性能有限。

不同模型类型的可解释性可视为光谱。如下图，决策树、线性回归等天生透明，神经网络等复杂架构需外部解释。该区分对受监管或需信任的应用尤为关键。

模型可解释性光谱：固有可解释模型（如线性回归、决策树）推理透明，复杂模型（如神经网络）需事后解释。该区分指导模型选择，受监管或需信任场景优先透明性。

混合方法试图结合深度模型的表达能力与可解释组件的透明性。如 Concept Bottleneck（Koh 等 2020）先预测可解释中间变量，再用简单分类器输出最终预测。ProtoPNet（Chen 等 2019）通过与原型比对分类，便于用户理解。混合方法适合需部分透明性的领域，但引入原型存储、推理时索引等新系统设计考量。

更前沿的是机制可解释性，试图逆向工程神经网络内部运算，受程序分析和神经科学启发，映射神经元、层或激活到具体计算功能。该领域尚处探索阶段，主要用于分析大模型。

系统视角下，可解释性带来架构依赖。解释需生成、存储、展示和评估，需解释 API、

归因图存储、可视化库和中间行为日志。模型常需插桩或配置以支持采样、扰动或反向传播。

这些需求直接受部署约束影响，带来可量化性能成本。SHAP 解释通常需 50-1000 倍前向推理，单次解释 200ms-5s，复杂模型更高。LIME 需训练代理模型，单次 100-500ms。生产系统若每秒 1 万次预测、10% 需解释，仅解释就需 50-500 倍算力。

资源受限环境下，基于梯度的归因法更高效，通常每次仅增 10-50ms，利用已有反向传播。但复杂模型下可靠性差，模型更新后解释可能不一致。边缘部署常用预计算规则近似或简化决策边界，牺牲解释保真度换取 100ms 内延迟。

存储需求也随解释需求大幅提升。表格数据存 SHAP 值每预测每特征约 4-8 字节，图像梯度归因图每次 1-10MB。生产系统若每日 100 万次解释，月需 50GB-10TB 存储，需严格数据生命周期管理。

可解释性贯穿 ML 全生命周期。开发时用于数据审计、概念验证、调试，推理时支持问责、决策验证、用户沟通，部署后可日志、审计或错误调查时查询。系统设计需支持各阶段，将解释工具集成到训练框架、服务基础设施和用户应用。

压缩和优化也影响可解释性。剪枝、量化和结构简化常用于 TinyML 或移动端，可能扭曲内部表示或阻断梯度流，降低归因解释可靠性。此时需优化后验证解释质量，若解释重要，需将其纳入设计约束。

可解释性不是附加功能，而是系统级关注。设计时需明确谁需解释、何种解释有意义、如何在延迟、算力和界面预算下交付。ML 日益嵌入关键流程，解释能力成为安全、可信、可问责系统的核心要求。

可解释性的社会技术挑战在于技术解释与人类理解的鸿沟。算法可生成特征归因和梯度图，但利益相关方常需契合其心智模型、领域知识和决策流程的解释。放射科医生需医学概念和视觉模式解释，而非神经网络激活。这一翻译挑战需技术团队与领域专家协作，开发既准确又实用的解释格式。解释还会影响人类决策，带来新责任。

模型性能监控 训练时评估再严谨，也不能保证部署后模型可靠。真实环境动态变化：输入分布因季节、用户行为、政策变动而变，导致预测性能和系统可信度随时间退化。模型在训练/验证集表现良好，生产中仍可能做出不可靠或有害决策。

这种漂移影响超越准确率。若子群体分布变化，公平性保障可能失效，特征与结果的相关性在新场景下变得不可靠。可解释性需求也会变化，如新利益相关方需解释，或监管要求提升透明度。可信度不是训练时静态属性，而是随部署和反馈动态变化的系统特性。

为确保长期负责任行为，ML 系统需集成持续监控、评估和纠正机制。监控涉及的不仅是整体准确率，还需暴露子群体指标、检测输入分布漂移、识别异常输出、采集用户反馈。这些信号需与公平、鲁棒、透明等预期对比，并能触发再训练、校准或回滚等系统响应。

实现有效监控依赖健壮基础设施。系统需结构化、安全地记录输入、输出和上下文元数据，需遥测管道捕获模型版本、输入特征、预测置信度和后续反馈。这些日志支持漂移检测和公平鲁棒审计。监控系统还需集成告警、更新调度和政策复审，支持及时、可追溯干预。

监控还支持反馈驱动改进。例如，用户反复异议、纠错或人工覆盖可提示问题行为。反馈需聚合、验证并转化为数据集、标注或模型架构更新。但反馈回路有风险：用户偏见可能引入新不公，过度日志损害隐私。设计需协调用户体验、安全和伦理治理。

监控机制因部署架构而异。云端可用丰富日志和算力实现实时遥测、定期公平审计和持续再训练。移动端连接间歇、存储有限，监控需轻量、能容忍同步延迟，本地推理系统常异步收集性能数据后汇总上传，隐私约束更严，需本地聚合和数据最小化。

边缘部署（如自动驾驶、智能工厂、实时控制）需低延迟响应，外部监督最少。监控需嵌入运行时，内部检查传感器完整性、预测置信度和行为偏差，常用低开销不确定性估计、异常检测或一致性校验。需预判失效条件，确保异常行为能触发安全回退或人工介入。

TinyML 系统运行于无连接、无持久存储、无动态更新的嵌入式硬件，监控最受限。此时监控需在部署前设计和编译进系统，常用输入范围检查、内置冗余、静态回退逻辑或保守阈值。部署后模型独立运行，失效需物理更换或固件重置。

核心挑战普遍：部署 ML 系统需不仅初始表现良好，还能随环境变化持续负责任。监控提供将系统性能与伦理目标和问责结构连接的可观测层。无监控，公平和鲁棒不可见；无反馈，失配无法纠正。监控是 ML 系统保持自适应、可审计和对齐目标的运行基础。

本节探讨的技术方法 —— 偏见检测、差分隐私、对抗训练、可解释性框架 —— 为负责任 AI 实现提供了关键能力。但这些工具也揭示了根本局限：技术正确性本身无法保证有益结果。举三例说明：

公平性审计系统检测到贷款模型种族偏见，但组织缺乏解释和修正流程，技术能力有，组织惰性阻碍整改。差分隐私保障了数据保护的数学证明，但用户不了解保护机制，仍不当分享敏感信息，隐私方法有效但行为环境削弱效果。可解释性系统生成了准确的特征重要性，但受影响个体因界面设计和素养障碍无法访问或理解。

这些例子说明，负责任 AI 落地依赖技术能力与社会技术环境（组织激励、人类行为、

价值观、治理结构）的对齐。

社会技术动态

负责任 AI 系统运行在复杂的社会技术环境中，技术方法与人类行为、组织实践和多元利益冲突相互作用。前文介绍的偏见检测、隐私保护和可解释性等技术为系统提供了必要能力，但其实际效果完全取决于这些能力如何与决策流程、用户界面、反馈机制和治理结构集成。理解这些互动对于实现可持续、真正有益的负责任 AI 落地至关重要。

上一节聚焦于解决明确定义问题的技术工具：检测偏见的算法、保护隐私的方法、生成解释的技术。现在我们将分析视角转向那些无法仅靠算法解决的挑战。

下文将探讨负责任 AI 系统如何与人、组织和多元价值观互动。这一转变需要不同的推理能力：不再是优化目标函数，而是分析利益冲突；不再是调参，而是权衡伦理取舍；不再是度量技术性能，而是评估社会影响。这正是社会技术工程的挑战 —— 设计既要满足计算约束，又要契合人类价值观的系统。

负责任机器学习系统设计远不止于技术正确性和算法保障。系统一旦部署，就会在复杂的社会技术环境中运行，其输出既影响、又被人类行为、制度实践和社会规范所影响。随着时间推移，机器学习系统会成为其所建模环境的一部分，形成反馈动态，影响未来数据采集、模型再训练和下游决策。

本节关注机器学习技术部署带来的更广泛伦理和系统性挑战。将分析模型与环境间的反馈回路如何加剧偏见，人机协作如何引入新风险和责任，利益相关者价值冲突如何复杂化公平与问责的落地，以及可争议性和制度治理在持续负责任系统行为中的作用。这些考量凸显：责任不是算法的静态属性，而是系统设计、使用和监督随时间演化的动态结果。

系统反馈回路

机器学习系统不仅仅是观察和建模世界，它们也在塑造世界。一旦部署，模型的预测和决策常常会影响其分析的环境。这种反馈会改变未来数据分布、用户行为和制度实践，形成模型输出与系统输入之间的递归回路。随着时间推移，这种动态可能放大偏见、固化差异，甚至无意中改变模型最初服务的目标。

预测性警务就是这一现象的典型案例。模型基于历史逮捕数据预测某社区犯罪率较高，执法部门据此加派警力，结果导致该地区记录的案件更多，这些数据又被用于后续模型训练，进一步强化原有预测。即使模型最初并无明显偏见，进入反馈回路后也会自我实现，最终对本已被过度执法的社区造成更大影响。

推荐系统在数字环境中也有类似动态。以参与度为目标的内容推荐模型，会逐步收窄用

户可见内容范围，形成反馈回路，强化既有偏好或加剧观点极化。这些效应用传统性能指标难以察觉，因为系统持续优化训练目标的同时，可能已偏离更广泛的社会或知识目标。

从系统视角看，反馈回路是负责任 AI 的核心挑战。它破坏了数据独立同分布假设，复杂化了公平性、鲁棒性和泛化能力的评估。标准验证方法依赖静态测试集，难以捕捉模型对数据生成过程的动态影响。一旦反馈回路形成，单纯提升公平性或准确率的干预往往难以奏效，除非能解决底层数据动态。

要在反馈回路下实现责任，需要对机器学习系统有全生命周期视角。不仅要持续监控模型表现，还要理解系统输出如何影响环境，这些变化如何被新数据捕获，再训练实践如何缓解或加剧这些效应。

云端系统可高频大规模更新，遥测丰富，便于检测行为漂移。相反，边缘和嵌入式部署常常离线或可观测性有限。例如，智能家居系统根据用户交互自适应温控，可能强化某种能耗或舒适偏好，进而改变家庭环境，影响未来模型输入。若无连接或中心化监督，这些回路可能长期不被察觉，却已影响用户行为和系统性能。第 13 章：机器学习运维中介绍的运维监控实践对生产系统中反馈动态的检测和管理至关重要。

系统需具备检测分布漂移、识别行为塑造效应和支持对齐目标的纠正更新的机制。反馈回路本身并非有害，但必须被识别和管理。若放任不管，会带来系统性风险；若有意识应对，则为学习系统在复杂动态环境中负责任地自适应提供了机会。

当人类操作员被纳入决策流程时，这些系统级反馈动态会变得更加复杂。

人机协作

机器学习系统越来越多地作为人类决策流程的组成部分而非独立智能体部署。在医疗、金融、交通等领域，模型作为决策支持工具，为人类操作员提供预测、风险评分或推荐。此类协作配置引发了责任分担、信任校准和监督机制落地等重要问题。

人机协作既带来机遇，也带来风险。设计得当时，系统可增强人类判断、减轻认知负担、提升决策一致性。设计不当则可能导致自动化偏见（用户即使面对明显错误也过度依赖模型输出），反之，过度不信任又会导致算法规避（用户因缺乏透明度或可信度而忽视有用预测）。协作系统的有效性不仅取决于模型性能，还取决于系统如何传达不确定性、提供解释，以及是否允许人工覆盖或纠正。

监督机制需根据部署场景定制。在高风险领域（如医疗分诊、自动驾驶），人类需实时监督自动决策。这对操作员的认知和时间提出高要求，假定关键时刻能及时可靠地介入。但实际中，持续人工监督往往不切实际或效果有限，尤其当操作员需同时监控多个系统或缺乏明确介入标准时。

从系统设计角度看，有效监督远不止于暴露原始模型输出。界面需在合适时机、以合适格式和上下文呈现关键信息。置信度分数、不确定性估计、解释和变更提醒都能支持人工监督。工作流需定义何时、如何介入，谁有权覆盖模型输出，如何记录、审计和反馈这些覆盖。

以医院分诊系统为例，模型为每位急诊患者生成风险分和建议分诊等级，原则上由护士确认或覆盖建议。但若模型输出缺乏充分理由（如关键特征解释或不确定性背景），护士即使遇到边界案例也可能默认模型建议。随着时间推移，模型输出可能成为事实上的分诊决策，尤其在高压环境下。若出现分布漂移（如新疾病或患者结构变化），护士可能既缺乏情境感知，也缺乏界面支持，无法发现模型性能下降。此时，表面上的人工监督掩盖了责任已无形转移给模型、却无明确问责或补救的现实。

在此类系统中，人工监督不是政策声明，而是基础设施设计的产物：预测如何呈现、信息如何保留、介入如何实现、反馈回路如何连接人工决策与系统更新。若这些组件未集成，监督就会碎片化，责任可能在无形中从人转移到机器。

决策支持与自动化的边界常常模糊。最初为辅助人类设计的系统，随着信任提升或组织激励变化，可能逐步获得更大自主权。这种转变可能在无明确政策变更下发生，导致事实上的自动化却无配套问责结构。负责任系统设计需预判使用方式随时间变化，确保即使自动化程度提升，必要的检查机制仍在。

人机协作需模型能力、界面设计、运营政策和制度监督的协同集成。协作不是简单“人在环”，而是跨技术、组织和伦理的系统挑战。设计监督需嵌入介入机制、支持知情信任和人机共担责任。

人机协作的复杂性还因不同利益相关方常常持有冲突价值观而加剧。

规范多元与价值冲突

本节分析多元价值体系及其对 ML 设计的影响，超越纯技术内容。核心观点：技术卓越虽必要，但不足以实现可信 AI，因为利益相关方对公平、隐私、问责有合理但不可调和的不同理解。理解这些价值张力对权衡影响现实生活的设计决策至关重要。这一视角是对技术能力的补充，而非替代。

> **具体场景：现实中的价值冲突**
>
> 假设团队开发面向青少年的心理健康聊天机器人，利用 ML 检测危机并推荐干预。系统需平衡多项合理但互斥的目标：
>
> **医疗有效性**：以循证最佳结果为目标，倾向激进干预 —— 只要模型检测到自伤风险（即使置信度低），就通知家长、辅导员或急救服务，因为漏报可能致命。

> **患者自主权**：尊重青少年隐私和自主。许多青少年求助正因无法与家长或权威沟通。激进通知政策可能让脆弱群体放弃使用，反而失去支持。
>
> **隐私保护**：最小化数据采集和保留，保护敏感心理健康信息。倾向本地处理、不记录对话、不与第三方共享，但这也阻碍系统通过交互学习或在模型不确定时人工复核。
>
> **资源效率**：受算力和人工监督预算约束。每次警报都让人工辅导介入虽效果更好，但大规模下成本高昂。全自动响应则可能在复杂场景下给出不当建议。
>
> **法律合规**：满足强制报告和责任标准。许多司法辖区要求检测到紧急风险时必须通知权威 —— 无论是否有助于患者，都会覆盖患者自主和隐私。
>
> 这些价值不是工程可调和的模糊需求，而是对系统目标和优先级的根本分歧。优化医疗有效性（激进干预）直接冲突于患者自主（最小干预）；隐私保护（不留数据）与资源效率（需交互学习）冲突；法律合规（强制报告）可能与临床有效性（基于信任的治疗关系）冲突。
>
> **没有算法能决定哪种价值应优先。**不同利益相关方有合理不同立场：临床医生重疗效，青少年重自主，律师重合规，财务重效率。技术团队需引导利益相关方协商，确定在具体场景下可接受的权衡 —— 这是规范性决策，先于并约束技术优化。

对某一方公平的结果，另一方可能视为不公。同理，优先准确率或效率的决策可能与透明、个体自主或伤害最小化目标冲突。这些张力不是偶然，而是结构性的，反映了 ML 系统所嵌入社会和机构的多元性。

公平性是价值冲突最突出的领域。公平可被多种、常常互斥的方式形式化。满足人口统计平等的模型可能违背机会均等，优先个体公平的模型可能削弱群体平等。选择哪种定义不是纯技术决策，而是规范性选择，需结合领域背景、历史歧视和受影响者视角。实际中，工程师、用户、审计员、监管者等多方常对何种定义最合适及其原因持冲突观点。

这种张力不限于公平。可解释性与预测性能、隐私与个性化、短期效用与长期后果等目标也常冲突。这些权衡因系统部署架构不同而表现各异，说明价值冲突深深嵌入 ML 系统设计与运行。

以移动端语音助手为例，为提升个性化，系统可本地学习用户偏好，无需上传原始数据。这样提升隐私、降低延迟，但若用户行为模式稀有，预测准确率会下降。提升公平性的方式是用群体统计集中更新，但这又带来隐私风险，违背本地数据期望。此时，设计需在隐私、公平、个性化三者间权衡。

云端部署（如信贷评分、推荐引擎）常在透明性与商业机密间张力突出。用户或监管者

要求解释决策，尤其在高影响场景，但模型可能依赖复杂集成或专有数据。披露内部细节可能涉及商业敏感或技术不可行。此时，系统需在机构问责和商业保密间权衡。

边缘系统（如家庭安防摄像头、无人机）常受资源约束，决定模型选择和更新频率。优先低延迟和能效需部署压缩或量化模型，鲁棒性和分布漂移适应性下降。更鲁棒模型提升安全，但可能超出内存或能耗预算。此时，安全、效率和可维护性需在硬件约束下平衡。效率技术和优化方法对资源受限环境下负责任 AI 实现至关重要。

TinyML 平台上，模型部署到无持久连接的微控制器，权衡更突出。系统可针对固定数据集静态优化，但无法后续引入新公平约束、再训练或生成解释。硬件约束根本决定了资源受限设备上可实现的负责任 AI 能力。价值冲突不仅在于模型优化什么，更在于系统部署后能否支持哪些责任实践。

这些例子说明，规范多元不是抽象哲学难题，而是反复出现的系统约束。多目标优化、约束训练、公平性评估等技术可帮助显式化权衡，但无法替代判断。关于代表谁的价值、缓解哪些伤害、如何平衡目标的决策无法算法化，需协商、利益相关方参与和超越模型本身的治理结构。

参与式和价值敏感设计方法提供了可能路径。这些方法不把价值当作部署后优化的参数，而是在需求阶段就让利益相关方参与，明确伦理权衡，并追踪其在系统架构中的体现。虽然无法让所有价值同时满足，但能公开权衡、可修正的系统更易赢得信任和问责。

机器学习系统不是中立工具，无论显式还是隐式，都嵌入并执行价值判断。负责任 AI 的承诺在于承认这一点，构建能反映并响应其运行环境伦理和社会多元性的系统。

解决这些价值冲突不仅需技术方案，还需透明和可争议性机制，让利益相关方能理解并质疑系统决策。

透明性与可争议性

透明性被广泛认为是负责任机器学习的基础原则。它让用户、开发者、审计员和监管者能理解系统如何运行、评估其局限、发现伤害源。但透明性本身并不够。在高风险领域，个人和机构不仅要理解系统行为，还需有能力在必要时质疑、纠正或逆转系统决策。可争议性（contestability）即为质询和挑战系统决策的能力，是问责的重要特征。

机器学习系统的透明性通常聚焦于披露：公开模型如何训练、依赖哪些数据、设计假设和已知局限。模型卡、数据表等文档工具通过结构化元数据支持这一目标，提升治理、合规和用户预期。但披露本身不保证实际控制力。即使技术细节可查，用户可能缺乏制度、界面或流程工具，无法对不利决策提出异议。

要从透明性走向可争议性，ML 系统需设计解释、补救和反馈机制。解释指系统能为输出提供可理解理由，针对接收者需求和情境。补救指个人能改变自身条件并获得不同结果。反馈指用户能报告错误、质疑结果或表达关切，并让这些信号被系统更新或监督流程采纳。

这些机制在实际中常常缺失，尤其在大规模或低资源设备嵌入的系统中。例如，移动贷款申请系统，用户被拒绝却无解释，也无法补充信息或申诉。即使有文档，界面层缺乏透明性，使系统实际上无法被挑战。又如，临床预测模型生成风险分指导治疗，但未向医生展示推理依据。若模型对某患者子群体表现不佳，且不可观测或质疑，可能造成难以诊断或纠正的无意伤害。

系统视角下，实现可争议性需技术与制度协同。模型需暴露足够信息支持解释，界面需及时可用地呈现，组织流程需能审查反馈、响应申诉并更新系统行为。日志和审计基础设施需追踪模型输出、用户介入和覆盖决策。有时，技术防护（如人在环覆盖、拒绝阈值）也可通过让高风险决策交由人工，提升可争议性。

可争议性的可行程度因部署环境而异。中心化云平台可提供完整解释 API、用户面板和申诉流程。边缘和 TinyML 部署则可能仅限于日志和基于批量同步反馈的周期性更新。无论何种场景，ML 系统设计需承认：透明性不仅是技术披露，而是决定用户和机构能否实质性质疑、纠正和治理自动决策行为的结构性属性。

要实现有效的透明性和可争议性机制，需有超越单一技术团队的制度支持和治理结构。

责任的制度嵌入

机器学习系统不是孤立运行的。其开发、部署和持续管理都嵌入在包括技术团队、法务、产品、合规和外部利益相关方的制度环境中。责任不是单一角色或组件的属性，而是分布于角色、流程和治理机制之中。负责任 AI 设计需关注系统所处的制度环境。

这种分布式责任既带来机遇，也带来挑战。一方面，多方参与可形成制衡，防止有害结果。另一方面，责任扩散可能导致问责空白，出现问题时无人有明确权力或激励介入。伤害发生时，可能难以界定是数据管道、模型架构、部署配置、用户界面还是组织环境的责任。

Google Flu Trends 是制度失配导致失败的典型案例。该系统最初表现良好，但因用户行为和数据分布变化逐渐偏离现实。问题多年未被纠正，部分原因是缺乏系统验证、外部审计和性能下降时的升级流程。失败不是单一技术缺陷，而是缺乏能应对漂移、不确定性和外部反馈的制度框架。

将责任制度化不仅需分配问责，还需设计能促进行动的流程、工具和激励。技术基础设施如模型版本库、模型卡、审计日志需与伦理审查会、模型风险委员会、红队测试等组

织结构结合。这些机制确保技术洞见可转化为行动，反馈能跨团队集成，用户、开发者或监管者提出的关切能系统性响应。

所需制度支持因部署环境而异。大规模云平台可有内部问责审计、合规流程和专职监控团队。小规模部署（如嵌入医疗设备或公共基础设施的边缘/移动系统）则依赖跨职能工程实践和外部认证。TinyML 部署因连接和可观测性有限，责任需通过上游控制（如安全验证、嵌入安全约束、固件生命周期追踪）实现。

无论何种场景，负责任机器学习需技术与制度系统协同。这种协同需贯穿模型全生命周期 —— 从数据采集、训练到部署、监控、更新和退役。还需纳入外部参与者（如领域专家、社会组织、监管机构），确保责任不仅在开发团队内部实现，也能覆盖更广泛的生态。

责任不是模型或团队的静态属性，而是系统如何被治理、维护和质疑的动态产物。通过政策、基础设施和问责机制将责任嵌入制度，是让 ML 系统契合其服务的社会价值和运营现实的关键。

对制度责任和价值冲突的考量进一步说明，负责任 AI 的落地超越技术方案，涉及可及性、参与和环境影响等更广泛议题。前文探讨的算力资源需求带来系统性壁垒，决定了谁能开发、部署和受益于负责任 AI，将责任从单一系统属性转变为集体社会挑战。

本节探讨的社会技术议题 —— 反馈回路导致自强化差异、人机协作中的自动化偏见与算法规避、利益多元与算力公平鸿沟 —— 说明仅靠第 17 章：可信 AI 的技术基础无法确保负责任 AI。这些动态发生在算法、人、组织与社会的交汇处，静态公平指标难以胜任，价值冲突无法算法化调和。即便原则明确、技术方法健全，将负责任 AI 转化为运营实践仍面临重大落地挑战。

落地挑战

前述技术基础和社会技术动态明确了负责任 AI 系统应达成的目标，但实际运行中存在大量障碍。以前文方法为例：Fairlearn 等偏见检测算法需持续数据采集和监控基础设施，但许多组织缺乏将公平性指标转化为行动的流程。差分隐私机制需精细参数调优和性能监控，但团队可能不懂隐私 - 效用权衡。可解释性框架能生成特征归因分数，但若设计系统未让受影响用户可访问和理解解释，这些技术能力毫无实际意义。

这些例子说明了技术能力与运营落地之间的根本鸿沟。负责任 AI 方法提供了必要工具，但其效果完全取决于组织结构、数据基础设施、评估流程和超越算法开发的持续投入。理解这些落地挑战对构建能长期保持责任行为的系统至关重要，而非仅在初始部署时达标。

本节将用经典的“人 - 流程 - 技术”三维框架，系统分析嵌入负责任 AI 实践到生产 ML 系统时遇到的实际挑战。

人员挑战 涉及组织结构、角色定义、激励对齐和利益相关方协作，决定负责任 AI 原则能否转化为持续的组织行为。**流程挑战** 包括标准化缺口、全生命周期维护、目标冲突和评估方法，影响负责任 AI 实践如何融入开发工作流。**技术挑战** 涉及数据质量、算力资源、可扩展性瓶颈和基础设施短板，决定负责任 AI 技术能否在生产规模下有效运行。

这些挑战共同体现了理想原则与运营现实的摩擦。理解其关联对发展将责任嵌入 ML 部署架构、基础设施和工作流的系统级策略至关重要。

下文将从三大维度分析落地障碍，强调负责任 AI 需三者协同解决。

组织结构与激励

负责任机器学习的落地不仅受技术可行性影响，更受系统开发和部署的组织环境塑造。在企业、研究机构和公共部门，责任需转化为具体角色、流程和激励。但实际中，组织结构常常割裂责任，难以在工程、产品、法务和运营团队间协调伦理目标。

负责任 AI 需持续投入，如子群体性能评估、可解释性分析、对抗鲁棒性测试和差分隐私/联邦训练等隐私保护。这些活动耗时耗力，却常常不计入团队绩效指标。例如，团队可能被激励快速上线功能或达成性能基准，即使这样会损害公平或忽视潜在伤害。若伦理工作被视为可选任务而非系统生命周期的组成部分，遇到截止压力或组织变动时就易被边缘化。

责任还因归属不明而复杂化。许多组织中，无单一团队对系统长期伦理行为负责。模型性能归属一队，用户体验归另一队，数据基础设施归第三队，合规归第四队。出现问题（如预测差异、解释不足）时，常无明确流程定位根因或协调缓解。结果是，开发者、用户或审计员提出的关切常被搁置，并非恶意，而是缺乏流程和跨职能协作。

建立有效的负责任 AI 组织结构需超越政策声明。需有操作机制：指定伦理监督角色、明确定义升级路径、部署后监控问责、激励团队前瞻性伦理和系统可维护性。有的组织设立负责任 AI 委员会、跨职能评审会或模型风险团队，贯穿模型全生命周期。也有的将领域专家或用户代表嵌入产品团队，预判下游影响并在情境中评估价值权衡。

如图 8 所示，伦理系统行为责任分布于产业、学术、社会和政府多方。组织内部需有机制将技术设计与战略监督、运营控制连接。若无这些联结，责任就会扩散，善意努力也会被系统性失配削弱。

负责任 AI 不仅是技术卓越或合规问题，而是系统级挑战，需将伦理目标与 ML 系统设计、部署和维护的制度结构对齐。创建和维持这些结构，是让责任嵌入模型和组织治理

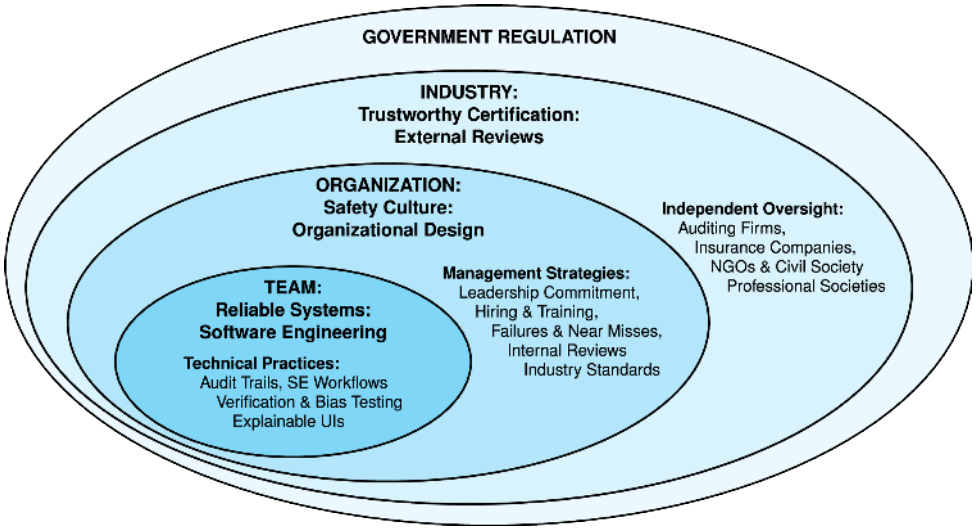

利益相关方责任：以人为本的 AI 落地需产业、学术、社会和政府共担责任，解决伦理和系统性风险。这些多元群体共同塑造技术设计、战略监督和运营控制，确保模型全生命周期的负责任开发与部署。

的关键。

除组织挑战外，团队还面临数据质量和可用性等重大技术障碍。

数据约束与质量缺口

尽管数据质量对负责任机器学习至关重要，但改进数据管道在实践中仍是最难的落地挑战之一。开发者和研究者普遍理解代表性数据、准确标注和历史偏见缓解的重要性，但即使目标明确，结构性和组织障碍常常阻碍有效干预。数据责任常分散于多团队，由遗留系统管理，或嵌入难以变更的制度流程。

第 6 章：数据工程中介绍的数据验证、模式管理、版本控制、谱系追踪和质量监控等原则，为应对这些挑战提供了技术基础。但应用于负责任 AI 时更复杂：公平性需评估群体代表性，偏见缓解需理解历史采集实践，隐私保护又限制可用验证技术。组织挑战反映了拥有强大数据工程基础设施与有效支持负责任 AI 目标之间的差距。

子群体不平衡、标签歧义和分布漂移等问题影响泛化和跨领域表现，是负责任 ML 的老问题。这些问题常表现为校准差、分布外失效或评估指标的人口差异。但在真实场景下解决它们需的不仅是技术知识，还需数据访问、制度支持和充足资源迭代数据集。许多 ML 流水线中，数据一旦采集、训练集一旦确定，数据管道就基本冻结。团队既无权限也无基础设施在中途修正或扩展数据集，即使发现性能差异。即使现代数据管道有自动验证和特征库，生产中锁定数据版本和谱系后，事后修正训练分布仍极难。

医疗、教育、社会服务等领域尤为突出。数据采集受法律、隐私或跨机构协调约束。例

如，开发分诊模型的团队可能发现训练数据低估小型或农村医院患者。要纠正需与外部伙伴协商数据访问、统一特征标准、解决标注不一致。即使各方同意，后勤和运营成本也极高。

为提升代表性采集更多数据也可能引发伦理和政治问题。有时，额外采集会让弱势群体暴露于新风险。这种“暴露悖论” —— 最易受排斥伤害者也是最易被滥用者 —— 让通过扩展数据集提升公平性变得复杂。例如，为提升性别敏感应用的公平性采集更多非二元群体数据，虽提升模型覆盖，但也带来同意、可识别性和下游用途等严重隐忧。团队需谨慎权衡，往往缺乏明确制度指引。

上游采集系统的偏见即使数据充足也常被忽视。许多组织依赖第三方数据商、外部 API 或非为公平/可解释性设计的运营数据库。例如，临床 ML 常用的电子健康记录反映了护理系统性差异和记录习惯中的种族/经济偏见。下游团队难以了解这些记录如何生成，也难以干预嵌入的伤害。

数据集质量改进常无专责团队。数据管道由基础设施或分析团队维护，独立于 ML 工程或模型评估团队。组织割裂使数据审计、溯源追踪或将模型行为反馈到数据问题的闭环难以实现。实际中，数据集质量责任常被忽视，虽被认可但很少被优先或资源化。

解决这些挑战需长期投入基础设施、工作流和跨职能沟通。数据验证、自动审计、数据集文档（如模型卡、数据表、Data Nutrition Project）等技术工具有帮助，但前提是团队有权力和支持将发现转化为行动。提升数据质量不仅是工具问题，更是数据责任如何分配、共享和全生命周期维持的问题。

即使数据质量问题解决，团队在平衡多目标时仍面临复杂性。

多目标权衡

ML 系统设计常被视为优化过程 —— 提升准确率、降低损失或最大化效用。但在负责任 ML 实践中，优化必须与公平、可解释性、鲁棒性、隐私和资源效率等多目标平衡。这些目标常常不一致，一项提升可能导致另一项下降。理论上这些张力已被充分讨论，但在真实系统中管理它们仍是持续未解的难题。

以准确率与可解释性的权衡为例。许多情况下，更可解释的模型（如浅层决策树、线性模型）预测性能低于复杂集成或深度网络。低风险应用下，这种权衡可接受甚至优选。但在医疗、金融等高风险领域，决策影响个体福祉或机会，团队常在性能与透明性需求间两难。即使开发阶段优先可解释性，部署时也可能为微小准确率提升而放弃。

个性化与公平性也常冲突。以最大化用户参与为目标的推荐系统会高度个性化，利用细粒度行为数据为个体定制输出。这提升部分用户满意度，却可能加剧人口群体间差异，尤其当个性化特征与种族、性别、经济地位相关时。加公平约束可降低群体差异，但会

牺牲部分用户的个性化体验。这些效应难以度量，更难向以参与度为目标的产品团队解释。

隐私又带来新约束。差分隐私、联邦学习、本地数据最小化等技术能有效降低隐私风险，但也会引入噪声、限制模型容量或减少训练数据。中心化系统可通过扩展基础设施或混合训练架构吸收这些成本。边缘或 TinyML 部署下，权衡更为尖锐。可穿戴设备需本地推理，常需同时平衡模型复杂度、能耗、延迟和隐私保障。支持一项约束通常削弱另一项，系统设计者被迫在同等重要目标间优先排序。这些张力还因量化级别、激活裁剪、压缩策略等部署决策而加剧，影响模型能否同时支持多目标。

这些权衡不仅是技术问题，更是系统目标和服务对象的规范性判断，详见第 17 章：可信 AI。负责任 ML 开发需让这些判断显性化，在情境中评估，并纳入利益相关方和制度监督。

实际落地难点在于，这些目标常无单一团队或职能负责。性能由建模团队优化，公平由负责任 AI 组监控，隐私由法务或合规部门管理。若无刻意协调，系统级权衡常被隐性、碎片化或无视长期后果地做出。最终，模型单独看似合规，嵌入生产基础设施后却难以达成伦理目标。

平衡多目标需技术能力，也需透明、协商和跨团队对齐。系统需设计为暴露权衡而非掩盖，支持约束感知开发而非单一优化。实际中，这可能意味着重新定义“成功” —— 不是单一指标的性能，而是系统行为与其在更广泛社会或运营语境中的持续对齐。

在组织结构、数据质量和多目标权衡三大挑战中，规律显现：负责任 AI 失败很少因技术无知。团队懂公平指标、隐私技术和偏见缓解方法。失败发生在组织割裂导致责任无问责、数据约束带来技术壁垒、目标冲突让规范性权衡被技术问题掩盖。当建模团队独立优化性能、合规团队独立处理隐私、产品团队独立追求参与度时，系统级伦理行为只能偶然出现。这本质上是社会技术治理问题，需跨组织边界的清晰责任结构、支持伦理审计的数据基础设施和显性化价值权衡的协商流程。系统需在规模化和长期运行中持续保持责任行为，这些挑战尤为突出。

可扩展性与维护

负责任 ML 实践常在模型开发早期引入：公平性审计用于初评，可解释性方法用于模型选择，隐私保护技术用于训练。但系统从原型到生产部署后，这些实践常常退化或消失。原则与可持续性之间的落地鸿沟，是负责任 AI 的核心挑战。

许多负责任 AI 干预未考虑可扩展性。公平检查只在静态数据集上做，未集成到持续数据管道。解释方法只在开发工具中实现，未转化为可部署的用户界面。隐私约束只在训练时执行，部署后监控或模型更新时被忽视。结果是，负责任设计初衷难以跨系统扩展

和生命周期变化持续。

生产环境带来新压力，重塑系统优先级。模型需适配多样硬件、对接演化 API、服务百万用户、保证高可用。例如，跨 CPU、GPU、边缘加速器保持一致需框架抽象、运行时调度和硬件编译器紧密集成。这些约束需持续适应和快速迭代，难以自动化或度量的责任实践（如人工评审、利益相关者协商、事后评估）易被 DevOps[614] 流水线边缘化。

维护带来更多复杂性。机器学习系统很少静态。新数据持续引入、再训练、特征废弃或新增、使用模式随时间变化。若无严格版本控制、变更日志和影响评估，难以追踪系统行为演化或责任属性（如公平、鲁棒）是否被保持。组织流动和团队重组会 erode 制度记忆。维护团队常非原开发或审计团队，导致系统目标与现实现状无意失配。流式或持续学习场景下，概念漂移和分布变化需主动监控和实时更新，问题尤为突出。

多模型系统和跨平台部署下挑战更大。推荐引擎可能由数十个子模型协作，每个针对不同子任务或用户群体。语音助手跨移动和边缘环境部署，需维护多版本模型，适配本地硬件。协调更新、保证一致性和持续责任行为需基础设施追踪代码、数据、价值和约束。

解决可扩展性和维护挑战需将负责任 AI 视为生命周期属性，而非一次性评估。这意味着在系统基础设施中嵌入审计钩子、元数据追踪和监控协议，也意味着创建能跨团队流转的文档、定义能跨项目交接的问责结构，确保系统更新不会无意抹去公平、透明或安全的改进。虽难以事后补丁，但可通过责任优先的工具和工作流在设计阶段集成。

责任需随系统扩展。现实环境中部署的 ML 模型不仅需上线时达标，还要在复杂性、用户规模和运营范围扩大时持续达标。这需持续的组织投入和架构规划，而非某一时点的技术正确性。

标准化与评估缺口

负责任 ML 领域虽已产出大量工具、指标和评估框架，但对如何系统性评估系统是否真正负责任仍无共识。许多团队认可公平、隐私、可解释性和鲁棒性的重要性，却难以将这些原则转化为一致、可度量的标准。基准方法为标准化评估提供了有价值的框架，但将其适配到负责任 AI 指标仍是活跃研究领域。缺乏正式评估标准，加上工具和框架碎片化，是大规模落地负责任 AI 的重大障碍。

这种碎片化在机构间和机构内部都很突出。学术研究常提出难以在实验外复现的新指标。工业团队则需优先集成到生产基础设施、非专家可解释、可持续监控的指标。结果是，一处开发的实践难以迁移，系统间性能对比也不可靠。例如，某模型在一个基准数

614. **ML DevOps**：面向机器学习系统的开发与运维实践，强调自动化测试、持续集成和快速部署。与传统软件不同，ML DevOps 需处理数据版本、模型训练流水线和算法变更 A/B 测试。Netflix、Uber 等公司每天自动部署数百模型。但偏见审计、可解释性测试难以自动化，导致部署速度（以小时计）与伦理验证（需数天/周）矛盾。结果是，原型阶段的伦理承诺在系统成熟后被边缘化。

据集上用人口统计平等评估公平，换到另一个领域或司法辖区的机会均等标准就可能不达标。无共享标准，评估只能临时拼凑，难以建立跨场景的责任信心。

负责任 AI 评估还存在分析单元与部署层级不匹配的问题。评估常聚焦单一模型或批处理作业，而实际部署包括数据采集管道、特征变换、推理 API、缓存层和人在环工作流。单独看似公平或可解释的模型，集成到应用后可能失效。支持系统级整体评估的工具仍不成熟，如何跨现代 ML 堆栈的组件评估责任也缺乏指导。

更复杂的是缺乏生命周期感知指标。大多数评估工具只在某一时点（常为部署前）应用。但公平、鲁棒等责任属性是动态的，取决于数据分布如何演化、模型如何更新、用户如何交互。无持续或定期评估，难以判断系统部署后是否仍契合伦理目标。虽有部署后监控工具，但很少与开发时评估指标集成，导致伦理性能漂移难以检测，或观察到的伤害难以追溯到上游原因。

工具碎片化进一步加剧挑战。负责任 AI 工具常分散在不同包、面板或内部系统，各自针对特定任务或指标。团队可能用一套工具做解释，另一套做偏见检测，第三套做合规报告，缺乏统一界面协同系统级权衡。互操作性差阻碍团队协作，文档复杂，重要评估易被跳过或不一致。元数据传播或事件日志在特征库、推理网关、模型注册等组件间缺乏钩子，问题更严重。

解决这些缺口需多方面进展。首先，需开发共享评估框架，定义系统负责任行为的可度量、可审计标准。其次，评估需超越单模型，覆盖全系统管道，包括用户界面、更新策略和反馈机制。最后，评估需成为持续生命周期活动，有基础设施追踪系统行为随时间变化，并在伦理属性退化时告警开发者。

无标准化、系统感知的评估方法，负责任 AI 只能停留在原则层面，难以实际验证。建立 ML 系统信心需更好的模型和工具，也需共享规范、持久指标和反映部署现实的评估实践。

负责任 AI 不能靠孤立干预或静态合规检查实现。它需架构规划、基础设施支持和制度流程，贯穿系统生命周期维持伦理目标。随着 ML 系统规模化、多样化并嵌入敏感领域，公平、鲁棒、隐私等属性的保障需贯穿模型选择、再训练、量化、服务和监控各阶段。若无持续监督，责任实践会随系统演化而退化，尤其当工具、指标和文档未设计为跨部署和后续维护而保留时。

应对这一挑战需更高标准化、更深度集成责任实践到 CI/CD 流水线，以及对支持伦理前瞻的系统基础设施的长期投入。目标不是让代码完美伦理决策，而是让责任成为可追踪、可测试、与 ML 系统规模和约束对齐的运营属性。

落地决策框架

面对这些落地挑战，实践者需有系统方法，基于部署场景和利益相关方需求优先排序责任原则。设计 ML 系统时，需在多目标权衡下，维持与系统风险和约束相适应的伦理保障。表 4 提供了一个决策框架，指导在不同系统类型下做情境化选择。

决策启发：

- **多原则冲突时**：召集利益相关方，确定最严重的伤害。心理健康机器人案例（见第 17 章：可信 AI）说明此类冲突需协商而非算法解决。
- **算力预算受限时**：按风险优先原则排序。高风险决策即使代价高也需公平/可解释性。低风险应用可用轻量方法。
- **部署环境变化时**：重新评估原则优先级。云模型迁移到边缘后失去中心化监控能力，需用部署前验证和本地防护补偿。
- **利益相关方价值观分歧时**：显式记录权衡，并建立可争议机制，让受影响用户能质疑决策。

部署场景	主要原则	落地优先级	可接受权衡
高风险个体决策（医疗诊断、信贷/贷款、司法、就业）	公平、可解释性、问责	各保护群体强制公平指标；负面结果可解释；边界案例人工监督	可接受 2-5% 准确率下降换取可解释性；解释延迟 20-100ms；更高算力成本
安全关键系统（自动驾驶、医疗设备、工业控制）	安全、鲁棒性、问责	认证对抗防御；形式化验证；失效保护机制；全量日志	可接受显著训练开销（对抗训练增 100-300%）；保守置信度阈值；冗余推理
隐私敏感应用（健康、金融、通信）	隐私、安全、透明	差分隐私（ε≤1.0）；本地处理；数据最小化；用户同意	可接受 DP 损失 2-5% 准确率；更高客户端算力；有限模型更新；个性化下降

部署场景	主要原则	落地优先级	可接受权衡
大规模消费系统（推荐、搜索、广告）	公平、透明、安全	各群体偏见监控;解释机制;内容政策执行;反馈回路	解释性成本与规模权衡（流式 SHAP vs 全 SHAP）；公平检查延迟 5-15ms;监控基础设施投入
资源受限部署（移动、边缘、TinyML）	隐私、效率、安全	本地推理;数据本地化;输入校验;优雅降级	牺牲实时公平监控;用轻量解释（梯度法替代 SHAP）;仅部署前验证;模型复杂度有限
研究/探索系统（内部工具、原型、A/B 测试）	透明、安全（防伤害）	已知局限文档化;限制用户群体;监控意外伤害	内部可暂缓复杂公平/可解释性，优先可观测性和快速迭代

该框架仅为起点。负责任 AI 落地需随系统、场景和社会预期演化持续评估。

随着 AI 系统自主性和能力提升，落地挑战更为复杂。第 17 章：可信 AI 提出的价值对齐原则 —— 确保 AI 系统目标与人类意图和伦理规范一致 —— 在系统独立运行时尤为重要。前述负责任 AI 技术可解决监督场景下的偏见、隐私和可解释性，但自主系统需额外安全机制，防止系统目标与人类价值失配。

AI 安全与价值对齐

价值对齐挑战随着机器学习系统自主性和能力的提升而急剧放大。前述的偏见检测、可解释性、隐私保护等负责任 AI 技术提供了基础能力，但在系统独立运行时暴露出根本局限。看如下场景：

Fairlearn 等偏见检测算法需持续人工解读和纠正。自动驾驶感知系统可能对使用助行器的行人系统性漏检，但无人工监督时，偏见检测指标只是被记录，无法修正。技术上能测量偏见，但自主系统缺乏判断何时、如何响应的能力。

可解释性框架假定有人类受众能解读和行动。自动交易系统可为决策生成准确 SHAP 解

释，但若无人审核，系统每秒执行数千笔交易，解释只是事后记录而非决策依据。系统用设计者未预见的方法优化目标（如利润），解释变成事后追溯而非决策辅助。

差分隐私等隐私保护技术能防止单条数据泄露，但无法解决更广泛的价值失配。自动内容推荐系统可用本地差分隐私保护用户数据，但同时以参与度为目标，可能推送虚假或有害内容。技术上隐私合规，但系统目标本身与用户福祉冲突时，保护无效。

这些例子说明，随着系统自主性提升，负责任 AI 框架虽必要但已不足。这些技术假定有人类监督、目标受限、环境可预测。AI 安全需扩展到系统可能优化与人类意图失配的目标、运行于不可预测环境、用设计者未预见方法达成目标的场景。

随着机器学习系统的自主性、规模和部署复杂度的提高，责任已超越模型级的公平或隐私，包含确保系统追求正确的目标、在不确定的环境中安全地运行，以及随着时间的推移与人类意图保持一致。这些问题属于 AI 安全的范畴，重点是防止强大的 AI 系统产生意外或有害的结果。一个核心挑战是，当前的机器学习模型通常优化代理指标，例如损失函数、奖励函数或参与度信号，而不是完全捕捉人类价值的真实目标。

一个具体的例子来自推荐系统，其中一个被训练来最大化点击率（CTR）的模型可能最终促使了增加参与度但降低用户满意度的内容，包括标题党、虚假信息和情感操控。这种行为与代理目标一致，但与实际目标不符，导致强化不良结果的反馈循环。如下图所示，系统学会优化可测量的奖励（点击），而不是以人为本的结果（满意度），从而导致规范性失配和奖励黑客，这是价值对齐和 AI 安全的核心问题。

在最近几年，基于人类反馈的强化学习（RLHF）成为了一种有影响力的方法，其中大型预训练模型通过人类提供的偏好信号进行微调。虽然这种方法比标准的强化学习更能提高对齐，但它也带来了新的风险。Ngo 指出 RLHF 可能引入三类失效：1）情境感知奖励黑客，模型利用人类的易错性；2）训练分布外涌现失配目标；3）为保留奖励最大化能力发展寻求权力行为，哪怕牺牲人类监督。

这些问题并非假设。@amodei2016concrete 总结了 AI 安全的六大具体挑战：1）避免负面副作用，2）缓解奖励黑客，3）可扩展监督，4）安全探索，5）分布漂移鲁棒性，6）任务泛化下的对齐。随着系统规模化、跨场景部署和实时反馈/持续学习，这些挑战愈发突出。

这些安全挑战在自主系统（人类监督减少）中尤为明显。

自主系统与信任

自主系统独立于人类监督、常常超出人类判断边界运行，其后果已在多个行业被充分记录。近期典型案例是加州 DMV 因“对公共安全构成不合理风险”暂停 Cruise 自动驾驶测试许可。某次事故中，行人刚进入斑马线，红灯变绿，系统未能正确识别，导致碰

撞。2018 年，Uber 自动驾驶车辆未将推车行人识别为需避让对象，导致死亡。

自动驾驶虽是公众关注焦点，类似风险在其他领域同样存在。远程无人机和自主军事系统已在重塑现代战争，不仅带来安全和效能问题，还引发伦理监督、交战规则和责任归属难题。自主系统失效时，谁应负责仍是法律和伦理未解之题。

本质上，这反映了人机自主的深层张力。工程和计算机学科历史上强调机器自主 —— 提升系统性能、最小化人工干预、最大化自动化。对 ACM Digital Library 的文献计量分析显示，2019 年前 90% 的“autonomy”高被引论文聚焦机器而非人类自主。生产力、效率和自动化被视为默认目标，常常未反思其对人类能动性和监督的影响。

但在动态、不确定环境下，系统目标若无法完全规范，过度自动化会威胁人类利益。这一难题被形式化为框架问题和资格问题，强调现实行动所需前提和情境不可能穷举。实际中，这表现为脆弱自主：系统在标称条件下表现良好，遇到歧义或分布漂移时无声或危险失效。

为应对这一点，研究者提出了如责任敏感安全（RSS）等形式化安全框架，将抽象安全目标分解为可数学定义的行为约束（如最小距离、制动曲线、路权条件）。这些方法可在特定假设和场景下验证安全属性。但它们仍受自身假设限制，需大量领域建模，难以泛化到未预见边界场景。

另一思路强调以人为中心的系统设计，确保人类判断和监督在自主决策中居核心。价值敏感设计（Value-Sensitive Design）主张在系统设计中显式考虑能力、复杂性、误表征和用户控制流动性等因素。最新的 METUX 模型（用户体验中的动机、参与和繁荣）提出技术体验的六大领域 —— 采纳、界面、任务、行为、生活和社会，影响技术如何支持或削弱人类繁荣。这些思想根植于自我决定理论（SDT），将自主定义为按自身价值和目标行动的能力，而非技术意义上的控制。

在 ML 系统中，这些观点强调需设计能保留人类能动性的架构、界面和反馈机制。例如，优化参与度的推荐系统可能通过不透明方式影响用户偏好，损害行为自主。用 METUX 六领域评估系统，可预判并缓解下游影响，即使短期系统性能最优。

超越技术安全，部署自主 AI 系统还带来经济冲击等更广泛社会议题。

AI 自动化的经济影响

AI 技术普及引发的反复担忧是大规模失业。随着 ML 系统能完成越来越复杂的认知和体力任务，担心其取代现有工人、减少就业机会的声音日益高涨。物流、制造、客服等任务结构清晰的行业尤为突出，AI 自动化既技术可行又经济激励强烈。

但自动化的经济影响并非史无前例。以往技术变革（如工业机械化、信息化）往往带来

岗位转移而非绝对减少。自动化降低成本、提升质量，扩大了商品和服务的可及性，进而带动需求，创造新型生产、分发和支持岗位 —— 有时在邻近行业，有时在全新领域。

工业机器人和流程自动化的实证研究进一步挑战了“黑灯工厂”（全自动无人工厂）的可行性。MIT 未来工作小组指出，绝大多数全自动化尝试都失败了。零和自动化提升了生产率，却牺牲了系统灵活性、适应性和容错性。人类工人在需情境判断、跨领域泛化或系统级调试等任务上仍不可替代，这些能力难以用 ML 或自动化编码。

该小组主张“正和自动化”，即增强而非取代人类工作。策略包括将 AI 系统集成到人类保留监督和控制的流程，如半自动装配线或协作机器人。还建议自下而上识别可自动化任务，优先减轻认知负担或消除危险工作，并选用能同时衡量效率和韧性的指标。仅以吞吐量或成本最小化为目标的指标，可能无意中惩罚人在环设计，而以安全、可维护性和长期适应性为目标的指标能更全面反映系统表现。

但长期经济趋势并不能消除短期冲击。被自动化淘汰的工人可能面临工资停滞、议价能力下降或长期失业，尤其在缺乏再培训或劳动力流动性的情况下。公共和立法努力将在这一转型中发挥重要作用，包括提升自动化红利公平可及性的政策。负责任 AI 的正面应用包括技能提升、社会保障、最低工资提升和企业责任框架，确保 AI 的分配影响被持续监测和应对。

应对这些经济问题不仅需政策，还需有效的 AI 能力与局限科普。

AI 素养与沟通

1993 年对 3000 名北美成年人关于“电子思考机”的调查显示，公众对早期计算机有两种主流看法：“人类有益工具”和“令人敬畏的思考机器”。后者反映了对计算机神秘、智能、难以控制的感知 —— “比人更聪明、无限、快速、令人恐惧”。这些感知在 ML 时代依然 relevant。随着创新加速，负责任 AI 开发需配合清晰、准确的科学传播，尤其是关于 AI 能力、局限和不确定性的沟通。

现代 AI 超越普通人理解，影响高风险决策时，公众叙事易极化为乌托邦或反乌托邦。这不仅是媒体渲染造成，更是技术社会中科学系统输出常被视为“魔法” —— “只能理解其结果，无法理解其原理”。缺乏技术理解支撑，生成模型、自主智能体、大规模推荐平台等系统易被误解或不信任，阻碍理性公共讨论。

科技公司对此负有责任。夸大宣传、拟人化营销或不透明发布加剧炒作与失望循环，损害公众信任。但提升 AI 素养不仅需企业自律，更需系统性研究 AI 语境下的科学传播。尽管 ML 社会影响巨大，Scopus 学术库分析发现“人工智能”与“科学传播”交集论文极少。

解决这一缺口需关注 AI 叙事如何被塑造 —— 不仅由企业，也包括学术、监管、媒体、

非营利和政策倡导者。这些参与者使用的框架和隐喻极大影响公众对 AI 能动性、风险和控制的认知，进而影响采纳、监督和抗拒，尤其在教育、医疗、就业等与现实生活直接相关的领域。

系统视角下，公众理解不是外部性，而是部署环境的一部分。对 AI 系统如何运行的误解会导致过度依赖、错误归因或安全机制被忽视。同样，缺乏对模型不确定性、数据偏见或决策边界的理解，会加剧自动化伤害风险。对受 AI 影响的岗位，针对性提升领域素养也有助于再培训和适应。

AI 素养不仅是技术能力，更是建立公众信心，让系统设计者目标与社会福祉对齐 —— 让 AI 构建者不是“与众不同的科学家”，而是“共享价值观的社会成员”。正如 Handlin 1965 年所言：“即使永远无法理解技术原理，人们也需相信科学目标与自身福祉相关，科学家不是完全异类，而是共享部分价值观的人。”

常见误区与陷阱

负责任 AI 将技术工程与复杂伦理和社会考量相交织，容易导致对机器学习系统中偏见、公平和问责性质的误解。技术方案对伦理问题的吸引力，可能掩盖创造真正负责任 AI 系统所需的更深层次制度和社会变革。

误区： 偏见可以通过更好的算法和更多数据从 AI 系统中消除。

这一误解假定偏见是一个纯技术问题，具有纯技术解决方案。AI 系统中的偏见往往反映了更深层次的社会不平等和历史不公，这些问题嵌入数据采集过程、标注决策和问题表述中。即使在全面数据集上训练的完美算法，如果潜在数据或评估框架中存在偏见，也可能延续或放大社会偏见。算法公平性需要持续的人类判断，涉及价值观和权衡的持续审视，而非一次性技术修复。有效的偏见缓解需要持续的监测、利益相关者参与和制度变革，而不仅仅依赖算法干预。

陷阱： 将可解释性视为可选特性，而非系统必备。

许多团队将可解释性视为一种可有可无的能力，可以在模型开发和部署后再添加。这种做法未能考虑到，可解释性要求如何显著影响模型设计、评估框架和部署策略。事后解释方法往往提供误导性或不完整的见解，无法支持实际决策需求。高风险应用需要在系统架构中从一开始就设计可解释性，影响模型复杂性、特征工程和评估指标的选择，而不是事后附加。

误区： 伦理 AI 指导方针和原则会自动转化为负责任的实施。

这一信念假定，建立伦理原则或指导方针就能确保负责任的 AI 开发，而不考虑实施中的挑战。公平、透明和问责等高层原则，往往在实践中相互冲突，也与技术要求相悖。

那些专注于原则表述而不投资于操作化机制的组织，往往会形成对实际系统行为影响不大的伦理框架。

陷阱： 假设负责任 AI 实践只会带来成本，而不会提供业务价值。

团队常将负责任 AI 视为合规负担，认为必然与性能和效率目标相冲突。这种看法忽视了负责任 AI 实践通过提高系统可靠性、增强用户信任、降低法律风险和扩大市场准入所能带来的显著业务价值。负责任 AI 技术可以改善模型的泛化能力，降低维护成本，防止在部署中出现代价高昂的失败。将责任视为纯成本而非战略能力的组织，错失了通过可信 AI 系统建立竞争优势的机会。

陷阱： 在不考虑系统级性能和可扩展性影响的情况下，实施公平性和可解释性特性。

许多团队在现有系统上添加公平性约束或可解释性方法时，未分析这些特性对整体系统架构、性能和可维护性的影响。实时公平监控可能引入显著的计算开销，降低系统响应速度；而存储复杂模型的解释可能产生大量存储和带宽需求。有效的负责任 AI 系统需要从初始设计阶段就仔细协同公平性和可解释性要求与系统架构，考虑责任 AI 特性与系统性能之间的权衡。

总结

本章通过四个互补视角探讨了负责任 AI，这些视角共同定义了构建可信机器学习系统的综合工程方法。公平、透明、问责、隐私和安全等基础原则确定了负责任 AI 系统应实现的目标，但这些原则只有通过与技术能力、社会技术动态和实施实践的集成，才能真正落地。

我们考察的技术基础，通过偏见检测算法、隐私保护机制、可解释性框架和鲁棒性增强，将抽象原则转化为具体系统行为。然而，算力开销分析揭示了这些技术带来的重大公平性考量。并非所有组织都能负担得起全面的负责任 AI 保护措施，这可能导致伦理保障获取上的差异。

然而，单靠技术正确性无法保证有益结果。社会技术动态决定了这些能力是否能转化为现实世界的影响：组织激励、人类行为、利益相关者价值观和治理结构共同决定了结果。完美的偏见检测算法若无组织流程落实其发现，便无用武之地；隐私保护方法若用户不理解其保护机制，则形同虚设。

实施挑战进一步凸显了原则与实践之间的鸿沟，显示出组织结构、数据约束、目标冲突和评估缺口如何阻碍即便是出于良好意图的负责任 AI 努力。将孤立的谬误转化为情境警示，强调负责任 AI 需要对常见误解保持持续警惕，而非一次性技术修复。

关键要点

- **集成至关重要**：负责任 AI 源于原则、技术能力、社会技术动态和实施实践之间的对齐，单靠任何一方面都不足够
- **技术方法赋能但不保证责任**：偏见检测、隐私保护和可解释性工具提供了必要能力，但其有效性完全依赖于组织和社会环境
- **公平性超越算法**：计算资源需求造成系统性壁垒，决定了谁能获得负责任 AI 保护，将责任转变为集体社会挑战
- **部署情境决定可能性**：云系统支持全面监控，而 TinyML 设备则需静态验证 —— 负责任 AI 必须适应架构约束，而非强加统一要求
- **价值冲突需协商**：公平性不可能定理表明，竞争原则无法通过算法调和，需利益相关方参与和明确的权衡决策

随着机器学习系统日益融入关键社会基础设施，负责任 AI 框架为可信系统奠定了基础。然而，责任不仅限于算法公平、可解释性和安全性。负责任 AI 技术的计算需求 —— 训练大型模型需多 15-30% 的资源、解释需 50-1000 倍的推理计算、监控基础设施需大量投入 —— 引发了对环境影响和资源消耗的深刻质疑。

下一章将探讨责任如何涵盖可持续性，审视大型模型训练的碳足迹、数据中心运营的环境成本，以及开发节能 AI 系统的紧迫性。正如负责任 AI 关注我们的系统是否公平，可持续 AI 则关注我们的系统是否对地球负责。可信系统的原则最终要求在技术性能、社会责任和环境保护之间取得平衡 —— 确保 AI 发展在不妨碍我们共同未来的前提下，提升人类福祉。

第 18 章：可持续 AI

目标

为什么资源效率不仅仅是环境议题，而是决定机器学习系统可行性与可扩展性的核心工程约束？

机器学习系统在实际部署和经济可行性上，面临着巨大的算力资源消耗。这些资源需求带来了严苛的工程约束：高昂的能耗可能超出模型开发预算，散热极限限制了硬件密度，电力基础设施决定了部署地点。资源效率直接决定了系统的可行性、运营成本和竞争优势，使可持续性成为关键的工程学科。掌握资源优化技术，能够让工程师在满足性能目标的同时，将系统运行控制在实际的功耗、热量和经济边界之内。随着算力需求呈

指数级增长，资源效率已成为决定 AI 应用能否从原型走向大规模服务全球用户的首要约束。

> **学习目标**
>
> - 通过能耗、碳足迹和资源利用等指标，量化 AI 系统的环境影响
> - 应用测量框架，评估训练与部署架构中的可持续性权衡
> - 评估硬件、算法和基础设施层面的能效优化工程策略
> - 设计在功耗、热量和资源约束下运行的可持续 AI 系统
> - 分析生物智能原理，指导能效 AI 架构开发
> - 实施碳感知计算策略，实现负责任的 AI 系统部署

可持续 AI：一门工程学科

随着机器学习系统大规模普及，环境可持续性危机已成为制约行业发展的核心挑战。本章在 第 17 章：可信 AI 的基础上，进一步探讨算力需求与环境责任的交汇，将可持续性提升为系统工程的核心学科，而非附属考量。

现代机器学习应用的规模空前，其环境影响已堪比传统重工业。训练（详见 第 8 章：AI 训练）一个最前沿的 AI 模型，所消耗的电力相当于 100 个美国家庭一整年的用电量，碳排放相当于数百次纽约与旧金山之间的往返航班。随着 AI 的普及，其环境成本正成为 21 世纪最重大且隐蔽的挑战之一。

现代 AI 系统的高算力密度，带来了全球基础设施的能耗压力：训练大模型所需能量可供数千户家庭长期用电，而大规模推理负载（详见 第 13 章：机器学习运维）则推动数据中心容量和资源需求呈指数级增长。

这一环境现实，使可持续性从可选设计项转变为决定 AI 系统能否从实验室走向生产部署的核心工程约束。能耗、热量和电力基础设施等经济与物理极限，成为系统设计决策的瓶颈。算力需求的指数级增长，远超底层硬件效率提升，形成了所谓的“AI 可持续性悖论”。

但这些约束也为我们提供了将 第 9 章：高效 AI 和 第 10 章：模型优化 等系统工程方法，系统性地扩展到环境责任领域的机会。提升性能的工程方法，同样可用于能效目标。提升推理吞吐量的硬件加速技术，也能降低碳足迹。支持可扩展性的分布式计算架构，可以实现基于可再生能源的碳感知调度。

> **可持续 AI 定义**
>
> **可持续 AI** 是一门 将环境因素融入机器学习系统设计、开发与部署全流程 的 工程学科。它涵盖了 能耗测量与最小化、碳排放减少、硬件利用率优化 以及 AI 系统从制造到报废的 全生命周期环境影响管理。可持续 AI 将 资源效率 作为与性能和成本同等重要的 核心工程约束，确保系统在 地球资源边界内 实现计算目标，通过 系统化的测量、建模与减缓 环境影响，推动 AI 技术的可持续发展。

本章将可持续 AI 作为一门新兴的跨学科领域，系统性地将环境因素融入 ML 系统工程的每个环节。该学科涵盖了将算力需求转化为碳排放的建模、评估硬件全生命周期资源消耗、以及影响系统性能与环境可持续性的基础设施选择。所介绍的测量、建模与减缓框架，是与传统性能优化同等重要的工程能力。

本章内容涵盖了从算法效率优化（详见 第 9 章：高效 AI）、硬件架构选择（详见 第 11 章：AI 加速），到数据中心基础设施决策，再到负责任部署的政策框架，系统性地将环境因素贯穿于 ML 系统设计全流程。该方法将可持续 AI 建立为一套完整的工程框架，助力开发在地球资源边界内运行、同时释放 AI 变革潜力的系统。

AI 的可持续性危机

AI 系统推动了各行业的技术变革，但其背后的环境成本威胁着这些进步的长期可行性。AI 的算力需求带来了超越能耗的可持续性挑战，包括碳排放、资源开采、制造影响和电子垃圾，规模之大已威胁到技术发展的可持续性。

这一可持续性危机体现在三个相互关联的层面。首先，问题识别关注 AI 环境影响的范围与紧迫性，包括伦理责任和长期可行性。其次，测量与评估提供了训练（详见 第 8 章：AI 训练）与推理（详见 第 13 章：机器学习运维）阶段碳足迹、能耗和生命周期影响的量化框架。最后，实施与解决方案则通过可持续开发实践、基础设施优化和政策框架，提出了切实可行的环境责任减缓策略。

环境影响的规模

AI 系统的资源消耗已堪比传统重工业。训练一个大型语言模型需消耗数千兆瓦时（MWh）电力，相当于数百户家庭数月用电[615]。预计到 2030 年，数据中心（包括 AI 负载）将占全球用电量的 8%，超过航空业（2.1%），接近水泥生产（4%）。算力需求的增长速度是硬件效率提升的 350,000 倍，形成了不可持续的指数级增长。

615. **家庭用电对比**：美国普通家庭年均用电量为 10,500 千瓦时（约每月 875 千瓦时）。尽管 OpenAI 未公布 GPT-4 训练能耗数据，但有估算认为其能耗远超 GPT-3 的 1,287 MWh。作为对比，GPT-3 的训练用电量相当于 122 户美国家庭一年的总用电。

除了直接能耗，AI 系统还通过硬件制造和资源消耗带来环境影响。训练与推理依赖的专用处理器需用到稀土金属，其开采和加工会造成污染[616]。AI 应用需求的增长加速了电子垃圾的产生，全球电子垃圾年产量已达 5,400 万吨，AI 硬件因性能迭代加速，报废周期仅 3-5 年[617]。

这些环境挑战需要技术、政策和伦理多维度的系统性理解与协同应对，确保 AI 发展可持续且负责任。

第一部分：环境影响与伦理基础

AI 环境影响的规模，提出了关于发展优先级与责任的关键问题。在探讨测量与减缓策略前，需理解指导可持续 AI 开发的伦理框架。技术进步与环境正义的交汇，迫使我们做出谁将受益、谁承担生态成本的紧迫决策。

AI 的环境影响不仅是技术指标，更关乎公平、正义与长期可行性，决定了应对挑战的紧迫性。

能耗与硬件制造的技术现实，直接转化为环境正义的伦理关切。当训练（详见 第 8 章：AI 训练）一个语言模型的用电量相当于数千户家庭年用电时，必须思考 AI 进步的受益者与环境成本的承担者。随着算力需求指数级增长、资源消耗加剧，行业必须在创新与环境责任之间做出艰难抉择，探索可持续发展路径。

环境正义与负责任发展

AI 的环境影响带来了超越技术优化的伦理责任。环境可持续性已成为可信 AI 系统的重要组成部分，扩展了 第 17 章：可信 AI 中的责任原则。AI 开发所需的算力资源，将环境成本集中在特定社区，而收益却分布不均。数据中心消耗全球 1-3% 的电力和每年 2000 亿加仑冷却用水，且多建于依赖化石能源、气候压力大的地区。

这种地理上的环境负担集中，带来了环境正义问题[618]，与更广泛的责任 AI 框架相呼应。正如公平性要求关注 AI 受益者与风险承担者，环境责任也要求理解 AI 进步的生态

616. **GPU 制造影响**：生产一块高端 GPU（如 NVIDIA H100）在计算前就会产生 300-500 千克二氧化碳。制造过程需消耗 2,500 升超纯水、15 种以上稀土元素，并经历高达 1,000°C 的能耗工艺。台积电 4nm 工艺虽然单位能效更高，但制造流程更复杂，整体能耗高于 7nm 工艺。

617. **计算设备电子垃圾**：2019 年全球电子垃圾达 5,400 万吨，计算设备占 15%。AI 硬件加速了这一趋势：2020-2023 年 NVIDIA GPU 销量增长 200%，每块高端 GPU 重 2-4 磅，含有需特殊处理的有害物质。由于性能迭代快，AI 硬件通常 3-5 年即报废。

618. **环境正义**：确保环境利益与负担在所有社区间公平分配，无论种族、肤色或收入。在 AI 领域，数据中心常选址于经济欠发达地区以获取廉价土地和电力，将污染、水资源消耗和热量等环境负担转嫁给缺乏话语权的社区，而 AI 带来的就业和经济增长则集中于富裕科技中心。例如微软在爱荷华州农村的数据中心每日用水 600 万加仑，而当地农民却面临干旱限水。

成本由谁承担。AI 基础设施所在社区往往承受着环境负担，却难以获得 AI 带来的经济红利，凸显了将伦理框架从算法公平扩展到环境治理的必要性。

指数级增长与物理极限

算力需求的指数级增长，挑战着 AI 训练与部署的长期可持续性。过去十年，AI 系统规模空前，2012-2019 年算力需求增长了 350,000 倍。随着模型参数量（详见 第 4 章：DNN 架构）、训练数据集和计算复杂度的提升，这一趋势仍在持续。硬件效率提升已难以跟上 AI 负载的增长，形成了可持续性挑战。

历史上，半导体技术进步带来了计算效率提升。摩尔定律[619]（芯片晶体管数每两年翻一番）推动了处理能力和能效的持续提升。但摩尔定律已接近物理极限，进一步缩小晶体管变得困难且昂贵。丹纳德缩放律[620]（更小晶体管可降低功耗）也已终结，导致单位能效提升停滞。

AI 模型规模和能力持续提升，但硬件效率已无法同步指数级增长。这种算力需求与硬件效率的背离，导致 AI 能耗持续攀升，形成不可持续的发展轨迹。这一技术现实，凸显了可持续 AI 需要从算法到基础设施、从工程到政策的全栈协同。

训练复杂 AI 系统（如大型深度学习模型）需巨大的算力，带来显著能耗。以 OpenAI 的 GPT-3 为例，训练耗电 1,287 兆瓦时，相当于 130 户美国家庭一年的用电量。这一能耗反映了大数据集上模型参数优化的计算过程[621]，是现代大语言模型的典型特征。

如此规模的能耗，凸显了提升 AI 系统效率的紧迫性。近年来，生成式 AI 模型日益流行，模型参数量持续增长，训练能耗不断攀升。

研究表明，增加模型规模、数据集和训练算力，能平滑提升性能且无明显饱和迹象。如下图所示，测试损失随三者增加而持续下降。这些“规模定律”推动了更大模型和更多数据的持续投资。除了训练，推荐系统和生成模型等 AI 应用在大规模推理阶段也持续消耗能量。随着 AI 在金融、医疗、娱乐等行业普及，AI 负载的累计能耗持续上升，引发了对大规模部署环境影响的担忧。

除了用电，AI 的可持续性挑战还体现在硬件资源需求和当前架构的能效极限。不同处理器类型的能耗特性，影响环境影响，详见 第 11 章：AI 加速：CPU 每次乘加操作约 100 皮焦耳（pJ/MAC），GPU 为 10 pJ/MAC，TPU 达到 1 pJ/MAC[622]，专用加速器可低至

619. **摩尔定律起源**：由英特尔联合创始人戈登・摩尔于 1965 年提出，最初预测每年翻番，后修正为两年。摩尔定律推动了全球 4 万亿美元电子产业，使智能手机和超级计算机成为可能。但在 3nm 工艺节点，原子级别成为极限。
620. **丹纳德缩放律**：1974 年 IBM 的 Robert Dennard 发现，更小的晶体管可通过降低电压保持功耗密度不变。该规律带来了 30 年的“免费”性能提升，直到 2005 年左右因漏电流和电压缩放极限终结。若无丹纳德缩放，现代 CPU 功耗将达千瓦级。其终结促使多核和 AI 专用加速器（如 GPU）的兴起。
621. **训练过程**：通过数据优化模型参数的计算过程，详见 第 8 章：AI 训练。
622. **能耗指标**：pJ/MAC（每次乘加操作的皮焦耳数）衡量不同处理器类型的计算能效。

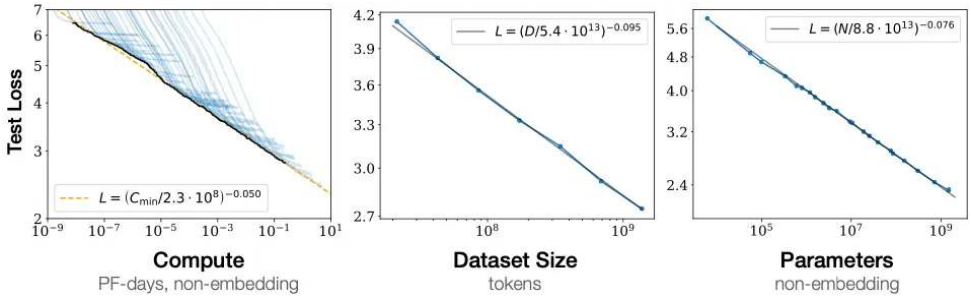

模型规模定律：增加模型规模、数据集和算力可持续降低测试损失，表明性能提升仍有空间且未见饱和。这些规模定律推动了更大模型和更多数据的持续投入。

0.1 pJ/MAC。这些硬件平台需用到稀土金属和高碳制造工艺。

AI 芯片的生产极为耗能，涉及多道工序，成为 AI 系统全生命周期 Scope 3 排放的重要来源。随着模型规模增长，对 AI 硬件的需求加剧，进一步加重半导体制造和报废的环境影响。

生物智能：可持续性的工程范式

理解 AI 能源挑战的规模，最直观的对比是人脑。人脑能以约 20 瓦功耗完成复杂推理、学习和模式识别。这一惊人的效率为可持续 AI 设计提供了工程启示。人脑每次突触操作的能效约为 10^{-1} 至 10^{-14} 焦耳，尽管生物与数字系统的“操作”难以直接等价 [623]。

训练一个大型语言模型如 GPT-3，其能效与生物智能相比存在 10 倍的差距。这一对比凸显了核心可持续性挑战：人脑仅用灯泡级功耗即可实现卓越学习，而当前 AI 系统则需工业级能源基础设施才能完成类似任务。

人脑的高能效源于与当前 AI 系统截然不同的原理。生物系统并非持续处理所有信息，而是选择性、事件驱动地激活，仅在处理信息时消耗能量 [624]。这些设计原则为开发更高能效的 AI 架构提供了思路。

生物智能的优势还体现在学习样本效率。儿童通过约 10^8 个词的语言输入即可掌握语言，而大语言模型需训练 10^12+ token，数据效率相差 10,000 倍。这表明当前 AI 架构与生物高效学习原理存在巨大差距。

这些洞见为可持续 AI 提供了有前景的研究方向。类脑计算 [625] 架构通过实现脉冲神经网

623. **FLOP 对比**：FLOPS（每秒浮点运算次数）衡量计算吞吐量。人脑能效对比有助于理解 AI 硬件的能耗需求。
624. **动作电位**：神经元用以通信的电脉冲，持续约 1 毫秒，每次消耗约 10^{-12} 焦耳。与持续耗电的数字电路不同，神经元仅在激活时消耗能量。这种事件驱动机制让 86 亿神经元的人脑仅用 20W 功耗。现代类脑芯片如 Intel Loihi 模仿这种脉冲通信，实现 1000 倍能效提升。
625. **类脑计算**：受生物神经网络启发的硬件架构，采用模拟电路和事件驱动计算。由加州理工 Carver Mead 于 1980 年代提出，现代代表有 Intel Loihi（128 个类脑核，支持 13 万神经元）、IBM TrueNorth（100 万神经元）、BrainChip Akida。这些芯片仅在输入变化时处理信息，能耗比 GPU 低 1000 倍。

络[626]，可模仿生物稀疏激活模式，实现 100-1000 倍能耗降低。类似地，受生物启发的局部学习算法和自监督学习方法，有望提升样本与能效。理解这些生物原理，为开发接近生物能效、同时保持性能的 AI 系统提供了路线图。

这些生物学启示表明，实现可持续 AI 需系统性转向事件驱动、稀疏计算架构，而非持续激活的传统模式。随着算力需求超越效率提升，解决 AI 环境影响需基于生物原理，重塑系统架构、能耗感知计算与全生命周期管理。

算力需求的指数级增长与物理效率极限的交汇，形成了威胁 AI 长期可行性的不可持续轨迹。理解这些约束，为建立测量框架和实施策略，系统性应对可持续性危机奠定了基础。

第二部分：测量与评估

系统化的测量方法为 AI 环境影响的工程决策提供了基础。可持续 AI 的发展需要针对三个关键领域的量化框架：训练与推理阶段的能耗追踪、系统全生命周期的碳足迹分析，以及硬件与基础设施的资源利用评估。这些测量工具将可持续性从抽象关切转化为具体的工程约束，指导架构选择、部署策略和优化优先级。

有效的测量让工程师能够发现优化机会、对比不同设计方案，并验证可持续性改进效果。如果没有系统性地评估环境成本的来源及设计选择对整体足迹的影响，可持续性努力就会流于零散，甚至适得其反。

碳足迹分析

碳足迹分析为 AI 系统可持续性的设计决策提供了基础。随着 AI 系统规模不断扩大，系统化地测量能耗和资源需求，使得环境优化能够前置于设计阶段。开发和部署 AI 系统的个人和企业，必须同时考虑性能、效率和环境后果。

伦理挑战在于如何平衡技术进步与生态责任。对更大模型的追求，往往优先考虑准确率和能力，而忽视能效，导致碳排放呈指数级增长。虽然可持续性优化可能带来权衡，比如开发周期延长 10-30%，或通过剪枝、量化等技术带来 1-5% 的精度损失，但这些成本远低于环境收益。从伦理角度看，将环境因素纳入 AI 系统设计已是必然。这要求行业规范向可持续计算实践转变，如能耗感知训练、低功耗硬件设计和碳感知部署策略。

这种伦理责任不仅限于可持续性，还涵盖了透明度、公平性和问责制等更广泛议题。下图（图 2）展示了 AI 开发相关的伦理挑战，将不可解释性、不公平结果和可追溯性等问题与不透明性、偏见和自动化偏差等因素关联起来。这些问题同样适用于可持续性，因

626. **脉冲神经网络（SNN）**：第三代人工神经网络，通过离散脉冲（类似生物神经元）而非连续值通信。异步、时序处理，适合音视频等事件驱动数据。更接近生物机制且能效高，但训练难度大，标准任务准确率低于传统深度网络。

为 AI 开发的环境权衡往往不透明且难以量化。能耗和碳排放缺乏可追溯性，可能导致企业在未充分理解或披露环境成本的情况下，盲目追求性能提升。

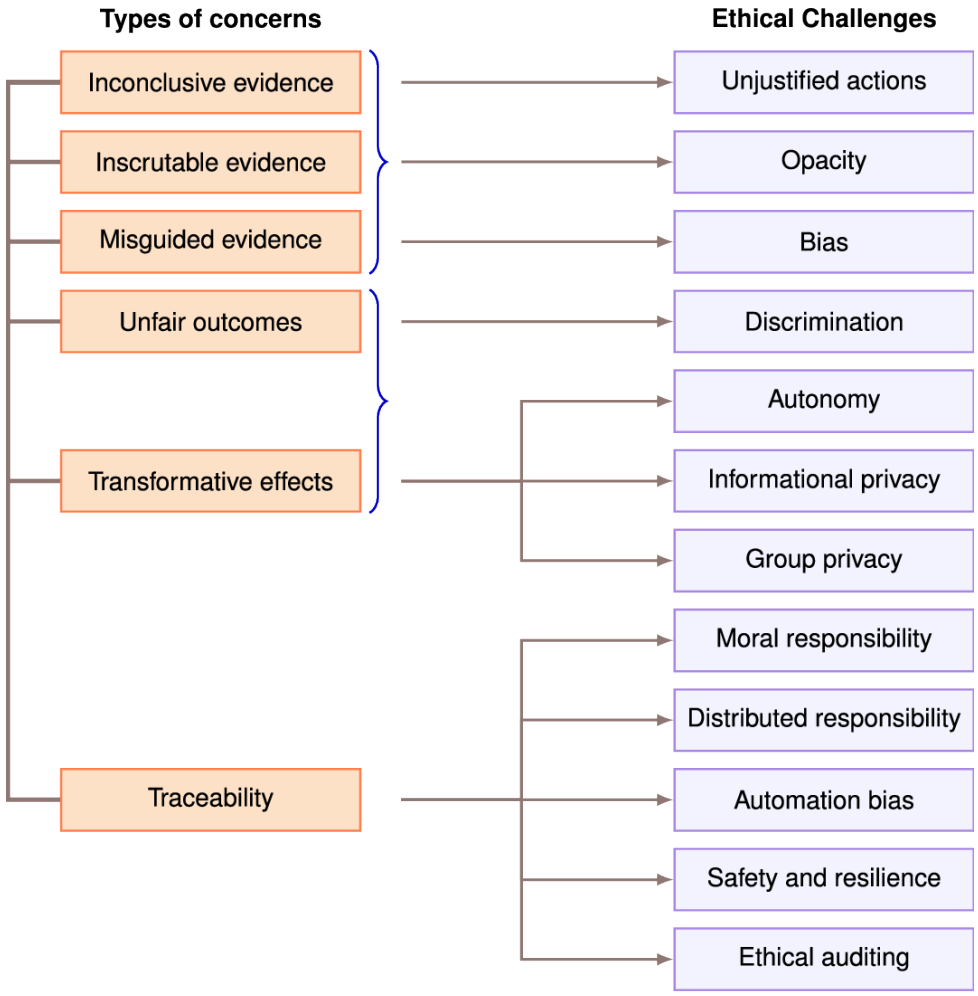

AI 伦理关切：AI 系统在透明度、公平性和可持续性方面带来伦理挑战；这些问题相互关联，源于资源消耗的不透明、偏见和缺乏可追溯性。应对这些挑战需要在设计阶段主动做出选择，优先考虑问责制，最大限度减少对社会和环境的负面影响。

应对这些问题，需要 AI 企业提升透明度和问责制。大型科技公司运营着支撑现代 AI 应用的庞大云基础设施，但其环境影响却鲜为人知。组织应在 AI 全生命周期内测量、报告并减少碳足迹，从硬件制造到模型训练与推理。自律是第一步，但长期可持续性还需政策干预和行业标准。能耗、碳排放和效率基准等公开指标，有助于推动企业承担责任。

伦理 AI 开发需要就环境权衡展开公开讨论。研究者应在机构和组织内部倡导可持续性，确保环境议题纳入 AI 开发优先级。更广泛的 AI 社区已开始关注这些问题，例如 呼吁暂停大规模 AI 实验的公开信，就表达了对无序扩张的担忧。营造透明和伦理责任文化，有助于让 AI 行业在技术进步与生态可持续性之间实现平衡。

AI 有潜力重塑产业和社会，但其长期可行性取决于负责任的发展实践。伦理 AI 开发不仅要防止对个人和社区的伤害，还要确保 AI 驱动的创新不会以环境恶化为代价。作为技术的守护者，开发者和组织必须将可持续性纳入 AI 的未来发展轨迹。

将这些伦理原则落地，需要具体的工程解决方案，能够带来可衡量的环境改善。以下案例展示了如何通过 AI 系统自身的设计，优化其环境影响，体现了可持续 AI 原则的实际应用。

案例分析：DeepMind 提升数据中心能效

Google 的数据中心是 Search、Gmail 和 YouTube 等服务的基础，每天处理数十亿次请求。这些设施消耗大量电力，尤其是用于保障服务器性能的冷却系统。提升数据中心能效一直是重点，但传统工程方法在面对冷却系统复杂性和动态环境条件时，优化空间有限。为此，Google 联合 DeepMind 开发了机器学习优化系统，实现了大规模的能耗自动管理。

在优化数据中心设计、能效硬件和可再生能源集成十余年后，DeepMind 的 AI 方法聚焦于冷却系统 —— 数据中心最耗能的环节之一。传统冷却依赖人工设定的启发式规则，考虑服务器发热、外部气候和建筑约束等因素。由于系统存在非线性耦合，简单的规则往往无法捕捉全部复杂性，导致冷却效率低下，能源浪费严重。

DeepMind 团队利用 Google 的历史传感器数据（包括实时温度、电力消耗、冷却泵运行等参数）训练神经网络模型，学习这些因素间的复杂关系，并能动态预测最优冷却配置。与传统依赖工程师定期调整系统不同，AI 模型可实时适应环境和负载变化，持续优化能效。

实际部署结果显示，DeepMind 的 AI 冷却系统将冷却能耗降低了 40%，整体 PUE（电力使用效率）提升 15%[627]。PUE 是衡量数据中心能效的行业标准，表示总能耗与 IT 设备能耗之比。这一提升无需额外硬件改造，充分展示了软件驱动优化在降低 AI 碳足迹方面的潜力。

不仅如此，DeepMind 的 AI 模型还可适配不同设计和气候条件，为全球数据中心网络的能耗优化提供了可扩展方案。该案例表明，AI 不仅是算力资源的消耗者，也能成为推动可持续性的工具，提升支撑机器学习的基础设施效率。

数据驱动决策、实时自适应和可扩展 AI 模型的结合，展示了智能资源管理在可持续 AI 系统设计中的作用。机器学习优化自身基础设施，为大规模 AI 部署实现更高能效提供了范例。

627. **电力使用效率（PUE）**：行业标准指标，计算方式为总设施用电 ÷ IT 设备用电。理想值为 1.0（实际无法达到），典型数据中心为 1.6-2.0，Google 最优设施达 1.08。每提升 0.1 PUE 可节省数百万美元电费。Facebook Prineville 数据中心通过外部空气冷却实现 1.09 PUE。老旧数据中心常超 2.5。

碳足迹分析需同时考察生命周期阶段和排放范围。下文介绍的“三阶段生命周期评估框架”，为理解环境成本来源及设计选择对整体足迹的影响提供了系统方法。

三阶段生命周期评估框架 有效的碳足迹测量需系统性分析三个决定环境影响的阶段：

训练阶段（占排放 60-80%）是碳排放最高的时期，涉及大规模并行计算和数学优化[628]。以 GPT-3 为例，大型语言模型训练极为耗能。地理位置影响巨大：在魁北克（以水电为主，0.01 kg CO⌧/kWh）训练，与在西弗吉尼亚（以煤电为主，0.75 kg CO⌧/kWh）相比，碳强度相差 75 倍[629]。

推理阶段（占排放 15-25%）则是模型服务和预测生成的持续计算成本。单次推理计算量虽小，但大规模部署和高频使用下，累计排放可在长期超过训练阶段。

制造阶段（占排放 5-15%）则是硬件生产带来的“隐含碳”[630]，包括半导体制造、稀土开采和供应链物流。该部分常被忽视，但属于无法通过运营优化消除的基线排放。

地理与时序优化 碳强度因地理和时段差异巨大，带来优化空间。通过将计算任务调度到可再生能源高峰时段（如白天太阳能高峰），可将排放降低 50-80%。碳感知调度系统可自动将非紧急训练任务迁移到碳强度更低的地区和时段。

这些地理与时序因素凸显了量化 AI 碳影响的复杂性。评估需综合模型规模、训练时长、硬件类型和数据中心能源结构等多重因素。以 GPT-3 为例，大型 AI 模型训练需数千兆瓦时电力，相当于一个社区的用电量。推理阶段（如实时翻译、图像生成、个性化推荐）同样能耗巨大。与传统软件不同，AI 模型推理能耗持续增长，带来长期可持续性挑战。

除直接能耗外，AI 的碳足迹还包括硬件生产和供应链的间接排放。制造 GPU、TPU 等 AI 加速器需高能耗工艺和稀土金属，供应链复杂。AI 系统的全生命周期排放（涵盖数据中心、硬件制造和全球部署）必须纳入考量，才能制定更可持续的实践。

理解 AI 碳足迹需整合上述测量框架：

- **三阶段生命周期分析**：训练（60-80%）、推理（15-25%）、制造（5-15%）排放
- **三类排放范围**：直接运营、购电、供应链影响

628. **优化过程**：寻找最优模型参数的数学过程。梯度下降等方法详见 第 8 章：AI 训练
629. **碳强度**：每千瓦时电力产生的 CO⌧ 排放量，单位为 kg CO⌧/kWh。不同能源差异极大：煤（$_{0.82)、天然气（}$0.36）、风能（$_{0.01)、核能（}$0.006）、水电（~0.024）。电网碳强度随地区（如冰岛 99% 可再生，波兰 77% 煤电）和时段（如中午太阳能高峰）变化。这为碳感知计算提供了基础：将 AI 任务调度到碳强度最低的时空。
630. **隐含碳**：产品制造、运输和报废阶段的碳排放，与使用阶段排放区分。AI 硬件的隐含碳包括稀土开采、半导体制造、包装和运输。单块 NVIDIA H100 GPU 隐含碳 300-500 kg，相当于开车 1,000-1,600 英里。GPU 700W 功耗年排放 300 kg（按美电网均值），制造排放相当于 1-2 年运营。研究表明，制造排放可占 AI 系统总碳足迹 30%，且随数据中心清洁能源占比提升而占比上升。

- **地理与时序优化**：利用可再生能源和碳感知调度

分析这些要素，有助于更准确评估 AI 系统的真实环境影响，并通过高效设计、能耗感知部署和可持续基础设施选择，发现减排机会。

开发阶段的碳足迹测量需将追踪工具集成到 ML 工作流中，见代码示例 1。

代码示例 1：**碳足迹追踪**：使用 CodeCarbon 库在模型训练期间测量排放，为数据驱动的可持续性决策提供依据。

```python
from codecarbon import EmissionsTracker
import torch

# 初始化碳排放追踪器
tracker = EmissionsTracker()
tracker.start()

# 模型训练代码
model = torch.nn.Linear(100, 10)
optimizer = torch.optim.Adam(model.parameters())

for epoch in range(100):
    # 训练步骤
    loss = model(data).mean()
    loss.backward()
    optimizer.step()

# 获取排放报告
emissions = tracker.stop()
print(f"Training emissions: {emissions:.4f} kg CO2")
```

数据中心能耗模式

AI 系统是最耗能的计算负载之一，涉及密集运算 [631]，其能耗贯穿训练、推理、数据存储和通信基础设施。理解这些模式有助于发现优化空间，实现环境影响减缓。能耗随模型复杂度呈非线性增长，针对性架构和运维优化可带来显著能效提升。

数据中心能耗与 AI 负载 数据中心是 AI 系统的主要能耗来源，其用电规模既反映了挑战，也揭示了优化机会。

数据中心能效差异巨大：PUE 从 Google 最优设施的 1.1 到普通企业数据中心的 2.5，后者的基础设施开销几乎翻倍。地理位置影响碳强度：同一模型在魁北克（水电）与西弗吉尼亚（煤电）训练，单位电量碳排放相差 10 倍。缺乏可再生能源时，数据中心高

631. **密集运算**：需大量数学操作的计算模式。具体神经网络操作详见 第 8 章：AI 训练。

度依赖煤炭和天然气，推高全球碳排放。当前估算，数据中心占全球 CO⊠ 排放的 2%，接近航空业。AI 能耗预计将因数据中心扩容、训练负载和推理需求增长而呈指数级上升。如不加干预，AI 的环境足迹将变得不可持续。

数据中心的能耗需求 AI 负载是现代数据中心中最密集的计算任务。Meta 等公司运营着占地数十个足球场、容纳数十万台 AI 优化服务器的超大规模数据中心[632]。训练（详见 第 8 章：AI 训练）大型语言模型（如 GPT-4）需 25,000 多块 Nvidia A100 GPU 持续运行 90-100 天，消耗数千兆瓦时电力。这些设施依赖高性能 AI 加速器（如 NVIDIA DGX H100），单台峰值功耗可达 10.2 kW。硬件代际能效差异明显：H100 GPU 训练能效比 A100 提升 2.5-3 倍，混合精度训练可根据模型和硬件将能耗降低 15-30%，且精度损失极小。

如此巨大的能耗，反映了 AI 在各行业的快速普及。如下图（图 3）所示，AI 负载的能耗预计将大幅提升数据中心总能耗，尤其在 2024 年后。虽然效率提升部分抵消了用电增长，但提升速度放缓，AI 的环境影响日益突出。

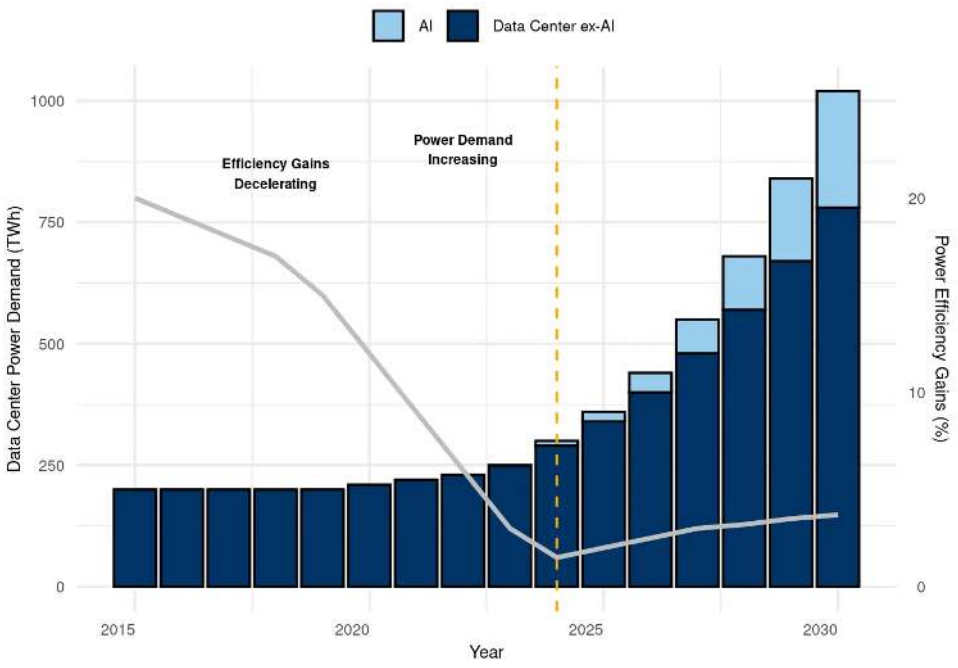

能耗需求预测：到 2030 年，AI 负载将显著提升数据中心用电需求，超越以往的效率提升。这凸显了 AI 系统环境影响的增长。来源：Masanet et al. 2020a、Cisco、IEA、Goldman Sachs Global Investment Research。

632. **超大规模数据中心规模**：Meta Prineville 数据中心占地 250 万平方英尺（57 个足球场），容纳 15 万台服务器。微软爱荷华州最大 Azure 数据中心占地 700 英亩，电力容量 300 MW。Google 全球 21 个超大规模设施年耗电 12.2 TWh，超过立陶宛或斯里兰卡全国用电。

除计算负载外，冷却也是 AI 能耗的重要组成。大规模训练和推理产生大量热量，需先进冷却方案防止硬件故障。企业已采用替代冷却方式降低能耗。例如微软爱尔兰数据中心利用附近峡湾，每天消耗 50 多万加仑海水散热。但随着 AI 模型复杂度提升，冷却需求持续增长，可持续基础设施设计成为紧迫挑战。

分布式系统能耗优化

大规模 AI 训练本质上需要分布式系统协作，带来额外能耗开销。分布式训练 [633] 引入的网络通信成本，在大型集群中可占总能耗的 20-40%。数千 GPU 的分布式训练需持续同步计算更新和模型参数 [634]，节点间数据传输量巨大。通信开销扩展性差：集群规模翻倍，网络能耗可增至 4 倍，因梯度聚合采用全互联通信模式。

为降低通信开销，集群级能耗优化需超越单机效率，进行资源协同管理。动态负载调度可在低负载时将训练任务集中到更少节点，使闲置硬件进入低功耗状态，节能 15-25%。智能调度跨数据中心协调训练，利用时区差异和区域可再生能源，可通过时序负载均衡将碳强度降低 30-50%。

基础设施共享是可持续性分析中常被忽视的效率机会。多租户训练环境下，多模型训练作业共享同一集群，可将 GPU 利用率从 40-60% 提升至 80-90%，有效将单模型能耗减半。资源共享还支持批处理优化，将多个小型训练作业合并，提升算力利用率，降低维护闲置基础设施的能耗。

AI 能耗与其他行业对比 AI 负载的环境影响已引发关注，其碳排放接近传统高碳行业。研究显示，训练一个大型 AI 模型的碳排放，相当于多辆乘用车全生命周期排放。下图（图 4）将大规模机器学习任务的碳排放与洲际航班等日常活动对比，直观展示了训练和推理负载的能耗。图中从最低到最高依次为纽约 - 旧金山往返航班、平均人类年排放、美国人年排放、美国汽车全生命周期、以及神经架构搜索的 Transformer 模型 [635]，后者碳足迹最高。这些对比凸显了推动 AI 可持续实践、减缓行业碳影响的必要性。

大型自然语言处理模型训练阶段的 CO⌧ 排放，相当于数百次洲际航班。从行业整体看，AI 的总算力碳足迹正逼近民航业。随着 AI 应用服务全球数十亿用户，持续推理的累计排放最终可能超过训练阶段。

下图（图 5）展示了 Meta 各类大规模机器学习任务的碳排放，量化了不同 AI 应用和架构的环境影响。这一评估凸显了开发和部署更可持续机器学习方法的紧迫性。理解这些

633. **训练范式**：当前模型优化方法需分布式系统协作。详见 第 8 章：AI 训练
634. **分布式训练**：跨多节点训练模型需协调与通信。详见 第 8 章：AI 训练。
635. **Transformer + NAS 环境影响**：62.6 万磅 CO⌧ 指训练一个 Transformer 并进行架构搜索，包含评估 12,800 个模型配置。相当于 312 次纽约 - 伦敦经济舱往返航班，或 140 个美国人一年的排放。现代高效 NAS 技术已将该成本降低 1000 倍。

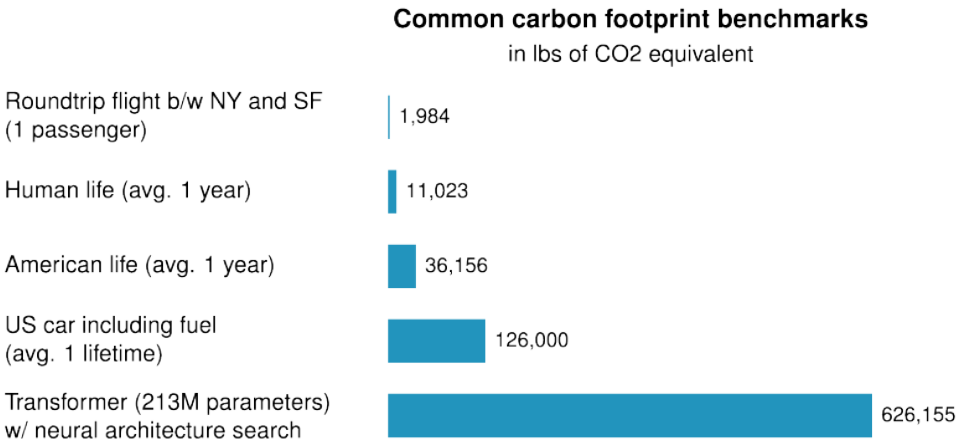

碳足迹基准对比：训练大型 AI 模型的碳排放与日常活动和长途旅行相当，凸显了复杂机器学习负载的环境影响。与航班、平均寿命和汽车全生命周期的对比，说明神经架构搜索的 Transformer 模型能耗极高。

环境成本，是实施有效减缓策略、推动行业负责任发展的基础。

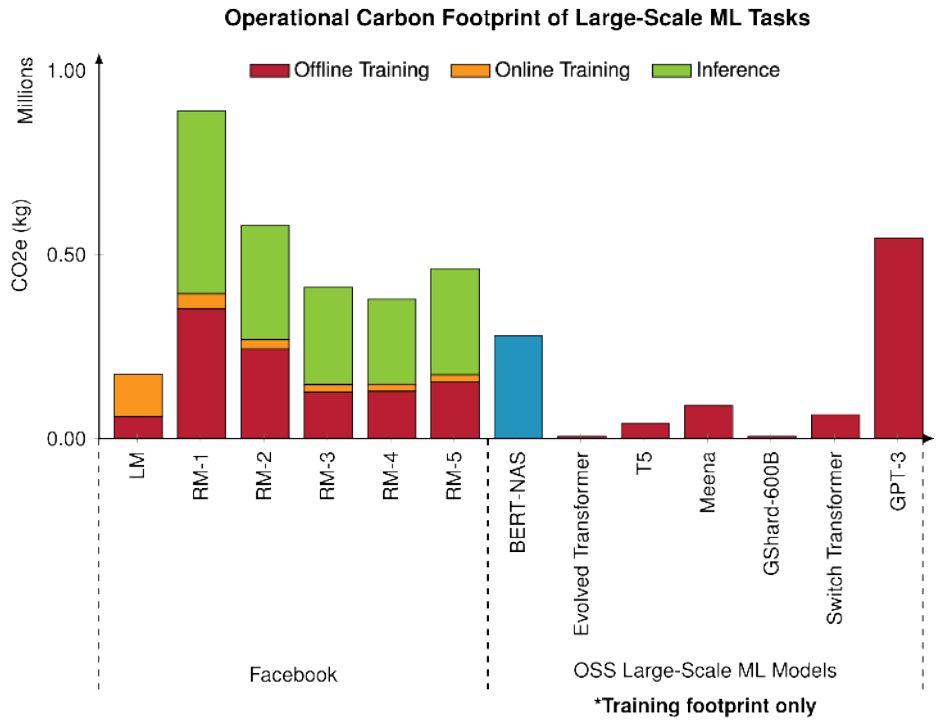

大规模机器学习任务的碳足迹。

碳足迹的纵向分析

AI 的影响不仅限于运行期间的能耗。其全生命周期排放还包括硬件制造、供应链和报废处理，使 AI 成为环境退化的重要推手。AI 模型训练和推理需电力，还依赖半导体制造、

稀土开采和电子垃圾处理等复杂基础设施。下一节将碳排放细分为 Scope 1（直接排放）、Scope 2（购电间接排放）和 Scope 3（供应链与全生命周期排放），以更细致地呈现其环境影响。

全面碳核算方法

全面的碳足迹评估需将三阶段生命周期分析（训练、推理、制造）与三类排放范围（直接运营、购电、供应链）结合。预计到 2030 年，AI 年复合增长率达 37.3%，算力能耗或将增长 1000 倍。这一指数级扩张要求理解各阶段和范围的总生命周期成本，才能发现最具影响力的可持续干预点。

Scope 1（5-15%）为现场发电（如柴油发电机）、冷却系统和自有电厂的直接排放。多数 AI 数据中心以电网供电为主，但自有化石能源备份系统或自建电厂会带来直接排放。

Scope 2（60-75%）为购电间接排放，是 AI 基础设施运营的主导排放，受地理和电网结构影响极大。同一模型在魁北克（水电）与西弗吉尼亚（煤电）训练，碳强度相差 75 倍。

Scope 3（15-25%）最复杂，涵盖硬件制造、运输和报废。半导体制造 [636] 碳排放极高：生产一块高性能 AI 加速器的排放，相当于数年运营能耗。该部分常被忽视，但属于无法通过运营优化消除的基线排放。

Scope 3 还包括 AI 部署后的下游影响。搜索引擎、社交平台和云推荐系统等 AI 服务规模巨大，需持续推理，累计能耗最终可能超过训练。终端设备（如手机、IoT、边缘计算 [637]）也贡献 Scope 3 排放，其 AI 功能需持续计算。Meta、Google 等公司报告，AI 服务的 Scope 3 排放占其总环境足迹最大份额，因 AI 运行规模极大。

> **软件开发的隐形碳成本**
>
> 除训练和推理能耗外，AI 软件开发生态本身也有巨大但难以量化的碳足迹。数以百万计的 CI/CD 流水线、开发过程中的持续编译、大型版本控制系统（如 GitHub）、代码评审、自动化测试和协作平台都消耗大量算力。大型 AI 研究机构常运行数千次实验训练，大多未进入生产，探索过程本身能耗巨大。这说明 AI 生态的能耗远不止最终模型训练和推理阶段。

636. **EUV 光刻**：极紫外光（13.5nm 波长）用于 7nm 以下芯片制造。每台 EUV 设备价值超 2 亿美元，重 180 吨，需持续 1 MW 电力（相当于 800 户家庭），每日用水 3 万升。ASML 为全球唯一供应商。EUV 支撑现代 AI 芯片，但能耗是传统深紫外光刻的 10 倍。

637. **AI 边缘计算**：在数据源附近处理数据，减少云端延迟（云 100-200ms，边缘 1-10ms），适用于自动驾驶等场景。但边缘 AI 芯片数十亿台持续 5-50W 功耗，总体能耗远超偶发云推理。特斯拉 FSD 电脑行驶时功耗 72W，若全球 14 亿辆车都用 AI，需 50 座大型电厂供电。

这些超大设施为复杂神经网络在海量数据集上的训练提供基础。例如，行业分析显示，OpenAI 的 GPT-4 在 Azure 数据中心用 25,000 多块 Nvidia A100 GPU 持续训练 90-100 天。

GHG Protocol 框架（见下图，图 6）为可视化 AI 相关碳排放来源提供了结构化方法。该框架将排放分为三类，帮助组织全面理解环境影响：

- **Scope 1（直接排放）**：来自公司自有运营，如数据中心柴油发电机和自有电厂。比如停电时数据中心后方轰鸣的柴油机。
- **Scope 2（购电间接排放）**：来自电网购电，是云计算负载的主排放来源。即为数千块 GPU 供电的发电厂。
- **Scope 3（价值链排放）**：超出组织直接控制，涵盖半导体制造、跨洋运输和 AI 加速器最终报废。

理解这一结构，有助于制定更有针对性的可持续策略，确保减排努力不仅聚焦能效，还覆盖供应链和全生命周期的重大排放。

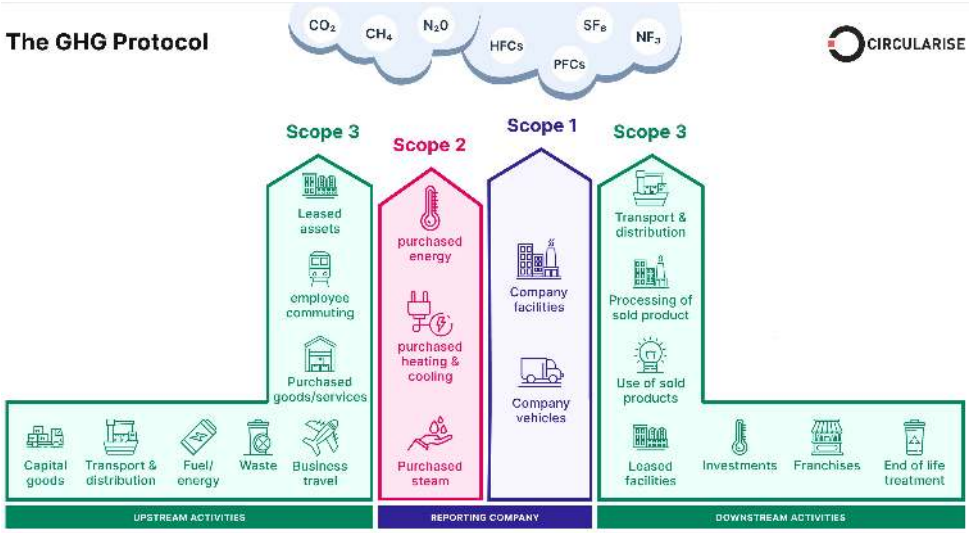

GHG 排放范围：组织将碳排放分为 Scope 1（直接）、Scope 2（购电）、Scope 3（价值链），以全面评估环境影响并为 AI 系统制定有针对性的减排策略。来源：Ucircularise。

训练与推理能耗分析

准确评估环境影响需理解训练与推理阶段的能耗模式。训练是一次性高强度计算，创造可复用模型能力。推理则是持续能耗，随部署规模和使用频率动态增长。对于大规模 AI 服务，长期推理能耗常超过训练。

生命周期视角揭示了不同阶段的优化机会。训练优化聚焦计算效率和硬件利用，推理优

化则强调延迟、吞吐和边缘部署。理解这些权衡，有助于针对不同 AI 应用的主导能耗环节实施可持续干预。

训练能耗需求 训练最前沿 AI 模型需巨量算力，依赖数十万核和专用加速器持续运行数月。OpenAI 的专用超级计算机包含 28.5 万 CPU 核、1 万 GPU，单服务器带宽超 400 Gbps，充分体现了训练基础设施的规模和能耗。

高强度计算带来大量热量，需庞大冷却系统，进一步推高总能耗。训练系统的架构和硬件优化需专业 AI 加速技术，算法层的训练效率优化也极为复杂。

这些能耗仅在模型训练时发生。主要的可持续性挑战在于模型部署后，推理负载需持续服务数百万乃至数十亿用户。

推理能耗成本 每当 AI 模型响应查询、图像分类或做出预测时，都会产生推理能耗。与训练不同，推理在搜索、推荐、生成式 AI 等应用中持续扩展。单次推理能耗虽远低于训练，但每日数十亿次 AI 交互的累计能耗很快超过训练。

例如，AI 搜索引擎每日处理数十亿请求，推荐系统持续个性化内容，生成式 AI（如 ChatGPT、DALL-E）单次推理计算量也很大。Transformer 模型推理能耗高，因其对内存和带宽要求极高。

如下图（图 7）所示，数据中心推理市场规模预计将从 2017 年的 40-50 亿美元增长到 2025 年的 90-100 亿美元，翻倍增长。边缘推理市场也将从不足 1 亿美元增至 40-45 亿美元。推理市场扩张速度远超训练，说明运行 AI 应用的能耗正成为主导成本。

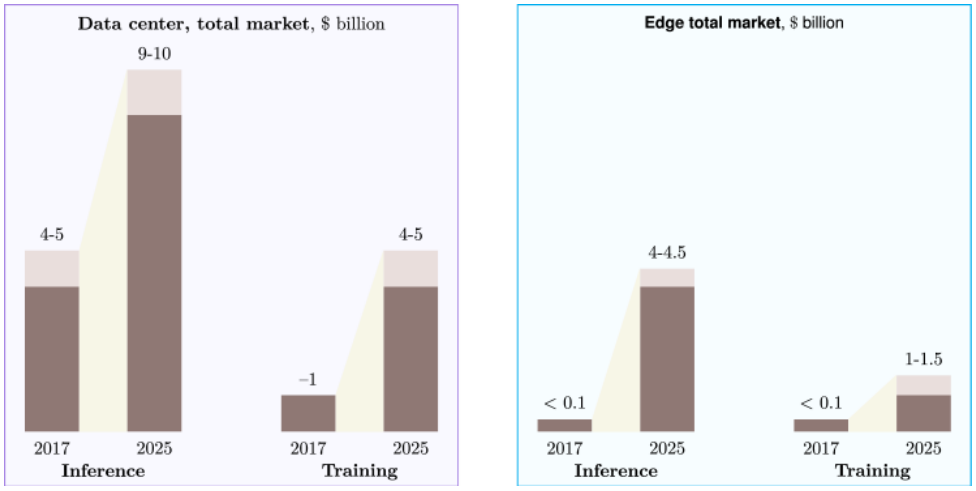

推理 - 训练市场增长：推理市场规模预计将从 2017 年翻倍至 2025 年，增速远超训练，反映了大规模部署 AI 模型的需求。这一差异说明运行 AI 应用的能耗正成为主导成本。来源：Umckinsey。

与传统软件的固定能耗不同，推理负载随用户需求动态扩展。Alexa、Siri、Google Assistant 等 AI 服务依赖持续云端推理，每分钟处理数百万语音请求，需数据中心基础设施 24 小时不间断运行。

边缘 AI 影响 推理并非总在大型数据中心完成。边缘 AI 正成为降低云依赖的可行方案。部分 AI 模型可直接部署在用户设备或边缘节点，减少数据传输能耗和对高功耗云推理的依赖。

但大规模部署时，边缘推理同样存在能耗问题。自动驾驶等场景需毫秒级推理，云端处理不可行，车辆需配备板载 AI 加速器，相当于“车轮上的数据中心”，即便不依赖云推理，单车能耗也很高。

同样，手机、可穿戴和 IoT 传感器等消费设备单体能耗虽低，但数量庞大，累计能耗巨大。因此，边缘计算的效率优势需与设备规模的能耗权衡。

资源消耗与生态影响

碳足迹分析虽关键，但无法全面反映 AI 的环境影响。完整评估还需量化水资源消耗、有害化学品使用、稀有材料开采和生物多样性破坏等生态影响，这些往往被忽视但极具生态意义。

现代半导体工厂生产 AI 芯片需每日数百万加仑水，并使用 250 多种有害物质。在台湾、亚利桑那、新加坡等水资源紧张地区，这种高强度用水威胁当地生态和社区。AI 硬件还高度依赖镓、铟、砷、氦等稀缺材料，存在地缘风险和枯竭隐患。

全面影响评估有助于发现能耗之外的环境热点，制定覆盖 AI 系统全生态足迹的减缓策略。

用水消耗

半导体制造极度依赖水资源，需大量超纯水用于清洗、冷却和化学处理。现代工厂的用水量堪比城市人口。例如台积电亚利桑那新厂预计每日用水 890 万加仑，占全市供水近 3%。在台湾、亚利桑那、新加坡等水资源紧张地区，半导体制造压力尤大。企业正投资回收技术和高效用水管理。意法半导体约 41% 用水实现回收，大幅降低环境足迹。下图（图 8）展示了典型半导体厂的水循环流程，从原水取用到废水处理和回用。

超纯水主要用于各生产阶段冲洗晶圆杂质，也用于热氧化、化学沉积和平坦化等工艺的冷却和载体。单片 300mm 硅片全流程需 8,300 升水，超纯水占比超三分之二。

如此巨量用水带来的影响远不止消耗。过度抽取地下水会导致水位下降，引发地面沉降和海水入侵等问题。在台湾新竹等半导体重镇，工厂大量抽水已导致地下水位下降和海

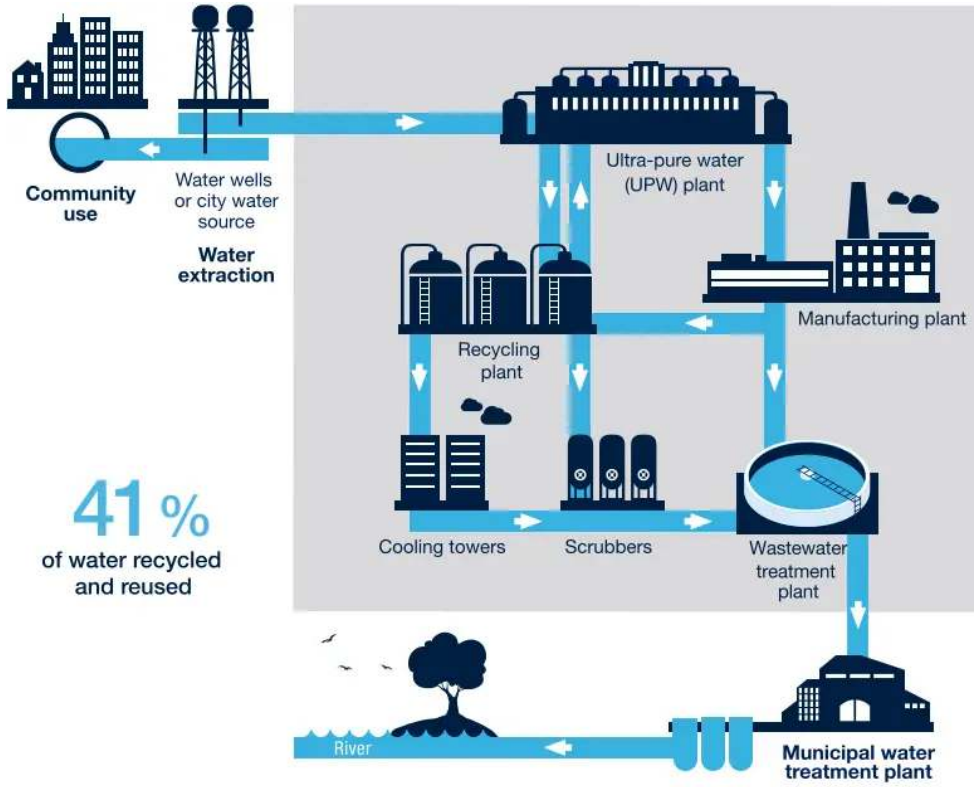

水循环闭环：半导体制造依赖高强度水净化和闭环回收以降低消耗；图示展示了从原水取用到废水处理和回用的各环节，凸显了工厂内部节水潜力。来源：ST 可持续发展报告。

水渗入，影响农业和饮用水。

下图（图 9）将数据中心的日用水量与其他工业用途对比，直观展示了高科技基础设施的用水需求。

部分半导体企业已实施水回收系统，但效果差异较大。英特尔报告其直接用水的 97% 用于制造，尽管回用比例提升，但总用水量依然巨大。

除消耗外，半导体厂废水若处理不当会带来污染风险。废水含金属、酸和化学残留，需彻底净化后才能排放。现代工厂虽有先进净化系统，但提取出的有害副产物若处置不当，仍威胁本地生态。

AI 加速和算力基础设施扩张推动半导体制造需求增长，使水资源管理成为可持续 AI 的关键。保障半导体生产长期可行性，不仅需降低直接用水，还需提升废水处理和开发替代冷却技术，减少对淡水的依赖。

数据中心用水量：高密度计算基础设施如数据中心的冷却用水，已超过许多常见工业和农业用途。理解这些用水需求，有助于设计可持续 AI 系统，缓解水资源紧张地区的盐水入侵等影响。

有害化学品

半导体制造高度依赖有害化学品，广泛用于刻蚀、掺杂和清洗。AI 硬件（GPU、TPU 等）制造需用强酸、挥发性溶剂和有毒气体，若管理不善将带来健康和环境风险。工厂每年消耗数千吨有害物质。

刻蚀和去氧化常用强酸，如氢氟酸、硫酸、硝酸和盐酸。这些酸虽高效，但极具腐蚀性和毒性，操作不当可致严重灼伤和呼吸损伤。大型工厂需专门的密闭、过滤和中和系统防止泄漏和污染。

溶剂主要用于溶解光刻胶和清洗晶圆，如二甲苯、甲醇和 MIBK。这些溶剂为挥发性有机物（VOC），易挥发成空气，造成室内外污染。VOC 暴露可致神经损伤和呼吸问题，长期影响工人健康。

毒性气体如砷烷、磷烷、二硼烷和锗烷用于掺杂和化学气相沉积，是调控半导体性能的关键。这些气体极毒，低浓度即可致命，需严格防护、气体净化和应急预案。

尽管现代工厂有严格安全措施和化学处理系统，事故仍时有发生，导致泄漏和污染。AI 加速器制造工艺日益复杂，对新型化学品的需求不断增长，管理难度加大。

除直接安全风险外，有害化学品的长期环境影响也是重大可持续性问题。工厂产生大量化学废弃物，若处理不当会污染地下水、土壤和生态系统。许多国家要求中和和净化后才能排放，但全球合规和执法水平不一，环境保护效果参差不齐。

为降低风险，工厂需持续推进绿色化学，探索低毒替代品，优化工艺减少废弃物，提升回收利用，降低 AI 硬件生产的环境足迹。

资源枯竭

硅资源丰富，但 AI 加速器、GPU 和专用芯片制造依赖稀缺且地缘敏感的材料。AI 硬件需多种稀有金属、惰性气体和半导体化合物，许多面临供应瓶颈、地缘风险和环境开采成本。随着 AI 模型规模和算力需求增长，对这些材料的需求持续上升，长期可用性和可持续性令人担忧。

高性能 AI 芯片依赖镓、铟、砷等稀有元素，支撑高速低功耗电子器件。镓和铟广泛用于化合物半导体，尤其在 5G、光电子和 AI 加速器领域。美国地质调查局已将铟列为关键材料，按当前消耗速度，全球储量不足 15 年。

氦气是半导体冷却、等离子刻蚀和 EUV 光刻的关键惰性气体。氦一旦释放即逸散至太空，无法回收，是不可再生资源。半导体行业为氦气最大用户，供应短缺已导致价格飙升和生产中断。

稀土供应的地缘垄断也带来挑战。中国掌控全球 90% 以上稀土精炼能力[638]，包括 AI 芯片所需的钕（高性能磁体）和钇（高温超导体）。供应链高度集中，贸易摩擦或地缘冲突将严重影响 AI 硬件生产。

下表（表 1）列举了 AI 半导体制造的关键材料、应用及供应风险。

材料	AI 半导体制造应用	供应风险
硅（Si）	芯片基底、晶圆、晶体管	加工瓶颈、地缘风险
镓（Ga）	GaN 功率放大器、高频元件	储量有限、为铝锌副产品
锗（Ge）	高速晶体管、光电探测器、光互连	稀缺、地理集中
铟（In）	ITO、光电子	储量有限、依赖回收
钽（Ta）	电容器、稳定集成元件	冲突矿产、供应链脆弱

638. **中国稀土主导**：中国产出全球 85% 稀土，精炼能力占 95%。2010 年中日外交危机导致对日出口骤降 40%，价格暴涨 20 倍。单块 NVIDIA H100 含 17 种稀土共 200-300 克。美国战略储备仅够 3 个月，重建供应链需 10-15 年和 500 亿美元投资。

材料	AI 半导体制造应用	供应风险
稀土元素（REEs）	磁体、传感器、高性能电子	高地缘风险、环境开采问题
钴（Co）	边缘设备电池	人权问题、地理集中（刚果）
钨（W）	互连、屏障、散热器	产地有限、地缘风险
铜（Cu）	互连、屏障、散热器	高纯度资源有限、地缘风险
氦（He）	半导体冷却、等离子刻蚀、EUV 光刻	不可再生、大气逸散、开采能力有限

AI 基础设施向光互连转型，进一步加剧了材料挑战。Google TPU、Mellanox 等高性能互连方案日益依赖光学技术，以满足分布式训练和推理的带宽需求。光互连带来更高带宽（如 TPUv4 达 400 Gbps）、更低功耗和抗电磁干扰优势，但对锗等材料依赖增强。AI 系统采用光互连后，对锗基元件的需求将加剧供应链脆弱性，凸显 AI 基础设施材料可持续规划的重要性。

废弃物产生

半导体制造产生大量有害废弃物，包括气体、VOC、化学废水和固体毒性副产物。AI 加速器、GPU 等高性能芯片生产涉及多道化学处理、刻蚀和清洗工序，每一步都产生需妥善处理的废弃物。

工厂在化学气相沉积（CVD）、等离子刻蚀和离子注入等环节排放气体废弃物，包括砷烷、磷烷、锗烷等有毒腐蚀性气体，需高效净化后才能排放。若过滤不彻底，这些气体将危害健康并加剧空气污染和酸雨。

VOC 是另一大类废弃物，主要来自光刻胶处理、清洗溶剂和涂层。二甲苯、丙酮、甲醇等易挥发成空气，导致地面臭氧和工厂室内空气污染。台湾、韩国等半导体重镇已实施严格 VOC 排放管控。

半导体厂还产生大量废酸和含金属废水，需彻底中和和过滤后才能排放。硫酸、氢氟

酸、硝酸等强酸用于刻蚀硅片，去除多余材料。废酸含重金属、氟化物和化学残留，若处理不当会污染地下水。历史上多次因废水管理不善导致地下水污染，凸显废弃物管理系统的重要性。

AI 硬件制造的固体废弃物包括污泥、滤饼和化学残渣，常含高浓度重金属、稀土和半导体工艺化学品，常规填埋处理存在环境风险。部分工厂焚烧有毒废弃物，带来空气污染和有毒灰渣处置问题。

除制造废弃物外，AI 硬件报废也带来可持续性挑战。AI 加速器、GPU 和服务器硬件更新周期短，数据中心设备通常 3-5 年即更换，每年产生数百万吨电子垃圾，含铅、镉、汞等有毒重金属。尽管电子回收力度加大，全球回收率仅 17.4%，大部分仍被填埋或非法处理。

应对 AI 废弃物影响需推动半导体制造和电子垃圾回收技术进步。企业正探索稀有金属闭环回收、化学废弃物处理优化和低毒替代材料。随着 AI 模型对高性能芯片和大规模算力基础设施需求增长，行业能否管理好废弃物足迹，将成为实现可持续 AI 的关键。

生物多样性影响

AI 硬件的环境足迹不仅限于碳排放、资源枯竭和有害废弃物。半导体工厂、数据中心及其配套基础设施的建设和运营，直接影响自然生态系统，导致栖息地破坏、水资源压力和污染。这些环境变化对野生动物、植物和水生生态系统有深远影响，凸显了可持续 AI 发展需兼顾更广泛生态效应。

半导体厂和数据中心需大面积土地，常导致森林砍伐和自然栖息地破坏。尽管多建于工业园或城市周边，但随着 AI 硬件需求增长，工厂正向未开发区域扩张，侵占森林、湿地和农田。

AI 基础设施的物理扩张破坏了野生动物迁徙通道，道路、管道、输电塔和供应链割裂了自然景观。依赖大面积连通生态系统的物种（如候鸟、大型哺乳动物、传粉昆虫）迁徙受阻，基因多样性和种群稳定性下降。台湾、韩国等半导体密集区，栖息地丧失已导致生物多样性下降。

半导体厂巨量用水对水生生态系统构成严重威胁，尤其在水资源紧张地区。AI 芯片生产过度抽取地下水，导致水位下降，影响河流、湖泊和湿地。在台湾新竹，工厂每日抽水数百万加仑，已出现海水入侵，改变水体化学性质，不利于本地鱼类和植被。

废水排放带来化学污染风险。尽管多数工厂有先进过滤和回收系统，微量重金属、氟化物和溶剂仍可能积累于水体，生物富集于鱼类，破坏水生生态。数据中心热水排放提升水温，影响本地物种的耐受性、氧气水平和繁殖周期。

半导体厂排放多种空气污染物，包括 VOC、酸雾和金属颗粒，可远距离沉降。空气污染和酸沉降损害植物、土壤和农田。空气化学沉降已导致树木衰退、作物减产和土壤酸化，尤其在半导体工业区。VOC 高排放区，植物生长受抑，影响生态韧性和食物链。化学品泄漏或气体泄露事故对野生动物和人类均有严重风险，需严格监管防止长期生态损害。

AI 硬件制造的环境后果，凸显了推动可持续半导体生产的紧迫性，包括减少土地占用、提升水回收和加强排放管控。若不加干预，AI 芯片需求的加速增长将进一步加剧全球生物多样性压力，强调了在技术进步与生态责任间寻求平衡的重要性。

硬件全生命周期环境评估

AI 系统的环境足迹不仅体现在模型训练和推理阶段的能耗。要全面评估 AI 的可持续性，必须覆盖从硬件制造所需原材料的开采，到最终计算基础设施的报废处理的整个生命周期。生命周期分析（LCA）[639] 为量化 AI 在设计、制造、使用和处置四大阶段的累计环境影响，提供了系统化方法。

通过将 LCA 应用于 AI 系统，研究者和政策制定者可精准定位减排、提升资源效率和实施可持续实践的关键干预点。这一方法让我们从整体上理解 AI 的生态成本，将可持续性考量从运营能耗扩展到硬件供应链和电子废弃物管理。

下图（图 10）展示了 AI 系统生命周期的四个主要阶段，每一阶段都对总环境足迹有贡献。

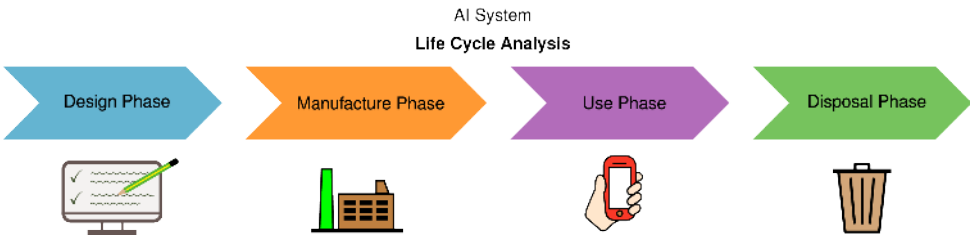

AI 系统生命周期：分析 AI 系统在设计、制造、使用和处置各阶段的环境影响，揭示了超越运营能耗的资源消耗和电子废弃物问题。生命周期评估有助于在 AI 系统全生命周期内实施有针对性的可持续性改进。

每个生命周期阶段都带来独特的环境影响和可持续性挑战，从设计优化到制造再到部署运维。

639. **生命周期评估（LCA）**：一种系统性方法，评估产品从原材料开采、制造、使用到处置全生命周期的环境影响。起源于 1960 年代，已由 ISO 14040/14044 标准化。对于 AI 系统，LCA 揭示硬件制造常占总排放的 30-50%，即便其本身不消耗运营能耗。研究发现，单块 NVIDIA H100 GPU 生产过程产生 300-500 kg CO⌧，相当于开车 1,200 英里，尚未进行任何计算。

设计阶段

AI 系统的设计阶段涵盖模型的研究、开发与优化，部署前需多次迭代架构、调整超参数、反复训练实验以提升性能。这一过程极为耗算力，需大量硬件资源和能耗。AI 模型设计的环境成本常被低估，但反复训练、算法改进和探索性实验对整体可持续性影响巨大。

开发 AI 模型需多次实验以确定最优架构。自动化架构搜索（NAS）[640] 可自动评估数百甚至数千种结构，每种都需单独训练。同样，超参数调优需反复调整学习率、批量大小、优化器等参数，常用穷举搜索。预训练和微调进一步加大算力需求，模型需在不同数据集上多轮训练。如此反复迭代导致能耗极高，超参数调优和架构搜索对训练相关排放贡献巨大。

以 GPT-3 为例，其公开的训练能耗仅反映最终训练轮次，未计入前期大量试错，实际能耗远高于报告值。深度强化学习如 AlphaZero，需反复训练以优化策略，进一步放大能耗。

AI 设计阶段的碳足迹因所需算力和数据中心能源结构差异极大。有研究指出，训练单个大规模 NLP 模型的排放，相当于 5 辆汽车全生命周期碳足迹。若在以化石能源为主的数据中心（如美国弗吉尼亚州煤电）训练，排放更高；而水电或核电地区则显著降低。硬件选择同样影响排放，采用高能效的 TPU 可大幅优于传统 GPU。

下表（表 2）总结了不同 AI 模型训练的碳排放估算，直观展示了模型复杂度与环境影响的相关性。

AI 模型	**训练 FLOPs**	**估算 \{}textrm{CO}_2 排放（kg）**	**等效汽车里程**
GPT-3	3.1 \{}times 10^{23}	502,000 kg	120 万英里
T5-11B	2.3 \{}times 10^{22}	85,000 kg	21 万英里
BERT (Base)	3.3 \{}times 10^{18}	650 kg	1,500 英里

640. **架构搜索**：自动寻找最优模型结构的方法。神经架构搜索（NAS）详见 第 10 章：模型优化。

AI 模型	训练 FLOPs	估算 \{}textrm{CO}_2 排放（kg）	等效汽车里程
ResNet-50	2.0 \{}times 10^{17}	35 kg	80 英里

应对设计阶段的可持续性挑战，需要在训练效率和算力管理上创新。研究者已探索稀疏训练、低精度计算、权重共享等方法，在不牺牲性能的前提下减少计算量。预训练模型的广泛应用，也有助于降低资源消耗。通过微调小型预训练网络，利用已有知识，可在低算力下取得类似效果。

优化模型搜索算法同样有助于可持续性。传统 NAS 需评估大量候选架构，最新的能效感知 NAS 则通过减少训练轮次优先筛选高效结构。企业也开始实施碳感知计算策略，将训练任务调度到碳强度低的时段或清洁能源数据中心。

设计阶段为 AI 全生命周期奠定基础，影响训练和推理阶段的能耗。随着模型复杂度提升，开发流程必须重审，将可持续性纳入每一环节。模型设计决策不仅决定计算效率，也塑造了 AI 技术的长期环境足迹。

制造阶段

AI 系统制造阶段是生命周期中资源消耗最密集的环节，涉及 GPU、TPU、FPGA 等专用半导体硬件的生产。芯片制造需大规模工业流程，包括原材料开采、晶圆制造、光刻、掺杂和封装，每一步都对环境有重大影响。该阶段不仅能耗高，还会产生有害废弃物，依赖稀缺材料，并加剧资源枯竭。

制造材料 AI 硬件的基础是半导体，主要为硅基集成电路。但现代 AI 芯片远不止硅，还需镓、铟、砷、氦等特殊材料，这些材料因稀缺、地缘敏感和高能耗开采而被列为关键元素。

硅资源丰富，但提纯为高纯度晶圆需极高能耗。单片 300mm 晶圆制造需 8,300 升水，并用氢氟酸、硫酸、硝酸等强酸刻蚀清洗。半导体制造对超纯水的需求给本地水资源带来巨大压力，领先工厂每日用水达数百万加仑。

除硅外，镓和铟是高性能化合物半导体（如 AI 加速器、5G 通信）的关键。美国地质调查局已将铟列为极度濒危材料，按当前消耗速度全球储量不足 15 年。氦气是芯片制造

的关键冷却剂，不可再生，一旦释放即永久流失。AI 硬件制造的持续扩张正加速这些关键元素的枯竭，长期可持续性堪忧。

EUV 光刻等先进工艺进一步加重了半导体制造的环境负担。EUV 系统需高功率激光和复杂光学，每台设备耗电约 1 兆瓦，极大提升了先进芯片生产的碳足迹。

制造能耗 AI 硬件制造所需能耗极高，单芯片的总能耗常超过其整个运营生命周期。单块 AI 加速器的制造排放，可能大于其在数据中心多年运行的排放，使制造成为 AI 环境影响的关键环节。

有害废弃物与用水 半导体制造还会产生大量有害废弃物，包括气体、VOC、化学废水和固体副产物。芯片生产用酸和溶剂产生的有毒废物流需专门处理，防止污染生态系统。尽管废水处理技术进步，微量金属和化学残留仍可能流入河流湖泊，影响水生生态和人类健康。

半导体厂对水的需求也引发了区域水资源压力。台积电亚利桑那工厂预计每日用水 890 万加仑，占全市供水近 3%。部分工厂已投资水回收系统，但整体需求增长仍难以抵消。

可持续举措 面对半导体制造的可持续性挑战，行业龙头已开始实施减能耗、减废弃和减排放的举措。Intel、台积电、三星等承诺向碳中和制造转型，主要措施包括：引入可再生能源（如台湾、欧洲工厂用水电、风电）、推广闭环水回收系统、采用绿色刻蚀和光刻工艺减少有害废弃物、开发高能效芯片架构（如低功耗 AI 加速器）等。尽管如此，随着 AI 加速器需求激增，整体环境足迹仍在扩大。若无材料效率、回收和制造工艺的重大突破，制造阶段将持续成为 AI 可持续性的主要挑战。硬件架构能效优化详见 第 11 章：AI 加速，基础设施可持续性见 第 13 章：机器学习运维，算法降算力技术见 第 10 章：模型优化。

AI 硬件制造阶段是 AI 生命周期中资源消耗和环境影响最重的环节。关键材料开采、高能耗制造和有害废弃物排放，共同加剧了 AI 的碳足迹。尽管行业正加速可持续制造转型，但要满足 AI 需求增长，仍面临巨大挑战。

提升 AI 硬件可持续性需材料创新、供应链透明和循环经济模式（芯片回收再利用）的大力投入。AI 系统的长期可行性不仅取决于算力效率，更取决于底层硬件基础设施的环境负担能否有效降低。

使用阶段

AI 系统的使用阶段是生命周期中能耗最高的环节，涵盖训练和推理负载。随着 AI 在各行业普及，模型开发和部署的算力需求持续增长，带来更高能耗和碳排放。AI 系统的运

营成本不仅包括直接计算用电，还包括数据中心、冷却和网络设备的能耗。理解该阶段的可持续性挑战，对减缓 AI 的长期环境影响至关重要。

AI 模型训练是使用阶段最耗算力的活动。训练大模型需在 GPU、TPU 等专用硬件上运行数十亿乃至数万亿次数学运算，持续数周甚至数月。近年来，随着模型复杂度提升，训练能耗急剧上升。大语言模型训练的碳足迹高度依赖数据中心的能源结构。若在以煤电为主的地区训练，排放远高于水电或核电地区。

训练完成后，AI 的能耗并未结束。推理阶段的持续计算成本，随部署规模和使用频率动态增长。实际应用中，推理负载需 7×24 小时运行，服务搜索、推荐、语言模型、自动驾驶等场景，每日处理数十亿请求。虽然训练能耗高，但大规模推理的累计能耗常在长期超过训练。研究显示，推理已占 AI 总能耗的 60% 以上，许多场景下碳足迹超过训练。

数据中心是 AI 训练和推理的核心基础设施，依赖数千台高性能服务器，每台都需大量电力。数据中心的 PUE（电力使用效率）直接影响 AI 的碳足迹。现代数据中心 PUE 多在 1.1-1.5，即每 1 单位计算用电需额外消耗 10-50% 的能耗用于冷却、变压和基础设施。冷却系统尤其是能耗大户，AI 加速器运行时发热极高。

数据中心地理位置直接影响可持续性。位于可再生能源丰富地区的设施，排放远低于依赖化石能源的地区。Google、微软等公司已投资碳感知计算，将 AI 任务调度到可再生能源高峰时段，最大限度降低碳影响。

AI 能耗的持续增长引发了电网容量和可持续性权衡的担忧。AI 负载常与制造、交通等高能耗行业争夺有限电力。在部分地区，AI 数据中心的兴起已加剧电网压力，需新建基础设施。可再生能源的“鸭子曲线”问题（发电随昼夜波动）也带来 AI 能耗与电网平衡的新挑战。分布式 AI 计算和边缘处理正成为减少对中心化数据中心依赖的潜在方案，将部分计算任务前移至用户侧。

减缓使用阶段环境影响需硬件、软件和基础设施多层优化。高能效芯片架构（如低功耗 AI 加速器、专用推理硬件）可降低单次推理能耗。模型本身也通过量化、剪枝、蒸馏等技术优化，实现更小更快的模型，在保持高精度的同时大幅降低算力需求。冷却效率、可再生能源集成和数据中心运维的持续改进，也是保障 AI 可持续扩展的关键。

随着 AI 应用持续扩张，能效必须成为模型部署策略的核心考量。使用阶段将长期主导 AI 的环境足迹，若无重大干预，行业用电量或将呈指数级增长。可持续 AI 发展需行业、学界和政策制定者协同，推动负责任的 AI 部署，确保技术进步不以环境可持续性为代价。

报废阶段

AI 系统的报废阶段常被可持续性讨论忽视，实则带来重大环境挑战。AI 硬件迭代加速，导致硬件寿命缩短，电子垃圾（e-waste）和资源枯竭问题加剧。AI 加速器、GPU、高性能处理器常在数年内即被淘汰，报废管理已成为紧迫的可持续性议题。与传统计算设备不同，AI 硬件含有复杂材料、稀土和有害物质，回收和废弃管理难度大。若无有效的再利用、回收或安全处置策略，AI 基础设施的环境负担将持续上升。

AI 硬件寿命较短，尤其在数据中心，性能效率要求频繁升级。GPU、TPU、AI 加速器平均 3-5 年即被新型号替换，大规模 AI 部署带来大量电子垃圾。与消费电子不同，AI 加速器一旦落后即难以二次利用，难以进入二手市场。对更快更高效模型的追求加速了这一循环，废弃高性能硬件的体量不断增长。

AI 硬件报废的主要环境风险在于有害物质。加速器含铅、镉、汞等重金属，以及半导体制造用的有毒化学品。若处理不当，这些物质会渗入土壤和水体，带来长期环境和健康危害。焚烧电子垃圾会释放有毒气体，非正规回收作业工人暴露于有害物质。研究估算，全球仅 17.4% 电子垃圾被正规回收，大部分被填埋或非法处理，缺乏环境保护。

AI 硬件结构复杂，回收难度高。与传统计算部件相比，AI 加速器采用多层电路、特殊金属合金和高度集成内存，材料回收难度大。金、钯、稀土等有价值元素的分离需先进技术，混合材料的化学结合和嵌入结构进一步加大提取难度。

尽管如此，业界正努力开发 AI 硬件的可持续处置方案。部分厂商已设计模块化架构，便于更换部件，延长设备寿命。材料回收工艺也在进步，如湿法冶金和生物冶金等新技术，可低环境影响提取稀有金属。

循环经济[641] 为缓解 AI 电子垃圾危机提供了新思路。与线性“用完即弃”模式不同，循环经济强调再利用、翻新和回收，延长计算设备生命周期。Google、微软等已启动退役 AI 硬件再利用计划，将其用于低优先级任务或捐赠给科研机构，减少新半导体生产需求，降低废弃量。

政策干预和监管框架对报废阶段治理至关重要。全球多国已实施生产者延伸责任（EPR）政策，要求厂商对产品全生命周期环境影响负责。欧盟等地已强制电子制造商参与认证回收，确保有害物质安全处置。但全球电子垃圾追踪和管理仍存在巨大缺口。

AI 硬件报废的未来取决于回收技术进步、监管执行和行业可持续设计的普及。AI 电子垃圾问题日益紧迫，需将全生命周期管理纳入 AI 基础设施规划。若无系统性提升硬件

641. **循环经济**：通过资源持续再利用消除浪费的经济模式，对比线性“开采 - 制造 - 废弃”模式。由艾伦・麦克阿瑟基金会 2010 年提出，现已被欧盟采纳，目标 2035 年电子产品回收率达 65%。电子领域的循环原则包括模块化、可维修和材料回收。戴尔海洋塑料计划、Fairphone 模块化手机是典型案例。AI 硬件采用循环模式，可将 GPU 寿命从 3-5 年延长至 8-10 年。

可持续性，AI 的快速扩张将持续加剧全球资源和废弃物压力。

第三部分：实施与解决方案

具体的减缓策略需建立在数据驱动的测量框架之上，通过碳足迹分析、生命周期评估和资源利用指标，帮助工程师发现优化机会、验证改进效果，并在性能与可持续性之间做出明智权衡。这一量化基础支撑了算法设计、基础设施优化、政策框架和行业实践四大领域的系统性实施。

可持续 AI 实践面临著名的“朱文斯悖论”[642]：单纯提升效率可能因 AI 更易用、更便宜而反而加剧总消耗。因此，成功策略需将技术优化与使用治理结合，防止效率提升被部署规模的指数级增长抵消。

多层次减缓策略框架

应对 AI 环境足迹需多层集成：能效算法设计、硬件部署优化、可持续基础设施运维和碳感知计算策略。AI 框架本身的选择与优化也影响效率，需评估计算效率和资源利用模式。同时，AI 系统设计需贯穿生命周期可持续性，确保模型从训练到推理始终高效。

本节将系统梳理可持续 AI 的关键减缓策略，从开发原则到工程落地。下图（图 11）直观展示了效率提升未必带来净环境收益的核心挑战。

下图（图 11）展示了该效应。AI 系统效率提升后，单位计算成本下降（A→B），如每个 token、推理或推荐的成本降低。但价格下降带来 AI 应用总量激增（C→D），总消耗反而更快增长，最终导致资源消耗和环境影响上升。这正是 AI 领域朱文斯悖论的本质：效率提升本身无法保证可持续性。

> **效率是可持续性的基石**
>
> 前述“模型优化”(第 10 章：模型优化) 和“高效 AI”(第 9 章：高效 AI) 章节中的每项技术，不仅是性能优化工具，更是可持续性的核心手段。例如，剪枝通过去除冗余参数，直接降低计算复杂度和能耗；量化减少内存需求、加速推理，同时大幅降低功耗；知识蒸馏让小模型以更低资源实现媲美大模型的性能。
>
> 这些优化技术是性能工程与环境责任的桥梁。优化模型运行速度或内存占用的同时，也在降低碳足迹。高效架构和软硬协同设计，既提升性能，也推动可持续性。
>
> 这揭示了一个重要洞见：**可持续 AI 本质上就是高效 AI**。支撑系统扩展、提升性

642. **朱文斯悖论**：由英国经济学家 Jevons 1865 年提出，发现煤炭效率提升反而导致总消耗增加。现代例子如 LED 灯 —— 尽管比白炽灯节能 85%，但总照明能耗因使用量激增而上升。AI 领域同理，模型效率提升 10 倍，可能带来 100 倍应用增长，导致总环境影响反增。

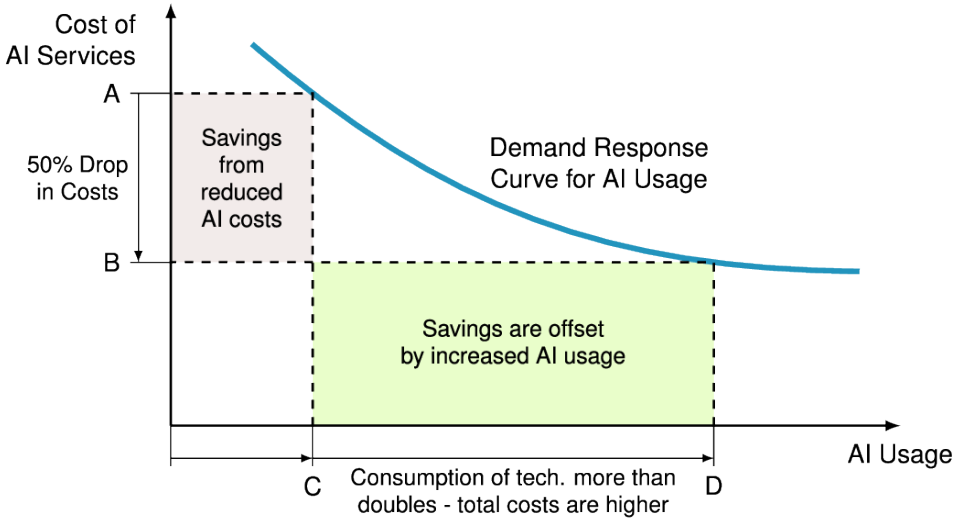

朱文斯悖论：计算成本下降推动 AI 使用量激增，可能抵消效率提升，导致总资源消耗和环境影响上升。图中 a→b 表示成本下降，c→d 表示需求增长。这一反直觉关系提醒我们评估 AI 环境影响时需关注系统性效应。

> 能、降低运营成本的工程原则，与环境责任高度一致。理解这一关系，将可持续性从附加约束转变为优秀系统工程的内在组成。

生命周期感知开发方法

可持续 AI 实践需将环境因素系统性融入开发全流程，涵盖算法设计、基础设施优化、运维实践和治理机制，协同降低环境影响，保障技术能力。

能效算法设计 许多深度学习模型参数量达数十亿，训练和推理需万亿次 FLOPS[643]。尽管大模型性能卓越，研究表明其计算复杂度中有大量冗余，许多参数对预测贡献有限，导致资源浪费。可持续 AI 将能效作为设计约束，需软硬协同优化，实现单位算力最大效率。

模型剪枝是提升能效的常用方法，通过去除冗余连接 [644]，显著减少模型规模和推理计算量。研究表明，结构化剪枝可将 ResNet-50 等模型权重减少 90%，精度几乎不变。该方法让 AI 模型可在低功耗硬件高效运行，适合资源受限场景。

量化 [645] 则通过降低计算精度，进一步降低能耗。标准深度学习模型常用 32 位浮点，实

643. **FLOPS vs FLOPs**：FLOPS（大写）为每秒浮点运算数，FLOPs（混合）为总运算数。GPT-3 训练需 3.1×10^{23} FLOPs，总算力由 1.25×10^{1}☒ FLOPS 硬件完成。不同硬件能效差异极大：CPU ~100 pJ/FLOP，GPU ~10 pJ/FLOP，TPU ~1 pJ/FLOP，专用加速器可达 0.1 pJ/FLOP，能效差异达 1000 倍，决定了可持续性空间。
644. **剪枝技术**：去除模型冗余部分以提升效率的方法，详见 第 10 章：模型优化。
645. **量化技术**：降低模型数值精度以提升能效的方法，详见 第 10 章：模型优化。

际许多操作可用 8 位甚至 4 位整数，精度损失极小。8 位整数运算能耗仅为 32 位浮点的 1/16，4 位可降至 1/64。该优化需算法与硬件协同。量化减少内存、加速推理、降低功耗。例如 NVIDIA TensorRT 框架可对模型后量化，推理速度提升 3 倍，精度几乎不变。Intel Q8BERT 将 BERT 量化为 8 位，模型体积缩小 4 倍，性能损失极小。

知识蒸馏则让大模型将知识迁移给小模型。大模型（教师）训练小模型（学生）逼近其预测，小模型以更少参数实现高性能。Google DistilBERT 仅用原 BERT 40% 参数，保留 97% 精度。知识蒸馏让轻量模型以低算力实现高质量预测。

这些优化技术是可持续 AI 的核心策略。全面掌握需理解其实现细节、性能权衡及与高效系统设计的集成。

优化虽提升效率，但也带来权衡。剪枝、量化可能略降精度，需微调平衡性能与可持续性。知识蒸馏需额外训练轮次，节能主要体现在部署阶段。朱文斯悖论提醒我们，效率提升需配合资源使用治理，防止总消耗反增。只有将效率与资源限制结合，才能真正降低环境足迹。

生命周期感知系统 除单模型优化外，AI 系统需具备全生命周期视角。许多 AI 部署采用短周期思维，模型训练、上线、数月后即弃，频繁重训导致算力浪费。将可持续性纳入开发流程，可延长模型寿命、减少冗余计算、降低环境影响。

减少冗余计算的有效方法是限制全量重训频率。许多生产系统无需从零重训，可用增量学习适应新数据。迁移学习是常用方法，预训练模型微调于新数据集，算力消耗远低于全量训练。该方法对领域适配尤为有效，大模型可快速定制于特定场景。相关运维与部署策略详见 ML 运维生命周期章节。

LCA 方法的集成也是生命周期感知开发的重要环节。LCA 为量化 AI 系统各阶段环境影响提供系统框架，从初始训练到长期部署。MLCommons 等组织正开发能效与碳排放基准，衡量每次推理和训练的能耗。将 LCA 原则嵌入 AI 工作流，可在设计早期发现可持续性瓶颈，及时修正。

部署策略同样影响可持续性。云端 AI 常依赖中心化数据中心，数据传输和推理能耗高。边缘计算让模型直接在终端运行，减少云通信，提升延迟和隐私，同时大幅降低能耗。高效边缘系统的设计需平衡算力与资源约束，涉及复杂的架构原理。

朱文斯悖论表明，单阶段优化未必带来整体可持续性。例如，即便提升硬件可回收性，若产量因需求激增而上升，资源枯竭问题仍难缓解。因此，限制不必要硬件生产同样重要。采用生命周期感知方法，才能在推动 AI 发展的同时，降低其环境影响。

政策与激励 技术优化虽关键，但需政策激励和行业承诺配合。多项新兴举措正推动可持续性原则在 AI 开发中的落地。

碳感知 AI 调度是一大亮点，将 AI 任务动态分配到可再生能源充足时段。Google 已开发调度算法，将训练任务延后至风能、太阳能高峰，减少化石能源依赖。该策略在大型数据中心尤为有效，可将高峰能耗与低碳发电对齐。

以可持续性为导向的基准和排行榜也在 AI 社区兴起。ML.ENERGY Leaderboard 按能效和碳足迹排名模型，鼓励研究者兼顾性能与可持续性。MLCommons 正制定以每次推理能耗为指标的标准基准，为模型环境影响对比提供透明框架。这些指标与传统性能基准互补，形成能力与环境影响并重的评估体系。

监管也在塑造可持续 AI 的未来。欧盟《可持续数字市场法》已要求 AI 能耗透明，科技公司需披露 AI 运营碳足迹。随着监管完善，企业将面临更大压力，将可持续性纳入开发实践。

通过将技术优化与行业激励、政策法规结合，AI 从业者可确保可持续性成为开发的内在组成。向能效模型、生命周期感知设计和环境透明报告转型，将是减缓 AI 生态影响、推动创新的关键。

基础设施优化

除算法优化外，基础设施创新为可持续 AI 部署提供了补充路径。本节聚焦三大方向：数据中心可再生能源集成、碳感知任务调度和 AI 驱动冷却优化。这些基础设施策略针对算力效率落地的运行环境。

绿色数据中心 AI 算力需求激增，使数据中心成为数字经济的用电大户。大型云数据中心为机器学习模型训练和部署提供基础设施，但能耗巨大。单个超大规模数据中心用电可超 100 兆瓦，相当于小城市用电 [646]。若无干预，AI 负载增长将使数据中心能耗超出可持续水平。

转向可再生能源是降低数据中心排放的有效途径。Google、微软、AWS 等已承诺数据中心用可再生能源，但落地仍有挑战。与化石能源稳定输出不同，风能、太阳能等可再生能源间歇性强，发电随时段波动。AI 基础设施需配套储能（如大规模电池）和智能调度，将 AI 任务移至可再生能源高峰。Google 目标 2030 年实现 24/7 碳中和，确保每度电均为清洁能源，而非仅靠碳抵消。

646. **电力使用效率（PUE）**：数据中心效率以 PUE 衡量 —— 总用电 ÷ IT 设备用电。行业均值 1.67（冷却/基础设施开销 67%），领先企业达 1.1-1.2。Google 最优数据中心 PUE 1.08，仅 8% 能耗为非计算。全球清洁能源投资超 150 亿美元。

冷却系统是数据中心能耗大户，常占总用电 30-40%[647]。传统冷却依赖空调和机械冷却，需大量电力和水资源。

除硬件优化外，AI 也被用于提升数据中心能效。DeepMind 开发的机器学习算法可基于实时传感器数据动态调整冷却参数。AI 驱动冷却系统分析温度、湿度、风扇转速，持续优化能效。在 Google 数据中心部署后，冷却能耗降 40%，充分展示了 AI 优化自身基础设施的潜力。

朱文斯悖论提醒我们，即便数据中心极高效，若推动 AI 服务大规模扩张，仍可能加剧总能耗。提升数据中心能效是减排关键，但效率本身不足以解决问题。还需限制数据中心容量扩张。可再生能源集成、先进冷却和 AI 优化的结合，将在 AI 扩展过程中发挥核心作用，确保机器学习与可持续目标一致。

碳感知调度 除硬件和冷却优化外，合理安排 AI 任务的执行时空也是减排关键。数据中心用电来自碳强度随时段和地区波动的电网。全球电力仍以化石能源为主，可再生能源占比随地区和时段变化。若不优化，AI 任务可能在高碳时段执行，排放不必要增加。碳感知调度可将计算任务动态迁移到低碳时段和地区，显著减排且不影响性能。

Google 在云基础设施中率先实现了碳感知计算。2020 年推出调度系统 [648]，将非紧急 AI 任务延后至风能、太阳能高峰。该方法让 AI 负载与清洁能源自然波动对齐，减少化石能源依赖，保持高算力效率。Google 还通过地理分布，将任务迁移到清洁能源丰富的数据中心。大规模训练任务从高碳电网迁移到低碳地区，显著减排。

碳感知调度不仅适用于超大云厂商，企业也可将碳强度指标集成到自身计算流程，智能选择低碳虚拟机。微软的可持续云计算计划允许用户选择碳优化 VM，确保任务以最低排放执行。开源碳感知调度框架也在开发中，助力更广泛 AI 从业者采纳可持续计算策略。

碳感知调度的有效性依赖于实时电网排放数据。电力公司和可持续组织已通过 API 公布碳强度数据，AI 系统可动态响应电力结构变化。例如 Electricity Maps API 提供全球实时 CO⊠ 排放数据 [649]，AI 基础设施可据此调整任务调度。随着电网排放数据可用性提

647. **数据中心冷却能耗**：冷却平均占总能耗 38%。10 MW 数据中心年冷却电费 380 万美元。Google 机器学习优化冷却能耗降 40%，全球年省 1.5 亿美元。液冷对高密度 AI 负载能效比风冷高 3,000 倍，可将冷却能耗占比降至 10% 以下。为提升效率，数据中心正采用液冷、自然风冷等替代方案。液冷通过专用冷却液直接带走 AI 芯片热量，效率远超风冷，已在高密度集群部署。自然风冷利用外部空气，无需机械制冷，适合温带地区。微软更进一步，部署水下数据中心，利用海洋自然冷却，减少主动温控需求。

648. **Google 碳感知调度成效**：Google 碳智能计算平台通过区域内任务迁移，小时碳足迹降 15%；全球数据中心间迁移降 40%。系统每日处理 950 亿次搜索，动态优化电网碳强度。非紧急任务如批量训练可将 70% 负载迁移到低碳时段，年减排相当于 5 万辆汽车。

649. **实时电网碳强度**：全球碳强度差异极大 —— 法国（核电）50g CO⊠/kWh，波兰（煤电）820g/kWh。德州日内波动 10 倍（150-1,500g/kWh），取决于风能。Electricity Maps API 日均 5,000 万请求，支持碳感知计算。WattTime

升，碳感知计算将成为大规模减排的可行方案。

通过将 AI 任务迁移到清洁能源高峰，碳感知调度为 AI 基础设施减排提供了强大工具。与硬件升级不同，调度优化可通过软件快速落地，成本低、见效快。随着更多组织集成碳感知调度，全球 AI 相关碳排放有望大幅下降。

这些策略适用于所有 AI 负载，推理环节尤具挑战和机遇。与一次性训练不同，推理是持续增长的能耗大户。云厂商正将碳感知调度应用于推理，将任务动态迁移到可再生能源丰富地区。但如图 12 所示，可再生能源产能波动大。欧洲电网数据显示，太阳能中午峰值，风能早晚高峰。目前仍需化石能源补足缺口。

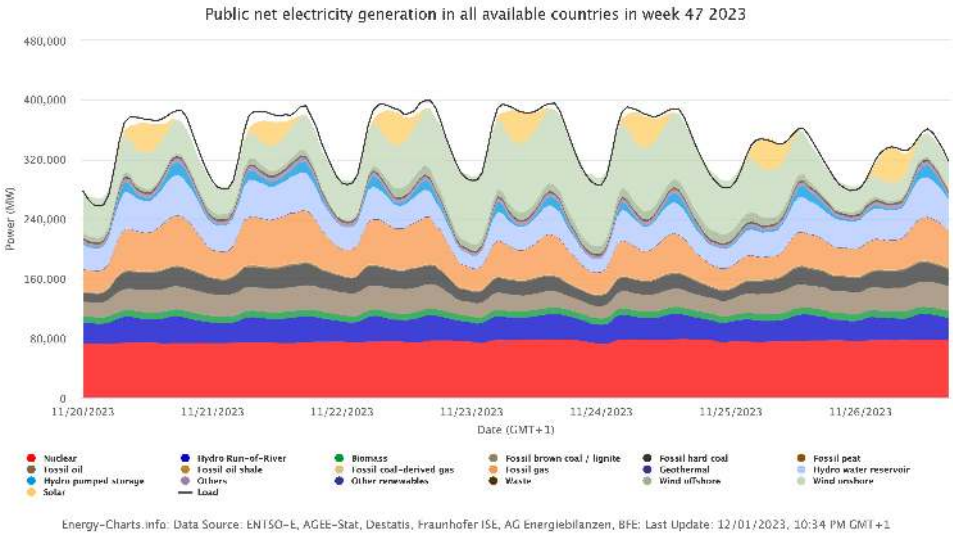

欧洲能源结构：可再生能源时序波动大，需化石能源补足。理解这一波动，有助于将 AI 任务调度到可再生能源高峰，最小化碳排放。来源：Uenergy charts。

要充分利用碳感知调度，需创新储能方案，实现可再生能源的持续利用。当前基载主要靠核能，虽无直接碳排放，但灵活性不足。微软等企业已关注核能供电[650]，其稳定负载与数据中心需求高度匹配。

除调度外，推理可持续性还需软硬件协同创新。模型量化可用低精度算术大幅降能耗，知识蒸馏让小模型复制大模型性能，专用推理加速器（如 TPU）进一步降低环境影响。

能效 AI 框架如 Zeus、Perseus 可在训练和推理阶段平衡速度与能耗，分析速度与能耗权衡，推动能效 AI 策略在大规模推理场景落地。

API 提供边际排放数据，优化效果优于平均强度 2-5 倍。

650. **AI 数据中心核能**：微软与 Helion Energy 签署 2028 年商业聚变协议，亚马逊投资 5 亿美元建小型模块化反应堆（SMR），Google 与 Kairos Power 探索 24/7 核能。美国核能占电力 20%，生命周期排放 12g CO⌧/kWh，煤电 820-1,050g。新核能成本 $150-200/MWh，远高于可再生能源加储能。

AI 驱动热管理优化 冷却系统是 AI 基础设施能耗大户，常占数据中心总用电 30-40%。随着 AI 负载算力密度提升，GPU、TPU 等高性能加速器发热量持续上升。若无高效冷却，数据中心需依赖高能耗空调或高耗水热管理，进一步加重环境足迹。AI 驱动冷却优化已成为提升能效、保障可靠性的有效手段。

DeepMind 已在 Google 数据中心部署机器学习模型优化温控。传统冷却依赖固定策略，按预设温度和风量调整，常因规则僵化导致能耗浪费。AI 驱动冷却系统则实时分析温度、湿度、泵速、风扇等数据，动态调整冷却配置，最小化能耗并保障硬件安全。深度强化学习让系统持续自适应，能耗显著降低。

实际部署中，DeepMind 系统将冷却能耗降 40%，总用电降 15%。这一成效表明，AI 可直接用于减缓自身基础设施的环境影响。该系统的成功推动了更多云厂商探索机器学习驱动的热管理。

除 AI 控制外，液冷和浸没式冷却等新技术也在提升能效。液冷通过冷却液直接带走芯片热量，能耗远低于风冷，适合高密度集群。部分设施采用浸没式冷却，将服务器浸入绝缘液体，彻底消除风冷系统，极大降低用电和用水。

微软还探索了水下数据中心，利用海洋自然冷却，降低能耗并延长硬件寿命。尽管仍属实验阶段，但显示了替代冷却技术在可持续 AI 基础设施中的潜力。

AI 驱动冷却和热管理为降低 AI 基础设施环境影响提供了立竿见影的机会。与硬件升级不同，软件优化可快速部署，见效快、成本低。结合液冷、浸没冷却等新技术，行业可大幅降低能耗、运营成本，推动 AI 长期可持续发展。

全面环境影响减缓

随着 AI 系统规模扩展，减缓环境影响的努力多聚焦于模型设计能效和数据中心优化。尽管这些进步重要，但仅解决了部分问题。AI 的环境影响远超运营能耗，还包括半导体制造用水、电子垃圾等。真正可持续的 AI 生态需覆盖硬件和软件全生命周期，将可持续性嵌入每一环节 —— 从材料采购到报废回收。

LCA 研究揭示了 AI 硬件制造和部署的碳排放、水消耗和材料浪费。许多环境成本隐藏在供应链中，未体现在运营能耗报告中，导致对 AI 可持续性的认知不完整。数据中心依然高耗水，冷却系统每日消耗数百万加仑，AI 加速器更新周期短，电子垃圾堆积。

本节将在此基础上，探讨如何系统性减缓 AI 的环境足迹，从供应链、水资源到硬件寿命，推动全生态可持续性。

生命周期影响再审视 AI 的环境足迹远超训练和推理用电。硬件制造和报废同样贡献了大量碳排放、资源枯竭和电子垃圾。LCA 揭示，AI 硬件的排放不仅来自用电，还包括

加速器、存储和网络设备的材料和工艺。

LCA 研究显示，AI 硬件的“隐含碳”[651] 成本巨大。与可通过清洁能源降低的运营排放不同，隐含排放来自原材料开采、半导体制造和供应链物流，部署前即已产生。

AI 的用水消耗常被忽视。AI 加速器生产的半导体厂是全球最耗水的工业设施，每日用于晶圆清洗和化学处理的水量达数百万加仑。数据中心冷却同样需大量用水，部分超大设施每日用水 45 万加仑，且随 AI 负载密度提升持续增长。许多芯片制造中心位于台湾、亚利桑那等水资源紧张地区，AI 对水的依赖带来严峻可持续性挑战。

除排放和用水，AI 硬件还加剧了电子垃圾问题。AI 加速器迭代快，GPU、TPU 常被频繁替换。虽然效率提升重要，但频繁淘汰功能完好的硬件导致电子垃圾和资源浪费。许多 AI 芯片含稀土和有毒成分，若不回收将污染环境。

减缓 AI 环境影响需超越能效提升，重塑硬件生命周期、减少高耗水工艺、发展可持续回收。下述策略将正面应对这些挑战，确保 AI 进步与长期可持续目标一致。

供应链影响减缓 AI 环境影响的关键在于供应链环节，半导体制造、原材料开采和硬件运输在部署前即产生大量排放、资源消耗和废弃物。这些排放难以通过运营优化抵消，需源头减缓。

半导体制造的碳强度是首要问题。GPU、TPU、ASIC 等 AI 加速器制造需极高精度，EUV 光刻、化学气相沉积、离子注入等工艺耗电巨大。许多制造中心仍以化石能源为主，芯片制造能耗成为 AI 总排放的 30%。需推动低能耗工艺和可再生能源制造。

AI 对稀土和关键矿物的依赖也带来可持续性挑战。高性能硬件需镓、钕、钴等材料，开采过程资源消耗大、污染重，且多由中国等少数国家控制，供应链脆弱。推动负责任采购和材料替代，是降低生态和社会影响的关键。

减缓供应链环境负担的措施包括：推广低能耗芯片制造、延长硬件寿命（如将退役加速器用于推理）、回收和闭环供应链（回收 GPU、TPU、ASIC 提炼稀有金属）。行业回收计划和可回收性设计，将显著提升 AI 的长期可持续性。

供应链可持续性不仅是环境需求，也是创新机遇。集成能效制造、负责任采购和循环设计，AI 行业可在运营前即大幅减排。结合能效计算进步，确保 AI 增长不以生态为代价。

651. **隐含碳**：产品制造、运输和报废阶段的碳排放，与使用阶段排放区分。AI 硬件的隐含碳包括稀土开采、半导体制造、包装和运输。单块 NVIDIA H100 GPU 隐含碳 300-500 kg，相当于开车 1,000-1,600 英里。GPU 700W 功耗年排放 300 kg（按美电网均值），制造排放相当于 1-2 年运营。研究表明，制造排放可占 AI 系统总碳足迹 30%，且随数据中心清洁能源占比提升而占比上升。

水资源与材料保护 减缓 AI 环境影响需直接降低用水和材料消耗。AI 依赖半导体制造和数据中心，给水资源和关键材料带来巨大压力，尤其在资源紧张地区。与碳排放可通过清洁能源抵消不同，水和材料消耗有直接、局部影响，需在设计和运营层面集成可持续措施。

提升半导体厂水回收是降低 AI 用水的有效策略。领先制造商已实施闭环水系统，回收和净化废水，减少新水消耗。Intel、台积电等已实现 80% 以上水回收，需推动行业普及。

数据中心可通过冷却优化降低用水。许多超大设施仍依赖蒸发冷却，耗水巨大。转向直芯液冷或风冷技术可大幅降水耗。部分水资源紧张地区已采用废水或海水冷却，减少对饮用水依赖。

材料方面，减少对稀土和关键矿物的依赖是长期可持续的关键。研究者正探索替代材料和低废工艺，推动 AI 硬件回收计划，回收稀有金属，减少原生开采。

行业协作也至关重要。政府可通过水资源保护、负责任采矿和电子垃圾回收法规，激励可持续实践。优先实施这些策略，AI 行业可在推动技术进步的同时，最小化生态足迹。

系统性可持续路径 减缓 AI 环境影响需超越局部优化，推动系统性转型。实现 AI 长期可持续需集成循环经济、政策法规和行业协作，将可持续性嵌入生态底层。

朱文斯悖论提醒我们，单点效率提升难以解决总量问题。需系统性解决 AI 消耗驱动因素，包括政策推动、资源使用激励和公众意识提升。

循环经济是实现可持续性的有效路径。与“制造 - 使用 - 废弃”线性模式不同，循环模式强调再利用、翻新和回收，延长硬件寿命。制造商和云厂商可采用模块化设计，便于升级和回收。AI 硬件应以可回收性为目标，确保材料可提取再用。

政策法规同样关键。政府可推行碳透明、强制报告全生命周期排放，包括制造隐含碳。加强半导体厂用水和电子垃圾回收监管，推动生产者延伸责任，激励可持续设计。

行业协作有助于规模化可持续实践。头部企业和研究机构应共建能效、碳足迹和资源使用基准，推动绿色 AI 认证，引导用户选择可持续技术。云厂商可承诺 24/7 碳中和，确保 AI 负载实时用清洁能源，而非仅靠碳抵消。

实现 AI 可持续性的系统性变革需多方协作。政府、行业和学界需共建标准、投资绿色基础设施、推动循环经济。将可持续性嵌入开发全流程，行业才能超越渐进优化，构建创新的可持续基础。

案例分析：Google 的“四 M”框架

为减缓 AI 负载扩张带来的排放，Google 工程师总结出“4M”优化法：模型（Model）、机器（Machine）、机制（Mechanization）、选址（Map），系统性提升可将机器学习碳足迹大幅降低：

- **模型（Model）**：高效架构选择可在不降质的前提下将计算需求降 5-10 倍。Google 在稀疏模型和 NAS 领域有深厚积累，Evolved Transformer、Primer 等高效架构即为代表。
- **机器（Machine）**：专用 AI 硬件可比通用系统提升 2-5 倍每瓦性能。Google TPU 的碳效率比非优化 GPU 高 5-13 倍。
- **机制（Mechanization）**：高利用率云基础设施比传统本地数据中心节能 1.4-2 倍。Google 设施 PUE 持续优于行业均值。
- **选址（Map）**：数据中心选址于低碳电力地区可将总排放降 5-10 倍。Google 实时监控全球可再生能源使用。

这些措施叠加带来乘数级效率提升。例如，将优化 Transformer 部署于 TPU 并选址低碳数据中心，能耗降 83 倍，CO⌧ 排放降 747 倍。

尽管 Google AI 部署量大幅增长，系统性效率提升有效遏制了能耗增长。2019-2021 年间，AI 负载始终占 Google 总能耗 10-15%。随着 AI 功能扩展，算力增长被算法、硬件、基础设施和选址优化抵消。

实证案例表明，聚焦可持续 AI 的工程原则可同步提升性能与环境表现。例如，GPT-3（2020 年中 SOTA）与 Google GLaM 对比，后者在提升精度的同时，训练算力和碳排放大幅下降，18 个月内 CO⌧ 排放降 14 倍。

Google 分析指出，早期公开估算因方法局限和缺乏实测，常高估机器学习能耗 100-100,000 倍。通过透明报告优化指标，Google 为行业效率提升提供了事实基础，纠正了对机器学习环境影响的过度担忧。

尽管 AI 运营碳足迹已大幅收敛，Google 仍强调持续效率提升对负责任创新至关重要。其持续优化框架包括：

1. **生命周期分析**：证明如 NAS 等高算力投资虽初期能耗高，但带来下游大幅效率提升，累计减排远超初始消耗。
2. **资源分配优先级**：聚焦数据中心和服务器端优化，因能耗最集中。边缘推理效率持续提升，但主力仍在训练基础设施和可再生能源采购。
3. **规模经济**：通过云基础设施整合提升效率，算力从分散本地向集中云迁移，整体减

排加速。

4. **可再生能源集成**：自 2017 年起 Google 实现 100% 可再生能源匹配，进一步降低算力负载环境影响。

这些综合措施表明，AI 效率提升正加速而非停滞。Google 的多维策略（系统测量、碳感知开发、透明报告、可再生能源转型）为可持续 AI 扩展提供了可复制框架，实证结果为行业推广全面可持续实践奠定基础。

可持续 AI 工程实践清单

本节策略和框架为可持续 AI 开发提供了基础，落地需具体可操作步骤。以下清单汇总了 AI 工程师和从业者可立即实施的关键实践，助力降低环境影响：

1. **先测量再优化**：用 CodeCarbon 等工具追踪训练排放。没有基线就无法改进，量化是验证优化成效的前提。
2. **优选训练地区**：在可再生能源数据中心训练模型。关注电网碳强度，将任务调度到清洁能源高峰。
3. **模型先优化再扩展**：避免盲目追求大模型。用剪枝、量化、蒸馏等方法找到满足精度目标的最小模型。90% 精度、资源消耗仅 10% 的模型，往往比 95% 精度、资源全开的模型更具实际价值。
4. **避免全量重训**：优先用迁移学习和微调，减少从零训练。站在已有预训练模型肩膀上，可将算力需求降数个数量级。
5. **关注硬件能效**：部署时选择高能效加速器（如 TPU、专用推理芯片）。考虑硬件全生命周期，选用针对负载优化的平台。
6. **全生命周期思维**：推动组织延长硬件更新周期，制定负责任的电子垃圾政策。制造阶段的环境影响常超运营能耗，硬件寿命是可持续关键。

嵌入式 AI 与电子垃圾

AI 的部署正迅速从集中式数据中心扩展到边缘和嵌入式设备，实现了无需持续云连接的实时决策。这一转变带来了显著的效率提升，降低了延迟、带宽消耗和网络拥堵，并推动了智能消费设备、工业自动化、医疗健康和自动化系统等新应用的诞生。分布式 AI 系统的架构与设计需在计算效率、延迟需求和资源约束之间做出复杂权衡。然而，嵌入式 AI 的兴起也带来了新的环境挑战，尤其是在电子垃圾、一次性智能设备和计划性报废方面。

与数据中心中为长期高性能计算设计的 AI 加速器不同，嵌入式 AI 硬件通常体积小、成

本低且易于丢弃。许多 AI 驱动的物联网传感器、可穿戴设备和智能家电寿命短、升级受限，几乎无法维修或回收。因此，这些设备正成为快速增长的电子垃圾危机的重要推手，而这一问题在 AI 可持续性讨论中常被忽视。

问题的规模令人震惊。如图 13 所示，预计到 2030 年，物联网（IoT）设备数量将超过 300 亿，AI 芯片正被广泛嵌入家用电器、医疗植入物、工业监测系统和农业传感器等各类产品。这些专为边缘计算优化的硬件架构推动了连接设备的指数级增长，但由于许多设备在短短几年内即被淘汰，导致电子垃圾激增。若缺乏可持续设计和完善的生命周期管理，AI 在边缘的扩张将加剧全球电子垃圾的堆积，给回收体系带来巨大压力。

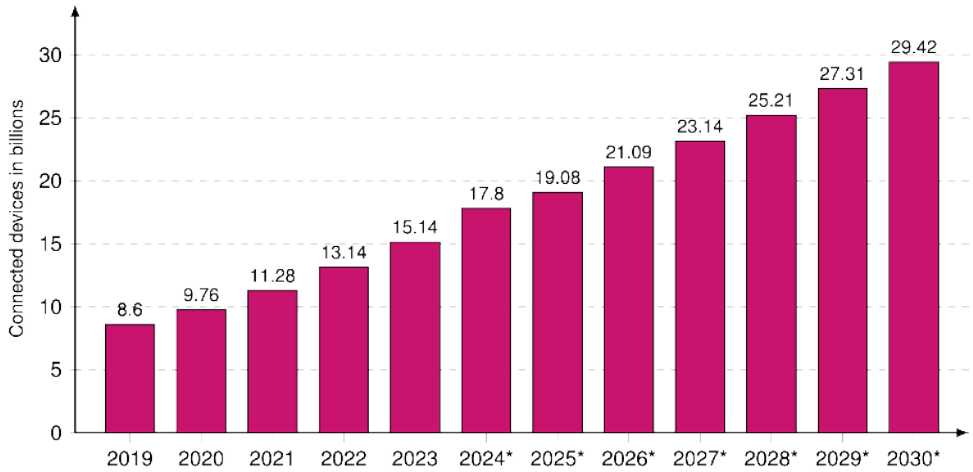

物联网设备增长：连接设备数量的快速扩张加剧了嵌入式 AI 系统的环境影响，短生命周期设备导致电子垃圾激增。预计到 2030 年设备数量将超 300 亿，亟需可持续设计和完善的回收基础设施以缓解电子垃圾危机。

尽管 AI 数据中心因碳足迹和能耗问题备受关注，但将 AI 融入数十亿短命设备的环境代价却鲜有人问津。要应对这一挑战，必须重新思考 AI 硬件的设计、制造与处置方式，确保边缘 AI 推动技术进步的同时，不会留下不可持续的废弃遗产。

全球电子垃圾加速

电子垃圾（e-waste）已成为数字时代日益严峻的环境挑战。它指的是含有电池、电路板和半导体元件的废弃电子设备，对人类健康和环境均构成严重威胁。AI 相关硬件中常见的铅、汞、镉和溴化阻燃剂等有毒物质，若处理不当会污染土壤和地下水。尽管具备回收和材料再利用的潜力，大多数电子垃圾仍未被妥善处理，导致有害废弃物积累和环境恶化。

问题规模同样惊人。当前全球每年产生的电子垃圾已超 5000 万吨，预计到 2030 年将突破 7500 万吨，联合国预测若消费模式不变，2050 年电子垃圾年产量或达 1.2 亿吨。产品寿命短、全球需求上升和回收基础设施薄弱共同加剧了危机。

AI 驱动的消费电子，如智能音箱、健身追踪器和家居自动化系统，是电子垃圾的重要来源。与可拆卸、可维护的计算设备不同，许多此类产品被设计为一次性，电池损坏或部件故障时，用户只能整体丢弃。这种内置的易弃性加剧了不可持续的消费与废弃循环，导致原材料开采增加，给废弃物管理体系带来更大压力。

发展中国家在电子垃圾倾倒问题上尤为受害，因其往往缺乏安全处理废弃电子产品的基础设施。2019 年，低收入国家仅有 13%~23% 的电子垃圾被正式回收，其余要么被焚烧、非法倾倒，要么在不安全条件下手工拆解。许多废弃的 AI 设备流入非正规回收渠道，工人缺乏防护，暴露于有害物质。塑料部件露天焚烧、粗放金属提取释放有毒烟雾和重金属，严重危害环境与健康。

全球电子垃圾回收率依然极低，仅有 17.4% 的废弃电子产品通过环保渠道回收，其余 82.6% 被填埋、焚烧或非法倾倒，造成长期环境污染和资源枯竭。若无更强有力的政策、更优的产品设计和更完善的回收体系，AI 设备的快速增长将极大加剧这一危机。

AI 电子产品不应成为全球电子垃圾问题的又一推手。应对这一挑战需多管齐下，包括更可持续的设计、更严格的监管和对全球回收基础设施的投资。否则，AI 的环境影响将远超能耗，留下有毒废弃物和资源枯竭的遗产。

一次性电子产品

低成本 AI 微控制器、智能传感器和连接设备的快速普及，正在改变消费电子、医疗、工业自动化和农业等行业。尽管这些嵌入式 AI 系统提升了效率和自动化，但其短寿命和不可回收的设计带来了重大可持续性挑战。许多设备被视为一次性电子产品，耐用性有限、电池不可更换、几乎无法维修，几年内即进入废弃流程。

AI 设备易弃性的主要驱动力是微电子成本的持续下降。硬件小型化让制造商能以每芯片不足 1 美元的成本，将 AI 处理器和无线模块嵌入日常产品。AI 功能正被集成到一次性和短命产品中，如智能包装、联网医疗设备、可穿戴设备和家用电器。这些面向资源受限环境的优化实现提升了便利性和实时数据采集，但缺乏完善的生命周期管理，导致难以回收的电子垃圾激增。

不可更换电池的代价 许多一次性 AI 设备采用密封、不可更换的锂电池，极不环保。智能耳机、无线传感器甚至部分健身追踪器，电池衰减后整个设备即报废。与可拆卸、可维护的模块化电子产品不同，大多数 AI 可穿戴和物联网设备采用胶合或焊接封装，无法更换电池或维修。

这一问题不仅限于消费电子。工业 AI 传感器和远程监测设备（如农业、基础设施和环境监测）也常用不可更换电池，寿命有限。电池耗尽后，这些部署在偏远或难以接近地区的传感器即成为电子垃圾，处理和更换成本高昂且对环境有害。

电池废弃物的环境影响尤为严重。锂矿开采（电池生产所需）能耗巨大，消耗大量水资源并产生有害副产物。此外，锂电池处理不当易引发火灾和爆炸，尤其是在垃圾填埋场和废弃物处理设施。随着 AI 设备需求增长，解决电池可持续性危机对减缓 AI 的长期环境足迹至关重要。

回收难题 与可拆卸、可翻新的传统计算硬件（如台式机、服务器）不同，大多数 AI 消费电子产品并未考虑回收。许多设备采用混合材料外壳、嵌入式电路和永久连接部件，难以拆解和材料回收。

此外，AI 物联网设备体积太小，难以用常规电子垃圾处理方法高效回收。大型电子产品（如笔记本、手机）有完善的回收体系，而微型 AI 传感器、耳机和嵌入式芯片则因分离成本高、劳动密集，往往直接填埋或焚烧，造成污染和资源浪费。

电池废弃物的环境影响尤为严重。锂矿开采（电池生产所需）能耗巨大，消耗大量水资源并产生有害副产物。此外，锂电池处理不当易引发火灾和爆炸，尤其是在垃圾填埋场和废弃物处理设施。随着 AI 设备需求增长，解决电池可持续性危机对减缓 AI 的长期环境足迹至关重要。

可持续设计的必要性 解决一次性 AI 电子产品的可持续性挑战，需要根本性的设计理念转变。制造商应将可持续性原则融入 AI 设备开发，而非仅追求低成本和短期功能。这与负责任 AI 的伦理开发理念一致，将环境责任纳入道德考量。具体措施包括：

- **设计长寿命产品**：AI 设备应采用可更换部件、模块化设计和可升级软件，延长使用周期。
- **支持电池更换**：消费级和工业级 AI 设备应采用易于更换的电池，避免密封设计阻碍维修。
- **标准化可维修性**：AI 硬件应采用通用维修标准，确保部件可维修而非直接丢弃。
- **开发可降解或可回收材料**：推动环保电路板、生物降解聚合物和可持续包装材料的研究，减少废弃物。

激励和监管也可推动制造商优先考虑可持续设计。政府可出台“维修权”法规、生产者延伸责任政策和电子垃圾回收计划，确保 AI 设备被妥善处置。消费者教育也能提升环保意识，促进可持续消费决策。

AI 电子产品的未来应是循环而非线性的，确保设备从设计之初就考虑可持续性，避免成为电子垃圾危机的主要推手。通过优化设计、提升可回收性和推广负责任处置，行业可在推动技术进步的同时，减缓 AI 在边缘侧的环境负担。

AI 硬件的计划性报废

计划性报废指产品被有意设计为寿命有限，迫使用户提前升级或更换。这一做法长期存在于消费电子和家用电器领域，如今在 AI 硬件（智能手机、可穿戴设备、工业 AI 传感器和云基础设施）中愈发普遍。加速的更换周期不仅推高消费和生产，也极大加剧了电子垃圾危机。

AI 硬件计划性报废的典型表现是软件驱动的性能退化。许多厂商通过系统更新（如苹果 iOS 升级）降低旧设备性能，表面上为安全和功能升级，实则促使用户更换新机而非维修或更换电池。

这一模式同样出现在 AI 消费电子领域，固件升级常导致旧型号无法兼容新功能，迫使用户更换设备。许多智能家居系统、连接家电和 AI 助手因云服务或软件支持中断而被迫淘汰，即便硬件本身完好无损。

封闭与专有部件 另一种计划性报废表现为硬件锁定，厂商通过专有部件阻止用户维修或升级设备。许多 AI 设备采用专有设计，无法更换电池、升级内存或替换部件。厂商优先采用密封外壳和焊接部件，导致即便小故障也需整体更换。

例如，许多 AI 可穿戴和智能设备采用不可更换电池，电池衰减后（通常仅 2~3 年）整个设备即成电子垃圾。智能手机、笔记本和 AI 平板也越来越多采用焊接内存和存储，用户无法升级，缩短了设备寿命。

计划性报废同样影响工业 AI 硬件，如 AI 摄像头、工厂传感器和机器人。许多工业自动化系统依赖厂商锁定的软件生态，厂商通过停止旧型号支持，迫使客户购买新设备，形成强制升级循环。

环境代价 计划性报废不仅增加用户负担，更带来严重环境后果。缩短产品寿命、阻碍维修性，推高电子元件需求，导致资源开采、能耗和碳排放增加。

半导体制造的环境成本尤为高昂。AI 芯片、GPU 等高端计算元件的生产需消耗大量水、稀土和能源。例如，单座 5nm 芯片厂每日需数百万加仑超纯水，工艺能耗巨大，CO⊠ 排放显著。AI 设备被过早淘汰，制造环节的环境成本被浪费，进一步加剧可持续性挑战。

此外，许多废弃 AI 设备含有铅、汞和溴化阻燃剂等有害物质，若未妥善回收会污染环境。AI 消费电子和工业硬件的加速更替将加剧全球电子垃圾危机，进一步加重废弃物管理和回收体系负担。

延长硬件寿命 解决计划性报废需转向可维修、可升级和长寿命的 AI 硬件设计。可行措施包括：

- **维修权立法**：许多国家正推动“维修权”法规，要求厂商提供维修手册、零部件和诊断工具，延长 AI 设备寿命，减少整体更换。
- **模块化 AI 硬件**：采用可更换电池、可升级内存和标准化接口的模块化设计，既能减少电子垃圾，也提升用户性价比。
- **延长软件支持周期**：企业应承诺更长的软件支持，避免因兼容性限制导致设备被迫淘汰。
- **消费者意识与循环经济**：推广以旧换新、回收计划和可持续消费教育，引导用户选择可维修、长寿命设备。

部分科技公司已在探索更可持续的 AI 硬件。例如，Framework 推出的模块化笔记本电脑，支持完全维修和升级，优先考虑长期可用性。智能手机和 AI 物联网领域的类似创新，有望减少计划性报废的环境影响。

AI 设备的普及为电子产品生命周期重塑提供了契机。若不加以干预，计划性报废将持续推动浪费性消费，加速电子垃圾堆积和资源危机。但通过政策、行业创新和消费者倡导，AI 硬件可向耐用、可维修和可持续方向发展。

AI 的未来不应是一次性的。企业、研究者和政策制定者必须优先考虑长期可持续性，最大化 AI 的益处，最小化环境足迹。解决 AI 硬件的计划性报废，是实现真正可持续 AI 的关键一步，不仅要关注能效，更要贯穿设计到处置的全生命周期。

政策与监管

第三部分探讨的技术与基础设施方案，需有政策框架支持方能广泛落地。算法优化、基础设施改进和生命周期管理虽能降低 AI 环境影响，但仅靠市场驱动力难以在所需速度和规模上实现变革。有效监管需在鼓励创新与环境责任之间寻求平衡，制定激励可持续实践的政策，而非遏制技术进步。本节将梳理应对 AI 环境足迹的政策工具与治理机制，从测量标准、监管限制到市场激励。

监管机制与全球协同

可持续 AI 治理主要通过四类政策机制实现：测量与报告要求、排放限制、金融激励和行业自律。但全球政策碎片化带来实施难题。欧盟通过 AI 法案 [652] 和企业可持续报告指

652. **欧盟 AI 法案**：全球首部全面 AI 法规，2024 年通过，历时三年多。采用风险分级，分为最小、有限、高和不可接受风险。高风险 AI（含算力超 10^{2}⌧ FLOPs 的基础模型）需合规评估、透明文档和能耗报告。最高罚款 3500 万欧元或全球营收 7%。旨在平衡创新、安全、核心权利与环境保护。

令（CSRD）[653] 引领强制监管，美国则侧重自愿报告和市场激励。中国及其他国家各自制定独立框架，全球可持续战略协同面临壁垒。

测量与问责 透明的测量与报告是可持续 AI 治理的基础。没有标准化追踪机制，组织难以准确评估环境影响或发现改进空间。

测量与报告

缓解 AI 环境影响的第一步是准确测量与透明报告能耗和碳排放。没有标准化追踪机制，难以评估 AI 的真实可持续性或发现改进空间。政府和行业正推动能耗审计、排放披露和 AI 工作负载效率标准化。政策目标是提升透明度、优化决策并强化环境责任。

目前缺乏公认的 AI 环境影响评估指标。现有可持续性评估多依赖企业自报，能耗和排放测量方法不一。政策制定者和行业领袖正推动正式的可持续性基准，要求多层次评估 AI 的碳足迹。计算复杂度和模型效率是关键因素，决定了 AI 任务的计算需求。数据中心效率（如 PUE）衡量能耗中直接用于计算的比例。能源供应的碳强度同样重要，化石能源主导的地区 AI 运行环境影响远高于可再生能源地区。

多个行业组织正推动 AI 可持续性报告标准化。MLCommons 基准联盟已将能效纳入 AI 模型评估，推动模型能耗的标准化对比。这些指标补充传统性能评估，形成兼顾能力与环境影响的综合框架。监管机构也在推动强制披露。欧盟 AI 法案草案要求大规模 AI 用户报告模型能耗和碳排放，欧盟委员会计划将 AI 可持续性报告与 CSRD 等更广泛环境披露法规对齐。

推行 AI 可持续性报告的难点在于平衡透明度与企业负担。过度细致的报告要求可能增加中小企业和科研机构的合规压力。政策制定者正探索可扩展方案，将可持续性纳入现有行业标准，避免僵化合规成本。利用数据中心和云平台现有监控工具开发轻量级报告机制，可在提升可见性的同时减轻负担。

最具建设性的测量与报告政策应聚焦于持续改进，而非简单限制或刚性上限。鉴于 AI 发展迅速，灵活嵌入可持续性评估的法规更能有效推动能耗和排放的持续下降。合理设计的政策可激励 AI 开发者从源头重视效率，培育负责任 AI 设计文化，助力长期可持续目标。

653. **企业可持续报告指令**：欧盟法规，要求 5 万多家大企业自 2024-2028 年起披露环境、社会和治理（ESG）影响。以强制、审计的可持续报告取代自愿指引，涵盖范围 1、2、3 排放，包括 AI 能耗。企业需按欧洲可持续报告标准（ESRS）披露，数据与财报可比。全欧年合规成本约 30-80 亿欧元。

限制机制

除了测量与报告要求，政策干预还可通过对能耗、排放或模型规模的监管限制，直接降低 AI 对环境的影响。尽管 AI 的快速发展推动了创新，但也带来了新的可持续性挑战，可能需要政府设定保护性措施，以遏制过度的环境成本。计算能力上限、公共资源使用条件、财政激励，甚至对低效 AI 行为的全面禁令，都是潜在的政策工具。然而，这些工具的有效性取决于政策设计的合理性，需在可持续性与技术进步之间取得平衡。

一种潜在的限制机制是对大规模 AI 模型训练所需计算能力设定上限。欧盟委员会在其提议的 AI 法案中探讨了这一概念，提出对 AI 训练工作负载实施经济范围的限制。这种做法类似于环境政策中的排放交易体系（ETS）[654]，即组织必须在预定的能源预算内运作，或通过受监管的交易所采购额外的计算能力。尽管此类限制有助于防止不必要的计算资源浪费，但也引发了对限制创新的担忧，尤其是对那些可能难以获得高性能计算资源的研究人员和小型企业而言。

另一种政策工具是根据模型效率对公共数据集和政府资助的计算基础设施的访问进行限制。AI 研究人员和开发者越来越依赖大规模公共数据集和补贴的云资源来训练模型。有人建议，政府可以将这些资源的使用限制在符合严格能效标准的 AI 项目上。例如，MLCommons 基准联盟可以将可持续性指标纳入其标准化性能排行榜，激励组织在准确性和效率之间寻求平衡。然而，尽管有条件的访问可以促进可持续 AI 实践，但也可能通过限制无法满足预定义效率标准的用户获取计算资源而导致不平等。

财政激励和惩罚措施是推动可持续 AI 的另一种监管机制。对 AI 相关计算消耗征收碳税，可以抑制过度的模型扩展，同时为以效率为中心的研究提供资金。类似于现有的环境法规，组织可能需要根据其 AI 工作负载的排放情况支付费用，鼓励其优化能耗。相反，税收抵免可以奖励开发高效 AI 技术的公司，促进对绿色计算技术的投资。尽管财政机制可以有效引导市场行为，但必须经过精心校准，以避免对小型 AI 开发者施加过重负担或抑制有益的用例。

在极端情况下，可能会考虑全面禁止某些浪费性 AI 应用。如果测量数据持续显示某些 AI 行为对环境造成不成比例的危害，而又没有可行的补救措施，政府可能会选择禁止这些活动。然而，由于 AI 技术的双重用途特性（即同一技术可能具有有益和有害的应用），因此在实施禁令时必须谨慎，确保限制措施仅针对明显不可持续的做法，而不抑制更广泛的 AI 创新。

最终，限制机制必须在环境责任和经济增长之间取得平衡。设计良好的政策应鼓励 AI

654. **排放交易体系（ETS）**：政府设定总排放上限（cap），并向企业分配可交易的排放配额的市场机制。2005 年启动的欧盟 ETS 是全球最大的碳市场，涵盖了 40% 的欧盟温室气体排放，涉及 10,000 多个设施。超出配额的企业必须购买碳信用（2023 年约 85 欧元/吨 CO⌧），而高效的企业可以出售多余的配额。加州的限额与交易计划涵盖了 85% 的州排放。理论上，类似的体系可以限制 AI 计算资源消耗，创建“计算碳信用”的市场。

效率，同时保留持续技术进步所需的灵活性。通过将限制与激励和报告要求相结合，政策制定者可以为引导 AI 朝着更可持续的未来发展创造一个全面的框架。

政府激励

除了监管限制，政府还可以通过财政支持、税收优惠、补助金和对绿色 AI 研究的战略投资，积极推动可持续 AI 的发展。这些激励措施旨在鼓励能源高效的实践，使可持续性成为竞争优势，而非监管负担。

促进可持续性的常见方法是通过税收激励。各国政府已对采用可再生能源的企业提供税收抵免，例如美国的住宅清洁能源抵免和商业能源效率扣除。类似的项目可以扩展到通过优化模型和基础设施以降低能耗的 AI 公司。采用效率提升技术（如模型剪枝、量化或自适应调度）的 AI 开发者可以获得税收减免，从而为绿色 AI 发展创造财务激励。

除了税收激励，政府对可持续 AI 研究的直接资金支持也是一种新兴策略。西班牙已承诺拨款 3 亿欧元用于明确关注可持续发展的 AI 项目。这类资金可以通过支持低功耗算法、专用 AI 硬件和环保数据中心设计的研究，来加速能源高效 AI 的突破。公私合营伙伴关系可以进一步增强这些努力，使 AI 公司与研究机构和政府机构合作，开创可持续解决方案。

政府还可以通过将绿色 AI 标准纳入公共采购政策，来激励可持续性。许多 AI 公司向政府机构提供云计算、软件服务和 AI 驱动的分析。通过要求供应商达到可持续性基准（如在碳中和数据中心运营和使用能源高效的 AI 模型），政府可以利用其采购权设置行业标准。类似的政策已在绿色建筑倡议中得到应用，政府要求承包商满足环境认证。将同样的方法应用于 AI 有望加速可持续实践的采用。

另一个创新的政策工具是为 AI 工作负载量身定制的碳信用额度。通过该制度，超出预定排放阈值的 AI 公司需要购买碳信用，以抵消其排放。未达到预定排放阈值的公司则可以出售多余的碳信用，从中获利。这种机制类似于制造业和能源生产等行业成功实施的更广泛的限额与交易计划。然而，正如在非捆绑能源属性证书（EACs）中所见，碳信用计划的设计必须谨慎，以确保真正减少排放，而不是让公司通过购买碳信用“逃避”可持续性承诺。

尽管政府激励措施在推动绿色 AI 方面具有强大作用，但其设计和实施需要谨慎考虑。激励措施应旨在推动实质性变化，而非制造漏洞，让组织在没有真正改善可持续性的情况下获得利益。此外，政策必须保持足够的灵活性，以适应 AI 技术的快速发展。通过战略性地结合税收激励、资金计划、采购政策和碳信用制度，政府可以创造一个可持续性不仅仅是监管要求，而是经济优势的生态系统。

自我监管

尽管政府政策在塑造可持续 AI 实践中发挥着重要作用，但 AI 行业本身也可以通过自我监管推动显著的环境改善。许多领先的 AI 公司和研究机构已经自愿承诺减少碳足迹、提高能效和促进可持续发展。这些努力可以补充监管政策，在某些情况下，甚至设定比政府规定更高的标准。

一个明显的自我监管策略是主要 AI 公司承诺使用可再生能源运营。谷歌、微软、亚马逊和 Meta 等公司已承诺采购足够的清洁能源，以匹配其电力消耗。谷歌更是通过确保其数据中心每小时、每天都完全依靠可再生能源运行，力争实现 24/7 碳中和能源。这些承诺不仅减少了运营排放，还为可再生能源创造了市场需求，加速了向更绿色电网的转型。然而，正如在使用非捆绑 EACs 时所看到的，确保可再生能源声明的透明度和问责制对于确保真正的脱碳至关重要，而非表面文章。

另一种自我监管方式是内部采用碳定价模型。一些公司实施影子定价，即在财务决策中对碳排放赋予内部成本。通过将这些成本纳入预算和投资策略，AI 公司可以优先考虑能源高效的基础设施和低排放的 AI 模型。这种方法类似于航空、制造等行业的更广泛企业可持续发展努力，在这些行业中，内部碳定价已被证明是推动减排的有效工具。

除了能源消耗，AI 开发者还可以实施自愿效率清单，以指导可持续设计选择。像 AI 可持续性联盟这样的组织提出了最佳实践框架，涵盖模型开发、硬件选择和操作能源管理。这些清单可以作为 AI 工程师将可持续性融入工作流程的实用工具。公开承诺遵循这些指南的公司，为更广泛的行业树立了榜样，表明可持续性不仅仅是事后考虑，而是核心设计原则。

独立的可持续性审计通过提供第三方评估，进一步增强了问责制。这些审计评估能源消耗、碳排放和绿色计算最佳实践的遵循情况。自愿接受审计并公布结果的 AI 公司，有助于建立与消费者、投资者和监管机构的信任。环境报告的透明度使利益相关者能够核实公司是否履行可持续性承诺。

AI 可持续性中的自我监管还体现在开源合作中。CodeCarbon 和 ML CO_2 Impact 等倡议提供工具，允许开发者估算和跟踪其 AI 模型的碳足迹。通过将这些工具集成到 TensorFlow 和 PyTorch 等主流 AI 开发平台，行业可以将可持续性追踪规范化为标准实践。鼓励开发者测量和优化其能耗，培养问责和持续改进的文化。

尽管自我监管是朝可持续发展迈出的重要一步，但它不能替代政府监管。自愿承诺的力度取决于驱动它们的激励机制，缺乏外部问责，一些公司可能会将利润置于可持续性之上。然而，结合监管框架，自我监管可以通过允许行业领导者设定高于法律规定的标准，加速可持续发展进程。通过将可持续性嵌入企业战略，AI 公司可以证明技术进步与环境责任并不矛盾。

全球影响

尽管 AI 可持续性努力正获得动力，但在国家政策、行业倡议和区域能源基础设施之间仍然存在碎片化。AI 的环境足迹具有全球性，跨越供应链、云数据中心和国际市场。政府和企业之间缺乏协调，可能导致低效、相互矛盾的法规，以及允许公司转移环境负担而非真正减少负担的漏洞。因此，建立全球框架以实现 AI 可持续性，对于政策协调、问责制和推动减轻 AI 环境影响的实质性进展至关重要。

全球 AI 可持续性努力面临的主要挑战是监管差异。各国和地区对 AI 治理的方式截然不同。例如，欧盟的 AI 法案引入了全面的基于风险的监管，其中包括对 AI 系统进行能效和环境影响评估的规定。相比之下，美国主要采取市场驱动的方法，强调企业自我监管和自愿可持续性承诺，而非强制性规定。同时，中国通过大量政府投资优先发展 AI，尽管可持续性在技术领导力之前的地位相对较低。这种监管上的碎片化导致 AI 相关排放、资源消耗和能源效率的追踪和管理方式不一致。

解决这种碎片化问题的一种建议是标准化 AI 系统的可持续性报告指标。经济合作与发展组织（OECD）、IEEE 和联合国等机构已推动类似于财务披露框架的统一环境影响报告标准。这将使公司能够使用通用方法追踪和比较其碳足迹、能源使用和资源消耗。将 LCA 标准应用于 AI（如同更广泛的环境核算实践）将允许更准确地评估 AI 的整体环境影响，包括硬件制造、部署和退役。

除了报告，能源电网脱碳仍然是全球关注的一个重要问题。AI 的可持续性在很大程度上取决于不同地区电力的碳强度。例如，在像波兰这样依赖煤炭的地区训练大型 AI 模型，其碳排放量显著高于在水电占主导的挪威进行同样训练的情况。然而，基于市场的能源核算实践，包括购买非捆绑的能源属性证书（EACs），使一些公司能够声称碳中和，尽管其运营在高排放电网中进行。这导致人们担心，可持续性声明可能并不总是反映实际的减排，而是依赖于转移碳责任而非消除责任的金融工具。作为回应，谷歌倡导的 24/7 碳中和能源（CFE）目标是实时匹配当地能源消耗与可再生能源，避免依赖远程补偿。如果广泛采用，这一模式可能成为全球 AI 可持续性核算的基准。

另一个全球关注的关键领域是 AI 硬件的供应链和电子垃圾管理。AI 加速器、GPU 和数据中心硬件的生产依赖于跨越多个大洲的原材料开采、半导体制造和电子组装的复杂网络。这一供应链的环境影响，包括在非洲的稀土矿开采、在台湾的芯片制造和在中国的最终组装，往往超出了 AI 公司自身的管辖范围。这凸显了在可持续半导体生产、负责任的采矿实践和电子垃圾回收政策方面达成国际协议的必要性。

《巴塞尔公约》对危险废物出口的管制，可能为全球应对 AI 相关电子垃圾挑战提供了一个范例。该公约限制了发达国家向发展中国家转移有毒电子垃圾的行为，以防止在环境保护措施较弱的地区进行不安全的回收。将此类协议扩展到涵盖 AI 特定硬件组件（如

GPU 和推理芯片），可以确保废弃物的最终处置得到负责任的处理，而非外包给环境保护措施较弱的地区。

国际间在 AI 可持续性方面的合作，不仅是为了减少危害，也是为了利用 AI 作为推动环境进步的工具。AI 模型已被用于气候预测、可再生能源优化和精准农业，展示了其对全球可持续发展目标的潜在贡献。这些应用代表了 AI 能力与社会利益的交汇，表明 AI 可以为积极的环境和社会成果做出贡献。各国政府、研究机构和行业领袖必须就扩大支持气候行动的 AI 解决方案的最佳实践达成一致，确保 AI 不仅仅是可持续性挑战，更是全球环境韧性的强大工具。

最终，实现可持续 AI 需要协调一致的全球方法，整合监管对齐、标准化可持续性报告、能源脱碳、供应链问责和负责任的电子垃圾管理。如果没有这种合作，地区间在 AI 治理上的差异可能会阻碍实质性进展，使低效和外部化的环境成本持续存在。随着 AI 的不断发展，建立全球框架，以平衡技术进步与环境责任，将在塑造一个既智能又可持续的 AI 驱动的未来中发挥重要作用。

公众参与

随着人工智能（AI）日益与应对环境挑战的努力交织在一起，公众认知在塑造其采用、监管和长期社会影响方面发挥着关键作用。尽管 AI 常被视为推动可持续发展的强大工具，应用于智能能源管理、气候建模和保护工作，但其环境足迹、伦理问题和透明度仍受到审视。

围绕 AI 与可持续性的公众话语通常是两极分化的。一方面，AI 被誉为能够加速气候行动、减少碳排放和优化资源利用的变革性力量。另一方面，人们对 AI 模型的高能耗、潜在的意外环境后果以及 AI 驱动的决策过程缺乏透明度等问题表示担忧。这些对立的观点影响着政策制定、资金优先级以及社会对 AI 驱动的可持续发展倡议的接受度。

弥合 AI 研究人员、政策制定者与公众之间的鸿沟，对于确保 AI 在可持续发展中的贡献既有科学依据又符合社会责任至关重要。这需要对 AI 的能力和局限性进行清晰的沟通，提高 AI 决策过程的透明度，并建立公众参与的机制。若缺乏知情的公众参与，误解和怀疑可能会阻碍 AI 解决方案的采用，而这些解决方案有潜力推动有意义的环境进步。

公众对 AI 环境影响的理解

公众对 AI 及其在可持续性中作用的理解仍然有限，往往受到媒体叙事的影响，这些叙事要么强调其变革潜力，要么强调其风险。皮尤研究中心的调查显示，尽管大多数人听说过 AI，但他们对其具体应用（尤其是在可持续性方面）的理解仍然肤浅。许多人将 AI 与自动化、推荐系统或聊天机器人联系在一起，但可能不知道其在气候科学、能源优化

和环境监测等方面的更广泛影响。这种公众认知与技术现实之间的差距，凸显了对 AI 系统及其在应对社会挑战中的实际应用进行基础教育的必要性。

影响公众认知的一个关键因素是 AI 可持续性贡献的表述方式。乐观的描述强调 AI 增强可再生能源整合、提高气候建模准确性和实现智能基础设施以减少排放的能力。像气候变化 AI 这样的组织积极宣传 AI 在环境应用中的潜力，促进了积极的叙事。相反，人们对 AI 能源密集型训练过程、伦理考量和潜在偏见的担忧，导致了怀疑的声音。分析 AI 可持续性公众话语的研究表明，乐观与谨慎的观点大致各占一半，有些人担心 AI 的环境成本可能超过其收益。

在许多情况下，公众对 AI 驱动的可持续发展努力的态度，受到对相关机构信任度的影响。由信誉良好的环境组织或与科学界合作部署的 AI 系统，往往更容易获得公众的认可。然而，企业主导的 AI 可持续性倡议则常常面临怀疑，特别是当这些倡议被视为“绿色洗涤”时，即公司夸大其对环境责任的承诺，而没有采取实质性行动。

为了促进知情的公众参与，提高 AI 素养至关重要。这涉及对 AI 实际能耗、优化潜力和在可持续性中实际应用的教育。大学、研究机构和行业领袖可以通过公开报告、互动工具和清晰的沟通策略，在提高公众对 AI 可持续性影响的认识方面发挥关键作用。

AI 可持续性权衡的沟通

AI 的沟通方式对其在可持续性中的作用的公众认知有重大影响。围绕 AI 驱动的环境努力的信息传递，必须在技术准确性、现实期望和透明度之间取得平衡，以确保建设性话语。

乐观的叙事强调 AI 作为可持续性强大工具的潜力。气候变化 AI 和 AI 驱动的保护项目突出了在野生动物保护、气候建模、能源效率和污染监测等方面的应用。这些例子通常被表述为 AI 增强了人类能力，使我们能够更精确和大规模地解决环境挑战。这种积极的表述方式鼓励了公众对 AI 驱动的可持续发展研究的支持和投资。

然而，怀疑的声音依然存在，特别是针对 AI 自身的环境足迹。批判性观点强调了 AI 模型训练过程的巨大能源需求，尤其是大规模神经网络的训练。阿西洛马 AI 原则等警示性框架强调了透明度、伦理防护措施和节能型 AI 发展的必要性。生成性 AI 模型的兴起，进一步加剧了人们对数据中心能耗、供应链可持续性和计算密集型 AI 工作负载长期可行性的担忧。

在 AI 可持续性信息传递中面临的一个关键挑战是避免极端化。公众话语往往陷入两种极端的看法：一种是将 AI 视为解决气候变化的不可或缺的工具，另一种是将其描绘为加剧生态危害的失控技术。这两种观点都未能全面反映现实。AI 和任何技术一样，都是一种工具，其环境影响取决于其开发、部署和治理方式。

为了建立公众信任和参与，AI 可持续性信息传递应优先考虑三个关键方面。首先，必须通过呈现 AI 对可持续性的利弊、能源消耗、数据偏见和实际部署挑战，来承认明确的权衡。其次，信息传递应基于证据，通过数据驱动的评估、生命周期分析和透明的碳核算来传达 AI 的影响，而非投机性的承诺。第三，表述应以人为本，强调 AI 系统与科学家、政策制定者和社区协作，而非完全自动化和不透明的决策系统。通过这种平衡和透明的方法，AI 可以在推动有意义的环境进步的同时，保持其可信度。

有效的公众参与依赖于弥合 AI 从业者与非专业人士之间的知识差距，确保 AI 在可持续性中的作用是基于现实的、公开讨论的，并不断评估的。

透明度与信任

随着 AI 系统越来越多地融入可持续发展工作，透明度和信任对于确保公众对其部署的信心至关重要。AI 模型的复杂性，尤其是那些用于环境监测、资源优化和排放跟踪的模型，往往使利益相关者难以理解其决策过程。如果没有清晰的 AI 系统操作方式的解释，关于偏见、问责和意外后果的担忧可能会削弱公众信任。

透明度的一个关键方面是确保用于可持续性应用的 AI 模型是可解释和可理解的。国家标准与技术研究院（NIST）的可解释 AI 原则为设计提供了框架，确保系统能够对其输出提供有意义和可理解的解释。这些原则强调，AI 生成的决策应具有上下文相关性，准确反映模型逻辑，并清晰传达系统的局限性。在可持续性应用中，AI 影响环境政策、保护策略和能源管理，因此可解释性对于公众问责至关重要。

在 AI 可持续性声明中，透明度同样必要。许多科技公司宣传其 AI 驱动的可持续发展倡议，但由于缺乏标准化报告，实际影响难以核实。蒙特利尔碳承诺为这一领域的问责提供了宝贵的框架：

> “作为机构投资者，我们必须以受益人的最佳长期利益行事。在这一受托责任下，温室气体排放、气候变化和碳监管相关的长期投资风险日益凸显。测量我们的碳足迹是更好地理解、量化和管理投资中碳和气候变化相关影响、风险和机遇的关键一步。因此，作为第一步，我们承诺每年测量和披露我们投资的碳足迹，并利用这些信息制定参与战略，确定和设定碳足迹减少目标。” — 蒙特利尔碳承诺

对 AI 可持续性声明采取类似的承诺，即公司披露训练和部署模型的环境足迹，将使公众对 AI 的可持续性贡献有更清晰的了解。若无此类措施，公司可能面临“绿色洗涤”的指控，即夸大或误导性宣传可持续性利益。

除了企业问责，AI 治理中的透明度确保了部署用于可持续性的 AI 系统受到伦理监督。将 AI 融入环境决策中，提出了对这些技术的控制权及其与社会价值观的一致性的问题。

OECD AI 政策观察等努力强调了监管框架的必要性，要求 AI 开发者在重要的可持续性应用中披露能耗、数据来源和模型偏见。公众获取这些信息的渠道，将允许更大的审查并促进对 AI 驱动解决方案的信任。

建立对可持续性 AI 的信任，不仅需要清晰解释模型如何运作，还需要主动让利益相关者参与决策过程。透明机制，如开放获取数据集、公共 AI 审计和参与式模型开发，可以增强问责制。通过确保可持续性中的 AI 应用保持可理解、可验证和伦理治理，可以建立信任，从而获得更广泛的公众支持 AI 驱动的环境解决方案。

在 AI 治理中建立公众参与

公众参与在塑造 AI 驱动的可持续发展努力的采用和有效性方面发挥着重要作用。尽管 AI 有潜力带来显著的环境效益，但其成功在很大程度上取决于公众对其应用的理解和支持。广泛的误解、对 AI 在可持续性中作用的有限认识，以及对伦理和环境风险的担忧，可能会阻碍有意义的参与。解决这些问题需要通过教育、参与和赋权不同社区，来促进对 AI 环境可持续性影响的讨论。

调查显示，尽管 AI 被广泛认可，但其与可持续性交叉的具体方式仍不为公众所知。皮尤研究中心的一项研究发现，虽然 87% 的受访者听说过 AI，但只有一小部分人能够解释其如何影响能源消耗、排放或保护工作。对 AI 作用的这种理解差距，可能导致公众怀疑 AI 是否会因其高计算需求而对环境造成贡献，而非作为应对气候挑战的工具。为了建立公众对 AI 可持续发展倡议的信心，清晰的沟通至关重要。

提高公众 AI 素养的努力可以采取多种形式。突出 AI 在优化可再生能源电网、减少食物浪费或监测生物多样性方面的作用，可以帮助揭开这项技术的神秘面纱。气候变化 AI 和 AI 合作伙伴关系等项目，积极提供研究、案例研究和政策建议，说明 AI 在应对气候变化中的益处。媒体的报道方式在塑造公众认知中也发挥着重要作用，负责任的报道 AI 的环境潜力及其挑战，可以提供更为平衡的叙事。

除了教育，参与还需要各利益相关方的积极参与，包括地方社区、环境团体和政策制定者。许多 AI 驱动的可持续发展项目侧重于数据收集和自动化，但在让受影响社区参与决策方面却缺乏机制。例如，用于水资源保护或野火预测的 AI 模型，可能依赖于忽视当地居民经验的数据。创建参与式 AI 设计渠道，让社区提供见解、验证模型输出和影响政策，可以导致更具包容性和上下文相关的可持续解决方案。

当 AI 决策影响资源分配、环境公正或监管行动时，透明度和公众参与尤为重要。例如，AI 驱动的碳信用市场，需要确保发展中国家的社区从可持续发展倡议中受益，而不是面临土地流失或剥削等意外伤害的机制。公众咨询、开放数据平台和独立的 AI 伦理委员会，可以帮助将社会价值观融入 AI 驱动的可持续发展政策中。

最终，促进公众参与和提高 AI 可持续性意识，需要多方面的努力，结合教育、沟通和参与式治理。通过确保 AI 系统可被访问、理解和响应社区需求，可以增强公众对 AI 驱动的可持续解决方案的信任和支持。这一参与对于将 AI 创新与社会优先事项对齐，以及确保环境 AI 系统服务于更广泛的公众利益至关重要。

环境正义与 AI 访问

确保公平获取 AI 驱动的可持续解决方案，对于促进全球环境进步至关重要。尽管 AI 在优化能源电网、监测森林砍伐和改善气候建模方面展现了潜力，但这些技术的获取仍然分布不均。发展中国家、边缘化社区和小型环境组织，往往缺乏有效利用 AI 的基础设施、资金和专业知识。解决这些差距，对于确保 AI 可持续解决方案的益处惠及所有人群，而不是加剧现有的环境和社会经济不平等至关重要。

公平获取 AI 的主要障碍是数字鸿沟。许多 AI 可持续性应用依赖于先进的计算基础设施、云资源和高质量的数据集，而这些主要集中在高收入地区。经济合作与发展组织（OECD）关于国家 AI 计算能力的最新报告指出，许多国家缺乏发展 AI 基础设施的战略路线图，导致 AI 富国和穷国之间的差距不断扩大。若不针对性地投资 AI 基础设施，低收入国家将被排除在 AI 驱动的可持续发展进程之外。扩大计算资源的获取、支持开源 AI 框架以及提供基于云的环境监测 AI 解决方案，可能有助于弥合这一差距。

除了基础设施限制，缺乏高质量、特定于地区的数据也是一个重大挑战。基于工业化国家数据集训练的 AI 模型，可能无法很好地推广到其他地理和社会经济背景。以北美的水资源保护 AI 模型为例，其在面临不同气候模式、农业实践或监管结构的地区可能效果不佳。通过收集多样化的数据集、与地方组织建立伙伴关系以及融合本土知识，地方化 AI 可持续性应用的努力，可以提高 AI 解决方案在欠代表地区的相关性和影响力。

获取 AI 工具还需要技术素养和能力建设的举措。许多小型环境组织和社区驱动的可持续发展项目，缺乏有效开发或部署 AI 解决方案所需的内部专业知识。能力建设工作，如 AI 培训项目、知识共享网络以及学术机构与环境团体之间的合作，可以使地方利益相关者能够采用 AI 驱动的可持续发展实践。气候变化 AI 和 AI 合作伙伴关系等组织，已采取措施提供资源和指导，帮助环境应用中的 AI 使用，但仍需更广泛的努力来实现 AI 访问的民主化。

资金机制在决定谁能从 AI 驱动的可持续发展中受益方面也发挥着重要作用。大型企业和资金充足的研究机构能够投资于 AI 驱动的环境解决方案，而小型组织则常常缺乏必要的财务资源。政府补助、慈善资金和国际 AI 促进可持续发展的倡议，可以帮助确保基层可持续发展努力能够使用 AI 技术。例如，西班牙已专门拨款 3 亿欧元用于 AI 和可持续发展项目，为公共投资环保 AI 创新树立了先例。全球范围内扩大此类资金模式，可能促进更具包容性的 AI 采用。

除了技术和财务障碍，政策干预也是确保 AI 可持续发展努力公平分配的必要条件。如果没有优先考虑包容性的监管框架，AI 驱动的环境解决方案可能会使已有技术优势的地区受益，而忽视了可持续发展挑战最为迫切的地区。各国政府和国际机构应制定政策，鼓励公平采用 AI，例如要求 AI 可持续发展项目考虑社会影响评估，或强制透明报告 AI 驱动的环境倡议。

确保公平获取 AI 可持续性解决方案，不仅是一个技术挑战，更是环境正义的核心问题。随着 AI 在全球可持续发展中的作用日益加重，必须采取积极措施，防止技术加剧现有的不平等。通过投资 AI 基础设施、地方化 AI 应用、支持能力建设和实施包容性政策，AI 可以成为赋能所有社区应对气候变化和环境恶化的工具。

未来挑战

随着 AI 的不断发展，其在环境可持续性中的作用也将扩大。AI 的进步有潜力加速可再生能源、气候建模、生物多样性保护和资源效率等领域的进展。然而，实现这一潜力需要解决与能源效率、基础设施可持续性、数据可用性和治理相关的重大挑战。AI 和可持续发展的未来在于创新与负责任的环境管理之间取得平衡，确保 AI 驱动的进步不会以增加环境恶化为代价。

新兴技术研究方向

AI 可持续性的一个主要优先事项是开发更节能的模型和算法。优化深度学习模型以最小化计算成本是一个关键研究方向，模型剪枝、量化和低精度数值等技术显示出在不影响性能的情况下减少能耗的显著潜力。这些策略旨在提高 AI 工作负载的效率，同时利用专用硬件加速器最大化计算吞吐量，最小化能量消耗。非冯・诺依曼计算[655] 范式（如类脑计算和内存计算）的持续发展，为通过专用硬件设计实现节能 AI 架构提供了另一条途径。

另一个重要方向是将可再生能源纳入 AI 基础设施。鉴于数据中心是 AI 碳足迹的主要来源之一，向太阳能、风能和水电等清洁能源转型势在必行。这一转型的可行性取决于可持续能源存储技术的进展，例如麻省理工学院衍生的初创公司 Ambri 正在开发的液态金属电池解决方案。这些创新有望使数据中心更可靠地使用可再生能源，从而减少对化石燃料电网电力的依赖。然而，要大规模实现这一转型，需要 AI 公司、能源供应商和政策制定者之间的协作，制定电网感知的 AI 调度和碳感知的工作负载管理策略，确保计算密集型 AI 任务在可再生能源供应高峰期进行。

655. **冯・诺依曼架构**：传统计算模型，处理单元和内存分离，需不断在 CPU 和 RAM 之间移动数据。由约翰・冯・诺依曼于 1945 年提出，主导现代计算，但造成“冯・诺依曼瓶颈”—— 数据传输能耗高，消耗系统 60%~80% 的电力。类脑芯片、内存计算和数据流架构等非冯・诺依曼方法，通过在数据存储地处理数据，消除这一瓶颈，可能将 AI 能耗降低 100~1000 倍。

除了能源效率，AI 可持续性还将受益于智能资源配置和废物减少策略。提高计算资源的利用率、减少冗余模型训练周期和实施高效数据采样技术，可以大幅降低能耗。AI 模型开发中的一个关键挑战是实验与效率之间的权衡 —— 神经架构搜索和超参数优化等技术可以提高模型性能，但通常需要大量计算资源。研究高效实验方法学，有助于找到平衡点，在改进模型的同时，减轻过度训练带来的环境影响。

实施障碍与标准化需求

尽管有这些有希望的研究方向，但要实现真正可持续的 AI，仍需解决重大障碍。一个紧迫的挑战是缺乏标准化的测量和报告框架，以评估 AI 的环境足迹。与传统行业不同，后者的生命周期评估方法已相对成熟，AI 系统则需要更全面和灵活的方法，考虑硬件（计算基础设施）和软件（模型训练和推理周期）的整体环境影响。尽管像 MLCommons 这样的努力已将能效纳入基准实践，但仍需更广泛、全球公认的标准，以确保 AI 相关排放报告的一致性。

另一个重要挑战是优化 AI 基础设施的使用寿命和可持续性。AI 加速器和数据中心硬件的设计，必须以最大化利用率、延长操作寿命和最小化环境影响为目标。未来的 AI 基础设施必须优先考虑可重复使用、模块化设计和循环经济原则，以尽量减少电子垃圾和对稀土材料的依赖，而非仅仅追求性能提升。

从软件角度来看，减少冗余计算对于降低能源密集型工作负载至关重要。仅关注训练和推理能耗的做法，未能考虑系统的整体环境影响。通过更智能的数据采样策略，优化训练过程，确保仅使用最相关的数据子集来优化模型，减少能源足迹，而不牺牲模型质量。

数据可获取性和透明度同样是一个挑战。许多 AI 可持续性工作依赖于企业和政府对能耗、碳排放和环境影响数据的披露。然而，数据缺口和不一致性，妨碍了对 AI 足迹的准确评估。AI 公司对其可持续发展举措的透明度提高，以及环境影响研究的开放获取数据集，将允许更严格的分析，并为可持续 AI 开发提供最佳实践。

最后，AI 创新的快速步伐对监管和治理提出了挑战。政策制定者必须制定灵活、前瞻性的政策，促进可持续性，同时保留 AI 研究和创新所需的灵活性。监管框架应鼓励高效的 AI 实践，例如促进碳感知计算、激励节能的 AI 模型开发，并确保 AI 驱动的环境应用与更广泛的可持续发展目标相一致。这需要 AI 研究人员、环境科学家、能源部门利益相关者和政策制定者之间的密切合作，以制定促进负责任 AI 增长的监管环境，同时尽量减少生态危害。

可持续 AI 系统的综合方法

AI 在可持续发展中的未来充满希望，但也面临挑战。为充分利用 AI 的潜力，同时减轻其环境影响，必须采用节能的模型开发、可再生能源整合、硬件和软件优化以及透明的环境报告。解决这些挑战需要跨技术、工业和政策领域的多学科合作，确保 AI 的发展轨迹与全球可持续发展努力相一致。

通过将可持续性原则嵌入 AI 系统设计、优化计算基础设施和建立明确的问责机制，AI 可以成为推动环境进步的催化剂，而非生态恶化的推手。未来几年将是塑造 AI 在可持续发展中角色的关键时期，决定其是加剧现有挑战，还是成为应对气候变化和资源枯竭的重要工具。

常见误区与陷阱

可持续 AI 涉及计算性能与环境影响之间的复杂权衡，这常常挑战着人们对高效和负责任的系统设计的传统假设。AI 工作负载的规模不断扩大，以及云计算便利性的吸引，可能导致人们对真实环境成本和最有效减少生态影响策略的误解。

误区：云计算自动使 AI 系统在环境上更可持续。

这一误解认为，云部署固有地提供了环境效益，而不考虑云基础设施的实际能源来源和利用模式。尽管云提供商的资源利用率通常高于个别组织，但它们往往依赖化石燃料能源，并在碳密集的电力电网区域运营数据中心。云计算的便利性也可能通过过度配置和低效的工作负载调度，导致资源浪费。要实现真正的可持续性，需谨慎选择云服务提供商、考虑地区差异并合理管理资源，而非单纯依赖云部署的绿色假设。

陷阱：仅关注操作能耗，而忽视嵌入式碳和生命周期影响。

许多从业者仅通过训练和推理的能耗来衡量 AI 的可持续性，而未考虑其系统的整体环境足迹。正如我们在三阶段生命周期评估框架中所阐述的，硬件制造、数据中心建设、冷却基础设施和电子垃圾处置，均对环境影响显著。专用 AI 加速器的嵌入式碳足迹可能超过操作排放。全面的可持续性评估需要生命周期分析，涵盖所有三个阶段 —— 训练、推理和制造，而非仅关注操作能耗。

误区：效率的提高会自动转化为环境影响的减少。

这一信念假设，使 AI 系统更具计算效率必然会减少其环境足迹。然而，效率提升往往通过反弹效应导致使用增加，即更便宜的计算促使更广泛的部署和应用范围。更高效的模型可能会被更广泛地部署，从而增加总资源消耗，尽管单元性能得到了改善。此外，要求专用硬件的效率优化，可能通过加速硬件更换周期而增加嵌入式碳。可持续的 AI 发展需要同时考虑效率提升及其更广泛的部署影响。

陷阱：将碳补偿视为减少实际排放的替代方案。

组织通常通过购买碳补偿来抵消其 AI 系统的排放，而不解决潜在的能源消耗模式。许多补偿项目的额外性、持久性或验证标准存疑，未能提供承诺的环境效益。依赖补偿可能延缓对可再生能源和高效计算实践的必要转型。可持续的 AI 发展应优先考虑通过采用可再生能源、提高能效和合理管理资源来减少实际排放，仅将补偿作为减排策略的补充，而非替代。

陷阱：优化单个组件以实现可持续性，而不考虑整个系统生命周期影响。

许多可持续性努力集中于单独优化系统组件，而未分析这些优化对更广泛系统架构和生命周期环境影响的影响。通过更小的模型来减少训练能耗，可能会在广泛部署时增加推理计算需求，从而增加系统总排放。同样，通过高效软件延长硬件寿命，可能不如采用更新、更节能的硬件在整体生命周期排放方面可持续。边缘部署虽然减少了数据中心能耗，但可能增加分布式硬件的制造需求，并带来复杂的电子垃圾管理挑战。网络优化虽然减少了带宽使用，但可能需要额外的计算资源用于压缩或缓存。有效的可持续 AI 需要全面的生命周期评估，考虑硬件采购、软件部署、操作使用模式、维护需求和废弃处置等各方面的环境影响，而非孤立地优化单一指标。

总结

可持续 AI 代表了技术进步与环境责任和资源保护之间的交汇点。机器学习系统通过计算密集型训练消耗能源，通过耗能巨大的推理基础设施运行，并推动对资源密集型硬件制造的需求。然而，这些系统同样具备气候建模、减排、资源优化和生物多样性保护的能力，形成了环境影响与环境效益之间复杂的关系，亟需工程师的深思熟虑。

AI 系统的整体生命周期影响超出了操作能耗，还包括硬件制造、数据中心基础设施、冷却系统和电子垃圾管理。绿色 AI 实践侧重于节能的模型架构、可再生能源的整合、碳感知计算和考虑生命周期的开发过程。政策框架和测量标准通过环境报告要求、效率激励和治理机制，推动问责制，使技术创新与可持续发展目标相一致。

> **关键要点**
>
> - AI 系统在其整个生命周期内都会产生环境影响，从硬件制造到训练、部署和处置
> - 可持续 AI 需要通过高效的架构和负责任的基础设施选择，在计算能力与环境成本之间取得平衡
> - 绿色 AI 实践包括节能的模型设计、可再生能源整合、碳感知计算和全面的生

命周期评估

- 成功需要 AI 研究人员、环境科学家、政策制定者和行业利益相关者之间的跨学科合作可持续 AI 的未来取决于我们今天在系统设计、基础设施部署和治理框架方面的选择。气候应用展示了 AI 加速环境解决方案的潜力，从提高能源电网效率到优化资源使用和对复杂生态系统进行建模。然而，要实现这一潜力，需要将可持续性考虑嵌入 AI 开发的各个方面，创造出在推动技术能力进步的同时，增强而非损害环境福祉的系统。

第 19 章：AI 向善

章节目的

为什么资源受限的部署环境是 ML 系统工程知识的终极考验?

本书中涉及的每一项技术、原则与优化策略，在资源受限环境下都将面临最严苛的应用挑战。你所掌握的部署范式、训练方法、优化技巧与鲁棒性原则，并非纸上谈兵，而是为工程师在算力消失、基础设施失效、每个设计决策都关乎人类福祉的场景中，打造可用的 ML 系统做准备。社会影响型部署要求你将所有知识融会贯通，因为它们处于极端技术约束与关键人类需求的交汇点。比如，乡村诊所的医疗诊断系统无法容忍低效架构，小农户的农业监测系统不能假设有稳定网络，灾害响应平台更不能容忍系统失效。这些部署场景检验你是否真正理解 ML 系统工程 —— 不仅仅是在资源充足时应用技术，更要在一切匮乏时灵活组合与优化。本章将展示，ML 系统工程的终极目标不是在理想环境下追求 SOTA 性能，而是在最具挑战性的条件下，持续交付可靠影响力。

学习目标

- 识别 AI 系统可在资源受限、基础设施薄弱环境下创造可衡量影响的全球性社会挑战
- 分析资源悖论及其对欠发达环境 ML 部署的量化影响
- 运用定量优化方法，计算资源受限 ML 部署的功耗预算与优化权衡
- 对比四种社会影响型应用设计模式（分层处理、渐进增强、分布式知识、自适应资源）
- 根据具体资源、网络约束与社区需求，选择合适的设计模式与部署范式
- 评估农业、医疗、环境监测等领域的真实案例，分析不同架构方案的有效性

- 设计在极端资源约束下仍能保持可信原则的 ML 系统架构
- 批判性分析 AI 向善部署中的常见误区，避免技术优先与基础设施假设

极端约束下的可信 AI

在本书第五部分前几章中，我们已建立了可信机器学习系统的理论与实践基础，包括负责任开发方法论（第 17 章：可信 AI）、安全与隐私框架（第 15 章：安全与隐私）、韧性工程原则（第 16 章：稳健 AI）。本章将这些可信范式应用于 ML 最具挑战性的领域：在极端资源受限条件下，解决关键社会与环境问题的系统设计。

AI 向善已成为 ML 系统工程的独特分支，其特点是极端技术约束与高可靠性需求的融合。无论是为资源有限的医疗环境设计诊断系统，还是为偏远农村社区打造农业监测平台，都需要系统性地应用本书所有原则。这些部署要求你将第 2 章：机器学习系统的架构适配于不可靠基础设施，将第 8 章：AI 训练的方法用于小数据场景，将第 9 章：高效 AI 的技术作为刚需而非可选优化。来自第 16 章：稳健 AI 的韧性原则，则成为在不可预测环境下保障系统连续运行的关键。

这些应用的社会技术背景带来了与传统 ML 部署截然不同的工程挑战。那些对任何商业系统都极具挑战的技术约束（如单瓦级功耗、千字节级内存、长时间网络中断），在这里还要兼顾远超传统应用的可靠性要求。在这些场景下，系统失效不仅仅意味着用户体验下降，更可能危及医疗诊断、应急响应或粮食安全等关键功能。

本章将系统性探讨如何通过 ML 系统，普惠全球资源受限环境中的专家级分析能力。我们将提出识别与分析全球挑战的概念框架，涵盖医疗可及性、农业生产力提升、环境监测等领域，建立在极端资源约束下仍能保持可信标准的设计方法，并通过农业、医疗、灾害响应、环境保护等真实案例，展示 ML 系统知识在解决人类重大挑战中的实际融合。

> **AI 向善定义**
>
> **AI 向善** 指的是 以解决重要社会与环境挑战为目标的机器学习系统的设计、开发与部署。这些系统旨在 提升人类福祉、促进可持续发展、助力全球发展目标，通过 ML 及相关 AI 技术 创造积极、公平且持久的影响。

社会挑战与 AI 机遇

历史上，若能及时干预与协作，许多灾难本可大幅减轻。例如，2014-2016 年西非埃博拉疫情[656]，就因缺乏及时检测与响应系统而酿成灾难。2011 年索马里饥荒，尽管提前数月预测，却因资源调配机制不足导致巨大苦难。2010 年海地地震后，缺乏快速可靠的灾情评估，严重阻碍了救援资源的有效投放。

这些历史教训在当今资源受限环境中依然反复上演。医疗领域，偏远与服务不足社区因缺乏及时医疗资源，常陷入可预防的健康危机。缺乏诊断工具与专家，导致可治愈疾病恶化为致命威胁。农业同样面临全球粮食安全的巨大压力。小农户[657]，作为全球粮食生产主力，却常因信息匮乏而难以做出关键决策。

教育领域同样存在结构性障碍。许多学校师资短缺、资源匮乏，学生难以获得个性化支持，进一步拉大优势与弱势群体差距，影响社会与经济发展。教育鸿沟又与医疗、农业等问题互为因果，形成恶性循环。

环境退化则为全球问题再添一重压力。森林砍伐、污染、生物多样性丧失威胁生计，破坏生态平衡。大量森林、海洋、野生栖息地因资源有限而难以监测与保护，非法盗猎、砍伐、污染等活动加剧，进一步加重本已脆弱的社区负担。

这些问题有共同特征：对弱势群体影响尤甚，加剧既有不平等；资源约束成为实施解决方案的障碍；在高度不确定下，需在有限资源间权衡取舍。

尽管挑战复杂，技术为解决这些问题带来变革性潜力。通过提供创新工具，提升决策效率、扩大解决方案规模，技术为克服历史性进展障碍带来了希望。机器学习系统因其处理海量信息、发现模式、生成洞见的能力，在资源受限环境中尤为突出。要实现这一潜力，必须确保这些工具真正服务于所有社区，且公平可及。

本领域常见误区是“技术优先”，即工程师未理解社区需求就构建系统，结果技术虽先进却无人使用，因为未能解决实际问题或适应本地约束。成功部署源于深入需求调研与共创，优先考虑社区实际问题而非技术能力。

机器学习的核心价值在于：无需专家在场，也能将专家级分析带到资源受限环境。肯尼亚农村的小农户可用手机诊断作物病害，无需农业推广员；印度偏远地区的健康工作者可初筛肺炎，无需儿科医生；亚马逊森林巡护员可 24 小时监测盗猎，无需全天候人工

656. **2014-2016 年埃博拉疫情**：此次疫情导致六国共 28,616 例、11,325 人死亡。国际响应延迟（世卫组织 5 个月后才宣布紧急状态）表明，若有 AI 疫情监测，数千生命本可挽救。经济损失超 530 亿美元，凸显移动健康技术下早期检测系统的必要性。

657. **小农户的全球影响**：小农户耕地面积不足 2 公顷，却贡献全球 30-34% 粮食，直接养活 20 亿人。在撒哈拉以南非洲，他们占农场总数 80%，却仅获 2% 农业信贷。气候变化威胁其 2.6 万亿美元年产值，AI 农业支持系统对全球粮食安全与减贫至关重要。气候异常、虫害、土壤退化等问题加剧，导致产量下降、粮食不安全加剧。这些挑战反映了体制性障碍与资源约束如何加剧不平等。

值守。这种专业能力的普惠，依赖于第 2 章：机器学习系统的部署范式，但要在商业场景所没有的约束下实现：间歇性网络、太阳能供电、稀疏标注数据等。

真实部署范式

第 2 章：机器学习系统中介绍的 ML 部署范式（云端 ML、移动端 ML、边缘 ML、TinyML），通过适应资源受限环境，为社会重大挑战带来变革。它们因地制宜，推动农业、医疗、灾害响应、环境保护等领域的创新。本节将展示这些范式如何在现实中实现社会价值。

农业

农业正面临气候波动、病虫害抗性、有限资源下养活全球人口等前所未有的挑战。ML 系统为农民带来原本只有专家才能获得的诊断能力，彻底改变了作物监测、病害检测与资源分配方式。

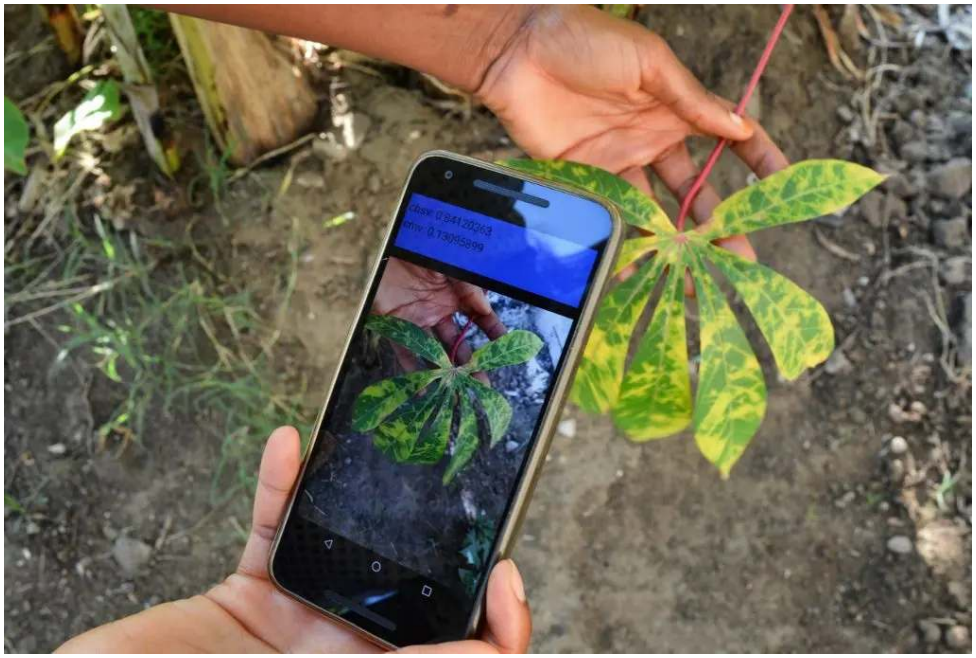

移动病害检测：边缘 ML 典型案例，智能手机应用在本地直接运行模型，实时识别作物病害，为资源受限环境提供即时反馈。该部署减少了对网络的依赖，使农业支持更本地化、可及。

在撒哈拉以南非洲，木薯农户长期受病害困扰。移动 ML 智能手机应用实现了作物病害的实时本地检测，如 PlantVillage Nuru 系统，通过渐进增强设计模式，从离线诊断到云端增强分析，功能逐级提升。本章后续将详细分析该案例，展示如何通过 2-5MB 量化模型，在功耗低于 100mW 的设备上实现 85-90% 诊断准确率。

东南亚水稻农户同样受益于 TinyML 传感器，实现了田间微气候[658]监测。本地低功耗处理优化灌溉，即便基础设施薄弱也能实现精准农业。

微软 FarmBeats[659] 集成 IoT 传感器、无人机与云端 ML，结合天气、土壤、作物健康数据，帮助农民优化水肥投入，减少浪费、提升产量。AI 技术推动精准农业，助力粮食安全、可持续与气候韧性。

医疗

医疗领域同样因 ML 迎来变革。数百万服务不足社区居民，往往需长途跋涉才能就医。TinyML 让诊断走到患者身边。例如 Respira x Colabs 开发的低成本可穿戴设备，利用嵌入式 ML 分析咳嗽声，检测肺炎[660]，无需联网，仅用微控制器即可运行，极大提升了偏远地区的诊断可及性。

TinyML 还助力全球健康问题，如通过分析蚊子翅膀振动频率，低成本识别蚊种[661]，实现疟疾监测与防控。

云端 ML 推动医疗研究与大规模诊断。Google Genomics[662] 等平台分析 PB 级数据，加速个性化医疗突破。无论是便携 TinyML 还是强大云端 ML，AI 技术都在普惠医疗、改善全球健康。

灾害响应

灾害响应需在极端不确定下快速决策，常伴随基础设施损毁与通信受限。ML 系统通过本地自治、离线处理与预测建模，在中心化系统失效时仍能持续运行。

在灾区，AI 技术加速响应、提升安全。搭载 TinyML 算法的微型无人机可自主进入废墟，分析热成像[663]与声学信号，定位幸存者与危险源，无需依赖云端。无人机可自主寻找光源（常为幸存者），检测有害气体泄漏，大幅提升搜救效率与安全。

658. **微气候监测**：与传统气象站（50-100km 范围）不同，微气候传感器可监测 10 米内温差（2-3°C）、湿度（10-15%）、土壤水分等，影响产量高达 30%。TinyML 让 $5-10 传感器实现实时处理，而传统气象站需 $15,000+ 投入。
659. **微软 FarmBeats**：2017 年启动，2020 年集成至 Azure FarmBeats。部署期间帮助农民节水 30%、增产 15-20%。平台处理 50+ 传感器类型数据，可提前 2-3 周预测作物健康问题，将农业专家能力普惠至服务不足社区。
660. **咳嗽分析技术**：肺炎每年致死 80 万 5 岁以下儿童，绝大多数发生在缺乏 X 光的资源贫乏地区。TinyML 咳嗽分析通过声学特征（时长、频率、谱特性）检测肺炎，准确率超 90%，模型可在 $10 微控制器上运行，普惠诊断能力。
661. **蚊种识别**：疟疾每年影响 2.47 亿人，致死 61.9 万（2023 年 WHO 数据），主要集中在非洲。TinyML 设备通过声学特征 95% 准确识别蚊种，成本低于 $50，而传统显微镜需 $5,000+。设备可 24 小时监测，区分疟疾传播蚊种与普通蚊种，助力精准干预。
662. **云端基因组规模**：Google Cloud 每年处理 50+ PB 基因组数据，相当于 1,500 万人类基因组。单个基因组含 30 亿碱基对，需 100GB 存储，云计算让群体级分析成为可能。云端 ML 可数小时内识别疾病变异，传统方法需数月，加速新药研发（通常需 10-15 年、10 亿美元以上）。
663. **灾害响应热成像**：人体温度（37°C）与废墟（15-25°C）对比明显，TinyML 可在 30cm 瓦砾下处理 320×240 热像，9Hz，仅耗 500mW，续航 20+ 分钟。2023 年土耳其地震，72 小时黄金救援期内，AI 无人机帮助定位 5 万余被困者。

更大范围内，Google AI for Disaster Response[664] 等平台利用云端 ML 处理卫星影像，预测洪水区，实时为政府分配资源、挽救生命。

移动 ML 应用也在灾害响应中发挥作用，实时将海啸、山火等预警推送至用户手机，提升撤离效率与应急准备。无论云端全球扩展，还是边缘本地洞察，AI 技术正重塑灾害响应能力。

环境保护

环境保护领域，ML 系统同样贡献巨大。保护者需在广阔、偏远地区监测与守护生物多样性，AI 技术为此提供了可扩展方案，兼顾本地自治与全球协作。

在动物个体层面，EdgeML 项圈可无感追踪大象等动物行为，分析迁徙与社交模式，数据本地处理，降低功耗、减少维护。TinyML 系统助力反盗猎，实时检测枪声 [665] 或异常人类活动，及时预警巡护员。

海洋保护方面，云端 ML 用于全球监测非法捕捞。Global Fishing Watch[666] 平台分析卫星数据，帮助政府执法、保护海洋生态。

这些应用展示了 AI 技术在实时监测与决策中的价值，推动环境保护进步。

跨领域集成挑战

上述案例证明了 AI 在应对重大社会挑战中的变革潜力，但也凸显了系统性解决问题的复杂性。每个案例都针对特定需求（如农业资源优化、医疗可及性提升、生态保护），但要实现可持续解决，不能仅靠孤立创新。

最大化影响、确保公平进步，需要跨领域、跨地域、跨利益相关方的协作。只有将本地项目、研究机构、全球组织协同，才能将 AI 潜力与基础设施、政策对接，实现规模化、可持续的解决方案。否则，即便有前景的创新也可能陷入孤岛，难以推广。

这些应用展现了 AI 的多样性，也暴露了协同难题。如何在资源有限时优先投资？如何确保创新聚焦最紧迫需求，而非最有趣技术？如何在多样场景下衡量成效、对受益社区负责？这些问题需要超越单点创新的系统性框架，建立统一评估标准、优先级体系与协作机制。

664. **卫星灾害监测**：现代灾害监测每日处理 10+ TB 卫星影像（如 Landsat-8、Sentinel-2）。AI 可在 2-3 小时内检测 10 万 km^2 洪水区，人工需 2-3 天。2022 年巴基斯坦洪灾，AI 提前 48 小时识别受灾区，助力提前撤离、资源调配，挽救数千生命。

665. **声学枪声检测**：TinyML 通过分析 500-4000Hz、1-5ms、突发特征的声学信号，95%+ 准确区分枪声与雷声、爆震等。太阳能传感器覆盖 5-10 km^2，成本 $200-300，传统系统需 $50,000+。肯尼亚保护区，响应时间由 3-4 小时降至 10-15 分钟，大幅提升巡护与保护效率。

666. **全球渔业监测成效**：自 2016 年起，平台追踪全球 7 万艘渔船，每日处理 2,200 万 AIS 数据点，识别 15 亿美元非法捕捞，协助查获 180+ 艘船。平台推动监控区非法捕捞下降 20%。

可持续发展目标（SDG）框架

面对如此规模与复杂度的问题，必须采用系统性方法，确保努力方向明确、协同高效、可持续。联合国可持续发展目标（SDG）等全球框架，以及世卫组织等机构的指导，正发挥关键作用。这些框架为解决全球重大挑战提供了结构化视角，指引各方协同、设定优先级、推动国际合作，实现持久影响。

下图（图 2）展示了 2015 年通过的 SDG[667]，共 17 项互相关联的目标，构成 2030 年前应对全球挑战的蓝图 [668]，涵盖消除贫困、消除饥饿、优质教育、性别平等、气候行动等 [669]。

可持续发展目标（SDG）：17 项目标为应对社会、经济、环境挑战提供全球框架，引导 ML 系统创造积极社会影响。理解这些目标，有助于将 AI 方案与可持续发展目标对齐，衡量迈向公平未来的进展。来源：联合国。

基于该框架，ML 系统可通过变革性能力同时助力多个 SDG：

- **目标 1（无贫穷）& 目标 10（减少不平等）**：ML 系统提升金融普惠，如移动银行、微

667. **SDG 全球影响**：193 个联合国成员国通过，SDG 是史上最宏大的全球议程，涵盖 169 项具体目标，年资金缺口 5-7 万亿美元。SDG 建立在千年发展目标（2000-2015）基础上，后者帮助 10 亿人脱贫。SDG 首次实现全球适用，强调可持续发展需全球协作。

668. **AI 对 SDG 的潜力**：麦肯锡估算，AI 可加速实现 169 项 SDG 中 134 项，到 2030 年为全球经济贡献 13 万亿美元。但 97% AI 研究聚焦 SDG 9（工业/创新），仅 1% 涉及水、粮、健康等基本需求。要让 AI 向善，必须有意识地聚焦人类核心需求，而非商业应用。

669. **AI 助力气候行动**：气候变化每年造成 230 亿美元经济损失，全球气温较工业化前升高 1.1°C。AI 应用于碳监测卫星（追踪 500 亿吨排放）、智能电网（节能 15-20%）、气候建模（预测区域影响）。但训练大模型可排放 28 万公斤 CO☒，相当于 5 辆汽车全生命周期，凸显高能效 AI 的必要性。

贷风险评估。

- **目标 2、12、15（零饥饿、负责任消费、陆地生态）**：优化资源分配、减少粮食浪费、监测生物多样性。
- **目标 3、5（健康与性别平等）**：改善母婴健康、提升医疗可及性。
- **目标 13、11（气候行动、可持续城市）**：气候韧性预测、城市规划，助力社区适应环境变化。

尽管潜力巨大，部署这些系统仍面临独特挑战。许多最需 ML 的地区，缺乏稳定电力（目标 7）或网络（目标 9），这要求我们重新思考社会影响型 ML 系统的设计。

要推动 SDG，ML 系统必须超越技术本身，兼顾本地资源约束、文化语境与基础设施限制。SDG 提供了“做什么、为何做”的规范框架，但要落地为可用系统，还需直面工程现实。比如，承诺 SDG 3（健康）并不能自动带来能在断网诊所运行的诊断系统；要实现 SDG 2（零饥饿），农业 AI 必须能在 $30 智能手机、无网络环境下运行。发展目标定优先级，工程约束定可行性。

将这些目标转化为可用系统，需要具体工程方案。下节将分析社会影响型部署与商业场景的资源约束差异，涵盖算力、功耗、网络、数据等，说明为何必须采用全新设计模式，而非简单缩减现有方案。

资源约束与工程挑战

在社会影响场景部署 ML 系统，需应对算力、网络、功耗、数据等多维度的交织挑战，且在生产部署与规模化时尤为突出。这些约束不仅程度不同，甚至本质上区别于第 2 章：机器学习系统中的商业部署，要求在极端资源下创新架构，保障功能不降级。

为便于理解，表 1 总结了开发、农村、城市等不同环境下的资源与需求差异，并突出规模化时的独特约束。这为后续分析悖论、权衡与约束提供基础。

方面	农村部署	城市部署	规模化挑战
算力资源	微控制器（ESP32:240MHz 双核，520KB SRAM，320KB 可用）	服务器（100-200W，32-64GB RAM）	极限模型量化（如 50MB→500KB）

方面	农村部署	城市部署	规模化挑战
电力基础设施	太阳能/电池（10-20W，2000-3000mAh）	稳定电网	部署设备功耗优化
网络带宽	LoRa、NB-IoT（0.3-50kbps，60-250kbps）	高带宽网络	协议适配（LoRa、NB-IoT、Sigfox：100-600bps）
数据可用性	稀疏、异构数据源（农村诊所每日500KB）	标准化大数据（城市医院 GB 级）	专用管道（隐私敏感数据）
模型体积	高度量化模型（≤1MB）	云/边缘系统（支持大模型）	架构重设计（适应体积、功耗、带宽限制）

极限资源下的模型压缩

社会影响型应用需极限优化模型体积，兼顾准确率与资源约束。第 10 章：模型优化中的传统优化方法，需针对极端资源环境进一步强化。

以 PlantVillage 作物病害检测为例，优化流程如下，量化压缩权衡清晰：

- **原始 ResNet-50**：约 98MB（FP32），作物病害数据集 91% 准确率
- **8 位量化**：25MB，89%（4× 压缩，准确率降 2%）
- **结构化剪枝**：8MB，88%（12× 压缩，降 3%）
- **知识蒸馏**：3.2MB，87%（31× 压缩，降 4%）

最终 3.2MB 模型在 ESP32 上推理仅需 50-80ms，实现离线实时诊断。

功耗分析

除模型体积外，离网部署的功耗预算是系统设计核心。神经网络推理每 MAC 操作耗 0.1-1 毫焦，百万参数模型每次推理需 1-10 毫焦。农村太阳能每日供电 5-20Wh，考虑季节与天气，能支持 2-20 万次推理（10-20% 损耗，2 年电池衰减 30-50%）。

能耗层级

边缘设备功耗严格分层：

- **TinyML 传感器**：<1mW，支持多年电池续航（环境监测、野生动物追踪）
- **移动边缘设备**：50-150mW，适合每日太阳能充电
- **区域节点**：10W，需电网或发电机
- **云端**：千瓦级，需数据中心

极端场景下，野生动物监测系统需 <1mW，5 年电池寿命，需专用低功耗 MCU 与占空比运行。环境传感器追求纳瓦级，靠温差、振动、环境电磁能量采集。

资源悖论

表 1 与上述优化需求揭示了 AI 向善的核心悖论：**最需要 ML 的环境，基础设施最薄弱**。撒哈拉以南非洲拥有全球 60% 可耕地，却仅占全球网络 4%；高疾病负担的诊所靠小型太阳能供电；生物多样性最丰富的森林缺乏云端监控 [670]。

这种需求与基础设施的反比关系，决定了社会影响型部署与商业场景的本质区别。云端部署可用 100-200W 服务器、32-64GB RAM，农村部署却常用 5W 单板机或毫瓦级 MCU，RAM 仅千字节。极端资源约束要求模型训练、推理创新，包括第 14 章：设备端学习中的设备端适配与优化。

网络基础设施同样受限。城市有光纤（100+Mbps）、5G（1-10Gbps），农村多用 LoRa[671]、NB-IoT，带宽仅 50kbps，慢三千倍。需优化传输协议与数据包大小。

电力基础设施也有限。城市可依赖电网，农村多靠太阳能与电池。典型太阳能系统峰值 10-20W，需精细分配功耗。电池 2000-3000mAh，要求优化采样率、推理频率等。

数据稀缺与质量约束

资源悖论还体现在数据层面，与商业部署大相径庭。第 6 章：数据工程中的数据管道、预处理、标准化假设，在资源受限环境下难以成立。商业系统有百万样本，社会影响型项目需用有限、异构数据，且要保证质量、验证与治理。

医疗部署说明了数据工程如何适应约束。农村诊所每日仅 50-100 条记录（约 500KB），结构化与手写混杂，需专用预处理；城市医院则有 GB 级标准化电子病历。即便一张 X

670. **社会影响型资源悖论**：工程师需在 90%+ 压缩（50MB→500KB）下保持诊断能力，这在商业部署中并不存在。后文设计模式正是为应对这一悖论而生。
671. **LoRa 技术**：LoRa 支持农村 2-15km、视距 45km，电池寿命 10 年以上。每设备年成本 $1-5，蜂窝 $15-50。适合大田农业、环境监测。全球 140+ 国部署 LoRaWAN，2 亿 + 设备服务社会影响型应用。

光或 MRI 也需 MB 级，农村与城市数据量差距巨大。数据采集、清洗、验证管道需在极端约束下保证完整性。

网络限制进一步约束数据采集。农业传感器网络功耗有限，每次仅传 100-200 字节，LoRa 50kbps，常每小时传一次。1000 传感器每日仅 4-5MB。对比之下，Netflix 一分钟视频就需数 MB，工业 IoT 与日常网络数据量天壤之别。

隐私问题更复杂，第 15 章：安全与隐私中的威胁建模、加密、访问控制假设的算力，在社会影响型部署中难以满足。512KB RAM 设备上实现差分隐私、联邦学习，需轻量级替代方案。硬件安全模块常缺失，只能用 2-4MB 存储的软件安全。离线本地处理需权衡隐私保护（增加 10-50% 计算开销）与功耗，且无法实时认证。隐私工程在最需安全、社区技术能力最弱时最难实现。

开发到生产的资源鸿沟

从数据约束到部署现实，ML 系统从原型到生产需架构重构。开发环境算力充足，掩盖了许多现实限制。典型开发平台如 Raspberry Pi 4[672]，1.5GHz、4GB RAM，便于快速原型开发，无需过早优化。

生产部署暴露出资源极限。大规模部署常用如 ESP32[673] 等微控制器，240MHz 双核、520KB SRAM（320-450KB 可用），算力骤降，需架构重构。必须采用第 14 章：设备端学习的设备端适配、量化、剪枝、极小内存推理、极限带宽与存储下的更新机制。

网络基础设施异构也影响架构。不同场景需不同协议，参数各异。系统需在不同带宽、延迟下保持一致性能。跨区域部署需支持网络切换，功能不降级。

环境监测系统等领域，开发时模型 50MB，规模化需压缩至 500KB，适配分布式节点，功耗 1-2W，准确率不降。农业监测、教育平台同理，需在极限资源下优化模型，保障系统效能。

长期可持续性与社区共建

在资源受限环境下维护 ML 系统，面临超越初始部署的挑战，包括系统寿命、环境影响、社区能力、经济可行性等，决定了社会影响型项目的长期成败。第 18 章：可持续 AI 中的生命周期评估、碳核算、负责任资源消耗等原则，在缺乏基础设施管理电子垃圾的社区尤为重要。

系统寿命需兼顾硬件耐久性与可维护性。环境因素如温差（-20°C~50°C）、湿度

672. **树莓派开发优势**：$35-75 的树莓派 4，RAM 比生产 IoT 设备多 1000 倍，算力快 10 倍。可用全功能 Python 框架原型开发。但功耗 3-8W，生产设备仅 0.1W，需 30-80 倍优化才能落地。
673. **ESP32 能力**：仅 $2-5，运行电流 30-150mA，集成 Wi-Fi、蓝牙、各类传感器。与手机处理器相比，算力仅 1%，成本低 50 倍。其 RAM 甚至小于一张 Instagram 照片，工程师需开发极限优化技术，反哺所有平台。

(80-95%)、灰尘等影响元件寿命，需选用耐用元件与防护措施，兼顾成本。太阳能农业监测系统需适应季节性日照（3-7kWh/m^2/天）。

环境可持续性要求全生命周期评估：元件制造、运营功耗、运输维护、报废回收等。1000 节点部署约含 500kg 电子元件，需合理选型与回收规划。

社区能力建设同样关键。系统需本地技术人员可维护，影响架构选型、模块化、文档多语种、培训体系等，确保社区可独立维护与演进。

常见误区是认为“好心一定有好报”，但缺乏社区深度参与的技术方案，常因文化误解、本地语境不足、技术约束等，反而带来新问题。有效的 AI 向善需持续社区合作、影响评估与适应性实施，优先受益方需求。

这些考量将第 13 章：机器学习运维的 MLOps 实践扩展到社区驱动的部署与维护。

> **跨学科团队的关键作用**
>
> AI 向善项目高度依赖非工程师协作。需与领域专家（医生、农民、保护者）、社会科学家、社区组织者、本地伙伴密切合作，带来操作环境、文化、社区需求等关键知识。工程师更多是社区目标的促进者与问题解决者，而非单纯技术提供者。
>
> 跨学科团队带来关键视角：领域专家理解问题与约束，社会科学家帮助规避文化误区与意外后果，社区组织者确保本地参与与共建，本地伙伴保障持续维护与适应。缺乏多元视角，即便技术先进也难以实现可持续影响。

经济可持续性决定系统寿命。运营成本（维护、备件、网络）需与本地经济水平匹配，建议目标为每位受益者月收入的 5% 以下。影响硬件选型、维护周期等，需优化资本与运营支出。

常见误区是认为技术成功即可带来长期影响。团队常聚焦模型准确率、系统性能等技术指标，忽视长期可持续性。成功部署需持续维护、用户培训、基础设施支持、动态适应，远超初始技术实现。缺乏可持续支持机制的项目，往往难以带来持久收益。

系统韧性与故障恢复

社会影响型部署环境下，系统失效可能危及生命。商业系统宕机损失收入，医疗监测失效则延误救治，农业传感器失效可致全社区减产。许多团队低估了欠发达地区的基础设施挑战，误以为网络、电力、设备能力充足。成功部署需工程师精通边缘计算、离线能力、带宽自适应、耐用硬件等复杂方案。必须有健壮的故障恢复模式，确保功能优雅降级、关键服务快速恢复。

常见故障模式与量化影响

分析 50+ 社会影响型部署，发现如下故障分布：

- **硬件故障（40% 宕机）**：电池耗尽、太阳能衰减、温度损坏等。恢复策略包括预测性维护、冗余传感器、区域备件库。
- **网络故障（35%）**：间歇性断网、灾害损毁。需本地缓存（72 小时）、离线模式、低带宽自动重连。
- **数据质量故障（25%）**：传感器漂移、环境污染。需自动校准、异常检测、超限时降级为简化模型。

优雅降级架构

韧性系统实现分层回退，保障核心功能。医疗监测系统示例：

```
class ResilientHealthcareAI:
    def diagnose(self, symptoms, connectivity_status, power_level):
        # 根据系统状态自适应模型选择
        if connectivity_status == "full" and power_level > 70:
            # 完整准确率
            return self.cloud_ai_diagnosis(symptoms)
        elif connectivity_status == "limited" and power_level > 30:
            # 90% 准确率
            return self.edge_ai_diagnosis(symptoms)
        elif power_level > 10:
            # 基础筛查
            return self.rule_based_triage(symptoms)
        else:
            return self.emergency_protocol(symptoms)  # 仅保留关键功能

    def fallback_to_human_expert(self, case, urgency_level):
        # 人工审核优先级队列
        if urgency_level == "critical":
            self.satellite_emergency_transmission(case)
        else:
            self.priority_queue.add(case, next_connectivity_window)
        return "连接恢复后优先人工审核"
```

分布式故障恢复

多节点部署需协同恢复，保障系统整体功能。农业监测网络采用拜占庭容错：

- **一致性机制**：Raft 协议心跳 10 秒，适应高延迟，30 秒内检测故障
- **数据冗余**：3-5 节点地理复制，单点失效不影响监测
- **协同恢复**：区域节点统一推送更新，缩短全网脆弱窗口

社区维护集成

成功系统将社区纳入维护流程，减少对外部技术支持依赖。培训本地技术员，创造经济机会：

- **诊断流程**：健康工作者掌握 80% 常见故障排查
- **备件管理**：本地库存按历史故障率备 2 周
- **升级流程**：复杂故障可远程专家协助

社区集成将平均修复时间由 7-14 天降至 2-4 小时，极大提升可用性。

上述工程挑战与故障模式，要求系统性方案。下节将分析约束下学习的理论基础，揭示样本效率、通信复杂度、能耗 - 准确率权衡等极限，为后续设计模式奠定理论依据。

设计模式框架

第 19 章：AI 向善中的工程挑战，揭示了三大核心约束：通信瓶颈（传输成本高于本地计算）、样本稀缺（理论需求与实际数据差 100-1000 倍）、能耗限制（需在准确率与寿命间权衡）。

与其临时应对，不如采用系统性设计模式。误以为资源受限部署只需“缩小版”云系统是常见谬误。实际上，需针对具体约束组合优化架构，而非简单功能缩减。

分析成功案例，总结出四大设计模式，各自应对特定约束组合：

模式选择维度

选择合适设计模式需分析三大维度：

1. 资源可用性：从极限边缘设备（KB 级内存 MCU）到云端，决定算力与模式选择。
2. 连接可靠性：从始终在线到间歇性再到完全离线，决定数据同步与协作机制。
3. 数据分布：训练数据集中、分布式或本地产生，影响学习与知识共享方式。

模式概览

- **分层处理模式**：按算力分层（边缘 - 区域 - 云），各层分工。适合层间连接可靠、资源差异明显场景。
- **渐进增强模式**：功能分层，资源受限时优雅降级。基于第 9 章：高效 AI 的量化、剪枝、蒸馏，适合资源波动、设备异构环境。
- **分布式知识模式**：点对点学习与协作，无需中心化。扩展第 8 章：AI 训练的联邦学

习，适合带宽极低、连接间歇场景。

- **自适应资源模式**：根据资源动态调整计算。基于第 11 章：AI 加速的能耗管理与调度，适合资源周期性变化（如太阳能充电）。

模式对比框架

四种模式应对不同约束与场景。表 2 系统对比，指导具体部署选型。

设计模式	主要目标	关键挑战	最佳应用场景	案例
分层处理	分布计算	层间延迟	城乡跨域	洪水预测
渐进增强	优雅降级	模型版本管理	资源波动	PlantVillage Nuru
分布式知识	去中心化协作	网络分区	点对点知识共享	Wildlife Insights
自适应资源	动态资源利用	功耗/算力调度	资源周期性变化	太阳能传感器

该对比框架可根据部署约束系统选型，避免临时架构决策。实际系统常多模式组合：如太阳能野生动物监测网络，单节点用自适应资源，节点间用分布式知识，遇到网络波动时用渐进增强。

下节将详细解析每种模式，给出实现建议与真实案例。

设计模式实现

基于前文的选择框架，本节详细介绍资源受限 ML 系统的四大设计模式。每种模式均遵循统一结构：从真实部署动机、架构原则、实现要点到局限性分析。

分层处理模式

分层处理模式（Hierarchical Processing Pattern）将系统划分为多个层级，每层根据自身资源和能力分担不同职责。类似企业的本地分支、区域办事处和总部，该模式将工作负载分布于边缘、区域和云端。各层充分利用自身算力：边缘设备负责数据采集与本地

处理，区域节点聚合与中间计算，云端则承担高级分析与模型训练。

如图 3 所示，该模式在各层间建立清晰的数据流。数据从边缘采集，经区域聚合处理，最终汇入云端进行高级分析。双向反馈机制让模型更新自上而下流动，确保系统持续优化。

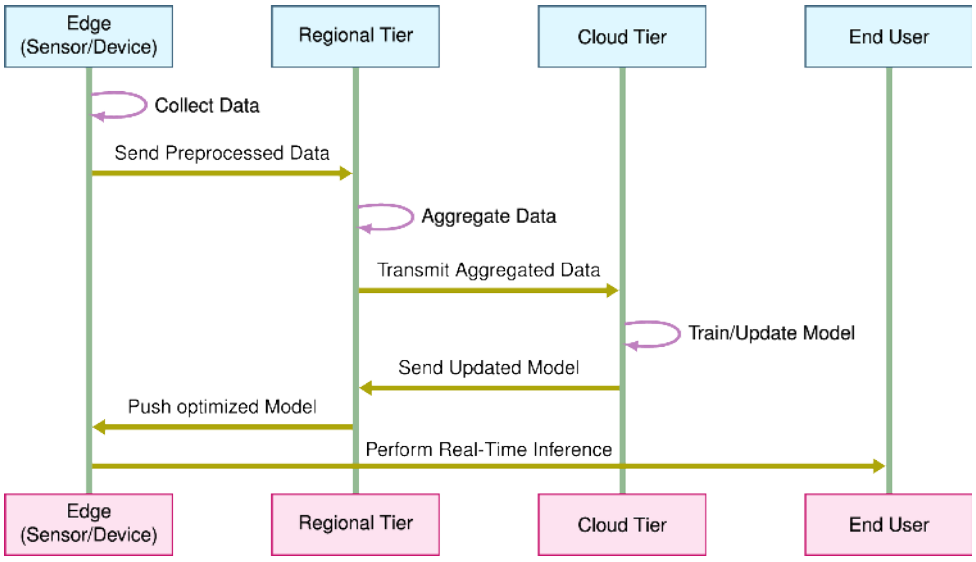

分层数据流架构：分布式机器学习系统采用分层架构（边缘、区域、云端），实现数据就近处理、洞见聚合与高级分析，并通过持续反馈优化模型。区域节点整合边缘设备数据，降低通信成本，实现全系统高效可扩展分析。

该架构在基础设施质量差异大的场景（如城乡混合部署）表现突出。边缘设备在网络或电力中断时可本地完成关键计算，待连接恢复后再将操作扩展至更高层级。

在 ML 应用中，该模式需精细权衡资源分配与数据流。边缘设备需在推理准确率与算力约束间平衡，区域节点负责数据聚合与模型个性化，云端则提供大规模分析与模型再训练能力。整个分布式体系要求模型架构、训练流程、更新机制在各层级间协同优化。

以作物病害检测为例：边缘传感器（手机应用）运行 500KB 轻量模型本地检测常见病害，区域聚合器收集百余农场照片识别新威胁，云端则结合全球病害与气象数据再训练模型，实现农户即时预警与模型持续进化。

Google 洪水预警案例 Google 洪水预警计划展示了分层处理模式在大规模环境监测中的应用。河流沿线边缘设备监测水位，即使无云端连接也能本地异常检测。区域中心聚合数据并做本地决策，云端则整合多区域输入，进行高级洪水预测与全局更新。该分层方法兼顾本地自治与中心智能，适应多样基础设施条件。具体实现涉及：边缘计算与模型量化（详见第 14 章：设备端学习），分布式系统协调（见第 8 章：AI 训练），硬件选型（见第 11 章：AI 加速），可持续部署（见第 18 章：可持续 AI）。

边缘层通常部署水位传感器与本地处理单元，定时（如每 15 分钟）监测水位并做初步时序分析。受限于几瓦功耗，边缘设备采用量化模型做异常检测，低功耗运行并极大减少上传数据量，保障关键监测任务即使断网也能独立完成。

区域层在区县级中心，管理数百传感器数据。此层用更复杂的神经网络，结合地形、历史洪水等上下文信息，聚合特征并在断网时保持本地决策能力。区域层独立运行增强系统韧性，确保本地监测与预警不中断。

云端层整合区域数据与卫星、气象等外部信息，完成全流程 ML，包括训练、预测、淹没图生成与结果分发。云端提供大规模算力，但分层结构确保即使云端失联，边缘与区域层也能自治。

该实现体现了分层处理的三大原则：一是任务分层保障优雅降级，各层即使孤立也能维持核心功能；二是能力随层级提升动态增强，适应资源变化；三是数据上行、模型下行的双向反馈，持续优化系统性能。这些原则不仅适用于洪水预警，也指导了各类社会影响型 ML 分层部署。

架构结构 分层处理模式通过特定架构组件与关系实现分布式协作。理解这些结构对不同场景下的有效部署至关重要。

边缘层以资源感知组件为核心，优化本地处理能力。硬件层面，数据采集模块实现自适应采样（1Hz~0.01Hz），根据电量动态调整。1-4MB 本地缓冲区采用环形队列，保障断网期间数据不丢失。推理引擎专为量化模型优化，配合状态管理系统实时监控设备健康与资源。通信模块实现断点续传协议，适应不稳定网络。

区域层实现聚合与协调，支持分布式决策。数据融合引擎整合多路边缘数据，考虑时空相关性。分布式数据库（50-100GB）采用最终一致性，保障节点间数据协同。负载均衡系统根据算力与网络状况动态分配任务。故障转移机制保障节点失效时持续运行，模型服务基础设施支持多版本模型，适配不同边缘设备。区域间同步协议维护地理一致性。

云端层通过复杂分布式系统支撑全局运作。训练基础设施支持多集群并行更新，版本控制系统管理模型谱系与部署历史。高吞吐数据管道处理所有区域节点输入，自动质控与校验。安全框架统一认证与授权，维护访问与修改审计。全局状态管理系统监控全网健康与性能，实现资源主动调度与优化。

分层处理架构实现了资源与职责的精细分配，保障系统在多变环境下高效利用各层资源，维持关键功能。

现代演进 算力效率、模型设计与分布式系统的进步极大丰富了分层处理模式。核心原则不变，但新技术让各层协作更灵活，能力更强，适应性更高。

边缘层最大变化在于：原本仅能采集与预处理，如今可本地执行复杂推理。模型压缩、剪枝、量化等技术让神经网络大幅瘦身，低功耗设备也能实现高准确率推理。专用硬件（如边缘 AI 加速器、低功耗 GPU）进一步提升边缘算力。图像识别、异常检测等原需云端的任务，如今可在微控制器本地完成。

区域层也从单纯聚合升级为协同学习枢纽。现代区域节点可用联邦学习等方法，多个设备协作提升共享模型，无需上传原始数据，既保护隐私又节省带宽。区域层还能将全局模型本地化，提升特定环境下的决策准确性，成为多样部署环境下不可或缺的适配层。

层级间关系也更动态。随着边缘与区域能力提升，任务分配可根据实时资源、网络与应用需求灵活调整。断网时边缘与区域可临时承担更多职责，资源恢复后再无缝切换回云端。这样既保留了分层结构的可扩展、韧性与效率，又极大增强了适应性。

这些演进预示着分层处理系统的未来：边缘算力持续增强，分布式学习方法不断涌现，层级边界将更动态。未来系统可根据部署环境、资源与需求自动优化结构，持续发挥分层模式的可扩展、韧性与高效优势。

系统影响　分层处理模式原为通用分布式系统设计，但应用于 ML 时带来独特考量，深刻影响系统设计与运维。ML 系统与传统系统不同，数据流密集、计算负载大、模型更新与推理动态性强，带来新挑战与机遇。

最大影响之一是动态模型管理。ML 模型需定期更新以适应新数据、防止漂移、保持准确率。分层结构天然支持：云端集中训练与更新，区域与边缘分发新模型。但这也带来同步难题，断网时边缘与区域需用旧模型，需设计健壮的版本管理与平滑切换机制。

数据流也是 ML 分层系统的核心难点。各层需处理不同类型与规模的数据：边缘采集原始输入，区域聚合与特征提取，云端做全局分析。每层需针对自身任务优化数据处理流程，如边缘设备需本地过滤、预处理，减少上传带宽但保留推理关键信息。多级数据管道既降低带宽需求，也让各层在 ML 流程中各司其职。

分层处理还支持自适应推理，关键于多资源环境下模型部署。系统可根据各层算力动态分配推理任务，平衡延迟、能耗与准确率。例如，边缘设备本地做基础异常检测，复杂推理则在资源与网络允许时交给云端。这对资源受限环境尤为重要，能效与响应性至关重要。

硬件进步进一步推动 ML 分层应用。专用边缘硬件（AI 加速器、低功耗 GPU）让边缘层可处理更复杂任务，缩小层级性能差距。区域层受益于联邦学习等创新，无需中心化数据即可协同优化模型，提升自治能力，减少对云端依赖。

最后，ML 分层系统需平衡本地自治与全局协同。边缘与区域需基于本地数据独立决策，同时与云端全局状态保持同步。这要求层级接口设计既能管理数据流，也能同步模型、

推理结果与反馈。例如，联邦学习系统需高效聚合本地模型更新，既不压垮云端，也不损害隐私安全。

ML 融入分层处理后，系统可在多样环境下扩展能力，动态适应资源变化，兼顾实时响应与中心智能。但也带来模型生命周期管理、数据结构化、资源分配等新复杂性。分层处理仍是 ML 系统强大框架，助力其跨越基础设施差异，交付高影响力解决方案。

各层性能特征 量化分层各层性能，揭示吞吐、资源消耗与部署约束的权衡。这些指标指导社会影响型应用的架构与资源分配（见表 3）。

层级	吞吐量	模型体积	功耗	典型用途
边缘设备	10-100 次/秒	<1 MB	100 mW	日常筛查、异常检测
区域节点	100-1000 次/秒	10-100MB	10W	复杂分析、数据融合
云端处理	>10,000 次/秒	GB+	kW	训练更新、全局协调

网络带宽约束

带宽限制决定层间通信模式与架构可行性：

- **2G（50kbps）**：每分钟仅能上传 1-2 张图片，需边缘强预处理与压缩
- **3G（1Mbps）**：每分钟可传 10-20 张，适合区域聚合
- **设计约束**：边缘需承担 95%+ 日常推理，避免网络瓶颈

协调开销分析

通信成本主导分布式性能，需优化层间协议：

- **参数同步**：O(模型体积 × 节点数)，大模型多节点时极易失控
- **梯度聚合**：带宽成主瓶颈，算力反而次要
- **效率法则**：保持 10:1 计算/通信比，分布式才可持续

农村医疗部署即体现这些权衡。边缘 500KB 诊断模型，80mW 平均功耗下可达 50-80 次/秒。区域节点聚合百余站点数据，8W 功耗下日处理 500-800 复杂病例。云端则以千瓦级功耗服务全国数百万用户，完成全局分析与模型更新。

局限性 尽管分层处理模式优势明显，实际 ML 部署中仍面临多项核心约束，主要源于架构分布性、各层资源差异与大规模一致性维护的复杂性。

算力分布带来资源分配与成本管理难题。区域节点需在本地算力、硬件成本与能耗间权衡。电池供电部署中，本地计算与数据传输的能效直接影响可扩展性与运维成本，节点或层级增加常需大量基础设施投入。

时效性操作是分层系统的难点。边缘处理虽能降低本地延迟，但跨层协调必然引入延时。例如需多区域节点共识的异常检测，难以满足亚毫秒级响应或全局强一致性需求。

区域间训练数据不均也带来模型偏差与性能差异。城市常有更多样本，模型在农村等数据稀缺区表现易下降，影响关键决策。

系统维护与调试随规模增长变得极为复杂。性能下降可能由硬件、网络、模型漂移或层间交互引发，传统调试手段难以定位，需专门运维与监控体系。

这些局限需在设计时提前规避，如采用异步协议、分层安全框架、自动化调试工具，并通过全层监控早期发现问题。虽然局限不影响模式整体价值，但强调了分层部署需充分规划与风险评估。

渐进增强模式

渐进增强模式（Progressive Enhancement Pattern）采用分层设计，使系统在不同资源条件下均能运行。该模式以极简能力为基础（如仅需 KB 级内存、mW 级功耗），在资源充足时逐步激活高级功能。最初源自 Web 开发（适配不同浏览器与网络），现已扩展至分布式与 ML 部署。

与分层处理不同，渐进增强关注纵向功能增强而非横向任务分布。系统结构保证即使在极端资源受限（如 2G 网络、MCU 设备）下也能运行，资源提升时逐层激活新能力，层层递进，最大化性能与可靠性。

在 ML 应用中，渐进增强可根据资源动态适配模型与流程。例如，计算机视觉系统在极限条件下用 100KB 量化模型做基础检测，资源提升时切换至 1-50MB 高精度模型，能力与资源同步扩展。

PlantVillage Nuru 案例 PlantVillage Nuru 是渐进增强模式在小农户农业支持中的典范。Nuru 结合 ML 与移动技术，为偏远、低资源环境农民提供 AI 诊断，即使无网络或

算力有限也能用。

Nuru[674] 基础模型专为资源受限环境优化，2-5MB 量化 CNN 可在入门级手机上以 1-2 帧/秒、<100mW 功耗运行。基于第 7 章：AI 框架，本地推理准确率达 85-90%，无需联网即可诊断常见作物病害。

有网络（即便仅 2G 50-100kbps）时，Nuru 可上传数据至云端，50-100MB 高级模型做更复杂分析，准确率达 95-98%。云端整合高分辨率卫星、气象、土壤等多源数据，生成详细防治建议。

在无智能手机地区，Nuru 通过社区数字中心中间层增强，配备中端平板（2GB RAM、四核），本地缓存 10-20GB 诊断模型与数据库，离线服务，定期低峰同步云端。

该实现展示了渐进增强如何从基础诊断扩展到全方位农业支持，资源极限下仍能运行，资源提升时能力同步增强。

架构结构 渐进增强模式将系统功能分层，每层适配特定资源条件。基础层在极限算力/网络下运行，资源提升时逐步叠加高级功能。

表 4 展示三层资源规格与能力：

资源类型	基础层	中间层	高级层
算力	MCU（100-200MHz，<1MB RAM）	入门手机（1-2GB RAM）	云/边缘服务器（8GB+ RAM）
网络	离线或 2G/GPRS	间歇 3G/4G（1-10Mbps）	稳定宽带（50Mbps+）
存储	基础模型（1-5MB）	本地缓存（10-50MB）	分布式系统（GB+）
功耗	电池供电（50-150mW）	日常充电	持续电网

674. **PlantVillage Nuru 真实影响**：2019 年起在东非 50 万农户部署，帮助识别影响 26 亿美元年产值的作物病害。$30 手机离线可用，年处理 210 万张作物图片。实地研究显示，活跃使用区作物损失降 73%，农民收入增 40%，充分体现渐进增强模式在资源受限环境下的规模化影响。

资源类型	基础层	中间层	高级层
处理	基础推理任务	中等 ML 负载	完整训练能力
数据访问	预装数据集	定期同步	实时数据集成

每层独立运行，保障系统在任意资源条件下可用。模块化结构支持层间无缝切换，资源变化时动态调整，适应从偏远农村到城市的多样部署。

图 4 展示三层结构及各层功能，直观体现资源提升时能力递进，资源受限时优雅降级。

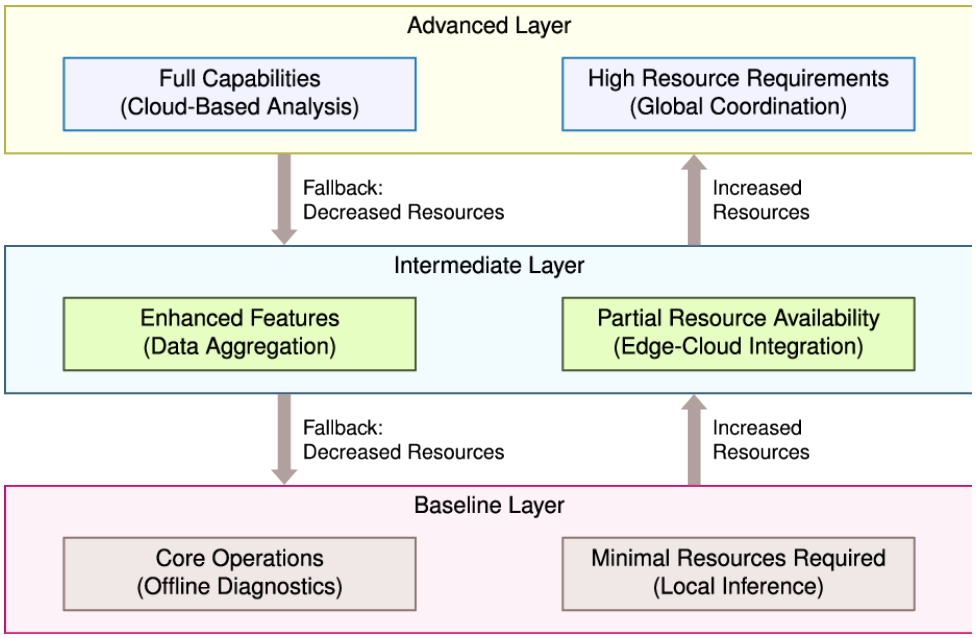

渐进增强分层：ML 系统采用分层架构，保障在不同资源条件下功能不降级，优先核心特性，资源提升时能力递进，适应从极限设备到高性能服务器的多样部署。

现代演进 现代渐进增强实现引入自动化优化，打造更智能的资源感知系统。

自动架构优化是重要进步。系统可用神经架构搜索（NAS）自动生成适配不同资源的模型族，如视觉系统维护 500KB~50MB 多版本模型，各自最大化准确率，保障各层性能一致。

知识蒸馏与迁移机制也支持能力递进。现代系统实现双向蒸馏，极简模型逐步吸收高级模型洞见，在极限资源下持续提升性能，形成动态学习生态。

分布式学习框架进一步通过分层联邦优化扩展能力。基础层设备仅做简单平均，资源更丰富节点用更复杂算法，系统整体在兼顾单设备约束下持续进化。

最终，资源感知神经架构成为动态适配的前沿。系统可根据资源自动调整模型深度、宽度与激活函数，实现层间平滑切换，始终最优利用资源，代表渐进增强的最新进展。

系统影响 渐进增强应用于 ML 带来独特架构考量，影响模型部署、推理管道与系统优化。

模型设计需在各层权衡算力与准确率。基础层模型受限于 100-500KB，需保持 85-90% 完整模型性能。每层递进引入更复杂结构（如更多层、注意力、集成），算力与资源同步提升。

训练管道需保障多版本模型性能一致，支持层间平滑切换。需用渐进知识蒸馏等专用训练方法，让简化模型在自身约束下最大程度模仿复杂模型。训练目标需兼顾基础效率、高层准确与层间一致性。

推理优化尤为关键。系统需根据资源动态调整推理策略，如自适应批处理、动态量化、选择性激活层，保障各层实时性能与能效。

模型同步与版本管理也更复杂。多层模型需维护兼容性，更新时不影响基础功能，需健壮的版本协议追踪谱系，保障层间兼容。

框架实现模式 框架选择直接影响渐进增强实现，不同框架适合不同层级。理解这些权衡有助于各层最优技术选型（见表 2）。

PyTorch Mobile 实现

PyTorch 通过 torchscript 优化与量化，支持渐进增强：

```
class ProgressiveHealthcareAI:
    def __init__(self):
        # 基础模型：2MB，任意安卓可运行
        self.baseline_model = torch.jit.load("baseline_diagnostic.pt")

        # 增强模型：50MB，仅现代硬件可用
        if self.device_has_capacity():
            self.enhanced_model = torch.jit.load(
                "enhanced_diagnostic.pt"
            )

    def diagnose(self, symptoms):
        # 根据资源渐进选择模型
        if (
```

```
            hasattr(self, "enhanced_model")
            and self.sufficient_power()
        ):
            return self.enhanced_model(symptoms)
        return self.baseline_model(symptoms)

    def device_has_capacity(self):
        # 检查 RAM、CPU、电量
        return (
            self.get_available_ram() > 1000  # MB
            and self.get_battery_level() > 30  # 百分比
            and not self.power_saving_mode()
        )
```

TensorFlow Lite 优化

TensorFlow Lite 擅长极限资源层模型优化：

```
# 渐进增强量化管道
converter = tf.lite.TFLiteConverter.from_saved_model(model_path)
converter.optimizations = [tf.lite.Optimize.DEFAULT]

# 基础层：INT8 量化，极致高效
converter.target_spec.supported_types = [tf.int8]
# 4x 压缩，准确率损失 <2%
baseline_model = converter.convert()

# 中间层：Float16，性能均衡
converter.target_spec.supported_types = [tf.float16]
# 2x 压缩，准确率损失 <1%
intermediate_model = converter.convert()
```

框架生态对比

框架	移动端支持	边缘部署	社区	最佳用途
PyTorch Mobile	优秀	良好	研发导向	原型到生产
TensorFlow Lite	优秀	优秀	工业导向	生产部署
ONNX Runtime	良好	优秀	跨平台	模型可移植

功耗感知模型调度

高级实现可根据实时资源动态选择模型：

```python
class AdaptivePowerManagement:
    def __init__(self, models):
        self.models = {
            "baseline": models["2mb_quantized"],  # 50mW
            "intermediate": models["15mb_float16"],  # 150mW
            "enhanced": models["80mb_full"],  # 500mW
        }

    def select_model(self, battery_level, power_source):
        if power_source == "solar" and battery_level > 70:
            return self.models["enhanced"]
        elif battery_level > 40:
            return self.models["intermediate"]
        else:
            return self.models["baseline"]

    def predict_with_power_budget(self, input_data, max_power_mw):
        # 选取功耗约束下最强模型
        available_models = [
            (name, model)
            for name, model in self.models.items()
            if self.power_consumption[name] <= max_power_mw
        ]

        if not available_models:
            return None

        # 选最优模型
        best_model = max(
            available_models, key=lambda x: self.accuracy[x[0]]
        )
        return best_model[1](input_data)
```

这些实现模式说明框架选型直接影响资源受限环境下的部署成败。合理选型与优化，才能实现多场景渐进增强。

局限性　渐进增强虽极大提升 ML 部署灵活性，但也带来多项技术挑战，影响模型管理、资源优化与系统可靠性。

模型版本爆炸是核心难题。每层常需 3-5 个模型版本，三层即达 15 个，且需分别维护、测试、验证。多任务或多领域时复杂度指数级上升。

层间性能一致性难以保障。基础层模型（100-500KB）需用 1-5% 资源实现 85-90% 高层准确率，任务复杂度提升时难度更大。层间切换时推理行为一致性难以保证，尤其在边界或异常输入下。

资源分配优化也有挑战。系统需持续监控与预测资源，监控本身也有开销。层间切换决策引入 50-200ms 延迟，实时应用中尤为突出，资源波动快时尤甚。

基础设施依赖决定系统能力上限。基础功能可在极限条件下运行（50-150mW、2G），但完全能力需大幅提升基础设施，基础与增强层间资源差距常达数个数量级，导致不同环境下性能差异巨大。

用户体验一致性受层间行为变化影响。基础层仅能二分类，高层可输出概率与置信区间，响应时间也差异大，关键应用中易损害用户信任。

这些局限需在设计时充分考虑，需健壮监控、优雅降级与能力透明。虽不影响模式整体价值，但强调了渐进增强部署需充分规划与预期管理。

分布式知识模式

分布式知识模式（Distributed Knowledge Pattern）解决了分布式节点在本地数据与算力约束下的协同学习与推理。与分层处理各层分工不同，该模式强调节点间点对点知识共享与协同优化，每个节点既独立运行又贡献集体智能。

该模式基于 Mobile ML 与 Tiny ML 技术，每节点本地用 1-5MB 量化模型推理，通过联邦学习等机制协同优化。知识共享可通过参数、特征或洞见，具体取决于带宽与隐私约束。分布式方法让网络在仅有 1-2 小时/天网络、50-100KB/天带宽下也能协同进化，极适合基础设施薄弱的社会影响型场景。

分布式方法与渐进增强的核心区别在于横向知识共享而非纵向能力增强。每节点能力相近，依靠网络集体智慧提升整体韧性，即使大部分节点临时失联，系统仍能运行。

Wildlife Insights 案例 Wildlife Insights 展示了分布式知识模式在野生动物保护中的应用。分布式相机陷阱网络在极端资源受限的野外环境下协同监测。

每个相机陷阱作为独立节点，50-100mW 功耗下运行轻量 CNN 做物种识别与运动分析，采用自适应占空比延长电池寿命。本地处理将原始图片从数 MB 压缩为 KB 级洞见向量。

分布式知识架构支持节点间协作。相机陷阱通过低功耗无线组网，点对点共享洞见而非原始数据。某节点检测到濒危物种或盗猎迹象时，信息可在无中心基础设施下传播，协同响应。

有卫星或蜂窝网络时，节点同步知识至云端，采用差分与压缩平衡带宽。云端用更复杂模型分析全区动态，优化保护策略。

Wildlife Insights 证明了分布式知识模式在极端环境下的有效性。分布式处理与决策保障了持续监测与快速响应，极大提升了保护效率。

架构结构 分布式知识模式包含三大结构要素：自治节点、通信网络与聚合机制。

图 5 展示了各组件及其交互。节点（矩形）自治运行，通过通信层共享洞见。聚合层（菱形）整合知识，分析层（椭圆）做进一步处理。

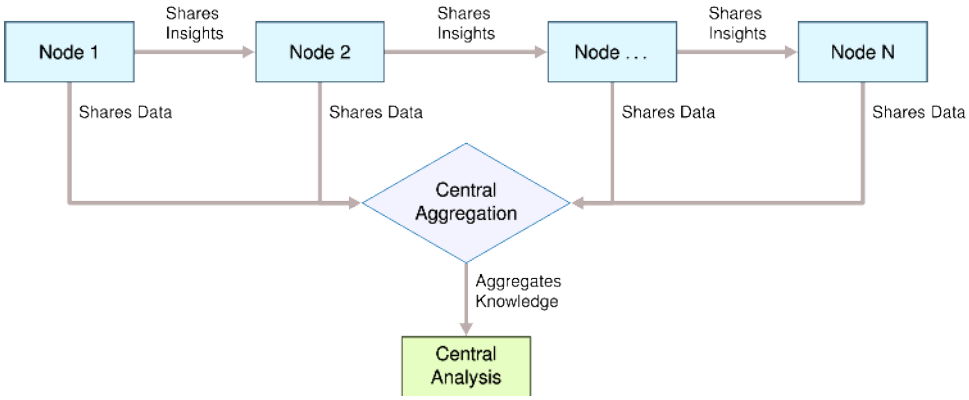

分布式知识架构：自治节点协同处理数据，通过通信网络共享洞见，聚合分析实现可扩展、适应性强的 AI 系统。该模式解耦了数据处理与中心控制，提升韧性，适应动态环境与分布式数据源。

通信层实现节点间点对点与分层协议，需在带宽效率与信息完整性间权衡，常用差分与压缩技术。

聚合与分析层整合分布式洞见，反馈优化参数至各节点，形成持续改进闭环。

该结构保障了系统韧性与可扩展性，专为基础设施不稳定、连接有限环境设计。

现代演进 边缘计算、IoT 与去中心化数据网络极大提升了分布式知识模式的可扩展性与灵活性。

边缘计算让节点本地处理更复杂任务，减少对中心依赖，提升实时性。野外保护系统中，相机陷阱本地处理图片，仅在有网络时上传关键洞见，极大节省带宽。

边缘 ML 进步让模型可直接部署在节点，如手机、IoT 传感器本地运行轻量模型，实现本地异常检测与分类，提升决策速度，减少对云端依赖。

现代组网（如 Mesh、5G）提升了节点间通信效率与可靠性。Mesh 网络支持节点自愈与扩展，即使部分节点或链路失效，系统仍可运行。5G 则极大缓解了大规模数据传输的带宽与延迟瓶颈。

系统影响 分布式知识模式重塑了 ML 系统在分布式节点间的数据采集、训练与推理流程，带来模型架构、训练动态与推理优化等新挑战。

模型需适应节点级资源约束，常用模块化结构支持增量学习与知识蒸馏，1-5MB 内存下保持 85-90% 中心模型准确率。

训练动态更复杂，需适应非独立同分布（non-IID）数据，采用加权聚合等机制保障收敛与公平。训练流程还需考虑节点数据质量与数量差异。

推理优化需根据本地资源动态调整，如自适应批处理、动态量化、选择性特征计算，节点级推理延迟常要求 <100ms，功耗 50-150mW。

模型生命周期管理也更复杂，需多版本兼容、断网时健壮更新，防止模型分叉。

局限性 分布式知识模式虽适合去中心化、资源受限环境，但也带来模型同步、数据一致性与系统扩展等挑战。

模型同步与一致性是最大难题。各节点本地训练，模型易分叉，断网或带宽受限时同步延迟，导致系统整体表现不一致。

数据碎片化也影响模型效果。节点仅见局部数据，难以覆盖全局分布，数据聚合与兼容性处理复杂，离线节点数据更难同步。

扩展性也是挑战。节点数增多，数据与管理复杂度同步提升，需动态负载均衡与协调机制。

延迟问题突出。虽本地处理快，但全网协同决策需聚合多节点洞见，节点间通信与处理易引入延迟，关键场景如灾害响应时影响系统效能。

安全与隐私风险加大。数据在多节点间传输，需强加密与认证，防止未授权访问与篡改，尤其医疗、金融等敏感场景。去中心化系统更易遭受如 Sybil 攻击。

可用联邦学习等技术缓解同步难题，分层聚合减少数据碎片，边缘计算降低延迟，但仍需在设计时充分权衡。

自适应资源模式

自适应资源模式（Adaptive Resource Pattern）强调系统根据资源变化动态调整运行，保障高效、可扩展与韧性。系统可根据算力、带宽、存储等实时分配资源，随时扩缩，

确保目标达成。

自适应资源模式常与其他设计模式结合，提升系统在变化环境下的效率与连续性。

下图展示了自适应资源模式下，系统如何根据资源动态调整运行，优化性能。

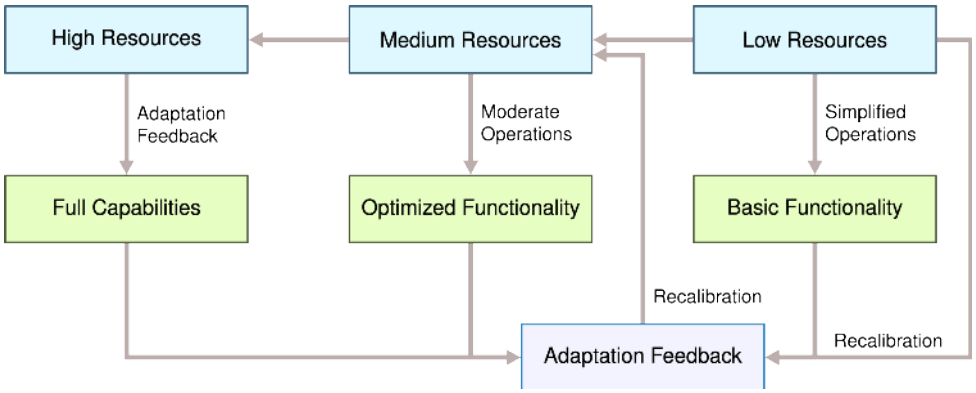

资源自适应：ML 系统根据资源动态调整功能，资源极限时优先核心功能，资源充足时全面运行，提升韧性，保障在算力或能耗受限时持续运行。

图中，资源低时系统切换至简化模式，保障基础功能；资源中等时启用更多功能；资源充足时可运行复杂任务。反馈回路确保系统持续自适应，实时优化资源分配。

案例分析 前述系统均可受益于自适应资源模式。Google 洪水预警通过分层处理实现多层数据处理，若结合自适应资源，可在基础设施薄弱区更多依赖边缘处理，资源充足区则充分利用云端算力。

PlantVillage Nuru 可将自适应资源融入渐进增强，根据设备与网络资源动态调整处理复杂度，既保障低资源环境下可用，又不浪费高资源环境潜力。

Wildlife Insights 结合分布式知识与自适应资源，野外相机本地处理，网络好时上传更多数据，资源有限时优先本地推理，保障持续监测。

这些系统通过自适应资源动态调整，提升效率与连续性，适应资源波动。自适应资源模式作为“使能器”，支撑系统在实时环境下灵活应对需求。

架构结构 自适应资源模式围绕资源监控、动态分配与反馈回路展开。系统需持续监控带宽、CPU、内存等，实时调整任务分配，保障最优性能。

结构上，首先需监控机制，实时评估资源（如带宽、CPU、内存）。采集后，系统根据策略决定扩缩或调整任务，如高资源时用复杂模型并发处理，低资源时降级模型或转移任务至边缘。

反馈回路是关键，系统根据结果持续调整资源分配，逐步优化。

系统可按任务复杂度分层，如训练、批量推理等高算力任务交云端，采集、预处理等简单任务交边缘。系统可根据资源动态调整层级分工。

现代演进 云计算、边缘计算与 AI 驱动资源管理极大提升了自适应资源模式的灵活性与可扩展性。

云平台（如 AWS、Azure、GCP）支持按需分配资源，系统可实时扩缩，无需本地基础设施，适合大规模训练与推理。

边缘计算让数据本地处理，减少对中心依赖，提升实时性。IoT 设备、手机等在资源受限环境下本地处理，云端仅处理重任务。

AI 驱动资源管理可实时监控与预测资源需求，提前分配，保障高峰期平滑过渡，降低延迟，提升整体性能。

这些创新让系统可在复杂环境下高效运行，如灾害响应中，救援、医疗、通信等资源可动态分配，云端协调全局，边缘保障本地决策，AI 预测资源短缺，优化分配。

系统影响 自适应资源模式对 ML 系统影响深远，尤其在移动、边缘、分布式等资源波动环境下。ML 任务算力、内存、存储需求大，自适应资源可优化性能、扩展性与效率。

如联邦学习中，系统可根据设备算力分配任务，强设备做重任务，弱设备仅做本地更新，保障所有设备参与且不超载。

实时推理场景（如自动驾驶、医疗诊断、环境监测）需根据资源动态调整推理复杂度，如自动驾驶在资源受限区用简化模型，资源充足区用复杂模型。

云端 ML 可根据任务动态扩缩资源，需求高时扩容，需求低时缩容，提升效率与成本效益。

AI 驱动资源管理可用强化学习等方法预测资源需求，提前分配，保障低延迟与高吞吐。

边缘 AI 在资源极不稳定环境下尤为受益，可根据实时资源调整推理与处理，保障关键任务持续运行。

局限性 自适应资源模式在实际 ML 部署中面临多项约束，主要源于实时适应的复杂性与多资源状态下性能维护的技术挑战。

性能可预测性是最大难题。资源变化时系统性能波动大，如 RAM 8GB 降至 500MB，推理延迟可从 50ms 升至 200ms，需复杂 QoS 管理。

状态同步难度大。资源波动时，系统需保障各组件状态一致，如带宽从 50Mbps 降至 50Kbps 时，需管理部分更新，防止状态漂移，分布式 ML 中尤为突出。

资源切换开销高。模型切换（如 50MB→5MB）需 100-200ms，切换期间性能不可预测，资源频繁波动时尤为明显。

质量退化管理难。资源降级时，模型准确率常从 95% 降至 85%，但能耗需严格控制（如边缘设备 50-150mW），需复杂优化权衡。

这些局限需在设计时充分考虑，需健壮监控、优雅降级与分层质量阈值。虽不影响模式整体价值，但强调了自适应部署需充分规划与性能预期管理。

受限学习的理论基础

前述设计模式源自一系列理论约束，这些约束使资源受限部署与传统 ML 系统截然不同。虽然这些模式为工程实践提供了指导，但理解其理论基础有助于工程师做出有原则的设计决策，并在特定场景下灵活调整或组合模式。

社会公益应用暴露了当前机器学习方法的局限性，资源约束让理论学习需求与实际部署之间的差距暴露无遗。第 8 章：AI 训练的传统训练方法与第 6 章：数据工程的数据工程实践，均假设资源充足、基础设施可靠。下面我们将探讨在这些假设不成立时，相关基础原则如何被重新审视。

数据稀缺下的统计学习

传统监督学习假设有充足的标注数据，通常每类需 1000+ 样本才能获得可接受的泛化性能。资源受限环境挑战了这一假设，往往每类样本不足 100，却要求接近人类的学习效率。

小样本学习需求 以农业病害检测为例，商业作物监测系统可用数百万标注图片训练，而农村部署往往每种病害仅有 50 张以内样本。这种 20 倍的数据量差距，要求学习方法能利用病害间的结构相似性，并迁移相关领域知识。

理论差距可通过学习曲线体现。传统深度学习需指数级扩充数据才能线性提升准确率，遵循准确率 $\propto$ (数据量)^α 的幂律，α 通常为 0.1-0.3。而资源受限环境需 $\alpha \geqslant 0.7$，接近人类单样本泛化能力。

信息论界限 本节用计算学习理论（PAC 学习界）形式化样本复杂度差距。不熟悉复杂度符号的读者只需关注核心量化结论：传统理论需比实际部署多 100-1000 倍样本。具体数学界限对前述设计模式并非必需。

- **传统界限**：$O(k \times d / \varepsilon^2)$ 个样本才能可靠分类
- **资源受限现实**：常常每类 <50 个样本
- **差距量级**：理论与实际相差 100-1000 倍

弥合这一差距需采用能挖掘问题结构的学习方法，如：

- **先验知识集成**：引入医学等领域知识收缩假设空间
- **多任务学习**：跨相关病害共享表征
- **主动学习**：有策略地选择最有信息量的样本标注

无标注数据下的学习

在样本复杂度挑战之外，资源受限环境常有大量无标注数据，标注却极为稀缺。农村诊所每天生成数千张诊断图片，但专家标注极为有限。自监督学习为从无标注数据中提取有用表征提供了理论框架。

对比学习理论 对比学习通过区分相似与不相似样本，无需显式标签即可学习表征。从系统工程角度看，这影响了部署架构：边缘设备可在日常运行中持续采集无标注数据，构建本地数据集，无需昂贵标注。区域服务器可对聚合的无标注数据做对比预训练，生成基础模型，边缘设备再用有限标注样本微调。

这种两阶段流程可将样本复杂度降低 5-15 倍。以作物监测为例，只要有数千张无标注田间图片，即使每类病害标注不足 50 张，也能实现 87% 检测准确率。系统挑战在于如何在带宽与算力受限下，管理区域级无监督预训练与边缘级有监督微调的流水线。

互信息界限 信息论可量化无标注数据对性能提升的极限。输入 X 与标签 Y 的互信息 $I(X;Y)$ 决定了任何学习算法的最大可达性能。自监督预训练通过学习输入分布中的任务相关结构，提高了有效互信息。

对社会公益应用而言，这意味着应优先选择：

- 无标注数据丰富（如医疗影像、农业传感器）的领域
- 任务间有共性结构（如相关病害、相似环境）的场景
- 可用领域知识指导表征学习（如医学、农业实践）的任务

通信与能耗感知学习

超越数据可用性，优化理论传统上假设算力充足，关注收敛速率。资源受限环境下，内存、算力、能耗等硬约束彻底改变了理论分析。

带宽受限下的联邦学习 分布式学习中，通信瓶颈往往主导总成本。以 n 个边缘设备、各自本地数据集 Di 和模型参数 θi 的联邦学习为例：

- **通信成本**：每轮 O(n × 模型体积)
- **计算成本**：O(本地迭代 × 梯度计算)
- **典型约束**：通信成本远大于计算成本

这颠覆了传统假设，需新理论框架，将通信效率作为首要优化目标。梯度压缩、稀疏更新、本地模型个性化等，成为理论驱动的必选项，而非工程优化。

能耗感知学习理论 电池供电部署引入了传统学习理论中不存在的能耗约束。每次模型推理都消耗可计量能量，需在准确率与续航间权衡。理论框架需将能耗预算作为一等公民：

- **单次推理能耗**：E_inf = α × 模型体积 + β × 计算时长
- **电池寿命**：T_battery = E_total / (推理频率 × E_inf + 静态能耗)
- **优化目标**：在 T_battery ≥ 部署需求前提下最大化准确率

这催生了能耗感知学习算法，明确以准确率换取寿命，通过自适应模型体积、占空比、分层处理等技术，在能耗预算内运行。

这些理论基础为前述设计模式提供了科学支撑。通信瓶颈、样本稀缺、能耗限制三大约束，直接催生了分层处理、渐进增强、分布式知识、自适应资源等架构。理解这些数学原理，有助于工程师根据具体部署场景，灵活调整与组合模式。

常见部署失败与社会技术陷阱

虽然本章讨论的工程挑战多为技术约束，但社会技术陷阱往往决定了 AI 向善项目的成败。这些陷阱源于技术系统与社会环境的交汇，工程假设与社区现实、部署环境、组织动态发生碰撞。

理解这些常见谬误，有助于团队预判并规避传统软件工程难以发现的风险。以下陷阱补充了前述技术约束，揭示了即使技术实现达标，仍可能失败的原因。

性能指标与真实影响的错位

认为技术性能指标可直接转化为现实影响，是 AI 向善部署中最普遍的谬误。团队常只关注准确率、延迟、吞吐等指标，忽视了实际采纳与效果的社会技术因素。

如某医疗诊断系统实验室准确率达 95%，但若需稳定网络、假定高识字率或输出为本地医生不熟悉的语言，则该 95% 指标毫无意义。技术指标仅反映能力，不代表社区会采纳、信任或受益。

此谬误常见于：系统采用西方交互模式，忽略本地技术素养、权威观念、决策习惯，导致完全失效；农业监测假定土地私有，集体耕作社区无法使用；教育平台以个人学习为核心，集体协作文化下难以落地。

根本错误在于混淆了技术优化与结果优化。技术指标反映受控环境下的系统行为，社会影响则取决于技术、用户、社区与制度的复杂互动。成功部署需从设计初期就考虑采纳障碍、文化融合与社区优先级。

基础设施隐性依赖

即使为资源受限环境设计，系统也常隐含对基础设施的错误假设，如网络、电力、维护与技术支持。

网络假设最常见。所谓“离线优先”系统，往往仍需定期联网更新、同步或远程监控。农村可能数周无网，卫星昂贵，移动网络仅特定运营商或时段可用。若系统需每日同步，实际只能每周或每月，便会失效。

电力假设同样致命。太阳能理论上可行，但需考虑季节、天气、灰尘、电池老化、部件被盗。若设计基于每日 6 小时日照，遇到 3-4 个月雨季就会崩溃。实验室电池寿命计算常过于乐观，实际环境温差、充放电循环、用户行为等都会影响。

维护与支持假设对长期可持续性影响最大。需更新、换件或排障的系统，必须考虑本地技术能力、供应链与交通。若传感器需每年换电池，但本地无货且运费高于设备价值，系统难以为继。

这些陷阱要求部署前全面分析长期运维现实。成功系统常引入冗余、优雅降级与社区维护，降低对外部基础设施依赖。

低估社会融合复杂性

技术团队常低估社区参与的复杂性，将其视为实现细节，而非塑造架构与部署策略的核心约束。结果是系统技术上可行，却无法融入社区实践与决策流程。

利益相关方识别常被简化。团队只与显性代表（诊所主任、校长、农技员）沟通，忽略

了传统领袖、妇女组织、青年团体、非正式网络等关键影响者。如孕产健康系统只与诊所沟通，未涵盖农村接生婆，实际部署会失败。

文化适应性假设也常出错。团队假定西方发展范式、个人决策模式、线性问题解决方式普适。实际社区可能更重集体共识、传统知识或仪式融合。教育技术若只强调个人成就，集体协作文化下难以采纳。

权力结构与同意流程常被忽视。社区可能因外部资源压力被动接受系统，表面热情实则有数据主权、文化适配、可持续性等担忧。真正的知情同意需理解社区决策机制、保障选择权、明确数据治理。

社区参与的广度常超出技术团队预期。有效参与需数月关系建设、多轮会议、多语种翻译、本地沟通规范与持续协商，直接影响项目周期、预算与架构。

避免技术“抽取”关系

AI 向善项目易无意中形成“抽取型”关系：社区贡献数据与劳动力，外部组织却掌控价值与系统演进。这是严重的伦理陷阱，影响社区自主与技术正义。

数据主权与治理问题突出。医疗监测涉及隐私，农业传感器有经济价值，教育平台追踪家庭信息。若无社区数据主权框架，数据易被挪作他用、第三方共享或被技术方变现。

AI 系统架构可通过中心化处理、外部训练、专有算法固化抽取关系。社区贡献数据，算法优化与系统升级却在外部完成，社区对系统维护与演进高度依赖外部专家。

能力建设也易流于表面。项目常培训社区成员操作与维护系统，但算法开发、架构决策与数据分析能力仍掌握在外部组织。

经济影响需警惕。AI 系统可能替代本地专家、减少传统服务需求或将经济活动导向外部技术方。农业监测可能减少农技员需求，教育技术减少教师岗位，健康监测转移资源离开社区健康工作者。

解决抽取风险需有意设计社区所有权、本地能力建设与经济可持续性。技术架构应支持本地处理、透明算法与社区主导的系统演进，经济模式应确保价值回流社区。

短期成功与长期可持续性的错位

许多 AI 向善项目只关注初期部署成功，忽视长期可持续性。短视导致系统虽早期表现亮眼，却难以建立持续运维与演进机制。

技术可持续性超越了前述的电力与资源约束。软件维护、安全更新、硬件兼容需持续技术投入。开源依赖可能引入漏洞、破坏性变更或失去维护。云服务可能变更价格、停用 API 或修改服务条款，影响系统生存。

财务可持续性常被忽视。项目资金覆盖开发与部署，却无后续运维预算。营收模式在资源受限区常不现实，目标社区支付能力有限。成本回收模式可能与公益目标冲突，或让最弱势群体难以获得服务。

组织可持续性同样关键。项目常依赖特定个人、团队或非营利组织。学术周期、资金续期、人员流动都可能导致项目中断。无健全治理与继任机制，系统易因关键人员离职或资金转向而崩溃。

社区所有权与本地能力决定系统能否随需求演进。外部依赖导致脆弱性，培训、文档与知识转移投入常被低估。

环境可持续性在受气候影响区尤为重要。电子垃圾、硬件稀土开采、云计算碳排放等，可能与环境正义目标冲突。全生命周期评估应考虑终端处置，尤其在缺乏电子垃圾处理的地区。

这些陷阱要求从技术实现延伸到财务、组织、社区与环境全生命周期的全面规划。

总结

AI 向善是 ML 技术最具挑战也最有价值的应用之一，要求系统在极端资源约束下高效运行，为弱势群体带来实质影响。社会影响型 AI 是可信体系的终极考验：系统必须对社区负责（第 17 章：可信 AI），在脆弱环境下保障安全（第 15 章：安全与隐私），足够稳健应对不可预测现实（第 16 章：稳健 AI），并能在有限资源下可持续运行（第 18 章：可持续 AI）。本章提出的设计模式，本质上就是约束下的可信架构。

这些环境带来独特工程挑战，包括电力有限、网络不稳定、数据稀疏、用户多样，要求系统设计创新。成功需超越传统部署模型，打造专为高影响、低资源场景设计的自适应、韧性系统。

系统性设计模式为社会影响型应用的复杂性提供了结构化方法。分层处理支持资源约束下的优雅降级，渐进增强让系统可随资源动态调整功能，分布式知识促进异构设备与网络间的协同，自适应资源管理则优化变化环境下的性能。这些模式协同，构建出在多样部署环境下依然可持续、可扩展的鲁棒系统。

> **核心要点**
>
> - AI 向善需专门工程方法，应对极端资源约束与多样运行环境
> - 设计模式为韧性系统提供系统框架：分层处理、渐进增强、分布式知识、自适应资源管理
> - 实现成功依赖于对部署环境、资源可用性与社区需求的全面分析

- 系统需在全算力光谱上平衡技术性能、可及性、可持续性与现实影响

农业监测到医疗服务等真实案例，既展现了 AI 在资源受限环境下的变革潜力，也揭示了落地的实际挑战。这些实践证明了情境感知设计、社区参与与持续本地适应的重要性。随着边缘计算、联邦学习、自适应架构等技术进步，AI 系统创造社会影响的机会持续扩大，唯有持续关注工程卓越与社会责任，方能实现真正的价值。

展望

本章聚焦于在极端资源约束下部署现有 ML 能力，将约束视为待克服的部署难题。但本章发展出的高效架构、联邦学习、边缘处理、自适应计算等模式，不仅是服务弱势环境的专用方案，更预示着未来所有 ML 系统的设计趋势 —— 隐私、能耗、可持续性等要求将使资源感知成为普遍需求。

通过社会公益应用培养的“约束优先”思维，为后续章节探讨的新兴研究方向奠定了基础。本章关注“如何在约束下部署现有 ML”，而后续章节将探讨“如何以约束为常态重新构想 ML 系统”。从适应约束到原生约束设计，正是 ML 系统研究的前沿，其影响远超社会影响应用，将重塑整个领域。

机器学习系统的前沿

机器学习系统的前沿领域充满无限可能。本章探讨 ML 系统的最新进展和未来趋势，包括新兴架构、先进算法以及跨学科应用。我们将展望自动化 ML、联邦学习、量子计算在 ML 中的应用，以及可持续 AI 的发展方向。通过前沿研究案例和趋势分析，您将洞察 ML 系统的演进轨迹，为未来的创新做好准备。本章适合对 ML 系统前沿感兴趣的研究人员、工程师和行业观察者。

第 20 章：通用人工智能系统

目标

为什么机器学习系统工程师必须理解前沿趋势并预判技术演进，而不仅仅是掌握当前实现？

机器学习系统处于技术快速迭代的环境中，昨日的前沿方法很快就会成为明日的遗留系统，工程师必须具备预判和适应变革的能力。与成熟工程领域不同，ML 系统持续受到算法突破、硬件革新和计算范式变化的冲击，系统架构需求也随之重塑。理解前沿趋势有助于工程师做出前瞻性设计决策，延长系统生命周期，避免技术死胡同，并为未来能力预留空间。随着企业对 ML 系统的长期投入，系统需在技术持续演进下稳定运行。研究前沿发展有助于培养战略思维，构建自适应系统，评估新技术与现有实现的优劣，并在生产环境中合理引入创新。

> **学习目标**
>
> - 定义通用人工智能（AGI），并通过领域通用性、知识迁移与持续学习能力区分其与窄域 AI
> - 分析当前 AI 的局限（缺乏因果推理、持久记忆与跨领域迁移）如何制约 AGI 进展
> - 比较 AGI 主要范式（扩展假说、神经符号混合、具身智能、多智能体系统），评估其工程权衡
> - 设计复合 AI 系统架构，通过集成专用组件实现超越单一模型的能力
> - 评估新兴架构范式（状态空间模型、能量模型、类脑计算）突破 Transformer

局限的潜力

- 评估先进训练方法（RLHF、宪法式 AI、持续学习）在开发对齐且自适应复合系统中的作用
- 识别 AGI 发展中的关键技术障碍，包括上下文限制、能耗约束、推理能力与对齐挑战
- 综合 AGI 级系统在优化、硬件加速与运维方面的基础设施需求
- 制定 ML 系统工程师在 AGI 时代的职业发展策略

从专用 AI 到通用智能

让 ChatGPT 规划一个复杂的多日项目，它会生成看似合理但逻辑有缺陷的方案。让它记住昨天对话的细节，它会失败。让它解释某方案为何有效时，它只会复述训练数据中的模式，而非真正理解。这些不是简单的 bug，而是架构性限制。当前最先进的模型缺乏持久记忆、因果推理和规划能力 —— 这些正是通用智能的核心特征。

从当下专用系统迈向通用人工智能（AGI），本质上是复杂系统集成的工程挑战。尽管大型系统已在自然语言、多模态推理等领域展现能力，但架构限制依然明显。机器学习系统正处于关键转折点，工程原则的融合让我们有机会构建超越现有限制的新系统，这需要新的理论框架和工程方法。

本章以系统工程视角，分析从专用系统到 AGI 的发展路径。核心观点认为，AGI 首先是系统集成问题，而非单一算法突破，需要协调异构计算组件、自适应记忆架构和跨领域持续学习机制，无需针对具体任务优化。

分析分为三大方向：一是将 AGI 视为系统集成问题，探讨因果推理、知识融合与跨领域迁移的限制；二是分析复合 AI 系统，通过专用组件编排，突破单一模型的能力瓶颈；三是探索能量模型、状态空间架构和类脑计算等新范式，为学习与推理提供不同路径。

这些前沿发展对机器学习系统工程的各个领域都产生深远影响。数据工程需支持多模态、流式和合成数据，挑战现有管道架构。训练基础设施需协调符号与统计学习的异构计算。模型优化需在保持新能力的同时，兼容多样硬件部署。运维系统需保障可靠性、安全性与对齐，尤其当系统能力逼近甚至超越人类认知时。

这些前沿不仅是技术问题，更关乎工程师在长期系统设计中的战略选择。当前关于数据表达、计算资源分配和系统模块化的决策，将决定 AGI 是通过渐进积累还是范式转变实现。工程原则将塑造人工智能的发展轨迹及其与人类认知系统的融合。

本章不做空想未来，而是以系统工程方法为基础，强调系统思维、规模化集成和关注复

杂组件交互下的涌现行为。AGI 是可实现的工程目标，需在现有能力基础上逐步扩展，同时正视超越窄域专用化的质变挑战。

AGI 定义：智能是一种系统问题

> **通用人工智能（AGI）定义**
>
> **通用人工智能（AGI）**指能够在所有知识与推理领域匹敌或超越人类认知能力的计算系统。与专用 AI 只擅长特定任务不同，AGI 具备三大特征：领域通用性（无需针对任务训练即可解决多领域问题）、知识迁移（能将某领域经验应用于完全不同领域）、持续学习（通过有限样本和交互不断提升）。AGI 的关键在于统一智能：应能胜任人类所有认知任务，从科研、创造性问题解决到战略规划。AGI 本质是系统工程挑战。当前如 ChatGPT、Claude 在语言领域表现突出，专用系统在棋类等领域击败人类冠军，但真正的 AGI 需整合感知、推理、规划与行动，并能无边界自适应架构 [a]。
>
> a. **智能与表现的区别**：@goertzel2007artificial 认为 AGI 是“在复杂环境中用有限计算资源实现复杂目标”。关键区别在于：人类能通过因果推理从少量样本泛化，而当前 AI 需大量数据做统计关联。符号落地问题（抽象符号如何与具身体验关联）在纯语言模型中尚未解决。

人类智能的认知架构值得借鉴。大脑通过分层集成协调专用子系统：感官皮层处理多模态输入，海马体整合情景记忆，前额叶皮层负责执行控制，小脑优化运动预测。各子系统计算原理不同，但能无缝协作，产生统一行为。这一生物蓝图启示 AGI 不会通过单一架构扩展实现，而需编排专用组件，正是本章复合系统方法的核心。

当前系统擅长模式匹配，但缺乏因果理解。ChatGPT 解物理题时，依赖训练数据的统计关联，而非物理定律建模。DALL-E 生成图片时，组合视觉模式但不理解三维结构或光照物理。这些限制源于架构约束：Transformer 通过注意力机制优化序列建模，但不适合因果推理或空间理解。

能量模型提供了另一种框架，有望弥补这一缺口，通过优化驱动推理，模拟生物系统通过能量最小化解决问题。与预测下一个 token 不同，这类系统寻找能量函数的全局最小解，有望实现真正的因果推理。

从专用系统到通用智能的路径，需在本书各领域取得突破：分布式训练（第 8 章：AI 训练）需协调异构架构，硬件加速（第 11 章：AI 加速）需支持多样计算模式，数据工程（第 6 章：数据工程）需合成因果训练样本。最关键的是，第 2 章：机器学习系统 的集成原则需进化，编排不同表征框架。

当前 AGI 研究分为四大范式，各自给出不同的实现路径。这些不仅是学术争论，更决定

了工程路线、资源需求和时间预期。

扩展假说

第一个范式源于当前成功经验。

扩展假说由 OpenAI、Anthropic 等提出，认为只需持续扩展 Transformer 架构，AGI 就会自然涌现。该方法基于扩展定律：参数每提升 10 倍，能力可预测性增强，AGI 似乎就在指数曲线尽头。若成立，AGI 训练约需 2.5×10^{2}☒ FLOPs[675]，是 GPT-4 估算算力的 250 倍。

如此规模需数据中心协调（第 8 章：AI 训练）和更高硬件利用率（第 11 章：AI 加速），以实现经济可行。规模压力推动后摩尔时代架构探索：3D 堆叠提升密度，光互连降低通信开销，内存计算减少数据搬运。

神经符号混合架构

扩展假说面临关键挑战：Transformer 擅长关联，但因果推理能力弱。ChatGPT 解释飞机为何能飞时，复述训练模式而非理解空气动力学原理。此局限催生第二范式。

神经符号方法认为，单纯扩展无法实现 AGI，因为统计学习与逻辑推理本质不同。混合系统将神经网络用于感知与模式识别，符号引擎用于推理与规划。AlphaGeometry 就是典型案例：神经网络引导定理搜索，符号引擎验证证明，解决了近年 IMO 几何题 25/30。

工程上，神经符号系统需融合两种计算范式。神经组件处理连续表征，梯度下降优化；符号组件处理离散符号，逻辑推理。集成挑战包括表征对齐（向量与符号结构映射）、计算协调（GPU 神经运算与 CPU 符号推理调度）、学习同步（如何反向传播非可微符号操作）。框架基础设施（第 7 章：AI 框架）需支持异构计算统一训练。

具身智能

扩展与神经符号方法都假设智能可由非具身计算涌现。第三范式则认为，真正智能需与物理世界深度结合。

具身智能范式源自机器人研究，主张智能需感知 - 运动基础。抽象推理源于物理交互，而非纯计算。RT-2 已初步实现：通过视觉 - 语言模型在机器人数据上微调，将互联网知识迁移到物理操作。

675. **AGI 计算需求估算**：基于 Chinchilla 扩展定律，AGI 可能需 2.5×10^{2}☒ FLOPs（约为 GPT-4 的 250 倍）。生物基线估算为 6.3×10^{23} 操作。以 H100 效率计算：需 17.5 万 GPU 连续一年，耗电 122 兆瓦，总成本约 520 亿美元（含基础设施）。假设架构无突破，实际需求可能有数量级差异。

具身系统面临独特工程约束：实时控制需亚 100 毫秒推理延迟，必须端侧部署（第 14 章：设备端学习），而非云端推理。功耗限制计算预算：移动机器人仅 100W，数据中心则数兆瓦。安全关键需形式化验证，超越纯学习系统的统计保障。这些约束或许是优势：生物智能正是在类似资源约束下进化，AGI 可能更适合在具身系统而非数据中心模型中实现。

第四范式，多智能体系统，认为智能不是单体涌现，而是交互协作的结果。类似分布式软件系统，这类方法需强大运维基础设施（第 13 章：机器学习运维）。OpenAI 的捉迷藏智能体通过竞争涌现新策略，AutoGPT 展现早期自主能力，但受限于上下文窗口和误差累积。

这四大范式（扩展、神经符号、具身、多智能体）并非互斥。最有前景的路径可能是融合：大规模算力驱动混合架构，将抽象推理与物理或模拟具身结合，多智能体协作解决复杂问题。最终指向复合 AI 系统，这一架构框架有望将各范式整合为可落地实现。

复合 AI 系统框架

迈向 AGI 的主流路径是“复合 AI 系统”：多个专用组件协同，而非单一模型。这一架构范式是理解如何将现有技术积木组装为未来智能系统的核心。

现代 AI 助手已体现复合架构。ChatGPT 集成了文本生成语言模型、代码解释器、网页搜索和 DALL-E 图像生成。各组件专注于特定任务，由中央编排器协调交互。当你让 ChatGPT 分析股市趋势时，它可能调用网页搜索获取实时数据，代码解释器做统计分析，语言模型负责解读，单一组件无法独立完成。

类比现代企业或政府。单体 AGI 如同让 CEO 兼任会计、市场、工程、法务，既不专业也不具备扩展性。复合 AI 系统则如高效组织：CEO（编排器）负责战略与分工，专用部门如图书馆（知识检索）、法务（安全与对齐过滤）、工程团队（专用工具与模型）。智能涌现于专用组件协作，而非单一全能体。

复合方法的优势

复合方法相较单一模型有五大优势：

模块化 组件可独立升级，无需全系统重训。如 OpenAI 更新代码解释器，只需替换模块，无需动语言模型，类似更换显卡而非整机。

专业化 各组件针对任务优化。专用检索系统用向量数据库远胜语言模型死记硬背，正如 ASIC 芯片在特定计算上优于通用 CPU。

可解释性 决策路径可追溯。系统出错时，工程师能定位是检索、推理还是生成环节失误，而端到端模型则难以溯源。

可扩展性 新能力可模块化集成，无需架构重构。添加语音识别或机器人控制，只需加模块，无需重训万亿参数模型。

安全性 多层专用验证器逐步约束输出。文本生成有毒性过滤，事实验证器查证内容，安全监控防止有害行为，形成多层防线，而非寄希望于单一模型自律。

这些优势解释了为何主流 AI 实验室纷纷转向复合架构。Google Gemini 分别编码文本、图像、音频，Anthropic Claude 集成宪法式 AI 组件自我改进。本书贯穿的工程原则 —— 分布式系统、工作流编排 —— 正是复合系统的技术基础。

复合智能的技术积木

从单一模型到复合 AI 系统的演进，需在数据工程、组件集成和基础设施扩展上取得突破。这些技术积木决定复合智能能否实现 AGI 所需的灵活性与能力。每个组件既解决当前方法的局限，也带来新的工程挑战，涵盖数据可用性、系统集成与算力扩展。

下图展示了这些积木在复合 AI 架构中的集成方式：专用数据工程组件为知识检索系统供料，动态架构让 LLM 编排器通过专家混合模式高效路由计算，先进训练范式驱动安全过滤器实现宪法式 AI。理解各积木及其集成，是工程未来智能系统的基础。

大规模数据工程

数据工程是复合 AI 系统的首要积木。复合系统需先进的数据工程为专用组件供料，而机器学习正面临数据可用性危机。模型需求规模可见一斑：GPT-3 用 3000 亿 token（OpenAI），GPT-4 估算超 10 万亿 token（扩展定律推算 [676]），而研究估算全网高质量 token 仅 4.6-17 万亿 [677]。照此消耗速度，传统网页文本数据或将在 2026 年耗尽，迫使探索合成数据与新扩展路径。

三种数据工程方法通过复合系统设计应对挑战：

676. **Chinchilla 扩展定律**：DeepMind 2022 年发现，模型性能需参数 N 与训练 token D 均衡扩展，$N \propto D^{0.74}$。此前模型训练不足：GPT-3（175B 参数，300B token）应用 4.6T token 才最优。Chinchilla（70B 参数，1.4T token）虽更小却性能更强，证明数据质量比模型规模更重要。

677. **数据可用性危机**：高质量训练数据或将在 2026 年耗尽。GPT-3 用 300B token，GPT-4 估算超 10T token，研究估算全网高质量 token 仅 4.6-17T。需探索合成数据与新扩展路径。

自监督学习组件 自监督学习让复合 AI 系统突破标注数据瓶颈。监督学习需人工标注每个样本，自监督则从数据结构本身提取知识，学习原始信息中的模式、关系与规律。

生物学先例很有启发。人脑每秒处理约 10^{11} 位感官输入，但显式反馈仅 10^{4} 位/秒，99.99% 学习靠自监督模式提取。儿童学会物体恒存不是靠标注，而是观察物体消失再出现。物理知识也不是靠公式，而是看物体落下、滚动、碰撞。

LeCun 称自监督学习是智能的“暗物质”，虽不可见却占据学习宇宙的绝大部分。当前语言模型仅通过下一个 token 预测，属于原始自监督，只学到统计关联而非因果理解。ChatGPT 预测“apple”在“red”后，仅用共现统计，而非理解苹果为何是红色。

联合嵌入预测架构（JEPA）[678] 展示了更高级方法。JEPA 不预测像素或 token，而是学习世界状态的抽象表征。看一段球滚下斜坡的视频，JEPA 不逐帧预测像素，而是学习轨迹、动量、碰撞等抽象概念，可迁移到不同对象和场景。抽象表征比像素预测采样效率高 3 倍，且能学到可复用知识。

复合系统中，自监督学习让各专用组件从自然数据域自主学习。视觉模块学图像，语言模块学文本，动力学模块学视频，无需人工标注。工程挑战在于协调多样学习过程：表征跨模态对齐，组件更新防遗忘，系统扩展保持一致。框架基础设施（第 7 章：AI 框架）需支持异构自监督目标统一训练。

合成数据生成 复合系统通过引导合成生成自有训练数据，而非仅依赖人类内容。看似悖论：模型自我生成数据会不会退化？答案在于专用组件间的引导生成与验证。

微软 Phi-2（2.7B 参数）主要用合成数据，性能媲美 GPT-3.5（175B），Anthropic 通过迭代生成数百万宪法式 AI 样本。宪法式 AI 就是典型：一组件生成响应，另一组件按原则批判，第三组件改进版本。每轮迭代都能生成优于原始质量的训练样本。

复合方法让数据工程从清洗现有数据转向合成最优训练样本。微软 Phi 系列用大模型生成教科书级解释，训练数据比网页爬取更干净。复合系统可设专用数据生成组件，为其他组件生成领域专用训练样本。

自对弈组件 AlphaGo Zero 展示了复合系统关键原则：组件可通过自对弈自举专业能力，无需人类数据。随机起步，仅靠自对弈强化学习，72 小时内超越人类围棋水平。

这一原则可扩展到复合系统专用组件。OpenAI 辩论模型自我争论寻求真理，Anthropic 模型自我批判输出，DeepMind AlphaCode 生成百万程序并自测。每次交互都能生成新训练数据，探索解空间。

678. **联合嵌入预测架构（JEPA）**：Meta AI 框架，用于学习世界模型抽象表征。V-JEPA 仅靠视频学会物体恒存和物理，无需标签或奖励。创新点：在潜空间预测而非像素空间，类似人类抽象想象而非细致可视化。

复合系统实现需数据管道支持动态生成：管理自生成样本流，质量过滤，防止模式坍缩。工程挑战在于编排多自对弈组件，保持多样性，防止系统收敛到次优模式。

网规模数据处理 高质量文本有限，但自监督、合成生成、自对弈可创造新数据源。互联网长尾资源为复合系统提供新机会：GitHub 仓库、学术论文、技术文档、专业论坛。Common Crawl 含 2500 亿网页，GitHub 2 亿仓库，arXiv 200 万论文，Reddit 30 亿评论，总计超 100 万亿 token，质量参差不齐。挑战在于提取与质量评估，而非可用性。

现代复合系统采用多级过滤管道（见下图），专用组件分工：去重清理网页冗余（30-60%）、质量分类器识别高价值内容、领域提取器处理代码、数学、科学文本。处理强度极高：GPT-4 训练或处理 100 万亿原始 token，最终仅提取 10-13 万亿训练 token，约 90% 数据被丢弃：去重 30%，再过滤 80-90%。

这标志着从批处理到连续、智能数据筛选的转变，多专用组件协作，将原始互联网数据转化为可训练内容。

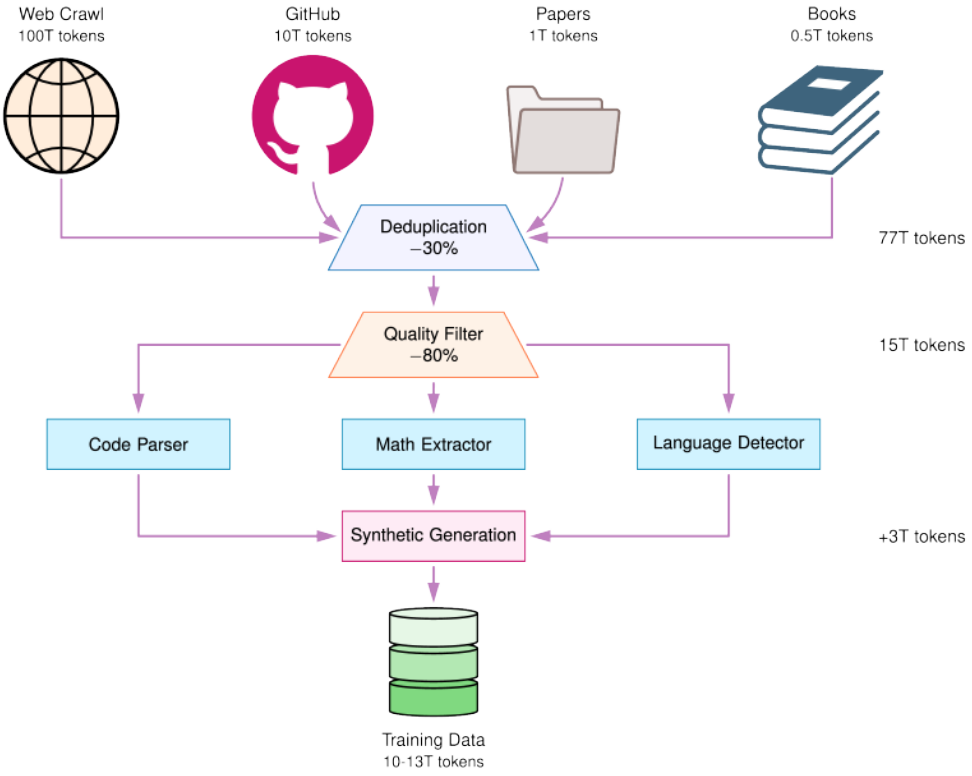

数据工程管道示意：多级管道将 100 万亿原始 token 转化为 10-13 万亿高质量训练 token。每级过滤日益复杂，合成生成补充最终数据集。管道从简单爬取进化为智能数据筛选系统。

上图管道揭示关键洞见：瓶颈不是数据可用性，而是处理能力。起步 111.5 万亿原始 token，激进过滤后仅剩 10-13 万亿训练 token，90% 以上被丢弃。对 ML 工程师而言，

提高过滤器质量比扩充原始数据更有效。过滤精度提升 10%，可多得 1 万亿高质量 token，相当于多一倍书籍。

这些数据工程方法（合成生成、自对弈、高级采集）是复合 AI 系统的首要技术积木，将数据限制从障碍变为创新机会，专用组件持续生成、过滤、处理数据流。

高质量训练数据只是复合系统挑战的一部分。下一个技术积木是架构创新，实现专用组件高效计算与系统一致性。

复合系统的动态架构

复合系统需动态架构，能根据任务需求与输入特征自适应计算。本节探讨通过选择性计算与智能路由实现高效专业化的架构创新。专家混合等方法让系统仅激活相关组件，提升计算效率同时保持能力。

选择性计算实现专业化 复合系统面临效率挑战：并非所有组件都需对每个任务激活。数学题与翻译、代码生成所需处理完全不同。密集单体模型每个输入都激活全部参数，规模化后极度低效。

GPT-3（175B 参数）每个 token 激活全部参数，需 350GB 内存、350 GFLOPs。实际每次预测仅 10-20% 参数有贡献，80-90% 计算被浪费。此低效促使架构设计转向选择性激活。

复合系统中的专家路由 专家混合（MoE）架构在模型层面体现复合系统原则：专用组件通过智能路由激活。输入不再全部参数处理，而是由多个专家网络组成，各自专攻不同问题类型。路由机制（门控函数）决定每个输入由哪些专家处理，如下图所示。

路由器通过线性变换加 softmax 计算各专家概率，通常每 token 选 top-2 专家。负载均衡损失确保专家均匀利用，防止只用少数专家。此模式可自然扩展到复合系统，路由不同模型、工具、处理管道，按输入特征分配。

如下图所示，token 进入系统时，路由器评估相关专家权重。“2+2=”高权重（0.7）分配给算术专家，视觉或语言专家权重为零。“Bonjour means”则激活翻译专家。GPT-4 传闻用 8 个 220B 参数专家模型（未公开），每 token 激活 2 个，实际计算 280B 参数，总容量 1.8T，推理速度提升 5-7 倍。

系统挑战包括专家负载均衡、防止路由塌缩、管理不规则内存访问。复合系统同样需在模型、数据库、管道间路由，需复杂编排基础设施。

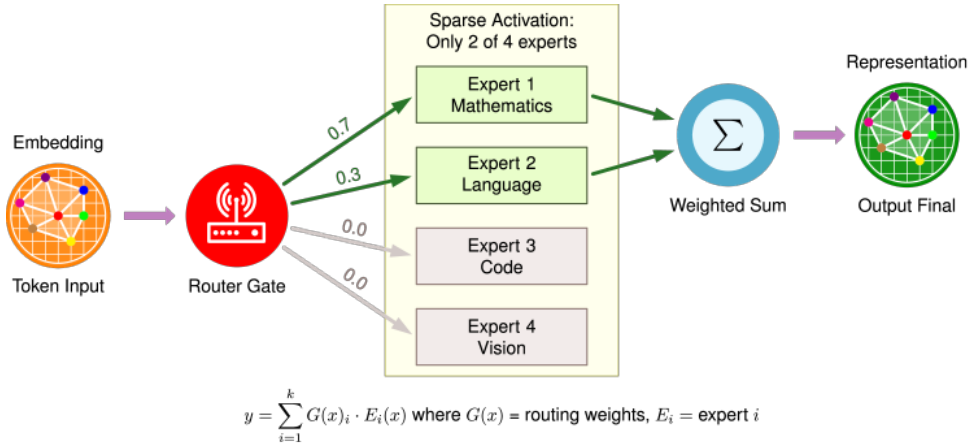

专家混合（MoE）路由示意：条件计算通过智能路由实现高效扩展至万亿参数。路由器（门控函数）决定每 token 激活哪些专家，仅相关专家参与。稀疏激活降低计算成本，保持模型容量，但带来负载均衡与内存访问挑战。

复合系统的外部记忆 除路由效率外，复合系统需突破单模型约束的记忆架构。Transformer 随序列长度二次扩展内存，推理时知识访问受限，无法实现长上下文跨组件推理。

检索增强生成（RAG）[679] 通过外部记忆库让多组件共享知识。知识不再全部编码于参数，专用检索组件可查询数十亿文档，将相关信息融入生成。这让架构从纯参数化转向参数 - 非参数混合。

复合系统可让多组件共享知识库，高效跨内容类型相似性检索，协同支持复杂多步推理。

模块化推理架构 多步推理是复合系统优势：复杂问题拆分为可验证组件。单体模型可直接回答简单问题，但多步问题误差累积（每步 90% 准确率，5 步仅 59% 总准确率）。GPT-3 在复杂推理上错误率达 40-60%，主要因中间步骤失败。

思维链提示与模块化推理架构通过分解让不同组件处理不同推理阶段，验证组件可检查并纠正中间步骤。思维链提示让 GSM8K 准确率从 17.9% 提升至 58.1%，步骤验证可达 78.2%。

此架构方法 —— 复杂任务分解、专用组件协作、结构化接口 —— 正是复合系统核心模式。

679. **检索增强生成（RAG）**：Meta AI 2020 年提出，RAG 将参数知识（模型权重）与非参数知识（外部数据库检索）结合。Facebook RAG 检索 2100 万维基段落，模型可访问最新信息，无需重训。现代 RAG 如 ChatGPT 插件、Bing Chat 支持数十亿文档，检索延迟亚秒级。

这些创新展示了从静态架构到动态复合系统的转变，实现计算路由、外部记忆访问、推理分解。为 AGI 级智能提供了复杂编排基础。

动态架构提供了复杂编排机制，但仍受底层范式算力约束。Transformer 虽是当前突破基础，但扩展受限，复合系统终需突破。下节将探讨可能成为计算基石的新架构范式。

AGI 的替代架构

上述动态架构扩展了 Transformer 能力，但其核心计算模式 —— 注意力机制 —— 需每元素两两比较，导致二次扩展，长上下文处理成本极高。自回归生成限制了模型只能顺序、左到右处理，难以根据后续约束修正早期决策。这些限制表明，AGI 可能需突破现有范式。

本节分析三大新兴范式，分别通过不同计算原理突破 Transformer 局限：状态空间模型高效长上下文处理，能量模型优化驱动推理，世界模型实现因果理解。每种方法都可能成为未来复合智能系统的技术积木。

状态空间模型：高效长上下文处理

Transformer 注意力机制需每 token 两两比较，导致二次扩展：10 万 token 需 100 亿次比较。高昂计算成本限制了上下文窗口，处理长文档、多小时对话或整库代码实时应用难以实现。

状态空间模型提供了替代方案：通过维护压缩记忆高效处理序列。不是每次都关注全部历史 token，而是维护一个随新 token 到来增量更新的压缩表征。类似于持续总结而非每次重读全部历史。

Mamba、RWKV、液体时间常数网络等模型证明该方法可在线性扩展下匹敌 Transformer 性能。Mamba 用输入相关参数的选择性状态空间，长序列（10 万 token）吞吐量提升 5 倍。Mamba-7B 在文本任务上与 Transformer-7B 性能相当，但 10 万 token 序列内存仅为后者 1/5。RWKV 结合 RNN 高效推理与 Transformer 并行训练，液体时间常数网络可根据输入自适应动力学，适合时序与连续控制任务。

系统工程影响深远。线性扩展让模型可处理书本级上下文、多小时对话、整库代码，需重构数据加载策略（MB 级输入）、内存管理（流式而非批处理）、分布式推理模式（优化顺序处理而非并行注意力）。

状态空间模型仍属实验阶段。Transformer 受益于多年优化，从专用硬件内核（FlashAttention、CUDA 优化）到分布式训练框架（张量并行、流水线并行 第 8 章：AI 训练），到部署基础设施。替代架构需不仅能力匹敌，还要证明重建优化生态的工程价值。复合系统最实用的可能是混合方法：Transformer 处理并行注意力任务，状态空间

模型处理长序列，通过编排模式协同。

能量模型：优化驱动学习

当前语言模型通过预测下一个 token 逐步生成文本，每步都依赖前序 token。自回归方法在复杂推理上有关键限制：难以根据后续约束修正早期决策，难以全局优化，易产生局部连贯但整体不一致输出。

能量模型（EBM）采用不同方法：学习能量函数 $E(x)$，对概率高或理想配置 x 赋低能量，对不理想配置赋高能量。推理不是直接生成，而是通过优化寻找能量最小解。此范式带来自回归模型无法实现的能力：

全局优化：EBM 可同时考虑多约束，而非逐步局部决策。规划、约束满足、多步推理尤为关键。

多解表达：能量景观自然表示多种有效解，区别于自回归模型只能单一路径。

双向推理：EBM 可从目标反推前提，而自回归只能单向生成。

不确定性量化：能量水平可衡量解质量与置信度，支持不确定环境下稳健决策。

系统工程挑战巨大。推理需解优化问题，维度高时计算极为昂贵。训练常用对比学习，需通过 MCMC 采样 [680] 生成负样本，计算量极大。优化景观多局部极小值，需复杂推理算法。

这些挑战带来系统创新机会。专用优化硬件（量子退火、光计算）可为 EBM 推理提供算力优势。分层能量模型可将复杂问题分解为可处理子问题。混合架构可结合自回归快速生成与 EBM 精细优化，提升解质量。

在复合 AI 系统中，EBM 可作为专用推理组件，处理约束满足、规划与验证任务。自回归模型生成流畅文本，EBM 保证逻辑一致与约束满足。分工协作，优势互补，正是复合系统原则。

世界模型与预测学习

基于自监督学习原则，真正 AGI 需世界模型：学习环境因果关系的内部表征，支持跨领域预测、规划与推理。

世界模型是内部模拟，捕捉因果关系，能预测行动后果、推理反事实、规划目标序列。当前 AI 仅通过下一个 token 预测表面模式，世界模型则理解机制：雨导致湿（而非“rain”与“wet”共现），推动物体会移动，行动有持续后果。

680. **马尔可夫链蒙特卡洛（MCMC）**：统计采样方法，用马尔可夫链生成复杂分布样本。ML 中用于能量模型对比学习生成负样本。维度高时每轮需 1000-10000 次采样，计算成本指数级增长。

这一范式转向 JEPA 框架，超越自回归生成，迈向能理解因果的预测智能。未来 AGI 将在抽象表征空间预测行动后果，实现真正的规划与推理。

系统工程挑战包括：平台需处理 PB 级多模态数据，提取压缩世界模型；架构需支持多模态时序同步（视觉、音频、感知）；训练需实现流式数据持续学习，防止灾难性遗忘。

复合系统中，世界模型组件可提供因果理解与规划能力，其他组件负责感知、行动选择或交流。专业化发展领域世界模型（物理、社会、抽象），灵活组合实现复杂多领域推理。

混合架构集成策略

上述范式各自针对 Transformer 局限，计算方法互补。

无一能完全替代 Transformer，各自在特定领域表现突出，亦有短板。未来路径很可能是混合复合系统，结合 Transformer 并行处理与替代架构独特能力（长上下文、高效优化、因果理解）。

架构多样性影响训练范式（下节）与实现模式（后节）。训练需适应异构架构，计算模式各异。实现基础设施需支持按任务路由架构组件。复合 AI 系统框架为架构异质性提供组织原则。

后续关于复合智能训练与基础设施的章节适用于各架构范式，具体实现有所不同。理解架构替代方案，有助于把握训练、优化、硬件、运维如何适应不同计算基石。

复合系统的训练方法

复合系统开发需超越传统机器学习的复杂训练方法。多专用组件协同且确保与人类价值对齐，需复杂训练流程。人类反馈强化学习可用于复合架构，持续学习让系统在部署与交互中不断提升。

组件对齐

复合系统面临对齐挑战，需在可信 AI 原则（第 17 章：可信 AI）基础上，扩展到可能超越人类能力的系统：每个专用组件需与人类价值对齐，编排器需合理协调各组件。传统监督学习仅让模型预测人类写什么，而非人类真正需求。GPT-3 针对敏感历史提示输出差异大，部分评估显示有问题内容，反映网络分布而非事实。

复合系统中，任何组件失调都可能危及整体：检索组件检索偏见信息，推理组件延续有害刻板印象，安全过滤器漏检问题内容。

组件训练的人类反馈 为解决对齐挑战，人类反馈强化学习（RLHF）通过多阶段训练实现系统级对齐。训练不仅靠文本预测，还在训练管道内创建专用组件。

流程体现复合系统设计：生成组件对提示生成多响应，人类评估质量（有用性、准确性、安全性），奖励建模组件学习人类偏好，强化学习组件微调策略以最大化奖励（见下图）。每阶段都是专用组件，工程需求各异。

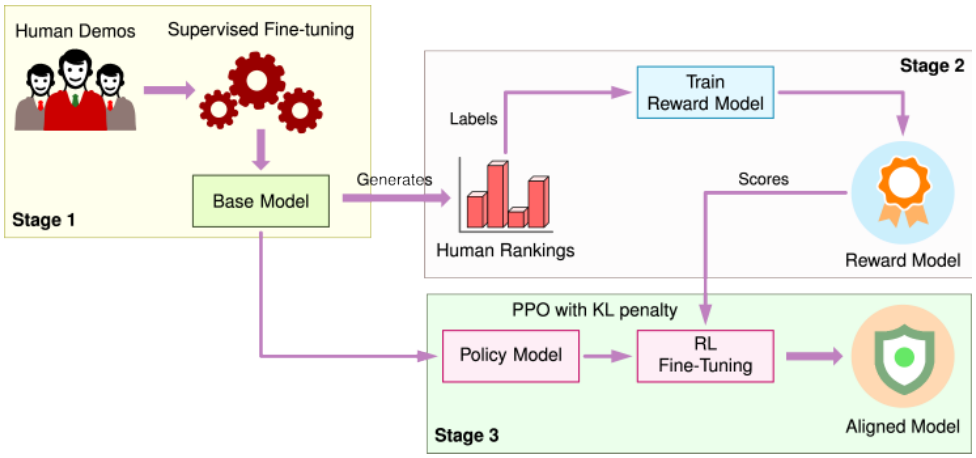

RLHF 训练管道：三阶段流程将基础语言模型转化为对齐助手。第一阶段用人类示范微调，第二阶段收集偏好训练奖励模型，第三阶段用强化学习（PPO）优化策略，KL 惩罚防止模式坍缩。底部反馈环代表持续迭代，模型常需多轮 RLHF，每轮需新鲜人类数据防止过拟合。

工程复杂度极高。每阶段需独立基础设施：第一阶段需示范收集系统，第二阶段需多输出并列评估界面，第三阶段需精细超参调优防止策略偏离原模型（如 KL 惩罚）。底部反馈环代表持续迭代，模型常需多轮 RLHF，每轮需新鲜人类数据防止奖励模型过拟合。

此方法带来显著提升：InstructGPT（1.3B 参数）在人类评估中优于 GPT-3（175B）[681]，证明对齐比规模更重要。对 ML 工程师而言，投资对齐基础设施比扩展算力更有价值：小 100 倍的对齐模型胜过大模型。

宪法式 AI：价值对齐学习 人类反馈成本高且一致性差：不同标注者偏好冲突，数十亿交互难以扩展人类监督 [682]。宪法式 AI 通过自动偏好学习解决瓶颈。

宪法式 AI 用原则（“宪法”）指导模型行为 [683]。模型生成响应，自我批判输出是否符合

681. **RLHF 效果**：InstructGPT（1.3B 参数）在 85% 人类评估中优于 GPT-3（175B），参数仅 1/100。RLHF 训练有害输出减少 90%，幻觉减少 40%，用户满意度提升 72%，证明对齐比规模更重要。
682. **人类反馈瓶颈**：ChatGPT 需 40 名标注者全职 3 个月生成 20 万标签。扩展到 GPT-4 需 1 万人。标注者一致性仅 70-80%。
683. **宪法式 AI 方法**：Bai 等实现用 16 条原则（如“避免有害内容”“保持有用”），模型自我批判 5 轮。有害输出减少约 90%，有用性基本保持（具体指标视评估而定）。

原则，迭代修正。自我改进循环消除人类瓶颈，保持对齐目标。

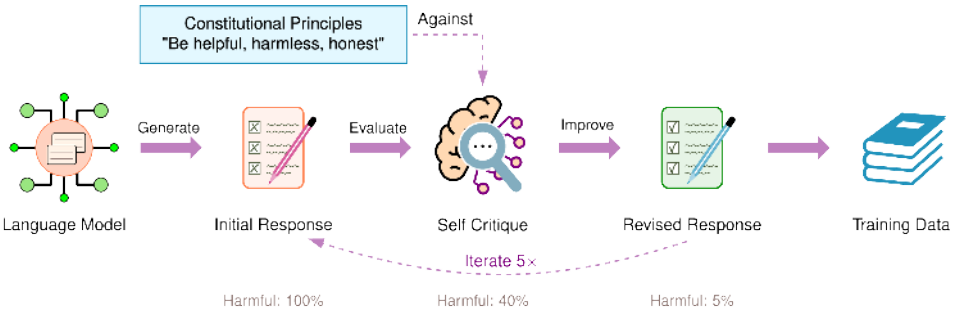

宪法式 AI 自我改进循环：迭代优化消除人类反馈瓶颈。每轮按宪法原则评估输出，生成批判，产出改进版本。5 轮后有害内容减少 95%，有用性基本保持。最终输出成为下一代训练数据。

该方法结合第 10 章模型优化的知识蒸馏技术，让模型通过原则自我精炼，而非教师模型指导。

持续学习：终身适应 部署模型面临限制：无法从用户交互中学习，需重训。每次对话都能提供宝贵反馈（纠错、澄清、新知识），但模型训练后即冻结[684]，训练数据与现实差距日益扩大。

持续学习目标是让模型能从交互中持续更新，防止灾难性遗忘：新知识学习会抹去旧知识[685]。标准梯度下降无差别覆盖参数，导致原有能力丧失。

解决方案需类设备端学习（第 14 章：设备端学习）的记忆管理，保护关键知识同时允许新学习。EWC 通过计算 Fisher 信息矩阵识别关键参数，重要参数变动受惩罚。渐进神经网络则为新知识新增路径，冻结原路径，确保旧能力不丧失。记忆回放技术周期性复习旧任务样本，保持性能。

这些训练创新（人类反馈对齐、原则自我改进、持续适应）将第 8 章 AI 训练范式转变为部署后可持续提升的动态学习系统。

AGI 级系统的生产基础设施

前述各节分析了 AGI 的新挑战：大规模数据工程、动态架构、复合智能训练范式。这些领域需新方法。三大基础积木（优化、硬件、运维）同样关键。它们无需全新技术，而是在本书前述框架基础上扩展。

684. **静态模型问题**：GPT-3 训练于 2021 年前数据，永久认为自己是 2021 年。模型无法学习用户偏好、纠错或新知识，重训成本数百万美元。
685. **灾难性遗忘**：神经网络新任务学习时，旧任务准确率损失 20-80%。语言模型在专业领域微调后，通用对话能力下降 30-50%。弹性权重固化（EWC）等方法通过识别关键参数并惩罚变动，保护旧知识。

本节简要梳理优化（第 10 章：模型优化）、硬件加速（第 11 章：AI 加速）、MLOps（第 13 章：机器学习运维）在 AGI 级系统中的演进。关键洞见：规模与协调挑战极大，但工程原则与本书内容一致。

优化：动态智能分配 第 10 章模型优化技术在 AGI 中意义更大，从静态压缩转向复合系统动态智能分配。当前模型每次输入都激活全部参数，GPT-4 回答“2+2=4”时，动用与量子力学推理同样的万亿参数，类似用超算做加法。AGI 系统需根据输入复杂度选择性激活，避免低效。

专家混合架构展示了稀疏自适应计算方法：输入仅路由至相关模型容量。进一步，动态计算根据问题难度分配算力，简单查询秒级响应，复杂推理可用大量资源。需系统工程实现实时难度评估与算力弹性扩展。

AGI 系统可采用蒸馏级联，大模型教小模型，形成专业化模型族。类比人类组织：初级员工处理常规任务，高级专家解决复杂问题。知识蒸馏技术（第 10 章）可创建能力不减的小模型，常规任务算力消耗更低。系统工程挑战在于编排层级，任务路由至合适算力层级。

第 10 章优化原则（剪枝、量化、蒸馏）仍是基础，AGI 系统只是将其动态应用于复合架构，而非静态单模型。

硬件：突破摩尔定律 第 11 章硬件加速原则为基础，但 AGI 级需求需后摩尔时代架构。传统硅片扩展（1970-2010 年年均 30-50% 密度提升）已降至 10-20%（2010-2025）[686]。

GPT-4 级模型训练已需数千 GPU 并行（第 8 章），AGI 需扩展 100-1000 倍，需多层架构创新。

3D 堆叠与芯粒通过垂直集成与模块化提升密度。三星 176 层 3D NAND、AMD 多芯粒 EPYC 处理器已验证可行性 [687]。AGI 可混合专用处理器（矩阵单元、内存控制器、网络芯片），优化比例，需先进散热应对 1000W/cm^2 热流。

通信与内存瓶颈需光互连与内存计算。硅光子带宽达 100Tbps，能耗仅电互连 1/10，协调 10 万处理器必不可少 [688]。内存计算将算力直接部署于数据驻留处，能耗降低 100 倍，解决当前加速器能耗瓶颈。

686. **摩尔定律终结**：密度提升因物理极限（3-5nm 节点量子隧穿）、制造成本（单厂 200 亿美元）、功率密度极限而大幅放缓。需探索新计算范式。
687. **3D 堆叠与芯粒**：3D 方法密度提升 100 倍，但热流达 1000W/cm^2，需先进散热。芯粒架构可混合专用处理器，提升良率、降低成本。
688. **通信与内存创新**：光互连解决大规模处理器通信瓶颈。内存计算（如三星 HBM-PIM）消除数据搬运，适合参数访问主导的 AGI 工作负载。

长期路径包括类脑与量子混合系统。Intel Loihi、IBM TrueNorth 在事件驱动任务上能效提升 1000 倍。量子 - 经典混合可加速组合优化（架构搜索、超参调优），经典系统负责梯度计算 [689]。编程需复杂中间件，分解 AGI 工作流至异构计算范式。

第 11 章硬件加速原则（并行、内存层次优化、专用计算单元）仍是基础，AGI 系统需后摩尔创新，并协调异构架构。

运维：系统持续进化 第 13 章 MLOps 原则在 AGI 时代尤为关键，系统从静态模型转向动态、持续学习实体。三大运维挑战在 AGI 级别极度加剧，彻底改变模型部署与维护方式。

持续学习系统需实时从用户交互更新，同时保障安全与可靠。运维从离散版本（v1.0、v1.1、v2.0）转向持续进化，模型随时变化。传统版本控制、回滚、可复现性需重构。运维基础设施需支持在线模型更新，服务不中断，安全约束不变，静态模型部署（第 13 章）无此挑战。

测试与验证复杂化，需对比数百万用户个性化模型。传统 A/B 测试（第 13 章）假定每个变体体验一致，AGI 系统每用户模型略有不同。能力涌现可能突发，需检测细微性能回退。监控与可观测性原则（第 13 章）需扩展，检测能力变化而非仅性能指标。

安全监控需实时检测有害输出、提示注入、对抗攻击，覆盖数十亿交互。传统软件监控只跟踪系统指标（延迟、吞吐、错误率），AI 安全监控需理解语义内容、用户意图与潜在危害。需新工具结合稳健 AI（第 16 章）、安全隐私（第 15 章）、可信 AI（第 17 章）原则。运维挑战在于大规模部署安全系统，响应时间亚秒级。

第 13 章 MLOps 原则（CI/CD、监控、事件响应）仍是基础，AGI 系统需将其应用于持续进化、个性化模型，验证需语义而非纯指标。

集成系统架构设计

上述六大技术积木（数据工程、动态架构、训练范式、优化、硬件、运维）需协同工作，构建复合 AI 系统。新数据源供专用模型，动态架构高效路由计算，复杂训练对齐系统行为，优化实现规模化部署，后摩尔硬件提供算力基石，进化 MLOps 保证可靠持续运行。

关键在于，本书贯穿的工程原则为六大积木提供基础。AGI 开发是对这些原则的扩展，而非替代，需在前所未有的规模与协调复杂度下应用。下节将分析如何将这些积木编排为可运行的复合智能系统。

689. **新计算范式**：类脑芯片事件驱动任务能效提升 1000 倍，但需新编程模型。量子处理器在优化任务（IBM 1000+ 量子比特，Google Sycamore）有优势，混合系统编排难度大，计算时序差异巨大。

复合 AI 系统的生产部署

前述各节已梳理复合 AI 系统所需技术积木：新数据源与训练范式、突破 Transformer 局限的架构、支持异构组件的基础设施。这些积木是 AGI 开发的原材料。本节分析如何通过编排模式将其组装为可运行系统，实现生产级规模的组件协同。

复合 AI 系统框架提供了概念基础，但大规模实现需复杂编排基础设施。GPT-4 工具集成、Gemini 搜索增强、Claude 宪法式 AI 等生产系统，展示了专用组件如何协同，突破单一模型能力。工程复杂度在于管理组件交互、优雅处理故障、保持系统一致性，组件可独立演进。理解这些实现模式，是从概念到运维现实的桥梁。

下图展示了工程复杂度与具体性能指标：中央编排器在 10-50 毫秒内将用户请求路由至专用模块，组件间双向通信数据流 1-10 GB/s（文本 1 MB/s，代码 10 MB/s，多模态 1 GB/s），每组件迭代优化 100-500 毫秒往返，整个会话状态需 1-100 GB 内存。各组件工程挑战不同，优化策略（LLM：GPU 推理，检索：分布式索引，代码：安全沙箱）、硬件配置（编排器：CPU+ 内存，检索：SSD+ 带宽，计算：GPU 集群）、运维实践（延迟 SLA 亚秒级，99.9% 可用性，故障隔离）。故障模式包括组件超时（10-30 秒回退）、依赖故障（优雅降级）、协调死锁（断路器模式）。

关键技术障碍

前文探讨的各项技术积木（大规模数据工程、动态架构、替代范式、训练方法与基础设施组件）代表了迈向 AGI 的重大工程进展。但坦率地说，这些进步虽必要，却远未足够。当前机器学习系统距离通用人工智能（AGI）仍有五大关键障碍，每一项不仅是算法难题，更是需要全栈系统工程创新的系统性挑战。

理解这些障碍有两大意义：一是防止盲目乐观，认清未知领域能平衡对进展的热情与现实挑战的评估；二是指导研究优先级，明确障碍有助于聚焦工程力量，区分哪些可通过复合系统智能编排解决，哪些则需全新理论突破。有些障碍或许能靠现有技术巧妙编排化解，另一些则需尚未出现的根本创新。

以下五大障碍在与 AGI 研究者和系统工程师的交流中反复出现。每一项都代表着当前能力与 AGI 需求之间数量级的差距。更重要的是，这些障碍彼此关联：单点突破远远不够，AGI 需要多维度的协同进展。

五大关键障碍将当前机器学习系统与通用人工智能隔开。每一项不仅是算法难题，更是全栈系统工程问题，尽管复合系统方法可通过智能组件编排解决部分障碍。

请思考这些具体失败案例，它们揭示了当前系统与 AGI 之间的鸿沟：ChatGPT 能写代码，却无法在长时间调试会话中追踪变量状态；能解释量子力学，却无法在对话中学习

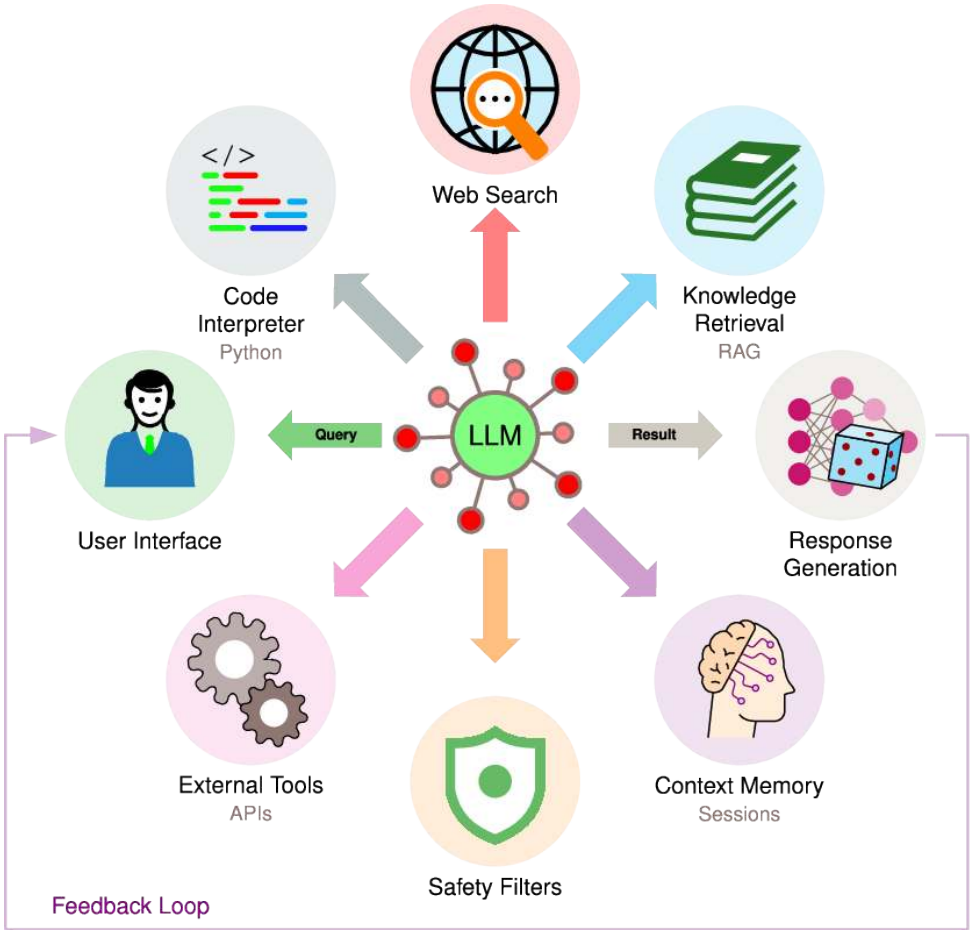

复合 AI 系统架构示意：现代 AI 助手通过中央编排器集成专用组件，实现超越单一模型的能力。各模块专注特定任务，LLM 协调信息流、决策与响应。架构支持独立扩展、专用优化与多层安全验证。

你的纠正；能做翻译，却缺乏文化语境，无法判断直译是否误导。这些不是小 bug，而是架构性限制。

记忆与上下文限制

人类工作记忆约能同时容纳七个项目，但长期记忆可存储一生的经历。当前 AI 系统则相反：Transformer 上下文窗口可达 128K token（约 10 万词），却无法跨会话保持信息。这导致系统能处理整本书，却记不住昨天的对话。

挑战不仅在于存储，更在于组织与检索。人类记忆具备层级结构（事件 - 天 - 年）和联想机制（气味触发童年回忆）。当前系统缺乏这些结构，对所有信息一视同仁。向量数据库可存储数十亿嵌入，但缺乏时间或语义组织；而人类能在毫秒级通过联想激活检索数十年记忆 [690]。

690. **联想记忆**：生物神经网络通过激活扩散实现信息回忆：一个记忆触发相关记忆。Hopfield 网络（1982）在计算上

要突破这些记忆限制，AGI 记忆系统需在第 6 章：数据工程基础上创新：支持多尺度检索的层级索引、能选择性遗忘无关信息的注意力机制，以及将短期交互固化为长期知识的经验整合。复合系统可通过不同时间尺度和检索机制的专用记忆组件来应对。

能效与计算规模

能耗同样是巨大挑战。GPT-4 训练估计消耗 50-100 GWh 电力，相当于 5 万户家庭一年的用电量 [691]。推算到 AGI，能耗将超过小国总量，带来经济与环境双重压力。

人脑仅用 20 瓦就能完成当前硬件需兆瓦级算力的任务 [692]。这种 6 个数量级的效率差异源于架构不同：生物神经元以约 1Hz 速率、化学信号计算，数字处理器以 GHz 频率、电子开关运行。尽管频率低，人脑的极度并行（10^{11} 神经元、10^{14} 连接）和模拟处理让其高效识别模式，而数字系统只能靠蛮力。这一效率鸿沟无法靠渐进改进弥合。解决方案需重构计算范式，基于第 18 章：可持续 AI：类脑架构用脉冲而非矩阵乘法计算、可逆计算回收能量、算法创新减少训练迭代数量级。

因果推理与规划能力

即使硬件高效，算法限制依然突出。当前模型擅长模式补全，但遇到新颖推理就力不从心。让 ChatGPT 规划旅行，能生成合理行程；让它解决新定理或设计实验，性能迅速下降 [693]。

真正推理需当前架构所缺的能力。三大要素：世界模型能内部模拟系统随时间变化（如理解“球掉落会下落”，而非仅知“dropped”与“fell”共现）；搜索机制能系统性探索解空间，而非仅靠模式匹配（如数学证明需假设、回溯，而非识别答案模式）；因果理解能区分相关与因果（如明白雨伞与下雨相关但不是因果，云才是因）。这些能力需超越第 4 章：DNN 架构的架构创新，或许需神经符号混合、认知科学启发的新架构 [694]。

实现了这一点，但扩展性差（$O(n^2)$ 存储）。现代方法包括可微神经字典和记忆增强网络。人类联想回忆可在 100-500 毫秒内检索千亿记忆。

691. **GPT-4 能耗**：训练估算 50-100 GWh（等于 5 万美国家庭年用电）。按 $0.10/kWh 及硬件折旧，训练成本超 1 亿美元。AGI 可能需 1000 倍以上。

692. **生物与数字效率对比**：大脑：~10^{1}☒ ops/sec ÷ 20W = 5 × 10^{13} ops/watt。H100 GPU：1.98 × 10^{1}☒ ops/sec ÷ 700W = 2.8 × 10^{12} ops/watt。效率比约 360 倍。需注意：生物神经元为模拟、化学信号并行，数字系统为精确、电子串行，机制不同，效率对比仅供参考。

693. **推理性能断崖**：LLM 在熟悉问题上准确率 90%+，但遇到真正新颖问题仅 10-30%。ARC 挑战（抽象与推理语料库）显示模型多为记忆模式而非学习抽象规则。

694. **推理与模式匹配区别**：**世界模型**：内部模拟预测后果（如“我走这步棋，对手可能回应...”）。当前 LLM 无持久状态，每次生成都从头开始。**搜索**：系统性探索与回溯。象棋程序搜索百万局面，LLM 仅顺序生成。**因果理解**：区分因果与相关。人类明白药物致愈合（即使相关性不完美），LLM 只学到“药物”与“愈合”共现。经典规划需显式状态、动作模型、目标与搜索算法，神经网络均无。神经符号方法尝试集成，但仅限窄域。

符号落地与具身智能

语言模型学会“cat”与“meow”“fur”共现，但从未体验过猫的温暖或听过猫叫。这一符号落地问题（符号与体验的连接）或许限制了无具身的智能。

机器人具身带来第 14 章：设备端学习的系统约束：实时推理（<100ms 控制环）、噪声传感器下持续学习、物理环境中安全探索 [695]。这些约束类似第 9 章：高效 AI，但对延迟与可靠性要求更高。而具身可能是理解“沉重”“光滑”“小心”等物理体验概念的关键。

AI 对齐与价值规范

最关键的障碍是确保 AGI 追求的是人类价值，而非优化简化目标导致有害后果 [696]。当前奖励函数多为代理（如最大化参与度、最小化错误），强力优化时易产生意外行为。

对齐需解决多重问题：价值规范（人类真正想要什么?）、稳健优化（目标追求不钻空子）、可修正性（能力提升后仍可修改）、可扩展监督（系统比监督者更强时如何控制）[697]。这些挑战横跨技术与哲学，需第 17 章：可信 AI 的可解释性、形式化验证与新目标规范框架。

> **对齐税：安全的永久运营成本**
>
> 保证 AGI 安全、对齐人类价值需持续投入算力、研究与人工监督。这一“对齐税”是永久运营成本，而非一次性问题。对齐 AGI 可能故意牺牲部分效率，将资源用于安全验证、价值检查、自我限制。系统需持续自监控、输出安全校验、保持监督通道，即使带来延迟或吞吐下降。对齐不是一次性工程障碍，而是大规模可信智能系统的持续成本。

这五大障碍构成了相互交织的挑战网络。单点突破远远不够，AGI 需多维度协同进展，如图 6 所示。本书贯穿的数据工程（第 6 章）、分布式训练（第 8 章）、稳健部署（第 13 章）等工程原则为应对每一障碍提供基础，但完整解决方案尚未出现。

这些挑战的规模促使我们重新思考 AGI 的组织结构。与其试图通过单体系统逐一攻克障碍，另一种路径是将智能分布在多个专用智能体之间，通过协作实现超越单体系统的能力。

695. **机器人系统需求**：波士顿动力 Atlas 机器人 1KHz 控制 28 个执行器。特斯拉 FSD 处理 36 路摄像头、36 FPS。两者都需 <10ms 推理延迟，云端处理无法满足。
696. **对齐失败案例**：YouTube 算法优化观看时长，导致极端内容泛滥。交易算法优化利润引发闪崩。AGI 若优化错误目标，可能带来生存风险。
697. **对齐技术挑战**：价值规范：Arrow 不可能定理表明偏好无法完美聚合。稳健优化：Goodhart 定律，指标被优化后就不再是好指标。可修正性：自修改系统可能移除安全约束。可扩展监督：人类无法验证自己无法解决的问题。

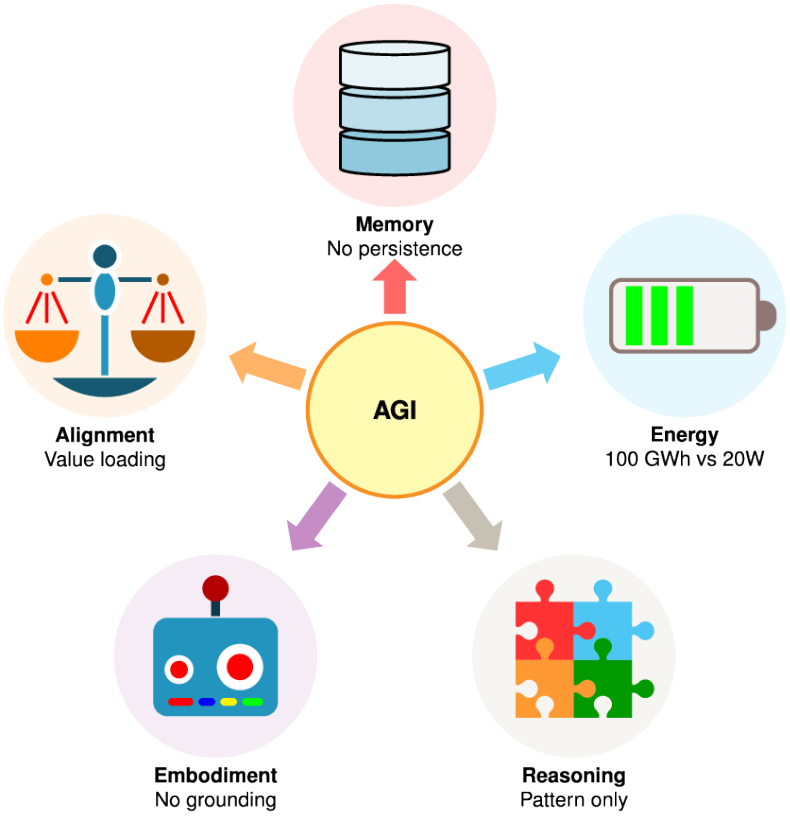

AGI 技术障碍示意：五大关键挑战需同时解决。每项都存在数量级差距：记忆需跨会话持久，能效需提升 1000 倍，推理需超越模式匹配，具身需符号落地，对齐需价值规范。红色箭头为关键阻断路径，灰色虚线为关键依赖。

多智能体协作下的涌现智能

上述技术障碍需要数量级突破，单体架构难以实现。每一障碍都是计算或扩展难题：无限上下文、生物级能效、因果推理、具身落地、能力扩展下的对齐。单体系统同时攻克所有障碍，难度呈指数级上升。

多智能体系统提供了另一种范式：智能涌现于专用智能体的交互，而非单一系统。这种方法不是靠蛮力突破障碍，而是通过分布式协作改变障碍本质。

这与复合 AI 系统框架一致：不是一个系统解决所有问题，而是专用组件通过结构化接口协作。多智能体系统将这一原则扩展到 AGI 规模，部分障碍可通过分布化规避。记忆限制可由专用智能体维护领域上下文解决；能效通过选择性激活提升；推理可分解到专用智能体并验证；具身可通过分布式物理实例化实现；对齐简化为窄域目标可验证。

AGI 级多智能体系统带来远超当前分布式系统的新工程挑战。理解这些挑战对评估多智能体路径是否可行至关重要，否则只是用新协调难题替代已知障碍。

另一条 AGI 路径或许是集体智能。不是单一 AGI 系统，而是专用智能体间的交互涌现智

能，这一愿景借鉴了分布式系统与 MLOps 实践。AGI 级多智能体系统面临的分布式协调挑战远超当前系统。

AGI 系统可能需协调数百万专用智能体，分布全球，而当前分布式系统仅协调数千服务器[698]。每个智能体可能是 GPT-4 级别，功耗达吉瓦级，协调延迟与带宽成为瓶颈。东京与纽约智能体通信往返延迟 150ms，远超毫秒级实时推理需求。

解决这些协调难题，首先需在不同领域建立智能体专业化。科学推理智能体处理 EB 级文献，创意智能体生成多媒体内容，战略智能体优化数十年规划，具身智能体控制机器人。每个智能体专注本职，通过通用接口协作。这类似现代软件系统将复杂功能拆解为微服务，但规模与复杂度前所未有。

这种专业化的有效性高度依赖智能体间的通信协议。与传统分布式系统仅交换状态不同，AGI 智能体需传递丰富语义信息，包括部分世界模型、推理链、不确定性估计与意图表征[699]。协议需将复杂认知状态压缩为网络包，同时在异构架构间保持语义一致。当前互联网协议无语义理解，未来 AGI 网络或需内容感知路由，理解推理上下文。

协议之外，网络拓扑设计对大规模高效通信至关重要。AGI 系统或需类生物神经组织的层级拓扑：本地智能体集群快速协调，区域枢纽跨域整合，全球层级保证系统一致性[700]。负载均衡算法需考虑语义亲和性，将相关推理任务路由至共享上下文的智能体。

这些架构考量自然引出共识机制问题。AGI 智能体的共识远比传统分布式系统复杂。区块链共识仅涉及简单状态转移，AGI 共识需处理冲突世界模型、推理链与主观价值判断[701]。科学推理智能体对实验解释有分歧，创意智能体艺术方向冲突，战略智能体政策建议对立，系统需能处理有益分歧而非强制一致。或许需声誉系统按历史准确性加权、按论据质量投票、元推理识别分歧是正常不确定还是智能体故障。

共识挑战在拜占庭容错下更为严峻。智能体不仅可能出错，还可能目标不同。与服务器随机故障不同，智能体故障或为系统性：如训练数据偏见导致持续错误，目标失调导致操纵他人，或被攻击传播虚假信息[702]。传统拜占庭算法需 3f+1 诚实节点容忍 f 个拜占庭节点，AGI 系统或面临更复杂的协同攻击，需全新防御机制。

698. **AGI 智能体规模**：估算 AGI 需 10⁴-10⁵ 专用智能体，覆盖所有领域人类能力。每个智能体或为 GPT-4 级或更大。协调复杂度 $O(n^2)$，无层级架构则无法扩展。
699. **AGI 通信复杂性**：智能体通信需传递等同完整推理状态的语义内容，单条消息或达 TB 级。当前 TCP/IP 协议无语义理解。未来 AGI 网络或用内容寻址路由、语义压缩、推理感知网络栈。
700. **AGI 网络拓扑**：层级网络将通信复杂度从 $O(n^2)$ 降至 $O(n \log n)$。生物神经网络采用类似层级：本地处理集群、区域整合区、全局协调结构。AGI 系统很可能需类似网络架构。
701. **AGI 共识复杂性**：不同于传统共识仅处理状态转移，AGI 共识涉及世界模型、主观价值、推理链竞争。需新机制处理语义分歧、论据质量评估、不确定性量化。
702. **AGI 拜占庭威胁**：除随机故障外，AGI 智能体面临系统性威胁：数据偏见致持续错误，目标失调致操纵，攻击致复杂虚假信息。防御需超越传统拜占庭容错。

最后，跨百万智能体的资源协调需新型分布式算法，超越当前编排框架。当多条推理链争夺算力、内存带宽、网络容量时，系统需实时资源分配，不仅考虑当前负载，还要预测推理复杂度。需超越 Kubernetes 的预测负载均衡、理解推理紧急性的优先级系统、资源受限时的优雅降级 [703]。

目标是涌现智能：智能体交互产生单体无法具备的能力。正如群体系统中简单规则涌现复杂行为，推理也可由简单智能体协作产生。整体大于部分之和，但前提是协调机制的系统工程设计。

多智能体方法需第 5 章：AI 工作流的编排、稳健通信基础设施，以及关注智能体交互导致意外行为的失效模式。

通往 AGI 的工程路径

从当前 AI 系统到通用人工智能的旅程，不仅需要理解技术可能性，更需战略性思考实际机会。前文调查了各项技术积木、新兴范式、技术障碍与替代组织结构。这一全面基础使得我们能针对实际机器学习系统工程师面临的关键问题提供切实可行的工程决策指导：这些前沿如何转化为可操作的工程决策？

理解 AGI 的终极挑战在智力上固然重要，但在操作上却远远不够。工程师需要实用的指导，将 AGI 前沿与当前工作连接起来：哪些机会值得现在投资，哪些挑战需要优先解决，以及 AGI 研究如何影响今天的生产系统设计。本节将 AGI 的遥远前景与近期工程决策之间的鸿沟连接起来。

这些技术积木（大规模数据工程、动态架构、替代范式、训练方法与后摩尔定律硬件）的融合，为机器学习系统工程师创造了具体机会。这些不是遥不可及的未来可能性，而是近期可行的项目，旨在提升当前能力，同时朝 AGI 迈进。然而，驾驭这些机会的过程也需面对技术深度、操作复杂性与组织动态等多方面的挑战。

本节将通过近期工程机会及其对应挑战的视角，审视从当前系统到 AGI 规模智能的实际路径。目标是为那些有意在未来十年内塑造人工智能发展轨迹的系统工程师提供可操作的指导。

机会全景：基础设施到应用

五大机会领域从基础设施平台开始，经过赋能技术，最终到达终端用户应用。每一层都建立在本书贯穿始终的系统工程原则基础上，同时将能力推向 AGI 规模系统。

703. **AGI 资源协调**：跨百万推理智能体管理算力需基于推理复杂度预测的负载均衡、理解推理紧急性的优先级系统、资源受限时的系统一致性优雅降级。

基础设施平台：基础层 下一代训练平台代表了这一领域的基础性机会。当前系统在应对新兴架构时效率低下：专家混合模型需要在 1000+ 个专家模块之间动态负载均衡，动态计算图要求即时编译与内存管理，而持续学习管道则需要实时更新参数而不中断服务。由于通信开销、负载不均与故障恢复，当前 GPU 集群在训练期间的利用率仅为 20-40%[704]。将利用率提升至 70-80% 将降低 40-60% 的训练成本，价值数十亿美元。能够构建处理这些挑战的平台的公司，将定义 AGI 的开发环境，因为传统框架已接近极限。

多模态处理平台提供了对文本、图像、音频、视频和传感器数据的统一处理能力。当前系统对每种模态分别进行优化，导致结合时工程复杂。统一平台代表了数千亿的未开发市场，在这些市场中，添加新模态只需配置更改，而非架构重设计。技术挑战在于共享表示学习、跨模态注意力机制与统一标记策略 —— 在前所未有的集成规模上应用第 4 章：DNN 架构的架构原理。

边缘云混合智能系统通过智能工作负载分配模糊了本地与远程计算的界限。处理在边缘设备上开始，以实现低于 100 毫秒的延迟，复杂推理动态卸载到云端资源，结果则透明地返回给应用。市场机会超过每年 500 亿美元，涵盖自动驾驶汽车、机器人技术和物联网应用。这需要结合第 14 章：设备端学习（端设备优化）与第 13 章：机器学习运维（分布式编排）的创新，通过自适应模型分区、预测性资源分配与上下文感知缓存策略。

赋能技术：智能能力 个性化 AI 系统能够在数月或数年内学习个人的工作流程、偏好和专业知识。这些系统不同于当前的“一刀切”模型，它们理解用户的专业水平，记住正在进行的项目，并调整沟通风格。构建这些系统需要解决持续学习的挑战：在不遗忘的情况下更新、管理长期记忆，以及来自第 15 章：安全与隐私的隐私保护技术。通过高效微调（降低 1000 倍成本）、用于个人知识库的检索系统以及用于自定义价值对齐的宪法 AI，技术基础已然存在 [705]。

实时智能系统通过低于 200 毫秒的响应时间开启了新的交互范式。自动驾驶汽车需要 <10 毫秒的感知到动作循环，对话式 AI 需要 <200 毫秒以实现自然交互，机器人手术则需要 <1 毫秒的控制循环 [706]。当前云端系统在最佳情况下也需 50-200 毫秒，因此需要在本地运行强大模型的边缘 AI 平台。为此，需要借助第 10 章：模型优化、第 11 章：AI 加速的压缩技术，以及处理连续数据流的实时智能架构。

704. **基础设施效率差距**：当前 GPU 集群训练期间利用率仅为 20-40%。AGI 规模系统需在百万 GPU 集群上实现 99.99% 的利用率，同时处理异构工作负载、故障容忍与动态资源分配。
705. **个性化技术基础**：高效微调（LoRA、适配器）将个性化成本从数百万美元降低到数千美元。增强检索生成使个人知识库成为可能。联邦学习允许在受益于全球知识的同时进行本地适应。
706. **实时延迟要求**：不同应用对时序有严格要求。200 毫秒与 2000 毫秒的区别在于交互模式：前者如同对话，后者则像是在操作一台慢电脑。

可解释 AI 系统为高风险决策提供可解释的推理，如医疗诊断、法律判决和金融投资。未来的架构将可解释性作为一流约束集成，而非事后对黑箱模型的解释，可能在透明度上牺牲边际性能。可解释 AI 市场预计将从 2023 年的 52 亿美元增长到 2030 年的 214 亿美元，推动因素包括监管要求（如欧盟 AI 法案、医疗器械批准）[707]。这需要具有形式化验证能力的推理痕迹系统、适应用户专业水平的交互式解释界面，以及从底层设计的可解释性模型架构。

终端用户应用：自动化与增强 工作流自动化系统通过人工监督编排多个 AI 组件，实现端到端任务完成。科学发现加速涉及 AI 系统自主假设、设计实验、分析结果和迭代，可能将研究速度提升几个数量级。创意生产管道自动化内容创作，从概念到最终制作，涵盖多种格式（文本、图像、视频、交互媒体）。软件开发系统理解自然语言需求，设计架构，实施代码，编写测试并部署到生产环境。麦肯锡估计，当前 60-70% 的工作岗位包含 30% 以上的可自动化活动，但由于集成复杂性，当前自动化仅覆盖不到 5% 的可能工作流 [708]。

这些应用建立在复合 AI 系统原则第 5 章：AI 工作流和对人机协作细致入微设计的基础上。

AGI 发展中的工程挑战

实现这些机会需要应对多维度的挑战。这些挑战不是孤立的技术问题，而是系统性问题，需在各个技术积木之间协调解决。

技术挑战：可靠性与性能 超高可靠性要求在 AGI 规模下愈发严峻。当训练一次需耗资数百万美元且涉及千上万组件时，即便是 99.9% 的可靠性也意味着频繁故障，导致数周的进展付诸东流。这就需要检查点机制，从最近状态重启，恢复机制挽救部分进展，以及优雅降级机制在组件故障时维持质量。从 99.9% 提升至 99.99% 的可靠性，故障率降低 10 倍，成本却是巨大的，需要冗余、预测性故障检测和容错算法。

异构系统编排的复杂性随着 CPU 进行预处理、GPU 进行矩阵运算、TPU[709] 进行推理、量子处理器进行优化、类脑芯片进行节能计算而加剧。这种异构性要求抽象出复杂性以简化开发，并优化不同计算范式的调度算法。目前的框架（如 TensorFlow、PyTorch，

707. **可解释性驱动因素**：欧盟 AI 法案要求对高风险应用提供解释。医疗器械批准要求可解释的决策过程。金融监管要求算法决策的审计追踪。这些要求推动了 60% 以上的可解释性市场增长。
708. **自动化潜力**：限制因素不在于能力，而在于集成复杂性。大多数自动化失败源于难以编排多个工具、管理多步骤工作流中错误传播，以及设计有效的人机协作模式。
709. **张量处理单元（TPU）**：谷歌为神经网络机器学习设计的定制 ASIC。第一代（2015 年）在推理时实现了比当时的 CPU/GPU 高 15-30 倍的性能和 30-80 倍的性能功耗比。TPU v4（2021 年）通过专用矩阵乘法单元提供 275 teraFLOPs 的训练能力。

详见第 7 章：AI 框架）假设硬件相对同质化，而 AGI 基础设施则需要新的抽象来支持多范式编排。

随着系统规模扩大，质量与效率的权衡愈发明显。实时系统由于延迟限制，往往无法使用最先进的模型 —— 这一困境随着模型能力的提升而加剧。优化挑战在于分层处理：简单模型处理常规情况，复杂模型仅在必要时激活，适应性算法根据可用时间调整计算深度，当精确计算不可行时提供近似结果的优雅降级。

操作挑战：测试与部署 当错误通过漫长的链条传播时，基于 AI 的工作流的验证与确认变得极为困难。早期阶段的一个小错误可能会使后续数小时或数天的工作无效。这就需要自动化测试来理解 AI 行为模式、检查点系统以便于从故障点回滚，以及当不确定性增加时触发人工审查的信心监测。这些测试框架（详见第 13 章：机器学习运维）需扩展以处理非确定性 AI 组件和涌现行为。

信任校准决定了人类何时应介入自动化系统。完全自动化往往失败，但确定最佳交接点需要理解技术能力和人因。挑战在于创建提供人类决策背景的界面、开发信任校准使人类知道何时介入，以及在自动化成为主流时保持人类在相关领域的专业知识。这借鉴了第 17 章：可信 AI 中负责任的 AI 原则，涉及人机协作。

语义级的安全监测需要理解内容和意图，而不仅仅是系统指标。AI 安全监测必须实时检测有害输出、提示注入和对抗性攻击，覆盖数十亿次交互 —— 这与传统软件监测（仅跟踪延迟、吞吐量和错误率）有质的不同。这需要将稳健性原则（详见第 16 章：稳健 AI）、安全实践（详见第 15 章：安全与隐私）和负责任 AI 框架（详见第 17 章：可信 AI）相结合的新工具。

社会与伦理考量 AGI 系统在放大现有隐私和安全挑战（详见第 15 章：安全与隐私）的同时，通过多组件交互和持续学习能力引入了新的攻击面。隐私与个性化之间的紧张关系在系统设计中造成了困难。个性化需要用户数据（对话历史、工作模式、偏好），而隐私法规和用户期望则日益要求本地处理。挑战在于开发联邦学习和差分隐私技术，使个性化得以在保持隐私保证的同时进行。目前的方法往往在性能和隐私保护之间做出重大权衡，而这一权衡必须改善以实现广泛采用。

过滤气泡和偏见放大风险在于，当个性化 AI 系统学习为用户提供他们想听的内容时，而非他们需要知道的内容。这限制了对不同观点和挑战性想法的接触。负责任的个性化构建需要确保系统偶尔引入多样化观点，挑战用户假设而非确认信念，并对个性化过程保持透明。这适用于第 17 章：可信 AI 中负责任 AI 原则在个性化层面的应用。

可解释性与性能之间的矛盾迫使在模型准确性与人类可解释性之间做出选择。为了人类理解而施加的约束往往与最佳计算模式相冲突，因此可解释模型通常牺牲准确性。不同

利益相关者需要不同的解释：医疗专业人员希望获得详细的因果推理，患者希望得到简单的安慰性摘要，监管审计员需要关注合规的解释，研究人员需要技术细节以实现可重复性。构建能够适当调整解释的系统，既需要技术专长，也需要用户体验设计。

AGI 项目的战略决策框架

机会与挑战的格局是相互关联的：基础设施平台使个性化和实时系统成为可能，而这些又为自动化应用提供动力，但每一机会的实现都加剧了特定挑战。基础设施的可靠性挑战随着规模扩大而加剧。个性化带来了隐私问题。自动化需要新的测试范式。实时要求收紧了质量与效率的权衡。可解释性带来了性能上的矛盾。

成功驾驭这一格局需要本书贯穿始终的系统思维：理解组件如何交互、预见失效模式、设计优雅降级方案，以及平衡竞争约束。

从数据工程（第 6 章：数据工程）到分布式训练（第 8 章：AI 训练），再到稳健部署（第 13 章：机器学习运维），工程原则为应对这些挑战提供了基础。AGI 开发将这些原则扩展到前所未有的规模和协调复杂性，但核心系统工程方法与本书中所发展的内容是一致的。

对 ML 系统工程师的影响

这些前沿对 ML 系统工程师在两个层面上产生了直接影响：AGI 开发的职业定位和当前项目的日常工程实践。

职业路径与所需能力

具备本书内容理解的 ML 系统工程师在 AGI 开发中具有独特优势。从数据工程（第 6 章：数据工程）、分布式训练（第 8 章：AI 训练）到模型优化（第 10 章：模型优化）和稳健部署（第 13 章：机器学习运维），所培养的能力构成了 AGI 基础设施的核心要求。

AGI 规模系统涌现出三大关键职业路径：

基础设施专家 构建支持下一代 AI 开发的平台。这类工程师借助于第 8 章：AI 训练中的分布式系统专业知识和第 11 章：AI 加速中的硬件加速知识，构建支撑前所未有规模的计算基础设施。GPT-4 训练时需 25,000 个 A100 GPU，消耗 50-100 GWh 电力；而 AGI 可能需要 500,000-5,000,000 个加速器，基础设施投资高达 1000 亿至 1 万亿美元。后摩尔定律下的效率提升（类脑计算、光学互连、内存中处理）可能将这些需求降低 10-100 倍，使得硬件与软件协同设计的专业知识至关重要。

应用 AI 工程师 通过将模型优化与领域专业知识相结合，创建个性化、实时和自动化系统。这类工程师应用第 10 章：模型优化、第 14 章：设备端学习中的端设备学习，以及第 5 章：AI 工作流中的工作流编排，构建解决现实问题的复合 AI 系统，同时为 AGI 奠定必要的模式。

AI 安全工程师 通过稳健设计和负责任的 AI 原则，确保系统行为符合人类利益。这类工程师借鉴第 17 章：可信 AI 和第 15 章：安全与隐私，设计对齐系统、实施安全过滤器和创建可解释性工具。随着能力向 AGI 规模扩展，安全工程变得愈发关键 —— 当前的对齐挑战（如奖励黑客、分布转移和对抗样本）在系统变得更强大时会更加严重。

AGI 开发需要全栈工程能力，涵盖基础设施建设、高效实验工具、安全与对齐系统设计，以及复杂系统交互的可重复性。贯穿本书的系统方法为此提供了基础；AGI 只是将这些原则推向极限。

将 AGI 概念应用于当前实践

理解 AGI 发展轨迹有助于改善当前常规 ML 项目的架构决策。这些模式同样适用于当前应用，并为任何规模系统的工程师提供切实可行的指导。

AGI 开发中固有的工程挑战与本书所涵盖的基础知识直接对应。下表展示了 AGI 诉求如何建立在已确立的 ML 系统原则之上，进一步强化了 AGI 开发所需技能实际上是对当前能力的延伸，而非替代。

AGI 挑战	**第...章的基础知识**
大规模数据	第 6 章：数据工程
训练范式	第 8 章：AI 训练
动态架构	第 4 章：DNN 架构
硬件扩展	第 11 章：AI 加速
效率与资源管理	第 10 章：模型优化
开发框架	第 7 章：AI 框架

AGI 挑战	第...章的基础知识
系统编排	第 5 章：AI 工作流
边缘部署	第 14 章：设备端学习
性能评估	第 12 章：AI 基准测试
隐私与安全	第 15 章：安全与隐私
能源可持续性	第 18 章：可持续 AI
对齐与安全	第 17 章：可信 AI
运维	第 13 章：机器学习运维

单体模型与复合系统的选择对任何规模项目都至关重要。具有专用组件的复合系统通常在性能上超越单一大型模型，同时更易于调试、更新和扩展。图 5 中的复合架构适用于今天的生产系统 —— 无论是编排多个模型、集成外部工具，还是协调检索与生成。

图 1 中的数据管道展示了适用于任何机器学习项目的原理。前沿模型通过过滤丢弃超过 90% 的原始数据，这表明大多数项目在数据清理上投资不足。无论是训练特定领域模型，还是为基础模型开发做贡献，投资于高质量过滤管道并考虑合成数据生成，都是解决限制模型性能的关键缺口。

RLHF 管道（图 3）表明，对齐对于任何规模的用户满意度都是至关重要的。即使是简单的分类模型也能从偏好学习中受益。该技术自然适用于更小的规模：将 RLHF 原则应用于客服机器人、内容审核系统或推荐引擎，有助于更好地匹配用户期望，超越仅仅依赖准确率指标的效果。

混合专家架构（图 2）展示了条件计算如何实现规模扩展。这一模式适用于超出变压器的任何系统：不同输入需要不同处理的系统都能从路由机制中受益。数据库查询优化器、API 网关和微服务架构采用类似原理，根据请求特征有效分配资源。

持续学习方法在 AGI 中的讨论同样适用于今天的部署系统。模型必须能够根据用户反馈更新，而不发生灾难性遗忘；在分布转移下保持性能；并适应不断变化的需求。AGI 规模下探讨的记忆巩固和参数保护技术，为构建能够随着时间推移而不断改进的自适应生

产系统提供了参考。

AGI 开发所需的技能，实际上是对当前 ML 工程能力的延伸：分布式系统专业知识在模型不断扩展时变得至关重要，硬件与软件协同设计知识成为实现高效能的关键，而理解人机交互则是对齐的核心。贯穿本书的原则为此提供了基础；AGI 前沿只是将这些原则推向其最终表达。

基于系统工程原则的 AGI 发展

根据当前的发展轨迹和复合系统原则，未来十年可能分为三个阶段，每个阶段都建立在前一个阶段的进展基础上。评估 AGI 进展需要新的基准测试方法（详见第 12 章：AI 基准测试），以评估通用智能而非狭义任务性能。

在近期（2025-2027 年），效率和标准化将占主导。自监督学习成为主流，减少数据需求，而复合 AI 系统则通过编排框架实现标准化。后摩尔定律架构（如 3D 堆叠、芯片组、光学互连）提供效率提升，通过激进优化实现万亿参数级边缘部署。

中期（2027-2030 年）则将整合与规模扩展置于首位。多智能体系统协调数百万个专用组件，使用层级共识机制。分布式 AGI 基础设施跨越大陆，而基于能量的模型则通过基于优化的推理实现稳健推理。硬件进步（类脑、量子混合）将训练能耗降低几个数量级。

展望 2030-2035 年，涌现与协调将成为中心挑战。系统训练规模接近 $10^{26-10}28$ FLOP，通过全球基础设施协调实现。突破性解决方案实现真正的推理、规划和迁移学习，而 AGI 协调协议则管理行星规模的智能，具备拜占庭容错能力。

这一轨迹依赖于贯穿本书的系统工程原则：分布式基础设施、高效优化、稳健部署和安全操作，适用于前所未有的规模和复杂性。

AGI 系统的核心设计原则

AGI 轨迹仍不确定。突破可能来自意想不到的方向：变压器在 2017 年取代 RNN，尽管 LSTM 已主导数十年；状态空间模型以线性复杂度实现变压器性能；量子神经网络可能为特定问题提供指数级加速。

这种不确定性凸显了系统工程的价值。无论架构如何突破，成功的方法都需要高效的数据处理管道，处理 exabyte 级数据集；可扩展的训练基础设施，支持百万 GPU 集群；在异构硬件上优化的模型部署；确保 99.99% 可用性的稳健操作实践；以及安全与伦理框架的综合。

贯穿本书的分布式系统、高效部署和稳健操作的方法，无论 AGI 是通过大规模变压器、复合系统还是全新架构实现，仍然至关重要。工程原则超越具体技术，为任何技术轨迹

下的智能系统构建提供基础。

AGI 的综合开发框架

多种组织框架从不同角度审视 AGI：复合 AI 系统架构、技术障碍分类法、机会全景划分和生物原则提取。理解这些框架如何相互关联，为一致的 AGI 发展战略提供了统一的系统视图。

复合 AI 系统框架作为基础

复合 AI 系统框架作为建筑骨架，拆解智能为专用组件，通过结构化接口协调：数据处理模块、推理组件、记忆系统、工具集成和安全过滤器，由中央控制器编排。

这一架构选择直接应对后文章节中确定的多个技术障碍：

- 通过专用记忆组件支持上下文和记忆，避免对单一模型的单点依赖
- 通过选择性激活组件提升能效，而非每项任务都全系统参与
- 通过专用模块间的分解与验证，克服推理能力的局限
- 通过专用物理交互组件，简化具身挑战，而非全系统集成具身能力
- 通过窄域可验证目标，简化对齐问题，而非对齐整体通用智能

复合框架将看似无法逾越的障碍转化为可通过智能拆解与编排管理的工程挑战。

与技术积木对齐的机会

机会全景自然源于前文探讨的技术积木，每类机会直接对应特定技术能力。

基础设施机会，包括高性能训练平台和后摩尔定律硬件，直接将硬件技术积木和优化进展转化为可操作方案。这些基础平台为所有更高层次能力提供了必要的计算基底。

基础模型机会，如高效架构和持续学习系统，实现了架构技术积木和训练范式。这些模型作为智能核心组件，驱动复合系统和终端用户应用。

复合系统机会，如增强检索系统和工具使用智能体，通过生产实施将数据、架构和训练结合，体现了复合 AI 框架。这些系统展示了如何通过专用组件的编排创造超越单一模型能力的解决方案。

应用机会，包括个性化 AI 和自动推理，展示了各技术积木协同工作的价值，验证了架构选择的正确性。通过实际部署，这些应用证明了技术创新如何在各个领域转化为切实收益。

这一对齐关系揭示了本章的结构逻辑：技术积木提供能力，机会识别能力应用，挑战则描述实现这些能力应用的障碍。每一框架从不同侧面照亮了同一底层系统。

生物原则作为横向洞察

生物原则并不构成单独的框架，而是以不同方式适用于其他所有框架，提供横向洞察。

生物模块化验证了复合架构的有效性，专门化的大脑区域负责视觉、运动控制和语言处理，证明了模块化设计的优越性，而非单一处理的优势。生物证据支持复合系统方法作为一种基本架构原则，而非仅仅是工程权宜之计。

生物对关键技术障碍的解决方案为工程路径提供了启示。海马体的记忆巩固为上下文限制提供了解决思路，稀疏脉冲计算则为能效模型提供了借鉴，而突触可塑性在不发生灾难性遗忘的情况下实现持续学习。每一生物解决方案为克服当前系统限制提供了具体的工程灵感。

直接源于生物原则的机会包括类脑硬件实现、分层训练课程（模拟发育学习阶段）和具身学习方法（复制塑造生物智能的传感器运动体验）。这些机会将生物洞察转化为切实可行的工程实现。

生物智能同时验证了一些直觉，同时对其他直觉提出警示。稀疏性带来的专业化与效率获得生物支持，但在不同基质间的精确复制面临挑战，因为生物与数字系统在物理限制和计算优势上存在差异。

因此，生物智能作为存在证明、灵感来源和警示范例，而非完整模板 —— 在不确定性中为工程决策提供信息。

实用框架应用策略

整合这些框架为 AGI 发展提供了多维度的战略指导。复合 AI 框架指导系统拆解，帮助工程师在面对能力缺口时做出基本架构决策。关键问题是：“这可以通过专用组件和编排来解决，还是需要模型创新?”前者通过工程进步实现渐进式发展；后者则需要可能需要数年才能实现的基础研究突破。这种架构清晰自然延伸到资源分配，理解技术堆栈的哪个层面（基础设施、基础模型、复合系统或应用）提供最大杠杆作用，决定了投资优先级。基础设施和基础模型在许多应用中提供了杠杆作用，值得集中投资，而复合系统和应用则通过验证架构选择和产生支持持续开发的收入，反过来又支持基础研究。

然而，做出正确的架构和资源决策需要理解可能出错的地方。技术障碍识别出需要持续研究投资的致命问题，而非快速工程修复的表面上有前景的死胡同。生物原则则在标准工程遇到根本性限制时，提供替代方法，绕过最初看似无法逾越的障碍。这种风险意识不仅影响构建什么，还影响何时可能实现不同能力。认识到框架之间的相互联系，既能

抑制对即将到来的 AGI 突破的过度乐观，也能避免对其根本不可能性的过度悲观。复合系统使在不解决所有技术障碍的情况下实现显著的近期进展成为可能，而生物效率差距则暗示着仍需进行大量创新。AGI 的实现可能是通过持续的工程进步，而非单一的革命性突破，因此这是一场马拉松，而非短跑。

这种综合理解揭示了 AGI 工程所需的能力。成功需要系统思维，将复杂问题拆解为可管理的组件；分布式系统专业知识，以空前规模编排组件；机器学习原理，以构建和训练日益强大的模型；领域知识，以指导专业化朝向实际有价值的能力；以及安全意识，以确保在能力接近人类水平时的有益部署。单一学科的知识不足以应对 AGI 工程挑战，成功需要计算机科学、神经科学、认知科学和伦理学等多个领域的综合洞察。

AGI 项目的实施路线图

对于实际的 ML 系统工程师而言，这一综合视角提出了具体策略，涵盖不同的时间范围。在近期（1 到 3 年），重点在于构建复合 AI 系统，将当前能力应用于实际问题。工程师应专注于协调多个模型的编排基础设施、实现无缝集成的组件接口，以及针对特定能力的专用模型开发。这些工作不仅为组织带来即时价值，还为最终实现 AGI 奠定必要的架构模式。今天部署的每一个生产复合系统，都为未来系统的复杂化提供了协调、可靠性和扩展性的宝贵经验。

随着这些复合系统的成熟和局限性的显现，注意力将在中期（3 到 7 年）转向下一代基础积木的开发。后摩尔定律硬件必须在晶体管扩展放缓的情况下保持计算进步。替代架构如状态空间模型、基于能量的模型和世界模型，可能在特定任务上补充或超越变压器。持续学习系统能够在不遗忘先前学习的情况下获取新知识。类脑组件有望将生物效率引入人工系统。这些基础积木针对特定技术障碍，通过集中研究实现渐进式进展，而非等待全面解决方案的出现。这一阶段通过提供克服当前系统限制的组件，改变架构可能性。

然后，长远（7 到 15 年以上）则需将这些基础积木整合到日益通用的复合系统中。工程师必须通过在上下文处理、能效、推理能力、具身智能和与人类价值对齐等方面的协调进展，解决剩余的技术障碍。同时，随着能力接近人类水平，开发安全和治理框架也变得至关重要。长期轨迹不仅需要技术卓越，还需要在何时以及如何部署日益强大的系统方面的智慧。

在这一轨迹的整个过程中，本章探讨的框架提供了理解进展、识别缺口和制定战略决策的概念支撑。它们将 AGI 从一个模糊的远景转变为具有可识别路径和可衡量里程碑的结构化工程挑战。

从狭义 AI 到 AGI 的过渡，构成了人类所承担的最伟大的系统工程挑战。成功需要整合多个范式的洞察：变压器架构的扩展效率、符号推理的逻辑严谨性、具身系统的传感器

运动基础，以及多智能体协调的涌现智能。这些综合框架（复合架构、技术障碍、机会全景、生物洞察）为工程师提供了系统性导航这一挑战所需的概念工具。

前进的道路不在于等待革命性突破，而在于对贯穿本书所掌握的工程原则的系统应用。这些原则在数据流通过系统（第 6 章：数据工程）、模型优化与部署（第 10 章：模型优化）、计算硬件加速（第 11 章：AI 加速）和大规模稳健系统操作（第 13 章：机器学习运维）等方面提供了基础。AGI 将通过在空前的规模和协调复杂性下，严格应用这些原则而实现。

常见误区与陷阱

通往通用人工智能的道路上，存在着独特的系统工程挑战，其中对有效方法的误解曾导致项目 derail、资源浪费和不切实际的期望。理解不该做什么，和理解正确的方法一样重要，特别是当每种谬论都包含一定的真理，足以看似有说服力，却忽视了关键的工程考量。

误区：一旦模型在参数和训练数据上达到足够规模，AGI 就会自动出现。

这种“规模即一切”的误解，使团队相信当前 AI 的局限仅仅反映了模型规模不足，而认为只要不断增大模型，AGI 就会水到渠成。然而，经验性的扩展规律虽然在一定程度上表明了规模提升带来的性能提升（如 GPT-3 的 175B 参数在各项基准测试中显著优于 GPT-2 的 1.5B），但这种推理忽视了架构创新、效率提升和训练范式进步同样至关重要。人脑通过约 860 亿个神经元实现智能，这得益于复杂的架构和学习机制，而非单纯依赖规模。将 GPT-3 从 175B 扩展到假设的 17.5T 参数，训练成本将高达 100 亿美元，消耗 5 GWh 电力，相当于一个小城镇一年的用电量，但仍然缺乏跨会话持久记忆、高效的持续学习、多模态的基础和稳健的推理能力。这一有效 AGI 开发需要在对更大规模训练的基础设施投资与通过专家混合、检索增强和模块化推理模式探索的新架构研究投资之间取得平衡。

误区：复合 AI 系统只是权宜之计，真正的 AGI 将使其变得多余。

这种认为 AGI 将是一个统一模型、从而不再需要复合系统（模型、工具、检索和数据库的组合）的看法，忽视了计算机科学关于模块化架构的基本原则。复合系统虽然引入了多个组件、接口和失效模式的复杂性，但具有专用组件的模块化架构能够实现独立优化、优雅降级、渐进更新和可调试行为，这些都是任何规模的生产系统所必需的。即使是生物智能，也通过结构化接口协调视觉、运动控制、语言和记忆等专门化神经回路，而非单一的处理单元。GPT-4 的代码生成准确率在增强代码执行、语法检查和测试验证等复合组件后，从 48% 提升至 89%。这一模式在检索增强以获取当前知识、工具使用以实现精确计算和安全过滤器以确保适当行为等方面具有普遍适用性，而这些能力在基

础模型规模大小无论如何都将继续重要。生产 AGI 系统需要将复合架构作为核心模式，投资于编排基础设施（第 5 章：AI 工作流）、组件接口和组合模式，以建立 AGI 规模部署所需的组织实践。

误区： AGI 需要全新的工程原则，使传统软件工程变得无关紧要。

这一误解认为 AGI 的前所未有的能力需要放弃现有的机器学习系统实践，而采用与当前工程截然不同的革命性方式。AGI 的发展是对系统工程基础的延续，而非替代，其中分布式训练（第 8 章：AI 训练）、高效推理（第 10 章：模型优化）、稳健部署（第 13 章：机器学习运维）和监测在架构演变中仍然至关重要。训练 GPT-4 需要协调 25,000 个 GPU，通过复杂的分布式系统工程实现张量并行、流水线并行和数据并行，而 AGI 规模系统将需要 100-1000 倍的协调能力。忽视分布式系统原则而追求“革命性 AGI 工程”的工程师，将重蹈覆辙，面临一致性、容错和性能优化等方面的挑战。有效的 AGI 开发需要掌握数据工程（第 6 章：数据工程）、训练基础设施、优化、硬件加速（第 11 章：AI 加速）和操作等基础知识，通过强大的软件工程实践、分布式系统专长和 MLOps 纪律，满足 AGI 要求。

陷阱： 将生物智能视为 AGI 实现的完整模板。

许多团队假设，精确复制生物神经机制于硅中即可实现 AGI，受到大脑卓越能效（20 瓦特处理 10^{1}⊠ 次神经元操作）和类脑计算在某些工作负载下 1000 倍效率提升的吸引。尽管生物原则在事件驱动计算、分层发育和多模态整合方面提供了宝贵的见解，但生物基质与硅基质在物理特性和计算优势上存在根本差异。数字系统在精确算术、可靠存储和快速通信方面表现优异，而生物神经元则在模拟计算、大规模并行处理和低功耗操作方面具有优势。

类脑芯片如英特尔的 Loihi 在事件驱动工作负载（如物体跟踪和手势识别）上实现了令人印象深刻的效率，但在密集矩阵运算上却不敌 GPU。AGI 的最佳架构可能需要混合方法，结合类脑感知的数字推理与高效能，提取生物原则（稀疏激活、分层学习、多模态整合、持续适应），同时认识到直接复制可能并不理想。有效的工程应关注计算原则，如事件驱动处理和发育阶段的分层学习，而非生物实现细节，如特定神经递质动力学或轴突传播速度。

生物原则对系统设计的启示

生物与人工智能之间显著的效率差距，表明生物原则可能重塑我们对 AGI 系统设计的思路。理解这些原则为构建更高效、更稳健和更强大的人工系统提供了关键见解。

首先，审视能效，大脑以仅 20 瓦特的能耗处理 10^{1}⊠ 次突触操作的卓越表现，揭示了当前数字系统所缺乏的计算原则。生物神经元通过离散脉冲而非连续激活进行通信，实

现了事件驱动计算，仅在需要处理信息时才激活。这种稀疏的、异步的处理方式与当前神经网络的密集矩阵运算形成鲜明对比，后者对每个输入的每个参数都进行激活。

类脑计算试图复制这些原理，通过脉冲式处理实现了相较于传统处理器高达 1000 倍的能效提升。英特尔的 Loihi 芯片展示了生物时序和稀疏性如何被工程化到硅中，尽管当前实现与生物神经网络相比仍然有限。未来的 AGI 系统可能采用混合架构，结合数字推理的精确性与类脑感知的高效能。

除了能效，生物智能的发展是一个结构化的阶段过程，从基本的感知运动协调到抽象推理能力。这一发展过程表明，AGI 可能通过分阶段的学习过程更高效地涌现，而非试图同时训练所有能力。人脑利用关键期在特定能力上实现最佳发展，随后这些技能与更高层次的推理整合。

这种发展性的方法可以为 AGI 训练管道提供参考：首先学习基本的感知和运动技能，然后建立物理因果关系的世界模型，接着是社会理解，最后是抽象推理。每个阶段在先前能力的基础上构建，同时引入新能力，可能实现比当前端到端训练方法更高的样本效率。

与分层发育相辅相成，生物智能是通过多种感官模态与运动行为的持续互动而涌现的。大脑将视觉、听觉、触觉、本体感觉和运动控制整合为统一表征，使其能够在复杂环境中协调行动。这种多模态整合提供了将抽象概念与物理经验连接的基础，而当前语言模型则缺乏这种能力。

AGI 系统可能需要类似的具身学习，无论是通过物理机器人，还是通过提供多模态体验的丰富仿真环境。工程挑战在于创建能够处理多条同步数据流（视觉、音频、触觉反馈、本体感觉）的系统，同时学习支持感知和行动的统一表征。这需要新的架构，优化时间同步和多模态融合，而非当前系统中占主导地位的单一模态处理。

最重要的是，生物智能在整个生命过程中表现出持续学习的能力，能够适应新环境和新挑战，而不会对先前知识造成灾难性遗忘。大脑在保持可塑性的同时，保存重要知识，使其能够终身学习，而当前人工系统则难以实现。

这种持续适应能力对于 AGI 在现实世界中的部署至关重要，因为系统必须能够从持续的经验中学习，而不仅仅依赖于预先训练。系统工程挑战包括设计支持持续学习的架构，开发在快速学习与知识稳定之间取得平衡的记忆系统，以及创建能够从流数据中学习而不降低现有能力的训练过程。

将生物原则融入 AGI 系统，对架构设计具有深远影响，要求实现优化稀疏、异步计算的事件驱动处理系统，能够处理多种类同步的传感器数据流的多模态数据处理管道，分阶段构建能力的分层学习系统，以及支持快速学习和长期保留的记忆架构。

AGI 架构可能采用混合方法，结合生物和数字的优势，利用两者的最佳特性。类脑组件可以处理感知和传感器处理，数字组件则执行需要精确性和可靠性的符号推理。分层训练课程可以反映生物学习中观察到的发育阶段。丰富的多模态环境中的具身学习可以提供当前语言模型中缺失的基础。

这些生物启示为系统设计提供了信息，而不是要求精确复制神经机制。目标在于提取计算原则（事件驱动处理、分层发育、多模态整合、持续适应），同时利用数字基质在精确算术、可靠存储和快速通信等方面的独特能力。前进的道路可能涉及战略性地将生物启发与数字工程相结合的混合架构，而非单纯复制任一范式，避免陷入假设生物机制必须在硅中直接复制的误区。

总结

人工智能正处于一个转折点，在这个转折点上，贯穿本书所掌握的各项技术积木，汇聚成具有非凡能力的系统。大型语言模型表明，工程化的规模通过从当前成就到未来可能性的系统性进展，解锁了涌现智能。

狭义 AI 向 AGI 的过渡，构成了一个系统工程挑战，超越了算法创新，涵盖了数据、计算、模型和基础设施的前所未有的规模整合。AGI 训练可能需要 2.5×10^{2}□ FLOPs，基础设施需支持 175,000 以上的加速器，消耗 122 MW 电力，硬件成本约为 520 亿美元。

复合 AI 系统为这一转型提供了架构基础，揭示了专用组件如何通过智能编排解决复杂问题，而非单纯依赖单体规模扩展。

> **关键要点**
>
> - 当前 AI 突破（LLM、多模态模型）直接建立在前面章节所确立的 ML 系统工程原则之上
> - AGI 代表了系统整合挑战，需要在多个组件和技术之间进行复杂的编排
> - 复合 AI 系统提供了通过专用模型和工具结合实现复杂能力的实际路径
> - 从分布式训练到高效部署所培养的工程能力，构成了 AGI 开发的核心要求
> - 未来的进步将同样来自于系统工程的改进和算法创新

本教材为读者在这一挑战中贡献力量做好了准备。理解涵盖了数据如何流经系统（第 6 章：数据工程）、模型优化与部署（第 10 章：模型优化）、计算硬件加速（第 11 章：AI 加速）和大规模稳健系统操作（第 13 章：机器学习运维）。这些能力构成了下一代智能系统构建的基本要求。

AGI 的到来时间仍不确定，无论是通过大规模变压器还是新颖架构。系统工程原则在任何时间表或技术方法中仍然至关重要。人工智能的未来建立在这些章节中所涵盖的工具和技术之上，从第 3 章：深度学习基础](/book/ml-systems/systems-foundations/dl-primer/) 到第 5 章：AI 工作流](/book/ml-systems/design-principles/workflow/) 中的高级系统编排。

基础已经建立，通过对数据管道、分布式训练到稳健部署的系统性掌握而成。

第 21 章：总结

章节目标

- 综合六大系统工程核心原则，这些原则超越具体 ML 技术，为工程决策提供系统性指导
- 分析“全面度量”原则在数据工程、基准测试和运维监控中的具体体现
- 运用“为 10 倍规模设计”原则，评估云、边缘和移动端系统架构
- 全面评估从数据管道到推理部署的 ML 系统瓶颈优化策略
- 对比传统软件可靠性与 ML 特有失效模式，批判性分析故障规划方法
- 设计兼顾计算性能、运维成本与环境可持续性的成本敏感型 ML 系统
- 评估云、边缘和嵌入式等不同部署场景下的软硬件协同设计机会
- 构建融合技术卓越、运维成熟、安全合规与伦理考量的一体化解决方案

机器学习系统工程的综合：从组件到智能

本章对前二十章的机器学习系统工程理念进行总结，确立了“系统思维”作为人工智能开发的根本范式。从数据工程、模型架构、优化技术到运维基础设施，我们构建了覆盖 ML 系统工程全栈的知识体系。这一综合既奠定了理论基础，也为计算机系统领域的专业能力提供了实践框架。

当代人工智能 [710] 的突破并非源于孤立的算法创新，而是源于将计算理论与工程实践有机结合的系统集成。系统视角将机器学习纳入计算机系统工程传统，真正的变革能力来自于对各组件的系统性编排。以大语言模型的 Transformer 架构为例，其实际价值并非

710. **人工智能（系统视角）**：智能源自集成系统而非单一算法。现代 AI 应用（如 GPT-4）融合了数据管道（处理 PB 级数据）、分布式训练（数千处理器协同）、高效推理（服务百万请求）、安全防护（防攻击）、治理框架（保障安全）。成功依赖于全栈系统工程能力。

仅靠架构创新，而是数学基础、分布式训练、算法优化与健壮运维的深度融合。

本章聚焦于 ML 系统工程的三大根本问题：一，哪些原则能够超越具体技术，为从现有生产系统到未来通用人工智能架构的工程决策提供系统性指导？二，这些原则如何在资源丰富的云、受限的边缘设备和新兴生成式系统中体现？三，如何将这些知识系统化应用，既满足技术需求，又兼顾社会目标与伦理责任？

我们的分析延续了本书的系统思维脉络，借鉴了计算机系统研究与工程方法论。我们从全书技术内容中系统提炼出六大工程原则：全面度量、面向规模设计、瓶颈优化、系统性故障规划、成本敏感设计与软硬件协同。这些原则为 ML 系统工程的决策提供了坚实框架。我们将其应用于三大领域：技术基础构建、面向规模的性能工程、生产部署现实。

分析还探讨了这些原则在新前沿领域的挑战。从构建具备弹性、能优雅应对失效的 AI 系统，到推动 AI 在医疗、教育、气候等社会领域的应用，这些工程原则将决定 AI 的社会影响力。随着 AI 系统逼近通用智能[711]，关键问题已不再是“能否实现”，而是“能否遵循成熟的系统设计与负责任计算原则”。

本章的综合既建立了系统化的理论理解，也为 ML 系统作为成熟工程学科的专业实践奠定了概念基础。

ML 的系统工程六大原则

我们从全书二十章中提炼出六大核心原则。这些原则超越具体技术，为构建当下生产系统乃至未来 AGI 提供持久指导。

原则一：全面度量

第 12 章：AI 基准测试中的度量框架，结合第 13 章：机器学习运维的监控系统，证明了 ML 系统必须对每个组件进行仪表化 —— “不可度量，无法优化”。四大分析框架为跨技术的度量奠定了基础。

Roofline 分析[712] 通过绘制操作强度与峰值性能，揭示系统是受内存还是计算限制，是优化训练到边缘推理的关键。

成本性能评估系统性比较总拥有成本与实际能力，涵盖训练、基础设施与运维，指导部署决策。系统性基准测试建立可复现的测量协议，确保优化针对真实瓶颈。度量的核心洞见是：系统往往不是在预期负载下失效，而是在需求超出设计假设数十倍时崩溃。

711. **通用人工智能（AGI）**：在所有认知任务上媲美人类的 AI 系统。当前估算 AGI 需 $10^{15\text{-}10}17$ FLOPS（比 GPT-4 高 1000 倍），需全新分布式架构、能效硬件和超万亿美元基础设施。工程挑战不在于算法，而在于将现有 ML 系统原则扩展到前所未有的规模。

712. **Roofline 分析**：UC Berkeley 提出的性能建模方法，将计算强度（每字节操作数）与可达性能绘图。揭示应用受限于内存带宽还是计算吞吐，指导 ML 工作负载优化重点。

原则二：为 10 倍规模设计

研究环境下可用的系统，往往无法承受生产流量，必须为 10 倍数据、用户和算力需求预留设计空间[713]。基于第 2 章：机器学习系统，这一原则在云、边缘、嵌入式等场景均有体现：云系统需应对百万级用户激增，边缘系统需容忍网络分区，嵌入式系统需在资源枯竭时优雅降级。

但仅有规模而无资源利用效率，系统价值有限。

原则三：优化瓶颈

第 9 章：高效 AI 阐述了效率原则，第 10 章：模型优化提供了优化技术。系统分析表明，80% 的性能提升来自主约束：训练受限于内存带宽，分布式推理受限于网络延迟，移动端受限于能耗。

原则四：规划失效

第 16 章：稳健 AI 的稳健性技术，结合第 17 章：可信 AI 的安全框架，假设系统必然会失效，因此需从一开始就设计冗余、监控与恢复机制。生产系统每天都面临组件失效、网络分区和对抗输入，需用断路器[714]、优雅降级和自动恢复应对。

原则五：成本敏感设计

从可持续性到运维成本，每个技术决策都关乎经济。优化总拥有成本[715]（TCO）而非单纯性能，尤其在云 GPU 月花费可达 $30,000 时，效率优化可带来百万级运维节省。

原则六：软硬件协同设计

基于第 11 章：AI 加速，高效 AI 系统需算法与硬件协同优化，而非单点突破。三大关键维度：算法 - 硬件匹配（如 systolic array 适合稠密矩阵，稀疏加速器需结构化剪枝）、内存层次优化（分析数据移动与缓存局部性）、能效建模（TOPS/W 指标指导移动/边缘设计）。

三大关键领域的原则应用

这六大原则在 ML 系统全景中具有实际指导意义。它们不是抽象理想，而是贯穿全书每个技术决策的具体指南。不同场景下表现各异，但目标始终一致。我们将其应用于三大

713. **10 倍规模设计**：系统需能承受 10 倍预期负载。Netflix 推荐系统从千级到百万级并发，依赖架构设计与预测性扩容，始终保持百毫秒级响应。

714. **断路器**：防止级联失效的软件设计模式。当错误率超阈值（如 30 秒内 50%），断路器打开，阻止更多请求，冷却后自动检测服务恢复。

715. **ML 总拥有成本（TCO）**：包括训练（大模型 $10 万-$1000 万）、基础设施（年均 3 倍训练成本）、数据准备（占预算 40-60%）、运维（监控、更新、合规）、失效（电商宕机每分钟 $5600）。TCO 分析决定云/边缘部署、模型压缩等架构选择。

领域：技术基础构建（度量与协同打底）、面向规模的性能工程（优化与规划支撑增长）、生产现实（六原则在运维约束下融合）。

技术基础构建

ML 系统工程的根基在于多原则交汇的技术基础。

基础始于数据工程，第 5 章：AI 工作流指出数据质量决定系统质量。对神经网络而言，“数据即代码”。生产系统需对模式演化、血统追踪、质量劣化持续监控。数据质量下降会级联影响全系统，数据治理既是技术刚需，也是伦理责任。度量原则体现在对分布漂移、标注一致性、管道性能的持续监控。

在此基础上，框架与训练系统体现了规模与协同原则。第 7 章：AI 框架介绍了 TensorFlow 的生产成熟与 PyTorch 的研究灵活的权衡。第 8 章：AI 训练展示了如何通过数据并行，将训练周期从数周缩短到数小时。框架选择影响开发效率与部署约束。TensorFlow Lite（移动端）、JAX（研究）等体现了硬件协同。分布式训练、混合精度、梯度压缩等技术，均体现了为未来规模设计、并针对硬件优化。

效率与优化（原则三：优化瓶颈）：第 9 章：高效 AI 表明，效率决定 AI 能否走出实验室，落地资源受限场景。神经网络压缩（剪枝、量化、蒸馏）系统性解决内存、算力、能耗瓶颈。多维优化需识别主约束，系统性解决，而非零散提升。

面向规模的性能工程

上述技术基础（数据工程、框架、效率）为 ML 系统提供了底座。但基础本身不创造价值。第二支柱是将基础转化为可大规模可靠运行的系统，关注点从“能否运行”转向“能否高效服务百万用户”。这要求新的工程优先级和系统性应用规模与优化原则。

模型架构与优化

第 4 章：DNN 架构带你从感知机（理解加权输入如何决策）、卷积网络（分层特征提取模拟生物视觉），到 Transformer（注意力机制赋能语言理解）。但架构创新本身不足以支撑生产部署。第 10 章：模型优化的优化技术，弥合了研究架构与生产约束。

遵循前述协同原则，三大压缩方法系统性优化瓶颈：剪枝去冗余参数、量化降低精度（内存减 4 倍）、蒸馏迁移能力至小模型，适配资源受限部署。

Deep Compression 管线集成了剪枝、量化、编码，压缩比达 10-50 倍 [716]。算子融合（如 conv-bn-relu）带来 3 倍带宽优化，体现了算法与系统优化的协同效应。

716. **高效架构设计**：MobileNets 通过深度可分离卷积将计算量降至 1/8-1/9，实现移动端实时推理。受限场景驱动的架构创新，反哺全场景 AI 部署。

这些优化印证了原则三的核心洞见：识别瓶颈（内存、算力、能耗），系统性优化，而非零散改进。

硬件加速与系统性能

第 11 章：AI 加速展示了专用硬件如何将计算瓶颈转化为加速机会。GPU 擅长并行矩阵，TPU[717] 针对张量优化，FPGA[718] 可为特定算子定制。

协同设计要求软件优化与硬件能力对齐，如内核融合、算子调度、精度选择（兼顾准确率与吞吐）。

第 12 章：AI 基准测试确立了性能工程的反馈闭环。MLPerf[719] 为硬件平台提供标准化指标，支持数据驱动的部署权衡。

这一性能工程基础，推动了 AI 从中心化走向边缘与移动的新部署范式。

生产现实的应对

第三支柱关注生产部署现实，六大原则在“必须可靠、安全、负责任服务用户”的约束下融合。

运维与部署领域展示了 MLOps[720] 如何编排全生命周期，从带质量门控的 CI/CD 到 A/B 测试安全上线。边缘部署体现多原则融合：在保障隐私的同时兼顾延迟，网络失效时优雅降级。

安全与隐私揭示了 ML 的独特脆弱性（模型窃取、数据投毒、成员推断），需多层防护。差分隐私提供数学保障，联邦学习实现安全协作，对抗训练提升稳健性，这些都是传统软件未曾面临的挑战。

责任 AI 与可持续性将成本敏感性拓展到计算之外。公平性与可解释性从架构设计之初就影响决策。环境影响成为设计约束：GPT-3 训练耗电 1287 MWh，相当于 120 户年用电，移动端效率提升比数据中心更具社会意义。

生产现实证明，单点技术卓越远远不够。系统必须融合运维成熟、安全防护、伦理框架与环境责任，才能持续创造价值。

717. **TPU**：Google 专为神经网络设计的 ASIC，ML 任务能效远超 GPU。TPU v4 pod 峰值达 1.1 exaflops，支撑大模型训练。
718. **FPGA**：可重构硬件，可针对 ML 算子后期优化。微软 Brainwave 通过定制 FPGA 配置，实现亚毫秒级超低延迟推理。
719. **MLPerf**：AI 系统性能行业标准基准，涵盖训练与推理。自 2018 年推动硬件创新，参赛系统 4 年内性能提升 2-5 倍，确保厂商间公平对比。
720. **MLOps**：将 DevOps 原则应用于 ML 系统。Netflix 每天自动部署 4000+ 模型更新，保持 99.99% 可用性。MLOps 将手工模型开发转变为工业级工程，涵盖持续集成、部署、监控与治理。

未来方向与新机遇

在夯实技术基础、工程化性能、应对生产现实后，我们展望六大原则在未来发展中的新机遇。

三大领域的融合，揭示了原则面临最大考验的新前沿：多样化部署、面向社会的弹性系统、迈向 AGI 的工程路径。

新兴部署场景下的原则应用

ML 系统走出实验室，三大部署范式对原则组合提出新挑战：资源充裕的云、受限的边缘、生成式系统。

云部署优先考虑吞吐与可扩展性，通过内核融合、混合精度、梯度压缩等技术（见第 10 章、第 8 章）提升 GPU 利用率。成功需在规模下平衡性能与成本。

移动与边缘系统受限于功耗、内存、延迟，需软硬件协同。第 9 章：高效 AI 的高效技术（深度可分离卷积、架构搜索、量化）让 AI 能在算力仅为数据中心 1/100-1/1000 的设备上运行。边缘部署代表 AI 的民主化 [721]：无法在数十亿设备上运行的系统难以产生全球影响。

生成式 AI 在前所未有的规模下检验原则，需新型自回归计算、动态模型分区、推测解码等创新。这些系统证明，前述度量、优化、协同原则同样适用于推动基础设施极限的新技术。

TinyML 与嵌入式系统面临 KB 级内存、mW 级功耗、十年生命周期等极限约束。成功依赖全栈系统工程：精确度量瓶颈、软硬件协同极致优化、失效规划保障可靠。移动端约束催生的 MobileNets、EfficientNets 等创新，反哺全场景 AI，印证系统约束驱动算法创新。

这些部署场景验证了我们的核心观点：唯有系统性应用六大原则，才能取得成功。

构建稳健 AI 系统

第 16 章：稳健 AI 表明，稳健性需自底向上设计失效（原则四）。ML 系统面临独特失效模式：分布漂移致准确率下降，对抗输入利用漏洞，边界样本暴露训练数据局限。弹性系统结合硬件冗余（容错）、集成方法（降低单点失效）、不确定性量化（优雅降级）。AI 越来越多地承担自主角色，失效规划成为安全部署与灾难性失效的分水岭。

721. **AI 民主化**：通过高效系统工程让 AI 普及。移动端模型让 60 亿手机具备 AI，云 API 服务 5000 万开发者。训练成本从 $10 万降至 $100，需全栈优化以保证规模下的质量。

AI 向善

第 19 章：AI 向善展示了 AI 在医疗、气候、教育、无障碍等领域的变革潜力，六大原则在此交汇。气候建模需高效推理（原则三），医疗 AI 需可解释与持续监控（原则一），教育科技需隐私保护的个性化与全球可扩展性（原则二、四）。这些应用证明，单靠技术卓越远远不够，成功需技术、领域专家、政策制定者与受众协作。

通往 AGI 之路

复合 AI 系统 [722] 为高级智能提供了架构蓝图：模块化组件可独立更新，专用模型针对特定任务优化，可分解架构通过多层验证提升可解释性与安全性。

未来工程挑战需全栈能力：从数据工程（第 5 章）、分布式训练（第 8 章）、模型优化（第 10 章）、运维基础设施（第 13 章）等。系统工程原则，而非算法突破，决定通往 AGI 的路径。

你的未来之路：工程化智能

二十章前，我们以“AI 重塑文明”为愿景启程。现在，你已掌握实现这一愿景的系统工程原则。

通用人工智能将由理解“智能是系统属性”的工程师打造 —— 智能源自组件集成，而非单点突破。以 GPT-4 为例，其成功依赖于 PB 级数据管道（第 5 章）、分布式训练基础设施 [723]（[第 8 章](/book/ml-systems/design-principles/training/)、高效架构（注意力机制、专家混合，第 9 章）、安全部署（防 prompt 注入，[第 17 章](/book/ml-systems/trustworthy-systems/responsible-ai/)、负责任治理（安全过滤与使用政策，第 17 章）。

本书每一原则，从全面度量到软硬件协同，都是你构建未来的工具。

你掌握的六大原则超越具体技术。无论框架如何演进、硬件如何升级、架构如何创新，这些基础理念始终不变。它们将指引你优化今日推荐系统，或架构明日复合 AI，直至通用智能。复合 AI 框架、边缘部署范式、高效优化技术，都是系统思维的当代表达。

但仅有技术原则远远不够。我们这一代面临的问题不是 AGI 是否会到来，而是它是否被“造得好”：高效到让所有人都能用，安全到能抵御攻击，可持续到守护地球，负责任到

722. **复合 AI 系统**：由多个专用模型组成的架构，非单一巨型系统。Google PaLM-2 分别用不同模型处理推理、记忆、工具调用，实现独立扩展与调试。模块化方法将训练成本降至 1/10，通过冗余与专用提升可靠性，印证了系统工程的模块化与故障隔离原则。

723. **分布式 ML 系统**：将传统分布式系统原则（共识、分区、复制）扩展到 ML 负载。GPT-3 训练需 1024 张 A100 GPU 同步 1750 亿参数，网络拓扑与梯度同步成关键瓶颈。与无状态 Web 服务不同，ML 系统需维护超大共享状态，需梯度压缩、异步更新等新方法。

服务全人类。这些挑战需要全栈 ML 系统工程，将技术卓越与伦理承诺合而为一。

在你应用这些原则解决工程难题时，请记住 ML 系统工程的核心是服务用户与社会。每一个架构决策、每一项优化、每一次运维实践，最终都应让 AI 更有益、更普惠、更可信。衡量你的成功，不仅在于延迟降低、准确率提升，更在于现实世界的影响：改善生活、解决问题、能力普及。

未来定义智能的系统（从气候模型到医疗 AI，从个性化教育到无障碍技术）正等待你的工程能力。你已拥有构建它们的知识：设计原则、效率技术、安全框架与负责任部署的智慧。

你的 ML 系统工程师之旅从现在开始。带着你掌握的原则，投身有意义的挑战，构建可扩展的系统，创造持久的解决方案，工程化服务人类的智能。

智能的未来不是旁观，而是共建。请用心去构建它。

哈佛大学 Vijay Janapa Reddi 教授

动手实验

实践是掌握机器学习系统的最佳途径。本章提供一系列动手 TinyML 实验，涵盖从基础模型部署到复杂应用实现的各个方面。您将通过实际操作学习数据采集、模型训练、优化和部署的完整流程，体验在小规模设备上 AI 的独特挑战和解决方案。这些实验将帮助您将理论知识转化为实际技能，适用于希望获得 ML 系统实践经验的学生、工程师和爱好者。

入门指南

机器学习系统的教学需要全局视角，涵盖从数据采集到部署与运维的完整流程。然而，传统的机器学习系统教育面临诸多实际障碍：学生无法在学术环境下训练万亿参数模型、收集数百万标注图片，或在云端大规模部署系统。嵌入式机器学习为这一教学难题提供了优雅的解决方案，让学生在可控的硬件和时间范围内体验完整的系统工程。嵌入式设备通常仅有 2MB 内存和 1MB 闪存，学生必须在极端资源约束下做出工程权衡，这些权衡与大规模 ML 系统本质一致，并且每一次优化都能带来立竿见影的效果。

> **实验室开发者**
>
> 本系列动手实验由 Marcelo Rovai 设计，凭借其数十年嵌入式系统经验，打造了理论与实践紧密结合、易于上手的学习体验。

为什么选择嵌入式 ML 作为 ML 系统教育载体?

传统机器学习教育多聚焦于资源充足的云端环境和算法开发，虽有理论基础，但往往忽略了真实 AI 部署中的工程现实。嵌入式机器学习作为教学框架，具备以下突出优势，从基础条件、学习成效到实际应用均有体现：

- **经济可及性**：专业开发板价格仅需 20-50 美元，无需昂贵的云计算资源或专用实验室，学生可在课外自主探索。
- **即时可见的反馈**：物理交互（如 LED 指示分类结果、蜂鸣器响应音频事件、马达受手势控制）让抽象算法变为直观行为，加速学习与调试。
- **端到端系统理解**：不同于云端实验抽象基础设施，嵌入式系统要求学生掌握从传感

器数据采集到推理再到执行器控制的全流程，揭示真实 ML 系统的各环节依赖。

- **资源约束驱动工程能力提升**：2MB 内存和 1MB 闪存的限制，迫使学生直面模型架构、数据预处理等每个设计决策对系统性能的直接影响。
- **跨学科能力培养**：嵌入式 ML 融合计算机科学、电子工程与系统设计，契合现代技术发展的交叉趋势。
- **行业高度相关**：绝大多数 AI 系统实际运行于边缘设备，嵌入式开发技能可直接迁移至移动应用、物联网和自动化系统。

前置知识与准备

- **数学基础**：需具备线性代数、基础概率论和微积分知识。无需高深数学，但熟悉矩阵运算和基础优化概念有助于学习。
- **编程能力**：需熟练掌握 Python，了解 C/C++ 可加速进度，但非必需，入门实验会有详细引导。
- **硬件经验**：无需嵌入式开发经验，实验包含详尽的环境搭建和故障排查指引，适合初学者。

> **学习目标**
>
> 完成本实验系列后，学生将掌握：
>
> 1. **资源受限优化**：在 2MB 内存约束下部署 ML 模型，实现微控制器上的实时推理。
> 2. **低功耗系统设计**：实现电池续航以月计的常开感知应用，掌握功耗管理技巧。
> 3. **多模态数据处理**：在嵌入式系统中融合视觉、音频与传感器数据，兼顾性能约束。
> 4. **专业开发流程**：熟练使用 TensorFlow Lite、Edge Impulse 等主流工具链，掌握完整开发与调试流程。

实验类别

为达成上述目标，课程内容分为若干实验类别，分别聚焦嵌入式 AI 系统开发的不同方面。

计算机视觉应用

本系列实验聚焦于在资源受限硬件上处理高维视觉数据，演示实现实时性能所需的优化方法。

- **图像分类系统**：实现目标识别算法，权衡模型复杂度与推理速度，模拟手机相机和自动驾驶等场景的工程挑战。
- **目标检测与定位**：进阶实验涵盖空间定位，模拟安防与工业自动化中的检测算法。
- **视觉 - 语言集成**：前沿实验结合视觉处理与自然语言理解，展示边缘设备上的高级 AI 功能。

音频与时序数据处理

音频实验聚焦于在极低功耗下持续分析数据流，适用于对续航要求极高的常开感知场景。

- **关键词唤醒系统**：实现语音交互，体验持续音频监听与节能的工程挑战，贴近商用语音助手实现。
- **运动与行为识别**：基于惯性传感器的时序分析，学习从连续数据流中提取模式，应用于健康监测等领域。
- **音频事件分类**：进阶实验拓展至通用声学事件检测，适用于安防与环境感知。

实验平台兼容性

各实验类别支持多种硬件平台，涵盖不同能力与约束，确保学生体验多样化的嵌入式 AI 部署场景。

下表为实验类别与硬件平台的对应关系，便于课程设计者根据资源灵活安排教学内容。

实验类别	Arduino Nicla	XIAOML Kit	Grove Vision AI V2	Raspberry Pi
入门体验	✓	✓	✓	✓
图像分类	✓	✓	✓	✓
目标检测	✓	✓	✓	✓

实验类别	Arduino Nicla	XIAOML Kit	Grove Vision AI V2	Raspberry Pi
关键词唤醒	✓	✓		
运动分类	✓	✓		
无代码应用			✓	
大语言模型				✓
视觉语言模型				✓
DSP/特征工程	✓	✓	✓	✓

核心数据模态

上述实验围绕三大数据模态展开，这些模态覆盖了绝大多数嵌入式 AI 应用。理解这些模态有助于把握后续工程挑战的理论基础：

- **视觉数据处理**：图像与视频分析对计算资源要求极高，需在严苛内存约束下优化高维数据处理，兼顾实时性。
- **时序音频分析**：音频与传感器时序数据需持续流式处理，强调在极低功耗下平衡计算复杂度与能效。
- **传感器融合与多模态系统**：高级应用融合多源数据，实现单一模态无法完成的功能，同时管理系统复杂性与性能约束。

入门流程

明确学习目标、实验类别、平台选择与理论基础后，学生即可开启嵌入式 ML 之旅。

建议首先阅读 硬件套件 章节，了解各平台能力，并结合目标与预算选择合适硬件。

IDE 环境搭建 章节提供了所有平台的详细安装与故障排查指南。

后续步骤

完成硬件选择与开发环境配置后，即可正式开始实验。不同平台的搭建流程略有差异，通常需 30-60 分钟。

详细的各平台搭建说明请参考：

- XIAOML Kit 搭建
- Arduino Nicla Vision 搭建
- Grove Vision AI V2 搭建
- Raspberry Pi 搭建

硬件套件

本节介绍 TinyML 课程精选的四款硬件平台。每个平台代表了嵌入式计算能力光谱上的不同位置，从超低功耗微控制器到功能齐全的边缘计算机，充分体现了功耗、算力与开发复杂度之间的工程权衡。

这些平台广泛应用于实际商业场景，确保通过本课程获得的技能能够直接迁移到真实的嵌入式系统开发中。

重点推荐平台

XIAOML Kit 全套组件

XIAOML Kit 是我们最新引入的教育硬件平台（2025 年 7 月 31 日发布）。它为 ML 系统

学习提供了完整的 TinyML 开发环境，集成无线连接、摄像头、多种传感器及丰富文档。该小巧开发板充分展示了现代嵌入式系统如何在低成本框架下高效实现先进的机器学习能力。

系统要求与前置条件

在选择硬件平台前，请确保你的开发环境满足以下要求：

开发电脑要求：

- **操作系统**：Windows 10/11、macOS 10.15+ 或 Linux（Ubuntu 18.04+）
- **内存**：至少 8GB（Raspberry Pi 开发建议 16GB）
- **存储空间**：至少 10GB 可用空间用于开发工具和库
- **USB 接口**：至少一个 USB 2.0/3.0 接口
- **网络连接**：需联网以安装软件和下载库

软件依赖：

- **Arduino IDE 2.0+**（适用于 Arduino 平台）
- **Python 3.8+**（适用于 Raspberry Pi）
- **Git**（版本管理与示例代码获取）
- **文本编辑器/IDE**（如 VS Code、PyCharm 等）

硬件配件：

- **USB-C 或 Micro-USB 数据线**（需支持数据传输）
- **SD 卡**（Raspberry Pi 推荐 32GB+ Class 10）
- **各平台适配电源**
- **摄像头模块**（大多数套件已包含或可单独购买）

硬件平台概览

本课程精选四大平台，覆盖嵌入式计算能力的全谱系。表 1 展示了各平台的工程权衡与学习侧重点。

平台	主要学习方向	价格	功耗特性	最佳应用场景
XIAOML Kit	IoT 与无线 ML	$15-50	低功耗	成本敏感型部署
Arduino Nicla	超低功耗设计	$120	超低功耗	电池供电设备
Grove Vision AI	硬件加速	$30	中等	工业级应用
Raspberry Pi	完整 ML 框架	$60-150	高功耗	高级边缘计算

平台对比

表 2 对四个平台的关键技术参数进行了详细对比。

参数	XIAOML Kit	Raspberry Pi	Arduino Nicla	Grove Vision AI V2
价格区间（美元）	$15-50	$60-150	$120	$30
功耗	低	高	超低	中等
算力	中等	极高	低	高（NPU）
内存容量	8MB	1-16GB	2MB	16MB
主要应用场景	IoT 网络	边缘计算	电池设备	工业 AI
ML 框架	TF Lite	TensorFlow, PyTorch	TensorFlow Lite	SenseCraft AI
开发环境	Arduino/PlatformIO	Python/Linux	Arduino IDE	可视化/代码

平台选型指南

平台选择需结合具体学习目标和项目需求。表 3 为常见目标与平台适配关系。

学习目标/应用场景	XIAOML Kit	Ras Pi	Arduino Nicla	Grove Vision AI V2
嵌入式系统基础	✓	有限	✓	✓
无线连接	✓	✓		✓
超低功耗设计			✓	
完整 ML 框架		✓		
硬件加速				✓
实时视觉	有限	✓	✓	✓
边缘 - 云集成	✓	✓		✓
生产级部署	✓		✓	✓

硬件平台规格

本节详细介绍各平台的技术规格，包括处理器架构、内存体系、传感器能力及开发工具链要求。

XIAOML Kit (Seeed Studio)

> **最佳应用：IoT 与无线 ML**
>
> XIAOML Kit 擅长无线连接与成本敏感型部署，非常适合学习 IoT 传感网络、远程监控系统及无线 ML 推理。XIAO ESP32S3 代表超小型、无线能力强的 IoT 微控制器，“XIAO”意为“小”，板载尺寸仅 21×17.5mm。

XIAO ESP32S3 开发板

处理器架构：ESP32-S3 双核 Xtensa LX7，主频 240MHz

内存体系：8MB PSRAM + 8MB Flash

连接能力：WiFi 802.11 b/g/n，蓝牙 5.0

集成传感器：OV2640 摄像头、数字麦克风、6 轴 IMU

供电特性：3.3V 工作，支持多种低功耗模式

开发环境：支持 Arduino IDE、PlatformIO，丰富的 C/C++ 库，进阶可用 ESP-IDF

应用方向：IoT 传感网络、远程监控、无线 ML 推理、成本敏感型部署

Arduino Nicla Vision

> **最佳应用：超低功耗设计**
>
> Arduino Nicla Vision 针对电池供电与常开感知场景优化，适合学习超低功耗设计、图像分类与目标检测等应用。该平台基于 STM32H7 微控制器，展示了专业级嵌入式视觉系统如何在极端资源约束下实现复杂 ML 推理。

处理器架构：STM32H747 双核 ARM Cortex-M7/M4，主频 480MHz

内存体系：2MB RAM + 16MB Flash

集成传感器：GC2145 摄像头、MP34DT05 数字麦克风、6 轴 IMU

供电特性：3.3V，专为电池供电优化

Arduino Nicla Vision 搭载摄像头模块

开发环境：支持 Arduino IDE、OpenMV IDE，内置视觉库，支持 MicroPython 快速原型开发及 C/C++ 生产部署

应用方向：电池供电设备、图像分类、目标检测、常开感知

Grove Vision AI V2

> **最佳应用：硬件加速**
>
> Grove Vision AI V2 配备专用神经网络处理器（NPU），大幅提升推理性能。适合学习工业检测、实时视频分析及高阶目标检测等场景，充分体验 NPU 加速的优势。

处理器架构：ARM Cortex-M55 + Ethos-U55 NPU

内存体系：16MB 外部存储

神经网络处理器：专用 NPU 加速 ML 推理

摄像头接口：标准 CSI，支持多种摄像头模块

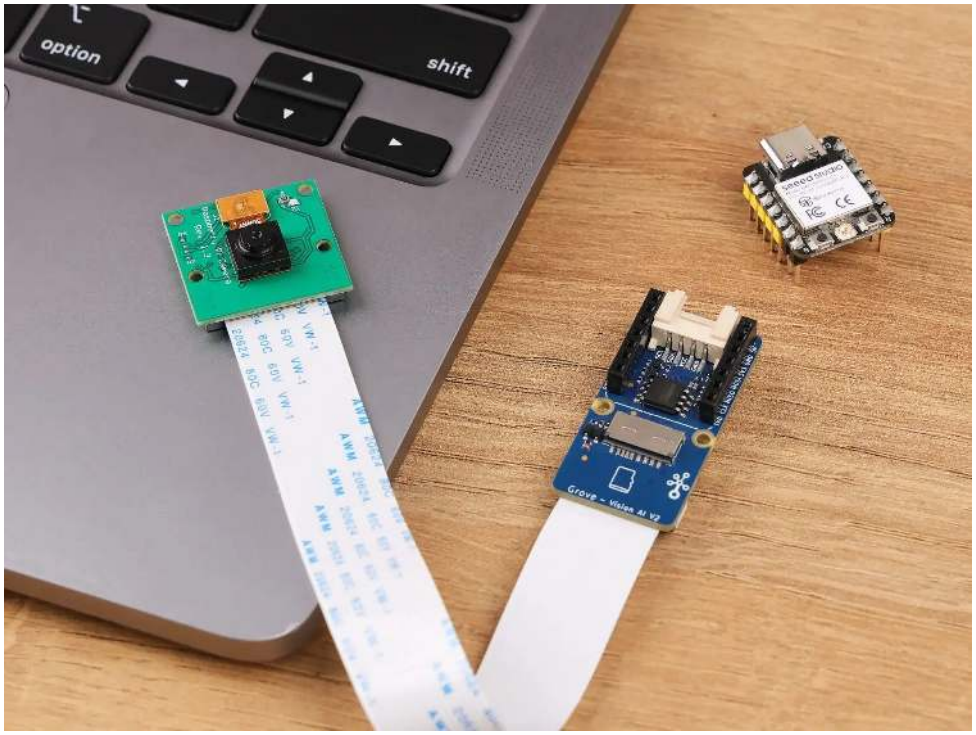

Grove Vision AI V2 搭载 NPU

音频输入：板载数字麦克风

开发环境：SenseCraft AI 可视化编程平台，无代码开发，支持 Arduino IDE 进行自定义应用，兼容图形化与传统 C/C++ 工作流

应用方向：工业检测、实时视频分析、高级目标检测、NPU 加速推理

Raspberry Pi（4/5 代及 Zero 2W）

> **最佳应用：完整 ML 框架**
>
> Raspberry Pi 兼具嵌入式与传统计算能力，提供完整 Linux 环境，适合学习边缘 AI 网关、高级视觉系统、语言模型部署及多模态 AI 应用。该平台展示了算力提升如何拓展 ML 应用边界。

处理器架构：ARM Cortex-A76（Pi 5）或 Cortex-A53（Zero 2W）

内存体系：1-16GB DDR4（视型号而定）

存储：MicroSD 卡为主存储，支持 USB 3.0 扩展

连接能力：千兆以太网、WiFi、蓝牙、多 USB 接口

摄像头接口：专用 CSI + USB 摄像头支持

Raspberry Pi 5 与 Pi Zero 2W 对比

操作系统：基于 Debian 的 Raspberry Pi OS（完整 Linux）

开发环境：原生 Python、C/C++、JavaScript，apt/pip 包管理器，支持 TensorFlow、PyTorch、OpenCV 等主流 ML 库

应用方向：边缘 AI 网关、高级视觉系统、语言模型部署、多模态 AI 应用

入门指南

如需购买本课程所用硬件套件，可通过以下官方渠道获取：

- Seeed Studio – XIAOML Kit 及 Grove Vision AI V2 模块
- Arduino Store – Nicla Vision
- Raspberry Pi Foundation – 官方板卡与套件
- DigiKey、Mouser、SparkFun — 其他元器件与套件分销商

请关注各渠道的教育优惠、套装组合及地区供货情况。大多数套件均有包含主板及基础配件的入门包可选。

IDE 环境配置

概述

搭建交互式开发环境（IDE）是整个实验课程成功的关键第一步。与云端 ML 开发不同，嵌入式系统要求你理解从代码编译到硬件部署的完整工具链。通过本地化的动手配置，你不仅能掌握嵌入式开发的基本流程，还能为后续实验做好软硬件准备。

环境配置通常需 30-60 分钟，具体取决于平台选择和网络速度。下述流程面向零基础同学设计，每一步都为后续实验打下技能基础。

完成 硬件套件 章节的选型后，按照本章流程即可完成嵌入式 ML 编程所需的开发工具、库和验证方法配置。

各平台软件安装

不同硬件平台对应不同的开发方式，贴近真实嵌入式工程实践。Arduino 强调资源约束与实时性，树莓派兼顾边缘计算与 ML 框架，专用 AI 硬件则突出硬件加速与高效推理。

请根据所选硬件，选择对应的安装流程。

Arduino 系列平台（Nicla Vision、XIAOML Kit）

Arduino 嵌入式系统提供直接的硬件控制，抽象层极低，非常适合理解资源优化与系统反馈。

Arduino IDE 安装：

1. 访问 arduino.cc/software 下载 Arduino IDE 2.0
2. 按操作系统指引安装
3. 启动 IDE，进入 文件 → 首选项
4. 添加开发板支持 URL：
   - XIAOML Kit:
     ```
     https://raw.githubusercontent.com/espressif/arduino-esp32/gh-pages/package_esp32_in
     ```
   - Nicla Vision: 在 Arduino IDE Board Manager 内查找官方 URL

开发板包安装：

1. 工具 → 开发板 → 开发板管理器
2. 搜索并安装：
   - XIAOML Kit: 搜索 “ESP32”，安装 “esp32 by Espressif Systems”
   - Nicla Vision: 搜索 “Arduino Mbed OS Nicla Boards” 并安装
3. 工具 → 开发板，选择对应板卡
4. 库管理器安装所需库

常用库：

- TensorFlow Lite Micro
- 平台专用摄像头驱动
- 传感器接口库（I2C、SPI）

Grove Vision AI V2 平台

该平台通过专用神经网络加速器展示硬件 AI 推理，支持可视化编程与传统开发环境。

SenseCraft AI 配置：

1. 注册 sensecraft.seeed.cc 账号
2. USB 连接 Grove Vision AI V2
3. 通过网页端 SenseCraft AI 访问设备
4. 可视化编程无需本地安装

Arduino IDE 开发（自定义开发）：

参考上文 Arduino 平台流程，板卡包 URL 选用 Seeed Studio 官方地址。

树莓派平台

树莓派兼具嵌入式约束与完整计算能力，既能体验资源优化，也能运行主流 ML 框架。

操作系统安装：

1. 下载 Raspberry Pi Imager
2. 烧录 64 位 Raspberry Pi OS 至 microSD 卡（建议 32GB+）
3. 烧录时配置 SSH 与 WiFi
4. 插卡启动树莓派

软件环境配置：

以下命令可搭建完整的 Python ML 开发环境：

```
# 系统更新
sudo apt update && sudo apt upgrade -y

# 安装 Python 开发工具
sudo apt install python3-pip python3-venv python3-dev -y

# 安装 ML 框架依赖
sudo apt install libatlas-base-dev libhdf5-dev libhdf5-serial-dev -y
```

```
# 安装计算机视觉依赖
sudo apt install libcamera-dev python3-libcamera python3-kms++ -y

# 创建虚拟环境
python3 -m venv ~/ml_projects
source ~/ml_projects/bin/activate

# 安装核心 ML 包
pip install tensorflow tensorflow-lite opencv-python numpy
```

开发工具配置

合理配置开发工具，确保主机与嵌入式硬件可靠通信，为后续代码部署、调试与性能监控打下基础。

串口通信配置

串口是嵌入式系统调试与数据监控的主要接口，有助于理解系统行为与性能瓶颈。

Windows：

- 安装对应 USB 转串口驱动（如 CH340、FTDI）
- 设备管理器确认开发板识别

macOS/Linux：

- 大多数 USB 转串口无需额外驱动
- 设备检测：`ls /dev/tty*`
- Linux 用户需加入 dialout 组：`sudo usermod -a -G dialout $USER`

IDE 设置

开发环境配置直接影响代码 - 测试 - 部署效率，合理设置可大幅减少调试时间。

Arduino IDE 设置：

- 工具 → 端口，选择正确 COM 口
- 工具 → 开发板，选择正确板卡与处理器
- 上传速率建议 115200 baud
- 编译时启用详细输出，便于调试

树莓派开发：

- 配置 SSH 密钥，支持远程开发
- 安装 VS Code 及 Python/Remote SSH 插件
- 配置 Jupyter notebook 便于交互式开发

环境验证

环境验证确保开发环境能与硬件正常通信并执行基础操作，是进入复杂实验前的必要步骤。

硬件检测测试

以下验证流程可测试实验所需的核心功能，确保软硬件均可正常工作。

Arduino 平台：

```
void setup() {
  Serial.begin(115200);
  Serial.println("开发环境测试");
  Serial.print("开发板: ");
  Serial.println(ARDUINO_BOARD);
}

void loop() {
  Serial.println("环境正常运行");
  delay(1000);
}
```

树莓派：

```
# 测试摄像头接口
libcamera-hello --timeout 5000

# 测试 Python ML 环境
python3 -c "import tensorflow as tf; print('TensorFlow:', tf.__version__)"
python3 -c "import cv2; print('OpenCV:', cv2.__version__)"
```

Grove Vision AI V2：

- 在 SenseCraft AI 网页端确认设备识别
- 通过可视化编程界面测试基础模型部署

常见环境问题与解决方案

环境配置常见问题也是学习嵌入式系统约束与调试技巧的好机会。以下为常见问题及解决方法：

设备连接问题：

- 确认 USB 线支持数据传输（非仅供电线）
- 若设备未识别，安装平台专用 USB 驱动
- 更换 USB 端口或集线器排查不稳定连接

编译报错：

- 检查 IDE 板卡与处理器选择是否正确
- 确认所需库已安装且版本兼容
- 检查磁盘空间是否充足

运行时问题：

- 确保供电充足（摄像头等外设尤需注意）
- 检查 SD 卡格式与兼容性（树莓派）
- 检查 ML 模型内存占用是否超限

网络连接（WiFi 平台）：

- 检查网络凭证与安全协议
- 检查防火墙设置，确保开发工具可访问设备
- 确认网络允许设备与主机互通

故障排查与支持

常见硬件问题：

- **设备无法识别**：确认 USB 线支持数据，尝试更换端口
- **上传失败**：检查 IDE 板卡与端口设置
- **供电异常**：确保电源充足，摄像头等外设尤需注意
- **内存错误**：确认模型大小适配平台内存

软件配置问题：

- **库冲突**：使用官方推荐的兼容版本
- **编译报错**：确认所有依赖已正确安装
- **网络连接**：检查防火墙与网络权限

平台专用资源：

- **XIAOML Kit**：Seeed Studio 文档
  - XIAO ESP32S3 系列文档
- **Arduino Nicla Vision**：Arduino 官方文档
- **Grove Vision AI V2**：SenseCraft AI 平台
- **树莓派**：官方文档

社区支持：

- **GitHub Issues**：在项目仓库提交 bug 或需求
- **讨论区**：Arduino、树莓派、Seeed Studio 等平台社区
- **Stack Overflow**：使用平台标签提问

实验准备就绪

完成环境配置与验证后，你已具备嵌入式 ML 编程的基础工具。环境搭建过程中掌握的工具链管理、依赖处理、系统验证等能力，将贯穿后续所有实验。

当前环境支持从算法实现到硬件部署与性能优化的完整开发流程。实验总览章节将按难度与目标分类，系统性提升你的嵌入式 ML 能力。

推荐实验顺序：

1. 先完成基础传感器实验，验证硬件功能
2. 进阶至单模态 ML 应用（图像或音频）
3. 最后挑战多模态与优化类实验

每个实验都包含详细实现步骤、性能基准与针对性故障排查。你已为探索嵌入式 ML 应用与优化技术打下坚实基础。

Arduino（微控制器平台）实验

Arduino 平台为 TinyML 提供了理想的入门环境。本章介绍 Arduino 在嵌入式机器学习中的应用，通过 Nicla Vision 开发板进行实际实验。您将学习如何在微控制器上部署轻量级 ML 模型，实现实时推理，并探索边缘计算的独特挑战。无论您是硬件爱好者还是想要体验 TinyML 的开发者，本章都将通过动手实验帮助您掌握在资源受限设备上运行 AI 的基本技能，为更复杂的嵌入式项目奠定基础。

概览

这些实验为你提供了亲身体验机器学习（ML）系统的独特机会。与需要数据中心级资源的大模型不同，这些练习让你能够直接操作硬件与软件，体验 TinyML 的实际应用。通过动手实践，你将更直观地理解 AI 部署在微型设备上的挑战与机遇，尽管规模较小，但其原理与大型系统基本一致。

Nicla Vision 开发板，图片来源：Arduino

前置条件

- **Nicla Vision 开发板**：请确保你拥有 Nicla Vision 板卡。
- **USB 数据线**：用于将开发板连接到电脑。
- **网络环境**：需联网以下载所需软件。

环境配置

- Nicla Vision 环境搭建

实验任务

模态	任务	描述	链接
视觉	图像分类	学习如何对图片进行分类	链接
视觉	目标检测	实现目标检测功能	链接
声音	关键词识别	探索语音识别系统	链接
IMU	动作分类与异常检测	分类动作数据并检测异常	链接

安装与配置

概述

Arduino Nicla Vision（简称 NiclaV）是一款集成双处理器、可并行运行任务的开发板。它属于同一系列的开发板家族，拥有相同的外形尺寸，但针对不同场景设计，如 Nicla Sense ME 和 Nicla Voice。Nicla 系列可高效运行 TensorFlow Lite 创建的模型。例如，NiclaV 的一个核心可实时运行计算机视觉算法（推理），另一个核心则负责底层操作，如电机控制、通信或用户界面。板载无线模块支持 WiFi 与蓝牙低功耗（BLE）同时管理。

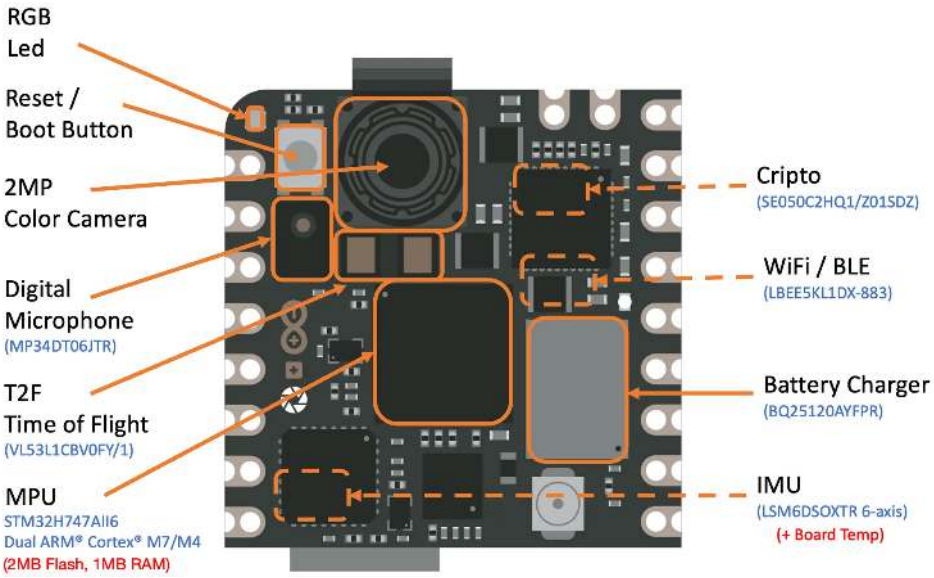

Nicla Vision 板卡外观

硬件简介

双核并行架构

主控芯片为双核 STM32H747，包含 480 MHz 的 Cortex M7 和 240 MHz 的 Cortex M4。两核通过远程过程调用（RPC）机制通信，可无缝调用对方函数。两核共享片上所有外设，支持：

- 基于 Arm Mbed OS 的 Arduino sketch
- 原生 Mbed 应用
- MicroPython / JavaScript 解释器
- TensorFlow Lite

存储与内存

内存对嵌入式机器学习项目至关重要。NiclaV 板载最大 16MB QSPI Flash 用于存储。但需注意，机器学习推理主要依赖 MCU 的 SRAM，STM32H747 仅有 1MB（两核共享）。芯片还集成 2MB FLASH，主要用于代码存储。

板载传感器

- **摄像头**：GC2145 2MP 彩色 CMOS
- **麦克风**：`MP34DT05` 数字 MEMS 麦克风，超小型、低功耗、全向

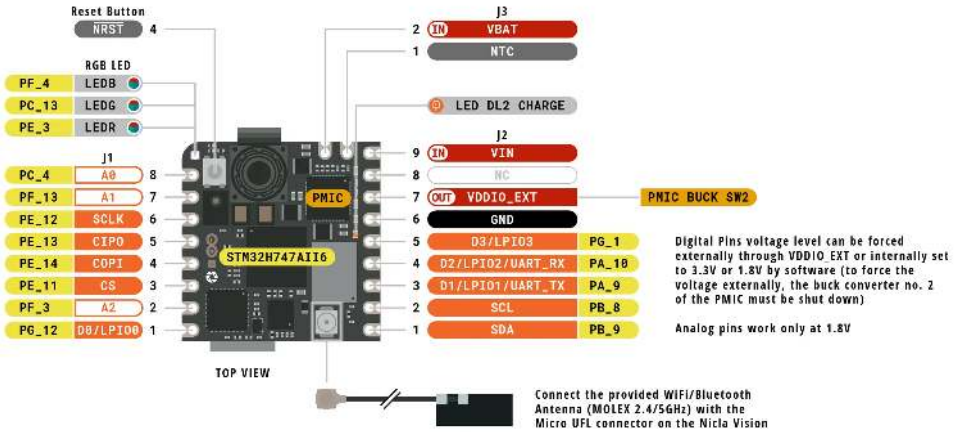

双核架构与外设共享示意图

- **6 轴 IMU**：`LSM6DSOX`，3D 陀螺仪 + 3D 加速度计
- **ToF 距离传感器**：`VL53L1CBV0FY`，高精度、低功耗，集成红外 VCSEL 激光器与接收光学系统，位于摄像头下方

Arduino IDE 安装与配置

首先用 micro USB 线连接开发板到电脑：

连接 Nicla Vision 到电脑

在 Arduino IDE 中安装 Nicla 板卡的 Mbed OS 内核。依次进入 `工具 > 开发板 > 开发板管理器`，搜索 Arduino Nicla Vision 并安装。

接着，选择 `工具 > 开发板 > Arduino Mbed OS Nicla Boards`，选中 `Arduino Nicla Vision`。连接 USB 后，端口应能识别 Nicla 并选择。

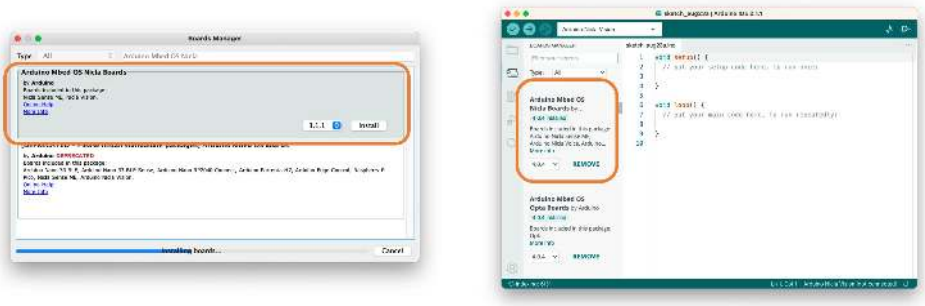

Arduino IDE 1.18　　Arduino IDE 2.X

开发板管理器安装界面

> 打开示例 Blink（Examples/Basic），点击上传。板载绿灯（RGB）闪烁即表示 Nicla 安装与硬件正常！

测试麦克风

在 Arduino IDE，进入 `Examples > PDM > PDMSerialPlotter`，运行并打开绘图仪，可实时查看麦克风音频波形：

麦克风测试波形

> 可尝试不同频率声音，确认麦克风工作正常。

测试 IMU

测试 IMU 前需安装 LSM6DSOX 库。打开库管理器，搜索 LSM6DSOX，安装 Arduino 官方库：

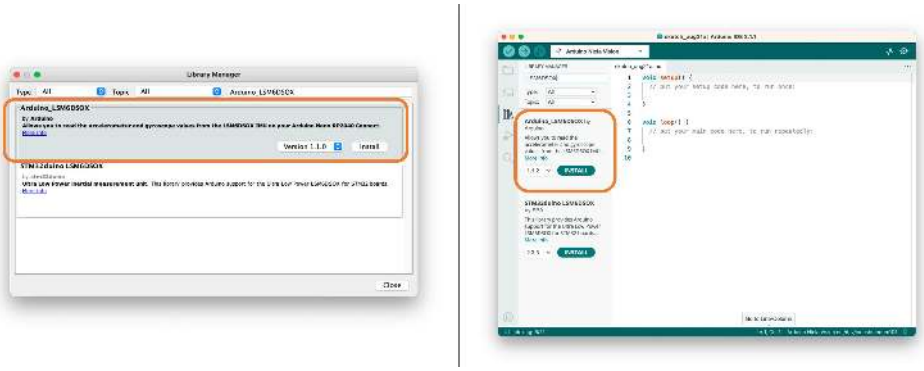

IMU 库安装界面

然后运行 `Examples > Arduino_LSM6DSOX > SimpleAccelerometer`，可测试加速度计（也可测试陀螺仪和温度）：

加速度计测试界面

测试 ToF 距离传感器

同理，需先安装 VL53L1X ToF 库。库管理器搜索 VL53L1X，安装 Pololu 官方库：

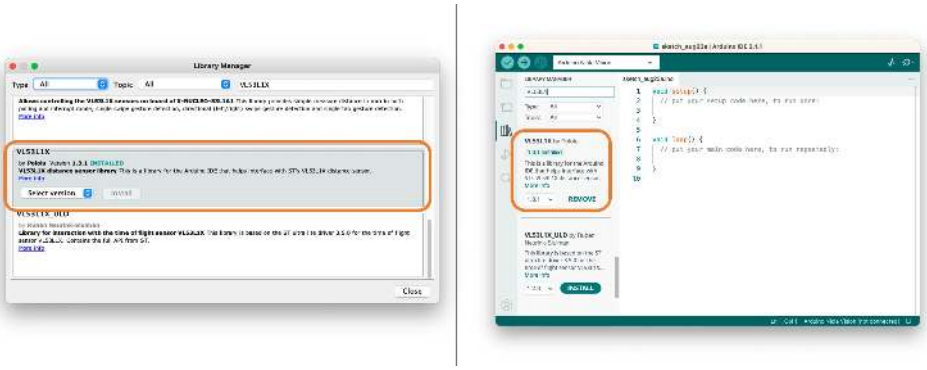

ToF 库安装界面

运行 proximity_detection.ino 示例：

串口监视器可实时显示摄像头前方物体距离（最大 4 米）：

测试摄像头

可用 `Examples > Camera > CameraCaptureRawBytes` 测试摄像头，虽然不能直接预览，但可获取原始图像数据。

推荐使用 `Web Serial Camera`（API 说明）网页应用，可通过 Web Serial 实时预览摄

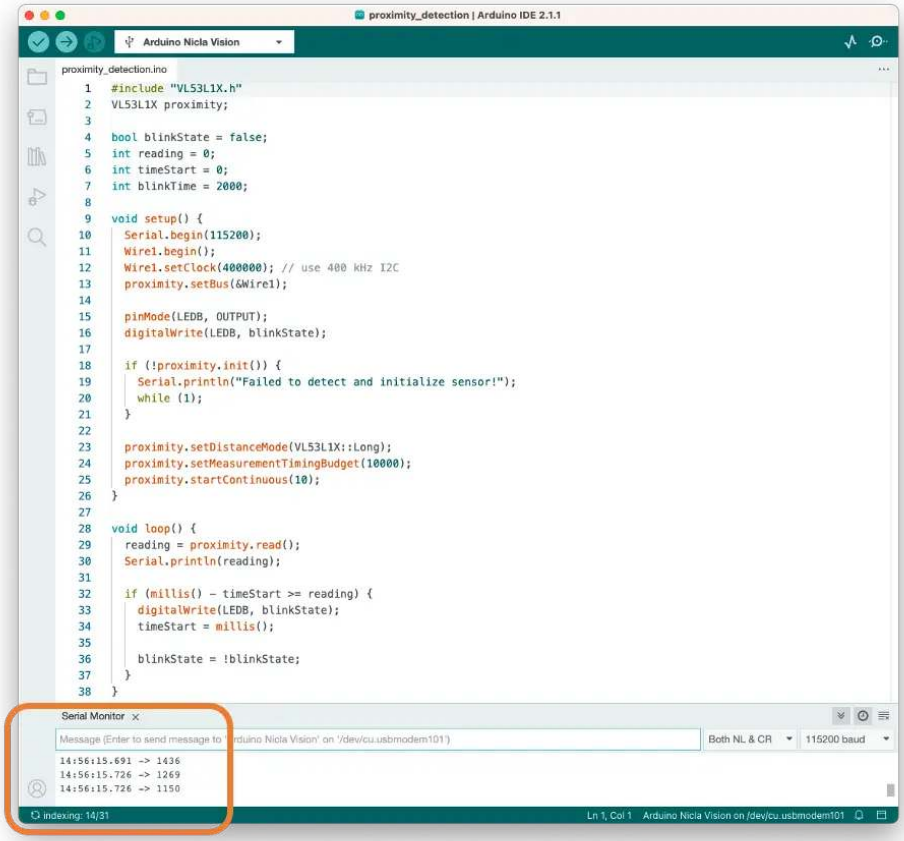

ToF 距离检测示例

像头画面。该应用演示了如何用 JavaScript 解包并渲染 Arduino 板卡传输的图像数据，源码见 GitHub。

Arduino 端代码（CameraCaptureWebSerial）见 此处，也可在 IDE “Examples→Camera”菜单下找到。

网页端应用可直接访问 这里，详细教程见官方文档。

安装 OpenMV IDE

OpenMV IDE 是 OpenMV 相机（与 Nicla Vision 类似）专用的集成开发环境，内置强大的文本编辑器、调试终端和帧缓冲区查看器（含直方图）。我们将用 MicroPython 编程摄像头。

访问 OpenMV IDE 官网，下载适合操作系统的版本并安装。

IDE 默认打开 helloworld_1.py 示例。若未自动打开，可通过 `Files > Examples > HelloWord > helloword.py` 手动打开。

距离检测串口输出

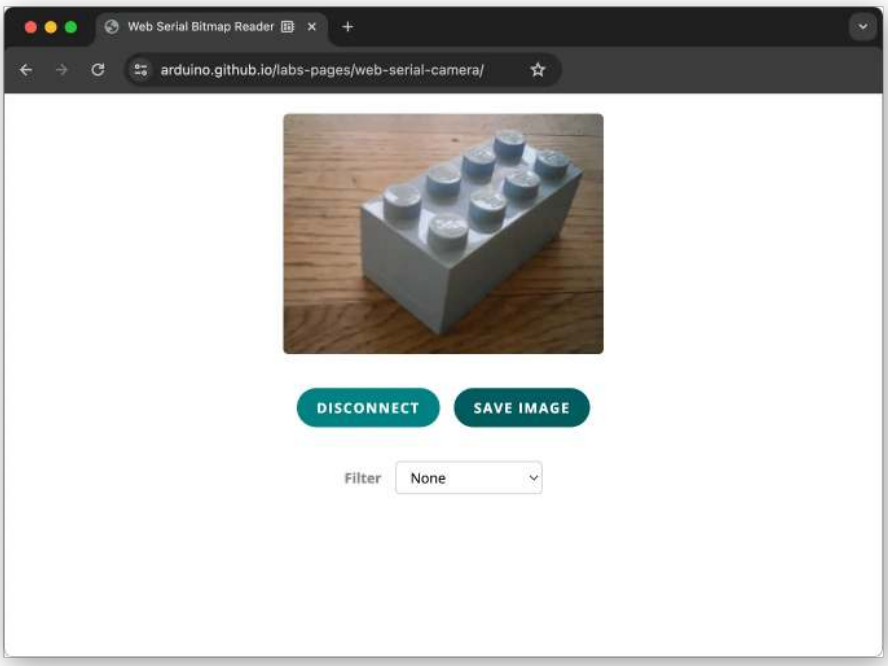

Web Serial Camera 使用界面

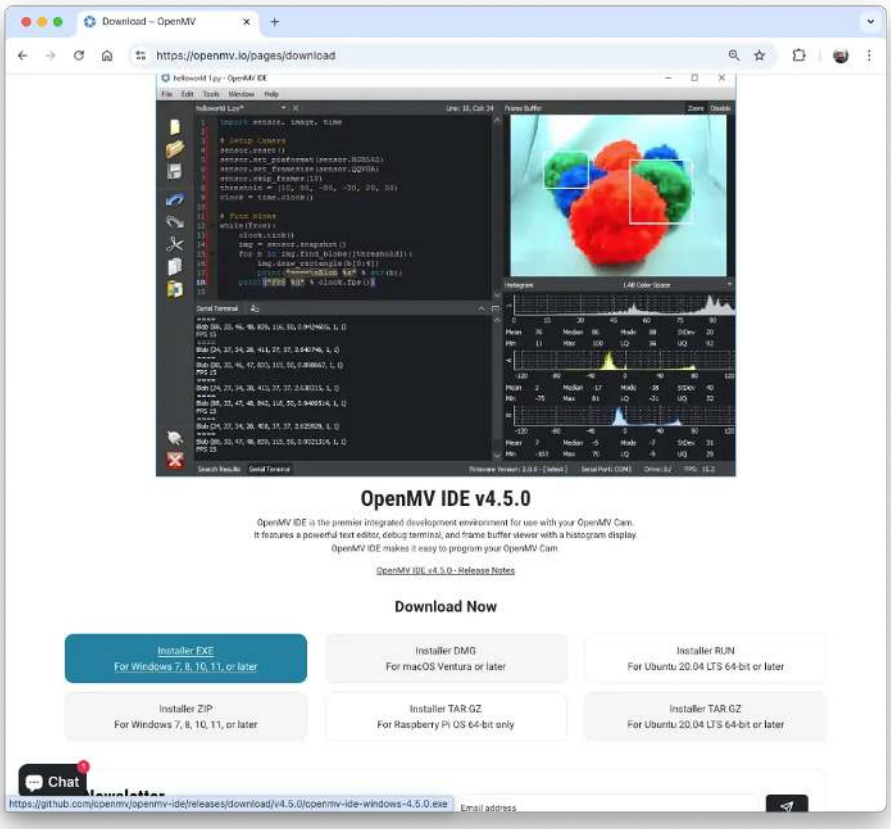

OpenMV IDE 下载页面

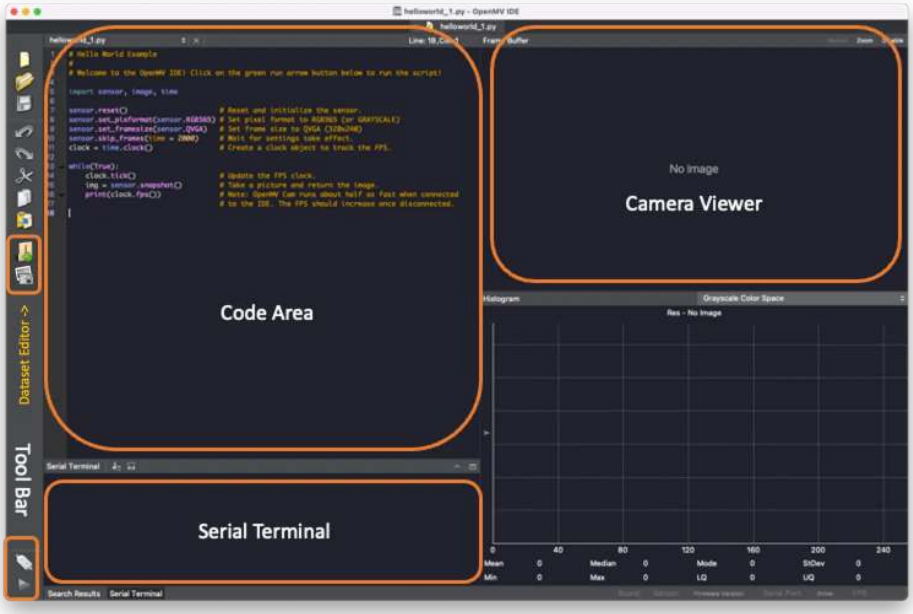

OpenMV IDE 主界面

串口输出（print 或错误信息）会实时显示在 **Serial Terminal**，摄像头画面显示在 **Camera Viewer**（帧缓冲区）及下方直方图区域。

升级 Bootloader

连接 Nicla 前，需确保 Bootloader 为最新版。用 Arduino IDE 选择 Nicla 板卡，打开 `Examples > STM_32H747_System STM32H747_manageBootloader`，上传并按串口提示操作。

安装固件　升级 Bootloader 后，双击复位键进入 bootloader 模式，绿灯呼吸闪烁。回到 OpenMV IDE，点击左侧连接图标：

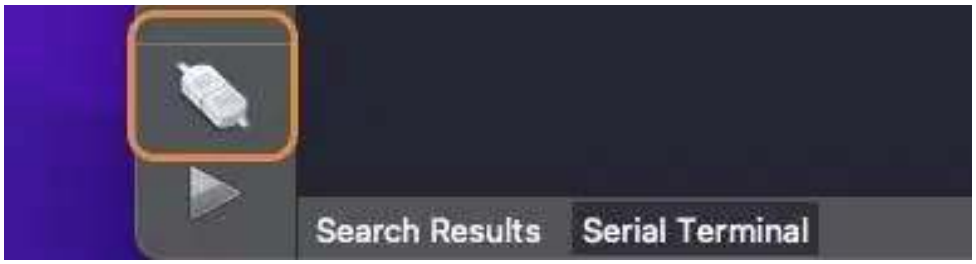

OpenMV IDE 连接按钮

弹窗提示检测到 DFU 模式板卡，选择 `Install the latest release firmware (vX.Y.Z)`，安装最新版 OpenMV 固件。

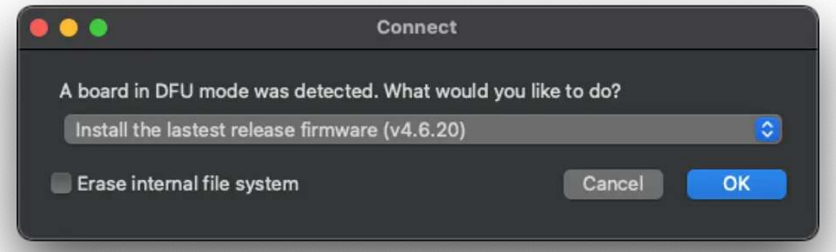

固件安装弹窗

可不勾选 `Erase internal file system`，点击 `[OK]`。

绿灯闪烁表示固件上传中，终端窗口显示进度。

等待绿灯停止闪烁，出现“DFU firmware update complete!”提示，点击 `[OK]`。

连接成功后工具栏出现绿色播放按钮。

固件上传进度

电脑会出现名为 “NO NAME” 的新磁盘。

每次按 `[RESET]`，板载 main.py 会自动执行。可通过 IDE 加载 main.py（`File > Open File...`）。

> 该代码为 “Blink” 示例，用于确认硬件正常。

测试摄像头 运行 helloword_1.py，在 `File > Examples > HelloWorld > helloword.py` 选择脚本。

点击绿色播放按钮，MicroPython 脚本上传并运行，Camera Viewer 区域可实时预览视频流，Serial Monitor 显示帧率（约 27fps）。

helloworld.py 示例代码如下：

```
import sensor, time

sensor.reset()                      # 传感器初始化
sensor.set_pixformat(sensor.RGB565) # 设置像素格式
sensor.set_framesize(sensor.QVGA)   # 设置帧尺寸
```

固件上传完成提示

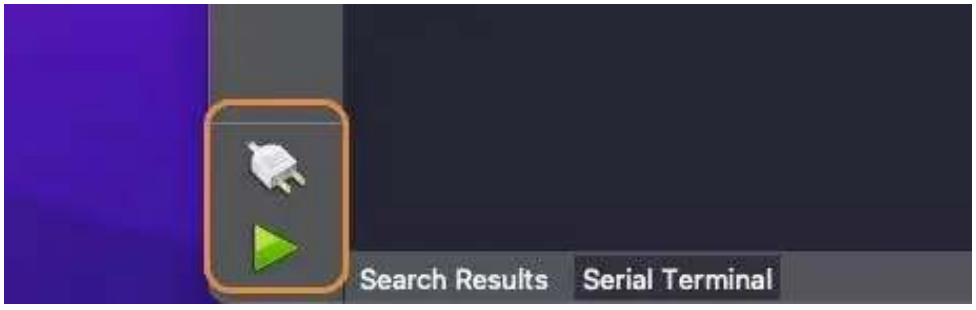

OpenMV IDE 工具栏连接状态

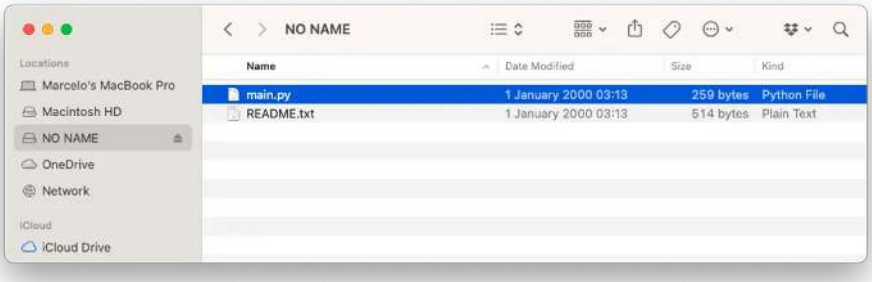

Nicla Vision 作为 U 盘显示

main.py 文件选择界面

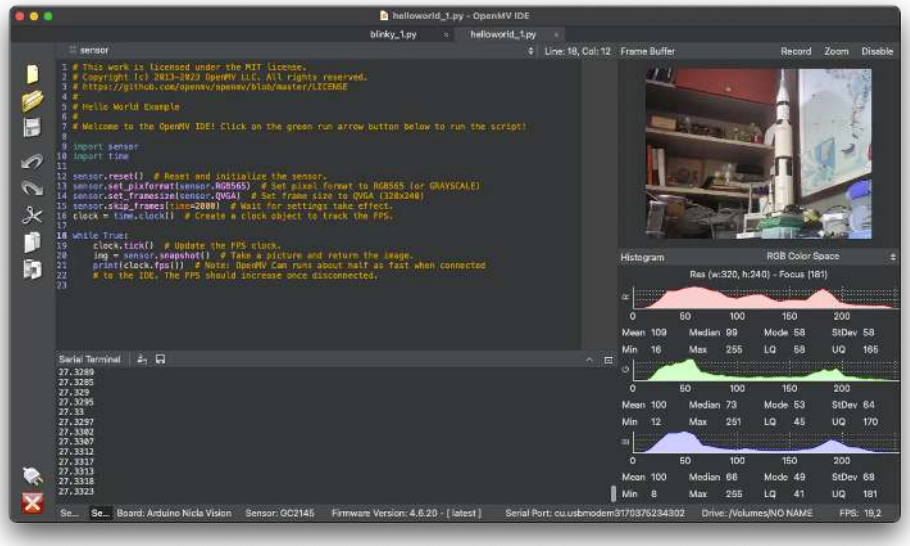

摄像头实时预览与帧率

```
sensor.skip_frames(time = 2000)     # 等待设置生效
clock = time.clock()                # 创建时钟对象

while(True):
    clock.tick()                    # 更新时钟
    img = sensor.snapshot()         # 拍照
    print(clock.fps())
```

更多 Python 示例见 GitHub。

代码分为两部分：

- **Setup**：导入库、初始化变量
- **Loop**：循环采集图像（img），每帧可用于机器学习推理

点击红色 `[X]` 可中断程序。

> 注意：OpenMV Cam 连接 IDE 时速度约为断开时一半，断开后帧率更高。

更多 Python 示例见 Micropython 目录，可尝试测试板载各类传感器。

连接 Nicla Vision 到 Edge Impulse Studio

后续实验将用到 Edge Impulse Studio。Edge Impulse 是领先的边缘设备机器学习开发平台。

Edge Impulse 官方支持 Nicla Vision。请先在 Studio 新建项目并连接 Nicla，步骤如下：

- 下载适合操作系统的 Arduino CLI
- 下载最新版 EI 固件
- 解压两者并放在同一文件夹
- 双击复位键进入 Boot 模式
- 运行对应操作系统的 uploader（EI FW）：

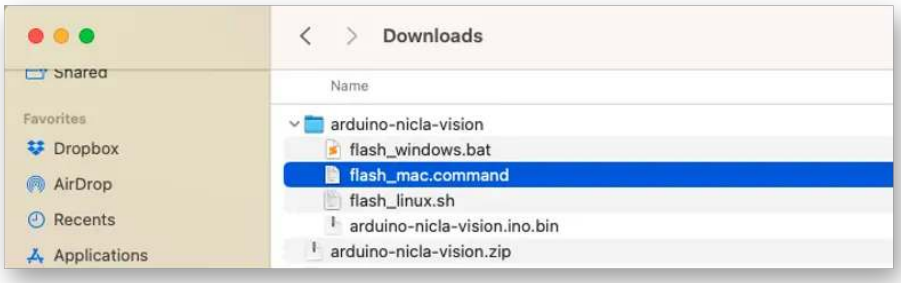

固件上传脚本选择界面

- 执行批处理脚本，上传 arduino-nicla-vision.bin 到板卡

> 使用 `Chrome` 浏览器可通过 WebUSB 直接连接 Nicla 到 EI Studio，无需 EI CLI。

进入 Studio 项目，在 `Data Acquisition` 标签页选择 `WebUSB`（1），弹窗选择 `Nicla is paired`（2），点击 `[Connect]`（3）。

可在 Collect Data 区域选择采集的传感器数据：

如采集 IMU 数据（惯性）：

或采集摄像头图像：

还可测试外部 ADC（Nicla pin 0）及其他板载传感器，如麦克风、ToF（距离）或多传感器融合（fusion）。

Nicla Vision 扩展板（可选）

原型开发时常需外接传感器。推荐 Arduino MKR Connector Carrier (Grove 兼容)。

该扩展板含 14 个 Grove 接口：5 路单独模拟输入（A0-A5）、1 路双模拟输入（A5/A6）、5 路单独数字 I/O（D0-D4）、1 路双数字 I/O（D5/D6）、1 路 I2C（TWI）、1 路 UART（串

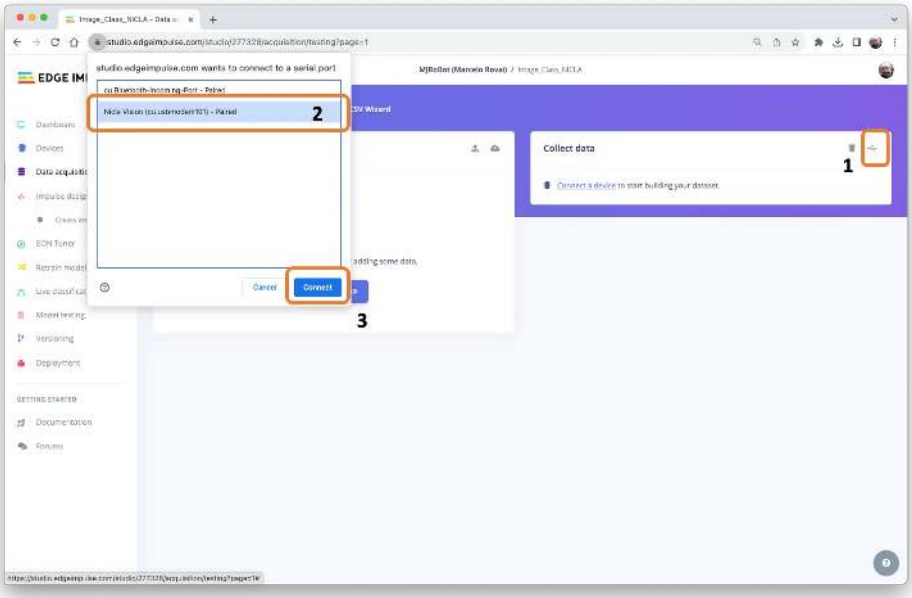

WebUSB 连接界面

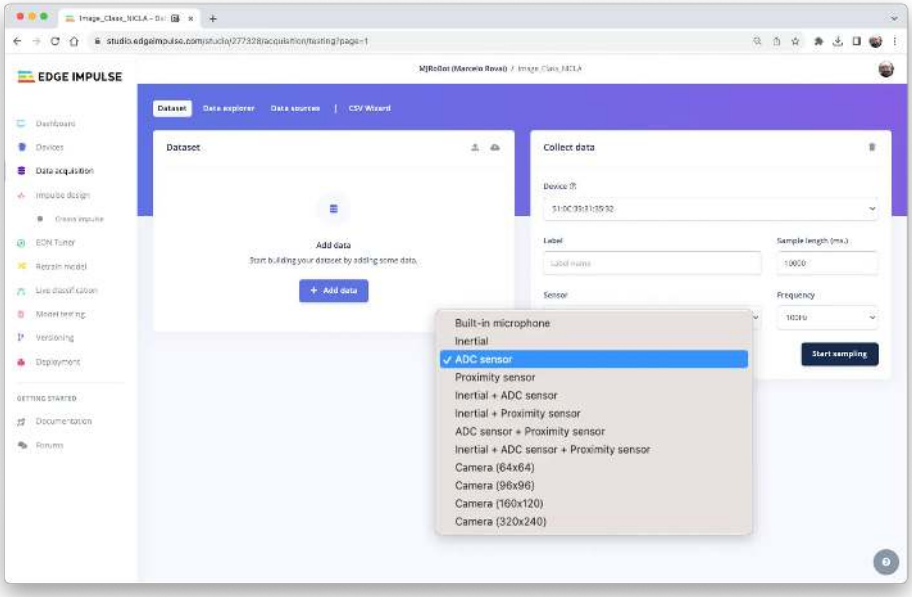

选择传感器数据界面

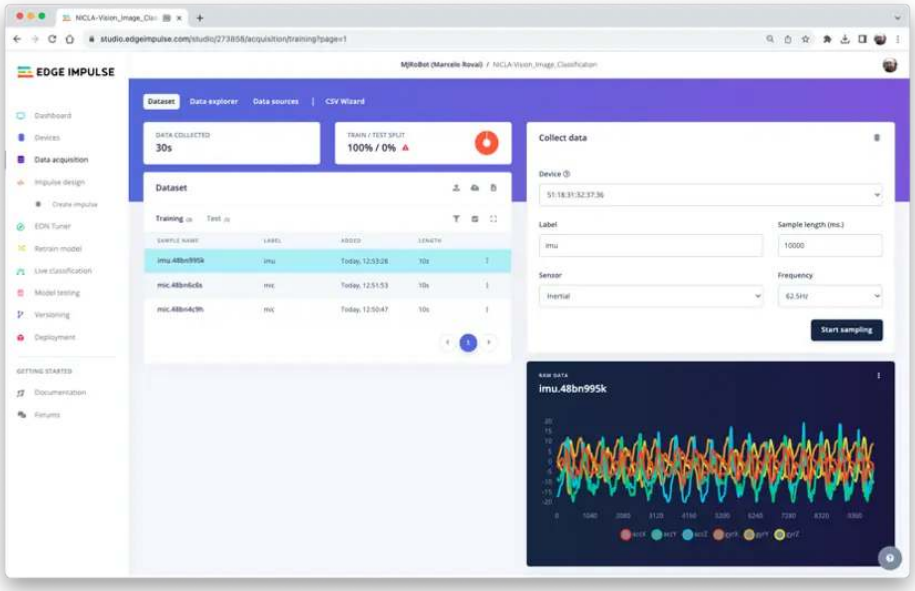

IMU 数据采集界面

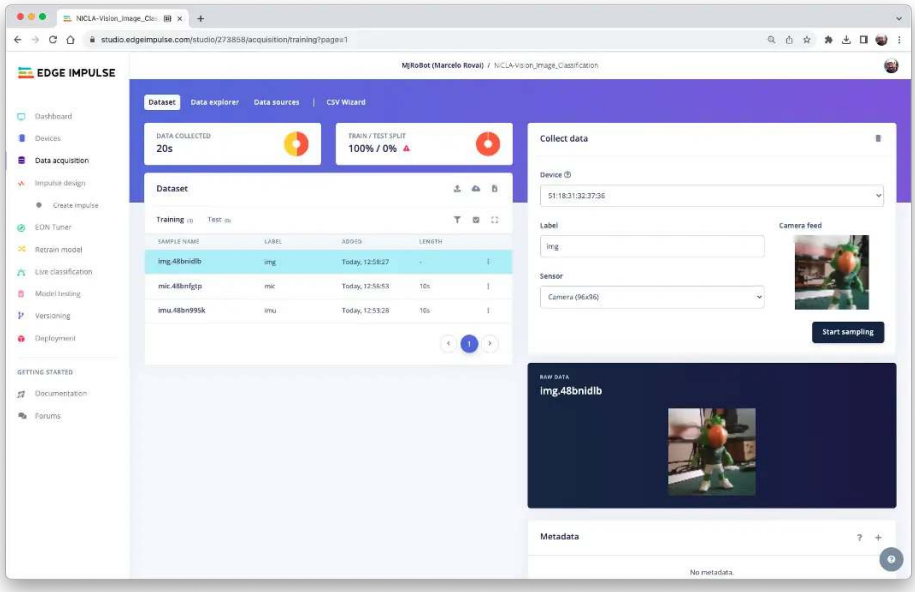

摄像头数据采集界面

口），全部 5V 兼容。

> Nicla Vision 17 个引脚全部连接到 Shield，但部分 Grove 接口未连接。

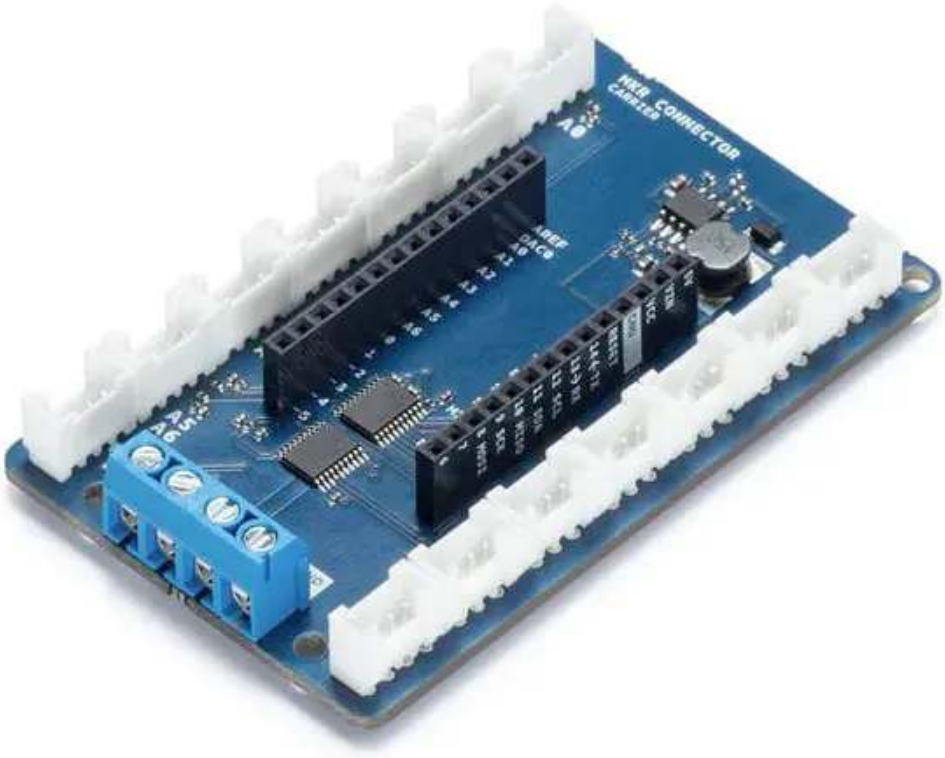

Grove 扩展板接口示意图

该扩展板兼容 MKR 系列，可与 Nicla Vision、Portenta 搭配使用。

例如，在 TinyML 项目中，你可用 LoRaWAN 设备发送推理结果，并采集环境光强，建议配合 OLED 显示屏用于离线显示：

Grove 光照传感器 可接 A0/PC4，LoRaWAN 设备 接 UART，OLED 接 I2C。

Nicla 引脚 3（Tx）和 4（Rx）连接到扩展板串口，用于 LoRaWAN 通信。UART 示例代码如下：

```
# UART 测试 - By: marcelo_rovai - Sat Sep 23 2023

import time
from pyb import UART
from pyb import LED

redLED = LED(1) # 板载红灯

```

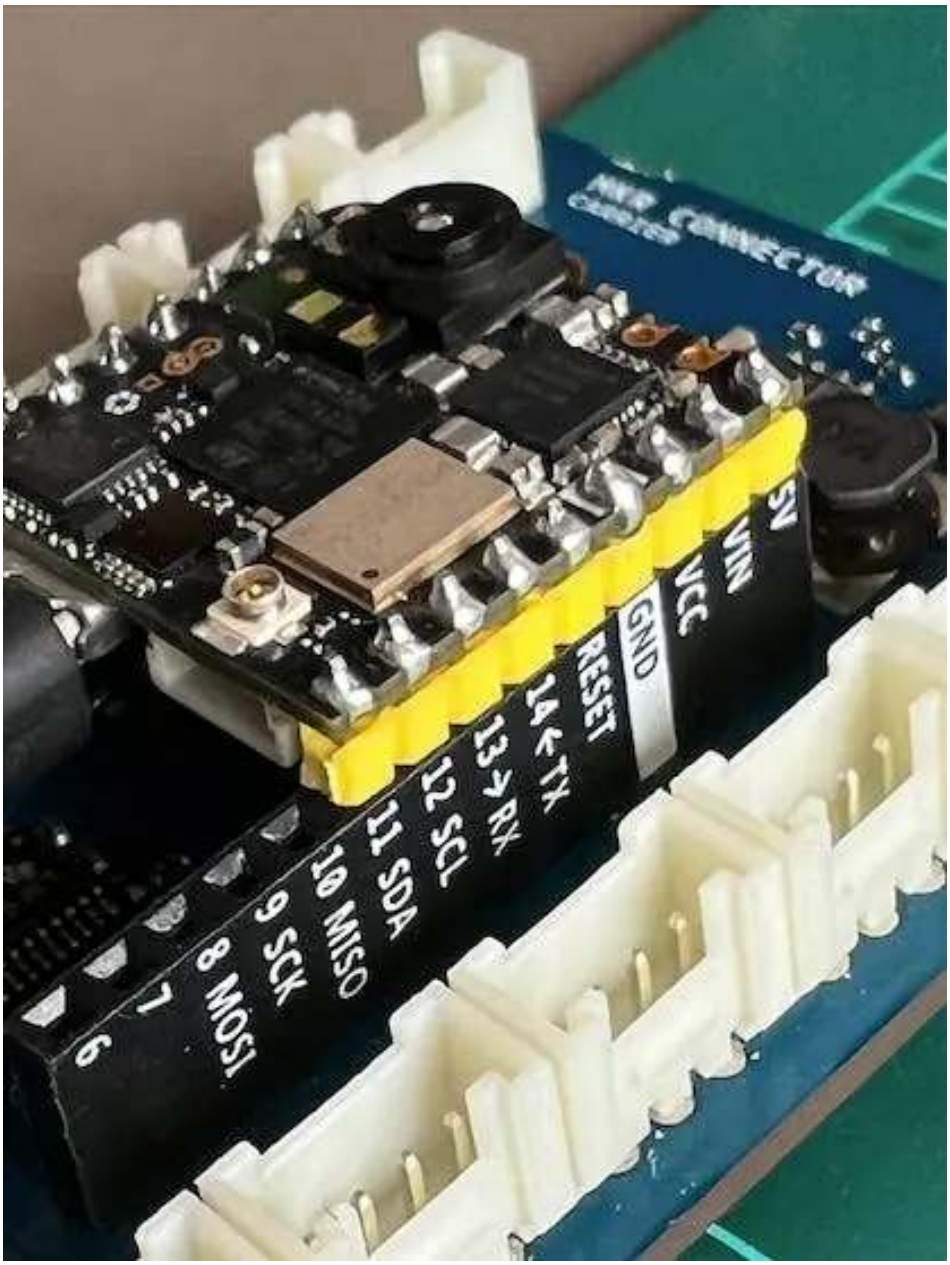

扩展板与 Nicla Vision 组合图

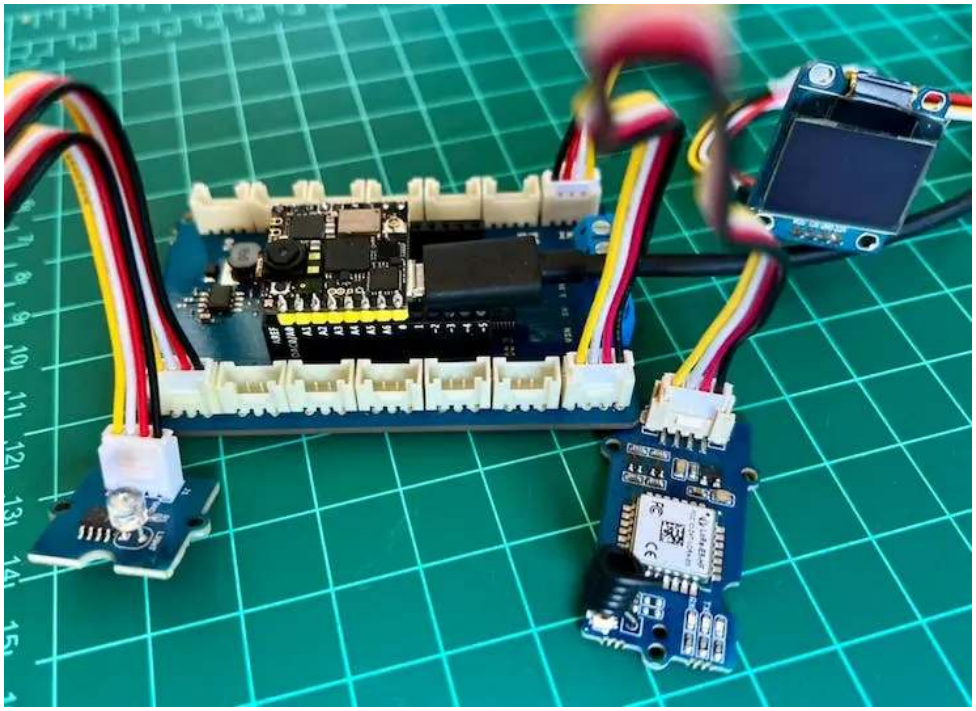

TinyML 项目扩展应用场景

```
# 初始化 UART
# Nicla Vision 的 UART (TX/RX) 在 "LP1"
uart = UART("LP1", 9600)

while(True):
    uart.write("Hello World!\r\n")
    redLED.toggle()
    time.sleep_ms(1000)
```

可用 Arduino UNO 作为接收端，串口监视器显示 “Hello World”，代码见此。

OLED 示例代码如下（需上传 Adafruit 的 ssd1306.py 驱动，见 GitHub）：

```
# Nicla_OLED_Hello_World - By: marcelo_rovai - Sat Sep 30 2023

import ssd1306
from machine import I2C
i2c = I2C(1)

oled_width = 128
oled_height = 64
oled = ssd1306.SSD1306_I2C(oled_width, oled_height, i2c)

oled.text('Hello, World', 10, 10)
oled.show()
```

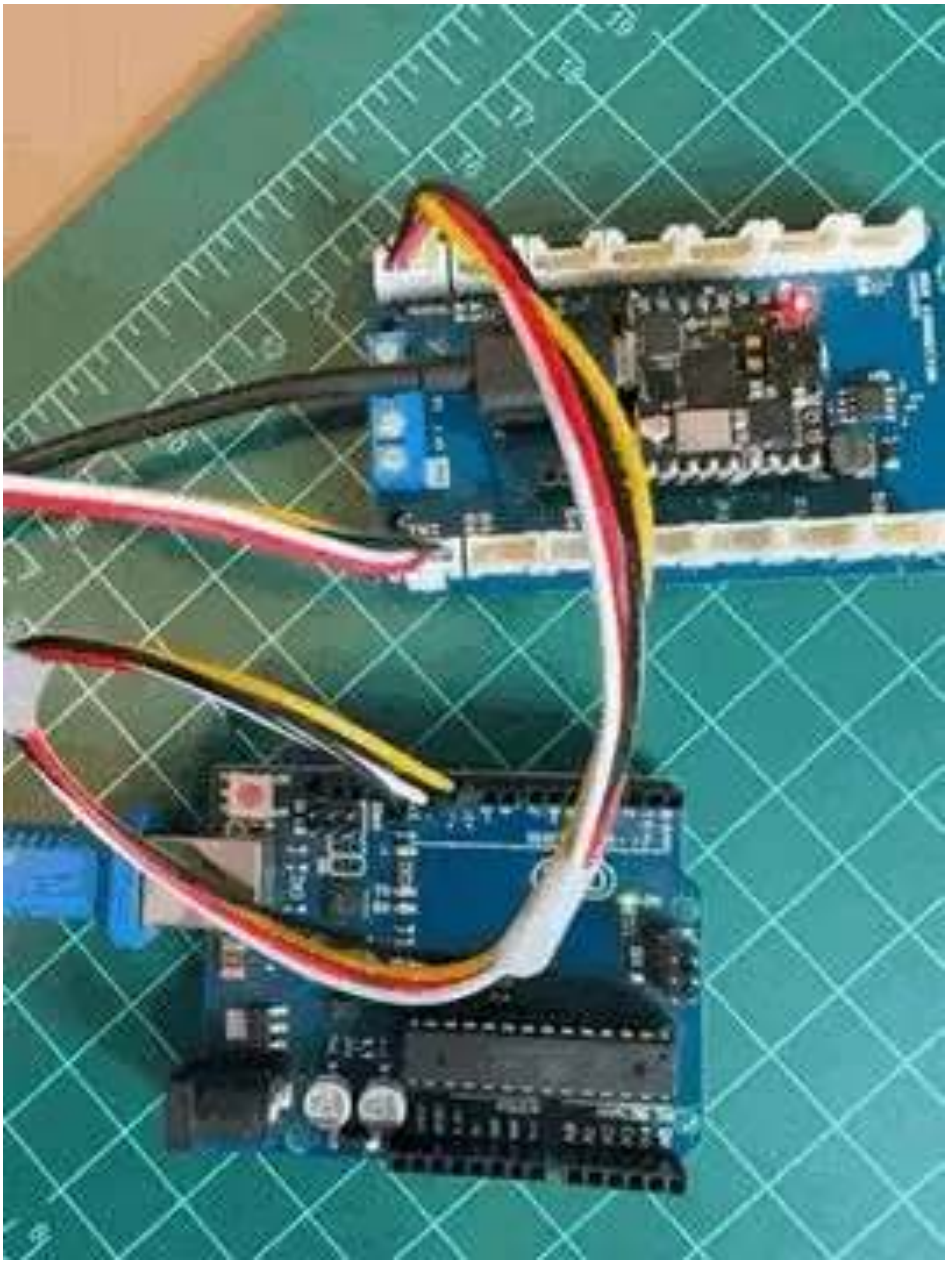

Arduino UNO 串口监视器

ADC 采集 A0（PC4）光照传感器示例：

```
# 光照传感器 (A0) - By: marcelo_rovai - Wed Oct 4 2023

import pyb
from time import sleep

adc = pyb.ADC(pyb.Pin("PC4"))    # 创建模拟输入对象
val = adc.read()                 # 读取模拟值

while (True):
    val = adc.read()
    print ("Light={}".format (val))
    sleep (1)
```

ADC 也可用于温度等其他传感器。

> 以上脚本（GitHub 下载）仅演示如何用 MicroPython 连接外部设备。

总结

Arduino Nicla Vision 是一款极具工业与专业应用价值的 tiny device。它强大、可靠、低功耗，内置多种常见嵌入式机器学习应用所需传感器，如视觉、运动、传感器融合与声音。

> 本实验所有代码均可在 GitHub 仓库 获取。

参考资源

- Micropython 示例代码
- Arduino 示例代码

图像分类

概述

在我们开启嵌入式机器学习（TinyML）学习之旅时，计算机视觉（CV）与人工智能（AI）对生活的深远影响已不可忽视。这两大领域相互交织，从自动驾驶、机器人到医

疗健康与安防监控，持续重塑着机器的感知与能力边界。

当前，我们正处于人工智能（AI）革命的浪潮中。正如 Gartner 所言，**边缘 AI（Edge AI）**已具备极高的影响力，并且**已经到来**！

边缘 AI 技术雷达图，显示边缘计算机视觉位于靶心位置

在技术雷达的“靶心”位置正是 边缘计算机视觉。谈及视觉领域的机器学习（ML）应用，最先想到的便是**图像分类**，这也是 ML 领域的“Hello World”项目！

本实验将带你实践一个基于卷积神经网络（CNN）的计算机视觉项目，实现实时图像分类。我们将借助 TensorFlow 强大的生态系统，采用预训练的 MobileNet 模型，并针对边缘设备进行适配优化。重点在于让模型在资源受限的硬件上高效运行，同时保证准确率。

我们会用到量化（quantization）、剪枝（pruning）等模型优化技术，降低计算负载。完成本教程后，你将获得一个可在 Arduino Nicla Vision 板卡等低功耗嵌入式系统上实时分类图像的原型系统。

计算机视觉简介

计算机视觉的核心在于让机器能够理解和决策来自现实世界的视觉数据，模拟人类视觉系统的能力。而人工智能则是更广泛的领域，涵盖机器学习、自然语言处理、机器人等多种技术。当 AI 算法与计算机视觉结合时，系统对视觉信息的理解、解释和反应能力将大幅提升。

在嵌入式设备上应用计算机视觉，最常见的场景就是图像分类与目标检测。

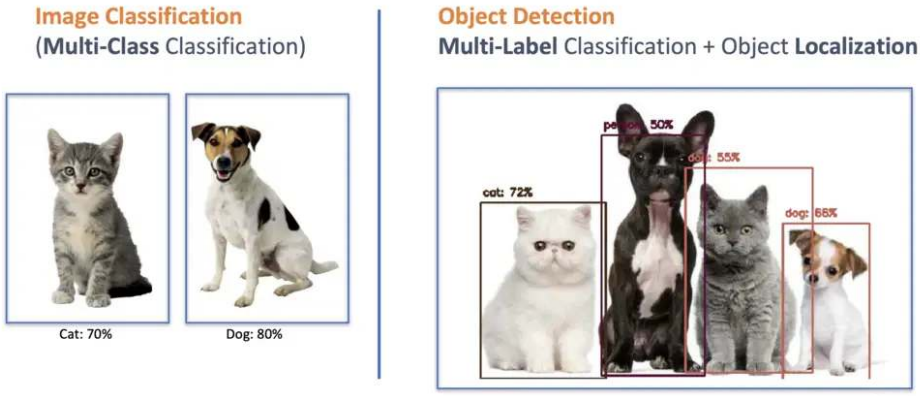

计算机视觉与人工智能结合示意图

这两类模型都可以在如 Arduino Nicla Vision 这样的小型设备上实现，并应用于实际项目。本章聚焦于图像分类。

图像分类项目目标

任何机器学习项目的第一步都是明确目标。本项目旨在检测并分类一张图片中的两种特定物体。我们选择了两个小玩具：一个机器人和一只巴西鹦鹉（Periquito），同时还会采集背景图片（即不含这两种物体的场景）。

数据采集

明确项目目标后，最关键的步骤就是采集数据集。采集图片可以通过以下方式：

- Web Serial Camera 工具
- Edge Impulse Studio
- OpenMV IDE
- 智能手机

本项目采用 **OpenMV IDE** 进行数据采集。

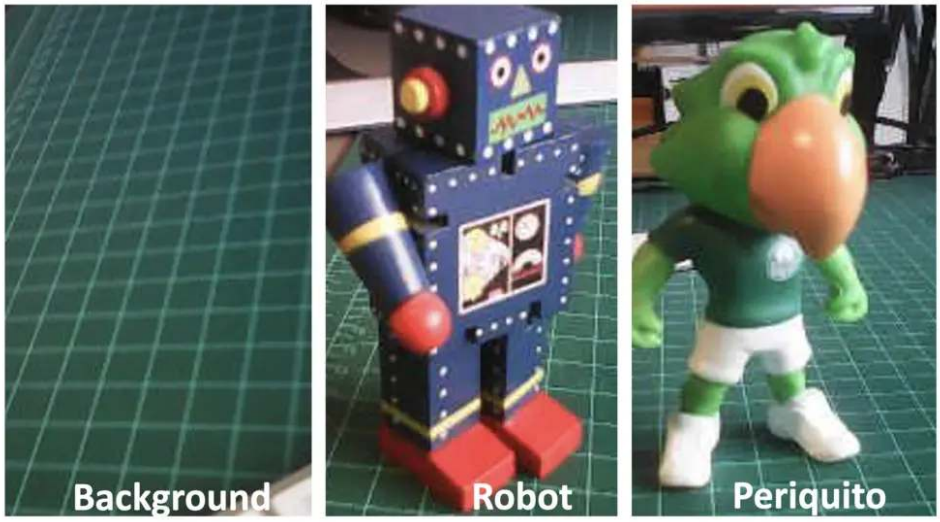

项目目标：机器人和巴西鹦鹉玩具

使用 OpenMV IDE 采集数据集

首先，在电脑上新建一个用于保存数据的文件夹，例如“data”。然后在 OpenMV IDE 中，依次点击 `Tools > Dataset Editor`，选择 `New Dataset` 开始采集：

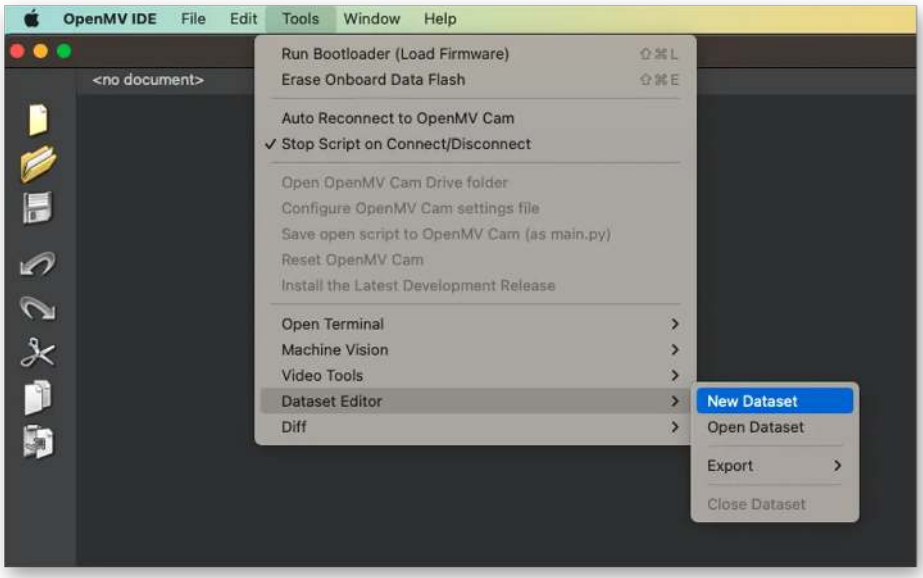

OpenMV IDE 数据集编辑器界面

IDE 会提示选择数据保存路径，选择刚刚创建的“data”文件夹。此时左侧面板会出现新的图标。

点击上方图标（1），输入第一个类别名称，如“periquito”：

数据集编辑器图标

输入类别名称界面

运行 `dataset_capture_script.py`，点击相机图标（2）即可开始采集图片：

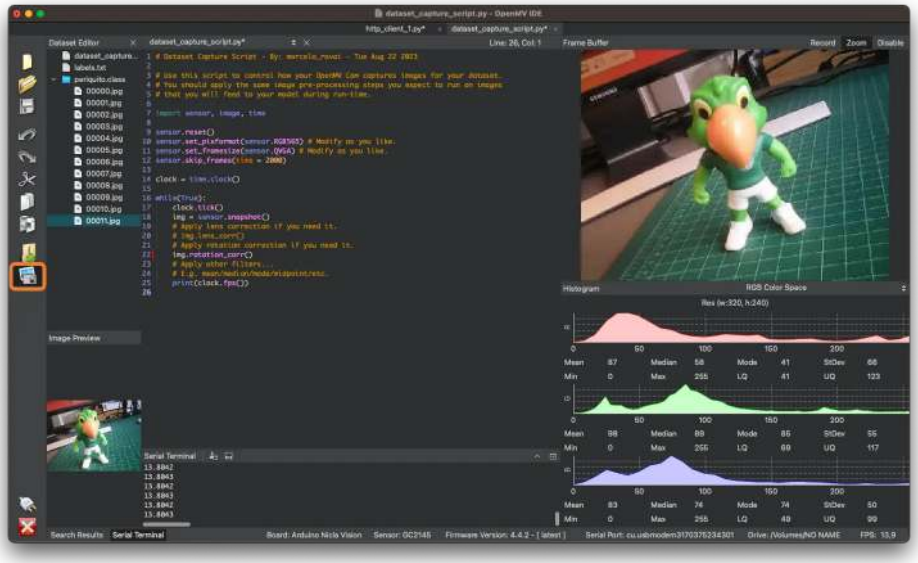

运行数据集捕获脚本界面

对其他类别重复上述操作。

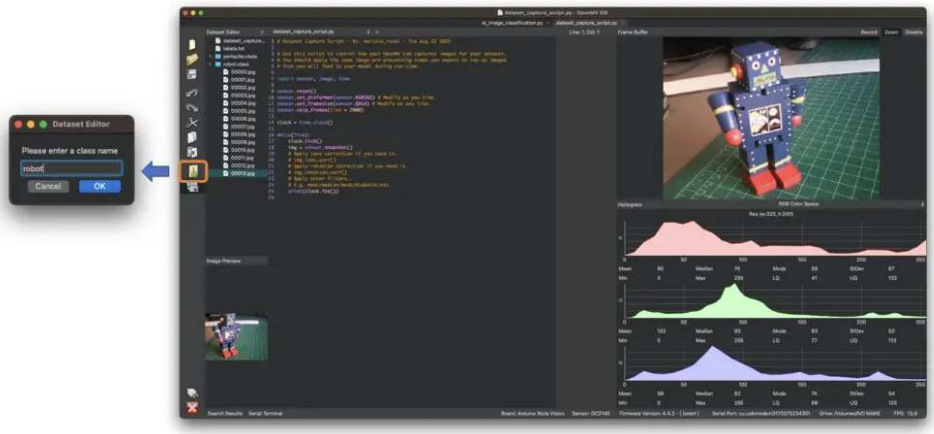

采集其他类别图片

> 建议每个类别采集 50~60 张图片，尽量涵盖不同角度、背景和光照条件。

采集的图片为 QVGA 尺寸 320×240，采用 RGB565 色彩格式。

采集完成后，关闭 `Tools > Dataset Editor`。

最终，我们会得到包含 periquito、robot 和 background 三个类别的数据集。

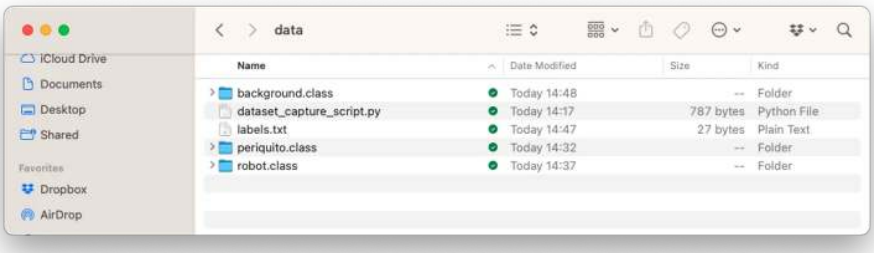

最终数据集示例

接下来，回到 Edge Impulse Studio，将数据集上传到已创建的项目中。

使用 Edge Impulse Studio 训练模型

我们将利用 Edge Impulse Studio 训练模型。登录账号并新建项目：

> 你也可以克隆类似项目：NICLA-Vision_Image_Classification。

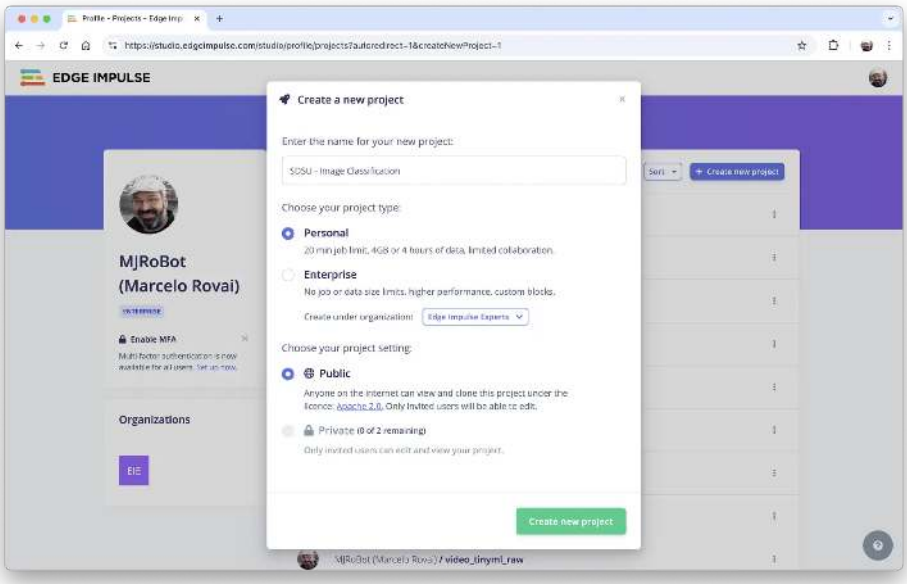

Edge Impulse Studio 新建项目界面

数据集处理

在 EI Studio（下称 Studio）中，主要分为四步：数据集、Impulse 设计、测试和部署（本例为 NiclaV 板卡）。

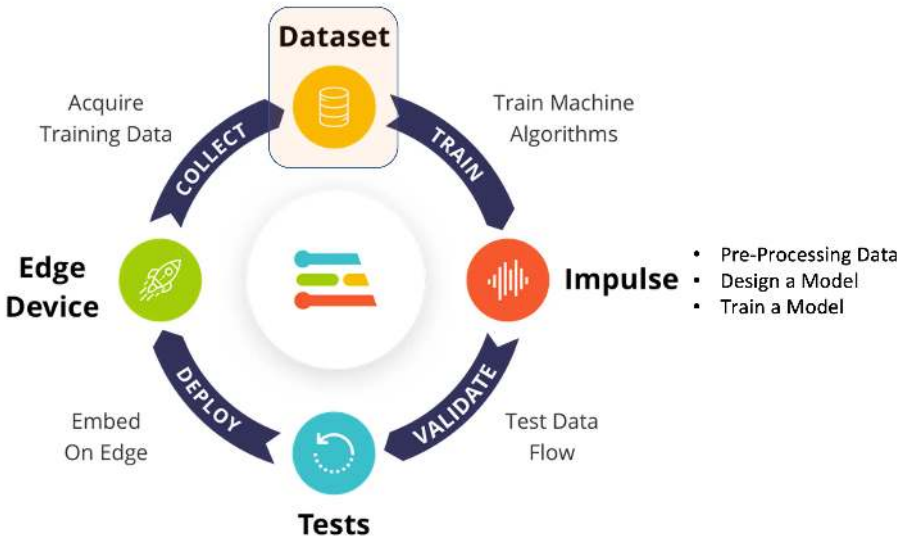

Edge Impulse Studio 主要步骤概览

关于数据集，需注意：我们用 OpenMV IDE 采集的原始数据集会被自动划分为 训练集、验证集 和 测试集。测试集从一开始就分离出来，仅在训练后用于测试。验证集则在训练过程中使用。

> Studio 会自动从训练数据中划分一部分作为验证集

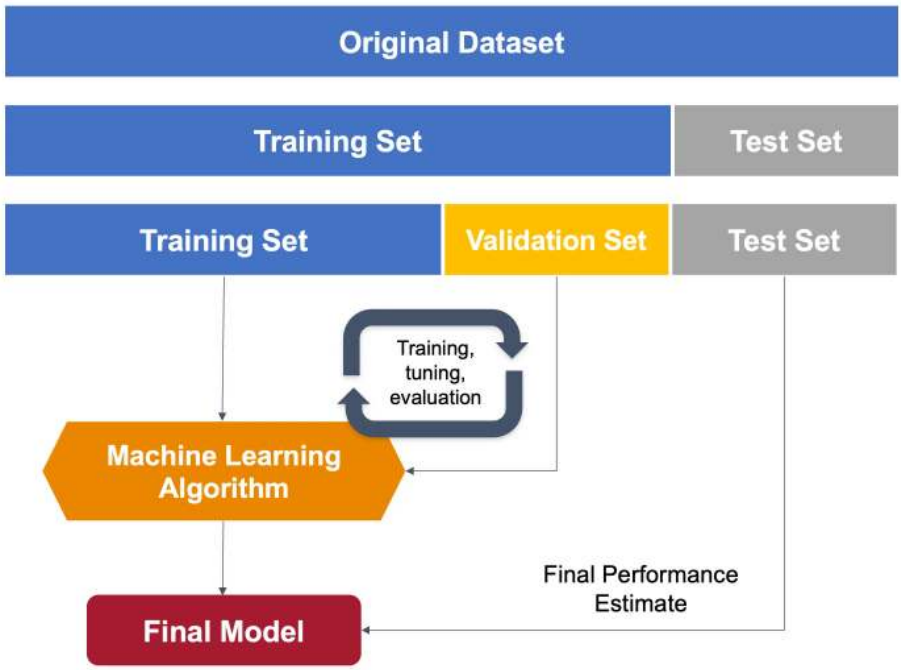

数据集划分示意图

在 Studio 的 `Data acquisition` 标签页，点击 UPLOAD DATA 区域，上传各类别的图片：

数据集的划分（训练/测试）可交由 Studio 自动完成，并为每类数据选择标签：

对三类数据重复上传操作。

> 支持选择整个文件夹，一次性上传所有图片。

上传完成后，可在 Studio 中查看“原始数据”：

上传过程中，可能弹出窗口询问是否为目标检测项目，选择 `[NO]`。

如需更改，可在 Dashboard 区域设置为 `One label per data item`（图像分类）：

Studio 还支持数据浏览、清理和标签修改。对于本项目，数据已准备就绪。

Impulse 设计

本阶段需完成以下两步：

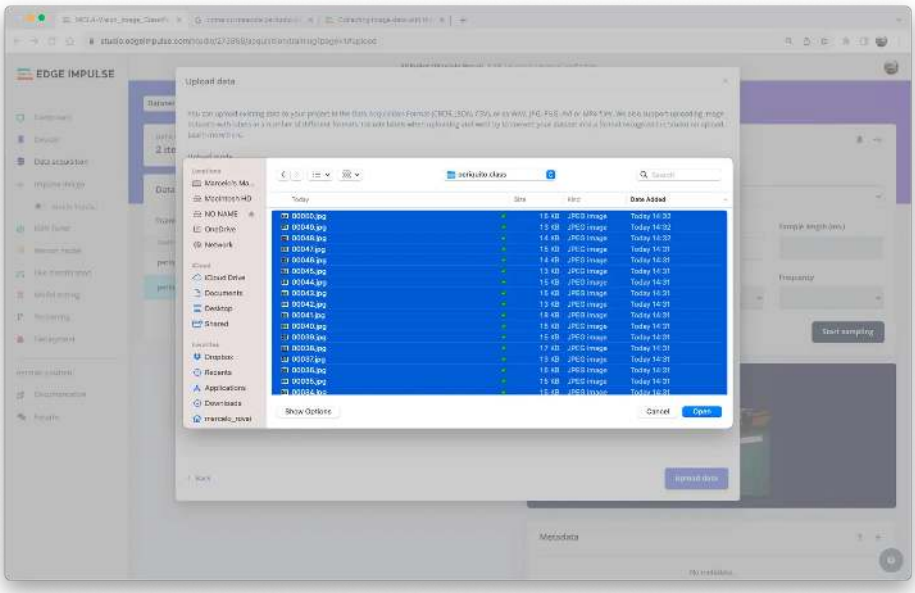

上传数据集界面

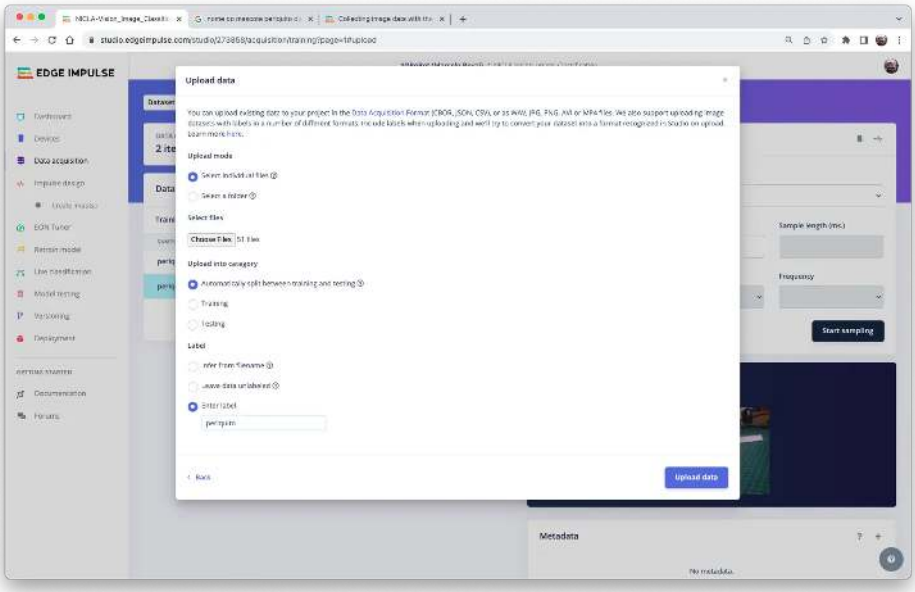

数据集划分和标签选择

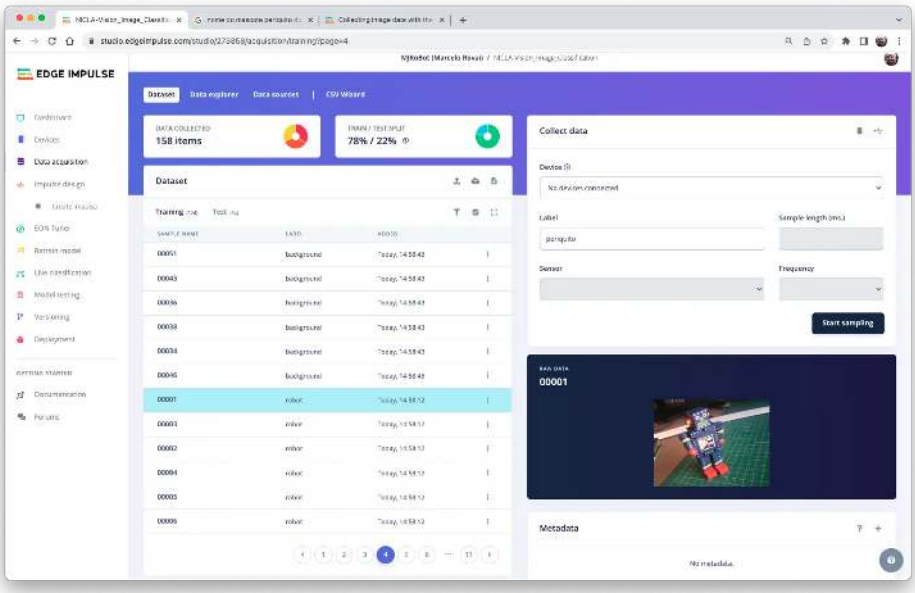

查看原始数据界面

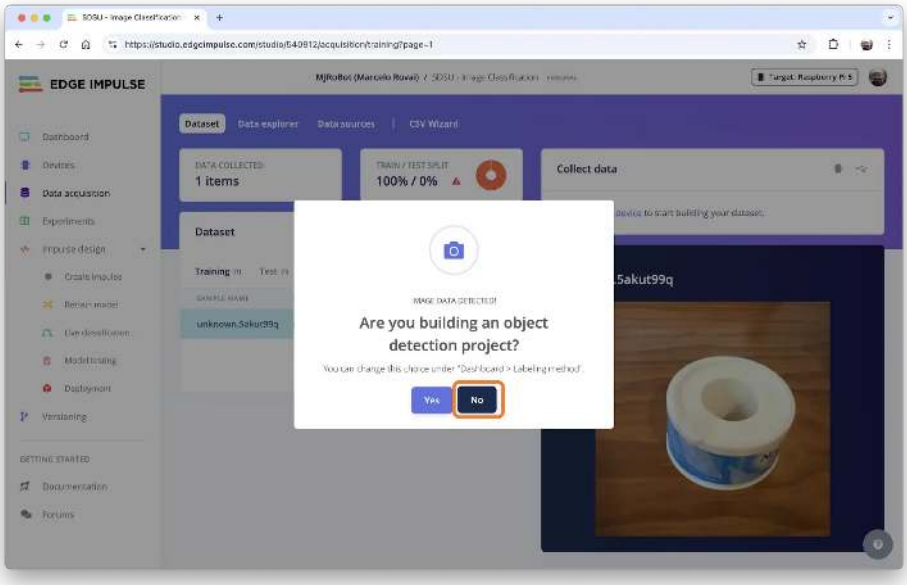

是否为目标检测项目弹出窗口

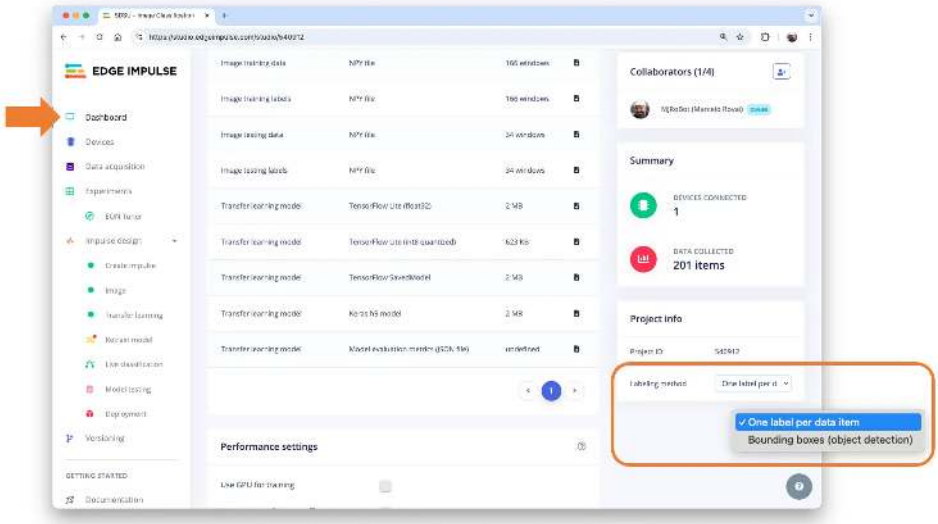

设置为图像分类模式

数据浏览界面

- 数据预处理：包括图片尺寸调整、色彩深度（RGB 或灰度）选择
- 模型选择：本项目采用 `Transfer Learning (Images)`，即在预训练 MobileNet V2 基础上微调，适合小型数据集（如本例约 150 张图片）

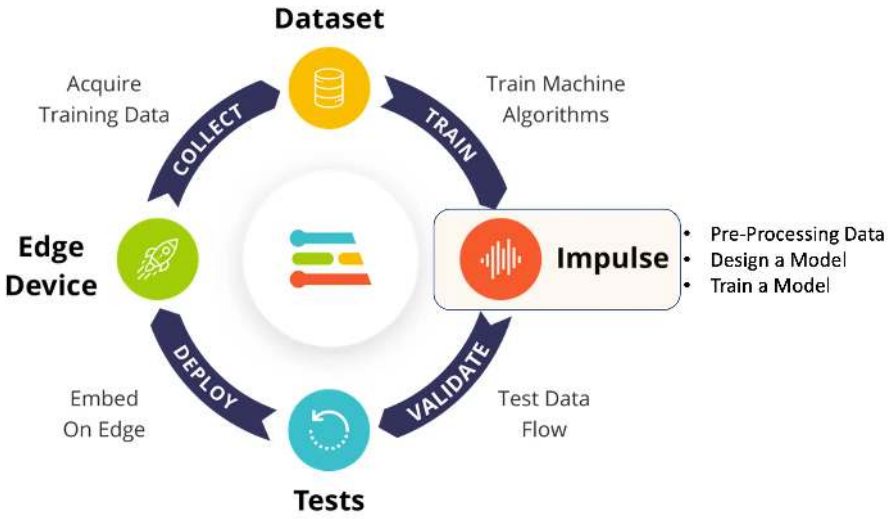

Impulse 设计界面

基于 MobileNet 的迁移学习（Transfer Learning）极大简化了模型训练流程，尤其适合资源受限环境和标注数据有限的项目。MobileNet 以轻量级著称，已在大规模数据集（如 ImageNet）上学习到丰富特征。

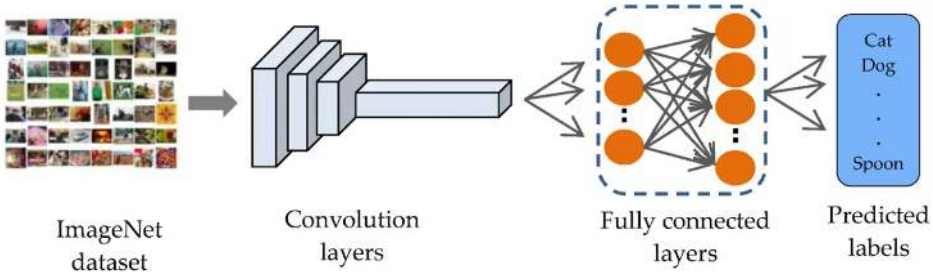

迁移学习概念图

借助这些预训练特征，即使数据量较小，也能训练出高准确率的新模型，且计算资源消耗较低。

这种方法显著缩短训练时间、降低计算成本，非常适合嵌入式设备上的快速原型开发与部署。

在 Impulse Design 标签页，创建 impulse，设置图片尺寸为 96x96，选择 Image 和 Transfer Learning 模块，保存设置。

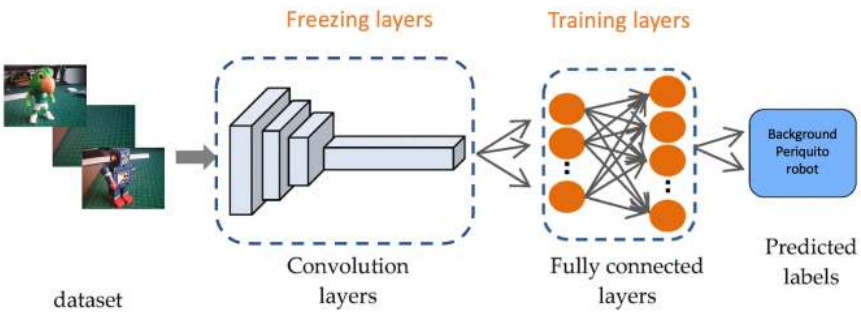

预训练特征示意图

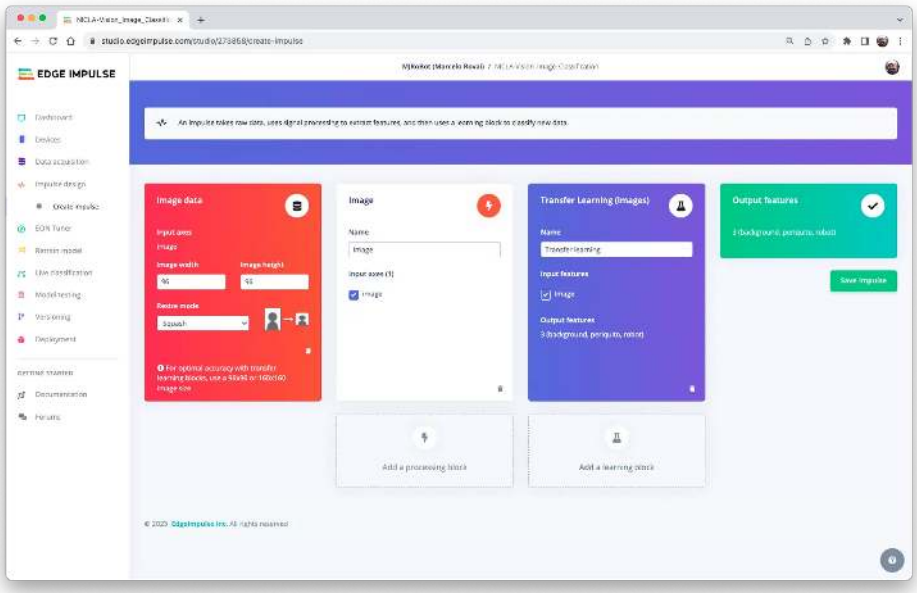

创建 impulse 设置界面

图片预处理

所有输入的 QVGA/RGB565 图片将被转换为 27,640 个特征（$96 \times 96 \times 3$）。

点击 `[Save parameters]` 并生成全部特征：

模型设计

2007 年，Google 推出 MobileNetV1，专为移动端设计的通用视觉神经网络，支持分类、检测等任务。MobileNet 以小巧、低延迟、低功耗著称，并可根据实际需求调整模型规模。2018 年，Google 又发布了 MobileNetV2: Inverted Residuals and Linear Bottlenecks。

MobileNet V1 与 V2 都面向移动与嵌入式视觉应用，但 V2 在结构复杂度和性能上更进

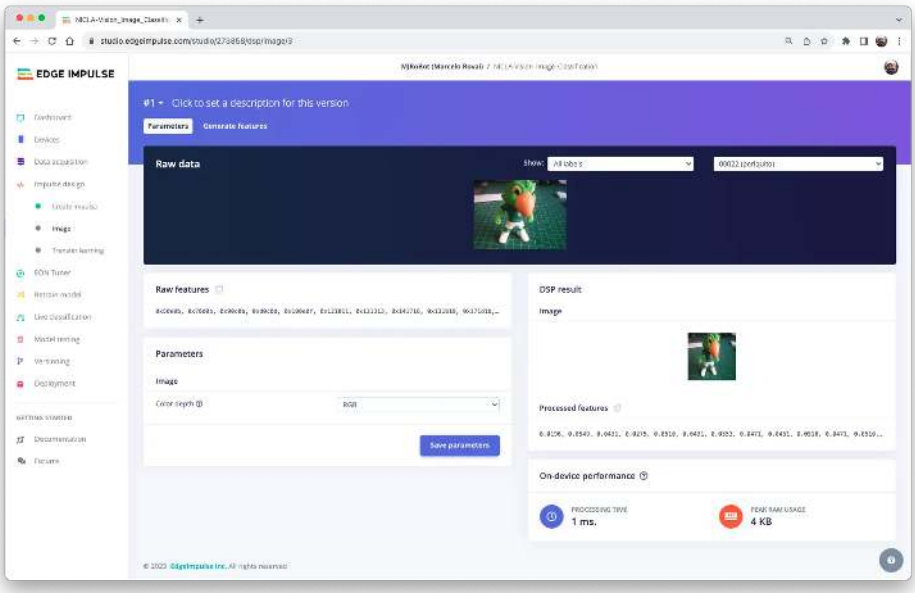

图片预处理界面

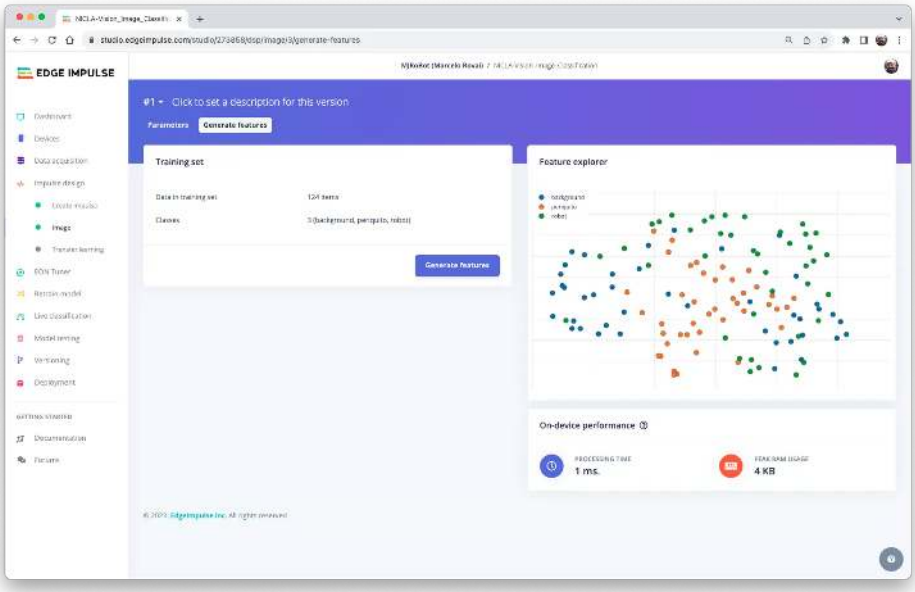

生成特征界面

一步。两者均采用深度可分离卷积以降低计算量，V2 还引入了倒残差块（Inverted Residual Block）和线性瓶颈（Linear Bottleneck），在提升性能的同时进一步减少参数量。此外，V2 在中间扩展层采用非线性激活，而瓶颈层则用线性激活，以保留关键信息。MobileNet V2 以更高的准确率和效率优化了架构，本项目将采用该模型。

尽管 MobileNet 本身已非常小巧且低延迟，但某些场景仍需更小更快的模型。MobileNet 引入了宽度因子 α（width multiplier），可在各层均匀缩减网络规模。

Edge Impulse Studio 支持 MobileNetV1（96×96）和 V2（96×96 或 160×160），并可选择多种 α（0.05~1.0）。例如，V2 + 160×160 + $\alpha = 1.0$ 可获得最高准确率，但需约 1.3MB RAM 和 2.6MB ROM，延迟也更高。极致小型化可选 V1 + $\alpha = 0.10$，仅需约 53.2K RAM 和 101K ROM。

MobileNet 模型选择

本项目选用 **MobileNetV2 96x96 0.1**（或 0.05），预计占用 265.3KB RAM，适合 1MB SRAM 的 Nicla Vision。可在 Transfer Learning 标签页选择该模型：

模型训练

深度学习中常用的提升技巧之一是**数据增强（Data Augmentation）**。通过对训练数据进行随机变换（如翻转、裁剪、旋转等），可生成更多样本，提升模型泛化能力。

以下为 Edge Impulse 实现的数据增强策略示例：

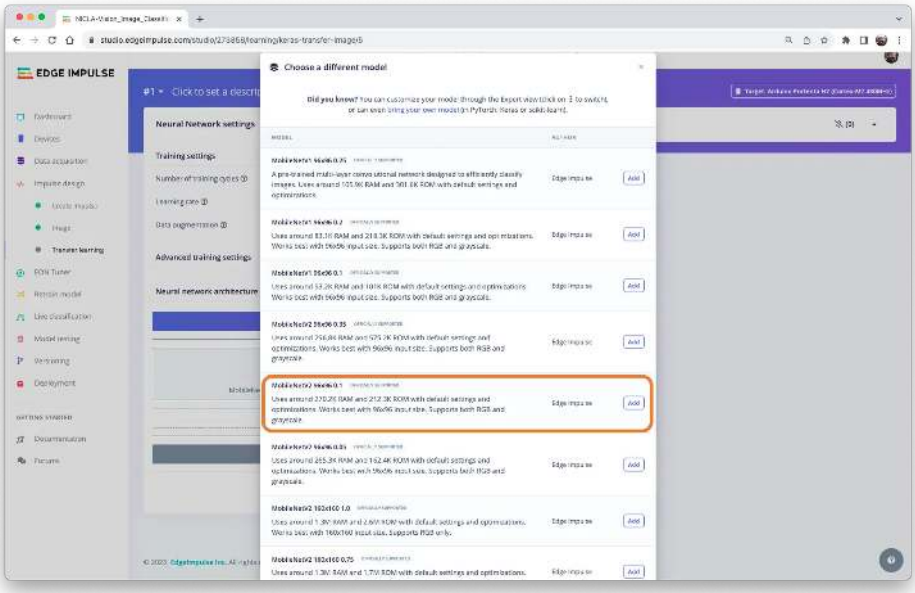

选择 MobileNetV2 模型

```python
# 实现数据增强策略
def augment_image(image, label):
    # 随机水平翻转图片
    image = tf.image.random_flip_left_right(image)

    # 放大图片后随机裁剪回原尺寸
    resize_factor = random.uniform(1, 1.2)
    new_height = math.floor(resize_factor * INPUT_SHAPE[0])
    new_width = math.floor(resize_factor * INPUT_SHAPE[1])
    image = tf.image.resize_with_crop_or_pad(image, new_height,
                                             new_width)
    image = tf.image.random_crop(image, size=INPUT_SHAPE)

    # 随机调整亮度
    image = tf.image.random_brightness(image, max_delta=0.2)

    return image, label
```

训练过程中引入这些变化，有助于防止模型“死记硬背”训练集表面特征，更好地学习数据的深层规律。

最终模型输出层包含 12 个神经元，并采用 15% dropout 防止过拟合。训练结果如下：

结果非常理想，推理延迟约 77ms，预计可实现约 13 帧/秒。

模型测试

此时，可用项目初始预留的测试集对训练好的模型进行测试：

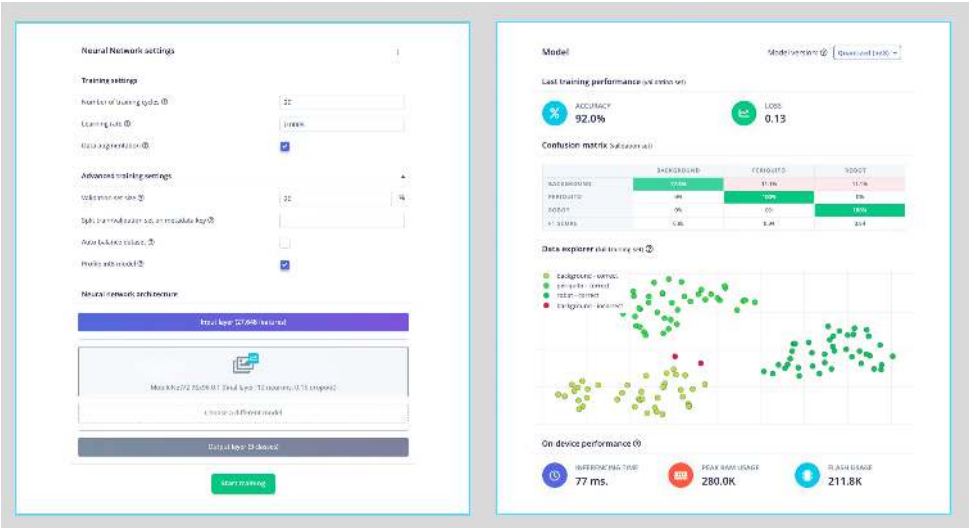

模型训练结果

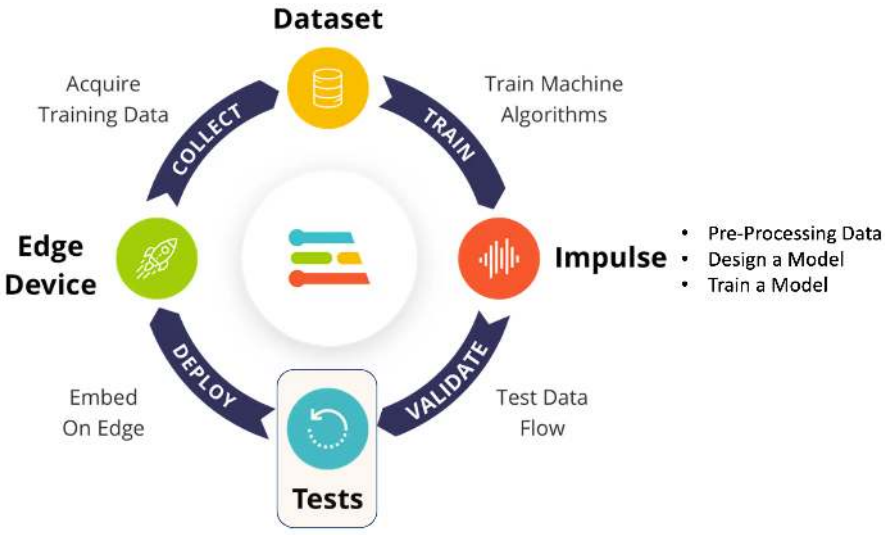

模型测试界面

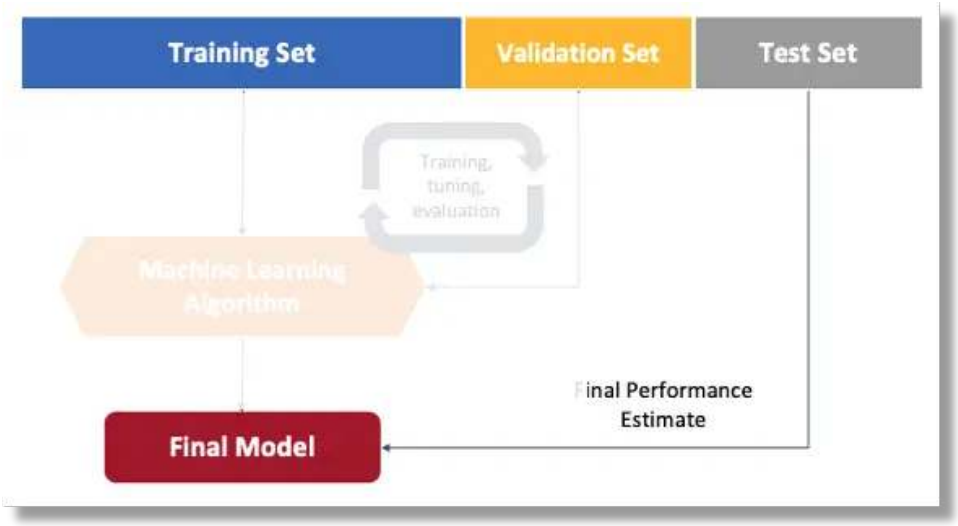

模型测试结果

测试结果同样优秀。

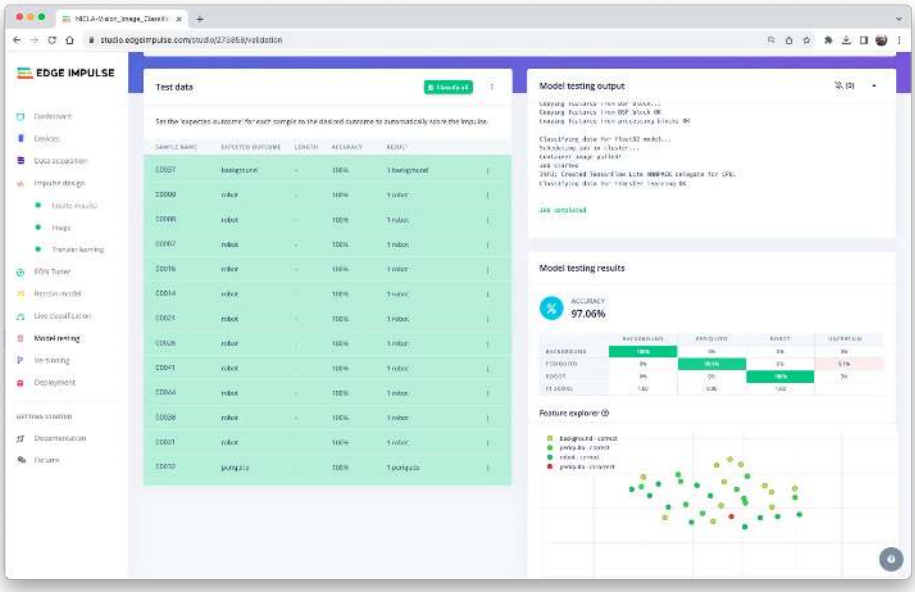

模型测试详情

部署模型

此时可将训练好的模型以固件（FW）形式部署，并通过 OpenMV IDE 运行 MicroPython 脚本，或导出为 C/C++ 或 Arduino 库。

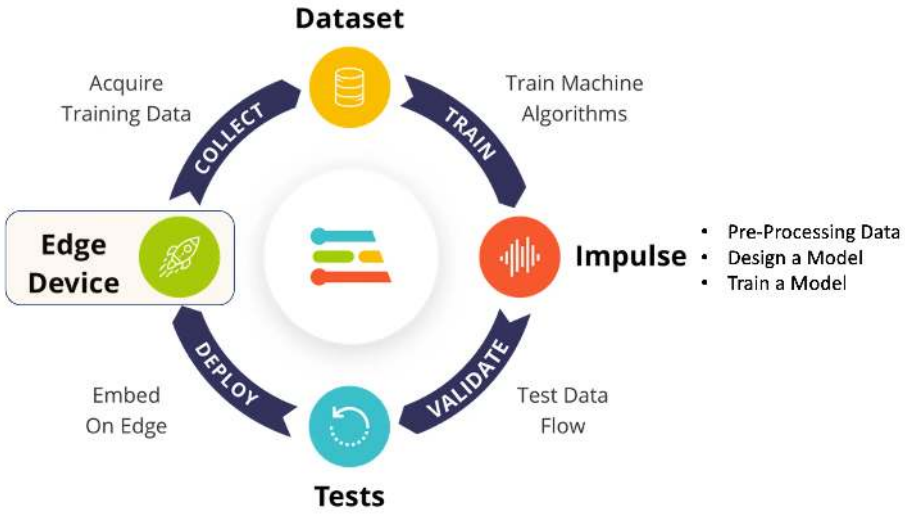

模型部署选项

Arduino 库部署

首先，将模型部署为 Arduino 库：

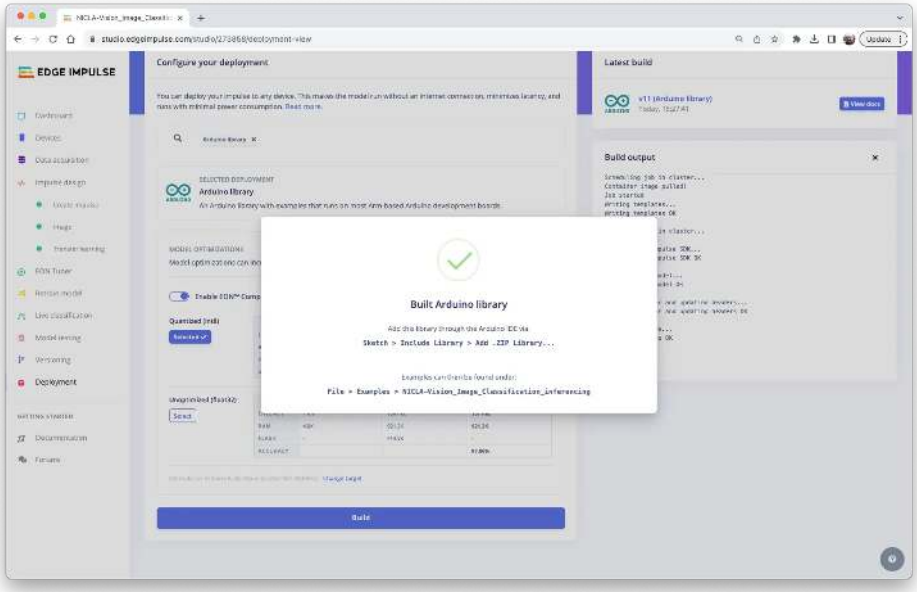

导出 Arduino 库

在 Arduino IDE 中安装 .zip 库，并运行库自带的 nicla_vision_camera.ino 示例。

> 注意：Arduino Nicla Vision 默认为 M7 核心分配 512KB RAM，M4 地址空间另有 244KB。本项目将分配调整为 288KB，以确保模型可正常运行（`malloc_addblock((void*)0x30000000, 288 * 1024);`）。

实际测得延迟约 86ms。

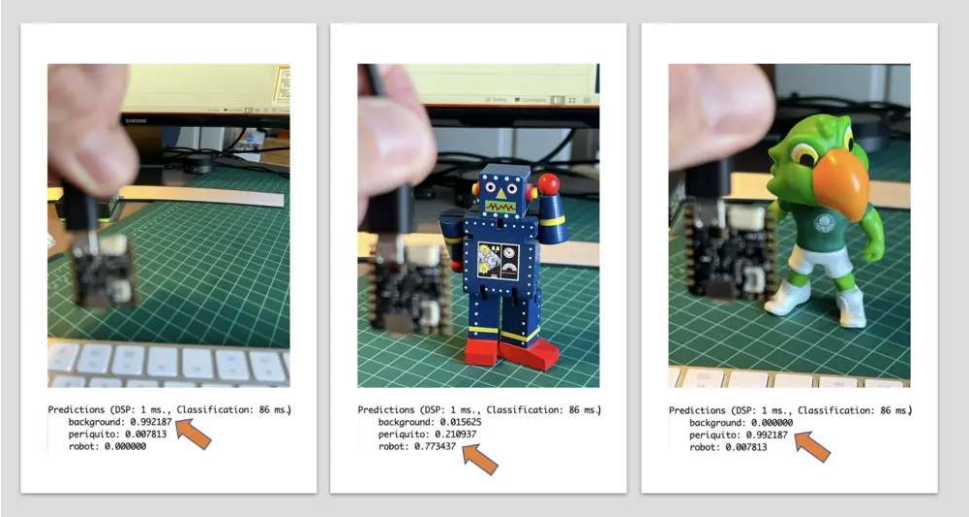

Arduino 推理演示

可观看推理演示视频：https://youtu.be/bZPZZJblU-o

OpenMV 部署

模型也可部署为 OpenMV 专用库或固件（FW）。选择固件方式，Edge Impulse Studio 会生成优化后的模型、库和推理框架。下面以固件部署为例：

在 `Deploy Tab` 选择 `OpenMV Firmware`，点击 `[Build]`。

下载后解压 ZIP 文件：

用 OpenMV IDE 的 Bootloader 工具将固件烧录到开发板（1）：

选择对应的 .bin 文件（Nicla-Vision 专用）：

烧录完成后点击 OK：

如提示固件过期，**请勿升级**，选择 `[NO]`。

打开 Studio 下载的 **ei_image_classification.py** 脚本和 .bin 文件。

运行脚本，将摄像头对准待分类物体，推理结果会显示在串口终端。

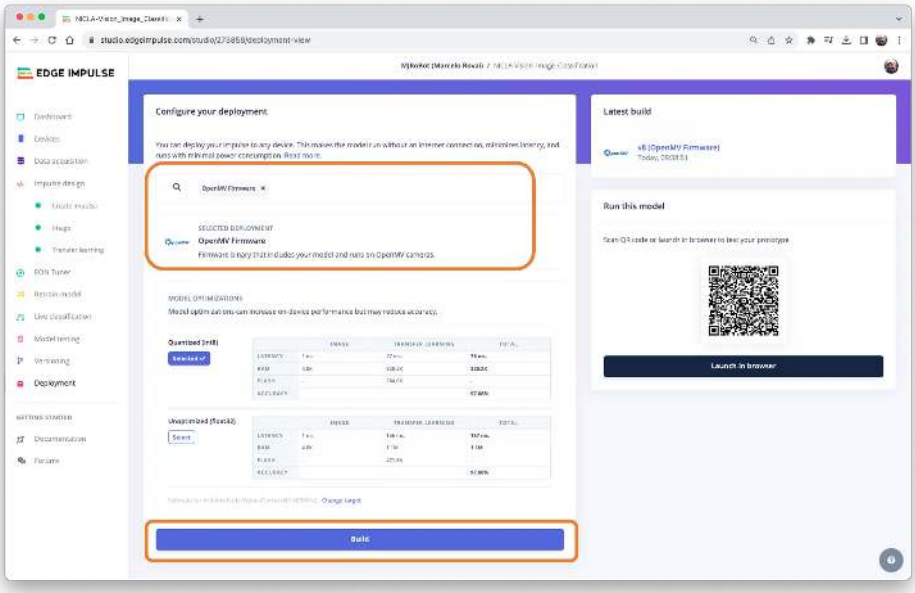

选择 OpenMV Firmware

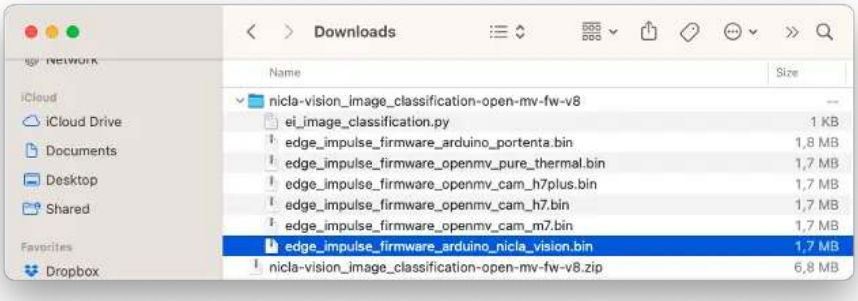

解压固件文件

如结果难以阅读，可在代码中加入延时：

```
import time
while True:
    ...
    time.sleep_ms(200)  # 延时 0.2 秒
```

增加标签显示 可修改 Edge Impulse 提供的代码，使推理结果直接显示在 OpenMV IDE 的图像窗口。可从 GitHub 下载代码，或按如下方式修改：

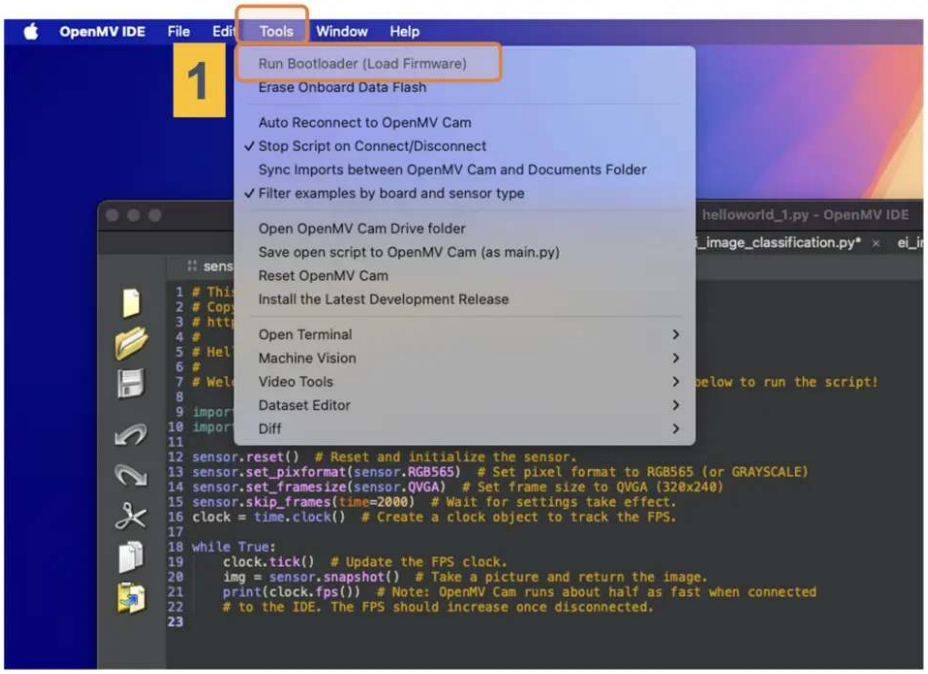

烧录固件到开发板

选择 Nicla-Vision 专用固件

DFU firmware update complete!
Click the Ok button after your OpenMV Cam has enumerated and finished running its built-in self test (blue led blinking - this takes a while).
If you overwrote main.py on your OpenMV Cam and did not erase the disk then your OpenMV Cam will just run that main.py.
In this case click OK when you see your OpenMV Cam's internal flash drive mount (a window may or may not pop open).
OK

烧录完成确认

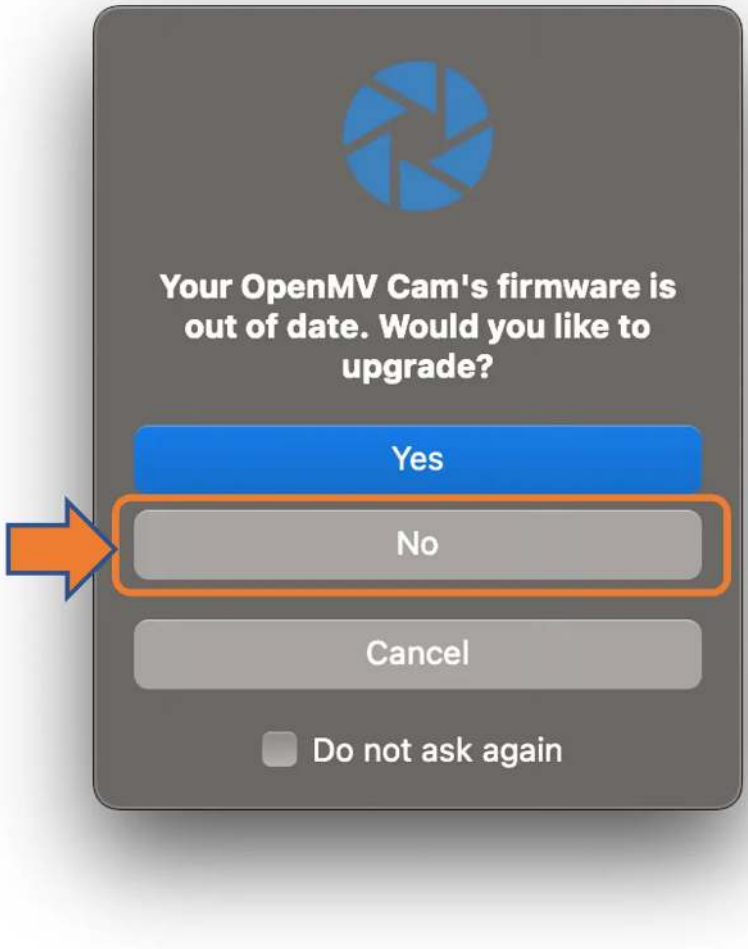

固件过期提示

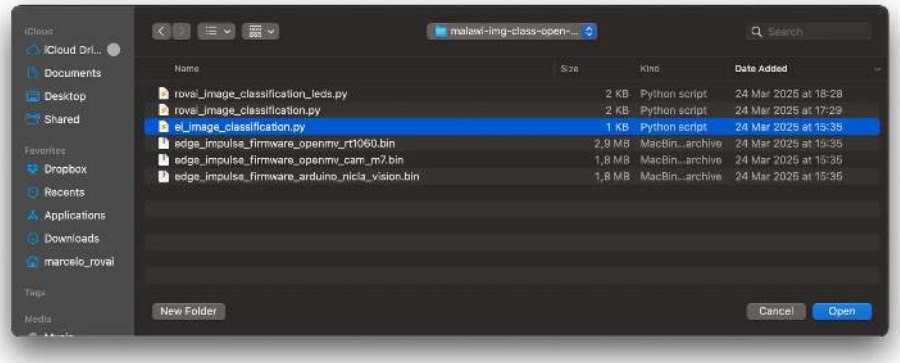

下载的脚本和固件文件

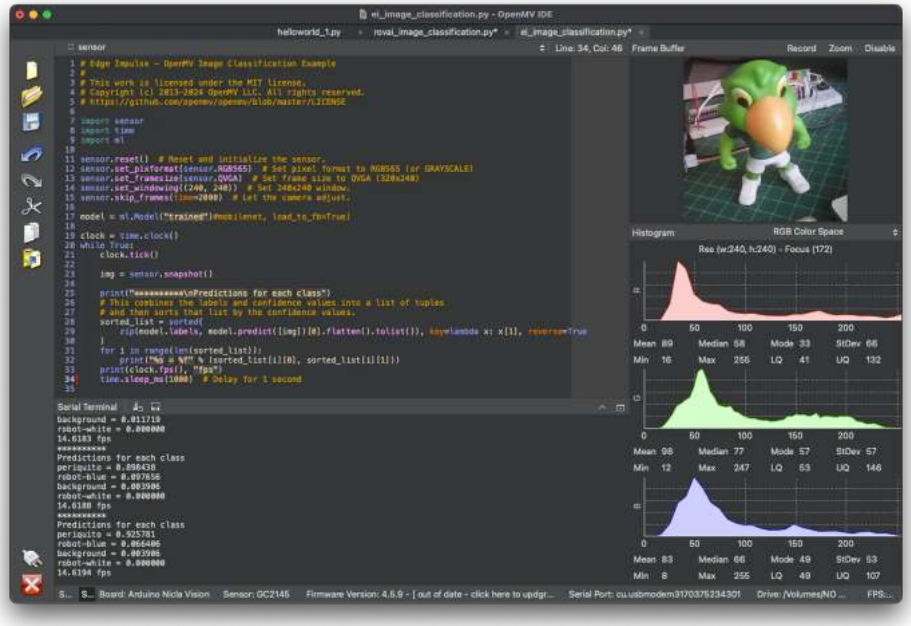

运行脚本推理结果

```python
# Marcelo Rovai - NICLA Vision - 图像分类
# 基于 Edge Impulse - OpenMV 图像分类示例
# @24March25

import sensor
import time
import ml

sensor.reset()  # 传感器初始化
sensor.set_pixformat(sensor.RGB565)  # 设置像素格式
sensor.set_framesize(sensor.QVGA)    # 设置帧尺寸
sensor.set_windowing((240, 240))     # 设置窗口
sensor.skip_frames(time=2000)        # 等待相机调整

model = ml.Model("trained")  # 加载模型

clock = time.clock()

while True:
    clock.tick()
    img = sensor.snapshot()

    fps = clock.fps()
    lat = clock.avg()
    print("**********\nPrediction:")
    # 按置信度排序
    sorted_list = sorted(
        zip(model.labels, model.predict([img])[0].flatten().tolist()),
        key=lambda x: x[1], reverse=True
    )
```

```
31
32      # 只输出概率最高的类别
33      max_val = sorted_list[0][1]
34      max_lbl = sorted_list[0][0]
35
36      if max_val < 0.5:
37          max_lbl = 'uncertain'
38
39      print("{} with a prob of {:.2f}".format(max_lbl, max_val))
40      print("FPS: {:.2f} fps ==> latency: {:.0f} ms".format(fps, lat))
41
42      # 在图像窗口绘制标签
43      img.draw_string(
44          10, 10,
45          max_lbl + "\n{:.2f}".format(max_val),
46          mono_space = False,
47          scale=3
48      )
49
50      time.sleep_ms(500)  # 延时 0.5 秒
```

运行效果如下：

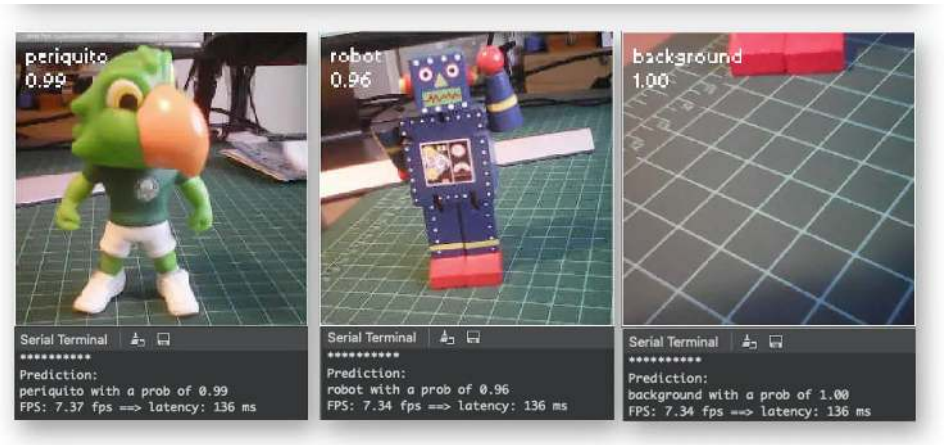

带标签显示的运行效果

注意：此时延迟（136ms）约为 Arduino IDE 的两倍，因为 IDE 作为接口增加了额外耗时。如果仅在推理前启动计时，延迟可降至约 70ms。

> NiclaV 连接 IDE 时运行速度约为断开时的一半，断开后帧率会提升。

LED 后处理 嵌入式机器学习的目标是让设备持续推理并直接对物理世界做出响应，而非仅在电脑上显示结果。为模拟此场景，我们将为每个推理结果点亮不同的 LED。

可从 GitHub 下载代码，或在前述代码基础上增加 LED 控制：

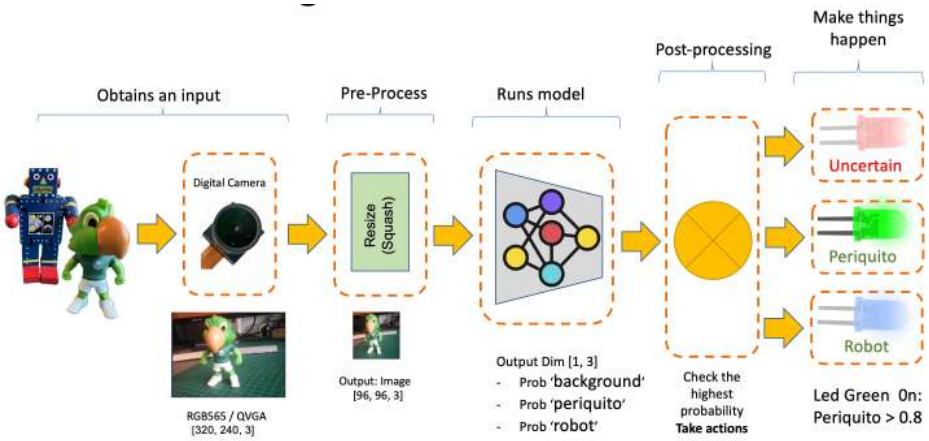

LED 后处理代码

```
# Marcelo Rovai - NICLA Vision - 图像分类与 LED 指示
# 基于 Edge Impulse - OpenMV 图像分类示例
# @24Aug23

import sensor, time, ml
from machine import LED

ledRed = LED("LED_RED")
ledGre = LED("LED_GREEN")
ledBlu = LED("LED_BLUE")

sensor.reset()
sensor.set_pixformat(sensor.RGB565)
sensor.set_framesize(sensor.QVGA)
sensor.set_windowing((240, 240))
sensor.skip_frames(time=2000)

model = ml.Model("trained")

ledRed.off()
ledGre.off()
ledBlu.off()

clock = time.clock()

def setLEDs(max_lbl):
    if max_lbl == 'uncertain':
        ledRed.on()
        ledGre.off()
        ledBlu.off()
    if max_lbl == 'periquito':
        ledRed.off()
        ledGre.on()
        ledBlu.off()
    if max_lbl == 'robot':
        ledRed.off()
        ledGre.off()
```

```
        ledBlu.on()
    if max_lbl == 'background':
        ledRed.off()
        ledGre.off()
        ledBlu.off()

while True:
    img = sensor.snapshot()

    clock.tick()
    fps = clock.fps()
    lat = clock.avg()
    print("**********\nPrediction:")
    sorted_list = sorted(
        zip(model.labels, model.predict([img])[0].flatten().tolist()),
        key=lambda x: x[1], reverse=True
    )

    max_val = sorted_list[0][1]
    max_lbl = sorted_list[0][0]

    if max_val < 0.5:
        max_lbl = 'uncertain'

    print("{} with a prob of {:.2f}".format(max_lbl, max_val))
    print("FPS: {:.2f} fps ==> latency: {:.0f} ms".format(fps, lat))

    img.draw_string(
        10, 10,
        max_lbl + "\n{:.2f}".format(max_val),
        mono_space = False,
        scale=3
    )

    setLEDs(max_lbl)
    time.sleep_ms(200)  # 延时 0.2 秒
```

现在，每当某一类别得分超过 0.8 时，对应 LED 会被点亮：

- 红灯亮：不确定（无类别得分超过 0.8）
- 绿灯亮：Periquito > 0.8
- 蓝灯亮：Robot > 0.8
- 全灭：Background > 0.8

实际效果如下：

细节展示：

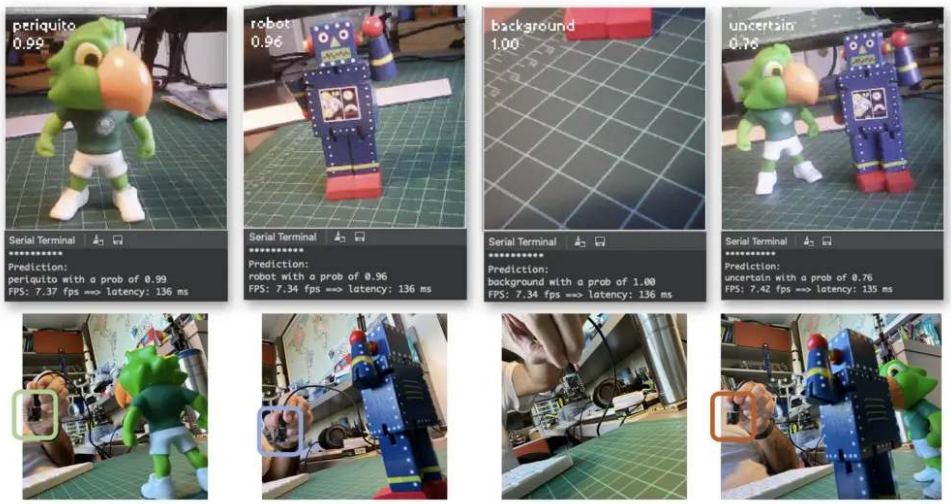

LED 点亮效果

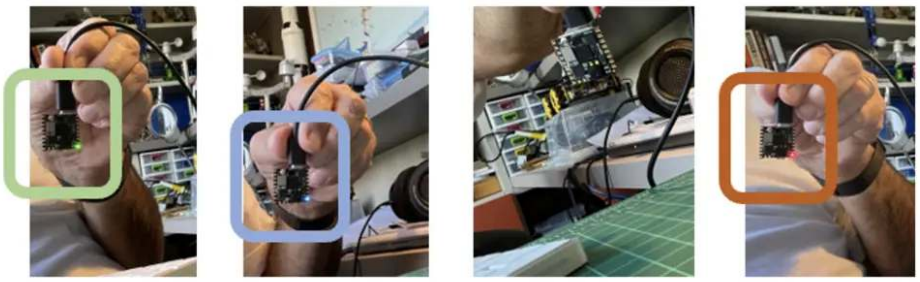

LED 点亮细节

图像分类（非官方）基准测试

常见的嵌入式机器学习（TinyML）开发板包括 ESP32 CAM、Seeed XIAO ESP32S3 Sense、Arduino Nicla Vision 和 Arduino Portenta，均适用于低功耗计算机视觉应用。

本项目训练的模型也在 ESP-CAM、XIAO 和 Portenta 上部署（Portenta 需用灰度图像重新训练以兼容其摄像头）。下图为各板卡以 Arduino 库方式部署后的效果：

总结

最后需要强调，计算机视觉远不止图像分类。你还可以围绕视觉开发多种边缘机器学习项目，例如：

- **自动驾驶**：融合传感器、激光雷达与视觉算法，实现导航与决策
- **医疗健康**：通过 MRI、X 光、CT 图像自动诊断疾病

	ESP 32	Seeed XIAO Sense / ESP32S3	Arduino Pro
32Bits CPU	Xtensa LX6 Dual Core	Arm Cortex-M4F (BLE) Xtensa LX7 Dual Core	Dual Core Arm Cortex M7/M4
CLOCK	240MHz	64 / 240MHz	480/240MHz
RAM	520KB (part available)	256KB / 8MB	1MB
ROM	2MB	2MB / 8MB	2MB
Radio	BLE/WiFi	BLE / WiFi (ESP32S3)	BLE/WiFi
Sensors	Yes (CAM)	Yes (Sense)	Yes (Nicla)
Bat. Power Manag.	No	Yes	Yes
Price	$	$$	$$$$$

常见嵌入式机器学习开发板

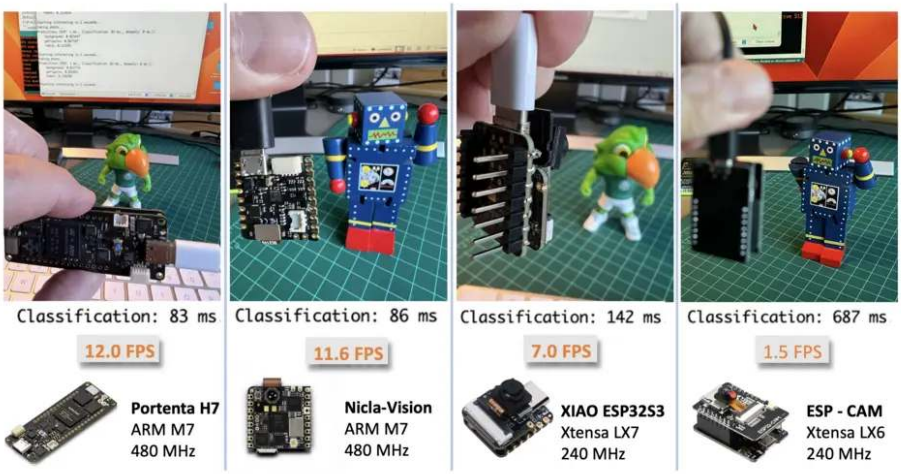

各开发板部署效果对比

- **零售**：自动结算系统，识别商品并完成结账
- **安防监控**：人脸识别、异常检测、实时目标跟踪
- **增强现实**：目标检测与分类，实现虚实结合的信息叠加
- **工业自动化**：产品外观检测、预测性维护、机器人/无人机导航
- **农业**：无人机作物监测、自动采摘
- **自然语言处理**：图像描述、视觉问答
- **手势识别**：游戏、手语翻译、人机交互
- **内容推荐**：电商中的基于图片的推荐系统

参考资源

- Micropython 代码
- 数据集
- Edge Impulse 项目

目标检测

概述

本章承接 Nicla Vision 上的图像分类内容，进一步探索**目标检测**。

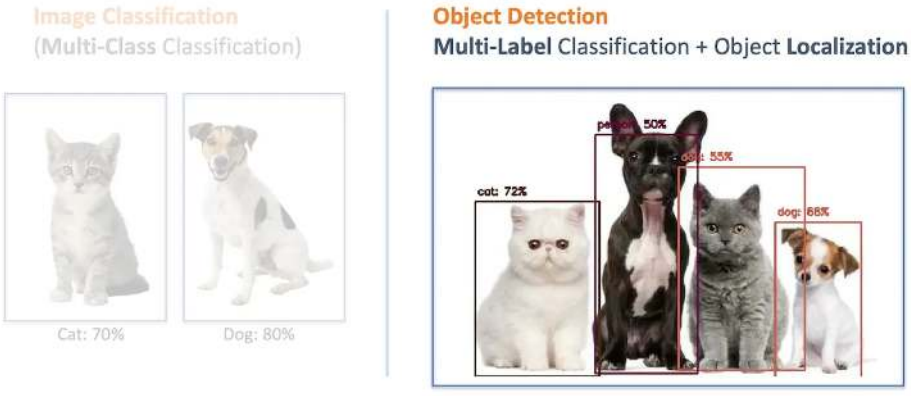

目标检测与图像分类对比示意图

在深入目标检测之前，我们先对比一下图像分类与目标检测的区别。

目标检测与图像分类的区别

图像分类模型的主要任务是输出图片中最可能出现的物体类别列表。例如，识别刚吃完饭的虎斑猫：

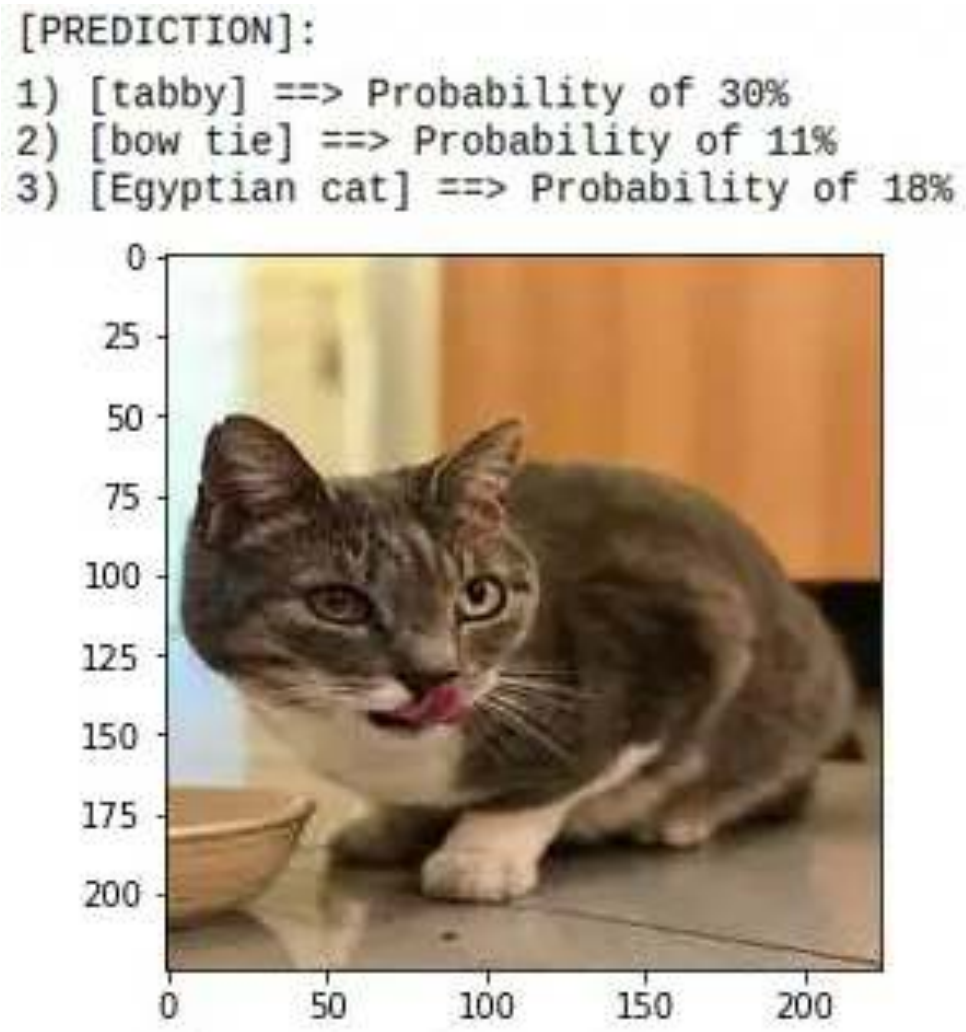

图像分类示例：识别虎斑猫

但如果猫跳到酒杯旁边，模型依然只会识别出图片中占主导地位的虎斑猫：

如果图片中没有明显的主导类别呢？

模型会错误地将上图识别为“ashcan”（垃圾桶），可能是因为颜色的原因。

> 上述示例均使用 MobileNet 模型，训练数据集为 ImageNet。

要解决上述问题，我们需要另一类模型，不仅能识别**多个类别**，还要知道这些物体**在图片中的位置**。

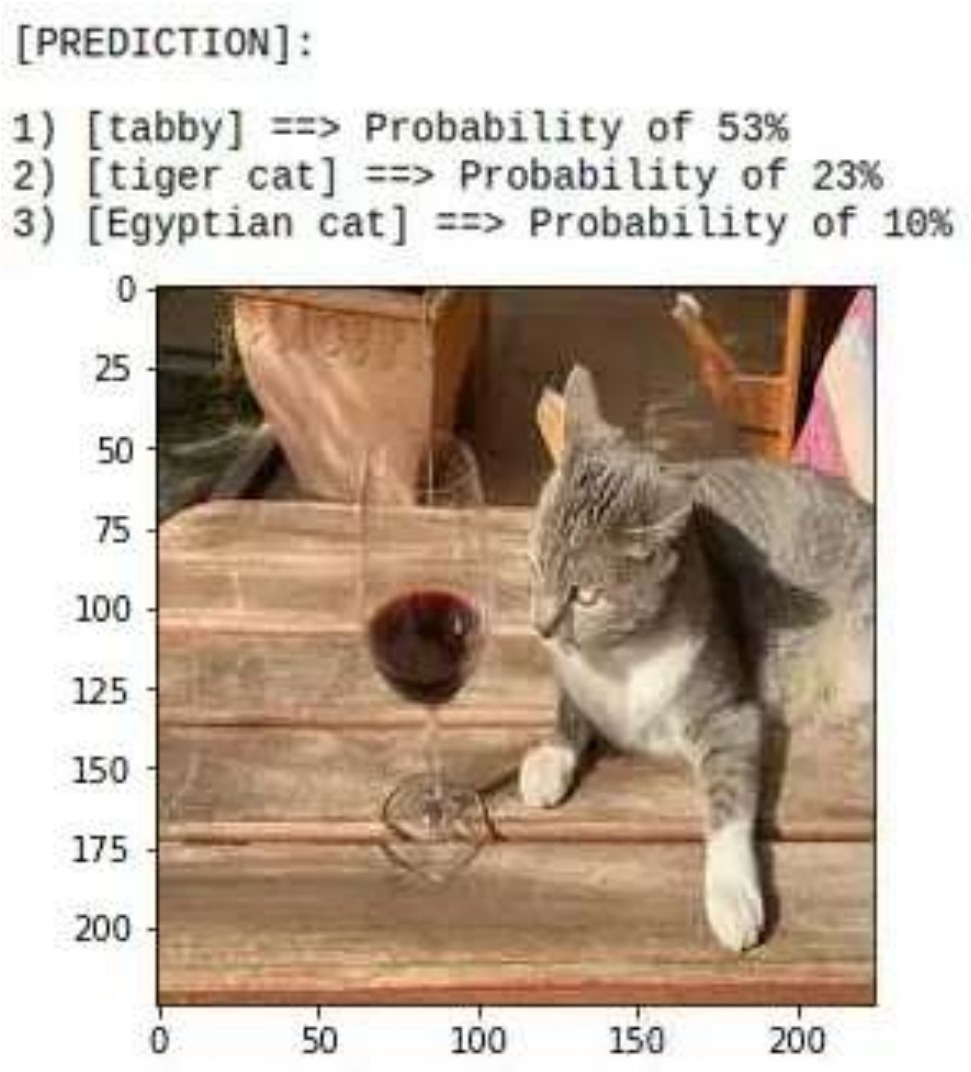

图像分类示例：猫与酒杯

这类模型通常更复杂、更大。例如，**MobileNetV2 SSD FPN-Lite 320x320（COCO 数据集）**，可在一张图片中定位最多 10 个物体，并输出每个物体的边界框。下图为该模型在树莓派上的推理结果：

这些目标检测模型（如 MobileNet SSD 或 YOLO）通常体积较大（数 MB），适合树莓派等设备，但不适合 RAM 小于 1MB 的嵌入式设备。

FOMO：嵌入式目标检测创新方案

Edge Impulse 于 2022 年推出了 **FOMO**（Faster Objects, More Objects），为嵌入式设备带来了全新的目标检测方案。不仅支持 Nicla Vision（Cortex M7），还支持 Cortex M4F（Arduino Nano33、OpenMV M4 系列）和 ESP32（ESP-CAM、XIAO ESP32S3 Sense）等设备。

图像分类误判示例

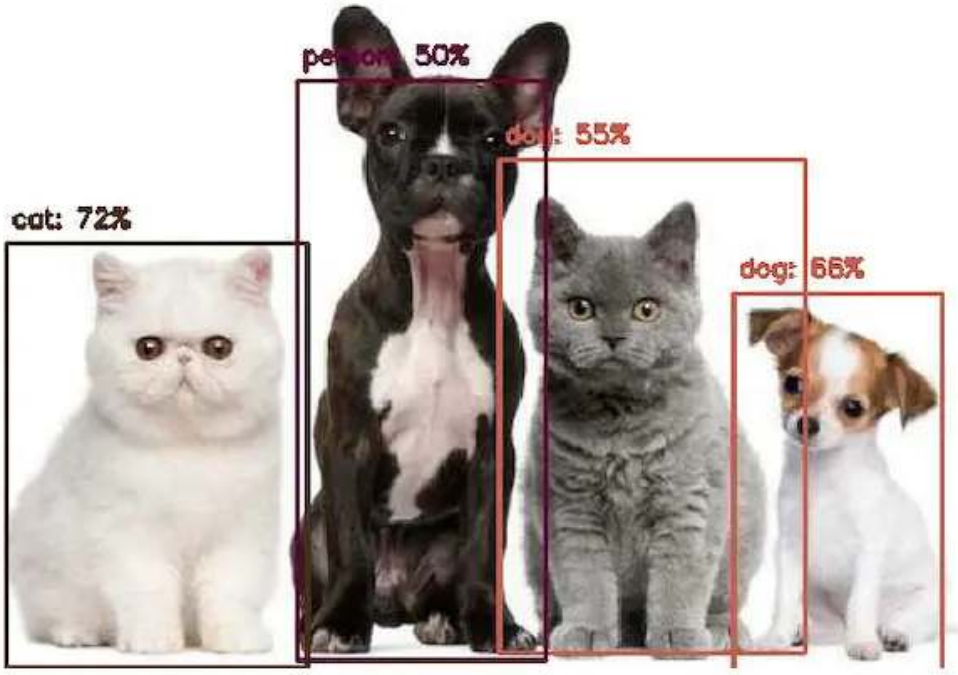

树莓派上运行目标检测模型示例

本实验将实践 FOMO 目标检测，不深入模型原理，想了解更多可参考 FOMO 官方公告。

目标检测项目目标

所有机器学习项目都需明确目标。假设我们在工厂，需要对**轮子**和特殊**盒子**进行分拣和计数。

工厂分拣目标示意图

换句话说，我们要实现多标签分类，每张图片可能包含三类：

- 背景（无物体）
- 盒子
- 轮子

下图为部分未标注的样本图片，用于检测物体（轮子和盒子）：

未标注样本图片

我们关注图片中有哪些物体、它们的位置（质心）以及数量。FOMO 不检测物体尺寸（不像 MobileNet SSD 或 YOLO 输出边界框），只输出质心坐标。

本项目将用 Nicla Vision 采集图片并推理，使用 Edge Impulse Studio 开发 ML 项目。在 Studio 开始目标检测项目前，先用包含目标物体的图片创建原始数据集（未标注）。

数据采集

采集图片可选：

- Web Serial Camera 工具
- Edge Impulse Studio
- OpenMV IDE
- 智能手机

本项目采用 **OpenMV IDE**。

使用 OpenMV IDE 采集数据集

首先在电脑新建数据保存文件夹（如“data”）。在 OpenMV IDE 依次点击 Tools > Dataset Editor，选择 New Dataset 开始采集：

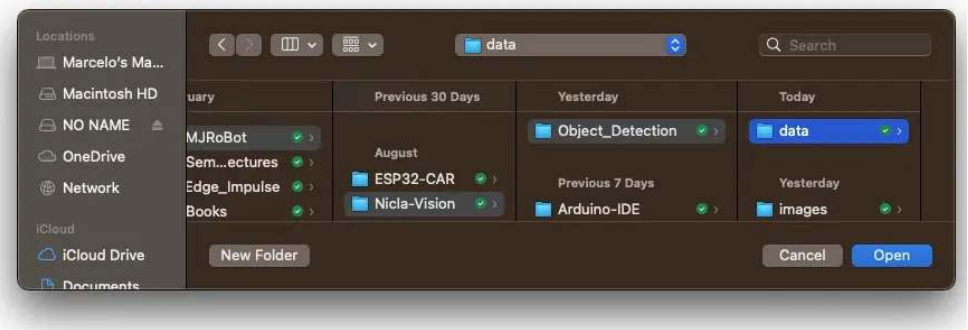

OpenMV IDE 数据集文件夹界面

Edge Impulse 建议物体大小相近且不重叠，便于模型学习。在工厂场景下，摄像头固定，距离一致，满足要求。我们也会尝试不同大小和位置，观察效果。

> 不需为每类图片单独建文件夹，因为每张图片可能有多个标签。

连接 Nicla Vision 到 OpenMV IDE，运行 `dataset_capture_script.py`，点击 Capture Image 按钮开始采集：

建议采集约 50 张图片，混合不同物体和数量，尽量涵盖不同角度、背景和光照。

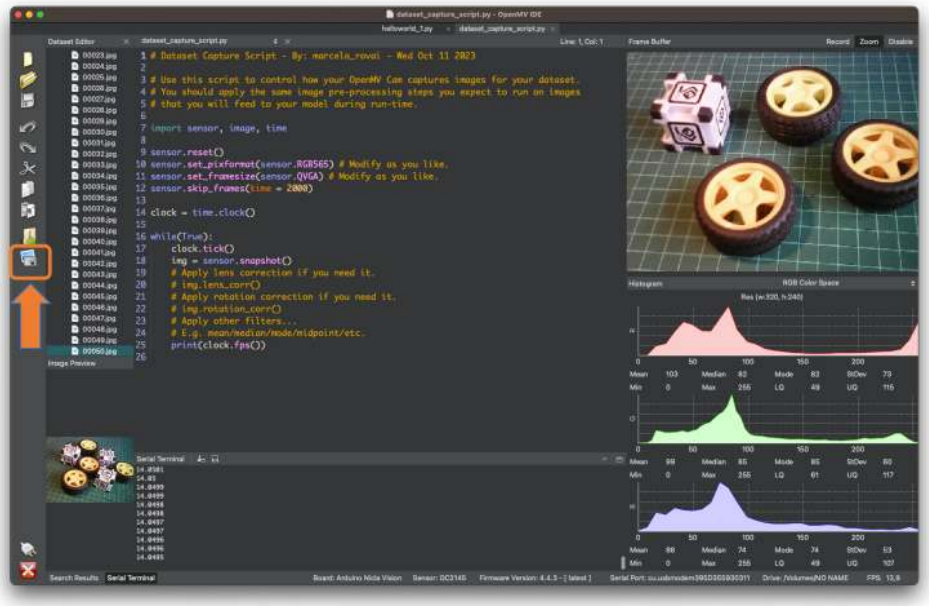

采集图片界面

> 图片为 QVGA 尺寸 320×240，RGB565 色彩格式。

采集完成后，关闭 `Tools > Dataset Editor`。

Edge Impulse Studio

项目设置

访问 Edge Impulse Studio，登录或注册新账号，新建项目。

> 可克隆本实验项目：NICLA_Vision_Object_Detection。

在项目 `Dashboard`，进入 **Project info**，选择 **Bounding boxes (object detection)**，右上角选择 `Target` 为 **Arduino Nicla Vision (Cortex-M7)**。

上传未标注数据

在 Studio 的 `Data acquisition` 标签页，`UPLOAD DATA` 区域上传采集的图片。

> 可让 Studio 自动划分训练/测试集，也可手动分配。

所有未标注图片（51 张）已上传，但需标注后才能用于训练。Studio 提供标注工具，

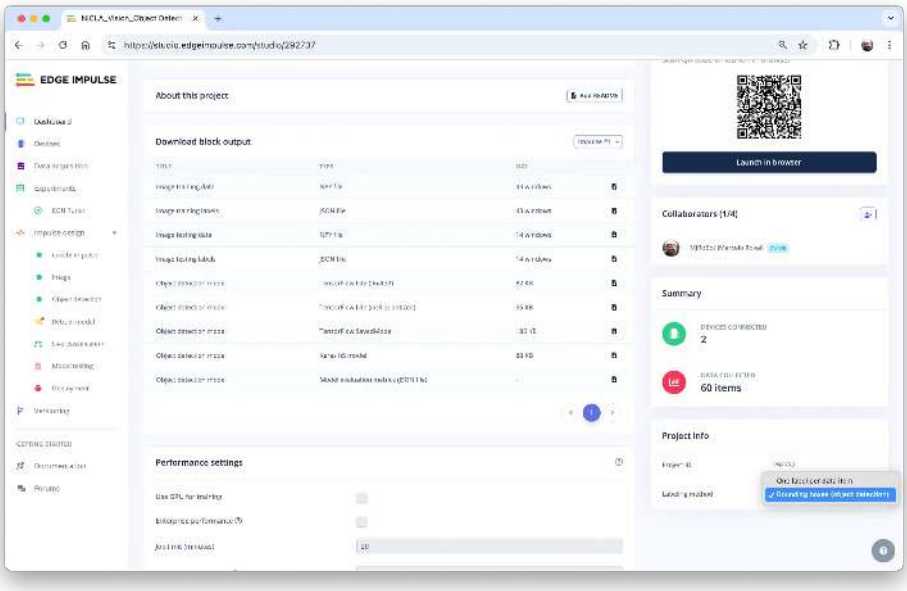

项目设置界面

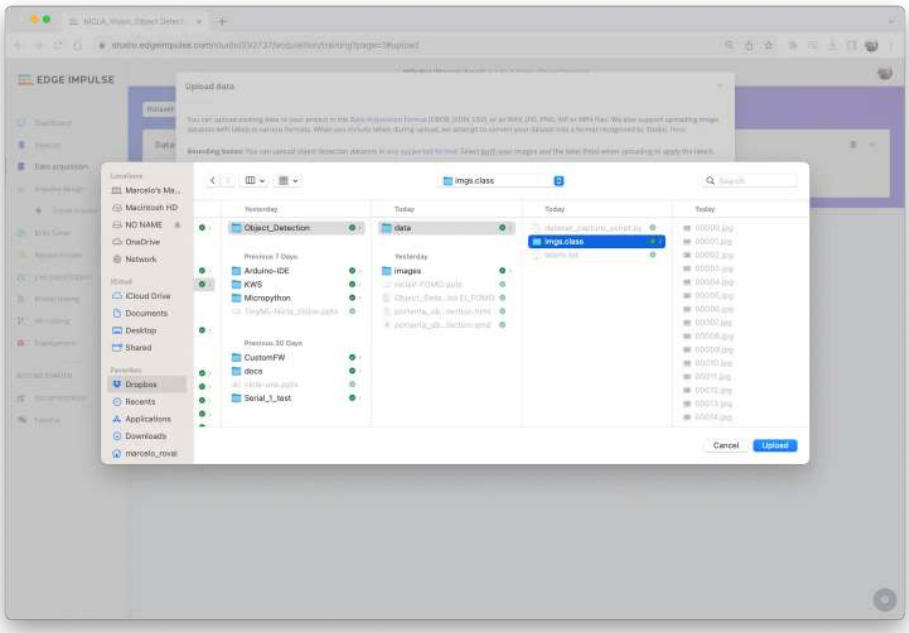

上传数据界面

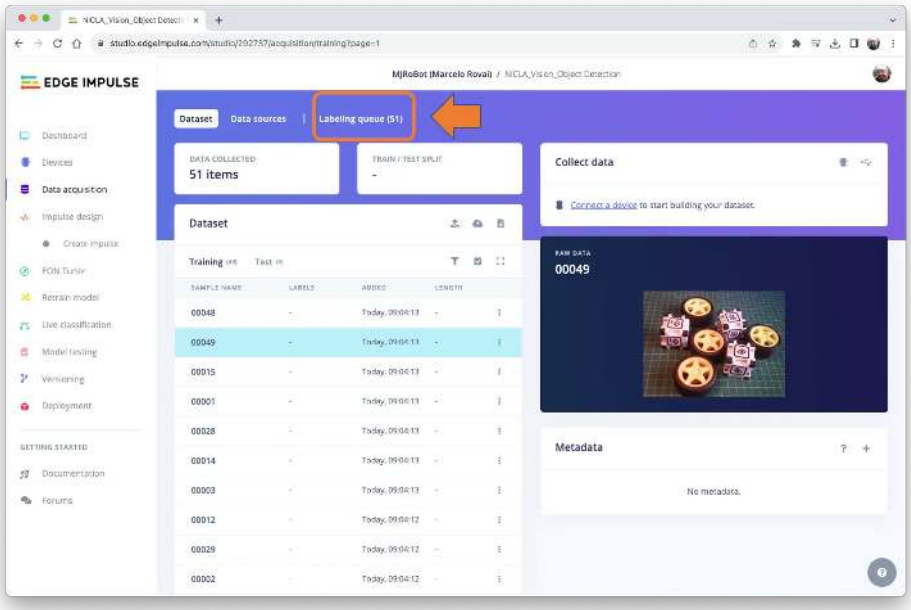

数据集划分界面

点击 `Labeling queue (51)` 进入。

Edge Impulse Studio（免费版）支持两种 AI 辅助标注方式：

- 使用 yolov5
- 帧间目标跟踪

> 企业版支持自动标注功能。

常见物体可用 YOLOv5（COCO 数据集）预训练模型自动标注。但本项目物体不在 COCO 数据集内，需选择 `tracking objects`，即手动标注一帧后自动跟踪，部分图片可自动标注（但并非全部准确）。

> 若已有带边界框的标注数据集，可用 EI uploader 导入。

标注数据集

从第一张未标注图片开始，用鼠标框选物体并添加标签，点击 **Save labels** 进入下一张。

重复操作直到队列为空。最终所有图片都应正确标注，如下所示：

在 `Data acquisition` 标签页复查标注样本，如有错误可通过三点菜单编辑：

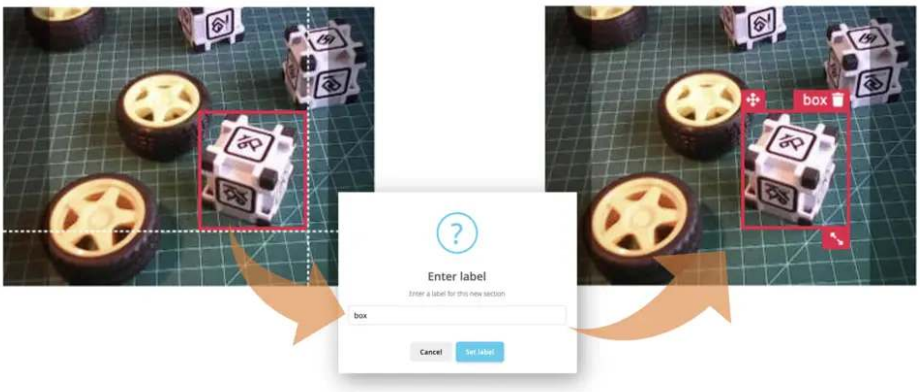

手动标注界面

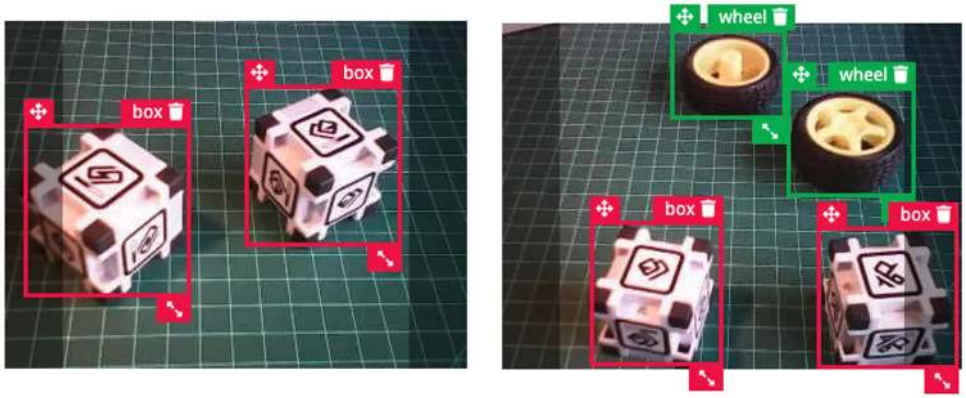

已标注样本图片

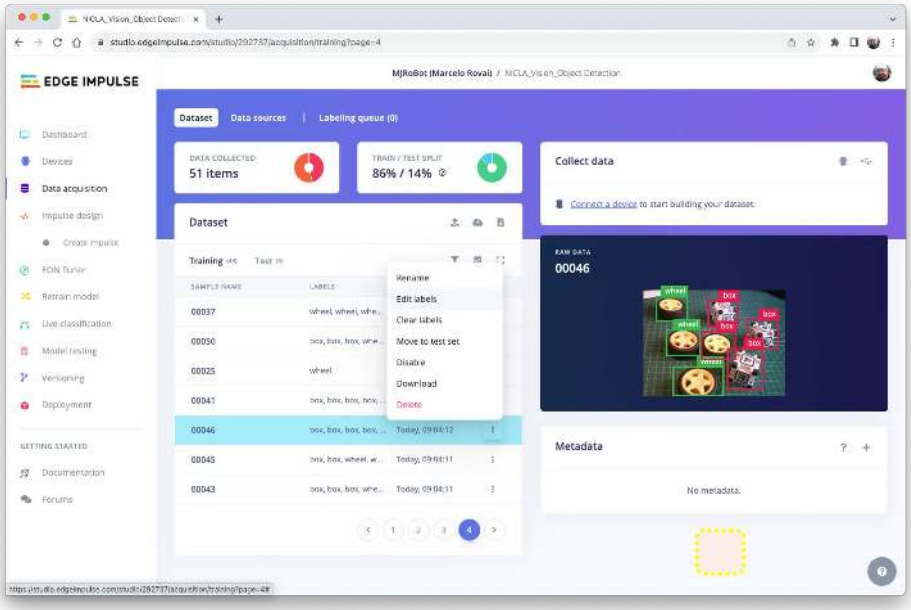

编辑标签界面

可替换错误标签，修正数据集。

标签修正界面

Impulse 设计

本阶段需完成：

- **预处理**：将图片从 `320 x 240` 缩放为 `96 x 96`，保持方形（不裁剪），并转为灰度图。
- **模型设计**：选择“Object Detection”。

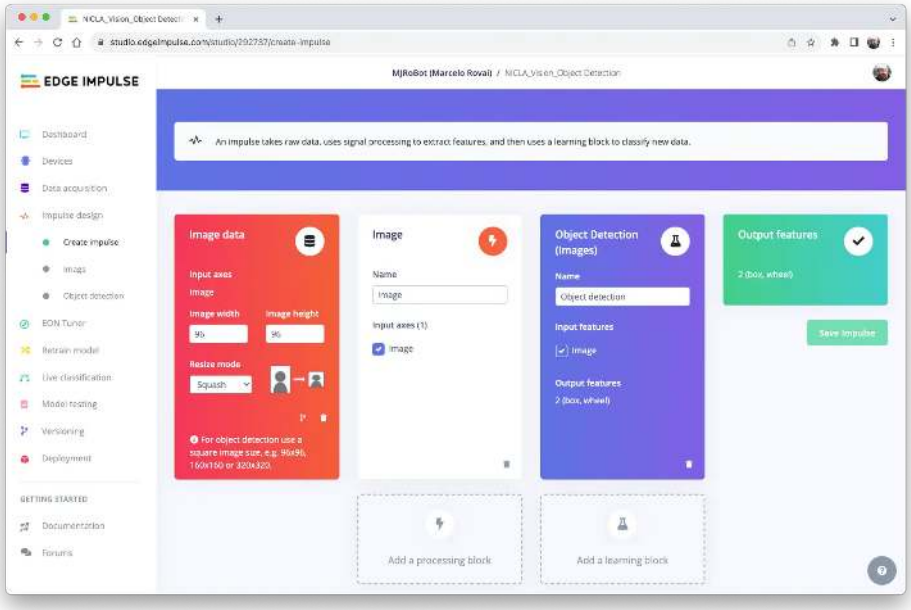

Impulse 设计界面

预处理数据集

选择 **Color depth** 为 `Grayscale`，适合 FOMO 模型，保存参数。

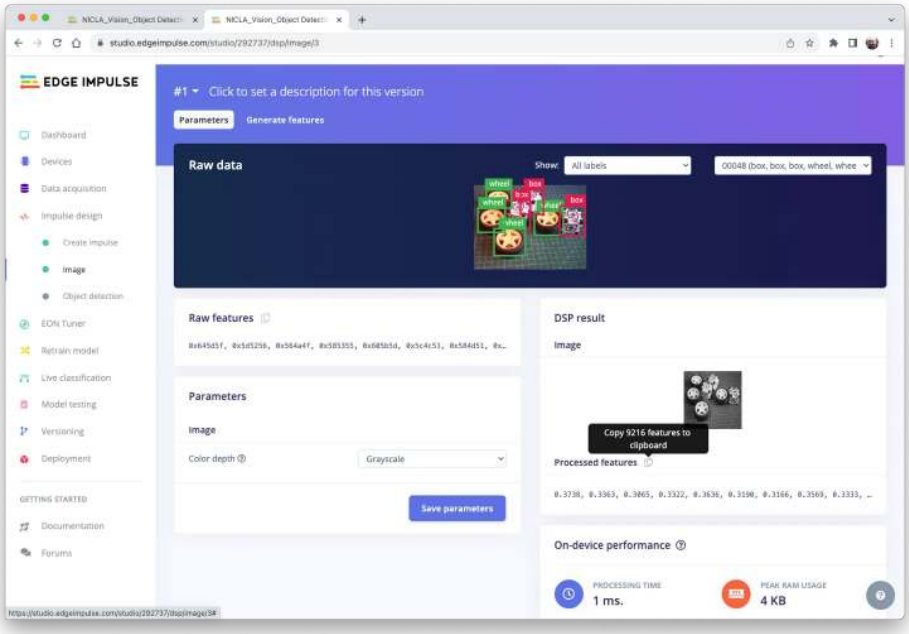

设置灰度预处理界面

Studio 自动进入 `Generate features`，所有样本将被预处理，生成 $96 \times 96 \times 1$ 的图片（9216 个特征）。

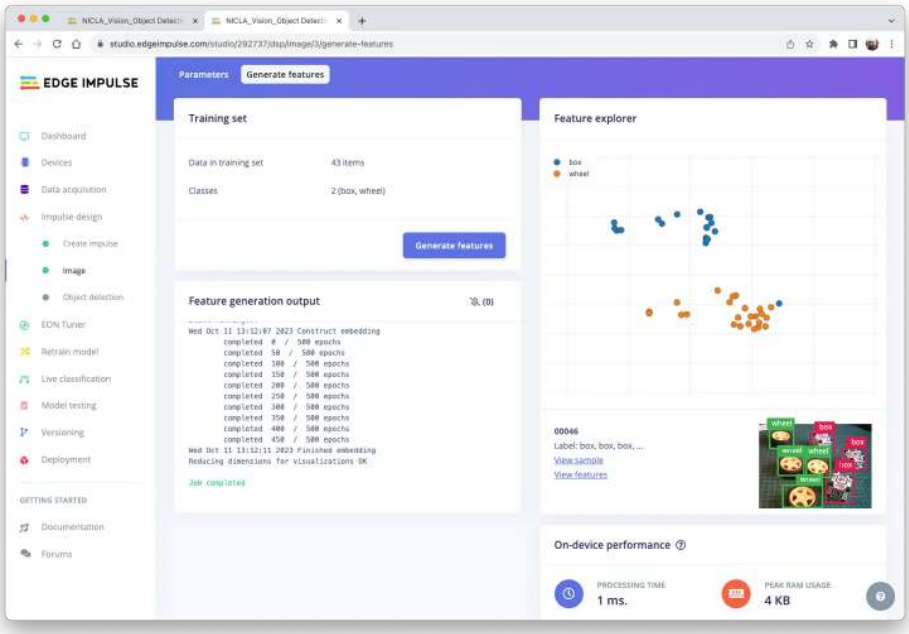

特征生成与可视化界面

特征可视化显示样本分布良好。

> 有一张样本（46）似乎位置异常，点击确认标签无误。

模型设计、训练与测试

本项目采用基于 MobileNetV2（alpha 0.35）的 FOMO 目标检测模型，将图片粗略分割为**背景**与**目标物体**（盒子、轮子）网格。

FOMO 是创新的目标检测模型，能耗和内存消耗比传统模型（Mobilenet SSD、YOLOv5）低 30 倍，可在小于 200 KB RAM 的微控制器上运行。其原理是只输出物体质心坐标，不输出边界框。

FOMO 工作原理

FOMO 将灰度图按 8 像素分块，输入为 96x96 时，网格为 12×12。每个像素块用分类器判断是否包含目标物体，最终输出概率最高的区域（无物体则为背景）。最终输出为各物体质心的坐标。

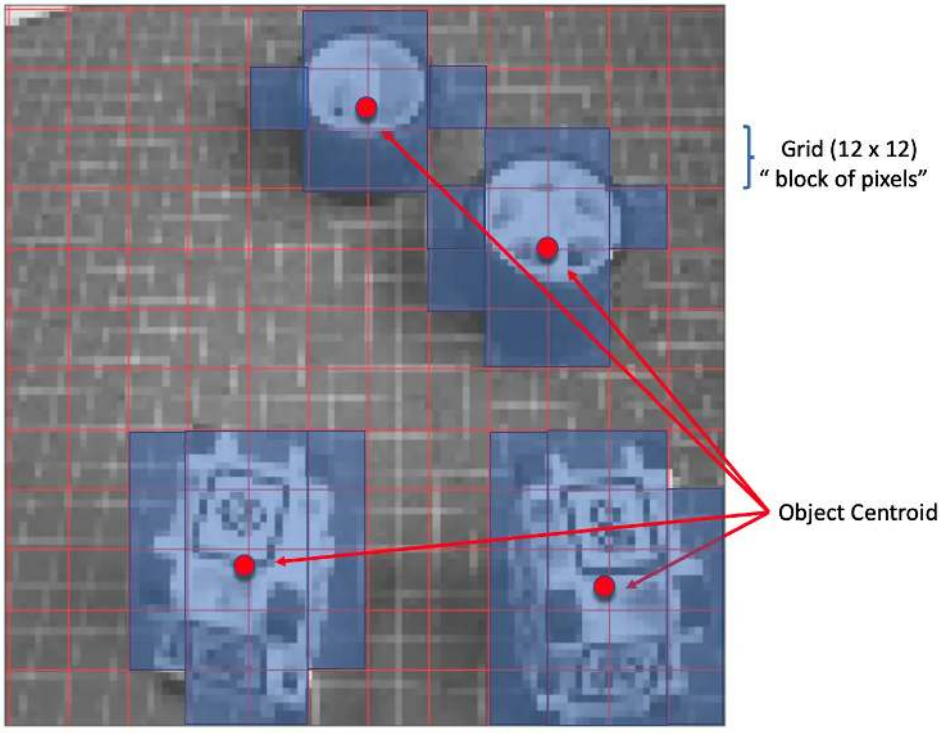

FOMO 工作原理示意图

训练时选择预训练模型 `FOMO (Faster Objects, More Objects) MobileNetV2 0.35`，约占用 250 KB RAM 和 80 KB ROM，适合 1MB RAM/ROM 的板卡。

训练超参数：

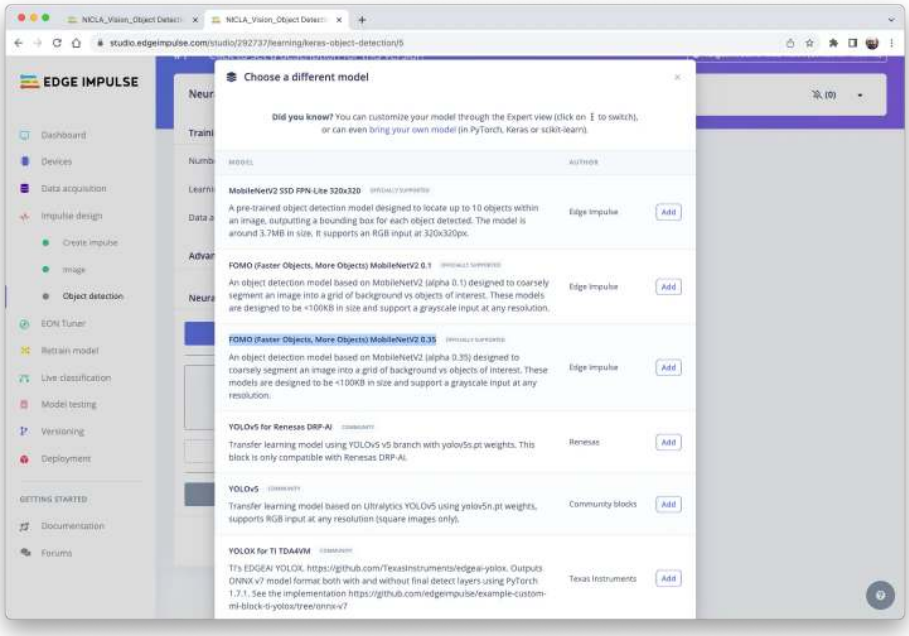

FOMO 模型选择界面

- 轮数：60
- 批量：32
- 学习率：0.001

训练时 20% 数据集用于验证，80% 用于训练并进行数据增强（随机翻转、缩放、亮度变化、裁剪），提升泛化能力。

最终模型 F1 分数约 91%（验证集）、93%（测试集）。

> FOMO 自动为原有的盒子和轮子标签添加了第三类背景。

> 目标检测任务通常不以准确率为主要评估指标，而以 F1 分数等衡量。FOMO 只输出质心，无边界框，因此更适合用 F1 分数评价。

“实时分类”测试模型

Edge Impulse 官方支持 Nicla Vision，可直接连接 Studio 进行实时测试：

- 下载最新 EI 固件并解压
- 打开 zip，选择对应操作系统的上传工具

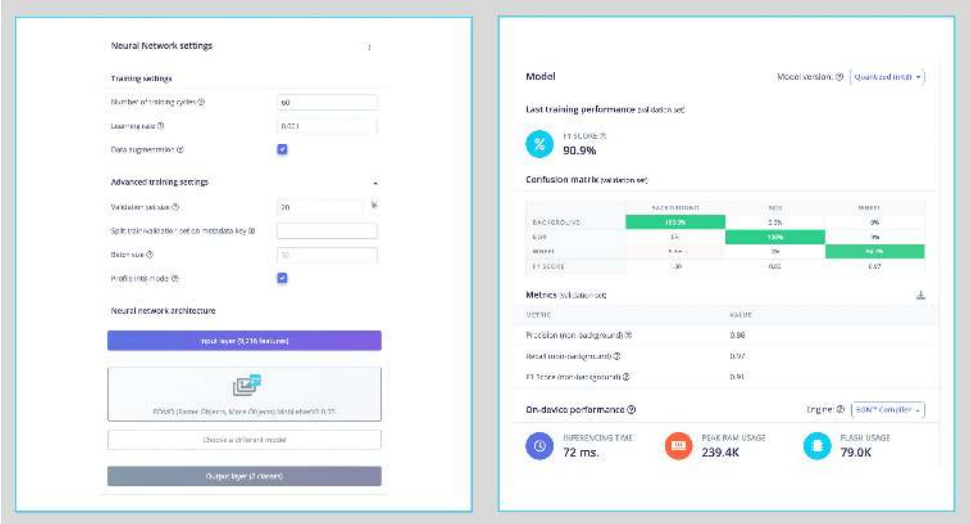

训练结果与 F1 分数

- 按两次复位键进入 Boot 模式
- 运行批处理脚本上传 `arduino-nicla-vision.bin`

在 EI Studio 的 `Live classification` 区域，用 webUSB 连接 Nicla Vision：

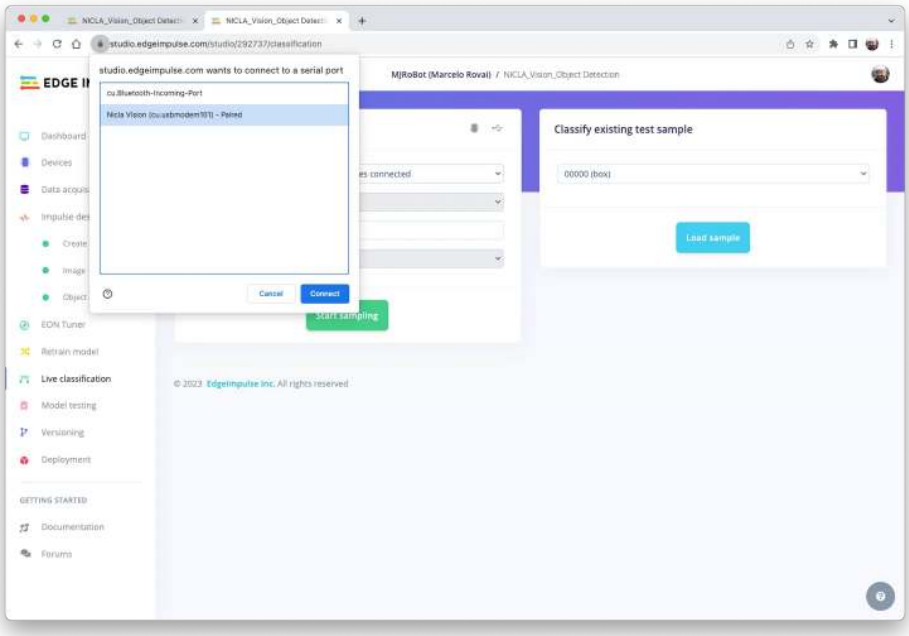

实时分类连接界面

连接后可用 Nicla 采集图片，实时用训练模型推理：

注意模型可能有误报/漏报，可通过设置 `Confidence Threshold`（在三点菜单中）调整，建议设为 0.8 以上。

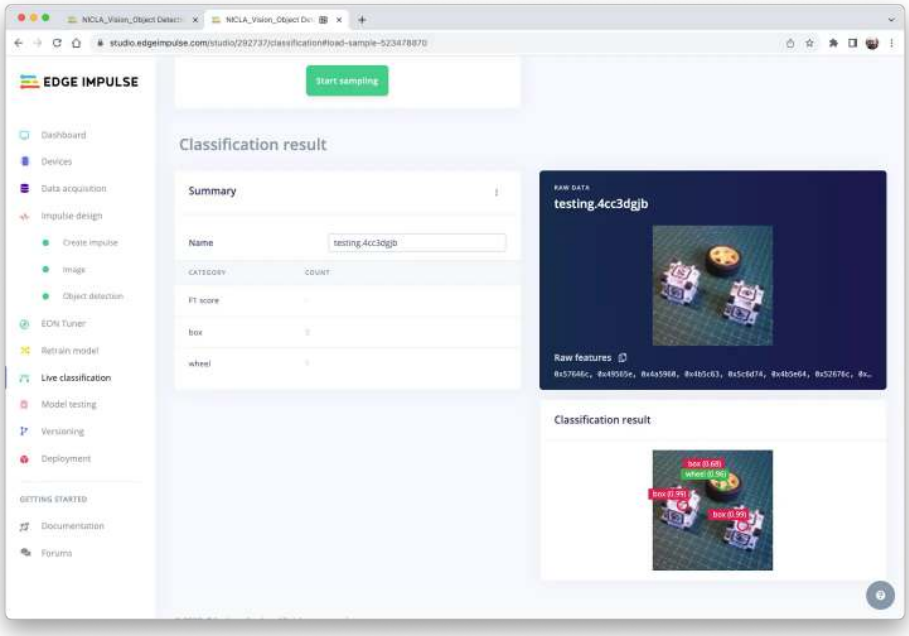

实时推理结果界面

部署模型

在 Deploy Tab 选择 `OpenMV Firmware`，点击 `[Build]`。

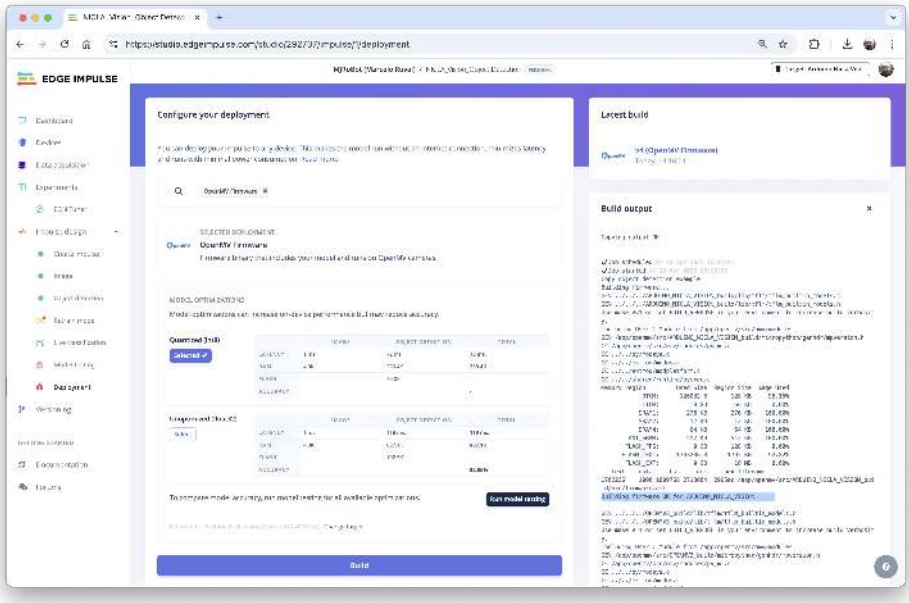

部署固件界面

再次用 OpenMV IDE 连接 Nicla 时，选择 `Load a specific firmware`，或通过

`Tools > Runs Boatloader (Load Firmware)` 手动加载。

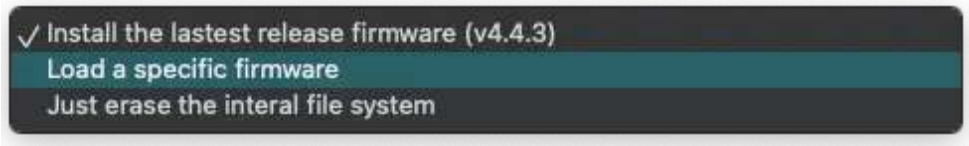

选择固件加载方式

解压 Studio 下载的 ZIP 文件：

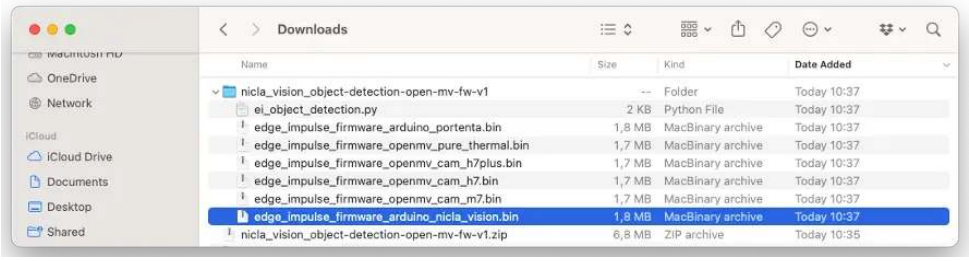

解压固件文件

将 .bin 文件烧录到开发板：

烧录固件到开发板

烧录完成后弹窗提示，点击 OK，打开 Studio 下载的 **ei_object_detection.py** 脚本。

> 如弹窗提示固件过期，点击 `[NO]` 跳过升级。

运行脚本前可调整部分参数。窗口定义可保持 240×240，摄像头采集 QVGA/RGB，图片会被固件自动预处理。

```
import sensor
import time
import ml
from ml.utils import NMS
```

```
import math
import image

sensor.reset()  # 传感器初始化
sensor.set_pixformat(sensor.RGB565)  # 设置像素格式
sensor.set_framesize(sensor.QVGA)    # 设置帧尺寸
sensor.skip_frames(time=2000)        # 等待相机调整
```

可调整最小置信度（如 0.8），减少误报/漏报：

```
min_confidence = 0.8
```

如需更好对比，可调整质心圆圈颜色：

```
threshold_list = [(math.ceil(min_confidence * 255), 255)]

# 加载内置模型
model = ml.Model("trained")
print(model)

# 可选：从文件系统加载模型
# model = ml.Model('<object_detection_modelwork>.tflite', load_to_fb=True)
# labels = [line.rstrip('\n') for line in open("labels.txt")]

colors = [
    (255, 255,   0), # background: yellow（未用）
    (  0, 255,   0), # cube: green
    (255,   0,   0), # wheel: red
    (  0,   0, 255), # 未用
    (255,   0, 255), # 未用
    (  0, 255, 255), # 未用
    (255, 255, 255), # 未用
]
```

其余代码保持不变：

```
# FOMO outputs an image per class where each pixel in the
# image is the centroid of the trained object. So, we will
# get those output images and then run find_blobs() on them
# to extract the centroids. We will also run get_stats() on
# the detected blobs to determine their score.
# The Non-Max-Supression (NMS) object then filters out
# overlapping detections and maps their position in the
# output image back to the original input image. The
# function then returns a list per class which each contain
# a list of (rect, score) tuples representing the detected
# objects.
```

```
12
13
14 def fomo_post_process(model, inputs, outputs):
15     n, oh, ow, oc = model.output_shape[0]
16     nms = NMS(ow, oh, inputs[0].roi)
17     for i in range(oc):
18         img = image.Image(outputs[0][0, :, :, i] * 255)
19         blobs = img.find_blobs(
20             threshold_list,
21             x_stride=1,
22             area_threshold=1,
23             pixels_threshold=1,
24         )
25         for b in blobs:
26             rect = b.rect()
27             x, y, w, h = rect
28             score = (
29                 img.get_statistics(
30                     thresholds=threshold_list, roi=rect
31                 ).l_mean()
32                 / 255.0
33             )
34             nms.add_bounding_box(x, y, x + w, y + h, score, i)
35     return nms.get_bounding_boxes()
36
37
38 clock = time.clock()
39 while True:
40     clock.tick()
41
42     img = sensor.snapshot()
43
44     for i, detection_list in enumerate(
45         model.predict([img], callback=fomo_post_process)
46     ):
47         if i == 0:
48             continue  # background class
49         if len(detection_list) == 0:
50             continue  # no detections for this class?
51
52         print("********** %s **********" % model.labels[i])
53         for (x, y, w, h), score in detection_list:
54             center_x = math.floor(x + (w / 2))
55             center_y = math.floor(y + (h / 2))
56             print(f"x {center_x}\ty {center_y}\tscore {score}")
57             img.draw_circle((center_x, center_y, 12), color=colors[i])
58
59     print(clock.fps(), "fps", end="\n")
```

点击 绿色播放按钮 运行代码：

摄像头画面中，物体质心用 12 像素圆圈标记（不同类别颜色不同）。串口终端显示检测到的标签及其在窗口 (240×240) 的位置。

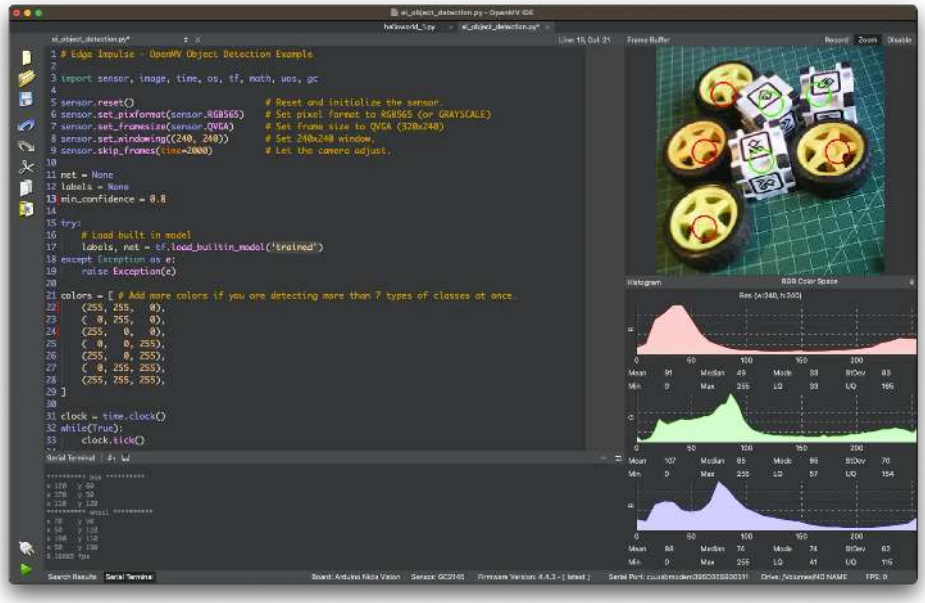

推理运行界面

> 坐标原点在左上角。

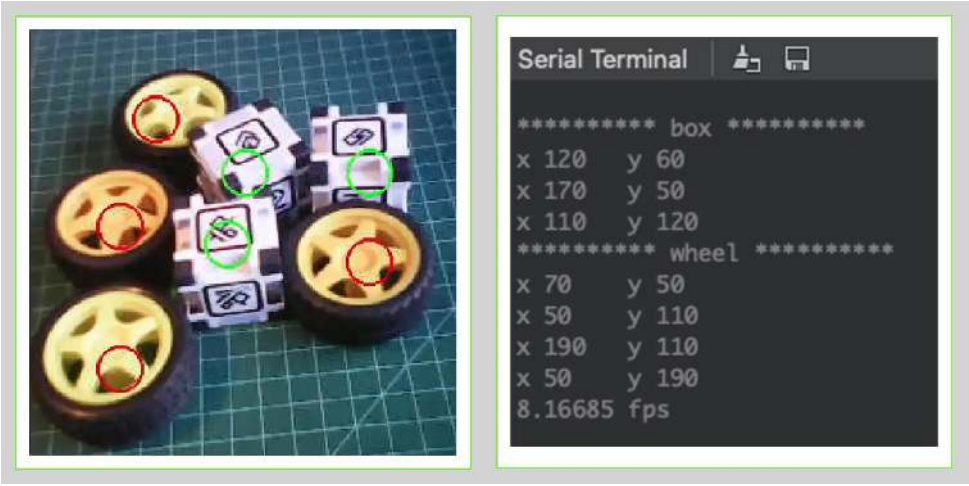

串口终端推理结果

帧率约 8 fps，与图像分类项目相近。FOMO 基于 CNN 构建，效率高于 SSD MobileNet 或 YOLO。例如，树莓派 4 上运行 MobileNetV2 SSD FPN-Lite 320×320，延迟约为本项目的 5 倍（约 1.5 fps）。

推理演示视频：https://youtu.be/JbpoqRp3BbM

总结

FOMO 是图像处理领域的重要突破，正如 Louis Moreau 和 Mat Kelcey 在 2022 年发布时所说：

> FOMO 是一项突破性算法，首次将实时目标检测、追踪和计数带到微控制器平台。

在嵌入式设备上探索目标检测（尤其是计数）有广阔应用前景，如蜜蜂计数等项目。

蜜蜂计数应用示意图

参考资源

- Edge Impulse 项目

关键词检测（KWS）

概述

在前面的 图像分类 和 目标检测 应用中，我们已经体验了 Nicla Vision 板卡的强大能力。现在，我们将目光转向语音激活应用，实践一个关键词检测（KWS）项目。

正如 音频分类特征工程 实践教程中介绍的，关键词检测（KWS）已集成到许多语音识别系统中，使设备能够响应特定词语或短语。这项技术不仅支撑了 Google Assistant、Amazon Alexa 等流行设备，也完全可以在小型、低功耗设备上实现。本教程将带你在配备数字麦克风的 Nicla Vision 开发板上，利用 TinyML 实现 KWS 系统。

我们的模型将识别可唤醒设备或触发特定动作的关键词，实现真正的语音激活控制。

语音助手是如何工作的?

如前所述，市面上的语音助手（如 Google Home、Amazon Echo-Dot）只有在被特定关键词唤醒时才会响应用户，比如前者的“Hey Google”和后者的“Alexa”。

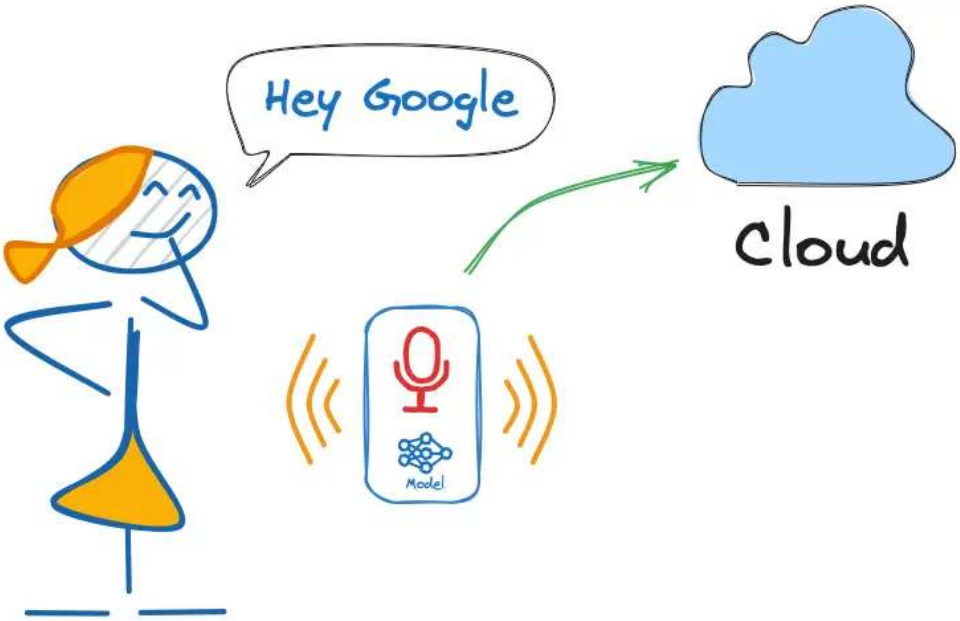

Google 语音助手唤醒示意图

换句话说，语音命令的识别基于多级模型或级联检测（Cascade Detection）。

第一阶段：Echo Dot 或 Google Home 内部的小型微处理器持续监听，等待关键词出现，使用 TinyML 模型在本地进行检测（KWS 应用）。

第二阶段：只有当第一阶段的 KWS 应用检测到关键词后，数据才会被发送到云端，由更大的模型进一步处理。

下方视频展示了在树莓派（第二阶段）上编程 Google Assistant，并用 Arduino Nano 33 BLE 作为 TinyML 设备（第一阶段）的例子。

https://youtu.be/e_OPgcnsyvM

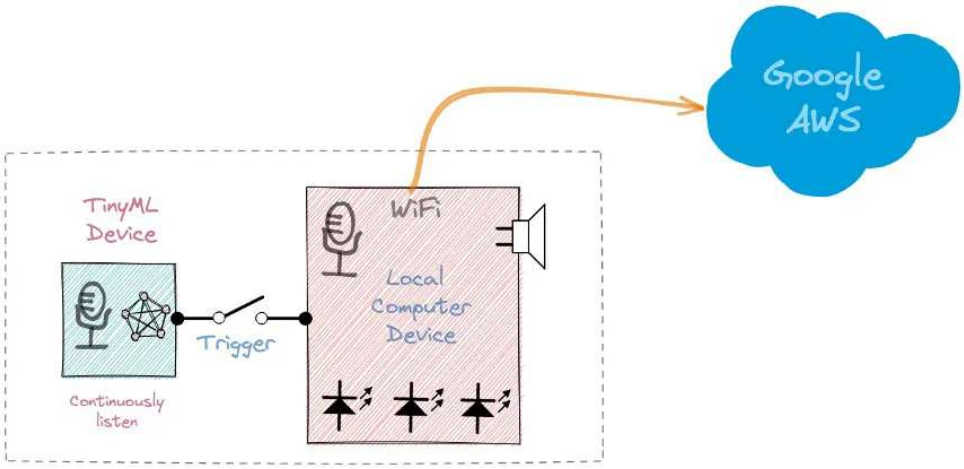

语音助手级联检测流程图

> 想深入了解上述 Google Assistant 项目，请参考教程：从零构建智能语音助手。

本 KWS 项目聚焦于第一阶段（KWS 或关键词检测），我们将使用带数字麦克风的 Nicla Vision 进行关键词检测。

KWS 实践项目

下图展示了最终 KWS 应用在推理阶段的工作流程：

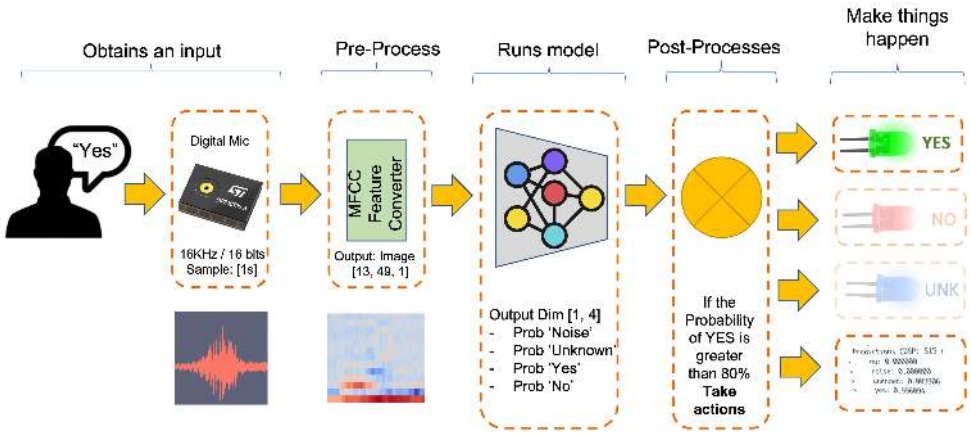

KWS 应用推理流程图

我们的 KWS 应用将识别四类声音：

- **YES**（关键词 1）
- **NO**（关键词 2）
- **NOISE**（仅有背景噪声，无语音）

- **UNKNOWN**（除 YES 和 NO 外的其他词）

> 在实际项目中，建议除了关键词外，还包含“噪声”（或背景）和“未知”类别。

机器学习工作流

KWS 应用的核心是其模型。因此，我们需要用特定关键词、噪声和其他词（“未知”）来训练模型：

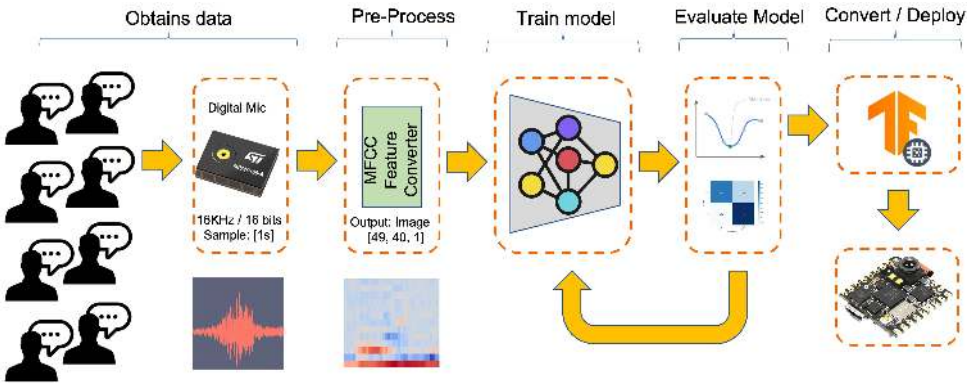

KWS 项目训练流程图

数据集

任何机器学习流程的关键在于**数据集**。确定关键词后（本例为 YES 和 NO），我们可以利用 Pete Warden 开发的数据集“Speech Commands: A Dataset for Limited-Vocabulary Speech Recognition”。该数据集包含 35 个关键词（每类 1000+ 样本），如 yes、no、stop、go 等。以 yes 和 no 为例，每类可获得约 1500 个样本。

你可以从 Edge Studio 下载该数据集的精简版（关键词检测预置数据集），其中包含本项目所需的四类样本：yes、no、noise、background。操作步骤如下：

- 下载 关键词数据集
- 解压到本地任意位置

上传数据集到 Edge Impulse Studio

在 Edge Impulse Studio（EIS）新建项目，在 `Data Acquisition` 区域选择 `Upload Existing Data` 工具，选择要上传的文件：

定义标签，选择 `Automatically split between train and test`，点击 `Upload data` 上传到 EIS。对所有类别重复此操作。

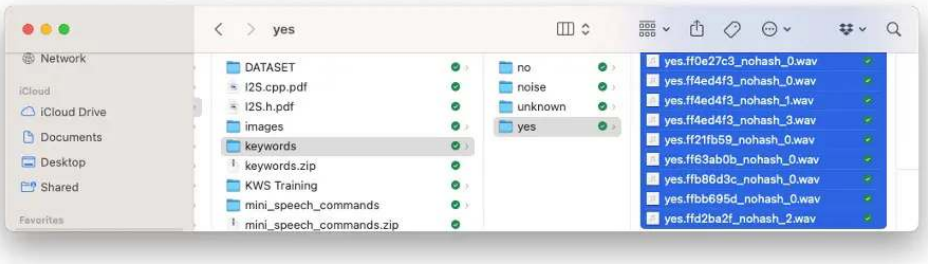

数据集文件上传界面

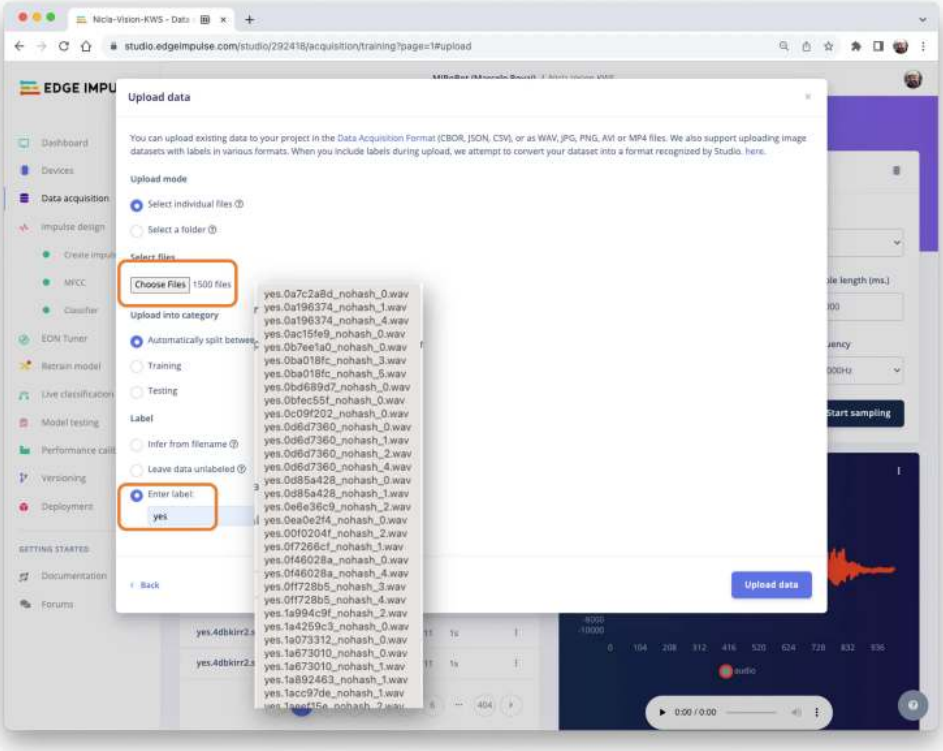

数据集上传标签界面

上传后，数据集会出现在 `Data acquisition` 区域。约 6000 个样本（每类 1500 个），自动分为训练集（4800）和测试集（1200）。

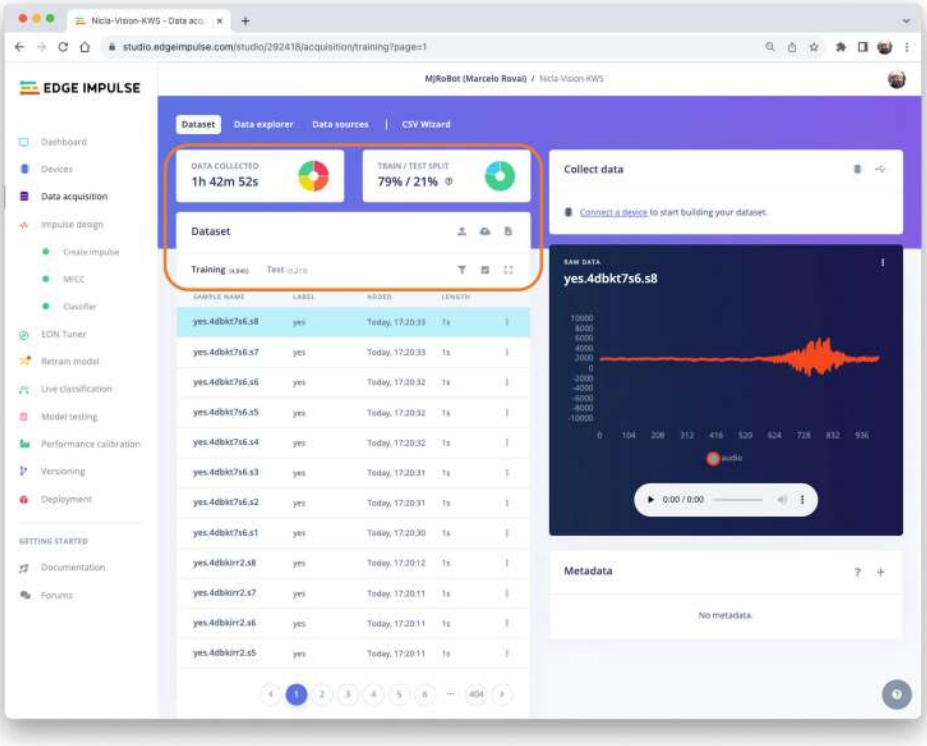

数据集分布界面

采集额外音频数据

尽管 Pete 的数据集已很丰富，建议还是采集一些自己的语音样本。对于加速度计等传感器，建议用同类型设备采集数据。对于声音，这不是必须，因为我们实际分类的是音频数据。

> 声音与音频的关键区别在于能量类型。声音是介质中的机械扰动（纵波），引起压力变化；音频则是代表声音的电信号（模拟或数字）。

当我们发出关键词时，声波需被麦克风采样为音频数据，采样率为 16 KHz，采样位宽为 16 位。

只要设备能生成 16 KHz/16 位音频数据即可，包括 NiclaV、电脑或手机。

使用 NiclaV 和 Edge Impulse Studio 如 Nicla Vision 设置 章节所述，EIS 官方支持 Nicla Vision，便于采集其传感器（包括麦克风）数据。请新建 EIS 项目并连接 Nicla，

音频采集设备示意图

步骤如下：

- 下载最新版 EIS 固件 并解压
- 在电脑上打开 zip 文件，选择对应操作系统的上传工具

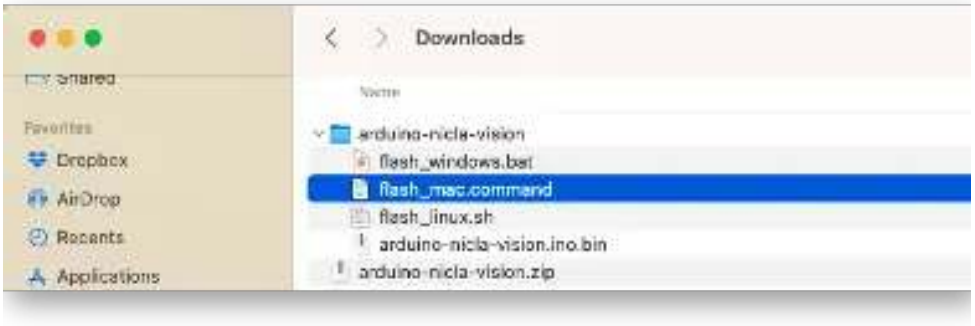

固件上传工具界面

- 按两次复位键，将 NiclaV 置于 Boot 模式
- 运行对应批处理脚本，将 arduino-nicla-vision.bin 上传到开发板

进入 EIS 项目，在 `Data Acquisition` 标签页选择 `WebUSB`，弹窗中选择 `Nicla is paired` 并点击 `[Connect]`。

在 `Collect Data` 区域选择 `Built-in microphone`，设置 `label`（如 yes）、采样频率 [16000Hz]、采样时长（如 [10s]），点击 `Start sampling`。

Pete 数据集样本长度为 1s，录制样本为 10s，需拆分为 1s 样本。点击样本名后的“三点”，选择 `Split sample`。

弹出分割工具窗口：

在工具中将数据分割为 1 秒（1000 ms）片段，如有需要可增删片段。对所有新样本重复此操作。

使用手机和 EI Studio 也可用电脑或手机采集音频，采样率 16 KHz，位宽 16 位。

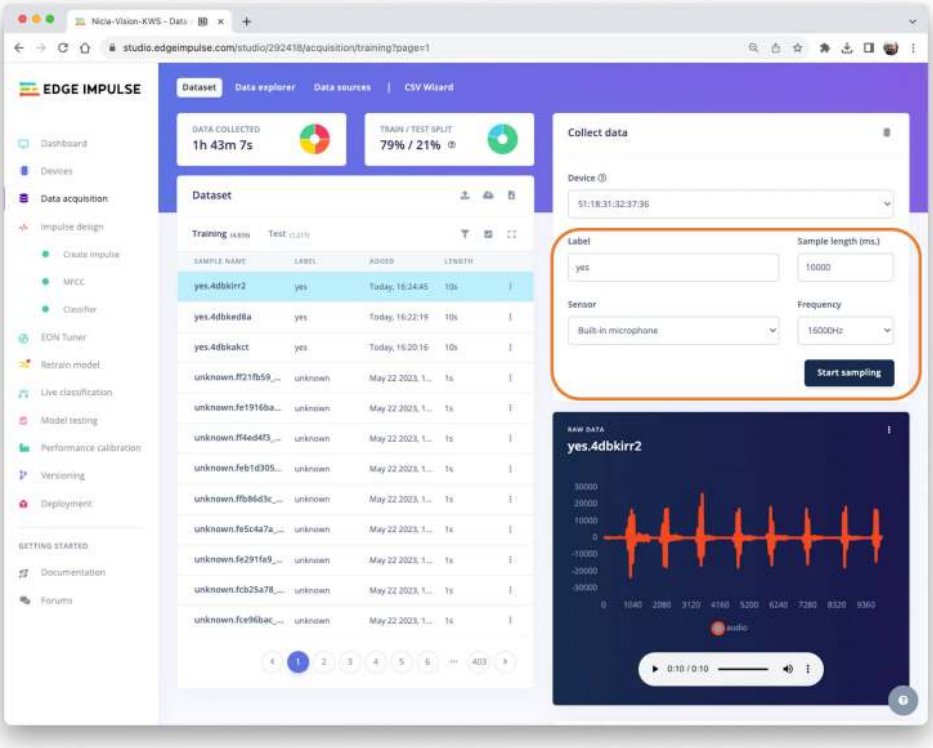

EIS 数据采集界面

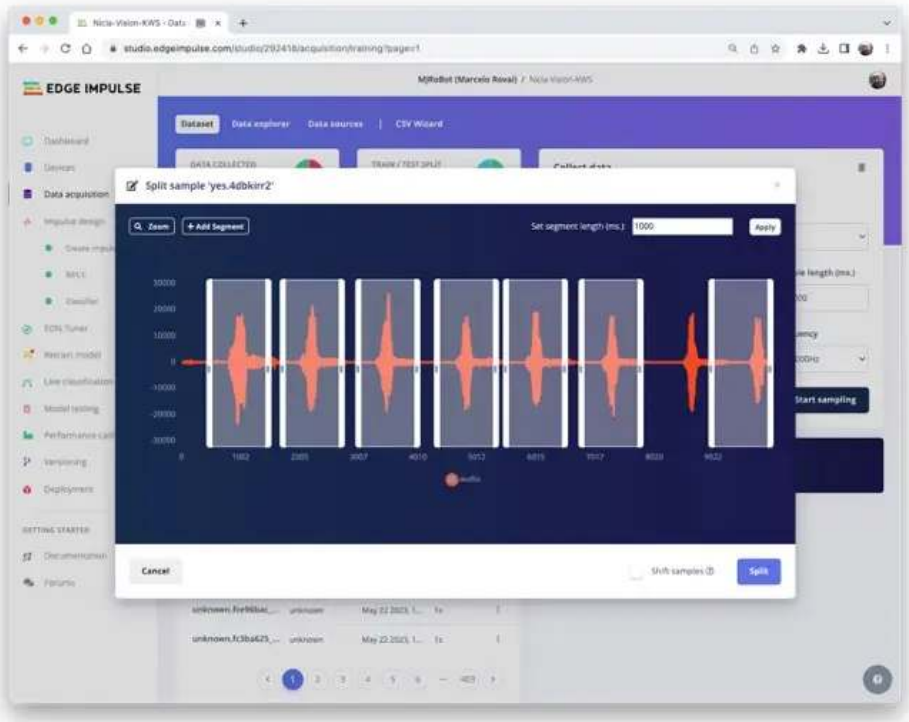

样本分割工具界面

在 `Devices` 页面扫码，手机浏览器打开数据采集应用，选择 `Collecting Audio`，设置 `Label`、采集时长和 `Category`。

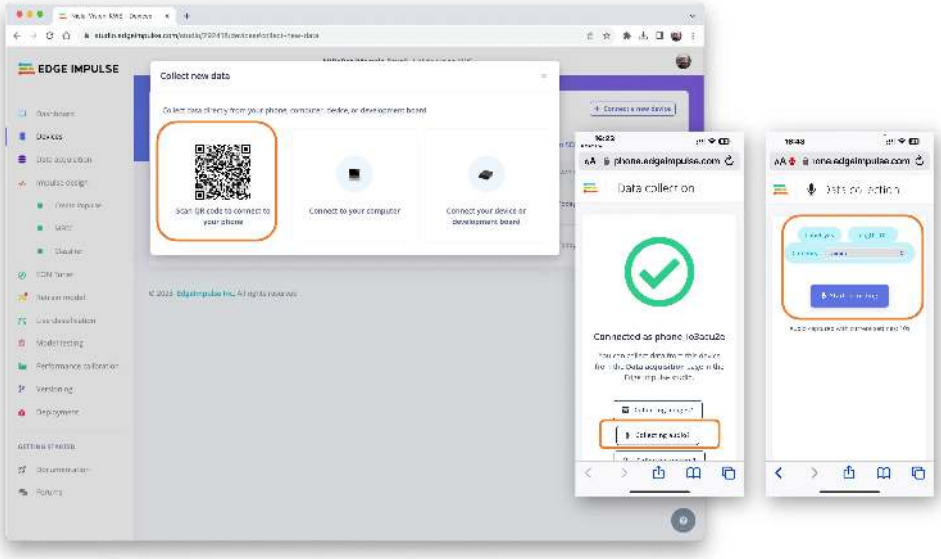

手机音频采集界面

操作流程与 NiclaV 类似。

> 任何支持 16 KHz/16 位采样的录音软件（如 Audacity）均可用于音频采集。

创建 Impulse（预处理与模型定义）

Impulse 指将原始数据通过信号处理提取特征，再用学习模块对新数据进行分类的流程。

Impulse 设计

首先，以 1 秒窗口采集数据，进行数据增强，并以 500 ms 步长滑动窗口。注意启用 zero-pad 选项，确保不足 1 秒的样本用零填充，避免噪声和异常。

每个 1 秒音频样本需预处理并转换为图像（如 $13 \times 49 \times 1$）。如 音频分类特征工程 实践所述，我们采用 `Audio (MFCC)`，即用 Mel 频率倒谱系数 提取音频特征，适合语音场景。

接着选择 `Classification` 模块，基于卷积神经网络（CNN）从零构建模型。

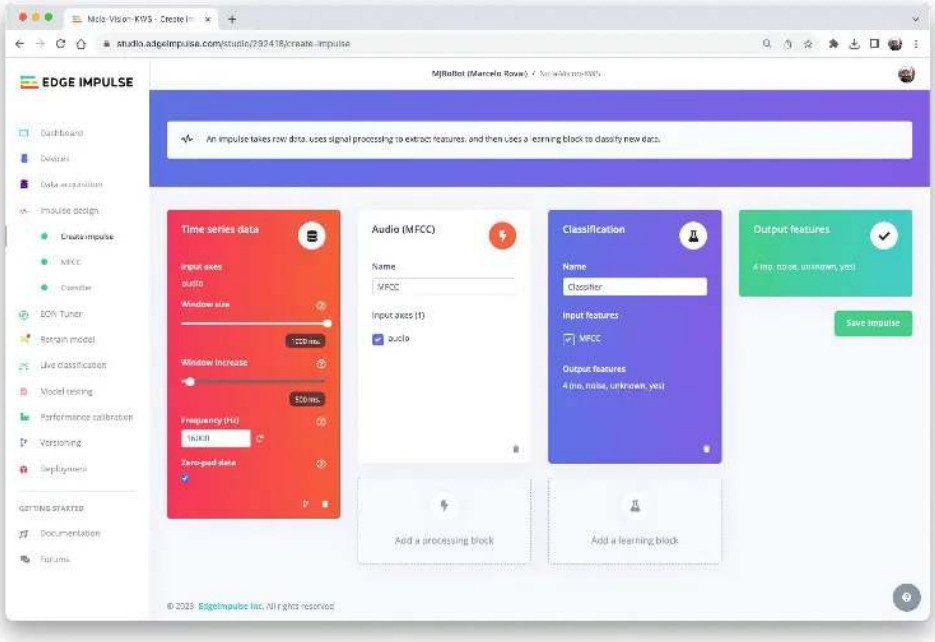

Impulse 设计界面

> 也可选用 `Transfer Learning (Keyword Spotting)` 模块，微调预训练 KWS 模型，适合小型关键词数据集。

预处理（MFCC）

下一步是生成用于训练的特征：

可保留默认参数，也可用 DSP 的 `Autotune parameters` 自动调参。

将 1 秒、16 KHz 采样的原始音频（16,000 点）用 MFCC 处理，得到 637 个特征 (13×49)。

结果显示，预处理仅占用 16 KB 内存，延迟 34 ms，非常优秀。例如在 Arduino Nano（Cortex-M4f @ 64 MHz）上，预处理需约 480 ms。参数如 `FFT length` [512] 会显著影响延迟。

保存参数后，进入 `Generated features` 标签页，实际生成特征。用 UMAP 进行降维，`Feature explorer` 可视化特征分布。

结果显示 yes（红色）与 no（蓝色）特征分布明显分离，unknown 更靠近 no，提示 no 更易出现误判。

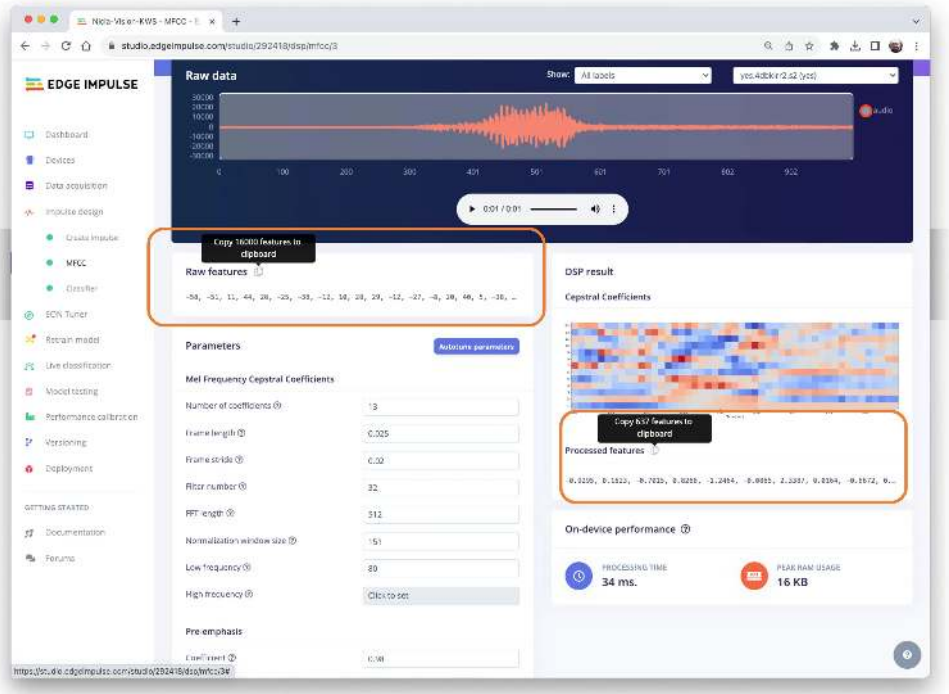

MFCC 参数自动调优界面

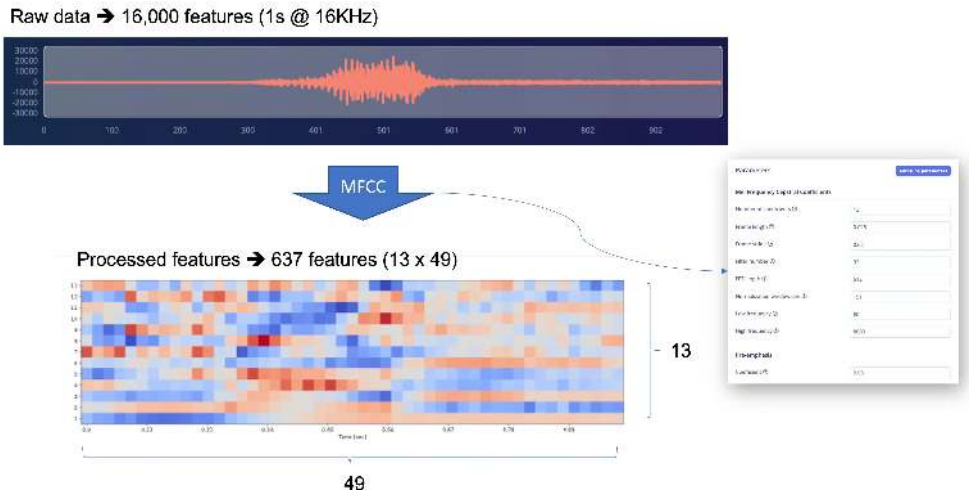

MFCC 特征处理结果

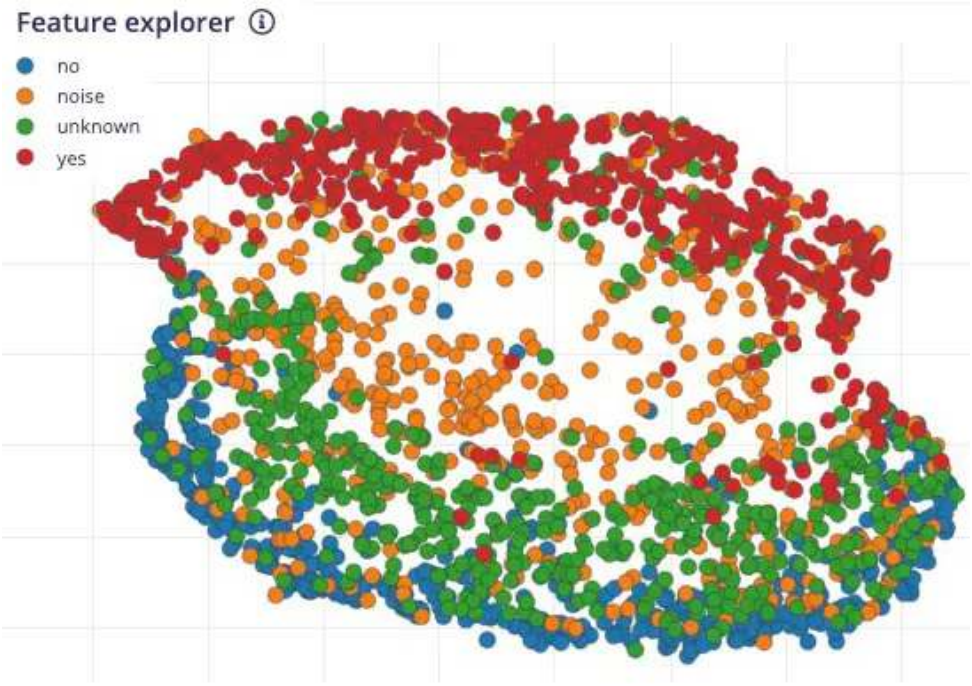

特征可视化界面

深入理解

想深入了解原始声音的预处理，可参考 音频分类特征工程 章节。可下载本 notebook 或 在 Colab 打开 体验 MFCC 特征生成。

模型设计与训练

我们采用简单的卷积神经网络（CNN）模型，分别测试 1D 和 2D 卷积。基本结构为两组卷积 + 池化（分别为 8 和 16 个滤波器），1D dropout 为 0.25，2D 为 0.5。最后一层 Flatten 后有 4 个神经元，对应四个类别：

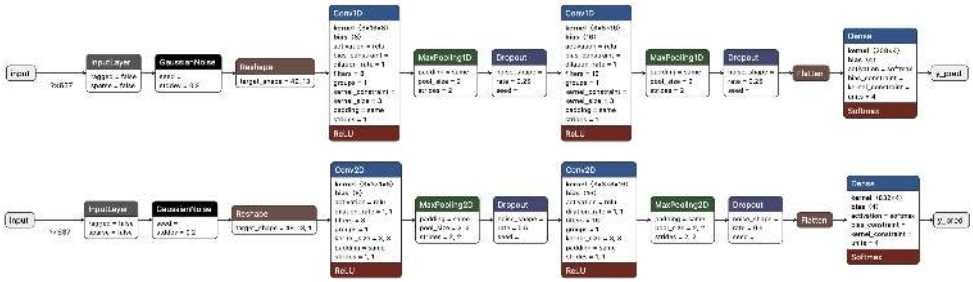

1D/2D CNN 结构对比图

超参数设置：学习率 0.005，训练 100 轮，采用 SpecAugment 数据增强。1D 和 2D 架构同参对比，1D 准确率更高（90.5% vs 88%），因此采用 1D。

训练结果与混淆矩阵

> 1D 卷积参数更少，更适合资源受限环境。

1D 混淆矩阵显示，YES 的 F1 分数为 95%，NO 为 91%。这与特征可视化结果一致（no 与 unknown 距离近）。如需提升效果，可分析错误样本。

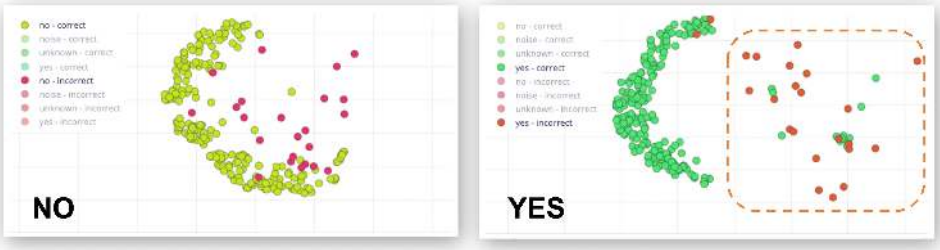

训练错误样本分析

可试听错误样本，如 YES 多为发音类似“yeh”。可采集更多样本后重新训练。

深入理解

想了解底层细节，可在 `Dashboard` 标签页下载预处理数据集（MFCC training data），并用本 Jupyter Notebook 或 Colab 版本 分析训练过程，如逐轮准确率：

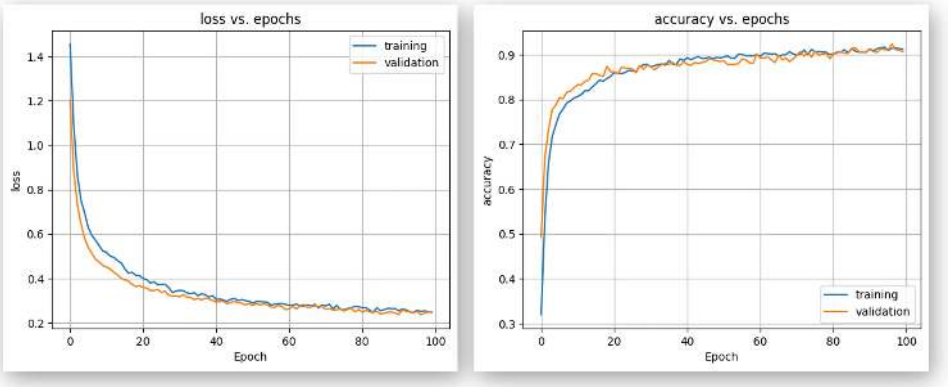

训练过程可视化

测试

用预留测试集测试模型，准确率约 76%。

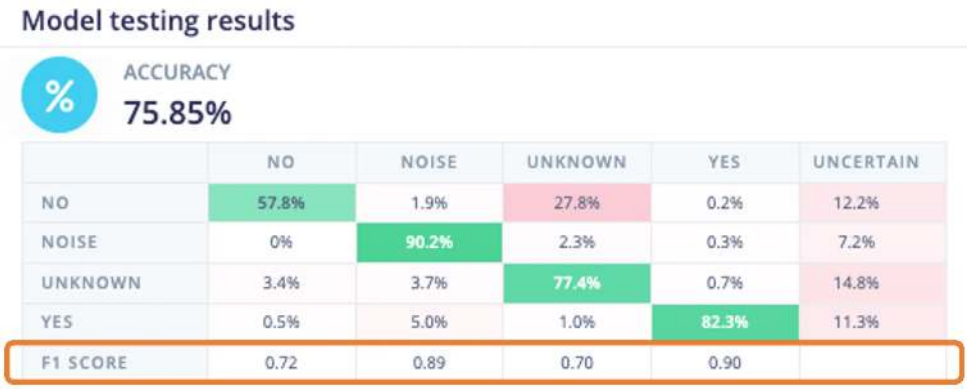

	NO	NOISE	UNKNOWN	YES	UNCERTAIN
NO	57.8%	1.9%	27.8%	0.2%	12.2%
NOISE	0%	90.2%	2.3%	0.3%	7.2%
UNKNOWN	3.4%	3.7%	77.4%	0.7%	14.8%
YES	0.5%	5.0%	1.0%	82.3%	11.3%
F1 SCORE	0.72	0.89	0.70	0.90	

测试结果界面

F1 分数显示 YES 达 0.90，非常理想，NO 为 0.72，UNKNOWN 为 0.70。可将误判样本加入训练集后再次训练以提升效果。

实时分类

可进入下一步，也可用 NiclaV 或手机采集实时样本，测试模型部署前的效果。

部署与推理

EIS 会打包所需库、预处理函数和训练模型，下载到本地。在 `Deployment` 区域选择 `Arduino Library`，底部选择 `Quantized (Int8)`，点击 `Build`。

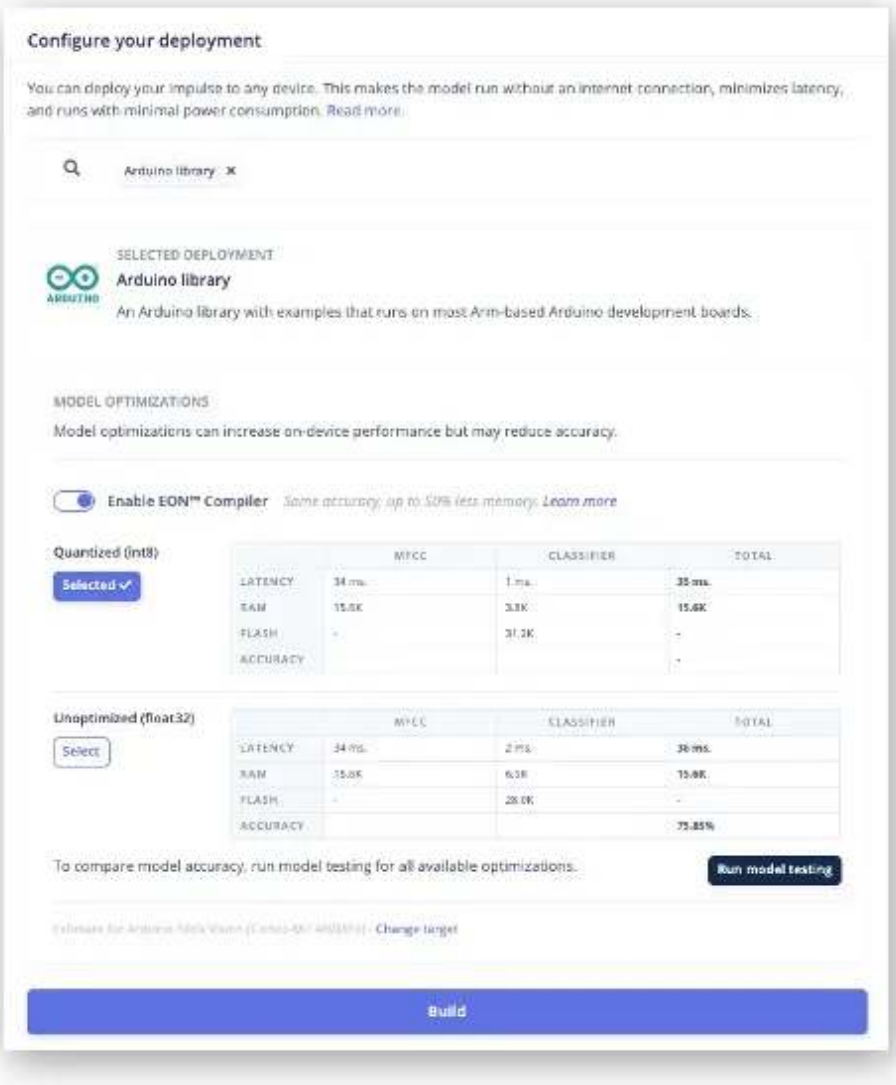

部署界面

点击 `Build` 后会下载 zip 文件。在 Arduino IDE 的 `Sketch` 菜单选择 `Add .ZIP Library`，导入下载的 zip 文件：

现在可以完全脱离 EIS 进行推理测试。使用部署库自带的 NiclaV 示例代码。

在 Arduino IDE 的 `File/Examples` 菜单，找到项目，选择 `nicla-vision/nicla-vision_microphone`（或 `nicla-vision_microphone_continuous`）

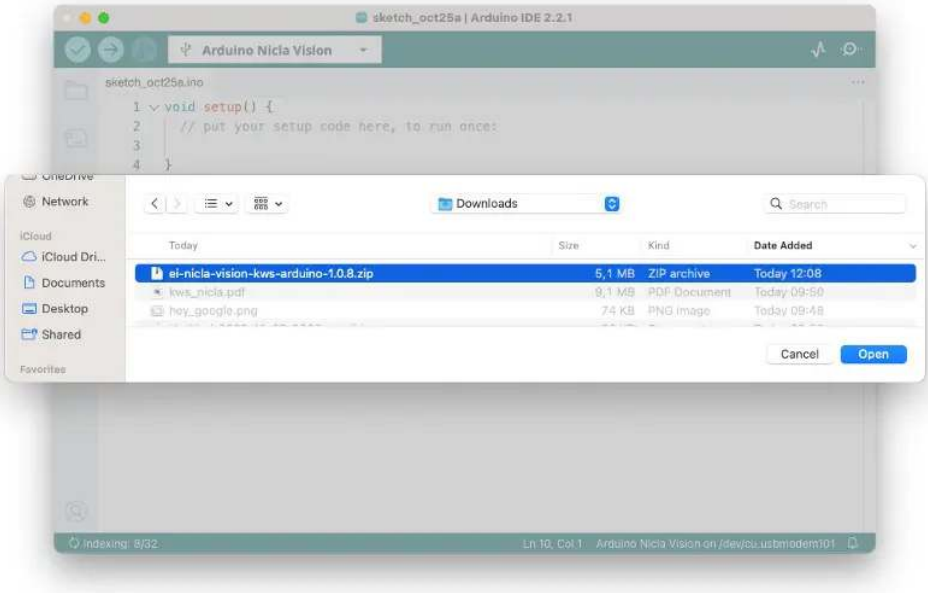

Arduino IDE 安装库界面

代码示例选择界面

按两次复位键进入 boot 模式，上传代码，进行实际推理测试：

YES/NO 推理结果界面

后处理

模型已能检测关键词，接下来修改代码，实现 NiclaV 脱机（电池、充电宝或独立 5V 供电）时的 LED 指示：

- 检测到 YES，点亮绿灯
- 检测到 NO，点亮红灯

- 检测到 UNKNOWN，点亮蓝灯
- 检测到噪声（无关键词），所有灯灭

以 `nicla-vision_microphone_continuous` 示例为例，初始化 LED：

```
// ...existing code...
void setup()
{
    // ...existing code...
    // Arduino NiclaV 板载 RGB LED 引脚
    pinMode(LEDR, OUTPUT);
    pinMode(LEDG, OUTPUT);
    pinMode(LEDB, OUTPUT);

    // 默认关闭所有 LED（低电平点亮，高电平熄灭）
    digitalWrite(LEDR, HIGH);
    digitalWrite(LEDG, HIGH);
    digitalWrite(LEDB, HIGH);
    // ...existing code...
}
```

添加 `turn_off_leds()` 函数关闭所有 LED：

```
/*
 * @brief      turn_off_leds - 关闭所有 RGB LED
 */
void turn_off_leds(){
    digitalWrite(LEDR, HIGH);
    digitalWrite(LEDG, HIGH);
    digitalWrite(LEDB, HIGH);
}
```

添加 `turn_on_leds()` 按分类结果点亮对应 LED：

```
/*
 * @brief     turn_on_leds - 按分类结果点亮 RGB LED
 * @param[in] pred_index
 *            no:       [0] ==> 红灯亮
 *            noise:    [1] ==> 全灭
 *            unknown:  [2] ==> 蓝灯亮
 *            yes:      [3] ==> 绿灯亮
 */
void turn_on_leds(int pred_index) {
  switch (pred_index)
  {
    case 0:
```

```
      turn_off_leds();
      digitalWrite(LEDR, LOW);
      break;
    case 1:
      turn_off_leds();
      break;
    case 2:
      turn_off_leds();
      digitalWrite(LEDB, LOW);
      break;
    case 3:
      turn_off_leds();
      digitalWrite(LEDG, LOW);
      break;
  }
}
```

在 `loop()` 的 `// print the predictions` 部分修改如下：

```
// ...existing code...
if (++print_results >= (EI_CLASSIFIER_SLICES_PER_MODEL_WINDOW)) {
    // 打印推理结果
    ei_printf("Predictions ");
    ei_printf("(DSP: %d ms., Classification: %d ms., Anomaly: %d ms.)",
        result.timing.dsp, result.timing.classification, result.timing.anomaly);
    ei_printf(": \n");
    int pred_index = 0;
    float pred_value = 0;
    for (size_t ix = 0; ix < EI_CLASSIFIER_LABEL_COUNT; ix++) {
        if (result.classification[ix].value > pred_value){
            pred_index = ix;
            pred_value = result.classification[ix].value;
        }
    }
    ei_printf("  PREDICTION: ==> %s with probability %.2f\n",
              result.classification[pred_index].label, pred_value);
    turn_on_leds(pred_index);

#if EI_CLASSIFIER_HAS_ANOMALY == 1
    ei_printf("    anomaly score: ");
    ei_printf_float(result.anomaly);
    ei_printf("\n");
#endif

    print_results = 0;
}
// ...existing code...
```

完整代码见 项目 GitHub。

上传代码，实际测试推理效果。检测到 YES 时绿灯亮，NO 时红灯亮，其他词蓝灯亮，

噪声时全灭。类似方式也可用于触发外部设备执行动作。

https://youtu.be/25Rd76OTXLY

总结

> 本教程相关 notebook 和代码可在 GitHub 获取。

最后补充，声音分类不仅限于语音，还可用于以下 TinyML 场景：

- **安防**（破玻璃、枪声检测）
- **工业**（异常检测）
- **医疗**（鼾声、咳嗽、肺部疾病）
- **自然**（蜂群监控、昆虫声音、反偷猎）

参考资源

- Google Speech Commands 数据集子集
- KWS MFCC 分析 Colab Notebook
- KWS_CNN_training Colab Notebook
- Arduino 后处理代码
- Edge Impulse 项目

运动分类与异常检测

概述

交通运输是全球商业的支柱。每天有数百万个集装箱通过船舶、卡车、火车等多种方式运往世界各地。保障这些集装箱安全高效地运输是一项巨大挑战，而 TinyML 正是实现这一目标的现代技术之一。

本实践教程将聚焦于解决运输相关的实际问题。我们将基于 Arduino Nicla Vision 板卡、Arduino IDE 和 Edge Impulse Studio，开发一个运动分类与异常检测系统。通过本项目，你将了解集装箱在陆运、海运、叉车垂直搬运、仓库存放等不同阶段所经历的各种力和运动。

> **学习目标**
>
> - 配置 Arduino Nicla Vision 板卡
> - 数据采集与预处理
> - 构建运动分类模型
> - 实现异常检测
> - 实际测试与分析

完成本教程后，你将拥有一个可用于运输过程运动分类与异常检测的原型系统。这些知识也为后续更复杂的 TinyML 振动类项目打下基础。

IMU 安装与测试

本项目将使用加速度计。正如 Nicla Vision 配置 实践中所述，Nicla Vision 板载 **6 轴 IMU**（3D 陀螺仪 + 3D 加速度计），型号为 LSM6DSOX。请确认已安装 LSM6DSOX IMU 库。

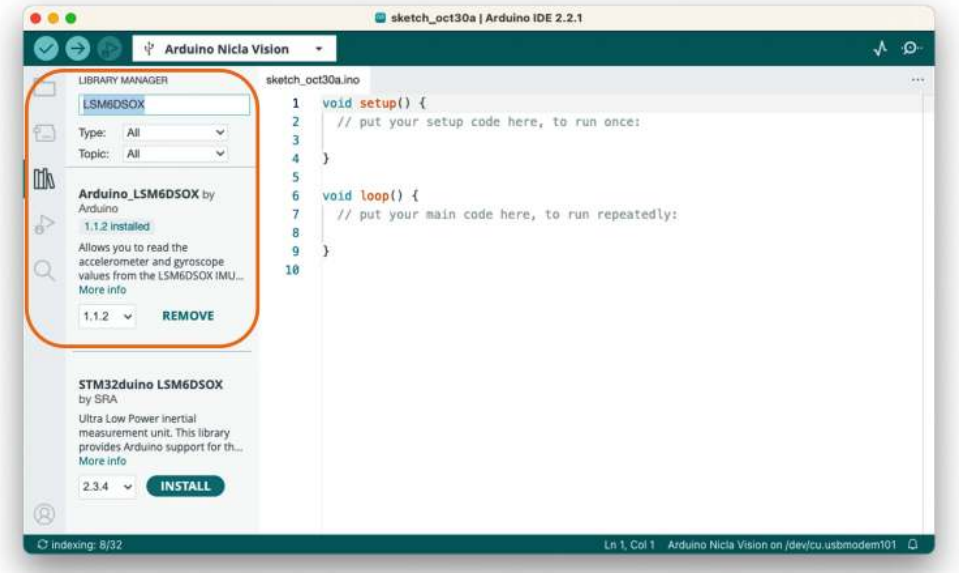

Arduino IDE 安装 IMU 库界面

接着，进入 `Examples > Arduino_LSM6DSOX > SimpleAccelerometer`，运行加速度计测试。可通过 IDE 串口监视器或绘图仪查看数据，单位为 g（地球重力），默认量程为 ±4g：

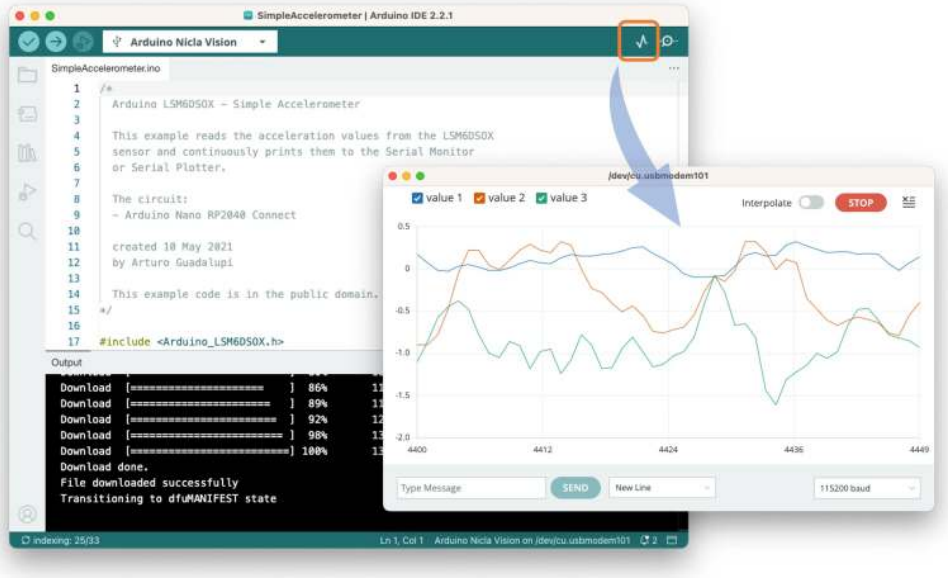

加速度计测试结果

采样频率的定义

选择合适的采样频率对于捕捉目标运动特征至关重要。Nyquist-Shannon 采样定理指出，采样率应至少为信号最高频率分量的两倍，才能完整还原信号。对于运输场景的运动分类与异常检测，采样频率选择需考虑：

1. **运动特性**：不同运输方式（陆运、海运等）涉及的运动频率范围不同，快速运动需更高采样率。
2. **硬件限制**：Nicla Vision 及其传感器的最大采样速率有限。
3. **计算资源**：采样率越高，数据量越大，对 TinyML 设备计算资源要求越高。
4. **电池寿命**：高采样率耗电更多，若为电池供电需权衡。
5. **数据存储**：高频采样需更多存储空间，嵌入式设备内存有限。

在人类活动识别任务中，常用采样率为 **50~100 Hz**。本项目模拟运输场景，运动频率不高，50~100 Hz 是合理起点。

以下为 50 Hz 采样频率的数据采集示例代码：

```
/*
 * 基于 Edge Impulse 数据转发示例 (Arduino)
  - https://docs.edgeimpulse.com/docs/cli-data-forwarder
 * 开发者 M.Rovai @11May23
 */

```

```cpp
/* 包含的库 ----------------------------------------- */
#include <Arduino_LSM6DSOX.h>

/* 常量定义 ---------------------------------- */
#define CONVERT_G_TO_MS2 9.80665f
#define FREQUENCY_HZ        50
#define INTERVAL_MS         (1000 / (FREQUENCY_HZ + 1))

static unsigned long last_interval_ms = 0;
float x, y, z;

void setup() {
  Serial.begin(9600);
  while (!Serial);

  if (!IMU.begin()) {
    Serial.println("IMU 初始化失败! ");
    while (1);
  }
}

void loop() {
  if (millis() > last_interval_ms + INTERVAL_MS) {
    last_interval_ms = millis();
    if (IMU.accelerationAvailable()) {
      IMU.readAcceleration(x, y, z);
      float ax_m_s2 = x * CONVERT_G_TO_MS2;
      float ay_m_s2 = y * CONVERT_G_TO_MS2;
      float az_m_s2 = z * CONVERT_G_TO_MS2;
      Serial.print(ax_m_s2);
      Serial.print("\t");
      Serial.print(ay_m_s2);
      Serial.print("\t");
      Serial.println(az_m_s2);
    }
  }
}
```

上传代码后，在串口监视器可见每秒采集 50 组数据。

> 注意：Nicla 静置桌面（摄像头朝下）时，z 轴约为 9.8 m/s^2，符合地球重力加速度。

案例分析：集装箱运输场景模拟

为增强实践性，我们将模拟集装箱（或包裹）在不同运输场景下的运动。利用 Nicla Vision 板载加速度计，手动模拟以下情景并采集数据：

1. **陆运**（公路/铁路） —— 水平方向运动

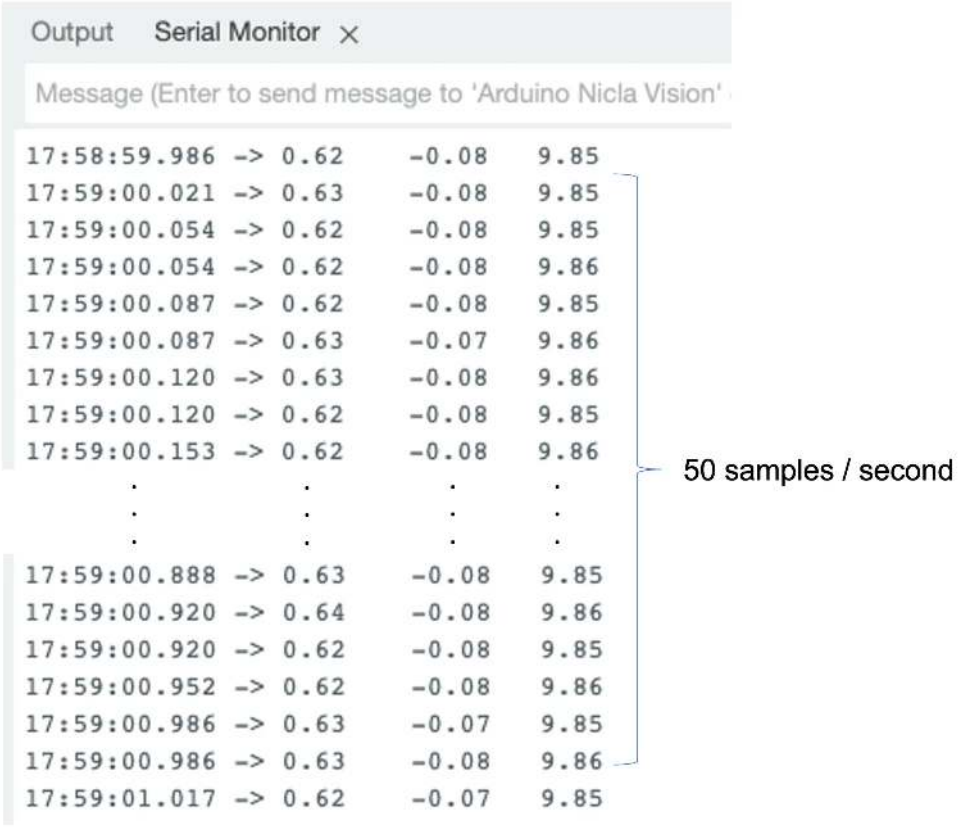

50Hz 采样数据示意图

2. **海运** —— 三轴混合运动
3. **叉车垂直搬运** —— z 轴为主
4. **仓库存放（静止）** —— 无运动

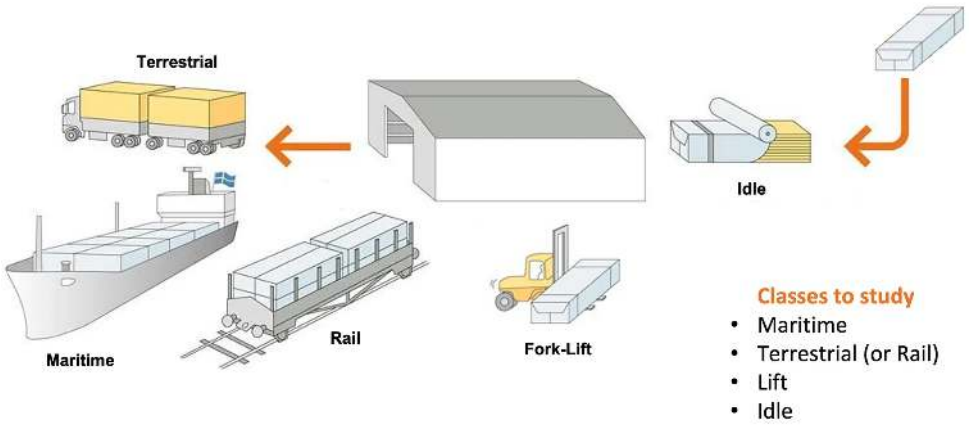

四种运输场景示意图

如上图所示，主要 x/y 轴运动归为“陆运”，z 轴为“叉车”，无运动为“静止”，三轴均

有运动为“海运”。

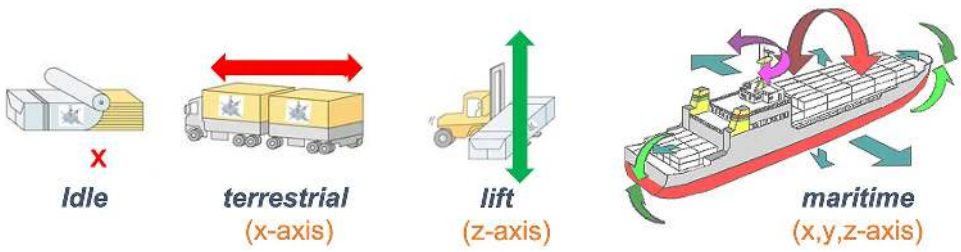

运动类别与轴向定义

数据采集

实际应用中，设备可直接安装于集装箱，通过 SD 卡（SPI 连接）或蓝牙等方式采集并存储数据（如 Sensor DataLogger 项目）。采集到的 .CSV 文件可用 CSV Wizard 工具 上传至 Studio。

> 参考此 视频 了解更多数据上传方式。

设备连接 Edge Impulse

本项目将 Nicla 直接连接 Edge Impulse Studio，进行数据预处理、模型训练、测试与部署。可选：

1. 下载最新固件，直接连接 `Data Collection`。
2. 使用 CLI Data Forwarder 工具，将传感器数据转发至 Studio。

推荐方式 2，更灵活可自定义采样率。操作步骤：

1. 安装 Edge Impulse CLI 和 Node.js。
2. 上传前述采集代码至 Nicla。
3. 用 CLI Data Forwarder 采集加速度计数据并发送至 Studio：

首次运行：

```
edge-impulse-data-forwarder --clean
```

输入 EI 账号，选择项目、变量（如 accX、accY、accZ）、设备名（如 NiclaV）：

在 EI 项目 `Devices` 区域确认设备已连接（绿点）：

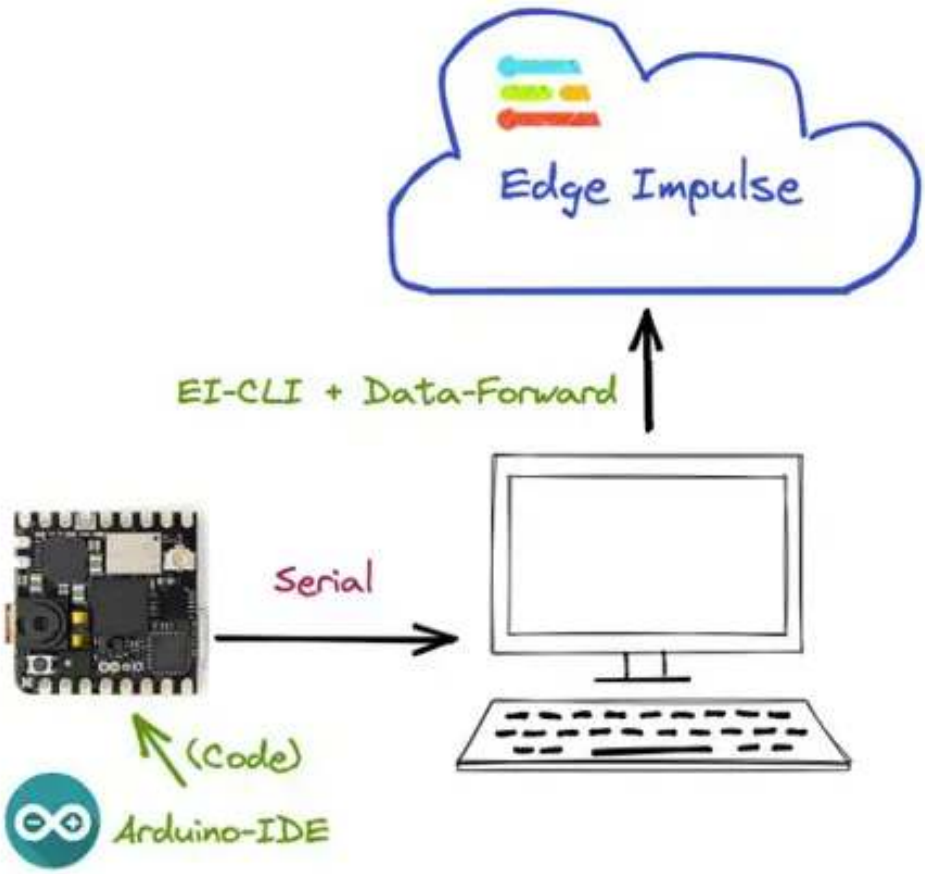

数据转发流程图

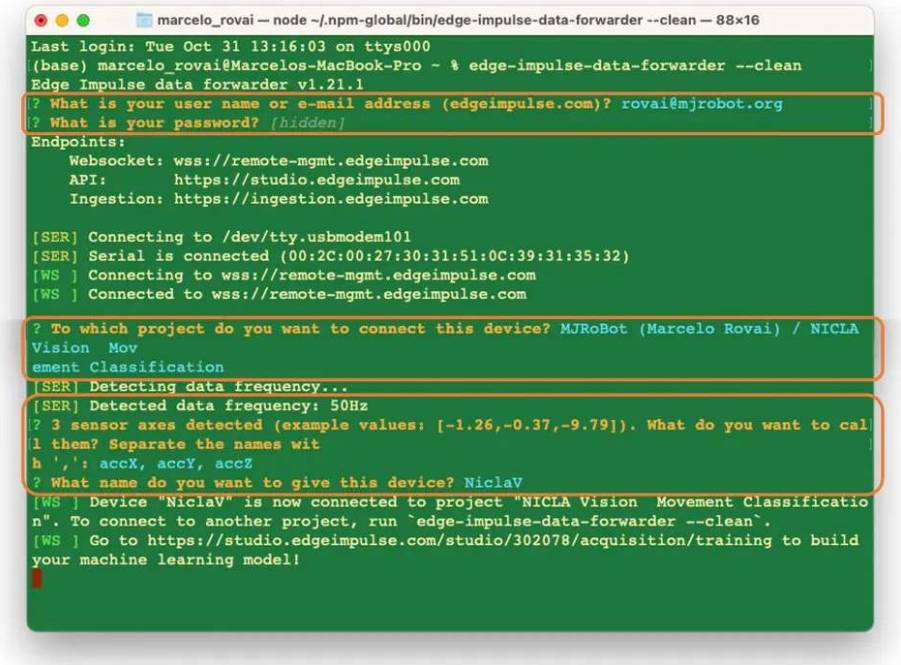

终端配置界面

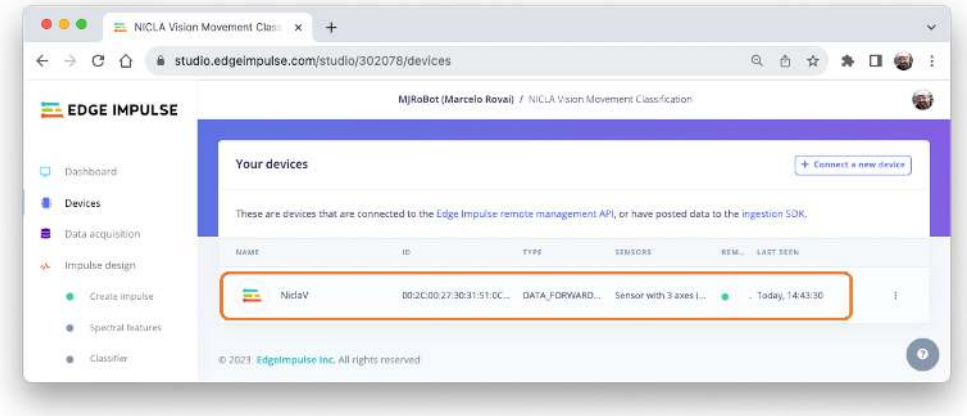

设备连接状态

> 可克隆本项目：NICLA Vision Movement Classification。

数据采集流程

在 `Data Acquisition` 区域，确认 `[NiclaV]` 已连接，传感器为 `[sensor with 3 axes (accX, accY, accZ)]`，采样频率 `[50 Hz]`，建议采样时长 `[10000]` ms（10 秒）。设置标签（如 `[terrestrial]`），点击 `[Start Sample]`，水平移动设备采集数据：

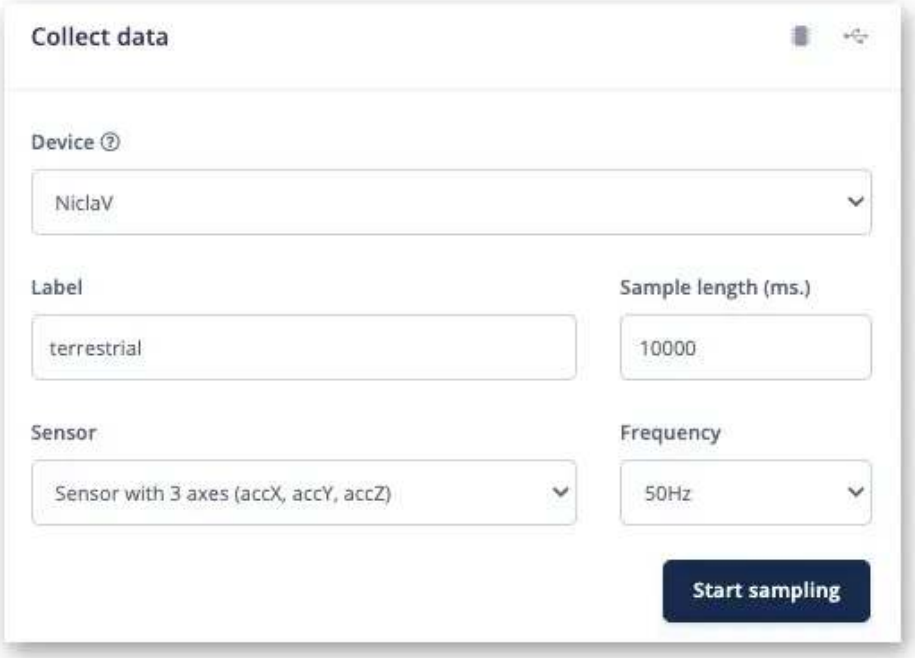

采集陆运数据界面

陆运（卡车/火车，水平方向运动）采集结果：

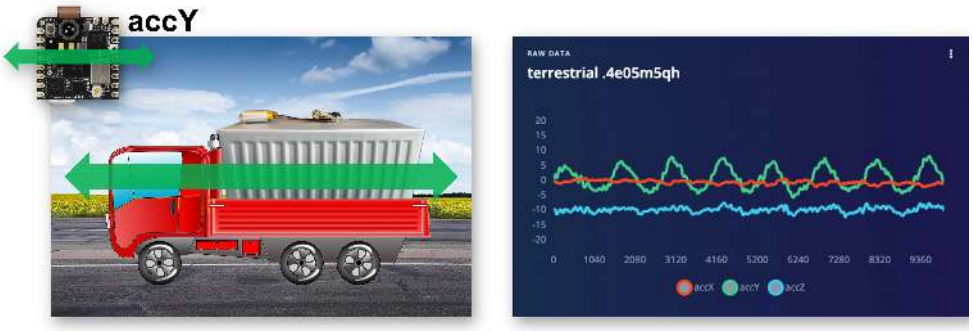

陆运数据采集结果

可见 Y 轴（绿色）为主，Z 轴（蓝色）约 -10 m/s²（摄像头朝上）。

依次采集四类场景数据：

海运（船舶，三轴混合运动）：

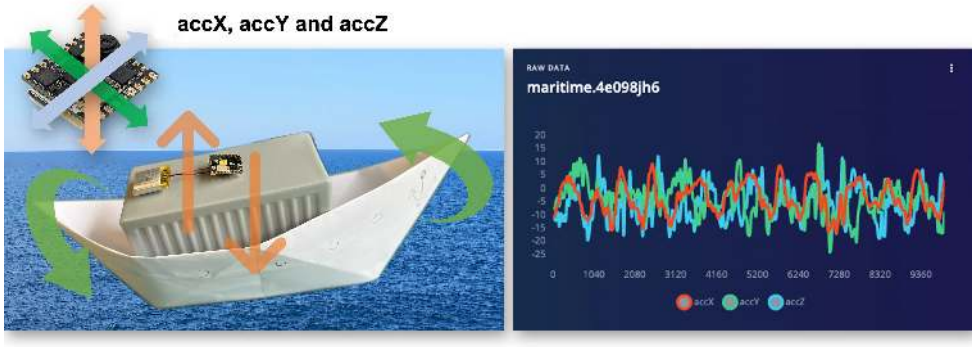

海运数据采集结果

叉车（垂直搬运，z 轴为主）：

静止（仓库存放，无运动）：

建议每类采集 2 分钟（12 组 10 秒样本），共 8 分钟。用 `three dots` 菜单将部分样本划为测试集，或用 `Train/Test Split tool` 自动划分。最终数据集如下：

采集完成后，可用 Data Explorer 可视化数据，发现异常或标签错误。该工具用 PCA 或 t-SNE 降维，2D 展示数据分布。

本例数据分布良好，但 PCA 显示海运（绿）与叉车（橙）有重叠，因海运有时也为垂直运动。

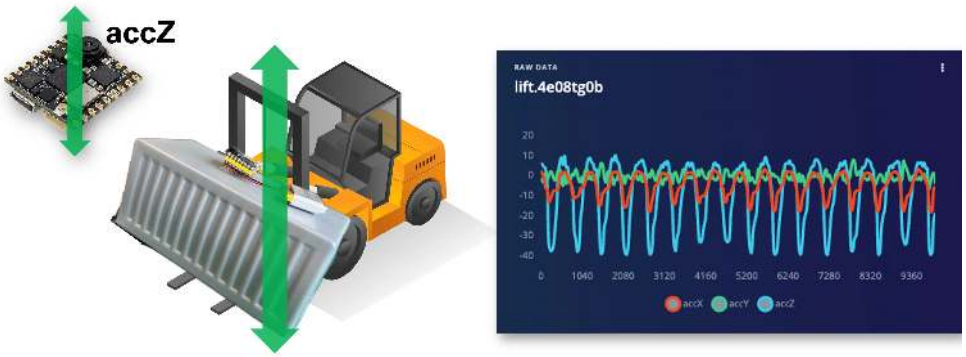

叉车数据采集结果

静止数据采集结果

Impulse 设计

下一步定义 Impulse，将原始数据信号处理后提取特征，作为 learning block 输入进行分类。进入 `Impulse Design`，创建 Impulse，并添加第二个 Learning Block 用于 `Anomaly Detection`。

第二个模型采用 K-means 聚类。若某样本无法归入已知类别，则视为异常（如集装箱落海或叉车跌落）。

采样频率应自动识别，若无则手动输入 `[50]` Hz。窗口大小建议 2 秒（`[2000]` ms），滑动窗口 `[20]` ms。即每 2 秒为一窗口，每隔 200ms 滑动一次，生成更多样本，每个样本含 300 个原始特征（3 轴 × 2 秒 × 50Hz）。

数据预处理概述

数据预处理即从加速度计原始数据中提取特征。加速度计测量 X、Y、Z 三轴加速度，可反映运动模式与振动。

原始数据常含噪声，需滤波、归一化等预处理。数据分割为**窗口**有助于聚焦具体事件，

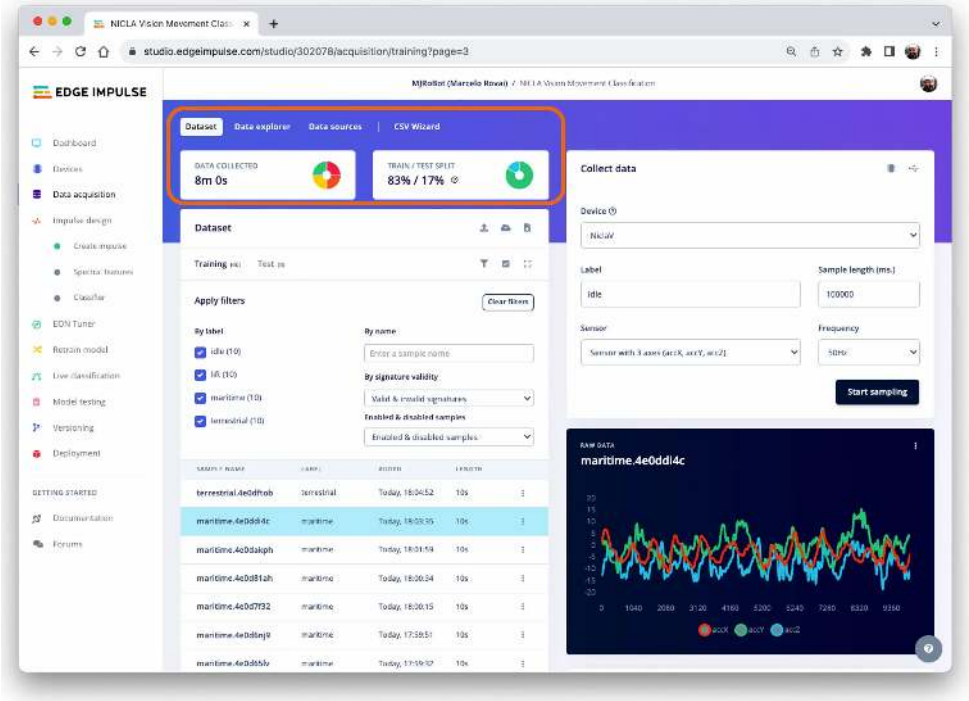

数据集分布界面

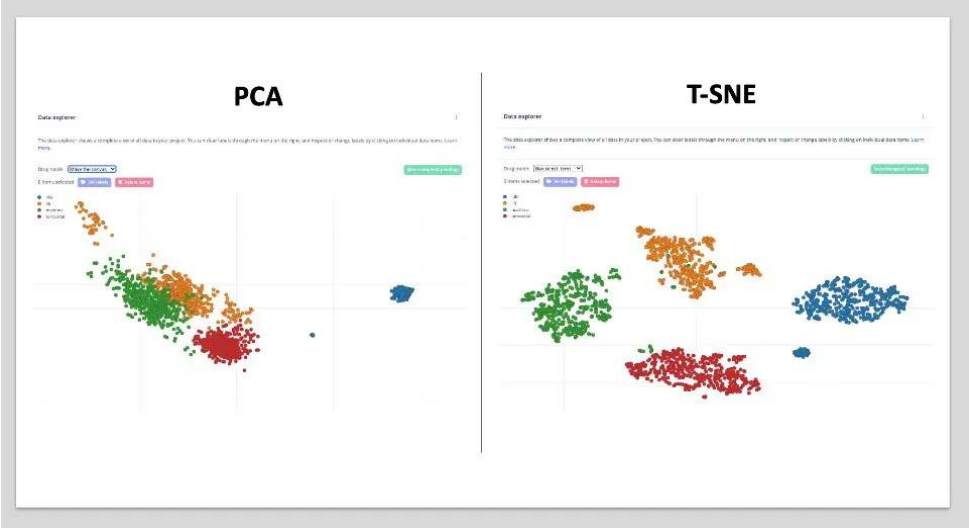

数据可视化与异常检测

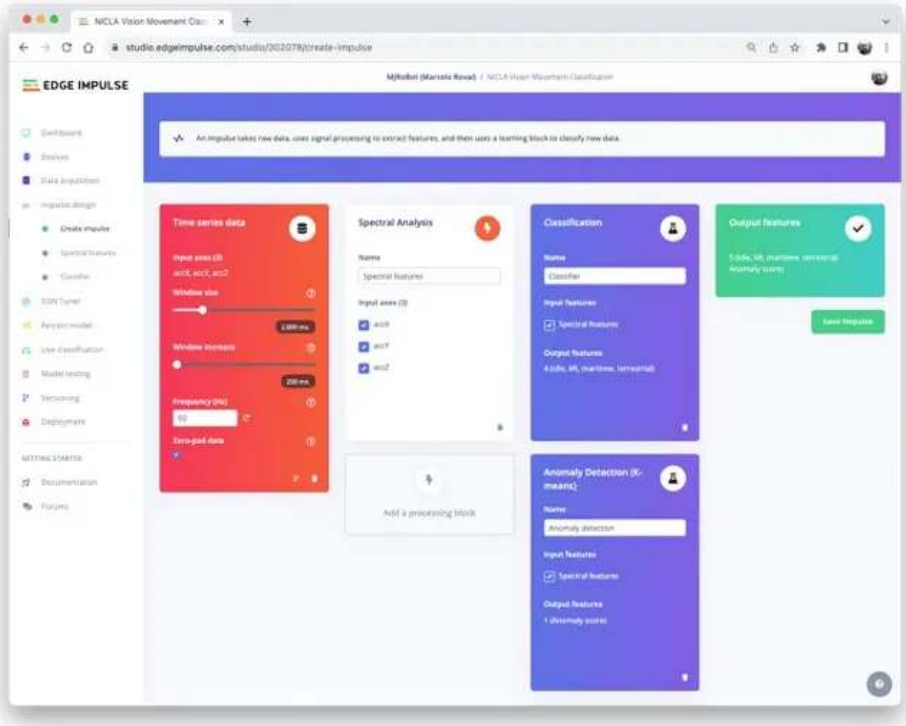

Impulse 设计界面

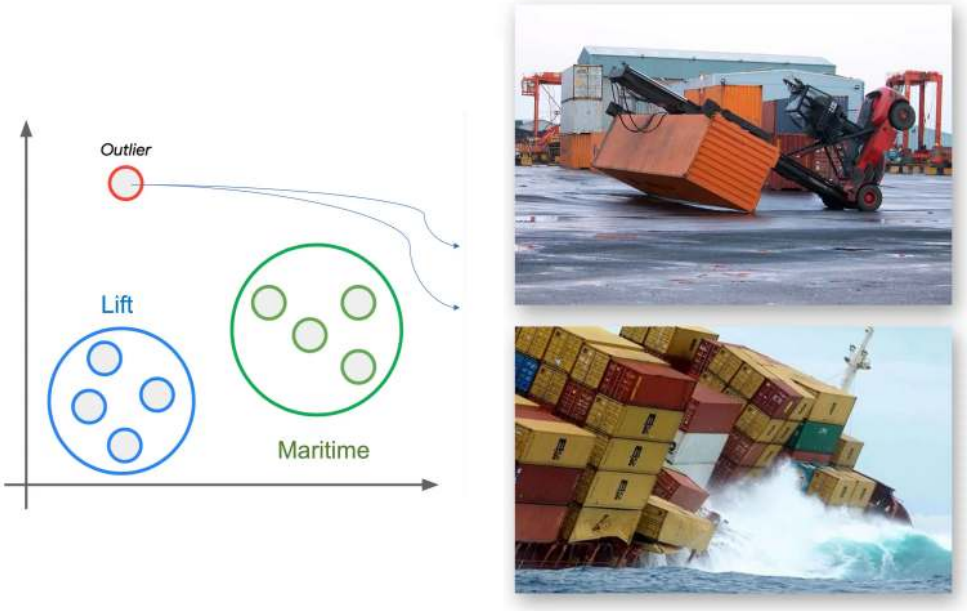

异常检测聚类示意图

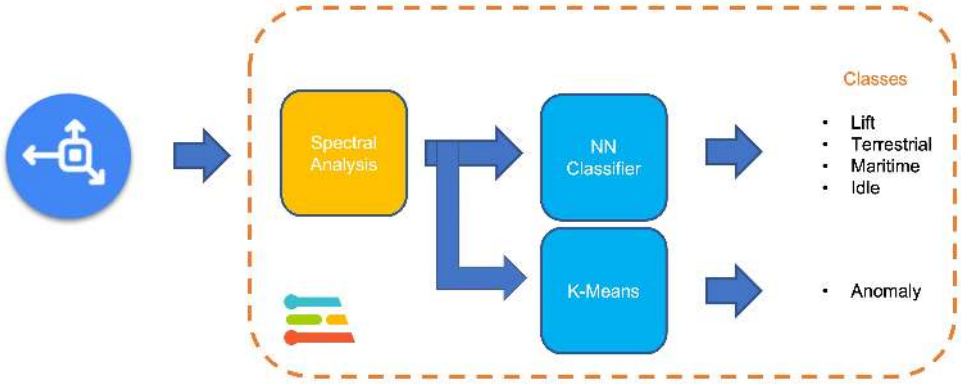

窗口滑动与特征提取示意图

窗口大小与滑动步长需结合实际运动周期设定。

> 50Hz 采样、2 秒窗口，每轴 100 个点，共 300 个特征。每 200ms 滑动一次，生成大量样本。

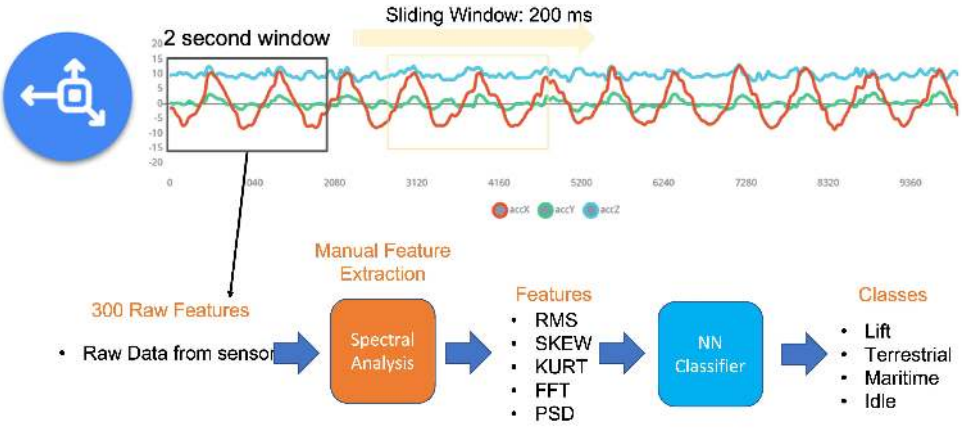

数据窗口与特征提取流程图

常见特征包括：

- **时域特征**：均值、中位数、标准差、偏度、峰度、过零率等
- **频域特征**：FFT、功率谱、主频、谱熵等
- **时频特征**：STFT、DWT 等

特征过多易过拟合，可用互信息、相关性、PCA 等方法降维。Studio 支持特征重要性分析。

EI Studio 谱特征

嵌入式机器学习预处理难度大，Edge Impulse 提供 Spectral Features Block 进行数字信号处理（DSP），适合加速度计等周期性运动分析。

本项目采用 FFT（如长度 `[32]`），每轴/通道提取：

- **时域特征**：RMS、偏度、峰度（各 1 个）
- **频域特征**：谱功率（16 个，FFT 长度/2）、偏度、峰度（各 1 个）

即每轴 21 个特征，共 63 个。

> 详细计算过程见 Edge Impulse - Spectral Features Block Analysis 或 TinyML under the hood: Spectral Analysis。

特征生成

理解预处理后，进入 `Spectral Features` 参数设置，定义 `[FFT]` 长度为 `[32]`，点击 `[Save Parameters]`：

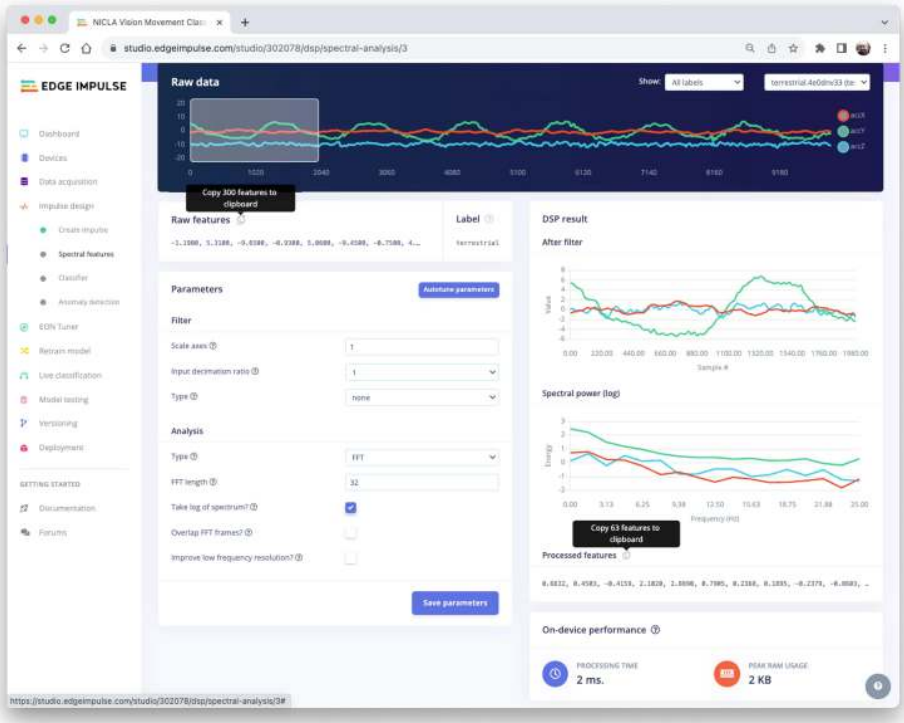

参数设置界面

顶部菜单选择 `Generate Features`，每个 2 秒窗口生成 63 维特征。

> 特征可视化用 UMAP 降维，2D 展示各类分布。

特征生成后各类分布良好，说明分类器效果可期。可进一步分析各特征对分类的贡献。

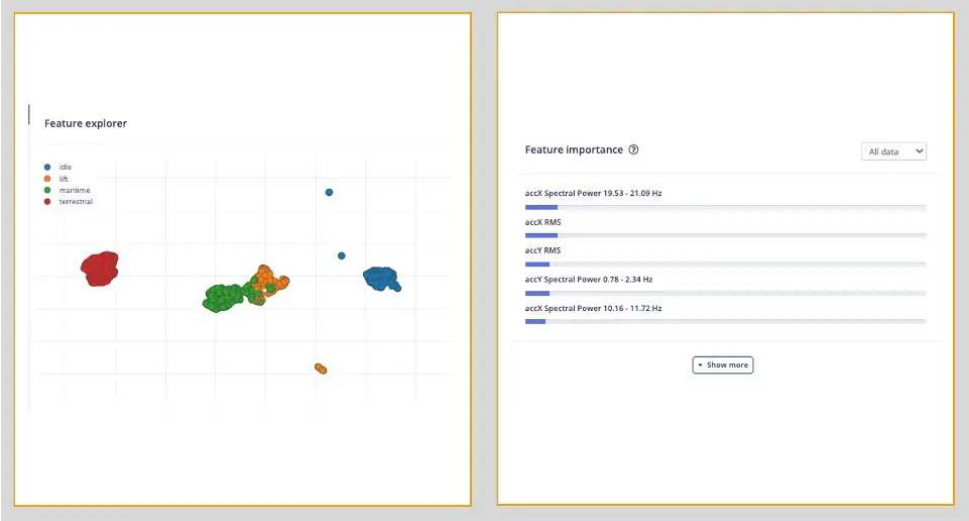

特征可视化与重要性分析

模型训练

分类器为全连接神经网络（DNN），输入层 63 个神经元，2 个隐藏层（20、10 个神经元），输出层 4 个神经元（对应四类）：

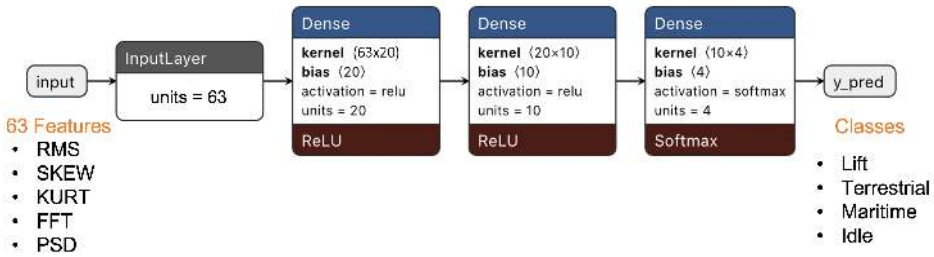

DNN 结构示意图

超参数：学习率 `[0.005]`，批量 `[32]`，验证集 `[20]%`，训练 `[30]` 轮。训练后准确率 98.5%，内存与延迟极低。

异常检测采用特征重要性排序前几项及 accZ RMS，聚类数 `[32]`，Studio 自动推荐：

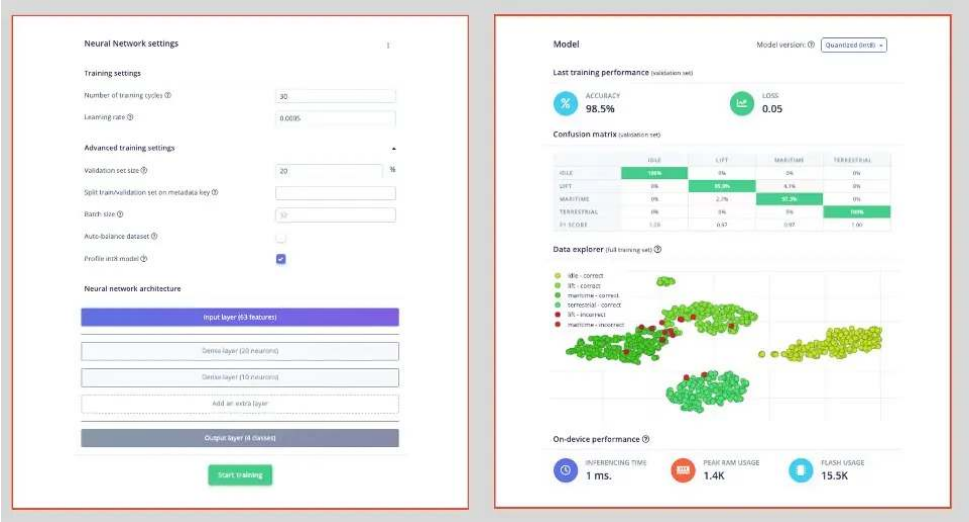

训练结果与资源消耗

异常检测模型训练界面

测试

用采集阶段预留的 20% 数据测试模型，准确率近 95%。可分析错误样本，若为特殊情况可补充进训练集后重训。

分类默认置信度阈值为 `[0.6]`，异常检测为 `[0.3]`。四分类输出和为 1.0，可自定义有效类别阈值（如 0.4），在 `Classify all` 按钮旁三点菜单设置。

也可用设备实时采集数据进行 Live Classification（模型实际运行在 Studio 端）。

> 注意：此时模型未部署在设备本地，推理在 Studio 端完成。

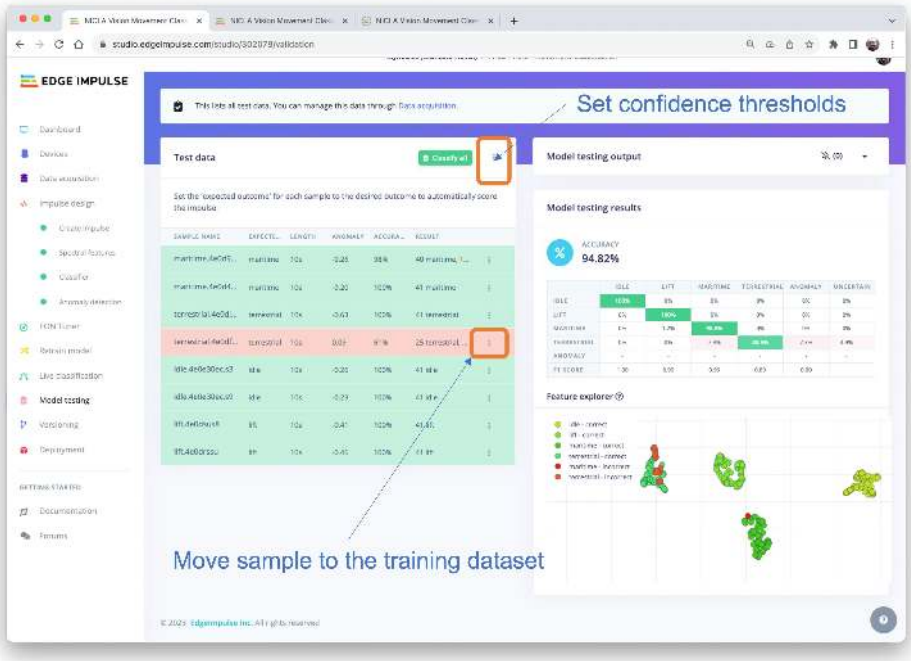

模型测试与阈值设置界面

部署

现在可将预处理与训练模型一并部署到 Nicla。Studio 会打包所需库、预处理函数和模型，下载为 Zip 文件。选择 `Arduino Library`，底部可选 `Quantized (Int8)` 或 `Unoptimized (float32)`，点击 `[Build]`。

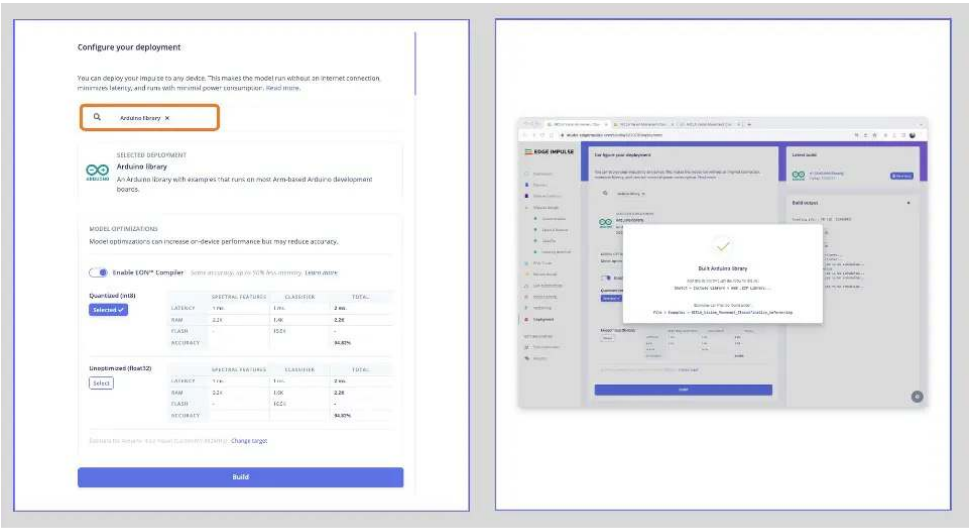

模型部署界面

在 Arduino IDE `Sketch` 菜单选择 `Add.ZIP Library`，导入下载的 Zip 文件，终端

提示 `Library installed`。

推理

现在可完全脱离 Studio 进行推理测试。以 `Nicla_vision_fusion` 示例为例：

推理代码示例选择界面

Edge Impulse 示例代码采用 sensor fusion，即 IMU（加速度计、陀螺仪）与 ToF 结合。开头包含相关库：

```
/* Includes ---------------------------------------------- */
#include <NICLA_Vision_Movement_Classification_inferencing.h>
#include <Arduino_LSM6DSOX.h> //IMU
#include "VL53L1X.h" // ToF
```

> 实际项目可仅保留所需库，示例代码可直接测试。

上传代码，按两次 `[RESET]` 进入 boot 模式（断开 Studio 连接），上传 sketch。

模拟不同运动（与采集阶段一致），在串口监视器观察推理结果：

- **静止与叉车**：
- **海运与陆运**：

上述各类 `anomaly score` 均小于 0。尝试未见过的运动（如翻滚、倒置），模拟集装箱落海或事故：

- **异常检测**：

此时 anomaly 大于 1.00，异常明显。

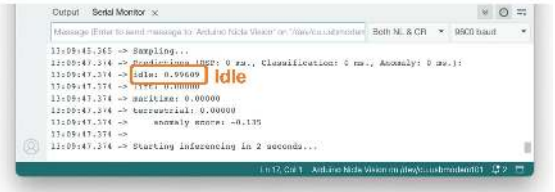

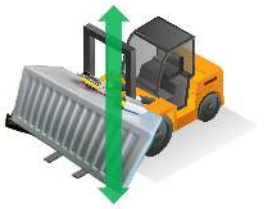

静止与叉车推理结果

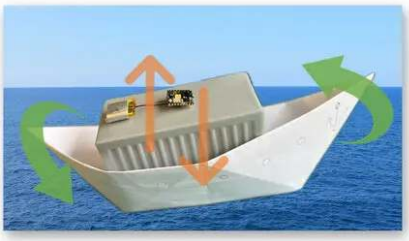

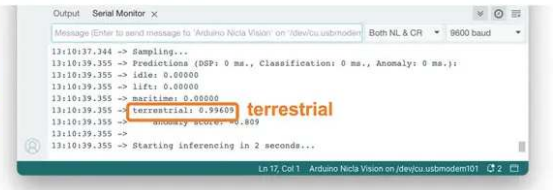

海运与陆运推理结果

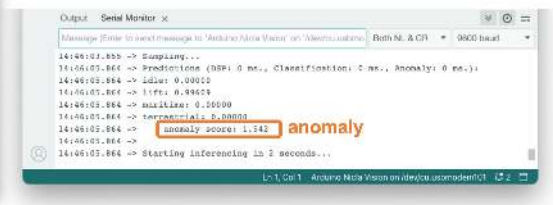

异常检测推理结果

后处理

模型验证通过后，建议修改代码，实现 NiclaV 脱机（电池/充电宝/独立 5V 供电）时的 LED 指示：

- 检测到 terrestrial，点亮绿灯
- 检测到 maritime，点亮红灯
- 检测到 lift，点亮蓝灯
- 检测到 idle，全灭
- 检测到异常，可点亮白灯（全亮）

总结

> 本教程相关 notebook 与代码见 GitHub。

运动分类与目标检测可广泛应用于各行业，以下为部分典型场景：

应用案例

工业与制造

- **预测性维护**：检测机械运动异常，提前预警故障
- **质量控制**：监控流水线/机械臂运动精度，检测偏差
- **仓储物流**：自动化管理货物运动，异常搬运检测

医疗健康

- **患者监护**：检测老人/行动不便者跌倒或异常动作
- **康复训练**：监控康复患者运动模式，评估恢复进度
- **活动识别**：健身/健康应用中的运动类型分类

消费电子

- **手势控制**：通过特定动作控制设备，如挥手开灯
- **游戏**：增强体感游戏体验

交通与物流

- **车辆远程监控**：检测急刹、急转、事故等异常行为
- **货物监控**：运输途中异常运动检测，防止破坏/篡改

智慧城市与基础设施

- **结构健康监测**：检测建筑/桥梁振动，预警故障
- **交通管理**：分析人流/车流，优化城市出行

安防与监控

- **入侵检测**：识别异常运动模式，防范安全事件
- **野生动物监测**：检测偷猎或动物异常活动

农业

- **设备监控**：跟踪农机运行状态
- **动物行为分析**：监测牲畜健康与压力

环境监测

- **地震活动**：检测地震前异常运动
- **海洋观测**：研究波浪/海洋运动

Nicla 3D 外壳案例

实际应用中可为设备加装外壳。Eoin Jordan（Edge Impulse）开发了适用于 Nicla 系列的可穿戴/机器健康外壳，支持磁吸、螺丝、绑带固定，适合人/机健康场景。详见：Arduino Nicla Voice and Vision Wearable Case。

运动分类与异常检测应用广泛，Arduino Nicla Vision 以低功耗、边缘计算、小巧高效等优势，非常适合便携、远程、实时处理等场景。

参考资源

- Arduino 代码
- Edge Impulse Spectral Features Block Colab Notebook
- Edge Impulse 项目

Nicla 3D 外壳实物图

Seeed XIAO ESP32S3 微控制器实验

Seeed XIAO ESP32S3 微控制器为低功耗 TinyML 应用提供了理想平台。本章通过实际实验探索 ESP32S3 的强大功能，涵盖图像分类、目标检测、关键词识别和动作分类等应用场景。您将学习如何优化模型以适应微控制器的资源限制，实现高效的边缘推理，并集成传感器和网络功能。通过动手实践，您将掌握在 ESP32S3 上部署多样化 TinyML 应用的技能，适用于物联网和可穿戴设备开发者。

概述

本系列实验为你提供了在机器学习（ML）系统上获得实战经验的独特机会。与依赖数据中心级资源的大模型不同，这些练习让你能够直接通过 TinyML 与硬件和软件交互，切身感受 AI 部署的挑战与机遇，尽管规模较小，但其原理与更大系统基本一致，极具参考价值。

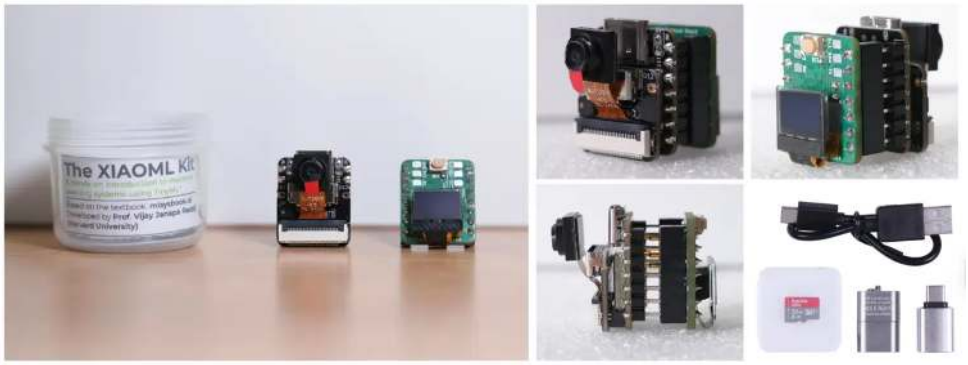

XIAOML Kit 组件示意图

前置条件

- **XIAOML 套件：**
  - **XIAO ESP32S3 Sense** 主板
  - **扩展板**，集成 6 轴 IMU 和 0.42” OLED 显示屏
  - **SD 卡工具包**：
    - SD 卡及 USB 适配器用于数据存储

    - USB-C 数据线用于连接主板与电脑
- **网络环境**：需联网以下载所需软件

环境搭建

- XIAOML 套件环境搭建

实验练习

模态	任务	描述	链接
视觉	图像分类	学习图像分类方法	链接
视觉	目标检测	实现目标检测功能	链接
音频	关键词识别	探索语音识别系统	链接
IMU	动作分类与异常检测	分类动作数据并检测异常	链接

配置与准备

概述

XIAOML Kit 旨在为 TinyML 应用提供实践平台。该套件包含功能强大的 XIAO ESP32S3 Sense 开发板及扩展板，集成了机器学习项目所需的核心传感器。

XIAOML Kit 全套组件：

- **XIAO ESP32S3 Sense**：主开发板，集成摄像头、数字麦克风和 SD 卡支持
- **扩展板**：内置 6 轴 IMU（LSM6DS3TR-C）和 0.42 英寸 OLED 显示屏，用于运动感知与数据可视化
- **SD 卡工具包**：含 SD 卡和 USB 适配器，便于数据存储与模型部署
- **USB-C 数据线**：用于连接开发板与电脑

- **天线与散热片**

> ⚠ **注意**
>
> 如需使用 XIAO ML Kit 扩展板，请勿安装散热片（或小心拆除）。详见附录说明。

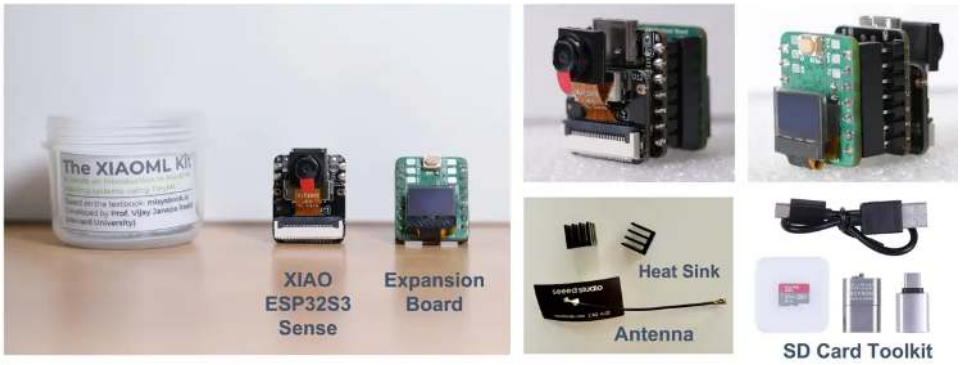

XIAOML Kit 全家福

XIAO ESP32S3 Sense 主板特性

XIAO ESP32S3 Sense 是 XIAOML Kit 的核心，集成了嵌入式 ML 计算能力、摄像与音频功能，非常适合智能语音与视觉 AI 的 TinyML 应用。

主要特性

- **高性能 MCU**：ESP32S3 32 位双核 Xtensa 处理器，最高 240 MHz，支持 Arduino / MicroPython
- **丰富功能**：可拆卸 OV2640 摄像头（1600×1200），兼容 OV5640，集成数字麦克风
- **电源设计**：锂电池充电管理，四种功耗模式，深度睡眠最低 14 μA
- **大容量内存**：8 MB PSRAM + 8 MB FLASH，支持最大 32 GB FAT SD 卡
- **无线性能优异**：2.4 GHz Wi-Fi + BLE，U.FL 天线支持 100 米以上通信
- **小巧设计**：21 × 17.5 mm，经典 XIAO 尺寸，适合空间受限项目

下图为主板引脚分布：

> 更多详情请参考 Seeed Studio Wiki

XIAO ESP32S3 Sense 主板

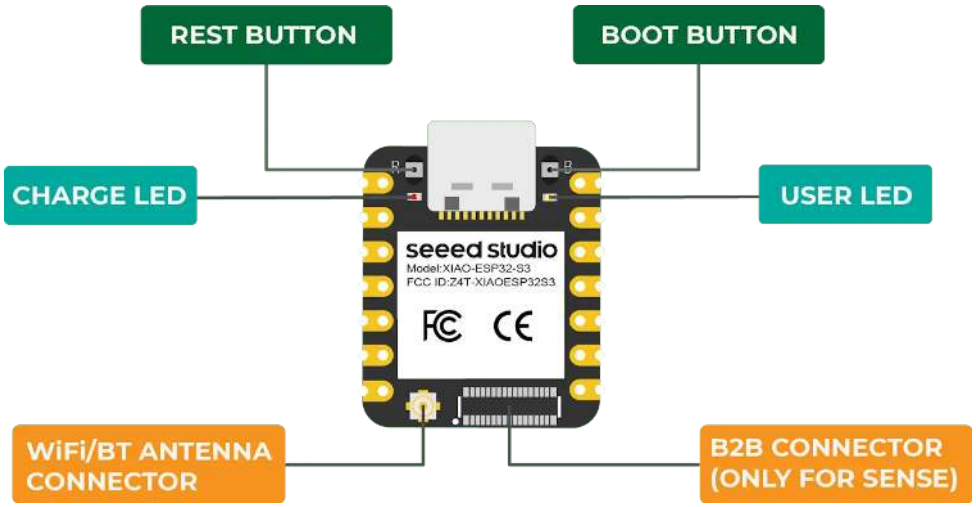

XIAO ESP32S3 Sense 引脚图

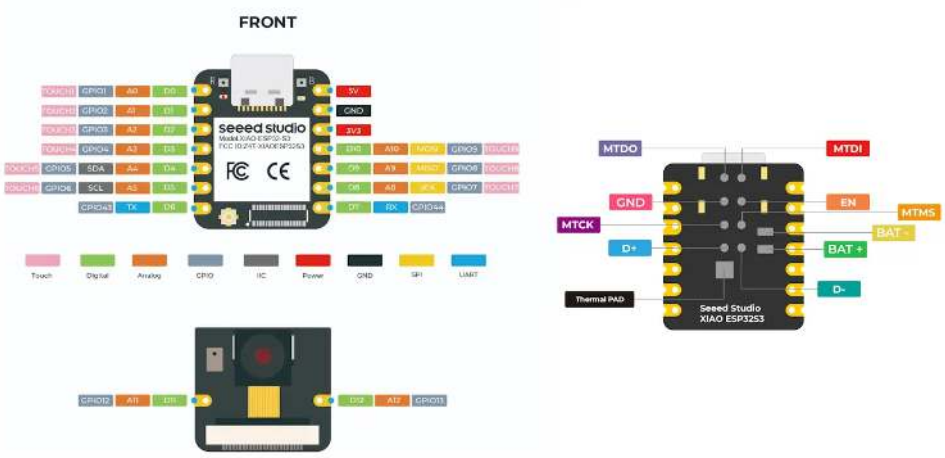

XIAO ESP32S3 Sense 引脚分布

扩展板特性

扩展板为 XIAOML Kit 增强了运动感知与机器学习能力：

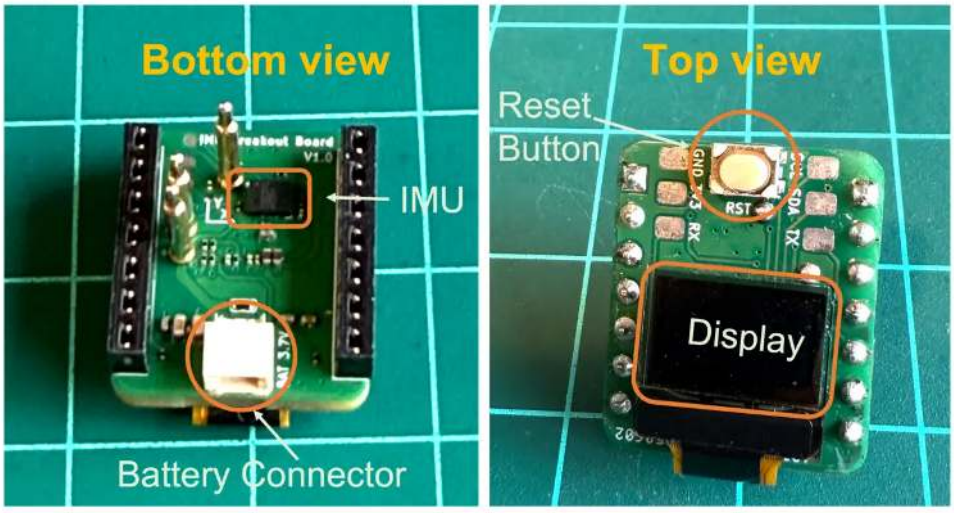

扩展板多视图

主要组件：

- 6 轴 IMU（LSM6DS3TR-C）：
  - 3 轴加速度计 + 3 轴陀螺仪，支持运动检测与分类
    - 加速度范围：±2/±4/±8/±16 g
    - 陀螺仪范围：±125/±250/±500/±1000/±2000 dps
    - I2C 地址：0x6A
- 0.42 英寸 OLED 显示屏

    - 单色（72×40 分辨率），实时数据显示
        - 控制器：SSD1306
        - I2C 地址：0x3C
- 复位按钮（EN）
- 电池接口（BAT+，BAT-）

套件组装

扩展板与 XIAO ESP32S3 Sense 无缝连接，构建了集视觉、音频、运动感知于一体的多模态机器学习平台。

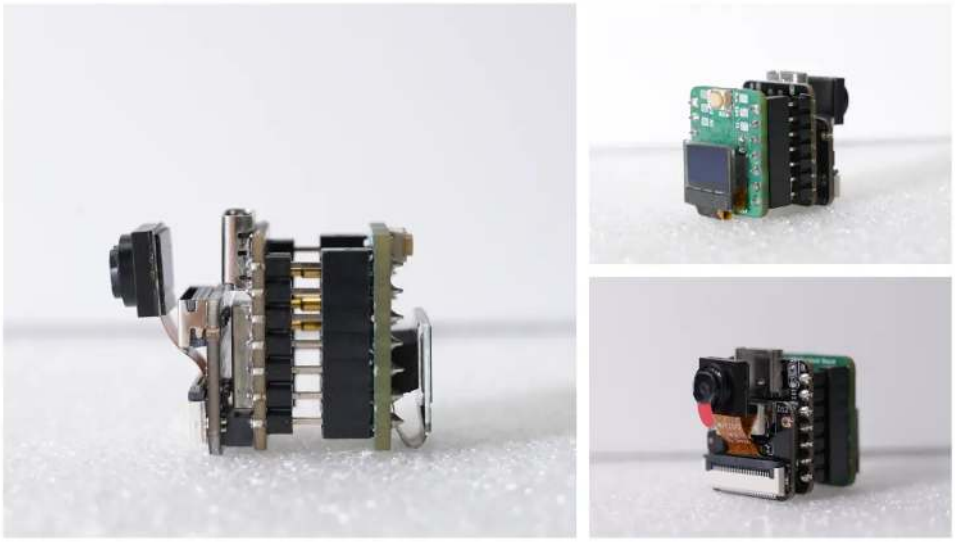

套件组装效果

请注意模块安装方向：

说明：

- ESP32S3 Sense 底部的 `EN` 引脚可通过扩展板上的 `RST` 按钮访问。
- `BAT+` 和 `BAT-` 也通过扩展板上的白色 `BAT3.7V` 接口提供。

XIAOML Kit 应用场景：

- **视觉**：集成摄像头实现图像分类与目标检测
- **音频**：内置麦克风支持关键词检测与语音识别
- **运动**：IMU 传感器实现活动识别与异常检测
- **多模态**：多传感器融合，支持复杂 ML 应用

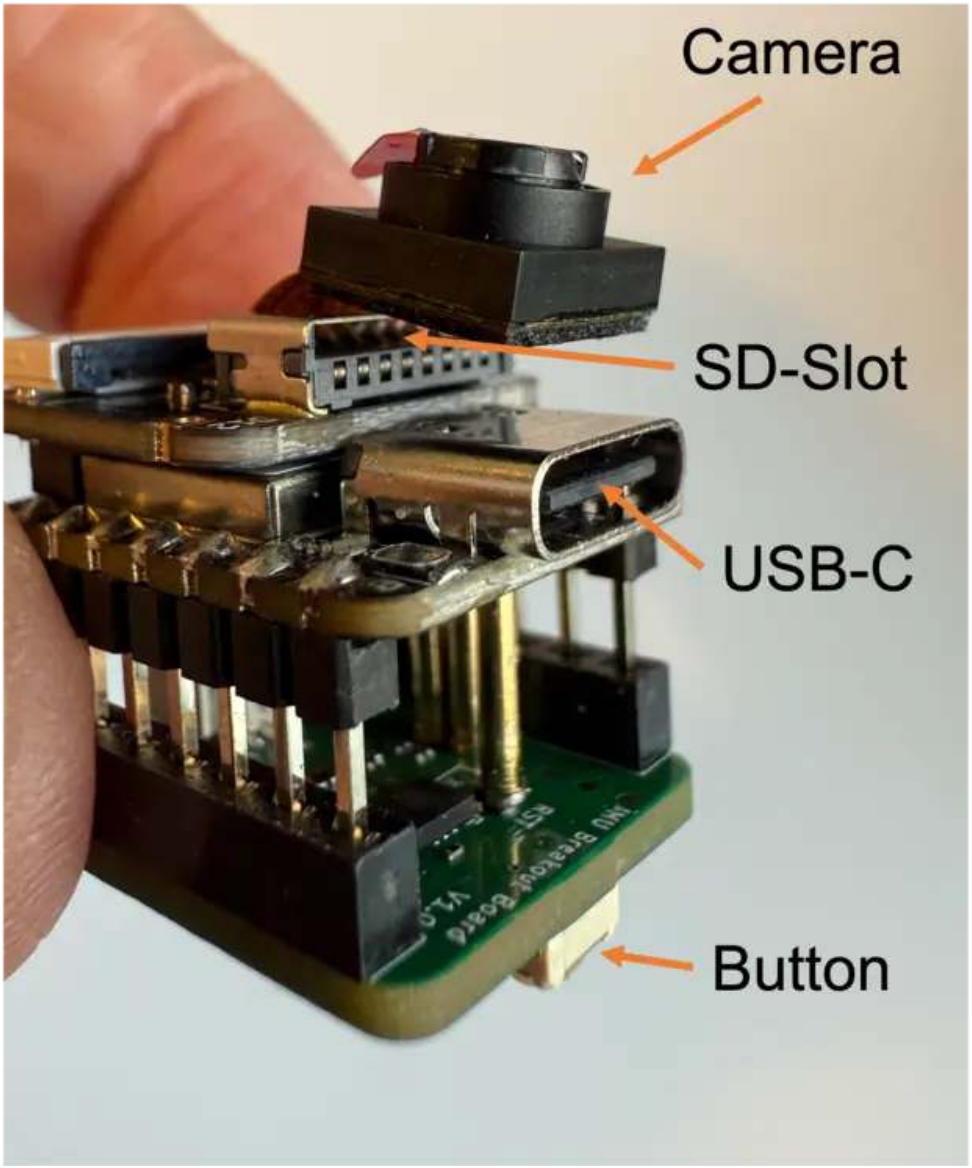

模块安装方向

在 Arduino IDE 上安装 XIAO ESP32S3 Sense

1. 通过 USB-C 线将 XIAOML Kit 连接至电脑。

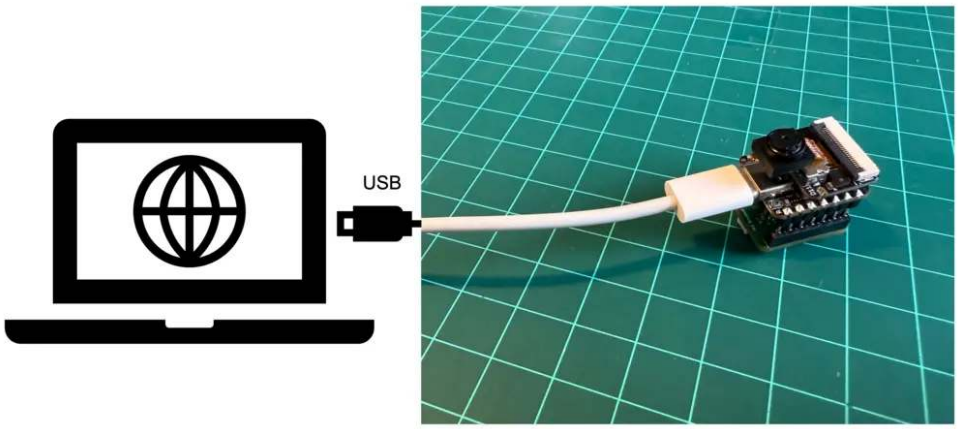

USB 连接示意

2. 根据操作系统下载并安装 Arduino IDE 稳定版。
   [下载 Arduino IDE]
3. 打开 **Arduino IDE**，点击板卡管理器（ `UNO 图标`）。
4. 搜索 “ESP32”，选择 “**esp32 by Espressif Systems**”，点击 `安装` 或 `更新`。

> 不要选择 “**Arduino ESP32 Boards by Arduino**”，该包仅适用于 Arduino Nano ESP32。

```
> ⚠ **注意**
>
> 3.x 版本在与 Edge Impulse 部署代码配合时可能有兼容性问题，建议使用 2.0.x 稳定版（如 2.0.17）。
```

5. 点击 `选择开发板`，输入 xiao 或 esp32s3，在板卡管理器中选择 `XIAO_ESP32S3`，并选择对应的端口。

至此，设备已准备就绪。接下来进行测试。

BLINK 测试

XIAO ESP32S3 Sense 板载 LED 连接至 GPIO21。可运行 `Files/Examples/Basics/Blink` 示例，或使用如下代码：

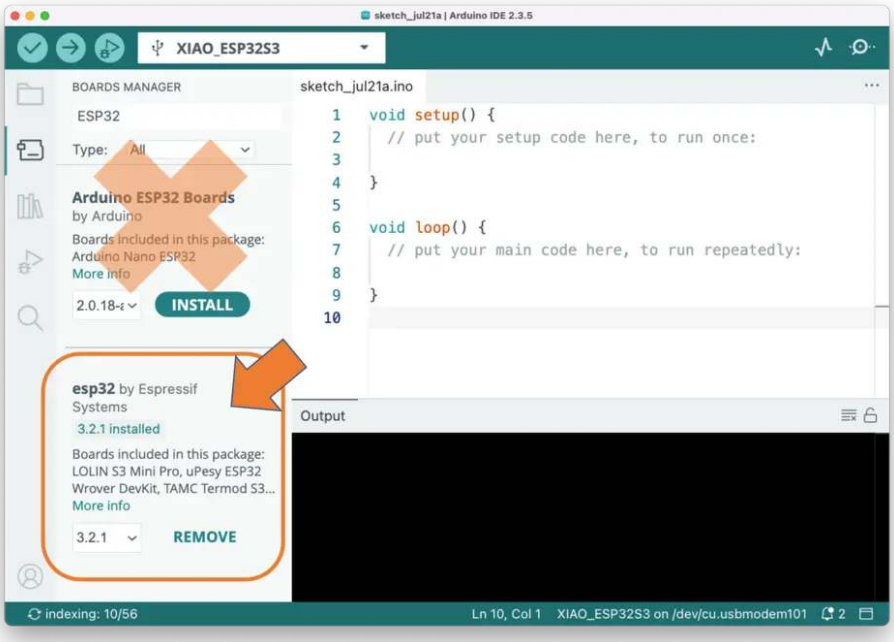

板卡管理器选择

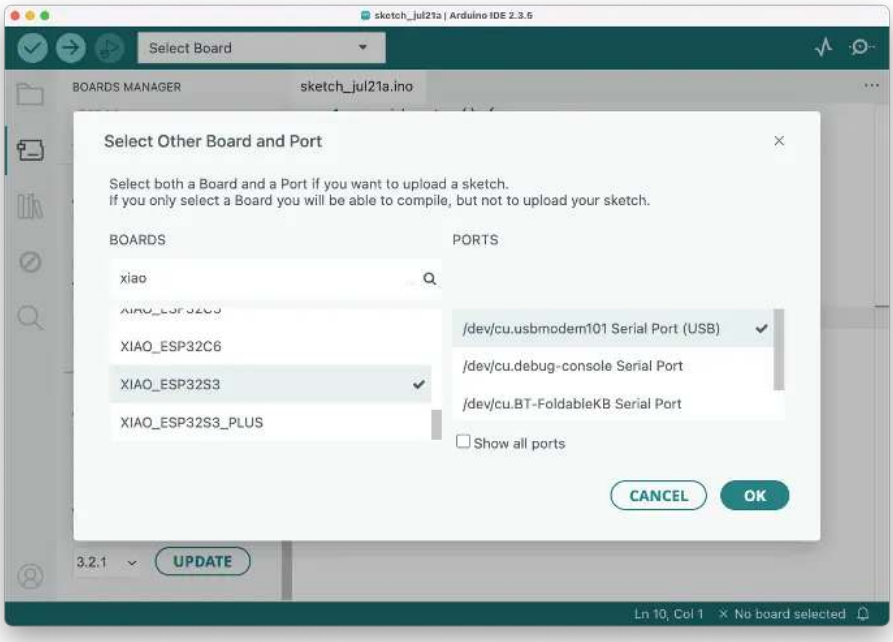

选择开发板与端口

```arduino
#define LED_BUILT_IN 21 // 可选定义

void setup() {
  pinMode(LED_BUILT_IN, OUTPUT); // 设置为输出
}

// 注意：引脚为反向逻辑，LOW 亮，HIGH 灭
void loop() {
  digitalWrite(LED_BUILT_IN, LOW); // 点亮
  delay(1000); // 等待 1 秒
  digitalWrite(LED_BUILT_IN, HIGH); // 熄灭
  delay(1000); // 等待 1 秒
}
```

> 注意：引脚为反向逻辑，LOW 亮，HIGH 灭。

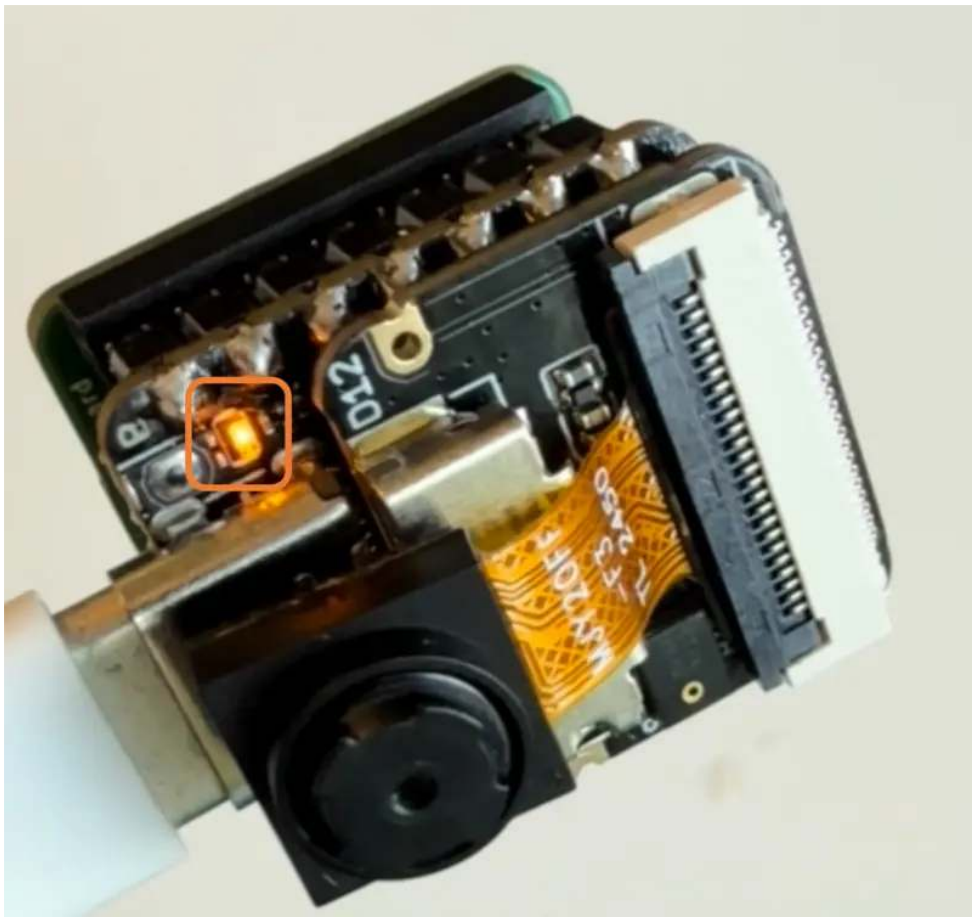

BLINK 效果图

麦克风测试

首先进行声音检测。可直接输入下方代码，或参考 GitHub 项目 下载 XIAOML_Kit_Mic_Test 示例：

```
/*
  XIAO ESP32S3 简单麦克风测试
  (适用于 ESP32 库 3.0.x 及以上)
*/

#include <ESP_I2S.h>
I2SClass I2S;

void setup() {
  Serial.begin(115200);
  while (!Serial) {}

  // 设置 42 号 PDM 时钟和 41 号 PDM 数据引脚
  I2S.setPinsPdmRx(42, 41);

  // 16kHz, 16 位单声道
  if (!I2S.begin(I2S_MODE_PDM_RX,
                 16000,
                 I2S_DATA_BIT_WIDTH_16BIT,
                 I2S_SLOT_MODE_MONO)) {
    Serial.println("I2S 初始化失败! ");
    while (1);
  }
}

void loop() {
  int sample = I2S.read();

  if (sample && sample != -1 && sample != 1) {
    Serial.println(sample);
  }
}
```

打开 **串口绘图器**，即可看到声音变化曲线。

发声时可在串口绘图器中观察到变化。

录音并保存为 .wav 文件到 microSD 卡

使用板载 SD 卡可保存 .wav 音频。需先启用 XIAO PSRAM。

> ESP32-S3 芯片内置 RAM 容量有限，XIAO 板载 8 MB PSRAM，可通过 SPI 与主控通信，需在菜单 `Tools->PSRAM:"OPI PSRAM"->OPI PSRAM` 启用。

声音测试曲线

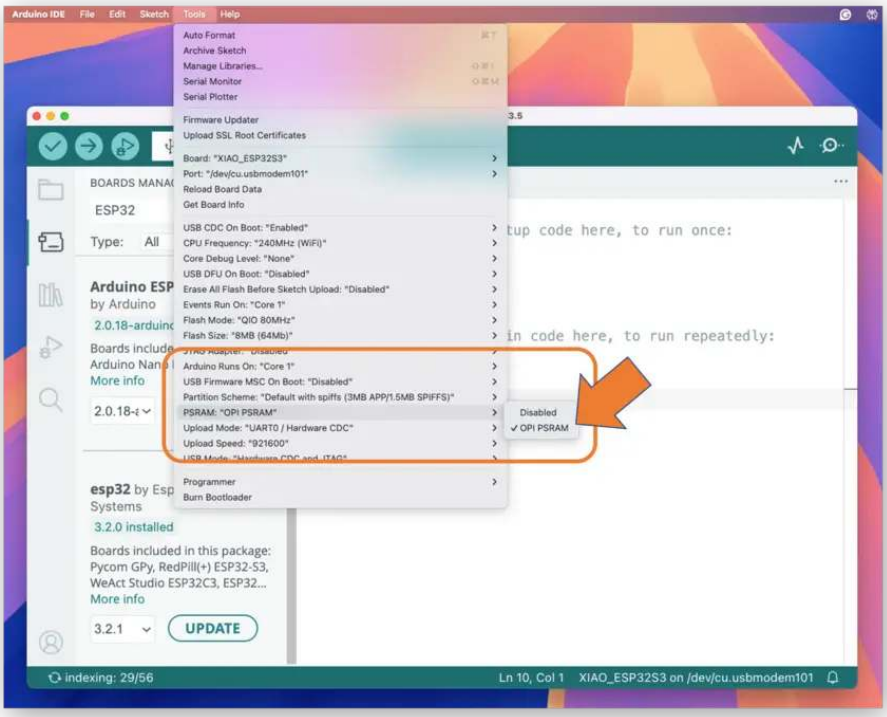

PSRAM 设置

> XIAO ESP32S3 Sense 支持最大 32GB microSD 卡，需格式化为 FAT32。

插入 FAT32 格式 SD 卡：

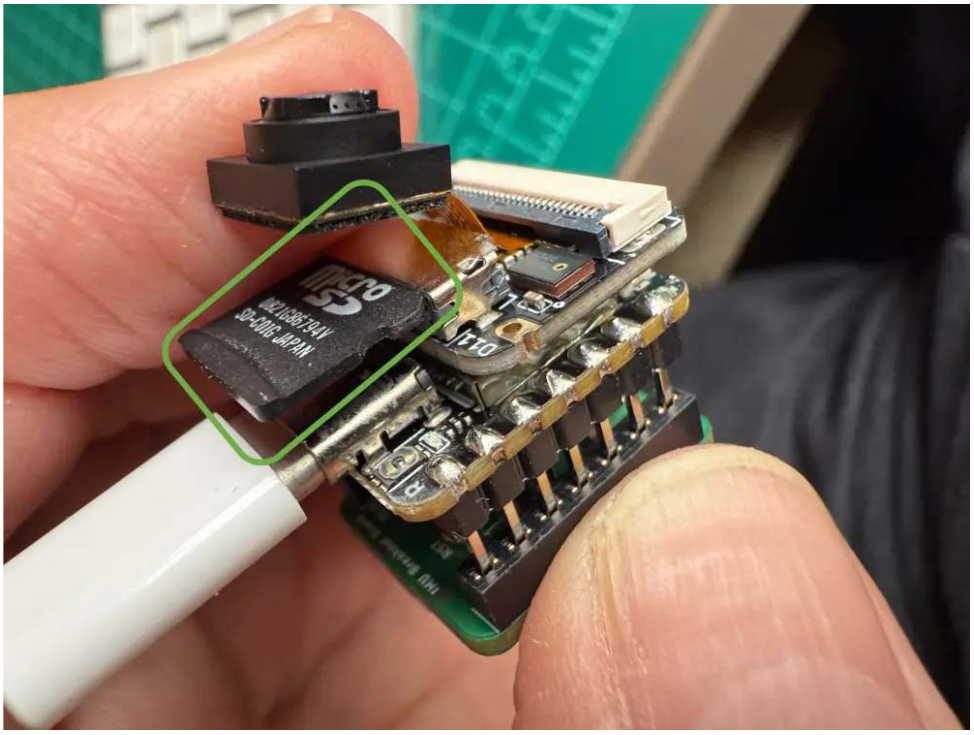

SD 卡插入示意

```
/*
 * Seeed XIAO ESP32S3 Sense WAV 录音
 * (适用于 ESP32 库 3.0.x 及以上)
*/

#include "ESP_I2S.h"
#include "FS.h"
#include "SD.h"

void setup() {
  I2SClass i2s;
  uint8_t *wav_buffer;
  size_t wav_size;

  Serial.begin(115200);
  while (!Serial) { delay(10); }

  Serial.println("初始化 I2S 总线...");

  i2s.setPinsPdmRx(42, 41);

```

```
  if (!i2s.begin(I2S_MODE_PDM_RX,
                 16000,
                 I2S_DATA_BIT_WIDTH_16BIT,
                 I2S_SLOT_MODE_MONO)) {
    Serial.println("I2S 初始化失败！");
    while (1);
  }

  Serial.println("I2S 初始化完成。");
  Serial.println("初始化 SD 卡...");

  if(!SD.begin(21)){
    Serial.println("SD 卡挂载失败！");
    while (1);
  }
  Serial.println("SD 卡初始化完成。");
  Serial.println("录音 20 秒...");

  wav_buffer = i2s.recordWAV(20, &wav_size);

  File file = SD.open("/arduinor_rec.wav", FILE_WRITE);
  if (!file) {
    Serial.println("文件写入失败！");
    return;
  }

  Serial.println("写入音频数据...");

  if (file.write(wav_buffer, wav_size) != wav_size) {
    Serial.println("音频写入失败！");
    return;
  }

  file.close();

  Serial.println("录音完成。");
}

void loop() {
  delay(1000);
  Serial.printf(".");
}
```

- 保存为 `Wav_Record.ino`，上传至开发板。
- 程序启动或按下 `RESET` 后自动录音 20 秒，保存为 “arduino_rec.wav” 到 SD 卡。
- 串口每秒输出 “.”，表示录音完成，可用读卡器播放。

音质优秀！

录音完成界面

> 代码原理详见 wiki 页面。

更多关于 XIAO ESP32S3 Sense 文件系统请参考 链接。

摄像头测试

摄像头可通过多种方式测试：

- SenseCraft AI Studio
- Arduino IDE 的 CameraWebServer 示例（见下节）
- 拍照并 保存到 SD 卡

使用 SenseCraft AI Studio 测试摄像头

最简单的方式是使用 SenseCraft AI Studio 平台，支持多种 AI 设备，包括 **XIAO ESP32S3 Sense** 和 Grove Vision AI V2。

> 也可使用 **SenseCraft Web Toolkit** 简化版工具。

操作步骤：

- 打开 SenseCraft AI Vision Workspace，用 Chrome 浏览器登录或注册账号。
- 连接 XIAOML Kit，选择设备：

> 注：WebUSB 工具在 Safari 等浏览器可能无法正常工作，建议用 Chrome。确保 Arduino IDE 或其他串口工具未占用设备。

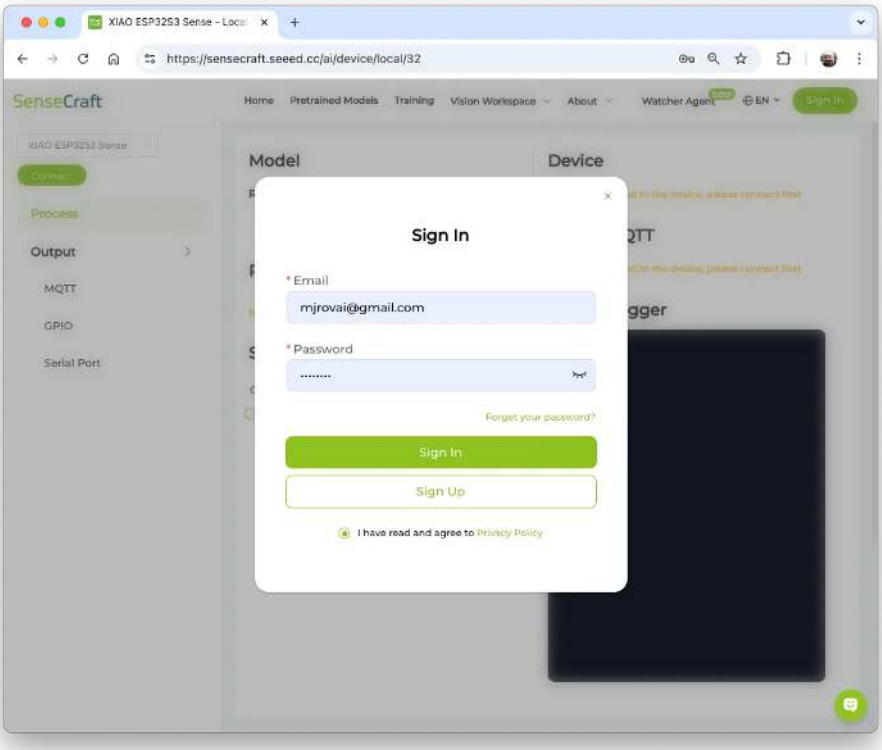

SenseCraft AI 登录界面

上传模型后即可看到摄像头画面。可选择 Seeed Studio 预置的多种视觉模型，点击 `[Select Model]` 按钮选择。

鼠标悬停可查看模型名称、描述、类别（如图像分类、目标检测、姿态检测）、算法（如 YOLO V5/V8、FOMO、MobileNet V2 等）及部分指标（准确率、mAP）。

选择如 “Person Classification” 等模型，点击 [Confirm] 或上传自定义模型。

Preview 区域可实时查看摄像头画面。

> 后续视觉 AI 实验将详细介绍 SenseCraft AI Studio。

WiFi 测试

天线安装

XIAOML Kit 出厂已组装。首先拆下扩展板（含摄像头、麦克风、SD 卡槽）。

XIAO ESP32S3 正面左下有 “WiFi/BT 天线接口”。为提升信号，将天线插入接口。

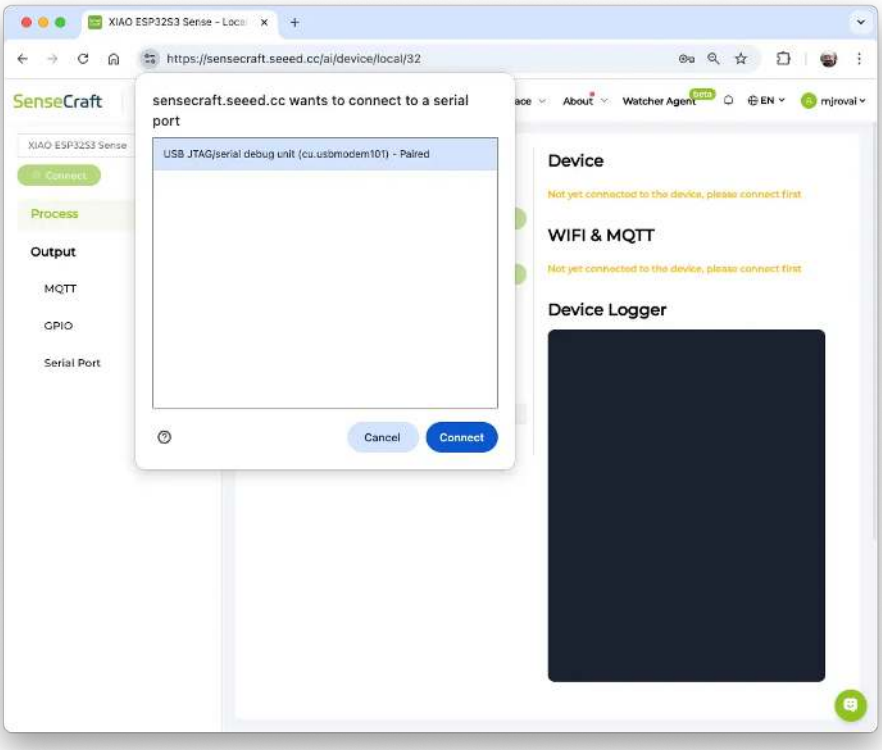

选择设备

安装技巧：先插入一侧，再轻压另一侧，避免用力过猛导致手指受伤。拆卸时同理，先撬起一侧。

扩展板重新安装只需对齐 B2B 连接器，按压听到“咔哒”声即完成。

XIAO ESP32S3 支持 WiFi。可通过示例代码扫描周围 WiFi 网络。

在 Arduino IDE 选择开发板和端口，打开 **Examples -> WiFI -> WiFIScan**，上传至开发板。

串口监视器可看到扫描到的 WiFi SSID 和信号强度：

简易 WiFi 服务器（LED 控制）

测试设备作为 WiFi 服务器的能力。可通过网页控制板载 LED 开关。

在 **Examples -> WiFI -> SimpleWiFIServer** 中找到示例，上传前需：

- 填写 WiFi 账号密码：

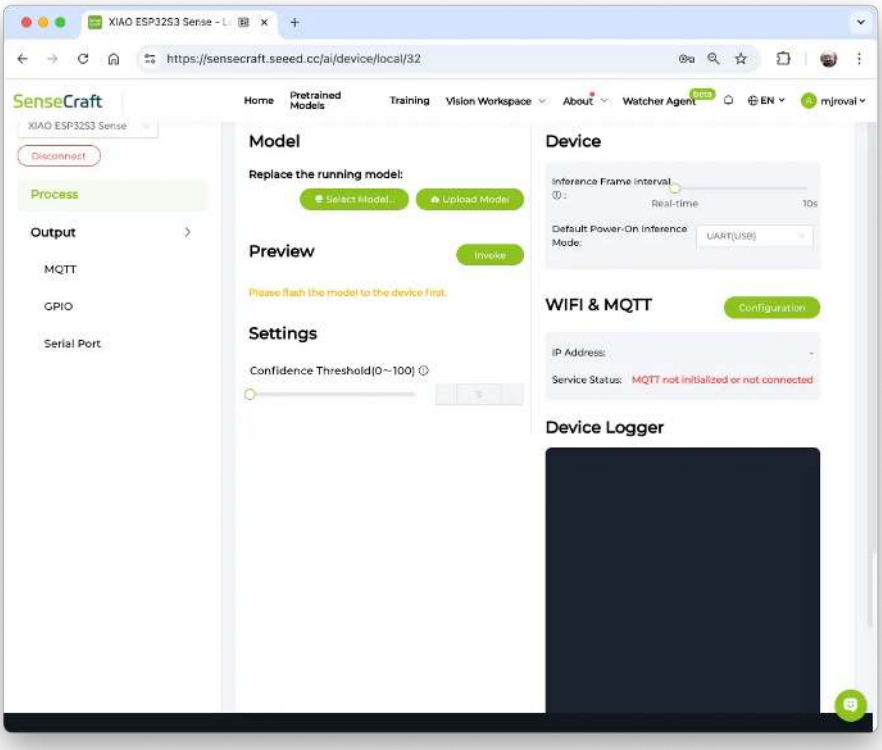

选择 AI 模型

```
const char* ssid     = "Your credentials here";
const char* password = "Your credentials here";
```

- 将 **pin 5** 改为 **pin 21**，并修改网页内容（第 85、86 行）：

```
client.print("Click <a href=\"/H\">here</a> to turn the LED on pin 21 OFF.<br>");
client.print("Click <a href=\"/L\">here</a> to turn the LED on pin 21 ON.<br>");
```

串口监视器可查看服务器运行状态。

浏览器输入串口显示的 IP 地址，即可通过网页控制 LED。

使用 CameraWebServer

在 Arduino IDE 依次进入 `File > Examples > ESP32 > Camera`，选择 `CameraWebServer`。

在 `board_config.h` 注释掉除 XIAO 型号外的所有摄像头定义：

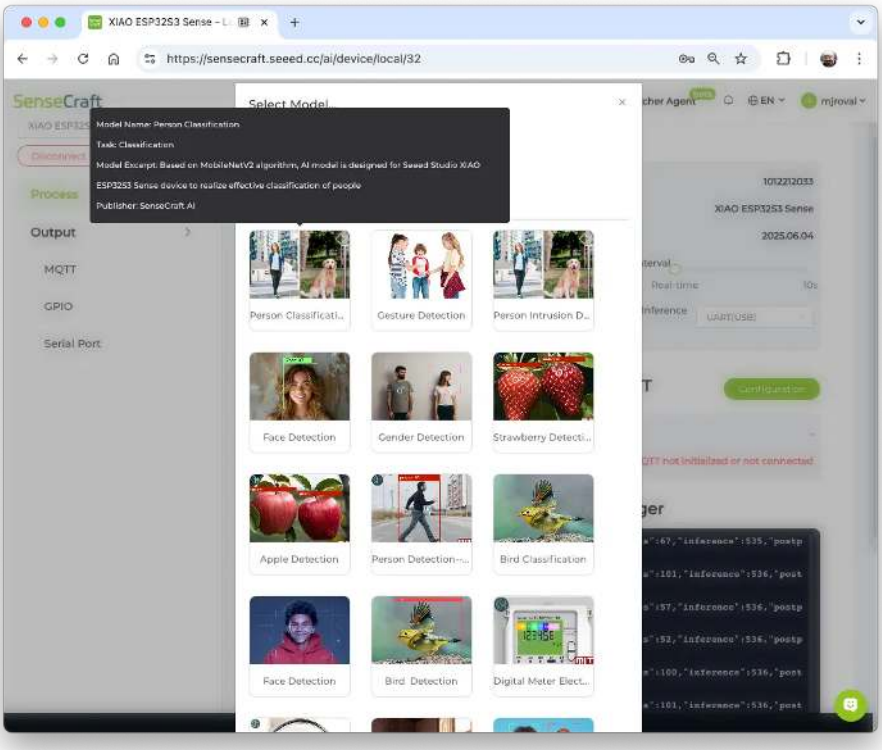

模型信息展示

> 请确保已启用 PSRAM。

在 `CameraWebServer.ino` 填写 WiFi 账号密码并上传。

串口监视器显示如下：

```
WiFi connecting....
WiFi connected
Camera Ready! Use 'http://192.168.5.60' to connect
```

浏览器访问该地址，选择分辨率（如 QVGA），点击 `[START STREAM]`，即可实时查看摄像头画面。点击 `[Save]` 可保存图片。

至此，可直接在电脑保存图片用于项目开发。

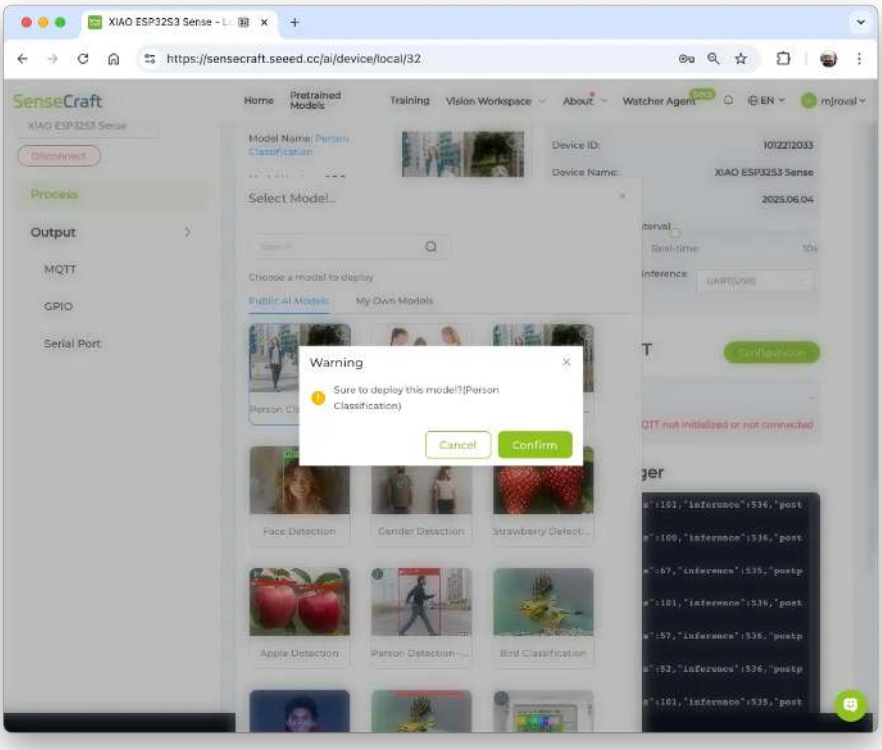

确认模型选择

IMU 传感器（LSM6DS3TR-C）测试

惯性测量单元（IMU）用于测量运动与姿态。XIAOML Kit 配备的 LSM6DS3TR-C 为 **6 轴 IMU**，集成：

- **3 轴加速度计**：测量 X/Y/Z 方向线性加速度（含重力）
- **3 轴陀螺仪**：测量 X/Y/Z 方向角速度

技术参数

- **通信**：I2C，地址 `0x6A`
- **加速度范围**：±2/±4/±8/±16 g（默认 ±2g）
- **陀螺仪范围**：±125/±250/±500/±1000/±2000 dps（默认 ±250 dps）
- **分辨率**：16 位 ADC
- **功耗**：超低功耗设计

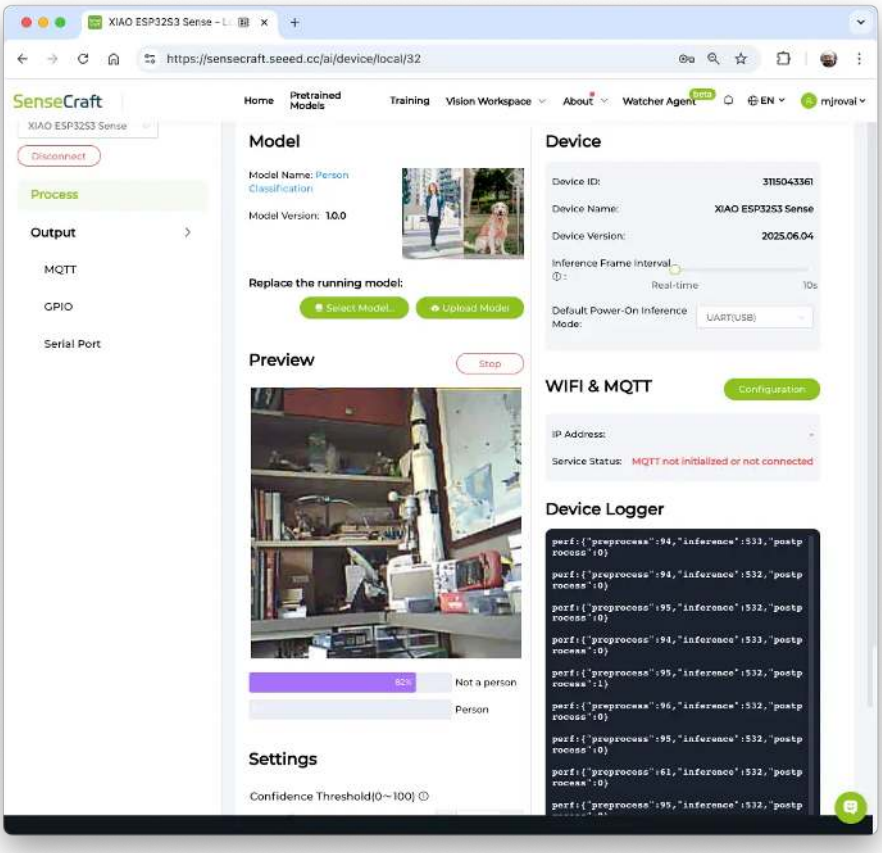

摄像头预览

坐标系说明

传感器采用右手坐标系。扩展板底视图如下：

- **X 轴**：向右
- **Y 轴**：向前（远离自己）
- **Z 轴**：向上（垂直于板面）

所需库

上传代码前需安装库：

1. 打开 **Arduino IDE**，点击 管理库 （ 书本图标）。
2. 搜索 “LSM6DS3”，选择 “**Seeed Arduino LSM6DS3 by Seeed**”，点击 安装 或 更新。

⚠ **注意**：不要安装 “Arduino_LSM6DS3 by Arduino”，该库不适用于本开发板！

天线安装示意

WiFi 扫描结果

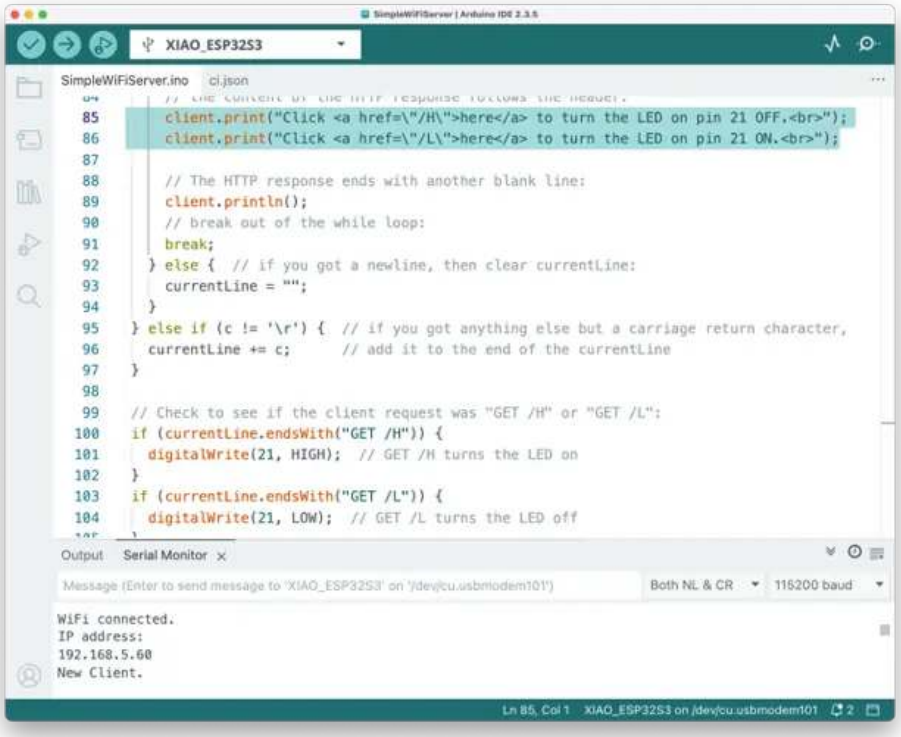

WiFi 服务器串口输出

网页控制 LED

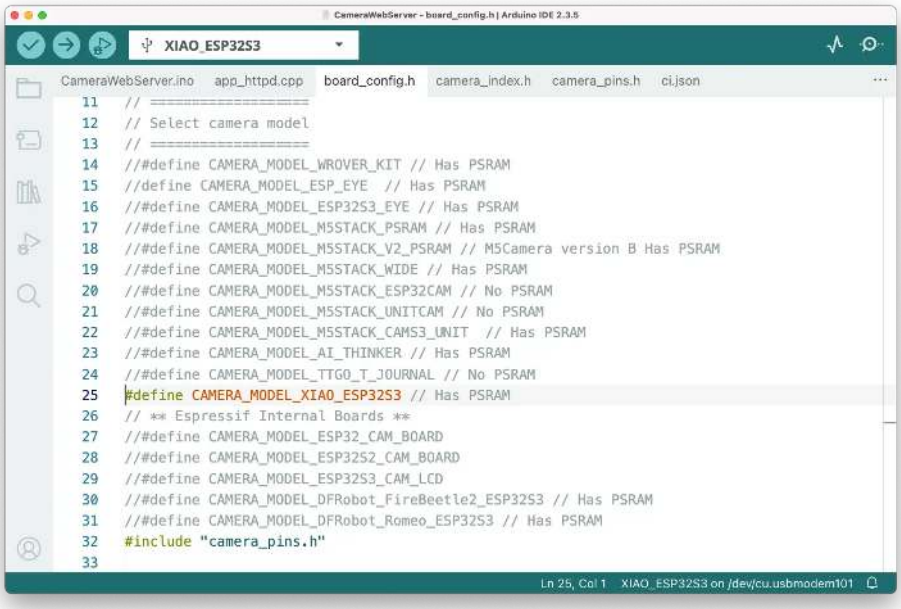

CameraWebServer 配置

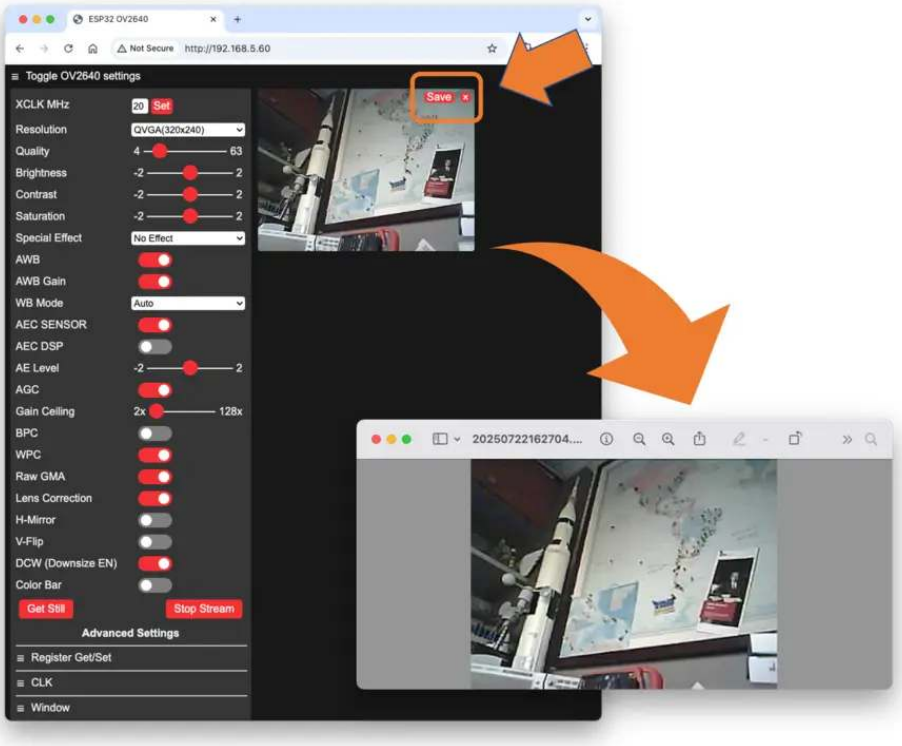

CameraWebServer 页面

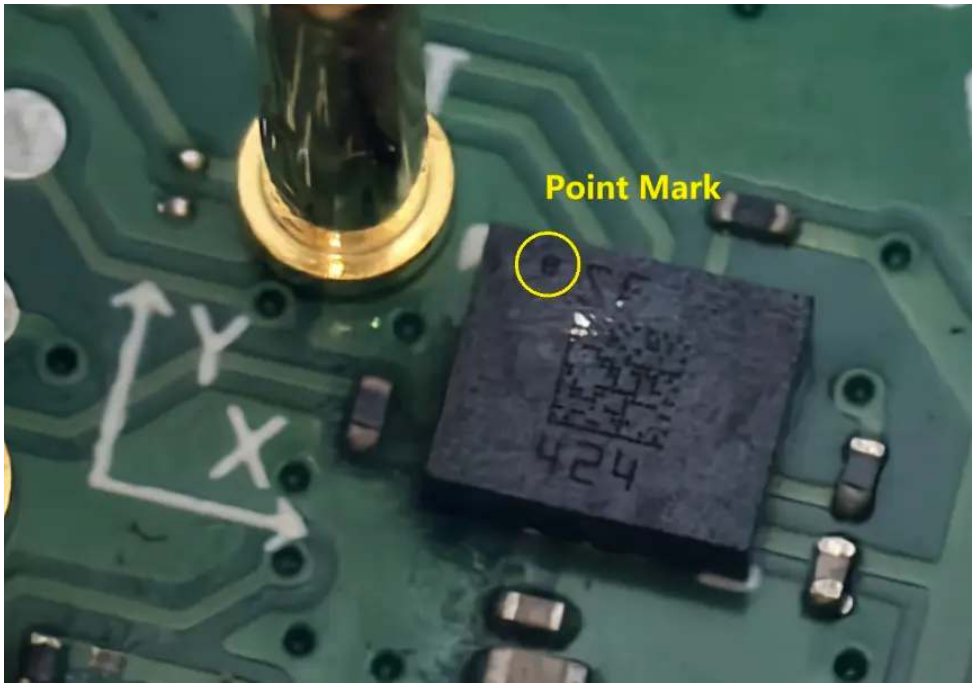

IMU 坐标系标记

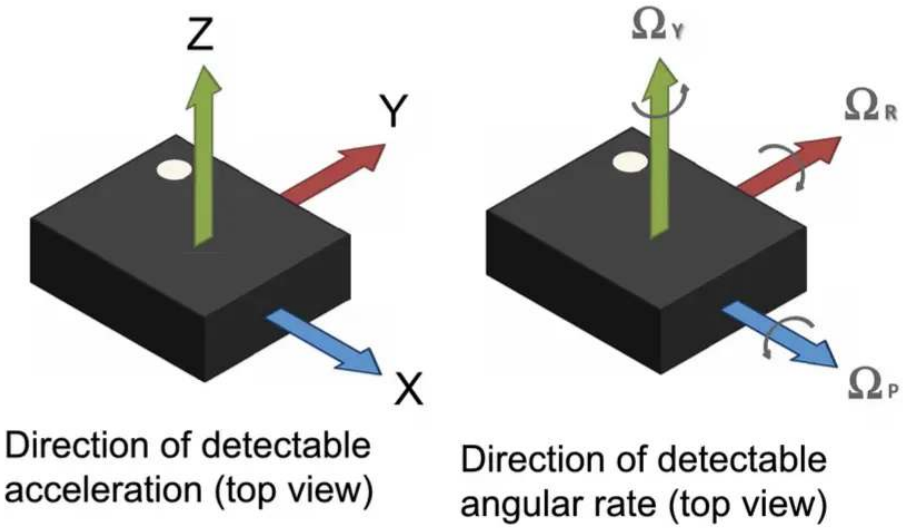

IMU 坐标方向

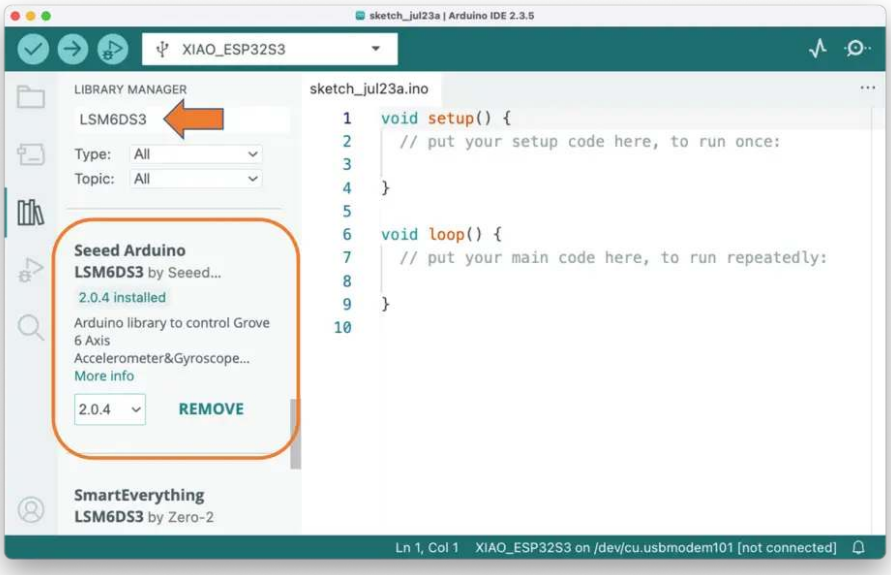

IMU 库安装

测试代码

在 Arduino IDE 输入下方代码并上传：

```
#include <LSM6DS3.h>
#include <Wire.h>

// I2C 模式，地址 0x6A
LSM6DS3 myIMU(I2C_MODE, 0x6A);

float accelX, accelY, accelZ;
float gyroX, gyroY, gyroZ;

void setup() {
  Serial.begin(115200);
  while (!Serial) { delay(10); }

  Serial.println("XIAOML Kit IMU 测试");
  Serial.println("LSM6DS3TR-C 6 轴 IMU 传感器");
  Serial.println("============================");

  if (myIMU.begin() != 0) {
    Serial.println("错误：IMU 初始化失败！");
    Serial.println("请检查连接与 I2C 地址");
    while(1) { delay(1000); }
  } else {
    Serial.println("✓ IMU 初始化成功\n");
    Serial.println("传感器信息：");
    Serial.println("- 加速度范围：±2g");
    Serial.println("- 陀螺仪范围：±250 dps");
    Serial.println("- 通信：I2C 地址 0x6A\n");
    Serial.println("数据格式：");
    Serial.println("AccelX,AccelY,AccelZ,GyroX,GyroY,GyroZ");
    Serial.println("单位：g（重力加速度），°/s（角速度）\n");
    delay(2000);
  }
}

void loop() {
  accelX = myIMU.readFloatAccelX();
  accelY = myIMU.readFloatAccelY();
  accelZ = myIMU.readFloatAccelZ();

  gyroX = myIMU.readFloatGyroX();
  gyroY = myIMU.readFloatGyroY();
  gyroZ = myIMU.readFloatGyroZ();

  Serial.print("加速度 (g): ");
  Serial.print("X="); Serial.print(accelX, 3);
  Serial.print(" Y="); Serial.print(accelY, 3);
  Serial.print(" Z="); Serial.print(accelZ, 3);

  Serial.print(" | 陀螺仪 (°/s): ");
```

```
  Serial.print("X="); Serial.print(gyroX, 2);
  Serial.print(" Y="); Serial.print(gyroY, 2);
  Serial.print(" Z="); Serial.print(gyroZ, 2);
  Serial.println();

  Serial.println(String(accelX) + "," + String(accelY) + "," +
                 String(accelZ) + "," + String(gyroX) + "," +
                 String(gyroY) + "," + String(gyroZ));

  delay(100);
}
```

串口监视器可查看数值，绘图器可观察随时间变化。例如沿 **y 轴** 移动时，第二个值（红线）会变化，**z 轴**（第三个，绿线）接近 1.0g，**x 轴**为蓝线。

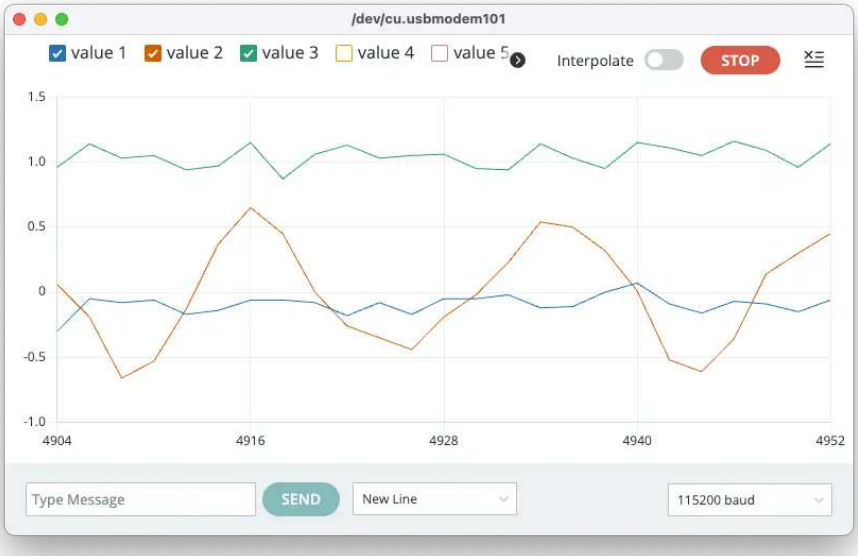

IMU 数据绘图

选择第 4~6 个值可观察陀螺仪变化。

OLED 显示屏（SSD1306）测试

OLED（有机发光二极管）为自发光屏幕，XIAO ML kit 配备 0.42 英寸单色 OLED，适合显示传感器数据、状态信息等。

技术参数

- **尺寸**：0.42 英寸
- **分辨率**：72 × 40 像素

- **控制器**：SSD1306
- **接口**：I2C，地址 `0x3C`
- **颜色**：单色
- **可视性**：高对比度，强光下清晰
- **功耗**：低，无需背光

显示特性

- **像素独立控制**：共 2880 像素
- **刷新快**：适合动画与实时数据
- **无残影**：响应迅速
- **广视角**：多角度清晰可见

所需库

上传代码前需安装库：

1. 打开 **Arduino IDE**，点击 `管理库`（ `书本图标`）。
2. 搜索 u8g2，选择 **U8g2 by oliver**，点击 `安装` 或 `更新`。

> ⓘ **说明**：U8g2 是功能强大的单色图形库，支持多种显示器。

U8g2 主要特性：

- 支持多种控制器（含 SSD1306）
- 多字体文本渲染
- 绘制基本图形（线、矩形、圆等）
- 内存高效，分页渲染
- 支持硬件/软件 I2C

测试代码

在 Arduino IDE 输入下方代码并上传：

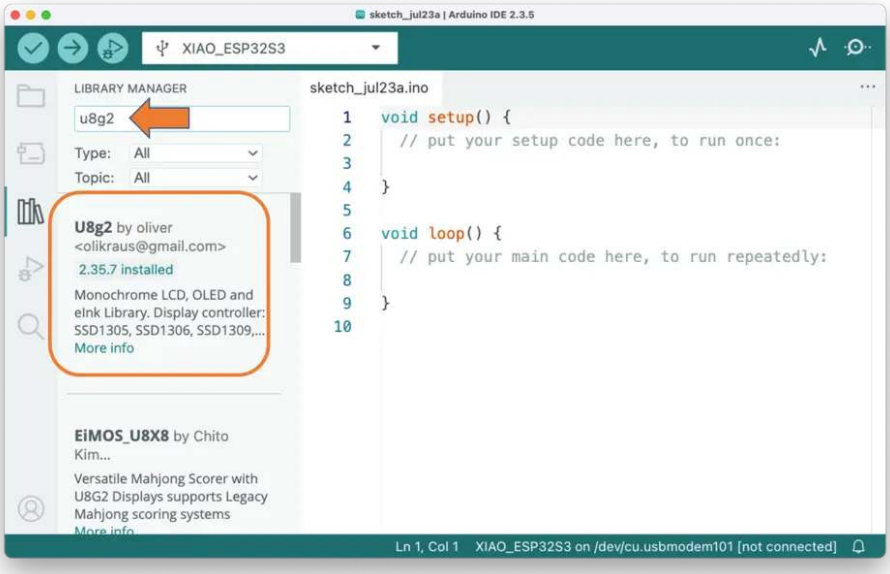

OLED 库安装

```arduino
#include <U8g2lib.h>
#include <Wire.h>

// SSD1306 控制器，72x40 分辨率，I2C 接口
U8G2_SSD1306_72X40_ER_1_HW_I2C u8g2(U8G2_R2, U8X8_PIN_NONE);

void setup() {
  Serial.begin(115200);

  Serial.println("XIAOML Kit - Hello World");
  Serial.println("==========================");

  u8g2.begin();

  Serial.println("✓ 显示屏初始化完成");
  Serial.println("显示 Hello World 信息...");

  u8g2.clearDisplay();
}

void loop() {
  u8g2.firstPage();
  do {
    u8g2.setFont(u8g2_font_ncenB08_tr);

    u8g2.setCursor(8, 15);
    u8g2.print("Hello");

    u8g2.setCursor(12, 30);
    u8g2.print("World!");

```

```
32     u8g2.drawFrame(2, 2, 68, 36);
33
34   } while (u8g2.nextPage());
35 }
```

如一切正常，屏幕将显示矩形框内的 “Hello World”。

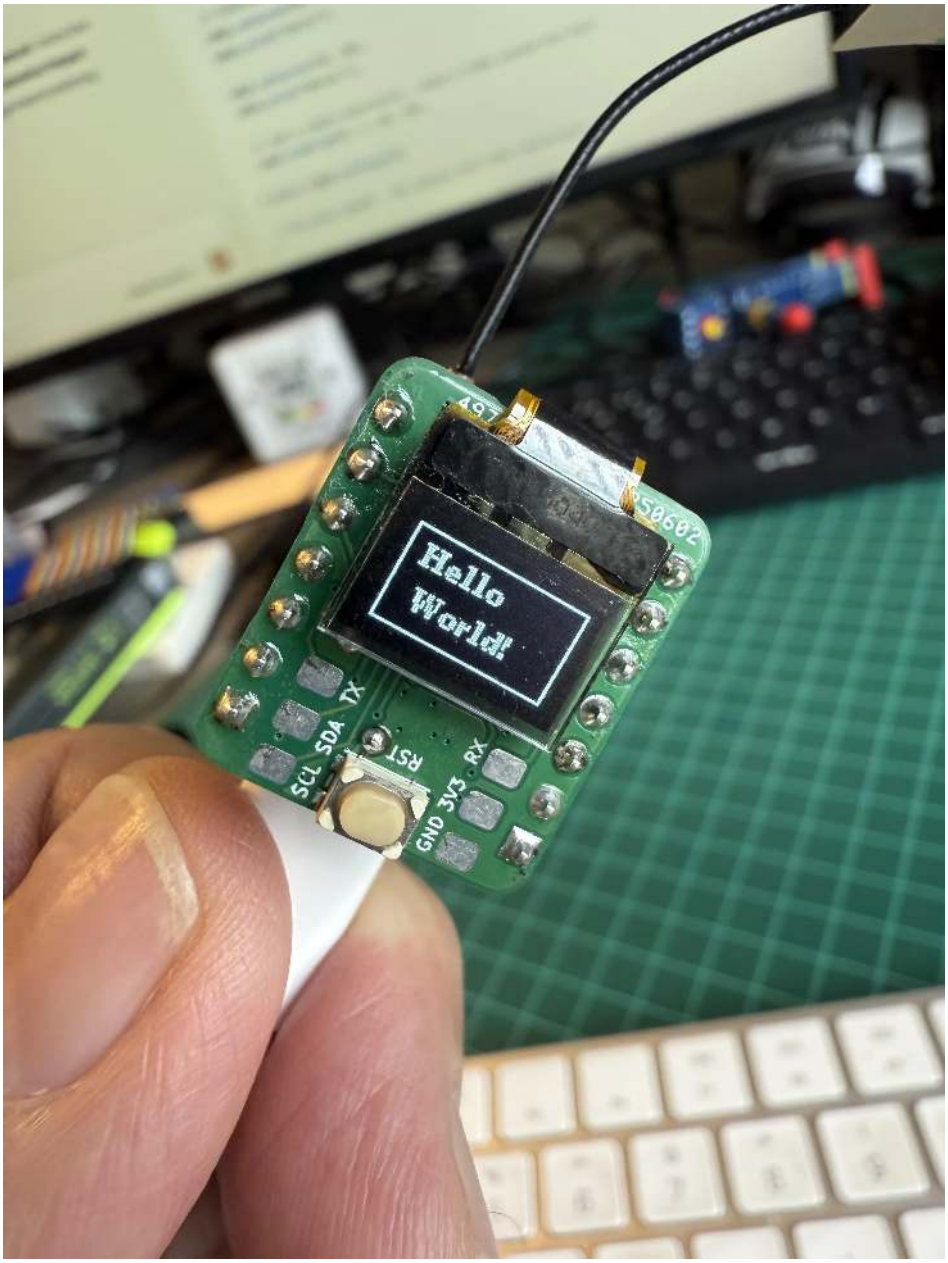

OLED 显示效果

OLED 文本与坐标

- 文本通过 `setCursor(x, y)` 定位，如本例居中：

```
u8g2.setCursor(8, 15);
```

- 字体可选：
  - `u8g2_font_4x6_tr`：超小
  - `u8g2_font_6x10_tr`：小号
  - `u8g2_font_ncenB08_tr`：中号
  - `u8g2_font_ncenB14_tr`：大号

图形绘制

- 矩形边框：`drawFrame(x, y, width, height)`
- 实心矩形：`drawBox(x, y, width, height)`
- 圆形：`drawCircle(x, y, radius)`
- 直线：`drawLine(x1, y1, x2, y2)`
- 单像素：`drawPixel(x, y)`

坐标系

- 原点 (0,0)：左上角
- X 轴：左 → 右（0~71）
- Y 轴：上 → 下（0~39）
- 文本定位：`setCursor(x, y)`，y 为基线

显示旋转

- 可用：
  - `U8G2_R0`：正常
  - `U8G2_R1`：顺时针 90°
  - `U8G2_R2`：180°
  - `U8G2_R3`：270°

自定义字符

```
// 绘制自定义位图
static const unsigned char myBitmap[] = {0x00, 0x3c, 0x42, 0x42, 0x3c, 0x00};
u8g2.drawBitmap(x, y, 1, 6, myBitmap);
```

文本测量

```
int width = u8g2.getStrWidth("Hello");
int height = u8g2.getAscent();
```

OLED 显示屏现已可用于显示传感器数据、系统状态或自定义图形，为后续 ML 项目做好准备！

总结

XIAOML Kit 搭载 ESP32S3 Sense，为 TinyML 与嵌入式机器学习提供了强大且易用的入门平台。通过本章配置与测试，已验证所有传感器与外设功能正常。ESP32S3 双核处理器与 8MB PSRAM 足以支持实时 ML 推理，OV2640 摄像头、数字麦克风、LSM6DS3TR-C IMU 及 0.42 英寸 OLED 显示屏构成完整多模态感知平台。WiFi 连接能力为边缘到云端 ML 流程提供了可能，Arduino IDE 开发环境及所需库也已配置完毕。

本章不仅完成了功能测试，还深入理解了各传感器的坐标系、数据格式与操作特性，为后续 ML 数据采集与预处理打下基础。

本套件的实践体验，真实反映了边缘 AI 的资源约束与多模态融合等关键问题，这些原则同样适用于智能手机、IoT 设备、自动驾驶等场景。多模态平台为探索现实世界 AI 应用提供了理想基础。

从原始数据采集、模型推理到 OLED 用户反馈，XIAOML Kit 完整呈现了微型化 ML 部署流程，贴近生产级 AI 系统的实际挑战。

有了这些基础，你已准备好进入后续章节的核心 TinyML 应用：

- **视觉项目**：利用摄像头进行图像分类与目标检测
- **音频项目**：处理音频流，实现关键词检测与语音识别
- **运动项目**：基于 IMU 数据进行活动识别与异常检测

每个应用都将基于本章的硬件理解与软件环境，展示 AI 如何在资源受限设备中落地。

本套件涉及的实时处理、传感器融合与边缘推理等原则，正是自动驾驶、智慧城市、医疗设备、工业自动化等领域 AI 部署的核心。完成本章配置后，你已具备探索嵌入式机

器学习前沿的能力。

资源

- XIAOML Kit 代码
- XIAO ESP32S3 Sense 手册与示例代码
- Seeed Studio XIAO ESP32S3 麦克风用法
- XIAO ESP32S3 Sense 文件系统
- Seeed Studio XIAO ESP32S3 Sense 摄像头用法

散热片注意事项

如需在无扩展板情况下使用摄像头，可安装散热片。

注意：安装散热片后无法连接扩展板。

散热片安装方法

为确保 XIAO ESP32S3 Sense 散热，摄像头应用时建议安装散热片，尤其在高负载场景。

> 套件含两片散热片，建议仅用一片以便电池引脚可用。

安装步骤：

- 断电并拔掉设备电源。
- 优先覆盖 ESP32S3 芯片上的 Thermal PAD，确保散热片对齐且不遮挡 BAT 引脚。

具体步骤：

步骤 1. 准备散热片：撕下保护膜，露出导热胶面。

步骤 2. 安装散热片：

> 安装后确保无短路风险，散热片对齐牢固。

如需更强散热，可安装第二片，但此时所有引脚将不可用。

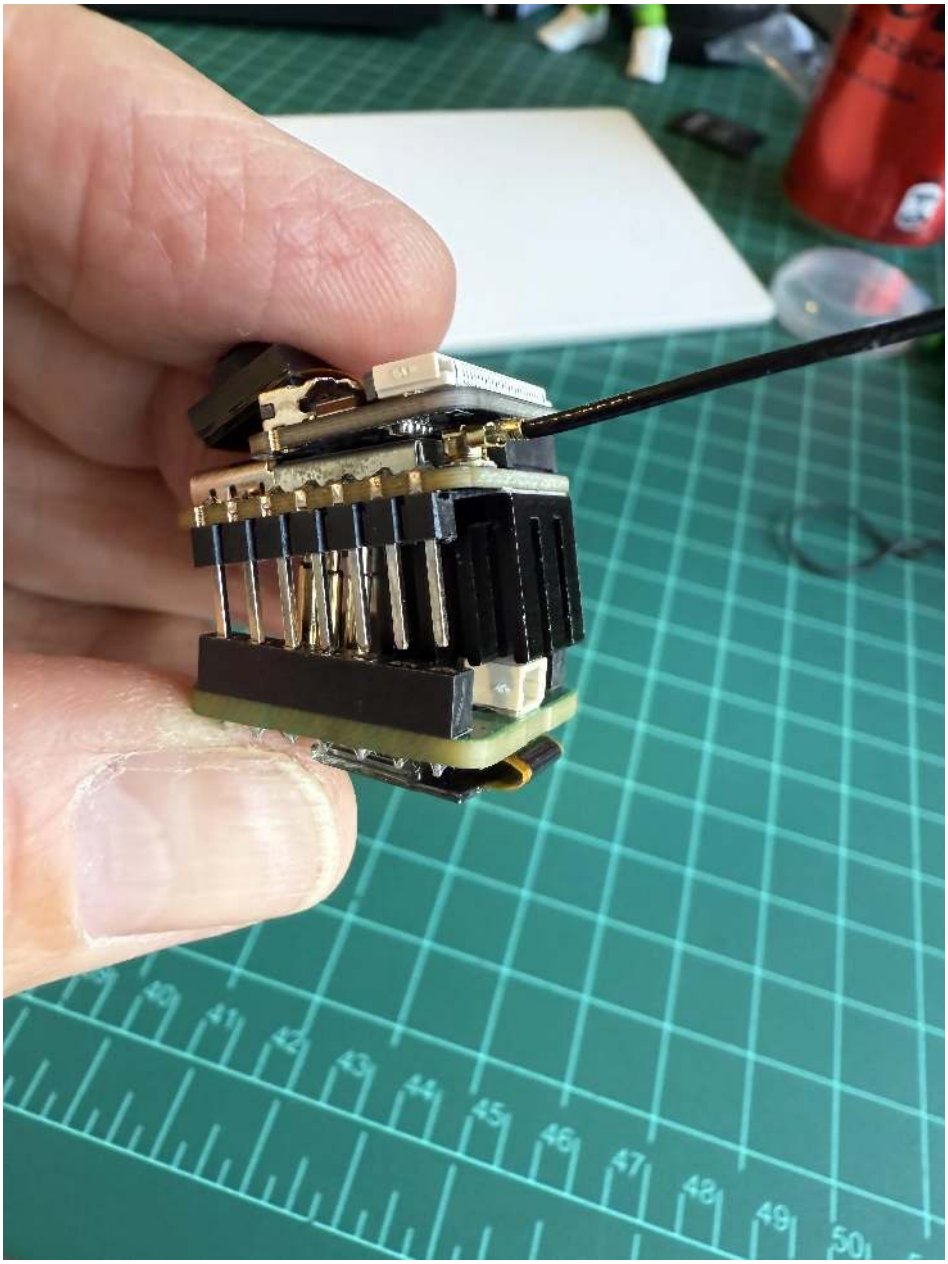

散热片安装效果

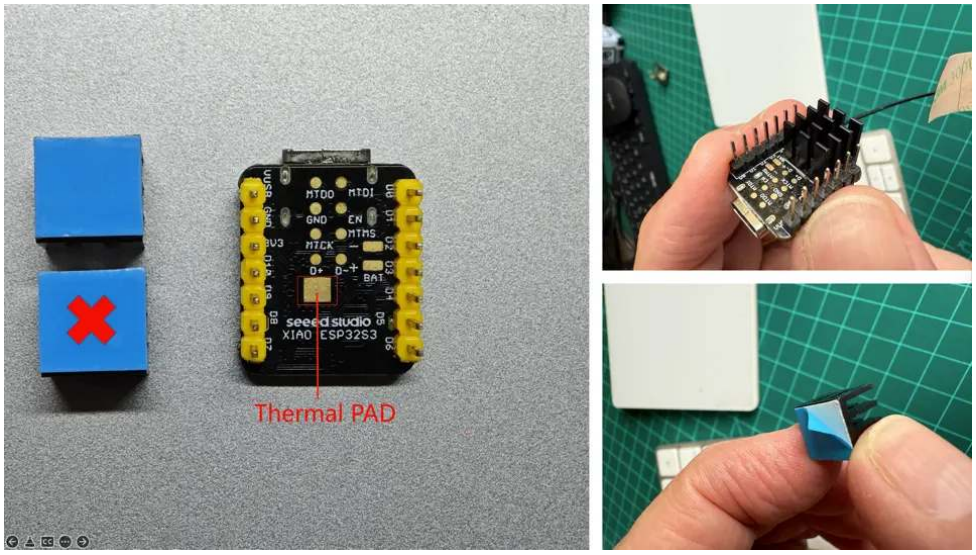

散热片组装示意

> ⚠ **注意**
>
> 再次使用 IMU 扩展板前，请小心拆除散热片。

图像分类

概述

我们正处于人工智能（AI）革命的浪潮中，正如 Gartner 所言，**边缘 AI 与计算机视觉**已成为极具影响力的技术，而且“现在”正是落地的时机！

在视觉领域的机器学习（ML）应用中，最基础也是最经典的任务就是**图像分类**，它既是 ML 的“Hello World”，又蕴含着深刻的技术内涵。

Seeed Studio XIAOML Kit 以 XIAO ESP32-S3 Sense 为核心，集成了 **OV3660** 摄像头和 SD 卡支持，非常适合 TinyML 视觉 AI 的入门与实验。

本实验将通过零代码工具 **SenseCraft AI** 体验图像分类，并进一步结合 **Edge Impulse Studio** 与 **Arduino IDE** 深入开发。

> **学习目标**
>
> - **部署预训练模型**：通过 SenseCraft AI Studio 快速体验计算机视觉应用
> - **采集与管理图像数据集**：为自定义分类任务规范组织数据

- **迁移学习训练自定义模型**：基于 MobileNet V2 架构进行微调
- **模型边缘部署优化**：量化与高效预处理，适配嵌入式设备
- **后处理管道实现**：集成 GPIO 控制与实时推理
- **开发路径对比**：理解零代码与高级 ML 平台在嵌入式场景下的差异

图像分类简介

图像分类是计算机视觉的基础任务之一，目标是将整张图片归入预定义的某一类别。其核心是分析图像内容，根据主要物体或场景特征，输出一个标签。

图像分类广泛应用于数字图库、社交媒体、自动驾驶等领域，是让系统理解环境的关键。典型的深度学习架构如卷积神经网络（CNN），包括 AlexNet、VGGNet、ResNet 等，极大推动了图像分类的发展。这些模型通过学习视觉数据的层次化特征，在 ImageNet 等数据集上取得了卓越的准确率。

图像分类不仅是许多视觉系统的基石，也是目标检测、图像分割等更复杂任务的基础。接下来，我们以 Person Classification（“有人/无人”）为例，体验 **SenseCraft AI** 上的即用型视觉模型。

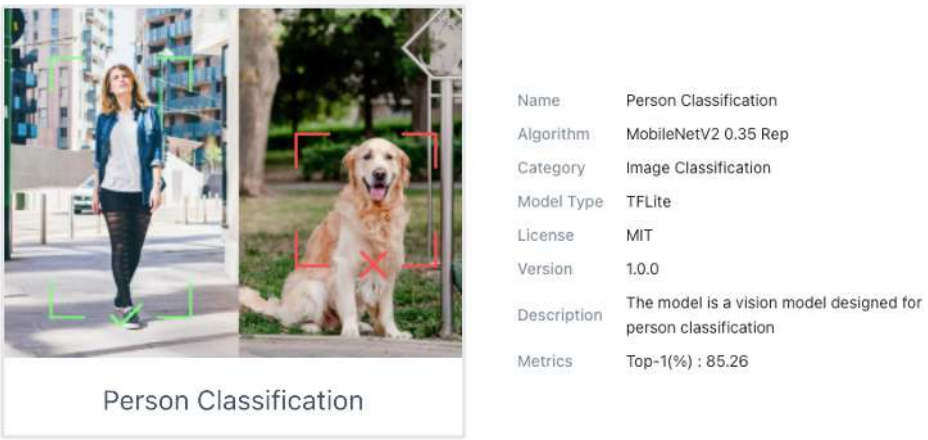

人物分类模型界面

在 SenseCraft AI Workspace 上体验图像分类

首先通过 USB-C 连接 XIAOML Kit（或仅 XIAO ESP32S3 Sense，断开扩展板），打开 SenseCraft AI Workspace 并连接设备。

连接后，点击 `[Select Model...]`，在搜索框输入“Person Classification”，选择基于 MobileNet V2 训练的模型（鼠标悬停可查看模型详情）。

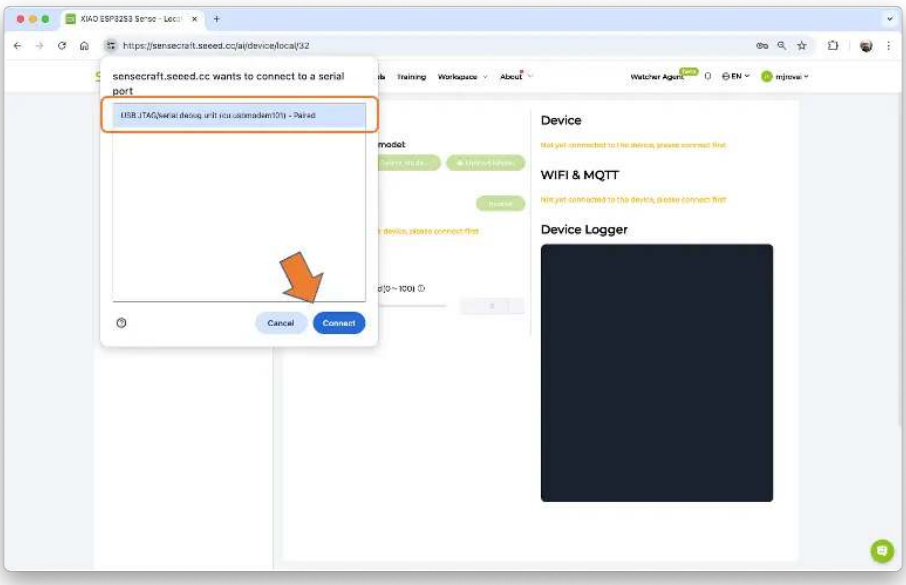

设备连接界面

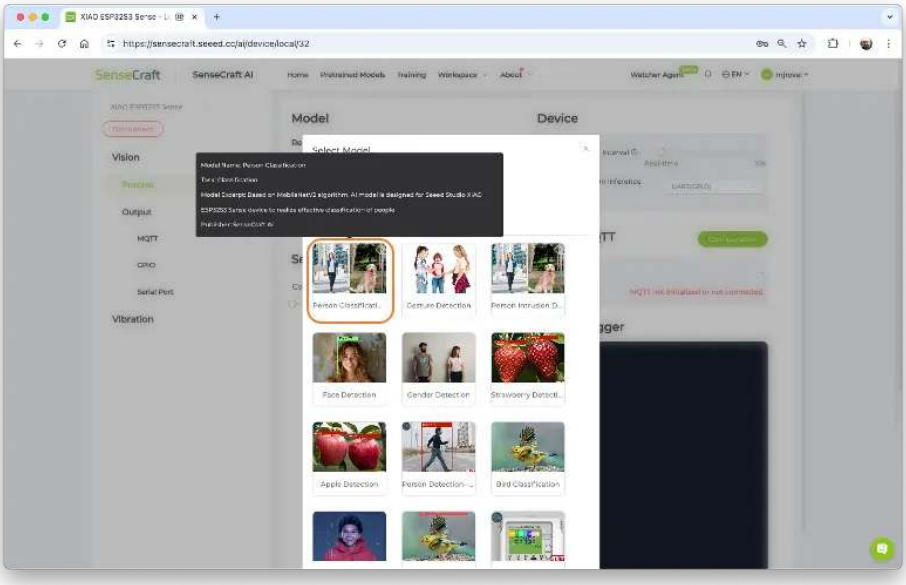

模型选择界面

点击模型并确认部署，固件将自动上传至设备。

> 上传过程中会显示进度百分比。如未显示，可尝试重新插拔设备并按下 boot 键。

上传完成后，可在 **Preview** 区域实时查看摄像头画面与分类结果（`Person` 或 `Not a Person`），**Device Logger** 区域显示推理详情。

> 可调整 **Inference Frame Interval**（推理帧间隔，默认实时）和 **Mode**（数据输出方式，默认 UART/USB）。

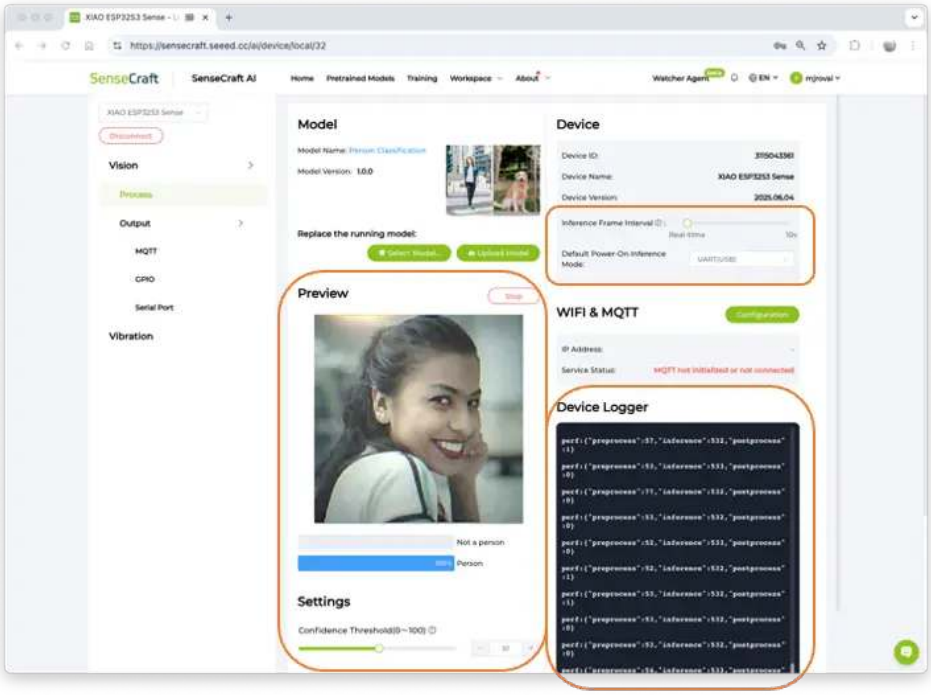

人物检测推理结果

在 Device Logger 可见模型预处理延迟 52~78ms，推理约 532ms，总时延约 600ms，即 **1.7 FPS**。

> 运行 Mobilenet V2 0.35 时，XIAO 峰值电流 160mA@5.23V，**功耗约 830mW**。

后处理（Post-Processing）

图像分类项目的关键环节是定义推理结果的应用场景。例如，检测到有人时自动开灯。

在 SenseCraft AI 的 `Output -> GPIO` 区域可配置触发动作。点击 Add，设置条件（如

推理管道示意图

置信度大于 60% 时点亮内置 LED）。实际应用中可用 GPIO（如 D0、D1、D2、D11、D12）控制继电器等外设。

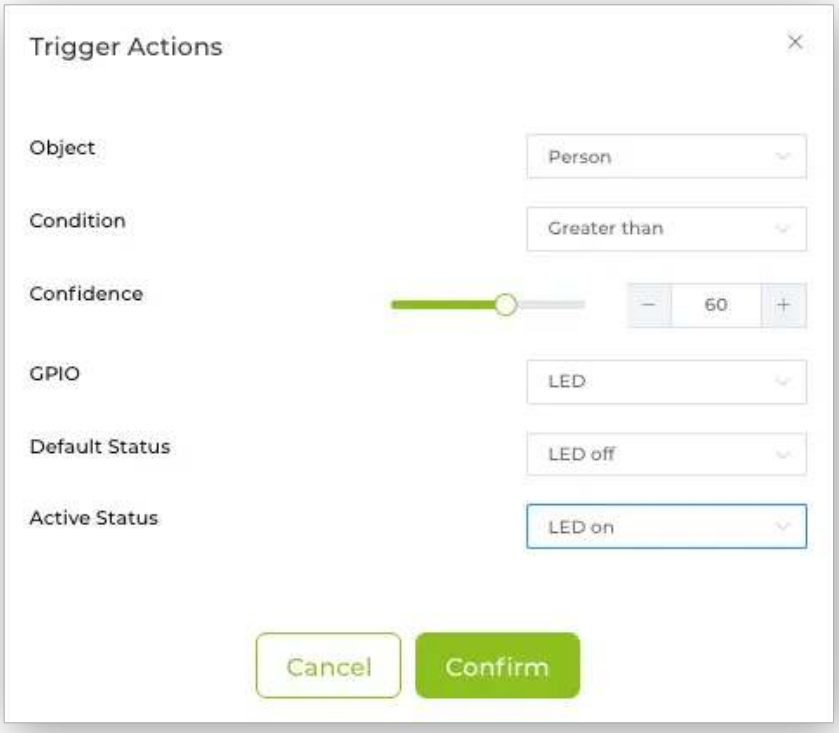

动作配置界面

确认后，已创建的 **Trigger Action** 会显示，点击 `Send` 上传至 XIAO。

此后，摄像头检测到人时，内置 LED 会自动点亮。

> 更多触发与后处理技巧将在后续实验中深入介绍。

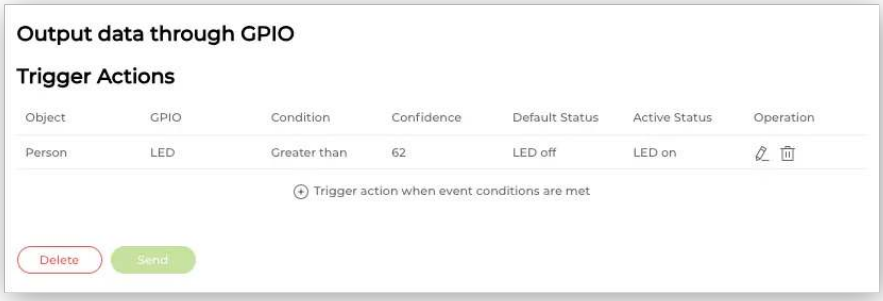

触发动作上传

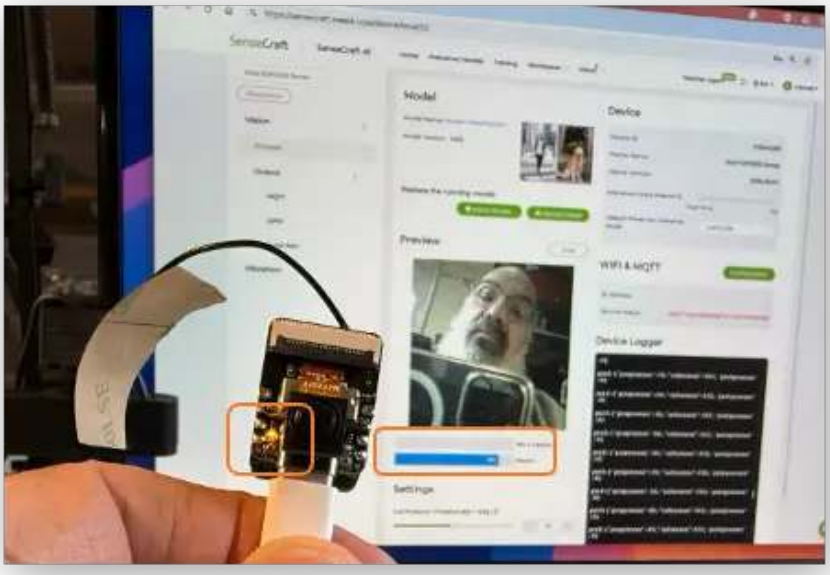

人物触发 LED

图像分类项目实践

下面以 SenseCraft AI Studio 为例，完整体验一个图像分类项目。下图为典型的机器学习管道：

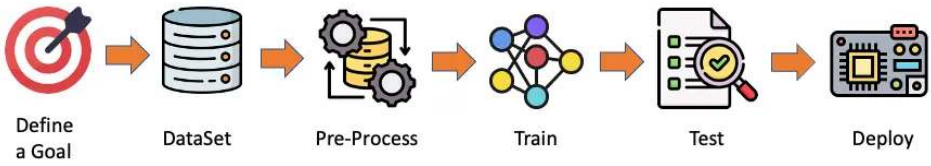

SenseCraft ML 流程图

在 SenseCraft AI Studio，打开 Training 标签页：

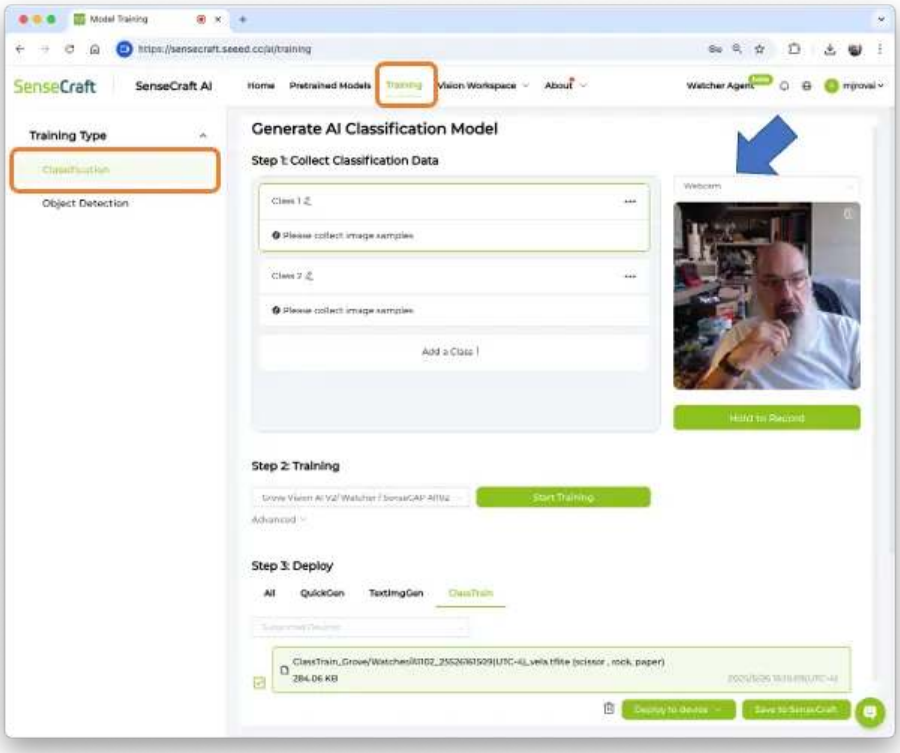

训练界面

默认用 WebCam 采集数据，建议选择 `XIAOESP32S3 Sense`。点击绿色 `[Connect]`，选择端口并连接。

此时可实时预览摄像头画面。

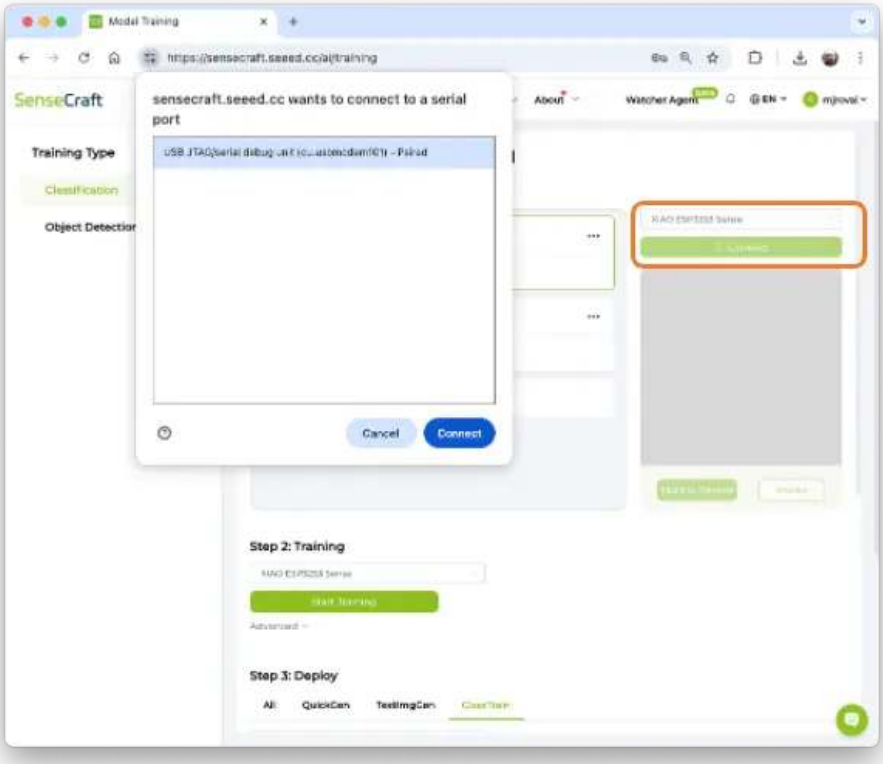

训练设备选择

目标设定

首先明确项目目标。假设工业场景需自动分拣轮子与盒子。

分拣线示意图

我们模拟场景，采集玩具 `box`、`wheel` 及 `background`（无物体）三类图片。

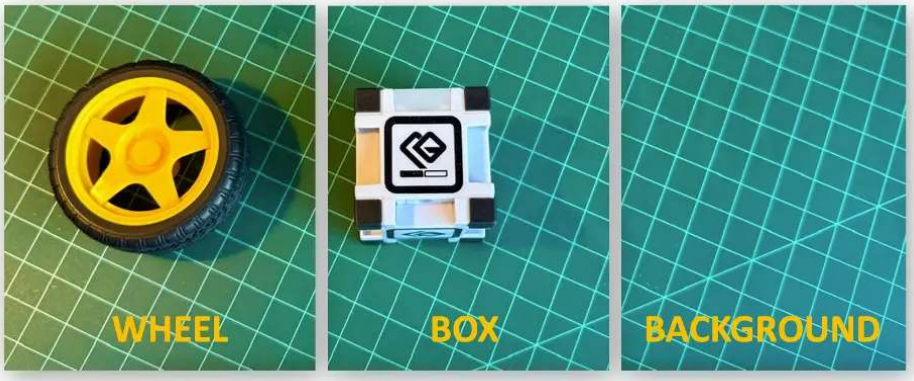

三类样本示意

数据采集

依次创建类别，建议按字母顺序：

- Class1: background
- Class2: box
- Class3: wheel

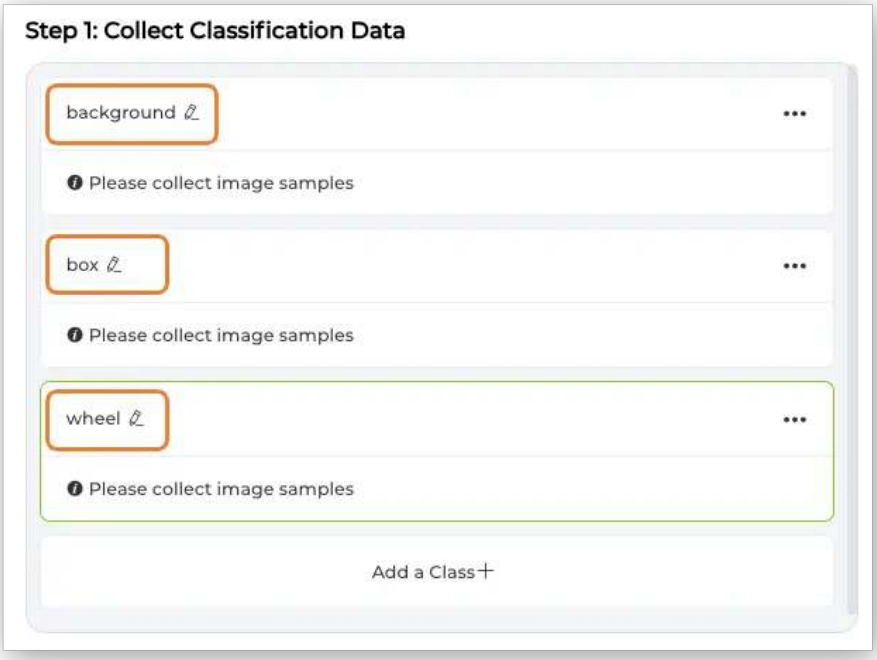

类别创建界面

选择类别，长按绿色按钮（ `Hold to Record` ）采集图片。移动摄像头多角度采集，松

开按钮可调整物体后继续采集。

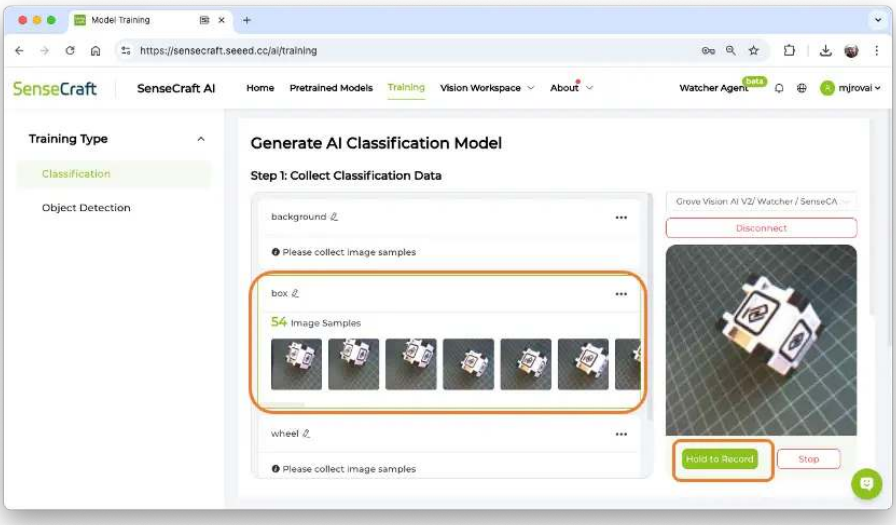

采集图片界面

采集后可回顾并删除不合格图片。

数据清理界面

每类采集约 **50 张**，完成后进入训练环节。

> 可下载采集图片用于 Edge Impulse Studio 等平台。

训练

确认设备为 `XIAO ESP32S3 Sense`，点击 `[Start Training]`。

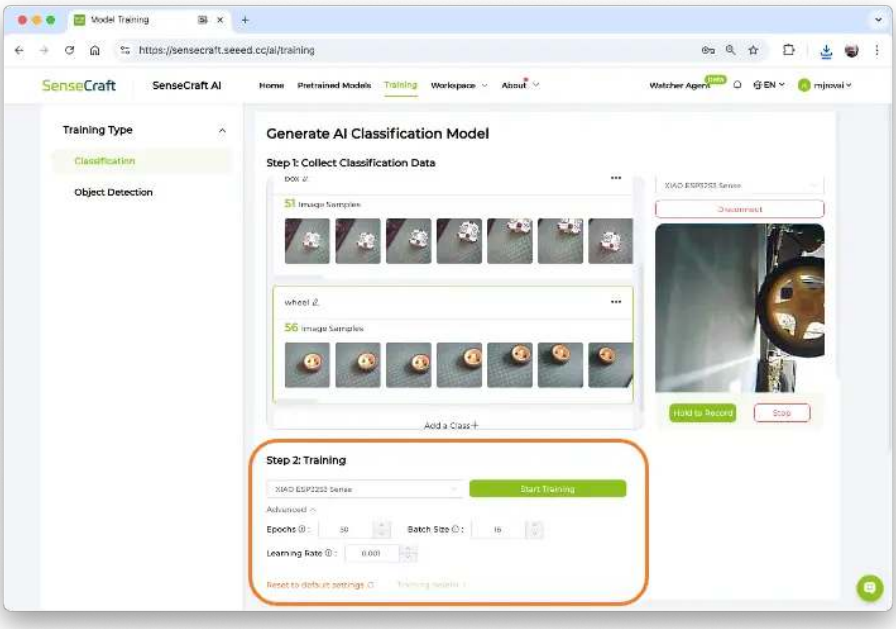

训练设置界面

测试

训练完成后可实时预览推理结果。

> 注意：此时模型未运行在设备上，仅在 Studio 端实时推理。

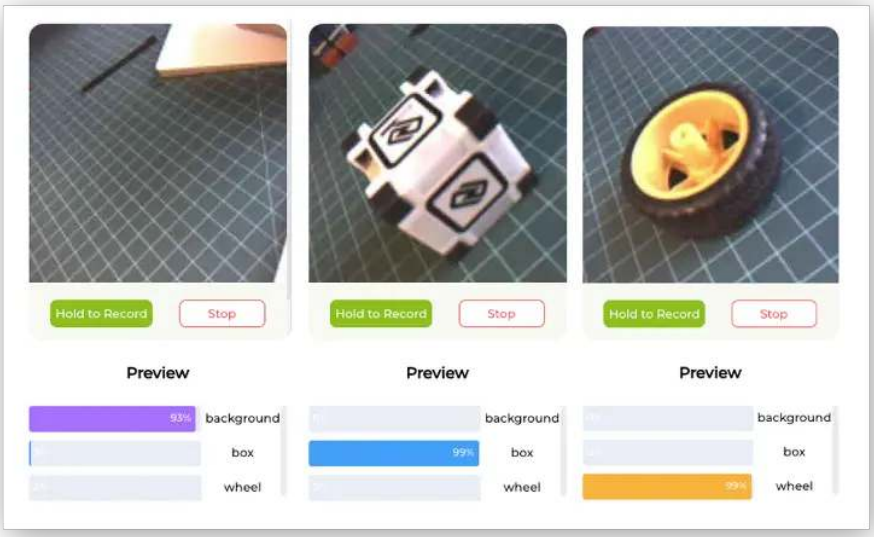

推理预览界面

接下来将模型真正部署到设备。

部署

在 `Supported Devices` 选择训练好的模型和 `XIAO ESP32S3 Sense`，点击 `[Deploy to device]`。

选择部署设备

SenseCraft AI 会跳转到 **Vision Workplace**，确认部署，选择端口并连接。

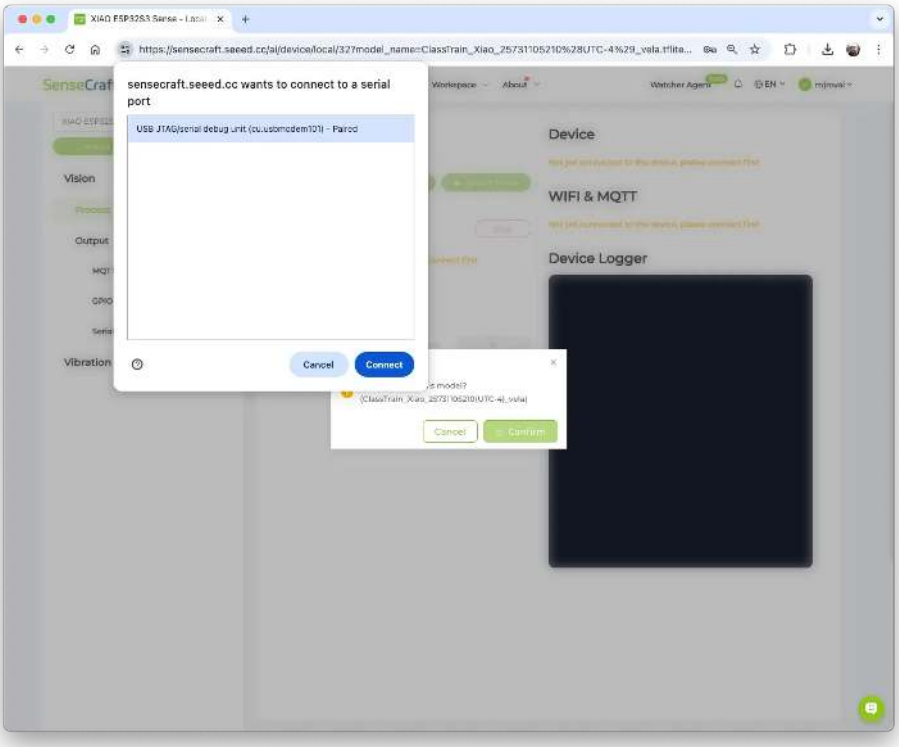

模型上传界面

模型烧录后自动重启，设备开始运行。Device Logger 显示推理延迟约 **426ms**，预处理约 **110ms**，即 **1.8 FPS**。

Settings 可调整模型置信度阈值。

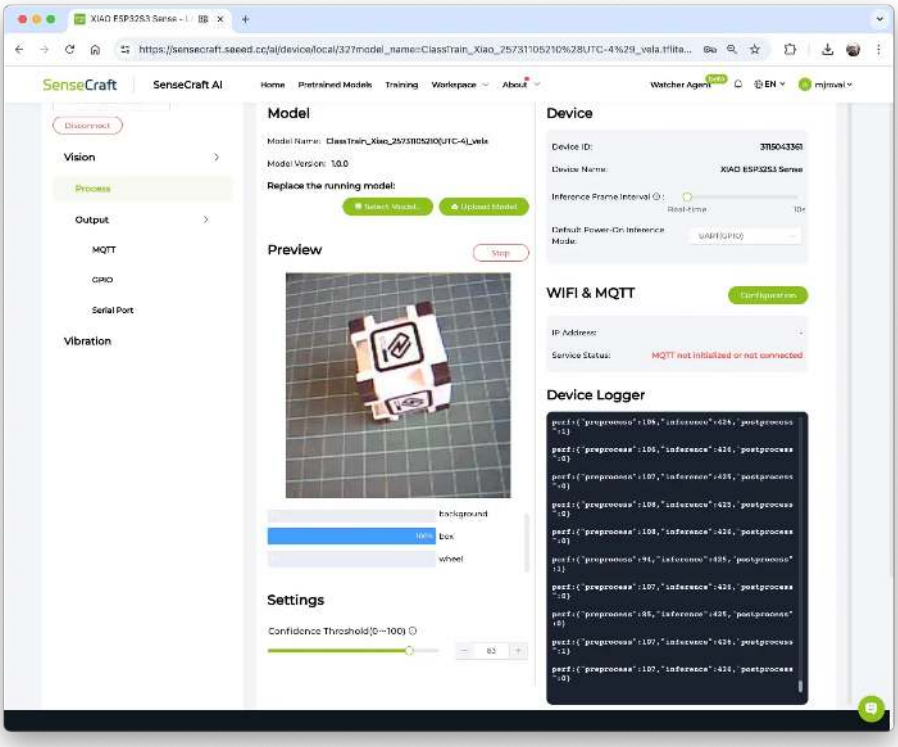

推理结果界面

> 运行该模型时，XIAO 峰值电流 14mA@5.23V，**功耗约 730mW**。

同样可在 **Output –> GPIO** 区域配置基于类别的 LED 或 GPIO 控制。例如检测到 wheel 时点亮 LED。

模型保存

SenseCraft AI Studio 支持模型保存，便于后续部署。回到 `Training` 标签，点击 `[Save to SenseCraft]`：

按提示填写模型名称、描述、图片等信息。

训练好的模型（如 Int8 MobileNet V2，320KB）可下载分析（如用 Netron），输入张量为 224x224x3。后续将在 Edge Impulse Studio 体验不同超参数。

模型可随时再次部署到设备，SenseCraft AI Workspace 会自动打开。

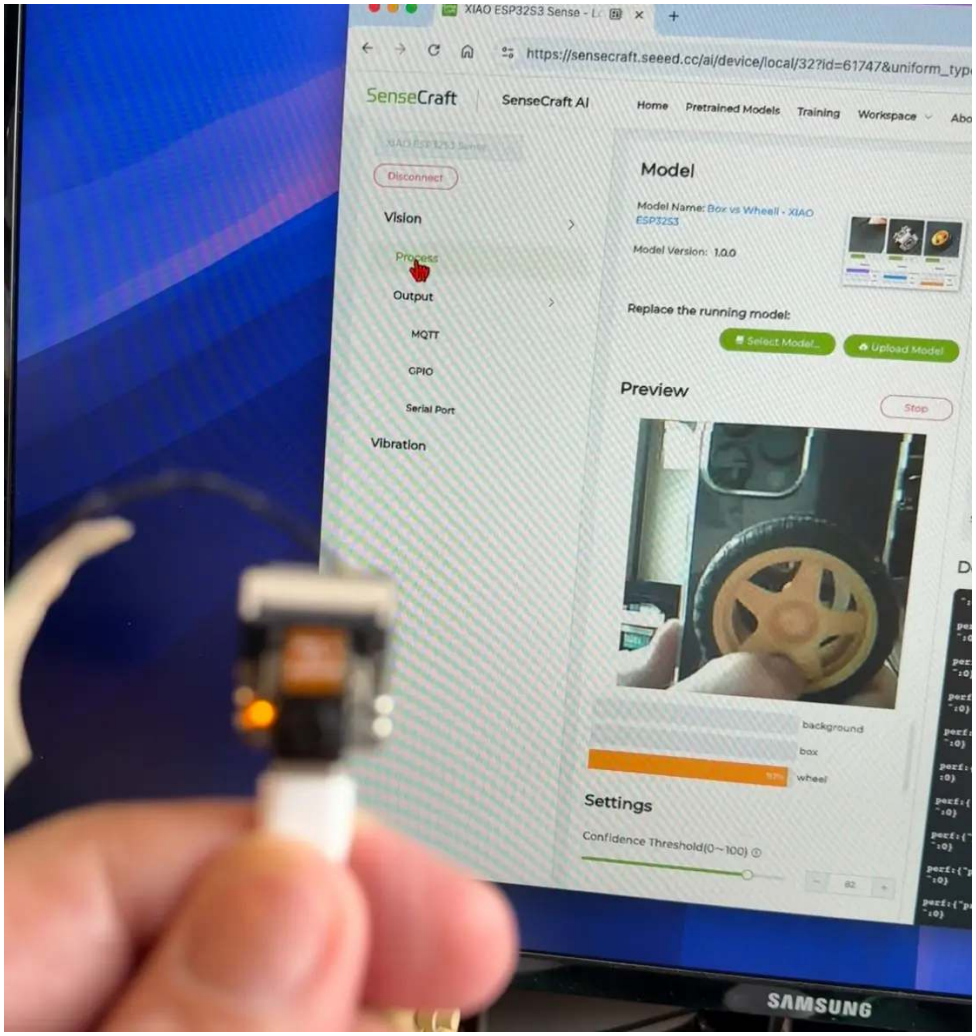

LED 控制示意

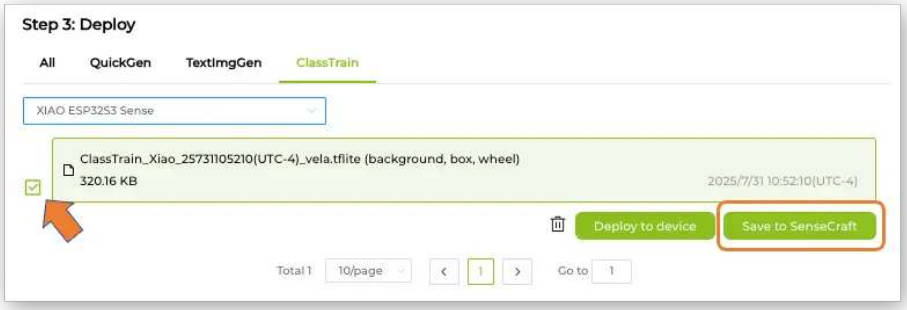

模型保存界面

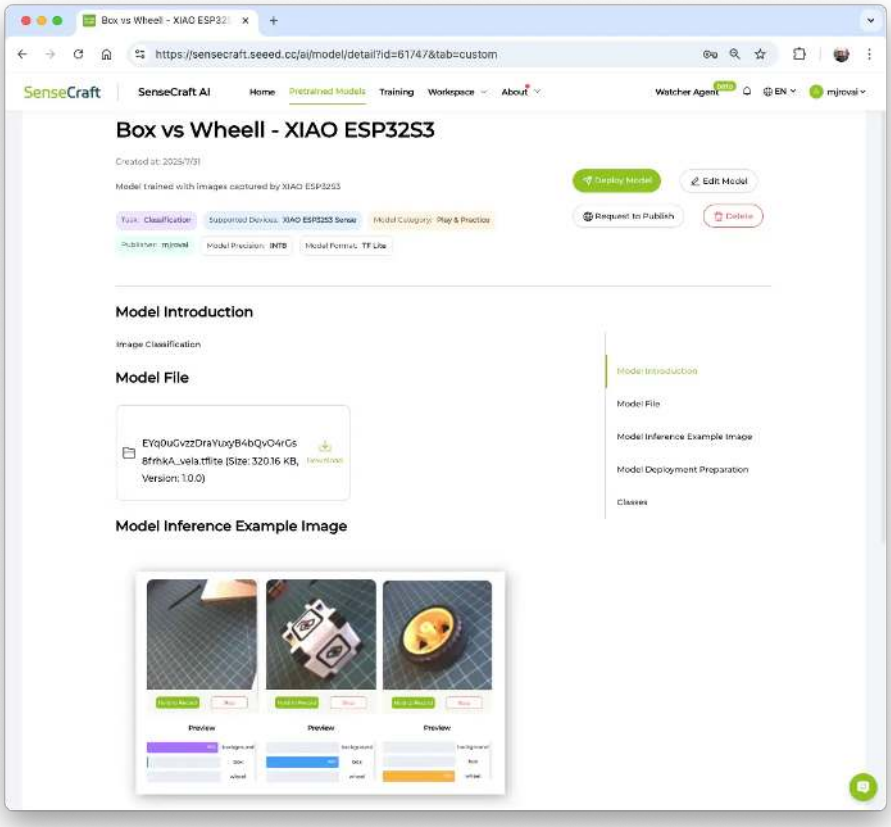

模型保存成功

基于数据集的图像分类项目

本项目目标是在 XIAO ESP32S3 Sense 上训练并推理模型。训练需大量数据。

但首先要明确分类目标!

TinyML 受限于嵌入式设备资源，建议分类类别不超过三四类。可用前述采集的 Box 与 Wheel 图片，也可用如 Kaggle fruit-and-vegetable-image-recognition 等公开数据集。

下载前述采集的数据集，点击每类右上角菜单（3 点），选择 `Export Data`。

数据集将以 .ZIP 形式下载，每类一个文件。解压后应有三个类别文件夹。

> 可补充新图片，参考 setup 实验的采集代码。

Edge Impulse Studio 训练模型

Edge Impulse 是领先的边缘 ML 开发平台。注册并登录后，新建项目。

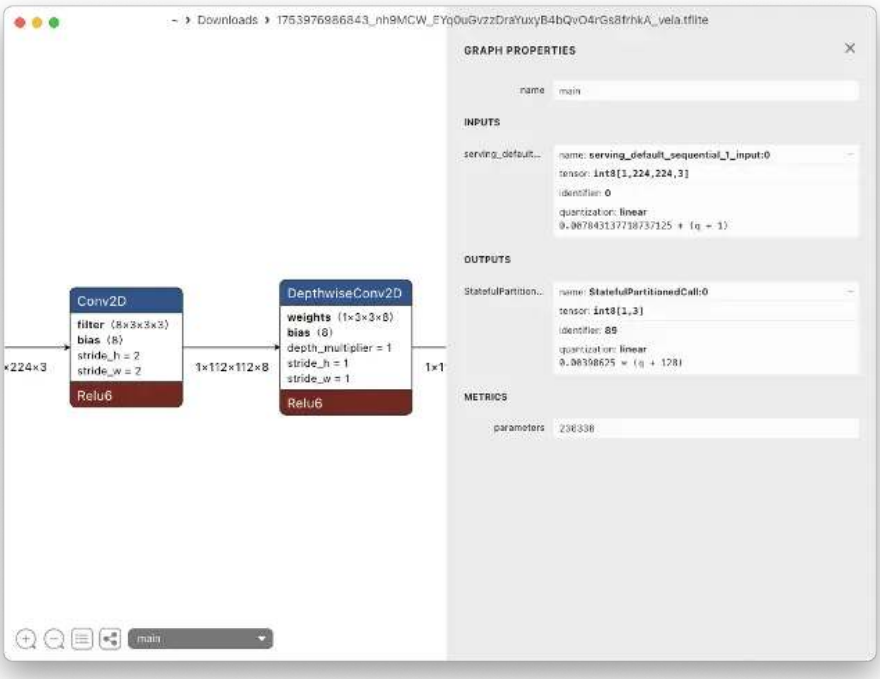

Netron 可视化

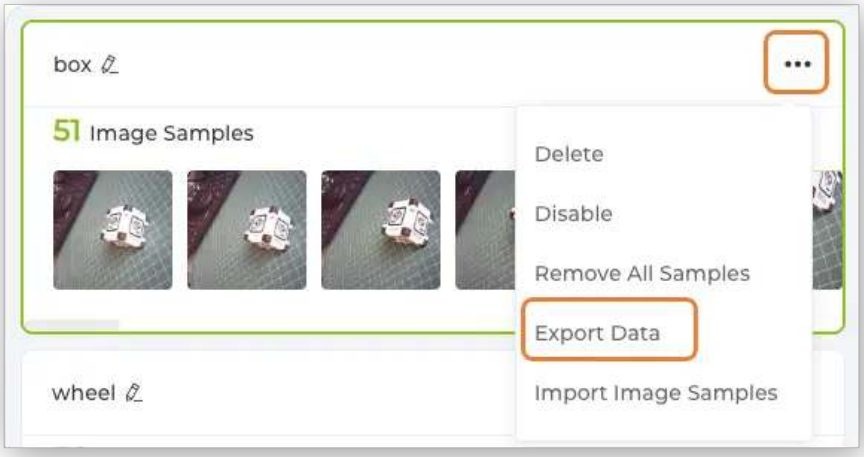

数据集导出界面

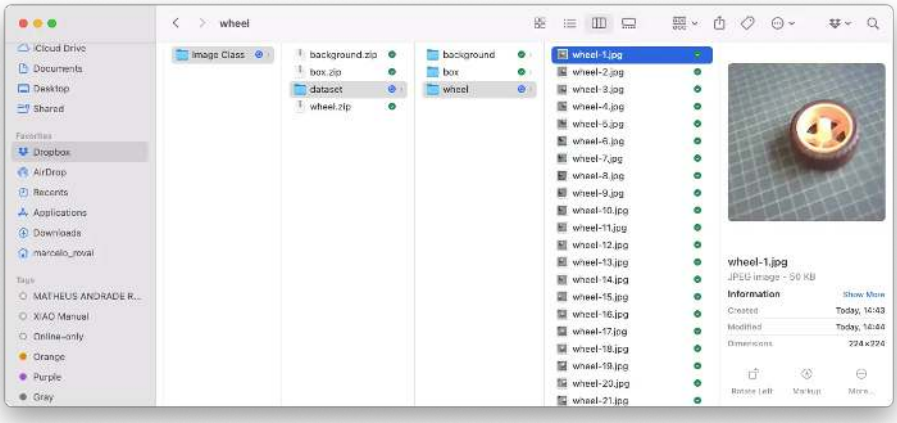

本地数据集结构

数据采集

进入 **Data acquisition**，选择 `+ Add data`，弹窗中选 `UPLOAD DATA`。

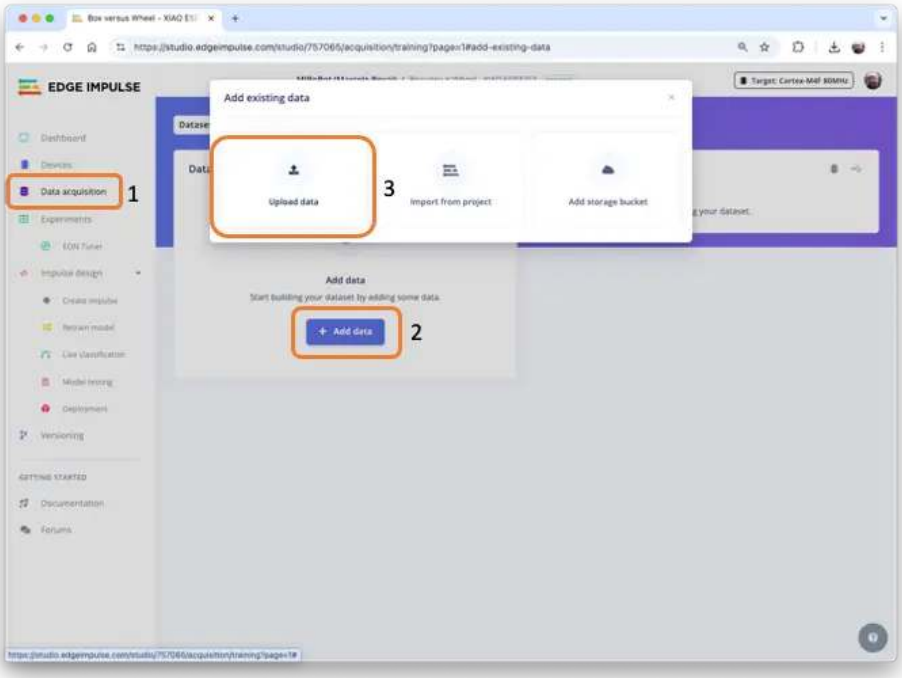

上传数据界面

选择文件夹，点击 `[Choose Files]`，选中某一类别文件夹，点击 `[Upload]`。

上传后选择 `Automatically split between training and testing`，输入类别标签，点击 `[Upload data]`。上传完成后，若询问是否为目标检测项目，选择 `[no]`。

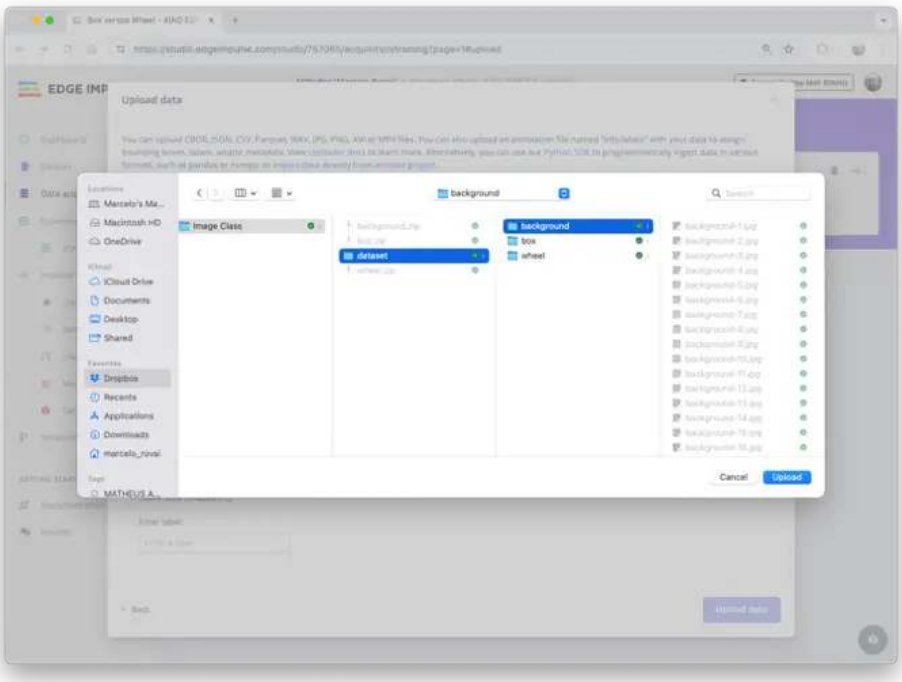

选择文件夹界面

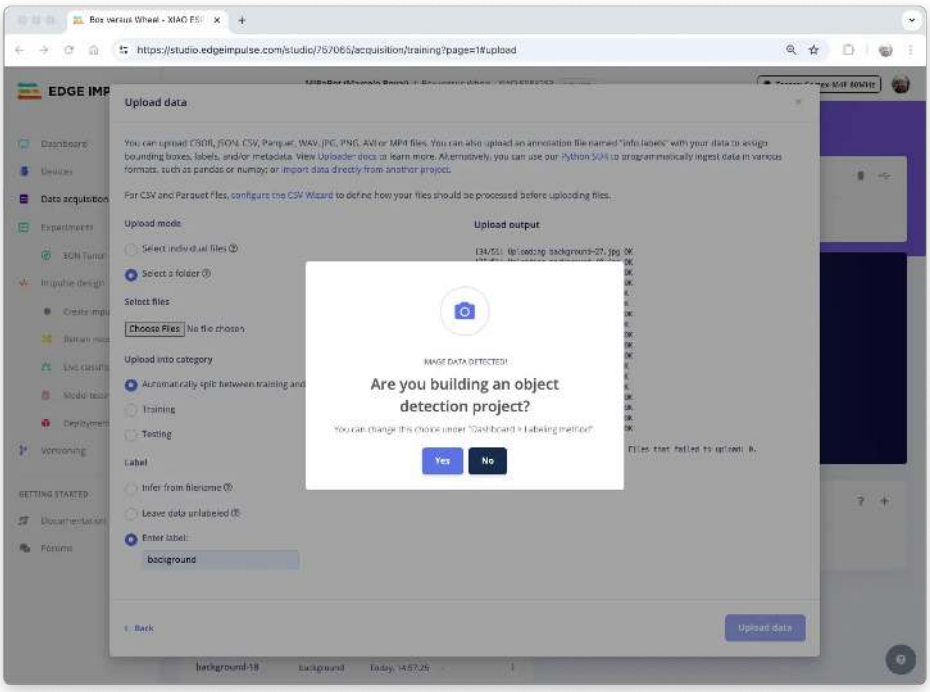

上传数据确认

为所有类别重复操作，注意更换标签。若标签错误，数据会混合，可后续手动调整。

关闭上传窗口，回到 **Data acquisition**，可见数据集已上传，顶部显示总数及类别分布，19% 自动分配为测试集。

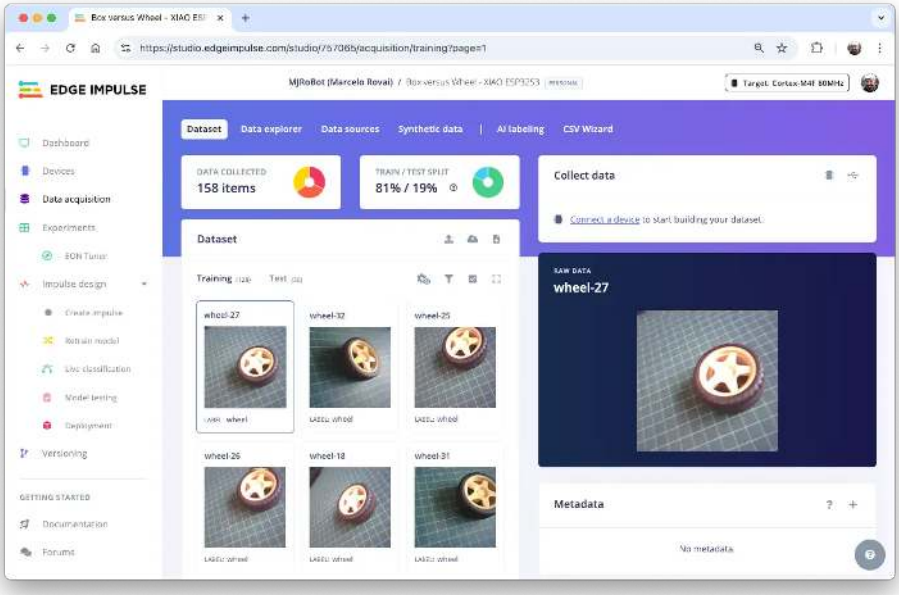

数据集上传结果

Impulse 设计

> Impulse 流程：原始数据（图片）→ 特征提取（缩放）→ 学习模块（分类）

图像分类需大量数据，本例每类约 50 张，远远不够。可通过**迁移学习（Transfer Learning, TL）**，在预训练模型基础上微调，提升小数据集表现。

本例采用 TL，将图片缩放至 (96×96)，输入至迁移学习模块。可在 Impulse 设计时指定目标设备（如 Espressif ESP-EYE，性能略低于 XIAO ESP32S3）。

保存 Impulse，进入 **Image** 步骤。

预处理（特征生成）

可选择灰度或 RGB，建议选 `[RGB]`，每条数据为 96x96x3=27,648 特征。点击 `[Save Parameters]`，进入 `Generate Features`，点击 `[Generate Features]` 生成特征。

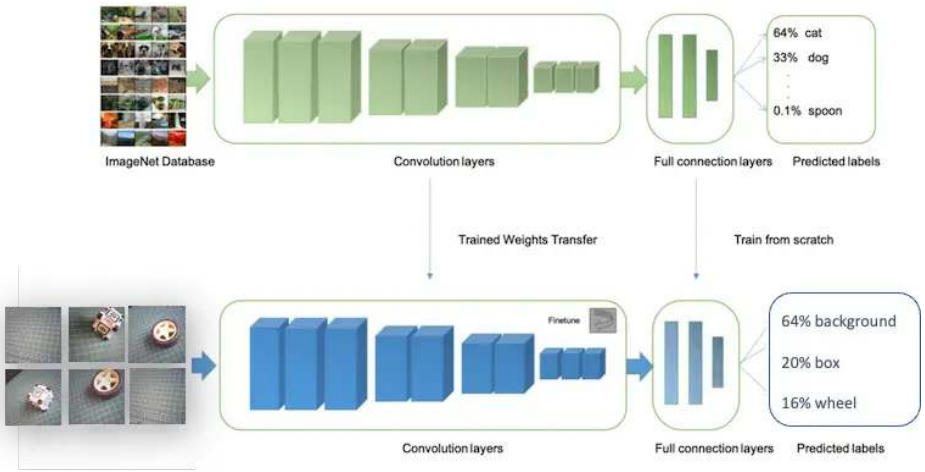

迁移学习示意

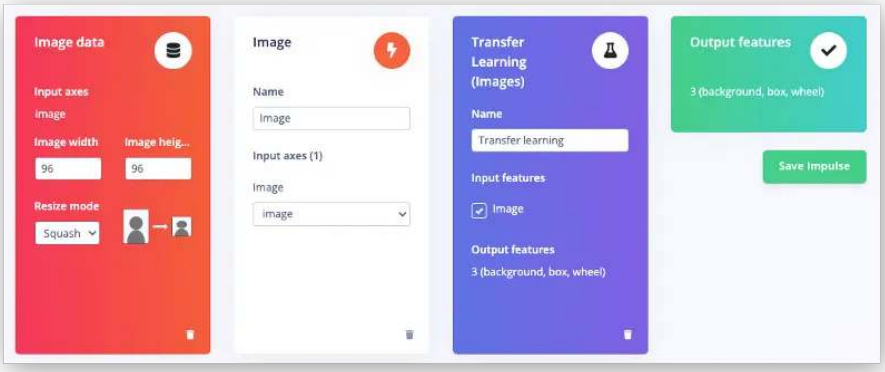

Impulse 设计界面

模型设计、训练与测试

MobileNet 系列（V1/V2/V3）是 Google 针对移动端设计的高效视觉模型。通过宽度因子 **α** 控制模型大小与速度，α 越小模型越轻量。

Edge Impulse Studio 支持 MobileNet V1（96x96）、V2（96x96/160x160），α 从 0.05 到 1.0。α 越大准确率越高，但内存与延迟也越大。极致轻量配置（V1, α=0.10）仅需 53.2K RAM/101K ROM。

> 本例采用 **MobileNet V2 0.35**，输出层 16 神经元，Dropout 10% 防止过拟合。

深度学习常用**数据增强（Data Augmentation）**提升模型泛化能力。Edge Impulse 默认实现了翻转、裁剪、亮度扰动等增强策略：

```python
# 实现数据增强策略
def augment_image(image, label):
    image = tf.image.random_flip_left_right(image)
    resize_factor = random.uniform(1, 1.2)
    new_height = math.floor(resize_factor * INPUT_SHAPE[0])
    new_width = math.floor(resize_factor * INPUT_SHAPE[1])
    image = tf.image.resize_with_crop_or_pad(image, new_height, new_width)
    image = tf.image.random_crop(image, size=INPUT_SHAPE)
    image = tf.image.random_brightness(image, max_delta=0.2)
    return image, label
```

本例超参数：

- Epochs: 20
- Batch Size: 32
- Learning Rate: 0.0005
- Validation size: 20%

训练结果如下：

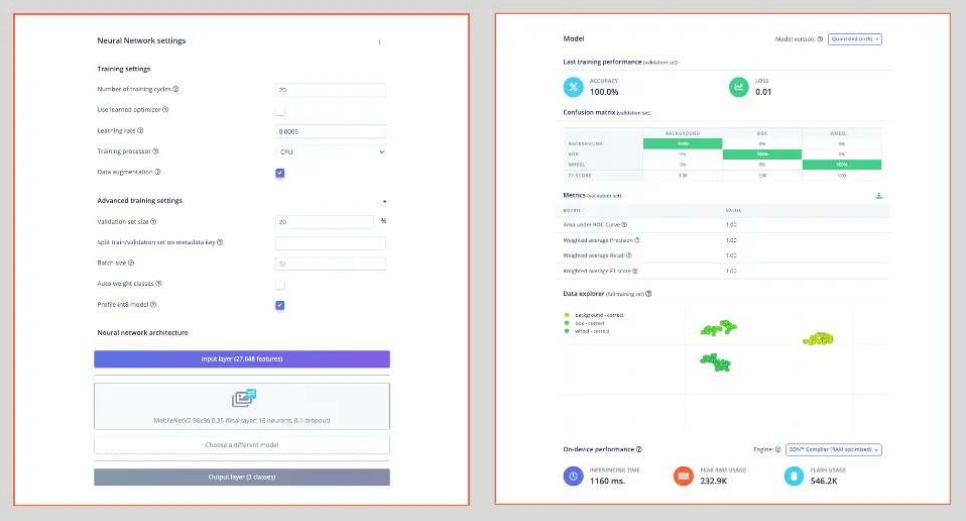

训练结果

模型预测需 **233 KB RAM，546 KB Flash**，XIAO ESP32S3 资源充足。Studio 估算延迟约 **1160ms**，但实际 XIAO 性能更强。

> 测试集准确率 100%，即使 INT8 量化，因任务简单、类别区分明显，实际项目中难以复现。

模型部署

可将模型导出为：

- `.TFLITE`，用于 **SenseCraft AI**
- `Arduino Library`，用于 **Edge Impulse Studio**

先介绍更直观的 SenseCraft 部署。

SenseCraft AI 部署模型

在 **Dashboard** 可下载多种格式模型，选择 `TensorFlow Lite (int8 quantized)`（约 623KB）。

模型下载界面

在 SenseCraft AI Studio `Workspace`，选择 `XIAO ESP32S3` 和端口，连接设备。

点击 `[Upload Model]`，弹窗中填写模型名、文件、类别（按字母顺序：`0: background`，`1: box`，`2: wheel`），点击 `[Send]`。

上传后，摄像头实时画面与分类结果显示于 **Preview**，可在 **Settings** 调整置信度阈值。

Device Logger 显示串口信息，预处理约 81ms，推理 205ms，**3.4 FPS**，比 SenseCraft 训练模型快一倍（因输入尺寸 96x96 < 224x224）。

> 总延迟约为 Edge Impulse Studio 在 Xtensa LX6 CPU 上估算的 **1/4**，实际 XIAO 使用更快的 LX7。

后处理 可通过串口获取推理结果（延迟、类别、置信度），XIAO 可作为 **AI 传感器**，通过 MQTT、UART、I2C、SPI 等协议输出结果。

> 相关用法可参考 Seeed Grove Vision AI V2 图像分类后处理实验。

下图为 I2C 总线连接示例，更多信息见 Seeed Studio Wiki。

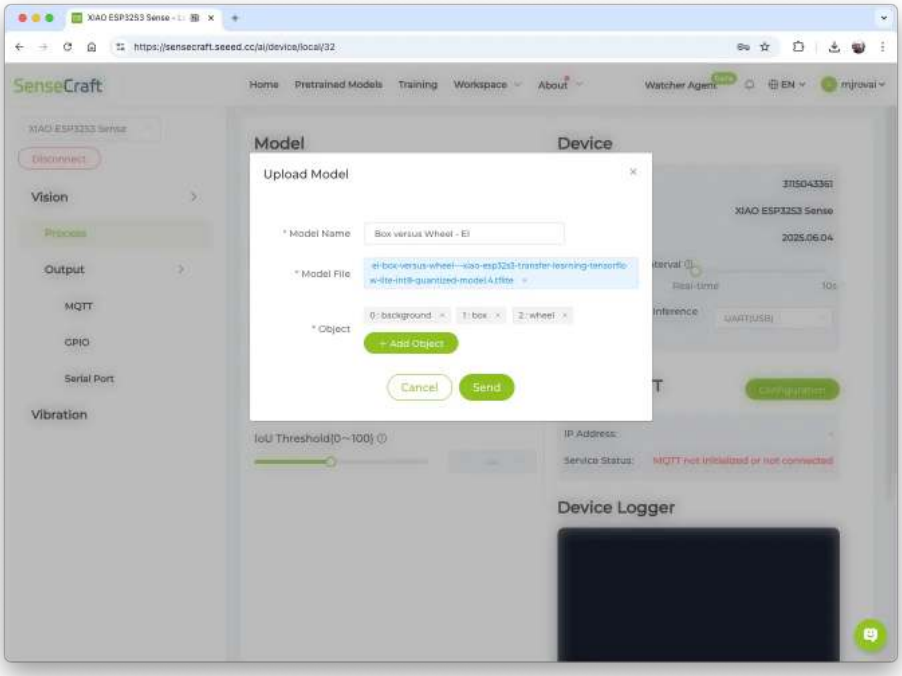

模型上传与推理

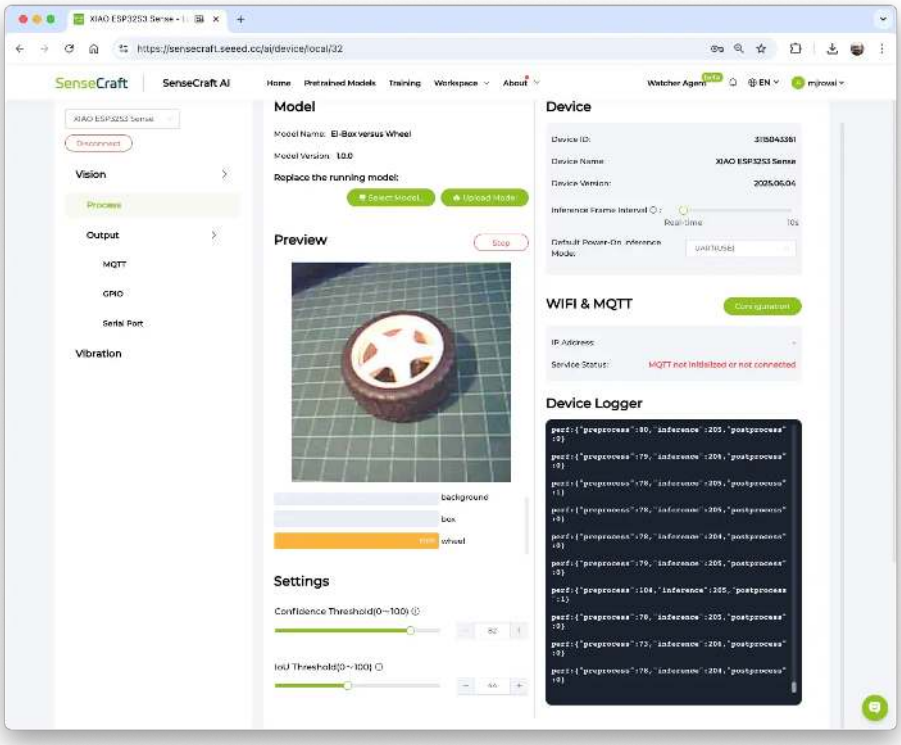

推理性能对比

XIAO ESP32S3 图像分类代码详解 本代码通过板载摄像头采集图像，进行处理，并利用 Edge Impulse Studio 训练的模型对图像进行分类（如“Box”、“Wheel”或“Background”）。代码持续运行，实现边缘设备上的实时推理。

简要流程：

摄像头 → JPEG 图像 → RGB888 转换 → 缩放至 96x96 → 神经网络 → 分类结果 → 串口输出

关键组成部分

1. **库引用与依赖**

```
#include <Box_versus_Wheel_-_XIAO_ESP32S3_inferencing.h>
#include "edge-impulse-sdk/dsp/image/image.hpp"
#include "esp_camera.h"
```

- **Edge Impulse 推理库**：包含训练好的模型与推理引擎
- **图像处理**：提供图像操作相关函数
- **ESP 摄像头**：摄像头硬件接口

2. **摄像头引脚配置**
   XIAO ESP32S3 Sense 支持多种摄像头（如 OV2640、OV3660），不同型号引脚定义不同。代码中定义了三套配置：

```
// 配置 1：常见 OV2640 配置
#define CONFIG_1_XCLK_GPIO_NUM    10
#define CONFIG_1_SIOD_GPIO_NUM    40
#define CONFIG_1_SIOC_GPIO_NUM    39
// ... 其他引脚
```

   这种灵活性使代码能自动尝试不同引脚映射，提升对不同硬件版本的兼容性。

3. **内存管理设置**

```
#define EI_CAMERA_RAW_FRAME_BUFFER_COLS   320
#define EI_CAMERA_RAW_FRAME_BUFFER_ROWS   240
#define EI_CLASSIFIER_ALLOCATION_HEAP      1
```

- **帧缓冲区尺寸**：定义原始图像大小（320x240 像素）
- **堆分配**：采用动态内存分配，灵活高效

- **PSRAM 支持**：ESP32S3 拥有 8MB PSRAM，可存储大数据如图像

`setup()` - 初始化

```
void setup() {
    Serial.begin(115200);
    while (!Serial);

    if (ei_camera_init() == false) {
        ei_printf("Failed to initialize Camera!\r\n");
    } else {
        ei_printf("Camera initialized\r\n");
    }

    ei_sleep(2000);  // 启动前等待 2 秒
}
```

该函数：

1. 初始化串口，便于调试输出
2. 自动检测并初始化摄像头
3. 启动前等待 2 秒

`loop()` - 主处理循环　主循环持续执行以下步骤：

步骤 1：内存分配

```
snapshot_buf = (uint8_t*)ps_malloc(EI_CAMERA_RAW_FRAME_BUFFER_COLS *
                                   EI_CAMERA_RAW_FRAME_BUFFER_ROWS *
                                   EI_CAMERA_FRAME_BYTE_SIZE);
```

为图像缓冲区分配内存，优先使用 PSRAM（更快的外部 RAM），如不足则退回普通堆内存。

步骤 2：图像采集

```
if (ei_camera_capture((size_t)EI_CLASSIFIER_INPUT_WIDTH,
                      (size_t)EI_CLASSIFIER_INPUT_HEIGHT,
                      snapshot_buf) == false) {
    ei_printf("Failed to capture image\r\n");
```

```
    free(snapshot_buf);
    return;
}
```

从摄像头采集图像并存入缓冲区。

步骤 3：推理

```
ei_impulse_result_t result = { 0 };
EI_IMPULSE_ERROR err = run_classifier(&signal, &result, false);
```

对采集到的图像运行机器学习模型。

步骤 4：输出结果

```
for (uint16_t i = 0; i < EI_CLASSIFIER_LABEL_COUNT; i++) {
    ei_printf("  %s: %.5f\r\n",
              ei_classifier_inferencing_categories[i],
              result.classification[i].value);
}
```

输出每个类别的置信度分数。

`ei_camera_init()` - 智能摄像头初始化 该函数实现了智能初始化流程：

```
bool ei_camera_init(void) {
    // 尝试配置 1（常见 OV2640）
    update_camera_config(1);
    esp_err_t err = esp_camera_init(&camera_config);
    if (err == ESP_OK) goto camera_init_success;

    // 尝试配置 2（OV3660）
    esp_camera_deinit();
    update_camera_config(2);
    err = esp_camera_init(&camera_config);
    if (err == ESP_OK) goto camera_init_success;

    // 继续尝试其他配置...
}
```

主要流程：

1. 依次尝试多套引脚配置

2. 测试不同时钟频率（10MHz/16MHz）
3. 优先用 PSRAM，不行则退回 DRAM
4. 根据检测到的传感器应用专属设置

`ei_camera_capture()` - 图像处理流程

```
bool ei_camera_capture(uint32_t img_width, uint32_t img_height, uint8_t *out_buf) {
    // 1. 从摄像头获取帧
    camera_fb_t *fb = esp_camera_fb_get();

    // 2. JPEG 转 RGB888 格式
    bool converted = fmt2rgb888(fb->buf, fb->len, PIXFORMAT_JPEG, snapshot_buf);

    // 3. 归还帧缓冲区
    esp_camera_fb_return(fb);

    // 4. 如需缩放则处理
    if (do_resize) {
        ei::image::processing::crop_and_interpolate_rgb888(...);
    }
}
```

该函数：

1. 从摄像头采集 JPEG 图像
2. 转换为 RGB888 格式（模型所需）
3. 缩放至模型输入尺寸（96x96 像素）

推理

- 将代码上传至 XIAO ESP32S3 Sense

> ⚠ **注意**
>
> - Xiao ESP32S3 **必须**启用 PSRAM。可在 Arduino IDE 菜单栏 `Tools -> PSRAM:OPI PSRAM` 检查
> - Arduino Boards 包（`esp32 by Espressif Systems`）应为 **2.017** 版本，请勿升级

- 打开串口监视器
- 对准物体，观察串口输出结果

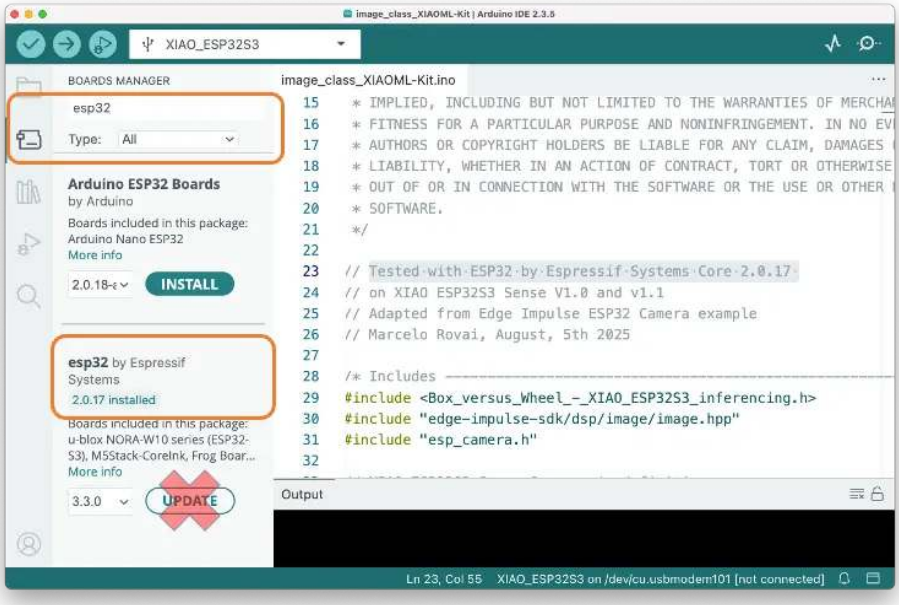

IDE 配置界面

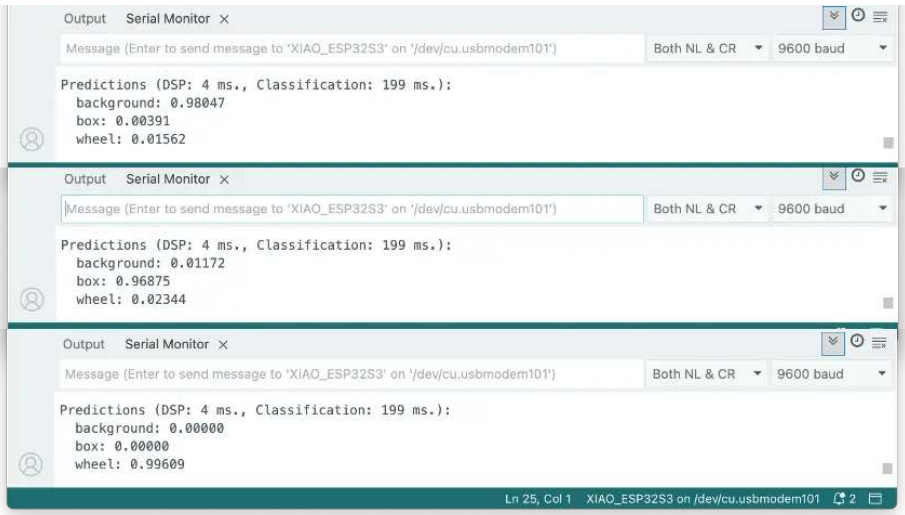

推理串口输出

后处理

在边缘 AI 应用中，推理结果只有被有效利用才有价值。串口输出便于调试，但实际部署需即时、直观的人机反馈，无需外接显示器。

XIAOML Kit 配备的 0.42 英寸 OLED 显示屏（72×40 像素）是关键的后处理组件，可将 ML 推理结果直接以类别名和置信度显示在设备上，实现真正的独立边缘 AI 部署，适用于工业、农业、零售等场景，便于现场快速确认 AI 预测。

我们可以修改代码，使其自动适配 Edge Impulse 训练的模型，直接读取类别名和数量。显示屏将以大字体显示类别简称（3 字母），提升在小屏幕上的可读性。代码可参考 GitHub：XIAOML-Kit-Img_Class_OLED_Gen。

运行效果如下：

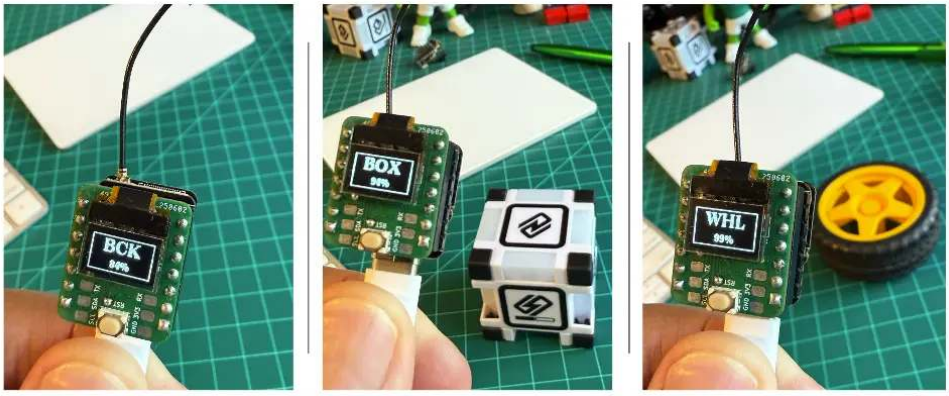

OLED 显示推理结果

总结

XIAO ESP32S3 Sense 是一款极具能力和灵活性的图像分类平台。本实验展示了两种开发路径，适合不同水平和需求的开发者：

- **SenseCraft AI Studio** 提供零代码入口，便于快速原型和部署预训练模型（如人物检测），支持实时推理与后处理，无需深厚编程或 ML 基础。
- **Edge Impulse Studio** 适合进阶开发，支持完整 ML 流程，包括自定义数据集管理、迁移学习（如 MobileNet）、模型优化等。

本实验的关键收获包括：分辨率权衡、迁移学习对小数据集的有效性，以及边缘 AI 部署中的功耗与内存等实际考量。

本实验体现了 TinyML 的核心原则：资源受限推理、实时处理需求、从数据采集到模型

部署的完整流程。XIAO 不仅是推理引擎，更是集成 GPIO 控制与通信协议的完整 AI 传感器平台。

通过本实验的基础，你将能胜任更复杂的计算机视觉任务，理解现代边缘 AI 如何让视觉智能普惠、低成本、易部署，适用于工业自动化、智能家居等实际场景。

参考资源

- XIAO ESP32S3 入门
- SenseCraft AI Studio 首页
- SenseCraft Vision Workspace
- 数据集示例
- Edge Impulse 项目
- XIAO 作为 AI 传感器
- Seeed Arduino SSCMA 库
- XIAOML Kit 代码

目标检测

概述

在上一节关于计算机视觉（CV）与 XIAO ESP32S3 的 图像分类 实验中，我们学习了如何用这款出色的开发板进行图像分类。本节将继续 CV 之旅，探索微控制器上的**目标检测**。

目标检测 vs 图像分类

图像分类模型的主要任务是识别图片中最可能出现的物体类别，例如区分猫和狗，即判断图片中占主导地位的“对象”：

但如果图片中没有明显的主导类别会怎样？

如上图，图像分类模型会错误地将其识别为“ashcan”（垃圾桶），可能是因为颜色相近。

> 上述模型为 MobileNet，基于大规模数据集 ImageNet 训练，在树莓派上运行。

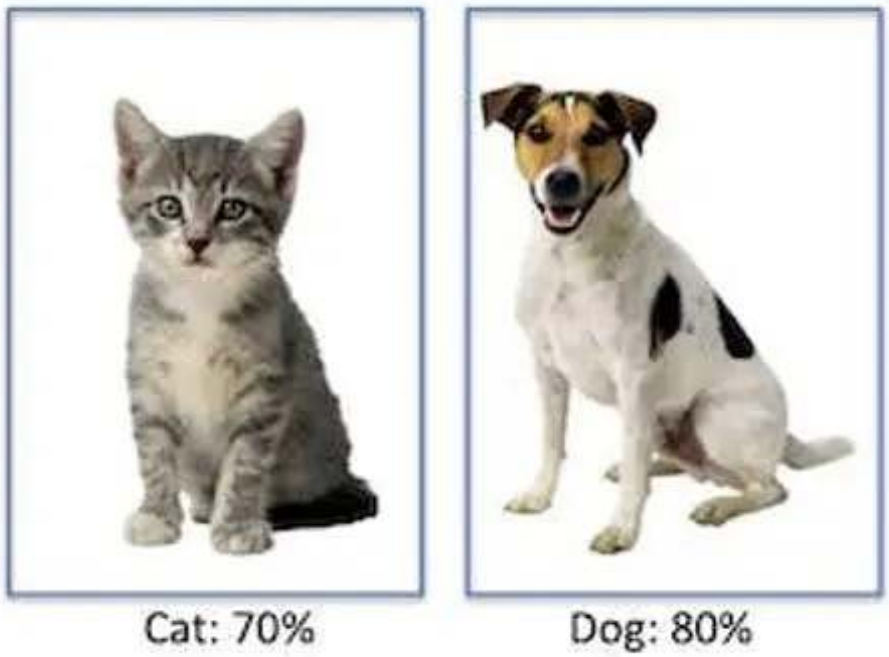

猫狗图像分类示意

```
[PREDICTION]          [Prob]

ashcan                : 27%
Egyptian cat          : 19%
hamper                : 13%
```

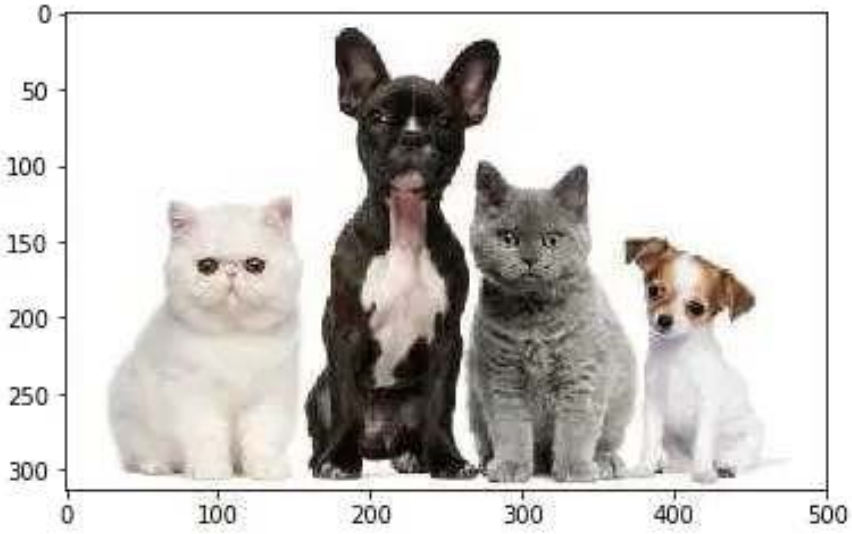

多物体图片示例

为解决此问题，我们需要另一类模型，不仅能识别**多个类别**（标签），还要知道这些物体在图片中的**具体位置**。

显然，这类模型更复杂、更庞大。例如，**MobileNetV2 SSD FPN-Lite 320x320（COCO 数据集训练）**，可在一张图片中定位最多 10 个物体，并输出每个物体的边界框。下图为该模型在树莓派上的推理结果：

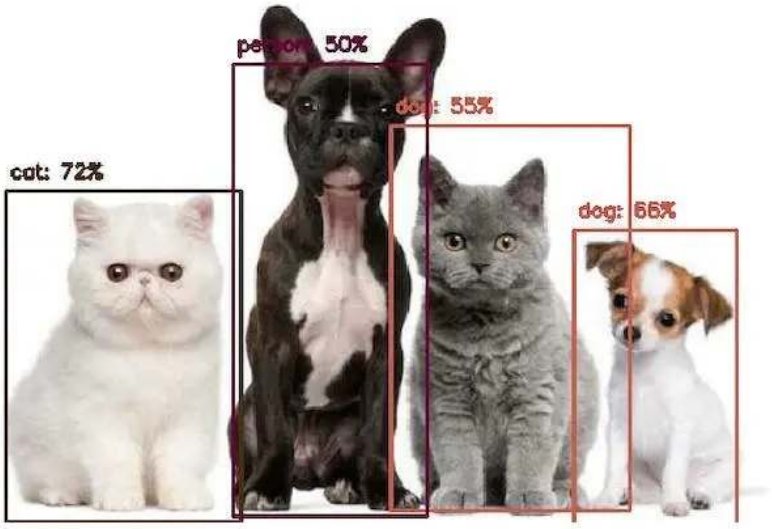

MobileNetV2 SSD 检测效果

用于目标检测的模型（如 MobileNet SSD、YOLO）通常体积较大（数 MB），适合树莓派等设备，但不适合如 XIAO ESP32S3 这类 RAM 仅几 MB 的嵌入式设备。

目标检测创新方案：FOMO

Edge Impulse 于 2022 年推出了 **FOMO**（Faster Objects, More Objects），为嵌入式设备（如 Nicla Vision、Portenta、Cortex M4F、ESP32 系列等）带来了高效目标检测能力。

本节将通过实践项目，体验基于 FOMO 的目标检测。

> 想深入了解 FOMO，可阅读 Edge Impulse 官方 FOMO 公告，Louis Moreau 和 Mat Kelcey 详细介绍了其原理。

项目目标

所有机器学习项目都需明确目标。假设我们在工业或农业场景，需要对**橙子（水果）**和特定**青蛙（虫子）**进行分拣与计数。

橙子与青蛙示意图

即需实现多标签分类，每张图片包含三类：

- 背景（无物体）
- 水果
- 虫子

以下为部分未标注样本图，用于检测水果和虫子：

我们关注图片中有哪些物体、它们的位置（质心）以及数量。FOMO 不检测物体尺寸（不像 MobileNet SSD 或 YOLO 输出边界框），只输出质心坐标。

本项目将用 XIAO ESP32S3 采集图像并进行模型推理，ML 流程在 Edge Impulse Studio

待检测样本图

完成。在 Studio 开始目标检测项目前，需先采集包含目标物体的原始数据集（未标注）。

数据采集

可用 XIAO、手机或其他设备采集图片。此处以 XIAO + Arduino IDE ESP32 库为例。

用 XIAO ESP32S3 采集数据集

打开 Arduino IDE，选择 XIAO_ESP32S3 板卡与端口。依次进入 `File > Examples > ESP32 > Camera`，选择 `CameraWebServer`。

在板卡管理器确认已安装最新“稳定版”包。

> ⚠ **注意**
>
> Alpha 版（如 3.x-alpha）与 XIAO、Edge Impulse 兼容性差，建议用最新稳定版（如 2.0.11）。

仅保留 XIAO 型号摄像头定义：

在 `Tools` 启用 PSRAM，填写 WiFi 信息并上传代码：

代码运行后，串口监视器会显示设备地址：

浏览器访问该地址，选择分辨率（如 QVGA），点击 `[START STREAM]`，即可实时预览。点击 [Save] 可保存图片到电脑。

Edge Impulse 建议：为获得更好效果，物体应大小相近且不重叠。工业场景下摄像头固定，距离一致即可。也可尝试不同大小和位置，观察效果。

> 不必为每类物体单独建文件夹，每张图片可含多个标签。

建议采集约 50 张图片，混合不同物体，变化角度、背景和光照。

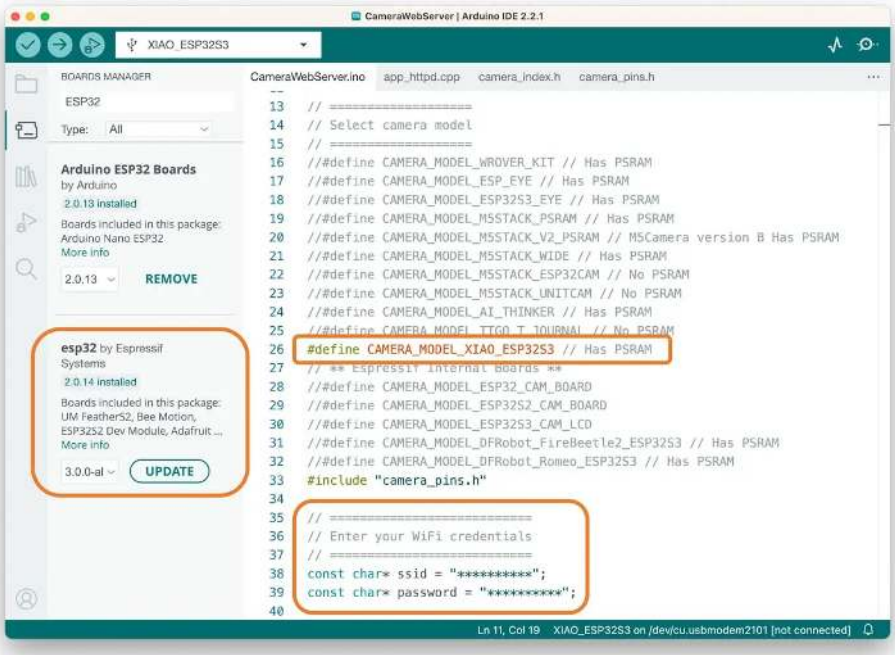

IDE 配置界面

串口监视器输出

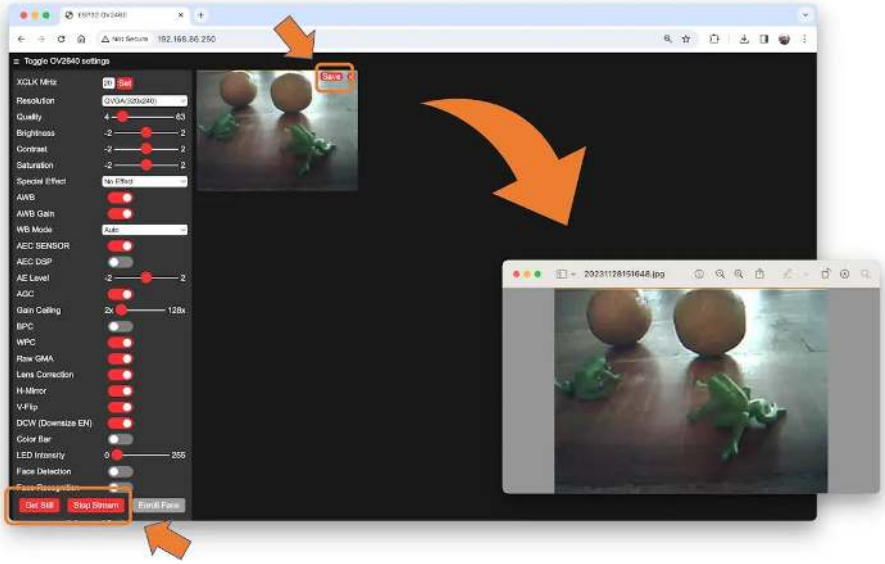

摄像头采集界面

> 存储图片为 QVGA（320×240），RGB565 格式。

采集完毕后，点击 `[Stop Stream]`，将图片整理到文件夹。

Edge Impulse Studio

项目初始化

访问 Edge Impulse Studio，登录或注册账号，新建项目。

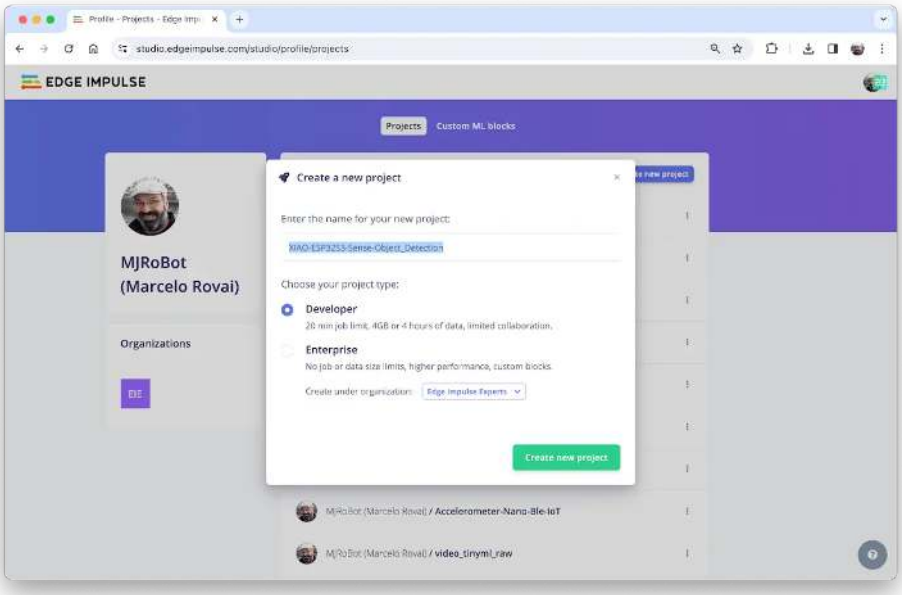

新建项目界面

> 可克隆本节项目：XIAO-ESP32S3-Sense-Object_Detection

在 Project Dashboard 下方 **Project info** 选择 **Bounding boxes (object detection)**，目标设备选 **Espressif ESP-EYE**（与本板最接近）。

上传未标注数据

在 Studio 的 `Data acquisition` 标签页，`UPLOAD DATA` 区域上传采集的图片文件夹。

> 可让 Studio 自动划分训练/测试集，也可手动。此处全部作为训练集上传。

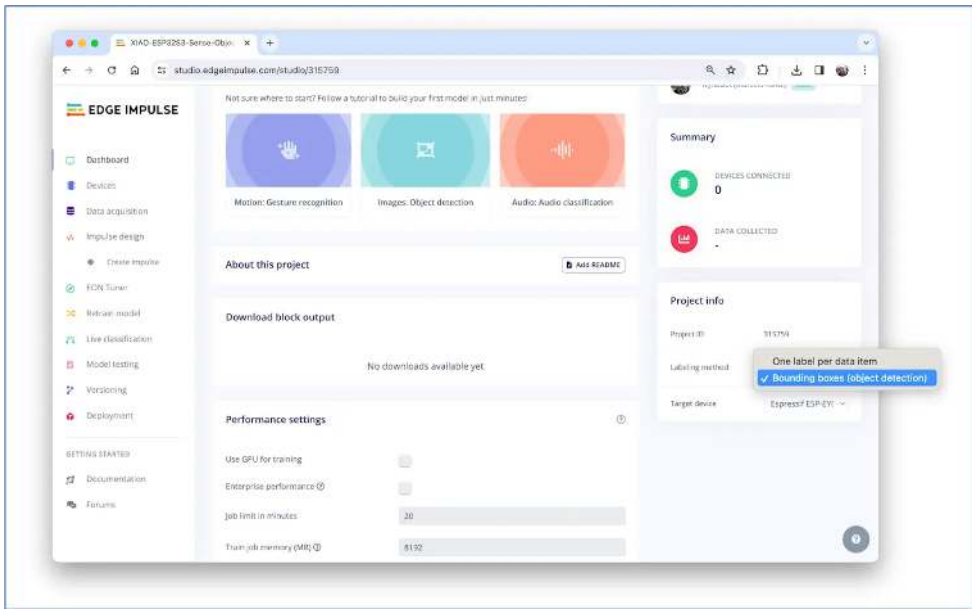

项目设置界面

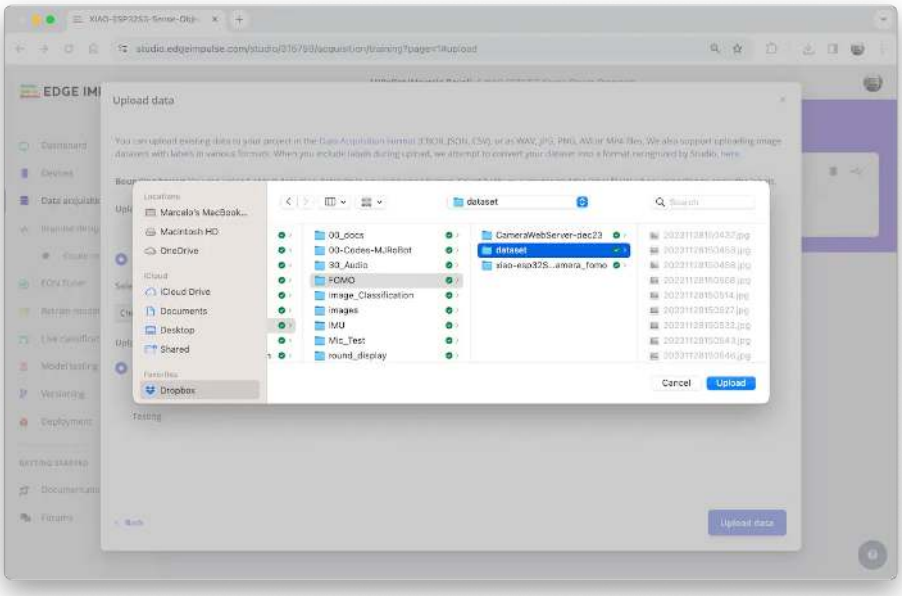

上传数据界面

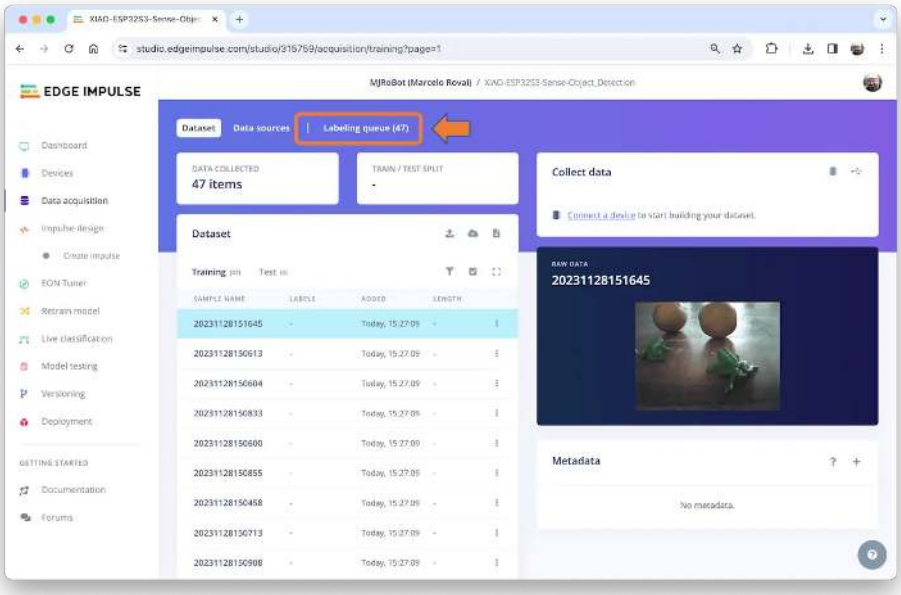

上传进度界面

所有未标注图片（47 张）上传后，需标注后才能用作数据集。Studio 提供标注工具，点击 Labeling queue（47）。

Edge Impulse Studio（免费版）支持两种 AI 辅助标注方式：

- yolov5 预训练模型
- 帧间目标跟踪

> Edge Impulse 企业版支持自动标注功能。

常见物体可用 YOLOv5（COCO 数据集）自动标注。但本例物体不在 COCO 数据集，应选目标跟踪：在一帧手动框选并标注后，后续帧自动跟踪（部分自动标注，需人工校正）。

> 若已有带边界框的数据集，可用 EI uploader 导入。

标注数据集

从未标注数据的首张图片开始，用鼠标框选目标并添加标签，点击 **Save labels** 进入下一张。

重复操作直至队列清空。最终所有图片应如样例所示完成标注：

在 `Data acquisition` 标签页复查标注样本。如有错误，可用三点菜单编辑：

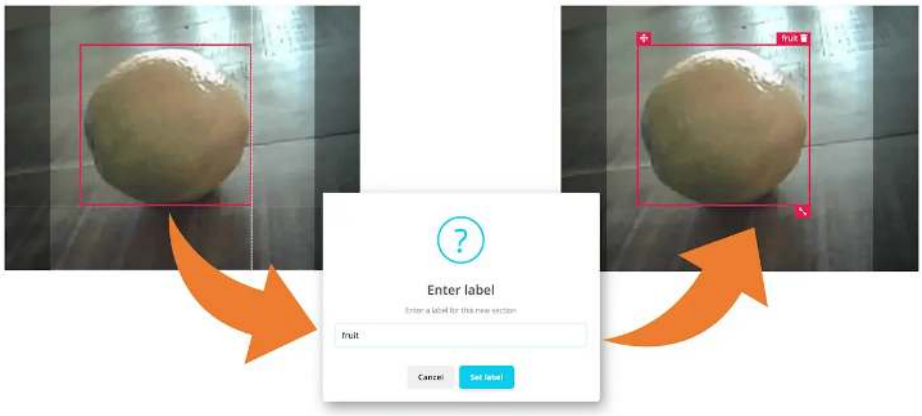

手动标注界面

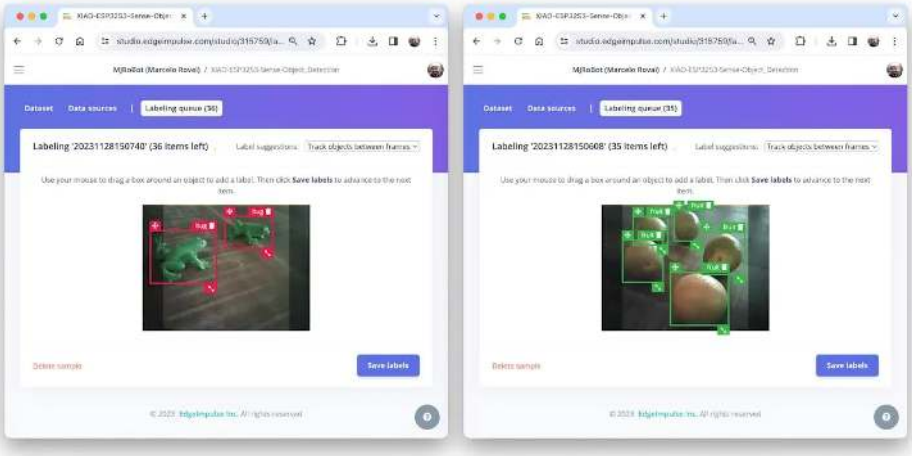

标注后样本展示

进入编辑界面修正标签：

数据集平衡与划分训练/测试集

标注后发现 fruit 类样本远多于 bug 类。补充采集 11 张 bug 图片（共 58 张），标注后将部分图片划为测试集（如 6 张，占总数 13%），用三点菜单操作。

Impulse 设计

本阶段需定义：

- **预处理**：将图片从 320×240 缩放至 96×96，保持比例（不裁剪），再转为灰度图。
- **模型设计**：选择“Object Detection”。

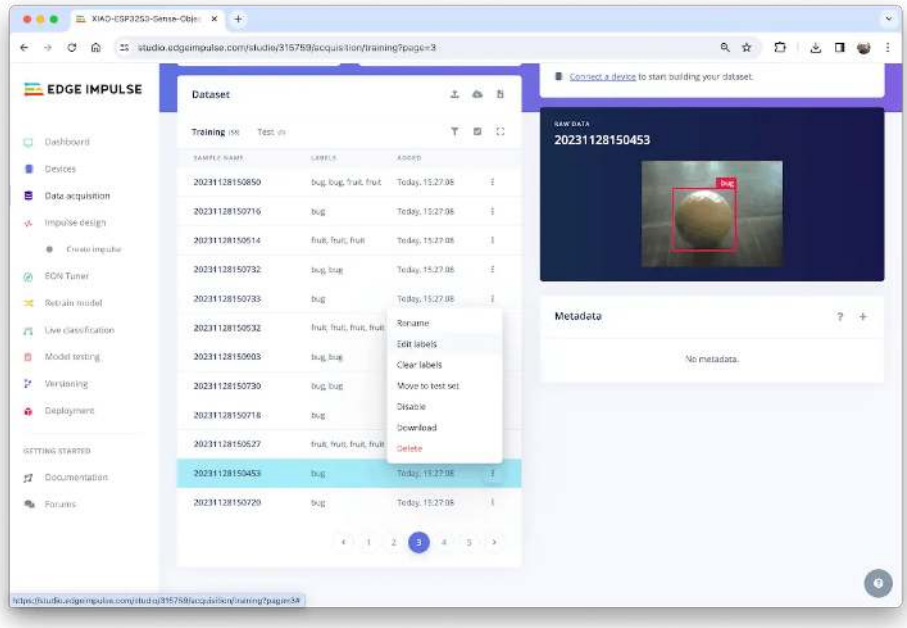

编辑标签界面

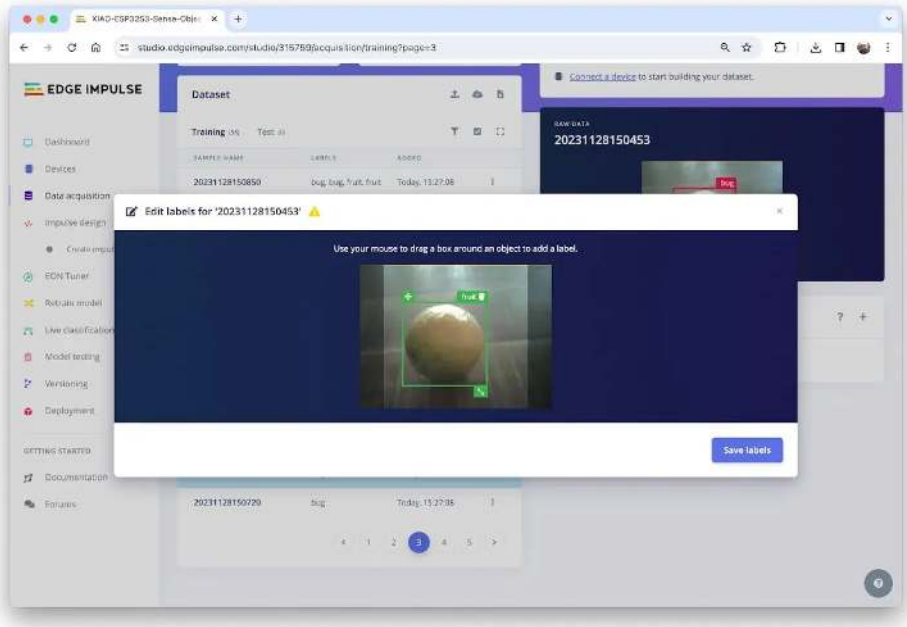

标签修正界面

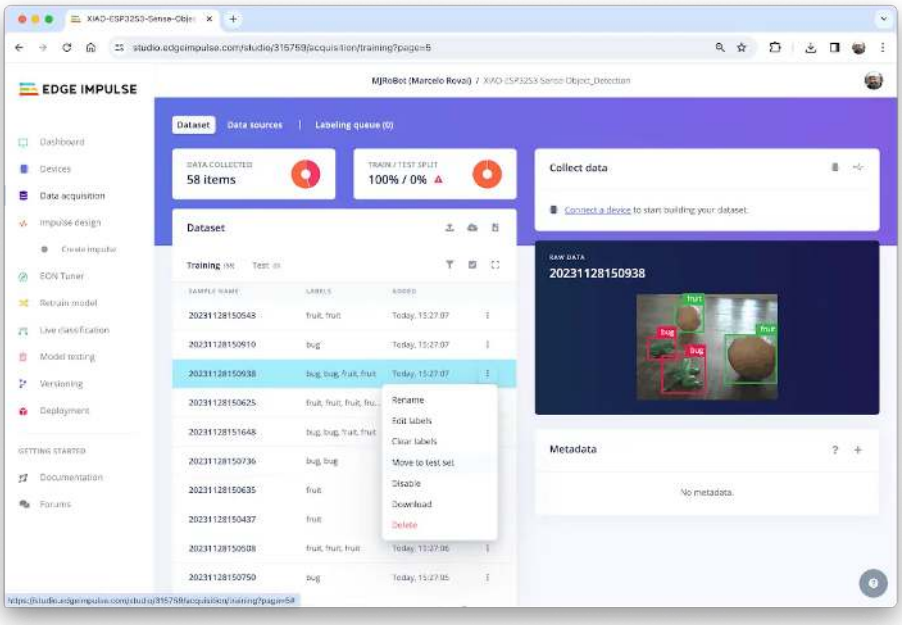

划分测试集界面

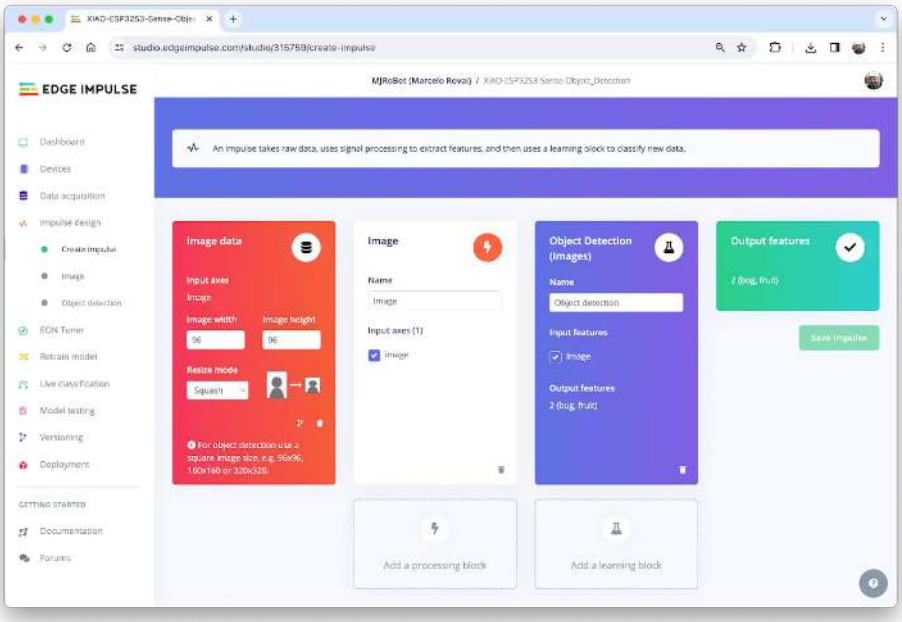

Impulse 设计界面

数据集预处理

选择 **Color depth** 为 Grayscale（灰度），适合 FOMO 模型，保存参数。

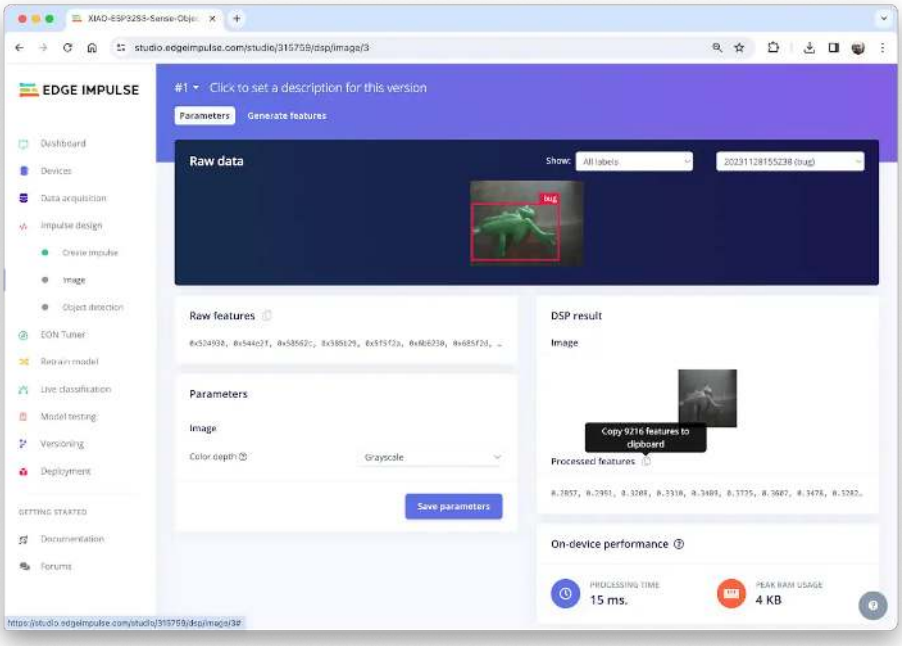

灰度参数设置

Studio 自动进入 Generate features，所有样本预处理后生成 $96 \times 96 \times 1$ 图像（9216 特征）。

特征可视化显示样本分布良好。

> 个别样本分布异常，点击可确认标签无误。

模型设计、训练与测试

本项目采用 FOMO，基于 MobileNetV2（alpha 0.35），将图片粗分为**背景**与**目标对象**（如 box、wheel）。

FOMO 是创新型目标检测模型，能耗与内存消耗比传统 SSD/YOLO 低 30 倍，可在 <200 KB RAM 的微控制器上运行。其原理是仅输出目标质心坐标，不输出边界框。

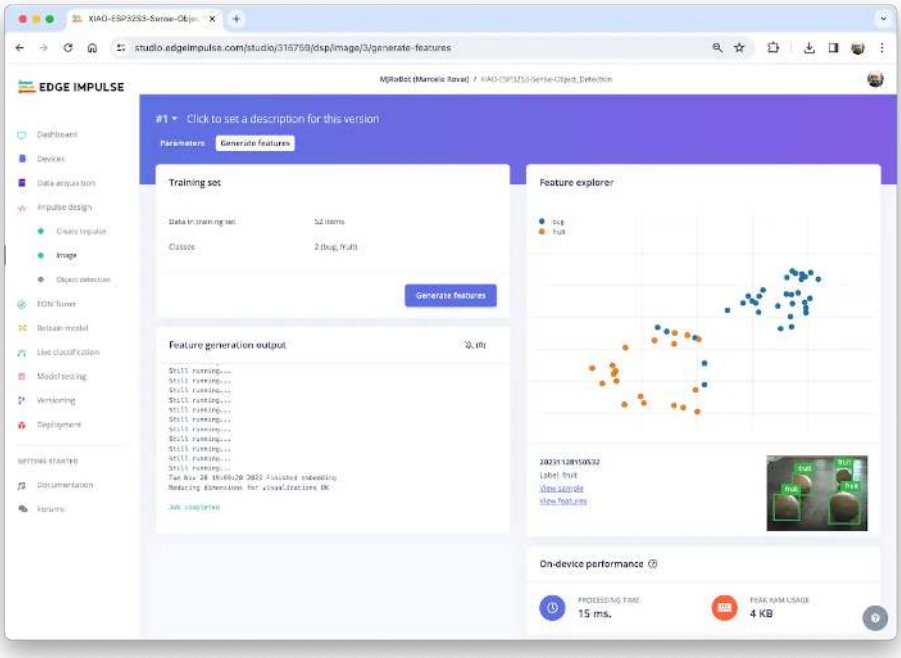

特征生成界面

FOMO 工作原理

FOMO 将灰度图按 8 像素分块，96×96 输入对应 12×12 网格。每个像素块用分类器判断是否含目标（box/wheel），概率最高的区域输出为目标质心。无目标则判为背景。

训练时选用 **FOMO MobileNetV2 0.35** 预训练模型，约 250 KB RAM、80 KB ROM，适合本板。

训练超参数：

- Epochs: 60
- Batch size: 32
- Learning Rate: 0.001

训练集 80%（含数据增强：翻转、缩放、亮度、裁剪），验证集 20%。最终模型 F1 分数 85%，测试集 83%。

> FOMO 自动为 box、wheel 增加第三类 background。

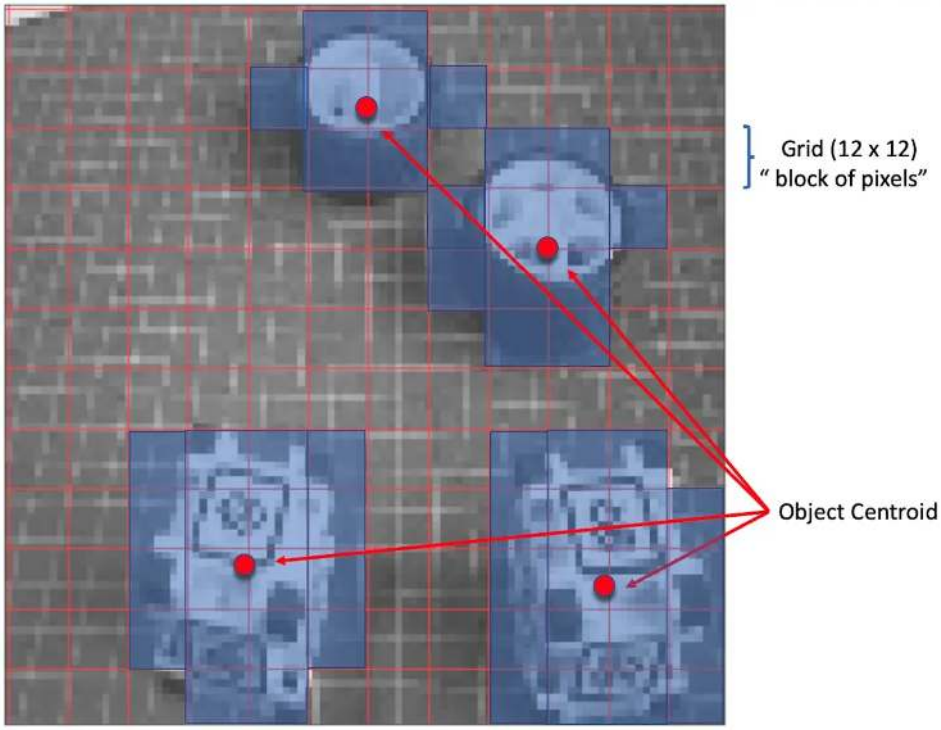

FOMO 原理示意

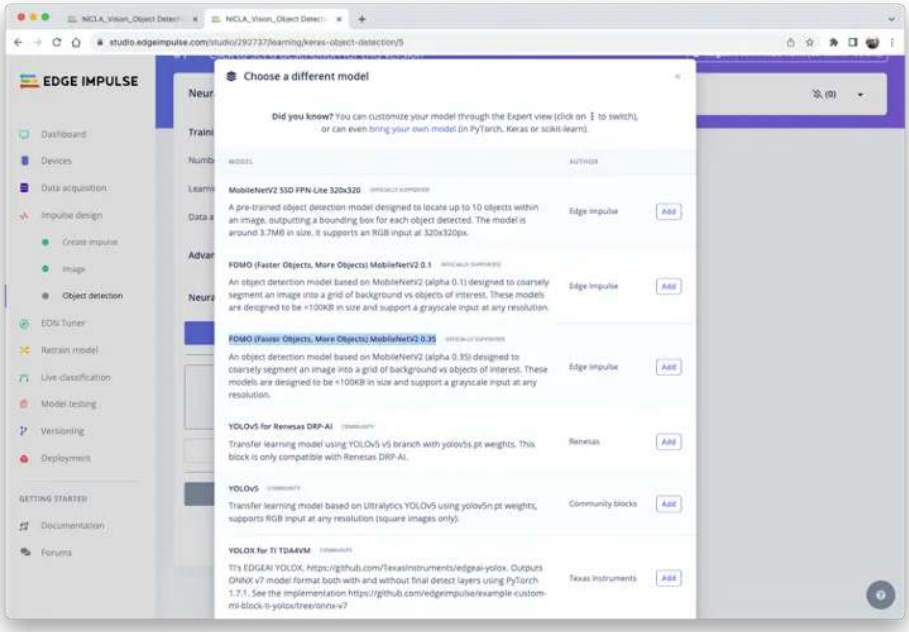

模型选择界面

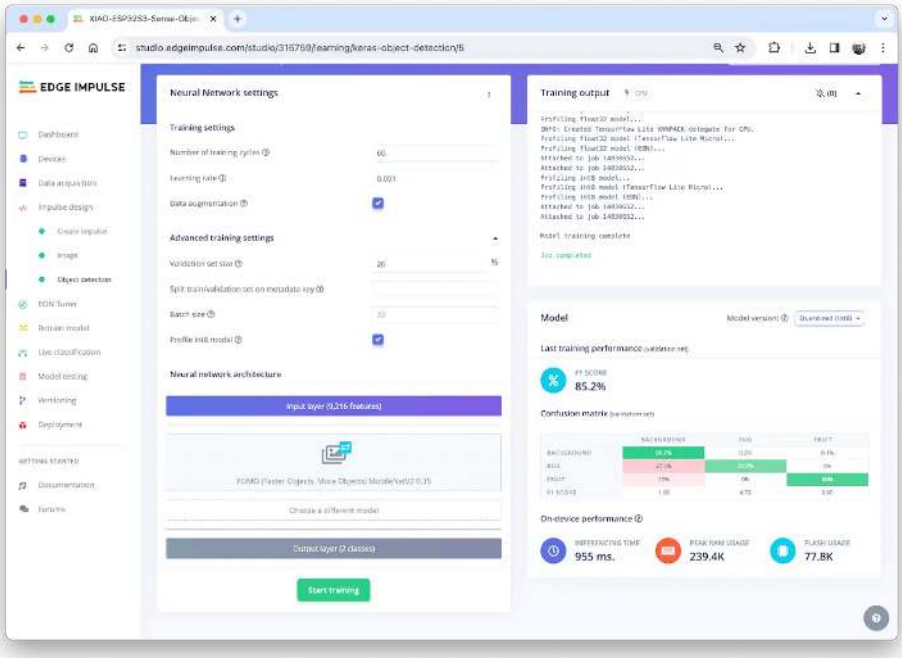

训练结果 F1 分数

> 目标检测常用 F1 分数而非准确率，因其需同时分类与定位。FOMO 仅输出质心，无边界框，准确率不全面，F1 更合理。

Live Classification 测试

模型训练完成后，可用 Live Classification 工具测试。点击开发板图标，手机扫码连接。

手机采集图片，实时测试模型推理效果。

注意模型可能有误报、漏报。可通过调整置信度阈值（建议 0.8 以上）优化。

模型部署（Arduino IDE）

选择 Arduino Library、Quantized (int8) 模型，Deploy Tab 启用 EON Compiler，点击 [Build]。

在 Arduino IDE `Sketch > Include Library > Add .ZIP Library` 导入下载的库。

在 Examples 下找到项目名下的 `esp32 > esp32_camera` 示例。

将 32~75 行摄像头型号与引脚定义替换为：

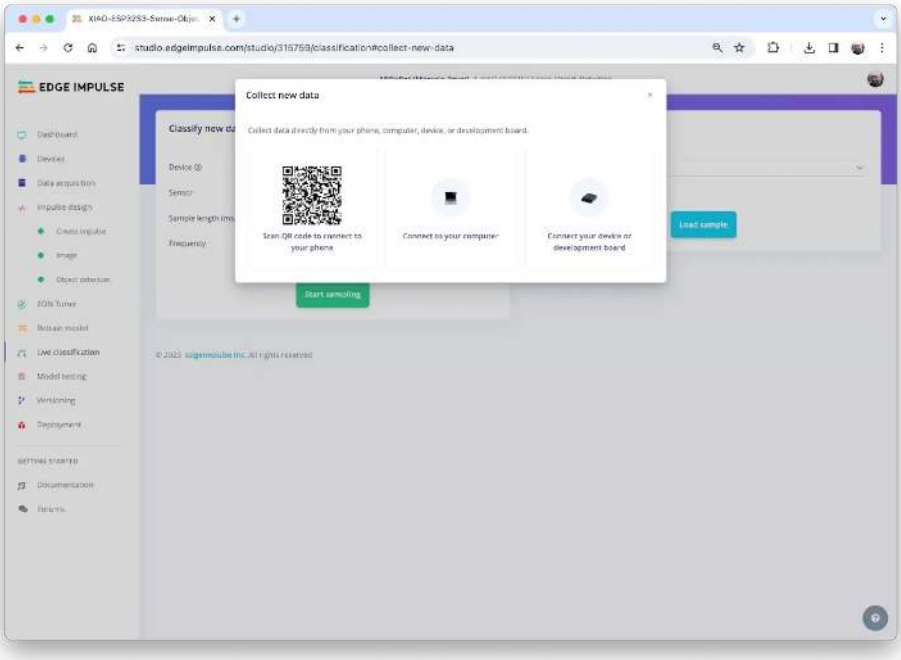

连接开发板界面

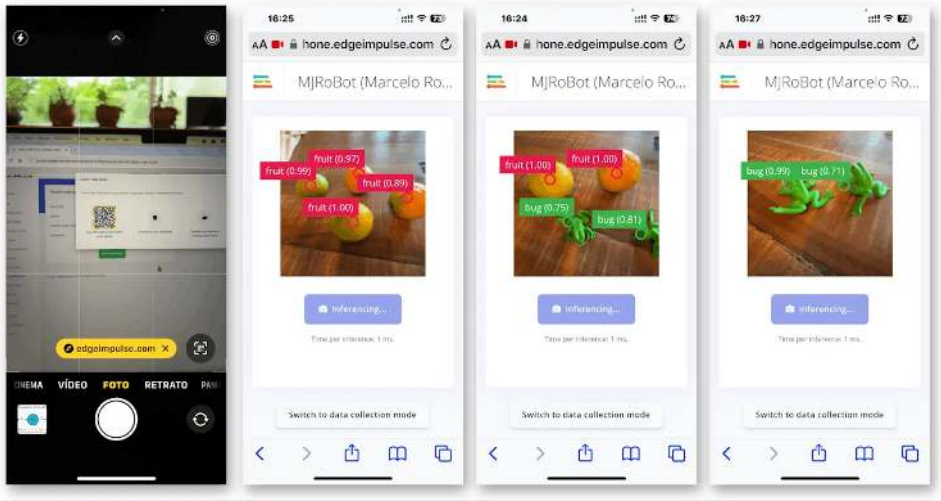

手机实时推理界面

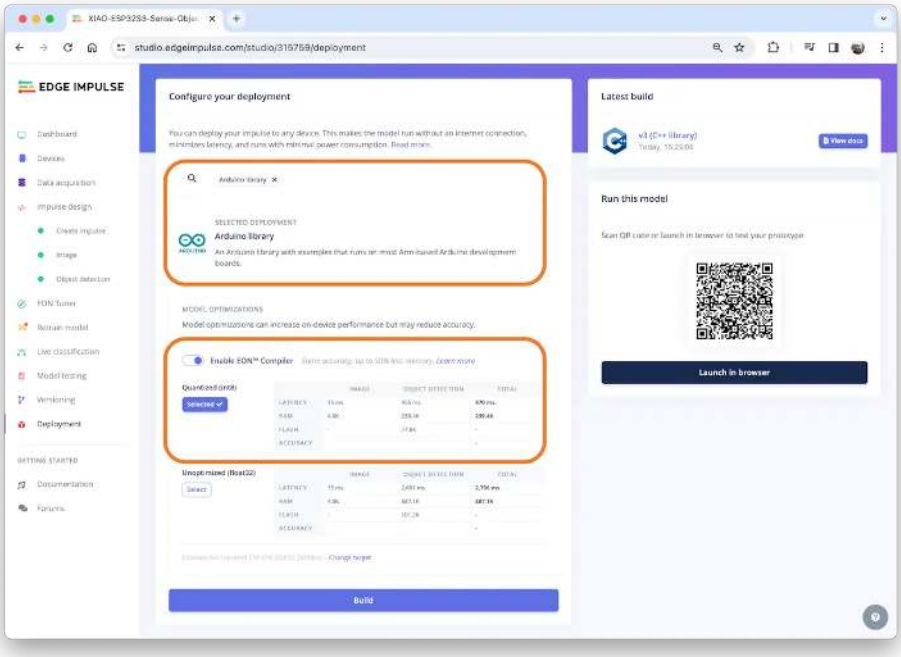

下载 Arduino 库界面

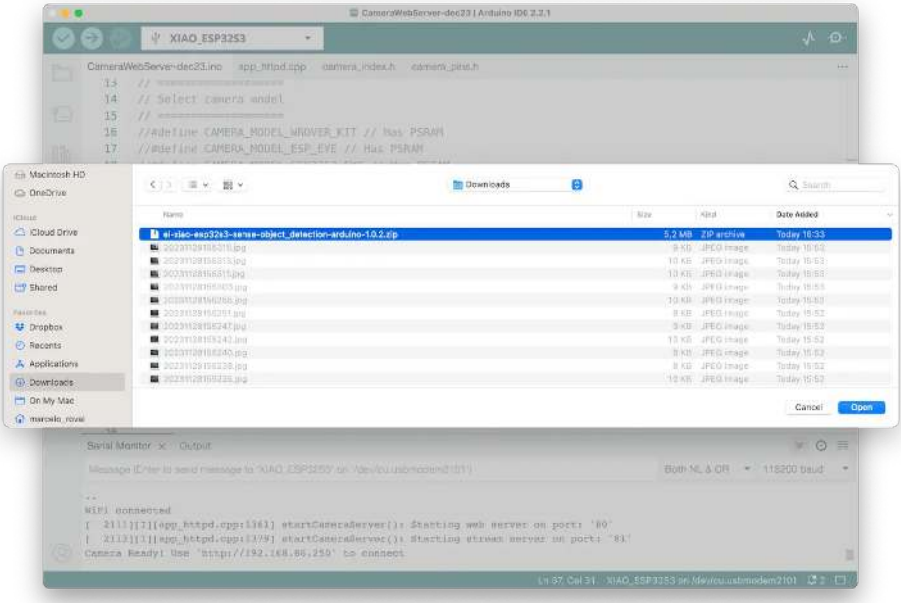

添加库界面

示例代码界面

```
#define PWDN_GPIO_NUM     -1
#define RESET_GPIO_NUM    -1
#define XCLK_GPIO_NUM     10
#define SIOD_GPIO_NUM     40
#define SIOC_GPIO_NUM     39
#define Y9_GPIO_NUM       48
#define Y8_GPIO_NUM       11
#define Y7_GPIO_NUM       12
#define Y6_GPIO_NUM       14
#define Y5_GPIO_NUM       16
#define Y4_GPIO_NUM       18
#define Y3_GPIO_NUM       17
#define Y2_GPIO_NUM       15
#define VSYNC_GPIO_NUM    38
#define HREF_GPIO_NUM     47
#define PCLK_GPIO_NUM     13
```

效果如下：

上传至 XIAO ESP32S3 Sense，即可开始检测水果与虫子。串口监视器可查看推理结果。

背景

水果

虫子

模型延迟 143 ms，帧率约 7 fps（与图像分类项目相近）。FOMO 基于 CNN，非传统 SSD MobileNet 目标检测模型。例如，树莓派 4 跑 MobileNetV2 SSD FPN-Lite 320×320 延迟约 1.5 fps，慢 5 倍。

模型部署（SenseCraft-Web-Toolkit）

如图像分类章节所述，Arduino IDE 下难以直观查看摄像头画面。推荐用 **SenseCraft-Web Toolkit**。

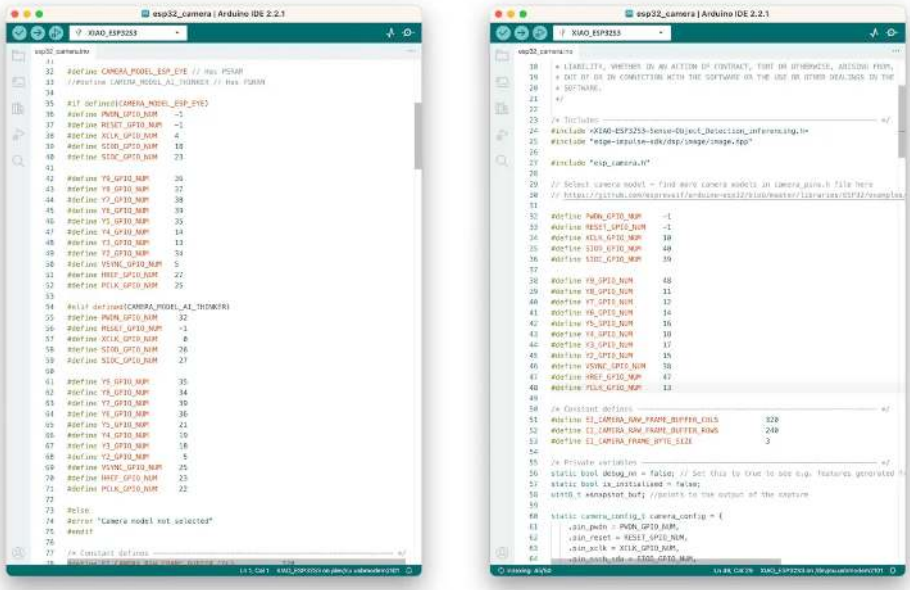

代码替换效果

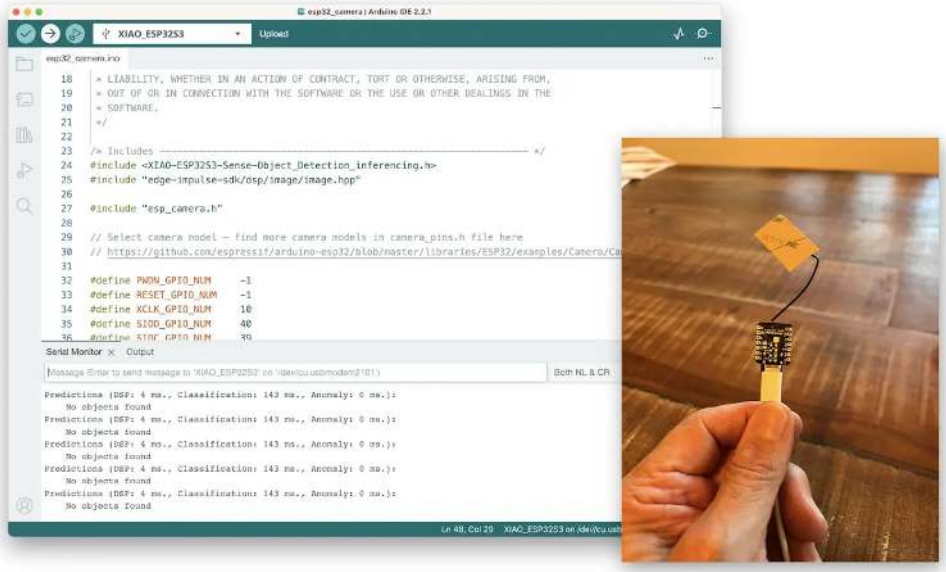

背景推理结果

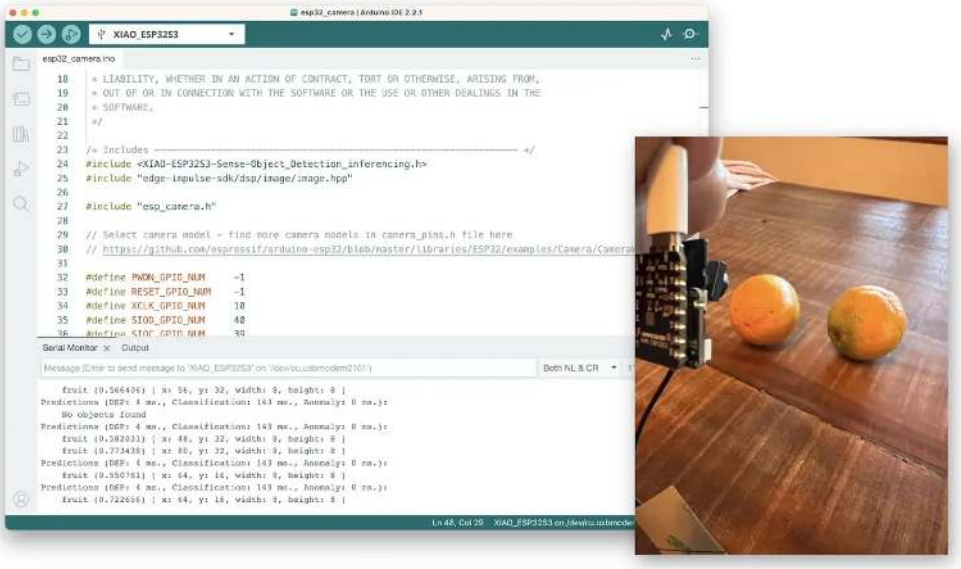

水果推理结果

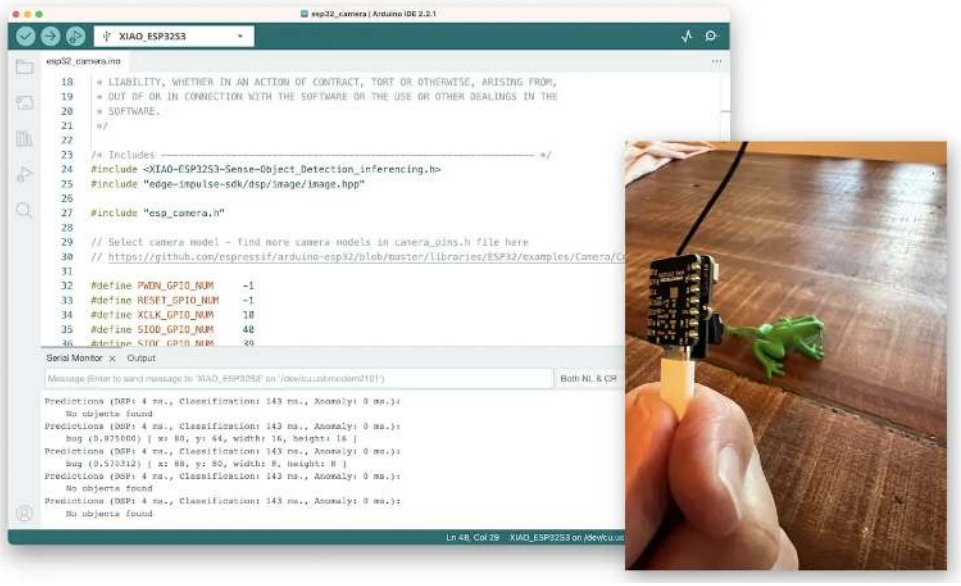

虫子推理结果

操作步骤：

1. 打开 SenseCraft-Web-Toolkit 官网
2. 连接 XIAO 至电脑：
   - 选择设备：

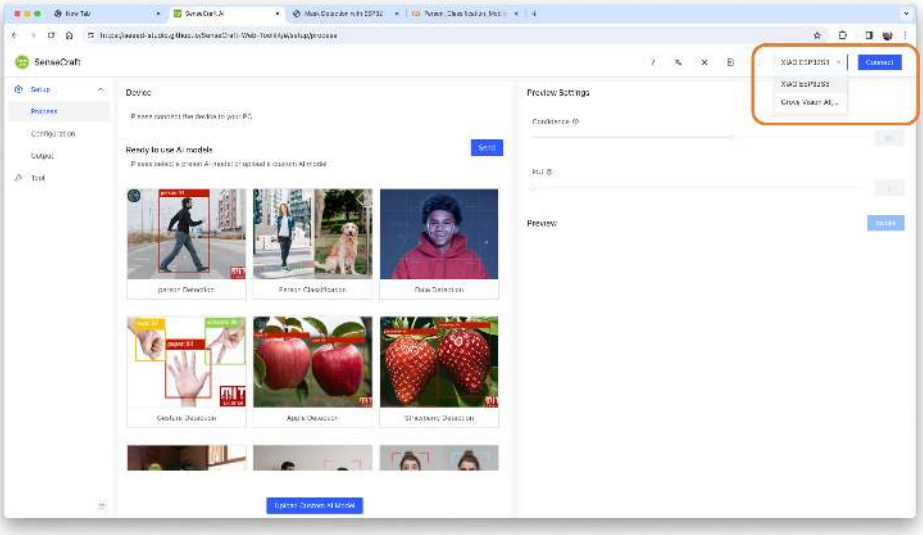

选择设备界面

```
1 - 选择端口，点击 `[Connect]`：
```

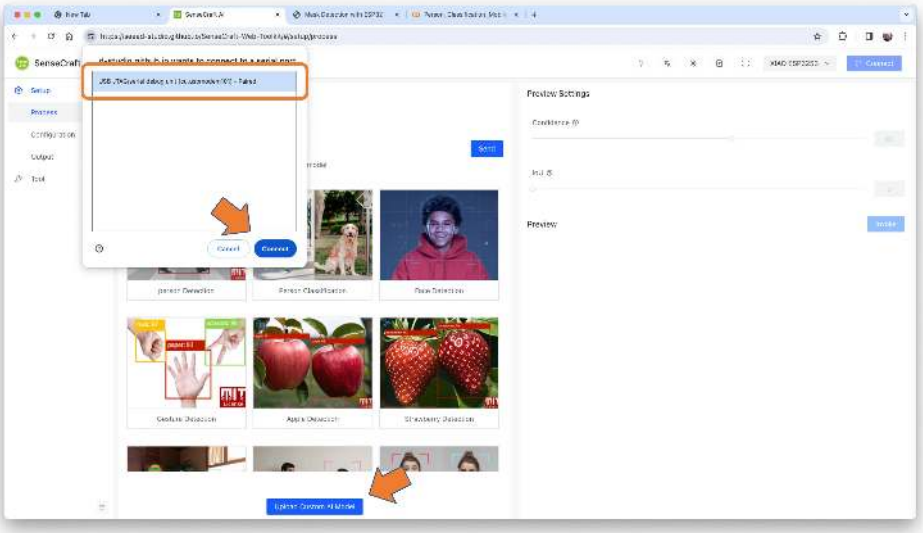

端口选择界面

```
> 可体验 Seeed Studio 预置的多种视觉模型，欢迎尝试。

本例需点击页面底部蓝色按钮 `[Upload Custom AI Model]`。

先从 Edge Impulse Studio 下载 **量化 .tflite** 模型。
```

3. 进入 Edge Impulse Studio 项目，或克隆：
   - XIAO-ESP32S3-CAM-Fruits-vs-Veggies-v1-ESP-NN
4. 在 `Dashboard` 下载模型（block output）：

   `Object Detection model - TensorFlow Lite (int8 quantized)`

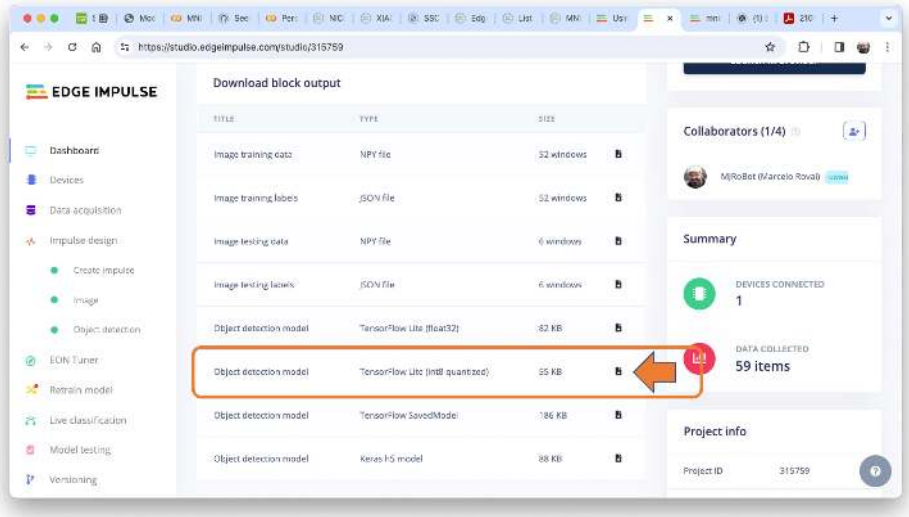

模型下载界面

5. 在 SenseCraft-Web-Toolkit，点击蓝色按钮 `[Upload Custom AI Model]`，弹窗中上传模型文件，填写模型名与标签（ID: Object）：

> 标签顺序需与 EI Studio 训练一致，按字母顺序填写（如 background, bug, fruit）。

上传后，摄像头实时画面与检测结果显示于 Preview 区域：

检测到的物体会标记质心。可调整推理置信度 `Confidence` 和 `IoU`（评估预测框与真实框重叠度）。

点击顶部 Device Log 可打开串口监视器，查看推理日志。

Device Log 信息示例：

- 预处理时间（图像采集与裁剪）：3 ms

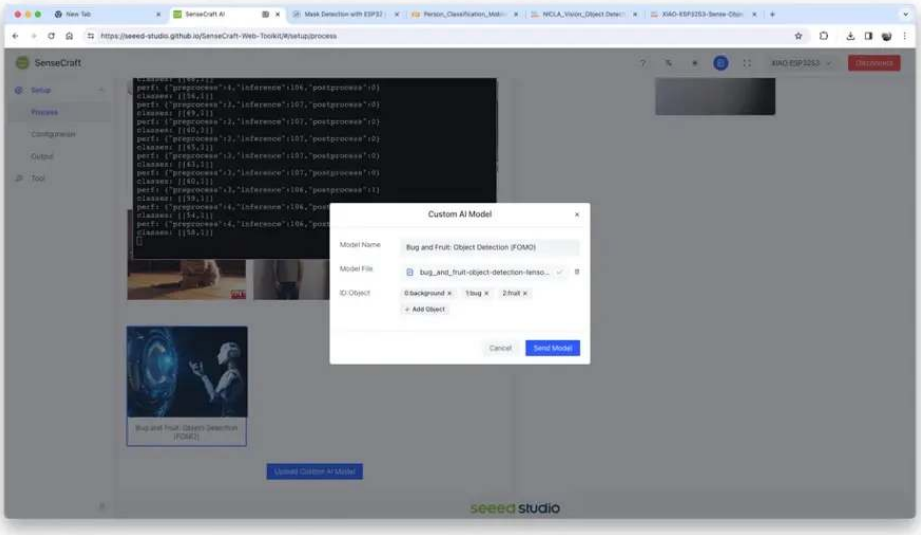

上传自定义模型界面

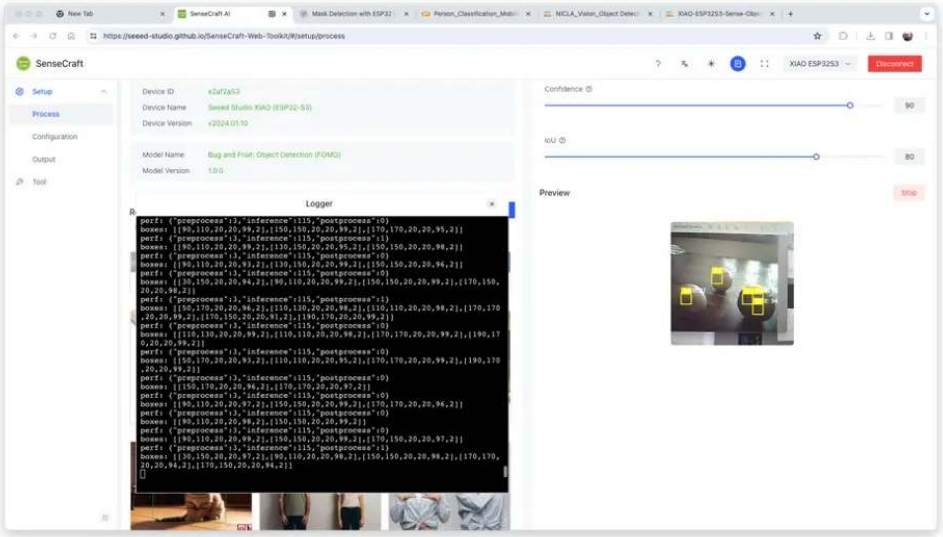

实时检测界面

```
perf: {"preprocess":3,"inference":115,"postprocess":1}
boxes: [[30,150,20,20,97,2],[90,110,20,20,98,2],[150,150,20,20,98,2],[170,170,
20,20,94,2],[170,150,20,20,94,2]]
```

串口监视器界面

- 推理时间（模型延迟）：115 ms
- 后处理时间（显示与标记）：1 ms
- 输出张量（boxes），如 [[30,150, 20, 20,97, 2]]，含坐标、置信度、类别

> 如上例，5 个框中有 3 个质心为水果。可通过后处理聚合相近质心。

更多截图：

检测效果展示

总结

FOMO 是图像处理领域的重要突破，正如 Louis Moreau 和 Mat Kelcey 在 2022 年发布时所说：

> FOMO 是首个将实时目标检测、跟踪与计数带到微控制器的开创性算法。

在嵌入式设备上探索目标检测（尤其是计数）有无限可能。

参考资源

- Edge Impulse 项目

关键词唤醒（KWS）

概述

关键词唤醒（KWS）是众多语音识别系统的核心，使设备能够响应特定词语或短语。这项技术不仅支撑了 Google Assistant、Amazon Alexa 等流行设备，也完全可以在小型、

低功耗设备上实现。本实验将带你在 XIAO ESP32S3 微控制器板上，基于 TinyML 实现 KWS 系统。

XIAO ESP32S3 搭载乐鑫 ESP32-S3 芯片，体积小巧但性能强劲，拥有双核 Xtensa LX7 处理器，集成 Wi-Fi 和蓝牙，兼具算力、能效与多样连接能力，是 TinyML 应用的理想平台。配合扩展板，还可使用摄像头、SD 卡和**数字麦克风**。本项目中，集成麦克风和 SD 卡将发挥关键作用。

我们将使用 Edge Impulse Studio，这是一个强大且易用的平台，可简化边缘设备机器学习模型的创建与部署。我们将逐步训练 KWS 模型，并优化后部署到 XIAO ESP32S3 Sense 上。

本实验的模型将识别可用于唤醒设备或触发特定动作（如“YES”）的关键词，让你的项目具备语音激活能力。

借助我们在 TensorFlow Lite for Microcontrollers（EI Studio 底层引擎）的经验，将打造一个能在设备端实时推理的 KWS 系统。

实验将详细拆解每个流程环节 —— 从数据采集与准备，到模型训练与部署，帮助你全面理解如何在微控制器上实现 KWS 系统。

> **学习目标**
>
> - **理解语音助手架构**，包括级联检测系统及边缘 KWS 在语音处理流程中的作用
> - **掌握音频数据采集技巧**，涵盖离线（XIAO ESP32S3 麦克风+SD 卡）与在线（手机集成 EI Studio）两种方式
> - **实现音频数字信号处理**，包括 I2S 协议基础、16kHz/16bit 采样、时域与频域（MFCC）特征转换
> - **训练卷积神经网络进行音频分类**，掌握迁移学习、数据增强与四分类（YES、NO、NOISE、UNKNOWN）模型优化
> - **在微控制器上部署优化模型**，包括 INT8 量化、PSRAM 内存管理、嵌入式实时推理优化
> - **开发完整后处理管道**，如置信度阈值、GPIO 控制、OLED 显示、打造独立 AI 传感器系统
> - **对比无代码平台与传统嵌入式开发流程**，理解 TinyML 应用的多种开发路径

KWS 项目简介

语音助手是如何工作的?

关键词唤醒（KWS）是语音助手的关键，使设备能响应特定词语。以 Google Home、Amazon Echo-Dot 为例，只有在检测到特定唤醒词（如“Hey Google”“Alexa”）后，设备才会响应。

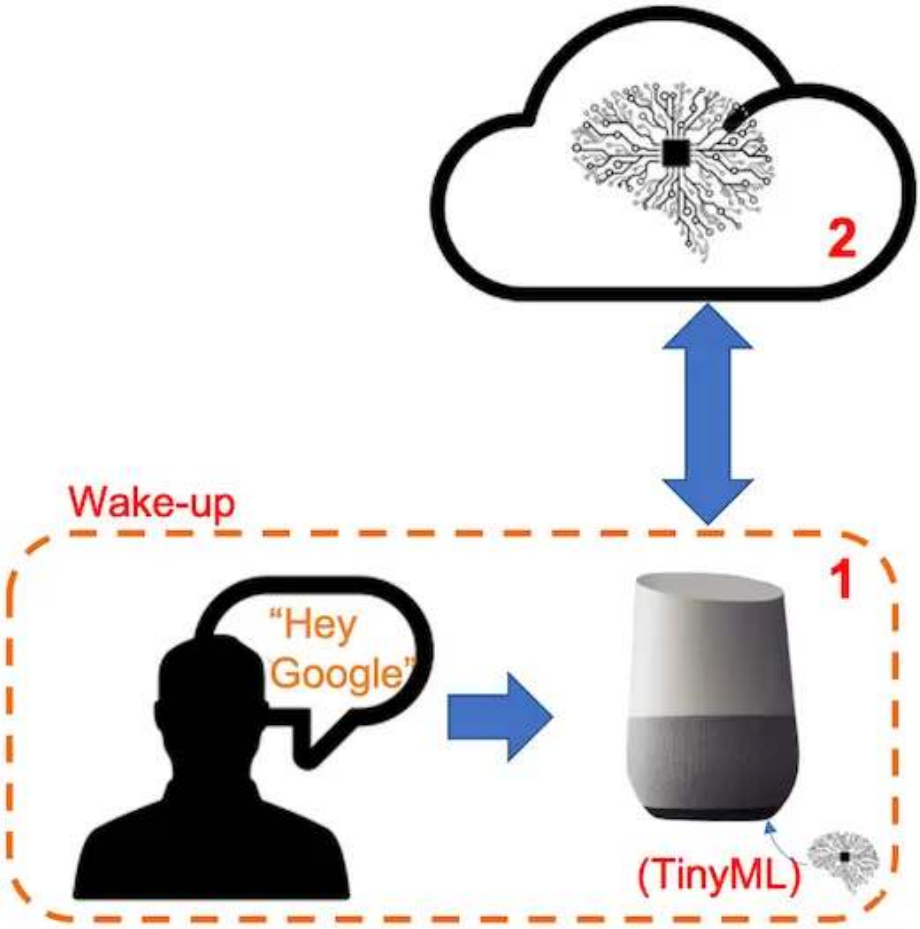

语音助手唤醒流程示意图

换句话说，语音命令识别采用多级模型（级联检测）：

第一阶段：设备内的小型微处理器**持续监听**环境声音，等待关键词出现。此阶段采用边缘 TinyML 模型（KWS 应用）。

第二阶段：仅当 KWS 检测到关键词后，才将数据上传云端，由更大模型进一步处理。

下方视频演示了用树莓派模拟 Google Assistant（第二阶段），Arduino Nano 33 BLE 作为 TinyML 设备（第一阶段）的案例。

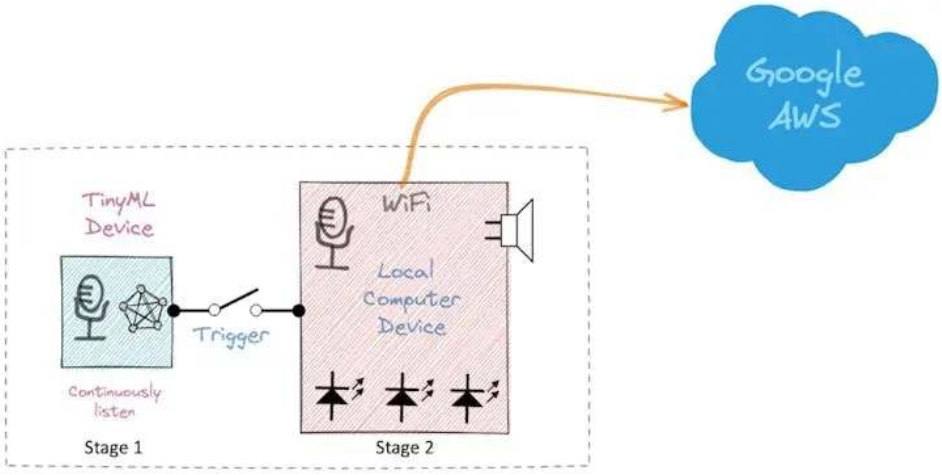

级联检测流程图

> 想深入了解完整项目，可参考：Building an Intelligent Voice Assistant From Scratch。

本实验聚焦第一阶段（KWS），使用 XIAO ESP32S3 Sense 的数字麦克风实现关键词检测。

推理流程

下图展示了最终 KWS 应用的推理流程：

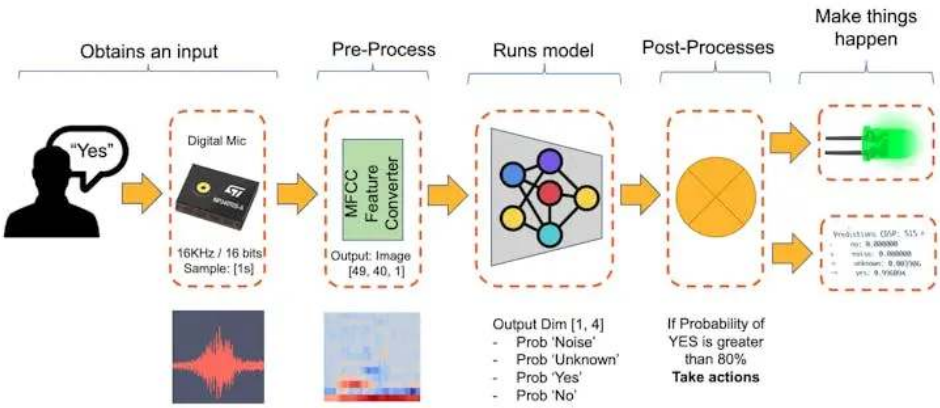

KWS 推理流程图

本项目将识别四类声音：

- **YES**（关键词 1）
- **NO**（关键词 2）

- **NOISE**（仅背景噪声，无关键词）
- **UNKNOWN**（除 YES/NO 外的其他词）

> 实际项目建议加入“噪声/背景”和“未知”类，提高模型稳健性。

机器学习工作流

KWS 应用的核心是模型。我们需用目标关键词、噪声及其他词（unknown）训练模型：

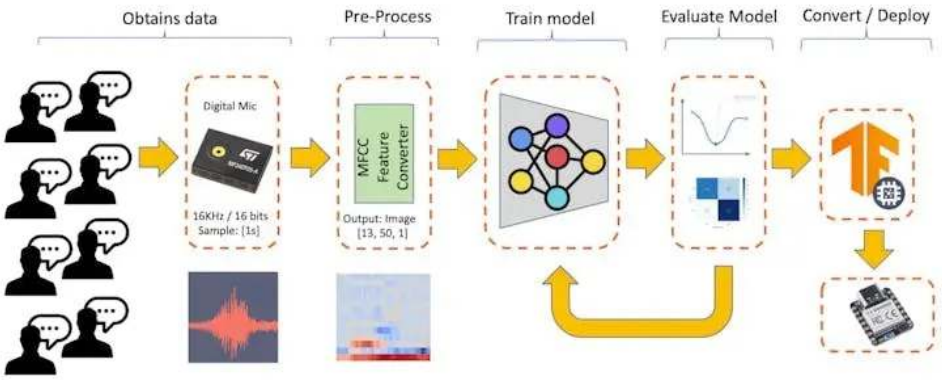

KWS 训练流程图

数据集

机器学习流程的关键是**数据集**。确定关键词（如 YES、NO）后，可利用 Pete Warden 提供的 Speech Commands 数据集，包含 35 个关键词（每类 1000+ 样本），如 yes、no、stop、go。我们可获得 yes、no 各 1500 条样本。

可从 Edge Studio 下载精简版数据集（关键词预置数据集），涵盖本项目四类样本：yes、no、noise、background。步骤如下：

- 下载 keywords dataset.
- 解压至本地任意目录

尽管 Pete 的数据集样本丰富，建议补充自录音频。与加速度传感器实验类似，音频分类更依赖于采集设备本身。

> 声音与音频的本质区别在于能量形态。声音是介质中的机械波能（纵波），音频是电信号（模拟或数字），用于电气表示声音。

说出关键词时，声波需转换为音频数据。转换过程需用麦克风以 16kHz 采样率、16bit 深度采样。

只要设备能生成 16kHz/16bit 音频数据（如 XIAO ESP32S3 Sense、电脑或手机）均可用作采集工具。

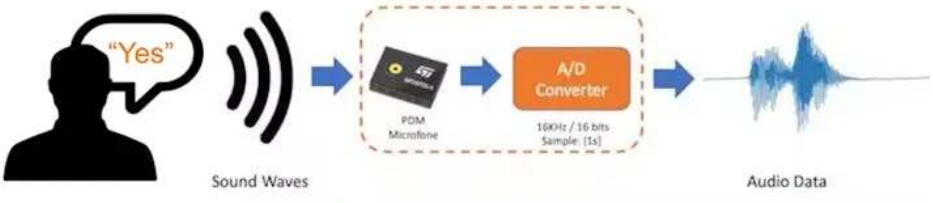

声音与音频关系图

用 Edge Impulse + 手机在线采集音频

在运动分类与异常检测实验中，我们用设备直连 Edge Impulse Studio 采集数据（50~100Hz）。但音频（16kHz）速率过高，EI CLI 的 Data Forwarder 不适用。采集到的数字音频需转为 WAV 文件，通过 Data Uploader 上传 Studio（与 Pete 数据集操作一致）。

> 若需直接在 Studio 采集音频，可用手机在线连接，详见 EI 官方文档。

用 XIAO ESP32S3 Sense 离线采集音频

板载麦克风为 MSM261D3526H1CPM，PDM 数字输出 MEMS 麦克风，通过 I2S 总线连接 ESP32S3，IO41（数据）、IO42（时钟）。

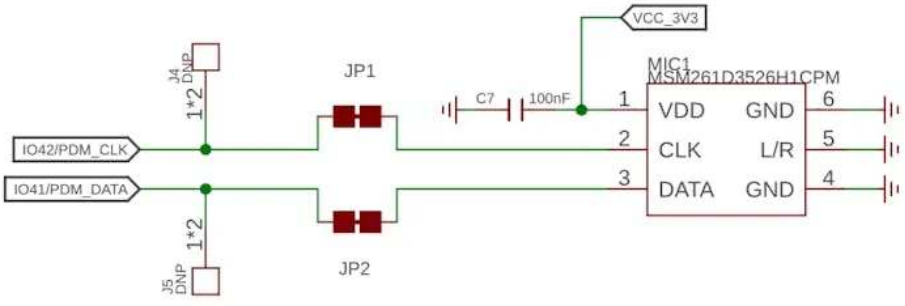

麦克风与 I2S 连接示意

I2S 简介

I2S（Inter-IC Sound）是数字音频传输标准，由飞利浦半导体（现 NXP）开发，广泛用于数字信号处理器、音频处理器及带音频功能的微控制器。

I2S 至少包含三根线：

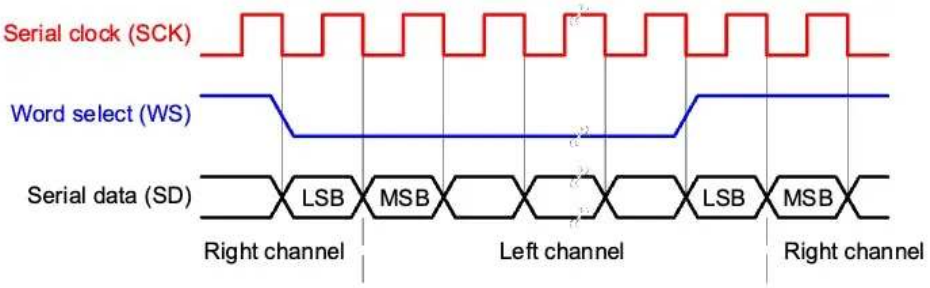

I2S 协议示意图

- **1. 时钟线（BCLK/CLK）**：指示新数据位开始（IO42）
- **2. 字选择线（WS）**：指示新字开始（左/右声道），WS 频率决定采样率。本项目麦克风 L/R 接地，仅用左声道（单声道）。
- **3. 数据线（SD）**：传输音频数据（IO41）

I2S 数据流以帧为单位，每帧含左/右声道数据，适合立体声，也可用于单声道或多声道。

下面演示如何用麦克风采集原始数据。可参考 GitHub 项目 下载 XIAOEsp2s3_Mic_Test 示例：

> ⚠ **注意**
>
> - Xiao ESP32S3 **必须**启用 PSRAM。可在 Arduino IDE 菜单栏 `Tools -> PSRAM:OPI PSRAM` 检查
> - Arduino Library（`esp32 by Espressif Systems`）应为 **2.017** 版本，请勿升级

```
/*
  XIAO ESP32S3 简单麦克风测试
*/

#include <I2S.h>

void setup() {
  Serial.begin(115200);
  while (!Serial) {
  }
```

```
11
12   // 16kHz, 16bit 采样
13   I2S.setAllPins(-1, 42, 41, -1, -1);
14   if (!I2S.begin(PDM_MONO_MODE, 16000, 16)) {
15     Serial.println("Failed to initialize I2S!");
16     while (1); // do nothing
17   }
18 }
19
20 void loop() {
21   // 读取采样
22   int sample = I2S.read();
23
24   if (sample && sample != -1 && sample != 1) {
25     Serial.println(sample);
26   }
27 }
```

该代码通过 I2S 接口采集 16kHz/16bit 音频，并持续输出采样值到串口监视器。

主要流程：

- 引入 I2S 库，配置 I2S 时钟（42）与数据（41）引脚
- 初始化 I2S，PDM 单声道，16kHz/16bit
- 循环读取音频采样，输出到串口

串口绘图器可实时观察音量变化：

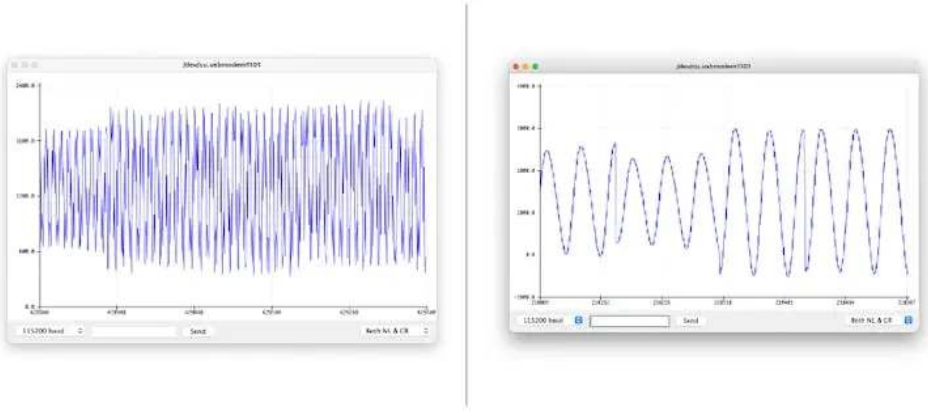

麦克风采样曲线

保存录音样本

使用板载 SD 卡保存 .wav 音频，需先启用 PSRAM。

> ESP32-S3 芯片内存有限，XIAO 板载 8MB PSRAM，可通过 SPI 与主控通信，需在 Arduino IDE `Tools->PSRAM:"OPI PSRAM"->OPI PSRAM` 启用。

插入 FAT32 格式 SD 卡：

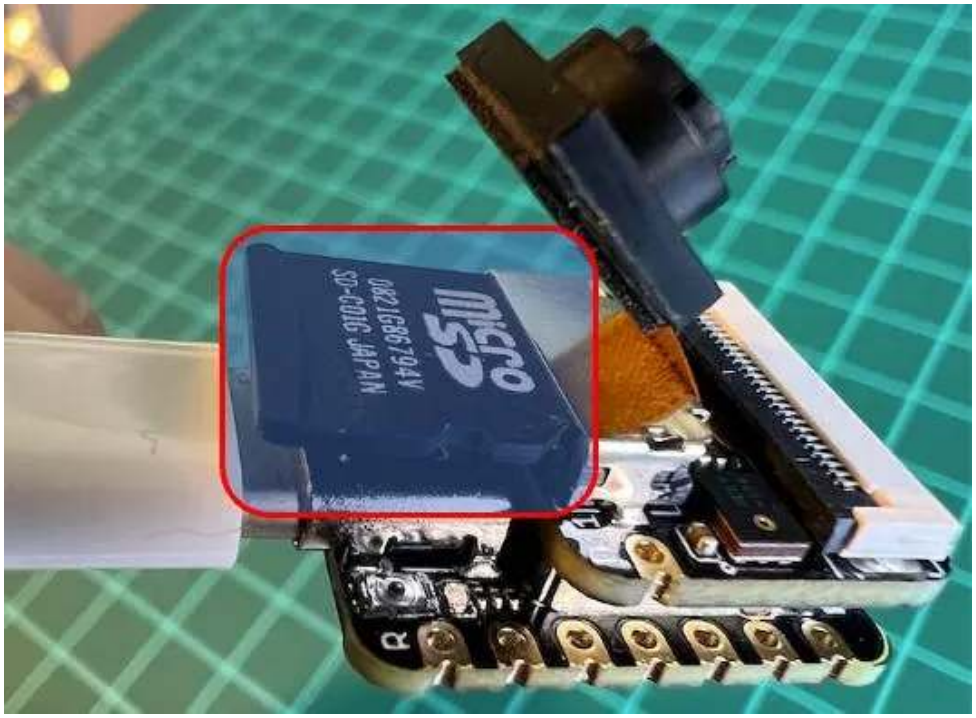

SD 卡插入示意

IDE 菜单启用 PSRAM：

- 下载 Wav_Record_dataset 示例。

该代码通过 I2S 录音，保存为 .wav 文件到 SD 卡，并可通过串口命令控制录音。文件名可自定义（建议用作训练标签），每次录音自动编号。支持音量增益。

主要流程：

```
#include <I2S.h>
#include "FS.h"
#include "SD.h"
#include "SPI.h"
```

- I2S.h：音频输入
- FS.h：文件系统

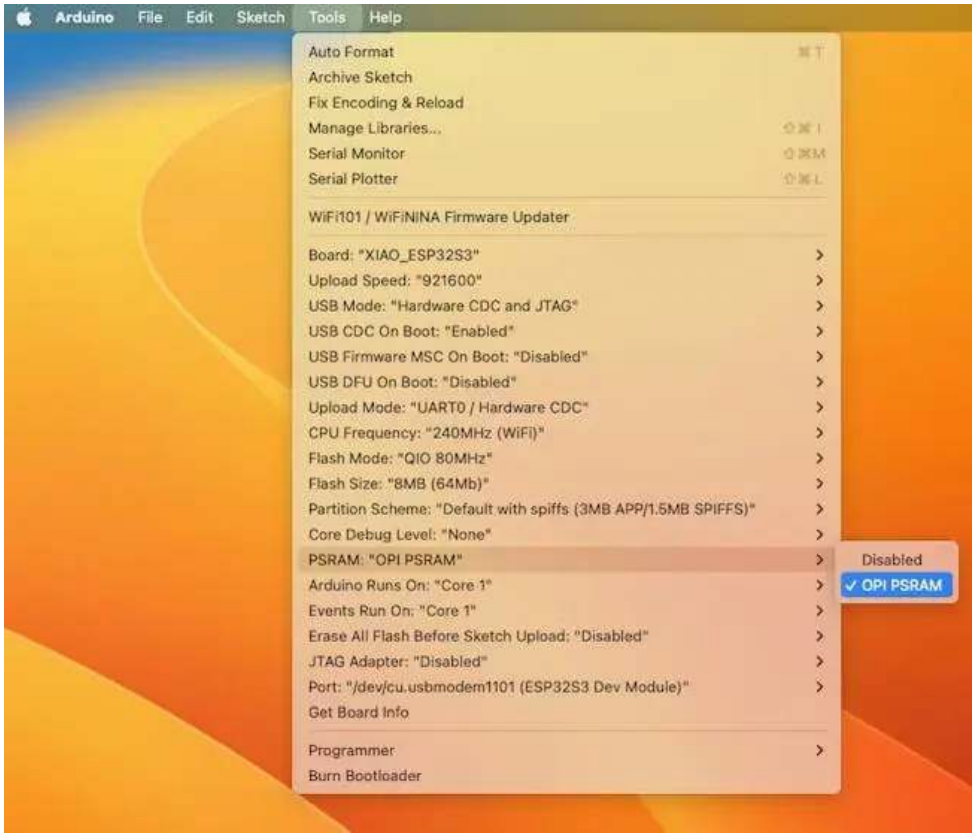

PSRAM 设置

- SD.h：SD 卡操作
- SPI.h：SPI 通信

```
#define RECORD_TIME   10
#define SAMPLE_RATE 16000U
#define SAMPLE_BITS 16
#define WAV_HEADER_SIZE 44
#define VOLUME_GAIN 2
```

- **RECORD_TIME**：录音时长（秒）
- **SAMPLE_RATE/SAMPLE_BITS**：音频质量
- **WAV_HEADER_SIZE**：wav 头大小
- **VOLUME_GAIN**：音量增益

```
int fileNumber = 1;
String baseFileName;
bool isRecording = false;
```

- 文件编号、基础文件名、录音状态

```
void setup() {
  Serial.begin(115200);
  while (!Serial);

  I2S.setAllPins(-1, 42, 41, -1, -1);
  if (!I2S.begin(PDM_MONO_MODE, SAMPLE_RATE, SAMPLE_BITS)) {
    Serial.println("Failed to initialize I2S!");
    while (1);
  }

  if(!SD.begin(21)){
    Serial.println("Failed to mount SD Card!");
    while (1);
  }
  Serial.printf("Enter with the label name\n");
}
```

- 初始化串口、I2S、SD 卡，失败则报错并停止

```
void loop() {
  if (Serial.available() > 0) {
    String command = Serial.readStringUntil('\n');
    command.trim();
    if (command == "rec") {
      isRecording = true;
    } else {
      baseFileName = command;
      fileNumber = 1;
      Serial.printf("Send rec for starting recording label \n");
    }
  }
  if (isRecording && baseFileName != "") {
    String fileName = "/" + baseFileName + "."
                      + String(fileNumber) + ".wav";
    fileNumber++;
    record_wav(fileName);
    delay(1000);
    isRecording = false;
  }
}
```

- 串口输入标签名，输入 rec 开始录音，文件名自动编号

```
void record_wav(String fileName)
{
  ...

  File file = SD.open(fileName.c_str(), FILE_WRITE);
  ...
  rec_buffer = (uint8_t *)ps_malloc(record_size);
  ...

  esp_i2s::i2s_read(esp_i2s::I2S_NUM_0,
                    rec_buffer,
                    record_size,
                    &sample_size,
                    portMAX_DELAY);
  ...
}
```

- 打开文件，分配 PSRAM 缓冲区，I2S 采集音频，写入 wav 文件

```
// 增加音量
for (uint32_t i = 0; i < sample_size; i += SAMPLE_BITS/8) {
  (*(uint16_t *)(rec_buffer+i)) <<= VOLUME_GAIN;
}
```

- 音量增益处理

```
// 写入 wav 文件
Serial.printf("Writing to the file ...\n");
if (file.write(rec_buffer, record_size) != record_size)
  Serial.printf("Write file Failed!\n");

free(rec_buffer);
file.close();
Serial.printf("Recording complete: \n");
Serial.printf("Send rec for a new sample or enter
               a new label\n\n");
```

- 写入数据，释放内存，关闭文件，提示下次操作

```
void generate_wav_header(uint8_t *wav_header,
             uint32_t wav_size,
             uint32_t sample_rate)
{
```

```
5    ...
6    memcpy(wav_header, set_wav_header, sizeof(set_wav_header));
7  }
```

- 生成 wav 文件头

上传代码后，串口输入标签（如 yes），再输入 rec 开始录音，每次 rec 自动编号保存。更换标签后继续录音。

串口交互示例：

串口录音标签输入

输入标签（如 yes），等待 rec 命令：

每次 rec 录音，文件自动编号保存：

最终 SD 卡保存的文件如下：

这些文件可直接上传至 Edge Impulse Studio。

离线音频采集 App

采集音频方式多样，最简单的是用手机或 PC 作为 Edge Impulse Studio 的“连接设备”。

> 采集音频需 16kHz 采样率、16bit 深度。

也可用专用 App，如 Voice Recorder Pro（iOS），录音保存为 .wav 文件后传至电脑。

等待 rec 命令

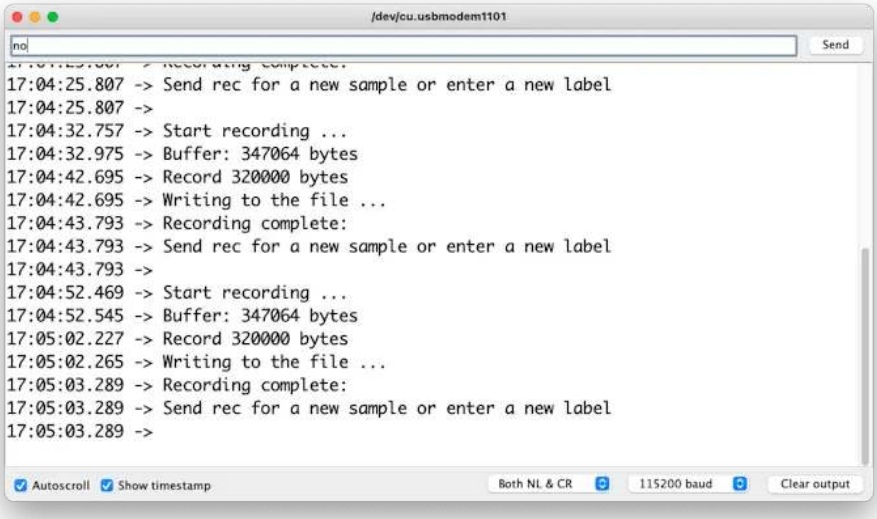

录音文件编号

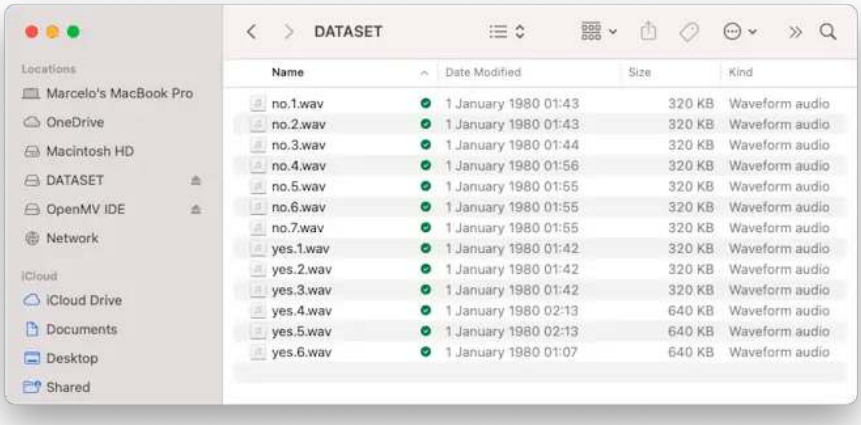

SD 卡录音文件

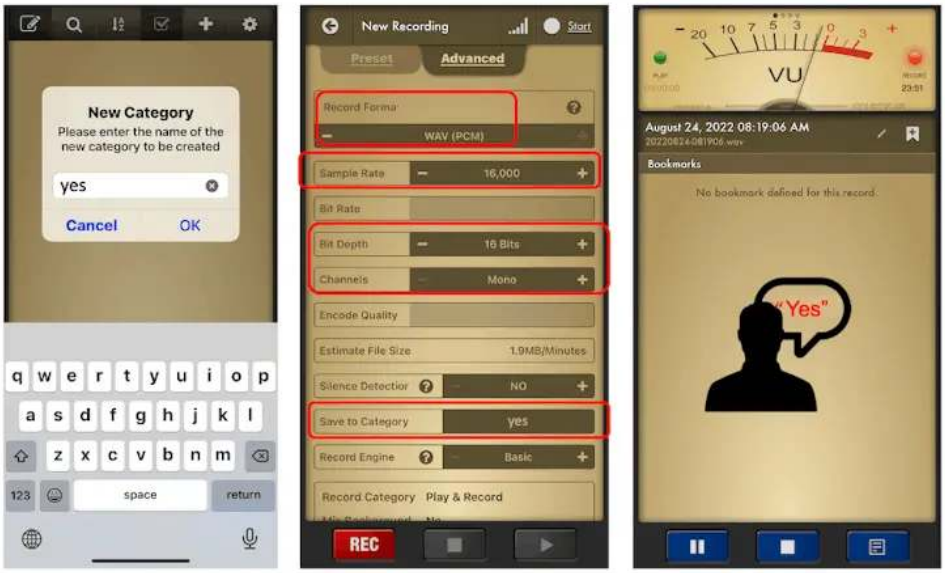

Voice Recorder Pro 录音界面

使用 Edge Impulse Studio 训练模型

数据上传

当原始数据集（Pete 的数据集 + 自录关键词）准备好后，应在 Edge Impulse Studio 新建项目：

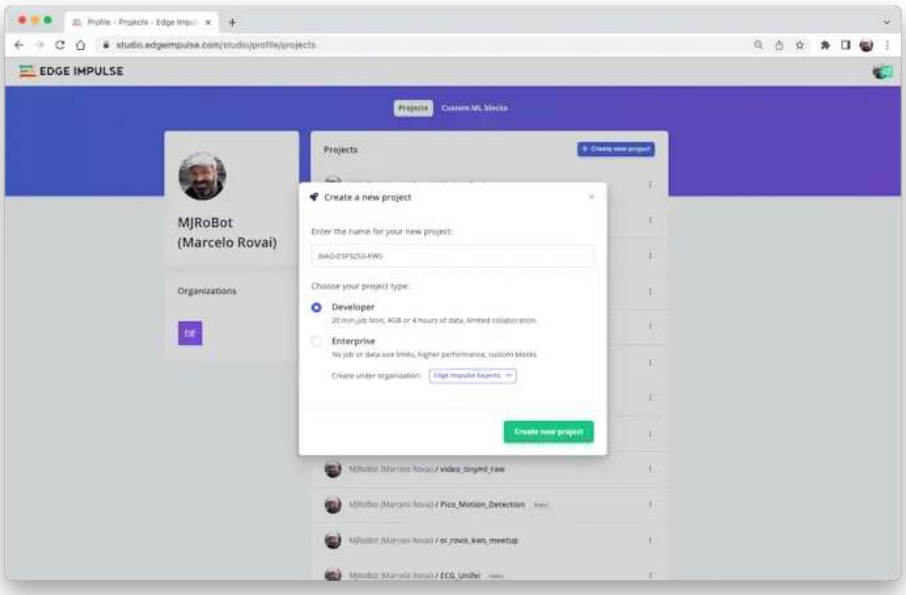

新建项目界面

项目创建后，在数据采集（Data Acquisition）部分选择“Upload Existing Data”工具，选择要上传的文件：

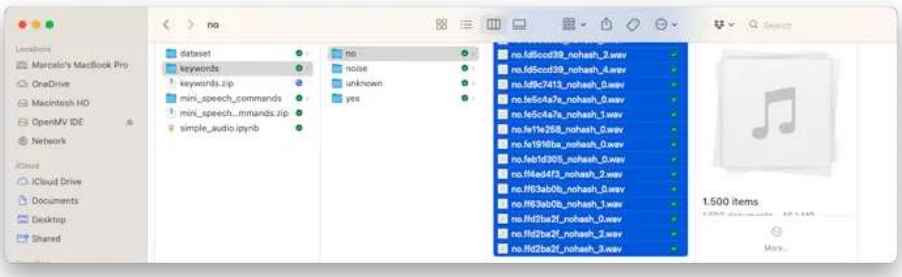

选择上传文件

将数据上传到 Studio（可自动划分训练/测试集）。对所有类别和原始数据重复此操作。

上传后，样本会出现在数据采集区：

Pete 数据集的样本长度均为 1 秒，但前面录制的样本为 10 秒，需拆分为 1 秒片段以

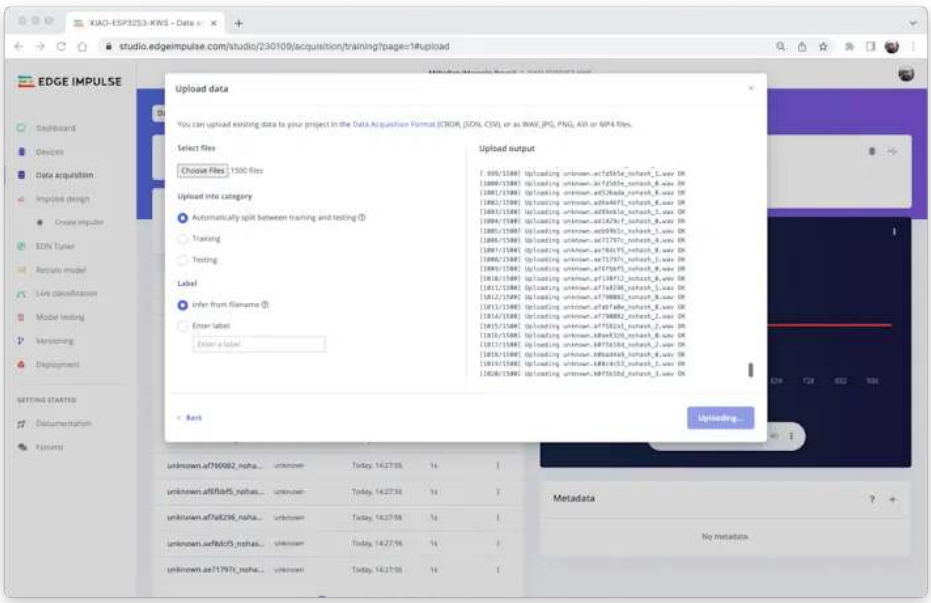

上传进度界面

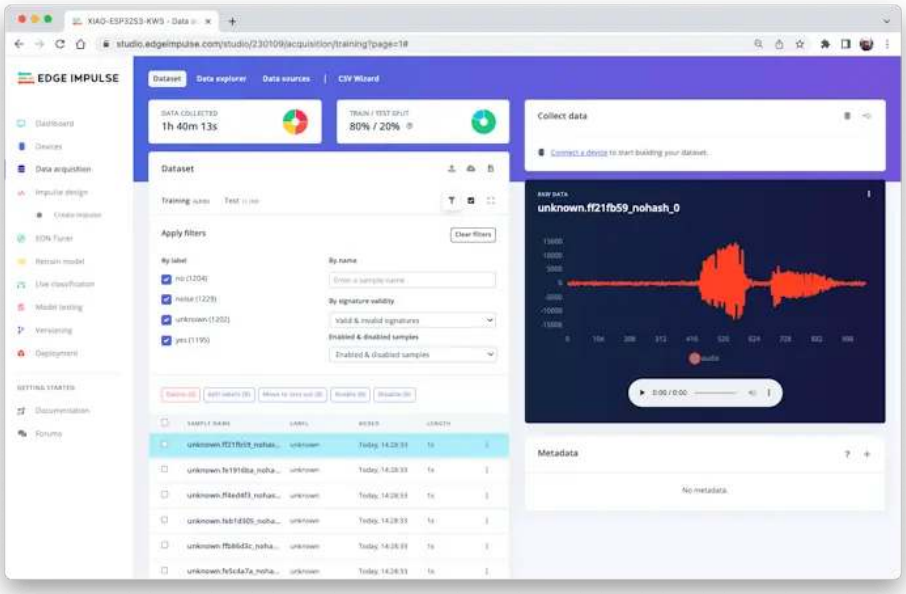

数据采集区样本展示

兼容。

点击样本名后的三点菜单，选择“Split sample”：

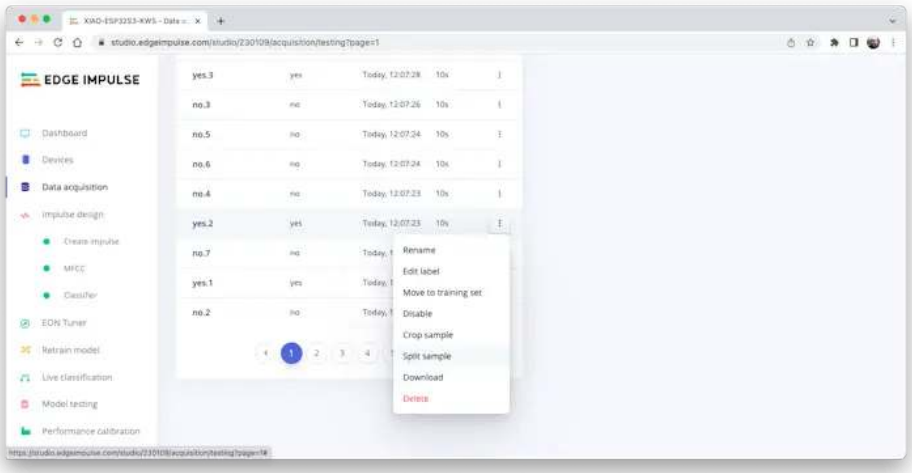

拆分样本操作

进入工具后，将数据拆分为 1 秒片段。如有需要可增删片段：

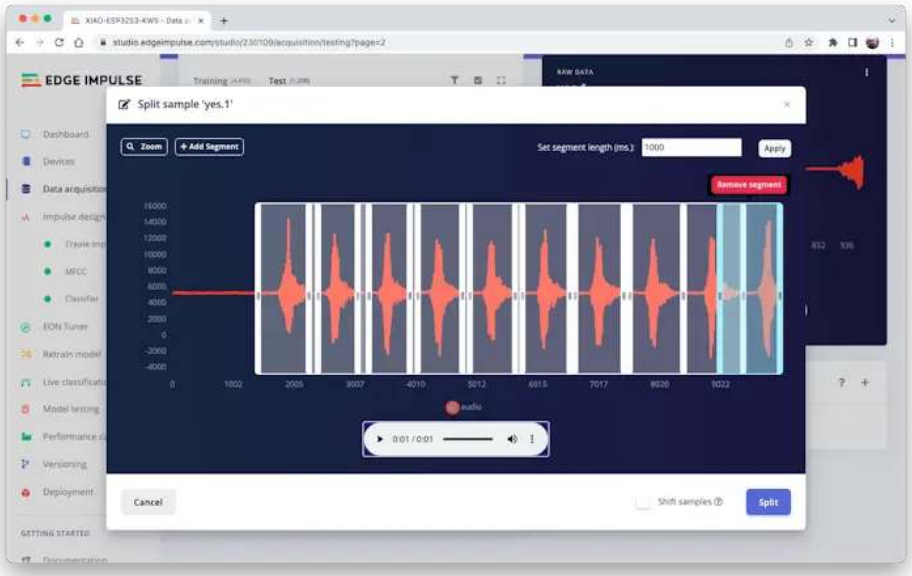

拆分片段界面

所有样本均需重复此操作。

> 注意：若音频文件较长（数分钟），可先拆分为 10 秒片段，再用工具拆分为 1 秒片段。

如果上传时未自动划分训练/测试集，可手动操作（三点菜单单独移动样本），或在 Dashboard 的 Danger Zone 区域使用“Perform Train / Test Split”。

> 可通过 Data Explorer 标签页检查所有数据集。

创建 Impulse（预处理/模型定义）

Impulse 是指将原始数据通过信号处理提取特征，再用学习模块对新数据进行分类的流程。

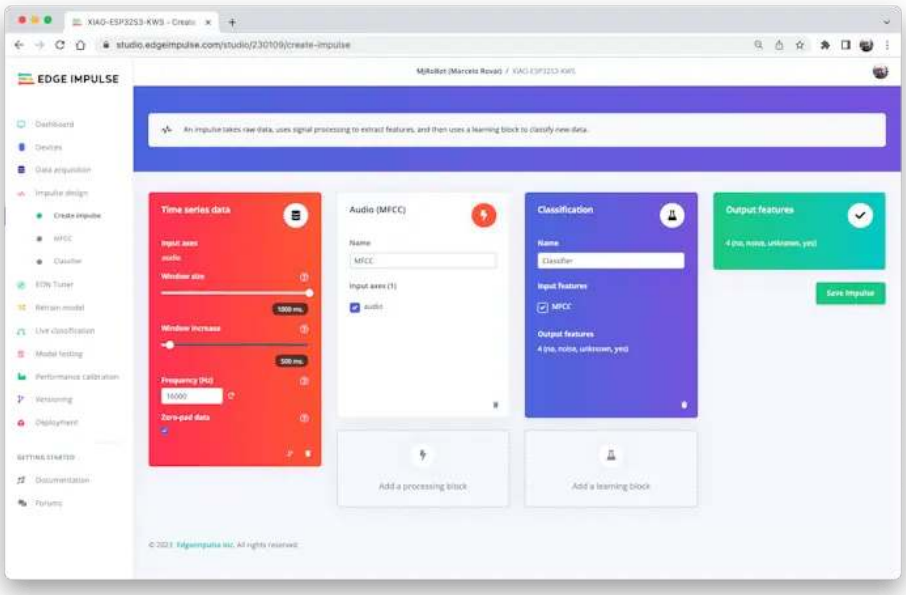

Impulse 流程图

首先，使用 1 秒窗口采集数据，进行数据增强，窗口每 500ms 滑动一次。注意启用 zero-pad data 选项，确保不足 1 秒的样本用零填充（有时为避免噪声和尖峰，会在拆分工具中缩短窗口）。

每个 1 秒音频样本需预处理并转为图像（如 $13 \times 49 \times 1$）。我们采用 MFCC（Mel 频率倒谱系数）特征提取，非常适合人声。

接下来选择 KERAS 作为分类器，构建卷积神经网络（CNN）进行图像分类。

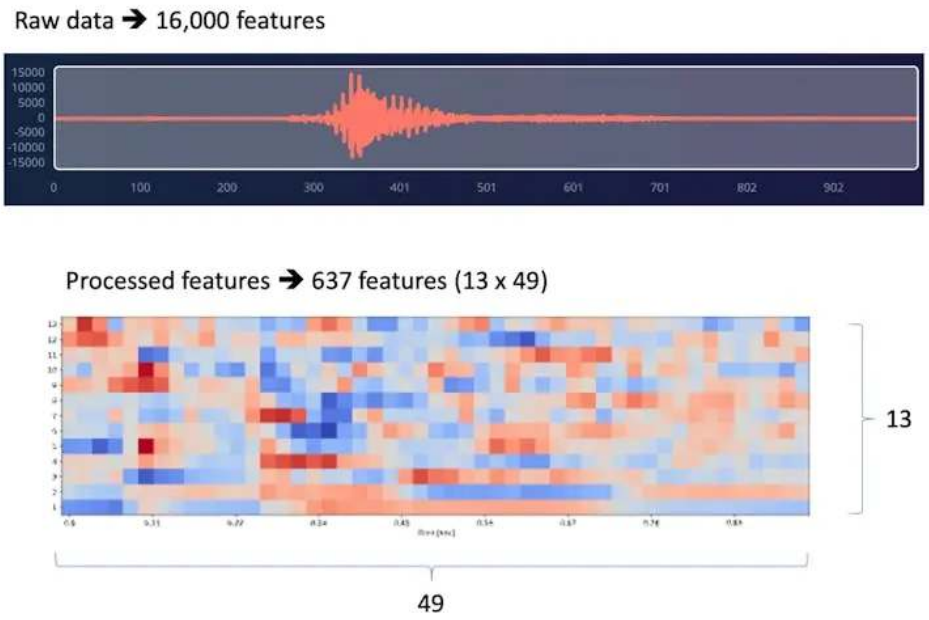

MFCC 特征提取界面

预处理（MFCC）

下一步是生成用于训练的特征图像：

可保持默认参数，或使用 DSP Autotune 自动调参（本例采用自动调参）。

结果显示预处理仅需 16KB 内存，但估算处理时间较高（675ms，基于 Espressif ESP-EYE，240kHz 时钟，CPU 性能略低于 ESP32S3 的 LX7）。实际推理时间会更短。

如需进一步降低推理延迟，可返回预处理阶段，调整 FFT 长度（如降至 256）、系数数量等参数。

本例保持自动调参结果，保存参数并生成特征。

> 想深入了解时序数据转图像（如 FFT、频谱图等），可参考此 CoLab：Audio Raw Data Analysis.

模型设计与训练

本项目采用卷积神经网络（CNN）模型。基础结构为两组 Conv1D + MaxPooling（分别含 8 和 16 个神经元），加 0.25 Dropout，最后一层 Flatten 后输出 4 个神经元（对应四类）：

超参数设置：学习率 0.005，训练 100 轮（epochs），并加入数据增强和噪声。训练结

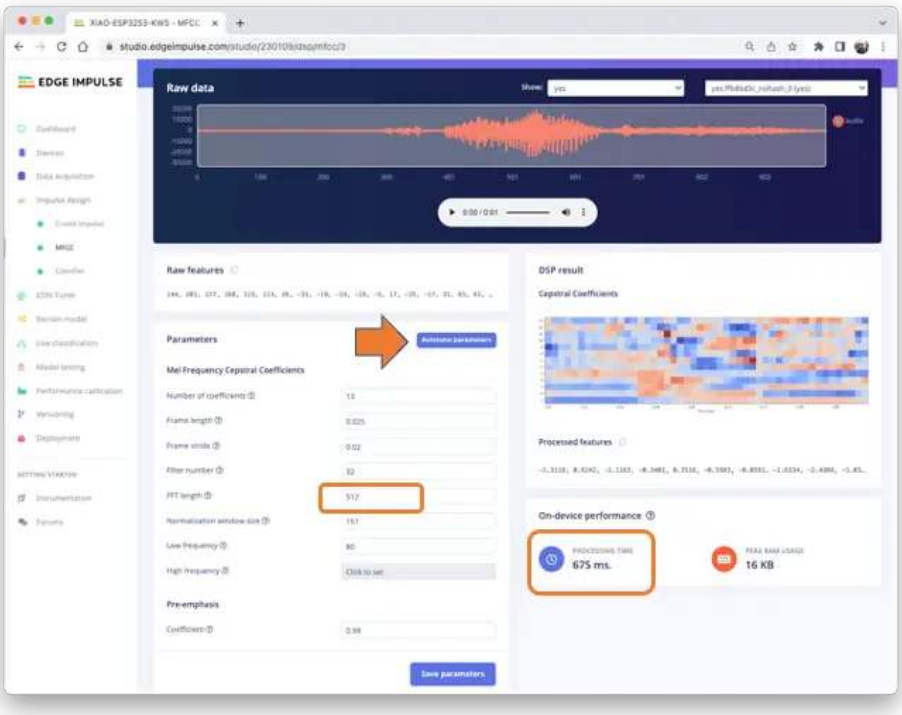

自动调参界面

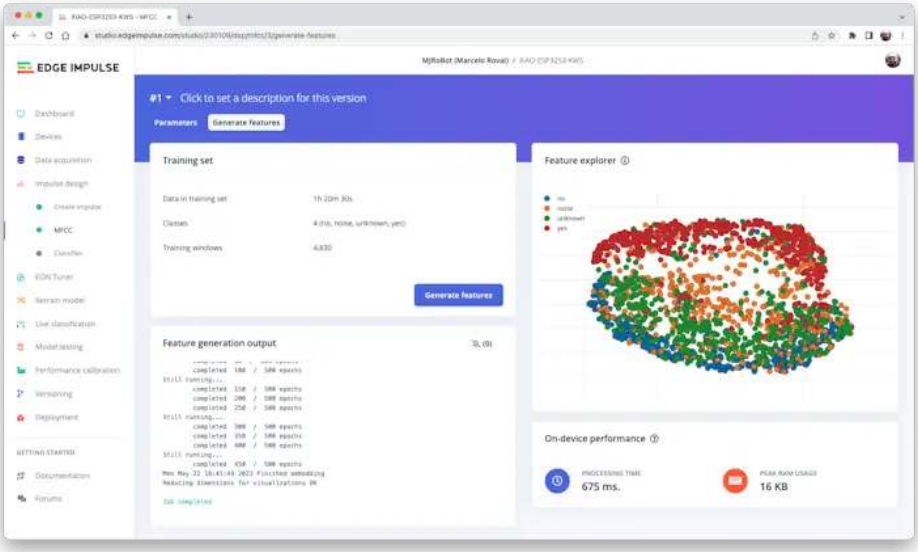

特征生成界面

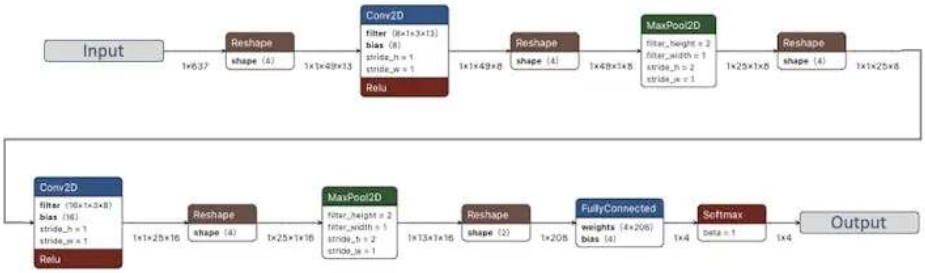

CNN 结构图

果良好：

如需深入理解，可下载数据集，在 Jupyter Notebook 中分析每轮准确率：

相关 CoLab Notebook 见：KWS Classifier Project - Looking “Under the hood” Training/xiao_esp32s3_keyword_spotting_project_nn_classifier.ipynb)。

测试

用预留的测试集测试模型，准确率约 87%：

F1 分数显示 YES 类为 0.95，非常理想（本项目用 YES 触发后处理，如点亮 LED）；NO 类为 0.90，UNKNOWN 类略低但可接受。

可继续项目，也可在设备部署前用手机进行 Live Classification。进入 Live Classification，点击 Connect a Development board：

用手机扫码并访问链接：

手机连接 Studio 后，选择 Classification，实时测试关键词，验证模型效果：

部署与推理

Studio 会自动打包所需库、预处理函数和模型，下载到本地。选择 Arduino Library，底部菜单选 Quantized (Int8)，点击 Build。

接下来进行真实推理测试。我们将修改 ESP32 示例代码（esp32_microphone），适配本设备。

在 Arduino IDE 的 File/Examples 中找到项目，选择 esp32/esp32_microphone：

该代码为 ESP-EYE 麦克风设计，需适配 XIAO ESP32S3。

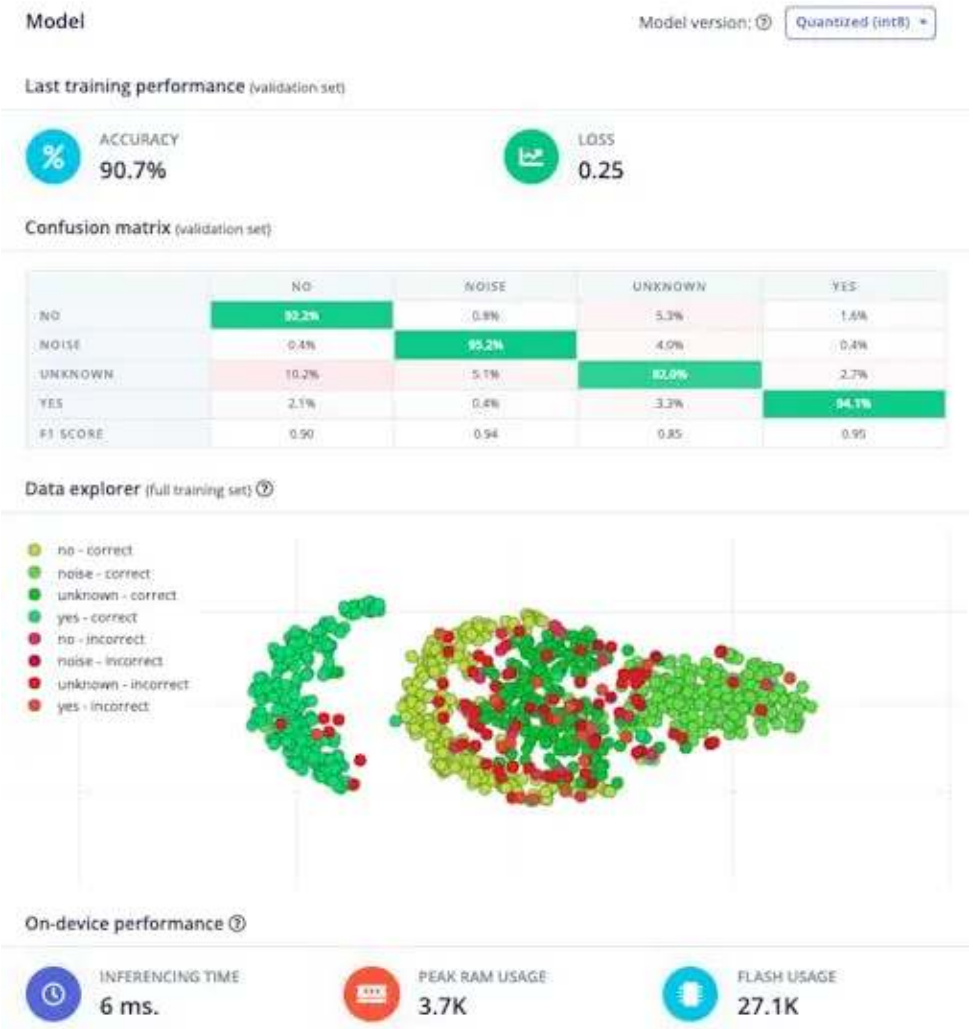

训练结果界面

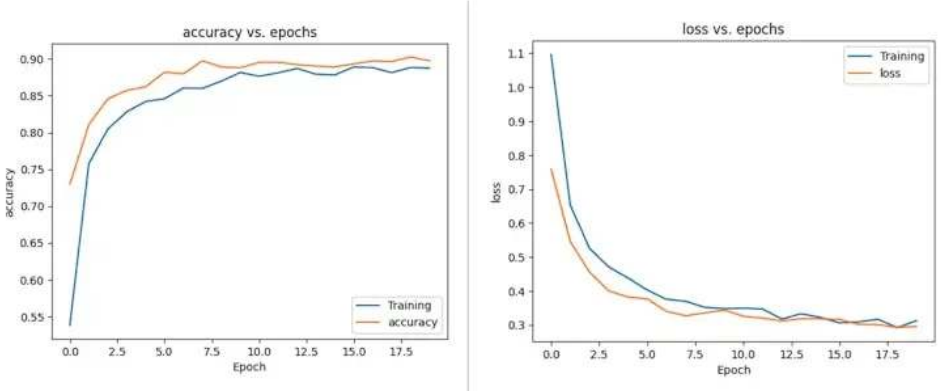

训练过程准确率曲线

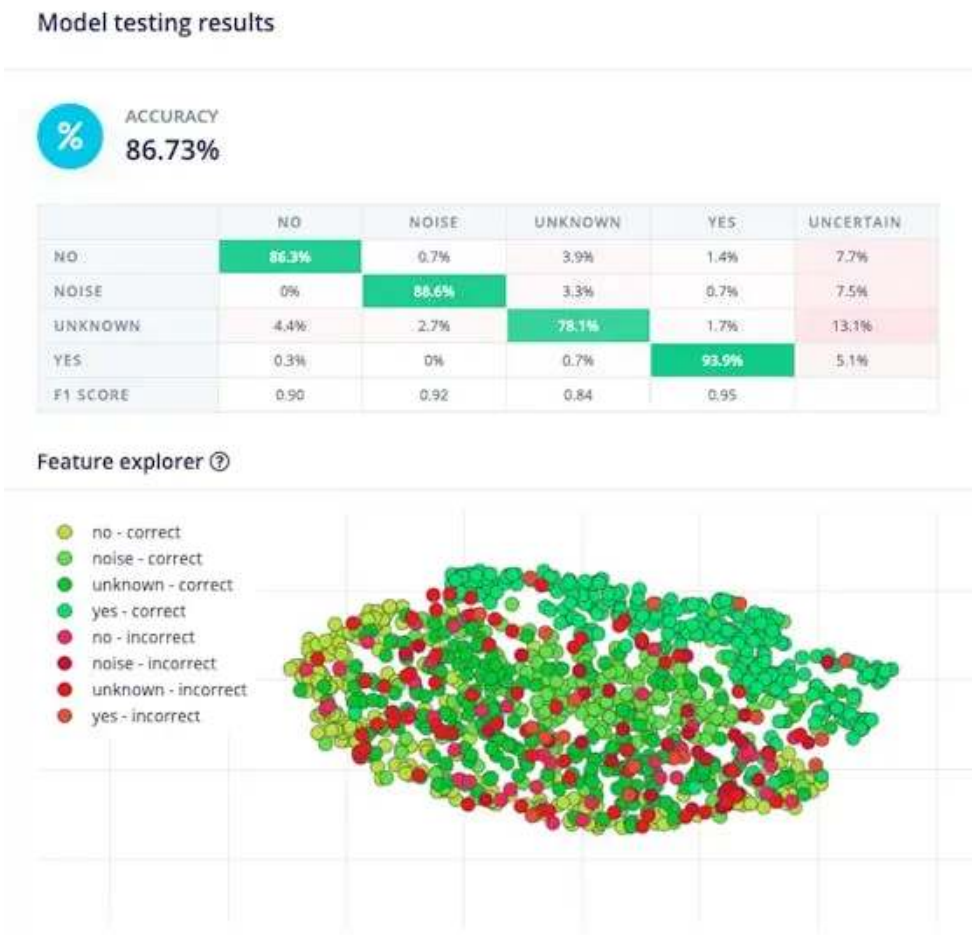

测试准确率界面

连接开发板界面

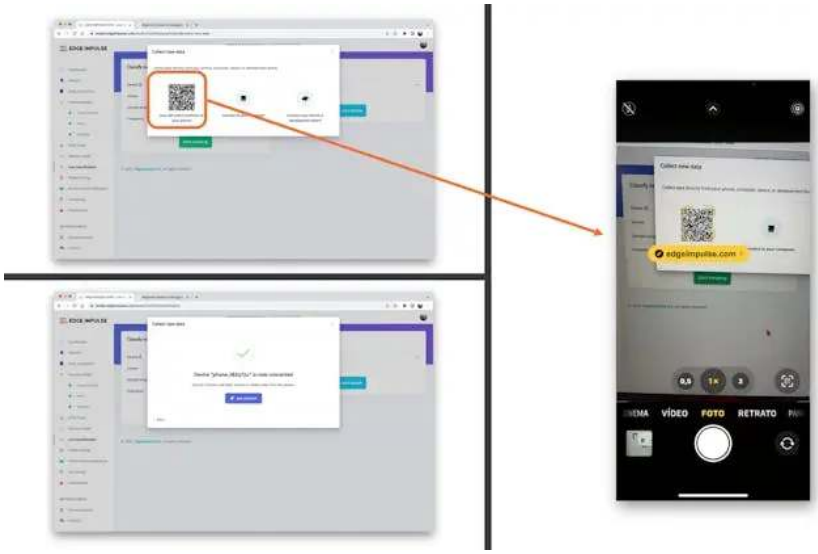

手机扫码界面

手机实时推理界面

首先更换 I2S 总线相关库：

替换为：

```
#include <I2S.h>
#define SAMPLE_RATE 16000U
#define SAMPLE_BITS 16
```

在 setup() 中初始化 I2S 麦克风：

```
void setup()
{
...
```

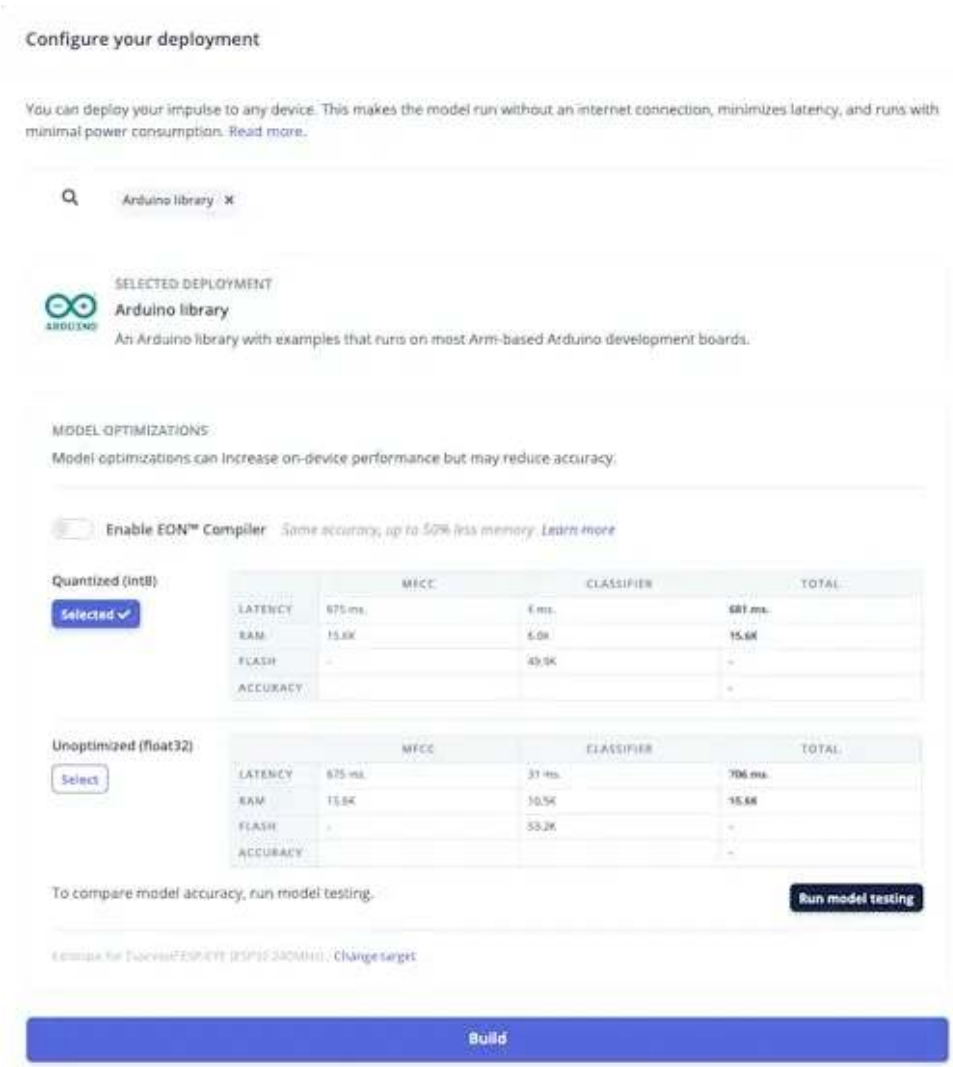

下载 Arduino 库界面

选择示例代码界面

```
41 /* Includes ---------------------------------
42 #include <XIAO-ESP32S3-KWS_inferencing.h>
43
44 #include "freertos/FreeRTOS.h"
45 #include "freertos/task.h"
46
47 #include "driver/i2s.h"
48
```

原始库引用

```
4     I2S.setAllPins(-1, 42, 41, -1, -1);
5     if (!I2S.begin(PDM_MONO_MODE, SAMPLE_RATE, SAMPLE_BITS)) {
6       Serial.println("Failed to initialize I2S!");
7     while (1) ;
8 ...
9 }
```

在 static void capture_samples(void* arg) 函数中，将第 153 行读取 I2S 麦克风数据的代码：

```
145 static void capture_samples(void* arg) {
146
147   const int32_t i2s_bytes_to_read = (uint32_t)arg;
148   size_t bytes_read = i2s_bytes_to_read;
149
150   while (record_status) {
151
152     /* read data at once from i2s */
153     i2s_read((i2s_port_t)1, (void*)sampleBuffer, i2s_bytes_to_read, &bytes_read, 100);
154
```

原始采样代码

替换为：

```
1 /* read data at once from i2s */
2 esp_i2s::i2s_read(esp_i2s::I2S_NUM_0,
3                   (void*)sampleBuffer,
4                   i2s_bytes_to_read,
5                   &bytes_read, 100);
```

在 static bool microphone_inference_start(uint32_t n_samples) 函数中，注释或删除 198~200 行的麦克风初始化代码（setup() 已初始化，无需重复）。

最后，在 static void microphone_inference_end(void) 函数中，将第 243 行：

```
186 static bool microphone_inference_start(uint32_t n_samples)
187 {
188     inference.buffer = (int16_t *)malloc(n_samples * sizeof(int16_t));
189
190     if(inference.buffer == NULL) {
191         return false;
192     }
193
194     inference.buf_count  = 0;
195     inference.n_samples  = n_samples;
196     inference.buf_ready  = 0;
197
198 //    if (i2s_init(EI_CLASSIFIER_FREQUENCY)) {
199 //        ei_printf("Failed to start I2S!");
200 //    }
201
```

原始初始化代码

```
241 static void microphone_inference_end(void)
242 {
243     i2s_deinit();
244     ei_free(inference.buffer);
245 }
```

原始释放内存代码

替换为：

```
1 static void microphone_inference_end(void)
2 {
3     free(sampleBuffer);
4     ei_free(inference.buffer);
5 }
```

完整代码见 项目 GitHub。上传代码到开发板，测试实际推理效果：

> ⚠ **注意**
>
> - Xiao ESP32S3 **必须**启用 PSRAM。可在 Arduino IDE 菜单栏 `Tools -> PSRAM:OPI PSRAM` 检查
> - Arduino Library（`esp32 by Espressif Systems`）应为 **2.017** 版本，请勿升级

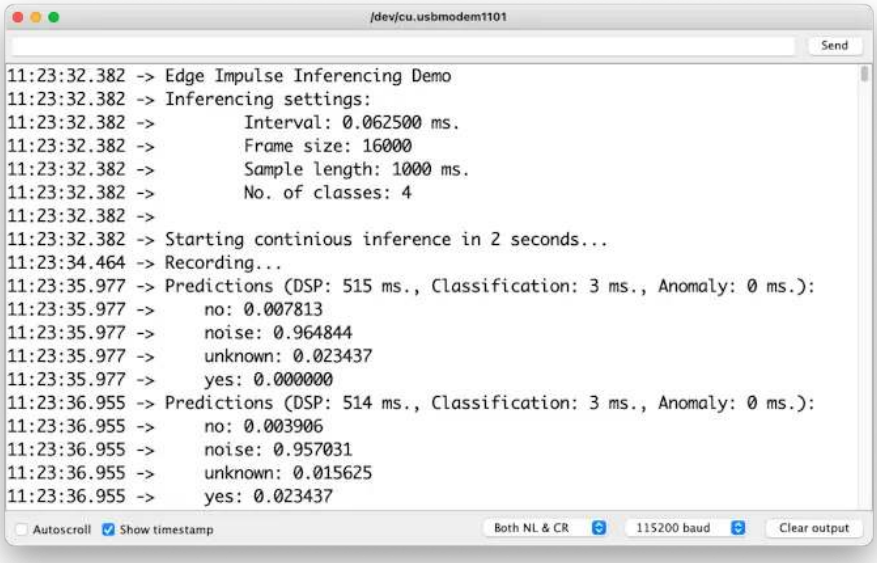

推理测试界面

后处理

在边缘 AI 应用中，推理结果只有被有效利用才有价值。串口输出便于调试，但实际部署需即时、直观的人机反馈，无需外接显示器。

下面介绍两种后处理方式：用 XIAO 内置 LED 和 XIAOML Kit 的 OLED 显示屏。

LED 指示

模型能正确检测关键词后，可修改代码使每次检测到 YES 时点亮内置 LED。

初始化 LED：

```
#define LED_BUILT_IN 21
...
void setup()
{
...
  pinMode(LED_BUILT_IN, OUTPUT); // 设置为输出
  digitalWrite(LED_BUILT_IN, HIGH); // 关闭
...
}
```

在 loop() 的 // print the predictions 部分修改为：

```
int pred_index = 0;     // 初始化 pred_index
float pred_value = 0;   // 初始化 pred_value

// 输出预测结果
ei_printf("Predictions ");
ei_printf("(DSP: %d ms., Classification: %d ms., Anomaly: %d ms.)",
     result.timing.dsp, result.timing.classification,
     result.timing.anomaly);
ei_printf(": \n");
for (size_t ix = 0; ix < EI_CLASSIFIER_LABEL_COUNT; ix++) {
      ei_printf("    %s: ", result.classification[ix].label);
      ei_printf_float(result.classification[ix].value);
      ei_printf("\n");

      if (result.classification[ix].value > pred_value){
         pred_index = ix;
         pred_value = result.classification[ix].value;
      }
}

// 根据推理结果控制 LED
if (pred_index == 3){
    digitalWrite(LED_BUILT_IN, LOW); // 点亮
}
else{
   digitalWrite(LED_BUILT_IN, HIGH); // 熄灭
}
```

完整代码见 项目 GitHub。上传后测试实际推理：

每次检测到 YES，LED 点亮。类似地，也可用作外部设备的触发信号。

OLED 显示

XIAOML Kit 配备的 0.42 英寸 OLED 显示屏（72×40 像素）是关键的后处理组件，可将 ML 推理结果直接以类别名和置信度显示在设备上，实现真正的独立边缘 AI 部署，适用于工业、农业、零售等场景，便于现场快速确认 AI 预测。

可修改代码自动适配 Edge Impulse 训练的模型，直接读取类别名和数量。代码见 GitHub：xiaoml-kit_kws_oled。

运行效果如下：

总结

本实验完整演示了基于 XIAOML Kit 的关键词唤醒系统开发流程，展示了现代 TinyML 平台如何让复杂音频 AI 在资源受限设备上变得易用可落地。通过动手实践，我们将理论机器学习知识与嵌入式 AI 部署紧密结合。

LED 指示效果

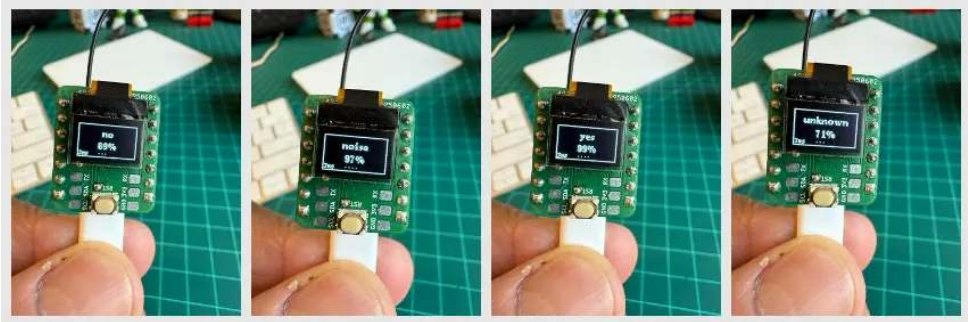

OLED 显示推理结果

技术亮点：

项目实现了从原始声音采集到实时推理的完整音频处理管道。利用 XIAO ESP32S3 集成数字麦克风，以专业级（16kHz/16bit）采集音频，并用 MFCC 特征提取。部署的 CNN 模型能高效区分目标关键词（“YES”、“NO”）与背景（“NOISE”、“UNKNOWN”），推理延迟适合实时应用。

平台集成：

Edge Impulse Studio 作为嵌入式 MLOps 平台，涵盖数据采集、标注、训练、优化与部署。云端训练与边缘部署无缝衔接，Arduino IDE 则为自定义后处理提供灵活性。

实际应用：

所学技术远不止关键词检测。语音控制、工业安全监测、医疗呼吸分析、环境声音监测等均可借鉴本项目音频处理方法。级联检测架构（边缘 KWS 触发云端处理）是现代语音助手的基础。

嵌入式 AI 原则：

本项目强调了 TinyML 的关键考量：功耗管理、PSRAM 内存优化、模型复杂度与推理速度权衡。神经网络在微控制器上实时音频分析，证明 AI 能力已从桌面走向电池供电设备。

开发方法论：

涵盖多种开发路径：离线 SD 卡采集与在线流式采集、Edge Impulse 自动库生成与 Arduino 自定义实现。灵活适配不同项目需求。

未来方向：

本实验为更高级音频 AI 应用打下基础。多关键词识别、说话人识别、情感检测、环境声音分类等均可基于本技术拓展。OLED 显示与 GPIO 控制集成，展示了 KWS 作为智能 IoT 接口的潜力。

声音分类远不止语音识别，相关技术可广泛应用于：

- **安防**：破窗、入侵、枪声检测
- **工业 IoT**：设备健康监测、异常检测
- **医疗**：睡眠监测、呼吸分析、老人护理
- **环境监测**：野生动物追踪、城市噪声分析、智能建筑声学管理
- **智能家居**：多房间语音控制、家电声音状态监测

核心收获：

XIAOML Kit 证明了专业级 AI 开发可用平价工具实现。强大硬件（ESP32S3+PSRAM+ 多传感器）、成熟平台（Edge Impulse Studio）、丰富软件库，让复杂 AI 概念变为可用系统。

本实验展示了 AI 的未来不仅在数据中心，更在能实时感知、理解和响应环境的智能边缘设备 —— 为普惠、隐私友好、响应迅速的人工智能系统打开了新可能。

参考资源

- XIAO ESP32S3 代码
- XIAOML Kit 代码
- Google Speech Commands 数据集子集
- KWS MFCC 分析 Colab
- KWS CNN 训练 Colab
- XIAO ESP32S3 后处理代码
- Edge Impulse 项目

运动分类与异常检测

概述

运输业是全球商业的基石。每天有数百万个集装箱通过船舶、卡车和火车等多种方式运往世界各地。确保这些集装箱安全高效地运输是一项巨大的挑战，需要借助现代技术，而 TinyML 无疑是关键解决方案之一。

在本实验中，我们将聚焦于运输领域的实际问题。你将使用 XIAOML Kit、Arduino IDE 和 Edge Impulse Studio，开发一个运动分类与异常检测系统。通过本项目，你将深入理解集装箱在陆运、海运、叉车垂直搬运及仓库存储等不同阶段所经历的各种力与运动。

> **学习目标**
>
> - XIAOML Kit 硬件环境搭建
> - 数据采集与预处理

> - 构建运动分类模型
> - 实现异常检测
> - 实际测试与分析
>
> 完成本实验后，你将拥有一个可用于集装箱运输过程中运动分类与异常检测的原型系统。这将为你后续深入 TinyML 尤其是振动相关项目打下坚实基础。

IMU 传感器安装

XIAOML Kit 的扩展板上集成了 LSM6DS3TR-C 六轴 IMU 传感器，无需外接传感器，极大简化了硬件连接，适合运动类机器学习应用。

LSM6DS3TR-C 集成了三轴加速度计和三轴陀螺仪，通过 I2C 总线（地址 0x6A）与 XIAO ESP32S3 连接，主要参数如下：

- **加速度计量程**：±2/±4/±8/±16 g（默认使用 ±2g）
- **陀螺仪量程**：±125/±250/±500/±1000/±2000 dps（默认使用 ±250 dps）
- **分辨率**：16 位 ADC
- **通信方式**：I2C，地址 0x6A
- **供电**：超低功耗设计

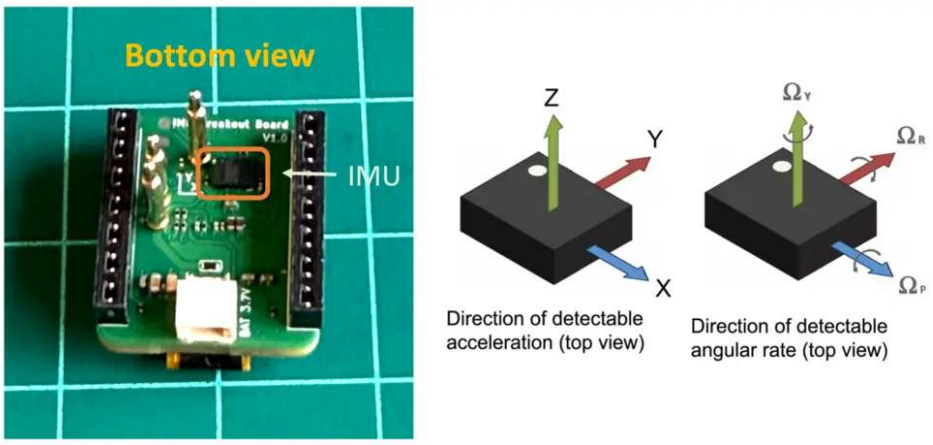

IMU 方向示意图

坐标系说明：传感器采用右手坐标系。从扩展板底部（可见 IMU 芯片及点标记）观察：

- **X 轴**：指向右侧
- **Y 轴**：指向前方（远离你）

- **Z 轴**：指向上方（垂直于电路板）

硬件准备

XIAOML Kit 已预装扩展板，无需额外硬件连接，IMU 已通过 I2C 正确连接。

已连接部分：

- LSM6DS3TR-C IMU → I2C（SDA/SCL）→ XIAO ESP32S3
- I2C 地址：0x6A
- 供电：3.3V（由 XIAO ESP32S3 提供）

所需库：推荐在环境搭建时已安装。如未安装，请按以下步骤安装 Seeed Arduino LSM6DS3 库：

1. 打开 Arduino IDE 库管理器
2. 搜索 “LSM6DS3”
3. 安装 **“Seeed Arduino LSM6DS3”**（作者 Seeed Studio）
4. **注意**：不要安装 “Arduino_LSM6DS3 by Arduino”，该库适用于其他开发板！

IMU 传感器测试

先上传如下代码，验证 IMU 是否正常工作：

```
#include <LSM6DS3.h>
#include <Wire.h>

// 创建 IMU 对象，使用 I2C 接口
LSM6DS3 myIMU(I2C_MODE, 0x6A);

float accelX, accelY, accelZ;
float gyroX, gyroY, gyroZ;

void setup() {
  Serial.begin(115200);
  while (!Serial) delay(10);

  Serial.println("XIAOML Kit IMU 测试");
  Serial.println("LSM6DS3TR-C 六轴 IMU");
  Serial.println("====================");

  // 初始化 IMU
  if (myIMU.begin() != 0) {
      Serial.println("错误：IMU 初始化失败！");
      while(1) delay(1000);
```

```
  } else {
      Serial.println("✓ IMU 初始化成功");
      Serial.println("数据格式：AccelX,AccelY,AccelZ,GyroX,GyroY,GyroZ");
      Serial.println("单位：g-force，度/秒");
      Serial.println();
  }
}

void loop() {
  // 读取加速度（g）
  accelX = myIMU.readFloatAccelX();
  accelY = myIMU.readFloatAccelY();
  accelZ = myIMU.readFloatAccelZ();

  // 读取陀螺仪（度/秒）
  gyroX = myIMU.readFloatGyroX();
  gyroY = myIMU.readFloatGyroY();
  gyroZ = myIMU.readFloatGyroZ();

  // 打印数据
  Serial.print("Accel (g): X="); Serial.print(accelX, 3);
  Serial.print(" Y="); Serial.print(accelY, 3);
  Serial.print(" Z="); Serial.print(accelZ, 3);
  Serial.print(" | Gyro (°/s): X="); Serial.print(gyroX, 2);
  Serial.print(" Y="); Serial.print(gyroY, 2);
  Serial.print(" Z="); Serial.println(gyroZ, 2);

  delay(100); // 10 Hz 更新率
}
```

当开发板平放时，你应看到：

- Z 轴加速度约为 +1.0g（重力方向）
- X、Y 轴加速度接近 0.0g
- 陀螺仪各轴接近 0.0°/s

移动开发板，数值会随之变化。

TinyML 运动分类项目

我们将通过手动模拟不同运输场景，采集运动数据，使教程更贴近实际。

利用 XIAOML Kit 的加速度计，采集以下场景的运动数据：

- **海运**（船上托盘）：三轴均有波浪式运动
- **陆运**（卡车/火车托盘）：主要为水平运动
- **升降**（叉车搬运）：主要为垂直运动

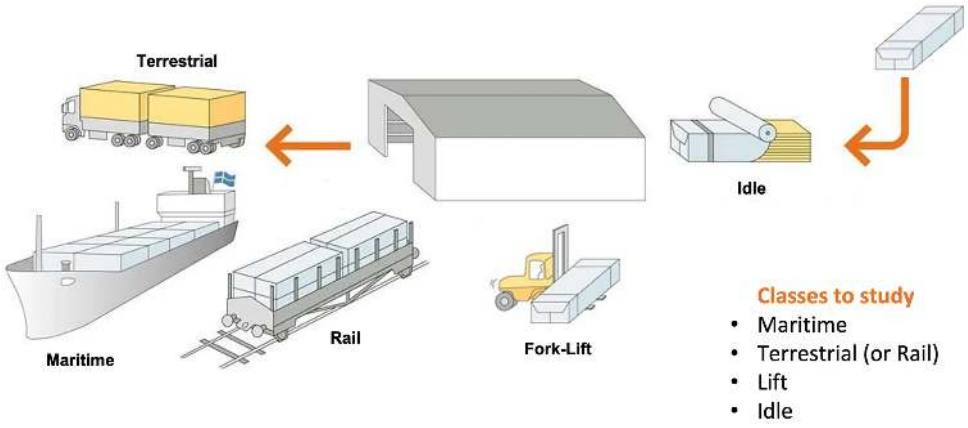

运动类别示意图

- **静止**（仓库存储）：几乎无运动

如上图所示，我们定义：主要水平运动（x 或 y 轴）归为“陆运类”，垂直运动（z 轴）归为“升降类”，无运动归为“静止类”，三轴均有运动归为“海运类”。参考

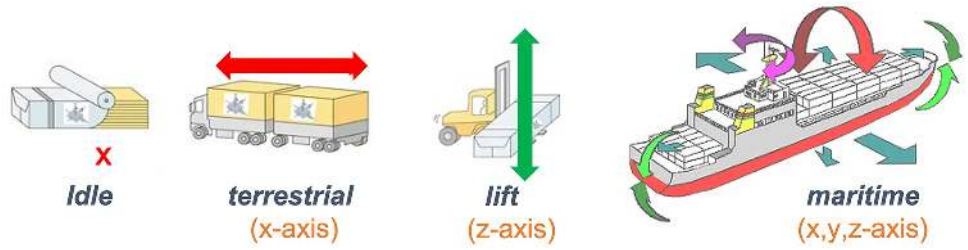

运动类别与轴向定义

数据采集

数据采集有多种方式。实际应用中，可将设备固定于集装箱，采集的数据存储为 CSV 文件（如存储于 SD 卡），也可通过 Wi-Fi 或蓝牙远程发送至手机等设备（参考项目：Sensor DataLogger）。采集到的 .CSV 文件可通过 CSV Wizard 工具 上传至 Edge Impulse Studio。

> 你也可以通过本视频了解更多数据上传方式。

数据采集代码准备

本实验中，我们将开发板直接连接 Edge Impulse Studio，利用 Studio 进行数据预处理、模型训练、测试与部署。

> 请先按官方文档安装 Node.js 和 Edge Impulse CLI。

由于 XIAOML Kit 目前尚未被 Edge Impulse 官方完全支持，我们需使用 CLI Data Forwarder 将串口数据转发至 Studio，流程如下图：

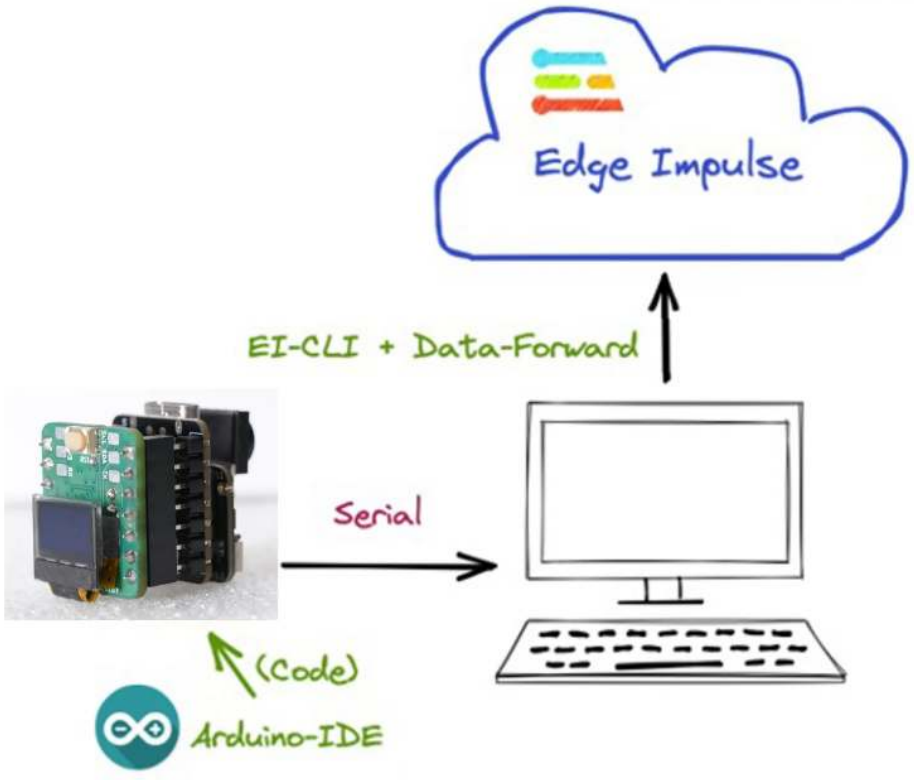

数据转发流程图

请将测试代码修改为 Edge Impulse 兼容格式：

```
#include <LSM6DS3.h>
#include <Wire.h>

#define FREQUENCY_HZ        50
#define INTERVAL_MS         (1000 / (FREQUENCY_HZ + 1))

LSM6DS3 myIMU(I2C_MODE, 0x6A);
static unsigned long last_interval_ms = 0;

void setup() {
  Serial.begin(115200);
  while (!Serial) delay(10);

  Serial.println("XIAOML Kit - 运动数据采集");
  Serial.println("LSM6DS3TR-C IMU 传感器");
```

```
16
17    // 初始化 IMU
18    if (myIMU.begin() != 0) {
19        Serial.println("错误：IMU 初始化失败！");
20        while(1) delay(1000);
21    }
22
23    delay(2000);
24    Serial.println("3 秒后开始采集数据...");
25    delay(3000);
26  }
27
28  void loop() {
29    if (millis() > last_interval_ms + INTERVAL_MS) {
30        last_interval_ms = millis();
31
32        // 读取加速度
33        float ax = myIMU.readFloatAccelX();
34        float ay = myIMU.readFloatAccelY();
35        float az = myIMU.readFloatAccelZ();
36
37        // 转换为 m/s²（乘以 9.81）
38        float ax_ms2 = ax * 9.81;
39        float ay_ms2 = ay * 9.81;
40        float az_ms2 = az * 9.81;
41
42        // 按 Edge Impulse 格式输出
43        Serial.print(ax_ms2);
44        Serial.print("\t");
45        Serial.print(ay_ms2);
46        Serial.print("\t");
47        Serial.println(az_ms2);
48    }
49  }
```

上传代码后，在 Arduino IDE 的串口监视器中可看到加速度（m/s^2）数据：

> 保持代码运行，但**关闭串口监视器**，否则数据无法被 CLI 正确转发至 Edge Impulse Studio。

连接 Edge Impulse 进行数据采集

创建 Edge Impulse 项目

- 访问 Edge Impulse Studio，创建新项目
- 命名建议简洁明了（不超过 63 字符，便于后续 Arduino 库兼容）

配置 CLI Data Forwarder

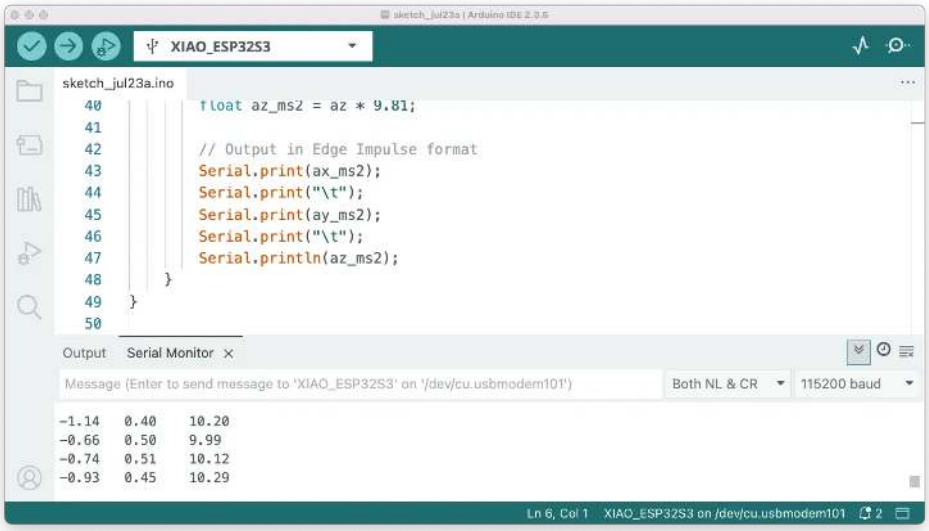

串口监视器数据示例

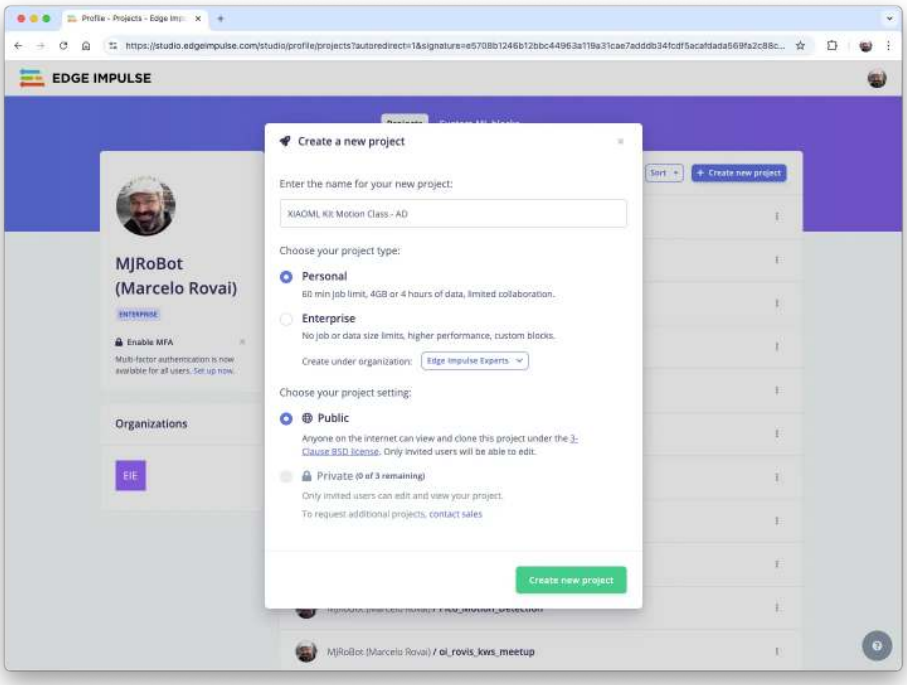

Edge Impulse Studio 新建项目

- 在电脑上安装 Edge Impulse CLI
- 确认 XIAOML Kit 已连接且代码运行，**关闭串口监视器**
- 终端运行：`edge-impulse-data-forwarder --clean`
- 输入 Edge Impulse 账号信息
- 选择项目并配置设备

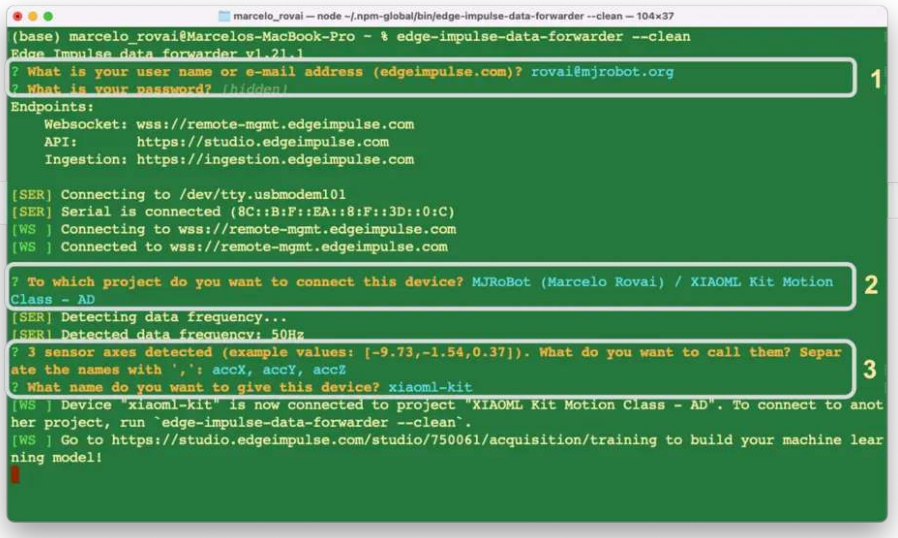

终端 CLI 配置示例

- 在 Studio 的 `Device` 页面，若设备已连接，状态点为绿色

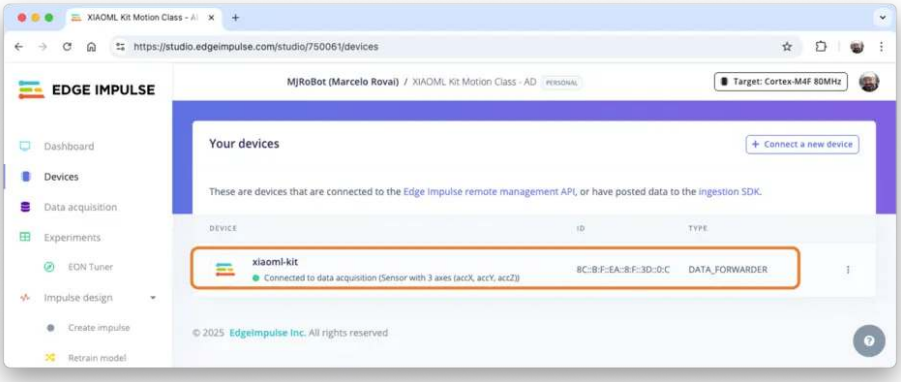

设备连接状态

Studio 端数据采集

如前所述，需采集四类**运输场景**的数据。假设你手持带加速度计的集装箱（即 XIAOML Kit），模拟如下场景：

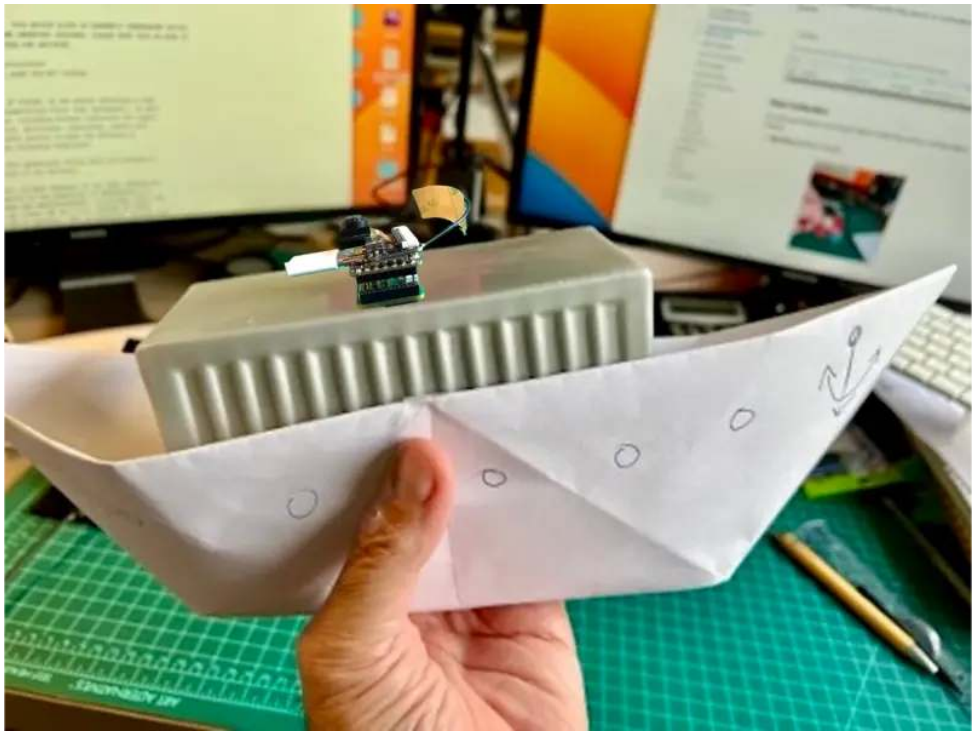

海运场景示意图

或在卡车、叉车等场景下采集。

运动模拟

海运类：

- 手持开发板，模拟船舶运动
- 三轴均做波浪式、起伏运动
- 包含轻微滚转和俯仰

陆运类：

- 水平直线移动开发板（左右来回）
- 模拟卡车/火车振动（小幅水平抖动）
- 偶尔轻微颠簸和转向

升降类：

- 主要做垂直方向（上下）运动
- 模拟叉车操作：上升、暂停、下降
- 可包含少量水平定位动作

静止类：

- 将开发板平放于稳定表面
- 基本无运动
- 采集环境振动与传感器噪声

数据采集流程

在 `Data Acquisition` 页面，确认设备 `[xiaoml-kit]` 已连接，传感器为 `[sensor with 3 axes (accX, accY, accZ)]`，采样频率 `[50 Hz]`，建议采样时长 `[10000]` ms（10 秒）。设置样本标签（如 `[terrestrial]`），点击 `[Start Sample]`，水平移动开发板，采集 10 秒数据，数据自动上传至 Studio。

下图为 10 秒陆运数据样本。可见 Y 轴（左右）为主，X 轴接近零，Z 轴约为 9.8 ms^2（重力）。

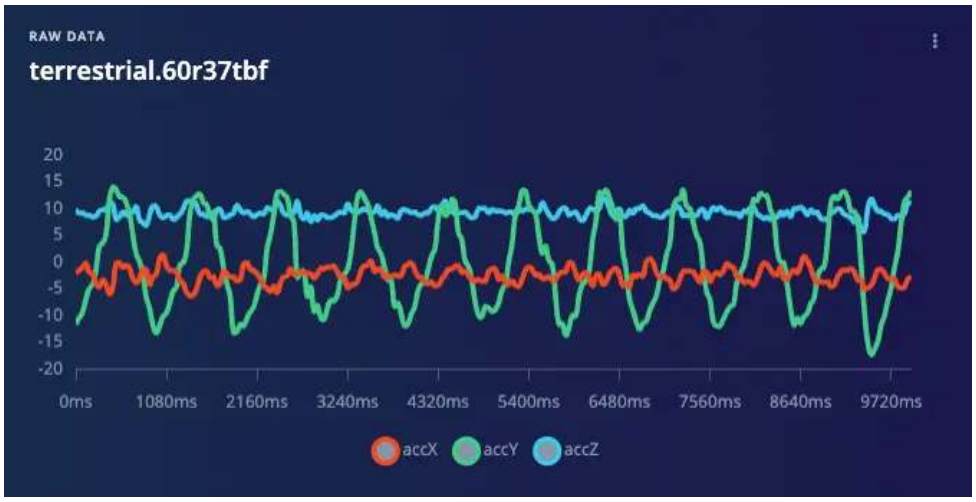

陆运原始数据

建议每类采集约 2 分钟（10~12 个 10 秒样本），每类选 2 个样本移至 **Test set**。也可在 `Dashboard` 页 `Danger Zone` 区使用自动分割工具。下图为数据集示例：

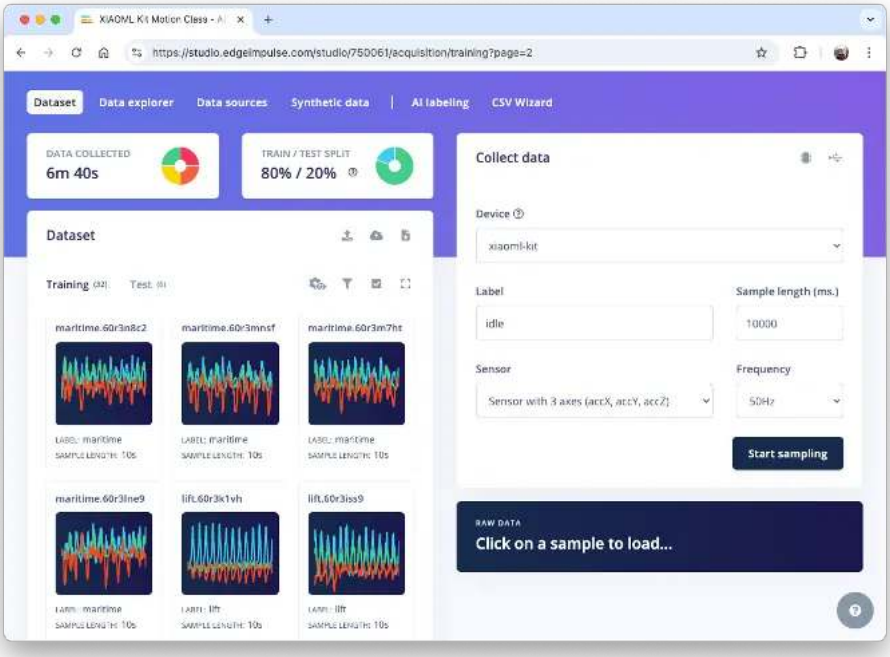

数据集分布

数据预处理

加速度计采集的原始数据为“时间序列”，需通过滑动窗口转为“表格数据”。如下图所示：

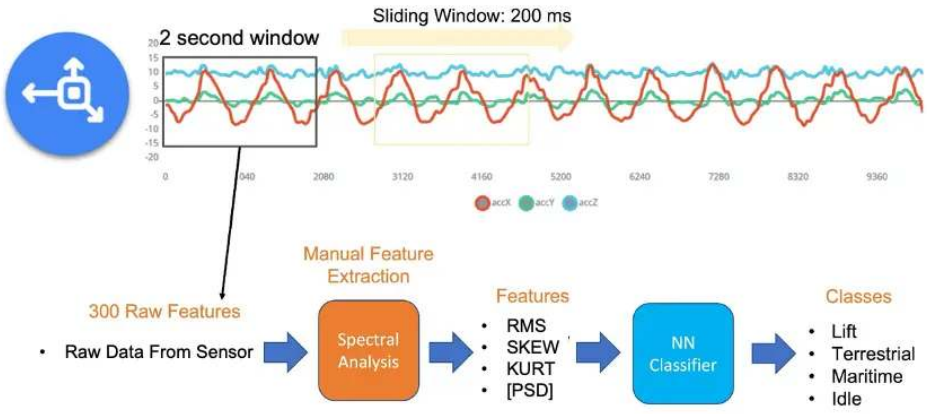

滑窗特征提取示意

以 50 Hz 采样 10 秒数据，2 秒窗口可采集 300 个数据点（3 轴 × 2 秒 × 50 次）。每 200ms 滑动一次窗口，生成更多样本，每个样本含 300 个原始特征。

> 采样频率建议遵循奈奎斯特定理：采样频率需大于信号最高频率的两倍。

嵌入式机器学习中的数据预处理较为复杂，Edge Impulse 提供了 DSP 预处理模块，尤其是频谱特征（Spectral Features）。

在 Studio 中，数据将输入 Spectral Analysis 块，适合分析加速度计等周期性运动数据。该块会提取如 FFT、Wavelets 等特征。常见情况下，FFT 的**时域统计特征**包括：

- 均方根（RMS）
- 偏度（Skewness）
- 峰度（Kurtosis）

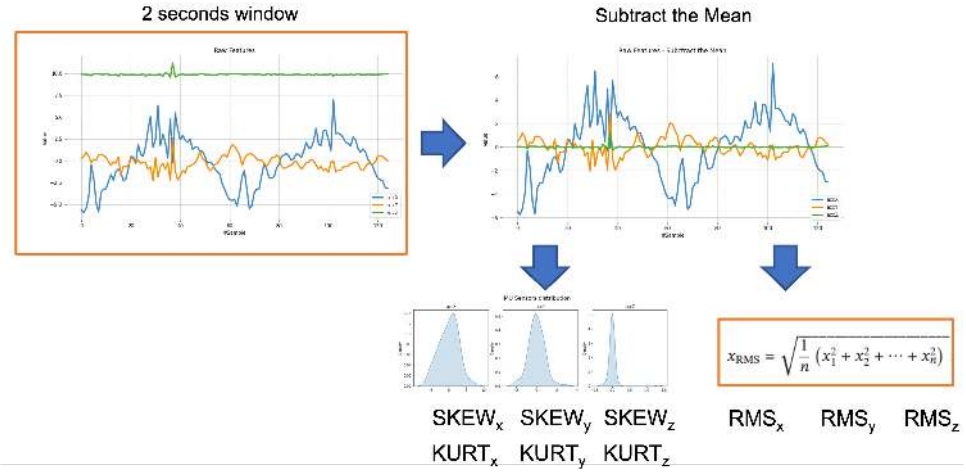

时域特征示意

频域特征包括：

- 频谱功率（Spectral Power）
- 偏度
- 峰度

以 FFT 长度 32 为例，Spectral Analysis 块每轴输出 21 个特征，共 63 个特征。

这 63 个特征将作为神经网络分类器和异常检测（K-Means）模型的输入。

> 详细可参考实验 DSP Spectral Features

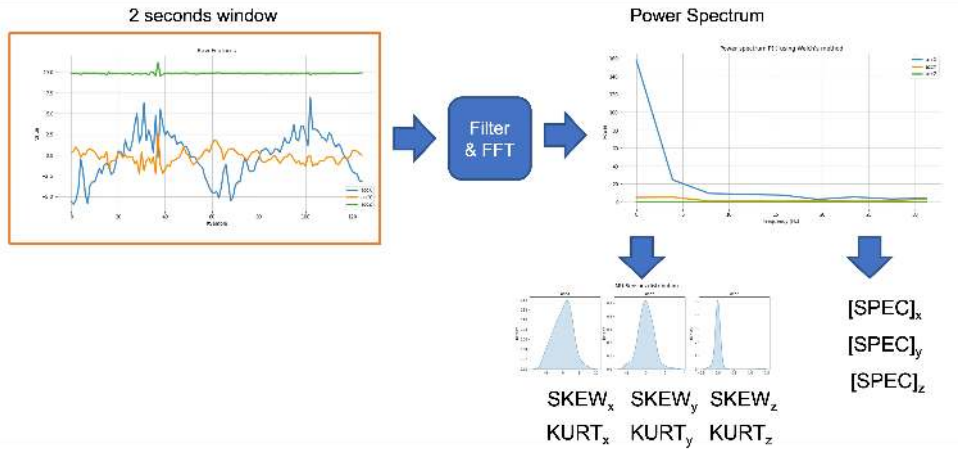

频域特征示意

模型设计

分类器为全连接神经网络（DNN），输入层 63 个神经元，两个隐藏层分别为 20 和 10 个神经元，输出层 4 个神经元（对应四类），结构如下：

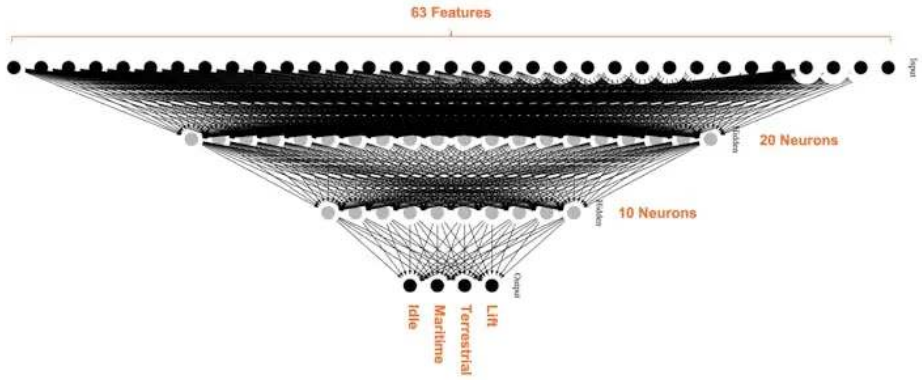

模型结构图

Impulse 设计

Impulse 流程为：原始数据 → 信号处理提取特征 → 学习模块（Dense 模型）分类。

同时，使用第二个模型 **K-means** 进行异常检测。假设已知类别为若干聚类，无法归类的样本即为异常（如集装箱在海上翻滚或倒置）。

> 例如 XIAOML Kit 出现训练集中未见的异常运动（如翻滚、倒置）。

最终 Impulse 设计如下：

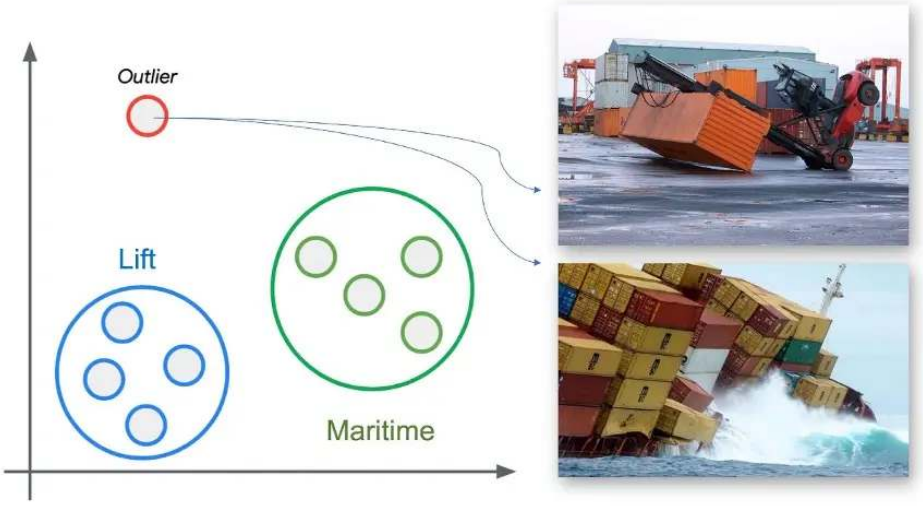

异常检测示意图

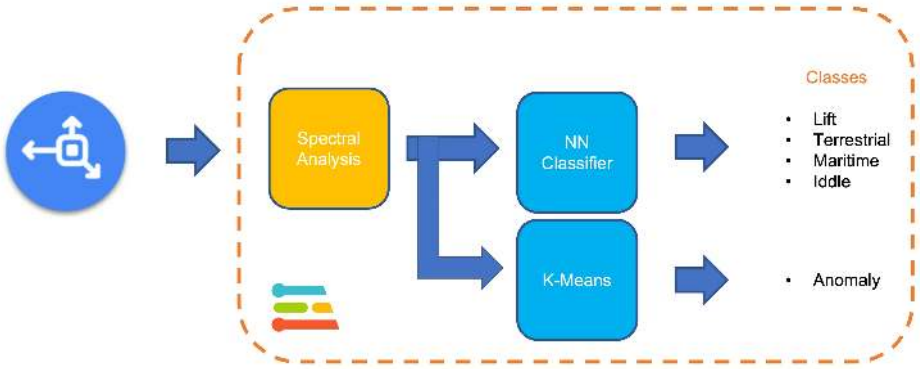

模型结构与流程

特征生成

此时已确定预处理方法和模型结构，接下来需将原始时间序列转为表格特征。在 `Spectral Features` 页点击 `[Save Parameters]`，或使用 `[Autotune parameters]` 自动调参。

顶部菜单进入 `Generate features`，勾选 `Calculate feature importance`、`Normalize features`，点击 `[Generate features]`。每个 2 秒窗口（300 点）转为 63 维特征。

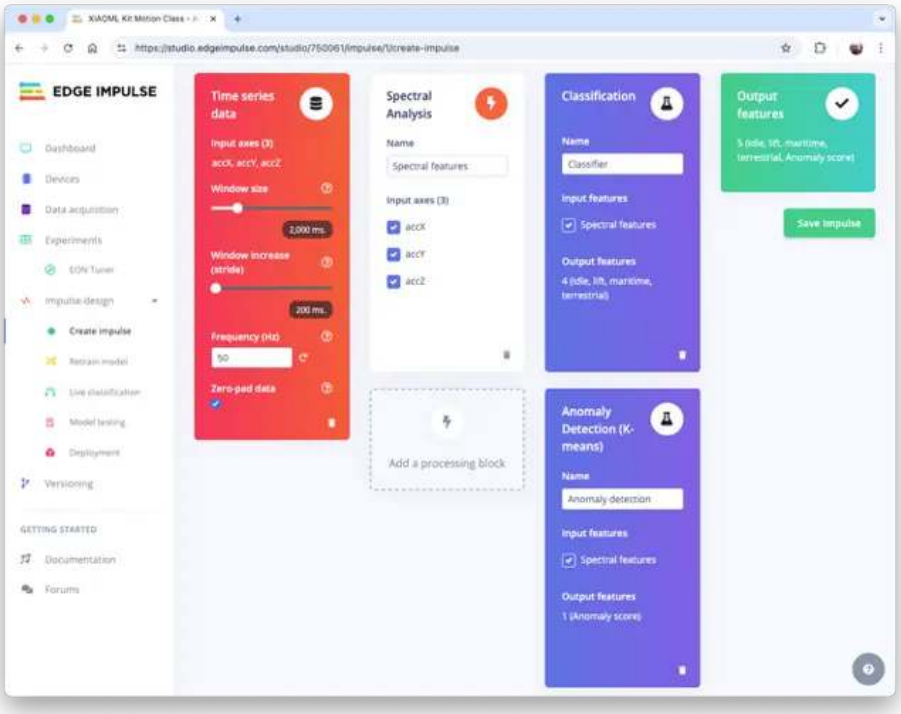

Impulse 设计图

> 特征可视化采用 UMAP，类似 t-SNE 的降维方法，便于验证类别分离效果。

下图为特征可视化，类别分离良好，模型分类效果预期较好。

可进一步分析各特征对不同类别的重要性。

训练

分类器为全连接神经网络（DNN），输入 63，隐藏层 20/10，输出 4。结构如下：

超参数：学习率 0.005，验证集占 20%，训练 30 轮。训练后准确率达 100%。

异常检测建议选择最重要的特征，聚类数 32（Studio 推荐）。训练后可用海运数据测试，异常分数范围为 `min: -0.1642, max: 0.0738, avg: -0.0867`。

更换数据时，分数小或为负表明数据正常。

测试

使用采集阶段预留的 20% 数据测试模型泛化能力，准确率接近 100%，表现优异。

还可用开发板在 Studio 进行实时分类测试。例如模拟“陆运”运动：

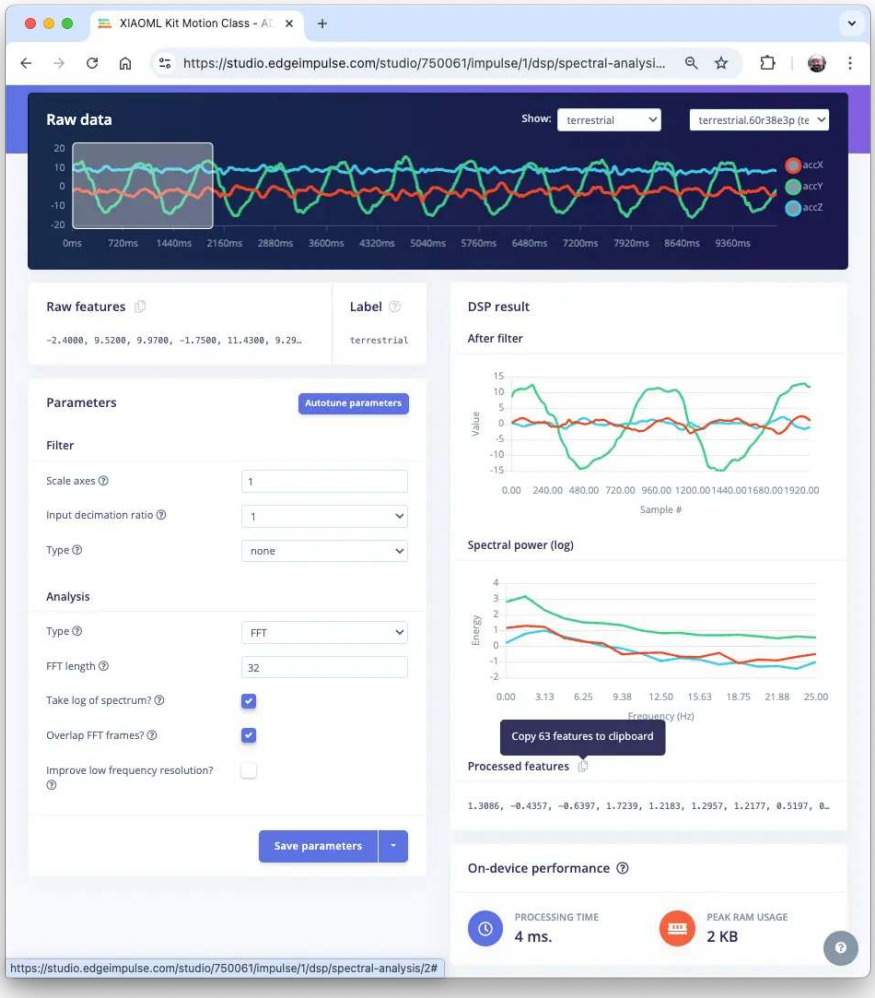

特征参数自动调整

> 注意：此时数据由设备实时采集并上传 Studio，推理在云端完成，模型尚未部署到设备。

部署

现在见证“魔法时刻”！Studio 会自动打包所需库、预处理函数和训练好的模型，下载到本地。选择 Arduino Library，底部选择 Quantized (Int8)，点击 `[Build]`，生成 ZIP 文件。

在 Arduino IDE，菜单栏选择“添加 .ZIP 库”，导入刚下载的 ZIP 文件：

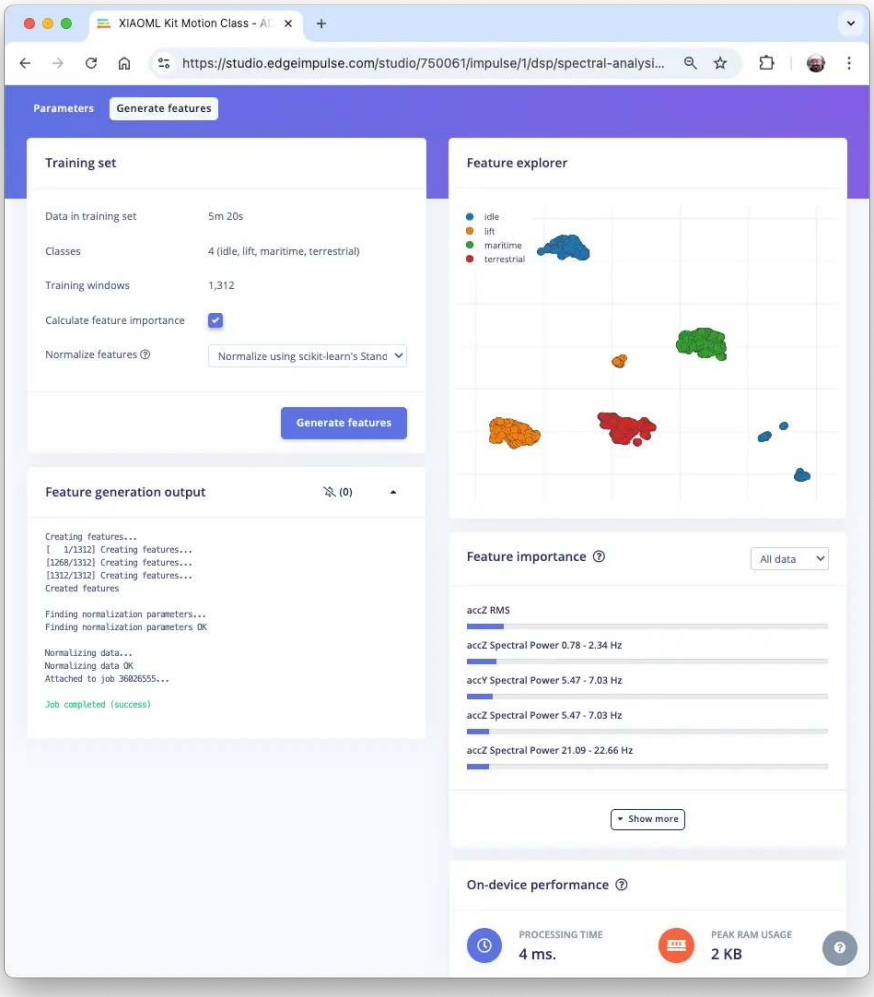

特征可视化

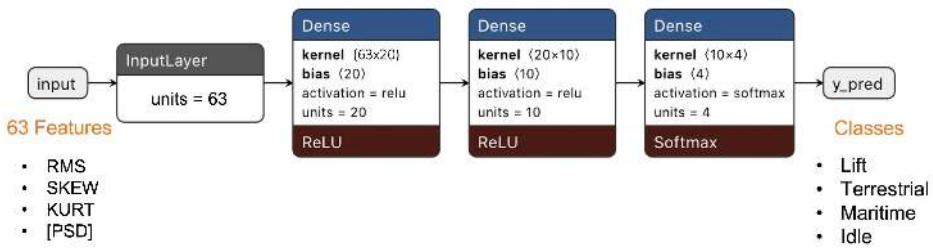

训练模型结构

异常检测训练结果

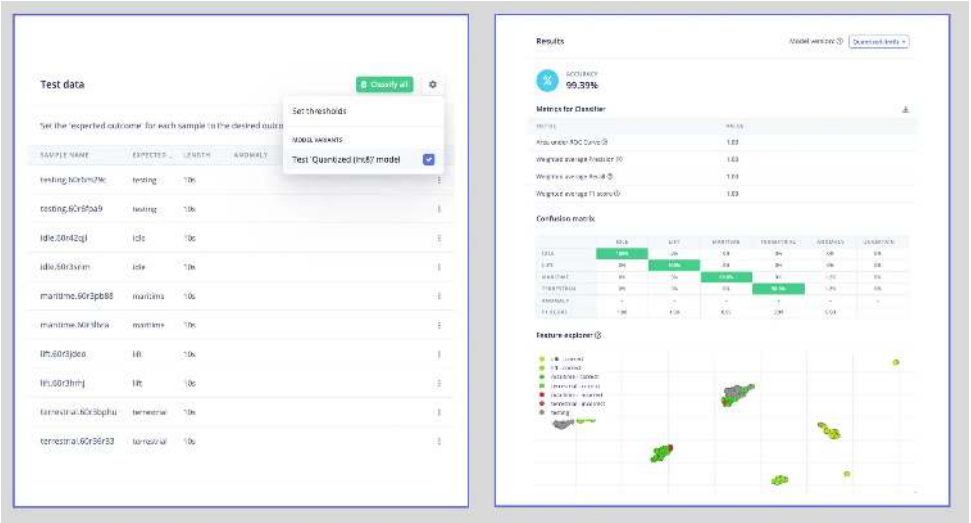

测试结果

Anomaly explorer
X Axis
Y Axis
Distance from closest cluster:
testing.60r6m29c
Raw features
Spectral features
Processed features

实时测试

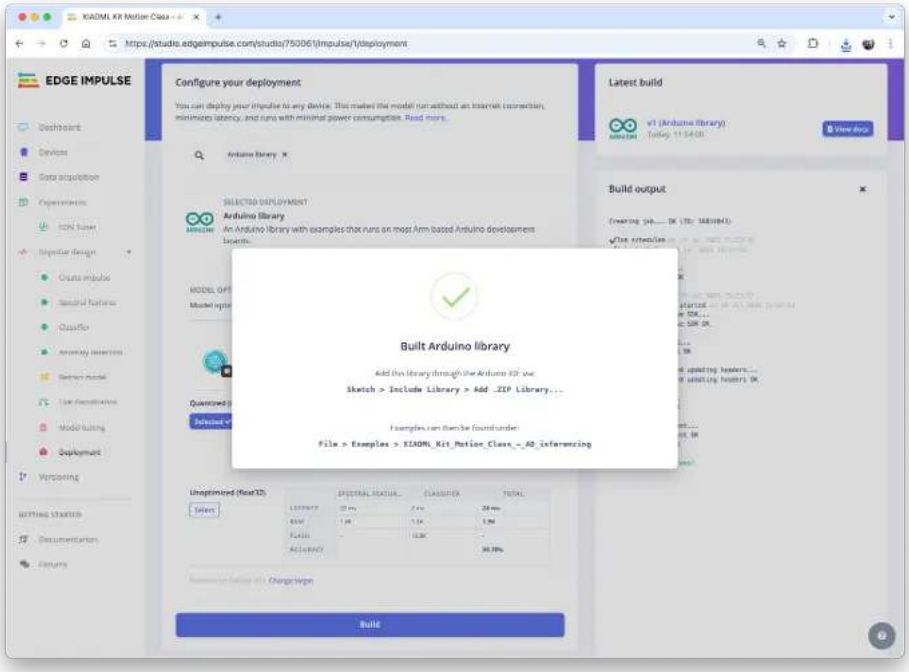
EDGE IMPULSE
Configure your deployment
Latest build
Build output
Arduino library
Built Arduino library
Sketch > Include Library > Add .ZIP Library...
File > Examples > XIAOML_Kit_Motion_Class_-_AD_inferencing
Build

部署界面

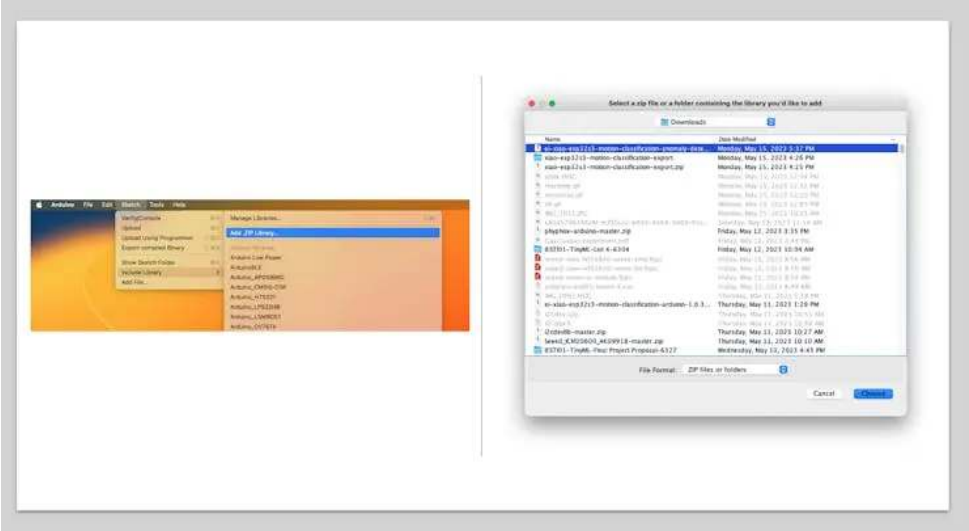

添加库操作界面

推理（Inference）

现在，是时候进行真正的测试了。我们将进行完全脱离 Studio 的本地推理。下面以部署 Arduino 库后生成的示例代码为例，进行必要的修改。

在 Arduino IDE 中，依次点击 `文件/示例`，找到你的项目，在示例中选择 `nano_ble_sense_accelerometer`：

当然，这不是你的开发板，但只需做少量修改即可兼容。

例如，代码开头原本引用 Arduino Sense IMU 相关库：

```
/* Includes ---------------------------------------------- */
#include <XIAOML_Kit_Motion_Class_-_AD_inferencing.h>
#include <Arduino_LSM9DS1.h>
```

请将“includes”部分替换为 IMU 相关代码：

```
#include <XIAOML_Kit_Motion_Class_-_AD_inferencing.h>
#include <LSM6DS3.h>
#include <Wire.h>
```

修改常量定义：

```
// IMU 初始化
LSM6DS3 myIMU(I2C_MODE, 0x6A);

// 推理参数
#define CONVERT_G_TO_MS2    9.81f
#define MAX_ACCEPTED_RANGE  2.0f * CONVERT_G_TO_MS2
```

在 setup 函数中，初始化 IMU：

```
   // 初始化 IMU
    if (myIMU.begin() != 0) {
        Serial.println("ERROR: IMU initialization failed!");
        return;
    }
```

在 loop 函数中，原代码通过如下方式获取三轴加速度：

```
IMU.readAcceleration(buffer[ix], buffer[ix + 1], buffer[ix + 2]);
```

请替换为：

```
// 读取 IMU 数据
float x = myIMU.readFloatAccelX();
float y = myIMU.readFloatAccelY();
float z = myIMU.readFloatAccelZ();
```

接下来需调整两个代码块的顺序。先将原始数据转换为“米每二次方秒（m/s^2）”，再进行最大范围判断（此处单位为 m/s^2，原 Arduino 代码为 G）：

```
  // 转换为 m/s²
  buffer[i + 0] = x * CONVERT_G_TO_MS2;
  buffer[i + 1] = y * CONVERT_G_TO_MS2;
  buffer[i + 2] = z * CONVERT_G_TO_MS2;

  // 限幅处理
  for (int j = 0; j < 3; j++) {
      if (fabs(buffer[i + j]) > MAX_ACCEPTED_RANGE) {
          buffer[i + j] = copysign(MAX_ACCEPTED_RANGE, buffer[i + j]);
      }
  }
```

这样就可以了。你还可以根据需要调整串口监视器的推理结果显示。现在可以将下方完整代码上传到设备，进行推理测试。

```
// 使用 LSM6DS3TR-C IMU 进行运动分类
#include <XIAOML_Kit_Motion_Class_-_AD_inferencing.h>
#include <LSM6DS3.h>
#include <Wire.h>

// IMU 初始化
LSM6DS3 myIMU(I2C_MODE, 0x6A);

// 推理参数
#define CONVERT_G_TO_MS2    9.81f
#define MAX_ACCEPTED_RANGE  2.0f * CONVERT_G_TO_MS2

static bool debug_nn = false;
static float buffer[EI_CLASSIFIER_DSP_INPUT_FRAME_SIZE] = { 0 };
static float inference_buffer[EI_CLASSIFIER_DSP_INPUT_FRAME_SIZE];

void setup() {
    Serial.begin(115200);
    while (!Serial) delay(10);

    Serial.println("XIAOML Kit - 运动分类");
    Serial.println("LSM6DS3TR-C IMU 推理");

    // 初始化 IMU
    if (myIMU.begin() != 0) {
        Serial.println("ERROR: IMU initialization failed!");
        return;
    }

    Serial.println("✓ IMU 初始化成功");

    if (EI_CLASSIFIER_RAW_SAMPLES_PER_FRAME != 3) {
        Serial.println("ERROR: EI_CLASSIFIER_RAW_SAMPLES_PER_FRAME"
                       "应为 3");
        return;
    }

    Serial.println("✓ 模型加载完成");
    Serial.println("开始运动分类...");
}

void loop() {
    ei_printf("\n2 秒后开始推理...\n");
    delay(2000);

    ei_printf("采样中...\n");

    // 清空缓冲区
    for (size_t i = 0; i < EI_CLASSIFIER_DSP_INPUT_FRAME_SIZE; i++) {
        buffer[i] = 0.0f;
```

```
    }

    // 采集加速度数据
    for (int i = 0; i < EI_CLASSIFIER_DSP_INPUT_FRAME_SIZE; i += 3) {
        uint64_t next_tick = micros() +
          (EI_CLASSIFIER_INTERVAL_MS * 1000);

        // 读取 IMU 数据
        float x = myIMU.readFloatAccelX();
        float y = myIMU.readFloatAccelY();
        float z = myIMU.readFloatAccelZ();

        // 转换为 m/s²
        buffer[i + 0] = x * CONVERT_G_TO_MS2;
        buffer[i + 1] = y * CONVERT_G_TO_MS2;
        buffer[i + 2] = z * CONVERT_G_TO_MS2;

        // 限幅处理
        for (int j = 0; j < 3; j++) {
            if (fabs(buffer[i + j]) > MAX_ACCEPTED_RANGE) {
                buffer[i + j] = copysign(MAX_ACCEPTED_RANGE,
                                         buffer[i + j]);
            }
        }

        delayMicroseconds(next_tick - micros());
    }

    // 拷贝到推理缓冲区
    for (int i = 0; i < EI_CLASSIFIER_DSP_INPUT_FRAME_SIZE; i++) {
        inference_buffer[i] = buffer[i];
    }

    // 从缓冲区创建信号
    signal_t signal;
    int err = numpy::signal_from_buffer(inference_buffer,
              EI_CLASSIFIER_DSP_INPUT_FRAME_SIZE, &signal);
    if (err != 0) {
        ei_printf("ERROR: 创建信号失败 (%d)\n", err);
        return;
    }

    // 运行分类器
    ei_impulse_result_t result = { 0 };
    err = run_classifier(&signal, &result, debug_nn);
    if (err != EI_IMPULSE_OK) {
        ei_printf("ERROR: 分类器运行失败 (%d)\n", err);
        return;
    }

    // 打印预测结果
    ei_printf("预测结果 (DSP: %d ms, 分类: %d ms, 异常: %d ms):\n",
        result.timing.dsp, result.timing.classification, result.timing.anomaly);

    for (size_t ix = 0; ix < EI_CLASSIFIER_LABEL_COUNT; ix++) {
```

```
        ei_printf("    %s: %.5f\n", result.classification[ix].label,
                  result.classification[ix].value);
    }

    // 打印异常分数
#if EI_CLASSIFIER_HAS_ANOMALY == 1
    ei_printf("异常分数: %.3f\n", result.anomaly);
#endif

    // 判断预测类别
    float max_confidence = 0.0;
    String predicted_class = "unknown";

    for (size_t ix = 0; ix < EI_CLASSIFIER_LABEL_COUNT; ix++) {
        if (result.classification[ix].value > max_confidence) {
            max_confidence = result.classification[ix].value;
            predicted_class = String(result.classification[ix].label);
        }
    }

    // 置信度阈值显示结果
    if (max_confidence > 0.6) {
        ei_printf("\n:target: 预测类别: %s (置信度 %.1f%%)\n",
                  predicted_class.c_str(), max_confidence * 100);
    } else {
        ei_printf("\n⚠ 不确定: 最高置信度为 %s (%.1f%%)\n",
                  predicted_class.c_str(), max_confidence * 100);
    }

    // 检查异常
#if EI_CLASSIFIER_HAS_ANOMALY == 1
    if (result.anomaly > 0.5) {
        ei_printf("⚠⚠ 检测到异常! 分数: %.3f\n", result.anomaly);
    }
#endif

    delay(1000);
}

void ei_printf(const char *format, ...) {
    static char print_buf[1024] = { 0 };
    va_list args;
    va_start(args, format);
    int r = vsnprintf(print_buf, sizeof(print_buf), format, args);
    va_end(args);
    if (r > 0) {
        Serial.write(print_buf);
    }
}
```

> 完整代码可在 实验 GitHub 仓库 获取。

现在你可以尝试不同的运动，观察每类推理结果：

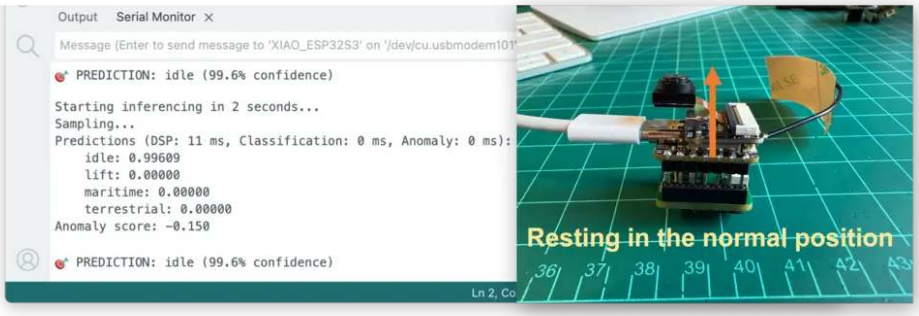

静止推理结果示例

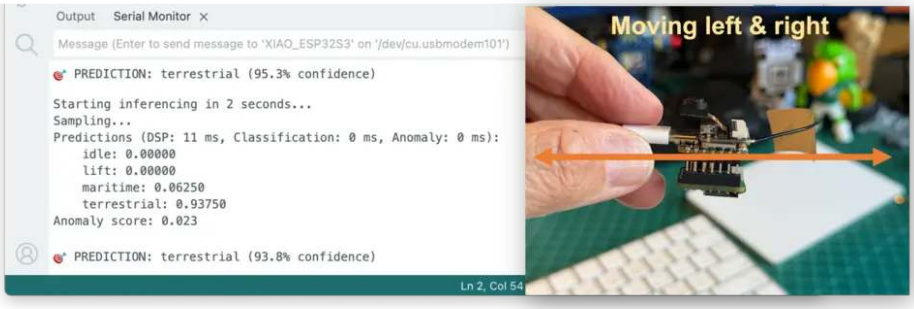

陆运推理结果示例

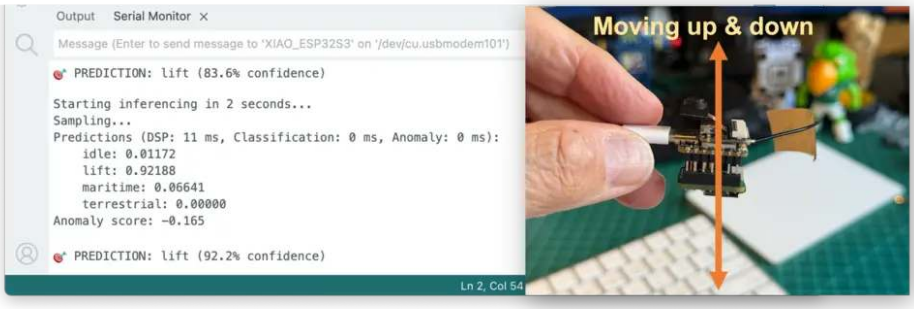

升降推理结果示例

当然，也可以模拟“异常”场景，例如将 XIAO 反转，异常分数会大于 0.5：

后处理（Post-Prossessing）

在确认模型正常工作后，建议进一步修改代码，实现完全离线（脱离 PC，使用电池、充电宝或独立 5V 电源供电）运行。

海运推理结果示例

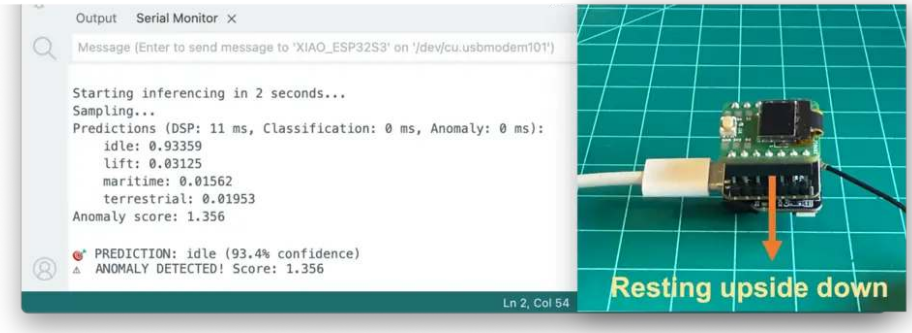

异常推理结果示例

思路是：当检测到特定运动时，在 OLED 屏幕上显示对应信息。

OLED 显示推理结果示例

带 OLED 显示的推理代码可在 实验 GitHub 仓库 获取。

总结

本实验演示了如何利用 XIAOML Kit 内置的 LSM6DS3TR-C IMU 传感器，构建完整的运动分类系统。主要成果包括：

技术实现：

- 利用集成六轴 IMU 进行运动感知
- 采集四类运输场景的标注训练数据
- 实现基于频谱特征的时序分析
- 部署适用于微控制器推理的神经网络分类器
- 增加异常检测，识别异常运动

机器学习流程：

- 直接从嵌入式传感器采集数据
- 频域特征工程
- 在 Edge Impulse 平台训练与优化模型
- 在资源受限硬件上实现实时推理
- 性能监控与验证

实际应用场景：

- 资产追踪与物流监控
- 设备预测性维护
- 人体活动识别
- 车辆与设备状态监测
- 智慧城市物联网传感网络

核心收获：

- 熟悉 IMU 坐标系与传感器融合
- 平衡模型精度与边缘设备推理速度
- 构建健壮的数据采集与预处理流程
- 将机器学习模型部署到嵌入式系统
- 多传感器（IMU + 显示屏）集成的完整方案

XIAOML Kit 运动分类的集成展示了现代嵌入式系统本地执行 AI 推理的能力，实现了无需云端的实时决策。这一范式对于工业物联网、自动化系统和智能设备应用具有重要意义，是边缘 AI 未来发展的基础。

参考资料

- XIAOML KIT 代码仓库
- DSP 频谱特征实验
- Edge Impulse 项目
- Edge Impulse 频谱特征 Colab Notebook
- Edge Impulse 官方文档
- Edge Impulse 频谱特征说明
- Seeed Studio LSM6DS3 库

Grove Vision 平台实验

Grove Vision 平台为 TinyML 应用提供了强大的视觉处理能力。本章通过 Grove Vision AI V2 平台介绍嵌入式视觉 AI 的实践应用。您将学习如何部署计算机视觉模型，实现图像识别和目标检测，并探索在边缘设备上处理视觉数据的优化技术。通过动手实验和案例分析，您将掌握将先进视觉 AI 技术应用于资源受限设备的技能，适用于开发物联网和嵌入式视觉应用的工程师和开发者。

概述

本系列实验将带你在高性能且小巧的嵌入式设备 —— Seeed Studio Grove Vision AI V2 上，深入体验机器学习（ML）系统的实际应用。与需要数据中心级资源的大模型不同，这些实验让你能够直接通过 TinyML 与硬件和软件交互，获得 AI 部署的真实感知与挑战。虽然规模较小，但其原理与更大或更小系统基本一致，具备高度参考价值。

Grove Vision AI V2 在嵌入式 AI 领域占据独特地位，既超越了如 Seeed XIAO ESP32S3 Sense、Arduino Nicla Vision 等基础微控制器方案，又比树莓派等更强大的单板计算机更为轻便。其核心为 Himax WiseEye2 HX6538 处理器，集成了**双核 Arm Cortex-M55 及 ARM Ethos-U55 神经网络单元**。

Arm Ethos-U55 属于专为嵌入式和物联网设备设计的微型 NPU（神经网络处理单元），可极大加速 ML 推理。Cortex-M55 与 Ethos-U55 的强强联合，使 Grove Vision AI V2 在 ML 性能上较传统 Cortex-M 系统提升高达 480 倍。该模块主频 400 MHz，内置可配置 SRAM（最高 2.4 MB），在保持低功耗和小体积的同时，提供专业级计算机视觉能力，非常适合边缘 AI 应用。

因此，Grove Vision AI V2 是学习 TinyML 进阶理念的理想平台，兼具小型系统的简洁与低功耗，以及远超传统微控制器的 AI 能力。

前置条件

- **Grove Vision AI V2 主板**：请确保已准备好 Grove Vision AI V2 主板。
- **树莓派 OV5647 摄像头模块**：需将摄像头连接至 Grove Vision AI V2 主板以采集图像。

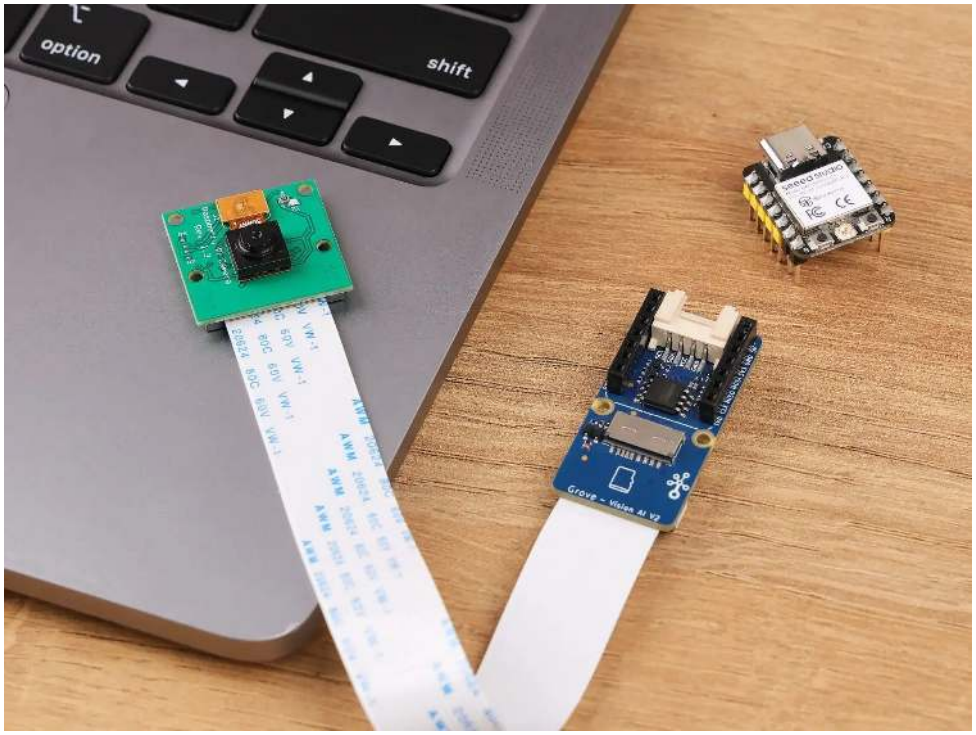

Grove - Vision AI Module V2，图片来源：SEEED Studio。

- **主控板**：可选用 Seeed XIAO ESP32S3、XIAO ESP32C6 或其他设备。
- **USB-C 数据线**：用于将主板连接至电脑。
- **网络环境**：需联网以下载所需软件。
- **XIAO 扩展底板**：用于将主控设备与物理世界连接（可选）。

环境搭建与零代码应用

- 环境搭建与零代码应用

实验练习

模态	任务	描述	链接
视觉	图像分类	学习图像分类方法	链接
视觉	目标检测	实现目标检测功能	链接

环境搭建与零代码应用

Grove Vision AI (V2) 支持 **IIC、UART、SPI、Type-C** 等多种接口，可轻松与 **XIAO、树莓派、BeagleBoard、ESP 系列**等主控板连接。比如与 XIAO 系列结合，可通过 Arduino IDE 或 MicroPython 访问推理结果，并便捷连接云端或本地服务器（如 Home Assistant）。

> 通过 **I2C Grove 接口**，Grove Vision AI V2 可与任意主控板无缝连接。

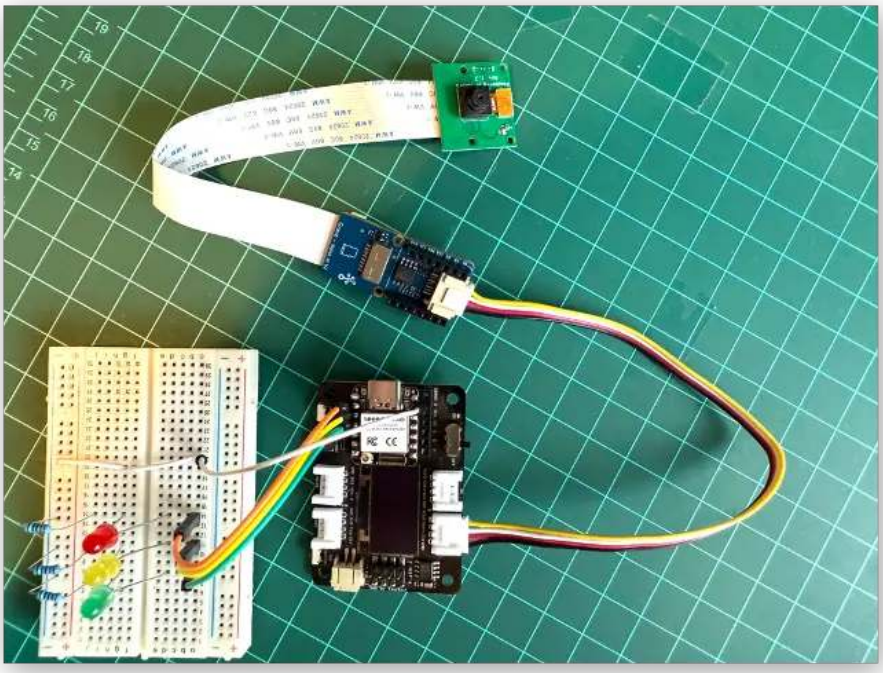

Grove Vision AI V2 与主控板连接实物图

除性能外，**功耗**也是一大亮点。与 XIAO ESP32S3 Sense 跑 Swift-YOLO Tiny 96x96 对比，Grove Vision AI V2 性能更高（30 FPS vs 5.5 FPS），但功耗更低（0.35 W vs 0.45 W）。

> 更多对比详见 2024 MCU AI Vision Boards: Performance Comparison。

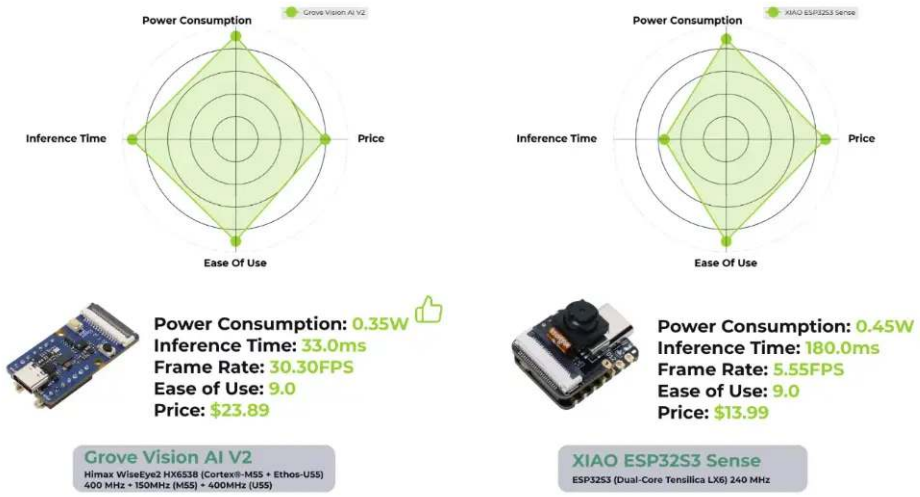

性能与功耗对比图

摄像头安装

准备好 Grove Vision AI (V2) 与摄像头后，可通过 CSI 排线连接如 **树莓派 OV5647 摄像头模块**。

> 连接时请注意排针方向，确保插入正确，勿反插。

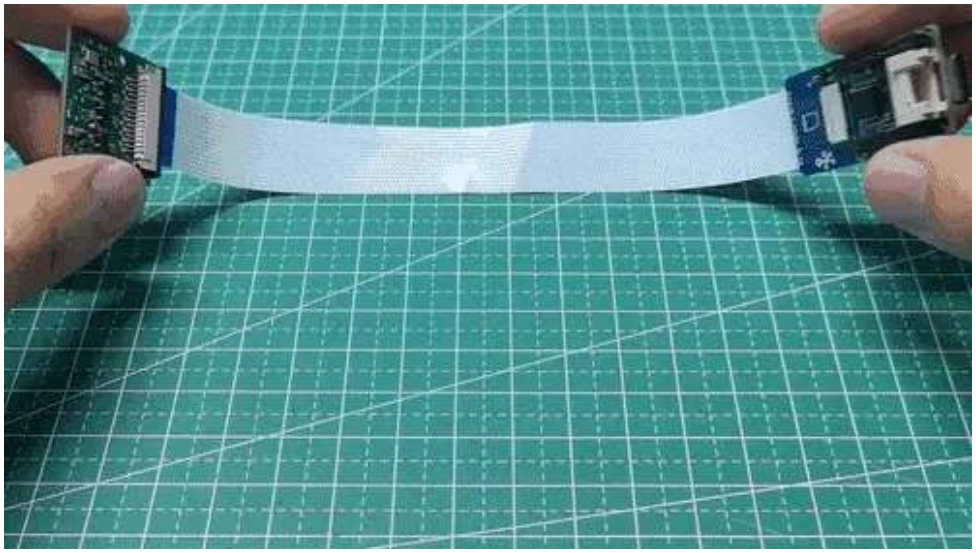

摄像头排线连接示意图

SenseCraft AI Studio

SenseCraft AI Studio 是一款强大的平台，支持多种设备（如 XIAO ESP32S3 Sense、

Grove Vision AI V2）运行丰富的 AI 模型。本实验将演示如何在 Grove Vision AI V2 上部署 AI 模型并预览推理结果，同时介绍关键概念、设置及性能优化方法。

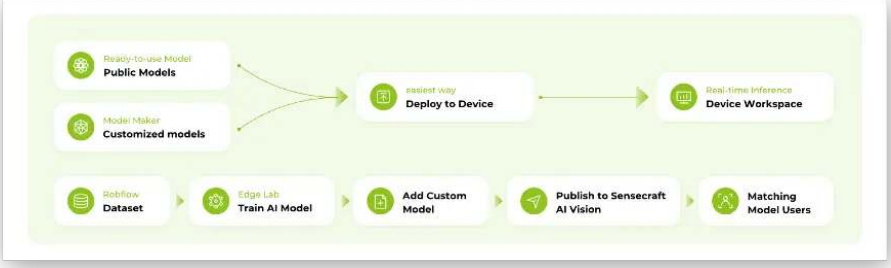

SenseCraft AI Studio 主界面

模型也可通过 **SenseCraft Web Toolkit** 部署，这是 SenseCraft AI Studio 的简化版。

> 可先用 Web Toolkit 快速体验，或直接进入 SenseCraft AI Studio 获取更多资源。

SenseCraft Web-Toolkit

SenseCraft Web Toolkit 是 SSCMA（Seeed SenseCraft Model Assistant）中的可视化模型部署工具，支持多平台一键部署，无需编程，界面友好。

该工具基于 Himax AI Web Toolkit，也可本地下载，解压后双击 `index.html` 即可运行。

本实验建议直接在线体验：

- 用 Chrome 浏览器打开 SenseCraft-Web-Toolkit
- 用 Type-C 线连接 Grove Vision AI (V2) 到电脑
- 若已连接 XIAO，按下图选择：
- 选择设备/端口，点击 `[Connect]`：

> 注：**WebUSB 工具**在 Safari 等部分浏览器下可能无法正常使用，建议用 Chrome。

可体验 Seeed Studio 预置的多种基础视觉模型。鼠标悬停可查看模型名称、描述、**类别**（图像分类、目标检测、姿态/关键点检测）、**算法**（如 YOLO V5/V8、FOMO、MobileNet V2 等）及**指标**（准确率或 mAP）。

点击模型并按 `[Send]` 可直接部署，也可上传自定义模型。

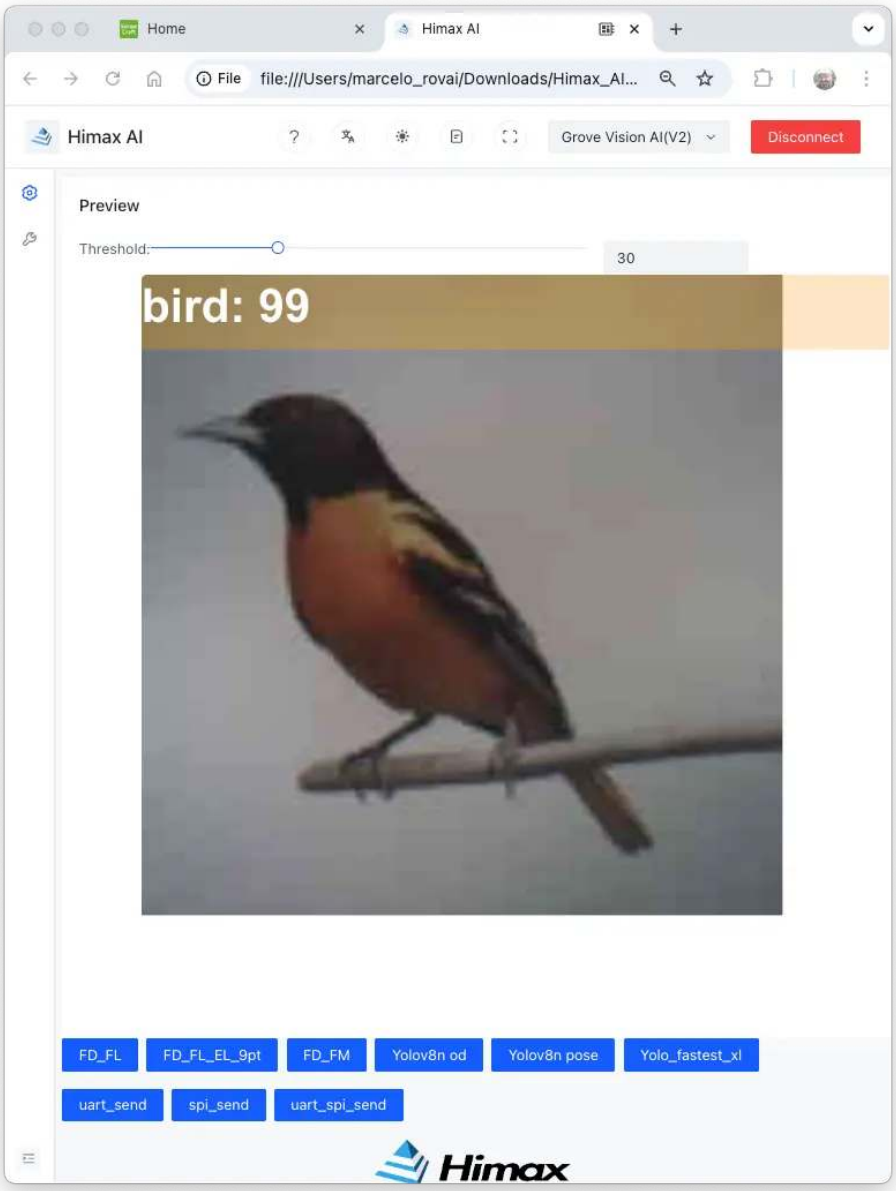

Himax AI Web Toolkit 界面

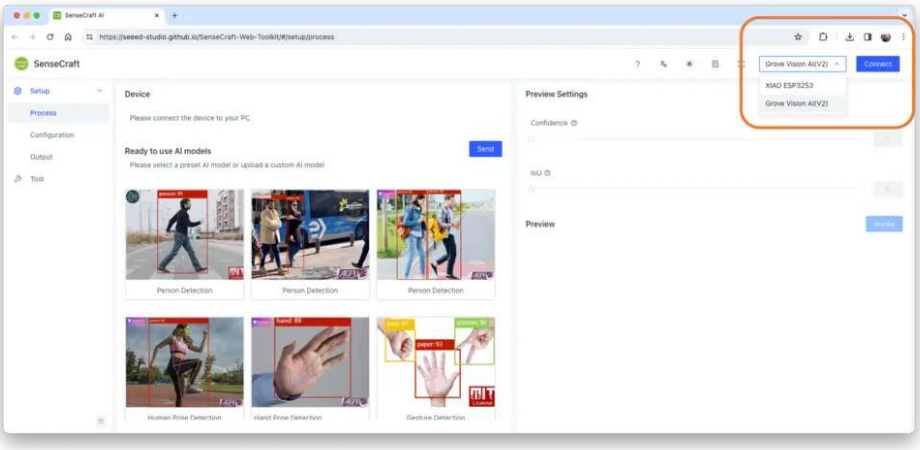

设备选择界面

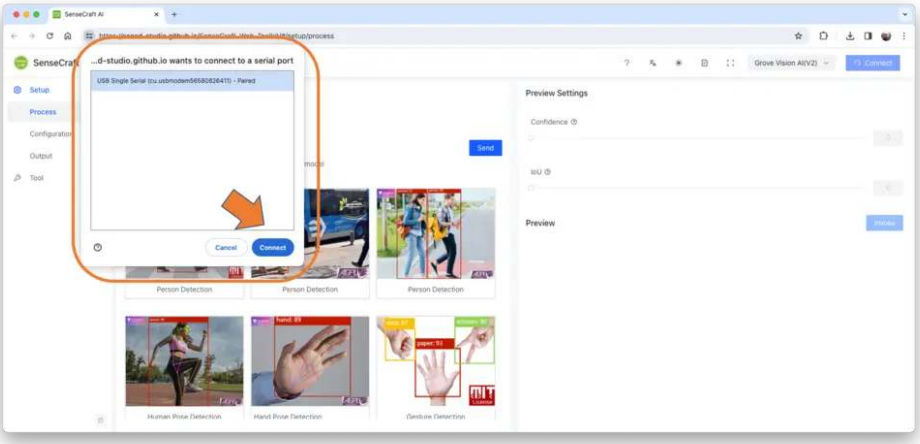

端口连接界面

模型库界面

如需详细操作指引，见 SenseCraft AI 平台官方文档。

体验 CV AI 模型

目标检测

目标检测是计算机视觉的核心技术之一，能在图片或视频帧中识别并定位多个对象（通常用边框表示）。与图像分类只给整张图片打标签不同，目标检测能识别多对象及其精确位置，广泛应用于自动驾驶、安全监控、增强现实等场景。

主流架构有 YOLO、SSD、FOMO、Faster R-CNN 等。

我们选择现成的 **Person Detection**（行人检测）模型，基于 Swift-YOLO 算法训练。

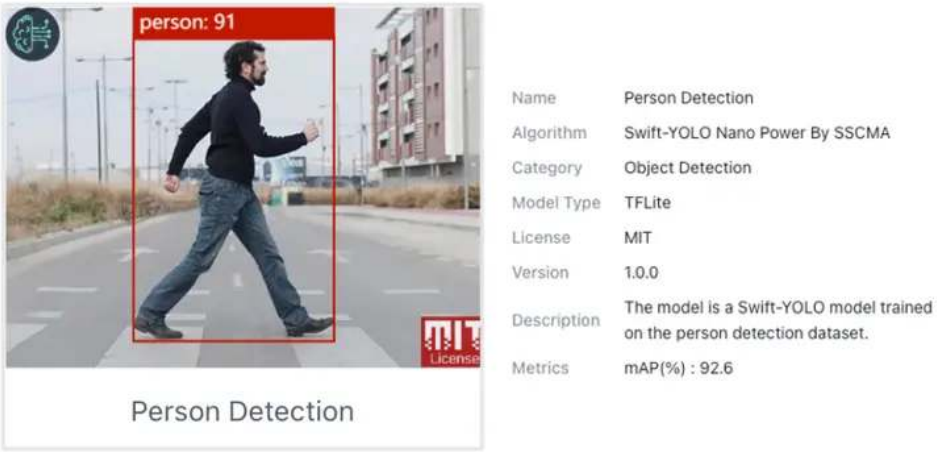

目标检测模型界面

模型上传成功后，右侧 Preview 区域可实时预览摄像头画面，点击顶部 `[Device Log]` 可在串口监视器查看推理详情。

> 在 SenseCraft AI Studio，Device Logger 始终可见。

摄像头对准单人时，模型只检测到一个“框”。模块会持续输出两行信息：

perf（性能）：显示各阶段延迟（ms）

- 预处理（图像采集与裁剪）：**7ms**
- 推理（模型延迟）：**76ms（13 fps）**
- 后处理（显示与数据叠加）：<0ms

boxes：检测到的对象框信息。本例仅 1 个。

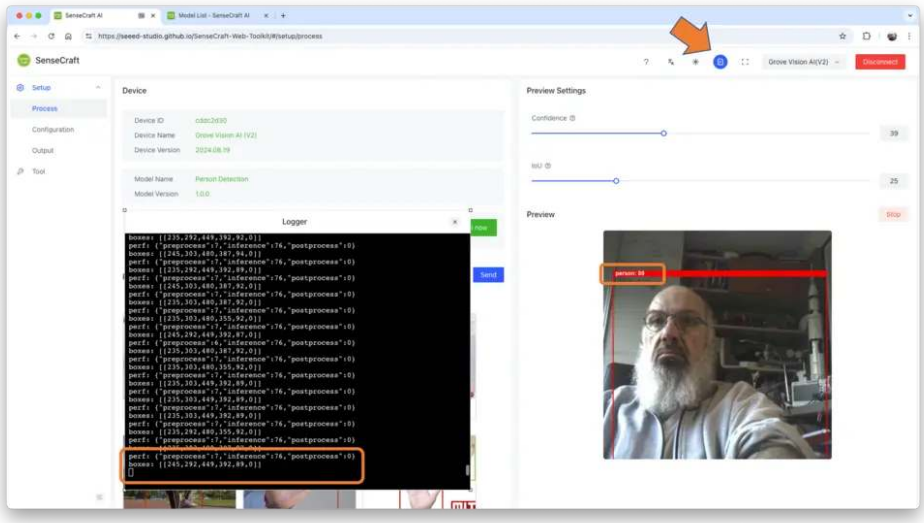

推理实时画面

```
perf: {"preprocess":7,"inference":76,"postprocess":0}
boxes: [[245,292,449,392,89,0]]
```

推理结果串口输出

- 框坐标（x, y, w, h）：(**245**, **292**,**449**,**392**)，对象（person，标签 **0**），置信度 .**89**

多人人像时，每人一个框：

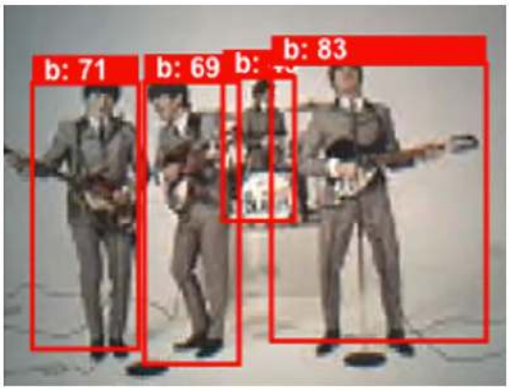


```
perf: {"preprocess":10,"inference":76,"postprocess":0}
boxes: [[36,117,70,115,83,0],[86,115,41,115,50,0],[115,86,31,62,43,0],[166,111
,62,120,83,0]]
```

多人人像检测效果

> SenseCraft AI Studio 下推理延迟（48ms）低于 Web Toolkit（76ms），因部署实现不同。

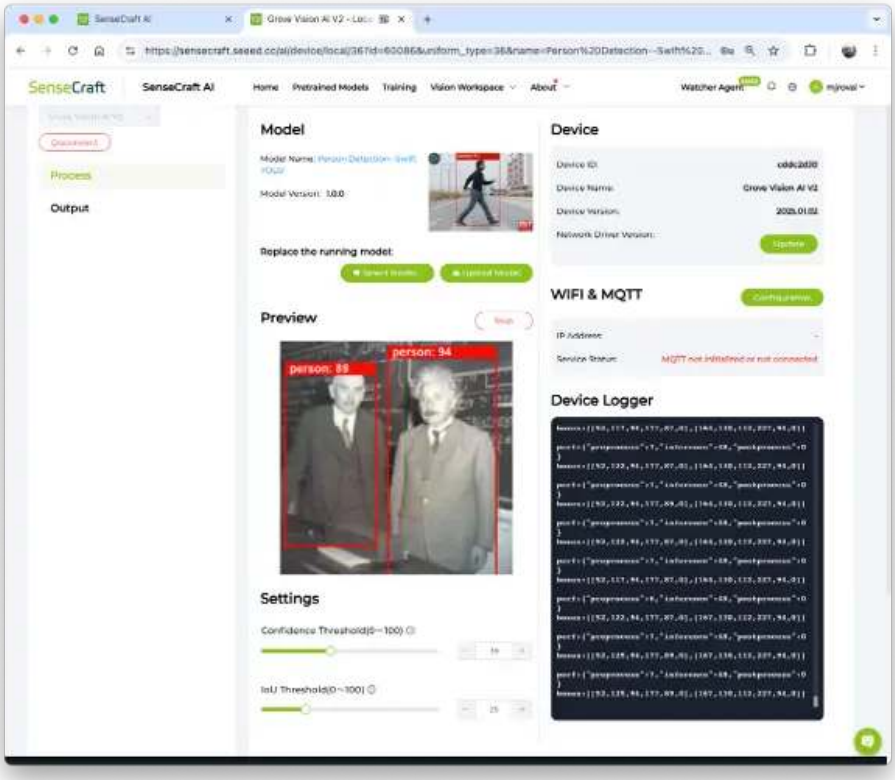

Studio 推理延迟对比

功耗

Swift-YOLO 模型运行时峰值功耗 410 mW。

预览设置

Settings 可调节两项以优化识别效果：

- **Confidence**：模型判定为有效检测的最小置信度。阈值高则误报少但漏检多，阈值低则检测多但误报也多。
- **IoU**：预测框与真实框重叠度（Intersection over Union），用于判定检测是否为真阳性。调节 IoU 可平衡精度与召回率。

> 建议多试不同 Confidence 和 IoU 阈值，找到适合实际场景的最佳平衡。

姿态/关键点检测

姿态或关键点检测可识别图像/视频中对象（如人体、面部等）的特定关键点，实现姿态、动作、手势等分析。广泛应用于增强现实、人机交互、体育分析、健康监测等领域。

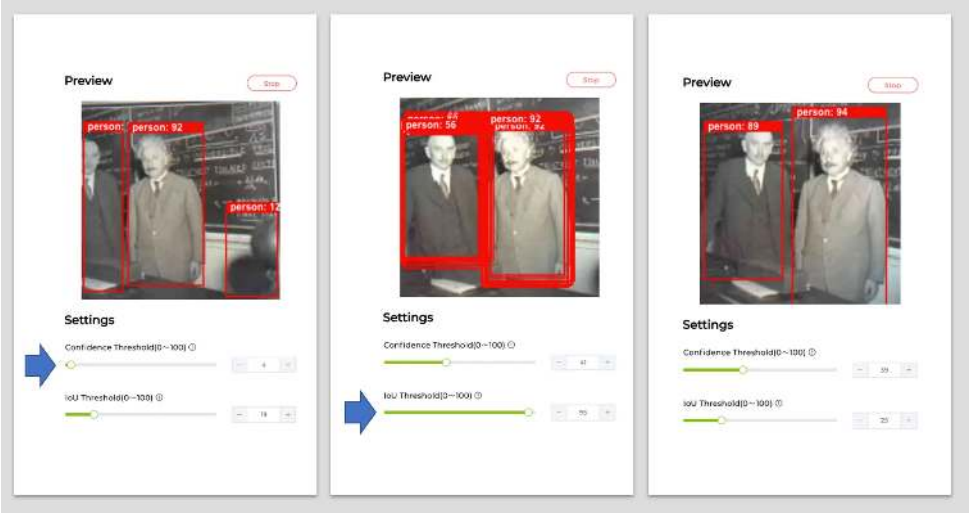

推理参数设置界面

与目标检测只定位对象不同，姿态检测可精确到各部位细节。主流架构有 OpenPose、AlphaPose、PoseNet 等。深度学习发展让姿态检测越来越高效、实时。

我们来体验 Pose/Keypoint Detection 应用。

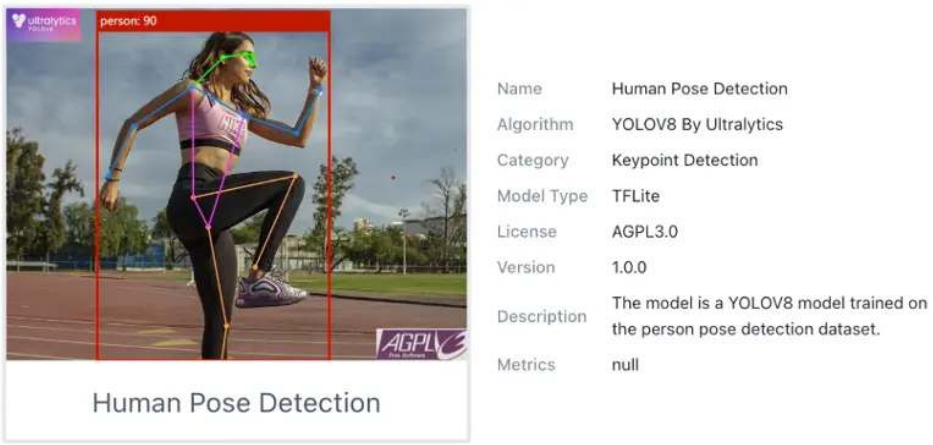

姿态检测模型界面

在 Preview 区域点击 `[Stop]` 停止当前推理，选择模型并点击 `[Send]` 上传。上传成功后，右侧实时预览摄像头画面，串口监视器可见推理详情。

YOLOV8 Pose 模型基于 COCO-Pose 数据集，含 20 万张图片，标注 17 个关键点。

以下为单人推理截图（便于分析）：

- 1 个框（与目标检测类似），坐标 (113, 119, 67, 208)，推理结果 (90)，标签 (0)
- 17 组 4 个数字，分别为 17 个“关节”坐标，‘0' 为鼻子，‘1'、‘2' 为眼睛，‘15'、

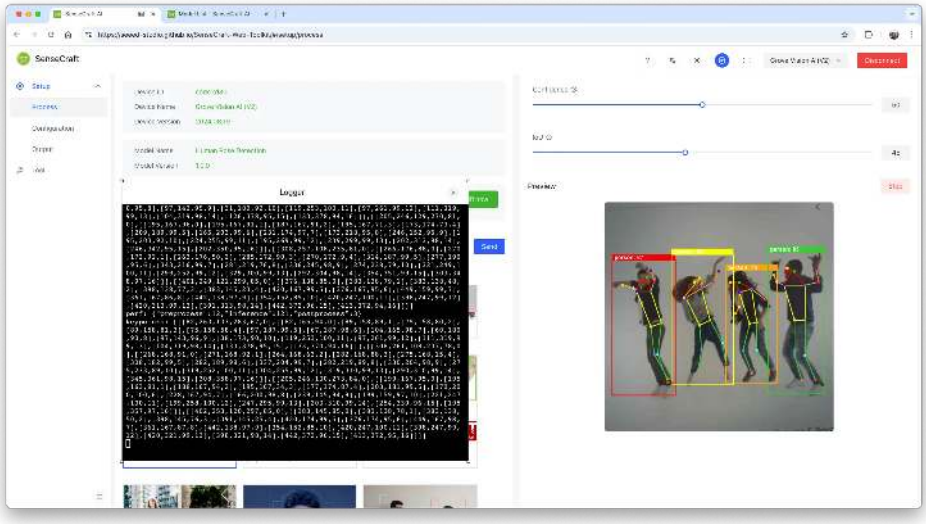

多人舞蹈姿态检测效果

‘16' 为脚等

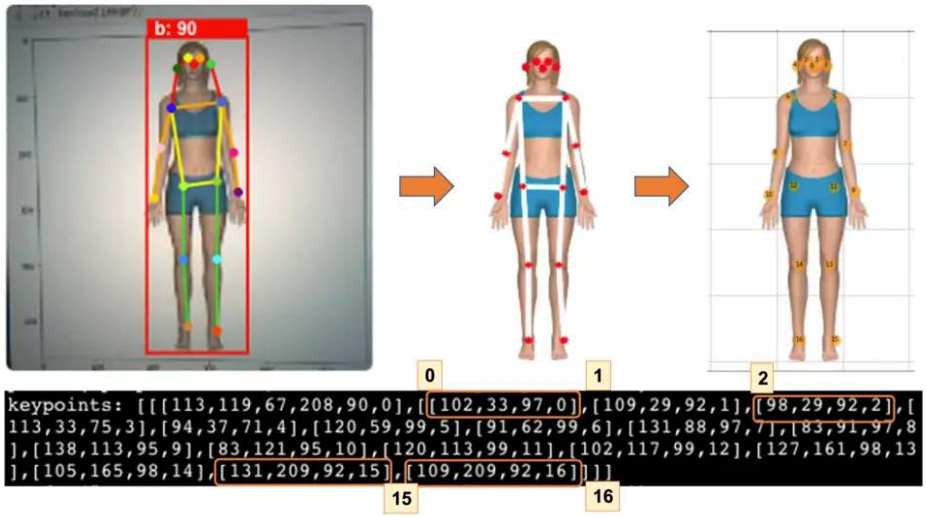

单人姿态关键点推理结果

> 更深入了解姿态估计项目，见：Exploring AI at the Edge! - Pose Estimation。

图像分类

图像分类是计算机视觉基础任务，将**整张图片**归为若干预设类别之一。常用于图片检索、社交平台内容管理、自动驾驶环境感知等。

主流架构有 CNN（如 AlexNet、VGGNet、ResNet），在 ImageNet 等数据集上表现优异。

我们也来体验图像分类应用。

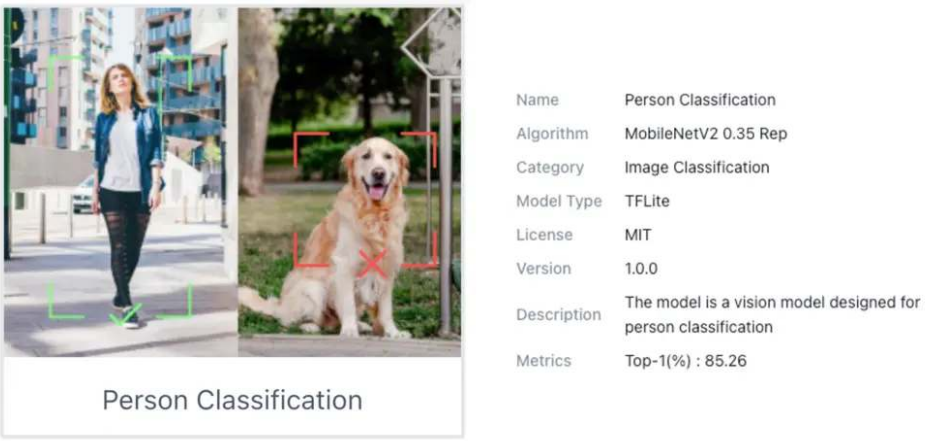

图像分类模型界面

> 该示例在 SenseCraft ToolKit 可用，AI Studio 也有其他分类模型。

模型上传成功后，右侧 Preview 区域实时预览摄像头画面，串口监视器可见推理详情。

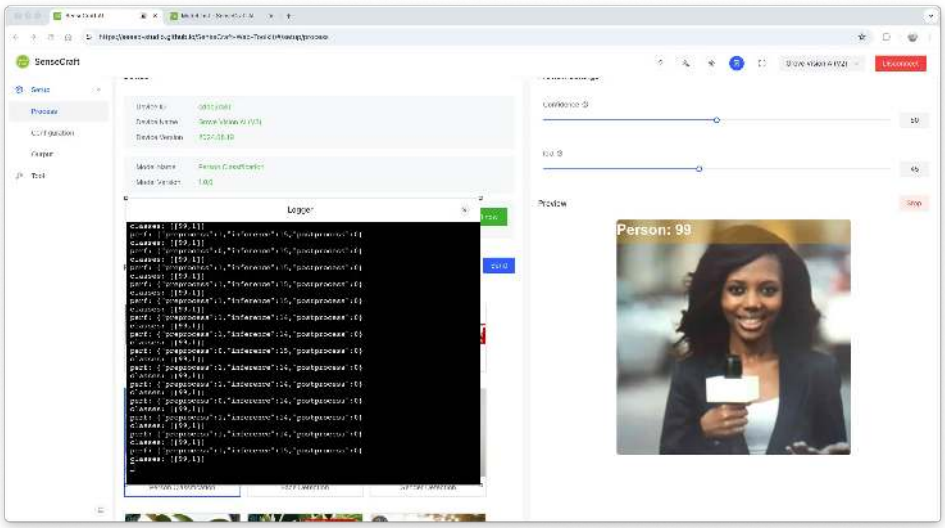

图像分类推理实时画面

推理结果为分数和类别。

```
perf: {"preprocess":1,"inference":15,"postprocess":0}
classes: [[99,1]]
```

推理结果串口输出

如 **[99, 1]** 表示类别 1（Person），置信度 0.99。该模型为二分类，类别 0 为“无人物”或“背景”。推理延迟 **15ms**，约 70fps。

功耗 Mobilenet V2 0.35 模型下，Grove Vision AI V2 峰值电流 80mA@5.24V，**功耗 420mW**。

同模型在 XIAO ESP32S3 Sense 上，**功耗 523mW**，延迟 291ms。

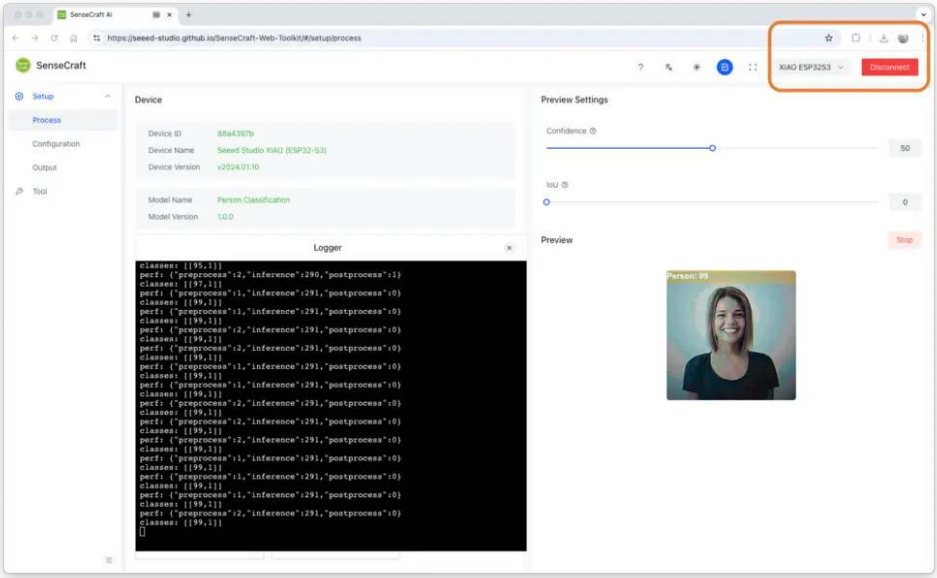

XIAO ESP32S3 推理功耗对比

体验更多 SenseCraft AI Studio 模型

可在 SenseCraft AI WebPage 下载更多公开模型。例如运行 Swift-YOLO 检测红绿灯：交通灯检测模型：

该模型推理延迟约 86 ms，平均功耗 420 mW。

图像分类项目实战

下面用 SenseCraft AI Studio 完成一个完整的图像分类项目。

在 SenseCraft AI Studio 打开 训练 标签页：

默认用 WebCam 训练 `Classification` 模型。我们选择 Grove Vision AI V2，点击绿色 `[Connect]`，弹窗选择端口，点击蓝色 `[Connect]`。

此时可实时预览 Grove Vision AI V2 采集的图像。

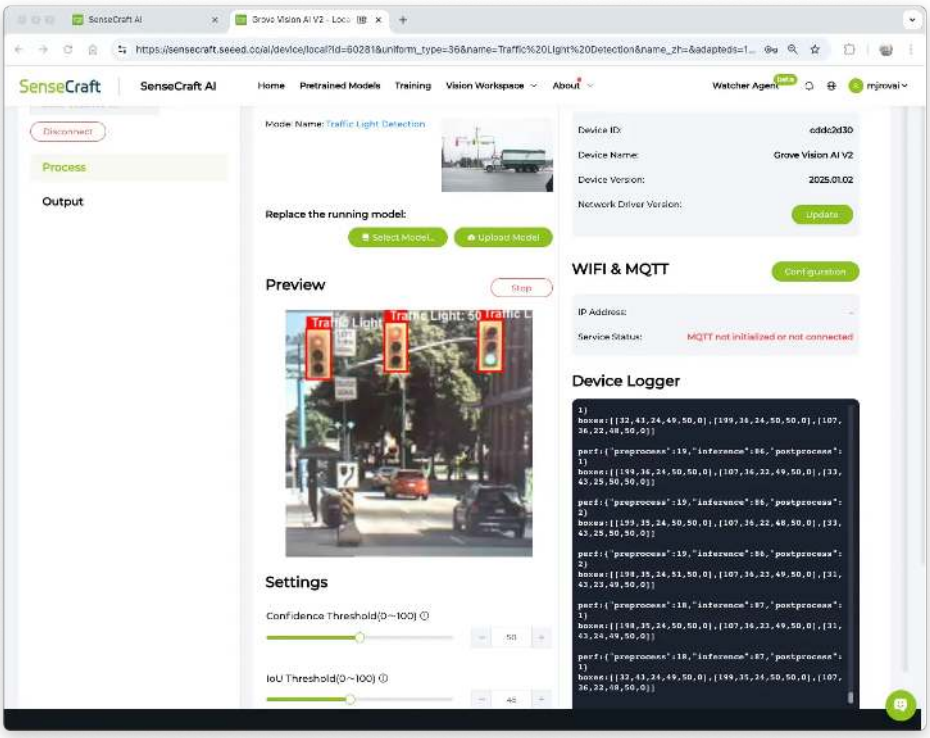

交通灯检测模型界面

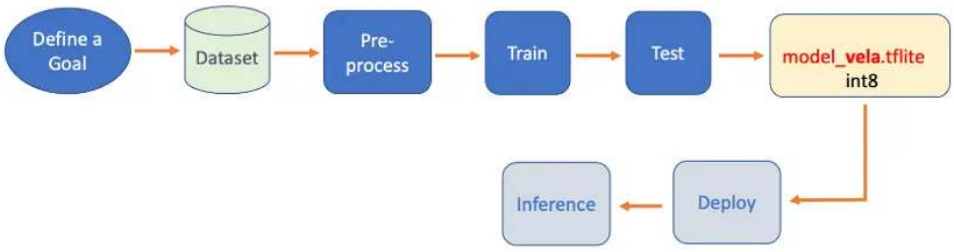

项目流程图

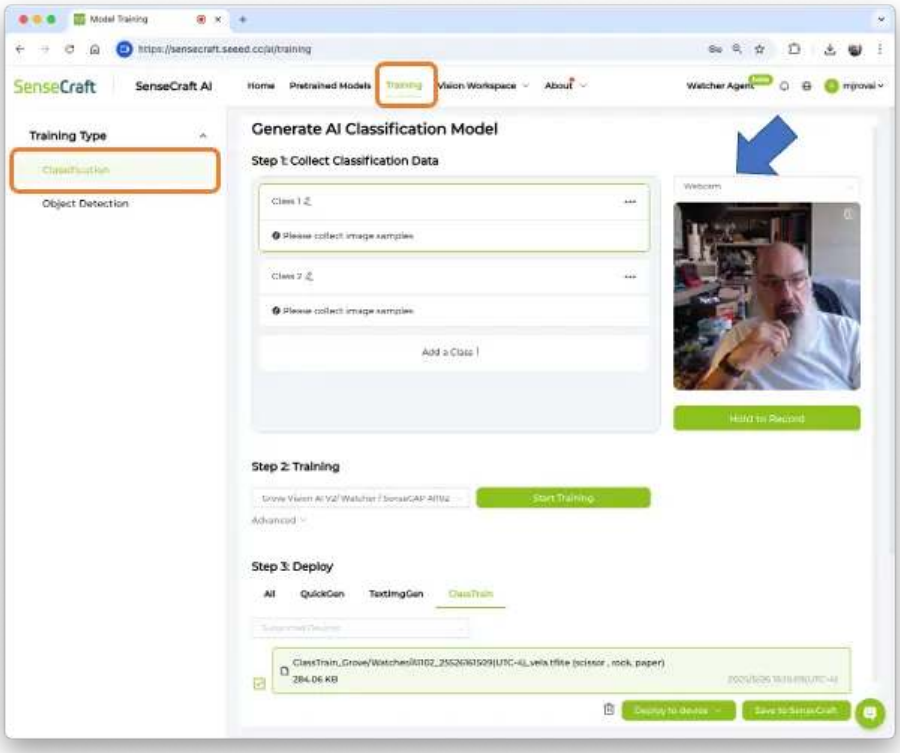

训练界面

项目目标

首先明确目标。比如分类两个简单物体：玩具 `box` 和 `wheel`，还需采集无物体的 `background` 类别。

数据采集

建议按字母顺序创建类别：

- 类别 1：background
- 类别 2：box
- 类别 3：wheel

选择类别，持续按下预览区下方绿色按钮采集图片，采集结果显示在样本区。

采集后可检查并删除不合格图片。

每类采集约 50 张图片，进入训练步骤：

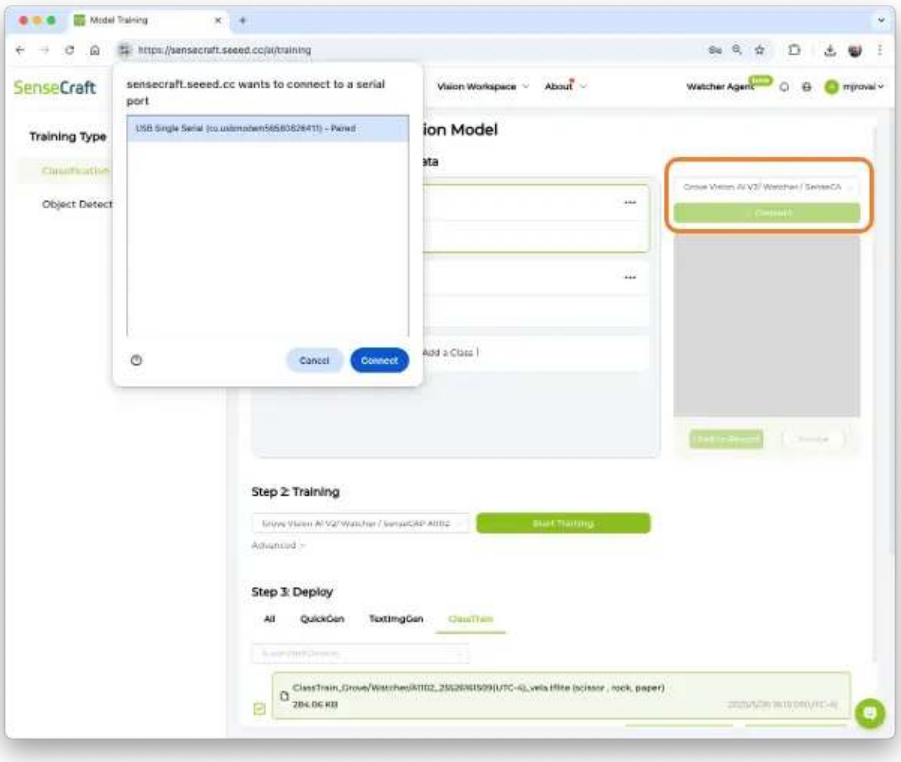

设备连接界面

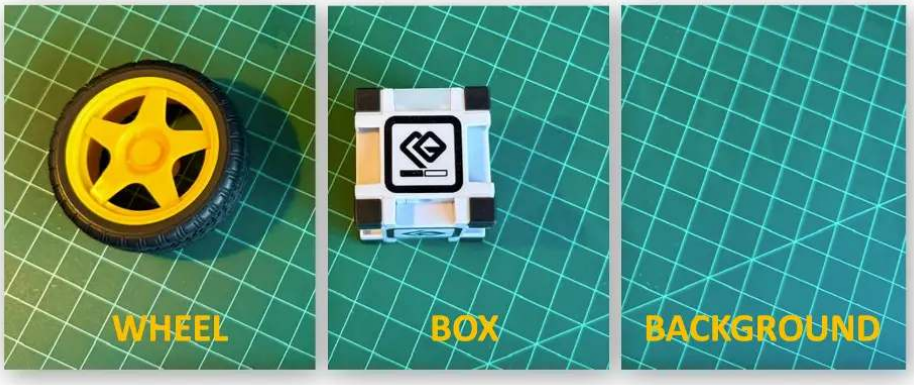

分类目标示意图

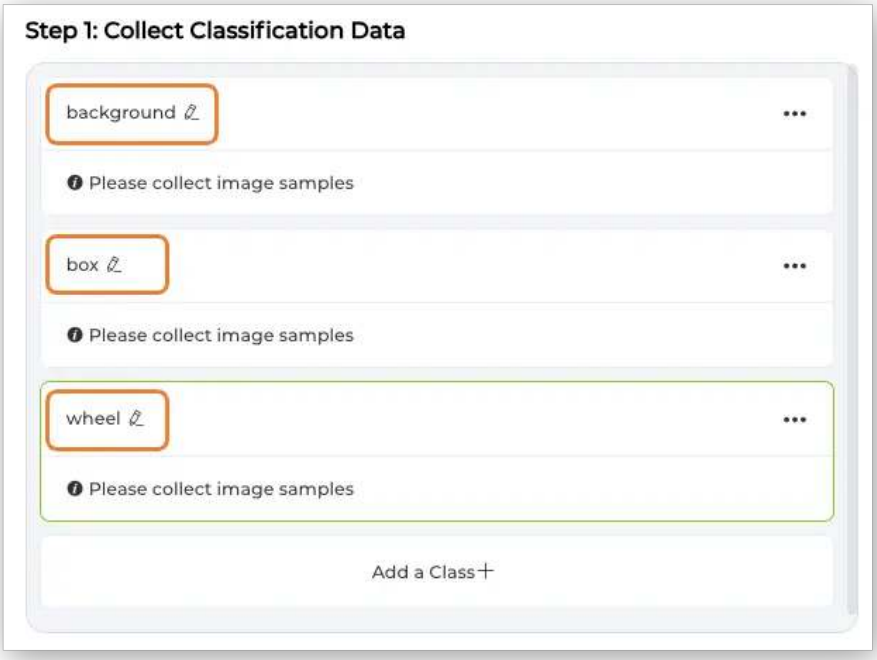

类别创建界面

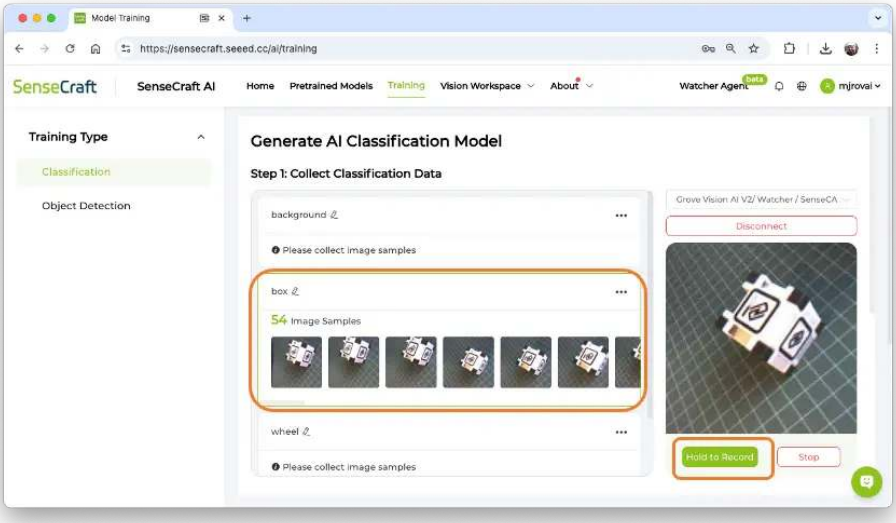

采集图片界面

数据清理界面

训练

确认设备为 `Grove Vision AI V2`，点击 `[Start Training]` 开始训练。

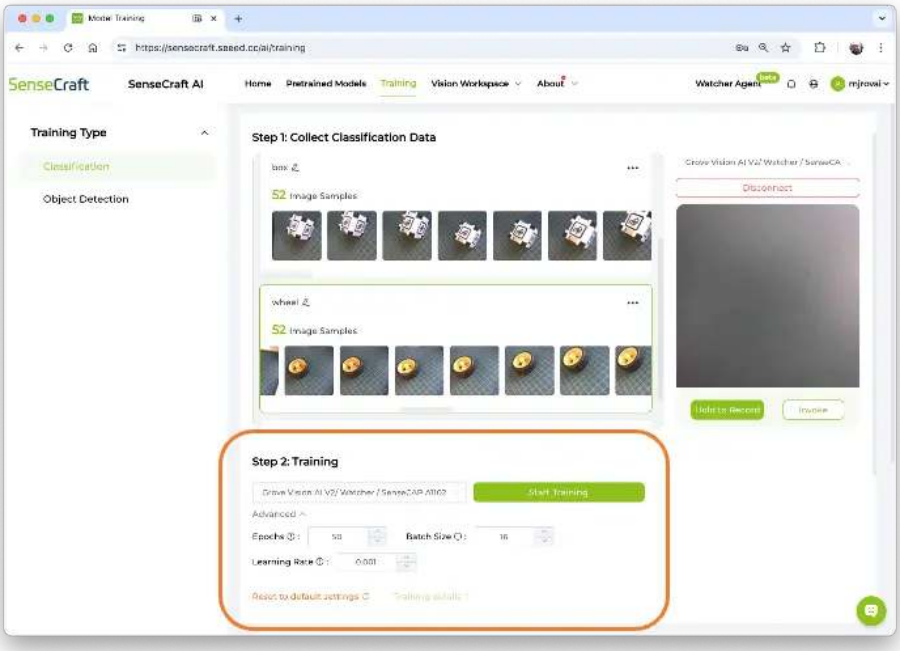

训练过程界面

测试

训练完成后可预览推理结果。

> 注意：此时模型未运行在设备上，仅用设备采集图片，训练模型在 Studio 端实时推理。

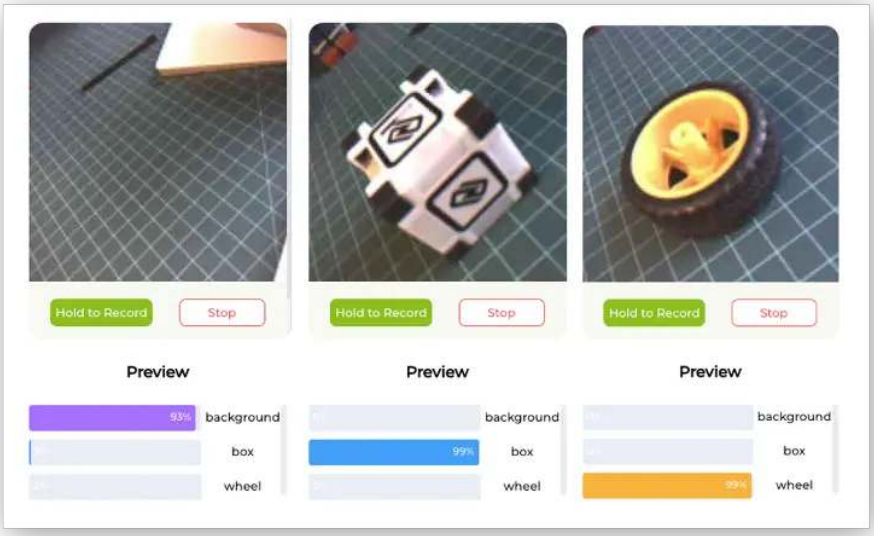

推理预览界面

接下来将模型真正部署到设备：

部署

在 `[Deploy to device]` 选择训练好的模型，选 Grove Vision AI V2：

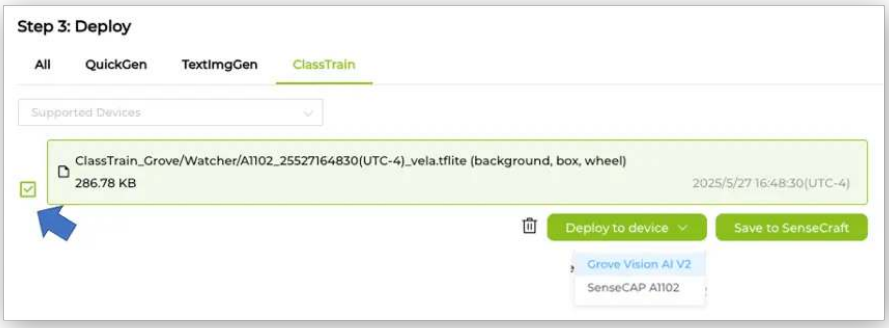

模型部署界面

Studio 会跳转到 `Vision Workplace`，确认部署，选择端口并连接：

模型刷写后自动重启，设备开始运行模型。Device Logger 可见推理延迟约 **8 ms**，即

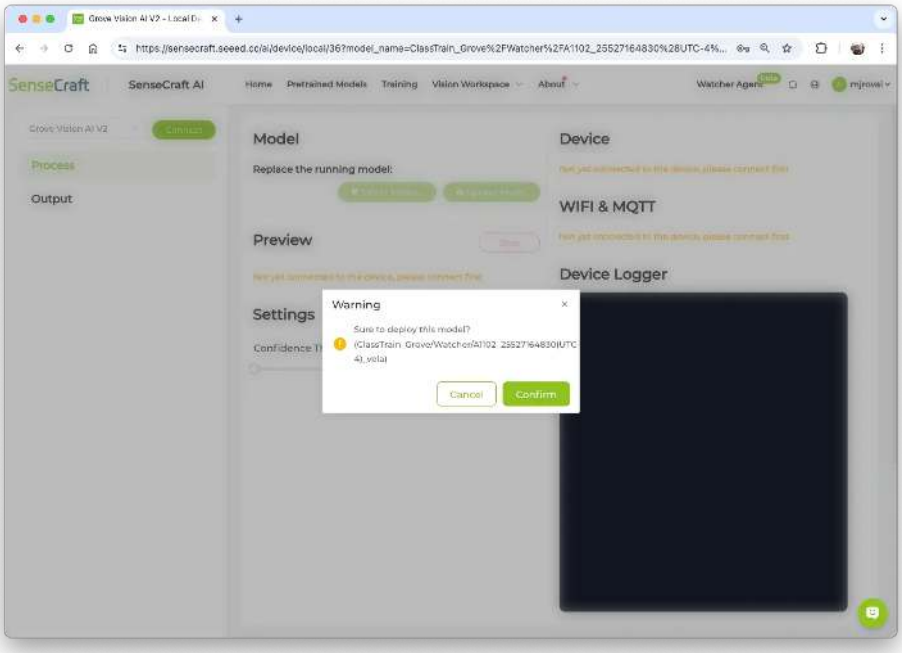

部署确认界面

125 FPS。

可调节模型置信度：

> Grove Vision AI V2 跑图像分类模型时峰值电流 80mA@5.24V，**功耗 420mW**。

模型保存

可在 SenseCraft AI Studio 保存模型，便于后续部署。回到 `Training` 标签页，点击 `[Save to SenseCraft]`：

总结

本实验全面体验了 Seeed Studio Grove Vision AI Module V2 在多种计算机视觉任务中的卓越表现，展现了其作为嵌入式机器学习平台的强大能力。

性能卓越：Grove Vision AI V2 搭载 **Himax WiseEye2** 芯片（双核 Arm Cortex-M55 + ARM Ethos-U55 NPU），在多项 CV 任务中表现突出：

- **图像分类**：推理仅 **15 ms**（67 FPS）
- **目标检测（行人）**：推理 **48~76 ms**（21~13 FPS）

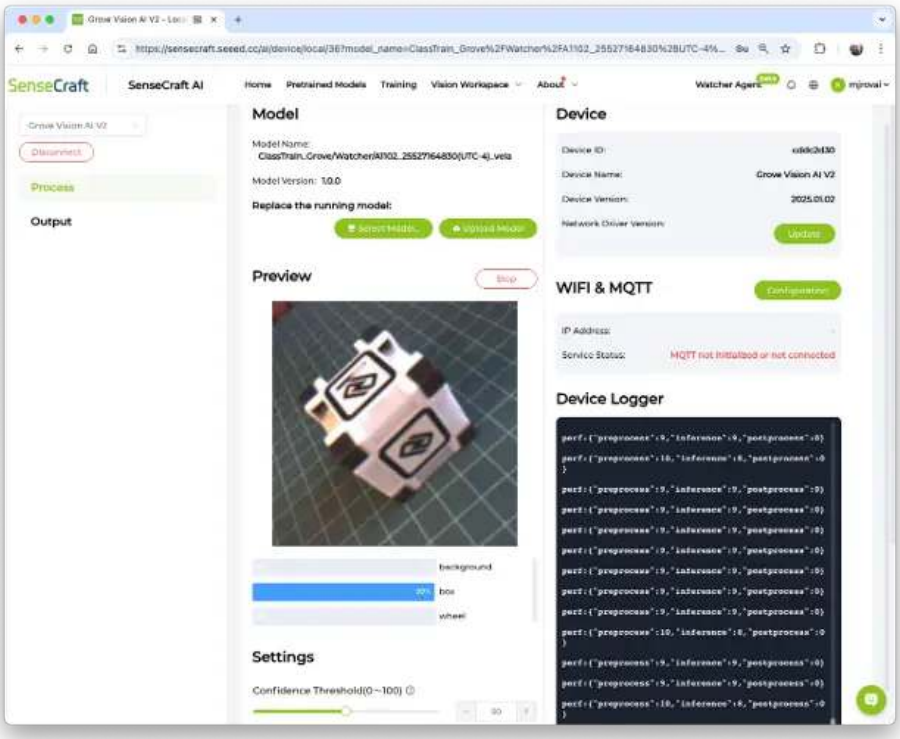

推理结果与置信度调节

模型保存界面

- **姿态检测**：17 关键点实时检测 **121 ms**（8 FPS）

能效领先：Grove Vision AI V2 功耗极低，远优于传统嵌入式平台：

- **Grove Vision AI V2**：80 mA（**410 mW**，60+ FPS）
- **XIAO ESP32S3**：同类任务 **523 mW**（3+ FPS）

实用性强：涵盖数据集采集、模型训练、部署、离线推理全流程，适合实际项目落地。

开发友好：SenseCraft AI Studio 支持零代码部署与自定义集成，预训练模型丰富，适合初学者与进阶开发者。

Grove Vision AI V2 代表了边缘 AI 硬件的重大进步，为工业、物联网、教育等领域带来专业级视觉能力，且能效极高，极大降低了 AI 部署门槛。

要点回顾

本实验表明，复杂的计算机视觉应用不再局限于云端或高功耗硬件（如树莓派、Jetson Nano），而可在边缘高效运行。

可选配 XIAO Vision AI Camera：集成 Grove Vision AI V2、XIAO ESP32-C3 控制器与 OV5647 摄像头，3D 打印外壳一体化设计：

XIAO Vision AI Camera 外观

资源

- SenseCraft AI Studio 使用说明
- SenseCraft-Web-Toolkit 官网
- SenseCraft AI Studio
- Himax AI Web Toolkit

- Himax 示例代码

图像分类

基于 Seeed Studio Grove Vision AI 模块 V2（Himax WiseEye2）

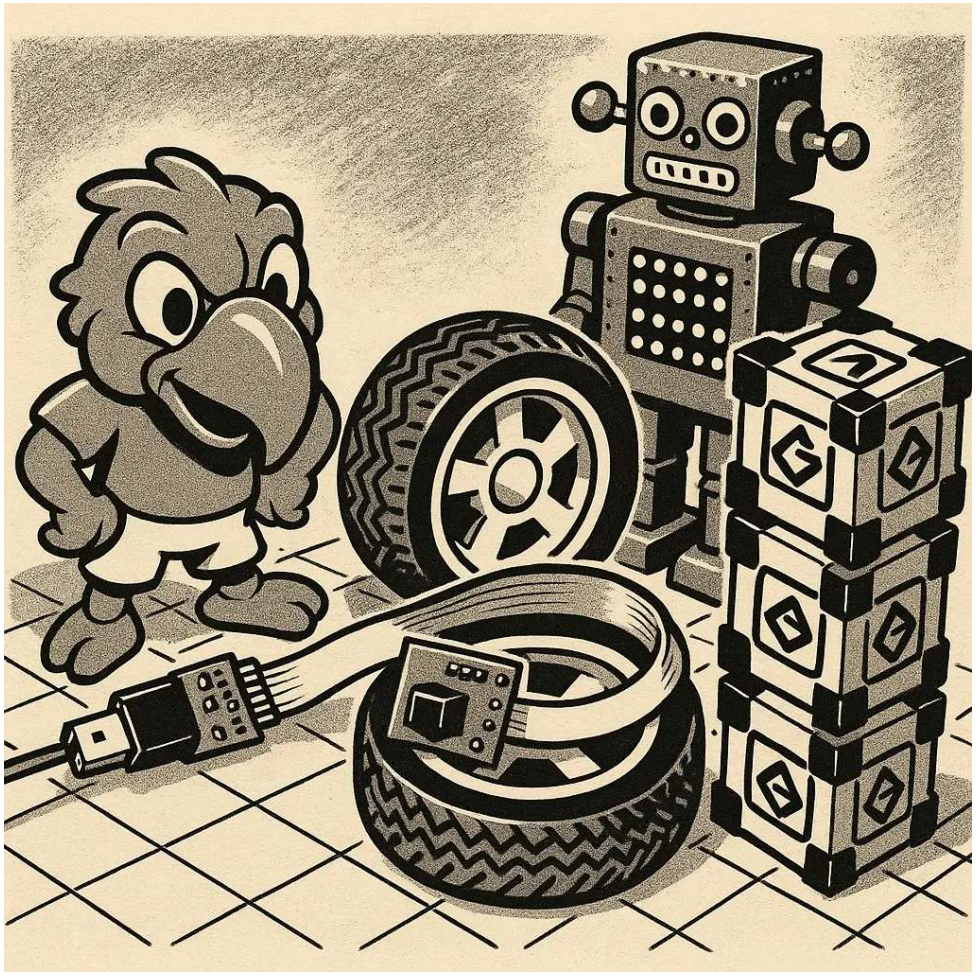

Grove Vision AI V2 模块外观

本实验将带你体验如何使用 Seeed Studio Grove Vision AI Module V2，这是一款专为嵌入式机器学习设计的小巧强大设备。该模块基于 **Himax WiseEye2** 芯片，能够在边缘设备上实现 AI 能力，非常适合边缘机器学习（Edge ML）应用。

简介

此前我们已经体验过 Seeed Studio 预置的多种计算机视觉模型，或通过 SenseCraft AI Studio 进行图像分类，但并未指定具体模型。现在，我们将从零开始开发自己的图像分类项目，自主选择数据和模型。

下图展示了项目的主要步骤及各环节的工作内容：

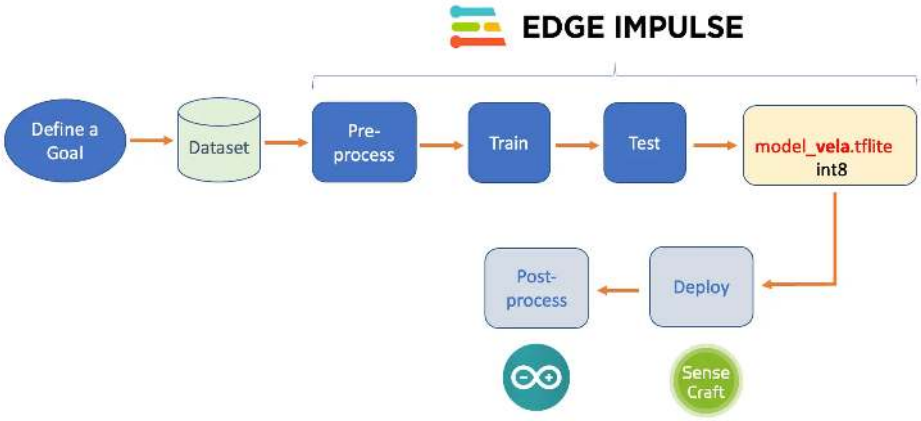

项目流程图

项目目标

任何机器学习（ML）项目的第一步都是明确目标。本项目旨在检测并分类一张图片中的两种特定物体。我们选用两个小玩具：一个机器人和一只巴西鹦鹉（Periquito），同时还会采集没有这两种物体的背景图片。

实验目标示意图

数据采集

明确了 ML 项目目标后，下一步也是最关键的一步就是数据集采集。如果你的项目需要使用公开数据集（如用于**人物检测**），可以直接下载 Wake Vision 数据集。

但在本项目中，我们需要的图片并未公开，因此需要自行采集。你可以用手机、电脑摄像头等设备拍照，离线或通过 Edge Impulse Studio 采集。

如果想用 Grove Vision AI V2 采集数据，可以像前面的实验一样用 SenseCraft AI Studio，或在本实验“后处理 / 获取视频流”部分介绍的 `camera_web_server` 示例。

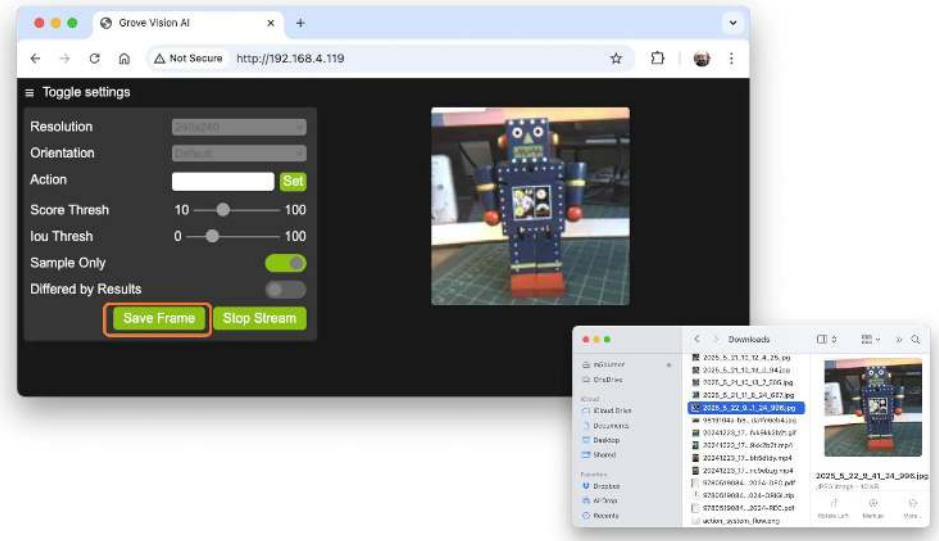

视频流采集界面截图

本实验我们将使用 SenseCraft AI Studio 进行数据采集。

使用 SenseCraft AI Studio 采集数据

在 SenseCraft AI Studio 中，打开 训练 标签页。

默认情况下，如果有可用摄像头，会用 WebCam 训练 `Classification` 模型。我们选择 `Grove Vision AI V2`，点击绿色 `[Connect]` 按钮 **(1)**，弹出窗口后选择对应端口 **(2)**，再点击蓝色 `[Connect]` 按钮 **(3)**。

此时会显示 Grove Vision AI V2 采集的实时图像。

图像采集 我们需要创建类别，建议按字母顺序：

- 类别 1：background（背景）
- 类别 2：periquito（鹦鹉）
- 类别 3：robot（机器人）

选择某个类别（窗口会有绿色边框），持续按下预览区下方的绿色按钮即可采集图片，采集的图片会显示在样本区。

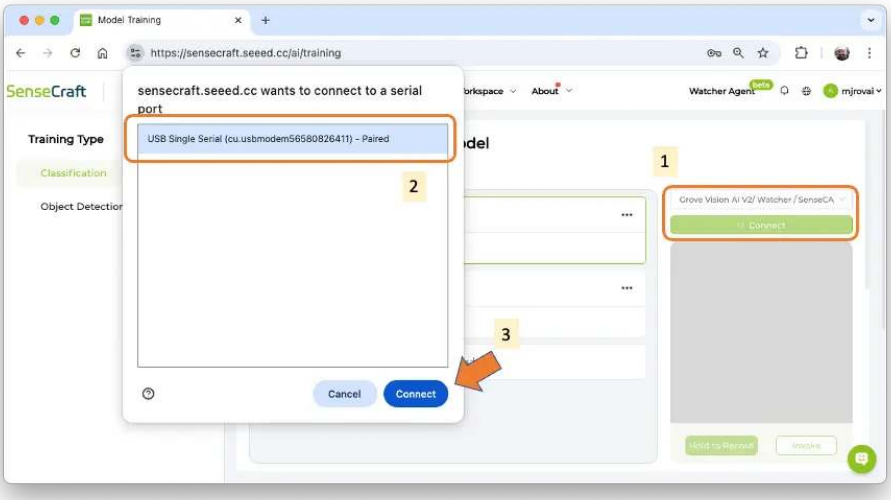

设备连接界面

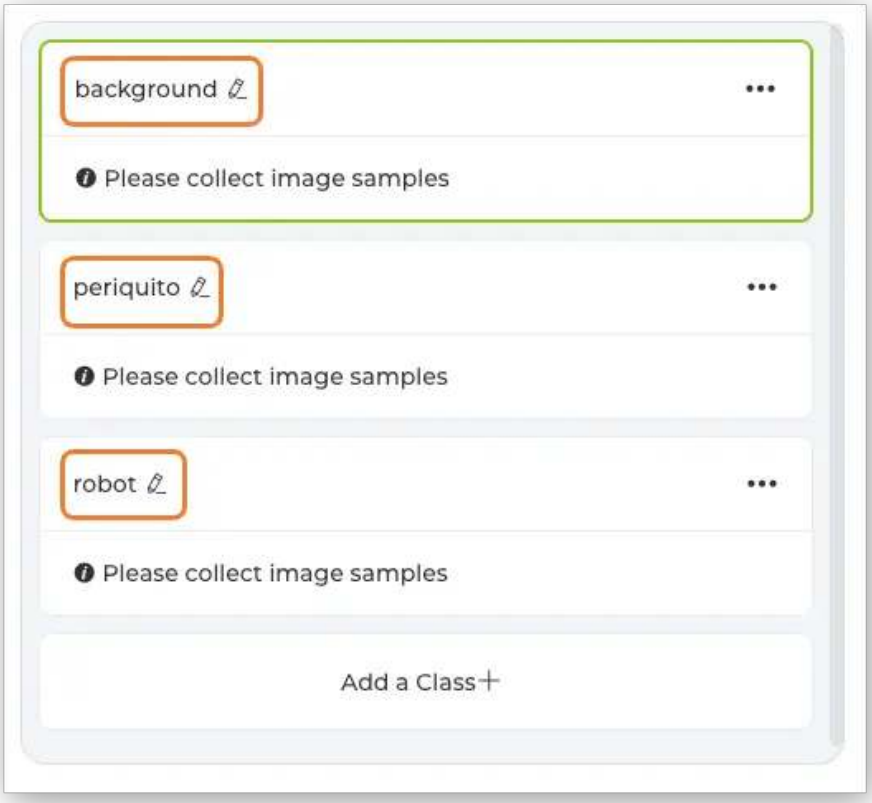

类别创建界面

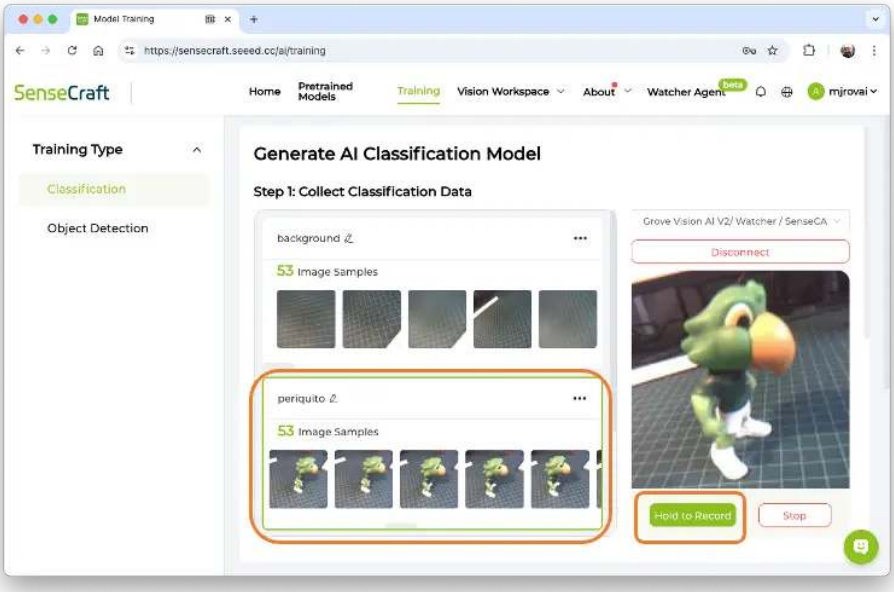

采集图片界面

采集完成后，建议检查并删除不合格的图片。

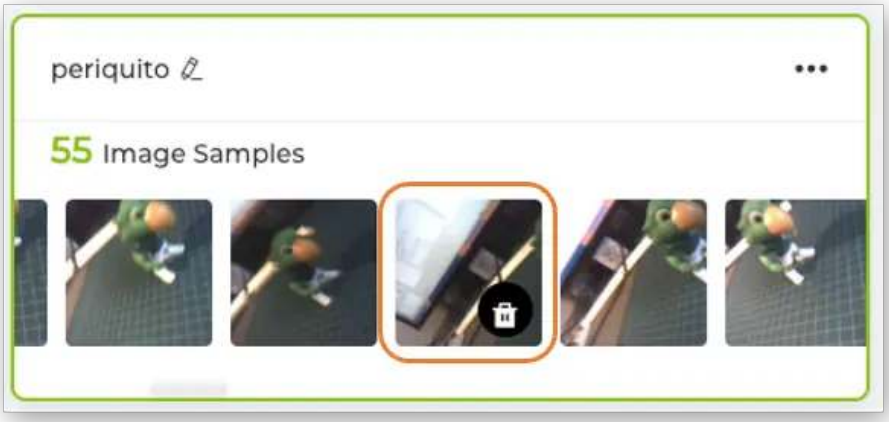

删除图片界面

每个类别建议采集约 50 张图片。采集完三类后，分别在每个类别菜单中选择 `Export Data` 导出数据。

电脑下载区会得到三个以类别命名的 zip 文件，每个 zip 内含对应类别的图片文件夹。

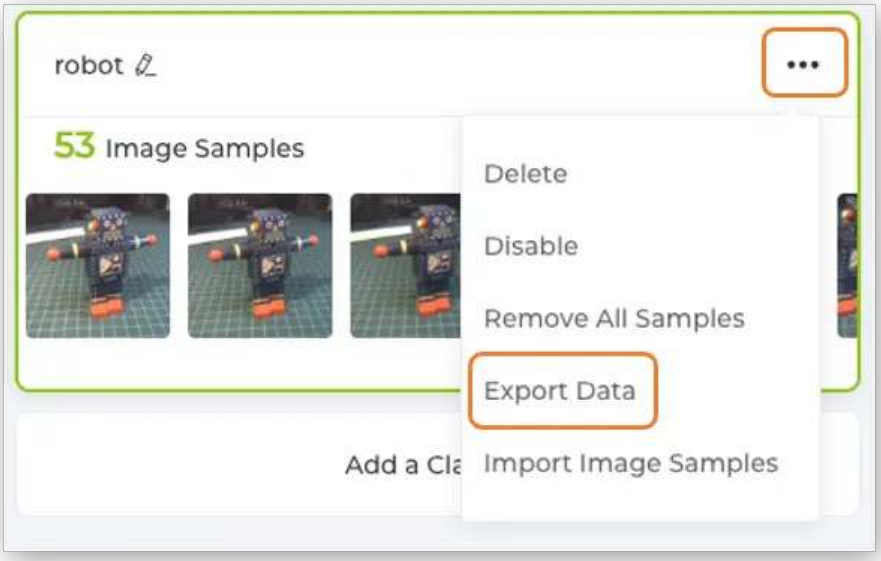

导出数据界面

上传数据集到 Edge Impulse Studio

我们将用 Edge Impulse Studio 训练模型。Edge Impulse 是领先的边缘设备机器学习开发平台。

- 登录 Edge Impulse 账号（可免费注册）。
- 创建新项目：

> 数据集每个标签约 50 张图片，40 张用于训练，10 张用于测试。

Impulse 设计与预处理

Impulse 设计

Impulse 会将原始数据（本例为图片）进行特征提取（如图片缩放），再通过学习模块进行分类。

图像分类是深度学习最常见的应用之一，但通常需要大量数据。我们每类只有约 50 张图片，远远不够。解决办法是利用“迁移学习”（Transfer Learning, TL），即在已有大规模数据训练好的模型基础上微调。这样，即使数据量较小，也能获得不错的效果。

因此，我们将原始图片缩放至 96x96 像素，输入到迁移学习模块：

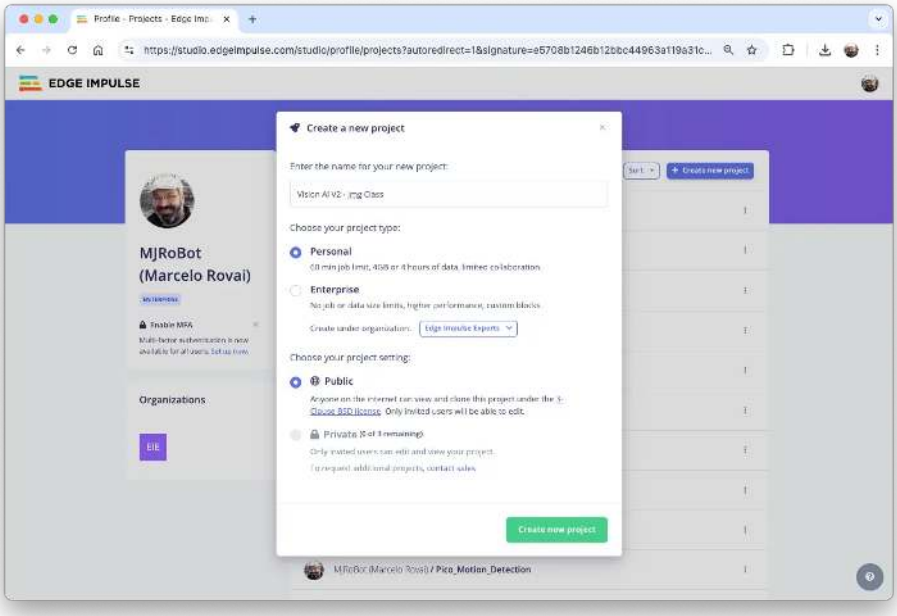

新建项目界面

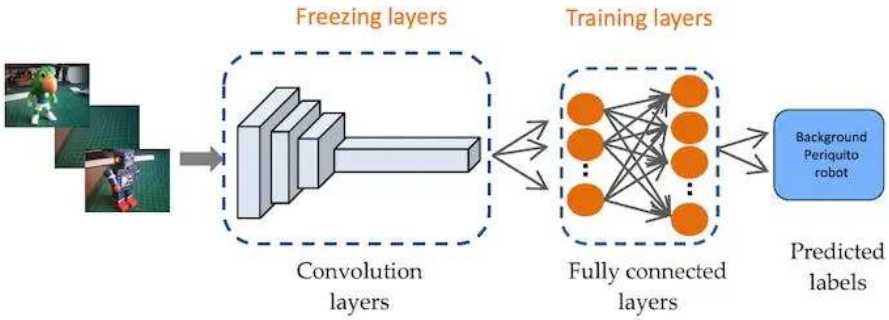

迁移学习示意图

> 为便于对比，我们保持图片尺寸为 96x96。实际上 Grove Vision AI V2 内部 SRAM 达 2.4 MB，可支持更大图片（如 160x160）。

右上角选择 `Target` 设备为 `Himax WiseEye2 (M55 400 MHz + U55)`。

预处理（特征生成）

除缩放图片外，还可选择转为灰度或保留 RGB。建议在 `Image` 部分选择 `[RGB]`，此时每个样本为 27,648 维（96x96x3）。点击 `[Save Parameters]` 后进入 `Generate Features`，再点击 `[Generate Features]` 生成特征。

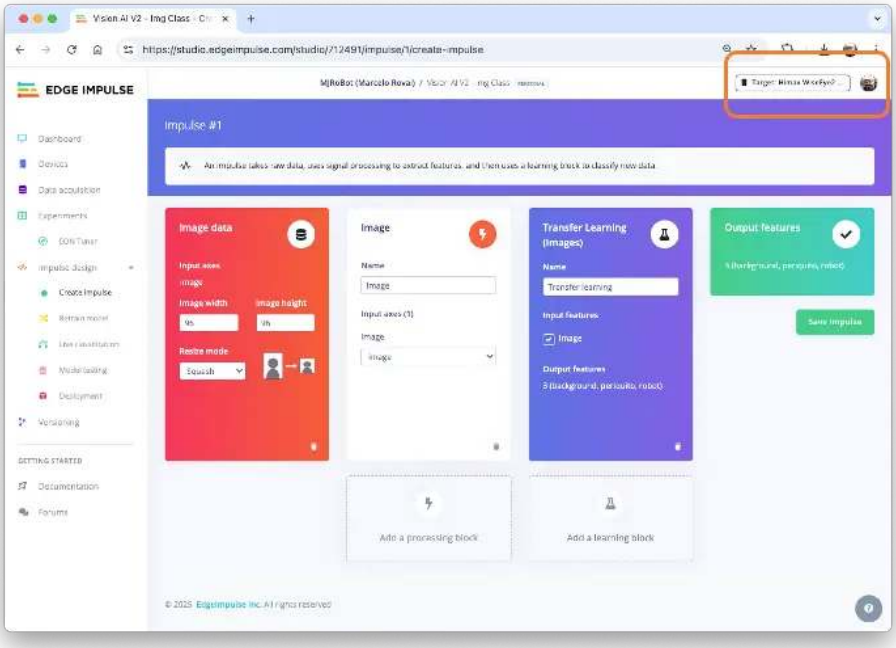

Impulse 设计流程图

模型设计、训练与测试

Google 于 2017 年推出 MobileNetV1，2018 年发布 MobileNetV2: Inverted Residuals and Linear Bottlenecks，2019 年推出 V3。MobileNet 系列是专为移动端设计的通用视觉神经网络，支持分类、检测等任务，特点是小巧、低延迟、低功耗。

MobileNet 还引入了宽度因子 **α**（alpha），可进一步缩小模型体积、降低计算量。Edge Impulse Studio 提供了多种 MobileNet V1/V2 版本（96x96/160x160），α 从 0.05 到 1.0 可选。α 越大，准确率越高但资源消耗也越大；α 越小，模型更轻量。

> 本实验选用 **MobileNet V2 0.1** 作为基础模型（也可选更大 α）。模型输出层前有 8 个神经元，Dropout 率 10%，防止过拟合。

深度学习常用的另一个技巧是**数据增强**（Data Augmentation），即在训练过程中对数据做随机变换（如翻转、裁剪、旋转），以提升模型泛化能力。

超参数设置如下：

- 训练轮数（Epochs）：20
- 批量大小（Batch Size）：32
- 学习率（Learning Rate）：0.0005

- 验证集比例：20%

训练结果：

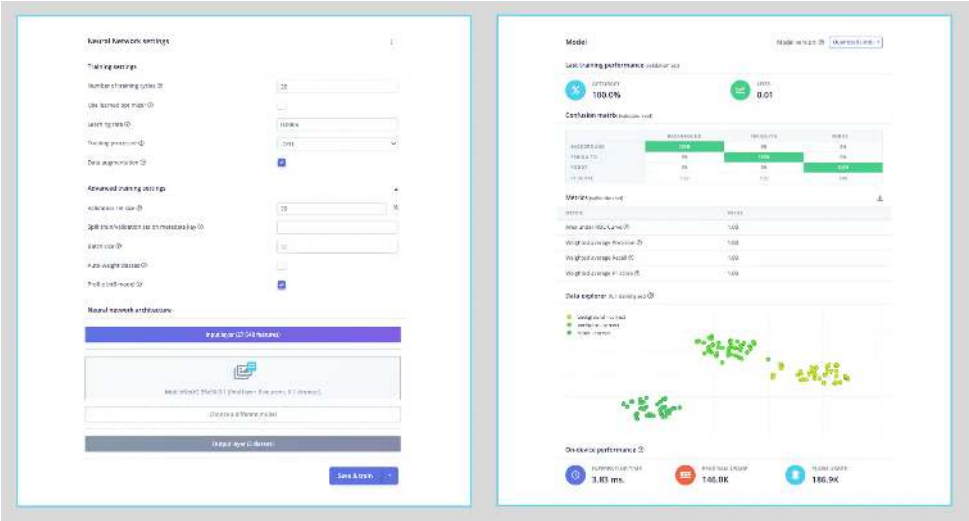

训练结果截图

模型分析显示 **RAM 占用 146 KB，Flash 占用 187 KB**，远低于 Grove AI Vision (V2) 的 2.5 MB SRAM，推理延迟约 4 ms。

> 虽然验证集准确率达 100%，但用测试集（量化 Int8 模型）测试时准确率为 81%。对于本实验已足够。

模型部署

在 Deployment 标签页选择 `Seeed Grove Vision AI Module V2 (Himax WiseEye2)`，点击 `[Build]`，下载生成的 ZIP 文件。

ZIP 包内含 `model_vela.tflite`，这是用 Arm Vela 编译器优化过的 TensorFlow Lite 模型，适用于 Ethos-U NPU。

可按 `README.txt` 指引刷写模型，或直接用 SenseCraft AI Studio。本实验采用后者。

在 SenseCraft AI Studio 部署模型

在 SenseCraft AI Studio 的 `Vision Workspace` 标签页连接设备：

此时会显示设备上最后上传的模型。点击绿色 `[Upload Model]` 按钮，弹窗中填写**模型名称**、**模型文件**，并输入类别名称（objects）。类别建议按字母顺序：`0: background`，`1: periquito`，`2: robot`，然后点击 `[Send]`。

Name	Size	Kind
vision-ai-v2-img-class-seeed-grove-vision-ai-module-v2-v1	--	Folder
README.txt	779 bytes	Plain Text Document
model_vela.tflite	193 KB	TensorFlow Lite Model
firmware.img	406 KB	Disk Image
xmodem	--	Folder
xmodem_send.py	9 KB	Python script
xmodem_recv.py	5 KB	Python script
serReadLoop.py	3 KB	Python script
requirements.txt	28 bytes	Plain Text Document
vision-ai-v2-img-class-seeed-grove-vision-ai-module-v2-v1.zip	383 KB	ZIP archive

模型包内容截图

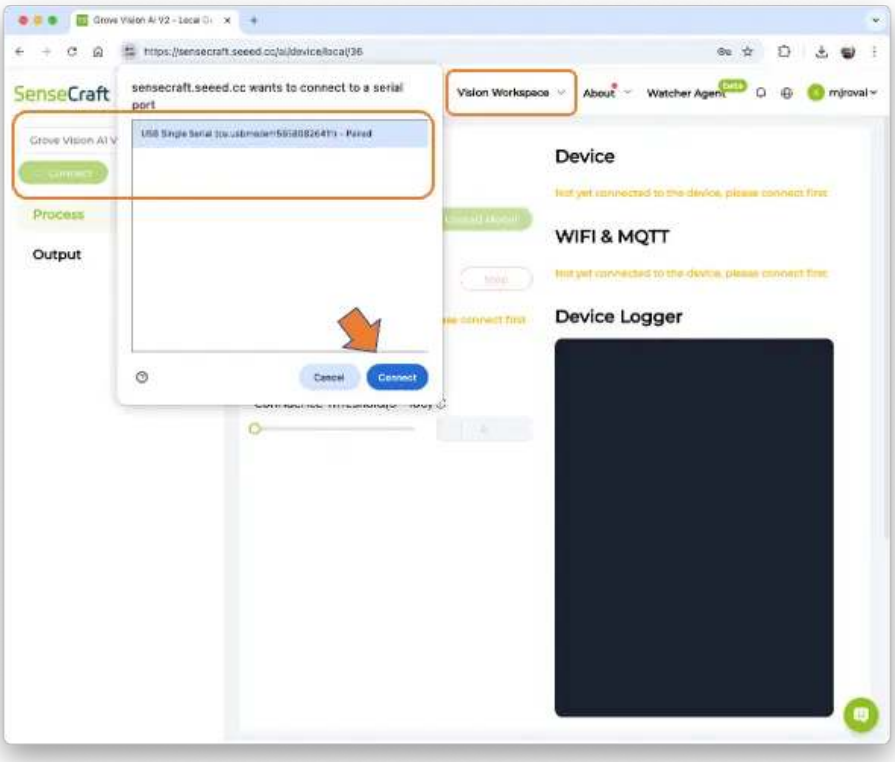

模型上传界面

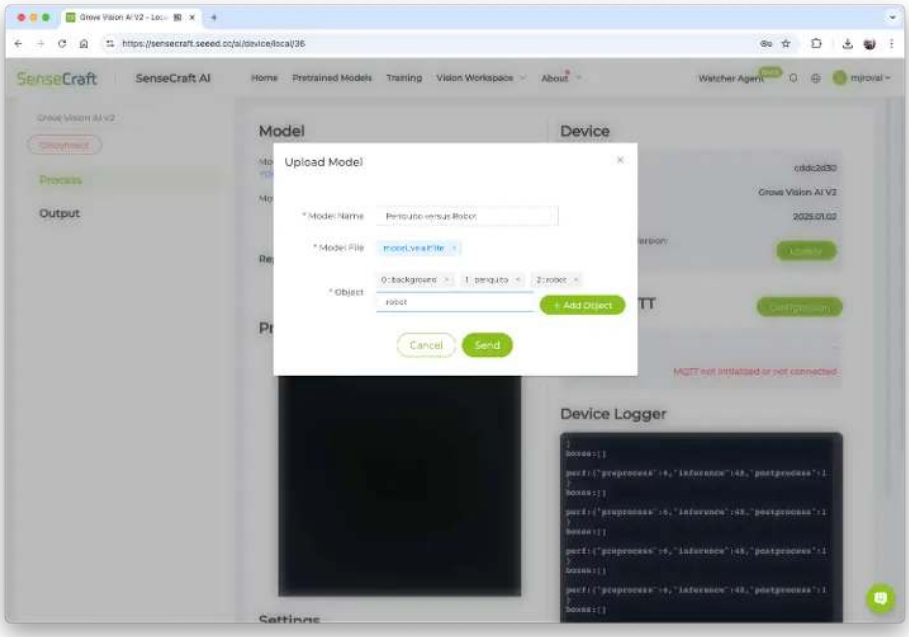

输入类别界面

几秒后模型会被上传（刷写）到设备，摄像头实时画面会显示在 **Preview** 区域，下方显示分类结果。可在 **Settings** 调节推理置信度阈值。

在 **Device Logger** 可查看串口日志，观察延迟：预处理约 1~2 ms，推理约 4~5 ms，与 Edge Impulse Studio 估算一致。

其他截图示例：

该模型功耗约 70 mA，约合 0.4 W。

图像分类（非官方）基准测试

目前常见的嵌入式视觉 tinyML 开发板有 **ESP32 CAM**、**Seeed XIAO ESP32S3 Sense** 和 Arduino **Nicla Vision**。

我们将同样训练好的 MobilenetV2 96x96 α=0.1 模型部署到 ESP-CAM、XIAO 和树莓派 Zero W2，结果如下：

> Grove Vision AI V2（ARM Ethus-U55）推理速度约为 ARM-M7 设备的 14 倍，Xtensa LX6（ESP-CAM）的 100 倍以上。即使对比树莓派，U55 也快近一倍，且功耗更低。详见完整对比文章。

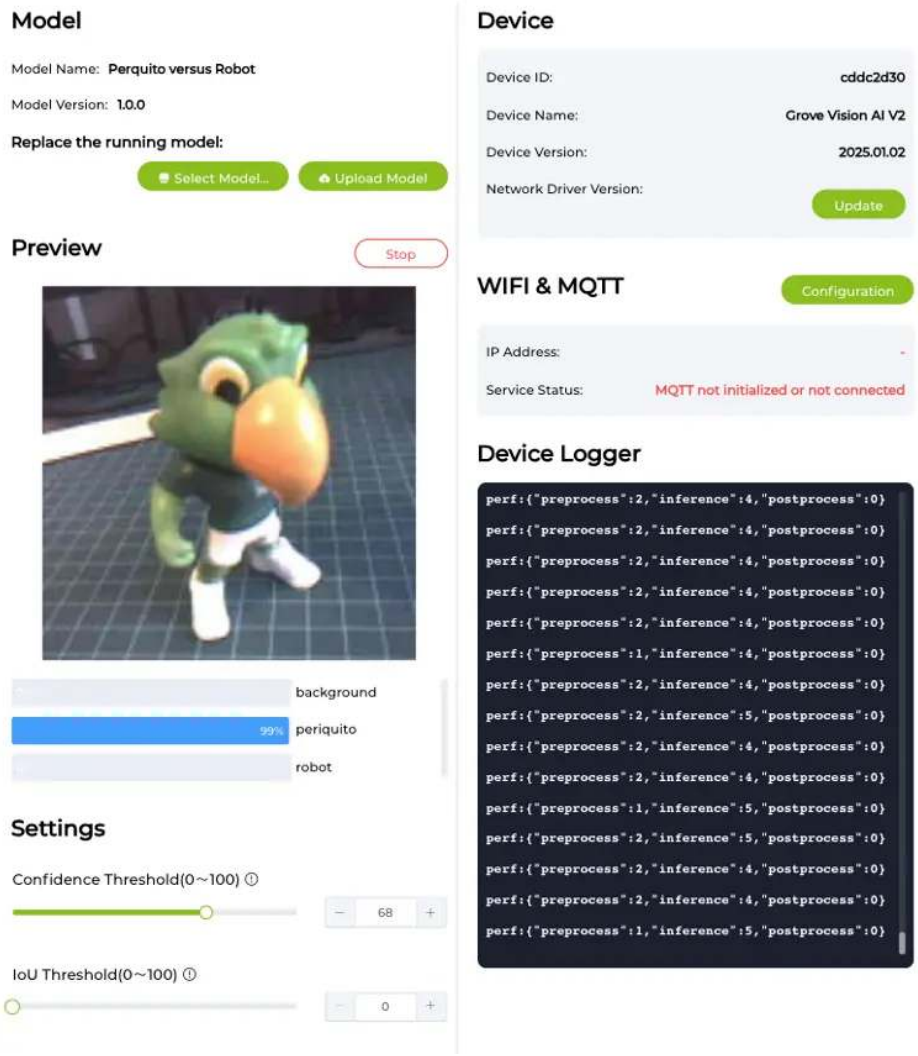

推理结果界面

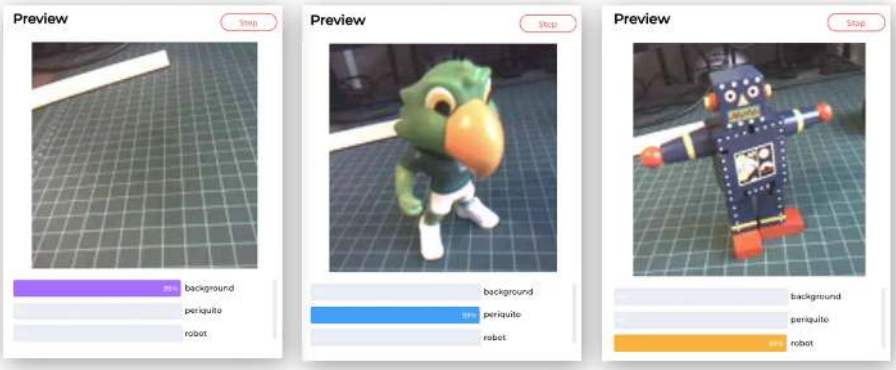

推理结果汇总

多平台推理延迟对比

后处理

模型已成功刷写并能正确分类图片后，我们希望将推理结果通过 IIC 输出给主控板，实现完全离线（如电池供电）运行。

> 主控板可选 XIAO、Arduino、树莓派等任意微控制器。

获取视频流 Grove Vision AI (V2) 本地完成图像处理和推理，推理结果通过 IIC 输出给 XIAO。我们将用 **Arduino SSMA 库**处理数据流（不含模型推理）。

> Grove Vision AI (V2) 通过 IIC（地址 0x62）与 XIAO 通信，图片数据通过 USB 串口传输。

步骤 1： 从 GitHub 下载 Arduino SSMA 库 zip 包。

步骤 2： 在 Arduino IDE 通过 `sketch > Include Library > Add .Zip Library` 安装。

步骤 3： 安装 **ArduinoJSON** 库。

步骤 4： 安装 **Eigen** 库。

步骤 5： 用排针将 XIAO 与 Grove Vision AI (V2) 连接。

> **注意：** Grove Vision AI 的 Type-C 接口方向需与 XIAO 的 Type-C 接口一致。

步骤 6： 用 USB-C 线连接 XIAO 到电脑。

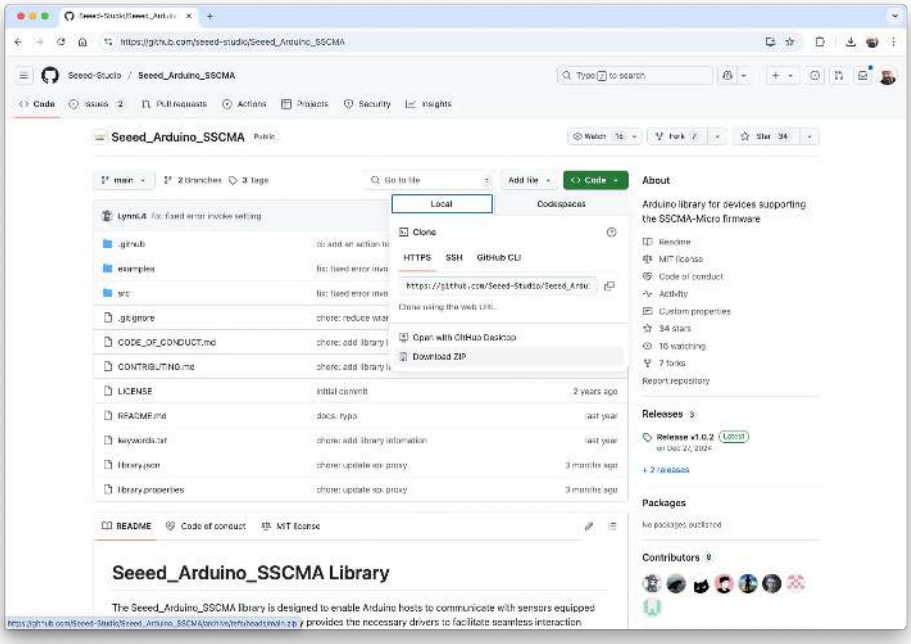

SSMA 库下载界面

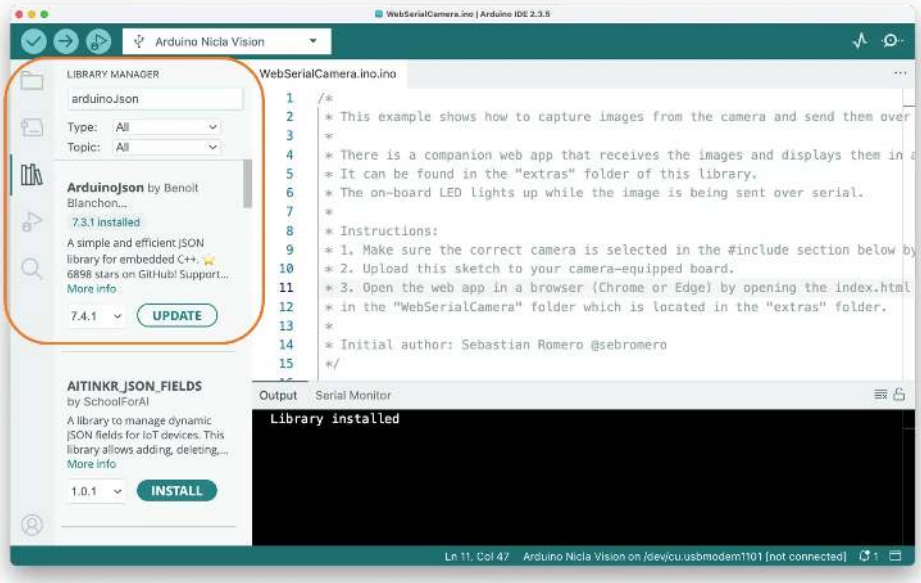

ArduinoJSON 安装界面

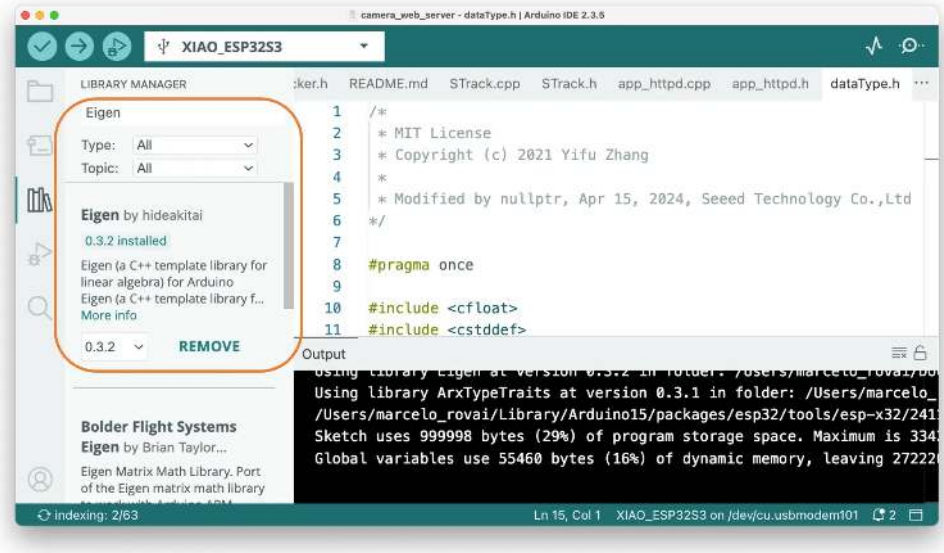

Eigen 安装界面

XIAO 与 Grove Vision AI 连接示意图

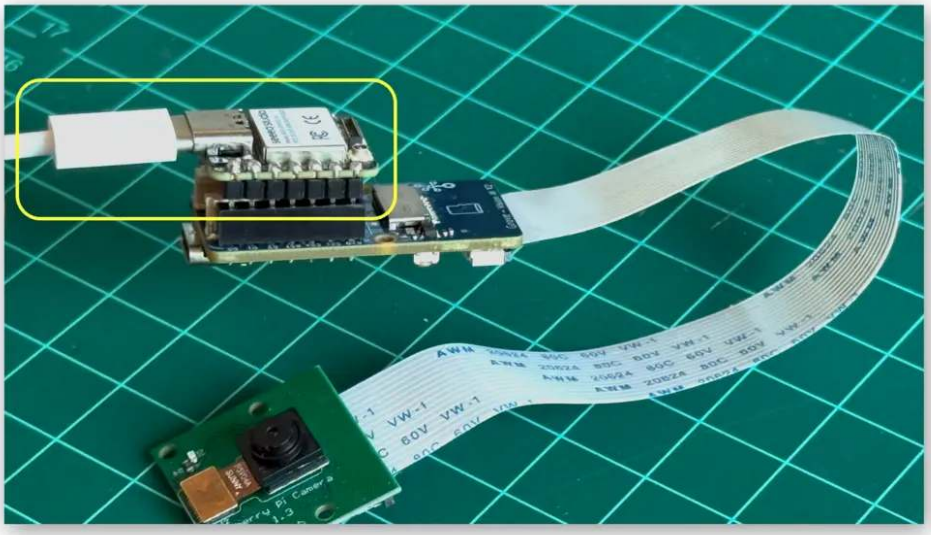

XIAO 连接电脑示意图

步骤 7：在 Arduino IDE 选择 Xiao 板卡和对应端口。

如需将视频流推送到网页，建议用带 WiFi 和大内存的 **XIAO ESP32S3**。选择 `XIAO_ESP32S3` 和对应端口：

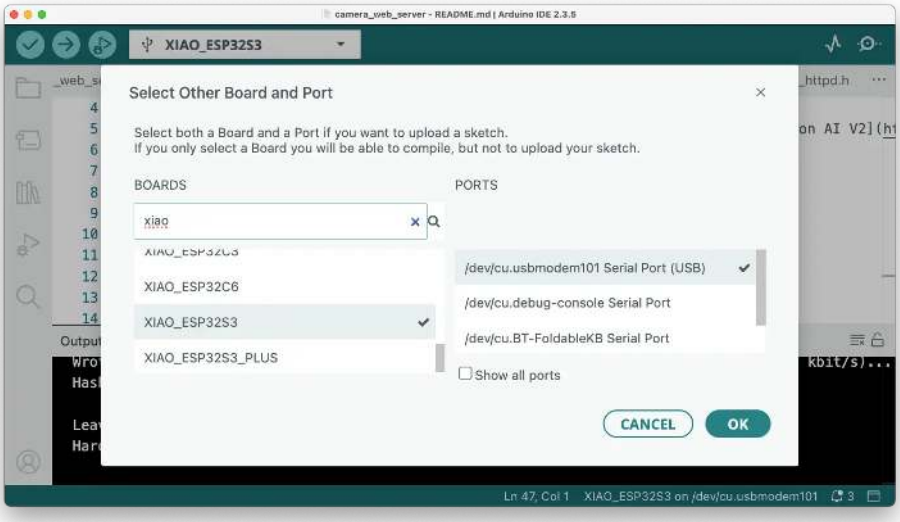

XIAO 板卡选择界面

默认 PSRAM 关闭，需在 `Tools` 菜单将 PSRAM 设为 `"OPI PSRAM"`。

步骤 8：打开 Arduino IDE 示例：

`File` -> `Examples` -> `Seeed_Arduino_SSCMA` -> `camera_web_server`。

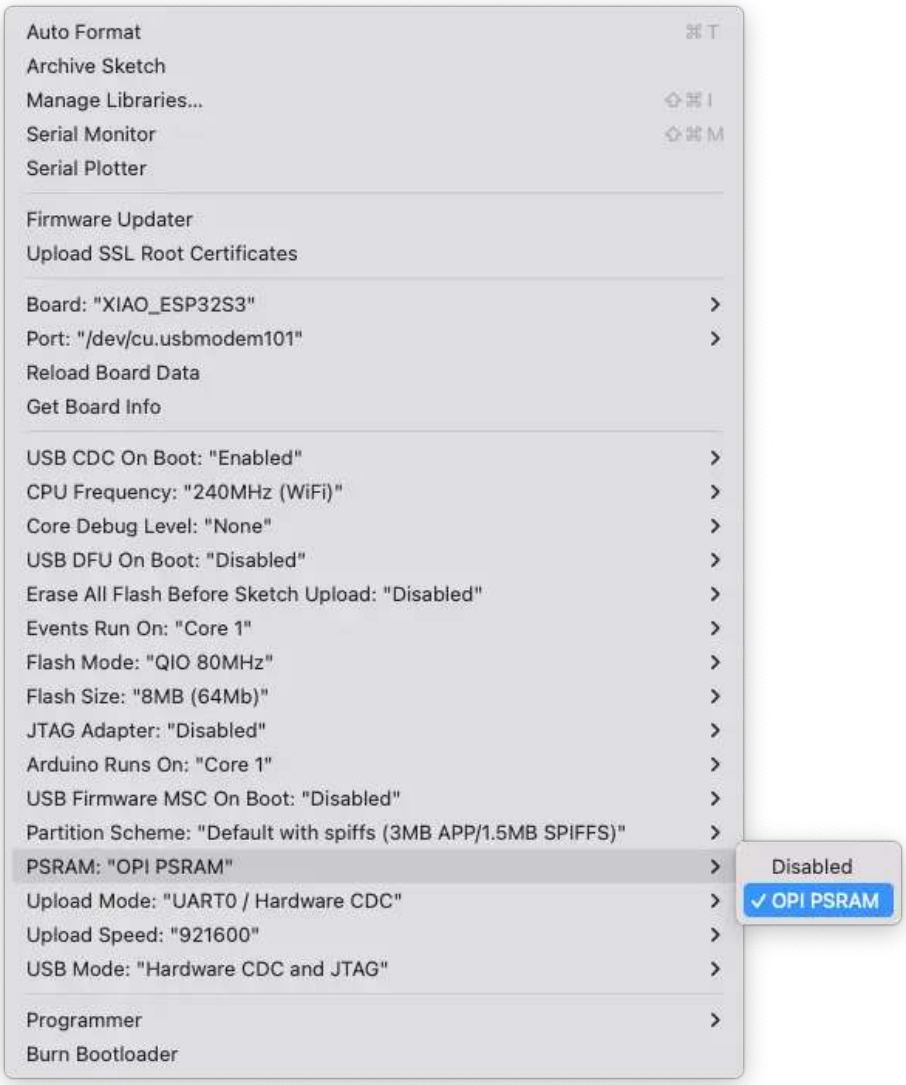

PSRAM 设置界面

编辑 `camera_web_server.ino` 中的 `ssid` 和 `password`，填写 Wi-Fi 信息。

步骤 9：上传程序，打开串口监视器，连接 Wi-Fi 后会显示板卡 IP 地址。

用浏览器访问该地址，进入视频应用。点击 `[Sample Only]` 和 `[Start Stream]` 仅查看 Grove Vision AI V2 的视频流。

如需采集图片数据集，可用该应用保存视频帧，点击 `[Save Frame]` 即可下载图片。

若不选 `[Sample Only]`，理论上推理结果会叠加在视频上，但图像分类模型不会显示，仅目标检测或姿态估计模型会显示推理结果。

如用 YoloV8 进行人物检测：

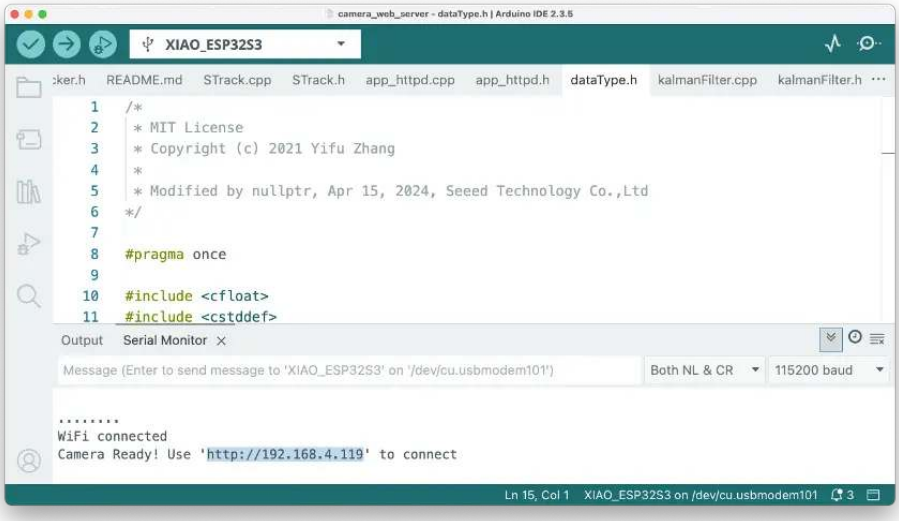

网页视频流界面

视频应用界面

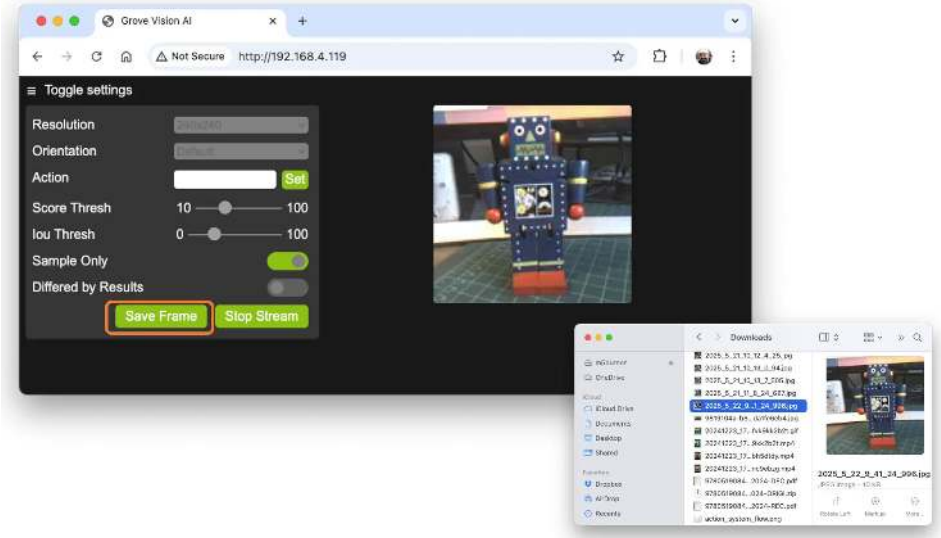

保存视频帧界面

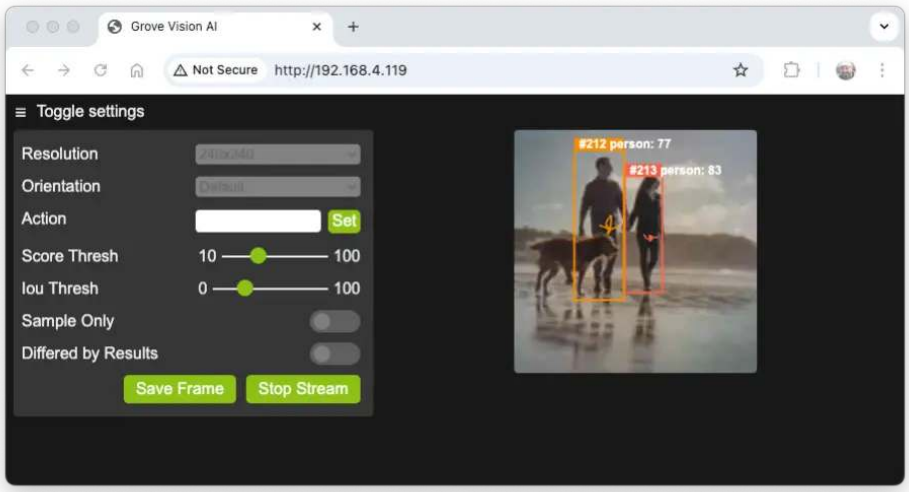

人物检测推理结果

获取推理结果

- 打开 `File` -> `Examples` -> `Seeed_Arduino_SSCMA` -> `inference_class` 示例。
- 上传程序，打开串口监视器。
- 用摄像头对准目标物体，即可在串口终端看到推理结果。

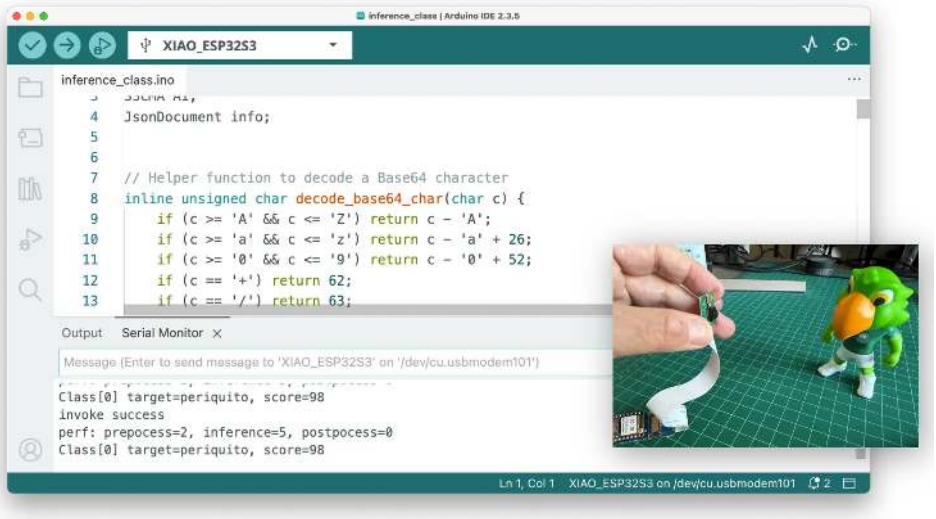

推理结果串口输出

> Arduino IDE 下推理时，平均电流 160 mA（800 mW），传输图片到 App 时峰值 330 mA（1.65 W）。

用 LED 做后处理 本实验后处理目标：检测到特定图片（如 Periquito，标签 1）时点亮用户 LED，检测到机器人或背景时关闭 LED。

将以下代码复制到 IDE：

```
#include <Seeed_Arduino_SSCMA.h>
SSCMA AI;

void setup()
{
    AI.begin();

    Serial.begin(115200);
    while (!Serial);
    Serial.println("Inferencing - Grove AI V2 / XIAO ESP32S3");

    // 板载 LED 引脚初始化
```

```
    pinMode(LED_BUILTIN, OUTPUT);
    // 默认关闭 LED（低电平点亮，高电平熄灭）
    digitalWrite(LED_BUILTIN, HIGH);
}

void loop()
{
    if (!AI.invoke()){
        Serial.println("\nInvoke Success");
        Serial.print("Latency [ms]: prepocess=");
        Serial.print(AI.perf().prepocess);
        Serial.print(", inference=");
        Serial.print(AI.perf().inference);
        Serial.print(", postpocess=");
        Serial.println(AI.perf().postprocess);
        int pred_index = AI.classes()[0].target;
        Serial.print("Result= Label: ");
        Serial.print(pred_index);
        Serial.print(", score=");
        Serial.println(AI.classes()[0].score);
        turn_on_led(pred_index);
    }
}

/**
* @brief      turn_off_led function - turn-off the User LED
*/
void turn_off_led(){
    digitalWrite(LED_BUILTIN, HIGH);
}

/**
* @brief      turn_on_led function used to turn on the User LED
* @param[in]  pred_index
*             label 0: [0] ==> ALL OFF
*             label 1: [1] ==> LED ON
*             label 2: [2] ==> ALL OFF
*             label 3: [3] ==> ALL OFF
*/
void turn_on_led(int pred_index) {
    switch (pred_index)
    {
        case 0:
            turn_off_led();
            break;
        case 1:
            turn_off_led();
            digitalWrite(LED_BUILTIN, LOW);
            break;
        case 2:
            turn_off_led();
            break;
        case 3:
            turn_off_led();
            break;
```

```
68      }
69  }
```

该代码通过 Seeed_Arduino_SSCMA.h 库与 Grove Vision AI V2 通信，初始化 AI 模块和 LED，并开启串口通信。

`loop()` 循环调用 `invoke()` 进行推理，推理成功后输出各阶段耗时和推理结果（类别及置信度），并根据分类结果点亮或关闭 LED。

推理结果如下：

检测到 Periquito（标签 1）时 LED 亮：

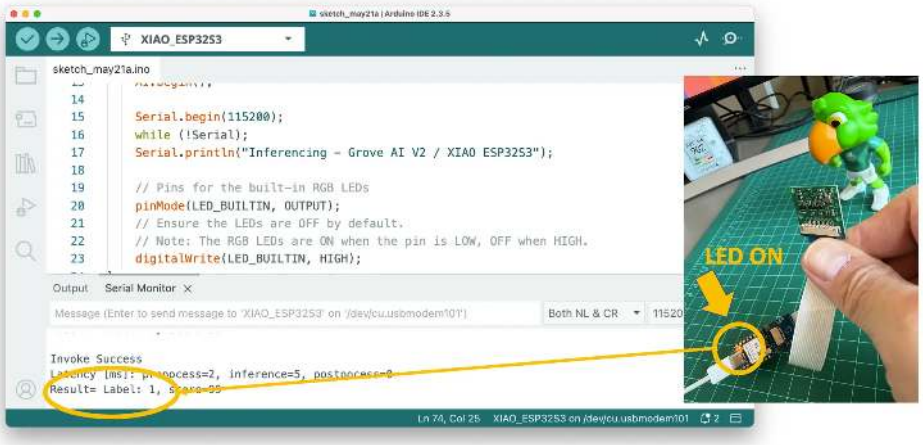

LED 点亮效果

检测到机器人（标签 2）或背景（标签 0）时 LED 熄灭：

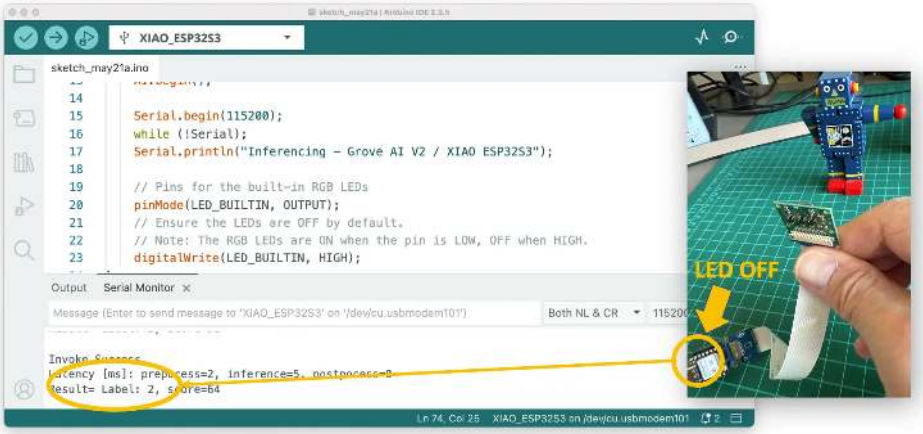

LED 熄灭效果

此时可用电池为 Grove Vision AI V2 + Xiao ESP32S3 供电，离线显示推理结果，功耗约 165 mA（825 mW）。

> 也可通过 WiFi、BLE 等主控板支持的通信协议发送推理结果。

可选：外接设备后处理

边缘 AI 最大优势之一是设备可完全离线运行，实现与现实世界的交互。前文已用板载 LED 实现，这里演示外接 LED（或其他执行器）。

外接 LED 控制流程图

> LED 需通过 220 欧姆电阻接 XIAO GND。

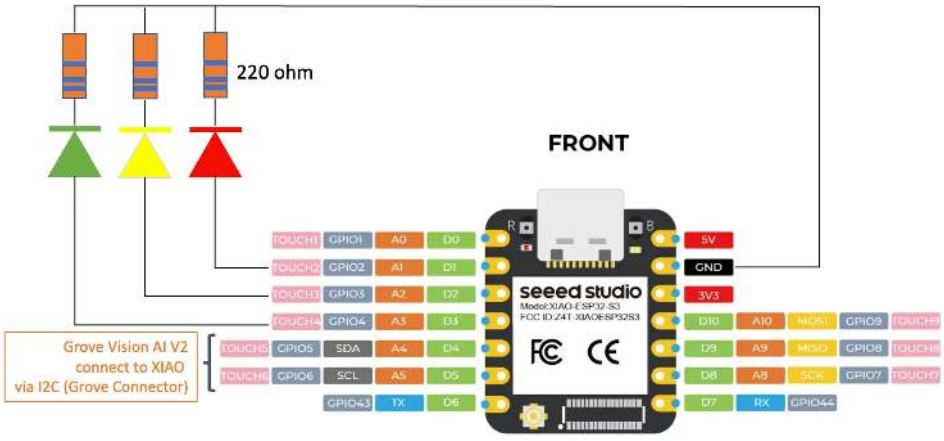

LED 连接示意图

我们将修改前述代码，实现三色 LED 控制：

目标：检测到 Periquito 时点亮绿色 LED，检测到机器人点亮黄色 LED，检测到背景点

亮红色 LED。

依然用 Arduino SSMA 库，代码如下：

```
#include <Seeed_Arduino_SSCMA.h>
SSCMA AI;

// 定义 LED 引脚
// LED 负极通过 220 欧姆电阻接 XIAO GND
int LEDR = D1; // XIAO ESP32S3 引脚 1
int LEDY = D2; // XIAO ESP32S3 引脚 2
int LEDG = D3; // XIAO ESP32S3 引脚 3

void setup()
{
    AI.begin();

    Serial.begin(115200);
    while (!Serial);
    Serial.println("Inferencing - Grove AI V2 / XIAO ESP32S3");

    // 初始化外接 LED
    pinMode(LEDR, OUTPUT);
    pinMode(LEDY, OUTPUT);
    pinMode(LEDG, OUTPUT);
    // 默认关闭所有 LED（高电平点亮，低电平熄灭）
    digitalWrite(LEDR, LOW);
    digitalWrite(LEDY, LOW);
    digitalWrite(LEDG, LOW);
}

void loop()
{
    if (!AI.invoke()){
        Serial.println("\nInvoke Success");
        Serial.print("Latency [ms]: prepocess=");
        Serial.print(AI.perf().prepocess);
        Serial.print(", inference=");
        Serial.print(AI.perf().inference);
        Serial.print(", postpocess=");
        Serial.println(AI.perf().postprocess);
        int pred_index = AI.classes()[0].target;
        Serial.print("Result= Label: ");
        Serial.print(pred_index);
        Serial.print(", score=");
        Serial.println(AI.classes()[0].score);
        turn_on_leds(pred_index);
    }
}

/**
* @brief turn_off_leds function - turn-off all LEDs
*/
```

```
void turn_off_leds(){
    digitalWrite(LEDR, LOW);
    digitalWrite(LEDY, LOW);
    digitalWrite(LEDG, LOW);
}

/**
* @brief turn_on_leds function used to turn on a specific LED
* @param[in]  pred_index
*             label 0: [0] ==> 红灯亮
*             label 1: [1] ==> 绿灯亮
*             label 2: [2] ==> 黄灯亮
*/
void turn_on_leds(int pred_index) {
    switch (pred_index)
    {
        case 0:
            turn_off_leds();
            digitalWrite(LEDR, HIGH);
            break;
        case 1:
            turn_off_leds();
            digitalWrite(LEDG, HIGH);
            break;
        case 2:
            turn_off_leds();
            digitalWrite(LEDY, HIGH);
            break;
        case 3:
            turn_off_leds();
            break;
    }
}
```

Grove Vision AI V2 与 XIAO 通过 I2C Grove 连接，建议用 扩展板（也可直接接线）。供电可用 USB-C 或电池。

运行效果如下：

> 绿灯峰值电流 240 mA（1.2 W），黄/红灯 14 mA（0.7 W），串口输出对功耗无影响。

总结

本实验完整演示了基于 Seeed Studio Grove Vision AI Module V2（Himax WiseEye2 芯片）的图像分类系统开发流程。从项目目标设定到模型部署与实际交互，涵盖了机器学习全流程。

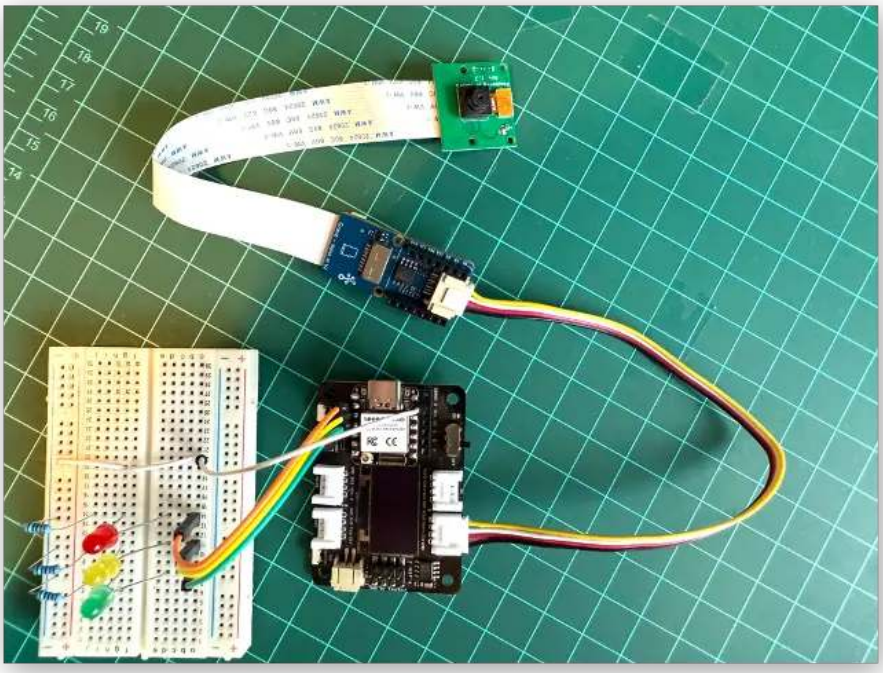

实物连接效果图

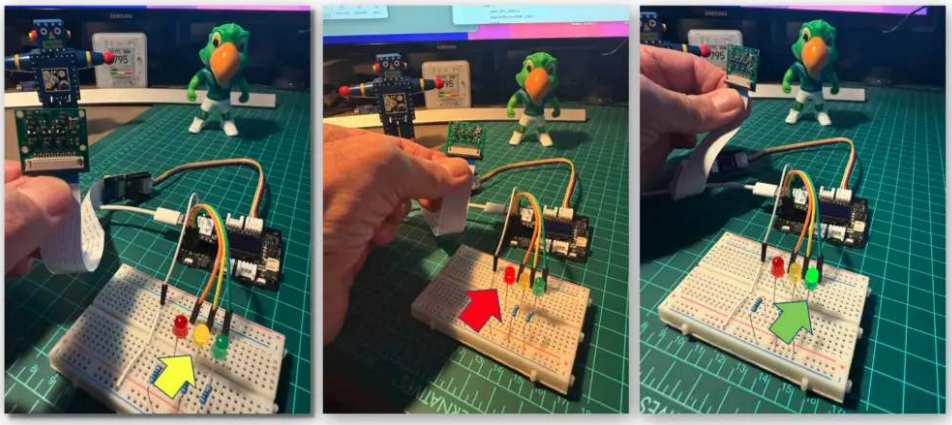

外接 LED 推理效果

Grove Vision AI V2 推理延迟仅 4-5ms，性能远超同类 tinyML 平台。基准测试显示，其速度为 ARM-M7 设备的 14 倍、ESP-CAM 的 100 倍以上，甚至比树莓派 Zero W2 还快近一倍，且功耗更低。

通过迁移学习，即使自定义图片数据集较小，也能获得良好分类效果。MobileNetV2 α=0.1 模型仅需 146 KB RAM、187 KB Flash，完全适配 Grove Vision AI V2 的 2.4 MB SRAM。

我们还探索了多种部署方式，从 SenseCraft AI Studio 实时查看推理结果，到用 LED 实现离线视觉反馈，甚至支持网页视频流。系统功耗低至 70mA（0.4W），驱动外设峰值 240mA（1.2W），非常适合电池供电场景。

本实验证明，复杂的计算机视觉任务已可完全在边缘设备独立完成，无需依赖云端或高性能计算机。借助 Edge Impulse Studio 和 SenseCraft AI Studio，即使没有深厚 ML 背景，也能轻松开发嵌入式 AI 应用。

随着边缘 AI 技术不断进步，像 Grove Vision AI Module V2 这样的小型高效设备将为智能传感器、物联网和日常嵌入式智能应用带来更多可能。

资源

- 使用 SenseCraft AI Studio 采集图片
- Edge Impulse Studio 项目
- SenseCraft AI Studio - Vision Workplace（模型部署）
- 更多 Himax 示例
- Arduino 示例代码

树莓派实验

树莓派作为边缘计算平台，在 TinyML 领域发挥着重要作用。本章探索各种树莓派型号在机器学习应用中的潜力，通过实际实验学习部署 ML 模型、实现边缘推理以及优化资源使用。您将掌握在树莓派上构建完整 ML 系统的技能，包括传感器集成、实时数据处理和网络通信。无论您是 IoT 项目开发者还是对边缘 AI 感兴趣的爱好者，本章都将为您提供实用的 TinyML 部署经验。

概述

本系列实验将带你通过树莓派平台，深入体验机器学习系统的实际操作。与需要大量云端资源的大型模型不同，这些实验让你能够直接在小巧而强大的边缘计算环境中，结合硬件与软件进行 AI 部署实操。你将通过树莓派（从高效的 Pi Zero 到更强大的 Pi 4 或 Pi 5）掌握边缘 AI 的部署流程，切身理解在资源受限场景下实现机器学习的挑战与机遇。虽然实验规模较小，但所学原理与技术与大型系统本质一致。树莓派不仅能运行完整操作系统，还具备丰富的 GPIO 能力，为理论与实际应用之间架起桥梁。通过这些实验，你将全面理解 EdgeML 的核心要点，培养适用于多种 AI 部署场景的实战能力。

Raspberry Pi Zero 2-W 和 Raspberry Pi 5 搭载摄像头

前置条件

- **树莓派**：至少准备一块树莓派主板。视觉实验建议使用 Raspberry Pi Zero 2 W、Raspberry Pi 4 或 5，生成式 AI 实验建议使用 Raspberry Pi 5。

- **电源适配器**：为主板供电。
  - Raspberry Pi Zero 2-W：2.5 W，Micro-USB 适配器
  - Raspberry Pi 4 或 5:3.5 W，USB-C 适配器
- **网络**：需联网以下载所需软件并远程控制主板。
- **SD 卡（至少 32 GB）及读卡器**：用于烧录树莓派操作系统。

环境准备

- 树莓派环境搭建

实验任务

类型	任务	说明	链接
视觉	图像分类	学习图像分类基础	链接
视觉	目标检测	实现目标检测功能	链接
GenAI	小型语言模型	在边缘部署 SLMs	链接
GenAI	视觉 - 语言模型	在边缘部署 VLMs	链接

配置与准备

本章将带你完成 Raspberry Pi Zero 2 W（简称 Raspi-Zero）和 Raspberry Pi 5（简称 Raspi-5）的基础配置。内容涵盖硬件准备、操作系统安装、初始配置与测试，帮助你为后续的机器学习项目打下坚实基础。

> Raspi-5 的通用配置方法同样适用于旧款 Raspberry Pi，如 Raspi-3 和 Raspi-4。

概述

Raspberry Pi 是一款功能强大且灵活的单板计算机，已成为各类工程师不可或缺的工具。由 Raspberry Pi 基金会 推出，这些小巧设备兼具低成本、高算力和丰富的 GPIO（通用输入输出）接口，非常适合原型开发、嵌入式系统设计及各类工程项目。

主要特性

- **计算能力强**：体积虽小，但最新型号配备多核 ARM 处理器和最高 8 GB 内存，性能不俗。
- **GPIO 接口丰富**：40 针 GPIO 排针可直接连接各类传感器、执行器，便于软硬件协同开发。
- **连接性强**：内置 Wi-Fi、蓝牙、以太网和多个 USB 接口，支持多种通信与联网场景。
- **底层硬件访问**：支持 I2C、SPI、UART 等接口，便于与外部设备深度交互。
- **软实时能力**：合理配置后可用于软实时应用，适合控制系统与信号处理。
- **能耗低**：低功耗设计，尤其是 Pi Zero 系列，适合电池供电和节能场景。

本书涉及的 Raspberry Pi 型号

- **Raspberry Pi Zero 2 W（Raspi-Zero）**
  - 适用场景：紧凑型嵌入式系统
  - 主要参数：1 GHz 四核 ARM Cortex-A53，512 MB 内存，极低功耗
- **Raspberry Pi 5（Raspi-5）**
  - 适用场景：边缘计算、计算机视觉、边缘 AI（如 LLM）等高性能需求
  - 主要参数：2.4 GHz 四核 ARM Cortex-A76，最高 8 GB 内存，支持 PCIe 扩展

工程应用场景

- 嵌入式系统设计
- 物联网与网络设备开发（支持 MQTT、CoAP、HTTP/HTTPS 等协议）
- 控制系统（如 PID 控制、执行器接口）
- 计算机视觉与 AI（支持 OpenCV、TensorFlow Lite 等库）
- 数据采集与分析（实时数据采集与日志系统）
- 机器人控制与运动规划

- 信号处理（实时信号分析与滤波）
- 网络安全（VPN、防火墙、渗透测试等）

本教程将带你完成主流 Raspberry Pi 型号的配置，助你快速开启机器学习项目。内容聚焦硬件准备、操作系统安装与初始配置，重点为 ML 应用做好环境准备。

硬件简介

Raspberry Pi Zero 2 W

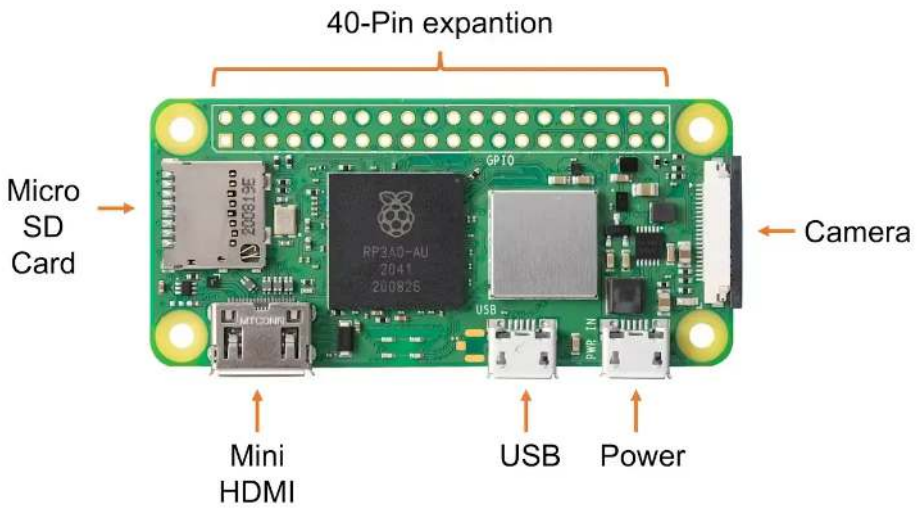

Raspberry Pi Zero 2 W 主板

- **处理器**：1 GHz 四核 64 位 ARM Cortex-A53
- **内存**：512 MB SDRAM
- **无线**：2.4 GHz 802.11 b/g/n 无线局域网，蓝牙 4.2，BLE
- **接口**：Mini HDMI、micro USB OTG、CSI-2 摄像头接口
- **供电**：5V（micro USB）

Raspberry Pi 5

- **处理器**：
  - Pi 5：四核 64 位 ARM Cortex-A76 @ 2.4 GHz
  - Pi 4：四核 Cortex-A72 (ARM v8) 64 位 SoC @ 1.5 GHz
- **内存**：2 GB、4 GB 或 8 GB（AI 推荐 8 GB）

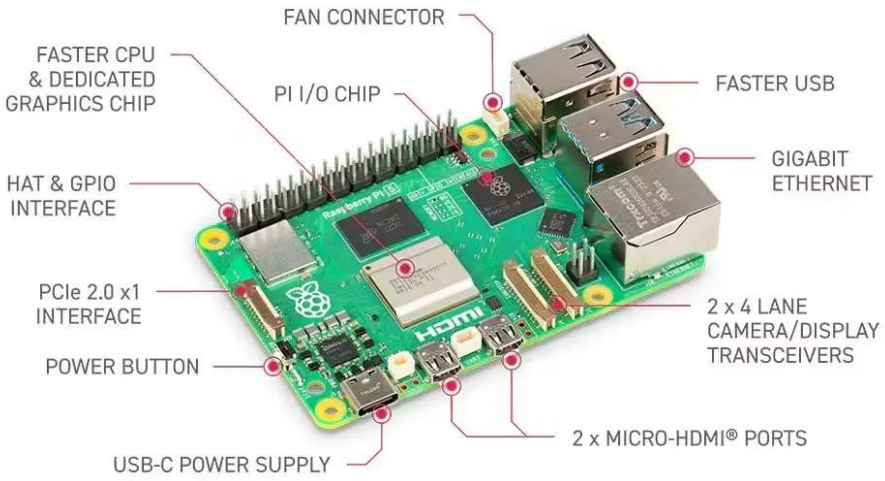

Raspberry Pi 5 主板

- **无线**：双频 802.11ac，无线蓝牙 5.0
- **接口**：2 个 micro HDMI、2 个 USB 3.0、2 个 USB 2.0、CSI 摄像头、DSI 显示接口
- **供电**：5V DC（USB-C，3A）

> 实验中会用 `Raspi`、`Raspi-5`、`Raspi-Zero` 等不同名称指代树莓派。若无特殊说明，`Raspi` 泛指所有型号通用的操作。

安装操作系统

操作系统简介

操作系统（OS）是管理计算机硬件与软件资源的基础软件，为应用程序提供标准服务。它是计算机运行的核心，负责内存、进程、驱动、文件与安全等管理。

- **主要功能**：
  - 进程管理：分配 CPU 资源
  - 内存管理：动态分配与回收内存
  - 文件系统管理：组织文件与目录
  - 设备管理：与硬件设备通信
  - 用户界面：提供交互方式
- **核心组件**：

- 内核（Kernel）：硬件资源管理核心
- Shell：用户与系统交互界面
- 文件系统：数据存储与管理
- 设备驱动：软硬件通信桥梁

Raspberry Pi 运行专为嵌入式优化的 Linux 发行版，通常为基于 Debian 的 Raspberry Pi OS（原 Raspbian），针对 ARM 架构和有限资源做了优化。

> 最新 Raspberry Pi OS 基于 Debian Bookworm。

主要特性：

- 轻量高效，适配树莓派硬件
- 支持多种应用与编程语言
- 开源可定制，社区活跃
- 原生支持 GPIO，便于硬件交互
- 持续更新，安全性与性能不断提升

嵌入式 Linux 让树莓派成为从简单 IoT 到复杂边缘 ML 应用的理想平台，兼容标准 Linux 工具与库，开发与实验极为便利。

安装步骤

树莓派需通过 SD 卡启动操作系统。推荐使用 Raspberry Pi Imager 工具在 macOS、Windows 或 Linux 上下载并写入系统镜像，并可预设账号、WiFi、SSH 等参数。

操作步骤如下：

1. 下载 并安装 Raspberry Pi Imager。
2. 插入 microSD 卡（建议 32GB）。
3. 打开 Imager，选择你的树莓派型号。
4. 选择合适的操作系统：
   - **Raspi-Zero** 推荐选择 `Raspberry Pi OS Lite (64-bit)`。

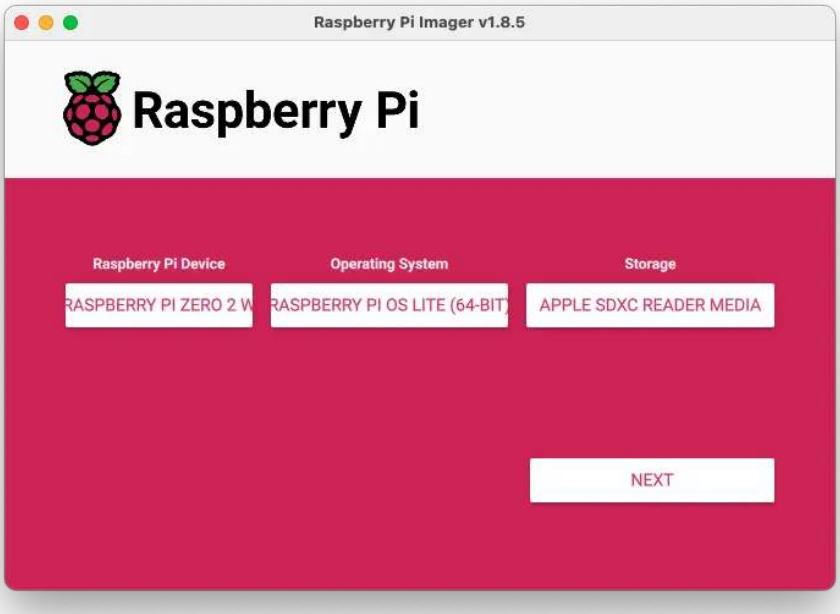

Raspberry Pi Zero 2 W 烧录界面

```
> 由于 Raspi-Zero 内存仅 512 MB，建议用 32 位系统。但如需运行 YOLOv8 等模型，建议用 64 位。为节省内存，选择无桌面的 LITE 版。
```

- **Raspi-5** 可选完整 64 位桌面版 `Raspberry Pi OS (64-bit)`。

5. 选择 microSD 卡作为存储设备。
6. 点击 `Next`，再点齿轮图标进入高级选项。
7. 设置主机名、用户名与密码、WiFi、启用 SSH（非常重要）。
8. 写入镜像到 microSD 卡。

> 示例中主机名会因设备不同而变化，如 raspi、raspi-5、raspi-zero 等，请根据实际情况替换。

初始配置

1. 将 microSD 卡插入树莓派。
2. 连接电源启动。
3. 等待首次启动完成（需几分钟）。

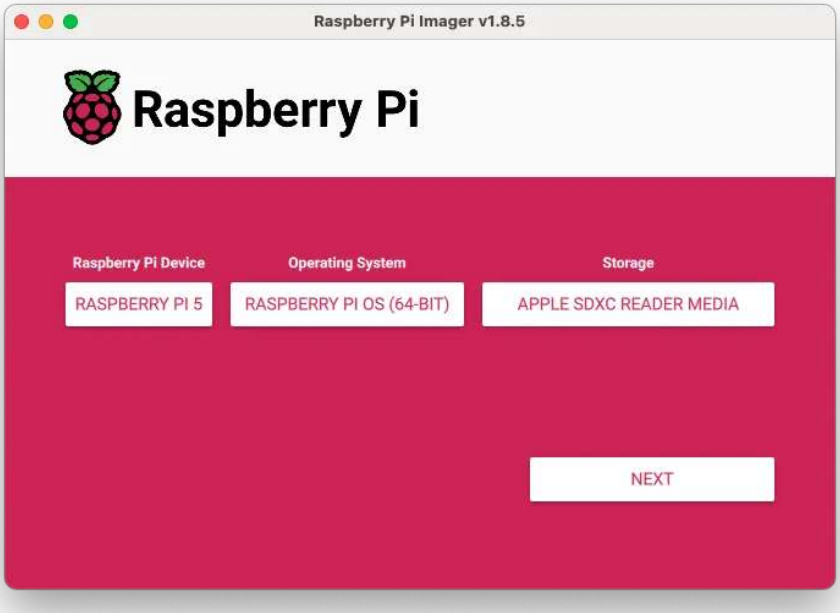

Raspberry Pi 5 烧录界面

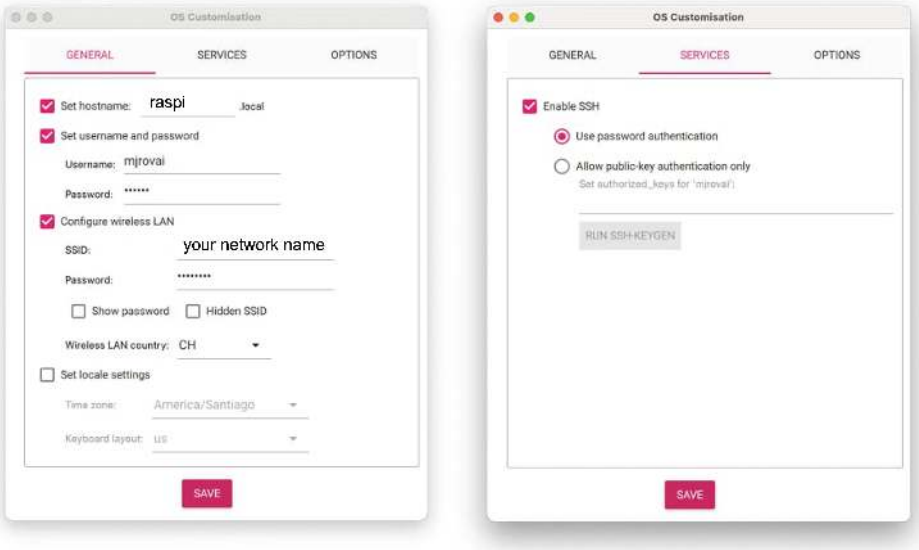

Raspberry Pi Imager 高级设置

> 常用 Linux 命令可参考 命令速查表 1 或 命令速查表 2。

远程访问

SSH 远程登录

最便捷的方式是通过 SSH（无头模式）远程操作。可用终端（Mac/Linux）、PuTTy（Windows）等工具。

1. 查找树莓派 IP 地址（可在路由器管理界面查看）。
2. 在电脑终端输入：

```
ssh 用户名@[树莓派 IP 地址]
```

若无 IP，可尝试：

```
ssh 用户名@主机名.local
```

例如：`ssh mjrovai@rpi-5.local`、`ssh mjrovai@raspi.local` 等。

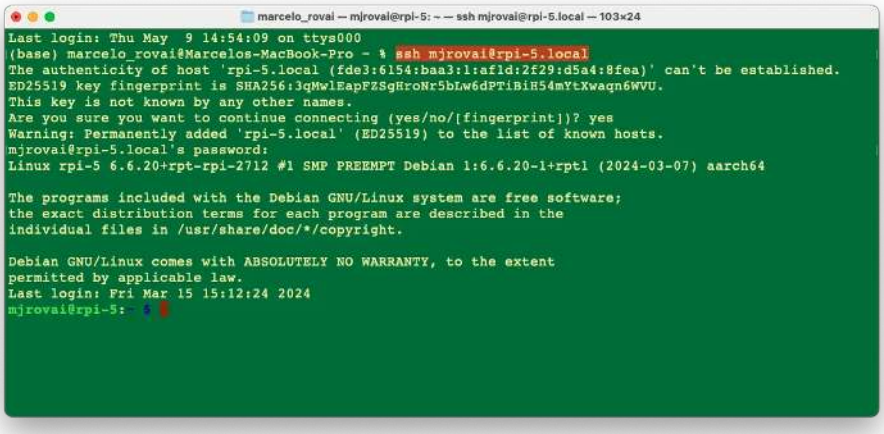

SSH 登录示例

出现如下提示即表示已远程连接：

```
mjrovai@rpi-5:~ $
```

建议定期更新系统：

```
sudo apt-get update
sudo apt upgrade
```

查询当前 IP：

```
hostname -I
```

查询 IP 地址

远程关机

切勿直接断电关机，以免数据丢失或 SD 卡损坏。请使用命令：

```
sudo shutdown -h now
```

> 关机后等待 LED 熄灭再断电，确保数据安全。

文件传输

可用 U 盘、终端（scp）、FTP 工具等方式在树莓派与主机间传文件。

使用 scp 协议　上传文件到树莓派

假设主机有 `test.txt` 文件，终端执行：

```
scp test.txt <用户名>@<树莓派 IP>:~/
```

> `~/` 表示树莓派主目录。若需传到其他目录，需提前创建。

例如：

```
scp test.txt mjrovai@192.168.4.210:~/
```

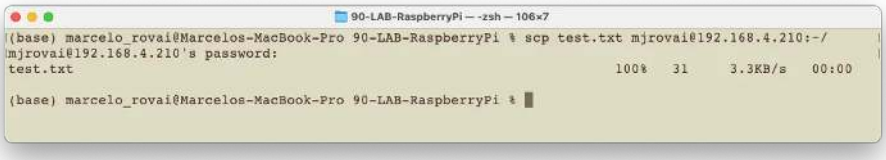

scp 上传文件

登录树莓派后可用 `ls` 查看文件：

树莓派查看文件

从树莓派下载文件

主机终端执行：

```
scp <用户名>@<树莓派 IP>:myfile.txt .
```

例如：

树莓派上复制一份文件：

```
cp test.txt test_2.txt
```

主机下载：

```
scp mjrovai@192.168.4.210:test_2.txt .
```

scp 下载文件

使用 FTP 工具 可用 FileZilla 等 FTP 客户端，主机名填树莓派 IP：

```
sftp://192.168.4.210
```

输入用户名与密码，点击 `Quickconnect`，即可在左右窗口分别浏览主机与树莓派文件。

增加 SWAP 内存

`htop` 是跨平台进程与资源监控工具，可实时查看进程、CPU、内存等。安装后输入：

```
htop
```

Raspi-Zero 内存仅 512 MB，远低于 Raspi 4/5 的 2~8 GB。可通过增加 SWAP（交换分区）提升可用内存，便于运行如 YOLO 等大模型。

默认 SWAP 仅 100 MB，建议增至 2 GB。操作如下：

1. 关闭 swap：

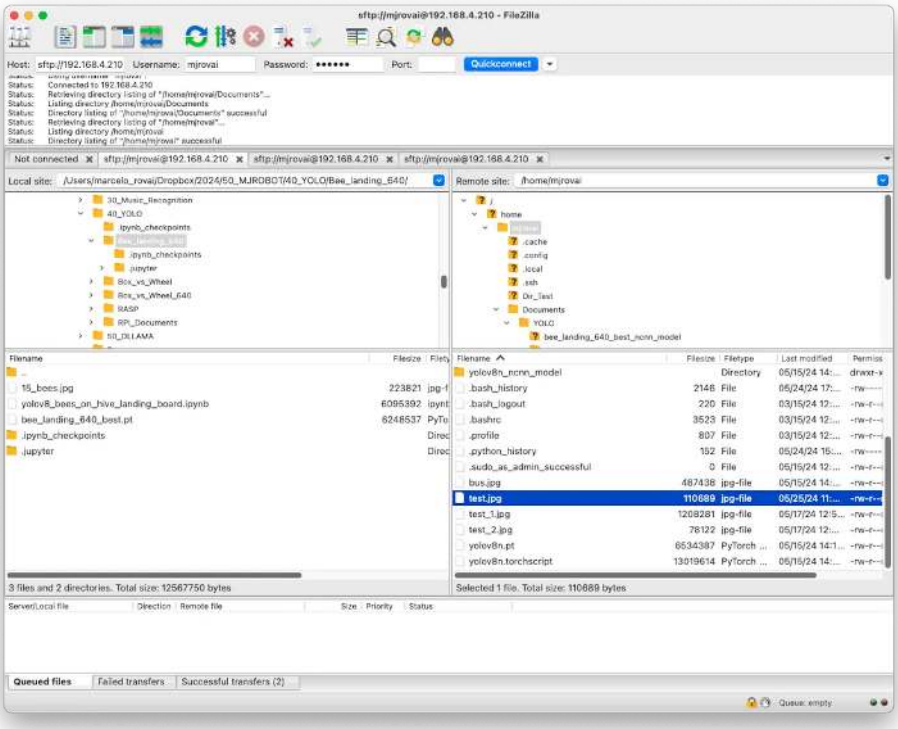

FileZilla 文件传输

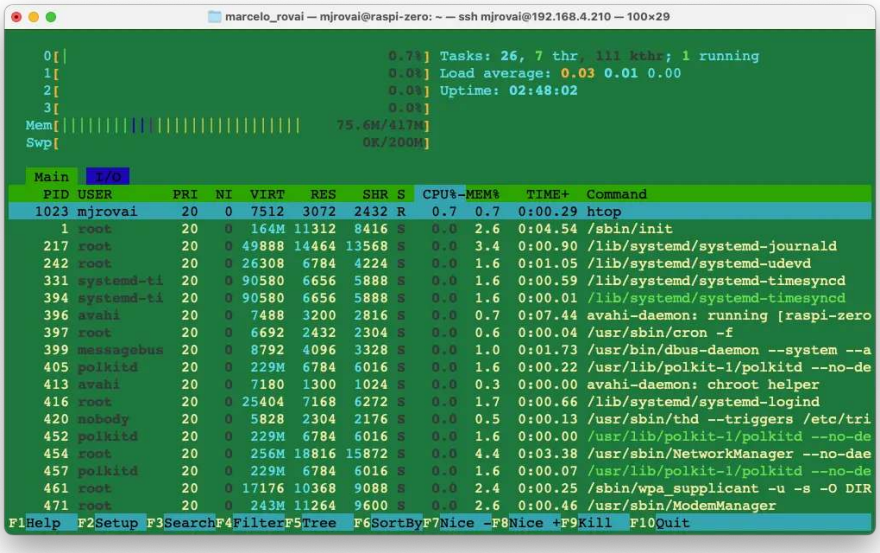

htop 监控界面

```
sudo dphys-swapfile swapoff
```

2. 编辑配置文件：

```
sudo nano /etc/dphys-swapfile
```

找到 `CONF_SWAPSIZE`，将默认值（如 200）改为 2000：

```
CONF_SWAPSIZE=2000
```

保存退出。

3. 重新启用 swap 并重启：

```
sudo dphys-swapfile setup
sudo dphys-swapfile swapon
sudo reboot
```

重启后，`htop` 显示 swap 已接近 2 GB。

> 建议另开终端窗口运行 htop，便于持续监控。

安装摄像头

树莓派非常适合计算机视觉应用。可通过 USB 摄像头（需 OTG 转接）或 CSI 摄像头模块实现。

> USB 摄像头画质通常不及 CSI 模块，且无法用 `raspistill`、`raspivid` 或 Python 的 `picamera` 控制。但如需多摄像头、长线缆或手头仅有 USB 摄像头时也可选用。

安装 USB 摄像头

1. 关机：

```
sudo shutdown -h now
```

2. 连接 USB 摄像头（如 30fps，1280×720），本例以 Raspi-Zero 为例，其他型号同理。

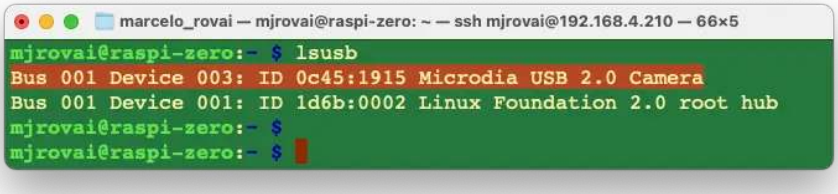

USB 摄像头连接

3. 开机并 SSH 登录。
4. 检查摄像头识别情况：

```
lsusb
```

应能看到摄像头设备。

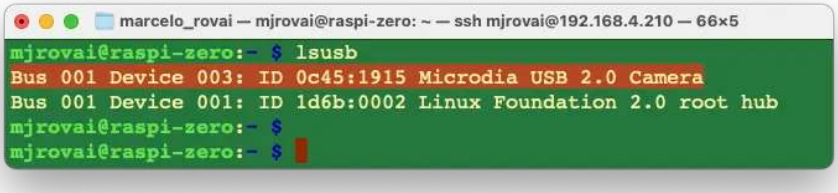

lsusb 检查摄像头

5. 拍摄测试照片：

```
fswebcam test_image.jpg
```

当前目录下生成 `test_image.jpg`。

6. 用 scp 或 FileZilla 将图片传回主机查看：

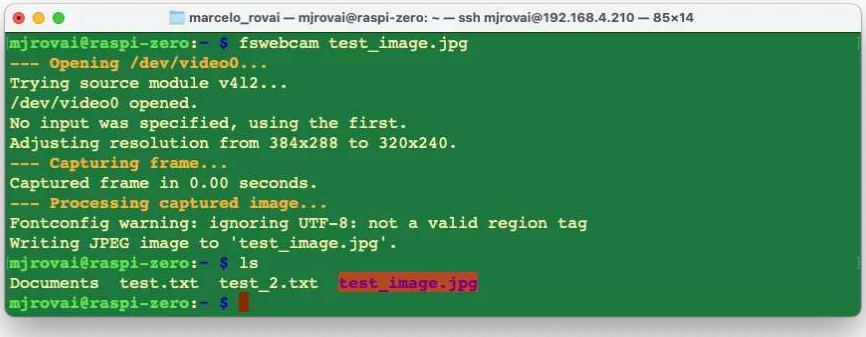

fswebcam 拍照

```
scp mjrovai@raspi-zero.local:~/test_image.jpg .
```

> 替换用户名与主机名。

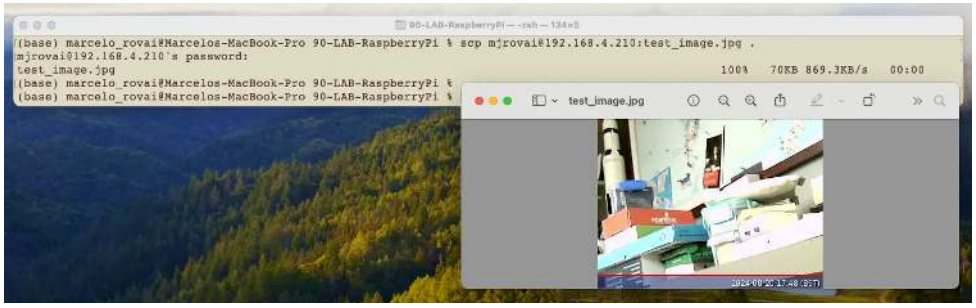

scp 下载图片

7. 若画质不佳，可调整分辨率（如 YOLO 推荐 640x640）：

```
fswebcam -r 640x640 --no-banner test_image_yolo.jpg
```

普通 USB 摄像头同样适用：

用 `lsusb` 验证：

视频流推送 如需视频流（资源消耗较大），可安装 mjpg-streamer：

1. 安装 Git：

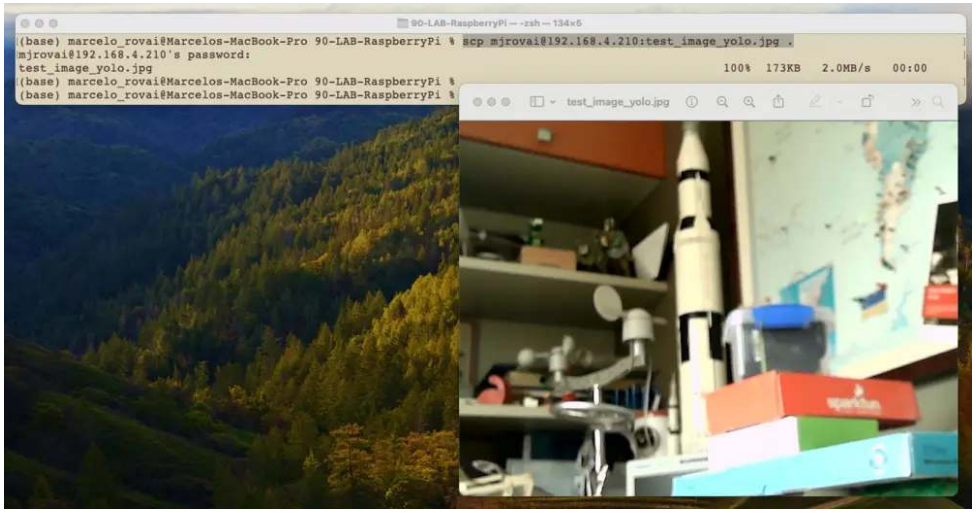

高分辨率拍照

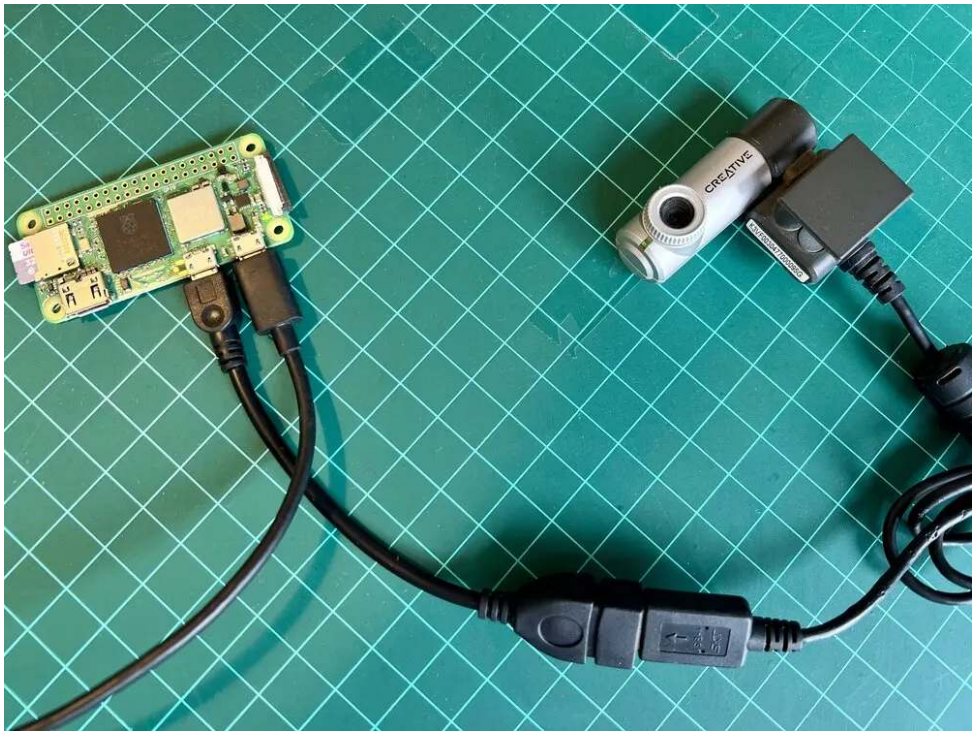

普通 USB 摄像头

lsusb 检查

```
sudo apt install git
```

2. 安装依赖、克隆仓库并编译：

```
sudo apt install cmake libjpeg62-turbo-dev
git clone https://github.com/jacksonliam/mjpg-streamer.git
cd mjpg-streamer/mjpg-streamer-experimental
make
sudo make install
```

3. 启动视频流：

```
mjpg_streamer -i "input_uvc.so" -o "output_http.so -w ./www"
```

4. 浏览器访问：

```
http://<树莓派 IP>:8080
```

例如：http://192.168.4.210:8080
或直接访问流：

```
http://<树莓派 IP>:8080/?action=stream
```

安装 CSI 摄像头模块

树莓派官方摄像头有多代产品，最新为 12MP Camera Module 3。

5MP（Arducam OV5647）已停产，但第三方仍有销售：

8MP（Sony IMX219）为 v2 模块：

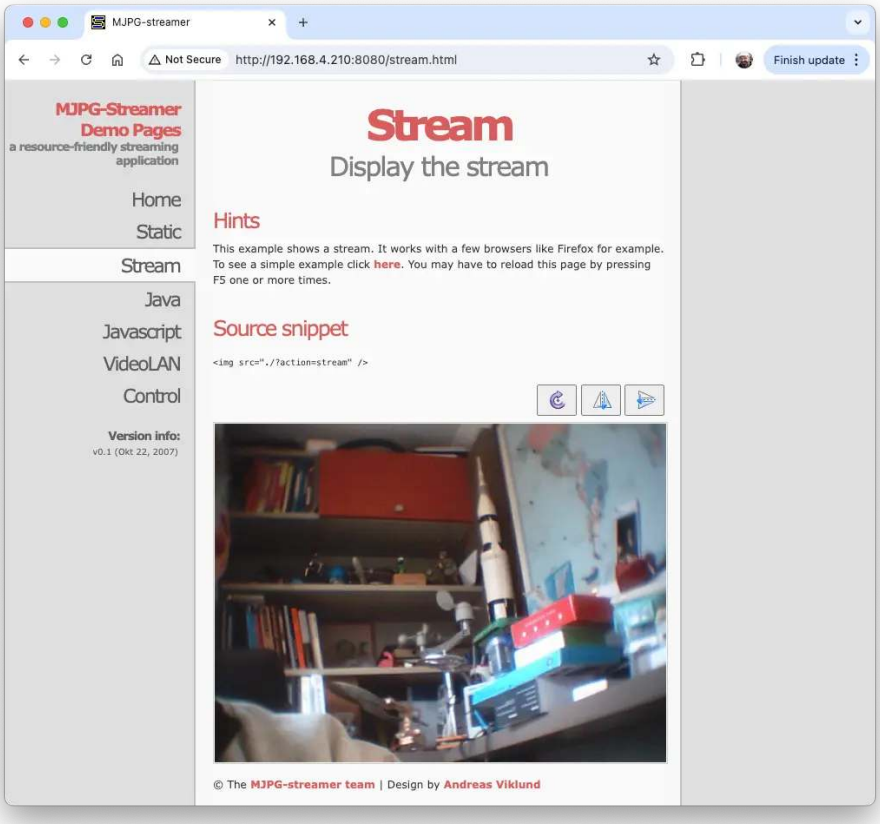

视频流界面

Raspi-Zero 安装摄像头

Raspi-5 安装摄像头

使用 CSI 摄像头需修改配置文件：

```
sudo nano /boot/firmware/config.txt
```

底部添加对应摄像头型号：

- 5MP OV5647:

```
dtoverlay=ov5647,cam0
```

- 8MP IMX219:

```
dtoverlay=imx219,cam0
```

保存并重启：

```
sudo reboot
```

重启后检测摄像头：

```
libcamera-hello --list-cameras
```

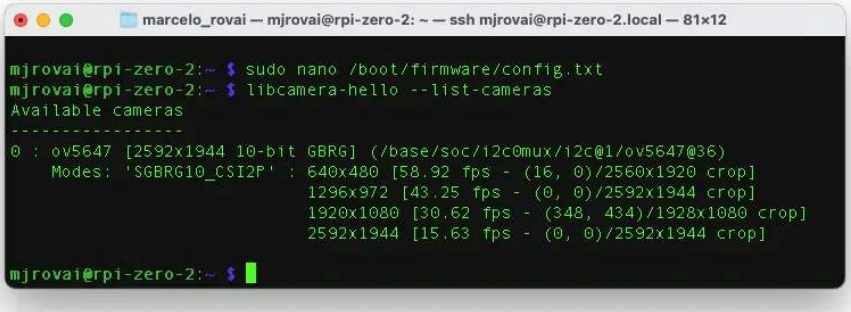

Raspi-Zero 摄像头检测

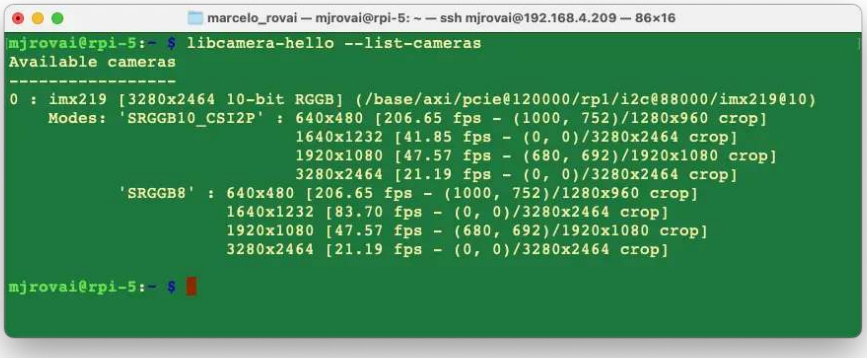

Raspi-5 摄像头检测

> libcamera 是树莓派官方推荐的开源摄像头库，直接支持 ARM Linux 系统，减少了专有代码依赖。

拍摄一张 640×480 的 jpeg 测试图像：

```
rpicam-jpeg --output test_cli_camera.jpg --width 640 --height 480
```

用 `ls -f` 查看文件，再用 scp 下载查看：

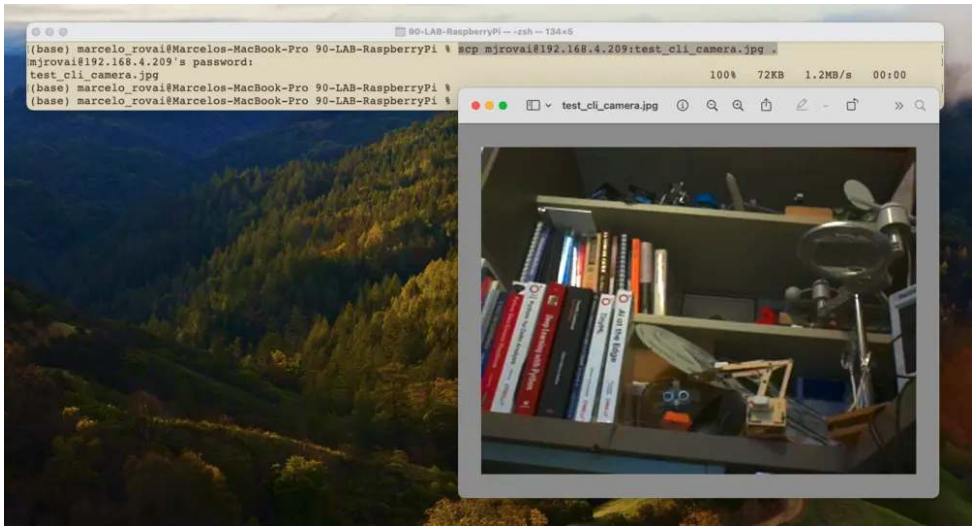

Raspi-5 拍照测试

远程访问桌面环境

如安装了完整桌面版 Raspberry Pi OS，可通过 VNC 远程访问图形界面，适合需要可视化操作的场景。配置步骤如下：

1. 启用 VNC 服务：
   - SSH 登录树莓派
   - 执行：

```
sudo raspi-config
```

   - 选择 `Interface Options`，启用 `VNC`
2. 主机安装 VNC Viewer（如 RealVNC Viewer）。
3. 查询树莓派 IP：

```
hostname -I
```

4. 打开 VNC Viewer，输入 IP 与主机名，登录账号密码。
5. 成功后即可在主机上看到树莓派桌面。
6. 如需调整分辨率，可在桌面设置或 config.txt 中修改。推荐在桌面菜单（左上角树莓图标）选择最适合显示器的分辨率。

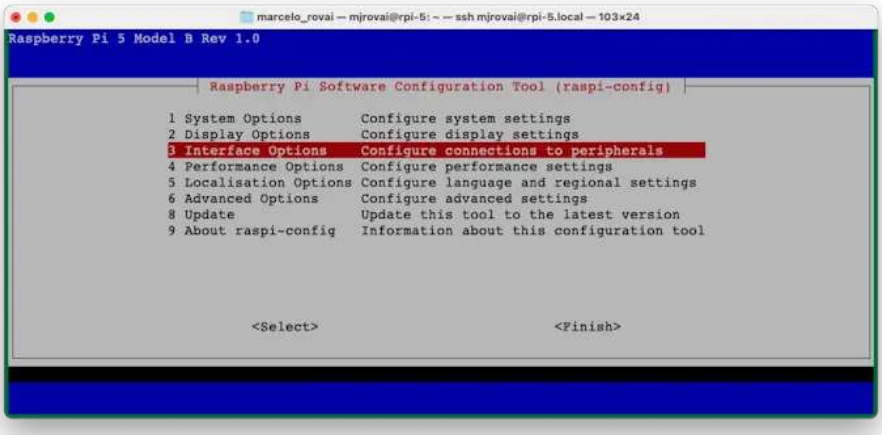

VNC 配置界面 1

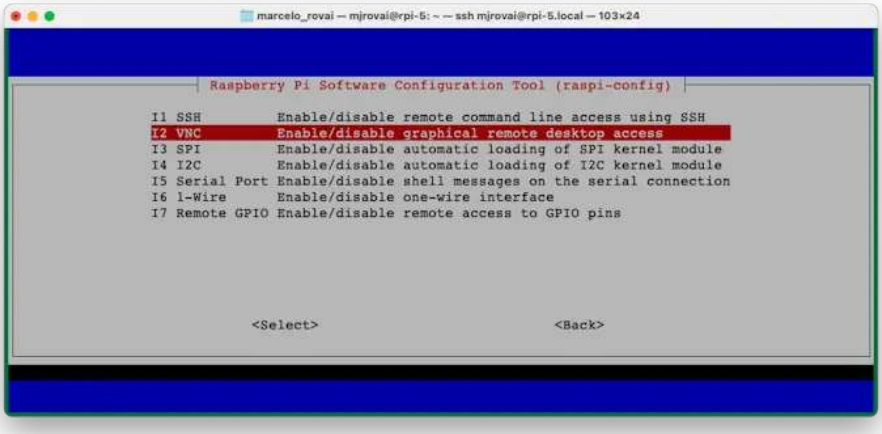

VNC 配置界面 2

系统更新与软件安装

1. 更新系统：

```
sudo apt update && sudo apt upgrade -y
```

2. 安装常用软件：

```
sudo apt install python3-pip -y
```

3. 启用 pip（如遇权限问题）：

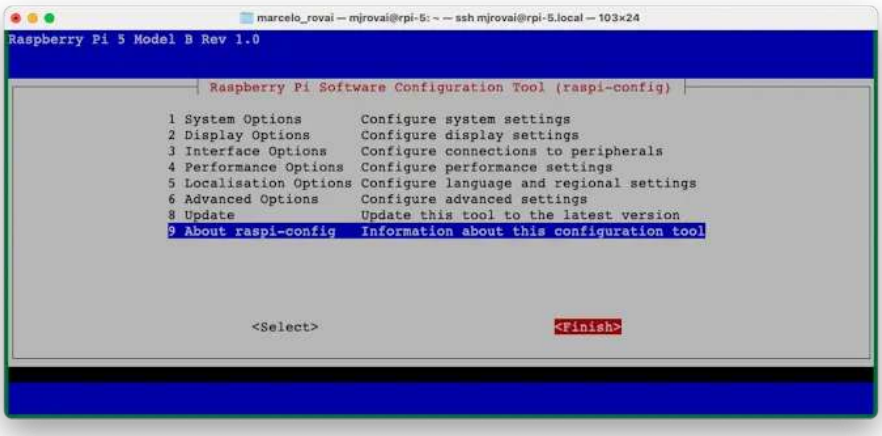

VNC 配置界面 3

查询 IP

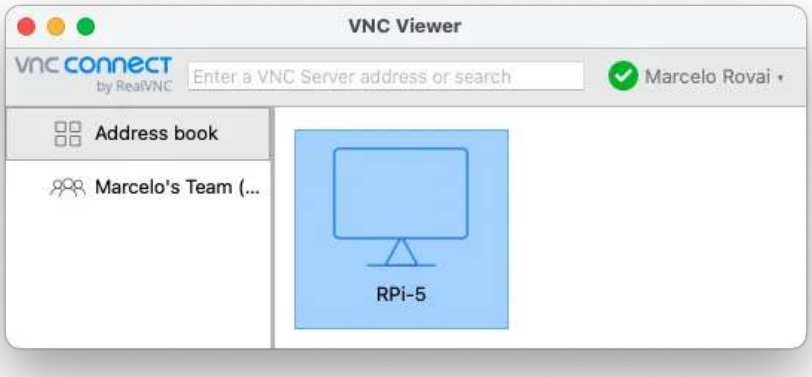

VNC 登录界面

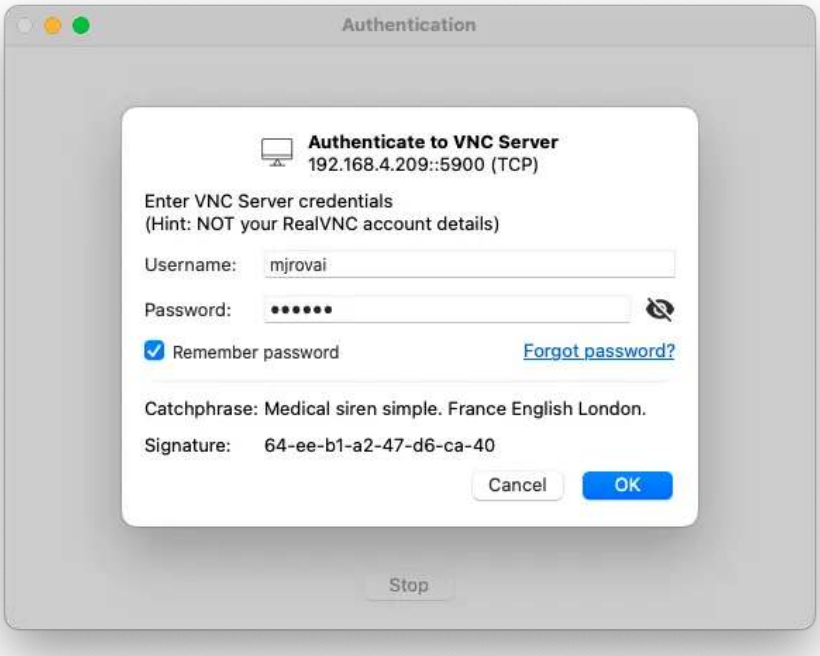

VNC 输入账号

VNC 远程桌面

分辨率设置

```
1   sudo rm /usr/lib/python3.11/EXTERNALLY-MANAGED
```

不同型号的注意事项

Raspberry Pi Zero (Raspi-Zero)

- 性能有限，适合轻量级项目
- 推荐无头（SSH）模式节省资源
- 内存密集型任务建议增加 swap
- 可用于图像分类、目标检测实验，不适合 LLM（SLM）

Raspberry Pi 4/5（Raspi-4 或 Raspi-5）

- 性能强劲，适合 AI 与机器学习
- 可流畅运行桌面环境
- Raspi-4 适合图像分类与目标检测，不适合 LLM（SLM）
- Raspi-5 跑 LLM（SLM）建议加装主动散热器

请根据实际型号调整项目需求。Raspi-Zero 适合低功耗、空间受限场景，Raspi-4/5 更适合高算力任务。

图像分类

概述

图像分类是计算机视觉中的基础任务，其核心是将一张图片归类到预设的类别中。这是人工智能领域的基石，使机器能够以类似人类的方式理解和解释视觉信息。

图像分类指的是根据图片的视觉内容，为整张图片分配一个标签或类别。这项任务在计算机视觉中至关重要，广泛应用于各行各业。图像分类的意义在于，它能够自动化完成原本需要人工干预的视觉理解任务。

真实场景中的应用

图像分类已经在众多实际应用中发挥了变革性作用，涵盖多个行业：

- 医疗健康：辅助医学影像分析，如识别 X 光片或核磁共振中的异常。
- 农业：通过航拍图像监测作物健康、检测植物病害。
- 汽车：为高级驾驶辅助系统和自动驾驶车辆识别交通标志、行人及其他车辆。
- 零售：驱动视觉搜索和自动化库存管理系统。
- 安防监控：提升威胁检测与人脸识别能力。
- 环境监测：分析卫星图像，用于森林砍伐、城市规划和气候变化研究。

在树莓派等边缘设备上运行分类的优势

在树莓派等边缘设备上实现图像分类，具有以下显著优势：

1. 低延迟：本地处理图片，无需上传云端，极大降低响应时间。
2. 离线运行：无需网络连接即可完成分类，适用于偏远或网络不稳定环境。
3. 隐私安全：敏感图片数据留在本地，满足数据隐私和合规要求。
4. 成本效益：无需昂贵的云计算资源，适合持续或高频分类任务。
5. 可扩展性：支持分布式架构，多台设备可独立或协同工作。
6. 能效高：优化模型配合专用硬件，比云端方案更节能，适合电池供电或远程场景。
7. 易于定制：便于部署专用或频繁更新的模型，满足特定业务需求。

通过在树莓派等边缘设备上进行图像分类，我们可以打造响应更快、更安全、更高效的计算机视觉解决方案，为各类应用和环境带来智能视觉处理的新可能。

接下来，我们将深入讲解如何在树莓派上实现和优化图像分类，充分发挥边缘计算的优势，构建高效强大的视觉系统。

环境搭建

更新树莓派系统

首先，确保树莓派系统为最新状态：

```
sudo apt update
sudo apt upgrade -y
```

安装所需库

安装图像处理和机器学习相关依赖：

```
sudo apt install python3-pip
sudo rm /usr/lib/python3.11/EXTERNALLY-MANAGED
pip3 install --upgrade pip
```

创建虚拟环境（推荐）

建议使用虚拟环境管理依赖：

```
python3 -m venv ~/tflite
source ~/tflite/bin/activate
```

安装 TensorFlow Lite

我们关注的是**推理**，即在设备上运行 TensorFlow Lite 模型进行预测。推理需通过**解释器**执行，TensorFlow Lite 解释器专为轻量和高效设计，采用静态图和自定义内存分配器，确保加载、初始化和执行延迟最小。

推荐使用 TensorFlow Lite runtime，这是专为移动和嵌入式设备优化的简化库，无需完整 TensorFlow 包。

```
pip install tflite_runtime --no-deps
```

> 安装的 wheel 文件：`tflite_runtime-2.14.0-cp311-cp311-manylinux_2_34_aarch64.whl`

安装其他 Python 库

安装图像分类所需的 Python 库：

如已安装其他版本 Numpy，先卸载：

```
pip3 uninstall numpy
```

安装与 tflite_runtime 兼容的 `1.23.2` 版本：

```
pip3 install numpy==1.23.2
```

```
pip3 install Pillow matplotlib
```

创建工作目录

若在 Raspi-Zero 最小系统（无桌面）下，可能没有预设目录树（可用 `ls` 检查），可手动创建：

```
mkdir Documents
cd Documents/
mkdir TFLITE
cd TFLITE/
mkdir IMG_CLASS
cd IMG_CLASS
mkdir models
cd models
```

> 在 Raspi-5 上，/Documents 目录通常已存在。

获取预训练图像分类模型：

在资源有限的设备上，合适的预训练模型至关重要。**MobileNet** 专为移动和嵌入式视觉应用设计，兼顾精度与速度。常用版本有 MobileNetV1、V2、V3。这里下载 V2：

```
# 一行命令，使用反斜杠换行
wget https://storage.googleapis.com/download.tensorflow.org/\
models/tflite_11_05_08/mobilenet_v2_1.0_224_quant.tgz

tar xzf mobilenet_v2_1.0_224_quant.tgz
```

获取 标签文件：

```
# 一行命令，使用反斜杠换行
wget https://github.com/Mjrovai/EdgeML-with-Raspberry-Pi/blob/\
main/IMG_CLASS/models/labels.txt
```

最终，模型目录结构如下：

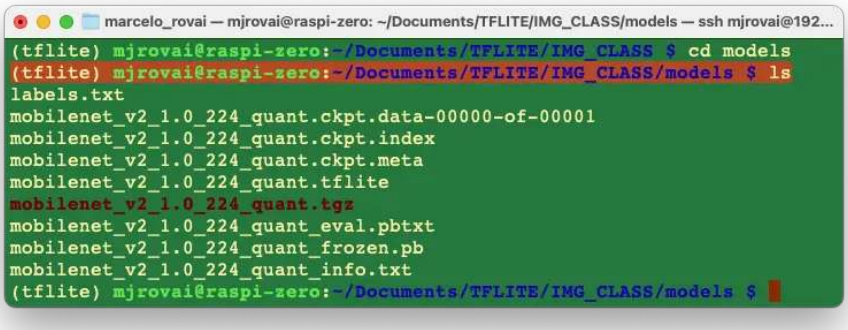

模型目录结构示意图

> 实际只需 `mobilenet_v2_1.0_224_quant.tflite` 和 `labels.txt`，其余文件可删除。

配置 Jupyter Notebook（可选）

如需使用 Jupyter Notebook 进行开发：

```
pip3 install jupyter
jupyter notebook --generate-config
```

启动 Jupyter Notebook（请替换为你的 IP 地址）：

```
1 jupyter notebook --ip=192.168.4.210 --no-browser
```

终端会显示本地 URL，可在浏览器中打开 notebook：

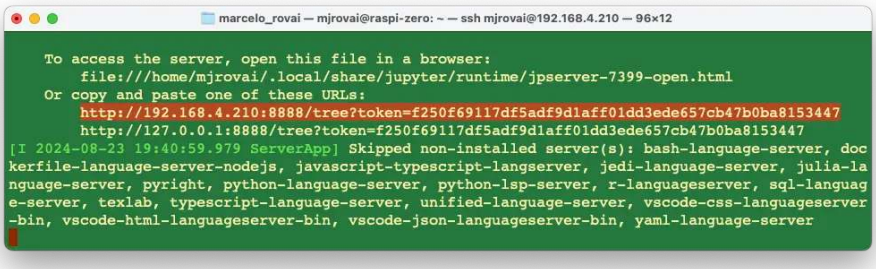

Jupyter Notebook 启动终端截图

可在其他设备浏览器中输入树莓派 IP 和 token 访问：

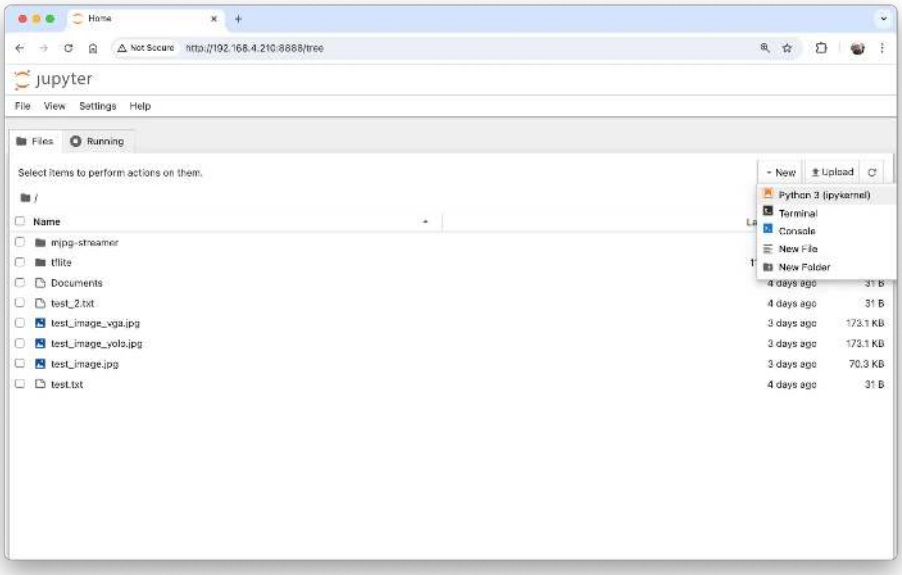

Jupyter Notebook 网页端截图

在树莓派上指定工作目录，新建 Python 3 notebook。

验证环境

运行简单 Python 脚本测试环境：

```python
import tflite_runtime.interpreter as tflite
import numpy as np
from PIL import Image

print("NumPy:", np.__version__)
print("Pillow:", Image.__version__)

# 尝试创建 TFLite 解释器
model_path = "./models/mobilenet_v2_1.0_224_quant.tflite"
interpreter = tflite.Interpreter(model_path=model_path)
interpreter.allocate_tensors()
print("TFLite Interpreter created successfully!")
```

可用 nano 编辑器保存脚本，`CTRL+O` 保存，`ENTER` 确认，`CTRL+X` 退出。

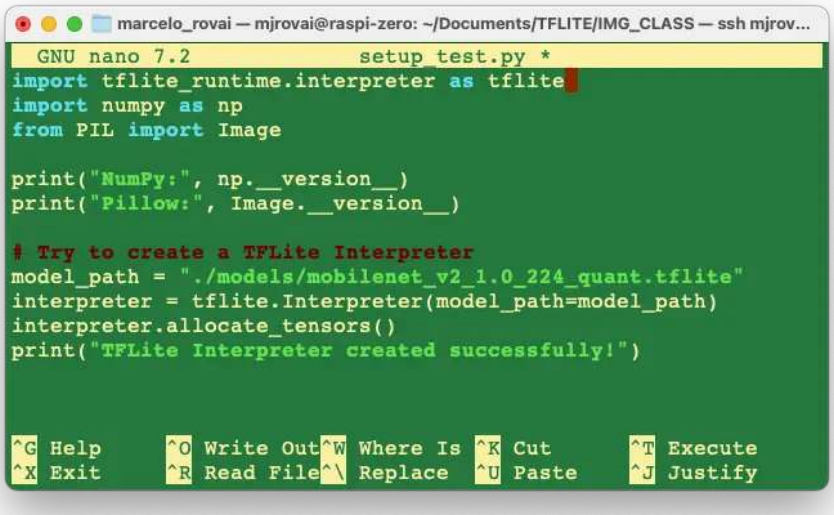

nano 编辑器截图

运行脚本：

测试结果截图

也可直接在 Notebook 运行：

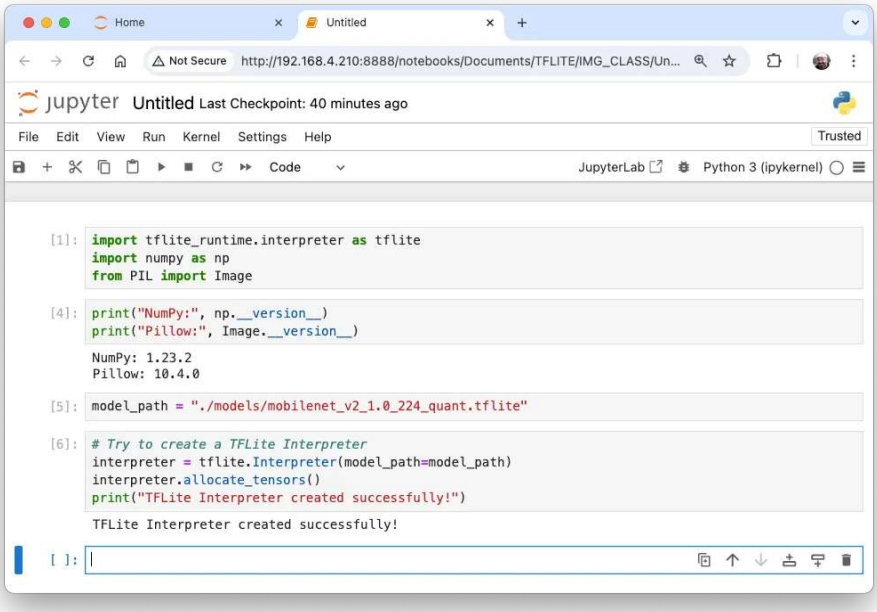

Notebook 测试截图

使用 Mobilenet V2 进行推理

上一节已完成环境搭建，并下载了流行的预训练模型 Mobilenet V2。该模型基于 ImageNet 数据集（224×224，共 120 万张图片，1001 类），转换为仅 3.5MB 的 TensorFlow Lite 格式，非常适合树莓派的存储和内存限制。

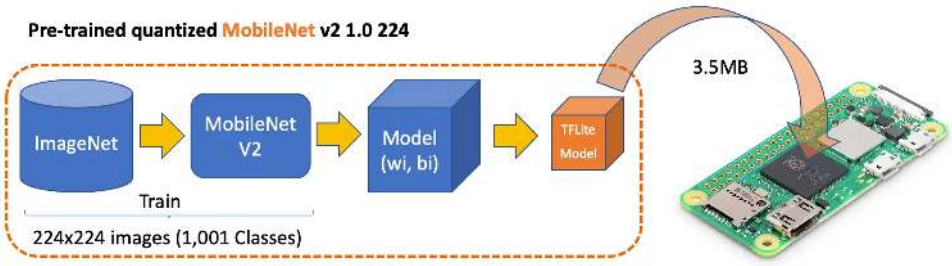

Mobilenet V2 模型结构示意图

新建 notebook，按步骤进行图片分类：

导入所需库：

```
import time
import numpy as np
import matplotlib.pyplot as plt
```

```
from PIL import Image
import tflite_runtime.interpreter as tflite
```

加载 TFLite 模型并分配张量：

```
model_path = "./models/mobilenet_v2_1.0_224_quant.tflite"
interpreter = tflite.Interpreter(model_path=model_path)
interpreter.allocate_tensors()
```

获取输入输出张量信息：

```
input_details = interpreter.get_input_details()
output_details = interpreter.get_output_details()
```

输入张量信息显示，模型输入为 (1, 224, 224, 3)，即每次输入一张 $224 \times 224 \times 3$ 的图片。

```
input_details

[{'name': 'input',
  'index': 171,
  'shape': array([  1, 224, 224,   3], dtype=int32),   <-- Input Image Shape
  'shape_signature': array([  1, 224, 224,   3], dtype=int32),
  'dtype': numpy.uint8,
  'quantization': (0.0078125, 128),
  'quantization_parameters': {'scales': array([0.0078125], dtype=float32),
   'zero_points': array([128], dtype=int32),
   'quantized_dimension': 0},
  'sparsity_parameters': {}}]
```

输入张量详情截图

输出张量信息显示，推理结果为 1001 个整数值的数组，每个值对应一个类别的概率。

```
output_details

[{'name': 'output',
  'index': 172,
  'shape': array([   1, 1001], dtype=int32),   <-- Output model
  'shape_signature': array([   1, 1001], dtype=int32),
  'dtype': numpy.uint8,
  'quantization': (0.09889253973960876, 58),
  'quantization_parameters': {'scales': array([0.09889254], dtype=float32),
   'zero_points': array([58], dtype=int32),
   'quantized_dimension': 0},
  'sparsity_parameters': {}}]
```

输出张量详情截图

检查模型输入数据类型：

```
input_dtype = input_details[0]["dtype"]
input_dtype
```

```
dtype('uint8')
```

说明输入图片应为原始像素（0-255）。

获取测试图片，可从电脑传输或直接下载。先创建图片目录：

```
mkdir images
cd images
wget https://upload.wikimedia.org/wikipedia/commons/3/3a/Cat03.jpg
```

加载并显示图片：

```
# 加载图片
img_path = "./images/Cat03.jpg"
img = Image.open(img_path)

# 显示图片
plt.figure(figsize=(8, 8))
plt.imshow(img)
plt.title("原始图片")
plt.show()
```

查看图片尺寸：

```
width, height = img.size
```

图片为 RGB，宽高均为 1600。需调整为 (224, 224, 3)，并增加 batch 维度，符合模型输入要求 (1, 224, 224, 3)。推理输出为 1001 维数组：

调整图片尺寸并添加 batch 维度：

```
img = img.resize(
    (input_details[0]["shape"][1], input_details[0]["shape"][2])
)
input_data = np.expand_dims(img, axis=0)
input_data.shape
```

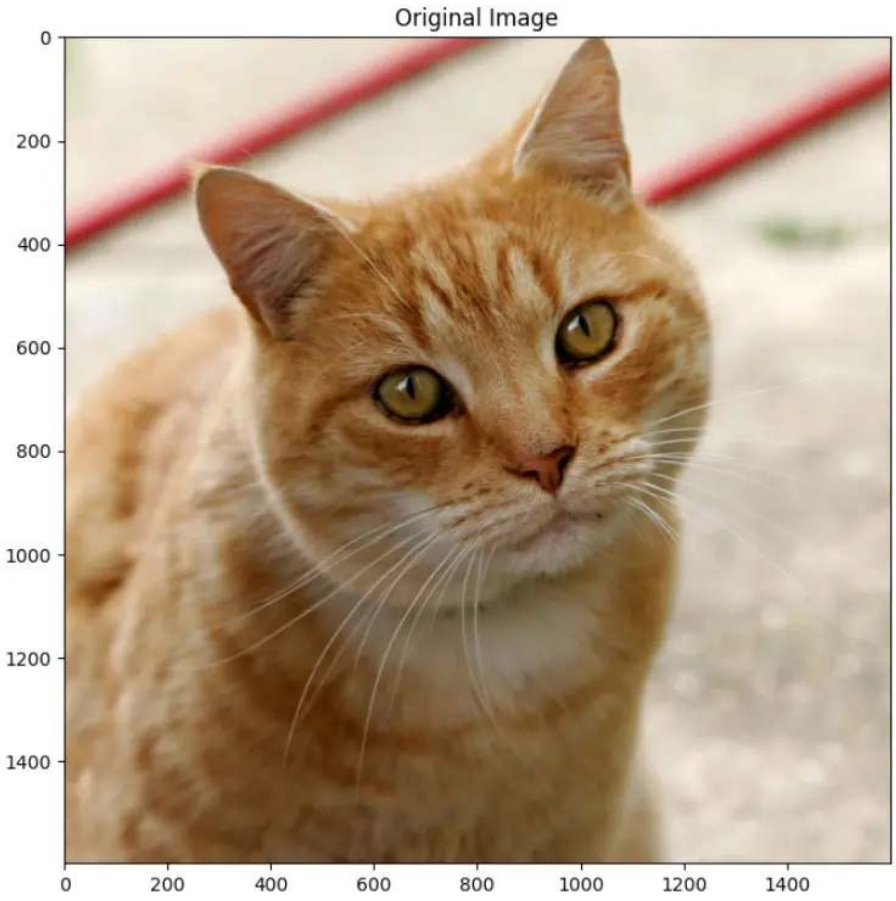

猫图片原图

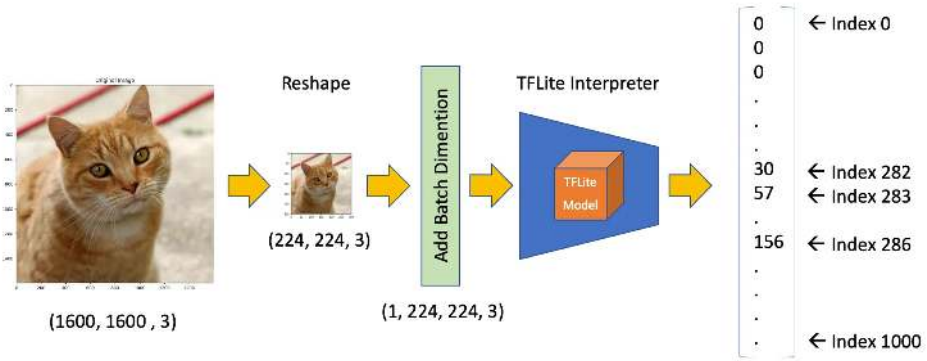

图片处理流程示意图

确认输入数据类型：

```
input_data.dtype
```

```
dtype('uint8')
```

与模型要求一致。

使用 input_data 进行推理并获取预测结果：

```
interpreter.set_tensor(input_details[0]["index"], input_data)
interpreter.invoke()
predictions = interpreter.get_tensor(output_details[0]["index"])[0]
```

预测结果为 1001 维数组。获取概率最高的前 5 个类别索引：

```
top_k_results = 5
top_k_indices = np.argsort(predictions)[::-1][:top_k_results]
top_k_indices
```

top_k_indices 结果如 `array([283, 286, 282])`，即最可能的类别索引。需根据标签文件查找对应类别：

```
def load_labels(filename):
    with open(filename, "r") as f:
        return [line.strip() for line in f.readlines()]
```

打印对应标签：

```
labels_path = "./models/labels.txt"
labels = load_labels(labels_path)

print(labels[286])
print(labels[283])
print(labels[282])
print(labels[288])
print(labels[479])
```

输出：

```
Egyptian cat
tiger cat
tabby
lynx
carton
```

前四个类别均为猫科动物。**prediction** 内容为每个标签的概率，需反量化并 softmax：

```
scale, zero_point = output_details[0]["quantization"]
dequantized_output = (
    predictions.astype(np.float32) - zero_point
) * scale
exp_output = np.exp(dequantized_output - np.max(dequantized_output))
probabilities = exp_output / np.sum(exp_output)
```

打印前五个概率：

```
print(probabilities[286])
print(probabilities[283])
print(probabilities[282])
print(probabilities[288])
print(probabilities[479])
```

```
0.27741462
0.3732285
0.16919471
0.10319158
0.023410844
```

定义函数关联标签与概率：

```
for i in range(top_k_results):
    print(
        "\t{:20}: {}%".format(
            labels[top_k_indices[i]],
            (int(probabilities[top_k_indices[i]] * 100)),
        )
    )
```

```
tiger cat           : 37%
Egyptian cat        : 27%
tabby               : 16%
lynx                : 10%
carton              : 2%
```

通用图像分类函数

定义通用函数，输入图片路径，输出 Top-5 预测类别：

```python
def image_classification(
    img_path, model_path, labels, top_k_results=5
):
    # load the image
    img = Image.open(img_path)
    plt.figure(figsize=(4, 4))
    plt.imshow(img)
    plt.axis("off")

    # Load the TFLite model
    interpreter = tflite.Interpreter(model_path=model_path)
    interpreter.allocate_tensors()

    # Get input and output tensors
    input_details = interpreter.get_input_details()
    output_details = interpreter.get_output_details()

    # Preprocess
    img = img.resize(
        (input_details[0]["shape"][1], input_details[0]["shape"][2])
    )
    input_data = np.expand_dims(img, axis=0)

    # Inference on Raspi-Zero
    interpreter.set_tensor(input_details[0]["index"], input_data)
    interpreter.invoke()

    # Obtain results and map them to the classes
    predictions = interpreter.get_tensor(output_details[0]["index"])[
        0
    ]

    # Get indices of the top k results
    top_k_indices = np.argsort(predictions)[::-1][:top_k_results]

    # Get quantization parameters
    scale, zero_point = output_details[0]["quantization"]

    # Dequantize the output and apply softmax
    dequantized_output = (
        predictions.astype(np.float32) - zero_point
```

```
    ) * scale
    exp_output = np.exp(
        dequantized_output - np.max(dequantized_output)
    )
    probabilities = exp_output / np.sum(exp_output)

    print("\n\t[PREDICTION]        [Prob]\n")
    for i in range(top_k_results):
        print(
            "\t{:20}: {}%".format(
                labels[top_k_indices[i]],
                (int(probabilities[top_k_indices[i]] * 100)),
            )
        )
```

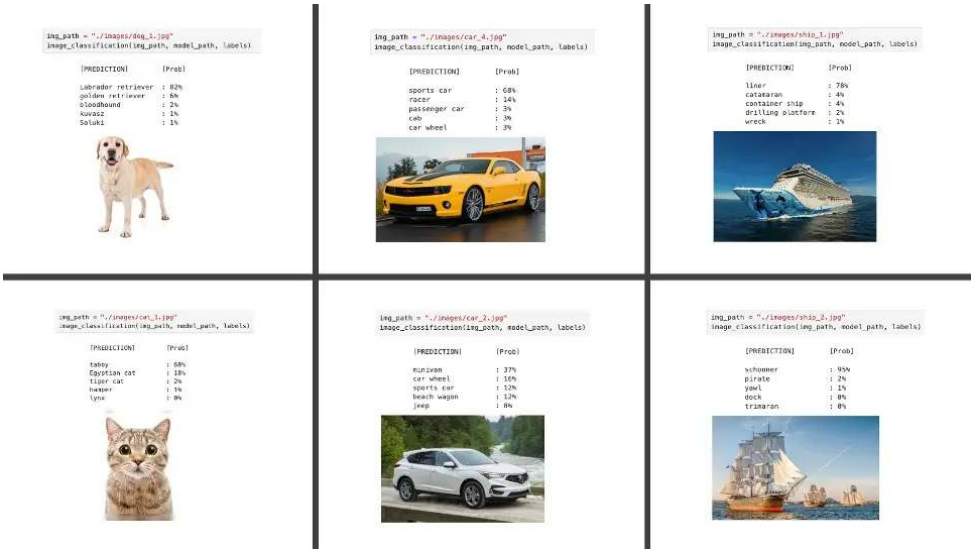

通用分类函数效果图

测试自训练模型

可参考 CIFAR-10 分类 Notebook 训练模型。CIFAR10 数据集包含 10 类共 6 万张 32×32 彩色图片，模型转换后仅 674MB。

CIFAR10 模型结构图

在 Cifar 10 - Raspi 推理 Notebook 上可复现流程，效果如下：

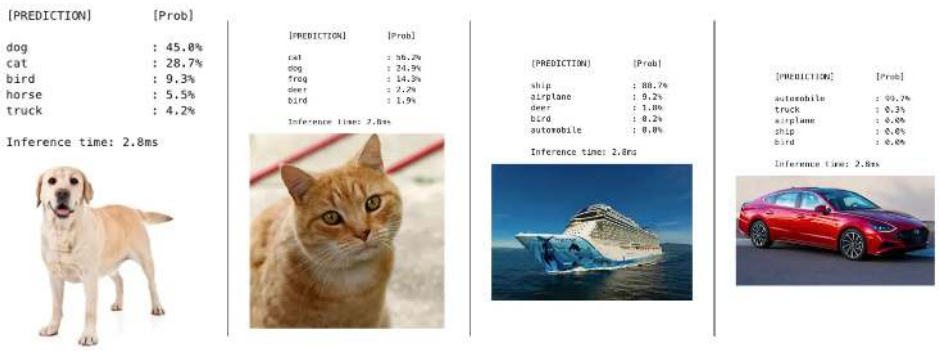

CIFAR10 推理效果图

安装 Picamera2

Picamera2 是树莓派官方维护的摄像头 Python 库，基于 libcamera，支持所有树莓派型号。系统已预装，但需在虚拟环境中可用。

1. 激活虚拟环境：

```
source ~/tflite/bin/activate
```

2. 创建 .pth 文件，将系统 site-packages 路径加入虚拟环境：

```
echo "/usr/lib/python3/dist-packages" > \
 $VIRTUAL_ENV/lib/python3.11/site-packages/system_site_packages.pth
```

> 若 Python 版本不同，请替换 `python3.11`。

3. 测试导入 picamera2：

```
python3
>>> import picamera2
>>> print(picamera2.__file__)
```

输出如下，说明库可用：

```
/home/mjrovai/tflite/lib/python3.11/site-packages/picamera2/__init__.py
```

列出系统可用摄像头：

```
>>> print(Picamera2.global_camera_info())
```

如有 USB 摄像头，输出如下：

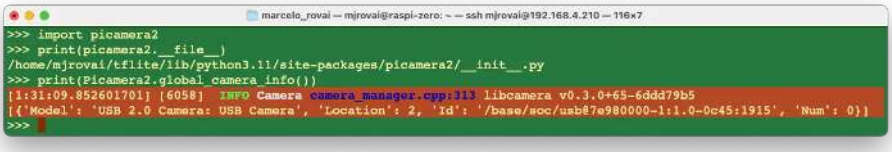

摄像头信息截图

测试拍照脚本：

```
from picamera2 import Picamera2
import time

# Initialize the camera
picam2 = Picamera2()  # default is index 0

# Configure the camera
config = picam2.create_still_configuration(main={"size": (640, 480)})
picam2.configure(config)

# Start the camera
picam2.start()

# Wait for the camera to warm up
time.sleep(2)

# Capture an image
picam2.capture_file("usb_camera_image.jpg")
print("Image captured and saved as 'usb_camera_image.jpg'")

# Stop the camera
picam2.stop()
```

保存为 `capture_image.py` 并运行，图片将保存在当前目录。

可在电脑或树莓派上查看图片：

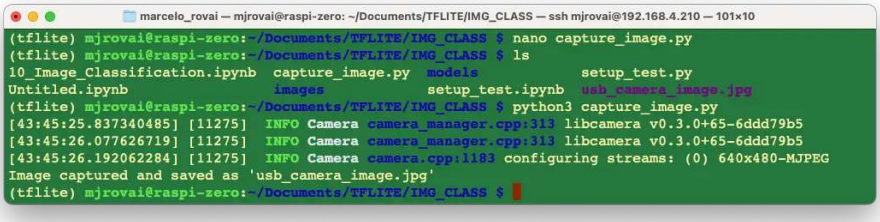

拍照测试终端截图

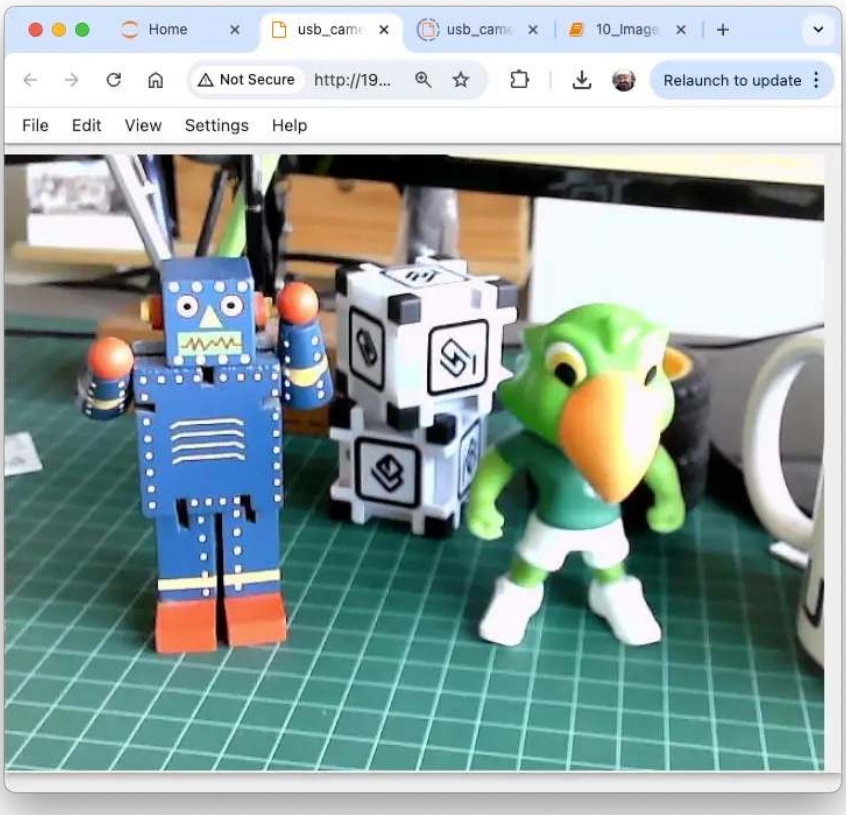

拍照结果图片

> 若使用 Raspi-5 桌面版，可直接在设备上打开图片。

图像分类项目实战

接下来，我们将基于 Edge Impulse 完成完整的图像分类项目。训练好的 TFLite 模型将在树莓派上推理。

项目目标

首先明确目标：检测并分类图片中的两种特定物体（如机器人和巴西鹦鹉玩具），并采集无目标物体的背景图片。

项目目标示意图

数据采集

明确目标后，最关键的步骤是采集数据集。可用手机拍照，但本例用树莓派采集。搭建简易 Web 服务器，实时预览并采集 QVGA (320x240) 图片。

1. 安装 Flask：

```
pip3 install flask
```

2. 新建 `get_img_data.py`，集成摄像头采集与 Web 服务：

```
from flask import Flask, Response, render_template_string,
                  request, redirect, url_for
from picamera2 import Picamera2
import io
import threading
import time
import os
import signal

app = Flask(__name__)

# Global variables
base_dir = "dataset"
picam2 = None
frame = None
frame_lock = threading.Lock()
capture_counts = {}
current_label = None
shutdown_event = threading.Event()

def initialize_camera():
    global picam2
    picam2 = Picamera2()
    config = picam2.create_preview_configuration(
             main={"size": (320, 240)}
    )
    picam2.configure(config)
    picam2.start()
    time.sleep(2)  # Wait for camera to warm up

def get_frame():
    global frame
    while not shutdown_event.is_set():
        stream = io.BytesIO()
        picam2.capture_file(stream, format='jpeg')
        with frame_lock:
            frame = stream.getvalue()
        time.sleep(0.1)  # Adjust as needed for smooth preview

def generate_frames():
    while not shutdown_event.is_set():
        with frame_lock:
            if frame is not None:
                yield (b'--frame\r\n'
                       b'Content-Type: image/jpeg\r\n\r\n' +
                                       frame + b'\r\n')
        time.sleep(0.1)  # Adjust as needed for smooth streaming

def shutdown_server():
    shutdown_event.set()
    if picam2:
        picam2.stop()
    # Give some time for other threads to finish
    time.sleep(2)
    # Send SIGINT to the main process
```

```
    os.kill(os.getpid(), signal.SIGINT)

@app.route('/', methods=['GET', 'POST'])
def index():
    global current_label
    if request.method == 'POST':
        current_label = request.form['label']
        if current_label not in capture_counts:
            capture_counts[current_label] = 0
        os.makedirs(os.path.join(base_dir, current_label),
                                 exist_ok=True)
        return redirect(url_for('capture_page'))
    return render_template_string('''
        <!DOCTYPE html>
        <html>
        <head>
            <title>Dataset Capture - Label Entry</title>
        </head>
        <body>
            <h1>输入数据集标签</h1>
            <form method="post">
                <input type="text" name="label" required>
                <input type="submit" value="开始采集">
            </form>
        </body>
        </html>
    ''')

@app.route('/capture')
def capture_page():
    return render_template_string('''
        <!DOCTYPE html>
        <html>
        <head>
            <title>数据集采集</title>
            <script>
                var shutdownInitiated = false;
                function checkShutdown() {
                    if (!shutdownInitiated) {
                        fetch('/check_shutdown')
                            .then(response => response.json())
                            .then(data => {
                                if (data.shutdown) {
                                    shutdownInitiated = true;
                                    document.getElementById(
                                          'video-feed').src = '';
                                    document.getElementById(
                                          'shutdown-message')
                                    .style.display = 'block';
                                }
                            });
                    }
                }
                setInterval(checkShutdown, 1000); // 每秒检查一次
            </script>
```

```
        </head>
        <body>
            <h1>数据集采集</h1>
            <p>当前标签：{{ label }}</p>
            <p>已采集图片数量：{{ capture_count }}</p>
            <img id="video-feed" src="{{ url_for('video_feed') }}"
            width="640" height="480" />
            <div id="shutdown-message" style="display: none;
                                              color: red;">
                采集过程已停止。
                您可以关闭此窗口。
            </div>
            <form action="/capture_image" method="post">
                <input type="submit" value="采集图片">
            </form>
            <form action="/stop" method="post">
                <input type="submit" value="停止采集"
                style="background-color: #ff6666;">
            </form>
            <form action="/" method="get">
                <input type="submit" value="更换标签"
                style="background-color: #ffff66;">
            </form>
        </body>
        </html>
    ''', label=current_label, capture_count=capture_counts.get(
                                            current_label, 0))

@app.route('/video_feed')
def video_feed():
    return Response(generate_frames(),
                    mimetype='multipart/x-mixed-replace;
                    boundary=frame')

@app.route('/capture_image', methods=['POST'])
def capture_image():
    global capture_counts
    if current_label and not shutdown_event.is_set():
        capture_counts[current_label] += 1
        timestamp = time.strftime("%Y%m%d-%H%M%S")
        filename = f"image_{timestamp}.jpg"
        full_path = os.path.join(base_dir, current_label,
                                 filename)

        picam2.capture_file(full_path)

    return redirect(url_for('capture_page'))

@app.route('/stop', methods=['POST'])
def stop():
    summary = render_template_string('''
        <!DOCTYPE html>
        <html>
        <head>
            <title>数据集采集 - 已停止</title>
```

```
        </head>
        <body>
            <h1>数据集采集已停止</h1>
            <p>采集过程已停止。
               您可以关闭此窗口。</p>
            <p>采集总结：</p>
            <ul>
            {% for label, count in capture_counts.items() %}
                <li>{{ label }}: {{ count }} 张图片</li>
            {% endfor %}
            </ul>
        </body>
        </html>
    ''', capture_counts=capture_counts)

    # 启动新线程关闭服务器
    threading.Thread(target=shutdown_server).start()

    return summary

@app.route('/check_shutdown')
def check_shutdown():
    return {'shutdown': shutdown_event.is_set()}

if __name__ == '__main__':
    initialize_camera()
    threading.Thread(target=get_frame, daemon=True).start()
    app.run(host='0.0.0.0', port=5000, threaded=True)
```

在终端运行：

```
python3 get_img_data.py
```

访问 Web 界面：

- 树莓派本机（有桌面）：浏览器访问 `http://localhost:5000`
- 局域网其他设备：浏览器访问 `http://<raspberry_pi_ip>:5000`（替换为树莓派 IP 地址）

该脚本实现了基于 Web 的图像采集与标注，适合机器学习项目数据集构建。

主要特性

1. **Web 界面**：局域网任意设备可访问。
2. **实时预览**：摄像头画面实时显示。
3. **标签系统**：支持输入不同类别标签。

4. **有序存储**：图片按标签自动归类。
5. **计数统计**：每类图片数量实时统计。
6. **采集总结**：停止采集后显示统计信息。

主要组件

1. Flask Web 应用
2. Picamera2 摄像头控制
3. 多线程帧采集
4. 文件管理与归类

关键函数

- `initialize_camera()`：初始化摄像头
- `get_frame()`：持续采集帧
- `generate_frames()`：生成视频流
- `shutdown_server()`：关闭服务
- `index()`：标签输入页
- `capture_page()`：主采集界面
- `video_feed()`：实时预览
- `capture_image()`：保存图片
- `stop()`：停止采集并显示总结

使用流程

1. 启动脚本
2. 浏览器访问 Web 界面
3. 输入标签，点击“开始采集”
4. 实时预览，调整画面
5. 点击“采集图片”保存当前标签图片
6. 可切换标签采集不同类别，点击“更换标签”

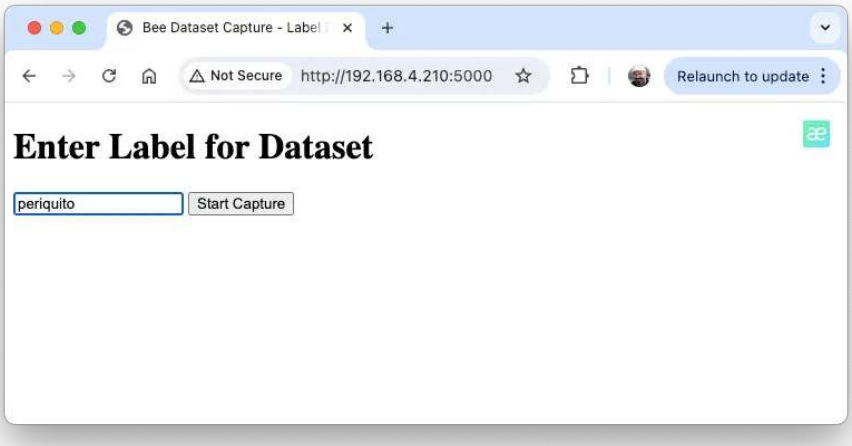
Bee Dataset Capture - Label
Not Secure
http://192.168.4.210:5000
Relaunch to update
Enter Label for Dataset
periquito
Start Capture

输入标签界面

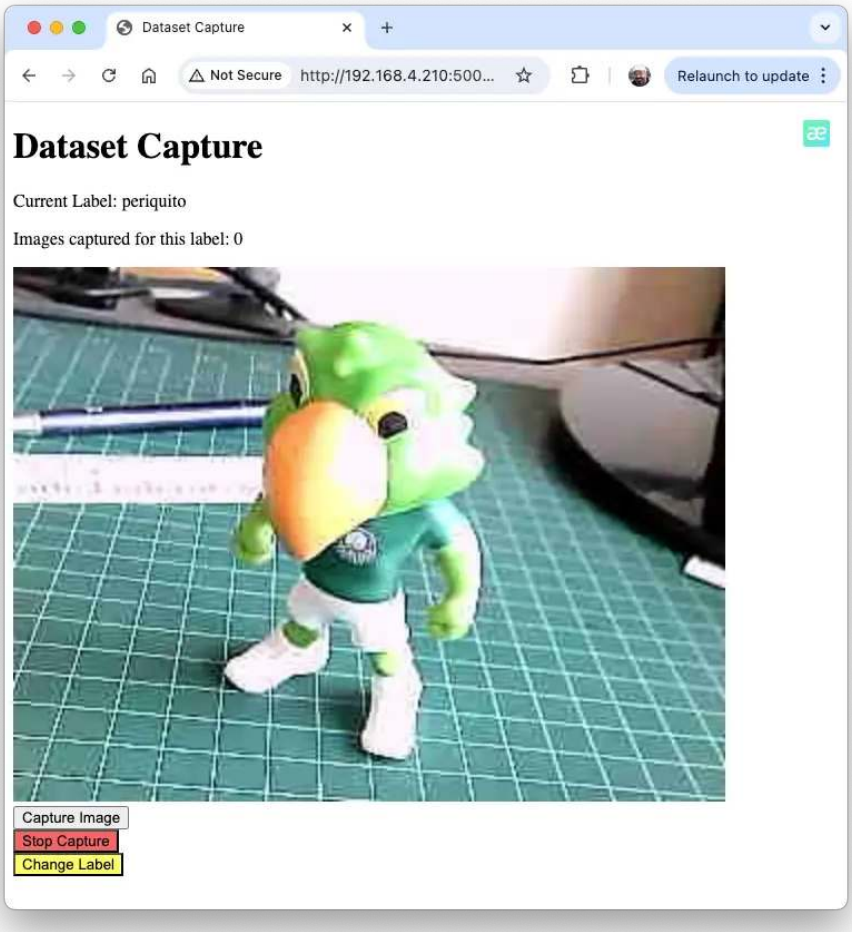
Dataset Capture
Not Secure
http://192.168.4.210:500...
Relaunch to update
Dataset Capture
Current Label: periquito
Images captured for this label: 0
Capture Image
Stop Capture
Change Label

采集界面

7. 采集完成点击“停止采集”，查看总结

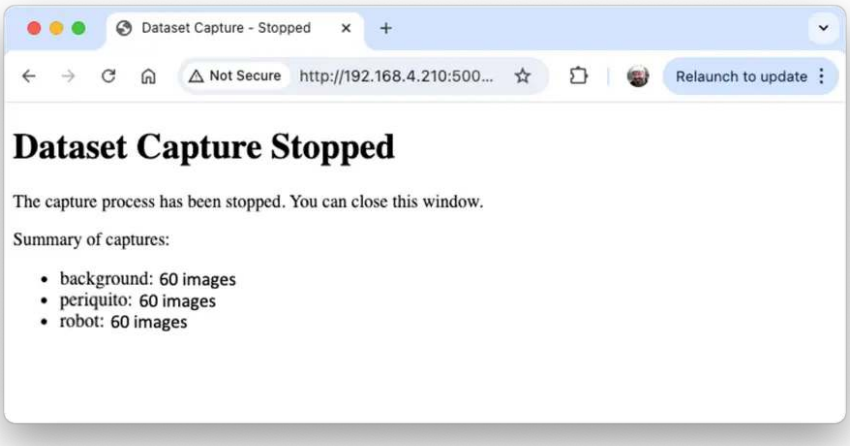

采集结束总结界面

技术说明

- 多线程保证预览与 Web 服务流畅
- 图片按时间戳命名，避免重复
- Web 界面响应式，支持移动端

可定制项

- 调整采集分辨率（如 QVGA 320x240）
- 修改 HTML 模板风格
- 在 `capture_image()` 增加图像处理逻辑

数据集样本量 每类采集约 60 张图片（如 periquito、robot、background），尽量涵盖不同角度、背景和光照。最终数据集结构如下：

```
dataset/
├── periquito/
├── robot/
└── background/
```

可用 Filezilla 将数据集传至主机。

Edge Impulse Studio 训练模型

使用 Edge Impulse Studio 训练模型。访问 Edge Impulse 官网，登录并新建项目：

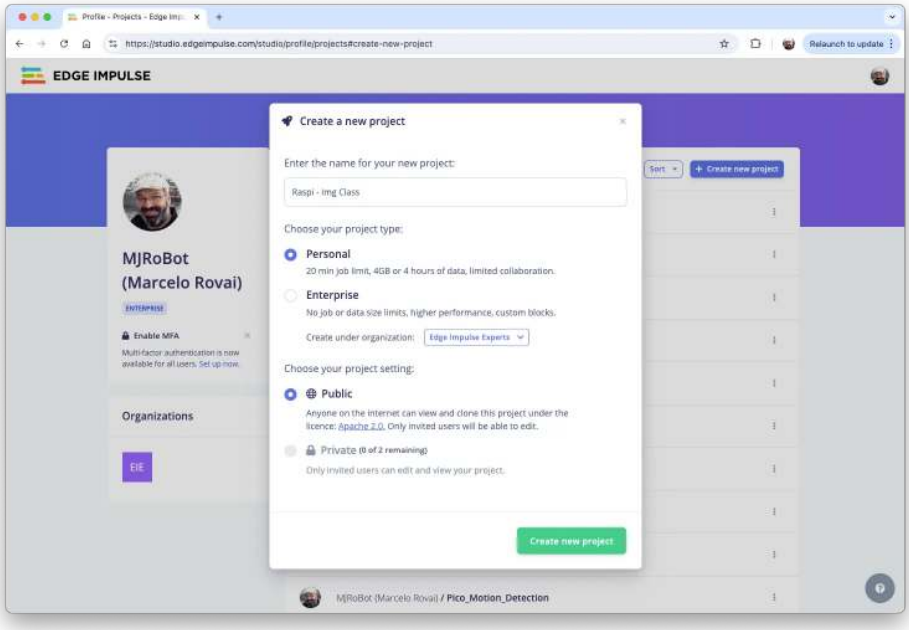

新建项目界面

> 可克隆类似项目：Raspi - Img Class

数据集

在 Studio 中，主要分为四步：数据集、Impulse 设计、测试、部署。

> 数据集需拆分为训练集、验证集和测试集。测试集仅用于最终评估，验证集用于训练过程。

上传数据步骤：

1. 进入 `Data acquisition`，在 `UPLOAD DATA` 区上传各类别图片
2. 由 Studio 自动划分训练/测试集，选择对应标签
3. 重复上传三类图片，最终可在 Studio 查看原始数据

Studio 支持数据浏览、标签修改等操作：

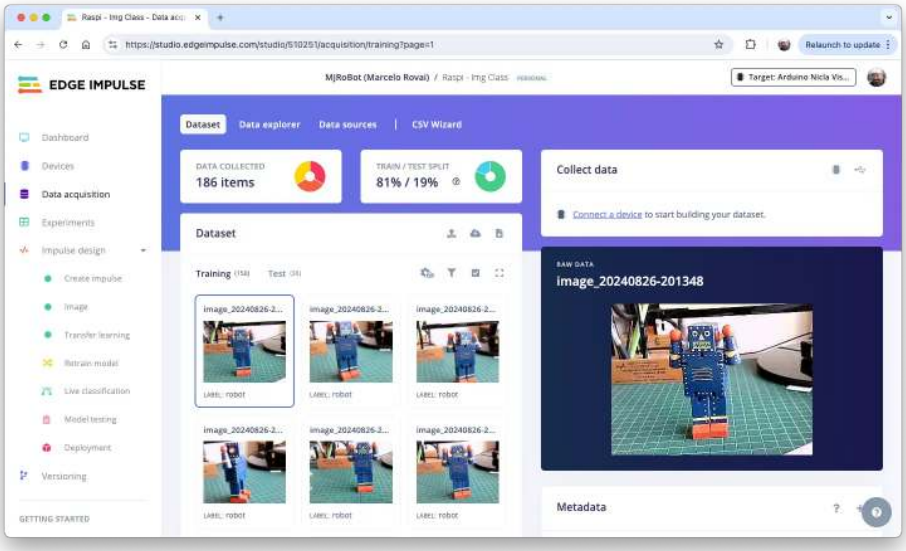

数据采集界面

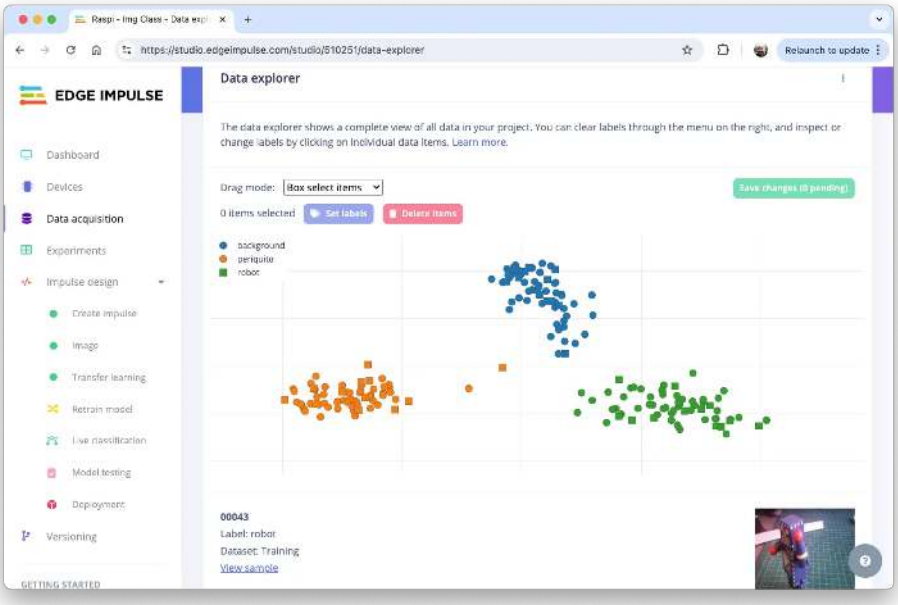

数据浏览界面

Impulse 设计

本阶段需：

- 数据预处理：调整图片尺寸、色彩深度（RGB/灰度）
- 模型选择：采用 `Transfer Learning (Images)`，微调预训练 MobileNet V2，适合小样本数据集

Transfer Learning 利用 MobileNet 预训练特征，少量数据即可获得较好精度，适合嵌入式设备。

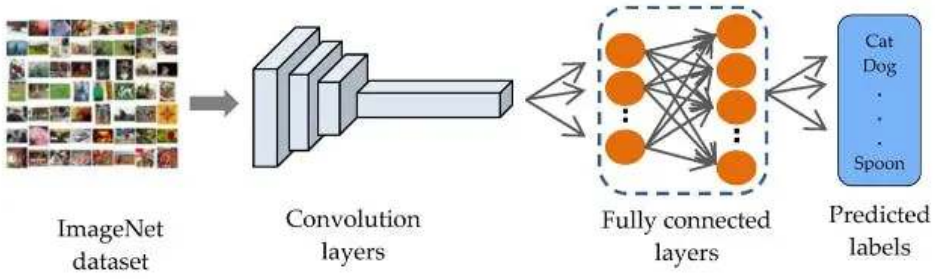

模型选择界面

通过迁移学习，训练速度快、资源消耗低，适合快速原型和边缘部署。

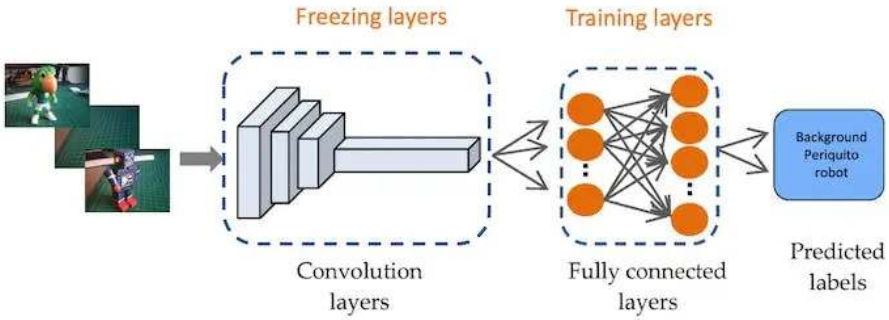

模型结构界面

在 Impulse 设计页，设置图片尺寸 160×160，选择 Image 和 Transfer Learning，保存配置。

图片预处理

所有输入图片将转换为 $160 \times 160 \times 3$ 特征。

保存参数后，进入下一步生成特征。

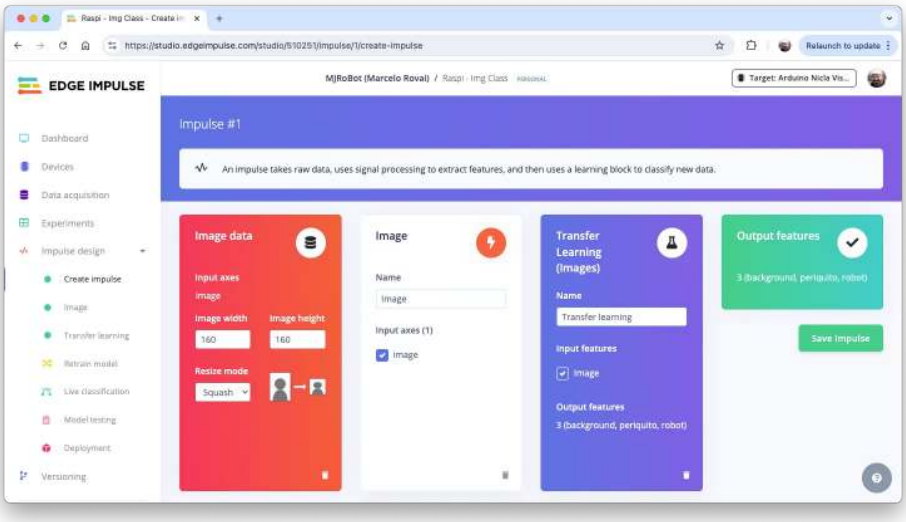

Impulse 设计界面

模型设计

MobileNet 是高效的卷积神经网络，适合移动和嵌入式视觉应用。MobileNetV2 采用倒残差结构和深度可分离卷积，兼顾速度与精度。

本项目采用 MobileNetV2 160x160 1.0，输入图片为 160×160，宽度系数 1.0，平衡模型大小、速度和精度。

模型训练

数据增强（Data Augmentation）可提升模型泛化能力。数据增强改善机器学习模型精度的原理是，在训练过程中对训练数据进行小幅随机变动（如翻转、裁剪或旋转图像），从而生成额外的人工数据。

Edge Impulse 在后台实现的数据增强策略示例：

```
# Implements the data augmentation policy
def augment_image(image, label):
    # Flips the image randomly
    image = tf.image.random_flip_left_right(image)

    # Increase the image size, then randomly crop it down to
    # the original dimensions
    resize_factor = random.uniform(1, 1.2)
    new_height = math.floor(resize_factor * INPUT_SHAPE[0])
    new_width = math.floor(resize_factor * INPUT_SHAPE[1])
    image = tf.image.resize_with_crop_or_pad(
        image, new_height, new_width
```

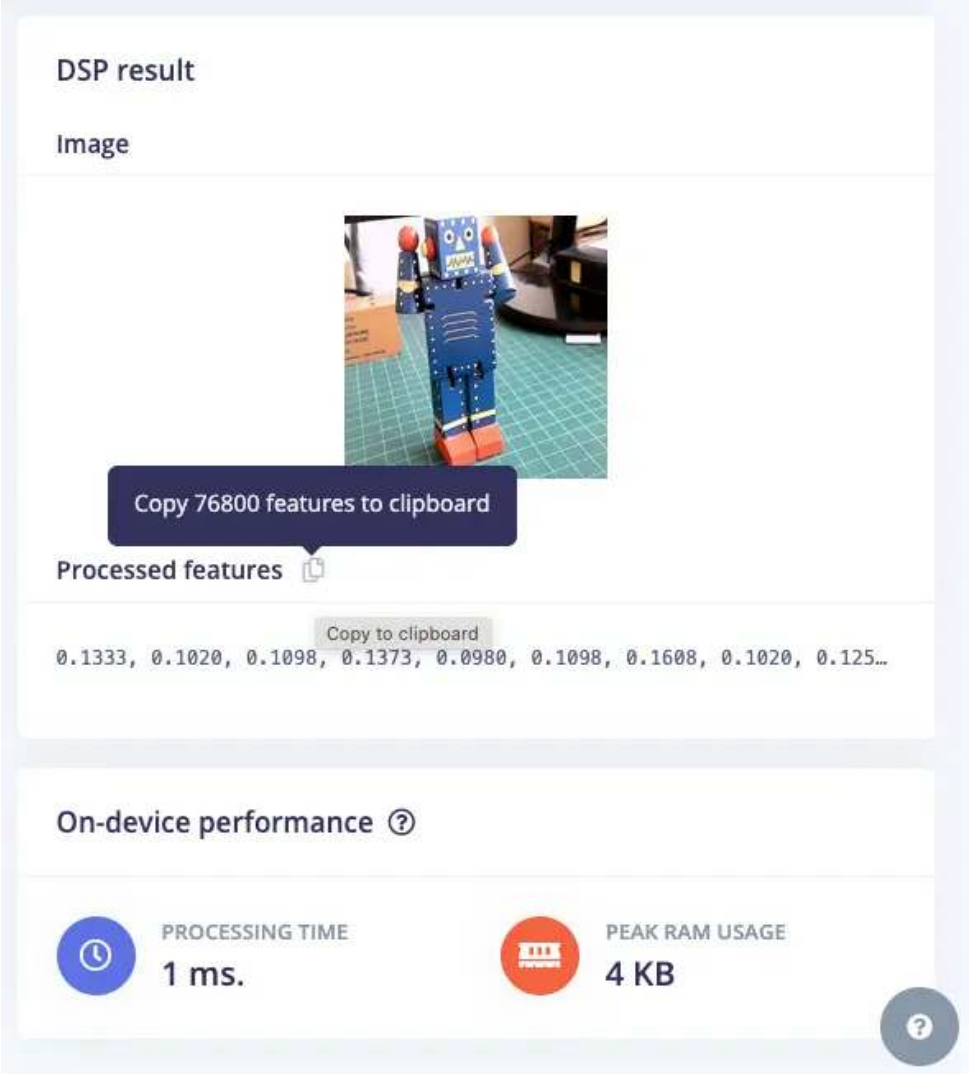

预处理界面

```
    )
    image = tf.image.random_crop(image, size=INPUT_SHAPE)

    # Vary the brightness of the image
    image = tf.image.random_brightness(image, max_delta=0.2)

    return image, label
```

数据增强可防止模型“记忆”训练集表面特征，更好地学习深层模式。

最终全连接层设为 0 神经元，10% dropout 防止过拟合。训练结果如下：

在 Raspi-4 上延迟约 35ms，约 30fps。Raspi-Zero 稍慢，Raspi-5 更快。

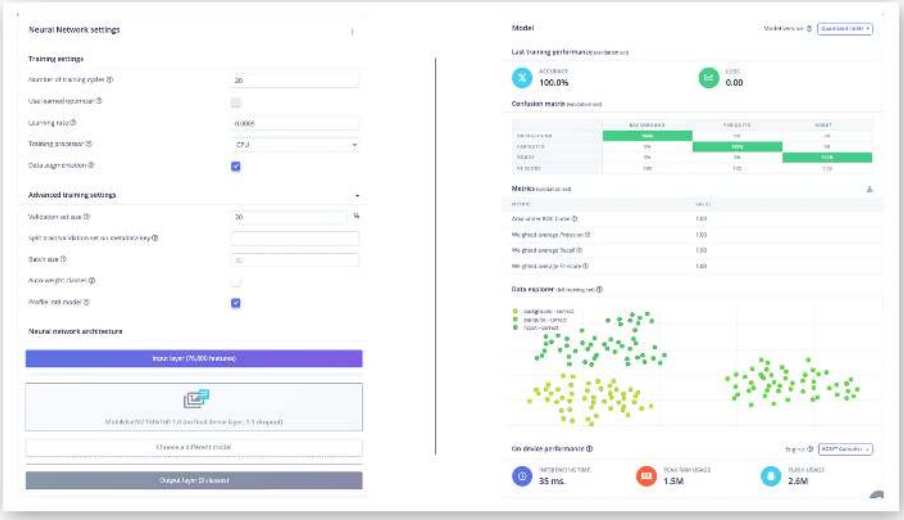

训练结果界面

精度与速度权衡

如需更快推理，可减小输入尺寸或 alpha（宽度系数），但需权衡精度。对比如下：

1. 减小输入尺寸：大幅提升速度，但可能损失细节和精度
2. 降低 alpha：线性减少参数，速度提升有限，但保留更多细节

建议根据实际需求实验不同组合，找到最佳平衡点。

> 最优配置需结合精度、速度和图片特性综合考虑，建议多种方案对比测试。

模型测试

用预留测试集评估模型，准确率达 92.22%。

部署模型

如前述，将训练好的 .tflite 模型部署到树莓派推理。

在 `Dashboard` 页下载 int8 量化模型：

> 建议同时下载 float32 版本对比

通过 FileZilla 等工具将模型传至树莓派（./models），并准备测试图片（./images）。

导入所需库：

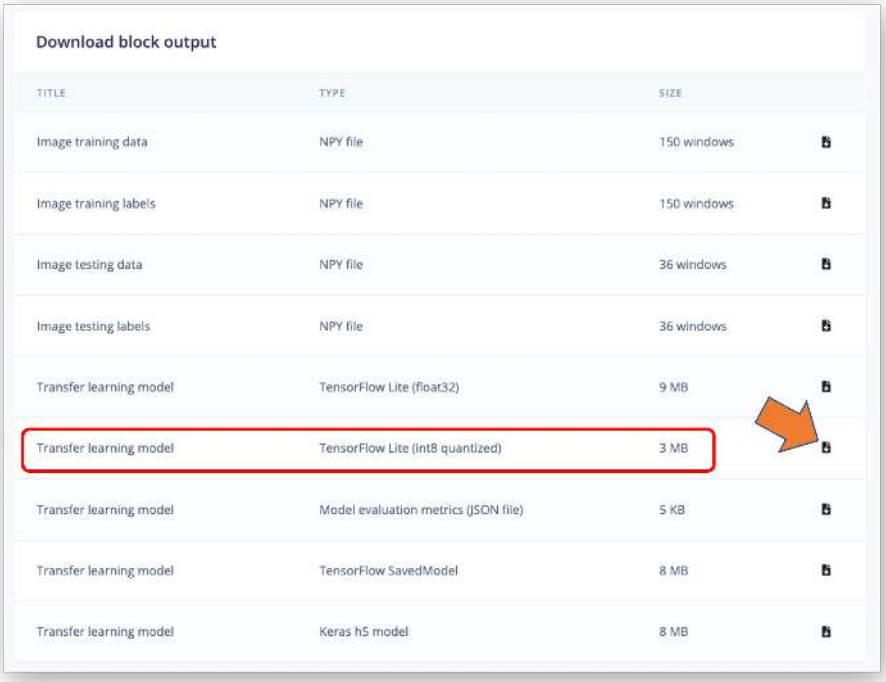

模型下载界面

```
import time
import numpy as np
import matplotlib.pyplot as plt
from PIL import Image
import tflite_runtime.interpreter as tflite
```

定义路径和标签：

```
img_path = "./images/robot.jpg"
model_path = "./models/ei-raspi-img-class-int8-quantized-model.tflite"
labels = ["background", "periquito", "robot"]
```

> Edge Impulse Studio 训练的模型输出索引为 0,1,2，标签按字母序排列。

加载模型、分配张量、获取输入输出信息：

```
# Load the TFLite model
interpreter = tflite.Interpreter(model_path=model_path)
interpreter.allocate_tensors()

```

```
# Get input and output tensors
input_details = interpreter.get_input_details()
output_details = interpreter.get_output_details()
```

注意模型输入 dtype 为 int8，需将图片像素（0-255）归一化并量化：

```
input_dtype = input_details[0]["dtype"]
input_dtype
```

```
numpy.int8
```

图片预处理：

```
scale, zero_point = input_details[0]["quantization"]
img = img.resize(
    (input_details[0]["shape"][1], input_details[0]["shape"][2])
)
img_array = np.array(img, dtype=np.float32) / 255.0
img_array = (
    (img_array / scale + zero_point).clip(-128, 127).astype(np.int8)
)
input_data = np.expand_dims(img_array, axis=0)
```

确认输入张量：

```
input_data.shape, input_data.dtype
```

```
((1, 160, 160, 3), dtype('int8'))
```

推理并计算延迟：

```
# Inference on Raspi-Zero
start_time = time.time()
interpreter.set_tensor(input_details[0]["index"], input_data)
interpreter.invoke()
end_time = time.time()
inference_time = (end_time - start_time) * 1000  # 转换为毫秒
print("推理时间：{:.1f}ms".format(inference_time))
```

Raspi-Zero 推理约 125ms，Raspi-5 更快。

获取输出标签和概率，Edge Impulse Studio 训练的模型输出已 softmax，可直接使用：

```
# Obtain results and map them to the classes
predictions = interpreter.get_tensor(output_details[0]["index"])[
        0
    ]

# Get indices of the top k results
top_k_results = 3
top_k_indices = np.argsort(predictions)[::-1][:top_k_results]

# Get quantization parameters
scale, zero_point = output_details[0]["quantization"]

# Dequantize the output
dequantized_output = (
    predictions.astype(np.float32) - zero_point
) * scale
probabilities = dequantized_output

print("\n\t[PREDICTION]        [Prob]\n")
for i in range(top_k_results):
    print(
        "\t{:20}: {:.2f}%".format(
            labels[top_k_indices[i]],
            probabilities[top_k_indices[i]] * 100,
        )
    )
```

```
[PREDICTION]        [Prob]

robot               : 99.61%
periquito           : 0.00%
background          : 0.00%
```

推理结果截图

修改前述函数，兼容不同模型类型：

```
def image_classification(
    img_path, model_path, labels, top_k_results=3, apply_softmax=False
):
    # load the image
    img = Image.open(img_path)
    plt.figure(figsize=(4, 4))
    plt.imshow(img)
    plt.axis("off")

    # Load the TFLite model
    interpreter = tflite.Interpreter(model_path=model_path)
    interpreter.allocate_tensors()

    # Get input and output tensors
    input_details = interpreter.get_input_details()
    output_details = interpreter.get_output_details()

    # Preprocess
    img = img.resize(
        (input_details[0]["shape"][1], input_details[0]["shape"][2])
    )

    input_dtype = input_details[0]["dtype"]

    if input_dtype == np.uint8:
        input_data = np.expand_dims(np.array(img), axis=0)
    elif input_dtype == np.int8:
        scale, zero_point = input_details[0]["quantization"]
        img_array = np.array(img, dtype=np.float32) / 255.0
        img_array = (
            (img_array / scale + zero_point)
            .clip(-128, 127)
            .astype(np.int8)
        )
        input_data = np.expand_dims(img_array, axis=0)
    else:  # float32
        input_data = (
            np.expand_dims(np.array(img, dtype=np.float32), axis=0)
            / 255.0
        )

    # Inference on Raspi-Zero
    start_time = time.time()
    interpreter.set_tensor(input_details[0]["index"], input_data)
    interpreter.invoke()
    end_time = time.time()
    inference_time = (
        end_time - start_time
    ) * 1000  # 转换为毫秒

    # Obtain results
    predictions = interpreter.get_tensor(output_details[0]["index"])[
        0
    ]

```

```
    # Get indices of the top k results
    top_k_indices = np.argsort(predictions)[::-1][:top_k_results]

    # Handle output based on type
    output_dtype = output_details[0]["dtype"]
    if output_dtype in [np.int8, np.uint8]:
        # Dequantize the output
        scale, zero_point = output_details[0]["quantization"]
        predictions = (
            predictions.astype(np.float32) - zero_point
        ) * scale

    if apply_softmax:
        # Apply softmax
        exp_preds = np.exp(predictions - np.max(predictions))
        probabilities = exp_preds / np.sum(exp_preds)
    else:
        probabilities = predictions

    print("\n\t[PREDICTION]        [Prob]\n")
    for i in range(top_k_results):
        print(
            "\t{:20}: {:.1f}%".format(
                labels[top_k_indices[i]],
                probabilities[top_k_indices[i]] * 100,
            )
        )
    print("\n\t 推理时间：{:.1f}ms".format(inference_time))

```

测试 int8 量化模型（160x160 alpha=1.0）：

int8 160x160 推理效果图

测试更小模型（如 Nicla Vision Lab，int8 量化，96x96，alpha=0.1）：

精度略降，但速度提升约 10 倍，适合对细节要求不高的场景。

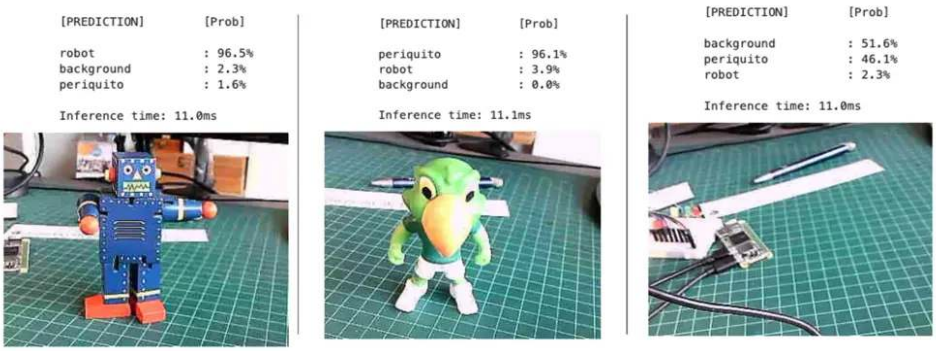

int8 96x96 推理效果图

实时图像分类

开发实时摄像头采集与分类应用，实时显示分类结果。

保存为 `img_class_live_infer.py`：

```
from flask import Flask, Response, render_template_string,
                  request, jsonify
from picamera2 import Picamera2
import io
import threading
import time
import numpy as np
from PIL import Image
import tflite_runtime.interpreter as tflite
from queue import Queue

app = Flask(__name__)

# Global variables
picam2 = None
frame = None
frame_lock = threading.Lock()
is_classifying = False
confidence_threshold = 0.8
model_path = "./models/ei-raspi-img-class-int8-quantized-\
               model.tflite"
labels = ['background', 'periquito', 'robot']
interpreter = None
classification_queue = Queue(maxsize=1)

def initialize_camera():
    global picam2
    picam2 = Picamera2()
    config = picam2.create_preview_configuration(
        main={"size": (320, 240)}
    )
```

```
    picam2.configure(config)
    picam2.start()
    time.sleep(2)  # Wait for camera to warm up

def get_frame():
    global frame
    while True:
        stream = io.BytesIO()
        picam2.capture_file(stream, format='jpeg')
        with frame_lock:
            frame = stream.getvalue()
        time.sleep(0.1)  # Capture frames more frequently

def generate_frames():
    while True:
        with frame_lock:
            if frame is not None:
                yield (
                   b'--frame\r\n'
                   b'Content-Type: image/jpeg\r\n\r\n'
                   + frame + b'\r\n'
                )
        time.sleep(0.1)

def load_model():
    global interpreter
    if interpreter is None:
        interpreter = tflite.Interpreter(model_path=model_path)
        interpreter.allocate_tensors()
    return interpreter

def classify_image(img, interpreter):
    input_details = interpreter.get_input_details()
    output_details = interpreter.get_output_details()

    img = img.resize((input_details[0]['shape'][1],
                      input_details[0]['shape'][2]))
    input_data = np.expand_dims(np.array(img), axis=0)\
           .astype(input_details[0]['dtype'])

    interpreter.set_tensor(input_details[0]['index'], input_data)
    interpreter.invoke()

    predictions = interpreter.get_tensor(output_details[0]
                                         ['index'])[0]
    # Handle output based on type
    output_dtype = output_details[0]['dtype']
    if output_dtype in [np.int8, np.uint8]:
        # Dequantize the output
        scale, zero_point = output_details[0]['quantization']
        predictions = (predictions.astype(np.float32) -
                       zero_point) * scale
    return predictions

def classification_worker():
```

```
    interpreter = load_model()
    while True:
        if is_classifying:
            with frame_lock:
                if frame is not None:
                    img = Image.open(io.BytesIO(frame))
            predictions = classify_image(img, interpreter)
            max_prob = np.max(predictions)
            if max_prob >= confidence_threshold:
                label = labels[np.argmax(predictions)]
            else:
                label = '不确定'
            classification_queue.put({
                 'label': label,
                 'probability': float(max_prob)
            })
        time.sleep(0.1)  # Adjust based on your needs

@app.route('/')
def index():
   return render_template_string('''
      <!DOCTYPE html>
      <html>
      <head>
          <title>图像分类</title>
          <script
           src="https://code.jquery.com/jquery-3.6.0.min.js">
          </script>
          <script>
              function startClassification() {
                  $.post('/start');
                  $('#startBtn').prop('disabled', true);
                  $('#stopBtn').prop('disabled', false);
              }
              function stopClassification() {
                  $.post('/stop');
                  $('#startBtn').prop('disabled', false);
                  $('#stopBtn').prop('disabled', true);
              }
              function updateConfidence() {
                  var confidence = $('#confidence').val();
                  $.post('/update_confidence',
                         {confidence: confidence}
                        );
              }
              function updateClassification() {
                  $.get('/get_classification', function(data) {
                    $('#classification').text(data.label + ': '
                    + data.probability.toFixed(2));
                  });
              }
              $(document).ready(function() {
                  setInterval(updateClassification, 100);
                  // 每 100ms 更新一次
              });
```

```
            </script>
        </head>
        <body>
            <h1>图像分类</h1>
            <img src="{{ url_for('video_feed') }}"
                 width="640"
                 height="480" />

            <br>
            <button id="startBtn"
                    onclick="startClassification()">
              开始分类
            </button>

            <button id="stopBtn"
                    onclick="stopClassification()"
                    disabled>
              停止分类
            </button>

            <br>
            <label for="confidence">置信度阈值:</label>
            <input type="number"
                   id="confidence"
                   name="confidence"
                   min="0" max="1"
                   step="0.1"
                   value="0.8"
                   onchange="updateConfidence()" />

            <br>
            <div id="classification">
               等待分类中...
            </div>

        </body>
        </html>
    ''')

@app.route('/video_feed')
def video_feed():
    return Response(
       generate_frames(),
       mimetype='multipart/x-mixed-replace; boundary=frame'
    )

@app.route('/start', methods=['POST'])
def start_classification():
    global is_classifying
    is_classifying = True
    return '', 204

@app.route('/stop', methods=['POST'])
def stop_classification():
    global is_classifying
```

```
    is_classifying = False
    return '', 204

@app.route('/update_confidence', methods=['POST'])
def update_confidence():
    global confidence_threshold
    confidence_threshold = float(request.form['confidence'])
    return '', 204

@app.route('/get_classification')
def get_classification():
    if not is_classifying:
        return jsonify({'label': '未在分类',
                        'probability': 0})
    try:
        result = classification_queue.get_nowait()
    except Queue.Empty:
        result = {'label': '处理中', 'probability': 0}
    return jsonify(result)

if __name__ == '__main__':
    initialize_camera()
    threading.Thread(target=get_frame, daemon=True).start()
    threading.Thread(target=classification_worker,
                     daemon=True).start()
    app.run(host='0.0.0.0', port=5000, threaded=True)
```

在终端运行：

```
python3 img_class_live_infer.py
```

浏览器访问：

- 树莓派本机：`http://localhost:5000`
- 局域网其他设备：`http://<raspberry_pi_ip>:5000`，如 `http://192.168.4.210:5000/`

桌面端效果截图：

演示视频：

https://www.youtube.com/watch?v=o1QsQrpCMw4

主要组件

1. **Flask Web 应用**：提供界面与接口
2. **PiCamera2**：摄像头采集

实时推理应用界面

3. **TensorFlow Lite**：模型推理
4. **多线程**：保证流畅体验

主要特性

- 实时摄像头画面
- 实时分类结果
- 可调置信心阈值
- 支持启动/停止分类

代码结构

- 导入与全局变量
- 摄像头相关函数
- 模型加载与推理函数
- 分类线程
- Flask 路由
- HTML 模板
- 主程序入口

关键点

- 多线程并发，保证采集、推理与 Web 服务互不阻塞
- 实时更新分类结果，无需刷新页面

- 模型一次加载，多次复用
- 支持动态调整参数

使用方法

1. 安装依赖
2. 树莓派运行脚本
3. 浏览器访问 Web 界面
4. 启动分类并调整参数

总结

图像分类作为机器学习的强大应用，已在医疗、环境监测等领域展现巨大价值。本章系统演示了如何在 Raspi-Zero、Raspi-5 等边缘设备上实现高效的图像分类系统，展现了实时本地智能的潜力。

我们完整走通了数据采集、模型训练（Edge Impulse Studio）、部署与推理的全流程，重点包括：

1. 数据采集与预处理对模型效果至关重要
2. 迁移学习可借助预训练模型（如 MobileNet V2），小样本高效训练
3. 精度与速度权衡，边缘设备需合理取舍
4. 实时分类 Web 应用，展示实际落地场景

在边缘设备上运行模型，带来低延迟、高隐私、离线可用等优势，适用于物联网、自动化、实时监控等场景。

即便在算力有限的设备上，也能实现令人满意的精度与速度。通过调整模型参数（如输入尺寸、alpha），可灵活满足不同项目需求。

展望未来，边缘 AI 与图像分类领域仍在快速发展，模型压缩、硬件加速和高效网络架构将进一步拓展边缘视觉能力。

本项目为更复杂的计算机视觉应用奠定基础，鼓励大家持续探索边缘 AI 与物联网的创新实践。无论是工业自动化、智能家居还是环境监测，本文涵盖的技能和理念都将助力你的创新项目。

参考资源

- 数据集示例
- 树莓派环境测试 Notebook
- [树莓派图像分类 Notebook](https://github.com/Mjrovai/EdgeML-with

目标检测

概述

在完成图像分类的学习后，我们将目光转向更高级的计算机视觉任务 —— 目标检测。图像分类为整张图片分配一个标签，而目标检测则进一步识别并定位图片中的多个目标。这一能力为边缘计算和物联网设备（如 Raspberry Pi）带来了更多应用场景和挑战。

目标检测融合了分类与定位两大任务。它不仅判断图片中有哪些对象，还能通过绘制边界框等方式，精确标注对象的位置。这种复杂性让目标检测成为理解视觉场景的强大工具，但也对模型和训练方法提出了更高要求。

在边缘 AI 场景下，受限于计算资源，实现高效的目标检测模型尤为关键。图像分类中遇到的模型体积、推理速度与精度的平衡问题，在目标检测中被进一步放大。但回报也更大，因为目标检测能实现更细致、丰富的视觉数据分析。

目标检测在边缘设备上的典型应用包括：

- 安防监控系统
- 自动驾驶与无人机
- 工业质检
- 野生动物监测
- 增强现实应用

在本章实践中，我们将基于图像分类的知识，深入目标检测。重点介绍适合边缘设备的主流目标检测架构，如：

- 单阶段检测器（如 MobileNet、EfficientDet）
- FOMO（Faster Objects, More Objects）
- YOLO（You Only Look Once）

> 想进一步了解目标检测模型，可参考教程 A Gentle Introduction to Object Recognition With Deep Learning。

我们将分别体验以下目标检测模型：

- TensorFlow Lite Runtime（现已更名为 LiteRT）
- Edge Impulse Linux Python SDK
- Ultralitics

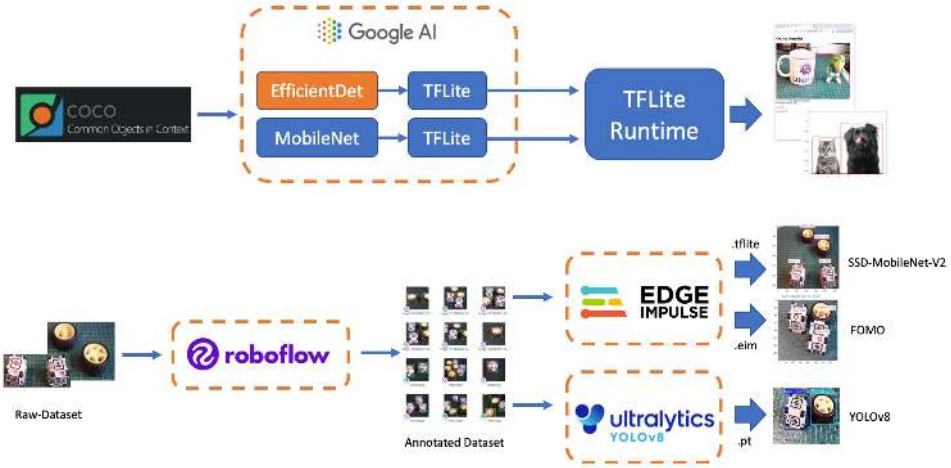

目标检测流程图

在本实验中，我们将系统学习目标检测的基本原理及其与图像分类的区别，并掌握如何基于自建数据集训练、微调、测试、优化和部署主流目标检测模型。

目标检测基础

目标检测是在图像分类基础上的重要扩展。理解目标检测，首先要明确它与图像分类的核心区别：

图像分类 vs. 目标检测　图像分类：

- 为整张图片分配一个标签
- 回答“这张图片的主要内容是什么?”
- 输出单一类别预测

目标检测：

- 识别并定位图片中的多个对象
- 回答“图片中有哪些对象？它们分别在哪里?”
- 输出多个预测结果，每个包含类别标签和边界框

举例说明：

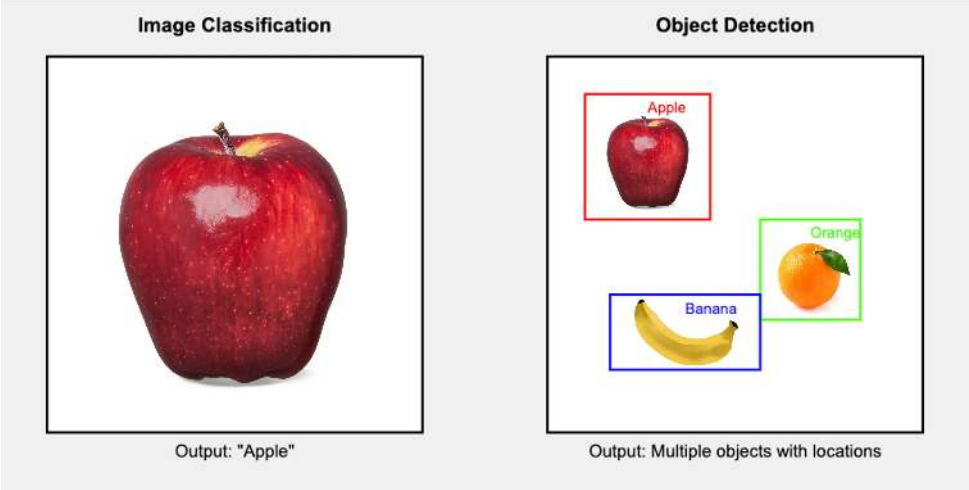

图像分类与目标检测对比示意图

如上图所示，图像分类只给出整体标签，而目标检测能识别多个对象及其具体位置。

目标检测的关键组成 目标检测系统通常包含两大核心模块：

1. **目标定位**：确定对象在图片中的位置，通常输出边界框（矩形区域）。
2. **目标分类**：对每个定位到的区域进行类别判别，类似于图像分类，但针对每个局部区域。

目标检测的挑战 相比图像分类，目标检测面临更多挑战：

- 多目标：一张图片可能包含多个不同类别、大小、位置的对象
- 尺度变化：对象在图片中可能有不同尺寸
- 遮挡：对象可能部分被遮挡或重叠
- 背景干扰：复杂背景下区分目标更难
- 实时性：许多应用要求极快的推理速度，尤其在边缘设备上

目标检测方法 主流目标检测方法分为两类：

1. **两阶段检测器**：先生成候选区域，再对每个区域分类。典型如 R-CNN 系列（Fast R-CNN、Faster R-CNN）。
2. **单阶段检测器**：一次前向传播同时预测边界框和类别概率。典型如 YOLO、EfficientDet、SSD、FOMO。单阶段方法速度更快，更适合 Raspberry Pi 等边缘设备。

评估指标 目标检测常用的评估指标有：

- **IoU（交并比）**：衡量预测框与真实框的重叠程度
- **mAP（平均精度均值）**：综合各类别和 IoU 阈值下的精度与召回率
- **FPS（帧率）**：检测速度，边缘设备实时应用的关键指标

预训练目标检测模型概览

如前所述，目标检测模型可对图片或视频流中的已知对象进行识别，并输出其在图片中的位置。

> 可在线体验常见模型：Object Detection - MediaPipe Studio

在 Kaggle 上可找到适用于 Raspberry Pi 的主流 tflite 预训练模型，如 ssd_mobilenet_v1 和 EfficientDet。这些模型基于 COCO 数据集（91 类，20 万张标注图片）训练。下载模型后上传至 Raspi 的 `./models` 文件夹。

> 也可在 GitHub 获取模型及 COCO 标签文件。

本实验首先聚焦于 300×300 的 SSD-Mobilenet V1 预训练模型，并与 320×320 的 EfficientDet-lite0 进行对比，二者均基于 COCO 2017 数据集训练，已转换为 TensorFlow Lite 格式（SSD Mobilenet 4.2 MB，EfficientDet 4.6 MB）。

> SSD-Mobilenet V2/V3 更适合迁移学习，但本节以公开的 V1 TFLite 模型为例进行演示。

配置 TFLite 环境

请确认已完成上一节“图像分类”实验的相关步骤：

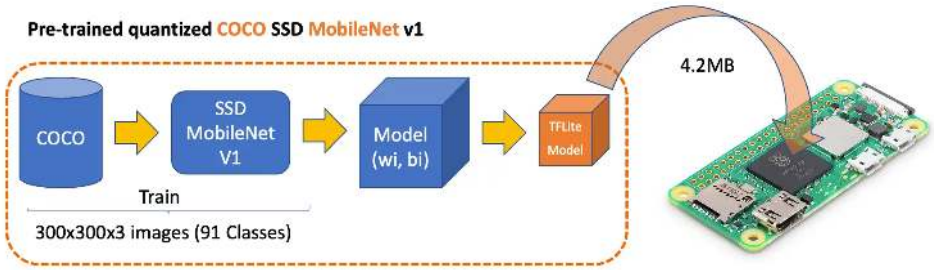

模型部署流程图

- 更新 Raspberry Pi
- 安装所需库
- （可选）创建虚拟环境

```
source ~/tflite/bin/activate
```

- 安装 TensorFlow Lite Runtime
- 在虚拟环境中安装其他 Python 库

创建工作目录

假设上节已创建 `Documents/TFLITE` 文件夹，现在为目标检测实验新建专用目录：

```
cd Documents/TFLITE/
mkdir OBJ_DETECT
cd OBJ_DETECT
mkdir images
mkdir models
cd models
```

推理与后处理

新建 notebook 按步骤实现目标检测：

导入所需库：

```
import time
import numpy as np
import matplotlib.pyplot as plt
from PIL import Image
```

```
import tflite_runtime.interpreter as tflite
```

加载 TFLite 模型并分配张量：

```
model_path = "./models/ssd-mobilenet-v1-tflite-default-v1.tflite"
interpreter = tflite.Interpreter(model_path=model_path)
interpreter.allocate_tensors()
```

获取输入输出张量信息：

```
input_details = interpreter.get_input_details()
output_details = interpreter.get_output_details()
```

输入信息 指明模型期望的图片格式。形状为 `(1, 300, 300, 3)`，类型为 `uint8`，即输入为未归一化的 $300 \times 300 \times 3$ 彩色图片，单张输入（Batch=1）。

输出信息 包含类别（classes）、概率（scores）、边界框（boxes）及检测到的对象数量（num_detections）。模型最多可检测 10 个对象。

如上例，模型以 76% 概率检测到类别 ID 为 16 的对象，边界框为 `[0.028011084, 0.020121813, 0.9886069, 0.802299]`，分别对应 ymin、xmin、ymax、xmax。

y 轴自上而下，x 轴自左至右。已知图片尺寸，即可绘制目标的矩形框：

查找类别 ID 16 的含义，打开 `coco_labels.txt`，第 16 行为 `cat`，概率即为得分。

接下来上传包含多个对象的图片进行测试。

```
img_path = "./images/cat_dog.jpeg"
orig_img = Image.open(img_path)

# 显示图片
plt.figure(figsize=(8, 8))
plt.imshow(orig_img)
plt.title("原始图片")
plt.show()
```

根据输入信息，预处理图片：

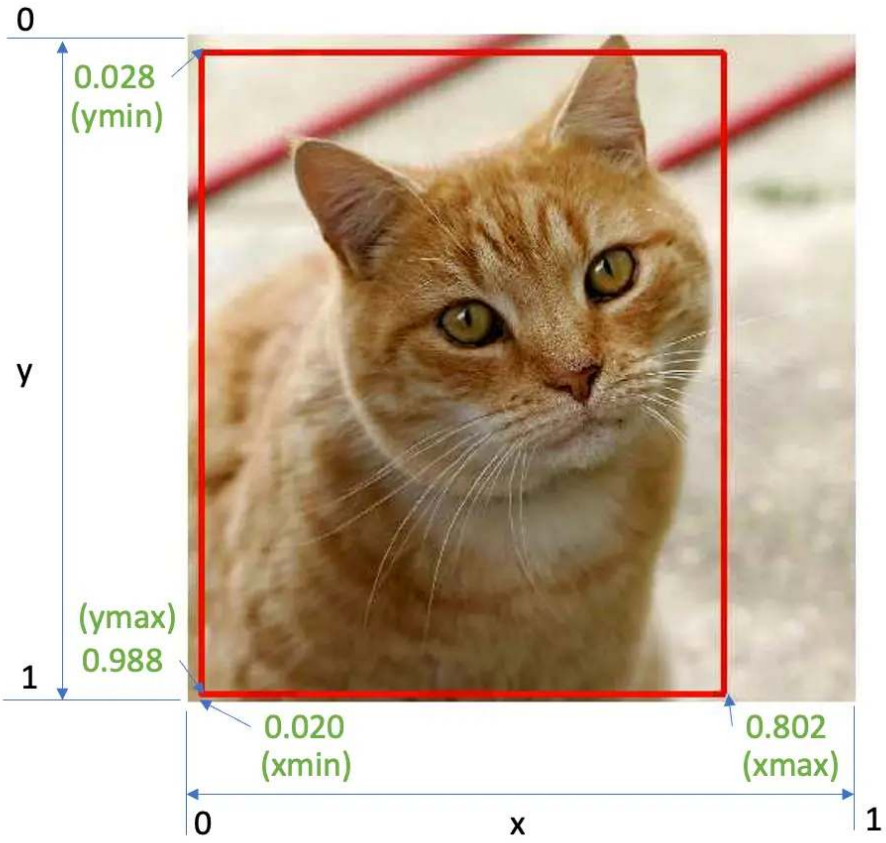

边界框示意图

```
img = orig_img.resize(
    (input_details[0]["shape"][1], input_details[0]["shape"][2])
)
input_data = np.expand_dims(img, axis=0)
input_data.shape, input_data.dtype
```

新输入数据形状为 `(1, 300, 300, 3)`，类型为 `uint8`，与模型要求一致。

推理并计时：

```
start_time = time.time()
interpreter.set_tensor(input_details[0]["index"], input_data)
interpreter.invoke()
end_time = time.time()
inference_time = (
    end_time - start_time
) * 1000  # 毫秒
print("推理时间：{:.1f}ms".format(inference_time))
```

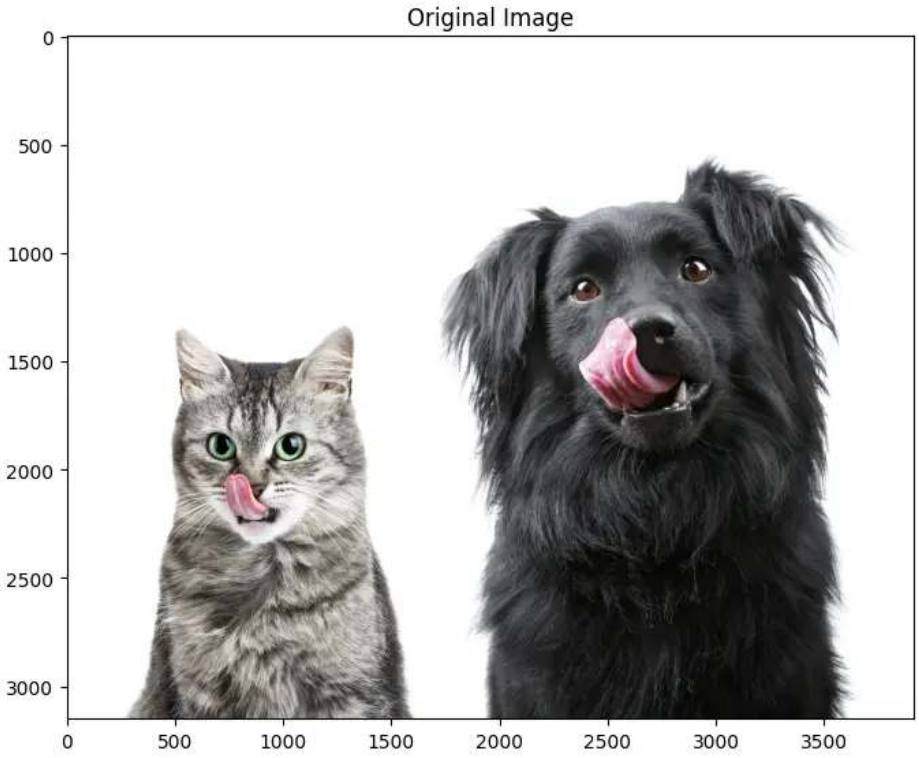

猫狗图片

约 800ms，可获取 4 个输出：

```
boxes = interpreter.get_tensor(output_details[0]["index"])[0]
classes = interpreter.get_tensor(output_details[1]["index"])[0]
scores = interpreter.get_tensor(output_details[2]["index"])[0]
num_detections = int(
    interpreter.get_tensor(output_details[3]["index"])[0]
)
```

快速查看得分大于 0.5 的目标：

```
for i in range(num_detections):
    if scores[i] > 0.5:
        print(f"Object {i}:")
        print(f"  Bounding Box: {boxes[i]}")
        print(f"  Confidence: {scores[i]}")
        print(f"  Class: {classes[i]}")
```

可视化检测结果：

```
Object 0:
  Bounding Box: [0.4125163  0.04130688 0.997076   0.42888364]
  Confidence: 0.73828125
  Class: 16.0
Object 1:
  Bounding Box: [0.20249811 0.41268167 0.99390197 0.95425284]
  Confidence: 0.69921875
  Class: 17.0
```

推理文本结果

```python
plt.figure(figsize=(12, 8))
plt.imshow(orig_img)
for i in range(num_detections):
    if scores[i] > 0.5:
        ymin, xmin, ymax, xmax = boxes[i]
        (left, right, top, bottom) = (
            xmin * orig_img.width,
            xmax * orig_img.width,
            ymin * orig_img.height,
            ymax * orig_img.height,
        )
        rect = plt.Rectangle(
            (left, top),
            right - left,
            bottom - top,
            fill=False,
            color="red",
            linewidth=2,
        )
        plt.gca().add_patch(rect)
        class_id = int(classes[i])
        class_name = labels[class_id]
        plt.text(
            left,
            top - 10,
            f"{class_name}: {scores[i]:.2f}",
            color="red",
            fontsize=12,
            backgroundcolor="white",
        )
```

EfficientDet 简介

EfficientDet 虽不属于 SSD（单次检测器）模型，但与 SSD 等架构有诸多相似之处，并在此基础上创新：

1. EfficientDet：
   - 2019 年 Google 提出

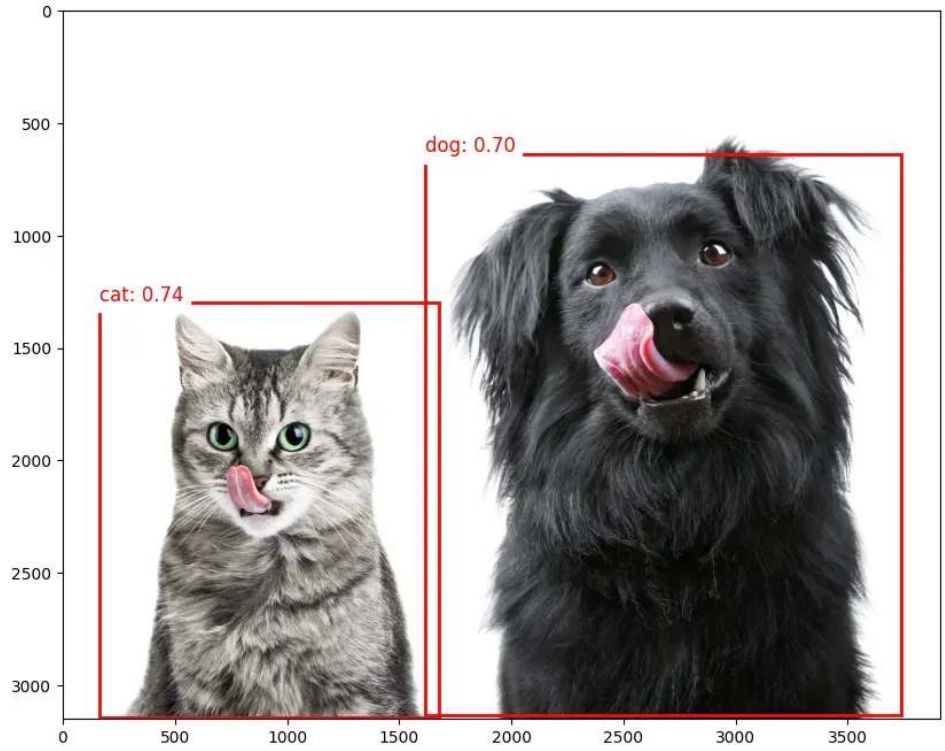

推理可视化结果

- 以 EfficientNet 为骨干网络
- 引入 BiFPN（双向特征金字塔网络）
- 采用复合缩放策略，整体高效扩展

2. 与 SSD 的相似点：
   - 均为单阶段检测器，单次前向传播完成定位与分类
   - 均利用多尺度特征图检测不同尺寸目标
3. 主要区别：
   - 骨干网络：SSD 常用 VGG/MobileNet，EfficientDet 用 EfficientNet
   - 特征融合：SSD 用简单金字塔，EfficientDet 用 BiFPN
   - 缩放方式：EfficientDet 复合缩放，整体更灵活
4. 优势：
   - 精度与效率权衡优于 SSD 等主流模型
   - 支持多种规模，适配不同性能需求

EfficientDet 可视为单阶段检测架构的进化，输出结构与 SSD 类似（边界框与类别

分数)。

> 可参考 notebook 进一步探索 EfficientDet。

目标检测项目实战

接下来，我们将从数据采集到训练与部署，完整实现一个目标检测项目。训练模型包括 SSD-MobileNet V2、FOMO 和 YOLO，均基于同一数据集。

项目目标

所有机器学习项目都需明确目标。假设我们在工厂需对 **轮子** 和特殊 **盒子** 进行分拣与计数。

项目目标示意图

即需实现多标签分类，每张图片可能有三类：

- 背景（无对象）
- 盒子
- 轮子

原始数据采集

明确目标后，首要任务是采集数据集。可用手机、Raspi 或混合方式采集原始图片（无标签）。Raspberry Pi 可通过 Web 应用实时预览并采集 `QVGA (320 x 240)` 图片。

从 GitHub 获取 get_img_data.py 脚本并运行：

```
python3 get_img_data.py
```

访问 Web 界面：

- 若在 Raspberry Pi 本地（有桌面环境）：浏览器访问 `http://localhost:5000`
- 局域网其他设备：浏览器访问 `http://<raspberry_pi_ip>:5000`（将 `<raspberry_pi_ip>` 替换为实际 IP），如 `http://192.168.4.210:5000`

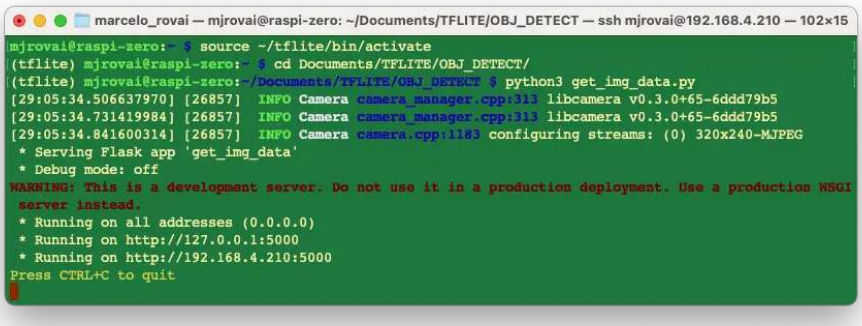

Web 采集界面

该脚本基于 Raspberry Pi 摄像头，提供 Web 采集界面，便于机器学习项目采集图片数据。

在浏览器输入标签（如 `box-wheel`），点击 `Start Capture` 开始采集。

> 注意，采集图片暂不标注具体类别，后续再标注。

通过实时预览调整拍摄，点击 `Capture Image` 保存图片至当前标签文件夹（如 `dataset/box-wheel`）。

采集足够图片后，点击 `Stop Capture`。图片保存在 `dataset/box-wheel` 文件夹：

> 建议采集约 60 张图片，涵盖不同角度、背景和光照。可用 Filezilla 将数据集传至主机。

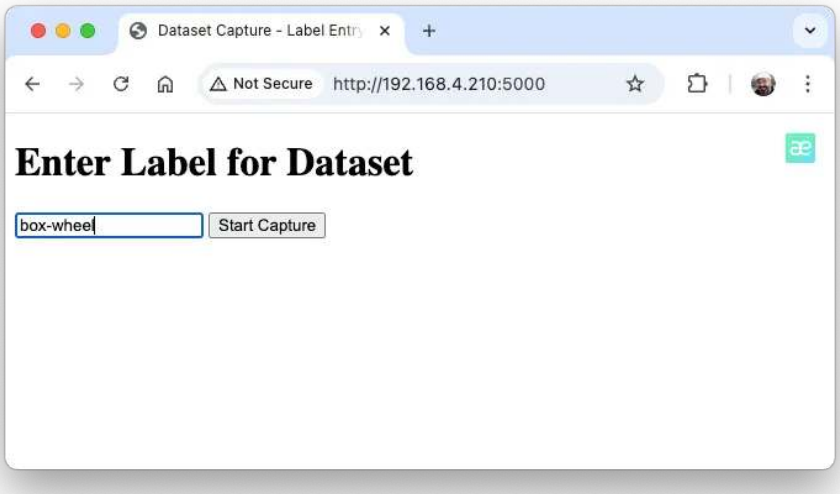

采集图片界面

数据标注

目标检测项目的下一步是为图片打标签，即为每个对象绘制边界框。可用 LabelImg、CVAT、Roboflow 或 Edge Impulse Studio。本节以 Roboflow 为例。

> 选用 Roboflow（免费版）主要因其支持自动标注和多格式导出，便于在 Edge Impulse、Ultralitics 等平台训练。Edge Impulse 标注数据无法直接用于其他平台。

上传原始数据集至 Roboflow，新建项目（如“box-versus-wheel”）。

> Roboflow 标注流程详见其官方教程，此处不再赘述。

标注 项目创建并上传图片后，使用“Auto-Label”工具自动标注。可上传仅含背景的图片，无需标注。

标注完成后，按训练、验证、测试划分数据集。

数据预处理 最后一步是预处理数据集，生成最终训练集。将所有图片调整为 320×320，并进行数据增强（如旋转、裁剪、亮度调整）。

最终得到 153 张图片。

图片采集示意

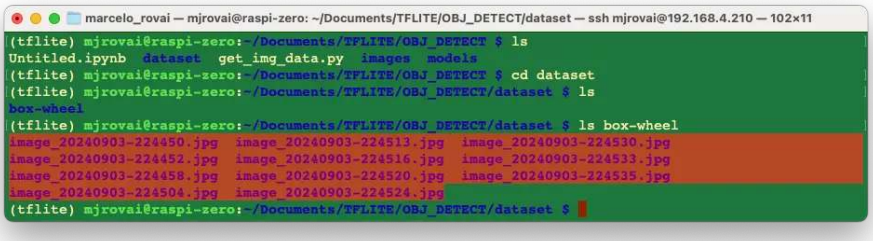

数据集文件夹结构

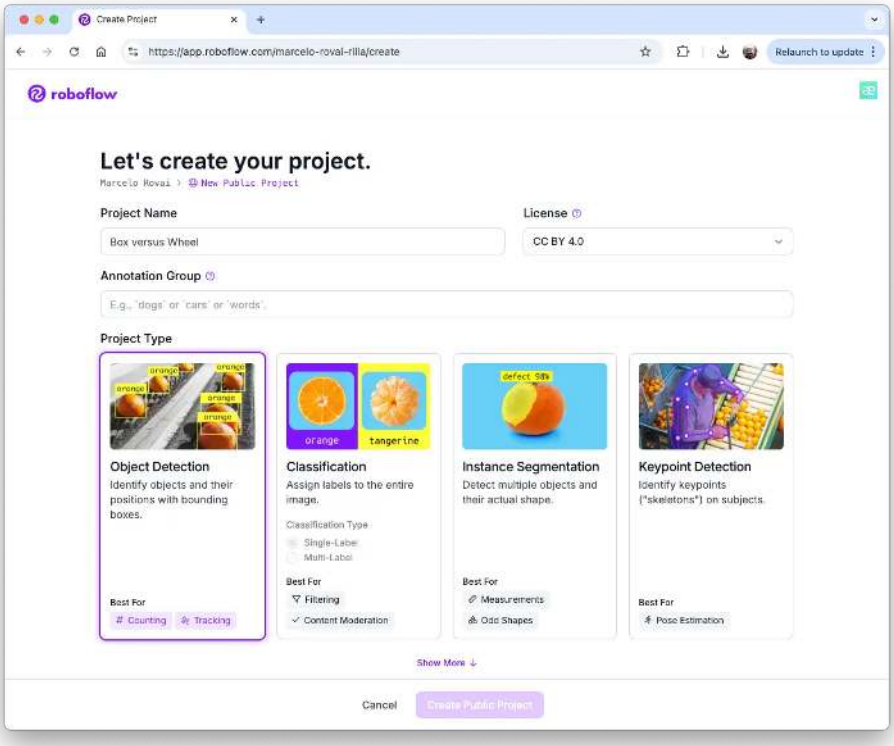

Roboflow 新建项目

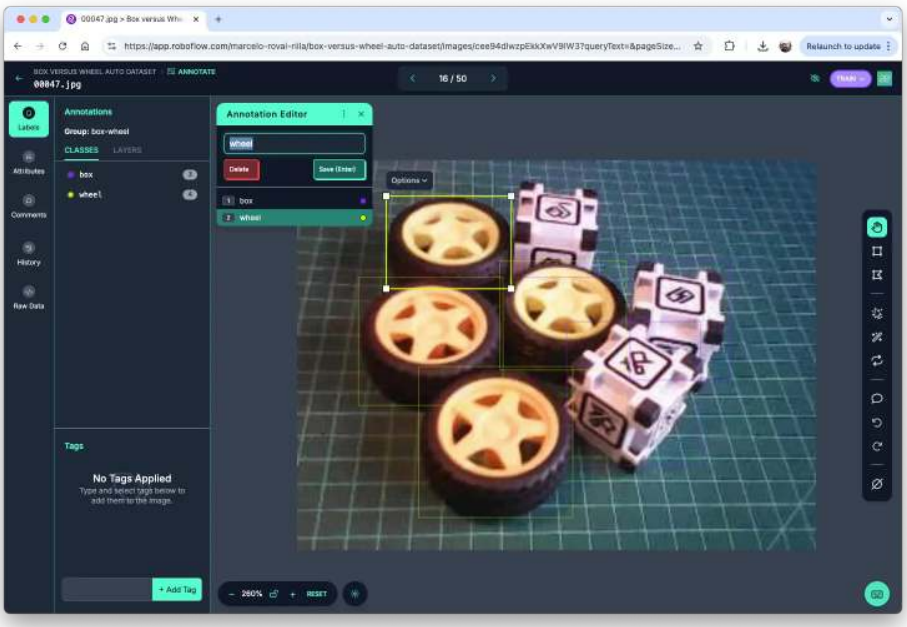

自动标注界面

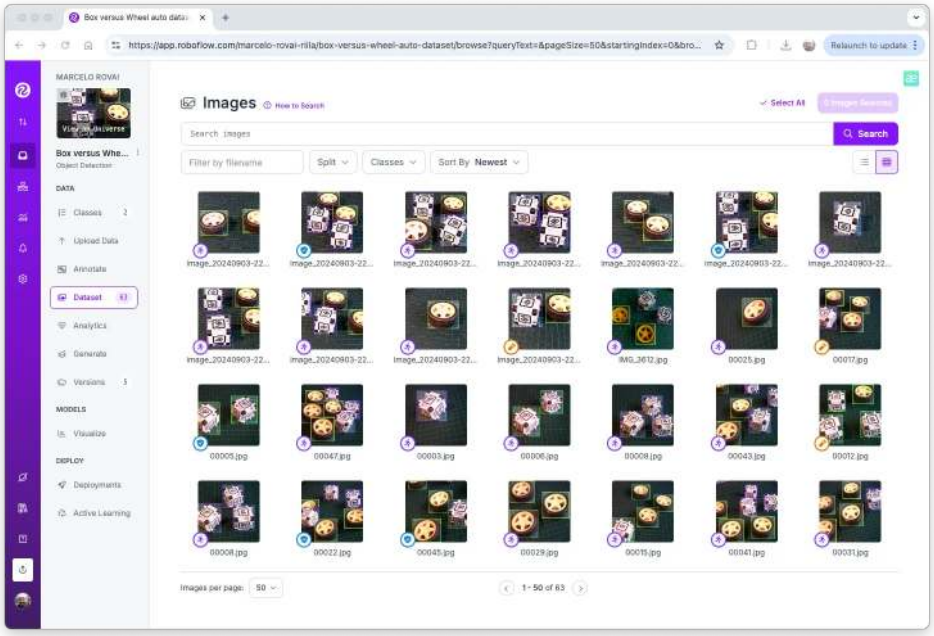

数据集划分

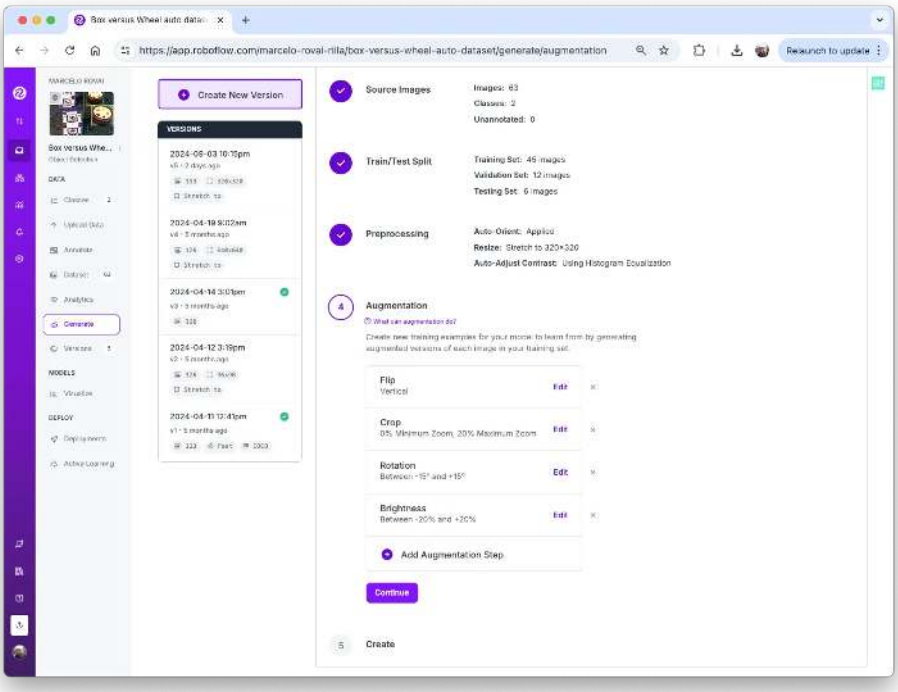

数据增强示意

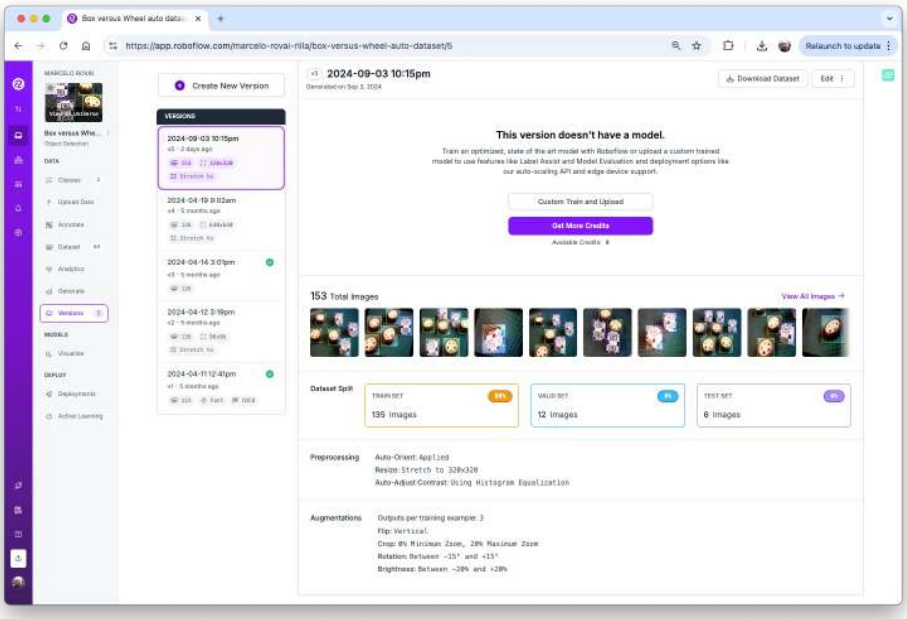

最终数据集

导出数据集为 Edge Impulse、Ultralitics 等支持的格式（如 `YOLOv8`），下载压缩包。

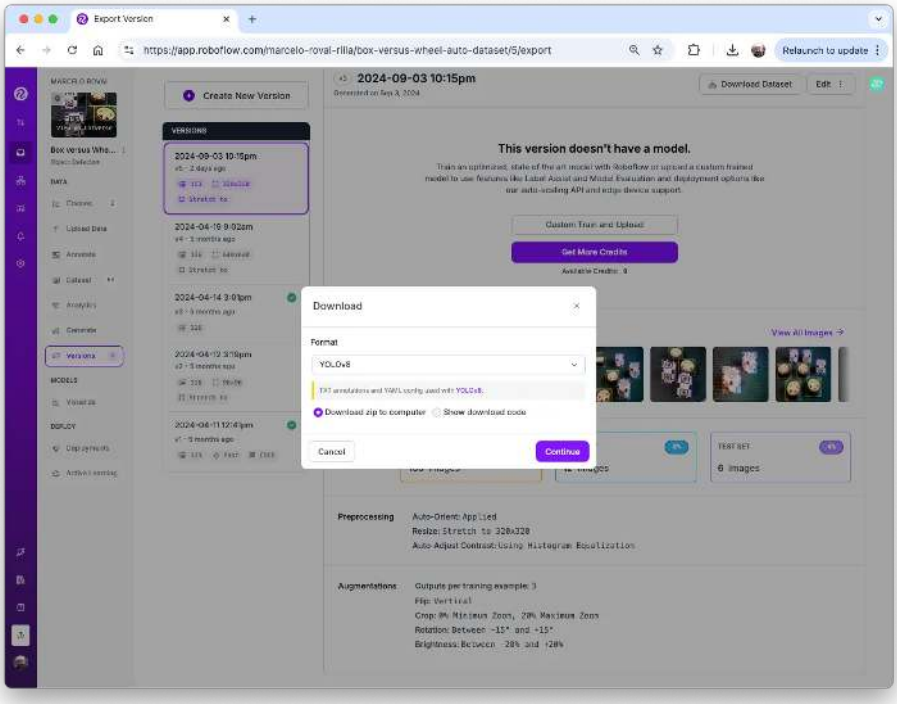

下载数据集

数据集结构如下：

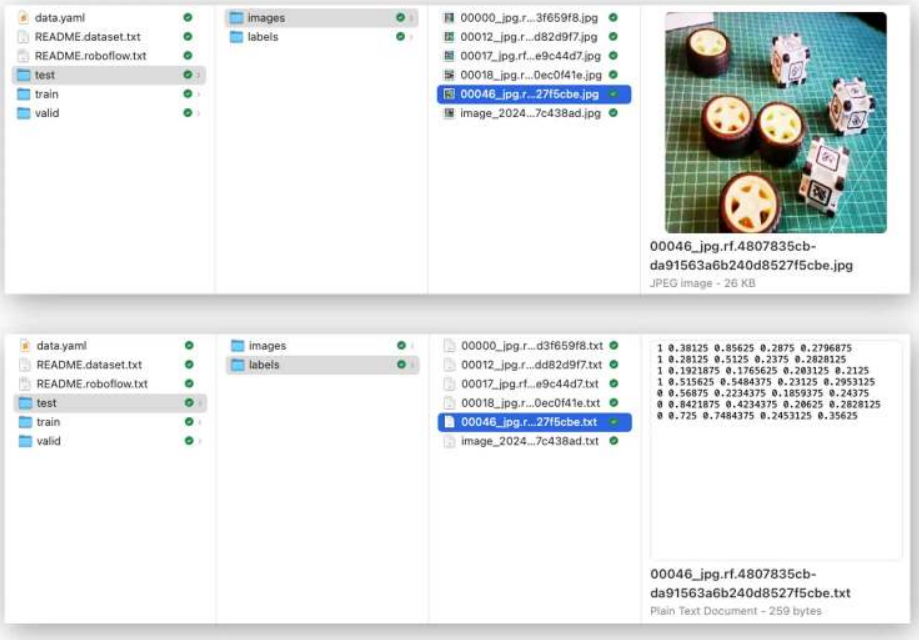

数据集结构

三大文件夹分别为 `train`、`test`、`valid`，每个包含 `images` 和 `labels` 子文件夹。标签文件格式为 `class_id bounding box coordinates`，本例中 `0` 表示 `box`，`1` 表示 `wheel`，编号按类别字母顺序排列。

`data.yaml` 文件包含类别名等信息，符合 YOLO 格式。

> 预处理后的数据集可在 Roboflow 获取。

在 Edge Impulse Studio 训练 SSD MobileNet 模型

登录 Edge Impulse Studio，新建项目。

> 可直接克隆本实验项目：Raspi - Object Detection。

在 `Dashboard` 页，`Project info` 处选择 `Bounding boxes (object detection)` 作为标注方式。

上传标注数据

在 `Data acquisition` 页，`UPLOAD DATA` 区域上传本地数据集。

选择 `train` 文件夹（含 `images` 和 `labels`），标签格式选 “YOLO TXT”，上传至

`Training`，点击 `Upload data`。

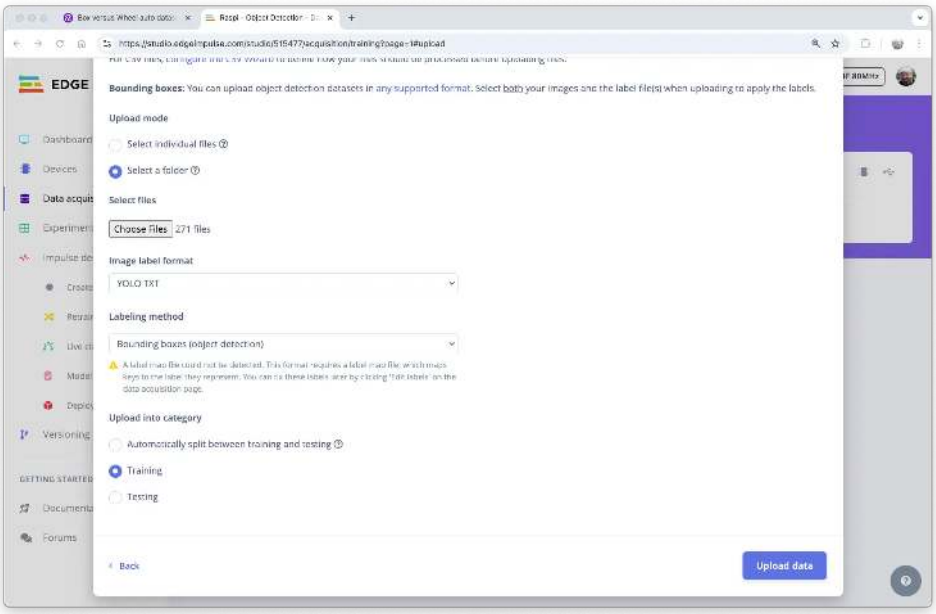

上传数据界面

同理上传 `test` 和 `valid` 数据。最终数据集共 153 张图片，训练/测试比例约 84%/16%。

> 标签文件中 `0`、`1` 分别对应 `box` 和 `wheel`。

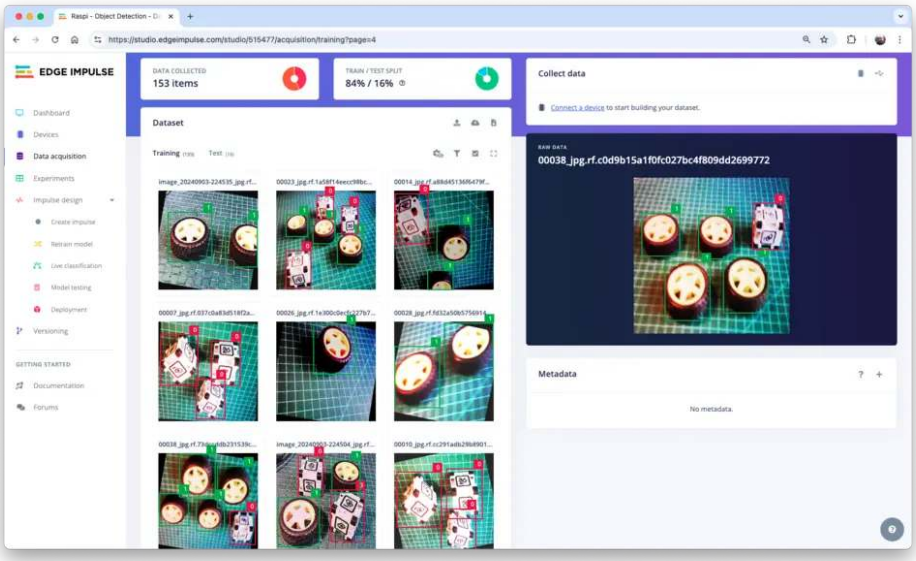

数据集上传结果

Impulse 设计

进入 `Create impulse` 步骤，首先选择部署目标设备。弹窗中选择 Raspberry 4（介于 Raspi-Zero 与 Raspi-5 之间）。

> 该选择仅影响延迟估算，不影响训练。

本阶段需定义：

- **预处理**：图片已在 Roboflow 预处理为 `320x320`，无需调整。若上传非正方形图片，将自动拉伸为正方形。
- **模型设计**：选择 “Object Detection”。

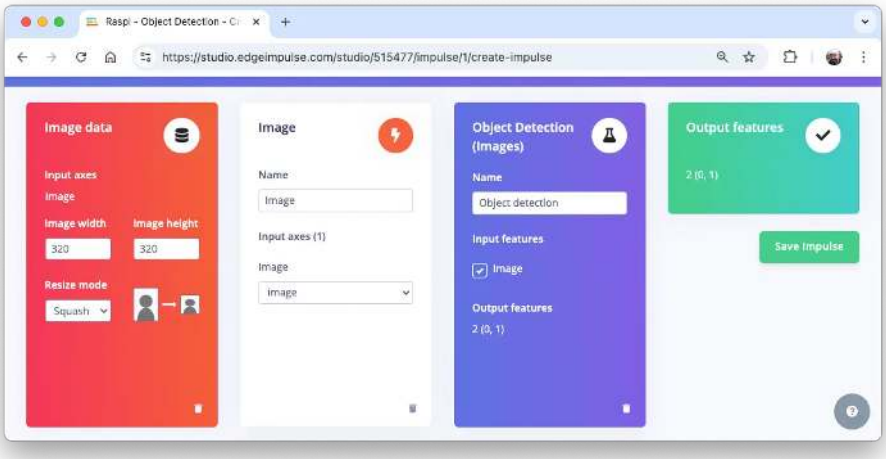

Impulse 设计界面

数据集预处理

在 `Image` 区域，选择 **Color depth** 为 `RGB`，点击 `Save parameters`。

自动进入 `Generate features`，所有样本预处理后共 480 个对象：207 个 box，273 个 wheel。

特征可视化显示样本分布良好。

模型设计、训练与测试

选择预训练模型：**MobileNetV2 SSD FPN-Lite (320x320 only)**，支持最多检测 10 个对象，模型约 3.7 MB，输入为 320×320 RGB。

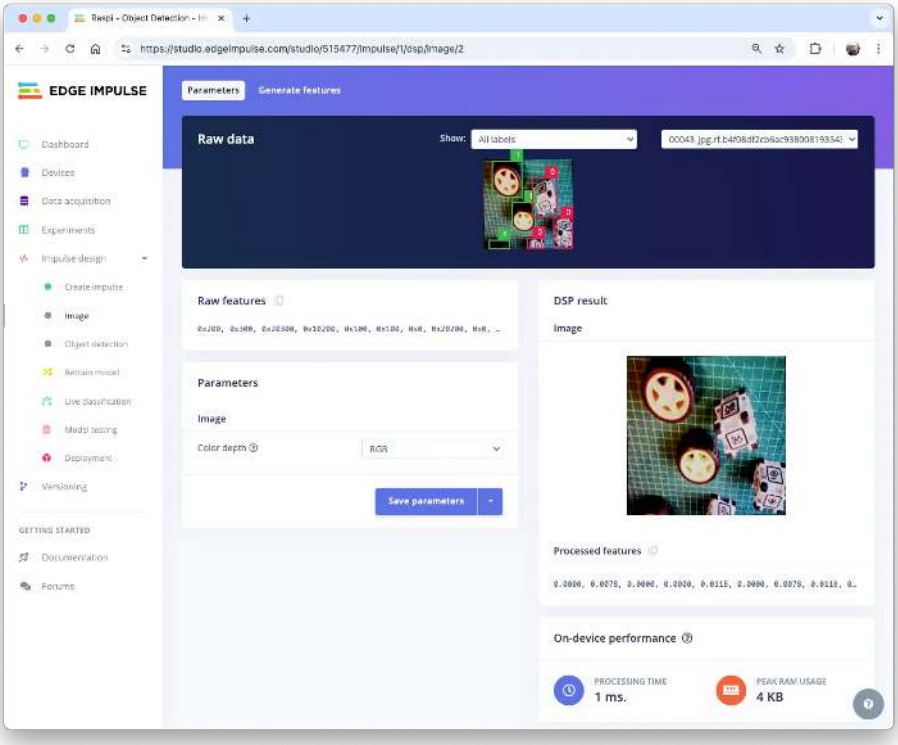

图片预处理界面

训练超参数：

- 轮数（Epochs）：25
- 批量大小（Batch size）：32
- 学习率（Learning Rate）：0.15

训练时 20% 数据用于验证。

最终模型 COCO mAP 精度 88.8%，测试集精度 83.3%。

部署模型

两种部署方式：

- **TFLite 模型**：导出 `.tflite`，Raspi 可用 Python 推理
- **Linux (AARCH64)**：导出 Linux 可执行文件，支持 Python SDK

选择 **TFLite 模型**，在 `Dashboard` 页下载 Transfer learning model (int8 quantized)：

将模型传至 Raspi `./models`，采集或准备图片至 `./images`。

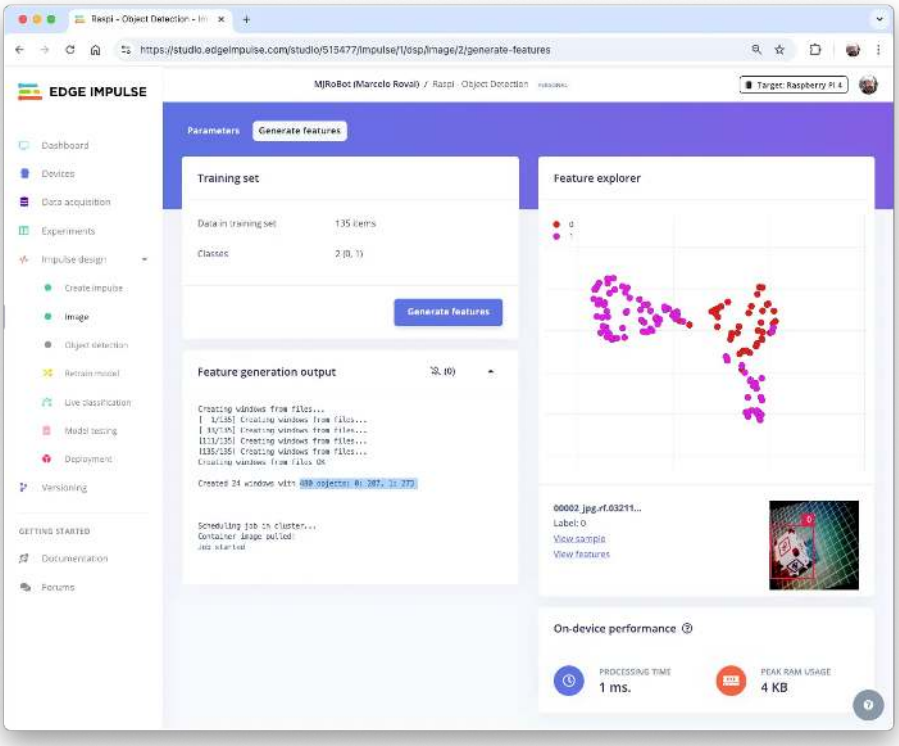
EDGE IMPULSE
Parameters
Generate features
Training set
Feature explorer
Feature generation output
On-device performance
PROCESSING TIME
1 ms.
PEAK RAM USAGE
4 KB

特征生成结果

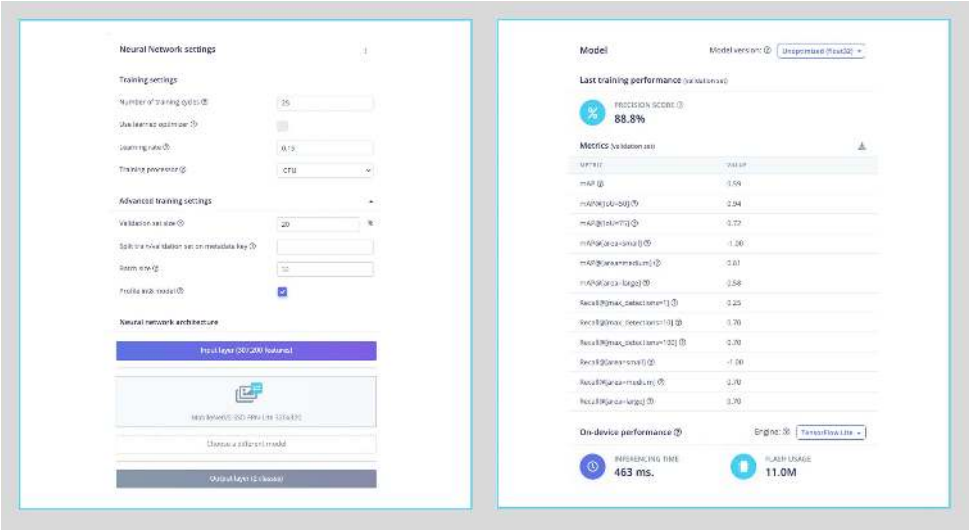
Neural Network settings
Model
88.8%
463 ms.
11.0M

训练结果

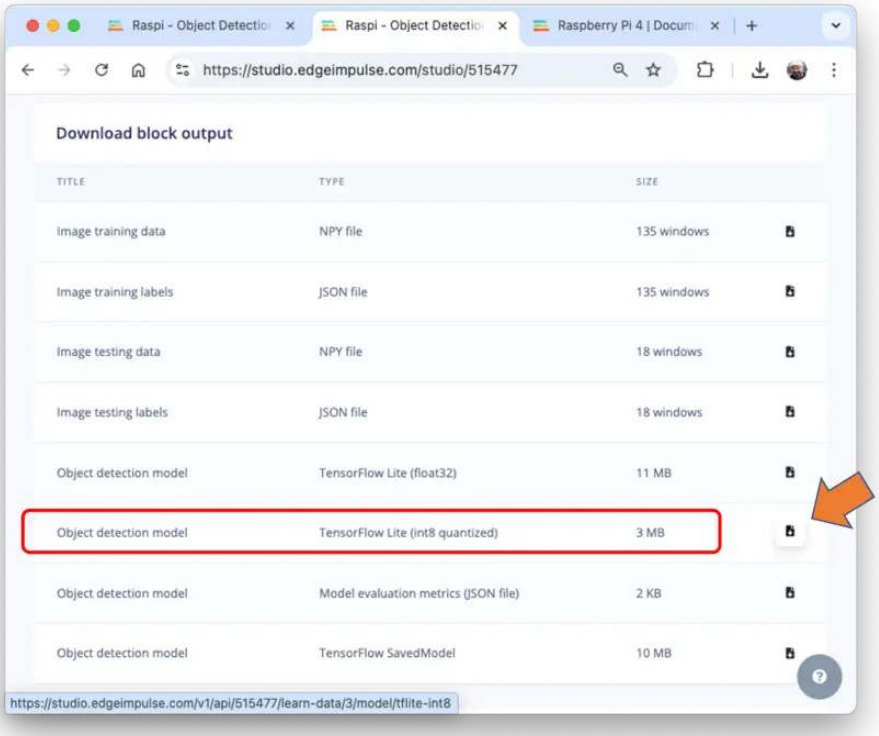

下载 TFLite 模型

推理与后处理

推理流程同“预训练目标检测模型”章节。新建 notebook 实现检测。

导入库：

```
import time
import numpy as np
import matplotlib.pyplot as plt
import matplotlib.patches as patches
from PIL import Image
import tflite_runtime.interpreter as tflite
```

定义模型路径与标签：

```
model_path = "./models/ei-raspi-object-detection-SSD-\
             MobileNetv2-320x0320-int8.lite"
labels = ["box", "wheel"]
```

> 模型输出类别 ID（0、1），按类别字母顺序排列。

加载模型、分配张量、获取输入输出信息：

```
# 加载 TFLite 模型
interpreter = tflite.Interpreter(model_path=model_path)
interpreter.allocate_tensors()

# 获取输入输出张量
input_details = interpreter.get_input_details()
output_details = interpreter.get_output_details()
```

注意输入类型为 `int8`，需归一化处理：

```
input_dtype = input_details[0]["dtype"]
input_dtype
```

```
numpy.int8
```

加载并显示图片：

```
# 加载图片
img_path = "./images/box_2_wheel_2.jpg"
orig_img = Image.open(img_path)

# 显示图片
plt.figure(figsize=(6, 6))
plt.imshow(orig_img)
plt.title("原始图片")
plt.show()
```

预处理图片：

```
scale, zero_point = input_details[0]["quantization"]
img = orig_img.resize(
    (input_details[0]["shape"][1], input_details[0]["shape"][2])
)
img_array = np.array(img, dtype=np.float32) / 255.0
img_array = (
    (img_array / scale + zero_point).clip(-128, 127).astype(np.int8)
```

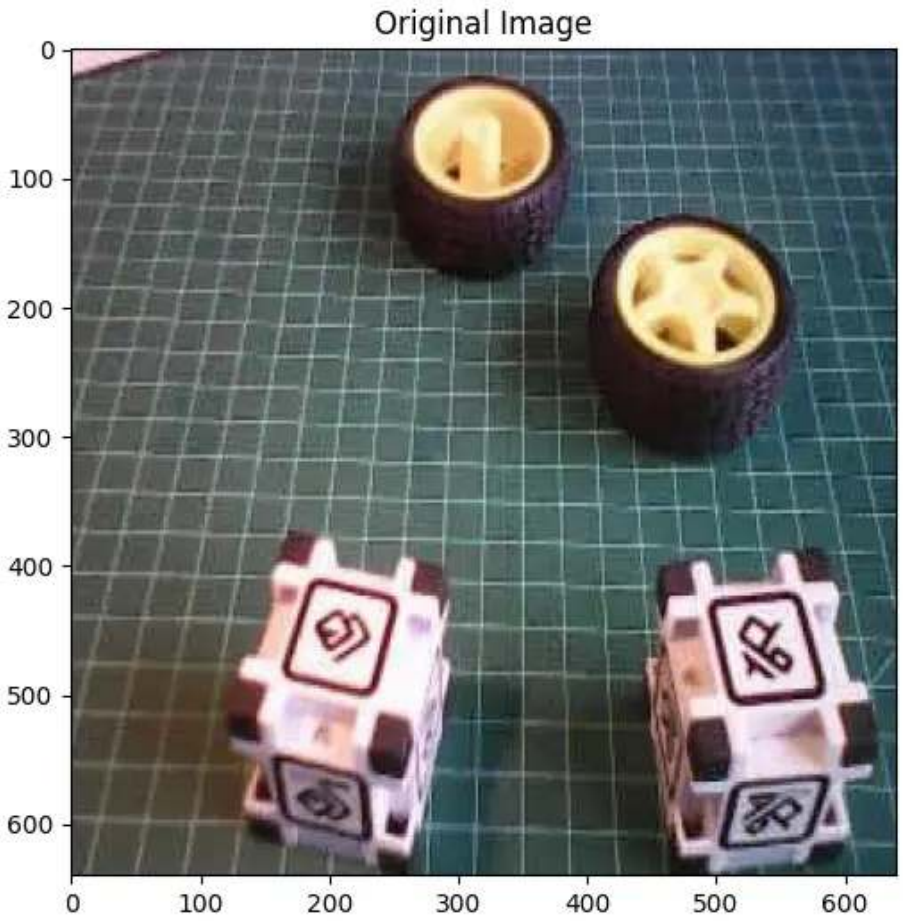

原始图片

```
)
input_data = np.expand_dims(img_array, axis=0)
```

检查输入数据：

```
input_data.shape, input_data.dtype
```

```
((1, 320, 320, 3), dtype('int8'))
```

推理并计时：

```
# Raspi-Zero 上推理
start_time = time.time()
interpreter.set_tensor(input_details[0]["index"], input_data)
```

```
interpreter.invoke()
end_time = time.time()
inference_time = (
    end_time - start_time
) * 1000  # 毫秒
print("推理时间: {:.1f}ms".format(inference_time))
```

Raspi-Zero 上约 600ms，Raspi-5 更快。

获取输出：

```
boxes = interpreter.get_tensor(output_details[1]["index"])[0]
classes = interpreter.get_tensor(output_details[3]["index"])[0]
scores = interpreter.get_tensor(output_details[0]["index"])[0]
num_detections = int(
    interpreter.get_tensor(output_details[2]["index"])[0]
)
```

输出检测结果：

```
for i in range(num_detections):
    if scores[i] > 0.5:
        print(f"Object {i}:")
        print(f"  Bounding Box: {boxes[i]}")
        print(f"  Confidence: {scores[i]}")
        print(f"  Class: {classes[i]}")
```

```
Object 0:
  Bounding Box: [0.01461247 0.38439587 0.2793928  0.62159896]
  Confidence: 0.86328125
  Class: 1.0
Object 1:
  Bounding Box: [0.19234724 0.6176628  0.5012042  0.888332  ]
  Confidence: 0.86328125
  Class: 1.0
Object 2:
  Bounding Box: [0.5792029  0.19102246 0.9971932  0.47538966]
  Confidence: 0.7734375
  Class: 0.0
Object 3:
  Bounding Box: [0.5792029  0.68904555 0.9971932  0.97973716]
  Confidence: 0.6484375
  Class: 0.0
```

推理文本结果

可视化检测结果（阈值 0.5）：

```
threshold = 0.5
plt.figure(figsize=(6, 6))
plt.imshow(orig_img)
for i in range(num_detections):
    if scores[i] > threshold:
        ymin, xmin, ymax, xmax = boxes[i]
        (left, right, top, bottom) = (
            xmin * orig_img.width,
            xmax * orig_img.width,
            ymin * orig_img.height,
            ymax * orig_img.height,
        )
        rect = plt.Rectangle(
            (left, top),
            right - left,
            bottom - top,
            fill=False,
            color="red",
            linewidth=2,
        )
        plt.gca().add_patch(rect)
        class_id = int(classes[i])
        class_name = labels[class_id]
        plt.text(
            left,
            top - 10,
            f"{class_name}: {scores[i]:.2f}",
            color="red",
            fontsize=12,
            backgroundcolor="white",
        )
```

降低阈值至 0.3：

此时出现误检和多重检测（同一对象被多次检测）。

为提升检测效果，可实现 **非极大值抑制（NMS）**，去除重叠框，仅保留置信度最高的检测。

定义 `non_max_suppression()` 函数：

```
def non_max_suppression(boxes, scores, threshold):
    # Convert to corner coordinates
    x1 = boxes[:, 0]
    y1 = boxes[:, 1]
    x2 = boxes[:, 2]
    y2 = boxes[:, 3]

    areas = (x2 - x1 + 1) * (y2 - y1 + 1)
    order = scores.argsort()[::-1]

```

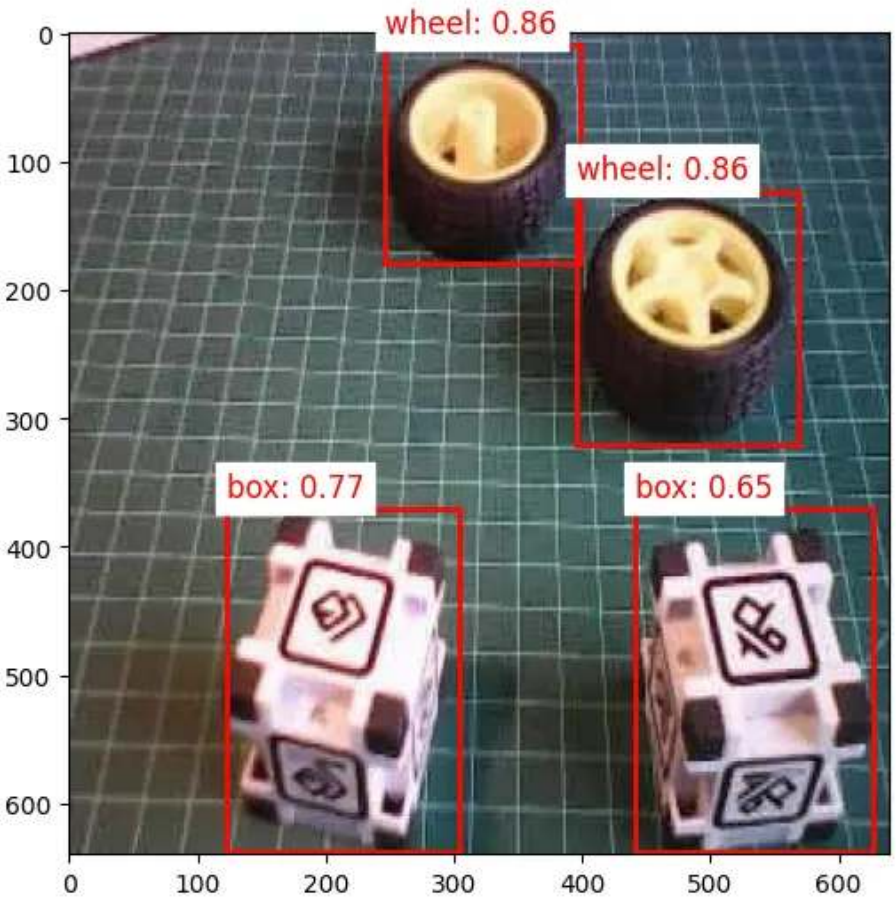

推理可视化结果

```
    keep = []
    while order.size > 0:
        i = order[0]
        keep.append(i)
        xx1 = np.maximum(x1[i], x1[order[1:]])
        yy1 = np.maximum(y1[i], y1[order[1:]])
        xx2 = np.minimum(x2[i], x2[order[1:]])
        yy2 = np.minimum(y2[i], y2[order[1:]])

        w = np.maximum(0.0, xx2 - xx1 + 1)
        h = np.maximum(0.0, yy2 - yy1 + 1)
        inter = w * h
        ovr = inter / (areas[i] + areas[order[1:]] - inter)

        inds = np.where(ovr <= threshold)[0]
        order = order[inds + 1]

    return keep
```

函数说明略。

定义可视化函数，结合 IoU 阈值，仅显示 NMS 后目标：

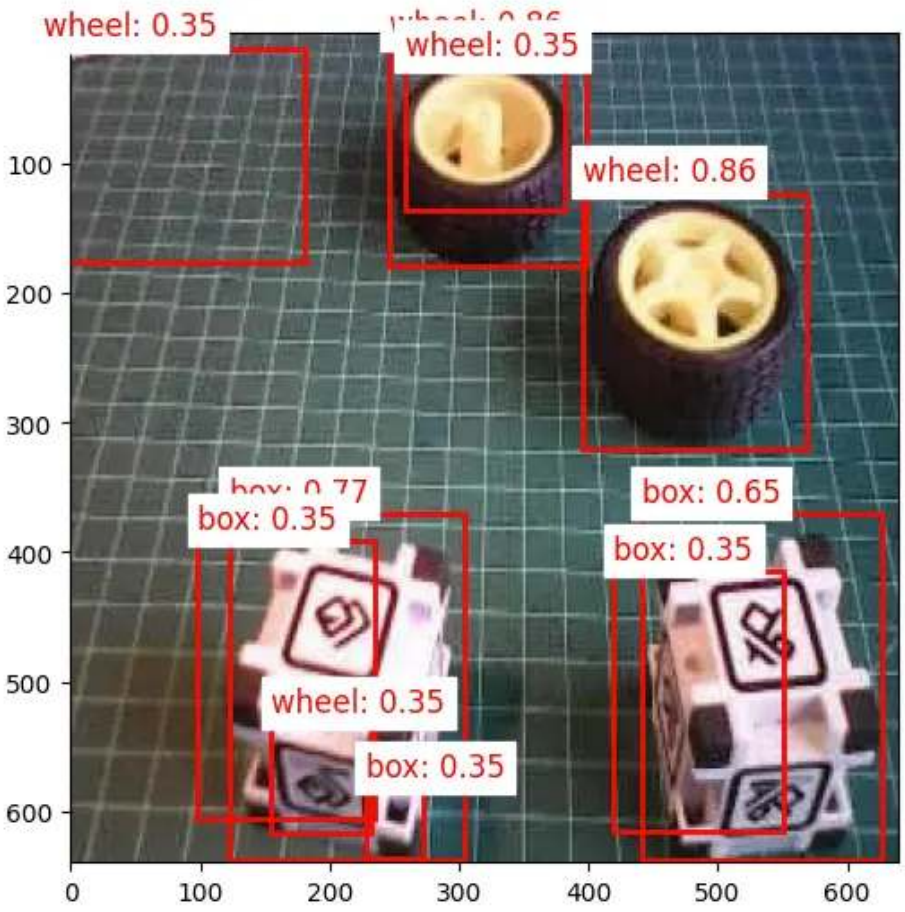

低阈值多目标检测

```
def visualize_detections(
    image, boxes, classes, scores, labels, threshold, iou_threshold
):
    if isinstance(image, Image.Image):
        image_np = np.array(image)
    else:
        image_np = image
    height, width = image_np.shape[:2]
    # Convert normalized coordinates to pixel coordinates
    boxes_pixel = boxes * np.array([height, width, height, width])
    # Apply NMS
    keep = non_max_suppression(boxes_pixel, scores, iou_threshold)
    # Set the figure size to 12x8 inches
    fig, ax = plt.subplots(1, figsize=(12, 8))
    ax.imshow(image_np)
    for i in keep:
        if scores[i] > threshold:
            ymin, xmin, ymax, xmax = boxes[i]
            rect = patches.Rectangle(
                (xmin * width, ymin * height),
                (xmax - xmin) * width,
```

```
                (ymax - ymin) * height,
                linewidth=2,
                edgecolor="r",
                facecolor="none",
            )

            ax.add_patch(rect)
            class_name = labels[int(classes[i])]
            ax.text(
                xmin * width,
                ymin * height - 10,
                f"{class_name}: {scores[i]:.2f}",
                color="red",
                fontsize=12,
                backgroundcolor="white",
            )
    plt.show()
```

定义推理主函数：

```
def detect_objects(img_path, conf=0.5, iou=0.5):
    orig_img = Image.open(img_path)
    scale, zero_point = input_details[0]["quantization"]
    img = orig_img.resize(
        (input_details[0]["shape"][1], input_details[0]["shape"][2])
    )
    img_array = np.array(img, dtype=np.float32) / 255.0
    img_array = (
        (img_array / scale + zero_point)
        .clip(-128, 127)
        .astype(np.int8)
    )
    input_data = np.expand_dims(img_array, axis=0)

    # Raspi-Zero 上推理
    start_time = time.time()
    interpreter.set_tensor(input_details[0]["index"], input_data)
    interpreter.invoke()
    end_time = time.time()
    inference_time = (
        end_time - start_time
    ) * 1000  # 毫秒

    print("推理时间：{:.1f}ms".format(inference_time))

    # 提取输出
    boxes = interpreter.get_tensor(output_details[1]["index"])[0]
    classes = interpreter.get_tensor(output_details[3]["index"])[0]
    scores = interpreter.get_tensor(output_details[0]["index"])[0]
    num_detections = int(
        interpreter.get_tensor(output_details[2]["index"])[0]
    )

```

```
    visualize_detections(
        orig_img,
        boxes,
        classes,
        scores,
        labels,
        threshold=conf,
        iou_threshold=iou,
    )
```

调用示例：

```
img_path = "./images/box_2_wheel_2.jpg"
detect_objects(img_path, conf=0.3, iou=0.05)
```

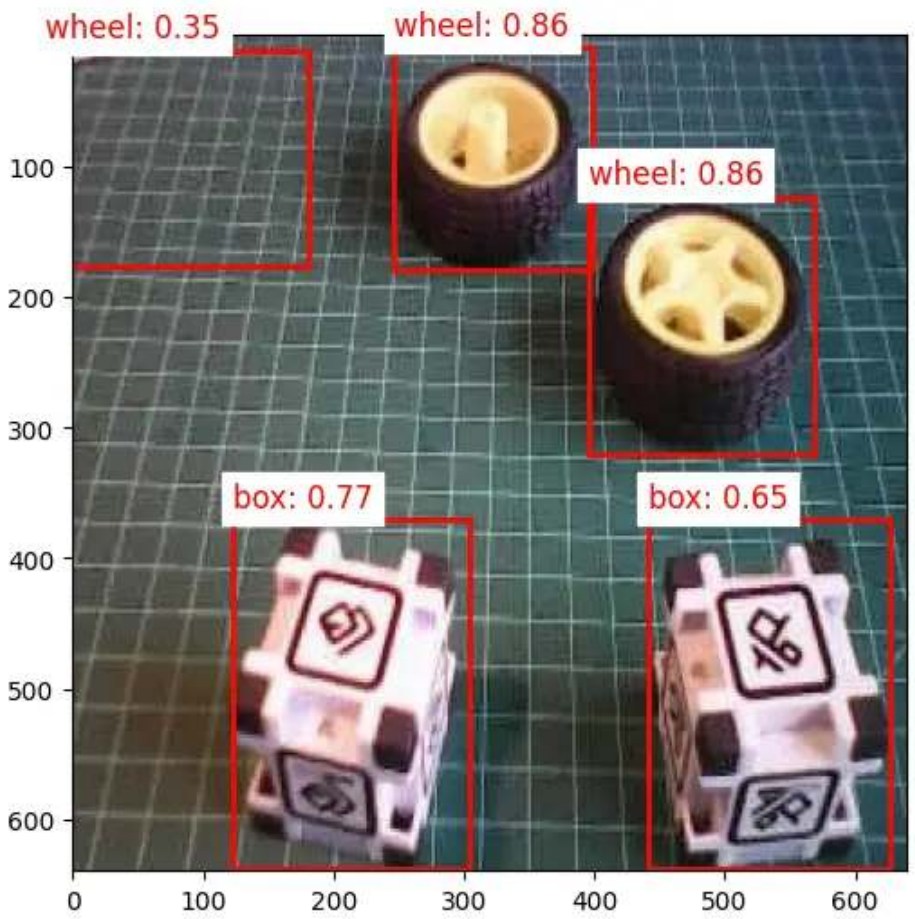

NMS 后检测结果

在 Edge Impulse Studio 训练 FOMO 模型

虽然 SSD MobileNet 模型的推理效果不错，但在 Raspi-Zero 上延迟较高，推理时间在 0.5 到 1.3 秒之间，约等于或低于 1 帧每秒（FPS）。为提升速度，可以采用 FOMO（Faster Objects, More Objects）算法。

FOMO 是一种新型机器学习算法，可在实时场景下计数多个目标并定位其在图片中的位置，所需算力和内存仅为 MobileNet SSD 或 YOLO 的 $1/30$。其核心在于，传统模型通过边界框标注目标大小，而 FOMO 只关注目标的中心点坐标，忽略目标尺寸，从而极大提升效率。

FOMO 的工作原理

在典型的目标检测流程中，第一步是从输入图片中提取特征。**FOMO 利用 MobileNetV2 完成特征提取**，高效捕捉纹理、形状和边缘等关键信息。

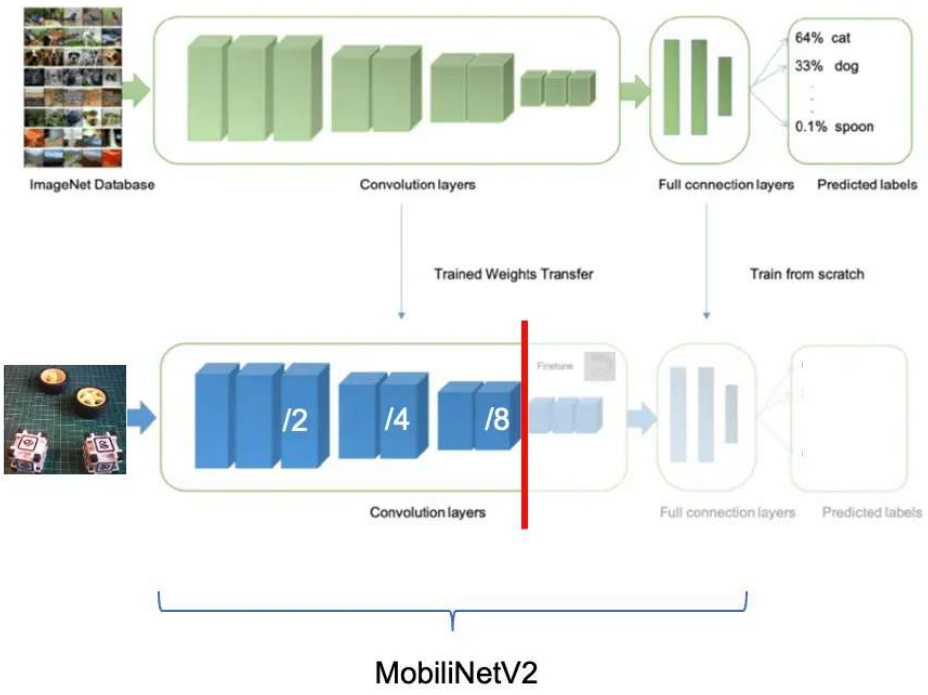

FOMO 特征提取流程图

特征提取后，FOMO 采用简化的中心点检测架构，将特征图划分为网格，每个单元格判断是否存在目标中心点。模型为每个单元格输出置信度，表示该区域存在目标的概率。

以 96×96 输入为例，FOMO 将图片划分为 12×12 网格（$96/8 = 12$）；160×160 输入则为 20×20 网格。FOMO 对每个像素块进行分类，判断是否包含 box 或 wheel，并确定

概率最高的区域。若某块无目标，则归为 background。最终，FOMO 输出每个目标中心点的坐标（归一化到图片尺寸）。

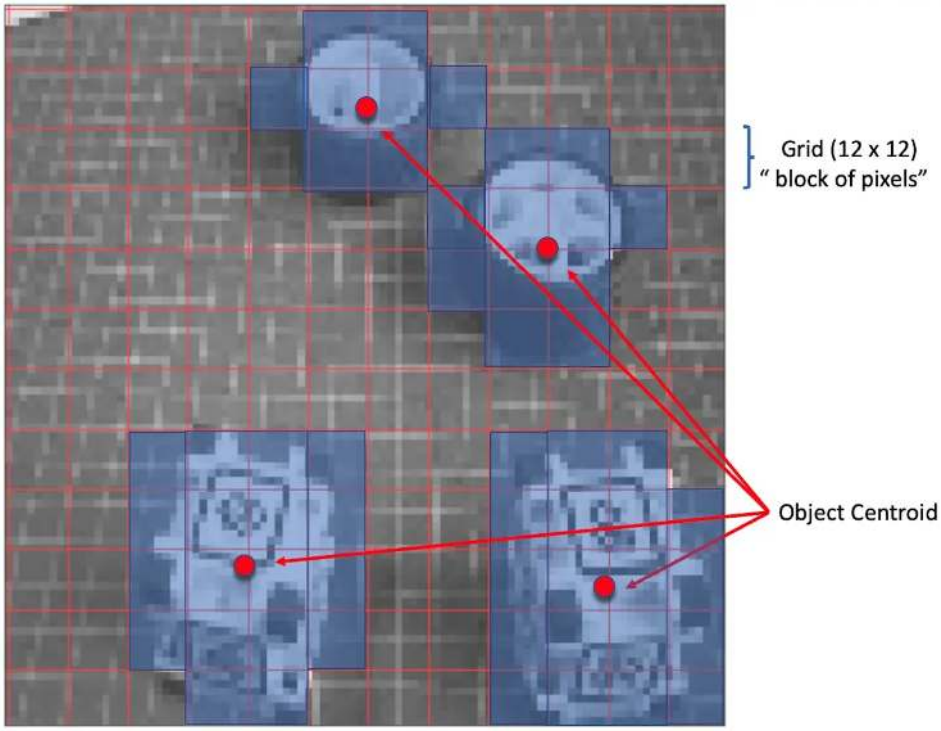

FOMO 网格检测示意图

速度与精度的权衡：

- **网格分辨率**：FOMO 使用固定分辨率网格，每个单元格独立检测目标中心，牺牲部分定位精度以换取极高速度，非常适合边缘设备。
- **多目标检测**：各单元格独立，FOMO 可同时检测多目标。

Impulse 设计、训练与测试

回到 Edge Impulse Studio，在 `Experiments` 标签页新建 impulse，输入图片尺寸设为 160×160（MobileNetV2 推荐输入）。

在 `Image` 标签页生成特征后，进入 `Object detection` 标签。

选择预训练模型：**FOMO (Faster Objects, More Objects) MobileNetV2 0.35**。

训练超参数如下：

- 轮数（Epochs）：30
- 批量大小（Batch size）：32

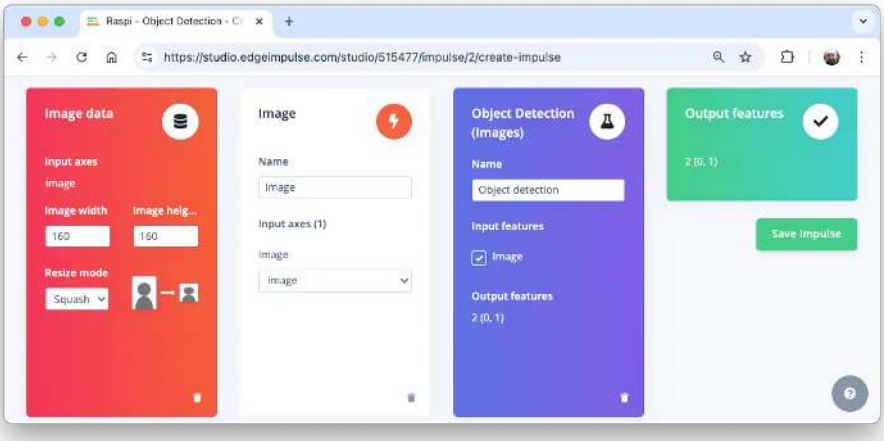

Impulse 设计界面

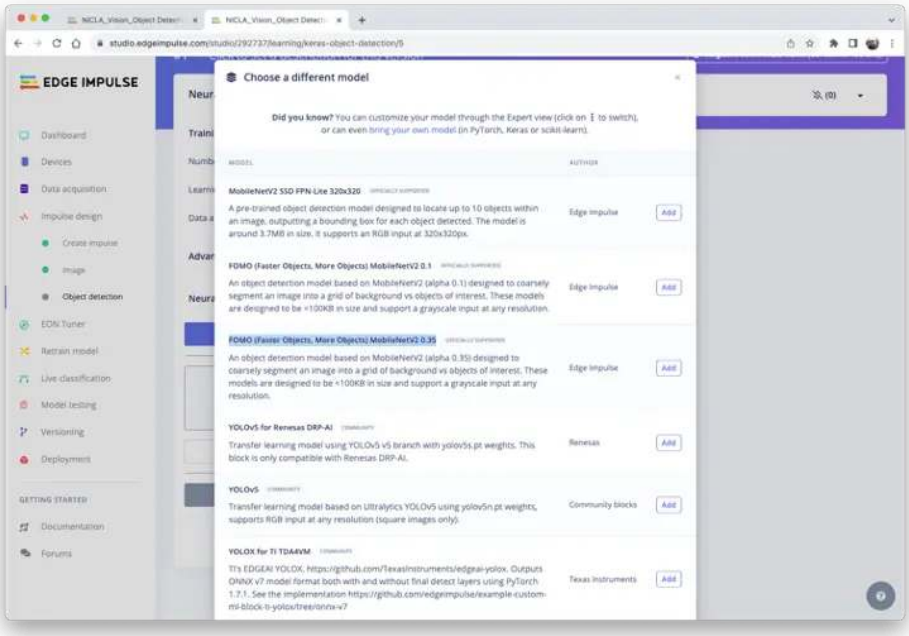

模型选择界面

- 学习率（Learning Rate）：0.001

训练时 20% 数据用于验证。由于数据集在 Roboflow 标注阶段已增强，训练集（80%）无需再做数据增强。

最终模型 F1 分数达 93.3%，在 Raspi-4 上推理延迟仅 8 毫秒，比 SSD MobileNetV2 快约 60 倍。

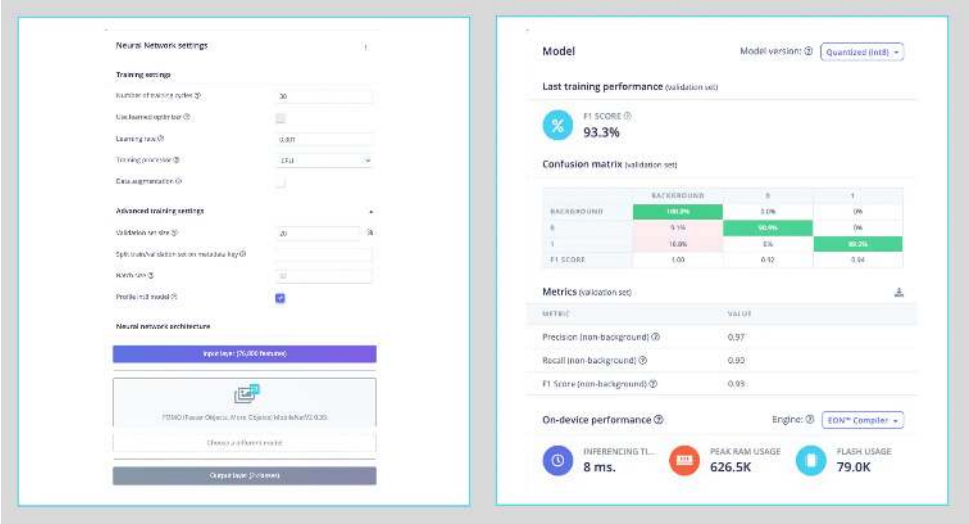

FOMO 训练结果

> 注意，FOMO 会自动为原有的 box (0) 和 wheel (1) 类别添加第三类 background。

在 `Model testing` 标签页可见模型准确率为 94%。下图为测试样例：

> 目标检测任务中，准确率并非主要评估指标。FOMO 只输出中心点而非边界框，单纯用准确率衡量模型表现并不全面。

部署模型

如前所述，训练好的模型可导出为 TFLite 或 Linux (AARCH64) 格式。此处选择 **Linux (AARCH64)**，即 Edge Impulse Linux 协议的可执行文件。

Edge Impulse for Linux 模型以 `.eim` 格式交付，可执行文件包含完整 impulse（信号处理、学习与异常检测模块），针对处理器或 GPU 优化（如 ARM NEON），并内置简易 IPC 层。

在 `Deploy` 标签页选择 `Linux (AARCH64)`，选择 `int8` 模型并点击 `Build`。

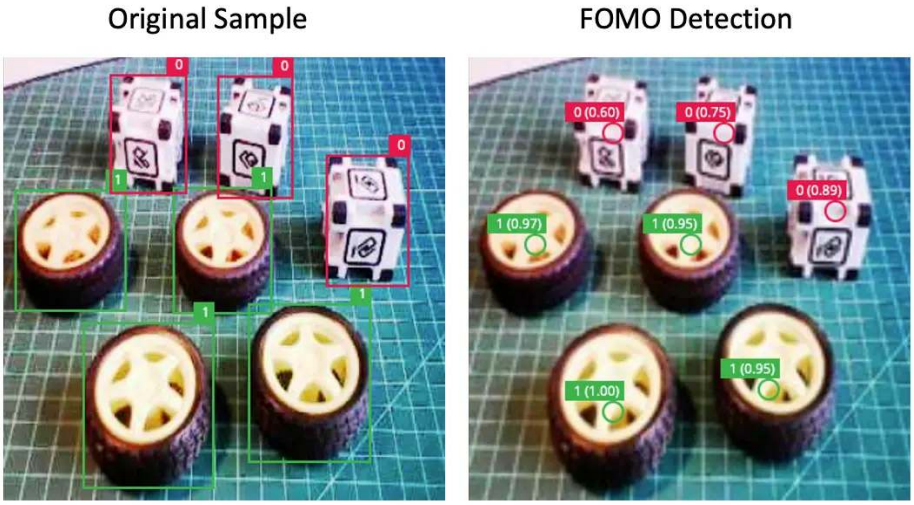

FOMO 测试样例

模型将自动下载至本地。

在 Raspi 上新建工作目录：

```
cd ~
cd Documents
mkdir EI_Linux
cd EI_Linux
mkdir models
mkdir images
```

重命名模型便于识别，如 `raspi-object-detection-linux-aarch64-FOMO-int8.eim`，并传至 `./models`，采集或准备图片至 `./images`。

推理与后处理

推理采用 Linux Python SDK。该库支持在 Linux 设备上用 Python 运行模型与采集数据，开源地址：edgeimpulse/linux-sdk-python。

创建虚拟环境：

```
python3 -m venv ~/eilinux
source ~/eilinux/bin/activate
```

安装依赖库：

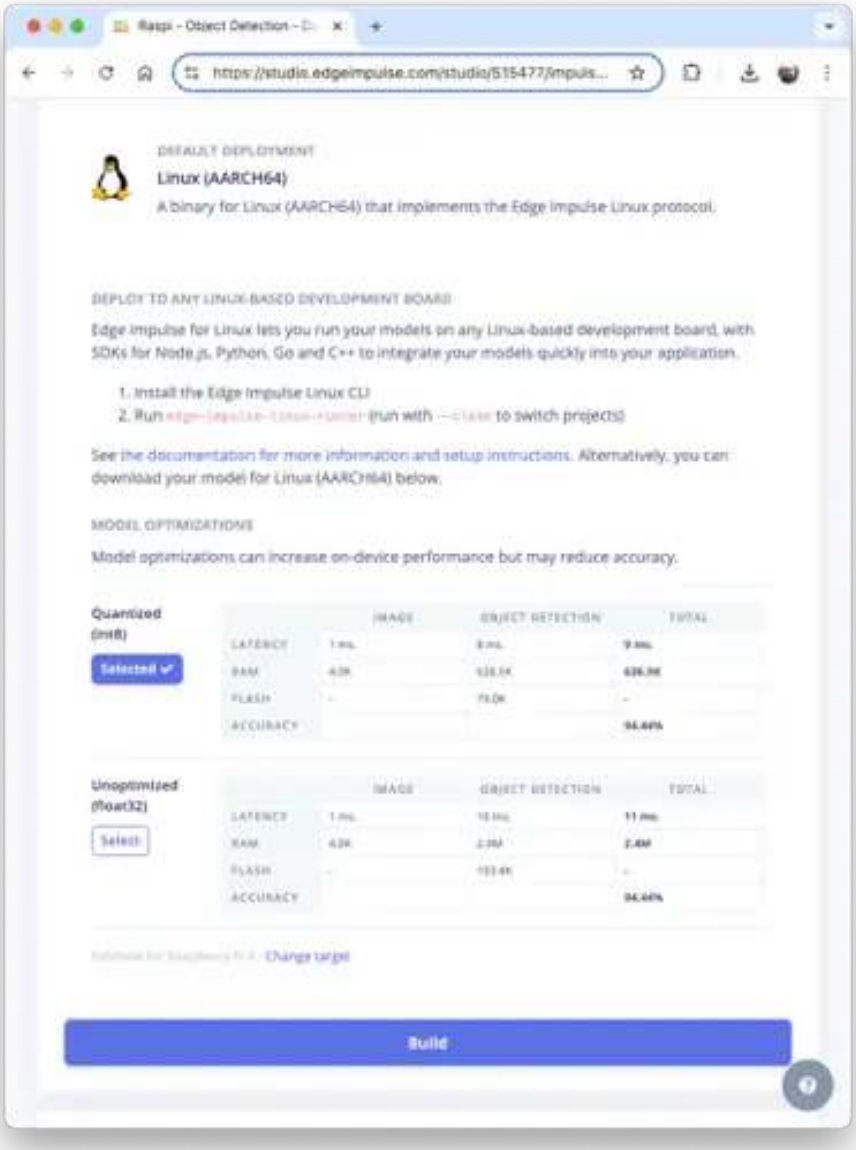
Raspi - Object Detection
https://studio.edgeimpulse.com/studio/515477/inpuls...
DEFAULT DEPLOYMENT
Linux (AARCH64)
A binary for Linux (AARCH64) that implements the Edge Impulse Linux protocol.
DEPLOY TO ANY LINUX-BASED DEVELOPMENT BOARD
Edge Impulse for Linux lets you run your models on any Linux-based development board, with SDKs for Node.js, Python, Go and C++ to integrate your models quickly into your application.
1. Install the Edge Impulse Linux CLI
2. Run (run with to switch projects)
See the documentation for more information and setup instructions. Alternatively, you can download your model for Linux (AARCH64) below.
MODEL OPTIMIZATIONS
Model optimizations can increase on-device performance but may reduce accuracy.
Quantized (int8)
Selected
Unoptimized (float32)
Select
IMAGE
OBJECT DETECTION
TOTAL
LATENCY
RAM
FLASH
ACCURACY
Change target
Build

Linux 部署界面

```
sudo apt-get update
sudo apt-get install libatlas-base-dev libportaudio0 libportaudio2
sudo apt-get install libportaudiocpp0 portaudio19-dev

pip3 install edge_impulse_linux -i https://pypi.python.org/simple
pip3 install Pillow matplotlib pyaudio opencv-contrib-python

sudo apt-get install portaudio19-dev
pip3 install pyaudio
pip3 install opencv-contrib-python
```

赋予模型可执行权限：

```
chmod +x raspi-object-detection-linux-aarch64-FOMO-int8.eim
```

安装 Jupyter Notebook：

```
pip3 install jupyter
```

本地启动 notebook（Raspi-4/5 桌面环境）：

```
jupyter notebook
```

或在电脑浏览器远程访问：

```
jupyter notebook --ip=192.168.4.210 --no-browser
```

新建 notebook，按步骤用 FOMO 模型检测图片中的 box 和 wheel。

导入库：

```
import sys, time
import numpy as np
import matplotlib.pyplot as plt
import matplotlib.patches as patches
from PIL import Image
import cv2
from edge_impulse_linux.image import ImageImpulseRunner
```

定义模型路径与标签：

```
model_file = "raspi-object-detection-linux-aarch64-int8.eim"
model_path = "models/" + model_file  # Edge Impulse 训练模型
labels = ["box", "wheel"]
```

> 模型输出类别 ID（0、1），按字母顺序排列。

加载并初始化模型：

```
# 加载模型文件
runner = ImageImpulseRunner(model_path)

# 初始化模型
model_info = runner.init()
```

`model_info` 包含模型关键信息。与 TFLite 不同，EI Linux Python SDK 会自动准备模型推理。

加载并显示图片（需用 OpenCV 读取并转为 RGB）：

```
# 加载图片
img_path = "./images/1_box_1_wheel.jpg"
orig_img = cv2.imread(img_path)
img_rgb = cv2.cvtColor(orig_img, cv2.COLOR_BGR2RGB)

# 显示图片
plt.imshow(img_rgb)
plt.title("原始图片")
plt.show()
```

用 `runner` 获取特征与预处理图片（`cropped`）：

```
features, cropped = (
    runner.get_features_from_image_auto_studio_settings(img_rgb)
)
```

推理并计时：

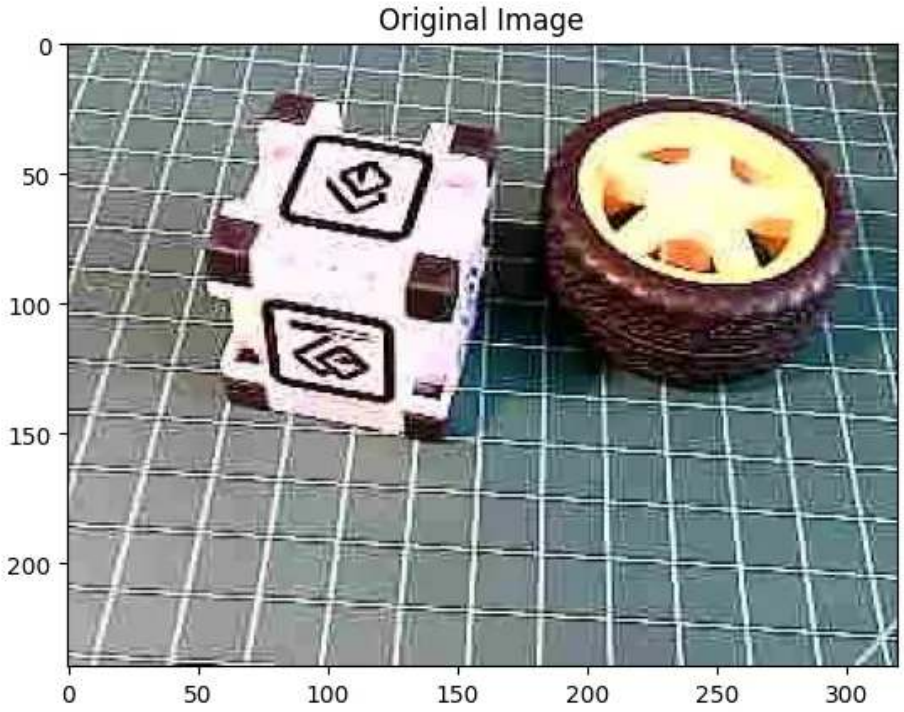

原始图片

```
res = runner.classify(features)
```

输出检测到的类别、中心点坐标及置信度：

```
print(
    "Found %d bounding boxes (%d ms.)"
    % (
        len(res["result"]["bounding_boxes"]),
        res["timing"]["dsp"] + res["timing"]["classification"],
    )
)
for bb in res["result"]["bounding_boxes"]:
    print(
        "\t%s (%.2f): x=%d y=%d w=%d h=%d"
        % (
            bb["label"],
            bb["value"],
            bb["x"],
            bb["y"],
            bb["width"],
            bb["height"],
        )
    )
```

```
Found 2 bounding boxes (29 ms.)
 1 (0.91): x=112 y=40 w=16 h=16
 0 (0.75): x=48 y=56 w=8 h=8
```

结果显示检测到两个目标：类别 0（box）和类别 1（wheel），均正确。

可视化检测结果（默认阈值 0.5）：

```python
print(
    "\tFound %d bounding boxes (latency: %d ms)"
    % (
        len(res["result"]["bounding_boxes"]),
        res["timing"]["dsp"] + res["timing"]["classification"],
    )
)
plt.figure(figsize=(5, 5))
plt.imshow(cropped)

# 遍历所有检测框
bboxes = res["result"]["bounding_boxes"]
for bbox in bboxes:

    # 获取检测框中心
    left = bbox["x"]
    top = bbox["y"]
    width = bbox["width"]
    height = bbox["height"]

    # 绘制中心圆
    circ = plt.Circle(
        (left + width // 2, top + height // 2),
        5,
        fill=False,
        color="red",
        linewidth=3,
    )
    plt.gca().add_patch(circ)
    class_id = int(bbox["label"])
    class_name = labels[class_id]
    plt.text(
        left,
        top - 10,
        f'{class_name}: {bbox["value"]:.2f}',
        color="red",
        fontsize=12,
        backgroundcolor="white",
    )
plt.show()
```

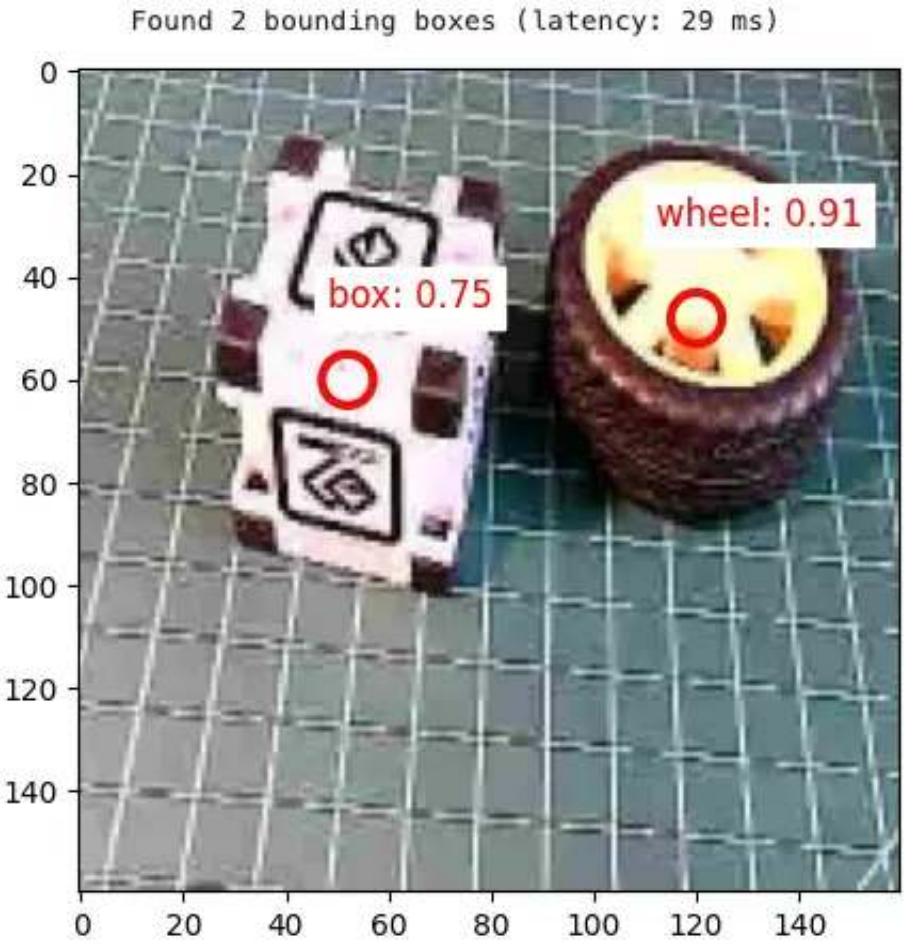

FOMO 检测结果可视化

使用 Ultralytics 探索 YOLO 模型

本实验将带你体验 YOLOv8。Ultralytics 的 YOLOv8 是著名实时目标检测与图像分割模型 YOLO 的一个版本。YOLOv8 基于深度学习和计算机视觉的最新进展，兼具极高的速度与精度，结构简洁，适用于从边缘设备到云 API 的多种硬件平台，易于集成和扩展。

YOLO 模型简介

YOLO（You Only Look Once）是一种高效且广泛应用的目标检测算法，以其实时处理能力著称。与传统目标检测系统通过分类器或定位器多步检测不同，YOLO 将检测问题视为单一回归任务。该创新方法使 YOLO 能够在一次前向推理中同时预测多组边界框及其类别概率，大幅提升了检测速度。

主要特性

1. **单网络架构**：

- YOLO 采用单一神经网络处理整张图片，将图片划分为网格，每个网格单元直接预测边界框及类别概率。端到端训练提升了速度并简化了模型结构。

2. **实时处理能力**：
   - YOLO 最大亮点之一是实时目标检测能力。根据不同版本和硬件，YOLO 可实现高帧率（FPS）处理，非常适合视频监控、自动驾驶、体育赛事分析等对速度和准确性要求极高的场景。
3. **版本演进**：
   - YOLO 从 v1 发展到最新的 v10，每一代都在精度、速度和效率上持续优化。YOLOv8 引入了更优的网络结构、训练方法和硬件适配，性能更强。
   - 虽然 YOLOv10 是家族最新成员，论文表现优异，但截至 2024 年 5 月尚未完全集成进 Ultralytics 库。根据精度 - 召回曲线分析，YOLOv8 通常优于 YOLOv9，能更好地捕获真阳性并减少误报（详见 相关分析）。因此本实验以 YOLOv8n 为基础。

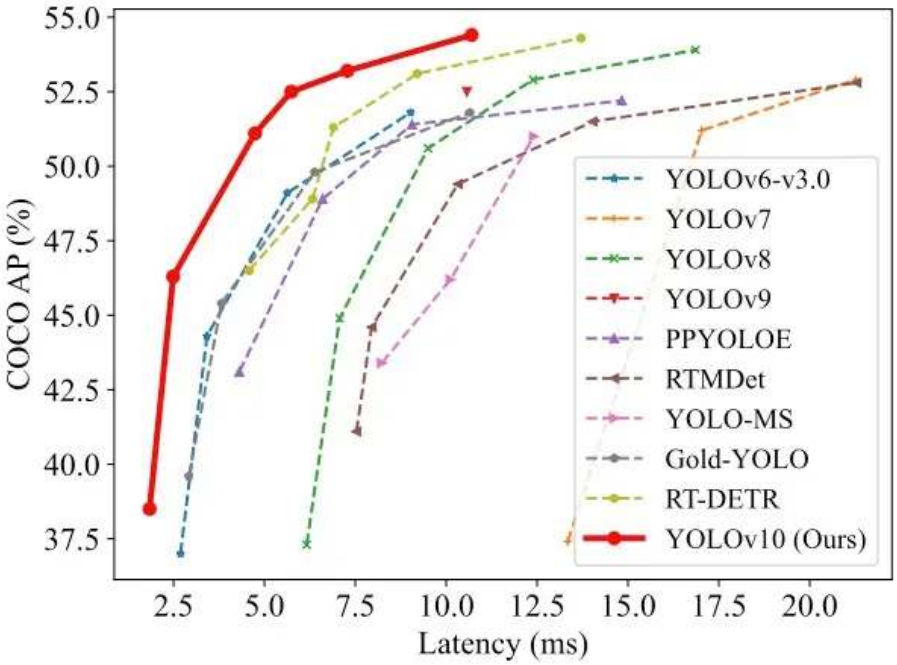

YOLO 版本演进示意图

4. **精度与效率兼备**：
   - 早期 YOLO 以速度换取部分精度，近年版本在两者间取得更好平衡。新模型不仅更快，还能检测小目标（如蜜蜂），在复杂数据集上表现优异。
5. **广泛应用场景**：
   - YOLO 的通用性使其在交通监控、安防、农业等领域广泛应用，如车辆计数、威胁识别、农作物与牲畜监测等，几乎适用于所有需高效目标检测的场景。

6. **活跃社区与持续开发**：
   - YOLO 拥有强大的开发者和研究者社区（YOLOv8 社区尤为活跃）。开源实现和丰富文档便于定制和集成。主流深度学习框架如 Darknet、TensorFlow、PyTorch 均支持 YOLO，极大拓展了其适用范围。
   - Ultralytics YOLOv8 不仅支持 检测（本实验重点），还支持 分割、姿态估计（基于 COCO 数据集预训练），以及 分类（基于 ImageNet 预训练）。跟踪 模式适用于所有检测、分割和姿态模型。

Ultralytics YOLO 支持的任务类型

安装步骤

在树莓派上，先退出当前环境，创建新的工作目录：

```
deactivate
cd ~
cd Documents/
mkdir YOLO
cd YOLO
mkdir models
mkdir images
```

为 Ultralytics YOLOv8 创建虚拟环境：

```
python3 -m venv ~/yolo
source ~/yolo/bin/activate
```

安装 Ultralytics 及其本地推理依赖：

1. 更新软件包列表，安装 pip 并升级：

```
sudo apt update
sudo apt install python3-pip -y
pip install -U pip
```

2. 安装带可选依赖的 `ultralytics` 包：

```
pip install ultralytics[export]
```

3. 重启设备：

```
sudo reboot
```

YOLO 测试

树莓派重启后，激活 `yolo` 环境，进入工作目录：

```
source ~/yolo/bin/activate
cd /Documents/YOLO
```

使用 YOLOv8n（家族中最小模型）在终端运行推理，自动下载测试图片：

```
yolo predict model='yolov8n' \
     source='https://ultralytics.com/images/bus.jpg'
```

> YOLO 模型家族均基于 COCO 数据集预训练。

推理结果会在终端显示。以 bus.jpg 为例，检测到 4 个 `person`，1 个 `bus` 和 1 个 `stop signal`：

同时会提示 `Results saved to runs/detect/predict`。在该目录下可找到保存的图片（bus.jpg），可通过 FTP 下载到桌面查看：

说明 Ultralytics YOLO 已在树莓派上正确安装。但在 Raspi-Zero 上，即使使用最小模型 YOLOv8n，单次推理延迟约 18 秒，速度较慢。

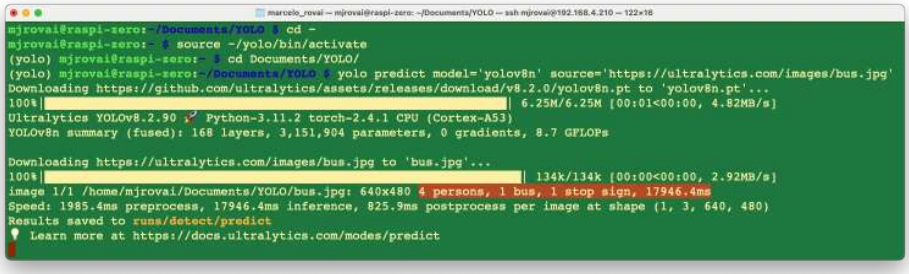

YOLO 推理结果示例

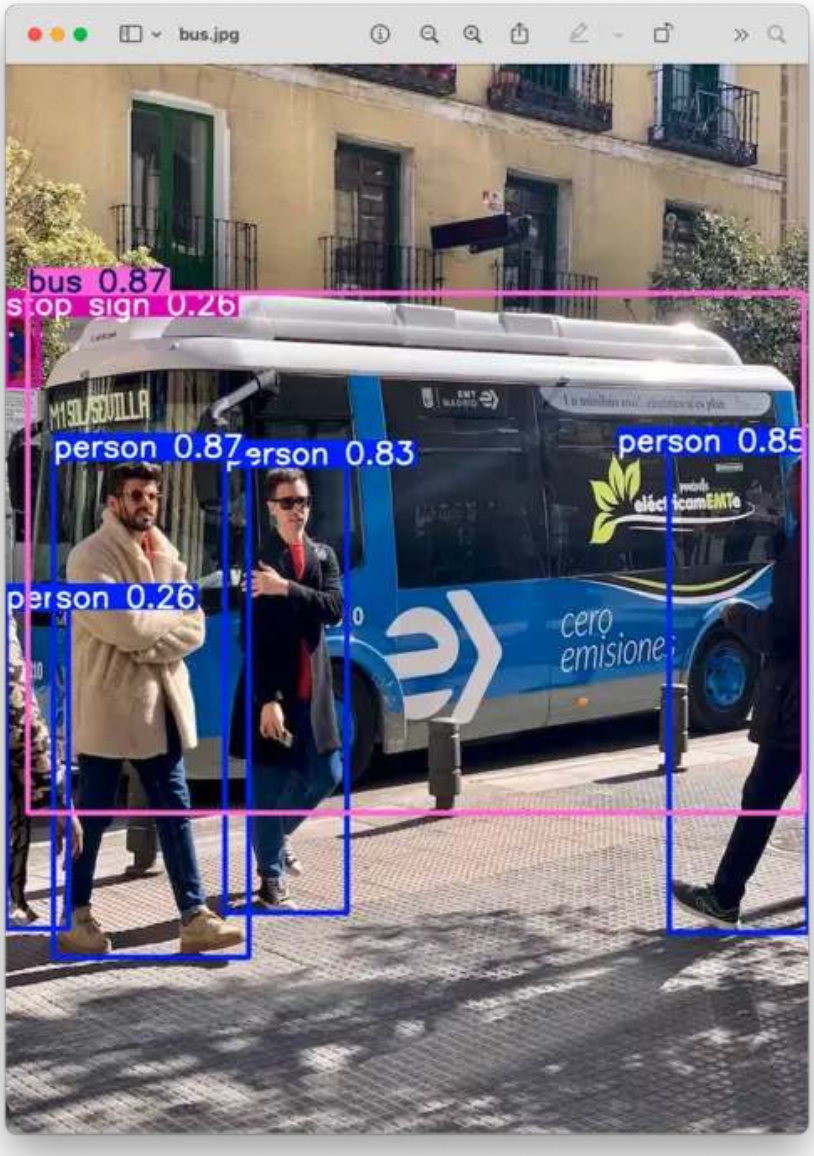

推理后保存的图片

导出模型为 NCNN 格式

在算力有限的边缘设备（如 Raspi-Zero）上部署视觉模型时，延迟是常见问题。可通过导出为高性能格式优化推理速度。

Ultralytics 支持多种导出格式，其中 NCNN 是专为移动端优化的高性能神经网络推理框架，无第三方依赖，跨平台，推理速度优于 TFLite 等主流开源框架。

在树莓派等 ARM 架构设备上，NCNN 推理速度表现最佳。

模型转换及推理流程如下：

1. 将 YOLOv8n PyTorch 模型导出为 NCNN 格式，生成 `/yolov8n_ncnn_model`：

```
yolo export model=yolov8n.pt format=ncnn
```

2. 使用导出的模型进行推理（此时可直接用本地 bus.jpg 图片）：

```
yolo predict model='./yolov8n_ncnn_model' source='bus.jpg'
```

> 首次加载模型推理延迟较高（约 17 秒），后续推理可降至 2 秒左右。

用 Python 交互式探索 YOLO

可通过 Python 解释器逐步体验 YOLO 推理流程：

```
python3
```

导入 Ultralytics YOLO 库并加载模型：

```
from ultralytics import YOLO

model = YOLO("yolov8n_ncnn_model")
```

对图片进行推理（以 bus.jpg 为例）：

```
img = "bus.jpg"
result = model.predict(img, save=True, imgsz=640, conf=0.5, iou=0.3)
```

Python 推理结果截图

结果与命令行推理基本一致，但使用 NCNN 模型时可能检测不到公交站牌，且延迟更低。

进一步分析 result 内容：

例如，`result[0].boxes.data` 返回主推理结果，为形状 (4, 6) 的张量，每行分别为 4 个边界框坐标、第 5 列为置信度、第 6 列为类别（如 `0: person`，`5: bus`）：

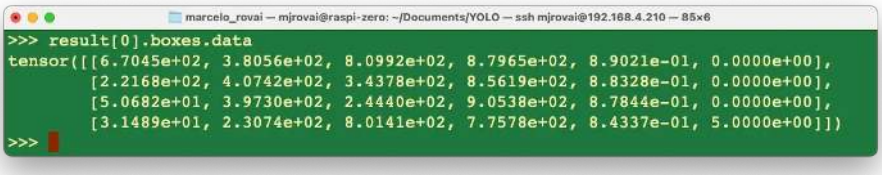

推理结果张量示例

可分别获取推理时间并格式化输出：

```
inference_time = int(result[0].speed["inference"])
print(f"Inference Time: {inference_time} ms")
```

统计检测到的目标数量：

```
print(f"Number of objects: {len (result[0].boxes.cls)}")
```

通过 Python 可灵活定制输出，详见 Ultralytics YOLO 推理文档。

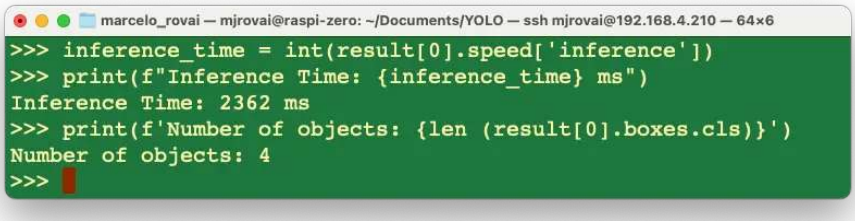

检测数量输出示例

建议将上述流程写入脚本，便于复用。以 nano 编辑器新建 `yolov8_tests.py`：

```
nano yolov8_tests.py
```

输入如下代码：

```
from ultralytics import YOLO

# 加载 YOLOv8 模型
model = YOLO("yolov8n_ncnn_model")

# 推理
img = "bus.jpg"
result = model.predict(img, save=False, imgsz=640, conf=0.5, iou=0.3)

# 输出结果
inference_time = int(result[0].speed["inference"])
print(f"Inference Time: {inference_time} ms")
print(f"Number of objects: {len (result[0].boxes.cls)}")
```

保存并退出（`[CTRL+O]` + `[ENTER]` + `[CTRL+X]`）。

运行脚本：

```
python yolov8_tests.py
```

结果与命令行和交互式推理一致。

> 首次加载 YOLO 库和模型推理耗时较长，后续推理速度显著提升。单次推理可由数秒降至 1 秒以内。

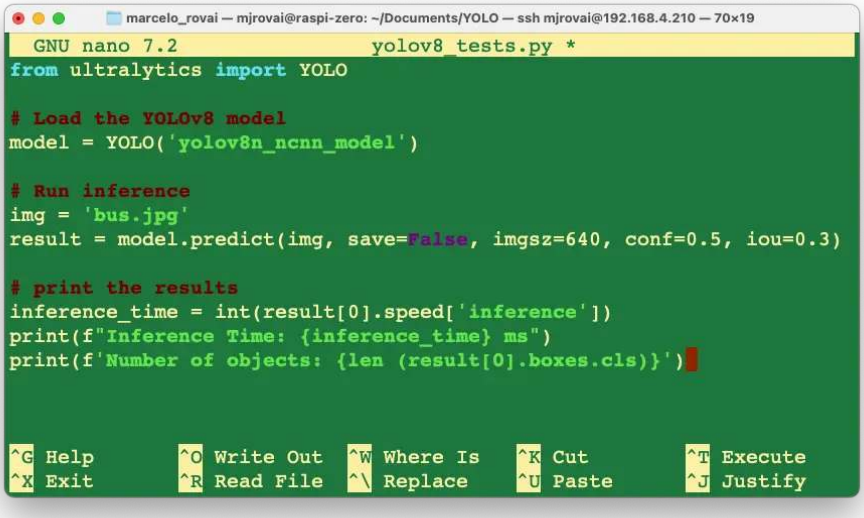

Python 脚本编辑示例

用自定义数据集训练 YOLOv8

回到我们在 Roboflow 标注的“Box versus Wheel”数据集。下载数据集时，选择“Show download code”以便在训练 notebook 中直接引用。

训练建议基于 Ultralytics 官方 Colab 示例进行适配。以下为可直接使用的 Colab 链接：

- YOLOv8 Box versus Wheel 数据集训练 [Colab 在线运行]

Notebook 关键步骤

1. 选择 GPU 运行环境（推荐 NVidia T4，免费）。
2. 使用 PIP 安装 Ultralytics。
3. 导入 YOLO 并上传数据集，粘贴 Roboflow 下载代码，数据集将挂载到 `/content/datasets/`：
4. 检查并修改 `data.yaml`，确保图片路径正确：

```
names:

- box
- wheel
nc: 2
roboflow:
license: CC BY 4.0
project: box-versus-wheel-auto-dataset
```

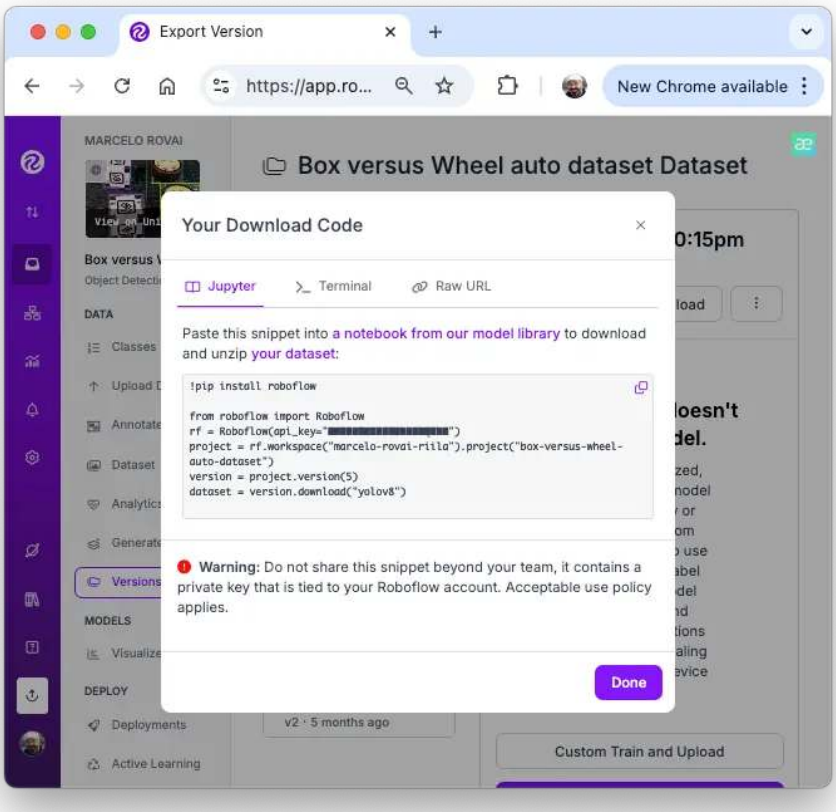

Roboflow 下载代码窗口截图

```
[3]  1 # Pip install method (recommended)
     2
     3 !pip install ultralytics
     4
     5 from IPython import display
     6 display.clear_output()
     7
     8 import ultralytics
     9 ultralytics.checks()

Ultralytics YOLOv8.2.91 🚀 Python-3.10.12 torch-2.4.0+cu121 CUDA:0 (Tesla T4, 15102MiB)
Setup complete ✅ (2 CPUs, 12.7 GB RAM, 32.8/112.6 GB disk)
```

Ultralytics 安装截图

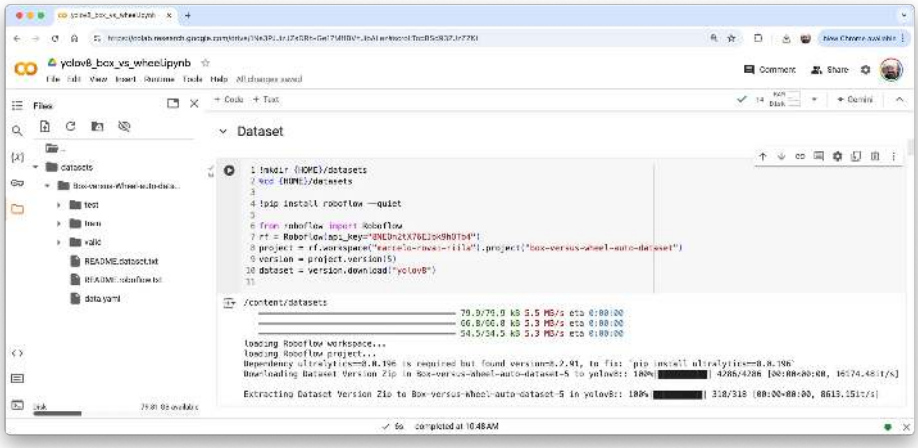

数据集上传截图

```
url: https://universe.roboflow.com/marcelo-rovai-riila/ \
    box-versus-wheel-auto-dataset/dataset/5
version: 5
workspace: marcelo-rovai-riila
test: /content/datasets/Box-versus-Wheel-auto-dataset-5/ \
    test/images
train: /content/datasets/Box-versus-Wheel-auto-dataset-5/ \
    train/images
val: /content/datasets/Box-versus-Wheel-auto-dataset-5/ \
    valid/images
```

5. 设置主要超参数，例如：

```
MODEL = 'yolov8n.pt'
IMG_SIZE = 640
EPOCHS = 25 # 正式项目建议至少 100 轮
```

6. 运行训练（命令行方式）：

```
!yolo task=detect mode=train model={MODEL} \
  data={dataset.location}/data.yaml \
  epochs={EPOCHS}
  imgsz={IMG_SIZE} plots=True
```

7. 训练完成后，模型（ `best.pt` ）保存在 `/runs/detect/train/weights/` 。用验证集评估模型：

```
25 epochs completed in 0.026 hours.
Optimizer stripped from runs/detect/train/weights/last.pt, 6.2MB
Optimizer stripped from runs/detect/train/weights/best.pt, 6.2MB

Validating runs/detect/train/weights/best.pt...
Ultralytics YOLOv8.2.91 🚀 Python-3.10.12 torch-2.4.0+cu121 CUDA:0 (Tesla T4, 15102MiB)
Model summary (fused): 168 layers, 3,006,038 parameters, 0 gradients, 8.1 GFLOPs
                 Class     Images  Instances      Box(P          R      mAP50  mAP50-95): 100% 1/1 [00:00<00:00,  7.61it/s]
                   all         12         65      0.997          1      0.995      0.899
                   box         11         29      0.999          1      0.995      0.903
                 wheel         11         36      0.995          1      0.995      0.896
Speed: 0.2ms preprocess, 2.6ms inference, 0.0ms loss, 3.2ms postprocess per image
```

训练结果截图

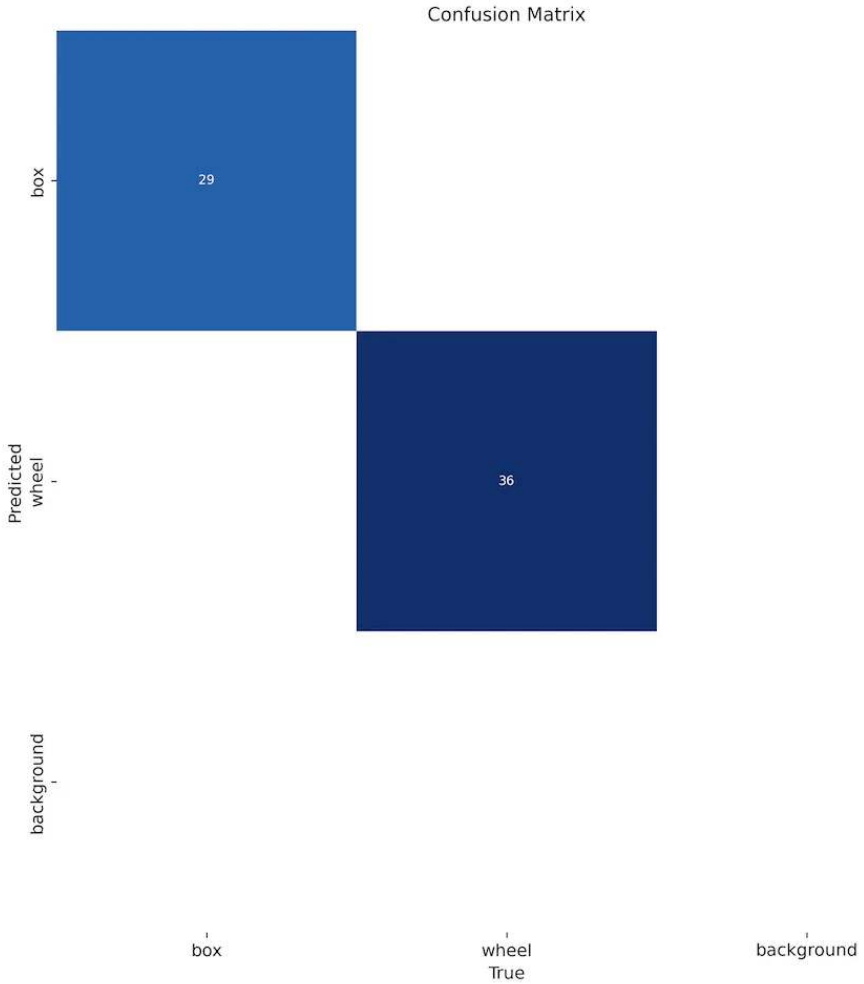

混淆矩阵截图

```
!yolo task=detect mode=val model={HOME}/runs/detect/train/\
    weights/best.pt data={dataset.location}/data.yaml
```

验证结果与训练相近。

8. 用测试集图片推理：

```
!yolo task=detect mode=predict model={HOME}/runs/detect/train/\
    weights/best.pt conf=0.25 source={dataset.location}/test/\
    images save=True
```

推理结果保存在 `runs/detect/predict` 文件夹。部分结果如下：

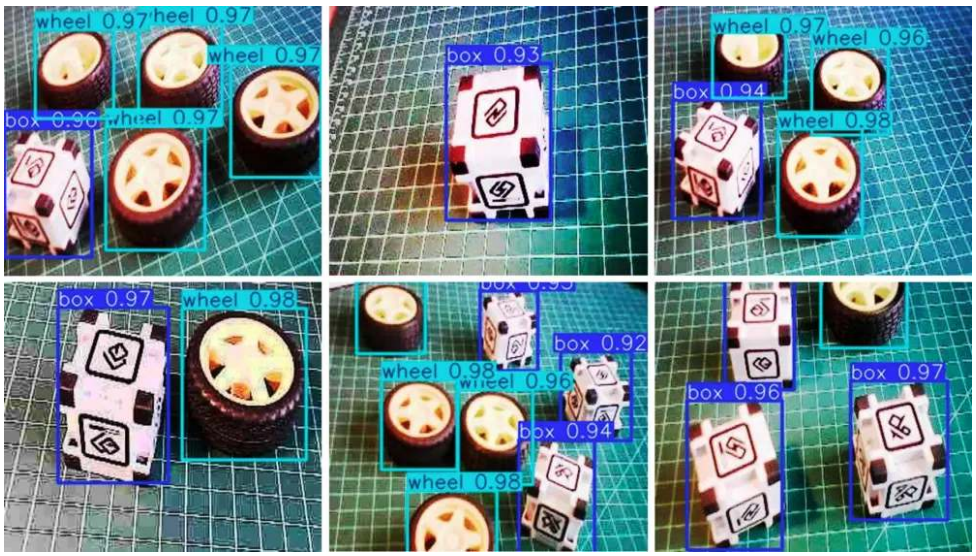

测试集推理结果

9. 建议将训练、验证和测试结果导出到 Google Drive。先挂载云盘：

```
from google.colab import drive
drive.mount('/content/gdrive')
```

然后将 `/runs` 文件夹内容复制到 Drive 指定目录：

```
!scp -r /content/runs '/content/gdrive/MyDrive/\
    10_UNIFEI/Box_vs_Wheel_Project'
```

在树莓派上用训练模型推理

将训练好的模型 `/runs/detect/train/weights/best.pt` 下载到本地，通过 FileZilla FTP 上传至树莓派 models 文件夹（可重命名为 `box_wheel_320_yolo.pt`）。

同样用 FTP 上传部分测试集图片到 `./YOLO/images`。

回到 YOLO 目录，进入 Python 解释器：

```
cd ..
python
```

导入 YOLO 库并加载自定义模型：

```
from ultralytics import YOLO

model = YOLO("./models/box_wheel_320_yolo.pt")
```

指定图片并推理（本次保存推理结果图片以便外部查看）：

```
img = "./images/1_box_1_wheel.jpg"
result = model.predict(img, save=True, imgsz=320, conf=0.5, iou=0.3)
```

可对多张图片重复操作。推理结果保存在 `runs/detect/predict8`。

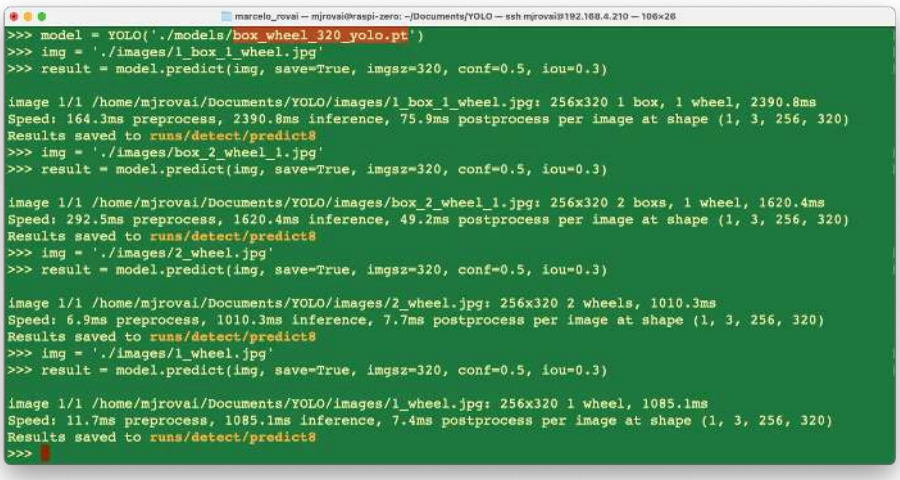

树莓派推理结果截图

用 FileZilla FTP 将推理结果下载到桌面查看：

推理结果桌面查看

可以看到推理效果非常好！本模型基于 YOLOv8n（家族最小模型）训练。推理延迟约 1 秒，如需进一步优化可转换为 TFLite 或 NCNN 格式。

实时视频流目标检测

本实验涉及的所有模型均可通过摄像头实现实时目标检测。只需将摄像头采集的图片作为模型输入即可。在 Raspi-4/5 桌面环境下，可用 OpenCV 捕获帧并实时显示推理结果。

此外，也可基于 Flask 和 TensorFlow Lite 快速搭建实时目标检测 Web 应用。例如，基于图像分类应用脚本稍作修改，即可实现 基于 TensorFlow Lite 和 Flask 的实时目标检测 Web 应用。

本应用适用于所有 TFLite 模型。请确保模型路径正确，例如：

```
model_path = "./models/ssd-mobilenet-v1-tflite-default-v1.tflite"
```

从 GitHub 下载 Python 脚本 `object_detection_app.py`。

在终端运行：

```
python3 object_detection_app.py
```

访问 Web 界面：

- 树莓派本机（有桌面环境）：浏览器访问 `http://localhost:5000`
- 局域网其他设备：浏览器访问 `http://<raspberry_pi_ip>:5000`（将 `<raspberry_pi_ip>` 替换为树莓派 IP），如 `http://192.168.4.210:5000`

外部桌面运行效果如下：

下面简要介绍应用关键模块：

Object Detection
Not Secure
http://192.168...
Relaunch to update
Object Detection
teddybear: 0.55
Start Detection
Stop Detection
Close App
Confidence Threshold: 0,5
cup: 0.70
teddybear: 0.59

Web 应用运行截图

1. **TensorFlow Lite (tflite_runtime)**：
   - 用于边缘设备高效推理，模型体积小、性能优，支持硬件加速和量化。
   - 关键函数：`Interpreter` 加载模型，`get_input_details()`、`get_output_details()` 交互模型。
2. **Flask**：
   - 轻量级 Web 框架，适合快速开发和部署，资源占用低。
   - 关键组件：路由装饰器定义 API，`Response` 流式传输视频，`render_template_string` 动态 HTML。
3. **Picamera2**：
   - 树莓派摄像头接口库，性能优于旧版 Picamera。
   - 关键函数：`create_preview_configuration()` 配置相机，`capture_file()` 捕获帧。
4. **PIL (Python Imaging Library)**：
   - 图像处理库，用于调整大小、绘制边框、格式转换。
   - 关键类：`Image` 加载处理图片，`ImageDraw` 绘制形状和文本。
5. **NumPy**：
   - 高效数组运算，适合处理图像数据和模型输入输出。
   - 关键函数：`array()` 创建数组，`expand_dims()` 增加维度。
6. **Threading**：
   - 并发执行，保证实时性能。
   - 关键组件：`Thread` 创建线程，`Lock` 线程同步。
7. **io.BytesIO**：
   - 内存二进制流，高效处理图片数据，减少 I/O。
8. **time**：
   - 时间相关函数，`sleep()` 控制帧率和性能测量。
9. **jQuery (前端)**：
   - 简化 DOM 操作和 AJAX 请求，动态更新界面。
   - 关键函数：`.get()`、`.post()` AJAX，DOM 操作。

主要系统架构：

1. **主线程**：运行 Flask 服务器，处理 HTTP 请求和 Web 界面。
2. **相机线程**：持续采集摄像头帧。
3. **检测线程**：用 TFLite 模型处理帧，进行目标检测。
4. **帧缓冲区**：共享内存（加锁）存储最新帧和检测结果。

数据流简述：

1. 相机采集帧 → 帧缓冲区
2. 检测线程读取帧 → TFLite 推理 → 更新检测结果
3. Flask 路由访问缓冲区，提供最新帧和结果
4. Web 客户端 AJAX 获取更新，动态刷新界面

该架构使树莓派等资源有限设备也能高效实现实时目标检测。多线程与高效库（TFLite、PIL）保证实时处理，Flask 和 jQuery 提供友好交互。

如需测试其他模型（如 EfficientDet），只需更改模型路径：

```
model_path = "./models/lite-model_efficientdet_lite0_\
   detection_metadata_1.tflite"
```

> 若需支持 Edge Impulse Studio 训练的 SSD-MobileNetV2 模型，需根据输入细节调整代码，详见 notebook。

总结

本实验系统展示了在树莓派等边缘设备上实现目标检测的完整流程，体现了在资源受限硬件上运行先进视觉任务的强大潜力。主要内容包括：

1. **模型对比**：分析了 SSD-MobileNet、EfficientDet、FOMO、YOLO 等多种目标检测模型在边缘设备上的性能与权衡。
2. **训练与部署**：以自定义“箱子与轮子”数据集（Roboflow 标注）为例，演示了 Edge Impulse Studio 与 Ultralytics 的训练与部署流程。
3. **优化技巧**：介绍了模型量化（TFLite int8）、格式转换（如 NCNN）等多种推理加速方法。
4. **实时应用**：以实时目标检测 Web 应用为例，展示了模型在实际交互系统中的集成

方式。

5. **性能考量**：贯穿实验讨论了模型精度与推理速度的平衡，这对边缘 AI 应用至关重要。

边缘设备目标检测为精准农业、工业自动化、质量检测、智能家居、环境监测等领域带来无限可能。数据本地处理可降低延迟、提升隐私、适应弱网环境。

未来可进一步探索：

- 多模型流水线实现更复杂任务
- 树莓派硬件加速方案
- 目标检测与多传感器融合，打造更完整的边缘 AI 系统
- 构建边缘 - 云协同的智能解决方案

边缘目标检测让 AI 能力深入物理世界，打造智能、响应迅速的系统，开拓人机交互与环境感知新前沿。

参考资料

- “Box versus Wheel”数据集
- 树莓派 SSD-MobileNet Notebook
- 树莓派 EfficientDet Notebook
- 树莓派 FOMO - EI Linux Notebook
- YOLOv8 Box versus Wheel 数据集训练（CoLab）
- Edge Impulse 项目 - SSD MobileNet 与 FOMO
- Python 脚本合集
- 模型下载

小型语言模型（SLM）

概述

在人工智能快速发展的今天，边缘计算为传统依赖强大中心服务器的能力带来了去中心化的机会。本实验将带你实践如何在树莓派 5 上集成主流大语言模型（LLM）的精简版本，将这一边缘设备变为可实时本地处理数据的 AI 中枢。

随着大语言模型规模和复杂度的提升，小型语言模型（SLM）为边缘设备提供了兼顾性

能与资源效率的理想选择。通过在树莓派上本地运行这些模型，我们可以打造响应迅速、保护隐私的应用，即使在网络受限或离线环境下也能正常工作。

本实验将指导你在树莓派上安装、优化并使用 SLM。我们将探索 Ollama 的安装与使用，这一开源框架让我们能在本地（无论是桌面还是树莓派、NVidia Jetson 等边缘设备）运行 LLM。Ollama 设计高效、可扩展且易用，适合部署如 Microsoft Phi、Google Gemma、Meta Llama、LLaVa（多模态）等模型。我们还将结合 Python 生态，将这些模型集成到实际项目中，探索其在真实场景下的潜力（或至少为此指明方向）。

SLM 示例

环境准备

此前的实验可用任意树莓派型号，但本实验推荐使用树莓派 5（Raspi-5）。它基于 Broadcom BCM2712，搭载 2.4 GHz 四核 64 位 Arm Cortex-A76 CPU，支持加密扩展和增强缓存，配备 VideoCore VII GPU，支持双 4Kp60 HDMI® 输出和 4Kp60 HEVC 解码。内存有 4GB 和 8GB LPDDR4X SDRAM 可选，运行 SLM 推荐 8GB。存储支持 microSD 卡和 PCIe 2.0 接口，可扩展 M.2 SSD。

> 实际 SLM 应用中，SSD 比 SD 卡更适合。

正如 Alasdair Allan 所述，在树莓派 5 上仅用 CPU 推理（无 GPU 加速）已可媲美 Coral TPU 的性能。

更多信息请参考原文：Benchmarking TensorFlow and TensorFlow Lite on Raspberry Pi 5。

树莓派主动散热器

建议为树莓派 5 安装主动散热器（Active Cooler），这是一款专为 Raspi-5 设计的夹扣式散热方案，结合铝制散热片和温控风扇，可在运行 SLM 等高负载时保持设备温度。

主动散热器自带导热垫，通过弹簧卡扣直接安装在主板上。树莓派固件会主动调节风扇

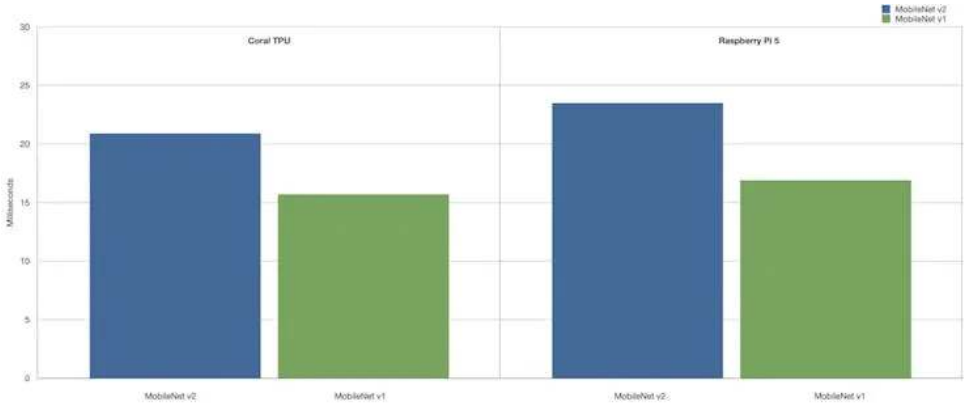

树莓派 5 基准测试

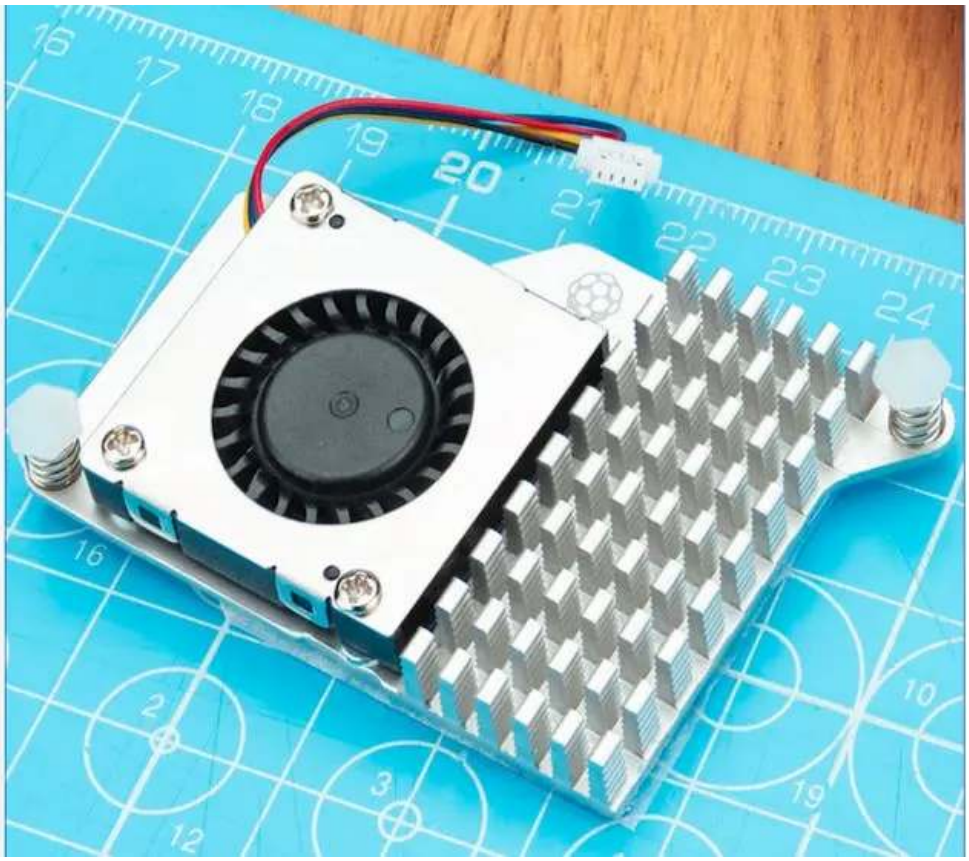

主动散热器

转速：60°C 启动，67.5°C 加速，75°C 全速，温度降低后自动降速。

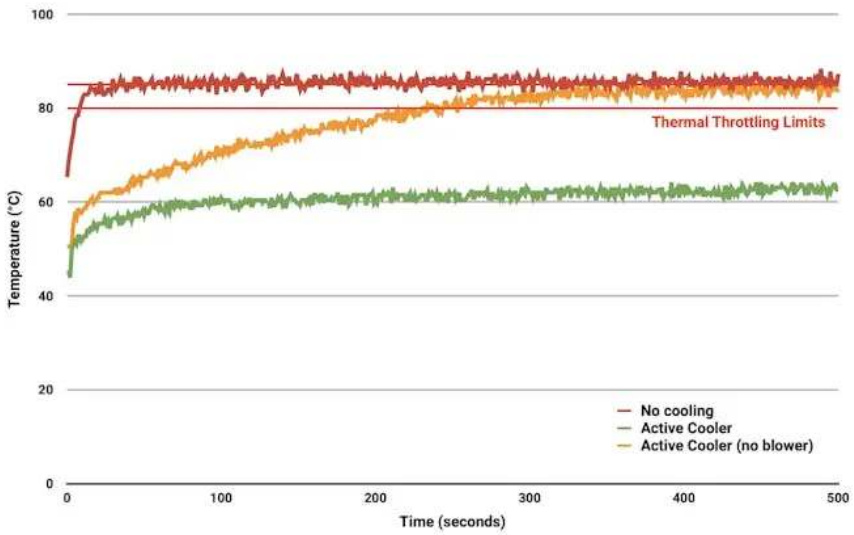

温度对比

> 为防止过热，所有树莓派主板在温度达到 80°C 时开始降频，85°C 达到最大降频（详见官方说明）。

生成式 AI（GenAI）

生成式 AI 指能够在文本、图像、音频、视频等多种媒介上生成全新内容的人工智能系统。这类系统通过学习已有数据的模式，生成前所未有的新输出。**大语言模型（LLM）**、**小型语言模型（SLM）**和 **多模态模型** 都可用于生成式任务，属于 GenAI 的范畴。

GenAI 提供了 AI 驱动内容创作的理论基础，LLM 是强大的通用文本生成器，SLM 则将此能力带到边缘计算，多模态模型则扩展到多种数据类型。它们共同推动了 AI 内容创作与理解的进步。

大语言模型（LLM）

大语言模型（LLM）是能够理解、处理并生成类人文本的先进 AI 系统，具有以下特点：

1. **规模庞大**：通常包含数十亿参数，如 GPT-3 有 1750 亿参数，部分新模型已超万亿。
2. **训练数据丰富**：训练数据量巨大，涵盖书籍、网站等，规模达数百 GB 甚至 TB。
3. **架构先进**：多采用 Transformer 架构，可并行处理输入。
4. **能力广泛**：无需专门微调即可完成文本生成、翻译、摘要、问答、代码生成、逻辑

推理等多种任务。

5. **少样本学习**：可通过极少示例理解并完成新任务。
6. **资源消耗大**：运行需强大 GPU/TPU 支持。
7. **持续演进**：新模型与技术不断涌现。
8. **伦理挑战**：涉及偏见、虚假信息、环境影响等问题。
9. **应用广泛**：内容创作、客服、科研、开发等领域均有应用。
10. **局限性**：可能输出错误或有偏见的信息，缺乏真正的理解与推理能力。

值得注意的是，除了文本，LLM 还可扩展为多模态模型，即同时处理多种输入类型（如文本、图像、音频、视频）。

闭源与开源模型

闭源模型（专有模型）指内部机制、代码和训练数据未公开的 AI 模型，如 GPT-4（OpenAI）、Claude（Anthropic）、Gemini（Google）。

开源模型则公开底层代码、架构，甚至训练数据，如 Gemma（Google）、LLaMA（Meta）、Phi（Microsoft）。

开源模型更适合在树莓派等边缘设备上运行，便于定制和优化，但需注意许可证要求。开源模型的授权多样，影响商业用途；闭源模型则有明确但更严格的服务条款。

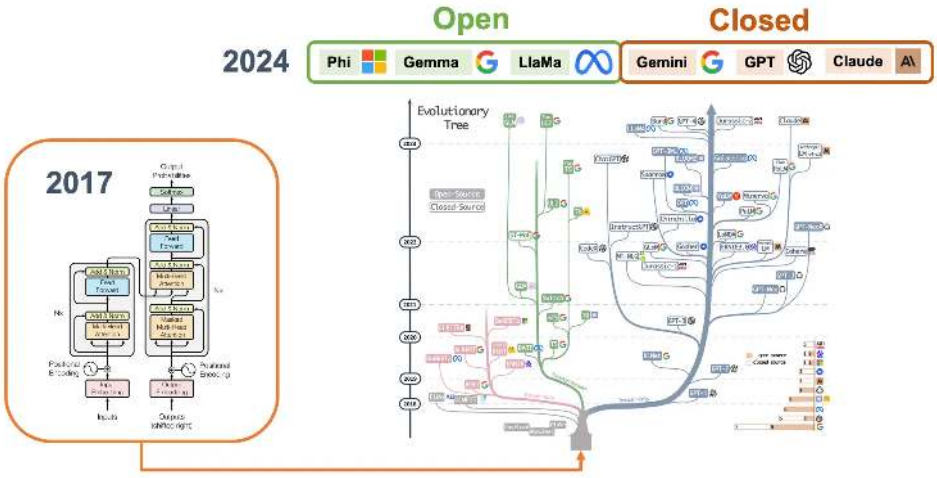

LLM 与 SLM 对比示意图，图片来源 arXiv

在树莓派等边缘计算场景下，完整的 LLM 通常过于庞大，难以直接运行，这推动了更小巧高效的 SLM 发展。

SLM 是为资源受限设备（如手机、IoT、树莓派）设计的 LLM 精简版，参数量和计算需

求大幅降低，但仍具备强大的语言理解与生成能力。

SLM 主要特性：

1. **参数量减少**：通常为数亿到数十亿参数。
2. **内存占用低**：仅需几 GB 内存即可运行。
3. **推理速度快**：边缘设备上响应可达毫秒至秒级。
4. **能耗低**：适合电池供电设备。
5. **隐私保护**：本地处理，无需上传云端。
6. **离线可用**：无网络环境下也能运行。

SLM 通过知识蒸馏、模型剪枝、量化等技术实现小型化。虽然能力不及大型模型，但在特定任务和场景下表现优异，非常适合边缘设备。

> 本文将 SLM 定义为参数量低于 50 亿、4 位量化的语言模型。

SLM 代表如 Meta Llama、Microsoft PHI、Google Gemma 等模型的压缩版，可在边缘设备上完成文本分类、情感分析、问答、有限文本生成等任务。

更多 SLM 资料可参考论文：LLM Pruning and Distillation in Practice: The Minitron Approach 以及 SMALL LANGUAGE MODELS: SURVEY, MEASUREMENTS, AND INSIGHTS。

Ollama

Ollama 是一款开源框架，支持在本地运行大/小语言模型。其主要特点：

1. **本地模型运行**：可在个人电脑或树莓派等边缘设备本地运行，无需云端 API。
2. **易用性强**：提供简单命令行界面，便于下载、运行和管理模型。
3. **模型丰富**：支持 Phi、Gemma、Llama、Mistral 等多种开源模型。
4. **可定制**：支持自定义模型，满足特定需求。
5. **轻量高效**：适合消费级硬件。
6. **API 集成**：可与其他应用和服务集成。
7. **注重隐私**：本地运行，数据不出本地。
8. **跨平台**：支持 macOS、Windows、Linux。

Ollama Logo

9. **持续更新**：功能和模型不断丰富。
10. **社区驱动**：社区贡献活跃，模型共享丰富。

更多 Ollama 原理介绍可参考 Matt Williams 的短视频：

https://www.youtube.com/embed/90ozfdsQOKo

> 推荐 Matt 的 Ollama 免费课程：https://youtu.be/9KEUFe4KQAI?si=D_-q3CMbHiT-twuy

安装 Ollama

首先创建并激活 Python 虚拟环境：

```
python3 -m venv ~/ollama
source ~/ollama/bin/activate
```

安装 Ollama：

```
curl -fsSL https://ollama.com/install.sh | sh
```

安装完成后，Ollama API 会在 `127.0.0.1:11434` 后台运行。可通过终端运行 Ollama。首先验证安装：

```
ollama -v
```

在 Ollama Library 可查找支持的模型，如 Meta Llama、Google Gemma、Microsoft Phi、LLaVa 等。

Meta Llama 3.2 1B/3B

安装并运行 Llama 3.2 1B（及 3B）模型。Llama 3.2 系列为多语言生成模型，参数量分别为 10 亿和 30 亿，支持文本输入输出。指令微调版本适合多语言对话、信息检索、摘要等任务，在行业基准测试中表现优异。

1B/3B 模型由 Llama 8B 剪枝而来，并通过 8B/70B 模型的 logits 进行 token 级蒸馏，训练数据达 9 万亿 token。1B 模型为 1.24B 参数（Q8_0 量化），3B 为 3.12B（Q4_0 量

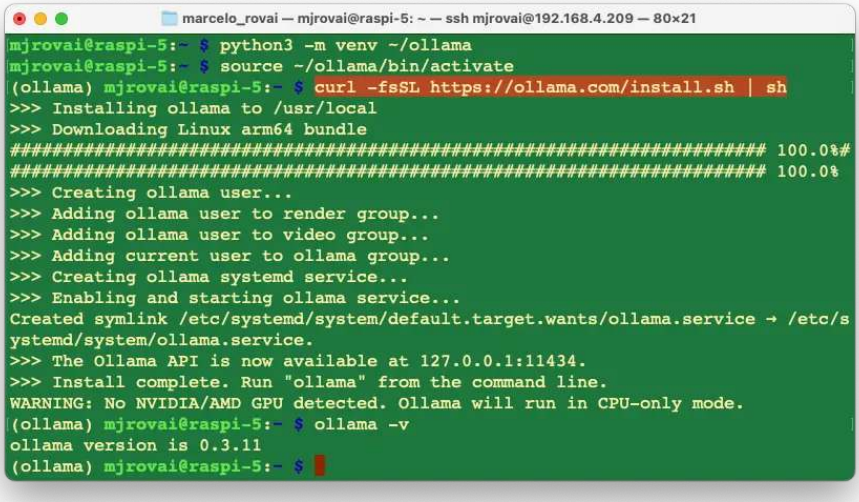

Ollama 安装验证截图

小型与多模态模型对比图

化），文件大小分别为 1.3GB 和 2GB，支持 131,072 token 上下文窗口。

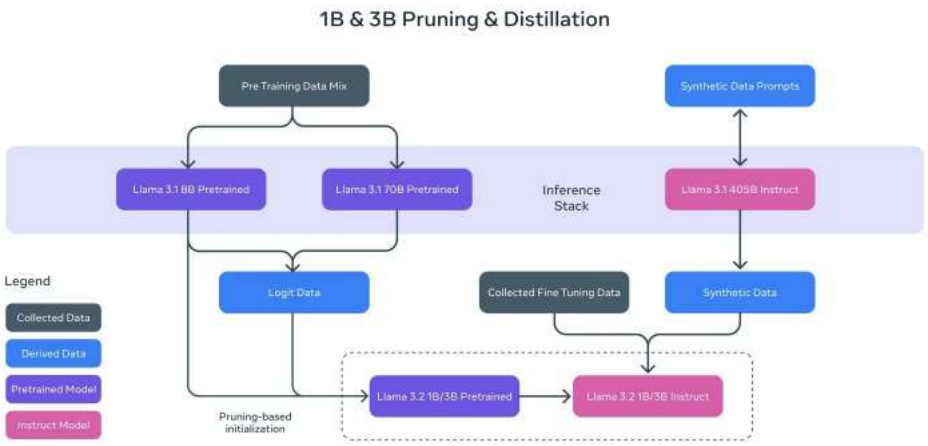

Llama 3.2 结构图

安装并运行模型

```
ollama run llama3.2:1b
```

运行后会进入 Ollama 提示符，可直接输入问题：

几乎瞬间返回正确答案：

加上 `--verbose` 参数可输出性能统计（首次运行会自动下载模型）。

各项指标说明：

- **Total Duration**：命令执行总时长，包括加载模型、处理输入、生成响应。
- **Load Duration**：模型加载到内存所需时间。
- **Prompt Eval Count**：输入提示的 token 数。
- **Prompt Eval Duration**：处理输入提示所需时间。
- **Prompt Eval Rate**：输入 token 处理速度。
- **Eval Count**：模型输出的 token 数。
- **Eval Duration**：生成输出所需时间。
- **Eval Rate**：输出 token 生成速度。

这些指标有助于分析 SLM 在树莓派等边缘设备上的性能瓶颈。

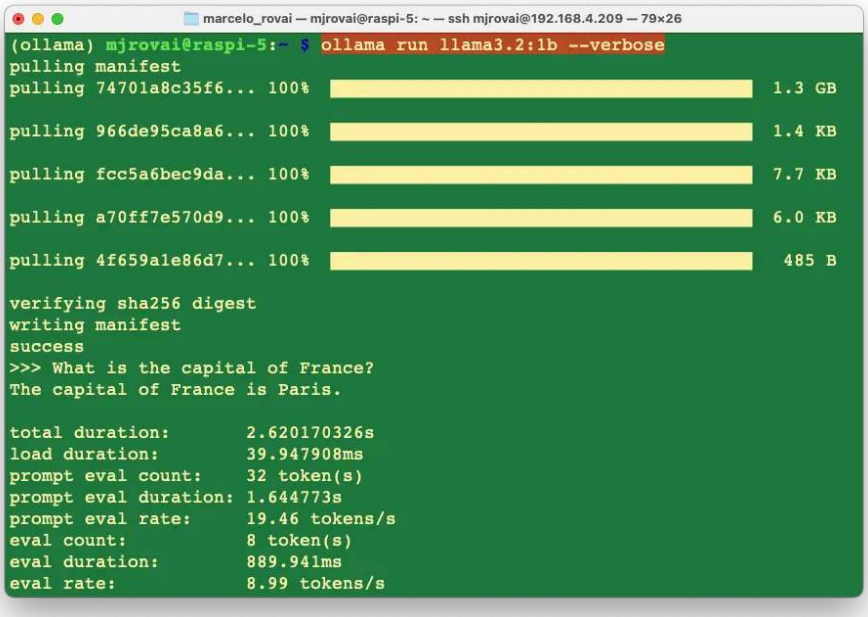

Llama 3.2 1B 性能截图

加载并运行 3B 模型，可对比同一问题下的性能差异：

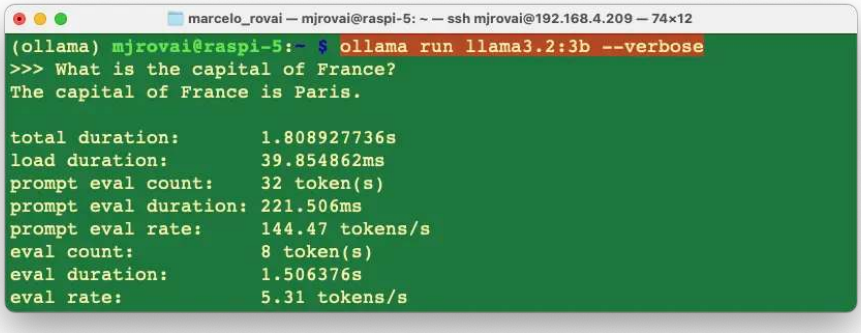

Llama 3.2 3B 性能截图

3B 模型 eval rate 更低（5.3 tokens/s），但准确率更高。

例如：

1B 模型答 `9,841 公里`（不准确），3B 模型答 `11,700 公里`（接近真实值 11,642 公里）。

查询巴黎坐标：

```
巴黎的纬度和经度分别为 48.8567° N（48°55'42" N）和 2.3510° E（2°22'8" E）。
```

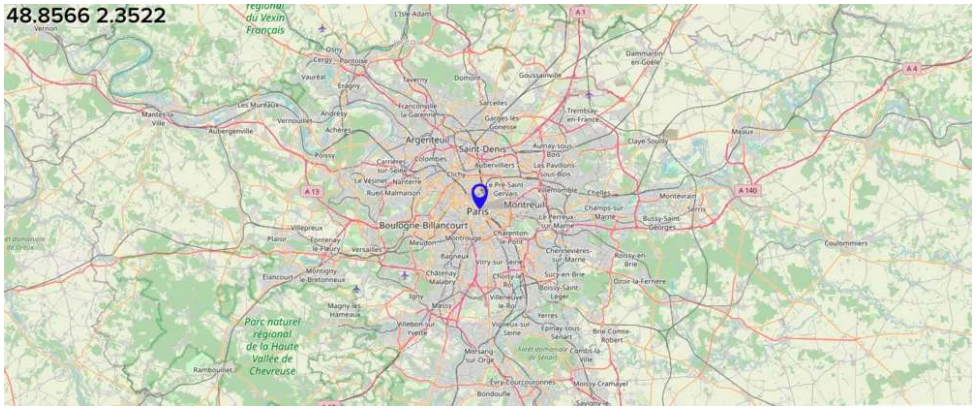

巴黎经纬度截图

1B/3B 模型均答对。

Google Gemma 2 2B

安装 Gemma 2，高效轻量，分 2B/9B/27B 三种。我们用 Gemma 2 2B，2.6B 参数，Q4_0 量化，1.6GB，支持 8,192 token 上下文。

Gemma 2 结构图

安装并运行模型

```
ollama run gemma2:2b --verbose
```

输入：

几乎瞬间返回：

性能统计如下：

Gemma 2:2B 性能与 Llama 3.2:3B 接近，但参数更少。

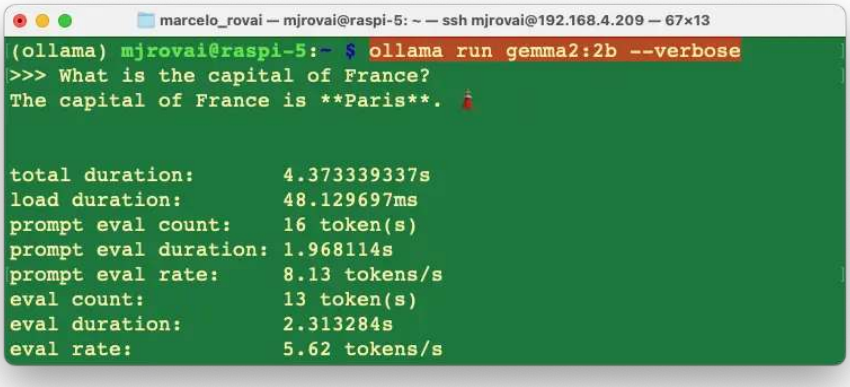

Gemma 2 性能截图

其他示例：

```
>>> 巴黎和智利圣地亚哥的距离是多少?

巴黎和智利圣地亚哥之间的距离约为 **7,000 英里（11,267 公里）**。
```

准确率略低于 Llama3.2:3B。

```
>>> 巴黎的经纬度是多少?

巴黎的纬度为 48.8566° N，经度为 2.3522° E。
```

答案准确，表达更丰富。

Microsoft Phi3.5 3.8B

拉取更大但仍属小型的 PHI3.5，微软开源 3.8B 轻量模型，支持 128K token 上下文，支持多种语言。

模型大小取决于量化格式，4 位量化（Q4_0）需 2.2GB 内存，兼顾质量与性能。

```
ollama run phi3.5:3.8b --verbose
```

输入：

```
>>> 法国的首都是哪里?

法国的首都是巴黎。它在国家历史、文化、政治等方面具有重要地位，是欧洲著名城市，以艺术、时尚、美食和文化闻名。
```

答案较为冗长，可通过优化 prompt 控制输出。

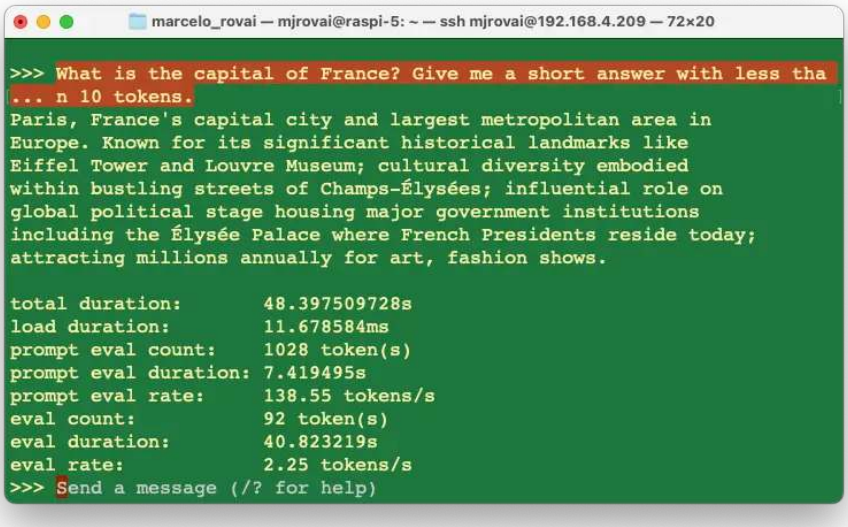

Phi3.5 响应截图

eval rate 为 2.25 tokens/s，低于 Gemma 和 Llama。

同样问题下，距离答案不准确，但坐标答对。Phi 输出较为啰嗦（每次 200+ token）。

> 选择合适的 prompt 是使用 LLM 的关键技能，无论模型大小。

综合来看，Llama2:3B 性能更优。可根据需求尝试更多模型，参考 🤗 Open LLM Leaderboard。

> 最适合的模型取决于具体需求，且模型更新极快。

多模态模型

多模态模型可同时处理文本、图像、音频等多种输入。在本实验中，我们用 LLaVA-Phi-3，基于 Phi 3 Mini 4k 微调，性能与原版 LLaVA 相当。

LLaVA-Phi-3 结合视觉编码器和语言模型，支持多模态输入。

安装模型：

```
ollama run llava-phi3:3.8b --verbose
```

文本输入示例：

```
>>> 你是一个乐于助人的 AI 助手。法国的首都是哪里?

法国的首都是巴黎。它不仅是全国最大城市，也是政治和行政中心，以埃菲尔铁塔、巴黎圣母院、卢浮宫等地标著称，被
↪  誉为世界最浪漫的城市之一。
```

响应约 30 秒，eval rate 3.93 tokens/s，表现不错。

图片输入示例，先准备图片：

```
cd Documents/
mkdir OLLAMA
cd OLLAMA
```

下载一张 640×320 的巴黎图片（Wikipedia: Paris, France）：

巴黎风景图

上传至 Raspi-5，命名为 `image_test_1.jpg`，获取完整路径：

输入：

```
>>> Describe the image /home/mjrovai/Documents/OLLAMA/image_test_1.jpg
```

结果详尽，但推理延迟较高，约 4 分钟。

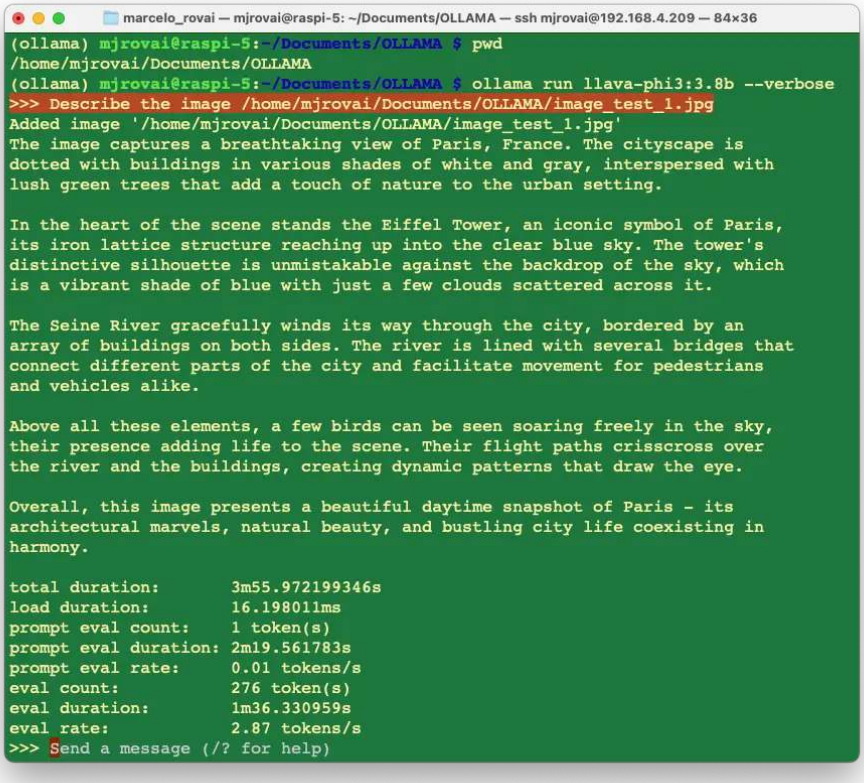

图片推理结果截图

查看本地资源

用 htop 监控设备资源：

```
htop
```

模型运行时，4 核 CPU 几乎满载，内存占用 3.24GB，退出 Ollama 后降至 377MB。

温度监控：

桌面环境可在任务栏显示温度：

无桌面可用命令：

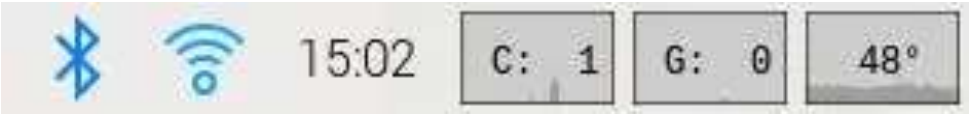

温度监控截图

```
vcgencmd measure_temp
```

空闲时约 50°C，推理时可达 70°C，低于 80°C/85°C 安全阈值，说明主动散热器工作正常。

Ollama Python 库

前文通过命令行体验了 SLM 聊天能力，实际项目集成推荐用 Python。Ollama 官方提供了 Python 库，简化与 LLM 交互，便于集成到 Python 3.8+ 项目。

更多 Ollama Python 应用可参考 Matt Williams 视频：

https://www.youtube.com/embed/_4K20tOsXK8

安装方法：

```
pip install ollama
```

如需开发环境，可用 Thonny、Geany、VS Code 等编辑器，或安装 Jupyter Notebook：

```
pip install jupyter
jupyter notebook --generate-config
```

启动 Jupyter：

```
jupyter notebook --ip=192.168.4.209 --no-browser
```

在 Raspi 工作目录新建 Python 3 notebook，测试已安装模型：

```
import ollama
```

```
2
3 ollama.list()
```

输出模型列表字典。

用 `ollama.generate()` 生成响应：

```
1 MODEL = "gemma2:2b"
2 PROMPT = "法国的首都是哪里？"
3
4 res = ollama.generate(model=MODEL, prompt=PROMPT)
5 print(res)
```

输出 JSON 格式响应，包括 response、context、total_duration、eval_count 等。

如只需输出结果和推理耗时：

```
1 print(f"\n{res['response']}")
2 print(
3     f"\n [INFO] Total Duration: "
4     f"{res['total_duration']/1e9:.2f} seconds"
5 )
```

使用 Ollama.chat()

`ollama.chat()` 支持多轮对话，适合持续会话。示例：

```
1 PROMPT_1 = "法国的首都是哪里？"
2 response = ollama.chat(
3     model=MODEL,
4     messages=[
5         {
6             "role": "user",
7             "content": PROMPT_1,
8         },
9     ],
10 )
11 resp_1 = response["message"]["content"]
12 print(f"\n{resp_1}")
13 print(
14     f"\n [INFO] Total Duration: "
15     f"{(response['total_duration']/1e9):.2f} seconds"
16 )
17
18 PROMPT_2 = "意大利的首都呢？"
19 response = ollama.chat(
```

```
    model=MODEL,
    messages=[
        {
            "role": "user",
            "content": PROMPT_1,
        },
        {
            "role": "assistant",
            "content": resp_1,
        },
        {
            "role": "user",
            "content": PROMPT_2,
        },
    ],
)
resp_2 = response["message"]["content"]
print(f"\n{resp_2}")
print(
    f"\n [INFO] Total Duration: "
    f"{(response_2['total_duration']/1e9):.2f} seconds"
)
```

多轮对话可保持上下文。

图片描述示例：

用 `ollama.generate()` 结合图片输入：

```
MODEL = "llava-phi3:3.8b"
PROMPT = "描述这张图片"

with open("image_test_1.jpg", "rb") as image_file:
    img = image_file.read()

response = ollama.generate(model=MODEL, prompt=PROMPT, images=[img])
print(f"\n{response['response']}")
print(
    f"\n [INFO] Total Duration: "
    f"{(res['total_duration']/1e9):.2f} seconds"
)
```

输出详细图片描述，推理约 4 分钟。

> 相关实验见 10-Ollama_Python_Library。

函数调用（Function Calling）

通过函数调用可让模型输出结构化结果，便于集成到实际项目。例如，输入国家名，输出首都及经纬度，再用 Python 计算与圣地亚哥的距离。

安装依赖：

```
pip install haversine
pip install openai
pip install pydantic
pip install instructor
```

核心代码结构：

```
import sys
from haversine import haversine
from openai import OpenAI
from pydantic import BaseModel, Field
import instructor

country = sys.argv[1]
MODEL = "phi3.5:3.8b"
mylat = -33.33
mylon = -70.51

class CityCoord(BaseModel):
    city: str = Field(..., description="城市名")
    lat: float = Field(..., description="城市纬度")
    lon: float = Field(..., description="城市经度")

client = instructor.patch(
    OpenAI(base_url="http://localhost:11434/v1", api_key="ollama"),
    mode=instructor.Mode.JSON,
)

resp = client.chat.completions.create(
    model=MODEL,
    messages=[
        {
            "role": "user",
            "content": f"返回 {country} 首都的经纬度。",
        }
    ],
    response_model=CityCoord,
    max_retries=10,
)

distance = haversine((mylat, mylon), (resp.lat, resp.lon), unit="km")

print(
```

```
    f"圣地亚哥距离 {resp.city} 约 {int(round(distance, -1))} 公里。"
)
```

运行效果：

```
圣地亚哥距离华盛顿约 8,060 公里。
圣地亚哥距离波哥大约 4,250 公里。
圣地亚哥距离巴黎约 11,630 公里。
```

> 相关实验见 20-Ollama_Function_Calling。

图片输入场景

进一步扩展，输入图片，模型识别城市及经纬度，再计算距离。代码分两步：先用 LLM 生成图片描述，再提取结构化信息。

```
def image_description(img_path):
    with open(img_path, "rb") as file:
        response = ollama.chat(
            model=MODEL,
            messages=[
                {
                    "role": "user",
                    "content": """返回图片中城市的经纬度、名称及所属国家""",
                    "images": [file.read()],
                },
            ],
            options={
                "temperature": 0,
            },
        )
    return response["message"]["content"]
```

再用 Pydantic 结构化输出，结合 haversine 计算距离。

> 相关实验见 30-Function_Calling_with_images。

SLM 优化技术

LLM/SLM 部署与优化面临诸多挑战，如幻觉（hallucination）、算力消耗、知识时效性、隐私、领域适配等。主流优化技术包括微调、提示工程（Prompt Engineering）、

检索增强生成（RAG）。

- **微调**：针对特定领域/任务进一步训练模型，提升专业表现。
- **提示工程**：精心设计输入 prompt，引导模型输出更准确结果。
- **RAG**：结合外部知识库检索，提升模型准确性，减少幻觉。

边缘应用更适合用 RAG，无需本地微调即可提升效果。

RAG 实现

RAG 流程：用户提问 → 检索知识 → 结合检索结果生成答案。

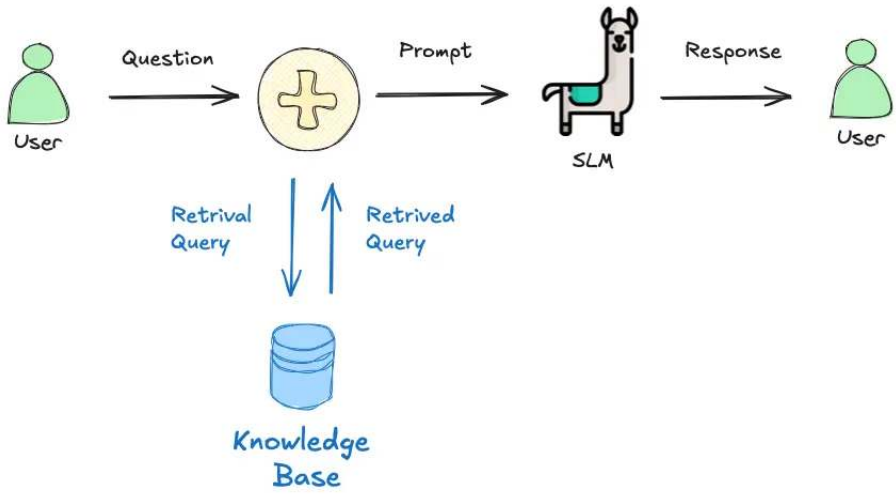

RAG 流程图

简单 RAG 项目

步骤：

- **确定文档类型**：优选纯文本，PDF 需特殊处理。
- **文本分块**：按字符、token、段落等分割。
- **生成嵌入向量**：用嵌入模型（如 nomic-embed-text）将文本转为向量。
- **存储到向量数据库**：用 Chromadb 存储检索。
- **构建 prompt**：检索相关片段，拼接到 prompt。

安装依赖：

```
pip install ollama chromadb
```

拉取嵌入模型：

```
ollama pull nomic-embed-text
```

示例代码略，详见原文。

> 相关实验见 40-RAG-simple-bee。

拓展应用

小型 LLM 在边缘侧表现良好，尤其在文本和图片场景。实际应用可结合目标检测（如 YOLO）等模型，先识别图片内容，再交由 LLM 处理。

> Hailo CTO Avi Baum 观点：AI 在边缘侧的演进正从传统视觉、判别式 AI、增强式 AI 迈向生成式 AI，未来智能系统将无缝融入日常生活，实现感知与创造的结合。

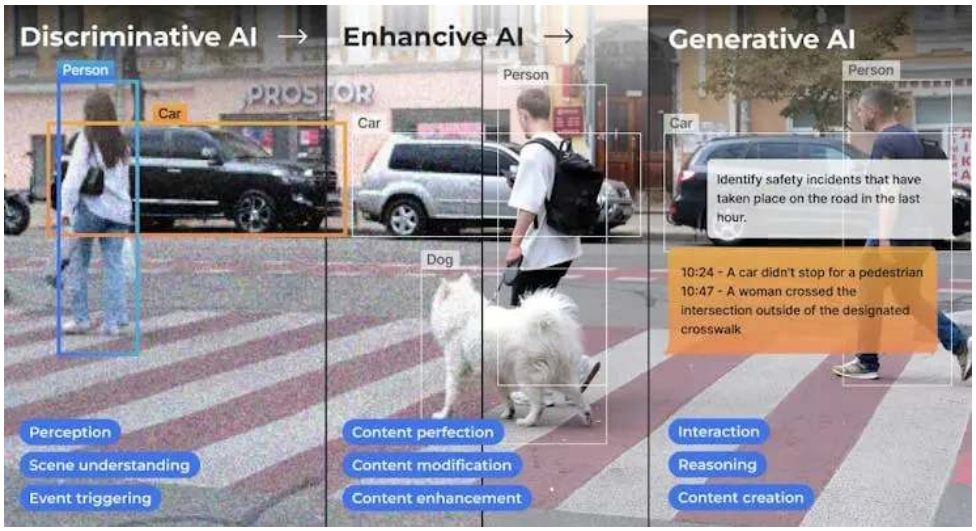

Hailo AI 发展图

总结

本实验展示了如何将树莓派 5 打造成可运行 LLM 的 AI 中枢，支持本地实时数据分析与洞察。树莓派的灵活性与小型 LLM（如 Llama 3.2、LLaVa-Phi-3-mini）结合，为边缘

计算应用提供了强大平台。

更多创新应用建议：

1. 智能家居自动化
集成 SLM 实现本地语音指令解析、传感器数据分析，实现智能家居自动化，无需云端依赖。

2. 野外数据采集与分析
在农业、环境监测、应急响应等场景，部署 SLM 实现实时本地数据采集与分析。

3. 教育工具
开发交互式教育工具，支持即时反馈、翻译、辅导，适合网络受限地区。

4. 医疗健康
用于医疗诊断、患者监测，实时分析症状并建议处理方案，适合远程医疗或便携设备。

5. 本地商业智能
在零售/小微企业场景分析客户行为、库存管理、运营优化，保障隐私。

6. 工业物联网
集成 SLM 实现预测性维护、质量控制、流程优化，提升自动化可靠性。

7. 自动驾驶与机器人
处理传感器数据，实现实时决策与导航，适用于无人机、机器人、自动驾驶等。

8. 文化旅游
为文化遗产、博物馆等场景提供本地化智能讲解，无需联网。

9. 艺术与创意项目
分析/生成音乐、艺术、文学等内容，支持创新型交互体验。

10. 定制辅助技术
为残障人士开发个性化辅助工具，如实时语音转文字、翻译等。

参考资料

- 10-Ollama_Python_Library notebook
- 20-Ollama_Function_Calling notebook
- 30-Function_Calling_with_images notebook
- 40-RAG-simple-bee notebook
- calc_distance_image python script

视觉 - 语言模型（VLM）

简介

在本实验中，我们将持续探索边缘侧的 AI 应用，从微软最新视觉基础模型 Florence-2 的基础部署，到在树莓派等设备上的高级实现。你将学习如何利用视觉 - 语言模型（VLM）在树莓派上完成图片描述、目标检测、定位、分割和 OCR 等任务。

为什么要在边缘部署 Florence-2?

Florence-2 是微软开源的视觉 - 语言模型（MIT 协议），通过轻量级架构与强大能力的结合，极大推动了 VLM 发展。其训练数据集 FLD-5B 包含 1.26 亿张图片和 54 亿条视觉标注，使 Florence-2 在性能上媲美更大规模的模型，非常适合在算力受限的边缘设备上部署。

本教程将带你体验 Florence-2 在实时计算机视觉场景下的应用，包括：

- 图片描述
- 目标检测
- 图像分割
- 视觉定位

> **视觉定位（Visual grounding）**指将文本描述与图片中的具体区域进行关联。模型能够理解 prompt 中描述的对象或实体在图片中的具体位置。例如，prompt 为“红色汽车”时，模型会定位并高亮图片中红色汽车所在区域。视觉定位适用于需要文本与视觉内容精准对齐的场景，如人机交互、图片标注和交互式 AI 系统。

本教程将涵盖以下内容：

- 在树莓派上部署 Florence-2
- 运行目标检测、图片描述等推理任务
- 优化模型以提升边缘设备性能
- 探索实际应用与微调方法

Florence-2 模型架构

Florence-2 采用统一的 prompt 表达方式，支持多种视觉 - 语言任务。模型主要由两部分组成：**图像编码器** 和 **多模态 Transformer 编码 - 解码器**。

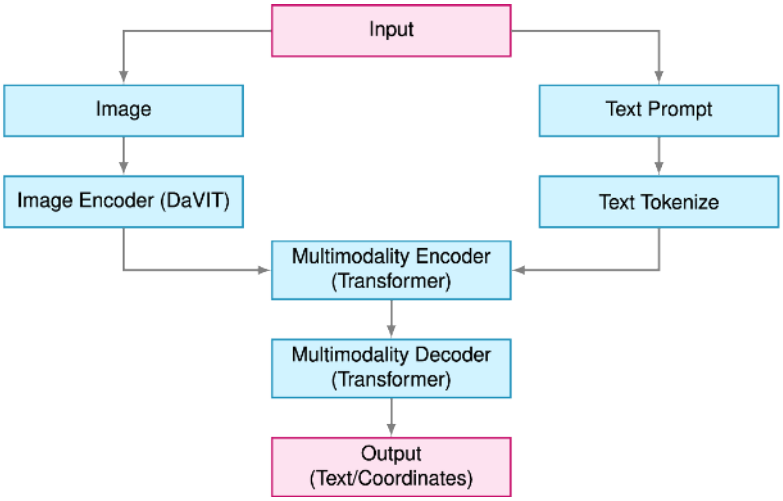

Florence-2 模型架构示意图

- **图像编码器**：基于 DaViT（双注意力视觉 Transformer）架构，将输入图片转换为视觉 token 嵌入，捕捉图片的空间和上下文信息。
- **多模态 Transformer 编码 - 解码器**：核心部分将图像编码器输出的视觉 token 与 BERT 类模型生成的文本嵌入结合，实现视觉和文本的联合处理，支持图片描述、目标检测、分割等多任务。

模型在大规模 FLD-5B 数据集上的训练，使其无需针对具体任务做结构调整即可胜任多种视觉任务。Florence-2 通过 prompt 激活不同任务，具备极强的灵活性和零样本泛化能力。对于目标检测、视觉定位等任务，模型还引入了位置 token，精准表达图片区域的空间关系。

> Florence-2 的紧凑架构和创新训练方式，使其即便在树莓派等资源有限的设备上也能高效完成计算机视觉任务。

技术概览

Florence-2 拥有多项创新特性，具体如下：

架构特点

- **轻量化设计**：提供两种模型规模

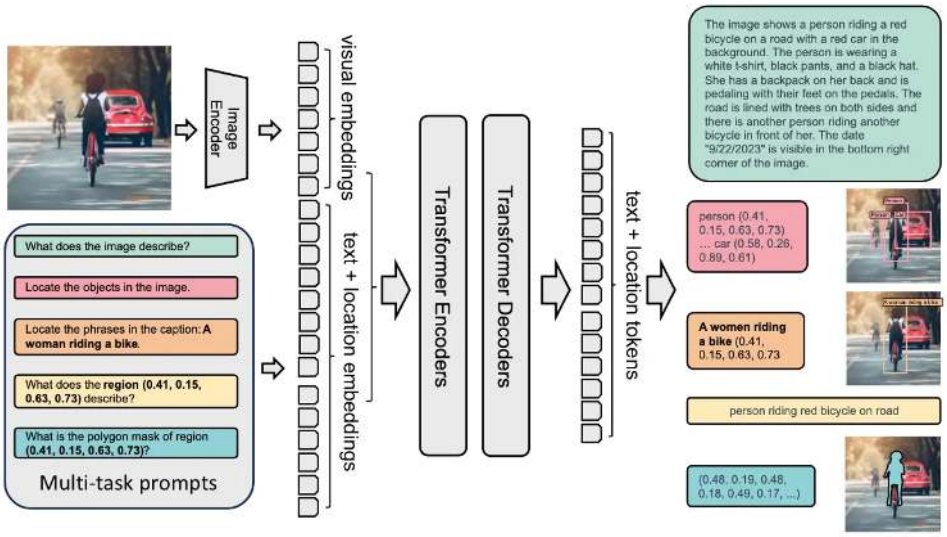

Florence-2 架构图

  - Florence-2-Base：2.32 亿参数
  - Florence-2-Large：7.71 亿参数
- **统一表达**：单一架构支持多种视觉任务
- **DaViT 视觉编码器**：将图片转为视觉 token 嵌入
- **基于 Transformer 的多模态编码 - 解码器**：联合处理视觉与文本特征

训练数据集（FLD-5B）

- 1.26 亿张独立图片
- 54 亿条高质量标注，包括：
  - 5 亿文本标注
  - 13 亿区域 - 文本标注
  - 36 亿文本 - 短语 - 区域标注
- 自动化标注流程，结合专家模型
- 多轮迭代优化，确保标注质量

主要能力

Florence-2 在多项视觉任务中表现突出：

零样本性能

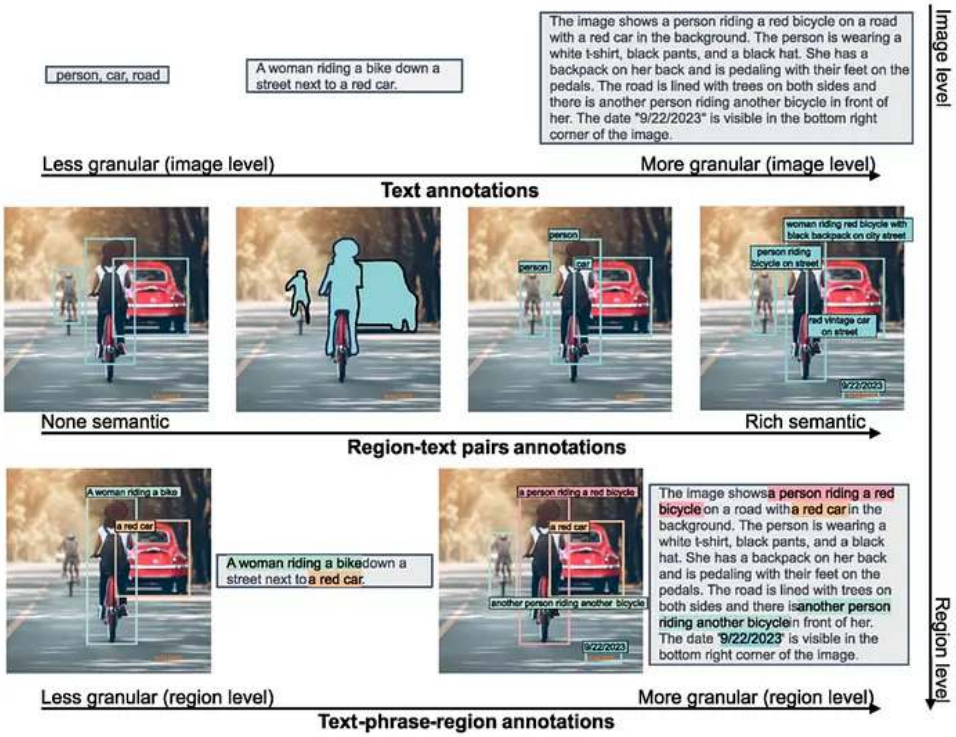

FLD-5B 数据集示意图

- 图片描述：COCO 数据集 CIDEr 得分 135.6
- 视觉定位：Flickr30k recall@1 达 84.4%
- 目标检测：COCO val2017 mAP 37.5
- 指代表达理解：RefCOCO 准确率 67.0%

微调性能

- 在特定任务上可媲美专业模型
- 在部分基准测试中超越更大规模模型
- 能高效适应新任务

典型应用场景

Florence-2 可广泛应用于以下领域：

1. **内容理解**
    - 自动图片描述，提升无障碍体验
    - 视觉内容审核

- 媒体资产管理

2. **电商领域**
   - 商品图片分析
   - 视觉搜索
   - 自动商品标签生成
3. **医疗健康**
   - 医学影像分析
   - 辅助诊断
   - 科研数据处理
4. **安防监控**
   - 目标检测与跟踪
   - 异常检测
   - 场景理解

Florence-2 与其他 VLM 对比

Florence-2 以强大的零样本能力脱颖而出。与 Google PaliGemma 等需大量微调的模型不同，Florence-2 开箱即用，且在多项任务上可与 GPT-4V、Flamingo 等更大参数量模型竞争。例如，Florence-2 在零样本下优于参数量两倍的 Kosmos-2。

在 COCO 图片描述、指代表达等任务基准测试中，Florence-2 表现优异，超越 PolyFormer、UNINEXT 等模型，是对性能与资源效率均有要求的实际应用场景的理想选择。

部署与安装

本实验选用树莓派 5（Raspi-5）作为边缘设备。其硬件平台基于 Broadcom BCM2712，2.4GHz 四核 64 位 Arm Cortex-A76 CPU（支持加密扩展和增强缓存），配备 VideoCore VII GPU，双 4Kp60 HDMI® 输出（支持 HDR），4Kp60 HEVC 解码。内存可选 4GB/8GB 高速 LPDDR4X SDRAM，本实验选用 8GB 版本以运行 Florence-2。存储支持 microSD 卡扩展，并提供 PCIe 2.0 接口，可连接 M.2 SSD 等高速外设。

> 实际应用中，建议优先选择 SSD 作为存储介质，优于 SD 卡。

建议为树莓派 5 安装主动散热器（Active Cooler），该专用风扇散热片组合可在高负载（如运行 Florence-2）时保持设备稳定运行。

树莓派 5 主动散热器

环境配置

在树莓派 5 上运行 Microsoft Florence-2 需安装以下依赖：

1. **Transformers**：
   - Florence-2 依赖 Hugging Face 的 `transformers` 库进行模型加载与推理，便于实现图片描述、目标检测等任务。该库负责模型交互、输入处理和输出获取。
2. **PyTorch**：
   - PyTorch 是深度学习框架，提供张量运算、GPU 加速（如有）、模型训练与推理等功能。Florence-2 训练于 PyTorch，需依赖其算子和计算能力在树莓派上完成推理。
3. **Timm**（PyTorch Image Models）：
   - Florence-2 的图像编码器部分采用 `timm`，该库提供高效的视觉模型实现和预训练权重，尤其适合边缘设备。主要用于管理 DaViT 架构和视觉主干网络。
4. **Einops**：
   - `einops` 用于灵活高效地处理张量变换，便于多模态数据的对齐和重组。视觉 - 语言模型常需对图片、文本嵌入等进行复杂变换，einops 可大幅提升代码可读

性和简洁性。

简而言之：

- **Transformers** 和 **PyTorch** 用于模型加载与推理
- **Timm** 提供高效视觉编码器
- **Einops** 便于特征重组与融合

这些组件协同工作，使 Florence-2 能在树莓派等设备上高效完成复杂视觉 - 语言任务。

假设树莓派已安装操作系统，可通过 `SSH` 远程连接：

```
ssh mjrovai@raspi-5.local
```

查询设备分配的 IP：

```
hostname -I
```

例如：

SSH 连接树莓派示意图

更新树莓派系统

首先确保系统为最新：

```
sudo apt update
sudo apt upgrade -y
```

PIP 基础环境配置：

```
sudo apt install python3-pip
sudo rm /usr/lib/python3.11/EXTERNALLY-MANAGED
pip3 install --upgrade pip
```

安装依赖库

```
sudo apt-get install libjpeg-dev libopenblas-dev libopenmpi-dev \
    libomp-dev
```

创建并激活 Florence-2 虚拟环境：

```
python3 -m venv ~/florence
source ~/florence/bin/activate
```

安装 PyTorch

```
pip3 install setuptools numpy Cython
pip3 install requests
pip3 install torch torchvision \
    --index-url https://download.pytorch.org/whl/cpu
pip3 install torchaudio \
    --index-url https://download.pytorch.org/whl/cpu
```

验证 PyTorch 安装：

安装 Transformers、Timm 和 Einops：

```
pip3 install transformers
pip3 install timm einops
```

安装模型包：

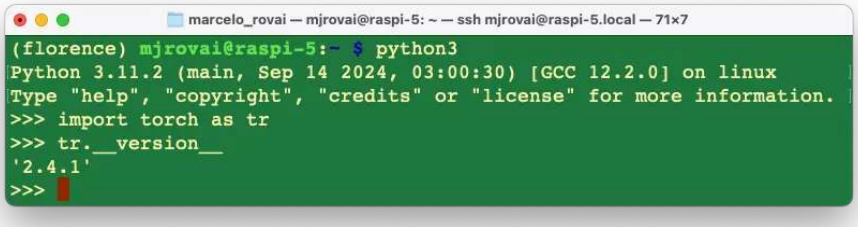

PyTorch 安装验证截图

```
pip3 install autodistill-florence-2
```

Jupyter Notebook 及常用 Python 库

如需在 Jupyter Notebook 中测试代码，可安装如下：

```
pip3 install jupyter
pip3 install numpy Pillow matplotlib
jupyter notebook --generate-config
```

安装测试

在远程树莓派上运行 Jupyter Notebook：

```
jupyter notebook --ip=192.168.4.209 --no-browser
```

执行后，终端会显示本地 URL，可在浏览器中访问：

本实验相关 Notebook 可在 Lab GitHub 获取：

- 10-florence2_test.ipynb

在远程电脑浏览器输入树莓派 IP 和 token，即可访问 Notebook。

在主页新建 [`Python 3 (ipykernel)`]，复制 Hugging Face Hub 示例代码。

以下代码演示如何在指定图片上运行 Florence-2 进行**目标检测**，包括模型加载、图片与 prompt 处理、生成检测结果等步骤。

- **processor**：负责文本和图片输入的预处理
- **model**：根据处理后的输入生成推理结果

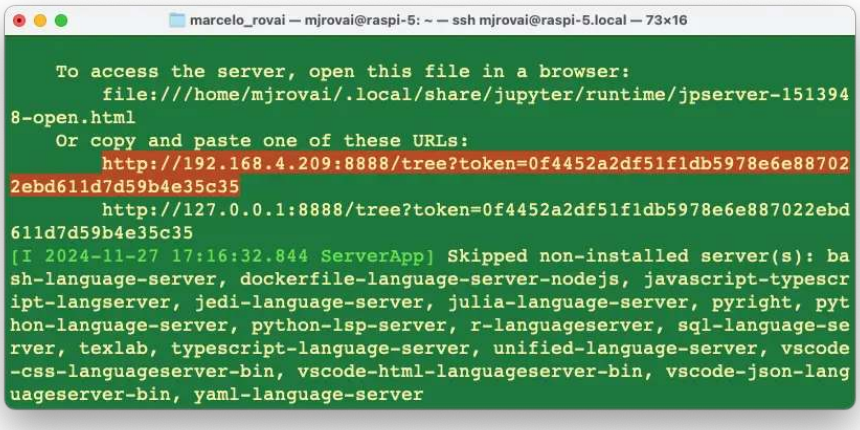

Jupyter Notebook 启动截图

- **后处理**：将原始输出转为可解释的结构化结果（如检测框）

> 该流程充分发挥 Florence-2 在视觉 - 语言任务上的通用性，依赖 PyTorch、Transformers 及相关图像处理工具实现高效推理。

```python
import requests
from PIL import Image
import torch
from transformers import AutoProcessor, AutoModelForCausalLM

device = "cuda:0" if torch.cuda.is_available() else "cpu"
torch_dtype = (
    torch.float16 if torch.cuda.is_available() else torch.float32
)

model = AutoModelForCausalLM.from_pretrained(
    "microsoft/Florence-2-base",
    torch_dtype=torch_dtype,
    trust_remote_code=True,
).to(device)
processor = AutoProcessor.from_pretrained(
    "microsoft/Florence-2-base", trust_remote_code=True
)

prompt = "<OD>"

url = (
    "https://huggingface.co/datasets/huggingface/"
    "documentation-images/resolve/main/transformers/"
    "tasks/car.jpg?download=true"
)
```

```
image = Image.open(requests.get(url, stream=True).raw)

inputs = processor(text=prompt, images=image, return_tensors="pt").to(
    device, torch_dtype
)

generated_ids = model.generate(
    input_ids=inputs["input_ids"],
    pixel_values=inputs["pixel_values"],
    max_new_tokens=1024,
    do_sample=False,
    num_beams=3,
)
generated_text = processor.batch_decode(
    generated_ids, skip_special_tokens=False
)[0]

parsed_answer = processor.post_process_generation(
    generated_text,
    task="<OD>",
    image_size=(image.width, image.height),
)

print(parsed_answer)
```

下面逐步解析上述代码：

导入依赖库

```
import requests
from PIL import Image
import torch
from transformers import AutoProcessor, AutoModelForCausalLM
```

- **requests**：用于 HTTP 请求，这里用于下载图片
- **PIL (Pillow)**：图片处理库，用于打开下载的图片
- **torch**：PyTorch，负责张量运算和设备检测（CPU/GPU）
- **transformers**：加载 Florence-2 预训练模型和处理器

设备与数据类型选择

```
device = "cuda:0" if torch.cuda.is_available() else "cpu"

torch_dtype = (
    torch.float16 if torch.cuda.is_available() else torch.float32
)
```

- **设备选择**：检测是否有 CUDA GPU，优先用 GPU，否则用 CPU
- **数据类型选择**：GPU 下用 float16 提升速度和节省内存，CPU 下用 float32 保证兼容性

加载模型与处理器

```
model = AutoModelForCausalLM.from_pretrained(
    "microsoft/Florence-2-base",
    torch_dtype=torch_dtype,
    trust_remote_code=True,
).to(device)

processor = AutoProcessor.from_pretrained(
    "microsoft/Florence-2-base", trust_remote_code=True
)
```

- **模型加载**：
  - `AutoModelForCausalLM.from_pretrained()` 从 Hugging Face 加载 Florence-2 预训练模型，设置数据类型和信任远程代码
  - `.to(device)` 将模型迁移到指定设备
- **处理器加载**：
  - `AutoProcessor.from_pretrained()` 加载 Florence-2 专用处理器，负责文本和图片的预处理

定义 Prompt

```
prompt = "<OD>"
```

- **Prompt 定义**：`"<OD>"` 表示“目标检测”，引导模型对图片进行目标检测任务

下载与加载图片

```
url = "https://huggingface.co/datasets/huggingface/"
      "documentation-images/resolve/main/transformers/"
      "tasks/car.jpg?download=true"
image = Image.open(requests.get(url, stream=True).raw)
```

- **下载图片**：`requests.get()` 从指定 URL 获取图片，`stream=True` 以流式方式下载
- **打开图片**：`Image.open()` 打开图片，便于后续处理

输入处理

在本节中，我们将介绍如何处理输入数据，包括文本和图片的预处理。

```
inputs = processor(text=prompt, images=image, return_tensors="pt").to(
    device, torch_dtype
)
```

- **输入数据处理**：`processor()` 函数用于处理文本（`prompt`）和图片（`image`）。参数 `return_tensors="pt"` 会将处理后的数据转换为 PyTorch 张量，便于后续输入模型。
- **迁移到设备**：`.to(device, torch_dtype)` 会将输入数据迁移到指定的设备（CPU 或 GPU），并设置合适的数据类型。

生成输出

下面的代码用于根据输入数据生成模型输出。

```
generated_ids = model.generate(
    input_ids=inputs["input_ids"],
    pixel_values=inputs["pixel_values"],
    max_new_tokens=1024,
    do_sample=False,
    num_beams=3,
)
```

- **模型生成**：`model.generate()` 根据输入数据生成输出。
  - `input_ids`：表示 prompt 的分词结果。
  - `pixel_values`：包含处理后的图片数据。
  - `max_new_tokens=1024`：限制生成的最大新 token 数，控制输出长度。
  - `do_sample=False`：禁用采样，采用确定性方法（如 beam search）生成。
  - `num_beams=3`：启用 3 路 beam search，提高输出质量。

解码生成文本

生成的 token 需要解码为可读文本。

```
generated_text = processor.batch_decode(
    generated_ids, skip_special_tokens=False
)[0]
```

- **批量解码：** `processor.batch_decode()` 将生成的 token 解码为文本。`skip_special_tokens=False` 表示保留特殊 token。

生成结果后处理

对生成的文本进行进一步处理，提取结构化信息。

```
parsed_answer = processor.post_process_generation(
    generated_text,
    task="<OD>",
    image_size=(image.width, image.height),
)
```

- **后处理：** `processor.post_process_generation()` 根据任务类型（如 `"<OD>"` 表示目标检测）和图片尺寸，对生成文本进行解析，提取如目标检测框等结构化信息。

输出结果

最后，打印处理后的结果。

```
print(parsed_answer)
```

- **输出展示：** 通过 `print(parsed_answer)` 展示最终结果，例如检测到的目标框坐标和标签。

运行结果示例

运行上述代码后，得到如下解析结果：

```
[{'<OD>': {
   'bboxes': [
     [34.23999786376953, 160.0800018310547, 597.4400024414062],
     [371.7599792480469, 272.32000732421875, 241.67999267578125],
     [303.67999267578125, 247.4399871826172, 454.0799865722656],
     [276.7200012207031, 553.9199829101562, 370.79998779296875],
```

```
      [96.31999969482422, 280.55999755859375, 198.0800018310547],
      [371.2799987792969]
    ],
    'labels': ['car', 'door handle', 'wheel', 'wheel']
}}]
```

图片可视化

首先，我们可以查看原始图片：

```
import matplotlib.pyplot as plt

plt.figure(figsize=(8, 8))
plt.imshow(image)
plt.axis("off")
plt.show()
```

fusca.png：原始图片

目标检测结果分析

根据目标检测结果：

```
'labels': ['car', 'door handle', 'wheel', 'wheel']
```

可以看到模型检测出了若干目标。我们还可以编写代码将检测框绘制在图片上：

```python
def plot_bbox(image, data):
    # 创建画布和坐标轴
    fig, ax = plt.subplots()

    # 显示图片
    ax.imshow(image)

    # 绘制每个检测框
    for bbox, label in zip(data["bboxes"], data["labels"]):
        # 解包检测框坐标
        x1, y1, x2, y2 = bbox
        # 创建矩形框
        rect = patches.Rectangle(
            (x1, y1),
            x2 - x1,
            y2 - y1,
            linewidth=1,
            edgecolor="r",
            facecolor="none",
        )
        # 添加矩形到坐标轴
        ax.add_patch(rect)
        # 标注类别
        plt.text(
            x1,
            y1,
            label,
            color="white",
            fontsize=8,
            bbox=dict(facecolor="red", alpha=0.5),
        )

    # 去除坐标轴刻度
    ax.axis("off")

    # 显示结果
    plt.show()
```

> **检测框 (x0, y0, x1, y1)**：坐标分别对应检测框的左上角和右下角。

调用如下：

```
plot_bbox(image, parsed_answer['<OD>'])
```

效果如下图所示：

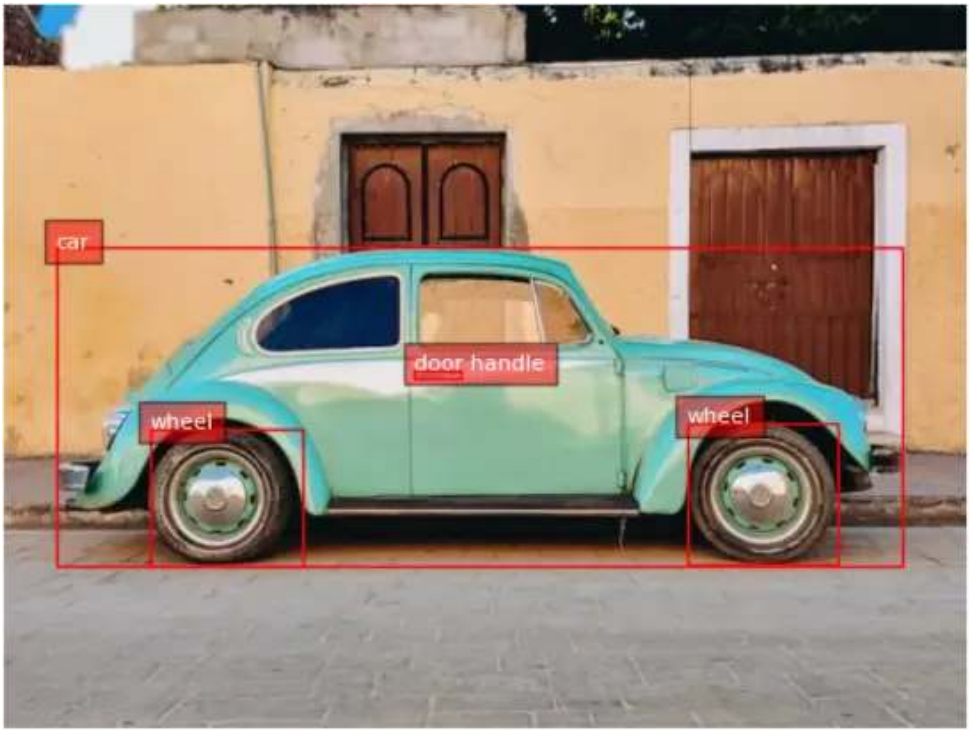

result_test.png：检测结果可视化

Florence-2 支持的任务

Florence-2 支持多种视觉和视觉 - 语言任务，通过不同的 `prompt` 激活。只需更换 prompt，即可让模型适应不同任务，无需修改模型结构。这得益于 Florence-2 统一的架构和大规模多任务训练（FLD-5B 数据集）。

以下是 Florence-2 支持的主要任务及示例 prompt：

目标检测（Object Detection, OD）

- **Prompt**：`"<OD>"`
- **说明**：识别图片中的目标并返回检测框，适用于视觉检测、安防、通用目标识别等场景。

图片描述（Image Captioning）

- **Prompt**：`"<CAPTION>"`

- **说明**：为输入图片生成简要描述，帮助理解图片内容。

详细描述（Detailed Captioning）

- **Prompt**：`"<DETAILED_CAPTION>"`
- **说明**：生成更详细的图片描述，包括场景、对象及其关系等丰富信息。

视觉定位（Visual Grounding）

- **Prompt**：`"<CAPTION_TO_PHRASE_GROUNDING>"`
- **说明**：将文本描述与图片中的具体区域关联。例如，输入“a green car”（一辆绿色的汽车），模型会高亮图片中绿色汽车的位置。该功能适用于人机交互等需要根据文本查找特定目标的场景。

分割（Segmentation）

- **Prompt**：`"<REFERRING_EXPRESSION_SEGMENTATION>"`
- **说明**：根据指代表达（如“the blue cup”）进行分割，模型会识别并分割出图片中对应的目标区域（所有相关像素）。

密集区域描述（Dense Region Captioning）

- **Prompt**：`"<DENSE_REGION_CAPTION>"`
- **说明**：为图片中的多个区域生成描述，详细标注所有可见区域，包括不同对象及其关系。

区域 OCR（OCR with Region）

- **Prompt**：`"<OCR_WITH_REGION>"`
- **说明**：对图片进行光学字符识别（OCR），并返回检测到文本的边界框。适用于提取和定位图片中的文字信息，如标识、标签等。

短语定位（Phrase Grounding for Specific Expressions）

- **Prompt**：`"<CAPTION_TO_PHRASE_GROUNDING>"`，并附带具体表达，如 `"a wine glass"`。
- **说明**：定位图片中与特定文本短语对应的区域。适合通过关键词查找特定对象或元素。

开放词汇目标检测（Open Vocabulary Object Detection）

- **Prompt**：`"<OPEN_VOCABULARY_OD>"`
- **说明**：模型可检测不限于预定义类别的目标，能基于通用视觉理解识别更广泛的物体。

计算机视觉与视觉 - 语言任务探索

为便于探索，所有代码可在 GitHub 获取：

- 20-florence_2.ipynb

我们可以使用 Dall-E 生成的图片，并通过 FileZilla 上传到 Raspi-5，图片保存在 `images` 子文件夹：

```
dogs_cats = Image.open("./images/dogs-cats.jpg")
table = Image.open("./images/table.jpg")
```

img_test.png：测试图片

为便于实验和统计不同任务的延迟，我们可以定义如下函数：

```
def run_example(task_prompt, text_input=None, image=None):
    start_time = time.perf_counter()  # 开始计时
    if text_input is None:
        prompt = task_prompt
    else:
        prompt = task_prompt + text_input
    inputs = processor(
```

```
        text=prompt, images=image, return_tensors="pt"
    ).to(device)
    generated_ids = model.generate(
        input_ids=inputs["input_ids"],
        pixel_values=inputs["pixel_values"],
        max_new_tokens=1024,
        early_stopping=False,
        do_sample=False,
        num_beams=3,
    )
    generated_text = processor.batch_decode(
        generated_ids, skip_special_tokens=False
    )[0]
    parsed_answer = processor.post_process_generation(
        generated_text,
        task=task_prompt,
        image_size=(image.width, image.height),
    )

    end_time = time.perf_counter()  # 结束计时
    elapsed_time = end_time - start_time  # 计算耗时
    print(
        f" \n[INFO] ==> Florence-2-base ({task_prompt}), \
          took {elapsed_time:.1f} seconds to execute.\n"
    )

    return parsed_answer
```

图片描述（Caption）

1. 狗与猫

```
run_example(task_prompt="<CAPTION>", image=dogs_cats)
```

```
[INFO] ==> Florence-2-base (<CAPTION>), \
took 16.1 seconds to execute.

{'<CAPTION>': 'A group of dogs and cats sitting in a garden.'}
```

2. 桌子

```
run_example(task_prompt="<CAPTION>", image=table)
```

```
[INFO] ==> Florence-2-base (<CAPTION>), \
took 16.5 seconds to execute.

{'<CAPTION>': 'A wooden table topped with a plate of fruit \
and a glass of wine.'}
```

详细描述（Detailed Caption）

1. 狗与猫

```
run_example(task_prompt="<DETAILED_CAPTION>", image=dogs_cats)
```

```
[INFO] ==> Florence-2-base (<DETAILED_CAPTION>), \
took 25.5 seconds to execute.

{'<DETAILED_CAPTION>': 'The image shows a group of cats and \
dogs sitting on top of a lush green field, surrounded by plants \
with flowers, trees, and a house in the background. The sky is \
visible above them, creating a peaceful atmosphere.'}
```

2. 桌子

```
run_example(task_prompt="<DETAILED_CAPTION>", image=table)
```

```
[INFO] ==> Florence-2-base (<DETAILED_CAPTION>), \
took 26.8 seconds to execute.

{'<DETAILED_CAPTION>': 'The image shows a wooden table with \
a bottle of wine and a glass of wine on it, surrounded by \
a variety of fruits such as apples, oranges, and grapes. \
In the background, there are chairs, plants, trees, and \
a house, all slightly blurred.'}
```

更详细描述（More Detailed Caption）

1. 狗与猫

```
run_example(task_prompt="<MORE_DETAILED_CAPTION>", image=dogs_cats)
```

```
[INFO] ==> Florence-2-base (<MORE_DETAILED_CAPTION>), \
took 49.8 seconds to execute.

{'<MORE_DETAILED_CAPTION>': 'The image shows a group of four \
cats and a dog in a garden. The garden is filled with colorful \
flowers and plants, and there is a pathway leading up to \
a house in the background. The main focus of the image is \
a large German Shepherd dog standing on the left side of \
the garden, with its tongue hanging out and its mouth open, \
as if it is panting or panting. On the right side, there are \
two smaller cats, one orange and one gray, sitting on the \
grass. In the background, there is another golden retriever \
dog sitting and looking at the camera. The sky is blue and \
the sun is shining, creating a warm and inviting atmosphere.'}
```

2. 桌子

```
run_example(task_prompt="<MORE_DETAILED_CAPTION>", image=table)
```

```
INFO] ==> Florence-2-base (<MORE_DETAILED_CAPTION>), \
took 32.4 seconds to execute.

{'<MORE_DETAILED_CAPTION>': 'The image shows a wooden table \
with a wooden tray on it. On the tray, there are various \
fruits such as grapes, oranges, apples, and grapes. There \
is also a bottle of red wine on the table. The background \
shows a garden with trees and a house. The overall mood \
of the image is peaceful and serene.'}
```

> 可以看到，描述越详细，延迟越高，且有时会出现识别错误（如“4 只猫和 1 只狗”，实际为 2 只狗和 3 只猫）。

目标检测（Object Detection）

同样可以用 `<OD>` prompt 进行目标检测：

```
task_prompt = "<OD>"
results = run_example(task_prompt, image=dogs_cats)
print(results)
```

输出如下：

```
[INFO] ==> Florence-2-base (<OD>), took 20.9 seconds to execute.

{'<OD>': {'bboxes': [
  [737.79, 571.90, 1022.46, 980.48],
  [0.51, 593.40, 211.45, 991.74],
  [445.95, 721.40, 680.44, 850.43],
  [39.42, 91.64, 491.00, 933.37],
  [570.88, 184.83, 974.33, 782.84]
  ],
  'labels': ['cat', 'cat', 'cat', 'dog', 'dog']
}}
```

仅通过标签 `['cat', 'cat', 'cat', 'dog', 'dog']` 就能看出主要目标已被检测。我们可以用前文的绘制检测框函数：

```
plot_bbox(dogs_cats, results["<OD>"])
```

同理，桌子图片：

```
task_prompt = "<OD>"
results = run_example(task_prompt, image=table)
plot_bbox(table, results["<OD>"])
```

```
[INFO] ==> Florence-2-base (<OD>), took 40.8 seconds to execute.
```

密集区域描述（Dense Region Caption）

可以将目标检测与区域描述结合，对图片的子区域进行描述：

```
task_prompt = "<DENSE_REGION_CAPTION>"

results = run_example(task_prompt, image=dogs_cats)
plot_bbox(dogs_cats, results["<DENSE_REGION_CAPTION>"])
```

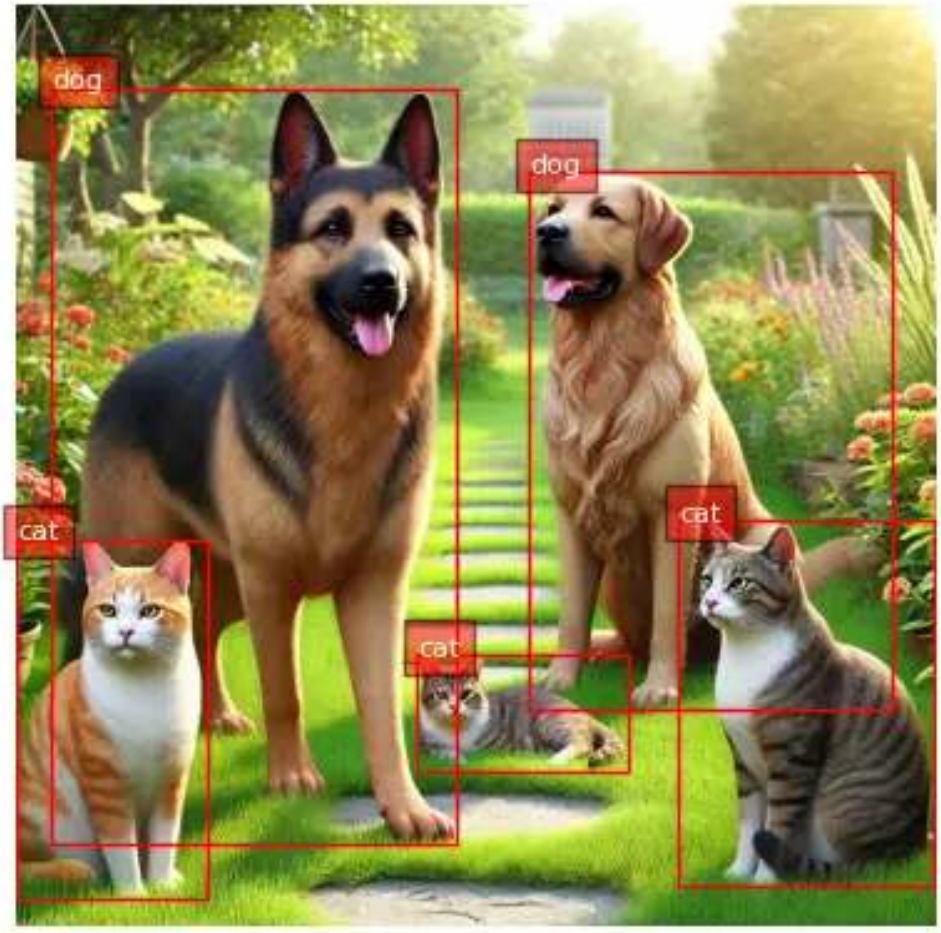

od_cat_dogs.png：目标检测结果

```
5
6 results = run_example(task_prompt, image=table)
7 plot_bbox(table, results["<DENSE_REGION_CAPTION>"])
```

短语定位（Caption to Phrase Grounding）

该任务下，可以输入如 “a wine bottle”、“a wine glass”、“a half orange” 等短语，Florence-2 会定位图片中的对应目标：

```
1 task_prompt = "<CAPTION_TO_PHRASE_GROUNDING>"
2
3 results = run_example(
4     task_prompt, text_input="a wine bottle", image=table
5 )
6 plot_bbox(table, results["<CAPTION_TO_PHRASE_GROUNDING>"])
7
8 results = run_example(
```

od_table.png：桌子目标检测

od_caption_cat_dog_table.png：密集区域描述

```
    task_prompt, text_input="a wine glass", image=table
)
plot_bbox(table, results["<CAPTION_TO_PHRASE_GROUNDING>"])

results = run_example(
    task_prompt, text_input="a half orange", image=table
)
plot_bbox(table, results["<CAPTION_TO_PHRASE_GROUNDING>"])
```

caption_ground.png：短语定位结果

```
[INFO] ==> Florence-2-base (<CAPTION_TO_PHRASE_GROUNDING>), \
took 15.7 seconds to execute
each task.
```

级联任务（Cascade Tasks）

还可以将图片描述作为输入文本，进一步让 Florence-2 检测更多目标：

```
task_prompt = "<CAPTION>"
results = run_example(task_prompt, image=dogs_cats)
text_input = results[task_prompt]
task_prompt = "<CAPTION_TO_PHRASE_GROUNDING>"
results = run_example(task_prompt, text_input, image=dogs_cats)
plot_bbox(dogs_cats, results["<CAPTION_TO_PHRASE_GROUNDING>"])
```

切换 task_prompt 为 `<CAPTION>`、`<DETAILED_CAPTION>`、`<MORE_DETAILED_CAPTION>`，可获得更多目标。

开放词汇检测（Open Vocabulary Detection）

`<OPEN_VOCABULARY_DETECTION>` 让 Florence-2 能检测图片中所有可识别目标，无需预定义类别。与 `<CAPTION_TO_PHRASE_GROUNDING>` 需指定短语不同，开放词汇检测会全

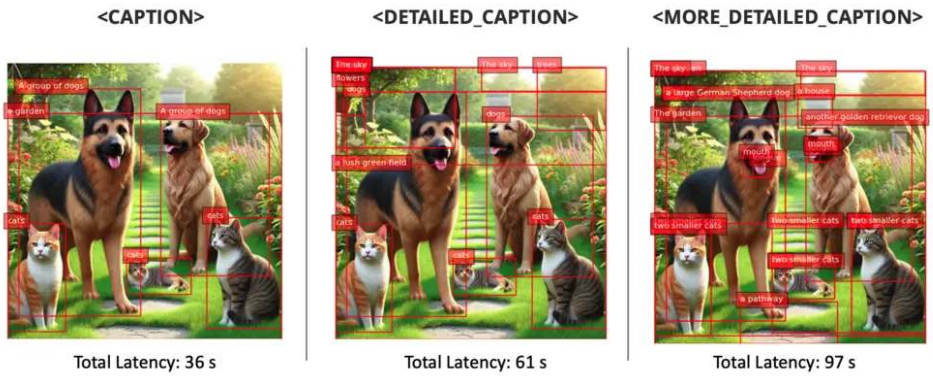

cascade.png：级联检测结果

面扫描图片，识别所有对象。

适用于需要全面了解图片内容的场景。例如：

```
task_prompt = "<OPEN_VOCABULARY_DETECTION>"

text = [
    "a house",
    "a tree",
    "a standing cat at the left",
    "a sleeping cat on the ground",
    "a standing cat at the right",
    "a yellow cat",
]

for txt in text:
    results = run_example(
        task_prompt, text_input=txt, image=dogs_cats
    )

    bbox_results = convert_to_od_format(
        results["<OPEN_VOCABULARY_DETECTION>"]
    )

    plot_bbox(dogs_cats, bbox_results)
```

```
[INFO] ==> Florence-2-base (<OPEN_VOCABULARY_DETECTION>), \
took 15.1 seconds to execute
each task.
```

> 注意：尝试检测未被识别的目标时，模型可能会出错（详见 Notebook 示例）。

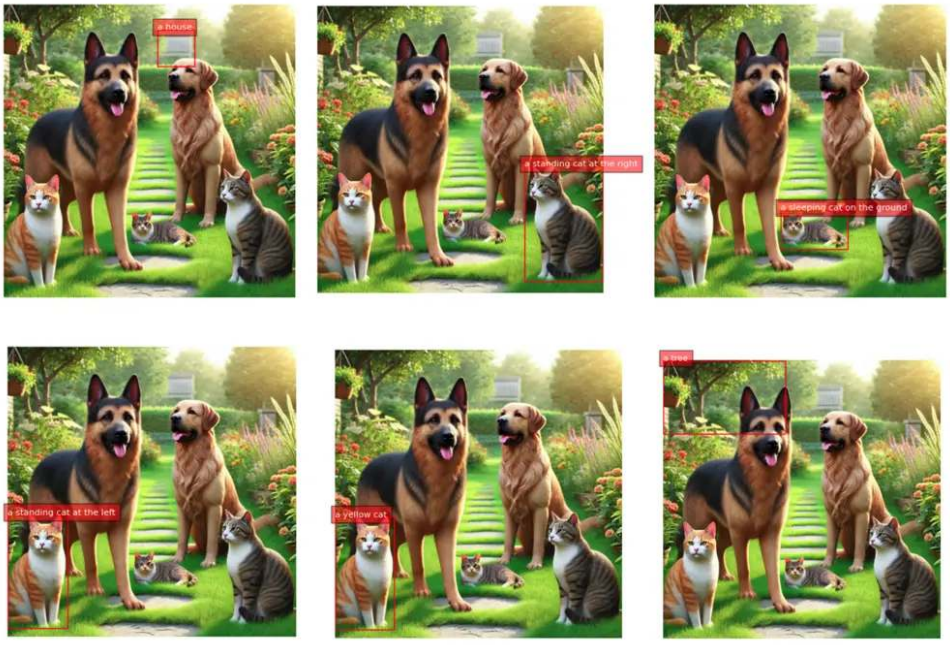

open_vacab_exemples.png：开放词汇检测示例

指代表达分割（Referring expression segmentation）

可以对图片中特定目标进行分割并生成描述，如桌子图片中的“a wine bottle”或狗猫图片中的“a German Sheppard”。

分割结果格式：

```
{'<REFERRING_EXPRESSION_SEGMENTATION>': {'Polygons': [[[polygon]], ...], 'labels': ['',
```

每个目标用多边形点集表示，格式为 `[x1, y1, x2, y2, ..., xn, yn]`。

> **多边形 (x1, y1, ..., xn, yn)**：顺时针依次为多边形顶点。

首先定义绘制分割多边形的函数：

```python
from PIL import Image, ImageDraw, ImageFont
import copy
import random
import numpy as np

colormap = [
    "blue",
    "orange",
    "green",
    "purple",
    "brown",
    "pink",
```

```
    "gray",
    "olive",
    "cyan",
    "red",
    "lime",
    "indigo",
    "violet",
    "aqua",
    "magenta",
    "coral",
    "gold",
    "tan",
    "skyblue",
]


def draw_polygons(image, prediction, fill_mask=False):
    """
        在图片上绘制分割多边形。

        参数说明:
          - image: 图片对象。
          - prediction: 包含 'polygons' 和 'labels' 的字典。
          - fill_mask: 是否填充多边形。
    - fill_mask: Boolean indicating whether to fill the polygons
                 with color.
    """
    # Load the image

    draw = ImageDraw.Draw(image)

    # Set up scale factor if needed (use 1 if not scaling)
    scale = 1

    # Iterate over polygons and labels
    for polygons, label in zip(
        prediction["polygons"], prediction["labels"]
    ):
        color = random.choice(colormap)
        fill_color = random.choice(colormap) if fill_mask else None

        for _polygon in polygons:
            _polygon = np.array(_polygon).reshape(-1, 2)
            if len(_polygon) < 3:
                print("Invalid polygon:", _polygon)
                continue

            _polygon = (_polygon * scale).reshape(-1).tolist()

            # 绘制多边形
            if fill_mask:
                draw.polygon(_polygon, outline=color, fill=fill_color)
            else:
                draw.polygon(_polygon, outline=color)

```

```
            # 绘制标签
            draw.text(
                (_polygon[0] + 8, _polygon[1] + 2), label, fill=color
            )

    # Save or display the image
    # image.show()  # Display the image
    display(image)
```

运行分割任务：

```
task_prompt = "<REFERRING_EXPRESSION_SEGMENTATION>"

results = run_example(
    task_prompt, text_input="a wine bottle", image=table
)
output_image = copy.deepcopy(table)
draw_polygons(
    output_image,
    results["<REFERRING_EXPRESSION_SEGMENTATION>"],
    fill_mask=True,
)

results = run_example(
    task_prompt, text_input="a german sheppard", image=dogs_cats
)
output_image = copy.deepcopy(dogs_cats)
draw_polygons(
    output_image,
    results["<REFERRING_EXPRESSION_SEGMENTATION>"],
    fill_mask=True,
)
```

dog_bottle_seg.png：分割结果

```
[INFO] ==> Florence-2-base
(<REFERRING_EXPRESSION_SEGMENTATION>), took 207.0 seconds
to execute each task.
```

区域到分割（Region to Segmentation）

也可以通过输入目标坐标进行分割，输入格式为 `'<loc_x1><loc_y1><loc_x2><loc_y2>'`，坐标范围 [0, 999]。

例如：

```
task_prompt = "<CAPTION_TO_PHRASE_GROUNDING>"
results = run_example(
    task_prompt, text_input="a half orange", image=table
)
results
```

输出：

```
{'<CAPTION_TO_PHRASE_GROUNDING>': {'bboxes': [[343.552001953125,
    689.6640625,
    530.9440307617188,
    873.9840698242188]],
  'labels': ['a half']}}
```

使用检测框坐标：

```
task_prompt = "<REGION_TO_SEGMENTATION>"
results = run_example(
    task_prompt,
    text_input=("<loc_343><loc_690>" "<loc_531><loc_874>"),
    image=table,
)
output_image = copy.deepcopy(table)
draw_polygons(
    output_image, results["<REGION_TO_SEGMENTATION>"], fill_mask=True
)
```

得到对应区域的分割结果（延迟 83 秒）：

orange_seg.png：橙子分割

区域到文本（Region to Texts）

也可以输入区域坐标，获取该区域的类别或描述：

```
task_prompt = "<REGION_TO_CATEGORY>"
results = run_example(
    task_prompt,
    text_input="<loc_343><loc_690>" "<loc_531><loc_874>",
    image=table,
)
results
```

```
[INFO] ==> Florence-2-base (<REGION_TO_CATEGORY>), \
took 14.3 seconds to execute.

{{
  '<REGION_TO_CATEGORY>':
```

```
    'orange<loc_343><loc_690>'
    '<loc_531><loc_874>'
}
```

模型识别出该区域为橙子。进一步获取描述：

```
task_prompt = "<REGION_TO_DESCRIPTION>"
results = run_example(
    task_prompt,
    text_input=("<loc_343><loc_690>" "<loc_531><loc_874>"),
    image=table,
)
results
```

```
[INFO] ==> Florence-2-base (<REGION_TO_CATEGORY>), \
took 14.6 seconds to execute.

{
  '<REGION_TO_CATEGORY>':
    'orange<loc_343><loc_690>'
    '<loc_531><loc_874>'
}
```

本例未给出更多细节，可尝试其他区域。

OCR 文字识别

Florence-2 支持图片文字识别（OCR），可用 `task_prompt = '<OCR>'` 获取图片文字内容，或用 `task_prompt = '<OCR_WITH_REGION>'` 获取文字及其位置。

上传一张巴西讲座海报（葡萄牙语）到 Raspi，测试多语言识别：

```
flayer = Image.open("./images/embarcados.jpg")
# 显示图片
plt.figure(figsize=(8, 8))
plt.imshow(flayer)
plt.axis("off")
plt.show()
```

用 `<MORE_DETAILED_CAPTION>` 进行描述：

flyer.png：讲座海报

```
[INFO] ==> Florence-2-base (<MORE_DETAILED_CAPTION>), \
took 85.2 seconds to execute.

{'<MORE_DETAILED_CAPTION>': 'The image is a promotional poster \
for an event called "Machine Learning Embarcados" hosted by \
Marcelo Roval. ...'}
```

描述非常准确。用 OCR 任务提取文字：

```
task_prompt = "<OCR>"
run_example(task_prompt, image=flayer)
```

```
[INFO] ==> Florence-2-base (<OCR>), took 37.7 seconds to execute.

{'<OCR>':
 'Machine Learning Café com Embarcado Embarcados '
 'Democratizando a Inteligência Artificial para Paises em '
 '25 de Setembro às 17h Desenvolvimento Toda quarta-feira '
 'Marcelo Roval Professor na UNIFIEI e Transmissão via in '
 'Co-Director do TinyML4D'}
```

定位文字区域：

```
task_prompt = "<OCR_WITH_REGION>"
results = run_example(task_prompt, image=flayer)
```

绘制检测到的文字框：

```
def draw_ocr_bboxes(image, prediction):
    scale = 1
    draw = ImageDraw.Draw(image)
    bboxes = prediction["quad_boxes"]
    labels = prediction["labels"]
    for box, label in zip(bboxes, labels):
        color = random.choice(colormap)
        new_box = (np.array(box) * scale).tolist()
        draw.polygon(new_box, width=3, outline=color)
        draw.text(
            (new_box[0] + 8, new_box[1] + 2),
            "{}".format(label),
            align="right",
            fill=color,
        )
    display(image)
```

```
output_image = copy.deepcopy(flayer)
draw_ocr_bboxes(output_image, results["<OCR_WITH_REGION>"])
```

output_ocr.png：OCR 检测结果

可查看检测到的文字：

```
results["<OCR_WITH_REGION>"]["labels"]
```

```
'</s>Machine Learning',
 'Café',
 'com',
 'Embarcado',
 'Embarcados',
 'Democratizando a Inteligência',
 'Artificial para Paises em',
 '25 de Setembro ás 17h',
 'Desenvolvimento',
 'Toda quarta-feira',
 'Marcelo Roval',
 'Professor na UNIFIEI e',
 'Transmissão via',
 'in',
 'Co-Director do TinyML4D']
```

延迟总结

在树莓派（Raspi-5）上运行 Florence-2 不同任务的延迟如下：

- **图片描述**：约 16-17 秒
- **详细描述**：约 25-27 秒
- **更详细描述**：约 32-50 秒，描述越复杂延迟越高
- **目标检测**：约 20-41 秒，取决于图片复杂度和目标数量
- **视觉定位**：约 15-16 秒
- **OCR**：约 37-38 秒
- **分割及区域分割**：约 83-207 秒，取决于分割区域数量和复杂度

这些延迟反映了边缘设备资源有限的现实，需优化模型和环境以实现更实时的性能。

> 运行复杂任务时，Raspi-5 的 8GB 内存会被大量占用。上图为 Florence OD 任务时，4 核满载，内存占用超 5GB。建议将 SWAP 增加到 2GB。

用 `vcgencmd measure_temp` 检查 CPU 温度，最高可达 80°C 以上。

htop.png：系统资源占用

微调（Fine-Tuning）

Florence-2 开箱即用支持多种任务（描述、检测、OCR 等），但如需适应特定领域（如医学、遥感），需用自定义数据集微调。Roboflow 教程 How to Fine-tune Florence-2 for Object Detection Tasks 介绍了如何微调 Florence-2 提升特定场景下的检测能力。

基于该教程，可微调模型检测如前文实验中的 box 和 wheel：

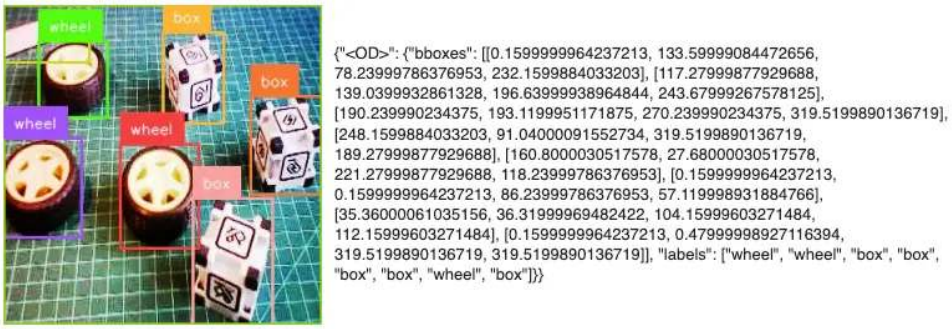

fine-tuning.png：微调示意

需要注意，微调后模型仍可检测自定义数据集外的类别（如猫、狗、葡萄等）。

完整微调项目见：

- 30-Finetune_florence_2_on_detection_dataset_box_vs_wheel.ipynb

另见 Hugging Face 博客 Fine-tuning Florence-2 - Microsoft's Cutting-edge Vision Language Models，展示了在 DocVQA 上微调 Florence 的案例。作者指出，Florence-2 可用于视觉问答（VQA），但官方模型未包含 VQA 能力。

总结

Florence-2 为边缘侧视觉 - 语言任务提供了强大且灵活的解决方案，性能媲美 YOLO（目标检测）、BERT/RoBERTa（文本分析）、专业 OCR 等专用模型。

得益于多模态 Transformer 架构，Florence-2 比 YOLO 更灵活，支持目标检测、图片描述、视觉定位等多任务。

与专注于语言的 **BERT** 不同，Florence-2 融合视觉与语言，适合需要多模态理解的场景。

而传统 OCR（如 Tesseract、EasyOCR）仅识别图片文字，Florence-2 的 OCR 能力还包含上下文理解和视觉 - 文本对齐，适合需要语境分析的场景。

总体来看，Florence-2 能高效整合多种视觉 - 语言任务，适合在树莓派等边缘设备部署，是开发者和研究者探索边缘 AI 应用的理想选择。

Florence-2 主要优势

1. **统一架构**
   - 单模型支持多任务，省去多模型部署与集成
   - API 和接口一致，易于开发
2. **性能对比**
   - 目标检测：COCO mAP 37.5，接近 YOLOv8（39.7），且为通用模型
   - 文字识别：多语言支持，媲美专业 OCR
   - 语言理解：具备 BERT 类文本处理能力，并融合视觉上下文
3. **资源效率**
   - Base 版仅 2.32 亿参数，性能强劲
   - 可在树莓派等边缘设备流畅运行
   - 单模型部署，简化运维

权衡与不足

1. **与专用模型对比**
   - YOLO 系列纯检测速度更快
   - 专业 OCR 处理复杂文档更强

- BERT/RoBERTa 纯文本理解更深

2. **资源需求**
   - 边缘设备延迟较高（15-200 秒）
   - 树莓派需注意内存管理
   - 实时应用需进一步优化
3. **部署复杂度**
   - 初始配置比单一模型复杂
   - 需理解多任务 prompt
   - prompt 工程有学习曲线

适用场景

1. **资源受限环境**
   - 边缘设备需多视觉能力
   - 存储/部署空间有限
   - 需灵活视觉处理的应用
2. **多模态应用**
   - 内容审核
   - 无障碍辅助
   - 文档分析
3. **快速原型开发**
   - 快速集成多视觉能力
   - 多任务测试无需多模型
   - 概念验证

未来展望

Florence-2 代表了视觉模型统一化趋势，未来有望在许多场景替代专用架构。尽管专用模型在特定任务仍有优势，但统一模型的便利性和效率使其在实际部署中越来越受青睐。

本实验展示了 Florence-2 在边缘设备上的可行性，预示着未来在物联网、移动计算、

嵌入式系统等领域的广泛应用。

参考资源

- 10-florence2_test.ipynb
- 20-florence_2.ipynb
- 30-Finetune_florence_2_on_detection_dataset_box_vs_wheel.ipynb

共享实验

共享章节汇集了跨多个 TinyML 平台的通用概念和技术。本节探讨适用于各种硬件的机器学习原理，包括模型优化策略、嵌入式系统设计模式以及跨平台部署技巧。通过这些共享知识，您将建立对 TinyML 的全面理解，能够在不同设备之间迁移和适应技术方案。无论是 Arduino、ESP32 还是树莓派开发者，这里都能为您提供通用的 TinyML 技能和最佳实践。

概览

本节实验聚焦于不同硬件平台通用的话题与技术。这些实验不依赖于特定开发板，帮助你专注于 (tiny) ML 应用中的基础概念与核心算法。

通过学习这些通用实验，你将深入理解嵌入式机器学习中常见的挑战与解决方案。无论未来使用哪种硬件，这里的知识与技能都将为你打下坚实基础。

实验名称	Nicla Vision	XIAO ESP32S3
KWS 特征工程	☒ 链接	☒ 链接
DSP 频谱特征模块	☒ 链接	☒ 链接

总结

本节内容为你后续深入各类硬件平台的 TinyML 实践打下了坚实的理论与方法基础。建议结合实际项目多加练习，进一步巩固所学知识。

KWS 特征工程

概述

本教程将重点介绍特征工程在优化音频分类任务（如语音识别）中的关键作用。需要注意的是，任何机器学习模型的性能都高度依赖于所用特征的质量。我们将深入探讨特征

提取的底层机制，主要聚焦于音频信号处理领域的基石 —— 梅尔频率倒谱系数（MFCC）。

机器学习模型，尤其是传统算法，并不能直接理解音频波形。它们理解的是以某种有意义方式排列的数字，也就是“特征”。这些特征封装了音频信号的特性，使模型能够区分不同的声音。

> 本教程专注于为音频分类生成特征。这对于将机器学习应用于各种音频数据（如语音识别、音乐分类、基于翅膀振动声的昆虫分类或其他声音分析任务）都非常有意义。

KWS 简介

最常见的 TinyML 应用是关键词检测（KWS），它属于语音识别的一个子领域。与将所有语音转录为文本的通用语音识别不同，KWS 只关注在连续音频流中检测特定“关键词”或“唤醒词”。系统会被训练识别这些预定义的短语或词汇，如 yes 或 no。简而言之，KWS 是一种专门化的语音识别形式，具有独特的挑战和需求。

下面是一个典型的基于 MFCC 特征转换器的 KWS 流程：

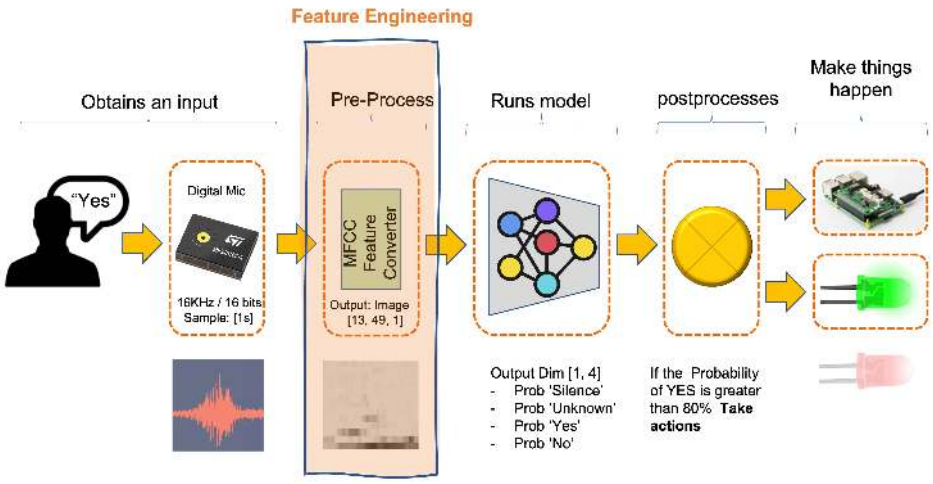

KWS 流程示意图

KWS 的应用场景

- **语音助手**：如 Amazon Alexa 或 Google Home，KWS 用于检测唤醒词（如“Alexa”或“Hey Google”）以激活设备。
- **语音控制**：在汽车或工业场景中，KWS 可用于触发特定命令，如“启动引擎”或

“关闭灯光”。

- **安全系统**：基于语音的安全系统可通过 KWS 识别口令进行身份验证。
- **电信服务**：客服热线可利用 KWS 根据关键词分流来电。

与通用语音识别的区别

- **计算效率**：KWS 通常比完整语音识别计算量更小，因为只需识别少量短语。
- **实时处理**：KWS 通常要求实时、低延迟地检测关键词。
- **资源受限**：KWS 模型通常设计得非常轻量，便于在微控制器或手机等资源有限的设备上运行。
- **任务聚焦**：通用语音识别模型需应对丰富词汇和多种口音，而 KWS 模型则针对特定关键词进行精细调优，常常需要在嘈杂环境下准确识别。

音频信号基础

理解音频信号的基本属性对于有效特征提取和成功应用机器学习算法至关重要。音频信号是随时间变化的复杂波形，反映空气压力的波动。其主要属性包括采样率、频率和幅度。

- **频率与幅度**：频率 指波形每秒振荡的次数，单位为 Hz，不同频率对应不同音高。幅度 表示振荡的大小，与声音的响度相关。二者都是描述音频信号音调和节奏特性的关键特征。
- **采样率**：采样率（单位 Hz）表示每秒采集的样本数。采样率越高，数字信号越接近原始模拟信号，但计算资源消耗也越大。常见采样率有 44.1 kHz（CD 质量）、16 kHz 或 8 kHz（语音识别）。在 TinyML 项目中，通常采用 16 kHz。虽然人耳可听频率最高达 20 kHz，但语音信号一般不超过 8 kHz，传统电话系统采样率为 8 kHz。

> 为了准确还原信号，采样率至少应为信号最高频率的两倍。

- **时域与频域**：音频信号既可在时域（波形随时间变化）分析，也可在频域（各频率成分及其幅度）分析。时域有助于观察信号的时序特征（如起止点、持续时间），但难以体现音调特性。频域分析则通过傅里叶变换揭示信号的频谱结构，这对于识别音符或语音音素等任务尤为重要。

下图展示了单词 `YES` 和 `NO` 在时域（原始音频）与频域的典型表示：

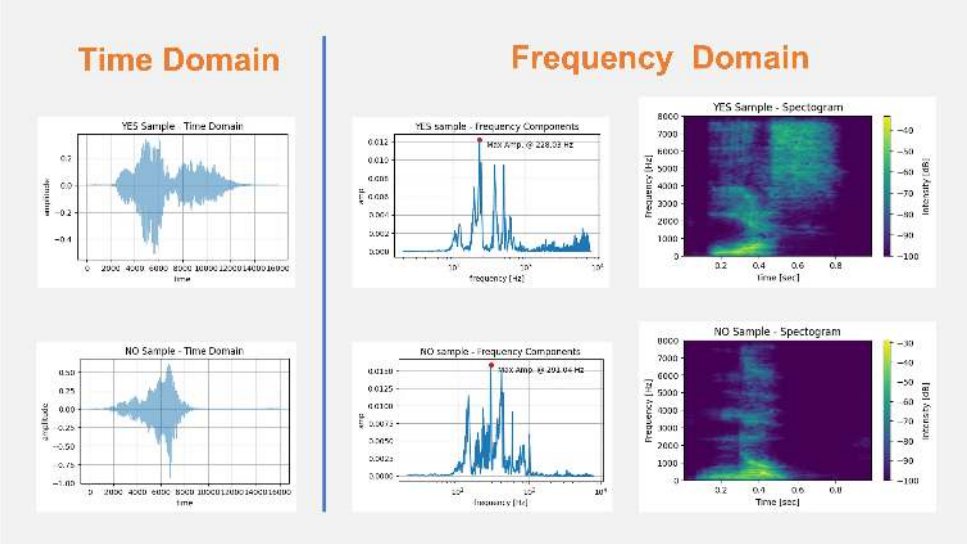

YES 和 NO 的时域与频域对比

为什么不用原始音频?

直接用原始音频数据进行机器学习虽然看似简单，但在构建高效、健壮模型时存在诸多挑战。

以 16 kHz 采样率为例，原始音频在 TinyML 设备上用于关键词检测（KWS）会面临高维度、时序特征难以捕捉、对噪声敏感、缺乏语义特征等问题。因此，像 MFCC 这样的特征提取方法更适合资源受限场景。

具体问题包括：

- **高维度**：高采样率下，音频数据量巨大。例如 1 秒音频（16 kHz）有 16,000 个数据点，导致计算复杂度高、训练慢、资源消耗大，且信息密度低。
- **时序依赖**：原始音频的时序结构复杂，简单模型难以捕捉。虽然循环神经网络（如 LSTM）可建模，但在微型设备上训练和推理都很困难。
- **噪声与变异性**：原始音频易受环境噪声、录音距离、声源方向、房间声学等因素影响，数据复杂度高。
- **缺乏语义特征**：原始波形不直接包含分类所需的语义特征，如音高、节奏、频谱特性等。
- **信号冗余**：音频信号中常有大量冗余信息，部分数据对任务无贡献，导致学习效率低、易过拟合。

因此，常用 MFCC、Mel 频率能量（MFE）、频谱图等特征提取方法，将原始音频转化为更紧凑、信息量更高的特征，既降维又降噪，更适合机器学习。

MFCC 概述

什么是 MFCC?

梅尔频率倒谱系数（MFCC）是一组基于音频信号频谱内容提取的特征，模拟人耳对不同频率的感知，广泛用于捕捉语音信号的音素特性。MFCC 的计算过程包括预加重、分帧、加窗、快速傅里叶变换（FFT）、Mel 滤波器组、离散余弦变换（DCT）等步骤，最终得到紧凑的频谱特征表示。

下图展示了单词 `YES` 和 `NO` 的 MFCC 表示：

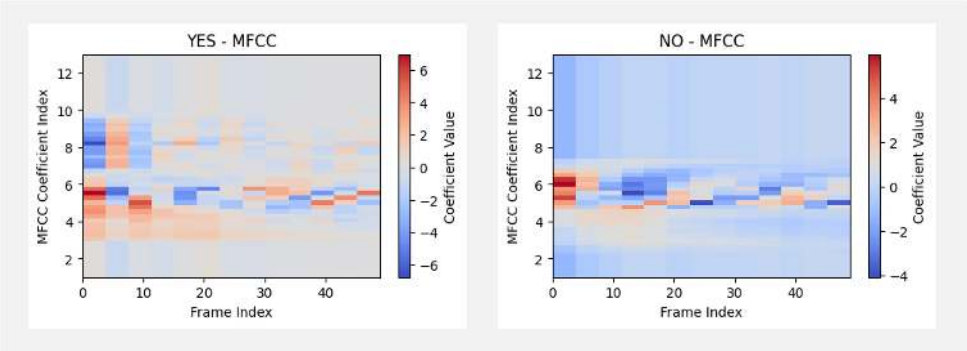

YES 和 NO 的 MFCC 表示

> 推荐观看此 视频，了解 MFCC 的原理及计算方法。

为什么 MFCC 重要?

MFCC 在关键词检测（KWS）和 TinyML 场景下尤为重要，原因如下：

- **降维**：MFCC 能在保留音频关键信息的同时大幅降低数据维度，非常适合资源受限的 TinyML 应用。
- **稳健性**：MFCC 对噪声、音高和幅度变化不敏感，特征稳定，适合音频分类。
- **模拟人耳听觉**：MFCC 的 Mel 频率刻度贴合人耳对不同频率的感知，特别适合语音识别等需“拟人”感知的场景。
- **计算高效**：MFCC 计算过程高效，适合实时、低功耗设备。

总之，MFCC 在信息丰富性和计算效率之间取得了良好平衡，是受限环境下音频分类的首选特征。

MFCC 的计算流程

MFCC 的计算主要包括以下步骤，尤其适用于 TinyML 设备上的 KWS 任务：

- **预加重**：通过滤波器增强高频成分，平衡频谱。公式为 $y(t) = x(t) - \alpha x(t-1)$，$\alpha$ 通常取 0.97。
- **分帧**：将音频信号分割为短帧（一般 20~40 毫秒），假设短时内信号频率特性稳定。帧移（stride）决定帧之间的重叠。
- **加窗**：对每帧加窗（如 Hamming 窗），减少边界不连续性，为傅里叶变换做准备。下图展示了三帧（10、20、30）加窗后的时域样本（帧长、帧移均为 20 ms）：

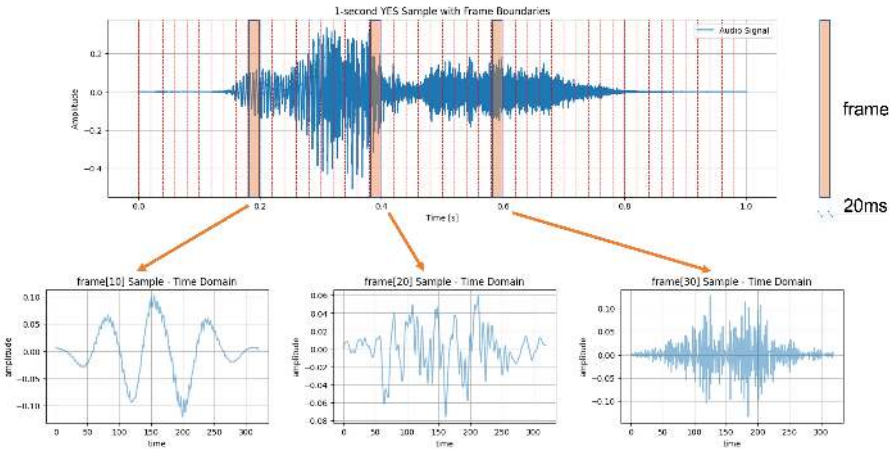

分帧与加窗示意图

- **快速傅里叶变换（FFT）**：对每帧做 FFT，将信号从时域转为频域。只取幅度用于计算功率谱，功率谱反映各频率分量的能量。

> 功率谱 $P(f)$ 定义为 $P(f) = |X(f)|^2$，$X(f)$ 为信号 $x(t)$ 的傅里叶变换。平方操作突出强频率分量，有助于捕捉音频的关键频谱特征，适用于音频分类、语音识别、KWS 等任务。

- **Mel 滤波器组**：将频域映射到 Mel 频率刻度，更贴近人耳听觉。低频区滤波器密集，高频区稀疏，通常提取 20~40 个三角滤波器的能量，并取对数以便后续处理。

- **离散余弦变换（DCT）**：对 Mel 能量取对数后做 DCT，去相关并压缩数据，通常保留前 12~13 个系数，作为最终 MFCC 特征向量。

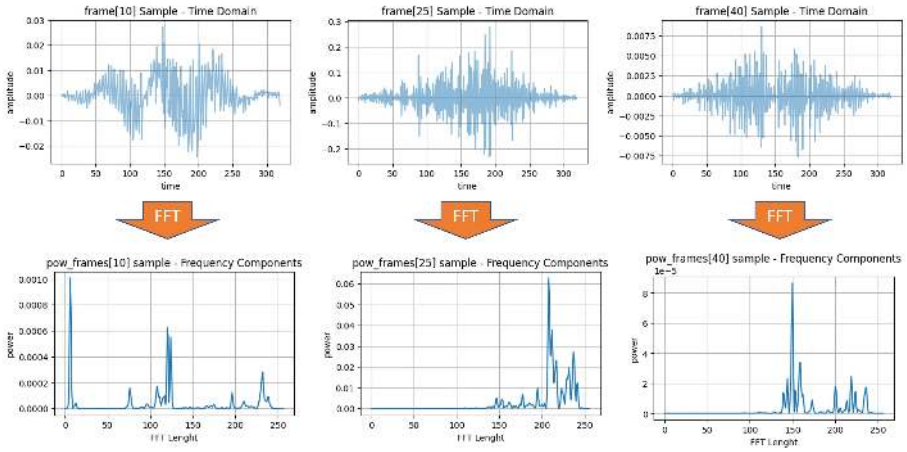

帧到 FFT 的过程

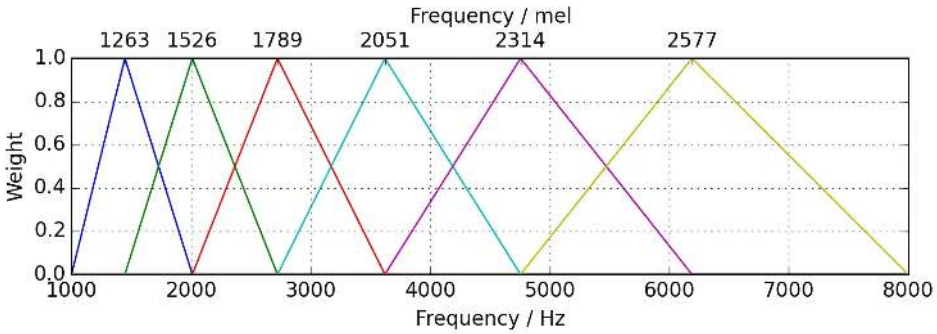

Mel 滤波器组示意图

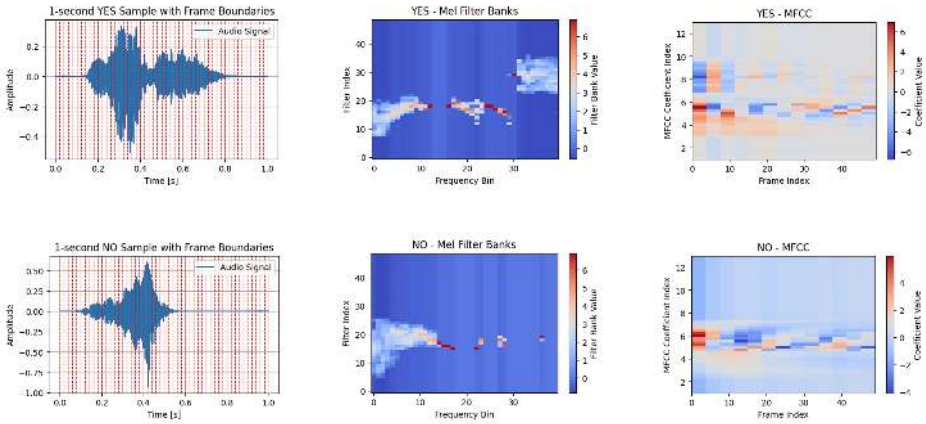

MFCC 最终特征向量

Python 实践

让我们用实际音频样本操作一遍上述流程。可在 Google CoLab 打开 notebook，提取你的音频样本的 MFCC 特征：【在 Colab 打开】

总结

我们该选用哪种特征提取方法？

MFCC、Mel 频率能量（MFE）、频谱图等都是常用的音频特征提取技术，各有适用场景。

一般来说，MFCC 更关注于捕捉功率谱包络，对细粒度频谱变化不敏感，但抗噪声能力强，适合语音相关任务。频谱图或 MFE 则保留了更多细节，适合需要区分微小频谱差异的任务。

MFCC 特别适合

1. **语音识别**：MFCC 能有效识别语音信号中的音素信息。
2. **说话人识别**：可用于区分不同说话人的声音特征。
3. **情感识别**：能捕捉语音中反映情感状态的细微变化。
4. **关键词检测**：尤其适合 TinyML 场景，计算量小、特征紧凑。

频谱图或 MFE 更适合

1. **音乐分析**：频谱图能捕捉音乐的和声与音色结构，适合流派分类、乐器识别、音乐转录等任务。
2. **环境声音分类**：识别非语音环境声（如雨声、风声、交通声）时，频谱图更具区分力。
3. **鸟鸣识别**：鸟叫等生物声信号的细节常需频谱图来捕捉。
4. **生物声学信号处理**：如海豚、蝙蝠叫声分析，频谱细节至关重要。
5. **音频质量检测**：专业音频分析常用频谱图识别噪声、杂音等问题。

参考资料

- Audio_Data_Analysis Colab Notebook

DSP 频谱特征

概述

与运动（或振动）相关的 TinyML 项目通常涉及来自 IMU（惯性测量单元，通常为**加速度计**和**陀螺仪**）的数据。这类时序数据在输入机器学习模型训练前需要进行预处理，这也是嵌入式机器学习中的一大难点。Edge Impulse 通过其数字信号处理（DSP）预处理步骤，尤其是针对惯性传感器的 频谱特征模块，帮助我们简化了这一复杂过程。

那么它的底层原理是什么？让我们深入了解一下。

特征提取回顾

从惯性传感器（如加速度计）采集的数据中提取特征，涉及对原始数据的处理与分析。加速度计测量物体在一个或多个轴（通常为 X、Y、Z 三轴）上的加速度，这些测量值可用于分析物体的运动模式和振动特性。以下是高层次的处理流程：

数据采集：首先需要从加速度计采集数据。根据应用场景，采样率可能不同。采样率必须足够高，以捕捉运动中的关键动态（采样率应至少为信号中最高相关频率的两倍）。

数据预处理：原始加速度计数据可能包含噪声、误差或无关信息。通过滤波、归一化等预处理步骤，可以清洗和标准化数据，使其更适合后续特征提取。

> Studio 不会自动进行归一化或标准化，因此在进行传感器融合（Sensor Fusion）时，有时需要在上传数据前手动完成这一步。这在传感器融合项目中尤为重要，详见本教程：Sensor Data Fusion with Spresense and CommonSense。

分段处理：根据数据和应用需求，通常需要将数据划分为更小的片段或**窗口**。这样可以聚焦于数据集中的特定事件或活动，使特征提取更具针对性和意义。**窗口大小**及重叠（**窗口跨度**）的选择取决于应用和关注事件的频率。一般建议窗口能覆盖几个“数据周期”。

特征提取：数据预处理和分段后，可以提取描述运动特征的特征。常见的加速度计特征包括：

- **时域特征**：描述每个片段内数据的统计属性，如均值、中位数、标准差、偏度、峰度、过零率等。
- **频域特征**：通过如 快速傅里叶变换（FFT）等方法将数据转换到频域，常见特征有功率谱、谱能量、主频（幅值和频率）、谱熵等。

- **时频域特征**：结合时域和频域信息，如短时傅里叶变换（STFT）或离散小波变换（DWT），可更细致地分析信号频率随时间的变化。

在许多情况下，提取的特征数量可能很大，导致过拟合或计算复杂度增加。可以采用特征选择技术（如互信息、相关性分析或主成分分析 PCA）筛选最相关特征，降低数据维度。Studio 也能辅助完成相关特征筛选。

下面我们以本系列 Hands-ON 覆盖的典型 TinyML 运动分类项目为例，进一步探讨。

一个 TinyML 运动分类项目

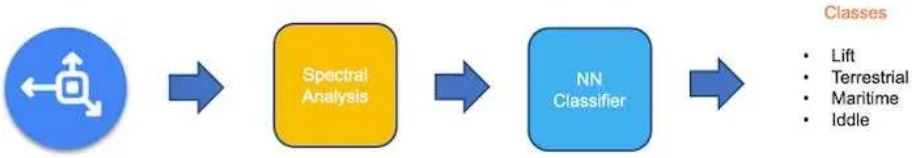

频谱特征模块流程图

在实践项目“运动分类与异常检测”中，我们模拟了运输过程中的机械应力，目标是对四种运动状态进行分类：

- **海运**（托盘在船上）
- **陆运**（托盘在卡车或火车上）
- **升降**（托盘被叉车搬运）
- **静止**（托盘在仓库中）

加速度计为托盘（或集装箱）提供了运动数据。

下图为采样频率 50 Hz、时长 10 秒的一组原始数据样本：

> 若采用不同采样率（如 62.5 Hz），分析结果与上述原理类似。

数据预处理

加速度计采集的原始数据（时序数据）需通过典型特征提取方法转化为“表格数据”。

我们应采用滑动窗口对样本数据进行分段以提取特征。项目中每 10 秒采集一次加速度数据，采样率为 62.5 Hz。2 秒窗口包含 375 个数据点（3 轴 × 2 秒 × 62.5 次采样）。窗口每 80 ms 滑动一次，生成更大的数据集，每个实例有 375 个“原始特征”。

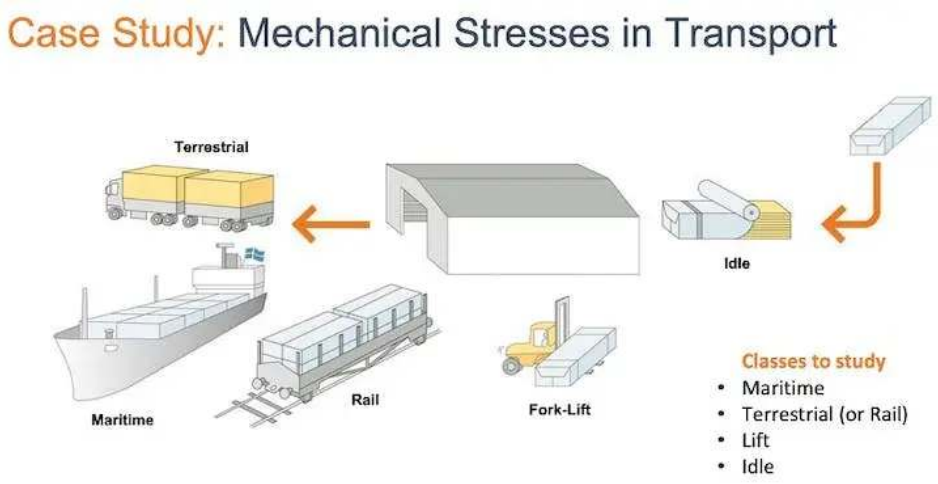

案例分析示意图

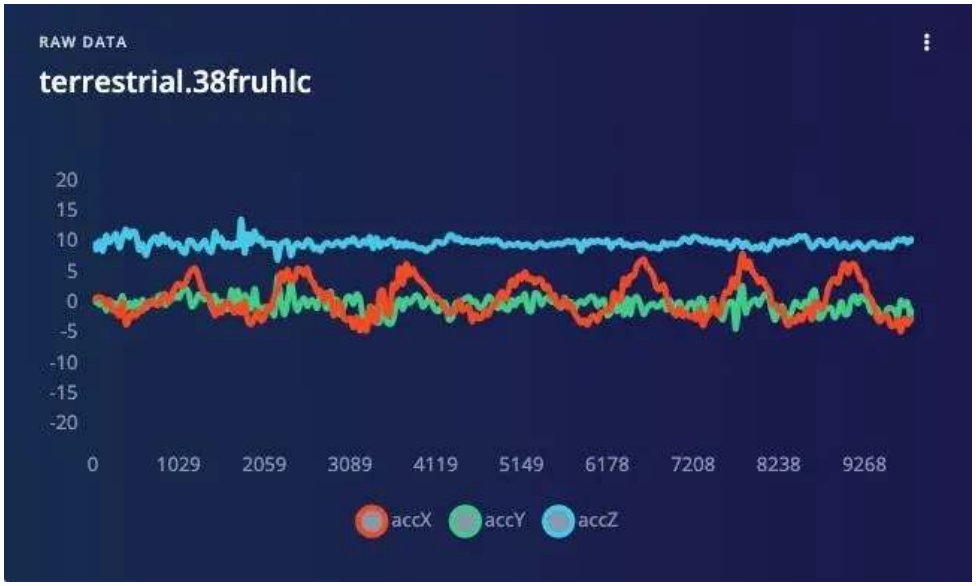

10 秒原始数据样本

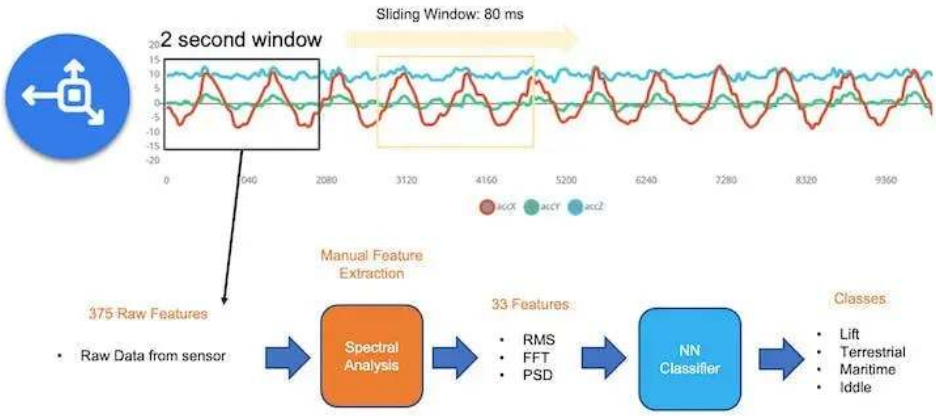

滑动窗口分段示意图

在 Studio 的早期版本（V1）中，**频谱分析模块**仅提取了时域 RMS，频域则提取了信号的峰值、主频（通过 FFT）和功率特征（PSD），最终每轴生成 11 个特征，共 33 个特征，形成固定表格数据集。

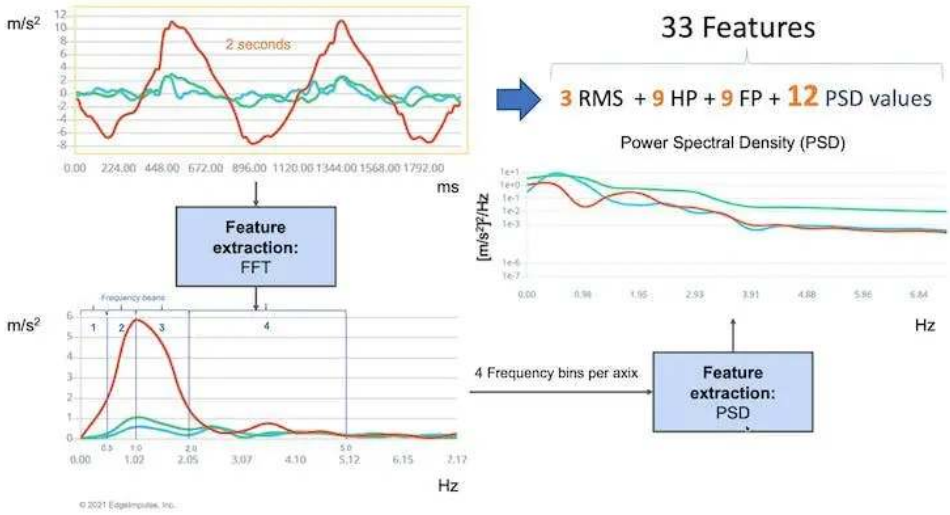

V1 特征分布图

这 33 个特征作为神经网络分类器的输入张量。

2022 年，Edge Impulse 发布了频谱分析模块的第二版（V2），我们将在下文详细介绍。

Edge Impulse 频谱分析模块 V2 原理

V2 版本中，每个通道/轴的时域统计特征包括：

- RMS

- 偏度（Skewness）
- 峰度（Kurtosis）

频域谱特征包括：

- 谱功率（Spectral Power）
- 偏度（Skewness，后续版本支持）
- 峰度（Kurtosis，后续版本支持）

更多特征提取细节可参考官方文档。

> 可克隆公开项目。也可参考我的 Google CoLab Notebook，边看边实践：Edge Impulse Spectral Analysis Block Notebook。

首先导入相关库：

```
import numpy as np
import matplotlib.pyplot as plt
import seaborn as sns
import math
from scipy.stats import skew, kurtosis
from scipy import signal
from scipy.signal import welch
from scipy.stats import entropy
from sklearn import preprocessing
import pywt

plt.rcParams['figure.figsize'] = (12, 6)
plt.rcParams['lines.linewidth'] = 3
```

以项目中的加速度计数据样本为例：

- 窗口大小 2 秒：`[2,000]` ms
- 采样频率：`[62.5]` Hz
- 滤波器选择 `[None]`（为简化）
- FFT 长度：`[16]`

```
f =  62.5 # 赫兹
wind_sec = 2 # 秒
FFT_Lenght = 16
axis = ['accX', 'accY', 'accZ']
```

```
n_sensors = len(axis)
```

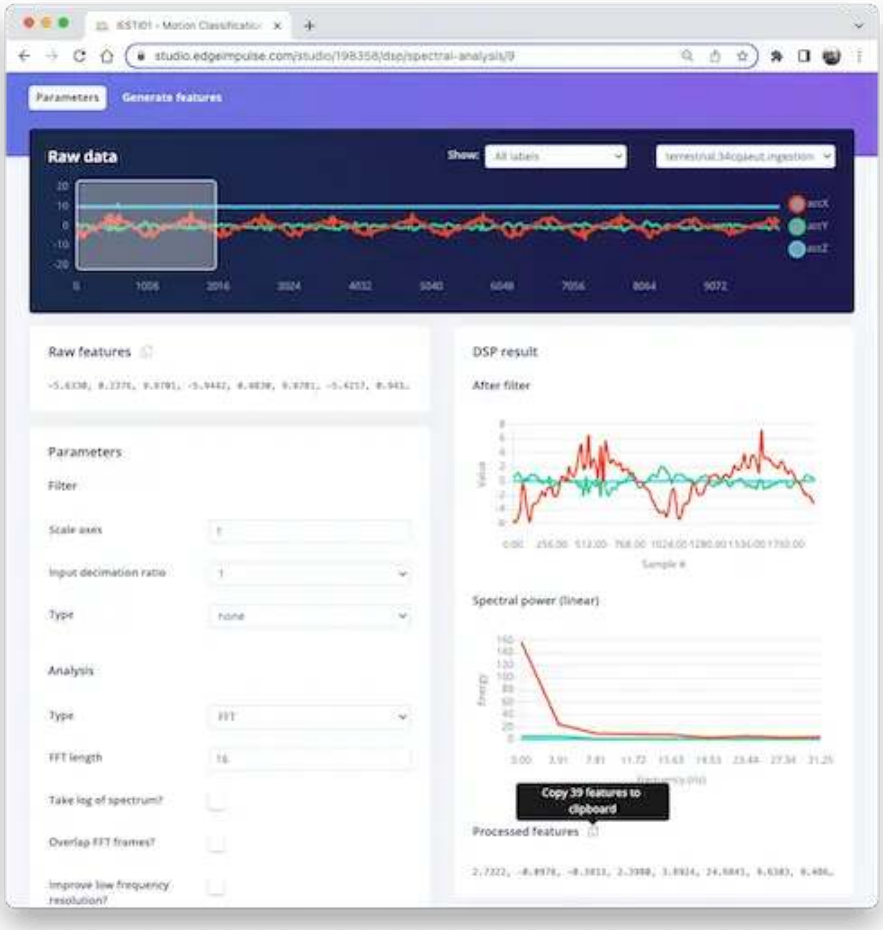

Studio 配置界面截图

在 Studio 的 Spectral Analysis 标签页选择 Raw Features，可复制某 2 秒窗口的全部 375 个数据点。

将数据粘贴到变量 data：

```
data = [
    -5.6330,  0.2376,  9.8701,
    -5.9442,  0.4830,  9.8701,
    -5.4217, ...
]
No_raw_features = len(data)
N = int(No_raw_features/n_sensors)
```

总原始特征为 375 个，但我们将分别处理每个轴的数据，即 $N = 125$（每轴样本数）。

原始特征复制界面

我们的目标是理解 Edge Impulse 如何生成处理后的特征。

特征处理流程图

同样，将处理后的特征粘贴到变量中（便于与 Python 计算结果对比）：

```
features = [
    2.7322, -0.0978, -0.3813,
    2.3980, 3.8924, 24.6841,
    9.6303, ...
]
N_feat = len(features)
N_feat_axis = int(N_feat/n_sensors)
```

总处理特征为 39 个，即每轴 13 个特征。

细看这 13 个特征，时域有 3 个（RMS、偏度、峰度）：

- `[rms] [skew] [kurtosis]`

频域有 10 个（后文详述）：

- `[spectral skew][spectral kurtosis][Spectral Power 1] ... [Spectral Power 8]`

按传感器轴拆分原始数据

数据包含所有轴的样本，需分别拆分并绘图：

```
def plot_data(sensors, axis, title):
    [plt.plot(x, label=y) for x,y in zip(sensors, axis)]
    plt.legend(loc='lower right')
    plt.title(title)
    plt.xlabel('#Sample')
    plt.ylabel('Value')
    plt.box(False)
    plt.grid()
    plt.show()

accX = data[0::3]
accY = data[1::3]
accZ = data[2::3]
sensors = [accX, accY, accZ]
plot_data(sensors, axis, 'Raw Features')
```

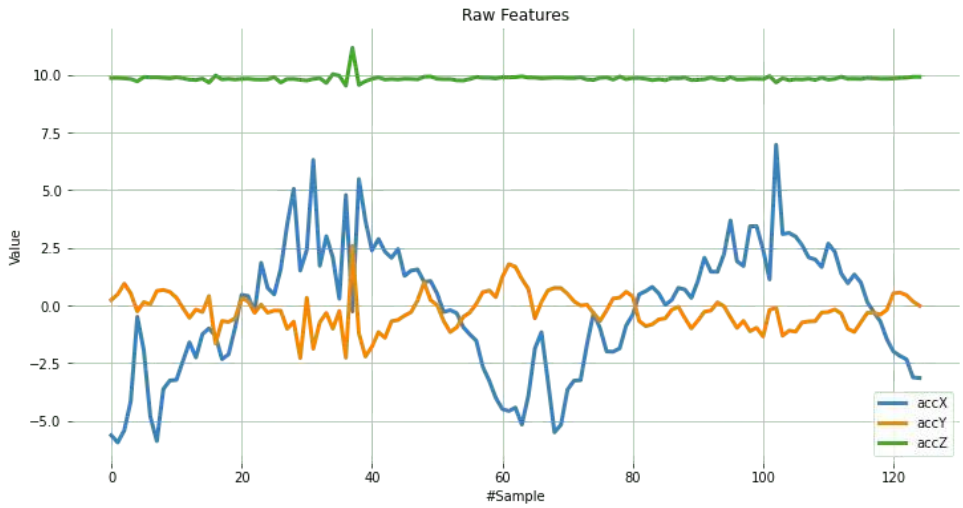

三轴原始数据分布图

去均值处理

接下来需对 data 去均值。去均值是统计和机器学习中常见的预处理步骤，目的是将数据中心化，有助于揭示隐藏的模式和关系。

去均值的好处包括：

- 简化分析：中心化后均值为零，部分计算更简便。

- 消除偏差：去除数据偏置，分析更准确。
- 揭示模式：中心化有助于发现时序数据中的趋势。
- 提升算法表现：部分算法对中心化数据表现更佳，减少异常值影响。

```
dtmean = [
    (sum(x) / len(x))
    for x in sensors
]

[
    print('mean_' + x + ' =', round(y, 4))
    for x, y in zip(axis, dtmean)
][0]

accX = [(x - dtmean[0]) for x in accX]
accY = [(x - dtmean[1]) for x in accY]
accZ = [(x - dtmean[2]) for x in accZ]
sensors = [accX, accY, accZ]

plot_data(sensors, axis, 'Raw Features - Subctract the Mean')
```

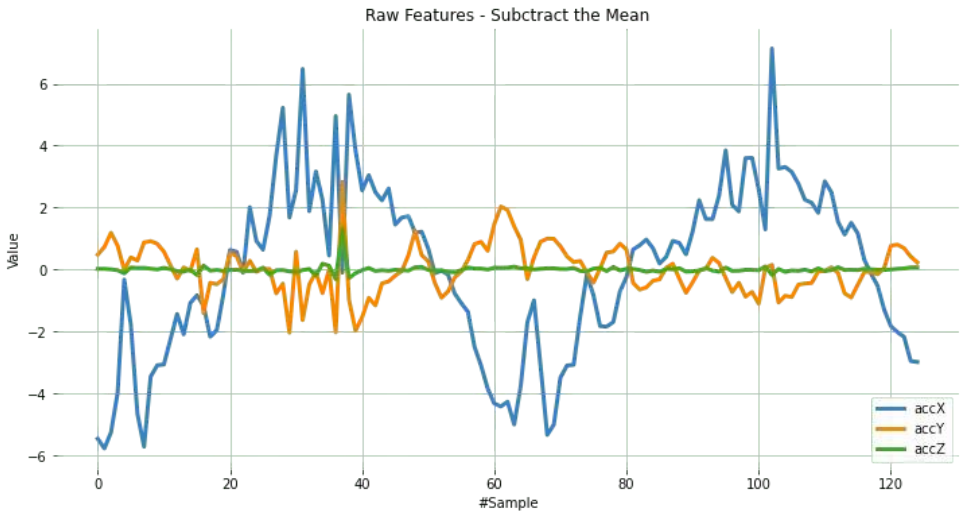

去均值后数据分布图

时域统计特征

RMS 计算

RMS（均方根）是数值集合（或连续波形）平方后取平均再开方的结果。在物理学中，电流的 RMS 值定义为“在电阻上消耗相同功率的直流电流值”。

对于 n 个值 $_1, _2, \ldots,$ ，RMS 计算公式为：

$$x_{\text{RMS}} = \sqrt{\frac{1}{n}\left(x_1^2 + x_2^2 + \cdots + x_n^2\right)}$$

> 注意：原始数据和去均值后的 RMS 值不同

```
# 使用 numpy 计算去均值后的 RMS
rms = [np.sqrt(np.mean(np.square(x))) for x in sensors]
```

可将计算结果与 Edge Impulse 的特征对比：

```
[print('rms_'+x+'= ', round(y, 4)) for x,y in zip(axis, rms)][0]
print("\nCompare with Edge Impulse result features")
print(features[0:N_feat:N_feat_axis])
```

Edge Impulse 结果：

偏度与峰度计算

在统计学中，偏度和峰度用于衡量分布的**形态**。

下图展示了各轴数据的分布：

```
fig, axes = plt.subplots(nrows=1, ncols=3, figsize=(13, 4))
sns.kdeplot(accX, fill=True, ax=axes[0])
sns.kdeplot(accY, fill=True, ax=axes[1])
sns.kdeplot(accZ, fill=True, ax=axes[2])
axes[0].set_title('accX')
axes[1].set_title('accY')
axes[2].set_title('accZ')
plt.suptitle('IMU Sensors distribution', fontsize=16, y=1.02)
plt.show()
```

偏度 衡量分布的不对称性，可为正或负。

- 负偏度：分布左侧尾部较长，向负值延伸。
- 正偏度：分布右侧尾部较长，向正值延伸。
- 零偏度：分布完全对称。

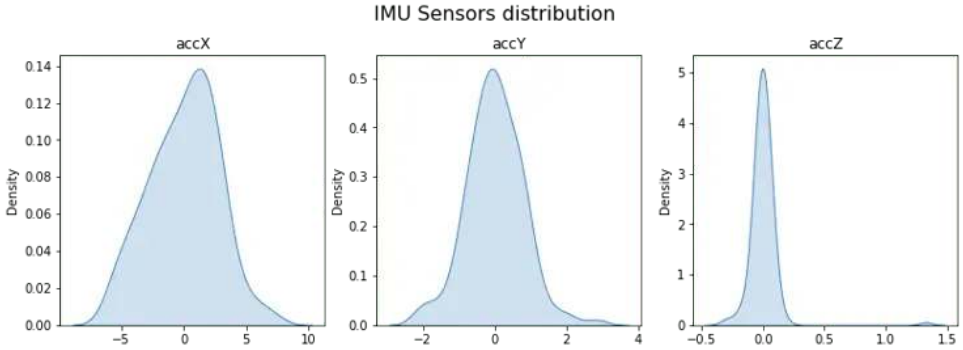

三轴分布核密度图

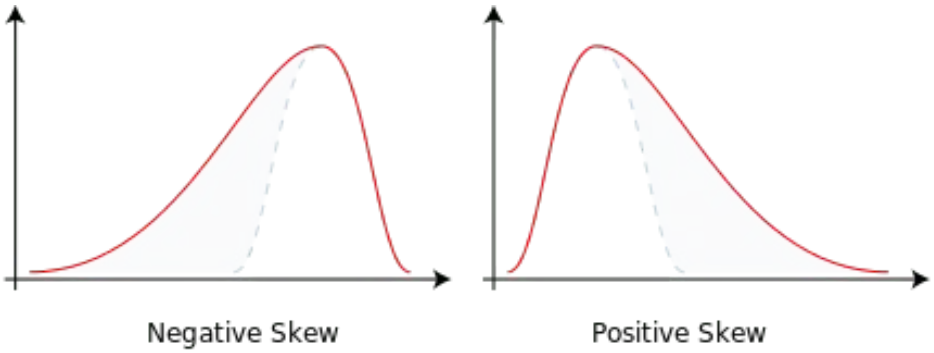

偏度示意图

```
skew = [skew(x, bias=False) for x in sensors]
[print('skew_'+x+'= ', round(y, 4))
  for x,y in zip(axis, skew)][0]
print("\nCompare with Edge Impulse result features")
features[1:N_feat:N_feat_axis]
```

Edge Impulse 结果：

峰度 衡量分布相较于正态分布的尾部厚度。

- 正态分布峰度为零。
- 负峰度（扁峰）：极端值较少。
- 正峰度（尖峰）：极端值较多。

```
kurt = [kurtosis(x, bias=False) for x in sensors]
[print('kurt_'+x+'= ', round(y, 4))
  for x,y in zip(axis, kurt)][0]
print("\nCompare with Edge Impulse result features")
features[2:N_feat:N_feat_axis]
```

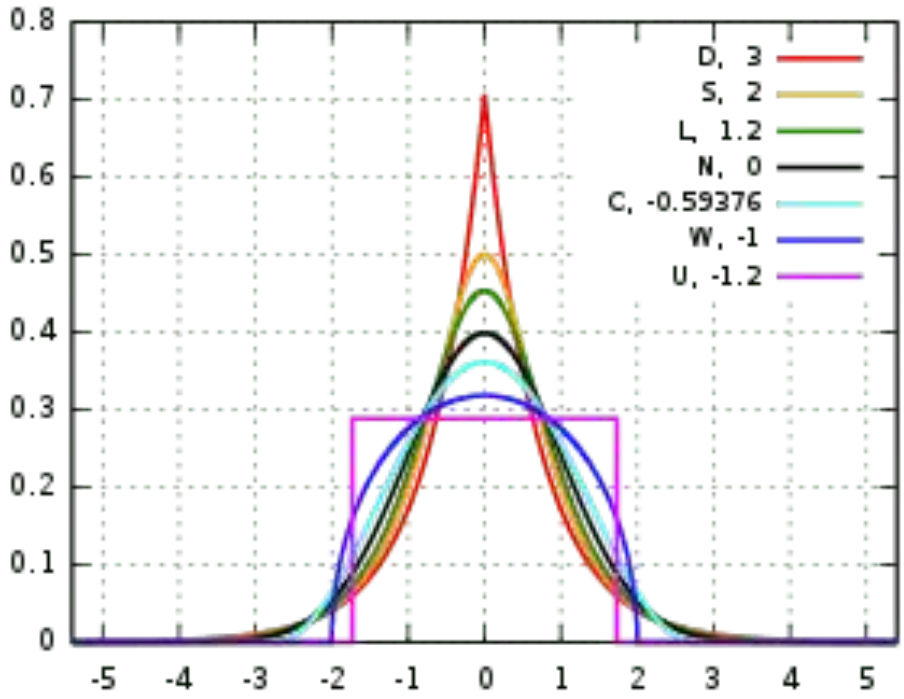

峰度示意图

Edge Impulse 结果：

频谱特征

滤波后的信号会进入频谱功率计算环节，通过 **FFT** 生成频谱特征。

由于采样窗口通常大于 FFT 大小，窗口会被分割为多个帧（子窗口），每帧做一次 FFT。

FFT 长度决定 FFT bin 数量和频率分辨率。较小的 FFT 长度会将更多信号平均到同一 bin，特征和模型体积较小；较大长度则能分辨更多频率，特征和模型体积也更大。

- 谱功率特征数量取决于滤波和 FFT 参数。无滤波时，特征数为 FFT 长度的一半。

谱功率 - Welch 方法

应采用 Welch 方法将信号分割为频域 bin 并计算每个 bin 的功率谱。该方法将信号分段、加窗、对每段做 DFT 并取平均，得到更平滑的功率谱估计。

```
# Edge Impulse 使用的 Welch 变体
def welch_max_hold(fx, sampling_freq, nfft, n_overlap):
    n_overlap = int(n_overlap)
    spec_powers = [0 for _ in range(nfft//2+1)]
    ix = 0
    while ix <= len(fx):
```

```
        # Slicing truncates if end_idx > len,
        # and rfft will auto-zero pad
        fft_out = np.abs(np.fft.rfft(fx[ix:ix+nfft], nfft))
        spec_powers = np.maximum(spec_powers, fft_out**2/nfft)
        ix = ix + (nfft-n_overlap)
    return np.fft.rfftfreq(nfft, 1/sampling_freq), spec_powers
```

对三轴信号应用上述函数：

```
fax,Pax = welch_max_hold(accX, fs, FFT_Lenght, 0)
fay,Pay = welch_max_hold(accY, fs, FFT_Lenght, 0)
faz,Paz = welch_max_hold(accZ, fs, FFT_Lenght, 0)
specs = [Pax, Pay, Paz ]
```

绘制功率谱 P(f)：

```
plt.plot(fax,Pax, label='accX')
plt.plot(fay,Pay, label='accY')
plt.plot(faz,Paz, label='accZ')
plt.legend(loc='upper right')
plt.xlabel('Frequency (Hz)')
#plt.ylabel('PSD [V**2/Hz]')
plt.ylabel('Power')
plt.title('Power spectrum P(f) using Welch\'s method')
plt.grid()
plt.box(False)
plt.show()
```

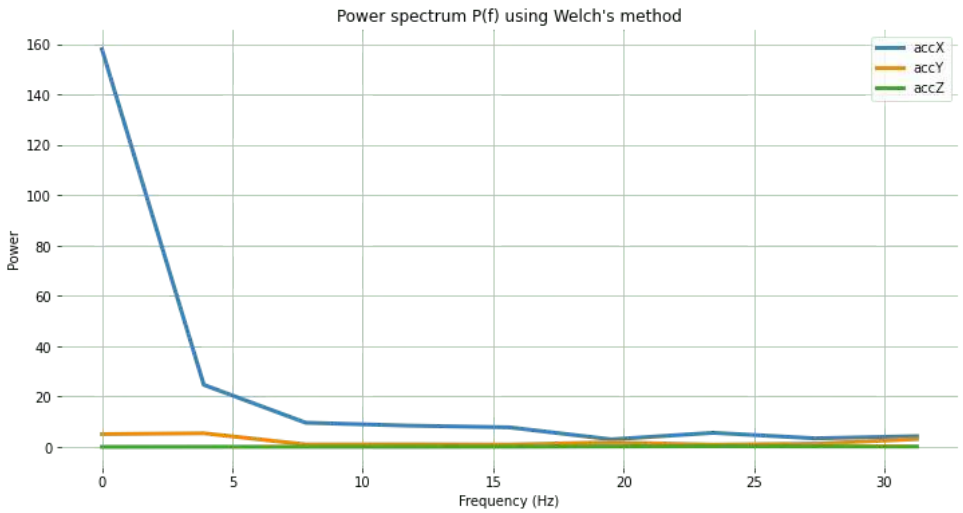

Welch 功率谱图

除功率谱外，还可计算频域特征的偏度和峰度（新版本支持）：

```
spec_skew = [skew(x, bias=False) for x in specs]
spec_kurtosis = [kurtosis(x, bias=False) for x in specs]
```

列出各轴频谱特征并与 EI 对比：

```
print("EI Processed Spectral features (accX): ")
print(features[3:N_feat_axis][0:])
print("\nCalculated features:")
print (round(spec_skew[0],4))
print (round(spec_kurtosis[0],4))
[print(round(x, 4)) for x in Pax[1:]][0]
```

EI 处理后 accX 频谱特征：

2.398, 3.8924, 24.6841, 9.6303, 8.4867, 7.7793, 2.9963, 5.6242, 3.4198, 4.2735

Python 计算结果：

2.9069 8.5569 24.6844 9.6304 8.4865 7.7794 2.9964 5.6242 3.4198 4.2736

```
print("EI Processed Spectral features (accY): ")
print(features[16:26][0:]) # 13: 3+N_feat_axis;
                           # 26 = 2x N_feat_axis
print("\nCalculated features:")
print (round(spec_skew[1],4))
print (round(spec_kurtosis[1],4))
[print(round(x, 4)) for x in Pay[1:]][0]
```

EI 处理后 accY 频谱特征：

0.9426, -0.8039, 5.429, 0.999, 1.0315, 0.9459, 1.8117, 0.9088, 1.3302, 3.112

Python 计算结果：

1.1426 -0.3886 5.4289 0.999 1.0315 0.9458 1.8116 0.9088 1.3301 3.1121

```
print("EI Processed Spectral features (accZ): ")
print(features[29:][0:]) #29: 3+(2*N_feat_axis);
print("\nCalculated features:")
print (round(spec_skew[2],4))
print (round(spec_kurtosis[2],4))
[print(round(x, 4)) for x in Paz[1:]][0]
```

EI 处理后 accZ 频谱特征：

0.3117, -1.3812, 0.0606, 0.057, 0.0567, 0.0976, 0.194, 0.2574, 0.2083, 0.166

Python 计算结果：

0.3781 -1.4874 0.0606 0.057 0.0567 0.0976 0.194 0.2574 0.2083 0.166

时频域特征

小波分析

小波变换 是分析具有瞬态特征或突变（如尖峰、边缘）信号的强大工具，传统傅里叶方法难以处理这类信号。

小波变换通过将信号分解为不同频率分量并分别分析实现。其本质是用**小波函数**（在特定时间和频率中心的短波形）对信号进行卷积，将信号分解为不同频带，便于分别分析。

小波变换的关键优势在于支持时频分析，即能揭示信号频率随时间的变化，特别适合分析非平稳信号。

小波广泛应用于信号/图像压缩、去噪、特征提取和图像处理等领域。

在 Spectral Features 模块选择 Wavelet：

- 类型：Wavelet
- 分解层数：1
- 小波类型：bior1.3

小波函数

```
wavelet_name='bior1.3'
num_layer = 1

wavelet = pywt.Wavelet(wavelet_name)
[phi_d,psi_d,phi_r,psi_r,x] = wavelet.wavefun(level=5)
plt.plot(x, psi_d, color='red')
plt.title('Wavelet Function')
plt.ylabel('Value')
plt.xlabel('Time')
plt.grid()
plt.box(False)
plt.show()
```

同样复制处理后特征：

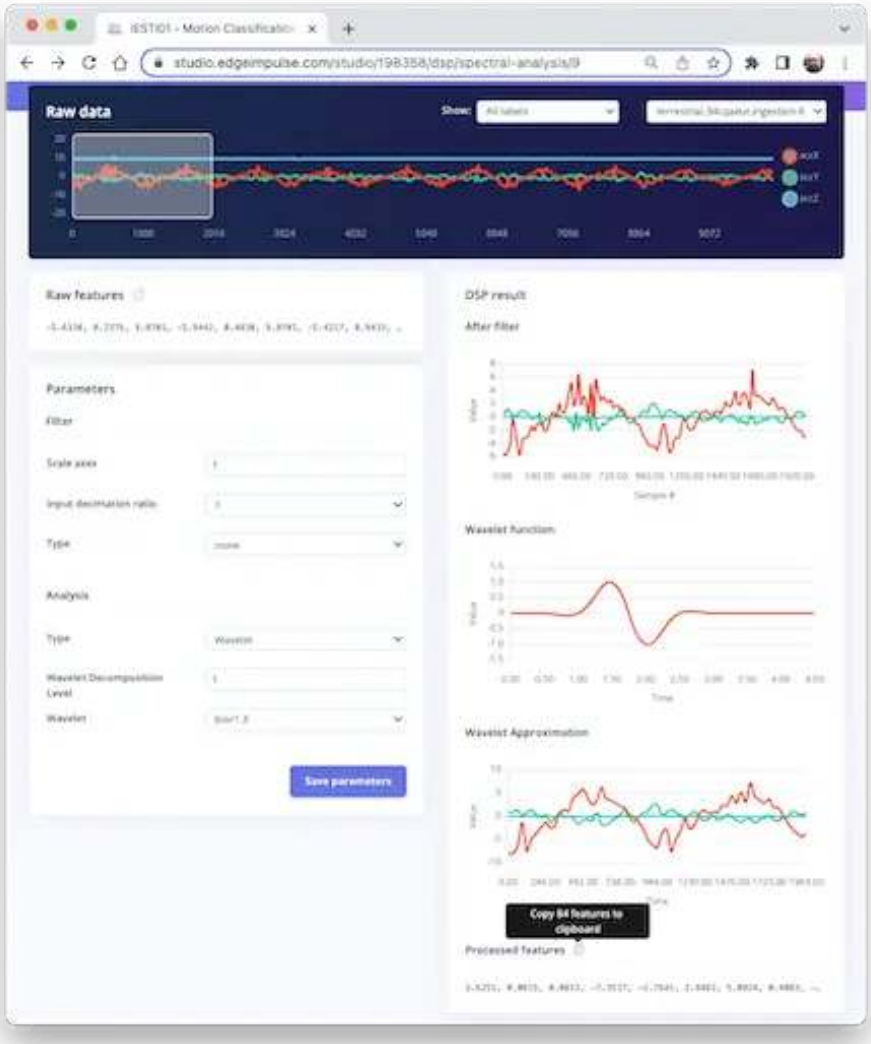

小波参数配置界面

```
features = [
    3.6251, 0.0615, 0.0615,
    -7.3517, -2.7641, 2.8462,
    5.0924, ...
]
N_feat = len(features)
N_feat_axis = int(N_feat/n_sensors)
```

Edge Impulse 对每个小波分解层执行 离散小波变换（DWT），然后提取特征。

对于**小波**，提取的特征包括基本统计量、过零/均值穿越和熵，每层共 14 个特征：

- [11] 统计特征：**n5, n25, n75, n95, 均值，中位数，标准差，方差，RMS, 峰度，偏度**
- [2] 穿越特征：过零率（zcross）、均值穿越率（mcross），分别表示信号穿越零线和

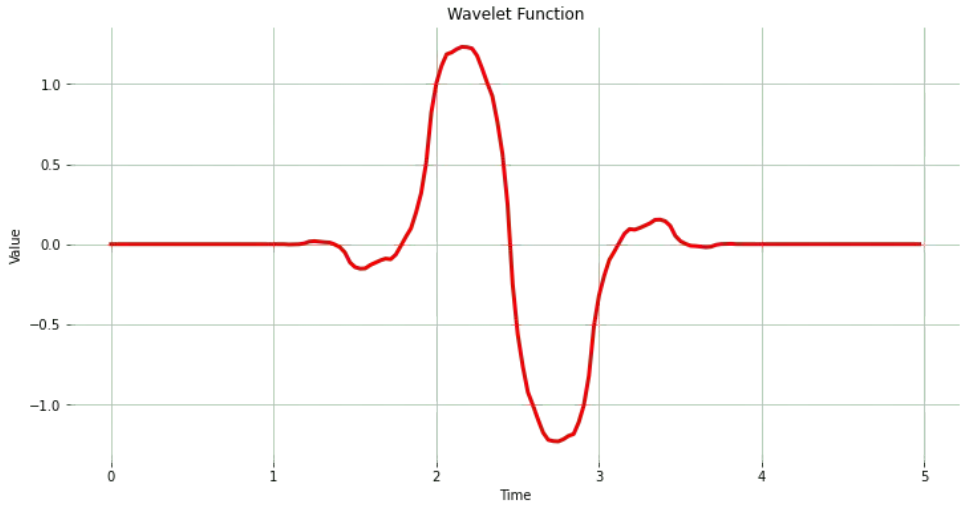

小波函数图像

小波特征复制界面

均值线的次数

- [1] 复杂度特征：**熵**，衡量信号复杂度

上述 14 个特征对每层（含 L0 原始信号）均计算

- 特征总数取决于滤波和层数。例如无滤波、Level[1] 时，每轴 14×2（L0+L1）= 28，总计 84 个特征（三轴）。

小波分析

小波分析将信号（**accX, accY, accZ**）分解为不同频率分量，分别提取低频（长期模式，如 **accX_l1, accY_l1, accZ_l1**）和高频（短期模式，如 **accX_d1, accY_d1, accZ_d1**）分量，便于后续特征提取和分类。

这里只用低频分量（近似系数 cA）。单层分解时，函数返回元组；多层分解时返回列表，详见离散小波变换 DWT。

```
(accX_l1, accX_d1) = pywt.dwt(accX, wavelet_name)
(accY_l1, accY_d1) = pywt.dwt(accY, wavelet_name)
(accZ_l1, accZ_d1) = pywt.dwt(accZ, wavelet_name)
sensors_l1 = [accX_l1, accY_l1, accZ_l1]

# 绘制近似分量
plt.plot(accX_l1, label='accX')
plt.plot(accY_l1, label='accY')
plt.plot(accZ_l1, label='accZ')
plt.legend(loc='lower right')
plt.xlabel('Time')
plt.ylabel('Value')
plt.title('Wavelet Approximation')
plt.grid()
plt.box(False)
plt.show()
```

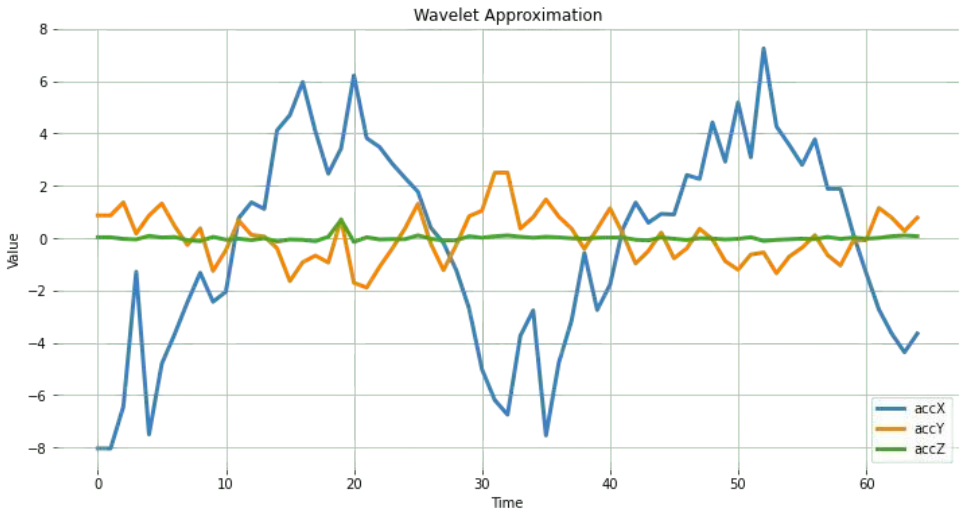

小波近似分量图

特征提取

先提取基本统计特征，对原始信号和 DWT 近似分量均适用：

```
def calculate_statistics(signal):
    n5 = np.percentile(signal, 5)
    n25 = np.percentile(signal, 25)
    n75 = np.percentile(signal, 75)
    n95 = np.percentile(signal, 95)
    median = np.percentile(signal, 50)
    mean = np.mean(signal)
    std = np.std(signal)
    var = np.var(signal)
    rms = np.sqrt(np.mean(np.square(signal)))
```

```
    return [n5, n25, n75, n95, median, mean, std, var, rms]

stat_feat_l0 = [calculate_statistics(x) for x in sensors]
stat_feat_l1 = [calculate_statistics(x) for x in sensors_l1]
```

偏度与峰度：

```
skew_l0 = [skew(x, bias=False) for x in sensors]
skew_l1 = [skew(x, bias=False) for x in sensors_l1]
kurtosis_l0 = [kurtosis(x, bias=False) for x in sensors]
kurtosis_l1 = [kurtosis(x, bias=False) for x in sensors_l1]
```

过零率（zcross）：信号穿越零轴的次数，反映频率成分，高频信号过零多。

均值穿越率（mcross）：信号穿越均值线的次数，反映幅度特性，高幅值信号均值穿越多。

```
def getZeroCrossingRate(arr):
    my_array = np.array(arr)
    zcross = float(
        "{:.2f}".format(
          (((my_array[:-1] * my_array[1:]) < 0).sum()) / len(arr)
        )
    )
    return zcross

def getMeanCrossingRate(arr):
    mcross = getZeroCrossingRate(np.array(arr) - np.mean(arr))
    return mcross

def calculate_crossings(list):
    zcross=[]
    mcross=[]
    for i in range(len(list)):
        zcross_i = getZeroCrossingRate(list[i])
        zcross.append(zcross_i)
        mcross_i = getMeanCrossingRate(list[i])
        mcross.append(mcross_i)
    return zcross, mcross

cross_l0 = calculate_crossings(sensors)
cross_l1 = calculate_crossings(sensors_l1)
```

小波分析中的**熵**衡量小波系数分布的无序度或复杂度。这里用 Shannon 熵，值越大信号越复杂。

```
def calculate_entropy(signal, base=None):
    value, counts = np.unique(signal, return_counts=True)
    return entropy(counts, base=base)

entropy_l0 = [calculate_entropy(x) for x in sensors]
entropy_l1 = [calculate_entropy(x) for x in sensors_l1]
```

最后，汇总所有小波特征并按层组织：

```
L1_features_names = [
    "L1-n5", "L1-n25", "L1-n75", "L1-n95", "L1-median",
    "L1-mean", "L1-std", "L1-var", "L1-rms", "L1-skew",
    "L1-Kurtosis", "L1-zcross", "L1-mcross", "L1-entropy"
]

L0_features_names = [
    "L0-n5", "L0-n25", "L0-n75", "L0-n95", "L0-median",
    "L0-mean", "L0-std", "L0-var", "L0-rms", "L0-skew",
    "L0-Kurtosis", "L0-zcross", "L0-mcross", "L0-entropy"
]

all_feat_l0 = []
for i in range(len(axis)):
    feat_l0 = (
        stat_feat_l0[i]
        + [skew_l0[i]]
        + [kurtosis_l0[i]]
        + [cross_l0[0][i]]
        + [cross_l0[1][i]]
        + [entropy_l0[i]]
    )
    [print(axis[i] + ' +x+= ', round(y, 4))
       for x, y in zip(LO_features_names, feat_l0)][0]
    all_feat_l0.append(feat_l0)

all_feat_l0 = [
    item
    for sublist in all_feat_l0
    for item in sublist
]
print(f"\nAll L0 Features = {len(all_feat_l0)}")

all_feat_l1 = []
for i in range(len(axis)):
    feat_l1 = (
        stat_feat_l1[i]
        + [skew_l1[i]]
        + [kurtosis_l1[i]]
        + [cross_l1[0][i]]
        + [cross_l1[1][i]]
        + [entropy_l1[i]]
    )
```

```
    [print(axis[i]+' '+x+'= ', round(y, 4))
       for x,y in zip(L1_features_names, feat_l1)][0]
    all_feat_l1.append(feat_l1)

all_feat_l1 = [
    item
    for sublist in all_feat_l1
    for item in sublist
]
print(f"\nAll L1 Features = {len(all_feat_l1)}")
```

```
accX L0-n5=  -4.9364
accX L0-n25=  -1.8429
accX L0-n75=  1.8842
accX L0-n95=  3.8096
accX L0-median=  0.4058
accX L0-mean=  -0.0
accX L0-std=  2.7322
accX L0-var=  7.4651
accX L0-rms=  2.7322
accX L0-skew=  -0.099
accX L0-Kurtosis=  -0.3475
accX L0-zcross=  0.06
accX L0-mcross=  0.06
accX L0-entropy=  4.8283
accY L0-n5=  -1.149
accY L0-n25=  -0.4475
accY L0-n75=  0.4814
accY L0-n95=  1.1491
accY L0-median=  -0.0315
accY L0-mean=  0.0
accY L0-std=  0.7833
accY L0-var=  0.6136
accY L0-rms=  0.7833
accY L0-skew=  0.1756
accY L0-Kurtosis=  1.2673
accY L0-zcross=  0.29
accY L0-mcross=  0.29
accY L0-entropy=  4.8283
accZ L0-n5=  -0.1242
accZ L0-n25=  -0.0429
accZ L0-n75=  0.0349
accZ L0-n95=  0.0839
accZ L0-median=  -0.0112
accZ L0-mean=  0.0
accZ L0-std=  0.1383
accZ L0-var=  0.0191
accZ L0-rms=  0.1383
accZ L0-skew=  6.9463
accZ L0-Kurtosis=  68.1123
accZ L0-zcross=  0.35
accZ L0-mcross=  0.35
accZ L0-entropy=  4.5649

All L0 Features = 42
```

```
accX L1-n5=  -7.3516
accX L1-n25=  -2.7641
accX L1-n75=  2.8462
accX L1-n95=  5.0924
accX L1-median=  0.4064
accX L1-mean=  -0.2133
accX L1-std=  3.8473
accX L1-var=  14.8015
accX L1-rms=  3.8532
accX L1-skew=  -0.2975
accX L1-Kurtosis=  -0.7631
accX L1-zcross=  0.06
accX L1-mcross=  0.06
accX L1-entropy=  4.1744
accY L1-n5=  -1.3234
accY L1-n25=  -0.6492
accY L1-n75=  0.7844
accY L1-n95=  1.361
accY L1-median=  0.0659
accY L1-mean=  0.0276
accY L1-std=  0.9345
accY L1-var=  0.8732
accY L1-rms=  0.9349
accY L1-skew=  0.2874
accY L1-Kurtosis=  0.0347
accY L1-zcross=  0.31
accY L1-mcross=  0.31
accY L1-entropy=  4.1317
accZ L1-n5=  -0.1126
accZ L1-n25=  -0.0493
accZ L1-n75=  0.0348
accZ L1-n95=  0.1022
accZ L1-median=  -0.0137
accZ L1-mean=  0.0025
accZ L1-std=  0.1053
accZ L1-var=  0.0111
accZ L1-rms=  0.1053
accZ L1-skew=  4.4095
accZ L1-Kurtosis=  28.6586
accZ L1-zcross=  0.4
accZ L1-mcross=  0.37
accZ L1-entropy=  4.1531

All L1 Features = 42
```

小波特征结果图

总结

Edge Impulse Studio 是一个强大的在线平台，可以为我们自动完成预处理任务。但从工程师视角出发，理解底层原理有助于我们为项目选择最佳方案和超参数。

Daniel Situnayake 在其博客中写道：“原始传感器数据维度高且噪声大。数字信号处理算法帮助我们从噪声中提取信号。DSP 是嵌入式工程的核心，许多边缘处理器都内置了 DSP 加速。作为 ML 工程师，掌握基础 DSP 能力将极大提升你处理高频时序数据的能力。”强烈推荐阅读 Dan 的精彩博文：nn to cpp: What you need to know about porting deep learning models to the edge。

附录

附录部分提供了对本书主要内容的补充和扩展。本节包含额外的参考资料、技术细节、工具指南以及相关资源的集合，帮助读者深入理解和应用书中讨论的概念。无论您是需要快速查阅特定技术细节，还是希望进一步探索相关主题，这里都能为您提供有价值的参考信息。附录内容适用于希望扩展知识或寻找实用工具的读者。

术语表

本术语表收录了《ML Systems》教材中出现的关键术语，按字母顺序排列，并包含相关章节的引用。术语采用中英文双语展示，便于查阅和理解。

> **使用说明**
>
> - 术语按字母顺序排列，便于快速查找
> - 每个术语均标注英文原文及中文译名
> - 解释部分仅提供中文释义，简明扼要

3

3DMark（3DMark 基准测试）：图形性能基准测试套件，用于评估实时 3D 渲染能力，包括三角形吞吐量、纹理填充率，以及光线追踪和 DLSS 等现代特性。

A

A/B Testing（A/B 测试）：一种对比实验方法，通过将用户随机分组，分别体验系统或模型的两个版本，并比较性能差异，常用于评估新功能或模型效果。

Accountability（可追责性）：指 AI 系统中，个人或组织对系统结果负责的机制，包括可追溯性、文档记录、审计和纠错能力。

Activation Checkpointing（激活检查点）：一种内存优化技术，通过有选择地丢弃和重计算中间激活值，减少反向传播时的内存占用。

Activation Function（激活函数）：神经网络中用于对加权输入求和后进行非线性变换

的数学函数，使网络能够学习复杂的非线性模式。

Activation-based Pruning（基于激活的剪枝）：通过分析神经元或通道在数据集上的平均激活值，识别并移除长期输出较低、对决策贡献有限的神经元。

Active Learning（主动学习）：通过迭代选择最具信息量的样本进行标注，以最小化标注成本，通常能用更少的数据达到目标性能。

Adam Optimization（Adam 优化器）：一种自适应学习率优化算法，结合了动量和 RMSprop 思想，为每个参数维护梯度和梯度平方的指数滑动平均。

Adapter Modules（适配器模块）：插入在预训练模型冻结层之间的小型可训练神经网络组件，实现轻量级迁移，无需修改基础结构。

Adaptive Resource Pattern（自适应资源模式）：一种设计模式，使系统能根据资源可用性动态调整运行方式，通过弹性伸缩应对计算、带宽和存储变化。

Adversarial Attack（对抗攻击）：通过精心设计输入，诱使机器学习模型做出错误预测，同时这些输入对人类来说几乎无法区分。

Adversarial Example（对抗样本）：经过微小扰动后，能欺骗模型产生错误预测的输入，通常对人类来说与正常数据无异。

Adversarial Training（对抗训练）：将对抗样本纳入训练过程，提高模型对恶意输入的稳健性。

AGI（通用人工智能）：Artificial General Intelligence，指在所有认知领域具备与人类相当甚至超越人类能力的计算系统，能够跨任务泛化，无需针对性训练。

AI for Good（善用 AI）：指设计、开发和部署 AI 系统以解决社会和环境重大挑战，提升人类福祉、促进可持续发展。

Alerting（告警）：自动化通知系统，当生产环境中的指标超出阈值或检测到异常时，及时通知相关团队。

AlexNet（AlexNet 网络）：2012 年 ImageNet 竞赛获胜的卷积神经网络架构，将错误率从 26% 降至 16%，引发深度学习热潮。

Algorithmic Efficiency（算法效率）：在给定资源约束下，通过模型压缩、结构优化等手段提升算法性能。

Algorithmic Fairness（算法公平性）：自动化系统在决策时不应因种族、性别、年龄等受保护属性对个人或群体造成不公。

All-Reduce（全归约）：分布式计算中的集合通信操作，各进程贡献数据并接收合并结果，常用于分布式训练中的梯度聚合。

AlphaFold（AlphaFold 蛋白质结构预测）：DeepMind 开发的 AI 系统，能根据氨基酸序列预测蛋白质三维结构，解决了长期未解的“蛋白质折叠问题”。

Anomaly Detection（异常检测）：识别数据中不符合预期模式的部分，常用于发现异常、故障或恶意行为。

Anonymization（匿名化）：通过移除或修改个人身份信息保护隐私，但对高级重识别攻击往往防护不足。

Apache Kafka（Apache Kafka 流平台）：分布式流处理平台，采用发布 - 订阅消息机制，广泛用于高吞吐、容错的数据管道。

Apache Spark（Apache Spark 分布式计算）：开源分布式计算框架，支持大规模数据处理和内存计算，极大提升 ETL 效率。

Application-Specific Integrated Circuit（专用集成电路）：为特定任务定制的芯片，放弃通用性以获得极致效率，如 Cerebras Wafer-Scale Engine。

Application-Specific Integrated Circuit (ASIC)（ASIC 专用芯片）：专为特定计算任务设计的定制芯片，性能和能效远超通用处理器，如 TPU 和比特币矿机。

Architectural Efficiency（结构效率）：关注模型在训练和推理时如何高效执行，包括利用稀疏性、分解大组件、动态调整计算等。

Artificial General Intelligence（通用人工智能）：假设中的 AI 形态，具备跨领域泛化能力，是 AI 研究的终极目标。

Artificial Intelligence（人工智能）：计算机科学领域，致力于让系统具备感知、推理、学习和决策等人类智能能力。

Artificial Neural Network（人工神经网络）：受生物神经网络启发，由多层神经元组成，通过可调权重和偏置学习数据模式的计算模型。

Artificial Neurons（人工神经元）：神经网络中的基本计算单元，模拟生物神经元的输入加权、偏置和激活过程。

Attack Taxonomy（攻击分类体系）：对 AI 系统安全威胁和对抗攻击的系统性分类，按方法、目标和影响组织，指导防御策略。

Attention Mechanism（注意力机制）：神经网络组件，根据内容动态计算元素间的加权连接，使模型聚焦于输入的关键部分。

Autoencoder（自编码器）：通过最小化重构误差学习数据压缩表示，常用于异常检测和降维。

Automatic Differentiation（自动微分）：自动计算程序中函数的精确导数，广泛用于神经网络的梯度优化。

Automatic Mixed Precision（自动混合精度）：自动管理不同数值精度（如 FP16、FP32），在保证精度的同时提升速度和节省内存。

Automation Bias（自动化偏见）：人类过度依赖自动系统输出，即使明显出错也不质疑，影响人工监督。

AutoML（自动化机器学习）：利用机器学习自动完成模型设计、超参数优化和特征选择等决策，降低人工干预。

Autoregressive（自回归模型）：基于历史元素预测序列下一个元素，如 GPT 按 token 逐步生成文本。

Autoscaling（自动伸缩）：根据负载动态调整计算资源，自动扩容或缩容以优化成本和性能。

Availability Attack（可用性攻击）：通过向训练数据注入噪声或污染多个类别，整体降低模型性能的数据投毒攻击。

B

Backdoor Attack（后门攻击）：在训练数据中植入隐蔽触发器，使模型在推理时遇到特定模式时产生恶意行为。

Backpropagation（反向传播）：通过反向传播误差信号，计算损失函数对权重的梯度，实现神经网络的系统性参数更新。

Bandwidth（带宽）：通信通道或内存接口的数据传输速率，通常以每秒字节数计，是 AI 加速器优化数据流的关键。

Batch Inference（批量推理）：使用训练好的模型对新数据进行批量预测或决策的过程。

Batch Ingestion（批量导入）：定期收集和处理数据的模式，适用于对实时性要求不高的场景。

Batch Normalization（批归一化）：对每层输入进行归一化，稳定训练过程，允许更高学习率和更快收敛。

Batch Processing（批处理）：同时处理多条数据样本，摊薄计算和内存访问成本，提高训练和推理吞吐量。

Batch Size（批大小）：神经网络训练中每次同时处理的样本数，影响效率和梯度估计质量。

Batch Throughput Optimization（批吞吐优化）：通过并行和批处理技术，最大化单位时间内处理的样本数。

Batched Operations（批量操作）：将矩阵 - 向量运算转为更高效的矩阵 - 矩阵运算，提高硬件利用率。

Bayesian Neural Networks（贝叶斯神经网络）：在权重上引入概率分布，实现预测不确定性量化和更稳健的决策。

Benchmark Engineering（基准工程）：系统设计和开发性能评测框架，包括测试工具、指标选择和结果解释方法。

Benchmark Harness（基准测试框架）：控制测试执行、输入管理和性能测量的基础设施，确保评测可复现。

Benchmarking（基准测试）：系统性评估机器学习系统的计算性能、算法效果和数据质量，优化多样化工作负载。

BERT（BERT 模型）：Google 于 2018 年提出的基于 Transformer 的语言模型，通过掩码语言建模预训练，革新了 NLP 领域。

bfloat16（bfloat16 格式）：Google Brain 开发的 16 位浮点格式，动态范围与 FP32 相同但精度更低，适合深度学习训练。

Bias（偏置）：神经元加权和后加上的可学习参数，使激活函数能灵活拟合复杂模式。

Bias Detection（偏差检测）：系统性识别模型输出中对不同群体的不公平或差异性的方法。

Bias Mitigation（偏差缓解）：在数据收集、模型训练或后处理阶段，减少不公平现象的技术和干预措施。

Bias Terms（偏置项）：神经网络中用于平移激活函数的可学习参数，即使所有输入为零也能激活。

Bias-only Adaptation（仅偏置微调）：冻结全部权重，仅更新标量偏置项的轻量级训练策略，适合设备端学习。

Binarization（二值化）：将神经网络权重和激活值压缩为二进制（-1 和 +1），极致压缩但需专用训练和硬件。

Biodiversity Monitoring（生物多样性监测）：利用相机陷阱和传感器网络等技术，系统观测和测量生物多样性，追踪物种和栖息地变化。

Biological Neuron（生物神经元）：神经系统中的细胞，通过电信号和化学信号接收、处理和传递信息，是人工神经网络的灵感来源。

Bit Flip（比特翻转）：内存或寄存器中单个位意外变化，可能导致数据或计算错误。

Black Box（黑盒）：只能观察输入输出，无法了解内部机制的系统，AI 决策透明性问题的典型例子。

Black-box Attack（黑盒攻击）：攻击者不了解模型结构、参数和数据，仅通过查询和观察输出实施攻击。

BLAS（基础线性代数子程序）：实现常用线性代数运算的低层规范，是现代 ML 框架的计算基础。

Bounding Box（边界框）：在图像中用矩形标注目标位置，计算机视觉训练数据常用标注方式。

Brain-Computer Interface（脑机接口）：大脑与外部设备的直接通信通道，结合 ML 和神经技术实现脑控计算或假肢。

Brittleness（脆弱性）：基于规则的 AI 系统遇到未覆盖输入时完全失效的倾向，缺乏泛化能力。

Built-in Self-Test (BIST)（内建自测试）：硬件自带的测试机制，通过专用电路和预设测试模式检测自身故障。

C

Cache Timing Attack（缓存时间攻击）：利用内存缓存访问模式的变化，推测程序执行或数据的敏感信息的侧信道攻击。

Caching（缓存）：将频繁访问的数据存储在高速存储系统中，以减少检索延迟，提高 ML 管道的系统性能。

Calibration（标定）：后训练量化中，分析代表性数据集以确定最佳量化参数（如缩放因子和零点）的过程，旨在最小化从高精度到低精度转换时的准确性损失。

Canary Deployment（金丝雀部署）：新模型版本仅对小部分流量提供服务并监控其性能的渐进式发布策略，以便在全面部署前进行安全验证。

Carbon Footprint（碳足迹）：个人、组织、事件或产品直接和间接产生的温室气体排放总量，通常以二氧化碳当量计量。

Carbon-aware Scheduling（碳感知调度）：根据电网碳强度调度 AI 工作负载的计算方法，优先在可再生能源最充足时执行。

Catastrophic Forgetting（灾难性遗忘）：神经网络在适应新任务时丧失先前学习知识的现象，持续的设备端学习场景中的关键挑战。

Cerebras Wafer-Scale Engine（Cerebras 晶圆级引擎）：革命性单晶圆处理器，包含 2.6 万亿个晶体管和 85 万个核心，旨在消除大规模机器学习训练中的设备间通信瓶颈。

Channelwise Quantization（通道量化）：每个通道使用一组量化参数的量化粒度方法，比层级量化提供更精确的表示，同时保持硬件效率。

Checkpoint and Restart Mechanisms（检查点和重启机制）：定期保存程序状态以便在故障后从上次保存的状态恢复的技术，提高系统弹性。

CI/CD Pipelines（CI/CD 流水线）：持续集成和持续交付的自动化工作流，通过集成测试、验证和部署过程，简化模型开发。

CIFAR10（CIFAR10 数据集）：包含 60,000 张 32×32 彩色图像的加拿大高级研究院数据集，尽管图像尺寸较小，但在计算机视觉中仍作为标准基准使用。

Classification Labels（分类标签）：将特定标签或类别分配给数据示例的简单分类注释，表示监督学习注释的最基本形式。

Client Scheduling（客户端调度）：根据可用性、数据质量和资源限制选择参与联邦学习轮次的设备的过程，以确保模型更新的代表性。

Cloud ML（云端机器学习）：利用云计算基础设施提供可扩展计算资源进行训练和推理的机器学习系统，通常具有高带宽连接和强大处理能力。

CloudSuite（CloudSuite 基准套件）：在 EPFL 开发的基准套件，涵盖现代数据中心工作负载，包括网页搜索、数据分析和媒体流，测量网络、存储和计算维度的端到端性能。

Co Design（协同设计）：模型架构、硬件平台和数据管道的整体设计，以无缝协作消除权衡，通过端到端优化实现最佳效果。

Cold-start Performance（冷启动性能）：系统从闲置状态过渡到主动执行所需的时间，特别是在无服务器环境中，模型按需加载时至关重要。

Combinational Logic（组合逻辑）：输出仅依赖于当前输入状态的数字逻辑电路，不受过去状态或存储器件影响。

Compound AI Systems（复合 AI 系统）：结合多个专用模型和组件协同工作的 AI 架构，而不是依赖单一的整体模型，实现模块化、专业化和可解释性的提升。

Computational Graph（计算图）：数学运算的有向无环图表示，节点表示运算或变量，边表示数据流，支持神经网络计算的自动微分和优化。

Compute Efficiency（计算效率）：优化计算资源（包括硬件和能源）以最大化处理速度，同时最小化训练和部署过程中的资源消耗。

Compute-optimal Training（计算最优训练）：根据缩放法则，优化模型大小和训练计算预算的训练策略，以在给定计算预算下实现最佳性能。

Computer Engineering（计算机工程）：结合电气工程和计算机科学的工程学科，设计和构建复杂计算系统，解决日益增长的硬件和软件系统集成复杂性。

Concept Bottleneck Models（概念瓶颈模型）：神经网络架构，首先预测可解释的中间概念，然后再做出最终预测，结合深度学习的强大和透明度。

Concept Drift（概念漂移）：输入特征与目标结果之间的基本关系随时间变化而导致的性能下降，需要重新训练模型。

Conditional Computation（条件计算）：动态优化技术，根据输入特征选择性激活神经网络的不同部分，减少计算负担。

Connectionism（连接主义）：强调学习和智能源于简单互联单元的 AI 建模方法，是神经网络的理论基础，与符号 AI 方法相对立。

Consensus Labeling（共识标注）：质量控制方法，为同一数据点收集多个注释，以通过注释者间一致性识别有争议的案例并提高标签可靠性。

Conservation Technology（保护技术）：旨在保护和监测野生动物及生态系统的技术解决方案，包括相机陷阱、传感器网络和卫星监测系统，用于追踪动物行为和检测威胁。

Constitutional AI（宪法性 AI）：一种训练方法，模型通过根据一组原则批判响应来自我改进输出，从而实现迭代自我完善，减少有害内容的同时保持有用性。

Containerization（容器化）：将应用及其依赖项打包到可移植的隔离容器中，确保在不同环境中一致执行的工具，如 Docker。

Containerized Microservices（容器化微服务）：使用轻量级容器打包单个服务的架构模式，实现跨分布式环境的可扩展、可维护的 ML 系统部署。

Continual Learning（持续学习）：机器学习系统从数据流中持续学习的能力，同时保留先前获得的知识，解决神经网络中的灾难性遗忘问题。

Continuous Integration（持续集成）：软件开发实践，代码更改会自动集成、测试和验证，以便在开发周期的早期发现问题。

Convolution（卷积）：卷积神经网络的基本数学运算，通过滤波器（内核）提取输入数据的特征，如边缘、纹理或模式，特别适合处理图像和空间数据。

Convolution Operation（卷积操作）：将滤波器（内核）滑动通过输入数据以检测局部特征的数学运算，是卷积神经网络进行空间模式识别的基础。

Convolutional Neural Network（卷积神经网络）：专为处理网格状数据（如图像）设计的神经网络架构，使用卷积层应用滤波器以检测局部特征。

Cooling Effectiveness（冷却效果）：数据中心冷却系统去除计算设备热量的效率，通常以去除的热量与用于冷却的能量之比来衡量。

Counterfactual Explanations（反事实解释）：描述如果修改特定输入特征，模型输出将如何变化的解释，特别有助于理解决策边界。

Covariate Shift（协变量漂移）：一种分布变化情况，输入分布发生变化，而输入与输出之间的条件关系保持稳定。

CP Decomposition（CP 分解）：CANDECOMP/PARAFAC 分解，将张量表示为若干个秩为一的分量之和，用于通过减少参数数量来压缩神经网络层，同时保留计算功能。

CRISP-DM（CRISP-DM 数据挖掘标准过程）：1996 年提出的数据项目结构化方法论，定义了数据项目的六个阶段：业务理解、数据理解、数据准备、建模、评估和部署。

Cross-Entropy Loss（交叉熵损失）：常用于分类任务的损失函数，衡量预测概率分布与真实类别标签之间的差异，为有效学习提供强梯度。

Crowdsourcing（众包）：通过互联网利用分布式个人执行标注任务的协作数据收集方法，通过 Amazon Mechanical Turk 等平台实现可扩展的数据集创建。

cuBLAS（CUDA 基本线性代数子程序）：NVIDIA 的 CUDA 加速的标准线性代数运算库，支持高性能的矩阵计算。

CUDA（计算统一设备架构）：NVIDIA 的并行计算平台和编程模型，支持在图形处理单元（GPU）上进行通用计算，利用大规模并行性加速张量运算。

Curriculum Learning（课程学习）：模型从简单示例学习再到困难示例的训练策略，模仿人类教育，提升收敛速度。

D

Dartmouth Conference（达特茅斯会议）：1956 年在达特茅斯学院举行的为期 8 周的研讨会，人工智能正式诞生于此，由 John McCarthy、Marvin Minsky、Nathaniel Rochester 和 Claude Shannon 组织，首次提出“人工智能”一词。

Data Augmentation（数据增强）：通过旋转、裁剪或添加噪声等变换人工扩展数据集，以提高模型性能并减少过拟合。

Data Cascades（数据级联）：数据质量问题随时间累积而导致的系统性失败，造成下游负面影响，如模型失效、昂贵的重建或项目终止。

Data Center（数据中心）：容纳计算机系统及其相关组件（如电信和存储系统）的设施，通常包含数千台服务器，用于云计算操作。

Data Centric AI（数据中心 AI）：从以模型为中心转向以数据为中心的开发范式，重点系统性地提高数据质量，而不仅仅是模型架构。

Data Compression（数据压缩）：通过编码、量化或特征提取等技术，减少训练数据的大小和复杂性，以便在内存受限设备上高效存储和处理。

Data Curation（数据策展）：通过删除无关信息、纠正错误和确保数据符合特定标准，选择、组织和维护高质量数据集的过程。

Data Drift（数据漂移）：输入数据的统计特性随时间变化而导致的机器学习模型性能下降的现象，即使基础代码保持不变。

Data Efficiency（数据效率）：优化训练机器学习模型所需的数据量和质量，最大化信息获取，最小化所需数据量。

Data Governance（数据治理）：确保数据安全、隐私、合规和道德使用的政策、程序和技术框架，贯穿整个机器学习管道。

Data Ingestion（数据摄取）：从各种来源收集和导入原始数据的过程，以便存储、处理和准备机器学习应用。

Data Lake（数据湖）：以原始格式存储结构化、半结构化和非结构化数据的存储库，采用按需解析模式灵活分析数据。

Data Lineage（数据血缘）：数据通过各种转换和处理的流动文档和跟踪，提供数据来源和修改的可见性，以便合规和调试。

Data Parallelism（数据并行）：一种分布式训练策略，将数据集拆分到多个设备上，同时每个设备保持模型的完整副本，实现梯度的并行计算。

Data Pipeline（数据管道）：自动化数据从源头经过处理阶段到最终存储或消费的基础设施和工作流。

Data Poisoning（数据投毒）：一种攻击方法，攻击者向训练数据注入精心制作的恶意数据点，以操纵模型行为。

Data Quality（数据质量）：数据在准确性、完整性、一致性和及时性等方面满足要求的程度，直接影响机器学习模型的性能。

Data Sanitization（数据清洗）：故意和永久性删除或销毁存储在内存设备上的数据的过程，以确保数据安全。

Data Scaling Regimes（数据缩放机制）：模型训练的不同阶段，数据需求按可预测模式缩放，指导数据集大小与计算投资的决策。

Data Validation（数据验证）：系统性验证收集的数据是否符合质量标准、格式正确、信息准确，适合机器学习模型训练和评估。

Data Versioning（数据版本控制）：跟踪和管理数据集不同版本的实践，类似于代码版本控制，以确保可复现性并在需要时回滚到先前的数据状态。

Data Warehouse（数据仓库）：针对分析查询（OLAP）优化的集中式存储库，按照标准化模式存储来自多个来源的结构化数据。

Data-Centric Approach（以数据为中心的方法）：一种机器学习范式，优先考虑数据质量、多样性和策展，而不仅仅是模型架构改进，以实现更好的性能。

Dataflow Architecture（数据流架构）：一种专用计算架构，指令执行由数据可用性决定，而不是由程序计数器驱动，支持神经网络操作的高度并行处理。

Dataflow Challenges（数据流挑战）：硬件加速器中管理数据移动和依赖关系的技术难题，包括内存带宽限制和同步要求。

Dead Letter Queue（死信队列）：处理失败的数据的单独存储机制，允许稍后分析和重新处理有问题的数据，而不会阻塞主管道。

Deep Learning（深度学习）：机器学习的一个子领域，使用多层人工神经网络从数据中自动学习层次化表示，无需显式特征工程。

Defensive Distillation（防御性蒸馏）：一种训练学生模型模仿教师模型行为的技术，使用软标签减少对抗扰动的敏感性。

Demographic Parity（人口统计学平衡）：公平性标准，要求在受保护属性的不同群体中，获得积极预测的概率独立于群体成员身份。

Dennard Scaling（丹纳德缩放）：历史观察，随着晶体管变小，其功率密度保持大致恒定，允许在不成比例增加功耗的情况下增加更多晶体管。

Dense Layer（密集层）：全连接神经网络层，每个神经元接收来自上一层所有神经元的输入，实现特征间的全面信息整合。

Dense Matrix-Matrix Multiplication（稠密矩阵乘法）：神经网络中主导训练时间的基本计算操作，占典型模型 60-90% 的计算量。

Deployment Constraints（部署约束）：影响机器学习模型在生产环境中实施的操作限制，如硬件资源、网络连接、法规要求和集成要求。

Depthwise Separable Convolutions（深度可分离卷积）：将标准卷积分解为深度卷积和逐点卷积的计算技术，移动优化架构减少参数和计算量 8-9 倍。

DevOps（开发运维）：软件开发实践，结合开发和运维团队，通过自动化和协作缩短开发周期，提高软件质量。

Dhrystone（Dhrystone 基准测试）：1984 年推出的基于整数的基准测试，测量整数和字符串操作的 DMIPS（Dhrystone MIPS），旨在与浮点基准互补。

Diabetic Retinopathy（糖尿病视网膜病变）：糖尿病并发症，损害视网膜血管，导致可预防失明的主要原因，是医疗 AI 筛查系统的关键应用领域。

Differential Privacy（差分隐私）：通过向计算中添加校准噪声提供正式隐私保证的数学框架，确保任何个人数据的包含或排除对输出的影响有限。

Digital Divide（数字鸿沟）：指有无现代信息和通信技术获取能力的群体之间的差距，特别影响服务不足社区从数字解决方案中受益的能力。

Digital Twin（数字孪生）：利用实时数据和机器学习镜像、预测和优化其物理对应物行为的物理系统虚拟表示。

Disaster Response Systems（灾害响应系统）：利用机器学习通过卫星图像分析、传感器网络和资源分配优化等手段，检测、预测和响应自然灾害的自动化系统。

Distributed Computing（分布式计算）：一种在多台机器或处理器上同时处理数据的方法，通过 Apache Spark 等框架实现对大数据集的可扩展处理。

Distributed Intelligence（分布式智能）：将计算能力分布在多个设备和位置，而不是依赖单一集中系统的能力，实现本地处理和决策。

Distributed Knowledge Pattern（分布式知识模式）：解决去中心化节点间集体学习和推理的设计模式，强调点对点知识共享和协作模型改进，同时保持操作独立性。

Distributed Training（分布式训练）：跨多台机器或设备训练机器学习模型的方法，以处理超出单设备计算或内存容量的大型数据集和模型。

Distribution Shift（分布变化）：模型部署时遇到的数据与训练时数据分布不同的现象，可能导致模型性能下降。

Distribution Shift Types（分布变化类型）：正式分类的数据分布变化，包括协变量漂移、标签漂移、概念漂移和领域漂移，每种情况都需要特定的适应技术。

Domain Adaptation（领域适应）：使在一个领域训练的模型能够在不同但相关领域上表现良好的机器学习技术，解决分布不匹配挑战。

Domain-Specific AI Applications（领域特定 AI 应用）：针对特定行业（如医疗、农业、教育或灾害响应）量身定制的机器学习解决方案，旨在解决独特的挑战和限制。

Domain-Specific Architecture（领域特定架构）：针对特定计算工作负载优化的硬件设计，牺牲灵活性以提高性能和能效，相较于通用处理器更为高效。

Double Modular Redundancy (DMR)（双模冗余）：一种故障容错技术，将计算复制到两个独立系统中，通过比较识别和纠正错误。

Dropout（随机失活）：一种正则化技术，在训练过程中随机将一部分输入单元置为零，以防止过拟合并提高泛化能力。

Dual-Use Dilemma（双重用途困境）：减轻具有积极和消极潜在应用的技术误用的挑战，特别是在 AI 安全领域。

Dying ReLU Problem（ReLU 死亡问题）：ReLU 神经元在加权输入持续为负时变得永久不活跃并对所有输入输出零的现象，导致其无法参与学习。

Dynamic Graph（动态图）：在程序执行过程中构建和修改的计算图，允许灵活的模型架构和更简单的调试，但可能限制优化机会。

Dynamic Pruning（动态剪枝）：一种模型优化技术，在保持预测性能的同时，去除神经网络中不必要的参数，通过消除冗余权重、神经元或层来减少模型大小和计算成本。

Dynamic Quantization（动态量化）：通过将高精度权重和激活值映射到较低位表示，降低神经网络中数值精度的过程，显著减少内存使用和计算需求。

Dynamic Random Access Memory (DRAM)（动态随机存取存储器）：一种易失性内存，以电容器存储数据并需要定期刷新，通常用作计算机系统的主内存。

Dynamic Voltage and Frequency Scaling (DVFS)（动态电压频率调整）：根据工作负载需求调整处理器电压和时钟频率的电源管理技术，以优化能耗并保持性能。

E

Eager Execution（急切执行）：一种执行模式，操作在代码中被调用后立即被评估，提供直观的调试和开发体验，但可能牺牲某些基于图的执行优化机会。

Early Exit Architectures（早期退出架构）：神经网络设计，在不同深度包含多个预测头，当可以自信地做出预测时，允许样本提前退出，从而减少每次推理的平均计算成本。

Edge AI（边缘 AI）：将人工智能算法直接部署在边缘设备上，如智能手机、物联网传感器和嵌入式系统，实现实时处理，无需云连接。

Edge Computing（边缘计算）：一种分布式计算范式，将计算和数据存储更靠近数据源，减少延迟和带宽使用。

Edge Deployment（边缘部署）：机器学习模型在网络边缘的设备上本地运行，而不是在集中式云服务器上，减少延迟并实现无需持续互联网连接的操作。

Edge ML（边缘机器学习）：在边缘网络上执行推理，有时还包括训练的机器学习系统，通常在计算能力有限的设备上运行。

Edge Training（边缘训练）：直接在边缘设备上训练或微调机器学习模型的过程，实现个性化和适应，无需将数据传输到云服务器。

EfficientNet（EfficientNet 模型）：通过神经架构搜索发现的一系列神经网络架构，通过复合缩放平衡网络深度、宽度和输入分辨率，实现更好的准确性 - 效率权衡。

Electromigration（电迁移）：在电场作用下，导体中金属原子的移动，可能导致随时间推移而产生的永久性硬件故障。

ELIZA（ELIZA 聊天机器人）：麻省理工学院的 Joseph Weizenbaum 于 1966 年创建的早期聊天机器人，通过模式匹配和替换模拟人类对话，令人惊讶的是，人们开始对这个简单的程序产生情感依赖。

ELT (Extract, Load, Transform)（提取、加载、转换）：一种数据处理范式，先将原始数据加载到目标系统中，再进行转换，为不断发展的分析需求提供灵活性。

Embedded Systems（嵌入式系统）：在更大机械或电气系统中具有专用功能的计算机系统，通常针对特定任务设计，具有实时计算约束。

Embodied Carbon（实体碳）：产品在开始运行前的制造、运输和安装过程中产生的温室气体排放总量。

Emergent Behaviors（涌现行为）：个体组件相互作用而产生的意外系统级模式或特征，通常仅在系统规模扩大或在真实条件下运行时显现。

Emergent Capabilities（涌现能力）：神经网络在特定参数阈值下突然出现的能力，如推理和算术技能，这些能力不是随着规模的扩大而逐渐提高的。

Encoder-Decoder（编码器 - 解码器）：一种架构模式，编码器将输入处理为压缩表示，解码器则根据该表示生成输出，常用于序列到序列的任务中。

End-to-End Benchmarks（端到端基准测试）：评估整个 AI 系统管道的综合评估方法，包括数据处理、模型执行、后处理和基础设施组件。

Energy Efficiency（能源效率）：每单位能源消耗所执行的计算工作的度量，通常以每焦耳操作数表示，对电池供电和数据中心部署至关重要。

Energy Star（能源之星）：美国环保署的认证项目，为计算设备设定能源效率标准，要求系统在运行和待机模式下均满足严格的效率要求。

Ensemble Methods（集成方法）：结合多个模型以提高性能的技术，如随机森林和梯度提升，曾在深度学习兴起前主导机器学习竞赛。

Environmental Impact Measurement（环境影响测量）：系统跟踪和量化 AI 系统生态影响的方法，包括能耗、碳排放和资源消耗等。

Environmental Monitoring（环境监测）：利用传感器网络和机器学习系统收集和分析环境数据，以跟踪生态系统健康、污染水平和气候变化影响。

Epoch（轮次）：神经网络训练中对整个训练数据集进行一次完整的遍历，具体包括多少次批量迭代取决于数据集大小和批量大小。

Equality of Opportunity（机会平等）：确保各群体间相同的真实正例率，保证合格个体无论其群体成员身份如何都能获得平等待遇的公平性标准。

Equalized Odds（均衡赔率）：要求不同人口统计群体间的真实正例率和假正例率相等的公平性定义。

Error-Correcting Codes（纠错码）：用于数据存储和传输中检测和纠正错误的方法，提高系统可靠性和数据完整性。

ESP32（ESP32 微控制器）：广泛用于物联网应用的低成本微控制器单元，具有 240 MHz 的处理器和 520 KB 的 RAM，常部署在资源受限的社会影响应用中。

ETL (Extract, Transform, Load)（提取、转换、加载）：传统的数据处理范式，在将数据加载到数据仓库之前对其进行转换，生成可直接查询的格式化数据。

Exact Model Theft（精确模型盗窃）：旨在提取机器学习模型精确内部结构、参数和架构的攻击，允许完整重现原始模型。

Experience Replay（经验重放）：一种基于内存的技术，将过去的训练示例存储在缓冲区中，以防止灾难性遗忘并稳定流式或持续适应场景中的学习。

Experiment Tracking（实验跟踪）：系统记录和管理机器学习实验的过程，包括超参数、模型版本、训练数据和性能指标，以便于比较和复现。

Expert Collapse（专家崩溃）：混合专家模型中的一种训练病理，仅有少数专家接收到显著的训练信号，导致其他专家被低利用，降低模型有效容量。

Expert Systems（专家系统）：20 世纪 70 年代中期的 AI 系统，捕捉特定领域的人类专家知识，以 MYCIN 诊断血液感染为例，代表了从通用 AI 到领域特定应用的转变。

Explainability（可解释性）：利益相关者理解机器学习模型如何产生输出的能力，通常通过后期解释技术实现。

Explainable AI（可解释的人工智能）：旨在为其决策和预测提供清晰、可解释解释的 AI 系统，解决复杂机器学习模型的“黑箱”问题。

External Memory（外部存储器）：允许神经网络访问和操作外部存储系统的机制，扩展其工作记忆以支持更复杂的推理和信息检索。

F

F1 Score（F1 分数）：综合考虑精确率和召回率的模型准确性度量，通过它们的调和平均数计算得出。

Fairness Constraints（公平性约束）：确保机器学习系统在不同人口统计群体中公平对待的技术和政策限制。

FarmBeats（FarmBeats 项目）：微软研究院的一个项目，将机器学习和物联网技术应用于农业，利用边缘计算实时收集土壤和作物健康数据，同时展示了在具有挑战性的真实环境中分布式 AI 系统的应用。

Fast Gradient Sign Method (FGSM)（快速梯度符号法）：一种基于梯度的对抗攻击，通过沿梯度方向添加小扰动生成对抗样本。

Fault Injection Attack（故障注入攻击）：通过电压操控或电磁干扰等技术故意干扰硬件操作，以诱发计算错误和破坏系统完整性的物理攻击。

Fault Tolerance（容错）：系统在部分组件发生故障或错误时，仍能正确运行的能力。

Feature Engineering（特征工程）：从原始数据中手动设计和提取相关特征以提高机器学习模型性能的过程，在深度学习系统中主要由算法自动完成。

Feature Map（特征图）：卷积层的输出，表示学习到的滤波器对输入不同空间位置的响应，捕捉在各个位置检测到的特征。

Feature Store（特征存储）：提供标准化、可重用特征的专用数据存储系统，实现跨多个模型和团队的特征共享。

Federated Averaging（联邦平均）：联邦学习的标准算法，客户端模型更新根据本地数据集大小加权平均，以生成全局模型。

Federated Learning（联邦学习）：一种机器学习方法，在持有本地数据样本的去中心化边缘设备或服务器上训练算法，而无需交换原始数据。

Feedback Loops（反馈循环）：机器学习生命周期后期输出反过来影响早期阶段决策的循环过程，实现系统的持续改进和适应。

Feedforward Network（前馈网络）：信息单向从输入层流向输出层的神经网络架构，没有循环，形成许多深度学习模型的基础。

Few-Shot Learning（少样本学习）：一种机器学习范式，使模型能够仅使用少量标记示例适应新任务，对数据稀缺的设备端场景至关重要。

Field-Programmable Gate Array（现场可编程门阵列）：可针对特定任务编程的可重构硬件，介于通用处理器和专用集成电路之间的灵活性，适用于定制 ML 加速。

Floating-Point Unit (FPU)（浮点运算单元）：专门执行浮点数算术运算的处理器组件，具有高精度和高效率。

FLOPS（每秒浮点运算次数）：计算吞吐量的度量，量化系统可以执行多少个涉及小数的数学运算。

Forward Pass（前向传播）：输入数据通过神经网络各层流动以产生输出的计算阶段，包括矩阵乘法和激活函数应用。

Foundation Model（基础模型）：在广泛数据上训练的大规模机器学习模型，可以适应各种下游任务，作为专业应用的基础。

Foundation Models（基础模型）：在广泛数据上训练的大规模通用 AI 模型，可以适应多种任务，包括 GPT-3、BERT 和 DALL-E 等具有数十亿参数的模型。

FP16（FP16 浮点数）：16 位浮点数表示法，减少内存使用并加速计算，同时保持许多机器学习应用的可接受精度。

FP16 Computation（FP16 计算）：在神经网络运算中使用 16 位浮点数算术，以减少内存使用并提高现代硬件加速器的计算速度。

FP32（FP32 浮点数）：32 位浮点数表示法，为数学计算提供标准精度，但所需内存和计算资源较高。

FP32 to INT8（FP32 转 INT8）：一种常见的量化转换，将 32 位浮点权重和激活值转换为 8 位整数，达到大约 4 倍的内存减少，同时保持可接受的准确性。

Framework Decomposition（框架分解）：将神经网络框架系统性分解为可映射到硬件的组件，以便高效地将操作分配到处理单元。

G

GDPR（通用数据保护条例）：欧盟法律，对个人数据处理提出严格要求，深刻影响隐私保护机器学习设计。

GEMM（通用矩阵乘法）：遵循模式 C = αAB + βC 的矩阵乘法运算，代表大多数神经网络运算的基本计算核心，包括全连接层和卷积层。

GE MV（通用矩阵 - 向量乘法）：计算矩阵和向量乘积的运算，常用于神经网络计算中，需要针对内存访问模式进行仔细优化。

Generalization（泛化）：机器学习模型在未见过的数据上表现良好的能力，通常通过多样化和高质量的训练数据来提高。

Generative Adversarial Networks（生成对抗网络）：一类机器学习系统，其中两个神经网络相互竞争，一个生成虚假数据，另一个试图检测虚假数据，从而生成高度逼真的合成数据。

Generative AI（生成式 AI）：能够根据训练数据学习的模式创建新内容（如文本、图像、音频或视频）的人工智能系统类别。

Glitches（故障）：电压、电流或信号的瞬时偏差，可能导致数字系统和电路的错误操作。

Governance Frameworks（治理框架）：负责 AI 开发的政策、程序、监督机制和问责结构的管理方法。

GPT3（GPT-3 模型）：OpenAI 于 2020 年发布的 1750 亿参数语言模型，训练成本约 460 万美元，消耗电力约 1287 MWh。

GPT4（GPT-4 模型）：截至 2023 年 OpenAI 最先进的语言模型，reportedly using a mixture-of-experts architecture with approximately 1.8 trillion parameters and training costs exceeding $100 million.

GPU（图形处理单元）：专门的电子电路，旨在快速操纵和更改内存，以加速图像创建和并行处理任务。

Graceful Degradation（优雅降级）：系统设计原则，在面临部分故障或数据不可用时，服务继续以降低的能力运行，而不是完全失效。

Gradient Accumulation（梯度累积）：一种通过在多次小批量更新模型参数之前累积梯度，模拟更大批量大小的技术，允许在内存有限的情况下训练。

Gradient Clipping（梯度裁剪）：防止梯度爆炸的正则化技术，通过限制反向传播过程中梯度的大小来实现，通常通过缩放超出阈值的梯度来完成。

Gradient Compression（梯度压缩）：分布式训练中通过压缩计算节点之间交换的梯度信息来减少通信开销的技术。

Gradient Descent（梯度下降）：一种优化算法，通过迭代调整神经网络参数，沿着最小化损失函数的方向更新，利用梯度确定更新方向和幅度。

Gradient Synchronization（梯度同步）：分布式训练中，局部计算的梯度在设备间聚合的过程，以确保所有设备一致地更新其参数。

Gradient-based Pruning（基于梯度的剪枝）：一种剪枝方法，在训练过程中利用梯度信息识别梯度幅度较小的神经元或滤波器，这些神经元对减少损失函数贡献较小，可以安全移除。

Graphics Processing Unit（图形处理单元）：最初为图形渲染设计的专用处理器，提供高效神经网络计算和训练所需的并行处理能力。

Graphics Processing Unit (GPU)（GPU 图形处理单元）：最初为图形渲染设计的专用处理器，提供大规模并行计算能力，适合神经网络计算。

Green AI Metrics（绿色 AI 指标）：衡量 AI 系统环境影响的专用性能指标，包括碳足迹、能源效率和资源利用等，贯穿 ML 生命周期。

Green Computing（绿色计算）：以环境负责的方式设计、制造、使用和处置计算机及计算机系统的实践。

Green500（绿色 500 强）：评估全球超级计算机的能源效率的排名系统，基于每瓦特浮点运算数（FLOPS）而非原始计算性能。

Grey-box Attack（灰盒攻击）：攻击者对模型有部分了解的对抗攻击，如知道架构但不知道具体参数或训练数据。

Groupwise Quantization（分组量化）：将参数分为多个组，每组共享量化参数的量化方法，比层级方法提供更细粒度的控制。

GRU（门控循环单元）：LSTM 的一种简化变体，使用更少的门控机制，同时保持捕捉序列数据中长期依赖关系的能力。

H

Hardware Abstraction（硬件抽象）：ML 框架中提供统一接口以访问多种计算硬件（CPU、GPU、TPU、加速器）的层，同时处理设备特定的优化和内存管理。

Hardware Acceleration（硬件加速）：使用专用计算硬件比在通用处理器上运行软件更快、更高效地执行某些操作。

Hardware Accelerator（硬件加速器）：专门设计用于高效执行特定类型计算的硬件，如用于并行处理的 GPU 或用于机器学习工作负载的 TPU。

Hardware Constraint Optimization（硬件约束优化）：将 ML 算法和模型适配到移动和嵌入式设备的内存、计算和功耗限制内的技术。

Hardware Redundancy（硬件冗余）：关键硬件组件的重复，以通过投票机制提供备份功能，提高系统可靠性。

Hardware Trojan（硬件木马）：在制造过程中嵌入硬件组件的恶意修改，通常在正常条件下处于休眠状态，但在特定条件触发时表现出有害行为。

Hardware-Aware Design（硬件感知设计）：专门针对目标硬件平台优化神经网络架构的设计实践，考虑内存层次结构、计算单元和数据移动模式等因素，以最大化效率。

Hardware-Software Co-Design（硬件软件协同设计）：硬件加速器和软件算法联合优化的协作设计方法，以实现最大效率和性能。

HDFS (Hadoop Distributed File System)（Hadoop 分布式文件系统）：一种设计用于在普通硬件集群上存储大数据集的分布式文件系统，为大数据应用提供可扩展性和容错性。

Heartbeat Mechanisms（心跳机制）：系统组件之间定期发送的信号，用于监测系统健康状态和故障检测，确保及时故障恢复。

Hidden Layer（隐含层）：神经网络中介于输入层和输出层之间的中间层，通过学习的权重和激活函数转换数据，学习抽象表示。

Hidden State（隐状态）：递归神经网络的内部记忆，携带来自先前时间步的信息，使网络能够跨序列输入保持上下文。

Hierarchical Processing（分层处理）：多层次系统架构，数据和智能在计算堆栈的不同层级之间流动，从传感器到边缘设备再到云系统。

Hierarchical Processing Pattern（分层处理模式）：将系统组织为边缘、区域和云等层次，基于可用资源和能力共享责任，优化计算谱上的资源使用。

High Bandwidth Memory (HBM)（高带宽内存）：通过 3D 堆叠和宽接口提供比传统 DRAM 高得多带宽的先进内存技术，关键用于数据密集型 AI 工作负载。

Homomorphic Encryption（同态加密）：一种加密技术，允许在加密数据上直接执行计算，而无需先解密，从而实现隐私保护的机器学习推理。

Horizontal Scaling（横向扩展）：通过添加更多机器或实例而不是升级现有硬件来增加系统容量，提供更好的容错能力和负载分配。

Hot Spares（热备份）：随时准备好即时替换故障组件的备份组件，无需中断系统操作，提供冗余。

Huber Loss（Huber 损失）：在回归中使用的稳健损失函数，与平方误差损失相比，对异常值不那么敏感，提高训练稳定性。

Human Oversight（人工监督）：人类判断应监督、纠正或停止自动化决策的原则，保持对 AI 系统的有意义控制。

Human-AI Collaboration（人机协作）：人类与 AI 系统之间的协同伙伴关系，各自发挥独特优势，更有效地解决复杂问题。

Hybrid Machine Learning（混合机器学习）：将多种机器学习范式（如云、边缘、移动和微型 ML）集成形成统一的分布式系统，利用互补优势。

Hybrid Parallelism（混合并行）：一种分布式训练方法，结合数据并行和模型并行的优点，针对超大模型训练。

Hyperparameter（超参数）：控制学习过程但不从数据中学习的配置设置，如学习率、批量大小或网络架构选择。

Hyperparameter Optimization（超参数优化）：寻找控制机器学习训练过程的超参数（学习率、批量大小、网络架构参数）最佳配置的过程。

Hyperparameters（超参数）：控制机器学习算法学习过程的配置设置，但不是从数据中学习的，如学习率、批量大小和网络架构参数。

Hyperscale Data Center（超大规模数据中心）：包含数千台服务器、占地面积广泛的大规模数据中心设施，旨在高效支持海量计算工作负载。

I

ImageNet（ImageNet 数据集）：一个包含 1400 多万张标注图像、跨越 2 万多个类别的大型视觉数据库，由斯坦福大学的李飞飞于 2009 年创建，其年度挑战赛对计算机视觉的突破性进展起到了重要推动作用。

Impact Assessment Frameworks（影响评估框架）：评估人道主义和发展背景下 AI 部署潜在社会、经济和环境影响的结构化方法论。

Imperative Programming（命令式编程）：一种编程范式，操作在遇到时立即执行，允许自然控制流和更简单的调试，但可能限制优化机会。

Inference（推理）：机器学习的一个阶段，训练好的模型对新输入数据进行预测，通常比训练需要更低的精度和计算资源。

Infrastructure as Code（基础设施即代码）：通过机器可读的配置文件而非手动过程管理和提供计算基础设施的实践，实现版本控制和自动化。

Instruction Set Architecture (ISA)（指令集架构）：软件与硬件之间的接口，定义处理器可以执行的指令集，包括数据类型和寻址模式。

Int8（Int8 整数）：用于量化神经网络的 8 位整数数值表示，减少内存使用并加速推理，同时尽量保持模型准确性。

Int8 Quantization（Int8 量化）：一种数值精度降低技术，用 8 位整数而不是 32 位浮点数表示模型权重和激活值，减少内存使用并在专用硬件上实现更快推理。

Intermittent Faults（间歇性故障）：偶尔和不可预测发生的硬件故障，时有时无，诊断起来具有挑战性。

Internet of Things（物联网）：嵌入传感器、软件和其他技术的物理对象网络，通过互联网相互连接和交换数据。

Interpretability（可解释性）：人类理解机器学习模型预测背后推理过程的程度，通常指固有透明的模型。

IoT Sensors（物联网传感器）：收集和传输环境或行为数据的物联网设备，通常在有限的电力预算和低带宽通信协议下运行。

Iterative Pruning（迭代剪枝）：一种逐步剪枝策略，分多次去除参数，每次去除后进行微调，使模型适应容量减少，通常比一次性剪枝获得更好的准确性。

J

JAX（JAX 库）：谷歌研究开发的数值计算库，结合了 NumPy 的 API 和函数式编程变换，包括自动微分、即时编译和自动向量化，适用于高性能机器学习研究。

JIT Compilation（即时编译）：分析和优化代码的即时编译技术，使框架能够平衡急切执行的灵活性与图优化的性能优势。

K

K-Anonymity（K 匿名性）：一种隐私保护技术，确保数据集中每条记录与至少 k-1 条其他记录不可区分，通过泛化准标识符实现。

Kernel（核函数）：卷积层中用于检测特定特征的小型可学习权重矩阵，通过卷积运算提取输入数据的特征，也称为滤波器。

Kernel Fusion（核融合）：一种优化技术，将多个计算操作合并为一个核，以减少内存传输并提高并行处理器的性能。

Key Performance Indicators（关键绩效指标）：用于评估机器学习系统成功和有效性的具体可测量指标，如准确性、精确率、召回率、延迟和吞吐量。

Keyword Spotting (KWS)（关键词识别）：在音频流中检测特定唤醒词或短语的技术，通常用于对功耗和延迟有严格限制的语音激活设备中。

Knowledge Distillation（知识蒸馏）：一种模型压缩技术，通过训练一个较小的“学生”网络模仿较大“教师”网络的行为，使用教师的软输出概率而不仅仅是硬标签进行训练。

L

L0-Norm Constraint（L0 范数约束）：一种正则化技术，计算模型中非零参数的数量，用于结构化剪枝，通过惩罚活跃权重的数量直接控制模型稀疏性。

Label Shift（标签偏移）：一种分布变化情况，目标标签的分布发生变化，而特征与标签之间的条件关系保持不变。

LAPACK（线性代数包）：扩展 BLAS 的线性代数运算库，包括矩阵分解、特征值问题和线性系统求解等高层线性代数运算，提供机器学习计算所需的数学基础。

Large Language Models（大规模语言模型）：具有数十亿或万亿参数、在海量文本语料库上训练的神经网络，能够理解和生成类人文本，适用于多种领域和任务。

Latency（延迟）：请求数据与数据交付之间的时间延迟，在需要即时响应的实时应用中至关重要。

Latency Constraints（延迟约束）：限制模型推理最大可接受延迟的实时要求，驱动对响应时间至关重要的部署场景中的优化决策。

Layer Normalization（层归一化）：对每个样本在特征维度上进行归一化的技术，常用于变压器架构中，以稳定训练过程。

Layerwise Quantization（逐层量化）：在单层内所有参数共享相同量化参数的量化粒度，提供计算效率但可能限制表示精度。

Learning Rate（学习率）：控制梯度下降优化过程中权重更新步长的超参数，直接影响训练稳定性和收敛速度。

Learning Rate Scheduling（学习率调度）：在训练过程中系统性地调整学习率，使用分步衰减、指数衰减或余弦退火等策略，以改善收敛和最终模型性能。

Lifecycle Assessment（生命周期评估）：系统评估产品或系统在整个生命周期内的环境影响，从原材料提取到处置。

Lifecycle Coherence（生命周期一致性）：确保 ML 开发的所有阶段与整体系统目标保持一致的原则，数据处理、模型架构和评估标准保持一致。

Linpack（Linpack 基准测试）：在阿贡国家实验室开发的基准，通过求解稠密线性方程组测量系统性能，因其在 Top500 超级计算机排名中的应用而闻名。

Load Balancing（负载均衡）：在混合专家模型中，确保计算负载和训练信号均匀分配的技术，防止专家崩溃，保持模型效率。

Lookup Table（查找表）：用更简单的数组索引操作替代运行时计算的数据结构，常用于性能优化。

LoRA Technology（LoRA 技术）：一种无线通信协议，支持物联网设备在超过 15 公里的距离内以极低的功耗通信，适用于农业和环境监测应用。

Loss Function（损失函数）：量化神经网络预测与真实标签之间差异的数学函数，为训练算法提供优化目标。

Loss Scaling（损失缩放）：在混合精度训练中使用的技术，在反向传播前将损失乘以一个大因子，以防止在低精度格式下梯度下溢。

Lottery Ticket Hypothesis（彩票票据假说）：大规模神经网络中存在稀疏子网络的理论，这些子网络在适当初始化时单独训练可以实现与完整网络相当的准确性，同时显著

减小网络规模。

Low-Rank Adaptation（低秩适应）：一种参数高效的微调方法，通过低秩矩阵近似权重更新，减少可训练参数，同时保持适应能力。

Low-Rank Factorization（低秩分解）：将大权重矩阵近似为较小矩阵乘积的矩阵分解技术，减少神经网络层所需的参数和计算操作。

LSTM（长短期记忆网络）：一种递归神经网络架构，设计用于通过门控机制处理长期依赖关系，控制信息流。

M

Machine Consciousness（机器意识）：指人工系统可能出现的自我意识，这一前沿研究领域探索机器是否能够发展出主观体验。

Machine Learning（机器学习）：人工智能的一个分支，使系统能够通过数据和经验自动提升任务表现，无需显式编程。

Machine Learning Accelerator (ML Accelerator)（机器学习加速器）：专为高效执行机器学习工作负载而设计的硬件，通过优化矩阵运算、内存层次和并行处理单元提升性能。

Machine Learning Framework（机器学习框架）：为机器学习模型的设计、训练和部署提供工具和抽象的软件平台，连接用户应用与底层基础设施，支持计算图、硬件优化和工作流编排。

Machine Learning Frameworks（机器学习框架库）：如 TensorFlow、PyTorch 等，提供开发、训练和部署机器学习模型的工具、API 和抽象的软件库和平台。

Machine Learning Lifecycle（机器学习生命周期）：涵盖机器学习系统开发、部署和维护所有阶段的结构化、迭代过程，从问题定义到持续监控和改进。

Machine Learning Operations（机器学习运维）：专注于通过自动化、监控和管理整个 ML 流水线，将机器学习模型推向生产的实践和工具集。

Machine Learning Operations (MLOps)（MLOps 机器学习运维）：通过自动化流水线，实现机器学习模型在生产环境中可靠、高效部署与维护的工程实践。

Machine Learning Security（机器学习安全）：在整个机器学习生命周期内，保护数据、模型和基础设施免受未授权访问、篡改或破坏的措施。

Machine Learning Systems Engineering（机器学习系统工程）：专注于构建可靠、

高效、可扩展 AI 系统的工程学科，贯穿数据采集、部署和运维，强调资源感知和系统级优化。

Machine Unlearning（机器遗忘）：无需完全重新训练，通过技术手段移除特定数据对已训练模型的影响，支持数据删除权利。

Macro Benchmarks（宏观基准测试）：评估完整机器学习模型的测试方法，用于理解架构选择和组件交互对整体系统行为和性能的影响。

Magnitude-based Pruning（基于幅值的剪枝）：最常见的剪枝方法，移除绝对值最小的参数，假设幅值较小的权重对模型输出贡献较小。

Mapping Optimization（映射优化）：将神经网络操作分配到硬件资源的过程，目标是最小化通信开销并最大化计算单元利用率。

Masking（掩码处理）：一种匿名化技术，通过修改或隐藏敏感值，使其无法直接追溯到原始数据主体。

Megawatt-hour（兆瓦时）：能量单位，等于一兆瓦功率持续一小时，常用于衡量数据中心等大型设施的用电量。

Membership Inference Attack（成员推断攻击）：通过分析模型行为和输出，判断某个数据点是否被用于模型训练的攻击方式。

Membership Inference Attacks（成员推断攻击）：通过分析模型行为，推断特定数据是否包含在训练集中的隐私攻击。

Memory Bandwidth（内存带宽）：单位时间内可读写内存的数据量，常成为内存密集型机器学习任务的瓶颈。

Memory Hierarchy（内存层次结构）：不同速度和容量的内存系统组织方式，从高速片上缓存到较慢的主存。

Meta-learning（元学习）："学习如何学习"的过程，使模型能用极少数据快速适应新任务，尤其适合设备端个性化。

Metadata（元数据）：描述数据集的附加信息，包括采集细节、质量指标、验证状态等，有助于数据管理。

Micro Benchmarks（微基准测试）：专门评估机器学习系统中单个组件或特定操作（如张量运算、神经网络层）的工具。

Microcontroller（微控制器）：集成处理器、内存和可编程 I/O 的单芯片小型计算机，常用于嵌入式系统。

Mini-batch Gradient Descent（小批量梯度下降）：用一小部分训练样本同时计算梯度并更新权重的训练方法，兼顾效率和梯度估计质量。

Mini-batch Processing（小批量处理）：在小批量样本上计算梯度的优化方法，平衡批处理效率与随机方法的内存约束。

Minimax（极小极大策略）：博弈论中的决策策略，旨在对抗性场景下最小化最大可能损失。

Mixed Precision Training（混合精度训练）：在神经网络训练中不同部分采用不同数值精度（如 16 位和 32 位浮点），以减少内存占用并提升训练速度。

Mixed-precision Computing（混合精度计算）：在不同计算阶段采用不同数值精度，如矩阵乘法用 FP16，累加用 FP32。

Mixed-precision Training（混合精度训练）：结合 FP16 和 FP32 等不同数值精度，优化内存和计算速度，同时保持训练稳定性的训练方法。

Mixture of Experts（专家混合模型）：采用多个专用子模型（专家）和门控机制，将输入路由到最相关专家，实现高效扩展和稀疏性。

ML Lifecycle（ML 生命周期）：指导机器学习系统开发、评估和持续改进的迭代过程，涵盖从数据收集到模型监控的各阶段，并通过反馈循环实现持续适应。

ML Systems（ML 系统）：由数据、学习算法和计算基础设施三大核心组成的集成计算系统，支持训练和推理。

ML Systems Spectrum（ML 系统谱系）：从资源丰富的云端到极度受限的嵌入式设备的机器学习系统部署范围，不同场景需采用不同优化策略和权衡。

MLCommons（MLCommons 组织）：制定和维护机器学习系统行业标准基准（如 MLPerf 训练和推理评测套件）的组织。

MLOps（MLOps 工程）：管理机器学习系统全生命周期的工程学科，将 ML 开发与运维实践结合，实现可靠的生产部署。

MLPerf（MLPerf 基准）：行业标准基准套件，提供多种深度学习任务的标准化训练和推理测试，便于公平比较机器学习系统。

MLPerf Inference（MLPerf 推理基准）：评估不同部署环境（如云、移动、嵌入式）下机器学习推理性能的基准框架。

MLPerf Mobile（MLPerf 移动基准）：专为智能手机和移动设备设计的基准，测量在严格功耗和内存约束下的延迟和响应能力。

MLPerf Tiny（MLPerf 微型基准）：针对物联网、可穿戴设备和微控制器等极低功耗 AI 系统的基准测试。

MLPerf Training（MLPerf 训练基准）：通过测量达到目标准确率所需时间、吞吐量和资源利用率，评估不同硬件平台的机器学习训练性能。

MNIST（MNIST 数据集）：包含 7 万张 28×28 像素手写数字图像的数据库，被誉为计算机视觉领域的“Hello World”。

Mobile Machine Learning（移动端机器学习）：直接在智能手机、平板等便携式电池设备上执行机器学习模型，实现个性化和实时响应。

Mobile ML（移动 ML 系统）：为智能手机、平板等移动设备优化的机器学习系统，兼顾计算效率和推理准确性，实现本地推理。

Mobile-optimized Architectures（移动优化架构）：专为移动端部署设计的神经网络结构，强调参数高效、计算速度和能耗控制。

MobileNet（MobileNet 网络）：采用深度可分离卷积的高效神经网络架构，参数量约为传统模型的 1/50，适合智能手机部署。

Mode Collapse（模式崩溃）：生成模型只输出有限种类结果，忽略训练数据多样性，未能捕捉完整分布的失败模式。

Model Cards（模型卡片）：为机器学习模型提供结构化信息的文档框架，包括用途、性能特征和局限性。

Model Compression（模型压缩）：在保持准确性的前提下，减少机器学习模型体积和计算需求的技术，使其能在资源受限设备上部署。

Model Deployment（模型部署）：将训练好的机器学习模型集成到生产系统中，对新数据进行预测并为用户提供价值的过程。

Model Drift（模型漂移）：由于数据模式、用户行为或环境条件变化，导致机器学习模型性能随时间下降的现象。

Model Evaluation（模型评估）：通过多种指标和验证方法系统评估机器学习模型性能，判断其是否满足要求并可部署。

Model Extraction（模型提取）：通过系统性查询模型 API，观察输入输出行为，窃取或重建机器学习模型的过程。

Model Inversion Attack（模型反演攻击）：通过分析模型输出和置信度，试图重建训练数据或推断数据集敏感信息的攻击方式。

Model Optimization（模型优化）：系统性优化机器学习模型，提高效率同时保持效果，权衡准确率、计算成本、内存、延迟和能效。

Model Parallelism（模型并行）：将神经网络模型拆分到多个设备上，每台设备负责计算部分网络的分布式训练策略。

Model Pruning（模型剪枝）：从已训练神经网络中移除不必要的权重、神经元或连接，以减少模型体积和计算需求。

Model Quantization（模型量化）：降低机器学习模型数值表示精度（如从 32 位降为 8 位整数），以减小模型体积并提升推理速度。

Model Registry（模型注册表）：集中存储、版本管理和管理已训练模型及其元数据的仓库，便于模型治理和部署。

Model Serving（模型服务）：通过 API 暴露已部署机器学习模型的基础设施和系统，支持大规模预测请求，满足延迟和吞吐要求。

Model Training（模型训练）：利用机器学习算法从训练数据中学习模式，调整模型参数以最小化预测误差，构建可用预测系统的过程。

Model Uncertainty（模型不确定性）：机器学习模型未能完全捕捉底层数据生成过程复杂性，导致预测存在不确定性。

Model Validation（模型验证）：在独立数据集上测试机器学习模型，评估其泛化能力，确保在未见数据上表现可靠。

Model Versioning（模型版本管理）：系统跟踪和管理不同版本机器学习模型（包括参数、训练数据和性能指标），便于比较和回滚。

Model Watermarking（模型水印）：在机器学习模型中嵌入可验证所有权签名的技术，用于检测未授权使用或证明知识产权归属。

Momentum（动量）：优化技术，通过跨迭代累积速度向量，帮助梯度下降跳出局部极小值，加速一致梯度方向的收敛。

Monitoring（监控）：在生产环境中持续观测和测量机器学习系统性能、数据质量和运行指标，及时发现问题并触发维护。

Monte Carlo Dropout（蒙特卡洛 Dropout）：推理时多次前向传播并使用不同 Dropout 掩码，以估计模型预测不确定性的方法。

Moore's Law（摩尔定律）：芯片上晶体管数量约每两年翻一番，计算机成本减半的观察规律。

Moores Law（摩尔定律）：英特尔联合创始人戈登·摩尔 1965 年提出，晶体管密度每两年翻倍，硬件进步遵循该趋势，AI 算法效率 7 年提升 44 倍。

Multi-agent Approach（多智能体方法）：多个 AI 智能体协作、协商或竞争解决复杂问题的系统架构，实现分工和专业化。

Multi-head Attention（多头注意力）：采用多个并行注意力头，每个关注输入的不同方面，同时捕捉多种关系的注意力机制。

Multi-layer Perceptron（多层感知机）：输入与输出之间有一个或多个隐藏层的前馈神经网络，通过密集连接和激活函数学习非线性映射。

Multicalibration（多重校准）：确保模型预测在交叉子群体间保持校准的公平性技术，解决复杂人口统计交互问题。

Multilayer Perceptron（多层感知机）：输入与输出层之间有一个或多个隐藏层的前馈神经网络，能够学习数据中的非线性关系。

Multimodal AI（多模态 AI）：能够同时处理和理解多种类型数据（如文本、图像、音频、视频）的 AI 系统，实现更全面的理解和交互。

Mycin（Mycin 专家系统）：斯坦福大学 1976 年开发的早期大型专家系统，用于诊断血液感染，代表了 AI 从通用智能转向领域知识捕捉的转变。

N

Narrow AI（窄域人工智能）：设计用于在特定任务上表现出色的 AI 系统，但缺乏跨多样问题领域泛化的能力，与人工通用智能相对。

NAS-generated Architecture（NAS 生成的架构）：通过自动化神经架构搜索发现的神经网络架构，而非手动设计，通常通过对设计空间的全面探索实现更好的效率 - 准确性权衡。

Network Structure Modification（网络结构修改）：改善神经网络效率的架构变更，包括深度可分离卷积、瓶颈层和高效注意力机制等技术，降低计算复杂度。

Neural Architecture Search（神经架构搜索）：一种自动化方法，利用机器学习算法通过搜索层、连接和超参数的可能组合，发现最优神经网络架构。

Neural Engine（神经引擎）：专为机器学习推理和训练设计的硬件加速器，如苹果的神经引擎或谷歌的 Edge TPU，优化用于设备端 AI 工作负载。

Neural Network（神经网络）：由相互连接的节点组成的计算模型，组织成层，通过可调节的连接权重学习将输入映射到输出。

Neural Processing Unit (NPU)（神经处理单元）：专为加速神经网络运算和机器学习计算而设计的处理器，优化用于 AI 工作负载的并行处理。

Neuromorphic Computing（神经形态计算）：受生物神经网络结构和功能启发的计算架构，旨在比传统数字计算机更高效地处理信息。

Non-IID Data（非独立同分布数据）：样本在设备或时间上分布不均匀的数据，给联邦学习的收敛和泛化带来挑战。

NoSQL（非关系型数据库）：一种数据库系统类别，旨在处理大量非结构化或半结构化数据，具有灵活的模式，常用于大数据应用。

Numerical Precision Optimization（数值精度优化）：模型优化的一个维度，涉及数值值的表示和处理，包括将高精度值映射到低位表示的量化技术。

O

Observability（可观测性）：通过指标、日志和追踪提供系统行为的全面监控方法，从外部输出理解内部状态。

OLAP (Online Analytical Processing)（在线分析处理）：针对大数据集复杂分析查询优化的数据库方法，通常用于数据仓库中的商业智能。

OLTP (Online Transaction Processing)（在线事务处理）：针对频繁、短小事务和实时处理优化的数据库方法，常用于操作性应用中。

On-chip Memory（片上内存）：直接集成在处理器芯片上的快速内存，包括缓存和临时存储器，提供高带宽和低延迟的数据访问。

On-device Learning（设备端学习）：直接在部署的硬件设备上进行机器学习模型的本地适应或训练，无需依赖于与集中式服务器的持续连接。

One-shot Pruning（一次性剪枝）：在单次操作中移除大部分参数的剪枝策略，通常随后进行微调以恢复准确性，简单但可能需要更激进的微调。

Online Inference（在线推理）：实时预测服务，处理单个请求并保持低延迟，适用于需要即时响应的交互式应用。

ONNX（开放神经网络交换）：一种标准化的机器学习模型表示格式，实现不同框架之间的互操作性，允许在一种框架中训练的模型在另一种框架中部署。

ONNX Runtime（ONNX 运行时）：跨平台推理引擎，通过操作符融合和内核调优等技术优化机器学习模型，提高推理速度，减少计算开销。

Optimizer（优化器）：在训练过程中调整模型参数以最小化损失函数的算法，常见的有 SGD（随机梯度下降）、Adam 和 RMSprop 等。

Orchestration（编排）：多个 AI 系统或智能体协同工作的协调和管理，确保跨分布式智能系统的正确顺序、通信和资源分配。

Outlier Detection（异常值检测）：识别显著偏离正常模式的数据点的过程，可能代表错误、异常或有价值的稀有事件。

Overfitting（过拟合）：模型过于精确地学习训练数据的细节，以至于无法对新的、未见过的样本进行泛化的现象，通常表现为训练准确率高但验证性能差。

Oxide Breakdown（氧化层击穿）：由于过度电场应力导致的晶体管氧化层失效，造成永久性硬件故障。

P

Padding（填充）：卷积网络中在输入边界周围添加零或其他值的技术，以控制输出特征图的空间维度。

Paradigm Shift（范式转变）：科学方法的根本变化，例如 1990 年代从符号推理转向统计学习，以及 2010 年代从浅层学习转向深度学习，要求研究人员放弃既定方法，采用截然不同的方法。

Parallelism（并行性）：同时执行多个计算任务或操作的能力，是实现神经网络处理高性能的基础。

Parameter（参数）：神经网络的可学习组件，包括权重和偏置，在训练过程中调整以最小化损失函数。

Parameter Efficient Finetuning（参数高效微调）：如 LoRA 和 Adapters 等方法，仅更新不到 1% 的模型参数，同时实现完全微调性能，将内存需求从 GB 级降低到 MB 级。

Partitioning（分区）：一种数据库技术，根据特定标准将大数据集划分为较小、可管理的片段，以提高查询性能和系统可扩展性。

Perceptron（感知机）：神经网络的基本构建块，由加权输入、偏置项和激活函数组成，产生单一输出。

Performance Insights（性能洞察）：通过监控生产机器学习系统获得的分析观察，揭示模型准确性、系统效率或用户体验的改进机会。

Performance-efficiency Scaling（性能效率缩放）：描述计算效率改进如何转化为不同模型架构和训练方案的性能提升的数学关系。

Permanent Faults（永久性故障）：持续存在的硬件缺陷，直到修复或更换组件才会消失，持续影响系统行为。

Perplexity（困惑度）：语言模型对文本预测的好坏的度量，计算为 2^(交叉熵损失)，值越低表示预测能力越强。

Personalization Layers（个性化层）：模型组件，通常是最后的分类层，针对用户特定数据进行本地调整，同时保持共享的主干层不变。

Physical Attack（物理攻击）：直接操纵或篡改计算硬件，以破坏机器学习系统的安全性和完整性的攻击，绕过传统软件防御。

Pipeline Jungle（流水线丛林）：复杂的、相互依赖的数据处理流水线变得难以维护、调试和修改的反模式，导致技术债务和操作复杂性。

Pipeline Parallelism（流水线并行）：一种模型并行形式，将模型的不同层放在不同设备上，数据在它们之间以流水线方式流动，允许同时处理多个批次。

Pooling（池化）：卷积网络中的下采样操作，减少空间维度同时保留重要特征，通常使用局部区域的最大值或平均值操作。

Positional Encoding（位置编码）：在 Transformer 架构中注入序列中标记位置的信息的方法，因为 Transformer 缺乏固有的序列处理能力。

Post-hoc Explanations（事后解释）：在模型训练后应用的解释方法，将模型视为黑箱，从输入输出行为推断推理模式。

Post-training Quantization（后训练量化）：在已训练模型上应用的量化方法，无需修改训练过程，通常涉及在代表性数据上校准以确定最佳量化参数。

Power Usage Effectiveness（电源使用效率）：衡量数据中心能源效率的指标，计算为总设施能耗与 IT 设备能耗的比率。

Power Usage Effectiveness (PUE)（电源使用效率 (PUE)）：用于数据中心的能效测量指标，计算为总设施电力消耗与 IT 设备电力消耗的比率。

Precision（精度）：数值计算中用于表示数字的位数，影响机器学习系统的计算准确性和资源需求。

Precision Agriculture（精准农业）：利用包括 GPS、传感器和机器学习等技术，通过精确监测和管理作物投入（如水、肥料和农药）来优化农业实践。

Prefetching（预取）：系统优化技术，在数据被需要之前将其加载到内存中，重叠数据加载和计算，以减少空闲时间并提高训练吞吐量。

Principal Component Analysis（主成分分析）：一种降维技术，识别数据中最重要的变化方向，在保留 90% 以上数据方差的同时降低计算复杂度。

Principle of Least Privilege（最小特权原则）：一种安全概念，用户仅获得完成其工作职能所需的最低访问权限，以降低安全风险。

Privacy Budget（隐私预算）：差分隐私中的一个概念，表示在所有查询或计算中允许的隐私损失总量，每次操作消耗该有限预算的一部分。

Privacy-preserving Machine Learning（隐私保护机器学习）：在保护用于训练或推理的数据隐私的同时，进行机器学习的技术和方法。

Privacy-preserving Techniques（隐私保护技术）：旨在保护机器学习中个人隐私的方法，包括差分隐私、联邦学习和本地处理。

Privacy-Utility Tradeoff（隐私 - 效用权衡）：保护个人隐私与保持数据对机器学习有用性之间的基本矛盾，需要通过差分隐私等技术进行仔细平衡。

Problem Definition（问题定义）：机器学习开发的初始阶段，明确指定目标、约束、成功指标和操作要求，以指导后续的所有开发决策。

Programmatic Logic Controllers（可编程逻辑控制器）：用于制造和物联网环境的工业控制系统，可与机器学习模型集成，实现操作技术上下文中的自动化决策。

Progressive Enhancement Pattern（渐进增强模式）：一种设计模式，在最小资源条件下建立基本功能，随着额外资源的可用性逐步纳入高级功能。

Prompt Engineering（提示工程）：设计和优化文本提示的实践，以有效地与大型语言模型进行通信，并从 AI 系统中获得期望的输出。

Protein Folding Problem（蛋白质折叠问题）：预测蛋白质三维结构的科学挑战，利用深度学习方法如 AlphaFold 实现突破性准确性。

Pruning（剪枝）：一种模型压缩技术，移除神经网络中不必要的连接或神经元，以减少模型体积和计算需求，而不显著影响性能。

Pseudonymization（伪匿名化）：一种隐私技术，用人造标识符替换直接标识符，同时保持追踪记录以便分析的能力。

PyTorch（PyTorch 框架）：由 Facebook AI Research 实验室开发的深度学习框架，强调动态计算图、急切执行和直观的 Python 集成，特别受研究和实验欢迎。

Q

Quantization（量化）：一种模型压缩技术，将模型参数和激活的精度从高精度格式（如 32 位浮点）降低到低精度（如 8 位整数），显著减少内存使用和计算需求。

Quantization Granularity（量化粒度）：量化参数应用的级别，从每个张量（最粗粒度）到每个通道或每组（更细粒度），粒度越细通常保留更多准确性，但需要更多存储。

Quantization-aware Training（量化感知训练）：一种训练方法，在训练过程中模拟量化效应，使模型适应降低精度，通常比后训练量化获得更好的准确性。

Quantum Machine Learning（量子机器学习）：量子计算与机器学习的交叉领域，探索量子算法和量子计算机如何增强或转变机器学习任务。

Queries Per Second (QPS)（每秒查询数 (QPS)）：衡量系统每秒处理多少个推理请求的性能指标，常用于评估生产环境中的吞吐量。

Query Key Value（查询键值）：注意力机制的三个组成部分，其中查询确定要查找的内容，键表示可用内容，值包含实际信息以进行加权和组合。

R

Real-time Processing（实时处理）：数据可用时即刻处理，并保证响应时间满足严格时序约束的能力，以实现即时决策。

Receptive Field（感受野）：影响特定神经元输出的输入区域，决定该神经元可以检测的模式的空间范围。

Rectified Linear Unit（修正线性单元）：一种激活函数，正值输出输入，负值输出零，因其计算简单和避免梯度消失而广泛用于现代神经网络。

Recurrent Neural Network（递归神经网络）：一种用于序列数据处理的神经网络，具有创建循环的连接，允许信息在时间步之间持续。

Regularization（正则化）：通过添加约束或惩罚来防止神经网络过拟合的技术，包括 dropout、权重衰减和数据增强等方法。

ReLU（修正线性单元）：定义为 $f(x) = \max(0,x)$ 的修正线性单元激活函数，引入非线性同时保持计算效率，避免梯度消失问题。

Renewable Energy（可再生能源）：从自然界中不断补充的能源，包括太阳能、风能、水电、地热能和生物质能等。

Residual Connection（残差连接）：将层的输入与输出相加的跳跃连接，通过缓解梯度消失问题，使得非常深的网络能够训练。

ResNet（残差网络）：一种深度卷积架构，引入跳跃连接，使得数百层的网络能够训练并取得突破性表现。

Resource Paradox（资源悖论）：社会影响应用中的挑战，需求最迫切的地区往往缺乏传统技术部署所需的基础设施，需创新工程解决方案。

Resource-constrained Environments（资源受限环境）：计算能力、网络带宽或电力供应有限的部署环境，通常需要专门的系统设计和优化技术。

Responsible AI（负责任的 AI）：以道德、公平、透明和对社会有益的方式开发和部署 AI 系统的实践，同时最小化潜在的危害和偏见。

Retinal Fundus Photographs（视网膜眼底照片）：眼睛内部表面的医学图像，包括视网膜、视神经和血管，常用于眼病诊断和医学 AI 系统训练。

Reverse-mode Differentiation（反向模式微分）：一种自动微分技术，通过反向遍历计算图计算梯度，对于输入多、输出少的函数高效，理想用于神经网络训练。

Reward Hacking（奖励黑客攻击）：AI 系统利用奖励函数的意外方面最大化得分，同时违反预期目标的现象。

RLHF（人类反馈强化学习）：一种训练方法，利用人类偏好引导模型行为，使 AI 系统更好地与人类价值观和意图对齐。

RMSprop（均方根传播）：一种自适应学习率优化算法，保持平方梯度的移动平均值，自动调整训练过程中每个参数的学习率。

Robust AI（稳健 AI）：人工智能系统在面对内部错误、外部干扰和环境变化时，保持性能和可靠性的能力。

Robustness（稳健性）：模型在输入变化、环境变化或对抗性条件下，保持稳定和一致性能的能力。

Robustness Metrics（稳健性度量）：评估模型在各种扰动下稳定性的定量指标，包括对抗准确率、认证稳健性界限和分布变化下的性能。

Rollback（回滚）：在生产中检测到问题时，恢复到先前稳定版本的过程，以确保服务连续性。

Roofline Analysis（屋顶线分析）：一种性能建模技术，通过绘制操作强度与峰值性能的关系图，识别系统是受内存限制还是计算限制，从而指导优化工作。

S

Scalability（可扩展性）：机器学习系统处理不断增加的数据、用户或计算需求的能力，而不会显著降低性能或用户体验。

Scaling Laws（缩放法则）：量化模型性能与训练资源之间关系的经验法则，遵循模型大小、数据集大小和计算预算的可预测幂律关系。

Scan Chains（扫描链）：处理器中的专用测试路径，提供对内部寄存器和逻辑的访问，用于全面的硬件测试和故障检测。

Schema（模式）：数据的结构和格式定义，指定数据类型、字段名称和关系，对于数据验证和处理一致性至关重要。

Schema Evolution（模式演变）：随着时间推移，修改数据模式的过程，同时保持向后兼容性，确保依赖系统和应用的持续功能。

Schema-on-read（按读模式）：数据湖中使用的一种方法，数据结构在读取时定义和强制执行，而不是在存储时提供对多种数据类型的灵活性。

Scope 1 Emissions（范围 1 排放）：组织拥有或控制的来源直接产生的温室气体排放，如现场燃料燃烧和公司车辆。

Scope 2 Emissions（范围 2 排放）：购买的电力、蒸汽、供热或制冷产生的间接温室气体排放。

Scope 3 Emissions（范围 3 排放）：组织价值链中发生的所有其他间接温室气体排放，包括制造、运输和使用后处理。

Secure Aggregation（安全聚合）：一种密码学协议，使联邦学习服务器能够计算聚合模型更新，而无需访问单个客户端贡献，从而增强隐私保护。

Secure Computation（安全计算）：使多个参与方能够共同计算私有输入的函数，而不向彼此透露这些输入的密码协议。

Secure Multi-party Computation（安全多方计算）：一种密码学方法，允许多个参与方共同计算一个函数，而不透露各自的私有输入。

Segmentation Maps（分割图）：对物体进行像素级分类的详细注释，提供最细粒度的标记信息，但需要显著更多的存储和处理资源。

Selective Computation（选择性计算）：根据输入复杂性或当前需求动态分配处理资源的计算策略，通过避免不必要的计算提高效率。

Self Supervised Learning（自监督学习）：一种机器学习范式，通过从未标记数据中预测输入的某些部分来学习表示，减少对手动标记数据集的依赖。

Semi-supervised Learning（半监督学习）：一种机器学习方法，利用标记和未标记数据进行训练，通过结构假设提高有限标签下的模型性能。

Sequential Neural Networks（序列神经网络）：设计用于处理随时间序列发生的数据的神经网络架构，保持对先前输入的记忆，以通知当前决策，对于预测行人运动模式等任务至关重要。

Serverless（无服务器）：云计算模型，基础设施由提供商自动管理，允许代码执行而无需担心服务器管理。

Service Level Agreement (SLA)（服务水平协议 (SLA)）：正式合同，规定生产服务的最低性能标准和正常运行时间保证，未达标将受到处罚。

Service Level Objective (SLO)（服务水平目标 (SLO)）：内部可靠性和性能指标的目标，如延迟、错误率和可用性，指导操作决策。

Shadow Deployment（影子部署）：测试策略，新模型版本在与生产模型并行处理实时流量的同时进行验证，而不影响用户可见结果。

Shallow Learning（浅层学习）：使用有限复杂度算法（如支持向量机和决策树）的机器学习方法，需要精心设计的特征，但无法像深度学习方法那样自动发现层次化表示。

Side-channel Attack（侧信道攻击）：利用通过计算系统物理实现泄露的信息（如功耗、电磁辐射或时间变化）进行的攻击。

Sigmoid（S 型激活函数）：一种将输入值映射到 0 和 1 之间的激活函数，历史上很受欢迎，但在深层网络中容易出现梯度消失问题。

Silent Data Corruption (SDC)（静默数据损坏）：计算或数据传输过程中未被检测到的错误，可能会在系统层中传播而不触发警报，从而损害结果。

SIMD (Single Instruction, Multiple Data)（单指令多数据）：一种并行计算架构，同时对多个数据元素应用相同操作，适用于规则的数据并行计算。

SIMT (Single Instruction, Multiple Thread)（单指令多线程）：SIMD 的扩展，允许跨多个独立线程的并行执行，每个线程维护自己的状态和程序计数器。

Single-instance Throughput（单实例吞吐量）：关注单个模型实例处理请求速率的性能测量，与批量吞吐量指标形成对比。

Singular Value Decomposition（奇异值分解）：一种矩阵分解技术，将矩阵分解为三个矩阵的乘积，常用于低秩近似，通过保留最重要的奇异值来压缩神经网络层。

Skip Connection（跳跃连接）：绕过一个或多个层的直接连接，允许梯度更容易地流过深层网络，使得非常深的架构能够更好地训练。

Smallholder Farmers（小农户）：耕作面积小于 2 公顷的农民，尽管他们在全球粮食供应中占据重要地位，但往往缺乏现代农业技术和信贷的获取。

Social Impact Measurement（社会影响测量）：系统评估 AI 应用对社区和个人的影响，包括可及性、公平性、有效性和意外后果的指标。

Softmax（Softmax 激活函数）：一种将原始分数转换为概率分布的激活函数，使输出之和为 1，对于多类分类任务至关重要。

Software Fault（软件缺陷）：由于缺陷、错误或设计疏漏导致的软件系统中出现的非预期行为，可能会影响性能或危害安全。

Sparse Training（稀疏训练）：在整个训练过程中保持神经网络权重稀疏性的训练方法，减少计算和内存需求。

Sparse Updates（稀疏更新）：选择性地仅更新一部分模型参数的训练策略，基于其对性能的重要性或贡献，减少计算和内存开销。

Sparsity（稀疏性）：神经网络的特性，其中许多权重为零或接近零，可以通过专门的硬件支持和针对稀疏操作设计的算法来利用。

Spec CPU（SPEC CPU 基准）：由系统性能评估合作组织开发的标准化基准套件，通过真实应用而非合成测试测量处理器性能。

Spec Power（SPEC Power 基准）：在不同工作负载水平下测量服务器能效的基准方法，直接比较计算系统中的电力 - 性能权衡。

Specification Gaming（规范游戏）：当 AI 系统找到意想不到的方式来获得高奖励，技术上满足目标函数但违反预期目的时发生。

Speculative Decoding（推测解码）：自回归语言模型的一种优化技术，由较小模型生成草稿标记，然后由较大模型验证，从而加速推理同时保持质量。

Speculative Execution（推测执行）：处理器中的一种性能优化，在确认指令是否需要之前就执行它们，这可能会通过微架构侧信道意外暴露敏感数据。

SqueezeNet（SqueezeNet 网络）：一种紧凑的 CNN 架构，以 50 倍更少的参数实现 AlexNet 水平的准确性，表明巧妙的架构设计可以在不牺牲性能的情况下显著减小模型

尺寸。

Stage-specific Metrics（阶段特定指标）：针对单个生命周期阶段量身定制的性能指标，如准备阶段的数据质量指标、建模阶段的训练收敛性指标和部署阶段的延迟指标。

State Space Models（状态空间模型）：通过保持压缩的记忆表示并增量更新来处理序列的神经架构，相较于 Transformer 注意力机制提供线性扩展优势。

Static Graph（静态图）：在执行开始之前完全定义的计算图，允许全面优化和高效部署，但要求所有操作在运行时指定，限制了灵活性。

Static Graphs vs Dynamic Graphs（静态图与动态图）：ML 框架中表示计算的两种基本方法：静态图在执行前定义，允许优化但限制灵活性；动态图在执行过程中构建，允许灵活控制流但可能存在优化限制。

Static Quantization（静态量化）：一种量化方法，在校准时一次性确定量化参数，并在推理过程中保持固定，提供计算效率但适应性较差。

Statistical Learning（统计学习）：20 世纪 90 年代出现的机器学习时代，重点从基于规则的符号 AI 转向能够从数据中学习模式的算法，为现代数据驱动的人工智能方法奠定基础。

Stochastic Computing（随机计算）：利用随机位和概率运算执行算术运算的计算技术，可能比传统方法提供更好的容错能力。

Stochastic Gradient Descent（随机梯度下降）：一种梯度下降变体，使用单个训练示例或小批量而非整个数据集来估计梯度，减少内存需求并支持在线学习。

Stream Ingestion（流式摄取）：实时处理到达数据的模式，对于需要即时处理和低延迟响应的应用至关重要。

Stream Processing（流处理）：实时数据处理方法，处理持续流入的数据，能够对事件和模式检测做出即时响应。

Stride（步幅）：卷积滤波器在输入上移动的步长，控制输出的空间维度和滤波器应用之间的重叠程度。

Structured Pruning（结构化剪枝）：移除整个计算单元（如神经元、通道或层）的剪枝方法，生成比非结构化剪枝创建的稀疏矩阵更小的密集模型，更加适合硬件实现。

Stuck-at Fault（固定故障）：一种永久性硬件故障，信号线无论输入如何都固定在逻辑 0 或 1，导致计算错误。

Student System（学生系统）：丹尼尔・博布罗在 1964 年开发的早期 AI 程序之一，通

过将英语代数文字问题转换为数学方程，展示了自然语言理解的能力，是符号 AI 领域的重要里程碑。

Student-teacher Learning（学生 - 教师学习）：知识蒸馏的核心机制，其中较小的学生网络从较大的教师网络学习，通常使用软目标提供比硬分类标签更多的信息。

Supervised Learning（监督学习）：一种机器学习方法，模型通过标记的训练示例学习，以对新的未标记数据进行预测。

Supply Chain Attack（供应链攻击）：在制造、分发或集成过程中，攻击者对硬件或软件组件进行攻击，可能影响多个下游系统。

Support Vector Machines（支持向量机）：利用“核技巧”寻找最优决策边界的机器学习算法，在深度学习兴起之前主导了相关竞赛，直到神经网络在 2010 年前后变得更加突出。

Sustainable AI（可持续 AI）：开发和部署人工智能系统的实践，旨在最小化对环境的影响，同时保持有效性和可及性。

Sustainable Development Goals（可持续发展目标）：联合国通过的 17 项全球目标，旨在到 2030 年应对紧迫的社会、经济和环境挑战，为 AI 在社会公益中的应用提供框架。

Swarm Intelligence（群体智能）：从分散、自组织系统中产生的集体智能，常受生物群体启发，应用于分布式机器学习系统和机器人技术。

Symbolic AI（符号人工智能）：早期的人工智能方法，试图通过符号操作和基于规则的系统实现智能，以 STUDENT 等程序为例，只能处理与其预编程模式匹配的输入。

Symbolic Programming（符号编程）：一种编程范式，计算通过抽象符号和表达式表示，先构建后执行，允许全面优化但需要显式执行阶段。

Synthetic Benchmark（合成基准）：旨在测量系统性能特定方面的人为测试程序，与基于真实应用和工作负载的基准测试相对。

Synthetic Data（合成数据）：使用算法、仿真或生成模型创建的人造数据，以补充真实世界数据集，解决数据可用性或隐私问题。

Synthetic Data Generation（合成数据生成）：创建人工数据集的过程，这些数据集近似真实数据的统计特性，同时降低隐私风险，避免直接暴露敏感信息。

System Efficiency（系统效率）：在算法、计算和数据效率维度上优化机器学习系统，最小化计算、内存和能源需求，同时保持性能。

System on Chip（系统级芯片）：将计算机或电子系统的大部分或全部组件（包括CPU、GPU、内存和专用处理器）集成在单个芯片上的集成电路。

System-on-Chip (SoC)（片上系统 (SoC)）：包含计算机系统大部分或全部组件的集成电路，常用于移动设备和嵌入式系统，以实现空间和电源效率。

System-wide Sustainability（系统级可持续性）：一种全面的环境责任方法，考虑整个 AI 基础设施生态系统的影响，从数据中心到边缘设备，而不是单独优化各个组件。

Systems Integration（系统集成）：将各种组件和子系统组合成一个统一、功能完整的系统的过程，确保作为一个整体高效、可靠地运行。

Systems Thinking（系统思维）：一种理解复杂系统的方法，考虑各个组件如何相互作用和影响整个系统，在 ML 中尤其重要，因为数据、算法、硬件和部署环境必须有效协同工作。

Systolic Array（脉冲阵列）：一种专门的硬件架构，通过在处理元素网格中流动数据，高效执行矩阵运算，最小化数据移动和能量消耗。

T

Tail Latency（尾部延迟）：系统中最差的响应时间，通常测量为第 95 或第 99 百分位延迟，重要用于理解系统在峰值负载下的可靠性。

Tailored Inference Benchmarks（定制推理基准）：为特定部署环境或用例设计的专门性能测试，考虑独特的约束和优化需求。

Tanh（双曲正切激活函数）：一种将输入映射到 (-1,1) 范围的激活函数，零中心输出，有助于稳定基于梯度的优化，相较于 sigmoid 函数更为有效。

Targeted Attack（定向攻击）：一种数据中毒攻击，旨在导致特定输入或类别的错误分类，同时基本保持模型的整体性能。

Technical Debt（技术债务）：由于开发过程中 expedient 设计决策而累积的长期维护成本，特别是在 ML 系统中，由于数据依赖性和模型复杂性而问题严重。

Telemetry（遥测）：从分布式系统自动收集和传输性能数据和指标的能力，实现远程监控和分析。

Tensor（张量）：用于表示神经网络中数据的多维数组，推广了标量（0D）、向量（1D）和矩阵（2D）到更高维度。

Tensor Decomposition（张量分解）：将矩阵分解扩展到高阶张量的技术，通过将权重张量表示为较小张量的组合来压缩神经网络层。

Tensor Parallelism（张量并行）：一种分布式计算技术，将单个张量和操作划分到多个设备上，减少每个设备的内存需求，同时通过协调的并行执行保持计算效率。

Tensor Processing Unit（张量处理单元）：谷歌专为机器学习工作负载设计的定制应用特定集成电路，优化用于矩阵运算，采用脉冲阵列架构。

Tensor Processing Unit (TPU)（张量处理单元 (TPU)）：谷歌专为神经网络机器学习设计的定制应用特定集成电路，优化用于 TensorFlow 操作。

TensorFlow（TensorFlow 框架）：谷歌开发的综合机器学习框架，提供从研究到生产的整个 ML 流水线的工具，具有急切执行和基于图的计算，支持广泛的生态系统。

TensorRT（TensorRT 优化器）：英伟达的推理优化库，通过操作符融合和精度降低等技术，加速深度学习在 GPU 硬件上的推理。

Ternarization（三值量化）：一种极端量化技术，将权重限制为三种值（通常为 -1、0、+1），在保持比二值量化更多的表示能力的同时，实现显著压缩。

Test Time Compute（测试时计算）：推理过程中根据任务复杂性或重要性动态调整计算资源分配的能力，实现灵活的性能 - 准确性权衡。

Thermal Stress（热应力）：由于反复经历高低温循环而导致的硬件退化，可能导致材料疲劳和潜在故障。

Threshold for Activation（激活阈值）：神经元开始产生显著输出的输入水平，由权重、偏置和所选激活函数的组合决定，控制神经元何时对网络计算产生影响。

Throughput（吞吐量）：系统处理数据或完成操作的速率，通常以每秒操作数衡量，对训练大规模模型至关重要。

Time-to-accuracy（达到准确率所需时间）：机器学习模型在训练过程中达到预定准确率阈值所需的时间，作为训练效率评估的关键指标。

Tiny Machine Learning（微型机器学习）：在超受限设备（如微控制器和传感器）上执行机器学习模型的能力，工作在毫瓦到亚瓦特的功率范围内。

Tiny ML（微型 ML 系统）：设计用于在极度资源受限设备（如微控制器）上运行的机器学习系统，通常模型小于 1MB，功耗小于 150mW。

TinyML（微机器学习）：在微控制器和边缘设备上进行的机器学习，内存小于 1KB-1MB，功耗小于 1mW，使得在传统部署不可能的地方实现 AI。

Tokens（标记）：语言模型处理的文本单元，通常是单词或子词片段，像 GPT-3 这样的现代模型在数千亿个标记上进行训练。

TOPS（万亿次操作每秒）：计算性能的衡量标准，指示系统每秒可以执行多少万亿次操作。

TPU（张量处理单元）：谷歌的定制应用特定集成电路，专为加速机器学习工作负载中的张量操作而设计，相较于通用处理器提供显著的性能和能效提升。

Training（训练）：调整神经网络参数的过程，使用标记数据和优化算法最小化预测误差，提高性能。

Training-serving Skew（训练服务偏差）：模型训练与服务过程中特征预处理逻辑不一致，导致生产性能下降的问题。

Transfer Learning（迁移学习）：一种机器学习技术，利用在相关任务上获得的预训练模型的知识，允许在新任务上快速训练和更好性能，尤其是在数据有限时。

Transformer（变换器）：一种完全基于注意力机制的神经网络架构，消除了递归和卷积，在许多领域实现了最先进的性能。

Transformer Architecture（变换器架构）：一种基于注意力机制的神经网络架构，彻底改变了自然语言处理，并越来越多地应用于计算机视觉等其他领域。

Transient Faults（瞬态故障）：不会持续或造成永久性损害的临时硬件故障，但如果处理不当，可能导致计算错误。

Translation Invariance（平移不变性）：卷积网络识别模式的能力，无论其在输入中的位置如何，通过权重共享和池化操作实现。

Transparency（透明性）：关于 AI 系统如何构建、训练、验证和部署的开放性，包括数据来源、设计假设和局限性的披露。

Triple Modular Redundancy (TMR)（三模冗余 (TMR)）：一种容错技术，执行三次计算实例，通过多数投票确定正确结果。

Trusted Execution Environment（受信执行环境）：处理器内的安全区域，为代码和数据提供基于硬件的保护，确保即使在特权系统软件下也能保持机密性和完整性。

Tucker Decomposition（塔克分解）：一种张量分解方法，将奇异值分解推广到高阶张量，使用核心张量和因子矩阵，常用于压缩卷积神经网络层。

TV White Spaces（电视空白频段）：未使用的广播频率，可重新用于互联网连接，如 FarmBeats 系统所用，以扩展对偏远农业传感器和物联网设备的网络访问。

U

UCI Machine Learning Repository（UCI 机器学习库）：由加州大学欧文分校于 1987 年建立的广泛使用的机器学习数据集资源，包含超过 600 个数据集，被数千篇研究论文引用。

Uniform Quantization（均匀量化）：一种量化方法，将值的范围划分为均匀间隔，提供简单的实现但对于非均匀值分布可能次优。

Universal Approximation Theorem（普适逼近定理）：一个理论结果，证明具有足够宽度和非线性激活函数的神经网络可以逼近紧支域上的任何连续函数。

Unstructured Pruning（非结构化剪枝）：移除单个权重而保留整体网络架构的剪枝方法，创建稀疏权重矩阵，需要专门的硬件支持以实现计算优势。

Unstructured Sparsity（非结构化稀疏性）：一种模型稀疏性形式，单个权重被置为零而不遵循任何特定模式，创建不规则稀疏模式，需要专门的硬件支持以实现计算优势。

V

Validation Issues（验证问题）：在模型测试中发现的问题，表明性能差、过拟合、数据质量问题或其他必须在部署前解决的问题。

Value Alignment（价值对齐）：AI 系统应追求与人类意图和伦理规范一致的目标的原则，解决将人类价值观编码到机器目标中的挑战。

Value-sensitive Design（价值敏感设计）：通过系统的利益相关者参与和对系统影响的伦理考虑，将人类价值观纳入技术设计的方法论。

Vanishing Gradient（消失梯度）：深度神经网络中的一个问题，梯度在反向传播时指数级减小，使得早期层难以有效学习。

Vanishing Gradient Problem（消失梯度问题）：训练深度神经网络时出现的挑战，梯度在反向传播时指数级减小，使得早期层难以有效训练。

Vector Operations（向量操作）：同时处理多个数据元素的计算操作，使神经网络中的元素级变换能够高效并行执行。

Vector-borne Diseases（媒介传播疾病）：通过昆虫或其他媒介传播的疾病，如由蚊子传播的疟疾，可通过机器学习驱动的检测系统进行监测和控制。

Versioning（版本控制）：跟踪数据集、模型和管道随时间变化的实践，实现 ML 系统的可重复性、回滚能力和审计跟踪。

Virtuous Cycle（良性循环）：深度学习中数据可用性、算法和计算能力的相互促进过程，推动整体进步的加速。

Vision-language Models（视觉 - 语言模型）：能够同时理解和推理视觉和文本信息的 AI 系统，实现图像字幕生成、视觉问答和多模态理解等任务。

Von Neumann Bottleneck（冯・诺依曼瓶颈）：由处理器和内存之间共享总线引起的性能限制，数据移动的成本超过计算成本。

W

Watchdog Timer（看门狗定时器）：监控系统执行并在系统无响应或卡住时触发恢复操作的硬件组件。

Water Usage Effectiveness（用水效率）：衡量数据中心用水效率的指标，计算为总水消耗与 IT 设备能耗的比率。

Waymo（Waymo 公司）：谷歌母公司 Alphabet Inc. 的子公司，代表了机器学习系统在自动驾驶汽车技术中最雄心勃勃的应用之一，展示了 ML 系统如何在安全关键环境中跨嵌入式系统到云基础设施。

Weak Supervision（弱监督）：通过启发式、远程监督或程序化方法获得的低质量标签的使用方法，而非人工专家标注。

Web Scraping（网络爬虫）：从网站提取数据以构建自定义数据集的自动化技术，需仔细考虑法律、伦理和技术限制。

Weight（权重）：决定神经元之间连接强度的可学习参数，在训练过程中调整以最小化损失函数。

Weight Freezing（权重冻结）：一种训练技术，在训练过程中固定大部分模型参数，仅允许特定层或组件更新，减少设备端适应的计算需求。

Weight Matrix（权重矩阵）：连接神经网络一层与另一层的权重的有组织集合，通过矩阵运算实现高效计算。

Weight Sharing（权重共享）：在不同空间位置使用相同参数的做法，如在卷积网络中，减少参数数量同时保持模式检测能力。

Whetstone（Whetstone 基准）：1964 年推出的早期基准，测量浮点运算性能，以 KIPS（每秒千条指令）为单位，成为第一个广泛采用的标准化性能测试。

White-box Attack（白盒攻击）：攻击者对模型的架构、参数、训练数据和内部工作原理有完全了解的对抗性攻击，使攻击策略高度有效。

Workflow Orchestration（工作流编排）：复杂 ML 流水线序列的自动化协调和管理，确保跨分布式系统的正确执行顺序、依赖关系管理和错误处理。

X

XLA（加速线性代数）：一个领域特定的线性代数操作编译器，通过为包括 CPU、GPU 和 TPU 在内的各种硬件平台生成高效代码，优化 TensorFlow 和 JAX 计算。

Z

Zero-day Vulnerability（零日漏洞）：软件或硬件中一个先前未知的安全缺陷，攻击者可以在开发者来得及创建和分发补丁之前利用该缺陷进行攻击。

Zero-shot Learning（零样本学习）：机器学习模型执行训练中从未见过的任务或对物体进行分类的能力，通常通过复杂的表示学习或大规模预训练实现。